

A2 Autostrada del Mediterraneo
Lavori di costruzione del nuovo
svincolo di Cosenza Nord al Km 250+000
in località Settimo di Rende

PROGETTO DEFINITIVO

<p>IL GEOLOGO</p> <p><i>Dott. Geol. Giuseppe Cerchiaro</i></p> <p>Ordine dei geologi della Calabria n. 528</p>	<p>I PROGETTISTI SPECIALISTICI</p> <p><i>Ing. Federico Koch</i> ORDINE INGEGNERI ROMA Provincia di Roma n. A14924 settore a-b-c</p> <p><i>Ing. Paolo Orsini</i> Ordine Ingegneri Provincia di Roma n. 13817</p> <p><i>Ing. Giuseppe Resta</i> Ordine Ingegneri Provincia di Roma n. 20629</p> <p><i>Ing. Vincenzo Secreti</i> Ordine Ingegneri Provincia di Crotona n. 412</p>	<p>PROGETTAZIONE ATI: (Mandataria) GP INGENGNERIA GESTIONE PROGETTI INGENGNERIA srl</p> <p>(Mandante) IRD ENGINEERING</p> <p>(Mandante) AIM Studio di Architettura e Ingegneria Moderna</p> <p>(Mandante) HYpro srl</p> <p>IL PROGETTISTA E RESPONSABILE DELL'INTEGRAZIONE DELLE PRESTAZIONI SPECIALISTICHE. (DPR207/10 ART 15 COMMA 12):</p> <p><i>Dott. Ing. GIORGIO GUIDUCCI</i> ORDINE INGEGNERI ROMA Ordine Ingegneri Provincia di Roma n. 140354035</p>
<p>COORDINATORE PER LA SICUREZZA IN FASE DI PROGETTAZIONE</p> <p><i>Ing. Vincenzo Secreti</i></p> <p>Ordine Ingegneri Provincia di Crotona n. 412</p>		
<p>VISTO: IL RESPONSABILE DEL PROCEDIMENTO</p> <p><i>Ing. Biagio Marra</i></p>		

OPERE D'ARTE MAGGIORI
PROLUNGAMENTO PONTE TORRENTE SETTIMO
Relazione Tecnica e di Calcolo

CODICE PROGETTO			NOME FILE	REVISIONE	SCALA
COMP.	PROGETTO	LIV. ANNO	T00VIO1STRRE03E		
DP	UC0085	D19	CODICE ELAB. T O O V I O 1 S T R R E 0 3	E	-
E	Revisione a seguito istruttoria		Nov. '22	Koch	Guiducci
D	Revisione a seguito istruttoria		Ottobre '22	Signorelli	Guiducci
C	Revisione a seguito istruttoria		Luglio '22	Signorelli	Guiducci
A	Emissione		Dicembre '21	Signorelli	Guiducci
REV.	DESCRIZIONE		DATA	REDATTO	VERIFICATO APPROVATO

INDICE

<u>1. PREMESSA</u>	3
<u>2. NORMATIVA DI RIFERIMENTO</u>	3
<u>3. DESCRIZIONE DELL'IMPALCATO</u>	3
<u>4. CLASSE D'USO E VITA NOMINALE</u>	4
<u>5. CLASSIFICAZIONE DELL'INTERVENTO</u>	4
<u>6. TIPO DI ANALISI EFFETTUATA E DESCRIZIONE DEL MODELLO</u>	4
<u>7. CARATTERISTICHE DEI MATERIALI</u>	5
7.1. CLASSE DI ESPOSIZIONE AMBIENTALE.....	5
7.2. CALCESTRUZZI	5
7.3. ACCIAIO	6
<u>8. ANALISI DEI CARICHI</u>	6
8.1. G1 CARICHI PERMANENTI STRUTTURALI	6
8.2. G2 CARICHI PERMANENTI PORTATI.....	6
8.3. VENTO.....	6
8.4. EFFETTI INDOTTI DALLE VARIAZIONI TERMICHE.....	8
8.5. AZIONI DA TRAFFICO STRADALE	9
8.6. AZIONE CENTRIFUGA	11
8.7. AZIONE DI FRENAMENTO.....	12
8.8. SPINTE TERRENO A TERGO DELLE SPALLE.....	12
8.9. SISMA.....	12
<u>9. COMBINAZIONI DI CARICO</u>	14
<u>10. RISULTATI DI ANALISI E VERIFICA ELEMENTI</u>	16
10.1. PALI DI FONDAZIONE	16
10.2. ZATTERA FONDAZIONE SPALLE E PILE.....	26
10.3. FUSTO SPALLE E PILE	30
10.4. MURI ANDATORI.....	35
10.5. PARAGHIAIA SPALLE.....	35
10.6. TRAVI DI IMPALCATO.....	37
10.7. SOLETTA DI IMPALCATO E NUOVO CORDOLO LATERALE	41
10.8. VERIFICA MARTELLO ALLUNGATO TRAVE ESISTENTE	45

PROGETTAZIONE ATI:

10.9. VERIFICA DISPOSITIVI DI APPOGGIO E GIUNTI.....	46
10.10. VERIFICA SOLLEVAMENTO IMPALCATO	48
10.11. VERIFICA STATO LIMITE DI ESERCIZIO	50
10.11.1. Verifica spalle	50
10.11.2. Verifica pile.....	53
11. VERIFICHE OPERE PROVVISORIALI.....	55
12. ALLEGATO – OUTPUT MODELLO DI CALCOLO	67

1. PREMESSA

La presente relazione descrive le verifiche strutturali eseguite in riferimento all'intervento da eseguirsi sul ponte autostradale sul torrente Settimo previsti nell'ambito del progetto di realizzazione dello svincolo di Cosenza Nord al km 250+000 dell'autostrada del Mediterraneo A2 "Salerno - Reggio Calabria" in località Settimo di Rende.

2. NORMATIVA DI RIFERIMENTO

- DM 17 gennaio 2018 "Norme tecniche per le costruzioni" (Nel seguito NTC 18)
- Circolare Ministeriale 21 gennaio 2019 n. 7

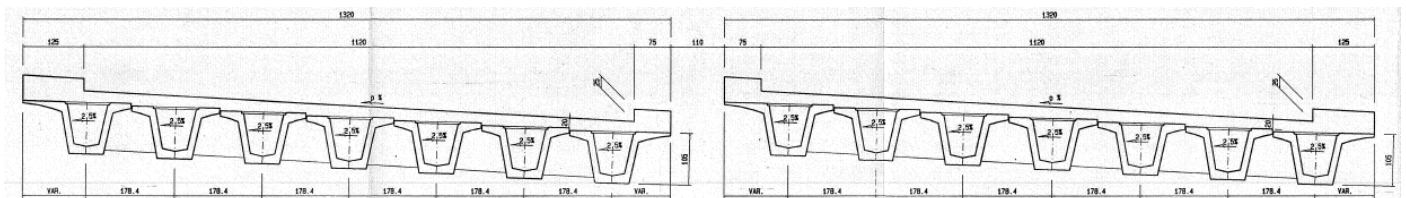
3. DESCRIZIONE DELL'IMPALCATO

Il ponte si sviluppa su tre campate, con impalcato discontinuo al di sopra delle pile (travi semplicemente appoggiate) e indipendenti per ciascuna carreggiata (piattaforma stradale a carreggiate separate): L'impalcato attuale, per ciascuna carreggiata, è costituito da 7 travi aventi luce di calcolo 13,80 m circa e poste ad interasse di 1,80 m circa. La soletta preesistente ha spessore 20 cm,

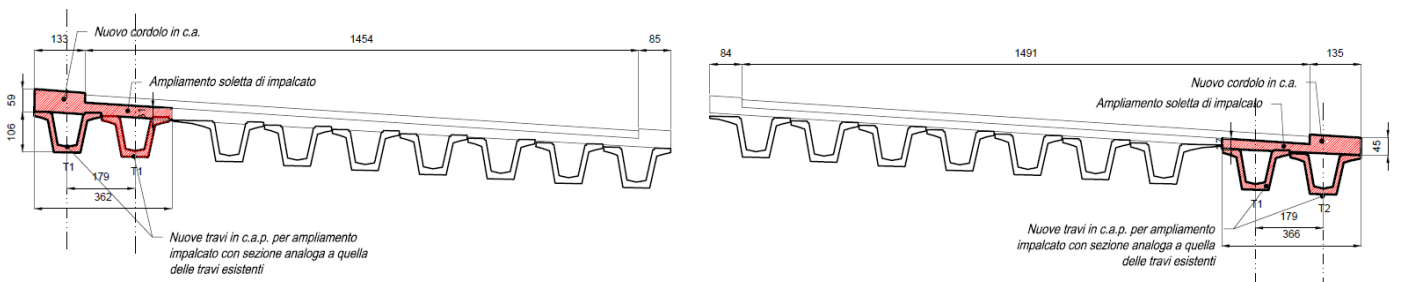
La piattaforma stradale è così composta:

- larghezza complessiva pari a 27,50 m;
- la larghezza delle singole carreggiate (distanza netta tra le barriere di sicurezza bordo ponte e spartitraffico), è pari a 11,20 m

Le travi sono in c.a.p. pre-tese, di altezza pari a 1,05 m con sezione a "V"



L'intervento prevede l'ampliamento della larghezza dell'impalcato, con aggiunta ai due bordi laterali di 2 ulteriori travi in c.a.p. per ogni lato, del tutto analoghe per forma e geometria a quelle già esistenti. La larghezza dell'impalcato viene quindi incrementata di circa 3,60 m per ogni lato



PROGETTAZIONE ATI:

4. CLASSE D'USO E VITA NOMINALE

Si adotta:

- Classe d'uso (§2.4.2. delle NTC18): IV (costruzioni strategiche)
- Vita nominale (§2.4.1. delle NTC18): 50 anni

Per cui:

- $C_u = 2,0$ coefficiente d'uso (tab. 2.4.II NTC18)
- $V_r = c_u V_n = 100$ anni periodo di riferimento per l'azione sismica

5. CLASSIFICAZIONE DELL'INTERVENTO

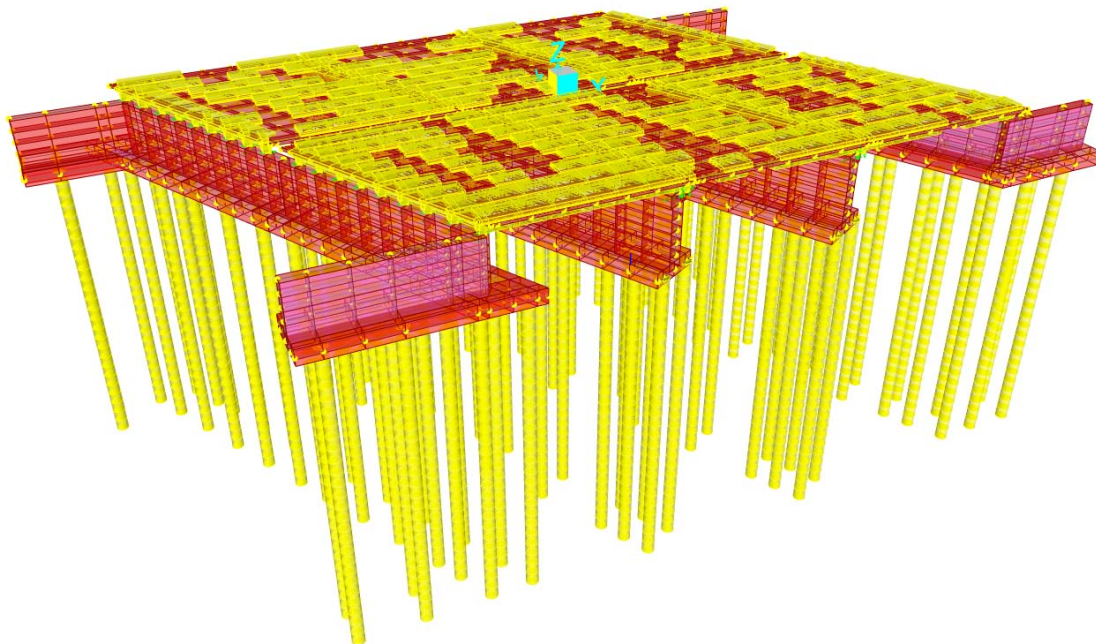
L'intervento in progetto prevede come detto l'ampliamento dell'impalcato e di conseguenza anche quello di pile e spalle, con solidarizzazione dei nuovi elementi con quelli esistenti.

Ai sensi del cap. 8 delle NTC18 e relativa circolare (Cap. C.8.8.7) il progetto si inquadra tra gli interventi di adeguamento: ciò pertanto richiedere la verifica di tutti gli elementi che compongono la struttura, con analisi globale. In questo caso, viene inoltre eseguita anche una verifica sismica della struttura, dalla quale dovrà emergere il sostanziale soddisfacimento delle verifiche analogamente a quanto previsto per le strutture di nuova costruzione, ma con la possibilità di raggiungere un valore per l'indicatore di sicurezza ξ_E inferiore all'unità, ma comunque superiore a 0,80 (v. cap. C.8.8.7 della Circolare)

6. TIPO DI ANALISI EFFETTUATA E DESCRIZIONE DEL MODELLO

Per calcolare la ripartizione dei carichi mobili sulla trave più sollecitata dell'impalcato, nonché sulle strutture di elevazione e fondazione che lo sostengono, viene effettuato un calcolo agli elementi finiti in campo elastico lineare con l'ausilio del software Sap2000 della Computer and Structures.

Il modello rappresenta l'intero impalcato, ivi incluse le strutture di pile e spalle con muri andatori, per cui ne simula fedelmente il comportamento di insieme.



Modello 1: ponte completo

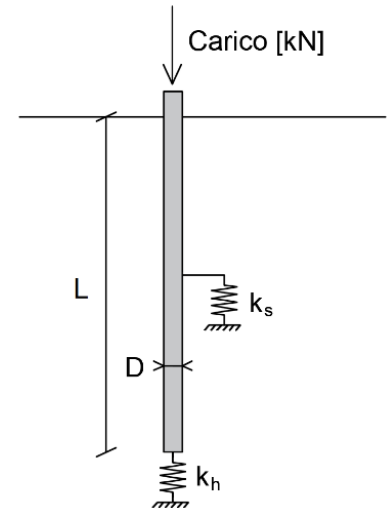
PROGETTAZIONE ATI:

Gli elementi strutturali principali con sviluppo lineare (travi impalcato e pali di fondazione) sono modellati secondo aste "frame" dotate di caratteristiche di rigidità derivanti dalla sezione trasversale assegnata. Quelli con sviluppo superficiale (fondazioni e paramenti in elevazione di pile e spalle, soletta di impalcato) sono invece modellati con elementi tipo "shell" attribuendo il medesimo spessore degli elementi che schematizzano.

Per quanto riguarda i pali di fondazione, sono stati modellati con elementi frame con conci di lunghezza 1,00 m: in corrispondenza dei nodi sono stati introdotti dei vincoli elastici in direzione orizzontale, per entrambe le direzioni principali, sia in direzione verticale, a simulare la resistenza per attrito offerta dal palo lungo il fusto.

Per la determinazione dei valori di rigidità orizzontale K_h , ci si è basati su formulazioni teoriche, quali Matlock e Reese (1956) e Broms (1964), rispettivamente per terreni incoerenti e per terreni coesivi.

Per quanto riguarda invece la rigidità verticale si è fatto riferimento al metodo di Randolph e Wroth (1978), di cui si riporta lo schema nella figura a lato.



Sulla base delle risultanze per le varie unità geotecniche riportate all'interno della relazione geotecnica, e con riferimento alle unità direttamente interessate dalle fondazioni profonde dell'opera in oggetto, si sono adottati i seguenti valori di rigidità nelle analisi effettuate:

Unità n.1	$K_h = 36500 \text{ KN/m}$	$K_s = 29500 \text{ KN/m}$	
Unità n.2	$K_h = 52000 \text{ KN/m}$	$K_s = 35000 \text{ KN/m}$	
Unità n.3	$K_h = 76000 \text{ KN/m}$	$K_s = 48800 \text{ KN/m}$	$K_{base} = 78500 \text{ KN/m}$

7. CARATTERISTICHE DEI MATERIALI

7.1. CLASSE DI ESPOSIZIONE AMBIENTALE

Si adotta la classe XC4 "ciclicamente asciutto e bagnato". Per la soletta di impalcato si aggiunge la classe di esposizione XD1 "parti di ponte soggetta a spruzzi di acque contenenti cloruri".

7.2. CALCESTRUZZI

Si adotta per gli elementi esistenti la resistenza di calcolo così come determinata in relazione sulle strutture

$R_m = 35 \text{ MPa} / (1,00 \times 1,50) = 23,33 \text{ MPa}$	resistenza cubica di calcolo per pile e spalle
$R_m = 45 \text{ MPa} / (1,00 \times 1,50) = 30,00 \text{ MPa}$	resistenza cubica di calcolo per soletta impalcato
$R_m = 55 \text{ MPa} / (1,00 \times 1,50) = 36,67 \text{ MPa}$	resistenza cubica di calcolo per travi impalcato

Per quanto riguarda invece le nuove strutture, si avrà

$R_{cd} = 30 \text{ MPa} / 1,50 = 20,00 \text{ MPa}$	resistenza cubica di calcolo per pali di fondazioni
$R_{cd} = 35 \text{ MPa} / 1,50 = 23,33 \text{ MPa}$	resistenza cubica di calcolo per fondazioni
$R_{cd} = 40 \text{ MPa} / 1,50 = 26,66 \text{ MPa}$	resistenza cubica di calcolo per elevazioni
$R_{cd} = 45 \text{ MPa} / 1,50 = 30,00 \text{ MPa}$	resistenza cubica di calcolo per soletta impalcato
$R_{cd} = 55 \text{ MPa} / 1,50 = 36,67 \text{ MPa}$	resistenza cubica di calcolo per travi impalcato

PROGETTAZIONE ATI:

7.3. ACCIAIO

Si adotta per gli elementi esistenti la resistenza di calcolo così come determinata in relazione sulle strutture, per cui $f_{yd} = 440 \text{ MPa} / 1,15 = 382,60 \text{ MPa}$

Per quanto attiene alle nuove strutture si adotterà un acciaio B450C.

8. ANALISI DEI CARICHI

8.1. G1 CARICHI PERMANENTI STRUTTURALI

Si valuta direttamente dalla geometria degli elementi strutturali modellati, a partire dal peso specifico del calcestruzzo armato pari a 25 MPa

8.2. G2 CARICHI PERMANENTI PORTATI

Si applica:

- per la pavimentazione un peso convenzionale di $24,00 \text{ KN/mc} \times 15 \text{ cm} = 3,60 \text{ kN/mq}$;
- per il cordolo un peso di $0,15 \text{ m} \times 25 \text{ KN/mc} = 3,75 \text{ kN/mq}$;
- per gli elementi marginali (barriera) un peso forfettario di $1,5 \text{ kN/ml}$;

8.3. VENTO

Località: Rende

Provincia: CS

Zona vento = 3

Velocità base della zona, $V_{b.o} = 27 \text{ m/s}$ (Tab. 3.3.I)

Altitudine base della zona, $A_o = 500 \text{ m}$ (Tab. 3.3.I)

Altitudine del sito, $A_s = 160 \text{ m}$

Velocità di riferimento, $V_b = 27,00 \text{ m/s}$ ($V_b = V_{b.o}$ per $A_s \leq A_o$)

Periodo di ritorno, $T_r = 50$ anni

$C_r = 1$ per $T_r = 50$ anni

Velocità riferita al periodo di ritorno di progetto, $V_r = V_b C_r = 27,00 \text{ m/s}$

Classe di rugosità del terreno: D (Aree in aperta campagna)

Categoria esposizione: (Entroterra fino a 30 km dal mare) tipo II

($K_r = 0,19$; $Z_o = 0,05 \text{ m}$; $Z_{min} = 4 \text{ m}$)

Pressione cinetica di riferimento, $q_b = 45 \text{ daN/mq}$

Coefficiente di forza come da figura 8.4 di EN 1991-1-4, ossia assumendo $b=35 \text{ m}$ e $d=1,40 \text{ m}$ a ponte scarico e $4,40 \text{ m}$ a ponte carico, si ottiene:

- A ponte scarico $b/d = 25,0 \rightarrow C_p = 1,3$
- a ponte carico $b/d = 7,95 \rightarrow C_f = C_p = 1,0$

Coefficiente dinamico, $C_d = 1,00$

Coefficiente di esposizione, $C_e = 1,868$

Coefficiente di esposizione topografica, $C_t = 1,00$

Altezza dell'opera, $h = 4.5 \text{ m}$

Si trova quindi per la pressione del vento:

PROGETTAZIONE ATI:

a ponte scarico, $q_{5a} = q_b C_e C_p C_d = 1,3 \times 1,868 \times 0,45 \text{ KN/mq} = 1,09 \text{ KN/mq}$
a ponte carico, $q_{5b} = q_b C_e C_p C_d = 1,0 \times 1,868 \times 0,45 \text{ KN/mq} = 0,84 \text{ KN/mq}$

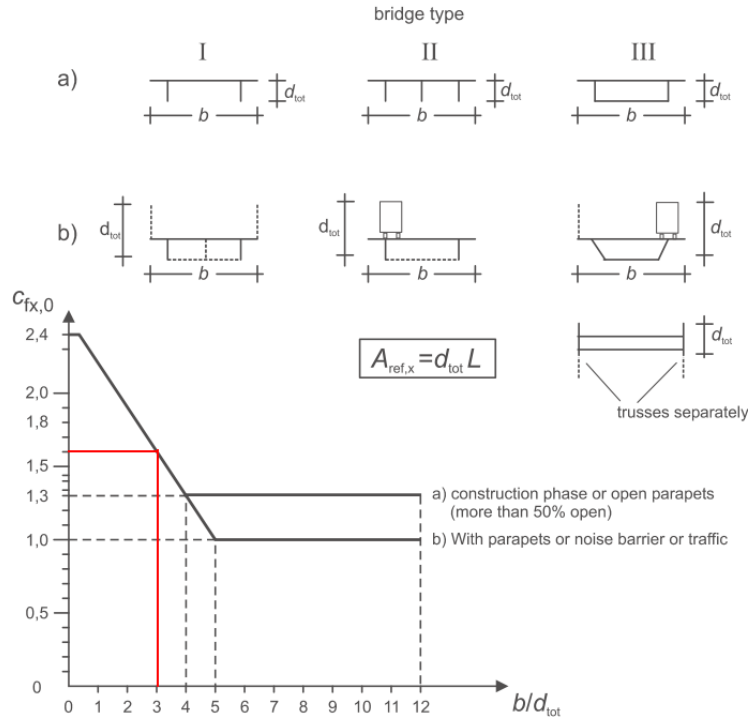


Figure 8.3 — Force coefficient for bridges, $c_{fx,0}$

Vento a ponte scarico

h1= 1.05 m altezza trave
h2= 0.25 m spessore soletta
h3= 0.15 m spessore cordolo
h4= 1,00 m altezza guard rail
H= 2,45 m Altezza impalcato + guard rail
Q5a= $q_{5a} \times H = 2,67 \text{ kN/m}$ risultante dell'azione del vento a ponte scarico

Vento a ponte carico

h1= 1.05 m altezza trave
h2= 0.25 m spessore soletta
h3= 0.15 m spessore cordolo
h4= 3,00 m altezza colonna di carico mobile
H= 5,45 m Altezza impalcato + colonna di carico
Q5b= $q_{5b} \times H = 4,58 \text{ kN/m}$ risultante dell'azione del vento a ponte carico

Le azioni prodotte dal vento sono pertanto trascurabili, risultando sicuramente più gravose quelle derivanti dall'azione sismica.

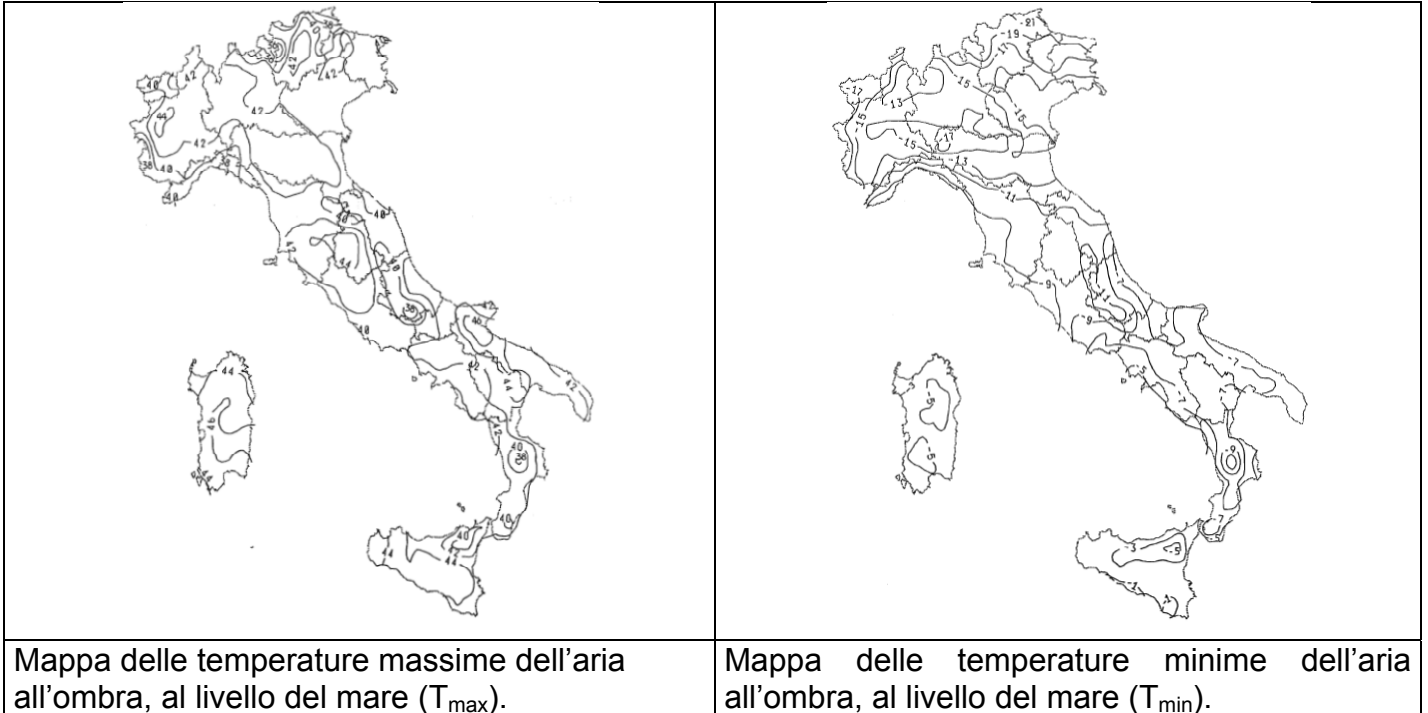
PROGETTAZIONE ATI:

8.4. EFFETTI INDOTTI DALLE VARIAZIONI TERMICHE

Quanto riportato nel presente paragrafo fa riferimento alla UNI-EN 1991-1-5 “Azioni sulle costruzioni – Parte 1-5: Azioni in generale – Azioni Termiche” e relativa Appendice Nazionale approvata dal Consiglio Superiore dei LL.PP. in data 24/09/2010.

Componente di variazione uniforme della temperatura

La massima e minima temperatura dell’aria all’ombra sono fornite dalle seguenti mappe delle isoterme:



Nel sito di interesse, in prossimità della città di Rende, risulta:

$T_{max} = 42^{\circ}$

$T_{min} = -2^{\circ}$

La correzione in funzione dell’altitudine del sito, per la Zona Climatica IV (Calabria), è data dalle seguenti formule:

Zona IV

$$T_{min,h} = T_{min} - 9 \text{ h}/1000$$

$$T_{max,h} = T_{max} - 2 \text{ h}/1000$$

Essendo l’altitudine del sito in esame pari a circa 160 m s.l.m., risulta:

$$T_{min,h} = -2 - 9 \times 160/1000 = -3,4^{\circ}$$

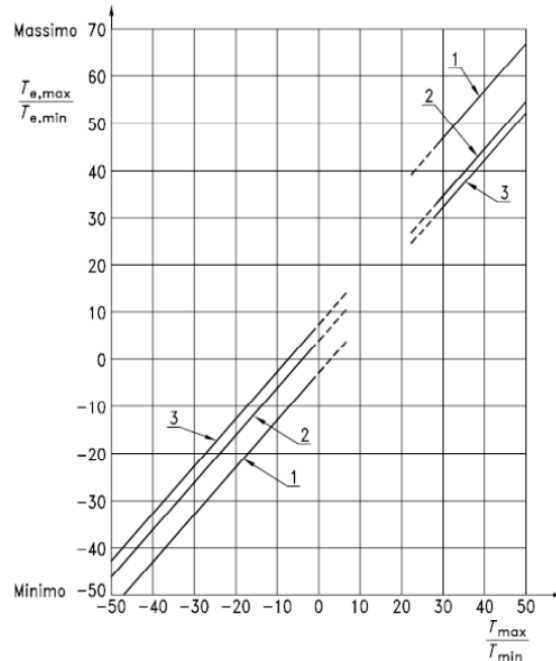
$$T_{max,h} = 42 - 2 \times 160/1000 \approx +42^{\circ}$$

La temperatura effettiva della struttura può essere a questo punto determinata mediante la curva 3 (ponti in calcestruzzo) del seguente grafico:

Correlazione tra minima/massima temperatura dell'aria all'ombra (T_{min}/T_{max}) ed il minimo/massimo della temperatura effettiva del ponte ($T_{e,min}/T_{e,max}$)

Legenda

- 1 Gruppo 1
- 2 Gruppo 2
- 3 Gruppo 3



da cui:

$$T_{e, min} = -8^{\circ}$$

$$T_{e, max} = 42^{\circ}$$

Assumendo quale temperatura di riferimento (temperatura alla quale la struttura è stata vincolata) il valore proposto dall'Appendice Nazionale pari a $T_0 = 15^{\circ}$, le variazioni di temperatura risultano:

$$DT \text{ espansione} = T_{e, max} - T_0 = 42 - 15 = 27^{\circ}$$

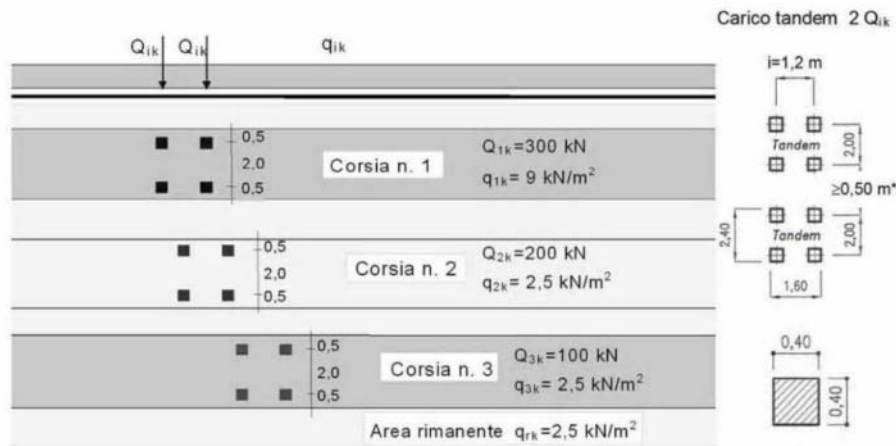
$$DT \text{ contrazione} = T_{e, min} - T_0 = -23^{\circ}$$

Essendo l'opera isostatica, l'azione della temperatura non porta alla formazione di coazioni rilevanti all'interno della struttura, e pertanto può essere omessa nelle combinazioni di verifica globali. Viene invece valutato il suo contributo per quanto riguarda l'escursione prodotta sui giunti

8.5. AZIONI DA TRAFFICO STRADALE

I carichi da traffico transitanti sui ponti sono definiti nella norma D.M. 17 gennaio 2018 e relativa Circolare esplicativa n.7 del 21 gennaio 2019. Con riferimento al caso di ponti per il transito di carichi mobili, ai fini delle verifiche globali della struttura e dei sostegni, si ricorre allo schema di carico 1, composto da carichi concentrati su due assi in tandem, di intensità paria Q_{ik} , applicati su impronte di pneumatico di forma quadrata e lato 40 cm, e da carichi uniformemente distribuiti sull'intera corsia convenzionale, di intensità pari a q_{ik} . Il valore del carico tandem Q_{ik} e del carico distribuito q_{ik} varia a seconda della corsia convenzionale considerata, come descritto nello schema seguente:

PROGETTAZIONE ATI:

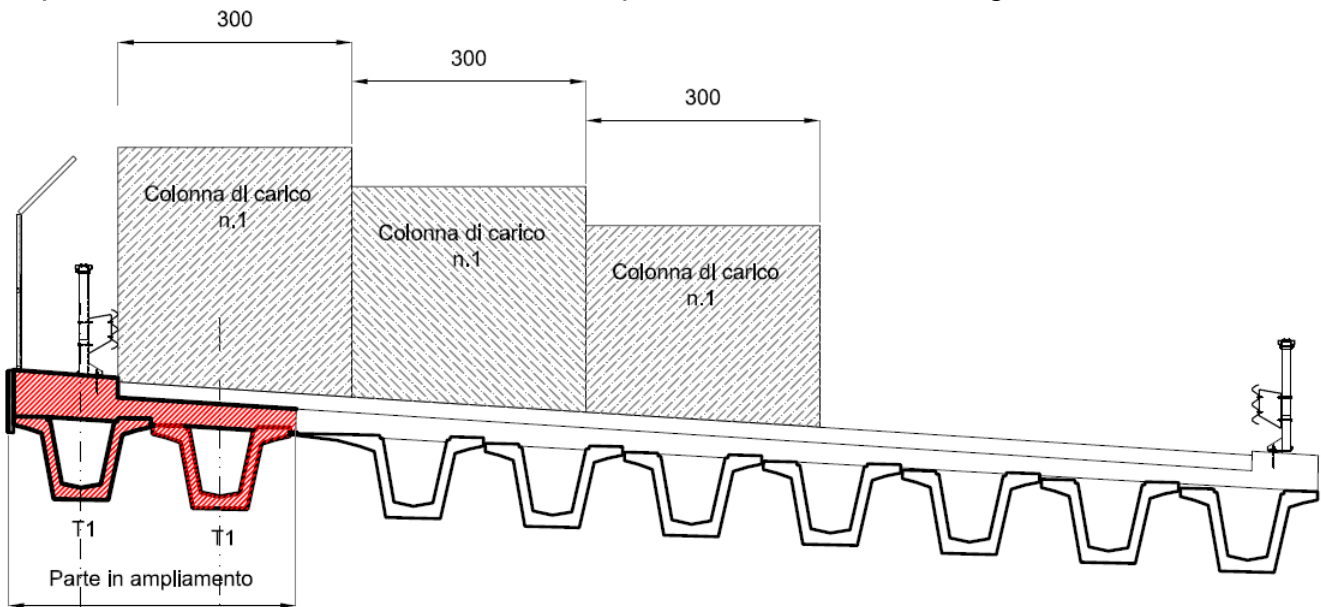


Tab. 5.1.II - Intensità dei carichi Q_{ik} e q_{ik} per le diverse corsie

Posizione	Carico asse Q_{ik} [kN]	q_{ik} [kN/m ²]
Corsia Numero 1	300	9,00
Corsia Numero 2	200	2,50
Corsia Numero 3	100	2,50
Altre corsie	0,00	2,50

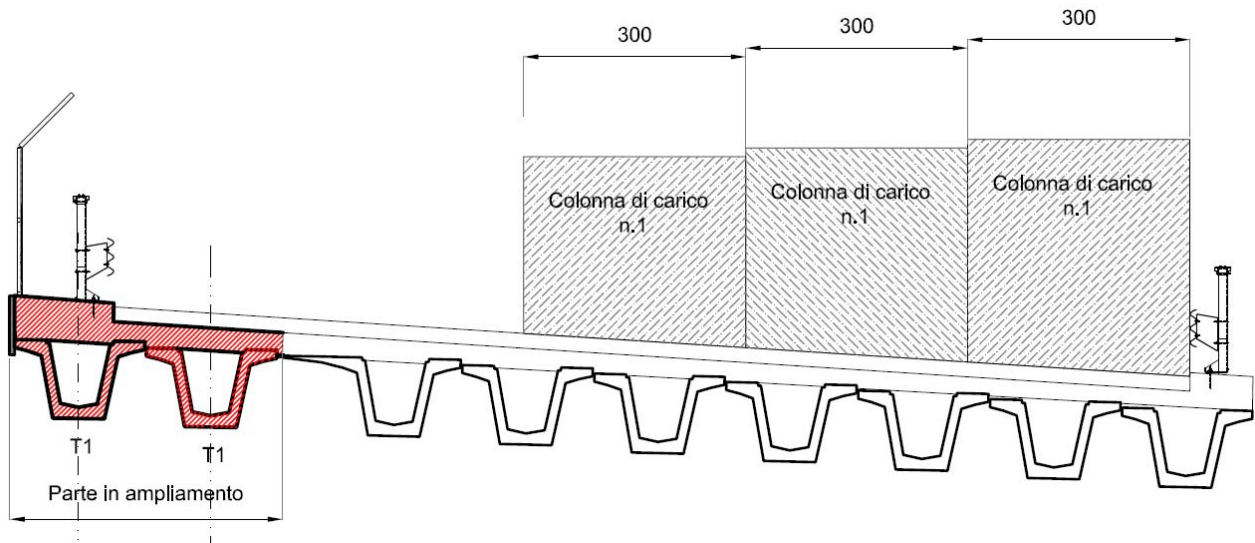
I carichi mobili forniti dalla normativa sono comprensivi degli effetti dinamici per pavimentazioni di media rugosità.

Le corsie convenzionali agenti sull'impalcato sono state posizionate, in modo da massimizzare le sollecitazioni agenti sugli elementi strutturali del viadotto, con particolare riferimento alle parti in ampliamento di nuova realizzazione. Nello specifico si è utilizzato il seguente schema:



Oltre a questa, viene analizzata anche una ulteriore disposizione, simmetrica alla precedente, in cui la corsia di carico n.1 viene disposta a ridosso del cordolo spartitraffico, per consentire di massimizzare le sollecitazioni sulle travi di impalcato esistenti.

PROGETTAZIONE ATI:



Per impalcati stradali di luce modesta, inferiore ai 20 m, le colonne di carico previste dalla normativa attuale (NTC18) producono generalmente sollecitazioni inferiori rispetto alle colonne previste dalla normativa vigente durante la realizzazione dell'opera in questione (DM 04/05/1990). Inoltre, l'aumento della larghezza della carreggiata produce sicuramente un effetto benefico sulla struttura esistente, aumentandone l'inerzia torsionale e quindi l'effetto ridistributivo in direzione trasversale. Tuttavia, si esegue per completezza di analisi anche tale analisi, in modo da contemplare per l'opera in oggetto anche le sollecitazioni massime agenti sulle travi di impalcato esistenti.

Per entrambi gli schemi, all'interno del modello i carichi concentrati (assi tandem) delle singole colonne di carico sono stati inseriti come carichi mobili lungo lo sviluppo longitudinale del viadotto ("moving load"), fornendo pertanto una sollecitazione di inviluppo che massimizza le sollecitazioni degli elementi strutturali coinvolti.

8.6. AZIONE CENTRIFUGA

Il ponte si trova in una porzione di tracciato in curva, con raggio di curvatura pari a circa 950 m. L'azione orizzontale prevista è pari a

Tab. 5.1.III - Valori caratteristici delle forze centrifughe

Raggio di curvatura [m]	q_4 [kN]
$R < 200$	$0,2 Q_v$
$200 \leq R \leq 1500$	$40 Q_v/R$
$1500 \leq R$	0

Pertanto in questo caso si ha
 $q_{4,k} = 40 \times 1200 \text{ KN} / 950 \text{ m} = 50 \text{ KN}$

Anche in questo caso, l'azione prodotta dalla forza centrifuga è estremamente bassa e pertanto può essere trascurata, essendo dimensionante l'azione prodotta dal sisma.

8.7. AZIONE DI FRENAMENTO

L'azione di frenamento è pari a

$$180 \text{ kN} \leq q_3 = 0,6 (2Q_{1k}) + 0,10q_{1k} \cdot w_1 \cdot L \leq 900 \text{ kN}$$

Pertanto in questo caso si ha

$$Q_{3,k} = 0,60 \times 600 \text{ KN} + 0,10 \times 9 \text{ KN/mq} \times 3,00 \text{ m} \times 14,80 \text{ m} \approx 400 \text{ KN}$$

8.8. SPINTE TERRENO A TERGO DELLE SPALLE

L'azione del terreno a tergo delle spalle e dei muri andatori viene valutata su un regime di spinte a riposo. L'entità della spinta viene valutata sulla base delle caratteristiche del terreno del rilevato stradale, per cui

$$\gamma = 19,00 \text{ KN/mc} \quad \varphi = 35^\circ \quad c' = 0,00 \text{ KPa}$$

Il coefficiente di spinta a riposo è pertanto pari a $K_0 = 1 - \text{sen } \varphi = 0,426$

La spinta alla base del muro è pertanto pari a $\sigma = \gamma K_0 H$ con altezza media pari a 6,00 m da cui si ottiene

$$\sigma = 48,50 \text{ KN/mxm}$$

8.9. SISMA

E' stata eseguita una indagine in situ con valutazione della risposta sismica locale.

PONTE TORRENTE SETTIMO								
SLD								
Ag [g]	F0	Tc*	TB [s]	TC [s]	TD [s]	Se(0) [g]	Se(TB) [g]	S
0.195	2.094054	0.453	0.151	0.453	2.378	0.195	0.407	1.462
SLV								
Ag [g]	F0	Tc*	TB [s]	TC [s]	TD [s]	Se(0) [g]	Se(TB) [g]	S
0.517	2.460433	0.454	0.151	0.454	3.669	0.517	1.272	1.441
SLC								
Ag [g]	F0	Tc*	TB [s]	TC [s]	TD [s]	Se(0) [g]	Se(TB) [g]	S
0.685	2.415303	0.456	0.152	0.456	4.342	0.685	1.656	1.465

Per l'opera in esame, sono stati valutati gli spettri in SLD e SLV, oltre quello allo SLC, da cui si ottengono i seguenti risultati:

Per questo intervento la RSL e la modellazione utilizzata forniscono spettri elastici normalizzati superiori rispetto al confronto con quelli derivati da normativa per gli stati limiti SLV e SLC, al contrario SLD essendo inferiori si possono utilizzare quelli di normativa.

Lo spettro normalizzato di risposta elastico allo SLV viene pertanto riportato in forma tabellare:

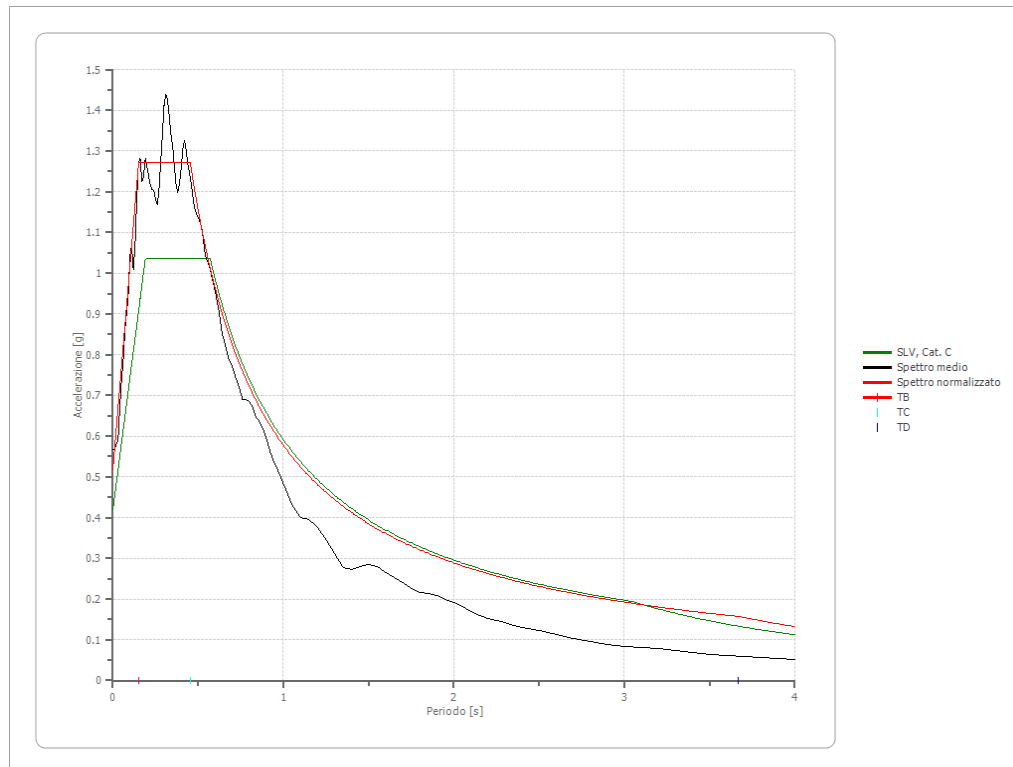
PROGETTAZIONE ATI:

Periodo [s]	Accelerazione [g]	Periodo [s]	Accelerazione [g]	Periodo [s]	Accelerazione [g]	Periodo [s]	Accelerazione [g]	Periodo [s]	Accelerazione [g]
0.00	0.5172	0.26	1.2724	0.52	1.1101	0.98	0.5890	2.25	0.2566
0.01	0.5671	0.27	1.2724	0.53	1.0892	1.00	0.5773	2.30	0.2510
0.02	0.6171	0.28	1.2724	0.54	1.0690	1.05	0.5498	2.35	0.2456
0.03	0.6670	0.29	1.2724	0.55	1.0496	1.10	0.5248	2.40	0.2405
0.04	0.7169	0.30	1.2724	0.56	1.0308	1.15	0.5020	2.50	0.2309
0.05	0.7669	0.31	1.2724	0.57	1.0127	1.20	0.4810	2.60	0.2220
0.06	0.8168	0.32	1.2724	0.58	0.9953	1.25	0.4618	2.70	0.2138
0.07	0.8668	0.33	1.2724	0.60	0.9621	1.30	0.4440	2.80	0.2062
0.08	0.9167	0.34	1.2724	0.62	0.9311	1.35	0.4276	2.90	0.1991
0.09	0.9667	0.35	1.2724	0.64	0.9020	1.40	0.4123	3.00	0.1924
0.10	1.0166	0.36	1.2724	0.66	0.8746	1.45	0.3981	3.10	0.1862
0.11	1.0666	0.37	1.2724	0.68	0.8489	1.50	0.3848	3.20	0.1804
0.12	1.1165	0.38	1.2724	0.70	0.8246	1.55	0.3724	3.30	0.1749
0.13	1.1665	0.39	1.2724	0.72	0.8017	1.60	0.3608	3.40	0.1698
0.14	1.2164	0.40	1.2724	0.74	0.7801	1.65	0.3499	3.50	0.1649
0.15	1.2664	0.41	1.2724	0.76	0.7595	1.70	0.3396	3.60	0.1603
0.16	1.2724	0.42	1.2724	0.78	0.7401	1.75	0.3299	3.70	0.1560
0.17	1.2724	0.43	1.2724	0.80	0.7216	1.80	0.3207	3.80	0.1519
0.18	1.2724	0.44	1.2724	0.82	0.7040	1.85	0.3120	3.90	0.1480
0.19	1.2724	0.45	1.2724	0.84	0.6872	1.90	0.3038	4.00	0.1443
0.20	1.2724	0.46	1.2549	0.86	0.6712	1.95	0.2960		
0.21	1.2724	0.47	1.2282	0.88	0.6560	2.00	0.2886		
0.22	1.2724	0.48	1.2026	0.90	0.6414	2.05	0.2816		
0.23	1.2724	0.49	1.1781	0.92	0.6274	2.10	0.2749		
0.24	1.2724	0.50	1.1545	0.94	0.6141	2.15	0.2685		
0.25	1.2724	0.51	1.1319	0.96	0.6013	2.20	0.2624		

Da cui si effettua un confronto con lo spettro elastico della normativa (**terreno tipo C**)

	Operatività SLO	Danno SLD	Salvaguardia vita SLV	Prev. collasso SLC
Tr [anni]	60	101	949	1950
ag [g]	0.102	0.133	0.359	0.468
Fo	2.286	2.328	2.467	2.508
Tc* [s]	0.31	0.327	0.403	0.435
Ss	1.50	1.50	1.17	1.00
St	1.00	1.00	1.00	1.00
Cc	1.55	1.52	1.42	1.38
TB [s]	0.160	0.166	0.190	0.200
TC [s]	0.479	0.497	0.571	0.601
TD [s]	2.008	2.132	3.036	3.472
Se(0) [g]	0.153	0.200	0.420	0.468
Se(TB) [g]	0.350	0.464	1.035	1.174

PROGETTAZIONE ATI:



Nelle verifiche strutturali si adotterà uno spettro di progetto con fattore di struttura $q=1,50$, fatta eccezione per lo spettro verticale, per cui si adotterà comunque $q=1,00$

9. COMBINAZIONI DI CARICO

Per le verifiche si adotteranno le seguenti combinazioni di carico

TABLE: Combination Definitions					
ComboName	ComboType	AutoDesign	CaseType	CaseName	ScaleFactor
Text	Text	Yes/No	Text	Text	Unitless
SLU_1_1	Linear Add	No	Linear Static	G1_Tot	1.35
SLU_1_1			Linear Static	G2_Tot	1.35
SLU_1_1			Moving Load	Q1_Schema_1	1.35
SLU_3_1	Linear Add	No	Linear Static	G1_Tot	1.35
SLU_3_1			Linear Static	G2_Tot	1.35
SLU_3_1			Moving Load	Q1_Schema_1	1.01
SLU_3_1			Linear Static	Q3_Fr	1.35
SLV_Ex+0.3Ey+0.3Ez	Linear Add	No	Linear Static	G1_Tot	1
SLV_Ex+0.3Ey+0.3Ez			Linear Static	G2_Tot	1
SLV_Ex+0.3Ey+0.3Ez			Response Spectrum	Ex_SLV	1
SLV_Ex+0.3Ey+0.3Ez			Response Spectrum	Ey_SLV	0.3
SLV_Ex+0.3Ey+0.3Ez			Response Spectrum	Ez_SLV	0.3

PROGETTAZIONE ATI:

SLV_Ex+0.3Ey+0.3Ez			Linear Static	Q7_Tunif	0.5
SLV_Ey+0.3Ez+0.3Ex	Linear Add	No	Linear Static	G1_Tot	1
SLV_Ey+0.3Ez+0.3Ex			Linear Static	G2_Tot	1
SLV_Ey+0.3Ez+0.3Ex			Response Spectrum	Ey_SLV	1
SLV_Ey+0.3Ez+0.3Ex			Response Spectrum	Ez_SLV	0.3
SLV_Ey+0.3Ez+0.3Ex			Response Spectrum	Ex_SLV	0.3
SLV_Ey+0.3Ez+0.3Ex			Linear Static	Q7_Tunif	0.5
SLV_Ez+0.3Ex+0.3Ey	Linear Add	No	Linear Static	G1_Tot	1
SLV_Ez+0.3Ex+0.3Ey			Linear Static	G2_Tot	1
SLV_Ez+0.3Ex+0.3Ey			Response Spectrum	Ez_SLV	1
SLV_Ez+0.3Ex+0.3Ey			Response Spectrum	Ex_SLV	0.3
SLV_Ez+0.3Ex+0.3Ey			Response Spectrum	Ey_SLV	0.3
SLV_Ez+0.3Ex+0.3Ey			Linear Static	Q7_Tunif	0.5
SLC_Ex+0.3Ey+0.3Ez	Linear Add	No	Linear Static	G1_Tot	1
SLC_Ex+0.3Ey+0.3Ez			Linear Static	G2_Tot	1
SLC_Ex+0.3Ey+0.3Ez			Response Spectrum	Ex_SLC	1
SLC_Ex+0.3Ey+0.3Ez			Response Spectrum	Ey_SLC	0.3
SLC_Ex+0.3Ey+0.3Ez			Response Spectrum	Ez_SLC	0.3
SLC_Ex+0.3Ey+0.3Ez			Linear Static	Q7_Tunif	0.5
SLC_Ey+0.3Ez+0.3Ex	Linear Add	No	Linear Static	G1_Tot	1
SLC_Ey+0.3Ez+0.3Ex			Linear Static	G2_Tot	1
SLC_Ey+0.3Ez+0.3Ex			Response Spectrum	Ey_SLC	1
SLC_Ey+0.3Ez+0.3Ex			Response Spectrum	Ez_SLC	0.3
SLC_Ey+0.3Ez+0.3Ex			Response Spectrum	Ex_SLC	0.3
SLC_Ey+0.3Ez+0.3Ex			Linear Static	Q7_Tunif	0.5
SLC_Ez+0.3Ex+0.3Ey	Linear Add	No	Linear Static	G1_Tot	1
SLC_Ez+0.3Ex+0.3Ey			Linear Static	G2_Tot	1
SLC_Ez+0.3Ex+0.3Ey			Response Spectrum	Ez_SLC	1
SLC_Ez+0.3Ex+0.3Ey			Response Spectrum	Ex_SLC	0.3
SLC_Ez+0.3Ex+0.3Ey			Response Spectrum	Ey_SLC	0.3
SLC_Ez+0.3Ex+0.3Ey			Linear Static	Q7_Tunif	0.5
SLE_RARA	Linear Add	No	Linear Static	G1_Tot	1.00
SLE_RARA			Linear Static	G2_Tot	1.00
SLE_RARA			Moving Load	Q1_Schema_1	1.00
SLE_FREQ	Linear Add	No	Linear Static	G1_Tot	1.00
SLE_FREQ			Linear Static	G2_Tot	1.00
SLU_FREQ			Moving Load	Q1_Schema_1	0.75
SLE_QPERM	Linear Add	No	Linear Static	G1_Tot	1.00
SLE_QPERM			Linear Static	G2_Tot	1.00

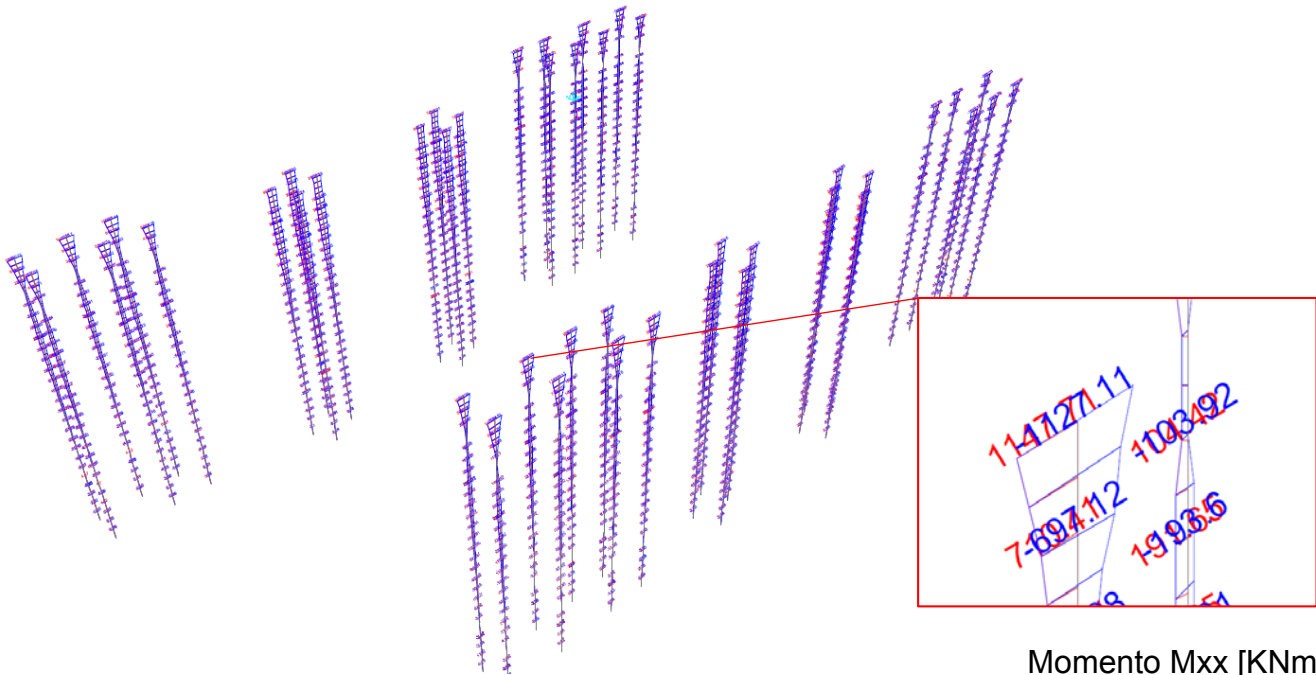
PROGETTAZIONE ATI:

10. RISULTATI DI ANALISI E VERIFICA ELEMENTI

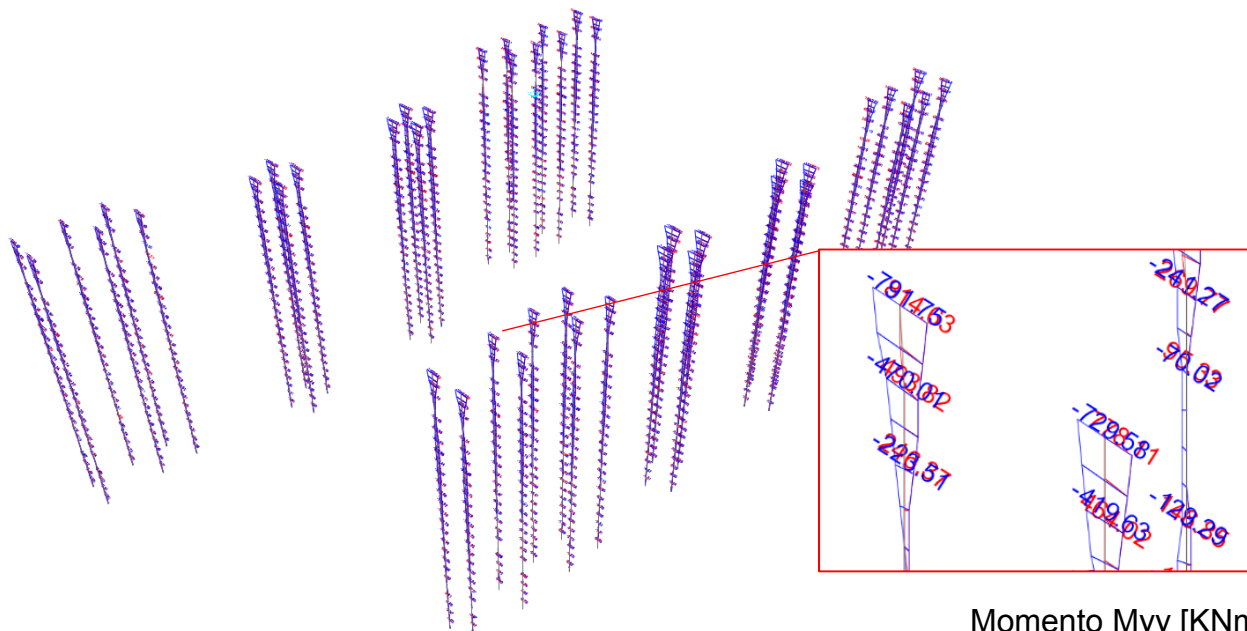
10.1. PALI DI FONDAZIONE

Le maggiori sollecitazioni si riscontrano in concomitanza delle combinazioni sismiche.
I pali di nuova realizzazione maggiormente sollecitati presentano le seguenti sollecitazioni massime (iniluppo combinazione sismica misurati sul palo maggiormente sollecitato):

$$M_{Edxx} = 1147 \text{ KNm} \quad M_{Edyy} = 791 \text{ KNm} \quad V_{Edy} = 438 \text{ KN} \quad V_{Edx} = 322 \text{ KN} \quad N = 985 \text{ KN}$$

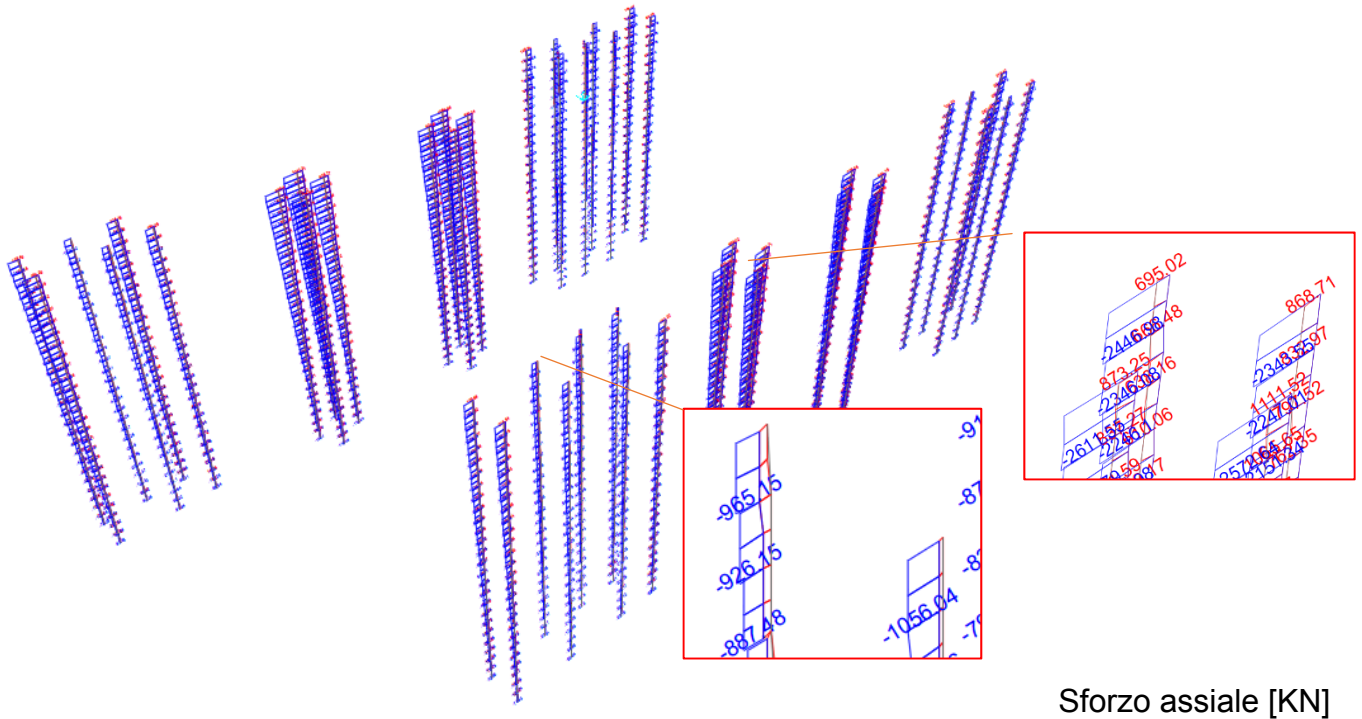


Momento Mxx [KNm]

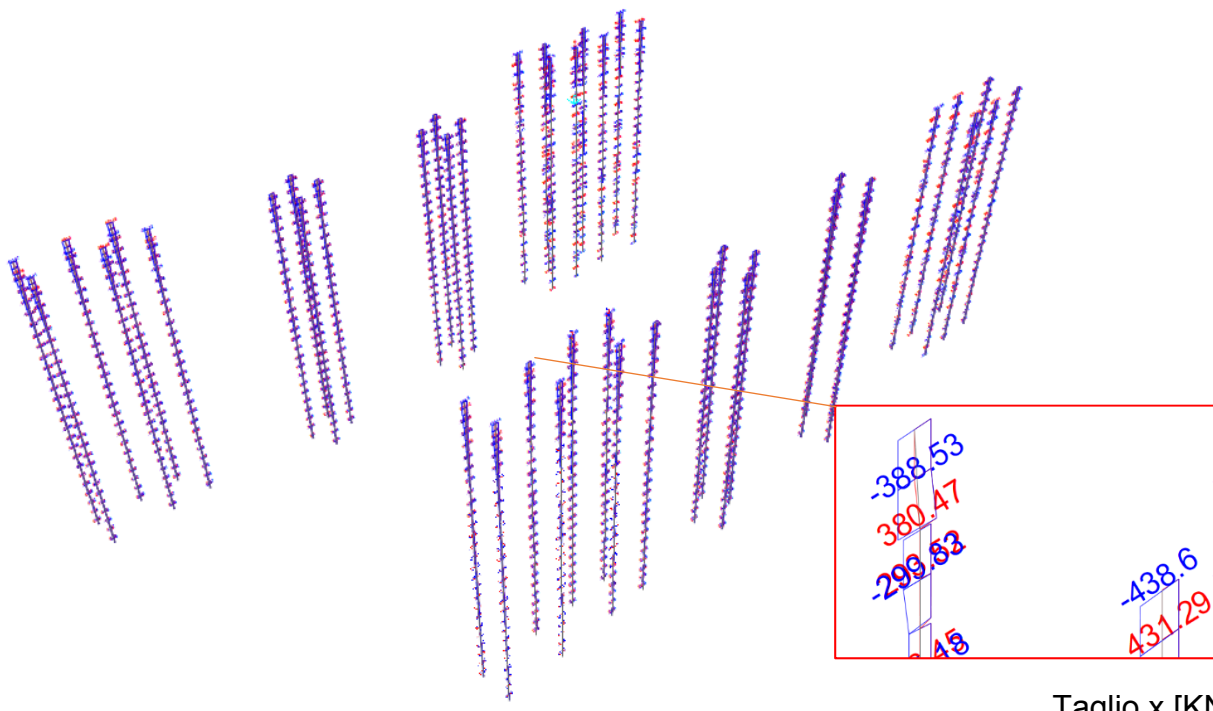


Momento Myy [KNm]

PROGETTAZIONE ATI:

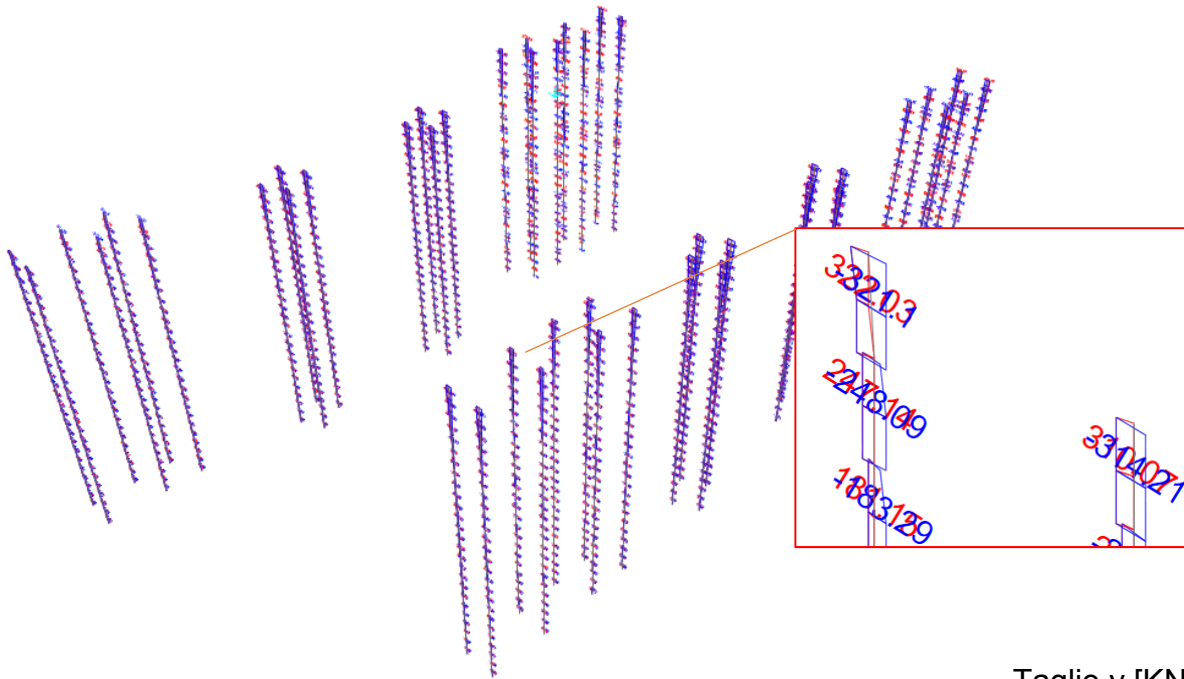


Sforzo assiale [KN]



Taglio x [KN]

PROGETTAZIONE ATI:



Taglio y [KN]

La verifica è eseguita con codice di calcolo VCaSLU: si adottando pali armati con 20 Ø24 nella parte apicale. A favore di sicurezza il massimo momento in direzione xx e yy dell'involuppo vengono applicati simultaneamente e non considerando il 100% in una direzione ed il 30% nella direzione ortogonale. Si ottiene il seguente risultato

Verifica C.A. S.L.U. - File:

File Materiali Opzioni Visualizza Progetto Sez. Rett. Sismica Normativa: NTC 2008 ?

Titolo :

Sezione circolare cava

Raggio esterno 50 [cm]

Raggio interno 0 [cm]

N° barre uguali 20

Diametro barre 2.4 [cm]

Copriferro (baric.) 7.5 [cm]

N° barre 0 Zoom

Tipo Sezione

Rettan.re Trapezi

a T Circolare

Rettangoli Coord.

Sollecitazioni

S.L.U. Metodo n

N 985 0 kN

M_{Ed} 1147 0 kNm

M_{xEd} 791 0

M_{yEd} 0

P.to applicazione N

Centro Baricentro cls

Coord.[cm] xN 0 yN 0

Materiali

B450C		C25/30	
ε _{su}	67.5 ‰	ε _{c2}	2 ‰
f _{yd}	391.3 N/mm ²	ε _{cu}	3.5 ‰
E _s	200,000 N/mm ²	f _{cd}	14.17
E _s /E _c	15	f _{cc} /f _{cd}	0.8
ε _{syd}	1.957 ‰	σ _{c,adm}	9.75
σ _{s,adm}	255 N/mm ²	τ _{co}	0.6
		τ _{c1}	1.829

Tipo rottura

Lato calcestruzzo - Acciaio snervato

M_{xRd} 1,270 kN m

M_{yRd} 891 kN m

σ_c -14.17 N/mm²

σ_s 391.3 N/mm²

ε_c 3.5 ‰

ε_s 7.199 ‰

d 92.49 cm

x 30.26 x/d 0.3271

δ 0.8489

Metodo di calcolo

S.L.U.+ S.L.U.-

Metodo n

Tipo flessione

Retta Deviata

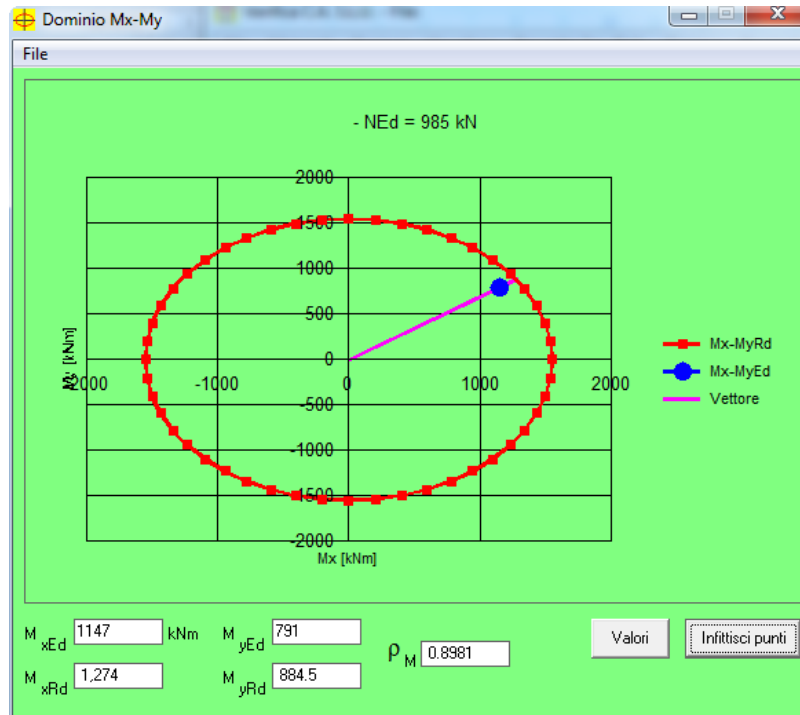
Vertici: 52 N° rett. 100

Calcola MRd Dominio Mx-My

angolo asse neutro θ° 325

Precompresso

PROGETTAZIONE ATI:



La verifica è **soddisfatta**

Per la verifica a taglio si adotta foglio di calcolo precompilato, adottando come armatura di rinforzo quella della spirale Ø12/10 , per cui

Calcestruzzo		Acciaio	
Classe	C25/30	Tipo	B450C
Rck=	30 N/mm ²	f _{yk} =	450 N/mm ²
f _{ck} =	24.9 N/mm ²	G _s =	1.15
γ _c =	1.5	f _{yd} =	391.30 N/mm ²
α _{cc} =	0.85		
f _{cd} =	14.11 N/mm ²		

Diametro	100	cm	
Copriferro	5	cm	
A _{tot}	7853.982	cm ²	
r _s	45	cm	
α	0.61011	rad	sin α = 0.572958
A _v	6626.235	cm ²	
A _s =	20	Ø20	
	0	Ø14	
	0	Ø14	
A _{s,tot} =	62.83	cmq	

METODO di Clarke - Birjandi		
d	78.65	cm
bw	84.25	cm
h	93.22	cm

METODO del quadrato inscritto		
d	70.71	cm
bw	70.71	cm
h	111.07	cm

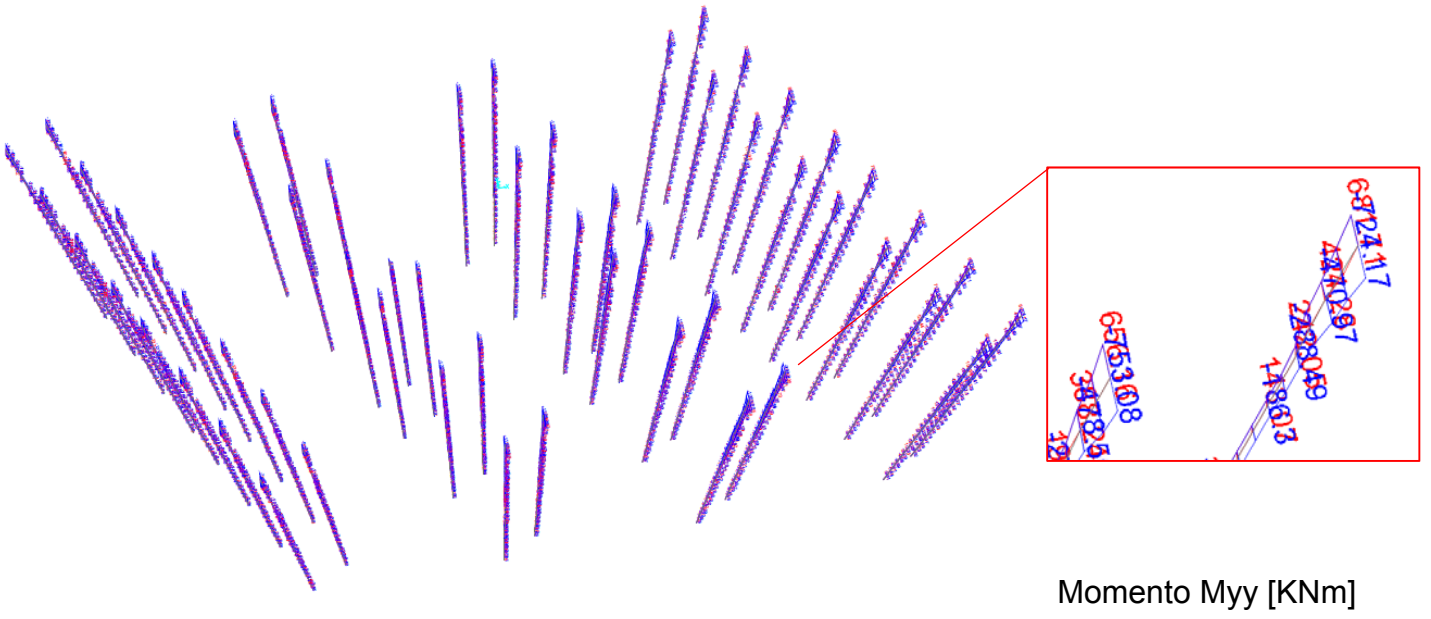
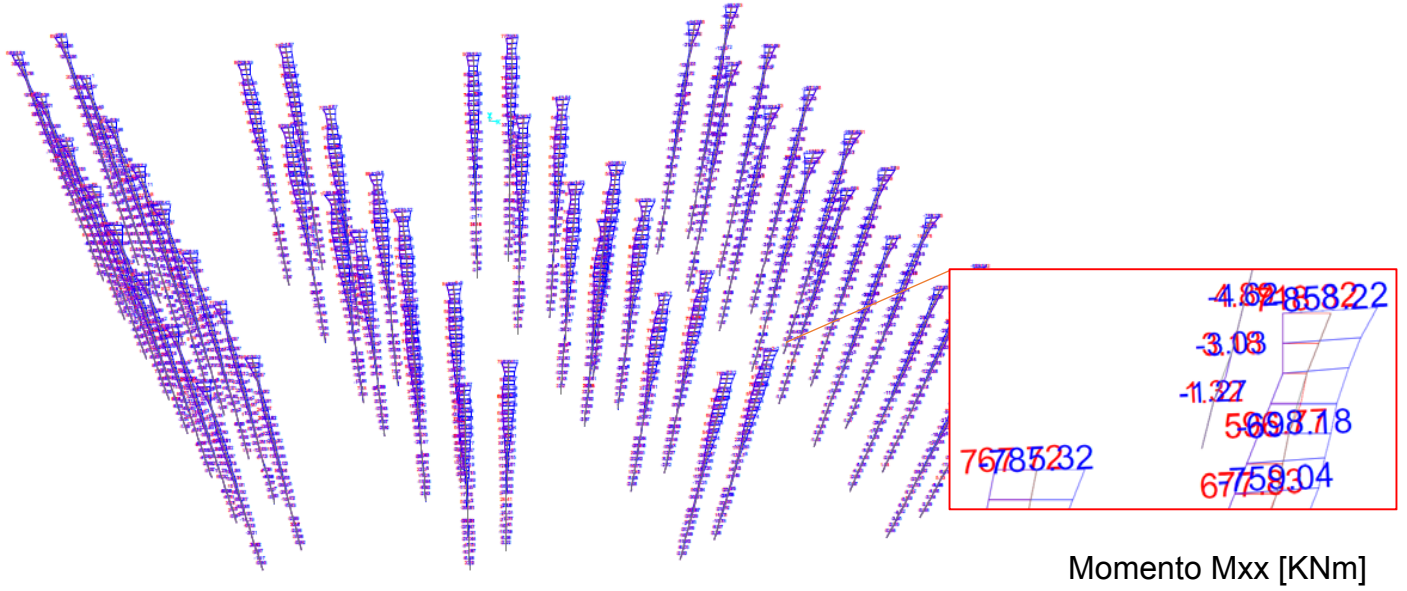
PROGETTAZIONE ATI:

DATI GEOMETRIA	
B=	84.25 cm
H=	93.22 cm
d=	78.65 cm
RESISTENZA ELEMENTI PRIVI DI ARMATURA A TAGLIO	
N _c =	900 KN
k =	1.50
v min =	0.32
ρ ₁ =	0.009
σ _{cp} =	1.15 N/mm ²
V _{rd} =	438.95 KN
RESISTENZA ELEMENTI CON ARMATURA A TAGLIO	
A _{sw} =	2 Ø12 2.26 cm ²
s =	10 cm
θ =	21.78 °
α =	90 °
α _c =	1.081213
ctg(θ)=	2.5
V _{Rsd} =	1566.27 KN
V _{Rcd} =	1568.63 KN
V _{Rd} =	1566.27 KN

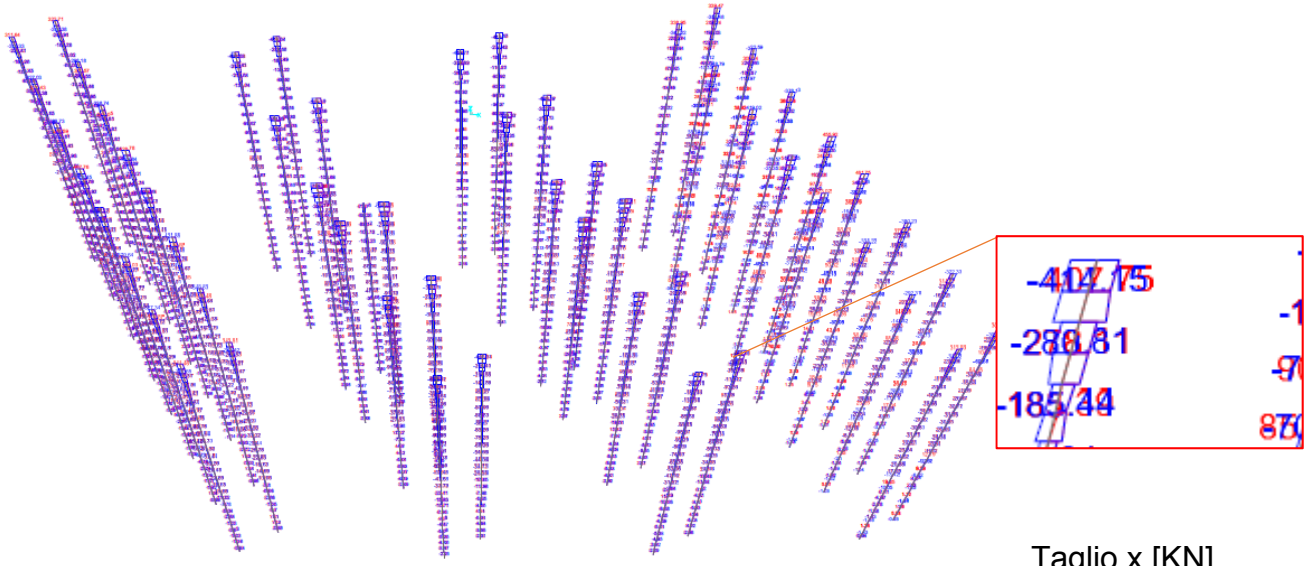
DATI GEOMETRIA	
B=	70.71 cm
H=	111.07 cm
d=	70.71 cm
RESISTENZA ELEMENTI PRIVI DI ARMATURA A TAGLIO	
N _c =	50 KN
k =	1.53
v min =	0.33
ρ ₁ =	0.013
σ _{cp} =	0.06 N/mm ²
V _{rd} =	331.22 KN
RESISTENZA ELEMENTI CON ARMATURA A TAGLIO	
A _{sw} =	2 Ø12 2.26 cm ²
s =	10 cm
θ =	24.85 °
α =	90 °
α _c =	1.004512
ctg(θ)=	2.159076
V _{Rsd} =	1216.17 KN
V _{Rcd} =	1216.17 KN
V _{Rd} =	1216.17 KN

La verifica è ampiamente soddisfatta

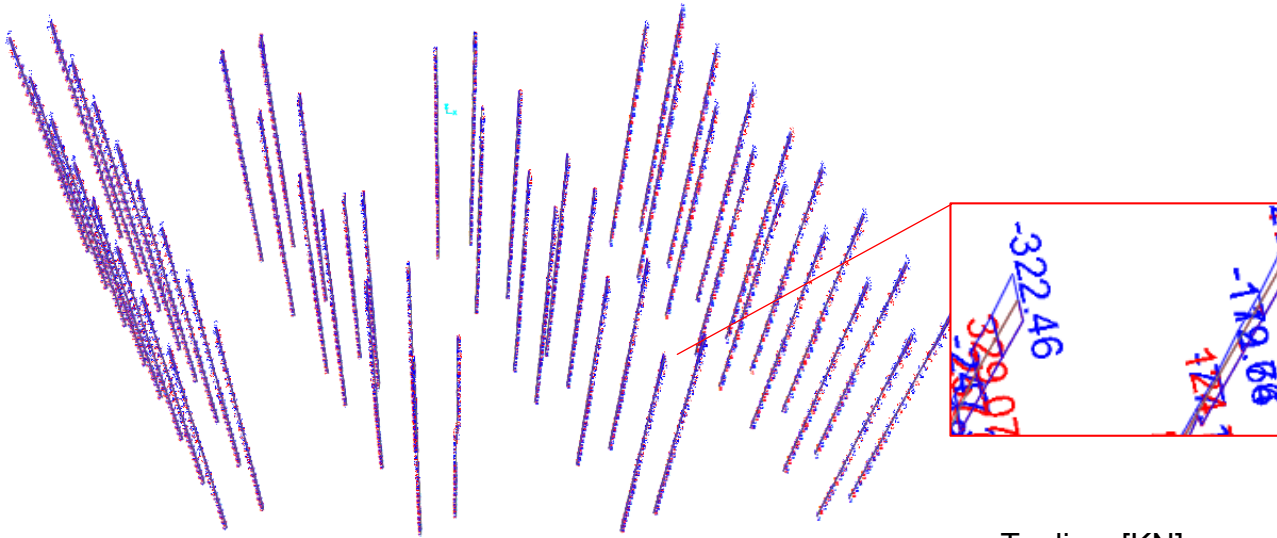
Nel caso dei pali esistenti invece si hanno le seguenti sollecitazioni massime (combinazione sismica):
 $M_{Edxx} = 858 \text{ KNm}$ $M_{Edyy} = 753 \text{ KNm}$ $V_{Edy} = 322 \text{ KN}$ $V_{Edx} = 414 \text{ KN}$ $N_{Ed} = 2658 \text{ KN}$



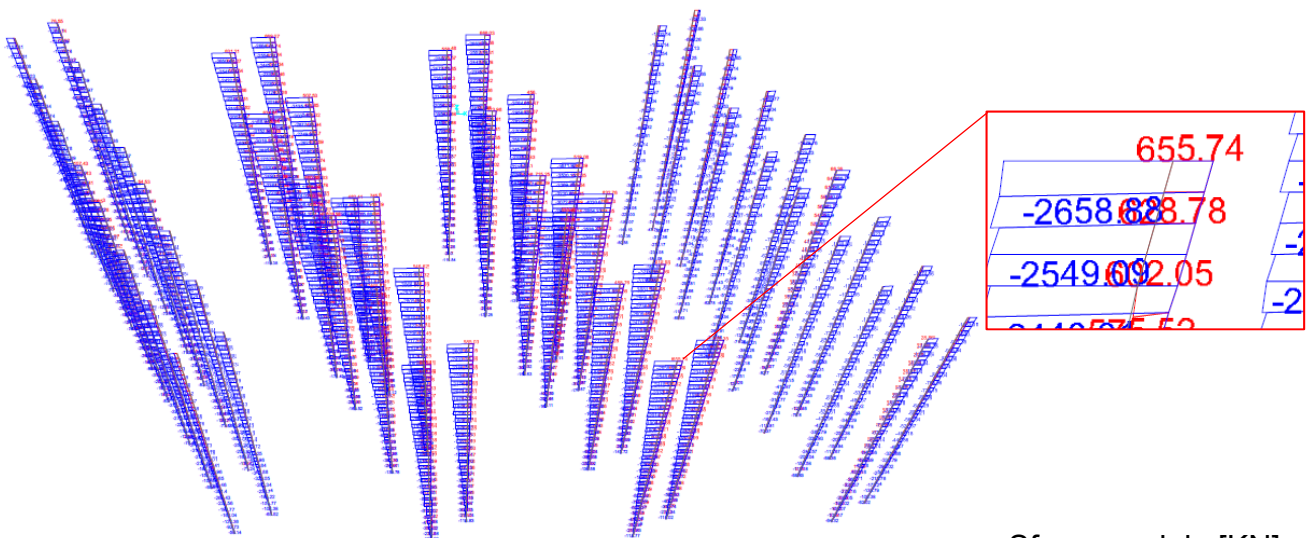
PROGETTAZIONE ATI:



Taglio x [KN]



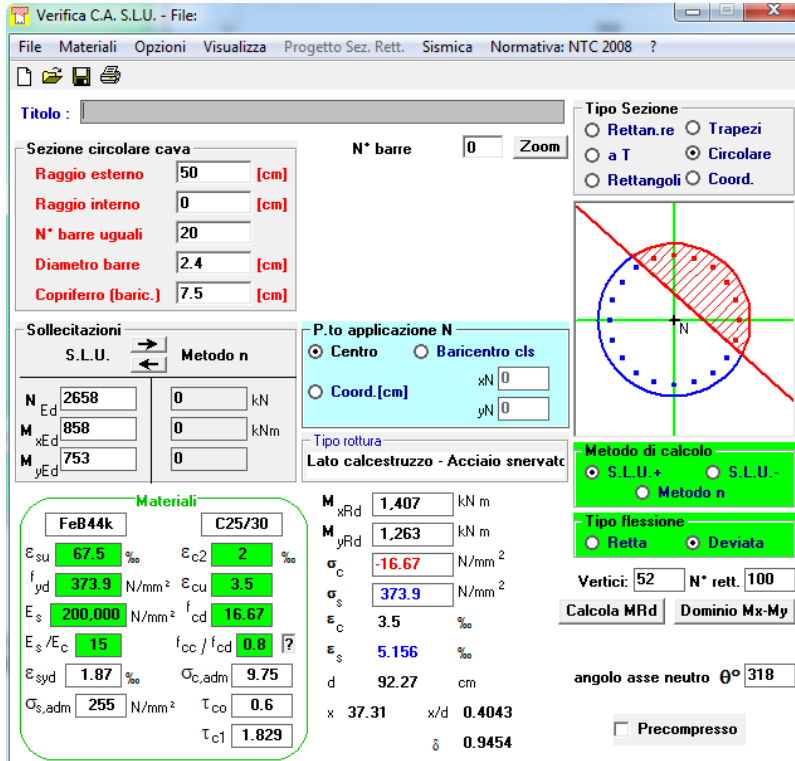
Taglio y [KN]



Sforzo assiale [KN]

PROGETTAZIONE ATI:

La verifica è eseguita con codice di calcolo VCaSLU: si adottando pali armati con 20 Ø24 nella parte apicale. A favore di sicurezza il massimo momento in direzione xx e yy dell'involuppo vengono applicati simultaneamente e non considerando il 100% in una direzione ed il 30% nella direzione ortogonale. Si ottiene il seguente risultato



Verifica C.A. S.L.U. - File:

File Materiali Opzioni Visualizza Progetto Sez. Rett. Sismica Normativa: NTC 2008 ?

Titolo: _____

Sezione circolare cava

- Raggio esterno: 50 [cm]
- Raggio interno: 0 [cm]
- N* barre uguali: 20
- Diametro barre: 2.4 [cm]
- Coprifero (baric.): 7.5 [cm]

Sollecitazioni

S.L.U. Metodo n

N_{Ed}: 2658 [kN]

M_{xEd}: 858 [kNm]

M_{yEd}: 753 [kNm]

P.to applicazione N

Centro Baricentro cls

Coord. [cm] xN: 0 yN: 0

Materiali

FeB44k C25/30

- ϵ_{su} : 67.5 ‰
- f_{yd} : 373.9 N/mm²
- E_s : 200,000 N/mm²
- ϵ_{s/E_c} : 15 ‰
- ϵ_{syd} : 1.87 ‰
- $\sigma_{s,adm}$: 255 N/mm²
- ϵ_{c2} : 2 ‰
- ϵ_{cu} : 3.5 ‰
- f_{cd} : 16.67
- f_{cc}/f_{cd} : 0.8
- $\sigma_{c,adm}$: 9.75
- τ_{co} : 0.6
- τ_{c1} : 1.829

Tipologia di sezione

Rettan.re Trapezi

a T Circolare

Rettangoli Coord.

Metodo di calcolo

S.L.U.+ S.L.U.-

Metodo n

Tipologia di flessione

Retta Deviata

Vertici: 52 N* rett.: 100

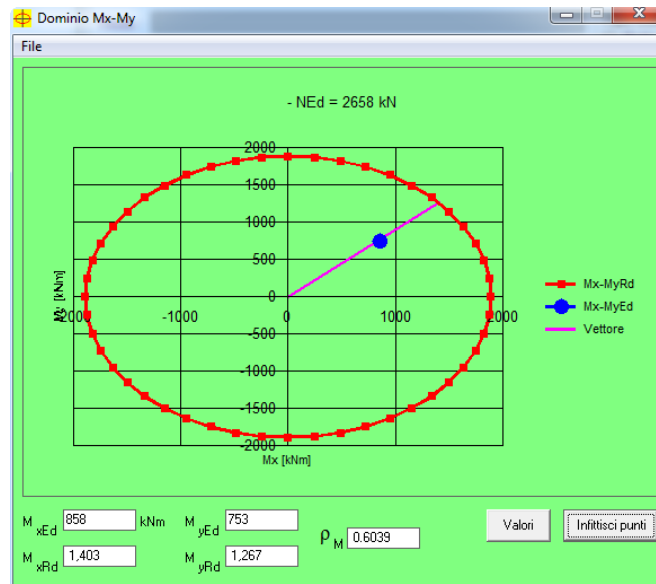
Calcola MRd Dominio Mx-My

angolo asse neutro θ° : 318

Precompresso

Calcoli:

- M_{xRd}: 1.407 [kNm]
- M_{yRd}: 1.263 [kNm]
- σ_c : -16.67 N/mm²
- σ_s : 373.9 N/mm²
- ϵ_s : 5.156 ‰
- d: 92.27 [cm]
- x: 37.31 x/d: 0.4043
- δ : 0.9454



La verifica è soddisfatta

Per quanto riguarda la verifica a taglio del sistema terreno / palo di fondazione, risulta sicuramente verificata in considerazione della presenza di "pali lunghi" e quindi connotati da meccanismi di

PROGETTAZIONE ATI:

rottura che impegnano principalmente la flessione rispetto al taglio. Tuttavia, a maggior conferma di quanto già riscontrabile ampiamente dai modelli teorici e pratici del passato, si esegue la verifica applicando il metodo di calcolo basato sulle teorie di Broms (1964). Il calcolo è eseguito con foglio di calcolo precompilato:

CARICO LIMITE ORIZZONTALE DI UN PALO IN TERRENI INCOERENTI
PALI CON ROTAZIONE IN TESTA IMPEDITA

OPERA: Pali fondazione viadotto torrente Settimo

TEORIA DI BASE:

(Broms, 1964)

H = carico limite orizzontale

L = lunghezza del palo

D = diametro del palo

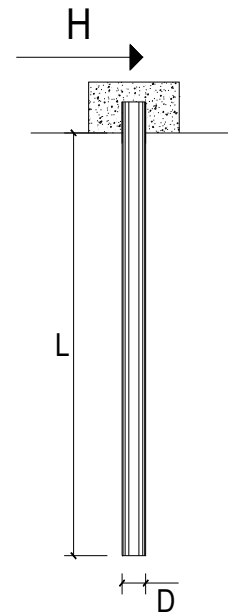
My = momento di plasticizzazione della sezione

Fs = coefficiente di sicurezza

φ' = angolo di attrito del terreno

kp = coeff. di spinta passiva ($k_p = (1 + \sin\varphi') / (1 - \sin\varphi')$)

γ = peso di unità di volume del terreno (se è presente la falda $\gamma = \gamma'$)



Palo corto:

$$H = 1.5 k_p \gamma d^3 \left(\frac{L}{d} \right)^2$$

Palo intermedio:

$$H = \frac{1}{2} k_p \gamma d^3 \left(\frac{L}{d} \right)^2 + \frac{M_y}{L}$$

Palo lungo:

$$H = k_p \gamma d^3 \sqrt[3]{\left(3.676 \frac{M_y}{k_p \gamma d^4} \right)^2}$$

DATI DI IMPUT:

L =	25.00	(m)
D =	1.00	(m)
My =	1308.00	(kN m)
Fs =	1.00	(-)
φ' =	28.00	(°)
kp =	2.77	(-)
γ =	19.50	(kN/m ³)

Palo corto:

H1 =	50635.89	(kN)
------	----------	------

Palo intermedio:

H2 =	16930.95	(kN)
------	----------	------

Palo lungo:

PROGETTAZIONE ATI:

H3 = 1076.84 (kN)

H = min(H1, H2, H3) = 1076.84 (kN) palo lungo

Il valore del taglio limite è pertanto pari a 1076,84 KN, decisamente superiore al valore sollecitante determinato dalla risultante delle due componenti ortogonali $V_{E_{dy}} = 414$ KN $V_{E_{dx}} = 322$ KN e pari a 524,48 KN e pertanto ampiamente **soddisfatta**.

Per la valutazione della portanza del palo si esegue invece una verifica in condizioni statiche, dove l'azione assiale è massima, con valori flettenti e taglianti molto attenuati rispetto a quanto riscontrato per le combinazioni sismiche.

In questo caso, il palo maggiormente sollecitato è sottoposto ad una azione assiale pari a $N_{Sd} = 2658$ KN

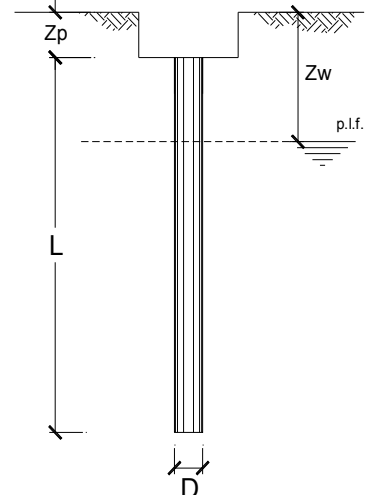
La verifica viene effettuata con foglio di calcolo precompilato, per cui considerando un palo di lunghezza 25 m, con diametro 100 cm, si ha

CALCOLO DELLA CAPACITA' PORTANTE DI UN PALO TRIVELLATO DI MEDIO DIAMETRO

OPERA: Ponte sul torrente Settimo

DATI DI INPUT:

Diametro del Palo (D):	1.00	(m)	Area del Palo (Ap):	0.785	(m ²)
Quota testa Palo dal p.c. (zp):	2.00	(m)	Quota falda dal p.c. (zw):	2.00	(m)
Carico Assiale Permanente (G):	2167	(kN)	Carico Assiale variabile (Q):	0	(kN)
Numero di strati	3		Lpalo =	25.00	(m)



coefficienti parziali	azioni		resistenza laterale e di base		
	permanenti gG	temporanee variabili gQ	ξ	γβ	γσ
Stato limite ultimo (EC7)	1.00	1.30	1.50	1.60	1.30
Tensioni ammissibili	1.00	1.00	1.00	1.00	1.00
definiti dall'utente	1.00	1.00	1.65	1.35	1.15

CARATTERISTICHE GEOTECNICHE DEL TERRENO:

Strato	Spess (m)	Tipo di terreno	Parametri del terreno				Coefficienti di Calcolo				Risultati					
			γ (kN/m ³)	c' (kPa)	φ _e (°)	cu (kPa)	k (-)	μ (-)	a (-)	α (-)	Qsi (kN)	Nq (-)	Nc (-)	qb (kPa)	Qbm (kN)	
1	2.00	Unita 1	18.00	2.5	33.5	0.0	0.45	0.66								
2	2.00	Unita 2	19.00	2.5	29.5	0.0	0.51	0.57								
3	21.00	Unita 3	19.50	10.0	28.0	160.0	0.53	0.53		0.4						
											81.99					
											110.07					
											3694.51	0.00	9.00	1959.5	1539.0	

(n.b.: lo spessore degli strati è computato dalla quota di intradosso del plinto)

CAPACITA' PORTANTE MEDIA

alla base $R_{bm} = 1539.0$ (kN)
 laterale $R_{sm} = 3886.6$ (kN)
 totale $R_{cm} = 5425.6$ (kN)

CAPACITA' PORTANTE DI PROGETTO

$Q_d = Q_{bm}/(\xi \cdot \gamma \cdot \beta) + Q_{lm}/(\xi \cdot \gamma \cdot \sigma)$
 $Q_d = 2739.2$ (kN)

CARICO ASSIALE AGENTE

$N_d = N_g \cdot \gamma_g + N_q \cdot \gamma_q$
 $N_d = 2167.0$ (kN)
 $F_s = Q_d / N_d = 1.26$

La verifica è pertanto soddisfatta

PROGETTAZIONE ATI:

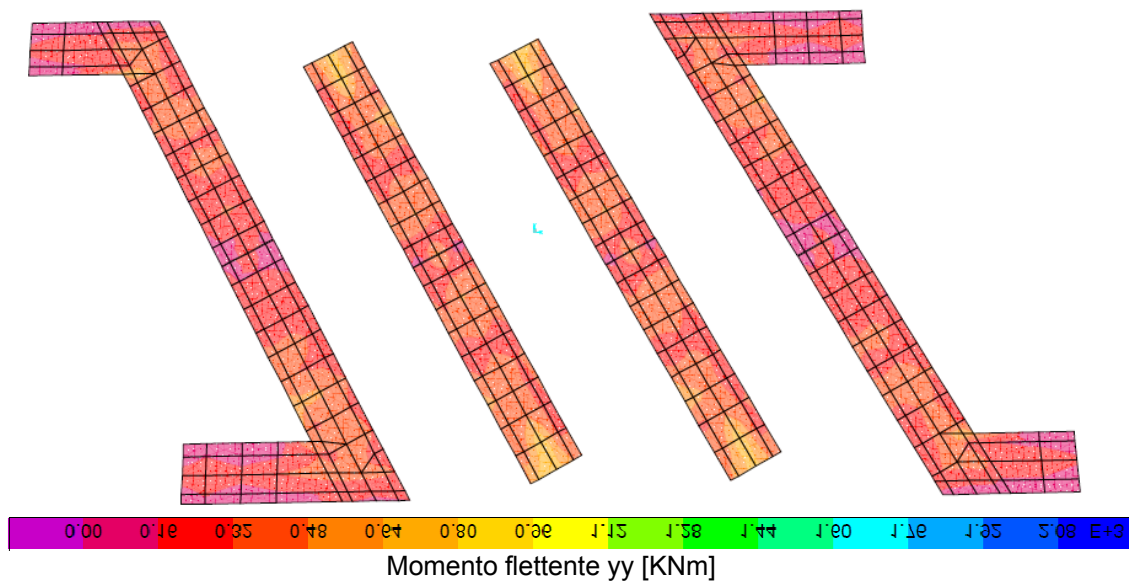
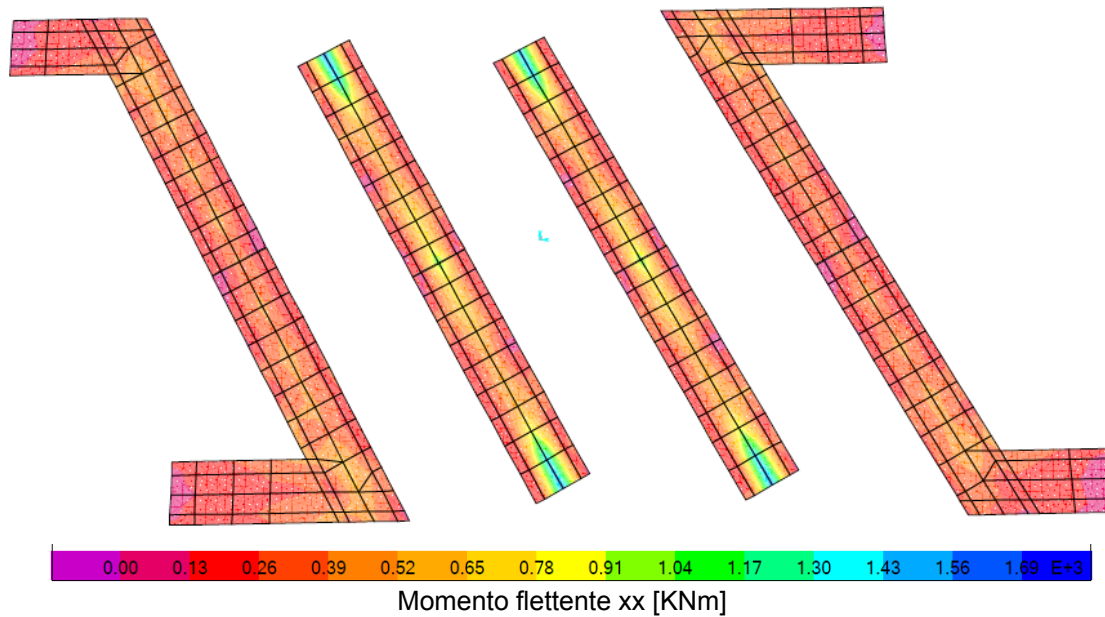
10.2. ZATTERA FONDAZIONE SPALLE E PILE

Le sollecitazioni maggiori si riscontrano in corrispondenza della combinazione sismica, per cui per gli elementi di nuova realizzazione delle spalle si ha

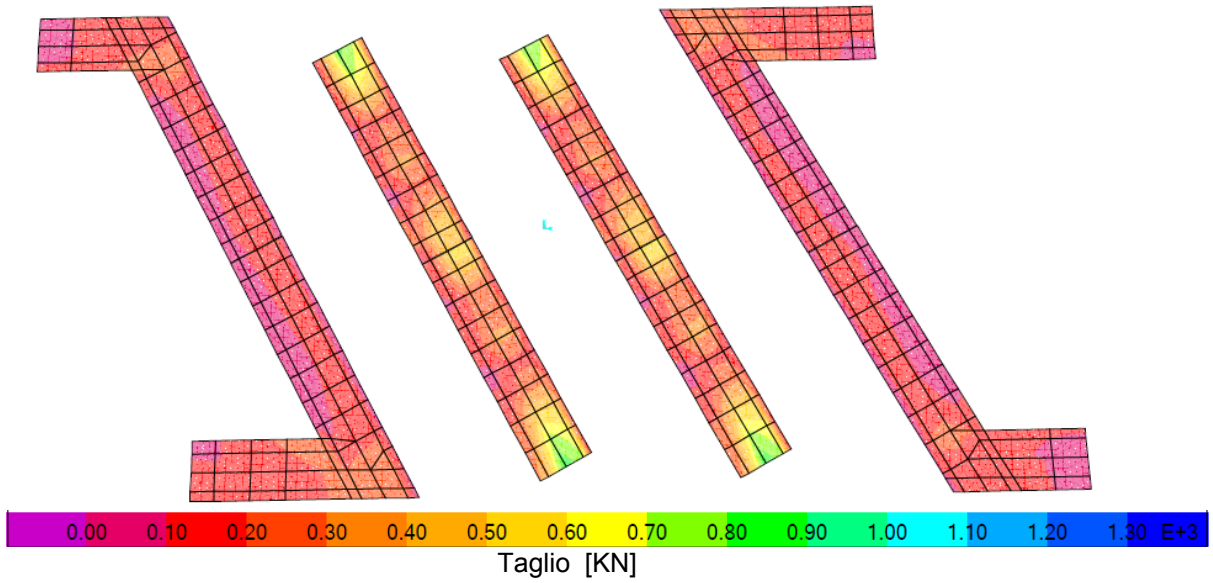
$$M_{Edxx} = 433 \text{ KNm/m} \quad M_{Edyy} = 530 \text{ KNm/m} \quad V_{Edy} = 210 \text{ KN/m} \quad V_{Edx} = 456 \text{ KN/m}$$

mentre per le pile

$$M_{Edxx} = 1029 \text{ KNm/m} \quad M_{Edyy} = 550 \text{ KNm/m} \quad V_{Edy} = 786 \text{ KN/m} \quad V_{Edx} = 432 \text{ KN/m}$$



PROGETTAZIONE ATI:



La verifica è eseguita con codice di calcolo VCaSLU, considerando nella zattera di fondazione di pile e spalle una armature composta da 5 Ø26 + 5 Ø20 in direzione trasversale e da ripartitori 5 Ø20 al metro lineare su sezione di spessore 120 cm. Per cui si ha in direzione trasversale e longitudinale rispettivamente, per entrambe le strutture di fondazione di pile e spalle, che:

Verifica C.A. S.L.U. - File

File Materiali Opzioni Visualizza Progetto Sez. Rett. Sismica Normativa: NTC 2018 ?

Titolo: _____

N° strati barre 2 Zoom

N°	b [cm]	h [cm]	N°	As [cm²]	d [cm]
1	100	120	1	42.25	5
			2	42.25	115

Tipologia Sezione:
 Rettan.re Trapezi
 a T Circolare
 Rettangoli Coord.
 DXF

Metodo di calcolo:
 S.L.U.+ S.L.U.-
 Metodo n

Tipologia flessione:
 Retta Deviata

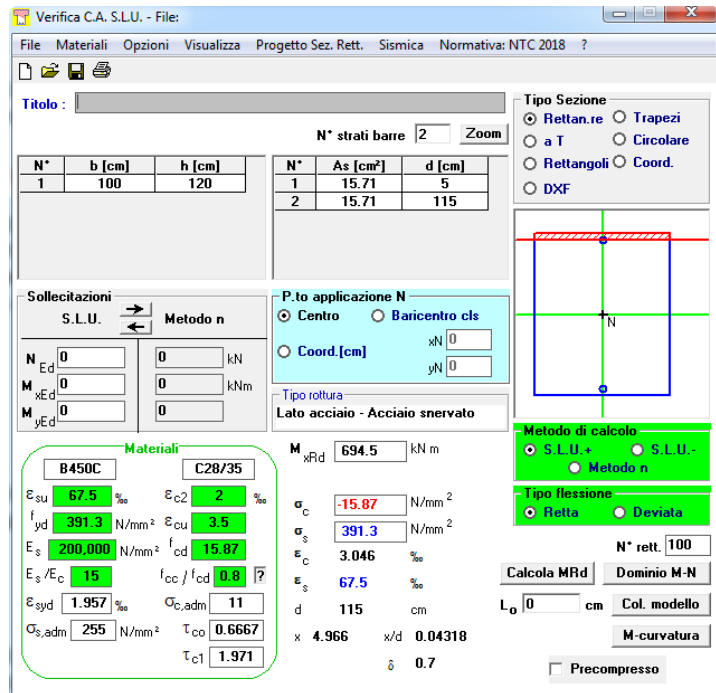
Calcola MRd Dominio M-N
 L₀ 0 cm Col. modello
 Precompresso

Materiali:
 B450C C28/35
 E_{su} 67.5 ‰ E_{c2} 2 ‰
 f_{yd} 391.3 N/mm² E_{cu} 3.5 ‰
 E_s 200.000 N/mm² f_{cd} 15.87 ‰
 E_s/E_c 15 f_{cc}/f_{cd} 0.8 ?
 E_{syd} 1.957 ‰ G_{c,adm} 11
 G_{s,adm} 255 N/mm² T_{co} 0.6667
 T_{c1} 1.971

P.to applicazione N:
 Centro Baricentro cls
 Coord.[cm] xN 0 yN 0

Tipologia rottura:
 Lato calcestruzzo - Acciaio snervato

M_{xRd} 1.837 kN m
 σ_c -15.87 N/mm²
 σ_s 391.3 N/mm²
 ε_c 3.5 ‰
 ε_s 55.84 ‰
 d 115 cm
 x 6.783 x/d 0.05898
 δ 0.7



Verifica C.A. S.L.U. - File:

File Materiali Opzioni Visualizza Progetto Sez. Rett. Sismica Normativa: NTC 2018 ?

Titolo: _____

N° strati barre | 2 | Zoom

N°	b [cm]	h [cm]	N°	As [cm²]	d [cm]
1	100	120	1	15.71	5
			2	15.71	115

Sollecitazioni
S.L.U. Metodo n

N_{Ed} 0 kN
M_{xEd} 0 kNm
M_{yEd} 0 kNm

P.to applicazione N
Centro Baricentro cls
Coord. [cm] xN 0 yN 0

Materiali
B450C C28/35

ε_{su} 67.5 ‰ ε_{c2} 2 ‰
f_{yd} 391.3 N/mm² ε_{cu} 3.5 ‰
E_s 200.000 N/mm² f_{cd} 15.87
E_s/E_c 15 f_{cc}/f_{cd} 0.8
ε_{syd} 1.957 ‰ σ_{c,adm} 11
σ_{s,adm} 255 N/mm² τ_{co} 0.6667
τ_{c1} 1.971

M_{xRd} 694.5 kNm
σ_c -15.87 N/mm²
σ_s 391.3 N/mm²
ε_c 3.046 ‰
ε_s 67.5 ‰
d 115 cm
x 4.966 x/d 0.04318
δ 0.7

Tipo Sezione
Rettan.re Trapezi
a T Circolare
Rettangoli Coord.
DXF

Metodo di calcolo
S.L.U.+ S.L.U.-
Metodo n

Tipo flessione
Retta Deviata

N° rett. 100
Calcola MRd Dominio M-N
L₀ 0 cm Col. modello
M-curvatura
Precompresso

Si osserva come in entrambi i casi la verifica è ampiamente soddisfatta, sia per le fondazioni delle pile che per le fondazioni delle spalle.

Per quanto riguarda la verifica a taglio invece si ha

Calcestruzzo		Acciaio	
Classe	C28/35	Tipo	B450C
Rck=	35 N/mm ²	fyk=	450 N/mm ²
fck=	29.05 N/mm ²	γ _s =	1.15
γ _c =	1.5	fyd=	391.30 N/mm ²
α _{cc} =	0.8		
fcd=	15.49333 N/mm ²		

DATI GEOMETRIA

B=	100	cm	
H=	120	cm	
c=	5	cm	copriferro
d=	115	cm	altezza utile
As =	5	Ø20	
	0	Ø20	
	0	Ø14	
As,tot			
=	15.71	cmq	armatura tesa

RESISTENZA ELEMENTI PRIVI DI ARMATURA A TAGLIO

Vrd =	365.94	KN	Nc=	0	KN
			k =	1.42	
			v min =	0.32	
			ρ ₁ =	0.001	
			σ _{cp} =	0.00	N/mm ²

RESISTENZA ELEMENTI CON ARMATURA A TAGLIO

Asw =	2	Ø16	=	4.02	cmq
s =	50	cm			

PROGETTAZIONE ATI:

$\theta = 11.63^\circ$ inclinazione bielle compresse
 $\alpha = 90^\circ$ inclinazione armature a taglio rispetto asse trave
 $\alpha_c = 1$

$ctg(\theta) = 2.5$
 $VR_{sd} = 814.30 \text{ KN}$
 $VR_{cd} = 2764.76 \text{ KN}$
 $VR_d = 814.30 \text{ KN}$

La verifica è soddisfatta, considerando la presenza di distanziatori composti da barre $\varnothing 16/50 \times 50$.

Nel caso degli elementi esistenti invece si ha, per le spalle

$$M_{Edxx} = 303 \text{ KNm/m} \quad M_{Edyy} = 255 \text{ KNm/m} \quad V_{Edy} = 101 \text{ KN/m} \quad V_{Edx} = 105 \text{ KN/m}$$

Mentre per le pile

$$M_{Edxx} = 510 \text{ KNm/m} \quad M_{Edyy} = 278 \text{ KNm/m} \quad V_{Edy} = 238 \text{ KN/m} \quad V_{Edx} = 302 \text{ KN/m}$$

In questo caso il quantitativo di armature è il medesimo di quello adottato per le nuove porzioni in ampliamento, per cui considerando nella zattera di fondazione di pile e spalle una armature composta da 5 $\varnothing 26 + 5 \varnothing 20$ in direzione trasversale e da ripartitori 5 $\varnothing 20$ al metro lineare su sezione di spessore 120 cm. Per cui si ha in direzione trasversale e longitudinale rispettivamente:

Verifica C.A. S.L.U. - File:

File Materiali Opzioni Visualizza Progetto Sez. Rett. Sismica Normativa: NTC 2018 ?

Tipo Sezione:
 Rettan.re Trapezi
 a T Circolare
 Rettangoli Coord.
 DXF

N° strati barre: 2 Zoom

N°	b [cm]	h [cm]	N°	As [cm²]	d [cm]
1	100	120	1	42.25	5
			2	42.25	115

Sollecitazioni: S.L.U. Metodo n

N_{Ed} 0 kN
M_{xEd} 0 kNm
M_{yEd} 0 kNm

P.to applicazione N:
 Centro Baricentro cls
 Coord.[cm] xN 0 yN 0

Tipo rottura: Lato calcestruzzo - Acciaio snervato

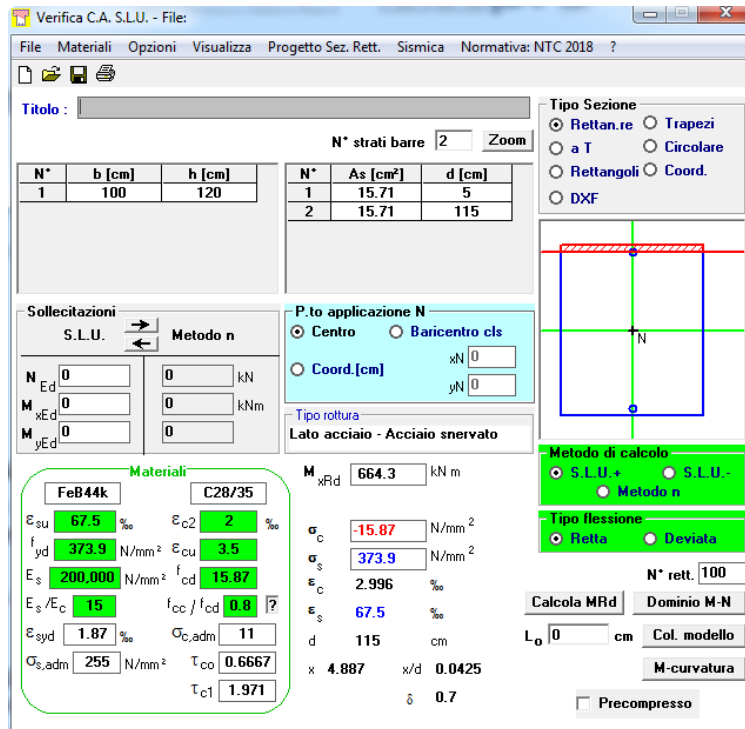
Materiali:
FeB44k **C28/35**
 ϵ_{su} 67.5% ϵ_{c2} 2%
 f_{yd} 373.9 N/mm² ϵ_{cu} 3.5%
 E_s 200,000 N/mm² f_{cd} 15.87%
 E_s/E_c 15 f_{cc}/f_{cd} 0.8
 ϵ_{syd} 1.87% $\sigma_{c,adm}$ 11
 $\sigma_{s,adm}$ 255 N/mm² τ_{co} 0.6667
 τ_{c1} 1.971

M_{xRd} 1,757 kNm
 σ_c -15.87 N/mm²
 σ_s 373.9 N/mm²
 ϵ_c 3.5%
 ϵ_s 57.28%
d 115 cm
x 6.622 x/d 0.05758
 δ 0.7

Metodo di calcolo:
 S.L.U. + S.L.U. -
 Metodo n

Tipo flessione:
 Retta Deviata

N° rett. 100
Calcola MRd Dominio M-N
L₀ 0 cm Col. modello
M-curvatura
 Precompresso



Anche in questo caso la verifica è ampiamente soddisfatta sia per quanto riguarda le fondazioni delle pile che le fondazioni delle spalle.

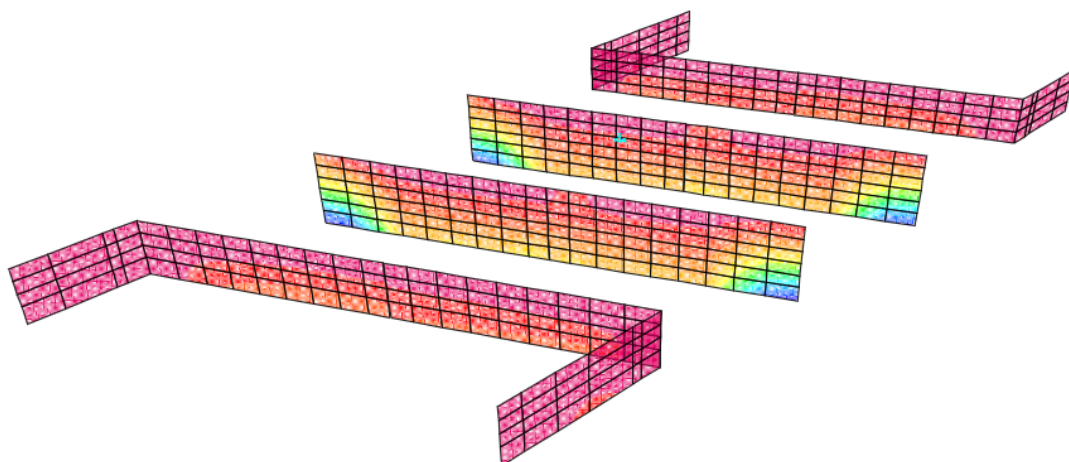
10.3. FUSTO SPALLE E PILE

Come per le fondazioni, anche in questo caso le sollecitazioni maggiori si riscontrano in corrispondenza della combinazione sismica, per cui per gli elementi di nuova realizzazione in corrispondenza delle spalle si ha

$$M_{Edxx} = 352 \text{ KNm/m} \quad V_{Edy} = 327 \text{ KN/m} \quad N_{Ed} = 964 \text{ KN}$$

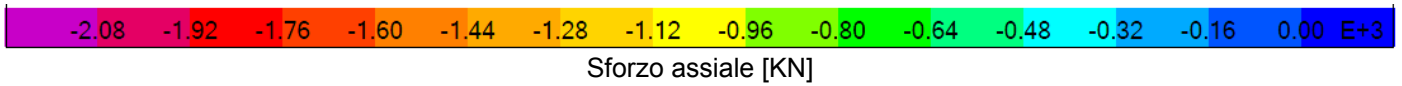
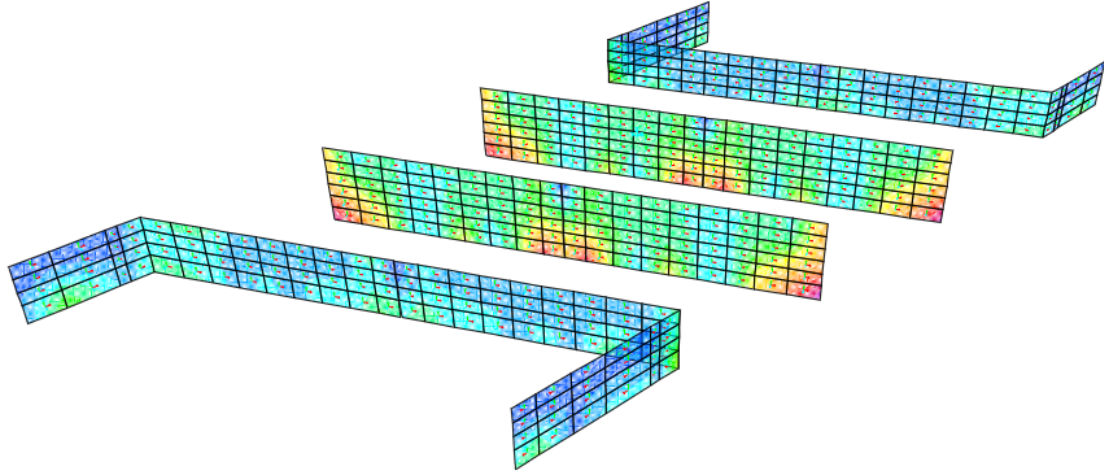
Mentre per le pile

$$M_{Edxx} = 1090 \text{ KNm/m} \quad V_{Edy} = 407 \text{ KN/m} \quad N_{Ed} = 1515 \text{ KN}$$

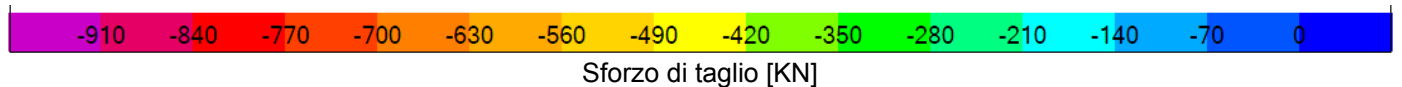
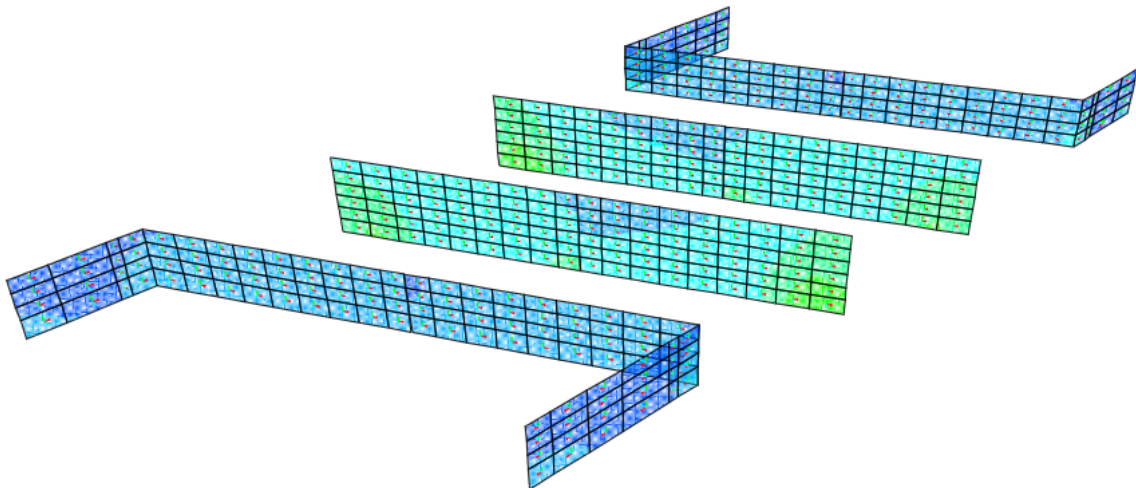


PROGETTAZIONE ATI:

Momento flettente [KNm]



Sforzo assiale [KN]



Sforzo di taglio [KN]

La verifica è ancora eseguita con codice di calcolo VCaSLU, considerando alla base del fusto di pile e spalle una armature composta da 10 Ø20 sui due lati con sezione di spessore 100 cm. Per cui si ha rispettivamente per le spalle e per le pile:

PROGETTAZIONE ATI:

Verifica C.A. S.L.U. - File:

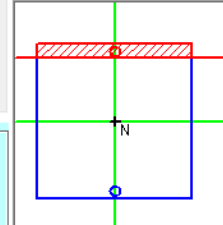
File Materiali Opzioni Visualizza Progetto Sez. Rett. Sismica Normativa: NTC 2008 ?

Titolo : _____

N° strati barre 2 Zoom

N°	b [cm]	h [cm]	N°	As [cm²]	d [cm]
1	100	100	1	31.42	5
			2	31.42	95

Tipologia Sezione:
 Rettan.re Trapezi
 a T Circolare
 Rettangoli Coord.

Diagramma di sezione: 

Tipologia di calcolo:
 S.L.U.+ S.L.U.-
 Metodo n

Tipologia di flessione:
 Retta Deviata

Calcola MRd Dominio M-N

L₀ 0 cm Col. modello

Precompresso

Materiali: B450C C28/35

ϵ_{su} 67.5 %	ϵ_{c2} 2 %
f_{yd} 391.3 N/mm ²	ϵ_{cu} 3.5 %
E_s 200.000 N/mm ²	f_{cd} 15.87
E_s/E_c 15	f_{cc}/f_{cd} 0.8
ϵ_{syd} 1.957 %	$\sigma_{c,adm}$ 11
$\sigma_{s,adm}$ 255 N/mm ²	τ_{co} 0.6667
	τ_{c1} 1.971

P.to applicazione N:
 Centro Baricentro cls
 Coord.[cm] xN 0 yN 0

Tipologia rottura:
 Lato calcestruzzo - Acciaio snervato

M_{xRd} 1.554 kN m

σ_c -15.87 N/mm²
 σ_s 391.3 N/mm²
 ϵ_c 3.5 %
 ϵ_s 32.56 %
 d 95 cm
 x 9.22 x/d 0.09705
 δ 0.7

Verifica C.A. S.L.U. - File:

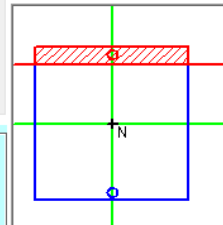
File Materiali Opzioni Visualizza Progetto Sez. Rett. Sismica Normativa: NTC 2008 ?

Titolo : _____

N° strati barre 2 Zoom

N°	b [cm]	h [cm]	N°	As [cm²]	d [cm]
1	100	100	1	31.42	5
			2	31.42	95

Tipologia Sezione:
 Rettan.re Trapezi
 a T Circolare
 Rettangoli Coord.

Diagramma di sezione: 

Tipologia di calcolo:
 S.L.U.+ S.L.U.-
 Metodo n

Tipologia di flessione:
 Retta Deviata

Calcola MRd Dominio M-N

L₀ 0 cm Col. modello

Precompresso

Materiali: B450C C28/35

ϵ_{su} 67.5 %	ϵ_{c2} 2 %
f_{yd} 391.3 N/mm ²	ϵ_{cu} 3.5 %
E_s 200.000 N/mm ²	f_{cd} 15.87
E_s/E_c 15	f_{cc}/f_{cd} 0.8
ϵ_{syd} 1.957 %	$\sigma_{c,adm}$ 11
$\sigma_{s,adm}$ 255 N/mm ²	τ_{co} 0.6667
	τ_{c1} 1.971

P.to applicazione N:
 Centro Baricentro cls
 Coord.[cm] xN 0 yN 0

Tipologia rottura:
 Lato calcestruzzo - Acciaio snervato

M_{xRd} 1.790 kN m

σ_c -15.87 N/mm²
 σ_s 391.3 N/mm²
 ϵ_c 3.5 %
 ϵ_s 24.73 %
 d 95 cm
 x 11.78 x/d 0.124
 δ 0.7

La verifica è ampiamente soddisfatta

PROGETTAZIONE ATI:

Per quanto riguarda la verifica a taglio invece si hanno i seguenti risultati, predisponendo l'inserimento di spille Ø12/40x40 lungo il fusto:

Calcestruzzo		Acciaio	
Classe	C32/40	Tipo	B450C
Rck=	40 N/mm ²	fyk=	450 N/mm ²
fck=	33.2 N/mm ²	γs=	1.15
γc=	1.5		
acc=	0.85	fyd=	391.30 N/mm ²
fcd=	18.81333 N/mm ²		

DATI GEOMETRIA

B=	100	cm	
H=	100	cm	
c=	5	cm	copriferro
d=	95	cm	altezza utile
As =	10		Ø20
	0		Ø16
	0		Ø14
As,tot			
=	31.42	cmq	armatura tesa

RESISTENZA ELEMENTI PRIVI DI ARMATURA A TAGLIO

Vrd =	392.89	KN	Nc=	300	KN
			k =	1.46	
			v min =	0.36	
			ρ ₁ =	0.003	
			σ _{cp} =	0.30	N/mm ²

RESISTENZA ELEMENTI CON ARMATURA A TAGLIO

Asw =	2.5	Ø12	=	2.83	cmq
s =	40	cm			
θ =	9.80	°			inclinazione bielle compresse
α =	90	°			inclinazione armature a taglio rispetto asse trave
α _c =	1.015946				

ctg(θ)= 2.5

VRsd = 591.23 KN

VRcd = 2817.57 KN

VRd = 591.23 KN

La verifica è soddisfatta

Nel caso degli elementi esistenti invece si ha per le spalle

$$M_{Edxx} = 181 \text{ KNm/m} \quad V_{Edy} = 221 \text{ KN/m} \quad N = 224 \text{ KN}$$

Mentre per le pile

$$M_{Edxx} = 574 \text{ KNm/m} \quad V_{Edy} = 262 \text{ KN/m} \quad N_{Ed} = 378 \text{ KN}$$

PROGETTAZIONE ATI:

Verifica C.A. S.L.U. - File: Progetto Sez. Rett. Sismica Normativa: NTC 2008 ?

Titolo: _____

N° strati barre Zoom

N°	b [cm]	h [cm]	N°	As [cm²]	d [cm]
1	100	100	1	31.42	5
			2	31.42	95

Sollecitazioni
 S.L.U. Metodo n

N_{Ed} kN
 M_{xEd} kNm
 M_{yEd}

P.to applicazione N
 Centro Baricentro cls
 Coord.[cm] xN yN

Materiali
 FeB44k C28/35
 ϵ_{su} 67.5 % ϵ_{c2} 2 %
 f_{yd} 373.9 N/mm² ϵ_{cu} 3.5 %
 E_s 200.000 N/mm² f_{cd} 15.87
 E_s/E_c 15 f_{cc}/f_{cd} 0.8
 ϵ_{syd} 1.87 % $\sigma_{c,adm}$ 11
 $\sigma_{s,adm}$ 255 N/mm² τ_{co} 0.6667
 τ_{c1} 1.971

Tipologia
 Tipo rottura: Lato calcestruzzo - Acciaio snervato
 Metodo di calcolo: S.L.U.+ S.L.U.-
 Tipo flessione: Retta Deviata
 N° rett. 100
 Calcola MRd
 L₀ cm
 Precompresso

Calcoli
 M_{xRd} 1.177 kN m
 σ_c -15.87 N/mm²
 σ_s 373.9 N/mm²
 ϵ_c 3.5 %
 ϵ_s 46.59 %
 d 95 cm
 x 6.639 x/d 0.06988
 δ 0.7

Verifica C.A. S.L.U. - File: Progetto Sez. Rett. Sismica Normativa: NTC 2008 ?

Titolo: _____

N° strati barre Zoom

N°	b [cm]	h [cm]	N°	As [cm²]	d [cm]
1	100	100	1	31.42	5
			2	31.42	95

Sollecitazioni
 S.L.U. Metodo n

N_{Ed} kN
 M_{xEd} kNm
 M_{yEd}

P.to applicazione N
 Centro Baricentro cls
 Coord.[cm] xN yN

Materiali
 FeB44k C28/35
 ϵ_{su} 67.5 % ϵ_{c2} 2 %
 f_{yd} 373.9 N/mm² ϵ_{cu} 3.5 %
 E_s 200.000 N/mm² f_{cd} 15.87
 E_s/E_c 15 f_{cc}/f_{cd} 0.8
 ϵ_{syd} 1.87 % $\sigma_{c,adm}$ 11
 $\sigma_{s,adm}$ 255 N/mm² τ_{co} 0.6667
 τ_{c1} 1.971

Tipologia
 Tipo rottura: Lato calcestruzzo - Acciaio snervato
 Metodo di calcolo: S.L.U.+ S.L.U.-
 Tipo flessione: Retta Deviata
 N° rett. 100
 Calcola MRd
 L₀ cm
 Precompresso

Calcoli
 M_{xRd} 1.201 kN m
 σ_c -15.87 N/mm²
 σ_s 373.9 N/mm²
 ϵ_c 3.5 %
 ϵ_s 45.52 %
 d 95 cm
 x 6.783 x/d 0.0714
 δ 0.7

La verifica è ampiamente soddisfatta

PROGETTAZIONE ATI:

Per quanto riguarda la verifica a taglio invece si ha

Calcestruzzo		Acciaio	
Classe	C28/35	Tipo	FeB44K
Rck=	35 N/mm ²	f _{yk} =	440 N/mm ²
f _{ck} =	29.05 N/mm ²	γ _s =	1.15
γ _c =	1.5	f _{yd} =	382.61 N/mm ²
α _{cc} =	0.85		
f _{cd} =	16.46167 N/mm ²		

DATI GEOMETRIA

B=	100	cm	
H=	100	cm	
c=	5	cm	copriferro
d=	95	cm	altezza utile
As =	10	Ø20	
	0	Ø16	
	0	Ø14	
As,tot =	31.42	cmq	armatura tesa

RESISTENZA ELEMENTI PRIVI DI ARMATURA A TAGLIO

V _{rd} =	377.64	KN	N _c =	300	KN
			k =	1.46	
			v min =	0.33	
			ρ ₁ =	0.003	
			σ _{cp} =	0.30	N/mm ²

La verifica è ampiamente soddisfatta

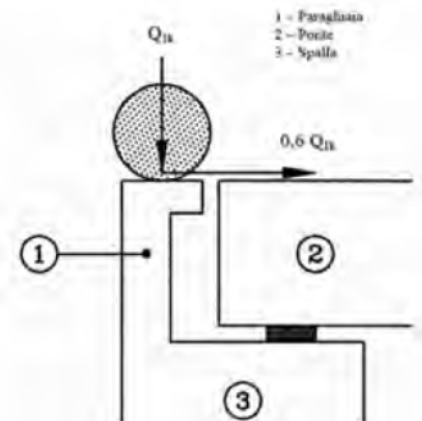
10.4. MURI ANDATORI

I muri andatori presentano medesime dimensioni ed armature delle fondazioni e delle elevazioni della spalla. Poiché queste ultime risultano verificate nei confronti delle sollecitazioni registrate nel modello, maggiori rispetto a quelle agenti sui muri andatori (si rimanda alla consultazione delle immagini del modello riportate nel paragrafo precedente), ne deriva che anche i muri andatori risultano ampiamente verificati nei confronti delle azioni previste nel progetto.

10.5. PARAGHIAIA SPALLE

Si esegue la verifica sul paraghiaia della spalla esistente, estendibile a quello della parte nuova in ampliamento, in quanto si mantengono le stesse geometrie ed armature. Come indicato al par. C5.1.3.3.5.2 della Circolare alle NTC18, per il calcolo dei muri paraghiaia si deve considerare un'azione orizzontale longitudinale di frenamento, applicata alla testa del muro paraghiaia (vedi Figura a lato), di valore caratteristico pari al 60% del carico asse Q_{1k}. Pertanto si considererà un carico orizzontale di 180 kN, concomitante con un carico verticale di 300 kN.

Si considererà una larghezza efficace del paraghiaia pari alla larghezza dell'asse di carico del veicolo (2,40 m) cui si somma



PROGETTAZIONE ATI:

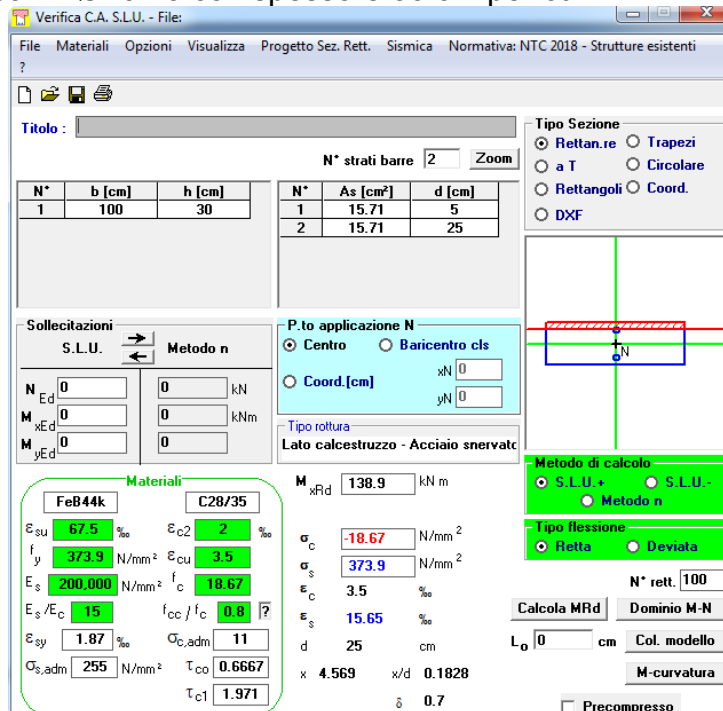
l'ampiezza derivante dalla diffusione del carico all'interno del paramento con angolo di 45° per tutta l'altezza del paraghiaia. Assumendo una altezza massima pari a 1,75 m, si ottiene una larghezza complessiva pari a 5,90 m.

L'azione orizzontale di progetto complessiva sarà pertanto pari a
 $H_{d,frenamento} = 1,35 \times 180 \text{ KN} = 243 \text{ KN}$ ovvero $243 \text{ KN} / 5,90 \text{ m} = \mathbf{41,18 \text{ KN/m}}$

A questo si aggiunge la spinta a riposo del terreno a tergo, pari a
 $H_{d,terreno} = 1,35 \times 0,50 \times 0,384 \times 18 \text{ KN/mc} \times 1,75^2 \text{ m}^2 = \mathbf{14,28 \text{ KN/m}}$

Il momento generato alla base del paraghiaia sarà allora pari a
 $M_{d,frenamento} = 41,18 \text{ KN} \times 1,75 \text{ m} + 14,28 \text{ KN} \times 0,60 \text{ m} = \mathbf{80,63 \text{ KNm/m}}$

Il paraghiaia è armato con 1 Ø20/20 con spessore 30 cm per cui



La verifica è pertanto ampiamente **soddisfatta**

Per quanto riguarda invece le azioni taglianti si ha

Calcestruzzo		Acciaio	
Classe	C28/35	Tipo	FeB44K
Rck=	35 N/mm ²	fyk=	440 N/mm ²
fck=	29.05 N/mm ²	γs=	1.15
γc=	1.5		
αcc=	1	fyd=	382.61 N/mm ²
fcd=	19.36667 N/mm ²		

DATI GEOMETRIA

B=	100	cm	
H=	30	cm	
c=	5	cm	copriferro
d=	25	cm	altezza utile
As =	5	Ø20	
	0	Ø16	
	0	Ø14	
As,tot =	15.71	cm ²	armatura tesa

RESISTENZA ELEMENTI PRIVI DI ARMATURA A TAGLIO

PROGETTAZIONE ATI:

Vrd = 149.64 KN Nc= 0 KN
 k = 1.89
 v min = 0.49
 ρ₁ = 0.006
 σ_{cp} = 0.00 N/mm²

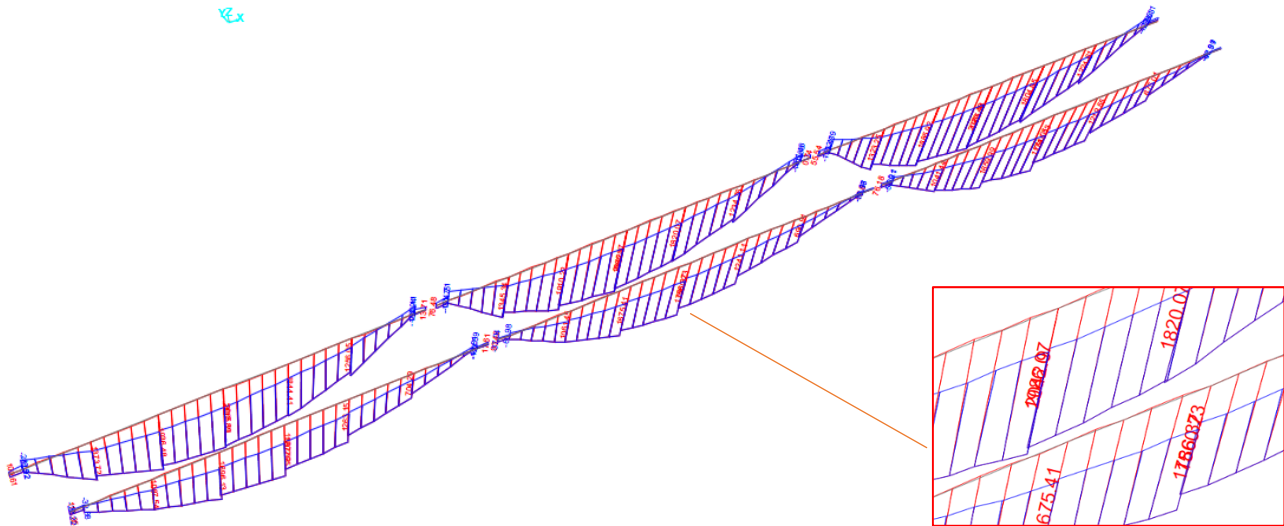
Si ha quindi $V_{R,d} = 149,64 \text{ KN} > V_{S,d} = 55,46 \text{ KN}$ e pertanto verificato

10.6. TRAVI DI IMPALCATO

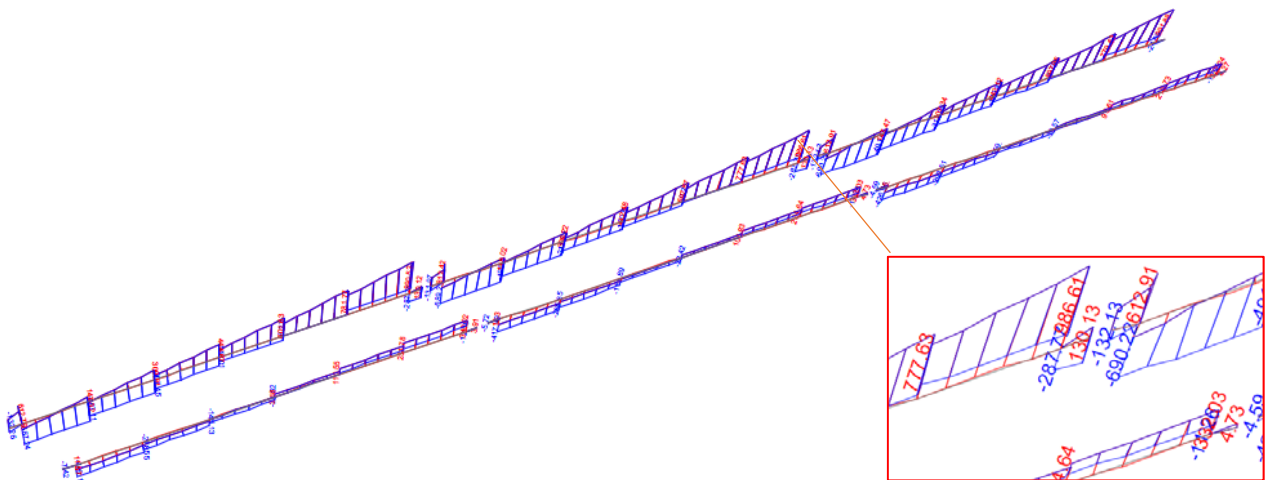
Si verificano dapprima le travi di nuova realizzazione, sottoposte all'azione delle colonne di carico disposte a ridosso della porzione di impalcato ampliato. In questo caso le maggiori sollecitazioni si riscontrano in corrispondenza delle combinazioni di tipo statico, con le azioni prodotte dagli schemi di carico derivanti dal traffico.

Pertanto per la trave maggiormente sollecitata si ha:

$M_{Edxx} = 2065 \text{ KNm}$ $V_{Edy} = 986 \text{ KN}$



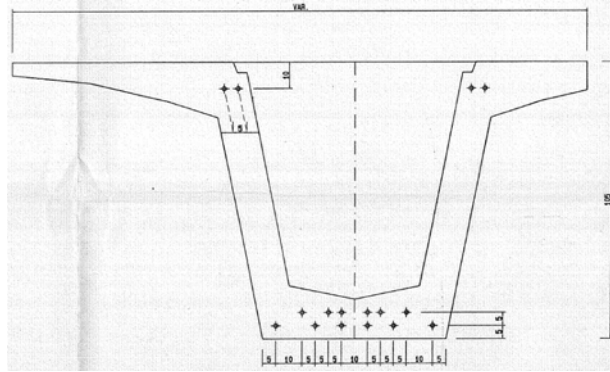
Momento flettente travi di bordo nuove [KNm]



Taglio travi di bordo nuove [KN]

PROGETTAZIONE ATI:

La trave è armata con 12 trefoli da 0,60” pre-tesati a 1375 MPa, secondo il seguente schema reperito dai disegni di contabilità del progetto originale: le nuove travi pertanto presentano il medesimo quantitativo di armatura lenta e di precompressione adottato per le travi esistenti.



La verifica viene eseguita con codice di calcolo VCaSLU, per cui

Verifica C.A. S.L.U. - File: trave_precomp

File Materiali Opzioni Visualizza Progetto Sez. Rett. Sismica Normativa: NTC 2018 ?

TITOLO : _____

N° Vertici: 16 Zoom N° barre: 0 Zoom

N°	x [cm]	y [cm]
12	-42	105
13	42	105
14	25	20
15	0	15
16	0	0

Armadura Precompressione

N° cavi: 12 Zoom

N°	As [cm²]	x [cm]	y [cm]	σ _{su} [MPa]
8	1.39	10	10	1375
9	1.39	20	10	1375
10	1.39	-5	10	1375
11	1.39	-10	10	1375
12	1.39	-20	10	1375

Materiali

B450C C45/55

ε_{su} 67.5 ‰ ε_{c2} 2 ‰
 f_{yd} 391.3 N/mm² ε_{cu} 3.5 ‰
 E_s 200.000 N/mm² f_{cd} 25.5 ‰
 E_s/E_c 15 f_{cc}/f_{cd} 0.8
 ε_{syd} 1.957 ‰ σ_{c,adm} 16
 σ_{s,adm} 255 N/mm² τ_{co} 0.9333
 τ_{c1} 2.543

Metodo di calcolo
 S.L.U. + S.L.U. - Metodo n

Tipo flessione
 Retta Deviata

Calcola MRd **Dominio M-N** **Col. modello** **M-curvatura**

Precompresso

Materiali

B450C C45/55

ε_{su} 67.5 ‰ ε_{c2} 2 ‰
 f_{yd} 391.3 N/mm² ε_{cu} 3.5 ‰
 E_s 200.000 N/mm² f_{cd} 25.5 ‰
 E_s/E_c 15 f_{cc}/f_{cd} 0.8
 ε_{syd} 1.957 ‰ σ_{c,adm} 16
 σ_{s,adm} 255 N/mm² τ_{co} 0.9333
 τ_{c1} 2.543

P.to applicazione N
 Centro Baricentro cls
 Coord.[cm] xN 0 yN 0

Tipo rottura
 Lato calcestruzzo - Cavo snervato

M_{xRd} 3,239 kNm
 σ_c -25.5 N/mm²
 σ_s 3.5 N/mm²
 ε_s 3.5 ‰
 d 120 cm
 x 7.773 x/d 0.06477
 δ 0.7

Armadura Precompressione

N° cavi: 12 Zoom

N°	As [cm²]	x [cm]	y [cm]	σ _{su} [MPa]
8	1.39	10	10	1375
9	1.39	20	10	1375
10	1.39	-5	10	1375
11	1.39	-10	10	1375
12	1.39	-20	10	1375

Tipo cavo
 Trefolo
 ε_{su} 67.5 ‰
 f_{yd} 1.700 N/mm²
 E_s/E_c 6
 ε_{syd} 8.5 ‰
 σ_{s,adm} 1080 N/mm²

σ_{sp} 1.700 N/mm²
 ε_{sp} 57.41 ‰ compressa pref.

Il momento resistente fornito dalla sezione è ampiamente superiore a quello massimo di progetto.

Per quanto riguarda invece le azioni taglianti, le due anime della sezione sono armate con staffe 2 Ø12/10 alle estremità e Ø12/20 nel campo intermedio. Si adotta direttamente quest'ultima, per cui

Calcestruzzo		Acciaio	
Classe	C45/55	Tipo	B450C
Rck=	55 N/mm²	f _{yk} =	450 N/mm²
fck=	45.65 N/mm²	γ _s =	1.15
γ _c =	1.5		

$\alpha_{cc} = 0.8$	$f_{yd} = 391.30 \text{ N/mm}^2$
$f_{cd} = 24.34667 \text{ N/mm}^2$	

DATI GEOMETRIA

B =	26	cm	
H =	105	cm	
c =	5	cm	copriferro
d =	100	cm	altezza utile
As =	0	Ø20	
	0	Ø16	
	0	Ø14	
As,tot =	0.00	cmq	armatura tesa

RESISTENZA ELEMENTI PRIVI DI ARMATURA A TAGLIO

V _{rd} =	107.04	KN	N _c =	0	KN
			k =	1.45	
			v _{min} =	0.41	
			ρ ₁ =	0.000	
			σ _{cp} =	0.00	N/mm ²

RESISTENZA ELEMENTI CON ARMATURA A TAGLIO

A _{sw} =	4	Ø12	=	4.52	cmq
s =	20	cm			
θ =	31.93	°			inclinazione bielle compresse
α =	90	°			inclinazione armature a taglio rispetto asse trave
α _c =	1				

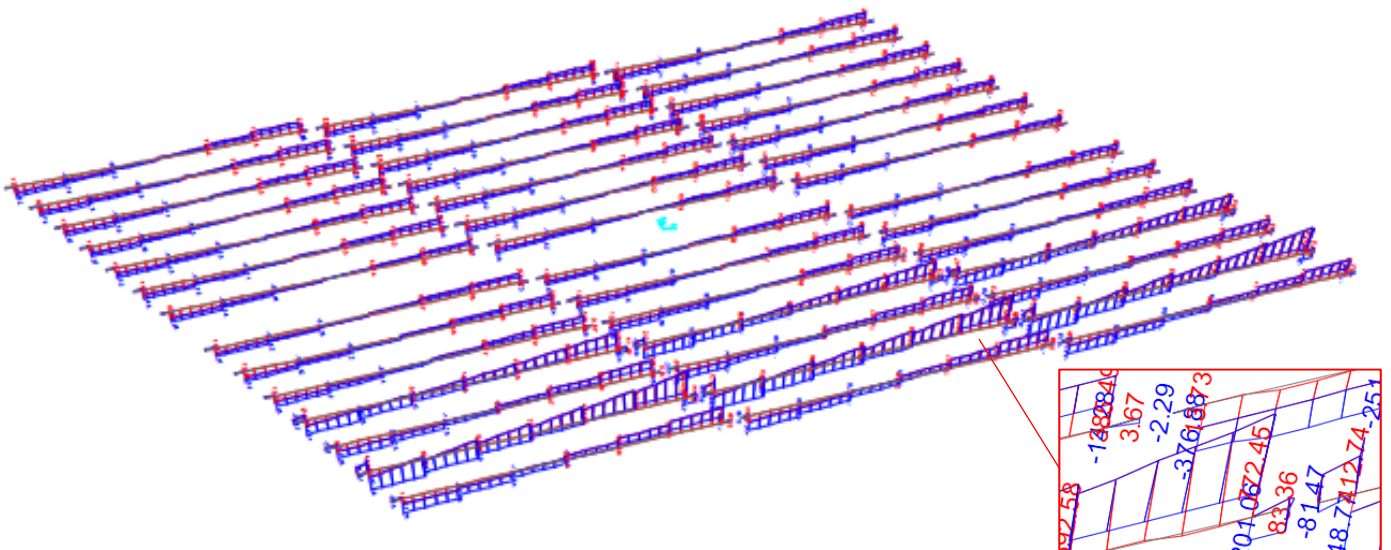
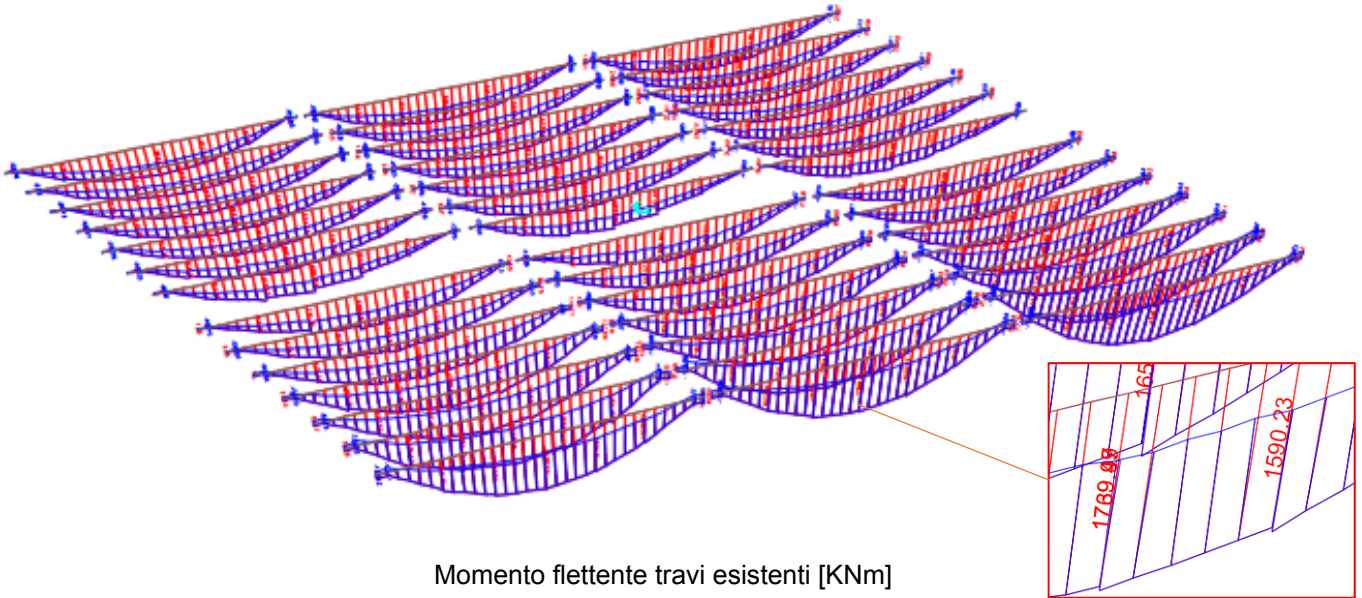
ctg(θ) =	1.604962
V _{Rsd} =	1278.51 KN
V _{Rcd} =	1278.51 KN
V _{Rd} =	1278.51 KN

La verifica è ampiamente soddisfatta.

Per quanto riguarda le travi esistenti, si esegue un confronto tra le sollecitazioni agenti in corrispondenza della trave di riva in prossimità del cordolo spartitraffico, sottoposta allo schema di carico con colonna n.1 posta a ridosso dello spartitraffico, e le sollecitazioni agenti sull'ultima trave dell'impalcato esistente adiacente alle due travi di ampliamento previste in progetto, sottoposte alla condizione di carico utilizzata per la verifica delle nuove travi.

Nel primo caso (trave esistente lato spartitraffico) si ha $M_{Edxx} = 1716 \text{ KNm}$ $V_{Edy} = 979 \text{ KN}$

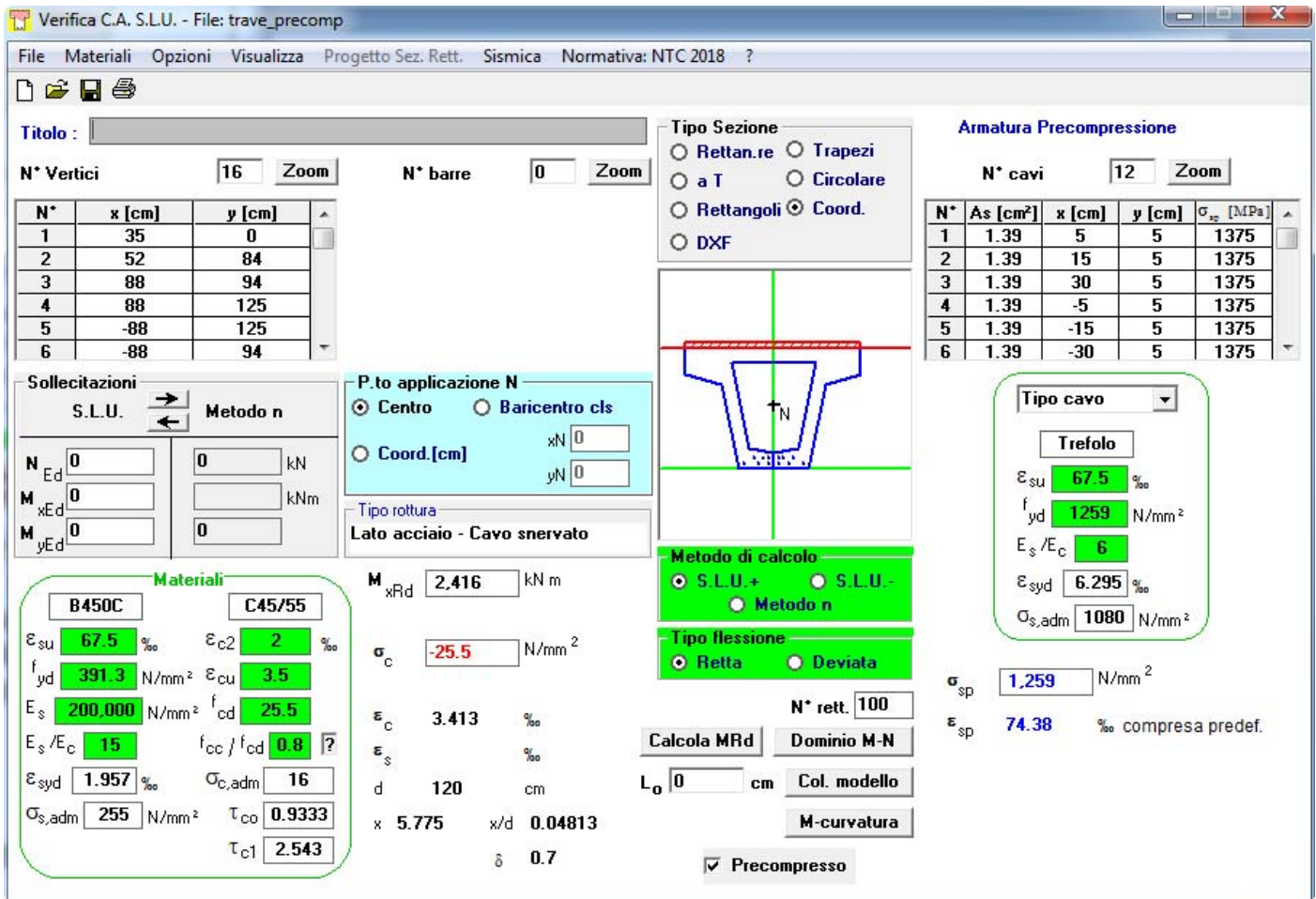
Nel secondo caso (trave esistente lato ampliamento) si ha $M_{Edxx} = 1740 \text{ KNm}$ $V_{Edy} = 773 \text{ KN}$



Le sollecitazioni sono inferiori a quelle viste in precedenza per le travi di nuova realizzazione: poiché però queste ultime sono state dimensionate sul medesimo quantitativo di armatura e medesima geometria delle travi esistenti, avendo ottenuto il soddisfacimento delle verifiche per le travi di nuova realizzazione implica automaticamente anche il soddisfacimento delle verifiche delle travi esistenti.

Non avendo a disposizione indagini dirette effettuate sullo stato di conservazione dei trefoli utilizzati per la precompressione delle travi esistenti, si adotta a maggiore sicurezza per le travi in oggetto un fattore di confidenza per la resistenza a trazione dei trefoli pari a $FC = 1,35$, riducendone pertanto la tensione di snervamento a $f_{y,d} = 1259$ MPa

PROGETTAZIONE ATI:



Verifica C.A. S.L.U. - File: trave_precomp

File Materiali Opzioni Visualizza Progetto Sez. Rett. Sismica Normativa: NTC 2018 ?

Titolo : _____

N° Vertici 16 **Zoom** **N° barre** 0 **Zoom**

N°	x [cm]	y [cm]
1	35	0
2	52	84
3	88	94
4	88	125
5	-88	125
6	-88	94

Tipologia Sezione
 Rettan.re Trapezi
 a T Circolare
 Rettangoli Coord.
 DXF

Armatura Precompressione
N° cavi 12 **Zoom**

N°	As [cm²]	x [cm]	y [cm]	σ_{sc} [MPa]
1	1.39	5	5	1375
2	1.39	15	5	1375
3	1.39	30	5	1375
4	1.39	-5	5	1375
5	1.39	-15	5	1375
6	1.39	-30	5	1375

Tipologia cavo Trefolo

ϵ_{su} 67.5 ‰
 f_{yd} 1259 N/mm²
 E_s/E_c 6
 ϵ_{syd} 6.295 ‰
 $\sigma_{s,adm}$ 1080 N/mm²

Materiali
B450C **C45/55**
 ϵ_{su} 67.5 ‰ ϵ_{c2} 2 ‰
 f_{yd} 391.3 N/mm² ϵ_{cu} 3.5 ‰
 E_s 200.000 N/mm² f_{cd} 25.5 N/mm²
 E_s/E_c 15 f_{cc}/f_{cd} 0.8
 ϵ_{syd} 1.957 ‰ $\sigma_{c,adm}$ 16 N/mm²
 $\sigma_{s,adm}$ 255 N/mm² τ_{co} 0.9333
 τ_{c1} 2.543

P.to applicazione N
 Centro Baricentro cls
 Coord.[cm] xN 0 yN 0

Tipologia rottura
 Lato acciaio - Cavo snervato

Metodo di calcolo
 S.L.U.+ S.L.U.-
 Metodo n

Tipologia flessione
 Retta Deviata

N° rett. 100

Calcola MRd **Dominio M-N**

L_0 0 cm **Col. modello**

M-curvatura

Precompresso

Parametri di calcolo:
 M_{xRd} 2,416 kN m
 σ_c -25.5 N/mm²
 ϵ_c 3.413 ‰
 ϵ_s ‰
 d 120 cm
 x 5.775 x/d 0.04813
 δ 0.7

Stato limite ultimo (S.L.U.):
 σ_{sp} 1,259 N/mm²
 ϵ_{sp} 74.38 ‰ compresa predef.

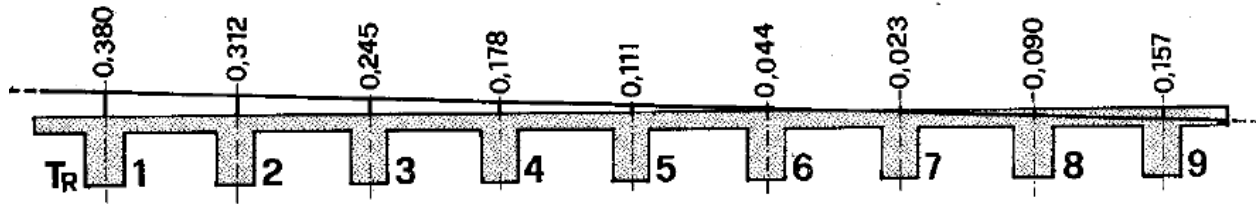
Il momento resistente fornito dalla sezione è ampiamente superiore a quello massimo di progetto.

10.7. SOLETTA DI IMPALCATO E NUOVO CORDOLO LATERALE

La nuova soletta di impalcato è realizzata in continuità della soletta esistente, alla quale si collega attraverso la realizzazione di perfori armati con barre $\varnothing 14/20$ e barra di continuità in estradosso con $\varnothing 20/20$.

In questo caso la verifica viene effettuata con metodo semplificato, attraverso una modellazione dell'impalcato con Courbon, ed imponendo la condizione di carico maggiormente gravosa (colonna n.1) a ridosso della linea di giunzione tra l'impalcato esistente e le travi di ampliamento. La trasmissione del carico alle travi di bordo avverrà attraverso la soletta che pertanto sarà sottoposta ad una sollecitazione tagliante che dovrà essere assorbita dalle barre di armatura poste in continuità tra i due elementi.

L'impalcato nel suo complesso, in riferimento alla singola carreggiata, è composto da n°9 travi, disposte approssimativamente ad un interasse di 1,79 m. Lo schema di carico è pertanto il seguente:



Considerando come la giunzione avviene tra le travi nn. 2 e 3, per massimizzare gli effetti delle sollecitazioni sulla giunzione, l'ingombro della colonna di carico n.1 viene posta a ridosso della trave n.3, avendo cura di portare il bordo della corsia di carico, di ampiezza 3,00 m, proprio al di sopra della linea di giunzione. Ciò si traduce pertanto nell'applicazione sulla trave di bordo di un carico virtuale pari al 24,5% della colonna di carico n.1.

L'azione tagliante agente sulla linea di giunzione è pertanto pari a

$$V_{s,k} = 0,245 \times (9 \text{ KN/mq} \times 3,00 \text{ m} + 600 \text{ KN} / 14,10 \text{ m}) = 17,04 \text{ KN}$$

Tale valore viene cautelativamente raddoppiato, per tenere in considerazione la presenza di due travi di bordo, per cui adottando anche i coefficienti di combinazione allo SLU si ottiene

$$V_{s,d} = 1,35 \times (2 \times 17,04 \text{ KN/m}) = 46,00 \text{ KN/m}$$

La resistenza della connessione viene affidata a favore di sicurezza integralmente alla barra di ancoraggio Ø14/20, per cui ciascuna barra è sottoposta all'azione tagliante pari a

$$V_{s,d} = 46,00 \text{ KN/m} / 5 = 9,20 \text{ KN}$$

La verifica è effettuata con codice di calcolo Hilti Profis Anchor da cui si ottiene

1 Dati da inserire

Tipo e dimensione dell'ancorante: HIT-RE 500 V3 + Rebar 14mm

Hilti Seismic set o altro sistema per il riempimento dello spazio aulare tra piastra e anco



Profondità di posa effettiva: $h_{ef,act} = 280 \text{ mm}$ ($h_{ef,limit} = - \text{ mm}$)

Materiale: B500B

Certificazione No.: ETA 16/0143

Emesso l Valido: 28/07/2016 | -

Prova: Valutazione ingegneristica SOFA BOND dopo la campagna di test ETAG BOND

Fissaggio distanziato: $e_b = 0 \text{ mm}$ (Senza distanziamento); $t = 12 \text{ mm}$

Piastra d'ancoraggio: $I_x \times I_y \times t = 250 \text{ mm} \times 1000 \text{ mm} \times 12 \text{ mm}$; (Spessore della piastra raccomandato: non calcolato)

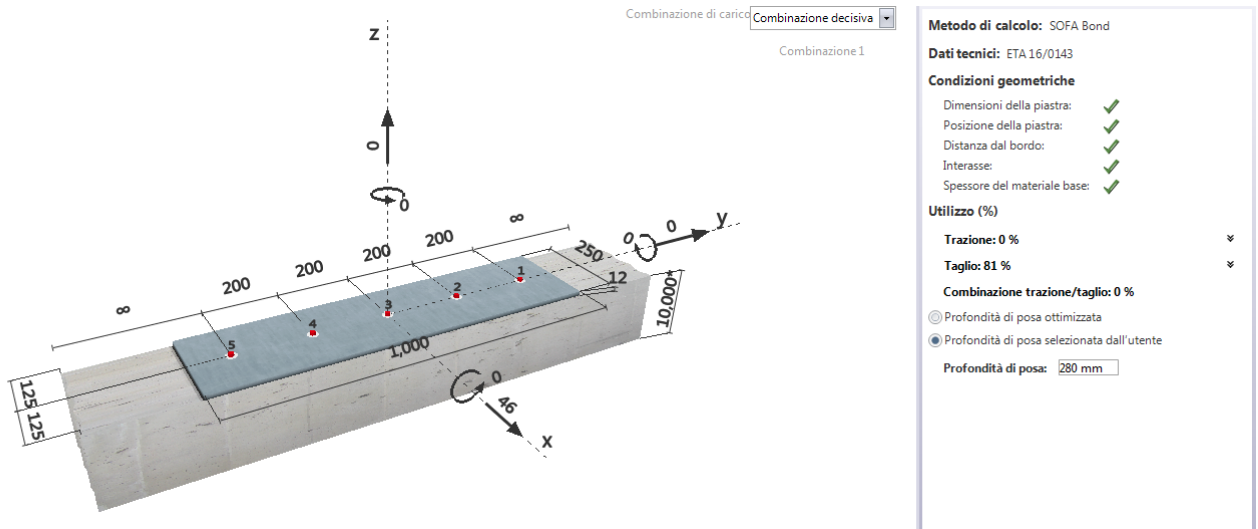
Profilo: nessun profilo

Materiale base: fessurato calcestruzzo, C30/37, $f_{c,cube} = 37,00 \text{ N/mm}^2$; $h = 10000 \text{ mm}$, Temp. Breve/Lungo: 0/0 °C

Installazione: Foro eseguito con perforatore, Condizioni di installazione: asciutto

Armatura: nessuna armatura o interasse tra le armature $\geq 150 \text{ mm}$ (qualunque \emptyset) o $\geq 100 \text{ mm}$ ($\emptyset \leq 10 \text{ mm}$)
 senza armatura di bordo longitudinale

Geometria [mm] & Carichi [kN, kNm]



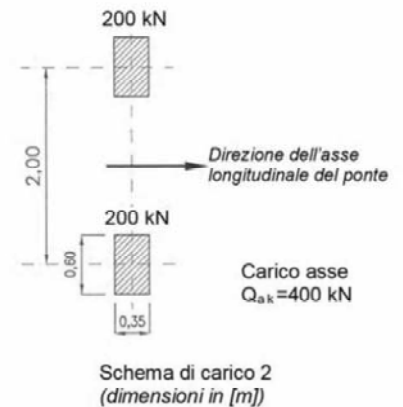
La verifica è pertanto ampiamente soddisfatta, con indice di utilizzo del collegamento pari all' 81%.

Per quanto riguarda invece il cordolo laterale, la verifica è eseguita con urto di veicolo in svio.

La normativa vigente prevede che: "nel progetto dell'impalcato deve essere considerata una condizione di carico eccezionale nella quale alla forza orizzontale d'urto sui sicurvia si associa un carico verticale isolato sulla sede stradale costituito dal Secondo Schema di Carico, posizionato in adiacenza al sicurvia stesso e disposto nella posizione più gravosa"

Lo schema di carico 2 è riportato nella figura a lato.

Essendo il cordolo dell'impalcato disposto al di sopra della travi di impalcato, il carico concentrato prodotto dallo schema di carico n. 2 agisce direttamente al di sopra della trave di impalcato e pertanto non agisce direttamente sulle armature del cordolo e della soletta sottostante.



Si esegue pertanto una verifica considerando la sola combinazione di carico eccezionale riferita all'urto di un veicolo in svio sulla barriera di sicurezza laterale, trascurando la combinazione di carico SLU con carichi accidentali di tipo locale derivanti dal traffico.

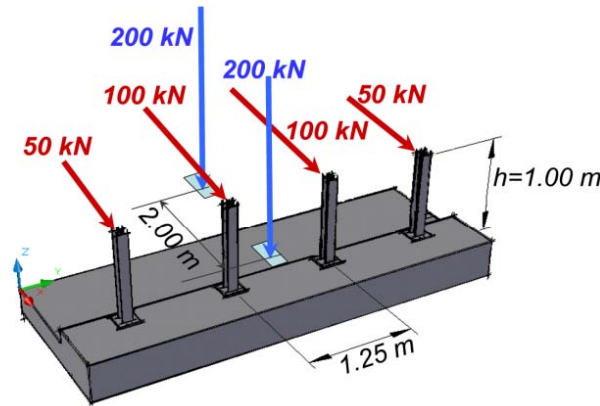
I carichi cui deve essere calcolata/verificata la porzione di soletta e del cordolo laterale sono pertanto quelli di tipo proprio e permanente portati:

- Peso proprio dell'elemento (g_1)
- Carichi permanenti (g_2)
- Guardrail (g_{2g})

Cui si aggiungono le azioni di tipo accidentale.

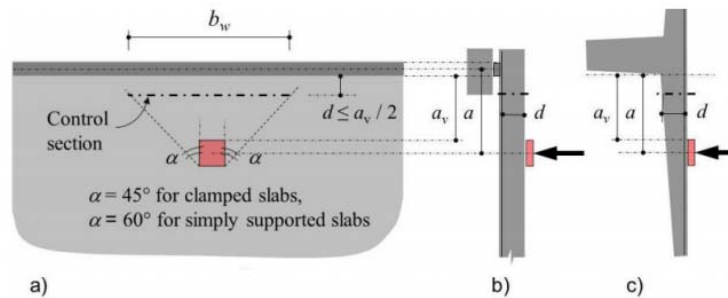
PROGETTAZIONE ATI:

Per l'azione d'urto dei veicoli in svio si farà riferimento agli schemi riportati all'interno del "Quaderno tecnico ANAS - Volume I - Valutazione delle caratteristiche meccaniche del calcestruzzo; valutazione delle caratteristiche meccaniche dell'acciaio; definizione del piano delle indagini; interventi di ripristino delle condizioni di sicurezza di cordoli e barriere bordo ponte" a loro volta desunti da NTC18.

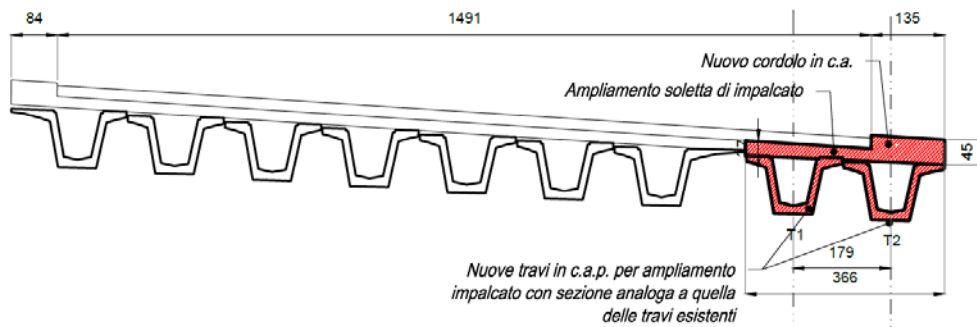


Tali azioni, si ricorda, sono azioni eccezionali, quindi caratterizzate da coefficienti di sicurezza dei materiali e da coefficienti di amplificazione dei carichi unitari.

Trattandosi di azioni concentrate, il calcolo della larghezza reagente della striscia di soletta da sottoporre a verifica si basa sull'angolo di diffusione degli sforzi all'interno della soletta stessa. Tale valutazione viene effettuata sempre sulla base dello schema riportato all'interno del Quaderno Tecnico ANAS n.1 di cui sopra, per cui si ha



Nel caso in esame, poiché la trave di riva presenta una elevata rigidità torsionale, lo schema più idoneo è quello riportato alla lettera c), che prevede un angolo di diffusione a 45° . Si considera la geometria dell'impalcato, di cui all'immagine seguente:



PROGETTAZIONE ATI:

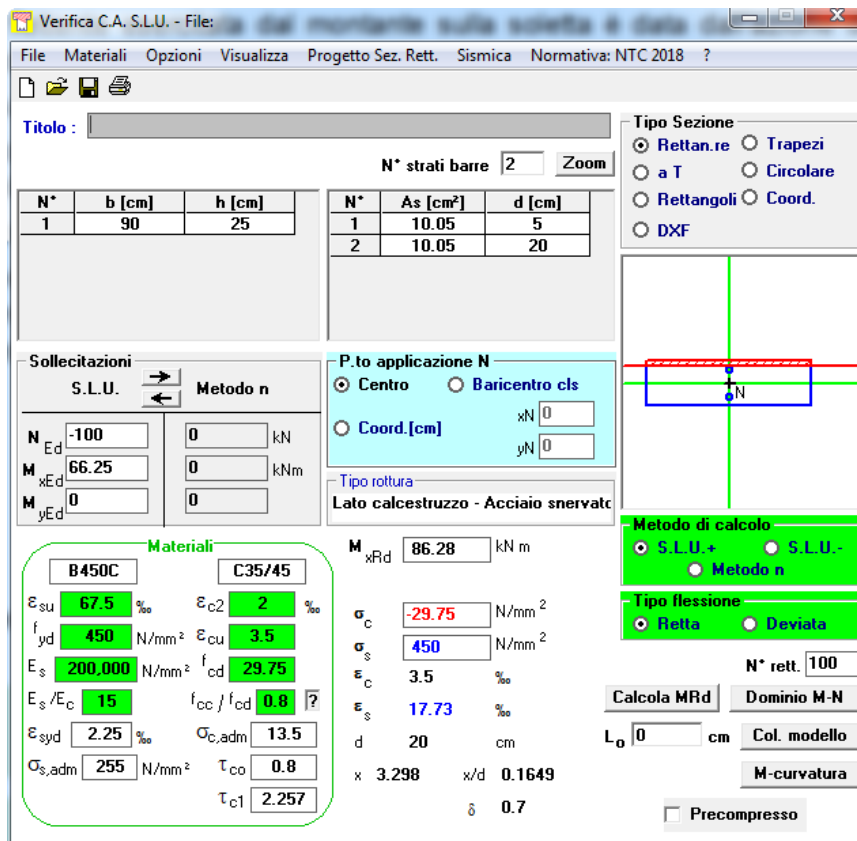
L'asse del singolo montante della barriera si trova all'incirca in asse con la trave di riva: la distanza dalle pareti verticali della trave è pari a circa 45 cm, sia verso l'interno che verso l'esterno dell'impalcato. Per cui la porzione di soletta interessata dall'azione di un singolo montante è pari a 90 cm. L'azione flettente esercitata dal montante sulla soletta è data dall'azione dell'urto per il braccio, pari alla distanza tra punto di applicazione della forza e asse della soletta, pari a 1,325 m.

Tale momento risulta pertanto pari a $M_{s,k} = 100 \text{ KN} \times 1,325 \text{ m} = 132,5 \text{ KNm}$

Lo schema statico è quello di trave incastrata alle estremità con momento concentrato in asse, per cui il momento sollecitante è pari a $M_{s,k} = 132,5 \text{ KNm} / 2 = 66,25 \text{ KNm}$

A questa si associa anche l'azione di trazione pari a $N_{s,k} = 100 \text{ KN}$ derivante dall'azione d'urto.

La verifica viene eseguita con codice di calcolo VCaSLU, considerando un armatura di impalcato composta da barre Ø16/20 sia in estradosso che intradosso ed uno spessore di 25 cm a favore di sicurezza. Pertanto si ha



$M_{Rd} = 86,3 \text{ KNm} > M_{Sd} = 66,25 \text{ KNm}$ **verificata**

10.8. VERIFICA MARTELLO ALLUNGATO TRAVE ESISTENTE

La attuale trave di bordo, che a seguito dell'allargamento dell'impalcato diviene trave interna all'impalcato, possiede allo stato attuale un martello allungato che viene mantenuto in fase di progetto. Pertanto nell'impalcato di progetto di ha una porzione di soletta che insiste su di una campata di ampiezza maggiorata tra una trave e l'altra.

PROGETTAZIONE ATI:

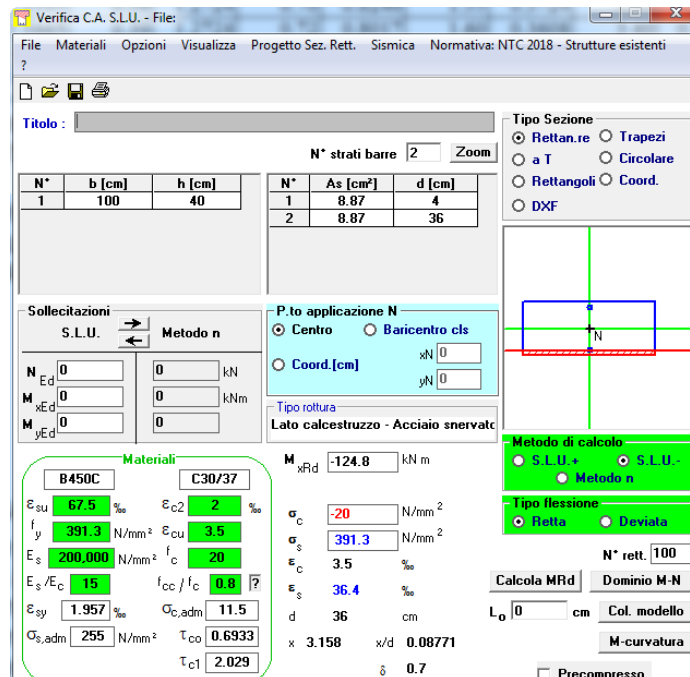
A favore di sicurezza, può schematizzarsi tale porzione di soletta come una trave a sbalzo (per cui trascurando completamente il suo collegamento con le nuove travi di progetto, avente luce pari a 1,15, pari cioè alla lunghezza del martello misurata a partire dalla sezione di incastro con la parete verticale della trave prefabbricata. Si applica quindi all'estremità un carico concentrato pari allo schema di carico n.2, cioè con impronta da 200 KN di dimensioni 60x35 cm. La distanza dell'asse dell'impronta dalla sezione di incastro è pertanto pari a 1,15 m – 0,30 m = 0,85 m, che produce pertanto un momento sollecitante pari a $M_{sd} = 1,35 \times 200 \text{ KN} \times 0,85 \text{ m} = 229,5 \text{ KNm}$.

Considerando una diffusione del carico a 45° all'interno della soletta, la porzione di soletta coinvolta è pari a $0,35 \text{ m} + 2 \times 0,85 \text{ m} = 2,05 \text{ m}$

Si trascura il contributo del peso proprio e permanente portato, portando pertanto ad una sollecitazione complessiva agente sulla sezione di incastro pari a

$$M_{s,d} = 229,5 \text{ KNm} / 2,05 \text{ m} = 111,95 \text{ KNm}$$

Si considera per la verifica l'altezza complessiva della soletta attuale, cui si aggiunge lo spessore del martello, per un totale di circa 40 cm, per cui considerando una armatura esistente composta da 1 Ø16/40 + 1 Ø14/40 ogni metro, si ha



Pertanto la verifica è da ritenersi ampiamente soddisfatta in considerazione degli elevati margini di sicurezza considerati nella schematizzazione del problema.

10.9. VERIFICA DISPOSITIVI DI APPOGGIO E GIUNTI

L'inserimento di nuove travi di impalcato per l'ampliamento della carreggiata implica l'introduzione di nuovi dispositivi di appoggio in aggiunta a quelli esistenti, realizzati in neoprene armato. Le caratteristiche meccaniche e di rigidezza di questi ultimi non sono valutabili, essendo l'opera realizzata più di 20 anni fa: la caratteristica di questi dispositivi di appoggio è infatti quella di subire

un progressivo incrudimento della rigidità della gomma nel corso degli anni, motivo per cui la durata di vita utile oltre la quale se ne consiglia la sostituzione è generalmente tra i 25 e i 30 anni. Tutto ciò ha portato alla scelta tecnica di sostituire integralmente gli appoggi esistenti, uniformandoli e quelli nuovi da introdurre al di sotto delle travi di ampliamento. In questo modo si ottiene un doppio beneficio:

- L'utilizzo di appoggi identici sotto tutte le travi di impalcato, porta ad una perfetta omogeneità in termini di rigidità, evitando caratteristiche differenti che potrebbero portare a pericolose concentrazioni di sollecitazioni;
- La sostituzione degli appoggi in questa fase porta ad un risparmio economico in considerazione del fatto che comunque a breve dovrà effettuarsi la sostituzione programmata dei dispositivi esistenti, dettata dalle normali operazioni di manutenzione dell'opera.

I nuovi dispositivi di appoggio sono realizzati con elementi circolari in gomma armata di diametro 600 mm ed altezza 73 mm. Ogni dispositivo presenta rigidità orizzontale pari a 4630 KN/m.

CHARACTERISTICS								
Diameter	Height	Steel reinf. plates	Elastomer		Shear stiffness	Volume	Weight	Bearing code
D <i>mm</i>	h_{tot} <i>mm</i>	t_s <i>mm</i>	t_i <i>mm</i>	n <i>n</i>	k_o <i>kN/mm</i>	Vol <i>dm³</i>	W <i>kg</i>	NEOARM Ø
600	60	3	10	4	5,65	17,0	49	600×60
	73			5	4,63	20,6	59	600×73
	86			6	3,91	24,3	70	600×86
	99			7	3,39	28,0	80	600×99

MAXIMUM VERTICAL LOAD											
<i>v (± mm)</i>											
0	5	10	15	20	30	40	50	75	100	125	150
F_{z ULS} <i>kN</i>											
8395	8325	8185	7865								
8395	8325	8250	8180	8105	7960	7815	7490				
8395	8325	8250	8180	8105	7960	7815	7670				
8395	8325	8250	8180	8105	7960	7815	7670	7310			

LEGEND:

- D** overall diameter
- h_{tot}** total height
- t_s** thickness of steel reinforcing plates
- t_i** thickness of an individual elastomer layer
- n** number of elastomer layers
- K_o** shear stiffness
- Vol** volume
- W** weight
- v** maximum horizontal relative displacement
- F_{z ULS}** maximum vertical load

In analisi statica, sotto le azioni di traffico, la maggiore sollecitazione verticale riscontrata nel modello è pari a $N_{S,d} = 1034 \text{ KN}$, decisamente inferiore ai valori limite del dispositivo di appoggio, pari a 7490 KN per spostamenti di 50 mm.

La verifica dimensionante in questo caso viene effettuata sulla base delle massime azioni orizzontali derivanti dall'azione sismica, adottando un fattore di struttura $q=1,00$ (spettro elastico). Il singolo appoggio sarà sottoposto ad una azione orizzontale massima pari a circa $H_{app,sism} = 194 \text{ KN}$, da cui si ottiene uno spostamento pari a $\Delta x = 195 \text{ KN} / 4,63 \text{ KN/mm} = 45 \text{ mm}$

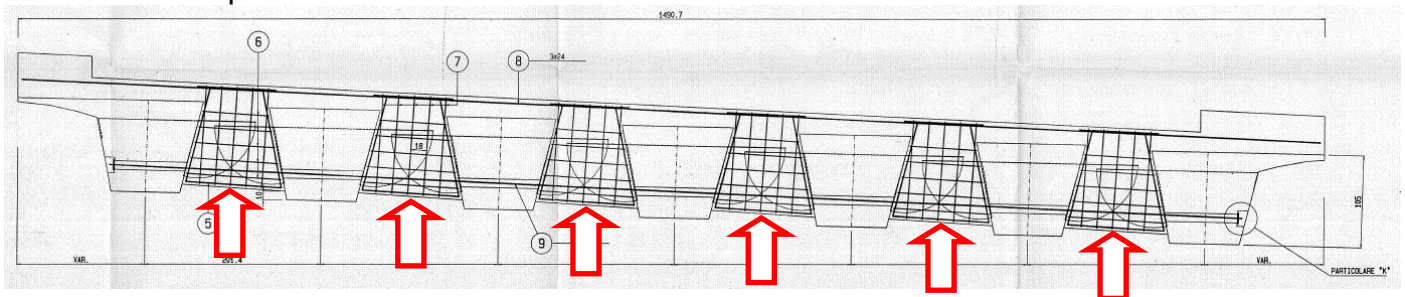
A questo va aggiunta la deformazione massima prevista per le escursioni termiche, che portano ad un allungamento massimo dell'impalcato pari a $\Delta L = \alpha \Delta T L/2 = 10^{-5} \times 27^\circ \times 7,50 \text{ m} \approx 2 \text{ mm}$

Pertanto l'escursione massima prevista è pari a $\pm 47 \text{ mm}$

Si adotteranno giunti di dilatazione con escursione $\pm 50 \text{ mm}$ sulle spalle e $\pm 100 \text{ mm}$ sulle pile.

10.10. VERIFICA SOLLEVAMENTO IMPALCATO

Viene eseguita la verifica degli elementi coinvolti nel sollevamento della struttura di impalcato. Per il sollevamento si prevede l'utilizzo di martinetti idraulici da disporre in asse ai segmenti del trasverso di testata dell'impalcato, di cui si riporta uno schema proveniente dai disegni di contabilità dell'opera.



Dall'analisi dei carichi, si ottiene che complessivamente ogni concio di impalcato, relativo alla singola carreggiata, produce un carico di circa 3300 KN.

Pertanto, ad ogni estremità, i martinetti dovranno sollevare complessivamente un carico pari a 1650 KN, da distribuire su un numero di 6 martinetti: al singolo martinetto sarà perciò associato un carico verticale pari a 275 KN.

Tale azione, applicata come carico concentrato in asse al trasverso, produrrà su questo delle azioni taglianti e flettenti che dovranno essere interamente assorbite dalle armature esistenti.

L'elemento maggiormente sollecitato è quello di estremità dell'impalcato, sul quale agisce il peso della trave di riva posta interamente "a sbalzo" sul trasverso durante il sollevamento.

Si assume a favore di sicurezza che l'azione scaricata dalla trave di riva sia pari proprio a 275 KN, applicati in asse alla trave di riva. L'eccentricità del carico rispetto al punto di applicazione del martinetto sarà pertanto pari a circa 0,95 m

Per quanto detto, sul trasverso agiranno complessivamente una azione flettente e tagliente pari a

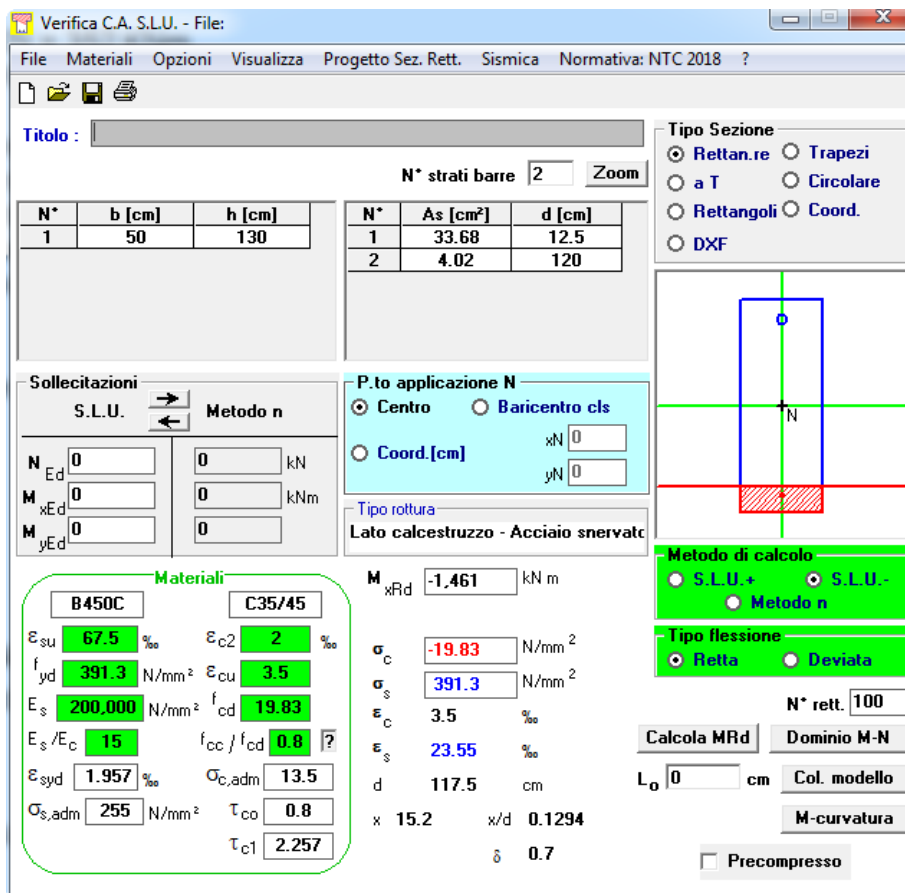
PROGETTAZIONE ATI:

$$M_{Sd} = 1,35 \times 0,95 \text{ m} \times 275 \text{ KN} = 352 \text{ KNm}$$

$$V_{Sd} = 1,35 \times 275 \text{ KN} = 371 \text{ KN}$$

Il trasverso presenta sezione trasversale di dimensioni 55 x 130 cm circa ed armato inferiormente con barre 2 Ø24 correnti, e superiormente dalle armature di soletta, composte da 3 Ø 24 correnti e dalle armature trasversali della soletta, composte da barre 1Ø16 / 10 sia in intradosso che in estradosso alla soletta stessa. A favore di sicurezza si considera come area di influenza la sola proiezione in pianta del trasverso, per cui le armature di soletta coinvolte saranno solamente barre 5+5 Ø16.

La verifica a flessione viene eseguita attraverso codice di calcolo VCaSLU del prof. Gelfi da cui si ottiene



$$M_{Rd} = 1461 \text{ KNm} > M_{Sd} = 66,25 \text{ KNm} \quad \text{verificata}$$

L'azione tagliante viene sicuramente in parte assorbita per "forma" essendo la superficie di contatto tra trasverso e trave inclinata e quindi consentendo alla trave di appoggiarsi al di sopra della superficie di contatto con il trasverso.

In questo caso si verifica perciò l'armatura del trasverso, composta da staffe Ø14/20

Calcestruzzo		Acciaio	
Classe	C35/45	Tipo	B450C
Rck=	45 N/mm ²	fyk=	450 N/mm ²

PROGETTAZIONE ATI:

fck=	37.35	N/mm ²	γs=	1.15
γc=	1.5		f _{yd} =	391.30
α _{cc} =	1			N/mm ²
f _{cd} =	24.9	N/mm ²		

DATI GEOMETRIA

B=	50	cm	
H=	130	cm	
c=	5	cm	copriferro
d=	125	cm	altezza utile
As =	3	Ø24	
	10	Ø16	
	0	Ø14	
As,tot =	33.68	cmq	armatura tesa

RESISTENZA ELEMENTI PRIVI DI ARMATURA A TAGLIO

V _{rd} =	285.61	KN	N _c =	0	KN
			k =	1.40	
			v min =	0.35	
			ρ ₁ =	0.005	
			σ _{cp} =	0.00	N/mm ²

RESISTENZA ELEMENTI CON ARMATURA A TAGLIO

A _{sw} =	2	Ø14	=	3.08	cmq
s =	20	cm			
θ =	18.12	°			inclinazione bielle compresse
α =	90	°			inclinazione armature a taglio rispetto asse trave
α _c =	1				

ctg(θ)= 2.5

V_{Rsd} = 1694.16 KN

V_{Rcd} = 2414.87 KN

V_{Rd} = 1694.16 KN

La verifica è ampiamente soddisfatta.

10.11. VERIFICA STATO LIMITE DI ESERCIZIO

Viene eseguita la verifica degli elementi verticali di spalle e pile, essendo quelli maggiormente sollecitati.

10.11.1. VERIFICA SPALLE

Le sollecitazioni maggiormente gravose si riscontrano alla base dei paramenti delle spalle di nuova realizzazione. Pertanto si ha

$M_{Sd,SLE\ RARA} = 274,56\ KNm$

$M_{Sd,SLE\ FREQ} = 254,31\ KNm$

$M_{Sd,SLE\ QPERM} = 202,92\ KNm$

PROGETTAZIONE ATI:

La verifica è ancora eseguita con foglio di calcolo precompilato, considerando alla base del fusto una armature composta da 10 Ø20 su sezione di spessore 100 cm. Si trascura a favore di sicurezza l'azione di compressione verticale e si considerano unicamente 5 Ø20 resistenti a trazione, vale a dire quelli correnti non raffittiti lungo il fusto. Per cui si ha

DETERMINAZIONE DELLE TENSIONI A SLS			
Controllo tensionale per la Combinazione Caratteristica			
Momento sollecitante assunto in valore assoluto	M_{Ed}	274.5	[kNm]
Coefficiente di omogeneizzazione	n	15.0	[-]
Altezza della sezione trasversale di calcestruzzo	h	1000	[mm]
Larghezza della sezione trasversale di calcestruzzo	b	1000	[mm]
Copriferro	d'	40	[mm]
Altezza utile della sezione	d	960	[mm]
Area dell'armatura tesa	A_s	1571	[mm ²]
Area dell'armatura compressa	$A's$	1571	[mm ²]
Posizione dell'asse neutro	x	175.01	[mm]
Momento d'inerzia della sezione rispetto a x	J	16735335890	[mm ⁴]
Tensione ammissibile nel calcestruzzo nella combinazione caratteristica	$\sigma_{c,caratt.}$	16.8	[MPa]
Tensione ammissibile nell'acciaio per le combinazioni a SLS	σ_s	360	[MPa]
Tensione nel calcestruzzo	σ_c	2.87	[MPa]
Tensione nell'armatura tesa	σ_s	193.14	[MPa]

DETERMINAZIONE DELLE TENSIONI A SLS			
Controllo tensionale per la Combinazione Quasi Permanente			
Momento sollecitante assunto in valore assoluto	M_{Ed}	202.9	[kNm]
Coefficiente di omogeneizzazione	n	15.0	[-]
Altezza della sezione trasversale di calcestruzzo	j	1000	[-]
Larghezza della sezione trasversale di calcestruzzo	b	1000	[-]
Copriferro	d'	40	[-]
Altezza utile della sezione	d'	960	[-]
Area dell'armatura tesa	A_s	1571	[mm ²]
Area dell'armatura compressa	$A's$	1571	[mm ²]
Posizione dell'asse neutro	x	175.01	[mm]
Momento d'inerzia della sezione rispetto a x	J	16735335890	[mm ⁴]
Tensione ammissibile nel calcestruzzo nella combinazione quasi permanente	$\sigma_{c,q.p.}$	12.6	[MPa]
Tensione ammissibile nell'acciaio per le combinazioni a SLS	σ_s	360	[MPa]
Tensione nel calcestruzzo	σ_c	2.12	[MPa]
Tensione nell'armatura tesa	σ_s	142.76	[MPa]

CONTROLLO DI FESSURAZIONE A SLS			
Altezza della sezione trasversale di calcestruzzo	h	1000	[mm]
Larghezza della sezione trasversale di calcestruzzo	b	1000	[mm]
Copriferro	d'	40	[mm]
Altezza utile della sezione	d	960	[mm]
Area dell'armatura tesa	A_s	1571	[mm ²]
Area dell'armatura compressa	$A's$	1571	[mm ²]
Distanza tra il bordo del cls e l'armatura	c	50	[mm]
Distanza tra i baricentri delle barre	s	200	[mm]
Distanza massima di riferimento tra le barre	$s_{rif,max}$	300	[mm]
Calcolo dell'ampiezza delle fessure - Combinazione Quasi Permanente			
Momento sollecitante per la combinazione Quasi Permanente	$M_{Ed,q.p.}$	202.9	[kNm]
Durata del carico		lunga	[-]
Posizione dell'asse neutro dal lembo superiore	x	175.01	[mm]
Tensione indotta nell'armatura tesa considerando la sezione fessurata	σ_s	142.76	[MPa]
Valore medio della resistenza a trazione efficace del calcestruzzo	$f_{ct,eff}$	2.8	[MPa]
Fattore dipendente dalla durata del carico	k_t	0.4	[-]

PROGETTAZIONE ATI:

Altezza efficace	$h_{c,eff}$	100	[mm]
Area efficace del calcestruzzo teso attorno all'armatura	$A_{c,eff}$	100000	[mm ²]
Rapporto geometrico sull'area efficace	$\rho_{p,eff}$	0.01571	[-]
Rapporto tra E_s/E_{cm}	α_e	6.19	[-]
Differenza tra la deformazione nell'acciaio e quella nel calcestruzzo	$\epsilon_{sm} - \epsilon_{cm}$	0.000327	[-]
		0.000428	[-]
Determinazione del diametro equivalente delle barre tese	ϕ_{eq}	20.00	[mm]
Coefficiente che tiene conto dell'aderenza migliorata delle barre	k_1	0.8	[-]
Coefficiente che tiene conto della flessione pura	k_2	0.5	[-]
	k_3	3.4	[-]
	k_4	0.425	[-]
Distanza massima tra le fessure	$S_{r,max}$	386.45	[mm]
		386.45	[mm]
Ampiezza delle fessure	w_k	0.1655	[mm]
Ampiezza massima delle fessure	w_{max}	0.2	[mm]
Calcolo dell'ampiezza delle fessure - Combinazione Frequente			
Momento sollecitante per la combinazione Frequente	$M_{Ed,freq.}$	254.3	[kNm]
Durata del carico		lunga	[-]
Posizione dell'asse neutro dal lembo superiore	x	175.01	[mm]
Tensione indotta nell'armatura tesa considerando la sezione fessurata	σ_s	178.92	[MPa]
Valore medio della resistenza a trazione efficace del calcestruzzo	$f_{ct,eff}$	2.8	[MPa]
Fattore dipendente dalla durata del carico	k_t	0.4	[-]
Altezza efficace	$h_{c,eff}$	100	[mm]
Area efficace del calcestruzzo teso attorno all'armatura	$A_{c,eff}$	100000	[mm ²]
Rapporto geometrico sull'area efficace	$\rho_{p,eff}$	0.01571	[-]
Rapporto tra E_s/E_{cm}	α_e	6.19	[-]
Differenza tra la deformazione nell'acciaio e quella nel calcestruzzo	$\epsilon_{sm} - \epsilon_{cm}$	0.000508	[-]
		0.000537	[-]
Determinazione del diametro equivalente delle barre tese	ϕ_{eq}	20.00	[mm]
Coefficiente che tiene conto dell'aderenza migliorata delle barre	k_1	0.8	[-]
Coefficiente che tiene conto della flessione pura	k_2	0.5	[-]
	k_3	3.4	[-]
	k_4	0.425	[-]
Distanza massima tra le fessure	$S_{r,max}$	386.45	[mm]
		386.45	[mm]
Ampiezza delle fessure	w_k	0.2074	[mm]
Ampiezza massima delle fessure	w_{max}	0.3	[mm]
Calcolo dell'ampiezza delle fessure - Combinazione Caratteristica			
Momento sollecitante per la combinazione Caratteristica	$M_{Ed,caratt.}$	274.5	[kNm]
Durata del carico		lunga	[-]
Posizione dell'asse neutro dal lembo superiore	x	175.01	[mm]
Tensione indotta nell'armatura tesa considerando la sezione fessurata	σ_s	193.14	[MPa]
Valore medio della resistenza a trazione efficace del calcestruzzo	$f_{ct,eff}$	2.8	[MPa]
Fattore dipendente dalla durata del carico	k_t	0.4	[-]
Altezza efficace	$h_{c,eff}$	100	[mm]
Area efficace del calcestruzzo teso attorno all'armatura	$A_{c,eff}$	100000	[mm ²]
Rapporto geometrico sull'area efficace	$\rho_{p,eff}$	0.01571	[-]
Rapporto tra E_s/E_{cm}	α_e	6.19	[-]
Differenza tra la deformazione nell'acciaio e quella nel calcestruzzo	$\epsilon_{sm} - \epsilon_{cm}$	0.000579	[-]
		0.000579	[-]
Determinazione del diametro equivalente delle barre tese	ϕ_{eq}	20.00	[mm]
Coefficiente che tiene conto dell'aderenza migliorata delle barre	k_1	0.8	[-]
Coefficiente che tiene conto della flessione pura	k_2	0.5	[-]
	k_3	3.4	[-]
	k_4	0.425	[-]
Distanza massima tra le fessure	$S_{r,max}$	386.45	[mm]
		386.45	[mm]
Ampiezza delle fessure	w_k	0.2239	[mm]
Ampiezza massima delle fessure	w_{max}	0.3	[mm]

Avendo adottato i medesimi quantitativi di armatura e le medesime caratteristiche di resistenza dei materiali delle parti esistenti, non si procede alle verifiche di queste ultime essendo implicitamente soddisfatte.

10.11.2. VERIFICA PILE

Le sollecitazioni maggiormente gravose si riscontrano alla base dei paramenti delle spalle di nuova realizzazione. Pertanto si ha

$$M_{Sd,SLE\ RARA} = 401,65\ \text{KNm}$$

$$M_{Sd,SLE\ FREQ} = 380,56\ \text{KNm}$$

$$M_{Sd,SLE\ QPERM} = 301,59\ \text{KNm}$$

La verifica è ancora eseguita con foglio di calcolo precompilato, considerando alla base del fusto una armature composta da 10 Ø20 su sezione di spessore 100 cm. Si trascura a favore di sicurezza l'azione di compressione verticali. Per cui si ha

DETERMINAZIONE DELLE TENSIONI A SLS			
Controllo tensionale per la Combinazione Caratteristica			
Momento sollecitante assunto in valore assoluto	M_{Ed}	401.7	[kNm]
Coefficiente di omogeneizzazione	n	15.0	[-]
Altezza della sezione trasversale di calcestruzzo	h	1000	[mm]
Larghezza della sezione trasversale di calcestruzzo	b	1000	[mm]
Copriferro	d'	40	[mm]
Altezza utile della sezione	d	960	[mm]
Area dell'armatura tesa	A_s	3142	[mm ²]
Area dell'armatura compressa	A'_s	3142	[mm ²]
Posizione dell'asse neutro	x	226.89	[mm]
Momento d'inerzia della sezione rispetto a x	J	30866049790	[mm ⁴]
Tensione ammissibile nel calcestruzzo nella combinazione caratteristica	$\sigma_{c,caratt.}$	16.8	[MPa]
Tensione ammissibile nell'acciaio per le combinazioni a SLS	σ_s	360	[MPa]
Tensione nel calcestruzzo	σ_c	2.95	[MPa]
Tensione nell'armatura tesa	σ_s	143.10	[MPa]

DETERMINAZIONE DELLE TENSIONI A SLS			
Controllo tensionale per la Combinazione Quasi Permanente			
Momento sollecitante assunto in valore assoluto	M_{Ed}	301.6	[kNm]
Coefficiente di omogeneizzazione	n	15.0	[-]
Altezza della sezione trasversale di calcestruzzo	j	1000	[-]
Larghezza della sezione trasversale di calcestruzzo	b	1000	[-]
Copriferro	d'	40	[-]
Altezza utile della sezione	d'	960	[-]
Area dell'armatura tesa	A_s	3142	[mm ²]
Area dell'armatura compressa	A'_s	3142	[mm ²]
Posizione dell'asse neutro	x	226.89	[mm]
Momento d'inerzia della sezione rispetto a x	J	30866049790	[mm ⁴]
Tensione ammissibile nel calcestruzzo nella combinazione quasi permanente	$\sigma_{c,q.p.}$	12.6	[MPa]
Tensione ammissibile nell'acciaio per le combinazioni a SLS	σ_s	360	[MPa]
Tensione nel calcestruzzo	σ_c	2.22	[MPa]
Tensione nell'armatura tesa	σ_s	107.45	[MPa]

CONTROLLO DI FESSURAZIONE A SLS

PROGETTAZIONE ATI:

Altezza della sezione trasversale di calcestruzzo	h	1000	[mm]
Larghezza della sezione trasversale di calcestruzzo	b	1000	[mm]
Copriferro	d'	40	[mm]
Altezza utile della sezione	d	960	[mm]
Area dell'armatura tesa	A _s	3142	[mm ²]
Area dell'armatura compressa	A' _s	3142	[mm ²]
Distanza tra il bordo del cls e l'armatura	c	50	[mm]
Distanza tra i baricentri delle barre	s	100	[mm]
Distanza massima di riferimento tra le barre	S _{rif,max}	300	[mm]
Calcolo dell'ampiezza delle fessure - Combinazione Quasi Permanente			
Momento sollecitante per la combinazione Quasi Permanente	M_{Ed,q.p.}	301.59	[kNm]
Durata del carico		lunga	[-]
Posizione dell'asse neutro dal lembo superiore	x	226.89	[mm]
Tensione indotta nell'armatura tesa considerando la sezione fessurata	σ _s	107.45	[MPa]
Valore medio della resistenza a trazione efficace del calcestruzzo	f _{ct,eff}	2.8	[MPa]
Fattore dipendente dalla durata del carico	k _t	0.4	[-]
Altezza efficace	h _{c,eff}	100	[mm]
Area efficace del calcestruzzo teso attorno all'armatura	A _{c,eff}	100000	[mm ²]
Rapporto geometrico sull'area efficace	ρ _{p,eff}	0.03142	[-]
Rapporto tra E _s /E _{cm}	α _e	6.19	[-]
Differenza tra la deformazione nell'acciaio e quella nel calcestruzzo	ε _{sm} - ε _{cm}	0.000327	[-]
		0.000327	[-]
Determinazione del diametro equivalente delle barre tese	φ _{eq}	20.00	[mm]
Coefficiente che tiene conto dell'aderenza migliorata delle barre	k ₁	0.8	[-]
Coefficiente che tiene conto della flessione pura	k ₂	0.5	[-]
	k ₃	3.4	[-]
	k ₄	0.425	[-]
Distanza massima tra le fessure	S _{r,max}	278.23	[mm]
		278.23	[mm]
Ampiezza delle fessure	w_k	0.0909	[mm]
Ampiezza massima delle fessure	w_{max}	0.2	[mm]
Calcolo dell'ampiezza delle fessure - Combinazione Frequente			
Momento sollecitante per la combinazione Frequente	M_{Ed,freq.}	380.56	[kNm]
Durata del carico		lunga	[-]
Posizione dell'asse neutro dal lembo superiore	x	226.89	[mm]
Tensione indotta nell'armatura tesa considerando la sezione fessurata	σ _s	135.58	[MPa]
Valore medio della resistenza a trazione efficace del calcestruzzo	f _{ct,eff}	2.8	[MPa]
Fattore dipendente dalla durata del carico	k _t	0.4	[-]
Altezza efficace	h _{c,eff}	100	[mm]
Area efficace del calcestruzzo teso attorno all'armatura	A _{c,eff}	100000	[mm ²]
Rapporto geometrico sull'area efficace	ρ _{p,eff}	0.03142	[-]
Rapporto tra E _s /E _{cm}	α _e	6.19	[-]
Differenza tra la deformazione nell'acciaio e quella nel calcestruzzo	ε _{sm} - ε _{cm}	0.000468	[-]
		0.000468	[-]
Determinazione del diametro equivalente delle barre tese	φ _{eq}	20.00	[mm]
Coefficiente che tiene conto dell'aderenza migliorata delle barre	k ₁	0.8	[-]
Coefficiente che tiene conto della flessione pura	k ₂	0.5	[-]
	k ₃	3.4	[-]
	k ₄	0.425	[-]
Distanza massima tra le fessure	S _{r,max}	278.23	[mm]
		278.23	[mm]
Ampiezza delle fessure	w_k	0.1301	[mm]
Ampiezza massima delle fessure	w_{max}	0.3	[mm]

Avendo adottato i medesimi quantitativi di armatura e le medesime caratteristiche di resistenza dei materiali delle parti esistenti, non si procede alle verifiche di queste ultime essendo implicitamente soddisfatte.

11. VERIFICHE OPERE PROVVISORIALI

Si riportano nel seguito le verifiche eseguite sulle paratie di pali realizzate in corrispondenza del ciglio stradale per effettuare in sicurezza, e senza interruzione del traffico, le operazioni di allargamento delle spalle.

Le paratie sono realizzate con pali Ø1200 posti ad interasse 1,40 m, di lunghezza 18 m e sormontati con cordolo in c.a. sezione 140x100 cm. Si adotta una altezza media di scavo pari a 5,50 m rispetto al piano stradale.

Le verifiche vengono eseguite con codice di calcolo PAC della Aztec Informatica di cui si riportano gli output

Richiami teorici

Metodo di analisi

Calcolo della profondità di infissione

Nel caso generale l'equilibrio della paratia è assicurato dal bilanciamento fra la spinta attiva agente da monte sulla parte fuori terra, la resistenza passiva che si sviluppa da valle verso monte nella zona interrata e la controspinta che agisce da monte verso valle nella zona interrata al di sotto del centro di rotazione.

Nel caso di paratia tirantata nell'equilibrio della struttura intervengono gli sforzi dei tiranti (diretti verso monte); in questo caso, se la paratia non è sufficientemente infissa, la controspinta sarà assente.

Pertanto il primo passo da compiere nella progettazione è il calcolo della profondità di infissione necessaria ad assicurare l'equilibrio fra i carichi agenti (spinta attiva, resistenza passiva, controspinta, tiro dei tiranti ed eventuali carichi esterni).

Nel calcolo classico delle paratie si suppone che essa sia infinitamente rigida e che possa subire una rotazione intorno ad un punto (*Centro di rotazione*) posto al di sotto della linea di fondo scavo (per paratie non tirantate).

Occorre pertanto costruire i diagrammi di spinta attiva e di spinta (resistenza) passiva agenti sulla paratia. A partire da questi si costruiscono i diagrammi risultanti.

Nella costruzione dei diagrammi risultanti si adotterà la seguente notazione:

K_{am}	diagramma della spinta attiva agente da monte
K_{av}	diagramma della spinta attiva agente da valle sulla parte interrata
K_{pm}	diagramma della spinta passiva agente da monte
K_{pv}	diagramma della spinta passiva agente da valle sulla parte interrata.

Calcolati i diagrammi suddetti si costruiscono i diagrammi risultanti

$$D_m = K_{pm} \cdot K_{av} \quad \text{e} \quad D_v = K_{pv} \cdot K_{am}$$

Questi diagrammi rappresentano i valori limiti delle pressioni agenti sulla paratia. La soluzione è ricercata per tentativi facendo variare la profondità di infissione e la posizione del centro di rotazione fino a quando non si raggiunge l'equilibrio sia alla traslazione che alla rotazione.

Per mettere in conto un fattore di sicurezza nel calcolo delle profondità di infissione

si può agire con tre modalità :

1. applicazione di un coefficiente moltiplicativo alla profondità di infissione strettamente necessaria per l'equilibrio
2. riduzione della spinta passiva tramite un coefficiente di sicurezza
3. riduzione delle caratteristiche del terreno tramite coefficienti di sicurezza su $\tan(\phi)$ e sulla coesione

Calcolo della spinte

PROGETTAZIONE ATI:

Metodo di Culmann (metodo del cuneo di tentativo)

Il metodo di Culmann adotta le stesse ipotesi di base del metodo di Coulomb: cuneo di spinta a monte della parete che si muove rigidamente lungo una superficie di rottura rettilinea o spezzata (nel caso di terreno stratificato).

La differenza sostanziale è che mentre Coulomb considera un terrapieno con superficie a pendenza costante e carico uniformemente distribuito (il che permette di ottenere una espressione in forma chiusa per il valore della spinta) il metodo di Culmann consente di analizzare situazioni con profilo di forma generica e carichi sia concentrati che distribuiti comunque disposti. Inoltre, rispetto al metodo di Coulomb, risulta più immediato e lineare tener conto della coesione del masso spingente. Il metodo di Culmann, nato come metodo essenzialmente grafico, si è evoluto per essere trattato mediante analisi numerica (noto in questa forma come metodo del cuneo di tentativo).

I passi del procedimento risolutivo sono i seguenti:

- si impone una superficie di rottura (angolo di inclinazione ρ rispetto all'orizzontale) e si considera il cuneo di spinta delimitato dalla superficie di rottura stessa, dalla parete su cui si calcola la spinta e dal profilo del terreno;
- si valutano tutte le forze agenti sul cuneo di spinta e cioè peso proprio (W), carichi sul terrapieno, resistenza per attrito e per coesione lungo la superficie di rottura (R e C) e resistenza per coesione lungo la parete (A);
- dalle equazioni di equilibrio si ricava il valore della spinta S sulla parete.

Questo processo viene iterato fino a trovare l'angolo di rottura per cui la spinta risulta massima nel caso di spinta attiva e minima nel caso di spinta passiva.

Le pressioni sulla parete di spinta si ricavano derivando l'espressione della spinta S rispetto all'ordinata z . Noto il diagramma delle pressioni si ricava il punto di applicazione della spinta.

Spinta in presenza di sisma

Per tenere conto dell'incremento di spinta dovuta al sisma si fa riferimento al metodo di **Mononobe-Okabe** (cui fa riferimento la Normativa Italiana).

Il metodo di Mononobe-Okabe considera nell'equilibrio del cuneo spingente la forza di inerzia dovuta al sisma. Indicando con W il peso del cuneo e con C il coefficiente di intensità sismica la forza di inerzia valutata come

$$F_i = W \cdot C$$

Indicando con S la spinta calcolata in condizioni statiche e con S_s la spinta totale in condizioni sismiche l'incremento di spinta è ottenuto come

$$DS = S - S_s$$

L'incremento di spinta viene applicato a 1/3 dell'altezza della parete stessa (diagramma triangolare con vertice in alto).

Analisi ad elementi finiti

La paratia è considerata come una struttura a prevalente sviluppo lineare (si fa riferimento ad un metro di larghezza) con comportamento a trave. Come caratteristiche geometriche della sezione si assume il momento d'inerzia I e l'area A per metro lineare di larghezza della paratia. Il modulo elastico è quello del materiale utilizzato per la paratia.

La parte fuori terra della paratia è suddivisa in elementi di lunghezza pari a circa 5 centimetri e più o meno costante per tutti gli elementi. La suddivisione è suggerita anche dalla eventuale presenza di tiranti, carichi e vincoli. Infatti questi elementi devono capitare in corrispondenza di un nodo. Nel caso di tirante è inserito un ulteriore elemento atto a schematizzarlo. Detta L la lunghezza libera del tirante, A_f l'area di armatura nel tirante ed E_s il modulo elastico dell'acciaio è inserito un elemento di lunghezza pari ad L , area A_f , inclinazione pari a quella del tirante e modulo elastico E_s . La parte interrata della paratia è suddivisa in elementi di lunghezza, come visto sopra, pari a circa 5 centimetri.

I carichi agenti possono essere di tipo distribuito (spinta della terra, diagramma aggiuntivo di carico, spinta della falda, diagramma di spinta sismica) oppure concentrati. I carichi distribuiti sono riportati sempre come carichi concentrati nei nodi (sotto forma di reazioni di incastro perfetto cambiate di segno).

Schematizzazione del terreno

La modellazione del terreno si rifà al classico schema di Winkler. Esso è visto come un letto di molle indipendenti fra di loro reagenti solo a sforzo assiale di compressione. La rigidità della singola molla è legata alla costante di sottofondo orizzontale del terreno (*costante di Winkler*). La costante di sottofondo, k , è definita come la pressione unitaria che occorre applicare per ottenere uno spostamento unitario. Dimensionalmente è espressa quindi come rapporto fra una pressione ed uno spostamento al cubo $[F/L^3]$. È evidente che i risultati sono tanto migliori quanto più è elevato il numero delle molle che schematizzano il terreno. Se m è l'interesse fra le molle (in cm) e b è la larghezza della paratia in direzione longitudinale ($b=100$ cm) l'area equivalente della molla sarà $A_m = m \cdot b$.

Per le molle di estremità, in corrispondenza della linea di fondo scavo ed in corrispondenza dell'estremità inferiore della paratia, si assume una area equivalente dimezzata. Inoltre, tutte le molle hanno, ovviamente, rigidità flessionale e tagliante nulla e sono vincolate all'estremità alla

PROGETTAZIONE ATI:

traslazione. Quindi la matrice di rigidità di tutto il sistema paratia-terreno sarà data dall'assemblaggio delle matrici di rigidità degli elementi della paratia (elementi a rigidità flessionale, tagliante ed assiale), delle matrici di rigidità dei tiranti (solo rigidità assiale) e delle molle (rigidità assiale).

Modalità di analisi e comportamento elasto-plastico del terreno

A questo punto vediamo come è effettuata l'analisi. Un tipo di analisi molto semplice e veloce sarebbe l'analisi elastica (peraltro disponibile nel programma **PAC**). Ma si intuisce che considerare il terreno con un comportamento infinitamente elastico è una approssimazione alquanto grossolana. Occorre quindi introdurre qualche correttivo che meglio ci aiuti a modellare il terreno. Fra le varie soluzioni possibili una delle più praticabili e che fornisce risultati soddisfacenti è quella di considerare il terreno con comportamento elasto-plastico perfetto. Si assume cioè che la curva sforzi-deformazioni del terreno abbia andamento bilatero. Rimane da scegliere il criterio di plasticizzazione del terreno (molle). Si può fare riferimento ad un criterio di tipo cinematico: la resistenza della molla cresce con la deformazione fino a quando lo spostamento non raggiunge il valore X_{max} ; una volta superato tale spostamento limite non si ha più incremento di resistenza all'aumentare degli spostamenti. Un altro criterio può essere di tipo statico: si assume che la molla abbia una resistenza crescente fino al raggiungimento di una pressione p_{max} . Tale pressione p_{max} può essere imposta pari al valore della pressione passiva in corrispondenza della quota della molla. D'altronde un ulteriore criterio si può ottenere dalla combinazione dei due descritti precedentemente: plasticizzazione o per raggiungimento dello spostamento limite o per raggiungimento della pressione passiva. Dal punto di vista strettamente numerico è chiaro che l'introduzione di criteri di plasticizzazione porta ad analisi di tipo non lineare (non linearità meccaniche). Questo comporta un aggravio computazionale non indifferente. L'entità di tale aggravio dipende poi dalla particolare tecnica adottata per la soluzione. Nel caso di analisi elastica lineare il problema si risolve immediatamente con la soluzione del sistema fondamentale (K matrice di rigidità, u vettore degli spostamenti nodali, p vettore dei carichi nodali)

$$Ku=p$$

Un sistema non lineare, invece, deve essere risolto mediante un'analisi al passo per tener conto della plasticizzazione delle molle. Quindi si procede per passi di carico, a partire da un carico iniziale p_0 , fino a raggiungere il carico totale p . Ogni volta che si incrementa il carico si controllano eventuali plasticizzazioni delle molle. Se si hanno nuove plasticizzazioni la matrice globale andrà riassembleta escludendo il contributo delle molle plasticizzate. Il procedimento descritto se fosse applicato in questo modo sarebbe particolarmente gravoso (la fase di decomposizione della matrice di rigidità è particolarmente onerosa). Si ricorre pertanto a soluzioni più sofisticate che escludono il riassembleggio e la decomposizione della matrice, ma usano la matrice elastica iniziale (*metodo di Riks*).

Senza addentrarci troppo nei dettagli diremo che si tratta di un metodo di Newton-Raphson modificato e ottimizzato. L'analisi condotta secondo questa tecnica offre dei vantaggi immediati. Essa restituisce l'effettiva deformazione della paratia e le relative sollecitazioni; dà informazioni dettagliate circa la deformazione e la pressione sul terreno. Infatti la deformazione è direttamente leggibile, mentre la pressione sarà data dallo sforzo nella molla diviso per l'area di influenza della molla stessa. Sappiamo quindi quale è la zona di terreno effettivamente plasticizzato. Inoltre dalle deformazioni ci si può rendere conto di un possibile meccanismo di rottura del terreno.

Analisi per fasi di scavo

L'analisi della paratia per fasi di scavo consente di ottenere informazioni dettagliate sullo stato di sollecitazione e deformazione dell'opera durante la fase di realizzazione. In ogni fase lo stato di sollecitazione e di deformazione dipende dalla 'storia' dello scavo (soprattutto nel caso di paratie tirantate o vincolate).

Definite le varie altezze di scavo (in funzione della posizione di tiranti, vincoli, o altro) si procede per ogni fase al calcolo delle spinte inserendo gli elementi (tiranti, vincoli o carichi) attivi per quella fase, tenendo conto delle deformazioni dello stato precedente. Ad esempio, se sono presenti dei tiranti passivi si inserirà nell'analisi della fase la 'molla' che lo rappresenta. Indicando con u ed u_0 gli spostamenti nella fase attuale e nella fase precedente, con s ed s_0 gli sforzi nella fase attuale e nella fase precedente e con K la matrice di rigidità della 'struttura' la relazione sforzo-deformazione è esprimibile nella forma

$$s=s_0+K(u-u_0)$$

In sostanza analizzare la paratia per fasi di scavo oppure 'direttamente' porta a risultati abbastanza diversi sia per quanto riguarda lo stato di deformazione e sollecitazione dell'opera sia per quanto riguarda il tiro dei tiranti.

Verifica alla stabilità globale

La verifica alla stabilità globale del complesso paratia+terreno deve fornire un coefficiente di sicurezza non inferiore a 1.10.

È usata la tecnica della suddivisione a strisce della superficie di scorrimento da analizzare. La superficie di scorrimento è supposta circolare.

In particolare il programma esamina, per un dato centro 3 cerchi differenti: un cerchio passante per la linea di fondo scavo, un cerchio passante per il piede della paratia ed un cerchio passante per il punto medio della parte interrata. Si determina il minimo coefficiente di sicurezza su una maglia di centri di dimensioni 10x10 posta in prossimità della sommità della paratia. Il numero di strisce è pari a 50.

Il coefficiente di sicurezza fornito da Fellenius si esprime secondo la seguente formula:

PROGETTAZIONE ATI:

$$\eta = \frac{\sum_i \left(\frac{c_i b_i}{\cos \alpha_i} + [W_i \cos \alpha_i - u_i] \operatorname{tg} \phi_i \right)}{\sum_i W_i \sin \alpha_i}$$

dove n è il numero delle strisce considerate, b_i e α_i sono la larghezza e l'inclinazione della base della striscia i_{esima} rispetto all'orizzontale, W_i è il peso della striscia i_{esima} e c_i e ϕ_i sono le caratteristiche del terreno (coesione ed angolo di attrito) lungo la base della striscia. Inoltre u_i ed l_i rappresentano la pressione neutra lungo la base della striscia e la lunghezza della base della striscia ($l_i = b_i / \cos \alpha_i$). Quindi, assunto un cerchio di tentativo si suddivide in n strisce e dalla formula precedente si ricava η . Questo procedimento è eseguito per il numero di centri prefissato e è assunto come coefficiente di sicurezza della scarpata il minimo dei coefficienti così determinati.

Dati

Geometria paratia

Tipo paratia: **Paratia di pali**

Altezza fuori terra	5.50	[m]
Profondità di infissione	12.50	[m]
Altezza totale della paratia	18.00	[m]
Lunghezza paratia	10.00	[m]

Numero di file di pali	1	
Interasse fra i pali della fila	1.40	[m]
Diametro dei pali	120.00	[cm]
Numero totale di pali	7	
Numero di pali per metro lineare	0.70	

Geometria cordoli

Simbologia adottata

n° numero d'ordine del cordolo
 Y posizione del cordolo sull'asse della paratia espresso in [m]

Cordoli in calcestruzzo

B Base della sezione del cordolo espresso in [cm]
 H Altezza della sezione del cordolo espresso in [cm]

Cordoli in acciaio

A Area della sezione in acciaio del cordolo espresso in [cm²]
 W Modulo di resistenza della sezione del cordolo espresso in [cm³]

N°	Y	Tipo	B	H	A	W
	[m]		[cm]	[cm]	[cm ²]	[cm ³]
1	0.00	Calcestruzzo	140.00	100.00	--	--

Geometria profilo terreno

Simbologia adottata e sistema di riferimento

(Sistema di riferimento con origine in testa alla paratia, ascissa X positiva verso monte, ordinata Y positiva verso l'alto)

N numero ordine del punto
 X ascissa del punto espressa in [m]
 Y ordinata del punto espressa in [m]
 A inclinazione del tratto espressa in [°]

Profilo di monte

N°	X	Y	A
	[m]	[m]	[°]
2	10.00	0.00	0.00

PROGETTAZIONE ATI:

Profilo di valle

N°	X	Y	A
	[m]	[m]	[°]
1	-10.00	-5.50	0.00
2	0.00	-5.50	0.00

Descrizione terreni

Simbologia adottata

n°	numero d'ordine
Descrizione	Descrizione del terreno
γ	peso di volume del terreno espresso in [kg/mc]
γ_{sat}	peso di volume saturo del terreno espresso [kg/mc]
ϕ	angolo d'attrito interno del terreno espresso in [°]
δ	angolo d'attrito terreno/paratia espresso in [°]
c	coesione del terreno espressa in [kg/cmq]

N°	Descrizione	γ	γ_{sat}	ϕ	δ	c
		[kg/mc]	[kg/mc]	[°]	[°]	[kg/cmq]
1	Rilevato stradale	1900.0	1900.0	35.00	17.50	0.000
2	Unita 1	1800.0	1800.0	33.50	16.50	0.025
3	Unita 2	1900.0	1900.0	29.50	15.00	0.025
4	Unita 3	1950.0	1950.0	28.00	14.00	0.100

Descrizione stratigrafia

Simbologia adottata

n°	numero d'ordine dello strato a partire dalla sommità della paratia
sp	spessore dello strato in corrispondenza dell'asse della paratia espresso in [m]
kw	costante di Winkler orizzontale espressa in Kg/cm ² /cm
α	inclinazione dello strato espressa in GRADI(°) (M: strato di monte V: strato di valle)
Terreno	Terreno associato allo strato (M: strato di monte V: strato di valle)

N°	sp	α_M	α_V	Kw _M	Kw _V	Terreno M	Terreno V
	[m]	[°]	[°]	[kg/cm ² /cm]	[kg/cm ² /cm]		
1	4.50	0.00	0.00	0.97	0.97	Rilevato stradale	Rilevato stradale
2	2.00	0.00	0.00	2.27	2.27	Unita 1	Unita 1
3	2.00	0.00	0.00	2.51	2.51	Unita 2	Unita 2
4	10.00	0.00	0.00	4.43	4.43	Unita 3	Unita 3

Caratteristiche materiali utilizzati

Simbologia adottata

γ_{cls}	Peso specifico cls, espresso in [kg/mc]
Classe cls	Classe di appartenenza del calcestruzzo
Rck	Rigidità cubica caratteristica, espressa in [kg/cm ²]
E	Modulo elastico, espresso in [kg/cm ²]
Acciaio	Tipo di acciaio
n	Coeff. di omogeneizzazione acciaio-calcestruzzo

Descrizione	γ_{cls}	Classe cls	Rck	E	Acciaio	n
	[kg/mc]		[kg/cm ²]	[kg/cm ²]		
Paratia	2500	C20/25	255	307953	B450C	15.00
Cordolo/Muro	2500	C20/25	255	307953	B450C	15.00

Coeff. di omogeneizzazione cls teso/compresso 1.00

Condizioni di carico

Simbologia e convenzioni adottate

Le ascisse dei punti di applicazione del carico sono espresse in [m] rispetto alla testa della paratia	
Le ordinate dei punti di applicazione del carico sono espresse in [m] rispetto alla testa della paratia	
Ig	Indice di gruppo
F _x	Forza orizzontale espressa in [kg], positiva da monte verso valle
F _y	Forza verticale espressa in [kg], positiva verso il basso
M	Momento espresso in [kgm], positivo ribaltante
Q ₁ , Q ₂	Intensità dei carichi distribuiti sul profilo espresse in [kg/mq]
V ₁ , V ₂	Intensità dei carichi distribuiti sulla paratia espresse in [kg/mq], positivi da monte verso valle
R	Risultante carico distribuito sulla paratia espressa in [kg]

PROGETTAZIONE ATI:

Condizione n° 1 - Variabile da traffico - Traffico (I_g=0) [$\Psi_0=1.00 - \Psi_1=1.00 - \Psi_2=1.00$]

Carico distribuito sul profilo	X _l = 1.00	X _r = 10.00	Q _l = 2000	Q _r = 2000
--------------------------------	-----------------------	------------------------	-----------------------	-----------------------

Combinazioni di carico

Nella tabella sono riportate le condizioni di carico di ogni combinazione con il relativo coefficiente di partecipazione.

Combinazione n° 1 - SLU - STR (A1-M1-R1)

Condizione	Fav/Sfav	γ	Ψ
Spinta terreno	SFAV	1.30	
Traffico	SFAV	1.35	1.00

Combinazione n° 2 - SLU - GEO (A2-M2-R1)

Condizione	Fav/Sfav	γ	Ψ
Spinta terreno	SFAV	1.00	
Traffico	SFAV	1.15	1.00

Combinazione n° 3 - SLE - Rara

Condizione	Fav/Sfav	γ	Ψ
Spinta terreno	SFAV	1.00	
Traffico	SFAV	1.00	1.00

Combinazione n° 4 - SLE - Frequente

Condizione	Fav/Sfav	γ	Ψ
Spinta terreno	SFAV	1.00	
Traffico	SFAV	1.00	1.00

Combinazione n° 5 - SLE - Quasi permanente

Condizione	Fav/Sfav	γ	Ψ
Spinta terreno	SFAV	1.00	
Traffico	SFAV	1.00	1.00

Impostazioni di progetto

Spinte e verifiche secondo: Norme Tecniche sulle Costruzioni 2018 (17/01/2018)

Coefficienti parziali per le azioni o per l'effetto delle azioni:

Carichi	Effetto		Statici		Sismici	
			A1	A2	A1	A2
Permanenti	Favorevole	γ_{Gfav}	1.00	1.00	1.00	1.00
Permanenti	Sfavorevole	γ_{Gsfav}	1.30	1.00	1.00	1.00
Permanenti ns	Favorevole	γ_{Gfav}	0.80	0.80	0.00	0.00
Permanenti ns	Sfavorevole	γ_{Gsfav}	1.50	1.30	1.00	1.00
Variabili	Favorevole	γ_{Qfav}	0.00	0.00	0.00	0.00
Variabili	Sfavorevole	γ_{Qsfav}	1.50	1.30	1.00	1.00
Variabili da traffico	Favorevole	γ_{Qfav}	0.00	0.00	0.00	0.00
Variabili da traffico	Sfavorevole	γ_{Qsfav}	1.35	1.15	1.00	1.00

Coefficienti parziali per i parametri geotecnici del terreno:

Parametri	Statici		Sismici	
	M1	M2	M1	M2

PROGETTAZIONE ATI:

Parametri		Statici		Sismici	
		M1	M2	M1	M2
Tangente dell'angolo di attrito	$\gamma_{\tan\phi}$	1.00	1.25	1.00	1.00
Coesione efficace	γ_c	1.00	1.25	1.00	1.00
Resistenza non drenata	γ_{cu}	1.00	1.40	1.00	1.00
Resistenza a compressione uniaassiale	γ_{ou}	1.00	1.60	1.00	1.00
Peso dell'unità di volume	γ_r	1.00	1.00	1.00	1.00

Verifica materiali : Stato Limite

Impostazioni verifiche SLU

Coefficienti parziali per resistenze di calcolo dei materiali

Coefficiente di sicurezza calcestruzzo	1.50
Coefficiente di sicurezza acciaio	1.15
Fattore riduzione da resistenza cubica a cilindrica	0.83
Fattore di riduzione per carichi di lungo periodo	0.85
Coefficiente di sicurezza per la sezione	1.00

Verifica Taglio

Sezione in c.a.

$$V_{Rsd} = 0.9 \cdot d \cdot A_{sw} / s \cdot f_{yd} \cdot (\text{ctg}\alpha + \text{ctg}\theta) \cdot \sin\alpha$$

$$V_{Rcd} = 0.9 \cdot d \cdot b_w \cdot \alpha_c \cdot f_{cd} \cdot (\text{ctg}(\theta) + \text{ctg}(\alpha)) / (1.0 + \text{ctg}\theta^2)$$

con:

d	altezza utile sezione [mm]
b_w	larghezza minima sezione [mm]
A_{sw}	area armatura trasversale [mmq]
s	interasse tra due armature trasversali consecutive [mm]
α_c	coefficiente maggiorativo, funzione di fcd e σ_{cp}
σ_{cp}	tensione media di compressione [N/mmq]
$f_{cd} = 0.5 \cdot f_{cd}$	

Impostazioni verifiche SLE

Condizioni ambientali	Ordinarie
Armatura ad aderenza migliorata	
Sensibilità delle armature	Poco sensibile
Valori limite delle aperture delle fessure	$w_1 = 0.20$ $w_2 = 0.30$ $w_3 = 0.40$
Metodo di calcolo aperture delle fessure	NTC 2008-2018 - I° Formulazione
<u>Verifica delle tensioni</u>	
Combinazione di carico	Rara $\sigma_c < 0.60 f_{ck}$ - $\sigma_f < 0.80 f_{yk}$ Quasi permanente $\sigma_c < 0.45 f_{ck}$

Impostazioni di analisi

Analisi per Combinazioni di Carico.

Rottura del terreno: Pressione passiva

Influenza δ (angolo di attrito terreno-paratia): Nel calcolo del coefficiente di spinta attiva K_a e nell'inclinazione della spinta attiva (non viene considerato per la spinta passiva)

Stabilità globale: Metodo di Fellenius

Impostazioni analisi sismica

Non sono state analizzate Combinazioni/Fasi sismiche.

PROGETTAZIONE ATI:

Risultati

Analisi della paratia

L'analisi è stata eseguita per combinazioni di carico

La paratia è analizzata con il metodo degli elementi finiti.

Essa è discretizzata in 110 elementi fuori terra e 250 elementi al di sotto della linea di fondo scavo.

Le molle che simulano il terreno hanno un comportamento elastoplastico: una volta raggiunta la pressione passiva non reagiscono ad ulteriori incremento di carico.

Altezza fuori terra della paratia	5.50	[m]
Profondità di infissione	12.50	[m]
Altezza totale della paratia	18.00	[m]

Forze agenti sulla paratia

Tutte le forze si intendono positive se dirette da monte verso valle. Esse sono riferite ad un metro di larghezza della paratia. Le Y hanno come origine la testa della paratia, e sono espresse in [m]

Simbologia adottata

n°	Indice della Combinazione/Fase
Tipo	Tipo della Combinazione/Fase
Pa	Spinta attiva, espressa in [kg]
Is	Incremento sismico della spinta, espressa in [kg]
Pw	Spinta della falda, espressa in [kg]
Pp	Resistenza passiva, espressa in [kg]
Pc	Controspinta, espressa in [kg]

n°	Tipo	Pa	Y _{Pa}	Is	Y _{Is}	Pw	Y _{Pw}	Pp	Y _{Pp}	Pc	Y _{Pc}
		[kg]	[m]	[kg]	[m]	[kg]	[m]	[kg]	[m]	[kg]	[m]
1	SLU - STR	11717	3.72	--	--	--	--	-19273	8.19	7557	15.12
2	SLU - GEO	12559	3.79	--	--	--	--	-22516	8.96	9957	15.49
3	SLE - Rara	8785	3.69	--	--	--	--	-14358	8.11	5573	15.08
4	SLE - Frequente	8785	3.69	--	--	--	--	-14358	8.11	5573	15.08
5	SLE - Quasi permanente	8785	3.69	--	--	--	--	-14358	8.11	5573	15.08

Simbologia adottata

n°	Indice della Combinazione/Fase
Tipo	Tipo della Combinazione/Fase
Rc	Risultante carichi esterni applicati, espressa in [kg]
Rt	Risultante delle reazioni dei tiranti (componente orizzontale), espressa in [kg]
Rv	Risultante delle reazioni dei vincoli, espressa in [kg]
Rp	Risultante delle reazioni dei puntoni, espressa in [kg]

n°	Tipo	Rc	Y _{Rc}	Rt	Y _{Rt}	Rv	Y _{Rv}	Rp	Y _{Rp}
		[kg]	[m]	[kg]	[m]	[kg]	[m]	[kg]	[m]
1	SLU - STR	0	0.00	0	0.00	0	0.00	0	0.00
2	SLU - GEO	0	0.00	0	0.00	0	0.00	0	0.00
3	SLE - Rara	0	0.00	0	0.00	0	0.00	0	0.00
4	SLE - Frequente	0	0.00	0	0.00	0	0.00	0	0.00
5	SLE - Quasi permanente	0	0.00	0	0.00	0	0.00	0	0.00

Simbologia adottata

n°	Indice della Combinazione/Fase
Tipo	Tipo della Combinazione/Fase
P _{NUL}	Punto di nullo del diagramma, espresso in [m]
P _{INV}	Punto di inversione del diagramma, espresso in [m]
C _{ROT}	Punto Centro di rotazione, espresso in [m]
MP	Percentuale molle plasticizzate, espressa in [%]
R/R _{MAX}	Rapporto tra lo sforzo reale nelle molle e lo sforzo che le molle sarebbero in grado di esplicare, espresso in [%]
Pd	Portanza di progetto, espressa in [kg]

n°	Tipo	P _{NUL}	P _{INV}	C _{ROT}	MP	R/R _{MAX}	Pd
		[m]	[m]	[m]	[%]	[%]	[m]
1	SLU - STR	5.88	7.15	11.52	13.15	3.64	---
2	SLU - GEO	6.22	8.70	12.03	23.51	7.52	---
3	SLE - Rara	5.83	7.05	11.47	12.35	3.44	---
4	SLE - Frequente	5.83	7.05	11.47	12.35	3.44	---
5	SLE - Quasi permanente	5.83	7.05	11.47	12.35	3.44	---

PROGETTAZIONE ATI:

Valori massimi e minimi sollecitazioni per metro di paratia

Simbologia adottata

n°	Indice della combinazione/fase
Tipo	Tipo della combinazione/fase
Y	ordinata della sezione rispetto alla testa espressa in [m]
M	momento flettente massimo e minimo espresso in [kgm]
N	sforzo normale massimo e minimo espresso in [kg] (positivo di compressione)
T	taglio massimo e minimo espresso in [kg]

n°	Tipo	M	Y _M	T	Y _T	N	Y _N	
		[kgm]	[m]	[kg]	[m]	[kg]	[m]	
1	SLU - STR	42872	8.55	11716	5.85	35626	18.00	MAX
		0	0.00	-7557	11.50	0	0.00	MIN
2	SLU - GEO	55269	9.05	12559	6.20	35626	18.00	MAX
		0	0.00	-9957	12.00	0	0.00	MIN
3	SLE - Rara	31675	8.50	8785	5.80	35626	18.00	MAX
		0	0.00	-5573	11.45	0	0.00	MIN
4	SLE - Frequente	31675	8.50	8785	5.80	35626	18.00	MAX
		0	0.00	-5573	11.45	0	0.00	MIN
5	SLE - Quasi permanente	31675	8.50	8785	5.80	35626	18.00	MAX
		0	0.00	-5573	11.45	0	0.00	MIN

Spostamenti massimi e minimi della paratia

Simbologia adottata

n°	Indice della combinazione/fase
Tipo	Tipo della combinazione/fase
Y	ordinata della sezione rispetto alla testa della paratia espressa in [m]
U	spostamento orizzontale massimo e minimo espresso in [cm] positivo verso valle
V	spostamento verticale massimo e minimo espresso in [cm] positivo verso il basso

n°	Tipo	U	Y _U	V	Y _V	
		[cm]	[m]	[cm]	[m]	
1	SLU - STR	1.1867	0.00	0.0132	0.00	MAX
		-0.0324	15.00	0.0000	0.00	MIN
2	SLU - GEO	1.6238	0.00	0.0132	0.00	MAX
		-0.0465	16.50	0.0000	0.00	MIN
3	SLE - Rara	0.8724	0.00	0.0132	0.00	MAX
		-0.0238	14.90	0.0000	0.00	MIN
4	SLE - Frequente	0.8724	0.00	0.0132	0.00	MAX
		-0.0238	14.90	0.0000	0.00	MIN
5	SLE - Quasi permanente	0.8724	0.00	0.0132	0.00	MAX
		-0.0238	14.90	0.0000	0.00	MIN

Verifica a spostamento

Simbologia adottata

n°	Indice combinazione/Fase
Tipo	Tipo combinazione/Fase
Ulim	spostamento orizzontale limite, espresso in [cm]
U	spostamento orizzontale calcolato, espresso in [cm] (positivo verso valle)

n°	Tipo	Ulim	U
		[cm]	[cm]
1	SLU - STR	0.0000	1.1867
2	SLU - GEO	0.0000	1.6238
3	SLE - Rara	0.0000	0.8724
4	SLE - Frequente	0.0000	0.8724
5	SLE - Quasi permanente	0.0000	0.8724

Verifiche di corpo rigido

Simbologia adottata

n°	Indice della combinazione/fase
Tipo	Tipo della combinazione/fase
S	Spinta attiva da monte (risultante diagramma delle pressioni attive da monte) espressa in [kg]
R	Resistenza passiva da valle (risultante diagramma delle pressioni passive da valle) espresso in [kg]
W	Spinta netta falda (positiva da monte verso valle), espresso in [kg]
T	Reazione tiranti espresso in [kg]

PROGETTAZIONE ATI:

P Reazione puntoni espresso in [kg]
V Reazione vincoli espresso in [kg]
C Risultante carichi applicati sulla paratia (positiva da monte verso valle) espresso in [kg]
Y Punto di applicazione, espresso in [m]
Mr Momento ribaltante, espresso in [kgm]
Ms Momento stabilizzante, espresso in [kgm]
FS_{RIB} Fattore di sicurezza a ribaltamento
FS_{SCO} Fattore di sicurezza a scorrimento
I punti di applicazione delle azioni sono riferite alla testa della paratia.
La verifica a ribaltamento viene eseguita rispetto al centro di rotazione posto alla base del palo.

n°	Tipo	S Y	R Y	W Y	T Y	P Y	V Y	C Y	Mr	Ms	FS _{RIB}	FS _{SCO}
		[kg]	[kg]	[kg]	[kg]	[kg]	[kg]	[kg]	[kgm]	[kgm]		
2	SLU - GEO	120866 11.95	373746 13.83	0 0.00	0 0.00	0 0.00	0 0.00	0 0.00	716068	1557803	2.175	3.158

Stabilità globale

Simbologia adottata

n° Indice della combinazione/fase
Tipo Tipo della combinazione/fase
(X_c; Y_c) Coordinate centro cerchio superficie di scorrimento, espresse in [m]
R Raggio cerchio superficie di scorrimento, espresso in [m]
(X_v; Y_v) Coordinate intersezione del cerchio con il pendio a valle, espresse in [m]
(X_M; Y_M) Coordinate intersezione del cerchio con il pendio a monte, espresse in [m]
FS Coefficiente di sicurezza
R Coefficiente di sicurezza richiesto

Numero di cerchi analizzati 100

n°	Tipo	X _c , Y _c	R	X _v , Y _v	X _M , Y _M	FS	R
		[m]	[m]	[m]	[m]		
2	SLU - GEO	-1.80; 0.00	18.09	-19.04; -5.48	16.29; 0.00	3.342	1.100

Dettagli superficie con fattore di sicurezza minimo

Simbologia adottata

Le ascisse X sono considerate positive verso monte
Le ordinate Y sono considerate positive verso l'alto
Origine in testa alla paratia (spigolo contro terra)
Le strisce sono numerate da monte verso valle
N° numero d'ordine della striscia
W peso della striscia espresso in [kg]
α angolo fra la base della striscia e l'orizzontale espresso in gradi (positivo antiorario)
φ angolo d'attrito del terreno lungo la base della striscia
c coesione del terreno lungo la base della striscia espressa in [kg/cmq]
b larghezza della striscia espressa in [m]
L sviluppo della base della striscia espressa in [m] (L=b/cosα)
u pressione neutra lungo la base della striscia espressa in [kg/cmq]
Ctn, Ctt contributo alla striscia normale e tangenziale del tirante espresse in [kg]

Combinazione n° 2 - SLU - GEO

Numero di strisce 51

Caratteristiche delle strisce

N°	W _i	α	L	φ	c	u	(Ctn; Ctt)
	[kg]	[°]	[m]	[°]	[kg/cmq]	[kg/cmq]	[kg]
1	1167.16	-69.22	1.99	26.13	0.020	0.000	(0; 0)
2	3342.97	-63.56	1.58	24.35	0.020	0.000	(0; 0)
3	5104.54	-58.89	1.36	23.04	0.080	0.000	(0; 0)
4	6594.96	-54.79	1.22	23.04	0.080	0.000	(0; 0)
5	7882.34	-51.07	1.12	23.04	0.080	0.000	(0; 0)
6	9014.38	-47.64	1.05	23.04	0.080	0.000	(0; 0)
7	10021.18	-44.42	0.99	23.04	0.080	0.000	(0; 0)
8	10923.21	-41.37	0.94	23.04	0.080	0.000	(0; 0)
9	11735.15	-38.45	0.90	23.04	0.080	0.000	(0; 0)
10	12467.92	-35.65	0.87	23.04	0.080	0.000	(0; 0)
11	13129.90	-32.95	0.84	23.04	0.080	0.000	(0; 0)
12	13727.67	-30.32	0.82	23.04	0.080	0.000	(0; 0)
13	14266.48	-27.77	0.80	23.04	0.080	0.000	(0; 0)
14	14750.58	-25.27	0.78	23.04	0.080	0.000	(0; 0)

PROGETTAZIONE ATI:

N°	W _i [kg]	α [°]	L [m]	φ [°]	c [kg/cmq]	u [kg/cmq]	(Ctn; Ctt) [kg]
15	15183.46	-22.82	0.77	23.04	0.080	0.000	(0; 0)
16	15567.96	-20.42	0.75	23.04	0.080	0.000	(0; 0)
17	15906.47	-18.05	0.74	23.04	0.080	0.000	(0; 0)
18	16200.92	-15.72	0.73	23.04	0.080	0.000	(0; 0)
19	16452.94	-13.41	0.72	23.04	0.080	0.000	(0; 0)
20	16663.83	-11.12	0.72	23.04	0.080	0.000	(0; 0)
21	16834.67	-8.85	0.71	23.04	0.080	0.000	(0; 0)
22	16966.28	-6.60	0.71	23.04	0.080	0.000	(0; 0)
23	17059.29	-4.35	0.71	23.04	0.080	0.000	(0; 0)
24	17114.14	-2.12	0.71	23.04	0.080	0.000	(0; 0)
25	17131.07	0.12	0.71	23.04	0.080	0.000	(0; 0)
26	17110.16	2.35	0.71	23.04	0.080	0.000	(0; 0)
27	17051.32	4.59	0.71	23.04	0.080	0.000	(0; 0)
28	23346.08	6.79	0.68	23.04	0.080	0.000	(0; 0)
29	24043.93	8.96	0.69	23.04	0.080	0.000	(0; 0)
30	24623.46	11.15	0.69	23.04	0.080	0.000	(0; 0)
31	24428.37	13.35	0.70	23.04	0.080	0.000	(0; 0)
32	24196.64	15.57	0.70	23.04	0.080	0.000	(0; 0)
33	23927.16	17.81	0.71	23.04	0.080	0.000	(0; 0)
34	23618.56	20.09	0.72	23.04	0.080	0.000	(0; 0)
35	23269.21	22.39	0.73	23.04	0.080	0.000	(0; 0)
36	22877.13	24.74	0.75	23.04	0.080	0.000	(0; 0)
37	22439.97	27.13	0.76	23.04	0.080	0.000	(0; 0)
38	21954.87	29.58	0.78	23.04	0.080	0.000	(0; 0)
39	21418.39	32.08	0.80	23.04	0.080	0.000	(0; 0)
40	20826.31	34.66	0.83	23.04	0.080	0.000	(0; 0)
41	20173.42	37.32	0.85	23.04	0.080	0.000	(0; 0)
42	19036.64	40.07	0.89	23.04	0.080	0.000	(0; 0)
43	17096.18	42.95	0.93	23.04	0.080	0.000	(0; 0)
44	16213.64	45.96	0.98	23.04	0.080	0.000	(0; 0)
45	15229.69	49.15	1.04	23.04	0.080	0.000	(0; 0)
46	14123.55	52.56	1.12	23.04	0.080	0.000	(0; 0)
47	12864.20	56.27	1.22	23.04	0.080	0.000	(0; 0)
48	11401.94	60.38	1.37	23.04	0.080	0.000	(0; 0)
49	9673.91	65.11	1.61	24.35	0.020	0.000	(0; 0)
50	7506.37	70.96	2.08	27.90	0.020	0.000	(0; 0)
51	3164.03	82.13	4.96	29.26	0.000	0.000	(0; 0)

Resistenza a taglio paratia = 0.00 [kg]

$\Sigma W_i = 796824.58$ [kg]

$\Sigma W_i \sin \alpha_i = 97219.34$ [kg]

$\Sigma W_i \cos \alpha_i \tan \phi_i = 292210.45$ [kg]

$\Sigma c_i b_i / \cos \alpha_i = 32669.46$ [kg]

Verifica armatura paratia (Inviluppo sezioni critiche)

Verifica a flessione

Simbologia adottata

n°	numero d'ordine della sezione
Y	ordinata della sezione rispetto alla testa espressa in [m]
A _r	area di armatura del palo espressa in [cmq]
M	momento flettente agente sul palo espresso in [kgm]
N	sforzo normale agente sul palo espresso in [kg] (positivo di compressione)
M _u	momento ultimo di riferimento espresso in [kgm]
N _u	sforzo normale ultimo di riferimento espresso in [kg]
Fs	coefficiente di sicurezza (rapporto fra la sollecitazione ultima e la sollecitazione di esercizio)

n° - Tipo	Y [m]	A _r [cmq]	M [kgm]	N [kg]	M _u [kgm]	N _u [kg]	FS
2 - SLU - GEO	8.95	72.38	78894	25306	149603	47985	1.896

Verifica a taglio

Simbologia adottata

PROGETTAZIONE ATI:

n° numero d'ordine della sezione
 Tipo Tipo della Combinazione/Fase
 Y ordinata della sezione rispetto alla testa, espressa in [m]
 A_{sw} area dell'armatura trasversale, espressa in [cmq]
 s interasse tra due armature trasversali consecutive, espressa in [cm]
 V_{Ed} taglio agente sul palo, espresso in [kg]
 V_{Rd} taglio resistente, espresso in [kg]
 FS coefficiente di sicurezza (rapporto tra V_{Rd}/ V_{Ed})

La verifica a taglio del palo è stata eseguita considerando una sezione quadrata equivalente di lato B = 102.43 cm

n° - Tipo	Y	A _{sw}	s	V _{Ed}	V _{Rd}	FS
	[m]	[cmq]	[cm]	[kg]	[kg]	
2 - SLU - GEO	6.20	2.26	14.00	17941	139868	7.796

Verifica tensioni

Simbologia adottata

n° numero d'ordine della sezione
 Y ordinata della sezione rispetto alla testa espressa in [m]
 Af area di armatura espressa in [cmq]
 σ_c tensione nel calcestruzzo espressa in [kg/cmq]
 σ_f tensione nell'acciaio espressa in [kg/cmq]

A _f	σ _c	cmb	σ _f	cmb
[cmq]	[kg/cmq]		[kg/cmq]	
72.38	48.53	5	1506.68	3

Verifica fessurazione

Simbologia adottata

Tipo Tipo della Combinazione/Fase
 Oggetto Muro/Paratia
 Y Ordinata sezione, espresso in [m]
 M Momento agente, espresso in [kgm]
 M_f Momento prima fessurazione, espresso in [kgm]
 s Distanza media tra le fessure, espressa in [mm]
 ε_{sm} Deformazione nelle fessure, espressa in [%]
 W_{lim} Apertura limite fessure, espressa in [mm]
 W_k Ampiezza fessure, espressa in [mm]

Oggetto	n° - Tipo	Y	M	M _f	s	ε _{sm}	W _{lim}	W _k
		[m]	[kgm]	[kgm]	[mm]	[%]	[mm]	[mm]
Paratia	5 - SLE - Quasi permanente	8.25	45104	37226	320.483	0.0337	0.300	0.184

Verifica sezione cordoli

Simbologia adottata

M_h momento flettente espresso in [kgm] nel piano orizzontale
 T_h taglio espresso in [kg] nel piano orizzontale
 M_v momento flettente espresso in [kgm] nel piano verticale
 T_v taglio espresso in [kg] nel piano verticale

Cordolo N° 1 (X=0.00 m) (Cordolo in c.a.)

B=140.00 [cm]	H=100.00 [cm]		
A _{rv} =44.23 [cmq]	A _{rh} =40.21 [cmq]	Staffe φ10/7	Nbh=2 - Nbv=2
M _h =24615 [kgm]	M _{uh} =226248 [kgm]	FS=9.19	
T _h =49231 [kg]	T _{Rh} =110401 [kg]	FS _T =2.24	
M _v =3430 [kgm]	M _{uv} =157205 [kgm]	FS=45.83	
T _v =4900 [kg]	T _{Rv} =78167 [kg]	FS _{Tv} =15.95	

PROGETTAZIONE ATI:

12. ALLEGATO – OUTPUT MODELLO DI CALCOLO

In considerazione dell'enorme mole di dati derivanti dall'analisi del modello, nei risultati di analisi si riportano esclusivamente i risultati della Spalla n.1 e della Pila n.1, con riferimento alle porzioni di estremità, comprendenti pertanto le parti di nuova realizzazione integralmente e quelle esistenti per la sola parte a ridosso delle nuove protesi, essendo quelle maggiormente sollecitate.

PROGETTAZIONE ATI:

Table: Area Loads - Uniform

Table: Area Loads - Uniform				
Area	LoadPat	CoordSys	Dir	UnifLoad KN/m2
2686	G1_sol	GLOBAL	Z	-6.
2686	G2_imp	GLOBAL	Gravity	3.3
2686	G1_dead	GLOBAL	Gravity	3.6
2687	G1_sol	GLOBAL	Z	-6.
2687	G2_imp	GLOBAL	Gravity	3.3
2687	G1_dead	GLOBAL	Gravity	3.6
2688	G1_sol	GLOBAL	Z	-6.
2688	G2_imp	GLOBAL	Gravity	3.3
2688	G1_dead	GLOBAL	Gravity	3.6
2689	G1_sol	GLOBAL	Z	-6.
2689	G2_imp	GLOBAL	Gravity	3.3
2689	G1_dead	GLOBAL	Gravity	3.6
2690	G1_sol	GLOBAL	Z	-6.
2690	G2_imp	GLOBAL	Gravity	3.3
2690	G1_dead	GLOBAL	Gravity	3.6
2691	G1_sol	GLOBAL	Z	-6.
2691	G2_imp	GLOBAL	Gravity	3.3
2691	G1_dead	GLOBAL	Gravity	3.6
2692	G1_sol	GLOBAL	Z	-6.
2692	G2_imp	GLOBAL	Gravity	3.3
2692	G1_dead	GLOBAL	Gravity	3.6
2693	G1_sol	GLOBAL	Z	-6.
2693	G2_imp	GLOBAL	Gravity	3.3
2693	G1_dead	GLOBAL	Gravity	3.6
2695	G1_sol	GLOBAL	Z	-6.
2695	G2_imp	GLOBAL	Gravity	3.3
2695	G1_dead	GLOBAL	Gravity	3.6
2696	G1_sol	GLOBAL	Z	-6.
2696	G2_imp	GLOBAL	Gravity	3.3
2696	G1_dead	GLOBAL	Gravity	3.6
2697	G1_sol	GLOBAL	Z	-6.
2697	G2_imp	GLOBAL	Gravity	3.3
2697	G1_dead	GLOBAL	Gravity	3.6
2698	G1_sol	GLOBAL	Z	-6.
2698	G2_imp	GLOBAL	Gravity	3.3
2698	G1_dead	GLOBAL	Gravity	3.6
2699	G1_sol	GLOBAL	Z	-6.
2699	G2_imp	GLOBAL	Gravity	3.3
2699	G1_dead	GLOBAL	Gravity	3.6
2700	G1_sol	GLOBAL	Z	-6.
2700	G2_imp	GLOBAL	Gravity	3.3
2700	G1_dead	GLOBAL	Gravity	3.6
2701	G1_sol	GLOBAL	Z	-6.
2701	G2_imp	GLOBAL	Gravity	3.3
2701	G1_dead	GLOBAL	Gravity	3.6
2702	G1_sol	GLOBAL	Z	-6.
2702	G2_imp	GLOBAL	Gravity	3.3
2702	G1_dead	GLOBAL	Gravity	3.6
2704	G1_sol	GLOBAL	Z	-6.
2704	G2_imp	GLOBAL	Gravity	3.3
2704	G1_dead	GLOBAL	Gravity	3.6
2705	G1_sol	GLOBAL	Z	-6.
2705	G2_imp	GLOBAL	Gravity	3.3

Table: Area Loads - Uniform

Area	LoadPat	CoordSys	Dir	UnifLoad KN/m2
2705	G1_dead	GLOBAL	Gravity	3.6
2706	G1_sol	GLOBAL	Z	-6.
2706	G2_imp	GLOBAL	Gravity	3.3
2706	G1_dead	GLOBAL	Gravity	3.6
2707	G1_sol	GLOBAL	Z	-6.
2707	G2_imp	GLOBAL	Gravity	3.3
2707	G1_dead	GLOBAL	Gravity	3.6
2708	G1_sol	GLOBAL	Z	-6.
2708	G2_imp	GLOBAL	Gravity	3.3
2708	G1_dead	GLOBAL	Gravity	3.6
2709	G1_sol	GLOBAL	Z	-6.
2709	G2_imp	GLOBAL	Gravity	3.3
2709	G1_dead	GLOBAL	Gravity	3.6
2710	G1_sol	GLOBAL	Z	-6.
2710	G2_imp	GLOBAL	Gravity	3.3
2710	G1_dead	GLOBAL	Gravity	3.6
2711	G1_sol	GLOBAL	Z	-6.
2711	G2_imp	GLOBAL	Gravity	3.3
2711	G1_dead	GLOBAL	Gravity	3.6
2713	G1_sol	GLOBAL	Z	-6.
2713	G2_imp	GLOBAL	Gravity	3.3
2713	G1_dead	GLOBAL	Gravity	3.6
2718	G1_sol	GLOBAL	Z	-6.
2718	G2_imp	GLOBAL	Gravity	3.3
2718	G1_dead	GLOBAL	Gravity	3.6
2719	G1_sol	GLOBAL	Z	-6.
2719	G2_imp	GLOBAL	Gravity	3.3
2719	G1_dead	GLOBAL	Gravity	3.6
2720	G1_sol	GLOBAL	Z	-6.
2720	G2_imp	GLOBAL	Gravity	3.3
2720	G1_dead	GLOBAL	Gravity	3.6
2722	G1_sol	GLOBAL	Z	-6.
2722	G2_imp	GLOBAL	Gravity	3.3
2722	G1_dead	GLOBAL	Gravity	3.6
2727	G1_sol	GLOBAL	Z	-6.
2727	G2_imp	GLOBAL	Gravity	3.3
2727	G1_dead	GLOBAL	Gravity	3.6
2728	G1_sol	GLOBAL	Z	-6.
2728	G2_imp	GLOBAL	Gravity	3.3
2728	G1_dead	GLOBAL	Gravity	3.6
2729	G1_sol	GLOBAL	Z	-6.
2729	G2_imp	GLOBAL	Gravity	3.3
2729	G1_dead	GLOBAL	Gravity	3.6
2731	G1_sol	GLOBAL	Z	-6.
2731	G2_imp	GLOBAL	Gravity	3.3
2731	G1_dead	GLOBAL	Gravity	3.6
2732	G1_sol	GLOBAL	Z	-6.
2732	G2_imp	GLOBAL	Gravity	3.3
2732	G1_dead	GLOBAL	Gravity	3.6
2733	G1_sol	GLOBAL	Z	-6.
2733	G2_imp	GLOBAL	Gravity	3.3
2733	G1_dead	GLOBAL	Gravity	3.6
2734	G1_sol	GLOBAL	Z	-6.
2734	G2_imp	GLOBAL	Gravity	3.3

Table: Area Loads - Uniform

Area	LoadPat	CoordSys	Dir	UnifLoad KN/m2
2734	G1_dead	GLOBAL	Gravity	3.6
2735	G1_sol	GLOBAL	Z	-6.
2735	G2_imp	GLOBAL	Gravity	3.3
2735	G1_dead	GLOBAL	Gravity	3.6
2736	G1_sol	GLOBAL	Z	-6.
2736	G2_imp	GLOBAL	Gravity	3.3
2736	G1_dead	GLOBAL	Gravity	3.6
2737	G1_sol	GLOBAL	Z	-6.
2737	G2_imp	GLOBAL	Gravity	3.3
2737	G1_dead	GLOBAL	Gravity	3.6
2738	G1_sol	GLOBAL	Z	-6.
2738	G2_imp	GLOBAL	Gravity	3.3
2738	G1_dead	GLOBAL	Gravity	3.6
2739	G1_sol	GLOBAL	Z	-6.
2739	G2_imp	GLOBAL	Gravity	3.3
2739	G1_dead	GLOBAL	Gravity	3.6
2740	G1_sol	GLOBAL	Z	-6.
2740	G2_imp	GLOBAL	Gravity	3.3
2740	G1_dead	GLOBAL	Gravity	3.6
2741	G1_sol	GLOBAL	Z	-6.
2741	G2_imp	GLOBAL	Gravity	3.3
2741	G1_dead	GLOBAL	Gravity	3.6
2742	G1_sol	GLOBAL	Z	-6.
2742	G2_imp	GLOBAL	Gravity	3.3
2742	G1_dead	GLOBAL	Gravity	3.6
2743	G1_sol	GLOBAL	Z	-6.
2743	G2_imp	GLOBAL	Gravity	3.3
2743	G1_dead	GLOBAL	Gravity	3.6
2744	G1_sol	GLOBAL	Z	-6.
2744	G2_imp	GLOBAL	Gravity	3.3
2744	G1_dead	GLOBAL	Gravity	3.6
2745	G1_sol	GLOBAL	Z	-6.
2745	G2_imp	GLOBAL	Gravity	3.3
2745	G1_dead	GLOBAL	Gravity	3.6
2746	G1_sol	GLOBAL	Z	-6.
2746	G2_imp	GLOBAL	Gravity	3.3
2746	G1_dead	GLOBAL	Gravity	3.6
2748	G1_sol	GLOBAL	Z	-6.
2748	G2_imp	GLOBAL	Gravity	3.3
2748	G1_dead	GLOBAL	Gravity	3.6
2749	G1_sol	GLOBAL	Z	-6.
2749	G2_imp	GLOBAL	Gravity	3.3
2749	G1_dead	GLOBAL	Gravity	3.6
2750	G1_sol	GLOBAL	Z	-6.
2750	G2_imp	GLOBAL	Gravity	3.3
2750	G1_dead	GLOBAL	Gravity	3.6
2751	G1_sol	GLOBAL	Z	-6.
2751	G2_imp	GLOBAL	Gravity	3.3
2751	G1_dead	GLOBAL	Gravity	3.6
2752	G1_sol	GLOBAL	Z	-6.
2752	G2_imp	GLOBAL	Gravity	3.3
2752	G1_dead	GLOBAL	Gravity	3.6
2753	G1_sol	GLOBAL	Z	-6.
2753	G2_imp	GLOBAL	Gravity	3.3

Table: Area Loads - Uniform

Area	LoadPat	CoordSys	Dir	UnifLoad KN/m2
2753	G1_dead	GLOBAL	Gravity	3.6
2754	G1_sol	GLOBAL	Z	-6.
2754	G2_imp	GLOBAL	Gravity	3.3
2754	G1_dead	GLOBAL	Gravity	3.6
2755	G1_sol	GLOBAL	Z	-6.
2755	G2_imp	GLOBAL	Gravity	3.3
2755	G1_dead	GLOBAL	Gravity	3.6
2757	G1_sol	GLOBAL	Z	-6.
2757	G2_imp	GLOBAL	Gravity	3.3
2757	G1_dead	GLOBAL	Gravity	3.6
2758	G1_sol	GLOBAL	Z	-6.
2758	G2_imp	GLOBAL	Gravity	3.3
2758	G1_dead	GLOBAL	Gravity	3.6
2759	G1_sol	GLOBAL	Z	-6.
2759	G2_imp	GLOBAL	Gravity	3.3
2759	G1_dead	GLOBAL	Gravity	3.6
2760	G1_sol	GLOBAL	Z	-6.
2760	G2_imp	GLOBAL	Gravity	3.3
2760	G1_dead	GLOBAL	Gravity	3.6
2761	G1_sol	GLOBAL	Z	-6.
2761	G2_imp	GLOBAL	Gravity	3.3
2761	G1_dead	GLOBAL	Gravity	3.6
2762	G1_sol	GLOBAL	Z	-6.
2762	G2_imp	GLOBAL	Gravity	3.3
2762	G1_dead	GLOBAL	Gravity	3.6
2763	G1_sol	GLOBAL	Z	-6.
2763	G2_imp	GLOBAL	Gravity	3.3
2763	G1_dead	GLOBAL	Gravity	3.6
2764	G1_sol	GLOBAL	Z	-6.
2764	G2_imp	GLOBAL	Gravity	3.3
2764	G1_dead	GLOBAL	Gravity	3.6
2766	G1_sol	GLOBAL	Z	-6.
2766	G2_imp	GLOBAL	Gravity	3.3
2766	G1_dead	GLOBAL	Gravity	3.6
2767	G1_sol	GLOBAL	Z	-6.
2767	G2_imp	GLOBAL	Gravity	3.3
2767	G1_dead	GLOBAL	Gravity	3.6
2768	G1_sol	GLOBAL	Z	-6.
2768	G2_imp	GLOBAL	Gravity	3.3
2768	G1_dead	GLOBAL	Gravity	3.6
2769	G1_sol	GLOBAL	Z	-6.
2769	G2_imp	GLOBAL	Gravity	3.3
2769	G1_dead	GLOBAL	Gravity	3.6
2770	G1_sol	GLOBAL	Z	-6.
2770	G2_imp	GLOBAL	Gravity	3.3
2770	G1_dead	GLOBAL	Gravity	3.6
2771	G1_sol	GLOBAL	Z	-6.
2771	G2_imp	GLOBAL	Gravity	3.3
2771	G1_dead	GLOBAL	Gravity	3.6
2772	G1_sol	GLOBAL	Z	-6.
2772	G2_imp	GLOBAL	Gravity	3.3
2772	G1_dead	GLOBAL	Gravity	3.6
2773	G1_sol	GLOBAL	Z	-6.
2773	G2_imp	GLOBAL	Gravity	3.3

Table: Area Loads - Uniform

Area	LoadPat	CoordSys	Dir	UnifLoad KN/m2
2773	G1_dead	GLOBAL	Gravity	3.6
2775	G1_sol	GLOBAL	Z	-6.
2775	G2_imp	GLOBAL	Gravity	3.3
2775	G1_dead	GLOBAL	Gravity	3.6
2776	G1_sol	GLOBAL	Z	-6.
2776	G2_imp	GLOBAL	Gravity	3.3
2776	G1_dead	GLOBAL	Gravity	3.6
2777	G1_sol	GLOBAL	Z	-6.
2777	G2_imp	GLOBAL	Gravity	3.3
2777	G1_dead	GLOBAL	Gravity	3.6
2778	G1_sol	GLOBAL	Z	-6.
2778	G2_imp	GLOBAL	Gravity	3.3
2778	G1_dead	GLOBAL	Gravity	3.6
2779	G1_sol	GLOBAL	Z	-6.
2779	G2_imp	GLOBAL	Gravity	3.3
2779	G1_dead	GLOBAL	Gravity	3.6
2780	G1_sol	GLOBAL	Z	-6.
2780	G2_imp	GLOBAL	Gravity	3.3
2780	G1_dead	GLOBAL	Gravity	3.6
2781	G1_sol	GLOBAL	Z	-6.
2781	G2_imp	GLOBAL	Gravity	3.3
2781	G1_dead	GLOBAL	Gravity	3.6
2782	G1_sol	GLOBAL	Z	-6.
2782	G2_imp	GLOBAL	Gravity	3.3
2782	G1_dead	GLOBAL	Gravity	3.6
2784	G1_sol	GLOBAL	Z	-6.
2784	G2_imp	GLOBAL	Gravity	3.3
2784	G1_dead	GLOBAL	Gravity	3.6
2785	G1_sol	GLOBAL	Z	-6.
2785	G2_imp	GLOBAL	Gravity	3.3
2785	G1_dead	GLOBAL	Gravity	3.6
2786	G1_sol	GLOBAL	Z	-6.
2786	G2_imp	GLOBAL	Gravity	3.3
2786	G1_dead	GLOBAL	Gravity	3.6
2787	G1_sol	GLOBAL	Z	-6.
2787	G2_imp	GLOBAL	Gravity	3.3
2787	G1_dead	GLOBAL	Gravity	3.6
2788	G1_sol	GLOBAL	Z	-6.
2788	G2_imp	GLOBAL	Gravity	3.3
2788	G1_dead	GLOBAL	Gravity	3.6
2789	G1_sol	GLOBAL	Z	-6.
2789	G2_imp	GLOBAL	Gravity	3.3
2789	G1_dead	GLOBAL	Gravity	3.6
2790	G1_sol	GLOBAL	Z	-6.
2790	G2_imp	GLOBAL	Gravity	3.3
2790	G1_dead	GLOBAL	Gravity	3.6
2791	G1_sol	GLOBAL	Z	-6.
2791	G2_imp	GLOBAL	Gravity	3.3
2791	G1_dead	GLOBAL	Gravity	3.6
2793	G1_sol	GLOBAL	Z	-6.
2795	G1_sol	GLOBAL	Z	-6.
2796	G1_sol	GLOBAL	Z	-6.
2798	G1_sol	GLOBAL	Z	-6.
2799	G1_sol	GLOBAL	Z	-6.

Table: Area Loads - Uniform

Area	LoadPat	CoordSys	Dir	UnifLoad KN/m2
2801	G1_sol	GLOBAL	Z	-6.
2802	G1_sol	GLOBAL	Z	-6.
2804	G1_sol	GLOBAL	Z	-6.
2805	G1_sol	GLOBAL	Z	-6.
2807	G1_sol	GLOBAL	Z	-6.
2808	G1_sol	GLOBAL	Z	-6.
2810	G1_sol	GLOBAL	Z	-6.
2811	G1_sol	GLOBAL	Z	-6.
2813	G1_sol	GLOBAL	Z	-6.
2814	G1_sol	GLOBAL	Z	-6.
2816	G1_sol	GLOBAL	Z	-6.
2817	G1_sol	GLOBAL	Z	-6.
2819	G1_sol	GLOBAL	Z	-6.
2820	G1_sol	GLOBAL	Z	-6.
2822	G1_sol	GLOBAL	Z	-6.
2823	G1_sol	GLOBAL	Z	-6.
2825	G1_sol	GLOBAL	Z	-6.
2826	G1_sol	GLOBAL	Z	-6.
2828	G1_sol	GLOBAL	Z	-6.
167	G1_sol	GLOBAL	Z	-6.
167	G2_imp	GLOBAL	Gravity	3.3
167	G1_dead	GLOBAL	Gravity	3.6
168	G1_sol	GLOBAL	Z	-6.
168	G2_imp	GLOBAL	Gravity	3.3
168	G1_dead	GLOBAL	Gravity	3.6
169	G1_sol	GLOBAL	Z	-6.
169	G2_imp	GLOBAL	Gravity	3.3
169	G1_dead	GLOBAL	Gravity	3.6
170	G1_sol	GLOBAL	Z	-6.
170	G2_imp	GLOBAL	Gravity	3.3
170	G1_dead	GLOBAL	Gravity	3.6
171	G1_sol	GLOBAL	Z	-6.
171	G2_imp	GLOBAL	Gravity	3.3
171	G1_dead	GLOBAL	Gravity	3.6
172	G1_sol	GLOBAL	Z	-6.
172	G2_imp	GLOBAL	Gravity	3.3
172	G1_dead	GLOBAL	Gravity	3.6
493	G1_sol	GLOBAL	Z	-6.
493	G2_imp	GLOBAL	Gravity	3.3
493	G1_dead	GLOBAL	Gravity	3.6
494	G1_sol	GLOBAL	Z	-6.
494	G2_imp	GLOBAL	Gravity	3.3
494	G1_dead	GLOBAL	Gravity	3.6
495	G1_sol	GLOBAL	Z	-6.
495	G2_imp	GLOBAL	Gravity	3.3
495	G1_dead	GLOBAL	Gravity	3.6
1271	G1_sol	GLOBAL	Z	-6.
1271	G2_imp	GLOBAL	Gravity	3.3
1271	G1_dead	GLOBAL	Gravity	3.6
1279	G1_sol	GLOBAL	Z	-6.
1279	G2_imp	GLOBAL	Gravity	3.3
1279	G1_dead	GLOBAL	Gravity	3.6
1280	G1_sol	GLOBAL	Z	-6.
1280	G2_imp	GLOBAL	Gravity	3.3

Table: Area Loads - Uniform

Area	LoadPat	CoordSys	Dir	UnifLoad KN/m2
1280	G1_dead	GLOBAL	Gravity	3.6
1286	G1_sol	GLOBAL	Z	-6.
1286	G2_imp	GLOBAL	Gravity	3.3
1286	G1_dead	GLOBAL	Gravity	3.6
1287	G1_sol	GLOBAL	Z	-6.
1287	G2_imp	GLOBAL	Gravity	3.3
1287	G1_dead	GLOBAL	Gravity	3.6
1288	G1_sol	GLOBAL	Z	-6.
1288	G2_imp	GLOBAL	Gravity	3.3
1288	G1_dead	GLOBAL	Gravity	3.6
1289	G1_sol	GLOBAL	Z	-6.
1289	G2_imp	GLOBAL	Gravity	3.3
1289	G1_dead	GLOBAL	Gravity	3.6
1290	G1_sol	GLOBAL	Z	-6.
1290	G2_imp	GLOBAL	Gravity	3.3
1290	G1_dead	GLOBAL	Gravity	3.6
1291	G1_sol	GLOBAL	Z	-6.
1291	G2_imp	GLOBAL	Gravity	3.3
1291	G1_dead	GLOBAL	Gravity	3.6
1293	G1_sol	GLOBAL	Z	-6.
1293	G2_imp	GLOBAL	Gravity	3.3
1293	G1_dead	GLOBAL	Gravity	3.6
1294	G1_sol	GLOBAL	Z	-6.
1294	G2_imp	GLOBAL	Gravity	3.3
1294	G1_dead	GLOBAL	Gravity	3.6
1295	G1_sol	GLOBAL	Z	-6.
1295	G2_imp	GLOBAL	Gravity	3.3
1295	G1_dead	GLOBAL	Gravity	3.6
1296	G1_sol	GLOBAL	Z	-6.
1296	G2_imp	GLOBAL	Gravity	3.3
1296	G1_dead	GLOBAL	Gravity	3.6
1297	G1_sol	GLOBAL	Z	-6.
1297	G2_imp	GLOBAL	Gravity	3.3
1297	G1_dead	GLOBAL	Gravity	3.6
1298	G1_sol	GLOBAL	Z	-6.
1298	G2_imp	GLOBAL	Gravity	3.3
1298	G1_dead	GLOBAL	Gravity	3.6
1300	G1_sol	GLOBAL	Z	-6.
1300	G2_imp	GLOBAL	Gravity	3.3
1300	G1_dead	GLOBAL	Gravity	3.6
1301	G1_sol	GLOBAL	Z	-6.
1301	G2_imp	GLOBAL	Gravity	3.3
1301	G1_dead	GLOBAL	Gravity	3.6
1302	G1_sol	GLOBAL	Z	-6.
1302	G2_imp	GLOBAL	Gravity	3.3
1302	G1_dead	GLOBAL	Gravity	3.6
1303	G1_sol	GLOBAL	Z	-6.
1303	G2_imp	GLOBAL	Gravity	3.3
1303	G1_dead	GLOBAL	Gravity	3.6
1304	G1_sol	GLOBAL	Z	-6.
1304	G2_imp	GLOBAL	Gravity	3.3
1304	G1_dead	GLOBAL	Gravity	3.6
1305	G1_sol	GLOBAL	Z	-6.
1305	G2_imp	GLOBAL	Gravity	3.3

Table: Area Loads - Uniform

Area	LoadPat	CoordSys	Dir	UnifLoad KN/m2
1305	G1_dead	GLOBAL	Gravity	3.6
1307	G1_sol	GLOBAL	Z	-6.
1307	G2_imp	GLOBAL	Gravity	3.3
1307	G1_dead	GLOBAL	Gravity	3.6
1308	G1_sol	GLOBAL	Z	-6.
1308	G2_imp	GLOBAL	Gravity	3.3
1308	G1_dead	GLOBAL	Gravity	3.6
1309	G1_sol	GLOBAL	Z	-6.
1309	G2_imp	GLOBAL	Gravity	3.3
1309	G1_dead	GLOBAL	Gravity	3.6
1310	G1_sol	GLOBAL	Z	-6.
1310	G2_imp	GLOBAL	Gravity	3.3
1310	G1_dead	GLOBAL	Gravity	3.6
1311	G1_sol	GLOBAL	Z	-6.
1311	G2_imp	GLOBAL	Gravity	3.3
1311	G1_dead	GLOBAL	Gravity	3.6
1312	G1_sol	GLOBAL	Z	-6.
1312	G2_imp	GLOBAL	Gravity	3.3
1312	G1_dead	GLOBAL	Gravity	3.6
1313	G1_sol	GLOBAL	Z	-6.
1313	G2_imp	GLOBAL	Gravity	3.3
1313	G1_dead	GLOBAL	Gravity	3.6
1314	G1_sol	GLOBAL	Z	-6.
1314	G2_imp	GLOBAL	Gravity	3.3
1314	G1_dead	GLOBAL	Gravity	3.6
1315	G1_sol	GLOBAL	Z	-6.
1315	G2_imp	GLOBAL	Gravity	3.3
1315	G1_dead	GLOBAL	Gravity	3.6
1316	G1_sol	GLOBAL	Z	-6.
1316	G2_imp	GLOBAL	Gravity	3.3
1316	G1_dead	GLOBAL	Gravity	3.6
1317	G1_sol	GLOBAL	Z	-6.
1317	G2_imp	GLOBAL	Gravity	3.3
1317	G1_dead	GLOBAL	Gravity	3.6
1318	G1_sol	GLOBAL	Z	-6.
1318	G2_imp	GLOBAL	Gravity	3.3
1318	G1_dead	GLOBAL	Gravity	3.6
1319	G1_sol	GLOBAL	Z	-6.
1319	G2_imp	GLOBAL	Gravity	3.3
1319	G1_dead	GLOBAL	Gravity	3.6
1320	G1_sol	GLOBAL	Z	-6.
1320	G2_imp	GLOBAL	Gravity	3.3
1320	G1_dead	GLOBAL	Gravity	3.6
1321	G1_sol	GLOBAL	Z	-6.
1321	G2_imp	GLOBAL	Gravity	3.3
1321	G1_dead	GLOBAL	Gravity	3.6
1322	G1_sol	GLOBAL	Z	-6.
1322	G2_imp	GLOBAL	Gravity	3.3
1322	G1_dead	GLOBAL	Gravity	3.6
1323	G1_sol	GLOBAL	Z	-6.
1323	G2_imp	GLOBAL	Gravity	3.3
1323	G1_dead	GLOBAL	Gravity	3.6
1324	G1_sol	GLOBAL	Z	-6.
1324	G2_imp	GLOBAL	Gravity	3.3

Table: Area Loads - Uniform

Area	LoadPat	CoordSys	Dir	UnifLoad KN/m2
1324	G1_dead	GLOBAL	Gravity	3.6
1331	G1_sol	GLOBAL	Z	-6.
1331	G2_imp	GLOBAL	Gravity	3.3
1331	G1_dead	GLOBAL	Gravity	3.6
1332	G1_sol	GLOBAL	Z	-6.
1332	G2_imp	GLOBAL	Gravity	3.3
1332	G1_dead	GLOBAL	Gravity	3.6
1333	G1_sol	GLOBAL	Z	-6.
1333	G2_imp	GLOBAL	Gravity	3.3
1333	G1_dead	GLOBAL	Gravity	3.6
1334	G1_sol	GLOBAL	Z	-6.
1334	G2_imp	GLOBAL	Gravity	3.3
1334	G1_dead	GLOBAL	Gravity	3.6
1335	G1_sol	GLOBAL	Z	-6.
1335	G2_imp	GLOBAL	Gravity	3.3
1335	G1_dead	GLOBAL	Gravity	3.6
1336	G1_sol	GLOBAL	Z	-6.
1336	G2_imp	GLOBAL	Gravity	3.3
1336	G1_dead	GLOBAL	Gravity	3.6
1337	G1_sol	GLOBAL	Z	-6.
1337	G2_imp	GLOBAL	Gravity	3.3
1337	G1_dead	GLOBAL	Gravity	3.6
1338	G1_sol	GLOBAL	Z	-6.
1338	G2_imp	GLOBAL	Gravity	3.3
1338	G1_dead	GLOBAL	Gravity	3.6
1339	G1_sol	GLOBAL	Z	-6.
1339	G2_imp	GLOBAL	Gravity	3.3
1339	G1_dead	GLOBAL	Gravity	3.6
1340	G1_sol	GLOBAL	Z	-6.
1340	G2_imp	GLOBAL	Gravity	3.3
1340	G1_dead	GLOBAL	Gravity	3.6
1341	G1_sol	GLOBAL	Z	-6.
1341	G2_imp	GLOBAL	Gravity	3.3
1341	G1_dead	GLOBAL	Gravity	3.6
1342	G1_sol	GLOBAL	Z	-6.
1342	G2_imp	GLOBAL	Gravity	3.3
1342	G1_dead	GLOBAL	Gravity	3.6
1343	G1_sol	GLOBAL	Z	-6.
1343	G2_imp	GLOBAL	Gravity	3.3
1343	G1_dead	GLOBAL	Gravity	3.6
1344	G1_sol	GLOBAL	Z	-6.
1344	G2_imp	GLOBAL	Gravity	3.3
1344	G1_dead	GLOBAL	Gravity	3.6
1345	G1_sol	GLOBAL	Z	-6.
1345	G2_imp	GLOBAL	Gravity	3.3
1345	G1_dead	GLOBAL	Gravity	3.6
1346	G1_sol	GLOBAL	Z	-6.
1346	G2_imp	GLOBAL	Gravity	3.3
1346	G1_dead	GLOBAL	Gravity	3.6
1347	G1_sol	GLOBAL	Z	-6.
1347	G2_imp	GLOBAL	Gravity	3.3
1347	G1_dead	GLOBAL	Gravity	3.6
1348	G1_sol	GLOBAL	Z	-6.
1348	G2_imp	GLOBAL	Gravity	3.3

Table: Area Loads - Uniform

Area	LoadPat	CoordSys	Dir	UnifLoad KN/m2
1348	G1_dead	GLOBAL	Gravity	3.6
1349	G1_sol	GLOBAL	Z	-6.
1349	G2_imp	GLOBAL	Gravity	3.3
1349	G1_dead	GLOBAL	Gravity	3.6
1350	G1_sol	GLOBAL	Z	-6.
1350	G2_imp	GLOBAL	Gravity	3.3
1350	G1_dead	GLOBAL	Gravity	3.6
1351	G1_sol	GLOBAL	Z	-6.
1351	G2_imp	GLOBAL	Gravity	3.3
1351	G1_dead	GLOBAL	Gravity	3.6
1352	G1_sol	GLOBAL	Z	-6.
1352	G2_imp	GLOBAL	Gravity	3.3
1352	G1_dead	GLOBAL	Gravity	3.6
1353	G1_sol	GLOBAL	Z	-6.
1353	G2_imp	GLOBAL	Gravity	3.3
1353	G1_dead	GLOBAL	Gravity	3.6
1354	G1_sol	GLOBAL	Z	-6.
1354	G2_imp	GLOBAL	Gravity	3.3
1354	G1_dead	GLOBAL	Gravity	3.6
1361	G1_sol	GLOBAL	Z	-6.
1361	G2_imp	GLOBAL	Gravity	3.3
1361	G1_dead	GLOBAL	Gravity	3.6
1362	G1_sol	GLOBAL	Z	-6.
1362	G2_imp	GLOBAL	Gravity	3.3
1362	G1_dead	GLOBAL	Gravity	3.6
1363	G1_sol	GLOBAL	Z	-6.
1363	G2_imp	GLOBAL	Gravity	3.3
1363	G1_dead	GLOBAL	Gravity	3.6
1364	G1_sol	GLOBAL	Z	-6.
1364	G2_imp	GLOBAL	Gravity	3.3
1364	G1_dead	GLOBAL	Gravity	3.6
1365	G1_sol	GLOBAL	Z	-6.
1365	G2_imp	GLOBAL	Gravity	3.3
1365	G1_dead	GLOBAL	Gravity	3.6
1366	G1_sol	GLOBAL	Z	-6.
1366	G2_imp	GLOBAL	Gravity	3.3
1366	G1_dead	GLOBAL	Gravity	3.6
1367	G1_sol	GLOBAL	Z	-6.
1367	G2_imp	GLOBAL	Gravity	3.3
1367	G1_dead	GLOBAL	Gravity	3.6
1368	G1_sol	GLOBAL	Z	-6.
1368	G2_imp	GLOBAL	Gravity	3.3
1368	G1_dead	GLOBAL	Gravity	3.6
1369	G1_sol	GLOBAL	Z	-6.
1369	G2_imp	GLOBAL	Gravity	3.3
1369	G1_dead	GLOBAL	Gravity	3.6
1370	G1_sol	GLOBAL	Z	-6.
1370	G2_imp	GLOBAL	Gravity	3.3
1370	G1_dead	GLOBAL	Gravity	3.6
1371	G1_sol	GLOBAL	Z	-6.
1371	G2_imp	GLOBAL	Gravity	3.3
1371	G1_dead	GLOBAL	Gravity	3.6
1372	G1_sol	GLOBAL	Z	-6.
1372	G2_imp	GLOBAL	Gravity	3.3

Table: Area Loads - Uniform

Area	LoadPat	CoordSys	Dir	UnifLoad KN/m2
1372	G1_dead	GLOBAL	Gravity	3.6
1373	G1_sol	GLOBAL	Z	-6.
1373	G2_imp	GLOBAL	Gravity	3.3
1373	G1_dead	GLOBAL	Gravity	3.6
1374	G1_sol	GLOBAL	Z	-6.
1374	G2_imp	GLOBAL	Gravity	3.3
1374	G1_dead	GLOBAL	Gravity	3.6
1375	G1_sol	GLOBAL	Z	-6.
1375	G2_imp	GLOBAL	Gravity	3.3
1375	G1_dead	GLOBAL	Gravity	3.6
1376	G1_sol	GLOBAL	Z	-6.
1376	G2_imp	GLOBAL	Gravity	3.3
1376	G1_dead	GLOBAL	Gravity	3.6
1377	G1_sol	GLOBAL	Z	-6.
1377	G2_imp	GLOBAL	Gravity	3.3
1377	G1_dead	GLOBAL	Gravity	3.6
1378	G1_sol	GLOBAL	Z	-6.
1378	G2_imp	GLOBAL	Gravity	3.3
1378	G1_dead	GLOBAL	Gravity	3.6
1379	G1_sol	GLOBAL	Z	-6.
1379	G2_imp	GLOBAL	Gravity	3.3
1379	G1_dead	GLOBAL	Gravity	3.6
1380	G1_sol	GLOBAL	Z	-6.
1380	G2_imp	GLOBAL	Gravity	3.3
1380	G1_dead	GLOBAL	Gravity	3.6
1381	G1_sol	GLOBAL	Z	-6.
1381	G2_imp	GLOBAL	Gravity	3.3
1381	G1_dead	GLOBAL	Gravity	3.6
1382	G1_sol	GLOBAL	Z	-6.
1382	G2_imp	GLOBAL	Gravity	3.3
1382	G1_dead	GLOBAL	Gravity	3.6
1383	G1_sol	GLOBAL	Z	-6.
1383	G2_imp	GLOBAL	Gravity	3.3
1383	G1_dead	GLOBAL	Gravity	3.6
1384	G1_sol	GLOBAL	Z	-6.
1384	G2_imp	GLOBAL	Gravity	3.3
1384	G1_dead	GLOBAL	Gravity	3.6
1385	G1_sol	GLOBAL	Z	-6.
1385	G2_imp	GLOBAL	Gravity	3.3
1385	G1_dead	GLOBAL	Gravity	3.6
1386	G1_sol	GLOBAL	Z	-6.
1386	G2_imp	GLOBAL	Gravity	3.3
1386	G1_dead	GLOBAL	Gravity	3.6
1387	G1_sol	GLOBAL	Z	-6.
1387	G2_imp	GLOBAL	Gravity	3.3
1387	G1_dead	GLOBAL	Gravity	3.6
1388	G1_sol	GLOBAL	Z	-6.
1388	G2_imp	GLOBAL	Gravity	3.3
1388	G1_dead	GLOBAL	Gravity	3.6
1389	G1_sol	GLOBAL	Z	-6.
1389	G2_imp	GLOBAL	Gravity	3.3
1389	G1_dead	GLOBAL	Gravity	3.6
1390	G1_sol	GLOBAL	Z	-6.
1390	G2_imp	GLOBAL	Gravity	3.3

Table: Area Loads - Uniform

Area	LoadPat	CoordSys	Dir	UnifLoad KN/m2
1390	G1_dead	GLOBAL	Gravity	3.6
1391	G1_sol	GLOBAL	Z	-6.
1391	G2_imp	GLOBAL	Gravity	3.3
1391	G1_dead	GLOBAL	Gravity	3.6
1392	G1_sol	GLOBAL	Z	-6.
1392	G2_imp	GLOBAL	Gravity	3.3
1392	G1_dead	GLOBAL	Gravity	3.6
1393	G1_sol	GLOBAL	Z	-6.
1393	G2_imp	GLOBAL	Gravity	3.3
1393	G1_dead	GLOBAL	Gravity	3.6
1394	G1_sol	GLOBAL	Z	-6.
1394	G2_imp	GLOBAL	Gravity	3.3
1394	G1_dead	GLOBAL	Gravity	3.6
1395	G1_sol	GLOBAL	Z	-6.
1395	G2_imp	GLOBAL	Gravity	3.3
1395	G1_dead	GLOBAL	Gravity	3.6
1396	G1_sol	GLOBAL	Z	-6.
1396	G2_imp	GLOBAL	Gravity	3.3
1396	G1_dead	GLOBAL	Gravity	3.6
1397	G1_sol	GLOBAL	Z	-6.
1397	G2_imp	GLOBAL	Gravity	3.3
1397	G1_dead	GLOBAL	Gravity	3.6
1398	G1_sol	GLOBAL	Z	-6.
1398	G2_imp	GLOBAL	Gravity	3.3
1398	G1_dead	GLOBAL	Gravity	3.6
1399	G1_sol	GLOBAL	Z	-6.
1399	G2_imp	GLOBAL	Gravity	3.3
1399	G1_dead	GLOBAL	Gravity	3.6
1400	G1_sol	GLOBAL	Z	-6.
1400	G2_imp	GLOBAL	Gravity	3.3
1400	G1_dead	GLOBAL	Gravity	3.6
1401	G1_sol	GLOBAL	Z	-6.
1401	G2_imp	GLOBAL	Gravity	3.3
1401	G1_dead	GLOBAL	Gravity	3.6
1402	G1_sol	GLOBAL	Z	-6.
1402	G2_imp	GLOBAL	Gravity	3.3
1402	G1_dead	GLOBAL	Gravity	3.6
1403	G1_sol	GLOBAL	Z	-6.
1403	G2_imp	GLOBAL	Gravity	3.3
1403	G1_dead	GLOBAL	Gravity	3.6
1404	G1_sol	GLOBAL	Z	-6.
1404	G2_imp	GLOBAL	Gravity	3.3
1404	G1_dead	GLOBAL	Gravity	3.6
1405	G1_sol	GLOBAL	Z	-6.
1405	G2_imp	GLOBAL	Gravity	3.3
1405	G1_dead	GLOBAL	Gravity	3.6
1406	G1_sol	GLOBAL	Z	-6.
1406	G2_imp	GLOBAL	Gravity	3.3
1406	G1_dead	GLOBAL	Gravity	3.6
1407	G1_sol	GLOBAL	Z	-6.
1407	G2_imp	GLOBAL	Gravity	3.3
1407	G1_dead	GLOBAL	Gravity	3.6
1408	G1_sol	GLOBAL	Z	-6.
1408	G2_imp	GLOBAL	Gravity	3.3

Table: Area Loads - Uniform

Area	LoadPat	CoordSys	Dir	UnifLoad KN/m2
1408	G1_dead	GLOBAL	Gravity	3.6
1409	G1_sol	GLOBAL	Z	-6.
1409	G2_imp	GLOBAL	Gravity	3.3
1409	G1_dead	GLOBAL	Gravity	3.6
1410	G1_sol	GLOBAL	Z	-6.
1410	G2_imp	GLOBAL	Gravity	3.3
1410	G1_dead	GLOBAL	Gravity	3.6
1411	G1_sol	GLOBAL	Z	-6.
1411	G2_imp	GLOBAL	Gravity	3.3
1411	G1_dead	GLOBAL	Gravity	3.6
1412	G1_sol	GLOBAL	Z	-6.
1412	G2_imp	GLOBAL	Gravity	3.3
1412	G1_dead	GLOBAL	Gravity	3.6
1413	G1_sol	GLOBAL	Z	-6.
1413	G2_imp	GLOBAL	Gravity	3.3
1413	G1_dead	GLOBAL	Gravity	3.6
1414	G1_sol	GLOBAL	Z	-6.
1414	G2_imp	GLOBAL	Gravity	3.3
1414	G1_dead	GLOBAL	Gravity	3.6
1415	G1_sol	GLOBAL	Z	-6.
1415	G2_imp	GLOBAL	Gravity	3.3
1415	G1_dead	GLOBAL	Gravity	3.6
1416	G1_sol	GLOBAL	Z	-6.
1416	G2_imp	GLOBAL	Gravity	3.3
1416	G1_dead	GLOBAL	Gravity	3.6
1417	G1_sol	GLOBAL	Z	-6.
1417	G2_imp	GLOBAL	Gravity	3.3
1417	G1_dead	GLOBAL	Gravity	3.6
1418	G1_sol	GLOBAL	Z	-6.
1418	G2_imp	GLOBAL	Gravity	3.3
1418	G1_dead	GLOBAL	Gravity	3.6
1419	G1_sol	GLOBAL	Z	-6.
1419	G2_imp	GLOBAL	Gravity	3.3
1419	G1_dead	GLOBAL	Gravity	3.6
1420	G1_sol	GLOBAL	Z	-6.
1420	G2_imp	GLOBAL	Gravity	3.3
1420	G1_dead	GLOBAL	Gravity	3.6
1421	G1_sol	GLOBAL	Z	-6.
1421	G2_imp	GLOBAL	Gravity	3.3
1421	G1_dead	GLOBAL	Gravity	3.6
1422	G1_sol	GLOBAL	Z	-6.
1422	G2_imp	GLOBAL	Gravity	3.3
1422	G1_dead	GLOBAL	Gravity	3.6
1423	G1_sol	GLOBAL	Z	-6.
1423	G2_imp	GLOBAL	Gravity	3.3
1423	G1_dead	GLOBAL	Gravity	3.6
1424	G1_sol	GLOBAL	Z	-6.
1424	G2_imp	GLOBAL	Gravity	3.3
1424	G1_dead	GLOBAL	Gravity	3.6
1425	G1_sol	GLOBAL	Z	-6.
1425	G2_imp	GLOBAL	Gravity	3.3
1425	G1_dead	GLOBAL	Gravity	3.6
1426	G1_sol	GLOBAL	Z	-6.
1426	G2_imp	GLOBAL	Gravity	3.3

Table: Area Loads - Uniform

Area	LoadPat	CoordSys	Dir	UnifLoad KN/m2
1426	G1_dead	GLOBAL	Gravity	3.6
1427	G1_sol	GLOBAL	Z	-6.
1427	G2_imp	GLOBAL	Gravity	3.3
1427	G1_dead	GLOBAL	Gravity	3.6
1428	G1_sol	GLOBAL	Z	-6.
1428	G2_imp	GLOBAL	Gravity	3.3
1428	G1_dead	GLOBAL	Gravity	3.6
1429	G1_sol	GLOBAL	Z	-6.
1429	G2_imp	GLOBAL	Gravity	3.3
1429	G1_dead	GLOBAL	Gravity	3.6
1430	G1_sol	GLOBAL	Z	-6.
1430	G2_imp	GLOBAL	Gravity	3.3
1430	G1_dead	GLOBAL	Gravity	3.6
1431	G1_sol	GLOBAL	Z	-6.
1431	G2_imp	GLOBAL	Gravity	3.3
1431	G1_dead	GLOBAL	Gravity	3.6
1432	G1_sol	GLOBAL	Z	-6.
1432	G2_imp	GLOBAL	Gravity	3.3
1432	G1_dead	GLOBAL	Gravity	3.6
1433	G1_sol	GLOBAL	Z	-6.
1433	G2_imp	GLOBAL	Gravity	3.3
1433	G1_dead	GLOBAL	Gravity	3.6
1434	G1_sol	GLOBAL	Z	-6.
1434	G2_imp	GLOBAL	Gravity	3.3
1434	G1_dead	GLOBAL	Gravity	3.6
1435	G1_sol	GLOBAL	Z	-6.
1435	G2_imp	GLOBAL	Gravity	3.3
1435	G1_dead	GLOBAL	Gravity	3.6
1436	G1_sol	GLOBAL	Z	-6.
1436	G2_imp	GLOBAL	Gravity	3.3
1436	G1_dead	GLOBAL	Gravity	3.6
1437	G1_sol	GLOBAL	Z	-6.
1437	G2_imp	GLOBAL	Gravity	3.3
1437	G1_dead	GLOBAL	Gravity	3.6
1438	G1_sol	GLOBAL	Z	-6.
1438	G2_imp	GLOBAL	Gravity	3.3
1438	G1_dead	GLOBAL	Gravity	3.6
1439	G1_sol	GLOBAL	Z	-6.
1439	G2_imp	GLOBAL	Gravity	3.3
1439	G1_dead	GLOBAL	Gravity	3.6
1440	G1_sol	GLOBAL	Z	-6.
1440	G2_imp	GLOBAL	Gravity	3.3
1440	G1_dead	GLOBAL	Gravity	3.6
1441	G1_sol	GLOBAL	Z	-6.
1441	G2_imp	GLOBAL	Gravity	3.3
1441	G1_dead	GLOBAL	Gravity	3.6
1442	G1_sol	GLOBAL	Z	-6.
1442	G2_imp	GLOBAL	Gravity	3.3
1442	G1_dead	GLOBAL	Gravity	3.6
1443	G1_sol	GLOBAL	Z	-6.
1443	G2_imp	GLOBAL	Gravity	3.3
1443	G1_dead	GLOBAL	Gravity	3.6
1444	G1_sol	GLOBAL	Z	-6.
1444	G2_imp	GLOBAL	Gravity	3.3

Table: Area Loads - Uniform

Area	LoadPat	CoordSys	Dir	UnifLoad KN/m2
1444	G1_dead	GLOBAL	Gravity	3.6
1445	G1_sol	GLOBAL	Z	-6.
1445	G2_imp	GLOBAL	Gravity	3.3
1445	G1_dead	GLOBAL	Gravity	3.6
1446	G1_sol	GLOBAL	Z	-6.
1446	G2_imp	GLOBAL	Gravity	3.3
1446	G1_dead	GLOBAL	Gravity	3.6
1447	G1_sol	GLOBAL	Z	-6.
1447	G2_imp	GLOBAL	Gravity	3.3
1447	G1_dead	GLOBAL	Gravity	3.6
1448	G1_sol	GLOBAL	Z	-6.
1448	G2_imp	GLOBAL	Gravity	3.3
1448	G1_dead	GLOBAL	Gravity	3.6
1449	G1_sol	GLOBAL	Z	-6.
1449	G2_imp	GLOBAL	Gravity	3.3
1449	G1_dead	GLOBAL	Gravity	3.6
1450	G1_sol	GLOBAL	Z	-6.
1450	G2_imp	GLOBAL	Gravity	3.3
1450	G1_dead	GLOBAL	Gravity	3.6
1451	G1_sol	GLOBAL	Z	-6.
1451	G2_imp	GLOBAL	Gravity	3.3
1451	G1_dead	GLOBAL	Gravity	3.6
1452	G1_sol	GLOBAL	Z	-6.
1452	G2_imp	GLOBAL	Gravity	3.3
1452	G1_dead	GLOBAL	Gravity	3.6
1453	G1_sol	GLOBAL	Z	-6.
1453	G2_imp	GLOBAL	Gravity	3.3
1453	G1_dead	GLOBAL	Gravity	3.6
1454	G1_sol	GLOBAL	Z	-6.
1454	G2_imp	GLOBAL	Gravity	3.3
1454	G1_dead	GLOBAL	Gravity	3.6
1455	G1_sol	GLOBAL	Z	-6.
1455	G2_imp	GLOBAL	Gravity	3.3
1455	G1_dead	GLOBAL	Gravity	3.6
1456	G1_sol	GLOBAL	Z	-6.
1456	G2_imp	GLOBAL	Gravity	3.3
1456	G1_dead	GLOBAL	Gravity	3.6
1463	G1_sol	GLOBAL	Z	-6.
1463	G2_imp	GLOBAL	Gravity	3.3
1463	G1_dead	GLOBAL	Gravity	3.6
1464	G1_sol	GLOBAL	Z	-6.
1464	G2_imp	GLOBAL	Gravity	3.3
1464	G1_dead	GLOBAL	Gravity	3.6
1465	G1_sol	GLOBAL	Z	-6.
1465	G2_imp	GLOBAL	Gravity	3.3
1465	G1_dead	GLOBAL	Gravity	3.6
1466	G1_sol	GLOBAL	Z	-6.
1466	G2_imp	GLOBAL	Gravity	3.3
1466	G1_dead	GLOBAL	Gravity	3.6
1467	G1_sol	GLOBAL	Z	-6.
1467	G2_imp	GLOBAL	Gravity	3.3
1467	G1_dead	GLOBAL	Gravity	3.6
1468	G1_sol	GLOBAL	Z	-6.
1468	G2_imp	GLOBAL	Gravity	3.3

Table: Area Loads - Uniform

Area	LoadPat	CoordSys	Dir	UnifLoad KN/m2
1468	G1_dead	GLOBAL	Gravity	3.6
1469	G1_sol	GLOBAL	Z	-6.
1469	G2_imp	GLOBAL	Gravity	3.3
1469	G1_dead	GLOBAL	Gravity	3.6
1470	G1_sol	GLOBAL	Z	-6.
1470	G2_imp	GLOBAL	Gravity	3.3
1470	G1_dead	GLOBAL	Gravity	3.6
1471	G1_sol	GLOBAL	Z	-6.
1471	G2_imp	GLOBAL	Gravity	3.3
1471	G1_dead	GLOBAL	Gravity	3.6
1472	G1_sol	GLOBAL	Z	-6.
1472	G2_imp	GLOBAL	Gravity	3.3
1472	G1_dead	GLOBAL	Gravity	3.6
1473	G1_sol	GLOBAL	Z	-6.
1473	G2_imp	GLOBAL	Gravity	3.3
1473	G1_dead	GLOBAL	Gravity	3.6
1474	G1_sol	GLOBAL	Z	-6.
1474	G2_imp	GLOBAL	Gravity	3.3
1474	G1_dead	GLOBAL	Gravity	3.6
1475	G1_sol	GLOBAL	Z	-6.
1475	G2_imp	GLOBAL	Gravity	3.3
1475	G1_dead	GLOBAL	Gravity	3.6
1476	G1_sol	GLOBAL	Z	-6.
1476	G2_imp	GLOBAL	Gravity	3.3
1476	G1_dead	GLOBAL	Gravity	3.6
1477	G1_sol	GLOBAL	Z	-6.
1477	G2_imp	GLOBAL	Gravity	3.3
1477	G1_dead	GLOBAL	Gravity	3.6
1478	G1_sol	GLOBAL	Z	-6.
1478	G2_imp	GLOBAL	Gravity	3.3
1478	G1_dead	GLOBAL	Gravity	3.6
1479	G1_sol	GLOBAL	Z	-6.
1479	G2_imp	GLOBAL	Gravity	3.3
1479	G1_dead	GLOBAL	Gravity	3.6
1480	G1_sol	GLOBAL	Z	-6.
1480	G2_imp	GLOBAL	Gravity	3.3
1480	G1_dead	GLOBAL	Gravity	3.6
1481	G1_sol	GLOBAL	Z	-6.
1481	G2_imp	GLOBAL	Gravity	3.3
1481	G1_dead	GLOBAL	Gravity	3.6
1482	G1_sol	GLOBAL	Z	-6.
1482	G2_imp	GLOBAL	Gravity	3.3
1482	G1_dead	GLOBAL	Gravity	3.6
1483	G1_sol	GLOBAL	Z	-6.
1483	G2_imp	GLOBAL	Gravity	3.3
1483	G1_dead	GLOBAL	Gravity	3.6
1484	G1_sol	GLOBAL	Z	-6.
1484	G2_imp	GLOBAL	Gravity	3.3
1484	G1_dead	GLOBAL	Gravity	3.6
1485	G1_sol	GLOBAL	Z	-6.
1485	G2_imp	GLOBAL	Gravity	3.3
1485	G1_dead	GLOBAL	Gravity	3.6
1486	G1_sol	GLOBAL	Z	-6.
1486	G2_imp	GLOBAL	Gravity	3.3

Table: Area Loads - Uniform

Area	LoadPat	CoordSys	Dir	UnifLoad KN/m2
1486	G1_dead	GLOBAL	Gravity	3.6
1487	G1_sol	GLOBAL	Z	-6.
1487	G2_imp	GLOBAL	Gravity	3.3
1487	G1_dead	GLOBAL	Gravity	3.6
1488	G1_sol	GLOBAL	Z	-6.
1488	G2_imp	GLOBAL	Gravity	3.3
1488	G1_dead	GLOBAL	Gravity	3.6
1489	G1_sol	GLOBAL	Z	-6.
1489	G2_imp	GLOBAL	Gravity	3.3
1489	G1_dead	GLOBAL	Gravity	3.6
1490	G1_sol	GLOBAL	Z	-6.
1490	G2_imp	GLOBAL	Gravity	3.3
1490	G1_dead	GLOBAL	Gravity	3.6
1491	G1_sol	GLOBAL	Z	-6.
1491	G2_imp	GLOBAL	Gravity	3.3
1491	G1_dead	GLOBAL	Gravity	3.6
1492	G1_sol	GLOBAL	Z	-6.
1492	G2_imp	GLOBAL	Gravity	3.3
1492	G1_dead	GLOBAL	Gravity	3.6
1493	G1_sol	GLOBAL	Z	-6.
1493	G2_imp	GLOBAL	Gravity	3.3
1493	G1_dead	GLOBAL	Gravity	3.6
1494	G1_sol	GLOBAL	Z	-6.
1494	G2_imp	GLOBAL	Gravity	3.3
1494	G1_dead	GLOBAL	Gravity	3.6
1495	G1_sol	GLOBAL	Z	-6.
1495	G2_imp	GLOBAL	Gravity	3.3
1495	G1_dead	GLOBAL	Gravity	3.6
1496	G1_sol	GLOBAL	Z	-6.
1496	G2_imp	GLOBAL	Gravity	3.3
1496	G1_dead	GLOBAL	Gravity	3.6
1497	G1_sol	GLOBAL	Z	-6.
1497	G2_imp	GLOBAL	Gravity	3.3
1497	G1_dead	GLOBAL	Gravity	3.6
1498	G1_sol	GLOBAL	Z	-6.
1498	G2_imp	GLOBAL	Gravity	3.3
1498	G1_dead	GLOBAL	Gravity	3.6
1499	G1_sol	GLOBAL	Z	-6.
1499	G2_imp	GLOBAL	Gravity	3.3
1499	G1_dead	GLOBAL	Gravity	3.6
1500	G1_sol	GLOBAL	Z	-6.
1500	G2_imp	GLOBAL	Gravity	3.3
1500	G1_dead	GLOBAL	Gravity	3.6
1501	G1_sol	GLOBAL	Z	-6.
1501	G2_imp	GLOBAL	Gravity	3.3
1501	G1_dead	GLOBAL	Gravity	3.6
1502	G1_sol	GLOBAL	Z	-6.
1502	G2_imp	GLOBAL	Gravity	3.3
1502	G1_dead	GLOBAL	Gravity	3.6
1503	G1_sol	GLOBAL	Z	-6.
1503	G2_imp	GLOBAL	Gravity	3.3
1503	G1_dead	GLOBAL	Gravity	3.6
1504	G1_sol	GLOBAL	Z	-6.
1504	G2_imp	GLOBAL	Gravity	3.3

Table: Area Loads - Uniform

Area	LoadPat	CoordSys	Dir	UnifLoad KN/m2
1504	G1_dead	GLOBAL	Gravity	3.6
1505	G1_sol	GLOBAL	Z	-6.
1505	G2_imp	GLOBAL	Gravity	3.3
1505	G1_dead	GLOBAL	Gravity	3.6
1506	G1_sol	GLOBAL	Z	-6.
1506	G2_imp	GLOBAL	Gravity	3.3
1506	G1_dead	GLOBAL	Gravity	3.6
1507	G1_sol	GLOBAL	Z	-6.
1507	G2_imp	GLOBAL	Gravity	3.3
1507	G1_dead	GLOBAL	Gravity	3.6
1508	G1_sol	GLOBAL	Z	-6.
1508	G2_imp	GLOBAL	Gravity	3.3
1508	G1_dead	GLOBAL	Gravity	3.6
1509	G1_sol	GLOBAL	Z	-6.
1509	G2_imp	GLOBAL	Gravity	3.3
1509	G1_dead	GLOBAL	Gravity	3.6
1510	G1_sol	GLOBAL	Z	-6.
1510	G2_imp	GLOBAL	Gravity	3.3
1510	G1_dead	GLOBAL	Gravity	3.6
1517	G1_sol	GLOBAL	Z	-6.
1517	G2_imp	GLOBAL	Gravity	3.3
1517	G1_dead	GLOBAL	Gravity	3.6
1518	G1_sol	GLOBAL	Z	-6.
1518	G2_imp	GLOBAL	Gravity	3.3
1518	G1_dead	GLOBAL	Gravity	3.6
1519	G1_sol	GLOBAL	Z	-6.
1519	G2_imp	GLOBAL	Gravity	3.3
1519	G1_dead	GLOBAL	Gravity	3.6
1520	G1_sol	GLOBAL	Z	-6.
1520	G2_imp	GLOBAL	Gravity	3.3
1520	G1_dead	GLOBAL	Gravity	3.6
1521	G1_sol	GLOBAL	Z	-6.
1521	G2_imp	GLOBAL	Gravity	3.3
1521	G1_dead	GLOBAL	Gravity	3.6
1522	G1_sol	GLOBAL	Z	-6.
1522	G2_imp	GLOBAL	Gravity	3.3
1522	G1_dead	GLOBAL	Gravity	3.6
1523	G1_sol	GLOBAL	Z	-6.
1523	G2_imp	GLOBAL	Gravity	3.3
1523	G1_dead	GLOBAL	Gravity	3.6
1524	G1_sol	GLOBAL	Z	-6.
1524	G2_imp	GLOBAL	Gravity	3.3
1524	G1_dead	GLOBAL	Gravity	3.6
1525	G1_sol	GLOBAL	Z	-6.
1525	G2_imp	GLOBAL	Gravity	3.3
1525	G1_dead	GLOBAL	Gravity	3.6
1526	G1_sol	GLOBAL	Z	-6.
1526	G2_imp	GLOBAL	Gravity	3.3
1526	G1_dead	GLOBAL	Gravity	3.6
1527	G1_sol	GLOBAL	Z	-6.
1527	G2_imp	GLOBAL	Gravity	3.3
1527	G1_dead	GLOBAL	Gravity	3.6
1528	G1_sol	GLOBAL	Z	-6.
1528	G2_imp	GLOBAL	Gravity	3.3

Table: Area Loads - Uniform

Area	LoadPat	CoordSys	Dir	UnifLoad KN/m2
1528	G1_dead	GLOBAL	Gravity	3.6
1529	G1_sol	GLOBAL	Z	-6.
1529	G2_imp	GLOBAL	Gravity	3.3
1529	G1_dead	GLOBAL	Gravity	3.6
1530	G1_sol	GLOBAL	Z	-6.
1530	G2_imp	GLOBAL	Gravity	3.3
1530	G1_dead	GLOBAL	Gravity	3.6
1531	G1_sol	GLOBAL	Z	-6.
1531	G2_imp	GLOBAL	Gravity	3.3
1531	G1_dead	GLOBAL	Gravity	3.6
1532	G1_sol	GLOBAL	Z	-6.
1532	G2_imp	GLOBAL	Gravity	3.3
1532	G1_dead	GLOBAL	Gravity	3.6
1533	G1_sol	GLOBAL	Z	-6.
1533	G2_imp	GLOBAL	Gravity	3.3
1533	G1_dead	GLOBAL	Gravity	3.6
1534	G1_sol	GLOBAL	Z	-6.
1534	G2_imp	GLOBAL	Gravity	3.3
1534	G1_dead	GLOBAL	Gravity	3.6
1535	G1_sol	GLOBAL	Z	-6.
1535	G2_imp	GLOBAL	Gravity	3.3
1535	G1_dead	GLOBAL	Gravity	3.6
1536	G1_sol	GLOBAL	Z	-6.
1536	G2_imp	GLOBAL	Gravity	3.3
1536	G1_dead	GLOBAL	Gravity	3.6
1537	G1_sol	GLOBAL	Z	-6.
1537	G2_imp	GLOBAL	Gravity	3.3
1537	G1_dead	GLOBAL	Gravity	3.6
1538	G1_sol	GLOBAL	Z	-6.
1538	G2_imp	GLOBAL	Gravity	3.3
1538	G1_dead	GLOBAL	Gravity	3.6
1539	G1_sol	GLOBAL	Z	-6.
1539	G2_imp	GLOBAL	Gravity	3.3
1539	G1_dead	GLOBAL	Gravity	3.6
1540	G1_sol	GLOBAL	Z	-6.
1540	G2_imp	GLOBAL	Gravity	3.3
1540	G1_dead	GLOBAL	Gravity	3.6
1541	G1_sol	GLOBAL	Z	-6.
1541	G2_imp	GLOBAL	Gravity	3.3
1541	G1_dead	GLOBAL	Gravity	3.6
1542	G1_sol	GLOBAL	Z	-6.
1542	G2_imp	GLOBAL	Gravity	3.3
1542	G1_dead	GLOBAL	Gravity	3.6
1543	G1_sol	GLOBAL	Z	-6.
1543	G2_imp	GLOBAL	Gravity	3.3
1543	G1_dead	GLOBAL	Gravity	3.6
1544	G1_sol	GLOBAL	Z	-6.
1544	G2_imp	GLOBAL	Gravity	3.3
1544	G1_dead	GLOBAL	Gravity	3.6
1545	G1_sol	GLOBAL	Z	-6.
1545	G2_imp	GLOBAL	Gravity	3.3
1545	G1_dead	GLOBAL	Gravity	3.6
1546	G1_sol	GLOBAL	Z	-6.
1546	G2_imp	GLOBAL	Gravity	3.3

Table: Area Loads - Uniform

Area	LoadPat	CoordSys	Dir	UnifLoad KN/m2
1546	G1_dead	GLOBAL	Gravity	3.6
1547	G1_sol	GLOBAL	Z	-6.
1547	G2_imp	GLOBAL	Gravity	3.3
1547	G1_dead	GLOBAL	Gravity	3.6
1548	G1_sol	GLOBAL	Z	-6.
1548	G2_imp	GLOBAL	Gravity	3.3
1548	G1_dead	GLOBAL	Gravity	3.6
1549	G1_sol	GLOBAL	Z	-6.
1549	G2_imp	GLOBAL	Gravity	3.3
1549	G1_dead	GLOBAL	Gravity	3.6
1550	G1_sol	GLOBAL	Z	-6.
1550	G2_imp	GLOBAL	Gravity	3.3
1550	G1_dead	GLOBAL	Gravity	3.6
1551	G1_sol	GLOBAL	Z	-6.
1551	G2_imp	GLOBAL	Gravity	3.3
1551	G1_dead	GLOBAL	Gravity	3.6
1552	G1_sol	GLOBAL	Z	-6.
1552	G2_imp	GLOBAL	Gravity	3.3
1552	G1_dead	GLOBAL	Gravity	3.6
1553	G1_sol	GLOBAL	Z	-6.
1553	G2_imp	GLOBAL	Gravity	3.3
1553	G1_dead	GLOBAL	Gravity	3.6
1554	G1_sol	GLOBAL	Z	-6.
1554	G2_imp	GLOBAL	Gravity	3.3
1554	G1_dead	GLOBAL	Gravity	3.6
1555	G1_sol	GLOBAL	Z	-6.
1555	G2_imp	GLOBAL	Gravity	3.3
1555	G1_dead	GLOBAL	Gravity	3.6
1556	G1_sol	GLOBAL	Z	-6.
1556	G2_imp	GLOBAL	Gravity	3.3
1556	G1_dead	GLOBAL	Gravity	3.6
1557	G1_sol	GLOBAL	Z	-6.
1557	G2_imp	GLOBAL	Gravity	3.3
1557	G1_dead	GLOBAL	Gravity	3.6
1558	G1_sol	GLOBAL	Z	-6.
1558	G2_imp	GLOBAL	Gravity	3.3
1558	G1_dead	GLOBAL	Gravity	3.6
1559	G1_sol	GLOBAL	Z	-6.
1559	G2_imp	GLOBAL	Gravity	3.3
1559	G1_dead	GLOBAL	Gravity	3.6
1560	G1_sol	GLOBAL	Z	-6.
1560	G2_imp	GLOBAL	Gravity	3.3
1560	G1_dead	GLOBAL	Gravity	3.6
1561	G1_sol	GLOBAL	Z	-6.
1561	G2_imp	GLOBAL	Gravity	3.3
1561	G1_dead	GLOBAL	Gravity	3.6
1562	G1_sol	GLOBAL	Z	-6.
1562	G2_imp	GLOBAL	Gravity	3.3
1562	G1_dead	GLOBAL	Gravity	3.6
1563	G1_sol	GLOBAL	Z	-6.
1563	G2_imp	GLOBAL	Gravity	3.3
1563	G1_dead	GLOBAL	Gravity	3.6
1564	G1_sol	GLOBAL	Z	-6.
1564	G2_imp	GLOBAL	Gravity	3.3

Table: Area Loads - Uniform

Area	LoadPat	CoordSys	Dir	UnifLoad KN/m2
1564	G1_dead	GLOBAL	Gravity	3.6
1571	G1_sol	GLOBAL	Z	-6.
1571	G2_imp	GLOBAL	Gravity	3.3
1571	G1_dead	GLOBAL	Gravity	3.6
1572	G1_sol	GLOBAL	Z	-6.
1572	G2_imp	GLOBAL	Gravity	3.3
1572	G1_dead	GLOBAL	Gravity	3.6
1573	G1_sol	GLOBAL	Z	-6.
1573	G2_imp	GLOBAL	Gravity	3.3
1573	G1_dead	GLOBAL	Gravity	3.6
1574	G1_sol	GLOBAL	Z	-6.
1574	G2_imp	GLOBAL	Gravity	3.3
1574	G1_dead	GLOBAL	Gravity	3.6
1575	G1_sol	GLOBAL	Z	-6.
1575	G2_imp	GLOBAL	Gravity	3.3
1575	G1_dead	GLOBAL	Gravity	3.6
1576	G1_sol	GLOBAL	Z	-6.
1576	G2_imp	GLOBAL	Gravity	3.3
1576	G1_dead	GLOBAL	Gravity	3.6
1578	G1_sol	GLOBAL	Z	-6.
1578	G2_imp	GLOBAL	Gravity	3.3
1578	G1_dead	GLOBAL	Gravity	3.6
1579	G1_sol	GLOBAL	Z	-6.
1579	G2_imp	GLOBAL	Gravity	3.3
1579	G1_dead	GLOBAL	Gravity	3.6
1580	G1_sol	GLOBAL	Z	-6.
1580	G2_imp	GLOBAL	Gravity	3.3
1580	G1_dead	GLOBAL	Gravity	3.6
1581	G1_sol	GLOBAL	Z	-6.
1581	G2_imp	GLOBAL	Gravity	3.3
1581	G1_dead	GLOBAL	Gravity	3.6
1582	G1_sol	GLOBAL	Z	-6.
1582	G2_imp	GLOBAL	Gravity	3.3
1582	G1_dead	GLOBAL	Gravity	3.6
1583	G1_sol	GLOBAL	Z	-6.
1583	G2_imp	GLOBAL	Gravity	3.3
1583	G1_dead	GLOBAL	Gravity	3.6
1585	G1_sol	GLOBAL	Z	-6.
1585	G2_imp	GLOBAL	Gravity	3.3
1585	G1_dead	GLOBAL	Gravity	3.6
1586	G1_sol	GLOBAL	Z	-6.
1586	G2_imp	GLOBAL	Gravity	3.3
1586	G1_dead	GLOBAL	Gravity	3.6
1587	G1_sol	GLOBAL	Z	-6.
1587	G2_imp	GLOBAL	Gravity	3.3
1587	G1_dead	GLOBAL	Gravity	3.6
1588	G1_sol	GLOBAL	Z	-6.
1588	G2_imp	GLOBAL	Gravity	3.3
1588	G1_dead	GLOBAL	Gravity	3.6
1589	G1_sol	GLOBAL	Z	-6.
1589	G2_imp	GLOBAL	Gravity	3.3
1589	G1_dead	GLOBAL	Gravity	3.6
1590	G1_sol	GLOBAL	Z	-6.
1590	G2_imp	GLOBAL	Gravity	3.3

Table: Area Loads - Uniform

Area	LoadPat	CoordSys	Dir	UnifLoad KN/m2
1590	G1_dead	GLOBAL	Gravity	3.6
1592	G1_sol	GLOBAL	Z	-6.
1592	G2_imp	GLOBAL	Gravity	3.3
1592	G1_dead	GLOBAL	Gravity	3.6
1593	G1_sol	GLOBAL	Z	-6.
1593	G2_imp	GLOBAL	Gravity	3.3
1593	G1_dead	GLOBAL	Gravity	3.6
1594	G1_sol	GLOBAL	Z	-6.
1594	G2_imp	GLOBAL	Gravity	3.3
1594	G1_dead	GLOBAL	Gravity	3.6
1595	G1_sol	GLOBAL	Z	-6.
1595	G2_imp	GLOBAL	Gravity	3.3
1595	G1_dead	GLOBAL	Gravity	3.6
1596	G1_sol	GLOBAL	Z	-6.
1596	G2_imp	GLOBAL	Gravity	3.3
1596	G1_dead	GLOBAL	Gravity	3.6
1597	G1_sol	GLOBAL	Z	-6.
1597	G2_imp	GLOBAL	Gravity	3.3
1597	G1_dead	GLOBAL	Gravity	3.6
1600	G1_sol	GLOBAL	Z	-6.
1600	G2_imp	GLOBAL	Gravity	3.3
1600	G1_dead	GLOBAL	Gravity	3.6
1602	G1_sol	GLOBAL	Z	-6.
1602	G2_imp	GLOBAL	Gravity	3.3
1602	G1_dead	GLOBAL	Gravity	3.6
1604	G1_sol	GLOBAL	Z	-6.
1604	G2_imp	GLOBAL	Gravity	3.3
1604	G1_dead	GLOBAL	Gravity	3.6
1606	G1_sol	GLOBAL	Z	-6.
1606	G2_imp	GLOBAL	Gravity	3.3
1606	G1_dead	GLOBAL	Gravity	3.6
1607	G1_sol	GLOBAL	Z	-6.
1607	G2_imp	GLOBAL	Gravity	3.3
1607	G1_dead	GLOBAL	Gravity	3.6
1609	G1_sol	GLOBAL	Z	-6.
1609	G2_imp	GLOBAL	Gravity	3.3
1609	G1_dead	GLOBAL	Gravity	3.6
1611	G1_sol	GLOBAL	Z	-6.
1611	G2_imp	GLOBAL	Gravity	3.3
1611	G1_dead	GLOBAL	Gravity	3.6
1613	G1_sol	GLOBAL	Z	-6.
1613	G2_imp	GLOBAL	Gravity	3.3
1613	G1_dead	GLOBAL	Gravity	3.6
1615	G1_sol	GLOBAL	Z	-6.
1616	G1_sol	GLOBAL	Z	-6.
1617	G1_sol	GLOBAL	Z	-6.
1618	G1_sol	GLOBAL	Z	-6.
1619	G1_sol	GLOBAL	Z	-6.
1620	G1_sol	GLOBAL	Z	-6.
1621	G1_sol	GLOBAL	Z	-6.
1622	G1_sol	GLOBAL	Z	-6.
1623	G1_sol	GLOBAL	Z	-6.
1624	G1_sol	GLOBAL	Z	-6.
1625	G1_sol	GLOBAL	Z	-6.

Table: Area Loads - Uniform

Area	LoadPat	CoordSys	Dir	UnifLoad KN/m2
1626	G1_sol	GLOBAL	Z	-6.
1627	G1_sol	GLOBAL	Z	-6.
1628	G1_sol	GLOBAL	Z	-6.
1629	G1_sol	GLOBAL	Z	-6.
1630	G1_sol	GLOBAL	Z	-6.
1631	G1_sol	GLOBAL	Z	-6.
1632	G1_sol	GLOBAL	Z	-6.
1633	G1_sol	GLOBAL	Z	-6.
1634	G1_sol	GLOBAL	Z	-6.
1635	G1_sol	GLOBAL	Z	-6.
1636	G1_sol	GLOBAL	Z	-6.
1637	G1_sol	GLOBAL	Z	-6.
1638	G1_sol	GLOBAL	Z	-6.
1639	G1_sol	GLOBAL	Z	-6.
1640	G1_sol	GLOBAL	Z	-6.
1641	G1_sol	GLOBAL	Z	-6.
1642	G1_sol	GLOBAL	Z	-6.
1643	G1_sol	GLOBAL	Z	-6.
1644	G1_sol	GLOBAL	Z	-6.
1645	G1_sol	GLOBAL	Z	-6.
1646	G1_sol	GLOBAL	Z	-6.
1647	G1_sol	GLOBAL	Z	-6.
1648	G1_sol	GLOBAL	Z	-6.
1649	G1_sol	GLOBAL	Z	-6.
1650	G1_sol	GLOBAL	Z	-6.
1651	G1_sol	GLOBAL	Z	-6.
1652	G1_sol	GLOBAL	Z	-6.
1653	G1_sol	GLOBAL	Z	-6.
1654	G1_sol	GLOBAL	Z	-6.
1655	G1_sol	GLOBAL	Z	-6.
1656	G1_sol	GLOBAL	Z	-6.
1657	G1_sol	GLOBAL	Z	-6.
1658	G1_sol	GLOBAL	Z	-6.
1659	G1_sol	GLOBAL	Z	-6.
1660	G1_sol	GLOBAL	Z	-6.
1661	G1_sol	GLOBAL	Z	-6.
1662	G1_sol	GLOBAL	Z	-6.
1663	G1_sol	GLOBAL	Z	-6.
1664	G1_sol	GLOBAL	Z	-6.
1665	G1_sol	GLOBAL	Z	-6.
1666	G1_sol	GLOBAL	Z	-6.
1667	G1_sol	GLOBAL	Z	-6.
1668	G1_sol	GLOBAL	Z	-6.
1669	G1_sol	GLOBAL	Z	-6.
1670	G1_sol	GLOBAL	Z	-6.
1671	G1_sol	GLOBAL	Z	-6.
1672	G1_sol	GLOBAL	Z	-6.
1673	G1_sol	GLOBAL	Z	-6.
1674	G1_sol	GLOBAL	Z	-6.
1675	G1_sol	GLOBAL	Z	-6.
1676	G1_sol	GLOBAL	Z	-6.
1677	G1_sol	GLOBAL	Z	-6.
1678	G1_sol	GLOBAL	Z	-6.
1679	G1_sol	GLOBAL	Z	-6.

Table: Area Loads - Uniform

Area	LoadPat	CoordSys	Dir	UnifLoad KN/m2
1680	G1_sol	GLOBAL	Z	-6.
1681	G1_sol	GLOBAL	Z	-6.
1682	G1_sol	GLOBAL	Z	-6.
1683	G1_sol	GLOBAL	Z	-6.
1684	G1_sol	GLOBAL	Z	-6.
1685	G1_sol	GLOBAL	Z	-6.
1686	G1_sol	GLOBAL	Z	-6.
433	G2_terr	GLOBAL	Gravity	19.
434	G2_terr	GLOBAL	Gravity	19.
435	G2_terr	GLOBAL	Gravity	19.
436	G2_terr	GLOBAL	Gravity	19.
437	G2_terr	GLOBAL	Gravity	19.
438	G2_terr	GLOBAL	Gravity	19.
439	G2_terr	GLOBAL	Gravity	19.
440	G2_terr	GLOBAL	Gravity	19.
441	G2_terr	GLOBAL	Gravity	19.
442	G2_terr	GLOBAL	Gravity	19.
443	G2_terr	GLOBAL	Gravity	19.
444	G2_terr	GLOBAL	Gravity	19.
445	G2_terr	GLOBAL	Gravity	19.
446	G2_terr	GLOBAL	Gravity	19.
447	G2_terr	GLOBAL	Gravity	19.
448	G2_terr	GLOBAL	Gravity	19.
449	G2_terr	GLOBAL	Gravity	19.
450	G2_terr	GLOBAL	Gravity	19.
451	G2_terr	GLOBAL	Gravity	19.
452	G2_terr	GLOBAL	Gravity	19.
453	G2_terr	GLOBAL	Gravity	19.
454	G2_terr	GLOBAL	Gravity	19.
455	G2_terr	GLOBAL	Gravity	19.
456	G2_terr	GLOBAL	Gravity	19.
457	G2_terr	GLOBAL	Gravity	19.
459	G2_terr	GLOBAL	Gravity	19.
460	G2_terr	GLOBAL	Gravity	19.
461	G2_terr	GLOBAL	Gravity	19.
462	G2_terr	GLOBAL	Gravity	19.
463	G2_terr	GLOBAL	Gravity	19.
464	G2_terr	GLOBAL	Gravity	19.
465	G2_terr	GLOBAL	Gravity	19.
466	G2_terr	GLOBAL	Gravity	19.
467	G2_terr	GLOBAL	Gravity	19.
468	G2_terr	GLOBAL	Gravity	19.
469	G2_terr	GLOBAL	Gravity	19.
470	G2_terr	GLOBAL	Gravity	19.
475	G2_terr	GLOBAL	Gravity	19.
476	G2_terr	GLOBAL	Gravity	19.
479	G2_terr	GLOBAL	Gravity	19.
482	G2_terr	GLOBAL	Gravity	19.
483	G2_terr	GLOBAL	Gravity	19.
484	G2_terr	GLOBAL	Gravity	19.
485	G2_terr	GLOBAL	Gravity	19.
486	G2_terr	GLOBAL	Gravity	19.
488	G2_terr	GLOBAL	Gravity	19.
489	G2_terr	GLOBAL	Gravity	19.

Table: Area Loads - Uniform

Area	LoadPat	CoordSys	Dir	UnifLoad KN/m2
490	G2_terr	GLOBAL	Gravity	19.
492	G2_terr	GLOBAL	Gravity	19.
496	G2_terr	GLOBAL	Gravity	19.
497	G2_terr	GLOBAL	Gravity	19.
498	G2_terr	GLOBAL	Gravity	19.
499	G2_terr	GLOBAL	Gravity	19.
500	G2_terr	GLOBAL	Gravity	19.
501	G2_terr	GLOBAL	Gravity	19.
502	G2_terr	GLOBAL	Gravity	19.
503	G2_terr	GLOBAL	Gravity	19.
505	G2_terr	GLOBAL	Gravity	19.
506	G2_terr	GLOBAL	Gravity	19.
507	G2_terr	GLOBAL	Gravity	19.
508	G2_terr	GLOBAL	Gravity	19.
509	G2_terr	GLOBAL	Gravity	19.
510	G2_terr	GLOBAL	Gravity	19.
512	G2_terr	GLOBAL	Gravity	19.
1	G2_terr	GLOBAL	Gravity	19.
2	G2_terr	GLOBAL	Gravity	19.
4	G2_terr	GLOBAL	Gravity	19.
13	G2_terr	GLOBAL	Gravity	19.
14	G2_terr	GLOBAL	Gravity	19.
15	G2_terr	GLOBAL	Gravity	19.
16	G2_terr	GLOBAL	Gravity	19.
17	G2_terr	GLOBAL	Gravity	19.
33	G2_terr	GLOBAL	Gravity	19.
35	G2_terr	GLOBAL	Gravity	19.
37	G2_terr	GLOBAL	Gravity	19.
39	G2_terr	GLOBAL	Gravity	19.
41	G2_terr	GLOBAL	Gravity	19.
43	G2_terr	GLOBAL	Gravity	19.
48	G2_terr	GLOBAL	Gravity	19.
49	G2_terr	GLOBAL	Gravity	19.
50	G2_terr	GLOBAL	Gravity	19.
66	G2_terr	GLOBAL	Gravity	19.
67	G2_terr	GLOBAL	Gravity	19.
68	G2_terr	GLOBAL	Gravity	19.
69	G2_terr	GLOBAL	Gravity	19.
70	G2_terr	GLOBAL	Gravity	19.
71	G2_terr	GLOBAL	Gravity	19.
72	G2_terr	GLOBAL	Gravity	19.
74	G2_terr	GLOBAL	Gravity	19.
76	G2_terr	GLOBAL	Gravity	19.
78	G2_terr	GLOBAL	Gravity	19.
80	G2_terr	GLOBAL	Gravity	19.
82	G2_terr	GLOBAL	Gravity	19.
84	G2_terr	GLOBAL	Gravity	19.
85	G2_terr	GLOBAL	Gravity	19.
91	G2_terr	GLOBAL	Gravity	19.
92	G2_terr	GLOBAL	Gravity	19.
98	G2_terr	GLOBAL	Gravity	19.
99	G2_terr	GLOBAL	Gravity	19.
105	G2_terr	GLOBAL	Gravity	19.
106	G2_terr	GLOBAL	Gravity	19.

Table: Area Loads - Uniform

Area	LoadPat	CoordSys	Dir	UnifLoad KN/m2
112	G2_terr	GLOBAL	Gravity	19.
113	G2_terr	GLOBAL	Gravity	19.
119	G2_terr	GLOBAL	Gravity	19.
120	G2_terr	GLOBAL	Gravity	19.
126	G2_terr	GLOBAL	Gravity	19.
127	G2_terr	GLOBAL	Gravity	19.
133	G2_terr	GLOBAL	Gravity	19.
134	G2_terr	GLOBAL	Gravity	19.
140	G2_terr	GLOBAL	Gravity	19.
141	G2_terr	GLOBAL	Gravity	19.
142	G2_terr	GLOBAL	Gravity	19.
151	G2_terr	GLOBAL	Gravity	19.
158	G2_terr	GLOBAL	Gravity	19.
159	G2_terr	GLOBAL	Gravity	19.
160	G2_terr	GLOBAL	Gravity	19.
161	G2_terr	GLOBAL	Gravity	19.
162	G2_terr	GLOBAL	Gravity	19.
163	G2_terr	GLOBAL	Gravity	19.
164	G2_terr	GLOBAL	Gravity	19.
165	G2_terr	GLOBAL	Gravity	19.
166	G2_terr	GLOBAL	Gravity	19.
173	G2_terr	GLOBAL	Gravity	19.
174	G2_terr	GLOBAL	Gravity	19.
175	G2_terr	GLOBAL	Gravity	19.
176	G2_terr	GLOBAL	Gravity	19.
177	G2_terr	GLOBAL	Gravity	19.
178	G2_terr	GLOBAL	Gravity	19.
179	G2_terr	GLOBAL	Gravity	19.
180	G2_terr	GLOBAL	Gravity	19.
181	G2_terr	GLOBAL	Gravity	19.
182	G2_terr	GLOBAL	Gravity	19.
183	G2_terr	GLOBAL	Gravity	19.
184	G2_terr	GLOBAL	Gravity	19.
185	G2_terr	GLOBAL	Gravity	19.
186	G2_terr	GLOBAL	Gravity	19.
187	G2_terr	GLOBAL	Gravity	19.
188	G2_terr	GLOBAL	Gravity	19.
189	G2_terr	GLOBAL	Gravity	19.
190	G2_terr	GLOBAL	Gravity	19.
191	G2_terr	GLOBAL	Gravity	19.
192	G2_terr	GLOBAL	Gravity	19.
193	G2_terr	GLOBAL	Gravity	19.
194	G2_terr	GLOBAL	Gravity	19.
200	G2_terr	Local	3	-45.8
201	G2_terr	Local	3	-37.45
202	G2_terr	Local	3	-29.15
203	G2_terr	Local	3	-20.8
205	G2_terr	Local	3	-45.8
206	G2_terr	Local	3	-37.45
207	G2_terr	Local	3	-29.15
208	G2_terr	Local	3	-20.8
210	G2_terr	Local	3	-45.8
211	G2_terr	Local	3	-37.45
212	G2_terr	Local	3	-29.15

Table: Area Loads - Uniform

Area	LoadPat	CoordSys	Dir	UnifLoad KN/m2
213	G2_terr	Local	3	-20.8
215	G2_terr	Local	3	-45.8
216	G2_terr	Local	3	-37.45
217	G2_terr	Local	3	-29.15
218	G2_terr	Local	3	-20.8
221	G2_terr	Local	3	-45.8
222	G2_terr	Local	3	-37.45
223	G2_terr	Local	3	-29.15
224	G2_terr	Local	3	-20.8
229	G2_terr	Local	3	-45.8
230	G2_terr	Local	3	-37.45
231	G2_terr	Local	3	-29.15
232	G2_terr	Local	3	-20.8
234	G2_terr	Local	3	-45.8
235	G2_terr	Local	3	-37.45
236	G2_terr	Local	3	-29.15
237	G2_terr	Local	3	-20.8
239	G2_terr	Local	3	-45.8
240	G2_terr	Local	3	-37.45
241	G2_terr	Local	3	-29.15
242	G2_terr	Local	3	-20.8
245	G2_terr	Local	3	-45.8
246	G2_terr	Local	3	-37.45
247	G2_terr	Local	3	-29.15
248	G2_terr	Local	3	-20.8
251	G2_terr	Local	3	-45.8
252	G2_terr	Local	3	-37.45
253	G2_terr	Local	3	-29.15
256	G2_terr	Local	3	-45.8
257	G2_terr	Local	3	-37.45
258	G2_terr	Local	3	-29.15
261	G2_terr	Local	3	-45.8
262	G2_terr	Local	3	-37.45
263	G2_terr	Local	3	-29.15
266	G2_terr	Local	3	-45.8
267	G2_terr	Local	3	-37.45
268	G2_terr	Local	3	-29.15
271	G2_terr	Local	3	-45.8
380	G2_terr	Local	3	-37.45
381	G2_terr	Local	3	-29.15
384	G2_terr	Local	3	-45.8
385	G2_terr	Local	3	-37.45
386	G2_terr	Local	3	-29.15
389	G2_terr	Local	3	-45.8
390	G2_terr	Local	3	-37.45
391	G2_terr	Local	3	-29.15
397	G2_terr	Local	3	-20.8
398	G2_terr	Local	3	-20.8
399	G2_terr	Local	3	-20.8
400	G2_terr	Local	3	-20.8
401	G2_terr	Local	3	-20.8
402	G2_terr	Local	3	-20.8
403	G2_terr	Local	3	-20.8
407	G2_terr	Local	3	-45.8

Table: Area Loads - Uniform

Area	LoadPat	CoordSys	Dir	UnifLoad KN/m2
408	G2_terr	Local	3	-37.45
409	G2_terr	Local	3	-29.15
410	G2_terr	Local	3	-20.8
419	G2_terr	GLOBAL	Gravity	104.5
421	G2_terr	GLOBAL	Gravity	19.
422	G2_terr	GLOBAL	Gravity	19.
423	G2_terr	GLOBAL	Gravity	104.5
424	G2_terr	GLOBAL	Gravity	104.5
425	G2_terr	GLOBAL	Gravity	19.
426	G2_terr	GLOBAL	Gravity	19.
427	G2_terr	GLOBAL	Gravity	104.5
428	G2_terr	GLOBAL	Gravity	104.5
429	G2_terr	GLOBAL	Gravity	19.
430	G2_terr	GLOBAL	Gravity	19.
431	G2_terr	GLOBAL	Gravity	104.5
432	G2_terr	GLOBAL	Gravity	104.5
458	G2_terr	GLOBAL	Gravity	19.
471	G2_terr	GLOBAL	Gravity	19.
472	G2_terr	GLOBAL	Gravity	104.5
473	G2_terr	GLOBAL	Gravity	104.5
474	G2_terr	GLOBAL	Gravity	19.
477	G2_terr	GLOBAL	Gravity	19.
478	G2_terr	GLOBAL	Gravity	104.5
480	G2_terr	GLOBAL	Gravity	104.5
481	G2_terr	GLOBAL	Gravity	19.
487	G2_terr	GLOBAL	Gravity	19.
491	G2_terr	GLOBAL	Gravity	104.5
504	G2_terr	GLOBAL	Gravity	104.5
511	G2_terr	GLOBAL	Gravity	19.
513	G2_terr	GLOBAL	Gravity	19.
514	G2_terr	GLOBAL	Gravity	104.5
515	G2_terr	GLOBAL	Gravity	104.5
516	G2_terr	GLOBAL	Gravity	19.
517	G2_terr	GLOBAL	Gravity	19.
518	G2_terr	GLOBAL	Gravity	104.5
519	G2_terr	GLOBAL	Gravity	104.5
520	G2_terr	GLOBAL	Gravity	104.5
521	G2_terr	GLOBAL	Gravity	104.5
522	G2_terr	GLOBAL	Gravity	104.5
524	G2_terr	GLOBAL	Gravity	104.5
525	G2_terr	GLOBAL	Gravity	104.5
527	G2_terr	GLOBAL	Gravity	104.5
528	G2_terr	GLOBAL	Gravity	104.5
529	G2_terr	GLOBAL	Gravity	104.5
530	G2_terr	GLOBAL	Gravity	19.
531	G2_terr	GLOBAL	Gravity	19.
532	G2_terr	GLOBAL	Gravity	19.
533	G2_terr	GLOBAL	Gravity	19.
534	G2_terr	GLOBAL	Gravity	19.
535	G2_terr	GLOBAL	Gravity	19.
536	G2_terr	GLOBAL	Gravity	19.
537	G2_terr	GLOBAL	Gravity	19.
538	G2_terr	GLOBAL	Gravity	19.
539	G2_terr	GLOBAL	Gravity	19.

Table: Area Loads - Uniform

Area	LoadPat	CoordSys	Dir	UnifLoad KN/m2
540	G2_terr	GLOBAL	Gravity	19.
541	G2_terr	GLOBAL	Gravity	19.
542	G2_terr	GLOBAL	Gravity	104.5
543	G2_terr	GLOBAL	Gravity	104.5
544	G2_terr	GLOBAL	Gravity	19.
545	G2_terr	GLOBAL	Gravity	19.
546	G2_terr	GLOBAL	Gravity	104.5
547	G2_terr	GLOBAL	Gravity	104.5
548	G2_terr	GLOBAL	Gravity	19.
549	G2_terr	GLOBAL	Gravity	19.
577	G2_terr	GLOBAL	Gravity	19.
413	G2_terr	Local	3	-45.8
414	G2_terr	Local	3	-37.45
415	G2_terr	Local	3	-29.15
416	G2_terr	Local	3	-20.8
417	G2_terr	GLOBAL	Gravity	104.5
418	G2_terr	GLOBAL	Gravity	104.5
550	G2_terr	GLOBAL	Gravity	19.
551	G2_terr	GLOBAL	Gravity	19.
553	G2_terr	GLOBAL	Gravity	19.
554	G2_terr	GLOBAL	Gravity	19.
555	G2_terr	GLOBAL	Gravity	19.
556	G2_terr	GLOBAL	Gravity	19.
557	G2_terr	GLOBAL	Gravity	19.
558	G2_terr	GLOBAL	Gravity	19.
559	G2_terr	GLOBAL	Gravity	19.
560	G2_terr	GLOBAL	Gravity	104.5
561	G2_terr	GLOBAL	Gravity	104.5
562	G2_terr	GLOBAL	Gravity	104.5
563	G2_terr	GLOBAL	Gravity	104.5
564	G2_terr	GLOBAL	Gravity	19.
566	G2_terr	GLOBAL	Gravity	19.
567	G2_terr	GLOBAL	Gravity	19.
568	G2_terr	GLOBAL	Gravity	19.
569	G2_terr	GLOBAL	Gravity	104.5
570	G2_terr	GLOBAL	Gravity	104.5
571	G2_terr	GLOBAL	Gravity	104.5
573	G2_terr	GLOBAL	Gravity	104.5
576	G2_terr	GLOBAL	Gravity	104.5
578	G2_terr	GLOBAL	Gravity	19.
580	G2_terr	GLOBAL	Gravity	19.
581	G2_terr	GLOBAL	Gravity	19.
583	G2_terr	GLOBAL	Gravity	19.
592	G2_terr	GLOBAL	Gravity	104.5
593	G2_terr	GLOBAL	Gravity	104.5
594	G2_terr	GLOBAL	Gravity	104.5
595	G2_terr	GLOBAL	Gravity	104.5
596	G2_terr	GLOBAL	Gravity	19.
597	G2_terr	GLOBAL	Gravity	19.
598	G2_terr	GLOBAL	Gravity	19.
599	G2_terr	GLOBAL	Gravity	19.
612	G2_terr	Local	3	-45.8
613	G2_terr	Local	3	-45.8
614	G2_terr	Local	3	-45.8

Table: Area Loads - Uniform

Area	LoadPat	CoordSys	Dir	UnifLoad KN/m2
615	G2_terr	Local	3	-45.8
616	G2_terr	Local	3	-45.8
617	G2_terr	Local	3	-45.8
618	G2_terr	Local	3	-37.45
619	G2_terr	Local	3	-37.45
620	G2_terr	Local	3	-37.45
621	G2_terr	Local	3	-37.45
622	G2_terr	Local	3	-37.45
623	G2_terr	Local	3	-37.45
624	G2_terr	Local	3	-29.15
625	G2_terr	Local	3	-29.15
626	G2_terr	Local	3	-29.15
627	G2_terr	Local	3	-29.15
628	G2_terr	Local	3	-29.15
629	G2_terr	Local	3	-29.15
630	G2_terr	Local	3	-20.8
631	G2_terr	Local	3	-20.8
632	G2_terr	Local	3	-20.8
633	G2_terr	Local	3	-20.8
634	G2_terr	Local	3	-20.8
635	G2_terr	Local	3	-20.8
636	G2_terr	GLOBAL	Gravity	19.
637	G2_terr	GLOBAL	Gravity	19.
641	G2_terr	GLOBAL	Gravity	104.5
643	G2_terr	GLOBAL	Gravity	104.5
645	G2_terr	GLOBAL	Gravity	19.
647	G2_terr	GLOBAL	Gravity	19.
649	G2_terr	GLOBAL	Gravity	104.5
651	G2_terr	GLOBAL	Gravity	104.5
664	G2_terr	Local	3	-45.8
665	G2_terr	Local	3	-45.8
666	G2_terr	Local	3	-45.8
667	G2_terr	Local	3	-45.8
670	G2_terr	Local	3	-37.45
671	G2_terr	Local	3	-37.45
672	G2_terr	Local	3	-37.45
673	G2_terr	Local	3	-37.45
676	G2_terr	Local	3	-29.15
677	G2_terr	Local	3	-29.15
678	G2_terr	Local	3	-29.15
679	G2_terr	Local	3	-29.15
682	G2_terr	Local	3	-20.8
683	G2_terr	Local	3	-20.8
684	G2_terr	Local	3	-20.8
685	G2_terr	Local	3	-20.8
688	G2_terr	GLOBAL	Gravity	104.5
689	G2_terr	GLOBAL	Gravity	104.5
690	G2_terr	GLOBAL	Gravity	104.5
691	G2_terr	GLOBAL	Gravity	19.
692	G2_terr	GLOBAL	Gravity	19.
693	G2_terr	GLOBAL	Gravity	104.5
694	G2_terr	GLOBAL	Gravity	104.5
695	G2_terr	GLOBAL	Gravity	104.5
696	G2_terr	GLOBAL	Gravity	19.

Table: Area Loads - Uniform

Area	LoadPat	CoordSys	Dir	UnifLoad KN/m2
697	G2_terr	GLOBAL	Gravity	19.
698	G2_terr	GLOBAL	Gravity	19.
699	G2_terr	GLOBAL	Gravity	19.
700	G2_terr	GLOBAL	Gravity	19.
701	G2_terr	GLOBAL	Gravity	19.
1930	G2_terr	Local	3	-45.8
1931	G2_terr	Local	3	-37.45
1932	G2_terr	Local	3	-29.15
1933	G2_terr	Local	3	-20.8
1935	G2_terr	Local	3	-45.8
1936	G2_terr	Local	3	-37.45
1937	G2_terr	Local	3	-29.15
1938	G2_terr	Local	3	-20.8
1940	G2_terr	Local	3	-45.8
1941	G2_terr	Local	3	-37.45
1942	G2_terr	Local	3	-29.15
1943	G2_terr	Local	3	-20.8
1945	G2_terr	Local	3	-45.8
1946	G2_terr	Local	3	-37.45
1947	G2_terr	Local	3	-29.15
1948	G2_terr	Local	3	-20.8
1951	G2_terr	Local	3	-45.8
1952	G2_terr	Local	3	-37.45
1953	G2_terr	Local	3	-29.15
1954	G2_terr	Local	3	-20.8
1959	G2_terr	Local	3	-45.8
1960	G2_terr	Local	3	-37.45
1961	G2_terr	Local	3	-29.15
1962	G2_terr	Local	3	-20.8
1964	G2_terr	Local	3	-45.8
1965	G2_terr	Local	3	-37.45
1966	G2_terr	Local	3	-29.15
1967	G2_terr	Local	3	-20.8
1969	G2_terr	Local	3	-45.8
1970	G2_terr	Local	3	-37.45
1971	G2_terr	Local	3	-29.15
1972	G2_terr	Local	3	-20.8
1975	G2_terr	Local	3	-45.8
1976	G2_terr	Local	3	-37.45
1977	G2_terr	Local	3	-29.15
1978	G2_terr	Local	3	-20.8
1981	G2_terr	Local	3	-45.8
1982	G2_terr	Local	3	-37.45
1983	G2_terr	Local	3	-29.15
1986	G2_terr	Local	3	-45.8
1987	G2_terr	Local	3	-37.45
1988	G2_terr	Local	3	-29.15
1991	G2_terr	Local	3	-45.8
1992	G2_terr	Local	3	-37.45
1993	G2_terr	Local	3	-29.15
1996	G2_terr	Local	3	-45.8
1997	G2_terr	Local	3	-37.45
1998	G2_terr	Local	3	-29.15
2001	G2_terr	Local	3	-45.8

Table: Area Loads - Uniform

Area	LoadPat	CoordSys	Dir	UnifLoad KN/m2
2002	G2_terr	Local	3	-37.45
2003	G2_terr	Local	3	-29.15
2006	G2_terr	Local	3	-45.8
2007	G2_terr	Local	3	-37.45
2008	G2_terr	Local	3	-29.15
2011	G2_terr	Local	3	-45.8
2012	G2_terr	Local	3	-37.45
2013	G2_terr	Local	3	-29.15
2014	G2_terr	Local	3	-20.8
2015	G2_terr	Local	3	-20.8
2016	G2_terr	Local	3	-20.8
2017	G2_terr	Local	3	-20.8
2018	G2_terr	Local	3	-20.8
2019	G2_terr	Local	3	-20.8
2020	G2_terr	Local	3	-20.8
2023	G2_terr	Local	3	-45.8
2024	G2_terr	Local	3	-37.45
2025	G2_terr	Local	3	-29.15
2026	G2_terr	Local	3	-20.8
2027	G2_terr	GLOBAL	Gravity	104.5
2028	G2_terr	GLOBAL	Gravity	19.
2029	G2_terr	GLOBAL	Gravity	19.
2030	G2_terr	GLOBAL	Gravity	104.5
2031	G2_terr	GLOBAL	Gravity	104.5
2032	G2_terr	GLOBAL	Gravity	19.
2033	G2_terr	GLOBAL	Gravity	19.
2034	G2_terr	GLOBAL	Gravity	104.5
2035	G2_terr	GLOBAL	Gravity	104.5
2036	G2_terr	GLOBAL	Gravity	19.
2037	G2_terr	GLOBAL	Gravity	19.
2038	G2_terr	GLOBAL	Gravity	104.5
2039	G2_terr	GLOBAL	Gravity	104.5
2040	G2_terr	GLOBAL	Gravity	19.
2041	G2_terr	GLOBAL	Gravity	19.
2042	G2_terr	GLOBAL	Gravity	104.5
2043	G2_terr	GLOBAL	Gravity	104.5
2044	G2_terr	GLOBAL	Gravity	19.
2045	G2_terr	GLOBAL	Gravity	19.
2046	G2_terr	GLOBAL	Gravity	104.5
2047	G2_terr	GLOBAL	Gravity	104.5
2048	G2_terr	GLOBAL	Gravity	19.
2049	G2_terr	GLOBAL	Gravity	19.
2050	G2_terr	GLOBAL	Gravity	104.5
2051	G2_terr	GLOBAL	Gravity	104.5
2052	G2_terr	GLOBAL	Gravity	19.
2053	G2_terr	GLOBAL	Gravity	19.
2054	G2_terr	GLOBAL	Gravity	104.5
2055	G2_terr	GLOBAL	Gravity	104.5
2056	G2_terr	GLOBAL	Gravity	19.
2057	G2_terr	GLOBAL	Gravity	19.
2058	G2_terr	GLOBAL	Gravity	104.5
2059	G2_terr	GLOBAL	Gravity	104.5
2060	G2_terr	GLOBAL	Gravity	104.5
2061	G2_terr	GLOBAL	Gravity	104.5

Table: Area Loads - Uniform

Area	LoadPat	CoordSys	Dir	UnifLoad KN/m2
2062	G2_terr	GLOBAL	Gravity	104.5
2063	G2_terr	GLOBAL	Gravity	104.5
2064	G2_terr	GLOBAL	Gravity	104.5
2065	G2_terr	GLOBAL	Gravity	104.5
2066	G2_terr	GLOBAL	Gravity	104.5
2067	G2_terr	GLOBAL	Gravity	104.5
2068	G2_terr	GLOBAL	Gravity	19.
2069	G2_terr	GLOBAL	Gravity	19.
2070	G2_terr	GLOBAL	Gravity	19.
2071	G2_terr	GLOBAL	Gravity	19.
2072	G2_terr	GLOBAL	Gravity	19.
2073	G2_terr	GLOBAL	Gravity	19.
2074	G2_terr	GLOBAL	Gravity	19.
2075	G2_terr	GLOBAL	Gravity	19.
2076	G2_terr	GLOBAL	Gravity	19.
2077	G2_terr	GLOBAL	Gravity	19.
2078	G2_terr	GLOBAL	Gravity	19.
2079	G2_terr	GLOBAL	Gravity	19.
2080	G2_terr	GLOBAL	Gravity	104.5
2081	G2_terr	GLOBAL	Gravity	104.5
2082	G2_terr	GLOBAL	Gravity	19.
2083	G2_terr	GLOBAL	Gravity	19.
2084	G2_terr	GLOBAL	Gravity	104.5
2085	G2_terr	GLOBAL	Gravity	104.5
2086	G2_terr	GLOBAL	Gravity	19.
2087	G2_terr	GLOBAL	Gravity	19.
2088	G2_terr	GLOBAL	Gravity	19.
2091	G2_terr	Local	3	-45.8
2092	G2_terr	Local	3	-37.45
2093	G2_terr	Local	3	-29.15
2094	G2_terr	Local	3	-20.8
2095	G2_terr	GLOBAL	Gravity	104.5
2096	G2_terr	GLOBAL	Gravity	104.5
2097	G2_terr	GLOBAL	Gravity	19.
2098	G2_terr	GLOBAL	Gravity	19.
2099	G2_terr	GLOBAL	Gravity	19.
2100	G2_terr	GLOBAL	Gravity	19.
2101	G2_terr	GLOBAL	Gravity	19.
2102	G2_terr	GLOBAL	Gravity	19.
2103	G2_terr	GLOBAL	Gravity	19.
2104	G2_terr	GLOBAL	Gravity	19.
2105	G2_terr	GLOBAL	Gravity	19.
2106	G2_terr	GLOBAL	Gravity	104.5
2107	G2_terr	GLOBAL	Gravity	104.5
2108	G2_terr	GLOBAL	Gravity	104.5
2109	G2_terr	GLOBAL	Gravity	104.5
2111	G2_terr	GLOBAL	Gravity	19.
2113	G2_terr	GLOBAL	Gravity	19.
2114	G2_terr	GLOBAL	Gravity	104.5
2115	G2_terr	GLOBAL	Gravity	104.5
2116	G2_terr	GLOBAL	Gravity	104.5
2117	G2_terr	GLOBAL	Gravity	104.5
2118	G2_terr	GLOBAL	Gravity	104.5
2121	G2_terr	GLOBAL	Gravity	19.

Table: Area Loads - Uniform

Area	LoadPat	CoordSys	Dir	UnifLoad KN/m2
2122	G2_terr	GLOBAL	Gravity	19.
2123	G2_terr	GLOBAL	Gravity	104.5
2124	G2_terr	GLOBAL	Gravity	104.5
2125	G2_terr	GLOBAL	Gravity	104.5
2126	G2_terr	GLOBAL	Gravity	104.5
2129	G2_terr	GLOBAL	Gravity	19.
2130	G2_terr	GLOBAL	Gravity	19.
2143	G2_terr	Local	3	-45.8
2144	G2_terr	Local	3	-45.8
2145	G2_terr	Local	3	-45.8
2146	G2_terr	Local	3	-45.8
2147	G2_terr	Local	3	-45.8
2148	G2_terr	Local	3	-45.8
2149	G2_terr	Local	3	-37.45
2150	G2_terr	Local	3	-37.45
2151	G2_terr	Local	3	-37.45
2152	G2_terr	Local	3	-37.45
2153	G2_terr	Local	3	-37.45
2154	G2_terr	Local	3	-37.45
2155	G2_terr	Local	3	-29.15
2156	G2_terr	Local	3	-29.15
2157	G2_terr	Local	3	-29.15
2158	G2_terr	Local	3	-29.15
2159	G2_terr	Local	3	-29.15
2160	G2_terr	Local	3	-29.15
2161	G2_terr	Local	3	-20.8
2162	G2_terr	Local	3	-20.8
2163	G2_terr	Local	3	-20.8
2164	G2_terr	Local	3	-20.8
2165	G2_terr	Local	3	-20.8
2166	G2_terr	Local	3	-20.8
2167	G2_terr	GLOBAL	Gravity	19.
2168	G2_terr	GLOBAL	Gravity	19.
2169	G2_terr	GLOBAL	Gravity	104.5
2170	G2_terr	GLOBAL	Gravity	104.5
2171	G2_terr	GLOBAL	Gravity	19.
2172	G2_terr	GLOBAL	Gravity	19.
2173	G2_terr	GLOBAL	Gravity	104.5
2174	G2_terr	GLOBAL	Gravity	104.5
2183	G2_terr	Local	3	-45.8
2184	G2_terr	Local	3	-45.8
2185	G2_terr	Local	3	-45.8
2186	G2_terr	Local	3	-45.8
2187	G2_terr	Local	3	-37.45
2188	G2_terr	Local	3	-37.45
2189	G2_terr	Local	3	-37.45
2190	G2_terr	Local	3	-37.45
2191	G2_terr	Local	3	-29.15
2192	G2_terr	Local	3	-29.15
2193	G2_terr	Local	3	-29.15
2194	G2_terr	Local	3	-29.15
2195	G2_terr	Local	3	-20.8
2196	G2_terr	Local	3	-20.8
2197	G2_terr	Local	3	-20.8

Table: Area Loads - Uniform

Area	LoadPat	CoordSys	Dir	UnifLoad KN/m2
2198	G2_terr	Local	3	-20.8
2199	G2_terr	GLOBAL	Gravity	104.5
2200	G2_terr	GLOBAL	Gravity	104.5
2201	G2_terr	GLOBAL	Gravity	104.5
2202	G2_terr	GLOBAL	Gravity	19.
2203	G2_terr	GLOBAL	Gravity	19.
2204	G2_terr	GLOBAL	Gravity	104.5
2205	G2_terr	GLOBAL	Gravity	104.5
2206	G2_terr	GLOBAL	Gravity	104.5
2207	G2_terr	GLOBAL	Gravity	19.
2208	G2_terr	GLOBAL	Gravity	19.
2209	G2_terr	GLOBAL	Gravity	19.
2210	G2_terr	GLOBAL	Gravity	19.
2211	G2_terr	GLOBAL	Gravity	19.
2212	G2_terr	GLOBAL	Gravity	19.

Table: Area Local Axes Assignments 1 - Typical

Table: Area Local Axes Assignments 1 - Typical

Area	Angle Degrees	AdvanceAx es
2027	180.	No
2028	180.	No
2029	180.	No
2030	180.	No
2031	180.	No
2032	180.	No
2033	180.	No
2034	180.	No
2035	180.	No
2036	180.	No
2037	180.	No
2038	180.	No
2039	180.	No
2040	180.	No
2041	180.	No
2042	180.	No
2043	180.	No
2044	180.	No
2045	180.	No
2046	180.	No
2047	180.	No
2048	180.	No
2049	180.	No
2050	180.	No
2051	180.	No
2052	180.	No
2053	180.	No
2054	180.	No
2055	180.	No
2056	180.	No
2057	180.	No
2058	180.	No

Table: Area Local Axes Assignments 1 - Typical

Area	Angle	AdvanceAx es
	Degrees	
2059	180.	No
2060	180.	No
2061	180.	No
2062	180.	No
2063	180.	No
2064	180.	No
2065	180.	No
2066	180.	No
2067	180.	No
2068	180.	No
2069	180.	No
2070	180.	No
2071	180.	No
2072	180.	No
2073	180.	No
2074	180.	No
2075	180.	No
2076	180.	No
2077	180.	No
2078	180.	No
2079	180.	No
2080	180.	No
2081	180.	No
2082	180.	No
2083	180.	No
2084	180.	No
2085	180.	No
2086	180.	No
2087	180.	No
2088	180.	No
2095	180.	No
2096	180.	No
2097	180.	No
2098	180.	No
2099	180.	No
2100	180.	No
2101	180.	No
2102	180.	No
2103	180.	No
2104	180.	No
2105	180.	No
2106	180.	No
2107	180.	No
2108	180.	No
2109	180.	No
2110	180.	No
2111	180.	No
2112	180.	No
2113	180.	No
2114	180.	No
2115	180.	No
2116	180.	No
2117	180.	No

Table: Area Local Axes Assignments 1 - Typical

Area	Angle	AdvanceAxes
	Degrees	
2118	180.	No
2119	180.	No
2120	180.	No
2121	180.	No
2122	180.	No
2123	180.	No
2124	180.	No
2125	180.	No
2126	180.	No
2127	180.	No
2128	180.	No
2129	180.	No
2130	180.	No
2167	180.	No
2168	180.	No
2169	180.	No
2170	180.	No
2171	180.	No
2172	180.	No
2173	180.	No
2174	180.	No
2202	180.	No
2203	180.	No
2204	180.	No
2205	180.	No
2206	180.	No
2207	180.	No
2208	180.	No
2209	180.	No
2210	180.	No
2211	180.	No
2212	180.	No

Table: Area Section Assignments

Table: Area Section Assignments

Area	Section	MatProp
1	H120	Default
2	H120	Default
3	Sp140	Default
4	H120	Default
5	Sp100	Default
6	Sp100	Default
7	Sp100	Default
8	Sp140	Default
9	Sp140	Default
10	Sp140	Default
11	Sp140	Default
12	sp190	Default
13	H120	Default
14	H120	Default
15	H120	Default

Table: Area Section Assignments

Area	Section	MatProp
16	H120	Default
17	H120	Default
18	Sp100	Default
19	Sp100	Default
20	Sp100	Default
21	Sp100	Default
22	sp190	Default
23	Sp100	Default
24	Sp100	Default
25	Sp100	Default
26	Sp100	Default
27	sp190	Default
28	Sp100	Default
29	Sp100	Default
30	Sp100	Default
31	Sp100	Default
32	sp190	Default
33	H120	Default
34	Sp100	Default
35	H120	Default
36	Sp100	Default
37	H120	Default
38	Sp100	Default
39	H120	Default
40	Sp100	Default
41	H120	Default
42	Sp100	Default
43	H120	Default
44	sp190	Default
45	Sp140	Default
46	Sp100	Default
47	Sp100	Default
48	H120	Default
49	H120	Default
50	H120	Default
51	Sp140	Default
52	Sp140	Default
53	Sp140	Default
54	Sp140	Default
55	sp190	Default
56	Sp100	Default
57	Sp100	Default
58	Sp100	Default
59	Sp100	Default
60	sp190	Default
61	Sp100	Default
62	Sp100	Default
63	Sp100	Default
64	Sp100	Default
65	sp190	Default
66	H120	Default
67	H120	Default
68	H120	Default
69	H120	Default

Table: Area Section Assignments

Area	Section	MatProp
70	H120	Default
71	H120	Default
72	H120	Default
73	Sp100	Default
74	H120	Default
75	Sp100	Default
76	H120	Default
77	Sp100	Default
78	H120	Default
79	Sp100	Default
80	H120	Default
81	Sp100	Default
82	H120	Default
83	sp190	Default
84	H120	Default
85	H120	Default
86	Sp100	Default
87	Sp100	Default
88	Sp100	Default
89	Sp100	Default
90	Sp100	Default
91	H120	Default
92	H120	Default
93	Sp100	Default
94	Sp100	Default
95	Sp100	Default
96	Sp100	Default
97	Sp100	Default
98	H120	Default
99	H120	Default
100	Sp100	Default
101	Sp100	Default
102	Sp100	Default
103	Sp100	Default
104	Sp100	Default
105	H120	Default
106	H120	Default
107	Sp100	Default
108	Sp100	Default
109	Sp100	Default
110	Sp100	Default
111	Sp100	Default
112	H120	Default
113	H120	Default
114	Sp100	Default
115	Sp100	Default
116	Sp100	Default
117	Sp100	Default
118	Sp100	Default
119	H120	Default
120	H120	Default
121	Sp100	Default
122	Sp100	Default
123	Sp100	Default

Table: Area Section Assignments

Area	Section	MatProp
124	Sp100	Default
125	Sp100	Default
126	H120	Default
127	H120	Default
128	Sp140	Default
129	Sp140	Default
130	Sp140	Default
131	Sp140	Default
132	Sp140	Default
133	H120	Default
134	H120	Default
135	Sp140	Default
136	Sp140	Default
137	Sp140	Default
138	Sp140	Default
139	Sp140	Default
140	H120	Default
141	H120	Default
142	H120	Default
143	sp190	Default
144	sp190	Default
145	sp190	Default
146	sp190	Default
147	sp190	Default
148	sp190	Default
149	sp190	Default
150	sp190	Default
151	H120	Default
152	Sp100	Default
153	Sp100	Default
154	Sp100	Default
155	Sp100	Default
156	Sp100	Default
157	sp190	Default
158	H120	Default
159	H120	Default
160	H120	Default
161	H120	Default
162	H120	Default
163	H120	Default
164	H120	Default
165	H120	Default
166	H120	Default
167	Sol_Sp24	Default
168	Sol_Sp24	Default
169	Sol_Sp24	Default
170	Sol_Sp24	Default
171	Sol_Sp24	Default
172	Sol_Sp24	Default
173	H120	Default
174	H120	Default
175	H120	Default
176	H120	Default
177	H120	Default

Table: Area Section Assignments

Area	Section	MatProp
178	H120	Default
179	H120	Default
180	H120	Default
181	H120	Default
182	H120	Default
183	H120	Default
184	H120	Default
185	H120	Default
186	H120	Default
187	H120	Default
188	H120	Default
189	H120	Default
190	H120	Default
191	H120	Default
192	H120	Default
193	H120	Default
194	H120	Default
200	Sp100	Default
201	Sp100	Default
202	Sp100	Default
203	Sp100	Default
205	Sp100	Default
206	Sp100	Default
207	Sp100	Default
208	Sp100	Default
210	Sp100	Default
211	Sp100	Default
212	Sp100	Default
213	Sp100	Default
215	Sp100	Default
216	Sp100	Default
217	Sp100	Default
218	Sp100	Default
221	Sp100	Default
222	Sp100	Default
223	Sp100	Default
224	Sp100	Default
229	Sp100	Default
230	Sp100	Default
231	Sp100	Default
232	Sp100	Default
234	Sp100	Default
235	Sp100	Default
236	Sp100	Default
237	Sp100	Default
239	Sp100	Default
240	Sp100	Default
241	Sp100	Default
242	Sp100	Default
245	Sp100	Default
246	Sp100	Default
247	Sp100	Default
248	Sp100	Default
251	Sp100	Default

Table: Area Section Assignments

Area	Section	MatProp
252	Sp100	Default
253	Sp100	Default
256	Sp100	Default
257	Sp100	Default
258	Sp100	Default
261	Sp100	Default
262	Sp100	Default
263	Sp100	Default
266	Sp100	Default
267	Sp100	Default
268	Sp100	Default
271	Sp100	Default
272	Sp140	Default
273	Sp100	Default
274	Sp100	Default
275	Sp100	Default
276	Sp140	Default
277	Sp140	Default
278	Sp140	Default
279	Sp140	Default
280	sp190	Default
281	Sp100	Default
282	Sp100	Default
283	Sp100	Default
284	Sp100	Default
285	sp190	Default
286	Sp100	Default
287	Sp100	Default
288	Sp100	Default
289	Sp100	Default
290	sp190	Default
291	Sp100	Default
292	Sp100	Default
293	Sp100	Default
294	Sp100	Default
295	sp190	Default
296	Sp100	Default
297	Sp100	Default
298	Sp100	Default
299	Sp100	Default
300	Sp100	Default
301	sp190	Default
302	Sp140	Default
303	Sp100	Default
304	Sp100	Default
305	Sp140	Default
306	Sp140	Default
307	Sp140	Default
308	Sp140	Default
309	sp190	Default
310	Sp100	Default
311	Sp100	Default
312	Sp100	Default
313	Sp100	Default

Table: Area Section Assignments

Area	Section	MatProp
314	sp190	Default
315	Sp100	Default
316	Sp100	Default
317	Sp100	Default
318	Sp100	Default
319	sp190	Default
320	Sp100	Default
321	Sp100	Default
322	Sp100	Default
323	Sp100	Default
324	Sp100	Default
325	sp190	Default
326	Sp100	Default
327	Sp100	Default
328	Sp100	Default
329	Sp100	Default
330	Sp100	Default
331	Sp100	Default
332	Sp100	Default
333	Sp100	Default
334	Sp100	Default
335	Sp100	Default
336	Sp100	Default
337	Sp100	Default
338	Sp100	Default
339	Sp100	Default
340	Sp100	Default
341	Sp100	Default
342	Sp100	Default
343	Sp100	Default
344	Sp100	Default
345	Sp100	Default
346	Sp100	Default
347	Sp100	Default
348	Sp100	Default
349	Sp100	Default
350	Sp100	Default
351	Sp100	Default
352	Sp100	Default
353	Sp100	Default
354	Sp100	Default
355	Sp100	Default
356	Sp140	Default
357	Sp140	Default
358	Sp140	Default
359	Sp140	Default
360	Sp140	Default
361	Sp140	Default
362	Sp140	Default
363	Sp140	Default
364	Sp140	Default
365	Sp140	Default
366	sp190	Default
367	sp190	Default

Table: Area Section Assignments

Area	Section	MatProp
368	sp190	Default
369	sp190	Default
370	sp190	Default
371	sp190	Default
372	sp190	Default
373	sp190	Default
374	Sp100	Default
375	Sp100	Default
376	Sp100	Default
377	Sp100	Default
378	Sp100	Default
379	sp190	Default
380	Sp100	Default
381	Sp100	Default
384	Sp100	Default
385	Sp100	Default
386	Sp100	Default
389	Sp100	Default
390	Sp100	Default
391	Sp100	Default
397	Sp100	Default
398	Sp100	Default
399	Sp100	Default
400	Sp100	Default
401	Sp100	Default
402	Sp100	Default
403	Sp100	Default
407	Sp100	Default
408	Sp100	Default
409	Sp100	Default
410	Sp100	Default
413	Sp100	Default
414	Sp100	Default
415	Sp100	Default
416	Sp100	Default
417	H120	Default
418	H120	Default
419	H120	Default
421	H120	Default
422	H120	Default
423	H120	Default
424	H120	Default
425	H120	Default
426	H120	Default
427	H120	Default
428	H120	Default
429	H120	Default
430	H120	Default
431	H120	Default
432	H120	Default
433	H120	Default
434	H120	Default
435	H120	Default
436	H120	Default

Table: Area Section Assignments

Area	Section	MatProp
437	H120	Default
438	H120	Default
439	H120	Default
440	H120	Default
441	H120	Default
442	H120	Default
443	H120	Default
444	H120	Default
445	H120	Default
446	H120	Default
447	H120	Default
448	H120	Default
449	H120	Default
450	H120	Default
451	H120	Default
452	H120	Default
453	H120	Default
454	H120	Default
455	H120	Default
456	H120	Default
457	H120	Default
458	H120	Default
459	H120	Default
460	H120	Default
461	H120	Default
462	H120	Default
463	H120	Default
464	H120	Default
465	H120	Default
466	H120	Default
467	H120	Default
468	H120	Default
469	H120	Default
470	H120	Default
471	H120	Default
472	H120	Default
473	H120	Default
474	H120	Default
475	H120	Default
476	H120	Default
477	H120	Default
478	H120	Default
479	H120	Default
480	H120	Default
481	H120	Default
482	H120	Default
483	H120	Default
484	H120	Default
485	H120	Default
486	H120	Default
487	H120	Default
488	H120	Default
489	H120	Default
490	H120	Default

Table: Area Section Assignments

Area	Section	MatProp
491	H120	Default
492	H120	Default
493	Sol_Sp24	Default
494	Sol_Sp24	Default
495	Sol_Sp24	Default
496	H120	Default
497	H120	Default
498	H120	Default
499	H120	Default
500	H120	Default
501	H120	Default
502	H120	Default
503	H120	Default
504	H120	Default
505	H120	Default
506	H120	Default
507	H120	Default
508	H120	Default
509	H120	Default
510	H120	Default
511	H120	Default
512	H120	Default
513	H120	Default
514	H120	Default
515	H120	Default
516	H120	Default
517	H120	Default
518	H120	Default
519	H120	Default
520	H120	Default
521	H120	Default
522	H120	Default
524	H120	Default
525	H120	Default
527	H120	Default
528	H120	Default
529	H120	Default
530	H120	Default
531	H120	Default
532	H120	Default
533	H120	Default
534	H120	Default
535	H120	Default
536	H120	Default
537	H120	Default
538	H120	Default
539	H120	Default
540	H120	Default
541	H120	Default
542	H120	Default
543	H120	Default
544	H120	Default
545	H120	Default
546	H120	Default

Table: Area Section Assignments

Area	Section	MatProp
547	H120	Default
548	H120	Default
549	H120	Default
550	H120	Default
551	H120	Default
553	H120	Default
554	H120	Default
555	H120	Default
556	H120	Default
557	H120	Default
558	H120	Default
559	H120	Default
560	H120	Default
561	H120	Default
562	H120	Default
563	H120	Default
564	H120	Default
566	H120	Default
567	H120	Default
568	H120	Default
569	H120	Default
570	H120	Default
571	H120	Default
573	H120	Default
576	H120	Default
577	H120	Default
578	H120	Default
580	H120	Default
581	H120	Default
583	H120	Default
592	H120	Default
593	H120	Default
594	H120	Default
595	H120	Default
596	H120	Default
597	H120	Default
598	H120	Default
599	H120	Default
612	Sp100	Default
613	Sp100	Default
614	Sp100	Default
615	Sp100	Default
616	Sp100	Default
617	Sp100	Default
618	Sp100	Default
619	Sp100	Default
620	Sp100	Default
621	Sp100	Default
622	Sp100	Default
623	Sp100	Default
624	Sp100	Default
625	Sp100	Default
626	Sp100	Default
627	Sp100	Default

Table: Area Section Assignments

Area	Section	MatProp
628	Sp100	Default
629	Sp100	Default
630	Sp100	Default
631	Sp100	Default
632	Sp100	Default
633	Sp100	Default
634	Sp100	Default
635	Sp100	Default
636	H120	Default
637	H120	Default
641	H120	Default
643	H120	Default
645	H120	Default
647	H120	Default
649	H120	Default
651	H120	Default
664	Sp100	Default
665	Sp100	Default
666	Sp100	Default
667	Sp100	Default
670	Sp100	Default
671	Sp100	Default
672	Sp100	Default
673	Sp100	Default
676	Sp100	Default
677	Sp100	Default
678	Sp100	Default
679	Sp100	Default
682	Sp100	Default
683	Sp100	Default
684	Sp100	Default
685	Sp100	Default
688	H120	Default
689	H120	Default
690	H120	Default
691	H120	Default
692	H120	Default
693	H120	Default
694	H120	Default
695	H120	Default
696	H120	Default
697	H120	Default
698	H120	Default
699	H120	Default
700	H120	Default
701	H120	Default
1271	Sol_Sp24	Default
1279	Sol_Sp24	Default
1280	Sol_Sp24	Default
1286	Sol_Sp24	Default
1287	Sol_Sp24	Default
1288	Sol_Sp24	Default
1289	Sol_Sp24	Default
1290	Sol_Sp24	Default

Table: Area Section Assignments

Area	Section	MatProp
1291	Sol_Sp24	Default
1293	Sol_Sp24	Default
1294	Sol_Sp24	Default
1295	Sol_Sp24	Default
1296	Sol_Sp24	Default
1297	Sol_Sp24	Default
1298	Sol_Sp24	Default
1300	Sol_Sp24	Default
1301	Sol_Sp24	Default
1302	Sol_Sp24	Default
1303	Sol_Sp24	Default
1304	Sol_Sp24	Default
1305	Sol_Sp24	Default
1307	Sol_Sp24	Default
1308	Sol_Sp24	Default
1309	Sol_Sp24	Default
1310	Sol_Sp24	Default
1311	Sol_Sp24	Default
1312	Sol_Sp24	Default
1313	Sol_Sp24	Default
1314	Sol_Sp24	Default
1315	Sol_Sp24	Default
1316	Sol_Sp24	Default
1317	Sol_Sp24	Default
1318	Sol_Sp24	Default
1319	Sol_Sp24	Default
1320	Sol_Sp24	Default
1321	Sol_Sp24	Default
1322	Sol_Sp24	Default
1323	Sol_Sp24	Default
1324	Sol_Sp24	Default
1331	Sol_Sp24	Default
1332	Sol_Sp24	Default
1333	Sol_Sp24	Default
1334	Sol_Sp24	Default
1335	Sol_Sp24	Default
1336	Sol_Sp24	Default
1337	Sol_Sp24	Default
1338	Sol_Sp24	Default
1339	Sol_Sp24	Default
1340	Sol_Sp24	Default
1341	Sol_Sp24	Default
1342	Sol_Sp24	Default
1343	Sol_Sp24	Default
1344	Sol_Sp24	Default
1345	Sol_Sp24	Default
1346	Sol_Sp24	Default
1347	Sol_Sp24	Default
1348	Sol_Sp24	Default
1349	Sol_Sp24	Default
1350	Sol_Sp24	Default
1351	Sol_Sp24	Default
1352	Sol_Sp24	Default
1353	Sol_Sp24	Default

Table: Area Section Assignments

Area	Section	MatProp
1354	Sol_Sp24	Default
1361	Sol_Sp24	Default
1362	Sol_Sp24	Default
1363	Sol_Sp24	Default
1364	Sol_Sp24	Default
1365	Sol_Sp24	Default
1366	Sol_Sp24	Default
1367	Sol_Sp24	Default
1368	Sol_Sp24	Default
1369	Sol_Sp24	Default
1370	Sol_Sp24	Default
1371	Sol_Sp24	Default
1372	Sol_Sp24	Default
1373	Sol_Sp24	Default
1374	Sol_Sp24	Default
1375	Sol_Sp24	Default
1376	Sol_Sp24	Default
1377	Sol_Sp24	Default
1378	Sol_Sp24	Default
1379	Sol_Sp24	Default
1380	Sol_Sp24	Default
1381	Sol_Sp24	Default
1382	Sol_Sp24	Default
1383	Sol_Sp24	Default
1384	Sol_Sp24	Default
1385	Sol_Sp24	Default
1386	Sol_Sp24	Default
1387	Sol_Sp24	Default
1388	Sol_Sp24	Default
1389	Sol_Sp24	Default
1390	Sol_Sp24	Default
1391	Sol_Sp24	Default
1392	Sol_Sp24	Default
1393	Sol_Sp24	Default
1394	Sol_Sp24	Default
1395	Sol_Sp24	Default
1396	Sol_Sp24	Default
1397	Sol_Sp24	Default
1398	Sol_Sp24	Default
1399	Sol_Sp24	Default
1400	Sol_Sp24	Default
1401	Sol_Sp24	Default
1402	Sol_Sp24	Default
1403	Sol_Sp24	Default
1404	Sol_Sp24	Default
1405	Sol_Sp24	Default
1406	Sol_Sp24	Default
1407	Sol_Sp24	Default
1408	Sol_Sp24	Default
1409	Sol_Sp24	Default
1410	Sol_Sp24	Default
1411	Sol_Sp24	Default
1412	Sol_Sp24	Default
1413	Sol_Sp24	Default

Table: Area Section Assignments

Area	Section	MatProp
1414	Sol_Sp24	Default
1415	Sol_Sp24	Default
1416	Sol_Sp24	Default
1417	Sol_Sp24	Default
1418	Sol_Sp24	Default
1419	Sol_Sp24	Default
1420	Sol_Sp24	Default
1421	Sol_Sp24	Default
1422	Sol_Sp24	Default
1423	Sol_Sp24	Default
1424	Sol_Sp24	Default
1425	Sol_Sp24	Default
1426	Sol_Sp24	Default
1427	Sol_Sp24	Default
1428	Sol_Sp24	Default
1429	Sol_Sp24	Default
1430	Sol_Sp24	Default
1431	Sol_Sp24	Default
1432	Sol_Sp24	Default
1433	Sol_Sp24	Default
1434	Sol_Sp24	Default
1435	Sol_Sp24	Default
1436	Sol_Sp24	Default
1437	Sol_Sp24	Default
1438	Sol_Sp24	Default
1439	Sol_Sp24	Default
1440	Sol_Sp24	Default
1441	Sol_Sp24	Default
1442	Sol_Sp24	Default
1443	Sol_Sp24	Default
1444	Sol_Sp24	Default
1445	Sol_Sp24	Default
1446	Sol_Sp24	Default
1447	Sol_Sp24	Default
1448	Sol_Sp24	Default
1449	Sol_Sp24	Default
1450	Sol_Sp24	Default
1451	Sol_Sp24	Default
1452	Sol_Sp24	Default
1453	Sol_Sp24	Default
1454	Sol_Sp24	Default
1455	Sol_Sp24	Default
1456	Sol_Sp24	Default
1463	Sol_Sp24	Default
1464	Sol_Sp24	Default
1465	Sol_Sp24	Default
1466	Sol_Sp24	Default
1467	Sol_Sp24	Default
1468	Sol_Sp24	Default
1469	Sol_Sp24	Default
1470	Sol_Sp24	Default
1471	Sol_Sp24	Default
1472	Sol_Sp24	Default
1473	Sol_Sp24	Default

Table: Area Section Assignments

Area	Section	MatProp
1474	Sol_Sp24	Default
1475	Sol_Sp24	Default
1476	Sol_Sp24	Default
1477	Sol_Sp24	Default
1478	Sol_Sp24	Default
1479	Sol_Sp24	Default
1480	Sol_Sp24	Default
1481	Sol_Sp24	Default
1482	Sol_Sp24	Default
1483	Sol_Sp24	Default
1484	Sol_Sp24	Default
1485	Sol_Sp24	Default
1486	Sol_Sp24	Default
1487	Sol_Sp24	Default
1488	Sol_Sp24	Default
1489	Sol_Sp24	Default
1490	Sol_Sp24	Default
1491	Sol_Sp24	Default
1492	Sol_Sp24	Default
1493	Sol_Sp24	Default
1494	Sol_Sp24	Default
1495	Sol_Sp24	Default
1496	Sol_Sp24	Default
1497	Sol_Sp24	Default
1498	Sol_Sp24	Default
1499	Sol_Sp24	Default
1500	Sol_Sp24	Default
1501	Sol_Sp24	Default
1502	Sol_Sp24	Default
1503	Sol_Sp24	Default
1504	Sol_Sp24	Default
1505	Sol_Sp24	Default
1506	Sol_Sp24	Default
1507	Sol_Sp24	Default
1508	Sol_Sp24	Default
1509	Sol_Sp24	Default
1510	Sol_Sp24	Default
1517	Sol_Sp24	Default
1518	Sol_Sp24	Default
1519	Sol_Sp24	Default
1520	Sol_Sp24	Default
1521	Sol_Sp24	Default
1522	Sol_Sp24	Default
1523	Sol_Sp24	Default
1524	Sol_Sp24	Default
1525	Sol_Sp24	Default
1526	Sol_Sp24	Default
1527	Sol_Sp24	Default
1528	Sol_Sp24	Default
1529	Sol_Sp24	Default
1530	Sol_Sp24	Default
1531	Sol_Sp24	Default
1532	Sol_Sp24	Default
1533	Sol_Sp24	Default

Table: Area Section Assignments

Area	Section	MatProp
1534	Sol_Sp24	Default
1535	Sol_Sp24	Default
1536	Sol_Sp24	Default
1537	Sol_Sp24	Default
1538	Sol_Sp24	Default
1539	Sol_Sp24	Default
1540	Sol_Sp24	Default
1541	Sol_Sp24	Default
1542	Sol_Sp24	Default
1543	Sol_Sp24	Default
1544	Sol_Sp24	Default
1545	Sol_Sp24	Default
1546	Sol_Sp24	Default
1547	Sol_Sp24	Default
1548	Sol_Sp24	Default
1549	Sol_Sp24	Default
1550	Sol_Sp24	Default
1551	Sol_Sp24	Default
1552	Sol_Sp24	Default
1553	Sol_Sp24	Default
1554	Sol_Sp24	Default
1555	Sol_Sp24	Default
1556	Sol_Sp24	Default
1557	Sol_Sp24	Default
1558	Sol_Sp24	Default
1559	Sol_Sp24	Default
1560	Sol_Sp24	Default
1561	Sol_Sp24	Default
1562	Sol_Sp24	Default
1563	Sol_Sp24	Default
1564	Sol_Sp24	Default
1571	Sol_Sp24	Default
1572	Sol_Sp24	Default
1573	Sol_Sp24	Default
1574	Sol_Sp24	Default
1575	Sol_Sp24	Default
1576	Sol_Sp24	Default
1578	Sol_Sp24	Default
1579	Sol_Sp24	Default
1580	Sol_Sp24	Default
1581	Sol_Sp24	Default
1582	Sol_Sp24	Default
1583	Sol_Sp24	Default
1585	Sol_Sp24	Default
1586	Sol_Sp24	Default
1587	Sol_Sp24	Default
1588	Sol_Sp24	Default
1589	Sol_Sp24	Default
1590	Sol_Sp24	Default
1592	Sol_Sp24	Default
1593	Sol_Sp24	Default
1594	Sol_Sp24	Default
1595	Sol_Sp24	Default
1596	Sol_Sp24	Default

Table: Area Section Assignments

Area	Section	MatProp
1597	Sol_Sp24	Default
1600	Sol_Sp24	Default
1602	Sol_Sp24	Default
1604	Sol_Sp24	Default
1606	Sol_Sp24	Default
1607	Sol_Sp24	Default
1609	Sol_Sp24	Default
1611	Sol_Sp24	Default
1613	Sol_Sp24	Default
1615	Sol_Sp24	Default
1616	Sol_Sp24	Default
1617	Sol_Sp24	Default
1618	Sol_Sp24	Default
1619	Sol_Sp24	Default
1620	Sol_Sp24	Default
1621	Sol_Sp24	Default
1622	Sol_Sp24	Default
1623	Sol_Sp24	Default
1624	Sol_Sp24	Default
1625	Sol_Sp24	Default
1626	Sol_Sp24	Default
1627	Sol_Sp24	Default
1628	Sol_Sp24	Default
1629	Sol_Sp24	Default
1630	Sol_Sp24	Default
1631	Sol_Sp24	Default
1632	Sol_Sp24	Default
1633	Sol_Sp24	Default
1634	Sol_Sp24	Default
1635	Sol_Sp24	Default
1636	Sol_Sp24	Default
1637	Sol_Sp24	Default
1638	Sol_Sp24	Default
1639	Sol_Sp24	Default
1640	Sol_Sp24	Default
1641	Sol_Sp24	Default
1642	Sol_Sp24	Default
1643	Sol_Sp24	Default
1644	Sol_Sp24	Default
1645	Sol_Sp24	Default
1646	Sol_Sp24	Default
1647	Sol_Sp24	Default
1648	Sol_Sp24	Default
1649	Sol_Sp24	Default
1650	Sol_Sp24	Default
1651	Sol_Sp24	Default
1652	Sol_Sp24	Default
1653	Sol_Sp24	Default
1654	Sol_Sp24	Default
1655	Sol_Sp24	Default
1656	Sol_Sp24	Default
1657	Sol_Sp24	Default
1658	Sol_Sp24	Default
1659	Sol_Sp24	Default

Table: Area Section Assignments

Area	Section	MatProp
1660	Sol_Sp24	Default
1661	Sol_Sp24	Default
1662	Sol_Sp24	Default
1663	Sol_Sp24	Default
1664	Sol_Sp24	Default
1665	Sol_Sp24	Default
1666	Sol_Sp24	Default
1667	Sol_Sp24	Default
1668	Sol_Sp24	Default
1669	Sol_Sp24	Default
1670	Sol_Sp24	Default
1671	Sol_Sp24	Default
1672	Sol_Sp24	Default
1673	Sol_Sp24	Default
1674	Sol_Sp24	Default
1675	Sol_Sp24	Default
1676	Sol_Sp24	Default
1677	Sol_Sp24	Default
1678	Sol_Sp24	Default
1679	Sol_Sp24	Default
1680	Sol_Sp24	Default
1681	Sol_Sp24	Default
1682	Sol_Sp24	Default
1683	Sol_Sp24	Default
1684	Sol_Sp24	Default
1685	Sol_Sp24	Default
1686	Sol_Sp24	Default
1930	Sp100	Default
1931	Sp100	Default
1932	Sp100	Default
1933	Sp100	Default
1935	Sp100	Default
1936	Sp100	Default
1937	Sp100	Default
1938	Sp100	Default
1940	Sp100	Default
1941	Sp100	Default
1942	Sp100	Default
1943	Sp100	Default
1945	Sp100	Default
1946	Sp100	Default
1947	Sp100	Default
1948	Sp100	Default
1951	Sp100	Default
1952	Sp100	Default
1953	Sp100	Default
1954	Sp100	Default
1959	Sp100	Default
1960	Sp100	Default
1961	Sp100	Default
1962	Sp100	Default
1964	Sp100	Default
1965	Sp100	Default
1966	Sp100	Default

Table: Area Section Assignments

Area	Section	MatProp
1967	Sp100	Default
1969	Sp100	Default
1970	Sp100	Default
1971	Sp100	Default
1972	Sp100	Default
1975	Sp100	Default
1976	Sp100	Default
1977	Sp100	Default
1978	Sp100	Default
1981	Sp100	Default
1982	Sp100	Default
1983	Sp100	Default
1986	Sp100	Default
1987	Sp100	Default
1988	Sp100	Default
1991	Sp100	Default
1992	Sp100	Default
1993	Sp100	Default
1996	Sp100	Default
1997	Sp100	Default
1998	Sp100	Default
2001	Sp100	Default
2002	Sp100	Default
2003	Sp100	Default
2006	Sp100	Default
2007	Sp100	Default
2008	Sp100	Default
2011	Sp100	Default
2012	Sp100	Default
2013	Sp100	Default
2014	Sp100	Default
2015	Sp100	Default
2016	Sp100	Default
2017	Sp100	Default
2018	Sp100	Default
2019	Sp100	Default
2020	Sp100	Default
2023	Sp100	Default
2024	Sp100	Default
2025	Sp100	Default
2026	Sp100	Default
2027	H120	Default
2028	H120	Default
2029	H120	Default
2030	H120	Default
2031	H120	Default
2032	H120	Default
2033	H120	Default
2034	H120	Default
2035	H120	Default
2036	H120	Default
2037	H120	Default
2038	H120	Default
2039	H120	Default

Table: Area Section Assignments

Area	Section	MatProp
2040	H120	Default
2041	H120	Default
2042	H120	Default
2043	H120	Default
2044	H120	Default
2045	H120	Default
2046	H120	Default
2047	H120	Default
2048	H120	Default
2049	H120	Default
2050	H120	Default
2051	H120	Default
2052	H120	Default
2053	H120	Default
2054	H120	Default
2055	H120	Default
2056	H120	Default
2057	H120	Default
2058	H120	Default
2059	H120	Default
2060	H120	Default
2061	H120	Default
2062	H120	Default
2063	H120	Default
2064	H120	Default
2065	H120	Default
2066	H120	Default
2067	H120	Default
2068	H120	Default
2069	H120	Default
2070	H120	Default
2071	H120	Default
2072	H120	Default
2073	H120	Default
2074	H120	Default
2075	H120	Default
2076	H120	Default
2077	H120	Default
2078	H120	Default
2079	H120	Default
2080	H120	Default
2081	H120	Default
2082	H120	Default
2083	H120	Default
2084	H120	Default
2085	H120	Default
2086	H120	Default
2087	H120	Default
2088	H120	Default
2091	Sp100	Default
2092	Sp100	Default
2093	Sp100	Default
2094	Sp100	Default
2095	H120	Default

Table: Area Section Assignments

Area	Section	MatProp
2096	H120	Default
2097	H120	Default
2098	H120	Default
2099	H120	Default
2100	H120	Default
2101	H120	Default
2102	H120	Default
2103	H120	Default
2104	H120	Default
2105	H120	Default
2106	H120	Default
2107	H120	Default
2108	H120	Default
2109	H120	Default
2110	H120	Default
2111	H120	Default
2112	H120	Default
2113	H120	Default
2114	H120	Default
2115	H120	Default
2116	H120	Default
2117	H120	Default
2118	H120	Default
2119	H120	Default
2120	H120	Default
2121	H120	Default
2122	H120	Default
2123	H120	Default
2124	H120	Default
2125	H120	Default
2126	H120	Default
2127	H120	Default
2128	H120	Default
2129	H120	Default
2130	H120	Default
2143	Sp100	Default
2144	Sp100	Default
2145	Sp100	Default
2146	Sp100	Default
2147	Sp100	Default
2148	Sp100	Default
2149	Sp100	Default
2150	Sp100	Default
2151	Sp100	Default
2152	Sp100	Default
2153	Sp100	Default
2154	Sp100	Default
2155	Sp100	Default
2156	Sp100	Default
2157	Sp100	Default
2158	Sp100	Default
2159	Sp100	Default
2160	Sp100	Default
2161	Sp100	Default

Table: Area Section Assignments

Area	Section	MatProp
2162	Sp100	Default
2163	Sp100	Default
2164	Sp100	Default
2165	Sp100	Default
2166	Sp100	Default
2167	H120	Default
2168	H120	Default
2169	H120	Default
2170	H120	Default
2171	H120	Default
2172	H120	Default
2173	H120	Default
2174	H120	Default
2183	Sp100	Default
2184	Sp100	Default
2185	Sp100	Default
2186	Sp100	Default
2187	Sp100	Default
2188	Sp100	Default
2189	Sp100	Default
2190	Sp100	Default
2191	Sp100	Default
2192	Sp100	Default
2193	Sp100	Default
2194	Sp100	Default
2195	Sp100	Default
2196	Sp100	Default
2197	Sp100	Default
2198	Sp100	Default
2199	H120	Default
2200	H120	Default
2201	H120	Default
2202	H120	Default
2203	H120	Default
2204	H120	Default
2205	H120	Default
2206	H120	Default
2207	H120	Default
2208	H120	Default
2209	H120	Default
2210	H120	Default
2211	H120	Default
2212	H120	Default
2686	Sol_Sp24	Default
2687	Sol_Sp24	Default
2688	Sol_Sp24	Default
2689	Sol_Sp24	Default
2690	Sol_Sp24	Default
2691	Sol_Sp24	Default
2692	Sol_Sp24	Default
2693	Sol_Sp24	Default
2695	Sol_Sp24	Default
2696	Sol_Sp24	Default
2697	Sol_Sp24	Default

Table: Area Section Assignments

Area	Section	MatProp
2698	Sol_Sp24	Default
2699	Sol_Sp24	Default
2700	Sol_Sp24	Default
2701	Sol_Sp24	Default
2702	Sol_Sp24	Default
2704	Sol_Sp24	Default
2705	Sol_Sp24	Default
2706	Sol_Sp24	Default
2707	Sol_Sp24	Default
2708	Sol_Sp24	Default
2709	Sol_Sp24	Default
2710	Sol_Sp24	Default
2711	Sol_Sp24	Default
2713	Sol_Sp24	Default
2718	Sol_Sp24	Default
2719	Sol_Sp24	Default
2720	Sol_Sp24	Default
2722	Sol_Sp24	Default
2727	Sol_Sp24	Default
2728	Sol_Sp24	Default
2729	Sol_Sp24	Default
2731	Sol_Sp24	Default
2732	Sol_Sp24	Default
2733	Sol_Sp24	Default
2734	Sol_Sp24	Default
2735	Sol_Sp24	Default
2736	Sol_Sp24	Default
2737	Sol_Sp24	Default
2738	Sol_Sp24	Default
2739	Sol_Sp24	Default
2740	Sol_Sp24	Default
2741	Sol_Sp24	Default
2742	Sol_Sp24	Default
2743	Sol_Sp24	Default
2744	Sol_Sp24	Default
2745	Sol_Sp24	Default
2746	Sol_Sp24	Default
2748	Sol_Sp24	Default
2749	Sol_Sp24	Default
2750	Sol_Sp24	Default
2751	Sol_Sp24	Default
2752	Sol_Sp24	Default
2753	Sol_Sp24	Default
2754	Sol_Sp24	Default
2755	Sol_Sp24	Default
2757	Sol_Sp24	Default
2758	Sol_Sp24	Default
2759	Sol_Sp24	Default
2760	Sol_Sp24	Default
2761	Sol_Sp24	Default
2762	Sol_Sp24	Default
2763	Sol_Sp24	Default
2764	Sol_Sp24	Default
2766	Sol_Sp24	Default

Table: Area Section Assignments

Area	Section	MatProp
2767	Sol_Sp24	Default
2768	Sol_Sp24	Default
2769	Sol_Sp24	Default
2770	Sol_Sp24	Default
2771	Sol_Sp24	Default
2772	Sol_Sp24	Default
2773	Sol_Sp24	Default
2775	Sol_Sp24	Default
2776	Sol_Sp24	Default
2777	Sol_Sp24	Default
2778	Sol_Sp24	Default
2779	Sol_Sp24	Default
2780	Sol_Sp24	Default
2781	Sol_Sp24	Default
2782	Sol_Sp24	Default
2784	Sol_Sp24	Default
2785	Sol_Sp24	Default
2786	Sol_Sp24	Default
2787	Sol_Sp24	Default
2788	Sol_Sp24	Default
2789	Sol_Sp24	Default
2790	Sol_Sp24	Default
2791	Sol_Sp24	Default
2793	Sol_Sp24	Default
2795	Sol_Sp24	Default
2796	Sol_Sp24	Default
2798	Sol_Sp24	Default
2799	Sol_Sp24	Default
2801	Sol_Sp24	Default
2802	Sol_Sp24	Default
2804	Sol_Sp24	Default
2805	Sol_Sp24	Default
2807	Sol_Sp24	Default
2808	Sol_Sp24	Default
2810	Sol_Sp24	Default
2811	Sol_Sp24	Default
2813	Sol_Sp24	Default
2814	Sol_Sp24	Default
2816	Sol_Sp24	Default
2817	Sol_Sp24	Default
2819	Sol_Sp24	Default
2820	Sol_Sp24	Default
2822	Sol_Sp24	Default
2823	Sol_Sp24	Default
2825	Sol_Sp24	Default
2826	Sol_Sp24	Default
2828	Sol_Sp24	Default

Table: Area Section Properties, Part 1 of 4

Table: Area Section Properties, Part 1 of 4

Section	Material	MatAngle Degrees	AreaType	Type	DrillDOF	Thickness m	BendThick m	Arc Degrees
H120	C25/30	0.	Shell	Shell-Thick	Yes	1.2	1.2	
Sol_Sp24	C28/35_noMass	0.	Shell	Shell-Thick	Yes	0.24	0.24	
Sp100	C25/30	0.	Shell	Shell-Thick	Yes	1.	1.	
Sp140	C25/30	0.	Shell	Shell-Thick	Yes	1.4	1.4	
sp190	C25/30	0.	Shell	Shell-Thick	Yes	1.9	1.9	
SP30	C25/30	0.	Shell	Shell-Thick	Yes	0.3	0.3	
SP50	C25/30	0.	Shell	Shell-Thick	Yes	0.5	0.5	

Table: Area Section Properties, Part 2 of 4

Table: Area Section Properties, Part 2 of 4

Section	InComp	CoordSys	Color	F11Mod	F22Mod	F12Mod	M11Mod
H120			Green	1.	1.	1.	1.
Sol_Sp24			Green	1.	1.	1.	1.
Sp100			Green	1.	1.	1.	1.
Sp140			Cyan	1.	1.	1.	1.
sp190			Green	1.	1.	1.	1.
SP30			Green	1.	1.	1.	1.
SP50			Green	1.	1.	1.	1.

Table: Area Section Properties, Part 3 of 4

Table: Area Section Properties, Part 3 of 4

Section	M22Mod	M12Mod	V13Mod	V23Mod	MMod	WMod	GUID
H120	1.	1.	1.	1.	1.	1.	
Sol_Sp24	1.	1.	1.	1.	1.	1.	
Sp100	1.	1.	1.	1.	1.	1.	
Sp140	1.	1.	1.	1.	1.	1.	
sp190	1.	1.	1.	1.	1.	1.	
SP30	1.	1.	1.	1.	1.	1.	
SP50	1.	1.	1.	1.	1.	1.	

Table: Area Section Properties, Part 4 of 4

Table: Area Section Properties, Part 4 of 4

Section	Notes
H120	Added 09/10/2019 09:22:30
Sol_Sp24	Added 26/03/2019 15:12:05
Sp100	Added 09/10/2019 14:12:50
Sp140	Added 10/02/2022 16:42:52
sp190	Added 10/02/2022 16:26:34
SP30	Added 09/10/2019 17:32:26
SP50	Added 09/10/2019 17:34:35

Table: Bridge Response, Part 1 of 3

Table: Bridge Response, Part 1 of 3

Displs	Reactions	Frames	ShellRes	ShellStr	PlnAsoStr	SolidStr	LinkFD	DisplsC
All	All	All	All	All	All	All	All	No

Table: Bridge Response, Part 2 of 3

Table: Bridge Response, Part 2 of 3

ReactionsC	Correspond	ShellResC	ShellStrC	PlnAsoStrC	SolidStrC	LinkFDC	SectCut	CalcMethod
No	No	No	No	No	No	No	No	Exact

Table: Bridge Response, Part 3 of 3

Table:
Bridge
Response,
Part 3 of 3

NegLoadsOK
No

Table: Case - Moving Load 1 - Lane Assignments

Table: Case - Moving Load 1 - Lane Assignments

Case	AssignNum	VehClass	ScaleFactor	MinLoaded	MaxLoaded	NumLanes
Q1_Schema_1	1	Q1_Tan1	1.	0	0	1
Q1_Schema_1	2	Q1_Tan2	1.	0	0	1
Q1_Schema_1	3	Q1_Tan3	1.	0	0	1
Q1_Schema_1	4	Q1_Dist1	1.	0	0	1
Q1_Schema_1	5	Q1_Dist2	1.	0	0	1
Q1_Schema_1	6	Q1_Dist3	1.	0	0	1

Table: Case - Moving Load 2 - Lanes Loaded

Table: Case - Moving Load 2 - Lanes Loaded

Case	AssignNum	Lane
Q1_Schema_1	1	CORSIA_1
Q1_Schema_1	2	CORSIA_2
Q1_Schema_1	3	CORSIA_3
Q1_Schema_1	4	CORSIA_1
Q1_Schema_1	5	CORSIA_2
Q1_Schema_1	6	CORSIA_3

Table: Case - Moving Load 3 - MultiLane Factors

Table: Case - Moving Load 3 - MultiLane Factors

Case	NumberLanes	ScaleFactor
Q1_Schema_1	1	1.
Q1_Schema_1	2	1.
Q1_Schema_1	3	1.

Table: Case - Response Spectrum 1 - General, Part 1 of 2

Table: Case - Response Spectrum 1 - General, Part 1 of 2

Case	ModalCombo	GMCf1	GMCf2	PerRigid	DirCombo	MotionType	DampingType
		Cyc/sec	Cyc/sec				
Ex_SLV	SRSS	1.0000E+00	0.0000E+00	SRSS	SRSS	Acceleration	Constant
Ey_SLV	SRSS	1.0000E+00	0.0000E+00	SRSS	SRSS	Acceleration	Constant
Ez_SLV	SRSS	1.0000E+00	0.0000E+00	SRSS	SRSS	Acceleration	Constant
Ex_SLC	SRSS	1.0000E+00	0.0000E+00	SRSS	SRSS	Acceleration	Constant
Ey_SLC	SRSS	1.0000E+00	0.0000E+00	SRSS	SRSS	Acceleration	Constant
Ez_SLC	SRSS	1.0000E+00	0.0000E+00	SRSS	SRSS	Acceleration	Constant

Table: Case - Response Spectrum 1 - General, Part 2 of 2

Table: Case - Response Spectrum 1 - General, Part 2 of 2

Case	ConstDamp	EccenRatio	NumOverride
Ex_SLV	0.05	0.	0
Ey_SLV	0.05	0.	0
Ez_SLV	0.05	0.	0
Ex_SLC	0.05	0.	0
Ey_SLC	0.05	0.	0
Ez_SLC	0.05	0.	0

Table: Case - Response Spectrum 2 - Load Assignments

Table: Case - Response Spectrum 2 - Load Assignments

Case	LoadType	LoadName	CoordSys	Function	Angle	TransAccSF
					Degrees	m/sec2
Ex_SLV	Acceleration	U1	GLOBAL	SpettroH_SLV	0.	9.81
Ey_SLV	Acceleration	U2	GLOBAL	SpettroH_SLV	0.	9.81
Ez_SLV	Acceleration	U3	GLOBAL	SpettroV_SLV	0.	9.81
Ex_SLC	Acceleration	U1	GLOBAL	SpettroH_SLC	0.	9.81
Ey_SLC	Acceleration	U2	GLOBAL	SpettroH_SLC	0.	9.81
Ez_SLC	Acceleration	U3	GLOBAL	SpettroV_SLC	0.	9.81

Table: Frame Section Assignments

Table: Frame Section Assignments

Frame	SectionType	AutoSelect	AnalSect	DesignSect	MatProp
1	Circle	N.A.	Palo_D=1.0m	Palo_D=1.0m	Default
2	Circle	N.A.	Palo_D=1.0m	Palo_D=1.0m	Default

Table: Frame Section Assignments

Frame	SectionType	AutoSelect	AnalSect	DesignSect	MatProp
3	Circle	N.A.	Palo_D=1.0m	Palo_D=1.0m	Default
4	Circle	N.A.	Palo_D=1.0m	Palo_D=1.0m	Default
5	Circle	N.A.	Palo_D=1.0m	Palo_D=1.0m	Default
6	Circle	N.A.	Palo_D=1.0m	Palo_D=1.0m	Default
7	Circle	N.A.	Palo_D=1.0m	Palo_D=1.0m	Default
8	Circle	N.A.	Palo_D=1.0m	Palo_D=1.0m	Default
9	Circle	N.A.	Palo_D=1.0m	Palo_D=1.0m	Default
10	Circle	N.A.	Palo_D=1.0m	Palo_D=1.0m	Default
11	Circle	N.A.	Palo_D=1.0m	Palo_D=1.0m	Default
12	Circle	N.A.	Palo_D=1.0m	Palo_D=1.0m	Default
13	Circle	N.A.	Palo_D=1.0m	Palo_D=1.0m	Default
14	Circle	N.A.	Palo_D=1.0m	Palo_D=1.0m	Default
15	Circle	N.A.	Palo_D=1.0m	Palo_D=1.0m	Default
16	Circle	N.A.	Palo_D=1.0m	Palo_D=1.0m	Default
17	Circle	N.A.	Palo_D=1.0m	Palo_D=1.0m	Default
18	Circle	N.A.	Palo_D=1.0m	Palo_D=1.0m	Default
19	Circle	N.A.	Palo_D=1.0m	Palo_D=1.0m	Default
20	Circle	N.A.	Palo_D=1.0m	Palo_D=1.0m	Default
21	Circle	N.A.	Palo_D=1.0m	Palo_D=1.0m	Default
22	Circle	N.A.	Palo_D=1.0m	Palo_D=1.0m	Default
23	Circle	N.A.	Palo_D=1.0m	Palo_D=1.0m	Default
24	Circle	N.A.	Palo_D=1.0m	Palo_D=1.0m	Default
25	Circle	N.A.	Palo_D=1.0m	Palo_D=1.0m	Default
26	Circle	N.A.	Palo_D=1.0m	Palo_D=1.0m	Default
27	Circle	N.A.	Palo_D=1.0m	Palo_D=1.0m	Default
28	Circle	N.A.	Palo_D=1.0m	Palo_D=1.0m	Default
29	Circle	N.A.	Palo_D=1.0m	Palo_D=1.0m	Default
30	Circle	N.A.	Palo_D=1.0m	Palo_D=1.0m	Default
31	Circle	N.A.	Palo_D=1.0m	Palo_D=1.0m	Default
32	Circle	N.A.	Palo_D=1.0m	Palo_D=1.0m	Default
33	Circle	N.A.	Palo_D=1.0m	Palo_D=1.0m	Default
34	Circle	N.A.	Palo_D=1.0m	Palo_D=1.0m	Default
35	Circle	N.A.	Palo_D=1.0m	Palo_D=1.0m	Default
36	Circle	N.A.	Palo_D=1.0m	Palo_D=1.0m	Default
37	Circle	N.A.	Palo_D=1.0m	Palo_D=1.0m	Default
38	Circle	N.A.	Palo_D=1.0m	Palo_D=1.0m	Default
39	Circle	N.A.	Palo_D=1.0m	Palo_D=1.0m	Default
40	Circle	N.A.	Palo_D=1.0m	Palo_D=1.0m	Default
41	Circle	N.A.	Palo_D=1.0m	Palo_D=1.0m	Default
42	Circle	N.A.	Palo_D=1.0m	Palo_D=1.0m	Default
43	Circle	N.A.	Palo_D=1.0m	Palo_D=1.0m	Default
44	Circle	N.A.	Palo_D=1.0m	Palo_D=1.0m	Default
45	Circle	N.A.	Palo_D=1.0m	Palo_D=1.0m	Default
46	Circle	N.A.	Palo_D=1.0m	Palo_D=1.0m	Default
47	Circle	N.A.	Palo_D=1.0m	Palo_D=1.0m	Default
48	Circle	N.A.	Palo_D=1.0m	Palo_D=1.0m	Default
49	Circle	N.A.	Palo_D=1.0m	Palo_D=1.0m	Default
50	Circle	N.A.	Palo_D=1.0m	Palo_D=1.0m	Default
51	Circle	N.A.	Palo_D=1.0m	Palo_D=1.0m	Default
52	Circle	N.A.	Palo_D=1.0m	Palo_D=1.0m	Default
53	Circle	N.A.	Palo_D=1.0m	Palo_D=1.0m	Default
54	Circle	N.A.	Palo_D=1.0m	Palo_D=1.0m	Default
55	Circle	N.A.	Palo_D=1.0m	Palo_D=1.0m	Default
56	Circle	N.A.	Palo_D=1.0m	Palo_D=1.0m	Default

Table: Frame Section Assignments

Frame	SectionType	AutoSelect	AnalSect	DesignSect	MatProp
57	Circle	N.A.	Palo_D=1.0m	Palo_D=1.0m	Default
58	Circle	N.A.	Palo_D=1.0m	Palo_D=1.0m	Default
59	Circle	N.A.	Palo_D=1.0m	Palo_D=1.0m	Default
60	Circle	N.A.	Palo_D=1.0m	Palo_D=1.0m	Default
61	Circle	N.A.	Palo_D=1.0m	Palo_D=1.0m	Default
62	Circle	N.A.	Palo_D=1.0m	Palo_D=1.0m	Default
63	Circle	N.A.	Palo_D=1.0m	Palo_D=1.0m	Default
64	Circle	N.A.	Palo_D=1.0m	Palo_D=1.0m	Default
65	Circle	N.A.	Palo_D=1.0m	Palo_D=1.0m	Default
66	Circle	N.A.	Palo_D=1.0m	Palo_D=1.0m	Default
67	Circle	N.A.	Palo_D=1.0m	Palo_D=1.0m	Default
68	Circle	N.A.	Palo_D=1.0m	Palo_D=1.0m	Default
69	Circle	N.A.	Palo_D=1.0m	Palo_D=1.0m	Default
70	Section Designer	N.A.	TRnew	N.A.	Default
71	Circle	N.A.	Palo_D=1.0m	Palo_D=1.0m	Default
72	Tee	N.A.	Trasv	Trasv	Default
73	Section Designer	N.A.	TRnew	N.A.	Default
74	Section Designer	N.A.	TRnew	N.A.	Default
75	Tee	N.A.	Trasv	Trasv	Default
76	Circle	N.A.	Palo_D=1.0m	Palo_D=1.0m	Default
77	Section Designer	N.A.	TResist	N.A.	Default
78	Section Designer	N.A.	TRnew	N.A.	Default
79	Circle	N.A.	Palo_D=1.0m	Palo_D=1.0m	Default
80	Tee	N.A.	Trasv	Trasv	Default
81	Circle	N.A.	Palo_D=1.0m	Palo_D=1.0m	Default
82	Section Designer	N.A.	TResist	N.A.	Default
83	Section Designer	N.A.	TResist	N.A.	Default
84	Section Designer	N.A.	TRnew	N.A.	Default
85	Tee	N.A.	Trasv	Trasv	Default
86	Section Designer	N.A.	TResist	N.A.	Default
87	Circle	N.A.	Palo_D=1.0m	Palo_D=1.0m	Default
88	Circle	N.A.	Palo_D=1.0m	Palo_D=1.0m	Default
89	Section Designer	N.A.	TResist	N.A.	Default
90	Section Designer	N.A.	TRnew	N.A.	Default
91	Circle	N.A.	Palo_D=1.0m	Palo_D=1.0m	Default
92	Tee	N.A.	Trasv	Trasv	Default
93	Section Designer	N.A.	TResist	N.A.	Default
94	Circle	N.A.	Palo_D=1.0m	Palo_D=1.0m	Default
95	Circle	N.A.	Palo_D=1.0m	Palo_D=1.0m	Default
96	Section Designer	N.A.	TResist	N.A.	Default
97	Tee	N.A.	Trasv	Trasv	Default
98	Section Designer	N.A.	TResist	N.A.	Default
99	Section Designer	N.A.	TRnew	N.A.	Default
100	Section Designer	N.A.	TResist	N.A.	Default
101	Circle	N.A.	Palo_D=1.0m	Palo_D=1.0m	Default
102	Circle	N.A.	Palo_D=1.0m	Palo_D=1.0m	Default
103	Section Designer	N.A.	TResist	N.A.	Default
104	Circle	N.A.	Palo_D=1.0m	Palo_D=1.0m	Default
105	Tee	N.A.	Trasv	Trasv	Default
106	Section Designer	N.A.	TResist	N.A.	Default
107	Section Designer	N.A.	TRnew	N.A.	Default
108	Section Designer	N.A.	TResist	N.A.	Default
109	Circle	N.A.	Palo_D=1.0m	Palo_D=1.0m	Default
110	Circle	N.A.	Palo_D=1.0m	Palo_D=1.0m	Default

Table: Frame Section Assignments

Frame	SectionType	AutoSelect	AnalSect	DesignSect	MatProp
111	Section Designer	N.A.	TResist	N.A.	Default
112	Circle	N.A.	Palo_D=1.0m	Palo_D=1.0m	Default
113	Circle	N.A.	Palo_D=1.0m	Palo_D=1.0m	Default
114	Tee	N.A.	Trasv	Trasv	Default
115	Section Designer	N.A.	TResist	N.A.	Default
116	Section Designer	N.A.	TResist	N.A.	Default
117	Circle	N.A.	Palo_D=1.0m	Palo_D=1.0m	Default
118	Section Designer	N.A.	TResist	N.A.	Default
119	Section Designer	N.A.	TRnew	N.A.	Default
120	Section Designer	N.A.	TResist	N.A.	Default
121	Circle	N.A.	Palo_D=1.0m	Palo_D=1.0m	Default
122	Circle	N.A.	Palo_D=1.0m	Palo_D=1.0m	Default
123	Section Designer	N.A.	TResist	N.A.	Default
124	Circle	N.A.	Palo_D=1.0m	Palo_D=1.0m	Default
125	Circle	N.A.	Palo_D=1.0m	Palo_D=1.0m	Default
126	Section Designer	N.A.	TResist	N.A.	Default
127	Section Designer	N.A.	TRnew	N.A.	Default
128	Circle	N.A.	Palo_D=1.0m	Palo_D=1.0m	Default
129	Section Designer	N.A.	TResist	N.A.	Default
130	Circle	N.A.	Palo_D=1.0m	Palo_D=1.0m	Default
131	Section Designer	N.A.	TResist	N.A.	Default
132	Section Designer	N.A.	TResist	N.A.	Default
133	Circle	N.A.	Palo_D=1.0m	Palo_D=1.0m	Default
134	Circle	N.A.	Palo_D=1.0m	Palo_D=1.0m	Default
135	Circle	N.A.	Palo_D=1.0m	Palo_D=1.0m	Default
136	Section Designer	N.A.	TResist	N.A.	Default
137	Tee	N.A.	Trasv	Trasv	Default
138	Circle	N.A.	Palo_D=1.0m	Palo_D=1.0m	Default
139	Section Designer	N.A.	TResist	N.A.	Default
140	Section Designer	N.A.	TRnew	N.A.	Default
141	Section Designer	N.A.	TResist	N.A.	Default
142	Section Designer	N.A.	TResist	N.A.	Default
143	Circle	N.A.	Palo_D=1.0m	Palo_D=1.0m	Default
144	Section Designer	N.A.	TResist	N.A.	Default
145	Circle	N.A.	Palo_D=1.0m	Palo_D=1.0m	Default
146	Section Designer	N.A.	TResist	N.A.	Default
147	Circle	N.A.	Palo_D=1.0m	Palo_D=1.0m	Default
148	Tee	N.A.	Trasv	Trasv	Default
149	Circle	N.A.	Palo_D=1.0m	Palo_D=1.0m	Default
150	Section Designer	N.A.	TResist	N.A.	Default
151	Section Designer	N.A.	TResist	N.A.	Default
152	Section Designer	N.A.	TRnew	N.A.	Default
153	Circle	N.A.	Palo_D=1.0m	Palo_D=1.0m	Default
154	Section Designer	N.A.	TResist	N.A.	Default
155	Circle	N.A.	Palo_D=1.0m	Palo_D=1.0m	Default
156	Section Designer	N.A.	TResist	N.A.	Default
157	Section Designer	N.A.	TResist	N.A.	Default
158	Circle	N.A.	Palo_D=1.0m	Palo_D=1.0m	Default
159	Circle	N.A.	Palo_D=1.0m	Palo_D=1.0m	Default
160	Tee	N.A.	Trasv	Trasv	Default
161	Circle	N.A.	Palo_D=1.0m	Palo_D=1.0m	Default
162	Section Designer	N.A.	TResist	N.A.	Default
163	Section Designer	N.A.	TResist	N.A.	Default
164	Circle	N.A.	Palo_D=1.0m	Palo_D=1.0m	Default

Table: Frame Section Assignments

Frame	SectionType	AutoSelect	AnalSect	DesignSect	MatProp
165	Circle	N.A.	Palo_D=1.0m	Palo_D=1.0m	Default
166	Section Designer	N.A.	TResist	N.A.	Default
167	Section Designer	N.A.	TRnew	N.A.	Default
168	Section Designer	N.A.	TResist	N.A.	Default
169	Section Designer	N.A.	TResist	N.A.	Default
170	Circle	N.A.	Palo_D=1.0m	Palo_D=1.0m	Default
171	Circle	N.A.	Palo_D=1.0m	Palo_D=1.0m	Default
172	Tee	N.A.	Trasv	Trasv	Default
173	Section Designer	N.A.	TResist	N.A.	Default
174	Circle	N.A.	Palo_D=1.0m	Palo_D=1.0m	Default
175	Section Designer	N.A.	TResist	N.A.	Default
176	Circle	N.A.	Palo_D=1.0m	Palo_D=1.0m	Default
177	Section Designer	N.A.	TResist	N.A.	Default
178	Circle	N.A.	Palo_D=1.0m	Palo_D=1.0m	Default
179	Circle	N.A.	Palo_D=1.0m	Palo_D=1.0m	Default
180	Section Designer	N.A.	TResist	N.A.	Default
181	Circle	N.A.	Palo_D=1.0m	Palo_D=1.0m	Default
182	Section Designer	N.A.	TResist	N.A.	Default
183	Section Designer	N.A.	TRnew	N.A.	Default
184	Section Designer	N.A.	TResist	N.A.	Default
185	Circle	N.A.	Palo_D=1.0m	Palo_D=1.0m	Default
186	Section Designer	N.A.	TRnew	N.A.	Default
187	Tee	N.A.	Trasv	Trasv	Default
188	Section Designer	N.A.	TResist	N.A.	Default
189	Section Designer	N.A.	TResist	N.A.	Default
190	Circle	N.A.	Palo_D=1.0m	Palo_D=1.0m	Default
191	Section Designer	N.A.	TResist	N.A.	Default
192	Tee	N.A.	Trasv	Trasv	Default
193	Circle	N.A.	Palo_D=1.0m	Palo_D=1.0m	Default
194	Circle	N.A.	Palo_D=1.0m	Palo_D=1.0m	Default
195	Circle	N.A.	Palo_D=1.0m	Palo_D=1.0m	Default
196	Section Designer	N.A.	TResist	N.A.	Default
197	Section Designer	N.A.	TResist	N.A.	Default
198	Circle	N.A.	Palo_D=1.0m	Palo_D=1.0m	Default
199	Section Designer	N.A.	TRnew	N.A.	Default
200	Circle	N.A.	Palo_D=1.0m	Palo_D=1.0m	Default
201	Section Designer	N.A.	TResist	N.A.	Default
202	Tee	N.A.	Trasv	Trasv	Default
203	Section Designer	N.A.	TResist	N.A.	Default
204	Circle	N.A.	Palo_D=1.0m	Palo_D=1.0m	Default
205	Section Designer	N.A.	TRnew	N.A.	Default
206	Section Designer	N.A.	TResist	N.A.	Default
207	Circle	N.A.	Palo_D=1.0m	Palo_D=1.0m	Default
208	Section Designer	N.A.	TResist	N.A.	Default
209	Circle	N.A.	Palo_D=1.0m	Palo_D=1.0m	Default
210	Section Designer	N.A.	TResist	N.A.	Default
211	Tee	N.A.	Trasv	Trasv	Default
212	Section Designer	N.A.	TResist	N.A.	Default
213	Tee	N.A.	Trasv	Trasv	Default
214	Section Designer	N.A.	TResist	N.A.	Default
215	Circle	N.A.	Palo_D=1.0m	Palo_D=1.0m	Default
216	Circle	N.A.	Palo_D=1.0m	Palo_D=1.0m	Default
217	Section Designer	N.A.	TResist	N.A.	Default
218	Section Designer	N.A.	TRnew	N.A.	Default

Table: Frame Section Assignments

Frame	SectionType	AutoSelect	AnalSect	DesignSect	MatProp
219	Circle	N.A.	Palo_D=1.0m	Palo_D=1.0m	Default
220	Section Designer	N.A.	TResist	N.A.	Default
221	Tee	N.A.	Trasv	Trasv	Default
222	Section Designer	N.A.	TResist	N.A.	Default
223	Circle	N.A.	Palo_D=1.0m	Palo_D=1.0m	Default
224	Section Designer	N.A.	TRnew	N.A.	Default
225	Section Designer	N.A.	TResist	N.A.	Default
226	Circle	N.A.	Palo_D=1.0m	Palo_D=1.0m	Default
227	Section Designer	N.A.	TResist	N.A.	Default
228	Section Designer	N.A.	TRnew	N.A.	Default
229	Section Designer	N.A.	TResist	N.A.	Default
230	Tee	N.A.	Trasv	Trasv	Default
231	Tee	N.A.	Trasv	Trasv	Default
232	Section Designer	N.A.	TResist	N.A.	Default
233	Circle	N.A.	Palo_D=1.0m	Palo_D=1.0m	Default
234	Circle	N.A.	Palo_D=1.0m	Palo_D=1.0m	Default
235	Circle	N.A.	Palo_D=1.0m	Palo_D=1.0m	Default
236	Section Designer	N.A.	TResist	N.A.	Default
237	Section Designer	N.A.	TResist	N.A.	Default
238	Section Designer	N.A.	TResist	N.A.	Default
239	Circle	N.A.	Palo_D=1.0m	Palo_D=1.0m	Default
240	Circle	N.A.	Palo_D=1.0m	Palo_D=1.0m	Default
241	Tee	N.A.	Trasv	Trasv	Default
242	Section Designer	N.A.	TResist	N.A.	Default
243	Circle	N.A.	Palo_D=1.0m	Palo_D=1.0m	Default
244	Section Designer	N.A.	TRnew	N.A.	Default
245	Circle	N.A.	Palo_D=1.0m	Palo_D=1.0m	Default
246	Section Designer	N.A.	TResist	N.A.	Default
247	Circle	N.A.	Palo_D=1.0m	Palo_D=1.0m	Default
248	Section Designer	N.A.	TResist	N.A.	Default
249	Tee	N.A.	Trasv	Trasv	Default
250	Section Designer	N.A.	TRnew	N.A.	Default
251	Circle	N.A.	Palo_D=1.0m	Palo_D=1.0m	Default
252	Section Designer	N.A.	TResist	N.A.	Default
253	Tee	N.A.	Trasv	Trasv	Default
254	Section Designer	N.A.	TRnew	N.A.	Default
255	Section Designer	N.A.	TResist	N.A.	Default
256	Circle	N.A.	Palo_D=1.0m	Palo_D=1.0m	Default
257	Section Designer	N.A.	TResist	N.A.	Default
258	Section Designer	N.A.	TResist	N.A.	Default
259	Circle	N.A.	Palo_D=1.0m	Palo_D=1.0m	Default
260	Circle	N.A.	Palo_D=1.0m	Palo_D=1.0m	Default
261	Section Designer	N.A.	TResist	N.A.	Default
262	Circle	N.A.	Palo_D=1.0m	Palo_D=1.0m	Default
263	Section Designer	N.A.	TResist	N.A.	Default
264	Section Designer	N.A.	TResist	N.A.	Default
265	Circle	N.A.	Palo_D=1.0m	Palo_D=1.0m	Default
266	Section Designer	N.A.	TResist	N.A.	Default
267	Tee	N.A.	Trasv	Trasv	Default
268	Section Designer	N.A.	TRnew	N.A.	Default
269	Circle	N.A.	Palo_D=1.0m	Palo_D=1.0m	Default
270	Circle	N.A.	Palo_D=1.0m	Palo_D=1.0m	Default
271	Section Designer	N.A.	TResist	N.A.	Default
272	Tee	N.A.	Trasv	Trasv	Default

Table: Frame Section Assignments

Frame	SectionType	AutoSelect	AnalSect	DesignSect	MatProp
273	Section Designer	N.A.	TResist	N.A.	Default
274	Section Designer	N.A.	TRnew	N.A.	Default
275	Section Designer	N.A.	TResist	N.A.	Default
276	General	N.A.	RIG	N.A.	Default
277	Section Designer	N.A.	TResist	N.A.	Default
278	General	N.A.	RIG	N.A.	Default
279	General	N.A.	RIG	N.A.	Default
280	General	N.A.	RIG	N.A.	Default
281	Section Designer	N.A.	TResist	N.A.	Default
282	Section Designer	N.A.	TResist	N.A.	Default
283	General	N.A.	RIG	N.A.	Default
284	Section Designer	N.A.	TResist	N.A.	Default
285	Tee	N.A.	Trasv	Trasv	Default
286	General	N.A.	RIG	N.A.	Default
287	Section Designer	N.A.	TRnew	N.A.	Default
288	General	N.A.	RIG	N.A.	Default
289	Section Designer	N.A.	TResist	N.A.	Default
290	Circle	N.A.	Palo_D=1.0m	Palo_D=1.0m	Default
291	Tee	N.A.	Trasv	Trasv	Default
292	Section Designer	N.A.	TResist	N.A.	Default
293	Section Designer	N.A.	TResist	N.A.	Default
294	General	N.A.	RIG	N.A.	Default
295	Section Designer	N.A.	TResist	N.A.	Default
296	Circle	N.A.	Palo_D=1.0m	Palo_D=1.0m	Default
297	General	N.A.	RIG	N.A.	Default
298	Section Designer	N.A.	TRnew	N.A.	Default
299	Section Designer	N.A.	TResist	N.A.	Default
300	General	N.A.	RIG	N.A.	Default
301	Section Designer	N.A.	TResist	N.A.	Default
302	General	N.A.	RIG	N.A.	Default
303	Section Designer	N.A.	TResist	N.A.	Default
304	Tee	N.A.	Trasv	Trasv	Default
305	General	N.A.	RIG	N.A.	Default
306	Section Designer	N.A.	TResist	N.A.	Default
307	Tee	N.A.	Trasv	Trasv	Default
308	Section Designer	N.A.	TResist	N.A.	Default
309	General	N.A.	RIG	N.A.	Default
310	Section Designer	N.A.	TResist	N.A.	Default
311	Section Designer	N.A.	TRnew	N.A.	Default
312	Section Designer	N.A.	TResist	N.A.	Default
313	General	N.A.	RIG	N.A.	Default
314	Section Designer	N.A.	TResist	N.A.	Default
315	General	N.A.	RIG	N.A.	Default
316	Section Designer	N.A.	TResist	N.A.	Default
317	Section Designer	N.A.	TRnew	N.A.	Default
318	General	N.A.	RIG	N.A.	Default
319	Section Designer	N.A.	TResist	N.A.	Default
320	General	N.A.	RIG	N.A.	Default
321	Section Designer	N.A.	TResist	N.A.	Default
322	General	N.A.	RIG	N.A.	Default
323	Tee	N.A.	Trasv	Trasv	Default
324	Section Designer	N.A.	TResist	N.A.	Default
325	Circle	N.A.	Palo_D=1.0m	Palo_D=1.0m	Default
326	Tee	N.A.	Trasv	Trasv	Default

Table: Frame Section Assignments

Frame	SectionType	AutoSelect	AnalSect	DesignSect	MatProp
327	Section Designer	N.A.	TResist	N.A.	Default
328	Circle	N.A.	Palo_D=1.0m	Palo_D=1.0m	Default
329	Section Designer	N.A.	TRnew	N.A.	Default
330	Section Designer	N.A.	TResist	N.A.	Default
331	Circle	N.A.	Palo_D=1.0m	Palo_D=1.0m	Default
332	Section Designer	N.A.	TResist	N.A.	Default
333	Circle	N.A.	Palo_D=1.0m	Palo_D=1.0m	Default
334	Circle	N.A.	Palo_D=1.0m	Palo_D=1.0m	Default
335	Section Designer	N.A.	TResist	N.A.	Default
336	Circle	N.A.	Palo_D=1.0m	Palo_D=1.0m	Default
337	Section Designer	N.A.	TResist	N.A.	Default
338	Circle	N.A.	Palo_D=1.0m	Palo_D=1.0m	Default
339	Section Designer	N.A.	TResist	N.A.	Default
340	Circle	N.A.	Palo_D=1.0m	Palo_D=1.0m	Default
341	Section Designer	N.A.	TRnew	N.A.	Default
342	Circle	N.A.	Palo_D=1.0m	Palo_D=1.0m	Default
343	Section Designer	N.A.	TResist	N.A.	Default
344	Circle	N.A.	Palo_D=1.0m	Palo_D=1.0m	Default
345	Tee	N.A.	Trasv	Trasv	Default
346	Section Designer	N.A.	TResist	N.A.	Default
347	Circle	N.A.	Palo_D=1.0m	Palo_D=1.0m	Default
348	Section Designer	N.A.	TResist	N.A.	Default
349	Section Designer	N.A.	TResist	N.A.	Default
350	Circle	N.A.	Palo_D=1.0m	Palo_D=1.0m	Default
351	Section Designer	N.A.	TResist	N.A.	Default
352	Circle	N.A.	Palo_D=1.0m	Palo_D=1.0m	Default
353	Section Designer	N.A.	TRnew	N.A.	Default
354	Circle	N.A.	Palo_D=1.0m	Palo_D=1.0m	Default
355	Section Designer	N.A.	TResist	N.A.	Default
356	Section Designer	N.A.	TResist	N.A.	Default
357	Circle	N.A.	Palo_D=1.0m	Palo_D=1.0m	Default
358	Section Designer	N.A.	TRnew	N.A.	Default
359	Circle	N.A.	Palo_D=1.0m	Palo_D=1.0m	Default
360	Section Designer	N.A.	TResist	N.A.	Default
361	Circle	N.A.	Palo_D=1.0m	Palo_D=1.0m	Default
362	Section Designer	N.A.	TResist	N.A.	Default
363	Section Designer	N.A.	TResist	N.A.	Default
364	Circle	N.A.	Palo_D=1.0m	Palo_D=1.0m	Default
365	Section Designer	N.A.	TResist	N.A.	Default
366	Tee	N.A.	Trasv	Trasv	Default
367	Circle	N.A.	Palo_D=1.0m	Palo_D=1.0m	Default
368	Section Designer	N.A.	TResist	N.A.	Default
369	Circle	N.A.	Palo_D=1.0m	Palo_D=1.0m	Default
370	Section Designer	N.A.	TRnew	N.A.	Default
371	Circle	N.A.	Palo_D=1.0m	Palo_D=1.0m	Default
372	Section Designer	N.A.	TResist	N.A.	Default
373	Circle	N.A.	Palo_D=1.0m	Palo_D=1.0m	Default
374	Section Designer	N.A.	TResist	N.A.	Default
375	Circle	N.A.	Palo_D=1.0m	Palo_D=1.0m	Default
376	Section Designer	N.A.	TResist	N.A.	Default
377	Circle	N.A.	Palo_D=1.0m	Palo_D=1.0m	Default
378	Circle	N.A.	Palo_D=1.0m	Palo_D=1.0m	Default
379	Section Designer	N.A.	TResist	N.A.	Default
380	Circle	N.A.	Palo_D=1.0m	Palo_D=1.0m	Default

Table: Frame Section Assignments

Frame	SectionType	AutoSelect	AnalSect	DesignSect	MatProp
381	Section Designer	N.A.	TResist	N.A.	Default
382	Section Designer	N.A.	TRnew	N.A.	Default
383	Circle	N.A.	Palo_D=1.0m	Palo_D=1.0m	Default
384	Section Designer	N.A.	TResist	N.A.	Default
385	Tee	N.A.	Trasv	Trasv	Default
386	Circle	N.A.	Palo_D=1.0m	Palo_D=1.0m	Default
387	Section Designer	N.A.	TResist	N.A.	Default
388	Tee	N.A.	Trasv	Trasv	Default
389	Circle	N.A.	Palo_D=1.0m	Palo_D=1.0m	Default
390	Section Designer	N.A.	TResist	N.A.	Default
391	Circle	N.A.	Palo_D=1.0m	Palo_D=1.0m	Default
392	Section Designer	N.A.	TResist	N.A.	Default
393	Circle	N.A.	Palo_D=1.0m	Palo_D=1.0m	Default
394	Section Designer	N.A.	TRnew	N.A.	Default
395	Section Designer	N.A.	TResist	N.A.	Default
396	Circle	N.A.	Palo_D=1.0m	Palo_D=1.0m	Default
397	Section Designer	N.A.	TResist	N.A.	Default
398	Circle	N.A.	Palo_D=1.0m	Palo_D=1.0m	Default
399	Section Designer	N.A.	TResist	N.A.	Default
400	Section Designer	N.A.	TRnew	N.A.	Default
401	Section Designer	N.A.	TResist	N.A.	Default
402	Circle	N.A.	Palo_D=1.0m	Palo_D=1.0m	Default
403	Section Designer	N.A.	TResist	N.A.	Default
404	Tee	N.A.	Trasv	Trasv	Default
405	Section Designer	N.A.	TResist	N.A.	Default
406	Circle	N.A.	Palo_D=1.0m	Palo_D=1.0m	Default
407	Tee	N.A.	Trasv	Trasv	Default
408	Section Designer	N.A.	TResist	N.A.	Default
409	Circle	N.A.	Palo_D=1.0m	Palo_D=1.0m	Default
410	Section Designer	N.A.	TResist	N.A.	Default
411	Circle	N.A.	Palo_D=1.0m	Palo_D=1.0m	Default
412	Section Designer	N.A.	TResist	N.A.	Default
413	Section Designer	N.A.	TRnew	N.A.	Default
414	Circle	N.A.	Palo_D=1.0m	Palo_D=1.0m	Default
415	Circle	N.A.	Palo_D=1.0m	Palo_D=1.0m	Default
416	Section Designer	N.A.	TResist	N.A.	Default
417	Circle	N.A.	Palo_D=1.0m	Palo_D=1.0m	Default
418	Section Designer	N.A.	TResist	N.A.	Default
419	Section Designer	N.A.	TResist	N.A.	Default
420	Tee	N.A.	Trasv	Trasv	Default
421	Circle	N.A.	Palo_D=1.0m	Palo_D=1.0m	Default
422	Section Designer	N.A.	TResist	N.A.	Default
423	Circle	N.A.	Palo_D=1.0m	Palo_D=1.0m	Default
424	Section Designer	N.A.	TRnew	N.A.	Default
425	Circle	N.A.	Palo_D=1.0m	Palo_D=1.0m	Default
426	Tee	N.A.	Trasv	Trasv	Default
427	Section Designer	N.A.	TResist	N.A.	Default
428	Circle	N.A.	Palo_D=1.0m	Palo_D=1.0m	Default
429	Section Designer	N.A.	TResist	N.A.	Default
430	Section Designer	N.A.	TResist	N.A.	Default
431	Circle	N.A.	Palo_D=1.0m	Palo_D=1.0m	Default
432	Circle	N.A.	Palo_D=1.0m	Palo_D=1.0m	Default
433	Circle	N.A.	Palo_D=1.0m	Palo_D=1.0m	Default
434	Section Designer	N.A.	TResist	N.A.	Default

Table: Frame Section Assignments

Frame	SectionType	AutoSelect	AnalSect	DesignSect	MatProp
435	Circle	N.A.	Palo_D=1.0m	Palo_D=1.0m	Default
436	Section Designer	N.A.	TResist	N.A.	Default
437	Section Designer	N.A.	TRnew	N.A.	Default
438	Section Designer	N.A.	TResist	N.A.	Default
439	Tee	N.A.	Trasv	Trasv	Default
440	Section Designer	N.A.	TResist	N.A.	Default
441	Circle	N.A.	Palo_D=1.0m	Palo_D=1.0m	Default
442	Circle	N.A.	Palo_D=1.0m	Palo_D=1.0m	Default
443	Section Designer	N.A.	TRnew	N.A.	Default
444	Tee	N.A.	Trasv	Trasv	Default
445	Section Designer	N.A.	TResist	N.A.	Default
446	Circle	N.A.	Palo_D=1.0m	Palo_D=1.0m	Default
447	Section Designer	N.A.	TResist	N.A.	Default
448	Section Designer	N.A.	TResist	N.A.	Default
449	Circle	N.A.	Palo_D=1.0m	Palo_D=1.0m	Default
450	Section Designer	N.A.	TResist	N.A.	Default
451	Circle	N.A.	Palo_D=1.0m	Palo_D=1.0m	Default
452	Circle	N.A.	Palo_D=1.0m	Palo_D=1.0m	Default
453	Section Designer	N.A.	TResist	N.A.	Default
454	Section Designer	N.A.	TResist	N.A.	Default
455	Circle	N.A.	Palo_D=1.0m	Palo_D=1.0m	Default
456	Circle	N.A.	Palo_D=1.0m	Palo_D=1.0m	Default
457	Section Designer	N.A.	TResist	N.A.	Default
458	Section Designer	N.A.	TRnew	N.A.	Default
459	Tee	N.A.	Trasv	Trasv	Default
460	Section Designer	N.A.	TResist	N.A.	Default
461	Circle	N.A.	Palo_D=1.0m	Palo_D=1.0m	Default
462	Section Designer	N.A.	TRnew	N.A.	Default
463	Tee	N.A.	Trasv	Trasv	Default
464	Section Designer	N.A.	TResist	N.A.	Default
465	Circle	N.A.	Palo_D=1.0m	Palo_D=1.0m	Default
466	Section Designer	N.A.	TResist	N.A.	Default
467	Circle	N.A.	Palo_D=1.0m	Palo_D=1.0m	Default
468	Section Designer	N.A.	TRnew	N.A.	Default
469	Section Designer	N.A.	TResist	N.A.	Default
470	Tee	N.A.	Trasv	Trasv	Default
471	Circle	N.A.	Palo_D=1.0m	Palo_D=1.0m	Default
472	Circle	N.A.	Palo_D=1.0m	Palo_D=1.0m	Default
473	Circle	N.A.	Palo_D=1.0m	Palo_D=1.0m	Default
474	Section Designer	N.A.	TResist	N.A.	Default
475	Section Designer	N.A.	TResist	N.A.	Default
476	Section Designer	N.A.	TResist	N.A.	Default
477	Circle	N.A.	Palo_D=1.0m	Palo_D=1.0m	Default
478	Circle	N.A.	Palo_D=1.0m	Palo_D=1.0m	Default
479	Section Designer	N.A.	TRnew	N.A.	Default
480	Circle	N.A.	Palo_D=1.0m	Palo_D=1.0m	Default
481	Section Designer	N.A.	TResist	N.A.	Default
482	Tee	N.A.	Trasv	Trasv	Default
483	Tee	N.A.	Trasv	Trasv	Default
484	Section Designer	N.A.	TResist	N.A.	Default
485	Circle	N.A.	Palo_D=1.0m	Palo_D=1.0m	Default
486	Section Designer	N.A.	TRnew	N.A.	Default
487	Section Designer	N.A.	TResist	N.A.	Default
488	Circle	N.A.	Palo_D=1.0m	Palo_D=1.0m	Default

Table: Frame Section Assignments

Frame	SectionType	AutoSelect	AnalSect	DesignSect	MatProp
489	Section Designer	N.A.	TResist	N.A.	Default
490	Section Designer	N.A.	TRnew	N.A.	Default
491	Circle	N.A.	Palo_D=1.0m	Palo_D=1.0m	Default
492	Section Designer	N.A.	TResist	N.A.	Default
493	Tee	N.A.	Trasv	Trasv	Default
494	Section Designer	N.A.	TResist	N.A.	Default
495	Tee	N.A.	Trasv	Trasv	Default
496	Section Designer	N.A.	TRnew	N.A.	Default
497	Section Designer	N.A.	TResist	N.A.	Default
498	Circle	N.A.	Palo_D=1.0m	Palo_D=1.0m	Default
499	Circle	N.A.	Palo_D=1.0m	Palo_D=1.0m	Default
500	Section Designer	N.A.	TResist	N.A.	Default
501	Section Designer	N.A.	TRnew	N.A.	Default
502	Tee	N.A.	Trasv	Trasv	Default
503	Circle	N.A.	Palo_D=1.0m	Palo_D=1.0m	Default
504	Section Designer	N.A.	TResist	N.A.	Default
505	Tee	N.A.	Trasv	Trasv	Default
506	Section Designer	N.A.	TResist	N.A.	Default
507	Circle	N.A.	Palo_D=1.0m	Palo_D=1.0m	Default
508	Section Designer	N.A.	TRnew	N.A.	Default
509	Section Designer	N.A.	TResist	N.A.	Default
510	Circle	N.A.	Palo_D=1.0m	Palo_D=1.0m	Default
511	Section Designer	N.A.	TResist	N.A.	Default
512	Section Designer	N.A.	TRnew	N.A.	Default
513	Circle	N.A.	Palo_D=1.0m	Palo_D=1.0m	Default
514	Section Designer	N.A.	TResist	N.A.	Default
515	Tee	N.A.	Trasv	Trasv	Default
516	Tee	N.A.	Trasv	Trasv	Default
517	Section Designer	N.A.	TResist	N.A.	Default
518	Circle	N.A.	Palo_D=1.0m	Palo_D=1.0m	Default
519	Section Designer	N.A.	TRnew	N.A.	Default
520	Circle	N.A.	Palo_D=1.0m	Palo_D=1.0m	Default
521	Circle	N.A.	Palo_D=1.0m	Palo_D=1.0m	Default
522	Section Designer	N.A.	TResist	N.A.	Default
523	Section Designer	N.A.	TResist	N.A.	Default
524	Section Designer	N.A.	TResist	N.A.	Default
525	Circle	N.A.	Palo_D=1.0m	Palo_D=1.0m	Default
526	Circle	N.A.	Palo_D=1.0m	Palo_D=1.0m	Default
527	Circle	N.A.	Palo_D=1.0m	Palo_D=1.0m	Default
528	Tee	N.A.	Trasv	Trasv	Default
529	Section Designer	N.A.	TResist	N.A.	Default
530	Circle	N.A.	Palo_D=1.0m	Palo_D=1.0m	Default
531	Section Designer	N.A.	TRnew	N.A.	Default
532	Circle	N.A.	Palo_D=1.0m	Palo_D=1.0m	Default
533	Section Designer	N.A.	TResist	N.A.	Default
534	Circle	N.A.	Palo_D=1.0m	Palo_D=1.0m	Default
535	Section Designer	N.A.	TResist	N.A.	Default
536	Tee	N.A.	Trasv	Trasv	Default
537	Section Designer	N.A.	TRnew	N.A.	Default
538	Circle	N.A.	Palo_D=1.0m	Palo_D=1.0m	Default
539	Section Designer	N.A.	TResist	N.A.	Default
540	Tee	N.A.	Trasv	Trasv	Default
541	Section Designer	N.A.	TRnew	N.A.	Default
542	Section Designer	N.A.	TResist	N.A.	Default

Table: Frame Section Assignments

Frame	SectionType	AutoSelect	AnalSect	DesignSect	MatProp
543	Circle	N.A.	Palo_D=1.0m	Palo_D=1.0m	Default
544	Circle	N.A.	Palo_D=1.0m	Palo_D=1.0m	Default
545	Section Designer	N.A.	TResist	N.A.	Default
546	Section Designer	N.A.	TResist	N.A.	Default
547	Circle	N.A.	Palo_D=1.0m	Palo_D=1.0m	Default
548	Circle	N.A.	Palo_D=1.0m	Palo_D=1.0m	Default
549	Section Designer	N.A.	TResist	N.A.	Default
550	Circle	N.A.	Palo_D=1.0m	Palo_D=1.0m	Default
551	Section Designer	N.A.	TResist	N.A.	Default
552	Section Designer	N.A.	TResist	N.A.	Default
553	Circle	N.A.	Palo_D=1.0m	Palo_D=1.0m	Default
554	Section Designer	N.A.	TResist	N.A.	Default
555	Tee	N.A.	Trasv	Trasv	Default
556	Section Designer	N.A.	TRnew	N.A.	Default
557	Circle	N.A.	Palo_D=1.0m	Palo_D=1.0m	Default
558	Circle	N.A.	Palo_D=1.0m	Palo_D=1.0m	Default
559	Section Designer	N.A.	TResist	N.A.	Default
560	Tee	N.A.	Trasv	Trasv	Default
561	Section Designer	N.A.	TResist	N.A.	Default
562	Section Designer	N.A.	TRnew	N.A.	Default
563	Section Designer	N.A.	TResist	N.A.	Default
564	Circle	N.A.	Palo_D=1.0m	Palo_D=1.0m	Default
565	Section Designer	N.A.	TResist	N.A.	Default
566	Circle	N.A.	Palo_D=1.0m	Palo_D=1.0m	Default
567	Circle	N.A.	Palo_D=1.0m	Palo_D=1.0m	Default
568	Circle	N.A.	Palo_D=1.0m	Palo_D=1.0m	Default
569	Section Designer	N.A.	TResist	N.A.	Default
570	Section Designer	N.A.	TResist	N.A.	Default
571	Circle	N.A.	Palo_D=1.0m	Palo_D=1.0m	Default
572	Section Designer	N.A.	TResist	N.A.	Default
573	Tee	N.A.	Trasv	Trasv	Default
574	Circle	N.A.	Palo_D=1.0m	Palo_D=1.0m	Default
575	Section Designer	N.A.	TRnew	N.A.	Default
576	Circle	N.A.	Palo_D=1.0m	Palo_D=1.0m	Default
577	Section Designer	N.A.	TResist	N.A.	Default
578	Circle	N.A.	Palo_D=1.0m	Palo_D=1.0m	Default
579	Tee	N.A.	Trasv	Trasv	Default
580	Section Designer	N.A.	TResist	N.A.	Default
581	Section Designer	N.A.	TResist	N.A.	Default
582	Circle	N.A.	Palo_D=1.0m	Palo_D=1.0m	Default
583	Section Designer	N.A.	TResist	N.A.	Default
584	Circle	N.A.	Palo_D=1.0m	Palo_D=1.0m	Default
585	Circle	N.A.	Palo_D=1.0m	Palo_D=1.0m	Default
586	Section Designer	N.A.	TRnew	N.A.	Default
587	Section Designer	N.A.	TResist	N.A.	Default
588	Circle	N.A.	Palo_D=1.0m	Palo_D=1.0m	Default
589	Section Designer	N.A.	TResist	N.A.	Default
590	Circle	N.A.	Palo_D=1.0m	Palo_D=1.0m	Default
591	Section Designer	N.A.	TResist	N.A.	Default
592	Tee	N.A.	Trasv	Trasv	Default
593	Circle	N.A.	Palo_D=1.0m	Palo_D=1.0m	Default
594	Section Designer	N.A.	TResist	N.A.	Default
595	Tee	N.A.	Trasv	Trasv	Default
596	Section Designer	N.A.	TResist	N.A.	Default

Table: Frame Section Assignments

Frame	SectionType	AutoSelect	AnalSect	DesignSect	MatProp
597	Circle	N.A.	Palo_D=1.0m	Palo_D=1.0m	Default
598	Section Designer	N.A.	TResist	N.A.	Default
599	Section Designer	N.A.	TRnew	N.A.	Default
600	Section Designer	N.A.	TResist	N.A.	Default
601	Circle	N.A.	Palo_D=1.0m	Palo_D=1.0m	Default
602	Section Designer	N.A.	TResist	N.A.	Default
603	Circle	N.A.	Palo_D=1.0m	Palo_D=1.0m	Default
604	Section Designer	N.A.	TResist	N.A.	Default
605	Section Designer	N.A.	TRnew	N.A.	Default
606	Circle	N.A.	Palo_D=1.0m	Palo_D=1.0m	Default
607	Section Designer	N.A.	TResist	N.A.	Default
608	Circle	N.A.	Palo_D=1.0m	Palo_D=1.0m	Default
609	Section Designer	N.A.	TResist	N.A.	Default
610	Circle	N.A.	Palo_D=1.0m	Palo_D=1.0m	Default
611	Tee	N.A.	Trasv	Trasv	Default
612	Section Designer	N.A.	TResist	N.A.	Default
613	Circle	N.A.	Palo_D=1.0m	Palo_D=1.0m	Default
614	Tee	N.A.	Trasv	Trasv	Default
615	Section Designer	N.A.	TResist	N.A.	Default
616	Circle	N.A.	Palo_D=1.0m	Palo_D=1.0m	Default
617	Section Designer	N.A.	TRnew	N.A.	Default
618	Section Designer	N.A.	TResist	N.A.	Default
619	Circle	N.A.	Palo_D=1.0m	Palo_D=1.0m	Default
620	Section Designer	N.A.	TResist	N.A.	Default
621	Circle	N.A.	Palo_D=1.0m	Palo_D=1.0m	Default
622	Circle	N.A.	Palo_D=1.0m	Palo_D=1.0m	Default
623	Section Designer	N.A.	TResist	N.A.	Default
624	Circle	N.A.	Palo_D=1.0m	Palo_D=1.0m	Default
625	Section Designer	N.A.	TResist	N.A.	Default
626	Circle	N.A.	Palo_D=1.0m	Palo_D=1.0m	Default
627	Section Designer	N.A.	TResist	N.A.	Default
628	Circle	N.A.	Palo_D=1.0m	Palo_D=1.0m	Default
629	Section Designer	N.A.	TRnew	N.A.	Default
630	Circle	N.A.	Palo_D=1.0m	Palo_D=1.0m	Default
631	Section Designer	N.A.	TResist	N.A.	Default
632	Circle	N.A.	Palo_D=1.0m	Palo_D=1.0m	Default
633	Tee	N.A.	Trasv	Trasv	Default
634	Section Designer	N.A.	TResist	N.A.	Default
635	Circle	N.A.	Palo_D=1.0m	Palo_D=1.0m	Default
636	Section Designer	N.A.	TResist	N.A.	Default
637	Section Designer	N.A.	TResist	N.A.	Default
638	Circle	N.A.	Palo_D=1.0m	Palo_D=1.0m	Default
639	Section Designer	N.A.	TResist	N.A.	Default
640	Circle	N.A.	Palo_D=1.0m	Palo_D=1.0m	Default
641	Section Designer	N.A.	TRnew	N.A.	Default
642	Circle	N.A.	Palo_D=1.0m	Palo_D=1.0m	Default
643	Section Designer	N.A.	TResist	N.A.	Default
644	Section Designer	N.A.	TResist	N.A.	Default
645	Circle	N.A.	Palo_D=1.0m	Palo_D=1.0m	Default
646	Section Designer	N.A.	TRnew	N.A.	Default
647	Circle	N.A.	Palo_D=1.0m	Palo_D=1.0m	Default
648	Section Designer	N.A.	TResist	N.A.	Default
649	Circle	N.A.	Palo_D=1.0m	Palo_D=1.0m	Default
650	Section Designer	N.A.	TResist	N.A.	Default

Table: Frame Section Assignments

Frame	SectionType	AutoSelect	AnalSect	DesignSect	MatProp
651	Section Designer	N.A.	TResist	N.A.	Default
652	Circle	N.A.	Palo_D=1.0m	Palo_D=1.0m	Default
653	Section Designer	N.A.	TResist	N.A.	Default
654	Tee	N.A.	Trasv	Trasv	Default
655	Circle	N.A.	Palo_D=1.0m	Palo_D=1.0m	Default
656	Section Designer	N.A.	TResist	N.A.	Default
657	Circle	N.A.	Palo_D=1.0m	Palo_D=1.0m	Default
658	Section Designer	N.A.	TRnew	N.A.	Default
659	Circle	N.A.	Palo_D=1.0m	Palo_D=1.0m	Default
660	Section Designer	N.A.	TResist	N.A.	Default
661	Circle	N.A.	Palo_D=1.0m	Palo_D=1.0m	Default
662	Section Designer	N.A.	TResist	N.A.	Default
663	Circle	N.A.	Palo_D=1.0m	Palo_D=1.0m	Default
664	Section Designer	N.A.	TResist	N.A.	Default
665	Circle	N.A.	Palo_D=1.0m	Palo_D=1.0m	Default
666	Circle	N.A.	Palo_D=1.0m	Palo_D=1.0m	Default
667	Section Designer	N.A.	TResist	N.A.	Default
668	Circle	N.A.	Palo_D=1.0m	Palo_D=1.0m	Default
669	Section Designer	N.A.	TResist	N.A.	Default
670	Section Designer	N.A.	TRnew	N.A.	Default
671	Circle	N.A.	Palo_D=1.0m	Palo_D=1.0m	Default
672	Section Designer	N.A.	TResist	N.A.	Default
673	Tee	N.A.	Trasv	Trasv	Default
674	Circle	N.A.	Palo_D=1.0m	Palo_D=1.0m	Default
675	Section Designer	N.A.	TResist	N.A.	Default
676	Tee	N.A.	Trasv	Trasv	Default
677	Circle	N.A.	Palo_D=1.0m	Palo_D=1.0m	Default
678	Section Designer	N.A.	TResist	N.A.	Default
679	Circle	N.A.	Palo_D=1.0m	Palo_D=1.0m	Default
680	Section Designer	N.A.	TResist	N.A.	Default
681	Circle	N.A.	Palo_D=1.0m	Palo_D=1.0m	Default
682	Section Designer	N.A.	TRnew	N.A.	Default
683	Section Designer	N.A.	TResist	N.A.	Default
684	Circle	N.A.	Palo_D=1.0m	Palo_D=1.0m	Default
685	Section Designer	N.A.	TResist	N.A.	Default
686	Circle	N.A.	Palo_D=1.0m	Palo_D=1.0m	Default
687	Section Designer	N.A.	TResist	N.A.	Default
688	Section Designer	N.A.	TRnew	N.A.	Default
689	Section Designer	N.A.	TResist	N.A.	Default
690	Circle	N.A.	Palo_D=1.0m	Palo_D=1.0m	Default
691	Section Designer	N.A.	TResist	N.A.	Default
692	Tee	N.A.	Trasv	Trasv	Default
693	Section Designer	N.A.	TResist	N.A.	Default
694	Circle	N.A.	Palo_D=1.0m	Palo_D=1.0m	Default
695	Tee	N.A.	Trasv	Trasv	Default
696	Section Designer	N.A.	TResist	N.A.	Default
697	Circle	N.A.	Palo_D=1.0m	Palo_D=1.0m	Default
698	Section Designer	N.A.	TResist	N.A.	Default
699	Circle	N.A.	Palo_D=1.0m	Palo_D=1.0m	Default
700	Section Designer	N.A.	TResist	N.A.	Default
701	Section Designer	N.A.	TRnew	N.A.	Default
702	Circle	N.A.	Palo_D=1.0m	Palo_D=1.0m	Default
703	Circle	N.A.	Palo_D=1.0m	Palo_D=1.0m	Default
704	Section Designer	N.A.	TResist	N.A.	Default

Table: Frame Section Assignments

Frame	SectionType	AutoSelect	AnalSect	DesignSect	MatProp
705	Circle	N.A.	Palo_D=1.0m	Palo_D=1.0m	Default
706	Section Designer	N.A.	TResist	N.A.	Default
707	Section Designer	N.A.	TResist	N.A.	Default
708	Tee	N.A.	Trasv	Trasv	Default
709	Circle	N.A.	Palo_D=1.0m	Palo_D=1.0m	Default
710	Section Designer	N.A.	TResist	N.A.	Default
711	Circle	N.A.	Palo_D=1.0m	Palo_D=1.0m	Default
712	Section Designer	N.A.	TRnew	N.A.	Default
713	Circle	N.A.	Palo_D=1.0m	Palo_D=1.0m	Default
714	Tee	N.A.	Trasv	Trasv	Default
715	Section Designer	N.A.	TResist	N.A.	Default
716	Circle	N.A.	Palo_D=1.0m	Palo_D=1.0m	Default
717	Section Designer	N.A.	TResist	N.A.	Default
718	Section Designer	N.A.	TResist	N.A.	Default
719	Circle	N.A.	Palo_D=1.0m	Palo_D=1.0m	Default
720	Circle	N.A.	Palo_D=1.0m	Palo_D=1.0m	Default
721	Circle	N.A.	Palo_D=1.0m	Palo_D=1.0m	Default
722	Section Designer	N.A.	TResist	N.A.	Default
723	Circle	N.A.	Palo_D=1.0m	Palo_D=1.0m	Default
724	Section Designer	N.A.	TResist	N.A.	Default
725	Section Designer	N.A.	TRnew	N.A.	Default
726	Section Designer	N.A.	TResist	N.A.	Default
727	Tee	N.A.	Trasv	Trasv	Default
728	Section Designer	N.A.	TResist	N.A.	Default
729	Circle	N.A.	Palo_D=1.0m	Palo_D=1.0m	Default
730	Circle	N.A.	Palo_D=1.0m	Palo_D=1.0m	Default
731	Section Designer	N.A.	TRnew	N.A.	Default
732	Tee	N.A.	Trasv	Trasv	Default
733	Section Designer	N.A.	TResist	N.A.	Default
734	Circle	N.A.	Palo_D=1.0m	Palo_D=1.0m	Default
735	Section Designer	N.A.	TResist	N.A.	Default
736	Section Designer	N.A.	TResist	N.A.	Default
737	Circle	N.A.	Palo_D=1.0m	Palo_D=1.0m	Default
738	Section Designer	N.A.	TResist	N.A.	Default
739	Circle	N.A.	Palo_D=1.0m	Palo_D=1.0m	Default
740	Circle	N.A.	Palo_D=1.0m	Palo_D=1.0m	Default
741	Section Designer	N.A.	TResist	N.A.	Default
742	Section Designer	N.A.	TResist	N.A.	Default
743	Circle	N.A.	Palo_D=1.0m	Palo_D=1.0m	Default
744	Section Designer	N.A.	TResist	N.A.	Default
745	Section Designer	N.A.	TRnew	N.A.	Default
746	Tee	N.A.	Trasv	Trasv	Default
747	Section Designer	N.A.	TResist	N.A.	Default
748	Circle	N.A.	Palo_D=1.0m	Palo_D=1.0m	Default
749	Section Designer	N.A.	TRnew	N.A.	Default
750	Tee	N.A.	Trasv	Trasv	Default
751	Section Designer	N.A.	TResist	N.A.	Default
752	Circle	N.A.	Palo_D=1.0m	Palo_D=1.0m	Default
753	Section Designer	N.A.	TResist	N.A.	Default
754	Circle	N.A.	Palo_D=1.0m	Palo_D=1.0m	Default
755	Section Designer	N.A.	TRnew	N.A.	Default
756	Section Designer	N.A.	TResist	N.A.	Default
757	Tee	N.A.	Trasv	Trasv	Default
758	Circle	N.A.	Palo_D=1.0m	Palo_D=1.0m	Default

Table: Frame Section Assignments

Frame	SectionType	AutoSelect	AnalSect	DesignSect	MatProp
759	Circle	N.A.	Palo_D=1.0m	Palo_D=1.0m	Default
760	Section Designer	N.A.	TResist	N.A.	Default
761	Section Designer	N.A.	TResist	N.A.	Default
762	Section Designer	N.A.	TResist	N.A.	Default
763	Circle	N.A.	Palo_D=1.0m	Palo_D=1.0m	Default
764	Circle	N.A.	Palo_D=1.0m	Palo_D=1.0m	Default
765	Circle	N.A.	Palo_D=1.0m	Palo_D=1.0m	Default
766	Section Designer	N.A.	TResist	N.A.	Default
767	Tee	N.A.	Trasv	Trasv	Default
768	Tee	N.A.	Trasv	Trasv	Default
769	Section Designer	N.A.	TResist	N.A.	Default
770	Section Designer	N.A.	TRnew	N.A.	Default
771	Section Designer	N.A.	TResist	N.A.	Default
772	Circle	N.A.	Palo_D=1.0m	Palo_D=1.0m	Default
773	Section Designer	N.A.	TResist	N.A.	Default
774	Section Designer	N.A.	TRnew	N.A.	Default
775	Circle	N.A.	Palo_D=1.0m	Palo_D=1.0m	Default
776	Section Designer	N.A.	TResist	N.A.	Default
777	Tee	N.A.	Trasv	Trasv	Default
778	Section Designer	N.A.	TResist	N.A.	Default
779	Section Designer	N.A.	TRnew	N.A.	Default
780	Section Designer	N.A.	TResist	N.A.	Default
781	Circle	N.A.	Palo_D=1.0m	Palo_D=1.0m	Default
782	Circle	N.A.	Palo_D=1.0m	Palo_D=1.0m	Default
783	Section Designer	N.A.	TResist	N.A.	Default
784	Tee	N.A.	Trasv	Trasv	Default
785	Section Designer	N.A.	TResist	N.A.	Default
786	Tee	N.A.	Trasv	Trasv	Default
787	Section Designer	N.A.	TResist	N.A.	Default
788	Circle	N.A.	Palo_D=1.0m	Palo_D=1.0m	Default
789	Section Designer	N.A.	TResist	N.A.	Default
790	Circle	N.A.	Palo_D=1.0m	Palo_D=1.0m	Default
791	Section Designer	N.A.	TResist	N.A.	Default
792	Section Designer	N.A.	TRnew	N.A.	Default
793	Circle	N.A.	Palo_D=1.0m	Palo_D=1.0m	Default
794	Section Designer	N.A.	TResist	N.A.	Default
795	Tee	N.A.	Trasv	Trasv	Default
796	Section Designer	N.A.	TResist	N.A.	Default
797	Circle	N.A.	Palo_D=1.0m	Palo_D=1.0m	Default
798	Section Designer	N.A.	TRnew	N.A.	Default
799	Circle	N.A.	Palo_D=1.0m	Palo_D=1.0m	Default
800	Section Designer	N.A.	TResist	N.A.	Default
801	Section Designer	N.A.	TResist	N.A.	Default
802	Circle	N.A.	Palo_D=1.0m	Palo_D=1.0m	Default
803	Circle	N.A.	Palo_D=1.0m	Palo_D=1.0m	Default
804	Circle	N.A.	Palo_D=1.0m	Palo_D=1.0m	Default
805	Tee	N.A.	Trasv	Trasv	Default
806	Section Designer	N.A.	TResist	N.A.	Default
807	Circle	N.A.	Palo_D=1.0m	Palo_D=1.0m	Default
808	Section Designer	N.A.	TResist	N.A.	Default
809	Section Designer	N.A.	TResist	N.A.	Default
810	Tee	N.A.	Trasv	Trasv	Default
811	Section Designer	N.A.	TRnew	N.A.	Default
812	Circle	N.A.	Palo_D=1.0m	Palo_D=1.0m	Default

Table: Frame Section Assignments

Frame	SectionType	AutoSelect	AnalSect	DesignSect	MatProp
813	Section Designer	N.A.	TResist	N.A.	Default
814	Section Designer	N.A.	TRnew	N.A.	Default
815	Section Designer	N.A.	TResist	N.A.	Default
816	Circle	N.A.	Palo_D=1.0m	Palo_D=1.0m	Default
817	Section Designer	N.A.	TResist	N.A.	Default
818	Circle	N.A.	Palo_D=1.0m	Palo_D=1.0m	Default
819	Circle	N.A.	Palo_D=1.0m	Palo_D=1.0m	Default
820	Section Designer	N.A.	TResist	N.A.	Default
821	Circle	N.A.	Palo_D=1.0m	Palo_D=1.0m	Default
822	Section Designer	N.A.	TResist	N.A.	Default
823	Circle	N.A.	Palo_D=1.0m	Palo_D=1.0m	Default
824	Section Designer	N.A.	TResist	N.A.	Default
825	Tee	N.A.	Trasv	Trasv	Default
826	Circle	N.A.	Palo_D=1.0m	Palo_D=1.0m	Default
827	Circle	N.A.	Palo_D=1.0m	Palo_D=1.0m	Default
828	Section Designer	N.A.	TResist	N.A.	Default
829	Section Designer	N.A.	TResist	N.A.	Default
830	Section Designer	N.A.	TRnew	N.A.	Default
831	Section Designer	N.A.	TResist	N.A.	Default
832	Circle	N.A.	Palo_D=1.0m	Palo_D=1.0m	Default
833	Circle	N.A.	Palo_D=1.0m	Palo_D=1.0m	Default
834	Section Designer	N.A.	TResist	N.A.	Default
835	Section Designer	N.A.	TResist	N.A.	Default
836	Circle	N.A.	Palo_D=1.0m	Palo_D=1.0m	Default
837	Tee	N.A.	Trasv	Trasv	Default
838	Circle	N.A.	Palo_D=1.0m	Palo_D=1.0m	Default
839	Circle	N.A.	Palo_D=1.0m	Palo_D=1.0m	Default
840	Section Designer	N.A.	TResist	N.A.	Default
841	Section Designer	N.A.	TResist	N.A.	Default
842	Circle	N.A.	Palo_D=1.0m	Palo_D=1.0m	Default
843	Section Designer	N.A.	TResist	N.A.	Default
844	Circle	N.A.	Palo_D=1.0m	Palo_D=1.0m	Default
845	Section Designer	N.A.	TRnew	N.A.	Default
846	Section Designer	N.A.	TResist	N.A.	Default
847	Section Designer	N.A.	TResist	N.A.	Default
848	Circle	N.A.	Palo_D=1.0m	Palo_D=1.0m	Default
849	Tee	N.A.	Trasv	Trasv	Default
850	Circle	N.A.	Palo_D=1.0m	Palo_D=1.0m	Default
851	Section Designer	N.A.	TResist	N.A.	Default
852	Circle	N.A.	Palo_D=1.0m	Palo_D=1.0m	Default
853	Section Designer	N.A.	TResist	N.A.	Default
854	Circle	N.A.	Palo_D=1.0m	Palo_D=1.0m	Default
855	Section Designer	N.A.	TResist	N.A.	Default
856	Section Designer	N.A.	TResist	N.A.	Default
857	Section Designer	N.A.	TRnew	N.A.	Default
858	Section Designer	N.A.	TResist	N.A.	Default
859	Circle	N.A.	Palo_D=1.0m	Palo_D=1.0m	Default
860	Tee	N.A.	Trasv	Trasv	Default
861	Section Designer	N.A.	TResist	N.A.	Default
862	Circle	N.A.	Palo_D=1.0m	Palo_D=1.0m	Default
863	Circle	N.A.	Palo_D=1.0m	Palo_D=1.0m	Default
864	Circle	N.A.	Palo_D=1.0m	Palo_D=1.0m	Default
865	Section Designer	N.A.	TResist	N.A.	Default
866	Section Designer	N.A.	TResist	N.A.	Default

Table: Frame Section Assignments

Frame	SectionType	AutoSelect	AnalSect	DesignSect	MatProp
867	Circle	N.A.	Palo_D=1.0m	Palo_D=1.0m	Default
868	Section Designer	N.A.	TResist	N.A.	Default
869	Circle	N.A.	Palo_D=1.0m	Palo_D=1.0m	Default
870	Section Designer	N.A.	TRnew	N.A.	Default
871	Section Designer	N.A.	TResist	N.A.	Default
872	Circle	N.A.	Palo_D=1.0m	Palo_D=1.0m	Default
873	Circle	N.A.	Palo_D=1.0m	Palo_D=1.0m	Default
874	Section Designer	N.A.	TResist	N.A.	Default
875	Circle	N.A.	Palo_D=1.0m	Palo_D=1.0m	Default
876	Circle	N.A.	Palo_D=1.0m	Palo_D=1.0m	Default
877	Section Designer	N.A.	TResist	N.A.	Default
878	Section Designer	N.A.	TRnew	N.A.	Default
879	Section Designer	N.A.	TResist	N.A.	Default
880	Circle	N.A.	Palo_D=1.0m	Palo_D=1.0m	Default
881	Section Designer	N.A.	TResist	N.A.	Default
882	Section Designer	N.A.	TResist	N.A.	Default
883	Tee	N.A.	Trasv	Trasv	Default
884	Circle	N.A.	Palo_D=1.0m	Palo_D=1.0m	Default
885	Circle	N.A.	Palo_D=1.0m	Palo_D=1.0m	Default
886	Section Designer	N.A.	TResist	N.A.	Default
887	Circle	N.A.	Palo_D=1.0m	Palo_D=1.0m	Default
888	Circle	N.A.	Palo_D=1.0m	Palo_D=1.0m	Default
889	Section Designer	N.A.	TResist	N.A.	Default
890	Section Designer	N.A.	TRnew	N.A.	Default
891	Section Designer	N.A.	TResist	N.A.	Default
892	Tee	N.A.	Trasv	Trasv	Default
893	Circle	N.A.	Palo_D=1.0m	Palo_D=1.0m	Default
894	Section Designer	N.A.	TResist	N.A.	Default
895	Circle	N.A.	Palo_D=1.0m	Palo_D=1.0m	Default
896	Circle	N.A.	Palo_D=1.0m	Palo_D=1.0m	Default
897	Section Designer	N.A.	TResist	N.A.	Default
898	Section Designer	N.A.	TRnew	N.A.	Default
899	Section Designer	N.A.	TResist	N.A.	Default
900	Tee	N.A.	Trasv	Trasv	Default
901	Section Designer	N.A.	TResist	N.A.	Default
902	Circle	N.A.	Palo_D=1.0m	Palo_D=1.0m	Default
903	Circle	N.A.	Palo_D=1.0m	Palo_D=1.0m	Default
904	Section Designer	N.A.	TResist	N.A.	Default
905	Tee	N.A.	Trasv	Trasv	Default
906	Circle	N.A.	Palo_D=1.0m	Palo_D=1.0m	Default
907	Section Designer	N.A.	TRnew	N.A.	Default
908	Section Designer	N.A.	TResist	N.A.	Default
909	Circle	N.A.	Palo_D=1.0m	Palo_D=1.0m	Default
910	Circle	N.A.	Palo_D=1.0m	Palo_D=1.0m	Default
911	Section Designer	N.A.	TResist	N.A.	Default
912	Tee	N.A.	Trasv	Trasv	Default
913	Section Designer	N.A.	TRnew	N.A.	Default
914	Section Designer	N.A.	TResist	N.A.	Default
915	Section Designer	N.A.	TResist	N.A.	Default
916	Circle	N.A.	Palo_D=1.0m	Palo_D=1.0m	Default
917	Tee	N.A.	Trasv	Trasv	Default
918	Circle	N.A.	Palo_D=1.0m	Palo_D=1.0m	Default
919	Section Designer	N.A.	TRnew	N.A.	Default
920	Section Designer	N.A.	TResist	N.A.	Default

Table: Frame Section Assignments

Frame	SectionType	AutoSelect	AnalSect	DesignSect	MatProp
921	Circle	N.A.	Palo_D=1.0m	Palo_D=1.0m	Default
922	Tee	N.A.	Trasv	Trasv	Default
923	Section Designer	N.A.	TRnew	N.A.	Default
924	Section Designer	N.A.	TRnew	N.A.	Default
925	Tee	N.A.	Trasv	Trasv	Default
926	Circle	N.A.	Palo_D=1.0m	Palo_D=1.0m	Default
927	Section Designer	N.A.	TRnew	N.A.	Default
928	Circle	N.A.	Palo_D=1.0m	Palo_D=1.0m	Default
929	Circle	N.A.	Palo_D=1.0m	Palo_D=1.0m	Default
930	Circle	N.A.	Palo_D=1.0m	Palo_D=1.0m	Default
931	General	N.A.	RIG	N.A.	Default
932	General	N.A.	RIG	N.A.	Default
933	General	N.A.	RIG	N.A.	Default
934	General	N.A.	RIG	N.A.	Default
935	General	N.A.	RIG	N.A.	Default
936	General	N.A.	RIG	N.A.	Default
937	General	N.A.	RIG	N.A.	Default
938	General	N.A.	RIG	N.A.	Default
939	General	N.A.	RIG	N.A.	Default
940	General	N.A.	RIG	N.A.	Default
941	General	N.A.	RIG	N.A.	Default
942	General	N.A.	RIG	N.A.	Default
943	General	N.A.	RIG	N.A.	Default
944	General	N.A.	RIG	N.A.	Default
945	General	N.A.	RIG	N.A.	Default
946	General	N.A.	RIG	N.A.	Default
947	General	N.A.	RIG	N.A.	Default
948	General	N.A.	RIG	N.A.	Default
949	Circle	N.A.	Palo_D=1.0m	Palo_D=1.0m	Default
950	Circle	N.A.	Palo_D=1.0m	Palo_D=1.0m	Default
951	General	N.A.	RIG	N.A.	Default
952	General	N.A.	RIG	N.A.	Default
953	General	N.A.	RIG	N.A.	Default
954	General	N.A.	RIG	N.A.	Default
955	General	N.A.	RIG	N.A.	Default
956	General	N.A.	RIG	N.A.	Default
957	General	N.A.	RIG	N.A.	Default
958	General	N.A.	RIG	N.A.	Default
959	General	N.A.	RIG	N.A.	Default
960	General	N.A.	RIG	N.A.	Default
961	General	N.A.	RIG	N.A.	Default
962	General	N.A.	RIG	N.A.	Default
963	General	N.A.	RIG	N.A.	Default
964	General	N.A.	RIG	N.A.	Default
965	General	N.A.	RIG	N.A.	Default
966	General	N.A.	RIG	N.A.	Default
967	General	N.A.	RIG	N.A.	Default
968	General	N.A.	RIG	N.A.	Default
969	Circle	N.A.	Palo_D=1.0m	Palo_D=1.0m	Default
970	Circle	N.A.	Palo_D=1.0m	Palo_D=1.0m	Default
971	General	N.A.	RIG	N.A.	Default
972	General	N.A.	RIG	N.A.	Default
973	General	N.A.	RIG	N.A.	Default
974	General	N.A.	RIG	N.A.	Default

Table: Frame Section Assignments

Frame	SectionType	AutoSelect	AnalSect	DesignSect	MatProp
975	General	N.A.	RIG	N.A.	Default
976	General	N.A.	RIG	N.A.	Default
977	General	N.A.	RIG	N.A.	Default
978	General	N.A.	RIG	N.A.	Default
979	General	N.A.	RIG	N.A.	Default
980	General	N.A.	RIG	N.A.	Default
981	General	N.A.	RIG	N.A.	Default
982	General	N.A.	RIG	N.A.	Default
983	General	N.A.	RIG	N.A.	Default
984	General	N.A.	RIG	N.A.	Default
985	General	N.A.	RIG	N.A.	Default
986	General	N.A.	RIG	N.A.	Default
987	General	N.A.	RIG	N.A.	Default
988	General	N.A.	RIG	N.A.	Default
989	Circle	N.A.	Palo_D=1.0m	Palo_D=1.0m	Default
990	Circle	N.A.	Palo_D=1.0m	Palo_D=1.0m	Default
991	General	N.A.	RIG	N.A.	Default
992	General	N.A.	RIG	N.A.	Default
993	General	N.A.	RIG	N.A.	Default
994	General	N.A.	RIG	N.A.	Default
995	General	N.A.	RIG	N.A.	Default
996	General	N.A.	RIG	N.A.	Default
997	General	N.A.	RIG	N.A.	Default
998	General	N.A.	RIG	N.A.	Default
999	General	N.A.	RIG	N.A.	Default
1000	General	N.A.	RIG	N.A.	Default
1001	General	N.A.	RIG	N.A.	Default
1002	General	N.A.	RIG	N.A.	Default
1003	General	N.A.	RIG	N.A.	Default
1004	General	N.A.	RIG	N.A.	Default
1005	General	N.A.	RIG	N.A.	Default
1006	General	N.A.	RIG	N.A.	Default
1007	General	N.A.	RIG	N.A.	Default
1008	General	N.A.	RIG	N.A.	Default
1009	Circle	N.A.	Palo_D=1.0m	Palo_D=1.0m	Default
1010	Circle	N.A.	Palo_D=1.0m	Palo_D=1.0m	Default
1011	General	N.A.	RIG	N.A.	Default
1012	General	N.A.	RIG	N.A.	Default
1013	General	N.A.	RIG	N.A.	Default
1014	General	N.A.	RIG	N.A.	Default
1015	General	N.A.	RIG	N.A.	Default
1016	General	N.A.	RIG	N.A.	Default
1017	General	N.A.	RIG	N.A.	Default
1018	General	N.A.	RIG	N.A.	Default
1019	General	N.A.	RIG	N.A.	Default
1020	General	N.A.	RIG	N.A.	Default
1021	General	N.A.	RIG	N.A.	Default
1022	General	N.A.	RIG	N.A.	Default
1023	General	N.A.	RIG	N.A.	Default
1024	General	N.A.	RIG	N.A.	Default
1025	General	N.A.	RIG	N.A.	Default
1026	General	N.A.	RIG	N.A.	Default
1027	General	N.A.	RIG	N.A.	Default
1028	General	N.A.	RIG	N.A.	Default

Table: Frame Section Assignments

Frame	SectionType	AutoSelect	AnalSect	DesignSect	MatProp
1029	Circle	N.A.	Palo_D=1.0m	Palo_D=1.0m	Default
1030	Circle	N.A.	Palo_D=1.0m	Palo_D=1.0m	Default
1031	Circle	N.A.	Palo_D=1.0m	Palo_D=1.0m	Default
1032	Circle	N.A.	Palo_D=1.0m	Palo_D=1.0m	Default
1033	Circle	N.A.	Palo_D=1.0m	Palo_D=1.0m	Default
1034	Circle	N.A.	Palo_D=1.0m	Palo_D=1.0m	Default
1035	Circle	N.A.	Palo_D=1.0m	Palo_D=1.0m	Default
1036	Circle	N.A.	Palo_D=1.0m	Palo_D=1.0m	Default
1037	Circle	N.A.	Palo_D=1.0m	Palo_D=1.0m	Default
1038	Circle	N.A.	Palo_D=1.0m	Palo_D=1.0m	Default
1039	Circle	N.A.	Palo_D=1.0m	Palo_D=1.0m	Default
1040	Circle	N.A.	Palo_D=1.0m	Palo_D=1.0m	Default
1041	Circle	N.A.	Palo_D=1.0m	Palo_D=1.0m	Default
1042	Circle	N.A.	Palo_D=1.0m	Palo_D=1.0m	Default
1043	Circle	N.A.	Palo_D=1.0m	Palo_D=1.0m	Default
1044	Circle	N.A.	Palo_D=1.0m	Palo_D=1.0m	Default
1045	Circle	N.A.	Palo_D=1.0m	Palo_D=1.0m	Default
1046	Circle	N.A.	Palo_D=1.0m	Palo_D=1.0m	Default
1047	Circle	N.A.	Palo_D=1.0m	Palo_D=1.0m	Default
1048	Circle	N.A.	Palo_D=1.0m	Palo_D=1.0m	Default
1049	Circle	N.A.	Palo_D=1.0m	Palo_D=1.0m	Default
1050	Circle	N.A.	Palo_D=1.0m	Palo_D=1.0m	Default
1051	Circle	N.A.	Palo_D=1.0m	Palo_D=1.0m	Default
1052	Circle	N.A.	Palo_D=1.0m	Palo_D=1.0m	Default
1053	Circle	N.A.	Palo_D=1.0m	Palo_D=1.0m	Default
1054	Circle	N.A.	Palo_D=1.0m	Palo_D=1.0m	Default
1055	Circle	N.A.	Palo_D=1.0m	Palo_D=1.0m	Default
1056	Circle	N.A.	Palo_D=1.0m	Palo_D=1.0m	Default
1057	Circle	N.A.	Palo_D=1.0m	Palo_D=1.0m	Default
1058	Circle	N.A.	Palo_D=1.0m	Palo_D=1.0m	Default
1059	Circle	N.A.	Palo_D=1.0m	Palo_D=1.0m	Default
1060	Circle	N.A.	Palo_D=1.0m	Palo_D=1.0m	Default
1061	Circle	N.A.	Palo_D=1.0m	Palo_D=1.0m	Default
1062	Circle	N.A.	Palo_D=1.0m	Palo_D=1.0m	Default
1063	Circle	N.A.	Palo_D=1.0m	Palo_D=1.0m	Default
1064	Circle	N.A.	Palo_D=1.0m	Palo_D=1.0m	Default
1065	Circle	N.A.	Palo_D=1.0m	Palo_D=1.0m	Default
1066	Circle	N.A.	Palo_D=1.0m	Palo_D=1.0m	Default
1067	Circle	N.A.	Palo_D=1.0m	Palo_D=1.0m	Default
1068	Circle	N.A.	Palo_D=1.0m	Palo_D=1.0m	Default
1069	Circle	N.A.	Palo_D=1.0m	Palo_D=1.0m	Default
1070	Circle	N.A.	Palo_D=1.0m	Palo_D=1.0m	Default
1071	Circle	N.A.	Palo_D=1.0m	Palo_D=1.0m	Default
1072	Circle	N.A.	Palo_D=1.0m	Palo_D=1.0m	Default
1073	Circle	N.A.	Palo_D=1.0m	Palo_D=1.0m	Default
1074	Circle	N.A.	Palo_D=1.0m	Palo_D=1.0m	Default
1075	Circle	N.A.	Palo_D=1.0m	Palo_D=1.0m	Default
1076	Circle	N.A.	Palo_D=1.0m	Palo_D=1.0m	Default
1077	Circle	N.A.	Palo_D=1.0m	Palo_D=1.0m	Default
1078	Circle	N.A.	Palo_D=1.0m	Palo_D=1.0m	Default
1079	Circle	N.A.	Palo_D=1.0m	Palo_D=1.0m	Default
1080	Circle	N.A.	Palo_D=1.0m	Palo_D=1.0m	Default
1081	Circle	N.A.	Palo_D=1.0m	Palo_D=1.0m	Default
1082	Circle	N.A.	Palo_D=1.0m	Palo_D=1.0m	Default

Table: Frame Section Assignments

Frame	SectionType	AutoSelect	AnalSect	DesignSect	MatProp
1083	Circle	N.A.	Palo_D=1.0m	Palo_D=1.0m	Default
1084	Circle	N.A.	Palo_D=1.0m	Palo_D=1.0m	Default
1085	Circle	N.A.	Palo_D=1.0m	Palo_D=1.0m	Default
1086	Circle	N.A.	Palo_D=1.0m	Palo_D=1.0m	Default
1087	Circle	N.A.	Palo_D=1.0m	Palo_D=1.0m	Default
1088	Circle	N.A.	Palo_D=1.0m	Palo_D=1.0m	Default
1089	Circle	N.A.	Palo_D=1.0m	Palo_D=1.0m	Default
1090	Circle	N.A.	Palo_D=1.0m	Palo_D=1.0m	Default
1091	Circle	N.A.	Palo_D=1.0m	Palo_D=1.0m	Default
1092	Circle	N.A.	Palo_D=1.0m	Palo_D=1.0m	Default
1093	Circle	N.A.	Palo_D=1.0m	Palo_D=1.0m	Default
1094	Circle	N.A.	Palo_D=1.0m	Palo_D=1.0m	Default
1095	Circle	N.A.	Palo_D=1.0m	Palo_D=1.0m	Default
1096	Circle	N.A.	Palo_D=1.0m	Palo_D=1.0m	Default
1097	Circle	N.A.	Palo_D=1.0m	Palo_D=1.0m	Default
1098	Circle	N.A.	Palo_D=1.0m	Palo_D=1.0m	Default
1099	Circle	N.A.	Palo_D=1.0m	Palo_D=1.0m	Default
1100	Circle	N.A.	Palo_D=1.0m	Palo_D=1.0m	Default
1101	Circle	N.A.	Palo_D=1.0m	Palo_D=1.0m	Default
1102	Circle	N.A.	Palo_D=1.0m	Palo_D=1.0m	Default
1103	Circle	N.A.	Palo_D=1.0m	Palo_D=1.0m	Default
1104	Circle	N.A.	Palo_D=1.0m	Palo_D=1.0m	Default
1105	Circle	N.A.	Palo_D=1.0m	Palo_D=1.0m	Default
1106	Circle	N.A.	Palo_D=1.0m	Palo_D=1.0m	Default
1107	Circle	N.A.	Palo_D=1.0m	Palo_D=1.0m	Default
1108	Circle	N.A.	Palo_D=1.0m	Palo_D=1.0m	Default
1109	Circle	N.A.	Palo_D=1.0m	Palo_D=1.0m	Default
1110	Circle	N.A.	Palo_D=1.0m	Palo_D=1.0m	Default
1111	Circle	N.A.	Palo_D=1.0m	Palo_D=1.0m	Default
1112	Circle	N.A.	Palo_D=1.0m	Palo_D=1.0m	Default
1113	Circle	N.A.	Palo_D=1.0m	Palo_D=1.0m	Default
1114	Circle	N.A.	Palo_D=1.0m	Palo_D=1.0m	Default
1115	Circle	N.A.	Palo_D=1.0m	Palo_D=1.0m	Default
1116	Circle	N.A.	Palo_D=1.0m	Palo_D=1.0m	Default
1117	Circle	N.A.	Palo_D=1.0m	Palo_D=1.0m	Default
1118	Circle	N.A.	Palo_D=1.0m	Palo_D=1.0m	Default
1119	Circle	N.A.	Palo_D=1.0m	Palo_D=1.0m	Default
1120	Circle	N.A.	Palo_D=1.0m	Palo_D=1.0m	Default
1121	Circle	N.A.	Palo_D=1.0m	Palo_D=1.0m	Default
1122	Circle	N.A.	Palo_D=1.0m	Palo_D=1.0m	Default
1123	Circle	N.A.	Palo_D=1.0m	Palo_D=1.0m	Default
1124	Circle	N.A.	Palo_D=1.0m	Palo_D=1.0m	Default
1125	Circle	N.A.	Palo_D=1.0m	Palo_D=1.0m	Default
1126	Circle	N.A.	Palo_D=1.0m	Palo_D=1.0m	Default
1127	Circle	N.A.	Palo_D=1.0m	Palo_D=1.0m	Default
1128	Circle	N.A.	Palo_D=1.0m	Palo_D=1.0m	Default
1129	Circle	N.A.	Palo_D=1.0m	Palo_D=1.0m	Default
1130	Circle	N.A.	Palo_D=1.0m	Palo_D=1.0m	Default
1131	Circle	N.A.	Palo_D=1.0m	Palo_D=1.0m	Default
1132	Circle	N.A.	Palo_D=1.0m	Palo_D=1.0m	Default
1133	Circle	N.A.	Palo_D=1.0m	Palo_D=1.0m	Default
1134	Circle	N.A.	Palo_D=1.0m	Palo_D=1.0m	Default
1135	Circle	N.A.	Palo_D=1.0m	Palo_D=1.0m	Default
1136	Circle	N.A.	Palo_D=1.0m	Palo_D=1.0m	Default

Table: Frame Section Assignments

Frame	SectionType	AutoSelect	AnalSect	DesignSect	MatProp
1137	Circle	N.A.	Palo_D=1.0m	Palo_D=1.0m	Default
1138	Circle	N.A.	Palo_D=1.0m	Palo_D=1.0m	Default
1139	Circle	N.A.	Palo_D=1.0m	Palo_D=1.0m	Default
1140	Circle	N.A.	Palo_D=1.0m	Palo_D=1.0m	Default
1141	Circle	N.A.	Palo_D=1.0m	Palo_D=1.0m	Default
1142	Circle	N.A.	Palo_D=1.0m	Palo_D=1.0m	Default
1143	Circle	N.A.	Palo_D=1.0m	Palo_D=1.0m	Default
1144	Circle	N.A.	Palo_D=1.0m	Palo_D=1.0m	Default
1145	Circle	N.A.	Palo_D=1.0m	Palo_D=1.0m	Default
1146	Circle	N.A.	Palo_D=1.0m	Palo_D=1.0m	Default
1147	Circle	N.A.	Palo_D=1.0m	Palo_D=1.0m	Default
1148	Circle	N.A.	Palo_D=1.0m	Palo_D=1.0m	Default
1149	Circle	N.A.	Palo_D=1.0m	Palo_D=1.0m	Default
1150	Circle	N.A.	Palo_D=1.0m	Palo_D=1.0m	Default
1151	Circle	N.A.	Palo_D=1.0m	Palo_D=1.0m	Default
1152	Circle	N.A.	Palo_D=1.0m	Palo_D=1.0m	Default
1153	Circle	N.A.	Palo_D=1.0m	Palo_D=1.0m	Default
1154	Circle	N.A.	Palo_D=1.0m	Palo_D=1.0m	Default
1155	Circle	N.A.	Palo_D=1.0m	Palo_D=1.0m	Default
1156	Circle	N.A.	Palo_D=1.0m	Palo_D=1.0m	Default
1157	Circle	N.A.	Palo_D=1.0m	Palo_D=1.0m	Default
1158	Circle	N.A.	Palo_D=1.0m	Palo_D=1.0m	Default
1159	Circle	N.A.	Palo_D=1.0m	Palo_D=1.0m	Default
1160	Circle	N.A.	Palo_D=1.0m	Palo_D=1.0m	Default
1161	Circle	N.A.	Palo_D=1.0m	Palo_D=1.0m	Default
1162	Circle	N.A.	Palo_D=1.0m	Palo_D=1.0m	Default
1163	Circle	N.A.	Palo_D=1.0m	Palo_D=1.0m	Default
1164	Circle	N.A.	Palo_D=1.0m	Palo_D=1.0m	Default
1165	Circle	N.A.	Palo_D=1.0m	Palo_D=1.0m	Default
1166	Circle	N.A.	Palo_D=1.0m	Palo_D=1.0m	Default
1167	Circle	N.A.	Palo_D=1.0m	Palo_D=1.0m	Default
1168	Circle	N.A.	Palo_D=1.0m	Palo_D=1.0m	Default
1169	Circle	N.A.	Palo_D=1.0m	Palo_D=1.0m	Default
1170	Circle	N.A.	Palo_D=1.0m	Palo_D=1.0m	Default
1171	Circle	N.A.	Palo_D=1.0m	Palo_D=1.0m	Default
1172	Circle	N.A.	Palo_D=1.0m	Palo_D=1.0m	Default
1173	Circle	N.A.	Palo_D=1.0m	Palo_D=1.0m	Default
1174	Circle	N.A.	Palo_D=1.0m	Palo_D=1.0m	Default
1175	Circle	N.A.	Palo_D=1.0m	Palo_D=1.0m	Default
1176	Circle	N.A.	Palo_D=1.0m	Palo_D=1.0m	Default
1177	Circle	N.A.	Palo_D=1.0m	Palo_D=1.0m	Default
1178	Circle	N.A.	Palo_D=1.0m	Palo_D=1.0m	Default
1179	Circle	N.A.	Palo_D=1.0m	Palo_D=1.0m	Default
1180	Circle	N.A.	Palo_D=1.0m	Palo_D=1.0m	Default
1181	Circle	N.A.	Palo_D=1.0m	Palo_D=1.0m	Default
1182	Circle	N.A.	Palo_D=1.0m	Palo_D=1.0m	Default
1183	Circle	N.A.	Palo_D=1.0m	Palo_D=1.0m	Default
1184	Circle	N.A.	Palo_D=1.0m	Palo_D=1.0m	Default
1185	Circle	N.A.	Palo_D=1.0m	Palo_D=1.0m	Default
1186	Circle	N.A.	Palo_D=1.0m	Palo_D=1.0m	Default
1187	Circle	N.A.	Palo_D=1.0m	Palo_D=1.0m	Default
1188	Circle	N.A.	Palo_D=1.0m	Palo_D=1.0m	Default
1189	Circle	N.A.	Palo_D=1.0m	Palo_D=1.0m	Default
1190	Circle	N.A.	Palo_D=1.0m	Palo_D=1.0m	Default

Table: Frame Section Assignments

Frame	SectionType	AutoSelect	AnalSect	DesignSect	MatProp
1191	Circle	N.A.	Palo_D=1.0m	Palo_D=1.0m	Default
1192	Circle	N.A.	Palo_D=1.0m	Palo_D=1.0m	Default
1193	Circle	N.A.	Palo_D=1.0m	Palo_D=1.0m	Default
1194	Circle	N.A.	Palo_D=1.0m	Palo_D=1.0m	Default
1195	Circle	N.A.	Palo_D=1.0m	Palo_D=1.0m	Default
1196	Circle	N.A.	Palo_D=1.0m	Palo_D=1.0m	Default
1197	Circle	N.A.	Palo_D=1.0m	Palo_D=1.0m	Default
1198	Circle	N.A.	Palo_D=1.0m	Palo_D=1.0m	Default
1199	Circle	N.A.	Palo_D=1.0m	Palo_D=1.0m	Default
1200	Circle	N.A.	Palo_D=1.0m	Palo_D=1.0m	Default
1201	Circle	N.A.	Palo_D=1.0m	Palo_D=1.0m	Default
1202	Circle	N.A.	Palo_D=1.0m	Palo_D=1.0m	Default
1203	Circle	N.A.	Palo_D=1.0m	Palo_D=1.0m	Default
1204	Circle	N.A.	Palo_D=1.0m	Palo_D=1.0m	Default
1205	Circle	N.A.	Palo_D=1.0m	Palo_D=1.0m	Default
1206	Circle	N.A.	Palo_D=1.0m	Palo_D=1.0m	Default
1207	Circle	N.A.	Palo_D=1.0m	Palo_D=1.0m	Default
1208	Circle	N.A.	Palo_D=1.0m	Palo_D=1.0m	Default
1209	Circle	N.A.	Palo_D=1.0m	Palo_D=1.0m	Default
1210	Circle	N.A.	Palo_D=1.0m	Palo_D=1.0m	Default
1211	Circle	N.A.	Palo_D=1.0m	Palo_D=1.0m	Default
1212	Circle	N.A.	Palo_D=1.0m	Palo_D=1.0m	Default
1213	Circle	N.A.	Palo_D=1.0m	Palo_D=1.0m	Default
1214	Circle	N.A.	Palo_D=1.0m	Palo_D=1.0m	Default
1215	Circle	N.A.	Palo_D=1.0m	Palo_D=1.0m	Default
1216	Circle	N.A.	Palo_D=1.0m	Palo_D=1.0m	Default
1217	Circle	N.A.	Palo_D=1.0m	Palo_D=1.0m	Default
1218	Circle	N.A.	Palo_D=1.0m	Palo_D=1.0m	Default
1219	Circle	N.A.	Palo_D=1.0m	Palo_D=1.0m	Default
1220	Circle	N.A.	Palo_D=1.0m	Palo_D=1.0m	Default
1221	Circle	N.A.	Palo_D=1.0m	Palo_D=1.0m	Default
1222	Circle	N.A.	Palo_D=1.0m	Palo_D=1.0m	Default
1223	Circle	N.A.	Palo_D=1.0m	Palo_D=1.0m	Default
1224	Circle	N.A.	Palo_D=1.0m	Palo_D=1.0m	Default
1225	Circle	N.A.	Palo_D=1.0m	Palo_D=1.0m	Default
1226	Circle	N.A.	Palo_D=1.0m	Palo_D=1.0m	Default
1227	Circle	N.A.	Palo_D=1.0m	Palo_D=1.0m	Default
1228	Circle	N.A.	Palo_D=1.0m	Palo_D=1.0m	Default
1229	Circle	N.A.	Palo_D=1.0m	Palo_D=1.0m	Default
1230	Circle	N.A.	Palo_D=1.0m	Palo_D=1.0m	Default
1231	Circle	N.A.	Palo_D=1.0m	Palo_D=1.0m	Default
1232	Circle	N.A.	Palo_D=1.0m	Palo_D=1.0m	Default
1233	Circle	N.A.	Palo_D=1.0m	Palo_D=1.0m	Default
1234	Circle	N.A.	Palo_D=1.0m	Palo_D=1.0m	Default
1235	Circle	N.A.	Palo_D=1.0m	Palo_D=1.0m	Default
1236	Circle	N.A.	Palo_D=1.0m	Palo_D=1.0m	Default
1237	Circle	N.A.	Palo_D=1.0m	Palo_D=1.0m	Default
1238	Circle	N.A.	Palo_D=1.0m	Palo_D=1.0m	Default
1239	Circle	N.A.	Palo_D=1.0m	Palo_D=1.0m	Default
1240	Circle	N.A.	Palo_D=1.0m	Palo_D=1.0m	Default
1241	Circle	N.A.	Palo_D=1.0m	Palo_D=1.0m	Default
1242	Circle	N.A.	Palo_D=1.0m	Palo_D=1.0m	Default
1243	Circle	N.A.	Palo_D=1.0m	Palo_D=1.0m	Default
1244	Circle	N.A.	Palo_D=1.0m	Palo_D=1.0m	Default

Table: Frame Section Assignments

Frame	SectionType	AutoSelect	AnalSect	DesignSect	MatProp
1245	Circle	N.A.	Palo_D=1.0m	Palo_D=1.0m	Default
1246	Circle	N.A.	Palo_D=1.0m	Palo_D=1.0m	Default
1247	Circle	N.A.	Palo_D=1.0m	Palo_D=1.0m	Default
1248	Circle	N.A.	Palo_D=1.0m	Palo_D=1.0m	Default
1249	Circle	N.A.	Palo_D=1.0m	Palo_D=1.0m	Default
1250	Circle	N.A.	Palo_D=1.0m	Palo_D=1.0m	Default
1251	Circle	N.A.	Palo_D=1.0m	Palo_D=1.0m	Default
1252	Circle	N.A.	Palo_D=1.0m	Palo_D=1.0m	Default
1253	Circle	N.A.	Palo_D=1.0m	Palo_D=1.0m	Default
1254	Circle	N.A.	Palo_D=1.0m	Palo_D=1.0m	Default
1255	Circle	N.A.	Palo_D=1.0m	Palo_D=1.0m	Default
1256	Circle	N.A.	Palo_D=1.0m	Palo_D=1.0m	Default
1257	Circle	N.A.	Palo_D=1.0m	Palo_D=1.0m	Default
1258	Circle	N.A.	Palo_D=1.0m	Palo_D=1.0m	Default
1259	Circle	N.A.	Palo_D=1.0m	Palo_D=1.0m	Default
1260	Circle	N.A.	Palo_D=1.0m	Palo_D=1.0m	Default
1261	Circle	N.A.	Palo_D=1.0m	Palo_D=1.0m	Default
1262	Circle	N.A.	Palo_D=1.0m	Palo_D=1.0m	Default
1263	Circle	N.A.	Palo_D=1.0m	Palo_D=1.0m	Default
1264	Circle	N.A.	Palo_D=1.0m	Palo_D=1.0m	Default
1265	Circle	N.A.	Palo_D=1.0m	Palo_D=1.0m	Default
1266	Circle	N.A.	Palo_D=1.0m	Palo_D=1.0m	Default
1267	Circle	N.A.	Palo_D=1.0m	Palo_D=1.0m	Default
1268	Circle	N.A.	Palo_D=1.0m	Palo_D=1.0m	Default
1269	Circle	N.A.	Palo_D=1.0m	Palo_D=1.0m	Default
1270	Circle	N.A.	Palo_D=1.0m	Palo_D=1.0m	Default
1271	Circle	N.A.	Palo_D=1.0m	Palo_D=1.0m	Default
1272	Circle	N.A.	Palo_D=1.0m	Palo_D=1.0m	Default
1273	Circle	N.A.	Palo_D=1.0m	Palo_D=1.0m	Default
1274	Circle	N.A.	Palo_D=1.0m	Palo_D=1.0m	Default
1275	Circle	N.A.	Palo_D=1.0m	Palo_D=1.0m	Default
1276	Circle	N.A.	Palo_D=1.0m	Palo_D=1.0m	Default
1277	Circle	N.A.	Palo_D=1.0m	Palo_D=1.0m	Default
1278	Circle	N.A.	Palo_D=1.0m	Palo_D=1.0m	Default
1279	Circle	N.A.	Palo_D=1.0m	Palo_D=1.0m	Default
1280	Circle	N.A.	Palo_D=1.0m	Palo_D=1.0m	Default
1281	Circle	N.A.	Palo_D=1.0m	Palo_D=1.0m	Default
1282	Circle	N.A.	Palo_D=1.0m	Palo_D=1.0m	Default
1283	Circle	N.A.	Palo_D=1.0m	Palo_D=1.0m	Default
1284	Circle	N.A.	Palo_D=1.0m	Palo_D=1.0m	Default
1285	Circle	N.A.	Palo_D=1.0m	Palo_D=1.0m	Default
1286	Circle	N.A.	Palo_D=1.0m	Palo_D=1.0m	Default
1287	Circle	N.A.	Palo_D=1.0m	Palo_D=1.0m	Default
1288	Circle	N.A.	Palo_D=1.0m	Palo_D=1.0m	Default
1289	Circle	N.A.	Palo_D=1.0m	Palo_D=1.0m	Default
1290	Circle	N.A.	Palo_D=1.0m	Palo_D=1.0m	Default
1291	Circle	N.A.	Palo_D=1.0m	Palo_D=1.0m	Default
1292	Circle	N.A.	Palo_D=1.0m	Palo_D=1.0m	Default
1293	Circle	N.A.	Palo_D=1.0m	Palo_D=1.0m	Default
1294	Circle	N.A.	Palo_D=1.0m	Palo_D=1.0m	Default
1295	Circle	N.A.	Palo_D=1.0m	Palo_D=1.0m	Default
1296	Circle	N.A.	Palo_D=1.0m	Palo_D=1.0m	Default
1297	Circle	N.A.	Palo_D=1.0m	Palo_D=1.0m	Default
1298	Circle	N.A.	Palo_D=1.0m	Palo_D=1.0m	Default

Table: Frame Section Assignments

Frame	SectionType	AutoSelect	AnalSect	DesignSect	MatProp
1299	Circle	N.A.	Palo_D=1.0m	Palo_D=1.0m	Default
1300	Circle	N.A.	Palo_D=1.0m	Palo_D=1.0m	Default
1301	Circle	N.A.	Palo_D=1.0m	Palo_D=1.0m	Default
1302	Circle	N.A.	Palo_D=1.0m	Palo_D=1.0m	Default
1303	Circle	N.A.	Palo_D=1.0m	Palo_D=1.0m	Default
1304	Circle	N.A.	Palo_D=1.0m	Palo_D=1.0m	Default
1305	Circle	N.A.	Palo_D=1.0m	Palo_D=1.0m	Default
1306	Circle	N.A.	Palo_D=1.0m	Palo_D=1.0m	Default
1307	Circle	N.A.	Palo_D=1.0m	Palo_D=1.0m	Default
1308	Circle	N.A.	Palo_D=1.0m	Palo_D=1.0m	Default
1309	Circle	N.A.	Palo_D=1.0m	Palo_D=1.0m	Default
1310	Circle	N.A.	Palo_D=1.0m	Palo_D=1.0m	Default
1311	Circle	N.A.	Palo_D=1.0m	Palo_D=1.0m	Default
1312	Circle	N.A.	Palo_D=1.0m	Palo_D=1.0m	Default
1313	Circle	N.A.	Palo_D=1.0m	Palo_D=1.0m	Default
1314	Circle	N.A.	Palo_D=1.0m	Palo_D=1.0m	Default
1315	Circle	N.A.	Palo_D=1.0m	Palo_D=1.0m	Default
1316	Circle	N.A.	Palo_D=1.0m	Palo_D=1.0m	Default
1317	Circle	N.A.	Palo_D=1.0m	Palo_D=1.0m	Default
1318	Circle	N.A.	Palo_D=1.0m	Palo_D=1.0m	Default
1319	Circle	N.A.	Palo_D=1.0m	Palo_D=1.0m	Default
1320	Circle	N.A.	Palo_D=1.0m	Palo_D=1.0m	Default
1321	Circle	N.A.	Palo_D=1.0m	Palo_D=1.0m	Default
1322	Circle	N.A.	Palo_D=1.0m	Palo_D=1.0m	Default
1323	Circle	N.A.	Palo_D=1.0m	Palo_D=1.0m	Default
1324	Circle	N.A.	Palo_D=1.0m	Palo_D=1.0m	Default
1325	Circle	N.A.	Palo_D=1.0m	Palo_D=1.0m	Default
1326	Circle	N.A.	Palo_D=1.0m	Palo_D=1.0m	Default
1327	Circle	N.A.	Palo_D=1.0m	Palo_D=1.0m	Default
1328	Circle	N.A.	Palo_D=1.0m	Palo_D=1.0m	Default
1329	Circle	N.A.	Palo_D=1.0m	Palo_D=1.0m	Default
1330	Circle	N.A.	Palo_D=1.0m	Palo_D=1.0m	Default
1331	Circle	N.A.	Palo_D=1.0m	Palo_D=1.0m	Default
1332	Circle	N.A.	Palo_D=1.0m	Palo_D=1.0m	Default
1333	Circle	N.A.	Palo_D=1.0m	Palo_D=1.0m	Default
1334	Circle	N.A.	Palo_D=1.0m	Palo_D=1.0m	Default
1335	Circle	N.A.	Palo_D=1.0m	Palo_D=1.0m	Default
1336	Circle	N.A.	Palo_D=1.0m	Palo_D=1.0m	Default
1337	Circle	N.A.	Palo_D=1.0m	Palo_D=1.0m	Default
1338	Circle	N.A.	Palo_D=1.0m	Palo_D=1.0m	Default
1339	Circle	N.A.	Palo_D=1.0m	Palo_D=1.0m	Default
1340	Circle	N.A.	Palo_D=1.0m	Palo_D=1.0m	Default
1341	Circle	N.A.	Palo_D=1.0m	Palo_D=1.0m	Default
1342	Circle	N.A.	Palo_D=1.0m	Palo_D=1.0m	Default
1343	Circle	N.A.	Palo_D=1.0m	Palo_D=1.0m	Default
1344	Circle	N.A.	Palo_D=1.0m	Palo_D=1.0m	Default
1345	Circle	N.A.	Palo_D=1.0m	Palo_D=1.0m	Default
1346	Circle	N.A.	Palo_D=1.0m	Palo_D=1.0m	Default
1347	Circle	N.A.	Palo_D=1.0m	Palo_D=1.0m	Default
1348	Circle	N.A.	Palo_D=1.0m	Palo_D=1.0m	Default
1349	Circle	N.A.	Palo_D=1.0m	Palo_D=1.0m	Default
1350	Circle	N.A.	Palo_D=1.0m	Palo_D=1.0m	Default
1351	Circle	N.A.	Palo_D=1.0m	Palo_D=1.0m	Default
1352	Circle	N.A.	Palo_D=1.0m	Palo_D=1.0m	Default

Table: Frame Section Assignments

Frame	SectionType	AutoSelect	AnalSect	DesignSect	MatProp
1353	Circle	N.A.	Palo_D=1.0m	Palo_D=1.0m	Default
1354	Circle	N.A.	Palo_D=1.0m	Palo_D=1.0m	Default
1355	Circle	N.A.	Palo_D=1.0m	Palo_D=1.0m	Default
1356	Circle	N.A.	Palo_D=1.0m	Palo_D=1.0m	Default
1357	Circle	N.A.	Palo_D=1.0m	Palo_D=1.0m	Default
1358	Circle	N.A.	Palo_D=1.0m	Palo_D=1.0m	Default
1359	Circle	N.A.	Palo_D=1.0m	Palo_D=1.0m	Default
1360	Circle	N.A.	Palo_D=1.0m	Palo_D=1.0m	Default
1361	Circle	N.A.	Palo_D=1.0m	Palo_D=1.0m	Default
1362	Circle	N.A.	Palo_D=1.0m	Palo_D=1.0m	Default
1363	Circle	N.A.	Palo_D=1.0m	Palo_D=1.0m	Default
1364	Circle	N.A.	Palo_D=1.0m	Palo_D=1.0m	Default
1365	Circle	N.A.	Palo_D=1.0m	Palo_D=1.0m	Default
1366	Circle	N.A.	Palo_D=1.0m	Palo_D=1.0m	Default
1367	Circle	N.A.	Palo_D=1.0m	Palo_D=1.0m	Default
1368	Circle	N.A.	Palo_D=1.0m	Palo_D=1.0m	Default
1369	Circle	N.A.	Palo_D=1.0m	Palo_D=1.0m	Default
1370	Circle	N.A.	Palo_D=1.0m	Palo_D=1.0m	Default
1371	Circle	N.A.	Palo_D=1.0m	Palo_D=1.0m	Default
1372	Circle	N.A.	Palo_D=1.0m	Palo_D=1.0m	Default
1373	Circle	N.A.	Palo_D=1.0m	Palo_D=1.0m	Default
1374	Circle	N.A.	Palo_D=1.0m	Palo_D=1.0m	Default
1375	Circle	N.A.	Palo_D=1.0m	Palo_D=1.0m	Default
1376	Circle	N.A.	Palo_D=1.0m	Palo_D=1.0m	Default
1377	Circle	N.A.	Palo_D=1.0m	Palo_D=1.0m	Default
1378	Circle	N.A.	Palo_D=1.0m	Palo_D=1.0m	Default
1379	Circle	N.A.	Palo_D=1.0m	Palo_D=1.0m	Default
1380	Circle	N.A.	Palo_D=1.0m	Palo_D=1.0m	Default
1381	Circle	N.A.	Palo_D=1.0m	Palo_D=1.0m	Default
1382	Circle	N.A.	Palo_D=1.0m	Palo_D=1.0m	Default
1383	Circle	N.A.	Palo_D=1.0m	Palo_D=1.0m	Default
1384	Circle	N.A.	Palo_D=1.0m	Palo_D=1.0m	Default
1385	Circle	N.A.	Palo_D=1.0m	Palo_D=1.0m	Default
1386	Circle	N.A.	Palo_D=1.0m	Palo_D=1.0m	Default
1387	Circle	N.A.	Palo_D=1.0m	Palo_D=1.0m	Default
1388	Circle	N.A.	Palo_D=1.0m	Palo_D=1.0m	Default
1389	Circle	N.A.	Palo_D=1.0m	Palo_D=1.0m	Default
1390	Circle	N.A.	Palo_D=1.0m	Palo_D=1.0m	Default
1391	Circle	N.A.	Palo_D=1.0m	Palo_D=1.0m	Default
1392	Circle	N.A.	Palo_D=1.0m	Palo_D=1.0m	Default
1393	Circle	N.A.	Palo_D=1.0m	Palo_D=1.0m	Default
1394	Circle	N.A.	Palo_D=1.0m	Palo_D=1.0m	Default
1395	Circle	N.A.	Palo_D=1.0m	Palo_D=1.0m	Default
1396	Circle	N.A.	Palo_D=1.0m	Palo_D=1.0m	Default
1397	Circle	N.A.	Palo_D=1.0m	Palo_D=1.0m	Default
1398	Circle	N.A.	Palo_D=1.0m	Palo_D=1.0m	Default
1399	Circle	N.A.	Palo_D=1.0m	Palo_D=1.0m	Default
1400	Circle	N.A.	Palo_D=1.0m	Palo_D=1.0m	Default
1401	Circle	N.A.	Palo_D=1.0m	Palo_D=1.0m	Default
1402	Circle	N.A.	Palo_D=1.0m	Palo_D=1.0m	Default
1403	Circle	N.A.	Palo_D=1.0m	Palo_D=1.0m	Default
1404	Circle	N.A.	Palo_D=1.0m	Palo_D=1.0m	Default
1405	Circle	N.A.	Palo_D=1.0m	Palo_D=1.0m	Default
1406	Circle	N.A.	Palo_D=1.0m	Palo_D=1.0m	Default

Table: Frame Section Assignments

Frame	SectionType	AutoSelect	AnalSect	DesignSect	MatProp
1407	Circle	N.A.	Palo_D=1.0m	Palo_D=1.0m	Default
1408	Circle	N.A.	Palo_D=1.0m	Palo_D=1.0m	Default
1409	Circle	N.A.	Palo_D=1.0m	Palo_D=1.0m	Default
1410	Circle	N.A.	Palo_D=1.0m	Palo_D=1.0m	Default
1411	Circle	N.A.	Palo_D=1.0m	Palo_D=1.0m	Default
1412	Circle	N.A.	Palo_D=1.0m	Palo_D=1.0m	Default
1413	Circle	N.A.	Palo_D=1.0m	Palo_D=1.0m	Default
1414	Circle	N.A.	Palo_D=1.0m	Palo_D=1.0m	Default
1415	Circle	N.A.	Palo_D=1.0m	Palo_D=1.0m	Default
1416	Circle	N.A.	Palo_D=1.0m	Palo_D=1.0m	Default
1417	Circle	N.A.	Palo_D=1.0m	Palo_D=1.0m	Default
1418	Circle	N.A.	Palo_D=1.0m	Palo_D=1.0m	Default
1419	Circle	N.A.	Palo_D=1.0m	Palo_D=1.0m	Default
1420	Circle	N.A.	Palo_D=1.0m	Palo_D=1.0m	Default
1421	Circle	N.A.	Palo_D=1.0m	Palo_D=1.0m	Default
1422	Circle	N.A.	Palo_D=1.0m	Palo_D=1.0m	Default
1423	Circle	N.A.	Palo_D=1.0m	Palo_D=1.0m	Default
1424	Circle	N.A.	Palo_D=1.0m	Palo_D=1.0m	Default
1425	Circle	N.A.	Palo_D=1.0m	Palo_D=1.0m	Default
1426	Circle	N.A.	Palo_D=1.0m	Palo_D=1.0m	Default
1427	Circle	N.A.	Palo_D=1.0m	Palo_D=1.0m	Default
1428	Circle	N.A.	Palo_D=1.0m	Palo_D=1.0m	Default
1429	Circle	N.A.	Palo_D=1.0m	Palo_D=1.0m	Default
1430	Circle	N.A.	Palo_D=1.0m	Palo_D=1.0m	Default
1431	Circle	N.A.	Palo_D=1.0m	Palo_D=1.0m	Default
1432	Circle	N.A.	Palo_D=1.0m	Palo_D=1.0m	Default
1433	Circle	N.A.	Palo_D=1.0m	Palo_D=1.0m	Default
1434	Circle	N.A.	Palo_D=1.0m	Palo_D=1.0m	Default
1435	Circle	N.A.	Palo_D=1.0m	Palo_D=1.0m	Default
1436	Circle	N.A.	Palo_D=1.0m	Palo_D=1.0m	Default
1437	Circle	N.A.	Palo_D=1.0m	Palo_D=1.0m	Default
1438	Circle	N.A.	Palo_D=1.0m	Palo_D=1.0m	Default
1439	Circle	N.A.	Palo_D=1.0m	Palo_D=1.0m	Default
1440	Circle	N.A.	Palo_D=1.0m	Palo_D=1.0m	Default
1441	Circle	N.A.	Palo_D=1.0m	Palo_D=1.0m	Default
1442	Circle	N.A.	Palo_D=1.0m	Palo_D=1.0m	Default
1443	Circle	N.A.	Palo_D=1.0m	Palo_D=1.0m	Default
1444	Circle	N.A.	Palo_D=1.0m	Palo_D=1.0m	Default
1445	Circle	N.A.	Palo_D=1.0m	Palo_D=1.0m	Default
1446	Circle	N.A.	Palo_D=1.0m	Palo_D=1.0m	Default
1447	Circle	N.A.	Palo_D=1.0m	Palo_D=1.0m	Default
1448	Circle	N.A.	Palo_D=1.0m	Palo_D=1.0m	Default
1449	Circle	N.A.	Palo_D=1.0m	Palo_D=1.0m	Default
1450	Circle	N.A.	Palo_D=1.0m	Palo_D=1.0m	Default
1451	Circle	N.A.	Palo_D=1.0m	Palo_D=1.0m	Default
1452	Circle	N.A.	Palo_D=1.0m	Palo_D=1.0m	Default
1453	Circle	N.A.	Palo_D=1.0m	Palo_D=1.0m	Default
1454	Circle	N.A.	Palo_D=1.0m	Palo_D=1.0m	Default
1455	Circle	N.A.	Palo_D=1.0m	Palo_D=1.0m	Default
1456	Circle	N.A.	Palo_D=1.0m	Palo_D=1.0m	Default
1457	Circle	N.A.	Palo_D=1.0m	Palo_D=1.0m	Default
1458	Circle	N.A.	Palo_D=1.0m	Palo_D=1.0m	Default
1459	Circle	N.A.	Palo_D=1.0m	Palo_D=1.0m	Default
1460	Circle	N.A.	Palo_D=1.0m	Palo_D=1.0m	Default

Table: Frame Section Assignments

Frame	SectionType	AutoSelect	AnalSect	DesignSect	MatProp
1461	Circle	N.A.	Palo_D=1.0m	Palo_D=1.0m	Default
1462	Circle	N.A.	Palo_D=1.0m	Palo_D=1.0m	Default
1463	Circle	N.A.	Palo_D=1.0m	Palo_D=1.0m	Default
1464	Circle	N.A.	Palo_D=1.0m	Palo_D=1.0m	Default
1465	Circle	N.A.	Palo_D=1.0m	Palo_D=1.0m	Default
1466	Circle	N.A.	Palo_D=1.0m	Palo_D=1.0m	Default
1467	Circle	N.A.	Palo_D=1.0m	Palo_D=1.0m	Default
1468	Circle	N.A.	Palo_D=1.0m	Palo_D=1.0m	Default
1469	Circle	N.A.	Palo_D=1.0m	Palo_D=1.0m	Default
1470	Circle	N.A.	Palo_D=1.0m	Palo_D=1.0m	Default
1471	Circle	N.A.	Palo_D=1.0m	Palo_D=1.0m	Default
1472	Circle	N.A.	Palo_D=1.0m	Palo_D=1.0m	Default
1473	Circle	N.A.	Palo_D=1.0m	Palo_D=1.0m	Default
1474	Circle	N.A.	Palo_D=1.0m	Palo_D=1.0m	Default
1475	Circle	N.A.	Palo_D=1.0m	Palo_D=1.0m	Default
1476	Circle	N.A.	Palo_D=1.0m	Palo_D=1.0m	Default
1477	Circle	N.A.	Palo_D=1.0m	Palo_D=1.0m	Default
1478	Circle	N.A.	Palo_D=1.0m	Palo_D=1.0m	Default
1479	Circle	N.A.	Palo_D=1.0m	Palo_D=1.0m	Default
1480	Circle	N.A.	Palo_D=1.0m	Palo_D=1.0m	Default
1481	Circle	N.A.	Palo_D=1.0m	Palo_D=1.0m	Default
1482	Circle	N.A.	Palo_D=1.0m	Palo_D=1.0m	Default
1483	Circle	N.A.	Palo_D=1.0m	Palo_D=1.0m	Default
1484	Circle	N.A.	Palo_D=1.0m	Palo_D=1.0m	Default
1485	Circle	N.A.	Palo_D=1.0m	Palo_D=1.0m	Default
1486	Circle	N.A.	Palo_D=1.0m	Palo_D=1.0m	Default
1487	Circle	N.A.	Palo_D=1.0m	Palo_D=1.0m	Default
1488	Circle	N.A.	Palo_D=1.0m	Palo_D=1.0m	Default
1489	Circle	N.A.	Palo_D=1.0m	Palo_D=1.0m	Default
1490	Circle	N.A.	Palo_D=1.0m	Palo_D=1.0m	Default
1491	Circle	N.A.	Palo_D=1.0m	Palo_D=1.0m	Default
1492	Circle	N.A.	Palo_D=1.0m	Palo_D=1.0m	Default
1493	Circle	N.A.	Palo_D=1.0m	Palo_D=1.0m	Default
1494	Circle	N.A.	Palo_D=1.0m	Palo_D=1.0m	Default
1495	Circle	N.A.	Palo_D=1.0m	Palo_D=1.0m	Default
1496	Circle	N.A.	Palo_D=1.0m	Palo_D=1.0m	Default
1497	Circle	N.A.	Palo_D=1.0m	Palo_D=1.0m	Default
1498	Circle	N.A.	Palo_D=1.0m	Palo_D=1.0m	Default
1499	Circle	N.A.	Palo_D=1.0m	Palo_D=1.0m	Default
1500	Circle	N.A.	Palo_D=1.0m	Palo_D=1.0m	Default
1501	Circle	N.A.	Palo_D=1.0m	Palo_D=1.0m	Default
1502	Circle	N.A.	Palo_D=1.0m	Palo_D=1.0m	Default
1503	Circle	N.A.	Palo_D=1.0m	Palo_D=1.0m	Default
1504	Circle	N.A.	Palo_D=1.0m	Palo_D=1.0m	Default
1505	Circle	N.A.	Palo_D=1.0m	Palo_D=1.0m	Default
1506	Circle	N.A.	Palo_D=1.0m	Palo_D=1.0m	Default
1507	Circle	N.A.	Palo_D=1.0m	Palo_D=1.0m	Default
1508	Circle	N.A.	Palo_D=1.0m	Palo_D=1.0m	Default
1509	Circle	N.A.	Palo_D=1.0m	Palo_D=1.0m	Default
1510	Circle	N.A.	Palo_D=1.0m	Palo_D=1.0m	Default
1511	Circle	N.A.	Palo_D=1.0m	Palo_D=1.0m	Default
1512	Circle	N.A.	Palo_D=1.0m	Palo_D=1.0m	Default
1513	Circle	N.A.	Palo_D=1.0m	Palo_D=1.0m	Default
1514	Circle	N.A.	Palo_D=1.0m	Palo_D=1.0m	Default

Table: Frame Section Assignments

Frame	SectionType	AutoSelect	AnalSect	DesignSect	MatProp
1515	Circle	N.A.	Palo_D=1.0m	Palo_D=1.0m	Default
1516	Circle	N.A.	Palo_D=1.0m	Palo_D=1.0m	Default
1517	Circle	N.A.	Palo_D=1.0m	Palo_D=1.0m	Default
1518	Circle	N.A.	Palo_D=1.0m	Palo_D=1.0m	Default
1519	Circle	N.A.	Palo_D=1.0m	Palo_D=1.0m	Default
1520	Circle	N.A.	Palo_D=1.0m	Palo_D=1.0m	Default
1521	Circle	N.A.	Palo_D=1.0m	Palo_D=1.0m	Default
1522	Circle	N.A.	Palo_D=1.0m	Palo_D=1.0m	Default
1523	Circle	N.A.	Palo_D=1.0m	Palo_D=1.0m	Default
1524	Circle	N.A.	Palo_D=1.0m	Palo_D=1.0m	Default
1525	Circle	N.A.	Palo_D=1.0m	Palo_D=1.0m	Default
1526	Circle	N.A.	Palo_D=1.0m	Palo_D=1.0m	Default
1527	Circle	N.A.	Palo_D=1.0m	Palo_D=1.0m	Default
1528	Circle	N.A.	Palo_D=1.0m	Palo_D=1.0m	Default
1529	Circle	N.A.	Palo_D=1.0m	Palo_D=1.0m	Default
1530	Circle	N.A.	Palo_D=1.0m	Palo_D=1.0m	Default
1531	Circle	N.A.	Palo_D=1.0m	Palo_D=1.0m	Default
1532	Circle	N.A.	Palo_D=1.0m	Palo_D=1.0m	Default
1533	Circle	N.A.	Palo_D=1.0m	Palo_D=1.0m	Default
1534	Circle	N.A.	Palo_D=1.0m	Palo_D=1.0m	Default
1535	Circle	N.A.	Palo_D=1.0m	Palo_D=1.0m	Default
1536	Circle	N.A.	Palo_D=1.0m	Palo_D=1.0m	Default
1537	Circle	N.A.	Palo_D=1.0m	Palo_D=1.0m	Default
1538	Circle	N.A.	Palo_D=1.0m	Palo_D=1.0m	Default
1539	Circle	N.A.	Palo_D=1.0m	Palo_D=1.0m	Default
1540	Circle	N.A.	Palo_D=1.0m	Palo_D=1.0m	Default
1541	Circle	N.A.	Palo_D=1.0m	Palo_D=1.0m	Default
1542	Circle	N.A.	Palo_D=1.0m	Palo_D=1.0m	Default
1543	Circle	N.A.	Palo_D=1.0m	Palo_D=1.0m	Default
1544	Circle	N.A.	Palo_D=1.0m	Palo_D=1.0m	Default
1545	Circle	N.A.	Palo_D=1.0m	Palo_D=1.0m	Default
1546	Circle	N.A.	Palo_D=1.0m	Palo_D=1.0m	Default
1547	Circle	N.A.	Palo_D=1.0m	Palo_D=1.0m	Default
1548	Circle	N.A.	Palo_D=1.0m	Palo_D=1.0m	Default
1549	Circle	N.A.	Palo_D=1.0m	Palo_D=1.0m	Default
1550	Circle	N.A.	Palo_D=1.0m	Palo_D=1.0m	Default
1551	Circle	N.A.	Palo_D=1.0m	Palo_D=1.0m	Default
1552	Circle	N.A.	Palo_D=1.0m	Palo_D=1.0m	Default
1553	Circle	N.A.	Palo_D=1.0m	Palo_D=1.0m	Default
1554	Circle	N.A.	Palo_D=1.0m	Palo_D=1.0m	Default
1555	Circle	N.A.	Palo_D=1.0m	Palo_D=1.0m	Default
1556	Circle	N.A.	Palo_D=1.0m	Palo_D=1.0m	Default
1557	Circle	N.A.	Palo_D=1.0m	Palo_D=1.0m	Default
1558	Circle	N.A.	Palo_D=1.0m	Palo_D=1.0m	Default
1559	Circle	N.A.	Palo_D=1.0m	Palo_D=1.0m	Default
1560	Circle	N.A.	Palo_D=1.0m	Palo_D=1.0m	Default
1561	Circle	N.A.	Palo_D=1.0m	Palo_D=1.0m	Default
1562	Circle	N.A.	Palo_D=1.0m	Palo_D=1.0m	Default
1563	Circle	N.A.	Palo_D=1.0m	Palo_D=1.0m	Default
1564	Circle	N.A.	Palo_D=1.0m	Palo_D=1.0m	Default
1565	Circle	N.A.	Palo_D=1.0m	Palo_D=1.0m	Default
1566	Circle	N.A.	Palo_D=1.0m	Palo_D=1.0m	Default
1567	Circle	N.A.	Palo_D=1.0m	Palo_D=1.0m	Default
1568	Circle	N.A.	Palo_D=1.0m	Palo_D=1.0m	Default

Table: Frame Section Assignments

Frame	SectionType	AutoSelect	AnalSect	DesignSect	MatProp
1569	Circle	N.A.	Palo_D=1.0m	Palo_D=1.0m	Default
1570	Circle	N.A.	Palo_D=1.0m	Palo_D=1.0m	Default
1571	Circle	N.A.	Palo_D=1.0m	Palo_D=1.0m	Default
1572	Circle	N.A.	Palo_D=1.0m	Palo_D=1.0m	Default
1573	Circle	N.A.	Palo_D=1.0m	Palo_D=1.0m	Default
1574	Circle	N.A.	Palo_D=1.0m	Palo_D=1.0m	Default
1575	Circle	N.A.	Palo_D=1.0m	Palo_D=1.0m	Default
1576	Circle	N.A.	Palo_D=1.0m	Palo_D=1.0m	Default
1577	Circle	N.A.	Palo_D=1.0m	Palo_D=1.0m	Default
1578	Circle	N.A.	Palo_D=1.0m	Palo_D=1.0m	Default
1579	Circle	N.A.	Palo_D=1.0m	Palo_D=1.0m	Default
1580	Circle	N.A.	Palo_D=1.0m	Palo_D=1.0m	Default
1581	Circle	N.A.	Palo_D=1.0m	Palo_D=1.0m	Default
1582	Circle	N.A.	Palo_D=1.0m	Palo_D=1.0m	Default
1583	Circle	N.A.	Palo_D=1.0m	Palo_D=1.0m	Default
1584	Circle	N.A.	Palo_D=1.0m	Palo_D=1.0m	Default
1585	Circle	N.A.	Palo_D=1.0m	Palo_D=1.0m	Default
1586	Circle	N.A.	Palo_D=1.0m	Palo_D=1.0m	Default
1587	Circle	N.A.	Palo_D=1.0m	Palo_D=1.0m	Default
1588	Circle	N.A.	Palo_D=1.0m	Palo_D=1.0m	Default
1589	Circle	N.A.	Palo_D=1.0m	Palo_D=1.0m	Default
1590	Circle	N.A.	Palo_D=1.0m	Palo_D=1.0m	Default
1591	Circle	N.A.	Palo_D=1.0m	Palo_D=1.0m	Default
1592	Circle	N.A.	Palo_D=1.0m	Palo_D=1.0m	Default
1593	Circle	N.A.	Palo_D=1.0m	Palo_D=1.0m	Default
1594	Circle	N.A.	Palo_D=1.0m	Palo_D=1.0m	Default
1595	Circle	N.A.	Palo_D=1.0m	Palo_D=1.0m	Default
1596	Circle	N.A.	Palo_D=1.0m	Palo_D=1.0m	Default
1597	Circle	N.A.	Palo_D=1.0m	Palo_D=1.0m	Default
1598	Circle	N.A.	Palo_D=1.0m	Palo_D=1.0m	Default
1599	Circle	N.A.	Palo_D=1.0m	Palo_D=1.0m	Default
1600	Circle	N.A.	Palo_D=1.0m	Palo_D=1.0m	Default
1601	Circle	N.A.	Palo_D=1.0m	Palo_D=1.0m	Default
1602	Circle	N.A.	Palo_D=1.0m	Palo_D=1.0m	Default
1603	Circle	N.A.	Palo_D=1.0m	Palo_D=1.0m	Default
1604	Circle	N.A.	Palo_D=1.0m	Palo_D=1.0m	Default
1605	Circle	N.A.	Palo_D=1.0m	Palo_D=1.0m	Default
1606	Circle	N.A.	Palo_D=1.0m	Palo_D=1.0m	Default
1607	Circle	N.A.	Palo_D=1.0m	Palo_D=1.0m	Default
1608	Circle	N.A.	Palo_D=1.0m	Palo_D=1.0m	Default
1609	Circle	N.A.	Palo_D=1.0m	Palo_D=1.0m	Default
1610	Circle	N.A.	Palo_D=1.0m	Palo_D=1.0m	Default
1611	Circle	N.A.	Palo_D=1.0m	Palo_D=1.0m	Default
1612	Circle	N.A.	Palo_D=1.0m	Palo_D=1.0m	Default
1613	Circle	N.A.	Palo_D=1.0m	Palo_D=1.0m	Default
1614	Circle	N.A.	Palo_D=1.0m	Palo_D=1.0m	Default
1615	Circle	N.A.	Palo_D=1.0m	Palo_D=1.0m	Default
1616	Circle	N.A.	Palo_D=1.0m	Palo_D=1.0m	Default
1617	Circle	N.A.	Palo_D=1.0m	Palo_D=1.0m	Default
1618	Circle	N.A.	Palo_D=1.0m	Palo_D=1.0m	Default
1619	Circle	N.A.	Palo_D=1.0m	Palo_D=1.0m	Default
1620	Circle	N.A.	Palo_D=1.0m	Palo_D=1.0m	Default
1621	Circle	N.A.	Palo_D=1.0m	Palo_D=1.0m	Default
1622	Circle	N.A.	Palo_D=1.0m	Palo_D=1.0m	Default

Table: Frame Section Assignments

Frame	SectionType	AutoSelect	AnalSect	DesignSect	MatProp
1623	Circle	N.A.	Palo_D=1.0m	Palo_D=1.0m	Default
1624	Circle	N.A.	Palo_D=1.0m	Palo_D=1.0m	Default
1625	Circle	N.A.	Palo_D=1.0m	Palo_D=1.0m	Default
1626	Circle	N.A.	Palo_D=1.0m	Palo_D=1.0m	Default
1627	Circle	N.A.	Palo_D=1.0m	Palo_D=1.0m	Default
1628	Circle	N.A.	Palo_D=1.0m	Palo_D=1.0m	Default
1629	Circle	N.A.	Palo_D=1.0m	Palo_D=1.0m	Default
1630	Circle	N.A.	Palo_D=1.0m	Palo_D=1.0m	Default
1631	Circle	N.A.	Palo_D=1.0m	Palo_D=1.0m	Default
1632	Circle	N.A.	Palo_D=1.0m	Palo_D=1.0m	Default
1633	Circle	N.A.	Palo_D=1.0m	Palo_D=1.0m	Default
1634	Circle	N.A.	Palo_D=1.0m	Palo_D=1.0m	Default
1635	Circle	N.A.	Palo_D=1.0m	Palo_D=1.0m	Default
1636	Circle	N.A.	Palo_D=1.0m	Palo_D=1.0m	Default
1637	Circle	N.A.	Palo_D=1.0m	Palo_D=1.0m	Default
1638	Circle	N.A.	Palo_D=1.0m	Palo_D=1.0m	Default
1639	Circle	N.A.	Palo_D=1.0m	Palo_D=1.0m	Default
1640	Circle	N.A.	Palo_D=1.0m	Palo_D=1.0m	Default
1641	Circle	N.A.	Palo_D=1.0m	Palo_D=1.0m	Default
1642	Circle	N.A.	Palo_D=1.0m	Palo_D=1.0m	Default
1643	Circle	N.A.	Palo_D=1.0m	Palo_D=1.0m	Default
1644	Circle	N.A.	Palo_D=1.0m	Palo_D=1.0m	Default
1645	Circle	N.A.	Palo_D=1.0m	Palo_D=1.0m	Default
1646	Circle	N.A.	Palo_D=1.0m	Palo_D=1.0m	Default
1647	Circle	N.A.	Palo_D=1.0m	Palo_D=1.0m	Default
1648	Circle	N.A.	Palo_D=1.0m	Palo_D=1.0m	Default
1649	Circle	N.A.	Palo_D=1.0m	Palo_D=1.0m	Default
1650	Circle	N.A.	Palo_D=1.0m	Palo_D=1.0m	Default
1651	Circle	N.A.	Palo_D=1.0m	Palo_D=1.0m	Default
1652	Circle	N.A.	Palo_D=1.0m	Palo_D=1.0m	Default
1653	Circle	N.A.	Palo_D=1.0m	Palo_D=1.0m	Default
1654	Circle	N.A.	Palo_D=1.0m	Palo_D=1.0m	Default
1655	Circle	N.A.	Palo_D=1.0m	Palo_D=1.0m	Default
1656	Circle	N.A.	Palo_D=1.0m	Palo_D=1.0m	Default
1657	Circle	N.A.	Palo_D=1.0m	Palo_D=1.0m	Default
1658	Circle	N.A.	Palo_D=1.0m	Palo_D=1.0m	Default
1659	Circle	N.A.	Palo_D=1.0m	Palo_D=1.0m	Default
1660	Circle	N.A.	Palo_D=1.0m	Palo_D=1.0m	Default
1661	Circle	N.A.	Palo_D=1.0m	Palo_D=1.0m	Default
1662	Circle	N.A.	Palo_D=1.0m	Palo_D=1.0m	Default
1663	Circle	N.A.	Palo_D=1.0m	Palo_D=1.0m	Default
1664	Circle	N.A.	Palo_D=1.0m	Palo_D=1.0m	Default
1665	Circle	N.A.	Palo_D=1.0m	Palo_D=1.0m	Default
1666	Circle	N.A.	Palo_D=1.0m	Palo_D=1.0m	Default
1667	Circle	N.A.	Palo_D=1.0m	Palo_D=1.0m	Default
1668	Circle	N.A.	Palo_D=1.0m	Palo_D=1.0m	Default
1669	Circle	N.A.	Palo_D=1.0m	Palo_D=1.0m	Default
1670	Circle	N.A.	Palo_D=1.0m	Palo_D=1.0m	Default
1671	Circle	N.A.	Palo_D=1.0m	Palo_D=1.0m	Default
1672	Circle	N.A.	Palo_D=1.0m	Palo_D=1.0m	Default
1673	Circle	N.A.	Palo_D=1.0m	Palo_D=1.0m	Default
1674	Circle	N.A.	Palo_D=1.0m	Palo_D=1.0m	Default
1675	Circle	N.A.	Palo_D=1.0m	Palo_D=1.0m	Default
1676	Circle	N.A.	Palo_D=1.0m	Palo_D=1.0m	Default

Table: Frame Section Assignments

Frame	SectionType	AutoSelect	AnalSect	DesignSect	MatProp
1677	Circle	N.A.	Palo_D=1.0m	Palo_D=1.0m	Default
1678	Circle	N.A.	Palo_D=1.0m	Palo_D=1.0m	Default
1679	Circle	N.A.	Palo_D=1.0m	Palo_D=1.0m	Default
1680	Circle	N.A.	Palo_D=1.0m	Palo_D=1.0m	Default
1681	Circle	N.A.	Palo_D=1.0m	Palo_D=1.0m	Default
1682	Circle	N.A.	Palo_D=1.0m	Palo_D=1.0m	Default
1683	Circle	N.A.	Palo_D=1.0m	Palo_D=1.0m	Default
1684	Circle	N.A.	Palo_D=1.0m	Palo_D=1.0m	Default
1685	Circle	N.A.	Palo_D=1.0m	Palo_D=1.0m	Default
1686	Circle	N.A.	Palo_D=1.0m	Palo_D=1.0m	Default
1687	Circle	N.A.	Palo_D=1.0m	Palo_D=1.0m	Default
1688	Circle	N.A.	Palo_D=1.0m	Palo_D=1.0m	Default
1689	Circle	N.A.	Palo_D=1.0m	Palo_D=1.0m	Default
1690	Circle	N.A.	Palo_D=1.0m	Palo_D=1.0m	Default
1691	Circle	N.A.	Palo_D=1.0m	Palo_D=1.0m	Default
1692	Circle	N.A.	Palo_D=1.0m	Palo_D=1.0m	Default
1693	Circle	N.A.	Palo_D=1.0m	Palo_D=1.0m	Default
1694	Circle	N.A.	Palo_D=1.0m	Palo_D=1.0m	Default
1695	Circle	N.A.	Palo_D=1.0m	Palo_D=1.0m	Default
1696	Circle	N.A.	Palo_D=1.0m	Palo_D=1.0m	Default
1697	Circle	N.A.	Palo_D=1.0m	Palo_D=1.0m	Default
1698	Circle	N.A.	Palo_D=1.0m	Palo_D=1.0m	Default
1699	Circle	N.A.	Palo_D=1.0m	Palo_D=1.0m	Default
1700	Circle	N.A.	Palo_D=1.0m	Palo_D=1.0m	Default
1701	Circle	N.A.	Palo_D=1.0m	Palo_D=1.0m	Default
1702	Circle	N.A.	Palo_D=1.0m	Palo_D=1.0m	Default
1703	Circle	N.A.	Palo_D=1.0m	Palo_D=1.0m	Default
1704	Circle	N.A.	Palo_D=1.0m	Palo_D=1.0m	Default
1705	Circle	N.A.	Palo_D=1.0m	Palo_D=1.0m	Default
1706	Circle	N.A.	Palo_D=1.0m	Palo_D=1.0m	Default
1707	Circle	N.A.	Palo_D=1.0m	Palo_D=1.0m	Default
1708	Circle	N.A.	Palo_D=1.0m	Palo_D=1.0m	Default
1709	Circle	N.A.	Palo_D=1.0m	Palo_D=1.0m	Default
1710	Circle	N.A.	Palo_D=1.0m	Palo_D=1.0m	Default
1711	Circle	N.A.	Palo_D=1.0m	Palo_D=1.0m	Default
1712	Circle	N.A.	Palo_D=1.0m	Palo_D=1.0m	Default
1713	Circle	N.A.	Palo_D=1.0m	Palo_D=1.0m	Default
1714	Circle	N.A.	Palo_D=1.0m	Palo_D=1.0m	Default
1715	Circle	N.A.	Palo_D=1.0m	Palo_D=1.0m	Default
1716	Circle	N.A.	Palo_D=1.0m	Palo_D=1.0m	Default
1717	Circle	N.A.	Palo_D=1.0m	Palo_D=1.0m	Default
1718	Circle	N.A.	Palo_D=1.0m	Palo_D=1.0m	Default
1719	Circle	N.A.	Palo_D=1.0m	Palo_D=1.0m	Default
1720	Circle	N.A.	Palo_D=1.0m	Palo_D=1.0m	Default
1721	Circle	N.A.	Palo_D=1.0m	Palo_D=1.0m	Default
1722	Circle	N.A.	Palo_D=1.0m	Palo_D=1.0m	Default
1723	Circle	N.A.	Palo_D=1.0m	Palo_D=1.0m	Default
1724	Circle	N.A.	Palo_D=1.0m	Palo_D=1.0m	Default
1725	Circle	N.A.	Palo_D=1.0m	Palo_D=1.0m	Default
1726	Circle	N.A.	Palo_D=1.0m	Palo_D=1.0m	Default
1727	Circle	N.A.	Palo_D=1.0m	Palo_D=1.0m	Default
1728	Circle	N.A.	Palo_D=1.0m	Palo_D=1.0m	Default
1729	Circle	N.A.	Palo_D=1.0m	Palo_D=1.0m	Default
1730	Circle	N.A.	Palo_D=1.0m	Palo_D=1.0m	Default

Table: Frame Section Assignments

Frame	SectionType	AutoSelect	AnalSect	DesignSect	MatProp
1731	Circle	N.A.	Palo_D=1.0m	Palo_D=1.0m	Default
1732	Circle	N.A.	Palo_D=1.0m	Palo_D=1.0m	Default
1733	Circle	N.A.	Palo_D=1.0m	Palo_D=1.0m	Default
1734	Circle	N.A.	Palo_D=1.0m	Palo_D=1.0m	Default
1735	Circle	N.A.	Palo_D=1.0m	Palo_D=1.0m	Default
1736	Circle	N.A.	Palo_D=1.0m	Palo_D=1.0m	Default
1737	Circle	N.A.	Palo_D=1.0m	Palo_D=1.0m	Default
1738	Circle	N.A.	Palo_D=1.0m	Palo_D=1.0m	Default
1739	Circle	N.A.	Palo_D=1.0m	Palo_D=1.0m	Default
1740	Circle	N.A.	Palo_D=1.0m	Palo_D=1.0m	Default
1741	Circle	N.A.	Palo_D=1.0m	Palo_D=1.0m	Default
1742	Circle	N.A.	Palo_D=1.0m	Palo_D=1.0m	Default
1743	Circle	N.A.	Palo_D=1.0m	Palo_D=1.0m	Default
1744	Circle	N.A.	Palo_D=1.0m	Palo_D=1.0m	Default
1745	Circle	N.A.	Palo_D=1.0m	Palo_D=1.0m	Default
1746	Circle	N.A.	Palo_D=1.0m	Palo_D=1.0m	Default
1747	Circle	N.A.	Palo_D=1.0m	Palo_D=1.0m	Default
1748	Circle	N.A.	Palo_D=1.0m	Palo_D=1.0m	Default
1749	Circle	N.A.	Palo_D=1.0m	Palo_D=1.0m	Default
1750	Circle	N.A.	Palo_D=1.0m	Palo_D=1.0m	Default
1751	Circle	N.A.	Palo_D=1.0m	Palo_D=1.0m	Default
1752	Circle	N.A.	Palo_D=1.0m	Palo_D=1.0m	Default
1753	Circle	N.A.	Palo_D=1.0m	Palo_D=1.0m	Default
1754	Circle	N.A.	Palo_D=1.0m	Palo_D=1.0m	Default
1755	Circle	N.A.	Palo_D=1.0m	Palo_D=1.0m	Default
1756	Circle	N.A.	Palo_D=1.0m	Palo_D=1.0m	Default
1757	Circle	N.A.	Palo_D=1.0m	Palo_D=1.0m	Default
1758	Circle	N.A.	Palo_D=1.0m	Palo_D=1.0m	Default
1759	Circle	N.A.	Palo_D=1.0m	Palo_D=1.0m	Default
1760	Circle	N.A.	Palo_D=1.0m	Palo_D=1.0m	Default
1761	Circle	N.A.	Palo_D=1.0m	Palo_D=1.0m	Default
1762	Circle	N.A.	Palo_D=1.0m	Palo_D=1.0m	Default
1763	Circle	N.A.	Palo_D=1.0m	Palo_D=1.0m	Default
1764	Circle	N.A.	Palo_D=1.0m	Palo_D=1.0m	Default
1765	Circle	N.A.	Palo_D=1.0m	Palo_D=1.0m	Default
1766	Circle	N.A.	Palo_D=1.0m	Palo_D=1.0m	Default
1767	Circle	N.A.	Palo_D=1.0m	Palo_D=1.0m	Default
1768	Circle	N.A.	Palo_D=1.0m	Palo_D=1.0m	Default
1769	Circle	N.A.	Palo_D=1.0m	Palo_D=1.0m	Default
1770	Circle	N.A.	Palo_D=1.0m	Palo_D=1.0m	Default
1771	Circle	N.A.	Palo_D=1.0m	Palo_D=1.0m	Default
1772	Circle	N.A.	Palo_D=1.0m	Palo_D=1.0m	Default
1773	Circle	N.A.	Palo_D=1.0m	Palo_D=1.0m	Default
1774	Circle	N.A.	Palo_D=1.0m	Palo_D=1.0m	Default
1775	Circle	N.A.	Palo_D=1.0m	Palo_D=1.0m	Default
1776	Circle	N.A.	Palo_D=1.0m	Palo_D=1.0m	Default
1777	Circle	N.A.	Palo_D=1.0m	Palo_D=1.0m	Default
1778	Circle	N.A.	Palo_D=1.0m	Palo_D=1.0m	Default
1779	Circle	N.A.	Palo_D=1.0m	Palo_D=1.0m	Default
1780	Circle	N.A.	Palo_D=1.0m	Palo_D=1.0m	Default
1781	Circle	N.A.	Palo_D=1.0m	Palo_D=1.0m	Default
1782	Circle	N.A.	Palo_D=1.0m	Palo_D=1.0m	Default
1783	Circle	N.A.	Palo_D=1.0m	Palo_D=1.0m	Default
1784	Circle	N.A.	Palo_D=1.0m	Palo_D=1.0m	Default

Table: Frame Section Assignments

Frame	SectionType	AutoSelect	AnalSect	DesignSect	MatProp
1785	Circle	N.A.	Palo_D=1.0m	Palo_D=1.0m	Default
1786	Circle	N.A.	Palo_D=1.0m	Palo_D=1.0m	Default
1787	Circle	N.A.	Palo_D=1.0m	Palo_D=1.0m	Default
1788	Circle	N.A.	Palo_D=1.0m	Palo_D=1.0m	Default
1789	Circle	N.A.	Palo_D=1.0m	Palo_D=1.0m	Default
1790	Circle	N.A.	Palo_D=1.0m	Palo_D=1.0m	Default
1791	Circle	N.A.	Palo_D=1.0m	Palo_D=1.0m	Default
1792	Circle	N.A.	Palo_D=1.0m	Palo_D=1.0m	Default
1793	Circle	N.A.	Palo_D=1.0m	Palo_D=1.0m	Default
1794	Circle	N.A.	Palo_D=1.0m	Palo_D=1.0m	Default
1795	Circle	N.A.	Palo_D=1.0m	Palo_D=1.0m	Default
1796	Circle	N.A.	Palo_D=1.0m	Palo_D=1.0m	Default
1797	Circle	N.A.	Palo_D=1.0m	Palo_D=1.0m	Default
1798	Circle	N.A.	Palo_D=1.0m	Palo_D=1.0m	Default
1799	Circle	N.A.	Palo_D=1.0m	Palo_D=1.0m	Default
1800	Circle	N.A.	Palo_D=1.0m	Palo_D=1.0m	Default
1801	Circle	N.A.	Palo_D=1.0m	Palo_D=1.0m	Default
1802	Circle	N.A.	Palo_D=1.0m	Palo_D=1.0m	Default
1803	Circle	N.A.	Palo_D=1.0m	Palo_D=1.0m	Default
1804	Circle	N.A.	Palo_D=1.0m	Palo_D=1.0m	Default
1805	Circle	N.A.	Palo_D=1.0m	Palo_D=1.0m	Default
1806	Circle	N.A.	Palo_D=1.0m	Palo_D=1.0m	Default
1807	Circle	N.A.	Palo_D=1.0m	Palo_D=1.0m	Default
1808	Circle	N.A.	Palo_D=1.0m	Palo_D=1.0m	Default
1809	Circle	N.A.	Palo_D=1.0m	Palo_D=1.0m	Default
1810	Circle	N.A.	Palo_D=1.0m	Palo_D=1.0m	Default
1811	Circle	N.A.	Palo_D=1.0m	Palo_D=1.0m	Default
1812	Circle	N.A.	Palo_D=1.0m	Palo_D=1.0m	Default
1813	Circle	N.A.	Palo_D=1.0m	Palo_D=1.0m	Default
1814	Circle	N.A.	Palo_D=1.0m	Palo_D=1.0m	Default
1815	Circle	N.A.	Palo_D=1.0m	Palo_D=1.0m	Default
1816	Circle	N.A.	Palo_D=1.0m	Palo_D=1.0m	Default
1817	Circle	N.A.	Palo_D=1.0m	Palo_D=1.0m	Default
1818	Circle	N.A.	Palo_D=1.0m	Palo_D=1.0m	Default
1819	Circle	N.A.	Palo_D=1.0m	Palo_D=1.0m	Default
1820	Circle	N.A.	Palo_D=1.0m	Palo_D=1.0m	Default
1821	Circle	N.A.	Palo_D=1.0m	Palo_D=1.0m	Default
1822	Circle	N.A.	Palo_D=1.0m	Palo_D=1.0m	Default
1823	Circle	N.A.	Palo_D=1.0m	Palo_D=1.0m	Default
1824	Circle	N.A.	Palo_D=1.0m	Palo_D=1.0m	Default
1825	Circle	N.A.	Palo_D=1.0m	Palo_D=1.0m	Default
1826	Circle	N.A.	Palo_D=1.0m	Palo_D=1.0m	Default
1827	Circle	N.A.	Palo_D=1.0m	Palo_D=1.0m	Default
1828	Circle	N.A.	Palo_D=1.0m	Palo_D=1.0m	Default
1829	Circle	N.A.	Palo_D=1.0m	Palo_D=1.0m	Default
1830	Circle	N.A.	Palo_D=1.0m	Palo_D=1.0m	Default
1831	Circle	N.A.	Palo_D=1.0m	Palo_D=1.0m	Default
1832	Circle	N.A.	Palo_D=1.0m	Palo_D=1.0m	Default
1833	Circle	N.A.	Palo_D=1.0m	Palo_D=1.0m	Default
1834	Circle	N.A.	Palo_D=1.0m	Palo_D=1.0m	Default
1835	Circle	N.A.	Palo_D=1.0m	Palo_D=1.0m	Default
1836	Circle	N.A.	Palo_D=1.0m	Palo_D=1.0m	Default
1837	Circle	N.A.	Palo_D=1.0m	Palo_D=1.0m	Default
1838	Circle	N.A.	Palo_D=1.0m	Palo_D=1.0m	Default

Table: Frame Section Assignments

Frame	SectionType	AutoSelect	AnalSect	DesignSect	MatProp
1839	Circle	N.A.	Palo_D=1.0m	Palo_D=1.0m	Default
1840	Circle	N.A.	Palo_D=1.0m	Palo_D=1.0m	Default
1841	Circle	N.A.	Palo_D=1.0m	Palo_D=1.0m	Default
1842	Circle	N.A.	Palo_D=1.0m	Palo_D=1.0m	Default
1843	Circle	N.A.	Palo_D=1.0m	Palo_D=1.0m	Default
1844	Circle	N.A.	Palo_D=1.0m	Palo_D=1.0m	Default
1845	Circle	N.A.	Palo_D=1.0m	Palo_D=1.0m	Default
1846	Circle	N.A.	Palo_D=1.0m	Palo_D=1.0m	Default
1847	Circle	N.A.	Palo_D=1.0m	Palo_D=1.0m	Default
1848	Circle	N.A.	Palo_D=1.0m	Palo_D=1.0m	Default
1849	Circle	N.A.	Palo_D=1.0m	Palo_D=1.0m	Default
1850	Circle	N.A.	Palo_D=1.0m	Palo_D=1.0m	Default
1851	Circle	N.A.	Palo_D=1.0m	Palo_D=1.0m	Default
1852	Circle	N.A.	Palo_D=1.0m	Palo_D=1.0m	Default
1853	Circle	N.A.	Palo_D=1.0m	Palo_D=1.0m	Default
1854	Circle	N.A.	Palo_D=1.0m	Palo_D=1.0m	Default
1855	Circle	N.A.	Palo_D=1.0m	Palo_D=1.0m	Default
1856	Circle	N.A.	Palo_D=1.0m	Palo_D=1.0m	Default
1857	Circle	N.A.	Palo_D=1.0m	Palo_D=1.0m	Default
1858	Circle	N.A.	Palo_D=1.0m	Palo_D=1.0m	Default
1859	Circle	N.A.	Palo_D=1.0m	Palo_D=1.0m	Default
1860	Circle	N.A.	Palo_D=1.0m	Palo_D=1.0m	Default
1861	Circle	N.A.	Palo_D=1.0m	Palo_D=1.0m	Default
1862	Circle	N.A.	Palo_D=1.0m	Palo_D=1.0m	Default
1863	Circle	N.A.	Palo_D=1.0m	Palo_D=1.0m	Default
1864	Circle	N.A.	Palo_D=1.0m	Palo_D=1.0m	Default
1865	Circle	N.A.	Palo_D=1.0m	Palo_D=1.0m	Default
1866	Circle	N.A.	Palo_D=1.0m	Palo_D=1.0m	Default
1867	Circle	N.A.	Palo_D=1.0m	Palo_D=1.0m	Default
1868	Circle	N.A.	Palo_D=1.0m	Palo_D=1.0m	Default
1869	Circle	N.A.	Palo_D=1.0m	Palo_D=1.0m	Default
1870	Circle	N.A.	Palo_D=1.0m	Palo_D=1.0m	Default
1871	Circle	N.A.	Palo_D=1.0m	Palo_D=1.0m	Default
1872	Circle	N.A.	Palo_D=1.0m	Palo_D=1.0m	Default
1873	Circle	N.A.	Palo_D=1.0m	Palo_D=1.0m	Default
1874	Circle	N.A.	Palo_D=1.0m	Palo_D=1.0m	Default
1875	Circle	N.A.	Palo_D=1.0m	Palo_D=1.0m	Default
1876	Circle	N.A.	Palo_D=1.0m	Palo_D=1.0m	Default
1877	Circle	N.A.	Palo_D=1.0m	Palo_D=1.0m	Default
1878	Circle	N.A.	Palo_D=1.0m	Palo_D=1.0m	Default
1879	Circle	N.A.	Palo_D=1.0m	Palo_D=1.0m	Default
1880	Circle	N.A.	Palo_D=1.0m	Palo_D=1.0m	Default
1881	Circle	N.A.	Palo_D=1.0m	Palo_D=1.0m	Default
1882	Circle	N.A.	Palo_D=1.0m	Palo_D=1.0m	Default
1883	Circle	N.A.	Palo_D=1.0m	Palo_D=1.0m	Default
1884	Circle	N.A.	Palo_D=1.0m	Palo_D=1.0m	Default
1921	Circle	N.A.	Palo_D=1.0m	Palo_D=1.0m	Default
1922	Circle	N.A.	Palo_D=1.0m	Palo_D=1.0m	Default
1923	Circle	N.A.	Palo_D=1.0m	Palo_D=1.0m	Default
1924	Circle	N.A.	Palo_D=1.0m	Palo_D=1.0m	Default
1925	Circle	N.A.	Palo_D=1.0m	Palo_D=1.0m	Default
1926	Circle	N.A.	Palo_D=1.0m	Palo_D=1.0m	Default
1927	Circle	N.A.	Palo_D=1.0m	Palo_D=1.0m	Default
1928	Circle	N.A.	Palo_D=1.0m	Palo_D=1.0m	Default

Table: Frame Section Assignments

Frame	SectionType	AutoSelect	AnalSect	DesignSect	MatProp
1929	Circle	N.A.	Palo_D=1.0m	Palo_D=1.0m	Default
1930	Circle	N.A.	Palo_D=1.0m	Palo_D=1.0m	Default
1931	Circle	N.A.	Palo_D=1.0m	Palo_D=1.0m	Default
1932	Circle	N.A.	Palo_D=1.0m	Palo_D=1.0m	Default
1933	Circle	N.A.	Palo_D=1.0m	Palo_D=1.0m	Default
1934	Circle	N.A.	Palo_D=1.0m	Palo_D=1.0m	Default
1935	Circle	N.A.	Palo_D=1.0m	Palo_D=1.0m	Default
1936	Circle	N.A.	Palo_D=1.0m	Palo_D=1.0m	Default
1937	Circle	N.A.	Palo_D=1.0m	Palo_D=1.0m	Default
1938	Circle	N.A.	Palo_D=1.0m	Palo_D=1.0m	Default
1939	Circle	N.A.	Palo_D=1.0m	Palo_D=1.0m	Default
1940	Circle	N.A.	Palo_D=1.0m	Palo_D=1.0m	Default
1941	Circle	N.A.	Palo_D=1.0m	Palo_D=1.0m	Default
1942	Circle	N.A.	Palo_D=1.0m	Palo_D=1.0m	Default
1943	Circle	N.A.	Palo_D=1.0m	Palo_D=1.0m	Default
1944	Circle	N.A.	Palo_D=1.0m	Palo_D=1.0m	Default
1945	Circle	N.A.	Palo_D=1.0m	Palo_D=1.0m	Default
1946	Circle	N.A.	Palo_D=1.0m	Palo_D=1.0m	Default
1947	Circle	N.A.	Palo_D=1.0m	Palo_D=1.0m	Default
1948	Circle	N.A.	Palo_D=1.0m	Palo_D=1.0m	Default
1949	Circle	N.A.	Palo_D=1.0m	Palo_D=1.0m	Default
1950	Circle	N.A.	Palo_D=1.0m	Palo_D=1.0m	Default
1951	Circle	N.A.	Palo_D=1.0m	Palo_D=1.0m	Default
1952	Circle	N.A.	Palo_D=1.0m	Palo_D=1.0m	Default
1953	Circle	N.A.	Palo_D=1.0m	Palo_D=1.0m	Default
1954	Circle	N.A.	Palo_D=1.0m	Palo_D=1.0m	Default
1955	Circle	N.A.	Palo_D=1.0m	Palo_D=1.0m	Default
1956	Circle	N.A.	Palo_D=1.0m	Palo_D=1.0m	Default
1957	Circle	N.A.	Palo_D=1.0m	Palo_D=1.0m	Default
1958	Circle	N.A.	Palo_D=1.0m	Palo_D=1.0m	Default
1959	Circle	N.A.	Palo_D=1.0m	Palo_D=1.0m	Default
1960	Circle	N.A.	Palo_D=1.0m	Palo_D=1.0m	Default
1961	Circle	N.A.	Palo_D=1.0m	Palo_D=1.0m	Default
1962	Circle	N.A.	Palo_D=1.0m	Palo_D=1.0m	Default
1963	Circle	N.A.	Palo_D=1.0m	Palo_D=1.0m	Default
1964	Circle	N.A.	Palo_D=1.0m	Palo_D=1.0m	Default
1965	Circle	N.A.	Palo_D=1.0m	Palo_D=1.0m	Default
1966	Circle	N.A.	Palo_D=1.0m	Palo_D=1.0m	Default
1967	Circle	N.A.	Palo_D=1.0m	Palo_D=1.0m	Default
1968	Circle	N.A.	Palo_D=1.0m	Palo_D=1.0m	Default
1969	Circle	N.A.	Palo_D=1.0m	Palo_D=1.0m	Default
1970	Circle	N.A.	Palo_D=1.0m	Palo_D=1.0m	Default
1971	Circle	N.A.	Palo_D=1.0m	Palo_D=1.0m	Default
1972	Circle	N.A.	Palo_D=1.0m	Palo_D=1.0m	Default
1973	Circle	N.A.	Palo_D=1.0m	Palo_D=1.0m	Default
1974	Circle	N.A.	Palo_D=1.0m	Palo_D=1.0m	Default
1975	Circle	N.A.	Palo_D=1.0m	Palo_D=1.0m	Default
1976	Circle	N.A.	Palo_D=1.0m	Palo_D=1.0m	Default
1977	Circle	N.A.	Palo_D=1.0m	Palo_D=1.0m	Default
1978	Circle	N.A.	Palo_D=1.0m	Palo_D=1.0m	Default
1979	Circle	N.A.	Palo_D=1.0m	Palo_D=1.0m	Default
1980	Circle	N.A.	Palo_D=1.0m	Palo_D=1.0m	Default
1981	Circle	N.A.	Palo_D=1.0m	Palo_D=1.0m	Default
1982	Circle	N.A.	Palo_D=1.0m	Palo_D=1.0m	Default

Table: Frame Section Assignments

Frame	SectionType	AutoSelect	AnalSect	DesignSect	MatProp
1983	Circle	N.A.	Palo_D=1.0m	Palo_D=1.0m	Default
1984	Circle	N.A.	Palo_D=1.0m	Palo_D=1.0m	Default
1985	Circle	N.A.	Palo_D=1.0m	Palo_D=1.0m	Default
1986	Circle	N.A.	Palo_D=1.0m	Palo_D=1.0m	Default
1987	Circle	N.A.	Palo_D=1.0m	Palo_D=1.0m	Default
1988	Circle	N.A.	Palo_D=1.0m	Palo_D=1.0m	Default
1989	Circle	N.A.	Palo_D=1.0m	Palo_D=1.0m	Default
1990	Circle	N.A.	Palo_D=1.0m	Palo_D=1.0m	Default
1991	Circle	N.A.	Palo_D=1.0m	Palo_D=1.0m	Default
1992	Circle	N.A.	Palo_D=1.0m	Palo_D=1.0m	Default
1993	Circle	N.A.	Palo_D=1.0m	Palo_D=1.0m	Default
1994	Circle	N.A.	Palo_D=1.0m	Palo_D=1.0m	Default
1995	Circle	N.A.	Palo_D=1.0m	Palo_D=1.0m	Default
1996	Circle	N.A.	Palo_D=1.0m	Palo_D=1.0m	Default
1997	Circle	N.A.	Palo_D=1.0m	Palo_D=1.0m	Default
1998	Circle	N.A.	Palo_D=1.0m	Palo_D=1.0m	Default
1999	Circle	N.A.	Palo_D=1.0m	Palo_D=1.0m	Default
2000	Circle	N.A.	Palo_D=1.0m	Palo_D=1.0m	Default
2001	Circle	N.A.	Palo_D=1.0m	Palo_D=1.0m	Default
2002	Circle	N.A.	Palo_D=1.0m	Palo_D=1.0m	Default
2003	Circle	N.A.	Palo_D=1.0m	Palo_D=1.0m	Default
2004	Circle	N.A.	Palo_D=1.0m	Palo_D=1.0m	Default
2005	Circle	N.A.	Palo_D=1.0m	Palo_D=1.0m	Default
2006	Circle	N.A.	Palo_D=1.0m	Palo_D=1.0m	Default
2007	Circle	N.A.	Palo_D=1.0m	Palo_D=1.0m	Default
2008	Circle	N.A.	Palo_D=1.0m	Palo_D=1.0m	Default
2009	Circle	N.A.	Palo_D=1.0m	Palo_D=1.0m	Default
2010	Circle	N.A.	Palo_D=1.0m	Palo_D=1.0m	Default
2011	Circle	N.A.	Palo_D=1.0m	Palo_D=1.0m	Default
2012	Circle	N.A.	Palo_D=1.0m	Palo_D=1.0m	Default
2013	Circle	N.A.	Palo_D=1.0m	Palo_D=1.0m	Default
2014	Circle	N.A.	Palo_D=1.0m	Palo_D=1.0m	Default
2015	Circle	N.A.	Palo_D=1.0m	Palo_D=1.0m	Default
2016	Circle	N.A.	Palo_D=1.0m	Palo_D=1.0m	Default
2017	Circle	N.A.	Palo_D=1.0m	Palo_D=1.0m	Default
2018	Circle	N.A.	Palo_D=1.0m	Palo_D=1.0m	Default
2019	Circle	N.A.	Palo_D=1.0m	Palo_D=1.0m	Default
2020	Circle	N.A.	Palo_D=1.0m	Palo_D=1.0m	Default
2021	Circle	N.A.	Palo_D=1.0m	Palo_D=1.0m	Default
2022	Circle	N.A.	Palo_D=1.0m	Palo_D=1.0m	Default
2023	Circle	N.A.	Palo_D=1.0m	Palo_D=1.0m	Default
2024	Circle	N.A.	Palo_D=1.0m	Palo_D=1.0m	Default
2025	Circle	N.A.	Palo_D=1.0m	Palo_D=1.0m	Default
2026	Circle	N.A.	Palo_D=1.0m	Palo_D=1.0m	Default
2027	Circle	N.A.	Palo_D=1.0m	Palo_D=1.0m	Default
2028	Circle	N.A.	Palo_D=1.0m	Palo_D=1.0m	Default
2029	Circle	N.A.	Palo_D=1.0m	Palo_D=1.0m	Default
2030	Circle	N.A.	Palo_D=1.0m	Palo_D=1.0m	Default
2031	Circle	N.A.	Palo_D=1.0m	Palo_D=1.0m	Default
2032	Circle	N.A.	Palo_D=1.0m	Palo_D=1.0m	Default
2033	Circle	N.A.	Palo_D=1.0m	Palo_D=1.0m	Default
2034	Circle	N.A.	Palo_D=1.0m	Palo_D=1.0m	Default
2035	Circle	N.A.	Palo_D=1.0m	Palo_D=1.0m	Default
2036	Circle	N.A.	Palo_D=1.0m	Palo_D=1.0m	Default

Table: Frame Section Assignments

Frame	SectionType	AutoSelect	AnalSect	DesignSect	MatProp
2037	Circle	N.A.	Palo_D=1.0m	Palo_D=1.0m	Default
2038	Circle	N.A.	Palo_D=1.0m	Palo_D=1.0m	Default
2039	Circle	N.A.	Palo_D=1.0m	Palo_D=1.0m	Default
2040	Circle	N.A.	Palo_D=1.0m	Palo_D=1.0m	Default
2041	Circle	N.A.	Palo_D=1.0m	Palo_D=1.0m	Default
2042	Circle	N.A.	Palo_D=1.0m	Palo_D=1.0m	Default
2043	Circle	N.A.	Palo_D=1.0m	Palo_D=1.0m	Default
2044	Circle	N.A.	Palo_D=1.0m	Palo_D=1.0m	Default
2045	Circle	N.A.	Palo_D=1.0m	Palo_D=1.0m	Default
2046	Circle	N.A.	Palo_D=1.0m	Palo_D=1.0m	Default
2047	Circle	N.A.	Palo_D=1.0m	Palo_D=1.0m	Default
2048	Circle	N.A.	Palo_D=1.0m	Palo_D=1.0m	Default
2049	Circle	N.A.	Palo_D=1.0m	Palo_D=1.0m	Default
2050	Circle	N.A.	Palo_D=1.0m	Palo_D=1.0m	Default
2051	Circle	N.A.	Palo_D=1.0m	Palo_D=1.0m	Default
2052	Circle	N.A.	Palo_D=1.0m	Palo_D=1.0m	Default
2053	Circle	N.A.	Palo_D=1.0m	Palo_D=1.0m	Default
2054	Circle	N.A.	Palo_D=1.0m	Palo_D=1.0m	Default
2055	Circle	N.A.	Palo_D=1.0m	Palo_D=1.0m	Default
2056	Circle	N.A.	Palo_D=1.0m	Palo_D=1.0m	Default
2057	Circle	N.A.	Palo_D=1.0m	Palo_D=1.0m	Default
2058	Circle	N.A.	Palo_D=1.0m	Palo_D=1.0m	Default
2059	Circle	N.A.	Palo_D=1.0m	Palo_D=1.0m	Default
2060	Circle	N.A.	Palo_D=1.0m	Palo_D=1.0m	Default
2061	Circle	N.A.	Palo_D=1.0m	Palo_D=1.0m	Default
2062	Circle	N.A.	Palo_D=1.0m	Palo_D=1.0m	Default
2063	Circle	N.A.	Palo_D=1.0m	Palo_D=1.0m	Default
2064	Circle	N.A.	Palo_D=1.0m	Palo_D=1.0m	Default
2065	Circle	N.A.	Palo_D=1.0m	Palo_D=1.0m	Default
2066	Circle	N.A.	Palo_D=1.0m	Palo_D=1.0m	Default
2067	Circle	N.A.	Palo_D=1.0m	Palo_D=1.0m	Default
2068	Circle	N.A.	Palo_D=1.0m	Palo_D=1.0m	Default
2069	Circle	N.A.	Palo_D=1.0m	Palo_D=1.0m	Default
2070	Circle	N.A.	Palo_D=1.0m	Palo_D=1.0m	Default
2071	Circle	N.A.	Palo_D=1.0m	Palo_D=1.0m	Default
2072	Circle	N.A.	Palo_D=1.0m	Palo_D=1.0m	Default
2073	Circle	N.A.	Palo_D=1.0m	Palo_D=1.0m	Default
2074	Circle	N.A.	Palo_D=1.0m	Palo_D=1.0m	Default
2075	Circle	N.A.	Palo_D=1.0m	Palo_D=1.0m	Default
2076	Circle	N.A.	Palo_D=1.0m	Palo_D=1.0m	Default
2105	Circle	N.A.	Palo_D=1.0m	Palo_D=1.0m	Default
2106	Circle	N.A.	Palo_D=1.0m	Palo_D=1.0m	Default
2107	Circle	N.A.	Palo_D=1.0m	Palo_D=1.0m	Default
2108	Circle	N.A.	Palo_D=1.0m	Palo_D=1.0m	Default
2109	Circle	N.A.	Palo_D=1.0m	Palo_D=1.0m	Default
2110	Circle	N.A.	Palo_D=1.0m	Palo_D=1.0m	Default
2111	Circle	N.A.	Palo_D=1.0m	Palo_D=1.0m	Default
2112	Circle	N.A.	Palo_D=1.0m	Palo_D=1.0m	Default
2113	Circle	N.A.	Palo_D=1.0m	Palo_D=1.0m	Default
2114	Circle	N.A.	Palo_D=1.0m	Palo_D=1.0m	Default
2115	Circle	N.A.	Palo_D=1.0m	Palo_D=1.0m	Default
2116	Circle	N.A.	Palo_D=1.0m	Palo_D=1.0m	Default
2117	Circle	N.A.	Palo_D=1.0m	Palo_D=1.0m	Default
2118	Circle	N.A.	Palo_D=1.0m	Palo_D=1.0m	Default

Table: Frame Section Assignments

Frame	SectionType	AutoSelect	AnalSect	DesignSect	MatProp
2119	Circle	N.A.	Palo_D=1.0m	Palo_D=1.0m	Default
2120	Circle	N.A.	Palo_D=1.0m	Palo_D=1.0m	Default
2121	Circle	N.A.	Palo_D=1.0m	Palo_D=1.0m	Default
2122	Circle	N.A.	Palo_D=1.0m	Palo_D=1.0m	Default
2123	Circle	N.A.	Palo_D=1.0m	Palo_D=1.0m	Default
2124	Circle	N.A.	Palo_D=1.0m	Palo_D=1.0m	Default
2125	Circle	N.A.	Palo_D=1.0m	Palo_D=1.0m	Default
2126	Circle	N.A.	Palo_D=1.0m	Palo_D=1.0m	Default
2127	Circle	N.A.	Palo_D=1.0m	Palo_D=1.0m	Default
2128	Circle	N.A.	Palo_D=1.0m	Palo_D=1.0m	Default
2129	Circle	N.A.	Palo_D=1.0m	Palo_D=1.0m	Default
2130	Circle	N.A.	Palo_D=1.0m	Palo_D=1.0m	Default
2131	Circle	N.A.	Palo_D=1.0m	Palo_D=1.0m	Default
2132	Circle	N.A.	Palo_D=1.0m	Palo_D=1.0m	Default
2133	Circle	N.A.	Palo_D=1.0m	Palo_D=1.0m	Default
2134	Circle	N.A.	Palo_D=1.0m	Palo_D=1.0m	Default
2135	Circle	N.A.	Palo_D=1.0m	Palo_D=1.0m	Default
2136	Circle	N.A.	Palo_D=1.0m	Palo_D=1.0m	Default
2137	Circle	N.A.	Palo_D=1.0m	Palo_D=1.0m	Default
2138	Circle	N.A.	Palo_D=1.0m	Palo_D=1.0m	Default
2139	Circle	N.A.	Palo_D=1.0m	Palo_D=1.0m	Default
2140	Circle	N.A.	Palo_D=1.0m	Palo_D=1.0m	Default
2141	Circle	N.A.	Palo_D=1.0m	Palo_D=1.0m	Default
2142	Circle	N.A.	Palo_D=1.0m	Palo_D=1.0m	Default
2143	Circle	N.A.	Palo_D=1.0m	Palo_D=1.0m	Default
2144	Circle	N.A.	Palo_D=1.0m	Palo_D=1.0m	Default
2145	Circle	N.A.	Palo_D=1.0m	Palo_D=1.0m	Default
2146	Circle	N.A.	Palo_D=1.0m	Palo_D=1.0m	Default
2147	Circle	N.A.	Palo_D=1.0m	Palo_D=1.0m	Default
2148	Circle	N.A.	Palo_D=1.0m	Palo_D=1.0m	Default
2149	Circle	N.A.	Palo_D=1.0m	Palo_D=1.0m	Default
2150	Circle	N.A.	Palo_D=1.0m	Palo_D=1.0m	Default
2151	Circle	N.A.	Palo_D=1.0m	Palo_D=1.0m	Default
2152	Circle	N.A.	Palo_D=1.0m	Palo_D=1.0m	Default
2153	Circle	N.A.	Palo_D=1.0m	Palo_D=1.0m	Default
2154	Circle	N.A.	Palo_D=1.0m	Palo_D=1.0m	Default
2155	Circle	N.A.	Palo_D=1.0m	Palo_D=1.0m	Default
2156	Circle	N.A.	Palo_D=1.0m	Palo_D=1.0m	Default
2157	Circle	N.A.	Palo_D=1.0m	Palo_D=1.0m	Default
2158	Circle	N.A.	Palo_D=1.0m	Palo_D=1.0m	Default
2159	Circle	N.A.	Palo_D=1.0m	Palo_D=1.0m	Default
2160	Circle	N.A.	Palo_D=1.0m	Palo_D=1.0m	Default
2161	Circle	N.A.	Palo_D=1.0m	Palo_D=1.0m	Default
2162	Circle	N.A.	Palo_D=1.0m	Palo_D=1.0m	Default
2163	Circle	N.A.	Palo_D=1.0m	Palo_D=1.0m	Default
2164	Circle	N.A.	Palo_D=1.0m	Palo_D=1.0m	Default
2165	Circle	N.A.	Palo_D=1.0m	Palo_D=1.0m	Default
2166	Circle	N.A.	Palo_D=1.0m	Palo_D=1.0m	Default
2167	Circle	N.A.	Palo_D=1.0m	Palo_D=1.0m	Default
2168	Circle	N.A.	Palo_D=1.0m	Palo_D=1.0m	Default
2169	Circle	N.A.	Palo_D=1.0m	Palo_D=1.0m	Default
2170	Circle	N.A.	Palo_D=1.0m	Palo_D=1.0m	Default
2171	Circle	N.A.	Palo_D=1.0m	Palo_D=1.0m	Default
2172	Circle	N.A.	Palo_D=1.0m	Palo_D=1.0m	Default

Table: Frame Section Assignments

Frame	SectionType	AutoSelect	AnalSect	DesignSect	MatProp
2173	Circle	N.A.	Palo_D=1.0m	Palo_D=1.0m	Default
2174	Circle	N.A.	Palo_D=1.0m	Palo_D=1.0m	Default
2175	Circle	N.A.	Palo_D=1.0m	Palo_D=1.0m	Default
2176	Circle	N.A.	Palo_D=1.0m	Palo_D=1.0m	Default
2177	Circle	N.A.	Palo_D=1.0m	Palo_D=1.0m	Default
2178	Circle	N.A.	Palo_D=1.0m	Palo_D=1.0m	Default
2179	Circle	N.A.	Palo_D=1.0m	Palo_D=1.0m	Default
2180	Circle	N.A.	Palo_D=1.0m	Palo_D=1.0m	Default
2181	Circle	N.A.	Palo_D=1.0m	Palo_D=1.0m	Default
2182	Circle	N.A.	Palo_D=1.0m	Palo_D=1.0m	Default
2183	Circle	N.A.	Palo_D=1.0m	Palo_D=1.0m	Default
2184	Circle	N.A.	Palo_D=1.0m	Palo_D=1.0m	Default
2185	Circle	N.A.	Palo_D=1.0m	Palo_D=1.0m	Default
2186	Circle	N.A.	Palo_D=1.0m	Palo_D=1.0m	Default
2187	Circle	N.A.	Palo_D=1.0m	Palo_D=1.0m	Default
2188	Circle	N.A.	Palo_D=1.0m	Palo_D=1.0m	Default
2189	Circle	N.A.	Palo_D=1.0m	Palo_D=1.0m	Default
2190	Circle	N.A.	Palo_D=1.0m	Palo_D=1.0m	Default
2191	Circle	N.A.	Palo_D=1.0m	Palo_D=1.0m	Default
2192	Circle	N.A.	Palo_D=1.0m	Palo_D=1.0m	Default
2193	Circle	N.A.	Palo_D=1.0m	Palo_D=1.0m	Default
2194	Circle	N.A.	Palo_D=1.0m	Palo_D=1.0m	Default
2195	Circle	N.A.	Palo_D=1.0m	Palo_D=1.0m	Default
2196	Circle	N.A.	Palo_D=1.0m	Palo_D=1.0m	Default
2197	Circle	N.A.	Palo_D=1.0m	Palo_D=1.0m	Default
2198	Circle	N.A.	Palo_D=1.0m	Palo_D=1.0m	Default
2199	Circle	N.A.	Palo_D=1.0m	Palo_D=1.0m	Default
2200	Circle	N.A.	Palo_D=1.0m	Palo_D=1.0m	Default
2201	Circle	N.A.	Palo_D=1.0m	Palo_D=1.0m	Default
2202	Circle	N.A.	Palo_D=1.0m	Palo_D=1.0m	Default
2203	Circle	N.A.	Palo_D=1.0m	Palo_D=1.0m	Default
2204	Circle	N.A.	Palo_D=1.0m	Palo_D=1.0m	Default
2205	Circle	N.A.	Palo_D=1.0m	Palo_D=1.0m	Default
2206	Circle	N.A.	Palo_D=1.0m	Palo_D=1.0m	Default
2207	Circle	N.A.	Palo_D=1.0m	Palo_D=1.0m	Default
2208	Circle	N.A.	Palo_D=1.0m	Palo_D=1.0m	Default
2259	Circle	N.A.	Palo_D=1.0m	Palo_D=1.0m	Default
2260	Circle	N.A.	Palo_D=1.0m	Palo_D=1.0m	Default
2261	Circle	N.A.	Palo_D=1.0m	Palo_D=1.0m	Default
2262	Circle	N.A.	Palo_D=1.0m	Palo_D=1.0m	Default
2263	Circle	N.A.	Palo_D=1.0m	Palo_D=1.0m	Default
2264	Circle	N.A.	Palo_D=1.0m	Palo_D=1.0m	Default
2265	Circle	N.A.	Palo_D=1.0m	Palo_D=1.0m	Default
2266	Circle	N.A.	Palo_D=1.0m	Palo_D=1.0m	Default
2267	Circle	N.A.	Palo_D=1.0m	Palo_D=1.0m	Default
2268	Circle	N.A.	Palo_D=1.0m	Palo_D=1.0m	Default
2269	Circle	N.A.	Palo_D=1.0m	Palo_D=1.0m	Default
2270	Circle	N.A.	Palo_D=1.0m	Palo_D=1.0m	Default
2271	Circle	N.A.	Palo_D=1.0m	Palo_D=1.0m	Default
2272	Circle	N.A.	Palo_D=1.0m	Palo_D=1.0m	Default
2273	Circle	N.A.	Palo_D=1.0m	Palo_D=1.0m	Default
2274	Circle	N.A.	Palo_D=1.0m	Palo_D=1.0m	Default
2275	Circle	N.A.	Palo_D=1.0m	Palo_D=1.0m	Default
2276	Circle	N.A.	Palo_D=1.0m	Palo_D=1.0m	Default

Table: Frame Section Assignments

Frame	SectionType	AutoSelect	AnalSect	DesignSect	MatProp
2277	Circle	N.A.	Palo_D=1.0m	Palo_D=1.0m	Default
2278	Circle	N.A.	Palo_D=1.0m	Palo_D=1.0m	Default
2279	Circle	N.A.	Palo_D=1.0m	Palo_D=1.0m	Default
2280	Circle	N.A.	Palo_D=1.0m	Palo_D=1.0m	Default
2281	Circle	N.A.	Palo_D=1.0m	Palo_D=1.0m	Default
2282	Circle	N.A.	Palo_D=1.0m	Palo_D=1.0m	Default
2283	Circle	N.A.	Palo_D=1.0m	Palo_D=1.0m	Default
2284	Circle	N.A.	Palo_D=1.0m	Palo_D=1.0m	Default
2285	Circle	N.A.	Palo_D=1.0m	Palo_D=1.0m	Default
2286	Circle	N.A.	Palo_D=1.0m	Palo_D=1.0m	Default
2287	Circle	N.A.	Palo_D=1.0m	Palo_D=1.0m	Default
2288	Circle	N.A.	Palo_D=1.0m	Palo_D=1.0m	Default
2289	Circle	N.A.	Palo_D=1.0m	Palo_D=1.0m	Default
2290	Circle	N.A.	Palo_D=1.0m	Palo_D=1.0m	Default
2291	Circle	N.A.	Palo_D=1.0m	Palo_D=1.0m	Default
2292	Circle	N.A.	Palo_D=1.0m	Palo_D=1.0m	Default
2293	Circle	N.A.	Palo_D=1.0m	Palo_D=1.0m	Default
2294	Circle	N.A.	Palo_D=1.0m	Palo_D=1.0m	Default
2295	Circle	N.A.	Palo_D=1.0m	Palo_D=1.0m	Default
2296	Circle	N.A.	Palo_D=1.0m	Palo_D=1.0m	Default
2297	Circle	N.A.	Palo_D=1.0m	Palo_D=1.0m	Default
2298	Circle	N.A.	Palo_D=1.0m	Palo_D=1.0m	Default
2299	Circle	N.A.	Palo_D=1.0m	Palo_D=1.0m	Default
2300	Circle	N.A.	Palo_D=1.0m	Palo_D=1.0m	Default
2301	Circle	N.A.	Palo_D=1.0m	Palo_D=1.0m	Default
2302	Circle	N.A.	Palo_D=1.0m	Palo_D=1.0m	Default
2303	Circle	N.A.	Palo_D=1.0m	Palo_D=1.0m	Default
2304	Circle	N.A.	Palo_D=1.0m	Palo_D=1.0m	Default
2305	Circle	N.A.	Palo_D=1.0m	Palo_D=1.0m	Default
2306	Circle	N.A.	Palo_D=1.0m	Palo_D=1.0m	Default
2307	Circle	N.A.	Palo_D=1.0m	Palo_D=1.0m	Default
2308	Circle	N.A.	Palo_D=1.0m	Palo_D=1.0m	Default
2309	Circle	N.A.	Palo_D=1.0m	Palo_D=1.0m	Default
2310	Circle	N.A.	Palo_D=1.0m	Palo_D=1.0m	Default
2311	Circle	N.A.	Palo_D=1.0m	Palo_D=1.0m	Default
2312	Circle	N.A.	Palo_D=1.0m	Palo_D=1.0m	Default
2313	Circle	N.A.	Palo_D=1.0m	Palo_D=1.0m	Default
2314	Circle	N.A.	Palo_D=1.0m	Palo_D=1.0m	Default
2315	Circle	N.A.	Palo_D=1.0m	Palo_D=1.0m	Default
2316	Circle	N.A.	Palo_D=1.0m	Palo_D=1.0m	Default
2317	Circle	N.A.	Palo_D=1.0m	Palo_D=1.0m	Default
2318	Circle	N.A.	Palo_D=1.0m	Palo_D=1.0m	Default
2319	Circle	N.A.	Palo_D=1.0m	Palo_D=1.0m	Default
2320	Circle	N.A.	Palo_D=1.0m	Palo_D=1.0m	Default
2321	Circle	N.A.	Palo_D=1.0m	Palo_D=1.0m	Default
2322	Circle	N.A.	Palo_D=1.0m	Palo_D=1.0m	Default
2323	Circle	N.A.	Palo_D=1.0m	Palo_D=1.0m	Default
2324	Circle	N.A.	Palo_D=1.0m	Palo_D=1.0m	Default
2325	Circle	N.A.	Palo_D=1.0m	Palo_D=1.0m	Default
2326	Circle	N.A.	Palo_D=1.0m	Palo_D=1.0m	Default
2327	Circle	N.A.	Palo_D=1.0m	Palo_D=1.0m	Default
2328	Circle	N.A.	Palo_D=1.0m	Palo_D=1.0m	Default
2329	Circle	N.A.	Palo_D=1.0m	Palo_D=1.0m	Default
2330	Circle	N.A.	Palo_D=1.0m	Palo_D=1.0m	Default

Table: Frame Section Assignments

Frame	SectionType	AutoSelect	AnalSect	DesignSect	MatProp
2331	Circle	N.A.	Palo_D=1.0m	Palo_D=1.0m	Default
2332	Circle	N.A.	Palo_D=1.0m	Palo_D=1.0m	Default
2333	Circle	N.A.	Palo_D=1.0m	Palo_D=1.0m	Default
2334	Circle	N.A.	Palo_D=1.0m	Palo_D=1.0m	Default
2335	Circle	N.A.	Palo_D=1.0m	Palo_D=1.0m	Default
2336	Circle	N.A.	Palo_D=1.0m	Palo_D=1.0m	Default
2337	Circle	N.A.	Palo_D=1.0m	Palo_D=1.0m	Default
2338	Circle	N.A.	Palo_D=1.0m	Palo_D=1.0m	Default
2339	Circle	N.A.	Palo_D=1.0m	Palo_D=1.0m	Default
2340	Circle	N.A.	Palo_D=1.0m	Palo_D=1.0m	Default
2341	Circle	N.A.	Palo_D=1.0m	Palo_D=1.0m	Default
2342	Circle	N.A.	Palo_D=1.0m	Palo_D=1.0m	Default
2343	Circle	N.A.	Palo_D=1.0m	Palo_D=1.0m	Default
2344	Circle	N.A.	Palo_D=1.0m	Palo_D=1.0m	Default
2345	Circle	N.A.	Palo_D=1.0m	Palo_D=1.0m	Default
2346	Circle	N.A.	Palo_D=1.0m	Palo_D=1.0m	Default
2347	Circle	N.A.	Palo_D=1.0m	Palo_D=1.0m	Default
2348	Circle	N.A.	Palo_D=1.0m	Palo_D=1.0m	Default
2349	Circle	N.A.	Palo_D=1.0m	Palo_D=1.0m	Default
2350	Circle	N.A.	Palo_D=1.0m	Palo_D=1.0m	Default
2351	Circle	N.A.	Palo_D=1.0m	Palo_D=1.0m	Default
2352	Circle	N.A.	Palo_D=1.0m	Palo_D=1.0m	Default
2353	Circle	N.A.	Palo_D=1.0m	Palo_D=1.0m	Default
2354	Circle	N.A.	Palo_D=1.0m	Palo_D=1.0m	Default
2355	Circle	N.A.	Palo_D=1.0m	Palo_D=1.0m	Default
2356	Circle	N.A.	Palo_D=1.0m	Palo_D=1.0m	Default
2357	Circle	N.A.	Palo_D=1.0m	Palo_D=1.0m	Default
2358	Circle	N.A.	Palo_D=1.0m	Palo_D=1.0m	Default
2359	Circle	N.A.	Palo_D=1.0m	Palo_D=1.0m	Default
2360	Circle	N.A.	Palo_D=1.0m	Palo_D=1.0m	Default
2361	Circle	N.A.	Palo_D=1.0m	Palo_D=1.0m	Default
2362	Circle	N.A.	Palo_D=1.0m	Palo_D=1.0m	Default
2363	Circle	N.A.	Palo_D=1.0m	Palo_D=1.0m	Default
2364	Circle	N.A.	Palo_D=1.0m	Palo_D=1.0m	Default
2365	Circle	N.A.	Palo_D=1.0m	Palo_D=1.0m	Default
2366	Circle	N.A.	Palo_D=1.0m	Palo_D=1.0m	Default
2367	Circle	N.A.	Palo_D=1.0m	Palo_D=1.0m	Default
2368	Circle	N.A.	Palo_D=1.0m	Palo_D=1.0m	Default
2369	Circle	N.A.	Palo_D=1.0m	Palo_D=1.0m	Default
2370	Circle	N.A.	Palo_D=1.0m	Palo_D=1.0m	Default
2371	Circle	N.A.	Palo_D=1.0m	Palo_D=1.0m	Default
2372	Circle	N.A.	Palo_D=1.0m	Palo_D=1.0m	Default
2373	Circle	N.A.	Palo_D=1.0m	Palo_D=1.0m	Default
2374	Circle	N.A.	Palo_D=1.0m	Palo_D=1.0m	Default
2375	Circle	N.A.	Palo_D=1.0m	Palo_D=1.0m	Default
2376	Circle	N.A.	Palo_D=1.0m	Palo_D=1.0m	Default
2377	Circle	N.A.	Palo_D=1.0m	Palo_D=1.0m	Default
2378	Circle	N.A.	Palo_D=1.0m	Palo_D=1.0m	Default
2379	Circle	N.A.	Palo_D=1.0m	Palo_D=1.0m	Default
2380	Circle	N.A.	Palo_D=1.0m	Palo_D=1.0m	Default
2381	Circle	N.A.	Palo_D=1.0m	Palo_D=1.0m	Default
2382	Circle	N.A.	Palo_D=1.0m	Palo_D=1.0m	Default
2383	Circle	N.A.	Palo_D=1.0m	Palo_D=1.0m	Default
2384	Circle	N.A.	Palo_D=1.0m	Palo_D=1.0m	Default

Table: Frame Section Assignments

Frame	SectionType	AutoSelect	AnalSect	DesignSect	MatProp
2385	Circle	N.A.	Palo_D=1.0m	Palo_D=1.0m	Default
2386	Circle	N.A.	Palo_D=1.0m	Palo_D=1.0m	Default
2387	Circle	N.A.	Palo_D=1.0m	Palo_D=1.0m	Default
2388	Circle	N.A.	Palo_D=1.0m	Palo_D=1.0m	Default
2389	Circle	N.A.	Palo_D=1.0m	Palo_D=1.0m	Default
2390	Circle	N.A.	Palo_D=1.0m	Palo_D=1.0m	Default
2391	Circle	N.A.	Palo_D=1.0m	Palo_D=1.0m	Default
2392	Circle	N.A.	Palo_D=1.0m	Palo_D=1.0m	Default
2393	Circle	N.A.	Palo_D=1.0m	Palo_D=1.0m	Default
2394	Circle	N.A.	Palo_D=1.0m	Palo_D=1.0m	Default
2395	Circle	N.A.	Palo_D=1.0m	Palo_D=1.0m	Default
2396	Circle	N.A.	Palo_D=1.0m	Palo_D=1.0m	Default
2397	Circle	N.A.	Palo_D=1.0m	Palo_D=1.0m	Default
2398	Circle	N.A.	Palo_D=1.0m	Palo_D=1.0m	Default
2399	Circle	N.A.	Palo_D=1.0m	Palo_D=1.0m	Default
2400	Circle	N.A.	Palo_D=1.0m	Palo_D=1.0m	Default
2401	Circle	N.A.	Palo_D=1.0m	Palo_D=1.0m	Default
2402	Circle	N.A.	Palo_D=1.0m	Palo_D=1.0m	Default
2403	Circle	N.A.	Palo_D=1.0m	Palo_D=1.0m	Default
2404	Circle	N.A.	Palo_D=1.0m	Palo_D=1.0m	Default
2405	Circle	N.A.	Palo_D=1.0m	Palo_D=1.0m	Default
2406	Circle	N.A.	Palo_D=1.0m	Palo_D=1.0m	Default
2407	Circle	N.A.	Palo_D=1.0m	Palo_D=1.0m	Default
2408	Circle	N.A.	Palo_D=1.0m	Palo_D=1.0m	Default
2409	Circle	N.A.	Palo_D=1.0m	Palo_D=1.0m	Default
2410	Circle	N.A.	Palo_D=1.0m	Palo_D=1.0m	Default
2411	Circle	N.A.	Palo_D=1.0m	Palo_D=1.0m	Default
2412	Circle	N.A.	Palo_D=1.0m	Palo_D=1.0m	Default
2413	Circle	N.A.	Palo_D=1.0m	Palo_D=1.0m	Default
2414	Circle	N.A.	Palo_D=1.0m	Palo_D=1.0m	Default
2415	Circle	N.A.	Palo_D=1.0m	Palo_D=1.0m	Default
2416	Circle	N.A.	Palo_D=1.0m	Palo_D=1.0m	Default
2417	Circle	N.A.	Palo_D=1.0m	Palo_D=1.0m	Default
2418	Circle	N.A.	Palo_D=1.0m	Palo_D=1.0m	Default
2419	Circle	N.A.	Palo_D=1.0m	Palo_D=1.0m	Default
2420	Circle	N.A.	Palo_D=1.0m	Palo_D=1.0m	Default
2421	Circle	N.A.	Palo_D=1.0m	Palo_D=1.0m	Default
2422	Circle	N.A.	Palo_D=1.0m	Palo_D=1.0m	Default
2423	Circle	N.A.	Palo_D=1.0m	Palo_D=1.0m	Default
2424	Circle	N.A.	Palo_D=1.0m	Palo_D=1.0m	Default
2425	Circle	N.A.	Palo_D=1.0m	Palo_D=1.0m	Default
2426	Circle	N.A.	Palo_D=1.0m	Palo_D=1.0m	Default
2427	Circle	N.A.	Palo_D=1.0m	Palo_D=1.0m	Default
2428	Circle	N.A.	Palo_D=1.0m	Palo_D=1.0m	Default
2429	Circle	N.A.	Palo_D=1.0m	Palo_D=1.0m	Default
2430	Circle	N.A.	Palo_D=1.0m	Palo_D=1.0m	Default
2431	Circle	N.A.	Palo_D=1.0m	Palo_D=1.0m	Default
2432	Circle	N.A.	Palo_D=1.0m	Palo_D=1.0m	Default
2433	Circle	N.A.	Palo_D=1.0m	Palo_D=1.0m	Default
2434	Circle	N.A.	Palo_D=1.0m	Palo_D=1.0m	Default
2435	Circle	N.A.	Palo_D=1.0m	Palo_D=1.0m	Default
2436	Circle	N.A.	Palo_D=1.0m	Palo_D=1.0m	Default
2437	Circle	N.A.	Palo_D=1.0m	Palo_D=1.0m	Default
2438	Circle	N.A.	Palo_D=1.0m	Palo_D=1.0m	Default

Table: Frame Section Assignments

Frame	SectionType	AutoSelect	AnalSect	DesignSect	MatProp
2439	Circle	N.A.	Palo_D=1.0m	Palo_D=1.0m	Default
2440	Circle	N.A.	Palo_D=1.0m	Palo_D=1.0m	Default
2441	Circle	N.A.	Palo_D=1.0m	Palo_D=1.0m	Default
2442	Circle	N.A.	Palo_D=1.0m	Palo_D=1.0m	Default
2443	Circle	N.A.	Palo_D=1.0m	Palo_D=1.0m	Default
2444	Circle	N.A.	Palo_D=1.0m	Palo_D=1.0m	Default
2445	Circle	N.A.	Palo_D=1.0m	Palo_D=1.0m	Default
2446	Circle	N.A.	Palo_D=1.0m	Palo_D=1.0m	Default
2447	Circle	N.A.	Palo_D=1.0m	Palo_D=1.0m	Default
2448	Circle	N.A.	Palo_D=1.0m	Palo_D=1.0m	Default
2449	Circle	N.A.	Palo_D=1.0m	Palo_D=1.0m	Default
2450	Circle	N.A.	Palo_D=1.0m	Palo_D=1.0m	Default
2451	Circle	N.A.	Palo_D=1.0m	Palo_D=1.0m	Default
2452	Circle	N.A.	Palo_D=1.0m	Palo_D=1.0m	Default
2453	Circle	N.A.	Palo_D=1.0m	Palo_D=1.0m	Default
2454	Circle	N.A.	Palo_D=1.0m	Palo_D=1.0m	Default
2455	Circle	N.A.	Palo_D=1.0m	Palo_D=1.0m	Default
2456	Circle	N.A.	Palo_D=1.0m	Palo_D=1.0m	Default
2457	Circle	N.A.	Palo_D=1.0m	Palo_D=1.0m	Default
2458	Circle	N.A.	Palo_D=1.0m	Palo_D=1.0m	Default
2459	Circle	N.A.	Palo_D=1.0m	Palo_D=1.0m	Default
2460	Circle	N.A.	Palo_D=1.0m	Palo_D=1.0m	Default
2461	Circle	N.A.	Palo_D=1.0m	Palo_D=1.0m	Default
2462	Circle	N.A.	Palo_D=1.0m	Palo_D=1.0m	Default
2463	Circle	N.A.	Palo_D=1.0m	Palo_D=1.0m	Default
2464	Circle	N.A.	Palo_D=1.0m	Palo_D=1.0m	Default
2465	Circle	N.A.	Palo_D=1.0m	Palo_D=1.0m	Default
2466	Circle	N.A.	Palo_D=1.0m	Palo_D=1.0m	Default
2467	Circle	N.A.	Palo_D=1.0m	Palo_D=1.0m	Default
2468	Circle	N.A.	Palo_D=1.0m	Palo_D=1.0m	Default
2469	Circle	N.A.	Palo_D=1.0m	Palo_D=1.0m	Default
2470	Circle	N.A.	Palo_D=1.0m	Palo_D=1.0m	Default
2471	Circle	N.A.	Palo_D=1.0m	Palo_D=1.0m	Default
2472	Circle	N.A.	Palo_D=1.0m	Palo_D=1.0m	Default
2473	Circle	N.A.	Palo_D=1.0m	Palo_D=1.0m	Default
2474	Circle	N.A.	Palo_D=1.0m	Palo_D=1.0m	Default
2475	Circle	N.A.	Palo_D=1.0m	Palo_D=1.0m	Default
2476	Circle	N.A.	Palo_D=1.0m	Palo_D=1.0m	Default
2477	Circle	N.A.	Palo_D=1.0m	Palo_D=1.0m	Default
2478	Circle	N.A.	Palo_D=1.0m	Palo_D=1.0m	Default
2479	Circle	N.A.	Palo_D=1.0m	Palo_D=1.0m	Default
2480	Circle	N.A.	Palo_D=1.0m	Palo_D=1.0m	Default
2481	Circle	N.A.	Palo_D=1.0m	Palo_D=1.0m	Default
2482	Circle	N.A.	Palo_D=1.0m	Palo_D=1.0m	Default
2483	Circle	N.A.	Palo_D=1.0m	Palo_D=1.0m	Default
2484	Circle	N.A.	Palo_D=1.0m	Palo_D=1.0m	Default
2485	Circle	N.A.	Palo_D=1.0m	Palo_D=1.0m	Default
2486	Circle	N.A.	Palo_D=1.0m	Palo_D=1.0m	Default
2487	Circle	N.A.	Palo_D=1.0m	Palo_D=1.0m	Default
2488	Circle	N.A.	Palo_D=1.0m	Palo_D=1.0m	Default
2489	Circle	N.A.	Palo_D=1.0m	Palo_D=1.0m	Default
2490	Circle	N.A.	Palo_D=1.0m	Palo_D=1.0m	Default
2491	Circle	N.A.	Palo_D=1.0m	Palo_D=1.0m	Default
2492	Circle	N.A.	Palo_D=1.0m	Palo_D=1.0m	Default

Table: Frame Section Assignments

Frame	SectionType	AutoSelect	AnalSect	DesignSect	MatProp
2493	Circle	N.A.	Palo_D=1.0m	Palo_D=1.0m	Default
2494	Circle	N.A.	Palo_D=1.0m	Palo_D=1.0m	Default
2495	Circle	N.A.	Palo_D=1.0m	Palo_D=1.0m	Default
2496	Circle	N.A.	Palo_D=1.0m	Palo_D=1.0m	Default
2497	Circle	N.A.	Palo_D=1.0m	Palo_D=1.0m	Default
2498	Circle	N.A.	Palo_D=1.0m	Palo_D=1.0m	Default
2499	Circle	N.A.	Palo_D=1.0m	Palo_D=1.0m	Default
2500	Circle	N.A.	Palo_D=1.0m	Palo_D=1.0m	Default
2501	Circle	N.A.	Palo_D=1.0m	Palo_D=1.0m	Default
2502	Circle	N.A.	Palo_D=1.0m	Palo_D=1.0m	Default
2503	Circle	N.A.	Palo_D=1.0m	Palo_D=1.0m	Default
2504	Circle	N.A.	Palo_D=1.0m	Palo_D=1.0m	Default
2505	Circle	N.A.	Palo_D=1.0m	Palo_D=1.0m	Default
2506	Circle	N.A.	Palo_D=1.0m	Palo_D=1.0m	Default
2507	Circle	N.A.	Palo_D=1.0m	Palo_D=1.0m	Default
2508	Circle	N.A.	Palo_D=1.0m	Palo_D=1.0m	Default
2509	Circle	N.A.	Palo_D=1.0m	Palo_D=1.0m	Default
2510	Circle	N.A.	Palo_D=1.0m	Palo_D=1.0m	Default
2511	Circle	N.A.	Palo_D=1.0m	Palo_D=1.0m	Default
2512	Circle	N.A.	Palo_D=1.0m	Palo_D=1.0m	Default
2513	Circle	N.A.	Palo_D=1.0m	Palo_D=1.0m	Default
2514	Circle	N.A.	Palo_D=1.0m	Palo_D=1.0m	Default
2515	Circle	N.A.	Palo_D=1.0m	Palo_D=1.0m	Default
2516	Circle	N.A.	Palo_D=1.0m	Palo_D=1.0m	Default
2517	Circle	N.A.	Palo_D=1.0m	Palo_D=1.0m	Default
2518	Circle	N.A.	Palo_D=1.0m	Palo_D=1.0m	Default
2519	Circle	N.A.	Palo_D=1.0m	Palo_D=1.0m	Default
2520	Circle	N.A.	Palo_D=1.0m	Palo_D=1.0m	Default
2521	Circle	N.A.	Palo_D=1.0m	Palo_D=1.0m	Default
2522	Circle	N.A.	Palo_D=1.0m	Palo_D=1.0m	Default
2523	Circle	N.A.	Palo_D=1.0m	Palo_D=1.0m	Default
2524	Circle	N.A.	Palo_D=1.0m	Palo_D=1.0m	Default
2525	Circle	N.A.	Palo_D=1.0m	Palo_D=1.0m	Default
2526	Circle	N.A.	Palo_D=1.0m	Palo_D=1.0m	Default
2527	Circle	N.A.	Palo_D=1.0m	Palo_D=1.0m	Default
2528	Circle	N.A.	Palo_D=1.0m	Palo_D=1.0m	Default
2529	Circle	N.A.	Palo_D=1.0m	Palo_D=1.0m	Default
2530	Circle	N.A.	Palo_D=1.0m	Palo_D=1.0m	Default
2531	Circle	N.A.	Palo_D=1.0m	Palo_D=1.0m	Default
2532	Circle	N.A.	Palo_D=1.0m	Palo_D=1.0m	Default
2533	Circle	N.A.	Palo_D=1.0m	Palo_D=1.0m	Default
2534	Circle	N.A.	Palo_D=1.0m	Palo_D=1.0m	Default
2535	Circle	N.A.	Palo_D=1.0m	Palo_D=1.0m	Default
2536	Circle	N.A.	Palo_D=1.0m	Palo_D=1.0m	Default
2537	Circle	N.A.	Palo_D=1.0m	Palo_D=1.0m	Default
2538	Circle	N.A.	Palo_D=1.0m	Palo_D=1.0m	Default
2539	Circle	N.A.	Palo_D=1.0m	Palo_D=1.0m	Default
2540	Circle	N.A.	Palo_D=1.0m	Palo_D=1.0m	Default
2541	Circle	N.A.	Palo_D=1.0m	Palo_D=1.0m	Default
2542	Circle	N.A.	Palo_D=1.0m	Palo_D=1.0m	Default
2543	Circle	N.A.	Palo_D=1.0m	Palo_D=1.0m	Default
2544	Circle	N.A.	Palo_D=1.0m	Palo_D=1.0m	Default
2571	Circle	N.A.	Palo_D=1.0m	Palo_D=1.0m	Default
2572	Circle	N.A.	Palo_D=1.0m	Palo_D=1.0m	Default

Table: Frame Section Assignments

Frame	SectionType	AutoSelect	AnalSect	DesignSect	MatProp
2573	Circle	N.A.	Palo_D=1.0m	Palo_D=1.0m	Default
2574	Circle	N.A.	Palo_D=1.0m	Palo_D=1.0m	Default
2575	Circle	N.A.	Palo_D=1.0m	Palo_D=1.0m	Default
2576	Circle	N.A.	Palo_D=1.0m	Palo_D=1.0m	Default
2577	Circle	N.A.	Palo_D=1.0m	Palo_D=1.0m	Default
2578	Circle	N.A.	Palo_D=1.0m	Palo_D=1.0m	Default
2579	Circle	N.A.	Palo_D=1.0m	Palo_D=1.0m	Default
2580	Circle	N.A.	Palo_D=1.0m	Palo_D=1.0m	Default
2581	Circle	N.A.	Palo_D=1.0m	Palo_D=1.0m	Default
2582	Circle	N.A.	Palo_D=1.0m	Palo_D=1.0m	Default
2583	Circle	N.A.	Palo_D=1.0m	Palo_D=1.0m	Default
2584	Circle	N.A.	Palo_D=1.0m	Palo_D=1.0m	Default
2585	Circle	N.A.	Palo_D=1.0m	Palo_D=1.0m	Default
2586	Circle	N.A.	Palo_D=1.0m	Palo_D=1.0m	Default
2587	Circle	N.A.	Palo_D=1.0m	Palo_D=1.0m	Default
2588	Circle	N.A.	Palo_D=1.0m	Palo_D=1.0m	Default
2589	Circle	N.A.	Palo_D=1.0m	Palo_D=1.0m	Default
2590	Circle	N.A.	Palo_D=1.0m	Palo_D=1.0m	Default
2591	Circle	N.A.	Palo_D=1.0m	Palo_D=1.0m	Default
2592	Circle	N.A.	Palo_D=1.0m	Palo_D=1.0m	Default
2593	Circle	N.A.	Palo_D=1.0m	Palo_D=1.0m	Default
2594	Circle	N.A.	Palo_D=1.0m	Palo_D=1.0m	Default
2595	Circle	N.A.	Palo_D=1.0m	Palo_D=1.0m	Default
2596	Circle	N.A.	Palo_D=1.0m	Palo_D=1.0m	Default
4937	Circle	N.A.	Palo_D=1.0m	Palo_D=1.0m	Default
4938	Circle	N.A.	Palo_D=1.0m	Palo_D=1.0m	Default
4939	Circle	N.A.	Palo_D=1.0m	Palo_D=1.0m	Default
4940	Circle	N.A.	Palo_D=1.0m	Palo_D=1.0m	Default
4941	Circle	N.A.	Palo_D=1.0m	Palo_D=1.0m	Default
4942	Circle	N.A.	Palo_D=1.0m	Palo_D=1.0m	Default
4943	Circle	N.A.	Palo_D=1.0m	Palo_D=1.0m	Default
4944	Circle	N.A.	Palo_D=1.0m	Palo_D=1.0m	Default
4945	Circle	N.A.	Palo_D=1.0m	Palo_D=1.0m	Default
4946	Circle	N.A.	Palo_D=1.0m	Palo_D=1.0m	Default
4947	Circle	N.A.	Palo_D=1.0m	Palo_D=1.0m	Default
4948	Circle	N.A.	Palo_D=1.0m	Palo_D=1.0m	Default
4949	Circle	N.A.	Palo_D=1.0m	Palo_D=1.0m	Default
4950	Circle	N.A.	Palo_D=1.0m	Palo_D=1.0m	Default
4951	Circle	N.A.	Palo_D=1.0m	Palo_D=1.0m	Default
4952	Circle	N.A.	Palo_D=1.0m	Palo_D=1.0m	Default
4953	Circle	N.A.	Palo_D=1.0m	Palo_D=1.0m	Default
4954	Circle	N.A.	Palo_D=1.0m	Palo_D=1.0m	Default
4955	Circle	N.A.	Palo_D=1.0m	Palo_D=1.0m	Default
4956	Circle	N.A.	Palo_D=1.0m	Palo_D=1.0m	Default
4957	Circle	N.A.	Palo_D=1.0m	Palo_D=1.0m	Default
4958	Circle	N.A.	Palo_D=1.0m	Palo_D=1.0m	Default
4959	Circle	N.A.	Palo_D=1.0m	Palo_D=1.0m	Default
4960	Circle	N.A.	Palo_D=1.0m	Palo_D=1.0m	Default
4961	Circle	N.A.	Palo_D=1.0m	Palo_D=1.0m	Default
4962	Circle	N.A.	Palo_D=1.0m	Palo_D=1.0m	Default
4963	Circle	N.A.	Palo_D=1.0m	Palo_D=1.0m	Default
4964	Circle	N.A.	Palo_D=1.0m	Palo_D=1.0m	Default
4965	Circle	N.A.	Palo_D=1.0m	Palo_D=1.0m	Default
4966	Circle	N.A.	Palo_D=1.0m	Palo_D=1.0m	Default

Table: Frame Section Assignments

Frame	SectionType	AutoSelect	AnalSect	DesignSect	MatProp
4967	Circle	N.A.	Palo_D=1.0m	Palo_D=1.0m	Default
4968	Circle	N.A.	Palo_D=1.0m	Palo_D=1.0m	Default
4969	Circle	N.A.	Palo_D=1.0m	Palo_D=1.0m	Default
4970	Circle	N.A.	Palo_D=1.0m	Palo_D=1.0m	Default
4971	Circle	N.A.	Palo_D=1.0m	Palo_D=1.0m	Default
4972	Circle	N.A.	Palo_D=1.0m	Palo_D=1.0m	Default
4973	Circle	N.A.	Palo_D=1.0m	Palo_D=1.0m	Default
4974	Circle	N.A.	Palo_D=1.0m	Palo_D=1.0m	Default
4975	Circle	N.A.	Palo_D=1.0m	Palo_D=1.0m	Default
4976	Circle	N.A.	Palo_D=1.0m	Palo_D=1.0m	Default
4977	Circle	N.A.	Palo_D=1.0m	Palo_D=1.0m	Default
4978	Circle	N.A.	Palo_D=1.0m	Palo_D=1.0m	Default
4979	Circle	N.A.	Palo_D=1.0m	Palo_D=1.0m	Default
4980	Circle	N.A.	Palo_D=1.0m	Palo_D=1.0m	Default
4981	Circle	N.A.	Palo_D=1.0m	Palo_D=1.0m	Default
4982	Circle	N.A.	Palo_D=1.0m	Palo_D=1.0m	Default
4983	Circle	N.A.	Palo_D=1.0m	Palo_D=1.0m	Default
4984	Circle	N.A.	Palo_D=1.0m	Palo_D=1.0m	Default
4985	Circle	N.A.	Palo_D=1.0m	Palo_D=1.0m	Default
4986	Circle	N.A.	Palo_D=1.0m	Palo_D=1.0m	Default
4987	Circle	N.A.	Palo_D=1.0m	Palo_D=1.0m	Default
4988	Circle	N.A.	Palo_D=1.0m	Palo_D=1.0m	Default
4989	Circle	N.A.	Palo_D=1.0m	Palo_D=1.0m	Default
4990	Circle	N.A.	Palo_D=1.0m	Palo_D=1.0m	Default
4991	Circle	N.A.	Palo_D=1.0m	Palo_D=1.0m	Default
4992	Circle	N.A.	Palo_D=1.0m	Palo_D=1.0m	Default
4993	Circle	N.A.	Palo_D=1.0m	Palo_D=1.0m	Default
4994	Circle	N.A.	Palo_D=1.0m	Palo_D=1.0m	Default
4995	Circle	N.A.	Palo_D=1.0m	Palo_D=1.0m	Default
4996	Circle	N.A.	Palo_D=1.0m	Palo_D=1.0m	Default
4997	Circle	N.A.	Palo_D=1.0m	Palo_D=1.0m	Default
4998	Circle	N.A.	Palo_D=1.0m	Palo_D=1.0m	Default
4999	Circle	N.A.	Palo_D=1.0m	Palo_D=1.0m	Default
5000	Circle	N.A.	Palo_D=1.0m	Palo_D=1.0m	Default
5001	Circle	N.A.	Palo_D=1.0m	Palo_D=1.0m	Default
5002	Circle	N.A.	Palo_D=1.0m	Palo_D=1.0m	Default
5003	Circle	N.A.	Palo_D=1.0m	Palo_D=1.0m	Default
5004	Circle	N.A.	Palo_D=1.0m	Palo_D=1.0m	Default
5005	Circle	N.A.	Palo_D=1.0m	Palo_D=1.0m	Default
5006	Circle	N.A.	Palo_D=1.0m	Palo_D=1.0m	Default
5007	Circle	N.A.	Palo_D=1.0m	Palo_D=1.0m	Default
5008	Circle	N.A.	Palo_D=1.0m	Palo_D=1.0m	Default
5009	Circle	N.A.	Palo_D=1.0m	Palo_D=1.0m	Default
5010	Circle	N.A.	Palo_D=1.0m	Palo_D=1.0m	Default
5011	Circle	N.A.	Palo_D=1.0m	Palo_D=1.0m	Default
5012	Circle	N.A.	Palo_D=1.0m	Palo_D=1.0m	Default
5013	Circle	N.A.	Palo_D=1.0m	Palo_D=1.0m	Default
5014	Circle	N.A.	Palo_D=1.0m	Palo_D=1.0m	Default
5015	Circle	N.A.	Palo_D=1.0m	Palo_D=1.0m	Default
5016	Circle	N.A.	Palo_D=1.0m	Palo_D=1.0m	Default
5017	Circle	N.A.	Palo_D=1.0m	Palo_D=1.0m	Default
5018	Circle	N.A.	Palo_D=1.0m	Palo_D=1.0m	Default
5019	Circle	N.A.	Palo_D=1.0m	Palo_D=1.0m	Default
5020	Circle	N.A.	Palo_D=1.0m	Palo_D=1.0m	Default

Table: Frame Section Assignments

Frame	SectionType	AutoSelect	AnalSect	DesignSect	MatProp
5021	Circle	N.A.	Palo_D=1.0m	Palo_D=1.0m	Default
5022	Circle	N.A.	Palo_D=1.0m	Palo_D=1.0m	Default
5023	Circle	N.A.	Palo_D=1.0m	Palo_D=1.0m	Default
5024	Circle	N.A.	Palo_D=1.0m	Palo_D=1.0m	Default
5025	Circle	N.A.	Palo_D=1.0m	Palo_D=1.0m	Default
5026	Circle	N.A.	Palo_D=1.0m	Palo_D=1.0m	Default
5027	Circle	N.A.	Palo_D=1.0m	Palo_D=1.0m	Default
5028	Circle	N.A.	Palo_D=1.0m	Palo_D=1.0m	Default
5029	Circle	N.A.	Palo_D=1.0m	Palo_D=1.0m	Default
5030	Circle	N.A.	Palo_D=1.0m	Palo_D=1.0m	Default
5031	Circle	N.A.	Palo_D=1.0m	Palo_D=1.0m	Default
5032	Circle	N.A.	Palo_D=1.0m	Palo_D=1.0m	Default
5033	Circle	N.A.	Palo_D=1.0m	Palo_D=1.0m	Default
5034	Circle	N.A.	Palo_D=1.0m	Palo_D=1.0m	Default
5035	Circle	N.A.	Palo_D=1.0m	Palo_D=1.0m	Default
5036	Circle	N.A.	Palo_D=1.0m	Palo_D=1.0m	Default
5037	Circle	N.A.	Palo_D=1.0m	Palo_D=1.0m	Default
5038	Circle	N.A.	Palo_D=1.0m	Palo_D=1.0m	Default
5039	Circle	N.A.	Palo_D=1.0m	Palo_D=1.0m	Default
5040	Circle	N.A.	Palo_D=1.0m	Palo_D=1.0m	Default
5041	Circle	N.A.	Palo_D=1.0m	Palo_D=1.0m	Default
5042	Circle	N.A.	Palo_D=1.0m	Palo_D=1.0m	Default
5043	Circle	N.A.	Palo_D=1.0m	Palo_D=1.0m	Default
5044	Circle	N.A.	Palo_D=1.0m	Palo_D=1.0m	Default
5045	Circle	N.A.	Palo_D=1.0m	Palo_D=1.0m	Default
5046	Circle	N.A.	Palo_D=1.0m	Palo_D=1.0m	Default
5047	Circle	N.A.	Palo_D=1.0m	Palo_D=1.0m	Default
5048	Circle	N.A.	Palo_D=1.0m	Palo_D=1.0m	Default
5049	Circle	N.A.	Palo_D=1.0m	Palo_D=1.0m	Default
5050	Circle	N.A.	Palo_D=1.0m	Palo_D=1.0m	Default
5051	Circle	N.A.	Palo_D=1.0m	Palo_D=1.0m	Default
5052	Circle	N.A.	Palo_D=1.0m	Palo_D=1.0m	Default
5053	Circle	N.A.	Palo_D=1.0m	Palo_D=1.0m	Default
5054	Circle	N.A.	Palo_D=1.0m	Palo_D=1.0m	Default
5055	Circle	N.A.	Palo_D=1.0m	Palo_D=1.0m	Default
5056	Circle	N.A.	Palo_D=1.0m	Palo_D=1.0m	Default
5057	Circle	N.A.	Palo_D=1.0m	Palo_D=1.0m	Default
5058	Circle	N.A.	Palo_D=1.0m	Palo_D=1.0m	Default
5059	Circle	N.A.	Palo_D=1.0m	Palo_D=1.0m	Default
5060	Circle	N.A.	Palo_D=1.0m	Palo_D=1.0m	Default
5061	Circle	N.A.	Palo_D=1.0m	Palo_D=1.0m	Default
5062	Circle	N.A.	Palo_D=1.0m	Palo_D=1.0m	Default
5063	Circle	N.A.	Palo_D=1.0m	Palo_D=1.0m	Default
5064	Circle	N.A.	Palo_D=1.0m	Palo_D=1.0m	Default
5065	Circle	N.A.	Palo_D=1.0m	Palo_D=1.0m	Default
5066	Circle	N.A.	Palo_D=1.0m	Palo_D=1.0m	Default
5067	Circle	N.A.	Palo_D=1.0m	Palo_D=1.0m	Default
5068	Circle	N.A.	Palo_D=1.0m	Palo_D=1.0m	Default
5069	Circle	N.A.	Palo_D=1.0m	Palo_D=1.0m	Default
5070	Circle	N.A.	Palo_D=1.0m	Palo_D=1.0m	Default
5071	Circle	N.A.	Palo_D=1.0m	Palo_D=1.0m	Default
5072	Circle	N.A.	Palo_D=1.0m	Palo_D=1.0m	Default
5073	Circle	N.A.	Palo_D=1.0m	Palo_D=1.0m	Default
5074	Circle	N.A.	Palo_D=1.0m	Palo_D=1.0m	Default

Table: Frame Section Assignments

Frame	SectionType	AutoSelect	AnalSect	DesignSect	MatProp
5075	Circle	N.A.	Palo_D=1.0m	Palo_D=1.0m	Default
5076	Circle	N.A.	Palo_D=1.0m	Palo_D=1.0m	Default
5077	Circle	N.A.	Palo_D=1.0m	Palo_D=1.0m	Default
5078	Circle	N.A.	Palo_D=1.0m	Palo_D=1.0m	Default
5079	Circle	N.A.	Palo_D=1.0m	Palo_D=1.0m	Default
5080	Circle	N.A.	Palo_D=1.0m	Palo_D=1.0m	Default
5081	Circle	N.A.	Palo_D=1.0m	Palo_D=1.0m	Default
5082	Circle	N.A.	Palo_D=1.0m	Palo_D=1.0m	Default
5083	Circle	N.A.	Palo_D=1.0m	Palo_D=1.0m	Default
5084	Circle	N.A.	Palo_D=1.0m	Palo_D=1.0m	Default
5085	Circle	N.A.	Palo_D=1.0m	Palo_D=1.0m	Default
5086	Circle	N.A.	Palo_D=1.0m	Palo_D=1.0m	Default
5087	Circle	N.A.	Palo_D=1.0m	Palo_D=1.0m	Default
5088	Circle	N.A.	Palo_D=1.0m	Palo_D=1.0m	Default
5089	Circle	N.A.	Palo_D=1.0m	Palo_D=1.0m	Default
5090	Circle	N.A.	Palo_D=1.0m	Palo_D=1.0m	Default
5091	Circle	N.A.	Palo_D=1.0m	Palo_D=1.0m	Default
5092	Circle	N.A.	Palo_D=1.0m	Palo_D=1.0m	Default
5093	Circle	N.A.	Palo_D=1.0m	Palo_D=1.0m	Default
5094	Circle	N.A.	Palo_D=1.0m	Palo_D=1.0m	Default
5095	Circle	N.A.	Palo_D=1.0m	Palo_D=1.0m	Default
5096	Circle	N.A.	Palo_D=1.0m	Palo_D=1.0m	Default
5097	Circle	N.A.	Palo_D=1.0m	Palo_D=1.0m	Default
5098	Circle	N.A.	Palo_D=1.0m	Palo_D=1.0m	Default
5099	Circle	N.A.	Palo_D=1.0m	Palo_D=1.0m	Default
5100	Circle	N.A.	Palo_D=1.0m	Palo_D=1.0m	Default
5101	Circle	N.A.	Palo_D=1.0m	Palo_D=1.0m	Default
5102	Circle	N.A.	Palo_D=1.0m	Palo_D=1.0m	Default
5103	Circle	N.A.	Palo_D=1.0m	Palo_D=1.0m	Default
5104	Circle	N.A.	Palo_D=1.0m	Palo_D=1.0m	Default
5105	Circle	N.A.	Palo_D=1.0m	Palo_D=1.0m	Default
5106	Circle	N.A.	Palo_D=1.0m	Palo_D=1.0m	Default
5107	Circle	N.A.	Palo_D=1.0m	Palo_D=1.0m	Default
5108	Circle	N.A.	Palo_D=1.0m	Palo_D=1.0m	Default
5109	Circle	N.A.	Palo_D=1.0m	Palo_D=1.0m	Default
5110	Circle	N.A.	Palo_D=1.0m	Palo_D=1.0m	Default
5111	Circle	N.A.	Palo_D=1.0m	Palo_D=1.0m	Default
5112	Circle	N.A.	Palo_D=1.0m	Palo_D=1.0m	Default
5113	Circle	N.A.	Palo_D=1.0m	Palo_D=1.0m	Default
5114	Circle	N.A.	Palo_D=1.0m	Palo_D=1.0m	Default
5115	Circle	N.A.	Palo_D=1.0m	Palo_D=1.0m	Default
5116	Circle	N.A.	Palo_D=1.0m	Palo_D=1.0m	Default
5117	Circle	N.A.	Palo_D=1.0m	Palo_D=1.0m	Default
5118	Circle	N.A.	Palo_D=1.0m	Palo_D=1.0m	Default
5119	Circle	N.A.	Palo_D=1.0m	Palo_D=1.0m	Default
5120	Circle	N.A.	Palo_D=1.0m	Palo_D=1.0m	Default
5121	Circle	N.A.	Palo_D=1.0m	Palo_D=1.0m	Default
5122	Circle	N.A.	Palo_D=1.0m	Palo_D=1.0m	Default
5123	Circle	N.A.	Palo_D=1.0m	Palo_D=1.0m	Default
5124	Circle	N.A.	Palo_D=1.0m	Palo_D=1.0m	Default
5125	Circle	N.A.	Palo_D=1.0m	Palo_D=1.0m	Default
5126	Circle	N.A.	Palo_D=1.0m	Palo_D=1.0m	Default
5127	Circle	N.A.	Palo_D=1.0m	Palo_D=1.0m	Default
5128	Circle	N.A.	Palo_D=1.0m	Palo_D=1.0m	Default

Table: Frame Section Assignments

Frame	SectionType	AutoSelect	AnalSect	DesignSect	MatProp
5129	Circle	N.A.	Palo_D=1.0m	Palo_D=1.0m	Default
5130	Circle	N.A.	Palo_D=1.0m	Palo_D=1.0m	Default
5131	Circle	N.A.	Palo_D=1.0m	Palo_D=1.0m	Default
5132	Circle	N.A.	Palo_D=1.0m	Palo_D=1.0m	Default
5133	Circle	N.A.	Palo_D=1.0m	Palo_D=1.0m	Default
5134	Circle	N.A.	Palo_D=1.0m	Palo_D=1.0m	Default
5135	Circle	N.A.	Palo_D=1.0m	Palo_D=1.0m	Default
5136	Circle	N.A.	Palo_D=1.0m	Palo_D=1.0m	Default
5137	Circle	N.A.	Palo_D=1.0m	Palo_D=1.0m	Default
5138	Circle	N.A.	Palo_D=1.0m	Palo_D=1.0m	Default
5139	Circle	N.A.	Palo_D=1.0m	Palo_D=1.0m	Default
5140	Circle	N.A.	Palo_D=1.0m	Palo_D=1.0m	Default
5141	Circle	N.A.	Palo_D=1.0m	Palo_D=1.0m	Default
5142	Circle	N.A.	Palo_D=1.0m	Palo_D=1.0m	Default
5143	Circle	N.A.	Palo_D=1.0m	Palo_D=1.0m	Default
5144	Circle	N.A.	Palo_D=1.0m	Palo_D=1.0m	Default
5145	Circle	N.A.	Palo_D=1.0m	Palo_D=1.0m	Default
5146	Circle	N.A.	Palo_D=1.0m	Palo_D=1.0m	Default
5147	Circle	N.A.	Palo_D=1.0m	Palo_D=1.0m	Default
5148	Circle	N.A.	Palo_D=1.0m	Palo_D=1.0m	Default
5149	Circle	N.A.	Palo_D=1.0m	Palo_D=1.0m	Default
5150	Circle	N.A.	Palo_D=1.0m	Palo_D=1.0m	Default
5151	Circle	N.A.	Palo_D=1.0m	Palo_D=1.0m	Default
5152	Circle	N.A.	Palo_D=1.0m	Palo_D=1.0m	Default
5153	Circle	N.A.	Palo_D=1.0m	Palo_D=1.0m	Default
5154	Circle	N.A.	Palo_D=1.0m	Palo_D=1.0m	Default
5155	Circle	N.A.	Palo_D=1.0m	Palo_D=1.0m	Default
5156	Circle	N.A.	Palo_D=1.0m	Palo_D=1.0m	Default
5157	Circle	N.A.	Palo_D=1.0m	Palo_D=1.0m	Default
5158	Circle	N.A.	Palo_D=1.0m	Palo_D=1.0m	Default
5159	Circle	N.A.	Palo_D=1.0m	Palo_D=1.0m	Default
5160	Circle	N.A.	Palo_D=1.0m	Palo_D=1.0m	Default
5161	Circle	N.A.	Palo_D=1.0m	Palo_D=1.0m	Default
5162	Circle	N.A.	Palo_D=1.0m	Palo_D=1.0m	Default
5163	Circle	N.A.	Palo_D=1.0m	Palo_D=1.0m	Default
5164	Circle	N.A.	Palo_D=1.0m	Palo_D=1.0m	Default
5165	Circle	N.A.	Palo_D=1.0m	Palo_D=1.0m	Default
5166	Circle	N.A.	Palo_D=1.0m	Palo_D=1.0m	Default
5167	Circle	N.A.	Palo_D=1.0m	Palo_D=1.0m	Default
5168	Circle	N.A.	Palo_D=1.0m	Palo_D=1.0m	Default
5169	Circle	N.A.	Palo_D=1.0m	Palo_D=1.0m	Default
5170	Circle	N.A.	Palo_D=1.0m	Palo_D=1.0m	Default
5171	Circle	N.A.	Palo_D=1.0m	Palo_D=1.0m	Default
5172	Circle	N.A.	Palo_D=1.0m	Palo_D=1.0m	Default
5173	Circle	N.A.	Palo_D=1.0m	Palo_D=1.0m	Default
5174	Circle	N.A.	Palo_D=1.0m	Palo_D=1.0m	Default
5175	Circle	N.A.	Palo_D=1.0m	Palo_D=1.0m	Default
5176	Circle	N.A.	Palo_D=1.0m	Palo_D=1.0m	Default
5177	Circle	N.A.	Palo_D=1.0m	Palo_D=1.0m	Default
5178	Circle	N.A.	Palo_D=1.0m	Palo_D=1.0m	Default
5179	Circle	N.A.	Palo_D=1.0m	Palo_D=1.0m	Default
5180	Circle	N.A.	Palo_D=1.0m	Palo_D=1.0m	Default
5181	Circle	N.A.	Palo_D=1.0m	Palo_D=1.0m	Default
5182	Circle	N.A.	Palo_D=1.0m	Palo_D=1.0m	Default

Table: Frame Section Assignments

Frame	SectionType	AutoSelect	AnalSect	DesignSect	MatProp
5183	Circle	N.A.	Palo_D=1.0m	Palo_D=1.0m	Default
5184	Circle	N.A.	Palo_D=1.0m	Palo_D=1.0m	Default
5185	Circle	N.A.	Palo_D=1.0m	Palo_D=1.0m	Default
5186	Circle	N.A.	Palo_D=1.0m	Palo_D=1.0m	Default
5187	Circle	N.A.	Palo_D=1.0m	Palo_D=1.0m	Default
5188	Circle	N.A.	Palo_D=1.0m	Palo_D=1.0m	Default
5189	Circle	N.A.	Palo_D=1.0m	Palo_D=1.0m	Default
5190	Circle	N.A.	Palo_D=1.0m	Palo_D=1.0m	Default
5191	Circle	N.A.	Palo_D=1.0m	Palo_D=1.0m	Default
5192	Circle	N.A.	Palo_D=1.0m	Palo_D=1.0m	Default
5193	Circle	N.A.	Palo_D=1.0m	Palo_D=1.0m	Default
5194	Circle	N.A.	Palo_D=1.0m	Palo_D=1.0m	Default
5195	Circle	N.A.	Palo_D=1.0m	Palo_D=1.0m	Default
5196	Circle	N.A.	Palo_D=1.0m	Palo_D=1.0m	Default
5197	Circle	N.A.	Palo_D=1.0m	Palo_D=1.0m	Default
5198	Circle	N.A.	Palo_D=1.0m	Palo_D=1.0m	Default
5199	Circle	N.A.	Palo_D=1.0m	Palo_D=1.0m	Default
5200	Circle	N.A.	Palo_D=1.0m	Palo_D=1.0m	Default
5201	Circle	N.A.	Palo_D=1.0m	Palo_D=1.0m	Default
5202	Circle	N.A.	Palo_D=1.0m	Palo_D=1.0m	Default
5203	Circle	N.A.	Palo_D=1.0m	Palo_D=1.0m	Default
5204	Circle	N.A.	Palo_D=1.0m	Palo_D=1.0m	Default
5205	Circle	N.A.	Palo_D=1.0m	Palo_D=1.0m	Default
5206	Circle	N.A.	Palo_D=1.0m	Palo_D=1.0m	Default
5207	Circle	N.A.	Palo_D=1.0m	Palo_D=1.0m	Default
5208	Circle	N.A.	Palo_D=1.0m	Palo_D=1.0m	Default
5209	Circle	N.A.	Palo_D=1.0m	Palo_D=1.0m	Default
5210	Circle	N.A.	Palo_D=1.0m	Palo_D=1.0m	Default
5211	Circle	N.A.	Palo_D=1.0m	Palo_D=1.0m	Default
5212	Circle	N.A.	Palo_D=1.0m	Palo_D=1.0m	Default
5213	Circle	N.A.	Palo_D=1.0m	Palo_D=1.0m	Default
5214	Circle	N.A.	Palo_D=1.0m	Palo_D=1.0m	Default
5215	Circle	N.A.	Palo_D=1.0m	Palo_D=1.0m	Default
5216	Circle	N.A.	Palo_D=1.0m	Palo_D=1.0m	Default
5217	Circle	N.A.	Palo_D=1.0m	Palo_D=1.0m	Default
5218	Circle	N.A.	Palo_D=1.0m	Palo_D=1.0m	Default
5219	Circle	N.A.	Palo_D=1.0m	Palo_D=1.0m	Default
5220	Circle	N.A.	Palo_D=1.0m	Palo_D=1.0m	Default
5221	Circle	N.A.	Palo_D=1.0m	Palo_D=1.0m	Default
5222	Circle	N.A.	Palo_D=1.0m	Palo_D=1.0m	Default
5223	Circle	N.A.	Palo_D=1.0m	Palo_D=1.0m	Default
5224	Circle	N.A.	Palo_D=1.0m	Palo_D=1.0m	Default
5225	Circle	N.A.	Palo_D=1.0m	Palo_D=1.0m	Default
5226	Circle	N.A.	Palo_D=1.0m	Palo_D=1.0m	Default
5227	Circle	N.A.	Palo_D=1.0m	Palo_D=1.0m	Default
5228	Circle	N.A.	Palo_D=1.0m	Palo_D=1.0m	Default
5229	Circle	N.A.	Palo_D=1.0m	Palo_D=1.0m	Default
5230	Circle	N.A.	Palo_D=1.0m	Palo_D=1.0m	Default
5231	Circle	N.A.	Palo_D=1.0m	Palo_D=1.0m	Default
5232	Circle	N.A.	Palo_D=1.0m	Palo_D=1.0m	Default
5233	Circle	N.A.	Palo_D=1.0m	Palo_D=1.0m	Default
5234	Circle	N.A.	Palo_D=1.0m	Palo_D=1.0m	Default
5235	Circle	N.A.	Palo_D=1.0m	Palo_D=1.0m	Default
5236	Circle	N.A.	Palo_D=1.0m	Palo_D=1.0m	Default

Table: Frame Section Assignments

Frame	SectionType	AutoSelect	AnalSect	DesignSect	MatProp
5237	Circle	N.A.	Palo_D=1.0m	Palo_D=1.0m	Default
5238	Circle	N.A.	Palo_D=1.0m	Palo_D=1.0m	Default
5239	Circle	N.A.	Palo_D=1.0m	Palo_D=1.0m	Default
5240	Circle	N.A.	Palo_D=1.0m	Palo_D=1.0m	Default
5241	Circle	N.A.	Palo_D=1.0m	Palo_D=1.0m	Default
5242	Circle	N.A.	Palo_D=1.0m	Palo_D=1.0m	Default
5243	Circle	N.A.	Palo_D=1.0m	Palo_D=1.0m	Default
5244	Circle	N.A.	Palo_D=1.0m	Palo_D=1.0m	Default
5245	Circle	N.A.	Palo_D=1.0m	Palo_D=1.0m	Default
5246	Circle	N.A.	Palo_D=1.0m	Palo_D=1.0m	Default
5247	Circle	N.A.	Palo_D=1.0m	Palo_D=1.0m	Default
5248	Circle	N.A.	Palo_D=1.0m	Palo_D=1.0m	Default
5249	Circle	N.A.	Palo_D=1.0m	Palo_D=1.0m	Default
5250	Circle	N.A.	Palo_D=1.0m	Palo_D=1.0m	Default
5251	Circle	N.A.	Palo_D=1.0m	Palo_D=1.0m	Default
5252	Circle	N.A.	Palo_D=1.0m	Palo_D=1.0m	Default
5253	Circle	N.A.	Palo_D=1.0m	Palo_D=1.0m	Default
5254	Circle	N.A.	Palo_D=1.0m	Palo_D=1.0m	Default
5255	Circle	N.A.	Palo_D=1.0m	Palo_D=1.0m	Default
5256	Circle	N.A.	Palo_D=1.0m	Palo_D=1.0m	Default
5257	Circle	N.A.	Palo_D=1.0m	Palo_D=1.0m	Default
5258	Circle	N.A.	Palo_D=1.0m	Palo_D=1.0m	Default
5259	Circle	N.A.	Palo_D=1.0m	Palo_D=1.0m	Default
5260	Circle	N.A.	Palo_D=1.0m	Palo_D=1.0m	Default
5261	Circle	N.A.	Palo_D=1.0m	Palo_D=1.0m	Default
5262	Circle	N.A.	Palo_D=1.0m	Palo_D=1.0m	Default
5263	Circle	N.A.	Palo_D=1.0m	Palo_D=1.0m	Default
5264	Circle	N.A.	Palo_D=1.0m	Palo_D=1.0m	Default
5265	Circle	N.A.	Palo_D=1.0m	Palo_D=1.0m	Default
5266	Circle	N.A.	Palo_D=1.0m	Palo_D=1.0m	Default
5267	Circle	N.A.	Palo_D=1.0m	Palo_D=1.0m	Default
5268	Circle	N.A.	Palo_D=1.0m	Palo_D=1.0m	Default
5269	Circle	N.A.	Palo_D=1.0m	Palo_D=1.0m	Default
5270	Circle	N.A.	Palo_D=1.0m	Palo_D=1.0m	Default
5271	Circle	N.A.	Palo_D=1.0m	Palo_D=1.0m	Default
5272	Circle	N.A.	Palo_D=1.0m	Palo_D=1.0m	Default
5273	Circle	N.A.	Palo_D=1.0m	Palo_D=1.0m	Default
5274	Circle	N.A.	Palo_D=1.0m	Palo_D=1.0m	Default
5275	Circle	N.A.	Palo_D=1.0m	Palo_D=1.0m	Default
5276	Circle	N.A.	Palo_D=1.0m	Palo_D=1.0m	Default
5277	Circle	N.A.	Palo_D=1.0m	Palo_D=1.0m	Default
5278	Circle	N.A.	Palo_D=1.0m	Palo_D=1.0m	Default
5279	Circle	N.A.	Palo_D=1.0m	Palo_D=1.0m	Default
5280	Circle	N.A.	Palo_D=1.0m	Palo_D=1.0m	Default
5281	Circle	N.A.	Palo_D=1.0m	Palo_D=1.0m	Default
5282	Circle	N.A.	Palo_D=1.0m	Palo_D=1.0m	Default
5283	Circle	N.A.	Palo_D=1.0m	Palo_D=1.0m	Default
5284	Circle	N.A.	Palo_D=1.0m	Palo_D=1.0m	Default
5285	Circle	N.A.	Palo_D=1.0m	Palo_D=1.0m	Default
5286	Circle	N.A.	Palo_D=1.0m	Palo_D=1.0m	Default
5287	Circle	N.A.	Palo_D=1.0m	Palo_D=1.0m	Default
5288	Circle	N.A.	Palo_D=1.0m	Palo_D=1.0m	Default
5289	Circle	N.A.	Palo_D=1.0m	Palo_D=1.0m	Default
5290	Circle	N.A.	Palo_D=1.0m	Palo_D=1.0m	Default

Table: Frame Section Assignments

Frame	SectionType	AutoSelect	AnalSect	DesignSect	MatProp
5291	Circle	N.A.	Palo_D=1.0m	Palo_D=1.0m	Default
5292	Circle	N.A.	Palo_D=1.0m	Palo_D=1.0m	Default
5293	Circle	N.A.	Palo_D=1.0m	Palo_D=1.0m	Default
5294	Circle	N.A.	Palo_D=1.0m	Palo_D=1.0m	Default
5295	Circle	N.A.	Palo_D=1.0m	Palo_D=1.0m	Default
5296	Circle	N.A.	Palo_D=1.0m	Palo_D=1.0m	Default
5297	Circle	N.A.	Palo_D=1.0m	Palo_D=1.0m	Default
5298	Circle	N.A.	Palo_D=1.0m	Palo_D=1.0m	Default
5299	Circle	N.A.	Palo_D=1.0m	Palo_D=1.0m	Default
5300	Circle	N.A.	Palo_D=1.0m	Palo_D=1.0m	Default
5301	Circle	N.A.	Palo_D=1.0m	Palo_D=1.0m	Default
5302	Circle	N.A.	Palo_D=1.0m	Palo_D=1.0m	Default
5303	Circle	N.A.	Palo_D=1.0m	Palo_D=1.0m	Default
5304	Circle	N.A.	Palo_D=1.0m	Palo_D=1.0m	Default
5305	Circle	N.A.	Palo_D=1.0m	Palo_D=1.0m	Default
5306	Circle	N.A.	Palo_D=1.0m	Palo_D=1.0m	Default
5307	Circle	N.A.	Palo_D=1.0m	Palo_D=1.0m	Default
5308	Circle	N.A.	Palo_D=1.0m	Palo_D=1.0m	Default
5309	Circle	N.A.	Palo_D=1.0m	Palo_D=1.0m	Default
5310	Circle	N.A.	Palo_D=1.0m	Palo_D=1.0m	Default
5311	Circle	N.A.	Palo_D=1.0m	Palo_D=1.0m	Default
5312	Circle	N.A.	Palo_D=1.0m	Palo_D=1.0m	Default
5313	Circle	N.A.	Palo_D=1.0m	Palo_D=1.0m	Default
5314	Circle	N.A.	Palo_D=1.0m	Palo_D=1.0m	Default
5315	Circle	N.A.	Palo_D=1.0m	Palo_D=1.0m	Default
5316	Circle	N.A.	Palo_D=1.0m	Palo_D=1.0m	Default
5317	Circle	N.A.	Palo_D=1.0m	Palo_D=1.0m	Default
5318	Circle	N.A.	Palo_D=1.0m	Palo_D=1.0m	Default
5319	Circle	N.A.	Palo_D=1.0m	Palo_D=1.0m	Default
5320	Circle	N.A.	Palo_D=1.0m	Palo_D=1.0m	Default
5321	Circle	N.A.	Palo_D=1.0m	Palo_D=1.0m	Default
5322	Circle	N.A.	Palo_D=1.0m	Palo_D=1.0m	Default
5323	Circle	N.A.	Palo_D=1.0m	Palo_D=1.0m	Default
5324	Circle	N.A.	Palo_D=1.0m	Palo_D=1.0m	Default
5325	Circle	N.A.	Palo_D=1.0m	Palo_D=1.0m	Default
5326	Circle	N.A.	Palo_D=1.0m	Palo_D=1.0m	Default
5327	Circle	N.A.	Palo_D=1.0m	Palo_D=1.0m	Default
5328	Circle	N.A.	Palo_D=1.0m	Palo_D=1.0m	Default
5329	Circle	N.A.	Palo_D=1.0m	Palo_D=1.0m	Default
5330	Circle	N.A.	Palo_D=1.0m	Palo_D=1.0m	Default
5331	Circle	N.A.	Palo_D=1.0m	Palo_D=1.0m	Default
5332	Circle	N.A.	Palo_D=1.0m	Palo_D=1.0m	Default
5333	Circle	N.A.	Palo_D=1.0m	Palo_D=1.0m	Default
5334	Circle	N.A.	Palo_D=1.0m	Palo_D=1.0m	Default
5335	Circle	N.A.	Palo_D=1.0m	Palo_D=1.0m	Default
5336	Circle	N.A.	Palo_D=1.0m	Palo_D=1.0m	Default
5337	Circle	N.A.	Palo_D=1.0m	Palo_D=1.0m	Default
5338	Circle	N.A.	Palo_D=1.0m	Palo_D=1.0m	Default
5339	Circle	N.A.	Palo_D=1.0m	Palo_D=1.0m	Default
5340	Circle	N.A.	Palo_D=1.0m	Palo_D=1.0m	Default
5341	Circle	N.A.	Palo_D=1.0m	Palo_D=1.0m	Default
5342	Circle	N.A.	Palo_D=1.0m	Palo_D=1.0m	Default
5343	Circle	N.A.	Palo_D=1.0m	Palo_D=1.0m	Default
5344	Circle	N.A.	Palo_D=1.0m	Palo_D=1.0m	Default

Table: Frame Section Assignments

Frame	SectionType	AutoSelect	AnalSect	DesignSect	MatProp
5345	Circle	N.A.	Palo_D=1.0m	Palo_D=1.0m	Default
5346	Circle	N.A.	Palo_D=1.0m	Palo_D=1.0m	Default
5347	Circle	N.A.	Palo_D=1.0m	Palo_D=1.0m	Default
5348	Circle	N.A.	Palo_D=1.0m	Palo_D=1.0m	Default
5349	Circle	N.A.	Palo_D=1.0m	Palo_D=1.0m	Default
5350	Circle	N.A.	Palo_D=1.0m	Palo_D=1.0m	Default
5351	Circle	N.A.	Palo_D=1.0m	Palo_D=1.0m	Default
5352	Circle	N.A.	Palo_D=1.0m	Palo_D=1.0m	Default
5353	Circle	N.A.	Palo_D=1.0m	Palo_D=1.0m	Default
5354	Circle	N.A.	Palo_D=1.0m	Palo_D=1.0m	Default
5355	Circle	N.A.	Palo_D=1.0m	Palo_D=1.0m	Default
5356	Circle	N.A.	Palo_D=1.0m	Palo_D=1.0m	Default
5357	Circle	N.A.	Palo_D=1.0m	Palo_D=1.0m	Default
5358	Circle	N.A.	Palo_D=1.0m	Palo_D=1.0m	Default
5359	Circle	N.A.	Palo_D=1.0m	Palo_D=1.0m	Default
5360	Circle	N.A.	Palo_D=1.0m	Palo_D=1.0m	Default
5361	Circle	N.A.	Palo_D=1.0m	Palo_D=1.0m	Default
5362	Circle	N.A.	Palo_D=1.0m	Palo_D=1.0m	Default
5363	Circle	N.A.	Palo_D=1.0m	Palo_D=1.0m	Default
5364	Circle	N.A.	Palo_D=1.0m	Palo_D=1.0m	Default
5365	Circle	N.A.	Palo_D=1.0m	Palo_D=1.0m	Default
5366	Circle	N.A.	Palo_D=1.0m	Palo_D=1.0m	Default
5367	Circle	N.A.	Palo_D=1.0m	Palo_D=1.0m	Default
5368	Circle	N.A.	Palo_D=1.0m	Palo_D=1.0m	Default
5369	Circle	N.A.	Palo_D=1.0m	Palo_D=1.0m	Default
5370	Circle	N.A.	Palo_D=1.0m	Palo_D=1.0m	Default
5371	Circle	N.A.	Palo_D=1.0m	Palo_D=1.0m	Default
5372	Circle	N.A.	Palo_D=1.0m	Palo_D=1.0m	Default
5373	Circle	N.A.	Palo_D=1.0m	Palo_D=1.0m	Default
5374	Circle	N.A.	Palo_D=1.0m	Palo_D=1.0m	Default
5375	Circle	N.A.	Palo_D=1.0m	Palo_D=1.0m	Default
5376	Circle	N.A.	Palo_D=1.0m	Palo_D=1.0m	Default
5377	Circle	N.A.	Palo_D=1.0m	Palo_D=1.0m	Default
5378	Circle	N.A.	Palo_D=1.0m	Palo_D=1.0m	Default
5379	Circle	N.A.	Palo_D=1.0m	Palo_D=1.0m	Default
5380	Circle	N.A.	Palo_D=1.0m	Palo_D=1.0m	Default
5381	Circle	N.A.	Palo_D=1.0m	Palo_D=1.0m	Default
5382	Circle	N.A.	Palo_D=1.0m	Palo_D=1.0m	Default
5383	Circle	N.A.	Palo_D=1.0m	Palo_D=1.0m	Default
5384	Circle	N.A.	Palo_D=1.0m	Palo_D=1.0m	Default
5385	Circle	N.A.	Palo_D=1.0m	Palo_D=1.0m	Default
5386	Circle	N.A.	Palo_D=1.0m	Palo_D=1.0m	Default
5387	Circle	N.A.	Palo_D=1.0m	Palo_D=1.0m	Default
5388	Circle	N.A.	Palo_D=1.0m	Palo_D=1.0m	Default
5389	Circle	N.A.	Palo_D=1.0m	Palo_D=1.0m	Default
5390	Circle	N.A.	Palo_D=1.0m	Palo_D=1.0m	Default
5391	Circle	N.A.	Palo_D=1.0m	Palo_D=1.0m	Default
5392	Circle	N.A.	Palo_D=1.0m	Palo_D=1.0m	Default
5393	Circle	N.A.	Palo_D=1.0m	Palo_D=1.0m	Default
5394	Circle	N.A.	Palo_D=1.0m	Palo_D=1.0m	Default
5395	Circle	N.A.	Palo_D=1.0m	Palo_D=1.0m	Default
5396	Circle	N.A.	Palo_D=1.0m	Palo_D=1.0m	Default
5397	Circle	N.A.	Palo_D=1.0m	Palo_D=1.0m	Default
5398	Circle	N.A.	Palo_D=1.0m	Palo_D=1.0m	Default

Table: Frame Section Assignments

Frame	SectionType	AutoSelect	AnalSect	DesignSect	MatProp
5399	Circle	N.A.	Palo_D=1.0m	Palo_D=1.0m	Default
5400	Circle	N.A.	Palo_D=1.0m	Palo_D=1.0m	Default
5401	Circle	N.A.	Palo_D=1.0m	Palo_D=1.0m	Default
5402	Circle	N.A.	Palo_D=1.0m	Palo_D=1.0m	Default
5403	Circle	N.A.	Palo_D=1.0m	Palo_D=1.0m	Default
5404	Circle	N.A.	Palo_D=1.0m	Palo_D=1.0m	Default
5405	Circle	N.A.	Palo_D=1.0m	Palo_D=1.0m	Default
5406	Circle	N.A.	Palo_D=1.0m	Palo_D=1.0m	Default
5407	Circle	N.A.	Palo_D=1.0m	Palo_D=1.0m	Default
5408	Circle	N.A.	Palo_D=1.0m	Palo_D=1.0m	Default
5409	Circle	N.A.	Palo_D=1.0m	Palo_D=1.0m	Default
5410	Circle	N.A.	Palo_D=1.0m	Palo_D=1.0m	Default
5411	Circle	N.A.	Palo_D=1.0m	Palo_D=1.0m	Default
5412	Circle	N.A.	Palo_D=1.0m	Palo_D=1.0m	Default
5413	Circle	N.A.	Palo_D=1.0m	Palo_D=1.0m	Default
5414	Circle	N.A.	Palo_D=1.0m	Palo_D=1.0m	Default
5415	Circle	N.A.	Palo_D=1.0m	Palo_D=1.0m	Default
5416	Circle	N.A.	Palo_D=1.0m	Palo_D=1.0m	Default
5417	Circle	N.A.	Palo_D=1.0m	Palo_D=1.0m	Default
5418	Circle	N.A.	Palo_D=1.0m	Palo_D=1.0m	Default
5419	Circle	N.A.	Palo_D=1.0m	Palo_D=1.0m	Default
5420	Circle	N.A.	Palo_D=1.0m	Palo_D=1.0m	Default
5421	Circle	N.A.	Palo_D=1.0m	Palo_D=1.0m	Default
5422	Circle	N.A.	Palo_D=1.0m	Palo_D=1.0m	Default
5423	Circle	N.A.	Palo_D=1.0m	Palo_D=1.0m	Default
5424	Circle	N.A.	Palo_D=1.0m	Palo_D=1.0m	Default
5425	Circle	N.A.	Palo_D=1.0m	Palo_D=1.0m	Default
5426	Circle	N.A.	Palo_D=1.0m	Palo_D=1.0m	Default
5427	Circle	N.A.	Palo_D=1.0m	Palo_D=1.0m	Default
5428	Circle	N.A.	Palo_D=1.0m	Palo_D=1.0m	Default
5429	Circle	N.A.	Palo_D=1.0m	Palo_D=1.0m	Default
5430	Circle	N.A.	Palo_D=1.0m	Palo_D=1.0m	Default
5431	Circle	N.A.	Palo_D=1.0m	Palo_D=1.0m	Default
5432	Circle	N.A.	Palo_D=1.0m	Palo_D=1.0m	Default
5433	Circle	N.A.	Palo_D=1.0m	Palo_D=1.0m	Default
5434	Circle	N.A.	Palo_D=1.0m	Palo_D=1.0m	Default
5435	Circle	N.A.	Palo_D=1.0m	Palo_D=1.0m	Default
5436	Circle	N.A.	Palo_D=1.0m	Palo_D=1.0m	Default
5437	Circle	N.A.	Palo_D=1.0m	Palo_D=1.0m	Default
5438	Circle	N.A.	Palo_D=1.0m	Palo_D=1.0m	Default
5439	Circle	N.A.	Palo_D=1.0m	Palo_D=1.0m	Default
5440	Circle	N.A.	Palo_D=1.0m	Palo_D=1.0m	Default
5441	Circle	N.A.	Palo_D=1.0m	Palo_D=1.0m	Default
5442	Circle	N.A.	Palo_D=1.0m	Palo_D=1.0m	Default
5443	Circle	N.A.	Palo_D=1.0m	Palo_D=1.0m	Default
5444	Circle	N.A.	Palo_D=1.0m	Palo_D=1.0m	Default
5445	Circle	N.A.	Palo_D=1.0m	Palo_D=1.0m	Default
5446	Circle	N.A.	Palo_D=1.0m	Palo_D=1.0m	Default
5447	Circle	N.A.	Palo_D=1.0m	Palo_D=1.0m	Default
5448	Circle	N.A.	Palo_D=1.0m	Palo_D=1.0m	Default
5449	Circle	N.A.	Palo_D=1.0m	Palo_D=1.0m	Default
5450	Circle	N.A.	Palo_D=1.0m	Palo_D=1.0m	Default
5451	Circle	N.A.	Palo_D=1.0m	Palo_D=1.0m	Default
5452	Circle	N.A.	Palo_D=1.0m	Palo_D=1.0m	Default

Table: Frame Section Assignments

Frame	SectionType	AutoSelect	AnalSect	DesignSect	MatProp
5453	Circle	N.A.	Palo_D=1.0m	Palo_D=1.0m	Default
5454	Circle	N.A.	Palo_D=1.0m	Palo_D=1.0m	Default
5455	Circle	N.A.	Palo_D=1.0m	Palo_D=1.0m	Default
5456	Circle	N.A.	Palo_D=1.0m	Palo_D=1.0m	Default
5457	Circle	N.A.	Palo_D=1.0m	Palo_D=1.0m	Default
5458	Circle	N.A.	Palo_D=1.0m	Palo_D=1.0m	Default
5459	Circle	N.A.	Palo_D=1.0m	Palo_D=1.0m	Default
5460	Circle	N.A.	Palo_D=1.0m	Palo_D=1.0m	Default
5461	Circle	N.A.	Palo_D=1.0m	Palo_D=1.0m	Default
5462	Circle	N.A.	Palo_D=1.0m	Palo_D=1.0m	Default
5463	Circle	N.A.	Palo_D=1.0m	Palo_D=1.0m	Default
5464	Circle	N.A.	Palo_D=1.0m	Palo_D=1.0m	Default
5465	Circle	N.A.	Palo_D=1.0m	Palo_D=1.0m	Default
5466	Circle	N.A.	Palo_D=1.0m	Palo_D=1.0m	Default
5467	Circle	N.A.	Palo_D=1.0m	Palo_D=1.0m	Default
5468	Circle	N.A.	Palo_D=1.0m	Palo_D=1.0m	Default
5469	Circle	N.A.	Palo_D=1.0m	Palo_D=1.0m	Default
5470	Circle	N.A.	Palo_D=1.0m	Palo_D=1.0m	Default
5471	Circle	N.A.	Palo_D=1.0m	Palo_D=1.0m	Default
5472	Circle	N.A.	Palo_D=1.0m	Palo_D=1.0m	Default
5473	Circle	N.A.	Palo_D=1.0m	Palo_D=1.0m	Default
5474	Circle	N.A.	Palo_D=1.0m	Palo_D=1.0m	Default
5475	Circle	N.A.	Palo_D=1.0m	Palo_D=1.0m	Default
5476	Circle	N.A.	Palo_D=1.0m	Palo_D=1.0m	Default
5477	Circle	N.A.	Palo_D=1.0m	Palo_D=1.0m	Default
5478	Circle	N.A.	Palo_D=1.0m	Palo_D=1.0m	Default
5479	Circle	N.A.	Palo_D=1.0m	Palo_D=1.0m	Default
5480	Circle	N.A.	Palo_D=1.0m	Palo_D=1.0m	Default
5481	Circle	N.A.	Palo_D=1.0m	Palo_D=1.0m	Default
5482	Circle	N.A.	Palo_D=1.0m	Palo_D=1.0m	Default
5483	Circle	N.A.	Palo_D=1.0m	Palo_D=1.0m	Default
5484	Circle	N.A.	Palo_D=1.0m	Palo_D=1.0m	Default
5485	Circle	N.A.	Palo_D=1.0m	Palo_D=1.0m	Default
5486	Circle	N.A.	Palo_D=1.0m	Palo_D=1.0m	Default
5487	Circle	N.A.	Palo_D=1.0m	Palo_D=1.0m	Default
5488	Circle	N.A.	Palo_D=1.0m	Palo_D=1.0m	Default
5489	Circle	N.A.	Palo_D=1.0m	Palo_D=1.0m	Default
5490	Circle	N.A.	Palo_D=1.0m	Palo_D=1.0m	Default
5491	Circle	N.A.	Palo_D=1.0m	Palo_D=1.0m	Default
5492	Circle	N.A.	Palo_D=1.0m	Palo_D=1.0m	Default
5493	Circle	N.A.	Palo_D=1.0m	Palo_D=1.0m	Default
5494	Circle	N.A.	Palo_D=1.0m	Palo_D=1.0m	Default
5495	Circle	N.A.	Palo_D=1.0m	Palo_D=1.0m	Default
5496	Circle	N.A.	Palo_D=1.0m	Palo_D=1.0m	Default
5497	Circle	N.A.	Palo_D=1.0m	Palo_D=1.0m	Default
5498	Circle	N.A.	Palo_D=1.0m	Palo_D=1.0m	Default
5499	Circle	N.A.	Palo_D=1.0m	Palo_D=1.0m	Default
5500	Circle	N.A.	Palo_D=1.0m	Palo_D=1.0m	Default
5501	Circle	N.A.	Palo_D=1.0m	Palo_D=1.0m	Default
5502	Circle	N.A.	Palo_D=1.0m	Palo_D=1.0m	Default
5503	Circle	N.A.	Palo_D=1.0m	Palo_D=1.0m	Default
5504	Circle	N.A.	Palo_D=1.0m	Palo_D=1.0m	Default
5505	Circle	N.A.	Palo_D=1.0m	Palo_D=1.0m	Default
5506	Circle	N.A.	Palo_D=1.0m	Palo_D=1.0m	Default

Table: Frame Section Assignments

Frame	SectionType	AutoSelect	AnalSect	DesignSect	MatProp
5507	Circle	N.A.	Palo_D=1.0m	Palo_D=1.0m	Default
5508	Circle	N.A.	Palo_D=1.0m	Palo_D=1.0m	Default
5509	Circle	N.A.	Palo_D=1.0m	Palo_D=1.0m	Default
5510	Circle	N.A.	Palo_D=1.0m	Palo_D=1.0m	Default
5511	Circle	N.A.	Palo_D=1.0m	Palo_D=1.0m	Default
5512	Circle	N.A.	Palo_D=1.0m	Palo_D=1.0m	Default
5513	Circle	N.A.	Palo_D=1.0m	Palo_D=1.0m	Default
5514	Circle	N.A.	Palo_D=1.0m	Palo_D=1.0m	Default
5515	Circle	N.A.	Palo_D=1.0m	Palo_D=1.0m	Default
5516	Circle	N.A.	Palo_D=1.0m	Palo_D=1.0m	Default
5517	Circle	N.A.	Palo_D=1.0m	Palo_D=1.0m	Default
5518	Circle	N.A.	Palo_D=1.0m	Palo_D=1.0m	Default
5519	Circle	N.A.	Palo_D=1.0m	Palo_D=1.0m	Default
5520	Circle	N.A.	Palo_D=1.0m	Palo_D=1.0m	Default
5521	Circle	N.A.	Palo_D=1.0m	Palo_D=1.0m	Default
5522	Circle	N.A.	Palo_D=1.0m	Palo_D=1.0m	Default
5523	Circle	N.A.	Palo_D=1.0m	Palo_D=1.0m	Default
5524	Circle	N.A.	Palo_D=1.0m	Palo_D=1.0m	Default
5525	Circle	N.A.	Palo_D=1.0m	Palo_D=1.0m	Default
5526	Circle	N.A.	Palo_D=1.0m	Palo_D=1.0m	Default
5527	Circle	N.A.	Palo_D=1.0m	Palo_D=1.0m	Default
5528	Circle	N.A.	Palo_D=1.0m	Palo_D=1.0m	Default
5529	Circle	N.A.	Palo_D=1.0m	Palo_D=1.0m	Default
5530	Circle	N.A.	Palo_D=1.0m	Palo_D=1.0m	Default
5531	Circle	N.A.	Palo_D=1.0m	Palo_D=1.0m	Default
5532	Circle	N.A.	Palo_D=1.0m	Palo_D=1.0m	Default
5533	Circle	N.A.	Palo_D=1.0m	Palo_D=1.0m	Default
5534	Circle	N.A.	Palo_D=1.0m	Palo_D=1.0m	Default
5535	Circle	N.A.	Palo_D=1.0m	Palo_D=1.0m	Default
5536	Circle	N.A.	Palo_D=1.0m	Palo_D=1.0m	Default
5537	Circle	N.A.	Palo_D=1.0m	Palo_D=1.0m	Default
5538	Circle	N.A.	Palo_D=1.0m	Palo_D=1.0m	Default
5539	Circle	N.A.	Palo_D=1.0m	Palo_D=1.0m	Default
5540	Circle	N.A.	Palo_D=1.0m	Palo_D=1.0m	Default
5541	Circle	N.A.	Palo_D=1.0m	Palo_D=1.0m	Default
5542	Circle	N.A.	Palo_D=1.0m	Palo_D=1.0m	Default
5543	Circle	N.A.	Palo_D=1.0m	Palo_D=1.0m	Default
5544	Circle	N.A.	Palo_D=1.0m	Palo_D=1.0m	Default
5545	Circle	N.A.	Palo_D=1.0m	Palo_D=1.0m	Default
5546	Circle	N.A.	Palo_D=1.0m	Palo_D=1.0m	Default
5547	Circle	N.A.	Palo_D=1.0m	Palo_D=1.0m	Default
5548	Circle	N.A.	Palo_D=1.0m	Palo_D=1.0m	Default
5549	Circle	N.A.	Palo_D=1.0m	Palo_D=1.0m	Default
5550	Circle	N.A.	Palo_D=1.0m	Palo_D=1.0m	Default
5551	Circle	N.A.	Palo_D=1.0m	Palo_D=1.0m	Default
5552	Circle	N.A.	Palo_D=1.0m	Palo_D=1.0m	Default
5553	Circle	N.A.	Palo_D=1.0m	Palo_D=1.0m	Default
5554	Circle	N.A.	Palo_D=1.0m	Palo_D=1.0m	Default
5555	Circle	N.A.	Palo_D=1.0m	Palo_D=1.0m	Default
5556	Circle	N.A.	Palo_D=1.0m	Palo_D=1.0m	Default
5557	Circle	N.A.	Palo_D=1.0m	Palo_D=1.0m	Default
5558	Circle	N.A.	Palo_D=1.0m	Palo_D=1.0m	Default
5559	Circle	N.A.	Palo_D=1.0m	Palo_D=1.0m	Default
5560	Circle	N.A.	Palo_D=1.0m	Palo_D=1.0m	Default

Table: Frame Section Assignments

Frame	SectionType	AutoSelect	AnalSect	DesignSect	MatProp
5561	Circle	N.A.	Palo_D=1.0m	Palo_D=1.0m	Default
5562	Circle	N.A.	Palo_D=1.0m	Palo_D=1.0m	Default
5563	Circle	N.A.	Palo_D=1.0m	Palo_D=1.0m	Default
5564	Circle	N.A.	Palo_D=1.0m	Palo_D=1.0m	Default
5565	Circle	N.A.	Palo_D=1.0m	Palo_D=1.0m	Default
5566	Circle	N.A.	Palo_D=1.0m	Palo_D=1.0m	Default
5567	Circle	N.A.	Palo_D=1.0m	Palo_D=1.0m	Default
5568	Circle	N.A.	Palo_D=1.0m	Palo_D=1.0m	Default
5569	Circle	N.A.	Palo_D=1.0m	Palo_D=1.0m	Default
5570	Circle	N.A.	Palo_D=1.0m	Palo_D=1.0m	Default
5571	Circle	N.A.	Palo_D=1.0m	Palo_D=1.0m	Default
5572	Circle	N.A.	Palo_D=1.0m	Palo_D=1.0m	Default
5573	Circle	N.A.	Palo_D=1.0m	Palo_D=1.0m	Default
5574	Circle	N.A.	Palo_D=1.0m	Palo_D=1.0m	Default
5575	Circle	N.A.	Palo_D=1.0m	Palo_D=1.0m	Default
5576	Circle	N.A.	Palo_D=1.0m	Palo_D=1.0m	Default
5577	Circle	N.A.	Palo_D=1.0m	Palo_D=1.0m	Default
5578	Circle	N.A.	Palo_D=1.0m	Palo_D=1.0m	Default
5579	Circle	N.A.	Palo_D=1.0m	Palo_D=1.0m	Default
5580	Circle	N.A.	Palo_D=1.0m	Palo_D=1.0m	Default
5581	Circle	N.A.	Palo_D=1.0m	Palo_D=1.0m	Default
5582	Circle	N.A.	Palo_D=1.0m	Palo_D=1.0m	Default
5583	Circle	N.A.	Palo_D=1.0m	Palo_D=1.0m	Default
5584	Circle	N.A.	Palo_D=1.0m	Palo_D=1.0m	Default
5585	Circle	N.A.	Palo_D=1.0m	Palo_D=1.0m	Default
5586	Circle	N.A.	Palo_D=1.0m	Palo_D=1.0m	Default
5587	Circle	N.A.	Palo_D=1.0m	Palo_D=1.0m	Default
5588	Circle	N.A.	Palo_D=1.0m	Palo_D=1.0m	Default
5589	Circle	N.A.	Palo_D=1.0m	Palo_D=1.0m	Default
5590	Circle	N.A.	Palo_D=1.0m	Palo_D=1.0m	Default
5591	Circle	N.A.	Palo_D=1.0m	Palo_D=1.0m	Default
5592	Circle	N.A.	Palo_D=1.0m	Palo_D=1.0m	Default
5593	Circle	N.A.	Palo_D=1.0m	Palo_D=1.0m	Default
5594	Circle	N.A.	Palo_D=1.0m	Palo_D=1.0m	Default
5595	Circle	N.A.	Palo_D=1.0m	Palo_D=1.0m	Default
5596	Circle	N.A.	Palo_D=1.0m	Palo_D=1.0m	Default
5597	Circle	N.A.	Palo_D=1.0m	Palo_D=1.0m	Default
5598	Circle	N.A.	Palo_D=1.0m	Palo_D=1.0m	Default
5599	Circle	N.A.	Palo_D=1.0m	Palo_D=1.0m	Default
5600	Circle	N.A.	Palo_D=1.0m	Palo_D=1.0m	Default
5601	Circle	N.A.	Palo_D=1.0m	Palo_D=1.0m	Default
5602	Circle	N.A.	Palo_D=1.0m	Palo_D=1.0m	Default
5603	Circle	N.A.	Palo_D=1.0m	Palo_D=1.0m	Default
5604	Circle	N.A.	Palo_D=1.0m	Palo_D=1.0m	Default
5605	Circle	N.A.	Palo_D=1.0m	Palo_D=1.0m	Default
5606	Circle	N.A.	Palo_D=1.0m	Palo_D=1.0m	Default
5607	Circle	N.A.	Palo_D=1.0m	Palo_D=1.0m	Default
5608	Circle	N.A.	Palo_D=1.0m	Palo_D=1.0m	Default
5609	Circle	N.A.	Palo_D=1.0m	Palo_D=1.0m	Default
5610	Circle	N.A.	Palo_D=1.0m	Palo_D=1.0m	Default
5611	Circle	N.A.	Palo_D=1.0m	Palo_D=1.0m	Default
5612	Circle	N.A.	Palo_D=1.0m	Palo_D=1.0m	Default
5613	Circle	N.A.	Palo_D=1.0m	Palo_D=1.0m	Default
5614	Circle	N.A.	Palo_D=1.0m	Palo_D=1.0m	Default

Table: Frame Section Assignments

Frame	SectionType	AutoSelect	AnalSect	DesignSect	MatProp
5615	Circle	N.A.	Palo_D=1.0m	Palo_D=1.0m	Default
5616	Circle	N.A.	Palo_D=1.0m	Palo_D=1.0m	Default
5617	Circle	N.A.	Palo_D=1.0m	Palo_D=1.0m	Default
5618	Circle	N.A.	Palo_D=1.0m	Palo_D=1.0m	Default
5619	Circle	N.A.	Palo_D=1.0m	Palo_D=1.0m	Default
5620	Circle	N.A.	Palo_D=1.0m	Palo_D=1.0m	Default
5621	Circle	N.A.	Palo_D=1.0m	Palo_D=1.0m	Default
5622	Circle	N.A.	Palo_D=1.0m	Palo_D=1.0m	Default
5623	Circle	N.A.	Palo_D=1.0m	Palo_D=1.0m	Default
5624	Circle	N.A.	Palo_D=1.0m	Palo_D=1.0m	Default
5625	Circle	N.A.	Palo_D=1.0m	Palo_D=1.0m	Default
5626	Circle	N.A.	Palo_D=1.0m	Palo_D=1.0m	Default
5627	Circle	N.A.	Palo_D=1.0m	Palo_D=1.0m	Default
5628	Circle	N.A.	Palo_D=1.0m	Palo_D=1.0m	Default
5629	Circle	N.A.	Palo_D=1.0m	Palo_D=1.0m	Default
5630	Circle	N.A.	Palo_D=1.0m	Palo_D=1.0m	Default
5631	Circle	N.A.	Palo_D=1.0m	Palo_D=1.0m	Default
5632	Circle	N.A.	Palo_D=1.0m	Palo_D=1.0m	Default
5633	Circle	N.A.	Palo_D=1.0m	Palo_D=1.0m	Default
5634	Circle	N.A.	Palo_D=1.0m	Palo_D=1.0m	Default
5635	Circle	N.A.	Palo_D=1.0m	Palo_D=1.0m	Default
5636	Circle	N.A.	Palo_D=1.0m	Palo_D=1.0m	Default
5637	Circle	N.A.	Palo_D=1.0m	Palo_D=1.0m	Default
5638	Circle	N.A.	Palo_D=1.0m	Palo_D=1.0m	Default
5639	Circle	N.A.	Palo_D=1.0m	Palo_D=1.0m	Default
5640	Circle	N.A.	Palo_D=1.0m	Palo_D=1.0m	Default
5641	Circle	N.A.	Palo_D=1.0m	Palo_D=1.0m	Default
5642	Circle	N.A.	Palo_D=1.0m	Palo_D=1.0m	Default
5643	Circle	N.A.	Palo_D=1.0m	Palo_D=1.0m	Default
5644	Circle	N.A.	Palo_D=1.0m	Palo_D=1.0m	Default
5645	Circle	N.A.	Palo_D=1.0m	Palo_D=1.0m	Default
5646	Circle	N.A.	Palo_D=1.0m	Palo_D=1.0m	Default
5647	Circle	N.A.	Palo_D=1.0m	Palo_D=1.0m	Default
5648	Circle	N.A.	Palo_D=1.0m	Palo_D=1.0m	Default
5649	Circle	N.A.	Palo_D=1.0m	Palo_D=1.0m	Default
5650	Circle	N.A.	Palo_D=1.0m	Palo_D=1.0m	Default
5651	Circle	N.A.	Palo_D=1.0m	Palo_D=1.0m	Default
5652	Circle	N.A.	Palo_D=1.0m	Palo_D=1.0m	Default
5653	Circle	N.A.	Palo_D=1.0m	Palo_D=1.0m	Default
5654	Circle	N.A.	Palo_D=1.0m	Palo_D=1.0m	Default
5655	Circle	N.A.	Palo_D=1.0m	Palo_D=1.0m	Default
5656	Circle	N.A.	Palo_D=1.0m	Palo_D=1.0m	Default
5657	Circle	N.A.	Palo_D=1.0m	Palo_D=1.0m	Default
5658	Circle	N.A.	Palo_D=1.0m	Palo_D=1.0m	Default
5659	Circle	N.A.	Palo_D=1.0m	Palo_D=1.0m	Default
5660	Circle	N.A.	Palo_D=1.0m	Palo_D=1.0m	Default
5661	Circle	N.A.	Palo_D=1.0m	Palo_D=1.0m	Default
5662	Circle	N.A.	Palo_D=1.0m	Palo_D=1.0m	Default
5663	Circle	N.A.	Palo_D=1.0m	Palo_D=1.0m	Default
5664	Circle	N.A.	Palo_D=1.0m	Palo_D=1.0m	Default
5665	Circle	N.A.	Palo_D=1.0m	Palo_D=1.0m	Default
5666	Circle	N.A.	Palo_D=1.0m	Palo_D=1.0m	Default
5667	Circle	N.A.	Palo_D=1.0m	Palo_D=1.0m	Default
5668	Circle	N.A.	Palo_D=1.0m	Palo_D=1.0m	Default

Table: Frame Section Assignments

Frame	SectionType	AutoSelect	AnalSect	DesignSect	MatProp
5669	Circle	N.A.	Palo_D=1.0m	Palo_D=1.0m	Default
5670	Circle	N.A.	Palo_D=1.0m	Palo_D=1.0m	Default
5671	Circle	N.A.	Palo_D=1.0m	Palo_D=1.0m	Default
5672	Circle	N.A.	Palo_D=1.0m	Palo_D=1.0m	Default
5673	Circle	N.A.	Palo_D=1.0m	Palo_D=1.0m	Default
5674	Circle	N.A.	Palo_D=1.0m	Palo_D=1.0m	Default
5675	Circle	N.A.	Palo_D=1.0m	Palo_D=1.0m	Default
5676	Circle	N.A.	Palo_D=1.0m	Palo_D=1.0m	Default
5677	Circle	N.A.	Palo_D=1.0m	Palo_D=1.0m	Default
5678	Circle	N.A.	Palo_D=1.0m	Palo_D=1.0m	Default
5679	Circle	N.A.	Palo_D=1.0m	Palo_D=1.0m	Default
5680	Circle	N.A.	Palo_D=1.0m	Palo_D=1.0m	Default
5681	Circle	N.A.	Palo_D=1.0m	Palo_D=1.0m	Default
5682	Circle	N.A.	Palo_D=1.0m	Palo_D=1.0m	Default
5683	Circle	N.A.	Palo_D=1.0m	Palo_D=1.0m	Default
5684	Circle	N.A.	Palo_D=1.0m	Palo_D=1.0m	Default
5685	Circle	N.A.	Palo_D=1.0m	Palo_D=1.0m	Default
5686	Circle	N.A.	Palo_D=1.0m	Palo_D=1.0m	Default
5687	Circle	N.A.	Palo_D=1.0m	Palo_D=1.0m	Default
5688	Circle	N.A.	Palo_D=1.0m	Palo_D=1.0m	Default
5689	Circle	N.A.	Palo_D=1.0m	Palo_D=1.0m	Default
5690	Circle	N.A.	Palo_D=1.0m	Palo_D=1.0m	Default
5691	Circle	N.A.	Palo_D=1.0m	Palo_D=1.0m	Default
5692	Circle	N.A.	Palo_D=1.0m	Palo_D=1.0m	Default
5693	Circle	N.A.	Palo_D=1.0m	Palo_D=1.0m	Default
5694	Circle	N.A.	Palo_D=1.0m	Palo_D=1.0m	Default
5695	Circle	N.A.	Palo_D=1.0m	Palo_D=1.0m	Default
5696	Circle	N.A.	Palo_D=1.0m	Palo_D=1.0m	Default
5697	Circle	N.A.	Palo_D=1.0m	Palo_D=1.0m	Default
5698	Circle	N.A.	Palo_D=1.0m	Palo_D=1.0m	Default
5699	Circle	N.A.	Palo_D=1.0m	Palo_D=1.0m	Default
5700	Circle	N.A.	Palo_D=1.0m	Palo_D=1.0m	Default
5701	Circle	N.A.	Palo_D=1.0m	Palo_D=1.0m	Default
5702	Circle	N.A.	Palo_D=1.0m	Palo_D=1.0m	Default
5703	Circle	N.A.	Palo_D=1.0m	Palo_D=1.0m	Default
5704	Circle	N.A.	Palo_D=1.0m	Palo_D=1.0m	Default
5705	Circle	N.A.	Palo_D=1.0m	Palo_D=1.0m	Default
5706	Circle	N.A.	Palo_D=1.0m	Palo_D=1.0m	Default
5707	Circle	N.A.	Palo_D=1.0m	Palo_D=1.0m	Default
5708	Circle	N.A.	Palo_D=1.0m	Palo_D=1.0m	Default
5709	Circle	N.A.	Palo_D=1.0m	Palo_D=1.0m	Default
5710	Circle	N.A.	Palo_D=1.0m	Palo_D=1.0m	Default
5711	Circle	N.A.	Palo_D=1.0m	Palo_D=1.0m	Default
5712	Circle	N.A.	Palo_D=1.0m	Palo_D=1.0m	Default
5713	Circle	N.A.	Palo_D=1.0m	Palo_D=1.0m	Default
5714	Circle	N.A.	Palo_D=1.0m	Palo_D=1.0m	Default
5715	Circle	N.A.	Palo_D=1.0m	Palo_D=1.0m	Default
5716	Circle	N.A.	Palo_D=1.0m	Palo_D=1.0m	Default
5717	Circle	N.A.	Palo_D=1.0m	Palo_D=1.0m	Default
5718	Circle	N.A.	Palo_D=1.0m	Palo_D=1.0m	Default
5719	Circle	N.A.	Palo_D=1.0m	Palo_D=1.0m	Default
5720	Circle	N.A.	Palo_D=1.0m	Palo_D=1.0m	Default

Table: Frame Section Properties 01 - General, Part 1 of 6

Table: Frame Section Properties 01 - General, Part 1 of 6

SectionName	Material	Shape	t3 m	t2 m	tf m	tw m
CollPali	C25/30_noMass	Rectangular	0.1	0.1		
Palo_D=1.0m	C25/30	Circle	1.			
Pulv	C25/30	SD Section				
PulvNew	C25/30	SD Section				
Rett1.0x1.0	C25/30_noMass	Rectangular	1.	1.		
Rett1.0x1.2	C25/30_noMass	Rectangular	1.2	1.		
RIG	RIG	General	0.4572	0.254		
RIG_palo	C25/30_noMass	Circle	1.			
SolTV	C28/35_noMass	Rectangular	0.24	2.03		
Trasv	C28/35_noMass	Tee	1.04	1.76	0.24	0.4
TResist	C45/55_noMass	SD Section				
TRnew	C45/55_noMass	SD Section				

Table: Frame Section Properties 01 - General, Part 2 of 6

Table: Frame Section Properties 01 - General, Part 2 of 6

SectionName	Area m2	TorsConst m4	I33 m4	I22 m4	I23 m4	AS2 m2	AS3 m2
CollPali	0.01	0.000014	8.333E-06	8.333E-06	0.	0.008333	0.008333
Palo_D=1.0m	0.785398	0.098175	0.049087	0.049087	0.	0.706858	0.706858
Pulv	1.9	0.422142	0.157749	0.577917	0.	1.666575	1.59924
PulvNew	1.9	0.422142	0.157749	0.577917	0.	1.666575	1.59924
Rett1.0x1.0	1.	0.140833	0.083333	0.083333	0.	0.833333	0.833333
Rett1.0x1.2	1.2	0.198439	0.144	0.1	0.	1.	1.
RIG	1000.	1000.	1000.	1000.	0.	1000.	1000.
RIG_palo	0.785398	0.098175	0.049087	0.049087	0.	0.706858	0.706858
SolTV	0.4872	0.008658	0.002339	0.167309	0.	0.406	0.406
Trasv	0.7424	0.024096	0.068326	0.113302	0.	0.416	0.352
TResist	0.871338	0.218657	0.16286	0.196172	0.	0.41369	0.677654
TRnew	0.920505	0.217824	0.166665	0.249858	0.	0.410449	0.743041

Table: Frame Section Properties 01 - General, Part 3 of 6

Table: Frame Section Properties 01 - General, Part 3 of 6

SectionName	S33 m3	S22 m3	Z33 m3	Z22 m3	R33 m	R22 m	EccV2 m
CollPali	0.000167	0.000167	0.00025	0.00025	0.028868	0.028868	
Palo_D=1.0m	0.098175	0.098175	0.166667	0.166667	0.25	0.25	
Pulv	0.304802	0.550397	0.473687	0.905833	0.288142	0.551513	
PulvNew	0.304802	0.550397	0.473687	0.905833	0.288142	0.551513	
Rett1.0x1.0	0.166667	0.166667	0.25	0.25	0.288675	0.288675	
Rett1.0x1.2	0.24	0.2	0.36	0.3	0.34641	0.288675	
RIG	1.	1.	1.	1.	1.	1.	0.
RIG_palo	0.098175	0.098175	0.166667	0.166667	0.25	0.25	
SolTV	0.019488	0.164836	0.029232	0.247254	0.069282	0.586011	
Trasv	0.098188	0.128752	0.177199	0.217856	0.30337	0.390661	
TResist	0.204314	0.212078	0.314171	0.364582	0.432329	0.474488	
TRnew	0.202684	0.23796	0.322614	0.429925	0.42551	0.520995	

Table: Frame Section Properties 01 - General, Part 4 of 6

Table: Frame Section Properties 01 - General, Part 4 of 6

SectionName	ConcCol	ConcBeam	Color	TotalWt KN	TotalMass KN-s2/m	FromFile	AMod
CollPali	No	Yes	White	0.	0.	No	1.
Palo_D=1.0m	Yes	No	White	51051.347	5205.79	No	1.
Pulv	No	No	White	0.	0.	No	1.
PulvNew	No	No	White	0.	0.	No	1.
Rett1.0x1.0	No	Yes	White	0.	0.	No	1.
Rett1.0x1.2	No	Yes	White	0.	0.	No	1.
RIG	No	No	Blue	0.	0.	No	1.
RIG_palo	Yes	No	White	0.	0.	No	1000.
SolTV	No	Yes	White	0.	0.	No	1.
Trasv	No	Yes	White	0.	0.	No	1.
TResist	No	No	White	0.	0.	No	1.
TRnew	No	No	Blue	0.	0.	No	1.

Table: Frame Section Properties 01 - General, Part 5 of 6

Table: Frame Section Properties 01 - General, Part 5 of 6

SectionName	A2Mod	A3Mod	JMod	I2Mod	I3Mod	MMod	WMod
CollPali	1.	1.	1.	1.	1.	1.	1.
Palo_D=1.0m	1.	1.	1.	1.	1.	1.	1.
Pulv	1.	1.	1.	1.	1.	1.	1.
PulvNew	1.	1.	1.	1.	1.	1.	1.
Rett1.0x1.0	1.	1.	1.	1.	1.	1.	1.
Rett1.0x1.2	1.	1.	1.	1.	1.	1.	1.
RIG	1.	1.	1.	1.	1.	1.	1.
RIG_palo	1000.	1000.	1000.	1000.	1000.	1000.	1000.
SolTV	1.	1.	0.5	1.	1.	1.	1.
Trasv	1.	1.	1.	1.	1.	1.	1.
TResist	1.	1.	1.	1.	1.	1.	1.
TRnew	1.	1.	1.	1.	1.	1.	1.

Table: Frame Section Properties 01 - General, Part 6 of 6

Table: Frame Section Properties 01 - General, Part 6 of 6

SectionName	GUID	Notes
CollPali		Added 10/10/2019 10:26:50
Palo_D=1.0m		Added 25/03/2019 16:03:50
Pulv		Added 25/03/2019 16:12:36
PulvNew		Added 09/10/2019 12:29:15
Rett1.0x1.0		Added 09/10/2019 15:29:40
Rett1.0x1.2		Added 09/10/2019 14:23:01
RIG		Added 11/10/2019 15:24:44
RIG_palo		Added 10/10/2019 12:26:29
SolTV		Added 26/03/2019 15:53:51
Trasv		Added 09/10/2019 11:45:51
TResist		Added 09/10/2019 11:32:50
TRnew		Added 09/10/2019 11:28:48

Table: Function - Response Spectrum - From File, Part 1 of 2

Table: Function - Response Spectrum - From File, Part 1 of 2

Name	Period Sec	Accel	FuncDamp	HeaderLine s	DataType
SpettroH_SLV	0.	0.517	0.05	0	Period vs Accel
SpettroH_SLV	0.01	0.539			
SpettroH_SLV	0.02	0.561			
SpettroH_SLV	0.03	0.583			
SpettroH_SLV	0.04	0.605			
SpettroH_SLV	0.05	0.627			
SpettroH_SLV	0.06	0.649			
SpettroH_SLV	0.07	0.671			
SpettroH_SLV	0.08	0.693			
SpettroH_SLV	0.09	0.715			
SpettroH_SLV	0.1	0.737			
SpettroH_SLV	0.11	0.759			
SpettroH_SLV	0.12	0.78			
SpettroH_SLV	0.13	0.802			
SpettroH_SLV	0.14	0.824			
SpettroH_SLV	0.15	0.846			
SpettroH_SLV	0.16	0.848			
SpettroH_SLV	0.17	0.848			
SpettroH_SLV	0.18	0.848			
SpettroH_SLV	0.19	0.848			
SpettroH_SLV	0.2	0.848			
SpettroH_SLV	0.21	0.848			
SpettroH_SLV	0.22	0.848			
SpettroH_SLV	0.23	0.848			
SpettroH_SLV	0.24	0.848			
SpettroH_SLV	0.25	0.848			
SpettroH_SLV	0.26	0.848			
SpettroH_SLV	0.27	0.848			
SpettroH_SLV	0.28	0.848			
SpettroH_SLV	0.29	0.848			
SpettroH_SLV	0.3	0.848			
SpettroH_SLV	0.31	0.848			
SpettroH_SLV	0.32	0.848			
SpettroH_SLV	0.33	0.848			
SpettroH_SLV	0.34	0.848			
SpettroH_SLV	0.35	0.848			
SpettroH_SLV	0.36	0.848			
SpettroH_SLV	0.37	0.848			
SpettroH_SLV	0.38	0.848			
SpettroH_SLV	0.39	0.848			
SpettroH_SLV	0.4	0.848			
SpettroH_SLV	0.41	0.848			
SpettroH_SLV	0.42	0.848			
SpettroH_SLV	0.43	0.848			
SpettroH_SLV	0.44	0.848			
SpettroH_SLV	0.45	0.848			
SpettroH_SLV	0.46	0.837			
SpettroH_SLV	0.47	0.819			
SpettroH_SLV	0.48	0.802			
SpettroH_SLV	0.49	0.785			
SpettroH_SLV	0.5	0.77			
SpettroH_SLV	0.51	0.755			

Table: Function - Response Spectrum - From File, Part 1 of 2

Name	Period	Accel	FuncDamp	HeaderLines	DataType
	Sec				
SpettroH_SLV	0.52	0.74			
SpettroH_SLV	0.53	0.726			
SpettroH_SLV	0.54	0.713			
SpettroH_SLV	0.55	0.7			
SpettroH_SLV	0.56	0.687			
SpettroH_SLV	0.57	0.675			
SpettroH_SLV	0.58	0.664			
SpettroH_SLV	0.6	0.641			
SpettroH_SLV	0.62	0.621			
SpettroH_SLV	0.64	0.601			
SpettroH_SLV	0.66	0.583			
SpettroH_SLV	0.68	0.566			
SpettroH_SLV	0.7	0.55			
SpettroH_SLV	0.72	0.534			
SpettroH_SLV	0.74	0.52			
SpettroH_SLV	0.76	0.506			
SpettroH_SLV	0.78	0.493			
SpettroH_SLV	0.8	0.481			
SpettroH_SLV	0.82	0.469			
SpettroH_SLV	0.84	0.458			
SpettroH_SLV	0.86	0.447			
SpettroH_SLV	0.88	0.437			
SpettroH_SLV	0.9	0.428			
SpettroH_SLV	0.92	0.418			
SpettroH_SLV	0.94	0.409			
SpettroH_SLV	0.96	0.401			
SpettroH_SLV	0.98	0.393			
SpettroH_SLV	1.	0.385			
SpettroH_SLV	1.05	0.367			
SpettroH_SLV	1.1	0.35			
SpettroH_SLV	1.15	0.335			
SpettroH_SLV	1.2	0.321			
SpettroH_SLV	1.25	0.308			
SpettroH_SLV	1.3	0.296			
SpettroH_SLV	1.35	0.285			
SpettroH_SLV	1.4	0.275			
SpettroH_SLV	1.45	0.265			
SpettroH_SLV	1.5	0.257			
SpettroH_SLV	1.55	0.248			
SpettroH_SLV	1.6	0.241			
SpettroH_SLV	1.65	0.233			
SpettroH_SLV	1.7	0.226			
SpettroH_SLV	1.75	0.22			
SpettroH_SLV	1.8	0.214			
SpettroH_SLV	1.85	0.208			
SpettroH_SLV	1.9	0.203			
SpettroH_SLV	1.95	0.197			
SpettroH_SLV	2.	0.192			
SpettroH_SLV	2.05	0.188			
SpettroH_SLV	2.1	0.183			
SpettroH_SLV	2.15	0.179			
SpettroH_SLV	2.2	0.175			
SpettroH_SLV	2.25	0.171			

Table: Function - Response Spectrum - From File, Part 1 of 2

Name	Period	Accel	FuncDamp	HeaderLines	DataType
	Sec				
SpettroH_SLV	2.3	0.167			
SpettroH_SLV	2.35	0.164			
SpettroH_SLV	2.4	0.16			
SpettroH_SLV	2.5	0.154			
SpettroH_SLV	2.6	0.148			
SpettroH_SLV	2.7	0.143			
SpettroH_SLV	2.8	0.137			
SpettroH_SLV	2.9	0.133			
SpettroH_SLV	3.	0.128			
SpettroH_SLV	3.1	0.124			
SpettroH_SLV	3.2	0.12			
SpettroH_SLV	3.3	0.117			
SpettroH_SLV	3.4	0.113			
SpettroH_SLV	3.5	0.11			
SpettroH_SLV	3.6	0.107			
SpettroH_SLV	3.7	0.104			
SpettroH_SLV	3.8	0.101			
SpettroH_SLV	3.9	0.099			
SpettroH_SLV	4.	0.096			
SpettroV_SLV	0.	0.29	0.05	0	Period vs Accel
SpettroV_SLV	0.05	0.716			
SpettroV_SLV	0.15	0.716			
SpettroV_SLV	0.235	0.457			
SpettroV_SLV	0.32	0.336			
SpettroV_SLV	0.405	0.265			
SpettroV_SLV	0.49	0.219			
SpettroV_SLV	0.575	0.187			
SpettroV_SLV	0.66	0.163			
SpettroV_SLV	0.745	0.144			
SpettroV_SLV	0.83	0.129			
SpettroV_SLV	0.915	0.117			
SpettroV_SLV	1.	0.107			
SpettroV_SLV	1.094	0.09			
SpettroV_SLV	1.188	0.076			
SpettroV_SLV	1.281	0.065			
SpettroV_SLV	1.375	0.057			
SpettroV_SLV	1.469	0.05			
SpettroV_SLV	1.563	0.044			
SpettroV_SLV	1.656	0.039			
SpettroV_SLV	1.75	0.035			
SpettroV_SLV	1.844	0.032			
SpettroV_SLV	1.938	0.029			
SpettroV_SLV	2.031	0.026			
SpettroV_SLV	2.125	0.024			
SpettroV_SLV	2.219	0.022			
SpettroV_SLV	2.313	0.02			
SpettroV_SLV	2.406	0.019			
SpettroV_SLV	2.5	0.017			
SpettroV_SLV	2.594	0.016			
SpettroV_SLV	2.688	0.015			
SpettroV_SLV	2.781	0.014			
SpettroV_SLV	2.875	0.013			
SpettroV_SLV	2.969	0.012			

Table: Function - Response Spectrum - From File, Part 1 of 2

Name	Period	Accel	FuncDamp	HeaderLines	DataType
	Sec				
SpettroV_SLV	3.063	0.011			
SpettroV_SLV	3.156	0.011			
SpettroV_SLV	3.25	0.01			
SpettroV_SLV	3.344	0.01			
SpettroV_SLV	3.438	0.009			
SpettroV_SLV	3.531	0.009			
SpettroV_SLV	3.625	0.008			
SpettroV_SLV	3.719	0.008			
SpettroV_SLV	3.813	0.007			
SpettroV_SLV	3.906	0.007			
SpettroV_SLV	4.	0.007			
SpettroH_SLC	0.	0.6855	0.05	0	Period vs Accel
SpettroH_SLC	0.01	0.7493			
SpettroH_SLC	0.02	0.8131			
SpettroH_SLC	0.03	0.8769			
SpettroH_SLC	0.04	0.9406			
SpettroH_SLC	0.05	1.0044			
SpettroH_SLC	0.06	1.0682			
SpettroH_SLC	0.07	1.132			
SpettroH_SLC	0.08	1.1958			
SpettroH_SLC	0.09	1.2596			
SpettroH_SLC	0.1	1.3234			
SpettroH_SLC	0.11	1.3872			
SpettroH_SLC	0.12	1.451			
SpettroH_SLC	0.13	1.5148			
SpettroH_SLC	0.14	1.5786			
SpettroH_SLC	0.15	1.6423			
SpettroH_SLC	0.16	1.6556			
SpettroH_SLC	0.17	1.6556			
SpettroH_SLC	0.18	1.6556			
SpettroH_SLC	0.19	1.6556			
SpettroH_SLC	0.2	1.6556			
SpettroH_SLC	0.21	1.6556			
SpettroH_SLC	0.22	1.6556			
SpettroH_SLC	0.23	1.6556			
SpettroH_SLC	0.24	1.6556			
SpettroH_SLC	0.25	1.6556			
SpettroH_SLC	0.26	1.6556			
SpettroH_SLC	0.27	1.6556			
SpettroH_SLC	0.28	1.6556			
SpettroH_SLC	0.29	1.6556			
SpettroH_SLC	0.3	1.6556			
SpettroH_SLC	0.31	1.6556			
SpettroH_SLC	0.32	1.6556			
SpettroH_SLC	0.33	1.6556			
SpettroH_SLC	0.34	1.6556			
SpettroH_SLC	0.35	1.6556			
SpettroH_SLC	0.36	1.6556			
SpettroH_SLC	0.37	1.6556			
SpettroH_SLC	0.38	1.6556			
SpettroH_SLC	0.39	1.6556			
SpettroH_SLC	0.4	1.6556			
SpettroH_SLC	0.41	1.6556			

Table: Function - Response Spectrum - From File, Part 1 of 2

Name	Period	Accel	FuncDamp	HeaderLines	DataType
	Sec				
SpettroH_SLC	0.42	1.6556			
SpettroH_SLC	0.43	1.6556			
SpettroH_SLC	0.44	1.6556			
SpettroH_SLC	0.45	1.6556			
SpettroH_SLC	0.46	1.6422			
SpettroH_SLC	0.47	1.6072			
SpettroH_SLC	0.48	1.5737			
SpettroH_SLC	0.49	1.5416			
SpettroH_SLC	0.5	1.5108			
SpettroH_SLC	0.51	1.4812			
SpettroH_SLC	0.52	1.4527			
SpettroH_SLC	0.53	1.4253			
SpettroH_SLC	0.54	1.3989			
SpettroH_SLC	0.55	1.3735			
SpettroH_SLC	0.56	1.3489			
SpettroH_SLC	0.57	1.3253			
SpettroH_SLC	0.58	1.3024			
SpettroH_SLC	0.6	1.259			
SpettroH_SLC	0.62	1.2184			
SpettroH_SLC	0.64	1.1803			
SpettroH_SLC	0.66	1.1445			
SpettroH_SLC	0.68	1.1109			
SpettroH_SLC	0.7	1.0791			
SpettroH_SLC	0.72	1.0492			
SpettroH_SLC	0.74	1.0208			
SpettroH_SLC	0.76	0.9939			
SpettroH_SLC	0.78	0.9685			
SpettroH_SLC	0.8	0.9442			
SpettroH_SLC	0.82	0.9212			
SpettroH_SLC	0.84	0.8993			
SpettroH_SLC	0.86	0.8784			
SpettroH_SLC	0.88	0.8584			
SpettroH_SLC	0.9	0.8393			
SpettroH_SLC	0.92	0.8211			
SpettroH_SLC	0.94	0.8036			
SpettroH_SLC	0.96	0.7869			
SpettroH_SLC	0.98	0.7708			
SpettroH_SLC	1.	0.7554			
SpettroH_SLC	1.05	0.7194			
SpettroH_SLC	1.1	0.6867			
SpettroH_SLC	1.15	0.6569			
SpettroH_SLC	1.2	0.6295			
SpettroH_SLC	1.25	0.6043			
SpettroH_SLC	1.3	0.5811			
SpettroH_SLC	1.35	0.5596			
SpettroH_SLC	1.4	0.5396			
SpettroH_SLC	1.45	0.521			
SpettroH_SLC	1.5	0.5036			
SpettroH_SLC	1.55	0.4874			
SpettroH_SLC	1.6	0.4721			
SpettroH_SLC	1.65	0.4578			
SpettroH_SLC	1.7	0.4444			
SpettroH_SLC	1.75	0.4317			

Table: Function - Response Spectrum - From File, Part 1 of 2

Name	Period	Accel	FuncDamp	HeaderLines	DataType
	Sec				
SpettroH_SLC	1.8	0.4197			
SpettroH_SLC	1.85	0.4083			
SpettroH_SLC	1.9	0.3976			
SpettroH_SLC	1.95	0.3874			
SpettroH_SLC	2.	0.3777			
SpettroH_SLC	2.05	0.3685			
SpettroH_SLC	2.1	0.3597			
SpettroH_SLC	2.15	0.3513			
SpettroH_SLC	2.2	0.3434			
SpettroH_SLC	2.25	0.3357			
SpettroH_SLC	2.3	0.3284			
SpettroH_SLC	2.35	0.3214			
SpettroH_SLC	2.4	0.3147			
SpettroH_SLC	2.5	0.3022			
SpettroH_SLC	2.6	0.2905			
SpettroH_SLC	2.7	0.2798			
SpettroH_SLC	2.8	0.2698			
SpettroH_SLC	2.9	0.2605			
SpettroH_SLC	3.	0.2518			
SpettroH_SLC	3.1	0.2437			
SpettroH_SLC	3.2	0.2361			
SpettroH_SLC	3.3	0.2289			
SpettroH_SLC	3.4	0.2222			
SpettroH_SLC	3.5	0.2158			
SpettroH_SLC	3.6	0.2098			
SpettroH_SLC	3.7	0.2042			
SpettroH_SLC	3.8	0.1988			
SpettroH_SLC	3.9	0.1937			
SpettroH_SLC	4.	0.1888			
SpettroV_SLC	0.	0.433	0.05	0	Period vs Accel
SpettroV_SLC	0.05	1.086			
SpettroV_SLC	0.15	1.086			
SpettroV_SLC	0.235	0.693			
SpettroV_SLC	0.32	0.509			
SpettroV_SLC	0.405	0.402			
SpettroV_SLC	0.49	0.332			
SpettroV_SLC	0.575	0.283			
SpettroV_SLC	0.66	0.247			
SpettroV_SLC	0.745	0.219			
SpettroV_SLC	0.83	0.196			
SpettroV_SLC	0.915	0.178			
SpettroV_SLC	1.	0.163			
SpettroV_SLC	1.094	0.136			
SpettroV_SLC	1.188	0.116			
SpettroV_SLC	1.281	0.099			
SpettroV_SLC	1.375	0.086			
SpettroV_SLC	1.469	0.076			
SpettroV_SLC	1.563	0.067			
SpettroV_SLC	1.656	0.059			
SpettroV_SLC	1.75	0.053			
SpettroV_SLC	1.844	0.048			
SpettroV_SLC	1.938	0.043			
SpettroV_SLC	2.031	0.039			

Table: Function - Response Spectrum - From File, Part 2 of 2

Name	FileName
SpettroV_SLV	p:\1700-1799\1763_svincolo rende\100_progetto definitivo\07-08_opere\vi01_prolunga mento ponte torrente settimo\utilities\modello sap ponte settimo\spettri\slv_settimo_vert.txt
SpettroV_SLV	
SpettroV_SLV	
SpettroV_SLV	
SpettroV_SLV	
SpettroV_SLV	
SpettroV_SLV	
SpettroV_SLV	
SpettroV_SLV	
SpettroV_SLV	
SpettroV_SLV	
SpettroV_SLV	
SpettroV_SLV	
SpettroV_SLV	
SpettroV_SLV	
SpettroV_SLV	
SpettroV_SLV	
SpettroV_SLV	
SpettroV_SLV	
SpettroV_SLV	
SpettroV_SLV	
SpettroV_SLV	
SpettroV_SLV	
SpettroV_SLV	
SpettroV_SLV	
SpettroV_SLV	
SpettroV_SLV	
SpettroV_SLV	
SpettroV_SLV	
SpettroV_SLV	
SpettroV_SLV	
SpettroV_SLV	
SpettroV_SLV	
SpettroV_SLV	
SpettroV_SLV	
SpettroV_SLV	
SpettroV_SLV	
SpettroV_SLV	
SpettroV_SLV	

Table: Function - Response Spectrum - From File, Part 2 of 2

Name	FileName
SpettroH_SLC	p:\1700-1799\1763_svincolo rende\100_progetto definitivo\07-08_opere\vi01_prolunga mento ponte torrente settimo\utilities\modello sap ponte settimo\spettri\slc_settimo.txt
SpettroH_SLC	
SpettroH_SLC	
SpettroH_SLC	
SpettroH_SLC	
SpettroH_SLC	
SpettroH_SLC	
SpettroH_SLC	
SpettroH_SLC	
SpettroH_SLC	
SpettroH_SLC	
SpettroH_SLC	
SpettroH_SLC	
SpettroH_SLC	
SpettroH_SLC	
SpettroH_SLC	
SpettroH_SLC	
SpettroH_SLC	
SpettroH_SLC	
SpettroH_SLC	
SpettroH_SLC	
SpettroH_SLC	
SpettroH_SLC	
SpettroH_SLC	
SpettroH_SLC	
SpettroH_SLC	
SpettroH_SLC	
SpettroH_SLC	
SpettroH_SLC	
SpettroH_SLC	
SpettroH_SLC	
SpettroH_SLC	
SpettroH_SLC	
SpettroH_SLC	
SpettroH_SLC	
SpettroH_SLC	
SpettroH_SLC	
SpettroH_SLC	
SpettroH_SLC	
SpettroH_SLC	
SpettroH_SLC	
SpettroH_SLC	
SpettroH_SLC	
SpettroH_SLC	
SpettroH_SLC	
SpettroH_SLC	
SpettroH_SLC	
SpettroH_SLC	
SpettroH_SLC	

Table: Function - Response Spectrum - From File, Part 2 of 2

Name	FileName
SpettroV_SLC	
SpettroV_SLC	
SpettroV_SLC	
SpettroV_SLC	
SpettroV_SLC	
SpettroV_SLC	
SpettroV_SLC	
SpettroV_SLC	
SpettroV_SLC	
SpettroV_SLC	
SpettroV_SLC	
SpettroV_SLC	
SpettroV_SLC	
SpettroV_SLC	
SpettroV_SLC	
SpettroV_SLC	
SpettroV_SLC	
SpettroV_SLC	
SpettroV_SLC	
SpettroV_SLC	
SpettroV_SLC	

Table: Function - Response Spectrum - User

Table: Function - Response Spectrum - User

Name	Period Sec	Accel	FuncDamp
UNIFRS	0.	1.	0.05
UNIFRS	1.	1.	

Table: Joint Coordinates, Part 1 of 2

Table: Joint Coordinates, Part 1 of 2

Joint	CoordSys	CoordType	XorR m	Y m	Z m	SpecialJt	GlobalX m
1	GLOBAL	Cartesian	-1.09986	11.5443	-7.25	Yes	-1.09986
2	GLOBAL	Cartesian	0.	0.	0.	Yes	0.
3	GLOBAL	Cartesian	4.80212	0.4443	-7.25	Yes	4.80212
4	GLOBAL	Cartesian	6.37066	-2.5057	-7.25	Yes	6.37066
5	GLOBAL	Cartesian	12.27263	-13.6057	-7.25	Yes	12.27263
6	GLOBAL	Cartesian	-0.1162	9.6943	-7.25	Yes	-0.1162
7	GLOBAL	Cartesian	0.86747	7.8443	-7.25	Yes	0.86747
8	GLOBAL	Cartesian	1.85113	5.9943	-7.25	Yes	1.85113
9	GLOBAL	Cartesian	2.83479	4.1443	-7.25	Yes	2.83479
10	GLOBAL	Cartesian	3.81845	2.2943	-7.25	Yes	3.81845
11	GLOBAL	Cartesian	7.35432	-4.3557	-7.25	Yes	7.35432
12	GLOBAL	Cartesian	8.33798	-6.2057	-7.25	Yes	8.33798
13	GLOBAL	Cartesian	9.32165	-8.0557	-7.25	Yes	9.32165
14	GLOBAL	Cartesian	10.30531	-9.9057	-7.25	Yes	10.30531
15	GLOBAL	Cartesian	11.28897	-11.7557	-7.25	Yes	11.28897
16	GLOBAL	Cartesian	-2.18163	13.5843	-7.25	Yes	-2.18163
17	GLOBAL	Cartesian	-3.29822	15.6843	-7.25	Yes	-3.29822
18	GLOBAL	Cartesian	13.35732	-15.6457	-7.25	Yes	13.35732
19	GLOBAL	Cartesian	14.47391	-17.7457	-7.25	Yes	14.47391
20	GLOBAL	Cartesian	-14.21916	12.575	-1.1	Yes	-14.21916

Table: Joint Coordinates, Part 1 of 2

Joint	CoordSys	CoordType	XorR m	Y m	Z m	SpecialJt	GlobalX m
21	GLOBAL	Cartesian	-8.31718	1.475	-1.1	Yes	-8.31718
22	GLOBAL	Cartesian	-6.74864	-1.475	-1.1	Yes	-6.74864
23	GLOBAL	Cartesian	-0.84667	-12.575	-1.1	Yes	-0.84667
24	GLOBAL	Cartesian	-13.2355	10.725	-1.1	Yes	-13.2355
25	GLOBAL	Cartesian	-12.25183	8.875	-1.1	Yes	-12.25183
26	GLOBAL	Cartesian	-11.26817	7.025	-1.1	Yes	-11.26817
27	GLOBAL	Cartesian	-10.28451	5.175	-1.1	Yes	-10.28451
28	GLOBAL	Cartesian	-9.30085	3.325	-1.1	Yes	-9.30085
29	GLOBAL	Cartesian	-5.76498	-3.325	-1.1	Yes	-5.76498
30	GLOBAL	Cartesian	-4.78132	-5.175	-1.1	Yes	-4.78132
31	GLOBAL	Cartesian	-3.79765	-7.025	-1.1	Yes	-3.79765
32	GLOBAL	Cartesian	-2.81399	-8.875	-1.1	Yes	-2.81399
33	GLOBAL	Cartesian	-1.83033	-10.725	-1.1	Yes	-1.83033
34	GLOBAL	Cartesian	-15.30093	14.615	-1.1	Yes	-15.30093
35	GLOBAL	Cartesian	-16.41752	16.715	-1.1	Yes	-16.41752
36	GLOBAL	Cartesian	0.23802	-14.615	-1.1	Yes	0.23802
37	GLOBAL	Cartesian	1.35461	-16.715	-1.1	Yes	1.35461
38	GLOBAL	Cartesian	-14.21916	12.575	-2.1	Yes	-14.21916
39	GLOBAL	Cartesian	-8.31718	1.475	-2.1	Yes	-8.31718
40	GLOBAL	Cartesian	-6.74864	-1.475	-2.1	Yes	-6.74864
41	GLOBAL	Cartesian	-0.84667	-12.575	-2.1	Yes	-0.84667
42	GLOBAL	Cartesian	-13.2355	10.725	-2.1	Yes	-13.2355
43	GLOBAL	Cartesian	-12.25183	8.875	-2.1	Yes	-12.25183
44	GLOBAL	Cartesian	-11.26817	7.025	-2.1	Yes	-11.26817
45	GLOBAL	Cartesian	-10.28451	5.175	-2.1	Yes	-10.28451
46	GLOBAL	Cartesian	-9.30085	3.325	-2.1	Yes	-9.30085
47	GLOBAL	Cartesian	-5.76498	-3.325	-2.1	Yes	-5.76498
48	GLOBAL	Cartesian	-4.78132	-5.175	-2.1	Yes	-4.78132
49	GLOBAL	Cartesian	-3.79765	-7.025	-2.1	Yes	-3.79765
50	GLOBAL	Cartesian	-2.81399	-8.875	-2.1	Yes	-2.81399
51	GLOBAL	Cartesian	-1.83033	-10.725	-2.1	Yes	-1.83033
52	GLOBAL	Cartesian	-15.30093	14.615	-2.1	Yes	-15.30093
53	GLOBAL	Cartesian	-16.41752	16.715	-2.1	Yes	-16.41752
54	GLOBAL	Cartesian	0.23802	-14.615	-2.1	Yes	0.23802
55	GLOBAL	Cartesian	1.35461	-16.715	-2.1	Yes	1.35461
56	GLOBAL	Cartesian	-14.21916	12.575	-3.1	Yes	-14.21916
57	GLOBAL	Cartesian	-8.31718	1.475	-3.1	Yes	-8.31718
58	GLOBAL	Cartesian	-6.74864	-1.475	-3.1	Yes	-6.74864
59	GLOBAL	Cartesian	-0.84667	-12.575	-3.1	Yes	-0.84667
60	GLOBAL	Cartesian	-13.2355	10.725	-3.1	Yes	-13.2355
61	GLOBAL	Cartesian	-12.25183	8.875	-3.1	Yes	-12.25183
62	GLOBAL	Cartesian	-11.26817	7.025	-3.1	Yes	-11.26817
63	GLOBAL	Cartesian	-10.28451	5.175	-3.1	Yes	-10.28451
64	GLOBAL	Cartesian	-9.30085	3.325	-3.1	Yes	-9.30085
65	GLOBAL	Cartesian	-5.76498	-3.325	-3.1	Yes	-5.76498
66	GLOBAL	Cartesian	-4.78132	-5.175	-3.1	Yes	-4.78132
67	GLOBAL	Cartesian	-3.79765	-7.025	-3.1	Yes	-3.79765
68	GLOBAL	Cartesian	-2.81399	-8.875	-3.1	Yes	-2.81399
69	GLOBAL	Cartesian	-1.83033	-10.725	-3.1	Yes	-1.83033
70	GLOBAL	Cartesian	-15.30093	14.615	-3.1	Yes	-15.30093
71	GLOBAL	Cartesian	-16.41752	16.715	-3.1	Yes	-16.41752
72	GLOBAL	Cartesian	0.23802	-14.615	-3.1	Yes	0.23802
73	GLOBAL	Cartesian	1.35461	-16.715	-3.1	Yes	1.35461
74	GLOBAL	Cartesian	-14.21916	12.575	-4.1	Yes	-14.21916

Table: Joint Coordinates, Part 1 of 2

Joint	CoordSys	CoordType	XorR m	Y m	Z m	SpecialJt	GlobalX m
75	GLOBAL	Cartesian	-8.31718	1.475	-4.1	Yes	-8.31718
76	GLOBAL	Cartesian	-6.74864	-1.475	-4.1	Yes	-6.74864
77	GLOBAL	Cartesian	-0.84667	-12.575	-4.1	Yes	-0.84667
78	GLOBAL	Cartesian	-13.2355	10.725	-4.1	Yes	-13.2355
79	GLOBAL	Cartesian	-12.25183	8.875	-4.1	Yes	-12.25183
80	GLOBAL	Cartesian	-11.26817	7.025	-4.1	Yes	-11.26817
81	GLOBAL	Cartesian	-10.28451	5.175	-4.1	Yes	-10.28451
82	GLOBAL	Cartesian	-9.30085	3.325	-4.1	Yes	-9.30085
83	GLOBAL	Cartesian	-5.76498	-3.325	-4.1	Yes	-5.76498
84	GLOBAL	Cartesian	-4.78132	-5.175	-4.1	Yes	-4.78132
85	GLOBAL	Cartesian	-3.79765	-7.025	-4.1	Yes	-3.79765
86	GLOBAL	Cartesian	-2.81399	-8.875	-4.1	Yes	-2.81399
87	GLOBAL	Cartesian	-1.83033	-10.725	-4.1	Yes	-1.83033
88	GLOBAL	Cartesian	-15.30093	14.615	-4.1	Yes	-15.30093
89	GLOBAL	Cartesian	-16.41752	16.715	-4.1	Yes	-16.41752
90	GLOBAL	Cartesian	0.23802	-14.615	-4.1	Yes	0.23802
91	GLOBAL	Cartesian	1.35461	-16.715	-4.1	Yes	1.35461
92	GLOBAL	Cartesian	-14.21916	12.575	-5.1	Yes	-14.21916
93	GLOBAL	Cartesian	-8.31718	1.475	-5.1	Yes	-8.31718
94	GLOBAL	Cartesian	-6.74864	-1.475	-5.1	Yes	-6.74864
95	GLOBAL	Cartesian	-0.84667	-12.575	-5.1	Yes	-0.84667
96	GLOBAL	Cartesian	-13.2355	10.725	-5.1	Yes	-13.2355
97	GLOBAL	Cartesian	-12.25183	8.875	-5.1	Yes	-12.25183
98	GLOBAL	Cartesian	-11.26817	7.025	-5.1	Yes	-11.26817
99	GLOBAL	Cartesian	-10.28451	5.175	-5.1	Yes	-10.28451
100	GLOBAL	Cartesian	-9.30085	3.325	-5.1	Yes	-9.30085
101	GLOBAL	Cartesian	-5.76498	-3.325	-5.1	Yes	-5.76498
102	GLOBAL	Cartesian	-4.78132	-5.175	-5.1	Yes	-4.78132
103	GLOBAL	Cartesian	-3.79765	-7.025	-5.1	Yes	-3.79765
104	GLOBAL	Cartesian	-2.81399	-8.875	-5.1	Yes	-2.81399
105	GLOBAL	Cartesian	-1.83033	-10.725	-5.1	Yes	-1.83033
106	GLOBAL	Cartesian	-15.30093	14.615	-5.1	Yes	-15.30093
107	GLOBAL	Cartesian	-16.41752	16.715	-5.1	Yes	-16.41752
108	GLOBAL	Cartesian	0.23802	-14.615	-5.1	Yes	0.23802
109	GLOBAL	Cartesian	1.35461	-16.715	-5.1	Yes	1.35461
110	GLOBAL	Cartesian	-14.21916	12.575	-6.1	Yes	-14.21916
111	GLOBAL	Cartesian	-8.31718	1.475	-6.1	Yes	-8.31718
112	GLOBAL	Cartesian	-6.74864	-1.475	-6.1	Yes	-6.74864
113	GLOBAL	Cartesian	-0.84667	-12.575	-6.1	Yes	-0.84667
114	GLOBAL	Cartesian	-13.2355	10.725	-6.1	Yes	-13.2355
115	GLOBAL	Cartesian	-12.25183	8.875	-6.1	Yes	-12.25183
116	GLOBAL	Cartesian	-11.26817	7.025	-6.1	Yes	-11.26817
117	GLOBAL	Cartesian	-10.28451	5.175	-6.1	Yes	-10.28451
118	GLOBAL	Cartesian	-9.30085	3.325	-6.1	Yes	-9.30085
119	GLOBAL	Cartesian	-5.76498	-3.325	-6.1	Yes	-5.76498
120	GLOBAL	Cartesian	-4.78132	-5.175	-6.1	Yes	-4.78132
121	GLOBAL	Cartesian	-3.79765	-7.025	-6.1	Yes	-3.79765
122	GLOBAL	Cartesian	-2.81399	-8.875	-6.1	Yes	-2.81399
123	GLOBAL	Cartesian	-1.83033	-10.725	-6.1	Yes	-1.83033
124	GLOBAL	Cartesian	-15.30093	14.615	-6.1	Yes	-15.30093
125	GLOBAL	Cartesian	-16.41752	16.715	-6.1	Yes	-16.41752
126	GLOBAL	Cartesian	0.23802	-14.615	-6.1	Yes	0.23802
127	GLOBAL	Cartesian	1.35461	-16.715	-6.1	Yes	1.35461
128	GLOBAL	Cartesian	-14.21916	12.575	-7.25	Yes	-14.21916

Table: Joint Coordinates, Part 1 of 2

Joint	CoordSys	CoordType	XorR m	Y m	Z m	SpecialJt	GlobalX m
129	GLOBAL	Cartesian	-8.31718	1.475	-7.25	Yes	-8.31718
130	GLOBAL	Cartesian	-6.74864	-1.475	-7.25	Yes	-6.74864
131	GLOBAL	Cartesian	-0.84667	-12.575	-7.25	Yes	-0.84667
132	GLOBAL	Cartesian	-13.2355	10.725	-7.25	Yes	-13.2355
133	GLOBAL	Cartesian	-12.25183	8.875	-7.25	Yes	-12.25183
134	GLOBAL	Cartesian	-11.26817	7.025	-7.25	Yes	-11.26817
135	GLOBAL	Cartesian	-10.28451	5.175	-7.25	Yes	-10.28451
136	GLOBAL	Cartesian	-9.30085	3.325	-7.25	Yes	-9.30085
137	GLOBAL	Cartesian	-5.76498	-3.325	-7.25	Yes	-5.76498
138	GLOBAL	Cartesian	-4.78132	-5.175	-7.25	Yes	-4.78132
139	GLOBAL	Cartesian	-3.79765	-7.025	-7.25	Yes	-3.79765
140	GLOBAL	Cartesian	-2.81399	-8.875	-7.25	Yes	-2.81399
141	GLOBAL	Cartesian	-1.83033	-10.725	-7.25	Yes	-1.83033
142	GLOBAL	Cartesian	-15.30093	14.615	-7.25	Yes	-15.30093
143	GLOBAL	Cartesian	-16.41752	16.715	-7.25	Yes	-16.41752
144	GLOBAL	Cartesian	0.23802	-14.615	-7.25	Yes	0.23802
145	GLOBAL	Cartesian	1.35461	-16.715	-7.25	Yes	1.35461
146	GLOBAL	Cartesian	5.55779	-0.9861	-7.25	Yes	5.55779
147	GLOBAL	Cartesian	5.58639	-1.0307	-7.25	Yes	5.58639
148	GLOBAL	Cartesian	-7.56151	0.0446	-7.25	No	-7.56151
149	GLOBAL	Cartesian	-7.56151	0.0446	-6.1	No	-7.56151
150	GLOBAL	Cartesian	-7.56151	0.0446	-5.1	No	-7.56151
151	GLOBAL	Cartesian	-7.56151	0.0446	-4.1	No	-7.56151
152	GLOBAL	Cartesian	-7.56151	0.0446	-3.1	No	-7.56151
153	GLOBAL	Cartesian	-7.56151	0.0446	-2.1	No	-7.56151
154	GLOBAL	Cartesian	-7.56151	0.0446	-1.1	No	-7.56151
155	GLOBAL	Cartesian	-7.53291	2.853E-14	-1.1	No	-7.53291
156	GLOBAL	Cartesian	-0.48066	11.8708	-7.25	Yes	-0.48066
157	GLOBAL	Cartesian	5.42132	0.7708	-7.25	Yes	5.42132
158	GLOBAL	Cartesian	6.98986	-2.1792	-7.25	Yes	6.98986
159	GLOBAL	Cartesian	12.89183	-13.2792	-7.25	Yes	12.89183
160	GLOBAL	Cartesian	0.503	10.0208	-7.25	Yes	0.503
161	GLOBAL	Cartesian	1.48667	8.1708	-7.25	Yes	1.48667
162	GLOBAL	Cartesian	2.47033	6.3208	-7.25	Yes	2.47033
163	GLOBAL	Cartesian	3.45399	4.4708	-7.25	Yes	3.45399
164	GLOBAL	Cartesian	4.43765	2.6208	-7.25	Yes	4.43765
165	GLOBAL	Cartesian	7.97352	-4.0292	-7.25	Yes	7.97352
166	GLOBAL	Cartesian	8.95718	-5.8792	-7.25	Yes	8.95718
167	GLOBAL	Cartesian	-31.29752	16.715	0.	No	-31.29752
168	GLOBAL	Cartesian	-30.85752	16.715	0.	No	-30.85752
169	GLOBAL	Cartesian	-30.18093	14.615	0.	No	-30.18093
170	GLOBAL	Cartesian	-29.74093	14.615	0.	No	-29.74093
171	GLOBAL	Cartesian	9.94085	-7.7292	-7.25	Yes	9.94085
172	GLOBAL	Cartesian	-29.09625	12.575	0.	No	-29.09625
173	GLOBAL	Cartesian	-28.65625	12.575	0.	No	-28.65625
174	GLOBAL	Cartesian	-28.55419	16.715	0.	No	-28.55419
175	GLOBAL	Cartesian	-28.11258	10.725	0.	No	-28.11258
176	GLOBAL	Cartesian	-27.67258	10.725	0.	No	-27.67258
177	GLOBAL	Cartesian	-27.4376	14.615	0.	No	-27.4376
178	GLOBAL	Cartesian	10.92451	-9.5792	-7.25	Yes	10.92451
179	GLOBAL	Cartesian	-27.12892	8.875	0.	No	-27.12892
180	GLOBAL	Cartesian	-26.68892	8.875	0.	No	-26.68892
181	GLOBAL	Cartesian	-26.35291	12.575	0.	No	-26.35291
182	GLOBAL	Cartesian	-26.25086	16.715	0.	No	-26.25086

Table: Joint Coordinates, Part 1 of 2

Joint	CoordSys	CoordType	XorR m	Y m	Z m	SpecialJt	GlobalX m
183	GLOBAL	Cartesian	-26.14526	7.025	0.	No	-26.14526
184	GLOBAL	Cartesian	-25.70526	7.025	0.	No	-25.70526
185	GLOBAL	Cartesian	-25.36925	10.725	0.	No	-25.36925
186	GLOBAL	Cartesian	-25.1616	5.175	0.	No	-25.1616
187	GLOBAL	Cartesian	-25.13427	14.615	0.	No	-25.13427
188	GLOBAL	Cartesian	11.90817	-11.4292	-7.25	Yes	11.90817
189	GLOBAL	Cartesian	-24.7216	5.175	0.	No	-24.7216
190	GLOBAL	Cartesian	-24.38559	8.875	0.	No	-24.38559
191	GLOBAL	Cartesian	-24.17793	3.325	0.	No	-24.17793
192	GLOBAL	Cartesian	-24.04958	12.575	0.	No	-24.04958
193	GLOBAL	Cartesian	-23.94752	16.715	0.	No	-23.94752
194	GLOBAL	Cartesian	-23.73793	3.325	0.	No	-23.73793
195	GLOBAL	Cartesian	-23.40193	7.025	0.	No	-23.40193
196	GLOBAL	Cartesian	-23.19427	1.475	0.	No	-23.19427
197	GLOBAL	Cartesian	-23.06592	10.725	0.	No	-23.06592
198	GLOBAL	Cartesian	-22.83093	14.615	0.	No	-22.83093
199	GLOBAL	Cartesian	-1.56243	13.9108	-7.25	Yes	-1.56243
200	GLOBAL	Cartesian	-22.75427	1.475	0.	No	-22.75427
201	GLOBAL	Cartesian	-22.41826	5.175	0.	No	-22.41826
202	GLOBAL	Cartesian	-22.08225	8.875	0.	No	-22.08225
203	GLOBAL	Cartesian	-21.74625	12.575	0.	No	-21.74625
204	GLOBAL	Cartesian	-21.64419	16.715	0.	No	-21.64419
205	GLOBAL	Cartesian	-21.62573	-1.475	0.	No	-21.62573
206	GLOBAL	Cartesian	-21.4346	3.325	0.	No	-21.4346
207	GLOBAL	Cartesian	-21.18573	-1.475	0.	No	-21.18573
208	GLOBAL	Cartesian	-21.09859	7.025	0.	No	-21.09859
209	GLOBAL	Cartesian	-20.76258	10.725	0.	No	-20.76258
210	GLOBAL	Cartesian	-20.64207	-3.325	0.	No	-20.64207
211	GLOBAL	Cartesian	-20.5276	14.615	0.	No	-20.5276
212	GLOBAL	Cartesian	-7.53291	2.853E-14	-7.25	Yes	-7.53291
213	GLOBAL	Cartesian	-20.45094	1.475	0.	No	-20.45094
214	GLOBAL	Cartesian	-20.20207	-3.325	0.	No	-20.20207
215	GLOBAL	Cartesian	-20.11493	5.175	0.	No	-20.11493
216	GLOBAL	Cartesian	-19.77892	8.875	0.	No	-19.77892
217	GLOBAL	Cartesian	-19.6584	-5.175	0.	No	-19.6584
218	GLOBAL	Cartesian	-19.44291	12.575	0.	No	-19.44291
219	GLOBAL	Cartesian	-19.34086	16.715	0.	No	-19.34086
220	GLOBAL	Cartesian	-19.2184	-5.175	0.	No	-19.2184
221	GLOBAL	Cartesian	-19.13127	3.325	0.	No	-19.13127
222	GLOBAL	Cartesian	-18.8824	-1.475	0.	No	-18.8824
223	GLOBAL	Cartesian	-18.79526	7.025	0.	No	-18.79526
224	GLOBAL	Cartesian	-18.67474	-7.025	0.	No	-18.67474
225	GLOBAL	Cartesian	-18.45925	10.725	0.	No	-18.45925
226	GLOBAL	Cartesian	-18.23474	-7.025	0.	No	-18.23474
227	GLOBAL	Cartesian	-18.22427	14.615	0.	No	-18.22427
228	GLOBAL	Cartesian	-7.53291	2.853E-14	-6.1	No	-7.53291
229	GLOBAL	Cartesian	-18.1476	1.475	0.	No	-18.1476
230	GLOBAL	Cartesian	-17.89873	-3.325	0.	No	-17.89873
231	GLOBAL	Cartesian	-17.8116	5.175	0.	No	-17.8116
232	GLOBAL	Cartesian	-7.53291	2.853E-14	-5.1	No	-7.53291
233	GLOBAL	Cartesian	-17.69108	-8.875	0.	No	-17.69108
234	GLOBAL	Cartesian	-17.47559	8.875	0.	No	-17.47559
235	GLOBAL	Cartesian	-7.53291	2.853E-14	-4.1	No	-7.53291
236	GLOBAL	Cartesian	-17.25108	-8.875	0.	No	-17.25108

Table: Joint Coordinates, Part 1 of 2

Joint	CoordSys	CoordType	XorR m	Y m	Z m	SpecialJt	GlobalX m
237	GLOBAL	Cartesian	-17.13958	12.575	0.	No	-17.13958
238	GLOBAL	Cartesian	-17.03752	16.715	0.	No	-17.03752
239	GLOBAL	Cartesian	-16.91507	-5.175	0.	No	-16.91507
240	GLOBAL	Cartesian	-7.53291	2.853E-14	-3.1	No	-7.53291
241	GLOBAL	Cartesian	-16.82793	3.325	0.	No	-16.82793
242	GLOBAL	Cartesian	-16.70742	-10.725	0.	No	-16.70742
243	GLOBAL	Cartesian	-16.59752	16.715	0.	No	-16.59752
244	GLOBAL	Cartesian	-16.57906	-1.475	0.	No	-16.57906
245	GLOBAL	Cartesian	-16.49193	7.025	0.	No	-16.49193
246	GLOBAL	Cartesian	-16.26742	-10.725	0.	No	-16.26742
247	GLOBAL	Cartesian	-16.23752	16.715	0.	No	-16.23752
248	GLOBAL	Cartesian	-16.15592	10.725	0.	No	-16.15592
249	GLOBAL	Cartesian	-15.93141	-7.025	0.	No	-15.93141
250	GLOBAL	Cartesian	-15.92093	14.615	0.	No	-15.92093
251	GLOBAL	Cartesian	-15.84427	1.475	0.	No	-15.84427
252	GLOBAL	Cartesian	-15.79752	16.715	0.	No	-15.79752
253	GLOBAL	Cartesian	-15.72375	-12.575	0.	No	-15.72375
254	GLOBAL	Cartesian	-15.5954	-3.325	0.	No	-15.5954
255	GLOBAL	Cartesian	-15.50826	5.175	0.	No	-15.50826
256	GLOBAL	Cartesian	-15.48093	14.615	0.	No	-15.48093
257	GLOBAL	Cartesian	-15.28375	-12.575	0.	No	-15.28375
258	GLOBAL	Cartesian	-15.17225	8.875	0.	No	-15.17225
259	GLOBAL	Cartesian	-15.12093	14.615	0.	No	-15.12093
260	GLOBAL	Cartesian	-14.94775	-8.875	0.	No	-14.94775
261	GLOBAL	Cartesian	-14.83916	12.575	0.	No	-14.83916
262	GLOBAL	Cartesian	-7.53291	2.853E-14	-2.1	No	-7.53291
263	GLOBAL	Cartesian	-14.68093	14.615	0.	No	-14.68093
264	GLOBAL	Cartesian	-14.63907	-14.615	0.	No	-14.63907
265	GLOBAL	Cartesian	-14.61174	-5.175	0.	No	-14.61174
266	GLOBAL	Cartesian	-2.67902	16.0108	-7.25	Yes	-2.67902
267	GLOBAL	Cartesian	-14.5246	3.325	0.	No	-14.5246
268	GLOBAL	Cartesian	-14.39625	12.575	0.	No	-14.39625
269	GLOBAL	Cartesian	-14.27573	-1.475	0.	No	-14.27573
270	GLOBAL	Cartesian	-14.19907	-14.615	0.	No	-14.19907
271	GLOBAL	Cartesian	13.97652	-15.3192	-7.25	Yes	13.97652
272	GLOBAL	Cartesian	15.09311	-17.4192	-7.25	Yes	15.09311
273	GLOBAL	Cartesian	6.17699	-0.6596	-7.25	Yes	6.17699
274	GLOBAL	Cartesian	6.20559	-0.7042	-7.25	Yes	6.20559
275	GLOBAL	Cartesian	2.16814	13.2792	-7.25	Yes	2.16814
276	GLOBAL	Cartesian	8.07012	2.1792	-7.25	Yes	8.07012
277	GLOBAL	Cartesian	9.63866	-0.7708	-7.25	Yes	9.63866
278	GLOBAL	Cartesian	15.54063	-11.8708	-7.25	Yes	15.54063
279	GLOBAL	Cartesian	3.1518	11.4292	-7.25	Yes	3.1518
280	GLOBAL	Cartesian	4.13547	9.5792	-7.25	Yes	4.13547
281	GLOBAL	Cartesian	5.11913	7.7292	-7.25	Yes	5.11913
282	GLOBAL	Cartesian	6.10279	5.8792	-7.25	Yes	6.10279
283	GLOBAL	Cartesian	-14.18859	7.025	0.	No	-14.18859
284	GLOBAL	Cartesian	-14.03625	12.575	0.	No	-14.03625
285	GLOBAL	Cartesian	-13.96408	-10.725	0.	No	-13.96408
286	GLOBAL	Cartesian	-13.8555	10.725	0.	No	-13.8555
287	GLOBAL	Cartesian	-13.62807	-7.025	0.	No	-13.62807
288	GLOBAL	Cartesian	7.08645	4.0292	-7.25	Yes	7.08645
289	GLOBAL	Cartesian	-13.59333	12.575	0.	No	-13.59333
290	GLOBAL	Cartesian	-13.54094	1.475	0.	No	-13.54094

Table: Joint Coordinates, Part 1 of 2

Joint	CoordSys	CoordType	XorR m	Y m	Z m	SpecialJt	GlobalX m
291	GLOBAL	Cartesian	-13.52248	-16.715	0.	No	-13.52248
292	GLOBAL	Cartesian	-13.49419	16.715	0.	No	-13.49419
293	GLOBAL	Cartesian	-13.41258	10.725	0.	No	-13.41258
294	GLOBAL	Cartesian	-13.29207	-3.325	0.	No	-13.29207
295	GLOBAL	Cartesian	-13.20493	5.175	0.	No	-13.20493
296	GLOBAL	Cartesian	-13.08248	-16.715	0.	No	-13.08248
297	GLOBAL	Cartesian	-13.05258	10.725	0.	No	-13.05258
298	GLOBAL	Cartesian	-12.98042	-12.575	0.	No	-12.98042
299	GLOBAL	Cartesian	-12.87183	8.875	0.	No	-12.87183
300	GLOBAL	Cartesian	-12.64441	-8.875	0.	No	-12.64441
301	GLOBAL	Cartesian	-12.60967	10.725	0.	No	-12.60967
302	GLOBAL	Cartesian	-12.42892	8.875	0.	No	-12.42892
303	GLOBAL	Cartesian	10.62232	-2.6208	-7.25	Yes	10.62232
304	GLOBAL	Cartesian	-12.3776	14.615	0.	No	-12.3776
305	GLOBAL	Cartesian	-12.3084	-5.175	0.	No	-12.3084
306	GLOBAL	Cartesian	11.60598	-4.4708	-7.25	Yes	11.60598
307	GLOBAL	Cartesian	-12.22127	3.325	0.	No	-12.22127
308	GLOBAL	Cartesian	-12.06892	8.875	0.	No	-12.06892
309	GLOBAL	Cartesian	-11.9724	-1.475	0.	No	-11.9724
310	GLOBAL	Cartesian	12.58965	-6.3208	-7.25	Yes	12.58965
311	GLOBAL	Cartesian	-11.89573	-14.615	0.	No	-11.89573
312	GLOBAL	Cartesian	-11.88817	7.025	0.	No	-11.88817
313	GLOBAL	Cartesian	-11.66075	-10.725	0.	No	-11.66075
314	GLOBAL	Cartesian	-11.62601	8.875	0.	No	-11.62601
315	GLOBAL	Cartesian	-11.44526	7.025	0.	No	-11.44526
316	GLOBAL	Cartesian	-11.32474	-7.025	0.	No	-11.32474
317	GLOBAL	Cartesian	-11.29291	12.575	0.	No	-11.29291
318	GLOBAL	Cartesian	-11.2376	1.475	0.	No	-11.2376
319	GLOBAL	Cartesian	-11.19086	16.715	0.	No	-11.19086
320	GLOBAL	Cartesian	-11.08526	7.025	0.	No	-11.08526
321	GLOBAL	Cartesian	-10.98873	-3.325	0.	No	-10.98873
322	GLOBAL	Cartesian	-10.90451	5.175	0.	No	-10.90451
323	GLOBAL	Cartesian	-10.77914	-16.715	0.	No	-10.77914
324	GLOBAL	Cartesian	13.57331	-8.1708	-7.25	Yes	13.57331
325	GLOBAL	Cartesian	14.55697	-10.0208	-7.25	Yes	14.55697
326	GLOBAL	Cartesian	1.08637	15.3192	-7.25	Yes	1.08637
327	GLOBAL	Cartesian	-0.03022	17.4192	-7.25	Yes	-0.03022
328	GLOBAL	Cartesian	16.62532	-13.9108	-7.25	Yes	16.62532
329	GLOBAL	Cartesian	17.74191	-16.0108	-7.25	Yes	17.74191
330	GLOBAL	Cartesian	8.82579	0.7488	-7.25	Yes	8.82579
331	GLOBAL	Cartesian	8.85439	0.7042	-7.25	Yes	8.85439
332	GLOBAL	Cartesian	2.78734	13.6057	-7.25	Yes	2.78734
333	GLOBAL	Cartesian	8.68932	2.5057	-7.25	Yes	8.68932
334	GLOBAL	Cartesian	10.25786	-0.4443	-7.25	Yes	10.25786
335	GLOBAL	Cartesian	16.15983	-11.5443	-7.25	Yes	16.15983
336	GLOBAL	Cartesian	3.771	11.7557	-7.25	Yes	3.771
337	GLOBAL	Cartesian	4.75467	9.9057	-7.25	Yes	4.75467
338	GLOBAL	Cartesian	5.73833	8.0557	-7.25	Yes	5.73833
339	GLOBAL	Cartesian	6.72199	6.2057	-7.25	Yes	6.72199
340	GLOBAL	Cartesian	7.70565	4.3557	-7.25	Yes	7.70565
341	GLOBAL	Cartesian	11.24152	-2.2943	-7.25	Yes	11.24152
342	GLOBAL	Cartesian	12.22518	-4.1443	-7.25	Yes	12.22518
343	GLOBAL	Cartesian	13.20885	-5.9943	-7.25	Yes	13.20885
344	GLOBAL	Cartesian	14.19251	-7.8443	-7.25	Yes	14.19251

Table: Joint Coordinates, Part 1 of 2

Joint	CoordSys	CoordType	XorR m	Y m	Z m	SpecialJt	GlobalX m
345	GLOBAL	Cartesian	15.17617	-9.6943	-7.25	Yes	15.17617
346	GLOBAL	Cartesian	1.70557	15.6457	-7.25	Yes	1.70557
347	GLOBAL	Cartesian	0.58898	17.7457	-7.25	Yes	0.58898
348	GLOBAL	Cartesian	17.24452	-13.5843	-7.25	Yes	17.24452
349	GLOBAL	Cartesian	18.36111	-15.6843	-7.25	Yes	18.36111
350	GLOBAL	Cartesian	9.44499	1.0753	-7.25	Yes	9.44499
351	GLOBAL	Cartesian	9.47359	1.0307	-7.25	Yes	9.47359
352	GLOBAL	Cartesian	6.98986	-2.1792	-8.25	Yes	6.98986
353	GLOBAL	Cartesian	12.89183	-13.2792	-8.25	Yes	12.89183
354	GLOBAL	Cartesian	9.94085	-7.7292	-8.25	Yes	9.94085
355	GLOBAL	Cartesian	13.97652	-15.3192	-8.25	Yes	13.97652
356	GLOBAL	Cartesian	9.63866	-0.7708	-8.25	Yes	9.63866
357	GLOBAL	Cartesian	15.54063	-11.8708	-8.25	Yes	15.54063
358	GLOBAL	Cartesian	12.58965	-6.3208	-8.25	Yes	12.58965
359	GLOBAL	Cartesian	16.62532	-13.9108	-8.25	Yes	16.62532
360	GLOBAL	Cartesian	6.98986	-2.1792	-9.25	Yes	6.98986
361	GLOBAL	Cartesian	12.89183	-13.2792	-9.25	Yes	12.89183
362	GLOBAL	Cartesian	9.94085	-7.7292	-9.25	Yes	9.94085
363	GLOBAL	Cartesian	13.97652	-15.3192	-9.25	Yes	13.97652
364	GLOBAL	Cartesian	9.63866	-0.7708	-9.25	Yes	9.63866
365	GLOBAL	Cartesian	15.54063	-11.8708	-9.25	Yes	15.54063
366	GLOBAL	Cartesian	12.58965	-6.3208	-9.25	Yes	12.58965
367	GLOBAL	Cartesian	16.62532	-13.9108	-9.25	Yes	16.62532
368	GLOBAL	Cartesian	6.98986	-2.1792	-10.25	Yes	6.98986
369	GLOBAL	Cartesian	12.89183	-13.2792	-10.25	Yes	12.89183
370	GLOBAL	Cartesian	9.94085	-7.7292	-10.25	Yes	9.94085
371	GLOBAL	Cartesian	13.97652	-15.3192	-10.25	Yes	13.97652
372	GLOBAL	Cartesian	9.63866	-0.7708	-10.25	Yes	9.63866
373	GLOBAL	Cartesian	15.54063	-11.8708	-10.25	Yes	15.54063
374	GLOBAL	Cartesian	12.58965	-6.3208	-10.25	Yes	12.58965
375	GLOBAL	Cartesian	16.62532	-13.9108	-10.25	Yes	16.62532
376	GLOBAL	Cartesian	6.98986	-2.1792	-11.25	Yes	6.98986
377	GLOBAL	Cartesian	12.89183	-13.2792	-11.25	Yes	12.89183
378	GLOBAL	Cartesian	9.94085	-7.7292	-11.25	Yes	9.94085
379	GLOBAL	Cartesian	13.97652	-15.3192	-11.25	Yes	13.97652
380	GLOBAL	Cartesian	9.63866	-0.7708	-11.25	Yes	9.63866
381	GLOBAL	Cartesian	15.54063	-11.8708	-11.25	Yes	15.54063
382	GLOBAL	Cartesian	12.58965	-6.3208	-11.25	Yes	12.58965
383	GLOBAL	Cartesian	16.62532	-13.9108	-11.25	Yes	16.62532
384	GLOBAL	Cartesian	6.98986	-2.1792	-12.25	Yes	6.98986
385	GLOBAL	Cartesian	12.89183	-13.2792	-12.25	Yes	12.89183
386	GLOBAL	Cartesian	9.94085	-7.7292	-12.25	Yes	9.94085
387	GLOBAL	Cartesian	13.97652	-15.3192	-12.25	Yes	13.97652
388	GLOBAL	Cartesian	9.63866	-0.7708	-12.25	Yes	9.63866
389	GLOBAL	Cartesian	15.54063	-11.8708	-12.25	Yes	15.54063
390	GLOBAL	Cartesian	12.58965	-6.3208	-12.25	Yes	12.58965
391	GLOBAL	Cartesian	16.62532	-13.9108	-12.25	Yes	16.62532
392	GLOBAL	Cartesian	6.98986	-2.1792	-13.25	Yes	6.98986
393	GLOBAL	Cartesian	12.89183	-13.2792	-13.25	Yes	12.89183
394	GLOBAL	Cartesian	9.94085	-7.7292	-13.25	Yes	9.94085
395	GLOBAL	Cartesian	13.97652	-15.3192	-13.25	Yes	13.97652
396	GLOBAL	Cartesian	9.63866	-0.7708	-13.25	Yes	9.63866
397	GLOBAL	Cartesian	15.54063	-11.8708	-13.25	Yes	15.54063
398	GLOBAL	Cartesian	12.58965	-6.3208	-13.25	Yes	12.58965

Table: Joint Coordinates, Part 1 of 2

Joint	CoordSys	CoordType	XorR m	Y m	Z m	SpecialJt	GlobalX m
399	GLOBAL	Cartesian	16.62532	-13.9108	-13.25	Yes	16.62532
400	GLOBAL	Cartesian	6.98986	-2.1792	-14.25	Yes	6.98986
401	GLOBAL	Cartesian	12.89183	-13.2792	-14.25	Yes	12.89183
402	GLOBAL	Cartesian	9.94085	-7.7292	-14.25	Yes	9.94085
403	GLOBAL	Cartesian	13.97652	-15.3192	-14.25	Yes	13.97652
404	GLOBAL	Cartesian	9.63866	-0.7708	-14.25	Yes	9.63866
405	GLOBAL	Cartesian	15.54063	-11.8708	-14.25	Yes	15.54063
406	GLOBAL	Cartesian	12.58965	-6.3208	-14.25	Yes	12.58965
407	GLOBAL	Cartesian	16.62532	-13.9108	-14.25	Yes	16.62532
408	GLOBAL	Cartesian	6.98986	-2.1792	-15.25	Yes	6.98986
409	GLOBAL	Cartesian	12.89183	-13.2792	-15.25	Yes	12.89183
410	GLOBAL	Cartesian	9.94085	-7.7292	-15.25	Yes	9.94085
411	GLOBAL	Cartesian	13.97652	-15.3192	-15.25	Yes	13.97652
412	GLOBAL	Cartesian	9.63866	-0.7708	-15.25	Yes	9.63866
413	GLOBAL	Cartesian	15.54063	-11.8708	-15.25	Yes	15.54063
414	GLOBAL	Cartesian	12.58965	-6.3208	-15.25	Yes	12.58965
415	GLOBAL	Cartesian	16.62532	-13.9108	-15.25	Yes	16.62532
416	GLOBAL	Cartesian	6.98986	-2.1792	-16.25	Yes	6.98986
417	GLOBAL	Cartesian	12.89183	-13.2792	-16.25	Yes	12.89183
418	GLOBAL	Cartesian	9.94085	-7.7292	-16.25	Yes	9.94085
419	GLOBAL	Cartesian	13.97652	-15.3192	-16.25	Yes	13.97652
420	GLOBAL	Cartesian	-10.67709	-12.575	0.	No	-10.67709
421	GLOBAL	Cartesian	-10.64235	7.025	0.	No	-10.64235
422	GLOBAL	Cartesian	9.63866	-0.7708	-16.25	Yes	9.63866
423	GLOBAL	Cartesian	15.54063	-11.8708	-16.25	Yes	15.54063
424	GLOBAL	Cartesian	12.58965	-6.3208	-16.25	Yes	12.58965
425	GLOBAL	Cartesian	16.62532	-13.9108	-16.25	Yes	16.62532
426	GLOBAL	Cartesian	6.98986	-2.1792	-17.25	Yes	6.98986
427	GLOBAL	Cartesian	12.89183	-13.2792	-17.25	Yes	12.89183
428	GLOBAL	Cartesian	9.94085	-7.7292	-17.25	Yes	9.94085
429	GLOBAL	Cartesian	13.97652	-15.3192	-17.25	Yes	13.97652
430	GLOBAL	Cartesian	9.63866	-0.7708	-17.25	Yes	9.63866
431	GLOBAL	Cartesian	15.54063	-11.8708	-17.25	Yes	15.54063
432	GLOBAL	Cartesian	12.58965	-6.3208	-17.25	Yes	12.58965
433	GLOBAL	Cartesian	16.62532	-13.9108	-17.25	Yes	16.62532
434	GLOBAL	Cartesian	6.98986	-2.1792	-18.25	Yes	6.98986
435	GLOBAL	Cartesian	12.89183	-13.2792	-18.25	Yes	12.89183
436	GLOBAL	Cartesian	9.94085	-7.7292	-18.25	Yes	9.94085
437	GLOBAL	Cartesian	13.97652	-15.3192	-18.25	Yes	13.97652
438	GLOBAL	Cartesian	9.63866	-0.7708	-18.25	Yes	9.63866
439	GLOBAL	Cartesian	15.54063	-11.8708	-18.25	Yes	15.54063
440	GLOBAL	Cartesian	12.58965	-6.3208	-18.25	Yes	12.58965
441	GLOBAL	Cartesian	16.62532	-13.9108	-18.25	Yes	16.62532
442	GLOBAL	Cartesian	6.98986	-2.1792	-19.25	Yes	6.98986
443	GLOBAL	Cartesian	12.89183	-13.2792	-19.25	Yes	12.89183
444	GLOBAL	Cartesian	9.94085	-7.7292	-19.25	Yes	9.94085
445	GLOBAL	Cartesian	13.97652	-15.3192	-19.25	Yes	13.97652
446	GLOBAL	Cartesian	9.63866	-0.7708	-19.25	Yes	9.63866
447	GLOBAL	Cartesian	15.54063	-11.8708	-19.25	Yes	15.54063
448	GLOBAL	Cartesian	12.58965	-6.3208	-19.25	Yes	12.58965
449	GLOBAL	Cartesian	16.62532	-13.9108	-19.25	Yes	16.62532
450	GLOBAL	Cartesian	6.98986	-2.1792	-20.25	Yes	6.98986
451	GLOBAL	Cartesian	12.89183	-13.2792	-20.25	Yes	12.89183
452	GLOBAL	Cartesian	9.94085	-7.7292	-20.25	Yes	9.94085

Table: Joint Coordinates, Part 1 of 2

Joint	CoordSys	CoordType	XorR m	Y m	Z m	SpecialJt	GlobalX m
453	GLOBAL	Cartesian	13.97652	-15.3192	-20.25	Yes	13.97652
454	GLOBAL	Cartesian	9.63866	-0.7708	-20.25	Yes	9.63866
455	GLOBAL	Cartesian	15.54063	-11.8708	-20.25	Yes	15.54063
456	GLOBAL	Cartesian	12.58965	-6.3208	-20.25	Yes	12.58965
457	GLOBAL	Cartesian	16.62532	-13.9108	-20.25	Yes	16.62532
458	GLOBAL	Cartesian	6.98986	-2.1792	-21.25	Yes	6.98986
459	GLOBAL	Cartesian	12.89183	-13.2792	-21.25	Yes	12.89183
460	GLOBAL	Cartesian	9.94085	-7.7292	-21.25	Yes	9.94085
461	GLOBAL	Cartesian	13.97652	-15.3192	-21.25	Yes	13.97652
462	GLOBAL	Cartesian	9.63866	-0.7708	-21.25	Yes	9.63866
463	GLOBAL	Cartesian	15.54063	-11.8708	-21.25	Yes	15.54063
464	GLOBAL	Cartesian	12.58965	-6.3208	-21.25	Yes	12.58965
465	GLOBAL	Cartesian	16.62532	-13.9108	-21.25	Yes	16.62532
466	GLOBAL	Cartesian	6.98986	-2.1792	-22.25	Yes	6.98986
467	GLOBAL	Cartesian	12.89183	-13.2792	-22.25	Yes	12.89183
468	GLOBAL	Cartesian	9.94085	-7.7292	-22.25	Yes	9.94085
469	GLOBAL	Cartesian	13.97652	-15.3192	-22.25	Yes	13.97652
470	GLOBAL	Cartesian	9.63866	-0.7708	-22.25	Yes	9.63866
471	GLOBAL	Cartesian	15.54063	-11.8708	-22.25	Yes	15.54063
472	GLOBAL	Cartesian	12.58965	-6.3208	-22.25	Yes	12.58965
473	GLOBAL	Cartesian	16.62532	-13.9108	-22.25	Yes	16.62532
474	GLOBAL	Cartesian	6.98986	-2.1792	-23.25	Yes	6.98986
475	GLOBAL	Cartesian	12.89183	-13.2792	-23.25	Yes	12.89183
476	GLOBAL	Cartesian	9.94085	-7.7292	-23.25	Yes	9.94085
477	GLOBAL	Cartesian	13.97652	-15.3192	-23.25	Yes	13.97652
478	GLOBAL	Cartesian	9.63866	-0.7708	-23.25	Yes	9.63866
479	GLOBAL	Cartesian	15.54063	-11.8708	-23.25	Yes	15.54063
480	GLOBAL	Cartesian	12.58965	-6.3208	-23.25	Yes	12.58965
481	GLOBAL	Cartesian	16.62532	-13.9108	-23.25	Yes	16.62532
482	GLOBAL	Cartesian	-10.4616	5.175	0.	No	-10.4616
483	GLOBAL	Cartesian	6.98986	-2.1792	-24.25	Yes	6.98986
484	GLOBAL	Cartesian	12.89183	-13.2792	-24.25	Yes	12.89183
485	GLOBAL	Cartesian	9.94085	-7.7292	-24.25	Yes	9.94085
486	GLOBAL	Cartesian	-10.34108	-8.875	0.	No	-10.34108
487	GLOBAL	Cartesian	0.84374	12.575	-1.1	Yes	0.84374
488	GLOBAL	Cartesian	6.74572	1.475	-1.1	Yes	6.74572
489	GLOBAL	Cartesian	8.31426	-1.475	-1.1	Yes	8.31426
490	GLOBAL	Cartesian	14.21623	-12.575	-1.1	Yes	14.21623
491	GLOBAL	Cartesian	1.8274	10.725	-1.1	Yes	1.8274
492	GLOBAL	Cartesian	2.81107	8.875	-1.1	Yes	2.81107
493	GLOBAL	Cartesian	3.79473	7.025	-1.1	Yes	3.79473
494	GLOBAL	Cartesian	4.77839	5.175	-1.1	Yes	4.77839
495	GLOBAL	Cartesian	5.76205	3.325	-1.1	Yes	5.76205
496	GLOBAL	Cartesian	9.29792	-3.325	-1.1	Yes	9.29792
497	GLOBAL	Cartesian	10.28158	-5.175	-1.1	Yes	10.28158
498	GLOBAL	Cartesian	11.26525	-7.025	-1.1	Yes	11.26525
499	GLOBAL	Cartesian	12.24891	-8.875	-1.1	Yes	12.24891
500	GLOBAL	Cartesian	13.23257	-10.725	-1.1	Yes	13.23257
501	GLOBAL	Cartesian	-0.23803	14.615	-1.1	Yes	-0.23803
502	GLOBAL	Cartesian	-1.35462	16.715	-1.1	Yes	-1.35462
503	GLOBAL	Cartesian	15.30092	-14.615	-1.1	Yes	15.30092
504	GLOBAL	Cartesian	16.41751	-16.715	-1.1	Yes	16.41751
505	GLOBAL	Cartesian	0.84374	12.575	-2.1	Yes	0.84374
506	GLOBAL	Cartesian	6.74572	1.475	-2.1	Yes	6.74572

Table: Joint Coordinates, Part 1 of 2

Joint	CoordSys	CoordType	XorR m	Y m	Z m	SpecialJt	GlobalX m
507	GLOBAL	Cartesian	8.31426	-1.475	-2.1	Yes	8.31426
508	GLOBAL	Cartesian	14.21623	-12.575	-2.1	Yes	14.21623
509	GLOBAL	Cartesian	1.8274	10.725	-2.1	Yes	1.8274
510	GLOBAL	Cartesian	2.81107	8.875	-2.1	Yes	2.81107
511	GLOBAL	Cartesian	3.79473	7.025	-2.1	Yes	3.79473
512	GLOBAL	Cartesian	4.77839	5.175	-2.1	Yes	4.77839
513	GLOBAL	Cartesian	5.76205	3.325	-2.1	Yes	5.76205
514	GLOBAL	Cartesian	9.29792	-3.325	-2.1	Yes	9.29792
515	GLOBAL	Cartesian	10.28158	-5.175	-2.1	Yes	10.28158
516	GLOBAL	Cartesian	11.26525	-7.025	-2.1	Yes	11.26525
517	GLOBAL	Cartesian	12.24891	-8.875	-2.1	Yes	12.24891
518	GLOBAL	Cartesian	13.23257	-10.725	-2.1	Yes	13.23257
519	GLOBAL	Cartesian	-0.23803	14.615	-2.1	Yes	-0.23803
520	GLOBAL	Cartesian	-1.35462	16.715	-2.1	Yes	-1.35462
521	GLOBAL	Cartesian	-10.30925	10.725	0.	No	-10.30925
522	GLOBAL	Cartesian	15.30092	-14.615	-2.1	Yes	15.30092
523	GLOBAL	Cartesian	16.41751	-16.715	-2.1	Yes	16.41751
524	GLOBAL	Cartesian	0.84374	12.575	-3.1	Yes	0.84374
525	GLOBAL	Cartesian	6.74572	1.475	-3.1	Yes	6.74572
526	GLOBAL	Cartesian	8.31426	-1.475	-3.1	Yes	8.31426
527	GLOBAL	Cartesian	14.21623	-12.575	-3.1	Yes	14.21623
528	GLOBAL	Cartesian	1.8274	10.725	-3.1	Yes	1.8274
529	GLOBAL	Cartesian	2.81107	8.875	-3.1	Yes	2.81107
530	GLOBAL	Cartesian	3.79473	7.025	-3.1	Yes	3.79473
531	GLOBAL	Cartesian	4.77839	5.175	-3.1	Yes	4.77839
532	GLOBAL	Cartesian	5.76205	3.325	-3.1	Yes	5.76205
533	GLOBAL	Cartesian	9.29792	-3.325	-3.1	Yes	9.29792
534	GLOBAL	Cartesian	10.28158	-5.175	-3.1	Yes	10.28158
535	GLOBAL	Cartesian	11.26525	-7.025	-3.1	Yes	11.26525
536	GLOBAL	Cartesian	12.24891	-8.875	-3.1	Yes	12.24891
537	GLOBAL	Cartesian	13.23257	-10.725	-3.1	Yes	13.23257
538	GLOBAL	Cartesian	-0.23803	14.615	-3.1	Yes	-0.23803
539	GLOBAL	Cartesian	-1.35462	16.715	-3.1	Yes	-1.35462
540	GLOBAL	Cartesian	15.30092	-14.615	-3.1	Yes	15.30092
541	GLOBAL	Cartesian	16.41751	-16.715	-3.1	Yes	16.41751
542	GLOBAL	Cartesian	0.84374	12.575	-4.1	Yes	0.84374
543	GLOBAL	Cartesian	6.74572	1.475	-4.1	Yes	6.74572
544	GLOBAL	Cartesian	8.31426	-1.475	-4.1	Yes	8.31426
545	GLOBAL	Cartesian	-10.1016	5.175	0.	No	-10.1016
546	GLOBAL	Cartesian	14.21623	-12.575	-4.1	Yes	14.21623
547	GLOBAL	Cartesian	1.8274	10.725	-4.1	Yes	1.8274
548	GLOBAL	Cartesian	2.81107	8.875	-4.1	Yes	2.81107
549	GLOBAL	Cartesian	3.79473	7.025	-4.1	Yes	3.79473
550	GLOBAL	Cartesian	4.77839	5.175	-4.1	Yes	4.77839
551	GLOBAL	Cartesian	5.76205	3.325	-4.1	Yes	5.76205
552	GLOBAL	Cartesian	9.29792	-3.325	-4.1	Yes	9.29792
553	GLOBAL	Cartesian	10.28158	-5.175	-4.1	Yes	10.28158
554	GLOBAL	Cartesian	11.26525	-7.025	-4.1	Yes	11.26525
555	GLOBAL	Cartesian	12.24891	-8.875	-4.1	Yes	12.24891
556	GLOBAL	Cartesian	13.23257	-10.725	-4.1	Yes	13.23257
557	GLOBAL	Cartesian	-0.23803	14.615	-4.1	Yes	-0.23803
558	GLOBAL	Cartesian	-1.35462	16.715	-4.1	Yes	-1.35462
559	GLOBAL	Cartesian	15.30092	-14.615	-4.1	Yes	15.30092
560	GLOBAL	Cartesian	16.41751	-16.715	-4.1	Yes	16.41751

Table: Joint Coordinates, Part 1 of 2

Joint	CoordSys	CoordType	XorR m	Y m	Z m	SpecialJt	GlobalX m
561	GLOBAL	Cartesian	0.84374	12.575	-5.1	Yes	0.84374
562	GLOBAL	Cartesian	6.74572	1.475	-5.1	Yes	6.74572
563	GLOBAL	Cartesian	8.31426	-1.475	-5.1	Yes	8.31426
564	GLOBAL	Cartesian	14.21623	-12.575	-5.1	Yes	14.21623
565	GLOBAL	Cartesian	1.8274	10.725	-5.1	Yes	1.8274
566	GLOBAL	Cartesian	2.81107	8.875	-5.1	Yes	2.81107
567	GLOBAL	Cartesian	3.79473	7.025	-5.1	Yes	3.79473
568	GLOBAL	Cartesian	4.77839	5.175	-5.1	Yes	4.77839
569	GLOBAL	Cartesian	5.76205	3.325	-5.1	Yes	5.76205
570	GLOBAL	Cartesian	9.29792	-3.325	-5.1	Yes	9.29792
571	GLOBAL	Cartesian	10.28158	-5.175	-5.1	Yes	10.28158
572	GLOBAL	Cartesian	11.26525	-7.025	-5.1	Yes	11.26525
573	GLOBAL	Cartesian	12.24891	-8.875	-5.1	Yes	12.24891
574	GLOBAL	Cartesian	13.23257	-10.725	-5.1	Yes	13.23257
575	GLOBAL	Cartesian	-0.23803	14.615	-5.1	Yes	-0.23803
576	GLOBAL	Cartesian	-1.35462	16.715	-5.1	Yes	-1.35462
577	GLOBAL	Cartesian	15.30092	-14.615	-5.1	Yes	15.30092
578	GLOBAL	Cartesian	16.41751	-16.715	-5.1	Yes	16.41751
579	GLOBAL	Cartesian	0.84374	12.575	-6.1	Yes	0.84374
580	GLOBAL	Cartesian	6.74572	1.475	-6.1	Yes	6.74572
581	GLOBAL	Cartesian	8.31426	-1.475	-6.1	Yes	8.31426
582	GLOBAL	Cartesian	14.21623	-12.575	-6.1	Yes	14.21623
583	GLOBAL	Cartesian	-10.07427	14.615	0.	No	-10.07427
584	GLOBAL	Cartesian	-10.00507	-5.175	0.	No	-10.00507
585	GLOBAL	Cartesian	1.8274	10.725	-6.1	Yes	1.8274
586	GLOBAL	Cartesian	-9.92085	3.325	0.	No	-9.92085
587	GLOBAL	Cartesian	-9.66906	-1.475	0.	No	-9.66906
588	GLOBAL	Cartesian	2.81107	8.875	-6.1	Yes	2.81107
589	GLOBAL	Cartesian	-9.65868	5.175	0.	No	-9.65868
590	GLOBAL	Cartesian	3.79473	7.025	-6.1	Yes	3.79473
591	GLOBAL	Cartesian	4.77839	5.175	-6.1	Yes	4.77839
592	GLOBAL	Cartesian	5.76205	3.325	-6.1	Yes	5.76205
593	GLOBAL	Cartesian	9.29792	-3.325	-6.1	Yes	9.29792
594	GLOBAL	Cartesian	10.28158	-5.175	-6.1	Yes	10.28158
595	GLOBAL	Cartesian	11.26525	-7.025	-6.1	Yes	11.26525
596	GLOBAL	Cartesian	12.24891	-8.875	-6.1	Yes	12.24891
597	GLOBAL	Cartesian	13.23257	-10.725	-6.1	Yes	13.23257
598	GLOBAL	Cartesian	-0.23803	14.615	-6.1	Yes	-0.23803
599	GLOBAL	Cartesian	-1.35462	16.715	-6.1	Yes	-1.35462
600	GLOBAL	Cartesian	15.30092	-14.615	-6.1	Yes	15.30092
601	GLOBAL	Cartesian	16.41751	-16.715	-6.1	Yes	16.41751
602	GLOBAL	Cartesian	0.84374	12.575	-7.25	Yes	0.84374
603	GLOBAL	Cartesian	6.74572	1.475	-7.25	Yes	6.74572
604	GLOBAL	Cartesian	8.31426	-1.475	-7.25	Yes	8.31426
605	GLOBAL	Cartesian	14.21623	-12.575	-7.25	Yes	14.21623
606	GLOBAL	Cartesian	1.8274	10.725	-7.25	Yes	1.8274
607	GLOBAL	Cartesian	2.81107	8.875	-7.25	Yes	2.81107
608	GLOBAL	Cartesian	3.79473	7.025	-7.25	Yes	3.79473
609	GLOBAL	Cartesian	4.77839	5.175	-7.25	Yes	4.77839
610	GLOBAL	Cartesian	5.76205	3.325	-7.25	Yes	5.76205
611	GLOBAL	Cartesian	9.29792	-3.325	-7.25	Yes	9.29792
612	GLOBAL	Cartesian	10.28158	-5.175	-7.25	Yes	10.28158
613	GLOBAL	Cartesian	11.26525	-7.025	-7.25	Yes	11.26525
614	GLOBAL	Cartesian	12.24891	-8.875	-7.25	Yes	12.24891

Table: Joint Coordinates, Part 1 of 2

Joint	CoordSys	CoordType	XorR m	Y m	Z m	SpecialJt	GlobalX m
615	GLOBAL	Cartesian	13.23257	-10.725	-7.25	Yes	13.23257
616	GLOBAL	Cartesian	-0.23803	14.615	-7.25	Yes	-0.23803
617	GLOBAL	Cartesian	-1.35462	16.715	-7.25	Yes	-1.35462
618	GLOBAL	Cartesian	15.30092	-14.615	-7.25	Yes	15.30092
619	GLOBAL	Cartesian	16.41751	-16.715	-7.25	Yes	16.41751
620	GLOBAL	Cartesian	7.50139	0.0446	-7.25	No	7.50139
621	GLOBAL	Cartesian	7.50139	0.0446	-6.1	No	7.50139
622	GLOBAL	Cartesian	7.50139	0.0446	-5.1	No	7.50139
623	GLOBAL	Cartesian	7.50139	0.0446	-4.1	No	7.50139
624	GLOBAL	Cartesian	7.50139	0.0446	-3.1	No	7.50139
625	GLOBAL	Cartesian	7.50139	0.0446	-2.1	No	7.50139
626	GLOBAL	Cartesian	7.50139	0.0446	-1.1	No	7.50139
627	GLOBAL	Cartesian	7.52999	8.993E-15	-1.1	No	7.52999
628	GLOBAL	Cartesian	7.52999	8.993E-15	-7.25	Yes	7.52999
629	GLOBAL	Cartesian	7.52999	8.993E-15	-6.1	No	7.52999
630	GLOBAL	Cartesian	7.52999	8.993E-15	-5.1	No	7.52999
631	GLOBAL	Cartesian	7.52999	8.993E-15	-4.1	No	7.52999
632	GLOBAL	Cartesian	7.52999	8.993E-15	-3.1	No	7.52999
633	GLOBAL	Cartesian	7.52999	8.993E-15	-2.1	No	7.52999
634	GLOBAL	Cartesian	13.97652	-15.3192	-24.25	Yes	13.97652
635	GLOBAL	Cartesian	9.63866	-0.7708	-24.25	Yes	9.63866
636	GLOBAL	Cartesian	15.54063	-11.8708	-24.25	Yes	15.54063
637	GLOBAL	Cartesian	12.58965	-6.3208	-24.25	Yes	12.58965
638	GLOBAL	Cartesian	16.62532	-13.9108	-24.25	Yes	16.62532
639	GLOBAL	Cartesian	6.98986	-2.1792	-25.25	Yes	6.98986
640	GLOBAL	Cartesian	12.89183	-13.2792	-25.25	Yes	12.89183
641	GLOBAL	Cartesian	9.94085	-7.7292	-25.25	Yes	9.94085
642	GLOBAL	Cartesian	13.97652	-15.3192	-25.25	Yes	13.97652
643	GLOBAL	Cartesian	9.63866	-0.7708	-25.25	Yes	9.63866
644	GLOBAL	Cartesian	15.54063	-11.8708	-25.25	Yes	15.54063
645	GLOBAL	Cartesian	12.58965	-6.3208	-25.25	Yes	12.58965
646	GLOBAL	Cartesian	16.62532	-13.9108	-25.25	Yes	16.62532
647	GLOBAL	Cartesian	6.98986	-2.1792	-26.25	Yes	6.98986
648	GLOBAL	Cartesian	12.89183	-13.2792	-26.25	Yes	12.89183
649	GLOBAL	Cartesian	9.94085	-7.7292	-26.25	Yes	9.94085
650	GLOBAL	Cartesian	13.97652	-15.3192	-26.25	Yes	13.97652
651	GLOBAL	Cartesian	9.63866	-0.7708	-26.25	Yes	9.63866
652	GLOBAL	Cartesian	-16.16276	11.5443	-7.25	Yes	-16.16276
653	GLOBAL	Cartesian	-10.26078	0.4443	-7.25	Yes	-10.26078
654	GLOBAL	Cartesian	-8.69224	-2.5057	-7.25	Yes	-8.69224
655	GLOBAL	Cartesian	-2.79027	-13.6057	-7.25	Yes	-2.79027
656	GLOBAL	Cartesian	-15.1791	9.6943	-7.25	Yes	-15.1791
657	GLOBAL	Cartesian	-14.19543	7.8443	-7.25	Yes	-14.19543
658	GLOBAL	Cartesian	-13.21177	5.9943	-7.25	Yes	-13.21177
659	GLOBAL	Cartesian	-12.22811	4.1443	-7.25	Yes	-12.22811
660	GLOBAL	Cartesian	-11.24445	2.2943	-7.25	Yes	-11.24445
661	GLOBAL	Cartesian	-7.70858	-4.3557	-7.25	Yes	-7.70858
662	GLOBAL	Cartesian	-6.72492	-6.2057	-7.25	Yes	-6.72492
663	GLOBAL	Cartesian	-5.74125	-8.0557	-7.25	Yes	-5.74125
664	GLOBAL	Cartesian	-4.75759	-9.9057	-7.25	Yes	-4.75759
665	GLOBAL	Cartesian	-3.77393	-11.7557	-7.25	Yes	-3.77393
666	GLOBAL	Cartesian	-17.24453	13.5843	-7.25	Yes	-17.24453
667	GLOBAL	Cartesian	-18.36112	15.6843	-7.25	Yes	-18.36112
668	GLOBAL	Cartesian	-1.70558	-15.6457	-7.25	Yes	-1.70558

Table: Joint Coordinates, Part 1 of 2

Joint	CoordSys	CoordType	XorR m	Y m	Z m	SpecialJt	GlobalX m
669	GLOBAL	Cartesian	-0.58899	-17.7457	-7.25	Yes	-0.58899
670	GLOBAL	Cartesian	-9.50511	-0.9861	-7.25	Yes	-9.50511
671	GLOBAL	Cartesian	-9.47651	-1.0307	-7.25	Yes	-9.47651
672	GLOBAL	Cartesian	-15.54356	11.8708	-7.25	Yes	-15.54356
673	GLOBAL	Cartesian	-9.64158	0.7708	-7.25	Yes	-9.64158
674	GLOBAL	Cartesian	-8.07304	-2.1792	-7.25	Yes	-8.07304
675	GLOBAL	Cartesian	-2.17107	-13.2792	-7.25	Yes	-2.17107
676	GLOBAL	Cartesian	-14.5599	10.0208	-7.25	Yes	-14.5599
677	GLOBAL	Cartesian	-13.57623	8.1708	-7.25	Yes	-13.57623
678	GLOBAL	Cartesian	-12.59257	6.3208	-7.25	Yes	-12.59257
679	GLOBAL	Cartesian	-11.60891	4.4708	-7.25	Yes	-11.60891
680	GLOBAL	Cartesian	-10.62525	2.6208	-7.25	Yes	-10.62525
681	GLOBAL	Cartesian	-7.08938	-4.0292	-7.25	Yes	-7.08938
682	GLOBAL	Cartesian	-6.10572	-5.8792	-7.25	Yes	-6.10572
683	GLOBAL	Cartesian	-5.12205	-7.7292	-7.25	Yes	-5.12205
684	GLOBAL	Cartesian	-4.13839	-9.5792	-7.25	Yes	-4.13839
685	GLOBAL	Cartesian	-3.15473	-11.4292	-7.25	Yes	-3.15473
686	GLOBAL	Cartesian	-16.62533	13.9108	-7.25	Yes	-16.62533
687	GLOBAL	Cartesian	-17.74192	16.0108	-7.25	Yes	-17.74192
688	GLOBAL	Cartesian	-1.08638	-15.3192	-7.25	Yes	-1.08638
689	GLOBAL	Cartesian	0.03021	-17.4192	-7.25	Yes	0.03021
690	GLOBAL	Cartesian	-8.88591	-0.6596	-7.25	Yes	-8.88591
691	GLOBAL	Cartesian	-8.85731	-0.7042	-7.25	Yes	-8.85731
692	GLOBAL	Cartesian	-12.89476	13.2792	-7.25	Yes	-12.89476
693	GLOBAL	Cartesian	-6.99278	2.1792	-7.25	Yes	-6.99278
694	GLOBAL	Cartesian	-5.42424	-0.7708	-7.25	Yes	-5.42424
695	GLOBAL	Cartesian	0.47773	-11.8708	-7.25	Yes	0.47773
696	GLOBAL	Cartesian	-11.9111	11.4292	-7.25	Yes	-11.9111
697	GLOBAL	Cartesian	-10.92743	9.5792	-7.25	Yes	-10.92743
698	GLOBAL	Cartesian	-9.94377	7.7292	-7.25	Yes	-9.94377
699	GLOBAL	Cartesian	-8.96011	5.8792	-7.25	Yes	-8.96011
700	GLOBAL	Cartesian	-7.97645	4.0292	-7.25	Yes	-7.97645
701	GLOBAL	Cartesian	-4.44058	-2.6208	-7.25	Yes	-4.44058
702	GLOBAL	Cartesian	-3.45692	-4.4708	-7.25	Yes	-3.45692
703	GLOBAL	Cartesian	-2.47325	-6.3208	-7.25	Yes	-2.47325
704	GLOBAL	Cartesian	-1.48959	-8.1708	-7.25	Yes	-1.48959
705	GLOBAL	Cartesian	-0.50593	-10.0208	-7.25	Yes	-0.50593
706	GLOBAL	Cartesian	-13.97653	15.3192	-7.25	Yes	-13.97653
707	GLOBAL	Cartesian	-15.09312	17.4192	-7.25	Yes	-15.09312
708	GLOBAL	Cartesian	1.56242	-13.9108	-7.25	Yes	1.56242
709	GLOBAL	Cartesian	2.67901	-16.0108	-7.25	Yes	2.67901
710	GLOBAL	Cartesian	-6.23711	0.7488	-7.25	Yes	-6.23711
711	GLOBAL	Cartesian	-6.20851	0.7042	-7.25	Yes	-6.20851
712	GLOBAL	Cartesian	-12.27556	13.6057	-7.25	Yes	-12.27556
713	GLOBAL	Cartesian	-6.37358	2.5057	-7.25	Yes	-6.37358
714	GLOBAL	Cartesian	-4.80504	-0.4443	-7.25	Yes	-4.80504
715	GLOBAL	Cartesian	1.09693	-11.5443	-7.25	Yes	1.09693
716	GLOBAL	Cartesian	-11.2919	11.7557	-7.25	Yes	-11.2919
717	GLOBAL	Cartesian	-10.30823	9.9057	-7.25	Yes	-10.30823
718	GLOBAL	Cartesian	-9.32457	8.0557	-7.25	Yes	-9.32457
719	GLOBAL	Cartesian	-8.34091	6.2057	-7.25	Yes	-8.34091
720	GLOBAL	Cartesian	-7.35725	4.3557	-7.25	Yes	-7.35725
721	GLOBAL	Cartesian	-3.82138	-2.2943	-7.25	Yes	-3.82138
722	GLOBAL	Cartesian	-2.83772	-4.1443	-7.25	Yes	-2.83772

Table: Joint Coordinates, Part 1 of 2

Joint	CoordSys	CoordType	XorR m	Y m	Z m	SpecialJt	GlobalX m
723	GLOBAL	Cartesian	-1.85405	-5.9943	-7.25	Yes	-1.85405
724	GLOBAL	Cartesian	-0.87039	-7.8443	-7.25	Yes	-0.87039
725	GLOBAL	Cartesian	0.11327	-9.6943	-7.25	Yes	0.11327
726	GLOBAL	Cartesian	-13.35733	15.6457	-7.25	Yes	-13.35733
727	GLOBAL	Cartesian	-14.47392	17.7457	-7.25	Yes	-14.47392
728	GLOBAL	Cartesian	2.18162	-13.5843	-7.25	Yes	2.18162
729	GLOBAL	Cartesian	3.29821	-15.6843	-7.25	Yes	3.29821
730	GLOBAL	Cartesian	-5.61791	1.0753	-7.25	Yes	-5.61791
731	GLOBAL	Cartesian	-5.58931	1.0307	-7.25	Yes	-5.58931
732	GLOBAL	Cartesian	-8.07304	-2.1792	-8.25	Yes	-8.07304
733	GLOBAL	Cartesian	-2.17107	-13.2792	-8.25	Yes	-2.17107
734	GLOBAL	Cartesian	-5.12205	-7.7292	-8.25	Yes	-5.12205
735	GLOBAL	Cartesian	-1.08638	-15.3192	-8.25	Yes	-1.08638
736	GLOBAL	Cartesian	-5.42424	-0.7708	-8.25	Yes	-5.42424
737	GLOBAL	Cartesian	0.47773	-11.8708	-8.25	Yes	0.47773
738	GLOBAL	Cartesian	-2.47325	-6.3208	-8.25	Yes	-2.47325
739	GLOBAL	Cartesian	1.56242	-13.9108	-8.25	Yes	1.56242
740	GLOBAL	Cartesian	-8.07304	-2.1792	-9.25	Yes	-8.07304
741	GLOBAL	Cartesian	-2.17107	-13.2792	-9.25	Yes	-2.17107
742	GLOBAL	Cartesian	-5.12205	-7.7292	-9.25	Yes	-5.12205
743	GLOBAL	Cartesian	-1.08638	-15.3192	-9.25	Yes	-1.08638
744	GLOBAL	Cartesian	-5.42424	-0.7708	-9.25	Yes	-5.42424
745	GLOBAL	Cartesian	0.47773	-11.8708	-9.25	Yes	0.47773
746	GLOBAL	Cartesian	-2.47325	-6.3208	-9.25	Yes	-2.47325
747	GLOBAL	Cartesian	1.56242	-13.9108	-9.25	Yes	1.56242
748	GLOBAL	Cartesian	-8.07304	-2.1792	-10.25	Yes	-8.07304
749	GLOBAL	Cartesian	-2.17107	-13.2792	-10.25	Yes	-2.17107
750	GLOBAL	Cartesian	-5.12205	-7.7292	-10.25	Yes	-5.12205
751	GLOBAL	Cartesian	-1.08638	-15.3192	-10.25	Yes	-1.08638
752	GLOBAL	Cartesian	-5.42424	-0.7708	-10.25	Yes	-5.42424
753	GLOBAL	Cartesian	0.47773	-11.8708	-10.25	Yes	0.47773
754	GLOBAL	Cartesian	-2.47325	-6.3208	-10.25	Yes	-2.47325
755	GLOBAL	Cartesian	1.56242	-13.9108	-10.25	Yes	1.56242
756	GLOBAL	Cartesian	-8.07304	-2.1792	-11.25	Yes	-8.07304
757	GLOBAL	Cartesian	-2.17107	-13.2792	-11.25	Yes	-2.17107
758	GLOBAL	Cartesian	-5.12205	-7.7292	-11.25	Yes	-5.12205
759	GLOBAL	Cartesian	-1.08638	-15.3192	-11.25	Yes	-1.08638
760	GLOBAL	Cartesian	-5.42424	-0.7708	-11.25	Yes	-5.42424
761	GLOBAL	Cartesian	0.47773	-11.8708	-11.25	Yes	0.47773
762	GLOBAL	Cartesian	-2.47325	-6.3208	-11.25	Yes	-2.47325
763	GLOBAL	Cartesian	1.56242	-13.9108	-11.25	Yes	1.56242
764	GLOBAL	Cartesian	-8.07304	-2.1792	-12.25	Yes	-8.07304
765	GLOBAL	Cartesian	-2.17107	-13.2792	-12.25	Yes	-2.17107
766	GLOBAL	Cartesian	-5.12205	-7.7292	-12.25	Yes	-5.12205
767	GLOBAL	Cartesian	-1.08638	-15.3192	-12.25	Yes	-1.08638
768	GLOBAL	Cartesian	-5.42424	-0.7708	-12.25	Yes	-5.42424
769	GLOBAL	Cartesian	0.47773	-11.8708	-12.25	Yes	0.47773
770	GLOBAL	Cartesian	-2.47325	-6.3208	-12.25	Yes	-2.47325
771	GLOBAL	Cartesian	1.56242	-13.9108	-12.25	Yes	1.56242
772	GLOBAL	Cartesian	-8.07304	-2.1792	-13.25	Yes	-8.07304
773	GLOBAL	Cartesian	-2.17107	-13.2792	-13.25	Yes	-2.17107
774	GLOBAL	Cartesian	-5.12205	-7.7292	-13.25	Yes	-5.12205
775	GLOBAL	Cartesian	-1.08638	-15.3192	-13.25	Yes	-1.08638
776	GLOBAL	Cartesian	-5.42424	-0.7708	-13.25	Yes	-5.42424

Table: Joint Coordinates, Part 1 of 2

Joint	CoordSys	CoordType	XorR m	Y m	Z m	SpecialJt	GlobalX m
777	GLOBAL	Cartesian	0.47773	-11.8708	-13.25	Yes	0.47773
778	GLOBAL	Cartesian	-2.47325	-6.3208	-13.25	Yes	-2.47325
779	GLOBAL	Cartesian	1.56242	-13.9108	-13.25	Yes	1.56242
780	GLOBAL	Cartesian	-8.07304	-2.1792	-14.25	Yes	-8.07304
781	GLOBAL	Cartesian	-2.17107	-13.2792	-14.25	Yes	-2.17107
782	GLOBAL	Cartesian	-5.12205	-7.7292	-14.25	Yes	-5.12205
783	GLOBAL	Cartesian	-1.08638	-15.3192	-14.25	Yes	-1.08638
784	GLOBAL	Cartesian	-5.42424	-0.7708	-14.25	Yes	-5.42424
785	GLOBAL	Cartesian	0.47773	-11.8708	-14.25	Yes	0.47773
786	GLOBAL	Cartesian	-2.47325	-6.3208	-14.25	Yes	-2.47325
787	GLOBAL	Cartesian	1.56242	-13.9108	-14.25	Yes	1.56242
788	GLOBAL	Cartesian	-8.07304	-2.1792	-15.25	Yes	-8.07304
789	GLOBAL	Cartesian	-2.17107	-13.2792	-15.25	Yes	-2.17107
790	GLOBAL	Cartesian	-5.12205	-7.7292	-15.25	Yes	-5.12205
791	GLOBAL	Cartesian	-1.08638	-15.3192	-15.25	Yes	-1.08638
792	GLOBAL	Cartesian	-5.42424	-0.7708	-15.25	Yes	-5.42424
793	GLOBAL	Cartesian	0.47773	-11.8708	-15.25	Yes	0.47773
794	GLOBAL	Cartesian	-2.47325	-6.3208	-15.25	Yes	-2.47325
795	GLOBAL	Cartesian	1.56242	-13.9108	-15.25	Yes	1.56242
796	GLOBAL	Cartesian	-8.07304	-2.1792	-16.25	Yes	-8.07304
797	GLOBAL	Cartesian	-2.17107	-13.2792	-16.25	Yes	-2.17107
798	GLOBAL	Cartesian	-5.12205	-7.7292	-16.25	Yes	-5.12205
799	GLOBAL	Cartesian	-1.08638	-15.3192	-16.25	Yes	-1.08638
800	GLOBAL	Cartesian	-5.42424	-0.7708	-16.25	Yes	-5.42424
801	GLOBAL	Cartesian	0.47773	-11.8708	-16.25	Yes	0.47773
802	GLOBAL	Cartesian	-2.47325	-6.3208	-16.25	Yes	-2.47325
803	GLOBAL	Cartesian	1.56242	-13.9108	-16.25	Yes	1.56242
804	GLOBAL	Cartesian	-8.07304	-2.1792	-17.25	Yes	-8.07304
805	GLOBAL	Cartesian	-2.17107	-13.2792	-17.25	Yes	-2.17107
806	GLOBAL	Cartesian	-5.12205	-7.7292	-17.25	Yes	-5.12205
807	GLOBAL	Cartesian	-1.08638	-15.3192	-17.25	Yes	-1.08638
808	GLOBAL	Cartesian	-5.42424	-0.7708	-17.25	Yes	-5.42424
809	GLOBAL	Cartesian	0.47773	-11.8708	-17.25	Yes	0.47773
810	GLOBAL	Cartesian	-2.47325	-6.3208	-17.25	Yes	-2.47325
811	GLOBAL	Cartesian	1.56242	-13.9108	-17.25	Yes	1.56242
812	GLOBAL	Cartesian	-8.07304	-2.1792	-18.25	Yes	-8.07304
813	GLOBAL	Cartesian	-2.17107	-13.2792	-18.25	Yes	-2.17107
814	GLOBAL	Cartesian	-5.12205	-7.7292	-18.25	Yes	-5.12205
815	GLOBAL	Cartesian	-1.08638	-15.3192	-18.25	Yes	-1.08638
816	GLOBAL	Cartesian	-5.42424	-0.7708	-18.25	Yes	-5.42424
817	GLOBAL	Cartesian	0.47773	-11.8708	-18.25	Yes	0.47773
818	GLOBAL	Cartesian	-2.47325	-6.3208	-18.25	Yes	-2.47325
819	GLOBAL	Cartesian	1.56242	-13.9108	-18.25	Yes	1.56242
820	GLOBAL	Cartesian	-8.07304	-2.1792	-19.25	Yes	-8.07304
821	GLOBAL	Cartesian	-2.17107	-13.2792	-19.25	Yes	-2.17107
822	GLOBAL	Cartesian	-5.12205	-7.7292	-19.25	Yes	-5.12205
823	GLOBAL	Cartesian	-1.08638	-15.3192	-19.25	Yes	-1.08638
824	GLOBAL	Cartesian	-5.42424	-0.7708	-19.25	Yes	-5.42424
825	GLOBAL	Cartesian	0.47773	-11.8708	-19.25	Yes	0.47773
826	GLOBAL	Cartesian	-2.47325	-6.3208	-19.25	Yes	-2.47325
827	GLOBAL	Cartesian	1.56242	-13.9108	-19.25	Yes	1.56242
828	GLOBAL	Cartesian	-8.07304	-2.1792	-20.25	Yes	-8.07304
829	GLOBAL	Cartesian	-2.17107	-13.2792	-20.25	Yes	-2.17107
830	GLOBAL	Cartesian	-5.12205	-7.7292	-20.25	Yes	-5.12205

Table: Joint Coordinates, Part 1 of 2

Joint	CoordSys	CoordType	XorR m	Y m	Z m	SpecialJt	GlobalX m
831	GLOBAL	Cartesian	-1.08638	-15.3192	-20.25	Yes	-1.08638
832	GLOBAL	Cartesian	-5.42424	-0.7708	-20.25	Yes	-5.42424
833	GLOBAL	Cartesian	0.47773	-11.8708	-20.25	Yes	0.47773
834	GLOBAL	Cartesian	-2.47325	-6.3208	-20.25	Yes	-2.47325
835	GLOBAL	Cartesian	1.56242	-13.9108	-20.25	Yes	1.56242
836	GLOBAL	Cartesian	-8.07304	-2.1792	-21.25	Yes	-8.07304
837	GLOBAL	Cartesian	-2.17107	-13.2792	-21.25	Yes	-2.17107
838	GLOBAL	Cartesian	-5.12205	-7.7292	-21.25	Yes	-5.12205
839	GLOBAL	Cartesian	-1.08638	-15.3192	-21.25	Yes	-1.08638
840	GLOBAL	Cartesian	-5.42424	-0.7708	-21.25	Yes	-5.42424
841	GLOBAL	Cartesian	0.47773	-11.8708	-21.25	Yes	0.47773
842	GLOBAL	Cartesian	-2.47325	-6.3208	-21.25	Yes	-2.47325
843	GLOBAL	Cartesian	1.56242	-13.9108	-21.25	Yes	1.56242
844	GLOBAL	Cartesian	-8.07304	-2.1792	-22.25	Yes	-8.07304
845	GLOBAL	Cartesian	-2.17107	-13.2792	-22.25	Yes	-2.17107
846	GLOBAL	Cartesian	-5.12205	-7.7292	-22.25	Yes	-5.12205
847	GLOBAL	Cartesian	-1.08638	-15.3192	-22.25	Yes	-1.08638
848	GLOBAL	Cartesian	-5.42424	-0.7708	-22.25	Yes	-5.42424
849	GLOBAL	Cartesian	0.47773	-11.8708	-22.25	Yes	0.47773
850	GLOBAL	Cartesian	-2.47325	-6.3208	-22.25	Yes	-2.47325
851	GLOBAL	Cartesian	1.56242	-13.9108	-22.25	Yes	1.56242
852	GLOBAL	Cartesian	-8.07304	-2.1792	-23.25	Yes	-8.07304
853	GLOBAL	Cartesian	-2.17107	-13.2792	-23.25	Yes	-2.17107
854	GLOBAL	Cartesian	-5.12205	-7.7292	-23.25	Yes	-5.12205
855	GLOBAL	Cartesian	-1.08638	-15.3192	-23.25	Yes	-1.08638
856	GLOBAL	Cartesian	-5.42424	-0.7708	-23.25	Yes	-5.42424
857	GLOBAL	Cartesian	0.47773	-11.8708	-23.25	Yes	0.47773
858	GLOBAL	Cartesian	-2.47325	-6.3208	-23.25	Yes	-2.47325
859	GLOBAL	Cartesian	1.56242	-13.9108	-23.25	Yes	1.56242
860	GLOBAL	Cartesian	-8.07304	-2.1792	-24.25	Yes	-8.07304
861	GLOBAL	Cartesian	-2.17107	-13.2792	-24.25	Yes	-2.17107
862	GLOBAL	Cartesian	-5.12205	-7.7292	-24.25	Yes	-5.12205
863	GLOBAL	Cartesian	-1.08638	-15.3192	-24.25	Yes	-1.08638
864	GLOBAL	Cartesian	-5.42424	-0.7708	-24.25	Yes	-5.42424
865	GLOBAL	Cartesian	0.47773	-11.8708	-24.25	Yes	0.47773
866	GLOBAL	Cartesian	-2.47325	-6.3208	-24.25	Yes	-2.47325
867	GLOBAL	Cartesian	1.56242	-13.9108	-24.25	Yes	1.56242
868	GLOBAL	Cartesian	-8.07304	-2.1792	-25.25	Yes	-8.07304
869	GLOBAL	Cartesian	-2.17107	-13.2792	-25.25	Yes	-2.17107
870	GLOBAL	Cartesian	-5.12205	-7.7292	-25.25	Yes	-5.12205
871	GLOBAL	Cartesian	-1.08638	-15.3192	-25.25	Yes	-1.08638
872	GLOBAL	Cartesian	-5.42424	-0.7708	-25.25	Yes	-5.42424
873	GLOBAL	Cartesian	0.47773	-11.8708	-25.25	Yes	0.47773
874	GLOBAL	Cartesian	-2.47325	-6.3208	-25.25	Yes	-2.47325
875	GLOBAL	Cartesian	1.56242	-13.9108	-25.25	Yes	1.56242
876	GLOBAL	Cartesian	-8.07304	-2.1792	-26.25	Yes	-8.07304
877	GLOBAL	Cartesian	-2.17107	-13.2792	-26.25	Yes	-2.17107
878	GLOBAL	Cartesian	-5.12205	-7.7292	-26.25	Yes	-5.12205
879	GLOBAL	Cartesian	-1.08638	-15.3192	-26.25	Yes	-1.08638
880	GLOBAL	Cartesian	-5.42424	-0.7708	-26.25	Yes	-5.42424
881	GLOBAL	Cartesian	0.47773	-11.8708	-26.25	Yes	0.47773
882	GLOBAL	Cartesian	-2.47325	-6.3208	-26.25	Yes	-2.47325
883	GLOBAL	Cartesian	1.56242	-13.9108	-26.25	Yes	1.56242
884	GLOBAL	Cartesian	-8.07304	-2.1792	-27.25	Yes	-8.07304

Table: Joint Coordinates, Part 1 of 2

Joint	CoordSys	CoordType	XorR m	Y m	Z m	SpecialJt	GlobalX m
885	GLOBAL	Cartesian	-2.17107	-13.2792	-27.25	Yes	-2.17107
886	GLOBAL	Cartesian	-5.12205	-7.7292	-27.25	Yes	-5.12205
887	GLOBAL	Cartesian	-1.08638	-15.3192	-27.25	Yes	-1.08638
888	GLOBAL	Cartesian	-5.42424	-0.7708	-27.25	Yes	-5.42424
889	GLOBAL	Cartesian	0.47773	-11.8708	-27.25	Yes	0.47773
890	GLOBAL	Cartesian	-2.47325	-6.3208	-27.25	Yes	-2.47325
891	GLOBAL	Cartesian	1.56242	-13.9108	-27.25	Yes	1.56242
892	GLOBAL	Cartesian	-8.07304	-2.1792	-28.25	Yes	-8.07304
893	GLOBAL	Cartesian	-2.17107	-13.2792	-28.25	Yes	-2.17107
894	GLOBAL	Cartesian	-5.12205	-7.7292	-28.25	Yes	-5.12205
895	GLOBAL	Cartesian	-1.08638	-15.3192	-28.25	Yes	-1.08638
896	GLOBAL	Cartesian	-5.42424	-0.7708	-28.25	Yes	-5.42424
897	GLOBAL	Cartesian	0.47773	-11.8708	-28.25	Yes	0.47773
898	GLOBAL	Cartesian	-2.47325	-6.3208	-28.25	Yes	-2.47325
899	GLOBAL	Cartesian	1.56242	-13.9108	-28.25	Yes	1.56242
900	GLOBAL	Cartesian	-8.07304	-2.1792	-29.25	Yes	-8.07304
901	GLOBAL	Cartesian	-2.17107	-13.2792	-29.25	Yes	-2.17107
902	GLOBAL	Cartesian	-5.12205	-7.7292	-29.25	Yes	-5.12205
903	GLOBAL	Cartesian	-1.08638	-15.3192	-29.25	Yes	-1.08638
904	GLOBAL	Cartesian	-5.42424	-0.7708	-29.25	Yes	-5.42424
905	GLOBAL	Cartesian	0.47773	-11.8708	-29.25	Yes	0.47773
906	GLOBAL	Cartesian	-2.47325	-6.3208	-29.25	Yes	-2.47325
907	GLOBAL	Cartesian	1.56242	-13.9108	-29.25	Yes	1.56242
908	GLOBAL	Cartesian	-8.07304	-2.1792	-30.25	Yes	-8.07304
909	GLOBAL	Cartesian	-2.17107	-13.2792	-30.25	Yes	-2.17107
910	GLOBAL	Cartesian	-5.12205	-7.7292	-30.25	Yes	-5.12205
911	GLOBAL	Cartesian	-1.08638	-15.3192	-30.25	Yes	-1.08638
912	GLOBAL	Cartesian	-5.42424	-0.7708	-30.25	Yes	-5.42424
913	GLOBAL	Cartesian	-9.5924	-14.615	0.	No	-9.5924
914	GLOBAL	Cartesian	-9.47793	3.325	0.	No	-9.47793
915	GLOBAL	Cartesian	-9.35742	-10.725	0.	No	-9.35742
916	GLOBAL	Cartesian	-9.32559	8.875	0.	No	-9.32559
917	GLOBAL	Cartesian	-9.11793	3.325	0.	No	-9.11793
918	GLOBAL	Cartesian	-9.02141	-7.025	0.	No	-9.02141
919	GLOBAL	Cartesian	-8.98958	12.575	0.	No	-8.98958
920	GLOBAL	Cartesian	-8.93718	1.475	0.	No	-8.93718
921	GLOBAL	Cartesian	-8.88752	16.715	0.	No	-8.88752
922	GLOBAL	Cartesian	-8.6854	-3.325	0.	No	-8.6854
923	GLOBAL	Cartesian	-8.67502	3.325	0.	No	-8.67502
924	GLOBAL	Cartesian	-8.49427	1.475	0.	No	-8.49427
925	GLOBAL	Cartesian	-8.47581	-16.715	0.	No	-8.47581
926	GLOBAL	Cartesian	-8.37375	-12.575	0.	No	-8.37375
927	GLOBAL	Cartesian	-8.34193	7.025	0.	No	-8.34193
928	GLOBAL	Cartesian	-8.13427	1.475	0.	No	-8.13427
929	GLOBAL	Cartesian	-8.03775	-8.875	0.	No	-8.03775
930	GLOBAL	Cartesian	-8.00592	10.725	0.	No	-8.00592
931	GLOBAL	Cartesian	-7.77093	14.615	0.	No	-7.77093
932	GLOBAL	Cartesian	-7.70174	-5.175	0.	No	-7.70174
933	GLOBAL	Cartesian	0.47773	-11.8708	-30.25	Yes	0.47773
934	GLOBAL	Cartesian	-7.69136	1.475	0.	No	-7.69136
935	GLOBAL	Cartesian	-7.36864	-1.475	0.	No	-7.36864
936	GLOBAL	Cartesian	-2.47325	-6.3208	-30.25	Yes	-2.47325
937	GLOBAL	Cartesian	-7.35826	5.175	0.	No	-7.35826
938	GLOBAL	Cartesian	-7.28907	-14.615	0.	No	-7.28907

Table: Joint Coordinates, Part 1 of 2

Joint	CoordSys	CoordType	XorR m	Y m	Z m	SpecialJt	GlobalX m
939	GLOBAL	Cartesian	-7.05408	-10.725	0.	No	-7.05408
940	GLOBAL	Cartesian	-7.02225	8.875	0.	No	-7.02225
941	GLOBAL	Cartesian	-6.92573	-1.475	0.	No	-6.92573
942	GLOBAL	Cartesian	-6.71807	-7.025	0.	No	-6.71807
943	GLOBAL	Cartesian	-6.68625	12.575	0.	No	-6.68625
944	GLOBAL	Cartesian	-6.58419	16.715	0.	No	-6.58419
945	GLOBAL	Cartesian	-6.56573	-1.475	0.	No	-6.56573
946	GLOBAL	Cartesian	-6.38498	-3.325	0.	No	-6.38498
947	GLOBAL	Cartesian	-6.3746	3.325	0.	No	-6.3746
948	GLOBAL	Cartesian	-6.17248	-16.715	0.	No	-6.17248
949	GLOBAL	Cartesian	-6.12282	-1.475	0.	No	-6.12282
950	GLOBAL	Cartesian	-6.07042	-12.575	0.	No	-6.07042
951	GLOBAL	Cartesian	-6.03859	7.025	0.	No	-6.03859
952	GLOBAL	Cartesian	-5.94207	-3.325	0.	No	-5.94207
953	GLOBAL	Cartesian	-5.73441	-8.875	0.	No	-5.73441
954	GLOBAL	Cartesian	-5.70258	10.725	0.	No	-5.70258
955	GLOBAL	Cartesian	-5.58207	-3.325	0.	No	-5.58207
956	GLOBAL	Cartesian	-5.4676	14.615	0.	No	-5.4676
957	GLOBAL	Cartesian	-5.40132	-5.175	0.	No	-5.40132
958	GLOBAL	Cartesian	1.56242	-13.9108	-30.25	Yes	1.56242
959	GLOBAL	Cartesian	-5.39094	1.475	0.	No	-5.39094
960	GLOBAL	Cartesian	-5.13915	-3.325	0.	No	-5.13915
961	GLOBAL	Cartesian	-8.07304	-2.1792	-31.25	Yes	-8.07304
962	GLOBAL	Cartesian	-5.05493	5.175	0.	No	-5.05493
963	GLOBAL	Cartesian	-4.98573	-14.615	0.	No	-4.98573
964	GLOBAL	Cartesian	-4.9584	-5.175	0.	No	-4.9584
965	GLOBAL	Cartesian	-4.75075	-10.725	0.	No	-4.75075
966	GLOBAL	Cartesian	-4.71892	8.875	0.	No	-4.71892
967	GLOBAL	Cartesian	-4.5984	-5.175	0.	No	-4.5984
968	GLOBAL	Cartesian	-4.41765	-7.025	0.	No	-4.41765
969	GLOBAL	Cartesian	-4.38291	12.575	0.	No	-4.38291
970	GLOBAL	Cartesian	-4.28086	16.715	0.	No	-4.28086
971	GLOBAL	Cartesian	-4.15549	-5.175	0.	No	-4.15549
972	GLOBAL	Cartesian	-4.07127	3.325	0.	No	-4.07127
973	GLOBAL	Cartesian	-3.97474	-7.025	0.	No	-3.97474
974	GLOBAL	Cartesian	-3.86914	-16.715	0.	No	-3.86914
975	GLOBAL	Cartesian	-3.8224	-1.475	0.	No	-3.8224
976	GLOBAL	Cartesian	-3.76709	-12.575	0.	No	-3.76709
977	GLOBAL	Cartesian	-3.73526	7.025	0.	No	-3.73526
978	GLOBAL	Cartesian	-3.61474	-7.025	0.	No	-3.61474
979	GLOBAL	Cartesian	-3.43399	-8.875	0.	No	-3.43399
980	GLOBAL	Cartesian	-3.39925	10.725	0.	No	-3.39925
981	GLOBAL	Cartesian	-3.17183	-7.025	0.	No	-3.17183
982	GLOBAL	Cartesian	-3.16427	14.615	0.	No	-3.16427
983	GLOBAL	Cartesian	-2.17107	-13.2792	-31.25	Yes	-2.17107
984	GLOBAL	Cartesian	-3.0876	1.475	0.	No	-3.0876
985	GLOBAL	Cartesian	-2.99108	-8.875	0.	No	-2.99108
986	GLOBAL	Cartesian	-2.83873	-3.325	0.	No	-2.83873
987	GLOBAL	Cartesian	-5.12205	-7.7292	-31.25	Yes	-5.12205
988	GLOBAL	Cartesian	-2.7516	5.175	0.	No	-2.7516
989	GLOBAL	Cartesian	-2.6824	-14.615	0.	No	-2.6824
990	GLOBAL	Cartesian	-1.08638	-15.3192	-31.25	Yes	-1.08638
991	GLOBAL	Cartesian	-2.63108	-8.875	0.	No	-2.63108
992	GLOBAL	Cartesian	-2.45033	-10.725	0.	No	-2.45033

Table: Joint Coordinates, Part 1 of 2

Joint	CoordSys	CoordType	XorR m	Y m	Z m	SpecialJt	GlobalX m
993	GLOBAL	Cartesian	-2.41559	8.875	0.	No	-2.41559
994	GLOBAL	Cartesian	-5.42424	-0.7708	-31.25	Yes	-5.42424
995	GLOBAL	Cartesian	-2.18817	-8.875	0.	No	-2.18817
996	GLOBAL	Cartesian	-2.07958	12.575	0.	No	-2.07958
997	GLOBAL	Cartesian	-2.00742	-10.725	0.	No	-2.00742
998	GLOBAL	Cartesian	-1.98044	16.715	0.	No	-1.98044
999	GLOBAL	Cartesian	-1.85507	-5.175	0.	No	-1.85507
1000	GLOBAL	Cartesian	0.47773	-11.8708	-31.25	Yes	0.47773
1001	GLOBAL	Cartesian	-1.76793	3.325	0.	No	-1.76793
1002	GLOBAL	Cartesian	-1.64742	-10.725	0.	No	-1.64742
1003	GLOBAL	Cartesian	-1.56581	-16.715	0.	No	-1.56581
1004	GLOBAL	Cartesian	-1.53752	16.715	0.	No	-1.53752
1005	GLOBAL	Cartesian	-1.51906	-1.475	0.	No	-1.51906
1006	GLOBAL	Cartesian	-1.46667	-12.575	0.	No	-1.46667
1007	GLOBAL	Cartesian	-1.43193	7.025	0.	No	-1.43193
1008	GLOBAL	Cartesian	-1.2045	-10.725	0.	No	-1.2045
1009	GLOBAL	Cartesian	-1.17752	16.715	0.	No	-1.17752
1010	GLOBAL	Cartesian	-1.09592	10.725	0.	No	-1.09592
1011	GLOBAL	Cartesian	-1.02375	-12.575	0.	No	-1.02375
1012	GLOBAL	Cartesian	-0.87141	-7.025	0.	No	-0.87141
1013	GLOBAL	Cartesian	-0.86385	14.615	0.	No	-0.86385
1014	GLOBAL	Cartesian	-0.78427	1.475	0.	No	-0.78427
1015	GLOBAL	Cartesian	-0.73461	16.715	0.	No	-0.73461
1016	GLOBAL	Cartesian	-0.66375	-12.575	0.	No	-0.66375
1017	GLOBAL	Cartesian	-0.5354	-3.325	0.	No	-0.5354
1018	GLOBAL	Cartesian	-2.47325	-6.3208	-31.25	Yes	-2.47325
1019	GLOBAL	Cartesian	-0.44826	5.175	0.	No	-0.44826
1020	GLOBAL	Cartesian	-0.42093	14.615	0.	No	-0.42093
1021	GLOBAL	Cartesian	-0.38198	-14.615	0.	No	-0.38198
1022	GLOBAL	Cartesian	-0.22084	-12.575	0.	No	-0.22084
1023	GLOBAL	Cartesian	-0.11225	8.875	0.	No	-0.11225
1024	GLOBAL	Cartesian	-0.06093	14.615	0.	No	-0.06093
1025	GLOBAL	Cartesian	0.06093	-14.615	0.	No	0.06093
1026	GLOBAL	Cartesian	0.11225	-8.875	0.	No	0.11225
1027	GLOBAL	Cartesian	1.56242	-13.9108	-31.25	Yes	1.56242
1028	GLOBAL	Cartesian	0.22375	12.575	0.	No	0.22375
1029	GLOBAL	Cartesian	0.38198	14.615	0.	No	0.38198
1030	GLOBAL	Cartesian	0.42093	-14.615	0.	No	0.42093
1031	GLOBAL	Cartesian	0.44826	-5.175	0.	No	0.44826
1032	GLOBAL	Cartesian	-8.07304	-2.1792	-32.25	Yes	-8.07304
1033	GLOBAL	Cartesian	0.5354	3.325	0.	No	0.5354
1034	GLOBAL	Cartesian	0.66375	12.575	0.	No	0.66375
1035	GLOBAL	Cartesian	0.73461	-16.715	0.	No	0.73461
1036	GLOBAL	Cartesian	0.78427	-1.475	0.	No	0.78427
1037	GLOBAL	Cartesian	0.86385	-14.615	0.	No	0.86385
1038	GLOBAL	Cartesian	0.87141	7.025	0.	No	0.87141
1039	GLOBAL	Cartesian	1.02375	12.575	0.	No	1.02375
1040	GLOBAL	Cartesian	1.09592	-10.725	0.	No	1.09592
1041	GLOBAL	Cartesian	1.17752	-16.715	0.	No	1.17752
1042	GLOBAL	Cartesian	1.20742	10.725	0.	No	1.20742
1043	GLOBAL	Cartesian	1.43193	-7.025	0.	No	1.43193
1044	GLOBAL	Cartesian	1.46375	12.575	0.	No	1.46375
1045	GLOBAL	Cartesian	-2.17107	-13.2792	-32.25	Yes	-2.17107
1046	GLOBAL	Cartesian	1.51906	1.475	0.	No	1.51906

Table: Joint Coordinates, Part 1 of 2

Joint	CoordSys	CoordType	XorR m	Y m	Z m	SpecialJt	GlobalX m
1047	GLOBAL	Cartesian	1.53752	-16.715	0.	No	1.53752
1048	GLOBAL	Cartesian	1.56872	16.715	0.	No	1.56872
1049	GLOBAL	Cartesian	1.64742	10.725	0.	No	1.64742
1050	GLOBAL	Cartesian	1.76793	-3.325	0.	No	1.76793
1051	GLOBAL	Cartesian	-5.12205	-7.7292	-32.25	Yes	-5.12205
1052	GLOBAL	Cartesian	1.85507	5.175	0.	No	1.85507
1053	GLOBAL	Cartesian	1.98044	-16.715	0.	No	1.98044
1054	GLOBAL	Cartesian	2.00742	10.725	0.	No	2.00742
1055	GLOBAL	Cartesian	2.07958	-12.575	0.	No	2.07958
1056	GLOBAL	Cartesian	2.19108	8.875	0.	No	2.19108
1057	GLOBAL	Cartesian	-1.08638	-15.3192	-32.25	Yes	-1.08638
1058	GLOBAL	Cartesian	2.41559	-8.875	0.	No	2.41559
1059	GLOBAL	Cartesian	2.44742	10.725	0.	No	2.44742
1060	GLOBAL	Cartesian	2.63108	8.875	0.	No	2.63108
1061	GLOBAL	Cartesian	-5.42424	-0.7708	-32.25	Yes	-5.42424
1062	GLOBAL	Cartesian	2.68531	14.615	0.	No	2.68531
1063	GLOBAL	Cartesian	2.7516	-5.175	0.	No	2.7516
1064	GLOBAL	Cartesian	0.47773	-11.8708	-32.25	Yes	0.47773
1065	GLOBAL	Cartesian	2.83873	3.325	0.	No	2.83873
1066	GLOBAL	Cartesian	2.99108	8.875	0.	No	2.99108
1067	GLOBAL	Cartesian	3.0876	-1.475	0.	No	3.0876
1068	GLOBAL	Cartesian	-2.47325	-6.3208	-32.25	Yes	-2.47325
1069	GLOBAL	Cartesian	3.16427	-14.615	0.	No	3.16427
1070	GLOBAL	Cartesian	3.17474	7.025	0.	No	3.17474
1071	GLOBAL	Cartesian	3.39925	-10.725	0.	No	3.39925
1072	GLOBAL	Cartesian	3.43108	8.875	0.	No	3.43108
1073	GLOBAL	Cartesian	3.61474	7.025	0.	No	3.61474
1074	GLOBAL	Cartesian	3.73526	-7.025	0.	No	3.73526
1075	GLOBAL	Cartesian	3.77	12.575	0.	No	3.77
1076	GLOBAL	Cartesian	3.8224	1.475	0.	No	3.8224
1077	GLOBAL	Cartesian	3.87206	16.715	0.	No	3.87206
1078	GLOBAL	Cartesian	3.97474	7.025	0.	No	3.97474
1079	GLOBAL	Cartesian	4.07127	-3.325	0.	No	4.07127
1080	GLOBAL	Cartesian	4.1584	5.175	0.	No	4.1584
1081	GLOBAL	Cartesian	4.28086	-16.715	0.	No	4.28086
1082	GLOBAL	Cartesian	4.38291	-12.575	0.	No	4.38291
1083	GLOBAL	Cartesian	4.41474	7.025	0.	No	4.41474
1084	GLOBAL	Cartesian	1.56242	-13.9108	-32.25	Yes	1.56242
1085	GLOBAL	Cartesian	-8.07304	-2.1792	-33.25	Yes	-8.07304
1086	GLOBAL	Cartesian	-2.17107	-13.2792	-33.25	Yes	-2.17107
1087	GLOBAL	Cartesian	-5.12205	-7.7292	-33.25	Yes	-5.12205
1088	GLOBAL	Cartesian	-1.08638	-15.3192	-33.25	Yes	-1.08638
1089	GLOBAL	Cartesian	-5.42424	-0.7708	-33.25	Yes	-5.42424
1090	GLOBAL	Cartesian	0.47773	-11.8708	-33.25	Yes	0.47773
1091	GLOBAL	Cartesian	-2.47325	-6.3208	-33.25	Yes	-2.47325
1092	GLOBAL	Cartesian	1.56242	-13.9108	-33.25	Yes	1.56242
1093	GLOBAL	Cartesian	0.03021	-17.4192	-8.25	Yes	0.03021
1094	GLOBAL	Cartesian	2.67901	-16.0108	-8.25	Yes	2.67901
1095	GLOBAL	Cartesian	0.03021	-17.4192	-9.25	Yes	0.03021
1096	GLOBAL	Cartesian	2.67901	-16.0108	-9.25	Yes	2.67901
1097	GLOBAL	Cartesian	0.03021	-17.4192	-10.25	Yes	0.03021
1098	GLOBAL	Cartesian	2.67901	-16.0108	-10.25	Yes	2.67901
1099	GLOBAL	Cartesian	0.03021	-17.4192	-11.25	Yes	0.03021
1100	GLOBAL	Cartesian	2.67901	-16.0108	-11.25	Yes	2.67901

Table: Joint Coordinates, Part 1 of 2

Joint	CoordSys	CoordType	XorR m	Y m	Z m	SpecialJt	GlobalX m
1101	GLOBAL	Cartesian	0.03021	-17.4192	-12.25	Yes	0.03021
1102	GLOBAL	Cartesian	2.67901	-16.0108	-12.25	Yes	2.67901
1103	GLOBAL	Cartesian	0.03021	-17.4192	-13.25	Yes	0.03021
1104	GLOBAL	Cartesian	2.67901	-16.0108	-13.25	Yes	2.67901
1105	GLOBAL	Cartesian	0.03021	-17.4192	-14.25	Yes	0.03021
1106	GLOBAL	Cartesian	2.67901	-16.0108	-14.25	Yes	2.67901
1107	GLOBAL	Cartesian	0.03021	-17.4192	-15.25	Yes	0.03021
1108	GLOBAL	Cartesian	2.67901	-16.0108	-15.25	Yes	2.67901
1109	GLOBAL	Cartesian	0.03021	-17.4192	-16.25	Yes	0.03021
1110	GLOBAL	Cartesian	2.67901	-16.0108	-16.25	Yes	2.67901
1111	GLOBAL	Cartesian	0.03021	-17.4192	-17.25	Yes	0.03021
1112	GLOBAL	Cartesian	2.67901	-16.0108	-17.25	Yes	2.67901
1113	GLOBAL	Cartesian	0.03021	-17.4192	-18.25	Yes	0.03021
1114	GLOBAL	Cartesian	2.67901	-16.0108	-18.25	Yes	2.67901
1115	GLOBAL	Cartesian	0.03021	-17.4192	-19.25	Yes	0.03021
1116	GLOBAL	Cartesian	2.67901	-16.0108	-19.25	Yes	2.67901
1117	GLOBAL	Cartesian	0.03021	-17.4192	-20.25	Yes	0.03021
1118	GLOBAL	Cartesian	2.67901	-16.0108	-20.25	Yes	2.67901
1119	GLOBAL	Cartesian	0.03021	-17.4192	-21.25	Yes	0.03021
1120	GLOBAL	Cartesian	2.67901	-16.0108	-21.25	Yes	2.67901
1121	GLOBAL	Cartesian	0.03021	-17.4192	-22.25	Yes	0.03021
1122	GLOBAL	Cartesian	2.67901	-16.0108	-22.25	Yes	2.67901
1123	GLOBAL	Cartesian	0.03021	-17.4192	-23.25	Yes	0.03021
1124	GLOBAL	Cartesian	2.67901	-16.0108	-23.25	Yes	2.67901
1125	GLOBAL	Cartesian	0.03021	-17.4192	-24.25	Yes	0.03021
1126	GLOBAL	Cartesian	2.67901	-16.0108	-24.25	Yes	2.67901
1127	GLOBAL	Cartesian	0.03021	-17.4192	-25.25	Yes	0.03021
1128	GLOBAL	Cartesian	2.67901	-16.0108	-25.25	Yes	2.67901
1129	GLOBAL	Cartesian	0.03021	-17.4192	-26.25	Yes	0.03021
1130	GLOBAL	Cartesian	2.67901	-16.0108	-26.25	Yes	2.67901
1131	GLOBAL	Cartesian	0.03021	-17.4192	-27.25	Yes	0.03021
1132	GLOBAL	Cartesian	2.67901	-16.0108	-27.25	Yes	2.67901
1133	GLOBAL	Cartesian	0.03021	-17.4192	-28.25	Yes	0.03021
1134	GLOBAL	Cartesian	2.67901	-16.0108	-28.25	Yes	2.67901
1135	GLOBAL	Cartesian	0.03021	-17.4192	-29.25	Yes	0.03021
1136	GLOBAL	Cartesian	2.67901	-16.0108	-29.25	Yes	2.67901
1137	GLOBAL	Cartesian	0.03021	-17.4192	-30.25	Yes	0.03021
1138	GLOBAL	Cartesian	2.67901	-16.0108	-30.25	Yes	2.67901
1139	GLOBAL	Cartesian	0.03021	-17.4192	-31.25	Yes	0.03021
1140	GLOBAL	Cartesian	2.67901	-16.0108	-31.25	Yes	2.67901
1141	GLOBAL	Cartesian	0.03021	-17.4192	-32.25	Yes	0.03021
1142	GLOBAL	Cartesian	2.67901	-16.0108	-32.25	Yes	2.67901
1143	GLOBAL	Cartesian	0.03021	-17.4192	-33.25	Yes	0.03021
1144	GLOBAL	Cartesian	2.67901	-16.0108	-33.25	Yes	2.67901
1145	GLOBAL	Cartesian	-15.54356	11.8708	-8.25	Yes	-15.54356
1146	GLOBAL	Cartesian	-9.64158	0.7708	-8.25	Yes	-9.64158
1147	GLOBAL	Cartesian	-12.59257	6.3208	-8.25	Yes	-12.59257
1148	GLOBAL	Cartesian	-16.62533	13.9108	-8.25	Yes	-16.62533
1149	GLOBAL	Cartesian	-17.74192	16.0108	-8.25	Yes	-17.74192
1150	GLOBAL	Cartesian	-12.89476	13.2792	-8.25	Yes	-12.89476
1151	GLOBAL	Cartesian	-6.99278	2.1792	-8.25	Yes	-6.99278
1152	GLOBAL	Cartesian	-9.94377	7.7292	-8.25	Yes	-9.94377
1153	GLOBAL	Cartesian	-13.97653	15.3192	-8.25	Yes	-13.97653
1154	GLOBAL	Cartesian	-15.09312	17.4192	-8.25	Yes	-15.09312

Table: Joint Coordinates, Part 1 of 2

Joint	CoordSys	CoordType	XorR m	Y m	Z m	SpecialJt	GlobalX m
1155	GLOBAL	Cartesian	-15.54356	11.8708	-9.25	Yes	-15.54356
1156	GLOBAL	Cartesian	-9.64158	0.7708	-9.25	Yes	-9.64158
1157	GLOBAL	Cartesian	-12.59257	6.3208	-9.25	Yes	-12.59257
1158	GLOBAL	Cartesian	-16.62533	13.9108	-9.25	Yes	-16.62533
1159	GLOBAL	Cartesian	-17.74192	16.0108	-9.25	Yes	-17.74192
1160	GLOBAL	Cartesian	-12.89476	13.2792	-9.25	Yes	-12.89476
1161	GLOBAL	Cartesian	-6.99278	2.1792	-9.25	Yes	-6.99278
1162	GLOBAL	Cartesian	-9.94377	7.7292	-9.25	Yes	-9.94377
1163	GLOBAL	Cartesian	-13.97653	15.3192	-9.25	Yes	-13.97653
1164	GLOBAL	Cartesian	-15.09312	17.4192	-9.25	Yes	-15.09312
1165	GLOBAL	Cartesian	-15.54356	11.8708	-10.25	Yes	-15.54356
1166	GLOBAL	Cartesian	-9.64158	0.7708	-10.25	Yes	-9.64158
1167	GLOBAL	Cartesian	-12.59257	6.3208	-10.25	Yes	-12.59257
1168	GLOBAL	Cartesian	-16.62533	13.9108	-10.25	Yes	-16.62533
1169	GLOBAL	Cartesian	-17.74192	16.0108	-10.25	Yes	-17.74192
1170	GLOBAL	Cartesian	-12.89476	13.2792	-10.25	Yes	-12.89476
1171	GLOBAL	Cartesian	-6.99278	2.1792	-10.25	Yes	-6.99278
1172	GLOBAL	Cartesian	-9.94377	7.7292	-10.25	Yes	-9.94377
1173	GLOBAL	Cartesian	-13.97653	15.3192	-10.25	Yes	-13.97653
1174	GLOBAL	Cartesian	-15.09312	17.4192	-10.25	Yes	-15.09312
1175	GLOBAL	Cartesian	-15.54356	11.8708	-11.25	Yes	-15.54356
1176	GLOBAL	Cartesian	-9.64158	0.7708	-11.25	Yes	-9.64158
1177	GLOBAL	Cartesian	-12.59257	6.3208	-11.25	Yes	-12.59257
1178	GLOBAL	Cartesian	-16.62533	13.9108	-11.25	Yes	-16.62533
1179	GLOBAL	Cartesian	-17.74192	16.0108	-11.25	Yes	-17.74192
1180	GLOBAL	Cartesian	-12.89476	13.2792	-11.25	Yes	-12.89476
1181	GLOBAL	Cartesian	-6.99278	2.1792	-11.25	Yes	-6.99278
1182	GLOBAL	Cartesian	-9.94377	7.7292	-11.25	Yes	-9.94377
1183	GLOBAL	Cartesian	-13.97653	15.3192	-11.25	Yes	-13.97653
1184	GLOBAL	Cartesian	-15.09312	17.4192	-11.25	Yes	-15.09312
1185	GLOBAL	Cartesian	-15.54356	11.8708	-12.25	Yes	-15.54356
1186	GLOBAL	Cartesian	-9.64158	0.7708	-12.25	Yes	-9.64158
1187	GLOBAL	Cartesian	-12.59257	6.3208	-12.25	Yes	-12.59257
1188	GLOBAL	Cartesian	-16.62533	13.9108	-12.25	Yes	-16.62533
1189	GLOBAL	Cartesian	-17.74192	16.0108	-12.25	Yes	-17.74192
1190	GLOBAL	Cartesian	-12.89476	13.2792	-12.25	Yes	-12.89476
1191	GLOBAL	Cartesian	-6.99278	2.1792	-12.25	Yes	-6.99278
1192	GLOBAL	Cartesian	-9.94377	7.7292	-12.25	Yes	-9.94377
1193	GLOBAL	Cartesian	-13.97653	15.3192	-12.25	Yes	-13.97653
1194	GLOBAL	Cartesian	-15.09312	17.4192	-12.25	Yes	-15.09312
1195	GLOBAL	Cartesian	-15.54356	11.8708	-13.25	Yes	-15.54356
1196	GLOBAL	Cartesian	-9.64158	0.7708	-13.25	Yes	-9.64158
1197	GLOBAL	Cartesian	-12.59257	6.3208	-13.25	Yes	-12.59257
1198	GLOBAL	Cartesian	-16.62533	13.9108	-13.25	Yes	-16.62533
1199	GLOBAL	Cartesian	-17.74192	16.0108	-13.25	Yes	-17.74192
1200	GLOBAL	Cartesian	-12.89476	13.2792	-13.25	Yes	-12.89476
1201	GLOBAL	Cartesian	-6.99278	2.1792	-13.25	Yes	-6.99278
1202	GLOBAL	Cartesian	-9.94377	7.7292	-13.25	Yes	-9.94377
1203	GLOBAL	Cartesian	-13.97653	15.3192	-13.25	Yes	-13.97653
1204	GLOBAL	Cartesian	-15.09312	17.4192	-13.25	Yes	-15.09312
1205	GLOBAL	Cartesian	-15.54356	11.8708	-14.25	Yes	-15.54356
1206	GLOBAL	Cartesian	-9.64158	0.7708	-14.25	Yes	-9.64158
1207	GLOBAL	Cartesian	-12.59257	6.3208	-14.25	Yes	-12.59257
1208	GLOBAL	Cartesian	-16.62533	13.9108	-14.25	Yes	-16.62533

Table: Joint Coordinates, Part 1 of 2

Joint	CoordSys	CoordType	XorR m	Y m	Z m	SpecialJt	GlobalX m
1209	GLOBAL	Cartesian	-17.74192	16.0108	-14.25	Yes	-17.74192
1210	GLOBAL	Cartesian	-12.89476	13.2792	-14.25	Yes	-12.89476
1211	GLOBAL	Cartesian	-6.99278	2.1792	-14.25	Yes	-6.99278
1212	GLOBAL	Cartesian	-9.94377	7.7292	-14.25	Yes	-9.94377
1213	GLOBAL	Cartesian	-13.97653	15.3192	-14.25	Yes	-13.97653
1214	GLOBAL	Cartesian	-15.09312	17.4192	-14.25	Yes	-15.09312
1215	GLOBAL	Cartesian	-15.54356	11.8708	-15.25	Yes	-15.54356
1216	GLOBAL	Cartesian	-9.64158	0.7708	-15.25	Yes	-9.64158
1217	GLOBAL	Cartesian	-12.59257	6.3208	-15.25	Yes	-12.59257
1218	GLOBAL	Cartesian	-16.62533	13.9108	-15.25	Yes	-16.62533
1219	GLOBAL	Cartesian	-17.74192	16.0108	-15.25	Yes	-17.74192
1220	GLOBAL	Cartesian	-12.89476	13.2792	-15.25	Yes	-12.89476
1221	GLOBAL	Cartesian	-6.99278	2.1792	-15.25	Yes	-6.99278
1222	GLOBAL	Cartesian	-9.94377	7.7292	-15.25	Yes	-9.94377
1223	GLOBAL	Cartesian	-13.97653	15.3192	-15.25	Yes	-13.97653
1224	GLOBAL	Cartesian	-15.09312	17.4192	-15.25	Yes	-15.09312
1225	GLOBAL	Cartesian	-15.54356	11.8708	-16.25	Yes	-15.54356
1226	GLOBAL	Cartesian	-9.64158	0.7708	-16.25	Yes	-9.64158
1227	GLOBAL	Cartesian	-12.59257	6.3208	-16.25	Yes	-12.59257
1228	GLOBAL	Cartesian	-16.62533	13.9108	-16.25	Yes	-16.62533
1229	GLOBAL	Cartesian	-17.74192	16.0108	-16.25	Yes	-17.74192
1230	GLOBAL	Cartesian	-12.89476	13.2792	-16.25	Yes	-12.89476
1231	GLOBAL	Cartesian	-6.99278	2.1792	-16.25	Yes	-6.99278
1232	GLOBAL	Cartesian	-9.94377	7.7292	-16.25	Yes	-9.94377
1233	GLOBAL	Cartesian	-13.97653	15.3192	-16.25	Yes	-13.97653
1234	GLOBAL	Cartesian	-15.09312	17.4192	-16.25	Yes	-15.09312
1235	GLOBAL	Cartesian	-15.54356	11.8708	-17.25	Yes	-15.54356
1236	GLOBAL	Cartesian	-9.64158	0.7708	-17.25	Yes	-9.64158
1237	GLOBAL	Cartesian	-12.59257	6.3208	-17.25	Yes	-12.59257
1238	GLOBAL	Cartesian	-16.62533	13.9108	-17.25	Yes	-16.62533
1239	GLOBAL	Cartesian	-17.74192	16.0108	-17.25	Yes	-17.74192
1240	GLOBAL	Cartesian	-12.89476	13.2792	-17.25	Yes	-12.89476
1241	GLOBAL	Cartesian	-6.99278	2.1792	-17.25	Yes	-6.99278
1242	GLOBAL	Cartesian	-9.94377	7.7292	-17.25	Yes	-9.94377
1243	GLOBAL	Cartesian	-13.97653	15.3192	-17.25	Yes	-13.97653
1244	GLOBAL	Cartesian	-15.09312	17.4192	-17.25	Yes	-15.09312
1245	GLOBAL	Cartesian	-15.54356	11.8708	-18.25	Yes	-15.54356
1246	GLOBAL	Cartesian	-9.64158	0.7708	-18.25	Yes	-9.64158
1247	GLOBAL	Cartesian	-12.59257	6.3208	-18.25	Yes	-12.59257
1248	GLOBAL	Cartesian	-16.62533	13.9108	-18.25	Yes	-16.62533
1249	GLOBAL	Cartesian	-17.74192	16.0108	-18.25	Yes	-17.74192
1250	GLOBAL	Cartesian	-12.89476	13.2792	-18.25	Yes	-12.89476
1251	GLOBAL	Cartesian	-6.99278	2.1792	-18.25	Yes	-6.99278
1252	GLOBAL	Cartesian	-9.94377	7.7292	-18.25	Yes	-9.94377
1253	GLOBAL	Cartesian	-13.97653	15.3192	-18.25	Yes	-13.97653
1254	GLOBAL	Cartesian	-15.09312	17.4192	-18.25	Yes	-15.09312
1255	GLOBAL	Cartesian	-15.54356	11.8708	-19.25	Yes	-15.54356
1256	GLOBAL	Cartesian	-9.64158	0.7708	-19.25	Yes	-9.64158
1257	GLOBAL	Cartesian	-12.59257	6.3208	-19.25	Yes	-12.59257
1258	GLOBAL	Cartesian	-16.62533	13.9108	-19.25	Yes	-16.62533
1259	GLOBAL	Cartesian	-17.74192	16.0108	-19.25	Yes	-17.74192
1260	GLOBAL	Cartesian	-12.89476	13.2792	-19.25	Yes	-12.89476
1261	GLOBAL	Cartesian	-6.99278	2.1792	-19.25	Yes	-6.99278
1262	GLOBAL	Cartesian	-9.94377	7.7292	-19.25	Yes	-9.94377

Table: Joint Coordinates, Part 1 of 2

Joint	CoordSys	CoordType	XorR m	Y m	Z m	SpecialJt	GlobalX m
1263	GLOBAL	Cartesian	-13.97653	15.3192	-19.25	Yes	-13.97653
1264	GLOBAL	Cartesian	-15.09312	17.4192	-19.25	Yes	-15.09312
1265	GLOBAL	Cartesian	-15.54356	11.8708	-20.25	Yes	-15.54356
1266	GLOBAL	Cartesian	-9.64158	0.7708	-20.25	Yes	-9.64158
1267	GLOBAL	Cartesian	-12.59257	6.3208	-20.25	Yes	-12.59257
1268	GLOBAL	Cartesian	-16.62533	13.9108	-20.25	Yes	-16.62533
1269	GLOBAL	Cartesian	-17.74192	16.0108	-20.25	Yes	-17.74192
1270	GLOBAL	Cartesian	-12.89476	13.2792	-20.25	Yes	-12.89476
1271	GLOBAL	Cartesian	-6.99278	2.1792	-20.25	Yes	-6.99278
1272	GLOBAL	Cartesian	-9.94377	7.7292	-20.25	Yes	-9.94377
1273	GLOBAL	Cartesian	-13.97653	15.3192	-20.25	Yes	-13.97653
1274	GLOBAL	Cartesian	-15.09312	17.4192	-20.25	Yes	-15.09312
1275	GLOBAL	Cartesian	-15.54356	11.8708	-21.25	Yes	-15.54356
1276	GLOBAL	Cartesian	-9.64158	0.7708	-21.25	Yes	-9.64158
1277	GLOBAL	Cartesian	-12.59257	6.3208	-21.25	Yes	-12.59257
1278	GLOBAL	Cartesian	-16.62533	13.9108	-21.25	Yes	-16.62533
1279	GLOBAL	Cartesian	-17.74192	16.0108	-21.25	Yes	-17.74192
1280	GLOBAL	Cartesian	-12.89476	13.2792	-21.25	Yes	-12.89476
1281	GLOBAL	Cartesian	-6.99278	2.1792	-21.25	Yes	-6.99278
1282	GLOBAL	Cartesian	-9.94377	7.7292	-21.25	Yes	-9.94377
1283	GLOBAL	Cartesian	-13.97653	15.3192	-21.25	Yes	-13.97653
1284	GLOBAL	Cartesian	-15.09312	17.4192	-21.25	Yes	-15.09312
1285	GLOBAL	Cartesian	-15.54356	11.8708	-22.25	Yes	-15.54356
1286	GLOBAL	Cartesian	-9.64158	0.7708	-22.25	Yes	-9.64158
1287	GLOBAL	Cartesian	-12.59257	6.3208	-22.25	Yes	-12.59257
1288	GLOBAL	Cartesian	-16.62533	13.9108	-22.25	Yes	-16.62533
1289	GLOBAL	Cartesian	-17.74192	16.0108	-22.25	Yes	-17.74192
1290	GLOBAL	Cartesian	-12.89476	13.2792	-22.25	Yes	-12.89476
1291	GLOBAL	Cartesian	-6.99278	2.1792	-22.25	Yes	-6.99278
1292	GLOBAL	Cartesian	-9.94377	7.7292	-22.25	Yes	-9.94377
1293	GLOBAL	Cartesian	-13.97653	15.3192	-22.25	Yes	-13.97653
1294	GLOBAL	Cartesian	-15.09312	17.4192	-22.25	Yes	-15.09312
1295	GLOBAL	Cartesian	-15.54356	11.8708	-23.25	Yes	-15.54356
1296	GLOBAL	Cartesian	-9.64158	0.7708	-23.25	Yes	-9.64158
1297	GLOBAL	Cartesian	-12.59257	6.3208	-23.25	Yes	-12.59257
1298	GLOBAL	Cartesian	-16.62533	13.9108	-23.25	Yes	-16.62533
1299	GLOBAL	Cartesian	-17.74192	16.0108	-23.25	Yes	-17.74192
1300	GLOBAL	Cartesian	-12.89476	13.2792	-23.25	Yes	-12.89476
1301	GLOBAL	Cartesian	-6.99278	2.1792	-23.25	Yes	-6.99278
1302	GLOBAL	Cartesian	-9.94377	7.7292	-23.25	Yes	-9.94377
1303	GLOBAL	Cartesian	-13.97653	15.3192	-23.25	Yes	-13.97653
1304	GLOBAL	Cartesian	-15.09312	17.4192	-23.25	Yes	-15.09312
1305	GLOBAL	Cartesian	-15.54356	11.8708	-24.25	Yes	-15.54356
1306	GLOBAL	Cartesian	-9.64158	0.7708	-24.25	Yes	-9.64158
1307	GLOBAL	Cartesian	-12.59257	6.3208	-24.25	Yes	-12.59257
1308	GLOBAL	Cartesian	-16.62533	13.9108	-24.25	Yes	-16.62533
1309	GLOBAL	Cartesian	-17.74192	16.0108	-24.25	Yes	-17.74192
1310	GLOBAL	Cartesian	-12.89476	13.2792	-24.25	Yes	-12.89476
1311	GLOBAL	Cartesian	-6.99278	2.1792	-24.25	Yes	-6.99278
1312	GLOBAL	Cartesian	-9.94377	7.7292	-24.25	Yes	-9.94377
1313	GLOBAL	Cartesian	-13.97653	15.3192	-24.25	Yes	-13.97653
1314	GLOBAL	Cartesian	-15.09312	17.4192	-24.25	Yes	-15.09312
1315	GLOBAL	Cartesian	-15.54356	11.8708	-25.25	Yes	-15.54356
1316	GLOBAL	Cartesian	-9.64158	0.7708	-25.25	Yes	-9.64158

Table: Joint Coordinates, Part 1 of 2

Joint	CoordSys	CoordType	XorR m	Y m	Z m	SpecialJt	GlobalX m
1317	GLOBAL	Cartesian	-12.59257	6.3208	-25.25	Yes	-12.59257
1318	GLOBAL	Cartesian	-16.62533	13.9108	-25.25	Yes	-16.62533
1319	GLOBAL	Cartesian	-17.74192	16.0108	-25.25	Yes	-17.74192
1320	GLOBAL	Cartesian	-12.89476	13.2792	-25.25	Yes	-12.89476
1321	GLOBAL	Cartesian	-6.99278	2.1792	-25.25	Yes	-6.99278
1322	GLOBAL	Cartesian	-9.94377	7.7292	-25.25	Yes	-9.94377
1323	GLOBAL	Cartesian	-13.97653	15.3192	-25.25	Yes	-13.97653
1324	GLOBAL	Cartesian	-15.09312	17.4192	-25.25	Yes	-15.09312
1325	GLOBAL	Cartesian	-15.54356	11.8708	-26.25	Yes	-15.54356
1326	GLOBAL	Cartesian	-9.64158	0.7708	-26.25	Yes	-9.64158
1327	GLOBAL	Cartesian	-12.59257	6.3208	-26.25	Yes	-12.59257
1328	GLOBAL	Cartesian	-16.62533	13.9108	-26.25	Yes	-16.62533
1329	GLOBAL	Cartesian	-17.74192	16.0108	-26.25	Yes	-17.74192
1330	GLOBAL	Cartesian	-12.89476	13.2792	-26.25	Yes	-12.89476
1331	GLOBAL	Cartesian	-6.99278	2.1792	-26.25	Yes	-6.99278
1332	GLOBAL	Cartesian	-9.94377	7.7292	-26.25	Yes	-9.94377
1333	GLOBAL	Cartesian	-13.97653	15.3192	-26.25	Yes	-13.97653
1334	GLOBAL	Cartesian	-15.09312	17.4192	-26.25	Yes	-15.09312
1335	GLOBAL	Cartesian	-15.54356	11.8708	-27.25	Yes	-15.54356
1336	GLOBAL	Cartesian	-9.64158	0.7708	-27.25	Yes	-9.64158
1337	GLOBAL	Cartesian	-12.59257	6.3208	-27.25	Yes	-12.59257
1338	GLOBAL	Cartesian	-16.62533	13.9108	-27.25	Yes	-16.62533
1339	GLOBAL	Cartesian	-17.74192	16.0108	-27.25	Yes	-17.74192
1340	GLOBAL	Cartesian	-12.89476	13.2792	-27.25	Yes	-12.89476
1341	GLOBAL	Cartesian	-6.99278	2.1792	-27.25	Yes	-6.99278
1342	GLOBAL	Cartesian	-9.94377	7.7292	-27.25	Yes	-9.94377
1343	GLOBAL	Cartesian	-13.97653	15.3192	-27.25	Yes	-13.97653
1344	GLOBAL	Cartesian	-15.09312	17.4192	-27.25	Yes	-15.09312
1345	GLOBAL	Cartesian	-15.54356	11.8708	-28.25	Yes	-15.54356
1346	GLOBAL	Cartesian	-9.64158	0.7708	-28.25	Yes	-9.64158
1347	GLOBAL	Cartesian	-12.59257	6.3208	-28.25	Yes	-12.59257
1348	GLOBAL	Cartesian	-16.62533	13.9108	-28.25	Yes	-16.62533
1349	GLOBAL	Cartesian	-17.74192	16.0108	-28.25	Yes	-17.74192
1350	GLOBAL	Cartesian	-12.89476	13.2792	-28.25	Yes	-12.89476
1351	GLOBAL	Cartesian	-6.99278	2.1792	-28.25	Yes	-6.99278
1352	GLOBAL	Cartesian	-9.94377	7.7292	-28.25	Yes	-9.94377
1353	GLOBAL	Cartesian	-13.97653	15.3192	-28.25	Yes	-13.97653
1354	GLOBAL	Cartesian	-15.09312	17.4192	-28.25	Yes	-15.09312
1355	GLOBAL	Cartesian	-15.54356	11.8708	-29.25	Yes	-15.54356
1356	GLOBAL	Cartesian	-9.64158	0.7708	-29.25	Yes	-9.64158
1357	GLOBAL	Cartesian	-12.59257	6.3208	-29.25	Yes	-12.59257
1358	GLOBAL	Cartesian	-16.62533	13.9108	-29.25	Yes	-16.62533
1359	GLOBAL	Cartesian	-17.74192	16.0108	-29.25	Yes	-17.74192
1360	GLOBAL	Cartesian	-12.89476	13.2792	-29.25	Yes	-12.89476
1361	GLOBAL	Cartesian	-6.99278	2.1792	-29.25	Yes	-6.99278
1362	GLOBAL	Cartesian	-9.94377	7.7292	-29.25	Yes	-9.94377
1363	GLOBAL	Cartesian	-13.97653	15.3192	-29.25	Yes	-13.97653
1364	GLOBAL	Cartesian	-15.09312	17.4192	-29.25	Yes	-15.09312
1365	GLOBAL	Cartesian	-15.54356	11.8708	-30.25	Yes	-15.54356
1366	GLOBAL	Cartesian	-9.64158	0.7708	-30.25	Yes	-9.64158
1367	GLOBAL	Cartesian	-12.59257	6.3208	-30.25	Yes	-12.59257
1368	GLOBAL	Cartesian	-16.62533	13.9108	-30.25	Yes	-16.62533
1369	GLOBAL	Cartesian	-17.74192	16.0108	-30.25	Yes	-17.74192
1370	GLOBAL	Cartesian	-12.89476	13.2792	-30.25	Yes	-12.89476

Table: Joint Coordinates, Part 1 of 2

Joint	CoordSys	CoordType	XorR m	Y m	Z m	SpecialJt	GlobalX m
1371	GLOBAL	Cartesian	-6.99278	2.1792	-30.25	Yes	-6.99278
1372	GLOBAL	Cartesian	-9.94377	7.7292	-30.25	Yes	-9.94377
1373	GLOBAL	Cartesian	-13.97653	15.3192	-30.25	Yes	-13.97653
1374	GLOBAL	Cartesian	-15.09312	17.4192	-30.25	Yes	-15.09312
1375	GLOBAL	Cartesian	-15.54356	11.8708	-31.25	Yes	-15.54356
1376	GLOBAL	Cartesian	-9.64158	0.7708	-31.25	Yes	-9.64158
1377	GLOBAL	Cartesian	-12.59257	6.3208	-31.25	Yes	-12.59257
1378	GLOBAL	Cartesian	-16.62533	13.9108	-31.25	Yes	-16.62533
1379	GLOBAL	Cartesian	-17.74192	16.0108	-31.25	Yes	-17.74192
1380	GLOBAL	Cartesian	-12.89476	13.2792	-31.25	Yes	-12.89476
1381	GLOBAL	Cartesian	-6.99278	2.1792	-31.25	Yes	-6.99278
1382	GLOBAL	Cartesian	-9.94377	7.7292	-31.25	Yes	-9.94377
1383	GLOBAL	Cartesian	-13.97653	15.3192	-31.25	Yes	-13.97653
1384	GLOBAL	Cartesian	-15.09312	17.4192	-31.25	Yes	-15.09312
1385	GLOBAL	Cartesian	-15.54356	11.8708	-32.25	Yes	-15.54356
1386	GLOBAL	Cartesian	-9.64158	0.7708	-32.25	Yes	-9.64158
1387	GLOBAL	Cartesian	-12.59257	6.3208	-32.25	Yes	-12.59257
1388	GLOBAL	Cartesian	-16.62533	13.9108	-32.25	Yes	-16.62533
1389	GLOBAL	Cartesian	-17.74192	16.0108	-32.25	Yes	-17.74192
1390	GLOBAL	Cartesian	-12.89476	13.2792	-32.25	Yes	-12.89476
1391	GLOBAL	Cartesian	-6.99278	2.1792	-32.25	Yes	-6.99278
1392	GLOBAL	Cartesian	-9.94377	7.7292	-32.25	Yes	-9.94377
1393	GLOBAL	Cartesian	-13.97653	15.3192	-32.25	Yes	-13.97653
1394	GLOBAL	Cartesian	-15.09312	17.4192	-32.25	Yes	-15.09312
1395	GLOBAL	Cartesian	-15.54356	11.8708	-33.25	Yes	-15.54356
1396	GLOBAL	Cartesian	-9.64158	0.7708	-33.25	Yes	-9.64158
1397	GLOBAL	Cartesian	-12.59257	6.3208	-33.25	Yes	-12.59257
1398	GLOBAL	Cartesian	-16.62533	13.9108	-33.25	Yes	-16.62533
1399	GLOBAL	Cartesian	-17.74192	16.0108	-33.25	Yes	-17.74192
1400	GLOBAL	Cartesian	-12.89476	13.2792	-33.25	Yes	-12.89476
1401	GLOBAL	Cartesian	-6.99278	2.1792	-33.25	Yes	-6.99278
1402	GLOBAL	Cartesian	-9.94377	7.7292	-33.25	Yes	-9.94377
1403	GLOBAL	Cartesian	-13.97653	15.3192	-33.25	Yes	-13.97653
1404	GLOBAL	Cartesian	-15.09312	17.4192	-33.25	Yes	-15.09312
1405	GLOBAL	Cartesian	15.54063	-11.8708	-26.25	Yes	15.54063
1406	GLOBAL	Cartesian	12.58965	-6.3208	-26.25	Yes	12.58965
1407	GLOBAL	Cartesian	16.62532	-13.9108	-26.25	Yes	16.62532
1408	GLOBAL	Cartesian	6.98986	-2.1792	-27.25	Yes	6.98986
1409	GLOBAL	Cartesian	12.89183	-13.2792	-27.25	Yes	12.89183
1410	GLOBAL	Cartesian	9.94085	-7.7292	-27.25	Yes	9.94085
1411	GLOBAL	Cartesian	13.97652	-15.3192	-27.25	Yes	13.97652
1412	GLOBAL	Cartesian	9.63866	-0.7708	-27.25	Yes	9.63866
1413	GLOBAL	Cartesian	15.54063	-11.8708	-27.25	Yes	15.54063
1414	GLOBAL	Cartesian	12.58965	-6.3208	-27.25	Yes	12.58965
1415	GLOBAL	Cartesian	16.62532	-13.9108	-27.25	Yes	16.62532
1416	GLOBAL	Cartesian	6.98986	-2.1792	-28.25	Yes	6.98986
1417	GLOBAL	Cartesian	12.89183	-13.2792	-28.25	Yes	12.89183
1418	GLOBAL	Cartesian	9.94085	-7.7292	-28.25	Yes	9.94085
1419	GLOBAL	Cartesian	13.97652	-15.3192	-28.25	Yes	13.97652
1420	GLOBAL	Cartesian	9.63866	-0.7708	-28.25	Yes	9.63866
1421	GLOBAL	Cartesian	15.54063	-11.8708	-28.25	Yes	15.54063
1422	GLOBAL	Cartesian	12.58965	-6.3208	-28.25	Yes	12.58965
1423	GLOBAL	Cartesian	16.62532	-13.9108	-28.25	Yes	16.62532
1424	GLOBAL	Cartesian	6.98986	-2.1792	-29.25	Yes	6.98986

Table: Joint Coordinates, Part 1 of 2

Joint	CoordSys	CoordType	XorR m	Y m	Z m	SpecialJt	GlobalX m
1425	GLOBAL	Cartesian	12.89183	-13.2792	-29.25	Yes	12.89183
1426	GLOBAL	Cartesian	9.94085	-7.7292	-29.25	Yes	9.94085
1427	GLOBAL	Cartesian	4.5984	5.175	0.	No	4.5984
1428	GLOBAL	Cartesian	4.71892	-8.875	0.	No	4.71892
1429	GLOBAL	Cartesian	4.75366	10.725	0.	No	4.75366
1430	GLOBAL	Cartesian	4.9584	5.175	0.	No	4.9584
1431	GLOBAL	Cartesian	4.98865	14.615	0.	No	4.98865
1432	GLOBAL	Cartesian	5.05493	-5.175	0.	No	5.05493
1433	GLOBAL	Cartesian	13.97652	-15.3192	-29.25	Yes	13.97652
1434	GLOBAL	Cartesian	5.14207	3.325	0.	No	5.14207
1435	GLOBAL	Cartesian	5.39094	-1.475	0.	No	5.39094
1436	GLOBAL	Cartesian	9.63866	-0.7708	-29.25	Yes	9.63866
1437	GLOBAL	Cartesian	5.3984	5.175	0.	No	5.3984
1438	GLOBAL	Cartesian	5.4676	-14.615	0.	No	5.4676
1439	GLOBAL	Cartesian	5.58207	3.325	0.	No	5.58207
1440	GLOBAL	Cartesian	5.70258	-10.725	0.	No	5.70258
1441	GLOBAL	Cartesian	5.73733	8.875	0.	No	5.73733
1442	GLOBAL	Cartesian	5.94207	3.325	0.	No	5.94207
1443	GLOBAL	Cartesian	6.03859	-7.025	0.	No	6.03859
1444	GLOBAL	Cartesian	6.07333	12.575	0.	No	6.07333
1445	GLOBAL	Cartesian	6.12573	1.475	0.	No	6.12573
1446	GLOBAL	Cartesian	6.17539	16.715	0.	No	6.17539
1447	GLOBAL	Cartesian	6.3746	-3.325	0.	No	6.3746
1448	GLOBAL	Cartesian	6.38207	3.325	0.	No	6.38207
1449	GLOBAL	Cartesian	6.56573	1.475	0.	No	6.56573
1450	GLOBAL	Cartesian	6.58419	-16.715	0.	No	6.58419
1451	GLOBAL	Cartesian	6.68625	-12.575	0.	No	6.68625
1452	GLOBAL	Cartesian	6.72099	7.025	0.	No	6.72099
1453	GLOBAL	Cartesian	6.92573	1.475	0.	No	6.92573
1454	GLOBAL	Cartesian	7.02225	-8.875	0.	No	7.02225
1455	GLOBAL	Cartesian	7.057	10.725	0.	No	7.057
1456	GLOBAL	Cartesian	15.54063	-11.8708	-29.25	Yes	15.54063
1457	GLOBAL	Cartesian	12.58965	-6.3208	-29.25	Yes	12.58965
1458	GLOBAL	Cartesian	16.62532	-13.9108	-29.25	Yes	16.62532
1459	GLOBAL	Cartesian	7.29198	14.615	0.	No	7.29198
1460	GLOBAL	Cartesian	7.35826	-5.175	0.	No	7.35826
1461	GLOBAL	Cartesian	6.98986	-2.1792	-30.25	Yes	6.98986
1462	GLOBAL	Cartesian	7.36573	1.475	0.	No	7.36573
1463	GLOBAL	Cartesian	7.69427	-1.475	0.	No	7.69427
1464	GLOBAL	Cartesian	12.89183	-13.2792	-30.25	Yes	12.89183
1465	GLOBAL	Cartesian	7.70465	5.175	0.	No	7.70465
1466	GLOBAL	Cartesian	7.77093	-14.615	0.	No	7.77093
1467	GLOBAL	Cartesian	8.00592	-10.725	0.	No	8.00592
1468	GLOBAL	Cartesian	8.04066	8.875	0.	No	8.04066
1469	GLOBAL	Cartesian	8.13427	-1.475	0.	No	8.13427
1470	GLOBAL	Cartesian	8.34193	-7.025	0.	No	8.34193
1471	GLOBAL	Cartesian	8.37667	12.575	0.	No	8.37667
1472	GLOBAL	Cartesian	8.47872	16.715	0.	No	8.47872
1473	GLOBAL	Cartesian	8.49427	-1.475	0.	No	8.49427
1474	GLOBAL	Cartesian	8.67793	-3.325	0.	No	8.67793
1475	GLOBAL	Cartesian	8.68831	3.325	0.	No	8.68831
1476	GLOBAL	Cartesian	8.88752	-16.715	0.	No	8.88752
1477	GLOBAL	Cartesian	8.93427	-1.475	0.	No	8.93427
1478	GLOBAL	Cartesian	8.98958	-12.575	0.	No	8.98958

Table: Joint Coordinates, Part 1 of 2

Joint	CoordSys	CoordType	XorR m	Y m	Z m	SpecialJt	GlobalX m
1479	GLOBAL	Cartesian	9.02432	7.025	0.	No	9.02432
1480	GLOBAL	Cartesian	9.11793	-3.325	0.	No	9.11793
1481	GLOBAL	Cartesian	9.32559	-8.875	0.	No	9.32559
1482	GLOBAL	Cartesian	9.36033	10.725	0.	No	9.36033
1483	GLOBAL	Cartesian	9.47793	-3.325	0.	No	9.47793
1484	GLOBAL	Cartesian	9.59531	14.615	0.	No	9.59531
1485	GLOBAL	Cartesian	9.6616	-5.175	0.	No	9.6616
1486	GLOBAL	Cartesian	9.94085	-7.7292	-30.25	Yes	9.94085
1487	GLOBAL	Cartesian	9.67198	1.475	0.	No	9.67198
1488	GLOBAL	Cartesian	9.91793	-3.325	0.	No	9.91793
1489	GLOBAL	Cartesian	13.97652	-15.3192	-30.25	Yes	13.97652
1490	GLOBAL	Cartesian	10.00798	5.175	0.	No	10.00798
1491	GLOBAL	Cartesian	10.07427	-14.615	0.	No	10.07427
1492	GLOBAL	Cartesian	10.1016	-5.175	0.	No	10.1016
1493	GLOBAL	Cartesian	10.30925	-10.725	0.	No	10.30925
1494	GLOBAL	Cartesian	10.34399	8.875	0.	No	10.34399
1495	GLOBAL	Cartesian	10.4616	-5.175	0.	No	10.4616
1496	GLOBAL	Cartesian	10.64526	-7.025	0.	No	10.64526
1497	GLOBAL	Cartesian	10.68	12.575	0.	No	10.68
1498	GLOBAL	Cartesian	10.78206	16.715	0.	No	10.78206
1499	GLOBAL	Cartesian	10.9016	-5.175	0.	No	10.9016
1500	GLOBAL	Cartesian	10.99165	3.325	0.	No	10.99165
1501	GLOBAL	Cartesian	11.08526	-7.025	0.	No	11.08526
1502	GLOBAL	Cartesian	11.19086	-16.715	0.	No	11.19086
1503	GLOBAL	Cartesian	11.24052	-1.475	0.	No	11.24052
1504	GLOBAL	Cartesian	11.29291	-12.575	0.	No	11.29291
1505	GLOBAL	Cartesian	11.32765	7.025	0.	No	11.32765
1506	GLOBAL	Cartesian	11.44526	-7.025	0.	No	11.44526
1507	GLOBAL	Cartesian	11.62892	-8.875	0.	No	11.62892
1508	GLOBAL	Cartesian	11.66366	10.725	0.	No	11.66366
1509	GLOBAL	Cartesian	11.88526	-7.025	0.	No	11.88526
1510	GLOBAL	Cartesian	11.89865	14.615	0.	No	11.89865
1511	GLOBAL	Cartesian	9.63866	-0.7708	-30.25	Yes	9.63866
1512	GLOBAL	Cartesian	11.97531	1.475	0.	No	11.97531
1513	GLOBAL	Cartesian	12.06892	-8.875	0.	No	12.06892
1514	GLOBAL	Cartesian	12.22418	-3.325	0.	No	12.22418
1515	GLOBAL	Cartesian	15.54063	-11.8708	-30.25	Yes	15.54063
1516	GLOBAL	Cartesian	12.31132	5.175	0.	No	12.31132
1517	GLOBAL	Cartesian	12.3776	-14.615	0.	No	12.3776
1518	GLOBAL	Cartesian	12.58965	-6.3208	-30.25	Yes	12.58965
1519	GLOBAL	Cartesian	12.42892	-8.875	0.	No	12.42892
1520	GLOBAL	Cartesian	12.61258	-10.725	0.	No	12.61258
1521	GLOBAL	Cartesian	12.64733	8.875	0.	No	12.64733
1522	GLOBAL	Cartesian	12.86892	-8.875	0.	No	12.86892
1523	GLOBAL	Cartesian	12.98333	12.575	0.	No	12.98333
1524	GLOBAL	Cartesian	13.05258	-10.725	0.	No	13.05258
1525	GLOBAL	Cartesian	13.08248	16.715	0.	No	13.08248
1526	GLOBAL	Cartesian	13.20784	-5.175	0.	No	13.20784
1527	GLOBAL	Cartesian	13.29498	3.325	0.	No	13.29498
1528	GLOBAL	Cartesian	13.41258	-10.725	0.	No	13.41258
1529	GLOBAL	Cartesian	13.49419	-16.715	0.	No	13.49419
1530	GLOBAL	Cartesian	13.52248	16.715	0.	No	13.52248
1531	GLOBAL	Cartesian	13.54385	-1.475	0.	No	13.54385
1532	GLOBAL	Cartesian	13.59625	-12.575	0.	No	13.59625

Table: Joint Coordinates, Part 1 of 2

Joint	CoordSys	CoordType	XorR m	Y m	Z m	SpecialJt	GlobalX m
1533	GLOBAL	Cartesian	13.63099	7.025	0.	No	13.63099
1534	GLOBAL	Cartesian	13.85258	-10.725	0.	No	13.85258
1535	GLOBAL	Cartesian	13.967	10.725	0.	No	13.967
1536	GLOBAL	Cartesian	14.03625	-12.575	0.	No	14.03625
1537	GLOBAL	Cartesian	14.19151	-7.025	0.	No	14.19151
1538	GLOBAL	Cartesian	14.19907	14.615	0.	No	14.19907
1539	GLOBAL	Cartesian	14.27864	1.475	0.	No	14.27864
1540	GLOBAL	Cartesian	14.39625	-12.575	0.	No	14.39625
1541	GLOBAL	Cartesian	14.52751	-3.325	0.	No	14.52751
1542	GLOBAL	Cartesian	16.62532	-13.9108	-30.25	Yes	16.62532
1543	GLOBAL	Cartesian	14.61465	5.175	0.	No	14.61465
1544	GLOBAL	Cartesian	14.63907	14.615	0.	No	14.63907
1545	GLOBAL	Cartesian	14.68093	-14.615	0.	No	14.68093
1546	GLOBAL	Cartesian	14.83625	-12.575	0.	No	14.83625
1547	GLOBAL	Cartesian	14.95066	8.875	0.	No	14.95066
1548	GLOBAL	Cartesian	15.12093	-14.615	0.	No	15.12093
1549	GLOBAL	Cartesian	15.17517	-8.875	0.	No	15.17517
1550	GLOBAL	Cartesian	15.28375	12.575	0.	No	15.28375
1551	GLOBAL	Cartesian	15.48093	-14.615	0.	No	15.48093
1552	GLOBAL	Cartesian	15.51118	-5.175	0.	No	15.51118
1553	GLOBAL	Cartesian	15.59831	3.325	0.	No	15.59831
1554	GLOBAL	Cartesian	15.72375	12.575	0.	No	15.72375
1555	GLOBAL	Cartesian	15.79752	-16.715	0.	No	15.79752
1556	GLOBAL	Cartesian	15.84718	-1.475	0.	No	15.84718
1557	GLOBAL	Cartesian	15.92093	-14.615	0.	No	15.92093
1558	GLOBAL	Cartesian	15.93432	7.025	0.	No	15.93432
1559	GLOBAL	Cartesian	16.15883	-10.725	0.	No	16.15883
1560	GLOBAL	Cartesian	16.23752	-16.715	0.	No	16.23752
1561	GLOBAL	Cartesian	16.26742	10.725	0.	No	16.26742
1562	GLOBAL	Cartesian	16.49484	-7.025	0.	No	16.49484
1563	GLOBAL	Cartesian	16.58198	1.475	0.	No	16.58198
1564	GLOBAL	Cartesian	16.59752	-16.715	0.	No	16.59752
1565	GLOBAL	Cartesian	16.70742	10.725	0.	No	16.70742
1566	GLOBAL	Cartesian	16.83085	-3.325	0.	No	16.83085
1567	GLOBAL	Cartesian	6.98986	-2.1792	-31.25	Yes	6.98986
1568	GLOBAL	Cartesian	16.91798	5.175	0.	No	16.91798
1569	GLOBAL	Cartesian	17.03752	-16.715	0.	No	17.03752
1570	GLOBAL	Cartesian	17.14249	-12.575	0.	No	17.14249
1571	GLOBAL	Cartesian	17.25108	8.875	0.	No	17.25108
1572	GLOBAL	Cartesian	12.89183	-13.2792	-31.25	Yes	12.89183
1573	GLOBAL	Cartesian	17.4785	-8.875	0.	No	17.4785
1574	GLOBAL	Cartesian	9.94085	-7.7292	-31.25	Yes	9.94085
1575	GLOBAL	Cartesian	13.97652	-15.3192	-31.25	Yes	13.97652
1576	GLOBAL	Cartesian	9.63866	-0.7708	-31.25	Yes	9.63866
1577	GLOBAL	Cartesian	15.54063	-11.8708	-31.25	Yes	15.54063
1578	GLOBAL	Cartesian	12.58965	-6.3208	-31.25	Yes	12.58965
1579	GLOBAL	Cartesian	16.62532	-13.9108	-31.25	Yes	16.62532
1580	GLOBAL	Cartesian	6.98986	-2.1792	-32.25	Yes	6.98986
1581	GLOBAL	Cartesian	12.89183	-13.2792	-32.25	Yes	12.89183
1582	GLOBAL	Cartesian	9.94085	-7.7292	-32.25	Yes	9.94085
1583	GLOBAL	Cartesian	13.97652	-15.3192	-32.25	Yes	13.97652
1584	GLOBAL	Cartesian	9.63866	-0.7708	-32.25	Yes	9.63866
1585	GLOBAL	Cartesian	15.54063	-11.8708	-32.25	Yes	15.54063
1586	GLOBAL	Cartesian	12.58965	-6.3208	-32.25	Yes	12.58965

Table: Joint Coordinates, Part 1 of 2

Joint	CoordSys	CoordType	XorR m	Y m	Z m	SpecialJt	GlobalX m
1587	GLOBAL	Cartesian	17.69108	8.875	0.	No	17.69108
1588	GLOBAL	Cartesian	16.62532	-13.9108	-32.25	Yes	16.62532
1589	GLOBAL	Cartesian	17.81451	-5.175	0.	No	17.81451
1590	GLOBAL	Cartesian	17.90165	3.325	0.	No	17.90165
1591	GLOBAL	Cartesian	18.15052	-1.475	0.	No	18.15052
1592	GLOBAL	Cartesian	6.98986	-2.1792	-33.25	Yes	6.98986
1593	GLOBAL	Cartesian	18.22718	-14.615	0.	No	18.22718
1594	GLOBAL	Cartesian	18.23474	7.025	0.	No	18.23474
1595	GLOBAL	Cartesian	18.46216	-10.725	0.	No	18.46216
1596	GLOBAL	Cartesian	18.67474	7.025	0.	No	18.67474
1597	GLOBAL	Cartesian	18.79817	-7.025	0.	No	18.79817
1598	GLOBAL	Cartesian	18.88531	1.475	0.	No	18.88531
1599	GLOBAL	Cartesian	19.13418	-3.325	0.	No	19.13418
1600	GLOBAL	Cartesian	19.2184	5.175	0.	No	19.2184
1601	GLOBAL	Cartesian	19.34377	-16.715	0.	No	19.34377
1602	GLOBAL	Cartesian	19.44583	-12.575	0.	No	19.44583
1603	GLOBAL	Cartesian	19.6584	5.175	0.	No	19.6584
1604	GLOBAL	Cartesian	19.78183	-8.875	0.	No	19.78183
1605	GLOBAL	Cartesian	20.11784	-5.175	0.	No	20.11784
1606	GLOBAL	Cartesian	20.20207	3.325	0.	No	20.20207
1607	GLOBAL	Cartesian	20.45385	-1.475	0.	No	20.45385
1608	GLOBAL	Cartesian	12.89183	-13.2792	-33.25	Yes	12.89183
1609	GLOBAL	Cartesian	20.53051	-14.615	0.	No	20.53051
1610	GLOBAL	Cartesian	20.64207	3.325	0.	No	20.64207
1611	GLOBAL	Cartesian	20.7655	-10.725	0.	No	20.7655
1612	GLOBAL	Cartesian	21.10151	-7.025	0.	No	21.10151
1613	GLOBAL	Cartesian	21.18605	1.47439	0.	No	21.18605
1614	GLOBAL	Cartesian	21.43751	-3.325	0.	No	21.43751
1615	GLOBAL	Cartesian	21.62573	1.475	0.	No	21.62573
1616	GLOBAL	Cartesian	21.6471	-16.715	0.	No	21.6471
1617	GLOBAL	Cartesian	21.74916	-12.575	0.	No	21.74916
1618	GLOBAL	Cartesian	22.08517	-8.875	0.	No	22.08517
1619	GLOBAL	Cartesian	22.42118	-5.175	0.	No	22.42118
1620	GLOBAL	Cartesian	22.7546	-1.47561	0.	No	22.7546
1621	GLOBAL	Cartesian	9.94085	-7.7292	-33.25	Yes	9.94085
1622	GLOBAL	Cartesian	22.83385	-14.615	0.	No	22.83385
1623	GLOBAL	Cartesian	23.06883	-10.725	0.	No	23.06883
1624	GLOBAL	Cartesian	23.19427	-1.475	0.	No	23.19427
1625	GLOBAL	Cartesian	23.40484	-7.025	0.	No	23.40484
1626	GLOBAL	Cartesian	23.73793	-3.325	0.	No	23.73793
1627	GLOBAL	Cartesian	23.95044	-16.715	0.	No	23.95044
1628	GLOBAL	Cartesian	24.05249	-12.575	0.	No	24.05249
1629	GLOBAL	Cartesian	24.17793	-3.325	0.	No	24.17793
1630	GLOBAL	Cartesian	24.3885	-8.875	0.	No	24.3885
1631	GLOBAL	Cartesian	24.7216	-5.175	0.	No	24.7216
1632	GLOBAL	Cartesian	13.97652	-15.3192	-33.25	Yes	13.97652
1633	GLOBAL	Cartesian	25.13718	-14.615	0.	No	25.13718
1634	GLOBAL	Cartesian	25.1616	-5.175	0.	No	25.1616
1635	GLOBAL	Cartesian	25.37216	-10.725	0.	No	25.37216
1636	GLOBAL	Cartesian	25.70526	-7.025	0.	No	25.70526
1637	GLOBAL	Cartesian	26.14526	-7.025	0.	No	26.14526
1638	GLOBAL	Cartesian	26.25377	-16.715	0.	No	26.25377
1639	GLOBAL	Cartesian	26.35583	-12.575	0.	No	26.35583
1640	GLOBAL	Cartesian	26.68892	-8.875	0.	No	26.68892

Table: Joint Coordinates, Part 1 of 2

Joint	CoordSys	CoordType	XorR m	Y m	Z m	SpecialJt	GlobalX m
1641	GLOBAL	Cartesian	27.12892	-8.875	0.	No	27.12892
1642	GLOBAL	Cartesian	9.63866	-0.7708	-33.25	Yes	9.63866
1643	GLOBAL	Cartesian	27.44051	-14.615	0.	No	27.44051
1644	GLOBAL	Cartesian	27.67258	-10.725	0.	No	27.67258
1645	GLOBAL	Cartesian	28.11258	-10.725	0.	No	28.11258
1646	GLOBAL	Cartesian	28.5571	-16.715	0.	No	28.5571
1647	GLOBAL	Cartesian	28.65625	-12.575	0.	No	28.65625
1648	GLOBAL	Cartesian	29.09625	-12.575	0.	No	29.09625
1649	GLOBAL	Cartesian	15.54063	-11.8708	-33.25	Yes	15.54063
1650	GLOBAL	Cartesian	29.74093	-14.615	0.	No	29.74093
1651	GLOBAL	Cartesian	30.18093	-14.615	0.	No	30.18093
1652	GLOBAL	Cartesian	30.85752	-16.715	0.	No	30.85752
1653	GLOBAL	Cartesian	31.29752	-16.715	0.	No	31.29752
1654	GLOBAL	Cartesian	12.58965	-6.3208	-33.25	Yes	12.58965
1655	GLOBAL	Cartesian	16.62532	-13.9108	-33.25	Yes	16.62532
1656	GLOBAL	Cartesian	-28.65625	12.575	-0.84	Yes	-28.65625
1657	GLOBAL	Cartesian	-22.75427	1.475	-0.84	Yes	-22.75427
1658	GLOBAL	Cartesian	-21.18573	-1.475	-0.84	Yes	-21.18573
1659	GLOBAL	Cartesian	-15.28375	-12.575	-0.84	Yes	-15.28375
1660	GLOBAL	Cartesian	15.09311	-17.4192	-8.25	Yes	15.09311
1661	GLOBAL	Cartesian	17.74191	-16.0108	-8.25	Yes	17.74191
1662	GLOBAL	Cartesian	-14.83916	12.575	-0.84	Yes	-14.83916
1663	GLOBAL	Cartesian	-8.93718	1.475	-0.84	Yes	-8.93718
1664	GLOBAL	Cartesian	-7.36864	-1.475	-0.84	Yes	-7.36864
1665	GLOBAL	Cartesian	-1.46667	-12.575	-0.84	Yes	-1.46667
1666	GLOBAL	Cartesian	-13.59333	12.575	-0.84	Yes	-13.59333
1667	GLOBAL	Cartesian	-7.69136	1.475	-0.84	Yes	-7.69136
1668	GLOBAL	Cartesian	-6.12282	-1.475	-0.84	Yes	-6.12282
1669	GLOBAL	Cartesian	-0.22084	-12.575	-0.84	Yes	-0.22084
1670	GLOBAL	Cartesian	0.22375	12.575	-0.84	Yes	0.22375
1671	GLOBAL	Cartesian	6.12573	1.475	-0.84	Yes	6.12573
1672	GLOBAL	Cartesian	7.69427	-1.475	-0.84	Yes	7.69427
1673	GLOBAL	Cartesian	13.59625	-12.575	-0.84	Yes	13.59625
1674	GLOBAL	Cartesian	1.46375	12.575	-0.84	Yes	1.46375
1675	GLOBAL	Cartesian	7.36573	1.475	-0.84	Yes	7.36573
1676	GLOBAL	Cartesian	8.93427	-1.475	-0.84	Yes	8.93427
1677	GLOBAL	Cartesian	14.83625	-12.575	-0.84	Yes	14.83625
1678	GLOBAL	Cartesian	15.09311	-17.4192	-9.25	Yes	15.09311
1679	GLOBAL	Cartesian	17.74191	-16.0108	-9.25	Yes	17.74191
1680	GLOBAL	Cartesian	15.09311	-17.4192	-10.25	Yes	15.09311
1681	GLOBAL	Cartesian	17.74191	-16.0108	-10.25	Yes	17.74191
1682	GLOBAL	Cartesian	15.09311	-17.4192	-11.25	Yes	15.09311
1683	GLOBAL	Cartesian	17.74191	-16.0108	-11.25	Yes	17.74191
1684	GLOBAL	Cartesian	15.09311	-17.4192	-12.25	Yes	15.09311
1685	GLOBAL	Cartesian	17.74191	-16.0108	-12.25	Yes	17.74191
1686	GLOBAL	Cartesian	15.09311	-17.4192	-13.25	Yes	15.09311
1687	GLOBAL	Cartesian	17.74191	-16.0108	-13.25	Yes	17.74191
1688	GLOBAL	Cartesian	15.09311	-17.4192	-14.25	Yes	15.09311
1689	GLOBAL	Cartesian	17.74191	-16.0108	-14.25	Yes	17.74191
1690	GLOBAL	Cartesian	15.09311	-17.4192	-15.25	Yes	15.09311
1691	GLOBAL	Cartesian	17.74191	-16.0108	-15.25	Yes	17.74191
1692	GLOBAL	Cartesian	-27.67258	10.725	-0.84	Yes	-27.67258
1693	GLOBAL	Cartesian	-13.8555	10.725	-0.84	Yes	-13.8555
1694	GLOBAL	Cartesian	-12.60967	10.725	-0.84	Yes	-12.60967

Table: Joint Coordinates, Part 1 of 2

Joint	CoordSys	CoordType	XorR m	Y m	Z m	SpecialJt	GlobalX m
1695	GLOBAL	Cartesian	1.20742	10.725	-0.84	Yes	1.20742
1696	GLOBAL	Cartesian	2.44742	10.725	-0.84	Yes	2.44742
1697	GLOBAL	Cartesian	15.09311	-17.4192	-16.25	Yes	15.09311
1698	GLOBAL	Cartesian	-26.68892	8.875	-0.84	Yes	-26.68892
1699	GLOBAL	Cartesian	-12.87183	8.875	-0.84	Yes	-12.87183
1700	GLOBAL	Cartesian	-11.62601	8.875	-0.84	Yes	-11.62601
1701	GLOBAL	Cartesian	2.19108	8.875	-0.84	Yes	2.19108
1702	GLOBAL	Cartesian	3.43108	8.875	-0.84	Yes	3.43108
1703	GLOBAL	Cartesian	17.74191	-16.0108	-16.25	Yes	17.74191
1704	GLOBAL	Cartesian	-25.70526	7.025	-0.84	Yes	-25.70526
1705	GLOBAL	Cartesian	-11.88817	7.025	-0.84	Yes	-11.88817
1706	GLOBAL	Cartesian	-10.64235	7.025	-0.84	Yes	-10.64235
1707	GLOBAL	Cartesian	3.17474	7.025	-0.84	Yes	3.17474
1708	GLOBAL	Cartesian	4.41474	7.025	-0.84	Yes	4.41474
1709	GLOBAL	Cartesian	15.09311	-17.4192	-17.25	Yes	15.09311
1710	GLOBAL	Cartesian	-24.7216	5.175	-0.84	Yes	-24.7216
1711	GLOBAL	Cartesian	-10.90451	5.175	-0.84	Yes	-10.90451
1712	GLOBAL	Cartesian	-9.65868	5.175	-0.84	Yes	-9.65868
1713	GLOBAL	Cartesian	4.1584	5.175	-0.84	Yes	4.1584
1714	GLOBAL	Cartesian	5.3984	5.175	-0.84	Yes	5.3984
1715	GLOBAL	Cartesian	17.74191	-16.0108	-17.25	Yes	17.74191
1716	GLOBAL	Cartesian	-23.73793	3.325	-0.84	Yes	-23.73793
1717	GLOBAL	Cartesian	-9.92085	3.325	-0.84	Yes	-9.92085
1718	GLOBAL	Cartesian	-8.67502	3.325	-0.84	Yes	-8.67502
1719	GLOBAL	Cartesian	5.14207	3.325	-0.84	Yes	5.14207
1720	GLOBAL	Cartesian	6.38207	3.325	-0.84	Yes	6.38207
1721	GLOBAL	Cartesian	15.09311	-17.4192	-18.25	Yes	15.09311
1722	GLOBAL	Cartesian	-20.20207	-3.325	-0.84	Yes	-20.20207
1723	GLOBAL	Cartesian	-6.38498	-3.325	-0.84	Yes	-6.38498
1724	GLOBAL	Cartesian	-5.13915	-3.325	-0.84	Yes	-5.13915
1725	GLOBAL	Cartesian	8.67793	-3.325	-0.84	Yes	8.67793
1726	GLOBAL	Cartesian	9.91793	-3.325	-0.84	Yes	9.91793
1727	GLOBAL	Cartesian	17.74191	-16.0108	-18.25	Yes	17.74191
1728	GLOBAL	Cartesian	-19.2184	-5.175	-0.84	Yes	-19.2184
1729	GLOBAL	Cartesian	-5.40132	-5.175	-0.84	Yes	-5.40132
1730	GLOBAL	Cartesian	-4.15549	-5.175	-0.84	Yes	-4.15549
1731	GLOBAL	Cartesian	9.6616	-5.175	-0.84	Yes	9.6616
1732	GLOBAL	Cartesian	10.9016	-5.175	-0.84	Yes	10.9016
1733	GLOBAL	Cartesian	15.09311	-17.4192	-19.25	Yes	15.09311
1734	GLOBAL	Cartesian	-18.23474	-7.025	-0.84	Yes	-18.23474
1735	GLOBAL	Cartesian	-4.41765	-7.025	-0.84	Yes	-4.41765
1736	GLOBAL	Cartesian	-3.17183	-7.025	-0.84	Yes	-3.17183
1737	GLOBAL	Cartesian	10.64526	-7.025	-0.84	Yes	10.64526
1738	GLOBAL	Cartesian	11.88526	-7.025	-0.84	Yes	11.88526
1739	GLOBAL	Cartesian	17.74191	-16.0108	-19.25	Yes	17.74191
1740	GLOBAL	Cartesian	-17.25108	-8.875	-0.84	Yes	-17.25108
1741	GLOBAL	Cartesian	-3.43399	-8.875	-0.84	Yes	-3.43399
1742	GLOBAL	Cartesian	-2.18817	-8.875	-0.84	Yes	-2.18817
1743	GLOBAL	Cartesian	11.62892	-8.875	-0.84	Yes	11.62892
1744	GLOBAL	Cartesian	12.86892	-8.875	-0.84	Yes	12.86892
1745	GLOBAL	Cartesian	15.09311	-17.4192	-20.25	Yes	15.09311
1746	GLOBAL	Cartesian	-16.26742	-10.725	-0.84	Yes	-16.26742
1747	GLOBAL	Cartesian	-2.45033	-10.725	-0.84	Yes	-2.45033
1748	GLOBAL	Cartesian	-1.2045	-10.725	-0.84	Yes	-1.2045

Table: Joint Coordinates, Part 1 of 2

Joint	CoordSys	CoordType	XorR m	Y m	Z m	SpecialJt	GlobalX m
1749	GLOBAL	Cartesian	12.61258	-10.725	-0.84	Yes	12.61258
1750	GLOBAL	Cartesian	13.85258	-10.725	-0.84	Yes	13.85258
1751	GLOBAL	Cartesian	17.74191	-16.0108	-20.25	Yes	17.74191
1752	GLOBAL	Cartesian	15.09311	-17.4192	-21.25	Yes	15.09311
1753	GLOBAL	Cartesian	17.74191	-16.0108	-21.25	Yes	17.74191
1754	GLOBAL	Cartesian	0.38198	14.615	-0.84	Yes	0.38198
1755	GLOBAL	Cartesian	-0.73461	16.715	-0.84	Yes	-0.73461
1756	GLOBAL	Cartesian	-0.86385	14.615	-0.84	Yes	-0.86385
1757	GLOBAL	Cartesian	-1.98044	16.715	-0.84	Yes	-1.98044
1758	GLOBAL	Cartesian	-14.68093	14.615	-0.84	Yes	-14.68093
1759	GLOBAL	Cartesian	-15.79752	16.715	-0.84	Yes	-15.79752
1760	GLOBAL	Cartesian	-15.92093	14.615	-0.84	Yes	-15.92093
1761	GLOBAL	Cartesian	-17.03752	16.715	-0.84	Yes	-17.03752
1762	GLOBAL	Cartesian	-29.74093	14.615	-0.84	Yes	-29.74093
1763	GLOBAL	Cartesian	-30.85752	16.715	-0.84	Yes	-30.85752
1764	GLOBAL	Cartesian	-14.19907	-14.615	-0.84	Yes	-14.19907
1765	GLOBAL	Cartesian	-13.08248	-16.715	-0.84	Yes	-13.08248
1766	GLOBAL	Cartesian	-0.38198	-14.615	-0.84	Yes	-0.38198
1767	GLOBAL	Cartesian	0.73461	-16.715	-0.84	Yes	0.73461
1768	GLOBAL	Cartesian	0.86385	-14.615	-0.84	Yes	0.86385
1769	GLOBAL	Cartesian	1.98044	-16.715	-0.84	Yes	1.98044
1770	GLOBAL	Cartesian	14.68093	-14.615	-0.84	Yes	14.68093
1771	GLOBAL	Cartesian	15.79752	-16.715	-0.84	Yes	15.79752
1772	GLOBAL	Cartesian	15.92093	-14.615	-0.84	Yes	15.92093
1773	GLOBAL	Cartesian	17.03752	-16.715	-0.84	Yes	17.03752
1774	GLOBAL	Cartesian	15.09311	-17.4192	-22.25	Yes	15.09311
1775	GLOBAL	Cartesian	17.74191	-16.0108	-22.25	Yes	17.74191
1776	GLOBAL	Cartesian	-28.65625	12.575	-1.1	Yes	-28.65625
1777	GLOBAL	Cartesian	-22.75427	1.475	-1.1	Yes	-22.75427
1778	GLOBAL	Cartesian	-21.18573	-1.475	-1.1	Yes	-21.18573
1779	GLOBAL	Cartesian	-15.28375	-12.575	-1.1	Yes	-15.28375
1780	GLOBAL	Cartesian	15.09311	-17.4192	-23.25	Yes	15.09311
1781	GLOBAL	Cartesian	17.74191	-16.0108	-23.25	Yes	17.74191
1782	GLOBAL	Cartesian	-14.83916	12.575	-1.1	Yes	-14.83916
1783	GLOBAL	Cartesian	-8.93718	1.475	-1.1	Yes	-8.93718
1784	GLOBAL	Cartesian	-7.36864	-1.475	-1.1	Yes	-7.36864
1785	GLOBAL	Cartesian	-1.46667	-12.575	-1.1	Yes	-1.46667
1786	GLOBAL	Cartesian	-13.59333	12.575	-1.1	Yes	-13.59333
1787	GLOBAL	Cartesian	-7.69136	1.475	-1.1	Yes	-7.69136
1788	GLOBAL	Cartesian	-6.12282	-1.475	-1.1	Yes	-6.12282
1789	GLOBAL	Cartesian	-0.22084	-12.575	-1.1	Yes	-0.22084
1790	GLOBAL	Cartesian	0.22375	12.575	-1.1	Yes	0.22375
1791	GLOBAL	Cartesian	6.12573	1.475	-1.1	Yes	6.12573
1792	GLOBAL	Cartesian	7.69427	-1.475	-1.1	Yes	7.69427
1793	GLOBAL	Cartesian	13.59625	-12.575	-1.1	Yes	13.59625
1794	GLOBAL	Cartesian	1.46375	12.575	-1.1	Yes	1.46375
1795	GLOBAL	Cartesian	7.36573	1.475	-1.1	Yes	7.36573
1796	GLOBAL	Cartesian	8.93427	-1.475	-1.1	Yes	8.93427
1797	GLOBAL	Cartesian	14.83625	-12.575	-1.1	Yes	14.83625
1798	GLOBAL	Cartesian	15.09311	-17.4192	-24.25	Yes	15.09311
1799	GLOBAL	Cartesian	17.74191	-16.0108	-24.25	Yes	17.74191
1800	GLOBAL	Cartesian	15.09311	-17.4192	-25.25	Yes	15.09311
1801	GLOBAL	Cartesian	17.74191	-16.0108	-25.25	Yes	17.74191
1802	GLOBAL	Cartesian	15.09311	-17.4192	-26.25	Yes	15.09311

Table: Joint Coordinates, Part 1 of 2

Joint	CoordSys	CoordType	XorR	Y	Z	SpecialJt	GlobalX
			m	m	m		m
1803	GLOBAL	Cartesian	17.74191	-16.0108	-26.25	Yes	17.74191
1804	GLOBAL	Cartesian	15.09311	-17.4192	-27.25	Yes	15.09311
1805	GLOBAL	Cartesian	17.74191	-16.0108	-27.25	Yes	17.74191
1806	GLOBAL	Cartesian	15.09311	-17.4192	-28.25	Yes	15.09311
1807	GLOBAL	Cartesian	17.74191	-16.0108	-28.25	Yes	17.74191
1808	GLOBAL	Cartesian	15.09311	-17.4192	-29.25	Yes	15.09311
1809	GLOBAL	Cartesian	17.74191	-16.0108	-29.25	Yes	17.74191
1810	GLOBAL	Cartesian	15.09311	-17.4192	-30.25	Yes	15.09311
1811	GLOBAL	Cartesian	17.74191	-16.0108	-30.25	Yes	17.74191
1812	GLOBAL	Cartesian	-27.67258	10.725	-1.1	Yes	-27.67258
1813	GLOBAL	Cartesian	-13.8555	10.725	-1.1	Yes	-13.8555
1814	GLOBAL	Cartesian	-12.60967	10.725	-1.1	Yes	-12.60967
1815	GLOBAL	Cartesian	1.20742	10.725	-1.1	Yes	1.20742
1816	GLOBAL	Cartesian	2.44742	10.725	-1.1	Yes	2.44742
1817	GLOBAL	Cartesian	15.09311	-17.4192	-31.25	Yes	15.09311
1818	GLOBAL	Cartesian	-26.68892	8.875	-1.1	Yes	-26.68892
1819	GLOBAL	Cartesian	-12.87183	8.875	-1.1	Yes	-12.87183
1820	GLOBAL	Cartesian	-11.62601	8.875	-1.1	Yes	-11.62601
1821	GLOBAL	Cartesian	2.19108	8.875	-1.1	Yes	2.19108
1822	GLOBAL	Cartesian	3.43108	8.875	-1.1	Yes	3.43108
1823	GLOBAL	Cartesian	17.74191	-16.0108	-31.25	Yes	17.74191
1824	GLOBAL	Cartesian	-25.70526	7.025	-1.1	Yes	-25.70526
1825	GLOBAL	Cartesian	-11.88817	7.025	-1.1	Yes	-11.88817
1826	GLOBAL	Cartesian	-10.64235	7.025	-1.1	Yes	-10.64235
1827	GLOBAL	Cartesian	3.17474	7.025	-1.1	Yes	3.17474
1828	GLOBAL	Cartesian	4.41474	7.025	-1.1	Yes	4.41474
1829	GLOBAL	Cartesian	15.09311	-17.4192	-32.25	Yes	15.09311
1830	GLOBAL	Cartesian	-24.7216	5.175	-1.1	Yes	-24.7216
1831	GLOBAL	Cartesian	-10.90451	5.175	-1.1	Yes	-10.90451
1832	GLOBAL	Cartesian	-9.65868	5.175	-1.1	Yes	-9.65868
1833	GLOBAL	Cartesian	4.1584	5.175	-1.1	Yes	4.1584
1834	GLOBAL	Cartesian	5.3984	5.175	-1.1	Yes	5.3984
1835	GLOBAL	Cartesian	17.74191	-16.0108	-32.25	Yes	17.74191
1836	GLOBAL	Cartesian	-23.73793	3.325	-1.1	Yes	-23.73793
1837	GLOBAL	Cartesian	-9.92085	3.325	-1.1	Yes	-9.92085
1838	GLOBAL	Cartesian	-8.67502	3.325	-1.1	Yes	-8.67502
1839	GLOBAL	Cartesian	5.14207	3.325	-1.1	Yes	5.14207
1840	GLOBAL	Cartesian	6.38207	3.325	-1.1	Yes	6.38207
1841	GLOBAL	Cartesian	15.09311	-17.4192	-33.25	Yes	15.09311
1842	GLOBAL	Cartesian	-20.20207	-3.325	-1.1	Yes	-20.20207
1843	GLOBAL	Cartesian	-6.38498	-3.325	-1.1	Yes	-6.38498
1844	GLOBAL	Cartesian	-5.13915	-3.325	-1.1	Yes	-5.13915
1845	GLOBAL	Cartesian	8.67793	-3.325	-1.1	Yes	8.67793
1846	GLOBAL	Cartesian	9.91793	-3.325	-1.1	Yes	9.91793
1847	GLOBAL	Cartesian	17.74191	-16.0108	-33.25	Yes	17.74191
1848	GLOBAL	Cartesian	-19.2184	-5.175	-1.1	Yes	-19.2184
1849	GLOBAL	Cartesian	-5.40132	-5.175	-1.1	Yes	-5.40132
1850	GLOBAL	Cartesian	-4.15549	-5.175	-1.1	Yes	-4.15549
1851	GLOBAL	Cartesian	9.6616	-5.175	-1.1	Yes	9.6616
1852	GLOBAL	Cartesian	10.9016	-5.175	-1.1	Yes	10.9016
1853	GLOBAL	Cartesian	-0.48066	11.8708	-8.25	Yes	-0.48066
1854	GLOBAL	Cartesian	-18.23474	-7.025	-1.1	Yes	-18.23474
1855	GLOBAL	Cartesian	-4.41765	-7.025	-1.1	Yes	-4.41765
1856	GLOBAL	Cartesian	-3.17183	-7.025	-1.1	Yes	-3.17183

Table: Joint Coordinates, Part 1 of 2

Joint	CoordSys	CoordType	XorR m	Y m	Z m	SpecialJt	GlobalX m
1857	GLOBAL	Cartesian	10.64526	-7.025	-1.1	Yes	10.64526
1858	GLOBAL	Cartesian	11.88526	-7.025	-1.1	Yes	11.88526
1859	GLOBAL	Cartesian	5.42132	0.7708	-8.25	Yes	5.42132
1860	GLOBAL	Cartesian	-17.25108	-8.875	-1.1	Yes	-17.25108
1861	GLOBAL	Cartesian	-3.43399	-8.875	-1.1	Yes	-3.43399
1862	GLOBAL	Cartesian	-2.18817	-8.875	-1.1	Yes	-2.18817
1863	GLOBAL	Cartesian	11.62892	-8.875	-1.1	Yes	11.62892
1864	GLOBAL	Cartesian	12.86892	-8.875	-1.1	Yes	12.86892
1865	GLOBAL	Cartesian	2.47033	6.3208	-8.25	Yes	2.47033
1866	GLOBAL	Cartesian	-16.26742	-10.725	-1.1	Yes	-16.26742
1867	GLOBAL	Cartesian	-2.45033	-10.725	-1.1	Yes	-2.45033
1868	GLOBAL	Cartesian	-1.2045	-10.725	-1.1	Yes	-1.2045
1869	GLOBAL	Cartesian	12.61258	-10.725	-1.1	Yes	12.61258
1870	GLOBAL	Cartesian	13.85258	-10.725	-1.1	Yes	13.85258
1871	GLOBAL	Cartesian	-1.56243	13.9108	-8.25	Yes	-1.56243
1872	GLOBAL	Cartesian	-2.67902	16.0108	-8.25	Yes	-2.67902
1873	GLOBAL	Cartesian	2.16814	13.2792	-8.25	Yes	2.16814
1874	GLOBAL	Cartesian	0.38198	14.615	-1.1	Yes	0.38198
1875	GLOBAL	Cartesian	-0.73461	16.715	-1.1	Yes	-0.73461
1876	GLOBAL	Cartesian	-0.86385	14.615	-1.1	Yes	-0.86385
1877	GLOBAL	Cartesian	-1.98044	16.715	-1.1	Yes	-1.98044
1878	GLOBAL	Cartesian	-14.68093	14.615	-1.1	Yes	-14.68093
1879	GLOBAL	Cartesian	-15.79752	16.715	-1.1	Yes	-15.79752
1880	GLOBAL	Cartesian	-15.92093	14.615	-1.1	Yes	-15.92093
1881	GLOBAL	Cartesian	-17.03752	16.715	-1.1	Yes	-17.03752
1884	GLOBAL	Cartesian	-14.19907	-14.615	-1.1	Yes	-14.19907
1885	GLOBAL	Cartesian	-13.08248	-16.715	-1.1	Yes	-13.08248
1886	GLOBAL	Cartesian	-0.38198	-14.615	-1.1	Yes	-0.38198
1887	GLOBAL	Cartesian	0.73461	-16.715	-1.1	Yes	0.73461
1888	GLOBAL	Cartesian	0.86385	-14.615	-1.1	Yes	0.86385
1889	GLOBAL	Cartesian	1.98044	-16.715	-1.1	Yes	1.98044
1890	GLOBAL	Cartesian	14.68093	-14.615	-1.1	Yes	14.68093
1891	GLOBAL	Cartesian	15.79752	-16.715	-1.1	Yes	15.79752
1892	GLOBAL	Cartesian	15.92093	-14.615	-1.1	Yes	15.92093
1893	GLOBAL	Cartesian	17.03752	-16.715	-1.1	Yes	17.03752
1894	GLOBAL	Cartesian	8.07012	2.1792	-8.25	Yes	8.07012
1895	GLOBAL	Cartesian	5.11913	7.7292	-8.25	Yes	5.11913
1896	GLOBAL	Cartesian	1.08637	15.3192	-8.25	Yes	1.08637
1897	GLOBAL	Cartesian	-0.03022	17.4192	-8.25	Yes	-0.03022
1898	GLOBAL	Cartesian	-0.48066	11.8708	-9.25	Yes	-0.48066
1899	GLOBAL	Cartesian	5.42132	0.7708	-9.25	Yes	5.42132
1900	GLOBAL	Cartesian	2.47033	6.3208	-9.25	Yes	2.47033
1901	GLOBAL	Cartesian	-1.56243	13.9108	-9.25	Yes	-1.56243
1902	GLOBAL	Cartesian	-2.67902	16.0108	-9.25	Yes	-2.67902
1903	GLOBAL	Cartesian	2.16814	13.2792	-9.25	Yes	2.16814
1904	GLOBAL	Cartesian	8.07012	2.1792	-9.25	Yes	8.07012
1905	GLOBAL	Cartesian	5.11913	7.7292	-9.25	Yes	5.11913
1906	GLOBAL	Cartesian	1.08637	15.3192	-9.25	Yes	1.08637
1907	GLOBAL	Cartesian	-0.03022	17.4192	-9.25	Yes	-0.03022
1908	GLOBAL	Cartesian	-0.48066	11.8708	-10.25	Yes	-0.48066
1909	GLOBAL	Cartesian	5.42132	0.7708	-10.25	Yes	5.42132
1910	GLOBAL	Cartesian	2.47033	6.3208	-10.25	Yes	2.47033
1911	GLOBAL	Cartesian	-1.56243	13.9108	-10.25	Yes	-1.56243
1912	GLOBAL	Cartesian	-2.67902	16.0108	-10.25	Yes	-2.67902

Table: Joint Coordinates, Part 1 of 2

Joint	CoordSys	CoordType	XorR m	Y m	Z m	SpecialJt	GlobalX m
1913	GLOBAL	Cartesian	2.16814	13.2792	-10.25	Yes	2.16814
1914	GLOBAL	Cartesian	8.07012	2.1792	-10.25	Yes	8.07012
1915	GLOBAL	Cartesian	5.11913	7.7292	-10.25	Yes	5.11913
1916	GLOBAL	Cartesian	1.08637	15.3192	-10.25	Yes	1.08637
1917	GLOBAL	Cartesian	-0.03022	17.4192	-10.25	Yes	-0.03022
1918	GLOBAL	Cartesian	-0.48066	11.8708	-11.25	Yes	-0.48066
1919	GLOBAL	Cartesian	5.42132	0.7708	-11.25	Yes	5.42132
1920	GLOBAL	Cartesian	2.47033	6.3208	-11.25	Yes	2.47033
1921	GLOBAL	Cartesian	-1.56243	13.9108	-11.25	Yes	-1.56243
1922	GLOBAL	Cartesian	-2.67902	16.0108	-11.25	Yes	-2.67902
1923	GLOBAL	Cartesian	2.16814	13.2792	-11.25	Yes	2.16814
1924	GLOBAL	Cartesian	8.07012	2.1792	-11.25	Yes	8.07012
1925	GLOBAL	Cartesian	5.11913	7.7292	-11.25	Yes	5.11913
1926	GLOBAL	Cartesian	1.08637	15.3192	-11.25	Yes	1.08637
1927	GLOBAL	Cartesian	-0.03022	17.4192	-11.25	Yes	-0.03022
1928	GLOBAL	Cartesian	-0.48066	11.8708	-12.25	Yes	-0.48066
1929	GLOBAL	Cartesian	5.42132	0.7708	-12.25	Yes	5.42132
1930	GLOBAL	Cartesian	2.47033	6.3208	-12.25	Yes	2.47033
1931	GLOBAL	Cartesian	-1.56243	13.9108	-12.25	Yes	-1.56243
1932	GLOBAL	Cartesian	-2.67902	16.0108	-12.25	Yes	-2.67902
1933	GLOBAL	Cartesian	2.16814	13.2792	-12.25	Yes	2.16814
1934	GLOBAL	Cartesian	8.07012	2.1792	-12.25	Yes	8.07012
1935	GLOBAL	Cartesian	5.11913	7.7292	-12.25	Yes	5.11913
1936	GLOBAL	Cartesian	1.08637	15.3192	-12.25	Yes	1.08637
1937	GLOBAL	Cartesian	-0.03022	17.4192	-12.25	Yes	-0.03022
1938	GLOBAL	Cartesian	-0.48066	11.8708	-13.25	Yes	-0.48066
1939	GLOBAL	Cartesian	5.42132	0.7708	-13.25	Yes	5.42132
1940	GLOBAL	Cartesian	2.47033	6.3208	-13.25	Yes	2.47033
1941	GLOBAL	Cartesian	-1.56243	13.9108	-13.25	Yes	-1.56243
1942	GLOBAL	Cartesian	-2.67902	16.0108	-13.25	Yes	-2.67902
1943	GLOBAL	Cartesian	2.16814	13.2792	-13.25	Yes	2.16814
1944	GLOBAL	Cartesian	8.07012	2.1792	-13.25	Yes	8.07012
1945	GLOBAL	Cartesian	5.11913	7.7292	-13.25	Yes	5.11913
1946	GLOBAL	Cartesian	1.08637	15.3192	-13.25	Yes	1.08637
1947	GLOBAL	Cartesian	-0.03022	17.4192	-13.25	Yes	-0.03022
1948	GLOBAL	Cartesian	-0.48066	11.8708	-14.25	Yes	-0.48066
1949	GLOBAL	Cartesian	5.42132	0.7708	-14.25	Yes	5.42132
1950	GLOBAL	Cartesian	2.47033	6.3208	-14.25	Yes	2.47033
1951	GLOBAL	Cartesian	-1.56243	13.9108	-14.25	Yes	-1.56243
1952	GLOBAL	Cartesian	-2.67902	16.0108	-14.25	Yes	-2.67902
1953	GLOBAL	Cartesian	2.16814	13.2792	-14.25	Yes	2.16814
1954	GLOBAL	Cartesian	8.07012	2.1792	-14.25	Yes	8.07012
1955	GLOBAL	Cartesian	5.11913	7.7292	-14.25	Yes	5.11913
1956	GLOBAL	Cartesian	1.08637	15.3192	-14.25	Yes	1.08637
1957	GLOBAL	Cartesian	-0.03022	17.4192	-14.25	Yes	-0.03022
1958	GLOBAL	Cartesian	-0.48066	11.8708	-15.25	Yes	-0.48066
1959	GLOBAL	Cartesian	5.42132	0.7708	-15.25	Yes	5.42132
1960	GLOBAL	Cartesian	2.47033	6.3208	-15.25	Yes	2.47033
1961	GLOBAL	Cartesian	-1.56243	13.9108	-15.25	Yes	-1.56243
1962	GLOBAL	Cartesian	-2.67902	16.0108	-15.25	Yes	-2.67902
1963	GLOBAL	Cartesian	2.16814	13.2792	-15.25	Yes	2.16814
1964	GLOBAL	Cartesian	8.07012	2.1792	-15.25	Yes	8.07012
1965	GLOBAL	Cartesian	5.11913	7.7292	-15.25	Yes	5.11913
1966	GLOBAL	Cartesian	1.08637	15.3192	-15.25	Yes	1.08637

Table: Joint Coordinates, Part 1 of 2

Joint	CoordSys	CoordType	XorR m	Y m	Z m	SpecialJt	GlobalX m
1967	GLOBAL	Cartesian	-0.03022	17.4192	-15.25	Yes	-0.03022
1968	GLOBAL	Cartesian	-0.48066	11.8708	-16.25	Yes	-0.48066
1969	GLOBAL	Cartesian	5.42132	0.7708	-16.25	Yes	5.42132
1970	GLOBAL	Cartesian	2.47033	6.3208	-16.25	Yes	2.47033
1971	GLOBAL	Cartesian	-1.56243	13.9108	-16.25	Yes	-1.56243
1972	GLOBAL	Cartesian	-2.67902	16.0108	-16.25	Yes	-2.67902
1973	GLOBAL	Cartesian	2.16814	13.2792	-16.25	Yes	2.16814
1974	GLOBAL	Cartesian	8.07012	2.1792	-16.25	Yes	8.07012
1975	GLOBAL	Cartesian	5.11913	7.7292	-16.25	Yes	5.11913
1976	GLOBAL	Cartesian	1.08637	15.3192	-16.25	Yes	1.08637
1977	GLOBAL	Cartesian	-0.03022	17.4192	-16.25	Yes	-0.03022
1978	GLOBAL	Cartesian	-0.48066	11.8708	-17.25	Yes	-0.48066
1979	GLOBAL	Cartesian	5.42132	0.7708	-17.25	Yes	5.42132
1980	GLOBAL	Cartesian	2.47033	6.3208	-17.25	Yes	2.47033
1981	GLOBAL	Cartesian	-1.56243	13.9108	-17.25	Yes	-1.56243
1982	GLOBAL	Cartesian	-2.67902	16.0108	-17.25	Yes	-2.67902
1983	GLOBAL	Cartesian	2.16814	13.2792	-17.25	Yes	2.16814
1984	GLOBAL	Cartesian	8.07012	2.1792	-17.25	Yes	8.07012
1985	GLOBAL	Cartesian	5.11913	7.7292	-17.25	Yes	5.11913
1986	GLOBAL	Cartesian	1.08637	15.3192	-17.25	Yes	1.08637
1987	GLOBAL	Cartesian	-0.03022	17.4192	-17.25	Yes	-0.03022
1988	GLOBAL	Cartesian	-0.48066	11.8708	-18.25	Yes	-0.48066
1989	GLOBAL	Cartesian	5.42132	0.7708	-18.25	Yes	5.42132
1990	GLOBAL	Cartesian	2.47033	6.3208	-18.25	Yes	2.47033
1991	GLOBAL	Cartesian	-1.56243	13.9108	-18.25	Yes	-1.56243
1992	GLOBAL	Cartesian	-2.67902	16.0108	-18.25	Yes	-2.67902
1993	GLOBAL	Cartesian	2.16814	13.2792	-18.25	Yes	2.16814
1994	GLOBAL	Cartesian	8.07012	2.1792	-18.25	Yes	8.07012
1995	GLOBAL	Cartesian	5.11913	7.7292	-18.25	Yes	5.11913
1996	GLOBAL	Cartesian	1.08637	15.3192	-18.25	Yes	1.08637
1997	GLOBAL	Cartesian	-0.03022	17.4192	-18.25	Yes	-0.03022
1998	GLOBAL	Cartesian	-0.48066	11.8708	-19.25	Yes	-0.48066
1999	GLOBAL	Cartesian	5.42132	0.7708	-19.25	Yes	5.42132
2000	GLOBAL	Cartesian	2.47033	6.3208	-19.25	Yes	2.47033
2001	GLOBAL	Cartesian	-1.56243	13.9108	-19.25	Yes	-1.56243
2002	GLOBAL	Cartesian	-2.67902	16.0108	-19.25	Yes	-2.67902
2003	GLOBAL	Cartesian	2.16814	13.2792	-19.25	Yes	2.16814
2004	GLOBAL	Cartesian	8.07012	2.1792	-19.25	Yes	8.07012
2005	GLOBAL	Cartesian	5.11913	7.7292	-19.25	Yes	5.11913
2006	GLOBAL	Cartesian	1.08637	15.3192	-19.25	Yes	1.08637
2007	GLOBAL	Cartesian	-0.03022	17.4192	-19.25	Yes	-0.03022
2008	GLOBAL	Cartesian	-0.48066	11.8708	-20.25	Yes	-0.48066
2009	GLOBAL	Cartesian	5.42132	0.7708	-20.25	Yes	5.42132
2010	GLOBAL	Cartesian	2.47033	6.3208	-20.25	Yes	2.47033
2011	GLOBAL	Cartesian	-1.56243	13.9108	-20.25	Yes	-1.56243
2012	GLOBAL	Cartesian	-2.67902	16.0108	-20.25	Yes	-2.67902
2013	GLOBAL	Cartesian	2.16814	13.2792	-20.25	Yes	2.16814
2014	GLOBAL	Cartesian	8.07012	2.1792	-20.25	Yes	8.07012
2015	GLOBAL	Cartesian	5.11913	7.7292	-20.25	Yes	5.11913
2016	GLOBAL	Cartesian	1.08637	15.3192	-20.25	Yes	1.08637
2017	GLOBAL	Cartesian	-0.03022	17.4192	-20.25	Yes	-0.03022
2018	GLOBAL	Cartesian	-0.48066	11.8708	-21.25	Yes	-0.48066
2019	GLOBAL	Cartesian	5.42132	0.7708	-21.25	Yes	5.42132
2020	GLOBAL	Cartesian	2.47033	6.3208	-21.25	Yes	2.47033

Table: Joint Coordinates, Part 1 of 2

Joint	CoordSys	CoordType	XorR m	Y m	Z m	SpecialJt	GlobalX m
2021	GLOBAL	Cartesian	-1.56243	13.9108	-21.25	Yes	-1.56243
2022	GLOBAL	Cartesian	-2.67902	16.0108	-21.25	Yes	-2.67902
2023	GLOBAL	Cartesian	2.16814	13.2792	-21.25	Yes	2.16814
2024	GLOBAL	Cartesian	8.07012	2.1792	-21.25	Yes	8.07012
2025	GLOBAL	Cartesian	5.11913	7.7292	-21.25	Yes	5.11913
2026	GLOBAL	Cartesian	1.08637	15.3192	-21.25	Yes	1.08637
2027	GLOBAL	Cartesian	-0.03022	17.4192	-21.25	Yes	-0.03022
2028	GLOBAL	Cartesian	-0.48066	11.8708	-22.25	Yes	-0.48066
2029	GLOBAL	Cartesian	5.42132	0.7708	-22.25	Yes	5.42132
2030	GLOBAL	Cartesian	2.47033	6.3208	-22.25	Yes	2.47033
2031	GLOBAL	Cartesian	-1.56243	13.9108	-22.25	Yes	-1.56243
2032	GLOBAL	Cartesian	-2.67902	16.0108	-22.25	Yes	-2.67902
2033	GLOBAL	Cartesian	2.16814	13.2792	-22.25	Yes	2.16814
2034	GLOBAL	Cartesian	8.07012	2.1792	-22.25	Yes	8.07012
2035	GLOBAL	Cartesian	5.11913	7.7292	-22.25	Yes	5.11913
2036	GLOBAL	Cartesian	1.08637	15.3192	-22.25	Yes	1.08637
2037	GLOBAL	Cartesian	-0.03022	17.4192	-22.25	Yes	-0.03022
2038	GLOBAL	Cartesian	-0.48066	11.8708	-23.25	Yes	-0.48066
2039	GLOBAL	Cartesian	5.42132	0.7708	-23.25	Yes	5.42132
2040	GLOBAL	Cartesian	2.47033	6.3208	-23.25	Yes	2.47033
2041	GLOBAL	Cartesian	-1.56243	13.9108	-23.25	Yes	-1.56243
2042	GLOBAL	Cartesian	-2.67902	16.0108	-23.25	Yes	-2.67902
2043	GLOBAL	Cartesian	2.16814	13.2792	-23.25	Yes	2.16814
2044	GLOBAL	Cartesian	8.07012	2.1792	-23.25	Yes	8.07012
2045	GLOBAL	Cartesian	5.11913	7.7292	-23.25	Yes	5.11913
2046	GLOBAL	Cartesian	1.08637	15.3192	-23.25	Yes	1.08637
2047	GLOBAL	Cartesian	-0.03022	17.4192	-23.25	Yes	-0.03022
2048	GLOBAL	Cartesian	-0.48066	11.8708	-24.25	Yes	-0.48066
2049	GLOBAL	Cartesian	5.42132	0.7708	-24.25	Yes	5.42132
2050	GLOBAL	Cartesian	2.47033	6.3208	-24.25	Yes	2.47033
2051	GLOBAL	Cartesian	-1.56243	13.9108	-24.25	Yes	-1.56243
2052	GLOBAL	Cartesian	-2.67902	16.0108	-24.25	Yes	-2.67902
2053	GLOBAL	Cartesian	2.16814	13.2792	-24.25	Yes	2.16814
2054	GLOBAL	Cartesian	8.07012	2.1792	-24.25	Yes	8.07012
2055	GLOBAL	Cartesian	5.11913	7.7292	-24.25	Yes	5.11913
2056	GLOBAL	Cartesian	1.08637	15.3192	-24.25	Yes	1.08637
2057	GLOBAL	Cartesian	-0.03022	17.4192	-24.25	Yes	-0.03022
2058	GLOBAL	Cartesian	-0.48066	11.8708	-25.25	Yes	-0.48066
2059	GLOBAL	Cartesian	5.42132	0.7708	-25.25	Yes	5.42132
2060	GLOBAL	Cartesian	2.47033	6.3208	-25.25	Yes	2.47033
2061	GLOBAL	Cartesian	-1.56243	13.9108	-25.25	Yes	-1.56243
2062	GLOBAL	Cartesian	-2.67902	16.0108	-25.25	Yes	-2.67902
2063	GLOBAL	Cartesian	2.16814	13.2792	-25.25	Yes	2.16814
2064	GLOBAL	Cartesian	8.07012	2.1792	-25.25	Yes	8.07012
2065	GLOBAL	Cartesian	5.11913	7.7292	-25.25	Yes	5.11913
2066	GLOBAL	Cartesian	1.08637	15.3192	-25.25	Yes	1.08637
2067	GLOBAL	Cartesian	-0.03022	17.4192	-25.25	Yes	-0.03022
2068	GLOBAL	Cartesian	-0.48066	11.8708	-26.25	Yes	-0.48066
2069	GLOBAL	Cartesian	5.42132	0.7708	-26.25	Yes	5.42132
2070	GLOBAL	Cartesian	2.47033	6.3208	-26.25	Yes	2.47033
2071	GLOBAL	Cartesian	-1.56243	13.9108	-26.25	Yes	-1.56243
2072	GLOBAL	Cartesian	-2.67902	16.0108	-26.25	Yes	-2.67902
2073	GLOBAL	Cartesian	2.16814	13.2792	-26.25	Yes	2.16814
2074	GLOBAL	Cartesian	8.07012	2.1792	-26.25	Yes	8.07012

Table: Joint Coordinates, Part 1 of 2

Joint	CoordSys	CoordType	XorR m	Y m	Z m	SpecialJt	GlobalX m
2075	GLOBAL	Cartesian	5.11913	7.7292	-26.25	Yes	5.11913
2076	GLOBAL	Cartesian	1.08637	15.3192	-26.25	Yes	1.08637
2077	GLOBAL	Cartesian	-0.03022	17.4192	-26.25	Yes	-0.03022
2078	GLOBAL	Cartesian	-0.48066	11.8708	-27.25	Yes	-0.48066
2079	GLOBAL	Cartesian	5.42132	0.7708	-27.25	Yes	5.42132
2080	GLOBAL	Cartesian	2.47033	6.3208	-27.25	Yes	2.47033
2081	GLOBAL	Cartesian	-1.56243	13.9108	-27.25	Yes	-1.56243
2082	GLOBAL	Cartesian	-2.67902	16.0108	-27.25	Yes	-2.67902
2083	GLOBAL	Cartesian	2.16814	13.2792	-27.25	Yes	2.16814
2084	GLOBAL	Cartesian	8.07012	2.1792	-27.25	Yes	8.07012
2085	GLOBAL	Cartesian	5.11913	7.7292	-27.25	Yes	5.11913
2086	GLOBAL	Cartesian	1.08637	15.3192	-27.25	Yes	1.08637
2087	GLOBAL	Cartesian	-0.03022	17.4192	-27.25	Yes	-0.03022
2088	GLOBAL	Cartesian	-0.48066	11.8708	-28.25	Yes	-0.48066
2089	GLOBAL	Cartesian	5.42132	0.7708	-28.25	Yes	5.42132
2090	GLOBAL	Cartesian	2.47033	6.3208	-28.25	Yes	2.47033
2091	GLOBAL	Cartesian	-1.56243	13.9108	-28.25	Yes	-1.56243
2092	GLOBAL	Cartesian	-2.67902	16.0108	-28.25	Yes	-2.67902
2093	GLOBAL	Cartesian	2.16814	13.2792	-28.25	Yes	2.16814
2094	GLOBAL	Cartesian	8.07012	2.1792	-28.25	Yes	8.07012
2095	GLOBAL	Cartesian	5.11913	7.7292	-28.25	Yes	5.11913
2096	GLOBAL	Cartesian	1.08637	15.3192	-28.25	Yes	1.08637
2097	GLOBAL	Cartesian	-0.03022	17.4192	-28.25	Yes	-0.03022
2098	GLOBAL	Cartesian	-0.48066	11.8708	-29.25	Yes	-0.48066
2099	GLOBAL	Cartesian	5.42132	0.7708	-29.25	Yes	5.42132
2100	GLOBAL	Cartesian	2.47033	6.3208	-29.25	Yes	2.47033
2101	GLOBAL	Cartesian	-1.56243	13.9108	-29.25	Yes	-1.56243
2102	GLOBAL	Cartesian	-2.67902	16.0108	-29.25	Yes	-2.67902
2103	GLOBAL	Cartesian	2.16814	13.2792	-29.25	Yes	2.16814
2104	GLOBAL	Cartesian	8.07012	2.1792	-29.25	Yes	8.07012
2105	GLOBAL	Cartesian	5.11913	7.7292	-29.25	Yes	5.11913
2106	GLOBAL	Cartesian	1.08637	15.3192	-29.25	Yes	1.08637
2107	GLOBAL	Cartesian	-0.03022	17.4192	-29.25	Yes	-0.03022
2108	GLOBAL	Cartesian	-0.48066	11.8708	-30.25	Yes	-0.48066
2109	GLOBAL	Cartesian	5.42132	0.7708	-30.25	Yes	5.42132
2110	GLOBAL	Cartesian	2.47033	6.3208	-30.25	Yes	2.47033
2111	GLOBAL	Cartesian	-1.56243	13.9108	-30.25	Yes	-1.56243
2112	GLOBAL	Cartesian	-2.67902	16.0108	-30.25	Yes	-2.67902
2113	GLOBAL	Cartesian	2.16814	13.2792	-30.25	Yes	2.16814
2114	GLOBAL	Cartesian	8.07012	2.1792	-30.25	Yes	8.07012
2115	GLOBAL	Cartesian	5.11913	7.7292	-30.25	Yes	5.11913
2116	GLOBAL	Cartesian	1.08637	15.3192	-30.25	Yes	1.08637
2117	GLOBAL	Cartesian	-0.03022	17.4192	-30.25	Yes	-0.03022
2118	GLOBAL	Cartesian	-0.48066	11.8708	-31.25	Yes	-0.48066
2119	GLOBAL	Cartesian	5.42132	0.7708	-31.25	Yes	5.42132
2120	GLOBAL	Cartesian	2.47033	6.3208	-31.25	Yes	2.47033
2121	GLOBAL	Cartesian	-1.56243	13.9108	-31.25	Yes	-1.56243
2122	GLOBAL	Cartesian	-2.67902	16.0108	-31.25	Yes	-2.67902
2123	GLOBAL	Cartesian	2.16814	13.2792	-31.25	Yes	2.16814
2124	GLOBAL	Cartesian	8.07012	2.1792	-31.25	Yes	8.07012
2125	GLOBAL	Cartesian	5.11913	7.7292	-31.25	Yes	5.11913
2126	GLOBAL	Cartesian	1.08637	15.3192	-31.25	Yes	1.08637
2127	GLOBAL	Cartesian	-0.03022	17.4192	-31.25	Yes	-0.03022
2128	GLOBAL	Cartesian	-0.48066	11.8708	-32.25	Yes	-0.48066

Table: Joint Coordinates, Part 1 of 2

Joint	CoordSys	CoordType	XorR m	Y m	Z m	SpecialJt	GlobalX m
2129	GLOBAL	Cartesian	5.42132	0.7708	-32.25	Yes	5.42132
2130	GLOBAL	Cartesian	2.47033	6.3208	-32.25	Yes	2.47033
2131	GLOBAL	Cartesian	-1.56243	13.9108	-32.25	Yes	-1.56243
2132	GLOBAL	Cartesian	-2.67902	16.0108	-32.25	Yes	-2.67902
2133	GLOBAL	Cartesian	2.16814	13.2792	-32.25	Yes	2.16814
2134	GLOBAL	Cartesian	8.07012	2.1792	-32.25	Yes	8.07012
2135	GLOBAL	Cartesian	5.11913	7.7292	-32.25	Yes	5.11913
2136	GLOBAL	Cartesian	1.08637	15.3192	-32.25	Yes	1.08637
2137	GLOBAL	Cartesian	-0.03022	17.4192	-32.25	Yes	-0.03022
2138	GLOBAL	Cartesian	-0.48066	11.8708	-33.25	Yes	-0.48066
2139	GLOBAL	Cartesian	5.42132	0.7708	-33.25	Yes	5.42132
2140	GLOBAL	Cartesian	2.47033	6.3208	-33.25	Yes	2.47033
2141	GLOBAL	Cartesian	-1.56243	13.9108	-33.25	Yes	-1.56243
2142	GLOBAL	Cartesian	-2.67902	16.0108	-33.25	Yes	-2.67902
2143	GLOBAL	Cartesian	2.16814	13.2792	-33.25	Yes	2.16814
2144	GLOBAL	Cartesian	8.07012	2.1792	-33.25	Yes	8.07012
2145	GLOBAL	Cartesian	5.11913	7.7292	-33.25	Yes	5.11913
2146	GLOBAL	Cartesian	1.08637	15.3192	-33.25	Yes	1.08637
2147	GLOBAL	Cartesian	-0.03022	17.4192	-33.25	Yes	-0.03022
2148	GLOBAL	Cartesian	-28.65626	12.575	-2.1	Yes	-28.65626
2149	GLOBAL	Cartesian	-22.75428	1.475	-2.1	Yes	-22.75428
2150	GLOBAL	Cartesian	-21.18574	-1.475	-2.1	Yes	-21.18574
2151	GLOBAL	Cartesian	-15.28377	-12.575	-2.1	Yes	-15.28377
2152	GLOBAL	Cartesian	-27.6726	10.725	-2.1	Yes	-27.6726
2153	GLOBAL	Cartesian	-26.68893	8.875	-2.1	Yes	-26.68893
2154	GLOBAL	Cartesian	-25.70527	7.025	-2.1	Yes	-25.70527
2155	GLOBAL	Cartesian	-24.72161	5.175	-2.1	Yes	-24.72161
2156	GLOBAL	Cartesian	-23.73795	3.325	-2.1	Yes	-23.73795
2157	GLOBAL	Cartesian	-20.20208	-3.325	-2.1	Yes	-20.20208
2158	GLOBAL	Cartesian	-19.21842	-5.175	-2.1	Yes	-19.21842
2159	GLOBAL	Cartesian	-18.23475	-7.025	-2.1	Yes	-18.23475
2160	GLOBAL	Cartesian	-17.25109	-8.875	-2.1	Yes	-17.25109
2161	GLOBAL	Cartesian	-16.26743	-10.725	-2.1	Yes	-16.26743
2162	GLOBAL	Cartesian	-29.73803	14.615	-2.1	Yes	-29.73803
2163	GLOBAL	Cartesian	-30.85462	16.715	-2.1	Yes	-30.85462
2164	GLOBAL	Cartesian	-14.19908	-14.615	-2.1	Yes	-14.19908
2165	GLOBAL	Cartesian	-13.08249	-16.715	-2.1	Yes	-13.08249
2166	GLOBAL	Cartesian	-28.65626	12.575	-3.1	Yes	-28.65626
2167	GLOBAL	Cartesian	-22.75428	1.475	-3.1	Yes	-22.75428
2168	GLOBAL	Cartesian	-21.18574	-1.475	-3.1	Yes	-21.18574
2169	GLOBAL	Cartesian	-15.28377	-12.575	-3.1	Yes	-15.28377
2170	GLOBAL	Cartesian	-27.6726	10.725	-3.1	Yes	-27.6726
2171	GLOBAL	Cartesian	-26.68893	8.875	-3.1	Yes	-26.68893
2172	GLOBAL	Cartesian	-25.70527	7.025	-3.1	Yes	-25.70527
2173	GLOBAL	Cartesian	-24.72161	5.175	-3.1	Yes	-24.72161
2174	GLOBAL	Cartesian	-23.73795	3.325	-3.1	Yes	-23.73795
2175	GLOBAL	Cartesian	-20.20208	-3.325	-3.1	Yes	-20.20208
2176	GLOBAL	Cartesian	-19.21842	-5.175	-3.1	Yes	-19.21842
2177	GLOBAL	Cartesian	-18.23475	-7.025	-3.1	Yes	-18.23475
2178	GLOBAL	Cartesian	-17.25109	-8.875	-3.1	Yes	-17.25109
2179	GLOBAL	Cartesian	-16.26743	-10.725	-3.1	Yes	-16.26743
2180	GLOBAL	Cartesian	-29.73803	14.615	-3.1	Yes	-29.73803
2181	GLOBAL	Cartesian	-30.85462	16.715	-3.1	Yes	-30.85462
2182	GLOBAL	Cartesian	-14.19908	-14.615	-3.1	Yes	-14.19908

Table: Joint Coordinates, Part 1 of 2

Joint	CoordSys	CoordType	XorR m	Y m	Z m	SpecialJt	GlobalX m
2183	GLOBAL	Cartesian	-13.08249	-16.715	-3.1	Yes	-13.08249
2184	GLOBAL	Cartesian	-28.65626	12.575	-4.1	Yes	-28.65626
2185	GLOBAL	Cartesian	-22.75428	1.475	-4.1	Yes	-22.75428
2186	GLOBAL	Cartesian	-21.18574	-1.475	-4.1	Yes	-21.18574
2187	GLOBAL	Cartesian	-15.28377	-12.575	-4.1	Yes	-15.28377
2188	GLOBAL	Cartesian	-27.6726	10.725	-4.1	Yes	-27.6726
2189	GLOBAL	Cartesian	-26.68893	8.875	-4.1	Yes	-26.68893
2190	GLOBAL	Cartesian	-25.70527	7.025	-4.1	Yes	-25.70527
2191	GLOBAL	Cartesian	-24.72161	5.175	-4.1	Yes	-24.72161
2192	GLOBAL	Cartesian	-23.73795	3.325	-4.1	Yes	-23.73795
2193	GLOBAL	Cartesian	-20.20208	-3.325	-4.1	Yes	-20.20208
2194	GLOBAL	Cartesian	-19.21842	-5.175	-4.1	Yes	-19.21842
2195	GLOBAL	Cartesian	-18.23475	-7.025	-4.1	Yes	-18.23475
2196	GLOBAL	Cartesian	-17.25109	-8.875	-4.1	Yes	-17.25109
2197	GLOBAL	Cartesian	-16.26743	-10.725	-4.1	Yes	-16.26743
2198	GLOBAL	Cartesian	-29.73803	14.615	-4.1	Yes	-29.73803
2199	GLOBAL	Cartesian	-30.85462	16.715	-4.1	Yes	-30.85462
2200	GLOBAL	Cartesian	-14.19908	-14.615	-4.1	Yes	-14.19908
2201	GLOBAL	Cartesian	-13.08249	-16.715	-4.1	Yes	-13.08249
2202	GLOBAL	Cartesian	-28.65626	12.575	-5.5	Yes	-28.65626
2203	GLOBAL	Cartesian	-22.75428	1.475	-5.5	Yes	-22.75428
2204	GLOBAL	Cartesian	-21.18574	-1.475	-5.5	Yes	-21.18574
2205	GLOBAL	Cartesian	-15.28377	-12.575	-5.5	Yes	-15.28377
2206	GLOBAL	Cartesian	-27.6726	10.725	-5.5	Yes	-27.6726
2207	GLOBAL	Cartesian	-26.68893	8.875	-5.5	Yes	-26.68893
2208	GLOBAL	Cartesian	-25.70527	7.025	-5.5	Yes	-25.70527
2209	GLOBAL	Cartesian	-24.72161	5.175	-5.5	Yes	-24.72161
2210	GLOBAL	Cartesian	-23.73795	3.325	-5.5	Yes	-23.73795
2211	GLOBAL	Cartesian	-20.20208	-3.325	-5.5	Yes	-20.20208
2212	GLOBAL	Cartesian	-19.21842	-5.175	-5.5	Yes	-19.21842
2213	GLOBAL	Cartesian	-18.23475	-7.025	-5.5	Yes	-18.23475
2214	GLOBAL	Cartesian	-17.25109	-8.875	-5.5	Yes	-17.25109
2215	GLOBAL	Cartesian	-16.26743	-10.725	-5.5	Yes	-16.26743
2216	GLOBAL	Cartesian	-29.73803	14.615	-5.5	Yes	-29.73803
2217	GLOBAL	Cartesian	-30.85462	16.715	-5.5	Yes	-30.85462
2218	GLOBAL	Cartesian	-14.19908	-14.615	-5.5	Yes	-14.19908
2219	GLOBAL	Cartesian	-13.08249	-16.715	-5.5	Yes	-13.08249
2258	GLOBAL	Cartesian	-21.99861	0.0446	-5.5	No	-21.99861
2259	GLOBAL	Cartesian	-21.99861	0.0446	-4.1	No	-21.99861
2260	GLOBAL	Cartesian	-21.99861	0.0446	-3.1	No	-21.99861
2261	GLOBAL	Cartesian	-21.99861	0.0446	-2.1	No	-21.99861
2264	GLOBAL	Cartesian	-21.97001	2.853E-14	-5.5	No	-21.97001
2265	GLOBAL	Cartesian	-21.97001	2.853E-14	-4.1	No	-21.97001
2266	GLOBAL	Cartesian	-21.97001	2.853E-14	-3.1	No	-21.97001
2267	GLOBAL	Cartesian	-21.97001	2.853E-14	-2.1	No	-21.97001
2268	GLOBAL	Cartesian	-30.59986	11.5443	-5.5	Yes	-30.59986
2269	GLOBAL	Cartesian	-24.69788	0.4443	-5.5	Yes	-24.69788
2270	GLOBAL	Cartesian	-23.12934	-2.5057	-5.5	Yes	-23.12934
2272	GLOBAL	Cartesian	-29.6162	9.6943	-5.5	Yes	-29.6162
2273	GLOBAL	Cartesian	-28.63253	7.8443	-5.5	Yes	-28.63253
2274	GLOBAL	Cartesian	-27.64887	5.9943	-5.5	Yes	-27.64887
2275	GLOBAL	Cartesian	-26.66521	4.1443	-5.5	Yes	-26.66521
2276	GLOBAL	Cartesian	-25.68155	2.2943	-5.5	Yes	-25.68155
2277	GLOBAL	Cartesian	-22.14568	-4.3557	-5.5	Yes	-22.14568

Table: Joint Coordinates, Part 1 of 2

Joint	CoordSys	CoordType	XorR m	Y m	Z m	SpecialJt	GlobalX m
2278	GLOBAL	Cartesian	-21.16202	-6.2057	-5.5	Yes	-21.16202
2279	GLOBAL	Cartesian	-20.17835	-8.0557	-5.5	Yes	-20.17835
2280	GLOBAL	Cartesian	-19.19469	-9.9057	-5.5	Yes	-19.19469
2281	GLOBAL	Cartesian	-18.21103	-11.7557	-5.5	Yes	-18.21103
2282	GLOBAL	Cartesian	-31.68163	13.5843	-5.5	Yes	-31.68163
2286	GLOBAL	Cartesian	-23.94221	-0.9861	-5.5	Yes	-23.94221
2287	GLOBAL	Cartesian	-23.91361	-1.0307	-5.5	Yes	-23.91361
2288	GLOBAL	Cartesian	-29.98066	11.8708	-5.5	Yes	-29.98066
2289	GLOBAL	Cartesian	-24.07868	0.7708	-5.5	Yes	-24.07868
2290	GLOBAL	Cartesian	-22.51014	-2.1792	-5.5	Yes	-22.51014
2291	GLOBAL	Cartesian	-16.60817	-13.2792	-5.5	Yes	-16.60817
2292	GLOBAL	Cartesian	-28.997	10.0208	-5.5	Yes	-28.997
2293	GLOBAL	Cartesian	-28.01333	8.1708	-5.5	Yes	-28.01333
2294	GLOBAL	Cartesian	-27.02967	6.3208	-5.5	Yes	-27.02967
2295	GLOBAL	Cartesian	-26.04601	4.4708	-5.5	Yes	-26.04601
2296	GLOBAL	Cartesian	-25.06235	2.6208	-5.5	Yes	-25.06235
2297	GLOBAL	Cartesian	-21.52648	-4.0292	-5.5	Yes	-21.52648
2298	GLOBAL	Cartesian	-20.54282	-5.8792	-5.5	Yes	-20.54282
2299	GLOBAL	Cartesian	-19.55915	-7.7292	-5.5	Yes	-19.55915
2300	GLOBAL	Cartesian	-18.57549	-9.5792	-5.5	Yes	-18.57549
2301	GLOBAL	Cartesian	-17.59183	-11.4292	-5.5	Yes	-17.59183
2302	GLOBAL	Cartesian	-31.06243	13.9108	-5.5	Yes	-31.06243
2306	GLOBAL	Cartesian	-23.32301	-0.6596	-5.5	Yes	-23.32301
2307	GLOBAL	Cartesian	-23.29441	-0.7042	-5.5	Yes	-23.29441
2308	GLOBAL	Cartesian	-27.33186	13.2792	-5.5	Yes	-27.33186
2309	GLOBAL	Cartesian	-21.42988	2.1792	-5.5	Yes	-21.42988
2310	GLOBAL	Cartesian	-19.86134	-0.7708	-5.5	Yes	-19.86134
2311	GLOBAL	Cartesian	-13.95937	-11.8708	-5.5	Yes	-13.95937
2312	GLOBAL	Cartesian	-26.3482	11.4292	-5.5	Yes	-26.3482
2313	GLOBAL	Cartesian	-25.36453	9.5792	-5.5	Yes	-25.36453
2314	GLOBAL	Cartesian	-24.38087	7.7292	-5.5	Yes	-24.38087
2315	GLOBAL	Cartesian	-23.39721	5.8792	-5.5	Yes	-23.39721
2316	GLOBAL	Cartesian	-22.41355	4.0292	-5.5	Yes	-22.41355
2317	GLOBAL	Cartesian	-18.87768	-2.6208	-5.5	Yes	-18.87768
2318	GLOBAL	Cartesian	-17.89402	-4.4708	-5.5	Yes	-17.89402
2319	GLOBAL	Cartesian	-16.91035	-6.3208	-5.5	Yes	-16.91035
2320	GLOBAL	Cartesian	-15.92669	-8.1708	-5.5	Yes	-15.92669
2321	GLOBAL	Cartesian	-14.94303	-10.0208	-5.5	Yes	-14.94303
2322	GLOBAL	Cartesian	-28.41363	15.3192	-5.5	Yes	-28.41363
2323	GLOBAL	Cartesian	-29.53022	17.4192	-5.5	Yes	-29.53022
2324	GLOBAL	Cartesian	-12.87468	-13.9108	-5.5	Yes	-12.87468
2326	GLOBAL	Cartesian	-20.67421	0.7488	-5.5	Yes	-20.67421
2327	GLOBAL	Cartesian	-20.64561	0.7042	-5.5	Yes	-20.64561
2328	GLOBAL	Cartesian	-26.71266	13.6057	-5.5	Yes	-26.71266
2329	GLOBAL	Cartesian	-20.81068	2.5057	-5.5	Yes	-20.81068
2330	GLOBAL	Cartesian	-19.24214	-0.4443	-5.5	Yes	-19.24214
2331	GLOBAL	Cartesian	-13.34017	-11.5443	-5.5	Yes	-13.34017
2332	GLOBAL	Cartesian	-25.729	11.7557	-5.5	Yes	-25.729
2333	GLOBAL	Cartesian	-24.74533	9.9057	-5.5	Yes	-24.74533
2334	GLOBAL	Cartesian	-23.76167	8.0557	-5.5	Yes	-23.76167
2335	GLOBAL	Cartesian	-22.77801	6.2057	-5.5	Yes	-22.77801
2336	GLOBAL	Cartesian	-21.79435	4.3557	-5.5	Yes	-21.79435
2337	GLOBAL	Cartesian	-18.25848	-2.2943	-5.5	Yes	-18.25848
2338	GLOBAL	Cartesian	-17.27482	-4.1443	-5.5	Yes	-17.27482

Table: Joint Coordinates, Part 1 of 2

Joint	CoordSys	CoordType	XorR m	Y m	Z m	SpecialJt	GlobalX m
2339	GLOBAL	Cartesian	-16.29115	-5.9943	-5.5	Yes	-16.29115
2340	GLOBAL	Cartesian	-15.30749	-7.8443	-5.5	Yes	-15.30749
2341	GLOBAL	Cartesian	-14.32383	-9.6943	-5.5	Yes	-14.32383
2342	GLOBAL	Cartesian	-27.79443	15.6457	-5.5	Yes	-27.79443
2343	GLOBAL	Cartesian	-28.91102	17.7457	-5.5	Yes	-28.91102
2344	GLOBAL	Cartesian	-12.25548	-13.5843	-5.5	Yes	-12.25548
2345	GLOBAL	Cartesian	-10.60415	-16.69	-5.5	Yes	-10.60415
2346	GLOBAL	Cartesian	-20.05501	1.0753	-5.5	Yes	-20.05501
2347	GLOBAL	Cartesian	-20.02641	1.0307	-5.5	Yes	-20.02641
2348	GLOBAL	Cartesian	-29.73803	14.615	-1.1	No	-29.73803
2349	GLOBAL	Cartesian	-30.85462	16.715	-1.1	No	-30.85462
2350	GLOBAL	Cartesian	-21.99861	0.0446	-1.1	No	-21.99861
2351	GLOBAL	Cartesian	-21.97001	2.853E-14	-1.1	No	-21.97001
2352	GLOBAL	Cartesian	-22.51014	-2.1792	-6.5	Yes	-22.51014
2353	GLOBAL	Cartesian	-22.51014	-2.1792	-7.5	Yes	-22.51014
2354	GLOBAL	Cartesian	-22.51014	-2.1792	-8.5	Yes	-22.51014
2355	GLOBAL	Cartesian	-22.51014	-2.1792	-9.5	Yes	-22.51014
2356	GLOBAL	Cartesian	-22.51014	-2.1792	-10.5	Yes	-22.51014
2357	GLOBAL	Cartesian	-22.51014	-2.1792	-11.5	Yes	-22.51014
2358	GLOBAL	Cartesian	-22.51014	-2.1792	-12.5	Yes	-22.51014
2359	GLOBAL	Cartesian	-22.51014	-2.1792	-13.5	Yes	-22.51014
2360	GLOBAL	Cartesian	-22.51014	-2.1792	-14.5	Yes	-22.51014
2361	GLOBAL	Cartesian	-22.51014	-2.1792	-15.5	Yes	-22.51014
2362	GLOBAL	Cartesian	-22.51014	-2.1792	-16.5	Yes	-22.51014
2363	GLOBAL	Cartesian	-22.51014	-2.1792	-17.5	Yes	-22.51014
2364	GLOBAL	Cartesian	-22.51014	-2.1792	-18.5	Yes	-22.51014
2365	GLOBAL	Cartesian	-22.51014	-2.1792	-19.5	Yes	-22.51014
2366	GLOBAL	Cartesian	-22.51014	-2.1792	-20.5	Yes	-22.51014
2367	GLOBAL	Cartesian	-22.51014	-2.1792	-21.5	Yes	-22.51014
2368	GLOBAL	Cartesian	-22.51014	-2.1792	-22.5	Yes	-22.51014
2369	GLOBAL	Cartesian	-22.51014	-2.1792	-23.5	Yes	-22.51014
2370	GLOBAL	Cartesian	-22.51014	-2.1792	-24.5	Yes	-22.51014
2371	GLOBAL	Cartesian	-22.51014	-2.1792	-25.5	Yes	-22.51014
2372	GLOBAL	Cartesian	-22.51014	-2.1792	-26.5	Yes	-22.51014
2373	GLOBAL	Cartesian	-22.51014	-2.1792	-27.5	Yes	-22.51014
2374	GLOBAL	Cartesian	-22.51014	-2.1792	-28.5	Yes	-22.51014
2375	GLOBAL	Cartesian	-22.51014	-2.1792	-29.5	Yes	-22.51014
2376	GLOBAL	Cartesian	-22.51014	-2.1792	-30.5	Yes	-22.51014
2377	GLOBAL	Cartesian	-22.51014	-2.1792	-31.5	Yes	-22.51014
2378	GLOBAL	Cartesian	-19.86134	-0.7708	-6.5	Yes	-19.86134
2379	GLOBAL	Cartesian	-19.86134	-0.7708	-7.5	Yes	-19.86134
2380	GLOBAL	Cartesian	-19.86134	-0.7708	-8.5	Yes	-19.86134
2381	GLOBAL	Cartesian	-19.86134	-0.7708	-9.5	Yes	-19.86134
2382	GLOBAL	Cartesian	-19.86134	-0.7708	-10.5	Yes	-19.86134
2383	GLOBAL	Cartesian	-19.86134	-0.7708	-11.5	Yes	-19.86134
2384	GLOBAL	Cartesian	-19.86134	-0.7708	-12.5	Yes	-19.86134
2385	GLOBAL	Cartesian	-19.86134	-0.7708	-13.5	Yes	-19.86134
2386	GLOBAL	Cartesian	-19.86134	-0.7708	-14.5	Yes	-19.86134
2387	GLOBAL	Cartesian	-19.86134	-0.7708	-15.5	Yes	-19.86134
2388	GLOBAL	Cartesian	-19.86134	-0.7708	-16.5	Yes	-19.86134
2389	GLOBAL	Cartesian	-19.86134	-0.7708	-17.5	Yes	-19.86134
2390	GLOBAL	Cartesian	-19.86134	-0.7708	-18.5	Yes	-19.86134
2391	GLOBAL	Cartesian	-19.86134	-0.7708	-19.5	Yes	-19.86134
2392	GLOBAL	Cartesian	-19.86134	-0.7708	-20.5	Yes	-19.86134

Table: Joint Coordinates, Part 1 of 2

Joint	CoordSys	CoordType	XorR m	Y m	Z m	SpecialJt	GlobalX m
2393	GLOBAL	Cartesian	-19.86134	-0.7708	-21.5	Yes	-19.86134
2394	GLOBAL	Cartesian	-19.86134	-0.7708	-22.5	Yes	-19.86134
2395	GLOBAL	Cartesian	-19.86134	-0.7708	-23.5	Yes	-19.86134
2396	GLOBAL	Cartesian	-19.86134	-0.7708	-24.5	Yes	-19.86134
2397	GLOBAL	Cartesian	-19.86134	-0.7708	-25.5	Yes	-19.86134
2398	GLOBAL	Cartesian	-19.86134	-0.7708	-26.5	Yes	-19.86134
2399	GLOBAL	Cartesian	-19.86134	-0.7708	-27.5	Yes	-19.86134
2400	GLOBAL	Cartesian	-19.86134	-0.7708	-28.5	Yes	-19.86134
2401	GLOBAL	Cartesian	-19.86134	-0.7708	-29.5	Yes	-19.86134
2402	GLOBAL	Cartesian	-19.86134	-0.7708	-30.5	Yes	-19.86134
2403	GLOBAL	Cartesian	-19.86134	-0.7708	-31.5	Yes	-19.86134
2404	GLOBAL	Cartesian	-20.54284	-5.8792	-6.5	Yes	-20.54284
2405	GLOBAL	Cartesian	-20.54284	-5.8792	-7.5	Yes	-20.54284
2406	GLOBAL	Cartesian	-20.54284	-5.8792	-8.5	Yes	-20.54284
2407	GLOBAL	Cartesian	-20.54284	-5.8792	-9.5	Yes	-20.54284
2408	GLOBAL	Cartesian	-20.54284	-5.8792	-10.5	Yes	-20.54284
2409	GLOBAL	Cartesian	-20.54284	-5.8792	-11.5	Yes	-20.54284
2410	GLOBAL	Cartesian	-20.54284	-5.8792	-12.5	Yes	-20.54284
2411	GLOBAL	Cartesian	-20.54284	-5.8792	-13.5	Yes	-20.54284
2412	GLOBAL	Cartesian	-20.54284	-5.8792	-14.5	Yes	-20.54284
2413	GLOBAL	Cartesian	-20.54284	-5.8792	-15.5	Yes	-20.54284
2414	GLOBAL	Cartesian	-20.54284	-5.8792	-16.5	Yes	-20.54284
2415	GLOBAL	Cartesian	-20.54284	-5.8792	-17.5	Yes	-20.54284
2416	GLOBAL	Cartesian	-20.54284	-5.8792	-18.5	Yes	-20.54284
2417	GLOBAL	Cartesian	-20.54284	-5.8792	-19.5	Yes	-20.54284
2418	GLOBAL	Cartesian	-20.54284	-5.8792	-20.5	Yes	-20.54284
2419	GLOBAL	Cartesian	-20.54284	-5.8792	-21.5	Yes	-20.54284
2420	GLOBAL	Cartesian	-20.54284	-5.8792	-22.5	Yes	-20.54284
2421	GLOBAL	Cartesian	-20.54284	-5.8792	-23.5	Yes	-20.54284
2422	GLOBAL	Cartesian	-20.54284	-5.8792	-24.5	Yes	-20.54284
2423	GLOBAL	Cartesian	-20.54284	-5.8792	-25.5	Yes	-20.54284
2424	GLOBAL	Cartesian	-20.54284	-5.8792	-26.5	Yes	-20.54284
2425	GLOBAL	Cartesian	-20.54284	-5.8792	-27.5	Yes	-20.54284
2426	GLOBAL	Cartesian	-20.54284	-5.8792	-28.5	Yes	-20.54284
2427	GLOBAL	Cartesian	-20.54284	-5.8792	-29.5	Yes	-20.54284
2428	GLOBAL	Cartesian	-20.54284	-5.8792	-30.5	Yes	-20.54284
2429	GLOBAL	Cartesian	-20.54284	-5.8792	-31.5	Yes	-20.54284
2430	GLOBAL	Cartesian	-17.89404	-4.4708	-6.5	Yes	-17.89404
2431	GLOBAL	Cartesian	-17.89404	-4.4708	-7.5	Yes	-17.89404
2432	GLOBAL	Cartesian	-17.89404	-4.4708	-8.5	Yes	-17.89404
2433	GLOBAL	Cartesian	-17.89404	-4.4708	-9.5	Yes	-17.89404
2434	GLOBAL	Cartesian	-17.89404	-4.4708	-10.5	Yes	-17.89404
2435	GLOBAL	Cartesian	-17.89404	-4.4708	-11.5	Yes	-17.89404
2436	GLOBAL	Cartesian	-17.89404	-4.4708	-12.5	Yes	-17.89404
2437	GLOBAL	Cartesian	-17.89404	-4.4708	-13.5	Yes	-17.89404
2438	GLOBAL	Cartesian	-17.89404	-4.4708	-14.5	Yes	-17.89404
2439	GLOBAL	Cartesian	-17.89404	-4.4708	-15.5	Yes	-17.89404
2440	GLOBAL	Cartesian	-17.89404	-4.4708	-16.5	Yes	-17.89404
2441	GLOBAL	Cartesian	-17.89404	-4.4708	-17.5	Yes	-17.89404
2442	GLOBAL	Cartesian	-17.89404	-4.4708	-18.5	Yes	-17.89404
2443	GLOBAL	Cartesian	-17.89404	-4.4708	-19.5	Yes	-17.89404
2444	GLOBAL	Cartesian	-17.89404	-4.4708	-20.5	Yes	-17.89404
2445	GLOBAL	Cartesian	-17.89404	-4.4708	-21.5	Yes	-17.89404
2446	GLOBAL	Cartesian	-17.89404	-4.4708	-22.5	Yes	-17.89404

Table: Joint Coordinates, Part 1 of 2

Joint	CoordSys	CoordType	XorR m	Y m	Z m	SpecialJt	GlobalX m
2447	GLOBAL	Cartesian	-17.89404	-4.4708	-23.5	Yes	-17.89404
2448	GLOBAL	Cartesian	-17.89404	-4.4708	-24.5	Yes	-17.89404
2449	GLOBAL	Cartesian	-17.89404	-4.4708	-25.5	Yes	-17.89404
2450	GLOBAL	Cartesian	-17.89404	-4.4708	-26.5	Yes	-17.89404
2451	GLOBAL	Cartesian	-17.89404	-4.4708	-27.5	Yes	-17.89404
2452	GLOBAL	Cartesian	-17.89404	-4.4708	-28.5	Yes	-17.89404
2453	GLOBAL	Cartesian	-17.89404	-4.4708	-29.5	Yes	-17.89404
2454	GLOBAL	Cartesian	-17.89404	-4.4708	-30.5	Yes	-17.89404
2455	GLOBAL	Cartesian	-17.89404	-4.4708	-31.5	Yes	-17.89404
2456	GLOBAL	Cartesian	-18.57554	-9.5792	-6.5	Yes	-18.57554
2457	GLOBAL	Cartesian	-18.57554	-9.5792	-7.5	Yes	-18.57554
2458	GLOBAL	Cartesian	-18.57554	-9.5792	-8.5	Yes	-18.57554
2459	GLOBAL	Cartesian	-18.57554	-9.5792	-9.5	Yes	-18.57554
2460	GLOBAL	Cartesian	-18.57554	-9.5792	-10.5	Yes	-18.57554
2461	GLOBAL	Cartesian	-18.57554	-9.5792	-11.5	Yes	-18.57554
2462	GLOBAL	Cartesian	-18.57554	-9.5792	-12.5	Yes	-18.57554
2463	GLOBAL	Cartesian	-18.57554	-9.5792	-13.5	Yes	-18.57554
2464	GLOBAL	Cartesian	-18.57554	-9.5792	-14.5	Yes	-18.57554
2465	GLOBAL	Cartesian	-18.57554	-9.5792	-15.5	Yes	-18.57554
2466	GLOBAL	Cartesian	-18.57554	-9.5792	-16.5	Yes	-18.57554
2467	GLOBAL	Cartesian	-18.57554	-9.5792	-17.5	Yes	-18.57554
2468	GLOBAL	Cartesian	-18.57554	-9.5792	-18.5	Yes	-18.57554
2469	GLOBAL	Cartesian	-18.57554	-9.5792	-19.5	Yes	-18.57554
2470	GLOBAL	Cartesian	-18.57554	-9.5792	-20.5	Yes	-18.57554
2471	GLOBAL	Cartesian	-18.57554	-9.5792	-21.5	Yes	-18.57554
2472	GLOBAL	Cartesian	-18.57554	-9.5792	-22.5	Yes	-18.57554
2473	GLOBAL	Cartesian	-18.57554	-9.5792	-23.5	Yes	-18.57554
2474	GLOBAL	Cartesian	-18.57554	-9.5792	-24.5	Yes	-18.57554
2475	GLOBAL	Cartesian	-18.57554	-9.5792	-25.5	Yes	-18.57554
2476	GLOBAL	Cartesian	-18.57554	-9.5792	-26.5	Yes	-18.57554
2477	GLOBAL	Cartesian	-18.57554	-9.5792	-27.5	Yes	-18.57554
2478	GLOBAL	Cartesian	-18.57554	-9.5792	-28.5	Yes	-18.57554
2479	GLOBAL	Cartesian	-18.57554	-9.5792	-29.5	Yes	-18.57554
2480	GLOBAL	Cartesian	-18.57554	-9.5792	-30.5	Yes	-18.57554
2481	GLOBAL	Cartesian	-18.57554	-9.5792	-31.5	Yes	-18.57554
2482	GLOBAL	Cartesian	-15.92674	-8.1708	-6.5	Yes	-15.92674
2483	GLOBAL	Cartesian	-15.92674	-8.1708	-7.5	Yes	-15.92674
2484	GLOBAL	Cartesian	-15.92674	-8.1708	-8.5	Yes	-15.92674
2485	GLOBAL	Cartesian	-15.92674	-8.1708	-9.5	Yes	-15.92674
2486	GLOBAL	Cartesian	-15.92674	-8.1708	-10.5	Yes	-15.92674
2487	GLOBAL	Cartesian	-15.92674	-8.1708	-11.5	Yes	-15.92674
2488	GLOBAL	Cartesian	-15.92674	-8.1708	-12.5	Yes	-15.92674
2489	GLOBAL	Cartesian	-15.92674	-8.1708	-13.5	Yes	-15.92674
2490	GLOBAL	Cartesian	-15.92674	-8.1708	-14.5	Yes	-15.92674
2491	GLOBAL	Cartesian	-15.92674	-8.1708	-15.5	Yes	-15.92674
2492	GLOBAL	Cartesian	-15.92674	-8.1708	-16.5	Yes	-15.92674
2493	GLOBAL	Cartesian	-15.92674	-8.1708	-17.5	Yes	-15.92674
2494	GLOBAL	Cartesian	-15.92674	-8.1708	-18.5	Yes	-15.92674
2495	GLOBAL	Cartesian	-15.92674	-8.1708	-19.5	Yes	-15.92674
2496	GLOBAL	Cartesian	-15.92674	-8.1708	-20.5	Yes	-15.92674
2497	GLOBAL	Cartesian	-15.92674	-8.1708	-21.5	Yes	-15.92674
2498	GLOBAL	Cartesian	-15.92674	-8.1708	-22.5	Yes	-15.92674
2499	GLOBAL	Cartesian	-15.92674	-8.1708	-23.5	Yes	-15.92674
2500	GLOBAL	Cartesian	-15.92674	-8.1708	-24.5	Yes	-15.92674

Table: Joint Coordinates, Part 1 of 2

Joint	CoordSys	CoordType	XorR m	Y m	Z m	SpecialJt	GlobalX m
2501	GLOBAL	Cartesian	-15.92674	-8.1708	-25.5	Yes	-15.92674
2502	GLOBAL	Cartesian	-15.92674	-8.1708	-26.5	Yes	-15.92674
2503	GLOBAL	Cartesian	-15.92674	-8.1708	-27.5	Yes	-15.92674
2504	GLOBAL	Cartesian	-15.92674	-8.1708	-28.5	Yes	-15.92674
2505	GLOBAL	Cartesian	-15.92674	-8.1708	-29.5	Yes	-15.92674
2506	GLOBAL	Cartesian	-15.92674	-8.1708	-30.5	Yes	-15.92674
2507	GLOBAL	Cartesian	-15.92674	-8.1708	-31.5	Yes	-15.92674
2508	GLOBAL	Cartesian	-16.60814	-13.2792	-6.5	Yes	-16.60814
2509	GLOBAL	Cartesian	-16.60814	-13.2792	-7.5	Yes	-16.60814
2510	GLOBAL	Cartesian	-16.60814	-13.2792	-8.5	Yes	-16.60814
2511	GLOBAL	Cartesian	-16.60814	-13.2792	-9.5	Yes	-16.60814
2512	GLOBAL	Cartesian	-16.60814	-13.2792	-10.5	Yes	-16.60814
2513	GLOBAL	Cartesian	-16.60814	-13.2792	-11.5	Yes	-16.60814
2514	GLOBAL	Cartesian	-16.60814	-13.2792	-12.5	Yes	-16.60814
2515	GLOBAL	Cartesian	-16.60814	-13.2792	-13.5	Yes	-16.60814
2516	GLOBAL	Cartesian	-16.60814	-13.2792	-14.5	Yes	-16.60814
2517	GLOBAL	Cartesian	-16.60814	-13.2792	-15.5	Yes	-16.60814
2518	GLOBAL	Cartesian	-16.60814	-13.2792	-16.5	Yes	-16.60814
2519	GLOBAL	Cartesian	-16.60814	-13.2792	-17.5	Yes	-16.60814
2520	GLOBAL	Cartesian	-16.60814	-13.2792	-18.5	Yes	-16.60814
2521	GLOBAL	Cartesian	-16.60814	-13.2792	-19.5	Yes	-16.60814
2522	GLOBAL	Cartesian	-16.60814	-13.2792	-20.5	Yes	-16.60814
2523	GLOBAL	Cartesian	-16.60814	-13.2792	-21.5	Yes	-16.60814
2524	GLOBAL	Cartesian	-16.60814	-13.2792	-22.5	Yes	-16.60814
2525	GLOBAL	Cartesian	-16.60814	-13.2792	-23.5	Yes	-16.60814
2526	GLOBAL	Cartesian	-16.60814	-13.2792	-24.5	Yes	-16.60814
2527	GLOBAL	Cartesian	-16.60814	-13.2792	-25.5	Yes	-16.60814
2528	GLOBAL	Cartesian	-16.60814	-13.2792	-26.5	Yes	-16.60814
2529	GLOBAL	Cartesian	-16.60814	-13.2792	-27.5	Yes	-16.60814
2530	GLOBAL	Cartesian	-16.60814	-13.2792	-28.5	Yes	-16.60814
2531	GLOBAL	Cartesian	-16.60814	-13.2792	-29.5	Yes	-16.60814
2532	GLOBAL	Cartesian	-16.60814	-13.2792	-30.5	Yes	-16.60814
2533	GLOBAL	Cartesian	-16.60814	-13.2792	-31.5	Yes	-16.60814
2534	GLOBAL	Cartesian	-13.95934	-11.8708	-6.5	Yes	-13.95934
2535	GLOBAL	Cartesian	-13.95934	-11.8708	-7.5	Yes	-13.95934
2536	GLOBAL	Cartesian	-13.95934	-11.8708	-8.5	Yes	-13.95934
2537	GLOBAL	Cartesian	-13.95934	-11.8708	-9.5	Yes	-13.95934
2538	GLOBAL	Cartesian	-13.95934	-11.8708	-10.5	Yes	-13.95934
2539	GLOBAL	Cartesian	-13.95934	-11.8708	-11.5	Yes	-13.95934
2540	GLOBAL	Cartesian	-13.95934	-11.8708	-12.5	Yes	-13.95934
2541	GLOBAL	Cartesian	-13.95934	-11.8708	-13.5	Yes	-13.95934
2542	GLOBAL	Cartesian	-13.95934	-11.8708	-14.5	Yes	-13.95934
2543	GLOBAL	Cartesian	-13.95934	-11.8708	-15.5	Yes	-13.95934
2544	GLOBAL	Cartesian	-13.95934	-11.8708	-16.5	Yes	-13.95934
2545	GLOBAL	Cartesian	-13.95934	-11.8708	-17.5	Yes	-13.95934
2546	GLOBAL	Cartesian	-13.95934	-11.8708	-18.5	Yes	-13.95934
2547	GLOBAL	Cartesian	-13.95934	-11.8708	-19.5	Yes	-13.95934
2548	GLOBAL	Cartesian	-13.95934	-11.8708	-20.5	Yes	-13.95934
2549	GLOBAL	Cartesian	-13.95934	-11.8708	-21.5	Yes	-13.95934
2550	GLOBAL	Cartesian	-13.95934	-11.8708	-22.5	Yes	-13.95934
2551	GLOBAL	Cartesian	-13.95934	-11.8708	-23.5	Yes	-13.95934
2552	GLOBAL	Cartesian	-13.95934	-11.8708	-24.5	Yes	-13.95934
2553	GLOBAL	Cartesian	-13.95934	-11.8708	-25.5	Yes	-13.95934
2554	GLOBAL	Cartesian	-13.95934	-11.8708	-26.5	Yes	-13.95934

Table: Joint Coordinates, Part 1 of 2

Joint	CoordSys	CoordType	XorR m	Y m	Z m	SpecialJt	GlobalX m
2555	GLOBAL	Cartesian	-13.95934	-11.8708	-27.5	Yes	-13.95934
2556	GLOBAL	Cartesian	-13.95934	-11.8708	-28.5	Yes	-13.95934
2557	GLOBAL	Cartesian	-13.95934	-11.8708	-29.5	Yes	-13.95934
2558	GLOBAL	Cartesian	-13.95934	-11.8708	-30.5	Yes	-13.95934
2559	GLOBAL	Cartesian	-13.95934	-11.8708	-31.5	Yes	-13.95934
2563	GLOBAL	Cartesian	-13.69535	-18.79	-5.5	Yes	-13.69535
2564	GLOBAL	Cartesian	-9.48755	-18.79	-5.5	Yes	-9.48755
2565	GLOBAL	Cartesian	-26.31755	-18.79	-5.5	Yes	-26.31755
2566	GLOBAL	Cartesian	-10.29535	-18.79	-5.5	Yes	-10.29535
2567	GLOBAL	Cartesian	-26.31755	-14.39	-5.5	Yes	-26.31755
2568	GLOBAL	Cartesian	-24.56755	-18.79	-5.5	Yes	-24.56755
2569	GLOBAL	Cartesian	-24.56755	-14.39	-5.5	Yes	-24.56755
2570	GLOBAL	Cartesian	-19.31755	-18.79	-5.5	Yes	-19.31755
2571	GLOBAL	Cartesian	-19.31755	-14.39	-5.5	Yes	-19.31755
2572	GLOBAL	Cartesian	-16.03056	-14.37455	-5.5	Yes	-16.03056
2573	GLOBAL	Cartesian	-17.22737	-13.6057	-5.5	Yes	-17.22737
2574	GLOBAL	Cartesian	-11.50264	-15.0135	-5.5	Yes	-11.50264
2578	GLOBAL	Cartesian	-26.31755	-18.09	-5.5	No	-26.31755
2580	GLOBAL	Cartesian	-26.31755	-15.34	-5.5	No	-26.31755
2582	GLOBAL	Cartesian	-24.56755	-15.34	-5.5	No	-24.56755
2583	GLOBAL	Cartesian	-24.56755	-18.09	-5.5	No	-24.56755
2584	GLOBAL	Cartesian	-19.31755	-15.34	-5.5	No	-19.31755
2585	GLOBAL	Cartesian	-19.31755	-18.09	-5.5	No	-19.31755
2587	GLOBAL	Cartesian	-14.06755	-18.09	-5.5	No	-14.06755
2588	GLOBAL	Cartesian	-10.66755	-18.09	-5.5	No	-10.66755
2594	GLOBAL	Cartesian	-24.56755	-18.09	-6.5	Yes	-24.56755
2595	GLOBAL	Cartesian	-24.56755	-18.09	-7.5	Yes	-24.56755
2596	GLOBAL	Cartesian	-24.56755	-18.09	-8.5	Yes	-24.56755
2597	GLOBAL	Cartesian	-24.56755	-18.09	-9.5	Yes	-24.56755
2598	GLOBAL	Cartesian	-24.56755	-18.09	-10.5	Yes	-24.56755
2599	GLOBAL	Cartesian	-24.56755	-18.09	-11.5	Yes	-24.56755
2600	GLOBAL	Cartesian	-24.56755	-18.09	-12.5	Yes	-24.56755
2601	GLOBAL	Cartesian	-24.56755	-18.09	-13.5	Yes	-24.56755
2602	GLOBAL	Cartesian	-24.56755	-18.09	-14.5	Yes	-24.56755
2603	GLOBAL	Cartesian	-24.56755	-18.09	-15.5	Yes	-24.56755
2604	GLOBAL	Cartesian	-24.56755	-18.09	-16.5	Yes	-24.56755
2605	GLOBAL	Cartesian	-24.56755	-18.09	-17.5	Yes	-24.56755
2606	GLOBAL	Cartesian	-24.56755	-18.09	-18.5	Yes	-24.56755
2607	GLOBAL	Cartesian	-24.56755	-18.09	-19.5	Yes	-24.56755
2608	GLOBAL	Cartesian	-24.56755	-18.09	-20.5	Yes	-24.56755
2609	GLOBAL	Cartesian	-24.56755	-18.09	-21.5	Yes	-24.56755
2610	GLOBAL	Cartesian	-24.56755	-18.09	-22.5	Yes	-24.56755
2611	GLOBAL	Cartesian	-24.56755	-18.09	-23.5	Yes	-24.56755
2612	GLOBAL	Cartesian	-24.56755	-18.09	-24.5	Yes	-24.56755
2613	GLOBAL	Cartesian	-24.56755	-18.09	-25.5	Yes	-24.56755
2614	GLOBAL	Cartesian	-24.56755	-18.09	-26.5	Yes	-24.56755
2615	GLOBAL	Cartesian	-15.9228	14.615	0.	No	-15.9228
2616	GLOBAL	Cartesian	-11.88942	7.025	0.	No	-11.88942
2617	GLOBAL	Cartesian	3.1735	7.025	0.	No	3.1735
2618	GLOBAL	Cartesian	-0.86571	14.615	0.	No	-0.86571
2619	GLOBAL	Cartesian	-24.56755	-18.09	-27.5	Yes	-24.56755
2620	GLOBAL	Cartesian	-0.86198	14.615	0.	No	-0.86198
2621	GLOBAL	Cartesian	-24.56755	-18.09	-28.5	Yes	-24.56755
2622	GLOBAL	Cartesian	3.17598	7.025	0.	No	3.17598

Table: Joint Coordinates, Part 1 of 2

Joint	CoordSys	CoordType	XorR m	Y m	Z m	SpecialJt	GlobalX m
2623	GLOBAL	Cartesian	0.38023	14.615	0.	No	0.38023
2624	GLOBAL	Cartesian	4.41369	7.025	0.	No	4.41369
2625	GLOBAL	Cartesian	-29.11036	17.761	0.	No	-29.11036
2626	GLOBAL	Cartesian	-26.80702	17.761	0.	No	-26.80702
2627	GLOBAL	Cartesian	-24.50369	17.761	0.	No	-24.50369
2628	GLOBAL	Cartesian	-22.20036	17.761	0.	No	-22.20036
2629	GLOBAL	Cartesian	-19.89702	17.761	0.	No	-19.89702
2630	GLOBAL	Cartesian	-14.05036	17.761	0.	No	-14.05036
2631	GLOBAL	Cartesian	-11.74702	17.761	0.	No	-11.74702
2632	GLOBAL	Cartesian	-9.44369	17.761	0.	No	-9.44369
2633	GLOBAL	Cartesian	-7.14036	17.761	0.	No	-7.14036
2634	GLOBAL	Cartesian	-4.83702	17.761	0.	No	-4.83702
2635	GLOBAL	Cartesian	1.01256	17.761	0.	No	1.01256
2636	GLOBAL	Cartesian	3.31589	17.761	0.	No	3.31589
2637	GLOBAL	Cartesian	5.61922	17.761	0.	No	5.61922
2638	GLOBAL	Cartesian	7.92256	17.761	0.	No	7.92256
2639	GLOBAL	Cartesian	10.22589	17.761	0.	No	10.22589
2640	GLOBAL	Cartesian	-19.95911	0.55	0.	No	-19.95911
2641	GLOBAL	Cartesian	-17.65577	0.55	0.	No	-17.65577
2642	GLOBAL	Cartesian	-15.35244	0.55	0.	No	-15.35244
2643	GLOBAL	Cartesian	-13.04911	0.55	0.	No	-13.04911
2644	GLOBAL	Cartesian	-10.74577	0.55	0.	No	-10.74577
2645	GLOBAL	Cartesian	-4.89911	0.55	0.	No	-4.89911
2646	GLOBAL	Cartesian	-2.59577	0.55	0.	No	-2.59577
2647	GLOBAL	Cartesian	-0.29244	0.55	0.	No	-0.29244
2648	GLOBAL	Cartesian	2.01089	0.55	0.	No	2.01089
2649	GLOBAL	Cartesian	4.31423	0.55	0.	No	4.31423
2650	GLOBAL	Cartesian	10.16381	0.55	0.	No	10.16381
2651	GLOBAL	Cartesian	12.46714	0.55	0.	No	12.46714
2652	GLOBAL	Cartesian	14.77047	0.55	0.	No	14.77047
2653	GLOBAL	Cartesian	17.07381	0.55	0.	No	17.07381
2654	GLOBAL	Cartesian	19.37714	0.55	0.	No	19.37714
2655	GLOBAL	Cartesian	-19.37423	-0.55	0.	No	-19.37423
2656	GLOBAL	Cartesian	-17.07089	-0.55	0.	No	-17.07089
2657	GLOBAL	Cartesian	-14.76756	-0.55	0.	No	-14.76756
2658	GLOBAL	Cartesian	-12.46423	-0.55	0.	No	-12.46423
2659	GLOBAL	Cartesian	-10.16089	-0.55	0.	No	-10.16089
2660	GLOBAL	Cartesian	-4.31423	-0.55	0.	No	-4.31423
2661	GLOBAL	Cartesian	-2.01089	-0.55	0.	No	-2.01089
2662	GLOBAL	Cartesian	0.29244	-0.55	0.	No	0.29244
2663	GLOBAL	Cartesian	2.59577	-0.55	0.	No	2.59577
2664	GLOBAL	Cartesian	4.89911	-0.55	0.	No	4.89911
2665	GLOBAL	Cartesian	10.74869	-0.55	0.	No	10.74869
2666	GLOBAL	Cartesian	13.05202	-0.55	0.	No	13.05202
2667	GLOBAL	Cartesian	15.35535	-0.55	0.	No	15.35535
2668	GLOBAL	Cartesian	17.65869	-0.55	0.	No	17.65869
2669	GLOBAL	Cartesian	19.96202	-0.55	0.	No	19.96202
2670	GLOBAL	Cartesian	-10.22298	-17.761	0.	No	-10.22298
2671	GLOBAL	Cartesian	-24.56755	-18.09	-29.5	Yes	-24.56755
2672	GLOBAL	Cartesian	-24.56755	-18.09	-30.5	Yes	-24.56755
2673	GLOBAL	Cartesian	-24.56755	-18.09	-31.5	Yes	-24.56755
2674	GLOBAL	Cartesian	-24.56755	-15.34	-6.5	Yes	-24.56755
2675	GLOBAL	Cartesian	-24.56755	-15.34	-7.5	Yes	-24.56755
2676	GLOBAL	Cartesian	-24.56755	-15.34	-8.5	Yes	-24.56755

Table: Joint Coordinates, Part 1 of 2

Joint	CoordSys	CoordType	XorR m	Y m	Z m	SpecialJt	GlobalX m
2677	GLOBAL	Cartesian	-24.56755	-15.34	-9.5	Yes	-24.56755
2678	GLOBAL	Cartesian	-24.56755	-15.34	-10.5	Yes	-24.56755
2679	GLOBAL	Cartesian	-24.56755	-15.34	-11.5	Yes	-24.56755
2680	GLOBAL	Cartesian	-24.56755	-15.34	-12.5	Yes	-24.56755
2681	GLOBAL	Cartesian	-24.56755	-15.34	-13.5	Yes	-24.56755
2682	GLOBAL	Cartesian	-24.56755	-15.34	-14.5	Yes	-24.56755
2683	GLOBAL	Cartesian	-24.56755	-15.34	-15.5	Yes	-24.56755
2684	GLOBAL	Cartesian	-24.56755	-15.34	-16.5	Yes	-24.56755
2685	GLOBAL	Cartesian	-24.56755	-15.34	-17.5	Yes	-24.56755
2686	GLOBAL	Cartesian	-24.56755	-15.34	-18.5	Yes	-24.56755
2687	GLOBAL	Cartesian	-24.56755	-15.34	-19.5	Yes	-24.56755
2688	GLOBAL	Cartesian	-24.56755	-15.34	-20.5	Yes	-24.56755
2689	GLOBAL	Cartesian	-24.56755	-15.34	-21.5	Yes	-24.56755
2690	GLOBAL	Cartesian	-24.56755	-15.34	-22.5	Yes	-24.56755
2691	GLOBAL	Cartesian	-24.56755	-15.34	-23.5	Yes	-24.56755
2692	GLOBAL	Cartesian	-24.56755	-15.34	-24.5	Yes	-24.56755
2693	GLOBAL	Cartesian	-24.56755	-15.34	-25.5	Yes	-24.56755
2694	GLOBAL	Cartesian	-24.56755	-15.34	-26.5	Yes	-24.56755
2695	GLOBAL	Cartesian	-24.56755	-15.34	-27.5	Yes	-24.56755
2696	GLOBAL	Cartesian	-24.56755	-15.34	-28.5	Yes	-24.56755
2697	GLOBAL	Cartesian	-24.56755	-15.34	-29.5	Yes	-24.56755
2698	GLOBAL	Cartesian	-24.56755	-15.34	-30.5	Yes	-24.56755
2699	GLOBAL	Cartesian	-24.56755	-15.34	-31.5	Yes	-24.56755
2700	GLOBAL	Cartesian	-19.31755	-18.09	-6.5	Yes	-19.31755
2701	GLOBAL	Cartesian	-19.31755	-18.09	-7.5	Yes	-19.31755
2702	GLOBAL	Cartesian	-19.31755	-18.09	-8.5	Yes	-19.31755
2703	GLOBAL	Cartesian	-19.31755	-18.09	-9.5	Yes	-19.31755
2704	GLOBAL	Cartesian	-19.31755	-18.09	-10.5	Yes	-19.31755
2705	GLOBAL	Cartesian	-19.31755	-18.09	-11.5	Yes	-19.31755
2706	GLOBAL	Cartesian	-19.31755	-18.09	-12.5	Yes	-19.31755
2707	GLOBAL	Cartesian	-19.31755	-18.09	-13.5	Yes	-19.31755
2708	GLOBAL	Cartesian	-19.31755	-18.09	-14.5	Yes	-19.31755
2709	GLOBAL	Cartesian	-19.31755	-18.09	-15.5	Yes	-19.31755
2710	GLOBAL	Cartesian	-19.31755	-18.09	-16.5	Yes	-19.31755
2711	GLOBAL	Cartesian	-19.31755	-18.09	-17.5	Yes	-19.31755
2712	GLOBAL	Cartesian	-19.31755	-18.09	-18.5	Yes	-19.31755
2713	GLOBAL	Cartesian	-19.31755	-18.09	-19.5	Yes	-19.31755
2714	GLOBAL	Cartesian	-19.31755	-18.09	-20.5	Yes	-19.31755
2715	GLOBAL	Cartesian	-19.31755	-18.09	-21.5	Yes	-19.31755
2716	GLOBAL	Cartesian	-19.31755	-18.09	-22.5	Yes	-19.31755
2717	GLOBAL	Cartesian	-19.31755	-18.09	-23.5	Yes	-19.31755
2718	GLOBAL	Cartesian	-19.31755	-18.09	-24.5	Yes	-19.31755
2719	GLOBAL	Cartesian	-19.31755	-18.09	-25.5	Yes	-19.31755
2720	GLOBAL	Cartesian	-19.31755	-18.09	-26.5	Yes	-19.31755
2721	GLOBAL	Cartesian	-19.31755	-18.09	-27.5	Yes	-19.31755
2722	GLOBAL	Cartesian	-19.31755	-18.09	-28.5	Yes	-19.31755
2723	GLOBAL	Cartesian	-19.31755	-18.09	-29.5	Yes	-19.31755
2724	GLOBAL	Cartesian	-19.31755	-18.09	-30.5	Yes	-19.31755
2725	GLOBAL	Cartesian	-19.31755	-18.09	-31.5	Yes	-19.31755
2726	GLOBAL	Cartesian	-19.31755	-15.34	-6.5	Yes	-19.31755
2727	GLOBAL	Cartesian	-19.31755	-15.34	-7.5	Yes	-19.31755
2728	GLOBAL	Cartesian	-19.31755	-15.34	-8.5	Yes	-19.31755
2729	GLOBAL	Cartesian	-19.31755	-15.34	-9.5	Yes	-19.31755
2730	GLOBAL	Cartesian	-19.31755	-15.34	-10.5	Yes	-19.31755

Table: Joint Coordinates, Part 1 of 2

Joint	CoordSys	CoordType	XorR m	Y m	Z m	SpecialJt	GlobalX m
2731	GLOBAL	Cartesian	-19.31755	-15.34	-11.5	Yes	-19.31755
2732	GLOBAL	Cartesian	-19.31755	-15.34	-12.5	Yes	-19.31755
2733	GLOBAL	Cartesian	-19.31755	-15.34	-13.5	Yes	-19.31755
2734	GLOBAL	Cartesian	-19.31755	-15.34	-14.5	Yes	-19.31755
2735	GLOBAL	Cartesian	-19.31755	-15.34	-15.5	Yes	-19.31755
2736	GLOBAL	Cartesian	-19.31755	-15.34	-16.5	Yes	-19.31755
2737	GLOBAL	Cartesian	-19.31755	-15.34	-17.5	Yes	-19.31755
2738	GLOBAL	Cartesian	-19.31755	-15.34	-18.5	Yes	-19.31755
2739	GLOBAL	Cartesian	-19.31755	-15.34	-19.5	Yes	-19.31755
2740	GLOBAL	Cartesian	-19.31755	-15.34	-20.5	Yes	-19.31755
2741	GLOBAL	Cartesian	-19.31755	-15.34	-21.5	Yes	-19.31755
2742	GLOBAL	Cartesian	-19.31755	-15.34	-22.5	Yes	-19.31755
2743	GLOBAL	Cartesian	-19.31755	-15.34	-23.5	Yes	-19.31755
2744	GLOBAL	Cartesian	-19.31755	-15.34	-24.5	Yes	-19.31755
2745	GLOBAL	Cartesian	-19.31755	-15.34	-25.5	Yes	-19.31755
2746	GLOBAL	Cartesian	-19.31755	-15.34	-26.5	Yes	-19.31755
2747	GLOBAL	Cartesian	-19.31755	-15.34	-27.5	Yes	-19.31755
2748	GLOBAL	Cartesian	-19.31755	-15.34	-28.5	Yes	-19.31755
2749	GLOBAL	Cartesian	-19.31755	-15.34	-29.5	Yes	-19.31755
2750	GLOBAL	Cartesian	-19.31755	-15.34	-30.5	Yes	-19.31755
2751	GLOBAL	Cartesian	-19.31755	-15.34	-31.5	Yes	-19.31755
2752	GLOBAL	Cartesian	-14.06755	-18.09	-6.5	Yes	-14.06755
2753	GLOBAL	Cartesian	-14.06755	-18.09	-7.5	Yes	-14.06755
2754	GLOBAL	Cartesian	-14.06755	-18.09	-8.5	Yes	-14.06755
2755	GLOBAL	Cartesian	-14.06755	-18.09	-9.5	Yes	-14.06755
2756	GLOBAL	Cartesian	-14.06755	-18.09	-10.5	Yes	-14.06755
2757	GLOBAL	Cartesian	-14.06755	-18.09	-11.5	Yes	-14.06755
2758	GLOBAL	Cartesian	-14.06755	-18.09	-12.5	Yes	-14.06755
2759	GLOBAL	Cartesian	-14.06755	-18.09	-13.5	Yes	-14.06755
2760	GLOBAL	Cartesian	-14.06755	-18.09	-14.5	Yes	-14.06755
2761	GLOBAL	Cartesian	-14.06755	-18.09	-15.5	Yes	-14.06755
2762	GLOBAL	Cartesian	-14.06755	-18.09	-16.5	Yes	-14.06755
2763	GLOBAL	Cartesian	-14.06755	-18.09	-17.5	Yes	-14.06755
2764	GLOBAL	Cartesian	-14.06755	-18.09	-18.5	Yes	-14.06755
2765	GLOBAL	Cartesian	-14.06755	-18.09	-19.5	Yes	-14.06755
2766	GLOBAL	Cartesian	-14.06755	-18.09	-20.5	Yes	-14.06755
2767	GLOBAL	Cartesian	-14.06755	-18.09	-21.5	Yes	-14.06755
2768	GLOBAL	Cartesian	-14.06755	-18.09	-22.5	Yes	-14.06755
2769	GLOBAL	Cartesian	-14.06755	-18.09	-23.5	Yes	-14.06755
2770	GLOBAL	Cartesian	-14.06755	-18.09	-24.5	Yes	-14.06755
2771	GLOBAL	Cartesian	-14.06755	-18.09	-25.5	Yes	-14.06755
2772	GLOBAL	Cartesian	-14.06755	-18.09	-26.5	Yes	-14.06755
2773	GLOBAL	Cartesian	-14.06755	-18.09	-27.5	Yes	-14.06755
2774	GLOBAL	Cartesian	-14.06755	-18.09	-28.5	Yes	-14.06755
2775	GLOBAL	Cartesian	-14.06755	-18.09	-29.5	Yes	-14.06755
2776	GLOBAL	Cartesian	-14.06755	-18.09	-30.5	Yes	-14.06755
2777	GLOBAL	Cartesian	-14.06755	-18.09	-31.5	Yes	-14.06755
2778	GLOBAL	Cartesian	-10.66755	-18.09	-6.5	Yes	-10.66755
2779	GLOBAL	Cartesian	-10.66755	-18.09	-7.5	Yes	-10.66755
2780	GLOBAL	Cartesian	-10.66755	-18.09	-8.5	Yes	-10.66755
2781	GLOBAL	Cartesian	-10.66755	-18.09	-9.5	Yes	-10.66755
2782	GLOBAL	Cartesian	-10.66755	-18.09	-10.5	Yes	-10.66755
2783	GLOBAL	Cartesian	-10.66755	-18.09	-11.5	Yes	-10.66755
2784	GLOBAL	Cartesian	-10.66755	-18.09	-12.5	Yes	-10.66755

Table: Joint Coordinates, Part 1 of 2

Joint	CoordSys	CoordType	XorR m	Y m	Z m	SpecialJt	GlobalX m
2785	GLOBAL	Cartesian	-10.66755	-18.09	-13.5	Yes	-10.66755
2786	GLOBAL	Cartesian	-10.66755	-18.09	-14.5	Yes	-10.66755
2787	GLOBAL	Cartesian	-10.66755	-18.09	-15.5	Yes	-10.66755
2788	GLOBAL	Cartesian	-10.66755	-18.09	-16.5	Yes	-10.66755
2789	GLOBAL	Cartesian	-10.66755	-18.09	-17.5	Yes	-10.66755
2790	GLOBAL	Cartesian	-10.66755	-18.09	-18.5	Yes	-10.66755
2791	GLOBAL	Cartesian	-10.66755	-18.09	-19.5	Yes	-10.66755
2792	GLOBAL	Cartesian	-10.66755	-18.09	-20.5	Yes	-10.66755
2793	GLOBAL	Cartesian	-10.66755	-18.09	-21.5	Yes	-10.66755
2794	GLOBAL	Cartesian	-10.66755	-18.09	-22.5	Yes	-10.66755
2795	GLOBAL	Cartesian	-10.66755	-18.09	-23.5	Yes	-10.66755
2796	GLOBAL	Cartesian	-10.66755	-18.09	-24.5	Yes	-10.66755
2797	GLOBAL	Cartesian	-10.66755	-18.09	-25.5	Yes	-10.66755
2798	GLOBAL	Cartesian	-10.66755	-18.09	-26.5	Yes	-10.66755
2799	GLOBAL	Cartesian	-10.66755	-18.09	-27.5	Yes	-10.66755
2800	GLOBAL	Cartesian	-10.66755	-18.09	-28.5	Yes	-10.66755
2801	GLOBAL	Cartesian	-10.66755	-18.09	-29.5	Yes	-10.66755
2802	GLOBAL	Cartesian	-10.66755	-18.09	-30.5	Yes	-10.66755
2803	GLOBAL	Cartesian	-10.66755	-18.09	-31.5	Yes	-10.66755
2804	GLOBAL	Cartesian	-9.85975	-18.09	-5.5	No	-9.85975
2806	GLOBAL	Cartesian	-11.97919	-18.79	-5.5	No	-11.97919
2808	GLOBAL	Cartesian	-21.94255	-15.34	-5.5	No	-21.94255
2809	GLOBAL	Cartesian	-21.94255	-14.39	-5.5	No	-21.94255
2810	GLOBAL	Cartesian	-14.47082	-18.79	-5.5	No	-14.47082
2811	GLOBAL	Cartesian	-12.35139	-18.09	-5.5	No	-12.35139
2812	GLOBAL	Cartesian	-14.84301	-18.09	-5.5	No	-14.84301
2814	GLOBAL	Cartesian	-21.94255	-18.09	-5.5	No	-21.94255
2815	GLOBAL	Cartesian	-21.94255	-18.79	-5.5	No	-21.94255
2816	GLOBAL	Cartesian	-16.30522	-15.34	-5.5	No	-16.30522
2817	GLOBAL	Cartesian	-15.51723	-15.34	-5.5	No	-15.51723
2818	GLOBAL	Cartesian	-15.51242	-15.34	-5.5	No	-15.51242
2821	GLOBAL	Cartesian	-12.12184	-15.34	-5.5	No	-12.12184
2822	GLOBAL	Cartesian	-12.11476	-15.34	-5.5	No	-12.11476
2827	GLOBAL	Cartesian	-15.51725	-15.34	-6.5	Yes	-15.51725
2828	GLOBAL	Cartesian	-15.51725	-15.34	-7.5	Yes	-15.51725
2829	GLOBAL	Cartesian	-15.51725	-15.34	-8.5	Yes	-15.51725
2830	GLOBAL	Cartesian	-15.51725	-15.34	-9.5	Yes	-15.51725
2831	GLOBAL	Cartesian	-15.51725	-15.34	-10.5	Yes	-15.51725
2832	GLOBAL	Cartesian	-15.51725	-15.34	-11.5	Yes	-15.51725
2833	GLOBAL	Cartesian	-15.51725	-15.34	-12.5	Yes	-15.51725
2834	GLOBAL	Cartesian	-15.51725	-15.34	-13.5	Yes	-15.51725
2835	GLOBAL	Cartesian	-15.51725	-15.34	-14.5	Yes	-15.51725
2836	GLOBAL	Cartesian	-15.51725	-15.34	-15.5	Yes	-15.51725
2837	GLOBAL	Cartesian	-15.51725	-15.34	-16.5	Yes	-15.51725
2838	GLOBAL	Cartesian	-15.51725	-15.34	-17.5	Yes	-15.51725
2839	GLOBAL	Cartesian	-15.51725	-15.34	-18.5	Yes	-15.51725
2840	GLOBAL	Cartesian	-15.51725	-15.34	-19.5	Yes	-15.51725
2841	GLOBAL	Cartesian	-15.51725	-15.34	-20.5	Yes	-15.51725
2842	GLOBAL	Cartesian	-15.51725	-15.34	-21.5	Yes	-15.51725
2843	GLOBAL	Cartesian	-15.51725	-15.34	-22.5	Yes	-15.51725
2844	GLOBAL	Cartesian	-15.51725	-15.34	-23.5	Yes	-15.51725
2845	GLOBAL	Cartesian	-15.51725	-15.34	-24.5	Yes	-15.51725
2846	GLOBAL	Cartesian	-15.51725	-15.34	-25.5	Yes	-15.51725
2847	GLOBAL	Cartesian	-15.51725	-15.34	-26.5	Yes	-15.51725

Table: Joint Coordinates, Part 1 of 2

Joint	CoordSys	CoordType	XorR m	Y m	Z m	SpecialJt	GlobalX m
2848	GLOBAL	Cartesian	-15.51725	-15.34	-27.5	Yes	-15.51725
2849	GLOBAL	Cartesian	-15.51725	-15.34	-28.5	Yes	-15.51725
2850	GLOBAL	Cartesian	-15.51725	-15.34	-29.5	Yes	-15.51725
2851	GLOBAL	Cartesian	-15.51725	-15.34	-30.5	Yes	-15.51725
2852	GLOBAL	Cartesian	-15.51725	-15.34	-31.5	Yes	-15.51725
2853	GLOBAL	Cartesian	-26.31755	-16.715	-5.5	Yes	-26.31755
2854	GLOBAL	Cartesian	-24.56755	-16.715	-5.5	Yes	-24.56755
2855	GLOBAL	Cartesian	-19.31755	-16.715	-5.5	Yes	-19.31755
2856	GLOBAL	Cartesian	-14.79239	-16.715	-5.5	Yes	-14.79239
2857	GLOBAL	Cartesian	-15.57412	-16.715	-5.5	Yes	-15.57412
2858	GLOBAL	Cartesian	-21.94255	-16.715	-5.5	Yes	-21.94255
2859	GLOBAL	Cartesian	-26.31755	-16.715	-4.1	Yes	-26.31755
2860	GLOBAL	Cartesian	-24.56755	-16.715	-4.1	Yes	-24.56755
2861	GLOBAL	Cartesian	-19.31755	-16.715	-4.1	Yes	-19.31755
2862	GLOBAL	Cartesian	-14.79239	-16.715	-4.1	Yes	-14.79239
2863	GLOBAL	Cartesian	-15.57412	-16.715	-4.1	Yes	-15.57412
2864	GLOBAL	Cartesian	-21.94255	-16.715	-4.1	Yes	-21.94255
2865	GLOBAL	Cartesian	-26.31755	-16.715	-3.1	Yes	-26.31755
2866	GLOBAL	Cartesian	-24.56755	-16.715	-3.1	Yes	-24.56755
2867	GLOBAL	Cartesian	-19.31755	-16.715	-3.1	Yes	-19.31755
2868	GLOBAL	Cartesian	-14.79239	-16.715	-3.1	Yes	-14.79239
2869	GLOBAL	Cartesian	-15.57412	-16.715	-3.1	Yes	-15.57412
2870	GLOBAL	Cartesian	-21.94255	-16.715	-3.1	Yes	-21.94255
2871	GLOBAL	Cartesian	-26.31755	-16.715	-2.1	Yes	-26.31755
2872	GLOBAL	Cartesian	-24.56755	-16.715	-2.1	Yes	-24.56755
2873	GLOBAL	Cartesian	-19.31755	-16.715	-2.1	Yes	-19.31755
2874	GLOBAL	Cartesian	-14.79239	-16.715	-2.1	Yes	-14.79239
2875	GLOBAL	Cartesian	-15.57412	-16.715	-2.1	Yes	-15.57412
2876	GLOBAL	Cartesian	-21.94255	-16.715	-2.1	Yes	-21.94255
2877	GLOBAL	Cartesian	-26.31755	-16.715	-1.1	Yes	-26.31755
2878	GLOBAL	Cartesian	-24.56755	-16.715	-1.1	Yes	-24.56755
2879	GLOBAL	Cartesian	-12.12185	-15.34	-6.5	Yes	-12.12185
2880	GLOBAL	Cartesian	-12.12185	-15.34	-7.5	Yes	-12.12185
2881	GLOBAL	Cartesian	-12.12185	-15.34	-8.5	Yes	-12.12185
2882	GLOBAL	Cartesian	-12.12185	-15.34	-9.5	Yes	-12.12185
2883	GLOBAL	Cartesian	-12.12185	-15.34	-10.5	Yes	-12.12185
2884	GLOBAL	Cartesian	-12.12185	-15.34	-11.5	Yes	-12.12185
2885	GLOBAL	Cartesian	-12.12185	-15.34	-12.5	Yes	-12.12185
2886	GLOBAL	Cartesian	-12.12185	-15.34	-13.5	Yes	-12.12185
2887	GLOBAL	Cartesian	-12.12185	-15.34	-14.5	Yes	-12.12185
2888	GLOBAL	Cartesian	-12.12185	-15.34	-15.5	Yes	-12.12185
2889	GLOBAL	Cartesian	-12.12185	-15.34	-16.5	Yes	-12.12185
2890	GLOBAL	Cartesian	-12.12185	-15.34	-17.5	Yes	-12.12185
2891	GLOBAL	Cartesian	-12.12185	-15.34	-18.5	Yes	-12.12185
2892	GLOBAL	Cartesian	-12.12185	-15.34	-19.5	Yes	-12.12185
2893	GLOBAL	Cartesian	-12.12185	-15.34	-20.5	Yes	-12.12185
2894	GLOBAL	Cartesian	-12.12185	-15.34	-21.5	Yes	-12.12185
2895	GLOBAL	Cartesian	-12.12185	-15.34	-22.5	Yes	-12.12185
2896	GLOBAL	Cartesian	-12.12185	-15.34	-23.5	Yes	-12.12185
2897	GLOBAL	Cartesian	-12.12185	-15.34	-24.5	Yes	-12.12185
2898	GLOBAL	Cartesian	-12.12185	-15.34	-25.5	Yes	-12.12185
2899	GLOBAL	Cartesian	-12.12185	-15.34	-26.5	Yes	-12.12185
2900	GLOBAL	Cartesian	-12.12185	-15.34	-27.5	Yes	-12.12185
2901	GLOBAL	Cartesian	-12.12185	-15.34	-28.5	Yes	-12.12185

Table: Joint Coordinates, Part 1 of 2

Joint	CoordSys	CoordType	XorR m	Y m	Z m	SpecialJt	GlobalX m
2902	GLOBAL	Cartesian	-12.12185	-15.34	-29.5	Yes	-12.12185
2903	GLOBAL	Cartesian	-12.12185	-15.34	-30.5	Yes	-12.12185
2904	GLOBAL	Cartesian	-12.12185	-15.34	-31.5	Yes	-12.12185
2905	GLOBAL	Cartesian	-19.31755	-16.715	-1.1	Yes	-19.31755
2906	GLOBAL	Cartesian	-14.79239	-16.715	-1.1	Yes	-14.79239
2907	GLOBAL	Cartesian	-15.57412	-16.715	-1.1	Yes	-15.57412
2908	GLOBAL	Cartesian	-21.94255	-16.715	-1.1	Yes	-21.94255
2911	GLOBAL	Cartesian	-11.3947	-16.715	-5.5	No	-11.3947
2912	GLOBAL	Cartesian	-16.81856	-14.37455	-5.5	No	-16.81856
2915	GLOBAL	Cartesian	-37.0897	14.64	-5.5	Yes	-37.0897
2916	GLOBAL	Cartesian	-37.0897	19.04	-5.5	Yes	-37.0897
2921	GLOBAL	Cartesian	-37.0897	18.09	-5.5	No	-37.0897
2922	GLOBAL	Cartesian	-37.0897	15.34	-5.5	No	-37.0897
2978	GLOBAL	Cartesian	-37.0897	15.34	-6.5	Yes	-37.0897
2979	GLOBAL	Cartesian	-37.0897	15.34	-7.5	Yes	-37.0897
2980	GLOBAL	Cartesian	-37.0897	15.34	-8.5	Yes	-37.0897
2981	GLOBAL	Cartesian	-37.0897	15.34	-9.5	Yes	-37.0897
2982	GLOBAL	Cartesian	-37.0897	15.34	-10.5	Yes	-37.0897
2983	GLOBAL	Cartesian	-37.0897	15.34	-11.5	Yes	-37.0897
2984	GLOBAL	Cartesian	-37.0897	15.34	-12.5	Yes	-37.0897
2985	GLOBAL	Cartesian	-37.0897	15.34	-13.5	Yes	-37.0897
2986	GLOBAL	Cartesian	-37.0897	15.34	-14.5	Yes	-37.0897
2987	GLOBAL	Cartesian	-37.0897	15.34	-15.5	Yes	-37.0897
2988	GLOBAL	Cartesian	-37.0897	15.34	-16.5	Yes	-37.0897
2989	GLOBAL	Cartesian	-37.0897	15.34	-17.5	Yes	-37.0897
2990	GLOBAL	Cartesian	-37.0897	15.34	-18.5	Yes	-37.0897
2991	GLOBAL	Cartesian	-37.0897	15.34	-19.5	Yes	-37.0897
2992	GLOBAL	Cartesian	-37.0897	15.34	-20.5	Yes	-37.0897
2993	GLOBAL	Cartesian	-37.0897	15.34	-21.5	Yes	-37.0897
2994	GLOBAL	Cartesian	-37.0897	15.34	-22.5	Yes	-37.0897
2995	GLOBAL	Cartesian	-37.0897	15.34	-23.5	Yes	-37.0897
2996	GLOBAL	Cartesian	-37.0897	15.34	-24.5	Yes	-37.0897
2997	GLOBAL	Cartesian	-37.0897	15.34	-25.5	Yes	-37.0897
2998	GLOBAL	Cartesian	-37.0897	15.34	-26.5	Yes	-37.0897
2999	GLOBAL	Cartesian	-37.0897	15.34	-27.5	Yes	-37.0897
3000	GLOBAL	Cartesian	-37.0897	15.34	-28.5	Yes	-37.0897
3001	GLOBAL	Cartesian	-37.0897	15.34	-29.5	Yes	-37.0897
3002	GLOBAL	Cartesian	-37.0897	15.34	-30.5	Yes	-37.0897
3003	GLOBAL	Cartesian	-37.0897	15.34	-31.5	Yes	-37.0897
3004	GLOBAL	Cartesian	-37.0897	18.09	-6.5	Yes	-37.0897
3005	GLOBAL	Cartesian	-37.0897	18.09	-7.5	Yes	-37.0897
3006	GLOBAL	Cartesian	-37.0897	18.09	-8.5	Yes	-37.0897
3007	GLOBAL	Cartesian	-37.0897	18.09	-9.5	Yes	-37.0897
3008	GLOBAL	Cartesian	-37.0897	18.09	-10.5	Yes	-37.0897
3009	GLOBAL	Cartesian	-37.0897	18.09	-11.5	Yes	-37.0897
3010	GLOBAL	Cartesian	-37.0897	18.09	-12.5	Yes	-37.0897
3011	GLOBAL	Cartesian	-37.0897	18.09	-13.5	Yes	-37.0897
3012	GLOBAL	Cartesian	-37.0897	18.09	-14.5	Yes	-37.0897
3013	GLOBAL	Cartesian	-37.0897	18.09	-15.5	Yes	-37.0897
3014	GLOBAL	Cartesian	-37.0897	18.09	-16.5	Yes	-37.0897
3015	GLOBAL	Cartesian	-37.0897	18.09	-17.5	Yes	-37.0897
3016	GLOBAL	Cartesian	-37.0897	18.09	-18.5	Yes	-37.0897
3017	GLOBAL	Cartesian	-37.0897	18.09	-19.5	Yes	-37.0897
3018	GLOBAL	Cartesian	-37.0897	18.09	-20.5	Yes	-37.0897

Table: Joint Coordinates, Part 1 of 2

Joint	CoordSys	CoordType	XorR m	Y m	Z m	SpecialJt	GlobalX m
3019	GLOBAL	Cartesian	-37.0897	18.09	-21.5	Yes	-37.0897
3020	GLOBAL	Cartesian	-37.0897	18.09	-22.5	Yes	-37.0897
3021	GLOBAL	Cartesian	-37.0897	18.09	-23.5	Yes	-37.0897
3022	GLOBAL	Cartesian	-37.0897	18.09	-24.5	Yes	-37.0897
3023	GLOBAL	Cartesian	-37.0897	18.09	-25.5	Yes	-37.0897
3024	GLOBAL	Cartesian	-37.0897	18.09	-26.5	Yes	-37.0897
3025	GLOBAL	Cartesian	-37.0897	18.09	-27.5	Yes	-37.0897
3026	GLOBAL	Cartesian	-37.0897	18.09	-28.5	Yes	-37.0897
3027	GLOBAL	Cartesian	-37.0897	18.09	-29.5	Yes	-37.0897
3028	GLOBAL	Cartesian	-39.7147	18.09	-5.5	No	-39.7147
3029	GLOBAL	Cartesian	-39.7147	19.04	-5.5	No	-39.7147
3031	GLOBAL	Cartesian	-39.7147	15.34	-5.5	No	-39.7147
3032	GLOBAL	Cartesian	-39.7147	14.64	-5.5	No	-39.7147
3039	GLOBAL	Cartesian	-37.0897	16.715	-5.5	Yes	-37.0897
3040	GLOBAL	Cartesian	-39.7147	16.715	-5.5	Yes	-39.7147
3043	GLOBAL	Cartesian	-37.0897	16.715	-4.1	Yes	-37.0897
3044	GLOBAL	Cartesian	-39.7147	16.715	-4.1	Yes	-39.7147
3047	GLOBAL	Cartesian	-37.0897	16.715	-3.1	Yes	-37.0897
3048	GLOBAL	Cartesian	-39.7147	16.715	-3.1	Yes	-39.7147
3051	GLOBAL	Cartesian	-37.0897	16.715	-2.1	Yes	-37.0897
3052	GLOBAL	Cartesian	-39.7147	16.715	-2.1	Yes	-39.7147
3055	GLOBAL	Cartesian	-37.0897	16.715	-1.1	Yes	-37.0897
3056	GLOBAL	Cartesian	-39.7147	16.715	-1.1	Yes	-39.7147
3057	GLOBAL	Cartesian	-34.07737	18.09	-5.5	No	-34.07737
3058	GLOBAL	Cartesian	-34.59071	19.05545	-5.5	No	-34.59071
3074	GLOBAL	Cartesian	-33.34627	16.715	-3.1	No	-33.34627
3077	GLOBAL	Cartesian	-33.34627	16.715	-2.1	No	-33.34627
3078	GLOBAL	Cartesian	-32.55297	16.715	-1.1	No	-32.55297
3080	GLOBAL	Cartesian	-33.34627	16.715	-1.1	No	-33.34627
3089	GLOBAL	Cartesian	-32.55297	16.715	-5.5	No	-32.55297
3091	GLOBAL	Cartesian	-33.34627	16.715	-5.5	No	-33.34627
3092	GLOBAL	Cartesian	-32.55297	16.715	-4.1	No	-32.55297
3094	GLOBAL	Cartesian	-33.34627	16.715	-4.1	No	-33.34627
3095	GLOBAL	Cartesian	-32.55297	16.715	-3.1	No	-32.55297
3097	GLOBAL	Cartesian	-32.55297	16.715	-2.1	No	-32.55297
3100	GLOBAL	Cartesian	-32.61516	15.34	-5.5	No	-32.61516
3101	GLOBAL	Cartesian	-32.24296	14.64	-5.5	No	-32.24296
3119	GLOBAL	Cartesian	-33.79558	19.05545	-5.5	No	-33.79558
3120	GLOBAL	Cartesian	-32.09729	19.05545	-5.5	No	-32.09729
3121	GLOBAL	Cartesian	-30.40024	19.05545	-5.5	No	-30.40024
3122	GLOBAL	Cartesian	-29.60744	19.05545	-5.5	No	-29.60744
3125	GLOBAL	Cartesian	-29.09409	18.09	-5.5	No	-29.09409
3126	GLOBAL	Cartesian	-29.8869	18.09	-5.5	No	-29.8869
3127	GLOBAL	Cartesian	-31.58468	18.09	-5.5	No	-31.58468
3128	GLOBAL	Cartesian	-33.28298	18.09	-5.5	No	-33.28298
3131	GLOBAL	Cartesian	-31.82235	15.34	-5.5	No	-31.82235
3132	GLOBAL	Cartesian	-31.45016	14.64	-5.5	No	-31.45016
3134	GLOBAL	Cartesian	-24.07864	0.7708	-6.5	Yes	-24.07864
3135	GLOBAL	Cartesian	-24.07864	0.7708	-7.5	Yes	-24.07864
3136	GLOBAL	Cartesian	-24.07864	0.7708	-8.5	Yes	-24.07864
3137	GLOBAL	Cartesian	-24.07864	0.7708	-9.5	Yes	-24.07864
3138	GLOBAL	Cartesian	-24.07864	0.7708	-10.5	Yes	-24.07864
3139	GLOBAL	Cartesian	-24.07864	0.7708	-11.5	Yes	-24.07864
3140	GLOBAL	Cartesian	-24.07864	0.7708	-12.5	Yes	-24.07864

Table: Joint Coordinates, Part 1 of 2

Joint	CoordSys	CoordType	XorR m	Y m	Z m	SpecialJt	GlobalX m
3141	GLOBAL	Cartesian	-24.07864	0.7708	-13.5	Yes	-24.07864
3142	GLOBAL	Cartesian	-24.07864	0.7708	-14.5	Yes	-24.07864
3143	GLOBAL	Cartesian	-24.07864	0.7708	-15.5	Yes	-24.07864
3144	GLOBAL	Cartesian	-24.07864	0.7708	-16.5	Yes	-24.07864
3145	GLOBAL	Cartesian	-24.07864	0.7708	-17.5	Yes	-24.07864
3146	GLOBAL	Cartesian	-24.07864	0.7708	-18.5	Yes	-24.07864
3147	GLOBAL	Cartesian	-24.07864	0.7708	-19.5	Yes	-24.07864
3148	GLOBAL	Cartesian	-24.07864	0.7708	-20.5	Yes	-24.07864
3149	GLOBAL	Cartesian	-24.07864	0.7708	-21.5	Yes	-24.07864
3150	GLOBAL	Cartesian	-24.07864	0.7708	-22.5	Yes	-24.07864
3151	GLOBAL	Cartesian	-24.07864	0.7708	-23.5	Yes	-24.07864
3152	GLOBAL	Cartesian	-24.07864	0.7708	-24.5	Yes	-24.07864
3153	GLOBAL	Cartesian	-24.07864	0.7708	-25.5	Yes	-24.07864
3154	GLOBAL	Cartesian	-24.07864	0.7708	-26.5	Yes	-24.07864
3155	GLOBAL	Cartesian	-24.07864	0.7708	-27.5	Yes	-24.07864
3156	GLOBAL	Cartesian	-24.07864	0.7708	-28.5	Yes	-24.07864
3157	GLOBAL	Cartesian	-24.07864	0.7708	-29.5	Yes	-24.07864
3158	GLOBAL	Cartesian	-24.07864	0.7708	-30.5	Yes	-24.07864
3159	GLOBAL	Cartesian	-24.07864	0.7708	-31.5	Yes	-24.07864
3160	GLOBAL	Cartesian	-21.42984	2.1792	-6.5	Yes	-21.42984
3161	GLOBAL	Cartesian	-21.42984	2.1792	-7.5	Yes	-21.42984
3162	GLOBAL	Cartesian	-21.42984	2.1792	-8.5	Yes	-21.42984
3163	GLOBAL	Cartesian	-21.42984	2.1792	-9.5	Yes	-21.42984
3164	GLOBAL	Cartesian	-21.42984	2.1792	-10.5	Yes	-21.42984
3165	GLOBAL	Cartesian	-21.42984	2.1792	-11.5	Yes	-21.42984
3166	GLOBAL	Cartesian	-21.42984	2.1792	-12.5	Yes	-21.42984
3167	GLOBAL	Cartesian	-21.42984	2.1792	-13.5	Yes	-21.42984
3168	GLOBAL	Cartesian	-21.42984	2.1792	-14.5	Yes	-21.42984
3169	GLOBAL	Cartesian	-21.42984	2.1792	-15.5	Yes	-21.42984
3170	GLOBAL	Cartesian	-21.42984	2.1792	-16.5	Yes	-21.42984
3171	GLOBAL	Cartesian	-21.42984	2.1792	-17.5	Yes	-21.42984
3172	GLOBAL	Cartesian	-21.42984	2.1792	-18.5	Yes	-21.42984
3173	GLOBAL	Cartesian	-21.42984	2.1792	-19.5	Yes	-21.42984
3174	GLOBAL	Cartesian	-21.42984	2.1792	-20.5	Yes	-21.42984
3175	GLOBAL	Cartesian	-21.42984	2.1792	-21.5	Yes	-21.42984
3176	GLOBAL	Cartesian	-21.42984	2.1792	-22.5	Yes	-21.42984
3177	GLOBAL	Cartesian	-21.42984	2.1792	-23.5	Yes	-21.42984
3178	GLOBAL	Cartesian	-21.42984	2.1792	-24.5	Yes	-21.42984
3179	GLOBAL	Cartesian	-21.42984	2.1792	-25.5	Yes	-21.42984
3180	GLOBAL	Cartesian	-21.42984	2.1792	-26.5	Yes	-21.42984
3181	GLOBAL	Cartesian	-21.42984	2.1792	-27.5	Yes	-21.42984
3182	GLOBAL	Cartesian	-21.42984	2.1792	-28.5	Yes	-21.42984
3183	GLOBAL	Cartesian	-21.42984	2.1792	-29.5	Yes	-21.42984
3184	GLOBAL	Cartesian	-21.42984	2.1792	-30.5	Yes	-21.42984
3185	GLOBAL	Cartesian	-21.42984	2.1792	-31.5	Yes	-21.42984
3186	GLOBAL	Cartesian	-26.04604	4.4708	-6.5	Yes	-26.04604
3187	GLOBAL	Cartesian	-26.04604	4.4708	-7.5	Yes	-26.04604
3188	GLOBAL	Cartesian	-26.04604	4.4708	-8.5	Yes	-26.04604
3189	GLOBAL	Cartesian	-26.04604	4.4708	-9.5	Yes	-26.04604
3190	GLOBAL	Cartesian	-26.04604	4.4708	-10.5	Yes	-26.04604
3191	GLOBAL	Cartesian	-26.04604	4.4708	-11.5	Yes	-26.04604
3192	GLOBAL	Cartesian	-26.04604	4.4708	-12.5	Yes	-26.04604
3193	GLOBAL	Cartesian	-26.04604	4.4708	-13.5	Yes	-26.04604
3194	GLOBAL	Cartesian	-26.04604	4.4708	-14.5	Yes	-26.04604

Table: Joint Coordinates, Part 1 of 2

Joint	CoordSys	CoordType	XorR m	Y m	Z m	SpecialJt	GlobalX m
3195	GLOBAL	Cartesian	-26.04604	4.4708	-15.5	Yes	-26.04604
3196	GLOBAL	Cartesian	-26.04604	4.4708	-16.5	Yes	-26.04604
3197	GLOBAL	Cartesian	-26.04604	4.4708	-17.5	Yes	-26.04604
3198	GLOBAL	Cartesian	-26.04604	4.4708	-18.5	Yes	-26.04604
3199	GLOBAL	Cartesian	-26.04604	4.4708	-19.5	Yes	-26.04604
3200	GLOBAL	Cartesian	-26.04604	4.4708	-20.5	Yes	-26.04604
3201	GLOBAL	Cartesian	-26.04604	4.4708	-21.5	Yes	-26.04604
3202	GLOBAL	Cartesian	-26.04604	4.4708	-22.5	Yes	-26.04604
3203	GLOBAL	Cartesian	-26.04604	4.4708	-23.5	Yes	-26.04604
3204	GLOBAL	Cartesian	-26.04604	4.4708	-24.5	Yes	-26.04604
3205	GLOBAL	Cartesian	-26.04604	4.4708	-25.5	Yes	-26.04604
3206	GLOBAL	Cartesian	-26.04604	4.4708	-26.5	Yes	-26.04604
3207	GLOBAL	Cartesian	-26.04604	4.4708	-27.5	Yes	-26.04604
3208	GLOBAL	Cartesian	-26.04604	4.4708	-28.5	Yes	-26.04604
3209	GLOBAL	Cartesian	-26.04604	4.4708	-29.5	Yes	-26.04604
3210	GLOBAL	Cartesian	-26.04604	4.4708	-30.5	Yes	-26.04604
3211	GLOBAL	Cartesian	-26.04604	4.4708	-31.5	Yes	-26.04604
3212	GLOBAL	Cartesian	-23.39724	5.8792	-6.5	Yes	-23.39724
3213	GLOBAL	Cartesian	-23.39724	5.8792	-7.5	Yes	-23.39724
3214	GLOBAL	Cartesian	-23.39724	5.8792	-8.5	Yes	-23.39724
3215	GLOBAL	Cartesian	-23.39724	5.8792	-9.5	Yes	-23.39724
3216	GLOBAL	Cartesian	-23.39724	5.8792	-10.5	Yes	-23.39724
3217	GLOBAL	Cartesian	-23.39724	5.8792	-11.5	Yes	-23.39724
3218	GLOBAL	Cartesian	-23.39724	5.8792	-12.5	Yes	-23.39724
3219	GLOBAL	Cartesian	-23.39724	5.8792	-13.5	Yes	-23.39724
3220	GLOBAL	Cartesian	-23.39724	5.8792	-14.5	Yes	-23.39724
3221	GLOBAL	Cartesian	-23.39724	5.8792	-15.5	Yes	-23.39724
3222	GLOBAL	Cartesian	-23.39724	5.8792	-16.5	Yes	-23.39724
3223	GLOBAL	Cartesian	-23.39724	5.8792	-17.5	Yes	-23.39724
3224	GLOBAL	Cartesian	-23.39724	5.8792	-18.5	Yes	-23.39724
3225	GLOBAL	Cartesian	-23.39724	5.8792	-19.5	Yes	-23.39724
3226	GLOBAL	Cartesian	-23.39724	5.8792	-20.5	Yes	-23.39724
3227	GLOBAL	Cartesian	-23.39724	5.8792	-21.5	Yes	-23.39724
3228	GLOBAL	Cartesian	-23.39724	5.8792	-22.5	Yes	-23.39724
3229	GLOBAL	Cartesian	-23.39724	5.8792	-23.5	Yes	-23.39724
3230	GLOBAL	Cartesian	-23.39724	5.8792	-24.5	Yes	-23.39724
3231	GLOBAL	Cartesian	-23.39724	5.8792	-25.5	Yes	-23.39724
3232	GLOBAL	Cartesian	-23.39724	5.8792	-26.5	Yes	-23.39724
3233	GLOBAL	Cartesian	-23.39724	5.8792	-27.5	Yes	-23.39724
3234	GLOBAL	Cartesian	-23.39724	5.8792	-28.5	Yes	-23.39724
3235	GLOBAL	Cartesian	-23.39724	5.8792	-29.5	Yes	-23.39724
3236	GLOBAL	Cartesian	-23.39724	5.8792	-30.5	Yes	-23.39724
3237	GLOBAL	Cartesian	-23.39724	5.8792	-31.5	Yes	-23.39724
3238	GLOBAL	Cartesian	-28.01334	8.1708	-6.5	Yes	-28.01334
3239	GLOBAL	Cartesian	-28.01334	8.1708	-7.5	Yes	-28.01334
3240	GLOBAL	Cartesian	-28.01334	8.1708	-8.5	Yes	-28.01334
3241	GLOBAL	Cartesian	-28.01334	8.1708	-9.5	Yes	-28.01334
3242	GLOBAL	Cartesian	-28.01334	8.1708	-10.5	Yes	-28.01334
3243	GLOBAL	Cartesian	-28.01334	8.1708	-11.5	Yes	-28.01334
3244	GLOBAL	Cartesian	-28.01334	8.1708	-12.5	Yes	-28.01334
3245	GLOBAL	Cartesian	-28.01334	8.1708	-13.5	Yes	-28.01334
3246	GLOBAL	Cartesian	-28.01334	8.1708	-14.5	Yes	-28.01334
3247	GLOBAL	Cartesian	-28.01334	8.1708	-15.5	Yes	-28.01334
3248	GLOBAL	Cartesian	-28.01334	8.1708	-16.5	Yes	-28.01334

Table: Joint Coordinates, Part 1 of 2

Joint	CoordSys	CoordType	XorR m	Y m	Z m	SpecialJt	GlobalX m
3249	GLOBAL	Cartesian	-28.01334	8.1708	-17.5	Yes	-28.01334
3250	GLOBAL	Cartesian	-28.01334	8.1708	-18.5	Yes	-28.01334
3251	GLOBAL	Cartesian	-28.01334	8.1708	-19.5	Yes	-28.01334
3252	GLOBAL	Cartesian	-28.01334	8.1708	-20.5	Yes	-28.01334
3253	GLOBAL	Cartesian	-28.01334	8.1708	-21.5	Yes	-28.01334
3254	GLOBAL	Cartesian	-28.01334	8.1708	-22.5	Yes	-28.01334
3255	GLOBAL	Cartesian	-28.01334	8.1708	-23.5	Yes	-28.01334
3256	GLOBAL	Cartesian	-28.01334	8.1708	-24.5	Yes	-28.01334
3257	GLOBAL	Cartesian	-28.01334	8.1708	-25.5	Yes	-28.01334
3258	GLOBAL	Cartesian	-28.01334	8.1708	-26.5	Yes	-28.01334
3259	GLOBAL	Cartesian	-28.01334	8.1708	-27.5	Yes	-28.01334
3260	GLOBAL	Cartesian	-28.01334	8.1708	-28.5	Yes	-28.01334
3261	GLOBAL	Cartesian	-28.01334	8.1708	-29.5	Yes	-28.01334
3262	GLOBAL	Cartesian	-28.01334	8.1708	-30.5	Yes	-28.01334
3263	GLOBAL	Cartesian	-28.01334	8.1708	-31.5	Yes	-28.01334
3264	GLOBAL	Cartesian	-25.36454	9.5792	-6.5	Yes	-25.36454
3265	GLOBAL	Cartesian	-25.36454	9.5792	-7.5	Yes	-25.36454
3266	GLOBAL	Cartesian	-25.36454	9.5792	-8.5	Yes	-25.36454
3267	GLOBAL	Cartesian	-25.36454	9.5792	-9.5	Yes	-25.36454
3268	GLOBAL	Cartesian	-25.36454	9.5792	-10.5	Yes	-25.36454
3269	GLOBAL	Cartesian	-25.36454	9.5792	-11.5	Yes	-25.36454
3270	GLOBAL	Cartesian	-25.36454	9.5792	-12.5	Yes	-25.36454
3271	GLOBAL	Cartesian	-25.36454	9.5792	-13.5	Yes	-25.36454
3272	GLOBAL	Cartesian	-25.36454	9.5792	-14.5	Yes	-25.36454
3273	GLOBAL	Cartesian	-25.36454	9.5792	-15.5	Yes	-25.36454
3274	GLOBAL	Cartesian	-25.36454	9.5792	-16.5	Yes	-25.36454
3275	GLOBAL	Cartesian	-25.36454	9.5792	-17.5	Yes	-25.36454
3276	GLOBAL	Cartesian	-25.36454	9.5792	-18.5	Yes	-25.36454
3277	GLOBAL	Cartesian	-25.36454	9.5792	-19.5	Yes	-25.36454
3278	GLOBAL	Cartesian	-25.36454	9.5792	-20.5	Yes	-25.36454
3279	GLOBAL	Cartesian	-25.36454	9.5792	-21.5	Yes	-25.36454
3280	GLOBAL	Cartesian	-25.36454	9.5792	-22.5	Yes	-25.36454
3281	GLOBAL	Cartesian	-25.36454	9.5792	-23.5	Yes	-25.36454
3282	GLOBAL	Cartesian	-25.36454	9.5792	-24.5	Yes	-25.36454
3283	GLOBAL	Cartesian	-25.36454	9.5792	-25.5	Yes	-25.36454
3284	GLOBAL	Cartesian	-25.36454	9.5792	-26.5	Yes	-25.36454
3285	GLOBAL	Cartesian	-25.36454	9.5792	-27.5	Yes	-25.36454
3286	GLOBAL	Cartesian	-25.36454	9.5792	-28.5	Yes	-25.36454
3287	GLOBAL	Cartesian	-25.36454	9.5792	-29.5	Yes	-25.36454
3288	GLOBAL	Cartesian	-25.36454	9.5792	-30.5	Yes	-25.36454
3289	GLOBAL	Cartesian	-25.36454	9.5792	-31.5	Yes	-25.36454
3290	GLOBAL	Cartesian	-29.98064	11.8708	-6.5	Yes	-29.98064
3291	GLOBAL	Cartesian	-29.98064	11.8708	-7.5	Yes	-29.98064
3292	GLOBAL	Cartesian	-29.98064	11.8708	-8.5	Yes	-29.98064
3293	GLOBAL	Cartesian	-29.98064	11.8708	-9.5	Yes	-29.98064
3294	GLOBAL	Cartesian	-29.98064	11.8708	-10.5	Yes	-29.98064
3295	GLOBAL	Cartesian	-29.98064	11.8708	-11.5	Yes	-29.98064
3296	GLOBAL	Cartesian	-29.98064	11.8708	-12.5	Yes	-29.98064
3297	GLOBAL	Cartesian	-29.98064	11.8708	-13.5	Yes	-29.98064
3298	GLOBAL	Cartesian	-29.98064	11.8708	-14.5	Yes	-29.98064
3299	GLOBAL	Cartesian	-29.98064	11.8708	-15.5	Yes	-29.98064
3300	GLOBAL	Cartesian	-29.98064	11.8708	-16.5	Yes	-29.98064
3301	GLOBAL	Cartesian	-29.98064	11.8708	-17.5	Yes	-29.98064
3302	GLOBAL	Cartesian	-29.98064	11.8708	-18.5	Yes	-29.98064

Table: Joint Coordinates, Part 1 of 2

Joint	CoordSys	CoordType	XorR m	Y m	Z m	SpecialJt	GlobalX m
3303	GLOBAL	Cartesian	-29.98064	11.8708	-19.5	Yes	-29.98064
3304	GLOBAL	Cartesian	-29.98064	11.8708	-20.5	Yes	-29.98064
3305	GLOBAL	Cartesian	-29.98064	11.8708	-21.5	Yes	-29.98064
3306	GLOBAL	Cartesian	-29.98064	11.8708	-22.5	Yes	-29.98064
3307	GLOBAL	Cartesian	-29.98064	11.8708	-23.5	Yes	-29.98064
3308	GLOBAL	Cartesian	-29.98064	11.8708	-24.5	Yes	-29.98064
3309	GLOBAL	Cartesian	-29.98064	11.8708	-25.5	Yes	-29.98064
3310	GLOBAL	Cartesian	-29.98064	11.8708	-26.5	Yes	-29.98064
3311	GLOBAL	Cartesian	-29.98064	11.8708	-27.5	Yes	-29.98064
3312	GLOBAL	Cartesian	-29.98064	11.8708	-28.5	Yes	-29.98064
3313	GLOBAL	Cartesian	-29.98064	11.8708	-29.5	Yes	-29.98064
3314	GLOBAL	Cartesian	-29.98064	11.8708	-30.5	Yes	-29.98064
3315	GLOBAL	Cartesian	-29.98064	11.8708	-31.5	Yes	-29.98064
3316	GLOBAL	Cartesian	-27.33184	13.2792	-6.5	Yes	-27.33184
3317	GLOBAL	Cartesian	-27.33184	13.2792	-7.5	Yes	-27.33184
3318	GLOBAL	Cartesian	-27.33184	13.2792	-8.5	Yes	-27.33184
3319	GLOBAL	Cartesian	-27.33184	13.2792	-9.5	Yes	-27.33184
3320	GLOBAL	Cartesian	-27.33184	13.2792	-10.5	Yes	-27.33184
3321	GLOBAL	Cartesian	-27.33184	13.2792	-11.5	Yes	-27.33184
3322	GLOBAL	Cartesian	-27.33184	13.2792	-12.5	Yes	-27.33184
3323	GLOBAL	Cartesian	-27.33184	13.2792	-13.5	Yes	-27.33184
3324	GLOBAL	Cartesian	-27.33184	13.2792	-14.5	Yes	-27.33184
3325	GLOBAL	Cartesian	-27.33184	13.2792	-15.5	Yes	-27.33184
3326	GLOBAL	Cartesian	-27.33184	13.2792	-16.5	Yes	-27.33184
3327	GLOBAL	Cartesian	-27.33184	13.2792	-17.5	Yes	-27.33184
3328	GLOBAL	Cartesian	-27.33184	13.2792	-18.5	Yes	-27.33184
3329	GLOBAL	Cartesian	-27.33184	13.2792	-19.5	Yes	-27.33184
3330	GLOBAL	Cartesian	-27.33184	13.2792	-20.5	Yes	-27.33184
3331	GLOBAL	Cartesian	-27.33184	13.2792	-21.5	Yes	-27.33184
3332	GLOBAL	Cartesian	-27.33184	13.2792	-22.5	Yes	-27.33184
3333	GLOBAL	Cartesian	-27.33184	13.2792	-23.5	Yes	-27.33184
3334	GLOBAL	Cartesian	-27.33184	13.2792	-24.5	Yes	-27.33184
3335	GLOBAL	Cartesian	-27.33184	13.2792	-25.5	Yes	-27.33184
3336	GLOBAL	Cartesian	-27.33184	13.2792	-26.5	Yes	-27.33184
3337	GLOBAL	Cartesian	-27.33184	13.2792	-27.5	Yes	-27.33184
3338	GLOBAL	Cartesian	-27.33184	13.2792	-28.5	Yes	-27.33184
3339	GLOBAL	Cartesian	-27.33184	13.2792	-29.5	Yes	-27.33184
3340	GLOBAL	Cartesian	-27.33184	13.2792	-30.5	Yes	-27.33184
3341	GLOBAL	Cartesian	-27.33184	13.2792	-31.5	Yes	-27.33184
3342	GLOBAL	Cartesian	-31.82234	15.34	-6.5	Yes	-31.82234
3343	GLOBAL	Cartesian	-31.82234	15.34	-7.5	Yes	-31.82234
3344	GLOBAL	Cartesian	-31.82234	15.34	-8.5	Yes	-31.82234
3345	GLOBAL	Cartesian	-31.82234	15.34	-9.5	Yes	-31.82234
3346	GLOBAL	Cartesian	-31.82234	15.34	-10.5	Yes	-31.82234
3347	GLOBAL	Cartesian	-31.82234	15.34	-11.5	Yes	-31.82234
3348	GLOBAL	Cartesian	-31.82234	15.34	-12.5	Yes	-31.82234
3349	GLOBAL	Cartesian	-31.82234	15.34	-13.5	Yes	-31.82234
3350	GLOBAL	Cartesian	-31.82234	15.34	-14.5	Yes	-31.82234
3351	GLOBAL	Cartesian	-31.82234	15.34	-15.5	Yes	-31.82234
3352	GLOBAL	Cartesian	-31.82234	15.34	-16.5	Yes	-31.82234
3353	GLOBAL	Cartesian	-31.82234	15.34	-17.5	Yes	-31.82234
3354	GLOBAL	Cartesian	-31.82234	15.34	-18.5	Yes	-31.82234
3355	GLOBAL	Cartesian	-31.82234	15.34	-19.5	Yes	-31.82234
3356	GLOBAL	Cartesian	-31.82234	15.34	-20.5	Yes	-31.82234

Table: Joint Coordinates, Part 1 of 2

Joint	CoordSys	CoordType	XorR m	Y m	Z m	SpecialJt	GlobalX m
3357	GLOBAL	Cartesian	-31.82234	15.34	-21.5	Yes	-31.82234
3358	GLOBAL	Cartesian	-31.82234	15.34	-22.5	Yes	-31.82234
3359	GLOBAL	Cartesian	-31.82234	15.34	-23.5	Yes	-31.82234
3360	GLOBAL	Cartesian	-31.82234	15.34	-24.5	Yes	-31.82234
3361	GLOBAL	Cartesian	-31.82234	15.34	-25.5	Yes	-31.82234
3362	GLOBAL	Cartesian	-31.82234	15.34	-26.5	Yes	-31.82234
3363	GLOBAL	Cartesian	-31.82234	15.34	-27.5	Yes	-31.82234
3364	GLOBAL	Cartesian	-31.82234	15.34	-28.5	Yes	-31.82234
3365	GLOBAL	Cartesian	-31.82234	15.34	-29.5	Yes	-31.82234
3366	GLOBAL	Cartesian	-31.82234	15.34	-30.5	Yes	-31.82234
3367	GLOBAL	Cartesian	-31.82234	15.34	-31.5	Yes	-31.82234
3368	GLOBAL	Cartesian	-28.41364	15.3192	-6.5	Yes	-28.41364
3369	GLOBAL	Cartesian	-28.41364	15.3192	-7.5	Yes	-28.41364
3370	GLOBAL	Cartesian	-28.41364	15.3192	-8.5	Yes	-28.41364
3371	GLOBAL	Cartesian	-28.41364	15.3192	-9.5	Yes	-28.41364
3372	GLOBAL	Cartesian	-28.41364	15.3192	-10.5	Yes	-28.41364
3373	GLOBAL	Cartesian	-28.41364	15.3192	-11.5	Yes	-28.41364
3374	GLOBAL	Cartesian	-28.41364	15.3192	-12.5	Yes	-28.41364
3375	GLOBAL	Cartesian	-28.41364	15.3192	-13.5	Yes	-28.41364
3376	GLOBAL	Cartesian	-28.41364	15.3192	-14.5	Yes	-28.41364
3377	GLOBAL	Cartesian	-28.41364	15.3192	-15.5	Yes	-28.41364
3378	GLOBAL	Cartesian	-28.41364	15.3192	-16.5	Yes	-28.41364
3379	GLOBAL	Cartesian	-28.41364	15.3192	-17.5	Yes	-28.41364
3380	GLOBAL	Cartesian	-28.41364	15.3192	-18.5	Yes	-28.41364
3381	GLOBAL	Cartesian	-28.41364	15.3192	-19.5	Yes	-28.41364
3382	GLOBAL	Cartesian	-28.41364	15.3192	-20.5	Yes	-28.41364
3383	GLOBAL	Cartesian	-28.41364	15.3192	-21.5	Yes	-28.41364
3384	GLOBAL	Cartesian	-28.41364	15.3192	-22.5	Yes	-28.41364
3385	GLOBAL	Cartesian	-28.41364	15.3192	-23.5	Yes	-28.41364
3386	GLOBAL	Cartesian	-28.41364	15.3192	-24.5	Yes	-28.41364
3387	GLOBAL	Cartesian	-28.41364	15.3192	-25.5	Yes	-28.41364
3388	GLOBAL	Cartesian	-28.41364	15.3192	-26.5	Yes	-28.41364
3389	GLOBAL	Cartesian	-28.41364	15.3192	-27.5	Yes	-28.41364
3390	GLOBAL	Cartesian	-28.41364	15.3192	-28.5	Yes	-28.41364
3391	GLOBAL	Cartesian	-28.41364	15.3192	-29.5	Yes	-28.41364
3392	GLOBAL	Cartesian	-28.41364	15.3192	-30.5	Yes	-28.41364
3393	GLOBAL	Cartesian	-28.41364	15.3192	-31.5	Yes	-28.41364
3394	GLOBAL	Cartesian	-33.28294	18.09	-6.5	Yes	-33.28294
3395	GLOBAL	Cartesian	-33.28294	18.09	-7.5	Yes	-33.28294
3396	GLOBAL	Cartesian	-33.28294	18.09	-8.5	Yes	-33.28294
3397	GLOBAL	Cartesian	-33.28294	18.09	-9.5	Yes	-33.28294
3398	GLOBAL	Cartesian	-33.28294	18.09	-10.5	Yes	-33.28294
3399	GLOBAL	Cartesian	-33.28294	18.09	-11.5	Yes	-33.28294
3400	GLOBAL	Cartesian	-33.28294	18.09	-12.5	Yes	-33.28294
3401	GLOBAL	Cartesian	-33.28294	18.09	-13.5	Yes	-33.28294
3402	GLOBAL	Cartesian	-33.28294	18.09	-14.5	Yes	-33.28294
3403	GLOBAL	Cartesian	-33.28294	18.09	-15.5	Yes	-33.28294
3404	GLOBAL	Cartesian	-33.28294	18.09	-16.5	Yes	-33.28294
3405	GLOBAL	Cartesian	-33.28294	18.09	-17.5	Yes	-33.28294
3406	GLOBAL	Cartesian	-33.28294	18.09	-18.5	Yes	-33.28294
3407	GLOBAL	Cartesian	-33.28294	18.09	-19.5	Yes	-33.28294
3408	GLOBAL	Cartesian	-33.28294	18.09	-20.5	Yes	-33.28294
3409	GLOBAL	Cartesian	-33.28294	18.09	-21.5	Yes	-33.28294
3410	GLOBAL	Cartesian	-33.28294	18.09	-22.5	Yes	-33.28294

Table: Joint Coordinates, Part 1 of 2

Joint	CoordSys	CoordType	XorR m	Y m	Z m	SpecialJt	GlobalX m
3411	GLOBAL	Cartesian	-33.28294	18.09	-23.5	Yes	-33.28294
3412	GLOBAL	Cartesian	-33.28294	18.09	-24.5	Yes	-33.28294
3413	GLOBAL	Cartesian	-33.28294	18.09	-25.5	Yes	-33.28294
3414	GLOBAL	Cartesian	-33.28294	18.09	-26.5	Yes	-33.28294
3415	GLOBAL	Cartesian	-33.28294	18.09	-27.5	Yes	-33.28294
3416	GLOBAL	Cartesian	-33.28294	18.09	-28.5	Yes	-33.28294
3417	GLOBAL	Cartesian	-33.28294	18.09	-29.5	Yes	-33.28294
3418	GLOBAL	Cartesian	-33.28294	18.09	-30.5	Yes	-33.28294
3419	GLOBAL	Cartesian	-33.28294	18.09	-31.5	Yes	-33.28294
3447	GLOBAL	Cartesian	-29.88684	18.09	-6.5	Yes	-29.88684
3448	GLOBAL	Cartesian	-29.88684	18.09	-7.5	Yes	-29.88684
3449	GLOBAL	Cartesian	-29.88684	18.09	-8.5	Yes	-29.88684
3450	GLOBAL	Cartesian	-29.88684	18.09	-9.5	Yes	-29.88684
3451	GLOBAL	Cartesian	-29.88684	18.09	-10.5	Yes	-29.88684
3452	GLOBAL	Cartesian	-29.88684	18.09	-11.5	Yes	-29.88684
3453	GLOBAL	Cartesian	-29.88684	18.09	-12.5	Yes	-29.88684
3454	GLOBAL	Cartesian	-29.88684	18.09	-13.5	Yes	-29.88684
3455	GLOBAL	Cartesian	-29.88684	18.09	-14.5	Yes	-29.88684
3456	GLOBAL	Cartesian	-29.88684	18.09	-15.5	Yes	-29.88684
3457	GLOBAL	Cartesian	-29.88684	18.09	-16.5	Yes	-29.88684
3458	GLOBAL	Cartesian	-29.88684	18.09	-17.5	Yes	-29.88684
3459	GLOBAL	Cartesian	-29.88684	18.09	-18.5	Yes	-29.88684
3460	GLOBAL	Cartesian	-29.88684	18.09	-19.5	Yes	-29.88684
3461	GLOBAL	Cartesian	-29.88684	18.09	-20.5	Yes	-29.88684
3462	GLOBAL	Cartesian	-29.88684	18.09	-21.5	Yes	-29.88684
3463	GLOBAL	Cartesian	-29.88684	18.09	-22.5	Yes	-29.88684
3464	GLOBAL	Cartesian	-29.88684	18.09	-23.5	Yes	-29.88684
3465	GLOBAL	Cartesian	-29.88684	18.09	-24.5	Yes	-29.88684
3466	GLOBAL	Cartesian	-29.88684	18.09	-25.5	Yes	-29.88684
3467	GLOBAL	Cartesian	-29.88684	18.09	-26.5	Yes	-29.88684
3468	GLOBAL	Cartesian	-29.88684	18.09	-27.5	Yes	-29.88684
3469	GLOBAL	Cartesian	-29.88684	18.09	-28.5	Yes	-29.88684
3470	GLOBAL	Cartesian	-29.88684	18.09	-29.5	Yes	-29.88684
3471	GLOBAL	Cartesian	-29.88684	18.09	-30.5	Yes	-29.88684
3472	GLOBAL	Cartesian	-29.88684	18.09	-31.5	Yes	-29.88684
4757	GLOBAL	Cartesian	-7.91964	-17.761	0.	No	-7.91964
4758	GLOBAL	Cartesian	-5.61631	-17.761	0.	No	-5.61631
4759	GLOBAL	Cartesian	-3.31298	-17.761	0.	No	-3.31298
4760	GLOBAL	Cartesian	-1.00964	-17.761	0.	No	-1.00964
4761	GLOBAL	Cartesian	4.83702	-17.761	0.	No	4.83702
4762	GLOBAL	Cartesian	7.14036	-17.761	0.	No	7.14036
4763	GLOBAL	Cartesian	9.44369	-17.761	0.	No	9.44369
4764	GLOBAL	Cartesian	11.74702	-17.761	0.	No	11.74702
4765	GLOBAL	Cartesian	14.05036	-17.761	0.	No	14.05036
4766	GLOBAL	Cartesian	19.89994	-17.761	0.	No	19.89994
4767	GLOBAL	Cartesian	22.20327	-17.761	0.	No	22.20327
4768	GLOBAL	Cartesian	24.5066	-17.761	0.	No	24.5066
4769	GLOBAL	Cartesian	-31.85369	17.761	0.	No	-31.85369
4770	GLOBAL	Cartesian	26.80994	-17.761	0.	No	26.80994
4771	GLOBAL	Cartesian	29.11327	-17.761	0.	No	29.11327
4777	GLOBAL	Cartesian	-17.15369	17.761	0.	No	-17.15369
4778	GLOBAL	Cartesian	-16.79369	17.761	0.	No	-16.79369
4786	GLOBAL	Cartesian	-2.09369	17.761	0.	No	-2.09369
4787	GLOBAL	Cartesian	-1.73369	17.761	0.	No	-1.73369

Table: Joint Coordinates, Part 1 of 2

Joint	CoordSys	CoordType	XorR m	Y m	Z m	SpecialJt	GlobalX m
4795	GLOBAL	Cartesian	12.96631	17.761	0.	No	12.96631
4796	GLOBAL	Cartesian	-22.70244	0.55	0.	No	-22.70244
4804	GLOBAL	Cartesian	-8.00244	0.55	0.	No	-8.00244
4805	GLOBAL	Cartesian	-7.64244	0.55	0.	No	-7.64244
4813	GLOBAL	Cartesian	7.05756	0.55	0.	No	7.05756
4814	GLOBAL	Cartesian	7.41756	0.55	0.	No	7.41756
4822	GLOBAL	Cartesian	22.11756	0.55	0.	No	22.11756
4823	GLOBAL	Cartesian	-22.11756	-0.55	0.	No	-22.11756
4831	GLOBAL	Cartesian	-7.41756	-0.55	0.	No	-7.41756
4832	GLOBAL	Cartesian	-7.05756	-0.55	0.	No	-7.05756
4840	GLOBAL	Cartesian	7.64244	-0.55	0.	No	7.64244
4841	GLOBAL	Cartesian	8.00244	-0.55	0.	No	8.00244
4849	GLOBAL	Cartesian	22.70244	-0.55	0.	No	22.70244
4850	GLOBAL	Cartesian	-12.96631	-17.761	0.	No	-12.96631
4858	GLOBAL	Cartesian	1.73369	-17.761	0.	No	1.73369
4859	GLOBAL	Cartesian	2.09369	-17.761	0.	No	2.09369
4867	GLOBAL	Cartesian	16.79369	-17.761	0.	No	16.79369
4868	GLOBAL	Cartesian	17.15369	-17.761	0.	No	17.15369
4876	GLOBAL	Cartesian	31.85369	-17.761	0.	No	31.85369
6164	GLOBAL	Cartesian	-14.83729	12.575	0.	No	-14.83729
6165	GLOBAL	Cartesian	-13.85394	10.725	0.	No	-13.85394
6166	GLOBAL	Cartesian	-12.87059	8.875	0.	No	-12.87059
6167	GLOBAL	Cartesian	1.4655	12.57522	0.	No	1.4655
6168	GLOBAL	Cartesian	2.44882	10.72529	0.	No	2.44882
6169	GLOBAL	Cartesian	3.43214	8.87535	0.	No	3.43214
6174	GLOBAL	Cartesian	-13.5952	12.575	0.	No	-13.5952
6175	GLOBAL	Cartesian	-12.61122	10.725	0.	No	-12.61122
6176	GLOBAL	Cartesian	-11.62725	8.875	0.	No	-11.62725
6177	GLOBAL	Cartesian	0.22189	12.575	0.	No	0.22189
6178	GLOBAL	Cartesian	1.20586	10.725	0.	No	1.20586
6179	GLOBAL	Cartesian	2.18984	8.875	0.	No	2.18984
6180	GLOBAL	Cartesian	-31.41369	17.761	0.	No	-31.41369
6181	GLOBAL	Cartesian	-17.59369	17.761	0.	No	-17.59369
6182	GLOBAL	Cartesian	-16.35369	17.761	0.	No	-16.35369
6183	GLOBAL	Cartesian	-2.5366	17.761	0.	No	-2.5366
6184	GLOBAL	Cartesian	-1.29078	17.761	0.	No	-1.29078
6185	GLOBAL	Cartesian	12.52631	17.761	0.	No	12.52631
6186	GLOBAL	Cartesian	-22.26244	0.55	0.	No	-22.26244
6187	GLOBAL	Cartesian	-8.44535	0.55	0.	No	-8.44535
6188	GLOBAL	Cartesian	-7.19953	0.55	0.	No	-7.19953
6189	GLOBAL	Cartesian	6.61756	0.55	0.	No	6.61756
6190	GLOBAL	Cartesian	7.85756	0.55	0.	No	7.85756
6191	GLOBAL	Cartesian	21.67789	0.55	0.	No	21.67789
6192	GLOBAL	Cartesian	-21.67756	-0.55	0.	No	-21.67756
6193	GLOBAL	Cartesian	-7.86047	-0.55	0.	No	-7.86047
6194	GLOBAL	Cartesian	-6.61465	-0.55	0.	No	-6.61465
6195	GLOBAL	Cartesian	7.20244	-0.55	0.	No	7.20244
6196	GLOBAL	Cartesian	8.44244	-0.55	0.	No	8.44244
6197	GLOBAL	Cartesian	22.26277	-0.55	0.	No	22.26277
6198	GLOBAL	Cartesian	-12.52631	-17.761	0.	No	-12.52631
6199	GLOBAL	Cartesian	1.29078	-17.761	0.	No	1.29078
6200	GLOBAL	Cartesian	2.5366	-17.761	0.	No	2.5366
6201	GLOBAL	Cartesian	16.35369	-17.761	0.	No	16.35369
6202	GLOBAL	Cartesian	17.59369	-17.761	0.	No	17.59369

Table: Joint Coordinates, Part 1 of 2

Joint	CoordSys	CoordType	XorR m	Y m	Z m	SpecialJt	GlobalX m
6203	GLOBAL	Cartesian	31.41369	-17.761	0.	No	31.41369
6555	GLOBAL	Cartesian	28.65625	-12.575	-0.84	Yes	28.65625
6556	GLOBAL	Cartesian	22.75427	-1.475	-0.84	Yes	22.75427
6557	GLOBAL	Cartesian	21.18573	1.475	-0.84	Yes	21.18573
6558	GLOBAL	Cartesian	15.28375	12.575	-0.84	Yes	15.28375
6561	GLOBAL	Cartesian	27.67258	-10.725	-0.84	Yes	27.67258
6562	GLOBAL	Cartesian	26.68892	-8.875	-0.84	Yes	26.68892
6563	GLOBAL	Cartesian	25.70526	-7.025	-0.84	Yes	25.70526
6564	GLOBAL	Cartesian	24.7216	-5.175	-0.84	Yes	24.7216
6565	GLOBAL	Cartesian	23.73793	-3.325	-0.84	Yes	23.73793
6566	GLOBAL	Cartesian	20.20207	3.325	-0.84	Yes	20.20207
6567	GLOBAL	Cartesian	19.2184	5.175	-0.84	Yes	19.2184
6568	GLOBAL	Cartesian	18.23474	7.025	-0.84	Yes	18.23474
6569	GLOBAL	Cartesian	17.25108	8.875	-0.84	Yes	17.25108
6570	GLOBAL	Cartesian	16.26742	10.725	-0.84	Yes	16.26742
6571	GLOBAL	Cartesian	29.74093	-14.615	-0.84	Yes	29.74093
6572	GLOBAL	Cartesian	30.85752	-16.715	-0.84	Yes	30.85752
6573	GLOBAL	Cartesian	14.19907	14.615	-0.84	Yes	14.19907
6574	GLOBAL	Cartesian	13.08248	16.715	-0.84	Yes	13.08248
6591	GLOBAL	Cartesian	29.74093	-14.615	-1.1	Yes	29.74093
6592	GLOBAL	Cartesian	30.85752	-16.715	-1.1	Yes	30.85752
6940	GLOBAL	Cartesian	28.65915	-12.575	-1.1	Yes	28.65915
6941	GLOBAL	Cartesian	22.75717	-1.475	-1.1	Yes	22.75717
6942	GLOBAL	Cartesian	21.18863	1.475	-1.1	Yes	21.18863
6943	GLOBAL	Cartesian	15.28665	12.575	-1.1	Yes	15.28665
6944	GLOBAL	Cartesian	27.67548	-10.725	-1.1	Yes	27.67548
6945	GLOBAL	Cartesian	26.69182	-8.875	-1.1	Yes	26.69182
6946	GLOBAL	Cartesian	25.70816	-7.025	-1.1	Yes	25.70816
6947	GLOBAL	Cartesian	24.7245	-5.175	-1.1	Yes	24.7245
6948	GLOBAL	Cartesian	23.74083	-3.325	-1.1	Yes	23.74083
6949	GLOBAL	Cartesian	20.20497	3.325	-1.1	Yes	20.20497
6950	GLOBAL	Cartesian	19.2213	5.175	-1.1	Yes	19.2213
6951	GLOBAL	Cartesian	18.23764	7.025	-1.1	Yes	18.23764
6952	GLOBAL	Cartesian	17.25398	8.875	-1.1	Yes	17.25398
6953	GLOBAL	Cartesian	16.27032	10.725	-1.1	Yes	16.27032
6954	GLOBAL	Cartesian	14.20197	14.615	-1.1	Yes	14.20197
6955	GLOBAL	Cartesian	13.08538	16.715	-1.1	Yes	13.08538
6956	GLOBAL	Cartesian	28.65916	-12.575	-2.1	Yes	28.65916
6957	GLOBAL	Cartesian	22.75718	-1.475	-2.1	Yes	22.75718
6958	GLOBAL	Cartesian	21.18864	1.475	-2.1	Yes	21.18864
6959	GLOBAL	Cartesian	15.28667	12.575	-2.1	Yes	15.28667
6960	GLOBAL	Cartesian	27.6755	-10.725	-2.1	Yes	27.6755
6961	GLOBAL	Cartesian	26.69183	-8.875	-2.1	Yes	26.69183
6962	GLOBAL	Cartesian	25.70817	-7.025	-2.1	Yes	25.70817
6963	GLOBAL	Cartesian	24.72451	-5.175	-2.1	Yes	24.72451
6964	GLOBAL	Cartesian	23.74085	-3.325	-2.1	Yes	23.74085
6965	GLOBAL	Cartesian	20.20498	3.325	-2.1	Yes	20.20498
6966	GLOBAL	Cartesian	19.22132	5.175	-2.1	Yes	19.22132
6967	GLOBAL	Cartesian	18.23765	7.025	-2.1	Yes	18.23765
6968	GLOBAL	Cartesian	17.25399	8.875	-2.1	Yes	17.25399
6969	GLOBAL	Cartesian	16.27033	10.725	-2.1	Yes	16.27033
6970	GLOBAL	Cartesian	29.74093	-14.615	-2.1	Yes	29.74093
6971	GLOBAL	Cartesian	30.85752	-16.715	-2.1	Yes	30.85752
6972	GLOBAL	Cartesian	14.20198	14.615	-2.1	Yes	14.20198

Table: Joint Coordinates, Part 1 of 2

Joint	CoordSys	CoordType	XorR m	Y m	Z m	SpecialJt	GlobalX m
6973	GLOBAL	Cartesian	13.08539	16.715	-2.1	Yes	13.08539
6974	GLOBAL	Cartesian	28.65916	-12.575	-3.1	Yes	28.65916
6975	GLOBAL	Cartesian	22.75718	-1.475	-3.1	Yes	22.75718
6976	GLOBAL	Cartesian	21.18864	1.475	-3.1	Yes	21.18864
6977	GLOBAL	Cartesian	15.28667	12.575	-3.1	Yes	15.28667
6978	GLOBAL	Cartesian	27.6755	-10.725	-3.1	Yes	27.6755
6979	GLOBAL	Cartesian	26.69183	-8.875	-3.1	Yes	26.69183
6980	GLOBAL	Cartesian	25.70817	-7.025	-3.1	Yes	25.70817
6981	GLOBAL	Cartesian	24.72451	-5.175	-3.1	Yes	24.72451
6982	GLOBAL	Cartesian	23.74085	-3.325	-3.1	Yes	23.74085
6983	GLOBAL	Cartesian	20.20498	3.325	-3.1	Yes	20.20498
6984	GLOBAL	Cartesian	19.22132	5.175	-3.1	Yes	19.22132
6985	GLOBAL	Cartesian	18.23765	7.025	-3.1	Yes	18.23765
6986	GLOBAL	Cartesian	17.25399	8.875	-3.1	Yes	17.25399
6987	GLOBAL	Cartesian	16.27033	10.725	-3.1	Yes	16.27033
6988	GLOBAL	Cartesian	29.74093	-14.615	-3.1	Yes	29.74093
6989	GLOBAL	Cartesian	30.85752	-16.715	-3.1	Yes	30.85752
6990	GLOBAL	Cartesian	14.20198	14.615	-3.1	Yes	14.20198
6991	GLOBAL	Cartesian	13.08539	16.715	-3.1	Yes	13.08539
6992	GLOBAL	Cartesian	28.65916	-12.575	-4.1	Yes	28.65916
6993	GLOBAL	Cartesian	22.75718	-1.475	-4.1	Yes	22.75718
6994	GLOBAL	Cartesian	21.18864	1.475	-4.1	Yes	21.18864
6995	GLOBAL	Cartesian	15.28667	12.575	-4.1	Yes	15.28667
6996	GLOBAL	Cartesian	27.6755	-10.725	-4.1	Yes	27.6755
6997	GLOBAL	Cartesian	26.69183	-8.875	-4.1	Yes	26.69183
6998	GLOBAL	Cartesian	25.70817	-7.025	-4.1	Yes	25.70817
6999	GLOBAL	Cartesian	24.72451	-5.175	-4.1	Yes	24.72451
7000	GLOBAL	Cartesian	23.74085	-3.325	-4.1	Yes	23.74085
7001	GLOBAL	Cartesian	20.20498	3.325	-4.1	Yes	20.20498
7002	GLOBAL	Cartesian	19.22132	5.175	-4.1	Yes	19.22132
7003	GLOBAL	Cartesian	18.23765	7.025	-4.1	Yes	18.23765
7004	GLOBAL	Cartesian	17.25399	8.875	-4.1	Yes	17.25399
7005	GLOBAL	Cartesian	16.27033	10.725	-4.1	Yes	16.27033
7006	GLOBAL	Cartesian	29.74093	-14.615	-4.1	Yes	29.74093
7007	GLOBAL	Cartesian	30.85752	-16.715	-4.1	Yes	30.85752
7008	GLOBAL	Cartesian	14.20198	14.615	-4.1	Yes	14.20198
7009	GLOBAL	Cartesian	13.08539	16.715	-4.1	Yes	13.08539
7010	GLOBAL	Cartesian	28.65916	-12.575	-5.1	Yes	28.65916
7011	GLOBAL	Cartesian	22.75718	-1.475	-5.1	Yes	22.75718
7012	GLOBAL	Cartesian	21.18864	1.475	-5.1	Yes	21.18864
7013	GLOBAL	Cartesian	15.28667	12.575	-5.1	Yes	15.28667
7014	GLOBAL	Cartesian	27.6755	-10.725	-5.1	Yes	27.6755
7015	GLOBAL	Cartesian	26.69183	-8.875	-5.1	Yes	26.69183
7016	GLOBAL	Cartesian	25.70817	-7.025	-5.1	Yes	25.70817
7017	GLOBAL	Cartesian	24.72451	-5.175	-5.1	Yes	24.72451
7018	GLOBAL	Cartesian	23.74085	-3.325	-5.1	Yes	23.74085
7019	GLOBAL	Cartesian	20.20498	3.325	-5.1	Yes	20.20498
7020	GLOBAL	Cartesian	19.22132	5.175	-5.1	Yes	19.22132
7021	GLOBAL	Cartesian	18.23765	7.025	-5.1	Yes	18.23765
7022	GLOBAL	Cartesian	17.25399	8.875	-5.1	Yes	17.25399
7023	GLOBAL	Cartesian	16.27033	10.725	-5.1	Yes	16.27033
7024	GLOBAL	Cartesian	29.74093	-14.615	-5.1	Yes	29.74093
7025	GLOBAL	Cartesian	30.85752	-16.715	-5.1	Yes	30.85752
7026	GLOBAL	Cartesian	14.20198	14.615	-5.1	Yes	14.20198

Table: Joint Coordinates, Part 1 of 2

Joint	CoordSys	CoordType	XorR	Y	Z	SpecialJt	GlobalX
			m	m	m		m
7027	GLOBAL	Cartesian	13.08539	16.715	-5.1	Yes	13.08539
7066	GLOBAL	Cartesian	22.00151	-0.0446	-5.1	No	22.00151
7067	GLOBAL	Cartesian	22.00151	-0.0446	-4.1	No	22.00151
7068	GLOBAL	Cartesian	22.00151	-0.0446	-3.1	No	22.00151
7069	GLOBAL	Cartesian	22.00151	-0.0446	-2.1	No	22.00151
7072	GLOBAL	Cartesian	21.97291	-2.487E-14	-5.1	No	21.97291
7073	GLOBAL	Cartesian	21.97291	-3.553E-14	-4.1	No	21.97291
7074	GLOBAL	Cartesian	21.97291	-2.487E-14	-3.1	No	21.97291
7075	GLOBAL	Cartesian	21.97291	-2.487E-14	-2.1	No	21.97291
7076	GLOBAL	Cartesian	30.60276	-11.5443	-5.1	Yes	30.60276
7077	GLOBAL	Cartesian	24.70078	-0.4443	-5.1	Yes	24.70078
7078	GLOBAL	Cartesian	23.13224	2.5057	-5.1	Yes	23.13224
7079	GLOBAL	Cartesian	29.6191	-9.6943	-5.1	Yes	29.6191
7080	GLOBAL	Cartesian	28.63543	-7.8443	-5.1	Yes	28.63543
7081	GLOBAL	Cartesian	27.65177	-5.9943	-5.1	Yes	27.65177
7082	GLOBAL	Cartesian	26.66811	-4.1443	-5.1	Yes	26.66811
7083	GLOBAL	Cartesian	25.68445	-2.2943	-5.1	Yes	25.68445
7084	GLOBAL	Cartesian	22.14858	4.3557	-5.1	Yes	22.14858
7085	GLOBAL	Cartesian	21.16492	6.2057	-5.1	Yes	21.16492
7086	GLOBAL	Cartesian	20.18125	8.0557	-5.1	Yes	20.18125
7087	GLOBAL	Cartesian	19.19759	9.9057	-5.1	Yes	19.19759
7088	GLOBAL	Cartesian	18.21393	11.7557	-5.1	Yes	18.21393
7089	GLOBAL	Cartesian	31.68453	-13.5843	-5.1	Yes	31.68453
7090	GLOBAL	Cartesian	23.94511	0.9861	-5.1	Yes	23.94511
7091	GLOBAL	Cartesian	23.91651	1.0307	-5.1	Yes	23.91651
7092	GLOBAL	Cartesian	29.98356	-11.8708	-5.1	Yes	29.98356
7093	GLOBAL	Cartesian	24.08158	-0.7708	-5.1	Yes	24.08158
7094	GLOBAL	Cartesian	22.51304	2.1792	-5.1	Yes	22.51304
7095	GLOBAL	Cartesian	16.61107	13.2792	-5.1	Yes	16.61107
7096	GLOBAL	Cartesian	28.9999	-10.0208	-5.1	Yes	28.9999
7097	GLOBAL	Cartesian	28.01623	-8.1708	-5.1	Yes	28.01623
7098	GLOBAL	Cartesian	27.03257	-6.3208	-5.1	Yes	27.03257
7099	GLOBAL	Cartesian	26.04891	-4.4708	-5.1	Yes	26.04891
7100	GLOBAL	Cartesian	25.06525	-2.6208	-5.1	Yes	25.06525
7101	GLOBAL	Cartesian	21.52938	4.0292	-5.1	Yes	21.52938
7102	GLOBAL	Cartesian	20.54572	5.8792	-5.1	Yes	20.54572
7103	GLOBAL	Cartesian	19.56205	7.7292	-5.1	Yes	19.56205
7104	GLOBAL	Cartesian	18.57839	9.5792	-5.1	Yes	18.57839
7105	GLOBAL	Cartesian	17.59473	11.4292	-5.1	Yes	17.59473
7106	GLOBAL	Cartesian	31.06533	-13.9108	-5.1	Yes	31.06533
7107	GLOBAL	Cartesian	23.32591	0.6596	-5.1	Yes	23.32591
7108	GLOBAL	Cartesian	23.29731	0.7042	-5.1	Yes	23.29731
7109	GLOBAL	Cartesian	27.33476	-13.2792	-5.1	Yes	27.33476
7110	GLOBAL	Cartesian	21.43278	-2.1792	-5.1	Yes	21.43278
7111	GLOBAL	Cartesian	19.86424	0.7708	-5.1	Yes	19.86424
7112	GLOBAL	Cartesian	13.96227	11.8708	-5.1	Yes	13.96227
7113	GLOBAL	Cartesian	26.3511	-11.4292	-5.1	Yes	26.3511
7114	GLOBAL	Cartesian	25.36743	-9.5792	-5.1	Yes	25.36743
7115	GLOBAL	Cartesian	24.38377	-7.7292	-5.1	Yes	24.38377
7116	GLOBAL	Cartesian	23.40011	-5.8792	-5.1	Yes	23.40011
7117	GLOBAL	Cartesian	22.41645	-4.0292	-5.1	Yes	22.41645
7118	GLOBAL	Cartesian	18.88058	2.6208	-5.1	Yes	18.88058
7119	GLOBAL	Cartesian	17.89692	4.4708	-5.1	Yes	17.89692
7120	GLOBAL	Cartesian	16.91325	6.3208	-5.1	Yes	16.91325

Table: Joint Coordinates, Part 1 of 2

Joint	CoordSys	CoordType	XorR m	Y m	Z m	SpecialJt	GlobalX m
7121	GLOBAL	Cartesian	15.92959	8.1708	-5.1	Yes	15.92959
7122	GLOBAL	Cartesian	14.94593	10.0208	-5.1	Yes	14.94593
7123	GLOBAL	Cartesian	28.41653	-15.3192	-5.1	Yes	28.41653
7124	GLOBAL	Cartesian	29.53312	-17.4192	-5.1	Yes	29.53312
7125	GLOBAL	Cartesian	12.87758	13.9108	-5.1	Yes	12.87758
7126	GLOBAL	Cartesian	20.67711	-0.7488	-5.1	Yes	20.67711
7127	GLOBAL	Cartesian	20.64851	-0.7042	-5.1	Yes	20.64851
7128	GLOBAL	Cartesian	26.71556	-13.6057	-5.1	Yes	26.71556
7129	GLOBAL	Cartesian	20.81358	-2.5057	-5.1	Yes	20.81358
7130	GLOBAL	Cartesian	19.24504	0.4443	-5.1	Yes	19.24504
7131	GLOBAL	Cartesian	13.34307	11.5443	-5.1	Yes	13.34307
7132	GLOBAL	Cartesian	25.7319	-11.7557	-5.1	Yes	25.7319
7133	GLOBAL	Cartesian	24.74823	-9.9057	-5.1	Yes	24.74823
7134	GLOBAL	Cartesian	23.76457	-8.0557	-5.1	Yes	23.76457
7135	GLOBAL	Cartesian	22.78091	-6.2057	-5.1	Yes	22.78091
7136	GLOBAL	Cartesian	21.79725	-4.3557	-5.1	Yes	21.79725
7137	GLOBAL	Cartesian	18.26138	2.2943	-5.1	Yes	18.26138
7138	GLOBAL	Cartesian	17.27772	4.1443	-5.1	Yes	17.27772
7139	GLOBAL	Cartesian	16.29405	5.9943	-5.1	Yes	16.29405
7140	GLOBAL	Cartesian	15.31039	7.8443	-5.1	Yes	15.31039
7141	GLOBAL	Cartesian	14.32673	9.6943	-5.1	Yes	14.32673
7142	GLOBAL	Cartesian	27.79733	-15.6457	-5.1	Yes	27.79733
7143	GLOBAL	Cartesian	28.91392	-17.7457	-5.1	Yes	28.91392
7144	GLOBAL	Cartesian	12.25838	13.5843	-5.1	Yes	12.25838
7145	GLOBAL	Cartesian	10.60705	16.69	-5.1	Yes	10.60705
7146	GLOBAL	Cartesian	20.05791	-1.0753	-5.1	Yes	20.05791
7147	GLOBAL	Cartesian	20.02931	-1.0307	-5.1	Yes	20.02931
7150	GLOBAL	Cartesian	22.00151	-0.0446	-1.1	No	22.00151
7151	GLOBAL	Cartesian	21.97291	-2.487E-14	-1.1	No	21.97291
7152	GLOBAL	Cartesian	22.51304	2.1792	-6.1	Yes	22.51304
7153	GLOBAL	Cartesian	22.51304	2.1792	-7.1	Yes	22.51304
7154	GLOBAL	Cartesian	22.51304	2.1792	-8.1	Yes	22.51304
7155	GLOBAL	Cartesian	22.51304	2.1792	-9.1	Yes	22.51304
7156	GLOBAL	Cartesian	22.51304	2.1792	-10.1	Yes	22.51304
7157	GLOBAL	Cartesian	22.51304	2.1792	-11.1	Yes	22.51304
7158	GLOBAL	Cartesian	22.51304	2.1792	-12.1	Yes	22.51304
7159	GLOBAL	Cartesian	22.51304	2.1792	-13.1	Yes	22.51304
7160	GLOBAL	Cartesian	22.51304	2.1792	-14.1	Yes	22.51304
7161	GLOBAL	Cartesian	22.51304	2.1792	-15.1	Yes	22.51304
7162	GLOBAL	Cartesian	22.51304	2.1792	-16.1	Yes	22.51304
7163	GLOBAL	Cartesian	22.51304	2.1792	-17.1	Yes	22.51304
7164	GLOBAL	Cartesian	22.51304	2.1792	-18.1	Yes	22.51304
7165	GLOBAL	Cartesian	22.51304	2.1792	-19.1	Yes	22.51304
7166	GLOBAL	Cartesian	22.51304	2.1792	-20.1	Yes	22.51304
7167	GLOBAL	Cartesian	22.51304	2.1792	-21.1	Yes	22.51304
7168	GLOBAL	Cartesian	22.51304	2.1792	-22.1	Yes	22.51304
7169	GLOBAL	Cartesian	22.51304	2.1792	-23.1	Yes	22.51304
7170	GLOBAL	Cartesian	22.51304	2.1792	-24.1	Yes	22.51304
7171	GLOBAL	Cartesian	22.51304	2.1792	-25.1	Yes	22.51304
7172	GLOBAL	Cartesian	22.51304	2.1792	-26.1	Yes	22.51304
7173	GLOBAL	Cartesian	22.51304	2.1792	-27.1	Yes	22.51304
7174	GLOBAL	Cartesian	22.51304	2.1792	-28.1	Yes	22.51304
7175	GLOBAL	Cartesian	22.51304	2.1792	-29.1	Yes	22.51304
7176	GLOBAL	Cartesian	22.51304	2.1792	-30.1	Yes	22.51304

Table: Joint Coordinates, Part 1 of 2

Joint	CoordSys	CoordType	XorR m	Y m	Z m	SpecialJt	GlobalX m
7177	GLOBAL	Cartesian	22.51304	2.1792	-31.1	Yes	22.51304
7178	GLOBAL	Cartesian	19.86424	0.7708	-6.1	Yes	19.86424
7179	GLOBAL	Cartesian	19.86424	0.7708	-7.1	Yes	19.86424
7180	GLOBAL	Cartesian	19.86424	0.7708	-8.1	Yes	19.86424
7181	GLOBAL	Cartesian	19.86424	0.7708	-9.1	Yes	19.86424
7182	GLOBAL	Cartesian	19.86424	0.7708	-10.1	Yes	19.86424
7183	GLOBAL	Cartesian	19.86424	0.7708	-11.1	Yes	19.86424
7184	GLOBAL	Cartesian	19.86424	0.7708	-12.1	Yes	19.86424
7185	GLOBAL	Cartesian	19.86424	0.7708	-13.1	Yes	19.86424
7186	GLOBAL	Cartesian	19.86424	0.7708	-14.1	Yes	19.86424
7187	GLOBAL	Cartesian	19.86424	0.7708	-15.1	Yes	19.86424
7188	GLOBAL	Cartesian	19.86424	0.7708	-16.1	Yes	19.86424
7189	GLOBAL	Cartesian	19.86424	0.7708	-17.1	Yes	19.86424
7190	GLOBAL	Cartesian	19.86424	0.7708	-18.1	Yes	19.86424
7191	GLOBAL	Cartesian	19.86424	0.7708	-19.1	Yes	19.86424
7192	GLOBAL	Cartesian	19.86424	0.7708	-20.1	Yes	19.86424
7193	GLOBAL	Cartesian	19.86424	0.7708	-21.1	Yes	19.86424
7194	GLOBAL	Cartesian	19.86424	0.7708	-22.1	Yes	19.86424
7195	GLOBAL	Cartesian	19.86424	0.7708	-23.1	Yes	19.86424
7196	GLOBAL	Cartesian	19.86424	0.7708	-24.1	Yes	19.86424
7197	GLOBAL	Cartesian	19.86424	0.7708	-25.1	Yes	19.86424
7198	GLOBAL	Cartesian	19.86424	0.7708	-26.1	Yes	19.86424
7199	GLOBAL	Cartesian	19.86424	0.7708	-27.1	Yes	19.86424
7200	GLOBAL	Cartesian	19.86424	0.7708	-28.1	Yes	19.86424
7201	GLOBAL	Cartesian	19.86424	0.7708	-29.1	Yes	19.86424
7202	GLOBAL	Cartesian	19.86424	0.7708	-30.1	Yes	19.86424
7203	GLOBAL	Cartesian	19.86424	0.7708	-31.1	Yes	19.86424
7204	GLOBAL	Cartesian	20.54574	5.8792	-6.1	Yes	20.54574
7205	GLOBAL	Cartesian	20.54574	5.8792	-7.1	Yes	20.54574
7206	GLOBAL	Cartesian	20.54574	5.8792	-8.1	Yes	20.54574
7207	GLOBAL	Cartesian	20.54574	5.8792	-9.1	Yes	20.54574
7208	GLOBAL	Cartesian	20.54574	5.8792	-10.1	Yes	20.54574
7209	GLOBAL	Cartesian	20.54574	5.8792	-11.1	Yes	20.54574
7210	GLOBAL	Cartesian	20.54574	5.8792	-12.1	Yes	20.54574
7211	GLOBAL	Cartesian	20.54574	5.8792	-13.1	Yes	20.54574
7212	GLOBAL	Cartesian	20.54574	5.8792	-14.1	Yes	20.54574
7213	GLOBAL	Cartesian	20.54574	5.8792	-15.1	Yes	20.54574
7214	GLOBAL	Cartesian	20.54574	5.8792	-16.1	Yes	20.54574
7215	GLOBAL	Cartesian	20.54574	5.8792	-17.1	Yes	20.54574
7216	GLOBAL	Cartesian	20.54574	5.8792	-18.1	Yes	20.54574
7217	GLOBAL	Cartesian	20.54574	5.8792	-19.1	Yes	20.54574
7218	GLOBAL	Cartesian	20.54574	5.8792	-20.1	Yes	20.54574
7219	GLOBAL	Cartesian	20.54574	5.8792	-21.1	Yes	20.54574
7220	GLOBAL	Cartesian	20.54574	5.8792	-22.1	Yes	20.54574
7221	GLOBAL	Cartesian	20.54574	5.8792	-23.1	Yes	20.54574
7222	GLOBAL	Cartesian	20.54574	5.8792	-24.1	Yes	20.54574
7223	GLOBAL	Cartesian	20.54574	5.8792	-25.1	Yes	20.54574
7224	GLOBAL	Cartesian	20.54574	5.8792	-26.1	Yes	20.54574
7225	GLOBAL	Cartesian	20.54574	5.8792	-27.1	Yes	20.54574
7226	GLOBAL	Cartesian	20.54574	5.8792	-28.1	Yes	20.54574
7227	GLOBAL	Cartesian	20.54574	5.8792	-29.1	Yes	20.54574
7228	GLOBAL	Cartesian	20.54574	5.8792	-30.1	Yes	20.54574
7229	GLOBAL	Cartesian	20.54574	5.8792	-31.1	Yes	20.54574
7230	GLOBAL	Cartesian	17.89694	4.4708	-6.1	Yes	17.89694

Table: Joint Coordinates, Part 1 of 2

Joint	CoordSys	CoordType	XorR m	Y m	Z m	SpecialJt	GlobalX m
7231	GLOBAL	Cartesian	17.89694	4.4708	-7.1	Yes	17.89694
7232	GLOBAL	Cartesian	17.89694	4.4708	-8.1	Yes	17.89694
7233	GLOBAL	Cartesian	17.89694	4.4708	-9.1	Yes	17.89694
7234	GLOBAL	Cartesian	17.89694	4.4708	-10.1	Yes	17.89694
7235	GLOBAL	Cartesian	17.89694	4.4708	-11.1	Yes	17.89694
7236	GLOBAL	Cartesian	17.89694	4.4708	-12.1	Yes	17.89694
7237	GLOBAL	Cartesian	17.89694	4.4708	-13.1	Yes	17.89694
7238	GLOBAL	Cartesian	17.89694	4.4708	-14.1	Yes	17.89694
7239	GLOBAL	Cartesian	17.89694	4.4708	-15.1	Yes	17.89694
7240	GLOBAL	Cartesian	17.89694	4.4708	-16.1	Yes	17.89694
7241	GLOBAL	Cartesian	17.89694	4.4708	-17.1	Yes	17.89694
7242	GLOBAL	Cartesian	17.89694	4.4708	-18.1	Yes	17.89694
7243	GLOBAL	Cartesian	17.89694	4.4708	-19.1	Yes	17.89694
7244	GLOBAL	Cartesian	17.89694	4.4708	-20.1	Yes	17.89694
7245	GLOBAL	Cartesian	17.89694	4.4708	-21.1	Yes	17.89694
7246	GLOBAL	Cartesian	17.89694	4.4708	-22.1	Yes	17.89694
7247	GLOBAL	Cartesian	17.89694	4.4708	-23.1	Yes	17.89694
7248	GLOBAL	Cartesian	17.89694	4.4708	-24.1	Yes	17.89694
7249	GLOBAL	Cartesian	17.89694	4.4708	-25.1	Yes	17.89694
7250	GLOBAL	Cartesian	17.89694	4.4708	-26.1	Yes	17.89694
7251	GLOBAL	Cartesian	17.89694	4.4708	-27.1	Yes	17.89694
7252	GLOBAL	Cartesian	17.89694	4.4708	-28.1	Yes	17.89694
7253	GLOBAL	Cartesian	17.89694	4.4708	-29.1	Yes	17.89694
7254	GLOBAL	Cartesian	17.89694	4.4708	-30.1	Yes	17.89694
7255	GLOBAL	Cartesian	17.89694	4.4708	-31.1	Yes	17.89694
7256	GLOBAL	Cartesian	18.57844	9.5792	-6.1	Yes	18.57844
7257	GLOBAL	Cartesian	18.57844	9.5792	-7.1	Yes	18.57844
7258	GLOBAL	Cartesian	18.57844	9.5792	-8.1	Yes	18.57844
7259	GLOBAL	Cartesian	18.57844	9.5792	-9.1	Yes	18.57844
7260	GLOBAL	Cartesian	18.57844	9.5792	-10.1	Yes	18.57844
7261	GLOBAL	Cartesian	18.57844	9.5792	-11.1	Yes	18.57844
7262	GLOBAL	Cartesian	18.57844	9.5792	-12.1	Yes	18.57844
7263	GLOBAL	Cartesian	18.57844	9.5792	-13.1	Yes	18.57844
7264	GLOBAL	Cartesian	18.57844	9.5792	-14.1	Yes	18.57844
7265	GLOBAL	Cartesian	18.57844	9.5792	-15.1	Yes	18.57844
7266	GLOBAL	Cartesian	18.57844	9.5792	-16.1	Yes	18.57844
7267	GLOBAL	Cartesian	18.57844	9.5792	-17.1	Yes	18.57844
7268	GLOBAL	Cartesian	18.57844	9.5792	-18.1	Yes	18.57844
7269	GLOBAL	Cartesian	18.57844	9.5792	-19.1	Yes	18.57844
7270	GLOBAL	Cartesian	18.57844	9.5792	-20.1	Yes	18.57844
7271	GLOBAL	Cartesian	18.57844	9.5792	-21.1	Yes	18.57844
7272	GLOBAL	Cartesian	18.57844	9.5792	-22.1	Yes	18.57844
7273	GLOBAL	Cartesian	18.57844	9.5792	-23.1	Yes	18.57844
7274	GLOBAL	Cartesian	18.57844	9.5792	-24.1	Yes	18.57844
7275	GLOBAL	Cartesian	18.57844	9.5792	-25.1	Yes	18.57844
7276	GLOBAL	Cartesian	18.57844	9.5792	-26.1	Yes	18.57844
7277	GLOBAL	Cartesian	18.57844	9.5792	-27.1	Yes	18.57844
7278	GLOBAL	Cartesian	18.57844	9.5792	-28.1	Yes	18.57844
7279	GLOBAL	Cartesian	18.57844	9.5792	-29.1	Yes	18.57844
7280	GLOBAL	Cartesian	18.57844	9.5792	-30.1	Yes	18.57844
7281	GLOBAL	Cartesian	18.57844	9.5792	-31.1	Yes	18.57844
7282	GLOBAL	Cartesian	15.92964	8.1708	-6.1	Yes	15.92964
7283	GLOBAL	Cartesian	15.92964	8.1708	-7.1	Yes	15.92964
7284	GLOBAL	Cartesian	15.92964	8.1708	-8.1	Yes	15.92964

Table: Joint Coordinates, Part 1 of 2

Joint	CoordSys	CoordType	XorR m	Y m	Z m	SpecialJt	GlobalX m
7285	GLOBAL	Cartesian	15.92964	8.1708	-9.1	Yes	15.92964
7286	GLOBAL	Cartesian	15.92964	8.1708	-10.1	Yes	15.92964
7287	GLOBAL	Cartesian	15.92964	8.1708	-11.1	Yes	15.92964
7288	GLOBAL	Cartesian	15.92964	8.1708	-12.1	Yes	15.92964
7289	GLOBAL	Cartesian	15.92964	8.1708	-13.1	Yes	15.92964
7290	GLOBAL	Cartesian	15.92964	8.1708	-14.1	Yes	15.92964
7291	GLOBAL	Cartesian	15.92964	8.1708	-15.1	Yes	15.92964
7292	GLOBAL	Cartesian	15.92964	8.1708	-16.1	Yes	15.92964
7293	GLOBAL	Cartesian	15.92964	8.1708	-17.1	Yes	15.92964
7294	GLOBAL	Cartesian	15.92964	8.1708	-18.1	Yes	15.92964
7295	GLOBAL	Cartesian	15.92964	8.1708	-19.1	Yes	15.92964
7296	GLOBAL	Cartesian	15.92964	8.1708	-20.1	Yes	15.92964
7297	GLOBAL	Cartesian	15.92964	8.1708	-21.1	Yes	15.92964
7298	GLOBAL	Cartesian	15.92964	8.1708	-22.1	Yes	15.92964
7299	GLOBAL	Cartesian	15.92964	8.1708	-23.1	Yes	15.92964
7300	GLOBAL	Cartesian	15.92964	8.1708	-24.1	Yes	15.92964
7301	GLOBAL	Cartesian	15.92964	8.1708	-25.1	Yes	15.92964
7302	GLOBAL	Cartesian	15.92964	8.1708	-26.1	Yes	15.92964
7303	GLOBAL	Cartesian	15.92964	8.1708	-27.1	Yes	15.92964
7304	GLOBAL	Cartesian	15.92964	8.1708	-28.1	Yes	15.92964
7305	GLOBAL	Cartesian	15.92964	8.1708	-29.1	Yes	15.92964
7306	GLOBAL	Cartesian	15.92964	8.1708	-30.1	Yes	15.92964
7307	GLOBAL	Cartesian	15.92964	8.1708	-31.1	Yes	15.92964
7308	GLOBAL	Cartesian	16.61104	13.2792	-6.1	Yes	16.61104
7309	GLOBAL	Cartesian	16.61104	13.2792	-7.1	Yes	16.61104
7310	GLOBAL	Cartesian	16.61104	13.2792	-8.1	Yes	16.61104
7311	GLOBAL	Cartesian	16.61104	13.2792	-9.1	Yes	16.61104
7312	GLOBAL	Cartesian	16.61104	13.2792	-10.1	Yes	16.61104
7313	GLOBAL	Cartesian	16.61104	13.2792	-11.1	Yes	16.61104
7314	GLOBAL	Cartesian	16.61104	13.2792	-12.1	Yes	16.61104
7315	GLOBAL	Cartesian	16.61104	13.2792	-13.1	Yes	16.61104
7316	GLOBAL	Cartesian	16.61104	13.2792	-14.1	Yes	16.61104
7317	GLOBAL	Cartesian	16.61104	13.2792	-15.1	Yes	16.61104
7318	GLOBAL	Cartesian	16.61104	13.2792	-16.1	Yes	16.61104
7319	GLOBAL	Cartesian	16.61104	13.2792	-17.1	Yes	16.61104
7320	GLOBAL	Cartesian	16.61104	13.2792	-18.1	Yes	16.61104
7321	GLOBAL	Cartesian	16.61104	13.2792	-19.1	Yes	16.61104
7322	GLOBAL	Cartesian	16.61104	13.2792	-20.1	Yes	16.61104
7323	GLOBAL	Cartesian	16.61104	13.2792	-21.1	Yes	16.61104
7324	GLOBAL	Cartesian	16.61104	13.2792	-22.1	Yes	16.61104
7325	GLOBAL	Cartesian	16.61104	13.2792	-23.1	Yes	16.61104
7326	GLOBAL	Cartesian	16.61104	13.2792	-24.1	Yes	16.61104
7327	GLOBAL	Cartesian	16.61104	13.2792	-25.1	Yes	16.61104
7328	GLOBAL	Cartesian	16.61104	13.2792	-26.1	Yes	16.61104
7329	GLOBAL	Cartesian	16.61104	13.2792	-27.1	Yes	16.61104
7330	GLOBAL	Cartesian	16.61104	13.2792	-28.1	Yes	16.61104
7331	GLOBAL	Cartesian	16.61104	13.2792	-29.1	Yes	16.61104
7332	GLOBAL	Cartesian	16.61104	13.2792	-30.1	Yes	16.61104
7333	GLOBAL	Cartesian	16.61104	13.2792	-31.1	Yes	16.61104
7334	GLOBAL	Cartesian	13.96224	11.8708	-6.1	Yes	13.96224
7335	GLOBAL	Cartesian	13.96224	11.8708	-7.1	Yes	13.96224
7336	GLOBAL	Cartesian	13.96224	11.8708	-8.1	Yes	13.96224
7337	GLOBAL	Cartesian	13.96224	11.8708	-9.1	Yes	13.96224
7338	GLOBAL	Cartesian	13.96224	11.8708	-10.1	Yes	13.96224

Table: Joint Coordinates, Part 1 of 2

Joint	CoordSys	CoordType	XorR m	Y m	Z m	SpecialJt	GlobalX m
7339	GLOBAL	Cartesian	13.96224	11.8708	-11.1	Yes	13.96224
7340	GLOBAL	Cartesian	13.96224	11.8708	-12.1	Yes	13.96224
7341	GLOBAL	Cartesian	13.96224	11.8708	-13.1	Yes	13.96224
7342	GLOBAL	Cartesian	13.96224	11.8708	-14.1	Yes	13.96224
7343	GLOBAL	Cartesian	13.96224	11.8708	-15.1	Yes	13.96224
7344	GLOBAL	Cartesian	13.96224	11.8708	-16.1	Yes	13.96224
7345	GLOBAL	Cartesian	13.96224	11.8708	-17.1	Yes	13.96224
7346	GLOBAL	Cartesian	13.96224	11.8708	-18.1	Yes	13.96224
7347	GLOBAL	Cartesian	13.96224	11.8708	-19.1	Yes	13.96224
7348	GLOBAL	Cartesian	13.96224	11.8708	-20.1	Yes	13.96224
7349	GLOBAL	Cartesian	13.96224	11.8708	-21.1	Yes	13.96224
7350	GLOBAL	Cartesian	13.96224	11.8708	-22.1	Yes	13.96224
7351	GLOBAL	Cartesian	13.96224	11.8708	-23.1	Yes	13.96224
7352	GLOBAL	Cartesian	13.96224	11.8708	-24.1	Yes	13.96224
7353	GLOBAL	Cartesian	13.96224	11.8708	-25.1	Yes	13.96224
7354	GLOBAL	Cartesian	13.96224	11.8708	-26.1	Yes	13.96224
7355	GLOBAL	Cartesian	13.96224	11.8708	-27.1	Yes	13.96224
7356	GLOBAL	Cartesian	13.96224	11.8708	-28.1	Yes	13.96224
7357	GLOBAL	Cartesian	13.96224	11.8708	-29.1	Yes	13.96224
7358	GLOBAL	Cartesian	13.96224	11.8708	-30.1	Yes	13.96224
7359	GLOBAL	Cartesian	13.96224	11.8708	-31.1	Yes	13.96224
7360	GLOBAL	Cartesian	9.49045	18.79	-5.1	Yes	9.49045
7361	GLOBAL	Cartesian	26.32045	18.79	-5.1	Yes	26.32045
7362	GLOBAL	Cartesian	26.32045	14.39	-5.1	Yes	26.32045
7363	GLOBAL	Cartesian	24.57045	18.79	-5.1	Yes	24.57045
7364	GLOBAL	Cartesian	24.57045	14.39	-5.1	Yes	24.57045
7365	GLOBAL	Cartesian	19.32045	18.79	-5.1	Yes	19.32045
7366	GLOBAL	Cartesian	19.32045	14.39	-5.1	Yes	19.32045
7367	GLOBAL	Cartesian	26.32045	18.09	-5.1	No	26.32045
7368	GLOBAL	Cartesian	26.32045	15.34	-5.1	No	26.32045
7369	GLOBAL	Cartesian	24.57045	15.34	-5.1	No	24.57045
7370	GLOBAL	Cartesian	24.57045	18.09	-5.1	No	24.57045
7371	GLOBAL	Cartesian	19.32045	15.34	-5.1	No	19.32045
7372	GLOBAL	Cartesian	19.32045	18.09	-5.1	No	19.32045
7373	GLOBAL	Cartesian	14.07045	18.09	-5.1	No	14.07045
7374	GLOBAL	Cartesian	10.67045	18.09	-5.1	No	10.67045
7378	GLOBAL	Cartesian	24.57045	18.09	-6.1	Yes	24.57045
7379	GLOBAL	Cartesian	24.57045	18.09	-7.1	Yes	24.57045
7380	GLOBAL	Cartesian	24.57045	18.09	-8.1	Yes	24.57045
7381	GLOBAL	Cartesian	24.57045	18.09	-9.1	Yes	24.57045
7382	GLOBAL	Cartesian	24.57045	18.09	-10.1	Yes	24.57045
7383	GLOBAL	Cartesian	24.57045	18.09	-11.1	Yes	24.57045
7384	GLOBAL	Cartesian	24.57045	18.09	-12.1	Yes	24.57045
7385	GLOBAL	Cartesian	24.57045	18.09	-13.1	Yes	24.57045
7386	GLOBAL	Cartesian	24.57045	18.09	-14.1	Yes	24.57045
7387	GLOBAL	Cartesian	24.57045	18.09	-15.1	Yes	24.57045
7388	GLOBAL	Cartesian	24.57045	18.09	-16.1	Yes	24.57045
7389	GLOBAL	Cartesian	24.57045	18.09	-17.1	Yes	24.57045
7390	GLOBAL	Cartesian	24.57045	18.09	-18.1	Yes	24.57045
7391	GLOBAL	Cartesian	24.57045	18.09	-19.1	Yes	24.57045
7392	GLOBAL	Cartesian	24.57045	18.09	-20.1	Yes	24.57045
7393	GLOBAL	Cartesian	24.57045	18.09	-21.1	Yes	24.57045
7394	GLOBAL	Cartesian	24.57045	18.09	-22.1	Yes	24.57045
7395	GLOBAL	Cartesian	24.57045	18.09	-23.1	Yes	24.57045

Table: Joint Coordinates, Part 1 of 2

Joint	CoordSys	CoordType	XorR m	Y m	Z m	SpecialJt	GlobalX m
7396	GLOBAL	Cartesian	24.57045	18.09	-24.1	Yes	24.57045
7397	GLOBAL	Cartesian	24.57045	18.09	-25.1	Yes	24.57045
7398	GLOBAL	Cartesian	24.57045	18.09	-26.1	Yes	24.57045
7399	GLOBAL	Cartesian	24.57045	18.09	-27.1	Yes	24.57045
7400	GLOBAL	Cartesian	24.57045	18.09	-28.1	Yes	24.57045
7401	GLOBAL	Cartesian	24.57045	18.09	-29.1	Yes	24.57045
7402	GLOBAL	Cartesian	24.57045	18.09	-30.1	Yes	24.57045
7403	GLOBAL	Cartesian	24.57045	18.09	-31.1	Yes	24.57045
7404	GLOBAL	Cartesian	24.57045	15.34	-6.1	Yes	24.57045
7405	GLOBAL	Cartesian	24.57045	15.34	-7.1	Yes	24.57045
7406	GLOBAL	Cartesian	24.57045	15.34	-8.1	Yes	24.57045
7407	GLOBAL	Cartesian	24.57045	15.34	-9.1	Yes	24.57045
7408	GLOBAL	Cartesian	24.57045	15.34	-10.1	Yes	24.57045
7409	GLOBAL	Cartesian	24.57045	15.34	-11.1	Yes	24.57045
7410	GLOBAL	Cartesian	24.57045	15.34	-12.1	Yes	24.57045
7411	GLOBAL	Cartesian	24.57045	15.34	-13.1	Yes	24.57045
7412	GLOBAL	Cartesian	24.57045	15.34	-14.1	Yes	24.57045
7413	GLOBAL	Cartesian	24.57045	15.34	-15.1	Yes	24.57045
7414	GLOBAL	Cartesian	24.57045	15.34	-16.1	Yes	24.57045
7415	GLOBAL	Cartesian	24.57045	15.34	-17.1	Yes	24.57045
7416	GLOBAL	Cartesian	24.57045	15.34	-18.1	Yes	24.57045
7417	GLOBAL	Cartesian	24.57045	15.34	-19.1	Yes	24.57045
7418	GLOBAL	Cartesian	24.57045	15.34	-20.1	Yes	24.57045
7419	GLOBAL	Cartesian	24.57045	15.34	-21.1	Yes	24.57045
7420	GLOBAL	Cartesian	24.57045	15.34	-22.1	Yes	24.57045
7421	GLOBAL	Cartesian	24.57045	15.34	-23.1	Yes	24.57045
7422	GLOBAL	Cartesian	24.57045	15.34	-24.1	Yes	24.57045
7423	GLOBAL	Cartesian	24.57045	15.34	-25.1	Yes	24.57045
7424	GLOBAL	Cartesian	24.57045	15.34	-26.1	Yes	24.57045
7425	GLOBAL	Cartesian	24.57045	15.34	-27.1	Yes	24.57045
7426	GLOBAL	Cartesian	24.57045	15.34	-28.1	Yes	24.57045
7427	GLOBAL	Cartesian	24.57045	15.34	-29.1	Yes	24.57045
7428	GLOBAL	Cartesian	24.57045	15.34	-30.1	Yes	24.57045
7429	GLOBAL	Cartesian	24.57045	15.34	-31.1	Yes	24.57045
7430	GLOBAL	Cartesian	19.32045	18.09	-6.1	Yes	19.32045
7431	GLOBAL	Cartesian	19.32045	18.09	-7.1	Yes	19.32045
7432	GLOBAL	Cartesian	19.32045	18.09	-8.1	Yes	19.32045
7433	GLOBAL	Cartesian	19.32045	18.09	-9.1	Yes	19.32045
7434	GLOBAL	Cartesian	19.32045	18.09	-10.1	Yes	19.32045
7435	GLOBAL	Cartesian	19.32045	18.09	-11.1	Yes	19.32045
7436	GLOBAL	Cartesian	19.32045	18.09	-12.1	Yes	19.32045
7437	GLOBAL	Cartesian	19.32045	18.09	-13.1	Yes	19.32045
7438	GLOBAL	Cartesian	19.32045	18.09	-14.1	Yes	19.32045
7439	GLOBAL	Cartesian	19.32045	18.09	-15.1	Yes	19.32045
7440	GLOBAL	Cartesian	19.32045	18.09	-16.1	Yes	19.32045
7441	GLOBAL	Cartesian	19.32045	18.09	-17.1	Yes	19.32045
7442	GLOBAL	Cartesian	19.32045	18.09	-18.1	Yes	19.32045
7443	GLOBAL	Cartesian	19.32045	18.09	-19.1	Yes	19.32045
7444	GLOBAL	Cartesian	19.32045	18.09	-20.1	Yes	19.32045
7445	GLOBAL	Cartesian	19.32045	18.09	-21.1	Yes	19.32045
7446	GLOBAL	Cartesian	19.32045	18.09	-22.1	Yes	19.32045
7447	GLOBAL	Cartesian	19.32045	18.09	-23.1	Yes	19.32045
7448	GLOBAL	Cartesian	19.32045	18.09	-24.1	Yes	19.32045
7449	GLOBAL	Cartesian	19.32045	18.09	-25.1	Yes	19.32045

Table: Joint Coordinates, Part 1 of 2

Joint	CoordSys	CoordType	XorR m	Y m	Z m	SpecialJt	GlobalX m
7450	GLOBAL	Cartesian	19.32045	18.09	-26.1	Yes	19.32045
7451	GLOBAL	Cartesian	19.32045	18.09	-27.1	Yes	19.32045
7452	GLOBAL	Cartesian	19.32045	18.09	-28.1	Yes	19.32045
7453	GLOBAL	Cartesian	19.32045	18.09	-29.1	Yes	19.32045
7454	GLOBAL	Cartesian	19.32045	18.09	-30.1	Yes	19.32045
7455	GLOBAL	Cartesian	19.32045	18.09	-31.1	Yes	19.32045
7456	GLOBAL	Cartesian	19.32045	15.34	-6.1	Yes	19.32045
7457	GLOBAL	Cartesian	19.32045	15.34	-7.1	Yes	19.32045
7458	GLOBAL	Cartesian	19.32045	15.34	-8.1	Yes	19.32045
7459	GLOBAL	Cartesian	19.32045	15.34	-9.1	Yes	19.32045
7460	GLOBAL	Cartesian	19.32045	15.34	-10.1	Yes	19.32045
7461	GLOBAL	Cartesian	19.32045	15.34	-11.1	Yes	19.32045
7462	GLOBAL	Cartesian	19.32045	15.34	-12.1	Yes	19.32045
7463	GLOBAL	Cartesian	19.32045	15.34	-13.1	Yes	19.32045
7464	GLOBAL	Cartesian	19.32045	15.34	-14.1	Yes	19.32045
7465	GLOBAL	Cartesian	19.32045	15.34	-15.1	Yes	19.32045
7466	GLOBAL	Cartesian	19.32045	15.34	-16.1	Yes	19.32045
7467	GLOBAL	Cartesian	19.32045	15.34	-17.1	Yes	19.32045
7468	GLOBAL	Cartesian	19.32045	15.34	-18.1	Yes	19.32045
7469	GLOBAL	Cartesian	19.32045	15.34	-19.1	Yes	19.32045
7470	GLOBAL	Cartesian	19.32045	15.34	-20.1	Yes	19.32045
7471	GLOBAL	Cartesian	19.32045	15.34	-21.1	Yes	19.32045
7472	GLOBAL	Cartesian	19.32045	15.34	-22.1	Yes	19.32045
7473	GLOBAL	Cartesian	19.32045	15.34	-23.1	Yes	19.32045
7474	GLOBAL	Cartesian	19.32045	15.34	-24.1	Yes	19.32045
7475	GLOBAL	Cartesian	19.32045	15.34	-25.1	Yes	19.32045
7476	GLOBAL	Cartesian	19.32045	15.34	-26.1	Yes	19.32045
7477	GLOBAL	Cartesian	19.32045	15.34	-27.1	Yes	19.32045
7478	GLOBAL	Cartesian	19.32045	15.34	-28.1	Yes	19.32045
7479	GLOBAL	Cartesian	19.32045	15.34	-29.1	Yes	19.32045
7480	GLOBAL	Cartesian	19.32045	15.34	-30.1	Yes	19.32045
7481	GLOBAL	Cartesian	19.32045	15.34	-31.1	Yes	19.32045
7482	GLOBAL	Cartesian	14.07045	18.09	-6.1	Yes	14.07045
7483	GLOBAL	Cartesian	14.07045	18.09	-7.1	Yes	14.07045
7484	GLOBAL	Cartesian	14.07045	18.09	-8.1	Yes	14.07045
7485	GLOBAL	Cartesian	14.07045	18.09	-9.1	Yes	14.07045
7486	GLOBAL	Cartesian	14.07045	18.09	-10.1	Yes	14.07045
7487	GLOBAL	Cartesian	14.07045	18.09	-11.1	Yes	14.07045
7488	GLOBAL	Cartesian	14.07045	18.09	-12.1	Yes	14.07045
7489	GLOBAL	Cartesian	14.07045	18.09	-13.1	Yes	14.07045
7490	GLOBAL	Cartesian	14.07045	18.09	-14.1	Yes	14.07045
7491	GLOBAL	Cartesian	14.07045	18.09	-15.1	Yes	14.07045
7492	GLOBAL	Cartesian	14.07045	18.09	-16.1	Yes	14.07045
7493	GLOBAL	Cartesian	14.07045	18.09	-17.1	Yes	14.07045
7494	GLOBAL	Cartesian	14.07045	18.09	-18.1	Yes	14.07045
7495	GLOBAL	Cartesian	14.07045	18.09	-19.1	Yes	14.07045
7496	GLOBAL	Cartesian	14.07045	18.09	-20.1	Yes	14.07045
7497	GLOBAL	Cartesian	14.07045	18.09	-21.1	Yes	14.07045
7498	GLOBAL	Cartesian	14.07045	18.09	-22.1	Yes	14.07045
7499	GLOBAL	Cartesian	14.07045	18.09	-23.1	Yes	14.07045
7500	GLOBAL	Cartesian	14.07045	18.09	-24.1	Yes	14.07045
7501	GLOBAL	Cartesian	14.07045	18.09	-25.1	Yes	14.07045
7502	GLOBAL	Cartesian	14.07045	18.09	-26.1	Yes	14.07045
7503	GLOBAL	Cartesian	14.07045	18.09	-27.1	Yes	14.07045

Table: Joint Coordinates, Part 1 of 2

Joint	CoordSys	CoordType	XorR m	Y m	Z m	SpecialJt	GlobalX m
7504	GLOBAL	Cartesian	14.07045	18.09	-28.1	Yes	14.07045
7505	GLOBAL	Cartesian	14.07045	18.09	-29.1	Yes	14.07045
7506	GLOBAL	Cartesian	14.07045	18.09	-30.1	Yes	14.07045
7507	GLOBAL	Cartesian	14.07045	18.09	-31.1	Yes	14.07045
7508	GLOBAL	Cartesian	10.67045	18.09	-6.1	Yes	10.67045
7509	GLOBAL	Cartesian	10.67045	18.09	-7.1	Yes	10.67045
7510	GLOBAL	Cartesian	10.67045	18.09	-8.1	Yes	10.67045
7511	GLOBAL	Cartesian	10.67045	18.09	-9.1	Yes	10.67045
7512	GLOBAL	Cartesian	10.67045	18.09	-10.1	Yes	10.67045
7513	GLOBAL	Cartesian	10.67045	18.09	-11.1	Yes	10.67045
7514	GLOBAL	Cartesian	10.67045	18.09	-12.1	Yes	10.67045
7515	GLOBAL	Cartesian	10.67045	18.09	-13.1	Yes	10.67045
7516	GLOBAL	Cartesian	10.67045	18.09	-14.1	Yes	10.67045
7517	GLOBAL	Cartesian	10.67045	18.09	-15.1	Yes	10.67045
7518	GLOBAL	Cartesian	10.67045	18.09	-16.1	Yes	10.67045
7519	GLOBAL	Cartesian	10.67045	18.09	-17.1	Yes	10.67045
7520	GLOBAL	Cartesian	10.67045	18.09	-18.1	Yes	10.67045
7521	GLOBAL	Cartesian	10.67045	18.09	-19.1	Yes	10.67045
7522	GLOBAL	Cartesian	10.67045	18.09	-20.1	Yes	10.67045
7523	GLOBAL	Cartesian	10.67045	18.09	-21.1	Yes	10.67045
7524	GLOBAL	Cartesian	10.67045	18.09	-22.1	Yes	10.67045
7525	GLOBAL	Cartesian	10.67045	18.09	-23.1	Yes	10.67045
7526	GLOBAL	Cartesian	10.67045	18.09	-24.1	Yes	10.67045
7527	GLOBAL	Cartesian	10.67045	18.09	-25.1	Yes	10.67045
7528	GLOBAL	Cartesian	10.67045	18.09	-26.1	Yes	10.67045
7529	GLOBAL	Cartesian	10.67045	18.09	-27.1	Yes	10.67045
7530	GLOBAL	Cartesian	10.67045	18.09	-28.1	Yes	10.67045
7531	GLOBAL	Cartesian	10.67045	18.09	-29.1	Yes	10.67045
7532	GLOBAL	Cartesian	10.67045	18.09	-30.1	Yes	10.67045
7533	GLOBAL	Cartesian	10.67045	18.09	-31.1	Yes	10.67045
7534	GLOBAL	Cartesian	9.86265	18.09	-5.1	No	9.86265
7535	GLOBAL	Cartesian	11.98209	18.79	-5.1	No	11.98209
7536	GLOBAL	Cartesian	14.47372	18.79	-5.1	No	14.47372
7537	GLOBAL	Cartesian	12.35429	18.09	-5.1	No	12.35429
7538	GLOBAL	Cartesian	14.84591	18.09	-5.1	No	14.84591
7539	GLOBAL	Cartesian	16.30812	15.34	-5.1	No	16.30812
7540	GLOBAL	Cartesian	15.52013	15.34	-5.1	No	15.52013
7541	GLOBAL	Cartesian	15.51532	15.34	-5.1	No	15.51532
7542	GLOBAL	Cartesian	12.12474	15.34	-5.1	No	12.12474
7543	GLOBAL	Cartesian	12.11766	15.34	-5.1	No	12.11766
7544	GLOBAL	Cartesian	15.52015	15.34	-6.1	Yes	15.52015
7545	GLOBAL	Cartesian	15.52015	15.34	-7.1	Yes	15.52015
7546	GLOBAL	Cartesian	15.52015	15.34	-8.1	Yes	15.52015
7547	GLOBAL	Cartesian	15.52015	15.34	-9.1	Yes	15.52015
7548	GLOBAL	Cartesian	15.52015	15.34	-10.1	Yes	15.52015
7549	GLOBAL	Cartesian	15.52015	15.34	-11.1	Yes	15.52015
7550	GLOBAL	Cartesian	15.52015	15.34	-12.1	Yes	15.52015
7551	GLOBAL	Cartesian	15.52015	15.34	-13.1	Yes	15.52015
7552	GLOBAL	Cartesian	15.52015	15.34	-14.1	Yes	15.52015
7553	GLOBAL	Cartesian	15.52015	15.34	-15.1	Yes	15.52015
7554	GLOBAL	Cartesian	15.52015	15.34	-16.1	Yes	15.52015
7555	GLOBAL	Cartesian	15.52015	15.34	-17.1	Yes	15.52015
7556	GLOBAL	Cartesian	15.52015	15.34	-18.1	Yes	15.52015
7557	GLOBAL	Cartesian	15.52015	15.34	-19.1	Yes	15.52015

Table: Joint Coordinates, Part 1 of 2

Joint	CoordSys	CoordType	XorR m	Y m	Z m	SpecialJt	GlobalX m
7558	GLOBAL	Cartesian	15.52015	15.34	-20.1	Yes	15.52015
7559	GLOBAL	Cartesian	15.52015	15.34	-21.1	Yes	15.52015
7560	GLOBAL	Cartesian	15.52015	15.34	-22.1	Yes	15.52015
7561	GLOBAL	Cartesian	15.52015	15.34	-23.1	Yes	15.52015
7562	GLOBAL	Cartesian	15.52015	15.34	-24.1	Yes	15.52015
7563	GLOBAL	Cartesian	15.52015	15.34	-25.1	Yes	15.52015
7564	GLOBAL	Cartesian	15.52015	15.34	-26.1	Yes	15.52015
7565	GLOBAL	Cartesian	15.52015	15.34	-27.1	Yes	15.52015
7566	GLOBAL	Cartesian	15.52015	15.34	-28.1	Yes	15.52015
7567	GLOBAL	Cartesian	15.52015	15.34	-29.1	Yes	15.52015
7568	GLOBAL	Cartesian	15.52015	15.34	-30.1	Yes	15.52015
7569	GLOBAL	Cartesian	15.52015	15.34	-31.1	Yes	15.52015
7570	GLOBAL	Cartesian	12.12475	15.34	-6.1	Yes	12.12475
7571	GLOBAL	Cartesian	12.12475	15.34	-7.1	Yes	12.12475
7572	GLOBAL	Cartesian	12.12475	15.34	-8.1	Yes	12.12475
7573	GLOBAL	Cartesian	12.12475	15.34	-9.1	Yes	12.12475
7574	GLOBAL	Cartesian	12.12475	15.34	-10.1	Yes	12.12475
7575	GLOBAL	Cartesian	12.12475	15.34	-11.1	Yes	12.12475
7576	GLOBAL	Cartesian	12.12475	15.34	-12.1	Yes	12.12475
7577	GLOBAL	Cartesian	12.12475	15.34	-13.1	Yes	12.12475
7578	GLOBAL	Cartesian	12.12475	15.34	-14.1	Yes	12.12475
7579	GLOBAL	Cartesian	12.12475	15.34	-15.1	Yes	12.12475
7580	GLOBAL	Cartesian	12.12475	15.34	-16.1	Yes	12.12475
7581	GLOBAL	Cartesian	12.12475	15.34	-17.1	Yes	12.12475
7582	GLOBAL	Cartesian	12.12475	15.34	-18.1	Yes	12.12475
7583	GLOBAL	Cartesian	12.12475	15.34	-19.1	Yes	12.12475
7584	GLOBAL	Cartesian	12.12475	15.34	-20.1	Yes	12.12475
7585	GLOBAL	Cartesian	12.12475	15.34	-21.1	Yes	12.12475
7586	GLOBAL	Cartesian	12.12475	15.34	-22.1	Yes	12.12475
7587	GLOBAL	Cartesian	12.12475	15.34	-23.1	Yes	12.12475
7588	GLOBAL	Cartesian	12.12475	15.34	-24.1	Yes	12.12475
7589	GLOBAL	Cartesian	12.12475	15.34	-25.1	Yes	12.12475
7590	GLOBAL	Cartesian	12.12475	15.34	-26.1	Yes	12.12475
7591	GLOBAL	Cartesian	12.12475	15.34	-27.1	Yes	12.12475
7592	GLOBAL	Cartesian	12.12475	15.34	-28.1	Yes	12.12475
7593	GLOBAL	Cartesian	12.12475	15.34	-29.1	Yes	12.12475
7594	GLOBAL	Cartesian	12.12475	15.34	-30.1	Yes	12.12475
7595	GLOBAL	Cartesian	12.12475	15.34	-31.1	Yes	12.12475
7596	GLOBAL	Cartesian	11.3976	16.715	-5.1	No	11.3976
7597	GLOBAL	Cartesian	16.82146	14.37455	-5.1	No	16.82146
7598	GLOBAL	Cartesian	13.69825	18.79	-5.1	Yes	13.69825
7599	GLOBAL	Cartesian	10.29825	18.79	-5.1	Yes	10.29825
7600	GLOBAL	Cartesian	16.03346	14.37455	-5.1	Yes	16.03346
7601	GLOBAL	Cartesian	17.23027	13.6057	-5.1	Yes	17.23027
7602	GLOBAL	Cartesian	11.50554	15.0135	-5.1	Yes	11.50554
7605	GLOBAL	Cartesian	21.94545	15.34	-5.1	No	21.94545
7606	GLOBAL	Cartesian	21.94545	14.39	-5.1	No	21.94545
7608	GLOBAL	Cartesian	21.94545	18.09	-5.1	No	21.94545
7609	GLOBAL	Cartesian	21.94545	18.79	-5.1	No	21.94545
7616	GLOBAL	Cartesian	26.32045	16.715	-5.1	Yes	26.32045
7617	GLOBAL	Cartesian	24.57045	16.715	-5.1	Yes	24.57045
7618	GLOBAL	Cartesian	19.32045	16.715	-5.1	Yes	19.32045
7619	GLOBAL	Cartesian	14.79529	16.715	-5.1	Yes	14.79529
7620	GLOBAL	Cartesian	15.57702	16.715	-5.1	Yes	15.57702

Table: Joint Coordinates, Part 1 of 2

Joint	CoordSys	CoordType	XorR m	Y m	Z m	SpecialJt	GlobalX m
7621	GLOBAL	Cartesian	21.94545	16.715	-5.1	Yes	21.94545
7622	GLOBAL	Cartesian	26.32045	16.715	-4.1	Yes	26.32045
7623	GLOBAL	Cartesian	24.57045	16.715	-4.1	Yes	24.57045
7624	GLOBAL	Cartesian	19.32045	16.715	-4.1	Yes	19.32045
7625	GLOBAL	Cartesian	14.79529	16.715	-4.1	Yes	14.79529
7626	GLOBAL	Cartesian	15.57702	16.715	-4.1	Yes	15.57702
7627	GLOBAL	Cartesian	21.94545	16.715	-4.1	Yes	21.94545
7628	GLOBAL	Cartesian	26.32045	16.715	-3.1	Yes	26.32045
7629	GLOBAL	Cartesian	24.57045	16.715	-3.1	Yes	24.57045
7630	GLOBAL	Cartesian	19.32045	16.715	-3.1	Yes	19.32045
7631	GLOBAL	Cartesian	14.79529	16.715	-3.1	Yes	14.79529
7632	GLOBAL	Cartesian	15.57702	16.715	-3.1	Yes	15.57702
7633	GLOBAL	Cartesian	21.94545	16.715	-3.1	Yes	21.94545
7634	GLOBAL	Cartesian	26.32045	16.715	-2.1	Yes	26.32045
7635	GLOBAL	Cartesian	24.57045	16.715	-2.1	Yes	24.57045
7636	GLOBAL	Cartesian	19.32045	16.715	-2.1	Yes	19.32045
7637	GLOBAL	Cartesian	14.79529	16.715	-2.1	Yes	14.79529
7638	GLOBAL	Cartesian	15.57702	16.715	-2.1	Yes	15.57702
7639	GLOBAL	Cartesian	21.94545	16.715	-2.1	Yes	21.94545
7640	GLOBAL	Cartesian	26.32045	16.715	-1.1	Yes	26.32045
7641	GLOBAL	Cartesian	24.57045	16.715	-1.1	Yes	24.57045
7642	GLOBAL	Cartesian	19.32045	16.715	-1.1	Yes	19.32045
7643	GLOBAL	Cartesian	14.79529	16.715	-1.1	Yes	14.79529
7644	GLOBAL	Cartesian	15.57702	16.715	-1.1	Yes	15.57702
7645	GLOBAL	Cartesian	21.94545	16.715	-1.1	Yes	21.94545
7646	GLOBAL	Cartesian	37.0926	-14.64	-5.1	Yes	37.0926
7647	GLOBAL	Cartesian	37.0926	-19.04	-5.1	Yes	37.0926
7648	GLOBAL	Cartesian	37.0926	-18.09	-5.1	No	37.0926
7649	GLOBAL	Cartesian	37.0926	-15.34	-5.1	No	37.0926
7651	GLOBAL	Cartesian	37.0926	-15.34	-6.1	Yes	37.0926
7652	GLOBAL	Cartesian	37.0926	-15.34	-7.1	Yes	37.0926
7653	GLOBAL	Cartesian	37.0926	-15.34	-8.1	Yes	37.0926
7654	GLOBAL	Cartesian	37.0926	-15.34	-9.1	Yes	37.0926
7655	GLOBAL	Cartesian	37.0926	-15.34	-10.1	Yes	37.0926
7656	GLOBAL	Cartesian	37.0926	-15.34	-11.1	Yes	37.0926
7657	GLOBAL	Cartesian	37.0926	-15.34	-12.1	Yes	37.0926
7658	GLOBAL	Cartesian	37.0926	-15.34	-13.1	Yes	37.0926
7659	GLOBAL	Cartesian	37.0926	-15.34	-14.1	Yes	37.0926
7660	GLOBAL	Cartesian	37.0926	-15.34	-15.1	Yes	37.0926
7661	GLOBAL	Cartesian	37.0926	-15.34	-16.1	Yes	37.0926
7662	GLOBAL	Cartesian	37.0926	-15.34	-17.1	Yes	37.0926
7663	GLOBAL	Cartesian	37.0926	-15.34	-18.1	Yes	37.0926
7664	GLOBAL	Cartesian	37.0926	-15.34	-19.1	Yes	37.0926
7665	GLOBAL	Cartesian	37.0926	-15.34	-20.1	Yes	37.0926
7666	GLOBAL	Cartesian	37.0926	-15.34	-21.1	Yes	37.0926
7667	GLOBAL	Cartesian	37.0926	-15.34	-22.1	Yes	37.0926
7668	GLOBAL	Cartesian	37.0926	-15.34	-23.1	Yes	37.0926
7669	GLOBAL	Cartesian	37.0926	-15.34	-24.1	Yes	37.0926
7670	GLOBAL	Cartesian	37.0926	-15.34	-25.1	Yes	37.0926
7671	GLOBAL	Cartesian	37.0926	-15.34	-26.1	Yes	37.0926
7672	GLOBAL	Cartesian	37.0926	-15.34	-27.1	Yes	37.0926
7673	GLOBAL	Cartesian	37.0926	-15.34	-28.1	Yes	37.0926
7674	GLOBAL	Cartesian	37.0926	-15.34	-29.1	Yes	37.0926
7675	GLOBAL	Cartesian	37.0926	-15.34	-30.1	Yes	37.0926

Table: Joint Coordinates, Part 1 of 2

Joint	CoordSys	CoordType	XorR m	Y m	Z m	SpecialJt	GlobalX m
7676	GLOBAL	Cartesian	37.0926	-15.34	-31.1	Yes	37.0926
7677	GLOBAL	Cartesian	37.0926	-18.09	-6.1	Yes	37.0926
7678	GLOBAL	Cartesian	37.0926	-18.09	-7.1	Yes	37.0926
7679	GLOBAL	Cartesian	37.0926	-18.09	-8.1	Yes	37.0926
7680	GLOBAL	Cartesian	37.0926	-18.09	-9.1	Yes	37.0926
7681	GLOBAL	Cartesian	37.0926	-18.09	-10.1	Yes	37.0926
7682	GLOBAL	Cartesian	37.0926	-18.09	-11.1	Yes	37.0926
7683	GLOBAL	Cartesian	37.0926	-18.09	-12.1	Yes	37.0926
7684	GLOBAL	Cartesian	37.0926	-18.09	-13.1	Yes	37.0926
7685	GLOBAL	Cartesian	37.0926	-18.09	-14.1	Yes	37.0926
7686	GLOBAL	Cartesian	37.0926	-18.09	-15.1	Yes	37.0926
7687	GLOBAL	Cartesian	37.0926	-18.09	-16.1	Yes	37.0926
7688	GLOBAL	Cartesian	37.0926	-18.09	-17.1	Yes	37.0926
7689	GLOBAL	Cartesian	37.0926	-18.09	-18.1	Yes	37.0926
7690	GLOBAL	Cartesian	37.0926	-18.09	-19.1	Yes	37.0926
7691	GLOBAL	Cartesian	37.0926	-18.09	-20.1	Yes	37.0926
7692	GLOBAL	Cartesian	37.0926	-18.09	-21.1	Yes	37.0926
7693	GLOBAL	Cartesian	37.0926	-18.09	-22.1	Yes	37.0926
7694	GLOBAL	Cartesian	37.0926	-18.09	-23.1	Yes	37.0926
7695	GLOBAL	Cartesian	37.0926	-18.09	-24.1	Yes	37.0926
7696	GLOBAL	Cartesian	37.0926	-18.09	-25.1	Yes	37.0926
7697	GLOBAL	Cartesian	37.0926	-18.09	-26.1	Yes	37.0926
7698	GLOBAL	Cartesian	37.0926	-18.09	-27.1	Yes	37.0926
7699	GLOBAL	Cartesian	37.0926	-18.09	-28.1	Yes	37.0926
7700	GLOBAL	Cartesian	37.0926	-18.09	-29.1	Yes	37.0926
7701	GLOBAL	Cartesian	39.7176	-18.09	-5.1	No	39.7176
7702	GLOBAL	Cartesian	39.7176	-19.04	-5.1	No	39.7176
7704	GLOBAL	Cartesian	39.7176	-15.34	-5.1	No	39.7176
7705	GLOBAL	Cartesian	39.7176	-14.64	-5.1	No	39.7176
7708	GLOBAL	Cartesian	37.0926	-16.715	-5.1	Yes	37.0926
7709	GLOBAL	Cartesian	39.7176	-16.715	-5.1	Yes	39.7176
7710	GLOBAL	Cartesian	37.0926	-16.715	-4.1	Yes	37.0926
7711	GLOBAL	Cartesian	39.7176	-16.715	-4.1	Yes	39.7176
7712	GLOBAL	Cartesian	37.0926	-16.715	-3.1	Yes	37.0926
7713	GLOBAL	Cartesian	39.7176	-16.715	-3.1	Yes	39.7176
7714	GLOBAL	Cartesian	37.0926	-16.715	-2.1	Yes	37.0926
7715	GLOBAL	Cartesian	39.7176	-16.715	-2.1	Yes	39.7176
7716	GLOBAL	Cartesian	37.0926	-16.715	-1.1	Yes	37.0926
7717	GLOBAL	Cartesian	39.7176	-16.715	-1.1	Yes	39.7176
7718	GLOBAL	Cartesian	34.08027	-18.09	-5.1	No	34.08027
7719	GLOBAL	Cartesian	34.59361	-19.05545	-5.1	No	34.59361
7721	GLOBAL	Cartesian	33.34917	-16.715	-3.1	No	33.34917
7722	GLOBAL	Cartesian	33.34917	-16.715	-2.1	No	33.34917
7723	GLOBAL	Cartesian	32.55587	-16.715	-1.1	No	32.55587
7724	GLOBAL	Cartesian	33.34917	-16.715	-1.1	No	33.34917
7727	GLOBAL	Cartesian	32.55587	-16.715	-5.1	No	32.55587
7728	GLOBAL	Cartesian	33.34917	-16.715	-5.1	No	33.34917
7729	GLOBAL	Cartesian	32.55587	-16.715	-4.1	No	32.55587
7730	GLOBAL	Cartesian	33.34917	-16.715	-4.1	No	33.34917
7731	GLOBAL	Cartesian	32.55587	-16.715	-3.1	No	32.55587
7732	GLOBAL	Cartesian	32.55587	-16.715	-2.1	No	32.55587
7733	GLOBAL	Cartesian	32.61806	-15.34	-5.1	No	32.61806
7734	GLOBAL	Cartesian	32.24586	-14.64	-5.1	No	32.24586
7735	GLOBAL	Cartesian	33.79848	-19.05545	-5.1	No	33.79848

Table: Joint Coordinates, Part 1 of 2

Joint	CoordSys	CoordType	XorR m	Y m	Z m	SpecialJt	GlobalX m
7736	GLOBAL	Cartesian	32.10019	-19.05545	-5.1	No	32.10019
7737	GLOBAL	Cartesian	30.40314	-19.05545	-5.1	No	30.40314
7738	GLOBAL	Cartesian	29.61034	-19.05545	-5.1	No	29.61034
7739	GLOBAL	Cartesian	29.09699	-18.09	-5.1	No	29.09699
7740	GLOBAL	Cartesian	29.8898	-18.09	-5.1	No	29.8898
7741	GLOBAL	Cartesian	31.58758	-18.09	-5.1	No	31.58758
7742	GLOBAL	Cartesian	33.28588	-18.09	-5.1	No	33.28588
7743	GLOBAL	Cartesian	31.82525	-15.34	-5.1	No	31.82525
7744	GLOBAL	Cartesian	31.45306	-14.64	-5.1	No	31.45306
7746	GLOBAL	Cartesian	24.08154	-0.7708	-6.1	Yes	24.08154
7747	GLOBAL	Cartesian	24.08154	-0.7708	-7.1	Yes	24.08154
7748	GLOBAL	Cartesian	24.08154	-0.7708	-8.1	Yes	24.08154
7749	GLOBAL	Cartesian	24.08154	-0.7708	-9.1	Yes	24.08154
7750	GLOBAL	Cartesian	24.08154	-0.7708	-10.1	Yes	24.08154
7751	GLOBAL	Cartesian	24.08154	-0.7708	-11.1	Yes	24.08154
7752	GLOBAL	Cartesian	24.08154	-0.7708	-12.1	Yes	24.08154
7753	GLOBAL	Cartesian	24.08154	-0.7708	-13.1	Yes	24.08154
7754	GLOBAL	Cartesian	24.08154	-0.7708	-14.1	Yes	24.08154
7755	GLOBAL	Cartesian	24.08154	-0.7708	-15.1	Yes	24.08154
7756	GLOBAL	Cartesian	24.08154	-0.7708	-16.1	Yes	24.08154
7757	GLOBAL	Cartesian	24.08154	-0.7708	-17.1	Yes	24.08154
7758	GLOBAL	Cartesian	24.08154	-0.7708	-18.1	Yes	24.08154
7759	GLOBAL	Cartesian	24.08154	-0.7708	-19.1	Yes	24.08154
7760	GLOBAL	Cartesian	24.08154	-0.7708	-20.1	Yes	24.08154
7761	GLOBAL	Cartesian	24.08154	-0.7708	-21.1	Yes	24.08154
7762	GLOBAL	Cartesian	24.08154	-0.7708	-22.1	Yes	24.08154
7763	GLOBAL	Cartesian	24.08154	-0.7708	-23.1	Yes	24.08154
7764	GLOBAL	Cartesian	24.08154	-0.7708	-24.1	Yes	24.08154
7765	GLOBAL	Cartesian	24.08154	-0.7708	-25.1	Yes	24.08154
7766	GLOBAL	Cartesian	24.08154	-0.7708	-26.1	Yes	24.08154
7767	GLOBAL	Cartesian	24.08154	-0.7708	-27.1	Yes	24.08154
7768	GLOBAL	Cartesian	24.08154	-0.7708	-28.1	Yes	24.08154
7769	GLOBAL	Cartesian	24.08154	-0.7708	-29.1	Yes	24.08154
7770	GLOBAL	Cartesian	24.08154	-0.7708	-30.1	Yes	24.08154
7771	GLOBAL	Cartesian	24.08154	-0.7708	-31.1	Yes	24.08154
7772	GLOBAL	Cartesian	21.43274	-2.1792	-6.1	Yes	21.43274
7773	GLOBAL	Cartesian	21.43274	-2.1792	-7.1	Yes	21.43274
7774	GLOBAL	Cartesian	21.43274	-2.1792	-8.1	Yes	21.43274
7775	GLOBAL	Cartesian	21.43274	-2.1792	-9.1	Yes	21.43274
7776	GLOBAL	Cartesian	21.43274	-2.1792	-10.1	Yes	21.43274
7777	GLOBAL	Cartesian	21.43274	-2.1792	-11.1	Yes	21.43274
7778	GLOBAL	Cartesian	21.43274	-2.1792	-12.1	Yes	21.43274
7779	GLOBAL	Cartesian	21.43274	-2.1792	-13.1	Yes	21.43274
7780	GLOBAL	Cartesian	21.43274	-2.1792	-14.1	Yes	21.43274
7781	GLOBAL	Cartesian	21.43274	-2.1792	-15.1	Yes	21.43274
7782	GLOBAL	Cartesian	21.43274	-2.1792	-16.1	Yes	21.43274
7783	GLOBAL	Cartesian	21.43274	-2.1792	-17.1	Yes	21.43274
7784	GLOBAL	Cartesian	21.43274	-2.1792	-18.1	Yes	21.43274
7785	GLOBAL	Cartesian	21.43274	-2.1792	-19.1	Yes	21.43274
7786	GLOBAL	Cartesian	21.43274	-2.1792	-20.1	Yes	21.43274
7787	GLOBAL	Cartesian	21.43274	-2.1792	-21.1	Yes	21.43274
7788	GLOBAL	Cartesian	21.43274	-2.1792	-22.1	Yes	21.43274
7789	GLOBAL	Cartesian	21.43274	-2.1792	-23.1	Yes	21.43274
7790	GLOBAL	Cartesian	21.43274	-2.1792	-24.1	Yes	21.43274

Table: Joint Coordinates, Part 1 of 2

Joint	CoordSys	CoordType	XorR m	Y m	Z m	SpecialJt	GlobalX m
7791	GLOBAL	Cartesian	21.43274	-2.1792	-25.1	Yes	21.43274
7792	GLOBAL	Cartesian	21.43274	-2.1792	-26.1	Yes	21.43274
7793	GLOBAL	Cartesian	21.43274	-2.1792	-27.1	Yes	21.43274
7794	GLOBAL	Cartesian	21.43274	-2.1792	-28.1	Yes	21.43274
7795	GLOBAL	Cartesian	21.43274	-2.1792	-29.1	Yes	21.43274
7796	GLOBAL	Cartesian	21.43274	-2.1792	-30.1	Yes	21.43274
7797	GLOBAL	Cartesian	21.43274	-2.1792	-31.1	Yes	21.43274
7798	GLOBAL	Cartesian	26.04894	-4.4708	-6.1	Yes	26.04894
7799	GLOBAL	Cartesian	26.04894	-4.4708	-7.1	Yes	26.04894
7800	GLOBAL	Cartesian	26.04894	-4.4708	-8.1	Yes	26.04894
7801	GLOBAL	Cartesian	26.04894	-4.4708	-9.1	Yes	26.04894
7802	GLOBAL	Cartesian	26.04894	-4.4708	-10.1	Yes	26.04894
7803	GLOBAL	Cartesian	26.04894	-4.4708	-11.1	Yes	26.04894
7804	GLOBAL	Cartesian	26.04894	-4.4708	-12.1	Yes	26.04894
7805	GLOBAL	Cartesian	26.04894	-4.4708	-13.1	Yes	26.04894
7806	GLOBAL	Cartesian	26.04894	-4.4708	-14.1	Yes	26.04894
7807	GLOBAL	Cartesian	26.04894	-4.4708	-15.1	Yes	26.04894
7808	GLOBAL	Cartesian	26.04894	-4.4708	-16.1	Yes	26.04894
7809	GLOBAL	Cartesian	26.04894	-4.4708	-17.1	Yes	26.04894
7810	GLOBAL	Cartesian	26.04894	-4.4708	-18.1	Yes	26.04894
7811	GLOBAL	Cartesian	26.04894	-4.4708	-19.1	Yes	26.04894
7812	GLOBAL	Cartesian	26.04894	-4.4708	-20.1	Yes	26.04894
7813	GLOBAL	Cartesian	26.04894	-4.4708	-21.1	Yes	26.04894
7814	GLOBAL	Cartesian	26.04894	-4.4708	-22.1	Yes	26.04894
7815	GLOBAL	Cartesian	26.04894	-4.4708	-23.1	Yes	26.04894
7816	GLOBAL	Cartesian	26.04894	-4.4708	-24.1	Yes	26.04894
7817	GLOBAL	Cartesian	26.04894	-4.4708	-25.1	Yes	26.04894
7818	GLOBAL	Cartesian	26.04894	-4.4708	-26.1	Yes	26.04894
7819	GLOBAL	Cartesian	26.04894	-4.4708	-27.1	Yes	26.04894
7820	GLOBAL	Cartesian	26.04894	-4.4708	-28.1	Yes	26.04894
7821	GLOBAL	Cartesian	26.04894	-4.4708	-29.1	Yes	26.04894
7822	GLOBAL	Cartesian	26.04894	-4.4708	-30.1	Yes	26.04894
7823	GLOBAL	Cartesian	26.04894	-4.4708	-31.1	Yes	26.04894
7824	GLOBAL	Cartesian	23.40014	-5.8792	-6.1	Yes	23.40014
7825	GLOBAL	Cartesian	23.40014	-5.8792	-7.1	Yes	23.40014
7826	GLOBAL	Cartesian	23.40014	-5.8792	-8.1	Yes	23.40014
7827	GLOBAL	Cartesian	23.40014	-5.8792	-9.1	Yes	23.40014
7828	GLOBAL	Cartesian	23.40014	-5.8792	-10.1	Yes	23.40014
7829	GLOBAL	Cartesian	23.40014	-5.8792	-11.1	Yes	23.40014
7830	GLOBAL	Cartesian	23.40014	-5.8792	-12.1	Yes	23.40014
7831	GLOBAL	Cartesian	23.40014	-5.8792	-13.1	Yes	23.40014
7832	GLOBAL	Cartesian	23.40014	-5.8792	-14.1	Yes	23.40014
7833	GLOBAL	Cartesian	23.40014	-5.8792	-15.1	Yes	23.40014
7834	GLOBAL	Cartesian	23.40014	-5.8792	-16.1	Yes	23.40014
7835	GLOBAL	Cartesian	23.40014	-5.8792	-17.1	Yes	23.40014
7836	GLOBAL	Cartesian	23.40014	-5.8792	-18.1	Yes	23.40014
7837	GLOBAL	Cartesian	23.40014	-5.8792	-19.1	Yes	23.40014
7838	GLOBAL	Cartesian	23.40014	-5.8792	-20.1	Yes	23.40014
7839	GLOBAL	Cartesian	23.40014	-5.8792	-21.1	Yes	23.40014
7840	GLOBAL	Cartesian	23.40014	-5.8792	-22.1	Yes	23.40014
7841	GLOBAL	Cartesian	23.40014	-5.8792	-23.1	Yes	23.40014
7842	GLOBAL	Cartesian	23.40014	-5.8792	-24.1	Yes	23.40014
7843	GLOBAL	Cartesian	23.40014	-5.8792	-25.1	Yes	23.40014
7844	GLOBAL	Cartesian	23.40014	-5.8792	-26.1	Yes	23.40014

Table: Joint Coordinates, Part 1 of 2

Joint	CoordSys	CoordType	XorR m	Y m	Z m	SpecialJt	GlobalX m
7845	GLOBAL	Cartesian	23.40014	-5.8792	-27.1	Yes	23.40014
7846	GLOBAL	Cartesian	23.40014	-5.8792	-28.1	Yes	23.40014
7847	GLOBAL	Cartesian	23.40014	-5.8792	-29.1	Yes	23.40014
7848	GLOBAL	Cartesian	23.40014	-5.8792	-30.1	Yes	23.40014
7849	GLOBAL	Cartesian	23.40014	-5.8792	-31.1	Yes	23.40014
7850	GLOBAL	Cartesian	28.01624	-8.1708	-6.1	Yes	28.01624
7851	GLOBAL	Cartesian	28.01624	-8.1708	-7.1	Yes	28.01624
7852	GLOBAL	Cartesian	28.01624	-8.1708	-8.1	Yes	28.01624
7853	GLOBAL	Cartesian	28.01624	-8.1708	-9.1	Yes	28.01624
7854	GLOBAL	Cartesian	28.01624	-8.1708	-10.1	Yes	28.01624
7855	GLOBAL	Cartesian	28.01624	-8.1708	-11.1	Yes	28.01624
7856	GLOBAL	Cartesian	28.01624	-8.1708	-12.1	Yes	28.01624
7857	GLOBAL	Cartesian	28.01624	-8.1708	-13.1	Yes	28.01624
7858	GLOBAL	Cartesian	28.01624	-8.1708	-14.1	Yes	28.01624
7859	GLOBAL	Cartesian	28.01624	-8.1708	-15.1	Yes	28.01624
7860	GLOBAL	Cartesian	28.01624	-8.1708	-16.1	Yes	28.01624
7861	GLOBAL	Cartesian	28.01624	-8.1708	-17.1	Yes	28.01624
7862	GLOBAL	Cartesian	28.01624	-8.1708	-18.1	Yes	28.01624
7863	GLOBAL	Cartesian	28.01624	-8.1708	-19.1	Yes	28.01624
7864	GLOBAL	Cartesian	28.01624	-8.1708	-20.1	Yes	28.01624
7865	GLOBAL	Cartesian	28.01624	-8.1708	-21.1	Yes	28.01624
7866	GLOBAL	Cartesian	28.01624	-8.1708	-22.1	Yes	28.01624
7867	GLOBAL	Cartesian	28.01624	-8.1708	-23.1	Yes	28.01624
7868	GLOBAL	Cartesian	28.01624	-8.1708	-24.1	Yes	28.01624
7869	GLOBAL	Cartesian	28.01624	-8.1708	-25.1	Yes	28.01624
7870	GLOBAL	Cartesian	28.01624	-8.1708	-26.1	Yes	28.01624
7871	GLOBAL	Cartesian	28.01624	-8.1708	-27.1	Yes	28.01624
7872	GLOBAL	Cartesian	28.01624	-8.1708	-28.1	Yes	28.01624
7873	GLOBAL	Cartesian	28.01624	-8.1708	-29.1	Yes	28.01624
7874	GLOBAL	Cartesian	28.01624	-8.1708	-30.1	Yes	28.01624
7875	GLOBAL	Cartesian	28.01624	-8.1708	-31.1	Yes	28.01624
7876	GLOBAL	Cartesian	25.36744	-9.5792	-6.1	Yes	25.36744
7877	GLOBAL	Cartesian	25.36744	-9.5792	-7.1	Yes	25.36744
7878	GLOBAL	Cartesian	25.36744	-9.5792	-8.1	Yes	25.36744
7879	GLOBAL	Cartesian	25.36744	-9.5792	-9.1	Yes	25.36744
7880	GLOBAL	Cartesian	25.36744	-9.5792	-10.1	Yes	25.36744
7881	GLOBAL	Cartesian	25.36744	-9.5792	-11.1	Yes	25.36744
7882	GLOBAL	Cartesian	25.36744	-9.5792	-12.1	Yes	25.36744
7883	GLOBAL	Cartesian	25.36744	-9.5792	-13.1	Yes	25.36744
7884	GLOBAL	Cartesian	25.36744	-9.5792	-14.1	Yes	25.36744
7885	GLOBAL	Cartesian	25.36744	-9.5792	-15.1	Yes	25.36744
7886	GLOBAL	Cartesian	25.36744	-9.5792	-16.1	Yes	25.36744
7887	GLOBAL	Cartesian	25.36744	-9.5792	-17.1	Yes	25.36744
7888	GLOBAL	Cartesian	25.36744	-9.5792	-18.1	Yes	25.36744
7889	GLOBAL	Cartesian	25.36744	-9.5792	-19.1	Yes	25.36744
7890	GLOBAL	Cartesian	25.36744	-9.5792	-20.1	Yes	25.36744
7891	GLOBAL	Cartesian	25.36744	-9.5792	-21.1	Yes	25.36744
7892	GLOBAL	Cartesian	25.36744	-9.5792	-22.1	Yes	25.36744
7893	GLOBAL	Cartesian	25.36744	-9.5792	-23.1	Yes	25.36744
7894	GLOBAL	Cartesian	25.36744	-9.5792	-24.1	Yes	25.36744
7895	GLOBAL	Cartesian	25.36744	-9.5792	-25.1	Yes	25.36744
7896	GLOBAL	Cartesian	25.36744	-9.5792	-26.1	Yes	25.36744
7897	GLOBAL	Cartesian	25.36744	-9.5792	-27.1	Yes	25.36744
7898	GLOBAL	Cartesian	25.36744	-9.5792	-28.1	Yes	25.36744

Table: Joint Coordinates, Part 1 of 2

Joint	CoordSys	CoordType	XorR m	Y m	Z m	SpecialJt	GlobalX m
7899	GLOBAL	Cartesian	25.36744	-9.5792	-29.1	Yes	25.36744
7900	GLOBAL	Cartesian	25.36744	-9.5792	-30.1	Yes	25.36744
7901	GLOBAL	Cartesian	25.36744	-9.5792	-31.1	Yes	25.36744
7902	GLOBAL	Cartesian	29.98354	-11.8708	-6.1	Yes	29.98354
7903	GLOBAL	Cartesian	29.98354	-11.8708	-7.1	Yes	29.98354
7904	GLOBAL	Cartesian	29.98354	-11.8708	-8.1	Yes	29.98354
7905	GLOBAL	Cartesian	29.98354	-11.8708	-9.1	Yes	29.98354
7906	GLOBAL	Cartesian	29.98354	-11.8708	-10.1	Yes	29.98354
7907	GLOBAL	Cartesian	29.98354	-11.8708	-11.1	Yes	29.98354
7908	GLOBAL	Cartesian	29.98354	-11.8708	-12.1	Yes	29.98354
7909	GLOBAL	Cartesian	29.98354	-11.8708	-13.1	Yes	29.98354
7910	GLOBAL	Cartesian	29.98354	-11.8708	-14.1	Yes	29.98354
7911	GLOBAL	Cartesian	29.98354	-11.8708	-15.1	Yes	29.98354
7912	GLOBAL	Cartesian	29.98354	-11.8708	-16.1	Yes	29.98354
7913	GLOBAL	Cartesian	29.98354	-11.8708	-17.1	Yes	29.98354
7914	GLOBAL	Cartesian	29.98354	-11.8708	-18.1	Yes	29.98354
7915	GLOBAL	Cartesian	29.98354	-11.8708	-19.1	Yes	29.98354
7916	GLOBAL	Cartesian	29.98354	-11.8708	-20.1	Yes	29.98354
7917	GLOBAL	Cartesian	29.98354	-11.8708	-21.1	Yes	29.98354
7918	GLOBAL	Cartesian	29.98354	-11.8708	-22.1	Yes	29.98354
7919	GLOBAL	Cartesian	29.98354	-11.8708	-23.1	Yes	29.98354
7920	GLOBAL	Cartesian	29.98354	-11.8708	-24.1	Yes	29.98354
7921	GLOBAL	Cartesian	29.98354	-11.8708	-25.1	Yes	29.98354
7922	GLOBAL	Cartesian	29.98354	-11.8708	-26.1	Yes	29.98354
7923	GLOBAL	Cartesian	29.98354	-11.8708	-27.1	Yes	29.98354
7924	GLOBAL	Cartesian	29.98354	-11.8708	-28.1	Yes	29.98354
7925	GLOBAL	Cartesian	29.98354	-11.8708	-29.1	Yes	29.98354
7926	GLOBAL	Cartesian	29.98354	-11.8708	-30.1	Yes	29.98354
7927	GLOBAL	Cartesian	29.98354	-11.8708	-31.1	Yes	29.98354
7928	GLOBAL	Cartesian	27.33474	-13.2792	-6.1	Yes	27.33474
7929	GLOBAL	Cartesian	27.33474	-13.2792	-7.1	Yes	27.33474
7930	GLOBAL	Cartesian	27.33474	-13.2792	-8.1	Yes	27.33474
7931	GLOBAL	Cartesian	27.33474	-13.2792	-9.1	Yes	27.33474
7932	GLOBAL	Cartesian	27.33474	-13.2792	-10.1	Yes	27.33474
7933	GLOBAL	Cartesian	27.33474	-13.2792	-11.1	Yes	27.33474
7934	GLOBAL	Cartesian	27.33474	-13.2792	-12.1	Yes	27.33474
7935	GLOBAL	Cartesian	27.33474	-13.2792	-13.1	Yes	27.33474
7936	GLOBAL	Cartesian	27.33474	-13.2792	-14.1	Yes	27.33474
7937	GLOBAL	Cartesian	27.33474	-13.2792	-15.1	Yes	27.33474
7938	GLOBAL	Cartesian	27.33474	-13.2792	-16.1	Yes	27.33474
7939	GLOBAL	Cartesian	27.33474	-13.2792	-17.1	Yes	27.33474
7940	GLOBAL	Cartesian	27.33474	-13.2792	-18.1	Yes	27.33474
7941	GLOBAL	Cartesian	27.33474	-13.2792	-19.1	Yes	27.33474
7942	GLOBAL	Cartesian	27.33474	-13.2792	-20.1	Yes	27.33474
7943	GLOBAL	Cartesian	27.33474	-13.2792	-21.1	Yes	27.33474
7944	GLOBAL	Cartesian	27.33474	-13.2792	-22.1	Yes	27.33474
7945	GLOBAL	Cartesian	27.33474	-13.2792	-23.1	Yes	27.33474
7946	GLOBAL	Cartesian	27.33474	-13.2792	-24.1	Yes	27.33474
7947	GLOBAL	Cartesian	27.33474	-13.2792	-25.1	Yes	27.33474
7948	GLOBAL	Cartesian	27.33474	-13.2792	-26.1	Yes	27.33474
7949	GLOBAL	Cartesian	27.33474	-13.2792	-27.1	Yes	27.33474
7950	GLOBAL	Cartesian	27.33474	-13.2792	-28.1	Yes	27.33474
7951	GLOBAL	Cartesian	27.33474	-13.2792	-29.1	Yes	27.33474
7952	GLOBAL	Cartesian	27.33474	-13.2792	-30.1	Yes	27.33474

Table: Joint Coordinates, Part 1 of 2

Joint	CoordSys	CoordType	XorR m	Y m	Z m	SpecialJt	GlobalX m
7953	GLOBAL	Cartesian	27.33474	-13.2792	-31.1	Yes	27.33474
7954	GLOBAL	Cartesian	31.82524	-15.34	-6.1	Yes	31.82524
7955	GLOBAL	Cartesian	31.82524	-15.34	-7.1	Yes	31.82524
7956	GLOBAL	Cartesian	31.82524	-15.34	-8.1	Yes	31.82524
7957	GLOBAL	Cartesian	31.82524	-15.34	-9.1	Yes	31.82524
7958	GLOBAL	Cartesian	31.82524	-15.34	-10.1	Yes	31.82524
7959	GLOBAL	Cartesian	31.82524	-15.34	-11.1	Yes	31.82524
7960	GLOBAL	Cartesian	31.82524	-15.34	-12.1	Yes	31.82524
7961	GLOBAL	Cartesian	31.82524	-15.34	-13.1	Yes	31.82524
7962	GLOBAL	Cartesian	31.82524	-15.34	-14.1	Yes	31.82524
7963	GLOBAL	Cartesian	31.82524	-15.34	-15.1	Yes	31.82524
7964	GLOBAL	Cartesian	31.82524	-15.34	-16.1	Yes	31.82524
7965	GLOBAL	Cartesian	31.82524	-15.34	-17.1	Yes	31.82524
7966	GLOBAL	Cartesian	31.82524	-15.34	-18.1	Yes	31.82524
7967	GLOBAL	Cartesian	31.82524	-15.34	-19.1	Yes	31.82524
7968	GLOBAL	Cartesian	31.82524	-15.34	-20.1	Yes	31.82524
7969	GLOBAL	Cartesian	31.82524	-15.34	-21.1	Yes	31.82524
7970	GLOBAL	Cartesian	31.82524	-15.34	-22.1	Yes	31.82524
7971	GLOBAL	Cartesian	31.82524	-15.34	-23.1	Yes	31.82524
7972	GLOBAL	Cartesian	31.82524	-15.34	-24.1	Yes	31.82524
7973	GLOBAL	Cartesian	31.82524	-15.34	-25.1	Yes	31.82524
7974	GLOBAL	Cartesian	31.82524	-15.34	-26.1	Yes	31.82524
7975	GLOBAL	Cartesian	31.82524	-15.34	-27.1	Yes	31.82524
7976	GLOBAL	Cartesian	31.82524	-15.34	-28.1	Yes	31.82524
7977	GLOBAL	Cartesian	31.82524	-15.34	-29.1	Yes	31.82524
7978	GLOBAL	Cartesian	31.82524	-15.34	-30.1	Yes	31.82524
7979	GLOBAL	Cartesian	31.82524	-15.34	-31.1	Yes	31.82524
7980	GLOBAL	Cartesian	28.41654	-15.3192	-6.1	Yes	28.41654
7981	GLOBAL	Cartesian	28.41654	-15.3192	-7.1	Yes	28.41654
7982	GLOBAL	Cartesian	28.41654	-15.3192	-8.1	Yes	28.41654
7983	GLOBAL	Cartesian	28.41654	-15.3192	-9.1	Yes	28.41654
7984	GLOBAL	Cartesian	28.41654	-15.3192	-10.1	Yes	28.41654
7985	GLOBAL	Cartesian	28.41654	-15.3192	-11.1	Yes	28.41654
7986	GLOBAL	Cartesian	28.41654	-15.3192	-12.1	Yes	28.41654
7987	GLOBAL	Cartesian	28.41654	-15.3192	-13.1	Yes	28.41654
7988	GLOBAL	Cartesian	28.41654	-15.3192	-14.1	Yes	28.41654
7989	GLOBAL	Cartesian	28.41654	-15.3192	-15.1	Yes	28.41654
7990	GLOBAL	Cartesian	28.41654	-15.3192	-16.1	Yes	28.41654
7991	GLOBAL	Cartesian	28.41654	-15.3192	-17.1	Yes	28.41654
7992	GLOBAL	Cartesian	28.41654	-15.3192	-18.1	Yes	28.41654
7993	GLOBAL	Cartesian	28.41654	-15.3192	-19.1	Yes	28.41654
7994	GLOBAL	Cartesian	28.41654	-15.3192	-20.1	Yes	28.41654
7995	GLOBAL	Cartesian	28.41654	-15.3192	-21.1	Yes	28.41654
7996	GLOBAL	Cartesian	28.41654	-15.3192	-22.1	Yes	28.41654
7997	GLOBAL	Cartesian	28.41654	-15.3192	-23.1	Yes	28.41654
7998	GLOBAL	Cartesian	28.41654	-15.3192	-24.1	Yes	28.41654
7999	GLOBAL	Cartesian	28.41654	-15.3192	-25.1	Yes	28.41654
8000	GLOBAL	Cartesian	28.41654	-15.3192	-26.1	Yes	28.41654
8001	GLOBAL	Cartesian	28.41654	-15.3192	-27.1	Yes	28.41654
8002	GLOBAL	Cartesian	28.41654	-15.3192	-28.1	Yes	28.41654
8003	GLOBAL	Cartesian	28.41654	-15.3192	-29.1	Yes	28.41654
8004	GLOBAL	Cartesian	28.41654	-15.3192	-30.1	Yes	28.41654
8005	GLOBAL	Cartesian	28.41654	-15.3192	-31.1	Yes	28.41654
8006	GLOBAL	Cartesian	33.28584	-18.09	-6.1	Yes	33.28584

Table: Joint Coordinates, Part 1 of 2

Joint	CoordSys	CoordType	XorR m	Y m	Z m	SpecialJt	GlobalX m
8007	GLOBAL	Cartesian	33.28584	-18.09	-7.1	Yes	33.28584
8008	GLOBAL	Cartesian	33.28584	-18.09	-8.1	Yes	33.28584
8009	GLOBAL	Cartesian	33.28584	-18.09	-9.1	Yes	33.28584
8010	GLOBAL	Cartesian	33.28584	-18.09	-10.1	Yes	33.28584
8011	GLOBAL	Cartesian	33.28584	-18.09	-11.1	Yes	33.28584
8012	GLOBAL	Cartesian	33.28584	-18.09	-12.1	Yes	33.28584
8013	GLOBAL	Cartesian	33.28584	-18.09	-13.1	Yes	33.28584
8014	GLOBAL	Cartesian	33.28584	-18.09	-14.1	Yes	33.28584
8015	GLOBAL	Cartesian	33.28584	-18.09	-15.1	Yes	33.28584
8016	GLOBAL	Cartesian	33.28584	-18.09	-16.1	Yes	33.28584
8017	GLOBAL	Cartesian	33.28584	-18.09	-17.1	Yes	33.28584
8018	GLOBAL	Cartesian	33.28584	-18.09	-18.1	Yes	33.28584
8019	GLOBAL	Cartesian	33.28584	-18.09	-19.1	Yes	33.28584
8020	GLOBAL	Cartesian	33.28584	-18.09	-20.1	Yes	33.28584
8021	GLOBAL	Cartesian	33.28584	-18.09	-21.1	Yes	33.28584
8022	GLOBAL	Cartesian	33.28584	-18.09	-22.1	Yes	33.28584
8023	GLOBAL	Cartesian	33.28584	-18.09	-23.1	Yes	33.28584
8024	GLOBAL	Cartesian	33.28584	-18.09	-24.1	Yes	33.28584
8025	GLOBAL	Cartesian	33.28584	-18.09	-25.1	Yes	33.28584
8026	GLOBAL	Cartesian	33.28584	-18.09	-26.1	Yes	33.28584
8027	GLOBAL	Cartesian	33.28584	-18.09	-27.1	Yes	33.28584
8028	GLOBAL	Cartesian	33.28584	-18.09	-28.1	Yes	33.28584
8029	GLOBAL	Cartesian	33.28584	-18.09	-29.1	Yes	33.28584
8030	GLOBAL	Cartesian	33.28584	-18.09	-30.1	Yes	33.28584
8031	GLOBAL	Cartesian	33.28584	-18.09	-31.1	Yes	33.28584
8032	GLOBAL	Cartesian	29.88974	-18.09	-6.1	Yes	29.88974
8033	GLOBAL	Cartesian	29.88974	-18.09	-7.1	Yes	29.88974
8034	GLOBAL	Cartesian	29.88974	-18.09	-8.1	Yes	29.88974
8035	GLOBAL	Cartesian	29.88974	-18.09	-9.1	Yes	29.88974
8036	GLOBAL	Cartesian	29.88974	-18.09	-10.1	Yes	29.88974
8037	GLOBAL	Cartesian	29.88974	-18.09	-11.1	Yes	29.88974
8038	GLOBAL	Cartesian	29.88974	-18.09	-12.1	Yes	29.88974
8039	GLOBAL	Cartesian	29.88974	-18.09	-13.1	Yes	29.88974
8040	GLOBAL	Cartesian	29.88974	-18.09	-14.1	Yes	29.88974
8041	GLOBAL	Cartesian	29.88974	-18.09	-15.1	Yes	29.88974
8042	GLOBAL	Cartesian	29.88974	-18.09	-16.1	Yes	29.88974
8043	GLOBAL	Cartesian	29.88974	-18.09	-17.1	Yes	29.88974
8044	GLOBAL	Cartesian	29.88974	-18.09	-18.1	Yes	29.88974
8045	GLOBAL	Cartesian	29.88974	-18.09	-19.1	Yes	29.88974
8046	GLOBAL	Cartesian	29.88974	-18.09	-20.1	Yes	29.88974
8047	GLOBAL	Cartesian	29.88974	-18.09	-21.1	Yes	29.88974
8048	GLOBAL	Cartesian	29.88974	-18.09	-22.1	Yes	29.88974
8049	GLOBAL	Cartesian	29.88974	-18.09	-23.1	Yes	29.88974
8050	GLOBAL	Cartesian	29.88974	-18.09	-24.1	Yes	29.88974
8051	GLOBAL	Cartesian	29.88974	-18.09	-25.1	Yes	29.88974
8052	GLOBAL	Cartesian	29.88974	-18.09	-26.1	Yes	29.88974
8053	GLOBAL	Cartesian	29.88974	-18.09	-27.1	Yes	29.88974
8054	GLOBAL	Cartesian	29.88974	-18.09	-28.1	Yes	29.88974
8055	GLOBAL	Cartesian	29.88974	-18.09	-29.1	Yes	29.88974
8056	GLOBAL	Cartesian	29.88974	-18.09	-30.1	Yes	29.88974
8057	GLOBAL	Cartesian	29.88974	-18.09	-31.1	Yes	29.88974
8058	GLOBAL	Cartesian	37.0926	-18.09	-30.1	Yes	37.0926
8059	GLOBAL	Cartesian	37.0926	-18.09	-31.1	Yes	37.0926
8060	GLOBAL	Cartesian	-37.0897	18.09	-30.5	Yes	-37.0897

Table: Joint Coordinates, Part 1 of 2

Joint	CoordSys	CoordType	XorR	Y	Z	SpecialJt	GlobalX
			m	m	m		m
8061	GLOBAL	Cartesian	-37.0897	18.09	-31.5	Yes	-37.0897

Table: Joint Coordinates, Part 2 of 2

Table: Joint Coordinates, Part 2 of 2

Joint	GlobalY	GlobalZ	GUID
	m	m	
1	11.5443	-7.25	c4ea2a78-9231-4c3d-958b-340c7eefb8ca
2	0.	0.	
3	0.4443	-7.25	370aa9de-8b72-46d9-9a73-79b21895e13d
4	-2.5057	-7.25	2703b721-e795-4612-8936-ecde29d638e7
5	-13.6057	-7.25	c5bb20ca-5cfd-4e65-81d0-90ee9be5556c
6	9.6943	-7.25	b71844b3-32f3-463d-b753-76d22cd01afd
7	7.8443	-7.25	cb339342-6ee7-4c98-9a4b-42057a04f5c0
8	5.9943	-7.25	6394c7b3-06b9-44b0-ba2a-380a939af86d
9	4.1443	-7.25	8e58303f-5b9d-40dc-b0a4-563573f6acd4
10	2.2943	-7.25	c02e7bff-ba28-474b-9655-6145f7b8f94b
11	-4.3557	-7.25	9d92ea08-4233-4b4f-a870-a4c1bed07705
12	-6.2057	-7.25	a8c8786d-7d25-45ca-8fd1-794a70ec3ca1
13	-8.0557	-7.25	8dc76f29-16d9-4ba1-a063-08e57dffcfcd
14	-9.9057	-7.25	08c1ca4f-8158-4d91-8f3a-ac42b01311ec
15	-11.7557	-7.25	b44a8b3d-46d0-4bdf-a8e3-7aa38191c5c6
16	13.5843	-7.25	d213b96f-0363-444c-a8b7-93e1c9efb8b4
17	15.6843	-7.25	53b6172d-bd9c-415f-a853-89a39fb666de
18	-15.6457	-7.25	3a24e89d-5a3c-4d88-a763-295a36ac77a4
19	-17.7457	-7.25	38371dfb-fb49-476f-b8da-f4395fab8760
20	12.575	-1.1	d6044ca5-43ac-4ac1-b70e-20b82ec19c7e
21	1.475	-1.1	814a6b5d-e940-44be-a2d0-66f01bac2442
22	-1.475	-1.1	ca969e84-1d47-4d9b-a856-6180edb052b1
23	-12.575	-1.1	5fb8bb43-631c-4211-bc14-136a7d27e280
24	10.725	-1.1	7624bad9-eea3-4635-b284-1b756faea269
25	8.875	-1.1	c5a37df5-ae2b-422c-a786-203cf1f42980
26	7.025	-1.1	51bad5ab-2565-4fb1-81a6-5dd809d593e0

Table: Joint Coordinates, Part 2 of 2

Joint	GlobalY m	GlobalZ m	GUID
27	5.175	-1.1	8ed7f26c-2a50-4d5f-824 b-d3d5c74a3a0e
28	3.325	-1.1	dd8e71b9-8726-479f-b46 2-458fc74e4b0a
29	-3.325	-1.1	d8035782-93d9-4bdb-84 19-7baa42af9193
30	-5.175	-1.1	f8906c96-fb32-4c20-b21 4-bdd7185bbb18
31	-7.025	-1.1	5d1bf4bb-b38e-4bdb-8ca c-695c019907dc
32	-8.875	-1.1	83709570-6a68-4f50-9e0 9-acba84b2154e
33	-10.725	-1.1	ef642848-9919-4aba-836 3-fdeffc19b649
34	14.615	-1.1	fb8390da-8153-43b0-998 8-de25f4911fc7
35	16.715	-1.1	7da69d16-89a6-40e5-9e 75-78a721065b17
36	-14.615	-1.1	f4448e75-4f8f-44ab-9937 -504c507e528d
37	-16.715	-1.1	a1415ddf-c03f-4eb8-8dfc -af9aab727df6
38	12.575	-2.1	cbbfd68b-e444-4602-848 a-aa1b81b01f2d
39	1.475	-2.1	f6bca8c9-f983-4f6f-b85f- 694d058206e6
40	-1.475	-2.1	327371fb-de11-4c15-990 5-c4ea636a5d61
41	-12.575	-2.1	d2648332-3a6d-44f0-8c3 c-07efb097278c
42	10.725	-2.1	00efa58c-eb44-40fe-81e 5-4ea13d89eeda
43	8.875	-2.1	8ba75daa-e0e3-42ba-b3 5c-8f2ac3d03038
44	7.025	-2.1	48e1db0c-d8ea-42b5-aa 3a-2e8bfd47f614
45	5.175	-2.1	7f484e53-c5e8-4608-84d e-9215d5ee70d4
46	3.325	-2.1	97bf2251-3151-42bc-95e 9-095f172340da
47	-3.325	-2.1	d1cc0b16-c71b-4730-93 06-ed76bd094b3b
48	-5.175	-2.1	324931a5-7753-44df-b4a 0-df0057cf8aa7
49	-7.025	-2.1	f286072a-3a16-42bd-b6d 8-db6f14c29072
50	-8.875	-2.1	c3bb6415-5d99-42b4-a3f 3-88a8aa729e76
51	-10.725	-2.1	d830f852-1673-41ee-bb1 c-b0ed2cf47b49
52	14.615	-2.1	d14c1e94-cd78-4440-b0 4c-eb2d17fdb480
53	16.715	-2.1	c0363762-2e9e-47c3-90 91-f55bdf34b7f
54	-14.615	-2.1	ac120c14-d311-4ba9-99 16-04badec374cf
55	-16.715	-2.1	23973ec5-b9e0-4141-a6 33-e84ad3ebb504
56	12.575	-3.1	c74143a1-08df-4617-82b 4-53330a5f3d13

Table: Joint Coordinates, Part 2 of 2

Joint	GlobalY m	GlobalZ m	GUID
57	1.475	-3.1	b9372bbc-b734-47fd-9ae6-f994ab2a427e
58	-1.475	-3.1	b8bfd20b-e399-4640-9066-2ddeee3a2cb9
59	-12.575	-3.1	b2ee7bf2-572e-4813-93ea-45845b46fd07
60	10.725	-3.1	83ffdca2-e0e7-4ede-8967-acab0f17ab72
61	8.875	-3.1	85c5f3e8-cdf7-43ab-b9a0-85cb7ce70d62
62	7.025	-3.1	c3f1a537-0fd7-44d5-ae10-45c0dabc47ee
63	5.175	-3.1	896456de-d95a-4bc9-ba04-975455e9142d
64	3.325	-3.1	165cfa6e-5937-4e24-a279-ca6ac5e683cf
65	-3.325	-3.1	00f1000e-669b-401e-ad55-f02cba9b32ca
66	-5.175	-3.1	00676137-fdf4-42be-a4b5-69ba34ed2689
67	-7.025	-3.1	3db223c6-de01-43ec-9558-e3672467fa37
68	-8.875	-3.1	375fa03e-8b4c-4dc4-8200-fd1bb4a634d0
69	-10.725	-3.1	bf8d92bd-2f11-42ac-b26f-98a2230ffeda
70	14.615	-3.1	a6e9dd89-11de-4dc5-ae2b-ee4c7acc8e80
71	16.715	-3.1	05937585-7e9c-40d7-8ff0-8733f3fa46c2
72	-14.615	-3.1	e54c6c47-ce4c-4a80-828e-d6cb21bcf8ed
73	-16.715	-3.1	ea7b6081-6f1f-42d0-92a6-09fe6c887505
74	12.575	-4.1	bbc4f726-3da3-48a0-9356-3afd20ec1978
75	1.475	-4.1	7412d049-8f19-45d0-a090-012571e922c7
76	-1.475	-4.1	5ba63573-26e1-459c-bc7f-6e01a43ebcef
77	-12.575	-4.1	2eb17900-4f66-4247-9ab1-7770fa6bff2f
78	10.725	-4.1	0bb3fa09-7776-4955-b1fd-59dabdf43f40
79	8.875	-4.1	b0190d8b-cff8-46bd-b2e5-8aa59ed29aa2
80	7.025	-4.1	f0a07045-4071-42ec-8c46-24af8fd04a0e
81	5.175	-4.1	76881fde-1c68-43ff-82c2-4bd325f5d530
82	3.325	-4.1	62fa8a14-f0a3-4b9f-bcb8-0d78f503a8a9
83	-3.325	-4.1	21353851-7007-494e-828f-ce54a7e3044e
84	-5.175	-4.1	3fc2a8aa-94ef-4adb-a83d-c61a522e22ee
85	-7.025	-4.1	e8ae7971-2f1a-4a9d-b0f8-19417579f9c6
86	-8.875	-4.1	a8e9ef5c-4cf4-4b8d-bf53-8fab63e77c2f

Table: Joint Coordinates, Part 2 of 2

Joint	GlobalY m	GlobalZ m	GUID
87	-10.725	-4.1	805c9850-5463-4ee5-8db7-08e2bb39cfe7
88	14.615	-4.1	c75189a1-a6f5-4c00-83fd-251cb75f9667
89	16.715	-4.1	59d62e40-9bbe-476e-84b0-7b17ef4ca61b
90	-14.615	-4.1	34480fa8-c52d-4683-a366-d076cba2c8f3
91	-16.715	-4.1	486c3b33-4423-404b-bafb-ad3e66cd0dc0
92	12.575	-5.1	8d994562-ec7a-412e-a422-865e43b3cd89
93	1.475	-5.1	e1429b85-1959-4a07-9f09-dc591e3d20cf
94	-1.475	-5.1	c829304d-487c-4497-850d-01684760221f
95	-12.575	-5.1	a52c7968-f0b3-4754-ac9d-c1b07784e158
96	10.725	-5.1	4cfefb5e-b016-4845-a41b-9a5fb9990b5b
97	8.875	-5.1	bbd0ba97-b450-44c2-a5b8-9b88f34147d1
98	7.025	-5.1	72b146a0-5c55-40c8-8aa0-574ec32bef35
99	5.175	-5.1	13881049-b624-45c4-9489-9172b3d404c9
100	3.325	-5.1	15b30b1f-b0c0-4513-8910-7296194f80ce
101	-3.325	-5.1	0c3073f4-f185-43ed-b6c4-0c4fd2ce33a7
102	-5.175	-5.1	c9a060a2-9a34-43ec-a098-9e91ed399bbb
103	-7.025	-5.1	5c407247-d0b0-4700-ab00-1c0e9aec7ee2
104	-8.875	-5.1	4a19cc9f-3fe5-43b3-99f9-deb2e0825267
105	-10.725	-5.1	1c48b2ca-a40a-4017-a46f-a0d129063de2
106	14.615	-5.1	447634a4-59d3-41eb-8da5-4d348822f076
107	16.715	-5.1	056ac037-4d4b-41cd-8caf-9ff11644f42f
108	-14.615	-5.1	6780d6af-a3a6-47ad-8f35-697ed66e5962
109	-16.715	-5.1	24c085c2-357a-45ad-9649-242e999fc1c7
110	12.575	-6.1	27fea0ec-d131-4bfb-81be-190d872deca8
111	1.475	-6.1	fc286274-b7be-47cb-b3e3-ef52ba9d88b3
112	-1.475	-6.1	ece72199-0321-4abc-80ad-ae6b2fedc47c
113	-12.575	-6.1	bc8fd03c-6569-4e25-ae8d-a6f516e7cb79
114	10.725	-6.1	2e149f21-8283-484e-84dc-c8c00d5b1df0
115	8.875	-6.1	2f385c71-831d-4f48-8402-fb73866d58b8
116	7.025	-6.1	7b83fc2c-23f1-44b1-9278-57d032510354

Table: Joint Coordinates, Part 2 of 2

Joint	GlobalY m	GlobalZ m	GUID
117	5.175	-6.1	cdb9bc02-b09a-4acb-810f-c6164edfb366
118	3.325	-6.1	1b26f3c0-0801-4129-9a9c-38ae9843782a
119	-3.325	-6.1	c9a771e6-8399-440d-b340-296fc0d65d41
120	-5.175	-6.1	7b65e6cf-c3e8-436f-9e3a-ab7ebcd64666
121	-7.025	-6.1	8d828894-eab9-4750-a389-110a0878950d
122	-8.875	-6.1	9197bb99-221f-4ea5-b37a-bb987ef8a38c
123	-10.725	-6.1	67a7a7a0-dead-46a1-996f-7d7048a8ff37
124	14.615	-6.1	c0cdabe1-c436-4955-b980-07ed915264d7
125	16.715	-6.1	0dd027fe-3978-44c9-9719-d148e73bbbb8
126	-14.615	-6.1	d2818a98-00ee-4994-83f1-d4d215cb0d7a
127	-16.715	-6.1	e130c5fd-e854-4faf-a2cf-e29af8d965b8
128	12.575	-7.25	6e5b2dcf-a270-4cff-955d-708d4c2e2b02
129	1.475	-7.25	dd3c919e-ac59-4545-991a-c01f4aea5ba1
130	-1.475	-7.25	c5072347-dc0c-458b-b65f-c1d73b1ae42c
131	-12.575	-7.25	44cb7e9a-c174-466a-8d62-cfb0752bff91
132	10.725	-7.25	357d76e3-1e07-4b03-9ab6-9f5fd8ff3b0c
133	8.875	-7.25	ee362257-32dc-4302-bac2-f4232b419a88
134	7.025	-7.25	bc536d8e-1a7b-40f8-9f89-eff8bf25cdf0
135	5.175	-7.25	5a94b7ea-6a7a-4d97-8ef1-1b87295991bb
136	3.325	-7.25	649e3d80-cc44-43fa-b93c-15bb485e6d1e
137	-3.325	-7.25	0b939877-8ad4-491c-b7dc-bb1c2c15924c
138	-5.175	-7.25	07a6b36d-265a-471b-a901-4c12c366a04b
139	-7.025	-7.25	4663ddc5-3fce-440a-a28a-8f8a7ab84d96
140	-8.875	-7.25	8790c093-4eca-4846-a73b-8c56ff0daf55
141	-10.725	-7.25	176c5d53-79e1-4e87-9188-496aa6d04000
142	14.615	-7.25	af55259b-f3af-49a3-b572-c479bde5c6c7
143	16.715	-7.25	4141a4f9-8f29-4a15-9454-87c68cb4921c
144	-14.615	-7.25	1def224c-5c78-4efb-b24b-6dcb5f074cb2
145	-16.715	-7.25	550833c6-3e29-4575-ac40-f95fc09944c8
146	-0.9861	-7.25	735ed348-5614-4892-ae22-57b63301d146

Table: Joint Coordinates, Part 2 of 2

Joint	GlobalY m	GlobalZ m	GUID
147	-1.0307	-7.25	28b1c33d-0f75-4756-8a69-0cea64052f4f
148	0.0446	-7.25	0de57b7f-fb3e-4aae-9694-f5ba5dad2d12
149	0.0446	-6.1	ca8df2a8-bd47-44d2-ae51-04aafe14e25d
150	0.0446	-5.1	8574f7e8-6e94-4aac-a67e-c96eba9ed4e7
151	0.0446	-4.1	ca4b1ca3-c019-446e-915a-bab05b6569a0
152	0.0446	-3.1	52ded865-e33a-4101-8421-3f94fd25f21c
153	0.0446	-2.1	ca7fd1f8-4650-43d1-9409-2489acc67ca5
154	0.0446	-1.1	089f96a9-4639-48c4-ac16-c130a3866564
155	2.853E-14	-1.1	3279316f-75e8-4b07-aa03-5da9723a2f1d
156	11.8708	-7.25	695472fb-1d1f-43ae-9ab8-b85942fb8f10
157	0.7708	-7.25	e8664c1b-27a9-4766-a67e-47ad16fac4de
158	-2.1792	-7.25	19c65b7f-8a94-479f-b3ee-a8d878a87c45
159	-13.2792	-7.25	b3bceaf6-6ae2-4bc9-941e-5e9c86378e36
160	10.0208	-7.25	c1e78c47-ae6d-45c8-a041-4d0874bedc8a
161	8.1708	-7.25	bef1e6b2-3b12-4d2f-af47-093d7ca2b051
162	6.3208	-7.25	f12287db-dba8-4ca6-bfb5-1dcc2bee5b95
163	4.4708	-7.25	aebccef8-3b1c-4e02-84e0-f0c9c40b10ec
164	2.6208	-7.25	49bf0875-5b2d-44f7-b8e7-3fee3029b6cd
165	-4.0292	-7.25	9098261e-9f71-4814-ab2d-8feda411767d
166	-5.8792	-7.25	c71a0938-4697-45f3-b5fa-2e083fb07fc6
167	16.715	0.	
168	16.715	0.	
169	14.615	0.	
170	14.615	0.	
171	-7.7292	-7.25	e05e418f-12c6-4669-84bf-7c0d44a01ef5
172	12.575	0.	
173	12.575	0.	
174	16.715	0.	
175	10.725	0.	
176	10.725	0.	
177	14.615	0.	
178	-9.5792	-7.25	70a09ca5-cddd-48c6-82b8-dbb17cef8e9a
179	8.875	0.	
180	8.875	0.	
181	12.575	0.	
182	16.715	0.	

Table: Joint Coordinates, Part 2 of 2

Joint	GlobalY m	GlobalZ m	GUID
183	7.025	0.	
184	7.025	0.	
185	10.725	0.	
186	5.175	0.	
187	14.615	0.	
188	-11.4292	-7.25	c8407ebd-840a-4297-8d 21-1f260517efe5
189	5.175	0.	
190	8.875	0.	
191	3.325	0.	
192	12.575	0.	
193	16.715	0.	
194	3.325	0.	
195	7.025	0.	
196	1.475	0.	
197	10.725	0.	
198	14.615	0.	
199	13.9108	-7.25	d19881e5-d57f-4ee7-a5b 4-91a4942d0e09
200	1.475	0.	
201	5.175	0.	
202	8.875	0.	
203	12.575	0.	
204	16.715	0.	
205	-1.475	0.	
206	3.325	0.	
207	-1.475	0.	
208	7.025	0.	
209	10.725	0.	
210	-3.325	0.	
211	14.615	0.	
212	2.853E-14	-7.25	8006209b-77d8-4af7-b1c b-777dd5edb547
213	1.475	0.	
214	-3.325	0.	
215	5.175	0.	
216	8.875	0.	
217	-5.175	0.	
218	12.575	0.	
219	16.715	0.	
220	-5.175	0.	
221	3.325	0.	
222	-1.475	0.	
223	7.025	0.	
224	-7.025	0.	
225	10.725	0.	
226	-7.025	0.	
227	14.615	0.	
228	2.853E-14	-6.1	eded4224-7dbb-4aa3-b0 87-2130332a180b
229	1.475	0.	
230	-3.325	0.	
231	5.175	0.	
232	2.853E-14	-5.1	ff87ac22-ac53-4f59-9841 -efb2f040fbc3

Table: Joint Coordinates, Part 2 of 2

Joint	GlobalY m	GlobalZ m	GUID
233	-8.875	0.	
234	8.875	0.	
235	2.853E-14	-4.1	dedba475-cd4f-4e67-a55 0-5454829eddb6
236	-8.875	0.	
237	12.575	0.	
238	16.715	0.	
239	-5.175	0.	
240	2.853E-14	-3.1	d2cbe27d-378c-40f2-b0c 5-65d54a61fbaf
241	3.325	0.	
242	-10.725	0.	
243	16.715	0.	
244	-1.475	0.	
245	7.025	0.	
246	-10.725	0.	
247	16.715	0.	
248	10.725	0.	
249	-7.025	0.	
250	14.615	0.	
251	1.475	0.	
252	16.715	0.	
253	-12.575	0.	
254	-3.325	0.	
255	5.175	0.	
256	14.615	0.	
257	-12.575	0.	
258	8.875	0.	
259	14.615	0.	
260	-8.875	0.	
261	12.575	0.	
262	2.853E-14	-2.1	d88e679a-f2a4-4341-8e9 4-58ef1b7435f3
263	14.615	0.	
264	-14.615	0.	
265	-5.175	0.	
266	16.0108	-7.25	2311c812-e6c5-4c89-93 de-cdba00758297
267	3.325	0.	
268	12.575	0.	
269	-1.475	0.	
270	-14.615	0.	
271	-15.3192	-7.25	c6c0e0fd-0ee7-473a-936 2-f745ec0d2dee
272	-17.4192	-7.25	a46b97cd-c302-451c-91 29-686ff8a77398
273	-0.6596	-7.25	2bf7fef9-60dd-48e1-bc42 -30d7e3580bc5
274	-0.7042	-7.25	d2597688-3b2c-4206-b8 a9-ebfd5a4744c4
275	13.2792	-7.25	07b9a526-9b5e-4cad-bd 6a-26a84c6a3bf9
276	2.1792	-7.25	2fc80da0-c42c-430d-aa9 0-4db63162a5a9
277	-0.7708	-7.25	3b36ebeb-843b-4244-90 da-2133c413f781

Table: Joint Coordinates, Part 2 of 2

Joint	GlobalY m	GlobalZ m	GUID
278	-11.8708	-7.25	67319382-2c59-4655-b326-e36c34664e82
279	11.4292	-7.25	8cbccc5c-1e4b-49e0-b035-706b0c991f1f
280	9.5792	-7.25	324ffdef-3bcc-40fc-8c54-3391637651d2
281	7.7292	-7.25	75347859-79e1-424a-8004-4261e2e86d3b
282	5.8792	-7.25	a9a7b3be-faa5-4bcb-b850-a23841061b1e
283	7.025	0.	
284	12.575	0.	
285	-10.725	0.	
286	10.725	0.	
287	-7.025	0.	
288	4.0292	-7.25	85b59472-cdbf-450c-848c-7c531b36e77e
289	12.575	0.	
290	1.475	0.	
291	-16.715	0.	
292	16.715	0.	
293	10.725	0.	
294	-3.325	0.	
295	5.175	0.	
296	-16.715	0.	
297	10.725	0.	
298	-12.575	0.	
299	8.875	0.	
300	-8.875	0.	
301	10.725	0.	
302	8.875	0.	
303	-2.6208	-7.25	cd83060e-5db0-47ab-8c92-3152ed7b3eb4
304	14.615	0.	
305	-5.175	0.	
306	-4.4708	-7.25	c9e74d19-1d07-4186-be1d-4de9b46d0eb9
307	3.325	0.	
308	8.875	0.	
309	-1.475	0.	
310	-6.3208	-7.25	4f4f9c13-e191-4231-8fab-83279dc1911b
311	-14.615	0.	
312	7.025	0.	
313	-10.725	0.	
314	8.875	0.	
315	7.025	0.	
316	-7.025	0.	
317	12.575	0.	
318	1.475	0.	
319	16.715	0.	
320	7.025	0.	
321	-3.325	0.	
322	5.175	0.	
323	-16.715	0.	

Table: Joint Coordinates, Part 2 of 2

Joint	GlobalY m	GlobalZ m	GUID
324	-8.1708	-7.25	35331ce1-420f-404a-93c9-7c05af6b7209
325	-10.0208	-7.25	5788b21a-e47b-4f43-b7b0-72bf07285117
326	15.3192	-7.25	a6b5a6f7-6d6b-47c2-9ef4-0a0a66605335
327	17.4192	-7.25	a3a353ad-a2b4-4de3-b928-3b41de55e159
328	-13.9108	-7.25	a8fcd604-93a5-4364-add0-53f2161b41f9
329	-16.0108	-7.25	e5ece803-4b84-4882-98eb-433874f23ad8
330	0.7488	-7.25	621119c6-8f4a-4bf6-9eda-521a1968aeed
331	0.7042	-7.25	52bc1248-46fe-4d34-9fb7-79f8b4e4dc17
332	13.6057	-7.25	1b55ade9-0857-4c3e-9275-ec911fcadf81
333	2.5057	-7.25	841 added10-e307-4be4-9051-96272a82142c
334	-0.4443	-7.25	0be1d794-3c1b-417b-83db-5cc4a3fdf3ce
335	-11.5443	-7.25	6b89b15b-a256-4a63-ae80-90ebb8bd3a35
336	11.7557	-7.25	21596fc7-e639-4fac-b5e1-047506c174d2
337	9.9057	-7.25	1ed2f13d-a21e-4456-bcec-4a76ed717c80
338	8.0557	-7.25	273ed027-1a99-4953-a259-d6ab8a522793
339	6.2057	-7.25	85361dee-b0bc-47db-9864-d5c9417c0b85
340	4.3557	-7.25	778c0a32-d00d-4811-9d18-bc88e95d0e9e
341	-2.2943	-7.25	97c479fd-b040-433b-bd20-14a625e80a2f
342	-4.1443	-7.25	a7827a73-bd35-4c67-b722-a6801cae9dd1
343	-5.9943	-7.25	3c783518-0d67-4920-bb4b-7c2eccde8daf
344	-7.8443	-7.25	90292c2a-fab2-4085-9d9f-9b6d6458ace7
345	-9.6943	-7.25	7e2f74b3-4c6c-45ca-9e33-2556960a0e93
346	15.6457	-7.25	e3f996e6-257c-413b-8929-b87f7eadc496
347	17.7457	-7.25	bfa278a5-b0fc-46ef-8746-08e0e5c6ba89
348	-13.5843	-7.25	be0e7e6d-8350-4248-a50b-9c71017bbe35
349	-15.6843	-7.25	19484fff-0bdb-4423-b82b-e05a7fafdb89
350	1.0753	-7.25	4cadd9a6-c5da-441c-ac49-2b2251d12897
351	1.0307	-7.25	0aa6a57e-941d-4707-bc61-038b6df57bc9
352	-2.1792	-8.25	23a28069-3c96-4dfc-8d77-fa0cd84433e1
353	-13.2792	-8.25	324f72ac-4283-492d-9250-8c2087b0eebf

Table: Joint Coordinates, Part 2 of 2

Joint	GlobalY m	GlobalZ m	GUID
354	-7.7292	-8.25	157a720e-f5f5-4536-9f3a-3ca93501e64b
355	-15.3192	-8.25	6db02be1-13a0-470f-9490-62d94b6265a7
356	-0.7708	-8.25	4f9e71f9-f373-4036-b42b-4a19cac755ab
357	-11.8708	-8.25	b9bb9bf1-5e9b-476d-a8ce-0a0cff8c9173
358	-6.3208	-8.25	80a82170-44a7-41f5-97ff-fc7492f7ce47
359	-13.9108	-8.25	07644202-447e-4393-b905-1ffa1d21b0bf
360	-2.1792	-9.25	15a1fd15-0260-455b-908c-0999cc7e884b
361	-13.2792	-9.25	c9abdb61-488f-41fd-9ad2-6f90ea896979
362	-7.7292	-9.25	0a0ad5a3-982d-4b1f-82d1-1c1b835c272b
363	-15.3192	-9.25	c13c9f7f-4d6d-4360-948b-1d67cbadbb52
364	-0.7708	-9.25	5108407d-6660-4287-8836-6c15643a67d9
365	-11.8708	-9.25	b7dc9401-8963-4dfd-9d03-8bd51ad38709
366	-6.3208	-9.25	891f9a39-d380-451c-9232-2e8a7a3b4a8b
367	-13.9108	-9.25	f1278221-ccdc-4cc5-bfb2-99897d1d0ae9
368	-2.1792	-10.25	1051db4b-f93e-4261-9adc-072132be6292
369	-13.2792	-10.25	edde518d-d35f-4ff5-9a84-0229675c9633
370	-7.7292	-10.25	5de6592f-13bb-4f7e-ad8d-2d1172d70ba4
371	-15.3192	-10.25	ae4debd4-80c7-49ce-aa07-657eec3c84a2
372	-0.7708	-10.25	54ed22cc-eb23-408d-91b2-e23ee5cb8edf
373	-11.8708	-10.25	bf2e1958-417a-4c08-8711-65d61198bb9d
374	-6.3208	-10.25	56820d4d-3338-4669-a6dd-a2dcb736b2fe
375	-13.9108	-10.25	252a9c4b-7db8-4353-82c4-73768176af1e
376	-2.1792	-11.25	c2d7fe88-f2c5-426e-ac1a-554576acfea4
377	-13.2792	-11.25	2ab715f9-c84a-43a4-8d51-742c44c41935
378	-7.7292	-11.25	37d3f655-5aab-49e9-b8fa-f48c7d36b5f7
379	-15.3192	-11.25	060b1889-b208-418e-ac3b-88ee5a209ab9
380	-0.7708	-11.25	b046fad9-9a77-4446-81b7-36d3f4ce8403
381	-11.8708	-11.25	ea9bb621-e6de-40ed-a6f2-aaed936f7963
382	-6.3208	-11.25	8e562f04-aeb7-4017-a545-bb5a78f1004b
383	-13.9108	-11.25	fc354367-2fef-4ac1-8e7f-8acb8b20b627

Table: Joint Coordinates, Part 2 of 2

Joint	GlobalY m	GlobalZ m	GUID
384	-2.1792	-12.25	aa3f8041-3ce5-4495-a47b-477f6339c832
385	-13.2792	-12.25	d28a4323-b245-4a14-823e-9ba48b06c977
386	-7.7292	-12.25	4d60d6b3-26e0-40de-8c83-a99169738fc1
387	-15.3192	-12.25	5a2345b7-3a67-43cc-b062-734f5b04fde9
388	-0.7708	-12.25	bbdf81c2-9e05-414d-af70-0e4c1c6eef9b
389	-11.8708	-12.25	4520a5d8-c3c9-43cd-96a6-fe8174d527f9
390	-6.3208	-12.25	8ba11759-46df-47ed-8b02-ed2d2edafa21
391	-13.9108	-12.25	ed538bde-fa82-46d7-b56e-b5e8629903ad
392	-2.1792	-13.25	a820dbd5-5bcc-499c-8262-e891a1ff4e30
393	-13.2792	-13.25	0372cb52-0f8e-4bee-a041-1a790ff1d6cd
394	-7.7292	-13.25	f99252e0-af96-4176-94a3-e27994700815
395	-15.3192	-13.25	09ec5aca-3410-4891-9549-77d0ef161204
396	-0.7708	-13.25	4c8348ff-e99f-4caf-8e02-f7f2ce486bc1
397	-11.8708	-13.25	68f1548c-3e28-4a3e-af96-df95f8a3cab9
398	-6.3208	-13.25	bba440ef-321a-4752-9f1f-87f41fe7b188
399	-13.9108	-13.25	ccbefae1-f667-4a55-ac78-90c57d2be07d
400	-2.1792	-14.25	76e1ecc3-b621-490d-9d9f-b6b7d58db0af
401	-13.2792	-14.25	f190d159-bbe1-43ca-bb24-efbaa47de1f6
402	-7.7292	-14.25	9fe58e4f-24ed-44e1-91f6-736d921b5296
403	-15.3192	-14.25	051729b4-d0cb-429b-ad71-a972b44b7069
404	-0.7708	-14.25	a08db619-82dc-4f40-9f05-666833caef96
405	-11.8708	-14.25	cce9cb12-4f54-4060-ba84-8fa961075af7
406	-6.3208	-14.25	a938f598-e269-4f64-a37e-39b6570a6d4a
407	-13.9108	-14.25	47fe9b9d-500f-4dd7-8577-c7a6525b8758
408	-2.1792	-15.25	85abe7fc-e95e-4612-81b2-f2743d0fdf5d
409	-13.2792	-15.25	b4215f1c-d263-4099-b47a-91e28aa1a0b9
410	-7.7292	-15.25	40328a02-aaaa-45a2-a35a-a374a16a6622
411	-15.3192	-15.25	d4f56ee0-633d-4509-9b57-26008c39314a
412	-0.7708	-15.25	6283bf66-654c-42ab-beb2-90f05a14cde5
413	-11.8708	-15.25	699a8546-e38c-4007-a15e-dad3954e5505

Table: Joint Coordinates, Part 2 of 2

Joint	GlobalY m	GlobalZ m	GUID
414	-6.3208	-15.25	82e25165-5f42-475e-9a4d-64a1b4a7e2f9
415	-13.9108	-15.25	c8238665-db5d-430c-b5d2-ce6f82778f4d
416	-2.1792	-16.25	5e128ae6-a2e4-4e6a-bb79-5bbd181b4689
417	-13.2792	-16.25	a79a803c-f3a4-4a00-be31-646df5a5bf53
418	-7.7292	-16.25	8e3282cd-2964-4ed7-b2d5-457a8e99aa03
419	-15.3192	-16.25	adb2c5df-05c2-4e80-a1fd-b88aa3841d26
420	-12.575	0.	
421	7.025	0.	
422	-0.7708	-16.25	f37c2e9c-e17d-4fe3-9b5a-744af40f06db
423	-11.8708	-16.25	5008a977-d565-42c8-ba38-30096352990f
424	-6.3208	-16.25	8e651140-efc9-4c6f-b2a5-ec8fa954c9b3
425	-13.9108	-16.25	2f21814a-77c9-435e-ba84-3c253a12bc95
426	-2.1792	-17.25	fb4416b4-09a8-4bde-9c64-aaee8e15952a
427	-13.2792	-17.25	9d5b410c-2002-4858-8d7c-c5490ba82907
428	-7.7292	-17.25	6b3755cc-e8fd-4125-9e27-31002c858643
429	-15.3192	-17.25	c7a5e165-a5e0-494a-ae00-b0d33b1525d5
430	-0.7708	-17.25	a63fefe2-bd5c-4152-8250-d71de10f02d9
431	-11.8708	-17.25	99b2d0e0-e577-483c-b9cd-6e3137e22d99
432	-6.3208	-17.25	d5041ed2-5472-4b32-aa48-b7599dc37dae
433	-13.9108	-17.25	d1220729-7b3e-47e3-b8cb-1bb5461e2e3c
434	-2.1792	-18.25	00855210-fc90-4643-b3dc-274e1fc53fb3
435	-13.2792	-18.25	31841467-22a2-4d61-bb20-f9795c8c594a
436	-7.7292	-18.25	4a3d8cb6-bfc4-454b-b019-67b22e337375
437	-15.3192	-18.25	593beef6-e9cd-46c7-bbba-a0123e14d7de
438	-0.7708	-18.25	31e65d8b-e27b-4ca2-af94-2f60773f453a
439	-11.8708	-18.25	94047c60-1607-4a07-a1fb-973a4bad5ba2
440	-6.3208	-18.25	a49cf1d6-0b3f-42f5-bcf2-9c43d2d7f368
441	-13.9108	-18.25	a7cd0872-9c3a-4fd5-8491-28e153001b99
442	-2.1792	-19.25	2e39c354-277c-4d3f-ae03-d292a2c1b85f
443	-13.2792	-19.25	e022f7bd-9a24-41ba-8ab8-0277f818a96e

Table: Joint Coordinates, Part 2 of 2

Joint	GlobalY m	GlobalZ m	GUID
444	-7.7292	-19.25	5b244277-e1d8-4bae-92c8-24c097f32526
445	-15.3192	-19.25	b397e66c-7771-4a33-be50-f86bcfdb6b5
446	-0.7708	-19.25	9c996780-21b4-4a1f-8e42-0a21fe824f3e
447	-11.8708	-19.25	b879bed5-3773-43cd-a19f-8bcdbebc4f1
448	-6.3208	-19.25	35cbd0c7-2c1c-47b6-9e04-07c6baf345a6
449	-13.9108	-19.25	dacc568-2fd9-46f7-9c8a-4722f1b2cd79
450	-2.1792	-20.25	fef9ad5d-a20a-4ada-b4b5-64d4dc572a04
451	-13.2792	-20.25	b4657e8a-9c0c-423e-b99e-93ab81bf872a
452	-7.7292	-20.25	55cf97fb-12e7-41af-bbdc-305b67814fe4
453	-15.3192	-20.25	ad30657a-9226-497b-8916-b472e259d335
454	-0.7708	-20.25	1c5bfc0d-facd-4fd3-b8bd-42dd277e3fde
455	-11.8708	-20.25	2bbab806-a96e-49fb-866a-22cee61e49e3
456	-6.3208	-20.25	b9454853-7ee9-4f2b-b24a-f055c75ad08a
457	-13.9108	-20.25	0c897f71-ceb7-4ade-96ae-cc8b1eabf7f7
458	-2.1792	-21.25	04128edf-da5a-4bb4-bc00-57d4823bbc59
459	-13.2792	-21.25	f38f8ff9-004a-478a-9177-15c2443d0e16
460	-7.7292	-21.25	f48f6b24-f6e5-4fb4-b10d-cd11271ce7e6
461	-15.3192	-21.25	d8902fd7-870e-462e-b1d0-f1f1bfe02930
462	-0.7708	-21.25	cf63c3b5-ff25-4a32-a1bb-d1c16c92d11f
463	-11.8708	-21.25	5abffda2-cc5e-4eb0-8e1b-ea13299d6d4f
464	-6.3208	-21.25	71206186-fb73-4198-81de-afafedbddfa9
465	-13.9108	-21.25	5115d3ea-9273-4344-bd18-f02ae5240ee4
466	-2.1792	-22.25	19318c30-3bc1-4917-aded-edef02fc4051
467	-13.2792	-22.25	99d4dc6b-b4a3-4cad-9e4f-016d177747aa
468	-7.7292	-22.25	0213d21f-83e2-4750-a1d6-11798d60f3c5
469	-15.3192	-22.25	ed6a9a62-8130-4fdd-b2df-26b0b976a826
470	-0.7708	-22.25	581cfa7e-e597-433c-93c4-b26dc1efe747
471	-11.8708	-22.25	357b23e9-0563-4acc-b0c5-2449f24cb2d6
472	-6.3208	-22.25	c796d933-1899-451e-a728-31e6fc010e00
473	-13.9108	-22.25	d53853ee-6eef-4eb0-a050-8d10ed106d87

Table: Joint Coordinates, Part 2 of 2

Joint	GlobalY m	GlobalZ m	GUID
474	-2.1792	-23.25	2e9505c0-86fc-429d-bf6a-47b829c67bb0
475	-13.2792	-23.25	93a9a562-c0cf-41ee-9ff1-48149f5981f7
476	-7.7292	-23.25	2577bebe-93c1-4d81-8d5a-6cbb3cbea05e
477	-15.3192	-23.25	d1984cc9-d79f-4294-94f8-313e072afa5d
478	-0.7708	-23.25	76c2171a-8778-4837-9574-ed932f901f93
479	-11.8708	-23.25	365b24c6-269c-42c9-9dac-c7c27a526879
480	-6.3208	-23.25	e4638708-b1bd-460e-9a69-495fa33d2b29
481	-13.9108	-23.25	c9d890d7-75ab-41be-b629-a8936172581e
482	5.175	0.	
483	-2.1792	-24.25	87046ed0-1e84-4f4b-b2ac-6c9d39ad8221
484	-13.2792	-24.25	6bc51d06-007f-4437-b0c9-3d5a0ea5ec43
485	-7.7292	-24.25	4bff0731-86c3-4807-bf07-75a227f8816e
486	-8.875	0.	
487	12.575	-1.1	77648741-b44e-407a-84e9-380db0fb875f
488	1.475	-1.1	a0baf28b-2676-4821-9e15-b8d262557253
489	-1.475	-1.1	fbffedc6-3c06-4ee6-9c24-d6de00ea9efd
490	-12.575	-1.1	91fd475a-412b-4eb5-bb6a-c9181f030913
491	10.725	-1.1	4782121f-ba42-428a-9095-2406afe4f9e5
492	8.875	-1.1	e271be33-a688-46a8-be32-e28e45e011ca
493	7.025	-1.1	9b133948-4140-4b5b-aea3-8c10d85a8ef9
494	5.175	-1.1	5588aca6-78f4-4703-bd9e-d1a1332a2337
495	3.325	-1.1	fda15fc3-71fc-4a07-b97d-4d0acca10863
496	-3.325	-1.1	f43dca56-b57c-4327-a760-36b257197cbf
497	-5.175	-1.1	7ecce4cb-ce96-4e41-bd58-9aaa2625daf5
498	-7.025	-1.1	44feaffb-53ef-4e0c-944b-fa306bf49857
499	-8.875	-1.1	a601be79-9dec-40ff-9c7f-ce9b17644d80
500	-10.725	-1.1	ef92c26b-d551-472f-b146-0d29f8c98274
501	14.615	-1.1	a7bcd02-39a4-467f-b78f-4e2b74197c2b
502	16.715	-1.1	02ced2e4-e02c-4e8c-b471-5c377b9c7490
503	-14.615	-1.1	e65d6547-6b40-4624-b4a9-24384e42e78c

Table: Joint Coordinates, Part 2 of 2

Joint	GlobalY m	GlobalZ m	GUID
504	-16.715	-1.1	e240b97b-cd35-4fa5-9621-aed800eb234d
505	12.575	-2.1	be6e523b-bcc1-44fc-a427-7025da5c145b
506	1.475	-2.1	69680e54-7c24-4611-9341-c5765a6b7e7a
507	-1.475	-2.1	a65be514-0efb-4d8e-b577-d160637fc6cc
508	-12.575	-2.1	cb8cc31f-91d8-45fa-8e0d-43d1a38ec513
509	10.725	-2.1	4555c713-b1ce-4e88-89b7-95b518917ea9
510	8.875	-2.1	a2cfd8bd8-839f-4c2a-a129-5fbaf426d79f
511	7.025	-2.1	96b0567d-ce1d-477c-8d4f-9c83cde9878f
512	5.175	-2.1	6d83011e-541d-40f3-a3b7-df18e1a5ed61
513	3.325	-2.1	7eac5517-a98a-4db5-b3d4-6f9728474bac
514	-3.325	-2.1	f2bd2c87-794c-4d3c-903f-ad581c02b34c
515	-5.175	-2.1	6b2124fa-676f-4f93-ae93-b6fdea5730e6
516	-7.025	-2.1	1ff2a25a-83b7-4daa-b7f0-607e96c48151
517	-8.875	-2.1	979cb1ba-7f50-490d-a008-7f1923bcb29c
518	-10.725	-2.1	83f2f096-a4de-4a3c-8e3f-fd665affbe3e
519	14.615	-2.1	91f86b47-8985-46a8-923d-cdd094597dd4
520	16.715	-2.1	73b40fd8-e2da-4742-90bd-b052eab2028c
521	10.725	0.	
522	-14.615	-2.1	31ec2696-806f-487f-bccd-21b9ff8765e8
523	-16.715	-2.1	a8d32063-10d0-43f5-9455-8adbce73d42a
524	12.575	-3.1	b3930542-a62e-4954-ac1d-62ac2ccc61f0
525	1.475	-3.1	051f6421-d4fa-4cee-9ea9-e7717202d6a28
526	-1.475	-3.1	ba99059b-5687-4722-b3e5-10d2e4b25853
527	-12.575	-3.1	01a8de76-5864-4329-8109-0b64ac017a8b
528	10.725	-3.1	aa083062-c3d6-4a94-b7fd-1fa46cfdc23c
529	8.875	-3.1	26f83336-1a9c-4be2-9a3d-70a672c78882
530	7.025	-3.1	24acea0d-772b-4254-9645-0c57f912e213
531	5.175	-3.1	1a714d1e-d9ca-47b8-8492-711133a2c87f
532	3.325	-3.1	5006671a-4247-410c-b6ee-377fb54dcbfd
533	-3.325	-3.1	362e68df-7773-4a85-b093-ee41ce5c5ebc

Table: Joint Coordinates, Part 2 of 2

Joint	GlobalY m	GlobalZ m	GUID
534	-5.175	-3.1	3f2b6b2c-c4af-4d1d-8b49-2cadf5be6cea
535	-7.025	-3.1	58067ec4-de7d-4569-a89d-1318e318c506
536	-8.875	-3.1	8a670a8e-8f0f-4624-8e87-649601f9d453
537	-10.725	-3.1	2b135855-a026-4ab3-af07-2cf59cf0850b
538	14.615	-3.1	78a0cef8-e517-4111-9e43-32f38985d1ff
539	16.715	-3.1	76ee33df-c901-44c4-883b-98b5efc86265
540	-14.615	-3.1	4efd4769-2342-47b9-91ffb7f028f502a6
541	-16.715	-3.1	7bc99f22-a661-4e88-bfb5-da36a1a22e14
542	12.575	-4.1	7f50eb3f-d555-4f1d-902f-81d677b6bb9a
543	1.475	-4.1	b6268b57-8407-4938-8f36-8e9a6e411253
544	-1.475	-4.1	d5694f36-0f12-4ad6-9f42-c18f25c37ab6
545	5.175	0.	
546	-12.575	-4.1	c15050fe-809b-4651-9dc0-21154a713a38
547	10.725	-4.1	1b11cf9c-0947-4cae-ba26-dee5ee66b051
548	8.875	-4.1	ce6a4398-8d40-4954-aa6-0822527331df
549	7.025	-4.1	22945c8e-e0c4-4264-b95e-02052238e5c8
550	5.175	-4.1	b01e4096-fe29-492f-a63b-24748faf2375
551	3.325	-4.1	0c9d98af-0006-406f-99cc-31a3dceeb28c
552	-3.325	-4.1	a0030f8e-f9ad-43bc-848d-91f8ed807b55
553	-5.175	-4.1	76a7ec33-6522-4c26-aa64-258defb7833a
554	-7.025	-4.1	f79690a0-37e6-43a4-9301-9c2c08ad32ad
555	-8.875	-4.1	ef987b54-e0d6-4c2a-83e6-26b3a1ede47a
556	-10.725	-4.1	4fd74500-5c4a-4a12-b21d-61715183a934
557	14.615	-4.1	b207bdd4-3be0-48d7-9b86-fd52a2d6d012
558	16.715	-4.1	b4c317af-032f-4708-b050-2258d1b155c6
559	-14.615	-4.1	b8a1e3ba-ea8b-46a5-b56f-7d0ffd65346a
560	-16.715	-4.1	854ca158-5855-400e-ae90-346d9fbc7cc7
561	12.575	-5.1	67215105-4e7c-49fe-a791-0aacf39ef395
562	1.475	-5.1	acb25d08-bbbb-4d35-9b28-66fe9191763f
563	-1.475	-5.1	d3b4fc1b-06be-4e84-b2f2-22ce9d25ae9c

Table: Joint Coordinates, Part 2 of 2

Joint	GlobalY m	GlobalZ m	GUID
564	-12.575	-5.1	62701ea3-581f-456e-b841-e365341c65e6
565	10.725	-5.1	892175f9-0bcf-4692-a2de-0d8a9e42a9ce
566	8.875	-5.1	aef39af2-9898-49bd-9824-7688fc1375fe
567	7.025	-5.1	a6b7c7f6-566d-44ea-8223-33a9057e1b15
568	5.175	-5.1	ca6d1211-552e-4864-8b57-a73d24a663d6
569	3.325	-5.1	8a7ecf94-4477-46cd-9dca-26c14160ae44
570	-3.325	-5.1	6aaf5753-5b89-4526-8709-3cd4f662da87
571	-5.175	-5.1	81962348-038e-4ae2-871b-db6fef1000c0
572	-7.025	-5.1	3a8419ca-a0ed-4ad4-b0b3-fd181e50bef3
573	-8.875	-5.1	f67aad2-cad6-4840-9395-bd6f132b113a
574	-10.725	-5.1	1fa8b02f-9e3c-4fa9-9763-4c8e3212330f
575	14.615	-5.1	7169db89-0a46-4e98-a872-0a7994cc3505
576	16.715	-5.1	654e32c4-d4d7-4dfe-b66c-0bb75f7ef86b
577	-14.615	-5.1	7f2b7f0a-1b94-415d-85e1-412ac1ca6cde
578	-16.715	-5.1	28848034-761e-4cff-add1-f7eb415ce761
579	12.575	-6.1	fddb67c8-52c8-4e7a-9875-15500fab8d90
580	1.475	-6.1	355f6533-5dee-4ff4-a3e5-0643708f34ef
581	-1.475	-6.1	c301a842-1870-475c-86ae-3c0561107b09
582	-12.575	-6.1	32165320-b39e-43f6-a838-e8e932c00bf4
583	14.615	0.	
584	-5.175	0.	
585	10.725	-6.1	c63c211a-d03b-4d5b-8925-765e42c6d324
586	3.325	0.	
587	-1.475	0.	
588	8.875	-6.1	64fd0706-7785-4ec9-886a-5f4263222934
589	5.175	0.	
590	7.025	-6.1	34645d13-c37a-4b9d-935b-7e00fbd7ed3f
591	5.175	-6.1	e4dde18b-16b6-4213-98be-9a434a36328d
592	3.325	-6.1	30bbdd96-1221-40de-b850-86ee326c5075
593	-3.325	-6.1	fda10956-0c8c-4139-882e-abfb059be6d8
594	-5.175	-6.1	73d5bfa1-bf42-4ecc-928c-ff46b839b963
595	-7.025	-6.1	1cf033e2-087f-47b9-9823-4e78b9df6c58

Table: Joint Coordinates, Part 2 of 2

Joint	GlobalY m	GlobalZ m	GUID
596	-8.875	-6.1	04cec18d-93fb-44f3-8fab- adf623cd7715
597	-10.725	-6.1	2f4e8080-72cf-4d82-814 8-1b458a6bef02
598	14.615	-6.1	b694fc72-78b3-42b7-b66 a-ed05f334cc02
599	16.715	-6.1	f3deed30-0fa0-4d6c-bd2 a-ce2067d98ac8
600	-14.615	-6.1	b6b2b93d-04f3-4420-949 c-006965325241
601	-16.715	-6.1	e8f4df47-cd71-4390-9be 3-56f41307ee31
602	12.575	-7.25	3671ad38-4bdc-42fd-9b0 8-88f74851e2bc
603	1.475	-7.25	072d388f-ee3d-42c8-93d 2-c407219761c0
604	-1.475	-7.25	0ed52e8d-4655-4a77-8b 2d-0ba8ecfc1861
605	-12.575	-7.25	26aba8af-2c02-421d-871 9-4425d7a5d19a
606	10.725	-7.25	3f88b83a-0998-400e-be6 3-416affa7475b
607	8.875	-7.25	9d6fa847-8416-40c5-929 0-f4cc973b22de
608	7.025	-7.25	2798c6d8-2156-43ef-98f 6-cc5923f3984a
609	5.175	-7.25	e046c2b7-227f-429e-a46 f-36bf145b90c2
610	3.325	-7.25	2926db67-5b8a-4230-b4 46-2d8a72e5d38a
611	-3.325	-7.25	129d49ef-43c8-43d1-b14 9-84355d9b8974
612	-5.175	-7.25	a653f0ae-dbac-495c-a50 6-cc67eec3f0be
613	-7.025	-7.25	79da759b-73f9-490f-9df0 -db3064d99b39
614	-8.875	-7.25	9660eba7-263a-4cba-a6 c7-5b303208e2ab
615	-10.725	-7.25	a6966de6-42f2-4263-9ed 7-831a4b59c8a7
616	14.615	-7.25	44da898e-927c-4a24-8a c7-c268ffa84340
617	16.715	-7.25	fffae154-6611-4f03-b138- ca6551abf2bf
618	-14.615	-7.25	d495b386-ede9-4b66-8ff 8-d004891d6dd1
619	-16.715	-7.25	ecd00dad-77b3-4f35-9c6 c-bf974be8a2a5
620	0.0446	-7.25	f41bda2c-f526-4eb2-87d 0-3d0c79cd7c04
621	0.0446	-6.1	a509aae0-70dc-4b21-bb 0e-b0e3b214c961
622	0.0446	-5.1	8d344265-e7c4-4528-a5f 5-7257812a3a3d
623	0.0446	-4.1	27097ded-fa76-4164-bde 4-dc703ffa3544
624	0.0446	-3.1	761e72e4-a744-4f4b-950 d-6e521654f310
625	0.0446	-2.1	946e1faf-c01b-4fcb-8c84 -fb023394e39a

Table: Joint Coordinates, Part 2 of 2

Joint	GlobalY m	GlobalZ m	GUID
626	0.0446	-1.1	75aec37b-a31a-4400-b906-48d389df57cb
627	8.993E-15	-1.1	34811021-f52c-4dfc-99eb-b6a0ced7704b
628	8.993E-15	-7.25	6091e065-d0ee-47b3-aea-1a79709ec74a
629	8.993E-15	-6.1	11e99188-3fd4-4a12-ac15-929c7ce55bea
630	8.993E-15	-5.1	9aa10624-d041-4dd0-ab68-9e36036529ca
631	8.993E-15	-4.1	ac3fbca3-9a0a-4d16-b826-b741e0231717
632	8.993E-15	-3.1	861264fe-be56-4581-a6b5-f0d2739cba92
633	8.993E-15	-2.1	03ecb76b-edcd-4e57-a58e-3b55cdd7e8b4
634	-15.3192	-24.25	6e9d63ff-d94c-4c93-a573-c1f74c7dc0b2
635	-0.7708	-24.25	8a100fc0-fc55-469f-9d1b-7b3c2cb111a2
636	-11.8708	-24.25	f7ae610b-c33e-44bf-9bd2-0fb0b769f6c2
637	-6.3208	-24.25	e6aa457e-4e94-4df0-9e0a-1f09b5f8fc44
638	-13.9108	-24.25	0f562384-488f-4e67-81a2-19f528d54688
639	-2.1792	-25.25	1984cbe1-0a5c-455e-ad7c-3c2ee967682c
640	-13.2792	-25.25	cc1a8b13-abfd-4dd0-836e-ec808d79ab8e
641	-7.7292	-25.25	350c85c5-daae-4f51-8806-d840e50c0f7c
642	-15.3192	-25.25	a888d11c-7274-47d3-8850-81af7ca0a586
643	-0.7708	-25.25	8a4daa9a-ded6-4171-bb70-c023cf25bf5b
644	-11.8708	-25.25	8d531a50-2d9a-48c8-9e2b-04a905fb239f
645	-6.3208	-25.25	c87484b8-e994-432c-94b1-f431ba6e6626
646	-13.9108	-25.25	023de36f-d3c0-4917-9ab7-106d95ad9b0f
647	-2.1792	-26.25	00d252a3-ed9d-4db3-8cb5-e59a3be0844b
648	-13.2792	-26.25	6310a3a4-6815-45a3-8eeb-d361f09e972d
649	-7.7292	-26.25	d8fd4f39-42d6-4d7c-9dfb-df96462aefb3
650	-15.3192	-26.25	10564b79-b08f-417d-b6db-4938fdc275d3
651	-0.7708	-26.25	afa1185e-0538-47c1-9722-8226460d4d74
652	11.5443	-7.25	6e3cf3a3-8595-4c0c-9168-2aa445187cb0
653	0.4443	-7.25	f63a9608-64d3-4cd3-96b9-3a9bfd08f37d
654	-2.5057	-7.25	1b3618c3-a208-4147-a21b-25fc8843fe2e
655	-13.6057	-7.25	cef94c32-ea30-4ad7-a881-f986df6f957f

Table: Joint Coordinates, Part 2 of 2

Joint	GlobalY m	GlobalZ m	GUID
656	9.6943	-7.25	69988a96-85ca-428b-ba58-88026866787c
657	7.8443	-7.25	24ab6caf-da8f-4bba-b7eb-dd15a9983b9a
658	5.9943	-7.25	63878642-46b4-4c52-a48f-c604258586e2
659	4.1443	-7.25	7db07b97-0a67-4d9a-b1f3-65d0d0b1ed4b
660	2.2943	-7.25	dcab6ff6-45d2-4451-9cb2-efdfea556f3e
661	-4.3557	-7.25	5d7c00e3-8494-4f4a-9661-61a1ebc5275d
662	-6.2057	-7.25	d6c312ca-5258-4080-9dc3-dba31bfe9a8f
663	-8.0557	-7.25	6a88c58f-8fa3-41e6-8359-6b9ebe9a912c
664	-9.9057	-7.25	d55b5ba2-7033-4569-b234-7653caf31939
665	-11.7557	-7.25	d0a5e9d7-2dc1-4c29-b240-ebc491518010
666	13.5843	-7.25	dbc5f19c-fa26-4845-9db2-84db5fbc97bd
667	15.6843	-7.25	8ac0856d-1e1e-49eb-9e3e-39718c7b4fcf
668	-15.6457	-7.25	b9bbc365-bf32-4edb-9f1b-f76c87289585
669	-17.7457	-7.25	ba925ff9-5623-42f4-b996-f074694149ec
670	-0.9861	-7.25	b6b3ac5a-5174-4944-9038-b6134cb8f355
671	-1.0307	-7.25	1cb718b2-a306-4af1-930f-f91beddbafeb
672	11.8708	-7.25	0807152f-7d36-436d-8794-f9fa081c8dfc
673	0.7708	-7.25	2dd88c6d-26c7-4cca-ba6a-a30aab803438
674	-2.1792	-7.25	a762f85d-cb33-48ca-9ba2-85d9502a9b9b
675	-13.2792	-7.25	9a074e21-b55f-4cbb-9fe3-7cbd784aa441
676	10.0208	-7.25	2911fa8a-1d20-430c-9508-83b859fdadc4
677	8.1708	-7.25	18d3c7cd-a90d-4107-9364-103145eff374
678	6.3208	-7.25	5a984693-b914-461c-a060-40dcd11770b6
679	4.4708	-7.25	6a157d32-f6db-4bbf-b673-e6df01d1d765
680	2.6208	-7.25	603e7771-a102-4a97-ab49-d789334a5ffb
681	-4.0292	-7.25	d5cdfc8d-3969-4580-8578-09247f3dbed5
682	-5.8792	-7.25	d98268d9-b4c0-4f0e-bb25-7c5433f39c22
683	-7.7292	-7.25	e04bf005-7ea2-4bd9-a4d5-3ded6859fd23
684	-9.5792	-7.25	86560e07-85d6-4916-88ed-8dcc764b1607
685	-11.4292	-7.25	388a4b5f-cf61-4274-ad6c-bff8dd19f6d1

Table: Joint Coordinates, Part 2 of 2

Joint	GlobalY m	GlobalZ m	GUID
686	13.9108	-7.25	6fff8081-d90e-46fe-9ba4-a7ff0e9f0c32
687	16.0108	-7.25	38390ee2-73ee-49b7-b918-754328992ba8
688	-15.3192	-7.25	bc7b8da2-3afa-4e79-832c-caf728077ccd
689	-17.4192	-7.25	871f1a7c-3949-46ed-9088-34c21d4c81ca
690	-0.6596	-7.25	e60761c7-89d0-482f-a8c3-229b746d2bfb
691	-0.7042	-7.25	89e1b8bd-b45a-4020-a7e2-28e8901a427b
692	13.2792	-7.25	73358944-1eaa-4bba-8f7e-fee68a784470
693	2.1792	-7.25	e9df19fa-3d40-49c1-bd85-616585b6e587
694	-0.7708	-7.25	9dfc778f-be4f-4545-90a7-1c799fc5dc30
695	-11.8708	-7.25	a555282b-f11e-4462-a02d-5a0ed8773fec
696	11.4292	-7.25	3857f515-cbbc-4001-a905-41e7438ffabd
697	9.5792	-7.25	84f30d89-573b-43f4-90a4-551ee7fd8630
698	7.7292	-7.25	a85d1830-3c48-4f16-9532-d47c7b29862e
699	5.8792	-7.25	c01fe23a-57e1-4975-be6d-66b473104113
700	4.0292	-7.25	615cdf97-3f25-4f32-bdca-32d66c726776
701	-2.6208	-7.25	1711b086-abd1-4bf9-aa1a-0fd5b36c418f
702	-4.4708	-7.25	c824634d-1e2e-4303-9bba-ef937148749f
703	-6.3208	-7.25	06555e57-9e08-4185-b098-56c9605c8b34
704	-8.1708	-7.25	5f0539ad-77bb-485f-8b39-19a003bbb64b
705	-10.0208	-7.25	d5e3e110-0657-4698-a854-25095f57cdea
706	15.3192	-7.25	625fdb4e-afb8-442d-8616-995d460b646f
707	17.4192	-7.25	9be8ed95-3e2b-4f3a-84ff-3e3edb1f4767
708	-13.9108	-7.25	ca5342d0-63cd-48f8-9b72-600cd4b26575
709	-16.0108	-7.25	b8144ef7-3dcc-4908-8647-4368a46af117
710	0.7488	-7.25	5dc9da44-7e21-4420-94ec-f3aa45debbe0
711	0.7042	-7.25	cdea00f0-0107-4d55-b877-e2562277d1c3
712	13.6057	-7.25	074ce366-7d82-4e37-a437-ab4ce74c3474
713	2.5057	-7.25	97805b64-7d71-41c1-b5b8-7a40a59f5be2
714	-0.4443	-7.25	72d2e830-74de-4748-a719-37bef40685d3
715	-11.5443	-7.25	442a1e9f-e9da-47b4-90b7-17eb5ad64b44

Table: Joint Coordinates, Part 2 of 2

Joint	GlobalY m	GlobalZ m	GUID
716	11.7557	-7.25	e38ae56a-f58f-44bc-a8df-198928851c5c
717	9.9057	-7.25	d5078ef0-3036-4f54-a0e0-b9cc3d2a514d
718	8.0557	-7.25	90c0577b-7c13-41e6-8569-99c9e9066b74
719	6.2057	-7.25	0e44f7d9-fca7-44c1-b137-f2777067d5fb
720	4.3557	-7.25	fc0cb493-c462-4076-b323-c5e7a8f3335e
721	-2.2943	-7.25	9aeb090c-a829-4e67-8e94-6f1f0e2d8c9b
722	-4.1443	-7.25	ded8ce9b-5523-4199-92c8-330b4e8461ed
723	-5.9943	-7.25	1af5dac5-1123-4baa-b6d5-807aa79c3d77
724	-7.8443	-7.25	5a2953c2-80c5-4b4a-8f64-ee3cbd7af52e
725	-9.6943	-7.25	f4bb3519-d6ae-4e0e-8009-0cff3884b024
726	15.6457	-7.25	6a88038c-9d99-446d-9421-5ed37211a0f6
727	17.7457	-7.25	07c5f07e-4986-49bf-be87-933e139e03bb
728	-13.5843	-7.25	4530bfc5-f78c-415d-a374-628a6929deab
729	-15.6843	-7.25	ca2d36bc-7057-4c02-be21-93245b6db6f0
730	1.0753	-7.25	8194fd8d-0b13-4956-97ef-37ae4af0490b
731	1.0307	-7.25	08b73ab5-af34-444e-b9fa-8a2b770d38ea
732	-2.1792	-8.25	a3170662-d29d-4eec-87bc-3b9640c0ce39
733	-13.2792	-8.25	a1a095d0-c8b2-4176-9c62-cfba20808ea1
734	-7.7292	-8.25	6175206c-aa6a-4c82-97d9-ac09f221fd9c
735	-15.3192	-8.25	7961e64e-f0f1-444d-98bf-b19382d5f04d
736	-0.7708	-8.25	d03c6bdb-d9f0-422f-beae-1b0147fe2fd4
737	-11.8708	-8.25	341cf968-4369-4eba-9d00-f18542dd70e5
738	-6.3208	-8.25	698b9ca6-031b-4556-99ef-e04c501ebc0c
739	-13.9108	-8.25	9f7d38b7-df36-4d3b-97ef-6b45c29ce363
740	-2.1792	-9.25	1c073aa0-2c7f-4b91-80b5-232f660e91ec
741	-13.2792	-9.25	04a3d510-4d47-4e54-a438-455b99ddaa36
742	-7.7292	-9.25	0cf689d5-0747-49c2-816f-2efcfe83de1a
743	-15.3192	-9.25	4390aa1a-ebc8-4507-bf57-5c4f24f992db
744	-0.7708	-9.25	3a80ae72-c933-4f5c-9181-7e613731d80f
745	-11.8708	-9.25	d2722e12-0516-4223-863b-2577b5cd3252

Table: Joint Coordinates, Part 2 of 2

Joint	GlobalY m	GlobalZ m	GUID
746	-6.3208	-9.25	0d0c4c22-b74a-4b76-8f9 9-2a16134362a7
747	-13.9108	-9.25	dc85ddcc-4ac1-45d6-896 c-0f7d8fe3258d
748	-2.1792	-10.25	0fb0ff3d-b6c7-4a00-b7d0 -a6efd6c752b6
749	-13.2792	-10.25	c4c54721-54de-4a76-a1 aa-8565eb19b1b8
750	-7.7292	-10.25	00986cde-125a-45bb-97 83-d3a873995704
751	-15.3192	-10.25	43f53021-7230-4d1e-af3 c-312217cf5e63
752	-0.7708	-10.25	43078b8d-7867-4650-b3 80-cd2bf8a563aa
753	-11.8708	-10.25	06285e2f-23fd-41be-a2c b-0bac1fed2738
754	-6.3208	-10.25	53e23018-19b4-48b5-b0 0e-03f652a23f82
755	-13.9108	-10.25	1b839284-d62c-43a0-94 52-9dbc43b8bd1c
756	-2.1792	-11.25	85d0d9da-c073-4d58-88 e3-0b43af419c40
757	-13.2792	-11.25	f4c256d1-ad3a-467f-aeb a-a19a19c341c1
758	-7.7292	-11.25	77b93713-e494-45a4-b7 12-966b6baa6316
759	-15.3192	-11.25	ec9ba6a2-9c3b-4a52-b9 51-fd20f602adc1
760	-0.7708	-11.25	0e81206e-2af4-4950-b39 c-c2db3c66b507
761	-11.8708	-11.25	5674e8a8-f584-4cf4-8c4 e-1dd7efd47798
762	-6.3208	-11.25	89099c2c-aedd-4db7-9b 57-e2d6786c2e30
763	-13.9108	-11.25	fe527314-1e98-4c6a-8f8 d-0a50ba8503d7
764	-2.1792	-12.25	f6935373-17b8-47ab-bb4 8-8bf572fcd159
765	-13.2792	-12.25	a4330600-e23a-4961-aa 0e-2c6390f268e0
766	-7.7292	-12.25	ae116698-935b-47e5-86 ca-1528a0e74bfa
767	-15.3192	-12.25	7c5ff7a9-4130-4401-bbd 8-4babbded9141
768	-0.7708	-12.25	a62d9c68-0575-4a30-afc 0-d00b0202508a
769	-11.8708	-12.25	2287ee3f-051d-475e-b30 d-35454bcf5594
770	-6.3208	-12.25	b69edad3-cf67-4ca6-abb 0-2c2796ba4108
771	-13.9108	-12.25	c568339f-2e7c-48ff-b0f2- 3a0614fb0f50
772	-2.1792	-13.25	fd4a8f01-3366-48b2-a83 6-89b46792d4b6
773	-13.2792	-13.25	03e96c4d-254f-441d-957 c-4df2f6ae408d
774	-7.7292	-13.25	c092f559-a530-4252-8ab 9-c15ca35e3388
775	-15.3192	-13.25	d78f023b-966b-487d-9ff1 -764f5c7f9426

Table: Joint Coordinates, Part 2 of 2

Joint	GlobalY m	GlobalZ m	GUID
776	-0.7708	-13.25	57bd978f-e83a-4f9c-b9f8-866da9297a4d
777	-11.8708	-13.25	61c25d58-ef0b-44fd-8792-088061e1187e
778	-6.3208	-13.25	7eefa6ad-13c7-4b11-98e3-056150a8bbb0
779	-13.9108	-13.25	9b455d72-5b4a-4491-bf43-0bfc66922cbb
780	-2.1792	-14.25	4e1ae5ad-c13a-4104-8e00-891c244b3817
781	-13.2792	-14.25	bd234445-3ae0-4005-a0a0-10072d20a2d6
782	-7.7292	-14.25	98b7e4ab-8c23-4e18-894f-5ba94dd04d67
783	-15.3192	-14.25	9302886a-9556-4078-bbec-3f49069f9b1e
784	-0.7708	-14.25	68a3e05a-8d63-49a4-bb17-587e82f49044
785	-11.8708	-14.25	eed57a35-093c-440e-8d7b-26c8c372ffe4
786	-6.3208	-14.25	51e7f04e-cee2-43da-8ebb-9dd1abcd544c
787	-13.9108	-14.25	ba70a043-f7d8-4add-b1ea-df45f19dfca4
788	-2.1792	-15.25	84f9e3e7-e68b-4669-96a8-4942dac7b28a
789	-13.2792	-15.25	66246786-adc4-438f-ad59-49601f8c3336
790	-7.7292	-15.25	c2dfb1df-f95e-48c4-883c-e73799b11311
791	-15.3192	-15.25	61d36ee1-2fdc-46d9-aef2-1f8498eb51aa
792	-0.7708	-15.25	f113629b-0361-47cc-b70c-114e1931efc0
793	-11.8708	-15.25	c7b5fa4a-44f3-491a-a10c-0d2f225de262
794	-6.3208	-15.25	982c7f81-3311-43c4-9333-187d69be7fc6
795	-13.9108	-15.25	2ffe85f0-8635-416b-b44c-e5fb970025e0
796	-2.1792	-16.25	a9faf372-66ba-4e0e-b326-ae66993f26c3
797	-13.2792	-16.25	2d3bb2c9-ed72-4ef6-9761-86e87fd1735b
798	-7.7292	-16.25	b97c9db1-cd4c-4fa0-8167-820d8d8c4290
799	-15.3192	-16.25	379e8baf-00b6-44bb-866b-cb35d218b818
800	-0.7708	-16.25	7ab9faa0-7b69-49f6-84feb-72e20dd01c6
801	-11.8708	-16.25	c775a83b-2ae9-4a27-b466-0b2dd37aa1e3
802	-6.3208	-16.25	9687b7c2-f164-4a3c-90a8-6edf743c304b
803	-13.9108	-16.25	39f6593d-695a-4330-b825-7df8d5a32c54
804	-2.1792	-17.25	3f740121-2cdf-426c-86a8-4d15999d0fd5
805	-13.2792	-17.25	e091beea-fd32-4311-ac26-b8962f669458

Table: Joint Coordinates, Part 2 of 2

Joint	GlobalY m	GlobalZ m	GUID
806	-7.7292	-17.25	2ef426fa-37ad-47b7-aced-5723a923213a
807	-15.3192	-17.25	6b3ec039-b9d4-4e46-ad78-bd064b80e497
808	-0.7708	-17.25	f526488d-ef73-4c3a-8df8-392f78a57663
809	-11.8708	-17.25	a794cb97-cd02-4780-9069-b3be4beb1a4f
810	-6.3208	-17.25	2d3449c6-e66c-4f2e-8734-ae12dc3bd121
811	-13.9108	-17.25	df24304d-6507-41e9-95fe-a2b5f08c66e5
812	-2.1792	-18.25	74a42c24-c588-415e-9569-f66de069cb35
813	-13.2792	-18.25	ca1fff70-ab78-46ee-9b8b-3e7ac62f7192
814	-7.7292	-18.25	396325eb-f51a-4c77-b99b-a52fe6ba1730
815	-15.3192	-18.25	cd2bdd52-cce1-4123-8ec5-1fd402fd6a36
816	-0.7708	-18.25	81029722-cce9-4f70-99bd-c7dce63e87d4
817	-11.8708	-18.25	8f42cb8c-0d83-48b0-a7e6-3ed8ba999962
818	-6.3208	-18.25	3b81fcb6-a099-4f98-b0da-54693aed61ca
819	-13.9108	-18.25	287d82d8-71d7-478b-b023-35ef385719a4
820	-2.1792	-19.25	1bbc9ed3-409e-4a75-82fa-a826a59e49325
821	-13.2792	-19.25	43d47640-6245-45c2-9487-a407e16eafcc
822	-7.7292	-19.25	c6756d5d-aedd-45ea-8d8e-a2c8ae507113
823	-15.3192	-19.25	c0345b44-e215-45fb-bc4b-c1de27042335
824	-0.7708	-19.25	2f5567aa-ef33-449a-860b-5f05cc854c17
825	-11.8708	-19.25	e1326005-8bf1-48d0-9899-35309d447970
826	-6.3208	-19.25	333fc55b-5dd0-44e7-9bc3-3efe2d17388d
827	-13.9108	-19.25	e4cfb755-e0f7-4959-9e65-d08b4e6a0aff
828	-2.1792	-20.25	4563692f-d695-4d45-b0c8-eac128b8886e
829	-13.2792	-20.25	9b26750c-7df3-4036-9e64-578fa5bdb25f
830	-7.7292	-20.25	c65ff90e-df3a-497d-8529-73d053877e59
831	-15.3192	-20.25	2fed4188-d68f-4e3b-894f-529ead1bb6f5
832	-0.7708	-20.25	3897bb3e-4e3a-4cf3-8c13-b433fe83fc72
833	-11.8708	-20.25	af62ee5d-d986-467a-8569-3c1c38d7ec1d
834	-6.3208	-20.25	b0d60b66-730a-40d4-b45c-d8510580e12c
835	-13.9108	-20.25	701dbfa1-629c-4add-9c1e-f08035b4a89d

Table: Joint Coordinates, Part 2 of 2

Joint	GlobalY m	GlobalZ m	GUID
836	-2.1792	-21.25	1febff86-4ef3-4340-ae86-fe9258aa51e2
837	-13.2792	-21.25	5cc395d5-e9b2-4d30-adb0-ee29acd59e48
838	-7.7292	-21.25	38233a61-c51d-4e58-a4ec-fa1b450ceb25
839	-15.3192	-21.25	b1f6777c-b466-473f-beb2-569ba6b8e5fb
840	-0.7708	-21.25	8e092028-a63e-462b-b2a2-211adb91206a
841	-11.8708	-21.25	9a41ee74-2ce1-4d0f-8c7f-cbb077cb6686
842	-6.3208	-21.25	55748bfd-67ef-4019-9c25-637b707f25f8
843	-13.9108	-21.25	db131a04-61e7-435d-87a5-5de52c1bcdca
844	-2.1792	-22.25	2d6b293f-b8aa-4797-b14e-7a8be6da4d79
845	-13.2792	-22.25	0d5c24a2-2213-402b-91fd-4b275af66cc3
846	-7.7292	-22.25	bfb31950-2c27-4c65-965c-0678c32ddcac
847	-15.3192	-22.25	4059f59b-78a3-4b9e-b408-7598003e3d67
848	-0.7708	-22.25	de51a2f2-d5e2-4222-a473-90ed57335323
849	-11.8708	-22.25	b9028b64-ca7f-472f-a2c0-8f8a6e230dbe
850	-6.3208	-22.25	0ddba7a0-2cfb-4e43-b08d-053886e025b1
851	-13.9108	-22.25	3a266fb3-d6dd-4f0b-aaf0-ae30b6b2e2f8
852	-2.1792	-23.25	d295e0b5-3167-426f-b426-c43a0520b6a6
853	-13.2792	-23.25	0657afc5-9469-469e-949f-745955af1489
854	-7.7292	-23.25	8c917e89-e17c-4cd1-b5ac-30e7f2b16fae
855	-15.3192	-23.25	4a9b1b01-ae0f-45d5-9805-38aa4de13907
856	-0.7708	-23.25	f8b9f224-a640-4c97-9c69-73973d138f24
857	-11.8708	-23.25	a35b519c-1c15-42b3-891c-b3d8921234c7
858	-6.3208	-23.25	acca886f-dce4-475e-b021-32a4d8cb6280
859	-13.9108	-23.25	aeb444f4-fafd-44f2-8e76-89dcdaaff6914
860	-2.1792	-24.25	100d79f2-0f4d-4d6b-9675-b06af0879d3d
861	-13.2792	-24.25	9cc55512-cd59-4d29-9b4f-43d549b2efd2
862	-7.7292	-24.25	13d4aec0-7fe4-48f6-85f8-8832e7ae72c0
863	-15.3192	-24.25	30562b07-6b82-4413-8429-b77b39e5dea1
864	-0.7708	-24.25	1ca16923-13fe-44dd-9629-2892dc92b6b9
865	-11.8708	-24.25	63b37967-735d-4fe5-af4e-ba8ec6897788

Table: Joint Coordinates, Part 2 of 2

Joint	GlobalY m	GlobalZ m	GUID
866	-6.3208	-24.25	2fb48512-f77a-4e06-a15f-e39231634e45
867	-13.9108	-24.25	0da2ee0c-fd7f-4c88-9c42-9e8f5bfbe2e1
868	-2.1792	-25.25	fd9ca217-62d0-4445-a0b5-fc4833aa5262
869	-13.2792	-25.25	57c9229c-eb74-4f86-b3c4-e0258572919d
870	-7.7292	-25.25	1d716dc5-5137-4f88-8915-7b9a62dff933
871	-15.3192	-25.25	78211a98-4987-4baf-a145-a959a5d25e4f
872	-0.7708	-25.25	748b06f0-c64b-40e8-80a3-7a8c63b98833
873	-11.8708	-25.25	24d531d9-43de-4fcd-ad73-ca7858872483
874	-6.3208	-25.25	1d4bf08d-51c9-44d5-a4c6-bdf2714c2a72
875	-13.9108	-25.25	cda772a0-98ac-4bf8-893e-af4d03e2d4f9
876	-2.1792	-26.25	d3ad84af-1b5e-4900-91b3-052b76de6098
877	-13.2792	-26.25	617d84ab-5cfa-437d-b0df-85ab1b03f046
878	-7.7292	-26.25	1c5103db-9efa-494e-8ffb-5418e3f2467d
879	-15.3192	-26.25	80e62027-c7ed-49d5-be6d-b83ea67ac197
880	-0.7708	-26.25	fdfdc23f-186d-4b8b-946f-102f7b8ef2d4
881	-11.8708	-26.25	442286c0-d892-44b5-8138-82ce1ecf668d
882	-6.3208	-26.25	c9b0d72c-a5e5-444a-924b-99946a4560a4
883	-13.9108	-26.25	85c6e731-9a80-4ed6-8c4b-0ab33004b141
884	-2.1792	-27.25	8f84ed91-71a3-4439-b7ee-e5bd310f1823
885	-13.2792	-27.25	a5212b3b-8e7a-4a63-a79a-470ea8dfb165
886	-7.7292	-27.25	e061aed1-2d3e-48eb-8821-6d5162b72503
887	-15.3192	-27.25	b4d009f9-c81e-41fe-b280-fc97c4f138db
888	-0.7708	-27.25	0b8eeb7b-9c93-4e25-9aab-1b8e59cd61bc
889	-11.8708	-27.25	d30488f1-b074-4bd6-bf84-5501e7527f70
890	-6.3208	-27.25	fc662799-c102-484f-93b7-8dbcd344ac09
891	-13.9108	-27.25	f3fb14c6-a1af-4ccd-87c4-6d8261139cbb
892	-2.1792	-28.25	edf8e03a-6571-465b-91cb-fd7d1e1cc5e3
893	-13.2792	-28.25	3d037e96-431e-455c-8917-ba3542f5174e
894	-7.7292	-28.25	a305a879-dd4c-480c-a992-d060cf76ee4d
895	-15.3192	-28.25	5489d64a-294e-4257-8e1b-3631aabb4ee

Table: Joint Coordinates, Part 2 of 2

Joint	GlobalY m	GlobalZ m	GUID
896	-0.7708	-28.25	0092f0ab-c84c-40a4-af31-41c097ccd37a
897	-11.8708	-28.25	6d29a35d-7186-453a-84d7-81d478860881
898	-6.3208	-28.25	ccd73577-be7c-4984-a634-b1e2a94b6319
899	-13.9108	-28.25	f58ed7ed-b437-4785-bf7f-64845104c111
900	-2.1792	-29.25	f18d32fd-a211-4a2e-b6d-d-01d48e6db766
901	-13.2792	-29.25	16992021-61a5-44ee-988f-72118a31df74
902	-7.7292	-29.25	c533a61a-473e-4bc5-80f2-4a86cbca9348
903	-15.3192	-29.25	64d47fa1-26ad-4135-96b4-b46c1f45ef47
904	-0.7708	-29.25	e5a06c44-61c8-4c30-8a61-47acc8a95ef5
905	-11.8708	-29.25	975b2b2a-a5a0-4357-b717-1a9801eed401
906	-6.3208	-29.25	b2142cfa-4dce-4fb4-9185-8a153d3e1598
907	-13.9108	-29.25	5b6ec6ea-a244-46c1-91d9-f8c00b4d5a59
908	-2.1792	-30.25	a76f145b-1393-4186-85f5-10c84eb0329b
909	-13.2792	-30.25	39a81976-30e6-4d34-8dd9-6392ecc6f485
910	-7.7292	-30.25	3121237d-c0e1-457b-9616-20326b9fc0ae
911	-15.3192	-30.25	7d9e650b-bef7-4202-8dac-6d76283c3fba
912	-0.7708	-30.25	1c775495-db03-4a36-b501-ca98b3de1196
913	-14.615	0.	
914	3.325	0.	
915	-10.725	0.	
916	8.875	0.	
917	3.325	0.	
918	-7.025	0.	
919	12.575	0.	
920	1.475	0.	
921	16.715	0.	
922	-3.325	0.	
923	3.325	0.	
924	1.475	0.	
925	-16.715	0.	
926	-12.575	0.	
927	7.025	0.	
928	1.475	0.	
929	-8.875	0.	
930	10.725	0.	
931	14.615	0.	
932	-5.175	0.	
933	-11.8708	-30.25	94cc56f5-e9a7-4cd1-beb7-cfbf4b8d1ea1
934	1.475	0.	
935	-1.475	0.	

Table: Joint Coordinates, Part 2 of 2

Joint	GlobalY m	GlobalZ m	GUID
936	-6.3208	-30.25	fd9da0be-982b-4cf6-a616-ab8d884f5130
937	5.175	0.	
938	-14.615	0.	
939	-10.725	0.	
940	8.875	0.	
941	-1.475	0.	
942	-7.025	0.	
943	12.575	0.	
944	16.715	0.	
945	-1.475	0.	
946	-3.325	0.	
947	3.325	0.	
948	-16.715	0.	
949	-1.475	0.	
950	-12.575	0.	
951	7.025	0.	
952	-3.325	0.	
953	-8.875	0.	
954	10.725	0.	
955	-3.325	0.	
956	14.615	0.	
957	-5.175	0.	
958	-13.9108	-30.25	9d42d1af-815e-45e8-ab61-3744b35b5426
959	1.475	0.	
960	-3.325	0.	
961	-2.1792	-31.25	22271fdf-514b-463f-9c7c-9b65c18990b0
962	5.175	0.	
963	-14.615	0.	
964	-5.175	0.	
965	-10.725	0.	
966	8.875	0.	
967	-5.175	0.	
968	-7.025	0.	
969	12.575	0.	
970	16.715	0.	
971	-5.175	0.	
972	3.325	0.	
973	-7.025	0.	
974	-16.715	0.	
975	-1.475	0.	
976	-12.575	0.	
977	7.025	0.	
978	-7.025	0.	
979	-8.875	0.	
980	10.725	0.	
981	-7.025	0.	
982	14.615	0.	
983	-13.2792	-31.25	1d511ebe-431f-4a2d-b971-401a0738deea
984	1.475	0.	
985	-8.875	0.	
986	-3.325	0.	

Table: Joint Coordinates, Part 2 of 2

Joint	GlobalY m	GlobalZ m	GUID
987	-7.7292	-31.25	0e863189-5fa6-4f6f-921c-44de32429d2a
988	5.175	0.	
989	-14.615	0.	
990	-15.3192	-31.25	bd16ce85-7383-4c44-ba74-d71047311569
991	-8.875	0.	
992	-10.725	0.	
993	8.875	0.	
994	-0.7708	-31.25	941beecf-d29f-4700-b7a3-cdd4244fa555
995	-8.875	0.	
996	12.575	0.	
997	-10.725	0.	
998	16.715	0.	
999	-5.175	0.	
1000	-11.8708	-31.25	8b884d5c-fcaf-4abd-85a2-d25d8325f171
1001	3.325	0.	
1002	-10.725	0.	
1003	-16.715	0.	
1004	16.715	0.	
1005	-1.475	0.	
1006	-12.575	0.	
1007	7.025	0.	
1008	-10.725	0.	
1009	16.715	0.	
1010	10.725	0.	
1011	-12.575	0.	
1012	-7.025	0.	
1013	14.615	0.	
1014	1.475	0.	
1015	16.715	0.	
1016	-12.575	0.	
1017	-3.325	0.	
1018	-6.3208	-31.25	1aacc0a3-6e7f-4c20-b01b-243db3d3c618
1019	5.175	0.	
1020	14.615	0.	
1021	-14.615	0.	
1022	-12.575	0.	
1023	8.875	0.	
1024	14.615	0.	
1025	-14.615	0.	
1026	-8.875	0.	
1027	-13.9108	-31.25	9eda8c7a-3819-45eb-b99a-cfe8aa2fbe8c
1028	12.575	0.	
1029	14.615	0.	
1030	-14.615	0.	
1031	-5.175	0.	
1032	-2.1792	-32.25	3e5ba7c0-23c7-4b3b-b738-2ddc94d3d6d2
1033	3.325	0.	
1034	12.575	0.	
1035	-16.715	0.	

Table: Joint Coordinates, Part 2 of 2

Joint	GlobalY m	GlobalZ m	GUID
1036	-1.475	0.	
1037	-14.615	0.	
1038	7.025	0.	
1039	12.575	0.	
1040	-10.725	0.	
1041	-16.715	0.	
1042	10.725	0.	
1043	-7.025	0.	
1044	12.575	0.	
1045	-13.2792	-32.25	918f117b-a217-4771-bc6 9-2c7249f67940
1046	1.475	0.	
1047	-16.715	0.	
1048	16.715	0.	
1049	10.725	0.	
1050	-3.325	0.	
1051	-7.7292	-32.25	20735319-498f-4aa1-b12 8-ac3d0b7c24a7
1052	5.175	0.	
1053	-16.715	0.	
1054	10.725	0.	
1055	-12.575	0.	
1056	8.875	0.	
1057	-15.3192	-32.25	9b118de8-02fd-430c-a8f 8-f4daa4c5a5b8
1058	-8.875	0.	
1059	10.725	0.	
1060	8.875	0.	
1061	-0.7708	-32.25	0952a08f-4a42-457d-88c 4-ac3a0551f1c8
1062	14.615	0.	
1063	-5.175	0.	
1064	-11.8708	-32.25	22812aac-ee1f-465e-951 0-3e19f099b348
1065	3.325	0.	
1066	8.875	0.	
1067	-1.475	0.	
1068	-6.3208	-32.25	3f6f4b64-22b9-41ba-8ae 9-24347bb515f3
1069	-14.615	0.	
1070	7.025	0.	
1071	-10.725	0.	
1072	8.875	0.	
1073	7.025	0.	
1074	-7.025	0.	
1075	12.575	0.	
1076	1.475	0.	
1077	16.715	0.	
1078	7.025	0.	
1079	-3.325	0.	
1080	5.175	0.	
1081	-16.715	0.	
1082	-12.575	0.	
1083	7.025	0.	
1084	-13.9108	-32.25	e11c8ddd-4304-480b-a0 62-e3517fbe023f

Table: Joint Coordinates, Part 2 of 2

Joint	GlobalY m	GlobalZ m	GUID
1085	-2.1792	-33.25	ed434539-6e81-4f1a-852f-1af5dc9a90b5
1086	-13.2792	-33.25	bdb548d5-268d-4bb3-9ecb-32af8a2c0f37
1087	-7.7292	-33.25	fe40c9d6-98c4-44f2-a161-f084e8bc9857
1088	-15.3192	-33.25	eff91ddf-b8b0-4675-a7de-9761eeb1af74
1089	-0.7708	-33.25	ca0035be-1ed6-4641-83df-a897c5230c41
1090	-11.8708	-33.25	0416eaa4-bf05-46a6-a687-8107c80e452e
1091	-6.3208	-33.25	3b4213ac-eadf-4be3-9d07-6686f4dd0ee6
1092	-13.9108	-33.25	df956c5c-d4f4-4bf7-87f0-4db18706a770
1093	-17.4192	-8.25	828ad98e-e0fa-4c84-8003-9cbe235254e6
1094	-16.0108	-8.25	dbc2d326-1883-4aee-80bf-619c88c6302d
1095	-17.4192	-9.25	7c8d8885-69a0-40af-b7d4-421f6345b1f9
1096	-16.0108	-9.25	411b376d-0d77-44b0-a489-0f5918f49d49
1097	-17.4192	-10.25	aa1e8d5e-a039-4fc6-9f98-9c200ae71e7d
1098	-16.0108	-10.25	d624144e-fd78-4e20-ae17-24bd3e79c3fd
1099	-17.4192	-11.25	0e3bb406-9cc1-4e7e-8ac5-d851487649e8
1100	-16.0108	-11.25	5cbebbad-fa5d-4f54-ba3b-e566b23a736c
1101	-17.4192	-12.25	da19e28e-e25d-42be-9b6e-3bff284c2a53
1102	-16.0108	-12.25	5e8ee33a-4108-44e2-b967-1b4e044ecc56
1103	-17.4192	-13.25	756218c2-e1ce-4fe5-9350-88013b0d9059
1104	-16.0108	-13.25	f9b09199-04a5-4a6f-8a0c-ca44b47554cc
1105	-17.4192	-14.25	6e929214-b413-45ba-88b7-21ad6bce2988
1106	-16.0108	-14.25	3c64793e-c6f0-4e09-acd5-cbf7b1431a81
1107	-17.4192	-15.25	ffef1e83-03a7-4d11-acfa-7c4285e1c12d
1108	-16.0108	-15.25	e60152fd-bbfb-4f68-a0e4-f31d948570eb
1109	-17.4192	-16.25	1080078a-7b44-4aff-bd98-12478a6c16ba
1110	-16.0108	-16.25	8283774b-d21c-4287-bc83-3bc0e5f06925
1111	-17.4192	-17.25	e16b4858-7a83-402f-b753-0718f8e1e5b6
1112	-16.0108	-17.25	d5401f42-c6d2-4bc5-a5e9-3c7555c6a114
1113	-17.4192	-18.25	3b86a0cd-cc5f-48b6-9d45-af41f951c05c
1114	-16.0108	-18.25	ff741959-4a79-4294-b545-5748b9a847bf

Table: Joint Coordinates, Part 2 of 2

Joint	GlobalY m	GlobalZ m	GUID
1115	-17.4192	-19.25	6ff81f19-0a17-4930-9540-bc461c464a79
1116	-16.0108	-19.25	a3df4187-1d2a-4031-9d2d-bde22b826c1f
1117	-17.4192	-20.25	de0efb69-6749-4898-b402-b64d99feacf2
1118	-16.0108	-20.25	c8d1d3b8-4a1a-4e6b-b281-0f5e34955632
1119	-17.4192	-21.25	58b21779-54b2-4c34-90dd-21b8431dec44
1120	-16.0108	-21.25	cf0bf90-7d32-4b40-b0b0-731715993d9b
1121	-17.4192	-22.25	3dbb41c0-cb88-4efd-aaf8-f66bd92ffe69
1122	-16.0108	-22.25	7e255573-bc90-42a2-8957-013c928c0c14
1123	-17.4192	-23.25	3bb84605-c0d3-44bb-91c0-e714ac969c48
1124	-16.0108	-23.25	adf8673b-be60-4145-abc2-ff95214b8994
1125	-17.4192	-24.25	912f5936-bdeb-4f15-83f3-243a8c4bd53a
1126	-16.0108	-24.25	acfc6cf3-eb80-45fb-a307-282a18422c0b
1127	-17.4192	-25.25	45f70614-c703-4f11-b660-2b109aff872d
1128	-16.0108	-25.25	f6b31637-1f61-43ee-ae89-b64076526bdc
1129	-17.4192	-26.25	f2680b53-4538-4290-bdb9-104e401d240f
1130	-16.0108	-26.25	cd9e633a-30b4-4670-a966-20d7223861e9
1131	-17.4192	-27.25	c0a9e8a2-7c5f-484c-ae5d-9cd15abb176e
1132	-16.0108	-27.25	678f3e92-f750-4f57-9d3d-db3094249bf7
1133	-17.4192	-28.25	893ea8ef-99cf-404b-b2d0-e918f183d166
1134	-16.0108	-28.25	880891dd-e2ee-426e-8916-ed19ecf9bc6f
1135	-17.4192	-29.25	ee60e9fc-d81d-4f87-a5fc-95f468bd7b12
1136	-16.0108	-29.25	f330178d-c82d-4db1-8ca6-820db8c7c35b
1137	-17.4192	-30.25	e5a039ab-97f1-43b6-a0e9-369550743053
1138	-16.0108	-30.25	fad52dbf-49bb-492b-98f7-9d60b86b9afa
1139	-17.4192	-31.25	dee89b21-a737-466c-9eb2-e5e2abb57dd6
1140	-16.0108	-31.25	93897ce8-337e-45eb-904a-f1f040e96f5e
1141	-17.4192	-32.25	49452cab-bcc7-4d55-8a9c-1e3a633cf60
1142	-16.0108	-32.25	4299e63a-01fc-4597-a094-3e0561347039
1143	-17.4192	-33.25	602b1c7f-a8f7-4c13-bf20-a149c4340b4a
1144	-16.0108	-33.25	08f794cb-960e-4e17-9820-067011c544bc

Table: Joint Coordinates, Part 2 of 2

Joint	GlobalY m	GlobalZ m	GUID
1145	11.8708	-8.25	1a52a1a9-cea4-4eef-9def-173512634588
1146	0.7708	-8.25	86613ed9-5f5f-4fee-b65f-0f1ee6f4586d
1147	6.3208	-8.25	03611f72-499e-45df-a48a-da0d44ff3903
1148	13.9108	-8.25	d74f5c70-0dbb-43bb-9599-00a6ebbba368
1149	16.0108	-8.25	77740b5a-0e61-4576-b4a3-68559f93b26e
1150	13.2792	-8.25	1e575206-d7de-41c5-a6dd-fff58f56a4ef
1151	2.1792	-8.25	643c66c2-65f2-45aa-9bb9-6afb152ffa8c
1152	7.7292	-8.25	3dfbbb69-06ab-476b-9664-8e656b28f8a1
1153	15.3192	-8.25	8cf6b45d-f5a9-4e71-a04d-84228d61a2b8
1154	17.4192	-8.25	383551d0-c38d-4d51-82e2-af420e7c047c
1155	11.8708	-9.25	189f51b4-9171-4685-a961-d4d8c1ea3993
1156	0.7708	-9.25	d2790be2-172a-4df9-80e6-c59db80aeab0
1157	6.3208	-9.25	ddacc11b-c54e-4861-81b4-c85e306b8e8d
1158	13.9108	-9.25	88369be3-340d-4027-8eae-9af7ec2d9f62
1159	16.0108	-9.25	c565be43-40a2-47ec-94d2-7610d6b108b7
1160	13.2792	-9.25	69afc17c-2675-408a-929d-d8e6c4b551e9
1161	2.1792	-9.25	ac132ff7-eed7-4f95-91fe-97f0ca2184c8
1162	7.7292	-9.25	9baf8651-354f-4854-b2a7-1b96d69d1eb5
1163	15.3192	-9.25	57b207cc-f345-48c8-a2a2-3329253083fb
1164	17.4192	-9.25	06fd3ba8-9036-414c-80a0-9ea6f63c0edf
1165	11.8708	-10.25	9c41eece-49a5-4c89-9f4d-6cea3d25d9ba
1166	0.7708	-10.25	2d26ca6b-3a75-4ca6-ab3e-d24b5d7ed2df
1167	6.3208	-10.25	2201bd6a-e573-4248-bcc5-83c4d07d5454
1168	13.9108	-10.25	a1923861-8990-4c90-806a-a3bbe5881cab
1169	16.0108	-10.25	892b4064-29a7-4980-8f8b-451331196079
1170	13.2792	-10.25	3c7ee48a-f0b8-41d2-8ca5-1b698c8ca184
1171	2.1792	-10.25	6dfa14b0-657f-44fd-b780-e2d8de57ebc9
1172	7.7292	-10.25	787af459-0fa4-4c87-aae6-8ba6c1aad7ac
1173	15.3192	-10.25	da0d59b8-bece-4142-b888-f6ef25b6368f
1174	17.4192	-10.25	492ed053-dfe6-401f-8269-c4654b27550a

Table: Joint Coordinates, Part 2 of 2

Joint	GlobalY m	GlobalZ m	GUID
1175	11.8708	-11.25	e0623ef1-3811-408e-b7b8-0a28bdf4244c
1176	0.7708	-11.25	bd67a9b6-82b7-4d68-b4e0-ac10795cc074
1177	6.3208	-11.25	0cebf2f2-916a-40fb-a8a8-250fdb53517e
1178	13.9108	-11.25	283c7e58-d88d-4776-88af-3f7a48280665
1179	16.0108	-11.25	35d4b5b5-8e3d-48d4-8bf9-f84a535a8603
1180	13.2792	-11.25	5a9948f8-b28a-40b8-8356-73076d303da0
1181	2.1792	-11.25	3afb3a28-6076-4847-9602-1ecbbed26ab6
1182	7.7292	-11.25	1256cad9-6247-484a-aa53-8e0764e221c6
1183	15.3192	-11.25	7b9a94cf-c807-442a-bce9-364668175b6b
1184	17.4192	-11.25	c5b3c0ce-96eb-4efd-ac3b-1b029d90a4f7
1185	11.8708	-12.25	0e8f645a-903a-411d-b02f-e2606af00f72
1186	0.7708	-12.25	d035d205-5a1e-4061-a874-eaccf718a39d
1187	6.3208	-12.25	94769697-5cc0-494f-b9fe-a5ef2ebe508c
1188	13.9108	-12.25	20392c91-d570-4855-a620-962932bc9658
1189	16.0108	-12.25	0f46f115-6a41-4cc6-8128-8ffc83d3efd5
1190	13.2792	-12.25	dea88a1a-686b-4af1-bcf4-ef309d4daf16
1191	2.1792	-12.25	372f0779-fa14-422b-9d3f-bce8acc9c826
1192	7.7292	-12.25	ff4306aa-6ce5-4f47-8ff5-8d4e15e9f27a
1193	15.3192	-12.25	5a101ecf-78f5-46ba-b870-9ae5828b8d46
1194	17.4192	-12.25	8ecd0999-8b7e-4046-8c55-e5093de6a6d4
1195	11.8708	-13.25	8d649208-a9af-489a-9e4c-98f0fb572e66
1196	0.7708	-13.25	45dc7453-8735-4cdc-a3b6-a53f3a8f9b51
1197	6.3208	-13.25	629e4e18-812a-4b20-a159-6ef35de06edf
1198	13.9108	-13.25	7053068c-7ad3-4518-9568-5ae45a70d075
1199	16.0108	-13.25	54b821eb-41ab-4750-ad00-b3c2e9ac87aa
1200	13.2792	-13.25	f19d8511-0b54-42d6-b401-bfb026b68c38
1201	2.1792	-13.25	8d22ad30-8469-48c1-bf70-46e4a5715853
1202	7.7292	-13.25	4f8f9089-5bb3-4fb4-b21a-de78ded1c7f3
1203	15.3192	-13.25	6f65c30d-613a-4017-8b1b-886c0cc1fc17
1204	17.4192	-13.25	cf1e026d-b36d-49ac-866d-43e9c5ad2374

Table: Joint Coordinates, Part 2 of 2

Joint	GlobalY m	GlobalZ m	GUID
1205	11.8708	-14.25	dd4abeae-075b-44c3-a965-079c45d55001
1206	0.7708	-14.25	c24f5687-8767-4c39-b713-da0f082fe515
1207	6.3208	-14.25	e67402fe-d3c5-4d8c-942b-d83221508570
1208	13.9108	-14.25	47759bcd-1036-4ec7-b95c-0a227b46d5d3
1209	16.0108	-14.25	621394c3-1075-42b2-baf5-0ae162c947b5
1210	13.2792	-14.25	ea21193a-0ef2-4127-bd04-4c24b63d8cdd
1211	2.1792	-14.25	93e4f02a-bee6-605d-9c5e-29c70b9d7da8
1212	7.7292	-14.25	284fdb58-7f3a-4e18-9698-6b4b42b9334f
1213	15.3192	-14.25	46ac6503-38e9-4c2d-a253-e951d2e1d3ef
1214	17.4192	-14.25	95869bc5-2902-4f31-bc58-3c48753293df
1215	11.8708	-15.25	f38a2535-6582-400e-b780-12ce6fb5b5f3
1216	0.7708	-15.25	f86a8b52-00d3-4ce4-b84a-c2905bb1dd45
1217	6.3208	-15.25	165b7281-130f-4d9b-8165-615d09961cb5
1218	13.9108	-15.25	c0b8f472-866c-4f8b-82bb-11a558d9072c
1219	16.0108	-15.25	9c30472f-1af7-42e1-971a-7ccc38d14953
1220	13.2792	-15.25	cb5800f4-98c1-44aa-86bf-d5f108416aae
1221	2.1792	-15.25	5f9a2fc1-dbd0-468d-9e43-4d46b88846aa
1222	7.7292	-15.25	9bac15e9-f9c0-4b11-8346-eeb21f78ec00
1223	15.3192	-15.25	538d32b0-c549-457f-9607-2631daca8b92
1224	17.4192	-15.25	1729665b-379c-42fd-8366-027ecc92e9b7
1225	11.8708	-16.25	71e7bf20-e54b-46f6-a917-8580ce867da7
1226	0.7708	-16.25	0a9ad12d-bae9-4e7e-a417-c538855c0cd7
1227	6.3208	-16.25	d66b7f75-eab9-48be-8941-1563114f4387
1228	13.9108	-16.25	03079e8d-aba3-4fe1-bdfd-587ee2aeb956
1229	16.0108	-16.25	a19ed226-b88e-4732-ba11-c6bc37fdc7a5
1230	13.2792	-16.25	1292acbc-81aa-484d-91c5-88c148bc94cf
1231	2.1792	-16.25	57706e13-f020-4baf-bdce-da5942ab26e3
1232	7.7292	-16.25	ef4d456e-8522-40be-b39e-6f0915b35c46
1233	15.3192	-16.25	7a848fec-9680-42b6-b397-37642db4a860
1234	17.4192	-16.25	f944e4df-a53f-4944-8853-bb9254e0e2e5

Table: Joint Coordinates, Part 2 of 2

Joint	GlobalY m	GlobalZ m	GUID
1235	11.8708	-17.25	8060c739-ecbf-4c74-9ae1-2b77a3b228ea
1236	0.7708	-17.25	c201ec7d-cddc-4b9d-b5ac-df99906c4564
1237	6.3208	-17.25	8a379f27-d5af-4375-b71e-a0a1884d1701
1238	13.9108	-17.25	6f6e8481-e24c-43f5-91f8-7b20db0f1af9
1239	16.0108	-17.25	ef2d5ffe-f666-4a97-9922-3421abcdcce3
1240	13.2792	-17.25	d6192fee-6b48-4441-b563-69f6b5bea878
1241	2.1792	-17.25	2ad57160-0d95-4cc8-93a5-7b34db845dd1
1242	7.7292	-17.25	bc9ab3a9-9204-4782-93c8-326a9809ab12
1243	15.3192	-17.25	ba4cdf19-b49f-42c8-b2b8-f24f0f955fb1
1244	17.4192	-17.25	083a440b-4b00-4c17-9f93-86ae1918f349
1245	11.8708	-18.25	8024894e-02e2-4ec6-8a2a-b78c746c9bbb
1246	0.7708	-18.25	a9cc0231-25f9-4305-aa44-be06dc913e48
1247	6.3208	-18.25	6c12bd98-20c4-4249-b5c8-5097917bbbec
1248	13.9108	-18.25	21b0617d-40c2-40bd-bebf-eac413c7385e
1249	16.0108	-18.25	c3aff8cd-9ee0-4c92-abb9-af89c4838c7c
1250	13.2792	-18.25	509272eb-5494-4fc3-99a6-7633cab74bc2
1251	2.1792	-18.25	9eaf1ed0-133a-40a7-8308-2a4651b8fb33
1252	7.7292	-18.25	c6d5ffcb-6b14-499c-bdbc-54046f2f5910
1253	15.3192	-18.25	288e2bdd-9641-402d-b23a-bb59fcf4b829
1254	17.4192	-18.25	94124104-4666-48f5-aa2f-3aa9138500cd
1255	11.8708	-19.25	827ceadd-f101-4fd7-937c-31b3232872a7
1256	0.7708	-19.25	4761b780-9d13-495d-a4ce-f6ac160eb2a6
1257	6.3208	-19.25	a4789ab9-4aa0-434a-a567-abd3fb9bf5c5
1258	13.9108	-19.25	abc18b41-eb2d-4475-8716-f45514f14ec3
1259	16.0108	-19.25	4d71f6a0-3e7c-4628-8f9a-b681139b8f26
1260	13.2792	-19.25	8077bae5-bc8d-4f70-872d-aea65a1220c5
1261	2.1792	-19.25	bab463e3-56ec-434b-8433-8978af9c6f25
1262	7.7292	-19.25	e5c22676-5149-4b39-9334-21fc416696b2
1263	15.3192	-19.25	c6add248-3617-4864-a7de-6595c83c6693
1264	17.4192	-19.25	b740d8d9-1e78-4fec-befb-e4d3dc6f4f59

Table: Joint Coordinates, Part 2 of 2

Joint	GlobalY m	GlobalZ m	GUID
1265	11.8708	-20.25	c6adc140-2826-46cd-8475-0d8a338893c9
1266	0.7708	-20.25	680a9c65-a971-455f-b11c-5bad8a99bb10
1267	6.3208	-20.25	38f5bc4d-da96-451d-adc7-dbe6faad9e66
1268	13.9108	-20.25	8f6c1beb-ace9-4f12-acf5-a465e368a3d9
1269	16.0108	-20.25	2dec5006-8de7-4f77-bffb-90b6e5dc4a43
1270	13.2792	-20.25	f737c91a-36d0-4c24-8efb-6651e22fb932
1271	2.1792	-20.25	054afd7c-37c3-4301-9da2-f893262c0c3b
1272	7.7292	-20.25	db5ba135-59fc-49ce-a47e-367d7cfb1770
1273	15.3192	-20.25	ce352c31-ff85-487c-9c15-9fffd032187a
1274	17.4192	-20.25	4fd1020f-ad18-4306-8546-9b9cf4f1d88b
1275	11.8708	-21.25	a560e043-9207-4def-ba95-6bc3703d8c32
1276	0.7708	-21.25	01e9a7d7-15c7-45d1-a960-1dded6e582f5
1277	6.3208	-21.25	b87d7424-003f-4973-9455-b9e82234f095
1278	13.9108	-21.25	bc389976-d951-4cc9-bb71-5bd74189e0c8
1279	16.0108	-21.25	2de8ad86-8ec3-4067-9f7f-c5ad151f0745
1280	13.2792	-21.25	5ae6ed05-189c-4770-8926-16bb70ed7cf5
1281	2.1792	-21.25	5a06d3f9-1d5a-4387-a513-dd1a37cb6633
1282	7.7292	-21.25	771f1691-4856-4341-9747-69fe869d6f2a
1283	15.3192	-21.25	3910da61-c43b-423b-be8d-1363f89524ba
1284	17.4192	-21.25	f846df66-bd17-45d6-963a-6e9a57239f01
1285	11.8708	-22.25	04afaaf3-b21b-4ba7-bbf9-4a9823682ae4
1286	0.7708	-22.25	b61e4386-3bb6-4a3f-a0aa-507e2e84d8db
1287	6.3208	-22.25	ee6e023c-78cd-4381-b84e-1769db293282
1288	13.9108	-22.25	3101221c-3961-46b9-9ae1-61e12862c261
1289	16.0108	-22.25	e2ab1bc2-aa19-408f-a401-a33deac3a8e5
1290	13.2792	-22.25	2104fe6b-1428-4306-91d6-d6c3f1d39b45
1291	2.1792	-22.25	c851d80c-a1f1-4ec2-88d8-fce7994e7e02
1292	7.7292	-22.25	532ba334-cf5e-40d0-890d-54c1c139d4e5
1293	15.3192	-22.25	735ac226-8b23-4254-a9f9-25c1ab44ada1
1294	17.4192	-22.25	bf76b080-166b-4452-baf5-9b676207ac3c

Table: Joint Coordinates, Part 2 of 2

Joint	GlobalY m	GlobalZ m	GUID
1295	11.8708	-23.25	17a07294-b37e-4008-ac 24-9e393c1c0f55
1296	0.7708	-23.25	e557e9cf-7532-4d85-b03 4-b75cbbc4ca61
1297	6.3208	-23.25	09f4b27b-7c6a-4970-b2b d-a342baa4a672
1298	13.9108	-23.25	91b132df-f8a6-4a0e-b30 1-b84ca7a905cb
1299	16.0108	-23.25	f776e58c-e02c-4e43-974 5-a7c37e8a9101
1300	13.2792	-23.25	19a65104-a3da-41a8-ac 9d-66e8b45972e1
1301	2.1792	-23.25	b977a07e-2999-45a0-abf 3-43c1ccc6c6ed
1302	7.7292	-23.25	a58aa822-c401-4d73-83 39-ba3f116ae8ae
1303	15.3192	-23.25	10f73bfe-69b1-40fe-b683 -9719731e2df8
1304	17.4192	-23.25	26bf2b38-707f-4317-87b a-791f6fe18126
1305	11.8708	-24.25	67a88aaf-6468-4fe1-963 1-765c2619be8a
1306	0.7708	-24.25	4f1d8b3c-dc2f-441a-8f1f- 4767189d1dd0
1307	6.3208	-24.25	86733c02-437b-4163-94 4e-4dad41f18f71
1308	13.9108	-24.25	e2e680e1-52f1-4e97-85d b-3d334e018f89
1309	16.0108	-24.25	b494163a-5473-48ec-85 d0-de7f70331492
1310	13.2792	-24.25	7e3c3e16-a058-48ec-a2 ae-cddfdb51f7d6
1311	2.1792	-24.25	95116411-ced8-4d1b-a2 83-844d56848e2d
1312	7.7292	-24.25	0ac48768-06cb-47b4-96 67-8856129f9db7
1313	15.3192	-24.25	ce33b66d-7e40-40a8-a7 96-c90ef00ef9b7
1314	17.4192	-24.25	3bab1d59-83c0-4976-b2 db-84df955ba075
1315	11.8708	-25.25	a486863a-97a1-4083-a0 1e-cd3a0d988378
1316	0.7708	-25.25	29fd5877-7793-4008-be8 7-bbd5ca872f41
1317	6.3208	-25.25	80eaf308-a4b8-41b8-870 e-3e60bd17c116
1318	13.9108	-25.25	cea137b6-42e3-4d5c-99 88-8c3925901880
1319	16.0108	-25.25	112cc9f0-8f88-452a-95b c-9631950d116a
1320	13.2792	-25.25	9ac03e78-719f-467d-9da 1-d4bd429dbfc8
1321	2.1792	-25.25	85e2882a-83dc-43b1-a8 44-5c6bb999d9f1
1322	7.7292	-25.25	0edca8fe-056c-43ee-afd 7-15ae4732bfc3
1323	15.3192	-25.25	f75a2898-a87f-4c4f-859f- df4ce3425bd3
1324	17.4192	-25.25	77ff3172-5363-4cd2-8fa5 -f9a8ae05d93e

Table: Joint Coordinates, Part 2 of 2

Joint	GlobalY m	GlobalZ m	GUID
1325	11.8708	-26.25	64eae1b3-d609-4cf7-8f94-7f17fd9ffeda
1326	0.7708	-26.25	178035aa-f72f-4b78-bfb2-b26537f8995f
1327	6.3208	-26.25	1b767960-3a89-48d1-a4d3-0e57cb4950f7
1328	13.9108	-26.25	642957ea-0da9-4b83-ab5-a053ca60a1f0
1329	16.0108	-26.25	f71a1e46-85fd-4e0d-9df3-dec73b6e5a0d
1330	13.2792	-26.25	94ae4f8d-3a7b-4d34-a8d9-15a21b09f94c
1331	2.1792	-26.25	354f9e7b-7d3b-4e79-bcc7-7144aed6a10f
1332	7.7292	-26.25	5004c090-f48e-40f1-bad5-fa1ba763affd
1333	15.3192	-26.25	de608617-4aa2-470f-9be5-98349372e0ad
1334	17.4192	-26.25	9a789832-edcb-4e10-8ae5-48f3dad7cc4
1335	11.8708	-27.25	acfeafa1-14a2-4c36-a745-8b66f71377c5
1336	0.7708	-27.25	0c3fd919-a3f9-47ec-b70a-820d03e12222
1337	6.3208	-27.25	8296ea53-1926-41a0-97ef-1065e091ea4c
1338	13.9108	-27.25	e247b33e-b1e6-4f2a-9f1c-17ec93471f72
1339	16.0108	-27.25	8f231f89-d68e-453e-8ac3-0c92902329fe
1340	13.2792	-27.25	cafc1831-5233-41b3-a129-20f3bcb763ec
1341	2.1792	-27.25	a08252ff-4c2f-4f70-a6f2-3b5cf18f3bf
1342	7.7292	-27.25	8b2a3db0-2069-4e99-9398-5738c30d5010
1343	15.3192	-27.25	7ff39fa0-4fab-419d-942b-d5af47f8ab9d
1344	17.4192	-27.25	83740fd1-5c4d-46c6-9db0-fa185850a0ad
1345	11.8708	-28.25	f8eb717d-f77b-4be7-ab47-a905eccdc710f
1346	0.7708	-28.25	743caf52-c8da-4b6d-b895-d8a80bdefd94
1347	6.3208	-28.25	893de7e2-9f33-4331-b76b-9e2ef9fac45
1348	13.9108	-28.25	ea1c49ab-8779-4e0e-93be-03dbc765e519
1349	16.0108	-28.25	32582bb3-5864-41c9-8aa9-0ae1e213b878
1350	13.2792	-28.25	f9103b15-814b-406b-988e-4f16a2862501
1351	2.1792	-28.25	78d198b7-3f33-44b6-a7b3-4f4a8f35ff6c
1352	7.7292	-28.25	d6ca12f8-3137-4f1d-8c56-16c798c2238e
1353	15.3192	-28.25	6fb11435-81db-4414-91bd-36d1ab0b1ba0
1354	17.4192	-28.25	e4986cdf-6fb5-449e-886b-d9834aa61e66

Table: Joint Coordinates, Part 2 of 2

Joint	GlobalY m	GlobalZ m	GUID
1355	11.8708	-29.25	d9ec8bbf-04c5-464a-a00f-5cd6b88a3ef6
1356	0.7708	-29.25	b1046566-83f4-491c-9352-5ab8271ddbfe
1357	6.3208	-29.25	b2d29e61-bfd1-447e-9f20-d82758eac3ed
1358	13.9108	-29.25	e8470d7c-4600-457c-98c4-9d4fff3de0b6
1359	16.0108	-29.25	9e55adcb-4211-43d5-bf51-1eba9ef0a200
1360	13.2792	-29.25	df4e63e6-dded-41e7-a447-ffd9a8d2dfdc
1361	2.1792	-29.25	a76b4b63-3cfe-4a3c-a86d-53f82bbd5f70
1362	7.7292	-29.25	412705bc-bfb4-4abd-ad10-a166a3d33020
1363	15.3192	-29.25	c32bec14-4176-4651-82ff-51e57f279f3b
1364	17.4192	-29.25	eea49e54-d489-4b2e-8aa0-709b30296d10
1365	11.8708	-30.25	99dbe3e9-76bc-4463-a067-070a0cb0dfd4
1366	0.7708	-30.25	0be0150a-292d-4a64-88e2-18078d09831c
1367	6.3208	-30.25	d5650bea-f7dc-463c-a718-9f7b5678f7c0
1368	13.9108	-30.25	eafd550d-3e75-49e3-aba6-bd164735f1f5
1369	16.0108	-30.25	7e8f6bc4-69b8-4aa6-b871-582f5cf08a79
1370	13.2792	-30.25	6640fd83-cfe1-452f-aeca-6bd114fe49ae
1371	2.1792	-30.25	53cb225b-0d28-4f36-a95c-1fdadc21b332
1372	7.7292	-30.25	790e2546-475c-4966-94e9-a83ac63713ad
1373	15.3192	-30.25	84a33768-d773-4c2e-b44a-0050f75c4aa3
1374	17.4192	-30.25	6ce7d496-4da1-406f-b658-eb1998104190
1375	11.8708	-31.25	cb957507-6939-47d0-bc11-f8c60ff85d6
1376	0.7708	-31.25	c09f1a9e-165e-4221-8ea1-a0012bff7be
1377	6.3208	-31.25	7e778567-e752-4e27-be6e-45570a5817ca
1378	13.9108	-31.25	8e10fb19-5c12-4d79-abb9-54d83f08e43b
1379	16.0108	-31.25	b759ea5b-07d5-4002-8a1d-c6f4f84339ce
1380	13.2792	-31.25	95f3302c-e083-4769-90c1-e524f79c828f
1381	2.1792	-31.25	d8184519-e201-477c-b9b0-f1388f1107ac
1382	7.7292	-31.25	b286fbc7-26ec-4feb-96b7-7824e4ebfb7b
1383	15.3192	-31.25	3a1d7f51-25a5-4209-b2d5-031bd2499329
1384	17.4192	-31.25	718b8a86-ca04-4bf1-b3ae-c30e47c3278e

Table: Joint Coordinates, Part 2 of 2

Joint	GlobalY m	GlobalZ m	GUID
1385	11.8708	-32.25	ee2dbbba-938e-4756-807f-442f20e2a78a
1386	0.7708	-32.25	9b936c4c-8425-42a4-9b23-beb0817e5df3
1387	6.3208	-32.25	32df055a-c198-4002-b2ab-6d226db97c5c
1388	13.9108	-32.25	be349d98-d8b3-4aa8-a523-adca454fd252
1389	16.0108	-32.25	676f12e2-e832-4b07-aabd-74bba2aa3de0
1390	13.2792	-32.25	df2a55d1-6f7b-480d-9e0f-b59b54cd89ef
1391	2.1792	-32.25	ebde3bc9-f298-4ebf-b2c0-0bda44f38c9e
1392	7.7292	-32.25	103a3bf6-0e7f-46d9-bc33-2154bef46c04
1393	15.3192	-32.25	0e4738f3-6d85-4e5a-b5a2-a740c9d62337
1394	17.4192	-32.25	fea1573b-4fdd-4825-9647-82782ab6775a
1395	11.8708	-33.25	1d0f259f-5d96-4d42-b790-1407fac3300b
1396	0.7708	-33.25	71169bc2-4d70-4997-9f98-43de3a722a9e
1397	6.3208	-33.25	14dacac4-a5fb-4dae-96e0-779b1902ee6b
1398	13.9108	-33.25	514f4417-4ed7-4fc0-b7e0-9ccea6aa9558
1399	16.0108	-33.25	88122b31-cefc-46d0-b2fd-05d20797b514
1400	13.2792	-33.25	8d25cf10-8ff4-4c25-b776-86f2dcf56554
1401	2.1792	-33.25	cb546549-a968-4552-9fd8-bfe60edbf73b
1402	7.7292	-33.25	0d203314-4d46-4442-83a3-0a8e070e5361
1403	15.3192	-33.25	e9f23287-c718-4f68-b56c-61730ec85009
1404	17.4192	-33.25	27de80fc-c684-4dd4-b7d6-de4544b006f0
1405	-11.8708	-26.25	27723058-151c-4173-a0ec-d32ebcf6d6d5
1406	-6.3208	-26.25	a85c4338-d6b0-48b2-ae6b-f09eefac9f85
1407	-13.9108	-26.25	851536d5-9702-41a1-85f9-0ba21d6f137e
1408	-2.1792	-27.25	ba99e62b-0510-43bf-86d2-46d39e6075ad
1409	-13.2792	-27.25	e1d91b61-6e38-4161-9e8d-6dca5e581675
1410	-7.7292	-27.25	bceeca91-bd23-480f-ba4c-65a8fb52f4b3
1411	-15.3192	-27.25	c5fabc75-559d-492e-a4a6-5481294acfcf
1412	-0.7708	-27.25	c605bb4a-0692-47e8-81a3-82f15ab6a216
1413	-11.8708	-27.25	eac1de1c-298b-4dd0-a7a5-7e63fb8f850a
1414	-6.3208	-27.25	5e58399d-a0a4-4b1d-acad-fcba48e9c2d7

Table: Joint Coordinates, Part 2 of 2

Joint	GlobalY m	GlobalZ m	GUID
1415	-13.9108	-27.25	ec9ed9ae-dd76-4987-967a-51e6e40ff612
1416	-2.1792	-28.25	7f3336b5-d20e-426b-97b5-1bd4b07d8302
1417	-13.2792	-28.25	cbc7ed5d-c931-47b9-baac-05773e9df000
1418	-7.7292	-28.25	8b5feab1-f16a-4625-8338-e9cf71a9fc8a
1419	-15.3192	-28.25	b6f48a44-9c4b-491f-93c5-b71bf9cd2696
1420	-0.7708	-28.25	4c389ba9-84c3-437d-aaad-dbf77e26a09a
1421	-11.8708	-28.25	a3fa31ed-6fbd-499e-8bae-9179093641c1
1422	-6.3208	-28.25	5086f70a-1ac5-4e6b-9878-efc456aa2aac
1423	-13.9108	-28.25	5e52057a-0ea2-4b00-9e72-220e66fc538e
1424	-2.1792	-29.25	09363784-5362-4de7-9adb-2198e6044d3c
1425	-13.2792	-29.25	71787827-f394-44a8-a0a3-f4528af05047
1426	-7.7292	-29.25	1d922225-7763-47ad-9be9-c5b0730a5bf4
1427	5.175	0.	
1428	-8.875	0.	
1429	10.725	0.	
1430	5.175	0.	
1431	14.615	0.	
1432	-5.175	0.	
1433	-15.3192	-29.25	11a1d419-33cf-4b36-a50f-5f889a6e888e
1434	3.325	0.	
1435	-1.475	0.	
1436	-0.7708	-29.25	47df2bf1-60d0-48c4-ad19-babd31dc9a67
1437	5.175	0.	
1438	-14.615	0.	
1439	3.325	0.	
1440	-10.725	0.	
1441	8.875	0.	
1442	3.325	0.	
1443	-7.025	0.	
1444	12.575	0.	
1445	1.475	0.	
1446	16.715	0.	
1447	-3.325	0.	
1448	3.325	0.	
1449	1.475	0.	
1450	-16.715	0.	
1451	-12.575	0.	
1452	7.025	0.	
1453	1.475	0.	
1454	-8.875	0.	
1455	10.725	0.	
1456	-11.8708	-29.25	8f439e71-4168-40af-bbca-71cdd3749c26

Table: Joint Coordinates, Part 2 of 2

Joint	GlobalY m	GlobalZ m	GUID
1457	-6.3208	-29.25	ac989970-8868-4177-8478-0ad546d909b7
1458	-13.9108	-29.25	910259d2-aeaa-4487-9d1d-3a84d17ab336
1459	14.615	0.	
1460	-5.175	0.	
1461	-2.1792	-30.25	cab8a25c-9917-4e00-9b9c-99467f2d4904
1462	1.475	0.	
1463	-1.475	0.	
1464	-13.2792	-30.25	f960684e-210e-4e8c-a63e-8b42532e8de5
1465	5.175	0.	
1466	-14.615	0.	
1467	-10.725	0.	
1468	8.875	0.	
1469	-1.475	0.	
1470	-7.025	0.	
1471	12.575	0.	
1472	16.715	0.	
1473	-1.475	0.	
1474	-3.325	0.	
1475	3.325	0.	
1476	-16.715	0.	
1477	-1.475	0.	
1478	-12.575	0.	
1479	7.025	0.	
1480	-3.325	0.	
1481	-8.875	0.	
1482	10.725	0.	
1483	-3.325	0.	
1484	14.615	0.	
1485	-5.175	0.	
1486	-7.7292	-30.25	8536ea20-822d-4650-a18e-ecbdef459c68
1487	1.475	0.	
1488	-3.325	0.	
1489	-15.3192	-30.25	124fd20f-4a9c-4b4c-89af-cfe2d7fe7a40
1490	5.175	0.	
1491	-14.615	0.	
1492	-5.175	0.	
1493	-10.725	0.	
1494	8.875	0.	
1495	-5.175	0.	
1496	-7.025	0.	
1497	12.575	0.	
1498	16.715	0.	
1499	-5.175	0.	
1500	3.325	0.	
1501	-7.025	0.	
1502	-16.715	0.	
1503	-1.475	0.	
1504	-12.575	0.	
1505	7.025	0.	

Table: Joint Coordinates, Part 2 of 2

Joint	GlobalY m	GlobalZ m	GUID
1506	-7.025	0.	
1507	-8.875	0.	
1508	10.725	0.	
1509	-7.025	0.	
1510	14.615	0.	
1511	-0.7708	-30.25	80f386a2-572a-4d41-8219-f43f5e62cbc4
1512	1.475	0.	
1513	-8.875	0.	
1514	-3.325	0.	
1515	-11.8708	-30.25	8b63e134-0060-4fe1-811a-bdc883e21510
1516	5.175	0.	
1517	-14.615	0.	
1518	-6.3208	-30.25	2a2c92d3-13ed-4350-bd8a-4c589bf11969
1519	-8.875	0.	
1520	-10.725	0.	
1521	8.875	0.	
1522	-8.875	0.	
1523	12.575	0.	
1524	-10.725	0.	
1525	16.715	0.	
1526	-5.175	0.	
1527	3.325	0.	
1528	-10.725	0.	
1529	-16.715	0.	
1530	16.715	0.	
1531	-1.475	0.	
1532	-12.575	0.	
1533	7.025	0.	
1534	-10.725	0.	
1535	10.725	0.	
1536	-12.575	0.	
1537	-7.025	0.	
1538	14.615	0.	
1539	1.475	0.	
1540	-12.575	0.	
1541	-3.325	0.	
1542	-13.9108	-30.25	6eef4e32-0b55-4111-9b8c-9577c27e3049
1543	5.175	0.	
1544	14.615	0.	
1545	-14.615	0.	
1546	-12.575	0.	
1547	8.875	0.	
1548	-14.615	0.	
1549	-8.875	0.	
1550	12.575	0.	
1551	-14.615	0.	
1552	-5.175	0.	
1553	3.325	0.	
1554	12.575	0.	
1555	-16.715	0.	
1556	-1.475	0.	

Table: Joint Coordinates, Part 2 of 2

Joint	GlobalY m	GlobalZ m	GUID
1557	-14.615	0.	
1558	7.025	0.	
1559	-10.725	0.	
1560	-16.715	0.	
1561	10.725	0.	
1562	-7.025	0.	
1563	1.475	0.	
1564	-16.715	0.	
1565	10.725	0.	
1566	-3.325	0.	
1567	-2.1792	-31.25	6adb5d35-c482-4d03-b8 39-6c451dfe4f9d
1568	5.175	0.	
1569	-16.715	0.	
1570	-12.575	0.	
1571	8.875	0.	
1572	-13.2792	-31.25	5bead68f-c87e-4f2b-a1a a-8fcdaf96e99a
1573	-8.875	0.	
1574	-7.7292	-31.25	3e7e22b2-641e-4629-a3 5f-d5072a20e598
1575	-15.3192	-31.25	da01c167-5ebf-490e-b19 5-5dc7c47ba2d2
1576	-0.7708	-31.25	acffce8-d732-4076-8ad7 -8772d04ad824
1577	-11.8708	-31.25	5f6b6cf0-f01c-4d89-848d -90aacb297be1
1578	-6.3208	-31.25	abb66388-d681-4c13-81 48-7ceb32a329b6
1579	-13.9108	-31.25	d568b3c2-9cb9-43dc-a7 4b-8a36adf72a45
1580	-2.1792	-32.25	255a8ddd-0e52-48db-a1 74-8ce7c66bf8f
1581	-13.2792	-32.25	49d64f18-cba6-431d-a89 2-d5ecd69490c9
1582	-7.7292	-32.25	8362193b-7ade-4f24-b71 5-4929550df78
1583	-15.3192	-32.25	82c21e74-90cb-4c06-86 16-c9991c6133cc
1584	-0.7708	-32.25	8a0f4721-9890-423f-b97 0-316621ace75e
1585	-11.8708	-32.25	bd19c716-087d-4879-ad 86-152b43b7510a
1586	-6.3208	-32.25	99238a6c-7a2a-40a7-81 e2-2dbc4f055b57
1587	8.875	0.	
1588	-13.9108	-32.25	acdb77d2-da7e-44b3-ae a4-13b0e25153a4
1589	-5.175	0.	
1590	3.325	0.	
1591	-1.475	0.	
1592	-2.1792	-33.25	4363e359-cf79-4de3-aba c-2ffeaf15d931
1593	-14.615	0.	
1594	7.025	0.	
1595	-10.725	0.	
1596	7.025	0.	

Table: Joint Coordinates, Part 2 of 2

Joint	GlobalY m	GlobalZ m	GUID
1597	-7.025	0.	
1598	1.475	0.	
1599	-3.325	0.	
1600	5.175	0.	
1601	-16.715	0.	
1602	-12.575	0.	
1603	5.175	0.	
1604	-8.875	0.	
1605	-5.175	0.	
1606	3.325	0.	
1607	-1.475	0.	
1608	-13.2792	-33.25	a68a4369-8f68-43e7-969 3-e4bc141f11ff
1609	-14.615	0.	
1610	3.325	0.	
1611	-10.725	0.	
1612	-7.025	0.	
1613	1.47439	0.	
1614	-3.325	0.	
1615	1.475	0.	
1616	-16.715	0.	
1617	-12.575	0.	
1618	-8.875	0.	
1619	-5.175	0.	
1620	-1.47561	0.	
1621	-7.7292	-33.25	e22bcf4e-07be-4cd5-92f c-7d6c798f146d
1622	-14.615	0.	
1623	-10.725	0.	
1624	-1.475	0.	
1625	-7.025	0.	
1626	-3.325	0.	
1627	-16.715	0.	
1628	-12.575	0.	
1629	-3.325	0.	
1630	-8.875	0.	
1631	-5.175	0.	
1632	-15.3192	-33.25	45f763c7-ce2a-4f57-8a4 8-246d1f9cc823
1633	-14.615	0.	
1634	-5.175	0.	
1635	-10.725	0.	
1636	-7.025	0.	
1637	-7.025	0.	
1638	-16.715	0.	
1639	-12.575	0.	
1640	-8.875	0.	
1641	-8.875	0.	
1642	-0.7708	-33.25	b66901aa-0584-441b-80 90-c8924d15808b
1643	-14.615	0.	
1644	-10.725	0.	
1645	-10.725	0.	
1646	-16.715	0.	
1647	-12.575	0.	

Table: Joint Coordinates, Part 2 of 2

Joint	GlobalY m	GlobalZ m	GUID
1648	-12.575	0.	
1649	-11.8708	-33.25	94ecbff1-d7bc-48c2-9b4f-92ecb06d33d1
1650	-14.615	0.	
1651	-14.615	0.	
1652	-16.715	0.	
1653	-16.715	0.	
1654	-6.3208	-33.25	d6e8c0fd-7a45-47e6-bf1d-20ef665fc606
1655	-13.9108	-33.25	617ce25a-27c4-4134-ac30-7e4e52c5b78e
1656	12.575	-0.84	
1657	1.475	-0.84	
1658	-1.475	-0.84	
1659	-12.575	-0.84	
1660	-17.4192	-8.25	372dbbcb-37b2-423b-ba60-63f1fd916b8f
1661	-16.0108	-8.25	4c67d53e-d51c-4e32-b9c0-ca366e2a656b
1662	12.575	-0.84	
1663	1.475	-0.84	
1664	-1.475	-0.84	
1665	-12.575	-0.84	
1666	12.575	-0.84	
1667	1.475	-0.84	
1668	-1.475	-0.84	
1669	-12.575	-0.84	
1670	12.575	-0.84	
1671	1.475	-0.84	
1672	-1.475	-0.84	
1673	-12.575	-0.84	
1674	12.575	-0.84	
1675	1.475	-0.84	
1676	-1.475	-0.84	
1677	-12.575	-0.84	
1678	-17.4192	-9.25	aab74208-0008-4762-82a0-5cae5bb82237
1679	-16.0108	-9.25	316e55ab-c665-45e9-b863-5f5668116c61
1680	-17.4192	-10.25	8b2b8bcc-6fb3-4abf-ae12-46b0f6dda9e2
1681	-16.0108	-10.25	3cbd5047-4bbf-4b51-8301-e196e0b15773
1682	-17.4192	-11.25	85f449b9-4bcb-47b2-a1c9-563c268eaf53
1683	-16.0108	-11.25	96fbce92-0de1-4d96-b9c1-a1e51c5c4cff
1684	-17.4192	-12.25	2f3893ee-54df-4384-82d6-00034dfa0f4a
1685	-16.0108	-12.25	47b0e18b-5fa4-48f3-b5f4-65aede1031e2
1686	-17.4192	-13.25	cf9dfa85-bb1e-44d2-814a-0f6b236369f4
1687	-16.0108	-13.25	c999fe1f-406e-4d04-a673-20ce266b3599
1688	-17.4192	-14.25	515c7875-c16a-48a7-8966-daaec6ec3c02

Table: Joint Coordinates, Part 2 of 2

Joint	GlobalY m	GlobalZ m	GUID
1689	-16.0108	-14.25	673c1175-15e4-447d-9a1d-2875f0262b54
1690	-17.4192	-15.25	9e7e1d4a-bdbf-4225-8270-dfc63643a65a
1691	-16.0108	-15.25	2b693c2a-1e25-4a20-be9e-b144905183d9
1692	10.725	-0.84	
1693	10.725	-0.84	
1694	10.725	-0.84	
1695	10.725	-0.84	
1696	10.725	-0.84	
1697	-17.4192	-16.25	43299e8f-ce2d-4157-89a3-ef2cc5c92fef
1698	8.875	-0.84	
1699	8.875	-0.84	
1700	8.875	-0.84	
1701	8.875	-0.84	
1702	8.875	-0.84	
1703	-16.0108	-16.25	947542fe-a46d-4b85-9876-61c7b78db43d
1704	7.025	-0.84	
1705	7.025	-0.84	
1706	7.025	-0.84	
1707	7.025	-0.84	
1708	7.025	-0.84	
1709	-17.4192	-17.25	e1d747a8-63e4-43b0-93ac-4ac1f66dfb33
1710	5.175	-0.84	
1711	5.175	-0.84	
1712	5.175	-0.84	
1713	5.175	-0.84	
1714	5.175	-0.84	
1715	-16.0108	-17.25	681c4ef3-fb60-42cc-a7ec-18d9b907c3a2
1716	3.325	-0.84	
1717	3.325	-0.84	
1718	3.325	-0.84	
1719	3.325	-0.84	
1720	3.325	-0.84	
1721	-17.4192	-18.25	9b1770bd-a9bd-4df4-af08-462e6c7139c8
1722	-3.325	-0.84	
1723	-3.325	-0.84	
1724	-3.325	-0.84	
1725	-3.325	-0.84	
1726	-3.325	-0.84	
1727	-16.0108	-18.25	39b6da31-1578-4fa6-8f24-9e85a6aae58e
1728	-5.175	-0.84	
1729	-5.175	-0.84	
1730	-5.175	-0.84	
1731	-5.175	-0.84	
1732	-5.175	-0.84	
1733	-17.4192	-19.25	c7dec1a3-2a4b-4470-9b8c-cdf9a041350b
1734	-7.025	-0.84	

Table: Joint Coordinates, Part 2 of 2

Joint	GlobalY m	GlobalZ m	GUID
1735	-7.025	-0.84	
1736	-7.025	-0.84	
1737	-7.025	-0.84	
1738	-7.025	-0.84	
1739	-16.0108	-19.25	5bddd465-6cb5-4698-a4 20-65e309b49866
1740	-8.875	-0.84	
1741	-8.875	-0.84	
1742	-8.875	-0.84	
1743	-8.875	-0.84	
1744	-8.875	-0.84	
1745	-17.4192	-20.25	fd4e406c-9fbe-4520-b1e 5-81fb468225a6
1746	-10.725	-0.84	
1747	-10.725	-0.84	
1748	-10.725	-0.84	
1749	-10.725	-0.84	
1750	-10.725	-0.84	
1751	-16.0108	-20.25	07243b3c-2677-47f2-946 7-3a6dd8eead9d
1752	-17.4192	-21.25	5988074e-de6c-4b43-a4 ca-be65b07bae91
1753	-16.0108	-21.25	f22c28c5-de4c-4e8a-bec 5-360786cf4af6
1754	14.615	-0.84	
1755	16.715	-0.84	
1756	14.615	-0.84	
1757	16.715	-0.84	
1758	14.615	-0.84	
1759	16.715	-0.84	
1760	14.615	-0.84	
1761	16.715	-0.84	
1762	14.615	-0.84	
1763	16.715	-0.84	
1764	-14.615	-0.84	
1765	-16.715	-0.84	
1766	-14.615	-0.84	
1767	-16.715	-0.84	
1768	-14.615	-0.84	
1769	-16.715	-0.84	
1770	-14.615	-0.84	
1771	-16.715	-0.84	
1772	-14.615	-0.84	
1773	-16.715	-0.84	
1774	-17.4192	-22.25	674ebd25-a587-491d-9d 2f-107e09dc42be
1775	-16.0108	-22.25	b39cc109-1800-4e17-8f4 d-40f289145c43
1776	12.575	-1.1	
1777	1.475	-1.1	
1778	-1.475	-1.1	
1779	-12.575	-1.1	
1780	-17.4192	-23.25	772a05af-7568-4b0a-9f4f -3de95eb4550b
1781	-16.0108	-23.25	644ff97d-e836-4811-852 7-0e0d9a5ab45e

Table: Joint Coordinates, Part 2 of 2

Joint	GlobalY m	GlobalZ m	GUID
1782	12.575	-1.1	
1783	1.475	-1.1	
1784	-1.475	-1.1	
1785	-12.575	-1.1	
1786	12.575	-1.1	
1787	1.475	-1.1	
1788	-1.475	-1.1	
1789	-12.575	-1.1	
1790	12.575	-1.1	
1791	1.475	-1.1	
1792	-1.475	-1.1	
1793	-12.575	-1.1	
1794	12.575	-1.1	
1795	1.475	-1.1	
1796	-1.475	-1.1	
1797	-12.575	-1.1	
1798	-17.4192	-24.25	7c0131b2-ac59-468c-a18a-58439a024890
1799	-16.0108	-24.25	9e66467f-4ebf-4783-9f8f-f9fb43650fe6
1800	-17.4192	-25.25	16c78f50-ce27-47dd-9f68-0f92a585bc4d
1801	-16.0108	-25.25	2b569606-a9f7-4492-8fd0-84b75fb842c2
1802	-17.4192	-26.25	b67e5985-f292-4dab-9fca-5d336bb47d4e
1803	-16.0108	-26.25	4da37531-06ff-4fee-ac6b-aed62311e338
1804	-17.4192	-27.25	3e23cb85-f5ed-4584-8f5f-ebc1995dc57f
1805	-16.0108	-27.25	9f6fc4a8-4a63-4fce-ab48-9a8421877eed
1806	-17.4192	-28.25	3c1de4c1-daf9-478a-906a-e09c57f5c2d4
1807	-16.0108	-28.25	35bb3e2f-416f-4346-96e8-36dbae2e4d46
1808	-17.4192	-29.25	0c159630-78dc-4dc8-afb-b-cbfacda4c982
1809	-16.0108	-29.25	166be5ee-3fc6-44d0-aacc-f3e3e778ecb8
1810	-17.4192	-30.25	adde8eec-420b-4c93-ad86-e6ed89ee526b
1811	-16.0108	-30.25	fctb5053-eb4d-40b0-a1d2-471f3bc80575
1812	10.725	-1.1	
1813	10.725	-1.1	
1814	10.725	-1.1	
1815	10.725	-1.1	
1816	10.725	-1.1	
1817	-17.4192	-31.25	c2e788f7-d1cf-4ee1-9f07-9f3b0a3df5cb
1818	8.875	-1.1	
1819	8.875	-1.1	
1820	8.875	-1.1	
1821	8.875	-1.1	
1822	8.875	-1.1	

Table: Joint Coordinates, Part 2 of 2

Joint	GlobalY m	GlobalZ m	GUID
1823	-16.0108	-31.25	e84fb814-86a8-4540-9103-fa6c9094934d
1824	7.025	-1.1	
1825	7.025	-1.1	
1826	7.025	-1.1	
1827	7.025	-1.1	
1828	7.025	-1.1	
1829	-17.4192	-32.25	1db5c070-3569-4540-8f60-880f7aad8c0a
1830	5.175	-1.1	
1831	5.175	-1.1	
1832	5.175	-1.1	
1833	5.175	-1.1	
1834	5.175	-1.1	
1835	-16.0108	-32.25	8b2aaf97-668e-4634-8894-f48c2f4273d2
1836	3.325	-1.1	
1837	3.325	-1.1	
1838	3.325	-1.1	
1839	3.325	-1.1	
1840	3.325	-1.1	
1841	-17.4192	-33.25	a3f361b9-85fe-461c-8269-bd690dbabddc
1842	-3.325	-1.1	
1843	-3.325	-1.1	
1844	-3.325	-1.1	
1845	-3.325	-1.1	
1846	-3.325	-1.1	
1847	-16.0108	-33.25	f315176b-d60b-4cd0-a080-4716e1d535f9
1848	-5.175	-1.1	
1849	-5.175	-1.1	
1850	-5.175	-1.1	
1851	-5.175	-1.1	
1852	-5.175	-1.1	
1853	11.8708	-8.25	dc0d090c-31fb-4385-9ebf-d8003fbe813a
1854	-7.025	-1.1	
1855	-7.025	-1.1	
1856	-7.025	-1.1	
1857	-7.025	-1.1	
1858	-7.025	-1.1	
1859	0.7708	-8.25	1875ea89-c67e-43ae-a5d1-de2d2f9bdd92
1860	-8.875	-1.1	
1861	-8.875	-1.1	
1862	-8.875	-1.1	
1863	-8.875	-1.1	
1864	-8.875	-1.1	
1865	6.3208	-8.25	2a39dd2a-42e7-4122-9b0e-385bc9f2bed2
1866	-10.725	-1.1	
1867	-10.725	-1.1	
1868	-10.725	-1.1	
1869	-10.725	-1.1	
1870	-10.725	-1.1	

Table: Joint Coordinates, Part 2 of 2

Joint	GlobalY m	GlobalZ m	GUID
1871	13.9108	-8.25	cd0f3ac0-44a3-436a-9337-a20c01018197
1872	16.0108	-8.25	4c124049-1f8e-4426-b67d-75d16c8c4f07
1873	13.2792	-8.25	aa4d8be7-305a-41ab-b0a7-410a19ba0ff9
1874	14.615	-1.1	
1875	16.715	-1.1	
1876	14.615	-1.1	
1877	16.715	-1.1	
1878	14.615	-1.1	
1879	16.715	-1.1	
1880	14.615	-1.1	
1881	16.715	-1.1	
1884	-14.615	-1.1	
1885	-16.715	-1.1	
1886	-14.615	-1.1	
1887	-16.715	-1.1	
1888	-14.615	-1.1	
1889	-16.715	-1.1	
1890	-14.615	-1.1	
1891	-16.715	-1.1	
1892	-14.615	-1.1	
1893	-16.715	-1.1	
1894	2.1792	-8.25	2aeee4f3-743b-416d-a260-77558134b958
1895	7.7292	-8.25	418dc2ad-a6ed-42f2-81cc-f606566d25fc
1896	15.3192	-8.25	1444fb3a-19cb-4bd4-a003-0fde2b9b4a50
1897	17.4192	-8.25	f0f48c5c-889b-47b1-89b3-8d3273e2c02c
1898	11.8708	-9.25	d6c1ece1-4008-4523-89de-09c94774b28f
1899	0.7708	-9.25	32c3d8a5-c245-4134-8762-09ae9b4c3838
1900	6.3208	-9.25	4b47da64-2883-4abb-9b79-c913569a7a48
1901	13.9108	-9.25	62fa7c4e-2555-4978-b312-c6a8806d58fb
1902	16.0108	-9.25	44b51f3f-0770-4841-a683-f673bafb9f3a
1903	13.2792	-9.25	43cb2466-f19e-4bb5-98fc-4facf447af03
1904	2.1792	-9.25	5482afba-5bbc-4592-af59-20b2b09aa564
1905	7.7292	-9.25	09fd25b2-5e66-4ba0-8fe7-71aa494d6fd3
1906	15.3192	-9.25	ddcfc3f-ad16-4501-afc8-006bb76110ea
1907	17.4192	-9.25	8c164afd-20a1-4867-bfe5-58f7434d6ffe
1908	11.8708	-10.25	45bbe550-a8f1-4b7f-8e9f-c369217df67b
1909	0.7708	-10.25	aaaba763-b549-41f1-8633-c57233998276
1910	6.3208	-10.25	f08c6a6c-4171-4f7b-84cc-6e93cd8aefdc

Table: Joint Coordinates, Part 2 of 2

Joint	GlobalY m	GlobalZ m	GUID
1911	13.9108	-10.25	0929e5b1-ab96-45e3-a225-b8d80b3052b8
1912	16.0108	-10.25	a3a487eb-29b5-4ce9-8311-a0fe3fbb922f
1913	13.2792	-10.25	0ae2b11c-da75-4cd7-815c-c62a37ab1dfc
1914	2.1792	-10.25	d442e2fc-1705-40cd-a652-267ff2f624e7
1915	7.7292	-10.25	8402558b-1904-4f88-9fb4-702efaa0e65e
1916	15.3192	-10.25	f8a6629a-b2de-46eb-8cee-2b43773d736e
1917	17.4192	-10.25	ec1ff978-399c-40ab-8eef-6b9700b41ca5
1918	11.8708	-11.25	d9431b32-67a4-4eb0-92a8-afa550b53279
1919	0.7708	-11.25	b5a80c76-bc60-4674-8436-942dea1542f9
1920	6.3208	-11.25	0b7b35fd-0d68-4cf5-8799-ef0d99c2dfdc
1921	13.9108	-11.25	b4ac14ee-590a-4395-9b9d-7fa518c7d6a9
1922	16.0108	-11.25	d88b5e0a-a777-4a22-a39b-f97fb079bd0c
1923	13.2792	-11.25	7e0b0b2d-d9d4-46e3-8a54-b7b0295a4012
1924	2.1792	-11.25	e0024a29-d160-48c7-b6be-eda0c7789d52
1925	7.7292	-11.25	519d4bd1-dd6a-4024-a522-378976855646
1926	15.3192	-11.25	28186890-37db-44e1-875d-430e818dea74
1927	17.4192	-11.25	09c41e62-6bc1-4f67-a28b-326d06f9fb79
1928	11.8708	-12.25	82aa6648-5688-49a3-8012-1ba069561253
1929	0.7708	-12.25	c91b2341-31a0-4058-af05-e6a849264044
1930	6.3208	-12.25	92371f19-f2be-4cd3-88c1-6a314e602ef8
1931	13.9108	-12.25	2857f95c-a970-457e-abb9-9395639a8d39
1932	16.0108	-12.25	a09a5611-b064-4093-ba50-dc0e06305127
1933	13.2792	-12.25	71ede2c4-8836-4bcc-bb33-e09c377ad6e7
1934	2.1792	-12.25	fa9ba1e0-6163-49a0-aa8f-0c3922128195
1935	7.7292	-12.25	94fdf624-d28a-4946-b7eb-118d08452c4d
1936	15.3192	-12.25	74a0ad96-5770-4c60-bb0c-61276c1e3870
1937	17.4192	-12.25	ebe16db0-8636-4853-aa79-ff2feb1cdd5f
1938	11.8708	-13.25	01878b62-1fe4-4756-a8cb-9e52fd7b31b4
1939	0.7708	-13.25	eb91dd93-f68b-4614-bf89-3e668ad43d7e
1940	6.3208	-13.25	cff08ab4-6393-443e-8354-b817634740cb

Table: Joint Coordinates, Part 2 of 2

Joint	GlobalY m	GlobalZ m	GUID
1941	13.9108	-13.25	a491e511-5517-4c8b-8b62-a7c6ff21a11b
1942	16.0108	-13.25	e64bf9ca-c744-45e0-8f05-01f0d3f99617
1943	13.2792	-13.25	c16f9f2-af3e-49dd-b16d-056842ea19ad
1944	2.1792	-13.25	f05621dd-ca9c-4f89-83c9-63fe56966076
1945	7.7292	-13.25	852a21d5-ee01-403a-aa0d-e900fa663b74
1946	15.3192	-13.25	a9b876c0-9273-4d74-b743-539aaeec1415
1947	17.4192	-13.25	76a51f94-094c-4e1e-ba28-0cf6508578b0
1948	11.8708	-14.25	a86ca737-040c-4b2a-84cb-9635e424f613
1949	0.7708	-14.25	8baef2ec-2891-4d83-b60f-36baec033a94
1950	6.3208	-14.25	a0b76a85-6ec4-4e9a-8ff1-9ed796cd24ef
1951	13.9108	-14.25	5b67edb8-5ec9-4d9d-b2f7-49da7e6353e7
1952	16.0108	-14.25	15cf8853-47f5-4cae-b998-9666aac25399
1953	13.2792	-14.25	79c3dbc8-229e-4a0f-b9a2-07b4b6c80c27
1954	2.1792	-14.25	3cd2eb86-f08f-44b7-ad8a-7d90b46ac752
1955	7.7292	-14.25	89c72177-f7d3-40be-8ed7-2b7341139e32
1956	15.3192	-14.25	8f1bbb18-c902-4ea3-829f-436ccc8d55c9
1957	17.4192	-14.25	bd0a7fa8-4d64-46cd-af74-f7283bc3914d
1958	11.8708	-15.25	83ea67c0-9d9f-4530-b119-22cd2c08a7b4
1959	0.7708	-15.25	6856e8df-2fc9-43ab-a556-ff51224038c1
1960	6.3208	-15.25	b26b0544-c50f-4afc-8807-6eb8094434ca
1961	13.9108	-15.25	c8b4dd30-ffcb-4cd2-bf8f-dbd29b45201e
1962	16.0108	-15.25	7a705564-fbd8-463a-b0bd-10bce749c007
1963	13.2792	-15.25	fc89289d-93ac-4c05-8eff-676d4d7ac080
1964	2.1792	-15.25	80f09256-02a3-4322-b299-b5b7ccf57eb0
1965	7.7292	-15.25	66d0348a-c2a7-4139-bcbd-74510e49fd37
1966	15.3192	-15.25	fcf865cc-4aad-4b22-b0c8-0a30feff6892
1967	17.4192	-15.25	93588bab-a452-43cc-8985-fe74ac190271
1968	11.8708	-16.25	93365a94-bac1-4d2b-8a40-efd6cce1bc7d
1969	0.7708	-16.25	e97d133e-60ec-4c04-8094-3a611cabcaf0
1970	6.3208	-16.25	81d30c78-61e8-4c8f-b1c8-406e2252322c

Table: Joint Coordinates, Part 2 of 2

Joint	GlobalY m	GlobalZ m	GUID
1971	13.9108	-16.25	82dfa58a-f4e2-40b9-a63c-3bb72560ca61
1972	16.0108	-16.25	68aefeba-577e-44f6-a6ce-4167ea6f0730
1973	13.2792	-16.25	ede58015-a3de-4091-abbe-4bf6f0776f16
1974	2.1792	-16.25	997afa15-c349-49c9-98c3-fa0ec15900f5
1975	7.7292	-16.25	724e26b1-b489-4ac0-9ae0-4320a55ef02e
1976	15.3192	-16.25	90626f72-e649-4e61-80a8-f6e05238b7dc
1977	17.4192	-16.25	5c0166f3-969e-47a4-b720-193886a57ff9
1978	11.8708	-17.25	316c71e5-4f7c-4b7a-b3f9-3e5bd4b29426
1979	0.7708	-17.25	9cda50a0-0c5f-412e-9379-57551e78e0cd
1980	6.3208	-17.25	a0b9af82-91d7-4442-a16b-b338633fca94
1981	13.9108	-17.25	7d56b815-8e6c-4185-b6a0-b735ceaf566a
1982	16.0108	-17.25	68e9cd96-19e1-442c-9337-9c9888128fb8
1983	13.2792	-17.25	a24d248b-3ea7-4b7b-a3b5-34f2667ffc12
1984	2.1792	-17.25	38b2e7ee-22aa-4705-adb9-58ef09c7567c
1985	7.7292	-17.25	eb9a94bd-228b-4382-b7e0-1de07884cf8a
1986	15.3192	-17.25	ce8c18e4-1e3e-4519-aef9-4b27deebd6f5
1987	17.4192	-17.25	330ec05d-69d9-403d-98fa-199d1bafba29
1988	11.8708	-18.25	f864f0e3-c458-47ff-970e-d3a97d97bb15
1989	0.7708	-18.25	cf6dea0b-2b82-4e1f-ab5f-d14823bfa8a8
1990	6.3208	-18.25	2b6f738d-ed08-4391-a079-98735cdd7823
1991	13.9108	-18.25	2257faa1-e8c3-44a6-a43b-1d2445480406
1992	16.0108	-18.25	e6ff5d67-eb71-4ea1-9785-d475cfd744e8
1993	13.2792	-18.25	4f95b7d7-6006-4792-a278-35c1b47b72d6
1994	2.1792	-18.25	d142311f-e438-46bd-8d26-968a2eb1104e
1995	7.7292	-18.25	02853332-7eac-4b0c-a8e4-bd13ff6545e3
1996	15.3192	-18.25	fdad9c16-11d1-429e-a44b-dce738e5f151
1997	17.4192	-18.25	61128944-a210-4560-9ae9-ceb894492417
1998	11.8708	-19.25	a3340efe-c35c-4544-a62a-66bbe1254a28
1999	0.7708	-19.25	e1140de3-b9a2-4478-bd4d-fb886d68bc95
2000	6.3208	-19.25	fad7ffa2-bba5-4a83-bf31-9780e7eb54af

Table: Joint Coordinates, Part 2 of 2

Joint	GlobalY m	GlobalZ m	GUID
2001	13.9108	-19.25	9060dca2-b507-4223-963d-187c22c0e549
2002	16.0108	-19.25	e2762b59-47e1-4d3d-9f14-b9773e1b95bb
2003	13.2792	-19.25	1866efdf-8e00-475a-acf5-777c48691ce4
2004	2.1792	-19.25	b2f14a99-cac6-4f8c-96fd-b7bcbdc16dff
2005	7.7292	-19.25	57d012b8-763e-4a58-984d-db95ff3eede1
2006	15.3192	-19.25	40c8ad54-ee97-4836-9c36-e3232a311301
2007	17.4192	-19.25	58fa17b1-b0e3-4a7c-8a4f-9690042f53da
2008	11.8708	-20.25	0842cd7c-bc1c-44f4-b016-d7990e24ffa
2009	0.7708	-20.25	6e4c6174-4528-4070-a2c1-4ac00a828365
2010	6.3208	-20.25	ffda32dc-878c-4877-999e-d80f0e3eddf0
2011	13.9108	-20.25	ef3c1a37-9076-4ad0-97d0-f929f107872c
2012	16.0108	-20.25	4b4d3125-e460-4b2d-a46d-bb03a439c930
2013	13.2792	-20.25	6fd51e2a-6a74-4459-b656-2912fb8263ae
2014	2.1792	-20.25	d381cdbf-c2b7-4fb8-a40b-a6c2c94fdc04
2015	7.7292	-20.25	6c3e5592-ce34-42e2-8281-dc41069a40e4
2016	15.3192	-20.25	5cb4dcb2-6f20-4bfb-8290-cc0fbc93a522
2017	17.4192	-20.25	226f6d3b-18e7-4382-8e23-bae5a089fa68
2018	11.8708	-21.25	bbb658aa-516b-4f95-b4f7-2ecf38736d69
2019	0.7708	-21.25	01ae0073-e44a-4fab-85b9-f3659e40cdc0
2020	6.3208	-21.25	4708eb59-a593-4acc-ad77-946b9d66dc4d
2021	13.9108	-21.25	7b169adb-4844-48af-beb1-9c5fa838e933
2022	16.0108	-21.25	f2e33082-34cb-4dc6-ab00-3a8291188aac
2023	13.2792	-21.25	a8a50308-c0f4-4d43-9b85-9384e2479158
2024	2.1792	-21.25	312ecd18-ba00-4088-b723-12befb8bb50c
2025	7.7292	-21.25	24dc9321-e43e-4c96-b6bc-ced8bd6a46e7
2026	15.3192	-21.25	656676c7-fdcd-4556-916f-d101c85d9a77
2027	17.4192	-21.25	fb0ce5a2-43b3-473c-9577-f0d1b1d6ba05
2028	11.8708	-22.25	0d34db6c-93a1-4ae1-928a-f96593c901b8
2029	0.7708	-22.25	559cc2d0-7e8b-4c66-8240-f2dec942d3b5
2030	6.3208	-22.25	2203e366-617c-461d-a6ef-2680ebd4e4a6

Table: Joint Coordinates, Part 2 of 2

Joint	GlobalY m	GlobalZ m	GUID
2031	13.9108	-22.25	4c82e686-d178-42db-a072-cad933583ea6
2032	16.0108	-22.25	ee40700d-3f55-4f51-99d9-d0e26da819f9
2033	13.2792	-22.25	045b7ef9-1278-4112-b9b5-c53d6b42aa22
2034	2.1792	-22.25	1bbe082e-4581-4465-8976-894bb66cb496
2035	7.7292	-22.25	31e3ab6e-0ff3-4930-81db-9a5e20f779ce
2036	15.3192	-22.25	fc5dd75e-da1c-46af-9f3a-74ce6f6746c8
2037	17.4192	-22.25	1237a6df-6d6f-4020-9ad1-86996d478b67
2038	11.8708	-23.25	2488138d-2341-4eab-a086-62402ba447db
2039	0.7708	-23.25	6d11b456-0c6c-4d5d-9a1d-b534ae395094
2040	6.3208	-23.25	f80de7a9-e49e-46dd-96ff-a199b906dfb5
2041	13.9108	-23.25	0f016f73-5bae-4880-a94e-228c8a792eb9
2042	16.0108	-23.25	94dcd319-d264-4f76-814a-99de39196f64
2043	13.2792	-23.25	688e1348-6dd6-41e3-8471-62730515c68a
2044	2.1792	-23.25	45c9a360-4bcc-4cbe-9508-f85971616ffd
2045	7.7292	-23.25	3de3ddf4-2da6-4db3-b345-b2c456cb0717
2046	15.3192	-23.25	4bbba033-81f0-49a5-8fa0-bf5088d93077
2047	17.4192	-23.25	cd61720e-5863-45e5-96f7-7044ea8b5989
2048	11.8708	-24.25	f36da07f-5c5c-42c1-983b-1b426beb0d12
2049	0.7708	-24.25	9c2d4bd6-071e-49ff-910e-89cbc634dfcc
2050	6.3208	-24.25	93e243a8-c169-4305-b3ca-697ad08c3826
2051	13.9108	-24.25	b24f94f5-e2b3-43b9-b0b9-5f9a0801b73d
2052	16.0108	-24.25	a6a8b266-ebbe-4a2a-a35f-e878e08e278b
2053	13.2792	-24.25	c30e749e-4eae-4319-9ebe-09f022d82e93
2054	2.1792	-24.25	ab2a0904-f425-497d-aba-faf9674a4c2c0
2055	7.7292	-24.25	f7dd8e7b-bc63-4280-9ee9-f5cad4231bda
2056	15.3192	-24.25	973e885b-4d42-4709-98e9-12e23b361d07
2057	17.4192	-24.25	07f1d1d8-bea8-40bc-aa0d-6a25213af492
2058	11.8708	-25.25	4cb04e91-d685-4847-a8e2-7fb5c94e56ce
2059	0.7708	-25.25	61fc942f-7e00-40e9-b7f3-f5123dbe3dcd
2060	6.3208	-25.25	cdb963b7-d12f-4345-ab5f-9d0e1a991db7

Table: Joint Coordinates, Part 2 of 2

Joint	GlobalY m	GlobalZ m	GUID
2061	13.9108	-25.25	fa3255d2-5869-47c8-b190-d742723731bc
2062	16.0108	-25.25	f44baa4f-4e3d-48bb-968c-6859699c354f
2063	13.2792	-25.25	de535872-f6b1-4ae0-b10f-4e601ccd702b
2064	2.1792	-25.25	d941f281-994c-4902-8a3b-c8aa24475963
2065	7.7292	-25.25	52a11d6f-71b5-41a4-b185-e7c110f2fa61
2066	15.3192	-25.25	f28588c0-9cee-402c-981a-74cb0f47cd51
2067	17.4192	-25.25	5602cc64-4fb2-49f7-81f6-668b129a7c25
2068	11.8708	-26.25	ad043422-724b-4cab-ac40-1b84e2f34c24
2069	0.7708	-26.25	e3b44eff-fdb4-4834-be1e-bac689d661cc
2070	6.3208	-26.25	fb4e9ad-81a1-488d-a327-9117b15a8887
2071	13.9108	-26.25	3b2291d1-9912-470f-b3be-2bd1f43e3b5c
2072	16.0108	-26.25	b45ca920-9d17-4994-8162-3df0c74ac6be
2073	13.2792	-26.25	6b126a1d-321b-47b8-a8df-a0f9bf8e4a32
2074	2.1792	-26.25	2ae5e2f4-b028-4a97-80c1-a5a2cd6e824a
2075	7.7292	-26.25	5903e43f-4147-41e7-b247-17ebed829a28
2076	15.3192	-26.25	4829b5ff-86f9-4f0d-a048-ef1ef1a7e96a
2077	17.4192	-26.25	3577ed58-a73f-4bab-afaf-af4ef1efe956
2078	11.8708	-27.25	4483bdfd-ddf5-4961-b983-f16135fae629
2079	0.7708	-27.25	38cabc36-bde1-49e4-9bd3-6f28154487c6
2080	6.3208	-27.25	cbb0d04a-2bcf-4b2d-8b9d-c43be057cd54
2081	13.9108	-27.25	2787c1bd-56da-44ce-9fc7-af0f6b136c2d
2082	16.0108	-27.25	cb247b37-538a-44f6-9949-b6fabebffccc
2083	13.2792	-27.25	f0aa0524-eafe-4ef3-82c9-9588cb9229ea
2084	2.1792	-27.25	a51c42ec-af8d-46ff-943a-50b1e350f14f
2085	7.7292	-27.25	fb5569ad-1a17-4cc8-a9ac-cf9862fbc837
2086	15.3192	-27.25	501f374b-9e4f-4e6e-8c4d-94249744e9af
2087	17.4192	-27.25	1b36e514-3bf2-4ffd-9aa1-d6a0e4be22bd
2088	11.8708	-28.25	1e6ef4b8-4d69-47cf-bd81-acd77b6d5d4f
2089	0.7708	-28.25	f81f5c81-9aa9-45fe-b564-82dce3011fce
2090	6.3208	-28.25	db993811-21bd-4cf6-803d-50dd5d6b31f1

Table: Joint Coordinates, Part 2 of 2

Joint	GlobalY m	GlobalZ m	GUID
2091	13.9108	-28.25	f3bfd0f3-d022-482d-a080-308a1cf7b098
2092	16.0108	-28.25	f659dbdb-ffa2-4073-ac0e-d9917675292d
2093	13.2792	-28.25	c7f743a1-f75e-40d4-893d-f7513d4aba8a
2094	2.1792	-28.25	2a6294ca-4e32-4342-9777-95b19de8e23d
2095	7.7292	-28.25	b0512a04-1f47-4222-b8ee-ec116ba20476
2096	15.3192	-28.25	e2858245-55b4-4c6c-b12b-b486068b5f6d
2097	17.4192	-28.25	d5e8c20c-1c0e-49cf-981c-ed3654ba8549
2098	11.8708	-29.25	6393ea1d-a04f-462f-aafc-b4185dd94bad
2099	0.7708	-29.25	37f1eb9d-7bdd-4512-a1d3-a39e3985aa74
2100	6.3208	-29.25	40384d26-0a70-4a67-be76-b6d6eaf5db4c
2101	13.9108	-29.25	e64a256f-7bf8-4f76-a9b3-a424839f4d39
2102	16.0108	-29.25	1f08f2c0-769b-40a2-8799-d917f8361abd
2103	13.2792	-29.25	4c0f52f0-ce26-426b-b3c1-7fdd488182a8
2104	2.1792	-29.25	0d25374c-6178-45a1-9f66-72cfe05a52fa
2105	7.7292	-29.25	36693ef2-7453-4e38-a51d-4931b56af2f9
2106	15.3192	-29.25	66beaa55-69aa-4b85-84a1-bc7c82e5affc
2107	17.4192	-29.25	1157122b-a63f-4e58-b2e0-834fb3ae7805
2108	11.8708	-30.25	5d72f372-fa70-4446-a867-f47754a17c07
2109	0.7708	-30.25	b2365530-4838-44fc-ab6b-74c57aec1d55
2110	6.3208	-30.25	2fb4fb37-0550-4456-b629-d973e6141cef
2111	13.9108	-30.25	acfaf7f1-5d31-4a8b-bc91-5192cae4f753
2112	16.0108	-30.25	aec04056-a440-4c92-aa8e-f45883463aca
2113	13.2792	-30.25	f168b118-3248-4544-abcfe616fe1ba26e
2114	2.1792	-30.25	081be054-e7e5-4643-addf-b35e435cfd83
2115	7.7292	-30.25	a1f95a08-f4ed-461e-b217-045f4a1d3721
2116	15.3192	-30.25	b03c570a-1bf6-4765-af2c-c269025dd4a6
2117	17.4192	-30.25	ea43c918-df22-49e1-8e27-2a40d31e3bde
2118	11.8708	-31.25	74e42403-6b2f-4bbc-b758-dc79ce3ce765
2119	0.7708	-31.25	a7995477-1bc3-464a-8401-ed20b10471a8
2120	6.3208	-31.25	9249bcf9-0789-4166-b3f2-38feef538659

Table: Joint Coordinates, Part 2 of 2

Joint	GlobalY m	GlobalZ m	GUID
2121	13.9108	-31.25	d345e612-65de-4159-8e53-dfa8b82e2e2c
2122	16.0108	-31.25	64797fbd-df7b-469e-9007-5c08050f2528
2123	13.2792	-31.25	43ff97e4-9eab-488d-9afa-fd87989fe40e
2124	2.1792	-31.25	00acdb29-bcba-47bf-889c-90dc268748b8
2125	7.7292	-31.25	fc3a40be-6c77-4e51-84d0-ffe97498f0d1
2126	15.3192	-31.25	5b8c5df3-6cfa-4cc7-8edd-8808da0b6ad6
2127	17.4192	-31.25	d163008e-a2c0-4754-81ff-20f2646db90e
2128	11.8708	-32.25	a3538e0d-cd52-4028-a237-bb1eb566d088
2129	0.7708	-32.25	e18f36c5-64a8-4434-9ce9-74966502d1ac
2130	6.3208	-32.25	2ff74fd2-ac76-460f-bde2-7df396c3037e
2131	13.9108	-32.25	051cea13-2850-494e-ad0f-4cff1e5f2ada
2132	16.0108	-32.25	88096a96-bf3c-41ec-ac5e-e0cd6a1bfe54
2133	13.2792	-32.25	dd5ef378-a2f0-4660-8806-cd3c9df5495f
2134	2.1792	-32.25	fe0ce52d-30be-44f8-ac77-f1ac273b4bff
2135	7.7292	-32.25	bf30f47e-7f19-4fa1-9a85-1103587d2472
2136	15.3192	-32.25	8be94299-460f-4f2c-8045-21a6733a6e3a
2137	17.4192	-32.25	b1d03caf-32c6-435a-8843-a1a25823fd7a
2138	11.8708	-33.25	d2524914-4603-463b-9d92-d710fcd2775d
2139	0.7708	-33.25	b4b90105-886b-4ffe-9da4-83e880ca74fc
2140	6.3208	-33.25	3e43c4fa-8ea2-46d7-8f85-1c0b2a45f121
2141	13.9108	-33.25	145f96eb-321b-4a45-957d-6093494f6e03
2142	16.0108	-33.25	d9109632-4d80-4ebd-90b8-545d3774f650
2143	13.2792	-33.25	0584f2ad-2701-4253-8927-2ab59658f5d5
2144	2.1792	-33.25	845a33fe-9dbd-42d0-9338-5275824363e6
2145	7.7292	-33.25	e5a67ec5-c74c-466a-b93c-92801dc98100
2146	15.3192	-33.25	28efd3b2-0cd8-4f2f-bab6-8172d05ded7e
2147	17.4192	-33.25	c04ebee1-dfd0-4e3d-9cf5-21beff17950f
2148	12.575	-2.1	1620db61-7451-4b5d-b965-248f84e7c255
2149	1.475	-2.1	bd7f2f9d-7441-48be-b71c-5382d7a1cf1d
2150	-1.475	-2.1	31d70133-0584-4677-b915-774aaf65fb6d

Table: Joint Coordinates, Part 2 of 2

Joint	GlobalY m	GlobalZ m	GUID
2151	-12.575	-2.1	3463d56d-2a27-4377-9f53-2586f62115ff
2152	10.725	-2.1	669038b8-9bb6-406a-98f0-3225247c8b18
2153	8.875	-2.1	215d936d-8c77-4b77-aa8d-c1979992e3ce
2154	7.025	-2.1	6f5fc8b3-af78-415e-8598-0bbbfd0c083
2155	5.175	-2.1	2fed2a8a-a888-4c80-8d30-fc1869608318
2156	3.325	-2.1	14aaebca-eac5-41d6-bd17-613cbb0c3846
2157	-3.325	-2.1	1e80cedb-7fe6-481d-9d2e-6fd8df564b2e
2158	-5.175	-2.1	b61baf1d-c5aa-405f-abb6-2b9a51696dcf
2159	-7.025	-2.1	fddb870a-0938-49e0-8436-5512f3bdd7ff
2160	-8.875	-2.1	b5bc0d38-7d66-48f9-bae8-c526b1154a6b
2161	-10.725	-2.1	992263b9-16b6-41d2-8e3d-0bf6ccccf3cbd
2162	14.615	-2.1	06b0d170-8ecb-49a7-b738-48d89dc2c483
2163	16.715	-2.1	f04485cb-4819-4c41-b1a0-b2e11a5909c2
2164	-14.615	-2.1	f46198a7-5db2-48ee-8b5c-c11d40d23d0d
2165	-16.715	-2.1	042013d3-cf7e-4198-9528-48013923c7e8
2166	12.575	-3.1	336a068d-2e58-43aa-871b-7eb572b52ba1
2167	1.475	-3.1	fc176294-812d-4181-8294-3e06f2444eaf
2168	-1.475	-3.1	d901efbb-f9d6-4a75-97db-b0ffb0a30126
2169	-12.575	-3.1	60a1c564-476c-4ccb-9a55-4b9414a08ea4
2170	10.725	-3.1	c9ce513b-58aa-4947-bcc3-3ad2af05a31f
2171	8.875	-3.1	edbfede5-7c25-4a96-855b-42210ab4e169
2172	7.025	-3.1	0eda5ea2-a099-44ad-b720-af2cfe9e6c41
2173	5.175	-3.1	cff13ea0-e539-4460-b1bb-19c12863e949
2174	3.325	-3.1	e7799a09-d27a-42d4-8570-6e837c81083c
2175	-3.325	-3.1	dd57e45f-dadc-474d-a14c-99d9d5bfde05
2176	-5.175	-3.1	c8121a62-1cbf-477b-9a1b-b755382274ad
2177	-7.025	-3.1	b7288843-52e5-4f04-95fc-1b96f4d736e3
2178	-8.875	-3.1	63a5b0ee-1389-469a-b761-14ae53522fb4
2179	-10.725	-3.1	ee1af9a2-036a-418d-aa64-3d20289acf36
2180	14.615	-3.1	8b4b4d16-0fb5-4870-b37a-49be178cbc69

Table: Joint Coordinates, Part 2 of 2

Joint	GlobalY m	GlobalZ m	GUID
2181	16.715	-3.1	98aed29a-6891-46cb-9e a8-d950e9cada30
2182	-14.615	-3.1	71bdc2a3-890c-4bf2-9c9 0-634e9c908c12
2183	-16.715	-3.1	55356b72-f237-4ef3-9d6 e-b3af89a3960d
2184	12.575	-4.1	85b681ca-f753-42ae-87b 7-7dd3e25e6a61
2185	1.475	-4.1	9b6392ac-3beb-4e9f-944 1-56fd56dbf697
2186	-1.475	-4.1	367cc76c-b3ec-44f5-aa5 1-fdc9daba7993
2187	-12.575	-4.1	fec92aba-0016-462d-9e1 c-490d9bcd7102
2188	10.725	-4.1	d757f9ec-0572-48af-a91 6-af10de2ae274
2189	8.875	-4.1	c08c73b1-e5b3-46a4-86 ba-1bb1c0ef3cf9
2190	7.025	-4.1	e9d74796-8686-4752-a2 b8-fcad4bd5c89b
2191	5.175	-4.1	70e17e85-deb2-4566-aa 39-207eedf4794
2192	3.325	-4.1	ca711166-2c8f-40c0-920 5-ff5b2ec06136
2193	-3.325	-4.1	4291d861-b469-438f-9d6 4-b520bea5311e
2194	-5.175	-4.1	e4f3af6e-46eb-49e4-8bd a-fe8f0d841d57
2195	-7.025	-4.1	b8c29550-ca3d-4580-b9 67-ad8728ec4863
2196	-8.875	-4.1	09ec26f0-655c-434b-96f 7-dbb579ff8dba
2197	-10.725	-4.1	fc563914-eeef-4d8a-9fa8 -7744474a32f5
2198	14.615	-4.1	3f858b1b-0d5f-420e-873 4-cfd45341a1c1
2199	16.715	-4.1	d0f9faa1-b4bb-4412-833 c-f705f095c8d4
2200	-14.615	-4.1	3af28029-fe86-4f57-baa8 -4186db5ec69b
2201	-16.715	-4.1	4befe2af-1fec-4a78-9c28 -ee6b69f32e97
2202	12.575	-5.5	8d341130-61d3-4933-9b 78-e66aef9098dd
2203	1.475	-5.5	f085772a-1257-42db-a67 9-5eb795ee0baf
2204	-1.475	-5.5	9f99ea63-0146-4689-bab c-c9c02b7e90f9
2205	-12.575	-5.5	3a0e1210-3605-4528-a5 c6-5f6f2b08c580
2206	10.725	-5.5	c830320a-e52d-44dd-8e 69-e972f47a41d8
2207	8.875	-5.5	7bb774fc-77e0-4226-a96 8-b42f46240060
2208	7.025	-5.5	4b8d51e7-b69d-4d39-a2 9a-2260e4dc251f
2209	5.175	-5.5	f17b61ff-773d-4484-8130 -a643781dd602
2210	3.325	-5.5	456b40c5-a326-4f58-a16 f-9b731cd78356

Table: Joint Coordinates, Part 2 of 2

Joint	GlobalY m	GlobalZ m	GUID
2211	-3.325	-5.5	d38aa547-ebc4-4b3b-9968-4846e7b080a9
2212	-5.175	-5.5	9524ced8-f16e-4fe1-ab8b-be9cf4e3257a
2213	-7.025	-5.5	aad5df6b-4605-4e78-8a53-4fd2391e7869
2214	-8.875	-5.5	38ca0f17-f09d-4cc4-b996-35edb5a174ba
2215	-10.725	-5.5	ba47e5a2-d0ce-4cfc-9356-24c49514ab1c
2216	14.615	-5.5	7bd12653-ec47-4606-8cac-43a34d2a3a49
2217	16.715	-5.5	0e970687-19b7-4a2e-b917-f36de3c68ff7
2218	-14.615	-5.5	bbe42f9c-3ebd-4647-9deb-45321b316281
2219	-16.715	-5.5	5c669777-7c0c-440c-8eb7-e7fb5d0d4fa2
2258	0.0446	-5.5	c390661d-45f9-40a1-81d4-a8756752c2d2
2259	0.0446	-4.1	703316cd-4435-497b-a147-2d8a1c615699
2260	0.0446	-3.1	980bcfea-3476-4cb5-8260-c008d5848886
2261	0.0446	-2.1	8b67b60d-d8be-47eb-9f93-4c74c94354a8
2264	2.853E-14	-5.5	15f3edb9-d0bd-44ff-bb26-27ae0ea32dd6
2265	2.853E-14	-4.1	735c6f96-78b5-4b22-90b2-2f9c2702db92
2266	2.853E-14	-3.1	a4d99ff4-4e08-423e-ac85-5a0d6370dce5
2267	2.853E-14	-2.1	7be9702e-9672-48c3-a082-c45c168801ff
2268	11.5443	-5.5	e8035b41-1e24-407d-af73-a47e130e5fe5
2269	0.4443	-5.5	0a9aa755-32a7-4e4b-a1ec-855c8d325056
2270	-2.5057	-5.5	9bbb80ca-1b47-425e-bdde-17bec5b276f1
2272	9.6943	-5.5	0c7f4c6e-a95a-443e-9326-262260c156a6
2273	7.8443	-5.5	fbf75355-c2bd-416f-a7d3-4b345babf7fc
2274	5.9943	-5.5	9773f49b-24da-4994-9023-0439ed35ae1c
2275	4.1443	-5.5	a78ef433-9906-49ea-a5ec-29b41673b83b
2276	2.2943	-5.5	14fedcaa-5f9c-482b-9521-9195c7399419
2277	-4.3557	-5.5	b06f36f7-c0ec-4ddf-aa6a-3d059221b67d
2278	-6.2057	-5.5	d12311de-daf2-4a3a-a4d5-07306a258536
2279	-8.0557	-5.5	20c2e77f-2344-47b9-a884-96343f1a9b43
2280	-9.9057	-5.5	72182c88-60f2-4f09-9da6-5eb5532665e2
2281	-11.7557	-5.5	bfc698e3-2880-426d-b677-23005b4e531a

Table: Joint Coordinates, Part 2 of 2

Joint	GlobalY m	GlobalZ m	GUID
2282	13.5843	-5.5	45ff2b03-1ee1-4d47-bfa6-7b320171c443
2286	-0.9861	-5.5	d4ef3866-a3d4-4817-971b-bfcd8d20a166
2287	-1.0307	-5.5	a7f6cd02-99eb-466c-b48e-ee8b99c03e9b
2288	11.8708	-5.5	99734e48-d1f0-49d1-ae00-4d19798b6f1b
2289	0.7708	-5.5	555e33d1-71e9-4879-85e9-a72c5e5c305f
2290	-2.1792	-5.5	142efefe-b956-428d-a4f9-96550125aca9
2291	-13.2792	-5.5	fe0251d7-4158-4af3-8b01-7a196b016913
2292	10.0208	-5.5	76b225bc-d3b0-4b7b-b2ee-dba84c32c1d4
2293	8.1708	-5.5	602d12ea-0a89-4367-8fb-b-83537996eae6
2294	6.3208	-5.5	4a1411f3-88c7-4418-8ab6-6dde7bb5e2ce
2295	4.4708	-5.5	ad3f87a2-5a6b-4006-9b61-db813c181a86
2296	2.6208	-5.5	5ce4f861-a9bb-4bbb-84e3-a65a214d1a2c
2297	-4.0292	-5.5	717984ac-7f7c-45bc-a8c2-31929389364c
2298	-5.8792	-5.5	cbd201fa-7122-4f99-922c-2d194f22d478
2299	-7.7292	-5.5	876e56fd-f1a9-4917-92cd-582c4c880526
2300	-9.5792	-5.5	6e06151b-4522-4e10-ab30-9d553f37e841
2301	-11.4292	-5.5	79d0b23f-c23b-4785-bce3-044dd7f761a7
2302	13.9108	-5.5	deffea59-b279-4fcd-86ff-fa42af8787b3
2306	-0.6596	-5.5	1e3a9676-0fc9-41d4-8f91-8cde373225be
2307	-0.7042	-5.5	2d98a693-4ef6-4550-a0da-b5ee40d1599e
2308	13.2792	-5.5	3392e5ac-48a5-4a6a-9bba-0c6fa3a0112d
2309	2.1792	-5.5	2bddab52-fe63-41d5-946a-271986c27f57
2310	-0.7708	-5.5	d11a36a3-6244-4df6-8060-e357be19bc24
2311	-11.8708	-5.5	f7c7bf0f-82d6-4367-983b-e53797359cb8
2312	11.4292	-5.5	9ab798ba-f535-4bb2-9778-47d5f820493d
2313	9.5792	-5.5	8d93ff48-9d8d-4b98-aa13-3c3ab645077f
2314	7.7292	-5.5	9d4bba87-f1a3-4e4f-a33e-dbed7ca02004
2315	5.8792	-5.5	bd64e1e2-552c-4201-85b7-36aab3d9051e
2316	4.0292	-5.5	f3098ba7-c44d-42ec-acff-194da0fc627c
2317	-2.6208	-5.5	59a7d451-1bbd-41bb-a275-691edc50121d

Table: Joint Coordinates, Part 2 of 2

Joint	GlobalY m	GlobalZ m	GUID
2318	-4.4708	-5.5	0ab9f409-2cf8-4c17-ac97-9d3dcc65a34d
2319	-6.3208	-5.5	7d5ece70-80ee-4590-a396-c92d280697e1
2320	-8.1708	-5.5	8361cc47-a23c-4c60-a351-97ca0d94ca3b
2321	-10.0208	-5.5	ee6b5d11-4c06-4717-aa62-8da908e11aec
2322	15.3192	-5.5	bc6879ee-8542-4a41-b2be-bd5485a6df36
2323	17.4192	-5.5	ba437885-d226-424c-a048-039af2906531
2324	-13.9108	-5.5	3325e1b5-8ef5-4936-8d1c-75575652913b
2326	0.7488	-5.5	f45f3cd4-1dd3-4764-81a6-c2b039a1da40
2327	0.7042	-5.5	5a0f092a-5968-4203-a350-4b8675d40d7d
2328	13.6057	-5.5	4fcfc2b0-b6ee-4629-b972-b785cdb5fb82
2329	2.5057	-5.5	b612842c-2be7-450c-be6f-83884ba39d72
2330	-0.4443	-5.5	20eab29f-94d5-43fa-b177-cfc8d059bc39
2331	-11.5443	-5.5	44554220-6c49-486b-81de-85fbc63dc356
2332	11.7557	-5.5	08334bfe-c7eb-44ae-adda-483aaea8631e
2333	9.9057	-5.5	3107e561-8d78-4146-b2b7-06639b42e0ef
2334	8.0557	-5.5	e5747497-4bbf-4993-8da0-e18439d94578
2335	6.2057	-5.5	dd821a90-5b53-426a-a9d3-dfdf37965d7f
2336	4.3557	-5.5	8bd93926-fbb7-42c0-8cb2-f2fcd42f41e6
2337	-2.2943	-5.5	2f3efd08-1c39-4ef9-830b-dacfbe3ecac8
2338	-4.1443	-5.5	8c9bac60-2d98-48a7-9d11-171289c75149
2339	-5.9943	-5.5	d3628f44-c21f-4c66-b115-c61cd4a0c027
2340	-7.8443	-5.5	5923c12f-b036-4d3c-9933-8c7a4422317b
2341	-9.6943	-5.5	7fe71f47-1ef3-4539-a466-ef16fa58a560
2342	15.6457	-5.5	aefbe650-a66d-4eab-ab34-5572c1b1460a
2343	17.7457	-5.5	599e4bdb-8c0f-4638-828c-84e73ac219ba
2344	-13.5843	-5.5	35a21eb3-35a2-48d0-af29-a62596da89e2
2345	-16.69	-5.5	0d1f34e0-4100-485d-8046-a1df06ac0b3e
2346	1.0753	-5.5	10f271fd-8bab-4f03-9478-d7f20d8feb7d
2347	1.0307	-5.5	9b35ec4d-60c9-4628-9586-809dc4badbb9
2348	14.615	-1.1	19659277-dfaa-470f-a101-f92905ec77e0

Table: Joint Coordinates, Part 2 of 2

Joint	GlobalY m	GlobalZ m	GUID
2349	16.715	-1.1	91b78fcf-5165-49c7-b3b a-e7e2601aeb35
2350	0.0446	-1.1	06f11b15-927e-4b8d-801 6-19c09067c1bb
2351	2.853E-14	-1.1	e814e2a8-bd1f-43e3-b4d 9-01efb9fcd69d
2352	-2.1792	-6.5	fcee9c28-ef38-421e-84a 2-9cdf6cb42e20
2353	-2.1792	-7.5	71726045-787f-4cdb-ac2 3-affc6c07c2ee
2354	-2.1792	-8.5	17d45e85-b88e-4e6e-96f 9-037bb3a93656
2355	-2.1792	-9.5	2c2310f1-3836-45a8-94e 5-f7a310cd41c8
2356	-2.1792	-10.5	47cff227-7e65-4d5f-ab4d -d133b86ce946
2357	-2.1792	-11.5	0b4cd3a9-3c2d-4377-af2 5-ea94a2bf9ef2
2358	-2.1792	-12.5	33e2ef87-5953-4980-943 e-f05ecf10228a
2359	-2.1792	-13.5	6965d030-6bf4-44f6-b8c 7-b6f783630fae
2360	-2.1792	-14.5	d45ad81e-4da3-400b-94 6e-141d1af1595f
2361	-2.1792	-15.5	157afa08-c133-447c-b6a a-1187b350b416
2362	-2.1792	-16.5	41c6b6e2-fbc6-4bfb-8c2 6-90158400d190
2363	-2.1792	-17.5	58addf46-b235-4131-813 7-fda0ba282b9a
2364	-2.1792	-18.5	856343cf-6f3f-4bff-a458- 87ef1a64d82f
2365	-2.1792	-19.5	c893278a-3e60-490c-b6 9e-478db7209db7
2366	-2.1792	-20.5	6bc188d4-65dd-430e-b6 16-c207935d8671
2367	-2.1792	-21.5	7121e0f7-a190-41f9-b99 4-d5e38e7f050e
2368	-2.1792	-22.5	7a858569-cc7d-46c2-ae 6f-b585f57a39e7
2369	-2.1792	-23.5	cc20aeca-7d94-4a82-8c6 7-5c91594f1d0f
2370	-2.1792	-24.5	290afcb8-755e-4752-8e4 d-f7bc673259b0
2371	-2.1792	-25.5	11597bbd-b4eb-4dc2-af4 8-8377c24be3d8
2372	-2.1792	-26.5	eb04fe63-ad8d-49e8-a61 5-4dea69421d1c
2373	-2.1792	-27.5	6dc86a95-e4bf-49ff-bcc0 -06ab1f6a8af7
2374	-2.1792	-28.5	8bec8742-69dc-444d-b4 92-0b94fd993ea7
2375	-2.1792	-29.5	4b43347a-b6f7-4981-8da 4-c2b23485ca51
2376	-2.1792	-30.5	14280a91-cec0-4937-91 9f-636dec92f902
2377	-2.1792	-31.5	c053140d-f9fc-45aa-9aa 3-65c226447389
2378	-0.7708	-6.5	4263fee9-3ada-4e1d-ba9 0-8791c6a375c2

Table: Joint Coordinates, Part 2 of 2

Joint	GlobalY m	GlobalZ m	GUID
2379	-0.7708	-7.5	5f66f84e-b914-4163-9475-c90fd13f0dbb
2380	-0.7708	-8.5	9fc4c1c1-afb1-4a5f-8e01-51d01a9b08b5
2381	-0.7708	-9.5	89a1a4a1-0585-4814-ac87-1632e2eb4ac5
2382	-0.7708	-10.5	a71ba58b-2810-4fa6-8b23-93069bc6dff7
2383	-0.7708	-11.5	d61d29e6-d81b-421f-a178-c62ba8875170
2384	-0.7708	-12.5	9e4134c2-7ad0-4de4-b491-32dd9b785fa7
2385	-0.7708	-13.5	c01f2aab-dbbb-4504-9c75-52aa67417869
2386	-0.7708	-14.5	3aa890cb-d118-4a57-97c1-5524f19dbd4f
2387	-0.7708	-15.5	3314142e-143a-4fa2-bf12-2ddf208b97b8
2388	-0.7708	-16.5	471f16f8-414a-4ec7-b9aa-0c7241f369b4
2389	-0.7708	-17.5	06c746e2-b687-4054-8f55-df3d3f6a7747
2390	-0.7708	-18.5	9bd8f2a3-0684-48bf-8c7d-75f0a81cbed
2391	-0.7708	-19.5	9673dc99-82de-4220-a450-46b2894cd322
2392	-0.7708	-20.5	45da4568-b7dd-4d46-bda6-fa4a64e5e8c8
2393	-0.7708	-21.5	7639a4b1-c8e1-4c27-8d03-22ce080ddac9
2394	-0.7708	-22.5	37d8357a-32d1-4fe5-8b3a-223e53ffffd0
2395	-0.7708	-23.5	7e0f4fbf-d24a-4ea4-866a-9dd01892a874
2396	-0.7708	-24.5	513e823c-7e0f-415e-ac0d-ce918c96e4c3
2397	-0.7708	-25.5	57ec3460-3c3f-4064-adcb-16835755217b
2398	-0.7708	-26.5	1cf5041e-88b7-4a23-a747-c9baa42fe8e0
2399	-0.7708	-27.5	e221095e-d8ff-4e5c-b856-e4d51f08a30e
2400	-0.7708	-28.5	1f225bc2-1145-4e15-86c4-5b7d941e9e33
2401	-0.7708	-29.5	9ae513e2-b5e0-4eb0-8901-5c6f5fca9110
2402	-0.7708	-30.5	d303a814-7dfb-421f-a625-5a2f3855a623
2403	-0.7708	-31.5	985ba193-05be-4dbf-bdb4-5e67b475c7e9
2404	-5.8792	-6.5	c2cb06d8-f8de-49cb-be69-f4c6588c5f1c
2405	-5.8792	-7.5	103cb4c2-2482-43d3-8c7f-b35bce926902
2406	-5.8792	-8.5	b1b55372-8d7a-4ba4-bf79-a19208df8e5d
2407	-5.8792	-9.5	27dbe3ab-49ce-4386-af99-2df65c33e23f
2408	-5.8792	-10.5	5232f2dd-2c95-4d43-a89b-bff66a3557ef

Table: Joint Coordinates, Part 2 of 2

Joint	GlobalY m	GlobalZ m	GUID
2409	-5.8792	-11.5	c7549371-da57-4b93-be71-3efa222d48ba
2410	-5.8792	-12.5	610f4a27-1714-43b5-9fad-37dbb9f950f8
2411	-5.8792	-13.5	af2ca176-476f-4247-a7cb-d2d45afdd3ce
2412	-5.8792	-14.5	add346ad-068a-4365-9ce0-cb0b9e79856d
2413	-5.8792	-15.5	b37d71a6-b1c9-4b4f-a9c8-5d191032f0f8
2414	-5.8792	-16.5	6075d22e-207c-4947-ae0e-9d7beaa4248f
2415	-5.8792	-17.5	98f86505-ea36-4c58-85a0-9a3d146ba228
2416	-5.8792	-18.5	2aa9fda4-42b4-4174-9a2-4eecb8ff16e2
2417	-5.8792	-19.5	677c436c-07da-4e1a-b048-7fe6de14e162
2418	-5.8792	-20.5	8f62dc88-1de7-43af-ab8e-8406f85e7963
2419	-5.8792	-21.5	b186f5de-f95e-48f5-a8b8-12322f6d8d8c
2420	-5.8792	-22.5	e0619406-3d05-46fa-918a-1ae3bfef771d
2421	-5.8792	-23.5	39cb63f8-0ef3-4557-a3a2-7e5ebb8852ed
2422	-5.8792	-24.5	a7e6fc0c-a514-4968-90e3-66b79dec7510
2423	-5.8792	-25.5	6ebee9fd-a962-46f5-be62-8ace3240cf3b
2424	-5.8792	-26.5	112a5c16-896a-4983-8174-af88f01ba873
2425	-5.8792	-27.5	6edbc07c-a76d-458f-bd82-a9e26970733f
2426	-5.8792	-28.5	395d52ad-5d98-4ec6-8a59-67adedbbd37a
2427	-5.8792	-29.5	c6dfffd4-c69c-418c-87f3-b0d3cd54459d
2428	-5.8792	-30.5	5584cea6-d8a0-49ce-8fb1-056d4f07a05d
2429	-5.8792	-31.5	da9a2ce0-7a22-4c2e-a986-d524be726f77
2430	-4.4708	-6.5	0c260c2e-94a6-451f-886a-e3ee9ebaa57b
2431	-4.4708	-7.5	78b2f1e2-a1fe-4b57-b118-42b81d29ed08
2432	-4.4708	-8.5	78972785-0e5e-4edd-bfe0-8f410cd3a8ae
2433	-4.4708	-9.5	5a9ffb24-d86d-4187-af8c-a1405111c938
2434	-4.4708	-10.5	a1fe4f87-a3d6-450a-af11-6def1c79c2ec
2435	-4.4708	-11.5	458c0491-50f3-4e8a-bf72-1a29af51d529
2436	-4.4708	-12.5	761edcc9-72aa-4bba-954a-24cc04e88915
2437	-4.4708	-13.5	6a01caf8-4aaf-4433-a17c-42f0af4aee20
2438	-4.4708	-14.5	632d9148-5eb0-41c7-a00c-ddb80527f8ce

Table: Joint Coordinates, Part 2 of 2

Joint	GlobalY m	GlobalZ m	GUID
2439	-4.4708	-15.5	ad9cc294-34d8-4965-817f-8fd596285fca
2440	-4.4708	-16.5	adc2b1b3-6fe8-453f-b3ac-a185eedef579
2441	-4.4708	-17.5	a9d85265-7995-46e0-8ce4-1a5e3f830d52
2442	-4.4708	-18.5	b92d681c-f7f8-4797-a157-d30abebd4da4
2443	-4.4708	-19.5	cfd0476c-58a4-49d4-a1c7-75f16f6d7c1e
2444	-4.4708	-20.5	aa0c0db4-45c1-4f57-8d40-88d8a215f77b
2445	-4.4708	-21.5	d1b76255-ca74-4fec-8c64-a663c8f55f19
2446	-4.4708	-22.5	5021fee3-6aa5-49ec-8b26-e946ea7720d8
2447	-4.4708	-23.5	3ca55d47-eb3f-47ac-a7b6-dde3b9499ad4
2448	-4.4708	-24.5	b0a92ce5-c467-4037-a384-f6ff6c9bbc4f
2449	-4.4708	-25.5	5727d302-ba20-4d1b-882a-b36d04a4d015
2450	-4.4708	-26.5	9bbb7424-655d-4e0f-906b-a911c25c8af0
2451	-4.4708	-27.5	634cc7f4-d4b0-4726-81aa-fa0e4b765c40
2452	-4.4708	-28.5	e053c8ea-2e23-4911-8a51-136bc52c3879
2453	-4.4708	-29.5	02c2a2a1-c6e0-46f6-95c0-a680b1a50c7a
2454	-4.4708	-30.5	98614f4f-b83d-4213-a1aa-bbd32d84192d
2455	-4.4708	-31.5	8372ef9a-b3c9-46f8-8eec-8396a2af4c58
2456	-9.5792	-6.5	d88a8dd6-a4c7-4995-a18f-041c7dce064c
2457	-9.5792	-7.5	1014d44e-e6eb-4a1d-966b-75dd34fcee40
2458	-9.5792	-8.5	070b226b-be6a-45c7-ba98-a9ed285c0808
2459	-9.5792	-9.5	4601a97e-f3c2-4c14-8c9c-e4b7ff68a418
2460	-9.5792	-10.5	f1d94cca-ed0c-4e9b-a04f-85d7c1646b3f
2461	-9.5792	-11.5	e4cf1365-f1b0-46a2-8013-617fe0479ec6
2462	-9.5792	-12.5	6a0fa79a-9839-4514-b7f3-8fdb8e1ccdc4
2463	-9.5792	-13.5	e8d9123d-ed22-495e-8045-fec03e7f4153
2464	-9.5792	-14.5	efb4ce5b-e4e9-486b-9bc3-4d616c03b67b
2465	-9.5792	-15.5	eb26bd63-fc7c-463a-a1db-46e0442e4628
2466	-9.5792	-16.5	1671a438-6dd6-4c31-b94a-b44443c6b5ff
2467	-9.5792	-17.5	8465d8b4-3596-4404-9fd2-3ef553200828
2468	-9.5792	-18.5	4dd7d8c0-0586-441d-8ec2-b63a2961088c

Table: Joint Coordinates, Part 2 of 2

Joint	GlobalY m	GlobalZ m	GUID
2469	-9.5792	-19.5	861b503e-8f0d-4c70-b954-7a519d15faf1
2470	-9.5792	-20.5	cf5e13b2-849d-4c8f-b134-c0c2e5c747b5
2471	-9.5792	-21.5	27f42eeb-755b-41d4-b539-1944cdfc19d3
2472	-9.5792	-22.5	bb31b1bf-720f-4986-88b3-2ae1db4d47eb
2473	-9.5792	-23.5	95a57928-31d8-4c66-ac11-e26a2e048f1d
2474	-9.5792	-24.5	73d4fa0c-98a8-4a7c-ad23-64479b094456
2475	-9.5792	-25.5	f61499c5-3a7f-424c-8797-097d94e881e6
2476	-9.5792	-26.5	d580cd87-84ef-46e7-8279-a13d06fc36e
2477	-9.5792	-27.5	f22758c5-b33a-4b0a-b2de-f31d98a9c631
2478	-9.5792	-28.5	4fff967c-c662-43e3-a51d-6b05f1979e69
2479	-9.5792	-29.5	5c815763-3d8f-4223-92a4-ee451165a378
2480	-9.5792	-30.5	4fd03a3e-d71e-4a4e-8f1d-36192beb9ffb
2481	-9.5792	-31.5	690de9f6-b291-427a-b9de-eb7b00d26b9c
2482	-8.1708	-6.5	235c534b-2d71-41b8-b18d-4a48f34dea9b
2483	-8.1708	-7.5	6e0870e2-32cb-49f5-a391-df945cafd60f
2484	-8.1708	-8.5	ee610c29-3693-4286-85b0-982cc29500e0
2485	-8.1708	-9.5	455af751-23f4-4709-8247-0d1b31f7182a
2486	-8.1708	-10.5	9e89dc3b-b329-4eda-911c-7fe0728c5673
2487	-8.1708	-11.5	e6399b4f-063f-4e5d-a8d3-e4e49948bb10
2488	-8.1708	-12.5	a637e874-7b57-402c-ad77-43ed865c950e
2489	-8.1708	-13.5	2282eb3d-1b60-44b5-a56a-df2511c79499
2490	-8.1708	-14.5	7b694cc9-fe9b-4640-891c-2d9341fbc42f
2491	-8.1708	-15.5	ae43d4c4-ffce-4dca-b157-3dfd5a33942e
2492	-8.1708	-16.5	45ad7bed-db67-494c-a0dc-216c8c18710f
2493	-8.1708	-17.5	db2dd04a-ad19-4a98-9ec5-1e199c417a84
2494	-8.1708	-18.5	c674f77f-8f62-4234-ad6a-4a0f95a41891
2495	-8.1708	-19.5	ab84db9d-b27f-4bb5-a980-5569766db1d8
2496	-8.1708	-20.5	a222a291-a85f-4883-b7f8-2f07a66950d8
2497	-8.1708	-21.5	a9a9ef81-32bc-42c2-acc8-1b2f3fceecc33
2498	-8.1708	-22.5	bc4ad300-9fb3-437c-a228-270d70b566b4

Table: Joint Coordinates, Part 2 of 2

Joint	GlobalY m	GlobalZ m	GUID
2499	-8.1708	-23.5	2c509822-d726-4373-acdd-37260398b55e
2500	-8.1708	-24.5	c91a96f5-72c8-4225-94cf-ba4391b03f50
2501	-8.1708	-25.5	a85e84e9-8cf5-4f31-8363-04ac5be680e5
2502	-8.1708	-26.5	116f6f03-be89-4aaf-ae1b-02d666b97d51
2503	-8.1708	-27.5	a9fed57d-2cd9-46ba-9245-6c12f66bf55
2504	-8.1708	-28.5	5d16243e-7791-401e-a1bc-1f46b15719bb
2505	-8.1708	-29.5	4cc56786-4ae2-4b95-a007-c08d808b16d9
2506	-8.1708	-30.5	2462aea2-cd79-4f30-8d0f-7d81f5f0e054
2507	-8.1708	-31.5	0bf5004b-9ec4-44bb-9ea9-3d404cdaa1ce
2508	-13.2792	-6.5	7961d7f2-8288-40c4-a043-1fb7f0cad4e6
2509	-13.2792	-7.5	85fd1d01-b950-41d0-9349-2ae36c2f0861
2510	-13.2792	-8.5	df478a8b-b042-4d08-9e1c-e26721354619
2511	-13.2792	-9.5	98531164-fe34-40fc-aa62-6206365cac79
2512	-13.2792	-10.5	e0895c38-f062-4ca3-a256-dae6fe1d9d59
2513	-13.2792	-11.5	3e6ae04a-7458-43e5-b772-02d36225e8a8
2514	-13.2792	-12.5	a75728d0-34e2-47ee-b2c4-1cc846fd097e
2515	-13.2792	-13.5	d9c2f305-288b-412d-bdc4-5c90cdded713f
2516	-13.2792	-14.5	3ee3cab5-bc40-4f46-bc1c-17db9a41f827
2517	-13.2792	-15.5	6838e9fb-8331-48e4-bc91-b0ac690a0c13
2518	-13.2792	-16.5	af7bb767-07a0-48c2-a38d-340d060033f6
2519	-13.2792	-17.5	a2b62c47-5830-43ec-9565-fbc13b6a91a5
2520	-13.2792	-18.5	295f776d-feed-444b-8dc6-ffe74633cee4
2521	-13.2792	-19.5	e2abf13a-b239-4ccb-90ce-9376d483dbee
2522	-13.2792	-20.5	f610d3fd-f07c-444e-baa6-dd7caca8e8b0
2523	-13.2792	-21.5	4bfad452-5fb6-4c80-87df-7fb8df381e66
2524	-13.2792	-22.5	081edf54-05b5-47e5-be43-1cfe061671c2
2525	-13.2792	-23.5	84e00e6b-5663-46db-9980-fc9145bf02da
2526	-13.2792	-24.5	f60240b2-7c12-4f8e-a68f-cdd99e367cad
2527	-13.2792	-25.5	db416e8e-9725-47f0-b010-67ac14502c93
2528	-13.2792	-26.5	b116a262-0b76-4179-9df3-d126e3e6de21

Table: Joint Coordinates, Part 2 of 2

Joint	GlobalY m	GlobalZ m	GUID
2529	-13.2792	-27.5	fc4f6f97-8e80-44ae-b42f-ee00acbf34b9
2530	-13.2792	-28.5	a63ac6b3-d242-4f09-a561-6521033cc218
2531	-13.2792	-29.5	a71c088f-3da0-4758-8546-b063538cec6f
2532	-13.2792	-30.5	373e95ef-6a99-4a54-b407-f5328654c7a8
2533	-13.2792	-31.5	e628fa06-4023-4cf4-ad22-805f818e7ab0
2534	-11.8708	-6.5	a059cca0-312d-4eda-b2fa-e4862702eafb
2535	-11.8708	-7.5	4cd863a8-4e03-4b81-9a47-0d06caabfa34
2536	-11.8708	-8.5	b86e7dd3-392a-4ebd-8d43-56afaae6b5b2
2537	-11.8708	-9.5	77092552-765a-4649-8ae4-f72c8275350b
2538	-11.8708	-10.5	a64bcf4a-370e-468c-8c22-daa427888d35
2539	-11.8708	-11.5	c06f05b3-601d-4ae1-b8e8-d96c51186501
2540	-11.8708	-12.5	842a13c8-d189-43b2-9f31-03f3d85fe057
2541	-11.8708	-13.5	f7cf4923-02fe-48fa-8ab2-71d1f0e2fa0a
2542	-11.8708	-14.5	87fc9dd3-5495-49d6-87b2-e3b4da87f20f
2543	-11.8708	-15.5	47561e11-ad79-4668-b0a7-17f56d3d458e
2544	-11.8708	-16.5	67cb547a-02c3-4bbd-85e2-3c90ef1c76d3
2545	-11.8708	-17.5	ad86b88a-1b95-453d-82e9-0364e1ca15a7
2546	-11.8708	-18.5	73146037-0fcd-40d6-b2f6-608a213b4b93
2547	-11.8708	-19.5	031c1838-5fce-4dd4-8543-d3832d658560
2548	-11.8708	-20.5	a0960fc7-2eec-422c-9861-0ee89caf4913
2549	-11.8708	-21.5	33d3abc9-d637-4a96-94f5-752197dc5bde
2550	-11.8708	-22.5	04031c64-7990-4983-9fa5-368ca66aef22
2551	-11.8708	-23.5	d244128e-a9d8-4715-8b86-3e3a96afb6eb
2552	-11.8708	-24.5	5b8067c2-4a6c-48c4-8c73-b074e9a1347b
2553	-11.8708	-25.5	1123892d-6f36-4157-9c77-1a2e42e16320
2554	-11.8708	-26.5	d25bd56d-5a73-4445-a5bf-d0c4fbec24e6
2555	-11.8708	-27.5	dc03dfb9-313e-429f-bb5d-08ad6954b5cd
2556	-11.8708	-28.5	34a1119a-a240-4d83-a85c-5a6bb0db7c2b
2557	-11.8708	-29.5	8a3d6846-7354-44c5-acae-a71d209ed12a
2558	-11.8708	-30.5	5b63108b-510a-4756-a820-417218e48b9a

Table: Joint Coordinates, Part 2 of 2

Joint	GlobalY m	GlobalZ m	GUID
2559	-11.8708	-31.5	d9f762c7-e195-4da7-9c69-0796a346d688
2563	-18.79	-5.5	07eb3431-0156-4184-98e8-845e36e989fa
2564	-18.79	-5.5	14b36704-2df8-4a11-97fa-1ccb04e3993
2565	-18.79	-5.5	2affc0e4-ad58-4578-9d51-4f8ffa54fc83
2566	-18.79	-5.5	b03cf76a-2fca-4c46-9755-ee973694d660
2567	-14.39	-5.5	32f809fb-1dc4-47f9-a0ee-ac543c1746d3
2568	-18.79	-5.5	0680dfe5-a0ca-416f-85fe-e699740de478
2569	-14.39	-5.5	84652608-bc3f-4b60-837a-1f1b8242dafc
2570	-18.79	-5.5	3b676c38-3966-4693-8f58-b4a87aa89906
2571	-14.39	-5.5	2e6e50d9-5ef3-4241-8255-b7be2b2ebcdf
2572	-14.37455	-5.5	642ecab7-08ff-4b00-bacd-7de4bbe78085
2573	-13.6057	-5.5	2bbb13bc-e2c9-42b4-8b83-39af9b54068c
2574	-15.0135	-5.5	15895707-1772-4923-b17b-7d77c18d8229
2578	-18.09	-5.5	ea0ba6c0-4ceb-4a85-af50-aa22aebdfaef
2580	-15.34	-5.5	bd3c6906-203f-4ce0-9dcd-e41b77e3eddc
2582	-15.34	-5.5	2bbdcdac-8608-465a-8aec-5503aeb942ae
2583	-18.09	-5.5	9c0c839d-71fc-4c85-8a62-1d694c0734d6
2584	-15.34	-5.5	54942f31-1e22-4646-8dd5-4dd490162f9f
2585	-18.09	-5.5	26cfbee4-8129-45cd-bdbe-d2dd50a5a8c7
2587	-18.09	-5.5	a3c13ad2-8a65-4b94-aedd-8f8dba00cf7c
2588	-18.09	-5.5	637d0f01-8b07-495f-a4c7-1b775831239d
2594	-18.09	-6.5	eef64fc4-9200-4fa2-8d77-f224519508db
2595	-18.09	-7.5	425ceb12-36c1-4524-8c66-61a8b1108904
2596	-18.09	-8.5	48c210bd-e77f-4794-b08c-35a9f5723eb3
2597	-18.09	-9.5	05eb7e9d-42a2-4d7e-b412-68acda284002
2598	-18.09	-10.5	c51594c2-acb4-4b87-8da0-a717087a22ed
2599	-18.09	-11.5	4980d794-8106-4d4c-8f8e-05da37d97d35
2600	-18.09	-12.5	33b68858-a859-4439-a45c-1665cf8c8e28
2601	-18.09	-13.5	b3e0b072-94b3-4150-bff0-faa3c21f0fb1
2602	-18.09	-14.5	7848449e-e3bd-41c2-a184-3039a31b4483

Table: Joint Coordinates, Part 2 of 2

Joint	GlobalY m	GlobalZ m	GUID
2603	-18.09	-15.5	051cb822-53d5-4abc-96f5-9ad7cee79c64
2604	-18.09	-16.5	3789e0ac-5008-499c-a84f-7103b819ba7a
2605	-18.09	-17.5	735139bb-c4d9-4bf7-9cf7-b83b25b36f3c
2606	-18.09	-18.5	459ca836-4c53-4345-a384-8766379b6855
2607	-18.09	-19.5	c403e801-f995-44cf-81b6-4c49297affb4
2608	-18.09	-20.5	6bbabfae-6a32-40bb-99e8-9992267836a6
2609	-18.09	-21.5	9ef45186-5d52-46e5-945b-c3269be1e640
2610	-18.09	-22.5	3f7c1621-80a0-48ba-ab01-e1978cbb7aa0
2611	-18.09	-23.5	4c36b639-3186-49c8-b047-b8c63f6dfe44
2612	-18.09	-24.5	f1b60706-055f-49c6-aa46-63720f2bc7da
2613	-18.09	-25.5	08059ea7-ee82-43d3-a0c2-070e226e90eb
2614	-18.09	-26.5	dbc6fef7-c737-424e-be9e-4a97235aa1f0
2615	14.615	0.	
2616	7.025	0.	
2617	7.025	0.	
2618	14.615	0.	
2619	-18.09	-27.5	3f157140-f0af-48a6-badb-5eb883eb9d2e
2620	14.615	0.	
2621	-18.09	-28.5	2b1dcd00-ea30-4af9-91fa-cb1d1b88520e
2622	7.025	0.	
2623	14.615	0.	
2624	7.025	0.	
2625	17.761	0.	
2626	17.761	0.	
2627	17.761	0.	
2628	17.761	0.	
2629	17.761	0.	
2630	17.761	0.	
2631	17.761	0.	
2632	17.761	0.	
2633	17.761	0.	
2634	17.761	0.	
2635	17.761	0.	
2636	17.761	0.	
2637	17.761	0.	
2638	17.761	0.	
2639	17.761	0.	
2640	0.55	0.	
2641	0.55	0.	
2642	0.55	0.	
2643	0.55	0.	
2644	0.55	0.	
2645	0.55	0.	

Table: Joint Coordinates, Part 2 of 2

Joint	GlobalY m	GlobalZ m	GUID
2646	0.55	0.	
2647	0.55	0.	
2648	0.55	0.	
2649	0.55	0.	
2650	0.55	0.	
2651	0.55	0.	
2652	0.55	0.	
2653	0.55	0.	
2654	0.55	0.	
2655	-0.55	0.	
2656	-0.55	0.	
2657	-0.55	0.	
2658	-0.55	0.	
2659	-0.55	0.	
2660	-0.55	0.	
2661	-0.55	0.	
2662	-0.55	0.	
2663	-0.55	0.	
2664	-0.55	0.	
2665	-0.55	0.	
2666	-0.55	0.	
2667	-0.55	0.	
2668	-0.55	0.	
2669	-0.55	0.	
2670	-17.761	0.	
2671	-18.09	-29.5	4a755a29-6dd6-4678-8932-365a95faddea
2672	-18.09	-30.5	eb062dc1-3bc2-48a6-939e-ea7406267194
2673	-18.09	-31.5	ce98e598-bff6-43a8-8365-b157a0d9651e
2674	-15.34	-6.5	8c3c8da4-203f-4a25-8032-1360ac1c7408
2675	-15.34	-7.5	c381431e-5ae0-44ae-8c6b-5e8478ba129f
2676	-15.34	-8.5	19031598-163e-4c98-9ac0-43b13da40dc9
2677	-15.34	-9.5	60211e76-548b-4c53-b2f0-e14b5185ba70
2678	-15.34	-10.5	3e3bedbc-e0f6-4134-bff2-d23a32764edf
2679	-15.34	-11.5	1064fa15-8b06-4464-9c28-6c3aefdeca56
2680	-15.34	-12.5	dba0b1fb-fa87-40cc-a874-d41af755de84
2681	-15.34	-13.5	6b63c492-0980-498a-ab27-43724a26b76e
2682	-15.34	-14.5	77fb50ac-5355-4c62-a40b-b986d5274141
2683	-15.34	-15.5	5559093c-5b43-44a0-a83a-0019b8d8dfb54
2684	-15.34	-16.5	ff99012b-1859-4d18-8871-93522be9a3a9
2685	-15.34	-17.5	57d9a710-11d0-4648-802f-e343ece716e3
2686	-15.34	-18.5	dedb57ce-6107-4f7e-a78c-014f0a578e8c

Table: Joint Coordinates, Part 2 of 2

Joint	GlobalY m	GlobalZ m	GUID
2687	-15.34	-19.5	cba2ff2f-e68c-486c-9a9a-621ddc57b525
2688	-15.34	-20.5	9f8d32ce-14b6-42d5-8dc1-68b757b4eb6d
2689	-15.34	-21.5	757e8c33-e296-43ec-9238-9f8e9aea6cc0
2690	-15.34	-22.5	a1d7bf76-b562-4779-b6e6-4f0faf3c65d5
2691	-15.34	-23.5	24113395-9782-4137-bd56-dda1e054c2cc
2692	-15.34	-24.5	f67e6452-9b31-4e32-b57e-3303d23e037b
2693	-15.34	-25.5	ddcd043e-edcf-4f69-96ee-60aff7f1ba13
2694	-15.34	-26.5	574a2235-f42a-4d26-9b76-87f02e1e84aa
2695	-15.34	-27.5	430d7783-2638-4768-abdb-116e451ae7bc
2696	-15.34	-28.5	e321a469-3e71-404b-9029-98eedbba55c3
2697	-15.34	-29.5	279187e9-23db-4b14-be66-197b2b478915
2698	-15.34	-30.5	5abf4e12-ed62-4df2-b1d8-0a44fb66d75a
2699	-15.34	-31.5	7972eb7b-29b9-4196-a65e-5eadd4471eaf
2700	-18.09	-6.5	56046658-9b7f-4b4c-a1d9-120542bc615d
2701	-18.09	-7.5	ba83ef97-08fc-44ca-806e-82bf81d4436f
2702	-18.09	-8.5	528f99c0-abdf-4bc0-b5da-6ae6928ab2cd
2703	-18.09	-9.5	e1889a3a-b874-4caf-9f4b-ca37231538dc
2704	-18.09	-10.5	6e4a3139-4ca8-4304-9da3-cdbed948819e
2705	-18.09	-11.5	1c26e447-a406-4b33-b3d4-1450b64809ab
2706	-18.09	-12.5	50b8256b-4ed7-4e0d-9e10-f71254e8a9b6
2707	-18.09	-13.5	f6752e68-9509-4169-b626-7fc4c9337697
2708	-18.09	-14.5	90403535-47c3-4430-ba4e-13d0ba863f73
2709	-18.09	-15.5	bad97919-8d2c-4891-a12c-80bdf4634ca2
2710	-18.09	-16.5	b180b817-76c5-4c29-840b-b0b5d6d48412
2711	-18.09	-17.5	6741a758-5722-4955-9e06-4022fab54892
2712	-18.09	-18.5	24c6bc8e-3e20-46f4-a350-4388af209248
2713	-18.09	-19.5	c3b4f720-a624-4ab4-84ed-1e4b1bb6c814
2714	-18.09	-20.5	1122ce17-6d54-4463-9dea-778ead84c5ae
2715	-18.09	-21.5	0c61144c-c55f-4704-916f-df21f721c76f
2716	-18.09	-22.5	9d94fbb6-c9db-4a2d-8d21-7a2e3190ce3e

Table: Joint Coordinates, Part 2 of 2

Joint	GlobalY m	GlobalZ m	GUID
2717	-18.09	-23.5	ece3937e-d196-4f19-8824-c03540aae286
2718	-18.09	-24.5	54395fb9-ae34-417b-a035-7f955322c9fa
2719	-18.09	-25.5	1dcb091c-6c19-46ee-b360-f7776fd4d9be
2720	-18.09	-26.5	e985df3b-4e90-4410-aaf7-0e9a79910b28
2721	-18.09	-27.5	dc025684-f720-48d6-9dba-fe7652b3ecf7
2722	-18.09	-28.5	6314e5de-a08c-4303-b7bb-bbc70c85b636
2723	-18.09	-29.5	1b20cfc2-4fb4-4bb4-8d01-42d3f3472988
2724	-18.09	-30.5	0fa7d9c0-6fa2-4cb5-b078-72af5be44d66
2725	-18.09	-31.5	71ae593f-47db-4c3a-b933-3310f0678c54
2726	-15.34	-6.5	57810e3f-82c0-4cc4-b04c-9d04c28ebe97
2727	-15.34	-7.5	1738a1e5-15a6-4393-918b-a87df24584be
2728	-15.34	-8.5	31612d38-45e8-4144-bd6f-7962ff779278
2729	-15.34	-9.5	67cc126f-b6c4-4279-a7fc-8fa5230ab760
2730	-15.34	-10.5	b1f8133d-f93a-45e0-b3e2-a2fc98571d8c
2731	-15.34	-11.5	3589a907-05ad-412e-834a-9a49c443f4d6
2732	-15.34	-12.5	b79ce927-cdb0-4600-9056-d9beabac2315
2733	-15.34	-13.5	005a3c13-04b0-4ca0-8339-b5596e44f75e
2734	-15.34	-14.5	2bc874ba-b0ce-4e0f-8ea b-57f1ef5d5789
2735	-15.34	-15.5	6cd387cf-31ca-47cc-9f5d-011e597cd04c
2736	-15.34	-16.5	bc8abba7-1297-41f7-b16b-1f1f5e4d62c4
2737	-15.34	-17.5	89b87c59-5157-4972-855c-a22dd33e92e2
2738	-15.34	-18.5	a1b2b01d-3fe1-4203-97d3-0de87df7596a
2739	-15.34	-19.5	507351dc-506e-408a-be5f-c804ff0003f8
2740	-15.34	-20.5	6fccac41-e3dc-4050-b9d4-e0fe573c0f24
2741	-15.34	-21.5	ad7405ca-2a56-4445-97a8-e23e58424e2b
2742	-15.34	-22.5	e05cc472-effb-4f28-a597-a6b69543eb62
2743	-15.34	-23.5	e922e767-abb3-4f5e-acb4-d9c2c8516593
2744	-15.34	-24.5	e72cb40d-e8be-46da-a62f-8eb46630878e
2745	-15.34	-25.5	b602dc9b-d7d3-433a-a40c-84d57fdab8b2
2746	-15.34	-26.5	6c592813-2e81-400d-902f-50f6c53e7041

Table: Joint Coordinates, Part 2 of 2

Joint	GlobalY m	GlobalZ m	GUID
2747	-15.34	-27.5	09423ba4-e438-4f84-987f-14bef3a3ba77
2748	-15.34	-28.5	ff3f00f0-9f57-461a-b4c6-f48474f126d3
2749	-15.34	-29.5	e9f15be8-0d5e-44e2-a67e-5baafdb29209
2750	-15.34	-30.5	18f733fa-b634-448e-9388-52a37b9c2839
2751	-15.34	-31.5	fb84865a-879e-473b-b9c2-27b54d99141f
2752	-18.09	-6.5	ab692e04-f776-4b1e-82b8-656085417250
2753	-18.09	-7.5	56b8fd9b-dc7b-4944-942d-4a2928025130
2754	-18.09	-8.5	f64ac02d-a3d1-44b4-ad99-93f0983bdb50
2755	-18.09	-9.5	03332220-32f2-414b-89a0-5766089aa4ae
2756	-18.09	-10.5	e40955ae-4b76-4352-bc1e-e6e588682bda
2757	-18.09	-11.5	a9b287e1-7486-4d9c-99c2-b6c53190379b
2758	-18.09	-12.5	b1daaeef-6b83-4039-b7b6-2f83de7f79d8
2759	-18.09	-13.5	5f6870a7-32bb-4799-afd3-1e8b5022c752
2760	-18.09	-14.5	e7fce2d5-7f36-417d-825c-ff86cadb8ea8
2761	-18.09	-15.5	8d50e4e5-95d0-47d8-9040-d5c8d6dd649d
2762	-18.09	-16.5	339c4343-8ca7-45aa-8aee-4ee508944364
2763	-18.09	-17.5	14208921-c9f8-4b56-9594-031c2b4b840d
2764	-18.09	-18.5	05c712aa-2403-49c8-9e81-4f79a22b52e8
2765	-18.09	-19.5	dd4699b7-3a54-4dfe-8c7d-7cb64950035c
2766	-18.09	-20.5	4e8c4a98-d33f-40ad-8da0-d050ff83fdad
2767	-18.09	-21.5	cb43b201-b590-49ae-a68b-a4a2fbe53935
2768	-18.09	-22.5	05982b59-4c25-4d0d-a7bd-cd298846a565
2769	-18.09	-23.5	6021b678-a8f7-41e9-9b07-87b99c9ed513
2770	-18.09	-24.5	843e4224-4731-4373-8b02-e65ec2d09ac6
2771	-18.09	-25.5	75121faa-cdf5-4ab2-8a39-b8526a58c30e
2772	-18.09	-26.5	4a6f4291-9332-449d-9d78-abdbd6593ce9
2773	-18.09	-27.5	b71f03fb-0e31-426c-bc70-1d47dff159a8
2774	-18.09	-28.5	b9d4c2bd-e509-4e71-8237-f362fc2cd1cd
2775	-18.09	-29.5	dd250d46-02fa-4ddb-bb68-8645ea5b8dad
2776	-18.09	-30.5	c37f9fd7-6ace-4c27-a853-f0fa19feb356

Table: Joint Coordinates, Part 2 of 2

Joint	GlobalY m	GlobalZ m	GUID
2777	-18.09	-31.5	173ba354-050a-4f76-b263-7d52c16a6380
2778	-18.09	-6.5	deeeec95a-00b3-4cee-a438-e5673c898a59
2779	-18.09	-7.5	619f4072-b807-4755-90dc-b6bd6d9c4e1f
2780	-18.09	-8.5	520376e1-930d-4f24-af7f-8cd7570c83fb
2781	-18.09	-9.5	9fa4de80-8f88-48d3-8864-48d23bd86d17
2782	-18.09	-10.5	e089d2a9-6469-42e2-be4f-2d9dcd05db7e
2783	-18.09	-11.5	2c908131-24c4-4b2b-90dd-f793380f0020
2784	-18.09	-12.5	25733084-1fd1-47d0-8786-6c558ecdcaa1
2785	-18.09	-13.5	b7ec6660-9b2a-4193-88e6-444cef24f265
2786	-18.09	-14.5	31a08b44-ed63-40d9-a845-d3b44da3227b
2787	-18.09	-15.5	eda2c0e1-8d0a-452b-9c11-fde52016f8db
2788	-18.09	-16.5	08c645f4-5819-4691-9c08-19e91a3fe15f
2789	-18.09	-17.5	eeadd97d-bca6-425e-aa97-d8dd71823508
2790	-18.09	-18.5	65ec4a03-bcf7-43f7-bfbb-8c133dc09b74
2791	-18.09	-19.5	c9f2e9a0-f2a4-4f8c-a2d3-f79542a945d6
2792	-18.09	-20.5	b6aabdc4-d6ed-43d3-9800-94f8dee1076f
2793	-18.09	-21.5	2069c4f6-f409-474f-9cf0-fcf61034d272
2794	-18.09	-22.5	f4f6dae-6ddd-4b63-82f7-3f005792e6d7
2795	-18.09	-23.5	b505f1d6-b710-4482-b445-1668834d9881
2796	-18.09	-24.5	aa8f5269-d67c-4cdc-a7c3-1036f3d4ba0c
2797	-18.09	-25.5	e9e818ba-07b0-4799-af06-83dff99a75d1
2798	-18.09	-26.5	65f9d51c-916b-41d8-b82b-583532261982
2799	-18.09	-27.5	4937346e-8469-49d3-9e61-76c5858dfc3b
2800	-18.09	-28.5	b4bdcfaf-6be6-4463-ade7-2b3ef5b44b53
2801	-18.09	-29.5	b2fabfee-5396-4d66-baf4-9fbdf991606
2802	-18.09	-30.5	c5065eda-746d-4b34-ba98-c82e60efd3a4
2803	-18.09	-31.5	224a1d83-3b49-4b87-be3c-eac0a6e17095
2804	-18.09	-5.5	89ddc186-ac37-4971-a5a4-c748b3b51db0
2806	-18.79	-5.5	ce99afaa-5cc4-423f-8735-4111be427b6e
2808	-15.34	-5.5	cddf2edc-8a5c-411b-b3c6-e32fcd03f850

Table: Joint Coordinates, Part 2 of 2

Joint	GlobalY m	GlobalZ m	GUID
2809	-14.39	-5.5	232399da-91f4-4645-ba46-f58f06d7d919
2810	-18.79	-5.5	2162ac98-fa9c-4e1e-9ee9-ecfa02ac09b9
2811	-18.09	-5.5	7add4011-6a98-4cac-8c1d-d663d732f7db
2812	-18.09	-5.5	b22d590f-7d35-4b69-b465-5ffdc9b92f20
2814	-18.09	-5.5	1474fd9a-3196-4a34-9b20-393eb5e4da45
2815	-18.79	-5.5	0c35cdc9-534b-4404-9abe-ffb2c5ec251e
2816	-15.34	-5.5	68acc730-3e78-45f9-91fc-c7ec752170ae
2817	-15.34	-5.5	209438cb-10ce-464e-a876-0c7aa31bab5c
2818	-15.34	-5.5	6e8da8ce-0f02-4eea-b555-53ad6e3e3979
2821	-15.34	-5.5	b352b63d-5c55-4ff6-81a2-82473a2987d4
2822	-15.34	-5.5	3afdaeb1-74ba-4979-821f-9bc62122ba70
2827	-15.34	-6.5	525e5d6f-2f5b-4004-a20e-4a021cc775d7
2828	-15.34	-7.5	30fcb250-9c2d-4ab0-8dd7-da08fa1d1f56
2829	-15.34	-8.5	c26635dc-91df-48a9-bb9c-7f487bff4df4
2830	-15.34	-9.5	0f2a548b-fce5-4187-8d79-8f0b2a90b0c6
2831	-15.34	-10.5	06311739-adad-4ce1-b25e-561eaac13759
2832	-15.34	-11.5	79f30b0d-8fe6-4a2e-bbb3-e479a37eb779
2833	-15.34	-12.5	270e3efd-3866-4dc8-acd5-3d2b8fbfcd50
2834	-15.34	-13.5	2512fac5-6e22-4c9a-9a23-4bbc1bf695ad
2835	-15.34	-14.5	9fd4703f-7d30-4cae-8913-c09552930a52
2836	-15.34	-15.5	a31b034f-79db-446e-b415-fb673afe90a2
2837	-15.34	-16.5	a63eb91b-320f-46ce-a5f1-7a574747533d
2838	-15.34	-17.5	5f6af1d3-a4bf-4ec2-8a16-d809078f75c6
2839	-15.34	-18.5	f6540a21-f385-423b-a9ed-403dc5b3f82e
2840	-15.34	-19.5	69e863cc-1194-455b-a125-06038ca563e4
2841	-15.34	-20.5	abb4896a-0f8d-4d6f-8bc8-7fa8adb9ce0d
2842	-15.34	-21.5	23b67dfd-c88c-4973-a88e-9c04f5092d7c
2843	-15.34	-22.5	a8e7865f-ba4b-4d76-b00b-ee2e940d5762
2844	-15.34	-23.5	63461051-dd4f-43f2-88e7-5a2a43c04242
2845	-15.34	-24.5	9d12181e-a712-4dc0-93da-08724293732f

Table: Joint Coordinates, Part 2 of 2

Joint	GlobalY m	GlobalZ m	GUID
2846	-15.34	-25.5	0473b4af-020a-4be9-b25 2-c7743c85ac5c
2847	-15.34	-26.5	f36a92c3-df36-4b97-81a 2-46f9f02f1475
2848	-15.34	-27.5	52c501cf-f247-485f-9000 -59ed3ca92160
2849	-15.34	-28.5	b601ff6a-cf06-4228-9c18 -aa4a62b19667
2850	-15.34	-29.5	f2283241-a272-4cac-a41 f-c19a3cd39f3d
2851	-15.34	-30.5	6a1b3d2c-835d-4a67-8b e1-dab72cdbe2ab
2852	-15.34	-31.5	8c76406c-6fb5-4176-893 b-f0293bbdfc20
2853	-16.715	-5.5	b309043f-4cba-44ed-8bb d-cec780de0ea5
2854	-16.715	-5.5	7612a2f4-2a7f-40d0-9d8 8-aaf7480099aa
2855	-16.715	-5.5	c9c053f9-c952-448f-b03 2-92f65e4fcff0
2856	-16.715	-5.5	8124b0d0-0225-4d79-a5 93-647861bd8c26
2857	-16.715	-5.5	306fc298-d9f7-47da-8a3 7-510297df594c
2858	-16.715	-5.5	6f58108a-8c95-4950-ab7 2-c0cc938ffe6a
2859	-16.715	-4.1	f8f22dd0-35b7-4156-af15 -eee3caea5980
2860	-16.715	-4.1	6dc44895-799b-467d-a4 8e-185c7e6f256b
2861	-16.715	-4.1	19c2fa5d-3026-42b4-92a b-dbcbf5001af2
2862	-16.715	-4.1	a532aae0-9550-4d8c-91 ec-7ad24c07e5f2
2863	-16.715	-4.1	76ce2d9b-a303-456a-87f 1-d7f0f861043c
2864	-16.715	-4.1	e03b7512-31ed-4894-a7 83-e67fc373ae75
2865	-16.715	-3.1	82f45955-3797-4887-a92 7-1466e6a75f46
2866	-16.715	-3.1	20de63c4-a5eb-4969-84 3c-1b52e4f90869
2867	-16.715	-3.1	31b3fefa-30f1-4fdc-b452- 3c151276b342
2868	-16.715	-3.1	7ef5f07a-9994-4666-a15 0-77bc6f86a96c
2869	-16.715	-3.1	396a3932-bda9-44f6-ae9 2-5d21108c4a21
2870	-16.715	-3.1	39f90cee-4f13-4226-b2c 2-d3f415e969de
2871	-16.715	-2.1	e698ddb1-9a70-4780-b4 b6-78565e52782b
2872	-16.715	-2.1	4a02cf8d-2ac8-43fb-93a 4-cf25f289d3c3
2873	-16.715	-2.1	596e94e6-335e-44e2-8d 60-2642229bd240
2874	-16.715	-2.1	08a27e45-7584-4259-8a 76-419996ca846c
2875	-16.715	-2.1	0fb11b7d-3e98-4a8f-84e 3-ea4548cbd70c

Table: Joint Coordinates, Part 2 of 2

Joint	GlobalY m	GlobalZ m	GUID
2876	-16.715	-2.1	74fb04ef-e4fb-4c60-8c3c-11af22752f60
2877	-16.715	-1.1	e2b0df58-985e-4201-ba00-668d19dbfd42
2878	-16.715	-1.1	984ea88b-4753-40cb-9456-2ac871d88848
2879	-15.34	-6.5	5351d2bb-57cb-4570-b359-97af09d3d6a4
2880	-15.34	-7.5	92af0581-faef-4425-8be8-6aba72d2081e
2881	-15.34	-8.5	6026f6f5-3fb4-4c82-8650-deaad005c24d
2882	-15.34	-9.5	99851536-8c59-42fa-8641-6e6ee1a974b5
2883	-15.34	-10.5	30849089-8918-4121-b97c-ea84d49f2d7b
2884	-15.34	-11.5	18cfe1d1-a3f2-4421-b41a-ee0ed5194e77
2885	-15.34	-12.5	1c64c199-8fea-483a-ae03-3ff295c0cdc7
2886	-15.34	-13.5	079ae569-f6af-48fb-b4ae-d37c42575ba8
2887	-15.34	-14.5	9afdfce8-ad79-4e84-90d0-86e98d1436e1
2888	-15.34	-15.5	29a00fb7-02e5-48d0-80c7-731274151339
2889	-15.34	-16.5	96209f3c-2366-46e6-ad38-6f9f5c024c69
2890	-15.34	-17.5	fc56637e-57ad-40a9-bcd6-f86f7e53336a
2891	-15.34	-18.5	b8aaa119-e562-46c4-a5f6-eec6ee9712da
2892	-15.34	-19.5	a1fa22ca-7bac-48b4-af30-6e2cfb0e3f9d
2893	-15.34	-20.5	5b4cbcfe-ed28-4b33-8ed2-b09c882ffc27
2894	-15.34	-21.5	ce188120-1a79-42ef-bddc-037b5ed0cb92
2895	-15.34	-22.5	55a38a67-0f0c-40af-8cfa-3b4241475720
2896	-15.34	-23.5	2060f141-28dc-4ff2-ad27-652d79dcaf2d
2897	-15.34	-24.5	e7ad2f0c-f8ac-456a-a0db-83fe8190567d
2898	-15.34	-25.5	142296e6-275a-4e11-b856-9c582e6b115b
2899	-15.34	-26.5	746ecdca-cb2a-4a95-a81b-fa13c2fee562
2900	-15.34	-27.5	bcc71dd0-7e91-4bca-bcdb-a9b3461ada14
2901	-15.34	-28.5	d6b2d772-c39c-4584-8e60-efca3b036894
2902	-15.34	-29.5	c624db90-1960-4b26-a3d0-c81d96765ae9
2903	-15.34	-30.5	a24585d0-1523-46ee-9de3-023f6afafa65
2904	-15.34	-31.5	59d114ee-0aa7-4acf-8be2-e39acddfec5e
2905	-16.715	-1.1	71dfa89e-9d83-4afb-911a-468be240f1ea

Table: Joint Coordinates, Part 2 of 2

Joint	GlobalY m	GlobalZ m	GUID
2906	-16.715	-1.1	0b49186b-b97e-47db-a24b-ec1c79ab6226
2907	-16.715	-1.1	73c1d461-399e-4ef6-9b6f-5b8acfffc0da
2908	-16.715	-1.1	c711000b-b0c2-4238-b2c4-364e2566ef28
2911	-16.715	-5.5	3ae073b6-a0ab-4140-9987-7be01e20ccff
2912	-14.37455	-5.5	69f41ca4-1b00-4e2a-bfa7-5391543506c8
2915	14.64	-5.5	a70b48b1-7e09-4e23-8423-7b02530d5793
2916	19.04	-5.5	cbc6586e-dfda-4dc7-8757-dfeefa24fd16
2921	18.09	-5.5	51e1020d-ce8d-40ef-b8cd-f412e1d6577a
2922	15.34	-5.5	bb7c5354-ac4a-4c04-a173-8975232d5363
2978	15.34	-6.5	7f1c564c-167d-421b-9303-f602e1af2585
2979	15.34	-7.5	6c80ca77-7168-44fc-8600-4aa0b355ddec
2980	15.34	-8.5	9ec7e030-a5c1-4bf6-87d1-dee3c6921a2f
2981	15.34	-9.5	d0dfad8a-a6bd-4f86-906d-fe9a2048071a
2982	15.34	-10.5	c7691a92-027a-431c-b46b-fd7b95d00ebf
2983	15.34	-11.5	6bdb0405-d6c7-49e8-a929-e2ed941d14d7
2984	15.34	-12.5	99946934-530d-4c79-9291-812b0572d9c4
2985	15.34	-13.5	9dcd0db5-eaf1-4bf4-ba44-9448f48bf4ec
2986	15.34	-14.5	af64057d-3271-4259-9ae8-a51d57258ee4
2987	15.34	-15.5	2089ad29-7f93-4f83-9633-476b4b2002ad
2988	15.34	-16.5	f837651f-c619-4c7c-9927-e1750da5d18b
2989	15.34	-17.5	91f288b5-0e62-4409-a09e-e826a3b10b91
2990	15.34	-18.5	9e3ed83e-46e9-4ceb-8745-b7d727bed95d
2991	15.34	-19.5	9bab3d24-ba76-4466-b0ea-58baf75d335c
2992	15.34	-20.5	5a15d00d-4eb9-4adc-acfe-b77dffad4cd2
2993	15.34	-21.5	975a5c6c-ba19-44cd-b4c8-2c0b66105e91
2994	15.34	-22.5	94b834c6-899b-425f-a8a3-f0461fce82a2
2995	15.34	-23.5	65d5fb49-b24e-4bea-9adf-3fd49ae4c03c
2996	15.34	-24.5	6079bdfb-a3c6-46d8-a709-33955e634547
2997	15.34	-25.5	2dcdb03d-ec17-4ee8-913f-ca8b3e5eda54
2998	15.34	-26.5	9b7e35aa-05a5-4315-adca-95650cfad528

Table: Joint Coordinates, Part 2 of 2

Joint	GlobalY m	GlobalZ m	GUID
2999	15.34	-27.5	5fc83bd5-c780-4fea-934e-614e59b76d07
3000	15.34	-28.5	1753b258-bf84-48c2-a1d5-213d36376617
3001	15.34	-29.5	58f6edbf-902c-43d4-ac78-42b41798fa4e
3002	15.34	-30.5	5552a36a-bad1-4223-b566-4fa07cd1c962
3003	15.34	-31.5	8ce9612b-8e1b-412f-a242-2e3e1af3bd4c
3004	18.09	-6.5	281c4fba-9100-4f0a-9494-92426ef86968
3005	18.09	-7.5	a3e05fe3-2919-409d-85a6-a06062e688cd
3006	18.09	-8.5	a499e7e0-42a3-47eb-a7eb-e4f60ee48c2b
3007	18.09	-9.5	df415c5d-cf98-4373-a994-a0840c3239d9
3008	18.09	-10.5	3dd043bf-dcd6-4287-94b1-01a844b9d5da
3009	18.09	-11.5	0be42451-ba37-42a3-b2d8-5c2d6dd4b3cb
3010	18.09	-12.5	8a2d7b24-2420-426d-945b-22ce5639cd23
3011	18.09	-13.5	6dbc62d7-1fa3-4f78-ab25-b46cc27d21a2
3012	18.09	-14.5	8726121f-356f-4b42-8373-451a6e857d88
3013	18.09	-15.5	960263e7-500b-4046-9abc-9a58ff297d6f
3014	18.09	-16.5	bced597b-0dd9-4f7b-801c-5043bfa82852
3015	18.09	-17.5	a822e68b-8254-4117-a32b-c540203c82ff
3016	18.09	-18.5	f18709e3-3538-4568-8702-11bb65e432f1
3017	18.09	-19.5	19ee1a40-b4a2-4622-a411-9fbc97dcb27d
3018	18.09	-20.5	686cdde2-7b34-4ec5-bcf a-9080f8cb3651
3019	18.09	-21.5	3a07f868-8d17-441b-83da-0950feb95641
3020	18.09	-22.5	aeecd5cc-e843-400a-9a24-745c94d4da4b
3021	18.09	-23.5	63622f74-b278-4e53-b2a8-fbae5245d23c
3022	18.09	-24.5	7f7be7c2-bb40-4a2f-a30f-f589dda624
3023	18.09	-25.5	810caa03-0765-4863-878a-662c11e4f9c4
3024	18.09	-26.5	16be3a3b-c950-4493-80e1-7551ce1113ac
3025	18.09	-27.5	a12f8b11-6dd8-43a1-b88b-3f32bc971cc5
3026	18.09	-28.5	547f1882-6697-469b-879b-326149610349
3027	18.09	-29.5	9b30c315-1a9a-4851-b910-3fab4e532fde
3028	18.09	-5.5	211e6b11-29d7-4f2a-94a5-fabac4a9091e

Table: Joint Coordinates, Part 2 of 2

Joint	GlobalY m	GlobalZ m	GUID
3029	19.04	-5.5	9e982013-3cd0-48d2-a8aa-0ecba88695b6
3031	15.34	-5.5	34074f46-fb27-4f0e-b8a3-1b5afd77271e
3032	14.64	-5.5	f651431e-8511-44c7-9609-402054c67b78
3039	16.715	-5.5	6292189c-f93f-4201-8f06-72e79ac6eec8
3040	16.715	-5.5	28d15fab-ebdc-4535-b948-ba490fb2ce85
3043	16.715	-4.1	0ecb222a-6baf-4200-b6b3-fabb9b437689
3044	16.715	-4.1	ab2ce255-95c7-4992-8658-f50df45535c3
3047	16.715	-3.1	f0f86a08-9788-4cc1-9efc-a3fc086a1719
3048	16.715	-3.1	815ceda0-7c80-4077-90f3-f3a416879f03
3051	16.715	-2.1	14cdabdc-9581-4191-a7d1-759019a0598a
3052	16.715	-2.1	ff9f2723-5c8e-4b00-a29c-d51ce429bb4c
3055	16.715	-1.1	b7da115a-076b-46ef-a3c8-58e6c396c2e7
3056	16.715	-1.1	85fedf59-2ec6-4832-ba0e-fa5247b98053
3057	18.09	-5.5	b7bd51d3-191f-4532-997c-8d13ddd11af2
3058	19.05545	-5.5	818b5132-f6eb-4901-a259-dc7b267bf533
3074	16.715	-3.1	a59ab41c-e5fa-45b0-8871-f4481658c541
3077	16.715	-2.1	f2fd4f6d-74e7-4311-8202-f085b68a6a07
3078	16.715	-1.1	1cb16b2f-a89e-4dd2-85e2-b729055d38bf
3080	16.715	-1.1	fbcb1b20d-f123-43d6-8f4d-60abdf6ea3f0
3089	16.715	-5.5	843784d6-669f-4781-a18f-ce245a3b1743
3091	16.715	-5.5	42d48263-70dd-4026-88fa-1712f2c471b9
3092	16.715	-4.1	51be2c9a-35e1-434a-9f43-1d9e95402a35
3094	16.715	-4.1	29030b31-56a0-4fb9-be59-1f8afda4b3f3
3095	16.715	-3.1	84c37227-b931-4813-ba4e-f2b62ae6c6df
3097	16.715	-2.1	238dfc02-37cd-474f-b713-0e04f0705ec9
3100	15.34	-5.5	3fb15ad-90bd-4902-a7c3-2f4610703c8a
3101	14.64	-5.5	c014b7cf-f23e-4579-9292-436f44a88fe3
3119	19.05545	-5.5	3e879b74-452f-4d76-8149-19db17aa34cf
3120	19.05545	-5.5	3ef4cec6-bcb2-4a02-93c6-973f54e2d79a
3121	19.05545	-5.5	cdd2edaa-31e6-40fc-b9cd-d84057d0c731

Table: Joint Coordinates, Part 2 of 2

Joint	GlobalY m	GlobalZ m	GUID
3122	19.05545	-5.5	bf7fbf7f-28f4-4fe1-b4f1-0af6bf785090
3125	18.09	-5.5	175bef2b-a239-4c2c-a727-991a302c4383
3126	18.09	-5.5	34f779b1-67c9-4d47-9060-b5347893df05
3127	18.09	-5.5	e2416ca2-a4a6-4d22-8048-a11d6943d900
3128	18.09	-5.5	908336f4-e9f7-40b6-9aad-75c27eff5472
3131	15.34	-5.5	bfa05c0d-d438-4d40-8023-cff3bda9cc6f
3132	14.64	-5.5	38961dbb-62c2-48ff-bd42-bcf30ad0f693
3134	0.7708	-6.5	6fc27912-ffcd-446b-a14a-0f6f957ad347
3135	0.7708	-7.5	610c43e5-01e6-4c91-912c-0e69d74b2011
3136	0.7708	-8.5	94976cf2-788f-4831-b874-3713651ab7f1
3137	0.7708	-9.5	1d226daa-75d9-4c37-bb2a-5f1fc1302a28
3138	0.7708	-10.5	ff3f0dad-348b-491a-9c53-330edef313ab
3139	0.7708	-11.5	9f20fec0-d666-490f-965c-ca3b4cdb8d7c
3140	0.7708	-12.5	240fecc6-3c66-4573-a957-d45d7d5546aa
3141	0.7708	-13.5	f5d814c4-70bc-40a1-845b-79b77ebe41eb
3142	0.7708	-14.5	dfaeaf28-881f-4dc5-94b7-025d941a1829
3143	0.7708	-15.5	fcd46476-252c-415a-839e-813089295999
3144	0.7708	-16.5	516fbaea-d580-4b6d-ad5f-4b40aa7a54fb
3145	0.7708	-17.5	659c529d-3a46-4973-b644-02d21122d3d3
3146	0.7708	-18.5	ce6bb88c-f300-45a7-9a60-8a927fec22ad
3147	0.7708	-19.5	59a17cb1-b97f-49a0-a698-b183dce58e3e
3148	0.7708	-20.5	aa26948b-dfd9-4242-be5d-e8aec2a5da2a
3149	0.7708	-21.5	4c1aa618-64c7-4e56-803f-0910d9e14200
3150	0.7708	-22.5	b5cd80a5-4d5a-453f-835a-8e3d601ff919
3151	0.7708	-23.5	1c9430d0-2cd8-4583-8348-405b9387a5fe
3152	0.7708	-24.5	a2831878-3cac-4686-83a8-09516313fe83
3153	0.7708	-25.5	de7b8ae5-adbd-418e-96bd-dd811afc2b51
3154	0.7708	-26.5	c1d3cd36-ed4c-44c3-8ded-66cd962ffe7d
3155	0.7708	-27.5	dcc5be14-d248-4c0b-974b-376ca9d21ebb
3156	0.7708	-28.5	35f57c0b-681f-4312-be1e-a07e2d622bc2

Table: Joint Coordinates, Part 2 of 2

Joint	GlobalY m	GlobalZ m	GUID
3157	0.7708	-29.5	097e14f5-8b6f-4cc6-b333-7a63f5aa721b
3158	0.7708	-30.5	efa33e82-6aff-4663-8464-97d9e8f2fb46
3159	0.7708	-31.5	1f5eefac-0d45-4e6c-a79c-49aaafcdf820
3160	2.1792	-6.5	3bb40d9f-4b43-4088-b5d2-971abee1d955
3161	2.1792	-7.5	5e1d4326-76a1-4150-b653-afe9dab4116c
3162	2.1792	-8.5	401e5f62-ce7a-4382-9e4f-470338ab513d
3163	2.1792	-9.5	46ce46e8-89bd-4691-91de-84647c17a6cb
3164	2.1792	-10.5	06d6045b-5b94-4f2c-aac6-f3ce2b105df9
3165	2.1792	-11.5	e98db222-4819-43d1-9ad2-6b88a3587417
3166	2.1792	-12.5	e3ff32b9-fa47-4adf-9918-aa9b98612ee1
3167	2.1792	-13.5	4a2a7f1b-6b6c-466c-bbd-b-2d1d6a45480e
3168	2.1792	-14.5	36c358d3-aa4a-4908-9048-120e4ac70c54
3169	2.1792	-15.5	c6097ffd-1638-4263-9590-e4cc274a6a49
3170	2.1792	-16.5	fbfd29946-b7c3-4a6a-861c-1675c544ad8d
3171	2.1792	-17.5	bcaeb6c6-1820-4513-b55b-ee6d29466361
3172	2.1792	-18.5	5816706b-871b-42c7-837d-b0d2806a9f09
3173	2.1792	-19.5	bc805ed1-c471-4d29-82ad-60459cf06b1f
3174	2.1792	-20.5	4b042e02-7e44-42c4-b09c-8ad77323ee28
3175	2.1792	-21.5	c34bc9dd-710e-4753-b3f7-692dcf9f63c3
3176	2.1792	-22.5	812614f4-76a3-48c7-a99c-2350cfd890fe
3177	2.1792	-23.5	e947266d-7176-4afa-92cf-2f6041a3101c
3178	2.1792	-24.5	ec222945-f416-419e-81ea-66a657f22445
3179	2.1792	-25.5	950801e1-bc8b-4057-bfb2-6c5e4bdece9e
3180	2.1792	-26.5	89ea5b88-da48-47bf-8eb7-4662e1d36e31
3181	2.1792	-27.5	33bed788-3d02-43a1-a4f6-d5743acf436e
3182	2.1792	-28.5	1f4b4c67-19bb-4832-8135-58c294eb4313
3183	2.1792	-29.5	3f3967f2-d945-44ba-a13c-b66e34dbaa96
3184	2.1792	-30.5	20d848e1-12e7-46d7-802d-dfd70dcfd509
3185	2.1792	-31.5	e12bc0c2-de87-4225-9590-bcf7a26c2c96
3186	4.4708	-6.5	635b1844-e5b4-426e-8e75-c84c9284b5f1

Table: Joint Coordinates, Part 2 of 2

Joint	GlobalY m	GlobalZ m	GUID
3187	4.4708	-7.5	48b13d06-c9cf-4765-9716-4773ce3c2490
3188	4.4708	-8.5	9171ecca-92bf-40a4-95ef-03a2c7c4e743
3189	4.4708	-9.5	309e3ec4-8788-441b-bac1-d15b60081a0d
3190	4.4708	-10.5	52a0db6d-3b0f-4c03-820f-a43fbb22e7ed
3191	4.4708	-11.5	9bb8baa9-c25c-45ea-b192-7920ff8d930a
3192	4.4708	-12.5	22ac2682-d6c1-41b9-8517-b420f6cd24e2
3193	4.4708	-13.5	b12efd8-1f56-4b80-aaa0-32d47746a183
3194	4.4708	-14.5	7674b4b7-e8d2-459e-9327-66d0ef5ab8fe
3195	4.4708	-15.5	6fcdf899-d3d9-478e-a51a-2a8f616410b5
3196	4.4708	-16.5	1cb7d8a6-c7c2-49d0-a135-a465baa6fc3e
3197	4.4708	-17.5	2947e6fb-6191-4c22-833e-69c3b63d7e3e
3198	4.4708	-18.5	0cc8a0ba-0068-4d2e-8e1f-407fc0818d85
3199	4.4708	-19.5	d6842a3f-310f-49c4-b41a-1a97888ccdc8
3200	4.4708	-20.5	84ecac8f-176b-4935-85f7-5d9338838c7b
3201	4.4708	-21.5	a3b24400-4327-4250-97d7-2e850a304ab1
3202	4.4708	-22.5	a9a38968-7920-4608-bf87-a6efc670f273
3203	4.4708	-23.5	4a001d33-85e4-4ce5-a528-c1742b714e56
3204	4.4708	-24.5	7bf1a798-0412-4303-aeef-065dd70e26c6
3205	4.4708	-25.5	5bf8427b-e36f-47b3-867c-ac21b5d61b6a
3206	4.4708	-26.5	35519e61-d50d-40fc-8337-94722b583a8d
3207	4.4708	-27.5	8f19f21e-f2f7-42b2-9dd6-87b00f47b5fe
3208	4.4708	-28.5	2a622ed8-16d8-451d-a878-cf6d1bc7bc1e
3209	4.4708	-29.5	7440b7ca-f7a6-4bba-a187-380a10e5eb37
3210	4.4708	-30.5	2d6de50d-7b22-4d03-ac1a-e17b405e7752
3211	4.4708	-31.5	92b6f97b-39bd-4b9e-b677-ceb536326ea9
3212	5.8792	-6.5	8a3cafc2-d939-4060-801f-ec04c413332c
3213	5.8792	-7.5	5dc5e6a9-71f6-40e5-a475-a2a944053d9f
3214	5.8792	-8.5	72292bed-8ec6-499e-8755-86e36ba12563
3215	5.8792	-9.5	83631d6f-d1d4-484f-be41-0c30183b4961
3216	5.8792	-10.5	4e0187ba-3383-4696-bb54-668e1c5e3ce4

Table: Joint Coordinates, Part 2 of 2

Joint	GlobalY m	GlobalZ m	GUID
3217	5.8792	-11.5	913764f3-0708-4bf0-94a8-bd7601df2484
3218	5.8792	-12.5	ba11398f-c16c-4846-8554-b7b57c2c75f1
3219	5.8792	-13.5	6c0910e3-26ca-4a13-9edb-638d849e9335
3220	5.8792	-14.5	2d5bc77d-52b6-4efe-94c5-4dd0adf4957a
3221	5.8792	-15.5	f99b03b9-21d9-46b6-8b99-325218b36567
3222	5.8792	-16.5	d85ba608-b266-4c3b-b502-fc4419b35476
3223	5.8792	-17.5	2683437c-5fba-42cc-bd5f-f708e3eb3372
3224	5.8792	-18.5	a09c390f-4056-4957-a91d-893f16b0df1a
3225	5.8792	-19.5	8a879cad-870f-4b54-a72a-819aec4cfa17
3226	5.8792	-20.5	29650a7e-be77-43ff-9174-8a174b5a75f9
3227	5.8792	-21.5	5f32e045-973d-4e72-b95f-214a05a1b45b
3228	5.8792	-22.5	afdd8572-0b1f-407f-b078-7af107440d56
3229	5.8792	-23.5	07e129db-7be1-423b-8158-564bc68abc9c
3230	5.8792	-24.5	5204e032-1516-4065-acb9-02036775041f
3231	5.8792	-25.5	8dc34535-15db-41c0-8bab-c15b65adad5b
3232	5.8792	-26.5	e399406d-befb-40d9-ae5d-aef0281cf214
3233	5.8792	-27.5	fe6ce603-3246-4aab-93bf-f835364aae48
3234	5.8792	-28.5	5fcfe9e6-5403-453c-b3cd-cf3930d3e54c
3235	5.8792	-29.5	1cc4566b-6259-4111-99b3-96bece6bf353
3236	5.8792	-30.5	85290971-edd3-4375-84fb-8bd604c5002f
3237	5.8792	-31.5	2209228d-e33f-43bc-8c44-3f702ad2baf1
3238	8.1708	-6.5	7f338539-b3da-49ab-bdd6-7a6f524fb4a8
3239	8.1708	-7.5	10a8eace-2da4-4451-8ec4-845b167cf578
3240	8.1708	-8.5	076b8eac-efeb-43f4-b66b-99120acab2ac
3241	8.1708	-9.5	14201a82-ebb5-4350-a32e-bbcd386214b5
3242	8.1708	-10.5	3e640b73-da95-46c1-9f4a-7fabda3eb36c
3243	8.1708	-11.5	0d3fa792-dded-486b-a114-7122976af4ab
3244	8.1708	-12.5	78ea31d2-26f3-452d-9011-29563a850d45
3245	8.1708	-13.5	53b1f3bb-6a08-4d19-ba09-41e7d1cdbcd1
3246	8.1708	-14.5	626c10aa-8545-4044-b7ef-3a9d064b9657

Table: Joint Coordinates, Part 2 of 2

Joint	GlobalY m	GlobalZ m	GUID
3247	8.1708	-15.5	d8a5fb26-98ad-44e7-b8c3-7ec8e2b52b4f
3248	8.1708	-16.5	d11d5f55-e3ee-4d7f-8331-036fc4fc8915
3249	8.1708	-17.5	e4722abe-4fbb-4020-8d4f-7c9f5ca56c0d
3250	8.1708	-18.5	30eb504e-a1e3-4e22-a16a-4272d0691511
3251	8.1708	-19.5	fae921e4-d524-4c6a-aea7-003f603861cb
3252	8.1708	-20.5	83c96032-ad67-4c3e-b763-421f87de78c3
3253	8.1708	-21.5	1e1b3c31-32c9-4cd2-a21d-833f01ec2f0f
3254	8.1708	-22.5	ed524242-c8ec-42d4-93e8-33350186eb28
3255	8.1708	-23.5	acc82a8f-86e5-48fc-8210-4125a47cb692
3256	8.1708	-24.5	5a65aa35-e3ae-47ff-adfb-4092ae7fa02f
3257	8.1708	-25.5	59498633-5c34-445d-90d7-2985fce1ee90
3258	8.1708	-26.5	8d8e3753-497b-4381-b668-f46a5eb84636
3259	8.1708	-27.5	d0f0e385-cab3-4239-9ee f-ebdab1b6fa35
3260	8.1708	-28.5	44cc22e3-6551-40f2-9252-cee071a735ab
3261	8.1708	-29.5	53be4fd6-8ddf-4a43-b3a2-38110772fef6
3262	8.1708	-30.5	dc734bc6-261e-4e22-8d41-b3af44d7b529
3263	8.1708	-31.5	b75618a4-11b9-4e51-8735-9a682be2b44e
3264	9.5792	-6.5	b1 added640-f3cb-451a-9e5e-f0761762c732
3265	9.5792	-7.5	63fe3a2b-5070-463b-bd1e-518d56916aa9
3266	9.5792	-8.5	51de2cd8-8297-48c9-8c80-5096f0e554b9
3267	9.5792	-9.5	024b3059-c332-4f7e-a8ee-fa48d8f6d87e
3268	9.5792	-10.5	0365b845-a9f3-4ead-9015-9f7ae9adf67c
3269	9.5792	-11.5	cae86f72-747f-488c-ad5e-ddd4d8bb4368
3270	9.5792	-12.5	a368ab24-5428-436d-a06b-313856704259
3271	9.5792	-13.5	a05ceb4b-812d-483a-a414-762c16f363ec
3272	9.5792	-14.5	599b94b0-f311-4326-9d6a-1fbaa2d38dbf
3273	9.5792	-15.5	37b8fcb5-6a51-4641-a9d3-8d957b15e6ce
3274	9.5792	-16.5	67877d4a-efe1-4102-baf2-094b98d7715d
3275	9.5792	-17.5	4260f816-d201-4060-8bda-7e97c38eedf3
3276	9.5792	-18.5	512667b2-03c2-41e0-9cf5-3289eb478b79

Table: Joint Coordinates, Part 2 of 2

Joint	GlobalY m	GlobalZ m	GUID
3277	9.5792	-19.5	47330383-04bf-4216-bbe8-57192eeb456c
3278	9.5792	-20.5	6828baa5-7c65-4beb-9ffb-987d22e8b37a
3279	9.5792	-21.5	55cbad41-864e-4afa-8fde-94aa8be7969f
3280	9.5792	-22.5	a64b8108-f2b9-45b6-8792-94625a845c9d
3281	9.5792	-23.5	76571b46-f270-4bf5-9a90-825ad8f9f0bd
3282	9.5792	-24.5	d688543a-7deb-4d4a-9e28-107130dcf482
3283	9.5792	-25.5	8f9df411-b369-4fea-9810-dff7f9facc55
3284	9.5792	-26.5	eb0c2907-9c7f-4dbc-a460-35b589bbea01
3285	9.5792	-27.5	11e2205c-322f-4a4d-b509-ea6d90ca8348
3286	9.5792	-28.5	e65ff002-0af9-4292-9d3e-bd93f00cf41b
3287	9.5792	-29.5	0c724e6d-67fc-478b-b34e-2477bc17885b
3288	9.5792	-30.5	85506fd1-bdac-479f-9ee8-a8b95816f38c
3289	9.5792	-31.5	be012c0b-4069-4b02-9b37-374f7ff6011a
3290	11.8708	-6.5	3a4a3c71-8801-43c7-82ce-b6e0d705f29a
3291	11.8708	-7.5	b6a6d779-6d4a-4139-827c-c06ef4d7ac55
3292	11.8708	-8.5	e6bf40fc-7244-46f2-9e1a-6bfdfaab095c
3293	11.8708	-9.5	c7e75b71-3bee-486f-b15a-6b8c92342fed
3294	11.8708	-10.5	fc7a1f41-c6f0-4134-b8ea-4fd1351a6abb
3295	11.8708	-11.5	168be8e6-dd71-4d5a-b6d1-b3da410a0ec5
3296	11.8708	-12.5	c72bab3f-88b2-4d22-980b-93a1c126cff1
3297	11.8708	-13.5	1e68bb20-aa4d-4516-9180-2cad65e72754
3298	11.8708	-14.5	71ffd5c1-706f-4bd6-ab77-659081f2f645
3299	11.8708	-15.5	9e6ab21a-dbea-4485-a14f-d332d7a1f25f
3300	11.8708	-16.5	0574758d-f1c7-46c6-87d7-b678515096a8
3301	11.8708	-17.5	929af47a-692a-4d93-941c-11669dbe401f
3302	11.8708	-18.5	2b2986bc-70c4-470c-abb-717d18c7cd00
3303	11.8708	-19.5	b120deb9-5c4d-41c7-b144-3f5c6a5d7c4a
3304	11.8708	-20.5	565694d5-31c8-4d9a-99bb-51e4e68d6719
3305	11.8708	-21.5	cb161225-15ed-44c5-96d2-ae44426708a4
3306	11.8708	-22.5	85dd67e5-21ca-4de5-90ab-07646377ea36

Table: Joint Coordinates, Part 2 of 2

Joint	GlobalY m	GlobalZ m	GUID
3307	11.8708	-23.5	99c237dc-1fa7-4091-885a-423ee243b4c1
3308	11.8708	-24.5	0c07124e-3e30-494b-a327-72abab46dc3b
3309	11.8708	-25.5	ab19c592-9949-4ea4-871b-6f02e2d198f0
3310	11.8708	-26.5	591816e8-0740-46d6-bcf4-8f567562553d
3311	11.8708	-27.5	f27f75af-935c-4322-9660-49136f28a674
3312	11.8708	-28.5	6ec3af75-0c69-4d1c-bf43-7a55e278a4a9
3313	11.8708	-29.5	7e243037-2163-424f-8d77-fd782eb9efb7
3314	11.8708	-30.5	0c728f44-6ba4-4b06-ace4-c917e440eb01
3315	11.8708	-31.5	409550c7-85d6-4baf-a128-f2b4dbe265b5
3316	13.2792	-6.5	75f8443a-366d-499d-a88e-f4e8d77fff52
3317	13.2792	-7.5	aa9bb9c2-f629-4078-a93d-4afb60afabfb
3318	13.2792	-8.5	bf8ed0b2-f8c9-4077-bff9-0286ea375ee8
3319	13.2792	-9.5	d0b8d551-7090-4911-a4c9-9abf4c76c9b1
3320	13.2792	-10.5	7d4a3a33-d001-4067-bb86-c5b4d2dd05cd
3321	13.2792	-11.5	9738b3df-b517-4281-8f46-e11859776cae
3322	13.2792	-12.5	7e771de8-8eb5-486d-b6d8-898bef1a8cb9
3323	13.2792	-13.5	98f357c6-5d13-4d62-a63c-9cf6dff3b678
3324	13.2792	-14.5	796e3073-5643-4f93-9c9d-a8b2985599a0
3325	13.2792	-15.5	0f212023-0f8a-4672-9c1a-ee9bb5eb51c2
3326	13.2792	-16.5	1f1acd67-d8e5-436b-a043-1eef063c907
3327	13.2792	-17.5	d7ce45e2-cb27-4a81-a5ff-d4ca33de6cee
3328	13.2792	-18.5	2510bda9-aaa3-4b33-9c4b-ac095fb4a198
3329	13.2792	-19.5	331a6f61-cbe0-44a0-be01-b2bdae697dff
3330	13.2792	-20.5	533fdde1-033b-4c7c-a87d-931ea302a56d
3331	13.2792	-21.5	5fb1c5b5-4862-40d7-b7e5-e3f1dbb3da34
3332	13.2792	-22.5	07a1754d-e301-423f-aaa2-0845da2bb3fd
3333	13.2792	-23.5	bd9fa26d-f21a-4562-93d5-4e8bb40bd5f7
3334	13.2792	-24.5	9aba6851-53e7-4044-b04b-3bfc5e39cf67
3335	13.2792	-25.5	d99cd8b0-afc4-4860-ab49-e0b998fa7d1b
3336	13.2792	-26.5	dc0e292d-fc11-4623-a5db-8415f431424e

Table: Joint Coordinates, Part 2 of 2

Joint	GlobalY m	GlobalZ m	GUID
3337	13.2792	-27.5	c97df11e-e569-49ea-8e58-c1671b60d864
3338	13.2792	-28.5	bb7d5959-286e-4dfc-9592-09b460615051
3339	13.2792	-29.5	1da84b1b-49ff-41ef-83a2-0acec3046459
3340	13.2792	-30.5	653355b2-5b2c-4316-9a77-4b395d96a291
3341	13.2792	-31.5	fddf16d3-a1f0-40b6-89bc-bc8f4988616b
3342	15.34	-6.5	a2891fa9-1c3f-479c-8292-dfa32fe0f700
3343	15.34	-7.5	6f4758aa-8f78-4f02-a23f-fbf99d29f3d7
3344	15.34	-8.5	9b0e61b1-79ba-4f52-a19f-f356b6aa4eea
3345	15.34	-9.5	3cd2c5f6-14d4-4910-a179-3cfc98e7e8cb
3346	15.34	-10.5	8e7aa0d8-4b58-4713-9d86-da319a246b44
3347	15.34	-11.5	33324a68-60c7-4654-a7d3-575571d58fcf
3348	15.34	-12.5	3880701d-c087-47ba-9388-2b1f45c9d049
3349	15.34	-13.5	105715d6-8252-4804-a912-5c23143de60a
3350	15.34	-14.5	80b34f56-d192-4543-b8c6-2cfd93ed0cc
3351	15.34	-15.5	282380cd-cc4a-4278-860f-f48e4ee8a7f3
3352	15.34	-16.5	e1584505-fe38-468b-a05a-e4d3ba563f15
3353	15.34	-17.5	73ce3f1d-4ccf-4ee1-96d1-95e0978d2280
3354	15.34	-18.5	04322eb2-af2f-4b5b-af6d-edac9370197c
3355	15.34	-19.5	bd49a5a6-586a-43a2-8c52-c6020feea05b
3356	15.34	-20.5	b3f493a2-db88-426d-ac84-203687b57cf2
3357	15.34	-21.5	3a399ceb-92bd-432c-ba0b-d8a18b9a6e97
3358	15.34	-22.5	c51a37c5-b8f7-4d00-babd-3e8a985e928c
3359	15.34	-23.5	7ac0fe8a-d836-4cec-bbbf-d0e87feb9491
3360	15.34	-24.5	4ddb104-8048-4451-ab2f-e6292713c438
3361	15.34	-25.5	5765f3cf-2bcd-4983-ba5c-0b5f1f361875
3362	15.34	-26.5	93fad7fe-de4b-47a7-9e15-c9ae51258c40
3363	15.34	-27.5	584f0079-97c0-4f44-9917-c07050e7f85b
3364	15.34	-28.5	a6f34d48-3715-46f8-9d53-0bc9a42fe0bb
3365	15.34	-29.5	6c12798f-4031-47d0-834a-7a5beb93c202
3366	15.34	-30.5	cd299b6b-fc63-4aff-acfd-ff758a0613d4

Table: Joint Coordinates, Part 2 of 2

Joint	GlobalY m	GlobalZ m	GUID
3367	15.34	-31.5	be6455d7-9b53-4f35-9a27-962a8e34cf31
3368	15.3192	-6.5	0386955f-8c20-4c4a-9327-931530245abc
3369	15.3192	-7.5	a3528b07-250d-45e8-aea4-3731cb453c3f
3370	15.3192	-8.5	7d650f7c-559f-4494-b4bf-119de1f2b268
3371	15.3192	-9.5	5d877f70-642b-4652-a0ee-3a9bbfb9c925
3372	15.3192	-10.5	dce037ad-5555-4261-940a-a8d4b516e202
3373	15.3192	-11.5	8f91ef07-682b-4cd7-a8ba-b4acfd9dec0
3374	15.3192	-12.5	e7059196-285a-4a4c-9e69-bd4f7ba3f36
3375	15.3192	-13.5	58c58965-1ed3-4df0-85d0-214e8ffe74
3376	15.3192	-14.5	3eebeb6d-9312-44d1-8418-49259848d4a3
3377	15.3192	-15.5	c7b0d781-725e-4119-a9d8-7bc8c0edfad9
3378	15.3192	-16.5	f0b98bb9-8558-4e70-aed7-65873e077967
3379	15.3192	-17.5	51ae4ac0-6a03-4721-a102-914143325a95
3380	15.3192	-18.5	b43dc13f-c78d-4d86-b15d-c6c22c784c38
3381	15.3192	-19.5	591847e5-7c62-464c-b1bc-58c7473bfd67
3382	15.3192	-20.5	778a52fa-ce78-49fc-9631-fde328e1eddc
3383	15.3192	-21.5	8d9db0b2-5342-460e-9362-40d3dc9516dd
3384	15.3192	-22.5	9bf9863a-eabc-4620-98c8-7a788fe8e7af
3385	15.3192	-23.5	4651e68c-56c8-4a85-8ccd-9c5608d8c5d4
3386	15.3192	-24.5	00edddcd-b7c7-4df6-b09b-1eac2c02c3dd
3387	15.3192	-25.5	24a83a28-a8e6-4087-bfa9-62abd36b0220
3388	15.3192	-26.5	d77974eb-10e5-474e-8c8b-f061ceb0c1432
3389	15.3192	-27.5	9f22d4c6-46c0-49cd-bc88-102b1bc1c899
3390	15.3192	-28.5	a2e4c800-8c15-43fe-afcd-7b390833c189
3391	15.3192	-29.5	e4127b07-0c87-43d5-9006-6bfe2575d0ef
3392	15.3192	-30.5	c780f867-e170-437f-84d1-64243017f0e9
3393	15.3192	-31.5	a1ecd6b1-e23c-45dc-9dd1-e7e29745f1c8
3394	18.09	-6.5	cd865a02-e344-4e79-b92a-c9ffa8a8c8b4
3395	18.09	-7.5	f5ad1188-3cc8-421c-9d0e-60b8f476bd16
3396	18.09	-8.5	1b8937ec-08ea-4116-9c1e-ec81f2b5ea91

Table: Joint Coordinates, Part 2 of 2

Joint	GlobalY m	GlobalZ m	GUID
3397	18.09	-9.5	77150286-eee7-4588-abd3-e95470dd8daa
3398	18.09	-10.5	487e9402-9ee8-4097-9e56-90ffe7acd47
3399	18.09	-11.5	d1c33692-df42-4fc9-aacc-e2263ff86ff7
3400	18.09	-12.5	31beada2-c39c-44b7-923e-e0214b24ad4d
3401	18.09	-13.5	1d4c6566-992b-4168-a531-259afe9cadce
3402	18.09	-14.5	e28edf6b-58b0-4515-821c-00ad7427b707
3403	18.09	-15.5	917ef95c-2172-48c1-bba-b-002df2cac232
3404	18.09	-16.5	37e111d3-dc85-4224-bb3c-480852427cf1
3405	18.09	-17.5	da780f04-6975-4627-bc5e-21b6af632939
3406	18.09	-18.5	33f72a38-5f22-45ef-87ff-be2e29d8489e
3407	18.09	-19.5	5e90c6c2-a1f0-4e95-b1e4-c560701d301b
3408	18.09	-20.5	1d60e36a-b5b2-4823-b833-9147704cd1c4
3409	18.09	-21.5	7d25072b-c9b6-4900-b261-d8d8aacf2ab2
3410	18.09	-22.5	ab21bd80-f2aa-415c-af3c-7921e91bf8a0
3411	18.09	-23.5	14baf5c6-467d-4387-8327-a6fdd1e689c7
3412	18.09	-24.5	4f7a1396-1a7b-4376-bd98-8c0b27544dfe
3413	18.09	-25.5	206c4468-a8ed-4cdb-8805-131b0f283d2f
3414	18.09	-26.5	227693d9-93d2-49b8-9810-e70fb84eef82
3415	18.09	-27.5	5c20004e-5922-43b6-a0ba-370bcecdab6c
3416	18.09	-28.5	e94bd66d-85e9-4793-8bf3-8941fbdca5ba
3417	18.09	-29.5	51bf1e75-0f45-413f-b088-075532f500aa
3418	18.09	-30.5	fc2a9f36-3a35-4e9e-9ae9-18d200f93e68
3419	18.09	-31.5	7a829822-cdc3-4488-8a3f-47c2a2514663
3447	18.09	-6.5	daafc071-18fd-4831-b2b9-3ba43db774d3
3448	18.09	-7.5	30a70aa9-a229-43a9-b23b-85dceb9b5b2a
3449	18.09	-8.5	dfd28166-7510-41c8-8d82-f2dce3952fe1
3450	18.09	-9.5	c079c22f-d2c5-4803-9406-f4a4050aa8b7
3451	18.09	-10.5	ffe5fd01-a39f-41e8-b948-531784f1ba5b
3452	18.09	-11.5	9f75c974-8cff-45e4-a854-4c61e75adcf
3453	18.09	-12.5	64a3a449-cb2b-4e26-ac1-8f3e967c8145

Table: Joint Coordinates, Part 2 of 2

Joint	GlobalY m	GlobalZ m	GUID
3454	18.09	-13.5	338163d3-08e8-4adb-aec9-2f767ac5c942
3455	18.09	-14.5	4a560f1a-2a86-4a9d-a9e1-de41cac9c2f5
3456	18.09	-15.5	e87107cf-7b17-4542-8b6a-f7a724f4e7fb
3457	18.09	-16.5	b999d96c-42c1-4168-9022-7b88e92ab7bc
3458	18.09	-17.5	1e57a010-7a2b-46ea-91e6-54e44b6df9e3
3459	18.09	-18.5	15d75028-e800-480d-81fb-0d53b98bf72e
3460	18.09	-19.5	120a4feb-20bf-407d-b97a-c3add23e7f56
3461	18.09	-20.5	5fe454b9-94ec-4660-952a-7f44b75ca092
3462	18.09	-21.5	88558e82-5528-477d-9177-b1d408f50c14
3463	18.09	-22.5	6bc321ba-098b-4687-bbb-87cba6ac29e2
3464	18.09	-23.5	8daf3532-45b3-4f55-b848-7be1e045edae
3465	18.09	-24.5	8f0a81f4-5fa3-4138-ade3-66dafabb29b9
3466	18.09	-25.5	db54f592-9f0d-49b0-9ed1-d1b7123d9e0b
3467	18.09	-26.5	98b76fa7-f60e-48df-bf90-640bfd5c311a
3468	18.09	-27.5	4103b5b2-dda8-4ae5-bd90-c8191143b2f3
3469	18.09	-28.5	f57dfcb9-5ba7-431a-ae1a-9fa2bab88e7e
3470	18.09	-29.5	7277d9a6-04f4-4396-9791-cae5af27dbf9
3471	18.09	-30.5	174d22e5-dc82-4555-a123-01805766c893
3472	18.09	-31.5	29d8d6fb-34c5-444e-8167-ceb6f3bbe080
4757	-17.761	0.	
4758	-17.761	0.	
4759	-17.761	0.	
4760	-17.761	0.	
4761	-17.761	0.	
4762	-17.761	0.	
4763	-17.761	0.	
4764	-17.761	0.	
4765	-17.761	0.	
4766	-17.761	0.	
4767	-17.761	0.	
4768	-17.761	0.	
4769	17.761	0.	
4770	-17.761	0.	
4771	-17.761	0.	
4777	17.761	0.	
4778	17.761	0.	
4786	17.761	0.	
4787	17.761	0.	
4795	17.761	0.	

Table: Joint Coordinates, Part 2 of 2

Joint	GlobalY m	GlobalZ m	GUID
4796	0.55	0.	
4804	0.55	0.	
4805	0.55	0.	
4813	0.55	0.	
4814	0.55	0.	
4822	0.55	0.	
4823	-0.55	0.	
4831	-0.55	0.	
4832	-0.55	0.	
4840	-0.55	0.	
4841	-0.55	0.	
4849	-0.55	0.	
4850	-17.761	0.	
4858	-17.761	0.	
4859	-17.761	0.	
4867	-17.761	0.	
4868	-17.761	0.	
4876	-17.761	0.	
6164	12.575	0.	
6165	10.725	0.	
6166	8.875	0.	
6167	12.57522	0.	
6168	10.72529	0.	
6169	8.87535	0.	
6174	12.575	0.	
6175	10.725	0.	
6176	8.875	0.	
6177	12.575	0.	
6178	10.725	0.	
6179	8.875	0.	
6180	17.761	0.	
6181	17.761	0.	
6182	17.761	0.	
6183	17.761	0.	
6184	17.761	0.	
6185	17.761	0.	
6186	0.55	0.	
6187	0.55	0.	
6188	0.55	0.	
6189	0.55	0.	
6190	0.55	0.	
6191	0.55	0.	
6192	-0.55	0.	
6193	-0.55	0.	
6194	-0.55	0.	
6195	-0.55	0.	
6196	-0.55	0.	
6197	-0.55	0.	
6198	-17.761	0.	
6199	-17.761	0.	
6200	-17.761	0.	
6201	-17.761	0.	
6202	-17.761	0.	
6203	-17.761	0.	

Table: Joint Coordinates, Part 2 of 2

Joint	GlobalY m	GlobalZ m	GUID
6555	-12.575	-0.84	
6556	-1.475	-0.84	
6557	1.475	-0.84	
6558	12.575	-0.84	
6561	-10.725	-0.84	
6562	-8.875	-0.84	
6563	-7.025	-0.84	
6564	-5.175	-0.84	
6565	-3.325	-0.84	
6566	3.325	-0.84	
6567	5.175	-0.84	
6568	7.025	-0.84	
6569	8.875	-0.84	
6570	10.725	-0.84	
6571	-14.615	-0.84	
6572	-16.715	-0.84	
6573	14.615	-0.84	
6574	16.715	-0.84	
6591	-14.615	-1.1	
6592	-16.715	-1.1	
6940	-12.575	-1.1	72e2cc10-fba4-4b1f-82d6-291a8b1259ad
6941	-1.475	-1.1	81c8c2f5-dd3c-43dd-bced-a2736add34fb
6942	1.475	-1.1	b324a23a-42d3-4400-89f4-c299276d66ee
6943	12.575	-1.1	5b40df36-e7e6-44fb-babd-ae3cc3d09717
6944	-10.725	-1.1	39f2fab3-6621-40e6-a577-0bdb6dc4aef6
6945	-8.875	-1.1	c43d0de3-7b71-40ba-bc40-3463973227f3
6946	-7.025	-1.1	10aaf40a-60a9-4409-8643-468c95762e06
6947	-5.175	-1.1	32ff1421-f5d1-4f37-882f-37ed95c4524b
6948	-3.325	-1.1	134c0faf-e991-4270-90ffaaf004a99e8b
6949	3.325	-1.1	afc9889c-a8d3-4119-aa7e-ca34be7e8a65
6950	5.175	-1.1	9860765d-1196-42c0-a0ff-1e962a79c650
6951	7.025	-1.1	0cb793c2-a83a-4e94-a15c-d0ffcdc3418d
6952	8.875	-1.1	6f2ac597-4e15-4950-aade-8b4a9bddac60
6953	10.725	-1.1	4504e327-85d4-4e27-9149-230bbcb219f0
6954	14.615	-1.1	41ece3b7-3171-4aa4-821a-05e6162e3b11
6955	16.715	-1.1	6fbdda1a-348e-44c1-8981-643a016cbe9b
6956	-12.575	-2.1	61b6900c-c931-41d7-8ab0-98fff0fe5266
6957	-1.475	-2.1	878b739a-5278-4bee-b57e-2d13ff36b3a3
6958	1.475	-2.1	959ac3a9-3da8-4021-b9d9-9e5d0ad1f931

Table: Joint Coordinates, Part 2 of 2

Joint	GlobalY m	GlobalZ m	GUID
6959	12.575	-2.1	47c86529-9d80-488d-9e53-c9514602edfd
6960	-10.725	-2.1	0b087d9a-4ea8-4d54-b74a-400d8473b67f
6961	-8.875	-2.1	37710154-d6b9-445f-97de-1e7aa9678943
6962	-7.025	-2.1	fb82662-b12a-419c-836c-d8dc5af52117
6963	-5.175	-2.1	b3e585ac-76e3-42f7-a403-4e285643d17c
6964	-3.325	-2.1	27e66d36-f181-49a8-8b26-a18736850683
6965	3.325	-2.1	1bed88ad-8fce-4341-b0f3-cf326c92e47a
6966	5.175	-2.1	e2d76240-d549-4461-be23-6dc6a9a49dbd
6967	7.025	-2.1	33d3c16b-4a5a-4f32-b648-536184588e71
6968	8.875	-2.1	b65ab561-da59-4c22-815d-3bab4126c8ba
6969	10.725	-2.1	fe36bb62-38fe-4140-9078-625b0b7349bf
6970	-14.615	-2.1	f0071bd2-8b84-45bf-9f78-e2794c6a5b68
6971	-16.715	-2.1	59103701-9411-4432-9f56-5e89f5f28e9d
6972	14.615	-2.1	6e366479-61a2-4d58-ba5a-48073e4eef9d
6973	16.715	-2.1	94f66ee0-edfb-446f-8e44-326e3ba51ab6
6974	-12.575	-3.1	6e3bff65-bd2d-469d-abb-b-e24623fbbe47
6975	-1.475	-3.1	3ab9a609-aa99-4915-9ab4-876f6fe18cfa
6976	1.475	-3.1	dc1ce877-a7a5-4c1b-9ec-c-a291f02c3c7b
6977	12.575	-3.1	e9790188-c152-415a-8f53-6c628a13ecff
6978	-10.725	-3.1	8ed18040-4e21-4dcb-a62b-c4a3da514778
6979	-8.875	-3.1	9eb03864-c08e-401a-b08b-0d3de216e41a
6980	-7.025	-3.1	410db6ee-3694-42a0-878a-7dfc6f75be1e
6981	-5.175	-3.1	4e3ff938-aa94-4a2d-bb6b-df218ef9a5d3
6982	-3.325	-3.1	2fb8dd3f-0f55-439a-83b5-31ac43eaa7ce
6983	3.325	-3.1	947ae551-e3b6-45b6-b0b4-75225101ee1d
6984	5.175	-3.1	b2cb4f35-fea0-497f-9f18-49591f1afe6d
6985	7.025	-3.1	60784c74-4522-4584-8ac1-a17093f01c7c
6986	8.875	-3.1	cf76cee3-5966-45b7-81c6-f6de6a7f0539
6987	10.725	-3.1	b0c98fe4-fbac-487e-bf09-2e5bc6937302
6988	-14.615	-3.1	b4b2691b-be0e-4dac-80a0-13c79d165d01

Table: Joint Coordinates, Part 2 of 2

Joint	GlobalY m	GlobalZ m	GUID
6989	-16.715	-3.1	c2c629ce-c603-48b3-a3e e-8194c3b21caf
6990	14.615	-3.1	4bf578f1-6b59-455f-9e37 -5fdcc166889f
6991	16.715	-3.1	4a15505d-9404-4da7-95 70-9b2e589a28a7
6992	-12.575	-4.1	1372f683-c290-4bea-b58 1-a4069725324b
6993	-1.475	-4.1	eeff26c3-e7a4-48db-899 4-b9a51c64b07c
6994	1.475	-4.1	e9718098-9679-40c1-b7 63-2cb448108fb4
6995	12.575	-4.1	be8f23bb-9e7a-4c4a-9a6 a-23450cd984f0
6996	-10.725	-4.1	04e4542c-9292-48d9-b3 8d-63eea818fa32
6997	-8.875	-4.1	6d308d92-1fef-4b93-8d2 2-6e03af394faf
6998	-7.025	-4.1	518cf2f3-f6db-4b19-9956 -4e61455bfc88
6999	-5.175	-4.1	9ec22248-6c10-4a76-83 0d-d95db61dc768
7000	-3.325	-4.1	1f30570a-44b3-47d2-b3f 7-dd020124ea4d
7001	3.325	-4.1	599d4c0e-f62b-4d3c-934 7-1212c4cae0c8
7002	5.175	-4.1	816e7274-6657-412f-bd8 5-ef4ca79c3c22
7003	7.025	-4.1	c9e62108-936d-4f13-a52 8-81685ca3afe0
7004	8.875	-4.1	56b36851-909d-4ad4-a1 a6-02bdeceae05
7005	10.725	-4.1	20e05918-9bdb-4bcf-8e9 9-ad0965727e42
7006	-14.615	-4.1	15ef233b-bf06-4932-b16 e-2d6b8597102b
7007	-16.715	-4.1	7e65fe97-e106-46fb-9d7 d-00c2fb7ab048
7008	14.615	-4.1	5a81f7ae-bce7-4513-995 7-7b10874bda89
7009	16.715	-4.1	ac7955ab-104b-458e-92 9a-387819b82c01
7010	-12.575	-5.1	8d7383e3-a2bc-46e3-a0 32-2eded1596d1a
7011	-1.475	-5.1	05774879-dea2-479f-a3f c-8b01eaf0a867
7012	1.475	-5.1	0cbd3c11-1f1e-4355-bb5 9-b60590344036
7013	12.575	-5.1	bef53d8d-e762-4598-bd8 3-7dbd208009fd
7014	-10.725	-5.1	d3069fcf-f936-4fb2-859a- 56e838e6ab74
7015	-8.875	-5.1	711519ee-5e07-4309-95 1d-f414cf82108a
7016	-7.025	-5.1	6d3e20b2-7fce-475b-89d 5-676bb3bcf656
7017	-5.175	-5.1	21a9a1be-8fa8-4491-80c c-ccf1a0d4702c
7018	-3.325	-5.1	41bb56c1-36a4-4c4f-b68 2-52cc9708e058

Table: Joint Coordinates, Part 2 of 2

Joint	GlobalY m	GlobalZ m	GUID
7019	3.325	-5.1	91b64746-d345-46d8-8e18-33b9a252e6ad
7020	5.175	-5.1	d697f0e8-fa1d-4408-a066-18b24187c08c
7021	7.025	-5.1	06b5d91c-397b-4718-b198-aa3b156d2f6b
7022	8.875	-5.1	ffef7f7c-4d96-4ee9-8ebd-ae64c64525f1
7023	10.725	-5.1	80c61de4-7331-4f93-80dd-30cb4905c480
7024	-14.615	-5.1	75fa142e-f1b4-4fec-b8e8-bdadf8e0a3ce
7025	-16.715	-5.1	0daabfc3-54ba-40e9-b8bf-b70a0124e150
7026	14.615	-5.1	288d2920-828e-4b5f-86e3-c181630e0d98
7027	16.715	-5.1	b1a0aead-5f9e-4a06-8620-e3b5ca56e0db
7066	-0.0446	-5.1	49686de4-6ca0-43d0-95f5-f2f5052a7b10
7067	-0.0446	-4.1	f71b3c6f-a8d6-464d-aa94-7275592ba8eb
7068	-0.0446	-3.1	462b11ff-1d9d-4010-a8f9-e40ab6fe29c0
7069	-0.0446	-2.1	93029923-7d84-440d-bcc2-7d89a45c1996
7072	-2.487E-14	-5.1	115ce89d-a6d0-43d7-bd2e-5ab367e80070
7073	-3.553E-14	-4.1	bcd59e7a-1bf0-4ad3-8422-9435b5425b4a
7074	-2.487E-14	-3.1	364ee98d-b430-4c2c-886c-2d483309466c
7075	-2.487E-14	-2.1	63b84eb2-0913-48cb-8468-89ae52f9cf63
7076	-11.5443	-5.1	ec3f6a90-b557-4632-9324-76ac55d8a730
7077	-0.4443	-5.1	401d7c9e-4953-490e-8d80-f8bceebda773
7078	2.5057	-5.1	38d1d774-1f10-414c-9347-7227028d55a1
7079	-9.6943	-5.1	bcc74e05-a3a2-450a-baeb-2f75e966358e
7080	-7.8443	-5.1	775403d5-66a9-4e1c-88d8-54dc6780abee
7081	-5.9943	-5.1	3d3735d8-add0-4057-9a52-8a66a5b60dba
7082	-4.1443	-5.1	9b635bf8-17b0-4932-9545-4cbd629681bf
7083	-2.2943	-5.1	aba6c039-6e69-48f8-8d1e-b4a5654309ff
7084	4.3557	-5.1	f985bc1a-f6f2-4999-bb5d-f0405d63a362
7085	6.2057	-5.1	38382cde-9728-4ab7-9c79-53b68e769f80
7086	8.0557	-5.1	5ca1fc6d-8fbc-4898-8272-20f949f84a6b
7087	9.9057	-5.1	18318889-30cd-4f37-b641-440dbde38844
7088	11.7557	-5.1	4ff8c620-1c65-4061-ac42-6c5a5af971e6

Table: Joint Coordinates, Part 2 of 2

Joint	GlobalY m	GlobalZ m	GUID
7089	-13.5843	-5.1	99c464ce-92f5-40dc-b10e-8b5b6ccd8ef7
7090	0.9861	-5.1	bdeac4bc-b749-4142-b018-1c74bd50deb0
7091	1.0307	-5.1	9398601b-9810-4f36-9f54-f25128bf7137
7092	-11.8708	-5.1	24b54ba9-f73e-40cb-8cfd-106a4c1958af
7093	-0.7708	-5.1	9894df3f-822d-455a-a2e0-a2e4a2b8cd71
7094	2.1792	-5.1	02cda05a-66ef-4d3d-9559-796bfd0556c1
7095	13.2792	-5.1	9955df0d-4e46-4a89-8ed8-28b0ed454394
7096	-10.0208	-5.1	8fc3e7bf-674c-4ebe-bb5b-bf8fd4dbc595
7097	-8.1708	-5.1	ab1f56d9-5a79-4208-a56a-882522c14a60
7098	-6.3208	-5.1	fa8add17-6143-45fc-82c3-9af87d1a8d53
7099	-4.4708	-5.1	6c2127a8-36f1-4327-9531-68827725649e
7100	-2.6208	-5.1	00529530-10cb-4968-bf12-81d8596a78f6
7101	4.0292	-5.1	fac5a688-2ac5-4374-8591-f0511a2b4084
7102	5.8792	-5.1	d4f3ff02-8ab0-4737-a06b-b99366c8855d
7103	7.7292	-5.1	9f7a4fad-141c-450a-a318-da140b85b7da
7104	9.5792	-5.1	fb5ba4cc-f7f4-4589-9c94-05a64ffb6a31
7105	11.4292	-5.1	b1f751eb-b5db-4118-a9ec-542767580749
7106	-13.9108	-5.1	456a41b8-f6e9-4c1c-9394-8cf7312828dd
7107	0.6596	-5.1	c2c2e047-b694-45dd-aa84-16fd2ec437b0
7108	0.7042	-5.1	2736c5cf-6140-4cfa-8bda-811d9512f19b
7109	-13.2792	-5.1	3178d0eb-9da8-46d2-be72-d26c9c8766a9
7110	-2.1792	-5.1	a99d3d20-8f09-4858-9fd6-88f29d123f2f
7111	0.7708	-5.1	de7cd7da-6fa6-470c-affd-8165b0ff039b
7112	11.8708	-5.1	70e5db3a-8ba0-49e3-8c7f-80ae09f97dd2
7113	-11.4292	-5.1	648e95cf-ab15-44dc-b205-174ad9fc21f4
7114	-9.5792	-5.1	574ec9e3-5f7a-4bf3-a4f6-8853e83d9ff5
7115	-7.7292	-5.1	06efa81a-73aa-4840-87a8-3436f96c46d9
7116	-5.8792	-5.1	eebe9d1d-7357-44d3-af95-2ef31ab1b45d
7117	-4.0292	-5.1	2a4da2fb-fc8b-4da9-b6a5-dad30f42c168
7118	2.6208	-5.1	54fbf4be-8b71-4d91-9575-6827bd52f6f7

Table: Joint Coordinates, Part 2 of 2

Joint	GlobalY m	GlobalZ m	GUID
7119	4.4708	-5.1	e52774e5-88bc-49d0-9d55-fd76fe99ae45
7120	6.3208	-5.1	a72c9be2-2e7b-4be2-b422-19efedefef53
7121	8.1708	-5.1	bedd753a-525d-4390-b912-d0dc07ee2078
7122	10.0208	-5.1	ca00bf85-7ecf-4736-8487-d3a5a5e223d6
7123	-15.3192	-5.1	8fd8cbe2-4c2a-457a-8355-5c24cf3d242e
7124	-17.4192	-5.1	c914199f-dde7-4488-a26e-8bd0d7df544d
7125	13.9108	-5.1	7903b571-3216-4c65-8809-7bffd66da15e
7126	-0.7488	-5.1	ff839f6f-94c0-4673-9ff8-5a0a54caed72
7127	-0.7042	-5.1	127edcb2-bb3c-451c-9084-5dc0c7daccba
7128	-13.6057	-5.1	bf3c537a-bffc-4e09-9128-27d0b283484d
7129	-2.5057	-5.1	dbe63680-e09b-422b-b598-d6fbe867bed8
7130	0.4443	-5.1	9b95d530-73c6-415e-a52c-0a91d40eee07
7131	11.5443	-5.1	15984b2c-0b3f-4410-9ee6-7104a86e7f80
7132	-11.7557	-5.1	22e9c5ed-0af1-44ff-8b4c-5e5d0f854eb2
7133	-9.9057	-5.1	93e98070-7143-4d8d-a839-84e7ec64ad5a
7134	-8.0557	-5.1	5cf65ed1-d69c-43c4-a1f8-31027035367b
7135	-6.2057	-5.1	c8f4f89f-fc65-495a-9e67-1bee5515880d
7136	-4.3557	-5.1	51731801-db84-47a0-8458-9db8f9e8d361
7137	2.2943	-5.1	165d7b23-3428-4f26-97f0-db580a7ba1b3
7138	4.1443	-5.1	b11259a9-a276-46b2-9ab4-8387b084829c
7139	5.9943	-5.1	6ae97359-26bc-4438-8925-52bad65ab0b2
7140	7.8443	-5.1	a648215a-62c2-48c0-81aa-e3d7d9dde79c
7141	9.6943	-5.1	3ff625d0-b978-4a34-8ede-e984635861cc
7142	-15.6457	-5.1	6011384c-8d74-4524-b4b0-c6444a92c24d
7143	-17.7457	-5.1	37b48cb3-eeb0-4fd5-a194-725136105956
7144	13.5843	-5.1	2d0a81a3-8780-4714-9ed4-c18bff801974
7145	16.69	-5.1	55629cc6-82a4-4ade-8032-e51b3007ec6b
7146	-1.0753	-5.1	a752ad11-010a-4c2c-b9ce-56055375cccc
7147	-1.0307	-5.1	999f2719-4666-4940-bfd4-0cfc8ea13489
7150	-0.0446	-1.1	6e19ed4f-58b4-4052-be6d-b8269c1108e3

Table: Joint Coordinates, Part 2 of 2

Joint	GlobalY m	GlobalZ m	GUID
7151	-2.487E-14	-1.1	7e2e229c-46fd-462e-96e4-71d74a0a3d72
7152	2.1792	-6.1	a1bfe415-f24f-45ce-a63c-78b43099f17a
7153	2.1792	-7.1	23d556e2-46b4-49bf-a3f1-5cb7cdfc673c
7154	2.1792	-8.1	0ee6db6a-d0fb-48b8-b980-3aedffb24c42
7155	2.1792	-9.1	b33f0492-01ef-4d9e-bc34-5d87d4b60992
7156	2.1792	-10.1	004493b6-2a52-4314-ab c1-c2cf388fd20f
7157	2.1792	-11.1	b1f031c3-f2b3-4067-8c5c-28a11888b1f9
7158	2.1792	-12.1	0d77b340-8dfb-4ef4-9e92-2852eb83396d
7159	2.1792	-13.1	4ea1baa6-4661-4b67-8362-0cd2025be209
7160	2.1792	-14.1	bcf0b677-b8e2-4b4a-80a2-568f66e4437c
7161	2.1792	-15.1	074ca5ca-08cd-4e0d-b114-d6b49582cbbe
7162	2.1792	-16.1	6e92f4ea-3b60-4aa3-93c4-9313041aa912
7163	2.1792	-17.1	3a4e5c14-e1f0-47b0-87d d-cb4e8c50d3d9
7164	2.1792	-18.1	a6a482aa-0967-444c-b5c9-94b5d5f3a225
7165	2.1792	-19.1	e96e2cb5-9aaf-4d6b-a981-a0a3f8606a45
7166	2.1792	-20.1	2aa3ee26-248a-4bee-b7e9-f95a0caa95c2
7167	2.1792	-21.1	f8caa90e-f5af-442f-973b-80c58d4997da
7168	2.1792	-22.1	7197890c-20ab-4139-b6b0-5c3f0fbb6842
7169	2.1792	-23.1	13671afb-f326-49ab-8e34-ea5bf414bb8e
7170	2.1792	-24.1	c16cb0ff-da8d-4fd4-aafe-82ba532c4f0
7171	2.1792	-25.1	9b0b8a9f-e39c-4479-9595-24cf756fed27
7172	2.1792	-26.1	432a5fcd-9950-438a-b257-d8ce2139b27f
7173	2.1792	-27.1	4fc0a8bd-4faf-4886-85c0-b61abc6b5083
7174	2.1792	-28.1	bc453f99-0fc2-4956-acc6-f55b255671fe
7175	2.1792	-29.1	77747854-3142-44bf-b569-89cc9e51c077
7176	2.1792	-30.1	42349322-eebb-4ee7-b93a-a20b82576749
7177	2.1792	-31.1	560d13aa-71a8-44a5-bbad-10b6ee0b1910
7178	0.7708	-6.1	f181eac9-04c8-4e22-a642-0e2b0741f164
7179	0.7708	-7.1	31a01f4f-8bb9-4313-b96a-9dbbc304d1c8
7180	0.7708	-8.1	c5966ab2-3e6d-4c54-9a96-d4026429792d

Table: Joint Coordinates, Part 2 of 2

Joint	GlobalY m	GlobalZ m	GUID
7181	0.7708	-9.1	28ba7d4f-4e42-4541-ab69-9cd20b8ee9ae
7182	0.7708	-10.1	344a977e-0436-415b-9851-2f91f9c7d025
7183	0.7708	-11.1	64d492f0-a2a7-490b-b598-07e401155951
7184	0.7708	-12.1	cc082d1b-ae21-445f-9d35-6d28b4753b1a
7185	0.7708	-13.1	8551f712-ef7b-43dd-b5a9-4326102c2cdc
7186	0.7708	-14.1	d1da7a75-87db-414f-86c9-0aac255fdbd3
7187	0.7708	-15.1	eabce8f9-4b5a-4381-947e-ff9d86d23674
7188	0.7708	-16.1	7a3e6c1c-36ab-483e-aa65-f18b6c7a053c
7189	0.7708	-17.1	05179240-c9a6-4a85-b077-48815ef84375
7190	0.7708	-18.1	b693e4d8-f192-4844-811b-5627b84a6ac0
7191	0.7708	-19.1	39b6317c-c701-473f-9753-33b78ad8ab2f
7192	0.7708	-20.1	b60734f2-c75c-42fe-8237-47c2ec8bbbf6
7193	0.7708	-21.1	09c70a1b-2045-454f-b8ed-083e68e0cbce
7194	0.7708	-22.1	bdf9dad6-3e8c-427b-8cc4-7cbd9a5a5bc2
7195	0.7708	-23.1	90b97932-df4b-4ed5-9601-3251faee19bc
7196	0.7708	-24.1	5684894d-3296-4173-8a5b-0a7c4ef6beff
7197	0.7708	-25.1	6d621ce1-4cd0-43a2-a164-2386d4035fa3
7198	0.7708	-26.1	ca2e1d79-86ef-4772-a45c-a09fc38b19d1
7199	0.7708	-27.1	e0ff77ca-1af1-40e7-9d0d-53c67580dce8
7200	0.7708	-28.1	539ceedf-fe3d-44ec-86c3-2aca05d42b1d
7201	0.7708	-29.1	bb028379-ff94-41a3-8300-2b2d91afb472
7202	0.7708	-30.1	4a3a54b6-9c0c-4948-a94d-73a2b8479298
7203	0.7708	-31.1	3c04f1b6-ade4-4de8-9729-61b25bb6efc7
7204	5.8792	-6.1	4a4e796d-a1e9-472a-a3e8-bdfbae98bb45
7205	5.8792	-7.1	3351f5d3-0495-4f82-82da-724e27c0daa1
7206	5.8792	-8.1	7a5d2c72-2c1a-43d5-823c-5a8f30e644de
7207	5.8792	-9.1	0763b39c-43f0-4afb-aff-75d41bec92da
7208	5.8792	-10.1	3450b9a2-46b1-4b01-a576-4e8de262bcbb
7209	5.8792	-11.1	dbc2c7d1-f0ae-4b06-a7aa-f78c3ca82327
7210	5.8792	-12.1	34924a64-5104-4b33-9a99-237aa80285b4

Table: Joint Coordinates, Part 2 of 2

Joint	GlobalY m	GlobalZ m	GUID
7211	5.8792	-13.1	d087293f-21fa-4393-9b39-2d2eff332125
7212	5.8792	-14.1	1b8591cd-b315-496f-917c-47f6f072c56a
7213	5.8792	-15.1	4bd6fb03-56d2-4459-8d56-21e2cb3427de
7214	5.8792	-16.1	b347ce7c-e3c5-4763-bf75-db148d6ade90
7215	5.8792	-17.1	422c0fce-ba9e-45d9-8fe6-1e98b49416af
7216	5.8792	-18.1	1f0fc059-f9df-42d0-9a66-3493d5432080
7217	5.8792	-19.1	cfe3cd52-c708-4bb0-98c7-f5f78210185a
7218	5.8792	-20.1	72ea2fb2-41c3-4bc1-b842-0cc17719c10e
7219	5.8792	-21.1	e211dd58-4126-4846-8e44-0a0f5926fedd
7220	5.8792	-22.1	d74a63be-96f8-4e47-a038-d8c2a8276c24
7221	5.8792	-23.1	c4ca9067-3135-4907-9462-7cd28cc064d7
7222	5.8792	-24.1	0319936f-8179-43ba-af90-cc3403454ec7
7223	5.8792	-25.1	be7b5062-bf48-4f7a-88e5-8b5fa2a6b710
7224	5.8792	-26.1	475ae9fa-86ca-4c38-ac78-77e3c266d12e
7225	5.8792	-27.1	386368c8-8fb8-4a2f-887c-84ac7b95fd5e
7226	5.8792	-28.1	44200a6e-d12a-44a6-925d-1011b3dba3a2
7227	5.8792	-29.1	69d697ba-2918-4b38-99e7-43ac4d9334e2
7228	5.8792	-30.1	9d00c1e5-45c8-40c2-a828-7058c54f5e15
7229	5.8792	-31.1	6568b2ac-7243-474e-a00d-0179f06ebd4b
7230	4.4708	-6.1	5165cdce-d741-48b0-9764-e92f0b503dbf
7231	4.4708	-7.1	f04377d5-d2e0-4aa3-91b3-7e7add0f54bb
7232	4.4708	-8.1	6abb7fc4-7d2a-4a26-afe6-0c7eae1f07fe
7233	4.4708	-9.1	49379f4d-7485-44ac-aa7c-b05133dcbbb1
7234	4.4708	-10.1	9e0189aa-8f6d-4423-ace4-bc29a856371a
7235	4.4708	-11.1	cbdeb218-1ef5-4783-b903-a9817acd1a09
7236	4.4708	-12.1	0d403b3f-37af-4a19-b2f1-49676678310f
7237	4.4708	-13.1	3c3f1cdf-ad55-4262-995d-a3d2e42d54c1
7238	4.4708	-14.1	5f31fe64-0c9a-4e19-8769-3dc031fccbc8
7239	4.4708	-15.1	f39075cb-41dd-4232-8a84-08bf777edb8
7240	4.4708	-16.1	a7a762a2-fb49-4231-a6dc-a28e6e98d099

Table: Joint Coordinates, Part 2 of 2

Joint	GlobalY m	GlobalZ m	GUID
7241	4.4708	-17.1	2aa44fc8-07cc-4312-9852-c3290b57e937
7242	4.4708	-18.1	e608e30b-d713-4a7f-b378-597ad28bd597
7243	4.4708	-19.1	3c8714f3-7448-4fab-8e15-4fd92b95ad31
7244	4.4708	-20.1	641682e2-8942-471a-8717-20aec2aa8d03
7245	4.4708	-21.1	70d2f519-932d-4193-8d90-105bc6195170
7246	4.4708	-22.1	8a772f85-f855-4f6d-9c16-268ff2abdbc
7247	4.4708	-23.1	df04b671-85ab-4130-8d0e-b2a138a7dea3
7248	4.4708	-24.1	711d5ccd-3b60-4afa-ac2d-0f30c326280b
7249	4.4708	-25.1	7e570d33-4cca-4a3c-bcd0-81d1ff514910
7250	4.4708	-26.1	8e025be9-5d14-4bd3-8f75-e6e0d04c43bd
7251	4.4708	-27.1	0115eb92-73c2-41ea-80ee-3b4d078e6d6a
7252	4.4708	-28.1	9a3dd991-e652-459f-87c0-865357b5ebfd
7253	4.4708	-29.1	8c276be7-cedf-4596-8423-97d57ed4beb3
7254	4.4708	-30.1	7c2b641f-c75d-462d-a07f-e74083704393
7255	4.4708	-31.1	4632516a-9d97-4445-a6f9-c2385d213ec7
7256	9.5792	-6.1	e9758788-7b00-415d-9338-15729377b12d
7257	9.5792	-7.1	66178a51-34af-4089-bbaa-ebc4d9f8bc6d
7258	9.5792	-8.1	22110791-82f7-4ab2-85a7-e1d6c1be4982
7259	9.5792	-9.1	1b6d474e-fb37-43b3-a1bb-42c2a2c54c4a
7260	9.5792	-10.1	deb100fb-52da-441a-be01-f20c8bd07dd7
7261	9.5792	-11.1	a1a79868-6ea1-41ff-aef8-ebd8d03a4486
7262	9.5792	-12.1	665aeb12-8345-4a21-83cb-39f7de66833f
7263	9.5792	-13.1	d3825d6d-369a-435d-b67d-07e5cb906b91
7264	9.5792	-14.1	198be0ec-e148-426f-8267-7ae8b96c7ec7
7265	9.5792	-15.1	d91465c7-578f-4cea-96a0-8686e6720765
7266	9.5792	-16.1	c96f8e3e-e3e9-468f-8625-37a5580a1d5d
7267	9.5792	-17.1	15d457cb-1f63-4d05-9b71-6d8d6bc38826
7268	9.5792	-18.1	0b8af52e-0885-4912-8bcbb-6160449363f0
7269	9.5792	-19.1	b6bd9f7a-f502-421a-b36a-b83938285796
7270	9.5792	-20.1	8e95bd53-63f1-4cff-9455-d7aae00bcc3c

Table: Joint Coordinates, Part 2 of 2

Joint	GlobalY m	GlobalZ m	GUID
7271	9.5792	-21.1	e33e02ca-5a82-47f4-8237-a147086b6dbc
7272	9.5792	-22.1	831bab4b-ffb3-43b4-bec1-bec5c20cc240
7273	9.5792	-23.1	0984ceaa-21c4-41fd-8547-7c779b767721
7274	9.5792	-24.1	adad6c39-5dba-4712-81e4-60583f42f3fa
7275	9.5792	-25.1	bd3dda40-36e7-4623-be8e-e995fc7fde0b
7276	9.5792	-26.1	611da389-e5c1-46c2-bf38-105fa7578125
7277	9.5792	-27.1	cb4767df-10ce-4d0e-be7a-b91923c2831d
7278	9.5792	-28.1	9f5b6b85-6726-439e-8c85-440989838e18
7279	9.5792	-29.1	6e6f241d-ecbc-4da0-ada5-c754bc7c895a
7280	9.5792	-30.1	66fdc63f-6cab-4985-9eaf-4f61c4e1aabb
7281	9.5792	-31.1	97bf5f7b-846c-4b4a-a95b-80d750d72e2f
7282	8.1708	-6.1	bfc3107f-56e5-4657-b274-c9ade4f55c24
7283	8.1708	-7.1	dca6f10b-ade8-48c9-a113-9a9615560683
7284	8.1708	-8.1	ac4ff367-c5b4-4190-81a8-d904c2a20017
7285	8.1708	-9.1	d02bc99c-befb-4531-b8d9-141d4fbfc872
7286	8.1708	-10.1	8eba81c4-a4de-4a7d-9698-e4194f9a78fc
7287	8.1708	-11.1	00487ad2-f910-42a4-a109-c0d21ad7a8b5
7288	8.1708	-12.1	524dc3b7-cadd-41a8-b8f9-929d26683b00
7289	8.1708	-13.1	77efc2e4-811b-4ed7-8297-67faebfde0fa
7290	8.1708	-14.1	91608392-7364-48ef-8212-991445e06830
7291	8.1708	-15.1	36e7f51a-1c70-4aca-a4a1-1cb0e13a2fcc
7292	8.1708	-16.1	992bf5ac-5756-4e14-9ea-e-e082aea58654
7293	8.1708	-17.1	b62b6523-ee93-4ecf-aa1d-e9af6c7146e0
7294	8.1708	-18.1	534c17a7-89ce-4147-85d2-366d3a3e4495
7295	8.1708	-19.1	b43c28bf-f2b5-4bd2-b1a9-c66daafcd85d
7296	8.1708	-20.1	cbf58edb-53c7-457c-9fd-a-7921e0745ef6
7297	8.1708	-21.1	f1e154a9-2a2d-4fcb-b43d-1c012bb158b0
7298	8.1708	-22.1	87425188-9c16-49a4-bd40-86074929f9e2
7299	8.1708	-23.1	0605e776-451d-4203-b466-4280bb2f8a8c
7300	8.1708	-24.1	f72af0da-7ef3-44c9-ba88-46171181ceb8

Table: Joint Coordinates, Part 2 of 2

Joint	GlobalY m	GlobalZ m	GUID
7301	8.1708	-25.1	af8a968d-2113-4610-9365-90c463a5f3e6
7302	8.1708	-26.1	3fe4f2e4-fd3a-486b-9519-efcd67773a81
7303	8.1708	-27.1	1b69c16b-4f3c-4fc3-a216-7738d5ef0803
7304	8.1708	-28.1	8070767a-3be4-4e5e-884e-42fc9137393f
7305	8.1708	-29.1	548de65e-3be3-4aa0-b6e0-db6ce033d331
7306	8.1708	-30.1	b500f3d3-ecd7-480a-99c9-2fb91feb11b8
7307	8.1708	-31.1	9b0c0a27-4bdc-4377-88f8-3382a82a1b0a
7308	13.2792	-6.1	19534d96-f185-436c-83a6-b95f0ae12314
7309	13.2792	-7.1	60cfe130-b7c6-4270-90c5-6cb55484cfb9
7310	13.2792	-8.1	dba5ed58-2416-488b-8936-3b235087845a
7311	13.2792	-9.1	1bab4747-e853-413e-a46c-dd77c97b72ee
7312	13.2792	-10.1	448e3bf5-d3cd-40b9-a45b-cba8632be38f
7313	13.2792	-11.1	d3344fa0-95f2-4bd3-b9b9-2a970fbb4216
7314	13.2792	-12.1	771f8b69-6a42-4635-88de-6ebb91a75b92
7315	13.2792	-13.1	bea01f7a-2b40-4f71-a229-4db551d90740
7316	13.2792	-14.1	25accf3b-69b5-4e31-ae98-99e9215f6661
7317	13.2792	-15.1	b2d03e70-4b30-438c-bacc-287991f7a057
7318	13.2792	-16.1	db49a097-152e-433f-b8db-c59ea7f7a9f4
7319	13.2792	-17.1	69399919-1990-49fb-a5a8-46c1683afb2e
7320	13.2792	-18.1	97da68dd-17d6-4a2b-aa86-d2981f166485
7321	13.2792	-19.1	959c1b95-3ea1-49e7-ae15-ab7da2727da1
7322	13.2792	-20.1	ac233f21-6425-4df5-88da-c8998370f16d
7323	13.2792	-21.1	b2ed5787-c530-462d-ac39-d2b407fcfe2
7324	13.2792	-22.1	6e60ad46-0f24-4cf3-bffe-5e3b20614c80
7325	13.2792	-23.1	26d12cc9-26e1-4774-9abd-39cd4c922ec1
7326	13.2792	-24.1	3861a803-9341-4cd3-b28c-3b4b64feba87
7327	13.2792	-25.1	39091eaa-2d09-4fd4-8e03-34be25c40a60
7328	13.2792	-26.1	dc46f7f1-cc5e-465d-9e70-3252786e675f
7329	13.2792	-27.1	c61105b1-f995-4c6b-ad59-566d43a20aba
7330	13.2792	-28.1	b6d3c9f3-5735-4208-bb13-31f2f972a5b4

Table: Joint Coordinates, Part 2 of 2

Joint	GlobalY m	GlobalZ m	GUID
7331	13.2792	-29.1	741ee48d-d569-4b99-ac a8-a08c9f7eafdc
7332	13.2792	-30.1	89ad201f-f18c-4b5c-80a 6-b246bd1d6384
7333	13.2792	-31.1	c9c77f85-17c4-4ad9-859 7-5aaf3a3c3205
7334	11.8708	-6.1	bc4a88cc-191a-48e5-b9 4b-e32ddb9142d7
7335	11.8708	-7.1	9cb870df-ecaf-4252-908 6-44c8bb8c1440
7336	11.8708	-8.1	db802403-3830-4e2e-81 4e-3d71e9c52271
7337	11.8708	-9.1	18f16fa2-5af5-4a9b-8d5f- 1f3fd69ead1f
7338	11.8708	-10.1	3042bcac-dfa3-4ad5-878 7-314a76037220
7339	11.8708	-11.1	2f4c8791-a45d-4bfe-891 a-16383bf21934
7340	11.8708	-12.1	337d6cc3-6364-42c8-a9 ed-9858f273880a
7341	11.8708	-13.1	1ffc94ec-9397-43bd-8aa d-92ac08ed7188
7342	11.8708	-14.1	606a2488-5274-4fce-bf4 b-6347d3700324
7343	11.8708	-15.1	8ec1d84d-9008-447f-ba9 7-a6917f2a8f71
7344	11.8708	-16.1	dac5d0df-d8ed-457e-902 4-14d5007a0592
7345	11.8708	-17.1	b411690d-3bef-43d7-8b3 4-08b38ce468e0
7346	11.8708	-18.1	7031c6c4-84e1-4d2d-b1 54-bbd8f893baed
7347	11.8708	-19.1	cb644833-cf17-42a9-b82 6-0de92fe9b57b
7348	11.8708	-20.1	3127278d-c1dc-4ee7-9c 6e-7b59370bb193
7349	11.8708	-21.1	4eacb4e3-3114-4695-b9 4f-fa1697c4f9d2
7350	11.8708	-22.1	c6afecf4-d0bc-4aef-a5f2- c2f73f804d89
7351	11.8708	-23.1	27bde03a-832c-4ff1-aeff- -05d7e2e11d71
7352	11.8708	-24.1	67b43620-d432-4670-a4 3e-9f10c4ccfb17
7353	11.8708	-25.1	6058e1c5-17ad-4db8-b5 33-2f4e267855cd
7354	11.8708	-26.1	575e5033-27b4-451d-8b aa-ff4c4d2c6868
7355	11.8708	-27.1	d3f7617c-9042-465b-a11 0-9c4d9ef1456b
7356	11.8708	-28.1	e3abfd1f-0f6f-4c04-b8c4- bfd93e768d46
7357	11.8708	-29.1	c500812f-d7b4-44dc-aa7 3-bc3583bf8799
7358	11.8708	-30.1	a290f5c9-99f7-46a0-98fb -7ae59624949d
7359	11.8708	-31.1	c6cc6edd-b7de-4a2a-83 15-e2a8932af620
7360	18.79	-5.1	a8745b79-1d88-485b-95 1f-320cd06f515c

Table: Joint Coordinates, Part 2 of 2

Joint	GlobalY m	GlobalZ m	GUID
7361	18.79	-5.1	8d42069f-d5b0-4b20-b76e-e3c54cf08b4c
7362	14.39	-5.1	5a350e80-417c-49e1-b853-cfa77e67c188
7363	18.79	-5.1	895f8292-ffdf-48ca-84c0-f1a11ba7f7e2
7364	14.39	-5.1	c1fb1b95-43e2-4145-bc6d-0d099d939382
7365	18.79	-5.1	c7573090-1c8a-4cb2-875f-85832ecd5fd8
7366	14.39	-5.1	d1aea138-ef0e-46b0-82cb-addc8e17104e
7367	18.09	-5.1	c2e39364-c835-4ac2-8d69-ca33756f222e
7368	15.34	-5.1	4c70771d-ca3e-4dca-a849-0fb61d6624e7
7369	15.34	-5.1	df573e89-adc1-45e1-b65f-e5b1959192c8
7370	18.09	-5.1	ad634049-01d9-4d57-9908-e7fbf9511447
7371	15.34	-5.1	52bf02aa-a064-4383-ae71-bf9b27b2371a
7372	18.09	-5.1	1cda050a-9fb0-455d-a539-ad908bc4fabe
7373	18.09	-5.1	b2f3e06b-728c-4824-a55c-47ee8ea77164
7374	18.09	-5.1	1754110e-b2d8-495a-8315-86da1db5020a
7378	18.09	-6.1	fc912e70-523b-4a8c-bd3b-002e6a600f4b
7379	18.09	-7.1	a70b27b7-c1bf-4a84-90b7-e13e10abd9dc
7380	18.09	-8.1	14b8dc21-54d3-49de-beed-b0edeb209731
7381	18.09	-9.1	f029acef-271c-4f4a-82a5-969c264cd31d
7382	18.09	-10.1	a378f32d-ece0-401c-b1dd-7ec7b266dbbb
7383	18.09	-11.1	fd6be647-8768-401b-8ad9-d607110230b3
7384	18.09	-12.1	43f42fdc-f7a8-4a2a-a2c4-5ac46a5cbef7
7385	18.09	-13.1	0c7d5c84-1f35-4ae9-9a44-2916f08ace00
7386	18.09	-14.1	acc436a7-9c3d-412d-ace9-12ce385b1eff
7387	18.09	-15.1	70e95451-6a3d-4c23-be65-eaf703324baf
7388	18.09	-16.1	1013fa74-278c-4f9b-a00f-f9860206f85b
7389	18.09	-17.1	980eca5c-8e28-4a59-945b-cdfa29a5f68a
7390	18.09	-18.1	d86ad8a2-e95d-4317-992c-66cded7ea0d9
7391	18.09	-19.1	616afe57-9c45-4f92-ab0d-dec6a237857f
7392	18.09	-20.1	7c11b0ab-4c3c-418d-be9c-d5b303bb2f98
7393	18.09	-21.1	8f72ae63-2531-4ee9-bd7b-69dc1c175289

Table: Joint Coordinates, Part 2 of 2

Joint	GlobalY m	GlobalZ m	GUID
7394	18.09	-22.1	ff302481-77b7-46e9-b37f-29820612e880
7395	18.09	-23.1	43b7955d-e1e9-46df-a1b1-0c5c37a9cb14
7396	18.09	-24.1	20424c5f-3b74-4bf0-902f-9e933a76dd04
7397	18.09	-25.1	342b09ef-bc4c-4c93-a705-ca7bea467aec
7398	18.09	-26.1	6bb0a53d-e6f5-46d2-9d04-dd4fc9450848
7399	18.09	-27.1	75de7a5e-4e21-411a-8a82-fffea06ae706
7400	18.09	-28.1	688d3133-a431-412e-bcb4-ee7b98f1e389
7401	18.09	-29.1	612fb399-5b78-4f44-8b99-9b1d26f8dac3
7402	18.09	-30.1	a0f92ef8-582d-4be2-b8e4-141c3accbf4e
7403	18.09	-31.1	5f2db0f9-9ff5-4a0a-bdd8-fc93041dc7d3
7404	15.34	-6.1	c8583e22-62c0-4113-962a-0ea789606b2b
7405	15.34	-7.1	6eaae8af-0a89-4924-b77a-967d448600a4
7406	15.34	-8.1	ad0b544f-4c3c-4ae6-a158-9a5d8bee9d3f
7407	15.34	-9.1	692cff0a-1bc4-4ed1-ae0a-7ec745c311e5
7408	15.34	-10.1	53983654-0d42-4038-8559-155ad613a088
7409	15.34	-11.1	94e1833b-4de5-4d29-a590-3a7b27dfa230
7410	15.34	-12.1	c1e213e6-75d3-4794-9bde-7f852a12a8e9
7411	15.34	-13.1	4808ef4b-647f-485a-b4dc-9c3bc9a73f87
7412	15.34	-14.1	7d27d9d0-be07-4648-bde7-6b887336d608
7413	15.34	-15.1	14f71092-30f3-4d22-85c8-0e6dccc25563
7414	15.34	-16.1	90c55bb0-5813-491c-89be-07e646c16957
7415	15.34	-17.1	db6ab57f-643c-4de3-a87a-b86bdd9f7c6e
7416	15.34	-18.1	46002dd5-9d73-48de-8ad1-d2348142d5c7
7417	15.34	-19.1	85e12035-9d41-4573-9073-c91a572e7f18
7418	15.34	-20.1	93474b4c-2afc-43de-9f71-6ae61dd807f5
7419	15.34	-21.1	f587ec40-fa7a-4676-8e7f-ee0d7a090bf5
7420	15.34	-22.1	7cf4657b-c9db-4440-bcf6-4bac081621c3
7421	15.34	-23.1	6c683ecf-5f1b-470b-b321-3ad5a9106ae7
7422	15.34	-24.1	80a0e9a6-5c62-4df9-a9ba-5c633660c8e0
7423	15.34	-25.1	ca2f6818-04f6-4ce5-af96-f5f76a08137e

Table: Joint Coordinates, Part 2 of 2

Joint	GlobalY m	GlobalZ m	GUID
7424	15.34	-26.1	1d8742f1-8bf1-4cdc-a9c0-69a9cb334ad8
7425	15.34	-27.1	df7a552d-dff6-47b8-8414-cc774f0412ad
7426	15.34	-28.1	ffc9df6f-67ac-4d0d-9b92-162ba3ca7c96
7427	15.34	-29.1	5d01eb8f-9169-4c13-8479-6d1f07f81218
7428	15.34	-30.1	fb4c2f19-9628-491a-a7ce-67b07c39268e
7429	15.34	-31.1	83e8d2f0-e122-4777-8b4c-c70743be8994
7430	18.09	-6.1	cb44aa19-38b7-4744-8a64-01b13508a537
7431	18.09	-7.1	848ea3be-b512-49a0-b29f-9ae19da5e288
7432	18.09	-8.1	b3a7ff2c-ed2e-407b-927c-835b93cfc679
7433	18.09	-9.1	113947f3-c897-4932-9c24-69a4ef0ee7b5
7434	18.09	-10.1	ef3edf5a-dfcc-4431-b02f-405b22f2c823
7435	18.09	-11.1	8861c5de-7388-4d6d-8008-114cb871fb50
7436	18.09	-12.1	994913df-802e-4e69-b269-ea1bb8d5e824
7437	18.09	-13.1	febc186b-9521-475a-aad5-48823b23d200
7438	18.09	-14.1	e0810997-d391-4fd3-9d22-0cc8ed5a2fce
7439	18.09	-15.1	2f10c5c0-d857-4b6d-9e28-503eca170dfd
7440	18.09	-16.1	cab34d17-e04e-496c-b169-82b9892a8a05
7441	18.09	-17.1	29c17e02-f1d4-41e4-b5a7-29ebdd953779
7442	18.09	-18.1	e84144a9-4fa4-46cb-aea3-7107b213247c
7443	18.09	-19.1	22a1d4a8-4631-4768-8f8d-a47ea45a5113
7444	18.09	-20.1	e780a532-7a4a-481f-b3a4-475b92893c26
7445	18.09	-21.1	276d68e2-dbe1-4935-98a0-d976cf2ba626
7446	18.09	-22.1	7f4947fa-ae11-42ee-8ec1-69c0f9b22c9e
7447	18.09	-23.1	c33535a3-81a3-4645-9398-975154c989ba
7448	18.09	-24.1	08795d28-a743-44cb-9887-4b1d2f3b2b80
7449	18.09	-25.1	3686fea0-de8e-4393-990b-7c1310459f00
7450	18.09	-26.1	7993a988-8126-4241-979c-a04d625b66ec
7451	18.09	-27.1	6e34cd05-583d-4b5a-ac65-b026230ebd9d
7452	18.09	-28.1	ca44fa37-71a7-4c70-b29e-7bca592c6230
7453	18.09	-29.1	d1d4511e-75e3-4fe5-93d4-541a5e8c4122

Table: Joint Coordinates, Part 2 of 2

Joint	GlobalY m	GlobalZ m	GUID
7454	18.09	-30.1	6ac1b273-8d3f-4d75-bd8c-1894818dc2dc
7455	18.09	-31.1	fb4af199-3d6e-472a-aae7-63b756c328b2
7456	15.34	-6.1	cb9e8d37-8f1f-45ca-a4e6-a4e3d5a44301
7457	15.34	-7.1	11a00da4-0be1-4591-b11a-e099811dad60
7458	15.34	-8.1	4d959c33-f7fc-4d0a-ae0-e5e4d3feb55e
7459	15.34	-9.1	e5eb3998-a200-4952-b861-50438680f36f
7460	15.34	-10.1	b86ec875-5729-4705-af2e-52d79f9ed1c3
7461	15.34	-11.1	9dc2bb22-841d-441e-8003-0dddec55c5f
7462	15.34	-12.1	cfff590d-4bd1-4a37-8a4e-cf052e19d8f2
7463	15.34	-13.1	aa55a34b-5ea5-42e8-9faa-395172a4be47
7464	15.34	-14.1	4c4b1613-5240-45be-8cb1-178127f857eb
7465	15.34	-15.1	0fa08a59-34b9-4db2-8a50-ab29e795922c
7466	15.34	-16.1	ff648fa3-6704-454f-a19b-633c1f3e0916
7467	15.34	-17.1	15da1e10-80d8-41ec-806e-6201f91dfc43
7468	15.34	-18.1	4b4ae258-d7e9-40f5-a8f1-f3776b4b8965
7469	15.34	-19.1	fb827ea6-06fa-488f-93db-e5426f2563bb
7470	15.34	-20.1	c5b0484c-1e14-441a-a521-09d0a1b96c70
7471	15.34	-21.1	6bdc2bea-bf77-453e-b335-bbcef6dc2d11
7472	15.34	-22.1	340f6e18-0fe0-4783-9246-65752bbdffba
7473	15.34	-23.1	c9a03852-ce81-49f4-8b7b-70bcc17defed
7474	15.34	-24.1	39c885fc-533e-4d4d-9f5e-f7755f134e09
7475	15.34	-25.1	2df0c88f-62ab-4e02-ac8e-930bd93c55eb
7476	15.34	-26.1	14bcd07-c165-4193-af8d-5b9000523e05
7477	15.34	-27.1	368dfc36-38d3-463e-a452-ab205de8f2b0
7478	15.34	-28.1	9fe16832-bdd5-400b-bb20-d5fd5b817021
7479	15.34	-29.1	66aab6cb-66b7-464a-86c6-69109abf30e9
7480	15.34	-30.1	43628845-794f-4708-8f70-34c37d8d3ba1
7481	15.34	-31.1	10692b03-54d3-4f62-b5a3-cc5dcf2e063f
7482	18.09	-6.1	e2454ec9-0a24-4860-9cad-7ef350c91e17
7483	18.09	-7.1	6a8d871b-41dd-4e98-8695-8250fa323f2b

Table: Joint Coordinates, Part 2 of 2

Joint	GlobalY m	GlobalZ m	GUID
7484	18.09	-8.1	2b42c345-578c-4af9-ade5-fa3f97766206
7485	18.09	-9.1	41d84faa-aabf-4d4b-a1fe-834bbaabae6c
7486	18.09	-10.1	1a4fdfa4-b68d-4c68-b009-b88d5ad063de
7487	18.09	-11.1	f9b06171-ab6f-441f-bab6-99ac0cc8ccaf
7488	18.09	-12.1	d2d5f026-5976-41d0-a68a-6fbc93be21e6
7489	18.09	-13.1	854b3d3d-9ce9-4428-97d7-44b8aeaf971
7490	18.09	-14.1	571094be-f9e9-4e18-a32d-040835999073
7491	18.09	-15.1	ee20f569-7645-40a8-8be7-646c2562a4e8
7492	18.09	-16.1	76506c1d-2d3e-45f6-8c44-d3c78a715346
7493	18.09	-17.1	ae885bf6-9fbe-44c9-b730-25e39669ce3e
7494	18.09	-18.1	8e39e81e-ff6f-4d28-a732-4838e4e4bda0
7495	18.09	-19.1	b252747a-f3a3-48fc-8266-0ff7115fea6e
7496	18.09	-20.1	79beea79-f1ab-44a9-8952-282e60209b5a
7497	18.09	-21.1	5baacc8b-8e8d-46e4-9ec3-3d45c5da446f
7498	18.09	-22.1	771d995a-970a-4356-ac31-2a8b6df94b9d
7499	18.09	-23.1	b5d98866-a058-4cdf-beb2-f2c801581184
7500	18.09	-24.1	45de0160-6453-48a5-829b-ee29999eb571
7501	18.09	-25.1	2055be28-dc55-401a-842a-5df757698274
7502	18.09	-26.1	2f0b2594-c99f-4ff3-8e32-affa1cadc408
7503	18.09	-27.1	ff807c75-a872-4ab5-9b36-e9389a11af52
7504	18.09	-28.1	d460e5fb-8109-4fd7-81c1-17c5a4e78b38
7505	18.09	-29.1	6ffa4230-bc66-453b-8ff2-50d9123e17aa
7506	18.09	-30.1	db81038b-cc9d-4a21-87d9-82065169c7ed
7507	18.09	-31.1	4782b75b-792d-47aa-bc16-10f6ffc7221d
7508	18.09	-6.1	b546849f-3d95-4d51-8d4e-69004fd994d9
7509	18.09	-7.1	233f5a3f-9218-42ed-abb3-873d28618102
7510	18.09	-8.1	007f9533-10fd-45eb-a79a-d3c460451d36
7511	18.09	-9.1	99d9ea8a-59fb-48b4-8846-88cbbb932dd1
7512	18.09	-10.1	cc96e42a-2228-41c4-950a-74d24e3ffb99
7513	18.09	-11.1	89064ddf-1660-4193-8069-d4f2a34907dd

Table: Joint Coordinates, Part 2 of 2

Joint	GlobalY m	GlobalZ m	GUID
7514	18.09	-12.1	9717a1ea-3a3a-4d9a-bd49-0e5d6337f3af
7515	18.09	-13.1	e5cb65d0-d19c-4219-8f0f-029ad50a1882
7516	18.09	-14.1	da78aae6-cf9f-4d9c-804d-9ed5e5cde91a
7517	18.09	-15.1	6648f05d-4cdb-4707-81b1-3de19ffcde75
7518	18.09	-16.1	c2558574-d992-4a15-bbba-8a9cbabaa77d
7519	18.09	-17.1	252b9d6c-509c-461c-8d63-180997e4fad4
7520	18.09	-18.1	53d5157e-bc3b-4eb1-bf81-058d244087ad
7521	18.09	-19.1	edb243eb-ae22-4921-943f-166161d6de51
7522	18.09	-20.1	cb4a6783-0512-4593-8f04-27383d096d7c
7523	18.09	-21.1	c053b9f9-a984-4f61-a4e4-48a01c191cfb
7524	18.09	-22.1	ebecd849-9f8d-4b68-bed3-b59f8a39dd02
7525	18.09	-23.1	a96028f8-bac1-48ae-bbba-0d6d52c05f24
7526	18.09	-24.1	d7b5169e-ae54-4014-92aa-47ee6d17afd9
7527	18.09	-25.1	f45feebe-c0a3-43f3-ae0a-668b5d56226f
7528	18.09	-26.1	9938c945-f1ef-4210-a0e8-9d6ef84d811d
7529	18.09	-27.1	07f4c34b-d343-4d7b-9a8d-5e9c5355c2a9
7530	18.09	-28.1	948ba414-49b2-4bcb-8e25-9ebdfd6e98c9
7531	18.09	-29.1	497cb893-ae0-4432-a5f3-cda31ad6b07f
7532	18.09	-30.1	bfe61618-9192-484a-befa-742519d76bce
7533	18.09	-31.1	4206c629-36c5-4531-8154-175c13a30a55
7534	18.09	-5.1	e1bd8d9b-3831-44a3-ab0f-498abe951443
7535	18.79	-5.1	0ccb570e-a130-45f1-a8da-7fe11f456dd1
7536	18.79	-5.1	26f22110-014f-45f4-811a-3780ffde02d7
7537	18.09	-5.1	c5bd6497-71b1-4adc-a234-2d7a5642d493
7538	18.09	-5.1	07f7f19b-209d-4209-9afe-41cf9c9d4cdc
7539	15.34	-5.1	0449d09f-cce7-457f-8883-4eeca42e8540
7540	15.34	-5.1	00d5f2f3-f80c-4f70-ab63-450d038b4075
7541	15.34	-5.1	aec6db22-82c5-4599-b917-200673920d09
7542	15.34	-5.1	45317c88-e5fc-4c20-ae61-5d9a9fcb4692
7543	15.34	-5.1	76e8c5a9-e099-421f-b973-b55d274fe05d

Table: Joint Coordinates, Part 2 of 2

Joint	GlobalY m	GlobalZ m	GUID
7544	15.34	-6.1	3491a190-22ed-4b81-b46d-d02ee927165c
7545	15.34	-7.1	2fb8bc31-7471-4d82-a2c0-6990887473e2
7546	15.34	-8.1	5100c17c-5de8-498d-8e84-877d52c74861
7547	15.34	-9.1	c34e096f-6441-4b21-a557-6f3862f342ac
7548	15.34	-10.1	ff378e46-3aec-4f5d-be34-c009b0793498
7549	15.34	-11.1	acab6842-37e2-4a86-ac a5-dc9d41a8ce81
7550	15.34	-12.1	59de8c51-d709-4702-bb d2-aa0b079d0b4d
7551	15.34	-13.1	430cb366-bc07-4211-a5 d3-a258835507c1
7552	15.34	-14.1	c970ba59-0269-4408-9e 57-41516cd08ce6
7553	15.34	-15.1	3a925924-e815-4051-90 b3-0b2fa63fdcaf
7554	15.34	-16.1	62bf7278-c18f-4b0d-856 9-aca8415559b5
7555	15.34	-17.1	4608d61a-d00e-448c-b0 a7-e706b48a49fe
7556	15.34	-18.1	975f1ba2-9e43-4c6d-9da f-dcd049ba9e6a
7557	15.34	-19.1	164421e6-2366-44fc-92c e-ae2c8d7e8e53
7558	15.34	-20.1	9a11c399-415c-47d3-94 e6-c9dec6f97871
7559	15.34	-21.1	b592294b-ea97-4fad-9e2 c-9af57ab84d83
7560	15.34	-22.1	566ead27-a10f-41fd-8d1 4-1773481625e2
7561	15.34	-23.1	21796bd3-f47a-4b75-96d 0-f0da6db35449
7562	15.34	-24.1	48551f76-b55b-47fb-8fe0 -9f89dc243d48
7563	15.34	-25.1	49e3690c-9d19-4dc7-bc 09-dc07bd402b24
7564	15.34	-26.1	5d80fc6f-8ec8-435b-9cc1 -cf14d664b4a1
7565	15.34	-27.1	374b6551-c9af-4d36-9e5 8-6e0946be419b
7566	15.34	-28.1	428b18ed-43de-4d33-be 02-574afb68c436
7567	15.34	-29.1	5427e346-4080-4461-bc 5b-71336d88a589
7568	15.34	-30.1	e00d1c43-875b-47a0-a6f e-3ae59d211228
7569	15.34	-31.1	75efa9d9-f6cd-4402-8a8 1-d4973e79de3a
7570	15.34	-6.1	8f16c38f-c5b0-4047-a76 d-aaa2a669f837
7571	15.34	-7.1	663d61e6-84bb-4a8c-bb 52-6549e683cf73
7572	15.34	-8.1	d125d072-7bf1-4162-aa4 4-98849609e18f
7573	15.34	-9.1	1997c719-185c-43de-a8 e7-8fa87e6a8d10

Table: Joint Coordinates, Part 2 of 2

Joint	GlobalY m	GlobalZ m	GUID
7574	15.34	-10.1	930b8837-fe06-4490-b467-7f2119f4e874
7575	15.34	-11.1	c185ff66-0140-4402-8905-c57bf2538485
7576	15.34	-12.1	ca93d847-d2d5-402f-ab08-5c5cbacf7b98
7577	15.34	-13.1	f4a81575-e600-4515-a943-8ab2075c64b1
7578	15.34	-14.1	211275b2-15f9-458c-bc67-6f6599c1c19d
7579	15.34	-15.1	d8920d01-3a6d-4c36-955d-7e8912bc9537
7580	15.34	-16.1	29f51227-9ac2-424a-9083-a6e40059e154
7581	15.34	-17.1	d01e5816-6202-4e1f-aa81-d0f94d36f3b8
7582	15.34	-18.1	dbc6da2a-830e-4770-ab78-d5574d20e59d
7583	15.34	-19.1	bb311f3f-51a2-4d88-8890-9e75b8f57e14
7584	15.34	-20.1	5a038b35-d295-4cf1-b93d-f6f8bec6ac1a
7585	15.34	-21.1	b7cc9031-99c6-4be0-9f37-6df47f648bcf
7586	15.34	-22.1	d1fab501-7a64-4ed8-9e15-1b5d3dfc72ff
7587	15.34	-23.1	3d0c5cba-bef0-4ec5-be30-2e3cc7499813
7588	15.34	-24.1	b9c67647-591d-4d3b-8e2f-0df8e7942a49
7589	15.34	-25.1	5be6e645-274c-4f2f-b92b-1b7ab81cce4e
7590	15.34	-26.1	c7a4a6fb-7375-404a-b386-90fb4708fda6
7591	15.34	-27.1	559f2d11-aab8-4439-89b1-aa2e8d0a5efe
7592	15.34	-28.1	6954c5bf-4ed9-4eb4-86e8-243a503a71f3
7593	15.34	-29.1	5c9dfeed-f339-4be6-9010-5749f5a1d143
7594	15.34	-30.1	4b4cfa2a-2625-4773-901c-924e0d70329c
7595	15.34	-31.1	42dd439d-b93a-4010-b6c7-01f0fd9cbdf6
7596	16.715	-5.1	6b07200d-8f27-4183-81f5-71cb5d1f4446
7597	14.37455	-5.1	b1568b0c-896a-4c91-8b72-51263b278d76
7598	18.79	-5.1	81a23d5a-cf0b-4a45-8c8d-01b013ddb30b
7599	18.79	-5.1	a61e2362-d2d3-4001-8ecb-933755db3005
7600	14.37455	-5.1	e0cdc753-f615-4b1b-9a79-3242bd92c113
7601	13.6057	-5.1	2ff0d1f0-6688-48e7-91c5-d6e01f286cf1
7602	15.0135	-5.1	83b28159-3210-47c9-8e54-a3a71729c8fd
7605	15.34	-5.1	f34c1f8c-b581-4723-8a7c-95c76caa9236

Table: Joint Coordinates, Part 2 of 2

Joint	GlobalY m	GlobalZ m	GUID
7606	14.39	-5.1	f49f2e74-c303-42e6-a3c6-d73ecc9670c0
7608	18.09	-5.1	170fd0a1-3137-4a8f-85fa-c86bab2f61b9
7609	18.79	-5.1	b43f900a-feea-4226-a98e-2e4ea65b40aa
7616	16.715	-5.1	f6f0ff5b-2710-4fde-aa07-c8cb8a9ea93e
7617	16.715	-5.1	9f1d1cf6-acbf-4a8d-a57c-06bdf707bf6a
7618	16.715	-5.1	62c85aaf-f4b7-4ba2-b01e-3885c2c02407
7619	16.715	-5.1	87e105fb-cbf0-454a-a28c-3f248b43e201
7620	16.715	-5.1	ec1c94ef-4b86-4336-994e-77e5ffc65c77
7621	16.715	-5.1	4b918fd7-21cf-4e27-af9d-75cfd42782ec
7622	16.715	-4.1	d767ecc4-7f95-42df-a2b8-f32456aa3b82
7623	16.715	-4.1	a64efbe1-c561-4e0c-98f1-f30548f34ee3
7624	16.715	-4.1	8bff82a8-24a5-4457-a039-6069c5321d72
7625	16.715	-4.1	c54a7443-43da-440f-b59b-d55d351d7252
7626	16.715	-4.1	0476cc12-9563-46a9-9b19-b9120116b252
7627	16.715	-4.1	d848fe1f-bcea-4bd9-91d2-81cae0dba182
7628	16.715	-3.1	5563fd3f-e0a7-4209-b0e2-71915fb2e207
7629	16.715	-3.1	18b4c8f8-110c-46eb-9f00-6776f1724775
7630	16.715	-3.1	f5a820b1-1da8-4c48-a631-bd47d2499c5f
7631	16.715	-3.1	89d648d5-c0d0-4612-9216-8cf2de9abc0e
7632	16.715	-3.1	b702d3c0-a954-461e-a37e-0093afe50b39
7633	16.715	-3.1	90796d44-9fd2-4953-9fc4-4ce8bde65a13
7634	16.715	-2.1	380a0911-071e-4137-b6bc-1032d4501f1b
7635	16.715	-2.1	a7bc537c-a69d-4ad0-9316-20e3053590b0
7636	16.715	-2.1	0738f877-1f58-4b56-929c-8b75f2bf5e70
7637	16.715	-2.1	f8e323d1-5916-482f-9ec5-1852ed9da3ea
7638	16.715	-2.1	5d4a2429-fc07-4d37-a3ed-7dfacb41163d
7639	16.715	-2.1	dff370fe-716e-4bbd-aadf-ac8ae2056ab5
7640	16.715	-1.1	04c9df91-2928-4694-95aa-b345edfa6e1b
7641	16.715	-1.1	ec1f34a5-dfa3-4395-9fde-f6f462ee3ab0
7642	16.715	-1.1	0223966d-c4c0-4730-9efd-cf139194de8d

Table: Joint Coordinates, Part 2 of 2

Joint	GlobalY m	GlobalZ m	GUID
7643	16.715	-1.1	d0e9a6f0-6ecb-4c9c-863c-e03aa971bfd8
7644	16.715	-1.1	9a48dcf7-28d4-4a18-b47a-15da53abafa2
7645	16.715	-1.1	edc4e5a3-52ec-4f11-8882-0548c7083da8
7646	-14.64	-5.1	7fb48cea-58f4-45d5-b986-f314c68f49cb
7647	-19.04	-5.1	5472470a-a8f2-4e0e-a382-f5159325af8e
7648	-18.09	-5.1	3f29afa4-ba88-4dfb-b59a-44cf2fe20e56
7649	-15.34	-5.1	5202822f-71d5-41ed-9a00-ff0efd122e46
7651	-15.34	-6.1	c8c23e93-a71c-4a95-98f8-96e01867f899
7652	-15.34	-7.1	c7fa89e5-d715-4a5a-a307-1e170a4f6f29
7653	-15.34	-8.1	8722a773-a478-4492-b1aa-d818591457d5
7654	-15.34	-9.1	119ec612-e0bb-42f5-94f4-9c0952e1bd2c
7655	-15.34	-10.1	6ed3f989-8585-4206-8a3f-acc7158b65ec
7656	-15.34	-11.1	6550ca5b-f033-46d1-9466-872327616b9b
7657	-15.34	-12.1	4af4561e-2acb-4650-a1cb-6c729f48e2c2
7658	-15.34	-13.1	afcd6311-d904-45ba-8dfc-443cec92ce2d
7659	-15.34	-14.1	8f26b819-af95-4b68-8610-897c4bd8fc63
7660	-15.34	-15.1	56e585e1-052d-475d-bf2d-43df9705165e
7661	-15.34	-16.1	c9c52968-c96f-457f-8772-de21721ad955
7662	-15.34	-17.1	cbb2ab69-d561-47ef-8e71-dd25fd14dcd2
7663	-15.34	-18.1	2bb6f283-b088-4beb-8efe-73b096f4c8c7
7664	-15.34	-19.1	7ede3ce1-ea84-4032-855f-b44e13251d59
7665	-15.34	-20.1	03fde4e8-f089-4283-80f4-07d4e3a46430
7666	-15.34	-21.1	a861cc13-181c-46c0-a6ae-352e76863e1e
7667	-15.34	-22.1	4ae8bd8a-1a5c-45da-a6da-9326405f4a04
7668	-15.34	-23.1	99ca6f52-d80d-4cbf-8b1d-67e46185b28d
7669	-15.34	-24.1	662989af-2d4e-44e8-bd9f-6dd8a30c056d
7670	-15.34	-25.1	5a2fcdc0-15b2-4822-a60d-29f232a2b727
7671	-15.34	-26.1	3fe66bd0-7fd9-4866-a72a-5783daf1ac9a
7672	-15.34	-27.1	24462b54-2160-4a5c-b23c-f8bba1c8c8ee
7673	-15.34	-28.1	e9406786-a554-4f1b-9493-3e9c6d235761

Table: Joint Coordinates, Part 2 of 2

Joint	GlobalY m	GlobalZ m	GUID
7674	-15.34	-29.1	c863b4ff-658d-4752-97f5-a62b413570d9
7675	-15.34	-30.1	85d7ed05-08ab-4644-b33c-22197f8660a0
7676	-15.34	-31.1	d002a28a-f0b6-42a8-a2e0-4407b129ea77
7677	-18.09	-6.1	96139b38-1112-41f7-8257-1c13bc2a7504
7678	-18.09	-7.1	49f9525d-15c3-4f75-a352-659eb1f16ab9
7679	-18.09	-8.1	6ae412e4-8269-4fc8-bb1e-80d68ff05385
7680	-18.09	-9.1	9c75842a-cd36-4c72-8884-d414f21f7140
7681	-18.09	-10.1	345e341f-0f6a-42df-b63e-199615d55ef0
7682	-18.09	-11.1	1a0f6489-0619-4ec2-b5aa-bd351c8f94bc
7683	-18.09	-12.1	7352e819-f9fc-45df-9c68-a98900b73599
7684	-18.09	-13.1	4bc923c6-7fb2-473d-9fb1-1edd8bc026e8
7685	-18.09	-14.1	81bba517-018b-4d9f-abae-2d5bbdd8254f
7686	-18.09	-15.1	9818090b-d14c-4d27-990c-3f4c5c2ad6a1
7687	-18.09	-16.1	2c70c5ca-8536-47ab-8b3b-3d3096b46272
7688	-18.09	-17.1	535567a1-2ff7-49ae-80d2-b1797df19eaa
7689	-18.09	-18.1	7ea7dcfb-22b1-4a43-b680-a585abc96870
7690	-18.09	-19.1	a057d1ac-3b86-450f-a652-12cf94ab0b28
7691	-18.09	-20.1	b3f2b522-2142-4c85-be7c-d128179262d1
7692	-18.09	-21.1	89c8889d-5deb-402b-9b4a-e28ac03ec4fc
7693	-18.09	-22.1	f4460f60-cb6b-4885-b49f-8e5c6020f8f6
7694	-18.09	-23.1	1afcf72b-56f8-43d9-afa7-85eb7ab239e6
7695	-18.09	-24.1	dfbe3905-90ad-42d6-a73a-737608c7cfd2
7696	-18.09	-25.1	e5198077-d169-487c-ab6d-8e8e23cb4811
7697	-18.09	-26.1	4ce65411-fb82-4f2e-9784-68c59baf2bc4
7698	-18.09	-27.1	ca00324d-9355-4695-8b29-5473a8f35510
7699	-18.09	-28.1	dd8221f0-41e4-4dba-b485-f17c839d7364
7700	-18.09	-29.1	49546b01-45c9-4552-a611-1e14956340fc
7701	-18.09	-5.1	189336e8-04a6-4591-b6d8-b3a17b599d50
7702	-19.04	-5.1	adc4532b-abf8-4a81-95a2-66e4f68e2e29
7704	-15.34	-5.1	32a42fd0-c55e-4113-8c0e-375e14df76d6

Table: Joint Coordinates, Part 2 of 2

Joint	GlobalY m	GlobalZ m	GUID
7705	-14.64	-5.1	eea4f6bf-a6f8-4841-9795-379da894f703
7708	-16.715	-5.1	4d36b487-9123-4e8c-b9dd-ec94e0ba5b16
7709	-16.715	-5.1	dc70e80d-6e2e-40f7-926b-e0003467701a
7710	-16.715	-4.1	8b9c96bb-caca-4909-8b2d-e07414a2c31c
7711	-16.715	-4.1	8acc1baa-f810-48c4-a7c8-f88f8abe7cf0
7712	-16.715	-3.1	39edf911-6ddc-4982-82aa-a66e3339a4a34
7713	-16.715	-3.1	c05d3416-7e5d-4438-b0bd-0900ca086cbe
7714	-16.715	-2.1	b83e19b6-c4f4-46e1-83d7-90262d531cbf
7715	-16.715	-2.1	9d13fba7-28e8-45c7-ad8e-7c1f6703725f
7716	-16.715	-1.1	6047b73c-2fc7-4698-801e-a24b430516d3
7717	-16.715	-1.1	96b4b0fc-38a4-4ce8-852f-6dd3d2a878b6
7718	-18.09	-5.1	e53e6615-91ff-4bce-8cb1-320503a9c0f8
7719	-19.05545	-5.1	5bb93e3f-2e2a-4cc0-b7bc-03b1070eca1f
7721	-16.715	-3.1	f4081c52-73df-4d6f-8ab5-e573362f826c
7722	-16.715	-2.1	35459e30-8be6-4fca-9f18-8415e1d92ed2
7723	-16.715	-1.1	60ef8bcb-85f5-4911-b2c9-b22ad340115d
7724	-16.715	-1.1	d7389ca2-00ce-456f-9445-030ea1c17a3e
7727	-16.715	-5.1	f03a3b49-1a01-4d3a-b0be-7a2948949475
7728	-16.715	-5.1	88c75a66-b4ff-4224-9cbf-91d76cfe93a9
7729	-16.715	-4.1	787394b7-5220-423c-868d-549b5110e2ff
7730	-16.715	-4.1	59eb2fed-6d33-4968-9b94-1e385b5ec03d
7731	-16.715	-3.1	3854bbab-8a5e-495a-8d32-21960bfe20dc
7732	-16.715	-2.1	85de303d-3c09-41cb-9ebc-e4ffde7d4345
7733	-15.34	-5.1	2d7cbe05-9e73-497d-bbf2-39cfd30c3d41
7734	-14.64	-5.1	3579c839-d28e-48c2-9c3c-e7017e07d21a
7735	-19.05545	-5.1	94edd622-6f20-408a-b8ce-4a1e77f6d9f6
7736	-19.05545	-5.1	675fe176-4cb6-41d7-bc13-b041acce0324
7737	-19.05545	-5.1	2629df9b-56c1-4d4a-8a83-8f429e92b9e0
7738	-19.05545	-5.1	5fcdeae6-3379-46ee-a187-38d1b1deaa11
7739	-18.09	-5.1	b1fc659f-c2fb-4c52-be9e-d6bc7bb07193

Table: Joint Coordinates, Part 2 of 2

Joint	GlobalY m	GlobalZ m	GUID
7740	-18.09	-5.1	6adcd507-2a66-4ca9-b1d9-c264c5535e36
7741	-18.09	-5.1	bad6b8a5-1419-4cd6-afa4-d480f60220f0
7742	-18.09	-5.1	33d68f33-ab90-48fd-b0ac-203099e9a7bd
7743	-15.34	-5.1	60b7e4fd-9bce-4227-a8bb-4dcb9ca6716f
7744	-14.64	-5.1	f83b90c6-0baf-4385-81a8-8b99ff3f3d09
7746	-0.7708	-6.1	e82834e2-cf3e-41e0-897b-19cc1125542d
7747	-0.7708	-7.1	df472b81-077f-412f-9579-af4ef12d2d
7748	-0.7708	-8.1	51233834-5bb5-4484-9ac4-9b337e1734d2
7749	-0.7708	-9.1	41be9c81-6b4e-4f6d-908a-8de5b2b97564
7750	-0.7708	-10.1	7d2d3db3-a832-4231-8895-a4af479ec3b5
7751	-0.7708	-11.1	07830a87-f404-4eb8-bc8c-d7a7858892e4
7752	-0.7708	-12.1	69ad4db5-d952-4994-b8d0-d1947568bdbcb
7753	-0.7708	-13.1	19f654a9-0e59-43e2-a887-93202ff807b5
7754	-0.7708	-14.1	86da4c4d-8351-482e-b3fe-30d0a3757a64
7755	-0.7708	-15.1	efb2df84-f68e-484a-8f9d-dcd788c639e1
7756	-0.7708	-16.1	7e5e3d2f-f995-44a6-8860-e4a14b3be385
7757	-0.7708	-17.1	ffa7e02e-1515-4275-8e2a-f3b0e5431b7e
7758	-0.7708	-18.1	7ca1c39c-e0d1-43c8-a52d-ea4acf4c2f28
7759	-0.7708	-19.1	1365dc90-25f6-4b0f-9fda-77ff820b16a9
7760	-0.7708	-20.1	ccb651c7-e9d0-4d4c-95bd-55b2f7211caa
7761	-0.7708	-21.1	d4295390-87f4-4872-99c5-8e79799fd3e4
7762	-0.7708	-22.1	a17f896f-69fd-4d43-be87-42ef1b13a9f2
7763	-0.7708	-23.1	9d571efc-bd07-40dd-b007-0fca1b9b0bba
7764	-0.7708	-24.1	93659116-d9ad-4f9e-b5eb-a59d249afef4
7765	-0.7708	-25.1	152c5238-d39e-42d8-8050-12be3c5189d6
7766	-0.7708	-26.1	512776df-5a70-4d4e-b4b1-f89a3a31f94e
7767	-0.7708	-27.1	4bde49bc-0d74-4f20-a925-2081450e2120
7768	-0.7708	-28.1	9992ffc5-f019-4bb5-a797-fb373c9e809e
7769	-0.7708	-29.1	89358ea9-a8b6-4fcb-8148-f34e4b88cd8b
7770	-0.7708	-30.1	b886bec7-1b07-471c-9281-e8b694035b72

Table: Joint Coordinates, Part 2 of 2

Joint	GlobalY m	GlobalZ m	GUID
7771	-0.7708	-31.1	f965e2c6-327d-486f-bdc d-1b80e2426f72
7772	-2.1792	-6.1	ddde9c06-5ffc-489f-94b9 -288926114a16
7773	-2.1792	-7.1	1045e883-2290-41d8-a6 34-8438d79d3e88
7774	-2.1792	-8.1	6d17e29e-b333-4ba5-b2 db-09867cb7b853
7775	-2.1792	-9.1	ef050999-59b5-4b2b-b10 5-cfcf7e8c93ba
7776	-2.1792	-10.1	245d0782-4109-4f3d-85d 0-97e7389b4ca9
7777	-2.1792	-11.1	5e66cb78-fade-4377-85d 7-04a4e558b2b7
7778	-2.1792	-12.1	c4745344-82f3-498d-895 c-c67c6a86ad2c
7779	-2.1792	-13.1	7449a23d-f492-43c2-b29 5-d4e61aac422a
7780	-2.1792	-14.1	3e46a3d9-9b10-49df-935 4-8afd6e6f7f93
7781	-2.1792	-15.1	5c92df37-95c5-456e-941 2-1c995fc56cc3
7782	-2.1792	-16.1	2d8ce88d-43fe-4f88-ad7 c-4c8f0e27e01a
7783	-2.1792	-17.1	c5b47f5e-33a1-4e50-82b 5-88d3911fbd10
7784	-2.1792	-18.1	4cca439b-c503-4acb-b54 7-7aa7a62a7f10
7785	-2.1792	-19.1	d07a608d-3d7b-445e-92 da-77223410927c
7786	-2.1792	-20.1	a399813e-afa4-4429-85d 6-6ceee3b10272
7787	-2.1792	-21.1	537eccc1-53e3-461d-adf 1-ad8c1241372c
7788	-2.1792	-22.1	d94dec4b-1267-4d21-a1 5a-74737bdc1154
7789	-2.1792	-23.1	4cb2fc40-b395-4663-925 0-0aa1b742a54f
7790	-2.1792	-24.1	d22485cb-ad07-401d-9e 0a-b38c73fbd467
7791	-2.1792	-25.1	dfe48176-2fb6-418a-95e 7-156d185d8913
7792	-2.1792	-26.1	112164e8-9135-474b-bc 3d-5af265c5a53c
7793	-2.1792	-27.1	6a00811c-1a00-496b-9e ea-57ed63364b21
7794	-2.1792	-28.1	d485c63e-39ac-497b-9b 01-a143d94305f4
7795	-2.1792	-29.1	a6a1202c-72a8-4d24-bc 4f-a35ade738328
7796	-2.1792	-30.1	7c75f6cc-0883-48e2-a22 8-fd6a8a446832
7797	-2.1792	-31.1	90f3c88e-1f35-4b74-bbf8 -62fbe5a82d31
7798	-4.4708	-6.1	2b717c06-e921-42a8-a4 d3-585d33d521b4
7799	-4.4708	-7.1	4265dc03-6b24-445c-bb ce-876028267d5d
7800	-4.4708	-8.1	2a9bb560-bd98-4bd9-b3 13-42839aef279b

Table: Joint Coordinates, Part 2 of 2

Joint	GlobalY m	GlobalZ m	GUID
7801	-4.4708	-9.1	2c1a89ae-a0be-4e7c-9767-4f1d4c99f01b
7802	-4.4708	-10.1	b4727d9b-fd6b-47fb-be75-b4ebb366a672
7803	-4.4708	-11.1	eaf3af65-bea1-4049-9f0d-2670130ec477
7804	-4.4708	-12.1	cefa5014-e057-4a4f-bb76-fd50d1932f28
7805	-4.4708	-13.1	6917ffa8-bb2d-4c85-a7dc-91bd26bf7755
7806	-4.4708	-14.1	a42dce9a-d06e-4ca8-b9d2-dab68e47dd05
7807	-4.4708	-15.1	22870fd7-ea00-4cf7-9e7d-574573cfca0f
7808	-4.4708	-16.1	406a827f-2162-4b5f-a853-9a5e56d67f1f
7809	-4.4708	-17.1	cf199d6a-1714-44bc-a6f1-246b7046c739
7810	-4.4708	-18.1	1f1c6df0-4d73-433f-9fa4-ff45f0a6c0fd
7811	-4.4708	-19.1	2fc61350-5135-4937-a200-b73b9047d260
7812	-4.4708	-20.1	a583e65f-2689-4a0f-9d48-7ad9d96a745f
7813	-4.4708	-21.1	adc67324-83b1-41d2-9c48-9aa665d3be21
7814	-4.4708	-22.1	63fdc434-b446-469c-9e7f-242439c0cb8b
7815	-4.4708	-23.1	c6493664-3ef1-493f-9c6a-b89f464465af
7816	-4.4708	-24.1	acd12902-3f51-48b5-af44-ec3498671a67
7817	-4.4708	-25.1	82010e43-27cf-4567-9d09-7da581c079a8
7818	-4.4708	-26.1	9d198972-b31f-4727-ae6f-03c08e26b819
7819	-4.4708	-27.1	a8cf3dd3-f20b-40d6-93a8-fd82b36166bd
7820	-4.4708	-28.1	0b06df27-35a9-41ac-94c2-0faa37853566
7821	-4.4708	-29.1	749ada00-488a-4c69-8118-d90388779822
7822	-4.4708	-30.1	dcd18f14-d97f-45e0-80ed-a8530fe444c5
7823	-4.4708	-31.1	5d2b64ab-d2e5-4281-aa93-a55594118036
7824	-5.8792	-6.1	655ca38f-2d72-4db9-ac77-799e972f70d0
7825	-5.8792	-7.1	0a045b3a-4980-41e2-bc64-1fe62751ca1f
7826	-5.8792	-8.1	63d754b5-13a2-473b-b50a-9a2238d5aa8f
7827	-5.8792	-9.1	9817bfe3-04f1-40da-9caf-64d25904d847
7828	-5.8792	-10.1	a45bd626-3851-4726-9a02-fc213e04a7ea
7829	-5.8792	-11.1	b8c4e08d-1c50-4cfc-b5e3-c43381319036
7830	-5.8792	-12.1	bac55344-a577-419e-9a21-58d15929bc22

Table: Joint Coordinates, Part 2 of 2

Joint	GlobalY m	GlobalZ m	GUID
7831	-5.8792	-13.1	381ed2fc-1562-42dd-9341-fe449d37f28c
7832	-5.8792	-14.1	e414bb6c-0090-4ef7-abb a-a00057993487
7833	-5.8792	-15.1	eb4b4186-3dd3-4f35-bbd 0-ac41a79382d7
7834	-5.8792	-16.1	cb8f467c-e898-4c78-8a1 d-68c7f8e025cc
7835	-5.8792	-17.1	86806da8-e79d-4b89-97 5d-6bdec505b438
7836	-5.8792	-18.1	dcdfe58a-6ee9-400e-8d5 e-731a7b9309a4
7837	-5.8792	-19.1	b46a8325-6df7-43f2-95a c-f6c9674db40e
7838	-5.8792	-20.1	81a1370c-eed6-4666-8b d7-a1b192dfc804
7839	-5.8792	-21.1	45666b7b-d3e9-4fe2-9bd a-90627cf49ea7
7840	-5.8792	-22.1	87b3ec46-fc45-4ad9-be1 4-8635158a5f84
7841	-5.8792	-23.1	f49996c5-b96c-46eb-9e2 a-ab2a07761270
7842	-5.8792	-24.1	649daa82-81b3-451e-bd 5e-bfbc076c492f
7843	-5.8792	-25.1	98e24de1-88e4-43bc-b0 17-ac32dc3d9415
7844	-5.8792	-26.1	1dabda8b-ce17-46c4-a9 2e-2e7bda748f67
7845	-5.8792	-27.1	96d2be8e-55f2-4e7b-a96 d-8404621821cf
7846	-5.8792	-28.1	0d71adca-8231-4c69-b9 b8-008e463b431f
7847	-5.8792	-29.1	ab0c9e28-3366-4247-b5 8b-426f02cc49f1
7848	-5.8792	-30.1	29078e5f-5b52-45a6-ac1 5-e0422a8913ff
7849	-5.8792	-31.1	7da1908e-c1ec-4359-a6 1f-0ca5ef127861
7850	-8.1708	-6.1	b4fb43a5-80eb-421f-bc4 9-c428fd5e1361
7851	-8.1708	-7.1	ee83e3de-b92a-4ac8-8b 56-0a02b60dd90c
7852	-8.1708	-8.1	06e8200e-63bb-4124-84 68-dd38a9f2594c
7853	-8.1708	-9.1	c85e8028-9b47-43fa-af3 c-2236e95728bd
7854	-8.1708	-10.1	cd11ca8b-bf42-46c7-a79 6-fbdcedbe8119
7855	-8.1708	-11.1	fcee733b-d319-4904-9fd e-fb27f571885f
7856	-8.1708	-12.1	ac15a055-accb-48cb-b9e e-08e589a4533e
7857	-8.1708	-13.1	fc691426-66d6-4852-9bc e-a7185a3d3476
7858	-8.1708	-14.1	1eb7694e-72e0-4277-9fe b-3d5a20a7ee75
7859	-8.1708	-15.1	a0e90382-29fe-4b21-a0d 0-16b374cb58f8
7860	-8.1708	-16.1	c2191dfc-32bf-40c1-a1ce -354bc924d56f

Table: Joint Coordinates, Part 2 of 2

Joint	GlobalY m	GlobalZ m	GUID
7861	-8.1708	-17.1	4559e1ab-3125-4835-8084-c649b6e27486
7862	-8.1708	-18.1	f8b99b2e-ff45-44d6-ab2f-d51906aa3649
7863	-8.1708	-19.1	f5c20d0f-b5cc-4677-9a96-087ff0a46a47
7864	-8.1708	-20.1	753d82ea-69f4-4d51-887b-12c36d91bc4d
7865	-8.1708	-21.1	e8b913f3-0aa7-4772-aa11-36c67cc6baf6
7866	-8.1708	-22.1	ce27b947-a80f-4b57-9507-cab8bf3e4cb1
7867	-8.1708	-23.1	a5a554ff-9b49-4fdf-9569-089830cb168c
7868	-8.1708	-24.1	435df256-b243-4d68-9363-246fc03401c8
7869	-8.1708	-25.1	ead32706-564a-435f-acbd-5dfc18a70406
7870	-8.1708	-26.1	fadcaf3e-d77d-4c29-9c44-2804084863f8
7871	-8.1708	-27.1	cfb26e03-60ef-48e5-9b20-931929e5bd73
7872	-8.1708	-28.1	7c18cef6-e166-4988-91ac-8105a373654a
7873	-8.1708	-29.1	8d19d7a4-9c9e-4bb3-8913-81e732f0bfc2
7874	-8.1708	-30.1	73f6e626-5afb-4984-bc5d-9cbad0c9b462
7875	-8.1708	-31.1	4ab90ce0-1410-435a-8d95-a4613f0d3a7a
7876	-9.5792	-6.1	e3ee2e71-cda6-4309-a1c8-f9b4006cf43e
7877	-9.5792	-7.1	7daa7695-8efe-4ca5-bdeb-fdb87e7090d7
7878	-9.5792	-8.1	4de7cf77-605e-4a76-a763-d595a7c5a202
7879	-9.5792	-9.1	3ee7229d-5dca-42bb-b616-763cc5dff63
7880	-9.5792	-10.1	7fade627-eba7-4e75-a3f6-100f763e0a0d
7881	-9.5792	-11.1	929d1419-bccc-401d-88d1-c1f32455d553
7882	-9.5792	-12.1	de48a10e-3b65-423b-8452-8d49da96d855
7883	-9.5792	-13.1	c6d77af2-2539-4811-8815-0a5b4c3ad135
7884	-9.5792	-14.1	3000e352-4185-45f0-a0c5-4ed7e2be4a85
7885	-9.5792	-15.1	8441f191-8516-498f-b82e-39f2167decad
7886	-9.5792	-16.1	99da495c-1cd0-4c2f-8fea-0f3b0debe6fe
7887	-9.5792	-17.1	a7307e62-0a07-495a-8a3c-60677e59c26c
7888	-9.5792	-18.1	7184647b-632e-4526-8865-69b397672783
7889	-9.5792	-19.1	9a732ab6-1f18-4b5a-a8dc-10ca17345b41
7890	-9.5792	-20.1	68f090ef-a958-4a8a-b09b-f48316ef651e

Table: Joint Coordinates, Part 2 of 2

Joint	GlobalY m	GlobalZ m	GUID
7891	-9.5792	-21.1	b307c6b0-a3cd-4e51-b55e-5f8ec412ee94
7892	-9.5792	-22.1	04895f35-5e46-4ca0-b986-3171b85fc02f
7893	-9.5792	-23.1	33925b59-9646-486d-ba2b-0916311fd049
7894	-9.5792	-24.1	629c6296-0832-4529-ab6-506912b40ef3
7895	-9.5792	-25.1	bd9eaf56-213a-479f-b07f-091b058299fe
7896	-9.5792	-26.1	d03699a6-eb71-4618-aa3-88ecf7eafb94
7897	-9.5792	-27.1	3d3b05b2-d64b-4bc8-9d3-6022ab0cd651
7898	-9.5792	-28.1	e019bd92-f81b-4fd9-b3e7-d341821822f8
7899	-9.5792	-29.1	a0633031-9105-4e37-a40e-326fc7a67199
7900	-9.5792	-30.1	40eff667-c68b-404e-a3c7-1a6d3e2439ae
7901	-9.5792	-31.1	c0f998c9-079d-49e5-b6bc-8444ca5c9190
7902	-11.8708	-6.1	f9c78daa-5c20-4530-8886-6c1f5d7e996e
7903	-11.8708	-7.1	09b0daac-7ba1-456b-b28b-4580e9033ec0
7904	-11.8708	-8.1	468b7276-151b-4f98-9d64-1619dafd8e80
7905	-11.8708	-9.1	11b2cc63-2b47-4c05-b0d5-c4660b313c04
7906	-11.8708	-10.1	aa2353f2-8bd5-49e1-a478-c222b4040748
7907	-11.8708	-11.1	f9d9752c-f15a-44a0-96d5-e5770741a330
7908	-11.8708	-12.1	bed93070-d1b1-4963-857b-c3546ee9ae63
7909	-11.8708	-13.1	a57b3b9e-40d1-43d9-85bc-98ac335e6dae
7910	-11.8708	-14.1	fff4528b-b1a1-40b1-b2cb-8c359e04d535
7911	-11.8708	-15.1	4efdc3f2-d1e9-4345-b5ef-a6e49544d7ed
7912	-11.8708	-16.1	9accd372-242f-48e8-aefd-8626748b5c91
7913	-11.8708	-17.1	01d198e0-31c7-4227-8428-02874f6ddb73
7914	-11.8708	-18.1	70501ba1-d281-49f4-889c-b77fc489f6c7
7915	-11.8708	-19.1	7a40a973-6c3f-476f-864d-a06b029e56e3
7916	-11.8708	-20.1	fb0153a-cbe7-4d34-a00d-b11615768bab
7917	-11.8708	-21.1	91ab411a-3fa2-4e00-a6cb-2f37a54ae700
7918	-11.8708	-22.1	bdffd2ef-d6a3-4908-80d1-b084d75a3b58
7919	-11.8708	-23.1	f1ef7f5e-9d30-4eb4-8c02-45f8b7301ec8
7920	-11.8708	-24.1	c680317a-b359-4be7-8522-08b115fd08df

Table: Joint Coordinates, Part 2 of 2

Joint	GlobalY m	GlobalZ m	GUID
7921	-11.8708	-25.1	672c6926-01de-4983-9a8e-cdcbf00172f8
7922	-11.8708	-26.1	c839f4b7-5bc2-43ed-a808-4053d939f734
7923	-11.8708	-27.1	15f35a93-ec76-41fd-a684-ce3097092f15
7924	-11.8708	-28.1	10ea64a9-0751-4856-97b2-85c65f1eb930
7925	-11.8708	-29.1	7b7d52c6-216e-4fe1-9c47-0477059b0e82
7926	-11.8708	-30.1	810b248b-506c-4882-be65-5a9689e0359e
7927	-11.8708	-31.1	3cae0d83-2a18-42b9-922c-2435468d8085
7928	-13.2792	-6.1	45376827-66da-444d-9085-f1ef16a31b62
7929	-13.2792	-7.1	343267ea-975f-4358-9940-2806ee25fb14
7930	-13.2792	-8.1	a67fa558-c12f-4736-b7c0-08d3df91551f
7931	-13.2792	-9.1	5d15400c-9252-4627-8399-f3bb3b28802b
7932	-13.2792	-10.1	5f7dfc8e-58b1-40ca-b6d0-df9d0daebfd2
7933	-13.2792	-11.1	9ae51fbb-e50e-47bc-84d6-060d8803d711
7934	-13.2792	-12.1	ed887fe5-fa23-414e-8b86-72b24e7dc9cc
7935	-13.2792	-13.1	b5b1134b-d62b-4e42-8f6e-a1cfe303f242
7936	-13.2792	-14.1	358551d7-c2b9-4c28-bde2-8acf8864ccce
7937	-13.2792	-15.1	bb939f66-af03-45a6-b3bd-273ffd8cd959
7938	-13.2792	-16.1	188f679f-b212-4bcd-a893-1d2910cf5960
7939	-13.2792	-17.1	54343638-6912-4c2f-b6ba-5ed5929f38fa
7940	-13.2792	-18.1	cdcf451-cafe-48bd-b293-d0fa9168de33
7941	-13.2792	-19.1	190b9f08-9b36-4958-b484-e41bad6d14b3
7942	-13.2792	-20.1	787d2716-6c85-4506-89b2-6ca462559606
7943	-13.2792	-21.1	29149c26-43e6-4952-af25-f0e83332a6d2
7944	-13.2792	-22.1	d9ce2c58-88ef-4733-b4a4-36729d340ed6
7945	-13.2792	-23.1	4424a2e8-20fb-482a-960f-9cc8e4c70738
7946	-13.2792	-24.1	fe0d8974-8da6-49c4-b45e-4eaf2cd714a9
7947	-13.2792	-25.1	555e3b64-e1cb-4f11-82f5-9e6bbda18063
7948	-13.2792	-26.1	966623af-37dd-4476-9374-5bf9334a6abf
7949	-13.2792	-27.1	b62f33b6-1387-479a-bdbf-44532e95a193
7950	-13.2792	-28.1	76a8a9e8-bd6e-4385-97e5-9ae022212fc1

Table: Joint Coordinates, Part 2 of 2

Joint	GlobalY m	GlobalZ m	GUID
7951	-13.2792	-29.1	d52d1dbb-2edc-4f91-a98c-053e84ad0f2c
7952	-13.2792	-30.1	c8583786-2387-473e-834e-24cf6044f1b5
7953	-13.2792	-31.1	b7083f36-9b2a-4982-8b64-4e2ac31709b7
7954	-15.34	-6.1	9739c84b-5af7-4444-ba02-827dcb127ef7
7955	-15.34	-7.1	b25f3361-7d8f-4178-bca0-0b4c03553401
7956	-15.34	-8.1	0dc44513-f2d8-483d-8345-50e1dbf8b9a7
7957	-15.34	-9.1	641e3bd0-c319-4305-9d7b-34b4ea6f52d7
7958	-15.34	-10.1	f1e673c4-e983-411a-b375-f389caac3bcd
7959	-15.34	-11.1	f252a775-ead5-4342-b3cc-5784153cb39f
7960	-15.34	-12.1	d258fa8f-9321-4e0d-979b-3359427b9aca
7961	-15.34	-13.1	7a9638cc-2af1-457f-81a5-2cb2e7a97040
7962	-15.34	-14.1	8dd21b0e-de46-430b-94b9-2a651eff85ef
7963	-15.34	-15.1	1ae1783d-1fa3-4297-bc0c-78c58358cf58
7964	-15.34	-16.1	ed5f4903-5c4e-48a9-9109-8c2ddf5d86ba
7965	-15.34	-17.1	17f545d2-eabd-4a58-9ac5-e7235a7f36ff
7966	-15.34	-18.1	21b5c9e5-5a94-4d49-8625-95c4c1ec2ba7
7967	-15.34	-19.1	b59e2b54-f82d-4385-8d56-3728f399f83d
7968	-15.34	-20.1	ade48089-23fa-4f5b-848d-aaf921b5bf5b
7969	-15.34	-21.1	0e0e9332-7263-4325-af6a-216d567e1684
7970	-15.34	-22.1	83a95e2a-f9ae-45c4-84c9-1fa61d1a36d7
7971	-15.34	-23.1	4e03dc9c-1113-434a-b1fa-9bd14d121b20
7972	-15.34	-24.1	a3d73936-9b36-45a4-ae1f-a03a8b5ce993
7973	-15.34	-25.1	b666bb4c-9379-4962-a040-e2f9e64e09a2
7974	-15.34	-26.1	190182cf-0331-4e55-97d9-f4fc186afdaf
7975	-15.34	-27.1	57300dce-d066-4d9b-a549-c45a02666191
7976	-15.34	-28.1	24fbe48e-7637-44df-8066-c3311c76ca03
7977	-15.34	-29.1	f47f1ca5-55bc-44ee-aa67-fed35c1ba278
7978	-15.34	-30.1	4814134a-9950-4dd0-a61b-4ded44821b11
7979	-15.34	-31.1	4817afae-bf67-4dd9-a4f7-78874f18731c
7980	-15.3192	-6.1	c6f204d7-ec14-4353-a436-d07a4f8eec73

Table: Joint Coordinates, Part 2 of 2

Joint	GlobalY m	GlobalZ m	GUID
7981	-15.3192	-7.1	815fd811-7727-491b-8695-7dc3d4e73ca7
7982	-15.3192	-8.1	ad1debed-0936-4b0b-b58a-60ebb5198e01
7983	-15.3192	-9.1	5fa4406b-6e66-4ce1-93b6-84a598eff58a
7984	-15.3192	-10.1	982b3276-eaea-49b8-88b9-fa0922a0f4e9
7985	-15.3192	-11.1	1c019dc6-eac8-4f3f-82a6-6e58c89d3673
7986	-15.3192	-12.1	5fcc80e7-e775-4d5d-ab74-f09a03c7d87f
7987	-15.3192	-13.1	02abd4b6-220a-44a1-bec7-61476ddcfe7
7988	-15.3192	-14.1	57301455-2e70-4849-a4d6-4cb0a05a84af
7989	-15.3192	-15.1	c0cf51d1-7000-4ee8-bac1-153fd24ca559
7990	-15.3192	-16.1	2d245597-bf62-4cb4-a2a9-f5d676c5706e
7991	-15.3192	-17.1	a57a69c7-6086-4706-b59d-c97a943aa0a1
7992	-15.3192	-18.1	ece5aee7-ab33-4748-ab77-22fe2fc12227
7993	-15.3192	-19.1	95b1d1d0-85e0-4432-8e97-34087d57fca4
7994	-15.3192	-20.1	5255bc5f-6141-4256-a9f6-2ad62f042ea3
7995	-15.3192	-21.1	4312376e-5840-4d3a-ac0a-861be840d502
7996	-15.3192	-22.1	1c656897-1c86-4cf9-adba-a73135b250bf
7997	-15.3192	-23.1	b25b9935-6db2-4825-be4b-6803f5e12535
7998	-15.3192	-24.1	20bf175a-cfda-4c93-b9da-fbcd3676740d
7999	-15.3192	-25.1	df913a14-9181-41aa-bf43-adaec04dfaf3
8000	-15.3192	-26.1	09e4a7ea-da81-4d4e-80e3-c2745f0e8377
8001	-15.3192	-27.1	fd007733-0739-4f0a-899d-569188c9bf82
8002	-15.3192	-28.1	34075385-bd23-4e81-bd5f-237bd1dfe159
8003	-15.3192	-29.1	bf08d36f-8963-45de-a68d-5bc61be29b0c
8004	-15.3192	-30.1	aeabd5ee-f4d0-4506-9ece-160ff87dd772
8005	-15.3192	-31.1	1aa54efd-57a2-4d55-8de3-b653cadf23a3
8006	-18.09	-6.1	724d7aa3-2cf6-488f-9ade-2b725bac3f89
8007	-18.09	-7.1	d29ff10d-668e-484c-ac7e-c1fa541c3bbb
8008	-18.09	-8.1	e7797647-951f-45df-a587-e42fda805b93
8009	-18.09	-9.1	6ba1fa3f-7123-4f62-9d01-9738ae9b68a7
8010	-18.09	-10.1	0509a6c4-c844-4dbf-9fd-5e191e760337

Table: Joint Coordinates, Part 2 of 2

Joint	GlobalY m	GlobalZ m	GUID
8011	-18.09	-11.1	7a1a6c6b-d5ca-4dd3-8026-114dffeaa110
8012	-18.09	-12.1	af493b3e-271c-472c-8944-878fdb6f697b
8013	-18.09	-13.1	d58a06e0-2775-4450-93e0-58507027a784
8014	-18.09	-14.1	2a61810b-b8bc-4f19-840d-31c8de374f8f
8015	-18.09	-15.1	097d0c9a-1763-4c31-a727-42ca3cddf076
8016	-18.09	-16.1	6a549d22-16fe-4559-b640-b82bc384baf0
8017	-18.09	-17.1	4257c226-070c-44e1-84d2-b4f1580a403c
8018	-18.09	-18.1	1e062193-438d-4d57-91e5-5d4df43c9753
8019	-18.09	-19.1	4c3f0f77-a5ab-4c83-b930-40860fd48f7c
8020	-18.09	-20.1	d16a7631-0744-4057-a2d2-099308fcdca6
8021	-18.09	-21.1	a614f183-0de5-44e5-a0f8-23f916745136
8022	-18.09	-22.1	26e6daf4-862e-45b6-a2b0-055bde78bf11
8023	-18.09	-23.1	70a11827-162e-4bbf-bf33-823c58b51dc1
8024	-18.09	-24.1	b75c4fc-daa5-49ec-8a3d-6714eb9020d7
8025	-18.09	-25.1	3ea54d33-4f1c-4160-b356-fcf5ef3ff27c
8026	-18.09	-26.1	6606c96a-66ba-43b6-ab09-6e82f7a772f0
8027	-18.09	-27.1	930055dd-7141-4b95-920b-c9713689cfdb
8028	-18.09	-28.1	8af52ffc-f20f-4f43-8ff4-8cd26424d11f
8029	-18.09	-29.1	5e76eaac-8e7a-4108-a624-0adae6157909
8030	-18.09	-30.1	a38b857f-c11f-430d-9c43-ce5a72cf6b8f
8031	-18.09	-31.1	307734eb-ab9a-44a6-bba1-96072f83e0a6
8032	-18.09	-6.1	884b9391-9fbb-4c57-b1d0-84c5fe1205f9
8033	-18.09	-7.1	bd12ebdc-9767-4a94-a9c9-751983aa745a
8034	-18.09	-8.1	518c6d5b-48ad-40ac-b6f5-a966e9bf341d
8035	-18.09	-9.1	d46455a5-0f78-4407-ba91-0a057c81059c
8036	-18.09	-10.1	cea8cc66-3195-43a7-9fcd-372e4973a766
8037	-18.09	-11.1	db7444d4-6196-4ce4-8639-2dd723d270c4
8038	-18.09	-12.1	80c488e9-cd61-41f1-adca-a5d332153509
8039	-18.09	-13.1	00315fe1-ae44-4a22-bb3d-c36e13208213
8040	-18.09	-14.1	ac345a93-14b4-4272-b564-ae74b749ad85

Table: Joint Coordinates, Part 2 of 2

Joint	GlobalY m	GlobalZ m	GUID
8041	-18.09	-15.1	aa7727a3-2524-498b-88bb-8330c1087b65
8042	-18.09	-16.1	7ead628e-9312-41a3-8ff5-5ed6df05cc54
8043	-18.09	-17.1	becf2571-d15f-4fd8-af73-4f3609f2d7bf
8044	-18.09	-18.1	c9efec74-1da8-4b2d-a6f1-936532573e1c
8045	-18.09	-19.1	27301071-011b-4494-bdd3-415e7f187d10
8046	-18.09	-20.1	bf130b09-c37f-48ac-bb8d-71aca8171446
8047	-18.09	-21.1	82e37a69-803a-418f-9e3c-d66dc461e8b5
8048	-18.09	-22.1	0b286cc3-e719-4eac-9a01-022eeaa442e5
8049	-18.09	-23.1	754937a5-24dd-4cec-b99a-abd01b143db4
8050	-18.09	-24.1	fd206c34-1b0c-405a-832d-501812b689f4
8051	-18.09	-25.1	7c7ec535-817e-4b19-80c5-bde5841ea627
8052	-18.09	-26.1	7242e81a-6a99-4af8-aef5-b82e2569e918
8053	-18.09	-27.1	693f61d9-0293-413a-92af-42546e0db03b
8054	-18.09	-28.1	4a5e684c-12c6-4902-8af5-a8db0f12c23d
8055	-18.09	-29.1	e530a66f-6dc3-44cc-adf0-e25dc4ee86d6
8056	-18.09	-30.1	3eec72cc-661a-4a58-9914-f437d93a2507
8057	-18.09	-31.1	c30297d6-1341-4dfd-8036-c6ca17325a6e
8058	-18.09	-30.1	c691e3b6-03a0-40e4-82a1-4a04460a9fc4
8059	-18.09	-31.1	95f4a7b2-9f27-44ee-9e5d-685cc8cd12fc
8060	18.09	-30.5	bf27fcb5-176f-4853-8336-0f58b4dc1267
8061	18.09	-31.5	ab9acfa4-f6dd-49e0-af40-a14acef6e27c

Table: Joint Local Axes Assignments 1 - Typical

Table: Joint Local Axes Assignments 1 - Typical

Joint	AngleA Degrees	AngleB Degrees	AngleC Degrees	AdvanceAxes
6555	180.	0.	0.	Yes
6556	180.	0.	0.	Yes
6557	180.	0.	0.	Yes
6558	180.	0.	0.	Yes
6561	180.	0.	0.	Yes
6562	180.	0.	0.	Yes
6563	180.	0.	0.	Yes
6564	180.	0.	0.	Yes

Table: Joint Local Axes Assignments 1 - Typical

Joint	AngleA	AngleB	AngleC	AdvanceAxes
	Degrees	Degrees	Degrees	
6565	180.	0.	0.	Yes
6566	180.	0.	0.	Yes
6567	180.	0.	0.	Yes
6568	180.	0.	0.	Yes
6569	180.	0.	0.	Yes
6570	180.	0.	0.	Yes
6571	180.	0.	0.	Yes
6572	180.	0.	0.	Yes
6573	180.	0.	0.	Yes
6574	180.	0.	0.	Yes
6591	180.	0.	0.	Yes
6592	180.	0.	0.	Yes
6940	180.	0.	0.	No
6941	180.	0.	0.	No
6942	180.	0.	0.	No
6943	180.	0.	0.	No
6944	180.	0.	0.	No
6945	180.	0.	0.	No
6946	180.	0.	0.	No
6947	180.	0.	0.	No
6948	180.	0.	0.	No
6949	180.	0.	0.	No
6950	180.	0.	0.	No
6951	180.	0.	0.	No
6952	180.	0.	0.	No
6953	180.	0.	0.	No
6954	180.	0.	0.	No
6955	180.	0.	0.	No
6956	180.	0.	0.	No
6957	180.	0.	0.	No
6958	180.	0.	0.	No
6959	180.	0.	0.	No
6960	180.	0.	0.	No
6961	180.	0.	0.	No
6962	180.	0.	0.	No
6963	180.	0.	0.	No
6964	180.	0.	0.	No
6965	180.	0.	0.	No
6966	180.	0.	0.	No
6967	180.	0.	0.	No
6968	180.	0.	0.	No
6969	180.	0.	0.	No
6970	180.	0.	0.	No
6971	180.	0.	0.	No
6972	180.	0.	0.	No
6973	180.	0.	0.	No
6974	180.	0.	0.	No
6975	180.	0.	0.	No
6976	180.	0.	0.	No
6977	180.	0.	0.	No
6978	180.	0.	0.	No
6979	180.	0.	0.	No
6980	180.	0.	0.	No

Table: Joint Local Axes Assignments 1 - Typical

Joint	AngleA	AngleB	AngleC	AdvanceAxes
	Degrees	Degrees	Degrees	
6981	180.	0.	0.	No
6982	180.	0.	0.	No
6983	180.	0.	0.	No
6984	180.	0.	0.	No
6985	180.	0.	0.	No
6986	180.	0.	0.	No
6987	180.	0.	0.	No
6988	180.	0.	0.	No
6989	180.	0.	0.	No
6990	180.	0.	0.	No
6991	180.	0.	0.	No
6992	180.	0.	0.	No
6993	180.	0.	0.	No
6994	180.	0.	0.	No
6995	180.	0.	0.	No
6996	180.	0.	0.	No
6997	180.	0.	0.	No
6998	180.	0.	0.	No
6999	180.	0.	0.	No
7000	180.	0.	0.	No
7001	180.	0.	0.	No
7002	180.	0.	0.	No
7003	180.	0.	0.	No
7004	180.	0.	0.	No
7005	180.	0.	0.	No
7006	180.	0.	0.	No
7007	180.	0.	0.	No
7008	180.	0.	0.	No
7009	180.	0.	0.	No
7010	180.	0.	0.	No
7011	180.	0.	0.	No
7012	180.	0.	0.	No
7013	180.	0.	0.	No
7014	180.	0.	0.	No
7015	180.	0.	0.	No
7016	180.	0.	0.	No
7017	180.	0.	0.	No
7018	180.	0.	0.	No
7019	180.	0.	0.	No
7020	180.	0.	0.	No
7021	180.	0.	0.	No
7022	180.	0.	0.	No
7023	180.	0.	0.	No
7024	180.	0.	0.	No
7025	180.	0.	0.	No
7026	180.	0.	0.	No
7027	180.	0.	0.	No
7066	180.	0.	0.	No
7067	180.	0.	0.	No
7068	180.	0.	0.	No
7069	180.	0.	0.	No
7072	180.	0.	0.	No
7073	180.	0.	0.	No

Table: Joint Local Axes Assignments 1 - Typical

Joint	AngleA	AngleB	AngleC	AdvanceAxes
	Degrees	Degrees	Degrees	
7074	180.	0.	0.	No
7075	180.	0.	0.	No
7076	180.	0.	0.	No
7077	180.	0.	0.	No
7078	180.	0.	0.	No
7079	180.	0.	0.	No
7080	180.	0.	0.	No
7081	180.	0.	0.	No
7082	180.	0.	0.	No
7083	180.	0.	0.	No
7084	180.	0.	0.	No
7085	180.	0.	0.	No
7086	180.	0.	0.	No
7087	180.	0.	0.	No
7088	180.	0.	0.	No
7089	180.	0.	0.	No
7090	180.	0.	0.	No
7091	180.	0.	0.	No
7092	180.	0.	0.	No
7093	180.	0.	0.	No
7094	180.	0.	0.	No
7095	180.	0.	0.	No
7096	180.	0.	0.	No
7097	180.	0.	0.	No
7098	180.	0.	0.	No
7099	180.	0.	0.	No
7100	180.	0.	0.	No
7101	180.	0.	0.	No
7102	180.	0.	0.	No
7103	180.	0.	0.	No
7104	180.	0.	0.	No
7105	180.	0.	0.	No
7106	180.	0.	0.	No
7107	180.	0.	0.	No
7108	180.	0.	0.	No
7109	180.	0.	0.	No
7110	180.	0.	0.	No
7111	180.	0.	0.	No
7112	180.	0.	0.	No
7113	180.	0.	0.	No
7114	180.	0.	0.	No
7115	180.	0.	0.	No
7116	180.	0.	0.	No
7117	180.	0.	0.	No
7118	180.	0.	0.	No
7119	180.	0.	0.	No
7120	180.	0.	0.	No
7121	180.	0.	0.	No
7122	180.	0.	0.	No
7123	180.	0.	0.	No
7124	180.	0.	0.	No
7125	180.	0.	0.	No
7126	180.	0.	0.	No

Table: Joint Local Axes Assignments 1 - Typical

Joint	AngleA	AngleB	AngleC	AdvanceAxes
	Degrees	Degrees	Degrees	
7127	180.	0.	0.	No
7128	180.	0.	0.	No
7129	180.	0.	0.	No
7130	180.	0.	0.	No
7131	180.	0.	0.	No
7132	180.	0.	0.	No
7133	180.	0.	0.	No
7134	180.	0.	0.	No
7135	180.	0.	0.	No
7136	180.	0.	0.	No
7137	180.	0.	0.	No
7138	180.	0.	0.	No
7139	180.	0.	0.	No
7140	180.	0.	0.	No
7141	180.	0.	0.	No
7142	180.	0.	0.	No
7143	180.	0.	0.	No
7144	180.	0.	0.	No
7145	180.	0.	0.	No
7146	180.	0.	0.	No
7147	180.	0.	0.	No
7150	180.	0.	0.	No
7151	180.	0.	0.	No
7152	180.	0.	0.	No
7153	180.	0.	0.	No
7154	180.	0.	0.	No
7155	180.	0.	0.	No
7156	180.	0.	0.	No
7157	180.	0.	0.	No
7158	180.	0.	0.	No
7159	180.	0.	0.	No
7160	180.	0.	0.	No
7161	180.	0.	0.	No
7162	180.	0.	0.	No
7163	180.	0.	0.	No
7164	180.	0.	0.	No
7165	180.	0.	0.	No
7166	180.	0.	0.	No
7167	180.	0.	0.	No
7168	180.	0.	0.	No
7169	180.	0.	0.	No
7170	180.	0.	0.	No
7171	180.	0.	0.	No
7172	180.	0.	0.	No
7173	180.	0.	0.	No
7174	180.	0.	0.	No
7175	180.	0.	0.	No
7176	180.	0.	0.	No
7177	180.	0.	0.	No
7178	180.	0.	0.	No
7179	180.	0.	0.	No
7180	180.	0.	0.	No
7181	180.	0.	0.	No

Table: Joint Local Axes Assignments 1 - Typical

Joint	AngleA	AngleB	AngleC	AdvanceAxes
	Degrees	Degrees	Degrees	
7182	180.	0.	0.	No
7183	180.	0.	0.	No
7184	180.	0.	0.	No
7185	180.	0.	0.	No
7186	180.	0.	0.	No
7187	180.	0.	0.	No
7188	180.	0.	0.	No
7189	180.	0.	0.	No
7190	180.	0.	0.	No
7191	180.	0.	0.	No
7192	180.	0.	0.	No
7193	180.	0.	0.	No
7194	180.	0.	0.	No
7195	180.	0.	0.	No
7196	180.	0.	0.	No
7197	180.	0.	0.	No
7198	180.	0.	0.	No
7199	180.	0.	0.	No
7200	180.	0.	0.	No
7201	180.	0.	0.	No
7202	180.	0.	0.	No
7203	180.	0.	0.	No
7204	180.	0.	0.	No
7205	180.	0.	0.	No
7206	180.	0.	0.	No
7207	180.	0.	0.	No
7208	180.	0.	0.	No
7209	180.	0.	0.	No
7210	180.	0.	0.	No
7211	180.	0.	0.	No
7212	180.	0.	0.	No
7213	180.	0.	0.	No
7214	180.	0.	0.	No
7215	180.	0.	0.	No
7216	180.	0.	0.	No
7217	180.	0.	0.	No
7218	180.	0.	0.	No
7219	180.	0.	0.	No
7220	180.	0.	0.	No
7221	180.	0.	0.	No
7222	180.	0.	0.	No
7223	180.	0.	0.	No
7224	180.	0.	0.	No
7225	180.	0.	0.	No
7226	180.	0.	0.	No
7227	180.	0.	0.	No
7228	180.	0.	0.	No
7229	180.	0.	0.	No
7230	180.	0.	0.	No
7231	180.	0.	0.	No
7232	180.	0.	0.	No
7233	180.	0.	0.	No
7234	180.	0.	0.	No

Table: Joint Local Axes Assignments 1 - Typical

Joint	AngleA	AngleB	AngleC	AdvanceAxes
	Degrees	Degrees	Degrees	
7235	180.	0.	0.	No
7236	180.	0.	0.	No
7237	180.	0.	0.	No
7238	180.	0.	0.	No
7239	180.	0.	0.	No
7240	180.	0.	0.	No
7241	180.	0.	0.	No
7242	180.	0.	0.	No
7243	180.	0.	0.	No
7244	180.	0.	0.	No
7245	180.	0.	0.	No
7246	180.	0.	0.	No
7247	180.	0.	0.	No
7248	180.	0.	0.	No
7249	180.	0.	0.	No
7250	180.	0.	0.	No
7251	180.	0.	0.	No
7252	180.	0.	0.	No
7253	180.	0.	0.	No
7254	180.	0.	0.	No
7255	180.	0.	0.	No
7256	180.	0.	0.	No
7257	180.	0.	0.	No
7258	180.	0.	0.	No
7259	180.	0.	0.	No
7260	180.	0.	0.	No
7261	180.	0.	0.	No
7262	180.	0.	0.	No
7263	180.	0.	0.	No
7264	180.	0.	0.	No
7265	180.	0.	0.	No
7266	180.	0.	0.	No
7267	180.	0.	0.	No
7268	180.	0.	0.	No
7269	180.	0.	0.	No
7270	180.	0.	0.	No
7271	180.	0.	0.	No
7272	180.	0.	0.	No
7273	180.	0.	0.	No
7274	180.	0.	0.	No
7275	180.	0.	0.	No
7276	180.	0.	0.	No
7277	180.	0.	0.	No
7278	180.	0.	0.	No
7279	180.	0.	0.	No
7280	180.	0.	0.	No
7281	180.	0.	0.	No
7282	180.	0.	0.	No
7283	180.	0.	0.	No
7284	180.	0.	0.	No
7285	180.	0.	0.	No
7286	180.	0.	0.	No
7287	180.	0.	0.	No

Table: Joint Local Axes Assignments 1 - Typical

Joint	AngleA	AngleB	AngleC	AdvanceAxes
	Degrees	Degrees	Degrees	
7288	180.	0.	0.	No
7289	180.	0.	0.	No
7290	180.	0.	0.	No
7291	180.	0.	0.	No
7292	180.	0.	0.	No
7293	180.	0.	0.	No
7294	180.	0.	0.	No
7295	180.	0.	0.	No
7296	180.	0.	0.	No
7297	180.	0.	0.	No
7298	180.	0.	0.	No
7299	180.	0.	0.	No
7300	180.	0.	0.	No
7301	180.	0.	0.	No
7302	180.	0.	0.	No
7303	180.	0.	0.	No
7304	180.	0.	0.	No
7305	180.	0.	0.	No
7306	180.	0.	0.	No
7307	180.	0.	0.	No
7308	180.	0.	0.	No
7309	180.	0.	0.	No
7310	180.	0.	0.	No
7311	180.	0.	0.	No
7312	180.	0.	0.	No
7313	180.	0.	0.	No
7314	180.	0.	0.	No
7315	180.	0.	0.	No
7316	180.	0.	0.	No
7317	180.	0.	0.	No
7318	180.	0.	0.	No
7319	180.	0.	0.	No
7320	180.	0.	0.	No
7321	180.	0.	0.	No
7322	180.	0.	0.	No
7323	180.	0.	0.	No
7324	180.	0.	0.	No
7325	180.	0.	0.	No
7326	180.	0.	0.	No
7327	180.	0.	0.	No
7328	180.	0.	0.	No
7329	180.	0.	0.	No
7330	180.	0.	0.	No
7331	180.	0.	0.	No
7332	180.	0.	0.	No
7333	180.	0.	0.	No
7334	180.	0.	0.	No
7335	180.	0.	0.	No
7336	180.	0.	0.	No
7337	180.	0.	0.	No
7338	180.	0.	0.	No
7339	180.	0.	0.	No
7340	180.	0.	0.	No

Table: Joint Local Axes Assignments 1 - Typical

Joint	AngleA	AngleB	AngleC	AdvanceAxes
	Degrees	Degrees	Degrees	
7341	180.	0.	0.	No
7342	180.	0.	0.	No
7343	180.	0.	0.	No
7344	180.	0.	0.	No
7345	180.	0.	0.	No
7346	180.	0.	0.	No
7347	180.	0.	0.	No
7348	180.	0.	0.	No
7349	180.	0.	0.	No
7350	180.	0.	0.	No
7351	180.	0.	0.	No
7352	180.	0.	0.	No
7353	180.	0.	0.	No
7354	180.	0.	0.	No
7355	180.	0.	0.	No
7356	180.	0.	0.	No
7357	180.	0.	0.	No
7358	180.	0.	0.	No
7359	180.	0.	0.	No
7360	180.	0.	0.	No
7361	180.	0.	0.	No
7362	180.	0.	0.	No
7363	180.	0.	0.	No
7364	180.	0.	0.	No
7365	180.	0.	0.	No
7366	180.	0.	0.	No
7367	180.	0.	0.	No
7368	180.	0.	0.	No
7369	180.	0.	0.	No
7370	180.	0.	0.	No
7371	180.	0.	0.	No
7372	180.	0.	0.	No
7373	180.	0.	0.	No
7374	180.	0.	0.	No
7378	180.	0.	0.	No
7379	180.	0.	0.	No
7380	180.	0.	0.	No
7381	180.	0.	0.	No
7382	180.	0.	0.	No
7383	180.	0.	0.	No
7384	180.	0.	0.	No
7385	180.	0.	0.	No
7386	180.	0.	0.	No
7387	180.	0.	0.	No
7388	180.	0.	0.	No
7389	180.	0.	0.	No
7390	180.	0.	0.	No
7391	180.	0.	0.	No
7392	180.	0.	0.	No
7393	180.	0.	0.	No
7394	180.	0.	0.	No
7395	180.	0.	0.	No
7396	180.	0.	0.	No

Table: Joint Local Axes Assignments 1 - Typical

Joint	AngleA	AngleB	AngleC	AdvanceAxes
	Degrees	Degrees	Degrees	
7397	180.	0.	0.	No
7398	180.	0.	0.	No
7399	180.	0.	0.	No
7400	180.	0.	0.	No
7401	180.	0.	0.	No
7402	180.	0.	0.	No
7403	180.	0.	0.	No
7404	180.	0.	0.	No
7405	180.	0.	0.	No
7406	180.	0.	0.	No
7407	180.	0.	0.	No
7408	180.	0.	0.	No
7409	180.	0.	0.	No
7410	180.	0.	0.	No
7411	180.	0.	0.	No
7412	180.	0.	0.	No
7413	180.	0.	0.	No
7414	180.	0.	0.	No
7415	180.	0.	0.	No
7416	180.	0.	0.	No
7417	180.	0.	0.	No
7418	180.	0.	0.	No
7419	180.	0.	0.	No
7420	180.	0.	0.	No
7421	180.	0.	0.	No
7422	180.	0.	0.	No
7423	180.	0.	0.	No
7424	180.	0.	0.	No
7425	180.	0.	0.	No
7426	180.	0.	0.	No
7427	180.	0.	0.	No
7428	180.	0.	0.	No
7429	180.	0.	0.	No
7430	180.	0.	0.	No
7431	180.	0.	0.	No
7432	180.	0.	0.	No
7433	180.	0.	0.	No
7434	180.	0.	0.	No
7435	180.	0.	0.	No
7436	180.	0.	0.	No
7437	180.	0.	0.	No
7438	180.	0.	0.	No
7439	180.	0.	0.	No
7440	180.	0.	0.	No
7441	180.	0.	0.	No
7442	180.	0.	0.	No
7443	180.	0.	0.	No
7444	180.	0.	0.	No
7445	180.	0.	0.	No
7446	180.	0.	0.	No
7447	180.	0.	0.	No
7448	180.	0.	0.	No
7449	180.	0.	0.	No

Table: Joint Local Axes Assignments 1 - Typical

Joint	AngleA	AngleB	AngleC	AdvanceAxes
	Degrees	Degrees	Degrees	
7450	180.	0.	0.	No
7451	180.	0.	0.	No
7452	180.	0.	0.	No
7453	180.	0.	0.	No
7454	180.	0.	0.	No
7455	180.	0.	0.	No
7456	180.	0.	0.	No
7457	180.	0.	0.	No
7458	180.	0.	0.	No
7459	180.	0.	0.	No
7460	180.	0.	0.	No
7461	180.	0.	0.	No
7462	180.	0.	0.	No
7463	180.	0.	0.	No
7464	180.	0.	0.	No
7465	180.	0.	0.	No
7466	180.	0.	0.	No
7467	180.	0.	0.	No
7468	180.	0.	0.	No
7469	180.	0.	0.	No
7470	180.	0.	0.	No
7471	180.	0.	0.	No
7472	180.	0.	0.	No
7473	180.	0.	0.	No
7474	180.	0.	0.	No
7475	180.	0.	0.	No
7476	180.	0.	0.	No
7477	180.	0.	0.	No
7478	180.	0.	0.	No
7479	180.	0.	0.	No
7480	180.	0.	0.	No
7481	180.	0.	0.	No
7482	180.	0.	0.	No
7483	180.	0.	0.	No
7484	180.	0.	0.	No
7485	180.	0.	0.	No
7486	180.	0.	0.	No
7487	180.	0.	0.	No
7488	180.	0.	0.	No
7489	180.	0.	0.	No
7490	180.	0.	0.	No
7491	180.	0.	0.	No
7492	180.	0.	0.	No
7493	180.	0.	0.	No
7494	180.	0.	0.	No
7495	180.	0.	0.	No
7496	180.	0.	0.	No
7497	180.	0.	0.	No
7498	180.	0.	0.	No
7499	180.	0.	0.	No
7500	180.	0.	0.	No
7501	180.	0.	0.	No
7502	180.	0.	0.	No

Table: Joint Local Axes Assignments 1 - Typical

Joint	AngleA	AngleB	AngleC	AdvanceAxes
	Degrees	Degrees	Degrees	
7503	180.	0.	0.	No
7504	180.	0.	0.	No
7505	180.	0.	0.	No
7506	180.	0.	0.	No
7507	180.	0.	0.	No
7508	180.	0.	0.	No
7509	180.	0.	0.	No
7510	180.	0.	0.	No
7511	180.	0.	0.	No
7512	180.	0.	0.	No
7513	180.	0.	0.	No
7514	180.	0.	0.	No
7515	180.	0.	0.	No
7516	180.	0.	0.	No
7517	180.	0.	0.	No
7518	180.	0.	0.	No
7519	180.	0.	0.	No
7520	180.	0.	0.	No
7521	180.	0.	0.	No
7522	180.	0.	0.	No
7523	180.	0.	0.	No
7524	180.	0.	0.	No
7525	180.	0.	0.	No
7526	180.	0.	0.	No
7527	180.	0.	0.	No
7528	180.	0.	0.	No
7529	180.	0.	0.	No
7530	180.	0.	0.	No
7531	180.	0.	0.	No
7532	180.	0.	0.	No
7533	180.	0.	0.	No
7534	180.	0.	0.	No
7535	180.	0.	0.	No
7536	180.	0.	0.	No
7537	180.	0.	0.	No
7538	180.	0.	0.	No
7539	180.	0.	0.	No
7540	180.	0.	0.	No
7541	180.	0.	0.	No
7542	180.	0.	0.	No
7543	180.	0.	0.	No
7544	180.	0.	0.	No
7545	180.	0.	0.	No
7546	180.	0.	0.	No
7547	180.	0.	0.	No
7548	180.	0.	0.	No
7549	180.	0.	0.	No
7550	180.	0.	0.	No
7551	180.	0.	0.	No
7552	180.	0.	0.	No
7553	180.	0.	0.	No
7554	180.	0.	0.	No
7555	180.	0.	0.	No

Table: Joint Local Axes Assignments 1 - Typical

Joint	AngleA	AngleB	AngleC	AdvanceAxes
	Degrees	Degrees	Degrees	
7556	180.	0.	0.	No
7557	180.	0.	0.	No
7558	180.	0.	0.	No
7559	180.	0.	0.	No
7560	180.	0.	0.	No
7561	180.	0.	0.	No
7562	180.	0.	0.	No
7563	180.	0.	0.	No
7564	180.	0.	0.	No
7565	180.	0.	0.	No
7566	180.	0.	0.	No
7567	180.	0.	0.	No
7568	180.	0.	0.	No
7569	180.	0.	0.	No
7570	180.	0.	0.	No
7571	180.	0.	0.	No
7572	180.	0.	0.	No
7573	180.	0.	0.	No
7574	180.	0.	0.	No
7575	180.	0.	0.	No
7576	180.	0.	0.	No
7577	180.	0.	0.	No
7578	180.	0.	0.	No
7579	180.	0.	0.	No
7580	180.	0.	0.	No
7581	180.	0.	0.	No
7582	180.	0.	0.	No
7583	180.	0.	0.	No
7584	180.	0.	0.	No
7585	180.	0.	0.	No
7586	180.	0.	0.	No
7587	180.	0.	0.	No
7588	180.	0.	0.	No
7589	180.	0.	0.	No
7590	180.	0.	0.	No
7591	180.	0.	0.	No
7592	180.	0.	0.	No
7593	180.	0.	0.	No
7594	180.	0.	0.	No
7595	180.	0.	0.	No
7596	180.	0.	0.	No
7597	180.	0.	0.	No
7598	180.	0.	0.	No
7599	180.	0.	0.	No
7600	180.	0.	0.	No
7601	180.	0.	0.	No
7602	180.	0.	0.	No
7605	180.	0.	0.	No
7606	180.	0.	0.	No
7608	180.	0.	0.	No
7609	180.	0.	0.	No
7616	180.	0.	0.	No
7617	180.	0.	0.	No

Table: Joint Local Axes Assignments 1 - Typical

Joint	AngleA	AngleB	AngleC	AdvanceAxes
	Degrees	Degrees	Degrees	
7618	180.	0.	0.	No
7619	180.	0.	0.	No
7620	180.	0.	0.	No
7621	180.	0.	0.	No
7622	180.	0.	0.	No
7623	180.	0.	0.	No
7624	180.	0.	0.	No
7625	180.	0.	0.	No
7626	180.	0.	0.	No
7627	180.	0.	0.	No
7628	180.	0.	0.	No
7629	180.	0.	0.	No
7630	180.	0.	0.	No
7631	180.	0.	0.	No
7632	180.	0.	0.	No
7633	180.	0.	0.	No
7634	180.	0.	0.	No
7635	180.	0.	0.	No
7636	180.	0.	0.	No
7637	180.	0.	0.	No
7638	180.	0.	0.	No
7639	180.	0.	0.	No
7640	180.	0.	0.	No
7641	180.	0.	0.	No
7642	180.	0.	0.	No
7643	180.	0.	0.	No
7644	180.	0.	0.	No
7645	180.	0.	0.	No
7646	180.	0.	0.	No
7647	180.	0.	0.	No
7648	180.	0.	0.	No
7649	180.	0.	0.	No
7651	180.	0.	0.	No
7652	180.	0.	0.	No
7653	180.	0.	0.	No
7654	180.	0.	0.	No
7655	180.	0.	0.	No
7656	180.	0.	0.	No
7657	180.	0.	0.	No
7658	180.	0.	0.	No
7659	180.	0.	0.	No
7660	180.	0.	0.	No
7661	180.	0.	0.	No
7662	180.	0.	0.	No
7663	180.	0.	0.	No
7664	180.	0.	0.	No
7665	180.	0.	0.	No
7666	180.	0.	0.	No
7667	180.	0.	0.	No
7668	180.	0.	0.	No
7669	180.	0.	0.	No
7670	180.	0.	0.	No
7671	180.	0.	0.	No

Table: Joint Local Axes Assignments 1 - Typical

Joint	AngleA	AngleB	AngleC	AdvanceAxes
	Degrees	Degrees	Degrees	
7672	180.	0.	0.	No
7673	180.	0.	0.	No
7674	180.	0.	0.	No
7675	180.	0.	0.	No
7676	180.	0.	0.	No
7677	180.	0.	0.	No
7678	180.	0.	0.	No
7679	180.	0.	0.	No
7680	180.	0.	0.	No
7681	180.	0.	0.	No
7682	180.	0.	0.	No
7683	180.	0.	0.	No
7684	180.	0.	0.	No
7685	180.	0.	0.	No
7686	180.	0.	0.	No
7687	180.	0.	0.	No
7688	180.	0.	0.	No
7689	180.	0.	0.	No
7690	180.	0.	0.	No
7691	180.	0.	0.	No
7692	180.	0.	0.	No
7693	180.	0.	0.	No
7694	180.	0.	0.	No
7695	180.	0.	0.	No
7696	180.	0.	0.	No
7697	180.	0.	0.	No
7698	180.	0.	0.	No
7699	180.	0.	0.	No
7700	180.	0.	0.	No
7701	180.	0.	0.	No
7702	180.	0.	0.	No
7704	180.	0.	0.	No
7705	180.	0.	0.	No
7708	180.	0.	0.	No
7709	180.	0.	0.	No
7710	180.	0.	0.	No
7711	180.	0.	0.	No
7712	180.	0.	0.	No
7713	180.	0.	0.	No
7714	180.	0.	0.	No
7715	180.	0.	0.	No
7716	180.	0.	0.	No
7717	180.	0.	0.	No
7718	180.	0.	0.	No
7719	180.	0.	0.	No
7721	180.	0.	0.	No
7722	180.	0.	0.	No
7723	180.	0.	0.	No
7724	180.	0.	0.	No
7727	180.	0.	0.	No
7728	180.	0.	0.	No
7729	180.	0.	0.	No
7730	180.	0.	0.	No

Table: Joint Local Axes Assignments 1 - Typical

Joint	AngleA	AngleB	AngleC	AdvanceAxes
	Degrees	Degrees	Degrees	
7731	180.	0.	0.	No
7732	180.	0.	0.	No
7733	180.	0.	0.	No
7734	180.	0.	0.	No
7735	180.	0.	0.	No
7736	180.	0.	0.	No
7737	180.	0.	0.	No
7738	180.	0.	0.	No
7739	180.	0.	0.	No
7740	180.	0.	0.	No
7741	180.	0.	0.	No
7742	180.	0.	0.	No
7743	180.	0.	0.	No
7744	180.	0.	0.	No
7746	180.	0.	0.	No
7747	180.	0.	0.	No
7748	180.	0.	0.	No
7749	180.	0.	0.	No
7750	180.	0.	0.	No
7751	180.	0.	0.	No
7752	180.	0.	0.	No
7753	180.	0.	0.	No
7754	180.	0.	0.	No
7755	180.	0.	0.	No
7756	180.	0.	0.	No
7757	180.	0.	0.	No
7758	180.	0.	0.	No
7759	180.	0.	0.	No
7760	180.	0.	0.	No
7761	180.	0.	0.	No
7762	180.	0.	0.	No
7763	180.	0.	0.	No
7764	180.	0.	0.	No
7765	180.	0.	0.	No
7766	180.	0.	0.	No
7767	180.	0.	0.	No
7768	180.	0.	0.	No
7769	180.	0.	0.	No
7770	180.	0.	0.	No
7771	180.	0.	0.	No
7772	180.	0.	0.	No
7773	180.	0.	0.	No
7774	180.	0.	0.	No
7775	180.	0.	0.	No
7776	180.	0.	0.	No
7777	180.	0.	0.	No
7778	180.	0.	0.	No
7779	180.	0.	0.	No
7780	180.	0.	0.	No
7781	180.	0.	0.	No
7782	180.	0.	0.	No
7783	180.	0.	0.	No
7784	180.	0.	0.	No

Table: Joint Local Axes Assignments 1 - Typical

Joint	AngleA	AngleB	AngleC	AdvanceAxes
	Degrees	Degrees	Degrees	
7785	180.	0.	0.	No
7786	180.	0.	0.	No
7787	180.	0.	0.	No
7788	180.	0.	0.	No
7789	180.	0.	0.	No
7790	180.	0.	0.	No
7791	180.	0.	0.	No
7792	180.	0.	0.	No
7793	180.	0.	0.	No
7794	180.	0.	0.	No
7795	180.	0.	0.	No
7796	180.	0.	0.	No
7797	180.	0.	0.	No
7798	180.	0.	0.	No
7799	180.	0.	0.	No
7800	180.	0.	0.	No
7801	180.	0.	0.	No
7802	180.	0.	0.	No
7803	180.	0.	0.	No
7804	180.	0.	0.	No
7805	180.	0.	0.	No
7806	180.	0.	0.	No
7807	180.	0.	0.	No
7808	180.	0.	0.	No
7809	180.	0.	0.	No
7810	180.	0.	0.	No
7811	180.	0.	0.	No
7812	180.	0.	0.	No
7813	180.	0.	0.	No
7814	180.	0.	0.	No
7815	180.	0.	0.	No
7816	180.	0.	0.	No
7817	180.	0.	0.	No
7818	180.	0.	0.	No
7819	180.	0.	0.	No
7820	180.	0.	0.	No
7821	180.	0.	0.	No
7822	180.	0.	0.	No
7823	180.	0.	0.	No
7824	180.	0.	0.	No
7825	180.	0.	0.	No
7826	180.	0.	0.	No
7827	180.	0.	0.	No
7828	180.	0.	0.	No
7829	180.	0.	0.	No
7830	180.	0.	0.	No
7831	180.	0.	0.	No
7832	180.	0.	0.	No
7833	180.	0.	0.	No
7834	180.	0.	0.	No
7835	180.	0.	0.	No
7836	180.	0.	0.	No
7837	180.	0.	0.	No

Table: Joint Local Axes Assignments 1 - Typical

Joint	AngleA	AngleB	AngleC	AdvanceAxes
	Degrees	Degrees	Degrees	
7838	180.	0.	0.	No
7839	180.	0.	0.	No
7840	180.	0.	0.	No
7841	180.	0.	0.	No
7842	180.	0.	0.	No
7843	180.	0.	0.	No
7844	180.	0.	0.	No
7845	180.	0.	0.	No
7846	180.	0.	0.	No
7847	180.	0.	0.	No
7848	180.	0.	0.	No
7849	180.	0.	0.	No
7850	180.	0.	0.	No
7851	180.	0.	0.	No
7852	180.	0.	0.	No
7853	180.	0.	0.	No
7854	180.	0.	0.	No
7855	180.	0.	0.	No
7856	180.	0.	0.	No
7857	180.	0.	0.	No
7858	180.	0.	0.	No
7859	180.	0.	0.	No
7860	180.	0.	0.	No
7861	180.	0.	0.	No
7862	180.	0.	0.	No
7863	180.	0.	0.	No
7864	180.	0.	0.	No
7865	180.	0.	0.	No
7866	180.	0.	0.	No
7867	180.	0.	0.	No
7868	180.	0.	0.	No
7869	180.	0.	0.	No
7870	180.	0.	0.	No
7871	180.	0.	0.	No
7872	180.	0.	0.	No
7873	180.	0.	0.	No
7874	180.	0.	0.	No
7875	180.	0.	0.	No
7876	180.	0.	0.	No
7877	180.	0.	0.	No
7878	180.	0.	0.	No
7879	180.	0.	0.	No
7880	180.	0.	0.	No
7881	180.	0.	0.	No
7882	180.	0.	0.	No
7883	180.	0.	0.	No
7884	180.	0.	0.	No
7885	180.	0.	0.	No
7886	180.	0.	0.	No
7887	180.	0.	0.	No
7888	180.	0.	0.	No
7889	180.	0.	0.	No
7890	180.	0.	0.	No

Table: Joint Local Axes Assignments 1 - Typical

Joint	AngleA	AngleB	AngleC	AdvanceAxes
	Degrees	Degrees	Degrees	
7891	180.	0.	0.	No
7892	180.	0.	0.	No
7893	180.	0.	0.	No
7894	180.	0.	0.	No
7895	180.	0.	0.	No
7896	180.	0.	0.	No
7897	180.	0.	0.	No
7898	180.	0.	0.	No
7899	180.	0.	0.	No
7900	180.	0.	0.	No
7901	180.	0.	0.	No
7902	180.	0.	0.	No
7903	180.	0.	0.	No
7904	180.	0.	0.	No
7905	180.	0.	0.	No
7906	180.	0.	0.	No
7907	180.	0.	0.	No
7908	180.	0.	0.	No
7909	180.	0.	0.	No
7910	180.	0.	0.	No
7911	180.	0.	0.	No
7912	180.	0.	0.	No
7913	180.	0.	0.	No
7914	180.	0.	0.	No
7915	180.	0.	0.	No
7916	180.	0.	0.	No
7917	180.	0.	0.	No
7918	180.	0.	0.	No
7919	180.	0.	0.	No
7920	180.	0.	0.	No
7921	180.	0.	0.	No
7922	180.	0.	0.	No
7923	180.	0.	0.	No
7924	180.	0.	0.	No
7925	180.	0.	0.	No
7926	180.	0.	0.	No
7927	180.	0.	0.	No
7928	180.	0.	0.	No
7929	180.	0.	0.	No
7930	180.	0.	0.	No
7931	180.	0.	0.	No
7932	180.	0.	0.	No
7933	180.	0.	0.	No
7934	180.	0.	0.	No
7935	180.	0.	0.	No
7936	180.	0.	0.	No
7937	180.	0.	0.	No
7938	180.	0.	0.	No
7939	180.	0.	0.	No
7940	180.	0.	0.	No
7941	180.	0.	0.	No
7942	180.	0.	0.	No
7943	180.	0.	0.	No

Table: Joint Local Axes Assignments 1 - Typical

Joint	AngleA	AngleB	AngleC	AdvanceAxes
	Degrees	Degrees	Degrees	
7944	180.	0.	0.	No
7945	180.	0.	0.	No
7946	180.	0.	0.	No
7947	180.	0.	0.	No
7948	180.	0.	0.	No
7949	180.	0.	0.	No
7950	180.	0.	0.	No
7951	180.	0.	0.	No
7952	180.	0.	0.	No
7953	180.	0.	0.	No
7954	180.	0.	0.	No
7955	180.	0.	0.	No
7956	180.	0.	0.	No
7957	180.	0.	0.	No
7958	180.	0.	0.	No
7959	180.	0.	0.	No
7960	180.	0.	0.	No
7961	180.	0.	0.	No
7962	180.	0.	0.	No
7963	180.	0.	0.	No
7964	180.	0.	0.	No
7965	180.	0.	0.	No
7966	180.	0.	0.	No
7967	180.	0.	0.	No
7968	180.	0.	0.	No
7969	180.	0.	0.	No
7970	180.	0.	0.	No
7971	180.	0.	0.	No
7972	180.	0.	0.	No
7973	180.	0.	0.	No
7974	180.	0.	0.	No
7975	180.	0.	0.	No
7976	180.	0.	0.	No
7977	180.	0.	0.	No
7978	180.	0.	0.	No
7979	180.	0.	0.	No
7980	180.	0.	0.	No
7981	180.	0.	0.	No
7982	180.	0.	0.	No
7983	180.	0.	0.	No
7984	180.	0.	0.	No
7985	180.	0.	0.	No
7986	180.	0.	0.	No
7987	180.	0.	0.	No
7988	180.	0.	0.	No
7989	180.	0.	0.	No
7990	180.	0.	0.	No
7991	180.	0.	0.	No
7992	180.	0.	0.	No
7993	180.	0.	0.	No
7994	180.	0.	0.	No
7995	180.	0.	0.	No
7996	180.	0.	0.	No

Table: Joint Local Axes Assignments 1 - Typical

Joint	AngleA	AngleB	AngleC	AdvanceAxes
	Degrees	Degrees	Degrees	
7997	180.	0.	0.	No
7998	180.	0.	0.	No
7999	180.	0.	0.	No
8000	180.	0.	0.	No
8001	180.	0.	0.	No
8002	180.	0.	0.	No
8003	180.	0.	0.	No
8004	180.	0.	0.	No
8005	180.	0.	0.	No
8006	180.	0.	0.	No
8007	180.	0.	0.	No
8008	180.	0.	0.	No
8009	180.	0.	0.	No
8010	180.	0.	0.	No
8011	180.	0.	0.	No
8012	180.	0.	0.	No
8013	180.	0.	0.	No
8014	180.	0.	0.	No
8015	180.	0.	0.	No
8016	180.	0.	0.	No
8017	180.	0.	0.	No
8018	180.	0.	0.	No
8019	180.	0.	0.	No
8020	180.	0.	0.	No
8021	180.	0.	0.	No
8022	180.	0.	0.	No
8023	180.	0.	0.	No
8024	180.	0.	0.	No
8025	180.	0.	0.	No
8026	180.	0.	0.	No
8027	180.	0.	0.	No
8028	180.	0.	0.	No
8029	180.	0.	0.	No
8030	180.	0.	0.	No
8031	180.	0.	0.	No
8032	180.	0.	0.	No
8033	180.	0.	0.	No
8034	180.	0.	0.	No
8035	180.	0.	0.	No
8036	180.	0.	0.	No
8037	180.	0.	0.	No
8038	180.	0.	0.	No
8039	180.	0.	0.	No
8040	180.	0.	0.	No
8041	180.	0.	0.	No
8042	180.	0.	0.	No
8043	180.	0.	0.	No
8044	180.	0.	0.	No
8045	180.	0.	0.	No
8046	180.	0.	0.	No
8047	180.	0.	0.	No
8048	180.	0.	0.	No
8049	180.	0.	0.	No

Table: Joint Local Axes Assignments 1 - Typical

Joint	AngleA	AngleB	AngleC	AdvanceAx es
	Degrees	Degrees	Degrees	
8050	180.	0.	0.	No
8051	180.	0.	0.	No
8052	180.	0.	0.	No
8053	180.	0.	0.	No
8054	180.	0.	0.	No
8055	180.	0.	0.	No
8056	180.	0.	0.	No
8057	180.	0.	0.	No
8058	180.	0.	0.	No
8059	180.	0.	0.	No

Table: Joint Spring Assignments 1 - Uncoupled

Table: Joint Spring Assignments 1 - Uncoupled

Joint	CoordSys	U1	U2	U3	R1	R2	R3
		KN/m	KN/m	KN/m	KN-m/rad	KN-m/rad	KN-m/rad
732	GLOBAL	36500.	36500.	29500.	0.	0.	0.
733	GLOBAL	36500.	36500.	29500.	0.	0.	0.
734	GLOBAL	36500.	36500.	29500.	0.	0.	0.
735	GLOBAL	36500.	36500.	29500.	0.	0.	0.
736	GLOBAL	36500.	36500.	29500.	0.	0.	0.
737	GLOBAL	36500.	36500.	29500.	0.	0.	0.
738	GLOBAL	36500.	36500.	29500.	0.	0.	0.
739	GLOBAL	36500.	36500.	29500.	0.	0.	0.
740	GLOBAL	36500.	36500.	29500.	0.	0.	0.
741	GLOBAL	36500.	36500.	29500.	0.	0.	0.
742	GLOBAL	36500.	36500.	29500.	0.	0.	0.
743	GLOBAL	36500.	36500.	29500.	0.	0.	0.
744	GLOBAL	36500.	36500.	29500.	0.	0.	0.
745	GLOBAL	36500.	36500.	29500.	0.	0.	0.
746	GLOBAL	36500.	36500.	29500.	0.	0.	0.
747	GLOBAL	36500.	36500.	29500.	0.	0.	0.
748	GLOBAL	52000.	52000.	35000.	0.	0.	0.
749	GLOBAL	52000.	52000.	35000.	0.	0.	0.
750	GLOBAL	52000.	52000.	35000.	0.	0.	0.
751	GLOBAL	52000.	52000.	35000.	0.	0.	0.
752	GLOBAL	52000.	52000.	35000.	0.	0.	0.
753	GLOBAL	52000.	52000.	35000.	0.	0.	0.
754	GLOBAL	52000.	52000.	35000.	0.	0.	0.
755	GLOBAL	52000.	52000.	35000.	0.	0.	0.
756	GLOBAL	52000.	52000.	35000.	0.	0.	0.
757	GLOBAL	52000.	52000.	35000.	0.	0.	0.
758	GLOBAL	52000.	52000.	35000.	0.	0.	0.
759	GLOBAL	52000.	52000.	35000.	0.	0.	0.
760	GLOBAL	52000.	52000.	35000.	0.	0.	0.
761	GLOBAL	52000.	52000.	35000.	0.	0.	0.
762	GLOBAL	52000.	52000.	35000.	0.	0.	0.
763	GLOBAL	52000.	52000.	35000.	0.	0.	0.
764	GLOBAL	76000.	76000.	48800.	0.	0.	0.
765	GLOBAL	76000.	76000.	48800.	0.	0.	0.
766	GLOBAL	76000.	76000.	48800.	0.	0.	0.
767	GLOBAL	76000.	76000.	48800.	0.	0.	0.
768	GLOBAL	76000.	76000.	48800.	0.	0.	0.

Table: Joint Spring Assignments 1 - Uncoupled

Joint	CoordSys	U1	U2	U3	R1	R2	R3
		KN/m	KN/m	KN/m	KN-m/rad	KN-m/rad	KN-m/rad
769	GLOBAL	76000.	76000.	48800.	0.	0.	0.
770	GLOBAL	76000.	76000.	48800.	0.	0.	0.
771	GLOBAL	76000.	76000.	48800.	0.	0.	0.
772	GLOBAL	76000.	76000.	48800.	0.	0.	0.
773	GLOBAL	76000.	76000.	48800.	0.	0.	0.
774	GLOBAL	76000.	76000.	48800.	0.	0.	0.
775	GLOBAL	76000.	76000.	48800.	0.	0.	0.
776	GLOBAL	76000.	76000.	48800.	0.	0.	0.
777	GLOBAL	76000.	76000.	48800.	0.	0.	0.
778	GLOBAL	76000.	76000.	48800.	0.	0.	0.
779	GLOBAL	76000.	76000.	48800.	0.	0.	0.
780	GLOBAL	76000.	76000.	48800.	0.	0.	0.
781	GLOBAL	76000.	76000.	48800.	0.	0.	0.
782	GLOBAL	76000.	76000.	48800.	0.	0.	0.
783	GLOBAL	76000.	76000.	48800.	0.	0.	0.
784	GLOBAL	76000.	76000.	48800.	0.	0.	0.
785	GLOBAL	76000.	76000.	48800.	0.	0.	0.
786	GLOBAL	76000.	76000.	48800.	0.	0.	0.
787	GLOBAL	76000.	76000.	48800.	0.	0.	0.
788	GLOBAL	76000.	76000.	48800.	0.	0.	0.
789	GLOBAL	76000.	76000.	48800.	0.	0.	0.
790	GLOBAL	76000.	76000.	48800.	0.	0.	0.
791	GLOBAL	76000.	76000.	48800.	0.	0.	0.
792	GLOBAL	76000.	76000.	48800.	0.	0.	0.
793	GLOBAL	76000.	76000.	48800.	0.	0.	0.
794	GLOBAL	76000.	76000.	48800.	0.	0.	0.
795	GLOBAL	76000.	76000.	48800.	0.	0.	0.
796	GLOBAL	76000.	76000.	48800.	0.	0.	0.
797	GLOBAL	76000.	76000.	48800.	0.	0.	0.
798	GLOBAL	76000.	76000.	48800.	0.	0.	0.
799	GLOBAL	76000.	76000.	48800.	0.	0.	0.
800	GLOBAL	76000.	76000.	48800.	0.	0.	0.
801	GLOBAL	76000.	76000.	48800.	0.	0.	0.
802	GLOBAL	76000.	76000.	48800.	0.	0.	0.
803	GLOBAL	76000.	76000.	48800.	0.	0.	0.
804	GLOBAL	76000.	76000.	48800.	0.	0.	0.
805	GLOBAL	76000.	76000.	48800.	0.	0.	0.
806	GLOBAL	76000.	76000.	48800.	0.	0.	0.
807	GLOBAL	76000.	76000.	48800.	0.	0.	0.
808	GLOBAL	76000.	76000.	48800.	0.	0.	0.
809	GLOBAL	76000.	76000.	48800.	0.	0.	0.
810	GLOBAL	76000.	76000.	48800.	0.	0.	0.
811	GLOBAL	76000.	76000.	48800.	0.	0.	0.
812	GLOBAL	76000.	76000.	48800.	0.	0.	0.
813	GLOBAL	76000.	76000.	48800.	0.	0.	0.
814	GLOBAL	76000.	76000.	48800.	0.	0.	0.
815	GLOBAL	76000.	76000.	48800.	0.	0.	0.
816	GLOBAL	76000.	76000.	48800.	0.	0.	0.
817	GLOBAL	76000.	76000.	48800.	0.	0.	0.
818	GLOBAL	76000.	76000.	48800.	0.	0.	0.
819	GLOBAL	76000.	76000.	48800.	0.	0.	0.
820	GLOBAL	76000.	76000.	48800.	0.	0.	0.
821	GLOBAL	76000.	76000.	48800.	0.	0.	0.
822	GLOBAL	76000.	76000.	48800.	0.	0.	0.

Table: Joint Spring Assignments 1 - Uncoupled

Joint	CoordSys	U1	U2	U3	R1	R2	R3
		KN/m	KN/m	KN/m	KN-m/rad	KN-m/rad	KN-m/rad
823	GLOBAL	76000.	76000.	48800.	0.	0.	0.
824	GLOBAL	76000.	76000.	48800.	0.	0.	0.
825	GLOBAL	76000.	76000.	48800.	0.	0.	0.
826	GLOBAL	76000.	76000.	48800.	0.	0.	0.
827	GLOBAL	76000.	76000.	48800.	0.	0.	0.
828	GLOBAL	76000.	76000.	48800.	0.	0.	0.
829	GLOBAL	76000.	76000.	48800.	0.	0.	0.
830	GLOBAL	76000.	76000.	48800.	0.	0.	0.
831	GLOBAL	76000.	76000.	48800.	0.	0.	0.
832	GLOBAL	76000.	76000.	48800.	0.	0.	0.
833	GLOBAL	76000.	76000.	48800.	0.	0.	0.
834	GLOBAL	76000.	76000.	48800.	0.	0.	0.
835	GLOBAL	76000.	76000.	48800.	0.	0.	0.
836	GLOBAL	76000.	76000.	48800.	0.	0.	0.
837	GLOBAL	76000.	76000.	48800.	0.	0.	0.
838	GLOBAL	76000.	76000.	48800.	0.	0.	0.
839	GLOBAL	76000.	76000.	48800.	0.	0.	0.
840	GLOBAL	76000.	76000.	48800.	0.	0.	0.
841	GLOBAL	76000.	76000.	48800.	0.	0.	0.
842	GLOBAL	76000.	76000.	48800.	0.	0.	0.
843	GLOBAL	76000.	76000.	48800.	0.	0.	0.
844	GLOBAL	76000.	76000.	48800.	0.	0.	0.
845	GLOBAL	76000.	76000.	48800.	0.	0.	0.
846	GLOBAL	76000.	76000.	48800.	0.	0.	0.
847	GLOBAL	76000.	76000.	48800.	0.	0.	0.
848	GLOBAL	76000.	76000.	48800.	0.	0.	0.
849	GLOBAL	76000.	76000.	48800.	0.	0.	0.
850	GLOBAL	76000.	76000.	48800.	0.	0.	0.
851	GLOBAL	76000.	76000.	48800.	0.	0.	0.
852	GLOBAL	76000.	76000.	48800.	0.	0.	0.
853	GLOBAL	76000.	76000.	48800.	0.	0.	0.
854	GLOBAL	76000.	76000.	48800.	0.	0.	0.
855	GLOBAL	76000.	76000.	48800.	0.	0.	0.
856	GLOBAL	76000.	76000.	48800.	0.	0.	0.
857	GLOBAL	76000.	76000.	48800.	0.	0.	0.
858	GLOBAL	76000.	76000.	48800.	0.	0.	0.
859	GLOBAL	76000.	76000.	48800.	0.	0.	0.
860	GLOBAL	76000.	76000.	48800.	0.	0.	0.
861	GLOBAL	76000.	76000.	48800.	0.	0.	0.
862	GLOBAL	76000.	76000.	48800.	0.	0.	0.
863	GLOBAL	76000.	76000.	48800.	0.	0.	0.
864	GLOBAL	76000.	76000.	48800.	0.	0.	0.
865	GLOBAL	76000.	76000.	48800.	0.	0.	0.
866	GLOBAL	76000.	76000.	48800.	0.	0.	0.
867	GLOBAL	76000.	76000.	48800.	0.	0.	0.
868	GLOBAL	76000.	76000.	48800.	0.	0.	0.
869	GLOBAL	76000.	76000.	48800.	0.	0.	0.
870	GLOBAL	76000.	76000.	48800.	0.	0.	0.
871	GLOBAL	76000.	76000.	48800.	0.	0.	0.
872	GLOBAL	76000.	76000.	48800.	0.	0.	0.
873	GLOBAL	76000.	76000.	48800.	0.	0.	0.
874	GLOBAL	76000.	76000.	48800.	0.	0.	0.
875	GLOBAL	76000.	76000.	48800.	0.	0.	0.
876	GLOBAL	76000.	76000.	48800.	0.	0.	0.

Table: Joint Spring Assignments 1 - Uncoupled

Joint	CoordSys	U1	U2	U3	R1	R2	R3
		KN/m	KN/m	KN/m	KN-m/rad	KN-m/rad	KN-m/rad
877	GLOBAL	76000.	76000.	48800.	0.	0.	0.
878	GLOBAL	76000.	76000.	48800.	0.	0.	0.
879	GLOBAL	76000.	76000.	48800.	0.	0.	0.
880	GLOBAL	76000.	76000.	48800.	0.	0.	0.
881	GLOBAL	76000.	76000.	48800.	0.	0.	0.
882	GLOBAL	76000.	76000.	48800.	0.	0.	0.
883	GLOBAL	76000.	76000.	48800.	0.	0.	0.
884	GLOBAL	76000.	76000.	48800.	0.	0.	0.
885	GLOBAL	76000.	76000.	48800.	0.	0.	0.
886	GLOBAL	76000.	76000.	48800.	0.	0.	0.
887	GLOBAL	76000.	76000.	48800.	0.	0.	0.
888	GLOBAL	76000.	76000.	48800.	0.	0.	0.
889	GLOBAL	76000.	76000.	48800.	0.	0.	0.
890	GLOBAL	76000.	76000.	48800.	0.	0.	0.
891	GLOBAL	76000.	76000.	48800.	0.	0.	0.
892	GLOBAL	76000.	76000.	48800.	0.	0.	0.
893	GLOBAL	76000.	76000.	48800.	0.	0.	0.
894	GLOBAL	76000.	76000.	48800.	0.	0.	0.
895	GLOBAL	76000.	76000.	48800.	0.	0.	0.
896	GLOBAL	76000.	76000.	48800.	0.	0.	0.
897	GLOBAL	76000.	76000.	48800.	0.	0.	0.
898	GLOBAL	76000.	76000.	48800.	0.	0.	0.
899	GLOBAL	76000.	76000.	48800.	0.	0.	0.
900	GLOBAL	76000.	76000.	48800.	0.	0.	0.
901	GLOBAL	76000.	76000.	48800.	0.	0.	0.
902	GLOBAL	76000.	76000.	48800.	0.	0.	0.
903	GLOBAL	76000.	76000.	48800.	0.	0.	0.
904	GLOBAL	76000.	76000.	48800.	0.	0.	0.
905	GLOBAL	76000.	76000.	48800.	0.	0.	0.
906	GLOBAL	76000.	76000.	48800.	0.	0.	0.
907	GLOBAL	76000.	76000.	48800.	0.	0.	0.
908	GLOBAL	76000.	76000.	48800.	0.	0.	0.
909	GLOBAL	76000.	76000.	48800.	0.	0.	0.
910	GLOBAL	76000.	76000.	48800.	0.	0.	0.
911	GLOBAL	76000.	76000.	48800.	0.	0.	0.
912	GLOBAL	76000.	76000.	48800.	0.	0.	0.
933	GLOBAL	76000.	76000.	48800.	0.	0.	0.
936	GLOBAL	76000.	76000.	48800.	0.	0.	0.
958	GLOBAL	76000.	76000.	48800.	0.	0.	0.
961	GLOBAL	76000.	76000.	48800.	0.	0.	0.
983	GLOBAL	76000.	76000.	48800.	0.	0.	0.
987	GLOBAL	76000.	76000.	48800.	0.	0.	0.
990	GLOBAL	76000.	76000.	48800.	0.	0.	0.
994	GLOBAL	76000.	76000.	48800.	0.	0.	0.
1000	GLOBAL	76000.	76000.	48800.	0.	0.	0.
1018	GLOBAL	76000.	76000.	48800.	0.	0.	0.
1027	GLOBAL	76000.	76000.	48800.	0.	0.	0.
1032	GLOBAL	76000.	76000.	48800.	0.	0.	0.
1045	GLOBAL	76000.	76000.	48800.	0.	0.	0.
1051	GLOBAL	76000.	76000.	48800.	0.	0.	0.
1057	GLOBAL	76000.	76000.	48800.	0.	0.	0.
1061	GLOBAL	76000.	76000.	48800.	0.	0.	0.
1064	GLOBAL	76000.	76000.	48800.	0.	0.	0.
1068	GLOBAL	76000.	76000.	48800.	0.	0.	0.

Table: Joint Spring Assignments 1 - Uncoupled

Joint	CoordSys	U1	U2	U3	R1	R2	R3
		KN/m	KN/m	KN/m	KN-m/rad	KN-m/rad	KN-m/rad
1084	GLOBAL	76000.	76000.	48800.	0.	0.	0.
1085	GLOBAL	76000.	76000.	78500.	0.	0.	0.
1086	GLOBAL	76000.	76000.	78500.	0.	0.	0.
1087	GLOBAL	76000.	76000.	78500.	0.	0.	0.
1088	GLOBAL	76000.	76000.	78500.	0.	0.	0.
1089	GLOBAL	76000.	76000.	78500.	0.	0.	0.
1090	GLOBAL	76000.	76000.	78500.	0.	0.	0.
1091	GLOBAL	76000.	76000.	78500.	0.	0.	0.
1092	GLOBAL	76000.	76000.	78500.	0.	0.	0.
1093	GLOBAL	36500.	36500.	29500.	0.	0.	0.
1094	GLOBAL	36500.	36500.	29500.	0.	0.	0.
1095	GLOBAL	36500.	36500.	29500.	0.	0.	0.
1096	GLOBAL	36500.	36500.	29500.	0.	0.	0.
1097	GLOBAL	52000.	52000.	35000.	0.	0.	0.
1098	GLOBAL	52000.	52000.	35000.	0.	0.	0.
1099	GLOBAL	52000.	52000.	35000.	0.	0.	0.
1100	GLOBAL	52000.	52000.	35000.	0.	0.	0.
1101	GLOBAL	76000.	76000.	48800.	0.	0.	0.
1102	GLOBAL	76000.	76000.	48800.	0.	0.	0.
1103	GLOBAL	76000.	76000.	48800.	0.	0.	0.
1104	GLOBAL	76000.	76000.	48800.	0.	0.	0.
1105	GLOBAL	76000.	76000.	48800.	0.	0.	0.
1106	GLOBAL	76000.	76000.	48800.	0.	0.	0.
1107	GLOBAL	76000.	76000.	48800.	0.	0.	0.
1108	GLOBAL	76000.	76000.	48800.	0.	0.	0.
1109	GLOBAL	76000.	76000.	48800.	0.	0.	0.
1110	GLOBAL	76000.	76000.	48800.	0.	0.	0.
1111	GLOBAL	76000.	76000.	48800.	0.	0.	0.
1112	GLOBAL	76000.	76000.	48800.	0.	0.	0.
1113	GLOBAL	76000.	76000.	48800.	0.	0.	0.
1114	GLOBAL	76000.	76000.	48800.	0.	0.	0.
1115	GLOBAL	76000.	76000.	48800.	0.	0.	0.
1116	GLOBAL	76000.	76000.	48800.	0.	0.	0.
1117	GLOBAL	76000.	76000.	48800.	0.	0.	0.
1118	GLOBAL	76000.	76000.	48800.	0.	0.	0.
1119	GLOBAL	76000.	76000.	48800.	0.	0.	0.
1120	GLOBAL	76000.	76000.	48800.	0.	0.	0.
1121	GLOBAL	76000.	76000.	48800.	0.	0.	0.
1122	GLOBAL	76000.	76000.	48800.	0.	0.	0.
1123	GLOBAL	76000.	76000.	48800.	0.	0.	0.
1124	GLOBAL	76000.	76000.	48800.	0.	0.	0.
1125	GLOBAL	76000.	76000.	48800.	0.	0.	0.
1126	GLOBAL	76000.	76000.	48800.	0.	0.	0.
1127	GLOBAL	76000.	76000.	48800.	0.	0.	0.
1128	GLOBAL	76000.	76000.	48800.	0.	0.	0.
1129	GLOBAL	76000.	76000.	48800.	0.	0.	0.
1130	GLOBAL	76000.	76000.	48800.	0.	0.	0.
1131	GLOBAL	76000.	76000.	48800.	0.	0.	0.
1132	GLOBAL	76000.	76000.	48800.	0.	0.	0.
1133	GLOBAL	76000.	76000.	48800.	0.	0.	0.
1134	GLOBAL	76000.	76000.	48800.	0.	0.	0.
1135	GLOBAL	76000.	76000.	48800.	0.	0.	0.
1136	GLOBAL	76000.	76000.	48800.	0.	0.	0.
1137	GLOBAL	76000.	76000.	48800.	0.	0.	0.

Table: Joint Spring Assignments 1 - Uncoupled

Joint	CoordSys	U1	U2	U3	R1	R2	R3
		KN/m	KN/m	KN/m	KN-m/rad	KN-m/rad	KN-m/rad
1138	GLOBAL	76000.	76000.	48800.	0.	0.	0.
1139	GLOBAL	76000.	76000.	48800.	0.	0.	0.
1140	GLOBAL	76000.	76000.	48800.	0.	0.	0.
1141	GLOBAL	76000.	76000.	48800.	0.	0.	0.
1142	GLOBAL	76000.	76000.	48800.	0.	0.	0.
1143	GLOBAL	76000.	76000.	78500.	0.	0.	0.
1144	GLOBAL	76000.	76000.	78500.	0.	0.	0.
1145	GLOBAL	36500.	36500.	29500.	0.	0.	0.
1146	GLOBAL	36500.	36500.	29500.	0.	0.	0.
1147	GLOBAL	36500.	36500.	29500.	0.	0.	0.
1148	GLOBAL	36500.	36500.	29500.	0.	0.	0.
1149	GLOBAL	36500.	36500.	29500.	0.	0.	0.
1150	GLOBAL	36500.	36500.	29500.	0.	0.	0.
1151	GLOBAL	36500.	36500.	29500.	0.	0.	0.
1152	GLOBAL	36500.	36500.	29500.	0.	0.	0.
1153	GLOBAL	36500.	36500.	29500.	0.	0.	0.
1154	GLOBAL	36500.	36500.	29500.	0.	0.	0.
1155	GLOBAL	36500.	36500.	29500.	0.	0.	0.
1156	GLOBAL	36500.	36500.	29500.	0.	0.	0.
1157	GLOBAL	36500.	36500.	29500.	0.	0.	0.
1158	GLOBAL	36500.	36500.	29500.	0.	0.	0.
1159	GLOBAL	36500.	36500.	29500.	0.	0.	0.
1160	GLOBAL	36500.	36500.	29500.	0.	0.	0.
1161	GLOBAL	36500.	36500.	29500.	0.	0.	0.
1162	GLOBAL	36500.	36500.	29500.	0.	0.	0.
1163	GLOBAL	36500.	36500.	29500.	0.	0.	0.
1164	GLOBAL	36500.	36500.	29500.	0.	0.	0.
1165	GLOBAL	52000.	52000.	35000.	0.	0.	0.
1166	GLOBAL	52000.	52000.	35000.	0.	0.	0.
1167	GLOBAL	52000.	52000.	35000.	0.	0.	0.
1168	GLOBAL	52000.	52000.	35000.	0.	0.	0.
1169	GLOBAL	52000.	52000.	35000.	0.	0.	0.
1170	GLOBAL	52000.	52000.	35000.	0.	0.	0.
1171	GLOBAL	52000.	52000.	35000.	0.	0.	0.
1172	GLOBAL	52000.	52000.	35000.	0.	0.	0.
1173	GLOBAL	52000.	52000.	35000.	0.	0.	0.
1174	GLOBAL	52000.	52000.	35000.	0.	0.	0.
1175	GLOBAL	52000.	52000.	35000.	0.	0.	0.
1176	GLOBAL	52000.	52000.	35000.	0.	0.	0.
1177	GLOBAL	52000.	52000.	35000.	0.	0.	0.
1178	GLOBAL	52000.	52000.	35000.	0.	0.	0.
1179	GLOBAL	52000.	52000.	35000.	0.	0.	0.
1180	GLOBAL	52000.	52000.	35000.	0.	0.	0.
1181	GLOBAL	52000.	52000.	35000.	0.	0.	0.
1182	GLOBAL	52000.	52000.	35000.	0.	0.	0.
1183	GLOBAL	52000.	52000.	35000.	0.	0.	0.
1184	GLOBAL	52000.	52000.	35000.	0.	0.	0.
1185	GLOBAL	76000.	76000.	48800.	0.	0.	0.
1186	GLOBAL	76000.	76000.	48800.	0.	0.	0.
1187	GLOBAL	76000.	76000.	48800.	0.	0.	0.
1188	GLOBAL	76000.	76000.	48800.	0.	0.	0.
1189	GLOBAL	76000.	76000.	48800.	0.	0.	0.
1190	GLOBAL	76000.	76000.	48800.	0.	0.	0.
1191	GLOBAL	76000.	76000.	48800.	0.	0.	0.

Table: Joint Spring Assignments 1 - Uncoupled

Joint	CoordSys	U1	U2	U3	R1	R2	R3
		KN/m	KN/m	KN/m	KN-m/rad	KN-m/rad	KN-m/rad
1192	GLOBAL	76000.	76000.	48800.	0.	0.	0.
1193	GLOBAL	76000.	76000.	48800.	0.	0.	0.
1194	GLOBAL	76000.	76000.	48800.	0.	0.	0.
1195	GLOBAL	76000.	76000.	48800.	0.	0.	0.
1196	GLOBAL	76000.	76000.	48800.	0.	0.	0.
1197	GLOBAL	76000.	76000.	48800.	0.	0.	0.
1198	GLOBAL	76000.	76000.	48800.	0.	0.	0.
1199	GLOBAL	76000.	76000.	48800.	0.	0.	0.
1200	GLOBAL	76000.	76000.	48800.	0.	0.	0.
1201	GLOBAL	76000.	76000.	48800.	0.	0.	0.
1202	GLOBAL	76000.	76000.	48800.	0.	0.	0.
1203	GLOBAL	76000.	76000.	48800.	0.	0.	0.
1204	GLOBAL	76000.	76000.	48800.	0.	0.	0.
1205	GLOBAL	76000.	76000.	48800.	0.	0.	0.
1206	GLOBAL	76000.	76000.	48800.	0.	0.	0.
1207	GLOBAL	76000.	76000.	48800.	0.	0.	0.
1208	GLOBAL	76000.	76000.	48800.	0.	0.	0.
1209	GLOBAL	76000.	76000.	48800.	0.	0.	0.
1210	GLOBAL	76000.	76000.	48800.	0.	0.	0.
1211	GLOBAL	76000.	76000.	48800.	0.	0.	0.
1212	GLOBAL	76000.	76000.	48800.	0.	0.	0.
1213	GLOBAL	76000.	76000.	48800.	0.	0.	0.
1214	GLOBAL	76000.	76000.	48800.	0.	0.	0.
1215	GLOBAL	76000.	76000.	48800.	0.	0.	0.
1216	GLOBAL	76000.	76000.	48800.	0.	0.	0.
1217	GLOBAL	76000.	76000.	48800.	0.	0.	0.
1218	GLOBAL	76000.	76000.	48800.	0.	0.	0.
1219	GLOBAL	76000.	76000.	48800.	0.	0.	0.
1220	GLOBAL	76000.	76000.	48800.	0.	0.	0.
1221	GLOBAL	76000.	76000.	48800.	0.	0.	0.
1222	GLOBAL	76000.	76000.	48800.	0.	0.	0.
1223	GLOBAL	76000.	76000.	48800.	0.	0.	0.
1224	GLOBAL	76000.	76000.	48800.	0.	0.	0.
1225	GLOBAL	76000.	76000.	48800.	0.	0.	0.
1226	GLOBAL	76000.	76000.	48800.	0.	0.	0.
1227	GLOBAL	76000.	76000.	48800.	0.	0.	0.
1228	GLOBAL	76000.	76000.	48800.	0.	0.	0.
1229	GLOBAL	76000.	76000.	48800.	0.	0.	0.
1230	GLOBAL	76000.	76000.	48800.	0.	0.	0.
1231	GLOBAL	76000.	76000.	48800.	0.	0.	0.
1232	GLOBAL	76000.	76000.	48800.	0.	0.	0.
1233	GLOBAL	76000.	76000.	48800.	0.	0.	0.
1234	GLOBAL	76000.	76000.	48800.	0.	0.	0.
1235	GLOBAL	76000.	76000.	48800.	0.	0.	0.
1236	GLOBAL	76000.	76000.	48800.	0.	0.	0.
1237	GLOBAL	76000.	76000.	48800.	0.	0.	0.
1238	GLOBAL	76000.	76000.	48800.	0.	0.	0.
1239	GLOBAL	76000.	76000.	48800.	0.	0.	0.
1240	GLOBAL	76000.	76000.	48800.	0.	0.	0.
1241	GLOBAL	76000.	76000.	48800.	0.	0.	0.
1242	GLOBAL	76000.	76000.	48800.	0.	0.	0.
1243	GLOBAL	76000.	76000.	48800.	0.	0.	0.
1244	GLOBAL	76000.	76000.	48800.	0.	0.	0.
1245	GLOBAL	76000.	76000.	48800.	0.	0.	0.

Table: Joint Spring Assignments 1 - Uncoupled

Joint	CoordSys	U1	U2	U3	R1	R2	R3
		KN/m	KN/m	KN/m	KN-m/rad	KN-m/rad	KN-m/rad
1246	GLOBAL	76000.	76000.	48800.	0.	0.	0.
1247	GLOBAL	76000.	76000.	48800.	0.	0.	0.
1248	GLOBAL	76000.	76000.	48800.	0.	0.	0.
1249	GLOBAL	76000.	76000.	48800.	0.	0.	0.
1250	GLOBAL	76000.	76000.	48800.	0.	0.	0.
1251	GLOBAL	76000.	76000.	48800.	0.	0.	0.
1252	GLOBAL	76000.	76000.	48800.	0.	0.	0.
1253	GLOBAL	76000.	76000.	48800.	0.	0.	0.
1254	GLOBAL	76000.	76000.	48800.	0.	0.	0.
1255	GLOBAL	76000.	76000.	48800.	0.	0.	0.
1256	GLOBAL	76000.	76000.	48800.	0.	0.	0.
1257	GLOBAL	76000.	76000.	48800.	0.	0.	0.
1258	GLOBAL	76000.	76000.	48800.	0.	0.	0.
1259	GLOBAL	76000.	76000.	48800.	0.	0.	0.
1260	GLOBAL	76000.	76000.	48800.	0.	0.	0.
1261	GLOBAL	76000.	76000.	48800.	0.	0.	0.
1262	GLOBAL	76000.	76000.	48800.	0.	0.	0.
1263	GLOBAL	76000.	76000.	48800.	0.	0.	0.
1264	GLOBAL	76000.	76000.	48800.	0.	0.	0.
1265	GLOBAL	76000.	76000.	48800.	0.	0.	0.
1266	GLOBAL	76000.	76000.	48800.	0.	0.	0.
1267	GLOBAL	76000.	76000.	48800.	0.	0.	0.
1268	GLOBAL	76000.	76000.	48800.	0.	0.	0.
1269	GLOBAL	76000.	76000.	48800.	0.	0.	0.
1270	GLOBAL	76000.	76000.	48800.	0.	0.	0.
1271	GLOBAL	76000.	76000.	48800.	0.	0.	0.
1272	GLOBAL	76000.	76000.	48800.	0.	0.	0.
1273	GLOBAL	76000.	76000.	48800.	0.	0.	0.
1274	GLOBAL	76000.	76000.	48800.	0.	0.	0.
1275	GLOBAL	76000.	76000.	48800.	0.	0.	0.
1276	GLOBAL	76000.	76000.	48800.	0.	0.	0.
1277	GLOBAL	76000.	76000.	48800.	0.	0.	0.
1278	GLOBAL	76000.	76000.	48800.	0.	0.	0.
1279	GLOBAL	76000.	76000.	48800.	0.	0.	0.
1280	GLOBAL	76000.	76000.	48800.	0.	0.	0.
1281	GLOBAL	76000.	76000.	48800.	0.	0.	0.
1282	GLOBAL	76000.	76000.	48800.	0.	0.	0.
1283	GLOBAL	76000.	76000.	48800.	0.	0.	0.
1284	GLOBAL	76000.	76000.	48800.	0.	0.	0.
1285	GLOBAL	76000.	76000.	48800.	0.	0.	0.
1286	GLOBAL	76000.	76000.	48800.	0.	0.	0.
1287	GLOBAL	76000.	76000.	48800.	0.	0.	0.
1288	GLOBAL	76000.	76000.	48800.	0.	0.	0.
1289	GLOBAL	76000.	76000.	48800.	0.	0.	0.
1290	GLOBAL	76000.	76000.	48800.	0.	0.	0.
1291	GLOBAL	76000.	76000.	48800.	0.	0.	0.
1292	GLOBAL	76000.	76000.	48800.	0.	0.	0.
1293	GLOBAL	76000.	76000.	48800.	0.	0.	0.
1294	GLOBAL	76000.	76000.	48800.	0.	0.	0.
1295	GLOBAL	76000.	76000.	48800.	0.	0.	0.
1296	GLOBAL	76000.	76000.	48800.	0.	0.	0.
1297	GLOBAL	76000.	76000.	48800.	0.	0.	0.
1298	GLOBAL	76000.	76000.	48800.	0.	0.	0.
1299	GLOBAL	76000.	76000.	48800.	0.	0.	0.

Table: Joint Spring Assignments 1 - Uncoupled

Joint	CoordSys	U1	U2	U3	R1	R2	R3
		KN/m	KN/m	KN/m	KN-m/rad	KN-m/rad	KN-m/rad
1300	GLOBAL	76000.	76000.	48800.	0.	0.	0.
1301	GLOBAL	76000.	76000.	48800.	0.	0.	0.
1302	GLOBAL	76000.	76000.	48800.	0.	0.	0.
1303	GLOBAL	76000.	76000.	48800.	0.	0.	0.
1304	GLOBAL	76000.	76000.	48800.	0.	0.	0.
1305	GLOBAL	76000.	76000.	48800.	0.	0.	0.
1306	GLOBAL	76000.	76000.	48800.	0.	0.	0.
1307	GLOBAL	76000.	76000.	48800.	0.	0.	0.
1308	GLOBAL	76000.	76000.	48800.	0.	0.	0.
1309	GLOBAL	76000.	76000.	48800.	0.	0.	0.
1310	GLOBAL	76000.	76000.	48800.	0.	0.	0.
1311	GLOBAL	76000.	76000.	48800.	0.	0.	0.
1312	GLOBAL	76000.	76000.	48800.	0.	0.	0.
1313	GLOBAL	76000.	76000.	48800.	0.	0.	0.
1314	GLOBAL	76000.	76000.	48800.	0.	0.	0.
1315	GLOBAL	76000.	76000.	48800.	0.	0.	0.
1316	GLOBAL	76000.	76000.	48800.	0.	0.	0.
1317	GLOBAL	76000.	76000.	48800.	0.	0.	0.
1318	GLOBAL	76000.	76000.	48800.	0.	0.	0.
1319	GLOBAL	76000.	76000.	48800.	0.	0.	0.
1320	GLOBAL	76000.	76000.	48800.	0.	0.	0.
1321	GLOBAL	76000.	76000.	48800.	0.	0.	0.
1322	GLOBAL	76000.	76000.	48800.	0.	0.	0.
1323	GLOBAL	76000.	76000.	48800.	0.	0.	0.
1324	GLOBAL	76000.	76000.	48800.	0.	0.	0.
1325	GLOBAL	76000.	76000.	48800.	0.	0.	0.
1326	GLOBAL	76000.	76000.	48800.	0.	0.	0.
1327	GLOBAL	76000.	76000.	48800.	0.	0.	0.
1328	GLOBAL	76000.	76000.	48800.	0.	0.	0.
1329	GLOBAL	76000.	76000.	48800.	0.	0.	0.
1330	GLOBAL	76000.	76000.	48800.	0.	0.	0.
1331	GLOBAL	76000.	76000.	48800.	0.	0.	0.
1332	GLOBAL	76000.	76000.	48800.	0.	0.	0.
1333	GLOBAL	76000.	76000.	48800.	0.	0.	0.
1334	GLOBAL	76000.	76000.	48800.	0.	0.	0.
1335	GLOBAL	76000.	76000.	48800.	0.	0.	0.
1336	GLOBAL	76000.	76000.	48800.	0.	0.	0.
1337	GLOBAL	76000.	76000.	48800.	0.	0.	0.
1338	GLOBAL	76000.	76000.	48800.	0.	0.	0.
1339	GLOBAL	76000.	76000.	48800.	0.	0.	0.
1340	GLOBAL	76000.	76000.	48800.	0.	0.	0.
1341	GLOBAL	76000.	76000.	48800.	0.	0.	0.
1342	GLOBAL	76000.	76000.	48800.	0.	0.	0.
1343	GLOBAL	76000.	76000.	48800.	0.	0.	0.
1344	GLOBAL	76000.	76000.	48800.	0.	0.	0.
1345	GLOBAL	76000.	76000.	48800.	0.	0.	0.
1346	GLOBAL	76000.	76000.	48800.	0.	0.	0.
1347	GLOBAL	76000.	76000.	48800.	0.	0.	0.
1348	GLOBAL	76000.	76000.	48800.	0.	0.	0.
1349	GLOBAL	76000.	76000.	48800.	0.	0.	0.
1350	GLOBAL	76000.	76000.	48800.	0.	0.	0.
1351	GLOBAL	76000.	76000.	48800.	0.	0.	0.
1352	GLOBAL	76000.	76000.	48800.	0.	0.	0.
1353	GLOBAL	76000.	76000.	48800.	0.	0.	0.

Table: Joint Spring Assignments 1 - Uncoupled

Joint	CoordSys	U1	U2	U3	R1	R2	R3
		KN/m	KN/m	KN/m	KN-m/rad	KN-m/rad	KN-m/rad
1354	GLOBAL	76000.	76000.	48800.	0.	0.	0.
1355	GLOBAL	76000.	76000.	48800.	0.	0.	0.
1356	GLOBAL	76000.	76000.	48800.	0.	0.	0.
1357	GLOBAL	76000.	76000.	48800.	0.	0.	0.
1358	GLOBAL	76000.	76000.	48800.	0.	0.	0.
1359	GLOBAL	76000.	76000.	48800.	0.	0.	0.
1360	GLOBAL	76000.	76000.	48800.	0.	0.	0.
1361	GLOBAL	76000.	76000.	48800.	0.	0.	0.
1362	GLOBAL	76000.	76000.	48800.	0.	0.	0.
1363	GLOBAL	76000.	76000.	48800.	0.	0.	0.
1364	GLOBAL	76000.	76000.	48800.	0.	0.	0.
1365	GLOBAL	76000.	76000.	48800.	0.	0.	0.
1366	GLOBAL	76000.	76000.	48800.	0.	0.	0.
1367	GLOBAL	76000.	76000.	48800.	0.	0.	0.
1368	GLOBAL	76000.	76000.	48800.	0.	0.	0.
1369	GLOBAL	76000.	76000.	48800.	0.	0.	0.
1370	GLOBAL	76000.	76000.	48800.	0.	0.	0.
1371	GLOBAL	76000.	76000.	48800.	0.	0.	0.
1372	GLOBAL	76000.	76000.	48800.	0.	0.	0.
1373	GLOBAL	76000.	76000.	48800.	0.	0.	0.
1374	GLOBAL	76000.	76000.	48800.	0.	0.	0.
1375	GLOBAL	76000.	76000.	48800.	0.	0.	0.
1376	GLOBAL	76000.	76000.	48800.	0.	0.	0.
1377	GLOBAL	76000.	76000.	48800.	0.	0.	0.
1378	GLOBAL	76000.	76000.	48800.	0.	0.	0.
1379	GLOBAL	76000.	76000.	48800.	0.	0.	0.
1380	GLOBAL	76000.	76000.	48800.	0.	0.	0.
1381	GLOBAL	76000.	76000.	48800.	0.	0.	0.
1382	GLOBAL	76000.	76000.	48800.	0.	0.	0.
1383	GLOBAL	76000.	76000.	48800.	0.	0.	0.
1384	GLOBAL	76000.	76000.	48800.	0.	0.	0.
1385	GLOBAL	76000.	76000.	48800.	0.	0.	0.
1386	GLOBAL	76000.	76000.	48800.	0.	0.	0.
1387	GLOBAL	76000.	76000.	48800.	0.	0.	0.
1388	GLOBAL	76000.	76000.	48800.	0.	0.	0.
1389	GLOBAL	76000.	76000.	48800.	0.	0.	0.
1390	GLOBAL	76000.	76000.	48800.	0.	0.	0.
1391	GLOBAL	76000.	76000.	48800.	0.	0.	0.
1392	GLOBAL	76000.	76000.	48800.	0.	0.	0.
1393	GLOBAL	76000.	76000.	48800.	0.	0.	0.
1394	GLOBAL	76000.	76000.	48800.	0.	0.	0.
1395	GLOBAL	76000.	76000.	78500.	0.	0.	0.
1396	GLOBAL	76000.	76000.	78500.	0.	0.	0.
1397	GLOBAL	76000.	76000.	78500.	0.	0.	0.
1398	GLOBAL	76000.	76000.	78500.	0.	0.	0.
1399	GLOBAL	76000.	76000.	78500.	0.	0.	0.
1400	GLOBAL	76000.	76000.	78500.	0.	0.	0.
1401	GLOBAL	76000.	76000.	78500.	0.	0.	0.
1402	GLOBAL	76000.	76000.	78500.	0.	0.	0.
1403	GLOBAL	76000.	76000.	78500.	0.	0.	0.
1404	GLOBAL	76000.	76000.	78500.	0.	0.	0.
352	GLOBAL	36500.	36500.	29500.	0.	0.	0.
353	GLOBAL	36500.	36500.	29500.	0.	0.	0.
354	GLOBAL	36500.	36500.	29500.	0.	0.	0.

Table: Joint Spring Assignments 1 - Uncoupled

Joint	CoordSys	U1	U2	U3	R1	R2	R3
		KN/m	KN/m	KN/m	KN-m/rad	KN-m/rad	KN-m/rad
355	GLOBAL	36500.	36500.	29500.	0.	0.	0.
356	GLOBAL	36500.	36500.	29500.	0.	0.	0.
357	GLOBAL	36500.	36500.	29500.	0.	0.	0.
358	GLOBAL	36500.	36500.	29500.	0.	0.	0.
359	GLOBAL	36500.	36500.	29500.	0.	0.	0.
360	GLOBAL	36500.	36500.	29500.	0.	0.	0.
361	GLOBAL	36500.	36500.	29500.	0.	0.	0.
362	GLOBAL	36500.	36500.	29500.	0.	0.	0.
363	GLOBAL	36500.	36500.	29500.	0.	0.	0.
364	GLOBAL	36500.	36500.	29500.	0.	0.	0.
365	GLOBAL	36500.	36500.	29500.	0.	0.	0.
366	GLOBAL	36500.	36500.	29500.	0.	0.	0.
367	GLOBAL	36500.	36500.	29500.	0.	0.	0.
368	GLOBAL	52000.	52000.	35000.	0.	0.	0.
369	GLOBAL	52000.	52000.	35000.	0.	0.	0.
370	GLOBAL	52000.	52000.	35000.	0.	0.	0.
371	GLOBAL	52000.	52000.	35000.	0.	0.	0.
372	GLOBAL	52000.	52000.	35000.	0.	0.	0.
373	GLOBAL	52000.	52000.	35000.	0.	0.	0.
374	GLOBAL	52000.	52000.	35000.	0.	0.	0.
375	GLOBAL	52000.	52000.	35000.	0.	0.	0.
376	GLOBAL	52000.	52000.	35000.	0.	0.	0.
377	GLOBAL	52000.	52000.	35000.	0.	0.	0.
378	GLOBAL	52000.	52000.	35000.	0.	0.	0.
379	GLOBAL	52000.	52000.	35000.	0.	0.	0.
380	GLOBAL	52000.	52000.	35000.	0.	0.	0.
381	GLOBAL	52000.	52000.	35000.	0.	0.	0.
382	GLOBAL	52000.	52000.	35000.	0.	0.	0.
383	GLOBAL	52000.	52000.	35000.	0.	0.	0.
384	GLOBAL	76000.	76000.	48800.	0.	0.	0.
385	GLOBAL	76000.	76000.	48800.	0.	0.	0.
386	GLOBAL	76000.	76000.	48800.	0.	0.	0.
387	GLOBAL	76000.	76000.	48800.	0.	0.	0.
388	GLOBAL	76000.	76000.	48800.	0.	0.	0.
389	GLOBAL	76000.	76000.	48800.	0.	0.	0.
390	GLOBAL	76000.	76000.	48800.	0.	0.	0.
391	GLOBAL	76000.	76000.	48800.	0.	0.	0.
392	GLOBAL	76000.	76000.	48800.	0.	0.	0.
393	GLOBAL	76000.	76000.	48800.	0.	0.	0.
394	GLOBAL	76000.	76000.	48800.	0.	0.	0.
395	GLOBAL	76000.	76000.	48800.	0.	0.	0.
396	GLOBAL	76000.	76000.	48800.	0.	0.	0.
397	GLOBAL	76000.	76000.	48800.	0.	0.	0.
398	GLOBAL	76000.	76000.	48800.	0.	0.	0.
399	GLOBAL	76000.	76000.	48800.	0.	0.	0.
400	GLOBAL	76000.	76000.	48800.	0.	0.	0.
401	GLOBAL	76000.	76000.	48800.	0.	0.	0.
402	GLOBAL	76000.	76000.	48800.	0.	0.	0.
403	GLOBAL	76000.	76000.	48800.	0.	0.	0.
404	GLOBAL	76000.	76000.	48800.	0.	0.	0.
405	GLOBAL	76000.	76000.	48800.	0.	0.	0.
406	GLOBAL	76000.	76000.	48800.	0.	0.	0.
407	GLOBAL	76000.	76000.	48800.	0.	0.	0.
408	GLOBAL	76000.	76000.	48800.	0.	0.	0.

Table: Joint Spring Assignments 1 - Uncoupled

Joint	CoordSys	U1	U2	U3	R1	R2	R3
		KN/m	KN/m	KN/m	KN-m/rad	KN-m/rad	KN-m/rad
409	GLOBAL	76000.	76000.	48800.	0.	0.	0.
410	GLOBAL	76000.	76000.	48800.	0.	0.	0.
411	GLOBAL	76000.	76000.	48800.	0.	0.	0.
412	GLOBAL	76000.	76000.	48800.	0.	0.	0.
413	GLOBAL	76000.	76000.	48800.	0.	0.	0.
414	GLOBAL	76000.	76000.	48800.	0.	0.	0.
415	GLOBAL	76000.	76000.	48800.	0.	0.	0.
416	GLOBAL	76000.	76000.	48800.	0.	0.	0.
417	GLOBAL	76000.	76000.	48800.	0.	0.	0.
418	GLOBAL	76000.	76000.	48800.	0.	0.	0.
419	GLOBAL	76000.	76000.	48800.	0.	0.	0.
422	GLOBAL	76000.	76000.	48800.	0.	0.	0.
423	GLOBAL	76000.	76000.	48800.	0.	0.	0.
424	GLOBAL	76000.	76000.	48800.	0.	0.	0.
425	GLOBAL	76000.	76000.	48800.	0.	0.	0.
426	GLOBAL	76000.	76000.	48800.	0.	0.	0.
427	GLOBAL	76000.	76000.	48800.	0.	0.	0.
428	GLOBAL	76000.	76000.	48800.	0.	0.	0.
429	GLOBAL	76000.	76000.	48800.	0.	0.	0.
430	GLOBAL	76000.	76000.	48800.	0.	0.	0.
431	GLOBAL	76000.	76000.	48800.	0.	0.	0.
432	GLOBAL	76000.	76000.	48800.	0.	0.	0.
433	GLOBAL	76000.	76000.	48800.	0.	0.	0.
434	GLOBAL	76000.	76000.	48800.	0.	0.	0.
435	GLOBAL	76000.	76000.	48800.	0.	0.	0.
436	GLOBAL	76000.	76000.	48800.	0.	0.	0.
437	GLOBAL	76000.	76000.	48800.	0.	0.	0.
438	GLOBAL	76000.	76000.	48800.	0.	0.	0.
439	GLOBAL	76000.	76000.	48800.	0.	0.	0.
440	GLOBAL	76000.	76000.	48800.	0.	0.	0.
441	GLOBAL	76000.	76000.	48800.	0.	0.	0.
442	GLOBAL	76000.	76000.	48800.	0.	0.	0.
443	GLOBAL	76000.	76000.	48800.	0.	0.	0.
444	GLOBAL	76000.	76000.	48800.	0.	0.	0.
445	GLOBAL	76000.	76000.	48800.	0.	0.	0.
446	GLOBAL	76000.	76000.	48800.	0.	0.	0.
447	GLOBAL	76000.	76000.	48800.	0.	0.	0.
448	GLOBAL	76000.	76000.	48800.	0.	0.	0.
449	GLOBAL	76000.	76000.	48800.	0.	0.	0.
450	GLOBAL	76000.	76000.	48800.	0.	0.	0.
451	GLOBAL	76000.	76000.	48800.	0.	0.	0.
452	GLOBAL	76000.	76000.	48800.	0.	0.	0.
453	GLOBAL	76000.	76000.	48800.	0.	0.	0.
454	GLOBAL	76000.	76000.	48800.	0.	0.	0.
455	GLOBAL	76000.	76000.	48800.	0.	0.	0.
456	GLOBAL	76000.	76000.	48800.	0.	0.	0.
457	GLOBAL	76000.	76000.	48800.	0.	0.	0.
458	GLOBAL	76000.	76000.	48800.	0.	0.	0.
459	GLOBAL	76000.	76000.	48800.	0.	0.	0.
460	GLOBAL	76000.	76000.	48800.	0.	0.	0.
461	GLOBAL	76000.	76000.	48800.	0.	0.	0.
462	GLOBAL	76000.	76000.	48800.	0.	0.	0.
463	GLOBAL	76000.	76000.	48800.	0.	0.	0.
464	GLOBAL	76000.	76000.	48800.	0.	0.	0.

Table: Joint Spring Assignments 1 - Uncoupled

Joint	CoordSys	U1	U2	U3	R1	R2	R3
		KN/m	KN/m	KN/m	KN-m/rad	KN-m/rad	KN-m/rad
465	GLOBAL	76000.	76000.	48800.	0.	0.	0.
466	GLOBAL	76000.	76000.	48800.	0.	0.	0.
467	GLOBAL	76000.	76000.	48800.	0.	0.	0.
468	GLOBAL	76000.	76000.	48800.	0.	0.	0.
469	GLOBAL	76000.	76000.	48800.	0.	0.	0.
470	GLOBAL	76000.	76000.	48800.	0.	0.	0.
471	GLOBAL	76000.	76000.	48800.	0.	0.	0.
472	GLOBAL	76000.	76000.	48800.	0.	0.	0.
473	GLOBAL	76000.	76000.	48800.	0.	0.	0.
474	GLOBAL	76000.	76000.	48800.	0.	0.	0.
475	GLOBAL	76000.	76000.	48800.	0.	0.	0.
476	GLOBAL	76000.	76000.	48800.	0.	0.	0.
477	GLOBAL	76000.	76000.	48800.	0.	0.	0.
478	GLOBAL	76000.	76000.	48800.	0.	0.	0.
479	GLOBAL	76000.	76000.	48800.	0.	0.	0.
480	GLOBAL	76000.	76000.	48800.	0.	0.	0.
481	GLOBAL	76000.	76000.	48800.	0.	0.	0.
483	GLOBAL	76000.	76000.	48800.	0.	0.	0.
484	GLOBAL	76000.	76000.	48800.	0.	0.	0.
485	GLOBAL	76000.	76000.	48800.	0.	0.	0.
634	GLOBAL	76000.	76000.	48800.	0.	0.	0.
635	GLOBAL	76000.	76000.	48800.	0.	0.	0.
636	GLOBAL	76000.	76000.	48800.	0.	0.	0.
637	GLOBAL	76000.	76000.	48800.	0.	0.	0.
638	GLOBAL	76000.	76000.	48800.	0.	0.	0.
639	GLOBAL	76000.	76000.	48800.	0.	0.	0.
640	GLOBAL	76000.	76000.	48800.	0.	0.	0.
641	GLOBAL	76000.	76000.	48800.	0.	0.	0.
642	GLOBAL	76000.	76000.	48800.	0.	0.	0.
643	GLOBAL	76000.	76000.	48800.	0.	0.	0.
644	GLOBAL	76000.	76000.	48800.	0.	0.	0.
645	GLOBAL	76000.	76000.	48800.	0.	0.	0.
646	GLOBAL	76000.	76000.	48800.	0.	0.	0.
647	GLOBAL	76000.	76000.	48800.	0.	0.	0.
648	GLOBAL	76000.	76000.	48800.	0.	0.	0.
649	GLOBAL	76000.	76000.	48800.	0.	0.	0.
650	GLOBAL	76000.	76000.	48800.	0.	0.	0.
651	GLOBAL	76000.	76000.	48800.	0.	0.	0.
1405	GLOBAL	76000.	76000.	48800.	0.	0.	0.
1406	GLOBAL	76000.	76000.	48800.	0.	0.	0.
1407	GLOBAL	76000.	76000.	48800.	0.	0.	0.
1408	GLOBAL	76000.	76000.	48800.	0.	0.	0.
1409	GLOBAL	76000.	76000.	48800.	0.	0.	0.
1410	GLOBAL	76000.	76000.	48800.	0.	0.	0.
1411	GLOBAL	76000.	76000.	48800.	0.	0.	0.
1412	GLOBAL	76000.	76000.	48800.	0.	0.	0.
1413	GLOBAL	76000.	76000.	48800.	0.	0.	0.
1414	GLOBAL	76000.	76000.	48800.	0.	0.	0.
1415	GLOBAL	76000.	76000.	48800.	0.	0.	0.
1416	GLOBAL	76000.	76000.	48800.	0.	0.	0.
1417	GLOBAL	76000.	76000.	48800.	0.	0.	0.
1418	GLOBAL	76000.	76000.	48800.	0.	0.	0.
1419	GLOBAL	76000.	76000.	48800.	0.	0.	0.
1420	GLOBAL	76000.	76000.	48800.	0.	0.	0.

Table: Joint Spring Assignments 1 - Uncoupled

Joint	CoordSys	U1	U2	U3	R1	R2	R3
		KN/m	KN/m	KN/m	KN-m/rad	KN-m/rad	KN-m/rad
1421	GLOBAL	76000.	76000.	48800.	0.	0.	0.
1422	GLOBAL	76000.	76000.	48800.	0.	0.	0.
1423	GLOBAL	76000.	76000.	48800.	0.	0.	0.
1424	GLOBAL	76000.	76000.	48800.	0.	0.	0.
1425	GLOBAL	76000.	76000.	48800.	0.	0.	0.
1426	GLOBAL	76000.	76000.	48800.	0.	0.	0.
1433	GLOBAL	76000.	76000.	48800.	0.	0.	0.
1436	GLOBAL	76000.	76000.	48800.	0.	0.	0.
1456	GLOBAL	76000.	76000.	48800.	0.	0.	0.
1457	GLOBAL	76000.	76000.	48800.	0.	0.	0.
1458	GLOBAL	76000.	76000.	48800.	0.	0.	0.
1461	GLOBAL	76000.	76000.	48800.	0.	0.	0.
1464	GLOBAL	76000.	76000.	48800.	0.	0.	0.
1486	GLOBAL	76000.	76000.	48800.	0.	0.	0.
1489	GLOBAL	76000.	76000.	48800.	0.	0.	0.
1511	GLOBAL	76000.	76000.	48800.	0.	0.	0.
1515	GLOBAL	76000.	76000.	48800.	0.	0.	0.
1518	GLOBAL	76000.	76000.	48800.	0.	0.	0.
1542	GLOBAL	76000.	76000.	48800.	0.	0.	0.
1567	GLOBAL	76000.	76000.	48800.	0.	0.	0.
1572	GLOBAL	76000.	76000.	48800.	0.	0.	0.
1574	GLOBAL	76000.	76000.	48800.	0.	0.	0.
1575	GLOBAL	76000.	76000.	48800.	0.	0.	0.
1576	GLOBAL	76000.	76000.	48800.	0.	0.	0.
1577	GLOBAL	76000.	76000.	48800.	0.	0.	0.
1578	GLOBAL	76000.	76000.	48800.	0.	0.	0.
1579	GLOBAL	76000.	76000.	48800.	0.	0.	0.
1580	GLOBAL	76000.	76000.	48800.	0.	0.	0.
1581	GLOBAL	76000.	76000.	48800.	0.	0.	0.
1582	GLOBAL	76000.	76000.	48800.	0.	0.	0.
1583	GLOBAL	76000.	76000.	48800.	0.	0.	0.
1584	GLOBAL	76000.	76000.	48800.	0.	0.	0.
1585	GLOBAL	76000.	76000.	48800.	0.	0.	0.
1586	GLOBAL	76000.	76000.	48800.	0.	0.	0.
1588	GLOBAL	76000.	76000.	48800.	0.	0.	0.
1592	GLOBAL	76000.	76000.	78500.	0.	0.	0.
1608	GLOBAL	76000.	76000.	78500.	0.	0.	0.
1621	GLOBAL	76000.	76000.	78500.	0.	0.	0.
1632	GLOBAL	76000.	76000.	78500.	0.	0.	0.
1642	GLOBAL	76000.	76000.	78500.	0.	0.	0.
1649	GLOBAL	76000.	76000.	78500.	0.	0.	0.
1654	GLOBAL	76000.	76000.	78500.	0.	0.	0.
1655	GLOBAL	76000.	76000.	78500.	0.	0.	0.
1660	GLOBAL	36500.	36500.	29500.	0.	0.	0.
1661	GLOBAL	36500.	36500.	29500.	0.	0.	0.
1678	GLOBAL	36500.	36500.	29500.	0.	0.	0.
1679	GLOBAL	36500.	36500.	29500.	0.	0.	0.
1680	GLOBAL	52000.	52000.	35000.	0.	0.	0.
1681	GLOBAL	52000.	52000.	35000.	0.	0.	0.
1682	GLOBAL	52000.	52000.	35000.	0.	0.	0.
1683	GLOBAL	52000.	52000.	35000.	0.	0.	0.
1684	GLOBAL	76000.	76000.	48800.	0.	0.	0.
1685	GLOBAL	76000.	76000.	48800.	0.	0.	0.
1686	GLOBAL	76000.	76000.	48800.	0.	0.	0.

Table: Joint Spring Assignments 1 - Uncoupled

Joint	CoordSys	U1	U2	U3	R1	R2	R3
		KN/m	KN/m	KN/m	KN-m/rad	KN-m/rad	KN-m/rad
1687	GLOBAL	76000.	76000.	48800.	0.	0.	0.
1688	GLOBAL	76000.	76000.	48800.	0.	0.	0.
1689	GLOBAL	76000.	76000.	48800.	0.	0.	0.
1690	GLOBAL	76000.	76000.	48800.	0.	0.	0.
1691	GLOBAL	76000.	76000.	48800.	0.	0.	0.
1697	GLOBAL	76000.	76000.	48800.	0.	0.	0.
1703	GLOBAL	76000.	76000.	48800.	0.	0.	0.
1709	GLOBAL	76000.	76000.	48800.	0.	0.	0.
1715	GLOBAL	76000.	76000.	48800.	0.	0.	0.
1721	GLOBAL	76000.	76000.	48800.	0.	0.	0.
1727	GLOBAL	76000.	76000.	48800.	0.	0.	0.
1733	GLOBAL	76000.	76000.	48800.	0.	0.	0.
1739	GLOBAL	76000.	76000.	48800.	0.	0.	0.
1745	GLOBAL	76000.	76000.	48800.	0.	0.	0.
1751	GLOBAL	76000.	76000.	48800.	0.	0.	0.
1752	GLOBAL	76000.	76000.	48800.	0.	0.	0.
1753	GLOBAL	76000.	76000.	48800.	0.	0.	0.
1774	GLOBAL	76000.	76000.	48800.	0.	0.	0.
1775	GLOBAL	76000.	76000.	48800.	0.	0.	0.
1780	GLOBAL	76000.	76000.	48800.	0.	0.	0.
1781	GLOBAL	76000.	76000.	48800.	0.	0.	0.
1798	GLOBAL	76000.	76000.	48800.	0.	0.	0.
1799	GLOBAL	76000.	76000.	48800.	0.	0.	0.
1800	GLOBAL	76000.	76000.	48800.	0.	0.	0.
1801	GLOBAL	76000.	76000.	48800.	0.	0.	0.
1802	GLOBAL	76000.	76000.	48800.	0.	0.	0.
1803	GLOBAL	76000.	76000.	48800.	0.	0.	0.
1804	GLOBAL	76000.	76000.	48800.	0.	0.	0.
1805	GLOBAL	76000.	76000.	48800.	0.	0.	0.
1806	GLOBAL	76000.	76000.	48800.	0.	0.	0.
1807	GLOBAL	76000.	76000.	48800.	0.	0.	0.
1808	GLOBAL	76000.	76000.	48800.	0.	0.	0.
1809	GLOBAL	76000.	76000.	48800.	0.	0.	0.
1810	GLOBAL	76000.	76000.	48800.	0.	0.	0.
1811	GLOBAL	76000.	76000.	48800.	0.	0.	0.
1817	GLOBAL	76000.	76000.	48800.	0.	0.	0.
1823	GLOBAL	76000.	76000.	48800.	0.	0.	0.
1829	GLOBAL	76000.	76000.	48800.	0.	0.	0.
1835	GLOBAL	76000.	76000.	48800.	0.	0.	0.
1841	GLOBAL	76000.	76000.	78500.	0.	0.	0.
1847	GLOBAL	76000.	76000.	78500.	0.	0.	0.
1853	GLOBAL	36500.	36500.	29500.	0.	0.	0.
1859	GLOBAL	36500.	36500.	29500.	0.	0.	0.
1865	GLOBAL	36500.	36500.	29500.	0.	0.	0.
1871	GLOBAL	36500.	36500.	29500.	0.	0.	0.
1872	GLOBAL	36500.	36500.	29500.	0.	0.	0.
1873	GLOBAL	36500.	36500.	29500.	0.	0.	0.
1894	GLOBAL	36500.	36500.	29500.	0.	0.	0.
1895	GLOBAL	36500.	36500.	29500.	0.	0.	0.
1896	GLOBAL	36500.	36500.	29500.	0.	0.	0.
1897	GLOBAL	36500.	36500.	29500.	0.	0.	0.
1898	GLOBAL	36500.	36500.	29500.	0.	0.	0.
1899	GLOBAL	36500.	36500.	29500.	0.	0.	0.
1900	GLOBAL	36500.	36500.	29500.	0.	0.	0.

Table: Joint Spring Assignments 1 - Uncoupled

Joint	CoordSys	U1	U2	U3	R1	R2	R3
		KN/m	KN/m	KN/m	KN-m/rad	KN-m/rad	KN-m/rad
1901	GLOBAL	36500.	36500.	29500.	0.	0.	0.
1902	GLOBAL	36500.	36500.	29500.	0.	0.	0.
1903	GLOBAL	36500.	36500.	29500.	0.	0.	0.
1904	GLOBAL	36500.	36500.	29500.	0.	0.	0.
1905	GLOBAL	36500.	36500.	29500.	0.	0.	0.
1906	GLOBAL	36500.	36500.	29500.	0.	0.	0.
1907	GLOBAL	36500.	36500.	29500.	0.	0.	0.
1908	GLOBAL	52000.	52000.	35000.	0.	0.	0.
1909	GLOBAL	52000.	52000.	35000.	0.	0.	0.
1910	GLOBAL	52000.	52000.	35000.	0.	0.	0.
1911	GLOBAL	52000.	52000.	35000.	0.	0.	0.
1912	GLOBAL	52000.	52000.	35000.	0.	0.	0.
1913	GLOBAL	52000.	52000.	35000.	0.	0.	0.
1914	GLOBAL	52000.	52000.	35000.	0.	0.	0.
1915	GLOBAL	52000.	52000.	35000.	0.	0.	0.
1916	GLOBAL	52000.	52000.	35000.	0.	0.	0.
1917	GLOBAL	52000.	52000.	35000.	0.	0.	0.
1918	GLOBAL	52000.	52000.	35000.	0.	0.	0.
1919	GLOBAL	52000.	52000.	35000.	0.	0.	0.
1920	GLOBAL	52000.	52000.	35000.	0.	0.	0.
1921	GLOBAL	52000.	52000.	35000.	0.	0.	0.
1922	GLOBAL	52000.	52000.	35000.	0.	0.	0.
1923	GLOBAL	52000.	52000.	35000.	0.	0.	0.
1924	GLOBAL	52000.	52000.	35000.	0.	0.	0.
1925	GLOBAL	52000.	52000.	35000.	0.	0.	0.
1926	GLOBAL	52000.	52000.	35000.	0.	0.	0.
1927	GLOBAL	52000.	52000.	35000.	0.	0.	0.
1928	GLOBAL	76000.	76000.	48800.	0.	0.	0.
1929	GLOBAL	76000.	76000.	48800.	0.	0.	0.
1930	GLOBAL	76000.	76000.	48800.	0.	0.	0.
1931	GLOBAL	76000.	76000.	48800.	0.	0.	0.
1932	GLOBAL	76000.	76000.	48800.	0.	0.	0.
1933	GLOBAL	76000.	76000.	48800.	0.	0.	0.
1934	GLOBAL	76000.	76000.	48800.	0.	0.	0.
1935	GLOBAL	76000.	76000.	48800.	0.	0.	0.
1936	GLOBAL	76000.	76000.	48800.	0.	0.	0.
1937	GLOBAL	76000.	76000.	48800.	0.	0.	0.
1938	GLOBAL	76000.	76000.	48800.	0.	0.	0.
1939	GLOBAL	76000.	76000.	48800.	0.	0.	0.
1940	GLOBAL	76000.	76000.	48800.	0.	0.	0.
1941	GLOBAL	76000.	76000.	48800.	0.	0.	0.
1942	GLOBAL	76000.	76000.	48800.	0.	0.	0.
1943	GLOBAL	76000.	76000.	48800.	0.	0.	0.
1944	GLOBAL	76000.	76000.	48800.	0.	0.	0.
1945	GLOBAL	76000.	76000.	48800.	0.	0.	0.
1946	GLOBAL	76000.	76000.	48800.	0.	0.	0.
1947	GLOBAL	76000.	76000.	48800.	0.	0.	0.
1948	GLOBAL	76000.	76000.	48800.	0.	0.	0.
1949	GLOBAL	76000.	76000.	48800.	0.	0.	0.
1950	GLOBAL	76000.	76000.	48800.	0.	0.	0.
1951	GLOBAL	76000.	76000.	48800.	0.	0.	0.
1952	GLOBAL	76000.	76000.	48800.	0.	0.	0.
1953	GLOBAL	76000.	76000.	48800.	0.	0.	0.
1954	GLOBAL	76000.	76000.	48800.	0.	0.	0.

Table: Joint Spring Assignments 1 - Uncoupled

Joint	CoordSys	U1	U2	U3	R1	R2	R3
		KN/m	KN/m	KN/m	KN-m/rad	KN-m/rad	KN-m/rad
1955	GLOBAL	76000.	76000.	48800.	0.	0.	0.
1956	GLOBAL	76000.	76000.	48800.	0.	0.	0.
1957	GLOBAL	76000.	76000.	48800.	0.	0.	0.
1958	GLOBAL	76000.	76000.	48800.	0.	0.	0.
1959	GLOBAL	76000.	76000.	48800.	0.	0.	0.
1960	GLOBAL	76000.	76000.	48800.	0.	0.	0.
1961	GLOBAL	76000.	76000.	48800.	0.	0.	0.
1962	GLOBAL	76000.	76000.	48800.	0.	0.	0.
1963	GLOBAL	76000.	76000.	48800.	0.	0.	0.
1964	GLOBAL	76000.	76000.	48800.	0.	0.	0.
1965	GLOBAL	76000.	76000.	48800.	0.	0.	0.
1966	GLOBAL	76000.	76000.	48800.	0.	0.	0.
1967	GLOBAL	76000.	76000.	48800.	0.	0.	0.
1968	GLOBAL	76000.	76000.	48800.	0.	0.	0.
1969	GLOBAL	76000.	76000.	48800.	0.	0.	0.
1970	GLOBAL	76000.	76000.	48800.	0.	0.	0.
1971	GLOBAL	76000.	76000.	48800.	0.	0.	0.
1972	GLOBAL	76000.	76000.	48800.	0.	0.	0.
1973	GLOBAL	76000.	76000.	48800.	0.	0.	0.
1974	GLOBAL	76000.	76000.	48800.	0.	0.	0.
1975	GLOBAL	76000.	76000.	48800.	0.	0.	0.
1976	GLOBAL	76000.	76000.	48800.	0.	0.	0.
1977	GLOBAL	76000.	76000.	48800.	0.	0.	0.
1978	GLOBAL	76000.	76000.	48800.	0.	0.	0.
1979	GLOBAL	76000.	76000.	48800.	0.	0.	0.
1980	GLOBAL	76000.	76000.	48800.	0.	0.	0.
1981	GLOBAL	76000.	76000.	48800.	0.	0.	0.
1982	GLOBAL	76000.	76000.	48800.	0.	0.	0.
1983	GLOBAL	76000.	76000.	48800.	0.	0.	0.
1984	GLOBAL	76000.	76000.	48800.	0.	0.	0.
1985	GLOBAL	76000.	76000.	48800.	0.	0.	0.
1986	GLOBAL	76000.	76000.	48800.	0.	0.	0.
1987	GLOBAL	76000.	76000.	48800.	0.	0.	0.
1988	GLOBAL	76000.	76000.	48800.	0.	0.	0.
1989	GLOBAL	76000.	76000.	48800.	0.	0.	0.
1990	GLOBAL	76000.	76000.	48800.	0.	0.	0.
1991	GLOBAL	76000.	76000.	48800.	0.	0.	0.
1992	GLOBAL	76000.	76000.	48800.	0.	0.	0.
1993	GLOBAL	76000.	76000.	48800.	0.	0.	0.
1994	GLOBAL	76000.	76000.	48800.	0.	0.	0.
1995	GLOBAL	76000.	76000.	48800.	0.	0.	0.
1996	GLOBAL	76000.	76000.	48800.	0.	0.	0.
1997	GLOBAL	76000.	76000.	48800.	0.	0.	0.
1998	GLOBAL	76000.	76000.	48800.	0.	0.	0.
1999	GLOBAL	76000.	76000.	48800.	0.	0.	0.
2000	GLOBAL	76000.	76000.	48800.	0.	0.	0.
2001	GLOBAL	76000.	76000.	48800.	0.	0.	0.
2002	GLOBAL	76000.	76000.	48800.	0.	0.	0.
2003	GLOBAL	76000.	76000.	48800.	0.	0.	0.
2004	GLOBAL	76000.	76000.	48800.	0.	0.	0.
2005	GLOBAL	76000.	76000.	48800.	0.	0.	0.
2006	GLOBAL	76000.	76000.	48800.	0.	0.	0.
2007	GLOBAL	76000.	76000.	48800.	0.	0.	0.
2008	GLOBAL	76000.	76000.	48800.	0.	0.	0.

Table: Joint Spring Assignments 1 - Uncoupled

Joint	CoordSys	U1	U2	U3	R1	R2	R3
		KN/m	KN/m	KN/m	KN-m/rad	KN-m/rad	KN-m/rad
2009	GLOBAL	76000.	76000.	48800.	0.	0.	0.
2010	GLOBAL	76000.	76000.	48800.	0.	0.	0.
2011	GLOBAL	76000.	76000.	48800.	0.	0.	0.
2012	GLOBAL	76000.	76000.	48800.	0.	0.	0.
2013	GLOBAL	76000.	76000.	48800.	0.	0.	0.
2014	GLOBAL	76000.	76000.	48800.	0.	0.	0.
2015	GLOBAL	76000.	76000.	48800.	0.	0.	0.
2016	GLOBAL	76000.	76000.	48800.	0.	0.	0.
2017	GLOBAL	76000.	76000.	48800.	0.	0.	0.
2018	GLOBAL	76000.	76000.	48800.	0.	0.	0.
2019	GLOBAL	76000.	76000.	48800.	0.	0.	0.
2020	GLOBAL	76000.	76000.	48800.	0.	0.	0.
2021	GLOBAL	76000.	76000.	48800.	0.	0.	0.
2022	GLOBAL	76000.	76000.	48800.	0.	0.	0.
2023	GLOBAL	76000.	76000.	48800.	0.	0.	0.
2024	GLOBAL	76000.	76000.	48800.	0.	0.	0.
2025	GLOBAL	76000.	76000.	48800.	0.	0.	0.
2026	GLOBAL	76000.	76000.	48800.	0.	0.	0.
2027	GLOBAL	76000.	76000.	48800.	0.	0.	0.
2028	GLOBAL	76000.	76000.	48800.	0.	0.	0.
2029	GLOBAL	76000.	76000.	48800.	0.	0.	0.
2030	GLOBAL	76000.	76000.	48800.	0.	0.	0.
2031	GLOBAL	76000.	76000.	48800.	0.	0.	0.
2032	GLOBAL	76000.	76000.	48800.	0.	0.	0.
2033	GLOBAL	76000.	76000.	48800.	0.	0.	0.
2034	GLOBAL	76000.	76000.	48800.	0.	0.	0.
2035	GLOBAL	76000.	76000.	48800.	0.	0.	0.
2036	GLOBAL	76000.	76000.	48800.	0.	0.	0.
2037	GLOBAL	76000.	76000.	48800.	0.	0.	0.
2038	GLOBAL	76000.	76000.	48800.	0.	0.	0.
2039	GLOBAL	76000.	76000.	48800.	0.	0.	0.
2040	GLOBAL	76000.	76000.	48800.	0.	0.	0.
2041	GLOBAL	76000.	76000.	48800.	0.	0.	0.
2042	GLOBAL	76000.	76000.	48800.	0.	0.	0.
2043	GLOBAL	76000.	76000.	48800.	0.	0.	0.
2044	GLOBAL	76000.	76000.	48800.	0.	0.	0.
2045	GLOBAL	76000.	76000.	48800.	0.	0.	0.
2046	GLOBAL	76000.	76000.	48800.	0.	0.	0.
2047	GLOBAL	76000.	76000.	48800.	0.	0.	0.
2048	GLOBAL	76000.	76000.	48800.	0.	0.	0.
2049	GLOBAL	76000.	76000.	48800.	0.	0.	0.
2050	GLOBAL	76000.	76000.	48800.	0.	0.	0.
2051	GLOBAL	76000.	76000.	48800.	0.	0.	0.
2052	GLOBAL	76000.	76000.	48800.	0.	0.	0.
2053	GLOBAL	76000.	76000.	48800.	0.	0.	0.
2054	GLOBAL	76000.	76000.	48800.	0.	0.	0.
2055	GLOBAL	76000.	76000.	48800.	0.	0.	0.
2056	GLOBAL	76000.	76000.	48800.	0.	0.	0.
2057	GLOBAL	76000.	76000.	48800.	0.	0.	0.
2058	GLOBAL	76000.	76000.	48800.	0.	0.	0.
2059	GLOBAL	76000.	76000.	48800.	0.	0.	0.
2060	GLOBAL	76000.	76000.	48800.	0.	0.	0.
2061	GLOBAL	76000.	76000.	48800.	0.	0.	0.
2062	GLOBAL	76000.	76000.	48800.	0.	0.	0.

Table: Joint Spring Assignments 1 - Uncoupled

Joint	CoordSys	U1	U2	U3	R1	R2	R3
		KN/m	KN/m	KN/m	KN-m/rad	KN-m/rad	KN-m/rad
2063	GLOBAL	76000.	76000.	48800.	0.	0.	0.
2064	GLOBAL	76000.	76000.	48800.	0.	0.	0.
2065	GLOBAL	76000.	76000.	48800.	0.	0.	0.
2066	GLOBAL	76000.	76000.	48800.	0.	0.	0.
2067	GLOBAL	76000.	76000.	48800.	0.	0.	0.
2068	GLOBAL	76000.	76000.	48800.	0.	0.	0.
2069	GLOBAL	76000.	76000.	48800.	0.	0.	0.
2070	GLOBAL	76000.	76000.	48800.	0.	0.	0.
2071	GLOBAL	76000.	76000.	48800.	0.	0.	0.
2072	GLOBAL	76000.	76000.	48800.	0.	0.	0.
2073	GLOBAL	76000.	76000.	48800.	0.	0.	0.
2074	GLOBAL	76000.	76000.	48800.	0.	0.	0.
2075	GLOBAL	76000.	76000.	48800.	0.	0.	0.
2076	GLOBAL	76000.	76000.	48800.	0.	0.	0.
2077	GLOBAL	76000.	76000.	48800.	0.	0.	0.
2078	GLOBAL	76000.	76000.	48800.	0.	0.	0.
2079	GLOBAL	76000.	76000.	48800.	0.	0.	0.
2080	GLOBAL	76000.	76000.	48800.	0.	0.	0.
2081	GLOBAL	76000.	76000.	48800.	0.	0.	0.
2082	GLOBAL	76000.	76000.	48800.	0.	0.	0.
2083	GLOBAL	76000.	76000.	48800.	0.	0.	0.
2084	GLOBAL	76000.	76000.	48800.	0.	0.	0.
2085	GLOBAL	76000.	76000.	48800.	0.	0.	0.
2086	GLOBAL	76000.	76000.	48800.	0.	0.	0.
2087	GLOBAL	76000.	76000.	48800.	0.	0.	0.
2088	GLOBAL	76000.	76000.	48800.	0.	0.	0.
2089	GLOBAL	76000.	76000.	48800.	0.	0.	0.
2090	GLOBAL	76000.	76000.	48800.	0.	0.	0.
2091	GLOBAL	76000.	76000.	48800.	0.	0.	0.
2092	GLOBAL	76000.	76000.	48800.	0.	0.	0.
2093	GLOBAL	76000.	76000.	48800.	0.	0.	0.
2094	GLOBAL	76000.	76000.	48800.	0.	0.	0.
2095	GLOBAL	76000.	76000.	48800.	0.	0.	0.
2096	GLOBAL	76000.	76000.	48800.	0.	0.	0.
2097	GLOBAL	76000.	76000.	48800.	0.	0.	0.
2098	GLOBAL	76000.	76000.	48800.	0.	0.	0.
2099	GLOBAL	76000.	76000.	48800.	0.	0.	0.
2100	GLOBAL	76000.	76000.	48800.	0.	0.	0.
2101	GLOBAL	76000.	76000.	48800.	0.	0.	0.
2102	GLOBAL	76000.	76000.	48800.	0.	0.	0.
2103	GLOBAL	76000.	76000.	48800.	0.	0.	0.
2104	GLOBAL	76000.	76000.	48800.	0.	0.	0.
2105	GLOBAL	76000.	76000.	48800.	0.	0.	0.
2106	GLOBAL	76000.	76000.	48800.	0.	0.	0.
2107	GLOBAL	76000.	76000.	48800.	0.	0.	0.
2108	GLOBAL	76000.	76000.	48800.	0.	0.	0.
2109	GLOBAL	76000.	76000.	48800.	0.	0.	0.
2110	GLOBAL	76000.	76000.	48800.	0.	0.	0.
2111	GLOBAL	76000.	76000.	48800.	0.	0.	0.
2112	GLOBAL	76000.	76000.	48800.	0.	0.	0.
2113	GLOBAL	76000.	76000.	48800.	0.	0.	0.
2114	GLOBAL	76000.	76000.	48800.	0.	0.	0.
2115	GLOBAL	76000.	76000.	48800.	0.	0.	0.
2116	GLOBAL	76000.	76000.	48800.	0.	0.	0.

Table: Joint Spring Assignments 1 - Uncoupled

Joint	CoordSys	U1	U2	U3	R1	R2	R3
		KN/m	KN/m	KN/m	KN-m/rad	KN-m/rad	KN-m/rad
2117	GLOBAL	76000.	76000.	48800.	0.	0.	0.
2118	GLOBAL	76000.	76000.	48800.	0.	0.	0.
2119	GLOBAL	76000.	76000.	48800.	0.	0.	0.
2120	GLOBAL	76000.	76000.	48800.	0.	0.	0.
2121	GLOBAL	76000.	76000.	48800.	0.	0.	0.
2122	GLOBAL	76000.	76000.	48800.	0.	0.	0.
2123	GLOBAL	76000.	76000.	48800.	0.	0.	0.
2124	GLOBAL	76000.	76000.	48800.	0.	0.	0.
2125	GLOBAL	76000.	76000.	48800.	0.	0.	0.
2126	GLOBAL	76000.	76000.	48800.	0.	0.	0.
2127	GLOBAL	76000.	76000.	48800.	0.	0.	0.
2128	GLOBAL	76000.	76000.	48800.	0.	0.	0.
2129	GLOBAL	76000.	76000.	48800.	0.	0.	0.
2130	GLOBAL	76000.	76000.	48800.	0.	0.	0.
2131	GLOBAL	76000.	76000.	48800.	0.	0.	0.
2132	GLOBAL	76000.	76000.	48800.	0.	0.	0.
2133	GLOBAL	76000.	76000.	48800.	0.	0.	0.
2134	GLOBAL	76000.	76000.	48800.	0.	0.	0.
2135	GLOBAL	76000.	76000.	48800.	0.	0.	0.
2136	GLOBAL	76000.	76000.	48800.	0.	0.	0.
2137	GLOBAL	76000.	76000.	48800.	0.	0.	0.
2138	GLOBAL	76000.	76000.	78500.	0.	0.	0.
2139	GLOBAL	76000.	76000.	78500.	0.	0.	0.
2140	GLOBAL	76000.	76000.	78500.	0.	0.	0.
2141	GLOBAL	76000.	76000.	78500.	0.	0.	0.
2142	GLOBAL	76000.	76000.	78500.	0.	0.	0.
2143	GLOBAL	76000.	76000.	78500.	0.	0.	0.
2144	GLOBAL	76000.	76000.	78500.	0.	0.	0.
2145	GLOBAL	76000.	76000.	78500.	0.	0.	0.
2146	GLOBAL	76000.	76000.	78500.	0.	0.	0.
2147	GLOBAL	76000.	76000.	78500.	0.	0.	0.
2352	GLOBAL	36500.	36500.	29500.	0.	0.	0.
2353	GLOBAL	36500.	36500.	29500.	0.	0.	0.
2354	GLOBAL	52000.	52000.	35000.	0.	0.	0.
2355	GLOBAL	52000.	52000.	35000.	0.	0.	0.
2356	GLOBAL	76000.	76000.	48800.	0.	0.	0.
2357	GLOBAL	76000.	76000.	48800.	0.	0.	0.
2358	GLOBAL	76000.	76000.	48800.	0.	0.	0.
2359	GLOBAL	76000.	76000.	48800.	0.	0.	0.
2360	GLOBAL	76000.	76000.	48800.	0.	0.	0.
2361	GLOBAL	76000.	76000.	48800.	0.	0.	0.
2362	GLOBAL	76000.	76000.	48800.	0.	0.	0.
2363	GLOBAL	76000.	76000.	48800.	0.	0.	0.
2364	GLOBAL	76000.	76000.	48800.	0.	0.	0.
2365	GLOBAL	76000.	76000.	48800.	0.	0.	0.
2366	GLOBAL	76000.	76000.	48800.	0.	0.	0.
2367	GLOBAL	76000.	76000.	48800.	0.	0.	0.
2368	GLOBAL	76000.	76000.	48800.	0.	0.	0.
2369	GLOBAL	76000.	76000.	48800.	0.	0.	0.
2370	GLOBAL	76000.	76000.	48800.	0.	0.	0.
2371	GLOBAL	76000.	76000.	48800.	0.	0.	0.
2372	GLOBAL	76000.	76000.	48800.	0.	0.	0.
2373	GLOBAL	76000.	76000.	48800.	0.	0.	0.
2374	GLOBAL	76000.	76000.	48800.	0.	0.	0.

Table: Joint Spring Assignments 1 - Uncoupled

Joint	CoordSys	U1	U2	U3	R1	R2	R3
		KN/m	KN/m	KN/m	KN-m/rad	KN-m/rad	KN-m/rad
2375	GLOBAL	76000.	76000.	48800.	0.	0.	0.
2376	GLOBAL	76000.	76000.	48800.	0.	0.	0.
2377	GLOBAL	76000.	76000.	78500.	0.	0.	0.
2378	GLOBAL	36500.	36500.	29500.	0.	0.	0.
2379	GLOBAL	36500.	36500.	29500.	0.	0.	0.
2380	GLOBAL	52000.	52000.	35000.	0.	0.	0.
2381	GLOBAL	52000.	52000.	35000.	0.	0.	0.
2382	GLOBAL	76000.	76000.	48800.	0.	0.	0.
2383	GLOBAL	76000.	76000.	48800.	0.	0.	0.
2384	GLOBAL	76000.	76000.	48800.	0.	0.	0.
2385	GLOBAL	76000.	76000.	48800.	0.	0.	0.
2386	GLOBAL	76000.	76000.	48800.	0.	0.	0.
2387	GLOBAL	76000.	76000.	48800.	0.	0.	0.
2388	GLOBAL	76000.	76000.	48800.	0.	0.	0.
2389	GLOBAL	76000.	76000.	48800.	0.	0.	0.
2390	GLOBAL	76000.	76000.	48800.	0.	0.	0.
2391	GLOBAL	76000.	76000.	48800.	0.	0.	0.
2392	GLOBAL	76000.	76000.	48800.	0.	0.	0.
2393	GLOBAL	76000.	76000.	48800.	0.	0.	0.
2394	GLOBAL	76000.	76000.	48800.	0.	0.	0.
2395	GLOBAL	76000.	76000.	48800.	0.	0.	0.
2396	GLOBAL	76000.	76000.	48800.	0.	0.	0.
2397	GLOBAL	76000.	76000.	48800.	0.	0.	0.
2398	GLOBAL	76000.	76000.	48800.	0.	0.	0.
2399	GLOBAL	76000.	76000.	48800.	0.	0.	0.
2400	GLOBAL	76000.	76000.	48800.	0.	0.	0.
2401	GLOBAL	76000.	76000.	48800.	0.	0.	0.
2402	GLOBAL	76000.	76000.	48800.	0.	0.	0.
2403	GLOBAL	76000.	76000.	78500.	0.	0.	0.
2404	GLOBAL	36500.	36500.	29500.	0.	0.	0.
2405	GLOBAL	36500.	36500.	29500.	0.	0.	0.
2406	GLOBAL	52000.	52000.	35000.	0.	0.	0.
2407	GLOBAL	52000.	52000.	35000.	0.	0.	0.
2408	GLOBAL	76000.	76000.	48800.	0.	0.	0.
2409	GLOBAL	76000.	76000.	48800.	0.	0.	0.
2410	GLOBAL	76000.	76000.	48800.	0.	0.	0.
2411	GLOBAL	76000.	76000.	48800.	0.	0.	0.
2412	GLOBAL	76000.	76000.	48800.	0.	0.	0.
2413	GLOBAL	76000.	76000.	48800.	0.	0.	0.
2414	GLOBAL	76000.	76000.	48800.	0.	0.	0.
2415	GLOBAL	76000.	76000.	48800.	0.	0.	0.
2416	GLOBAL	76000.	76000.	48800.	0.	0.	0.
2417	GLOBAL	76000.	76000.	48800.	0.	0.	0.
2418	GLOBAL	76000.	76000.	48800.	0.	0.	0.
2419	GLOBAL	76000.	76000.	48800.	0.	0.	0.
2420	GLOBAL	76000.	76000.	48800.	0.	0.	0.
2421	GLOBAL	76000.	76000.	48800.	0.	0.	0.
2422	GLOBAL	76000.	76000.	48800.	0.	0.	0.
2423	GLOBAL	76000.	76000.	48800.	0.	0.	0.
2424	GLOBAL	76000.	76000.	48800.	0.	0.	0.
2425	GLOBAL	76000.	76000.	48800.	0.	0.	0.
2426	GLOBAL	76000.	76000.	48800.	0.	0.	0.
2427	GLOBAL	76000.	76000.	48800.	0.	0.	0.
2428	GLOBAL	76000.	76000.	48800.	0.	0.	0.

Table: Joint Spring Assignments 1 - Uncoupled

Joint	CoordSys	U1	U2	U3	R1	R2	R3
		KN/m	KN/m	KN/m	KN-m/rad	KN-m/rad	KN-m/rad
2429	GLOBAL	76000.	76000.	78500.	0.	0.	0.
2430	GLOBAL	36500.	36500.	29500.	0.	0.	0.
2431	GLOBAL	36500.	36500.	29500.	0.	0.	0.
2432	GLOBAL	52000.	52000.	35000.	0.	0.	0.
2433	GLOBAL	52000.	52000.	35000.	0.	0.	0.
2434	GLOBAL	76000.	76000.	48800.	0.	0.	0.
2435	GLOBAL	76000.	76000.	48800.	0.	0.	0.
2436	GLOBAL	76000.	76000.	48800.	0.	0.	0.
2437	GLOBAL	76000.	76000.	48800.	0.	0.	0.
2438	GLOBAL	76000.	76000.	48800.	0.	0.	0.
2439	GLOBAL	76000.	76000.	48800.	0.	0.	0.
2440	GLOBAL	76000.	76000.	48800.	0.	0.	0.
2441	GLOBAL	76000.	76000.	48800.	0.	0.	0.
2442	GLOBAL	76000.	76000.	48800.	0.	0.	0.
2443	GLOBAL	76000.	76000.	48800.	0.	0.	0.
2444	GLOBAL	76000.	76000.	48800.	0.	0.	0.
2445	GLOBAL	76000.	76000.	48800.	0.	0.	0.
2446	GLOBAL	76000.	76000.	48800.	0.	0.	0.
2447	GLOBAL	76000.	76000.	48800.	0.	0.	0.
2448	GLOBAL	76000.	76000.	48800.	0.	0.	0.
2449	GLOBAL	76000.	76000.	48800.	0.	0.	0.
2450	GLOBAL	76000.	76000.	48800.	0.	0.	0.
2451	GLOBAL	76000.	76000.	48800.	0.	0.	0.
2452	GLOBAL	76000.	76000.	48800.	0.	0.	0.
2453	GLOBAL	76000.	76000.	48800.	0.	0.	0.
2454	GLOBAL	76000.	76000.	48800.	0.	0.	0.
2455	GLOBAL	76000.	76000.	78500.	0.	0.	0.
2456	GLOBAL	36500.	36500.	29500.	0.	0.	0.
2457	GLOBAL	36500.	36500.	29500.	0.	0.	0.
2458	GLOBAL	52000.	52000.	35000.	0.	0.	0.
2459	GLOBAL	52000.	52000.	35000.	0.	0.	0.
2460	GLOBAL	76000.	76000.	48800.	0.	0.	0.
2461	GLOBAL	76000.	76000.	48800.	0.	0.	0.
2462	GLOBAL	76000.	76000.	48800.	0.	0.	0.
2463	GLOBAL	76000.	76000.	48800.	0.	0.	0.
2464	GLOBAL	76000.	76000.	48800.	0.	0.	0.
2465	GLOBAL	76000.	76000.	48800.	0.	0.	0.
2466	GLOBAL	76000.	76000.	48800.	0.	0.	0.
2467	GLOBAL	76000.	76000.	48800.	0.	0.	0.
2468	GLOBAL	76000.	76000.	48800.	0.	0.	0.
2469	GLOBAL	76000.	76000.	48800.	0.	0.	0.
2470	GLOBAL	76000.	76000.	48800.	0.	0.	0.
2471	GLOBAL	76000.	76000.	48800.	0.	0.	0.
2472	GLOBAL	76000.	76000.	48800.	0.	0.	0.
2473	GLOBAL	76000.	76000.	48800.	0.	0.	0.
2474	GLOBAL	76000.	76000.	48800.	0.	0.	0.
2475	GLOBAL	76000.	76000.	48800.	0.	0.	0.
2476	GLOBAL	76000.	76000.	48800.	0.	0.	0.
2477	GLOBAL	76000.	76000.	48800.	0.	0.	0.
2478	GLOBAL	76000.	76000.	48800.	0.	0.	0.
2479	GLOBAL	76000.	76000.	48800.	0.	0.	0.
2480	GLOBAL	76000.	76000.	48800.	0.	0.	0.
2481	GLOBAL	76000.	76000.	78500.	0.	0.	0.
2482	GLOBAL	36500.	36500.	29500.	0.	0.	0.

Table: Joint Spring Assignments 1 - Uncoupled

Joint	CoordSys	U1	U2	U3	R1	R2	R3
		KN/m	KN/m	KN/m	KN-m/rad	KN-m/rad	KN-m/rad
2483	GLOBAL	36500.	36500.	29500.	0.	0.	0.
2484	GLOBAL	52000.	52000.	35000.	0.	0.	0.
2485	GLOBAL	52000.	52000.	35000.	0.	0.	0.
2486	GLOBAL	76000.	76000.	48800.	0.	0.	0.
2487	GLOBAL	76000.	76000.	48800.	0.	0.	0.
2488	GLOBAL	76000.	76000.	48800.	0.	0.	0.
2489	GLOBAL	76000.	76000.	48800.	0.	0.	0.
2490	GLOBAL	76000.	76000.	48800.	0.	0.	0.
2491	GLOBAL	76000.	76000.	48800.	0.	0.	0.
2492	GLOBAL	76000.	76000.	48800.	0.	0.	0.
2493	GLOBAL	76000.	76000.	48800.	0.	0.	0.
2494	GLOBAL	76000.	76000.	48800.	0.	0.	0.
2495	GLOBAL	76000.	76000.	48800.	0.	0.	0.
2496	GLOBAL	76000.	76000.	48800.	0.	0.	0.
2497	GLOBAL	76000.	76000.	48800.	0.	0.	0.
2498	GLOBAL	76000.	76000.	48800.	0.	0.	0.
2499	GLOBAL	76000.	76000.	48800.	0.	0.	0.
2500	GLOBAL	76000.	76000.	48800.	0.	0.	0.
2501	GLOBAL	76000.	76000.	48800.	0.	0.	0.
2502	GLOBAL	76000.	76000.	48800.	0.	0.	0.
2503	GLOBAL	76000.	76000.	48800.	0.	0.	0.
2504	GLOBAL	76000.	76000.	48800.	0.	0.	0.
2505	GLOBAL	76000.	76000.	48800.	0.	0.	0.
2506	GLOBAL	76000.	76000.	48800.	0.	0.	0.
2507	GLOBAL	76000.	76000.	78500.	0.	0.	0.
2508	GLOBAL	36500.	36500.	29500.	0.	0.	0.
2509	GLOBAL	36500.	36500.	29500.	0.	0.	0.
2510	GLOBAL	52000.	52000.	35000.	0.	0.	0.
2511	GLOBAL	52000.	52000.	35000.	0.	0.	0.
2512	GLOBAL	76000.	76000.	48800.	0.	0.	0.
2513	GLOBAL	76000.	76000.	48800.	0.	0.	0.
2514	GLOBAL	76000.	76000.	48800.	0.	0.	0.
2515	GLOBAL	76000.	76000.	48800.	0.	0.	0.
2516	GLOBAL	76000.	76000.	48800.	0.	0.	0.
2517	GLOBAL	76000.	76000.	48800.	0.	0.	0.
2518	GLOBAL	76000.	76000.	48800.	0.	0.	0.
2519	GLOBAL	76000.	76000.	48800.	0.	0.	0.
2520	GLOBAL	76000.	76000.	48800.	0.	0.	0.
2521	GLOBAL	76000.	76000.	48800.	0.	0.	0.
2522	GLOBAL	76000.	76000.	48800.	0.	0.	0.
2523	GLOBAL	76000.	76000.	48800.	0.	0.	0.
2524	GLOBAL	76000.	76000.	48800.	0.	0.	0.
2525	GLOBAL	76000.	76000.	48800.	0.	0.	0.
2526	GLOBAL	76000.	76000.	48800.	0.	0.	0.
2527	GLOBAL	76000.	76000.	48800.	0.	0.	0.
2528	GLOBAL	76000.	76000.	48800.	0.	0.	0.
2529	GLOBAL	76000.	76000.	48800.	0.	0.	0.
2530	GLOBAL	76000.	76000.	48800.	0.	0.	0.
2531	GLOBAL	76000.	76000.	48800.	0.	0.	0.
2532	GLOBAL	76000.	76000.	48800.	0.	0.	0.
2533	GLOBAL	76000.	76000.	78500.	0.	0.	0.
2534	GLOBAL	36500.	36500.	29500.	0.	0.	0.
2535	GLOBAL	36500.	36500.	29500.	0.	0.	0.
2536	GLOBAL	52000.	52000.	35000.	0.	0.	0.

Table: Joint Spring Assignments 1 - Uncoupled

Joint	CoordSys	U1	U2	U3	R1	R2	R3
		KN/m	KN/m	KN/m	KN-m/rad	KN-m/rad	KN-m/rad
2537	GLOBAL	52000.	52000.	35000.	0.	0.	0.
2538	GLOBAL	76000.	76000.	48800.	0.	0.	0.
2539	GLOBAL	76000.	76000.	48800.	0.	0.	0.
2540	GLOBAL	76000.	76000.	48800.	0.	0.	0.
2541	GLOBAL	76000.	76000.	48800.	0.	0.	0.
2542	GLOBAL	76000.	76000.	48800.	0.	0.	0.
2543	GLOBAL	76000.	76000.	48800.	0.	0.	0.
2544	GLOBAL	76000.	76000.	48800.	0.	0.	0.
2545	GLOBAL	76000.	76000.	48800.	0.	0.	0.
2546	GLOBAL	76000.	76000.	48800.	0.	0.	0.
2547	GLOBAL	76000.	76000.	48800.	0.	0.	0.
2548	GLOBAL	76000.	76000.	48800.	0.	0.	0.
2549	GLOBAL	76000.	76000.	48800.	0.	0.	0.
2550	GLOBAL	76000.	76000.	48800.	0.	0.	0.
2551	GLOBAL	76000.	76000.	48800.	0.	0.	0.
2552	GLOBAL	76000.	76000.	48800.	0.	0.	0.
2553	GLOBAL	76000.	76000.	48800.	0.	0.	0.
2554	GLOBAL	76000.	76000.	48800.	0.	0.	0.
2555	GLOBAL	76000.	76000.	48800.	0.	0.	0.
2556	GLOBAL	76000.	76000.	48800.	0.	0.	0.
2557	GLOBAL	76000.	76000.	48800.	0.	0.	0.
2558	GLOBAL	76000.	76000.	48800.	0.	0.	0.
2559	GLOBAL	76000.	76000.	78500.	0.	0.	0.
2594	GLOBAL	36500.	36500.	29500.	0.	0.	0.
2595	GLOBAL	36500.	36500.	29500.	0.	0.	0.
2596	GLOBAL	52000.	52000.	35000.	0.	0.	0.
2597	GLOBAL	52000.	52000.	35000.	0.	0.	0.
2598	GLOBAL	76000.	76000.	48800.	0.	0.	0.
2599	GLOBAL	76000.	76000.	48800.	0.	0.	0.
2600	GLOBAL	76000.	76000.	48800.	0.	0.	0.
2601	GLOBAL	76000.	76000.	48800.	0.	0.	0.
2602	GLOBAL	76000.	76000.	48800.	0.	0.	0.
2603	GLOBAL	76000.	76000.	48800.	0.	0.	0.
2604	GLOBAL	76000.	76000.	48800.	0.	0.	0.
2605	GLOBAL	76000.	76000.	48800.	0.	0.	0.
2606	GLOBAL	76000.	76000.	48800.	0.	0.	0.
2607	GLOBAL	76000.	76000.	48800.	0.	0.	0.
2608	GLOBAL	76000.	76000.	48800.	0.	0.	0.
2609	GLOBAL	76000.	76000.	48800.	0.	0.	0.
2610	GLOBAL	76000.	76000.	48800.	0.	0.	0.
2611	GLOBAL	76000.	76000.	48800.	0.	0.	0.
2612	GLOBAL	76000.	76000.	48800.	0.	0.	0.
2613	GLOBAL	76000.	76000.	48800.	0.	0.	0.
2614	GLOBAL	76000.	76000.	48800.	0.	0.	0.
2619	GLOBAL	76000.	76000.	48800.	0.	0.	0.
2621	GLOBAL	76000.	76000.	48800.	0.	0.	0.
2671	GLOBAL	76000.	76000.	48800.	0.	0.	0.
2672	GLOBAL	76000.	76000.	48800.	0.	0.	0.
2673	GLOBAL	76000.	76000.	78500.	0.	0.	0.
2674	GLOBAL	36500.	36500.	29500.	0.	0.	0.
2675	GLOBAL	36500.	36500.	29500.	0.	0.	0.
2676	GLOBAL	52000.	52000.	35000.	0.	0.	0.
2677	GLOBAL	52000.	52000.	35000.	0.	0.	0.
2678	GLOBAL	76000.	76000.	48800.	0.	0.	0.

Table: Joint Spring Assignments 1 - Uncoupled

Joint	CoordSys	U1	U2	U3	R1	R2	R3
		KN/m	KN/m	KN/m	KN-m/rad	KN-m/rad	KN-m/rad
2679	GLOBAL	76000.	76000.	48800.	0.	0.	0.
2680	GLOBAL	76000.	76000.	48800.	0.	0.	0.
2681	GLOBAL	76000.	76000.	48800.	0.	0.	0.
2682	GLOBAL	76000.	76000.	48800.	0.	0.	0.
2683	GLOBAL	76000.	76000.	48800.	0.	0.	0.
2684	GLOBAL	76000.	76000.	48800.	0.	0.	0.
2685	GLOBAL	76000.	76000.	48800.	0.	0.	0.
2686	GLOBAL	76000.	76000.	48800.	0.	0.	0.
2687	GLOBAL	76000.	76000.	48800.	0.	0.	0.
2688	GLOBAL	76000.	76000.	48800.	0.	0.	0.
2689	GLOBAL	76000.	76000.	48800.	0.	0.	0.
2690	GLOBAL	76000.	76000.	48800.	0.	0.	0.
2691	GLOBAL	76000.	76000.	48800.	0.	0.	0.
2692	GLOBAL	76000.	76000.	48800.	0.	0.	0.
2693	GLOBAL	76000.	76000.	48800.	0.	0.	0.
2694	GLOBAL	76000.	76000.	48800.	0.	0.	0.
2695	GLOBAL	76000.	76000.	48800.	0.	0.	0.
2696	GLOBAL	76000.	76000.	48800.	0.	0.	0.
2697	GLOBAL	76000.	76000.	48800.	0.	0.	0.
2698	GLOBAL	76000.	76000.	48800.	0.	0.	0.
2699	GLOBAL	76000.	76000.	78500.	0.	0.	0.
2700	GLOBAL	36500.	36500.	29500.	0.	0.	0.
2701	GLOBAL	36500.	36500.	29500.	0.	0.	0.
2702	GLOBAL	52000.	52000.	35000.	0.	0.	0.
2703	GLOBAL	52000.	52000.	35000.	0.	0.	0.
2704	GLOBAL	76000.	76000.	48800.	0.	0.	0.
2705	GLOBAL	76000.	76000.	48800.	0.	0.	0.
2706	GLOBAL	76000.	76000.	48800.	0.	0.	0.
2707	GLOBAL	76000.	76000.	48800.	0.	0.	0.
2708	GLOBAL	76000.	76000.	48800.	0.	0.	0.
2709	GLOBAL	76000.	76000.	48800.	0.	0.	0.
2710	GLOBAL	76000.	76000.	48800.	0.	0.	0.
2711	GLOBAL	76000.	76000.	48800.	0.	0.	0.
2712	GLOBAL	76000.	76000.	48800.	0.	0.	0.
2713	GLOBAL	76000.	76000.	48800.	0.	0.	0.
2714	GLOBAL	76000.	76000.	48800.	0.	0.	0.
2715	GLOBAL	76000.	76000.	48800.	0.	0.	0.
2716	GLOBAL	76000.	76000.	48800.	0.	0.	0.
2717	GLOBAL	76000.	76000.	48800.	0.	0.	0.
2718	GLOBAL	76000.	76000.	48800.	0.	0.	0.
2719	GLOBAL	76000.	76000.	48800.	0.	0.	0.
2720	GLOBAL	76000.	76000.	48800.	0.	0.	0.
2721	GLOBAL	76000.	76000.	48800.	0.	0.	0.
2722	GLOBAL	76000.	76000.	48800.	0.	0.	0.
2723	GLOBAL	76000.	76000.	48800.	0.	0.	0.
2724	GLOBAL	76000.	76000.	48800.	0.	0.	0.
2725	GLOBAL	76000.	76000.	78500.	0.	0.	0.
2726	GLOBAL	36500.	36500.	29500.	0.	0.	0.
2727	GLOBAL	36500.	36500.	29500.	0.	0.	0.
2728	GLOBAL	52000.	52000.	35000.	0.	0.	0.
2729	GLOBAL	52000.	52000.	35000.	0.	0.	0.
2730	GLOBAL	76000.	76000.	48800.	0.	0.	0.
2731	GLOBAL	76000.	76000.	48800.	0.	0.	0.
2732	GLOBAL	76000.	76000.	48800.	0.	0.	0.

Table: Joint Spring Assignments 1 - Uncoupled

Joint	CoordSys	U1	U2	U3	R1	R2	R3
		KN/m	KN/m	KN/m	KN-m/rad	KN-m/rad	KN-m/rad
2733	GLOBAL	76000.	76000.	48800.	0.	0.	0.
2734	GLOBAL	76000.	76000.	48800.	0.	0.	0.
2735	GLOBAL	76000.	76000.	48800.	0.	0.	0.
2736	GLOBAL	76000.	76000.	48800.	0.	0.	0.
2737	GLOBAL	76000.	76000.	48800.	0.	0.	0.
2738	GLOBAL	76000.	76000.	48800.	0.	0.	0.
2739	GLOBAL	76000.	76000.	48800.	0.	0.	0.
2740	GLOBAL	76000.	76000.	48800.	0.	0.	0.
2741	GLOBAL	76000.	76000.	48800.	0.	0.	0.
2742	GLOBAL	76000.	76000.	48800.	0.	0.	0.
2743	GLOBAL	76000.	76000.	48800.	0.	0.	0.
2744	GLOBAL	76000.	76000.	48800.	0.	0.	0.
2745	GLOBAL	76000.	76000.	48800.	0.	0.	0.
2746	GLOBAL	76000.	76000.	48800.	0.	0.	0.
2747	GLOBAL	76000.	76000.	48800.	0.	0.	0.
2748	GLOBAL	76000.	76000.	48800.	0.	0.	0.
2749	GLOBAL	76000.	76000.	48800.	0.	0.	0.
2750	GLOBAL	76000.	76000.	48800.	0.	0.	0.
2751	GLOBAL	76000.	76000.	78500.	0.	0.	0.
2752	GLOBAL	36500.	36500.	29500.	0.	0.	0.
2753	GLOBAL	36500.	36500.	29500.	0.	0.	0.
2754	GLOBAL	52000.	52000.	35000.	0.	0.	0.
2755	GLOBAL	52000.	52000.	35000.	0.	0.	0.
2756	GLOBAL	76000.	76000.	48800.	0.	0.	0.
2757	GLOBAL	76000.	76000.	48800.	0.	0.	0.
2758	GLOBAL	76000.	76000.	48800.	0.	0.	0.
2759	GLOBAL	76000.	76000.	48800.	0.	0.	0.
2760	GLOBAL	76000.	76000.	48800.	0.	0.	0.
2761	GLOBAL	76000.	76000.	48800.	0.	0.	0.
2762	GLOBAL	76000.	76000.	48800.	0.	0.	0.
2763	GLOBAL	76000.	76000.	48800.	0.	0.	0.
2764	GLOBAL	76000.	76000.	48800.	0.	0.	0.
2765	GLOBAL	76000.	76000.	48800.	0.	0.	0.
2766	GLOBAL	76000.	76000.	48800.	0.	0.	0.
2767	GLOBAL	76000.	76000.	48800.	0.	0.	0.
2768	GLOBAL	76000.	76000.	48800.	0.	0.	0.
2769	GLOBAL	76000.	76000.	48800.	0.	0.	0.
2770	GLOBAL	76000.	76000.	48800.	0.	0.	0.
2771	GLOBAL	76000.	76000.	48800.	0.	0.	0.
2772	GLOBAL	76000.	76000.	48800.	0.	0.	0.
2773	GLOBAL	76000.	76000.	48800.	0.	0.	0.
2774	GLOBAL	76000.	76000.	48800.	0.	0.	0.
2775	GLOBAL	76000.	76000.	48800.	0.	0.	0.
2776	GLOBAL	76000.	76000.	48800.	0.	0.	0.
2777	GLOBAL	76000.	76000.	78500.	0.	0.	0.
2778	GLOBAL	36500.	36500.	29500.	0.	0.	0.
2779	GLOBAL	36500.	36500.	29500.	0.	0.	0.
2780	GLOBAL	52000.	52000.	35000.	0.	0.	0.
2781	GLOBAL	52000.	52000.	35000.	0.	0.	0.
2782	GLOBAL	76000.	76000.	48800.	0.	0.	0.
2783	GLOBAL	76000.	76000.	48800.	0.	0.	0.
2784	GLOBAL	76000.	76000.	48800.	0.	0.	0.
2785	GLOBAL	76000.	76000.	48800.	0.	0.	0.
2786	GLOBAL	76000.	76000.	48800.	0.	0.	0.

Table: Joint Spring Assignments 1 - Uncoupled

Joint	CoordSys	U1	U2	U3	R1	R2	R3
		KN/m	KN/m	KN/m	KN-m/rad	KN-m/rad	KN-m/rad
2787	GLOBAL	76000.	76000.	48800.	0.	0.	0.
2788	GLOBAL	76000.	76000.	48800.	0.	0.	0.
2789	GLOBAL	76000.	76000.	48800.	0.	0.	0.
2790	GLOBAL	76000.	76000.	48800.	0.	0.	0.
2791	GLOBAL	76000.	76000.	48800.	0.	0.	0.
2792	GLOBAL	76000.	76000.	48800.	0.	0.	0.
2793	GLOBAL	76000.	76000.	48800.	0.	0.	0.
2794	GLOBAL	76000.	76000.	48800.	0.	0.	0.
2795	GLOBAL	76000.	76000.	48800.	0.	0.	0.
2796	GLOBAL	76000.	76000.	48800.	0.	0.	0.
2797	GLOBAL	76000.	76000.	48800.	0.	0.	0.
2798	GLOBAL	76000.	76000.	48800.	0.	0.	0.
2799	GLOBAL	76000.	76000.	48800.	0.	0.	0.
2800	GLOBAL	76000.	76000.	48800.	0.	0.	0.
2801	GLOBAL	76000.	76000.	48800.	0.	0.	0.
2802	GLOBAL	76000.	76000.	48800.	0.	0.	0.
2803	GLOBAL	76000.	76000.	78500.	0.	0.	0.
2827	GLOBAL	36500.	36500.	29500.	0.	0.	0.
2828	GLOBAL	36500.	36500.	29500.	0.	0.	0.
2829	GLOBAL	52000.	52000.	35000.	0.	0.	0.
2830	GLOBAL	52000.	52000.	35000.	0.	0.	0.
2831	GLOBAL	76000.	76000.	48800.	0.	0.	0.
2832	GLOBAL	76000.	76000.	48800.	0.	0.	0.
2833	GLOBAL	76000.	76000.	48800.	0.	0.	0.
2834	GLOBAL	76000.	76000.	48800.	0.	0.	0.
2835	GLOBAL	76000.	76000.	48800.	0.	0.	0.
2836	GLOBAL	76000.	76000.	48800.	0.	0.	0.
2837	GLOBAL	76000.	76000.	48800.	0.	0.	0.
2838	GLOBAL	76000.	76000.	48800.	0.	0.	0.
2839	GLOBAL	76000.	76000.	48800.	0.	0.	0.
2840	GLOBAL	76000.	76000.	48800.	0.	0.	0.
2841	GLOBAL	76000.	76000.	48800.	0.	0.	0.
2842	GLOBAL	76000.	76000.	48800.	0.	0.	0.
2843	GLOBAL	76000.	76000.	48800.	0.	0.	0.
2844	GLOBAL	76000.	76000.	48800.	0.	0.	0.
2845	GLOBAL	76000.	76000.	48800.	0.	0.	0.
2846	GLOBAL	76000.	76000.	48800.	0.	0.	0.
2847	GLOBAL	76000.	76000.	48800.	0.	0.	0.
2848	GLOBAL	76000.	76000.	48800.	0.	0.	0.
2849	GLOBAL	76000.	76000.	48800.	0.	0.	0.
2850	GLOBAL	76000.	76000.	48800.	0.	0.	0.
2851	GLOBAL	76000.	76000.	48800.	0.	0.	0.
2852	GLOBAL	76000.	76000.	78500.	0.	0.	0.
2879	GLOBAL	36500.	36500.	29500.	0.	0.	0.
2880	GLOBAL	36500.	36500.	29500.	0.	0.	0.
2881	GLOBAL	52000.	52000.	35000.	0.	0.	0.
2882	GLOBAL	52000.	52000.	35000.	0.	0.	0.
2883	GLOBAL	76000.	76000.	48800.	0.	0.	0.
2884	GLOBAL	76000.	76000.	48800.	0.	0.	0.
2885	GLOBAL	76000.	76000.	48800.	0.	0.	0.
2886	GLOBAL	76000.	76000.	48800.	0.	0.	0.
2887	GLOBAL	76000.	76000.	48800.	0.	0.	0.
2888	GLOBAL	76000.	76000.	48800.	0.	0.	0.
2889	GLOBAL	76000.	76000.	48800.	0.	0.	0.

Table: Joint Spring Assignments 1 - Uncoupled

Joint	CoordSys	U1	U2	U3	R1	R2	R3
		KN/m	KN/m	KN/m	KN-m/rad	KN-m/rad	KN-m/rad
2890	GLOBAL	76000.	76000.	48800.	0.	0.	0.
2891	GLOBAL	76000.	76000.	48800.	0.	0.	0.
2892	GLOBAL	76000.	76000.	48800.	0.	0.	0.
2893	GLOBAL	76000.	76000.	48800.	0.	0.	0.
2894	GLOBAL	76000.	76000.	48800.	0.	0.	0.
2895	GLOBAL	76000.	76000.	48800.	0.	0.	0.
2896	GLOBAL	76000.	76000.	48800.	0.	0.	0.
2897	GLOBAL	76000.	76000.	48800.	0.	0.	0.
2898	GLOBAL	76000.	76000.	48800.	0.	0.	0.
2899	GLOBAL	76000.	76000.	48800.	0.	0.	0.
2900	GLOBAL	76000.	76000.	48800.	0.	0.	0.
2901	GLOBAL	76000.	76000.	48800.	0.	0.	0.
2902	GLOBAL	76000.	76000.	48800.	0.	0.	0.
2903	GLOBAL	76000.	76000.	48800.	0.	0.	0.
2904	GLOBAL	76000.	76000.	78500.	0.	0.	0.
2978	GLOBAL	36500.	36500.	29500.	0.	0.	0.
2979	GLOBAL	36500.	36500.	29500.	0.	0.	0.
2980	GLOBAL	52000.	52000.	35000.	0.	0.	0.
2981	GLOBAL	52000.	52000.	35000.	0.	0.	0.
2982	GLOBAL	76000.	76000.	48800.	0.	0.	0.
2983	GLOBAL	76000.	76000.	48800.	0.	0.	0.
2984	GLOBAL	76000.	76000.	48800.	0.	0.	0.
2985	GLOBAL	76000.	76000.	48800.	0.	0.	0.
2986	GLOBAL	76000.	76000.	48800.	0.	0.	0.
2987	GLOBAL	76000.	76000.	48800.	0.	0.	0.
2988	GLOBAL	76000.	76000.	48800.	0.	0.	0.
2989	GLOBAL	76000.	76000.	48800.	0.	0.	0.
2990	GLOBAL	76000.	76000.	48800.	0.	0.	0.
2991	GLOBAL	76000.	76000.	48800.	0.	0.	0.
2992	GLOBAL	76000.	76000.	48800.	0.	0.	0.
2993	GLOBAL	76000.	76000.	48800.	0.	0.	0.
2994	GLOBAL	76000.	76000.	48800.	0.	0.	0.
2995	GLOBAL	76000.	76000.	48800.	0.	0.	0.
2996	GLOBAL	76000.	76000.	48800.	0.	0.	0.
2997	GLOBAL	76000.	76000.	48800.	0.	0.	0.
2998	GLOBAL	76000.	76000.	48800.	0.	0.	0.
2999	GLOBAL	76000.	76000.	48800.	0.	0.	0.
3000	GLOBAL	76000.	76000.	48800.	0.	0.	0.
3001	GLOBAL	76000.	76000.	48800.	0.	0.	0.
3002	GLOBAL	76000.	76000.	48800.	0.	0.	0.
3003	GLOBAL	76000.	76000.	78500.	0.	0.	0.
3004	GLOBAL	36500.	36500.	29500.	0.	0.	0.
3005	GLOBAL	36500.	36500.	29500.	0.	0.	0.
3006	GLOBAL	52000.	52000.	35000.	0.	0.	0.
3007	GLOBAL	52000.	52000.	35000.	0.	0.	0.
3008	GLOBAL	76000.	76000.	48800.	0.	0.	0.
3009	GLOBAL	76000.	76000.	48800.	0.	0.	0.
3010	GLOBAL	76000.	76000.	48800.	0.	0.	0.
3011	GLOBAL	76000.	76000.	48800.	0.	0.	0.
3012	GLOBAL	76000.	76000.	48800.	0.	0.	0.
3013	GLOBAL	76000.	76000.	48800.	0.	0.	0.
3014	GLOBAL	76000.	76000.	48800.	0.	0.	0.
3015	GLOBAL	76000.	76000.	48800.	0.	0.	0.
3016	GLOBAL	76000.	76000.	48800.	0.	0.	0.

Table: Joint Spring Assignments 1 - Uncoupled

Joint	CoordSys	U1	U2	U3	R1	R2	R3
		KN/m	KN/m	KN/m	KN-m/rad	KN-m/rad	KN-m/rad
3017	GLOBAL	76000.	76000.	48800.	0.	0.	0.
3018	GLOBAL	76000.	76000.	48800.	0.	0.	0.
3019	GLOBAL	76000.	76000.	48800.	0.	0.	0.
3020	GLOBAL	76000.	76000.	48800.	0.	0.	0.
3021	GLOBAL	76000.	76000.	48800.	0.	0.	0.
3022	GLOBAL	76000.	76000.	48800.	0.	0.	0.
3023	GLOBAL	76000.	76000.	48800.	0.	0.	0.
3024	GLOBAL	76000.	76000.	48800.	0.	0.	0.
3025	GLOBAL	76000.	76000.	48800.	0.	0.	0.
3026	GLOBAL	76000.	76000.	48800.	0.	0.	0.
3027	GLOBAL	76000.	76000.	48800.	0.	0.	0.
3134	GLOBAL	36500.	36500.	29500.	0.	0.	0.
3135	GLOBAL	36500.	36500.	29500.	0.	0.	0.
3136	GLOBAL	52000.	52000.	35000.	0.	0.	0.
3137	GLOBAL	52000.	52000.	35000.	0.	0.	0.
3138	GLOBAL	76000.	76000.	48800.	0.	0.	0.
3139	GLOBAL	76000.	76000.	48800.	0.	0.	0.
3140	GLOBAL	76000.	76000.	48800.	0.	0.	0.
3141	GLOBAL	76000.	76000.	48800.	0.	0.	0.
3142	GLOBAL	76000.	76000.	48800.	0.	0.	0.
3143	GLOBAL	76000.	76000.	48800.	0.	0.	0.
3144	GLOBAL	76000.	76000.	48800.	0.	0.	0.
3145	GLOBAL	76000.	76000.	48800.	0.	0.	0.
3146	GLOBAL	76000.	76000.	48800.	0.	0.	0.
3147	GLOBAL	76000.	76000.	48800.	0.	0.	0.
3148	GLOBAL	76000.	76000.	48800.	0.	0.	0.
3149	GLOBAL	76000.	76000.	48800.	0.	0.	0.
3150	GLOBAL	76000.	76000.	48800.	0.	0.	0.
3151	GLOBAL	76000.	76000.	48800.	0.	0.	0.
3152	GLOBAL	76000.	76000.	48800.	0.	0.	0.
3153	GLOBAL	76000.	76000.	48800.	0.	0.	0.
3154	GLOBAL	76000.	76000.	48800.	0.	0.	0.
3155	GLOBAL	76000.	76000.	48800.	0.	0.	0.
3156	GLOBAL	76000.	76000.	48800.	0.	0.	0.
3157	GLOBAL	76000.	76000.	48800.	0.	0.	0.
3158	GLOBAL	76000.	76000.	48800.	0.	0.	0.
3159	GLOBAL	76000.	76000.	78500.	0.	0.	0.
3160	GLOBAL	36500.	36500.	29500.	0.	0.	0.
3161	GLOBAL	36500.	36500.	29500.	0.	0.	0.
3162	GLOBAL	52000.	52000.	35000.	0.	0.	0.
3163	GLOBAL	52000.	52000.	35000.	0.	0.	0.
3164	GLOBAL	76000.	76000.	48800.	0.	0.	0.
3165	GLOBAL	76000.	76000.	48800.	0.	0.	0.
3166	GLOBAL	76000.	76000.	48800.	0.	0.	0.
3167	GLOBAL	76000.	76000.	48800.	0.	0.	0.
3168	GLOBAL	76000.	76000.	48800.	0.	0.	0.
3169	GLOBAL	76000.	76000.	48800.	0.	0.	0.
3170	GLOBAL	76000.	76000.	48800.	0.	0.	0.
3171	GLOBAL	76000.	76000.	48800.	0.	0.	0.
3172	GLOBAL	76000.	76000.	48800.	0.	0.	0.
3173	GLOBAL	76000.	76000.	48800.	0.	0.	0.
3174	GLOBAL	76000.	76000.	48800.	0.	0.	0.
3175	GLOBAL	76000.	76000.	48800.	0.	0.	0.
3176	GLOBAL	76000.	76000.	48800.	0.	0.	0.

Table: Joint Spring Assignments 1 - Uncoupled

Joint	CoordSys	U1	U2	U3	R1	R2	R3
		KN/m	KN/m	KN/m	KN-m/rad	KN-m/rad	KN-m/rad
3177	GLOBAL	76000.	76000.	48800.	0.	0.	0.
3178	GLOBAL	76000.	76000.	48800.	0.	0.	0.
3179	GLOBAL	76000.	76000.	48800.	0.	0.	0.
3180	GLOBAL	76000.	76000.	48800.	0.	0.	0.
3181	GLOBAL	76000.	76000.	48800.	0.	0.	0.
3182	GLOBAL	76000.	76000.	48800.	0.	0.	0.
3183	GLOBAL	76000.	76000.	48800.	0.	0.	0.
3184	GLOBAL	76000.	76000.	48800.	0.	0.	0.
3185	GLOBAL	76000.	76000.	78500.	0.	0.	0.
3186	GLOBAL	36500.	36500.	29500.	0.	0.	0.
3187	GLOBAL	36500.	36500.	29500.	0.	0.	0.
3188	GLOBAL	52000.	52000.	35000.	0.	0.	0.
3189	GLOBAL	52000.	52000.	35000.	0.	0.	0.
3190	GLOBAL	76000.	76000.	48800.	0.	0.	0.
3191	GLOBAL	76000.	76000.	48800.	0.	0.	0.
3192	GLOBAL	76000.	76000.	48800.	0.	0.	0.
3193	GLOBAL	76000.	76000.	48800.	0.	0.	0.
3194	GLOBAL	76000.	76000.	48800.	0.	0.	0.
3195	GLOBAL	76000.	76000.	48800.	0.	0.	0.
3196	GLOBAL	76000.	76000.	48800.	0.	0.	0.
3197	GLOBAL	76000.	76000.	48800.	0.	0.	0.
3198	GLOBAL	76000.	76000.	48800.	0.	0.	0.
3199	GLOBAL	76000.	76000.	48800.	0.	0.	0.
3200	GLOBAL	76000.	76000.	48800.	0.	0.	0.
3201	GLOBAL	76000.	76000.	48800.	0.	0.	0.
3202	GLOBAL	76000.	76000.	48800.	0.	0.	0.
3203	GLOBAL	76000.	76000.	48800.	0.	0.	0.
3204	GLOBAL	76000.	76000.	48800.	0.	0.	0.
3205	GLOBAL	76000.	76000.	48800.	0.	0.	0.
3206	GLOBAL	76000.	76000.	48800.	0.	0.	0.
3207	GLOBAL	76000.	76000.	48800.	0.	0.	0.
3208	GLOBAL	76000.	76000.	48800.	0.	0.	0.
3209	GLOBAL	76000.	76000.	48800.	0.	0.	0.
3210	GLOBAL	76000.	76000.	48800.	0.	0.	0.
3211	GLOBAL	76000.	76000.	78500.	0.	0.	0.
3212	GLOBAL	36500.	36500.	29500.	0.	0.	0.
3213	GLOBAL	36500.	36500.	29500.	0.	0.	0.
3214	GLOBAL	52000.	52000.	35000.	0.	0.	0.
3215	GLOBAL	52000.	52000.	35000.	0.	0.	0.
3216	GLOBAL	76000.	76000.	48800.	0.	0.	0.
3217	GLOBAL	76000.	76000.	48800.	0.	0.	0.
3218	GLOBAL	76000.	76000.	48800.	0.	0.	0.
3219	GLOBAL	76000.	76000.	48800.	0.	0.	0.
3220	GLOBAL	76000.	76000.	48800.	0.	0.	0.
3221	GLOBAL	76000.	76000.	48800.	0.	0.	0.
3222	GLOBAL	76000.	76000.	48800.	0.	0.	0.
3223	GLOBAL	76000.	76000.	48800.	0.	0.	0.
3224	GLOBAL	76000.	76000.	48800.	0.	0.	0.
3225	GLOBAL	76000.	76000.	48800.	0.	0.	0.
3226	GLOBAL	76000.	76000.	48800.	0.	0.	0.
3227	GLOBAL	76000.	76000.	48800.	0.	0.	0.
3228	GLOBAL	76000.	76000.	48800.	0.	0.	0.
3229	GLOBAL	76000.	76000.	48800.	0.	0.	0.
3230	GLOBAL	76000.	76000.	48800.	0.	0.	0.

Table: Joint Spring Assignments 1 - Uncoupled

Joint	CoordSys	U1	U2	U3	R1	R2	R3
		KN/m	KN/m	KN/m	KN-m/rad	KN-m/rad	KN-m/rad
3231	GLOBAL	76000.	76000.	48800.	0.	0.	0.
3232	GLOBAL	76000.	76000.	48800.	0.	0.	0.
3233	GLOBAL	76000.	76000.	48800.	0.	0.	0.
3234	GLOBAL	76000.	76000.	48800.	0.	0.	0.
3235	GLOBAL	76000.	76000.	48800.	0.	0.	0.
3236	GLOBAL	76000.	76000.	48800.	0.	0.	0.
3237	GLOBAL	76000.	76000.	78500.	0.	0.	0.
3238	GLOBAL	36500.	36500.	29500.	0.	0.	0.
3239	GLOBAL	36500.	36500.	29500.	0.	0.	0.
3240	GLOBAL	52000.	52000.	35000.	0.	0.	0.
3241	GLOBAL	52000.	52000.	35000.	0.	0.	0.
3242	GLOBAL	76000.	76000.	48800.	0.	0.	0.
3243	GLOBAL	76000.	76000.	48800.	0.	0.	0.
3244	GLOBAL	76000.	76000.	48800.	0.	0.	0.
3245	GLOBAL	76000.	76000.	48800.	0.	0.	0.
3246	GLOBAL	76000.	76000.	48800.	0.	0.	0.
3247	GLOBAL	76000.	76000.	48800.	0.	0.	0.
3248	GLOBAL	76000.	76000.	48800.	0.	0.	0.
3249	GLOBAL	76000.	76000.	48800.	0.	0.	0.
3250	GLOBAL	76000.	76000.	48800.	0.	0.	0.
3251	GLOBAL	76000.	76000.	48800.	0.	0.	0.
3252	GLOBAL	76000.	76000.	48800.	0.	0.	0.
3253	GLOBAL	76000.	76000.	48800.	0.	0.	0.
3254	GLOBAL	76000.	76000.	48800.	0.	0.	0.
3255	GLOBAL	76000.	76000.	48800.	0.	0.	0.
3256	GLOBAL	76000.	76000.	48800.	0.	0.	0.
3257	GLOBAL	76000.	76000.	48800.	0.	0.	0.
3258	GLOBAL	76000.	76000.	48800.	0.	0.	0.
3259	GLOBAL	76000.	76000.	48800.	0.	0.	0.
3260	GLOBAL	76000.	76000.	48800.	0.	0.	0.
3261	GLOBAL	76000.	76000.	48800.	0.	0.	0.
3262	GLOBAL	76000.	76000.	48800.	0.	0.	0.
3263	GLOBAL	76000.	76000.	78500.	0.	0.	0.
3264	GLOBAL	36500.	36500.	29500.	0.	0.	0.
3265	GLOBAL	36500.	36500.	29500.	0.	0.	0.
3266	GLOBAL	52000.	52000.	35000.	0.	0.	0.
3267	GLOBAL	52000.	52000.	35000.	0.	0.	0.
3268	GLOBAL	76000.	76000.	48800.	0.	0.	0.
3269	GLOBAL	76000.	76000.	48800.	0.	0.	0.
3270	GLOBAL	76000.	76000.	48800.	0.	0.	0.
3271	GLOBAL	76000.	76000.	48800.	0.	0.	0.
3272	GLOBAL	76000.	76000.	48800.	0.	0.	0.
3273	GLOBAL	76000.	76000.	48800.	0.	0.	0.
3274	GLOBAL	76000.	76000.	48800.	0.	0.	0.
3275	GLOBAL	76000.	76000.	48800.	0.	0.	0.
3276	GLOBAL	76000.	76000.	48800.	0.	0.	0.
3277	GLOBAL	76000.	76000.	48800.	0.	0.	0.
3278	GLOBAL	76000.	76000.	48800.	0.	0.	0.
3279	GLOBAL	76000.	76000.	48800.	0.	0.	0.
3280	GLOBAL	76000.	76000.	48800.	0.	0.	0.
3281	GLOBAL	76000.	76000.	48800.	0.	0.	0.
3282	GLOBAL	76000.	76000.	48800.	0.	0.	0.
3283	GLOBAL	76000.	76000.	48800.	0.	0.	0.
3284	GLOBAL	76000.	76000.	48800.	0.	0.	0.

Table: Joint Spring Assignments 1 - Uncoupled

Joint	CoordSys	U1	U2	U3	R1	R2	R3
		KN/m	KN/m	KN/m	KN-m/rad	KN-m/rad	KN-m/rad
3285	GLOBAL	76000.	76000.	48800.	0.	0.	0.
3286	GLOBAL	76000.	76000.	48800.	0.	0.	0.
3287	GLOBAL	76000.	76000.	48800.	0.	0.	0.
3288	GLOBAL	76000.	76000.	48800.	0.	0.	0.
3289	GLOBAL	76000.	76000.	78500.	0.	0.	0.
3290	GLOBAL	36500.	36500.	29500.	0.	0.	0.
3291	GLOBAL	36500.	36500.	29500.	0.	0.	0.
3292	GLOBAL	52000.	52000.	35000.	0.	0.	0.
3293	GLOBAL	52000.	52000.	35000.	0.	0.	0.
3294	GLOBAL	76000.	76000.	48800.	0.	0.	0.
3295	GLOBAL	76000.	76000.	48800.	0.	0.	0.
3296	GLOBAL	76000.	76000.	48800.	0.	0.	0.
3297	GLOBAL	76000.	76000.	48800.	0.	0.	0.
3298	GLOBAL	76000.	76000.	48800.	0.	0.	0.
3299	GLOBAL	76000.	76000.	48800.	0.	0.	0.
3300	GLOBAL	76000.	76000.	48800.	0.	0.	0.
3301	GLOBAL	76000.	76000.	48800.	0.	0.	0.
3302	GLOBAL	76000.	76000.	48800.	0.	0.	0.
3303	GLOBAL	76000.	76000.	48800.	0.	0.	0.
3304	GLOBAL	76000.	76000.	48800.	0.	0.	0.
3305	GLOBAL	76000.	76000.	48800.	0.	0.	0.
3306	GLOBAL	76000.	76000.	48800.	0.	0.	0.
3307	GLOBAL	76000.	76000.	48800.	0.	0.	0.
3308	GLOBAL	76000.	76000.	48800.	0.	0.	0.
3309	GLOBAL	76000.	76000.	48800.	0.	0.	0.
3310	GLOBAL	76000.	76000.	48800.	0.	0.	0.
3311	GLOBAL	76000.	76000.	48800.	0.	0.	0.
3312	GLOBAL	76000.	76000.	48800.	0.	0.	0.
3313	GLOBAL	76000.	76000.	48800.	0.	0.	0.
3314	GLOBAL	76000.	76000.	48800.	0.	0.	0.
3315	GLOBAL	76000.	76000.	78500.	0.	0.	0.
3316	GLOBAL	36500.	36500.	29500.	0.	0.	0.
3317	GLOBAL	36500.	36500.	29500.	0.	0.	0.
3318	GLOBAL	52000.	52000.	35000.	0.	0.	0.
3319	GLOBAL	52000.	52000.	35000.	0.	0.	0.
3320	GLOBAL	76000.	76000.	48800.	0.	0.	0.
3321	GLOBAL	76000.	76000.	48800.	0.	0.	0.
3322	GLOBAL	76000.	76000.	48800.	0.	0.	0.
3323	GLOBAL	76000.	76000.	48800.	0.	0.	0.
3324	GLOBAL	76000.	76000.	48800.	0.	0.	0.
3325	GLOBAL	76000.	76000.	48800.	0.	0.	0.
3326	GLOBAL	76000.	76000.	48800.	0.	0.	0.
3327	GLOBAL	76000.	76000.	48800.	0.	0.	0.
3328	GLOBAL	76000.	76000.	48800.	0.	0.	0.
3329	GLOBAL	76000.	76000.	48800.	0.	0.	0.
3330	GLOBAL	76000.	76000.	48800.	0.	0.	0.
3331	GLOBAL	76000.	76000.	48800.	0.	0.	0.
3332	GLOBAL	76000.	76000.	48800.	0.	0.	0.
3333	GLOBAL	76000.	76000.	48800.	0.	0.	0.
3334	GLOBAL	76000.	76000.	48800.	0.	0.	0.
3335	GLOBAL	76000.	76000.	48800.	0.	0.	0.
3336	GLOBAL	76000.	76000.	48800.	0.	0.	0.
3337	GLOBAL	76000.	76000.	48800.	0.	0.	0.
3338	GLOBAL	76000.	76000.	48800.	0.	0.	0.

Table: Joint Spring Assignments 1 - Uncoupled

Joint	CoordSys	U1	U2	U3	R1	R2	R3
		KN/m	KN/m	KN/m	KN-m/rad	KN-m/rad	KN-m/rad
3339	GLOBAL	76000.	76000.	48800.	0.	0.	0.
3340	GLOBAL	76000.	76000.	48800.	0.	0.	0.
3341	GLOBAL	76000.	76000.	78500.	0.	0.	0.
3342	GLOBAL	36500.	36500.	29500.	0.	0.	0.
3343	GLOBAL	36500.	36500.	29500.	0.	0.	0.
3344	GLOBAL	52000.	52000.	35000.	0.	0.	0.
3345	GLOBAL	52000.	52000.	35000.	0.	0.	0.
3346	GLOBAL	76000.	76000.	48800.	0.	0.	0.
3347	GLOBAL	76000.	76000.	48800.	0.	0.	0.
3348	GLOBAL	76000.	76000.	48800.	0.	0.	0.
3349	GLOBAL	76000.	76000.	48800.	0.	0.	0.
3350	GLOBAL	76000.	76000.	48800.	0.	0.	0.
3351	GLOBAL	76000.	76000.	48800.	0.	0.	0.
3352	GLOBAL	76000.	76000.	48800.	0.	0.	0.
3353	GLOBAL	76000.	76000.	48800.	0.	0.	0.
3354	GLOBAL	76000.	76000.	48800.	0.	0.	0.
3355	GLOBAL	76000.	76000.	48800.	0.	0.	0.
3356	GLOBAL	76000.	76000.	48800.	0.	0.	0.
3357	GLOBAL	76000.	76000.	48800.	0.	0.	0.
3358	GLOBAL	76000.	76000.	48800.	0.	0.	0.
3359	GLOBAL	76000.	76000.	48800.	0.	0.	0.
3360	GLOBAL	76000.	76000.	48800.	0.	0.	0.
3361	GLOBAL	76000.	76000.	48800.	0.	0.	0.
3362	GLOBAL	76000.	76000.	48800.	0.	0.	0.
3363	GLOBAL	76000.	76000.	48800.	0.	0.	0.
3364	GLOBAL	76000.	76000.	48800.	0.	0.	0.
3365	GLOBAL	76000.	76000.	48800.	0.	0.	0.
3366	GLOBAL	76000.	76000.	48800.	0.	0.	0.
3367	GLOBAL	76000.	76000.	78500.	0.	0.	0.
3368	GLOBAL	36500.	36500.	29500.	0.	0.	0.
3369	GLOBAL	36500.	36500.	29500.	0.	0.	0.
3370	GLOBAL	52000.	52000.	35000.	0.	0.	0.
3371	GLOBAL	52000.	52000.	35000.	0.	0.	0.
3372	GLOBAL	76000.	76000.	48800.	0.	0.	0.
3373	GLOBAL	76000.	76000.	48800.	0.	0.	0.
3374	GLOBAL	76000.	76000.	48800.	0.	0.	0.
3375	GLOBAL	76000.	76000.	48800.	0.	0.	0.
3376	GLOBAL	76000.	76000.	48800.	0.	0.	0.
3377	GLOBAL	76000.	76000.	48800.	0.	0.	0.
3378	GLOBAL	76000.	76000.	48800.	0.	0.	0.
3379	GLOBAL	76000.	76000.	48800.	0.	0.	0.
3380	GLOBAL	76000.	76000.	48800.	0.	0.	0.
3381	GLOBAL	76000.	76000.	48800.	0.	0.	0.
3382	GLOBAL	76000.	76000.	48800.	0.	0.	0.
3383	GLOBAL	76000.	76000.	48800.	0.	0.	0.
3384	GLOBAL	76000.	76000.	48800.	0.	0.	0.
3385	GLOBAL	76000.	76000.	48800.	0.	0.	0.
3386	GLOBAL	76000.	76000.	48800.	0.	0.	0.
3387	GLOBAL	76000.	76000.	48800.	0.	0.	0.
3388	GLOBAL	76000.	76000.	48800.	0.	0.	0.
3389	GLOBAL	76000.	76000.	48800.	0.	0.	0.
3390	GLOBAL	76000.	76000.	48800.	0.	0.	0.
3391	GLOBAL	76000.	76000.	48800.	0.	0.	0.
3392	GLOBAL	76000.	76000.	48800.	0.	0.	0.

Table: Joint Spring Assignments 1 - Uncoupled

Joint	CoordSys	U1	U2	U3	R1	R2	R3
		KN/m	KN/m	KN/m	KN-m/rad	KN-m/rad	KN-m/rad
3393	GLOBAL	76000.	76000.	78500.	0.	0.	0.
3394	GLOBAL	36500.	36500.	29500.	0.	0.	0.
3395	GLOBAL	36500.	36500.	29500.	0.	0.	0.
3396	GLOBAL	52000.	52000.	35000.	0.	0.	0.
3397	GLOBAL	52000.	52000.	35000.	0.	0.	0.
3398	GLOBAL	76000.	76000.	48800.	0.	0.	0.
3399	GLOBAL	76000.	76000.	48800.	0.	0.	0.
3400	GLOBAL	76000.	76000.	48800.	0.	0.	0.
3401	GLOBAL	76000.	76000.	48800.	0.	0.	0.
3402	GLOBAL	76000.	76000.	48800.	0.	0.	0.
3403	GLOBAL	76000.	76000.	48800.	0.	0.	0.
3404	GLOBAL	76000.	76000.	48800.	0.	0.	0.
3405	GLOBAL	76000.	76000.	48800.	0.	0.	0.
3406	GLOBAL	76000.	76000.	48800.	0.	0.	0.
3407	GLOBAL	76000.	76000.	48800.	0.	0.	0.
3408	GLOBAL	76000.	76000.	48800.	0.	0.	0.
3409	GLOBAL	76000.	76000.	48800.	0.	0.	0.
3410	GLOBAL	76000.	76000.	48800.	0.	0.	0.
3411	GLOBAL	76000.	76000.	48800.	0.	0.	0.
3412	GLOBAL	76000.	76000.	48800.	0.	0.	0.
3413	GLOBAL	76000.	76000.	48800.	0.	0.	0.
3414	GLOBAL	76000.	76000.	48800.	0.	0.	0.
3415	GLOBAL	76000.	76000.	48800.	0.	0.	0.
3416	GLOBAL	76000.	76000.	48800.	0.	0.	0.
3417	GLOBAL	76000.	76000.	48800.	0.	0.	0.
3418	GLOBAL	76000.	76000.	48800.	0.	0.	0.
3419	GLOBAL	76000.	76000.	78500.	0.	0.	0.
3447	GLOBAL	36500.	36500.	29500.	0.	0.	0.
3448	GLOBAL	36500.	36500.	29500.	0.	0.	0.
3449	GLOBAL	52000.	52000.	35000.	0.	0.	0.
3450	GLOBAL	52000.	52000.	35000.	0.	0.	0.
3451	GLOBAL	76000.	76000.	48800.	0.	0.	0.
3452	GLOBAL	76000.	76000.	48800.	0.	0.	0.
3453	GLOBAL	76000.	76000.	48800.	0.	0.	0.
3454	GLOBAL	76000.	76000.	48800.	0.	0.	0.
3455	GLOBAL	76000.	76000.	48800.	0.	0.	0.
3456	GLOBAL	76000.	76000.	48800.	0.	0.	0.
3457	GLOBAL	76000.	76000.	48800.	0.	0.	0.
3458	GLOBAL	76000.	76000.	48800.	0.	0.	0.
3459	GLOBAL	76000.	76000.	48800.	0.	0.	0.
3460	GLOBAL	76000.	76000.	48800.	0.	0.	0.
3461	GLOBAL	76000.	76000.	48800.	0.	0.	0.
3462	GLOBAL	76000.	76000.	48800.	0.	0.	0.
3463	GLOBAL	76000.	76000.	48800.	0.	0.	0.
3464	GLOBAL	76000.	76000.	48800.	0.	0.	0.
3465	GLOBAL	76000.	76000.	48800.	0.	0.	0.
3466	GLOBAL	76000.	76000.	48800.	0.	0.	0.
3467	GLOBAL	76000.	76000.	48800.	0.	0.	0.
3468	GLOBAL	76000.	76000.	48800.	0.	0.	0.
3469	GLOBAL	76000.	76000.	48800.	0.	0.	0.
3470	GLOBAL	76000.	76000.	48800.	0.	0.	0.
3471	GLOBAL	76000.	76000.	48800.	0.	0.	0.
3472	GLOBAL	76000.	76000.	78500.	0.	0.	0.
7152	GLOBAL	36500.	36500.	29500.	0.	0.	0.

Table: Joint Spring Assignments 1 - Uncoupled

Joint	CoordSys	U1	U2	U3	R1	R2	R3
		KN/m	KN/m	KN/m	KN-m/rad	KN-m/rad	KN-m/rad
7153	GLOBAL	36500.	36500.	29500.	0.	0.	0.
7154	GLOBAL	52000.	52000.	35000.	0.	0.	0.
7155	GLOBAL	52000.	52000.	35000.	0.	0.	0.
7156	GLOBAL	76000.	76000.	48800.	0.	0.	0.
7157	GLOBAL	76000.	76000.	48800.	0.	0.	0.
7158	GLOBAL	76000.	76000.	48800.	0.	0.	0.
7159	GLOBAL	76000.	76000.	48800.	0.	0.	0.
7160	GLOBAL	76000.	76000.	48800.	0.	0.	0.
7161	GLOBAL	76000.	76000.	48800.	0.	0.	0.
7162	GLOBAL	76000.	76000.	48800.	0.	0.	0.
7163	GLOBAL	76000.	76000.	48800.	0.	0.	0.
7164	GLOBAL	76000.	76000.	48800.	0.	0.	0.
7165	GLOBAL	76000.	76000.	48800.	0.	0.	0.
7166	GLOBAL	76000.	76000.	48800.	0.	0.	0.
7167	GLOBAL	76000.	76000.	48800.	0.	0.	0.
7168	GLOBAL	76000.	76000.	48800.	0.	0.	0.
7169	GLOBAL	76000.	76000.	48800.	0.	0.	0.
7170	GLOBAL	76000.	76000.	48800.	0.	0.	0.
7171	GLOBAL	76000.	76000.	48800.	0.	0.	0.
7172	GLOBAL	76000.	76000.	48800.	0.	0.	0.
7173	GLOBAL	76000.	76000.	48800.	0.	0.	0.
7174	GLOBAL	76000.	76000.	48800.	0.	0.	0.
7175	GLOBAL	76000.	76000.	48800.	0.	0.	0.
7176	GLOBAL	76000.	76000.	48800.	0.	0.	0.
7177	GLOBAL	76000.	76000.	78500.	0.	0.	0.
7178	GLOBAL	36500.	36500.	29500.	0.	0.	0.
7179	GLOBAL	36500.	36500.	29500.	0.	0.	0.
7180	GLOBAL	52000.	52000.	35000.	0.	0.	0.
7181	GLOBAL	52000.	52000.	35000.	0.	0.	0.
7182	GLOBAL	76000.	76000.	48800.	0.	0.	0.
7183	GLOBAL	76000.	76000.	48800.	0.	0.	0.
7184	GLOBAL	76000.	76000.	48800.	0.	0.	0.
7185	GLOBAL	76000.	76000.	48800.	0.	0.	0.
7186	GLOBAL	76000.	76000.	48800.	0.	0.	0.
7187	GLOBAL	76000.	76000.	48800.	0.	0.	0.
7188	GLOBAL	76000.	76000.	48800.	0.	0.	0.
7189	GLOBAL	76000.	76000.	48800.	0.	0.	0.
7190	GLOBAL	76000.	76000.	48800.	0.	0.	0.
7191	GLOBAL	76000.	76000.	48800.	0.	0.	0.
7192	GLOBAL	76000.	76000.	48800.	0.	0.	0.
7193	GLOBAL	76000.	76000.	48800.	0.	0.	0.
7194	GLOBAL	76000.	76000.	48800.	0.	0.	0.
7195	GLOBAL	76000.	76000.	48800.	0.	0.	0.
7196	GLOBAL	76000.	76000.	48800.	0.	0.	0.
7197	GLOBAL	76000.	76000.	48800.	0.	0.	0.
7198	GLOBAL	76000.	76000.	48800.	0.	0.	0.
7199	GLOBAL	76000.	76000.	48800.	0.	0.	0.
7200	GLOBAL	76000.	76000.	48800.	0.	0.	0.
7201	GLOBAL	76000.	76000.	48800.	0.	0.	0.
7202	GLOBAL	76000.	76000.	48800.	0.	0.	0.
7203	GLOBAL	76000.	76000.	78500.	0.	0.	0.
7204	GLOBAL	36500.	36500.	29500.	0.	0.	0.
7205	GLOBAL	36500.	36500.	29500.	0.	0.	0.
7206	GLOBAL	52000.	52000.	35000.	0.	0.	0.

Table: Joint Spring Assignments 1 - Uncoupled

Joint	CoordSys	U1	U2	U3	R1	R2	R3
		KN/m	KN/m	KN/m	KN-m/rad	KN-m/rad	KN-m/rad
7207	GLOBAL	52000.	52000.	35000.	0.	0.	0.
7208	GLOBAL	76000.	76000.	48800.	0.	0.	0.
7209	GLOBAL	76000.	76000.	48800.	0.	0.	0.
7210	GLOBAL	76000.	76000.	48800.	0.	0.	0.
7211	GLOBAL	76000.	76000.	48800.	0.	0.	0.
7212	GLOBAL	76000.	76000.	48800.	0.	0.	0.
7213	GLOBAL	76000.	76000.	48800.	0.	0.	0.
7214	GLOBAL	76000.	76000.	48800.	0.	0.	0.
7215	GLOBAL	76000.	76000.	48800.	0.	0.	0.
7216	GLOBAL	76000.	76000.	48800.	0.	0.	0.
7217	GLOBAL	76000.	76000.	48800.	0.	0.	0.
7218	GLOBAL	76000.	76000.	48800.	0.	0.	0.
7219	GLOBAL	76000.	76000.	48800.	0.	0.	0.
7220	GLOBAL	76000.	76000.	48800.	0.	0.	0.
7221	GLOBAL	76000.	76000.	48800.	0.	0.	0.
7222	GLOBAL	76000.	76000.	48800.	0.	0.	0.
7223	GLOBAL	76000.	76000.	48800.	0.	0.	0.
7224	GLOBAL	76000.	76000.	48800.	0.	0.	0.
7225	GLOBAL	76000.	76000.	48800.	0.	0.	0.
7226	GLOBAL	76000.	76000.	48800.	0.	0.	0.
7227	GLOBAL	76000.	76000.	48800.	0.	0.	0.
7228	GLOBAL	76000.	76000.	48800.	0.	0.	0.
7229	GLOBAL	76000.	76000.	78500.	0.	0.	0.
7230	GLOBAL	36500.	36500.	29500.	0.	0.	0.
7231	GLOBAL	36500.	36500.	29500.	0.	0.	0.
7232	GLOBAL	52000.	52000.	35000.	0.	0.	0.
7233	GLOBAL	52000.	52000.	35000.	0.	0.	0.
7234	GLOBAL	76000.	76000.	48800.	0.	0.	0.
7235	GLOBAL	76000.	76000.	48800.	0.	0.	0.
7236	GLOBAL	76000.	76000.	48800.	0.	0.	0.
7237	GLOBAL	76000.	76000.	48800.	0.	0.	0.
7238	GLOBAL	76000.	76000.	48800.	0.	0.	0.
7239	GLOBAL	76000.	76000.	48800.	0.	0.	0.
7240	GLOBAL	76000.	76000.	48800.	0.	0.	0.
7241	GLOBAL	76000.	76000.	48800.	0.	0.	0.
7242	GLOBAL	76000.	76000.	48800.	0.	0.	0.
7243	GLOBAL	76000.	76000.	48800.	0.	0.	0.
7244	GLOBAL	76000.	76000.	48800.	0.	0.	0.
7245	GLOBAL	76000.	76000.	48800.	0.	0.	0.
7246	GLOBAL	76000.	76000.	48800.	0.	0.	0.
7247	GLOBAL	76000.	76000.	48800.	0.	0.	0.
7248	GLOBAL	76000.	76000.	48800.	0.	0.	0.
7249	GLOBAL	76000.	76000.	48800.	0.	0.	0.
7250	GLOBAL	76000.	76000.	48800.	0.	0.	0.
7251	GLOBAL	76000.	76000.	48800.	0.	0.	0.
7252	GLOBAL	76000.	76000.	48800.	0.	0.	0.
7253	GLOBAL	76000.	76000.	48800.	0.	0.	0.
7254	GLOBAL	76000.	76000.	48800.	0.	0.	0.
7255	GLOBAL	76000.	76000.	78500.	0.	0.	0.
7256	GLOBAL	36500.	36500.	29500.	0.	0.	0.
7257	GLOBAL	36500.	36500.	29500.	0.	0.	0.
7258	GLOBAL	52000.	52000.	35000.	0.	0.	0.
7259	GLOBAL	52000.	52000.	35000.	0.	0.	0.
7260	GLOBAL	76000.	76000.	48800.	0.	0.	0.

Table: Joint Spring Assignments 1 - Uncoupled

Joint	CoordSys	U1	U2	U3	R1	R2	R3
		KN/m	KN/m	KN/m	KN-m/rad	KN-m/rad	KN-m/rad
7261	GLOBAL	76000.	76000.	48800.	0.	0.	0.
7262	GLOBAL	76000.	76000.	48800.	0.	0.	0.
7263	GLOBAL	76000.	76000.	48800.	0.	0.	0.
7264	GLOBAL	76000.	76000.	48800.	0.	0.	0.
7265	GLOBAL	76000.	76000.	48800.	0.	0.	0.
7266	GLOBAL	76000.	76000.	48800.	0.	0.	0.
7267	GLOBAL	76000.	76000.	48800.	0.	0.	0.
7268	GLOBAL	76000.	76000.	48800.	0.	0.	0.
7269	GLOBAL	76000.	76000.	48800.	0.	0.	0.
7270	GLOBAL	76000.	76000.	48800.	0.	0.	0.
7271	GLOBAL	76000.	76000.	48800.	0.	0.	0.
7272	GLOBAL	76000.	76000.	48800.	0.	0.	0.
7273	GLOBAL	76000.	76000.	48800.	0.	0.	0.
7274	GLOBAL	76000.	76000.	48800.	0.	0.	0.
7275	GLOBAL	76000.	76000.	48800.	0.	0.	0.
7276	GLOBAL	76000.	76000.	48800.	0.	0.	0.
7277	GLOBAL	76000.	76000.	48800.	0.	0.	0.
7278	GLOBAL	76000.	76000.	48800.	0.	0.	0.
7279	GLOBAL	76000.	76000.	48800.	0.	0.	0.
7280	GLOBAL	76000.	76000.	48800.	0.	0.	0.
7281	GLOBAL	76000.	76000.	78500.	0.	0.	0.
7282	GLOBAL	36500.	36500.	29500.	0.	0.	0.
7283	GLOBAL	36500.	36500.	29500.	0.	0.	0.
7284	GLOBAL	52000.	52000.	35000.	0.	0.	0.
7285	GLOBAL	52000.	52000.	35000.	0.	0.	0.
7286	GLOBAL	76000.	76000.	48800.	0.	0.	0.
7287	GLOBAL	76000.	76000.	48800.	0.	0.	0.
7288	GLOBAL	76000.	76000.	48800.	0.	0.	0.
7289	GLOBAL	76000.	76000.	48800.	0.	0.	0.
7290	GLOBAL	76000.	76000.	48800.	0.	0.	0.
7291	GLOBAL	76000.	76000.	48800.	0.	0.	0.
7292	GLOBAL	76000.	76000.	48800.	0.	0.	0.
7293	GLOBAL	76000.	76000.	48800.	0.	0.	0.
7294	GLOBAL	76000.	76000.	48800.	0.	0.	0.
7295	GLOBAL	76000.	76000.	48800.	0.	0.	0.
7296	GLOBAL	76000.	76000.	48800.	0.	0.	0.
7297	GLOBAL	76000.	76000.	48800.	0.	0.	0.
7298	GLOBAL	76000.	76000.	48800.	0.	0.	0.
7299	GLOBAL	76000.	76000.	48800.	0.	0.	0.
7300	GLOBAL	76000.	76000.	48800.	0.	0.	0.
7301	GLOBAL	76000.	76000.	48800.	0.	0.	0.
7302	GLOBAL	76000.	76000.	48800.	0.	0.	0.
7303	GLOBAL	76000.	76000.	48800.	0.	0.	0.
7304	GLOBAL	76000.	76000.	48800.	0.	0.	0.
7305	GLOBAL	76000.	76000.	48800.	0.	0.	0.
7306	GLOBAL	76000.	76000.	48800.	0.	0.	0.
7307	GLOBAL	76000.	76000.	78500.	0.	0.	0.
7308	GLOBAL	36500.	36500.	29500.	0.	0.	0.
7309	GLOBAL	36500.	36500.	29500.	0.	0.	0.
7310	GLOBAL	52000.	52000.	35000.	0.	0.	0.
7311	GLOBAL	52000.	52000.	35000.	0.	0.	0.
7312	GLOBAL	76000.	76000.	48800.	0.	0.	0.
7313	GLOBAL	76000.	76000.	48800.	0.	0.	0.
7314	GLOBAL	76000.	76000.	48800.	0.	0.	0.

Table: Joint Spring Assignments 1 - Uncoupled

Joint	CoordSys	U1	U2	U3	R1	R2	R3
		KN/m	KN/m	KN/m	KN-m/rad	KN-m/rad	KN-m/rad
7315	GLOBAL	76000.	76000.	48800.	0.	0.	0.
7316	GLOBAL	76000.	76000.	48800.	0.	0.	0.
7317	GLOBAL	76000.	76000.	48800.	0.	0.	0.
7318	GLOBAL	76000.	76000.	48800.	0.	0.	0.
7319	GLOBAL	76000.	76000.	48800.	0.	0.	0.
7320	GLOBAL	76000.	76000.	48800.	0.	0.	0.
7321	GLOBAL	76000.	76000.	48800.	0.	0.	0.
7322	GLOBAL	76000.	76000.	48800.	0.	0.	0.
7323	GLOBAL	76000.	76000.	48800.	0.	0.	0.
7324	GLOBAL	76000.	76000.	48800.	0.	0.	0.
7325	GLOBAL	76000.	76000.	48800.	0.	0.	0.
7326	GLOBAL	76000.	76000.	48800.	0.	0.	0.
7327	GLOBAL	76000.	76000.	48800.	0.	0.	0.
7328	GLOBAL	76000.	76000.	48800.	0.	0.	0.
7329	GLOBAL	76000.	76000.	48800.	0.	0.	0.
7330	GLOBAL	76000.	76000.	48800.	0.	0.	0.
7331	GLOBAL	76000.	76000.	48800.	0.	0.	0.
7332	GLOBAL	76000.	76000.	48800.	0.	0.	0.
7333	GLOBAL	76000.	76000.	78500.	0.	0.	0.
7334	GLOBAL	36500.	36500.	29500.	0.	0.	0.
7335	GLOBAL	36500.	36500.	29500.	0.	0.	0.
7336	GLOBAL	52000.	52000.	35000.	0.	0.	0.
7337	GLOBAL	52000.	52000.	35000.	0.	0.	0.
7338	GLOBAL	76000.	76000.	48800.	0.	0.	0.
7339	GLOBAL	76000.	76000.	48800.	0.	0.	0.
7340	GLOBAL	76000.	76000.	48800.	0.	0.	0.
7341	GLOBAL	76000.	76000.	48800.	0.	0.	0.
7342	GLOBAL	76000.	76000.	48800.	0.	0.	0.
7343	GLOBAL	76000.	76000.	48800.	0.	0.	0.
7344	GLOBAL	76000.	76000.	48800.	0.	0.	0.
7345	GLOBAL	76000.	76000.	48800.	0.	0.	0.
7346	GLOBAL	76000.	76000.	48800.	0.	0.	0.
7347	GLOBAL	76000.	76000.	48800.	0.	0.	0.
7348	GLOBAL	76000.	76000.	48800.	0.	0.	0.
7349	GLOBAL	76000.	76000.	48800.	0.	0.	0.
7350	GLOBAL	76000.	76000.	48800.	0.	0.	0.
7351	GLOBAL	76000.	76000.	48800.	0.	0.	0.
7352	GLOBAL	76000.	76000.	48800.	0.	0.	0.
7353	GLOBAL	76000.	76000.	48800.	0.	0.	0.
7354	GLOBAL	76000.	76000.	48800.	0.	0.	0.
7355	GLOBAL	76000.	76000.	48800.	0.	0.	0.
7356	GLOBAL	76000.	76000.	48800.	0.	0.	0.
7357	GLOBAL	76000.	76000.	48800.	0.	0.	0.
7358	GLOBAL	76000.	76000.	48800.	0.	0.	0.
7359	GLOBAL	76000.	76000.	78500.	0.	0.	0.
7378	GLOBAL	36500.	36500.	29500.	0.	0.	0.
7379	GLOBAL	36500.	36500.	29500.	0.	0.	0.
7380	GLOBAL	52000.	52000.	35000.	0.	0.	0.
7381	GLOBAL	52000.	52000.	35000.	0.	0.	0.
7382	GLOBAL	76000.	76000.	48800.	0.	0.	0.
7383	GLOBAL	76000.	76000.	48800.	0.	0.	0.
7384	GLOBAL	76000.	76000.	48800.	0.	0.	0.
7385	GLOBAL	76000.	76000.	48800.	0.	0.	0.
7386	GLOBAL	76000.	76000.	48800.	0.	0.	0.

Table: Joint Spring Assignments 1 - Uncoupled

Joint	CoordSys	U1	U2	U3	R1	R2	R3
		KN/m	KN/m	KN/m	KN-m/rad	KN-m/rad	KN-m/rad
7387	GLOBAL	76000.	76000.	48800.	0.	0.	0.
7388	GLOBAL	76000.	76000.	48800.	0.	0.	0.
7389	GLOBAL	76000.	76000.	48800.	0.	0.	0.
7390	GLOBAL	76000.	76000.	48800.	0.	0.	0.
7391	GLOBAL	76000.	76000.	48800.	0.	0.	0.
7392	GLOBAL	76000.	76000.	48800.	0.	0.	0.
7393	GLOBAL	76000.	76000.	48800.	0.	0.	0.
7394	GLOBAL	76000.	76000.	48800.	0.	0.	0.
7395	GLOBAL	76000.	76000.	48800.	0.	0.	0.
7396	GLOBAL	76000.	76000.	48800.	0.	0.	0.
7397	GLOBAL	76000.	76000.	48800.	0.	0.	0.
7398	GLOBAL	76000.	76000.	48800.	0.	0.	0.
7399	GLOBAL	76000.	76000.	48800.	0.	0.	0.
7400	GLOBAL	76000.	76000.	48800.	0.	0.	0.
7401	GLOBAL	76000.	76000.	48800.	0.	0.	0.
7402	GLOBAL	76000.	76000.	48800.	0.	0.	0.
7403	GLOBAL	76000.	76000.	78500.	0.	0.	0.
7404	GLOBAL	36500.	36500.	29500.	0.	0.	0.
7405	GLOBAL	36500.	36500.	29500.	0.	0.	0.
7406	GLOBAL	52000.	52000.	35000.	0.	0.	0.
7407	GLOBAL	52000.	52000.	35000.	0.	0.	0.
7408	GLOBAL	76000.	76000.	48800.	0.	0.	0.
7409	GLOBAL	76000.	76000.	48800.	0.	0.	0.
7410	GLOBAL	76000.	76000.	48800.	0.	0.	0.
7411	GLOBAL	76000.	76000.	48800.	0.	0.	0.
7412	GLOBAL	76000.	76000.	48800.	0.	0.	0.
7413	GLOBAL	76000.	76000.	48800.	0.	0.	0.
7414	GLOBAL	76000.	76000.	48800.	0.	0.	0.
7415	GLOBAL	76000.	76000.	48800.	0.	0.	0.
7416	GLOBAL	76000.	76000.	48800.	0.	0.	0.
7417	GLOBAL	76000.	76000.	48800.	0.	0.	0.
7418	GLOBAL	76000.	76000.	48800.	0.	0.	0.
7419	GLOBAL	76000.	76000.	48800.	0.	0.	0.
7420	GLOBAL	76000.	76000.	48800.	0.	0.	0.
7421	GLOBAL	76000.	76000.	48800.	0.	0.	0.
7422	GLOBAL	76000.	76000.	48800.	0.	0.	0.
7423	GLOBAL	76000.	76000.	48800.	0.	0.	0.
7424	GLOBAL	76000.	76000.	48800.	0.	0.	0.
7425	GLOBAL	76000.	76000.	48800.	0.	0.	0.
7426	GLOBAL	76000.	76000.	48800.	0.	0.	0.
7427	GLOBAL	76000.	76000.	48800.	0.	0.	0.
7428	GLOBAL	76000.	76000.	48800.	0.	0.	0.
7429	GLOBAL	76000.	76000.	78500.	0.	0.	0.
7430	GLOBAL	36500.	36500.	29500.	0.	0.	0.
7431	GLOBAL	36500.	36500.	29500.	0.	0.	0.
7432	GLOBAL	52000.	52000.	35000.	0.	0.	0.
7433	GLOBAL	52000.	52000.	35000.	0.	0.	0.
7434	GLOBAL	76000.	76000.	48800.	0.	0.	0.
7435	GLOBAL	76000.	76000.	48800.	0.	0.	0.
7436	GLOBAL	76000.	76000.	48800.	0.	0.	0.
7437	GLOBAL	76000.	76000.	48800.	0.	0.	0.
7438	GLOBAL	76000.	76000.	48800.	0.	0.	0.
7439	GLOBAL	76000.	76000.	48800.	0.	0.	0.
7440	GLOBAL	76000.	76000.	48800.	0.	0.	0.

Table: Joint Spring Assignments 1 - Uncoupled

Joint	CoordSys	U1	U2	U3	R1	R2	R3
		KN/m	KN/m	KN/m	KN-m/rad	KN-m/rad	KN-m/rad
7441	GLOBAL	76000.	76000.	48800.	0.	0.	0.
7442	GLOBAL	76000.	76000.	48800.	0.	0.	0.
7443	GLOBAL	76000.	76000.	48800.	0.	0.	0.
7444	GLOBAL	76000.	76000.	48800.	0.	0.	0.
7445	GLOBAL	76000.	76000.	48800.	0.	0.	0.
7446	GLOBAL	76000.	76000.	48800.	0.	0.	0.
7447	GLOBAL	76000.	76000.	48800.	0.	0.	0.
7448	GLOBAL	76000.	76000.	48800.	0.	0.	0.
7449	GLOBAL	76000.	76000.	48800.	0.	0.	0.
7450	GLOBAL	76000.	76000.	48800.	0.	0.	0.
7451	GLOBAL	76000.	76000.	48800.	0.	0.	0.
7452	GLOBAL	76000.	76000.	48800.	0.	0.	0.
7453	GLOBAL	76000.	76000.	48800.	0.	0.	0.
7454	GLOBAL	76000.	76000.	48800.	0.	0.	0.
7455	GLOBAL	76000.	76000.	78500.	0.	0.	0.
7456	GLOBAL	36500.	36500.	29500.	0.	0.	0.
7457	GLOBAL	36500.	36500.	29500.	0.	0.	0.
7458	GLOBAL	52000.	52000.	35000.	0.	0.	0.
7459	GLOBAL	52000.	52000.	35000.	0.	0.	0.
7460	GLOBAL	76000.	76000.	48800.	0.	0.	0.
7461	GLOBAL	76000.	76000.	48800.	0.	0.	0.
7462	GLOBAL	76000.	76000.	48800.	0.	0.	0.
7463	GLOBAL	76000.	76000.	48800.	0.	0.	0.
7464	GLOBAL	76000.	76000.	48800.	0.	0.	0.
7465	GLOBAL	76000.	76000.	48800.	0.	0.	0.
7466	GLOBAL	76000.	76000.	48800.	0.	0.	0.
7467	GLOBAL	76000.	76000.	48800.	0.	0.	0.
7468	GLOBAL	76000.	76000.	48800.	0.	0.	0.
7469	GLOBAL	76000.	76000.	48800.	0.	0.	0.
7470	GLOBAL	76000.	76000.	48800.	0.	0.	0.
7471	GLOBAL	76000.	76000.	48800.	0.	0.	0.
7472	GLOBAL	76000.	76000.	48800.	0.	0.	0.
7473	GLOBAL	76000.	76000.	48800.	0.	0.	0.
7474	GLOBAL	76000.	76000.	48800.	0.	0.	0.
7475	GLOBAL	76000.	76000.	48800.	0.	0.	0.
7476	GLOBAL	76000.	76000.	48800.	0.	0.	0.
7477	GLOBAL	76000.	76000.	48800.	0.	0.	0.
7478	GLOBAL	76000.	76000.	48800.	0.	0.	0.
7479	GLOBAL	76000.	76000.	48800.	0.	0.	0.
7480	GLOBAL	76000.	76000.	48800.	0.	0.	0.
7481	GLOBAL	76000.	76000.	78500.	0.	0.	0.
7482	GLOBAL	36500.	36500.	29500.	0.	0.	0.
7483	GLOBAL	36500.	36500.	29500.	0.	0.	0.
7484	GLOBAL	52000.	52000.	35000.	0.	0.	0.
7485	GLOBAL	52000.	52000.	35000.	0.	0.	0.
7486	GLOBAL	76000.	76000.	48800.	0.	0.	0.
7487	GLOBAL	76000.	76000.	48800.	0.	0.	0.
7488	GLOBAL	76000.	76000.	48800.	0.	0.	0.
7489	GLOBAL	76000.	76000.	48800.	0.	0.	0.
7490	GLOBAL	76000.	76000.	48800.	0.	0.	0.
7491	GLOBAL	76000.	76000.	48800.	0.	0.	0.
7492	GLOBAL	76000.	76000.	48800.	0.	0.	0.
7493	GLOBAL	76000.	76000.	48800.	0.	0.	0.
7494	GLOBAL	76000.	76000.	48800.	0.	0.	0.

Table: Joint Spring Assignments 1 - Uncoupled

Joint	CoordSys	U1	U2	U3	R1	R2	R3
		KN/m	KN/m	KN/m	KN-m/rad	KN-m/rad	KN-m/rad
7495	GLOBAL	76000.	76000.	48800.	0.	0.	0.
7496	GLOBAL	76000.	76000.	48800.	0.	0.	0.
7497	GLOBAL	76000.	76000.	48800.	0.	0.	0.
7498	GLOBAL	76000.	76000.	48800.	0.	0.	0.
7499	GLOBAL	76000.	76000.	48800.	0.	0.	0.
7500	GLOBAL	76000.	76000.	48800.	0.	0.	0.
7501	GLOBAL	76000.	76000.	48800.	0.	0.	0.
7502	GLOBAL	76000.	76000.	48800.	0.	0.	0.
7503	GLOBAL	76000.	76000.	48800.	0.	0.	0.
7504	GLOBAL	76000.	76000.	48800.	0.	0.	0.
7505	GLOBAL	76000.	76000.	48800.	0.	0.	0.
7506	GLOBAL	76000.	76000.	48800.	0.	0.	0.
7507	GLOBAL	76000.	76000.	78500.	0.	0.	0.
7508	GLOBAL	36500.	36500.	29500.	0.	0.	0.
7509	GLOBAL	36500.	36500.	29500.	0.	0.	0.
7510	GLOBAL	52000.	52000.	35000.	0.	0.	0.
7511	GLOBAL	52000.	52000.	35000.	0.	0.	0.
7512	GLOBAL	76000.	76000.	48800.	0.	0.	0.
7513	GLOBAL	76000.	76000.	48800.	0.	0.	0.
7514	GLOBAL	76000.	76000.	48800.	0.	0.	0.
7515	GLOBAL	76000.	76000.	48800.	0.	0.	0.
7516	GLOBAL	76000.	76000.	48800.	0.	0.	0.
7517	GLOBAL	76000.	76000.	48800.	0.	0.	0.
7518	GLOBAL	76000.	76000.	48800.	0.	0.	0.
7519	GLOBAL	76000.	76000.	48800.	0.	0.	0.
7520	GLOBAL	76000.	76000.	48800.	0.	0.	0.
7521	GLOBAL	76000.	76000.	48800.	0.	0.	0.
7522	GLOBAL	76000.	76000.	48800.	0.	0.	0.
7523	GLOBAL	76000.	76000.	48800.	0.	0.	0.
7524	GLOBAL	76000.	76000.	48800.	0.	0.	0.
7525	GLOBAL	76000.	76000.	48800.	0.	0.	0.
7526	GLOBAL	76000.	76000.	48800.	0.	0.	0.
7527	GLOBAL	76000.	76000.	48800.	0.	0.	0.
7528	GLOBAL	76000.	76000.	48800.	0.	0.	0.
7529	GLOBAL	76000.	76000.	48800.	0.	0.	0.
7530	GLOBAL	76000.	76000.	48800.	0.	0.	0.
7531	GLOBAL	76000.	76000.	48800.	0.	0.	0.
7532	GLOBAL	76000.	76000.	48800.	0.	0.	0.
7533	GLOBAL	76000.	76000.	78500.	0.	0.	0.
7544	GLOBAL	36500.	36500.	29500.	0.	0.	0.
7545	GLOBAL	36500.	36500.	29500.	0.	0.	0.
7546	GLOBAL	52000.	52000.	35000.	0.	0.	0.
7547	GLOBAL	52000.	52000.	35000.	0.	0.	0.
7548	GLOBAL	76000.	76000.	48800.	0.	0.	0.
7549	GLOBAL	76000.	76000.	48800.	0.	0.	0.
7550	GLOBAL	76000.	76000.	48800.	0.	0.	0.
7551	GLOBAL	76000.	76000.	48800.	0.	0.	0.
7552	GLOBAL	76000.	76000.	48800.	0.	0.	0.
7553	GLOBAL	76000.	76000.	48800.	0.	0.	0.
7554	GLOBAL	76000.	76000.	48800.	0.	0.	0.
7555	GLOBAL	76000.	76000.	48800.	0.	0.	0.
7556	GLOBAL	76000.	76000.	48800.	0.	0.	0.
7557	GLOBAL	76000.	76000.	48800.	0.	0.	0.
7558	GLOBAL	76000.	76000.	48800.	0.	0.	0.

Table: Joint Spring Assignments 1 - Uncoupled

Joint	CoordSys	U1	U2	U3	R1	R2	R3
		KN/m	KN/m	KN/m	KN-m/rad	KN-m/rad	KN-m/rad
7559	GLOBAL	76000.	76000.	48800.	0.	0.	0.
7560	GLOBAL	76000.	76000.	48800.	0.	0.	0.
7561	GLOBAL	76000.	76000.	48800.	0.	0.	0.
7562	GLOBAL	76000.	76000.	48800.	0.	0.	0.
7563	GLOBAL	76000.	76000.	48800.	0.	0.	0.
7564	GLOBAL	76000.	76000.	48800.	0.	0.	0.
7565	GLOBAL	76000.	76000.	48800.	0.	0.	0.
7566	GLOBAL	76000.	76000.	48800.	0.	0.	0.
7567	GLOBAL	76000.	76000.	48800.	0.	0.	0.
7568	GLOBAL	76000.	76000.	48800.	0.	0.	0.
7569	GLOBAL	76000.	76000.	78500.	0.	0.	0.
7570	GLOBAL	36500.	36500.	29500.	0.	0.	0.
7571	GLOBAL	36500.	36500.	29500.	0.	0.	0.
7572	GLOBAL	52000.	52000.	35000.	0.	0.	0.
7573	GLOBAL	52000.	52000.	35000.	0.	0.	0.
7574	GLOBAL	76000.	76000.	48800.	0.	0.	0.
7575	GLOBAL	76000.	76000.	48800.	0.	0.	0.
7576	GLOBAL	76000.	76000.	48800.	0.	0.	0.
7577	GLOBAL	76000.	76000.	48800.	0.	0.	0.
7578	GLOBAL	76000.	76000.	48800.	0.	0.	0.
7579	GLOBAL	76000.	76000.	48800.	0.	0.	0.
7580	GLOBAL	76000.	76000.	48800.	0.	0.	0.
7581	GLOBAL	76000.	76000.	48800.	0.	0.	0.
7582	GLOBAL	76000.	76000.	48800.	0.	0.	0.
7583	GLOBAL	76000.	76000.	48800.	0.	0.	0.
7584	GLOBAL	76000.	76000.	48800.	0.	0.	0.
7585	GLOBAL	76000.	76000.	48800.	0.	0.	0.
7586	GLOBAL	76000.	76000.	48800.	0.	0.	0.
7587	GLOBAL	76000.	76000.	48800.	0.	0.	0.
7588	GLOBAL	76000.	76000.	48800.	0.	0.	0.
7589	GLOBAL	76000.	76000.	48800.	0.	0.	0.
7590	GLOBAL	76000.	76000.	48800.	0.	0.	0.
7591	GLOBAL	76000.	76000.	48800.	0.	0.	0.
7592	GLOBAL	76000.	76000.	48800.	0.	0.	0.
7593	GLOBAL	76000.	76000.	48800.	0.	0.	0.
7594	GLOBAL	76000.	76000.	48800.	0.	0.	0.
7595	GLOBAL	76000.	76000.	78500.	0.	0.	0.
7651	GLOBAL	36500.	36500.	29500.	0.	0.	0.
7652	GLOBAL	36500.	36500.	29500.	0.	0.	0.
7653	GLOBAL	52000.	52000.	35000.	0.	0.	0.
7654	GLOBAL	52000.	52000.	35000.	0.	0.	0.
7655	GLOBAL	76000.	76000.	48800.	0.	0.	0.
7656	GLOBAL	76000.	76000.	48800.	0.	0.	0.
7657	GLOBAL	76000.	76000.	48800.	0.	0.	0.
7658	GLOBAL	76000.	76000.	48800.	0.	0.	0.
7659	GLOBAL	76000.	76000.	48800.	0.	0.	0.
7660	GLOBAL	76000.	76000.	48800.	0.	0.	0.
7661	GLOBAL	76000.	76000.	48800.	0.	0.	0.
7662	GLOBAL	76000.	76000.	48800.	0.	0.	0.
7663	GLOBAL	76000.	76000.	48800.	0.	0.	0.
7664	GLOBAL	76000.	76000.	48800.	0.	0.	0.
7665	GLOBAL	76000.	76000.	48800.	0.	0.	0.
7666	GLOBAL	76000.	76000.	48800.	0.	0.	0.
7667	GLOBAL	76000.	76000.	48800.	0.	0.	0.

Table: Joint Spring Assignments 1 - Uncoupled

Joint	CoordSys	U1	U2	U3	R1	R2	R3
		KN/m	KN/m	KN/m	KN-m/rad	KN-m/rad	KN-m/rad
7668	GLOBAL	76000.	76000.	48800.	0.	0.	0.
7669	GLOBAL	76000.	76000.	48800.	0.	0.	0.
7670	GLOBAL	76000.	76000.	48800.	0.	0.	0.
7671	GLOBAL	76000.	76000.	48800.	0.	0.	0.
7672	GLOBAL	76000.	76000.	48800.	0.	0.	0.
7673	GLOBAL	76000.	76000.	48800.	0.	0.	0.
7674	GLOBAL	76000.	76000.	48800.	0.	0.	0.
7675	GLOBAL	76000.	76000.	48800.	0.	0.	0.
7676	GLOBAL	76000.	76000.	78500.	0.	0.	0.
7677	GLOBAL	36500.	36500.	29500.	0.	0.	0.
7678	GLOBAL	36500.	36500.	29500.	0.	0.	0.
7679	GLOBAL	52000.	52000.	35000.	0.	0.	0.
7680	GLOBAL	52000.	52000.	35000.	0.	0.	0.
7681	GLOBAL	76000.	76000.	48800.	0.	0.	0.
7682	GLOBAL	76000.	76000.	48800.	0.	0.	0.
7683	GLOBAL	76000.	76000.	48800.	0.	0.	0.
7684	GLOBAL	76000.	76000.	48800.	0.	0.	0.
7685	GLOBAL	76000.	76000.	48800.	0.	0.	0.
7686	GLOBAL	76000.	76000.	48800.	0.	0.	0.
7687	GLOBAL	76000.	76000.	48800.	0.	0.	0.
7688	GLOBAL	76000.	76000.	48800.	0.	0.	0.
7689	GLOBAL	76000.	76000.	48800.	0.	0.	0.
7690	GLOBAL	76000.	76000.	48800.	0.	0.	0.
7691	GLOBAL	76000.	76000.	48800.	0.	0.	0.
7692	GLOBAL	76000.	76000.	48800.	0.	0.	0.
7693	GLOBAL	76000.	76000.	48800.	0.	0.	0.
7694	GLOBAL	76000.	76000.	48800.	0.	0.	0.
7695	GLOBAL	76000.	76000.	48800.	0.	0.	0.
7696	GLOBAL	76000.	76000.	48800.	0.	0.	0.
7697	GLOBAL	76000.	76000.	48800.	0.	0.	0.
7698	GLOBAL	76000.	76000.	48800.	0.	0.	0.
7699	GLOBAL	76000.	76000.	48800.	0.	0.	0.
7700	GLOBAL	76000.	76000.	48800.	0.	0.	0.
7746	GLOBAL	36500.	36500.	29500.	0.	0.	0.
7747	GLOBAL	36500.	36500.	29500.	0.	0.	0.
7748	GLOBAL	52000.	52000.	35000.	0.	0.	0.
7749	GLOBAL	52000.	52000.	35000.	0.	0.	0.
7750	GLOBAL	76000.	76000.	48800.	0.	0.	0.
7751	GLOBAL	76000.	76000.	48800.	0.	0.	0.
7752	GLOBAL	76000.	76000.	48800.	0.	0.	0.
7753	GLOBAL	76000.	76000.	48800.	0.	0.	0.
7754	GLOBAL	76000.	76000.	48800.	0.	0.	0.
7755	GLOBAL	76000.	76000.	48800.	0.	0.	0.
7756	GLOBAL	76000.	76000.	48800.	0.	0.	0.
7757	GLOBAL	76000.	76000.	48800.	0.	0.	0.
7758	GLOBAL	76000.	76000.	48800.	0.	0.	0.
7759	GLOBAL	76000.	76000.	48800.	0.	0.	0.
7760	GLOBAL	76000.	76000.	48800.	0.	0.	0.
7761	GLOBAL	76000.	76000.	48800.	0.	0.	0.
7762	GLOBAL	76000.	76000.	48800.	0.	0.	0.
7763	GLOBAL	76000.	76000.	48800.	0.	0.	0.
7764	GLOBAL	76000.	76000.	48800.	0.	0.	0.
7765	GLOBAL	76000.	76000.	48800.	0.	0.	0.
7766	GLOBAL	76000.	76000.	48800.	0.	0.	0.

Table: Joint Spring Assignments 1 - Uncoupled

Joint	CoordSys	U1	U2	U3	R1	R2	R3
		KN/m	KN/m	KN/m	KN-m/rad	KN-m/rad	KN-m/rad
7767	GLOBAL	76000.	76000.	48800.	0.	0.	0.
7768	GLOBAL	76000.	76000.	48800.	0.	0.	0.
7769	GLOBAL	76000.	76000.	48800.	0.	0.	0.
7770	GLOBAL	76000.	76000.	48800.	0.	0.	0.
7771	GLOBAL	76000.	76000.	78500.	0.	0.	0.
7772	GLOBAL	36500.	36500.	29500.	0.	0.	0.
7773	GLOBAL	36500.	36500.	29500.	0.	0.	0.
7774	GLOBAL	52000.	52000.	35000.	0.	0.	0.
7775	GLOBAL	52000.	52000.	35000.	0.	0.	0.
7776	GLOBAL	76000.	76000.	48800.	0.	0.	0.
7777	GLOBAL	76000.	76000.	48800.	0.	0.	0.
7778	GLOBAL	76000.	76000.	48800.	0.	0.	0.
7779	GLOBAL	76000.	76000.	48800.	0.	0.	0.
7780	GLOBAL	76000.	76000.	48800.	0.	0.	0.
7781	GLOBAL	76000.	76000.	48800.	0.	0.	0.
7782	GLOBAL	76000.	76000.	48800.	0.	0.	0.
7783	GLOBAL	76000.	76000.	48800.	0.	0.	0.
7784	GLOBAL	76000.	76000.	48800.	0.	0.	0.
7785	GLOBAL	76000.	76000.	48800.	0.	0.	0.
7786	GLOBAL	76000.	76000.	48800.	0.	0.	0.
7787	GLOBAL	76000.	76000.	48800.	0.	0.	0.
7788	GLOBAL	76000.	76000.	48800.	0.	0.	0.
7789	GLOBAL	76000.	76000.	48800.	0.	0.	0.
7790	GLOBAL	76000.	76000.	48800.	0.	0.	0.
7791	GLOBAL	76000.	76000.	48800.	0.	0.	0.
7792	GLOBAL	76000.	76000.	48800.	0.	0.	0.
7793	GLOBAL	76000.	76000.	48800.	0.	0.	0.
7794	GLOBAL	76000.	76000.	48800.	0.	0.	0.
7795	GLOBAL	76000.	76000.	48800.	0.	0.	0.
7796	GLOBAL	76000.	76000.	48800.	0.	0.	0.
7797	GLOBAL	76000.	76000.	78500.	0.	0.	0.
7798	GLOBAL	36500.	36500.	29500.	0.	0.	0.
7799	GLOBAL	36500.	36500.	29500.	0.	0.	0.
7800	GLOBAL	52000.	52000.	35000.	0.	0.	0.
7801	GLOBAL	52000.	52000.	35000.	0.	0.	0.
7802	GLOBAL	76000.	76000.	48800.	0.	0.	0.
7803	GLOBAL	76000.	76000.	48800.	0.	0.	0.
7804	GLOBAL	76000.	76000.	48800.	0.	0.	0.
7805	GLOBAL	76000.	76000.	48800.	0.	0.	0.
7806	GLOBAL	76000.	76000.	48800.	0.	0.	0.
7807	GLOBAL	76000.	76000.	48800.	0.	0.	0.
7808	GLOBAL	76000.	76000.	48800.	0.	0.	0.
7809	GLOBAL	76000.	76000.	48800.	0.	0.	0.
7810	GLOBAL	76000.	76000.	48800.	0.	0.	0.
7811	GLOBAL	76000.	76000.	48800.	0.	0.	0.
7812	GLOBAL	76000.	76000.	48800.	0.	0.	0.
7813	GLOBAL	76000.	76000.	48800.	0.	0.	0.
7814	GLOBAL	76000.	76000.	48800.	0.	0.	0.
7815	GLOBAL	76000.	76000.	48800.	0.	0.	0.
7816	GLOBAL	76000.	76000.	48800.	0.	0.	0.
7817	GLOBAL	76000.	76000.	48800.	0.	0.	0.
7818	GLOBAL	76000.	76000.	48800.	0.	0.	0.
7819	GLOBAL	76000.	76000.	48800.	0.	0.	0.
7820	GLOBAL	76000.	76000.	48800.	0.	0.	0.

Table: Joint Spring Assignments 1 - Uncoupled

Joint	CoordSys	U1	U2	U3	R1	R2	R3
		KN/m	KN/m	KN/m	KN-m/rad	KN-m/rad	KN-m/rad
7821	GLOBAL	76000.	76000.	48800.	0.	0.	0.
7822	GLOBAL	76000.	76000.	48800.	0.	0.	0.
7823	GLOBAL	76000.	76000.	78500.	0.	0.	0.
7824	GLOBAL	36500.	36500.	29500.	0.	0.	0.
7825	GLOBAL	36500.	36500.	29500.	0.	0.	0.
7826	GLOBAL	52000.	52000.	35000.	0.	0.	0.
7827	GLOBAL	52000.	52000.	35000.	0.	0.	0.
7828	GLOBAL	76000.	76000.	48800.	0.	0.	0.
7829	GLOBAL	76000.	76000.	48800.	0.	0.	0.
7830	GLOBAL	76000.	76000.	48800.	0.	0.	0.
7831	GLOBAL	76000.	76000.	48800.	0.	0.	0.
7832	GLOBAL	76000.	76000.	48800.	0.	0.	0.
7833	GLOBAL	76000.	76000.	48800.	0.	0.	0.
7834	GLOBAL	76000.	76000.	48800.	0.	0.	0.
7835	GLOBAL	76000.	76000.	48800.	0.	0.	0.
7836	GLOBAL	76000.	76000.	48800.	0.	0.	0.
7837	GLOBAL	76000.	76000.	48800.	0.	0.	0.
7838	GLOBAL	76000.	76000.	48800.	0.	0.	0.
7839	GLOBAL	76000.	76000.	48800.	0.	0.	0.
7840	GLOBAL	76000.	76000.	48800.	0.	0.	0.
7841	GLOBAL	76000.	76000.	48800.	0.	0.	0.
7842	GLOBAL	76000.	76000.	48800.	0.	0.	0.
7843	GLOBAL	76000.	76000.	48800.	0.	0.	0.
7844	GLOBAL	76000.	76000.	48800.	0.	0.	0.
7845	GLOBAL	76000.	76000.	48800.	0.	0.	0.
7846	GLOBAL	76000.	76000.	48800.	0.	0.	0.
7847	GLOBAL	76000.	76000.	48800.	0.	0.	0.
7848	GLOBAL	76000.	76000.	48800.	0.	0.	0.
7849	GLOBAL	76000.	76000.	78500.	0.	0.	0.
7850	GLOBAL	36500.	36500.	29500.	0.	0.	0.
7851	GLOBAL	36500.	36500.	29500.	0.	0.	0.
7852	GLOBAL	52000.	52000.	35000.	0.	0.	0.
7853	GLOBAL	52000.	52000.	35000.	0.	0.	0.
7854	GLOBAL	76000.	76000.	48800.	0.	0.	0.
7855	GLOBAL	76000.	76000.	48800.	0.	0.	0.
7856	GLOBAL	76000.	76000.	48800.	0.	0.	0.
7857	GLOBAL	76000.	76000.	48800.	0.	0.	0.
7858	GLOBAL	76000.	76000.	48800.	0.	0.	0.
7859	GLOBAL	76000.	76000.	48800.	0.	0.	0.
7860	GLOBAL	76000.	76000.	48800.	0.	0.	0.
7861	GLOBAL	76000.	76000.	48800.	0.	0.	0.
7862	GLOBAL	76000.	76000.	48800.	0.	0.	0.
7863	GLOBAL	76000.	76000.	48800.	0.	0.	0.
7864	GLOBAL	76000.	76000.	48800.	0.	0.	0.
7865	GLOBAL	76000.	76000.	48800.	0.	0.	0.
7866	GLOBAL	76000.	76000.	48800.	0.	0.	0.
7867	GLOBAL	76000.	76000.	48800.	0.	0.	0.
7868	GLOBAL	76000.	76000.	48800.	0.	0.	0.
7869	GLOBAL	76000.	76000.	48800.	0.	0.	0.
7870	GLOBAL	76000.	76000.	48800.	0.	0.	0.
7871	GLOBAL	76000.	76000.	48800.	0.	0.	0.
7872	GLOBAL	76000.	76000.	48800.	0.	0.	0.
7873	GLOBAL	76000.	76000.	48800.	0.	0.	0.
7874	GLOBAL	76000.	76000.	48800.	0.	0.	0.

Table: Joint Spring Assignments 1 - Uncoupled

Joint	CoordSys	U1	U2	U3	R1	R2	R3
		KN/m	KN/m	KN/m	KN-m/rad	KN-m/rad	KN-m/rad
7875	GLOBAL	76000.	76000.	78500.	0.	0.	0.
7876	GLOBAL	36500.	36500.	29500.	0.	0.	0.
7877	GLOBAL	36500.	36500.	29500.	0.	0.	0.
7878	GLOBAL	52000.	52000.	35000.	0.	0.	0.
7879	GLOBAL	52000.	52000.	35000.	0.	0.	0.
7880	GLOBAL	76000.	76000.	48800.	0.	0.	0.
7881	GLOBAL	76000.	76000.	48800.	0.	0.	0.
7882	GLOBAL	76000.	76000.	48800.	0.	0.	0.
7883	GLOBAL	76000.	76000.	48800.	0.	0.	0.
7884	GLOBAL	76000.	76000.	48800.	0.	0.	0.
7885	GLOBAL	76000.	76000.	48800.	0.	0.	0.
7886	GLOBAL	76000.	76000.	48800.	0.	0.	0.
7887	GLOBAL	76000.	76000.	48800.	0.	0.	0.
7888	GLOBAL	76000.	76000.	48800.	0.	0.	0.
7889	GLOBAL	76000.	76000.	48800.	0.	0.	0.
7890	GLOBAL	76000.	76000.	48800.	0.	0.	0.
7891	GLOBAL	76000.	76000.	48800.	0.	0.	0.
7892	GLOBAL	76000.	76000.	48800.	0.	0.	0.
7893	GLOBAL	76000.	76000.	48800.	0.	0.	0.
7894	GLOBAL	76000.	76000.	48800.	0.	0.	0.
7895	GLOBAL	76000.	76000.	48800.	0.	0.	0.
7896	GLOBAL	76000.	76000.	48800.	0.	0.	0.
7897	GLOBAL	76000.	76000.	48800.	0.	0.	0.
7898	GLOBAL	76000.	76000.	48800.	0.	0.	0.
7899	GLOBAL	76000.	76000.	48800.	0.	0.	0.
7900	GLOBAL	76000.	76000.	48800.	0.	0.	0.
7901	GLOBAL	76000.	76000.	78500.	0.	0.	0.
7902	GLOBAL	36500.	36500.	29500.	0.	0.	0.
7903	GLOBAL	36500.	36500.	29500.	0.	0.	0.
7904	GLOBAL	52000.	52000.	35000.	0.	0.	0.
7905	GLOBAL	52000.	52000.	35000.	0.	0.	0.
7906	GLOBAL	76000.	76000.	48800.	0.	0.	0.
7907	GLOBAL	76000.	76000.	48800.	0.	0.	0.
7908	GLOBAL	76000.	76000.	48800.	0.	0.	0.
7909	GLOBAL	76000.	76000.	48800.	0.	0.	0.
7910	GLOBAL	76000.	76000.	48800.	0.	0.	0.
7911	GLOBAL	76000.	76000.	48800.	0.	0.	0.
7912	GLOBAL	76000.	76000.	48800.	0.	0.	0.
7913	GLOBAL	76000.	76000.	48800.	0.	0.	0.
7914	GLOBAL	76000.	76000.	48800.	0.	0.	0.
7915	GLOBAL	76000.	76000.	48800.	0.	0.	0.
7916	GLOBAL	76000.	76000.	48800.	0.	0.	0.
7917	GLOBAL	76000.	76000.	48800.	0.	0.	0.
7918	GLOBAL	76000.	76000.	48800.	0.	0.	0.
7919	GLOBAL	76000.	76000.	48800.	0.	0.	0.
7920	GLOBAL	76000.	76000.	48800.	0.	0.	0.
7921	GLOBAL	76000.	76000.	48800.	0.	0.	0.
7922	GLOBAL	76000.	76000.	48800.	0.	0.	0.
7923	GLOBAL	76000.	76000.	48800.	0.	0.	0.
7924	GLOBAL	76000.	76000.	48800.	0.	0.	0.
7925	GLOBAL	76000.	76000.	48800.	0.	0.	0.
7926	GLOBAL	76000.	76000.	48800.	0.	0.	0.
7927	GLOBAL	76000.	76000.	78500.	0.	0.	0.
7928	GLOBAL	36500.	36500.	29500.	0.	0.	0.

Table: Joint Spring Assignments 1 - Uncoupled

Joint	CoordSys	U1	U2	U3	R1	R2	R3
		KN/m	KN/m	KN/m	KN-m/rad	KN-m/rad	KN-m/rad
7929	GLOBAL	36500.	36500.	29500.	0.	0.	0.
7930	GLOBAL	52000.	52000.	35000.	0.	0.	0.
7931	GLOBAL	52000.	52000.	35000.	0.	0.	0.
7932	GLOBAL	76000.	76000.	48800.	0.	0.	0.
7933	GLOBAL	76000.	76000.	48800.	0.	0.	0.
7934	GLOBAL	76000.	76000.	48800.	0.	0.	0.
7935	GLOBAL	76000.	76000.	48800.	0.	0.	0.
7936	GLOBAL	76000.	76000.	48800.	0.	0.	0.
7937	GLOBAL	76000.	76000.	48800.	0.	0.	0.
7938	GLOBAL	76000.	76000.	48800.	0.	0.	0.
7939	GLOBAL	76000.	76000.	48800.	0.	0.	0.
7940	GLOBAL	76000.	76000.	48800.	0.	0.	0.
7941	GLOBAL	76000.	76000.	48800.	0.	0.	0.
7942	GLOBAL	76000.	76000.	48800.	0.	0.	0.
7943	GLOBAL	76000.	76000.	48800.	0.	0.	0.
7944	GLOBAL	76000.	76000.	48800.	0.	0.	0.
7945	GLOBAL	76000.	76000.	48800.	0.	0.	0.
7946	GLOBAL	76000.	76000.	48800.	0.	0.	0.
7947	GLOBAL	76000.	76000.	48800.	0.	0.	0.
7948	GLOBAL	76000.	76000.	48800.	0.	0.	0.
7949	GLOBAL	76000.	76000.	48800.	0.	0.	0.
7950	GLOBAL	76000.	76000.	48800.	0.	0.	0.
7951	GLOBAL	76000.	76000.	48800.	0.	0.	0.
7952	GLOBAL	76000.	76000.	48800.	0.	0.	0.
7953	GLOBAL	76000.	76000.	78500.	0.	0.	0.
7954	GLOBAL	36500.	36500.	29500.	0.	0.	0.
7955	GLOBAL	36500.	36500.	29500.	0.	0.	0.
7956	GLOBAL	52000.	52000.	35000.	0.	0.	0.
7957	GLOBAL	52000.	52000.	35000.	0.	0.	0.
7958	GLOBAL	76000.	76000.	48800.	0.	0.	0.
7959	GLOBAL	76000.	76000.	48800.	0.	0.	0.
7960	GLOBAL	76000.	76000.	48800.	0.	0.	0.
7961	GLOBAL	76000.	76000.	48800.	0.	0.	0.
7962	GLOBAL	76000.	76000.	48800.	0.	0.	0.
7963	GLOBAL	76000.	76000.	48800.	0.	0.	0.
7964	GLOBAL	76000.	76000.	48800.	0.	0.	0.
7965	GLOBAL	76000.	76000.	48800.	0.	0.	0.
7966	GLOBAL	76000.	76000.	48800.	0.	0.	0.
7967	GLOBAL	76000.	76000.	48800.	0.	0.	0.
7968	GLOBAL	76000.	76000.	48800.	0.	0.	0.
7969	GLOBAL	76000.	76000.	48800.	0.	0.	0.
7970	GLOBAL	76000.	76000.	48800.	0.	0.	0.
7971	GLOBAL	76000.	76000.	48800.	0.	0.	0.
7972	GLOBAL	76000.	76000.	48800.	0.	0.	0.
7973	GLOBAL	76000.	76000.	48800.	0.	0.	0.
7974	GLOBAL	76000.	76000.	48800.	0.	0.	0.
7975	GLOBAL	76000.	76000.	48800.	0.	0.	0.
7976	GLOBAL	76000.	76000.	48800.	0.	0.	0.
7977	GLOBAL	76000.	76000.	48800.	0.	0.	0.
7978	GLOBAL	76000.	76000.	48800.	0.	0.	0.
7979	GLOBAL	76000.	76000.	78500.	0.	0.	0.
7980	GLOBAL	36500.	36500.	29500.	0.	0.	0.
7981	GLOBAL	36500.	36500.	29500.	0.	0.	0.
7982	GLOBAL	52000.	52000.	35000.	0.	0.	0.

Table: Joint Spring Assignments 1 - Uncoupled

Joint	CoordSys	U1	U2	U3	R1	R2	R3
		KN/m	KN/m	KN/m	KN-m/rad	KN-m/rad	KN-m/rad
7983	GLOBAL	52000.	52000.	35000.	0.	0.	0.
7984	GLOBAL	76000.	76000.	48800.	0.	0.	0.
7985	GLOBAL	76000.	76000.	48800.	0.	0.	0.
7986	GLOBAL	76000.	76000.	48800.	0.	0.	0.
7987	GLOBAL	76000.	76000.	48800.	0.	0.	0.
7988	GLOBAL	76000.	76000.	48800.	0.	0.	0.
7989	GLOBAL	76000.	76000.	48800.	0.	0.	0.
7990	GLOBAL	76000.	76000.	48800.	0.	0.	0.
7991	GLOBAL	76000.	76000.	48800.	0.	0.	0.
7992	GLOBAL	76000.	76000.	48800.	0.	0.	0.
7993	GLOBAL	76000.	76000.	48800.	0.	0.	0.
7994	GLOBAL	76000.	76000.	48800.	0.	0.	0.
7995	GLOBAL	76000.	76000.	48800.	0.	0.	0.
7996	GLOBAL	76000.	76000.	48800.	0.	0.	0.
7997	GLOBAL	76000.	76000.	48800.	0.	0.	0.
7998	GLOBAL	76000.	76000.	48800.	0.	0.	0.
7999	GLOBAL	76000.	76000.	48800.	0.	0.	0.
8000	GLOBAL	76000.	76000.	48800.	0.	0.	0.
8001	GLOBAL	76000.	76000.	48800.	0.	0.	0.
8002	GLOBAL	76000.	76000.	48800.	0.	0.	0.
8003	GLOBAL	76000.	76000.	48800.	0.	0.	0.
8004	GLOBAL	76000.	76000.	48800.	0.	0.	0.
8005	GLOBAL	76000.	76000.	78500.	0.	0.	0.
8006	GLOBAL	36500.	36500.	29500.	0.	0.	0.
8007	GLOBAL	36500.	36500.	29500.	0.	0.	0.
8008	GLOBAL	52000.	52000.	35000.	0.	0.	0.
8009	GLOBAL	52000.	52000.	35000.	0.	0.	0.
8010	GLOBAL	76000.	76000.	48800.	0.	0.	0.
8011	GLOBAL	76000.	76000.	48800.	0.	0.	0.
8012	GLOBAL	76000.	76000.	48800.	0.	0.	0.
8013	GLOBAL	76000.	76000.	48800.	0.	0.	0.
8014	GLOBAL	76000.	76000.	48800.	0.	0.	0.
8015	GLOBAL	76000.	76000.	48800.	0.	0.	0.
8016	GLOBAL	76000.	76000.	48800.	0.	0.	0.
8017	GLOBAL	76000.	76000.	48800.	0.	0.	0.
8018	GLOBAL	76000.	76000.	48800.	0.	0.	0.
8019	GLOBAL	76000.	76000.	48800.	0.	0.	0.
8020	GLOBAL	76000.	76000.	48800.	0.	0.	0.
8021	GLOBAL	76000.	76000.	48800.	0.	0.	0.
8022	GLOBAL	76000.	76000.	48800.	0.	0.	0.
8023	GLOBAL	76000.	76000.	48800.	0.	0.	0.
8024	GLOBAL	76000.	76000.	48800.	0.	0.	0.
8025	GLOBAL	76000.	76000.	48800.	0.	0.	0.
8026	GLOBAL	76000.	76000.	48800.	0.	0.	0.
8027	GLOBAL	76000.	76000.	48800.	0.	0.	0.
8028	GLOBAL	76000.	76000.	48800.	0.	0.	0.
8029	GLOBAL	76000.	76000.	48800.	0.	0.	0.
8030	GLOBAL	76000.	76000.	48800.	0.	0.	0.
8031	GLOBAL	76000.	76000.	78500.	0.	0.	0.
8032	GLOBAL	36500.	36500.	29500.	0.	0.	0.
8033	GLOBAL	36500.	36500.	29500.	0.	0.	0.
8034	GLOBAL	52000.	52000.	35000.	0.	0.	0.
8035	GLOBAL	52000.	52000.	35000.	0.	0.	0.
8036	GLOBAL	76000.	76000.	48800.	0.	0.	0.

Table: Joint Spring Assignments 1 - Uncoupled

Joint	CoordSys	U1	U2	U3	R1	R2	R3
		KN/m	KN/m	KN/m	KN-m/rad	KN-m/rad	KN-m/rad
8037	GLOBAL	76000.	76000.	48800.	0.	0.	0.
8038	GLOBAL	76000.	76000.	48800.	0.	0.	0.
8039	GLOBAL	76000.	76000.	48800.	0.	0.	0.
8040	GLOBAL	76000.	76000.	48800.	0.	0.	0.
8041	GLOBAL	76000.	76000.	48800.	0.	0.	0.
8042	GLOBAL	76000.	76000.	48800.	0.	0.	0.
8043	GLOBAL	76000.	76000.	48800.	0.	0.	0.
8044	GLOBAL	76000.	76000.	48800.	0.	0.	0.
8045	GLOBAL	76000.	76000.	48800.	0.	0.	0.
8046	GLOBAL	76000.	76000.	48800.	0.	0.	0.
8047	GLOBAL	76000.	76000.	48800.	0.	0.	0.
8048	GLOBAL	76000.	76000.	48800.	0.	0.	0.
8049	GLOBAL	76000.	76000.	48800.	0.	0.	0.
8050	GLOBAL	76000.	76000.	48800.	0.	0.	0.
8051	GLOBAL	76000.	76000.	48800.	0.	0.	0.
8052	GLOBAL	76000.	76000.	48800.	0.	0.	0.
8053	GLOBAL	76000.	76000.	48800.	0.	0.	0.
8054	GLOBAL	76000.	76000.	48800.	0.	0.	0.
8055	GLOBAL	76000.	76000.	48800.	0.	0.	0.
8056	GLOBAL	76000.	76000.	48800.	0.	0.	0.
8057	GLOBAL	76000.	76000.	78500.	0.	0.	0.
8058	GLOBAL	76000.	76000.	48800.	0.	0.	0.
8059	GLOBAL	76000.	76000.	78500.	0.	0.	0.
8060	GLOBAL	76000.	76000.	48800.	0.	0.	0.
8061	GLOBAL	76000.	76000.	78500.	0.	0.	0.

Table: Lane Centerline Points

Table: Lane Centerline Points

Lane	Point	CoordSys	X	Y	Z	GlobalX	GlobalY	GlobalZ
			m	m	m	m	m	m
CORSIA_1	1	GLOBAL	-14.63907	-14.615	0.	-14.63907	-14.615	0.
CORSIA_1	2	GLOBAL	-14.20007	-14.615	0.	-14.20007	-14.615	0.
CORSIA_1	3	GLOBAL	-14.19807	-14.615	0.	-14.19807	-14.615	0.
CORSIA_1	4	GLOBAL	-11.89673	-14.615	0.	-11.89673	-14.615	0.
CORSIA_1	5	GLOBAL	-11.89473	-14.615	0.	-11.89473	-14.615	0.
CORSIA_1	6	GLOBAL	-9.5934	-14.615	0.	-9.5934	-14.615	0.
CORSIA_1	7	GLOBAL	-9.5914	-14.615	0.	-9.5914	-14.615	0.
CORSIA_1	8	GLOBAL	-7.29007	-14.615	0.	-7.29007	-14.615	0.
CORSIA_1	9	GLOBAL	-7.28807	-14.615	0.	-7.28807	-14.615	0.
CORSIA_1	10	GLOBAL	-4.98673	-14.615	0.	-4.98673	-14.615	0.
CORSIA_1	11	GLOBAL	-4.98473	-14.615	0.	-4.98473	-14.615	0.
CORSIA_1	12	GLOBAL	-2.6834	-14.615	0.	-2.6834	-14.615	0.
CORSIA_1	13	GLOBAL	-2.6814	-14.615	0.	-2.6814	-14.615	0.
CORSIA_1	14	GLOBAL	-0.38298	-14.615	0.	-0.38298	-14.615	0.
CORSIA_1	15	GLOBAL	-0.38098	-14.615	0.	-0.38098	-14.615	0.
CORSIA_1	16	GLOBAL	0.05993	-14.615	0.	0.05993	-14.615	0.
CORSIA_1	17	GLOBAL	0.42193	-14.615	0.	0.42193	-14.615	0.
CORSIA_1	18	GLOBAL	0.86285	-14.615	0.	0.86285	-14.615	0.
CORSIA_1	19	GLOBAL	0.86485	-14.615	0.	0.86485	-14.615	0.
CORSIA_1	20	GLOBAL	3.16327	-14.615	0.	3.16327	-14.615	0.
CORSIA_1	21	GLOBAL	3.16527	-14.615	0.	3.16527	-14.615	0.
CORSIA_1	22	GLOBAL	5.4666	-14.615	0.	5.4666	-14.615	0.

Table: Lane Centerline Points

Lane	Point	CoordSys	X m	Y m	Z m	GlobalX m	GlobalY m	GlobalZ m
CORSIA_1	23	GLOBAL	5.4686	-14.615	0.	5.4686	-14.615	0.
CORSIA_1	24	GLOBAL	7.76993	-14.615	0.	7.76993	-14.615	0.
CORSIA_1	25	GLOBAL	7.77193	-14.615	0.	7.77193	-14.615	0.
CORSIA_1	26	GLOBAL	10.07327	-14.615	0.	10.07327	-14.615	0.
CORSIA_1	27	GLOBAL	10.07527	-14.615	0.	10.07527	-14.615	0.
CORSIA_1	28	GLOBAL	12.3766	-14.615	0.	12.3766	-14.615	0.
CORSIA_1	29	GLOBAL	12.3786	-14.615	0.	12.3786	-14.615	0.
CORSIA_1	30	GLOBAL	14.67993	-14.615	0.	14.67993	-14.615	0.
CORSIA_1	31	GLOBAL	14.68193	-14.615	0.	14.68193	-14.615	0.
CORSIA_1	32	GLOBAL	15.11993	-14.615	0.	15.11993	-14.615	0.
CORSIA_1	33	GLOBAL	15.48193	-14.615	0.	15.48193	-14.615	0.
CORSIA_1	34	GLOBAL	15.91993	-14.615	0.	15.91993	-14.615	0.
CORSIA_1	35	GLOBAL	15.92193	-14.615	0.	15.92193	-14.615	0.
CORSIA_1	36	GLOBAL	18.22618	-14.615	0.	18.22618	-14.615	0.
CORSIA_1	37	GLOBAL	18.22818	-14.615	0.	18.22818	-14.615	0.
CORSIA_1	38	GLOBAL	20.52951	-14.615	0.	20.52951	-14.615	0.
CORSIA_1	39	GLOBAL	20.53151	-14.615	0.	20.53151	-14.615	0.
CORSIA_1	40	GLOBAL	22.83285	-14.615	0.	22.83285	-14.615	0.
CORSIA_1	41	GLOBAL	22.83485	-14.615	0.	22.83485	-14.615	0.
CORSIA_1	42	GLOBAL	25.13618	-14.615	0.	25.13618	-14.615	0.
CORSIA_1	43	GLOBAL	25.13818	-14.615	0.	25.13818	-14.615	0.
CORSIA_1	44	GLOBAL	27.43951	-14.615	0.	27.43951	-14.615	0.
CORSIA_1	45	GLOBAL	27.44151	-14.615	0.	27.44151	-14.615	0.
CORSIA_1	46	GLOBAL	29.74093	-14.615	0.	29.74093	-14.615	0.
CORSIA_2	1	GLOBAL	-16.70742	-10.725	0.	-16.70742	-10.725	0.
CORSIA_2	2	GLOBAL	-16.26842	-10.725	0.	-16.26842	-10.725	0.
CORSIA_2	3	GLOBAL	-16.26642	-10.725	0.	-16.26642	-10.725	0.
CORSIA_2	4	GLOBAL	-13.96508	-10.725	0.	-13.96508	-10.725	0.
CORSIA_2	5	GLOBAL	-13.96308	-10.725	0.	-13.96308	-10.725	0.
CORSIA_2	6	GLOBAL	-11.66175	-10.725	0.	-11.66175	-10.725	0.
CORSIA_2	7	GLOBAL	-11.65975	-10.725	0.	-11.65975	-10.725	0.
CORSIA_2	8	GLOBAL	-9.35842	-10.725	0.	-9.35842	-10.725	0.
CORSIA_2	9	GLOBAL	-9.35642	-10.725	0.	-9.35642	-10.725	0.
CORSIA_2	10	GLOBAL	-7.05508	-10.725	0.	-7.05508	-10.725	0.
CORSIA_2	11	GLOBAL	-7.05308	-10.725	0.	-7.05308	-10.725	0.
CORSIA_2	12	GLOBAL	-4.75175	-10.725	0.	-4.75175	-10.725	0.
CORSIA_2	13	GLOBAL	-4.74975	-10.725	0.	-4.74975	-10.725	0.
CORSIA_2	14	GLOBAL	-2.45133	-10.725	0.	-2.45133	-10.725	0.
CORSIA_2	15	GLOBAL	-2.44933	-10.725	0.	-2.44933	-10.725	0.
CORSIA_2	16	GLOBAL	-2.00842	-10.725	0.	-2.00842	-10.725	0.
CORSIA_2	17	GLOBAL	-1.64642	-10.725	0.	-1.64642	-10.725	0.
CORSIA_2	18	GLOBAL	-1.2055	-10.725	0.	-1.2055	-10.725	0.
CORSIA_2	19	GLOBAL	-1.2035	-10.725	0.	-1.2035	-10.725	0.
CORSIA_2	20	GLOBAL	1.09492	-10.725	0.	1.09492	-10.725	0.
CORSIA_2	21	GLOBAL	1.09692	-10.725	0.	1.09692	-10.725	0.
CORSIA_2	22	GLOBAL	3.39825	-10.725	0.	3.39825	-10.725	0.
CORSIA_2	23	GLOBAL	3.40025	-10.725	0.	3.40025	-10.725	0.
CORSIA_2	24	GLOBAL	5.70158	-10.725	0.	5.70158	-10.725	0.
CORSIA_2	25	GLOBAL	5.70358	-10.725	0.	5.70358	-10.725	0.
CORSIA_2	26	GLOBAL	8.00492	-10.725	0.	8.00492	-10.725	0.
CORSIA_2	27	GLOBAL	8.00692	-10.725	0.	8.00692	-10.725	0.
CORSIA_2	28	GLOBAL	10.30825	-10.725	0.	10.30825	-10.725	0.
CORSIA_2	29	GLOBAL	10.31025	-10.725	0.	10.31025	-10.725	0.
CORSIA_2	30	GLOBAL	12.61158	-10.725	0.	12.61158	-10.725	0.

Table: Lane Centerline Points

Lane	Point	CoordSys	X m	Y m	Z m	GlobalX m	GlobalY m	GlobalZ m
CORSIA_2	31	GLOBAL	12.61358	-10.725	0.	12.61358	-10.725	0.
CORSIA_2	32	GLOBAL	13.05158	-10.725	0.	13.05158	-10.725	0.
CORSIA_2	33	GLOBAL	13.41358	-10.725	0.	13.41358	-10.725	0.
CORSIA_2	34	GLOBAL	13.85158	-10.725	0.	13.85158	-10.725	0.
CORSIA_2	35	GLOBAL	13.85358	-10.725	0.	13.85358	-10.725	0.
CORSIA_2	36	GLOBAL	16.15783	-10.725	0.	16.15783	-10.725	0.
CORSIA_2	37	GLOBAL	16.15983	-10.725	0.	16.15983	-10.725	0.
CORSIA_2	38	GLOBAL	18.46116	-10.725	0.	18.46116	-10.725	0.
CORSIA_2	39	GLOBAL	18.46316	-10.725	0.	18.46316	-10.725	0.
CORSIA_2	40	GLOBAL	20.7645	-10.725	0.	20.7645	-10.725	0.
CORSIA_2	41	GLOBAL	20.7665	-10.725	0.	20.7665	-10.725	0.
CORSIA_2	42	GLOBAL	23.06783	-10.725	0.	23.06783	-10.725	0.
CORSIA_2	43	GLOBAL	23.06983	-10.725	0.	23.06983	-10.725	0.
CORSIA_2	44	GLOBAL	25.37116	-10.725	0.	25.37116	-10.725	0.
CORSIA_2	45	GLOBAL	25.37316	-10.725	0.	25.37316	-10.725	0.
CORSIA_2	46	GLOBAL	27.67158	-10.725	0.	27.67158	-10.725	0.
CORSIA_2	47	GLOBAL	27.67358	-10.725	0.	27.67358	-10.725	0.
CORSIA_2	48	GLOBAL	28.11258	-10.725	0.	28.11258	-10.725	0.
CORSIA_3	1	GLOBAL	-18.67474	-7.025	0.	-18.67474	-7.025	0.
CORSIA_3	2	GLOBAL	-18.23574	-7.025	0.	-18.23574	-7.025	0.
CORSIA_3	3	GLOBAL	-18.23374	-7.025	0.	-18.23374	-7.025	0.
CORSIA_3	4	GLOBAL	-15.93241	-7.025	0.	-15.93241	-7.025	0.
CORSIA_3	5	GLOBAL	-15.93041	-7.025	0.	-15.93041	-7.025	0.
CORSIA_3	6	GLOBAL	-13.62907	-7.025	0.	-13.62907	-7.025	0.
CORSIA_3	7	GLOBAL	-13.62707	-7.025	0.	-13.62707	-7.025	0.
CORSIA_3	8	GLOBAL	-11.32574	-7.025	0.	-11.32574	-7.025	0.
CORSIA_3	9	GLOBAL	-11.32374	-7.025	0.	-11.32374	-7.025	0.
CORSIA_3	10	GLOBAL	-9.02241	-7.025	0.	-9.02241	-7.025	0.
CORSIA_3	11	GLOBAL	-9.02041	-7.025	0.	-9.02041	-7.025	0.
CORSIA_3	12	GLOBAL	-6.71907	-7.025	0.	-6.71907	-7.025	0.
CORSIA_3	13	GLOBAL	-6.71707	-7.025	0.	-6.71707	-7.025	0.
CORSIA_3	14	GLOBAL	-4.41865	-7.025	0.	-4.41865	-7.025	0.
CORSIA_3	15	GLOBAL	-4.41665	-7.025	0.	-4.41665	-7.025	0.
CORSIA_3	16	GLOBAL	-3.97574	-7.025	0.	-3.97574	-7.025	0.
CORSIA_3	17	GLOBAL	-3.61374	-7.025	0.	-3.61374	-7.025	0.
CORSIA_3	18	GLOBAL	-3.17283	-7.025	0.	-3.17283	-7.025	0.
CORSIA_3	19	GLOBAL	-3.17083	-7.025	0.	-3.17083	-7.025	0.
CORSIA_3	20	GLOBAL	-0.87241	-7.025	0.	-0.87241	-7.025	0.
CORSIA_3	21	GLOBAL	-0.87041	-7.025	0.	-0.87041	-7.025	0.
CORSIA_3	22	GLOBAL	1.43093	-7.025	0.	1.43093	-7.025	0.
CORSIA_3	23	GLOBAL	1.43293	-7.025	0.	1.43293	-7.025	0.
CORSIA_3	24	GLOBAL	3.73426	-7.025	0.	3.73426	-7.025	0.
CORSIA_3	25	GLOBAL	3.73626	-7.025	0.	3.73626	-7.025	0.
CORSIA_3	26	GLOBAL	6.03759	-7.025	0.	6.03759	-7.025	0.
CORSIA_3	27	GLOBAL	6.03959	-7.025	0.	6.03959	-7.025	0.
CORSIA_3	28	GLOBAL	8.34093	-7.025	0.	8.34093	-7.025	0.
CORSIA_3	29	GLOBAL	8.34293	-7.025	0.	8.34293	-7.025	0.
CORSIA_3	30	GLOBAL	10.64426	-7.025	0.	10.64426	-7.025	0.
CORSIA_3	31	GLOBAL	10.64626	-7.025	0.	10.64626	-7.025	0.
CORSIA_3	32	GLOBAL	11.08426	-7.025	0.	11.08426	-7.025	0.
CORSIA_3	33	GLOBAL	11.44626	-7.025	0.	11.44626	-7.025	0.
CORSIA_3	34	GLOBAL	11.88426	-7.025	0.	11.88426	-7.025	0.
CORSIA_3	35	GLOBAL	11.88626	-7.025	0.	11.88626	-7.025	0.
CORSIA_3	36	GLOBAL	14.19051	-7.025	0.	14.19051	-7.025	0.

Table: Lane Centerline Points

Lane	Point	CoordSys	X m	Y m	Z m	GlobalX m	GlobalY m	GlobalZ m
CORSIA_3	37	GLOBAL	14.19251	-7.025	0.	14.19251	-7.025	0.
CORSIA_3	38	GLOBAL	16.49384	-7.025	0.	16.49384	-7.025	0.
CORSIA_3	39	GLOBAL	16.49584	-7.025	0.	16.49584	-7.025	0.
CORSIA_3	40	GLOBAL	18.79717	-7.025	0.	18.79717	-7.025	0.
CORSIA_3	41	GLOBAL	18.79917	-7.025	0.	18.79917	-7.025	0.
CORSIA_3	42	GLOBAL	21.10051	-7.025	0.	21.10051	-7.025	0.
CORSIA_3	43	GLOBAL	21.10251	-7.025	0.	21.10251	-7.025	0.
CORSIA_3	44	GLOBAL	23.40384	-7.025	0.	23.40384	-7.025	0.
CORSIA_3	45	GLOBAL	23.40584	-7.025	0.	23.40584	-7.025	0.
CORSIA_3	46	GLOBAL	25.70426	-7.025	0.	25.70426	-7.025	0.
CORSIA_3	47	GLOBAL	25.70626	-7.025	0.	25.70626	-7.025	0.
CORSIA_3	48	GLOBAL	26.14526	-7.025	0.	26.14526	-7.025	0.

Table: Lane Definition Data, Part 1 of 2

Table: Lane Definition Data, Part 1 of 2

Lane	LaneFrom	Frame	Width m	Offset m	LoadGroup	DiscAlong m	DiscAcross m	DiscSpan
CORSIA_1	Frame	228	0.	0.	Default	3.	3.	No
CORSIA_1	Frame	254	0.	0.	Default			
CORSIA_1	Frame	298	0.	0.	Default			
CORSIA_1	Frame	341	0.	0.	Default			
CORSIA_1	Frame	382	0.	0.	Default			
CORSIA_1	Frame	424	0.	0.	Default			
CORSIA_1	Frame	468	0.	0.	Default			
CORSIA_1	Frame	496	0.	0.	Default			
CORSIA_1	Frame	512	0.	0.	Default			
CORSIA_1	Frame	541	0.	0.	Default			
CORSIA_1	Frame	586	0.	0.	Default			
CORSIA_1	Frame	629	0.	0.	Default			
CORSIA_1	Frame	670	0.	0.	Default			
CORSIA_1	Frame	712	0.	0.	Default			
CORSIA_1	Frame	755	0.	0.	Default			
CORSIA_1	Frame	779	0.	0.	Default			
CORSIA_1	Frame	792	0.	0.	Default			
CORSIA_1	Frame	814	0.	0.	Default			
CORSIA_1	Frame	845	0.	0.	Default			
CORSIA_1	Frame	870	0.	0.	Default			
CORSIA_1	Frame	890	0.	0.	Default			
CORSIA_1	Frame	907	0.	0.	Default			
CORSIA_1	Frame	919	0.	0.	Default			
CORSIA_2	Frame	191	0.	0.	Default	3.	3.	No
CORSIA_2	Frame	214	0.	0.	Default			
CORSIA_2	Frame	258	0.	0.	Default			
CORSIA_2	Frame	301	0.	0.	Default			
CORSIA_2	Frame	343	0.	0.	Default			
CORSIA_2	Frame	384	0.	0.	Default			
CORSIA_2	Frame	427	0.	0.	Default			
CORSIA_2	Frame	454	0.	0.	Default			
CORSIA_2	Frame	469	0.	0.	Default			
CORSIA_2	Frame	497	0.	0.	Default			
CORSIA_2	Frame	546	0.	0.	Default			
CORSIA_2	Frame	589	0.	0.	Default			

Table: Lane Definition Data, Part 1 of 2

Lane	LaneFrom	Frame	Width	Offset	LoadGroup	DiscAlong	DiscAcross	DiscSpan
			m	m		m	m	
CORSIA_2	Frame	631	0.	0.	Default			
CORSIA_2	Frame	672	0.	0.	Default			
CORSIA_2	Frame	715	0.	0.	Default			
CORSIA_2	Frame	742	0.	0.	Default			
CORSIA_2	Frame	756	0.	0.	Default			
CORSIA_2	Frame	780	0.	0.	Default			
CORSIA_2	Frame	817	0.	0.	Default			
CORSIA_2	Frame	847	0.	0.	Default			
CORSIA_2	Frame	871	0.	0.	Default			
CORSIA_2	Frame	891	0.	0.	Default			
CORSIA_2	Frame	908	0.	0.	Default			
CORSIA_2	Frame	915	0.	0.	Default			
CORSIA_3	Frame	163	0.	0.	Default	3.	3.	No
CORSIA_3	Frame	182	0.	0.	Default			
CORSIA_3	Frame	220	0.	0.	Default			
CORSIA_3	Frame	263	0.	0.	Default			
CORSIA_3	Frame	306	0.	0.	Default			
CORSIA_3	Frame	349	0.	0.	Default			
CORSIA_3	Frame	390	0.	0.	Default			
CORSIA_3	Frame	418	0.	0.	Default			
CORSIA_3	Frame	430	0.	0.	Default			
CORSIA_3	Frame	457	0.	0.	Default			
CORSIA_3	Frame	504	0.	0.	Default			
CORSIA_3	Frame	551	0.	0.	Default			
CORSIA_3	Frame	594	0.	0.	Default			
CORSIA_3	Frame	637	0.	0.	Default			
CORSIA_3	Frame	678	0.	0.	Default			
CORSIA_3	Frame	706	0.	0.	Default			
CORSIA_3	Frame	718	0.	0.	Default			
CORSIA_3	Frame	744	0.	0.	Default			
CORSIA_3	Frame	785	0.	0.	Default			
CORSIA_3	Frame	822	0.	0.	Default			
CORSIA_3	Frame	851	0.	0.	Default			
CORSIA_3	Frame	874	0.	0.	Default			
CORSIA_3	Frame	894	0.	0.	Default			
CORSIA_3	Frame	904	0.	0.	Default			

Table: Lane Definition Data, Part 2 of 2

Table: Lane Definition Data, Part 2 of 2

Lane	DiscLane	DiscLaneFac	LeftType	RightType	Color	Notes
CORSIA_1	Yes	10.	Interior	Interior	White	
CORSIA_1						
CORSIA_1						
CORSIA_1						
CORSIA_1						
CORSIA_1						
CORSIA_1						
CORSIA_1						
CORSIA_1						
CORSIA_1						
CORSIA_1						

Table: Lane Definition Data, Part 2 of 2

Lane	DiscLane	DiscLaneFac	LeftType	RightType	Color	Notes
CORSIA_3						
CORSIA_3						
CORSIA_3						
CORSIA_3						
CORSIA_3						
CORSIA_3						
CORSIA_3						

Table: Link Property Assignments

Table: Link Property Assignments

Link	LinkType	LinkJoints	LinkProp	LinkFDProp	PropMod
1	MultiLinear Elastic	TwoJoint	AppoSP	None	1.
2	MultiLinear Elastic	TwoJoint	AppoSP	None	1.
3	MultiLinear Elastic	TwoJoint	AppoSP	None	1.
4	MultiLinear Elastic	TwoJoint	AppoSP	None	1.
5	MultiLinear Elastic	TwoJoint	AppoSP	None	1.
6	MultiLinear Elastic	TwoJoint	AppoSP	None	1.
7	MultiLinear Elastic	TwoJoint	AppoSP	None	1.
8	MultiLinear Elastic	TwoJoint	AppoSP	None	1.
9	MultiLinear Elastic	TwoJoint	AppoSP	None	1.
10	MultiLinear Elastic	TwoJoint	AppoSP	None	1.
11	MultiLinear Elastic	TwoJoint	AppoSP	None	1.
12	MultiLinear Elastic	TwoJoint	AppoSP	None	1.
13	MultiLinear Elastic	TwoJoint	AppoSP	None	1.
14	MultiLinear Elastic	TwoJoint	AppoSP	None	1.
15	MultiLinear Elastic	TwoJoint	AppoSP	None	1.
16	MultiLinear Elastic	TwoJoint	AppoSP	None	1.
17	MultiLinear Elastic	TwoJoint	AppoSP	None	1.
18	MultiLinear Elastic	TwoJoint	AppoPile	None	1.
19	MultiLinear Elastic	TwoJoint	AppoSP	None	1.
20	MultiLinear Elastic	TwoJoint	AppoSP	None	1.
21	MultiLinear Elastic	TwoJoint	AppoSP	None	1.
22	MultiLinear Elastic	TwoJoint	AppoPile	None	1.

Table: Link Property Assignments

Link	LinkType	LinkJoints	LinkProp	LinkFDProp	PropMod
23	MultiLinear Elastic	TwoJoint	AppoPile	None	1.
24	MultiLinear Elastic	TwoJoint	AppoPile	None	1.
25	MultiLinear Elastic	TwoJoint	AppoPile	None	1.
26	MultiLinear Elastic	TwoJoint	AppoPile	None	1.
27	MultiLinear Elastic	TwoJoint	AppoPile	None	1.
28	MultiLinear Elastic	TwoJoint	AppoPile	None	1.
29	MultiLinear Elastic	TwoJoint	AppoPile	None	1.
30	MultiLinear Elastic	TwoJoint	AppoPile	None	1.
31	MultiLinear Elastic	TwoJoint	AppoPile	None	1.
32	MultiLinear Elastic	TwoJoint	AppoPile	None	1.
33	MultiLinear Elastic	TwoJoint	AppoPile	None	1.
34	MultiLinear Elastic	TwoJoint	AppoPile	None	1.
35	MultiLinear Elastic	TwoJoint	AppoPile	None	1.
36	MultiLinear Elastic	TwoJoint	AppoPile	None	1.
37	MultiLinear Elastic	TwoJoint	AppoPile	None	1.
38	MultiLinear Elastic	TwoJoint	AppoPile	None	1.
39	MultiLinear Elastic	TwoJoint	AppoPile	None	1.
40	MultiLinear Elastic	TwoJoint	AppoSP	None	1.
41	MultiLinear Elastic	TwoJoint	AppoSP	None	1.
42	MultiLinear Elastic	TwoJoint	AppoPile	None	1.
43	MultiLinear Elastic	TwoJoint	AppoPile	None	1.
44	MultiLinear Elastic	TwoJoint	AppoPile	None	1.
45	MultiLinear Elastic	TwoJoint	AppoPile	None	1.
46	MultiLinear Elastic	TwoJoint	AppoPile	None	1.
47	MultiLinear Elastic	TwoJoint	AppoPile	None	1.
48	MultiLinear Elastic	TwoJoint	AppoPile	None	1.
49	MultiLinear Elastic	TwoJoint	AppoPile	None	1.
50	MultiLinear Elastic	TwoJoint	AppoPile	None	1.
51	MultiLinear Elastic	TwoJoint	AppoPile	None	1.
52	MultiLinear Elastic	TwoJoint	AppoPile	None	1.

Table: Link Property Assignments

Link	LinkType	LinkJoints	LinkProp	LinkFDProp	PropMod
53	MultiLinear Elastic	TwoJoint	AppoPile	None	1.
54	MultiLinear Elastic	TwoJoint	AppoPile	None	1.
55	MultiLinear Elastic	TwoJoint	AppoPile	None	1.
56	MultiLinear Elastic	TwoJoint	AppoPile	None	1.
57	MultiLinear Elastic	TwoJoint	AppoPile	None	1.
58	MultiLinear Elastic	TwoJoint	AppoPile	None	1.
59	MultiLinear Elastic	TwoJoint	AppoPile	None	1.
60	MultiLinear Elastic	TwoJoint	AppoSP	None	1.
61	MultiLinear Elastic	TwoJoint	AppoSP	None	1.
62	MultiLinear Elastic	TwoJoint	AppoPile	None	1.
63	MultiLinear Elastic	TwoJoint	AppoPile	None	1.
64	MultiLinear Elastic	TwoJoint	AppoPile	None	1.
65	MultiLinear Elastic	TwoJoint	AppoPile	None	1.
66	MultiLinear Elastic	TwoJoint	AppoPile	None	1.
67	MultiLinear Elastic	TwoJoint	AppoPile	None	1.
68	MultiLinear Elastic	TwoJoint	AppoPile	None	1.
69	MultiLinear Elastic	TwoJoint	AppoPile	None	1.
70	MultiLinear Elastic	TwoJoint	AppoPile	None	1.
71	MultiLinear Elastic	TwoJoint	AppoPile	None	1.
72	MultiLinear Elastic	TwoJoint	AppoPile	None	1.
73	MultiLinear Elastic	TwoJoint	AppoPile	None	1.
74	MultiLinear Elastic	TwoJoint	AppoPile	None	1.
75	MultiLinear Elastic	TwoJoint	AppoPile	None	1.
76	MultiLinear Elastic	TwoJoint	AppoPile	None	1.
77	MultiLinear Elastic	TwoJoint	AppoPile	None	1.
78	MultiLinear Elastic	TwoJoint	AppoPile	None	1.
79	MultiLinear Elastic	TwoJoint	AppoPile	None	1.
80	MultiLinear Elastic	TwoJoint	AppoSP	None	1.
81	MultiLinear Elastic	TwoJoint	AppoSP	None	1.
82	MultiLinear Elastic	TwoJoint	AppoPile	None	1.

Table: Link Property Assignments

Link	LinkType	LinkJoints	LinkProp	LinkFDProp	PropMod
83	MultiLinear Elastic	TwoJoint	AppoPile	None	1.
84	MultiLinear Elastic	TwoJoint	AppoPile	None	1.
85	MultiLinear Elastic	TwoJoint	AppoPile	None	1.
86	MultiLinear Elastic	TwoJoint	AppoPile	None	1.
87	MultiLinear Elastic	TwoJoint	AppoPile	None	1.
88	MultiLinear Elastic	TwoJoint	AppoPile	None	1.
89	MultiLinear Elastic	TwoJoint	AppoPile	None	1.
90	MultiLinear Elastic	TwoJoint	AppoPile	None	1.
91	MultiLinear Elastic	TwoJoint	AppoPile	None	1.
92	MultiLinear Elastic	TwoJoint	AppoPile	None	1.
93	MultiLinear Elastic	TwoJoint	AppoPile	None	1.
94	MultiLinear Elastic	TwoJoint	AppoPile	None	1.
95	MultiLinear Elastic	TwoJoint	AppoPile	None	1.
96	MultiLinear Elastic	TwoJoint	AppoPile	None	1.
97	MultiLinear Elastic	TwoJoint	AppoPile	None	1.
98	MultiLinear Elastic	TwoJoint	AppoPile	None	1.
99	MultiLinear Elastic	TwoJoint	AppoPile	None	1.
100	MultiLinear Elastic	TwoJoint	AppoSP	None	1.
101	MultiLinear Elastic	TwoJoint	AppoSP	None	1.
102	MultiLinear Elastic	TwoJoint	AppoSP	None	1.
103	MultiLinear Elastic	TwoJoint	AppoSP	None	1.
104	MultiLinear Elastic	TwoJoint	AppoSP	None	1.
105	MultiLinear Elastic	TwoJoint	AppoSP	None	1.
106	MultiLinear Elastic	TwoJoint	AppoSP	None	1.
107	MultiLinear Elastic	TwoJoint	AppoSP	None	1.
108	MultiLinear Elastic	TwoJoint	AppoSP	None	1.
127	Linear	TwoJoint	RIGIDO	None	1.
128	Linear	TwoJoint	RIGIDO	None	1.
129	Linear	TwoJoint	RIGIDO	None	1.
130	Linear	TwoJoint	RIGIDO	None	1.
131	Linear	TwoJoint	RIGIDO	None	1.
132	Linear	TwoJoint	RIGIDO	None	1.
133	Linear	TwoJoint	RIGIDO	None	1.

Table: Link Property Assignments

Link	LinkType	LinkJoints	LinkProp	LinkFDProp	PropMod
134	Linear	TwoJoint	RIGIDO	None	1.
135	Linear	TwoJoint	RIGIDO	None	1.
136	Linear	TwoJoint	RIGIDO	None	1.
137	Linear	TwoJoint	RIGIDO	None	1.
138	Linear	TwoJoint	RIGIDO	None	1.
139	Linear	TwoJoint	RIGIDO	None	1.
140	Linear	TwoJoint	RIGIDO	None	1.
141	Linear	TwoJoint	RIGIDO	None	1.
142	Linear	TwoJoint	RIGIDO	None	1.
143	Linear	TwoJoint	RIGIDO	None	1.
144	Linear	TwoJoint	RIGIDO	None	1.
145	Linear	TwoJoint	RIGIDO	None	1.
146	Linear	TwoJoint	RIGIDO	None	1.
147	Linear	TwoJoint	RIGIDO	None	1.
148	Linear	TwoJoint	RIGIDO	None	1.
149	Linear	TwoJoint	RIGIDO	None	1.
150	Linear	TwoJoint	RIGIDO	None	1.
151	Linear	TwoJoint	RIGIDO	None	1.
152	Linear	TwoJoint	RIGIDO	None	1.
153	Linear	TwoJoint	RIGIDO	None	1.
154	Linear	TwoJoint	RIGIDO	None	1.
155	Linear	TwoJoint	RIGIDO	None	1.
156	Linear	TwoJoint	RIGIDO	None	1.
157	Linear	TwoJoint	RIGIDO	None	1.
158	Linear	TwoJoint	RIGIDO	None	1.
159	Linear	TwoJoint	RIGIDO	None	1.
160	Linear	TwoJoint	RIGIDO	None	1.
161	Linear	TwoJoint	RIGIDO	None	1.
162	Linear	TwoJoint	RIGIDO	None	1.
235	Linear	TwoJoint	RIGIDO	None	1.
236	Linear	TwoJoint	RIGIDO	None	1.
237	Linear	TwoJoint	RIGIDO	None	1.
238	Linear	TwoJoint	RIGIDO	None	1.
239	Linear	TwoJoint	RIGIDO	None	1.
240	Linear	TwoJoint	RIGIDO	None	1.
241	Linear	TwoJoint	RIGIDO	None	1.
242	Linear	TwoJoint	RIGIDO	None	1.
243	Linear	TwoJoint	RIGIDO	None	1.
244	Linear	TwoJoint	RIGIDO	None	1.
245	Linear	TwoJoint	RIGIDO	None	1.
246	Linear	TwoJoint	RIGIDO	None	1.
247	Linear	TwoJoint	RIGIDO	None	1.
248	Linear	TwoJoint	RIGIDO	None	1.
249	Linear	TwoJoint	RIGIDO	None	1.
250	Linear	TwoJoint	RIGIDO	None	1.
251	Linear	TwoJoint	RIGIDO	None	1.
252	Linear	TwoJoint	RIGIDO	None	1.
253	Linear	TwoJoint	RIGIDO	None	1.
254	Linear	TwoJoint	RIGIDO	None	1.
255	Linear	TwoJoint	RIGIDO	None	1.
256	Linear	TwoJoint	RIGIDO	None	1.
257	Linear	TwoJoint	RIGIDO	None	1.
258	Linear	TwoJoint	RIGIDO	None	1.
259	Linear	TwoJoint	RIGIDO	None	1.

Table: Link Property Assignments

Link	LinkType	LinkJoints	LinkProp	LinkFDProp	PropMod
260	Linear	TwoJoint	RIGIDO	None	1.
261	Linear	TwoJoint	RIGIDO	None	1.
262	Linear	TwoJoint	RIGIDO	None	1.
263	Linear	TwoJoint	RIGIDO	None	1.
264	Linear	TwoJoint	RIGIDO	None	1.
265	Linear	TwoJoint	RIGIDO	None	1.
266	Linear	TwoJoint	RIGIDO	None	1.
267	Linear	TwoJoint	RIGIDO	None	1.
268	Linear	TwoJoint	RIGIDO	None	1.
269	Linear	TwoJoint	RIGIDO	None	1.
270	Linear	TwoJoint	RIGIDO	None	1.

Table: Link Property Definitions 01 - General, Part 1 of 3

Table: Link Property Definitions 01 - General, Part 1 of 3

Link	LinkType	Mass KN-s2/m	Weight KN	RotInert1 KN-m-s2	RotInert2 KN-m-s2	RotInert3 KN-m-s2	DefLength m
AppoPile	MultiLinear Elastic	0.	0.	0.	0.	0.	1.
AppoSP	MultiLinear Elastic	0.	0.	0.	0.	0.	1.
RIGIDO	Linear	0.	0.	0.	0.	0.	1.

Table: Link Property Definitions 01 - General, Part 2 of 3

Table: Link Property Definitions 01 - General, Part 2 of 3

Link	DefArea m2	PDM2I	PDM2J	PDM3I	PDM3J	StiffDFact	Color
AppoPile	1.	0.	0.	0.	0.	1.	Yellow
AppoSP	1.	0.	0.	0.	0.	1.	Yellow
RIGIDO	1.	0.	0.	0.	0.	1.	Gray8Dark

Table: Link Property Definitions 01 - General, Part 3 of 3

Table: Link Property Definitions 01 - General, Part 3 of 3

Link	GUID	Notes
AppoPile		Added 13/10/2015 9:17:15
AppoSP		Added 12/10/2015 17:49:41
RIGIDO		Added 10/02/2022 16:46:49

Table: Load Case Definitions, Part 1 of 3

Table: Load Case Definitions, Part 1 of 3

Case	Type	InitialCond	ModalCase	BaseCase	MassSource	DesTypeOpt	DesignType
MODAL	LinModal	Zero				Prog Det	Other
G1_sol	LinStatic	Zero				Prog Det	Live
G1_travi	LinStatic	Zero				Prog Det	Live
G1_trasv	LinStatic	Zero				Prog Det	Live
G1_pile	LinStatic	Zero				Prog Det	Dead

Table: Load Case Definitions, Part 1 of 3

Case	Type	InitialCond	ModalCase	BaseCase	MassSource	DesTypeOpt	DesignType
G1_Imp	LinStatic	Zero				Prog Det	Live
G1_Tot	LinStatic	Zero				Prog Det	Dead
G2_Tot	LinStatic	Zero				Prog Det	Live
Q1_Schema_1	LinMoving	Zero				Prog Det	Vehicle Live
Q3_Fr	LinStatic	Zero				Prog Det	Live
Q4_Cen	LinStatic	Zero				Prog Det	Live
Q5_WhPC	LinStatic	Zero				Prog Det	Live
Q5_WhPS	LinStatic	Zero				Prog Det	Live
Q5_WvZ+	LinStatic	Zero				Prog Det	Live
Q5_WvZ-	LinStatic	Zero				Prog Det	Live
Q5_Wpile	LinStatic	Zero				Prog Det	Live
Q5_Wpc_Z+	LinStatic	Zero				Prog Det	Live
Q5_Wpc_Z-	LinStatic	Zero				Prog Det	Live
Q5_Wps_Z+	LinStatic	Zero				Prog Det	Live
Q5_Wps_Z-	LinStatic	Zero				Prog Det	Live
Q7_Tunif	LinStatic	Zero				Prog Det	Live
Ex_SLV	LinRespSpec		MODAL			Prog Det	Quake
Ey_SLV	LinRespSpec		MODAL			Prog Det	Quake
Ez_SLV	LinRespSpec		MODAL			Prog Det	Quake
Ex_SLC	LinRespSpec		MODAL			Prog Det	Quake
Ey_SLC	LinRespSpec		MODAL			Prog Det	Quake
Ez_SLC	LinRespSpec		MODAL			Prog Det	Quake
G1+G2_tot	LinStatic	Zero				Prog Det	Dead
G2_terr	LinStatic	Zero				Prog Det	Live

Table: Load Case Definitions, Part 2 of 3

Table: Load Case Definitions, Part 2 of 3

Case	DesActOpt	DesignAct	AutoType	RunCase	CaseStatus	GUID
MODAL	Prog Det	Other	None	Yes	Not Run	
G1_sol	Prog Det	Short-Term Composite	None	Yes	Not Run	
G1_travi	Prog Det	Short-Term Composite	None	Yes	Not Run	
G1_trasv	Prog Det	Short-Term Composite	None	Yes	Not Run	
G1_pile	Prog Det	Non-Composite	None	Yes	Not Run	
G1_Imp	Prog Det	Short-Term Composite	None	Yes	Not Run	
G1_Tot	Prog Det	Short-Term Composite	None	Yes	Not Run	
G2_Tot	Prog Det	Short-Term Composite	None	Yes	Not Run	
Q1_Schema_1	Prog Det	Short-Term Composite	None	Yes	Not Run	
Q3_Fr	Prog Det	Short-Term Composite	None	Yes	Not Run	
Q4_Cen	Prog Det	Short-Term Composite	None	Yes	Not Run	
Q5_WhPC	Prog Det	Short-Term Composite	None	Yes	Not Run	
Q5_WhPS	Prog Det	Short-Term Composite	None	Yes	Not Run	

Table: Load Case Definitions, Part 2 of 3

Case	DesActOpt	DesignAct	AutoType	RunCase	CaseStatus	GUID
Q5_WvZ+	Prog Det	Short-Term Composite	None	Yes	Not Run	
Q5_WvZ-	Prog Det	Short-Term Composite	None	Yes	Not Run	
Q5_Wpile	Prog Det	Short-Term Composite	None	Yes	Not Run	
Q5_Wpc_Z+	Prog Det	Short-Term Composite	None	Yes	Not Run	
Q5_Wpc_Z-	Prog Det	Short-Term Composite	None	Yes	Not Run	
Q5_Wps_Z+	Prog Det	Short-Term Composite	None	Yes	Not Run	
Q5_Wps_Z-	Prog Det	Short-Term Composite	None	Yes	Not Run	
Q7_Tunif	Prog Det	Short-Term Composite	None	Yes	Not Run	
Ex_SLV	Prog Det	Short-Term Composite	None	Yes	Not Run	
Ey_SLV	Prog Det	Short-Term Composite	None	Yes	Not Run	
Ez_SLV	Prog Det	Short-Term Composite	None	Yes	Not Run	
Ex_SLC	Prog Det	Short-Term Composite	None	Yes	Not Run	
Ey_SLC	Prog Det	Short-Term Composite	None	Yes	Not Run	
Ez_SLC	Prog Det	Short-Term Composite	None	Yes	Not Run	
G1+G2_tot	Prog Det	Non-Composite	None	Yes	Not Run	
G2_terr	Prog Det	Short-Term Composite	None	Yes	Not Run	796d795b-ba6d-4b92-a910-901f9067599d

Table: Load Case Definitions, Part 3 of 3

Table: Load Case Definitions, Part 3 of 3

Case	Notes
MODAL	
G1_sol	
G1_travi	
G1_trasv	
G1_pile	
G1_imp	
G1_Tot	
G2_Tot	
Q1_Schema_1	
Q3_Fr	
Q4_Cen	
Q5_WhPC	
Q5_WhPS	
Q5_WvZ+	
Q5_WvZ-	
Q5_Wpile	
Q5_Wpc_Z+	

Table: Load Case Definitions, Part 3 of 3

Case	Notes
Q5_Wpc_Z-	
Q5_Wps_Z+	
Q5_Wps_Z-	
Q7_Tunif	
Ex_SLV	
Ey_SLV	
Ez_SLV	
Ex_SLC	
Ey_SLC	
Ez_SLC	
G1+G2_tot	
G2_terr	

Table: Load Pattern Definitions

Table: Load Pattern Definitions

LoadPat	DesignType	SelfWtMult	AutoLoad	GUID	Notes
G1_sol	Live	0.			
G1_travi	Live	0.			
G1_trasv	Live	0.			
G1_dead	Dead	1.			
G2_imp	Live	0.			
G2_terr	Live	0.		360a9fa7-66dd-47a8-9f7a-c0086f45cc03	Added 03/03/2022 16:45:49
Q3_Fr	Live	0.			
Q4_Cen	Live	0.			
Q5_WhPC	Live	0.			
Q5_WhPS	Live	0.			
Q5_WvZ+	Live	0.			
Q5_WvZ-	Live	0.			
Q5_Wpile	Live	0.			
Q7_Tunif	Live	0.			

Table: Material Properties 01 - General, Part 1 of 2

Table: Material Properties 01 - General, Part 1 of 2

Material	Type	Grade	SymType	TempDepend	Color	GUID
4000Psi	Concrete		Isotropic	No	Blue	
A416Gr270	Tendon	Grade 270	Uniaxial	No	White	309e9984-660b-4ec7-88dd-516a0747e5f9
A615Gr60	Rebar		Uniaxial	No	Gray8Dark	
C25/30	Concrete		Isotropic	No	Blue	
C25/30_Fess	Concrete		Isotropic	No	Blue	
C25/30_noMass	Concrete		Isotropic	No	Blue	
C28/35	Concrete		Isotropic	No	Blue	
C28/35_Fess	Concrete		Isotropic	No	Blue	
C28/35_noMass	Concrete		Isotropic	No	Blue	
C40/50	Concrete		Isotropic	No	Blue	

Table: Material Properties 01 - General, Part 1 of 2

Material	Type	Grade	SymType	TempDepend	Color	GUID
C40/50noMass	Concrete		Isotropic	No	Blue	
C45/55	Concrete		Isotropic	No	Blue	
C45/55_noMass	Concrete		Isotropic	No	Blue	
RIG	Concrete		Isotropic	No	Blue	
S355_NoMass	Steel		Isotropic	No	Gray8Dark	

Table: Material Properties 01 - General, Part 2 of 2

Table: Material Properties 01 - General, Part 2 of 2

Material	Notes
4000Psi	Normalweight f'c = 4 ksi added 05/10/2015 17:09:31
A416Gr270	ASTM A416 Grade 270 10/02/2022 13:44:45
A615Gr60	ASTM A615 Grade 60 added 12/10/2015 17:42:09
C25/30	Normalweight Chinese C30 added 12/10/2015 17:39:34
C25/30_Fess	Normalweight Chinese C30 added 12/10/2015 17:39:34
C25/30_noMass	Normalweight Chinese C30 added 12/10/2015 17:39:34
C28/35	Normalweight Chinese C30 added 12/10/2015 17:39:34
C28/35_Fess	Normalweight Chinese C30 added 12/10/2015 17:39:34
C28/35_noMass	Normalweight Chinese C30 added 12/10/2015 17:39:34
C40/50	Normalweight Chinese C30 added 12/10/2015 17:39:34
C40/50noMass	Normalweight Chinese C30 added 12/10/2015 17:39:34
C45/55	Normalweight Chinese C30 added 12/10/2015 17:39:34
C45/55_noMass	Normalweight Chinese C30 added 12/10/2015 17:39:34
RIG	Normalweight Chinese C30 added 12/10/2015 17:39:34
S355_NoMass	ASTM A992 Fy=50 ksi added 05/10/2015 17:09:31

Table: Section Designer Properties 01 - General, Part 1 of 6

Table: Section Designer Properties 01 - General, Part 1 of 6

SectionName	DesignType	DsgnOrChck	BaseMat	IncludeVStr	AxisAngle	MeshSzAbs
					Degrees	m
Pulv	No Check/Design	Check	C25/30	No	90.	0.
PulvNew	No Check/Design	Check	C25/30	No	90.	0.
TResist	No Check/Design	Check	C45/55_noMass	No	90.	0.

Table: Section Designer Properties 01 - General, Part 1 of 6

SectionName	DesignType	DsgnOrChck	BaseMat	IncludeVStr	AxisAngle	MeshSzAbs
					Degrees	m
TRnew	No Check/Design	Check	C45/55_noMass	No	90.	0.

Table: Section Designer Properties 01 - General, Part 2 of 6

Table: Section Designer Properties 01 - General, Part 2 of 6

SectionName	MeshSzRel	nTotalShp	nIWideFIng	nChannel	nTee	nAngle	nDbIAngle
Pulv	0.05	1	0	0	0	0	0
PulvNew	0.05	1	0	0	0	0	0
TResist	0.05	2	0	0	0	0	0
TRnew	0.05	2	0	0	0	0	0

Table: Section Designer Properties 01 - General, Part 3 of 6

Table: Section Designer Properties 01 - General, Part 3 of 6

SectionName	nBoxTube	nPipe	nPlate	nSolidRect	nSolidCirc	nSolidSeg	nSolidSect
Pulv	0	0	0	0	0	0	0
PulvNew	0	0	0	0	0	0	0
TResist	0	0	0	0	0	0	0
TRnew	0	0	0	0	0	0	0

Table: Section Designer Properties 01 - General, Part 4 of 6

Table: Section Designer Properties 01 - General, Part 4 of 6

SectionName	nPolygon	nReinfSing	nReinfLine	nReinfRect	nReinfCirc	nRefLine	nRefCirc
Pulv	1	0	0	0	0	0	0
PulvNew	1	0	0	0	0	0	0
TResist	2	0	0	0	0	0	0
TRnew	2	0	0	0	0	0	0

Table: Section Designer Properties 01 - General, Part 5 of 6

Table: Section Designer Properties 01 - General, Part 5 of 6

SectionName	nCaltransSq	nCaltransCr	nCaltransHx	nCaltransOc	nBSectShell	nBSectSolid	nBSectCut
Pulv	0	0	0	0	0	0	0
PulvNew	0	0	0	0	0	0	0
TResist	0	0	0	0	0	0	0
TRnew	0	0	0	0	0	0	0

Table: Section Designer Properties 01 - General, Part 6 of 6

Table: Section Designer Properties 01 - General, Part 6 of 6

SectionName	nBSectCenter
Pulv	0

Table: Section Designer
Properties 01 - General, Part 6 of 6

SectionName	nBSectCenter
PulvNew	0
TResist	0
TRnew	0

Table: Vehicles 2 - General Vehicles 1 - General

Table: Vehicles 2 - General Vehicles 1 - General

VehName	NumInter	StayInLane
Q1_Tan1	4	No
Q1_Tan2	4	No
Q1_Tan3	4	No
Q1_DistAR	2	No
Q1_Dist1	2	No
Q1_Dist2	2	No
Q1_Dist3	2	No
Q1_Dist4	2	No

Table: Vehicles 3 - General Vehicles 2 - Loads

Table: Vehicles 3 - General Vehicles 2 - Loads

VehName	LoadType	InterUnif KN/m	InterAxle KN	InterMinD m	InterMaxD m
Q1_Tan1	Leading Load	0.	0.		
Q1_Tan1	Fixed Length	0.	300.	0.1	
Q1_Tan1	Fixed Length	0.	300.	1.2	
Q1_Tan1	Trailing Load	0.			
Q1_Tan2	Leading Load	0.	0.		
Q1_Tan2	Fixed Length	0.	200.	0.001	
Q1_Tan2	Fixed Length	0.	200.	1.2	
Q1_Tan2	Trailing Load	0.			
Q1_Tan3	Leading Load	0.	0.		
Q1_Tan3	Fixed Length	0.	100.	0.001	
Q1_Tan3	Fixed Length	0.	100.	1.2	
Q1_Tan3	Trailing Load	0.			
Q1_DistAR	Leading Load	1.25	0.		
Q1_DistAR	Trailing Load	1.25			
Q1_Dist1	Leading Load	27.	0.		
Q1_Dist1	Trailing Load	27.			
Q1_Dist2	Leading Load	7.5	0.		
Q1_Dist2	Trailing Load	7.5			
Q1_Dist3	Leading Load	7.5	0.		
Q1_Dist3	Trailing Load	7.5			
Q1_Dist4	Leading Load	0.	0.		

Table: Vehicles 3 - General Vehicles 2 - Loads

VehName	LoadType	InterUnif	InterAxle	InterMinD	InterMaxD
		KN/m	KN	m	m
Q1_Dist4	Trailing Load	0.			

Table: Vehicles 4 - Vehicle Classes

Table: Vehicles 4 - Vehicle Classes

VehClass	VehName	ScaleFactor
Q1_Tan1	Q1_Tan1	1.
Q1_Tan2	Q1_Tan2	1.
Q1_Tan3	Q1_Tan3	1.
Q1_Dist2	Q1_Dist2	1.
Q1_Dist1	Q1_Dist1	1.
Q1_Dist3	Q1_Dist3	1.
Q1_Dist4	Q1_Dist4	1.
Q1_DistAR	Q1_DistAR	1.

Table: Element Forces - Area Shells, Part 1 of 5

Table: Element Forces - Area Shells, Part 1 of 5

Area	AreaElem	ShellType	Joint	OutputCase	CaseType	StepType	F11 KN/m	F22 KN/m
107	107	Shell-Thick	139	SLU_ENV	Combination	Max	114.3	-537.68
107	107	Shell-Thick	140	SLU_ENV	Combination	Max	251.59	-87.69
107	107	Shell-Thick	122	SLU_ENV	Combination	Max	204.23	-92.61
107	107	Shell-Thick	121	SLU_ENV	Combination	Max	64.49	-542.76
107	107	Shell-Thick	139	SLU_ENV	Combination	Min	26.82	-872.86
107	107	Shell-Thick	140	SLU_ENV	Combination	Min	120.95	-176.73
107	107	Shell-Thick	122	SLU_ENV	Combination	Min	95.42	-192.06
107	107	Shell-Thick	121	SLU_ENV	Combination	Min	1.96	-488.11
107	107	Shell-Thick	139	SLV_ENV	Combination	Max	125.64	-97.54
107	107	Shell-Thick	140	SLV_ENV	Combination	Max	254.67	267.02
107	107	Shell-Thick	122	SLV_ENV	Combination	Max	291.43	230.28
107	107	Shell-Thick	121	SLV_ENV	Combination	Max	207.8	-111.66
107	107	Shell-Thick	139	SLV_ENV	Combination	Min	-21.11	-580.15
107	107	Shell-Thick	140	SLV_ENV	Combination	Min	43.06	-478.69
107	107	Shell-Thick	122	SLV_ENV	Combination	Min	-52.11	-453.64
107	107	Shell-Thick	121	SLV_ENV	Combination	Min	-161.69	-577.71
108	108	Shell-Thick	121	SLU_ENV	Combination	Max	117.49	-370.89
108	108	Shell-Thick	122	SLU_ENV	Combination	Max	183.24	-151.31
108	108	Shell-Thick	104	SLU_ENV	Combination	Max	24.61	-171.07
108	108	Shell-Thick	103	SLU_ENV	Combination	Max	-22.8	-390.71
108	108	Shell-Thick	121	SLU_ENV	Combination	Min	38.16	-627.7
108	108	Shell-Thick	122	SLU_ENV	Combination	Min	84.62	-294.62
108	108	Shell-Thick	104	SLU_ENV	Combination	Min	-41.79	-327.62
108	108	Shell-Thick	103	SLU_ENV	Combination	Min	-107.55	-656.14
108	108	Shell-Thick	121	SLV_ENV	Combination	Max	260.47	-85.83
108	108	Shell-Thick	122	SLV_ENV	Combination	Max	304.75	36.21
108	108	Shell-Thick	104	SLV_ENV	Combination	Max	46.68	43.71
108	108	Shell-Thick	103	SLV_ENV	Combination	Max	16.76	-88.86
108	108	Shell-Thick	121	SLV_ENV	Combination	Min	-141.71	-640.33
108	108	Shell-Thick	122	SLV_ENV	Combination	Min	-91.98	-392.3
108	108	Shell-Thick	104	SLV_ENV	Combination	Min	-51.22	-443.26
108	108	Shell-Thick	103	SLV_ENV	Combination	Min	-115.32	-780.77
109	109	Shell-Thick	103	SLU_ENV	Combination	Max	-1.85	-295.51
109	109	Shell-Thick	104	SLU_ENV	Combination	Max	16.46	-197.04
109	109	Shell-Thick	86	SLU_ENV	Combination	Max	-60.71	-210.26
109	109	Shell-Thick	85	SLU_ENV	Combination	Max	-84.77	-310.83
109	109	Shell-Thick	103	SLU_ENV	Combination	Min	-79.57	-516.95
109	109	Shell-Thick	104	SLU_ENV	Combination	Min	-51.99	-387.85
109	109	Shell-Thick	86	SLU_ENV	Combination	Min	-181.77	-417.62
109	109	Shell-Thick	85	SLU_ENV	Combination	Min	-208.61	-545.79
109	109	Shell-Thick	103	SLV_ENV	Combination	Max	45.31	-78.07
109	109	Shell-Thick	104	SLV_ENV	Combination	Max	63.02	-53.82
109	109	Shell-Thick	86	SLV_ENV	Combination	Max	-13.14	-59.03
109	109	Shell-Thick	85	SLV_ENV	Combination	Max	-21.04	-83.61
109	109	Shell-Thick	103	SLV_ENV	Combination	Min	-104.03	-592.34
109	109	Shell-Thick	104	SLV_ENV	Combination	Min	-80.71	-411.48
109	109	Shell-Thick	86	SLV_ENV	Combination	Min	-171.61	-439.68
109	109	Shell-Thick	85	SLV_ENV	Combination	Min	-204.73	-520.21
110	110	Shell-Thick	85	SLU_ENV	Combination	Max	-79.03	-264.84
110	110	Shell-Thick	86	SLU_ENV	Combination	Max	-63.2	-219.74

Table: Element Forces - Area Shells, Part 1 of 5

Area	AreaElem	ShellType	Joint	OutputCase	CaseType	StepType	F11 KN/m	F22 KN/m
110	110	Shell-Thick	68	SLU_ENV	Combination	Max	-146.16	-233.99
110	110	Shell-Thick	67	SLU_ENV	Combination	Max	-163.9	-284.96
110	110	Shell-Thick	85	SLU_ENV	Combination	Min	-197.44	-494.3
110	110	Shell-Thick	86	SLU_ENV	Combination	Min	-185.47	-439.13
110	110	Shell-Thick	68	SLU_ENV	Combination	Min	-327.31	-466.56
110	110	Shell-Thick	67	SLU_ENV	Combination	Min	-338.04	-518.09
110	110	Shell-Thick	85	SLV_ENV	Combination	Max	-14.51	-82.98
110	110	Shell-Thick	86	SLV_ENV	Combination	Max	-9.	-83.96
110	110	Shell-Thick	68	SLV_ENV	Combination	Max	-63.91	-88.75
110	110	Shell-Thick	67	SLV_ENV	Combination	Max	-67.23	-88.09
110	110	Shell-Thick	85	SLV_ENV	Combination	Min	-194.44	-536.75
110	110	Shell-Thick	86	SLV_ENV	Combination	Min	-180.15	-436.77
110	110	Shell-Thick	68	SLV_ENV	Combination	Min	-298.74	-466.68
110	110	Shell-Thick	67	SLV_ENV	Combination	Min	-315.22	-566.33
111	111	Shell-Thick	67	SLU_ENV	Combination	Max	-159.22	-245.92
111	111	Shell-Thick	68	SLU_ENV	Combination	Max	-143.21	-230.33
111	111	Shell-Thick	50	SLU_ENV	Combination	Max	-231.64	-245.89
111	111	Shell-Thick	49	SLU_ENV	Combination	Max	-240.16	-272.23
111	111	Shell-Thick	67	SLU_ENV	Combination	Min	-335.08	-506.28
111	111	Shell-Thick	68	SLU_ENV	Combination	Min	-321.08	-469.02
111	111	Shell-Thick	50	SLU_ENV	Combination	Min	-494.55	-502.06
111	111	Shell-Thick	49	SLU_ENV	Combination	Min	-503.15	-537.23
111	111	Shell-Thick	67	SLV_ENV	Combination	Max	-65.82	-90.44
111	111	Shell-Thick	68	SLV_ENV	Combination	Max	-62.76	-99.36
111	111	Shell-Thick	50	SLV_ENV	Combination	Max	-96.4	-106.36
111	111	Shell-Thick	49	SLV_ENV	Combination	Max	-97.88	-97.72
111	111	Shell-Thick	67	SLV_ENV	Combination	Min	-306.88	-515.23
111	111	Shell-Thick	68	SLV_ENV	Combination	Min	-298.55	-449.38
111	111	Shell-Thick	50	SLV_ENV	Combination	Min	-456.51	-480.69
111	111	Shell-Thick	49	SLV_ENV	Combination	Min	-466.41	-546.27
114	114	Shell-Thick	140	SLU_ENV	Combination	Max	342.41	-76.6
114	114	Shell-Thick	141	SLU_ENV	Combination	Max	356.95	-22.7
114	114	Shell-Thick	123	SLU_ENV	Combination	Max	29.71	-65.06
114	114	Shell-Thick	122	SLU_ENV	Combination	Max	19.68	-118.87
114	114	Shell-Thick	140	SLU_ENV	Combination	Min	184.35	-159.23
114	114	Shell-Thick	141	SLU_ENV	Combination	Min	194.76	-83.96
114	114	Shell-Thick	123	SLU_ENV	Combination	Min	-45.28	-159.11
114	114	Shell-Thick	122	SLU_ENV	Combination	Min	-59.72	-228.43
114	114	Shell-Thick	140	SLV_ENV	Combination	Max	387.45	247.64
114	114	Shell-Thick	141	SLV_ENV	Combination	Max	523.86	281.5
114	114	Shell-Thick	123	SLV_ENV	Combination	Max	216.68	229.16
114	114	Shell-Thick	122	SLV_ENV	Combination	Max	76.67	220.4
114	114	Shell-Thick	140	SLV_ENV	Combination	Min	29.07	-435.56
114	114	Shell-Thick	141	SLV_ENV	Combination	Min	-84.2	-353.72
114	114	Shell-Thick	123	SLV_ENV	Combination	Min	-235.51	-393.08
114	114	Shell-Thick	122	SLV_ENV	Combination	Min	-118.64	-500.01
115	115	Shell-Thick	122	SLU_ENV	Combination	Max	5.55	-176.98
115	115	Shell-Thick	123	SLU_ENV	Combination	Max	14.91	-115.76
115	115	Shell-Thick	105	SLU_ENV	Combination	Max	-20.37	-122.1
115	115	Shell-Thick	104	SLU_ENV	Combination	Max	-31.13	-183.84
115	115	Shell-Thick	122	SLU_ENV	Combination	Min	-78.83	-334.7
115	115	Shell-Thick	123	SLU_ENV	Combination	Min	-59.85	-255.57
115	115	Shell-Thick	105	SLU_ENV	Combination	Min	-129.18	-274.67
115	115	Shell-Thick	104	SLU_ENV	Combination	Min	-144.1	-349.59

Table: Element Forces - Area Shells, Part 1 of 5

Area	AreaElem	ShellType	Joint	OutputCase	CaseType	StepType	F11 KN/m	F22 KN/m
115	115	Shell-Thick	122	SLV_ENV	Combination	Max	96.25	26.61
115	115	Shell-Thick	123	SLV_ENV	Combination	Max	184.75	74.02
115	115	Shell-Thick	105	SLV_ENV	Combination	Max	92.16	55.86
115	115	Shell-Thick	104	SLV_ENV	Combination	Max	4.76	30.22
115	115	Shell-Thick	122	SLV_ENV	Combination	Min	-164.77	-438.95
115	115	Shell-Thick	123	SLV_ENV	Combination	Min	-226.49	-352.49
115	115	Shell-Thick	105	SLV_ENV	Combination	Min	-206.79	-348.91
115	115	Shell-Thick	104	SLV_ENV	Combination	Min	-146.17	-457.15
116	116	Shell-Thick	104	SLU_ENV	Combination	Max	-38.12	-208.3
116	116	Shell-Thick	105	SLU_ENV	Combination	Max	-33.5	-167.58
116	116	Shell-Thick	87	SLU_ENV	Combination	Max	-91.38	-175.96
116	116	Shell-Thick	86	SLU_ENV	Combination	Max	-93.75	-218.99
116	116	Shell-Thick	104	SLU_ENV	Combination	Min	-155.47	-411.03
116	116	Shell-Thick	105	SLU_ENV	Combination	Min	-145.96	-362.14
116	116	Shell-Thick	87	SLU_ENV	Combination	Min	-232.42	-375.97
116	116	Shell-Thick	86	SLU_ENV	Combination	Min	-241.11	-421.12
116	116	Shell-Thick	104	SLV_ENV	Combination	Max	21.38	-59.62
116	116	Shell-Thick	105	SLV_ENV	Combination	Max	75.85	-14.54
116	116	Shell-Thick	87	SLV_ENV	Combination	Max	-34.28	-29.28
116	116	Shell-Thick	86	SLV_ENV	Combination	Max	-43.45	-58.19
116	116	Shell-Thick	104	SLV_ENV	Combination	Min	-175.94	-433.05
116	116	Shell-Thick	105	SLV_ENV	Combination	Min	-211.28	-382.5
116	116	Shell-Thick	87	SLV_ENV	Combination	Min	-194.01	-386.34
116	116	Shell-Thick	86	SLV_ENV	Combination	Min	-203.97	-453.05
117	117	Shell-Thick	86	SLU_ENV	Combination	Max	-96.05	-224.51
117	117	Shell-Thick	87	SLU_ENV	Combination	Max	-102.41	-198.11
117	117	Shell-Thick	69	SLU_ENV	Combination	Max	-150.49	-203.44
117	117	Shell-Thick	68	SLU_ENV	Combination	Max	-143.37	-236.32
117	117	Shell-Thick	86	SLU_ENV	Combination	Min	-245.29	-446.03
117	117	Shell-Thick	87	SLU_ENV	Combination	Min	-244.66	-451.6
117	117	Shell-Thick	69	SLU_ENV	Combination	Min	-347.48	-474.3
117	117	Shell-Thick	68	SLU_ENV	Combination	Min	-347.79	-470.99
117	117	Shell-Thick	86	SLV_ENV	Combination	Max	-46.98	-83.58
117	117	Shell-Thick	87	SLV_ENV	Combination	Max	-38.16	-54.51
117	117	Shell-Thick	69	SLV_ENV	Combination	Max	-55.31	-66.69
117	117	Shell-Thick	68	SLV_ENV	Combination	Max	-47.99	-85.77
117	117	Shell-Thick	86	SLV_ENV	Combination	Min	-204.84	-449.68
117	117	Shell-Thick	87	SLV_ENV	Combination	Min	-203.75	-429.21
117	117	Shell-Thick	69	SLV_ENV	Combination	Min	-310.5	-441.81
117	117	Shell-Thick	68	SLV_ENV	Combination	Min	-327.73	-472.27
118	118	Shell-Thick	68	SLU_ENV	Combination	Max	-139.	-233.59
118	118	Shell-Thick	69	SLU_ENV	Combination	Max	-154.08	-208.67
118	118	Shell-Thick	51	SLU_ENV	Combination	Max	-200.05	-221.09
118	118	Shell-Thick	50	SLU_ENV	Combination	Max	-198.93	-244.13
118	118	Shell-Thick	68	SLU_ENV	Combination	Min	-344.92	-470.79
118	118	Shell-Thick	69	SLU_ENV	Combination	Min	-358.95	-545.48
118	118	Shell-Thick	51	SLU_ENV	Combination	Min	-486.92	-572.39
118	118	Shell-Thick	50	SLU_ENV	Combination	Min	-464.26	-483.91
118	118	Shell-Thick	68	SLV_ENV	Combination	Max	-50.46	-97.95
118	118	Shell-Thick	69	SLV_ENV	Combination	Max	-54.56	-90.07
118	118	Shell-Thick	51	SLV_ENV	Combination	Max	-49.62	-102.1
118	118	Shell-Thick	50	SLV_ENV	Combination	Max	-45.37	-99.55
118	118	Shell-Thick	68	SLV_ENV	Combination	Min	-323.92	-453.41
118	118	Shell-Thick	69	SLV_ENV	Combination	Min	-318.4	-454.2

Table: Element Forces - Area Shells, Part 1 of 5

Area	AreaElem	ShellType	Joint	OutputCase	CaseType	StepType	F11 KN/m	F22 KN/m
118	118	Shell-Thick	51	SLV_ENV	Combination	Min	-461.84	-469.87
118	118	Shell-Thick	50	SLV_ENV	Combination	Min	-467.51	-479.5
121	121	Shell-Thick	141	SLU_ENV	Combination	Max	258.08	-36.38
121	121	Shell-Thick	131	SLU_ENV	Combination	Max	149.86	-370.46
121	121	Shell-Thick	113	SLU_ENV	Combination	Max	11.77	-389.87
121	121	Shell-Thick	123	SLU_ENV	Combination	Max	107.92	-55.82
121	121	Shell-Thick	141	SLU_ENV	Combination	Min	125.57	-105.94
121	121	Shell-Thick	131	SLU_ENV	Combination	Min	50.41	-655.9
121	121	Shell-Thick	113	SLU_ENV	Combination	Min	-78.49	-694.85
121	121	Shell-Thick	123	SLU_ENV	Combination	Min	13.28	-145.25
121	121	Shell-Thick	141	SLV_ENV	Combination	Max	603.57	302.32
121	121	Shell-Thick	131	SLV_ENV	Combination	Max	546.94	99.72
121	121	Shell-Thick	113	SLV_ENV	Combination	Max	161.97	28.11
121	121	Shell-Thick	123	SLV_ENV	Combination	Max	208.54	226.22
121	121	Shell-Thick	141	SLV_ENV	Combination	Min	-312.41	-404.24
121	121	Shell-Thick	131	SLV_ENV	Combination	Min	-398.91	-517.27
121	121	Shell-Thick	113	SLV_ENV	Combination	Min	-227.5	-488.38
121	121	Shell-Thick	123	SLV_ENV	Combination	Min	-130.95	-370.85
122	122	Shell-Thick	123	SLU_ENV	Combination	Max	89.47	-106.53
122	122	Shell-Thick	113	SLU_ENV	Combination	Max	28.44	-306.83
122	122	Shell-Thick	95	SLU_ENV	Combination	Max	-30.27	-319.02
122	122	Shell-Thick	105	SLU_ENV	Combination	Max	17.54	-118.64
122	122	Shell-Thick	123	SLU_ENV	Combination	Min	2.35	-246.63
122	122	Shell-Thick	113	SLU_ENV	Combination	Min	-54.23	-576.22
122	122	Shell-Thick	95	SLU_ENV	Combination	Min	-177.26	-597.86
122	122	Shell-Thick	105	SLU_ENV	Combination	Min	-110.02	-261.66
122	122	Shell-Thick	123	SLV_ENV	Combination	Max	175.33	71.14
122	122	Shell-Thick	113	SLV_ENV	Combination	Max	182.95	134.13
122	122	Shell-Thick	95	SLV_ENV	Combination	Max	15.73	99.88
122	122	Shell-Thick	105	SLV_ENV	Combination	Max	10.63	36.58
122	122	Shell-Thick	123	SLV_ENV	Combination	Min	-120.64	-330.33
122	122	Shell-Thick	113	SLV_ENV	Combination	Min	-213.77	-520.85
122	122	Shell-Thick	95	SLV_ENV	Combination	Min	-176.27	-512.55
122	122	Shell-Thick	105	SLV_ENV	Combination	Min	-85.67	-321.71
123	123	Shell-Thick	105	SLU_ENV	Combination	Max	5.17	-164.84
123	123	Shell-Thick	95	SLU_ENV	Combination	Max	-24.64	-274.52
123	123	Shell-Thick	77	SLU_ENV	Combination	Max	-85.83	-285.84
123	123	Shell-Thick	87	SLU_ENV	Combination	Max	-57.57	-173.5
123	123	Shell-Thick	105	SLU_ENV	Combination	Min	-127.87	-351.43
123	123	Shell-Thick	95	SLU_ENV	Combination	Min	-165.49	-550.49
123	123	Shell-Thick	77	SLU_ENV	Combination	Min	-277.11	-578.23
123	123	Shell-Thick	87	SLU_ENV	Combination	Min	-237.61	-380.19
123	123	Shell-Thick	105	SLV_ENV	Combination	Max	-3.15	-24.78
123	123	Shell-Thick	95	SLV_ENV	Combination	Max	6.92	49.42
123	123	Shell-Thick	77	SLV_ENV	Combination	Max	-24.29	18.56
123	123	Shell-Thick	87	SLV_ENV	Combination	Max	-0.44	-41.75
123	123	Shell-Thick	105	SLV_ENV	Combination	Min	-92.69	-364.34
123	123	Shell-Thick	95	SLV_ENV	Combination	Min	-149.56	-672.57
123	123	Shell-Thick	77	SLV_ENV	Combination	Min	-247.82	-667.61
123	123	Shell-Thick	87	SLV_ENV	Combination	Min	-224.87	-373.26
124	124	Shell-Thick	87	SLU_ENV	Combination	Max	-67.37	-187.61
124	124	Shell-Thick	77	SLU_ENV	Combination	Max	-79.4	-252.39
124	124	Shell-Thick	59	SLU_ENV	Combination	Max	-120.95	-256.05
124	124	Shell-Thick	69	SLU_ENV	Combination	Max	-107.52	-203.45

Table: Element Forces - Area Shells, Part 1 of 5

Area	AreaElem	ShellType	Joint	OutputCase	CaseType	StepType	F11 KN/m	F22 KN/m
124	124	Shell-Thick	87	SLU_ENV	Combination	Min	-250.49	-454.29
124	124	Shell-Thick	77	SLU_ENV	Combination	Min	-266.93	-529.23
124	124	Shell-Thick	59	SLU_ENV	Combination	Min	-324.36	-533.75
124	124	Shell-Thick	69	SLU_ENV	Combination	Min	-308.5	-457.93
124	124	Shell-Thick	87	SLV_ENV	Combination	Max	-1.5	-65.51
124	124	Shell-Thick	77	SLV_ENV	Combination	Max	-13.07	-38.26
124	124	Shell-Thick	59	SLV_ENV	Combination	Max	30.34	-47.74
124	124	Shell-Thick	69	SLV_ENV	Combination	Max	59.11	-74.52
124	124	Shell-Thick	87	SLV_ENV	Combination	Min	-237.42	-417.61
124	124	Shell-Thick	77	SLV_ENV	Combination	Min	-245.62	-543.68
124	124	Shell-Thick	59	SLV_ENV	Combination	Min	-326.41	-541.68
124	124	Shell-Thick	69	SLV_ENV	Combination	Min	-335.42	-416.07
125	125	Shell-Thick	69	SLU_ENV	Combination	Max	-106.4	-193.27
125	125	Shell-Thick	59	SLU_ENV	Combination	Max	-111.88	-240.86
125	125	Shell-Thick	41	SLU_ENV	Combination	Max	-160.47	-243.04
125	125	Shell-Thick	51	SLU_ENV	Combination	Max	-163.11	-214.76
125	125	Shell-Thick	69	SLU_ENV	Combination	Min	-322.78	-530.66
125	125	Shell-Thick	59	SLU_ENV	Combination	Min	-309.43	-513.23
125	125	Shell-Thick	41	SLU_ENV	Combination	Min	-423.14	-531.62
125	125	Shell-Thick	51	SLU_ENV	Combination	Min	-428.55	-558.7
125	125	Shell-Thick	69	SLV_ENV	Combination	Max	62.01	-96.83
125	125	Shell-Thick	59	SLV_ENV	Combination	Max	41.03	-64.52
125	125	Shell-Thick	41	SLV_ENV	Combination	Max	56.04	-74.91
125	125	Shell-Thick	51	SLV_ENV	Combination	Max	76.98	-105.53
125	125	Shell-Thick	69	SLV_ENV	Combination	Min	-345.47	-429.55
125	125	Shell-Thick	59	SLV_ENV	Combination	Min	-331.83	-498.57
125	125	Shell-Thick	41	SLV_ENV	Combination	Min	-460.87	-510.99
125	125	Shell-Thick	51	SLV_ENV	Combination	Min	-474.47	-443.65
128	128	Shell-Thick	131	SLU_ENV	Combination	Max	10.39	-542.79
128	128	Shell-Thick	144	SLU_ENV	Combination	Max	-14.29	-624.63
128	128	Shell-Thick	126	SLU_ENV	Combination	Max	47.63	-618.99
128	128	Shell-Thick	113	SLU_ENV	Combination	Max	71.06	-537.01
128	128	Shell-Thick	131	SLU_ENV	Combination	Min	-49.44	-962.74
128	128	Shell-Thick	144	SLU_ENV	Combination	Min	-78.85	-606.52
128	128	Shell-Thick	126	SLU_ENV	Combination	Min	-83.53	-613.81
128	128	Shell-Thick	113	SLU_ENV	Combination	Min	-53.82	-455.59
128	128	Shell-Thick	131	SLV_ENV	Combination	Max	682.67	126.53
128	128	Shell-Thick	144	SLV_ENV	Combination	Max	710.18	306.09
128	128	Shell-Thick	126	SLV_ENV	Combination	Max	159.59	199.51
128	128	Shell-Thick	113	SLV_ENV	Combination	Max	115.68	15.13
128	128	Shell-Thick	131	SLV_ENV	Combination	Min	-742.25	-724.48
128	128	Shell-Thick	144	SLV_ENV	Combination	Min	-804.69	-1678.7
128	128	Shell-Thick	126	SLV_ENV	Combination	Min	-189.92	-659.29
128	128	Shell-Thick	113	SLV_ENV	Combination	Min	-111.09	-500.23
129	129	Shell-Thick	113	SLU_ENV	Combination	Max	104.63	-420.72
129	129	Shell-Thick	126	SLU_ENV	Combination	Max	49.58	-589.49
129	129	Shell-Thick	108	SLU_ENV	Combination	Max	2.67	-600.95
129	129	Shell-Thick	95	SLU_ENV	Combination	Max	48.89	-432.46
129	129	Shell-Thick	113	SLU_ENV	Combination	Min	-30.49	-691.17
129	129	Shell-Thick	126	SLU_ENV	Combination	Min	-80.47	-598.51
129	129	Shell-Thick	108	SLU_ENV	Combination	Min	-187.53	-609.19
129	129	Shell-Thick	95	SLU_ENV	Combination	Min	-129.21	-517.89
129	129	Shell-Thick	113	SLV_ENV	Combination	Max	147.73	163.32
129	129	Shell-Thick	126	SLV_ENV	Combination	Max	137.89	48.9

Table: Element Forces - Area Shells, Part 1 of 5

Area	AreaElem	ShellType	Joint	OutputCase	CaseType	StepType	F11 KN/m	F22 KN/m
129	129	Shell-Thick	108	SLV_ENV	Combination	Max	59.22	15.65
129	129	Shell-Thick	95	SLV_ENV	Combination	Max	38.49	127.25
129	129	Shell-Thick	113	SLV_ENV	Combination	Min	-94.54	-605.47
129	129	Shell-Thick	126	SLV_ENV	Combination	Min	-156.87	-651.89
129	129	Shell-Thick	108	SLV_ENV	Combination	Min	-211.84	-645.37
129	129	Shell-Thick	95	SLV_ENV	Combination	Min	-118.94	-696.13
130	130	Shell-Thick	95	SLU_ENV	Combination	Max	60.73	-370.16
130	130	Shell-Thick	108	SLU_ENV	Combination	Max	17.61	-509.09
130	130	Shell-Thick	90	SLU_ENV	Combination	Max	21.83	-513.91
130	130	Shell-Thick	77	SLU_ENV	Combination	Max	57.51	-374.63
130	130	Shell-Thick	95	SLU_ENV	Combination	Min	-115.73	-759.4
130	130	Shell-Thick	108	SLU_ENV	Combination	Min	-163.51	-488.38
130	130	Shell-Thick	90	SLU_ENV	Combination	Min	-212.45	-513.22
130	130	Shell-Thick	77	SLU_ENV	Combination	Min	-157.77	-746.01
130	130	Shell-Thick	95	SLV_ENV	Combination	Max	59.4	56.86
130	130	Shell-Thick	108	SLV_ENV	Combination	Max	84.15	-60.19
130	130	Shell-Thick	90	SLV_ENV	Combination	Max	41.77	-67.91
130	130	Shell-Thick	77	SLV_ENV	Combination	Max	32.18	49.16
130	130	Shell-Thick	95	SLV_ENV	Combination	Min	-114.79	-400.42
130	130	Shell-Thick	108	SLV_ENV	Combination	Min	-197.94	-575.36
130	130	Shell-Thick	90	SLV_ENV	Combination	Min	-194.12	-575.36
130	130	Shell-Thick	77	SLV_ENV	Combination	Min	-126.13	-900.43
131	131	Shell-Thick	77	SLU_ENV	Combination	Max	68.15	-327.8
131	131	Shell-Thick	90	SLU_ENV	Combination	Max	36.36	-405.51
131	131	Shell-Thick	72	SLU_ENV	Combination	Max	-48.42	-424.24
131	131	Shell-Thick	59	SLU_ENV	Combination	Max	-0.18	-346.52
131	131	Shell-Thick	77	SLU_ENV	Combination	Min	-144.44	-678.39
131	131	Shell-Thick	90	SLU_ENV	Combination	Min	-187.08	-887.16
131	131	Shell-Thick	72	SLU_ENV	Combination	Min	-354.97	-915.6
131	131	Shell-Thick	59	SLU_ENV	Combination	Min	-317.22	-732.64
131	131	Shell-Thick	77	SLV_ENV	Combination	Max	64.6	-41.25
131	131	Shell-Thick	90	SLV_ENV	Combination	Max	86.08	-102.9
131	131	Shell-Thick	72	SLV_ENV	Combination	Max	39.04	-108.68
131	131	Shell-Thick	59	SLV_ENV	Combination	Max	15.21	-52.66
131	131	Shell-Thick	77	SLV_ENV	Combination	Min	-139.76	-716.06
131	131	Shell-Thick	90	SLV_ENV	Combination	Min	-192.78	-812.11
131	131	Shell-Thick	72	SLV_ENV	Combination	Min	-361.87	-849.55
131	131	Shell-Thick	59	SLV_ENV	Combination	Min	-306.5	-747.89
132	132	Shell-Thick	59	SLU_ENV	Combination	Max	20.06	-288.07
132	132	Shell-Thick	72	SLU_ENV	Combination	Max	-42.83	-265.
132	132	Shell-Thick	54	SLU_ENV	Combination	Max	-38.81	-274.11
132	132	Shell-Thick	41	SLU_ENV	Combination	Max	-3.36	-322.83
132	132	Shell-Thick	59	SLU_ENV	Combination	Min	-303.7	-702.75
132	132	Shell-Thick	72	SLU_ENV	Combination	Min	-326.31	-780.1
132	132	Shell-Thick	54	SLU_ENV	Combination	Min	-378.19	-812.31
132	132	Shell-Thick	41	SLU_ENV	Combination	Min	-341.17	-688.22
132	132	Shell-Thick	59	SLV_ENV	Combination	Max	29.83	-73.24
132	132	Shell-Thick	72	SLV_ENV	Combination	Max	79.82	-95.74
132	132	Shell-Thick	54	SLV_ENV	Combination	Max	284.94	-83.57
132	132	Shell-Thick	41	SLV_ENV	Combination	Max	222.79	-92.19
132	132	Shell-Thick	59	SLV_ENV	Combination	Min	-313.75	-690.44
132	132	Shell-Thick	72	SLV_ENV	Combination	Min	-341.2	-555.19
132	132	Shell-Thick	54	SLV_ENV	Combination	Min	-509.87	-560.07
132	132	Shell-Thick	41	SLV_ENV	Combination	Min	-470.27	-664.2

Table: Element Forces - Area Shells, Part 1 of 5

Area	AreaElem	ShellType	Joint	OutputCase	CaseType	StepType	F11 KN/m	F22 KN/m
135	135	Shell-Thick	144	SLU_ENV	Combination	Max	-49.59	-629.28
135	135	Shell-Thick	145	SLU_ENV	Combination	Max	-111.8	-752.25
135	135	Shell-Thick	127	SLU_ENV	Combination	Max	-17.18	-740.56
135	135	Shell-Thick	126	SLU_ENV	Combination	Max	63.82	-617.51
135	135	Shell-Thick	144	SLU_ENV	Combination	Min	-125.11	-522.13
135	135	Shell-Thick	145	SLU_ENV	Combination	Min	-227.41	-633.68
135	135	Shell-Thick	127	SLU_ENV	Combination	Min	-160.39	-597.16
135	135	Shell-Thick	126	SLU_ENV	Combination	Min	-66.86	-402.42
135	135	Shell-Thick	144	SLV_ENV	Combination	Max	330.45	232.03
135	135	Shell-Thick	145	SLV_ENV	Combination	Max	66.4	342.
135	135	Shell-Thick	127	SLV_ENV	Combination	Max	135.46	371.48
135	135	Shell-Thick	126	SLV_ENV	Combination	Max	132.28	194.32
135	135	Shell-Thick	144	SLV_ENV	Combination	Min	-475.52	-514.75
135	135	Shell-Thick	145	SLV_ENV	Combination	Min	-310.43	-419.52
135	135	Shell-Thick	127	SLV_ENV	Combination	Min	-256.34	-524.37
135	135	Shell-Thick	126	SLV_ENV	Combination	Min	-154.19	-452.41
136	136	Shell-Thick	126	SLU_ENV	Combination	Max	65.07	-588.01
136	136	Shell-Thick	127	SLU_ENV	Combination	Max	26.77	-699.38
136	136	Shell-Thick	109	SLU_ENV	Combination	Max	67.42	-697.69
136	136	Shell-Thick	108	SLU_ENV	Combination	Max	104.64	-586.68
136	136	Shell-Thick	126	SLU_ENV	Combination	Min	-63.09	-585.82
136	136	Shell-Thick	127	SLU_ENV	Combination	Min	-105.6	-414.23
136	136	Shell-Thick	109	SLU_ENV	Combination	Min	-115.49	-1337.3
136	136	Shell-Thick	108	SLU_ENV	Combination	Min	-71.91	-695.86
136	136	Shell-Thick	126	SLV_ENV	Combination	Max	98.11	42.16
136	136	Shell-Thick	127	SLV_ENV	Combination	Max	116.07	276.24
136	136	Shell-Thick	109	SLV_ENV	Combination	Max	130.52	274.23
136	136	Shell-Thick	108	SLV_ENV	Combination	Max	98.57	39.63
136	136	Shell-Thick	126	SLV_ENV	Combination	Min	-108.66	-643.47
136	136	Shell-Thick	127	SLV_ENV	Combination	Min	-175.52	-622.05
136	136	Shell-Thick	109	SLV_ENV	Combination	Min	-163.72	-514.79
136	136	Shell-Thick	108	SLV_ENV	Combination	Min	-82.87	-735.69
137	137	Shell-Thick	108	SLU_ENV	Combination	Max	128.66	-494.82
137	137	Shell-Thick	109	SLU_ENV	Combination	Max	105.56	-604.85
137	137	Shell-Thick	91	SLU_ENV	Combination	Max	35.99	-617.94
137	137	Shell-Thick	90	SLU_ENV	Combination	Max	59.6	-507.92
137	137	Shell-Thick	108	SLU_ENV	Combination	Min	-56.38	-979.52
137	137	Shell-Thick	109	SLU_ENV	Combination	Min	-79.99	-542.83
137	137	Shell-Thick	91	SLU_ENV	Combination	Min	-200.36	-532.91
137	137	Shell-Thick	90	SLU_ENV	Combination	Min	-177.27	-991.65
137	137	Shell-Thick	108	SLV_ENV	Combination	Max	86.41	-57.18
137	137	Shell-Thick	109	SLV_ENV	Combination	Max	93.97	160.79
137	137	Shell-Thick	91	SLV_ENV	Combination	Max	91.49	164.15
137	137	Shell-Thick	90	SLV_ENV	Combination	Max	5.25	-61.27
137	137	Shell-Thick	108	SLV_ENV	Combination	Min	-31.88	-644.71
137	137	Shell-Thick	109	SLV_ENV	Combination	Min	-86.86	-499.79
137	137	Shell-Thick	91	SLV_ENV	Combination	Min	-242.42	-534.76
137	137	Shell-Thick	90	SLV_ENV	Combination	Min	-108.75	-672.23
138	138	Shell-Thick	90	SLU_ENV	Combination	Max	75.87	-399.75
138	138	Shell-Thick	91	SLU_ENV	Combination	Max	64.54	-551.89
138	138	Shell-Thick	73	SLU_ENV	Combination	Max	119.25	-543.17
138	138	Shell-Thick	72	SLU_ENV	Combination	Max	118.92	-396.6
138	138	Shell-Thick	90	SLU_ENV	Combination	Min	-152.99	-678.54
138	138	Shell-Thick	91	SLU_ENV	Combination	Min	-165.26	-500.38

Table: Element Forces - Area Shells, Part 1 of 5

Area	AreaElem	ShellType	Joint	OutputCase	CaseType	StepType	F11 KN/m	F22 KN/m
138	138	Shell-Thick	73	SLU_ENV	Combination	Min	-151.78	-605.91
138	138	Shell-Thick	72	SLU_ENV	Combination	Min	-128.25	-875.42
138	138	Shell-Thick	90	SLV_ENV	Combination	Max	26.42	-96.5
138	138	Shell-Thick	91	SLV_ENV	Combination	Max	75.91	151.31
138	138	Shell-Thick	73	SLV_ENV	Combination	Max	67.3	141.45
138	138	Shell-Thick	72	SLV_ENV	Combination	Max	85.99	-102.97
138	138	Shell-Thick	90	SLV_ENV	Combination	Min	-84.27	-408.73
138	138	Shell-Thick	91	SLV_ENV	Combination	Min	-199.64	-785.94
138	138	Shell-Thick	73	SLV_ENV	Combination	Min	-141.6	-566.19
138	138	Shell-Thick	72	SLV_ENV	Combination	Min	-94.41	-792.38
139	139	Shell-Thick	72	SLU_ENV	Combination	Max	144.55	-239.74
139	139	Shell-Thick	73	SLU_ENV	Combination	Max	146.31	-453.26
139	139	Shell-Thick	55	SLU_ENV	Combination	Max	76.	-519.23
139	139	Shell-Thick	54	SLU_ENV	Combination	Max	77.31	-256.21
139	139	Shell-Thick	72	SLU_ENV	Combination	Min	-115.25	-763.26
139	139	Shell-Thick	73	SLU_ENV	Combination	Min	-131.42	-984.5
139	139	Shell-Thick	55	SLU_ENV	Combination	Min	-293.86	-602.72
139	139	Shell-Thick	54	SLU_ENV	Combination	Min	-284.59	-774.28
139	139	Shell-Thick	72	SLV_ENV	Combination	Max	160.05	-89.61
139	139	Shell-Thick	73	SLV_ENV	Combination	Max	47.75	187.82
139	139	Shell-Thick	55	SLV_ENV	Combination	Max	60.67	192.6
139	139	Shell-Thick	54	SLV_ENV	Combination	Max	60.04	-93.71
139	139	Shell-Thick	72	SLV_ENV	Combination	Min	-107.01	-498.44
139	139	Shell-Thick	73	SLV_ENV	Combination	Min	-119.59	-600.24
139	139	Shell-Thick	55	SLV_ENV	Combination	Min	-361.97	-550.92
139	139	Shell-Thick	54	SLV_ENV	Combination	Min	-236.46	-540.23
146	146	Shell-Thick	49	SLU_ENV	Combination	Max	-395.12	-216.18
146	146	Shell-Thick	50	SLU_ENV	Combination	Max	-374.43	-162.78
146	146	Shell-Thick	32	SLU_ENV	Combination	Max	-593.22	-193.67
146	146	Shell-Thick	31	SLU_ENV	Combination	Max	-595.66	-253.88
146	146	Shell-Thick	49	SLU_ENV	Combination	Min	-856.3	-505.88
146	146	Shell-Thick	50	SLU_ENV	Combination	Min	-823.96	-380.23
146	146	Shell-Thick	32	SLU_ENV	Combination	Min	-1244.21	-474.24
146	146	Shell-Thick	31	SLU_ENV	Combination	Min	-1268.38	-591.01
146	146	Shell-Thick	49	SLV_ENV	Combination	Max	-158.87	-75.65
146	146	Shell-Thick	50	SLV_ENV	Combination	Max	-159.93	-90.99
146	146	Shell-Thick	32	SLV_ENV	Combination	Max	-238.79	-111.65
146	146	Shell-Thick	31	SLV_ENV	Combination	Max	-238.97	-100.11
146	146	Shell-Thick	49	SLV_ENV	Combination	Min	-771.84	-440.72
146	146	Shell-Thick	50	SLV_ENV	Combination	Min	-769.	-416.44
146	146	Shell-Thick	32	SLV_ENV	Combination	Min	-1230.07	-503.77
146	146	Shell-Thick	31	SLV_ENV	Combination	Min	-1231.69	-524.25
147	147	Shell-Thick	50	SLU_ENV	Combination	Max	-296.17	-149.27
147	147	Shell-Thick	51	SLU_ENV	Combination	Max	-337.47	-197.98
147	147	Shell-Thick	33	SLU_ENV	Combination	Max	-587.62	-233.98
147	147	Shell-Thick	32	SLU_ENV	Combination	Max	-589.8	-204.2
147	147	Shell-Thick	50	SLU_ENV	Combination	Min	-772.78	-367.67
147	147	Shell-Thick	51	SLU_ENV	Combination	Min	-832.1	-618.67
147	147	Shell-Thick	33	SLU_ENV	Combination	Min	-1394.45	-742.89
147	147	Shell-Thick	32	SLU_ENV	Combination	Min	-1343.34	-480.75
147	147	Shell-Thick	50	SLV_ENV	Combination	Max	-61.71	-92.15
147	147	Shell-Thick	51	SLV_ENV	Combination	Max	-65.13	-83.98
147	147	Shell-Thick	33	SLV_ENV	Combination	Max	-112.41	-120.64
147	147	Shell-Thick	32	SLV_ENV	Combination	Max	-109.01	-108.44

Table: Element Forces - Area Shells, Part 1 of 5

Area	AreaElem	ShellType	Joint	OutputCase	CaseType	StepType	F11 KN/m	F22 KN/m
147	147	Shell-Thick	50	SLV_ENV	Combination	Min	-791.16	-400.07
147	147	Shell-Thick	51	SLV_ENV	Combination	Min	-786.24	-400.78
147	147	Shell-Thick	33	SLV_ENV	Combination	Min	-1306.99	-477.73
147	147	Shell-Thick	32	SLV_ENV	Combination	Min	-1311.89	-497.38
148	148	Shell-Thick	51	SLU_ENV	Combination	Max	-260.99	-178.87
148	148	Shell-Thick	41	SLU_ENV	Combination	Max	-239.78	-188.83
148	148	Shell-Thick	23	SLU_ENV	Combination	Max	-292.31	-191.6
148	148	Shell-Thick	33	SLU_ENV	Combination	Max	-292.93	-176.58
148	148	Shell-Thick	51	SLU_ENV	Combination	Min	-727.84	-595.33
148	148	Shell-Thick	41	SLU_ENV	Combination	Min	-699.91	-514.4
148	148	Shell-Thick	23	SLU_ENV	Combination	Min	-974.22	-576.36
148	148	Shell-Thick	33	SLU_ENV	Combination	Min	-989.91	-645.8
148	148	Shell-Thick	51	SLV_ENV	Combination	Max	202.18	-89.62
148	148	Shell-Thick	41	SLV_ENV	Combination	Max	158.18	-69.23
148	148	Shell-Thick	23	SLV_ENV	Combination	Max	432.21	-103.32
148	148	Shell-Thick	33	SLV_ENV	Combination	Max	476.57	-84.21
148	148	Shell-Thick	51	SLV_ENV	Combination	Min	-837.	-351.83
148	148	Shell-Thick	41	SLV_ENV	Combination	Min	-839.39	-604.17
148	148	Shell-Thick	23	SLV_ENV	Combination	Min	-1369.58	-621.32
148	148	Shell-Thick	33	SLV_ENV	Combination	Min	-1367.56	-408.47
149	149	Shell-Thick	41	SLU_ENV	Combination	Max	64.63	-158.25
149	149	Shell-Thick	54	SLU_ENV	Combination	Max	-15.24	-175.12
149	149	Shell-Thick	36	SLU_ENV	Combination	Max	20.84	-154.26
149	149	Shell-Thick	23	SLU_ENV	Combination	Max	71.03	-98.95
149	149	Shell-Thick	41	SLU_ENV	Combination	Min	-366.27	-438.54
149	149	Shell-Thick	54	SLU_ENV	Combination	Min	-458.59	-814.79
149	149	Shell-Thick	36	SLU_ENV	Combination	Min	-505.17	-801.16
149	149	Shell-Thick	23	SLU_ENV	Combination	Min	-435.06	-471.8
149	149	Shell-Thick	41	SLV_ENV	Combination	Max	353.3	-54.65
149	149	Shell-Thick	54	SLV_ENV	Combination	Max	417.24	-39.7
149	149	Shell-Thick	36	SLV_ENV	Combination	Max	944.01	55.25
149	149	Shell-Thick	23	SLV_ENV	Combination	Max	874.45	-91.21
149	149	Shell-Thick	41	SLV_ENV	Combination	Min	-601.21	-532.1
149	149	Shell-Thick	54	SLV_ENV	Combination	Min	-637.27	-407.66
149	149	Shell-Thick	36	SLV_ENV	Combination	Min	-1076.04	-485.01
149	149	Shell-Thick	23	SLV_ENV	Combination	Min	-1034.37	-477.93
150	150	Shell-Thick	54	SLU_ENV	Combination	Max	141.92	-163.47
150	150	Shell-Thick	55	SLU_ENV	Combination	Max	185.97	-359.1
150	150	Shell-Thick	37	SLU_ENV	Combination	Max	254.82	-315.51
150	150	Shell-Thick	36	SLU_ENV	Combination	Max	353.71	-99.84
150	150	Shell-Thick	54	SLU_ENV	Combination	Min	-329.18	-765.89
150	150	Shell-Thick	55	SLU_ENV	Combination	Min	-317.66	-486.62
150	150	Shell-Thick	37	SLU_ENV	Combination	Min	-266.97	-610.39
150	150	Shell-Thick	36	SLU_ENV	Combination	Min	-312.16	-773.03
150	150	Shell-Thick	54	SLV_ENV	Combination	Max	113.78	-63.03
150	150	Shell-Thick	55	SLV_ENV	Combination	Max	76.65	214.74
150	150	Shell-Thick	37	SLV_ENV	Combination	Max	1089.17	140.78
150	150	Shell-Thick	36	SLV_ENV	Combination	Max	1342.71	126.59
150	150	Shell-Thick	54	SLV_ENV	Combination	Min	-267.99	-371.16
150	150	Shell-Thick	55	SLV_ENV	Combination	Min	-403.82	-613.77
150	150	Shell-Thick	37	SLV_ENV	Combination	Min	-782.25	-512.99
150	150	Shell-Thick	36	SLV_ENV	Combination	Min	-862.83	-433.97
271	271	Shell-Thick	2214	SLU_ENV	Combination	Max	123.71	-219.01
271	271	Shell-Thick	2215	SLU_ENV	Combination	Max	156.72	-100.62

Table: Element Forces - Area Shells, Part 1 of 5

Area	AreaElem	ShellType	Joint	OutputCase	CaseType	StepType	F11 KN/m	F22 KN/m
271	271	Shell-Thick	2197	SLU_ENV	Combination	Max	-30.24	-118.37
271	271	Shell-Thick	2196	SLU_ENV	Combination	Max	-53.93	-236.74
271	271	Shell-Thick	2214	SLU_ENV	Combination	Min	25.96	-389.82
271	271	Shell-Thick	2215	SLU_ENV	Combination	Min	50.31	-217.84
271	271	Shell-Thick	2197	SLU_ENV	Combination	Min	-77.23	-263.56
271	271	Shell-Thick	2196	SLU_ENV	Combination	Min	-112.4	-436.24
271	271	Shell-Thick	2214	SLV_ENV	Combination	Max	195.94	-94.09
271	271	Shell-Thick	2215	SLV_ENV	Combination	Max	244.9	-8.97
271	271	Shell-Thick	2197	SLV_ENV	Combination	Max	17.46	-50.48
271	271	Shell-Thick	2196	SLV_ENV	Combination	Max	16.93	-94.91
271	271	Shell-Thick	2214	SLV_ENV	Combination	Min	-111.31	-382.73
271	271	Shell-Thick	2215	SLV_ENV	Combination	Min	-110.63	-219.61
271	271	Shell-Thick	2197	SLV_ENV	Combination	Min	-86.94	-218.84
271	271	Shell-Thick	2196	SLV_ENV	Combination	Min	-136.07	-422.66
380	380	Shell-Thick	2196	SLU_ENV	Combination	Max	-37.92	-156.44
380	380	Shell-Thick	2197	SLU_ENV	Combination	Max	-35.15	-139.76
380	380	Shell-Thick	2179	SLU_ENV	Combination	Max	-90.27	-152.98
380	380	Shell-Thick	2178	SLU_ENV	Combination	Max	-93.2	-168.42
380	380	Shell-Thick	2196	SLU_ENV	Combination	Min	-86.22	-304.46
380	380	Shell-Thick	2197	SLU_ENV	Combination	Min	-89.53	-331.59
380	380	Shell-Thick	2179	SLU_ENV	Combination	Min	-241.02	-359.22
380	380	Shell-Thick	2178	SLU_ENV	Combination	Min	-236.9	-334.76
380	380	Shell-Thick	2196	SLV_ENV	Combination	Max	21.51	-74.86
380	380	Shell-Thick	2197	SLV_ENV	Combination	Max	7.9	-56.42
380	380	Shell-Thick	2179	SLV_ENV	Combination	Max	107.85	-78.02
380	380	Shell-Thick	2178	SLV_ENV	Combination	Max	124.26	-72.31
380	380	Shell-Thick	2196	SLV_ENV	Combination	Min	-107.54	-277.17
380	380	Shell-Thick	2197	SLV_ENV	Combination	Min	-88.45	-268.25
380	380	Shell-Thick	2179	SLV_ENV	Combination	Min	-323.25	-273.62
380	380	Shell-Thick	2178	SLV_ENV	Combination	Min	-345.13	-306.69
381	381	Shell-Thick	2178	SLU_ENV	Combination	Max	-86.55	-133.62
381	381	Shell-Thick	2179	SLU_ENV	Combination	Max	-85.05	-105.99
381	381	Shell-Thick	2161	SLU_ENV	Combination	Max	-141.41	-119.54
381	381	Shell-Thick	2160	SLU_ENV	Combination	Max	-144.64	-147.84
381	381	Shell-Thick	2178	SLU_ENV	Combination	Min	-221.55	-261.61
381	381	Shell-Thick	2179	SLU_ENV	Combination	Min	-242.28	-389.93
381	381	Shell-Thick	2161	SLU_ENV	Combination	Min	-418.96	-425.62
381	381	Shell-Thick	2160	SLU_ENV	Combination	Min	-391.57	-293.64
381	381	Shell-Thick	2178	SLV_ENV	Combination	Max	120.37	-72.
381	381	Shell-Thick	2179	SLV_ENV	Combination	Max	108.94	-61.33
381	381	Shell-Thick	2161	SLV_ENV	Combination	Max	223.92	-85.53
381	381	Shell-Thick	2160	SLV_ENV	Combination	Max	235.35	-71.25
381	381	Shell-Thick	2178	SLV_ENV	Combination	Min	-327.65	-239.03
381	381	Shell-Thick	2179	SLV_ENV	Combination	Min	-315.16	-244.42
381	381	Shell-Thick	2161	SLV_ENV	Combination	Min	-593.55	-252.91
381	381	Shell-Thick	2160	SLV_ENV	Combination	Min	-606.03	-272.47
384	384	Shell-Thick	2215	SLU_ENV	Combination	Max	146.69	-101.7
384	384	Shell-Thick	2205	SLU_ENV	Combination	Max	102.65	-217.56
384	384	Shell-Thick	2187	SLU_ENV	Combination	Max	-48.66	-234.43
384	384	Shell-Thick	2197	SLU_ENV	Combination	Max	-24.64	-117.25
384	384	Shell-Thick	2215	SLU_ENV	Combination	Min	46.52	-219.01
384	384	Shell-Thick	2205	SLU_ENV	Combination	Min	19.45	-440.43
384	384	Shell-Thick	2187	SLU_ENV	Combination	Min	-104.94	-481.85
384	384	Shell-Thick	2197	SLU_ENV	Combination	Min	-62.96	-260.26

Table: Element Forces - Area Shells, Part 1 of 5

Area	AreaElem	ShellType	Joint	OutputCase	CaseType	StepType	F11 KN/m	F22 KN/m
384	384	Shell-Thick	2215	SLV_ENV	Combination	Max	283.05	-3.19
384	384	Shell-Thick	2205	SLV_ENV	Combination	Max	308.58	133.15
384	384	Shell-Thick	2187	SLV_ENV	Combination	Max	11.21	53.87
384	384	Shell-Thick	2197	SLV_ENV	Combination	Max	78.57	-52.58
384	384	Shell-Thick	2215	SLV_ENV	Combination	Min	-170.55	-229.74
384	384	Shell-Thick	2205	SLV_ENV	Combination	Min	-247.15	-621.44
384	384	Shell-Thick	2187	SLV_ENV	Combination	Min	-118.47	-575.9
384	384	Shell-Thick	2197	SLV_ENV	Combination	Min	-134.76	-214.09
385	385	Shell-Thick	2197	SLU_ENV	Combination	Max	-29.56	-137.66
385	385	Shell-Thick	2187	SLU_ENV	Combination	Max	-28.55	-130.3
385	385	Shell-Thick	2169	SLU_ENV	Combination	Max	-86.41	-143.36
385	385	Shell-Thick	2179	SLU_ENV	Combination	Max	-87.42	-153.34
385	385	Shell-Thick	2197	SLU_ENV	Combination	Min	-73.66	-329.56
385	385	Shell-Thick	2187	SLU_ENV	Combination	Min	-71.36	-307.33
385	385	Shell-Thick	2169	SLU_ENV	Combination	Min	-236.92	-340.71
385	385	Shell-Thick	2179	SLU_ENV	Combination	Min	-239.8	-358.64
385	385	Shell-Thick	2197	SLV_ENV	Combination	Max	67.31	-60.32
385	385	Shell-Thick	2187	SLV_ENV	Combination	Max	41.4	74.96
385	385	Shell-Thick	2169	SLV_ENV	Combination	Max	188.59	19.28
385	385	Shell-Thick	2179	SLV_ENV	Combination	Max	217.92	-82.99
385	385	Shell-Thick	2197	SLV_ENV	Combination	Min	-134.57	-261.69
385	385	Shell-Thick	2187	SLV_ENV	Combination	Min	-106.8	-387.69
385	385	Shell-Thick	2169	SLV_ENV	Combination	Min	-386.58	-358.53
385	385	Shell-Thick	2179	SLV_ENV	Combination	Min	-417.77	-265.54
386	386	Shell-Thick	2179	SLU_ENV	Combination	Max	-82.82	-107.34
386	386	Shell-Thick	2169	SLU_ENV	Combination	Max	-81.08	-115.87
386	386	Shell-Thick	2151	SLU_ENV	Combination	Max	-143.21	-129.3
386	386	Shell-Thick	2161	SLU_ENV	Combination	Max	-144.56	-127.07
386	386	Shell-Thick	2179	SLU_ENV	Combination	Min	-241.06	-386.86
386	386	Shell-Thick	2169	SLU_ENV	Combination	Min	-218.71	-259.64
386	386	Shell-Thick	2151	SLU_ENV	Combination	Min	-408.13	-294.63
386	386	Shell-Thick	2161	SLU_ENV	Combination	Min	-431.74	-417.88
386	386	Shell-Thick	2179	SLV_ENV	Combination	Max	218.94	-70.53
386	386	Shell-Thick	2169	SLV_ENV	Combination	Max	200.56	7.09
386	386	Shell-Thick	2151	SLV_ENV	Combination	Max	354.55	-49.29
386	386	Shell-Thick	2161	SLV_ENV	Combination	Max	372.92	-85.64
386	386	Shell-Thick	2179	SLV_ENV	Combination	Min	-409.61	-232.12
386	386	Shell-Thick	2169	SLV_ENV	Combination	Min	-388.07	-293.91
386	386	Shell-Thick	2151	SLV_ENV	Combination	Min	-687.07	-266.53
386	386	Shell-Thick	2161	SLV_ENV	Combination	Min	-708.61	-246.01
389	389	Shell-Thick	2205	SLU_ENV	Combination	Max	80.25	-219.86
389	389	Shell-Thick	2218	SLU_ENV	Combination	Max	143.66	-24.46
389	389	Shell-Thick	2200	SLU_ENV	Combination	Max	-36.13	-45.13
389	389	Shell-Thick	2187	SLU_ENV	Combination	Max	-73.96	-240.14
389	389	Shell-Thick	2205	SLU_ENV	Combination	Min	13.44	-445.16
389	389	Shell-Thick	2218	SLU_ENV	Combination	Min	52.39	-130.77
389	389	Shell-Thick	2200	SLU_ENV	Combination	Min	-80.61	-170.9
389	389	Shell-Thick	2187	SLU_ENV	Combination	Min	-143.56	-488.28
389	389	Shell-Thick	2205	SLV_ENV	Combination	Max	388.18	145.85
389	389	Shell-Thick	2218	SLV_ENV	Combination	Max	429.89	329.94
389	389	Shell-Thick	2200	SLV_ENV	Combination	Max	70.37	227.77
389	389	Shell-Thick	2187	SLV_ENV	Combination	Max	28.72	43.08
389	389	Shell-Thick	2205	SLV_ENV	Combination	Min	-352.48	-639.29
389	389	Shell-Thick	2218	SLV_ENV	Combination	Min	-312.71	-415.97

Table: Element Forces - Area Shells, Part 1 of 5

Area	AreaElem	ShellType	Joint	OutputCase	CaseType	StepType	F11 KN/m	F22 KN/m
389	389	Shell-Thick	2200	SLV_ENV	Combination	Min	-151.38	-353.44
389	389	Shell-Thick	2187	SLV_ENV	Combination	Min	-191.22	-576.16
390	390	Shell-Thick	2187	SLU_ENV	Combination	Max	-50.48	-136.01
390	390	Shell-Thick	2200	SLU_ENV	Combination	Max	-50.39	-121.41
390	390	Shell-Thick	2182	SLU_ENV	Combination	Max	-89.27	-129.23
390	390	Shell-Thick	2169	SLU_ENV	Combination	Max	-93.09	-145.01
390	390	Shell-Thick	2187	SLU_ENV	Combination	Min	-110.81	-313.76
390	390	Shell-Thick	2200	SLU_ENV	Combination	Min	-114.96	-381.46
390	390	Shell-Thick	2182	SLU_ENV	Combination	Min	-222.08	-399.43
390	390	Shell-Thick	2169	SLU_ENV	Combination	Min	-210.06	-335.19
390	390	Shell-Thick	2187	SLV_ENV	Combination	Max	53.71	62.93
390	390	Shell-Thick	2200	SLV_ENV	Combination	Max	67.35	65.59
390	390	Shell-Thick	2182	SLV_ENV	Combination	Max	236.29	20.53
390	390	Shell-Thick	2169	SLV_ENV	Combination	Max	218.96	12.08
390	390	Shell-Thick	2187	SLV_ENV	Combination	Min	-174.35	-386.71
390	390	Shell-Thick	2200	SLV_ENV	Combination	Min	-179.57	-347.33
390	390	Shell-Thick	2182	SLV_ENV	Combination	Min	-435.84	-319.73
390	390	Shell-Thick	2169	SLV_ENV	Combination	Min	-426.92	-353.32
391	391	Shell-Thick	2169	SLU_ENV	Combination	Max	-86.52	-117.44
391	391	Shell-Thick	2182	SLU_ENV	Combination	Max	-89.38	-122.36
391	391	Shell-Thick	2164	SLU_ENV	Combination	Max	-98.19	-129.42
391	391	Shell-Thick	2151	SLU_ENV	Combination	Max	-94.07	-120.12
391	391	Shell-Thick	2169	SLU_ENV	Combination	Min	-194.	-252.06
391	391	Shell-Thick	2182	SLU_ENV	Combination	Min	-242.03	-505.74
391	391	Shell-Thick	2164	SLU_ENV	Combination	Min	-322.64	-518.07
391	391	Shell-Thick	2151	SLU_ENV	Combination	Min	-272.46	-266.87
391	391	Shell-Thick	2169	SLV_ENV	Combination	Max	231.03	-0.53
391	391	Shell-Thick	2182	SLV_ENV	Combination	Max	245.79	-52.09
391	391	Shell-Thick	2164	SLV_ENV	Combination	Max	483.16	-68.72
391	391	Shell-Thick	2151	SLV_ENV	Combination	Max	467.64	-51.25
391	391	Shell-Thick	2169	SLV_ENV	Combination	Min	-428.5	-288.28
391	391	Shell-Thick	2182	SLV_ENV	Combination	Min	-445.77	-249.28
391	391	Shell-Thick	2164	SLV_ENV	Combination	Min	-706.89	-237.39
391	391	Shell-Thick	2151	SLV_ENV	Combination	Min	-688.85	-242.31
401	401	Shell-Thick	2160	SLU_ENV	Combination	Max	-137.28	-67.98
401	401	Shell-Thick	2161	SLU_ENV	Combination	Max	-136.04	-104.36
401	401	Shell-Thick	1866	SLU_ENV	Combination	Max	-211.05	-120.19
401	401	Shell-Thick	1860	SLU_ENV	Combination	Max	-212.14	-107.08
401	401	Shell-Thick	2160	SLU_ENV	Combination	Min	-362.23	-192.93
401	401	Shell-Thick	2161	SLU_ENV	Combination	Min	-427.07	-461.6
401	401	Shell-Thick	1866	SLU_ENV	Combination	Min	-690.95	-516.96
401	401	Shell-Thick	1860	SLU_ENV	Combination	Min	-631.18	-229.26
401	401	Shell-Thick	2160	SLV_ENV	Combination	Max	234.07	-64.09
401	401	Shell-Thick	2161	SLV_ENV	Combination	Max	223.34	-49.9
401	401	Shell-Thick	1866	SLV_ENV	Combination	Max	321.69	-77.58
401	401	Shell-Thick	1860	SLV_ENV	Combination	Max	332.54	-64.76
401	401	Shell-Thick	2160	SLV_ENV	Combination	Min	-589.97	-205.73
401	401	Shell-Thick	2161	SLV_ENV	Combination	Min	-577.9	-213.16
401	401	Shell-Thick	1866	SLV_ENV	Combination	Min	-867.32	-223.68
401	401	Shell-Thick	1860	SLV_ENV	Combination	Min	-879.52	-243.27
402	402	Shell-Thick	2161	SLU_ENV	Combination	Max	-137.76	-102.93
402	402	Shell-Thick	2151	SLU_ENV	Combination	Max	-139.57	-45.12
402	402	Shell-Thick	1779	SLU_ENV	Combination	Max	-172.51	-65.28
402	402	Shell-Thick	1866	SLU_ENV	Combination	Max	-180.5	-112.91

Table: Element Forces - Area Shells, Part 1 of 5

Area	AreaElem	ShellType	Joint	OutputCase	CaseType	StepType	F11 KN/m	F22 KN/m
402	402	Shell-Thick	2161	SLU_ENV	Combination	Min	-443.46	-466.04
402	402	Shell-Thick	2151	SLU_ENV	Combination	Min	-374.95	-215.58
402	402	Shell-Thick	1779	SLU_ENV	Combination	Min	-579.62	-256.29
402	402	Shell-Thick	1866	SLU_ENV	Combination	Min	-635.2	-505.96
402	402	Shell-Thick	2161	SLV_ENV	Combination	Max	372.61	-61.68
402	402	Shell-Thick	2151	SLV_ENV	Combination	Max	360.84	-47.26
402	402	Shell-Thick	1779	SLV_ENV	Combination	Max	595.86	-78.51
402	402	Shell-Thick	1866	SLV_ENV	Combination	Max	607.55	-68.55
402	402	Shell-Thick	2161	SLV_ENV	Combination	Min	-693.22	-194.58
402	402	Shell-Thick	2151	SLV_ENV	Combination	Min	-687.9	-241.28
402	402	Shell-Thick	1779	SLV_ENV	Combination	Min	-1100.37	-245.51
402	402	Shell-Thick	1866	SLV_ENV	Combination	Min	-1105.6	-223.2
403	403	Shell-Thick	2151	SLU_ENV	Combination	Max	-89.74	-25.56
403	403	Shell-Thick	2164	SLU_ENV	Combination	Max	-90.45	-88.64
403	403	Shell-Thick	1884	SLU_ENV	Combination	Max	-116.75	-93.31
403	403	Shell-Thick	1779	SLU_ENV	Combination	Max	-121.29	-52.55
403	403	Shell-Thick	2151	SLU_ENV	Combination	Min	-239.16	-198.85
403	403	Shell-Thick	2164	SLU_ENV	Combination	Min	-339.49	-595.17
403	403	Shell-Thick	1884	SLU_ENV	Combination	Min	-507.72	-632.95
403	403	Shell-Thick	1779	SLU_ENV	Combination	Min	-415.2	-207.99
403	403	Shell-Thick	2151	SLV_ENV	Combination	Max	473.9	-48.41
403	403	Shell-Thick	2164	SLV_ENV	Combination	Max	481.42	-19.75
403	403	Shell-Thick	1884	SLV_ENV	Combination	Max	709.1	-23.88
403	403	Shell-Thick	1779	SLV_ENV	Combination	Max	701.25	-74.11
403	403	Shell-Thick	2151	SLV_ENV	Combination	Min	-689.66	-217.87
403	403	Shell-Thick	2164	SLV_ENV	Combination	Min	-689.74	-209.37
403	403	Shell-Thick	1884	SLV_ENV	Combination	Min	-989.76	-219.7
403	403	Shell-Thick	1779	SLV_ENV	Combination	Min	-989.34	-206.64
413	413	Shell-Thick	2218	SLU_ENV	Combination	Max	82.59	-26.76
413	413	Shell-Thick	2219	SLU_ENV	Combination	Max	-57.61	-540.18
413	413	Shell-Thick	2201	SLU_ENV	Combination	Max	-139.77	-556.61
413	413	Shell-Thick	2200	SLU_ENV	Combination	Max	-37.63	-44.41
413	413	Shell-Thick	2218	SLU_ENV	Combination	Min	41.24	-141.28
413	413	Shell-Thick	2219	SLU_ENV	Combination	Min	-109.72	-1074.98
413	413	Shell-Thick	2201	SLU_ENV	Combination	Min	-261.04	-1105.85
413	413	Shell-Thick	2200	SLU_ENV	Combination	Min	-75.42	-171.06
413	413	Shell-Thick	2218	SLV_ENV	Combination	Max	284.99	304.61
413	413	Shell-Thick	2219	SLV_ENV	Combination	Max	130.68	-209.33
413	413	Shell-Thick	2201	SLV_ENV	Combination	Max	47.29	-217.4
413	413	Shell-Thick	2200	SLV_ENV	Combination	Max	55.75	222.44
413	413	Shell-Thick	2218	SLV_ENV	Combination	Min	-194.9	-396.06
413	413	Shell-Thick	2219	SLV_ENV	Combination	Min	-257.76	-668.
413	413	Shell-Thick	2201	SLV_ENV	Combination	Min	-348.69	-694.79
413	413	Shell-Thick	2200	SLV_ENV	Combination	Min	-139.97	-348.75
414	414	Shell-Thick	2200	SLU_ENV	Combination	Max	-53.02	-121.8
414	414	Shell-Thick	2201	SLU_ENV	Combination	Max	-93.77	-326.74
414	414	Shell-Thick	2183	SLU_ENV	Combination	Max	-41.46	-319.55
414	414	Shell-Thick	2182	SLU_ENV	Combination	Max	-13.	-114.06
414	414	Shell-Thick	2200	SLU_ENV	Combination	Min	-114.55	-381.56
414	414	Shell-Thick	2201	SLU_ENV	Combination	Min	-173.83	-629.41
414	414	Shell-Thick	2183	SLU_ENV	Combination	Min	-115.85	-616.38
414	414	Shell-Thick	2182	SLU_ENV	Combination	Min	-48.74	-367.67
414	414	Shell-Thick	2200	SLV_ENV	Combination	Max	59.8	61.15
414	414	Shell-Thick	2201	SLV_ENV	Combination	Max	80.08	-72.97

Table: Element Forces - Area Shells, Part 1 of 5

Area	AreaElem	ShellType	Joint	OutputCase	CaseType	StepType	F11 KN/m	F22 KN/m
414	414	Shell-Thick	2183	SLV_ENV	Combination	Max	153.47	-67.16
414	414	Shell-Thick	2182	SLV_ENV	Combination	Max	137.52	57.82
414	414	Shell-Thick	2200	SLV_ENV	Combination	Min	-175.24	-343.52
414	414	Shell-Thick	2201	SLV_ENV	Combination	Min	-283.41	-648.85
414	414	Shell-Thick	2183	SLV_ENV	Combination	Min	-282.19	-639.75
414	414	Shell-Thick	2182	SLV_ENV	Combination	Min	-178.35	-325.28
415	415	Shell-Thick	2182	SLU_ENV	Combination	Max	-16.71	-101.2
415	415	Shell-Thick	2183	SLU_ENV	Combination	Max	-2.55	-217.46
415	415	Shell-Thick	2165	SLU_ENV	Combination	Max	-56.86	-221.34
415	415	Shell-Thick	2164	SLU_ENV	Combination	Max	-35.94	-103.72
415	415	Shell-Thick	2182	SLU_ENV	Combination	Min	-65.96	-475.11
415	415	Shell-Thick	2183	SLU_ENV	Combination	Min	-83.6	-416.68
415	415	Shell-Thick	2165	SLU_ENV	Combination	Min	-121.62	-425.26
415	415	Shell-Thick	2164	SLU_ENV	Combination	Min	-130.52	-488.89
415	415	Shell-Thick	2182	SLV_ENV	Combination	Max	152.77	-13.67
415	415	Shell-Thick	2183	SLV_ENV	Combination	Max	170.39	18.91
415	415	Shell-Thick	2165	SLV_ENV	Combination	Max	324.59	25.14
415	415	Shell-Thick	2164	SLV_ENV	Combination	Max	310.73	-42.1
415	415	Shell-Thick	2182	SLV_ENV	Combination	Min	-194.03	-255.96
415	415	Shell-Thick	2183	SLV_ENV	Combination	Min	-256.42	-512.35
415	415	Shell-Thick	2165	SLV_ENV	Combination	Min	-453.7	-527.2
415	415	Shell-Thick	2164	SLV_ENV	Combination	Min	-395.08	-236.14
416	416	Shell-Thick	2164	SLU_ENV	Combination	Max	-27.81	-72.42
416	416	Shell-Thick	2165	SLU_ENV	Combination	Max	-33.9	-103.94
416	416	Shell-Thick	1885	SLU_ENV	Combination	Max	-8.31	-125.61
416	416	Shell-Thick	1884	SLU_ENV	Combination	Max	25.19	-63.84
416	416	Shell-Thick	2164	SLU_ENV	Combination	Min	-145.86	-562.63
416	416	Shell-Thick	2165	SLU_ENV	Combination	Min	-110.01	-368.02
416	416	Shell-Thick	1885	SLU_ENV	Combination	Min	-162.5	-359.62
416	416	Shell-Thick	1884	SLU_ENV	Combination	Min	-236.73	-578.85
416	416	Shell-Thick	2164	SLV_ENV	Combination	Max	313.65	23.36
416	416	Shell-Thick	2165	SLV_ENV	Combination	Max	322.66	59.16
416	416	Shell-Thick	1885	SLV_ENV	Combination	Max	806.85	69.22
416	416	Shell-Thick	1884	SLV_ENV	Combination	Max	811.01	34.2
416	416	Shell-Thick	2164	SLV_ENV	Combination	Min	-382.6	-224.6
416	416	Shell-Thick	2165	SLV_ENV	Combination	Min	-443.31	-518.87
416	416	Shell-Thick	1885	SLV_ENV	Combination	Min	-832.55	-509.95
416	416	Shell-Thick	1884	SLV_ENV	Combination	Min	-785.01	-216.45
417	417	Shell-Thick	2281	SLU_ENV	Combination	Max	28.68	131.87
417	417	Shell-Thick	2573	SLU_ENV	Combination	Max	41.62	133.97
417	417	Shell-Thick	2291	SLU_ENV	Combination	Max	60.06	134.45
417	417	Shell-Thick	2301	SLU_ENV	Combination	Max	48.48	132.35
417	417	Shell-Thick	2281	SLU_ENV	Combination	Min	-7.44	1.05
417	417	Shell-Thick	2573	SLU_ENV	Combination	Min	0.4	1.15
417	417	Shell-Thick	2291	SLU_ENV	Combination	Min	14.85	8.86
417	417	Shell-Thick	2301	SLU_ENV	Combination	Min	6.48	8.52
417	417	Shell-Thick	2281	SLV_ENV	Combination	Max	285.58	494.54
417	417	Shell-Thick	2573	SLV_ENV	Combination	Max	135.06	507.45
417	417	Shell-Thick	2291	SLV_ENV	Combination	Max	251.04	518.68
417	417	Shell-Thick	2301	SLV_ENV	Combination	Max	84.26	528.53
417	417	Shell-Thick	2281	SLV_ENV	Combination	Min	-261.09	-377.74
417	417	Shell-Thick	2573	SLV_ENV	Combination	Min	-98.63	-388.47
417	417	Shell-Thick	2291	SLV_ENV	Combination	Min	-194.07	-403.68
417	417	Shell-Thick	2301	SLV_ENV	Combination	Min	-39.24	-415.71

Table: Element Forces - Area Shells, Part 1 of 5

Area	AreaElem	ShellType	Joint	OutputCase	CaseType	StepType	F11 KN/m	F22 KN/m
418	418	Shell-Thick	2573	SLU_ENV	Combination	Max	41.29	112.16
418	418	Shell-Thick	2912	SLU_ENV	Combination	Max	25.85	144.45
418	418	Shell-Thick	2572	SLU_ENV	Combination	Max	13.59	100.31
418	418	Shell-Thick	2291	SLU_ENV	Combination	Max	48.73	82.38
418	418	Shell-Thick	2573	SLU_ENV	Combination	Min	-13.39	-44.29
418	418	Shell-Thick	2912	SLU_ENV	Combination	Min	-30.31	-58.
418	418	Shell-Thick	2572	SLU_ENV	Combination	Min	-21.26	2.64
418	418	Shell-Thick	2291	SLU_ENV	Combination	Min	17.38	7.47
418	418	Shell-Thick	2573	SLV_ENV	Combination	Max	256.63	476.77
418	418	Shell-Thick	2912	SLV_ENV	Combination	Max	1025.04	665.66
418	418	Shell-Thick	2572	SLV_ENV	Combination	Max	658.26	679.92
418	418	Shell-Thick	2291	SLV_ENV	Combination	Max	164.18	333.69
418	418	Shell-Thick	2573	SLV_ENV	Combination	Min	-227.79	-687.66
418	418	Shell-Thick	2912	SLV_ENV	Combination	Min	-996.46	-744.15
418	418	Shell-Thick	2572	SLV_ENV	Combination	Min	-643.41	-593.11
418	418	Shell-Thick	2291	SLV_ENV	Combination	Min	-120.9	-266.07
419	419	Shell-Thick	2291	SLU_ENV	Combination	Max	60.45	112.96
419	419	Shell-Thick	2205	SLU_ENV	Combination	Max	66.98	160.27
419	419	Shell-Thick	2215	SLU_ENV	Combination	Max	57.79	173.16
419	419	Shell-Thick	2301	SLU_ENV	Combination	Max	47.4	125.4
419	419	Shell-Thick	2291	SLU_ENV	Combination	Min	-0.71	-2.75
419	419	Shell-Thick	2205	SLU_ENV	Combination	Min	14.32	56.12
419	419	Shell-Thick	2215	SLU_ENV	Combination	Min	18.31	60.21
419	419	Shell-Thick	2301	SLU_ENV	Combination	Min	2.65	-0.23
419	419	Shell-Thick	2291	SLV_ENV	Combination	Max	197.16	653.79
419	419	Shell-Thick	2205	SLV_ENV	Combination	Max	191.42	353.79
419	419	Shell-Thick	2215	SLV_ENV	Combination	Max	164.28	309.53
419	419	Shell-Thick	2301	SLV_ENV	Combination	Max	138.14	577.61
419	419	Shell-Thick	2291	SLV_ENV	Combination	Min	-148.58	-558.65
419	419	Shell-Thick	2205	SLV_ENV	Combination	Min	-144.21	-222.48
419	419	Shell-Thick	2215	SLV_ENV	Combination	Min	-119.39	-170.16
419	419	Shell-Thick	2301	SLV_ENV	Combination	Min	-91.88	-474.4
421	421	Shell-Thick	2205	SLU_ENV	Combination	Max	40.4	183.03
421	421	Shell-Thick	2311	SLU_ENV	Combination	Max	26.07	199.81
421	421	Shell-Thick	2321	SLU_ENV	Combination	Max	31.43	191.1
421	421	Shell-Thick	2215	SLU_ENV	Combination	Max	44.53	175.4
421	421	Shell-Thick	2205	SLU_ENV	Combination	Min	-1.02	62.74
421	421	Shell-Thick	2311	SLU_ENV	Combination	Min	-2.87	63.88
421	421	Shell-Thick	2321	SLU_ENV	Combination	Min	0.36	64.27
421	421	Shell-Thick	2215	SLU_ENV	Combination	Min	5.16	63.11
421	421	Shell-Thick	2205	SLV_ENV	Combination	Max	163.02	251.86
421	421	Shell-Thick	2311	SLV_ENV	Combination	Max	231.94	529.53
421	421	Shell-Thick	2321	SLV_ENV	Combination	Max	374.97	515.32
421	421	Shell-Thick	2215	SLV_ENV	Combination	Max	144.09	243.14
421	421	Shell-Thick	2205	SLV_ENV	Combination	Min	-125.28	-97.64
421	421	Shell-Thick	2311	SLV_ENV	Combination	Min	-211.14	-372.23
421	421	Shell-Thick	2321	SLV_ENV	Combination	Min	-363.32	-360.99
421	421	Shell-Thick	2215	SLV_ENV	Combination	Min	-115.49	-91.88
422	422	Shell-Thick	2311	SLU_ENV	Combination	Max	38.92	193.19
422	422	Shell-Thick	2331	SLU_ENV	Combination	Max	67.43	198.87
422	422	Shell-Thick	2341	SLU_ENV	Combination	Max	60.91	192.82
422	422	Shell-Thick	2321	SLU_ENV	Combination	Max	37.37	187.14
422	422	Shell-Thick	2311	SLU_ENV	Combination	Min	11.88	66.06
422	422	Shell-Thick	2331	SLU_ENV	Combination	Min	19.98	55.67

Table: Element Forces - Area Shells, Part 1 of 5

Area	AreaElem	ShellType	Joint	OutputCase	CaseType	StepType	F11 KN/m	F22 KN/m
422	422	Shell-Thick	2341	SLU_ENV	Combination	Min	19.57	53.97
422	422	Shell-Thick	2321	SLU_ENV	Combination	Min	7.41	64.39
422	422	Shell-Thick	2311	SLV_ENV	Combination	Max	215.78	566.77
422	422	Shell-Thick	2331	SLV_ENV	Combination	Max	183.65	765.54
422	422	Shell-Thick	2341	SLV_ENV	Combination	Max	203.98	748.66
422	422	Shell-Thick	2321	SLV_ENV	Combination	Max	239.96	550.13
422	422	Shell-Thick	2311	SLV_ENV	Combination	Min	-187.67	-410.39
422	422	Shell-Thick	2331	SLV_ENV	Combination	Min	-135.47	-634.44
422	422	Shell-Thick	2341	SLV_ENV	Combination	Min	-158.87	-621.77
422	422	Shell-Thick	2321	SLV_ENV	Combination	Min	-214.91	-397.96
423	423	Shell-Thick	2281	SLU_ENV	Combination	Max	38.86	141.4
423	423	Shell-Thick	2301	SLU_ENV	Combination	Max	42.53	149.56
423	423	Shell-Thick	2300	SLU_ENV	Combination	Max	42.35	151.58
423	423	Shell-Thick	2280	SLU_ENV	Combination	Max	41.44	143.42
423	423	Shell-Thick	2281	SLU_ENV	Combination	Min	-2.02	3.88
423	423	Shell-Thick	2301	SLU_ENV	Combination	Min	11.82	24.55
423	423	Shell-Thick	2300	SLU_ENV	Combination	Min	14.45	23.86
423	423	Shell-Thick	2280	SLU_ENV	Combination	Min	-4.22	3.26
423	423	Shell-Thick	2281	SLV_ENV	Combination	Max	130.51	462.49
423	423	Shell-Thick	2301	SLV_ENV	Combination	Max	137.44	372.07
423	423	Shell-Thick	2300	SLV_ENV	Combination	Max	101.59	389.94
423	423	Shell-Thick	2280	SLV_ENV	Combination	Max	123.32	480.76
423	423	Shell-Thick	2281	SLV_ENV	Combination	Min	-94.75	-326.22
423	423	Shell-Thick	2301	SLV_ENV	Combination	Min	-98.46	-237.28
423	423	Shell-Thick	2300	SLV_ENV	Combination	Min	-61.38	-253.87
423	423	Shell-Thick	2280	SLV_ENV	Combination	Min	-86.33	-343.21
424	424	Shell-Thick	2301	SLU_ENV	Combination	Max	41.27	142.4
424	424	Shell-Thick	2215	SLU_ENV	Combination	Max	63.12	181.17
424	424	Shell-Thick	2214	SLU_ENV	Combination	Max	51.91	191.58
424	424	Shell-Thick	2300	SLU_ENV	Combination	Max	27.38	152.8
424	424	Shell-Thick	2301	SLU_ENV	Combination	Min	8.01	17.
424	424	Shell-Thick	2215	SLU_ENV	Combination	Min	16.31	65.88
424	424	Shell-Thick	2214	SLU_ENV	Combination	Min	13.15	66.17
424	424	Shell-Thick	2300	SLU_ENV	Combination	Min	5.67	17.5
424	424	Shell-Thick	2301	SLV_ENV	Combination	Max	154.23	413.11
424	424	Shell-Thick	2215	SLV_ENV	Combination	Max	136.01	291.99
424	424	Shell-Thick	2214	SLV_ENV	Combination	Max	165.81	329.07
424	424	Shell-Thick	2300	SLV_ENV	Combination	Max	213.77	409.32
424	424	Shell-Thick	2301	SLV_ENV	Combination	Min	-114.1	-287.99
424	424	Shell-Thick	2215	SLV_ENV	Combination	Min	-81.72	-130.67
424	424	Shell-Thick	2214	SLV_ENV	Combination	Min	-128.93	-160.75
424	424	Shell-Thick	2300	SLV_ENV	Combination	Min	-191.06	-277.19
425	425	Shell-Thick	2215	SLU_ENV	Combination	Max	45.09	191.58
425	425	Shell-Thick	2321	SLU_ENV	Combination	Max	49.36	186.73
425	425	Shell-Thick	2320	SLU_ENV	Combination	Max	62.15	170.24
425	425	Shell-Thick	2214	SLU_ENV	Combination	Max	61.62	176.75
425	425	Shell-Thick	2215	SLU_ENV	Combination	Min	7.16	65.68
425	425	Shell-Thick	2321	SLU_ENV	Combination	Min	11.6	54.81
425	425	Shell-Thick	2320	SLU_ENV	Combination	Min	14.01	51.97
425	425	Shell-Thick	2214	SLU_ENV	Combination	Min	9.51	59.75
425	425	Shell-Thick	2215	SLV_ENV	Combination	Max	119.65	216.08
425	425	Shell-Thick	2321	SLV_ENV	Combination	Max	292.78	327.27
425	425	Shell-Thick	2320	SLV_ENV	Combination	Max	277.35	300.63
425	425	Shell-Thick	2214	SLV_ENV	Combination	Max	154.6	173.15

Table: Element Forces - Area Shells, Part 1 of 5

Area	AreaElem	ShellType	Joint	OutputCase	CaseType	StepType	F11 KN/m	F22 KN/m
425	425	Shell-Thick	2215	SLV_ENV	Combination	Min	-81.64	-42.89
425	425	Shell-Thick	2321	SLV_ENV	Combination	Min	-263.31	-182.81
425	425	Shell-Thick	2320	SLV_ENV	Combination	Min	-236.81	-167.73
425	425	Shell-Thick	2214	SLV_ENV	Combination	Min	-105.53	-11.51
433	433	Shell-Thick	689	SLU_ENV	Combination	Max	157.06	14.16
433	433	Shell-Thick	145	SLU_ENV	Combination	Max	137.69	85.67
433	433	Shell-Thick	144	SLU_ENV	Combination	Max	70.97	55.08
433	433	Shell-Thick	688	SLU_ENV	Combination	Max	61.03	-13.01
433	433	Shell-Thick	689	SLU_ENV	Combination	Min	48.89	-34.18
433	433	Shell-Thick	145	SLU_ENV	Combination	Min	63.05	28.57
433	433	Shell-Thick	144	SLU_ENV	Combination	Min	23.48	3.02
433	433	Shell-Thick	688	SLU_ENV	Combination	Min	22.79	-64.77
433	433	Shell-Thick	689	SLV_ENV	Combination	Max	517.54	510.61
433	433	Shell-Thick	145	SLV_ENV	Combination	Max	277.99	300.22
433	433	Shell-Thick	144	SLV_ENV	Combination	Max	420.94	288.49
433	433	Shell-Thick	688	SLV_ENV	Combination	Max	208.31	485.43
433	433	Shell-Thick	689	SLV_ENV	Combination	Min	-364.85	-534.1
433	433	Shell-Thick	145	SLV_ENV	Combination	Min	-136.84	-229.26
433	433	Shell-Thick	144	SLV_ENV	Combination	Min	-364.95	-254.38
433	433	Shell-Thick	688	SLV_ENV	Combination	Min	-140.78	-545.77
434	434	Shell-Thick	669	SLU_ENV	Combination	Max	8.37	67.26
434	434	Shell-Thick	689	SLU_ENV	Combination	Max	61.86	10.16
434	434	Shell-Thick	688	SLU_ENV	Combination	Max	44.48	6.57
434	434	Shell-Thick	668	SLU_ENV	Combination	Max	1.84	53.3
434	434	Shell-Thick	669	SLU_ENV	Combination	Min	-0.26	8.95
434	434	Shell-Thick	689	SLU_ENV	Combination	Min	9.35	-7.31
434	434	Shell-Thick	688	SLU_ENV	Combination	Min	8.49	-20.89
434	434	Shell-Thick	668	SLU_ENV	Combination	Min	-13.9	6.22
434	434	Shell-Thick	669	SLV_ENV	Combination	Max	213.49	362.51
434	434	Shell-Thick	689	SLV_ENV	Combination	Max	345.8	344.99
434	434	Shell-Thick	688	SLV_ENV	Combination	Max	224.56	341.66
434	434	Shell-Thick	668	SLV_ENV	Combination	Max	143.36	303.89
434	434	Shell-Thick	669	SLV_ENV	Combination	Min	-205.8	-298.16
434	434	Shell-Thick	689	SLV_ENV	Combination	Min	-284.42	-343.94
434	434	Shell-Thick	688	SLV_ENV	Combination	Min	-180.45	-354.13
434	434	Shell-Thick	668	SLV_ENV	Combination	Min	-152.94	-253.06
435	435	Shell-Thick	145	SLU_ENV	Combination	Max	46.45	166.76
435	435	Shell-Thick	709	SLU_ENV	Combination	Max	-6.66	167.38
435	435	Shell-Thick	708	SLU_ENV	Combination	Max	-44.15	115.77
435	435	Shell-Thick	144	SLU_ENV	Combination	Max	-14.2	136.16
435	435	Shell-Thick	145	SLU_ENV	Combination	Min	8.36	70.19
435	435	Shell-Thick	709	SLU_ENV	Combination	Min	-46.2	64.1
435	435	Shell-Thick	708	SLU_ENV	Combination	Min	-115.37	46.68
435	435	Shell-Thick	144	SLU_ENV	Combination	Min	-39.21	40.78
435	435	Shell-Thick	145	SLV_ENV	Combination	Max	172.99	219.13
435	435	Shell-Thick	709	SLV_ENV	Combination	Max	449.36	606.82
435	435	Shell-Thick	708	SLV_ENV	Combination	Max	458.21	418.8
435	435	Shell-Thick	144	SLV_ENV	Combination	Max	100.76	353.78
435	435	Shell-Thick	145	SLV_ENV	Combination	Min	-130.22	-52.37
435	435	Shell-Thick	709	SLV_ENV	Combination	Min	-470.9	-457.28
435	435	Shell-Thick	708	SLV_ENV	Combination	Min	-560.64	-310.63
435	435	Shell-Thick	144	SLV_ENV	Combination	Min	-138.89	-228.38
436	436	Shell-Thick	709	SLU_ENV	Combination	Max	-7.54	101.82
436	436	Shell-Thick	729	SLU_ENV	Combination	Max	49.56	35.27

Table: Element Forces - Area Shells, Part 1 of 5

Area	AreaElem	ShellType	Joint	OutputCase	CaseType	StepType	F11 KN/m	F22 KN/m
436	436	Shell-Thick	728	SLU_ENV	Combination	Max	20.38	27.29
436	436	Shell-Thick	708	SLU_ENV	Combination	Max	-18.82	92.73
436	436	Shell-Thick	709	SLU_ENV	Combination	Min	-23.27	35.67
436	436	Shell-Thick	729	SLU_ENV	Combination	Min	17.6	10.56
436	436	Shell-Thick	728	SLU_ENV	Combination	Min	6.32	7.28
436	436	Shell-Thick	708	SLU_ENV	Combination	Min	-52.45	33.02
436	436	Shell-Thick	709	SLV_ENV	Combination	Max	192.02	496.55
436	436	Shell-Thick	729	SLV_ENV	Combination	Max	265.2	330.84
436	436	Shell-Thick	728	SLV_ENV	Combination	Max	196.56	264.08
436	436	Shell-Thick	708	SLV_ENV	Combination	Max	238.19	426.48
436	436	Shell-Thick	709	SLV_ENV	Combination	Min	-210.8	-412.89
436	436	Shell-Thick	729	SLV_ENV	Combination	Min	-223.48	-300.05
436	436	Shell-Thick	728	SLV_ENV	Combination	Min	-180.53	-239.67
436	436	Shell-Thick	708	SLV_ENV	Combination	Min	-282.65	-349.2
437	437	Shell-Thick	668	SLU_ENV	Combination	Max	53.13	134.62
437	437	Shell-Thick	688	SLU_ENV	Combination	Max	99.53	118.52
437	437	Shell-Thick	675	SLU_ENV	Combination	Max	68.78	109.41
437	437	Shell-Thick	655	SLU_ENV	Combination	Max	23.22	124.77
437	437	Shell-Thick	668	SLU_ENV	Combination	Min	15.58	51.72
437	437	Shell-Thick	688	SLU_ENV	Combination	Min	51.06	35.44
437	437	Shell-Thick	675	SLU_ENV	Combination	Min	34.7	29.24
437	437	Shell-Thick	655	SLU_ENV	Combination	Min	-3.65	45.75
437	437	Shell-Thick	668	SLV_ENV	Combination	Max	248.26	495.79
437	437	Shell-Thick	688	SLV_ENV	Combination	Max	109.94	441.85
437	437	Shell-Thick	675	SLV_ENV	Combination	Max	94.62	440.52
437	437	Shell-Thick	655	SLV_ENV	Combination	Max	234.29	493.15
437	437	Shell-Thick	668	SLV_ENV	Combination	Min	-191.39	-338.18
437	437	Shell-Thick	688	SLV_ENV	Combination	Min	6.38	-321.05
437	437	Shell-Thick	675	SLV_ENV	Combination	Min	-14.79	-331.5
437	437	Shell-Thick	655	SLV_ENV	Combination	Min	-213.91	-347.32
438	438	Shell-Thick	688	SLU_ENV	Combination	Max	121.	74.42
438	438	Shell-Thick	144	SLU_ENV	Combination	Max	65.94	100.12
438	438	Shell-Thick	131	SLU_ENV	Combination	Max	54.35	80.84
438	438	Shell-Thick	675	SLU_ENV	Combination	Max	112.63	71.15
438	438	Shell-Thick	688	SLU_ENV	Combination	Min	58.81	18.36
438	438	Shell-Thick	144	SLU_ENV	Combination	Min	30.03	29.42
438	438	Shell-Thick	131	SLU_ENV	Combination	Min	26.3	22.55
438	438	Shell-Thick	675	SLU_ENV	Combination	Min	54.38	4.79
438	438	Shell-Thick	688	SLV_ENV	Combination	Max	176.92	480.17
438	438	Shell-Thick	144	SLV_ENV	Combination	Max	93.61	609.53
438	438	Shell-Thick	131	SLV_ENV	Combination	Max	150.33	579.13
438	438	Shell-Thick	675	SLV_ENV	Combination	Max	229.56	513.75
438	438	Shell-Thick	688	SLV_ENV	Combination	Min	-36.91	-407.4
438	438	Shell-Thick	144	SLV_ENV	Combination	Min	-23.32	-537.7
438	438	Shell-Thick	131	SLV_ENV	Combination	Min	-89.16	-522.45
438	438	Shell-Thick	675	SLV_ENV	Combination	Min	-98.66	-456.12
439	439	Shell-Thick	144	SLU_ENV	Combination	Max	-7.56	165.85
439	439	Shell-Thick	708	SLU_ENV	Combination	Max	-18.77	224.6
439	439	Shell-Thick	695	SLU_ENV	Combination	Max	-18.58	222.95
439	439	Shell-Thick	131	SLU_ENV	Combination	Max	-11.1	160.83
439	439	Shell-Thick	144	SLU_ENV	Combination	Min	-45.59	72.15
439	439	Shell-Thick	708	SLU_ENV	Combination	Min	-40.09	110.49
439	439	Shell-Thick	695	SLU_ENV	Combination	Min	-62.68	110.59
439	439	Shell-Thick	131	SLU_ENV	Combination	Min	-54.14	72.98

Table: Element Forces - Area Shells, Part 1 of 5

Area	AreaElem	ShellType	Joint	OutputCase	CaseType	StepType	F11 KN/m	F22 KN/m
439	439	Shell-Thick	144	SLV_ENV	Combination	Max	405.32	408.26
439	439	Shell-Thick	708	SLV_ENV	Combination	Max	269.16	412.13
439	439	Shell-Thick	695	SLV_ENV	Combination	Max	240.59	324.
439	439	Shell-Thick	131	SLV_ENV	Combination	Max	281.08	374.15
439	439	Shell-Thick	144	SLV_ENV	Combination	Min	-429.16	-245.15
439	439	Shell-Thick	708	SLV_ENV	Combination	Min	-311.44	-159.36
439	439	Shell-Thick	695	SLV_ENV	Combination	Min	-304.91	-70.14
439	439	Shell-Thick	131	SLV_ENV	Combination	Min	-326.95	-209.95
440	440	Shell-Thick	708	SLU_ENV	Combination	Max	22.57	198.62
440	440	Shell-Thick	728	SLU_ENV	Combination	Max	49.83	160.37
440	440	Shell-Thick	715	SLU_ENV	Combination	Max	27.19	147.74
440	440	Shell-Thick	695	SLU_ENV	Combination	Max	5.94	183.71
440	440	Shell-Thick	708	SLU_ENV	Combination	Min	5.64	97.8
440	440	Shell-Thick	728	SLU_ENV	Combination	Min	22.69	70.73
440	440	Shell-Thick	715	SLU_ENV	Combination	Min	9.91	62.38
440	440	Shell-Thick	695	SLU_ENV	Combination	Min	-14.12	89.63
440	440	Shell-Thick	708	SLV_ENV	Combination	Max	154.31	414.9
440	440	Shell-Thick	728	SLV_ENV	Combination	Max	109.81	688.12
440	440	Shell-Thick	715	SLV_ENV	Combination	Max	107.33	686.21
440	440	Shell-Thick	695	SLV_ENV	Combination	Max	155.89	413.52
440	440	Shell-Thick	708	SLV_ENV	Combination	Min	-138.78	-192.82
440	440	Shell-Thick	728	SLV_ENV	Combination	Min	-54.25	-530.04
440	440	Shell-Thick	715	SLV_ENV	Combination	Min	-80.43	-546.44
440	440	Shell-Thick	695	SLV_ENV	Combination	Min	-169.02	-209.75
441	441	Shell-Thick	675	SLU_ENV	Combination	Max	141.02	126.84
441	441	Shell-Thick	131	SLU_ENV	Combination	Max	130.27	225.03
441	441	Shell-Thick	141	SLU_ENV	Combination	Max	80.02	224.8
441	441	Shell-Thick	685	SLU_ENV	Combination	Max	89.6	133.12
441	441	Shell-Thick	675	SLU_ENV	Combination	Min	69.94	47.72
441	441	Shell-Thick	131	SLU_ENV	Combination	Min	60.45	102.09
441	441	Shell-Thick	141	SLU_ENV	Combination	Min	30.49	104.21
441	441	Shell-Thick	685	SLU_ENV	Combination	Min	38.08	46.7
441	441	Shell-Thick	675	SLV_ENV	Combination	Max	180.5	793.69
441	441	Shell-Thick	131	SLV_ENV	Combination	Max	134.42	656.61
441	441	Shell-Thick	141	SLV_ENV	Combination	Max	183.05	613.83
441	441	Shell-Thick	685	SLV_ENV	Combination	Max	210.21	783.93
441	441	Shell-Thick	675	SLV_ENV	Combination	Min	-9.55	-650.37
441	441	Shell-Thick	131	SLV_ENV	Combination	Min	14.96	-413.68
441	441	Shell-Thick	141	SLV_ENV	Combination	Min	-95.51	-370.79
441	441	Shell-Thick	685	SLV_ENV	Combination	Min	-101.11	-640.51
442	442	Shell-Thick	655	SLU_ENV	Combination	Max	38.4	236.98
442	442	Shell-Thick	675	SLU_ENV	Combination	Max	100.4	168.31
442	442	Shell-Thick	685	SLU_ENV	Combination	Max	92.21	167.96
442	442	Shell-Thick	665	SLU_ENV	Combination	Max	30.99	237.3
442	442	Shell-Thick	655	SLU_ENV	Combination	Min	6.65	96.21
442	442	Shell-Thick	675	SLU_ENV	Combination	Min	45.27	70.85
442	442	Shell-Thick	685	SLU_ENV	Combination	Min	43.86	71.54
442	442	Shell-Thick	665	SLU_ENV	Combination	Min	4.96	97.06
442	442	Shell-Thick	655	SLV_ENV	Combination	Max	285.78	653.35
442	442	Shell-Thick	675	SLV_ENV	Combination	Max	202.88	708.02
442	442	Shell-Thick	685	SLV_ENV	Combination	Max	148.9	719.91
442	442	Shell-Thick	665	SLV_ENV	Combination	Max	228.02	641.86
442	442	Shell-Thick	655	SLV_ENV	Combination	Min	-243.69	-375.6
442	442	Shell-Thick	675	SLV_ENV	Combination	Min	-83.13	-513.2

Table: Element Forces - Area Shells, Part 1 of 5

Area	AreaElem	ShellType	Joint	OutputCase	CaseType	StepType	F11 KN/m	F22 KN/m
442	442	Shell-Thick	685	SLV_ENV	Combination	Min	-38.94	-525.93
442	442	Shell-Thick	665	SLV_ENV	Combination	Min	-195.71	-364.95
443	443	Shell-Thick	131	SLU_ENV	Combination	Max	39.18	310.1
443	443	Shell-Thick	695	SLU_ENV	Combination	Max	-4.57	291.21
443	443	Shell-Thick	705	SLU_ENV	Combination	Max	-13.61	264.49
443	443	Shell-Thick	141	SLU_ENV	Combination	Max	28.78	274.74
443	443	Shell-Thick	131	SLU_ENV	Combination	Min	2.43	147.42
443	443	Shell-Thick	695	SLU_ENV	Combination	Min	-31.59	151.48
443	443	Shell-Thick	705	SLU_ENV	Combination	Min	-48.	136.21
443	443	Shell-Thick	141	SLU_ENV	Combination	Min	-5.56	133.21
443	443	Shell-Thick	131	SLV_ENV	Combination	Max	398.37	447.85
443	443	Shell-Thick	695	SLV_ENV	Combination	Max	366.28	559.82
443	443	Shell-Thick	705	SLV_ENV	Combination	Max	338.36	613.4
443	443	Shell-Thick	141	SLV_ENV	Combination	Max	252.37	481.24
443	443	Shell-Thick	131	SLV_ENV	Combination	Min	-356.03	-97.41
443	443	Shell-Thick	695	SLV_ENV	Combination	Min	-396.06	-214.64
443	443	Shell-Thick	705	SLV_ENV	Combination	Min	-393.64	-305.12
443	443	Shell-Thick	141	SLV_ENV	Combination	Min	-235.54	-167.7
444	444	Shell-Thick	695	SLU_ENV	Combination	Max	26.86	256.95
444	444	Shell-Thick	715	SLU_ENV	Combination	Max	91.57	209.26
444	444	Shell-Thick	725	SLU_ENV	Combination	Max	86.02	203.07
444	444	Shell-Thick	705	SLU_ENV	Combination	Max	22.72	250.63
444	444	Shell-Thick	695	SLU_ENV	Combination	Min	8.2	130.15
444	444	Shell-Thick	715	SLU_ENV	Combination	Min	46.03	95.11
444	444	Shell-Thick	725	SLU_ENV	Combination	Min	44.69	92.26
444	444	Shell-Thick	705	SLU_ENV	Combination	Min	5.07	127.3
444	444	Shell-Thick	695	SLV_ENV	Combination	Max	270.07	668.91
444	444	Shell-Thick	715	SLV_ENV	Combination	Max	208.96	808.53
444	444	Shell-Thick	725	SLV_ENV	Combination	Max	170.45	769.32
444	444	Shell-Thick	705	SLV_ENV	Combination	Max	260.13	628.25
444	444	Shell-Thick	695	SLV_ENV	Combination	Min	-248.73	-373.68
444	444	Shell-Thick	715	SLV_ENV	Combination	Min	-105.22	-592.29
444	444	Shell-Thick	725	SLV_ENV	Combination	Min	-71.55	-559.62
444	444	Shell-Thick	705	SLV_ENV	Combination	Min	-243.64	-339.57
445	445	Shell-Thick	665	SLU_ENV	Combination	Max	70.73	228.96
445	445	Shell-Thick	685	SLU_ENV	Combination	Max	84.73	247.21
445	445	Shell-Thick	684	SLU_ENV	Combination	Max	78.45	240.45
445	445	Shell-Thick	664	SLU_ENV	Combination	Max	65.55	222.36
445	445	Shell-Thick	665	SLU_ENV	Combination	Min	25.42	85.07
445	445	Shell-Thick	685	SLU_ENV	Combination	Min	35.3	111.18
445	445	Shell-Thick	684	SLU_ENV	Combination	Min	35.49	106.97
445	445	Shell-Thick	664	SLU_ENV	Combination	Min	24.59	80.82
445	445	Shell-Thick	665	SLV_ENV	Combination	Max	294.4	788.56
445	445	Shell-Thick	685	SLV_ENV	Combination	Max	149.61	531.52
445	445	Shell-Thick	684	SLV_ENV	Combination	Max	126.92	552.66
445	445	Shell-Thick	664	SLV_ENV	Combination	Max	246.16	803.83
445	445	Shell-Thick	665	SLV_ENV	Combination	Min	-210.39	-513.78
445	445	Shell-Thick	685	SLV_ENV	Combination	Min	-49.05	-239.7
445	445	Shell-Thick	684	SLV_ENV	Combination	Min	-33.13	-269.65
445	445	Shell-Thick	664	SLV_ENV	Combination	Min	-168.92	-537.86
446	446	Shell-Thick	685	SLU_ENV	Combination	Max	81.81	208.64
446	446	Shell-Thick	141	SLU_ENV	Combination	Max	124.43	322.28
446	446	Shell-Thick	140	SLU_ENV	Combination	Max	94.84	357.09
446	446	Shell-Thick	684	SLU_ENV	Combination	Max	50.71	241.44

Table: Element Forces - Area Shells, Part 1 of 5

Area	AreaElem	ShellType	Joint	OutputCase	CaseType	StepType	F11 KN/m	F22 KN/m
446	446	Shell-Thick	685	SLU_ENV	Combination	Min	28.75	88.12
446	446	Shell-Thick	141	SLU_ENV	Combination	Min	64.46	171.31
446	446	Shell-Thick	140	SLU_ENV	Combination	Min	48.15	189.27
446	446	Shell-Thick	684	SLU_ENV	Combination	Min	14.58	105.58
446	446	Shell-Thick	685	SLV_ENV	Combination	Max	227.55	569.91
446	446	Shell-Thick	141	SLV_ENV	Combination	Max	168.37	498.61
446	446	Shell-Thick	140	SLV_ENV	Combination	Max	109.92	548.82
446	446	Shell-Thick	684	SLV_ENV	Combination	Max	145.19	619.52
446	446	Shell-Thick	685	SLV_ENV	Combination	Min	-128.09	-328.89
446	446	Shell-Thick	141	SLV_ENV	Combination	Min	-13.	-109.59
446	446	Shell-Thick	140	SLV_ENV	Combination	Min	5.8	-119.74
446	446	Shell-Thick	684	SLV_ENV	Combination	Min	-85.38	-338.44
447	447	Shell-Thick	141	SLU_ENV	Combination	Max	75.89	374.81
447	447	Shell-Thick	705	SLU_ENV	Combination	Max	23.23	285.35
447	447	Shell-Thick	704	SLU_ENV	Combination	Max	58.04	251.54
447	447	Shell-Thick	140	SLU_ENV	Combination	Max	107.44	343.3
447	447	Shell-Thick	141	SLU_ENV	Combination	Min	35.17	200.87
447	447	Shell-Thick	705	SLU_ENV	Combination	Min	1.81	144.98
447	447	Shell-Thick	704	SLU_ENV	Combination	Min	19.35	126.75
447	447	Shell-Thick	140	SLU_ENV	Combination	Min	55.14	182.7
447	447	Shell-Thick	141	SLV_ENV	Combination	Max	155.29	403.17
447	447	Shell-Thick	705	SLV_ENV	Combination	Max	208.78	553.75
447	447	Shell-Thick	704	SLV_ENV	Combination	Max	294.01	517.55
447	447	Shell-Thick	140	SLV_ENV	Combination	Max	242.67	386.11
447	447	Shell-Thick	141	SLV_ENV	Combination	Min	-70.62	56.36
447	447	Shell-Thick	705	SLV_ENV	Combination	Min	-198.64	-220.76
447	447	Shell-Thick	704	SLV_ENV	Combination	Min	-243.5	-225.36
447	447	Shell-Thick	140	SLV_ENV	Combination	Min	-117.62	32.62
448	448	Shell-Thick	705	SLU_ENV	Combination	Max	73.97	269.77
448	448	Shell-Thick	725	SLU_ENV	Combination	Max	74.32	263.89
448	448	Shell-Thick	724	SLU_ENV	Combination	Max	64.37	261.86
448	448	Shell-Thick	704	SLU_ENV	Combination	Max	63.77	267.46
448	448	Shell-Thick	705	SLU_ENV	Combination	Min	35.18	135.99
448	448	Shell-Thick	725	SLU_ENV	Combination	Min	32.21	122.79
448	448	Shell-Thick	724	SLU_ENV	Combination	Min	26.12	122.73
448	448	Shell-Thick	704	SLU_ENV	Combination	Min	28.53	136.
448	448	Shell-Thick	705	SLV_ENV	Combination	Max	131.27	548.63
448	448	Shell-Thick	725	SLV_ENV	Combination	Max	245.27	843.55
448	448	Shell-Thick	724	SLV_ENV	Combination	Max	287.02	829.61
448	448	Shell-Thick	704	SLV_ENV	Combination	Max	206.44	542.72
448	448	Shell-Thick	705	SLV_ENV	Combination	Min	-49.76	-235.28
448	448	Shell-Thick	725	SLV_ENV	Combination	Min	-165.88	-560.49
448	448	Shell-Thick	724	SLV_ENV	Combination	Min	-222.66	-547.75
448	448	Shell-Thick	704	SLV_ENV	Combination	Min	-139.96	-230.57
449	449	Shell-Thick	664	SLU_ENV	Combination	Max	86.35	243.56
449	449	Shell-Thick	684	SLU_ENV	Combination	Max	62.32	266.74
449	449	Shell-Thick	683	SLU_ENV	Combination	Max	57.23	271.33
449	449	Shell-Thick	663	SLU_ENV	Combination	Max	82.34	247.96
449	449	Shell-Thick	664	SLU_ENV	Combination	Min	41.68	97.96
449	449	Shell-Thick	684	SLU_ENV	Combination	Min	32.19	120.98
449	449	Shell-Thick	683	SLU_ENV	Combination	Min	25.96	121.78
449	449	Shell-Thick	663	SLU_ENV	Combination	Min	34.61	98.76
449	449	Shell-Thick	664	SLV_ENV	Combination	Max	203.37	645.35
449	449	Shell-Thick	684	SLV_ENV	Combination	Max	167.77	576.12

Table: Element Forces - Area Shells, Part 1 of 5

Area	AreaElem	ShellType	Joint	OutputCase	CaseType	StepType	F11 KN/m	F22 KN/m
449	449	Shell-Thick	683	SLV_ENV	Combination	Max	162.59	610.55
449	449	Shell-Thick	663	SLV_ENV	Combination	Max	240.22	681.55
449	449	Shell-Thick	664	SLV_ENV	Combination	Min	-95.28	-350.67
449	449	Shell-Thick	684	SLV_ENV	Combination	Min	-89.04	-250.87
449	449	Shell-Thick	683	SLV_ENV	Combination	Min	-92.35	-280.66
449	449	Shell-Thick	663	SLV_ENV	Combination	Min	-140.62	-382.23
450	450	Shell-Thick	684	SLU_ENV	Combination	Max	35.71	267.06
450	450	Shell-Thick	140	SLU_ENV	Combination	Max	56.53	265.64
450	450	Shell-Thick	139	SLU_ENV	Combination	Max	73.86	283.33
450	450	Shell-Thick	683	SLU_ENV	Combination	Max	46.75	284.72
450	450	Shell-Thick	684	SLU_ENV	Combination	Min	9.	119.72
450	450	Shell-Thick	140	SLU_ENV	Combination	Min	20.15	130.26
450	450	Shell-Thick	139	SLU_ENV	Combination	Min	29.26	136.08
450	450	Shell-Thick	683	SLU_ENV	Combination	Min	21.2	129.68
450	450	Shell-Thick	684	SLV_ENV	Combination	Max	238.34	626.73
450	450	Shell-Thick	140	SLV_ENV	Combination	Max	162.12	340.54
450	450	Shell-Thick	139	SLV_ENV	Combination	Max	338.39	381.08
450	450	Shell-Thick	683	SLV_ENV	Combination	Max	289.99	553.32
450	450	Shell-Thick	684	SLV_ENV	Combination	Min	-193.78	-303.52
450	450	Shell-Thick	140	SLV_ENV	Combination	Min	-100.91	-28.01
450	450	Shell-Thick	139	SLV_ENV	Combination	Min	-264.22	-50.28
450	450	Shell-Thick	683	SLV_ENV	Combination	Min	-232.46	-211.84
451	451	Shell-Thick	140	SLU_ENV	Combination	Max	62.96	254.11
451	451	Shell-Thick	704	SLU_ENV	Combination	Max	80.88	235.44
451	451	Shell-Thick	703	SLU_ENV	Combination	Max	100.48	231.37
451	451	Shell-Thick	139	SLU_ENV	Combination	Max	88.84	252.78
451	451	Shell-Thick	140	SLU_ENV	Combination	Min	27.74	120.72
451	451	Shell-Thick	704	SLU_ENV	Combination	Min	37.57	119.85
451	451	Shell-Thick	703	SLU_ENV	Combination	Min	51.36	122.98
451	451	Shell-Thick	139	SLU_ENV	Combination	Min	37.22	119.06
451	451	Shell-Thick	140	SLV_ENV	Combination	Max	145.2	286.06
451	451	Shell-Thick	704	SLV_ENV	Combination	Max	306.94	482.88
451	451	Shell-Thick	703	SLV_ENV	Combination	Max	267.17	469.39
451	451	Shell-Thick	139	SLV_ENV	Combination	Max	247.19	359.46
451	451	Shell-Thick	140	SLV_ENV	Combination	Min	-74.66	16.13
451	451	Shell-Thick	704	SLV_ENV	Combination	Min	-222.23	-196.92
451	451	Shell-Thick	703	SLV_ENV	Combination	Min	-152.4	-182.82
451	451	Shell-Thick	139	SLV_ENV	Combination	Min	-146.58	-56.66
452	452	Shell-Thick	704	SLU_ENV	Combination	Max	86.54	250.72
452	452	Shell-Thick	724	SLU_ENV	Combination	Max	63.24	288.36
452	452	Shell-Thick	723	SLU_ENV	Combination	Max	70.32	285.94
452	452	Shell-Thick	703	SLU_ENV	Combination	Max	93.99	248.01
452	452	Shell-Thick	704	SLU_ENV	Combination	Min	44.23	132.12
452	452	Shell-Thick	724	SLU_ENV	Combination	Min	29.84	148.94
452	452	Shell-Thick	723	SLU_ENV	Combination	Min	30.6	145.7
452	452	Shell-Thick	703	SLU_ENV	Combination	Min	45.33	129.54
452	452	Shell-Thick	704	SLV_ENV	Combination	Max	203.32	454.49
452	452	Shell-Thick	724	SLV_ENV	Combination	Max	177.08	660.39
452	452	Shell-Thick	723	SLV_ENV	Combination	Max	254.12	696.22
452	452	Shell-Thick	703	SLV_ENV	Combination	Max	252.53	475.49
452	452	Shell-Thick	704	SLV_ENV	Combination	Min	-102.89	-148.65
452	452	Shell-Thick	724	SLV_ENV	Combination	Min	-106.41	-323.34
452	452	Shell-Thick	723	SLV_ENV	Combination	Min	-180.03	-365.92
452	452	Shell-Thick	703	SLV_ENV	Combination	Min	-148.69	-176.41

Table: Element Forces - Area Shells, Part 1 of 5

Area	AreaElem	ShellType	Joint	OutputCase	CaseType	StepType	F11 KN/m	F22 KN/m
550	550	Shell-Thick	2311	SLU_ENV	Combination	Max	31.91	159.32
550	550	Shell-Thick	2324	SLU_ENV	Combination	Max	34.29	163.68
550	550	Shell-Thick	2344	SLU_ENV	Combination	Max	43.55	164.47
550	550	Shell-Thick	2331	SLU_ENV	Combination	Max	41.06	160.11
550	550	Shell-Thick	2311	SLU_ENV	Combination	Min	12.87	46.18
550	550	Shell-Thick	2324	SLU_ENV	Combination	Min	13.74	47.56
550	550	Shell-Thick	2344	SLU_ENV	Combination	Min	6.53	57.09
550	550	Shell-Thick	2331	SLU_ENV	Combination	Min	5.86	55.72
550	550	Shell-Thick	2311	SLV_ENV	Combination	Max	125.14	525.47
550	550	Shell-Thick	2324	SLV_ENV	Combination	Max	44.06	531.32
550	550	Shell-Thick	2344	SLV_ENV	Combination	Max	235.2	699.35
550	550	Shell-Thick	2331	SLV_ENV	Combination	Max	246.98	692.67
550	550	Shell-Thick	2311	SLV_ENV	Combination	Min	-91.09	-416.88
550	550	Shell-Thick	2324	SLV_ENV	Combination	Min	-7.73	-419.54
550	550	Shell-Thick	2344	SLV_ENV	Combination	Min	-215.57	-569.01
550	550	Shell-Thick	2331	SLV_ENV	Combination	Min	-229.62	-565.53
551	551	Shell-Thick	2324	SLU_ENV	Combination	Max	6.01	117.97
551	551	Shell-Thick	2821	SLU_ENV	Combination	Max	22.94	122.12
551	551	Shell-Thick	2574	SLU_ENV	Combination	Max	47.99	112.55
551	551	Shell-Thick	2344	SLU_ENV	Combination	Max	22.86	108.39
551	551	Shell-Thick	2324	SLU_ENV	Combination	Min	-15.92	40.14
551	551	Shell-Thick	2821	SLU_ENV	Combination	Min	6.76	40.27
551	551	Shell-Thick	2574	SLU_ENV	Combination	Min	16.61	41.02
551	551	Shell-Thick	2344	SLU_ENV	Combination	Min	4.94	40.88
551	551	Shell-Thick	2324	SLV_ENV	Combination	Max	162.85	581.79
551	551	Shell-Thick	2821	SLV_ENV	Combination	Max	168.23	640.07
551	551	Shell-Thick	2574	SLV_ENV	Combination	Max	207.3	429.94
551	551	Shell-Thick	2344	SLV_ENV	Combination	Max	123.85	369.22
551	551	Shell-Thick	2324	SLV_ENV	Combination	Min	-155.25	-489.53
551	551	Shell-Thick	2821	SLV_ENV	Combination	Min	-141.87	-546.71
551	551	Shell-Thick	2574	SLV_ENV	Combination	Min	-169.69	-336.72
551	551	Shell-Thick	2344	SLV_ENV	Combination	Min	-104.99	-277.11
553	553	Shell-Thick	2821	SLU_ENV	Combination	Max	-10.	79.28
553	553	Shell-Thick	2911	SLU_ENV	Combination	Max	-4.26	101.64
553	553	Shell-Thick	2345	SLU_ENV	Combination	Max	2.94	56.82
553	553	Shell-Thick	2574	SLU_ENV	Combination	Max	39.12	56.91
553	553	Shell-Thick	2821	SLU_ENV	Combination	Min	-25.64	32.68
553	553	Shell-Thick	2911	SLU_ENV	Combination	Min	-9.24	38.94
553	553	Shell-Thick	2345	SLU_ENV	Combination	Min	-8.56	7.9
553	553	Shell-Thick	2574	SLU_ENV	Combination	Min	18.1	13.06
553	553	Shell-Thick	2821	SLV_ENV	Combination	Max	173.43	192.12
553	553	Shell-Thick	2911	SLV_ENV	Combination	Max	137.21	269.66
553	553	Shell-Thick	2345	SLV_ENV	Combination	Max	168.44	306.56
553	553	Shell-Thick	2574	SLV_ENV	Combination	Max	227.05	272.65
553	553	Shell-Thick	2821	SLV_ENV	Combination	Min	-195.67	-120.58
553	553	Shell-Thick	2911	SLV_ENV	Combination	Min	-150.05	-184.35
553	553	Shell-Thick	2345	SLV_ENV	Combination	Min	-165.26	-249.67
553	553	Shell-Thick	2574	SLV_ENV	Combination	Min	-188.17	-213.78
554	554	Shell-Thick	2588	SLU_ENV	Combination	Max	6.65	5.48
554	554	Shell-Thick	2566	SLU_ENV	Combination	Max	-0.42	0.31
554	554	Shell-Thick	2564	SLU_ENV	Combination	Max	-0.81	-2.57
554	554	Shell-Thick	2804	SLU_ENV	Combination	Max	4.31	-1.04
554	554	Shell-Thick	2588	SLU_ENV	Combination	Min	-6.668E-02	0.87
554	554	Shell-Thick	2566	SLU_ENV	Combination	Min	-4.2	-1.44

Table: Element Forces - Area Shells, Part 1 of 5

Area	AreaElem	ShellType	Joint	OutputCase	CaseType	StepType	F11 KN/m	F22 KN/m
554	554	Shell-Thick	2564	SLU_ENV	Combination	Min	-6.75	-13.18
554	554	Shell-Thick	2804	SLU_ENV	Combination	Min	-0.78	-7.29
554	554	Shell-Thick	2588	SLV_ENV	Combination	Max	109.61	75.62
554	554	Shell-Thick	2566	SLV_ENV	Combination	Max	46.13	23.5
554	554	Shell-Thick	2564	SLV_ENV	Combination	Max	78.88	146.02
554	554	Shell-Thick	2804	SLV_ENV	Combination	Max	75.27	96.94
554	554	Shell-Thick	2588	SLV_ENV	Combination	Min	-109.1	-73.57
554	554	Shell-Thick	2566	SLV_ENV	Combination	Min	-47.14	-24.81
554	554	Shell-Thick	2564	SLV_ENV	Combination	Min	-80.8	-151.84
554	554	Shell-Thick	2804	SLV_ENV	Combination	Min	-75.66	-99.4
555	555	Shell-Thick	2811	SLU_ENV	Combination	Max	20.15	8.28
555	555	Shell-Thick	2806	SLU_ENV	Combination	Max	9.78	-13.24
555	555	Shell-Thick	2566	SLU_ENV	Combination	Max	15.62	8.67
555	555	Shell-Thick	2588	SLU_ENV	Combination	Max	25.99	39.
555	555	Shell-Thick	2811	SLU_ENV	Combination	Min	-1.63	1.73
555	555	Shell-Thick	2806	SLU_ENV	Combination	Min	4.935E-02	-26.79
555	555	Shell-Thick	2566	SLU_ENV	Combination	Min	4.23	0.58
555	555	Shell-Thick	2588	SLU_ENV	Combination	Min	2.55	18.39
555	555	Shell-Thick	2811	SLV_ENV	Combination	Max	316.03	39.11
555	555	Shell-Thick	2806	SLV_ENV	Combination	Max	75.87	45.12
555	555	Shell-Thick	2566	SLV_ENV	Combination	Max	67.61	85.89
555	555	Shell-Thick	2588	SLV_ENV	Combination	Max	314.05	133.07
555	555	Shell-Thick	2811	SLV_ENV	Combination	Min	-294.77	-29.51
555	555	Shell-Thick	2806	SLV_ENV	Combination	Min	-67.75	-74.17
555	555	Shell-Thick	2566	SLV_ENV	Combination	Min	-53.41	-84.51
555	555	Shell-Thick	2588	SLV_ENV	Combination	Min	-286.7	-93.04
556	556	Shell-Thick	2205	SLU_ENV	Combination	Max	8.16	190.44
556	556	Shell-Thick	2218	SLU_ENV	Combination	Max	4.77	198.23
556	556	Shell-Thick	2324	SLU_ENV	Combination	Max	26.67	177.16
556	556	Shell-Thick	2311	SLU_ENV	Combination	Max	26.63	165.98
556	556	Shell-Thick	2205	SLU_ENV	Combination	Min	-30.76	73.63
556	556	Shell-Thick	2218	SLU_ENV	Combination	Min	-13.42	73.47
556	556	Shell-Thick	2324	SLU_ENV	Combination	Min	5.61	44.95
556	556	Shell-Thick	2311	SLU_ENV	Combination	Min	-9.96	44.78
556	556	Shell-Thick	2205	SLV_ENV	Combination	Max	140.27	245.43
556	556	Shell-Thick	2218	SLV_ENV	Combination	Max	115.67	346.22
556	556	Shell-Thick	2324	SLV_ENV	Combination	Max	148.38	615.26
556	556	Shell-Thick	2311	SLV_ENV	Combination	Max	140.17	498.85
556	556	Shell-Thick	2205	SLV_ENV	Combination	Min	-150.69	-80.1
556	556	Shell-Thick	2218	SLV_ENV	Combination	Min	-116.89	-180.35
556	556	Shell-Thick	2324	SLV_ENV	Combination	Min	-112.32	-505.09
556	556	Shell-Thick	2311	SLV_ENV	Combination	Min	-113.31	-389.22
557	557	Shell-Thick	2218	SLU_ENV	Combination	Max	13.98	135.84
557	557	Shell-Thick	2219	SLU_ENV	Combination	Max	-15.51	154.07
557	557	Shell-Thick	2821	SLU_ENV	Combination	Max	-12.02	150.84
557	557	Shell-Thick	2324	SLU_ENV	Combination	Max	1.84	129.05
557	557	Shell-Thick	2218	SLU_ENV	Combination	Min	-7.14	62.77
557	557	Shell-Thick	2219	SLU_ENV	Combination	Min	-36.59	64.64
557	557	Shell-Thick	2821	SLU_ENV	Combination	Min	-76.61	47.6
557	557	Shell-Thick	2324	SLU_ENV	Combination	Min	-32.71	36.13
557	557	Shell-Thick	2218	SLV_ENV	Combination	Max	160.68	181.4
557	557	Shell-Thick	2219	SLV_ENV	Combination	Max	171.79	340.26
557	557	Shell-Thick	2821	SLV_ENV	Combination	Max	477.36	646.45
557	557	Shell-Thick	2324	SLV_ENV	Combination	Max	217.37	670.49

Table: Element Forces - Area Shells, Part 1 of 5

Area	AreaElem	ShellType	Joint	OutputCase	CaseType	StepType	F11 KN/m	F22 KN/m
557	557	Shell-Thick	2218	SLV_ENV	Combination	Min	-145.51	-44.67
557	557	Shell-Thick	2219	SLV_ENV	Combination	Min	-209.28	-198.85
557	557	Shell-Thick	2821	SLV_ENV	Combination	Min	-506.73	-537.49
557	557	Shell-Thick	2324	SLV_ENV	Combination	Min	-215.75	-584.88
558	558	Shell-Thick	2219	SLU_ENV	Combination	Max	-38.21	50.77
558	558	Shell-Thick	2911	SLU_ENV	Combination	Max	-25.12	161.44
558	558	Shell-Thick	2821	SLU_ENV	Combination	Max	-32.56	105.1
558	558	Shell-Thick	2219	SLU_ENV	Combination	Min	-83.98	9.76
558	558	Shell-Thick	2911	SLU_ENV	Combination	Min	-61.65	70.47
558	558	Shell-Thick	2821	SLU_ENV	Combination	Min	-104.38	46.06
558	558	Shell-Thick	2219	SLV_ENV	Combination	Max	245.6	259.62
558	558	Shell-Thick	2911	SLV_ENV	Combination	Max	248.86	256.79
558	558	Shell-Thick	2821	SLV_ENV	Combination	Max	362.11	177.05
558	558	Shell-Thick	2219	SLV_ENV	Combination	Min	-349.54	-235.19
558	558	Shell-Thick	2911	SLV_ENV	Combination	Min	-326.96	-103.18
558	558	Shell-Thick	2821	SLV_ENV	Combination	Min	-434.22	-75.66
559	559	Shell-Thick	2219	SLU_ENV	Combination	Max	-53.02	-24.96
559	559	Shell-Thick	2811	SLU_ENV	Combination	Max	7.64	-23.24
559	559	Shell-Thick	2588	SLU_ENV	Combination	Max	35.34	84.51
559	559	Shell-Thick	2911	SLU_ENV	Combination	Max	-40.37	89.65
559	559	Shell-Thick	2219	SLU_ENV	Combination	Min	-108.35	-56.01
559	559	Shell-Thick	2811	SLU_ENV	Combination	Min	-9.37	-66.75
559	559	Shell-Thick	2588	SLU_ENV	Combination	Min	4.72	33.57
559	559	Shell-Thick	2911	SLU_ENV	Combination	Min	-79.25	37.06
559	559	Shell-Thick	2219	SLV_ENV	Combination	Max	23.32	-8.28
559	559	Shell-Thick	2811	SLV_ENV	Combination	Max	310.13	168.81
559	559	Shell-Thick	2588	SLV_ENV	Combination	Max	323.39	216.
559	559	Shell-Thick	2911	SLV_ENV	Combination	Max	57.58	302.2
559	559	Shell-Thick	2219	SLV_ENV	Combination	Min	-138.08	-48.67
559	559	Shell-Thick	2811	SLV_ENV	Combination	Min	-301.21	-220.6
559	559	Shell-Thick	2588	SLV_ENV	Combination	Min	-286.69	-128.89
559	559	Shell-Thick	2911	SLV_ENV	Combination	Min	-144.59	-220.35
560	560	Shell-Thick	2291	SLU_ENV	Combination	Max	49.36	74.31
560	560	Shell-Thick	2572	SLU_ENV	Combination	Max	41.29	7.48
560	560	Shell-Thick	2218	SLU_ENV	Combination	Max	111.93	161.85
560	560	Shell-Thick	2205	SLU_ENV	Combination	Max	33.54	170.96
560	560	Shell-Thick	2291	SLU_ENV	Combination	Min	1.25	2.09
560	560	Shell-Thick	2572	SLU_ENV	Combination	Min	-7.48	-34.26
560	560	Shell-Thick	2218	SLU_ENV	Combination	Min	37.67	58.81
560	560	Shell-Thick	2205	SLU_ENV	Combination	Min	9.23	63.19
560	560	Shell-Thick	2291	SLV_ENV	Combination	Max	379.6	458.18
560	560	Shell-Thick	2572	SLV_ENV	Combination	Max	429.83	374.95
560	560	Shell-Thick	2218	SLV_ENV	Combination	Max	428.51	413.69
560	560	Shell-Thick	2205	SLV_ENV	Combination	Max	255.62	343.46
560	560	Shell-Thick	2291	SLV_ENV	Combination	Min	-344.21	-398.3
560	560	Shell-Thick	2572	SLV_ENV	Combination	Min	-395.27	-386.21
560	560	Shell-Thick	2218	SLV_ENV	Combination	Min	-310.63	-279.95
560	560	Shell-Thick	2205	SLV_ENV	Combination	Min	-231.94	-199.45
561	561	Shell-Thick	2572	SLU_ENV	Combination	Max	26.19	15.85
561	561	Shell-Thick	2817	SLU_ENV	Combination	Max	128.48	63.92
561	561	Shell-Thick	2218	SLU_ENV	Combination	Max	73.85	138.92
561	561	Shell-Thick	2572	SLU_ENV	Combination	Min	0.8	-17.43
561	561	Shell-Thick	2817	SLU_ENV	Combination	Min	47.8	9.96
561	561	Shell-Thick	2218	SLU_ENV	Combination	Min	23.16	41.07

Table: Element Forces - Area Shells, Part 1 of 5

Area	AreaElem	ShellType	Joint	OutputCase	CaseType	StepType	F11 KN/m	F22 KN/m
561	561	Shell-Thick	2572	SLV_ENV	Combination	Max	221.96	335.09
561	561	Shell-Thick	2817	SLV_ENV	Combination	Max	366.23	263.97
561	561	Shell-Thick	2218	SLV_ENV	Combination	Max	199.19	241.51
561	561	Shell-Thick	2572	SLV_ENV	Combination	Min	-203.73	-334.
561	561	Shell-Thick	2817	SLV_ENV	Combination	Min	-229.24	-206.61
561	561	Shell-Thick	2218	SLV_ENV	Combination	Min	-128.9	-113.98
562	562	Shell-Thick	2816	SLU_ENV	Combination	Max	62.73	4.79
562	562	Shell-Thick	2857	SLU_ENV	Combination	Max	149.57	82.48
562	562	Shell-Thick	2856	SLU_ENV	Combination	Max	142.59	50.94
562	562	Shell-Thick	2817	SLU_ENV	Combination	Max	55.94	-20.86
562	562	Shell-Thick	2816	SLU_ENV	Combination	Min	16.05	-31.1
562	562	Shell-Thick	2857	SLU_ENV	Combination	Min	68.	34.89
562	562	Shell-Thick	2856	SLU_ENV	Combination	Min	65.08	14.57
562	562	Shell-Thick	2817	SLU_ENV	Combination	Min	13.24	-52.71
562	562	Shell-Thick	2816	SLV_ENV	Combination	Max	428.06	271.64
562	562	Shell-Thick	2857	SLV_ENV	Combination	Max	351.58	343.25
562	562	Shell-Thick	2856	SLV_ENV	Combination	Max	368.19	203.5
562	562	Shell-Thick	2817	SLV_ENV	Combination	Max	416.22	215.92
562	562	Shell-Thick	2816	SLV_ENV	Combination	Min	-347.26	-275.43
562	562	Shell-Thick	2857	SLV_ENV	Combination	Min	-171.71	-267.82
562	562	Shell-Thick	2856	SLV_ENV	Combination	Min	-196.73	-170.11
562	562	Shell-Thick	2817	SLV_ENV	Combination	Min	-343.71	-261.22
563	563	Shell-Thick	2817	SLU_ENV	Combination	Max	101.6	-43.18
563	563	Shell-Thick	2856	SLU_ENV	Combination	Max	158.53	11.03
563	563	Shell-Thick	2219	SLU_ENV	Combination	Max	193.38	208.75
563	563	Shell-Thick	2218	SLU_ENV	Combination	Max	44.92	65.5
563	563	Shell-Thick	2817	SLU_ENV	Combination	Min	47.27	-87.08
563	563	Shell-Thick	2856	SLU_ENV	Combination	Min	57.15	-11.8
563	563	Shell-Thick	2219	SLU_ENV	Combination	Min	83.46	99.34
563	563	Shell-Thick	2218	SLU_ENV	Combination	Min	21.76	22.74
563	563	Shell-Thick	2817	SLV_ENV	Combination	Max	477.92	63.97
563	563	Shell-Thick	2856	SLV_ENV	Combination	Max	410.69	219.39
563	563	Shell-Thick	2219	SLV_ENV	Combination	Max	373.54	373.05
563	563	Shell-Thick	2218	SLV_ENV	Combination	Max	170.1	250.45
563	563	Shell-Thick	2817	SLV_ENV	Combination	Min	-360.23	-156.22
563	563	Shell-Thick	2856	SLV_ENV	Combination	Min	-244.11	-234.75
563	563	Shell-Thick	2219	SLV_ENV	Combination	Min	-166.52	-159.1
563	563	Shell-Thick	2218	SLV_ENV	Combination	Min	-118.98	-184.66
564	564	Shell-Thick	2856	SLU_ENV	Combination	Max	171.53	-4.53
564	564	Shell-Thick	2587	SLU_ENV	Combination	Max	50.82	-20.56
564	564	Shell-Thick	2811	SLU_ENV	Combination	Max	43.17	-31.89
564	564	Shell-Thick	2219	SLU_ENV	Combination	Max	163.91	-1.48
564	564	Shell-Thick	2856	SLU_ENV	Combination	Min	73.68	-16.96
564	564	Shell-Thick	2587	SLU_ENV	Combination	Min	20.58	-74.53
564	564	Shell-Thick	2811	SLU_ENV	Combination	Min	20.89	-93.42
564	564	Shell-Thick	2219	SLU_ENV	Combination	Min	74.35	-53.77
564	564	Shell-Thick	2856	SLV_ENV	Combination	Max	354.23	239.7
564	564	Shell-Thick	2587	SLV_ENV	Combination	Max	197.06	311.38
564	564	Shell-Thick	2811	SLV_ENV	Combination	Max	175.48	240.22
564	564	Shell-Thick	2219	SLV_ENV	Combination	Max	330.17	182.76
564	564	Shell-Thick	2856	SLV_ENV	Combination	Min	-171.3	-259.56
564	564	Shell-Thick	2587	SLV_ENV	Combination	Min	-145.36	-355.88
564	564	Shell-Thick	2811	SLV_ENV	Combination	Min	-129.07	-311.16
564	564	Shell-Thick	2219	SLV_ENV	Combination	Min	-152.53	-229.05

Table: Element Forces - Area Shells, Part 1 of 5

Area	AreaElem	ShellType	Joint	OutputCase	CaseType	StepType	F11 KN/m	F22 KN/m
566	566	Shell-Thick	2587	SLU_ENV	Combination	Max	60.21	3.85
566	566	Shell-Thick	2563	SLU_ENV	Combination	Max	82.66	10.16
566	566	Shell-Thick	2806	SLU_ENV	Combination	Max	79.66	-6.23
566	566	Shell-Thick	2811	SLU_ENV	Combination	Max	57.21	-4.01
566	566	Shell-Thick	2587	SLU_ENV	Combination	Min	28.23	-0.93
566	566	Shell-Thick	2563	SLU_ENV	Combination	Min	37.44	-0.29
566	566	Shell-Thick	2806	SLU_ENV	Combination	Min	34.49	-12.8
566	566	Shell-Thick	2811	SLU_ENV	Combination	Min	26.74	-21.49
566	566	Shell-Thick	2587	SLV_ENV	Combination	Max	167.32	125.85
566	566	Shell-Thick	2563	SLV_ENV	Combination	Max	419.77	117.78
566	566	Shell-Thick	2806	SLV_ENV	Combination	Max	402.93	121.94
566	566	Shell-Thick	2811	SLV_ENV	Combination	Max	174.19	151.59
566	566	Shell-Thick	2587	SLV_ENV	Combination	Min	-105.62	-120.98
566	566	Shell-Thick	2563	SLV_ENV	Combination	Min	-338.03	-117.28
566	566	Shell-Thick	2806	SLV_ENV	Combination	Min	-324.04	-135.72
566	566	Shell-Thick	2811	SLV_ENV	Combination	Min	-115.35	-161.01
567	567	Shell-Thick	2857	SLU_ENV	Combination	Max	147.47	94.18
567	567	Shell-Thick	2812	SLU_ENV	Combination	Max	96.87	-8.73
567	567	Shell-Thick	2587	SLU_ENV	Combination	Max	86.14	-30.39
567	567	Shell-Thick	2856	SLU_ENV	Combination	Max	136.61	19.88
567	567	Shell-Thick	2857	SLU_ENV	Combination	Min	72.64	30.16
567	567	Shell-Thick	2812	SLU_ENV	Combination	Min	27.9	-16.06
567	567	Shell-Thick	2587	SLU_ENV	Combination	Min	17.86	-90.35
567	567	Shell-Thick	2856	SLU_ENV	Combination	Min	62.48	6.81
567	567	Shell-Thick	2857	SLV_ENV	Combination	Max	333.68	416.31
567	567	Shell-Thick	2812	SLV_ENV	Combination	Max	701.11	114.29
567	567	Shell-Thick	2587	SLV_ENV	Combination	Max	731.22	356.02
567	567	Shell-Thick	2856	SLV_ENV	Combination	Max	383.18	204.4
567	567	Shell-Thick	2857	SLV_ENV	Combination	Min	-155.35	-349.79
567	567	Shell-Thick	2812	SLV_ENV	Combination	Min	-596.21	-132.9
567	567	Shell-Thick	2587	SLV_ENV	Combination	Min	-635.86	-422.3
567	567	Shell-Thick	2856	SLV_ENV	Combination	Min	-214.52	-186.19
568	568	Shell-Thick	2812	SLU_ENV	Combination	Max	97.26	-5.92
568	568	Shell-Thick	2810	SLU_ENV	Combination	Max	86.53	17.7
568	568	Shell-Thick	2563	SLU_ENV	Combination	Max	84.71	16.09
568	568	Shell-Thick	2587	SLU_ENV	Combination	Max	95.44	-3.7
568	568	Shell-Thick	2812	SLU_ENV	Combination	Min	28.72	-12.45
568	568	Shell-Thick	2810	SLU_ENV	Combination	Min	38.33	6.67
568	568	Shell-Thick	2563	SLU_ENV	Combination	Min	38.22	4.51
568	568	Shell-Thick	2587	SLU_ENV	Combination	Min	29.39	-21.37
568	568	Shell-Thick	2812	SLV_ENV	Combination	Max	726.6	246.41
568	568	Shell-Thick	2810	SLV_ENV	Combination	Max	351.63	154.55
568	568	Shell-Thick	2563	SLV_ENV	Combination	Max	322.65	219.86
568	568	Shell-Thick	2587	SLV_ENV	Combination	Max	698.77	161.83
568	568	Shell-Thick	2812	SLV_ENV	Combination	Min	-620.63	-259.95
568	568	Shell-Thick	2810	SLV_ENV	Combination	Min	-266.28	-137.89
568	568	Shell-Thick	2563	SLV_ENV	Combination	Min	-237.98	-206.63
568	568	Shell-Thick	2587	SLV_ENV	Combination	Min	-593.49	-178.8
569	569	Shell-Thick	2912	SLU_ENV	Combination	Max	12.76	48.87
569	569	Shell-Thick	2816	SLU_ENV	Combination	Max	72.28	57.08
569	569	Shell-Thick	2817	SLU_ENV	Combination	Max	75.82	75.5
569	569	Shell-Thick	2572	SLU_ENV	Combination	Max	13.79	68.41
569	569	Shell-Thick	2912	SLU_ENV	Combination	Min	-10.52	-5.72
569	569	Shell-Thick	2816	SLU_ENV	Combination	Min	22.1	-1.69

Table: Element Forces - Area Shells, Part 1 of 5

Area	AreaElem	ShellType	Joint	OutputCase	CaseType	StepType	F11 KN/m	F22 KN/m
569	569	Shell-Thick	2817	SLU_ENV	Combination	Min	24.38	9.45
569	569	Shell-Thick	2572	SLU_ENV	Combination	Min	-6.34	4.62
569	569	Shell-Thick	2912	SLV_ENV	Combination	Max	545.46	564.08
569	569	Shell-Thick	2816	SLV_ENV	Combination	Max	417.12	303.16
569	569	Shell-Thick	2817	SLV_ENV	Combination	Max	364.65	256.42
569	569	Shell-Thick	2572	SLV_ENV	Combination	Max	496.5	434.15
569	569	Shell-Thick	2912	SLV_ENV	Combination	Min	-529.74	-526.9
569	569	Shell-Thick	2816	SLV_ENV	Combination	Min	-326.56	-259.08
569	569	Shell-Thick	2817	SLV_ENV	Combination	Min	-271.93	-201.56
569	569	Shell-Thick	2572	SLV_ENV	Combination	Min	-478.62	-386.18
570	570	Shell-Thick	2571	SLU_ENV	Combination	Max	8.18	-12.41
570	570	Shell-Thick	2584	SLU_ENV	Combination	Max	37.41	6.72
570	570	Shell-Thick	2816	SLU_ENV	Combination	Max	45.3	49.75
570	570	Shell-Thick	2912	SLU_ENV	Combination	Max	12.26	18.54
570	570	Shell-Thick	2571	SLU_ENV	Combination	Min	-32.19	-35.02
570	570	Shell-Thick	2584	SLU_ENV	Combination	Min	22.	-7.76
570	570	Shell-Thick	2816	SLU_ENV	Combination	Min	21.17	-17.36
570	570	Shell-Thick	2912	SLU_ENV	Combination	Min	-29.4	-29.14
570	570	Shell-Thick	2571	SLV_ENV	Combination	Max	745.98	146.71
570	570	Shell-Thick	2584	SLV_ENV	Combination	Max	213.73	170.21
570	570	Shell-Thick	2816	SLV_ENV	Combination	Max	334.8	529.44
570	570	Shell-Thick	2912	SLV_ENV	Combination	Max	905.43	914.11
570	570	Shell-Thick	2571	SLV_ENV	Combination	Min	-740.02	-175.01
570	570	Shell-Thick	2584	SLV_ENV	Combination	Min	-159.86	-176.46
570	570	Shell-Thick	2816	SLV_ENV	Combination	Min	-271.81	-489.37
570	570	Shell-Thick	2912	SLV_ENV	Combination	Min	-891.71	-903.75
571	571	Shell-Thick	2584	SLU_ENV	Combination	Max	36.62	0.28
571	571	Shell-Thick	2855	SLU_ENV	Combination	Max	53.28	4.29
571	571	Shell-Thick	2857	SLU_ENV	Combination	Max	59.73	42.02
571	571	Shell-Thick	2816	SLU_ENV	Combination	Max	37.75	3.26
571	571	Shell-Thick	2584	SLU_ENV	Combination	Min	21.07	-12.38
571	571	Shell-Thick	2855	SLU_ENV	Combination	Min	18.08	-2.75
571	571	Shell-Thick	2857	SLU_ENV	Combination	Min	18.63	0.49
571	571	Shell-Thick	2816	SLU_ENV	Combination	Min	14.62	-41.17
571	571	Shell-Thick	2584	SLV_ENV	Combination	Max	273.35	157.67
571	571	Shell-Thick	2855	SLV_ENV	Combination	Max	385.67	126.49
571	571	Shell-Thick	2857	SLV_ENV	Combination	Max	341.41	404.
571	571	Shell-Thick	2816	SLV_ENV	Combination	Max	310.5	420.39
571	571	Shell-Thick	2584	SLV_ENV	Combination	Min	-220.55	-169.29
571	571	Shell-Thick	2855	SLV_ENV	Combination	Min	-313.04	-129.93
571	571	Shell-Thick	2857	SLV_ENV	Combination	Min	-262.54	-376.21
571	571	Shell-Thick	2816	SLV_ENV	Combination	Min	-256.05	-423.78
573	573	Shell-Thick	2567	SLU_ENV	Combination	Max	7.2	3.44
573	573	Shell-Thick	2580	SLU_ENV	Combination	Max	10.57	2.95
573	573	Shell-Thick	2582	SLU_ENV	Combination	Max	10.08	0.71
573	573	Shell-Thick	2569	SLU_ENV	Combination	Max	6.44	-0.37
573	573	Shell-Thick	2567	SLU_ENV	Combination	Min	-0.89	8.755E-02
573	573	Shell-Thick	2580	SLU_ENV	Combination	Min	-1.81	1.18
573	573	Shell-Thick	2582	SLU_ENV	Combination	Min	-2.46	-2.34
573	573	Shell-Thick	2569	SLU_ENV	Combination	Min	-1.24	-1.83
573	573	Shell-Thick	2567	SLV_ENV	Combination	Max	173.28	84.94
573	573	Shell-Thick	2580	SLV_ENV	Combination	Max	143.45	44.
573	573	Shell-Thick	2582	SLV_ENV	Combination	Max	154.8	100.27
573	573	Shell-Thick	2569	SLV_ENV	Combination	Max	146.66	58.6

Table: Element Forces - Area Shells, Part 1 of 5

Area	AreaElem	ShellType	Joint	OutputCase	CaseType	StepType	F11 KN/m	F22 KN/m
573	573	Shell-Thick	2567	SLV_ENV	Combination	Min	-173.14	-83.82
573	573	Shell-Thick	2580	SLV_ENV	Combination	Min	-128.38	-39.89
573	573	Shell-Thick	2582	SLV_ENV	Combination	Min	-140.43	-99.68
573	573	Shell-Thick	2569	SLV_ENV	Combination	Min	-147.22	-60.99
576	576	Shell-Thick	2580	SLU_ENV	Combination	Max	12.61	13.23
576	576	Shell-Thick	2853	SLU_ENV	Combination	Max	-6.9	6.25
576	576	Shell-Thick	2854	SLU_ENV	Combination	Max	-8.59	-3.1
576	576	Shell-Thick	2582	SLU_ENV	Combination	Max	10.44	2.68
576	576	Shell-Thick	2580	SLU_ENV	Combination	Min	-1.25	3.87
576	576	Shell-Thick	2853	SLU_ENV	Combination	Min	-24.22	1.56
576	576	Shell-Thick	2854	SLU_ENV	Combination	Min	-25.75	-5.38
576	576	Shell-Thick	2582	SLU_ENV	Combination	Min	-2.52	-2.77
576	576	Shell-Thick	2580	SLV_ENV	Combination	Max	151.66	53.07
576	576	Shell-Thick	2853	SLV_ENV	Combination	Max	151.44	48.05
576	576	Shell-Thick	2854	SLV_ENV	Combination	Max	157.65	160.94
576	576	Shell-Thick	2582	SLV_ENV	Combination	Max	153.26	164.37
576	576	Shell-Thick	2580	SLV_ENV	Combination	Min	-133.64	-34.23
576	576	Shell-Thick	2853	SLV_ENV	Combination	Min	-184.24	-39.38
576	576	Shell-Thick	2854	SLV_ENV	Combination	Min	-193.61	-168.06
576	576	Shell-Thick	2582	SLV_ENV	Combination	Min	-138.4	-161.33
577	577	Shell-Thick	2911	SLU_ENV	Combination	Max	-3.34	33.07
577	577	Shell-Thick	2588	SLU_ENV	Combination	Max	12.49	48.71
577	577	Shell-Thick	2804	SLU_ENV	Combination	Max	7.9	18.17
577	577	Shell-Thick	2345	SLU_ENV	Combination	Max	-5.71	4.29
577	577	Shell-Thick	2911	SLU_ENV	Combination	Min	-12.51	8.48
577	577	Shell-Thick	2588	SLU_ENV	Combination	Min	4.69	15.94
577	577	Shell-Thick	2804	SLU_ENV	Combination	Min	1.61	4.91
577	577	Shell-Thick	2345	SLU_ENV	Combination	Min	-15.12	-2.9
577	577	Shell-Thick	2911	SLV_ENV	Combination	Max	107.52	226.07
577	577	Shell-Thick	2588	SLV_ENV	Combination	Max	97.55	251.5
577	577	Shell-Thick	2804	SLV_ENV	Combination	Max	102.52	131.57
577	577	Shell-Thick	2345	SLV_ENV	Combination	Max	95.69	107.88
577	577	Shell-Thick	2911	SLV_ENV	Combination	Min	-115.17	-193.49
577	577	Shell-Thick	2588	SLV_ENV	Combination	Min	-87.33	-202.04
577	577	Shell-Thick	2804	SLV_ENV	Combination	Min	-98.86	-110.36
577	577	Shell-Thick	2345	SLV_ENV	Combination	Min	-108.	-102.79
578	578	Shell-Thick	2853	SLU_ENV	Combination	Max	-7.19	6.04
578	578	Shell-Thick	2578	SLU_ENV	Combination	Max	14.77	13.46
578	578	Shell-Thick	2583	SLU_ENV	Combination	Max	12.36	1.58
578	578	Shell-Thick	2854	SLU_ENV	Combination	Max	-8.74	-4.27
578	578	Shell-Thick	2853	SLU_ENV	Combination	Min	-24.33	0.44
578	578	Shell-Thick	2578	SLU_ENV	Combination	Min	1.49	2.55
578	578	Shell-Thick	2583	SLU_ENV	Combination	Min	0.25	-3.06
578	578	Shell-Thick	2854	SLU_ENV	Combination	Min	-26.12	-6.73
578	578	Shell-Thick	2853	SLV_ENV	Combination	Max	150.31	75.65
578	578	Shell-Thick	2578	SLV_ENV	Combination	Max	192.47	92.05
578	578	Shell-Thick	2583	SLV_ENV	Combination	Max	204.99	202.47
578	578	Shell-Thick	2854	SLV_ENV	Combination	Max	139.07	169.89
578	578	Shell-Thick	2853	SLV_ENV	Combination	Min	-183.1	-66.94
578	578	Shell-Thick	2578	SLV_ENV	Combination	Min	-171.33	-72.57
578	578	Shell-Thick	2583	SLV_ENV	Combination	Min	-187.51	-201.25
578	578	Shell-Thick	2854	SLV_ENV	Combination	Min	-175.52	-179.45
580	580	Shell-Thick	2855	SLU_ENV	Combination	Max	53.1	1.09
580	580	Shell-Thick	2585	SLU_ENV	Combination	Max	61.68	-0.98

Table: Element Forces - Area Shells, Part 1 of 5

Area	AreaElem	ShellType	Joint	OutputCase	CaseType	StepType	F11 KN/m	F22 KN/m
580	580	Shell-Thick	2812	SLU_ENV	Combination	Max	60.22	-3.73
580	580	Shell-Thick	2857	SLU_ENV	Combination	Max	57.45	40.85
580	580	Shell-Thick	2855	SLU_ENV	Combination	Min	17.96	-3.07
580	580	Shell-Thick	2585	SLU_ENV	Combination	Min	26.97	-9.22
580	580	Shell-Thick	2812	SLU_ENV	Combination	Min	26.	-18.51
580	580	Shell-Thick	2857	SLU_ENV	Combination	Min	23.54	8.17
580	580	Shell-Thick	2855	SLV_ENV	Combination	Max	352.36	118.25
580	580	Shell-Thick	2585	SLV_ENV	Combination	Max	508.9	49.65
580	580	Shell-Thick	2812	SLV_ENV	Combination	Max	485.4	136.04
580	580	Shell-Thick	2857	SLV_ENV	Combination	Max	317.03	358.01
580	580	Shell-Thick	2855	SLV_ENV	Combination	Min	-279.97	-122.04
580	580	Shell-Thick	2585	SLV_ENV	Combination	Min	-427.38	-52.35
580	580	Shell-Thick	2812	SLV_ENV	Combination	Min	-405.2	-145.36
580	580	Shell-Thick	2857	SLV_ENV	Combination	Min	-239.86	-337.96
581	581	Shell-Thick	2578	SLU_ENV	Combination	Max	12.59	2.36
581	581	Shell-Thick	2565	SLU_ENV	Combination	Max	4.4	1.5
581	581	Shell-Thick	2568	SLU_ENV	Combination	Max	3.98	-0.19
581	581	Shell-Thick	2583	SLU_ENV	Combination	Max	12.46	2.04
581	581	Shell-Thick	2578	SLU_ENV	Combination	Min	0.95	0.32
581	581	Shell-Thick	2565	SLU_ENV	Combination	Min	-3.12	-1.33
581	581	Shell-Thick	2568	SLU_ENV	Combination	Min	-3.05	-1.5
581	581	Shell-Thick	2583	SLU_ENV	Combination	Min	0.58	-1.28
581	581	Shell-Thick	2578	SLV_ENV	Combination	Max	183.05	16.36
581	581	Shell-Thick	2565	SLV_ENV	Combination	Max	146.17	50.87
581	581	Shell-Thick	2568	SLV_ENV	Combination	Max	133.59	21.69
581	581	Shell-Thick	2583	SLV_ENV	Combination	Max	188.59	61.35
581	581	Shell-Thick	2578	SLV_ENV	Combination	Min	-165.12	-12.9
581	581	Shell-Thick	2565	SLV_ENV	Combination	Min	-146.06	-50.97
581	581	Shell-Thick	2568	SLV_ENV	Combination	Min	-133.9	-23.89
581	581	Shell-Thick	2583	SLV_ENV	Combination	Min	-171.08	-59.99
583	583	Shell-Thick	2585	SLU_ENV	Combination	Max	62.22	1.92
583	583	Shell-Thick	2570	SLU_ENV	Combination	Max	67.74	6.1
583	583	Shell-Thick	2810	SLU_ENV	Combination	Max	70.36	12.79
583	583	Shell-Thick	2812	SLU_ENV	Combination	Max	59.96	-1.96
583	583	Shell-Thick	2585	SLU_ENV	Combination	Min	27.52	-2.94
583	583	Shell-Thick	2570	SLU_ENV	Combination	Min	30.42	-2.21
583	583	Shell-Thick	2810	SLU_ENV	Combination	Min	30.27	1.42
583	583	Shell-Thick	2812	SLU_ENV	Combination	Min	26.08	-17.02
583	583	Shell-Thick	2585	SLV_ENV	Combination	Max	507.6	91.45
583	583	Shell-Thick	2570	SLV_ENV	Combination	Max	681.82	145.89
583	583	Shell-Thick	2810	SLV_ENV	Combination	Max	697.02	151.88
583	583	Shell-Thick	2812	SLV_ENV	Combination	Max	504.09	68.94
583	583	Shell-Thick	2585	SLV_ENV	Combination	Min	-425.3	-89.01
583	583	Shell-Thick	2570	SLV_ENV	Combination	Min	-596.83	-148.5
583	583	Shell-Thick	2810	SLV_ENV	Combination	Min	-610.57	-147.17
583	583	Shell-Thick	2812	SLV_ENV	Combination	Min	-423.46	-74.86
592	592	Shell-Thick	2569	SLU_ENV	Combination	Max	11.22	0.66
592	592	Shell-Thick	2582	SLU_ENV	Combination	Max	18.24	1.5
592	592	Shell-Thick	2808	SLU_ENV	Combination	Max	17.84	5.071E-02
592	592	Shell-Thick	2809	SLU_ENV	Combination	Max	10.98	0.29
592	592	Shell-Thick	2569	SLU_ENV	Combination	Min	-0.4	-1.74
592	592	Shell-Thick	2582	SLU_ENV	Combination	Min	1.75	-0.67
592	592	Shell-Thick	2808	SLU_ENV	Combination	Min	1.82	-1.02
592	592	Shell-Thick	2809	SLU_ENV	Combination	Min	-0.57	-3.17

Table: Element Forces - Area Shells, Part 1 of 5

Area	AreaElem	ShellType	Joint	OutputCase	CaseType	StepType	F11 KN/m	F22 KN/m
592	592	Shell-Thick	2569	SLV_ENV	Combination	Max	192.26	62.2
592	592	Shell-Thick	2582	SLV_ENV	Combination	Max	208.16	63.97
592	592	Shell-Thick	2808	SLV_ENV	Combination	Max	222.15	55.52
592	592	Shell-Thick	2809	SLV_ENV	Combination	Max	209.48	64.62
592	592	Shell-Thick	2569	SLV_ENV	Combination	Min	-176.6	-61.35
592	592	Shell-Thick	2582	SLV_ENV	Combination	Min	-195.04	-63.63
592	592	Shell-Thick	2808	SLV_ENV	Combination	Min	-209.39	-56.98
592	592	Shell-Thick	2809	SLV_ENV	Combination	Min	-194.18	-65.57
593	593	Shell-Thick	2809	SLU_ENV	Combination	Max	26.71	2.03
593	593	Shell-Thick	2808	SLU_ENV	Combination	Max	25.38	2.54
593	593	Shell-Thick	2584	SLU_ENV	Combination	Max	24.63	7.9
593	593	Shell-Thick	2571	SLU_ENV	Combination	Max	28.34	11.54
593	593	Shell-Thick	2809	SLU_ENV	Combination	Min	9.29	0.5
593	593	Shell-Thick	2808	SLU_ENV	Combination	Min	-3.1	-3.15
593	593	Shell-Thick	2584	SLU_ENV	Combination	Min	-1.14	-2.95
593	593	Shell-Thick	2571	SLU_ENV	Combination	Min	8.91	-3.44
593	593	Shell-Thick	2809	SLV_ENV	Combination	Max	266.24	67.98
593	593	Shell-Thick	2808	SLV_ENV	Combination	Max	364.59	97.13
593	593	Shell-Thick	2584	SLV_ENV	Combination	Max	299.3	275.88
593	593	Shell-Thick	2571	SLV_ENV	Combination	Max	202.65	290.72
593	593	Shell-Thick	2809	SLV_ENV	Combination	Min	-234.93	-65.73
593	593	Shell-Thick	2808	SLV_ENV	Combination	Min	-327.99	-93.82
593	593	Shell-Thick	2584	SLV_ENV	Combination	Min	-263.68	-277.47
593	593	Shell-Thick	2571	SLV_ENV	Combination	Min	-172.32	-293.37
594	594	Shell-Thick	2582	SLU_ENV	Combination	Max	18.23	1.96
594	594	Shell-Thick	2854	SLU_ENV	Combination	Max	22.11	4.31
594	594	Shell-Thick	2858	SLU_ENV	Combination	Max	21.61	1.77
594	594	Shell-Thick	2808	SLU_ENV	Combination	Max	17.79	1.43
594	594	Shell-Thick	2582	SLU_ENV	Combination	Min	2.08	0.68
594	594	Shell-Thick	2854	SLU_ENV	Combination	Min	10.89	0.93
594	594	Shell-Thick	2858	SLU_ENV	Combination	Min	10.61	-1.25
594	594	Shell-Thick	2808	SLU_ENV	Combination	Min	1.76	-3.45
594	594	Shell-Thick	2582	SLV_ENV	Combination	Max	237.68	182.15
594	594	Shell-Thick	2854	SLV_ENV	Combination	Max	104.6	169.5
594	594	Shell-Thick	2858	SLV_ENV	Combination	Max	60.02	81.78
594	594	Shell-Thick	2808	SLV_ENV	Combination	Max	206.9	69.22
594	594	Shell-Thick	2582	SLV_ENV	Combination	Min	-224.07	-179.36
594	594	Shell-Thick	2854	SLV_ENV	Combination	Min	-74.14	-163.34
594	594	Shell-Thick	2858	SLV_ENV	Combination	Min	-31.12	-83.42
594	594	Shell-Thick	2808	SLV_ENV	Combination	Min	-194.85	-74.24
595	595	Shell-Thick	2808	SLU_ENV	Combination	Max	24.9	1.39
595	595	Shell-Thick	2858	SLU_ENV	Combination	Max	35.15	2.97
595	595	Shell-Thick	2855	SLU_ENV	Combination	Max	33.67	-0.86
595	595	Shell-Thick	2584	SLU_ENV	Combination	Max	23.41	-4.16
595	595	Shell-Thick	2808	SLU_ENV	Combination	Min	-2.82	-2.75
595	595	Shell-Thick	2858	SLU_ENV	Combination	Min	12.28	0.5
595	595	Shell-Thick	2855	SLU_ENV	Combination	Min	11.15	-9.83
595	595	Shell-Thick	2584	SLU_ENV	Combination	Min	-3.95	-11.39
595	595	Shell-Thick	2808	SLV_ENV	Combination	Max	343.84	52.87
595	595	Shell-Thick	2858	SLV_ENV	Combination	Max	170.25	73.9
595	595	Shell-Thick	2855	SLV_ENV	Combination	Max	197.64	118.58
595	595	Shell-Thick	2584	SLV_ENV	Combination	Max	362.92	126.46
595	595	Shell-Thick	2808	SLV_ENV	Combination	Min	-307.95	-53.12
595	595	Shell-Thick	2858	SLV_ENV	Combination	Min	-119.17	-71.11

Table: Element Forces - Area Shells, Part 1 of 5

Area	AreaElem	ShellType	Joint	OutputCase	CaseType	StepType	F11 KN/m	F22 KN/m
595	595	Shell-Thick	2855	SLV_ENV	Combination	Min	-148.75	-126.74
595	595	Shell-Thick	2584	SLV_ENV	Combination	Min	-329.22	-137.66
596	596	Shell-Thick	2854	SLU_ENV	Combination	Max	21.82	2.89
596	596	Shell-Thick	2583	SLU_ENV	Combination	Max	17.86	1.46
596	596	Shell-Thick	2814	SLU_ENV	Combination	Max	17.45	-0.15
596	596	Shell-Thick	2858	SLU_ENV	Combination	Max	21.4	0.36
596	596	Shell-Thick	2854	SLU_ENV	Combination	Min	10.64	-0.15
596	596	Shell-Thick	2583	SLU_ENV	Combination	Min	5.19	-0.63
596	596	Shell-Thick	2814	SLU_ENV	Combination	Min	4.87	-3.3
596	596	Shell-Thick	2858	SLU_ENV	Combination	Min	10.35	-1.92
596	596	Shell-Thick	2854	SLV_ENV	Combination	Max	42.75	175.47
596	596	Shell-Thick	2583	SLV_ENV	Combination	Max	155.39	166.49
596	596	Shell-Thick	2814	SLV_ENV	Combination	Max	176.39	39.64
596	596	Shell-Thick	2858	SLV_ENV	Combination	Max	78.53	31.8
596	596	Shell-Thick	2854	SLV_ENV	Combination	Min	-12.77	-171.76
596	596	Shell-Thick	2583	SLV_ENV	Combination	Min	-135.57	-164.81
596	596	Shell-Thick	2814	SLV_ENV	Combination	Min	-157.87	-44.44
596	596	Shell-Thick	2858	SLV_ENV	Combination	Min	-49.85	-34.57
597	597	Shell-Thick	2858	SLU_ENV	Combination	Max	35.01	1.46
597	597	Shell-Thick	2814	SLU_ENV	Combination	Max	40.69	4.34
597	597	Shell-Thick	2585	SLU_ENV	Combination	Max	38.85	-4.02
597	597	Shell-Thick	2855	SLU_ENV	Combination	Max	33.33	-4.35
597	597	Shell-Thick	2858	SLU_ENV	Combination	Min	12.01	-0.24
597	597	Shell-Thick	2814	SLU_ENV	Combination	Min	12.84	-1.49
597	597	Shell-Thick	2585	SLU_ENV	Combination	Min	11.67	-8.39
597	597	Shell-Thick	2855	SLU_ENV	Combination	Min	10.59	-10.78
597	597	Shell-Thick	2858	SLV_ENV	Combination	Max	187.55	53.89
597	597	Shell-Thick	2814	SLV_ENV	Combination	Max	430.57	90.59
597	597	Shell-Thick	2585	SLV_ENV	Combination	Max	427.37	140.3
597	597	Shell-Thick	2855	SLV_ENV	Combination	Max	159.64	93.76
597	597	Shell-Thick	2858	SLV_ENV	Combination	Min	-136.69	-52.23
597	597	Shell-Thick	2814	SLV_ENV	Combination	Min	-373.42	-87.67
597	597	Shell-Thick	2585	SLV_ENV	Combination	Min	-372.61	-149.29
597	597	Shell-Thick	2855	SLV_ENV	Combination	Min	-111.16	-104.01
598	598	Shell-Thick	2583	SLU_ENV	Combination	Max	18.27	2.22
598	598	Shell-Thick	2568	SLU_ENV	Combination	Max	20.06	3.17
598	598	Shell-Thick	2815	SLU_ENV	Combination	Max	19.11	-1.1
598	598	Shell-Thick	2814	SLU_ENV	Combination	Max	17.42	-0.83
598	598	Shell-Thick	2583	SLU_ENV	Combination	Min	5.26	0.65
598	598	Shell-Thick	2568	SLU_ENV	Combination	Min	8.79	0.62
598	598	Shell-Thick	2815	SLU_ENV	Combination	Min	8.24	-2.72
598	598	Shell-Thick	2814	SLU_ENV	Combination	Min	4.52	-3.84
598	598	Shell-Thick	2583	SLV_ENV	Combination	Max	179.66	64.4
598	598	Shell-Thick	2568	SLV_ENV	Combination	Max	144.06	60.5
598	598	Shell-Thick	2815	SLV_ENV	Combination	Max	126.64	46.38
598	598	Shell-Thick	2814	SLV_ENV	Combination	Max	172.9	67.76
598	598	Shell-Thick	2583	SLV_ENV	Combination	Min	-159.81	-62.58
598	598	Shell-Thick	2568	SLV_ENV	Combination	Min	-115.22	-56.88
598	598	Shell-Thick	2815	SLV_ENV	Combination	Min	-99.09	-49.18
598	598	Shell-Thick	2814	SLV_ENV	Combination	Min	-154.33	-72.36
599	599	Shell-Thick	2814	SLU_ENV	Combination	Max	40.56	2.26
599	599	Shell-Thick	2815	SLU_ENV	Combination	Max	39.98	2.17
599	599	Shell-Thick	2570	SLU_ENV	Combination	Max	39.4	1.68
599	599	Shell-Thick	2585	SLU_ENV	Combination	Max	39.99	1.17

Table: Element Forces - Area Shells, Part 1 of 5

Area	AreaElem	ShellType	Joint	OutputCase	CaseType	StepType	F11 KN/m	F22 KN/m
599	599	Shell-Thick	2814	SLU_ENV	Combination	Min	12.7	-0.92
599	599	Shell-Thick	2815	SLU_ENV	Combination	Min	15.12	-0.54
599	599	Shell-Thick	2570	SLU_ENV	Combination	Min	15.47	-1.58
599	599	Shell-Thick	2585	SLU_ENV	Combination	Min	13.05	-1.32
599	599	Shell-Thick	2814	SLV_ENV	Combination	Max	416.8	38.06
599	599	Shell-Thick	2815	SLV_ENV	Combination	Max	473.16	32.96
599	599	Shell-Thick	2570	SLV_ENV	Combination	Max	485.89	98.38
599	599	Shell-Thick	2585	SLV_ENV	Combination	Max	430.23	95.29
599	599	Shell-Thick	2814	SLV_ENV	Combination	Min	-359.61	-34.93
599	599	Shell-Thick	2815	SLV_ENV	Combination	Min	-417.03	-30.04
599	599	Shell-Thick	2570	SLV_ENV	Combination	Min	-430.71	-100.19
599	599	Shell-Thick	2585	SLV_ENV	Combination	Min	-373.99	-96.89
612	612	Shell-Thick	2219	SLU_ENV	Combination	Max	-34.67	-535.83
612	612	Shell-Thick	2856	SLU_ENV	Combination	Max	181.2	178.11
612	612	Shell-Thick	2862	SLU_ENV	Combination	Max	-53.73	122.97
612	612	Shell-Thick	2201	SLU_ENV	Combination	Max	-176.53	-563.96
612	612	Shell-Thick	2219	SLU_ENV	Combination	Min	-81.49	-1067.27
612	612	Shell-Thick	2856	SLU_ENV	Combination	Min	78.11	77.82
612	612	Shell-Thick	2862	SLU_ENV	Combination	Min	-94.47	49.55
612	612	Shell-Thick	2201	SLU_ENV	Combination	Min	-343.5	-1122.36
612	612	Shell-Thick	2219	SLV_ENV	Combination	Max	188.77	-206.68
612	612	Shell-Thick	2856	SLV_ENV	Combination	Max	355.28	366.11
612	612	Shell-Thick	2862	SLV_ENV	Combination	Max	70.01	267.86
612	612	Shell-Thick	2201	SLV_ENV	Combination	Max	1.68	-233.97
612	612	Shell-Thick	2219	SLV_ENV	Combination	Min	-266.49	-960.77
612	612	Shell-Thick	2856	SLV_ENV	Combination	Min	-164.84	-192.79
612	612	Shell-Thick	2862	SLV_ENV	Combination	Min	-184.44	-155.51
612	612	Shell-Thick	2201	SLV_ENV	Combination	Min	-384.27	-994.46
613	613	Shell-Thick	2856	SLU_ENV	Combination	Max	145.19	170.91
613	613	Shell-Thick	2857	SLU_ENV	Combination	Max	120.49	47.39
613	613	Shell-Thick	2863	SLU_ENV	Combination	Max	-111.69	-11.81
613	613	Shell-Thick	2862	SLU_ENV	Combination	Max	-97.89	105.86
613	613	Shell-Thick	2856	SLU_ENV	Combination	Min	65.26	76.29
613	613	Shell-Thick	2857	SLU_ENV	Combination	Min	48.2	-8.9
613	613	Shell-Thick	2863	SLU_ENV	Combination	Min	-204.73	-47.64
613	613	Shell-Thick	2862	SLU_ENV	Combination	Min	-180.03	40.51
613	613	Shell-Thick	2856	SLV_ENV	Combination	Max	392.69	366.59
613	613	Shell-Thick	2857	SLV_ENV	Combination	Max	410.97	414.66
613	613	Shell-Thick	2863	SLV_ENV	Combination	Max	-36.18	310.12
613	613	Shell-Thick	2862	SLV_ENV	Combination	Max	-23.56	265.73
613	613	Shell-Thick	2856	SLV_ENV	Combination	Min	-221.44	-197.1
613	613	Shell-Thick	2857	SLV_ENV	Combination	Min	-268.1	-387.03
613	613	Shell-Thick	2863	SLV_ENV	Combination	Min	-204.46	-359.19
613	613	Shell-Thick	2862	SLV_ENV	Combination	Min	-188.7	-172.95
614	614	Shell-Thick	2857	SLU_ENV	Combination	Max	48.83	33.06
614	614	Shell-Thick	2855	SLU_ENV	Combination	Max	1.5	-151.36
614	614	Shell-Thick	2861	SLU_ENV	Combination	Max	-36.48	-161.01
614	614	Shell-Thick	2863	SLU_ENV	Combination	Max	-7.92	16.95
614	614	Shell-Thick	2857	SLU_ENV	Combination	Min	12.33	-16.07
614	614	Shell-Thick	2855	SLU_ENV	Combination	Min	-19.86	-234.21
614	614	Shell-Thick	2861	SLU_ENV	Combination	Min	-85.35	-250.32
614	614	Shell-Thick	2863	SLU_ENV	Combination	Min	-33.73	-20.16
614	614	Shell-Thick	2857	SLV_ENV	Combination	Max	388.04	411.81
614	614	Shell-Thick	2855	SLV_ENV	Combination	Max	300.14	60.05

Table: Element Forces - Area Shells, Part 1 of 5

Area	AreaElem	ShellType	Joint	OutputCase	CaseType	StepType	F11 KN/m	F22 KN/m
614	614	Shell-Thick	2861	SLV_ENV	Combination	Max	86.61	9.68
614	614	Shell-Thick	2863	SLV_ENV	Combination	Max	89.62	323.98
614	614	Shell-Thick	2857	SLV_ENV	Combination	Min	-324.97	-400.13
614	614	Shell-Thick	2855	SLV_ENV	Combination	Min	-301.26	-369.33
614	614	Shell-Thick	2861	SLV_ENV	Combination	Min	-190.57	-339.53
614	614	Shell-Thick	2863	SLV_ENV	Combination	Min	-129.39	-332.88
615	615	Shell-Thick	2855	SLU_ENV	Combination	Max	-7.84	-152.89
615	615	Shell-Thick	2858	SLU_ENV	Combination	Max	34.63	32.13
615	615	Shell-Thick	2864	SLU_ENV	Combination	Max	11.97	27.54
615	615	Shell-Thick	2861	SLU_ENV	Combination	Max	-28.01	-159.42
615	615	Shell-Thick	2855	SLU_ENV	Combination	Min	-31.1	-239.12
615	615	Shell-Thick	2858	SLU_ENV	Combination	Min	14.32	16.15
615	615	Shell-Thick	2864	SLU_ENV	Combination	Min	-6.44	13.23
615	615	Shell-Thick	2861	SLU_ENV	Combination	Min	-54.45	-243.66
615	615	Shell-Thick	2855	SLV_ENV	Combination	Max	151.57	55.04
615	615	Shell-Thick	2858	SLV_ENV	Combination	Max	140.62	105.37
615	615	Shell-Thick	2864	SLV_ENV	Combination	Max	92.15	130.77
615	615	Shell-Thick	2861	SLV_ENV	Combination	Max	22.85	17.09
615	615	Shell-Thick	2855	SLV_ENV	Combination	Min	-172.1	-368.2
615	615	Shell-Thick	2858	SLV_ENV	Combination	Min	-90.02	-62.86
615	615	Shell-Thick	2864	SLV_ENV	Combination	Min	-100.97	-100.14
615	615	Shell-Thick	2861	SLV_ENV	Combination	Min	-102.8	-342.14
616	616	Shell-Thick	2858	SLU_ENV	Combination	Max	24.19	31.03
616	616	Shell-Thick	2854	SLU_ENV	Combination	Max	-25.3	-193.79
616	616	Shell-Thick	2860	SLU_ENV	Combination	Max	-26.78	-193.63
616	616	Shell-Thick	2864	SLU_ENV	Combination	Max	23.21	30.74
616	616	Shell-Thick	2858	SLU_ENV	Combination	Min	11.71	15.35
616	616	Shell-Thick	2854	SLU_ENV	Combination	Min	-47.81	-308.35
616	616	Shell-Thick	2860	SLU_ENV	Combination	Min	-43.83	-308.04
616	616	Shell-Thick	2864	SLU_ENV	Combination	Min	16.3	16.3
616	616	Shell-Thick	2858	SLV_ENV	Combination	Max	64.01	119.99
616	616	Shell-Thick	2854	SLV_ENV	Combination	Max	81.9	242.07
616	616	Shell-Thick	2860	SLV_ENV	Combination	Max	17.09	223.04
616	616	Shell-Thick	2864	SLV_ENV	Combination	Max	105.28	115.47
616	616	Shell-Thick	2858	SLV_ENV	Combination	Min	-31.88	-81.17
616	616	Shell-Thick	2854	SLV_ENV	Combination	Min	-148.39	-696.37
616	616	Shell-Thick	2860	SLV_ENV	Combination	Min	-81.64	-676.95
616	616	Shell-Thick	2864	SLV_ENV	Combination	Min	-71.21	-76.26
617	617	Shell-Thick	2854	SLU_ENV	Combination	Max	-46.81	-197.69
617	617	Shell-Thick	2853	SLU_ENV	Combination	Max	-10.53	3.57
617	617	Shell-Thick	2859	SLU_ENV	Combination	Max	66.57	19.62
617	617	Shell-Thick	2860	SLU_ENV	Combination	Max	5.96	-187.38
617	617	Shell-Thick	2854	SLU_ENV	Combination	Min	-83.14	-315.88
617	617	Shell-Thick	2853	SLU_ENV	Combination	Min	-22.58	-29.05
617	617	Shell-Thick	2859	SLU_ENV	Combination	Min	39.65	-17.41
617	617	Shell-Thick	2860	SLU_ENV	Combination	Min	3.19	-298.3
617	617	Shell-Thick	2854	SLV_ENV	Combination	Max	167.75	259.87
617	617	Shell-Thick	2853	SLV_ENV	Combination	Max	32.23	476.61
617	617	Shell-Thick	2859	SLV_ENV	Combination	Max	242.34	532.77
617	617	Shell-Thick	2860	SLV_ENV	Combination	Max	23.04	227.86
617	617	Shell-Thick	2854	SLV_ENV	Combination	Min	-289.6	-725.23
617	617	Shell-Thick	2853	SLV_ENV	Combination	Min	-65.42	-498.68
617	617	Shell-Thick	2859	SLV_ENV	Combination	Min	-146.18	-528.96
617	617	Shell-Thick	2860	SLV_ENV	Combination	Min	-15.54	-667.36

Table: Element Forces - Area Shells, Part 1 of 5

Area	AreaElem	ShellType	Joint	OutputCase	CaseType	StepType	F11 KN/m	F22 KN/m
618	618	Shell-Thick	2201	SLU_ENV	Combination	Max	-130.56	-334.09
618	618	Shell-Thick	2862	SLU_ENV	Combination	Max	-75.93	-60.47
618	618	Shell-Thick	2868	SLU_ENV	Combination	Max	10.85	-44.16
618	618	Shell-Thick	2183	SLU_ENV	Combination	Max	-57.35	-320.66
618	618	Shell-Thick	2201	SLU_ENV	Combination	Min	-247.83	-645.
618	618	Shell-Thick	2862	SLU_ENV	Combination	Min	-138.79	-102.4
618	618	Shell-Thick	2868	SLU_ENV	Combination	Min	-12.53	-77.64
618	618	Shell-Thick	2183	SLU_ENV	Combination	Min	-114.25	-618.27
618	618	Shell-Thick	2201	SLV_ENV	Combination	Max	46.92	-83.11
618	618	Shell-Thick	2862	SLV_ENV	Combination	Max	54.18	120.62
618	618	Shell-Thick	2868	SLV_ENV	Combination	Max	139.61	129.26
618	618	Shell-Thick	2183	SLV_ENV	Combination	Max	116.63	-79.53
618	618	Shell-Thick	2201	SLV_ENV	Combination	Min	-331.43	-654.96
618	618	Shell-Thick	2862	SLV_ENV	Combination	Min	-216.99	-250.16
618	618	Shell-Thick	2868	SLV_ENV	Combination	Min	-156.57	-229.63
618	618	Shell-Thick	2183	SLV_ENV	Combination	Min	-255.29	-629.37
619	619	Shell-Thick	2862	SLU_ENV	Combination	Max	-120.27	-68.98
619	619	Shell-Thick	2863	SLU_ENV	Combination	Max	-110.24	-11.69
619	619	Shell-Thick	2869	SLU_ENV	Combination	Max	-56.08	-0.67
619	619	Shell-Thick	2868	SLU_ENV	Combination	Max	-65.67	-58.17
619	619	Shell-Thick	2862	SLU_ENV	Combination	Min	-224.35	-119.45
619	619	Shell-Thick	2863	SLU_ENV	Combination	Min	-204.35	-25.32
619	619	Shell-Thick	2869	SLU_ENV	Combination	Min	-138.84	-15.03
619	619	Shell-Thick	2868	SLU_ENV	Combination	Min	-159.49	-107.6
619	619	Shell-Thick	2862	SLV_ENV	Combination	Max	-29.95	123.44
619	619	Shell-Thick	2863	SLV_ENV	Combination	Max	-27.2	165.8
619	619	Shell-Thick	2869	SLV_ENV	Combination	Max	252.2	130.78
619	619	Shell-Thick	2868	SLV_ENV	Combination	Max	252.41	100.74
619	619	Shell-Thick	2862	SLV_ENV	Combination	Min	-230.69	-272.55
619	619	Shell-Thick	2863	SLV_ENV	Combination	Min	-210.53	-200.35
619	619	Shell-Thick	2869	SLV_ENV	Combination	Min	-426.53	-152.64
619	619	Shell-Thick	2868	SLV_ENV	Combination	Min	-449.66	-237.18
620	620	Shell-Thick	2863	SLU_ENV	Combination	Max	-4.	18.85
620	620	Shell-Thick	2861	SLU_ENV	Combination	Max	-20.2	-74.19
620	620	Shell-Thick	2867	SLU_ENV	Combination	Max	-32.07	-80.56
620	620	Shell-Thick	2869	SLU_ENV	Combination	Max	-15.79	11.42
620	620	Shell-Thick	2863	SLU_ENV	Combination	Min	-32.52	-0.97
620	620	Shell-Thick	2861	SLU_ENV	Combination	Min	-58.36	-117.3
620	620	Shell-Thick	2867	SLU_ENV	Combination	Min	-100.01	-121.74
620	620	Shell-Thick	2869	SLU_ENV	Combination	Min	-74.75	-7.23
620	620	Shell-Thick	2863	SLV_ENV	Combination	Max	108.93	185.92
620	620	Shell-Thick	2861	SLV_ENV	Combination	Max	95.32	46.5
620	620	Shell-Thick	2867	SLV_ENV	Combination	Max	275.07	11.92
620	620	Shell-Thick	2869	SLV_ENV	Combination	Max	285.75	152.98
620	620	Shell-Thick	2863	SLV_ENV	Combination	Min	-145.8	-180.29
620	620	Shell-Thick	2861	SLV_ENV	Combination	Min	-163.57	-197.84
620	620	Shell-Thick	2867	SLV_ENV	Combination	Min	-406.63	-175.92
620	620	Shell-Thick	2869	SLV_ENV	Combination	Min	-385.91	-160.01
621	621	Shell-Thick	2861	SLU_ENV	Combination	Max	-9.36	-72.56
621	621	Shell-Thick	2864	SLU_ENV	Combination	Max	1.34	-27.67
621	621	Shell-Thick	2870	SLU_ENV	Combination	Max	11.26	-26.17
621	621	Shell-Thick	2867	SLU_ENV	Combination	Max	0.52	-73.18
621	621	Shell-Thick	2861	SLU_ENV	Combination	Min	-30.23	-111.8
621	621	Shell-Thick	2864	SLU_ENV	Combination	Min	-20.07	-53.62

Table: Element Forces - Area Shells, Part 1 of 5

Area	AreaElem	ShellType	Joint	OutputCase	CaseType	StepType	F11 KN/m	F22 KN/m
621	621	Shell-Thick	2870	SLU_ENV	Combination	Min	-23.8	-53.44
621	621	Shell-Thick	2867	SLU_ENV	Combination	Min	-33.92	-109.9
621	621	Shell-Thick	2861	SLV_ENV	Combination	Max	34.71	63.
621	621	Shell-Thick	2864	SLV_ENV	Combination	Max	74.45	84.99
621	621	Shell-Thick	2870	SLV_ENV	Combination	Max	245.37	102.63
621	621	Shell-Thick	2867	SLV_ENV	Combination	Max	203.36	29.54
621	621	Shell-Thick	2861	SLV_ENV	Combination	Min	-78.97	-209.54
621	621	Shell-Thick	2864	SLV_ENV	Combination	Min	-103.46	-155.33
621	621	Shell-Thick	2870	SLV_ENV	Combination	Min	-278.51	-173.8
621	621	Shell-Thick	2867	SLV_ENV	Combination	Min	-251.74	-176.89
622	622	Shell-Thick	2864	SLU_ENV	Combination	Max	9.37	-25.83
622	622	Shell-Thick	2860	SLU_ENV	Combination	Max	-5.4	-87.14
622	622	Shell-Thick	2866	SLU_ENV	Combination	Max	-11.35	-88.31
622	622	Shell-Thick	2870	SLU_ENV	Combination	Max	-0.16	-27.72
622	622	Shell-Thick	2864	SLU_ENV	Combination	Min	5.7	-49.2
622	622	Shell-Thick	2860	SLU_ENV	Combination	Min	-10.37	-140.47
622	622	Shell-Thick	2866	SLU_ENV	Combination	Min	-31.2	-144.64
622	622	Shell-Thick	2870	SLU_ENV	Combination	Min	-11.56	-52.34
622	622	Shell-Thick	2864	SLV_ENV	Combination	Max	82.07	66.92
622	622	Shell-Thick	2860	SLV_ENV	Combination	Max	63.05	81.85
622	622	Shell-Thick	2866	SLV_ENV	Combination	Max	93.44	92.78
622	622	Shell-Thick	2870	SLV_ENV	Combination	Max	96.27	74.36
622	622	Shell-Thick	2864	SLV_ENV	Combination	Min	-68.2	-128.69
622	622	Shell-Thick	2860	SLV_ENV	Combination	Min	-78.23	-288.92
622	622	Shell-Thick	2866	SLV_ENV	Combination	Min	-139.01	-305.92
622	622	Shell-Thick	2870	SLV_ENV	Combination	Min	-112.77	-142.21
623	623	Shell-Thick	2860	SLU_ENV	Combination	Max	38.5	-80.89
623	623	Shell-Thick	2859	SLU_ENV	Combination	Max	52.72	-37.32
623	623	Shell-Thick	2865	SLU_ENV	Combination	Max	7.58	-43.92
623	623	Shell-Thick	2866	SLU_ENV	Combination	Max	-3.59	-86.77
623	623	Shell-Thick	2860	SLU_ENV	Combination	Min	25.74	-130.72
623	623	Shell-Thick	2859	SLU_ENV	Combination	Min	32.73	-66.32
623	623	Shell-Thick	2865	SLU_ENV	Combination	Min	2.25	-74.79
623	623	Shell-Thick	2866	SLU_ENV	Combination	Min	-8.16	-140.04
623	623	Shell-Thick	2860	SLV_ENV	Combination	Max	91.23	85.78
623	623	Shell-Thick	2859	SLV_ENV	Combination	Max	169.91	165.94
623	623	Shell-Thick	2865	SLV_ENV	Combination	Max	82.65	151.16
623	623	Shell-Thick	2866	SLV_ENV	Combination	Max	24.67	90.95
623	623	Shell-Thick	2860	SLV_ENV	Combination	Min	-34.35	-278.43
623	623	Shell-Thick	2859	SLV_ENV	Combination	Min	-92.29	-254.87
623	623	Shell-Thick	2865	SLV_ENV	Combination	Min	-73.79	-253.84
623	623	Shell-Thick	2866	SLV_ENV	Combination	Min	-36.56	-297.36
624	624	Shell-Thick	2183	SLU_ENV	Combination	Max	-30.71	-218.6
624	624	Shell-Thick	2868	SLU_ENV	Combination	Max	8.66	-41.27
624	624	Shell-Thick	2874	SLU_ENV	Combination	Max	40.38	-36.1
624	624	Shell-Thick	2165	SLU_ENV	Combination	Max	1.01	-220.73
624	624	Shell-Thick	2183	SLU_ENV	Combination	Min	-76.86	-415.99
624	624	Shell-Thick	2868	SLU_ENV	Combination	Min	-14.28	-100.71
624	624	Shell-Thick	2874	SLU_ENV	Combination	Min	-30.32	-101.89
624	624	Shell-Thick	2165	SLU_ENV	Combination	Min	-88.04	-417.9
624	624	Shell-Thick	2183	SLV_ENV	Combination	Max	136.92	9.59
624	624	Shell-Thick	2868	SLV_ENV	Combination	Max	159.18	43.43
624	624	Shell-Thick	2874	SLV_ENV	Combination	Max	456.86	80.23
624	624	Shell-Thick	2165	SLV_ENV	Combination	Max	415.51	9.31

Table: Element Forces - Area Shells, Part 1 of 5

Area	AreaElem	ShellType	Joint	OutputCase	CaseType	StepType	F11 KN/m	F22 KN/m
624	624	Shell-Thick	2183	SLV_ENV	Combination	Min	-232.89	-505.01
624	624	Shell-Thick	2868	SLV_ENV	Combination	Min	-178.15	-153.87
624	624	Shell-Thick	2874	SLV_ENV	Combination	Min	-495.33	-194.58
624	624	Shell-Thick	2165	SLV_ENV	Combination	Min	-530.97	-508.63
625	625	Shell-Thick	2868	SLU_ENV	Combination	Max	-64.97	-54.99
625	625	Shell-Thick	2869	SLU_ENV	Combination	Max	-57.16	-7.94
625	625	Shell-Thick	2875	SLU_ENV	Combination	Max	30.46	5.02
625	625	Shell-Thick	2874	SLU_ENV	Combination	Max	18.96	-38.94
625	625	Shell-Thick	2868	SLU_ENV	Combination	Min	-163.11	-131.31
625	625	Shell-Thick	2869	SLU_ENV	Combination	Min	-140.25	-19.82
625	625	Shell-Thick	2875	SLU_ENV	Combination	Min	-89.76	-6.96
625	625	Shell-Thick	2874	SLU_ENV	Combination	Min	-111.06	-118.53
625	625	Shell-Thick	2868	SLV_ENV	Combination	Max	270.43	44.73
625	625	Shell-Thick	2869	SLV_ENV	Combination	Max	252.84	92.09
625	625	Shell-Thick	2875	SLV_ENV	Combination	Max	679.98	71.16
625	625	Shell-Thick	2874	SLV_ENV	Combination	Max	699.18	119.46
625	625	Shell-Thick	2868	SLV_ENV	Combination	Min	-469.69	-191.24
625	625	Shell-Thick	2869	SLV_ENV	Combination	Min	-427.	-113.09
625	625	Shell-Thick	2875	SLV_ENV	Combination	Min	-796.14	-80.56
625	625	Shell-Thick	2874	SLV_ENV	Combination	Min	-840.45	-254.36
626	626	Shell-Thick	2869	SLU_ENV	Combination	Max	-16.87	2.44
626	626	Shell-Thick	2867	SLU_ENV	Combination	Max	-24.3	-42.03
626	626	Shell-Thick	2873	SLU_ENV	Combination	Max	6.91	-39.47
626	626	Shell-Thick	2875	SLU_ENV	Combination	Max	14.64	5.74
626	626	Shell-Thick	2869	SLU_ENV	Combination	Min	-75.95	-8.25
626	626	Shell-Thick	2867	SLU_ENV	Combination	Min	-88.79	-63.6
626	626	Shell-Thick	2873	SLU_ENV	Combination	Min	-79.35	-59.16
626	626	Shell-Thick	2875	SLU_ENV	Combination	Min	-68.06	-5.64
626	626	Shell-Thick	2869	SLV_ENV	Combination	Max	284.47	111.64
626	626	Shell-Thick	2867	SLV_ENV	Combination	Max	285.01	20.29
626	626	Shell-Thick	2873	SLV_ENV	Combination	Max	571.65	-4.1
626	626	Shell-Thick	2875	SLV_ENV	Combination	Max	571.68	82.15
626	626	Shell-Thick	2869	SLV_ENV	Combination	Min	-384.46	-117.8
626	626	Shell-Thick	2867	SLV_ENV	Combination	Min	-400.97	-106.33
626	626	Shell-Thick	2873	SLV_ENV	Combination	Min	-681.71	-80.76
626	626	Shell-Thick	2875	SLV_ENV	Combination	Min	-665.77	-87.14
627	627	Shell-Thick	2867	SLU_ENV	Combination	Max	9.28	-34.44
627	627	Shell-Thick	2870	SLU_ENV	Combination	Max	11.69	-24.85
627	627	Shell-Thick	2876	SLU_ENV	Combination	Max	-2.07	-28.35
627	627	Shell-Thick	2873	SLU_ENV	Combination	Max	-4.48	-39.4
627	627	Shell-Thick	2867	SLU_ENV	Combination	Min	-23.33	-51.97
627	627	Shell-Thick	2870	SLU_ENV	Combination	Min	-22.07	-44.04
627	627	Shell-Thick	2876	SLU_ENV	Combination	Min	-58.01	-50.07
627	627	Shell-Thick	2873	SLU_ENV	Combination	Min	-59.27	-57.05
627	627	Shell-Thick	2867	SLV_ENV	Combination	Max	213.84	43.9
627	627	Shell-Thick	2870	SLV_ENV	Combination	Max	235.3	40.92
627	627	Shell-Thick	2876	SLV_ENV	Combination	Max	353.38	55.79
627	627	Shell-Thick	2873	SLV_ENV	Combination	Max	330.93	11.73
627	627	Shell-Thick	2867	SLV_ENV	Combination	Min	-246.63	-113.3
627	627	Shell-Thick	2870	SLV_ENV	Combination	Min	-266.01	-99.96
627	627	Shell-Thick	2876	SLV_ENV	Combination	Min	-436.07	-125.22
627	627	Shell-Thick	2873	SLV_ENV	Combination	Min	-415.69	-91.53
628	628	Shell-Thick	2870	SLU_ENV	Combination	Max	0.27	-26.29
628	628	Shell-Thick	2866	SLU_ENV	Combination	Max	-2.11	-42.1

Table: Element Forces - Area Shells, Part 1 of 5

Area	AreaElem	ShellType	Joint	OutputCase	CaseType	StepType	F11 KN/m	F22 KN/m
628	628	Shell-Thick	2872	SLU_ENV	Combination	Max	-6.91	-43.06
628	628	Shell-Thick	2876	SLU_ENV	Combination	Max	-4.53	-27.82
628	628	Shell-Thick	2870	SLU_ENV	Combination	Min	-9.83	-42.94
628	628	Shell-Thick	2866	SLU_ENV	Combination	Min	-15.78	-67.53
628	628	Shell-Thick	2872	SLU_ENV	Combination	Min	-31.45	-70.67
628	628	Shell-Thick	2876	SLU_ENV	Combination	Min	-25.51	-45.28
628	628	Shell-Thick	2870	SLV_ENV	Combination	Max	93.47	22.94
628	628	Shell-Thick	2866	SLV_ENV	Combination	Max	100.7	28.37
628	628	Shell-Thick	2872	SLV_ENV	Combination	Max	161.25	39.53
628	628	Shell-Thick	2876	SLV_ENV	Combination	Max	152.54	21.32
628	628	Shell-Thick	2870	SLV_ENV	Combination	Min	-107.55	-78.65
628	628	Shell-Thick	2866	SLV_ENV	Combination	Min	-123.55	-127.94
628	628	Shell-Thick	2872	SLV_ENV	Combination	Min	-206.86	-143.65
628	628	Shell-Thick	2876	SLV_ENV	Combination	Min	-189.38	-81.58
629	629	Shell-Thick	2866	SLU_ENV	Combination	Max	7.81	-40.55
629	629	Shell-Thick	2865	SLU_ENV	Combination	Max	10.86	-33.17
629	629	Shell-Thick	2871	SLU_ENV	Combination	Max	-4.44	-35.62
629	629	Shell-Thick	2872	SLU_ENV	Combination	Max	-5.52	-42.78
629	629	Shell-Thick	2866	SLU_ENV	Combination	Min	5.24	-62.92
629	629	Shell-Thick	2865	SLU_ENV	Combination	Min	6.2	-50.41
629	629	Shell-Thick	2871	SLU_ENV	Combination	Min	-9.39	-53.98
629	629	Shell-Thick	2872	SLU_ENV	Combination	Min	-12.31	-66.84
629	629	Shell-Thick	2866	SLV_ENV	Combination	Max	38.	24.34
629	629	Shell-Thick	2865	SLV_ENV	Combination	Max	60.32	35.41
629	629	Shell-Thick	2871	SLV_ENV	Combination	Max	46.12	32.44
629	629	Shell-Thick	2872	SLV_ENV	Combination	Max	32.14	25.58
629	629	Shell-Thick	2866	SLV_ENV	Combination	Min	-27.17	-117.17
629	629	Shell-Thick	2865	SLV_ENV	Combination	Min	-45.25	-107.03
629	629	Shell-Thick	2871	SLV_ENV	Combination	Min	-59.94	-109.84
629	629	Shell-Thick	2872	SLV_ENV	Combination	Min	-50.2	-124.19
630	630	Shell-Thick	2165	SLU_ENV	Combination	Max	25.1	-99.09
630	630	Shell-Thick	2874	SLU_ENV	Combination	Max	47.6	40.58
630	630	Shell-Thick	2906	SLU_ENV	Combination	Max	210.01	61.52
630	630	Shell-Thick	1885	SLU_ENV	Combination	Max	161.51	-105.43
630	630	Shell-Thick	2165	SLU_ENV	Combination	Min	-80.91	-364.76
630	630	Shell-Thick	2874	SLU_ENV	Combination	Min	-7.52	-17.19
630	630	Shell-Thick	2906	SLU_ENV	Combination	Min	-54.09	-28.9
630	630	Shell-Thick	1885	SLU_ENV	Combination	Min	-91.39	-363.66
630	630	Shell-Thick	2165	SLV_ENV	Combination	Max	430.19	69.4
630	630	Shell-Thick	2874	SLV_ENV	Combination	Max	435.58	142.63
630	630	Shell-Thick	2906	SLV_ENV	Combination	Max	1490.24	159.47
630	630	Shell-Thick	1885	SLV_ENV	Combination	Max	1474.9	171.47
630	630	Shell-Thick	2165	SLV_ENV	Combination	Min	-537.17	-526.38
630	630	Shell-Thick	2874	SLV_ENV	Combination	Min	-441.33	-93.41
630	630	Shell-Thick	2906	SLV_ENV	Combination	Min	-1463.18	-103.69
630	630	Shell-Thick	1885	SLV_ENV	Combination	Min	-1549.08	-621.89
631	631	Shell-Thick	2874	SLU_ENV	Combination	Max	26.17	24.
631	631	Shell-Thick	2875	SLU_ENV	Combination	Max	27.94	-10.08
631	631	Shell-Thick	2907	SLU_ENV	Combination	Max	171.15	19.12
631	631	Shell-Thick	2906	SLU_ENV	Combination	Max	176.76	54.7
631	631	Shell-Thick	2874	SLU_ENV	Combination	Min	-85.39	-29.
631	631	Shell-Thick	2875	SLU_ENV	Combination	Min	-93.25	-18.97
631	631	Shell-Thick	2907	SLU_ENV	Combination	Min	10.44	3.2
631	631	Shell-Thick	2906	SLU_ENV	Combination	Min	14.66	-10.12

Table: Element Forces - Area Shells, Part 1 of 5

Area	AreaElem	ShellType	Joint	OutputCase	CaseType	StepType	F11 KN/m	F22 KN/m
631	631	Shell-Thick	2874	SLV_ENV	Combination	Max	675.01	78.54
631	631	Shell-Thick	2875	SLV_ENV	Combination	Max	674.69	32.61
631	631	Shell-Thick	2907	SLV_ENV	Combination	Max	1117.31	54.02
631	631	Shell-Thick	2906	SLV_ENV	Combination	Max	1119.84	103.14
631	631	Shell-Thick	2874	SLV_ENV	Combination	Min	-783.56	-49.88
631	631	Shell-Thick	2875	SLV_ENV	Combination	Min	-793.64	-55.93
631	631	Shell-Thick	2907	SLV_ENV	Combination	Min	-1064.26	-42.95
631	631	Shell-Thick	2906	SLV_ENV	Combination	Min	-1056.39	-40.08
632	632	Shell-Thick	2875	SLU_ENV	Combination	Max	12.12	-8.82
632	632	Shell-Thick	2873	SLU_ENV	Combination	Max	12.74	-9.39
632	632	Shell-Thick	2905	SLU_ENV	Combination	Max	48.77	-3.55
632	632	Shell-Thick	2907	SLU_ENV	Combination	Max	48.26	-6.23
632	632	Shell-Thick	2875	SLU_ENV	Combination	Min	-70.19	-17.41
632	632	Shell-Thick	2873	SLU_ENV	Combination	Min	-70.37	-15.32
632	632	Shell-Thick	2905	SLU_ENV	Combination	Min	-70.71	-13.14
632	632	Shell-Thick	2907	SLU_ENV	Combination	Min	-70.58	-12.64
632	632	Shell-Thick	2875	SLV_ENV	Combination	Max	565.77	47.68
632	632	Shell-Thick	2873	SLV_ENV	Combination	Max	572.51	15.84
632	632	Shell-Thick	2905	SLV_ENV	Combination	Max	886.6	38.75
632	632	Shell-Thick	2907	SLV_ENV	Combination	Max	879.73	13.18
632	632	Shell-Thick	2875	SLV_ENV	Combination	Min	-662.65	-66.59
632	632	Shell-Thick	2873	SLV_ENV	Combination	Min	-669.44	-35.
632	632	Shell-Thick	2905	SLV_ENV	Combination	Min	-981.77	-57.55
632	632	Shell-Thick	2907	SLV_ENV	Combination	Min	-974.85	-31.74
633	633	Shell-Thick	2873	SLU_ENV	Combination	Max	1.41	-6.67
633	633	Shell-Thick	2876	SLU_ENV	Combination	Max	2.29	-7.89
633	633	Shell-Thick	2908	SLU_ENV	Combination	Max	-16.32	-12.28
633	633	Shell-Thick	2905	SLU_ENV	Combination	Max	-17.2	-12.7
633	633	Shell-Thick	2873	SLU_ENV	Combination	Min	-50.33	-15.7
633	633	Shell-Thick	2876	SLU_ENV	Combination	Min	-51.66	-16.77
633	633	Shell-Thick	2908	SLU_ENV	Combination	Min	-94.28	-24.57
633	633	Shell-Thick	2905	SLU_ENV	Combination	Min	-92.95	-21.97
633	633	Shell-Thick	2873	SLV_ENV	Combination	Max	332.75	64.85
633	633	Shell-Thick	2876	SLV_ENV	Combination	Max	350.71	32.05
633	633	Shell-Thick	2908	SLV_ENV	Combination	Max	506.05	52.21
633	633	Shell-Thick	2905	SLV_ENV	Combination	Max	488.81	31.66
633	633	Shell-Thick	2873	SLV_ENV	Combination	Min	-404.38	-78.95
633	633	Shell-Thick	2876	SLV_ENV	Combination	Min	-424.09	-54.91
633	633	Shell-Thick	2908	SLV_ENV	Combination	Min	-641.42	-87.46
633	633	Shell-Thick	2905	SLV_ENV	Combination	Min	-622.42	-58.15
634	634	Shell-Thick	2876	SLU_ENV	Combination	Max	-0.17	-6.44
634	634	Shell-Thick	2872	SLU_ENV	Combination	Max	-0.91	-13.08
634	634	Shell-Thick	2878	SLU_ENV	Combination	Max	-11.62	-15.23
634	634	Shell-Thick	2908	SLU_ENV	Combination	Max	-10.88	-9.21
634	634	Shell-Thick	2876	SLU_ENV	Combination	Min	-19.16	-12.09
634	634	Shell-Thick	2872	SLU_ENV	Combination	Min	-21.75	-22.14
634	634	Shell-Thick	2878	SLU_ENV	Combination	Min	-39.69	-25.72
634	634	Shell-Thick	2908	SLU_ENV	Combination	Min	-37.1	-15.05
634	634	Shell-Thick	2876	SLV_ENV	Combination	Max	153.34	20.86
634	634	Shell-Thick	2872	SLV_ENV	Combination	Max	161.73	16.64
634	634	Shell-Thick	2878	SLV_ENV	Combination	Max	187.2	17.68
634	634	Shell-Thick	2908	SLV_ENV	Combination	Max	179.21	10.71
634	634	Shell-Thick	2876	SLV_ENV	Combination	Min	-180.87	-34.54
634	634	Shell-Thick	2872	SLV_ENV	Combination	Min	-193.03	-49.22

Table: Element Forces - Area Shells, Part 1 of 5

Area	AreaElem	ShellType	Joint	OutputCase	CaseType	StepType	F11 KN/m	F22 KN/m
634	634	Shell-Thick	2878	SLV_ENV	Combination	Min	-245.11	-55.58
634	634	Shell-Thick	2908	SLV_ENV	Combination	Min	-233.34	-29.71
635	635	Shell-Thick	2872	SLU_ENV	Combination	Max	0.47	-12.78
635	635	Shell-Thick	2871	SLU_ENV	Combination	Max	0.55	-12.07
635	635	Shell-Thick	2877	SLU_ENV	Combination	Max	-0.21	-12.16
635	635	Shell-Thick	2878	SLU_ENV	Combination	Max	-0.47	-13.18
635	635	Shell-Thick	2872	SLU_ENV	Combination	Min	-2.6	-18.36
635	635	Shell-Thick	2871	SLU_ENV	Combination	Min	-2.42	-17.51
635	635	Shell-Thick	2877	SLU_ENV	Combination	Min	-2.94	-17.78
635	635	Shell-Thick	2878	SLU_ENV	Combination	Min	-2.98	-18.28
635	635	Shell-Thick	2872	SLV_ENV	Combination	Max	35.67	5.94
635	635	Shell-Thick	2871	SLV_ENV	Combination	Max	41.37	4.83
635	635	Shell-Thick	2877	SLV_ENV	Combination	Max	52.02	7.18
635	635	Shell-Thick	2878	SLV_ENV	Combination	Max	45.43	2.27
635	635	Shell-Thick	2872	SLV_ENV	Combination	Min	-39.43	-33.01
635	635	Shell-Thick	2871	SLV_ENV	Combination	Min	-44.86	-30.58
635	635	Shell-Thick	2877	SLV_ENV	Combination	Min	-55.42	-32.9
635	635	Shell-Thick	2878	SLV_ENV	Combination	Min	-49.1	-29.33

Table: Element Forces - Area Shells, Part 2 of 5

Table: Element Forces - Area Shells, Part 2 of 5

Area	AreaElem	Joint	OutputCase	StepType	F12 KN/m	FMax KN/m	FMin KN/m	FAngle Degrees
107	107	139	SLU_ENV	Max	-70.33	0.	0.	0.
107	107	140	SLU_ENV	Max	-72.32	0.	0.	0.
107	107	122	SLU_ENV	Max	-114.88	0.	0.	0.
107	107	121	SLU_ENV	Max	-109.25	0.	0.	0.
107	107	139	SLU_ENV	Min	-150.06	0.	0.	0.
107	107	140	SLU_ENV	Min	-166.55	0.	0.	0.
107	107	122	SLU_ENV	Min	-236.34	0.	0.	0.
107	107	121	SLU_ENV	Min	-238.12	0.	0.	0.
107	107	139	SLV_ENV	Max	284.7	0.	0.	0.
107	107	140	SLV_ENV	Max	530.73	0.	0.	0.
107	107	122	SLV_ENV	Max	296.29	0.	0.	0.
107	107	121	SLV_ENV	Max	89.06	0.	0.	0.
107	107	139	SLV_ENV	Min	-440.74	0.	0.	0.
107	107	140	SLV_ENV	Min	-704.11	0.	0.	0.
107	107	122	SLV_ENV	Min	-566.74	0.	0.	0.
107	107	121	SLV_ENV	Min	-342.17	0.	0.	0.
108	108	121	SLU_ENV	Max	-101.49	0.	0.	0.
108	108	122	SLU_ENV	Max	-86.61	0.	0.	0.
108	108	104	SLU_ENV	Max	-9.81	0.	0.	0.
108	108	103	SLU_ENV	Max	-21.06	0.	0.	0.
108	108	121	SLU_ENV	Min	-218.86	0.	0.	0.
108	108	122	SLU_ENV	Min	-210.4	0.	0.	0.
108	108	104	SLU_ENV	Min	-75.24	0.	0.	0.
108	108	103	SLU_ENV	Min	-122.27	0.	0.	0.
108	108	121	SLV_ENV	Max	235.17	0.	0.	0.
108	108	122	SLV_ENV	Max	256.48	0.	0.	0.
108	108	104	SLV_ENV	Max	467.26	0.	0.	0.
108	108	103	SLV_ENV	Max	447.12	0.	0.	0.
108	108	121	SLV_ENV	Min	-474.81	0.	0.	0.

Table: Element Forces - Area Shells, Part 2 of 5

Area	AreaElem	Joint	OutputCase	StepType	F12 KN/m	FMax KN/m	FMin KN/m	FAngle Degrees
108	108	122	SLV_ENV	Min	-466.29	0.	0.	0.
108	108	104	SLV_ENV	Min	-518.85	0.	0.	0.
108	108	103	SLV_ENV	Min	-528.54	0.	0.	0.
109	109	103	SLU_ENV	Max	-27.11	0.	0.	0.
109	109	104	SLU_ENV	Max	4.37	0.	0.	0.
109	109	86	SLU_ENV	Max	2.31	0.	0.	0.
109	109	85	SLU_ENV	Max	-23.6	0.	0.	0.
109	109	103	SLU_ENV	Min	-106.54	0.	0.	0.
109	109	104	SLU_ENV	Min	-96.34	0.	0.	0.
109	109	86	SLU_ENV	Min	-118.54	0.	0.	0.
109	109	85	SLU_ENV	Min	-173.79	0.	0.	0.
109	109	103	SLV_ENV	Max	409.03	0.	0.	0.
109	109	104	SLV_ENV	Max	504.84	0.	0.	0.
109	109	86	SLV_ENV	Max	416.79	0.	0.	0.
109	109	85	SLV_ENV	Max	322.92	0.	0.	0.
109	109	103	SLV_ENV	Min	-494.75	0.	0.	0.
109	109	104	SLV_ENV	Min	-538.38	0.	0.	0.
109	109	86	SLV_ENV	Min	-492.	0.	0.	0.
109	109	85	SLV_ENV	Min	-450.31	0.	0.	0.
110	110	85	SLU_ENV	Max	-11.42	0.	0.	0.
110	110	86	SLU_ENV	Max	16.16	0.	0.	0.
110	110	68	SLU_ENV	Max	86.55	0.	0.	0.
110	110	67	SLU_ENV	Max	25.43	0.	0.	0.
110	110	85	SLU_ENV	Min	-180.22	0.	0.	0.
110	110	86	SLU_ENV	Min	-125.63	0.	0.	0.
110	110	68	SLU_ENV	Min	-67.04	0.	0.	0.
110	110	67	SLU_ENV	Min	-120.64	0.	0.	0.
110	110	85	SLV_ENV	Max	342.06	0.	0.	0.
110	110	86	SLV_ENV	Max	392.79	0.	0.	0.
110	110	68	SLV_ENV	Max	515.94	0.	0.	0.
110	110	67	SLV_ENV	Max	462.18	0.	0.	0.
110	110	85	SLV_ENV	Min	-470.99	0.	0.	0.
110	110	86	SLV_ENV	Min	-451.64	0.	0.	0.
110	110	68	SLV_ENV	Min	-479.27	0.	0.	0.
110	110	67	SLV_ENV	Min	-495.6	0.	0.	0.
111	111	67	SLU_ENV	Max	66.45	0.	0.	0.
111	111	68	SLU_ENV	Max	88.24	0.	0.	0.
111	111	50	SLU_ENV	Max	112.74	0.	0.	0.
111	111	49	SLU_ENV	Max	56.93	0.	0.	0.
111	111	67	SLU_ENV	Min	-137.07	0.	0.	0.
111	111	68	SLU_ENV	Min	-92.52	0.	0.	0.
111	111	50	SLU_ENV	Min	-170.45	0.	0.	0.
111	111	49	SLU_ENV	Min	-188.35	0.	0.	0.
111	111	67	SLV_ENV	Max	462.13	0.	0.	0.
111	111	68	SLV_ENV	Max	529.	0.	0.	0.
111	111	50	SLV_ENV	Max	325.72	0.	0.	0.
111	111	49	SLV_ENV	Max	263.61	0.	0.	0.
111	111	67	SLV_ENV	Min	-491.28	0.	0.	0.
111	111	68	SLV_ENV	Min	-492.64	0.	0.	0.
111	111	50	SLV_ENV	Min	-363.4	0.	0.	0.
111	111	49	SLV_ENV	Min	-366.8	0.	0.	0.
114	114	140	SLU_ENV	Max	-21.85	0.	0.	0.
114	114	141	SLU_ENV	Max	146.51	0.	0.	0.
114	114	123	SLU_ENV	Max	175.89	0.	0.	0.

Table: Element Forces - Area Shells, Part 2 of 5

Area	AreaElem	Joint	OutputCase	StepType	F12 KN/m	FMax KN/m	FMin KN/m	FAngle Degrees
114	114	122	SLU_ENV	Max	0.14	0.	0.	0.
114	114	140	SLU_ENV	Min	-90.44	0.	0.	0.
114	114	141	SLU_ENV	Min	56.48	0.	0.	0.
114	114	123	SLU_ENV	Min	77.44	0.	0.	0.
114	114	122	SLU_ENV	Min	-79.81	0.	0.	0.
114	114	140	SLV_ENV	Max	280.61	0.	0.	0.
114	114	141	SLV_ENV	Max	453.67	0.	0.	0.
114	114	123	SLV_ENV	Max	926.98	0.	0.	0.
114	114	122	SLV_ENV	Max	750.37	0.	0.	0.
114	114	140	SLV_ENV	Min	-349.78	0.	0.	0.
114	114	141	SLV_ENV	Min	-270.55	0.	0.	0.
114	114	123	SLV_ENV	Min	-705.65	0.	0.	0.
114	114	122	SLV_ENV	Min	-781.33	0.	0.	0.
115	115	122	SLU_ENV	Max	38.75	0.	0.	0.
115	115	123	SLU_ENV	Max	144.67	0.	0.	0.
115	115	105	SLU_ENV	Max	121.08	0.	0.	0.
115	115	104	SLU_ENV	Max	34.62	0.	0.	0.
115	115	122	SLU_ENV	Min	-23.69	0.	0.	0.
115	115	123	SLU_ENV	Min	20.83	0.	0.	0.
115	115	105	SLU_ENV	Min	25.78	0.	0.	0.
115	115	104	SLU_ENV	Min	-70.5	0.	0.	0.
115	115	122	SLV_ENV	Max	715.45	0.	0.	0.
115	115	123	SLV_ENV	Max	809.2	0.	0.	0.
115	115	105	SLV_ENV	Max	550.88	0.	0.	0.
115	115	104	SLV_ENV	Max	457.85	0.	0.	0.
115	115	122	SLV_ENV	Min	-685.78	0.	0.	0.
115	115	123	SLV_ENV	Min	-644.58	0.	0.	0.
115	115	105	SLV_ENV	Min	-410.51	0.	0.	0.
115	115	104	SLV_ENV	Min	-452.42	0.	0.	0.
116	116	104	SLU_ENV	Max	42.94	0.	0.	0.
116	116	105	SLU_ENV	Max	142.6	0.	0.	0.
116	116	87	SLU_ENV	Max	188.09	0.	0.	0.
116	116	86	SLU_ENV	Max	115.12	0.	0.	0.
116	116	104	SLU_ENV	Min	-46.58	0.	0.	0.
116	116	105	SLU_ENV	Min	-1.23	0.	0.	0.
116	116	87	SLU_ENV	Min	55.	0.	0.	0.
116	116	86	SLU_ENV	Min	-52.56	0.	0.	0.
116	116	104	SLV_ENV	Max	496.47	0.	0.	0.
116	116	105	SLV_ENV	Max	572.76	0.	0.	0.
116	116	87	SLV_ENV	Max	695.51	0.	0.	0.
116	116	86	SLV_ENV	Max	617.76	0.	0.	0.
116	116	104	SLV_ENV	Min	-472.98	0.	0.	0.
116	116	105	SLV_ENV	Min	-427.53	0.	0.	0.
116	116	87	SLV_ENV	Min	-478.35	0.	0.	0.
116	116	86	SLV_ENV	Min	-522.34	0.	0.	0.
117	117	86	SLU_ENV	Max	126.28	0.	0.	0.
117	117	87	SLU_ENV	Max	225.66	0.	0.	0.
117	117	69	SLU_ENV	Max	166.18	0.	0.	0.
117	117	68	SLU_ENV	Max	113.88	0.	0.	0.
117	117	86	SLU_ENV	Min	-14.16	0.	0.	0.
117	117	87	SLU_ENV	Min	-4.43	0.	0.	0.
117	117	69	SLU_ENV	Min	-19.25	0.	0.	0.
117	117	68	SLU_ENV	Min	-112.3	0.	0.	0.
117	117	86	SLV_ENV	Max	593.4	0.	0.	0.

Table: Element Forces - Area Shells, Part 2 of 5

Area	AreaElem	Joint	OutputCase	StepType	F12 KN/m	FMax KN/m	FMin KN/m	FAngle Degrees
117	117	87	SLV_ENV	Max	645.28	0.	0.	0.
117	117	69	SLV_ENV	Max	530.34	0.	0.	0.
117	117	68	SLV_ENV	Max	480.65	0.	0.	0.
117	117	86	SLV_ENV	Min	-481.62	0.	0.	0.
117	117	87	SLV_ENV	Min	-436.43	0.	0.	0.
117	117	69	SLV_ENV	Min	-394.55	0.	0.	0.
117	117	68	SLV_ENV	Min	-441.94	0.	0.	0.
118	118	68	SLU_ENV	Max	127.7	0.	0.	0.
118	118	69	SLU_ENV	Max	232.85	0.	0.	0.
118	118	51	SLU_ENV	Max	266.72	0.	0.	0.
118	118	50	SLU_ENV	Max	222.51	0.	0.	0.
118	118	68	SLU_ENV	Min	-112.01	0.	0.	0.
118	118	69	SLU_ENV	Min	-85.67	0.	0.	0.
118	118	51	SLU_ENV	Min	-68.21	0.	0.	0.
118	118	50	SLU_ENV	Min	-178.58	0.	0.	0.
118	118	68	SLV_ENV	Max	494.19	0.	0.	0.
118	118	69	SLV_ENV	Max	534.75	0.	0.	0.
118	118	51	SLV_ENV	Max	496.16	0.	0.	0.
118	118	50	SLV_ENV	Max	451.76	0.	0.	0.
118	118	68	SLV_ENV	Min	-455.8	0.	0.	0.
118	118	69	SLV_ENV	Min	-400.39	0.	0.	0.
118	118	51	SLV_ENV	Min	-307.92	0.	0.	0.
118	118	50	SLV_ENV	Min	-359.48	0.	0.	0.
121	121	141	SLU_ENV	Max	165.71	0.	0.	0.
121	121	131	SLU_ENV	Max	223.42	0.	0.	0.
121	121	113	SLU_ENV	Max	448.16	0.	0.	0.
121	121	123	SLU_ENV	Max	395.74	0.	0.	0.
121	121	141	SLU_ENV	Min	63.96	0.	0.	0.
121	121	131	SLU_ENV	Min	88.75	0.	0.	0.
121	121	113	SLU_ENV	Min	243.43	0.	0.	0.
121	121	123	SLU_ENV	Min	195.46	0.	0.	0.
121	121	141	SLV_ENV	Max	719.59	0.	0.	0.
121	121	131	SLV_ENV	Max	448.45	0.	0.	0.
121	121	113	SLV_ENV	Max	597.48	0.	0.	0.
121	121	123	SLV_ENV	Max	841.96	0.	0.	0.
121	121	141	SLV_ENV	Min	-515.44	0.	0.	0.
121	121	131	SLV_ENV	Min	-186.46	0.	0.	0.
121	121	113	SLV_ENV	Min	-40.5	0.	0.	0.
121	121	123	SLV_ENV	Min	-342.81	0.	0.	0.
122	122	123	SLU_ENV	Max	357.71	0.	0.	0.
122	122	113	SLU_ENV	Max	376.48	0.	0.	0.
122	122	95	SLU_ENV	Max	307.39	0.	0.	0.
122	122	105	SLU_ENV	Max	302.	0.	0.	0.
122	122	123	SLU_ENV	Min	184.93	0.	0.	0.
122	122	113	SLU_ENV	Min	174.45	0.	0.	0.
122	122	95	SLU_ENV	Min	140.35	0.	0.	0.
122	122	105	SLU_ENV	Min	100.85	0.	0.	0.
122	122	123	SLV_ENV	Max	725.29	0.	0.	0.
122	122	113	SLV_ENV	Max	664.8	0.	0.	0.
122	122	95	SLV_ENV	Max	699.09	0.	0.	0.
122	122	105	SLV_ENV	Max	759.74	0.	0.	0.
122	122	123	SLV_ENV	Min	-282.85	0.	0.	0.
122	122	113	SLV_ENV	Min	-206.07	0.	0.	0.
122	122	95	SLV_ENV	Min	-332.22	0.	0.	0.

Table: Element Forces - Area Shells, Part 2 of 5

Area	AreaElem	Joint	OutputCase	StepType	F12 KN/m	FMax KN/m	FMin KN/m	FAngle Degrees
122	122	105	SLV_ENV	Min	-409.16	0.	0.	0.
123	123	105	SLU_ENV	Max	299.51	0.	0.	0.
123	123	95	SLU_ENV	Max	357.82	0.	0.	0.
123	123	77	SLU_ENV	Max	312.62	0.	0.	0.
123	123	87	SLU_ENV	Max	274.92	0.	0.	0.
123	123	105	SLU_ENV	Min	127.26	0.	0.	0.
123	123	95	SLU_ENV	Min	120.52	0.	0.	0.
123	123	77	SLU_ENV	Min	98.63	0.	0.	0.
123	123	87	SLU_ENV	Min	45.43	0.	0.	0.
123	123	105	SLV_ENV	Max	780.84	0.	0.	0.
123	123	95	SLV_ENV	Max	662.13	0.	0.	0.
123	123	77	SLV_ENV	Max	535.74	0.	0.	0.
123	123	87	SLV_ENV	Max	651.67	0.	0.	0.
123	123	105	SLV_ENV	Min	-425.41	0.	0.	0.
123	123	95	SLV_ENV	Min	-258.67	0.	0.	0.
123	123	77	SLV_ENV	Min	-197.91	0.	0.	0.
123	123	87	SLV_ENV	Min	-361.86	0.	0.	0.
124	124	87	SLU_ENV	Max	292.07	0.	0.	0.
124	124	77	SLU_ENV	Max	287.38	0.	0.	0.
124	124	59	SLU_ENV	Max	398.57	0.	0.	0.
124	124	69	SLU_ENV	Max	363.65	0.	0.	0.
124	124	87	SLU_ENV	Min	34.65	0.	0.	0.
124	124	77	SLU_ENV	Min	43.43	0.	0.	0.
124	124	59	SLU_ENV	Min	78.38	0.	0.	0.
124	124	69	SLU_ENV	Min	58.57	0.	0.	0.
124	124	87	SLV_ENV	Max	602.89	0.	0.	0.
124	124	77	SLV_ENV	Max	513.93	0.	0.	0.
124	124	59	SLV_ENV	Max	619.92	0.	0.	0.
124	124	69	SLV_ENV	Max	707.24	0.	0.	0.
124	124	87	SLV_ENV	Min	-321.4	0.	0.	0.
124	124	77	SLV_ENV	Min	-222.	0.	0.	0.
124	124	59	SLV_ENV	Min	-241.33	0.	0.	0.
124	124	69	SLV_ENV	Min	-339.09	0.	0.	0.
125	125	69	SLU_ENV	Max	443.46	0.	0.	0.
125	125	59	SLU_ENV	Max	405.75	0.	0.	0.
125	125	41	SLU_ENV	Max	389.22	0.	0.	0.
125	125	51	SLU_ENV	Max	320.64	0.	0.	0.
125	125	69	SLU_ENV	Min	38.1	0.	0.	0.
125	125	59	SLU_ENV	Min	56.24	0.	0.	0.
125	125	41	SLU_ENV	Min	-136.25	0.	0.	0.
125	125	51	SLU_ENV	Min	-98.41	0.	0.	0.
125	125	69	SLV_ENV	Max	712.13	0.	0.	0.
125	125	59	SLV_ENV	Max	638.08	0.	0.	0.
125	125	41	SLV_ENV	Max	311.32	0.	0.	0.
125	125	51	SLV_ENV	Max	388.28	0.	0.	0.
125	125	69	SLV_ENV	Min	-345.41	0.	0.	0.
125	125	59	SLV_ENV	Min	-241.49	0.	0.	0.
125	125	41	SLV_ENV	Min	-152.04	0.	0.	0.
125	125	51	SLV_ENV	Min	-258.86	0.	0.	0.
128	128	131	SLU_ENV	Max	118.77	0.	0.	0.
128	128	144	SLU_ENV	Max	1.63	0.	0.	0.
128	128	126	SLU_ENV	Max	397.7	0.	0.	0.
128	128	113	SLU_ENV	Max	530.56	0.	0.	0.
128	128	131	SLU_ENV	Min	-15.71	0.	0.	0.

Table: Element Forces - Area Shells, Part 2 of 5

Area	AreaElem	Joint	OutputCase	StepType	F12 KN/m	FMax KN/m	FMin KN/m	FAngle Degrees
128	128	144	SLU_ENV	Min	-81.61	0.	0.	0.
128	128	126	SLU_ENV	Min	194.1	0.	0.	0.
128	128	113	SLU_ENV	Min	243.87	0.	0.	0.
128	128	131	SLV_ENV	Max	1104.45	0.	0.	0.
128	128	144	SLV_ENV	Max	718.92	0.	0.	0.
128	128	126	SLV_ENV	Max	624.32	0.	0.	0.
128	128	113	SLV_ENV	Max	571.19	0.	0.	0.
128	128	131	SLV_ENV	Min	-993.95	0.	0.	0.
128	128	144	SLV_ENV	Min	-771.96	0.	0.	0.
128	128	126	SLV_ENV	Min	-193.24	0.	0.	0.
128	128	113	SLV_ENV	Min	23.43	0.	0.	0.
129	129	113	SLU_ENV	Max	394.5	0.	0.	0.
129	129	126	SLU_ENV	Max	391.87	0.	0.	0.
129	129	108	SLU_ENV	Max	261.89	0.	0.	0.
129	129	95	SLU_ENV	Max	319.93	0.	0.	0.
129	129	113	SLU_ENV	Min	201.72	0.	0.	0.
129	129	126	SLU_ENV	Min	141.32	0.	0.	0.
129	129	108	SLU_ENV	Min	109.87	0.	0.	0.
129	129	95	SLU_ENV	Min	95.01	0.	0.	0.
129	129	113	SLV_ENV	Max	478.11	0.	0.	0.
129	129	126	SLV_ENV	Max	390.2	0.	0.	0.
129	129	108	SLV_ENV	Max	375.8	0.	0.	0.
129	129	95	SLV_ENV	Max	562.34	0.	0.	0.
129	129	113	SLV_ENV	Min	-21.04	0.	0.	0.
129	129	126	SLV_ENV	Min	8.4	0.	0.	0.
129	129	108	SLV_ENV	Min	-96.27	0.	0.	0.
129	129	95	SLV_ENV	Min	-224.33	0.	0.	0.
130	130	95	SLU_ENV	Max	344.94	0.	0.	0.
130	130	108	SLU_ENV	Max	279.17	0.	0.	0.
130	130	90	SLU_ENV	Max	341.7	0.	0.	0.
130	130	77	SLU_ENV	Max	471.3	0.	0.	0.
130	130	95	SLU_ENV	Min	159.09	0.	0.	0.
130	130	108	SLU_ENV	Min	53.65	0.	0.	0.
130	130	90	SLU_ENV	Min	122.14	0.	0.	0.
130	130	77	SLU_ENV	Min	106.87	0.	0.	0.
130	130	95	SLV_ENV	Max	517.21	0.	0.	0.
130	130	108	SLV_ENV	Max	270.64	0.	0.	0.
130	130	90	SLV_ENV	Max	338.81	0.	0.	0.
130	130	77	SLV_ENV	Max	550.84	0.	0.	0.
130	130	95	SLV_ENV	Min	-127.98	0.	0.	0.
130	130	108	SLV_ENV	Min	-19.02	0.	0.	0.
130	130	90	SLV_ENV	Min	-1.92	0.	0.	0.
130	130	77	SLV_ENV	Min	-76.34	0.	0.	0.
131	131	77	SLU_ENV	Max	403.36	0.	0.	0.
131	131	90	SLU_ENV	Max	440.91	0.	0.	0.
131	131	72	SLU_ENV	Max	265.87	0.	0.	0.
131	131	59	SLU_ENV	Max	356.78	0.	0.	0.
131	131	77	SLU_ENV	Min	116.88	0.	0.	0.
131	131	90	SLU_ENV	Min	28.7	0.	0.	0.
131	131	72	SLU_ENV	Min	6.34	0.	0.	0.
131	131	59	SLU_ENV	Min	-70.37	0.	0.	0.
131	131	77	SLV_ENV	Max	517.87	0.	0.	0.
131	131	90	SLV_ENV	Max	369.3	0.	0.	0.
131	131	72	SLV_ENV	Max	281.16	0.	0.	0.

Table: Element Forces - Area Shells, Part 2 of 5

Area	AreaElem	Joint	OutputCase	StepType	F12 KN/m	FMax KN/m	FMin KN/m	FAngle Degrees
131	131	59	SLV_ENV	Max	434.39	0.	0.	0.
131	131	77	SLV_ENV	Min	-107.63	0.	0.	0.
131	131	90	SLV_ENV	Min	-11.35	0.	0.	0.
131	131	72	SLV_ENV	Min	-56.69	0.	0.	0.
131	131	59	SLV_ENV	Min	-157.62	0.	0.	0.
132	132	59	SLU_ENV	Max	367.3	0.	0.	0.
132	132	72	SLU_ENV	Max	358.47	0.	0.	0.
132	132	54	SLU_ENV	Max	470.08	0.	0.	0.
132	132	41	SLU_ENV	Max	670.51	0.	0.	0.
132	132	59	SLU_ENV	Min	-58.96	0.	0.	0.
132	132	72	SLU_ENV	Min	-201.6	0.	0.	0.
132	132	54	SLU_ENV	Min	-145.73	0.	0.	0.
132	132	41	SLU_ENV	Min	-177.05	0.	0.	0.
132	132	59	SLV_ENV	Max	466.05	0.	0.	0.
132	132	72	SLV_ENV	Max	248.86	0.	0.	0.
132	132	54	SLV_ENV	Max	423.38	0.	0.	0.
132	132	41	SLV_ENV	Max	661.02	0.	0.	0.
132	132	59	SLV_ENV	Min	-164.08	0.	0.	0.
132	132	72	SLV_ENV	Min	-107.34	0.	0.	0.
132	132	54	SLV_ENV	Min	-106.4	0.	0.	0.
132	132	41	SLV_ENV	Min	-183.59	0.	0.	0.
135	135	144	SLU_ENV	Max	161.62	0.	0.	0.
135	135	145	SLU_ENV	Max	164.87	0.	0.	0.
135	135	127	SLU_ENV	Max	273.71	0.	0.	0.
135	135	126	SLU_ENV	Max	282.	0.	0.	0.
135	135	144	SLU_ENV	Min	51.38	0.	0.	0.
135	135	145	SLU_ENV	Min	39.53	0.	0.	0.
135	135	127	SLU_ENV	Min	97.85	0.	0.	0.
135	135	126	SLU_ENV	Min	108.7	0.	0.	0.
135	135	144	SLV_ENV	Max	1211.47	0.	0.	0.
135	135	145	SLV_ENV	Max	968.59	0.	0.	0.
135	135	127	SLV_ENV	Max	1156.16	0.	0.	0.
135	135	126	SLV_ENV	Max	935.35	0.	0.	0.
135	135	144	SLV_ENV	Min	-1025.33	0.	0.	0.
135	135	145	SLV_ENV	Min	-803.07	0.	0.	0.
135	135	127	SLV_ENV	Min	-928.69	0.	0.	0.
135	135	126	SLV_ENV	Min	-687.26	0.	0.	0.
136	136	126	SLU_ENV	Max	249.98	0.	0.	0.
136	136	127	SLU_ENV	Max	183.54	0.	0.	0.
136	136	109	SLU_ENV	Max	135.63	0.	0.	0.
136	136	108	SLU_ENV	Max	216.88	0.	0.	0.
136	136	126	SLU_ENV	Min	87.2	0.	0.	0.
136	136	127	SLU_ENV	Min	54.94	0.	0.	0.
136	136	109	SLU_ENV	Min	40.57	0.	0.	0.
136	136	108	SLU_ENV	Min	49.26	0.	0.	0.
136	136	126	SLV_ENV	Max	561.17	0.	0.	0.
136	136	127	SLV_ENV	Max	536.	0.	0.	0.
136	136	109	SLV_ENV	Max	179.5	0.	0.	0.
136	136	108	SLV_ENV	Max	262.64	0.	0.	0.
136	136	126	SLV_ENV	Min	-345.55	0.	0.	0.
136	136	127	SLV_ENV	Min	-405.97	0.	0.	0.
136	136	109	SLV_ENV	Min	-78.04	0.	0.	0.
136	136	108	SLV_ENV	Min	-75.59	0.	0.	0.
137	137	108	SLU_ENV	Max	190.12	0.	0.	0.

Table: Element Forces - Area Shells, Part 2 of 5

Area	AreaElem	Joint	OutputCase	StepType	F12	FMax	FMin	FAngle
					KN/m	KN/m	KN/m	Degrees
137	137	109	SLU_ENV	Max	196.75	0.	0.	0.
137	137	91	SLU_ENV	Max	161.55	0.	0.	0.
137	137	90	SLU_ENV	Max	165.65	0.	0.	0.
137	137	108	SLU_ENV	Min	59.67	0.	0.	0.
137	137	109	SLU_ENV	Min	38.08	0.	0.	0.
137	137	91	SLU_ENV	Min	26.4	0.	0.	0.
137	137	90	SLU_ENV	Min	30.96	0.	0.	0.
137	137	108	SLV_ENV	Max	155.57	0.	0.	0.
137	137	109	SLV_ENV	Max	176.53	0.	0.	0.
137	137	91	SLV_ENV	Max	309.06	0.	0.	0.
137	137	90	SLV_ENV	Max	229.43	0.	0.	0.
137	137	108	SLV_ENV	Min	3.57	0.	0.	0.
137	137	109	SLV_ENV	Min	-34.06	0.	0.	0.
137	137	91	SLV_ENV	Min	-217.03	0.	0.	0.
137	137	90	SLV_ENV	Min	-120.74	0.	0.	0.
138	138	90	SLU_ENV	Max	203.86	0.	0.	0.
138	138	91	SLU_ENV	Max	86.26	0.	0.	0.
138	138	73	SLU_ENV	Max	149.93	0.	0.	0.
138	138	72	SLU_ENV	Max	261.23	0.	0.	0.
138	138	90	SLU_ENV	Min	16.54	0.	0.	0.
138	138	91	SLU_ENV	Min	-27.9	0.	0.	0.
138	138	73	SLU_ENV	Min	6.57	0.	0.	0.
138	138	72	SLU_ENV	Min	61.64	0.	0.	0.
138	138	90	SLV_ENV	Max	210.54	0.	0.	0.
138	138	91	SLV_ENV	Max	189.42	0.	0.	0.
138	138	73	SLV_ENV	Max	117.09	0.	0.	0.
138	138	72	SLV_ENV	Max	216.32	0.	0.	0.
138	138	90	SLV_ENV	Min	-80.79	0.	0.	0.
138	138	91	SLV_ENV	Min	-200.9	0.	0.	0.
138	138	73	SLV_ENV	Min	-71.24	0.	0.	0.
138	138	72	SLV_ENV	Min	-29.24	0.	0.	0.
139	139	72	SLU_ENV	Max	237.27	0.	0.	0.
139	139	73	SLU_ENV	Max	241.02	0.	0.	0.
139	139	55	SLU_ENV	Max	144.85	0.	0.	0.
139	139	54	SLU_ENV	Max	8.11	0.	0.	0.
139	139	72	SLU_ENV	Min	-19.53	0.	0.	0.
139	139	73	SLU_ENV	Min	43.74	0.	0.	0.
139	139	55	SLU_ENV	Min	-173.97	0.	0.	0.
139	139	54	SLU_ENV	Min	-181.33	0.	0.	0.
139	139	72	SLV_ENV	Max	137.77	0.	0.	0.
139	139	73	SLV_ENV	Max	223.66	0.	0.	0.
139	139	55	SLV_ENV	Max	97.52	0.	0.	0.
139	139	54	SLV_ENV	Max	114.06	0.	0.	0.
139	139	72	SLV_ENV	Min	-33.64	0.	0.	0.
139	139	73	SLV_ENV	Min	-84.47	0.	0.	0.
139	139	55	SLV_ENV	Min	-226.34	0.	0.	0.
139	139	54	SLV_ENV	Min	-277.95	0.	0.	0.
146	146	49	SLU_ENV	Max	328.35	0.	0.	0.
146	146	50	SLU_ENV	Max	186.31	0.	0.	0.
146	146	32	SLU_ENV	Max	508.18	0.	0.	0.
146	146	31	SLU_ENV	Max	354.25	0.	0.	0.
146	146	49	SLU_ENV	Min	-441.53	0.	0.	0.
146	146	50	SLU_ENV	Min	-287.6	0.	0.	0.
146	146	32	SLU_ENV	Min	-323.54	0.	0.	0.

Table: Element Forces - Area Shells, Part 2 of 5

Area	AreaElem	Joint	OutputCase	StepType	F12 KN/m	FMax KN/m	FMin KN/m	FAngle Degrees
146	146	31	SLU_ENV	Min	-181.29	0.	0.	0.
146	146	49	SLV_ENV	Max	303.4	0.	0.	0.
146	146	50	SLV_ENV	Max	300.63	0.	0.	0.
146	146	32	SLV_ENV	Max	361.88	0.	0.	0.
146	146	31	SLV_ENV	Max	357.9	0.	0.	0.
146	146	49	SLV_ENV	Min	-413.63	0.	0.	0.
146	146	50	SLV_ENV	Min	-399.69	0.	0.	0.
146	146	32	SLV_ENV	Min	-287.39	0.	0.	0.
146	146	31	SLV_ENV	Min	-294.58	0.	0.	0.
147	147	50	SLU_ENV	Max	459.03	0.	0.	0.
147	147	51	SLU_ENV	Max	581.46	0.	0.	0.
147	147	33	SLU_ENV	Max	358.11	0.	0.	0.
147	147	32	SLU_ENV	Max	454.77	0.	0.	0.
147	147	50	SLU_ENV	Min	-367.56	0.	0.	0.
147	147	51	SLU_ENV	Min	-464.08	0.	0.	0.
147	147	33	SLU_ENV	Min	-571.36	0.	0.	0.
147	147	32	SLU_ENV	Min	-693.79	0.	0.	0.
147	147	50	SLV_ENV	Max	535.49	0.	0.	0.
147	147	51	SLV_ENV	Max	527.24	0.	0.	0.
147	147	33	SLV_ENV	Max	221.84	0.	0.	0.
147	147	32	SLV_ENV	Max	223.26	0.	0.	0.
147	147	50	SLV_ENV	Min	-387.65	0.	0.	0.
147	147	51	SLV_ENV	Min	-369.48	0.	0.	0.
147	147	33	SLV_ENV	Min	-269.18	0.	0.	0.
147	147	32	SLV_ENV	Min	-280.51	0.	0.	0.
148	148	51	SLU_ENV	Max	757.97	0.	0.	0.
148	148	41	SLU_ENV	Max	559.26	0.	0.	0.
148	148	23	SLU_ENV	Max	1047.55	0.	0.	0.
148	148	33	SLU_ENV	Max	773.09	0.	0.	0.
148	148	51	SLU_ENV	Min	-580.23	0.	0.	0.
148	148	41	SLU_ENV	Min	-319.41	0.	0.	0.
148	148	23	SLU_ENV	Min	-524.68	0.	0.	0.
148	148	33	SLU_ENV	Min	-312.33	0.	0.	0.
148	148	51	SLV_ENV	Max	346.91	0.	0.	0.
148	148	41	SLV_ENV	Max	357.72	0.	0.	0.
148	148	23	SLV_ENV	Max	515.37	0.	0.	0.
148	148	33	SLV_ENV	Max	472.69	0.	0.	0.
148	148	51	SLV_ENV	Min	-300.91	0.	0.	0.
148	148	41	SLV_ENV	Min	-253.2	0.	0.	0.
148	148	23	SLV_ENV	Min	-242.29	0.	0.	0.
148	148	33	SLV_ENV	Min	-258.13	0.	0.	0.
149	149	41	SLU_ENV	Max	806.31	0.	0.	0.
149	149	54	SLU_ENV	Max	1034.67	0.	0.	0.
149	149	36	SLU_ENV	Max	480.68	0.	0.	0.
149	149	23	SLU_ENV	Max	741.45	0.	0.	0.
149	149	41	SLU_ENV	Min	-373.85	0.	0.	0.
149	149	54	SLU_ENV	Min	-631.66	0.	0.	0.
149	149	36	SLU_ENV	Min	-886.01	0.	0.	0.
149	149	23	SLU_ENV	Min	-1114.37	0.	0.	0.
149	149	41	SLV_ENV	Max	648.36	0.	0.	0.
149	149	54	SLV_ENV	Max	607.36	0.	0.	0.
149	149	36	SLV_ENV	Max	115.22	0.	0.	0.
149	149	23	SLV_ENV	Max	139.51	0.	0.	0.
149	149	41	SLV_ENV	Min	-198.53	0.	0.	0.

Table: Element Forces - Area Shells, Part 2 of 5

Area	AreaElem	Joint	OutputCase	StepType	F12	FMax	FMin	FAngle
					KN/m	KN/m	KN/m	Degrees
149	149	54	SLV_ENV	Min	-180.64	0.	0.	0.
149	149	36	SLV_ENV	Min	-294.66	0.	0.	0.
149	149	23	SLV_ENV	Min	-295.84	0.	0.	0.
150	150	54	SLU_ENV	Max	294.63	0.	0.	0.
150	150	55	SLU_ENV	Max	-49.66	0.	0.	0.
150	150	37	SLU_ENV	Max	647.58	0.	0.	0.
150	150	36	SLU_ENV	Max	667.96	0.	0.	0.
150	150	54	SLU_ENV	Min	-493.95	0.	0.	0.
150	150	55	SLU_ENV	Min	-598.68	0.	0.	0.
150	150	37	SLU_ENV	Min	-218.73	0.	0.	0.
150	150	36	SLU_ENV	Min	127.02	0.	0.	0.
150	150	54	SLV_ENV	Max	151.32	0.	0.	0.
150	150	55	SLV_ENV	Max	242.39	0.	0.	0.
150	150	37	SLV_ENV	Max	509.	0.	0.	0.
150	150	36	SLV_ENV	Max	851.76	0.	0.	0.
150	150	54	SLV_ENV	Min	-377.2	0.	0.	0.
150	150	55	SLV_ENV	Min	-770.02	0.	0.	0.
150	150	37	SLV_ENV	Min	-289.69	0.	0.	0.
150	150	36	SLV_ENV	Min	-330.69	0.	0.	0.
271	271	2214	SLU_ENV	Max	-14.62	0.	0.	0.
271	271	2215	SLU_ENV	Max	6.87	0.	0.	0.
271	271	2197	SLU_ENV	Max	47.07	0.	0.	0.
271	271	2196	SLU_ENV	Max	18.81	0.	0.	0.
271	271	2214	SLU_ENV	Min	-115.81	0.	0.	0.
271	271	2215	SLU_ENV	Min	-68.92	0.	0.	0.
271	271	2197	SLU_ENV	Min	-45.22	0.	0.	0.
271	271	2196	SLU_ENV	Min	-86.12	0.	0.	0.
271	271	2214	SLV_ENV	Max	216.63	0.	0.	0.
271	271	2215	SLV_ENV	Max	249.14	0.	0.	0.
271	271	2197	SLV_ENV	Max	295.14	0.	0.	0.
271	271	2196	SLV_ENV	Max	261.61	0.	0.	0.
271	271	2214	SLV_ENV	Min	-303.98	0.	0.	0.
271	271	2215	SLV_ENV	Min	-290.91	0.	0.	0.
271	271	2197	SLV_ENV	Min	-275.66	0.	0.	0.
271	271	2196	SLV_ENV	Min	-287.72	0.	0.	0.
380	380	2196	SLU_ENV	Max	24.03	0.	0.	0.
380	380	2197	SLU_ENV	Max	36.39	0.	0.	0.
380	380	2179	SLU_ENV	Max	45.16	0.	0.	0.
380	380	2178	SLU_ENV	Max	30.71	0.	0.	0.
380	380	2196	SLU_ENV	Min	-73.71	0.	0.	0.
380	380	2197	SLU_ENV	Min	-52.26	0.	0.	0.
380	380	2179	SLU_ENV	Min	-42.95	0.	0.	0.
380	380	2178	SLU_ENV	Min	-62.62	0.	0.	0.
380	380	2196	SLV_ENV	Max	260.27	0.	0.	0.
380	380	2197	SLV_ENV	Max	269.12	0.	0.	0.
380	380	2179	SLV_ENV	Max	260.8	0.	0.	0.
380	380	2178	SLV_ENV	Max	252.94	0.	0.	0.
380	380	2196	SLV_ENV	Min	-278.45	0.	0.	0.
380	380	2197	SLV_ENV	Min	-263.62	0.	0.	0.
380	380	2179	SLV_ENV	Min	-243.24	0.	0.	0.
380	380	2178	SLV_ENV	Min	-259.06	0.	0.	0.
381	381	2178	SLU_ENV	Max	32.14	0.	0.	0.
381	381	2179	SLU_ENV	Max	40.51	0.	0.	0.
381	381	2161	SLU_ENV	Max	25.69	0.	0.	0.

Table: Element Forces - Area Shells, Part 2 of 5

Area	AreaElem	Joint	OutputCase	StepType	F12	FMax	FMin	FAngle
					KN/m	KN/m	KN/m	Degrees
381	381	2160	SLU_ENV	Max	19.43	0.	0.	0.
381	381	2178	SLU_ENV	Min	-68.61	0.	0.	0.
381	381	2179	SLU_ENV	Min	-34.81	0.	0.	0.
381	381	2161	SLU_ENV	Min	-47.06	0.	0.	0.
381	381	2160	SLU_ENV	Min	-82.93	0.	0.	0.
381	381	2178	SLV_ENV	Max	228.28	0.	0.	0.
381	381	2179	SLV_ENV	Max	239.2	0.	0.	0.
381	381	2161	SLV_ENV	Max	188.66	0.	0.	0.
381	381	2160	SLV_ENV	Max	177.83	0.	0.	0.
381	381	2178	SLV_ENV	Min	-235.76	0.	0.	0.
381	381	2179	SLV_ENV	Min	-225.35	0.	0.	0.
381	381	2161	SLV_ENV	Min	-184.07	0.	0.	0.
381	381	2160	SLV_ENV	Min	-194.57	0.	0.	0.
384	384	2215	SLU_ENV	Max	105.59	0.	0.	0.
384	384	2205	SLU_ENV	Max	129.41	0.	0.	0.
384	384	2187	SLU_ENV	Max	146.46	0.	0.	0.
384	384	2197	SLU_ENV	Max	115.	0.	0.	0.
384	384	2215	SLU_ENV	Min	9.62	0.	0.	0.
384	384	2205	SLU_ENV	Min	16.83	0.	0.	0.
384	384	2187	SLU_ENV	Min	-5.83	0.	0.	0.
384	384	2197	SLU_ENV	Min	-13.11	0.	0.	0.
384	384	2215	SLV_ENV	Max	362.82	0.	0.	0.
384	384	2205	SLV_ENV	Max	284.55	0.	0.	0.
384	384	2187	SLV_ENV	Max	268.43	0.	0.	0.
384	384	2197	SLV_ENV	Max	323.17	0.	0.	0.
384	384	2215	SLV_ENV	Min	-263.41	0.	0.	0.
384	384	2205	SLV_ENV	Min	-168.37	0.	0.	0.
384	384	2187	SLV_ENV	Min	-161.35	0.	0.	0.
384	384	2197	SLV_ENV	Min	-232.86	0.	0.	0.
385	385	2197	SLU_ENV	Max	102.03	0.	0.	0.
385	385	2187	SLU_ENV	Max	136.89	0.	0.	0.
385	385	2169	SLU_ENV	Max	110.06	0.	0.	0.
385	385	2179	SLU_ENV	Max	75.1	0.	0.	0.
385	385	2197	SLU_ENV	Min	-18.72	0.	0.	0.
385	385	2187	SLU_ENV	Min	-8.2	0.	0.	0.
385	385	2169	SLU_ENV	Min	-31.47	0.	0.	0.
385	385	2179	SLU_ENV	Min	-42.09	0.	0.	0.
385	385	2197	SLV_ENV	Max	296.2	0.	0.	0.
385	385	2187	SLV_ENV	Max	274.13	0.	0.	0.
385	385	2169	SLV_ENV	Max	224.76	0.	0.	0.
385	385	2179	SLV_ENV	Max	246.63	0.	0.	0.
385	385	2197	SLV_ENV	Min	-219.88	0.	0.	0.
385	385	2187	SLV_ENV	Min	-171.48	0.	0.	0.
385	385	2169	SLV_ENV	Min	-166.57	0.	0.	0.
385	385	2179	SLV_ENV	Min	-214.77	0.	0.	0.
386	386	2179	SLU_ENV	Max	68.92	0.	0.	0.
386	386	2169	SLU_ENV	Max	122.16	0.	0.	0.
386	386	2151	SLU_ENV	Max	128.06	0.	0.	0.
386	386	2161	SLU_ENV	Max	75.8	0.	0.	0.
386	386	2179	SLU_ENV	Min	-33.53	0.	0.	0.
386	386	2169	SLU_ENV	Min	-37.59	0.	0.	0.
386	386	2151	SLU_ENV	Min	-8.93	0.	0.	0.
386	386	2161	SLU_ENV	Min	-4.93	0.	0.	0.
386	386	2179	SLV_ENV	Max	225.6	0.	0.	0.

Table: Element Forces - Area Shells, Part 2 of 5

Area	AreaElem	Joint	OutputCase	StepType	F12 KN/m	FMax KN/m	FMin KN/m	FAngle Degrees
386	386	2169	SLV_ENV	Max	211.58	0.	0.	0.
386	386	2151	SLV_ENV	Max	189.62	0.	0.	0.
386	386	2161	SLV_ENV	Max	196.7	0.	0.	0.
386	386	2179	SLV_ENV	Min	-197.45	0.	0.	0.
386	386	2169	SLV_ENV	Min	-144.79	0.	0.	0.
386	386	2151	SLV_ENV	Min	-121.32	0.	0.	0.
386	386	2161	SLV_ENV	Min	-167.04	0.	0.	0.
389	389	2205	SLU_ENV	Max	26.69	0.	0.	0.
389	389	2218	SLU_ENV	Max	63.47	0.	0.	0.
389	389	2200	SLU_ENV	Max	162.06	0.	0.	0.
389	389	2187	SLU_ENV	Max	126.56	0.	0.	0.
389	389	2205	SLU_ENV	Min	-74.76	0.	0.	0.
389	389	2218	SLU_ENV	Min	-6.38	0.	0.	0.
389	389	2200	SLU_ENV	Min	47.29	0.	0.	0.
389	389	2187	SLU_ENV	Min	-13.17	0.	0.	0.
389	389	2205	SLV_ENV	Max	244.75	0.	0.	0.
389	389	2218	SLV_ENV	Max	242.38	0.	0.	0.
389	389	2200	SLV_ENV	Max	308.83	0.	0.	0.
389	389	2187	SLV_ENV	Max	224.99	0.	0.	0.
389	389	2205	SLV_ENV	Min	-284.42	0.	0.	0.
389	389	2218	SLV_ENV	Min	-224.54	0.	0.	0.
389	389	2200	SLV_ENV	Min	-179.4	0.	0.	0.
389	389	2187	SLV_ENV	Min	-153.06	0.	0.	0.
390	390	2187	SLU_ENV	Max	116.99	0.	0.	0.
390	390	2200	SLU_ENV	Max	142.08	0.	0.	0.
390	390	2182	SLU_ENV	Max	176.31	0.	0.	0.
390	390	2169	SLU_ENV	Max	150.01	0.	0.	0.
390	390	2187	SLU_ENV	Min	-15.56	0.	0.	0.
390	390	2200	SLU_ENV	Min	36.25	0.	0.	0.
390	390	2182	SLU_ENV	Min	52.57	0.	0.	0.
390	390	2169	SLU_ENV	Min	-4.03	0.	0.	0.
390	390	2187	SLV_ENV	Max	188.07	0.	0.	0.
390	390	2200	SLV_ENV	Max	225.93	0.	0.	0.
390	390	2182	SLV_ENV	Max	259.65	0.	0.	0.
390	390	2169	SLV_ENV	Max	241.91	0.	0.	0.
390	390	2187	SLV_ENV	Min	-120.58	0.	0.	0.
390	390	2200	SLV_ENV	Min	-116.41	0.	0.	0.
390	390	2182	SLV_ENV	Min	-96.87	0.	0.	0.
390	390	2169	SLV_ENV	Min	-121.15	0.	0.	0.
391	391	2169	SLU_ENV	Max	162.31	0.	0.	0.
391	391	2182	SLU_ENV	Max	150.15	0.	0.	0.
391	391	2164	SLU_ENV	Max	115.9	0.	0.	0.
391	391	2151	SLU_ENV	Max	125.96	0.	0.	0.
391	391	2169	SLU_ENV	Min	-10.15	0.	0.	0.
391	391	2182	SLU_ENV	Min	35.31	0.	0.	0.
391	391	2164	SLU_ENV	Min	9.46	0.	0.	0.
391	391	2151	SLU_ENV	Min	-36.29	0.	0.	0.
391	391	2169	SLV_ENV	Max	237.06	0.	0.	0.
391	391	2182	SLV_ENV	Max	229.55	0.	0.	0.
391	391	2164	SLV_ENV	Max	205.67	0.	0.	0.
391	391	2151	SLV_ENV	Max	202.9	0.	0.	0.
391	391	2169	SLV_ENV	Min	-107.69	0.	0.	0.
391	391	2182	SLV_ENV	Min	-91.83	0.	0.	0.
391	391	2164	SLV_ENV	Min	-94.15	0.	0.	0.

Table: Element Forces - Area Shells, Part 2 of 5

Area	AreaElem	Joint	OutputCase	StepType	F12	FMax	FMin	FAngle
					KN/m	KN/m	KN/m	Degrees
391	391	2151	SLV_ENV	Min	-99.73	0.	0.	0.
401	401	2160	SLU_ENV	Max	16.05	0.	0.	0.
401	401	2161	SLU_ENV	Max	15.55	0.	0.	0.
401	401	1866	SLU_ENV	Max	18.31	0.	0.	0.
401	401	1860	SLU_ENV	Max	15.46	0.	0.	0.
401	401	2160	SLU_ENV	Min	-60.64	0.	0.	0.
401	401	2161	SLU_ENV	Min	-41.05	0.	0.	0.
401	401	1866	SLU_ENV	Min	-77.29	0.	0.	0.
401	401	1860	SLU_ENV	Min	-91.91	0.	0.	0.
401	401	2160	SLV_ENV	Max	134.31	0.	0.	0.
401	401	2161	SLV_ENV	Max	136.67	0.	0.	0.
401	401	1866	SLV_ENV	Max	116.28	0.	0.	0.
401	401	1860	SLV_ENV	Max	114.13	0.	0.	0.
401	401	2160	SLV_ENV	Min	-144.86	0.	0.	0.
401	401	2161	SLV_ENV	Min	-140.09	0.	0.	0.
401	401	1866	SLV_ENV	Min	-112.61	0.	0.	0.
401	401	1860	SLV_ENV	Min	-117.6	0.	0.	0.
402	402	2161	SLU_ENV	Max	64.64	0.	0.	0.
402	402	2151	SLU_ENV	Max	82.68	0.	0.	0.
402	402	1779	SLU_ENV	Max	107.86	0.	0.	0.
402	402	1866	SLU_ENV	Max	100.83	0.	0.	0.
402	402	2161	SLU_ENV	Min	3.43	0.	0.	0.
402	402	2151	SLU_ENV	Min	-4.63	0.	0.	0.
402	402	1779	SLU_ENV	Min	5.69	0.	0.	0.
402	402	1866	SLU_ENV	Min	-0.58	0.	0.	0.
402	402	2161	SLV_ENV	Max	146.77	0.	0.	0.
402	402	2151	SLV_ENV	Max	146.58	0.	0.	0.
402	402	1779	SLV_ENV	Max	103.54	0.	0.	0.
402	402	1866	SLV_ENV	Max	102.38	0.	0.	0.
402	402	2161	SLV_ENV	Min	-125.13	0.	0.	0.
402	402	2151	SLV_ENV	Min	-111.98	0.	0.	0.
402	402	1779	SLV_ENV	Min	-88.53	0.	0.	0.
402	402	1866	SLV_ENV	Min	-100.33	0.	0.	0.
403	403	2151	SLU_ENV	Max	85.16	0.	0.	0.
403	403	2164	SLU_ENV	Max	80.3	0.	0.	0.
403	403	1884	SLU_ENV	Max	51.41	0.	0.	0.
403	403	1779	SLU_ENV	Max	50.94	0.	0.	0.
403	403	2151	SLU_ENV	Min	-31.91	0.	0.	0.
403	403	2164	SLU_ENV	Min	-11.04	0.	0.	0.
403	403	1884	SLU_ENV	Min	-77.55	0.	0.	0.
403	403	1779	SLU_ENV	Min	-89.44	0.	0.	0.
403	403	2151	SLV_ENV	Max	165.05	0.	0.	0.
403	403	2164	SLV_ENV	Max	163.6	0.	0.	0.
403	403	1884	SLV_ENV	Max	150.44	0.	0.	0.
403	403	1779	SLV_ENV	Max	153.89	0.	0.	0.
403	403	2151	SLV_ENV	Min	-95.59	0.	0.	0.
403	403	2164	SLV_ENV	Min	-87.77	0.	0.	0.
403	403	1884	SLV_ENV	Min	-103.5	0.	0.	0.
403	403	1779	SLV_ENV	Min	-113.33	0.	0.	0.
413	413	2218	SLU_ENV	Max	-17.93	0.	0.	0.
413	413	2219	SLU_ENV	Max	152.79	0.	0.	0.
413	413	2201	SLU_ENV	Max	538.28	0.	0.	0.
413	413	2200	SLU_ENV	Max	338.8	0.	0.	0.
413	413	2218	SLU_ENV	Min	-84.55	0.	0.	0.

Table: Element Forces - Area Shells, Part 2 of 5

Area	AreaElem	Joint	OutputCase	StepType	F12	FMax	FMin	FAngle
					KN/m	KN/m	KN/m	Degrees
413	413	2219	SLU_ENV	Min	53.39	0.	0.	0.
413	413	2201	SLU_ENV	Min	229.79	0.	0.	0.
413	413	2200	SLU_ENV	Min	125.31	0.	0.	0.
413	413	2218	SLV_ENV	Max	163.65	0.	0.	0.
413	413	2219	SLV_ENV	Max	185.59	0.	0.	0.
413	413	2201	SLV_ENV	Max	800.65	0.	0.	0.
413	413	2200	SLV_ENV	Max	605.37	0.	0.	0.
413	413	2218	SLV_ENV	Min	-262.07	0.	0.	0.
413	413	2219	SLV_ENV	Min	-62.	0.	0.	0.
413	413	2201	SLV_ENV	Min	-298.1	0.	0.	0.
413	413	2200	SLV_ENV	Min	-324.83	0.	0.	0.
414	414	2200	SLU_ENV	Max	314.09	0.	0.	0.
414	414	2201	SLU_ENV	Max	238.58	0.	0.	0.
414	414	2183	SLU_ENV	Max	159.96	0.	0.	0.
414	414	2182	SLU_ENV	Max	235.31	0.	0.	0.
414	414	2200	SLU_ENV	Min	116.5	0.	0.	0.
414	414	2201	SLU_ENV	Min	79.26	0.	0.	0.
414	414	2183	SLU_ENV	Min	33.3	0.	0.	0.
414	414	2182	SLU_ENV	Min	74.24	0.	0.	0.
414	414	2200	SLV_ENV	Max	526.52	0.	0.	0.
414	414	2201	SLV_ENV	Max	463.37	0.	0.	0.
414	414	2183	SLV_ENV	Max	287.17	0.	0.	0.
414	414	2182	SLV_ENV	Max	337.89	0.	0.	0.
414	414	2200	SLV_ENV	Min	-265.9	0.	0.	0.
414	414	2201	SLV_ENV	Min	-285.16	0.	0.	0.
414	414	2183	SLV_ENV	Min	-199.18	0.	0.	0.
414	414	2182	SLV_ENV	Min	-167.5	0.	0.	0.
415	415	2182	SLU_ENV	Max	202.91	0.	0.	0.
415	415	2183	SLU_ENV	Max	173.4	0.	0.	0.
415	415	2165	SLU_ENV	Max	136.88	0.	0.	0.
415	415	2164	SLU_ENV	Max	165.9	0.	0.	0.
415	415	2182	SLU_ENV	Min	62.74	0.	0.	0.
415	415	2183	SLU_ENV	Min	35.48	0.	0.	0.
415	415	2165	SLU_ENV	Min	7.05	0.	0.	0.
415	415	2164	SLU_ENV	Min	40.53	0.	0.	0.
415	415	2182	SLV_ENV	Max	306.02	0.	0.	0.
415	415	2183	SLV_ENV	Max	299.09	0.	0.	0.
415	415	2165	SLV_ENV	Max	240.85	0.	0.	0.
415	415	2164	SLV_ENV	Max	205.38	0.	0.	0.
415	415	2182	SLV_ENV	Min	-160.69	0.	0.	0.
415	415	2183	SLV_ENV	Min	-206.83	0.	0.	0.
415	415	2165	SLV_ENV	Min	-196.83	0.	0.	0.
415	415	2164	SLV_ENV	Min	-108.28	0.	0.	0.
416	416	2164	SLU_ENV	Max	123.73	0.	0.	0.
416	416	2165	SLU_ENV	Max	73.84	0.	0.	0.
416	416	1885	SLU_ENV	Max	107.2	0.	0.	0.
416	416	1884	SLU_ENV	Max	158.48	0.	0.	0.
416	416	2164	SLU_ENV	Min	25.2	0.	0.	0.
416	416	2165	SLU_ENV	Min	14.71	0.	0.	0.
416	416	1885	SLU_ENV	Min	-6.58	0.	0.	0.
416	416	1884	SLU_ENV	Min	8.39	0.	0.	0.
416	416	2164	SLV_ENV	Max	149.73	0.	0.	0.
416	416	2165	SLV_ENV	Max	178.43	0.	0.	0.
416	416	1885	SLV_ENV	Max	161.67	0.	0.	0.

Table: Element Forces - Area Shells, Part 2 of 5

Area	AreaElem	Joint	OutputCase	StepType	F12	FMax	FMin	FAngle
					KN/m	KN/m	KN/m	Degrees
416	416	1884	SLV_ENV	Max	82.69	0.	0.	0.
416	416	2164	SLV_ENV	Min	-88.31	0.	0.	0.
416	416	2165	SLV_ENV	Min	-141.16	0.	0.	0.
416	416	1885	SLV_ENV	Min	-157.17	0.	0.	0.
416	416	1884	SLV_ENV	Min	-54.04	0.	0.	0.
417	417	2281	SLU_ENV	Max	2.04	0.	0.	0.
417	417	2573	SLU_ENV	Max	2.81	0.	0.	0.
417	417	2291	SLU_ENV	Max	-8.53	0.	0.	0.
417	417	2301	SLU_ENV	Max	-9.09	0.	0.	0.
417	417	2281	SLU_ENV	Min	-70.13	0.	0.	0.
417	417	2573	SLU_ENV	Min	-67.74	0.	0.	0.
417	417	2291	SLU_ENV	Min	-81.52	0.	0.	0.
417	417	2301	SLU_ENV	Min	-83.92	0.	0.	0.
417	417	2281	SLV_ENV	Max	269.21	0.	0.	0.
417	417	2573	SLV_ENV	Max	275.75	0.	0.	0.
417	417	2291	SLV_ENV	Max	116.46	0.	0.	0.
417	417	2301	SLV_ENV	Max	110.77	0.	0.	0.
417	417	2281	SLV_ENV	Min	-331.73	0.	0.	0.
417	417	2573	SLV_ENV	Min	-335.88	0.	0.	0.
417	417	2291	SLV_ENV	Min	-191.66	0.	0.	0.
417	417	2301	SLV_ENV	Min	-188.36	0.	0.	0.
418	418	2573	SLU_ENV	Max	3.3	0.	0.	0.
418	418	2912	SLU_ENV	Max	-6.41	0.	0.	0.
418	418	2572	SLU_ENV	Max	-25.68	0.	0.	0.
418	418	2291	SLU_ENV	Max	-22.59	0.	0.	0.
418	418	2573	SLU_ENV	Min	-68.9	0.	0.	0.
418	418	2912	SLU_ENV	Min	-46.77	0.	0.	0.
418	418	2572	SLU_ENV	Min	-71.75	0.	0.	0.
418	418	2291	SLU_ENV	Min	-82.17	0.	0.	0.
418	418	2573	SLV_ENV	Max	225.74	0.	0.	0.
418	418	2912	SLV_ENV	Max	351.44	0.	0.	0.
418	418	2572	SLV_ENV	Max	238.93	0.	0.	0.
418	418	2291	SLV_ENV	Max	71.82	0.	0.	0.
418	418	2573	SLV_ENV	Min	-281.53	0.	0.	0.
418	418	2912	SLV_ENV	Min	-383.2	0.	0.	0.
418	418	2572	SLV_ENV	Min	-300.24	0.	0.	0.
418	418	2291	SLV_ENV	Min	-145.75	0.	0.	0.
419	419	2291	SLU_ENV	Max	-16.98	0.	0.	0.
419	419	2205	SLU_ENV	Max	-38.74	0.	0.	0.
419	419	2215	SLU_ENV	Max	-35.17	0.	0.	0.
419	419	2301	SLU_ENV	Max	-14.08	0.	0.	0.
419	419	2291	SLU_ENV	Min	-98.19	0.	0.	0.
419	419	2205	SLU_ENV	Min	-107.68	0.	0.	0.
419	419	2215	SLU_ENV	Min	-98.93	0.	0.	0.
419	419	2301	SLU_ENV	Min	-90.92	0.	0.	0.
419	419	2291	SLV_ENV	Max	59.39	0.	0.	0.
419	419	2205	SLV_ENV	Max	88.72	0.	0.	0.
419	419	2215	SLV_ENV	Max	49.23	0.	0.	0.
419	419	2301	SLV_ENV	Max	70.2	0.	0.	0.
419	419	2291	SLV_ENV	Min	-149.82	0.	0.	0.
419	419	2205	SLV_ENV	Min	-180.49	0.	0.	0.
419	419	2215	SLV_ENV	Min	-135.18	0.	0.	0.
419	419	2301	SLV_ENV	Min	-154.81	0.	0.	0.
421	421	2205	SLU_ENV	Max	-32.95	0.	0.	0.

Table: Element Forces - Area Shells, Part 2 of 5

Area	AreaElem	Joint	OutputCase	StepType	F12	FMax	FMin	FAngle
					KN/m	KN/m	KN/m	Degrees
421	421	2311	SLU_ENV	Max	-27.34	0.	0.	0.
421	421	2321	SLU_ENV	Max	-28.34	0.	0.	0.
421	421	2215	SLU_ENV	Max	-33.6	0.	0.	0.
421	421	2205	SLU_ENV	Min	-92.1	0.	0.	0.
421	421	2311	SLU_ENV	Min	-79.87	0.	0.	0.
421	421	2321	SLU_ENV	Min	-85.55	0.	0.	0.
421	421	2215	SLU_ENV	Min	-97.79	0.	0.	0.
421	421	2205	SLV_ENV	Max	131.12	0.	0.	0.
421	421	2311	SLV_ENV	Max	329.57	0.	0.	0.
421	421	2321	SLV_ENV	Max	322.07	0.	0.	0.
421	421	2215	SLV_ENV	Max	121.54	0.	0.	0.
421	421	2205	SLV_ENV	Min	-206.56	0.	0.	0.
421	421	2311	SLV_ENV	Min	-392.67	0.	0.	0.
421	421	2321	SLV_ENV	Min	-387.95	0.	0.	0.
421	421	2215	SLV_ENV	Min	-199.76	0.	0.	0.
422	422	2311	SLU_ENV	Max	-27.19	0.	0.	0.
422	422	2331	SLU_ENV	Max	-32.79	0.	0.	0.
422	422	2341	SLU_ENV	Max	-34.08	0.	0.	0.
422	422	2321	SLU_ENV	Max	-28.68	0.	0.	0.
422	422	2311	SLU_ENV	Min	-82.58	0.	0.	0.
422	422	2331	SLU_ENV	Min	-106.69	0.	0.	0.
422	422	2341	SLU_ENV	Min	-111.59	0.	0.	0.
422	422	2321	SLU_ENV	Min	-87.42	0.	0.	0.
422	422	2311	SLV_ENV	Max	292.82	0.	0.	0.
422	422	2331	SLV_ENV	Max	267.36	0.	0.	0.
422	422	2341	SLV_ENV	Max	273.8	0.	0.	0.
422	422	2321	SLV_ENV	Max	297.27	0.	0.	0.
422	422	2311	SLV_ENV	Min	-356.13	0.	0.	0.
422	422	2331	SLV_ENV	Min	-344.09	0.	0.	0.
422	422	2341	SLV_ENV	Min	-353.84	0.	0.	0.
422	422	2321	SLV_ENV	Min	-363.88	0.	0.	0.
423	423	2281	SLU_ENV	Max	-2.14	0.	0.	0.
423	423	2301	SLU_ENV	Max	-17.37	0.	0.	0.
423	423	2300	SLU_ENV	Max	-17.81	0.	0.	0.
423	423	2280	SLU_ENV	Max	-2.75	0.	0.	0.
423	423	2281	SLU_ENV	Min	-78.31	0.	0.	0.
423	423	2301	SLU_ENV	Min	-78.28	0.	0.	0.
423	423	2300	SLU_ENV	Min	-77.81	0.	0.	0.
423	423	2280	SLU_ENV	Min	-76.65	0.	0.	0.
423	423	2281	SLV_ENV	Max	134.55	0.	0.	0.
423	423	2301	SLV_ENV	Max	107.04	0.	0.	0.
423	423	2300	SLV_ENV	Max	103.86	0.	0.	0.
423	423	2280	SLV_ENV	Max	129.1	0.	0.	0.
423	423	2281	SLV_ENV	Min	-206.66	0.	0.	0.
423	423	2301	SLV_ENV	Min	-181.47	0.	0.	0.
423	423	2300	SLV_ENV	Min	-177.27	0.	0.	0.
423	423	2280	SLV_ENV	Min	-200.2	0.	0.	0.
424	424	2301	SLU_ENV	Max	-21.77	0.	0.	0.
424	424	2215	SLU_ENV	Max	-35.47	0.	0.	0.
424	424	2214	SLU_ENV	Max	-34.28	0.	0.	0.
424	424	2300	SLU_ENV	Max	-21.57	0.	0.	0.
424	424	2301	SLU_ENV	Min	-88.43	0.	0.	0.
424	424	2215	SLU_ENV	Min	-105.63	0.	0.	0.
424	424	2214	SLU_ENV	Min	-98.55	0.	0.	0.

Table: Element Forces - Area Shells, Part 2 of 5

Area	AreaElem	Joint	OutputCase	StepType	F12	FMax	FMin	FAngle
					KN/m	KN/m	KN/m	Degrees
424	424	2300	SLU_ENV	Min	-81.36	0.	0.	0.
424	424	2301	SLV_ENV	Max	90.15	0.	0.	0.
424	424	2215	SLV_ENV	Max	13.96	0.	0.	0.
424	424	2214	SLV_ENV	Max	-8.78	0.	0.	0.
424	424	2300	SLV_ENV	Max	94.9	0.	0.	0.
424	424	2301	SLV_ENV	Min	-171.65	0.	0.	0.
424	424	2215	SLV_ENV	Min	-108.28	0.	0.	0.
424	424	2214	SLV_ENV	Min	-81.49	0.	0.	0.
424	424	2300	SLV_ENV	Min	-172.36	0.	0.	0.
425	425	2215	SLU_ENV	Max	-35.89	0.	0.	0.
425	425	2321	SLU_ENV	Max	-33.56	0.	0.	0.
425	425	2320	SLU_ENV	Max	-36.33	0.	0.	0.
425	425	2214	SLU_ENV	Max	-38.09	0.	0.	0.
425	425	2215	SLU_ENV	Min	-99.96	0.	0.	0.
425	425	2321	SLU_ENV	Min	-103.48	0.	0.	0.
425	425	2320	SLU_ENV	Min	-112.67	0.	0.	0.
425	425	2214	SLU_ENV	Min	-106.93	0.	0.	0.
425	425	2215	SLV_ENV	Max	88.23	0.	0.	0.
425	425	2321	SLV_ENV	Max	235.43	0.	0.	0.
425	425	2320	SLV_ENV	Max	252.16	0.	0.	0.
425	425	2214	SLV_ENV	Max	106.12	0.	0.	0.
425	425	2215	SLV_ENV	Min	-174.82	0.	0.	0.
425	425	2321	SLV_ENV	Min	-313.86	0.	0.	0.
425	425	2320	SLV_ENV	Min	-338.41	0.	0.	0.
425	425	2214	SLV_ENV	Min	-200.54	0.	0.	0.
433	433	689	SLU_ENV	Max	-1.3	0.	0.	0.
433	433	145	SLU_ENV	Max	-19.36	0.	0.	0.
433	433	144	SLU_ENV	Max	-37.5	0.	0.	0.
433	433	688	SLU_ENV	Max	-19.63	0.	0.	0.
433	433	689	SLU_ENV	Min	-54.81	0.	0.	0.
433	433	145	SLU_ENV	Min	-50.75	0.	0.	0.
433	433	144	SLU_ENV	Min	-79.93	0.	0.	0.
433	433	688	SLU_ENV	Min	-83.72	0.	0.	0.
433	433	689	SLV_ENV	Max	343.04	0.	0.	0.
433	433	145	SLV_ENV	Max	55.61	0.	0.	0.
433	433	144	SLV_ENV	Max	28.19	0.	0.	0.
433	433	688	SLV_ENV	Max	307.82	0.	0.	0.
433	433	689	SLV_ENV	Min	-397.11	0.	0.	0.
433	433	145	SLV_ENV	Min	-107.27	0.	0.	0.
433	433	144	SLV_ENV	Min	-112.61	0.	0.	0.
433	433	688	SLV_ENV	Min	-394.65	0.	0.	0.
434	434	669	SLU_ENV	Max	-1.268E-02	0.	0.	0.
434	434	689	SLU_ENV	Max	-7.33	0.	0.	0.
434	434	688	SLU_ENV	Max	-9.49	0.	0.	0.
434	434	668	SLU_ENV	Max	-3.7	0.	0.	0.
434	434	669	SLU_ENV	Min	-6.53	0.	0.	0.
434	434	689	SLU_ENV	Min	-40.83	0.	0.	0.
434	434	688	SLU_ENV	Min	-52.28	0.	0.	0.
434	434	668	SLU_ENV	Min	-14.55	0.	0.	0.
434	434	669	SLV_ENV	Max	158.93	0.	0.	0.
434	434	689	SLV_ENV	Max	186.17	0.	0.	0.
434	434	688	SLV_ENV	Max	227.12	0.	0.	0.
434	434	668	SLV_ENV	Max	167.29	0.	0.	0.
434	434	669	SLV_ENV	Min	-164.62	0.	0.	0.

Table: Element Forces - Area Shells, Part 2 of 5

Area	AreaElem	Joint	OutputCase	StepType	F12 KN/m	FMax KN/m	FMin KN/m	FAngle Degrees
434	434	689	SLV_ENV	Min	-228.02	0.	0.	0.
434	434	688	SLV_ENV	Min	-280.09	0.	0.	0.
434	434	668	SLV_ENV	Min	-184.1	0.	0.	0.
435	435	145	SLU_ENV	Max	15.61	0.	0.	0.
435	435	709	SLU_ENV	Max	63.34	0.	0.	0.
435	435	708	SLU_ENV	Max	22.44	0.	0.	0.
435	435	144	SLU_ENV	Max	-6.6	0.	0.	0.
435	435	145	SLU_ENV	Min	-3.54	0.	0.	0.
435	435	709	SLU_ENV	Min	25.88	0.	0.	0.
435	435	708	SLU_ENV	Min	10.64	0.	0.	0.
435	435	144	SLU_ENV	Min	-35.67	0.	0.	0.
435	435	145	SLV_ENV	Max	214.08	0.	0.	0.
435	435	709	SLV_ENV	Max	397.67	0.	0.	0.
435	435	708	SLV_ENV	Max	302.94	0.	0.	0.
435	435	144	SLV_ENV	Max	243.47	0.	0.	0.
435	435	145	SLV_ENV	Min	-201.29	0.	0.	0.
435	435	709	SLV_ENV	Min	-336.22	0.	0.	0.
435	435	708	SLV_ENV	Min	-277.32	0.	0.	0.
435	435	144	SLV_ENV	Min	-266.5	0.	0.	0.
436	436	709	SLU_ENV	Max	16.62	0.	0.	0.
436	436	729	SLU_ENV	Max	-12.36	0.	0.	0.
436	436	728	SLU_ENV	Max	-15.11	0.	0.	0.
436	436	708	SLU_ENV	Max	8.38	0.	0.	0.
436	436	709	SLU_ENV	Min	5.11	0.	0.	0.
436	436	729	SLU_ENV	Min	-33.67	0.	0.	0.
436	436	728	SLU_ENV	Min	-42.28	0.	0.	0.
436	436	708	SLU_ENV	Min	1.96	0.	0.	0.
436	436	709	SLV_ENV	Max	182.34	0.	0.	0.
436	436	729	SLV_ENV	Max	138.24	0.	0.	0.
436	436	728	SLV_ENV	Max	171.63	0.	0.	0.
436	436	708	SLV_ENV	Max	208.65	0.	0.	0.
436	436	709	SLV_ENV	Min	-169.42	0.	0.	0.
436	436	729	SLV_ENV	Min	-167.21	0.	0.	0.
436	436	728	SLV_ENV	Min	-206.99	0.	0.	0.
436	436	708	SLV_ENV	Min	-202.12	0.	0.	0.
437	437	668	SLU_ENV	Max	-17.99	0.	0.	0.
437	437	688	SLU_ENV	Max	-45.48	0.	0.	0.
437	437	675	SLU_ENV	Max	-51.07	0.	0.	0.
437	437	655	SLU_ENV	Max	-23.64	0.	0.	0.
437	437	668	SLU_ENV	Min	-68.13	0.	0.	0.
437	437	688	SLU_ENV	Min	-99.65	0.	0.	0.
437	437	675	SLU_ENV	Min	-108.87	0.	0.	0.
437	437	655	SLU_ENV	Min	-76.8	0.	0.	0.
437	437	668	SLV_ENV	Max	267.01	0.	0.	0.
437	437	688	SLV_ENV	Max	105.	0.	0.	0.
437	437	675	SLV_ENV	Max	96.73	0.	0.	0.
437	437	655	SLV_ENV	Max	257.72	0.	0.	0.
437	437	668	SLV_ENV	Min	-339.99	0.	0.	0.
437	437	688	SLV_ENV	Min	-220.08	0.	0.	0.
437	437	675	SLV_ENV	Min	-222.88	0.	0.	0.
437	437	655	SLV_ENV	Min	-341.77	0.	0.	0.
438	438	688	SLU_ENV	Max	-55.58	0.	0.	0.
438	438	144	SLU_ENV	Max	-30.25	0.	0.	0.
438	438	131	SLU_ENV	Max	-40.95	0.	0.	0.

Table: Element Forces - Area Shells, Part 2 of 5

Area	AreaElem	Joint	OutputCase	StepType	F12 KN/m	FMax KN/m	FMin KN/m	FAngle Degrees
438	438	675	SLU_ENV	Max	-65.61	0.	0.	0.
438	438	688	SLU_ENV	Min	-130.88	0.	0.	0.
438	438	144	SLU_ENV	Min	-90.18	0.	0.	0.
438	438	131	SLU_ENV	Min	-100.07	0.	0.	0.
438	438	675	SLU_ENV	Min	-137.7	0.	0.	0.
438	438	688	SLV_ENV	Max	179.82	0.	0.	0.
438	438	144	SLV_ENV	Max	180.58	0.	0.	0.
438	438	131	SLV_ENV	Max	102.75	0.	0.	0.
438	438	675	SLV_ENV	Max	95.	0.	0.	0.
438	438	688	SLV_ENV	Min	-328.87	0.	0.	0.
438	438	144	SLV_ENV	Min	-278.02	0.	0.	0.
438	438	131	SLV_ENV	Min	-211.96	0.	0.	0.
438	438	675	SLV_ENV	Min	-255.83	0.	0.	0.
439	439	144	SLU_ENV	Max	-13.24	0.	0.	0.
439	439	708	SLU_ENV	Max	-11.44	0.	0.	0.
439	439	695	SLU_ENV	Max	-10.68	0.	0.	0.
439	439	131	SLU_ENV	Max	-14.28	0.	0.	0.
439	439	144	SLU_ENV	Min	-40.1	0.	0.	0.
439	439	708	SLU_ENV	Min	-41.05	0.	0.	0.
439	439	695	SLU_ENV	Min	-45.89	0.	0.	0.
439	439	131	SLU_ENV	Min	-43.83	0.	0.	0.
439	439	144	SLV_ENV	Max	237.29	0.	0.	0.
439	439	708	SLV_ENV	Max	308.9	0.	0.	0.
439	439	695	SLV_ENV	Max	346.57	0.	0.	0.
439	439	131	SLV_ENV	Max	258.17	0.	0.	0.
439	439	144	SLV_ENV	Min	-273.34	0.	0.	0.
439	439	708	SLV_ENV	Min	-337.12	0.	0.	0.
439	439	695	SLV_ENV	Min	-375.41	0.	0.	0.
439	439	131	SLV_ENV	Min	-294.84	0.	0.	0.
440	440	708	SLU_ENV	Max	-20.6	0.	0.	0.
440	440	728	SLU_ENV	Max	-31.56	0.	0.	0.
440	440	715	SLU_ENV	Max	-38.44	0.	0.	0.
440	440	695	SLU_ENV	Max	-27.78	0.	0.	0.
440	440	708	SLU_ENV	Min	-53.95	0.	0.	0.
440	440	728	SLU_ENV	Min	-70.47	0.	0.	0.
440	440	715	SLU_ENV	Min	-82.29	0.	0.	0.
440	440	695	SLU_ENV	Min	-65.06	0.	0.	0.
440	440	708	SLV_ENV	Max	231.06	0.	0.	0.
440	440	728	SLV_ENV	Max	189.35	0.	0.	0.
440	440	715	SLV_ENV	Max	175.22	0.	0.	0.
440	440	695	SLV_ENV	Max	216.92	0.	0.	0.
440	440	708	SLV_ENV	Min	-278.23	0.	0.	0.
440	440	728	SLV_ENV	Min	-262.44	0.	0.	0.
440	440	715	SLV_ENV	Min	-263.71	0.	0.	0.
440	440	695	SLV_ENV	Min	-279.48	0.	0.	0.
441	441	675	SLU_ENV	Max	-75.71	0.	0.	0.
441	441	131	SLU_ENV	Max	-75.06	0.	0.	0.
441	441	141	SLU_ENV	Max	-77.03	0.	0.	0.
441	441	685	SLU_ENV	Max	-77.84	0.	0.	0.
441	441	675	SLU_ENV	Min	-165.68	0.	0.	0.
441	441	131	SLU_ENV	Min	-162.24	0.	0.	0.
441	441	141	SLU_ENV	Min	-164.85	0.	0.	0.
441	441	685	SLU_ENV	Min	-167.09	0.	0.	0.
441	441	675	SLV_ENV	Max	143.79	0.	0.	0.

Table: Element Forces - Area Shells, Part 2 of 5

Area	AreaElem	Joint	OutputCase	StepType	F12	FMax	FMin	FAngle
					KN/m	KN/m	KN/m	Degrees
441	441	131	SLV_ENV	Max	117.66	0.	0.	0.
441	441	141	SLV_ENV	Max	75.43	0.	0.	0.
441	441	685	SLV_ENV	Max	99.31	0.	0.	0.
441	441	675	SLV_ENV	Min	-339.78	0.	0.	0.
441	441	131	SLV_ENV	Min	-304.17	0.	0.	0.
441	441	141	SLV_ENV	Min	-265.87	0.	0.	0.
441	441	685	SLV_ENV	Min	-299.24	0.	0.	0.
442	442	655	SLU_ENV	Max	-33.84	0.	0.	0.
442	442	675	SLU_ENV	Max	-61.14	0.	0.	0.
442	442	685	SLU_ENV	Max	-60.62	0.	0.	0.
442	442	665	SLU_ENV	Max	-33.38	0.	0.	0.
442	442	655	SLU_ENV	Min	-94.18	0.	0.	0.
442	442	675	SLU_ENV	Min	-135.78	0.	0.	0.
442	442	685	SLU_ENV	Min	-136.66	0.	0.	0.
442	442	665	SLU_ENV	Min	-94.49	0.	0.	0.
442	442	655	SLV_ENV	Max	276.59	0.	0.	0.
442	442	675	SLV_ENV	Max	156.86	0.	0.	0.
442	442	685	SLV_ENV	Max	163.99	0.	0.	0.
442	442	665	SLV_ENV	Max	282.98	0.	0.	0.
442	442	655	SLV_ENV	Min	-384.99	0.	0.	0.
442	442	675	SLV_ENV	Min	-318.1	0.	0.	0.
442	442	685	SLV_ENV	Min	-326.47	0.	0.	0.
442	442	665	SLV_ENV	Min	-392.63	0.	0.	0.
443	443	131	SLU_ENV	Max	-50.26	0.	0.	0.
443	443	695	SLU_ENV	Max	-25.45	0.	0.	0.
443	443	705	SLU_ENV	Max	-38.58	0.	0.	0.
443	443	141	SLU_ENV	Max	-59.11	0.	0.	0.
443	443	131	SLU_ENV	Min	-104.85	0.	0.	0.
443	443	695	SLU_ENV	Min	-69.4	0.	0.	0.
443	443	705	SLU_ENV	Min	-87.76	0.	0.	0.
443	443	141	SLU_ENV	Min	-131.09	0.	0.	0.
443	443	131	SLV_ENV	Max	212.92	0.	0.	0.
443	443	695	SLV_ENV	Max	415.72	0.	0.	0.
443	443	705	SLV_ENV	Max	358.33	0.	0.	0.
443	443	141	SLV_ENV	Max	183.58	0.	0.	0.
443	443	131	SLV_ENV	Min	-326.88	0.	0.	0.
443	443	695	SLV_ENV	Min	-476.02	0.	0.	0.
443	443	705	SLV_ENV	Min	-447.57	0.	0.	0.
443	443	141	SLV_ENV	Min	-326.48	0.	0.	0.
444	444	695	SLU_ENV	Max	-41.6	0.	0.	0.
444	444	715	SLU_ENV	Max	-67.13	0.	0.	0.
444	444	725	SLU_ENV	Max	-69.31	0.	0.	0.
444	444	705	SLU_ENV	Max	-43.78	0.	0.	0.
444	444	695	SLU_ENV	Min	-88.68	0.	0.	0.
444	444	715	SLU_ENV	Min	-134.85	0.	0.	0.
444	444	725	SLU_ENV	Min	-139.78	0.	0.	0.
444	444	705	SLU_ENV	Min	-93.48	0.	0.	0.
444	444	695	SLV_ENV	Max	283.5	0.	0.	0.
444	444	715	SLV_ENV	Max	175.46	0.	0.	0.
444	444	725	SLV_ENV	Max	198.68	0.	0.	0.
444	444	705	SLV_ENV	Max	313.97	0.	0.	0.
444	444	695	SLV_ENV	Min	-377.42	0.	0.	0.
444	444	715	SLV_ENV	Min	-326.	0.	0.	0.
444	444	725	SLV_ENV	Min	-354.37	0.	0.	0.

Table: Element Forces - Area Shells, Part 2 of 5

Area	AreaElem	Joint	OutputCase	StepType	F12 KN/m	FMax KN/m	FMin KN/m	FAngle Degrees
444	444	705	SLV_ENV	Min	-413.04	0.	0.	0.
445	445	665	SLU_ENV	Max	-47.59	0.	0.	0.
445	445	685	SLU_ENV	Max	-57.48	0.	0.	0.
445	445	684	SLU_ENV	Max	-60.46	0.	0.	0.
445	445	664	SLU_ENV	Max	-50.79	0.	0.	0.
445	445	665	SLU_ENV	Min	-124.55	0.	0.	0.
445	445	685	SLU_ENV	Min	-135.19	0.	0.	0.
445	445	684	SLU_ENV	Min	-140.79	0.	0.	0.
445	445	664	SLU_ENV	Min	-129.81	0.	0.	0.
445	445	665	SLV_ENV	Max	273.15	0.	0.	0.
445	445	685	SLV_ENV	Max	140.69	0.	0.	0.
445	445	684	SLV_ENV	Max	125.23	0.	0.	0.
445	445	664	SLV_ENV	Max	262.14	0.	0.	0.
445	445	665	SLV_ENV	Min	-421.26	0.	0.	0.
445	445	685	SLV_ENV	Min	-302.19	0.	0.	0.
445	445	684	SLV_ENV	Min	-293.69	0.	0.	0.
445	445	664	SLV_ENV	Min	-417.21	0.	0.	0.
446	446	685	SLU_ENV	Max	-74.33	0.	0.	0.
446	446	141	SLU_ENV	Max	-109.93	0.	0.	0.
446	446	140	SLU_ENV	Max	-97.7	0.	0.	0.
446	446	684	SLU_ENV	Max	-61.95	0.	0.	0.
446	446	685	SLU_ENV	Min	-165.65	0.	0.	0.
446	446	141	SLU_ENV	Min	-204.03	0.	0.	0.
446	446	140	SLU_ENV	Min	-180.6	0.	0.	0.
446	446	684	SLU_ENV	Min	-143.82	0.	0.	0.
446	446	685	SLV_ENV	Max	84.86	0.	0.	0.
446	446	141	SLV_ENV	Max	-25.42	0.	0.	0.
446	446	140	SLV_ENV	Max	-29.61	0.	0.	0.
446	446	684	SLV_ENV	Max	84.88	0.	0.	0.
446	446	685	SLV_ENV	Min	-283.99	0.	0.	0.
446	446	141	SLV_ENV	Min	-224.64	0.	0.	0.
446	446	140	SLV_ENV	Min	-193.41	0.	0.	0.
446	446	684	SLV_ENV	Min	-256.97	0.	0.	0.
447	447	141	SLU_ENV	Max	-89.82	0.	0.	0.
447	447	705	SLU_ENV	Max	-60.3	0.	0.	0.
447	447	704	SLU_ENV	Max	-72.57	0.	0.	0.
447	447	140	SLU_ENV	Max	-102.08	0.	0.	0.
447	447	141	SLU_ENV	Min	-168.59	0.	0.	0.
447	447	705	SLU_ENV	Min	-127.3	0.	0.	0.
447	447	704	SLU_ENV	Min	-149.12	0.	0.	0.
447	447	140	SLU_ENV	Min	-189.34	0.	0.	0.
447	447	141	SLV_ENV	Max	86.36	0.	0.	0.
447	447	705	SLV_ENV	Max	200.15	0.	0.	0.
447	447	704	SLV_ENV	Max	182.55	0.	0.	0.
447	447	140	SLV_ENV	Max	44.23	0.	0.	0.
447	447	141	SLV_ENV	Min	-288.87	0.	0.	0.
447	447	705	SLV_ENV	Min	-339.35	0.	0.	0.
447	447	704	SLV_ENV	Min	-349.3	0.	0.	0.
447	447	140	SLV_ENV	Min	-274.29	0.	0.	0.
448	448	705	SLU_ENV	Max	-64.92	0.	0.	0.
448	448	725	SLU_ENV	Max	-63.79	0.	0.	0.
448	448	724	SLU_ENV	Max	-64.32	0.	0.	0.
448	448	704	SLU_ENV	Max	-65.34	0.	0.	0.
448	448	705	SLU_ENV	Min	-133.44	0.	0.	0.

Table: Element Forces - Area Shells, Part 2 of 5

Area	AreaElem	Joint	OutputCase	StepType	F12 KN/m	FMax KN/m	FMin KN/m	FAngle Degrees
448	448	725	SLU_ENV	Min	-133.57	0.	0.	0.
448	448	724	SLU_ENV	Min	-135.76	0.	0.	0.
448	448	704	SLU_ENV	Min	-135.55	0.	0.	0.
448	448	705	SLV_ENV	Max	182.48	0.	0.	0.
448	448	725	SLV_ENV	Max	285.69	0.	0.	0.
448	448	724	SLV_ENV	Max	285.66	0.	0.	0.
448	448	704	SLV_ENV	Max	179.22	0.	0.	0.
448	448	705	SLV_ENV	Min	-331.59	0.	0.	0.
448	448	725	SLV_ENV	Min	-431.35	0.	0.	0.
448	448	724	SLV_ENV	Min	-433.18	0.	0.	0.
448	448	704	SLV_ENV	Min	-330.18	0.	0.	0.
449	449	664	SLU_ENV	Max	-64.41	0.	0.	0.
449	449	684	SLU_ENV	Max	-59.4	0.	0.	0.
449	449	683	SLU_ENV	Max	-59.26	0.	0.	0.
449	449	663	SLU_ENV	Max	-64.28	0.	0.	0.
449	449	664	SLU_ENV	Min	-146.92	0.	0.	0.
449	449	684	SLU_ENV	Min	-129.81	0.	0.	0.
449	449	683	SLU_ENV	Min	-126.96	0.	0.	0.
449	449	663	SLU_ENV	Min	-143.84	0.	0.	0.
449	449	664	SLV_ENV	Max	159.96	0.	0.	0.
449	449	684	SLV_ENV	Max	119.49	0.	0.	0.
449	449	683	SLV_ENV	Max	84.92	0.	0.	0.
449	449	663	SLV_ENV	Max	144.48	0.	0.	0.
449	449	664	SLV_ENV	Min	-339.81	0.	0.	0.
449	449	684	SLV_ENV	Min	-279.32	0.	0.	0.
449	449	683	SLV_ENV	Min	-241.87	0.	0.	0.
449	449	663	SLV_ENV	Min	-321.46	0.	0.	0.
450	450	684	SLU_ENV	Max	-60.96	0.	0.	0.
450	450	140	SLU_ENV	Max	-70.22	0.	0.	0.
450	450	139	SLU_ENV	Max	-65.45	0.	0.	0.
450	450	683	SLU_ENV	Max	-53.04	0.	0.	0.
450	450	684	SLU_ENV	Min	-133.26	0.	0.	0.
450	450	140	SLU_ENV	Min	-145.52	0.	0.	0.
450	450	139	SLU_ENV	Min	-132.1	0.	0.	0.
450	450	683	SLU_ENV	Min	-119.27	0.	0.	0.
450	450	684	SLV_ENV	Max	109.43	0.	0.	0.
450	450	140	SLV_ENV	Max	-10.75	0.	0.	0.
450	450	139	SLV_ENV	Max	6.66	0.	0.	0.
450	450	683	SLV_ENV	Max	189.86	0.	0.	0.
450	450	684	SLV_ENV	Min	-272.98	0.	0.	0.
450	450	140	SLV_ENV	Min	-164.42	0.	0.	0.
450	450	139	SLV_ENV	Min	-167.47	0.	0.	0.
450	450	683	SLV_ENV	Min	-339.06	0.	0.	0.
451	451	140	SLU_ENV	Max	-76.61	0.	0.	0.
451	451	704	SLU_ENV	Max	-83.99	0.	0.	0.
451	451	703	SLU_ENV	Max	-82.09	0.	0.	0.
451	451	139	SLU_ENV	Max	-74.26	0.	0.	0.
451	451	140	SLU_ENV	Min	-153.62	0.	0.	0.
451	451	704	SLU_ENV	Min	-166.17	0.	0.	0.
451	451	703	SLU_ENV	Min	-167.56	0.	0.	0.
451	451	139	SLU_ENV	Min	-152.87	0.	0.	0.
451	451	140	SLV_ENV	Max	22.17	0.	0.	0.
451	451	704	SLV_ENV	Max	169.83	0.	0.	0.
451	451	703	SLV_ENV	Max	238.65	0.	0.	0.

Table: Element Forces - Area Shells, Part 2 of 5

Area	AreaElem	Joint	OutputCase	StepType	F12 KN/m	FMax KN/m	FMin KN/m	FAngle Degrees
451	451	139	SLV_ENV	Max	89.79	0.	0.	0.
451	451	140	SLV_ENV	Min	-204.37	0.	0.	0.
451	451	704	SLV_ENV	Min	-361.45	0.	0.	0.
451	451	703	SLV_ENV	Min	-427.87	0.	0.	0.
451	451	139	SLV_ENV	Min	-269.59	0.	0.	0.
452	452	704	SLU_ENV	Max	-76.84	0.	0.	0.
452	452	724	SLU_ENV	Max	-67.24	0.	0.	0.
452	452	723	SLU_ENV	Max	-69.6	0.	0.	0.
452	452	703	SLU_ENV	Max	-79.17	0.	0.	0.
452	452	704	SLU_ENV	Min	-153.	0.	0.	0.
452	452	724	SLU_ENV	Min	-137.9	0.	0.	0.
452	452	723	SLU_ENV	Min	-139.24	0.	0.	0.
452	452	703	SLU_ENV	Min	-154.3	0.	0.	0.
452	452	704	SLV_ENV	Max	177.13	0.	0.	0.
452	452	724	SLV_ENV	Max	199.24	0.	0.	0.
452	452	723	SLV_ENV	Max	168.	0.	0.	0.
452	452	703	SLV_ENV	Max	143.17	0.	0.	0.
452	452	704	SLV_ENV	Min	-353.04	0.	0.	0.
452	452	724	SLV_ENV	Min	-354.87	0.	0.	0.
452	452	723	SLV_ENV	Min	-328.41	0.	0.	0.
452	452	703	SLV_ENV	Min	-323.85	0.	0.	0.
550	550	2311	SLU_ENV	Max	-28.99	0.	0.	0.
550	550	2324	SLU_ENV	Max	-27.9	0.	0.	0.
550	550	2344	SLU_ENV	Max	-21.15	0.	0.	0.
550	550	2331	SLU_ENV	Max	-22.21	0.	0.	0.
550	550	2311	SLU_ENV	Min	-73.53	0.	0.	0.
550	550	2324	SLU_ENV	Min	-70.15	0.	0.	0.
550	550	2344	SLU_ENV	Min	-81.25	0.	0.	0.
550	550	2331	SLU_ENV	Min	-84.64	0.	0.	0.
550	550	2311	SLV_ENV	Max	148.91	0.	0.	0.
550	550	2324	SLV_ENV	Max	156.51	0.	0.	0.
550	550	2344	SLV_ENV	Max	327.16	0.	0.	0.
550	550	2331	SLV_ENV	Max	325.44	0.	0.	0.
550	550	2311	SLV_ENV	Min	-213.7	0.	0.	0.
550	550	2324	SLV_ENV	Min	-218.79	0.	0.	0.
550	550	2344	SLV_ENV	Min	-378.13	0.	0.	0.
550	550	2331	SLV_ENV	Min	-378.92	0.	0.	0.
551	551	2324	SLU_ENV	Max	-14.27	0.	0.	0.
551	551	2821	SLU_ENV	Max	-11.84	0.	0.	0.
551	551	2574	SLU_ENV	Max	-20.35	0.	0.	0.
551	551	2344	SLU_ENV	Max	-20.99	0.	0.	0.
551	551	2324	SLU_ENV	Min	-42.29	0.	0.	0.
551	551	2821	SLU_ENV	Min	-38.45	0.	0.	0.
551	551	2574	SLU_ENV	Min	-53.43	0.	0.	0.
551	551	2344	SLU_ENV	Min	-58.14	0.	0.	0.
551	551	2324	SLV_ENV	Max	128.93	0.	0.	0.
551	551	2821	SLV_ENV	Max	94.97	0.	0.	0.
551	551	2574	SLV_ENV	Max	139.89	0.	0.	0.
551	551	2344	SLV_ENV	Max	175.71	0.	0.	0.
551	551	2324	SLV_ENV	Min	-168.58	0.	0.	0.
551	551	2821	SLV_ENV	Min	-132.64	0.	0.	0.
551	551	2574	SLV_ENV	Min	-185.95	0.	0.	0.
551	551	2344	SLV_ENV	Min	-223.74	0.	0.	0.
553	553	2821	SLU_ENV	Max	-2.14	0.	0.	0.

Table: Element Forces - Area Shells, Part 2 of 5

Area	AreaElem	Joint	OutputCase	StepType	F12	FMax	FMin	FAngle
					KN/m	KN/m	KN/m	Degrees
553	553	2911	SLU_ENV	Max	12.31	0.	0.	0.
553	553	2345	SLU_ENV	Max	-20.28	0.	0.	0.
553	553	2574	SLU_ENV	Max	-18.47	0.	0.	0.
553	553	2821	SLU_ENV	Min	-15.55	0.	0.	0.
553	553	2911	SLU_ENV	Min	-6.98	0.	0.	0.
553	553	2345	SLU_ENV	Min	-49.02	0.	0.	0.
553	553	2574	SLU_ENV	Min	-44.27	0.	0.	0.
553	553	2821	SLV_ENV	Max	80.92	0.	0.	0.
553	553	2911	SLV_ENV	Max	169.67	0.	0.	0.
553	553	2345	SLV_ENV	Max	206.37	0.	0.	0.
553	553	2574	SLV_ENV	Max	185.75	0.	0.	0.
553	553	2821	SLV_ENV	Min	-101.35	0.	0.	0.
553	553	2911	SLV_ENV	Min	-178.93	0.	0.	0.
553	553	2345	SLV_ENV	Min	-250.81	0.	0.	0.
553	553	2574	SLV_ENV	Min	-226.55	0.	0.	0.
554	554	2588	SLU_ENV	Max	-1.199E-02	0.	0.	0.
554	554	2566	SLU_ENV	Max	-1.2	0.	0.	0.
554	554	2564	SLU_ENV	Max	-1.35	0.	0.	0.
554	554	2804	SLU_ENV	Max	-0.17	0.	0.	0.
554	554	2588	SLU_ENV	Min	-1.5	0.	0.	0.
554	554	2566	SLU_ENV	Min	-6.49	0.	0.	0.
554	554	2564	SLU_ENV	Min	-6.02	0.	0.	0.
554	554	2804	SLU_ENV	Min	-1.	0.	0.	0.
554	554	2588	SLV_ENV	Max	25.58	0.	0.	0.
554	554	2566	SLV_ENV	Max	71.82	0.	0.	0.
554	554	2564	SLV_ENV	Max	59.11	0.	0.	0.
554	554	2804	SLV_ENV	Max	12.99	0.	0.	0.
554	554	2588	SLV_ENV	Min	-25.69	0.	0.	0.
554	554	2566	SLV_ENV	Min	-74.51	0.	0.	0.
554	554	2564	SLV_ENV	Min	-62.12	0.	0.	0.
554	554	2804	SLV_ENV	Min	-13.41	0.	0.	0.
555	555	2811	SLU_ENV	Max	25.49	0.	0.	0.
555	555	2806	SLU_ENV	Max	3.91	0.	0.	0.
555	555	2566	SLU_ENV	Max	1.62	0.	0.	0.
555	555	2588	SLU_ENV	Max	28.14	0.	0.	0.
555	555	2811	SLU_ENV	Min	12.05	0.	0.	0.
555	555	2806	SLU_ENV	Min	-2.49	0.	0.	0.
555	555	2566	SLU_ENV	Min	6.358E-02	0.	0.	0.
555	555	2588	SLU_ENV	Min	11.25	0.	0.	0.
555	555	2811	SLV_ENV	Max	98.27	0.	0.	0.
555	555	2806	SLV_ENV	Max	61.83	0.	0.	0.
555	555	2566	SLV_ENV	Max	63.65	0.	0.	0.
555	555	2588	SLV_ENV	Max	107.87	0.	0.	0.
555	555	2811	SLV_ENV	Min	-72.05	0.	0.	0.
555	555	2806	SLV_ENV	Min	-65.04	0.	0.	0.
555	555	2566	SLV_ENV	Min	-63.38	0.	0.	0.
555	555	2588	SLV_ENV	Min	-78.16	0.	0.	0.
556	556	2205	SLU_ENV	Max	-15.88	0.	0.	0.
556	556	2218	SLU_ENV	Max	-13.38	0.	0.	0.
556	556	2324	SLU_ENV	Max	-28.94	0.	0.	0.
556	556	2311	SLU_ENV	Max	-28.62	0.	0.	0.
556	556	2205	SLU_ENV	Min	-63.27	0.	0.	0.
556	556	2218	SLU_ENV	Min	-56.78	0.	0.	0.
556	556	2324	SLU_ENV	Min	-65.5	0.	0.	0.

Table: Element Forces - Area Shells, Part 2 of 5

Area	AreaElem	Joint	OutputCase	StepType	F12 KN/m	FMax KN/m	FMin KN/m	FAngle Degrees
556	556	2311	SLU_ENV	Min	-71.79	0.	0.	0.
556	556	2205	SLV_ENV	Max	238.2	0.	0.	0.
556	556	2218	SLV_ENV	Max	162.04	0.	0.	0.
556	556	2324	SLV_ENV	Max	107.1	0.	0.	0.
556	556	2311	SLV_ENV	Max	195.08	0.	0.	0.
556	556	2205	SLV_ENV	Min	-278.74	0.	0.	0.
556	556	2218	SLV_ENV	Min	-201.59	0.	0.	0.
556	556	2324	SLV_ENV	Min	-170.6	0.	0.	0.
556	556	2311	SLV_ENV	Min	-259.58	0.	0.	0.
557	557	2218	SLU_ENV	Max	-4.52	0.	0.	0.
557	557	2219	SLU_ENV	Max	4.45	0.	0.	0.
557	557	2821	SLU_ENV	Max	-6.81	0.	0.	0.
557	557	2324	SLU_ENV	Max	-13.03	0.	0.	0.
557	557	2218	SLU_ENV	Min	-30.26	0.	0.	0.
557	557	2219	SLU_ENV	Min	-21.46	0.	0.	0.
557	557	2821	SLU_ENV	Min	-31.99	0.	0.	0.
557	557	2324	SLU_ENV	Min	-48.06	0.	0.	0.
557	557	2218	SLV_ENV	Max	137.87	0.	0.	0.
557	557	2219	SLV_ENV	Max	127.69	0.	0.	0.
557	557	2821	SLV_ENV	Max	143.76	0.	0.	0.
557	557	2324	SLV_ENV	Max	92.68	0.	0.	0.
557	557	2218	SLV_ENV	Min	-161.71	0.	0.	0.
557	557	2219	SLV_ENV	Min	-151.71	0.	0.	0.
557	557	2821	SLV_ENV	Min	-181.76	0.	0.	0.
557	557	2324	SLV_ENV	Min	-145.73	0.	0.	0.
558	558	2219	SLU_ENV	Max	11.82	0.	0.	0.
558	558	2911	SLU_ENV	Max	32.84	0.	0.	0.
558	558	2821	SLU_ENV	Max	-6.03	0.	0.	0.
558	558	2219	SLU_ENV	Min	4.32	0.	0.	0.
558	558	2911	SLU_ENV	Min	0.87	0.	0.	0.
558	558	2821	SLU_ENV	Min	-25.31	0.	0.	0.
558	558	2219	SLV_ENV	Max	156.89	0.	0.	0.
558	558	2911	SLV_ENV	Max	254.85	0.	0.	0.
558	558	2821	SLV_ENV	Max	131.51	0.	0.	0.
558	558	2219	SLV_ENV	Min	-144.73	0.	0.	0.
558	558	2911	SLV_ENV	Min	-251.09	0.	0.	0.
558	558	2821	SLV_ENV	Min	-166.24	0.	0.	0.
559	559	2219	SLU_ENV	Max	81.39	0.	0.	0.
559	559	2811	SLU_ENV	Max	81.15	0.	0.	0.
559	559	2588	SLU_ENV	Max	49.08	0.	0.	0.
559	559	2911	SLU_ENV	Max	54.76	0.	0.	0.
559	559	2219	SLU_ENV	Min	34.22	0.	0.	0.
559	559	2811	SLU_ENV	Min	39.68	0.	0.	0.
559	559	2588	SLU_ENV	Min	23.94	0.	0.	0.
559	559	2911	SLU_ENV	Min	18.35	0.	0.	0.
559	559	2219	SLV_ENV	Max	146.92	0.	0.	0.
559	559	2811	SLV_ENV	Max	157.31	0.	0.	0.
559	559	2588	SLV_ENV	Max	170.94	0.	0.	0.
559	559	2911	SLV_ENV	Max	155.2	0.	0.	0.
559	559	2219	SLV_ENV	Min	-72.08	0.	0.	0.
559	559	2811	SLV_ENV	Min	-70.73	0.	0.	0.
559	559	2588	SLV_ENV	Min	-119.01	0.	0.	0.
559	559	2911	SLV_ENV	Min	-114.87	0.	0.	0.
560	560	2291	SLU_ENV	Max	-33.51	0.	0.	0.

Table: Element Forces - Area Shells, Part 2 of 5

Area	AreaElem	Joint	OutputCase	StepType	F12 KN/m	FMax KN/m	FMin KN/m	FAngle Degrees
560	560	2572	SLU_ENV	Max	-59.5	0.	0.	0.
560	560	2218	SLU_ENV	Max	-21.74	0.	0.	0.
560	560	2205	SLU_ENV	Max	-20.61	0.	0.	0.
560	560	2291	SLU_ENV	Min	-103.76	0.	0.	0.
560	560	2572	SLU_ENV	Min	-154.77	0.	0.	0.
560	560	2218	SLU_ENV	Min	-74.59	0.	0.	0.
560	560	2205	SLU_ENV	Min	-73.34	0.	0.	0.
560	560	2291	SLV_ENV	Max	63.11	0.	0.	0.
560	560	2572	SLV_ENV	Max	70.66	0.	0.	0.
560	560	2218	SLV_ENV	Max	157.43	0.	0.	0.
560	560	2205	SLV_ENV	Max	220.73	0.	0.	0.
560	560	2291	SLV_ENV	Min	-155.97	0.	0.	0.
560	560	2572	SLV_ENV	Min	-216.25	0.	0.	0.
560	560	2218	SLV_ENV	Min	-208.38	0.	0.	0.
560	560	2205	SLV_ENV	Min	-270.32	0.	0.	0.
561	561	2572	SLU_ENV	Max	-34.71	0.	0.	0.
561	561	2817	SLU_ENV	Max	-15.05	0.	0.	0.
561	561	2218	SLU_ENV	Max	-2.245E-02	0.	0.	0.
561	561	2572	SLU_ENV	Min	-114.46	0.	0.	0.
561	561	2817	SLU_ENV	Min	-67.42	0.	0.	0.
561	561	2218	SLU_ENV	Min	-34.56	0.	0.	0.
561	561	2572	SLV_ENV	Max	87.14	0.	0.	0.
561	561	2817	SLV_ENV	Max	134.56	0.	0.	0.
561	561	2218	SLV_ENV	Max	172.74	0.	0.	0.
561	561	2572	SLV_ENV	Min	-193.36	0.	0.	0.
561	561	2817	SLV_ENV	Min	-191.48	0.	0.	0.
561	561	2218	SLV_ENV	Min	-187.64	0.	0.	0.
562	562	2816	SLU_ENV	Max	-5.2	0.	0.	0.
562	562	2857	SLU_ENV	Max	62.72	0.	0.	0.
562	562	2856	SLU_ENV	Max	12.9	0.	0.	0.
562	562	2817	SLU_ENV	Max	-35.07	0.	0.	0.
562	562	2816	SLU_ENV	Min	-19.16	0.	0.	0.
562	562	2857	SLU_ENV	Min	23.74	0.	0.	0.
562	562	2856	SLU_ENV	Min	-13.75	0.	0.	0.
562	562	2817	SLU_ENV	Min	-75.82	0.	0.	0.
562	562	2816	SLV_ENV	Max	202.4	0.	0.	0.
562	562	2857	SLV_ENV	Max	201.77	0.	0.	0.
562	562	2856	SLV_ENV	Max	253.	0.	0.	0.
562	562	2817	SLV_ENV	Max	321.95	0.	0.	0.
562	562	2816	SLV_ENV	Min	-215.65	0.	0.	0.
562	562	2857	SLV_ENV	Min	-149.96	0.	0.	0.
562	562	2856	SLV_ENV	Min	-262.5	0.	0.	0.
562	562	2817	SLV_ENV	Min	-396.35	0.	0.	0.
563	563	2817	SLU_ENV	Max	-52.39	0.	0.	0.
563	563	2856	SLU_ENV	Max	-13.56	0.	0.	0.
563	563	2219	SLU_ENV	Max	40.93	0.	0.	0.
563	563	2218	SLU_ENV	Max	-38.88	0.	0.	0.
563	563	2817	SLU_ENV	Min	-112.23	0.	0.	0.
563	563	2856	SLU_ENV	Min	-46.71	0.	0.	0.
563	563	2219	SLU_ENV	Min	16.64	0.	0.	0.
563	563	2218	SLU_ENV	Min	-89.42	0.	0.	0.
563	563	2817	SLV_ENV	Max	208.	0.	0.	0.
563	563	2856	SLV_ENV	Max	309.86	0.	0.	0.
563	563	2219	SLV_ENV	Max	135.46	0.	0.	0.

Table: Element Forces - Area Shells, Part 2 of 5

Area	AreaElem	Joint	OutputCase	StepType	F12	FMax	FMin	FAngle
					KN/m	KN/m	KN/m	Degrees
563	563	2218	SLV_ENV	Max	114.68	0.	0.	0.
563	563	2817	SLV_ENV	Min	-320.49	0.	0.	0.
563	563	2856	SLV_ENV	Min	-362.01	0.	0.	0.
563	563	2219	SLV_ENV	Min	-100.13	0.	0.	0.
563	563	2218	SLV_ENV	Min	-198.97	0.	0.	0.
564	564	2856	SLU_ENV	Max	6.93	0.	0.	0.
564	564	2587	SLU_ENV	Max	-12.84	0.	0.	0.
564	564	2811	SLU_ENV	Max	66.71	0.	0.	0.
564	564	2219	SLU_ENV	Max	112.63	0.	0.	0.
564	564	2856	SLU_ENV	Min	-12.2	0.	0.	0.
564	564	2587	SLU_ENV	Min	-56.02	0.	0.	0.
564	564	2811	SLU_ENV	Min	30.48	0.	0.	0.
564	564	2219	SLU_ENV	Min	47.57	0.	0.	0.
564	564	2856	SLV_ENV	Max	103.36	0.	0.	0.
564	564	2587	SLV_ENV	Max	379.02	0.	0.	0.
564	564	2811	SLV_ENV	Max	219.68	0.	0.	0.
564	564	2219	SLV_ENV	Max	272.81	0.	0.	0.
564	564	2856	SLV_ENV	Min	-107.28	0.	0.	0.
564	564	2587	SLV_ENV	Min	-409.67	0.	0.	0.
564	564	2811	SLV_ENV	Min	-144.77	0.	0.	0.
564	564	2219	SLV_ENV	Min	-170.93	0.	0.	0.
566	566	2587	SLU_ENV	Max	1.53	0.	0.	0.
566	566	2563	SLU_ENV	Max	3.45	0.	0.	0.
566	566	2806	SLU_ENV	Max	16.54	0.	0.	0.
566	566	2811	SLU_ENV	Max	11.15	0.	0.	0.
566	566	2587	SLU_ENV	Min	-6.3	0.	0.	0.
566	566	2563	SLU_ENV	Min	-0.75	0.	0.	0.
566	566	2806	SLU_ENV	Min	5.84	0.	0.	0.
566	566	2811	SLU_ENV	Min	4.71	0.	0.	0.
566	566	2587	SLV_ENV	Max	113.2	0.	0.	0.
566	566	2563	SLV_ENV	Max	120.18	0.	0.	0.
566	566	2806	SLV_ENV	Max	75.31	0.	0.	0.
566	566	2811	SLV_ENV	Max	113.9	0.	0.	0.
566	566	2587	SLV_ENV	Min	-111.65	0.	0.	0.
566	566	2563	SLV_ENV	Min	-120.55	0.	0.	0.
566	566	2806	SLV_ENV	Min	-62.64	0.	0.	0.
566	566	2811	SLV_ENV	Min	-99.3	0.	0.	0.
567	567	2857	SLU_ENV	Max	49.51	0.	0.	0.
567	567	2812	SLU_ENV	Max	-15.38	0.	0.	0.
567	567	2587	SLU_ENV	Max	-19.14	0.	0.	0.
567	567	2856	SLU_ENV	Max	23.19	0.	0.	0.
567	567	2857	SLU_ENV	Min	15.46	0.	0.	0.
567	567	2812	SLU_ENV	Min	-36.94	0.	0.	0.
567	567	2587	SLU_ENV	Min	-67.15	0.	0.	0.
567	567	2856	SLU_ENV	Min	5.32	0.	0.	0.
567	567	2857	SLV_ENV	Max	221.8	0.	0.	0.
567	567	2812	SLV_ENV	Max	157.99	0.	0.	0.
567	567	2587	SLV_ENV	Max	405.23	0.	0.	0.
567	567	2856	SLV_ENV	Max	174.46	0.	0.	0.
567	567	2857	SLV_ENV	Min	-188.27	0.	0.	0.
567	567	2812	SLV_ENV	Min	-192.28	0.	0.	0.
567	567	2587	SLV_ENV	Min	-449.43	0.	0.	0.
567	567	2856	SLV_ENV	Min	-150.94	0.	0.	0.
568	568	2812	SLU_ENV	Max	-5.15	0.	0.	0.

Table: Element Forces - Area Shells, Part 2 of 5

Area	AreaElem	Joint	OutputCase	StepType	F12 KN/m	FMax KN/m	FMin KN/m	FAngle Degrees
568	568	2810	SLU_ENV	Max	9.81	0.	0.	0.
568	568	2563	SLU_ENV	Max	7.03	0.	0.	0.
568	568	2587	SLU_ENV	Max	-4.86	0.	0.	0.
568	568	2812	SLU_ENV	Min	-14.46	0.	0.	0.
568	568	2810	SLU_ENV	Min	3.61	0.	0.	0.
568	568	2563	SLU_ENV	Min	2.75	0.	0.	0.
568	568	2587	SLU_ENV	Min	-16.77	0.	0.	0.
568	568	2812	SLV_ENV	Max	94.89	0.	0.	0.
568	568	2810	SLV_ENV	Max	139.12	0.	0.	0.
568	568	2563	SLV_ENV	Max	117.46	0.	0.	0.
568	568	2587	SLV_ENV	Max	178.46	0.	0.	0.
568	568	2812	SLV_ENV	Min	-106.6	0.	0.	0.
568	568	2810	SLV_ENV	Min	-129.84	0.	0.	0.
568	568	2563	SLV_ENV	Min	-108.23	0.	0.	0.
568	568	2587	SLV_ENV	Min	-190.22	0.	0.	0.
569	569	2912	SLU_ENV	Max	-4.61	0.	0.	0.
569	569	2816	SLU_ENV	Max	6.437E-02	0.	0.	0.
569	569	2817	SLU_ENV	Max	-19.56	0.	0.	0.
569	569	2572	SLU_ENV	Max	-23.71	0.	0.	0.
569	569	2912	SLU_ENV	Min	-18.1	0.	0.	0.
569	569	2816	SLU_ENV	Min	-7.38	0.	0.	0.
569	569	2817	SLU_ENV	Min	-68.44	0.	0.	0.
569	569	2572	SLU_ENV	Min	-79.17	0.	0.	0.
569	569	2912	SLV_ENV	Max	159.92	0.	0.	0.
569	569	2816	SLV_ENV	Max	127.36	0.	0.	0.
569	569	2817	SLV_ENV	Max	115.74	0.	0.	0.
569	569	2572	SLV_ENV	Max	93.69	0.	0.	0.
569	569	2912	SLV_ENV	Min	-176.06	0.	0.	0.
569	569	2816	SLV_ENV	Min	-133.54	0.	0.	0.
569	569	2817	SLV_ENV	Min	-179.22	0.	0.	0.
569	569	2572	SLV_ENV	Min	-167.12	0.	0.	0.
570	570	2571	SLU_ENV	Max	-1.53	0.	0.	0.
570	570	2584	SLU_ENV	Max	0.56	0.	0.	0.
570	570	2816	SLU_ENV	Max	-1.42	0.	0.	0.
570	570	2912	SLU_ENV	Max	-4.61	0.	0.	0.
570	570	2571	SLU_ENV	Min	-8.5	0.	0.	0.
570	570	2584	SLU_ENV	Min	-13.55	0.	0.	0.
570	570	2816	SLU_ENV	Min	-13.03	0.	0.	0.
570	570	2912	SLU_ENV	Min	-26.35	0.	0.	0.
570	570	2571	SLV_ENV	Max	225.65	0.	0.	0.
570	570	2584	SLV_ENV	Max	112.94	0.	0.	0.
570	570	2816	SLV_ENV	Max	73.61	0.	0.	0.
570	570	2912	SLV_ENV	Max	255.56	0.	0.	0.
570	570	2571	SLV_ENV	Min	-231.96	0.	0.	0.
570	570	2584	SLV_ENV	Min	-113.53	0.	0.	0.
570	570	2816	SLV_ENV	Min	-78.8	0.	0.	0.
570	570	2912	SLV_ENV	Min	-276.5	0.	0.	0.
571	571	2584	SLU_ENV	Max	4.45	0.	0.	0.
571	571	2855	SLU_ENV	Max	23.29	0.	0.	0.
571	571	2857	SLU_ENV	Max	11.76	0.	0.	0.
571	571	2816	SLU_ENV	Max	-4.39	0.	0.	0.
571	571	2584	SLU_ENV	Min	-17.58	0.	0.	0.
571	571	2855	SLU_ENV	Min	9.54	0.	0.	0.
571	571	2857	SLU_ENV	Min	3.7	0.	0.	0.

Table: Element Forces - Area Shells, Part 2 of 5

Area	AreaElem	Joint	OutputCase	StepType	F12	FMax	FMin	FAngle
					KN/m	KN/m	KN/m	Degrees
571	571	2816	SLU_ENV	Min	-28.43	0.	0.	0.
571	571	2584	SLV_ENV	Max	182.43	0.	0.	0.
571	571	2855	SLV_ENV	Max	114.03	0.	0.	0.
571	571	2857	SLV_ENV	Max	79.31	0.	0.	0.
571	571	2816	SLV_ENV	Max	154.09	0.	0.	0.
571	571	2584	SLV_ENV	Min	-178.49	0.	0.	0.
571	571	2855	SLV_ENV	Min	-92.96	0.	0.	0.
571	571	2857	SLV_ENV	Min	-70.08	0.	0.	0.
571	571	2816	SLV_ENV	Min	-166.19	0.	0.	0.
573	573	2567	SLU_ENV	Max	4.6	0.	0.	0.
573	573	2580	SLU_ENV	Max	2.85	0.	0.	0.
573	573	2582	SLU_ENV	Max	1.29	0.	0.	0.
573	573	2569	SLU_ENV	Max	2.76	0.	0.	0.
573	573	2567	SLU_ENV	Min	1.65	0.	0.	0.
573	573	2580	SLU_ENV	Min	0.68	0.	0.	0.
573	573	2582	SLU_ENV	Min	-0.86	0.	0.	0.
573	573	2569	SLU_ENV	Min	0.41	0.	0.	0.
573	573	2567	SLV_ENV	Max	27.4	0.	0.	0.
573	573	2580	SLV_ENV	Max	93.53	0.	0.	0.
573	573	2582	SLV_ENV	Max	86.13	0.	0.	0.
573	573	2569	SLV_ENV	Max	30.21	0.	0.	0.
573	573	2567	SLV_ENV	Min	-23.72	0.	0.	0.
573	573	2580	SLV_ENV	Min	-89.9	0.	0.	0.
573	573	2582	SLV_ENV	Min	-84.8	0.	0.	0.
573	573	2569	SLV_ENV	Min	-28.82	0.	0.	0.
576	576	2580	SLU_ENV	Max	3.41	0.	0.	0.
576	576	2853	SLU_ENV	Max	1.21	0.	0.	0.
576	576	2854	SLU_ENV	Max	7.84	0.	0.	0.
576	576	2582	SLU_ENV	Max	9.49	0.	0.	0.
576	576	2580	SLU_ENV	Min	-2.84	0.	0.	0.
576	576	2853	SLU_ENV	Min	-2.77	0.	0.	0.
576	576	2854	SLU_ENV	Min	0.46	0.	0.	0.
576	576	2582	SLU_ENV	Min	0.8	0.	0.	0.
576	576	2580	SLV_ENV	Max	177.82	0.	0.	0.
576	576	2853	SLV_ENV	Max	45.83	0.	0.	0.
576	576	2854	SLV_ENV	Max	52.52	0.	0.	0.
576	576	2582	SLV_ENV	Max	131.13	0.	0.	0.
576	576	2580	SLV_ENV	Min	-174.43	0.	0.	0.
576	576	2853	SLV_ENV	Min	-44.19	0.	0.	0.
576	576	2854	SLV_ENV	Min	-41.08	0.	0.	0.
576	576	2582	SLV_ENV	Min	-117.95	0.	0.	0.
577	577	2911	SLU_ENV	Max	11.46	0.	0.	0.
577	577	2588	SLU_ENV	Max	23.57	0.	0.	0.
577	577	2804	SLU_ENV	Max	2.75	0.	0.	0.
577	577	2345	SLU_ENV	Max	-3.82	0.	0.	0.
577	577	2911	SLU_ENV	Min	4.07	0.	0.	0.
577	577	2588	SLU_ENV	Min	10.4	0.	0.	0.
577	577	2804	SLU_ENV	Min	-1.53	0.	0.	0.
577	577	2345	SLU_ENV	Min	-12.97	0.	0.	0.
577	577	2911	SLV_ENV	Max	98.42	0.	0.	0.
577	577	2588	SLV_ENV	Max	106.22	0.	0.	0.
577	577	2804	SLV_ENV	Max	101.6	0.	0.	0.
577	577	2345	SLV_ENV	Max	75.6	0.	0.	0.
577	577	2911	SLV_ENV	Min	-89.69	0.	0.	0.

Table: Element Forces - Area Shells, Part 2 of 5

Area	AreaElem	Joint	OutputCase	StepType	F12 KN/m	FMax KN/m	FMin KN/m	FAngle Degrees
577	577	2588	SLV_ENV	Min	-83.89	0.	0.	0.
577	577	2804	SLV_ENV	Min	-103.18	0.	0.	0.
577	577	2345	SLV_ENV	Min	-90.06	0.	0.	0.
578	578	2853	SLU_ENV	Max	0.84	0.	0.	0.
578	578	2578	SLU_ENV	Max	3.23	0.	0.	0.
578	578	2583	SLU_ENV	Max	0.71	0.	0.	0.
578	578	2854	SLU_ENV	Max	-1.05	0.	0.	0.
578	578	2853	SLU_ENV	Min	-1.89	0.	0.	0.
578	578	2578	SLU_ENV	Min	-3.	0.	0.	0.
578	578	2583	SLU_ENV	Min	-9.45	0.	0.	0.
578	578	2854	SLU_ENV	Min	-8.9	0.	0.	0.
578	578	2853	SLV_ENV	Max	17.24	0.	0.	0.
578	578	2578	SLV_ENV	Max	146.08	0.	0.	0.
578	578	2583	SLV_ENV	Max	126.82	0.	0.	0.
578	578	2854	SLV_ENV	Max	64.16	0.	0.	0.
578	578	2853	SLV_ENV	Min	-19.53	0.	0.	0.
578	578	2578	SLV_ENV	Min	-150.35	0.	0.	0.
578	578	2583	SLV_ENV	Min	-140.36	0.	0.	0.
578	578	2854	SLV_ENV	Min	-75.73	0.	0.	0.
580	580	2855	SLU_ENV	Max	19.28	0.	0.	0.
580	580	2585	SLU_ENV	Max	-5.3	0.	0.	0.
580	580	2812	SLU_ENV	Max	-12.59	0.	0.	0.
580	580	2857	SLU_ENV	Max	3.42	0.	0.	0.
580	580	2855	SLU_ENV	Min	2.56	0.	0.	0.
580	580	2585	SLU_ENV	Min	-22.24	0.	0.	0.
580	580	2812	SLU_ENV	Min	-35.42	0.	0.	0.
580	580	2857	SLU_ENV	Min	-8.04	0.	0.	0.
580	580	2855	SLV_ENV	Max	175.15	0.	0.	0.
580	580	2585	SLV_ENV	Max	116.94	0.	0.	0.
580	580	2812	SLV_ENV	Max	98.34	0.	0.	0.
580	580	2857	SLV_ENV	Max	68.48	0.	0.	0.
580	580	2855	SLV_ENV	Min	-168.52	0.	0.	0.
580	580	2585	SLV_ENV	Min	-133.21	0.	0.	0.
580	580	2812	SLV_ENV	Min	-127.44	0.	0.	0.
580	580	2857	SLV_ENV	Min	-76.65	0.	0.	0.
581	581	2578	SLU_ENV	Max	0.79	0.	0.	0.
581	581	2565	SLU_ENV	Max	-0.7	0.	0.	0.
581	581	2568	SLU_ENV	Max	-0.28	0.	0.	0.
581	581	2583	SLU_ENV	Max	0.64	0.	0.	0.
581	581	2578	SLU_ENV	Min	-2.39	0.	0.	0.
581	581	2565	SLU_ENV	Min	-2.43	0.	0.	0.
581	581	2568	SLU_ENV	Min	-2.33	0.	0.	0.
581	581	2583	SLU_ENV	Min	-1.71	0.	0.	0.
581	581	2578	SLV_ENV	Max	80.11	0.	0.	0.
581	581	2565	SLV_ENV	Max	26.56	0.	0.	0.
581	581	2568	SLV_ENV	Max	41.45	0.	0.	0.
581	581	2583	SLV_ENV	Max	55.25	0.	0.	0.
581	581	2578	SLV_ENV	Min	-83.6	0.	0.	0.
581	581	2565	SLV_ENV	Min	-28.8	0.	0.	0.
581	581	2568	SLV_ENV	Min	-42.68	0.	0.	0.
581	581	2583	SLV_ENV	Min	-57.73	0.	0.	0.
583	583	2585	SLU_ENV	Max	-3.49	0.	0.	0.
583	583	2570	SLU_ENV	Max	6.55	0.	0.	0.
583	583	2810	SLU_ENV	Max	6.96	0.	0.	0.

Table: Element Forces - Area Shells, Part 2 of 5

Area	AreaElem	Joint	OutputCase	StepType	F12 KN/m	FMax KN/m	FMin KN/m	FAngle Degrees
583	583	2812	SLU_ENV	Max	-2.52	0.	0.	0.
583	583	2585	SLU_ENV	Min	-12.83	0.	0.	0.
583	583	2570	SLU_ENV	Min	-0.15	0.	0.	0.
583	583	2810	SLU_ENV	Min	1.38	0.	0.	0.
583	583	2812	SLU_ENV	Min	-13.67	0.	0.	0.
583	583	2585	SLV_ENV	Max	48.51	0.	0.	0.
583	583	2570	SLV_ENV	Max	110.03	0.	0.	0.
583	583	2810	SLV_ENV	Max	100.38	0.	0.	0.
583	583	2812	SLV_ENV	Max	93.4	0.	0.	0.
583	583	2585	SLV_ENV	Min	-57.23	0.	0.	0.
583	583	2570	SLV_ENV	Min	-106.94	0.	0.	0.
583	583	2810	SLV_ENV	Min	-94.72	0.	0.	0.
583	583	2812	SLV_ENV	Min	-100.35	0.	0.	0.
592	592	2569	SLU_ENV	Max	-4.15	0.	0.	0.
592	592	2582	SLU_ENV	Max	8.76	0.	0.	0.
592	592	2808	SLU_ENV	Max	9.57	0.	0.	0.
592	592	2809	SLU_ENV	Max	-3.68	0.	0.	0.
592	592	2569	SLU_ENV	Min	-7.17	0.	0.	0.
592	592	2582	SLU_ENV	Min	3.38	0.	0.	0.
592	592	2808	SLU_ENV	Min	4.	0.	0.	0.
592	592	2809	SLU_ENV	Min	-6.23	0.	0.	0.
592	592	2569	SLV_ENV	Max	65.12	0.	0.	0.
592	592	2582	SLV_ENV	Max	39.83	0.	0.	0.
592	592	2808	SLV_ENV	Max	35.89	0.	0.	0.
592	592	2809	SLV_ENV	Max	46.74	0.	0.	0.
592	592	2569	SLV_ENV	Min	-74.24	0.	0.	0.
592	592	2582	SLV_ENV	Min	-27.04	0.	0.	0.
592	592	2808	SLV_ENV	Min	-21.87	0.	0.	0.
592	592	2809	SLV_ENV	Min	-54.64	0.	0.	0.
593	593	2809	SLU_ENV	Max	11.08	0.	0.	0.
593	593	2808	SLU_ENV	Max	2.03	0.	0.	0.
593	593	2584	SLU_ENV	Max	2.63	0.	0.	0.
593	593	2571	SLU_ENV	Max	9.9	0.	0.	0.
593	593	2809	SLU_ENV	Min	1.9	0.	0.	0.
593	593	2808	SLU_ENV	Min	-2.85	0.	0.	0.
593	593	2584	SLU_ENV	Min	-4.14	0.	0.	0.
593	593	2571	SLU_ENV	Min	2.47	0.	0.	0.
593	593	2809	SLV_ENV	Max	114.77	0.	0.	0.
593	593	2808	SLV_ENV	Max	86.69	0.	0.	0.
593	593	2584	SLV_ENV	Max	130.55	0.	0.	0.
593	593	2571	SLV_ENV	Max	63.5	0.	0.	0.
593	593	2809	SLV_ENV	Min	-109.54	0.	0.	0.
593	593	2808	SLV_ENV	Min	-83.86	0.	0.	0.
593	593	2584	SLV_ENV	Min	-126.92	0.	0.	0.
593	593	2571	SLV_ENV	Min	-57.48	0.	0.	0.
594	594	2582	SLU_ENV	Max	16.97	0.	0.	0.
594	594	2854	SLU_ENV	Max	6.84	0.	0.	0.
594	594	2858	SLU_ENV	Max	5.11	0.	0.	0.
594	594	2808	SLU_ENV	Max	15.22	0.	0.	0.
594	594	2582	SLU_ENV	Min	5.11	0.	0.	0.
594	594	2854	SLU_ENV	Min	-1.58	0.	0.	0.
594	594	2858	SLU_ENV	Min	-3.61	0.	0.	0.
594	594	2808	SLU_ENV	Min	3.07	0.	0.	0.
594	594	2582	SLV_ENV	Max	72.22	0.	0.	0.

Table: Element Forces - Area Shells, Part 2 of 5

Area	AreaElem	Joint	OutputCase	StepType	F12	FMax	FMin	FAngle
					KN/m	KN/m	KN/m	Degrees
594	594	2854	SLV_ENV	Max	66.27	0.	0.	0.
594	594	2858	SLV_ENV	Max	65.68	0.	0.	0.
594	594	2808	SLV_ENV	Max	77.65	0.	0.	0.
594	594	2582	SLV_ENV	Min	-47.57	0.	0.	0.
594	594	2854	SLV_ENV	Min	-56.47	0.	0.	0.
594	594	2858	SLV_ENV	Min	-58.25	0.	0.	0.
594	594	2808	SLV_ENV	Min	-55.39	0.	0.	0.
595	595	2808	SLU_ENV	Max	7.68	0.	0.	0.
595	595	2858	SLU_ENV	Max	5.32	0.	0.	0.
595	595	2855	SLU_ENV	Max	5.29	0.	0.	0.
595	595	2584	SLU_ENV	Max	5.98	0.	0.	0.
595	595	2808	SLU_ENV	Min	-3.79	0.	0.	0.
595	595	2858	SLU_ENV	Min	-4.31	0.	0.	0.
595	595	2855	SLU_ENV	Min	-9.2	0.	0.	0.
595	595	2584	SLU_ENV	Min	-7.19	0.	0.	0.
595	595	2808	SLV_ENV	Max	143.95	0.	0.	0.
595	595	2858	SLV_ENV	Max	135.03	0.	0.	0.
595	595	2855	SLV_ENV	Max	157.62	0.	0.	0.
595	595	2584	SLV_ENV	Max	167.77	0.	0.	0.
595	595	2808	SLV_ENV	Min	-132.88	0.	0.	0.
595	595	2858	SLV_ENV	Min	-127.69	0.	0.	0.
595	595	2855	SLV_ENV	Min	-153.01	0.	0.	0.
595	595	2584	SLV_ENV	Min	-159.43	0.	0.	0.
596	596	2854	SLU_ENV	Max	-3.83	0.	0.	0.
596	596	2583	SLU_ENV	Max	-2.56	0.	0.	0.
596	596	2814	SLU_ENV	Max	-0.95	0.	0.	0.
596	596	2858	SLU_ENV	Max	-2.31	0.	0.	0.
596	596	2854	SLU_ENV	Min	-9.15	0.	0.	0.
596	596	2583	SLU_ENV	Min	-18.83	0.	0.	0.
596	596	2814	SLU_ENV	Min	-18.56	0.	0.	0.
596	596	2858	SLU_ENV	Min	-8.9	0.	0.	0.
596	596	2854	SLV_ENV	Max	65.49	0.	0.	0.
596	596	2583	SLV_ENV	Max	149.74	0.	0.	0.
596	596	2814	SLV_ENV	Max	187.45	0.	0.	0.
596	596	2858	SLV_ENV	Max	111.56	0.	0.	0.
596	596	2854	SLV_ENV	Min	-78.7	0.	0.	0.
596	596	2583	SLV_ENV	Min	-176.56	0.	0.	0.
596	596	2814	SLV_ENV	Min	-213.25	0.	0.	0.
596	596	2858	SLV_ENV	Min	-123.74	0.	0.	0.
597	597	2858	SLU_ENV	Max	-3.35	0.	0.	0.
597	597	2814	SLU_ENV	Max	6.56	0.	0.	0.
597	597	2585	SLU_ENV	Max	4.47	0.	0.	0.
597	597	2855	SLU_ENV	Max	-4.63	0.	0.	0.
597	597	2858	SLU_ENV	Min	-8.69	0.	0.	0.
597	597	2814	SLU_ENV	Min	-12.32	0.	0.	0.
597	597	2585	SLU_ENV	Min	-13.58	0.	0.	0.
597	597	2855	SLU_ENV	Min	-10.5	0.	0.	0.
597	597	2858	SLV_ENV	Max	127.93	0.	0.	0.
597	597	2814	SLV_ENV	Max	256.46	0.	0.	0.
597	597	2585	SLV_ENV	Max	225.8	0.	0.	0.
597	597	2855	SLV_ENV	Max	133.14	0.	0.	0.
597	597	2858	SLV_ENV	Min	-140.19	0.	0.	0.
597	597	2814	SLV_ENV	Min	-272.23	0.	0.	0.
597	597	2585	SLV_ENV	Min	-239.7	0.	0.	0.

Table: Element Forces - Area Shells, Part 2 of 5

Area	AreaElem	Joint	OutputCase	StepType	F12 KN/m	FMax KN/m	FMin KN/m	FAngle Degrees
597	597	2855	SLV_ENV	Min	-143.53	0.	0.	0.
598	598	2583	SLU_ENV	Max	-2.45	0.	0.	0.
598	598	2568	SLU_ENV	Max	6.2	0.	0.	0.
598	598	2815	SLU_ENV	Max	5.47	0.	0.	0.
598	598	2814	SLU_ENV	Max	-2.3	0.	0.	0.
598	598	2583	SLU_ENV	Min	-11.13	0.	0.	0.
598	598	2568	SLU_ENV	Min	-0.86	0.	0.	0.
598	598	2815	SLU_ENV	Min	-0.71	0.	0.	0.
598	598	2814	SLU_ENV	Min	-11.87	0.	0.	0.
598	598	2583	SLV_ENV	Max	88.62	0.	0.	0.
598	598	2568	SLV_ENV	Max	113.95	0.	0.	0.
598	598	2815	SLV_ENV	Max	84.7	0.	0.	0.
598	598	2814	SLV_ENV	Max	97.29	0.	0.	0.
598	598	2583	SLV_ENV	Min	-104.38	0.	0.	0.
598	598	2568	SLV_ENV	Min	-105.08	0.	0.	0.
598	598	2815	SLV_ENV	Min	-76.83	0.	0.	0.
598	598	2814	SLV_ENV	Min	-114.05	0.	0.	0.
599	599	2814	SLU_ENV	Max	5.21	0.	0.	0.
599	599	2815	SLU_ENV	Max	-0.9	0.	0.	0.
599	599	2570	SLU_ENV	Max	-0.47	0.	0.	0.
599	599	2585	SLU_ENV	Max	5.21	0.	0.	0.
599	599	2814	SLU_ENV	Min	-5.64	0.	0.	0.
599	599	2815	SLU_ENV	Min	-5.02	0.	0.	0.
599	599	2570	SLU_ENV	Min	-4.86	0.	0.	0.
599	599	2585	SLU_ENV	Min	-5.02	0.	0.	0.
599	599	2814	SLV_ENV	Max	167.21	0.	0.	0.
599	599	2815	SLV_ENV	Max	98.64	0.	0.	0.
599	599	2570	SLV_ENV	Max	86.89	0.	0.	0.
599	599	2585	SLV_ENV	Max	152.28	0.	0.	0.
599	599	2814	SLV_ENV	Min	-173.95	0.	0.	0.
599	599	2815	SLV_ENV	Min	-101.65	0.	0.	0.
599	599	2570	SLV_ENV	Min	-89.08	0.	0.	0.
599	599	2585	SLV_ENV	Min	-158.2	0.	0.	0.
612	612	2219	SLU_ENV	Max	-1.76	0.	0.	0.
612	612	2856	SLU_ENV	Max	221.72	0.	0.	0.
612	612	2862	SLU_ENV	Max	-102.36	0.	0.	0.
612	612	2201	SLU_ENV	Max	-200.54	0.	0.	0.
612	612	2219	SLU_ENV	Min	-35.58	0.	0.	0.
612	612	2856	SLU_ENV	Min	88.17	0.	0.	0.
612	612	2862	SLU_ENV	Min	-161.85	0.	0.	0.
612	612	2201	SLU_ENV	Min	-412.95	0.	0.	0.
612	612	2219	SLV_ENV	Max	205.94	0.	0.	0.
612	612	2856	SLV_ENV	Max	427.41	0.	0.	0.
612	612	2862	SLV_ENV	Max	288.43	0.	0.	0.
612	612	2201	SLV_ENV	Max	210.31	0.	0.	0.
612	612	2219	SLV_ENV	Min	-256.94	0.	0.	0.
612	612	2856	SLV_ENV	Min	-225.5	0.	0.	0.
612	612	2862	SLV_ENV	Min	-510.76	0.	0.	0.
612	612	2201	SLV_ENV	Min	-685.55	0.	0.	0.
613	613	2856	SLU_ENV	Max	115.64	0.	0.	0.
613	613	2857	SLU_ENV	Max	230.97	0.	0.	0.
613	613	2863	SLU_ENV	Max	22.33	0.	0.	0.
613	613	2862	SLU_ENV	Max	-41.92	0.	0.	0.
613	613	2856	SLU_ENV	Min	40.35	0.	0.	0.

Table: Element Forces - Area Shells, Part 2 of 5

Area	AreaElem	Joint	OutputCase	StepType	F12 KN/m	FMax KN/m	FMin KN/m	FAngle Degrees
613	613	2857	SLU_ENV	Min	98.98	0.	0.	0.
613	613	2863	SLU_ENV	Min	-0.73	0.	0.	0.
613	613	2862	SLU_ENV	Min	-110.54	0.	0.	0.
613	613	2856	SLV_ENV	Max	278.03	0.	0.	0.
613	613	2857	SLV_ENV	Max	421.27	0.	0.	0.
613	613	2863	SLV_ENV	Max	253.11	0.	0.	0.
613	613	2862	SLV_ENV	Max	398.06	0.	0.	0.
613	613	2856	SLV_ENV	Min	-176.19	0.	0.	0.
613	613	2857	SLV_ENV	Min	-178.86	0.	0.	0.
613	613	2863	SLV_ENV	Min	-248.28	0.	0.	0.
613	613	2862	SLV_ENV	Min	-533.79	0.	0.	0.
614	614	2857	SLU_ENV	Max	167.71	0.	0.	0.
614	614	2855	SLU_ENV	Max	162.11	0.	0.	0.
614	614	2861	SLU_ENV	Max	-7.87	0.	0.	0.
614	614	2863	SLU_ENV	Max	-0.17	0.	0.	0.
614	614	2857	SLU_ENV	Min	62.25	0.	0.	0.
614	614	2855	SLU_ENV	Min	49.57	0.	0.	0.
614	614	2861	SLU_ENV	Min	-18.69	0.	0.	0.
614	614	2863	SLU_ENV	Min	-9.83	0.	0.	0.
614	614	2857	SLV_ENV	Max	633.78	0.	0.	0.
614	614	2855	SLV_ENV	Max	678.26	0.	0.	0.
614	614	2861	SLV_ENV	Max	155.01	0.	0.	0.
614	614	2863	SLV_ENV	Max	131.17	0.	0.	0.
614	614	2857	SLV_ENV	Min	-447.32	0.	0.	0.
614	614	2855	SLV_ENV	Min	-497.62	0.	0.	0.
614	614	2861	SLV_ENV	Min	-174.94	0.	0.	0.
614	614	2863	SLV_ENV	Min	-145.28	0.	0.	0.
615	615	2855	SLU_ENV	Max	-49.15	0.	0.	0.
615	615	2858	SLU_ENV	Max	-35.64	0.	0.	0.
615	615	2864	SLU_ENV	Max	17.77	0.	0.	0.
615	615	2861	SLU_ENV	Max	0.33	0.	0.	0.
615	615	2855	SLU_ENV	Min	-83.09	0.	0.	0.
615	615	2858	SLU_ENV	Min	-73.95	0.	0.	0.
615	615	2864	SLU_ENV	Min	-24.57	0.	0.	0.
615	615	2861	SLU_ENV	Min	-30.35	0.	0.	0.
615	615	2855	SLV_ENV	Max	175.88	0.	0.	0.
615	615	2858	SLV_ENV	Max	232.28	0.	0.	0.
615	615	2864	SLV_ENV	Max	429.35	0.	0.	0.
615	615	2861	SLV_ENV	Max	356.77	0.	0.	0.
615	615	2855	SLV_ENV	Min	-276.71	0.	0.	0.
615	615	2858	SLV_ENV	Min	-306.48	0.	0.	0.
615	615	2864	SLV_ENV	Min	-406.67	0.	0.	0.
615	615	2861	SLV_ENV	Min	-360.71	0.	0.	0.
616	616	2858	SLU_ENV	Max	119.43	0.	0.	0.
616	616	2854	SLU_ENV	Max	107.51	0.	0.	0.
616	616	2860	SLU_ENV	Max	49.48	0.	0.	0.
616	616	2864	SLU_ENV	Max	60.92	0.	0.	0.
616	616	2858	SLU_ENV	Min	59.12	0.	0.	0.
616	616	2854	SLU_ENV	Min	61.35	0.	0.	0.
616	616	2860	SLU_ENV	Min	16.96	0.	0.	0.
616	616	2864	SLU_ENV	Min	15.4	0.	0.	0.
616	616	2858	SLV_ENV	Max	488.95	0.	0.	0.
616	616	2854	SLV_ENV	Max	343.86	0.	0.	0.
616	616	2860	SLV_ENV	Max	219.65	0.	0.	0.

Table: Element Forces - Area Shells, Part 2 of 5

Area	AreaElem	Joint	OutputCase	StepType	F12	FMax	FMin	FAngle
					KN/m	KN/m	KN/m	Degrees
616	616	2864	SLV_ENV	Max	321.72	0.	0.	0.
616	616	2858	SLV_ENV	Min	-315.22	0.	0.	0.
616	616	2854	SLV_ENV	Min	-186.06	0.	0.	0.
616	616	2860	SLV_ENV	Min	-147.39	0.	0.	0.
616	616	2864	SLV_ENV	Min	-233.53	0.	0.	0.
617	617	2854	SLU_ENV	Max	42.93	0.	0.	0.
617	617	2853	SLU_ENV	Max	-8.83	0.	0.	0.
617	617	2859	SLU_ENV	Max	-42.64	0.	0.	0.
617	617	2860	SLU_ENV	Max	-11.03	0.	0.	0.
617	617	2854	SLU_ENV	Min	17.36	0.	0.	0.
617	617	2853	SLU_ENV	Min	-16.7	0.	0.	0.
617	617	2859	SLU_ENV	Min	-83.42	0.	0.	0.
617	617	2860	SLU_ENV	Min	-29.97	0.	0.	0.
617	617	2854	SLV_ENV	Max	240.56	0.	0.	0.
617	617	2853	SLV_ENV	Max	45.21	0.	0.	0.
617	617	2859	SLV_ENV	Max	286.	0.	0.	0.
617	617	2860	SLV_ENV	Max	194.42	0.	0.	0.
617	617	2854	SLV_ENV	Min	-178.27	0.	0.	0.
617	617	2853	SLV_ENV	Min	-64.41	0.	0.	0.
617	617	2859	SLV_ENV	Min	-397.57	0.	0.	0.
617	617	2860	SLV_ENV	Min	-224.51	0.	0.	0.
618	618	2201	SLU_ENV	Max	-13.21	0.	0.	0.
618	618	2862	SLU_ENV	Max	-75.97	0.	0.	0.
618	618	2868	SLU_ENV	Max	-27.9	0.	0.	0.
618	618	2183	SLU_ENV	Max	10.34	0.	0.	0.
618	618	2201	SLU_ENV	Min	-94.49	0.	0.	0.
618	618	2862	SLU_ENV	Min	-115.56	0.	0.	0.
618	618	2868	SLU_ENV	Min	-80.22	0.	0.	0.
618	618	2183	SLU_ENV	Min	-38.26	0.	0.	0.
618	618	2201	SLV_ENV	Max	434.73	0.	0.	0.
618	618	2862	SLV_ENV	Max	198.08	0.	0.	0.
618	618	2868	SLV_ENV	Max	211.99	0.	0.	0.
618	618	2183	SLV_ENV	Max	366.5	0.	0.	0.
618	618	2201	SLV_ENV	Min	-553.64	0.	0.	0.
618	618	2862	SLV_ENV	Min	-359.95	0.	0.	0.
618	618	2868	SLV_ENV	Min	-305.31	0.	0.	0.
618	618	2183	SLV_ENV	Min	-416.86	0.	0.	0.
619	619	2862	SLU_ENV	Max	-22.54	0.	0.	0.
619	619	2863	SLU_ENV	Max	24.39	0.	0.	0.
619	619	2869	SLU_ENV	Max	-10.58	0.	0.	0.
619	619	2868	SLU_ENV	Max	-60.85	0.	0.	0.
619	619	2862	SLU_ENV	Min	-56.46	0.	0.	0.
619	619	2863	SLU_ENV	Min	8.77	0.	0.	0.
619	619	2869	SLU_ENV	Min	-39.82	0.	0.	0.
619	619	2868	SLU_ENV	Min	-104.63	0.	0.	0.
619	619	2862	SLV_ENV	Max	275.87	0.	0.	0.
619	619	2863	SLV_ENV	Max	207.91	0.	0.	0.
619	619	2869	SLV_ENV	Max	147.95	0.	0.	0.
619	619	2868	SLV_ENV	Max	86.	0.	0.	0.
619	619	2862	SLV_ENV	Min	-351.15	0.	0.	0.
619	619	2863	SLV_ENV	Min	-184.97	0.	0.	0.
619	619	2869	SLV_ENV	Min	-175.19	0.	0.	0.
619	619	2868	SLV_ENV	Min	-211.46	0.	0.	0.
620	620	2863	SLU_ENV	Max	12.08	0.	0.	0.

Table: Element Forces - Area Shells, Part 2 of 5

Area	AreaElem	Joint	OutputCase	StepType	F12 KN/m	FMax KN/m	FMin KN/m	FAngle Degrees
620	620	2861	SLU_ENV	Max	0.62	0.	0.	0.
620	620	2867	SLU_ENV	Max	52.25	0.	0.	0.
620	620	2869	SLU_ENV	Max	63.71	0.	0.	0.
620	620	2863	SLU_ENV	Min	-7.88	0.	0.	0.
620	620	2861	SLU_ENV	Min	-12.6	0.	0.	0.
620	620	2867	SLU_ENV	Min	1.52	0.	0.	0.
620	620	2869	SLU_ENV	Min	6.3	0.	0.	0.
620	620	2863	SLV_ENV	Max	84.66	0.	0.	0.
620	620	2861	SLV_ENV	Max	82.72	0.	0.	0.
620	620	2867	SLV_ENV	Max	333.44	0.	0.	0.
620	620	2869	SLV_ENV	Max	341.	0.	0.	0.
620	620	2863	SLV_ENV	Min	-80.66	0.	0.	0.
620	620	2861	SLV_ENV	Min	-90.51	0.	0.	0.
620	620	2867	SLV_ENV	Min	-281.19	0.	0.	0.
620	620	2869	SLV_ENV	Min	-276.96	0.	0.	0.
621	621	2861	SLU_ENV	Max	8.94	0.	0.	0.
621	621	2864	SLU_ENV	Max	7.49	0.	0.	0.
621	621	2870	SLU_ENV	Max	8.77	0.	0.	0.
621	621	2867	SLU_ENV	Max	10.92	0.	0.	0.
621	621	2861	SLU_ENV	Min	-24.3	0.	0.	0.
621	621	2864	SLU_ENV	Min	-26.71	0.	0.	0.
621	621	2870	SLU_ENV	Min	-15.39	0.	0.	0.
621	621	2867	SLU_ENV	Min	-14.16	0.	0.	0.
621	621	2861	SLV_ENV	Max	348.53	0.	0.	0.
621	621	2864	SLV_ENV	Max	357.6	0.	0.	0.
621	621	2870	SLV_ENV	Max	245.42	0.	0.	0.
621	621	2867	SLV_ENV	Max	262.29	0.	0.	0.
621	621	2861	SLV_ENV	Min	-340.32	0.	0.	0.
621	621	2864	SLV_ENV	Min	-349.62	0.	0.	0.
621	621	2870	SLV_ENV	Min	-234.34	0.	0.	0.
621	621	2867	SLV_ENV	Min	-250.99	0.	0.	0.
622	622	2864	SLU_ENV	Max	50.64	0.	0.	0.
622	622	2860	SLU_ENV	Max	59.34	0.	0.	0.
622	622	2866	SLU_ENV	Max	42.54	0.	0.	0.
622	622	2870	SLU_ENV	Max	33.83	0.	0.	0.
622	622	2864	SLU_ENV	Min	13.38	0.	0.	0.
622	622	2860	SLU_ENV	Min	23.63	0.	0.	0.
622	622	2866	SLU_ENV	Min	15.01	0.	0.	0.
622	622	2870	SLU_ENV	Min	4.76	0.	0.	0.
622	622	2864	SLV_ENV	Max	249.9	0.	0.	0.
622	622	2860	SLV_ENV	Max	216.7	0.	0.	0.
622	622	2866	SLV_ENV	Max	183.43	0.	0.	0.
622	622	2870	SLV_ENV	Max	218.9	0.	0.	0.
622	622	2864	SLV_ENV	Min	-176.41	0.	0.	0.
622	622	2860	SLV_ENV	Min	-129.91	0.	0.	0.
622	622	2866	SLV_ENV	Min	-121.45	0.	0.	0.
622	622	2870	SLV_ENV	Min	-170.22	0.	0.	0.
623	623	2860	SLU_ENV	Max	-6.96	0.	0.	0.
623	623	2859	SLU_ENV	Max	-16.54	0.	0.	0.
623	623	2865	SLU_ENV	Max	1.96	0.	0.	0.
623	623	2866	SLU_ENV	Max	21.34	0.	0.	0.
623	623	2860	SLU_ENV	Min	-16.49	0.	0.	0.
623	623	2859	SLU_ENV	Min	-34.66	0.	0.	0.
623	623	2865	SLU_ENV	Min	-1.16	0.	0.	0.

Table: Element Forces - Area Shells, Part 2 of 5

Area	AreaElem	Joint	OutputCase	StepType	F12 KN/m	FMax KN/m	FMin KN/m	FAngle Degrees
623	623	2866	SLU_ENV	Min	8.28	0.	0.	0.
623	623	2860	SLV_ENV	Max	121.91	0.	0.	0.
623	623	2859	SLV_ENV	Max	135.33	0.	0.	0.
623	623	2865	SLV_ENV	Max	40.72	0.	0.	0.
623	623	2866	SLV_ENV	Max	81.14	0.	0.	0.
623	623	2860	SLV_ENV	Min	-137.48	0.	0.	0.
623	623	2859	SLV_ENV	Min	-179.6	0.	0.	0.
623	623	2865	SLV_ENV	Min	-38.23	0.	0.	0.
623	623	2866	SLV_ENV	Min	-49.94	0.	0.	0.
624	624	2183	SLU_ENV	Max	15.86	0.	0.	0.
624	624	2868	SLU_ENV	Max	20.88	0.	0.	0.
624	624	2874	SLU_ENV	Max	71.44	0.	0.	0.
624	624	2165	SLU_ENV	Max	40.2	0.	0.	0.
624	624	2183	SLU_ENV	Min	-45.24	0.	0.	0.
624	624	2868	SLU_ENV	Min	-44.29	0.	0.	0.
624	624	2874	SLU_ENV	Min	-25.86	0.	0.	0.
624	624	2165	SLU_ENV	Min	0.68	0.	0.	0.
624	624	2183	SLV_ENV	Max	412.6	0.	0.	0.
624	624	2868	SLV_ENV	Max	268.28	0.	0.	0.
624	624	2874	SLV_ENV	Max	320.17	0.	0.	0.
624	624	2165	SLV_ENV	Max	325.98	0.	0.	0.
624	624	2183	SLV_ENV	Min	-463.52	0.	0.	0.
624	624	2868	SLV_ENV	Min	-290.61	0.	0.	0.
624	624	2874	SLV_ENV	Min	-282.54	0.	0.	0.
624	624	2165	SLV_ENV	Min	-316.94	0.	0.	0.
625	625	2868	SLU_ENV	Max	-20.39	0.	0.	0.
625	625	2869	SLU_ENV	Max	-35.28	0.	0.	0.
625	625	2875	SLU_ENV	Max	-34.51	0.	0.	0.
625	625	2874	SLU_ENV	Max	-19.51	0.	0.	0.
625	625	2868	SLU_ENV	Min	-58.6	0.	0.	0.
625	625	2869	SLU_ENV	Min	-72.83	0.	0.	0.
625	625	2875	SLU_ENV	Min	-65.65	0.	0.	0.
625	625	2874	SLU_ENV	Min	-54.84	0.	0.	0.
625	625	2868	SLV_ENV	Max	127.39	0.	0.	0.
625	625	2869	SLV_ENV	Max	59.95	0.	0.	0.
625	625	2875	SLV_ENV	Max	44.92	0.	0.	0.
625	625	2874	SLV_ENV	Max	123.06	0.	0.	0.
625	625	2868	SLV_ENV	Min	-181.86	0.	0.	0.
625	625	2869	SLV_ENV	Min	-132.76	0.	0.	0.
625	625	2875	SLV_ENV	Min	-118.36	0.	0.	0.
625	625	2874	SLV_ENV	Min	-178.15	0.	0.	0.
626	626	2869	SLU_ENV	Max	23.94	0.	0.	0.
626	626	2867	SLU_ENV	Max	38.69	0.	0.	0.
626	626	2873	SLU_ENV	Max	-15.35	0.	0.	0.
626	626	2875	SLU_ENV	Max	-25.15	0.	0.	0.
626	626	2869	SLU_ENV	Min	-11.14	0.	0.	0.
626	626	2867	SLU_ENV	Min	-2.19	0.	0.	0.
626	626	2873	SLU_ENV	Min	-34.14	0.	0.	0.
626	626	2875	SLU_ENV	Min	-47.43	0.	0.	0.
626	626	2869	SLV_ENV	Max	233.43	0.	0.	0.
626	626	2867	SLV_ENV	Max	265.05	0.	0.	0.
626	626	2873	SLV_ENV	Max	74.18	0.	0.	0.
626	626	2875	SLV_ENV	Max	30.2	0.	0.	0.
626	626	2869	SLV_ENV	Min	-214.97	0.	0.	0.

Table: Element Forces - Area Shells, Part 2 of 5

Area	AreaElem	Joint	OutputCase	StepType	F12 KN/m	FMax KN/m	FMin KN/m	FAngle Degrees
626	626	2867	SLV_ENV	Min	-226.85	0.	0.	0.
626	626	2873	SLV_ENV	Min	-108.02	0.	0.	0.
626	626	2875	SLV_ENV	Min	-83.77	0.	0.	0.
627	627	2867	SLU_ENV	Max	-3.291E-02	0.	0.	0.
627	627	2870	SLU_ENV	Max	11.19	0.	0.	0.
627	627	2876	SLU_ENV	Max	30.34	0.	0.	0.
627	627	2873	SLU_ENV	Max	19.47	0.	0.	0.
627	627	2867	SLU_ENV	Min	-19.08	0.	0.	0.
627	627	2870	SLU_ENV	Min	-11.54	0.	0.	0.
627	627	2876	SLU_ENV	Min	4.49	0.	0.	0.
627	627	2873	SLU_ENV	Min	-2.92	0.	0.	0.
627	627	2867	SLV_ENV	Max	209.35	0.	0.	0.
627	627	2870	SLV_ENV	Max	228.94	0.	0.	0.
627	627	2876	SLV_ENV	Max	224.49	0.	0.	0.
627	627	2873	SLV_ENV	Max	201.1	0.	0.	0.
627	627	2867	SLV_ENV	Min	-212.1	0.	0.	0.
627	627	2870	SLV_ENV	Min	-214.26	0.	0.	0.
627	627	2876	SLV_ENV	Min	-182.22	0.	0.	0.
627	627	2873	SLV_ENV	Min	-176.25	0.	0.	0.
628	628	2870	SLU_ENV	Max	36.21	0.	0.	0.
628	628	2866	SLU_ENV	Max	30.51	0.	0.	0.
628	628	2872	SLU_ENV	Max	13.32	0.	0.	0.
628	628	2876	SLU_ENV	Max	18.96	0.	0.	0.
628	628	2870	SLU_ENV	Min	8.74	0.	0.	0.
628	628	2866	SLU_ENV	Min	8.7	0.	0.	0.
628	628	2872	SLU_ENV	Min	0.66	0.	0.	0.
628	628	2876	SLU_ENV	Min	0.71	0.	0.	0.
628	628	2870	SLV_ENV	Max	206.96	0.	0.	0.
628	628	2866	SLV_ENV	Max	150.3	0.	0.	0.
628	628	2872	SLV_ENV	Max	97.45	0.	0.	0.
628	628	2876	SLV_ENV	Max	145.33	0.	0.	0.
628	628	2870	SLV_ENV	Min	-154.69	0.	0.	0.
628	628	2866	SLV_ENV	Min	-105.92	0.	0.	0.
628	628	2872	SLV_ENV	Min	-78.26	0.	0.	0.
628	628	2876	SLV_ENV	Min	-118.25	0.	0.	0.
629	629	2866	SLU_ENV	Max	9.37	0.	0.	0.
629	629	2865	SLU_ENV	Max	4.1	0.	0.	0.
629	629	2871	SLU_ENV	Max	2.47	0.	0.	0.
629	629	2872	SLU_ENV	Max	7.47	0.	0.	0.
629	629	2866	SLU_ENV	Min	1.97	0.	0.	0.
629	629	2865	SLU_ENV	Min	0.3	0.	0.	0.
629	629	2871	SLU_ENV	Min	-0.79	0.	0.	0.
629	629	2872	SLU_ENV	Min	1.04	0.	0.	0.
629	629	2866	SLV_ENV	Max	60.21	0.	0.	0.
629	629	2865	SLV_ENV	Max	44.67	0.	0.	0.
629	629	2871	SLV_ENV	Max	45.7	0.	0.	0.
629	629	2872	SLV_ENV	Max	58.41	0.	0.	0.
629	629	2866	SLV_ENV	Min	-46.61	0.	0.	0.
629	629	2865	SLV_ENV	Min	-39.29	0.	0.	0.
629	629	2871	SLV_ENV	Min	-43.08	0.	0.	0.
629	629	2872	SLV_ENV	Min	-47.58	0.	0.	0.
630	630	2165	SLU_ENV	Max	27.14	0.	0.	0.
630	630	2874	SLU_ENV	Max	72.41	0.	0.	0.
630	630	2906	SLU_ENV	Max	89.6	0.	0.	0.

Table: Element Forces - Area Shells, Part 2 of 5

Area	AreaElem	Joint	OutputCase	StepType	F12 KN/m	FMax KN/m	FMin KN/m	FAngle Degrees
630	630	1885	SLU_ENV	Max	45.02	0.	0.	0.
630	630	2165	SLU_ENV	Min	-2.1	0.	0.	0.
630	630	2874	SLU_ENV	Min	-18.79	0.	0.	0.
630	630	2906	SLU_ENV	Min	0.94	0.	0.	0.
630	630	1885	SLU_ENV	Min	16.23	0.	0.	0.
630	630	2165	SLV_ENV	Max	103.7	0.	0.	0.
630	630	2874	SLV_ENV	Max	298.75	0.	0.	0.
630	630	2906	SLV_ENV	Max	318.62	0.	0.	0.
630	630	1885	SLV_ENV	Max	126.62	0.	0.	0.
630	630	2165	SLV_ENV	Min	-99.08	0.	0.	0.
630	630	2874	SLV_ENV	Min	-254.45	0.	0.	0.
630	630	2906	SLV_ENV	Min	-230.41	0.	0.	0.
630	630	1885	SLV_ENV	Min	-78.1	0.	0.	0.
631	631	2874	SLU_ENV	Max	-19.03	0.	0.	0.
631	631	2875	SLU_ENV	Max	-29.06	0.	0.	0.
631	631	2907	SLU_ENV	Max	-24.56	0.	0.	0.
631	631	2906	SLU_ENV	Max	-11.14	0.	0.	0.
631	631	2874	SLU_ENV	Min	-47.29	0.	0.	0.
631	631	2875	SLU_ENV	Min	-55.21	0.	0.	0.
631	631	2907	SLU_ENV	Min	-59.83	0.	0.	0.
631	631	2906	SLU_ENV	Min	-50.57	0.	0.	0.
631	631	2874	SLV_ENV	Max	68.43	0.	0.	0.
631	631	2875	SLV_ENV	Max	33.86	0.	0.	0.
631	631	2907	SLV_ENV	Max	8.66	0.	0.	0.
631	631	2906	SLV_ENV	Max	35.46	0.	0.	0.
631	631	2874	SLV_ENV	Min	-116.87	0.	0.	0.
631	631	2875	SLV_ENV	Min	-96.87	0.	0.	0.
631	631	2907	SLV_ENV	Min	-81.46	0.	0.	0.
631	631	2906	SLV_ENV	Min	-93.68	0.	0.	0.
632	632	2875	SLU_ENV	Max	-19.8	0.	0.	0.
632	632	2873	SLU_ENV	Max	-16.2	0.	0.	0.
632	632	2905	SLU_ENV	Max	14.24	0.	0.	0.
632	632	2907	SLU_ENV	Max	7.92	0.	0.	0.
632	632	2875	SLU_ENV	Min	-37.02	0.	0.	0.
632	632	2873	SLU_ENV	Min	-30.99	0.	0.	0.
632	632	2905	SLU_ENV	Min	1.69	0.	0.	0.
632	632	2907	SLU_ENV	Min	-1.68	0.	0.	0.
632	632	2875	SLV_ENV	Max	15.88	0.	0.	0.
632	632	2873	SLV_ENV	Max	26.69	0.	0.	0.
632	632	2905	SLV_ENV	Max	100.87	0.	0.	0.
632	632	2907	SLV_ENV	Max	93.07	0.	0.	0.
632	632	2875	SLV_ENV	Min	-59.02	0.	0.	0.
632	632	2873	SLV_ENV	Min	-61.77	0.	0.	0.
632	632	2905	SLV_ENV	Min	-83.15	0.	0.	0.
632	632	2907	SLV_ENV	Min	-83.41	0.	0.	0.
633	633	2873	SLU_ENV	Max	18.07	0.	0.	0.
633	633	2876	SLU_ENV	Max	21.53	0.	0.	0.
633	633	2908	SLU_ENV	Max	-0.73	0.	0.	0.
633	633	2905	SLU_ENV	Max	-3.21	0.	0.	0.
633	633	2873	SLU_ENV	Min	0.63	0.	0.	0.
633	633	2876	SLU_ENV	Min	3.74	0.	0.	0.
633	633	2908	SLU_ENV	Min	-4.21	0.	0.	0.
633	633	2905	SLU_ENV	Min	-8.49	0.	0.	0.
633	633	2873	SLV_ENV	Max	151.11	0.	0.	0.

Table: Element Forces - Area Shells, Part 2 of 5

Area	AreaElem	Joint	OutputCase	StepType	F12 KN/m	FMax KN/m	FMin KN/m	FAngle Degrees
633	633	2876	SLV_ENV	Max	152.89	0.	0.	0.
633	633	2908	SLV_ENV	Max	36.98	0.	0.	0.
633	633	2905	SLV_ENV	Max	36.43	0.	0.	0.
633	633	2873	SLV_ENV	Min	-127.51	0.	0.	0.
633	633	2876	SLV_ENV	Min	-123.76	0.	0.	0.
633	633	2908	SLV_ENV	Min	-39.01	0.	0.	0.
633	633	2905	SLV_ENV	Min	-43.99	0.	0.	0.
634	634	2876	SLU_ENV	Max	9.72	0.	0.	0.
634	634	2872	SLU_ENV	Max	9.71	0.	0.	0.
634	634	2878	SLU_ENV	Max	10.4	0.	0.	0.
634	634	2908	SLU_ENV	Max	10.48	0.	0.	0.
634	634	2876	SLU_ENV	Min	-6.752E-02	0.	0.	0.
634	634	2872	SLU_ENV	Min	0.88	0.	0.	0.
634	634	2878	SLU_ENV	Min	4.22	0.	0.	0.
634	634	2908	SLU_ENV	Min	3.25	0.	0.	0.
634	634	2876	SLV_ENV	Max	76.5	0.	0.	0.
634	634	2872	SLV_ENV	Max	65.55	0.	0.	0.
634	634	2878	SLV_ENV	Max	39.5	0.	0.	0.
634	634	2908	SLV_ENV	Max	53.19	0.	0.	0.
634	634	2876	SLV_ENV	Min	-62.55	0.	0.	0.
634	634	2872	SLV_ENV	Min	-51.55	0.	0.	0.
634	634	2878	SLV_ENV	Min	-24.3	0.	0.	0.
634	634	2908	SLV_ENV	Min	-38.05	0.	0.	0.
635	635	2872	SLU_ENV	Max	3.86	0.	0.	0.
635	635	2871	SLU_ENV	Max	1.12	0.	0.	0.
635	635	2877	SLU_ENV	Max	0.12	0.	0.	0.
635	635	2878	SLU_ENV	Max	2.83	0.	0.	0.
635	635	2872	SLU_ENV	Min	1.25	0.	0.	0.
635	635	2871	SLU_ENV	Min	-0.71	0.	0.	0.
635	635	2877	SLU_ENV	Min	-1.12	0.	0.	0.
635	635	2878	SLU_ENV	Min	0.76	0.	0.	0.
635	635	2872	SLV_ENV	Max	27.72	0.	0.	0.
635	635	2871	SLV_ENV	Max	24.55	0.	0.	0.
635	635	2877	SLV_ENV	Max	9.43	0.	0.	0.
635	635	2878	SLV_ENV	Max	15.25	0.	0.	0.
635	635	2872	SLV_ENV	Min	-22.06	0.	0.	0.
635	635	2871	SLV_ENV	Min	-23.82	0.	0.	0.
635	635	2877	SLV_ENV	Min	-10.24	0.	0.	0.
635	635	2878	SLV_ENV	Min	-11.14	0.	0.	0.

Table: Element Forces - Area Shells, Part 3 of 5

Table: Element Forces - Area Shells, Part 3 of 5

Area	AreaElem	Joint	OutputCase	StepType	FVM KN/m	M11 KN-m/m	M22 KN-m/m	M12 KN-m/m
107	107	139	SLU_ENV	Max	0.	5.2998	23.7637	1.4355
107	107	140	SLU_ENV	Max	0.	4.6031	24.2487	0.7849
107	107	122	SLU_ENV	Max	0.	4.5789	26.0057	1.263
107	107	121	SLU_ENV	Max	0.	5.2869	25.4144	1.8334
107	107	139	SLU_ENV	Min	0.	-14.1331	-72.485	-6.3319
107	107	140	SLU_ENV	Min	0.	-11.7406	-70.7319	-5.9718
107	107	122	SLU_ENV	Min	0.	-9.4567	-60.5228	-5.6488
107	107	121	SLU_ENV	Min	0.	-11.8902	-61.8673	-5.9094

Table: Element Forces - Area Shells, Part 3 of 5

Area	AreaElem	Joint	OutputCase	StepType	FVM	M11	M22	M12
					KN/m	KN-m/m	KN-m/m	KN-m/m
107	107	139	SLV_ENV	Max	0.	147.2814	824.7193	39.0416
107	107	140	SLV_ENV	Max	0.	117.7209	727.7636	44.8431
107	107	122	SLV_ENV	Max	0.	79.5114	536.5808	71.0104
107	107	121	SLV_ENV	Max	0.	108.1047	631.3451	66.8208
107	107	139	SLV_ENV	Min	0.	-147.7489	-826.5771	-40.9247
107	107	140	SLV_ENV	Min	0.	-118.2151	-731.0248	-46.7566
107	107	122	SLV_ENV	Min	0.	-79.8694	-539.1449	-73.5888
107	107	121	SLV_ENV	Min	0.	-108.4484	-632.397	-69.3687
108	108	121	SLU_ENV	Max	0.	5.2904	25.6474	1.6769
108	108	122	SLU_ENV	Max	0.	4.7095	26.4433	1.4061
108	108	104	SLU_ENV	Max	0.	4.9961	28.0003	2.1081
108	108	103	SLU_ENV	Max	0.	5.5802	27.101	2.4458
108	108	121	SLU_ENV	Min	0.	-11.5808	-60.0814	-6.6052
108	108	122	SLU_ENV	Min	0.	-9.9189	-63.0725	-4.945
108	108	104	SLU_ENV	Min	0.	-7.2732	-54.3298	-6.5768
108	108	103	SLU_ENV	Min	0.	-8.9464	-51.0198	-8.2804
108	108	121	SLV_ENV	Max	0.	94.4683	586.0092	64.2192
108	108	122	SLV_ENV	Max	0.	97.108	603.8208	74.2704
108	108	104	SLV_ENV	Max	0.	54.8256	441.8178	63.7551
108	108	103	SLV_ENV	Max	0.	51.917	428.1378	53.6125
108	108	121	SLV_ENV	Min	0.	-94.7962	-586.8451	-66.7943
108	108	122	SLV_ENV	Min	0.	-97.4256	-606.3198	-76.8201
108	108	104	SLV_ENV	Min	0.	-55.0061	-443.7902	-66.9972
108	108	103	SLV_ENV	Min	0.	-52.1126	-428.2963	-56.8799
109	109	103	SLU_ENV	Max	0.	5.4931	26.7944	2.313
109	109	104	SLU_ENV	Max	0.	5.197	28.8539	2.6823
109	109	86	SLU_ENV	Max	0.	5.3782	30.4674	3.4224
109	109	85	SLU_ENV	Max	0.	5.6761	28.3302	3.5062
109	109	103	SLU_ENV	Min	0.	-9.2937	-52.4186	-8.0607
109	109	104	SLU_ENV	Min	0.	-7.401	-55.284	-7.0998
109	109	86	SLU_ENV	Min	0.	-5.3985	-46.5935	-8.3671
109	109	85	SLU_ENV	Min	0.	-6.7087	-43.3736	-9.6817
109	109	103	SLV_ENV	Max	0.	53.8586	453.654	50.2307
109	109	104	SLV_ENV	Max	0.	61.7766	460.2912	66.7912
109	109	86	SLV_ENV	Max	0.	21.3773	303.9445	61.2621
109	109	85	SLV_ENV	Max	0.	16.4336	300.7052	44.1823
109	109	103	SLV_ENV	Min	0.	-54.0724	-453.9189	-53.5153
109	109	104	SLV_ENV	Min	0.	-61.9206	-462.0653	-70.0141
109	109	86	SLV_ENV	Min	0.	-21.3696	-305.2408	-65.1271
109	109	85	SLV_ENV	Min	0.	-16.5014	-300.3105	-48.1089
110	110	85	SLU_ENV	Max	0.	5.6519	28.4069	2.936
110	110	86	SLU_ENV	Max	0.	5.5417	30.9715	3.9819
110	110	68	SLU_ENV	Max	0.	6.5121	32.5955	6.0561
110	110	67	SLU_ENV	Max	0.	6.2005	29.9564	5.0103
110	110	85	SLU_ENV	Min	0.	-7.2429	-45.1558	-9.5161
110	110	86	SLU_ENV	Min	0.	-5.5165	-47.4903	-8.5314
110	110	68	SLU_ENV	Min	0.	-5.4869	-38.7111	-10.499
110	110	67	SLU_ENV	Min	0.	-5.8374	-36.0124	-11.4939
110	110	85	SLV_ENV	Max	0.	18.1397	318.4505	47.6334
110	110	86	SLV_ENV	Max	0.	27.0114	331.533	57.4804
110	110	68	SLV_ENV	Max	0.	20.6356	180.2798	50.2384
110	110	67	SLV_ENV	Max	0.	30.1234	171.6101	40.0615
110	110	85	SLV_ENV	Min	0.	-18.305	-318.5946	-51.9273
110	110	86	SLV_ENV	Min	0.	-26.9759	-332.6389	-60.9772

Table: Element Forces - Area Shells, Part 3 of 5

Area	AreaElem	Joint	OutputCase	StepType	FVM KN/m	M11 KN-m/m	M22 KN-m/m	M12 KN-m/m
110	110	68	SLV_ENV	Min	0.	-20.0341	-180.9517	-54.1728
110	110	67	SLV_ENV	Min	0.	-29.7291	-171.1241	-44.793
111	111	67	SLU_ENV	Max	0.	6.1983	29.7899	4.9808
111	111	68	SLU_ENV	Max	0.	7.0681	35.1286	6.0716
111	111	50	SLU_ENV	Max	0.	8.983	36.8724	9.6771
111	111	49	SLU_ENV	Max	0.	5.7966	31.2116	8.5863
111	111	67	SLU_ENV	Min	0.	-5.8554	-37.0242	-10.9248
111	111	68	SLU_ENV	Min	0.	-5.9102	-40.8653	-11.0922
111	111	50	SLU_ENV	Min	0.	-5.0952	-37.4029	-15.0754
111	111	49	SLU_ENV	Min	0.	-5.0578	-30.2931	-14.0495
111	111	67	SLV_ENV	Max	0.	26.2681	190.1208	40.9175
111	111	68	SLV_ENV	Max	0.	18.1722	201.3361	49.1588
111	111	50	SLV_ENV	Max	0.	48.4478	56.3548	43.2343
111	111	49	SLV_ENV	Max	0.	59.1799	51.2133	34.8046
111	111	67	SLV_ENV	Min	0.	-25.9224	-189.7425	-45.3071
111	111	68	SLV_ENV	Min	0.	-17.5071	-201.8254	-53.4322
111	111	50	SLV_ENV	Min	0.	-47.621	-56.507	-47.9258
111	111	49	SLV_ENV	Min	0.	-58.6805	-50.2595	-39.6124
114	114	140	SLU_ENV	Max	0.	5.0054	24.115	0.8334
114	114	141	SLU_ENV	Max	0.	4.0407	24.5068	1.2918
114	114	123	SLU_ENV	Max	0.	4.902	26.923	1.6509
114	114	122	SLU_ENV	Max	0.	5.8674	26.4772	1.2092
114	114	140	SLU_ENV	Min	0.	-13.1888	-70.3769	-5.4126
114	114	141	SLU_ENV	Min	0.	-12.0003	-71.522	-3.3255
114	114	123	SLU_ENV	Min	0.	-8.7088	-62.6091	-4.4259
114	114	122	SLU_ENV	Min	0.	-9.9121	-61.2585	-6.1801
114	114	140	SLV_ENV	Max	0.	119.5226	712.0384	61.18
114	114	141	SLV_ENV	Max	0.	149.0832	717.2667	95.7771
114	114	123	SLV_ENV	Max	0.	86.2664	548.8287	88.2891
114	114	122	SLV_ENV	Max	0.	57.6927	547.9009	50.3968
114	114	140	SLV_ENV	Min	0.	-120.1763	-715.263	-63.0898
114	114	141	SLV_ENV	Min	0.	-149.3376	-721.8253	-97.4945
114	114	123	SLV_ENV	Min	0.	-86.2849	-552.925	-90.6798
114	114	122	SLV_ENV	Min	0.	-58.121	-550.5474	-52.9801
115	115	122	SLU_ENV	Max	0.	5.6673	26.5087	1.371
115	115	123	SLU_ENV	Max	0.	5.1878	27.3244	1.4967
115	115	105	SLU_ENV	Max	0.	5.5912	29.3041	2.3162
115	115	104	SLU_ENV	Max	0.	6.0579	28.3392	2.1491
115	115	122	SLU_ENV	Min	0.	-10.0414	-63.2296	-5.1338
115	115	123	SLU_ENV	Min	0.	-9.5228	-65.3581	-4.8582
115	115	105	SLU_ENV	Min	0.	-7.6097	-56.8647	-6.1392
115	115	104	SLU_ENV	Min	0.	-8.1229	-54.3671	-6.3861
115	115	122	SLV_ENV	Max	0.	64.5801	592.412	68.9982
115	115	123	SLV_ENV	Max	0.	96.1934	592.3542	66.7317
115	115	105	SLV_ENV	Max	0.	67.5756	438.5834	66.6596
115	115	104	SLV_ENV	Max	0.	36.6183	442.5544	68.871
115	115	122	SLV_ENV	Min	0.	-64.8744	-594.9079	-71.5606
115	115	123	SLV_ENV	Min	0.	-96.3077	-596.4096	-69.1405
115	115	105	SLV_ENV	Min	0.	-67.5097	-442.2767	-69.7377
115	115	104	SLV_ENV	Min	0.	-36.737	-444.513	-72.1028
116	116	104	SLU_ENV	Max	0.	6.0858	28.9694	2.1089
116	116	105	SLU_ENV	Max	0.	5.7837	29.7824	2.3285
116	116	87	SLU_ENV	Max	0.	6.009	31.6516	3.7671
116	116	86	SLU_ENV	Max	0.	6.3037	30.7107	3.5993

Table: Element Forces - Area Shells, Part 3 of 5

Area	AreaElem	Joint	OutputCase	StepType	FVM	M11	M22	M12
					KN/m	KN-m/m	KN-m/m	KN-m/m
116	116	104	SLU_ENV	Min	0.	-8.4548	-55.9078	-6.614
116	116	105	SLU_ENV	Min	0.	-7.887	-58.3769	-5.8727
116	116	87	SLU_ENV	Min	0.	-5.7362	-49.2293	-8.064
116	116	86	SLU_ENV	Min	0.	-6.205	-46.4116	-8.6406
116	116	104	SLV_ENV	Max	0.	39.5692	453.7951	68.764
116	116	105	SLV_ENV	Max	0.	74.3666	477.2247	66.7761
116	116	87	SLV_ENV	Max	0.	44.8918	321.078	57.7028
116	116	86	SLV_ENV	Max	0.	15.0726	303.373	59.318
116	116	104	SLV_ENV	Min	0.	-39.5987	-455.5937	-71.9859
116	116	105	SLV_ENV	Min	0.	-74.279	-480.5233	-69.8624
116	116	87	SLV_ENV	Min	0.	-44.6288	-324.0033	-61.4354
116	116	86	SLV_ENV	Min	0.	-14.9327	-304.5955	-63.1862
117	117	86	SLU_ENV	Max	0.	6.3908	31.0422	3.795
117	117	87	SLU_ENV	Max	0.	6.4099	33.5168	4.0745
117	117	69	SLU_ENV	Max	0.	5.9491	35.4351	5.9617
117	117	68	SLU_ENV	Max	0.	5.9443	32.6817	6.2489
117	117	86	SLU_ENV	Min	0.	-6.596	-48.5054	-8.4087
117	117	87	SLU_ENV	Min	0.	-5.9718	-50.9595	-8.6944
117	117	69	SLU_ENV	Min	0.	-5.744	-41.3627	-11.1329
117	117	68	SLU_ENV	Min	0.	-6.0516	-38.3886	-10.659
117	117	86	SLV_ENV	Max	0.	17.2401	328.2796	57.2656
117	117	87	SLV_ENV	Max	0.	49.3798	348.2876	59.8244
117	117	69	SLV_ENV	Max	0.	23.3583	194.1385	53.2353
117	117	68	SLV_ENV	Max	0.	27.6371	179.3046	50.3821
117	117	86	SLV_ENV	Min	0.	-17.0588	-329.527	-60.8117
117	117	87	SLV_ENV	Min	0.	-48.9685	-350.2391	-63.8784
117	117	69	SLV_ENV	Min	0.	-23.1312	-195.6787	-57.6302
117	117	68	SLV_ENV	Min	0.	-27.6467	-179.928	-54.2691
118	118	68	SLU_ENV	Max	0.	6.3277	35.1443	5.9012
118	118	69	SLU_ENV	Max	0.	6.301	36.2856	8.2579
118	118	51	SLU_ENV	Max	0.	9.0011	38.1887	10.4121
118	118	50	SLU_ENV	Max	0.	7.5192	36.916	9.8528
118	118	68	SLU_ENV	Min	0.	-6.5099	-42.294	-10.9854
118	118	69	SLU_ENV	Min	0.	-5.9271	-43.0702	-12.7098
118	118	51	SLU_ENV	Min	0.	-5.3023	-39.1856	-15.5098
118	118	50	SLU_ENV	Min	0.	-5.8894	-37.3592	-15.0797
118	118	68	SLV_ENV	Max	0.	22.3402	200.0642	50.1977
118	118	69	SLV_ENV	Max	0.	26.38	225.5553	53.432
118	118	51	SLV_ENV	Max	0.	28.9046	75.6798	45.4688
118	118	50	SLV_ENV	Max	0.	53.2353	55.2373	42.1485
118	118	68	SLV_ENV	Min	0.	-22.3995	-200.8693	-54.5768
118	118	69	SLV_ENV	Min	0.	-26.0566	-226.6809	-57.3317
118	118	51	SLV_ENV	Min	0.	-28.183	-76.3338	-49.577
118	118	50	SLV_ENV	Min	0.	-52.905	-55.3179	-46.736
121	121	141	SLU_ENV	Max	0.	5.6008	24.7151	1.2821
121	121	131	SLU_ENV	Max	0.	6.711	25.0418	1.4326
121	121	113	SLU_ENV	Max	0.	7.0795	27.6396	1.8089
121	121	123	SLU_ENV	Max	0.	5.9799	27.2425	1.6584
121	121	141	SLU_ENV	Min	0.	-12.9077	-72.226	-3.4237
121	121	131	SLU_ENV	Min	0.	-19.0343	-75.9021	-3.0711
121	121	113	SLU_ENV	Min	0.	-16.7921	-66.1826	-3.9755
121	121	123	SLU_ENV	Min	0.	-10.6819	-62.4814	-4.3281
121	121	141	SLV_ENV	Max	0.	79.3054	717.0617	100.3176
121	121	131	SLV_ENV	Max	0.	189.2081	773.7781	68.7396

Table: Element Forces - Area Shells, Part 3 of 5

Area	AreaElem	Joint	OutputCase	StepType	FVM	M11	M22	M12
					KN/m	KN-m/m	KN-m/m	KN-m/m
121	121	113	SLV_ENV	Max	0.	169.4926	577.9237	52.4049
121	121	123	SLV_ENV	Max	0.	58.3578	529.4712	83.5449
121	121	141	SLV_ENV	Min	0.	-80.699	-721.6631	-102.1374
121	121	131	SLV_ENV	Min	0.	-190.6618	-779.3498	-70.1243
121	121	113	SLV_ENV	Min	0.	-170.6462	-583.5324	-54.2603
121	121	123	SLV_ENV	Min	0.	-59.4651	-533.9704	-85.8355
122	122	123	SLU_ENV	Max	0.	6.2665	27.6534	1.6084
122	122	113	SLU_ENV	Max	0.	6.9014	27.7707	1.8523
122	122	95	SLU_ENV	Max	0.	7.1191	29.5436	2.4454
122	122	105	SLU_ENV	Max	0.	6.4887	29.3734	2.2015
122	122	123	SLU_ENV	Min	0.	-12.3457	-66.6276	-5.1235
122	122	113	SLU_ENV	Min	0.	-16.3508	-68.149	-3.7874
122	122	95	SLU_ENV	Min	0.	-12.8504	-58.0565	-4.9443
122	122	105	SLU_ENV	Min	0.	-8.8603	-56.4131	-5.8739
122	122	123	SLV_ENV	Max	0.	83.5187	595.8824	70.3038
122	122	113	SLV_ENV	Max	0.	165.6503	621.5022	65.9283
122	122	95	SLV_ENV	Max	0.	131.4621	445.0115	59.9092
122	122	105	SLV_ENV	Max	0.	50.2329	428.9448	63.3659
122	122	123	SLV_ENV	Min	0.	-84.5011	-600.0736	-72.8005
122	122	113	SLV_ENV	Min	0.	-166.8188	-626.8682	-67.5727
122	122	95	SLV_ENV	Min	0.	-132.0903	-450.2462	-62.0512
122	122	105	SLV_ENV	Min	0.	-50.6817	-432.7789	-66.3602
123	123	105	SLU_ENV	Max	0.	6.8159	30.1258	2.6745
123	123	95	SLU_ENV	Max	0.	6.9775	29.7184	1.9641
123	123	77	SLU_ENV	Max	0.	6.8145	31.3882	2.7071
123	123	87	SLU_ENV	Max	0.	6.6909	31.6572	3.4176
123	123	105	SLU_ENV	Min	0.	-10.2506	-59.6093	-6.2814
123	123	95	SLU_ENV	Min	0.	-12.6822	-60.9704	-4.3711
123	123	77	SLU_ENV	Min	0.	-8.7232	-50.3173	-5.958
123	123	87	SLU_ENV	Min	0.	-6.3707	-48.6627	-7.7365
123	123	105	SLV_ENV	Max	0.	67.3155	479.1465	62.6704
123	123	95	SLV_ENV	Max	0.	133.0043	492.1225	60.4638
123	123	77	SLV_ENV	Max	0.	100.726	320.429	59.9612
123	123	87	SLV_ENV	Max	0.	37.6969	315.7423	61.7501
123	123	105	SLV_ENV	Min	0.	-67.6687	-482.5463	-65.748
123	123	95	SLV_ENV	Min	0.	-133.5923	-497.1123	-62.5184
123	123	77	SLV_ENV	Min	0.	-100.6531	-325.2054	-62.6857
123	123	87	SLV_ENV	Min	0.	-37.3977	-318.6472	-65.4976
124	124	87	SLU_ENV	Max	0.	7.2898	33.8109	4.2201
124	124	77	SLU_ENV	Max	0.	6.8504	32.0825	2.2675
124	124	59	SLU_ENV	Max	0.	6.2219	33.7223	5.5664
124	124	69	SLU_ENV	Max	0.	6.6405	35.4098	6.5284
124	124	87	SLU_ENV	Min	0.	-7.5985	-51.994	-8.5197
124	124	77	SLU_ENV	Min	0.	-8.8394	-53.5309	-5.4164
124	124	59	SLU_ENV	Min	0.	-5.232	-42.577	-9.6827
124	124	69	SLU_ENV	Min	0.	-5.3636	-40.7515	-11.886
124	124	87	SLV_ENV	Max	0.	47.2323	348.4821	58.9379
124	124	77	SLV_ENV	Max	0.	105.7819	371.7446	62.7521
124	124	59	SLV_ENV	Max	0.	73.4392	207.1608	58.0473
124	124	69	SLV_ENV	Max	0.	25.1972	192.4362	54.1435
124	124	87	SLV_ENV	Min	0.	-46.7342	-350.4314	-62.6969
124	124	77	SLV_ENV	Min	0.	-105.603	-375.952	-65.461
124	124	59	SLV_ENV	Min	0.	-72.5647	-211.0923	-61.6967
124	124	69	SLV_ENV	Min	0.	-24.0137	-193.7699	-58.8431

Table: Element Forces - Area Shells, Part 3 of 5

Area	AreaElem	Joint	OutputCase	StepType	FVM KN/m	M11 KN-m/m	M22 KN-m/m	M12 KN-m/m
125	125	69	SLU_ENV	Max	0.	7.1272	36.3363	7.265
125	125	59	SLU_ENV	Max	0.	6.9727	37.103	5.5552
125	125	41	SLU_ENV	Max	0.	6.0702	39.0589	11.1893
125	125	51	SLU_ENV	Max	0.	7.0961	38.0136	12.159
125	125	69	SLU_ENV	Min	0.	-5.6154	-43.8392	-11.8945
125	125	59	SLU_ENV	Min	0.	-5.3704	-45.516	-10.5577
125	125	41	SLU_ENV	Min	0.	-3.7344	-40.2034	-16.3085
125	125	51	SLU_ENV	Min	0.	-3.8007	-38.7096	-16.8646
125	125	69	SLV_ENV	Max	0.	28.0002	224.2416	52.5125
125	125	59	SLV_ENV	Max	0.	80.1271	254.7052	59.6175
125	125	41	SLV_ENV	Max	0.	49.535	98.9165	53.3325
125	125	51	SLV_ENV	Max	0.	33.6016	76.2421	46.3793
125	125	69	SLV_ENV	Min	0.	-26.6461	-225.3298	-56.4469
125	125	59	SLV_ENV	Min	0.	-78.8531	-256.0318	-64.0382
125	125	41	SLV_ENV	Min	0.	-48.4227	-99.8069	-57.8936
125	125	51	SLV_ENV	Min	0.	-32.417	-76.6347	-50.454
128	128	131	SLU_ENV	Max	0.	10.1435	70.0474	3.234
128	128	144	SLU_ENV	Max	0.	13.572	74.7313	5.3684
128	128	126	SLU_ENV	Max	0.	10.7639	74.9388	6.3906
128	128	113	SLU_ENV	Max	0.	7.3463	70.4401	5.6062
128	128	131	SLU_ENV	Min	0.	-28.7681	-203.8802	-8.0379
128	128	144	SLU_ENV	Min	0.	-42.1859	-211.0137	-4.3876
128	128	126	SLU_ENV	Min	0.	-29.966	-182.2265	-6.5475
128	128	113	SLU_ENV	Min	0.	-16.5925	-175.4108	-11.2127
128	128	131	SLV_ENV	Max	0.	269.7554	2012.2253	172.3735
128	128	144	SLV_ENV	Max	0.	358.9964	2046.0354	178.7211
128	128	126	SLV_ENV	Max	0.	258.6246	1614.8442	167.2538
128	128	113	SLV_ENV	Max	0.	172.8023	1588.0758	157.9349
128	128	131	SLV_ENV	Min	0.	-272.3579	-2027.7396	-176.4439
128	128	144	SLV_ENV	Min	0.	-363.6497	-2063.667	-180.6815
128	128	126	SLV_ENV	Min	0.	-261.8132	-1631.5198	-169.9383
128	128	113	SLV_ENV	Min	0.	-173.9522	-1602.5603	-162.7294
129	129	113	SLU_ENV	Max	0.	9.3338	75.7729	5.5496
129	129	126	SLU_ENV	Max	0.	9.7963	74.7054	4.4094
129	129	108	SLU_ENV	Max	0.	8.115	76.1161	4.8445
129	129	95	SLU_ENV	Max	0.	7.6565	77.2011	6.1805
129	129	113	SLU_ENV	Min	0.	-21.4541	-179.8819	-11.0131
129	129	126	SLU_ENV	Min	0.	-26.4601	-184.5344	-6.6951
129	129	108	SLU_ENV	Min	0.	-18.8991	-162.0045	-9.3135
129	129	95	SLU_ENV	Min	0.	-13.9156	-157.4737	-12.8271
129	129	113	SLV_ENV	Max	0.	191.7222	1574.8863	176.8633
129	129	126	SLV_ENV	Max	0.	234.9973	1613.2613	146.2931
129	129	108	SLV_ENV	Max	0.	184.2215	1287.7642	135.3261
129	129	95	SLV_ENV	Max	0.	143.9509	1255.5778	165.7586
129	129	113	SLV_ENV	Min	0.	-193.5597	-1589.6615	-181.5349
129	129	126	SLV_ENV	Min	0.	-237.7615	-1630.963	-149.0993
129	129	108	SLV_ENV	Min	0.	-185.8394	-1304.6422	-139.1423
129	129	95	SLV_ENV	Min	0.	-144.6444	-1269.4113	-171.4401
130	130	95	SLU_ENV	Max	0.	8.4986	80.6723	6.2255
130	130	108	SLU_ENV	Max	0.	8.2676	77.6185	5.2044
130	130	90	SLU_ENV	Max	0.	6.9785	79.4253	8.1286
130	130	77	SLU_ENV	Max	0.	7.2116	82.5761	6.6458
130	130	95	SLU_ENV	Min	0.	-16.1065	-160.0069	-12.9517
130	130	108	SLU_ENV	Min	0.	-17.541	-163.6357	-9.5642

Table: Element Forces - Area Shells, Part 3 of 5

Area	AreaElem	Joint	OutputCase	StepType	FVM	M11	M22	M12
					KN/m	KN-m/m	KN-m/m	KN-m/m
130	130	90	SLU_ENV	Min	0.	-11.3678	-142.3784	-14.209
130	130	77	SLU_ENV	Min	0.	-10.1183	-138.8268	-15.3609
130	130	95	SLV_ENV	Max	0.	141.0775	1220.0646	171.737
130	130	108	SLV_ENV	Max	0.	173.0451	1261.2459	129.4056
130	130	90	SLV_ENV	Max	0.	139.4447	967.5836	114.2218
130	130	77	SLV_ENV	Max	0.	109.4943	932.0601	156.7502
130	130	95	SLV_ENV	Min	0.	-142.1457	-1233.8791	-177.4837
130	130	108	SLV_ENV	Min	0.	-174.5455	-1279.4289	-133.1531
130	130	90	SLV_ENV	Min	0.	-139.7394	-985.0205	-119.5463
130	130	77	SLV_ENV	Min	0.	-109.3572	-944.9473	-164.0738
131	131	77	SLU_ENV	Max	0.	8.1085	87.3383	8.5717
131	131	90	SLU_ENV	Max	0.	7.2814	80.6625	6.1202
131	131	72	SLU_ENV	Max	0.	7.1358	82.5456	10.306
131	131	59	SLU_ENV	Max	0.	8.1983	89.3383	12.7574
131	131	77	SLU_ENV	Min	0.	-11.4464	-140.2126	-17.1226
131	131	90	SLU_ENV	Min	0.	-10.4488	-143.0782	-12.1219
131	131	72	SLU_ENV	Min	0.	-5.9762	-122.8642	-19.093
131	131	59	SLU_ENV	Min	0.	-7.1005	-119.9113	-24.0374
131	131	77	SLV_ENV	Max	0.	101.0885	895.6075	170.0519
131	131	90	SLV_ENV	Max	0.	130.8664	922.8854	101.4898
131	131	72	SLV_ENV	Max	0.	118.8369	656.9889	90.4842
131	131	59	SLV_ENV	Max	0.	90.911	634.3835	159.4812
131	131	77	SLV_ENV	Min	0.	-101.0356	-907.3523	-177.488
131	131	90	SLV_ENV	Min	0.	-131.0938	-941.549	-106.6956
131	131	72	SLV_ENV	Min	0.	-117.7635	-675.0786	-98.2165
131	131	59	SLV_ENV	Min	0.	-89.5555	-645.268	-169.4437
132	132	59	SLU_ENV	Max	0.	10.6341	102.2839	16.7753
132	132	72	SLU_ENV	Max	0.	7.6295	82.2924	6.2327
132	132	54	SLU_ENV	Max	0.	7.3521	83.8457	18.4734
132	132	41	SLU_ENV	Max	0.	9.1118	104.3407	29.016
132	132	59	SLU_ENV	Min	0.	-8.0769	-118.9494	-27.518
132	132	72	SLU_ENV	Min	0.	-6.3163	-123.5026	-15.537
132	132	54	SLU_ENV	Min	0.	-3.655	-105.1618	-34.059
132	132	41	SLU_ENV	Min	0.	-5.5034	-107.6862	-46.0315
132	132	59	SLV_ENV	Max	0.	77.7438	581.6676	162.4229
132	132	72	SLV_ENV	Max	0.	115.0244	623.1801	87.2591
132	132	54	SLV_ENV	Max	0.	112.7225	386.8123	70.8341
132	132	41	SLV_ENV	Max	0.	78.9135	349.4128	145.8644
132	132	59	SLV_ENV	Min	0.	-75.3889	-585.2576	-171.8627
132	132	72	SLV_ENV	Min	0.	-113.7673	-642.6492	-95.4951
132	132	54	SLV_ENV	Min	0.	-110.7289	-406.0049	-84.8256
132	132	41	SLV_ENV	Min	0.	-75.8143	-352.1251	-161.0596
135	135	144	SLU_ENV	Max	0.	12.2536	72.3093	9.0601
135	135	145	SLU_ENV	Max	0.	2.9824	70.7546	16.2605
135	135	127	SLU_ENV	Max	0.	2.1508	75.9043	8.0986
135	135	126	SLU_ENV	Max	0.	11.3553	77.2154	3.3966
135	135	144	SLU_ENV	Min	0.	-33.5266	-207.4777	-4.0854
135	135	145	SLU_ENV	Min	0.	-17.8777	-225.9446	-5.8166
135	135	127	SLU_ENV	Min	0.	-8.1281	-201.3849	-5.9118
135	135	126	SLU_ENV	Min	0.	-23.6858	-182.7746	-6.8307
135	135	144	SLV_ENV	Max	0.	362.663	1986.9941	212.2778
135	135	145	SLV_ENV	Max	0.	142.2987	2165.0845	248.7975
135	135	127	SLV_ENV	Max	0.	54.654	1854.9382	164.8913
135	135	126	SLV_ENV	Max	0.	282.2319	1679.771	136.9143

Table: Element Forces - Area Shells, Part 3 of 5

Area	AreaElem	Joint	OutputCase	StepType	FVM	M11	M22	M12
					KN/m	KN-m/m	KN-m/m	KN-m/m
135	135	144	SLV_ENV	Min	0.	-364.8533	-2004.7705	-214.0209
135	135	145	SLV_ENV	Min	0.	-144.6511	-2185.7521	-248.968
135	135	127	SLV_ENV	Min	0.	-55.6546	-1873.4144	-166.2169
135	135	126	SLV_ENV	Min	0.	-283.0706	-1695.3391	-139.8126
136	136	126	SLU_ENV	Max	0.	7.5518	73.2042	5.7033
136	136	127	SLU_ENV	Max	0.	3.9662	76.867	5.1314
136	136	109	SLU_ENV	Max	0.	2.9361	80.5709	5.1848
136	136	108	SLU_ENV	Max	0.	6.4713	76.8397	4.9734
136	136	126	SLU_ENV	Min	0.	-18.1845	-182.793	-6.6212
136	136	127	SLU_ENV	Min	0.	-11.8099	-197.2466	-6.1545
136	136	109	SLU_ENV	Min	0.	-6.4037	-175.2011	-8.1913
136	136	108	SLU_ENV	Min	0.	-12.7277	-160.8568	-9.3608
136	136	126	SLV_ENV	Max	0.	183.5171	1578.7122	165.9046
136	136	127	SLV_ENV	Max	0.	92.3478	1711.872	134.6421
136	136	109	SLV_ENV	Max	0.	57.3353	1437.3264	89.0901
136	136	108	SLV_ENV	Max	0.	149.7708	1305.0509	115.5323
136	136	126	SLV_ENV	Min	0.	-184.8571	-1596.5948	-168.7584
136	136	127	SLV_ENV	Min	0.	-93.7103	-1732.3495	-136.0128
136	136	109	SLV_ENV	Min	0.	-57.601	-1456.0657	-91.3695
136	136	108	SLV_ENV	Min	0.	-150.0153	-1321.1884	-119.2948
137	137	108	SLU_ENV	Max	0.	4.962	76.3522	5.5096
137	137	109	SLU_ENV	Max	0.	3.7562	78.2998	4.6512
137	137	91	SLU_ENV	Max	0.	4.4052	81.6637	6.9291
137	137	90	SLU_ENV	Max	0.	5.4968	79.7284	7.7875
137	137	108	SLU_ENV	Min	0.	-11.5288	-163.2341	-10.0891
137	137	109	SLU_ENV	Min	0.	-7.6179	-173.271	-8.8885
137	137	91	SLU_ENV	Min	0.	-4.5424	-150.8017	-13.7782
137	137	90	SLU_ENV	Min	0.	-8.3709	-140.9736	-13.6384
137	137	108	SLV_ENV	Max	0.	107.1806	1238.3397	139.0944
137	137	109	SLV_ENV	Max	0.	63.5881	1332.3161	69.76
137	137	91	SLV_ENV	Max	0.	54.9364	1062.1701	54.2667
137	137	90	SLV_ENV	Max	0.	99.2553	969.5881	104.0922
137	137	108	SLV_ENV	Min	0.	-108.1491	-1256.8902	-143.0407
137	137	109	SLV_ENV	Min	0.	-64.227	-1354.1272	-71.8541
137	137	91	SLV_ENV	Min	0.	-54.302	-1082.3055	-57.5316
137	137	90	SLV_ENV	Min	0.	-98.9525	-986.4316	-109.2093
138	138	90	SLU_ENV	Max	0.	4.2803	79.4921	6.5945
138	138	91	SLU_ENV	Max	0.	5.3063	77.1823	8.1219
138	138	73	SLU_ENV	Max	0.	7.129	80.3278	11.3157
138	138	72	SLU_ENV	Max	0.	5.8339	82.8407	9.7882
138	138	90	SLU_ENV	Min	0.	-8.9923	-144.2893	-12.6534
138	138	91	SLU_ENV	Min	0.	-5.2881	-151.4721	-14.9603
138	138	73	SLU_ENV	Min	0.	-5.4785	-128.4292	-20.7699
138	138	72	SLU_ENV	Min	0.	-6.8476	-121.5213	-18.5074
138	138	90	SLV_ENV	Max	0.	77.4503	910.6259	109.5225
138	138	91	SLV_ENV	Max	0.	46.9525	976.7786	55.5656
138	138	73	SLV_ENV	Max	0.	48.4646	715.9344	52.5623
138	138	72	SLV_ENV	Max	0.	78.2541	651.5706	81.9862
138	138	90	SLV_ENV	Min	0.	-78.2004	-929.9916	-114.7638
138	138	91	SLV_ENV	Min	0.	-46.9698	-1002.9146	-58.6998
138	138	73	SLV_ENV	Min	0.	-47.0738	-740.4139	-58.143
138	138	72	SLV_ENV	Min	0.	-77.5977	-669.1461	-89.6741
139	139	72	SLU_ENV	Max	0.	6.0356	81.3296	13.4759
139	139	73	SLU_ENV	Max	0.	8.841	70.1428	7.6533

Table: Element Forces - Area Shells, Part 3 of 5

Area	AreaElem	Joint	OutputCase	StepType	FVM KN/m	M11 KN-m/m	M22 KN-m/m	M12 KN-m/m
139	139	55	SLU_ENV	Max	0.	13.3565	73.0802	5.2803
139	139	54	SLU_ENV	Max	0.	8.698	84.7413	11.1028
139	139	72	SLU_ENV	Min	0.	-10.7347	-127.1079	-22.6114
139	139	73	SLU_ENV	Min	0.	-8.2738	-131.023	-17.1503
139	139	55	SLU_ENV	Min	0.	-8.4141	-112.6475	-20.4362
139	139	54	SLU_ENV	Min	0.	-8.3628	-105.5144	-27.4997
139	139	72	SLV_ENV	Max	0.	74.9092	622.6583	83.9372
139	139	73	SLV_ENV	Max	0.	27.5381	614.6868	52.5419
139	139	55	SLV_ENV	Max	0.	34.9493	367.6042	40.6964
139	139	54	SLV_ENV	Max	0.	79.5789	375.2742	74.2397
139	139	72	SLV_ENV	Min	0.	-76.0094	-643.3205	-92.0667
139	139	73	SLV_ENV	Min	0.	-27.5641	-651.9464	-57.6663
139	139	55	SLV_ENV	Min	0.	-33.1074	-403.2887	-51.7752
139	139	54	SLV_ENV	Min	0.	-78.8113	-393.9905	-88.3236
146	146	49	SLU_ENV	Max	0.	39.288	49.1172	40.9393
146	146	50	SLU_ENV	Max	0.	51.1789	43.7363	86.1523
146	146	32	SLU_ENV	Max	0.	56.8125	46.1229	114.4392
146	146	31	SLU_ENV	Max	0.	45.2872	51.7811	67.3955
146	146	49	SLU_ENV	Min	0.	-22.0253	-44.8868	-79.7094
146	146	50	SLU_ENV	Min	0.	-20.654	-40.489	-126.893
146	146	32	SLU_ENV	Min	0.	-28.9247	-43.9794	-156.3768
146	146	31	SLU_ENV	Min	0.	-31.3113	-46.0571	-102.4155
146	146	49	SLV_ENV	Max	0.	416.1254	93.6347	243.7252
146	146	50	SLV_ENV	Max	0.	387.7572	102.0212	292.0069
146	146	32	SLV_ENV	Max	0.	450.8828	54.7788	291.4048
146	146	31	SLV_ENV	Max	0.	480.5922	60.4287	243.1654
146	146	49	SLV_ENV	Min	0.	-412.2354	-88.1848	-273.1612
146	146	50	SLV_ENV	Min	0.	-382.3293	-100.8631	-327.7212
146	146	32	SLV_ENV	Min	0.	-448.9357	-54.0464	-329.295
146	146	31	SLV_ENV	Min	0.	-480.2377	-53.6694	-274.7773
147	147	50	SLU_ENV	Max	0.	33.8266	43.4664	92.6173
147	147	51	SLU_ENV	Max	0.	39.5017	91.9339	80.8525
147	147	33	SLU_ENV	Max	0.	76.4351	92.3118	60.643
147	147	32	SLU_ENV	Max	0.	70.5452	45.4071	107.9337
147	147	50	SLU_ENV	Min	0.	-8.8252	-40.8847	-130.9757
147	147	51	SLU_ENV	Min	0.	-6.1594	-103.6338	-109.9238
147	147	33	SLU_ENV	Min	0.	-39.7575	-104.5172	-97.5096
147	147	32	SLU_ENV	Min	0.	-42.5648	-40.3339	-152.2756
147	147	50	SLV_ENV	Max	0.	357.2158	105.0978	283.8894
147	147	51	SLV_ENV	Max	0.	276.38	82.9763	317.7747
147	147	33	SLV_ENV	Max	0.	329.8288	70.1722	333.9742
147	147	32	SLV_ENV	Max	0.	412.4802	44.9234	299.6545
147	147	50	SLV_ENV	Min	0.	-354.6133	-104.5985	-318.4858
147	147	51	SLV_ENV	Min	0.	-272.5481	-92.4198	-342.8173
147	147	33	SLV_ENV	Min	0.	-320.365	-79.8832	-363.4363
147	147	32	SLV_ENV	Min	0.	-404.3038	-42.8514	-338.6706
148	148	51	SLU_ENV	Max	0.	39.9783	92.908	53.1004
148	148	41	SLU_ENV	Max	0.	40.9554	68.5945	116.4074
148	148	23	SLU_ENV	Max	0.	59.8043	70.3691	158.7668
148	148	33	SLU_ENV	Max	0.	59.7525	95.4899	86.1986
148	148	51	SLU_ENV	Min	0.	-15.3873	-105.0731	-89.5951
148	148	41	SLU_ENV	Min	0.	-16.0083	-61.0507	-147.4291
148	148	23	SLU_ENV	Min	0.	-32.1944	-63.3361	-182.9075
148	148	33	SLU_ENV	Min	0.	-31.2297	-106.3196	-115.099

Table: Element Forces - Area Shells, Part 3 of 5

Area	AreaElem	Joint	OutputCase	StepType	FVM	M11	M22	M12
					KN/m	KN-m/m	KN-m/m	KN-m/m
148	148	51	SLV_ENV	Max	0.	199.4116	109.0401	330.5966
148	148	41	SLV_ENV	Max	0.	189.7506	195.9048	354.9948
148	148	23	SLV_ENV	Max	0.	186.4824	34.3813	345.2578
148	148	33	SLV_ENV	Max	0.	238.7011	49.7734	321.1628
148	148	51	SLV_ENV	Min	0.	-191.4944	-118.9038	-361.0004
148	148	41	SLV_ENV	Min	0.	-180.7572	-189.0591	-383.8832
148	148	23	SLV_ENV	Min	0.	-176.444	-27.2017	-367.777
148	148	33	SLV_ENV	Min	0.	-229.77	-58.3536	-345.1974
149	149	41	SLU_ENV	Max	0.	35.2824	67.7048	112.6322
149	149	54	SLU_ENV	Max	0.	37.5013	144.9133	5.9149
149	149	36	SLU_ENV	Max	0.	53.3416	147.3945	55.6999
149	149	23	SLU_ENV	Max	0.	52.1287	70.4121	162.4171
149	149	41	SLU_ENV	Min	0.	-15.2588	-61.2855	-141.0319
149	149	54	SLU_ENV	Min	0.	-14.0279	-138.6495	-69.3714
149	149	36	SLU_ENV	Min	0.	-49.1751	-141.5032	-107.4233
149	149	23	SLU_ENV	Min	0.	-50.2087	-61.3391	-189.2362
149	149	41	SLV_ENV	Max	0.	114.852	188.4466	364.0184
149	149	54	SLV_ENV	Max	0.	160.8248	293.5486	177.8481
149	149	36	SLV_ENV	Max	0.	214.8231	122.8252	150.2701
149	149	23	SLV_ENV	Max	0.	155.4785	34.0167	335.5909
149	149	41	SLV_ENV	Min	0.	-102.0309	-182.6102	-389.7984
149	149	54	SLV_ENV	Min	0.	-147.3652	-286.3866	-225.0004
149	149	36	SLV_ENV	Min	0.	-212.3694	-116.0663	-197.3286
149	149	23	SLV_ENV	Min	0.	-153.6414	-26.7025	-361.2772
150	150	54	SLU_ENV	Max	0.	11.4565	143.5419	63.9935
150	150	55	SLU_ENV	Max	0.	29.4111	-19.6067	2.0379
150	150	37	SLU_ENV	Max	0.	55.1923	-18.2939	23.1032
150	150	36	SLU_ENV	Max	0.	38.1385	148.081	-1.6431
150	150	54	SLU_ENV	Min	0.	-7.068	-140.4015	-91.3298
150	150	55	SLU_ENV	Min	0.	-4.9346	-151.2694	-49.1938
150	150	37	SLU_ENV	Min	0.	-42.8014	-149.0543	-116.5398
150	150	36	SLU_ENV	Min	0.	-38.3813	-142.5224	-93.709
150	150	54	SLV_ENV	Max	0.	102.137	325.296	169.2065
150	150	55	SLV_ENV	Max	0.	112.2246	217.4335	66.7087
150	150	37	SLV_ENV	Max	0.	81.6062	77.508	32.9088
150	150	36	SLV_ENV	Max	0.	151.3872	81.1041	159.6644
150	150	54	SLV_ENV	Min	0.	-96.0935	-320.9545	-194.6127
150	150	55	SLV_ENV	Min	0.	-107.3671	-335.8662	-104.0658
150	150	37	SLV_ENV	Min	0.	-82.465	-195.8181	-113.7546
150	150	36	SLV_ENV	Min	0.	-150.9974	-73.4206	-228.5592
271	271	2214	SLU_ENV	Max	0.	1.3297	8.1706	4.2541
271	271	2215	SLU_ENV	Max	0.	1.0566	5.5825	7.7515
271	271	2197	SLU_ENV	Max	0.	1.3172	1.5503	4.9935
271	271	2196	SLU_ENV	Max	0.	1.3107	4.4644	1.4962
271	271	2214	SLU_ENV	Min	0.	-4.8055	-33.2812	-10.4222
271	271	2215	SLU_ENV	Min	0.	-4.9142	-38.8537	-11.3676
271	271	2197	SLU_ENV	Min	0.	-1.1148	-23.9151	-13.2076
271	271	2196	SLU_ENV	Min	0.	-0.9621	-18.6806	-12.2635
271	271	2214	SLV_ENV	Max	0.	68.8566	364.1157	174.6462
271	271	2215	SLV_ENV	Max	0.	74.7177	378.9396	182.1337
271	271	2197	SLV_ENV	Max	0.	35.2231	228.1806	169.4487
271	271	2196	SLV_ENV	Max	0.	25.2995	213.5514	160.5453
271	271	2214	SLV_ENV	Min	0.	-67.5018	-355.6857	-182.0684
271	271	2215	SLV_ENV	Min	0.	-73.9863	-374.8742	-190.0127

Table: Element Forces - Area Shells, Part 3 of 5

Area	AreaElem	Joint	OutputCase	StepType	FVM KN/m	M11 KN-m/m	M22 KN-m/m	M12 KN-m/m
271	271	2197	SLV_ENV	Min	0.	-35.5794	-228.0831	-179.7728
271	271	2196	SLV_ENV	Min	0.	-25.1165	-208.8027	-170.4126
380	380	2196	SLU_ENV	Max	0.	0.2431	4.0766	1.5892
380	380	2197	SLU_ENV	Max	0.	1.7205	5.9332	4.8891
380	380	2179	SLU_ENV	Max	0.	5.4914	2.8004	4.302
380	380	2178	SLU_ENV	Max	0.	3.7704	1.3335	1.0022
380	380	2196	SLU_ENV	Min	0.	-1.1009	-23.0334	-10.5579
380	380	2197	SLU_ENV	Min	0.	-0.1082	-24.2077	-14.9287
380	380	2179	SLU_ENV	Min	0.	-3.0513	-13.5089	-14.1849
380	380	2178	SLU_ENV	Min	0.	-4.0359	-12.786	-9.8057
380	380	2196	SLV_ENV	Max	0.	28.2169	242.6036	151.3207
380	380	2197	SLV_ENV	Max	0.	37.3084	252.0888	175.1933
380	380	2179	SLV_ENV	Max	0.	29.9773	141.5753	162.0429
380	380	2178	SLV_ENV	Max	0.	32.191	146.0267	135.9164
380	380	2196	SLV_ENV	Min	0.	-28.2299	-238.9642	-159.3908
380	380	2197	SLV_ENV	Min	0.	-36.565	-246.3632	-187.3278
380	380	2179	SLV_ENV	Min	0.	-32.1441	-138.9149	-173.4583
380	380	2178	SLV_ENV	Min	0.	-35.1235	-145.2007	-143.2674
381	381	2178	SLU_ENV	Max	0.	2.3765	3.185	-0.5289
381	381	2179	SLU_ENV	Max	0.	5.2697	3.2123	5.8598
381	381	2161	SLU_ENV	Max	0.	11.1497	0.2786	5.4491
381	381	2160	SLU_ENV	Max	0.	8.2798	0.6636	-0.9381
381	381	2178	SLU_ENV	Min	0.	-3.7729	-16.4739	-12.3985
381	381	2179	SLU_ENV	Min	0.	-2.6528	-16.679	-11.5621
381	381	2161	SLU_ENV	Min	0.	-2.7996	-5.9574	-11.622
381	381	2160	SLU_ENV	Min	0.	-3.9206	-5.4985	-12.4594
381	381	2178	SLV_ENV	Max	0.	24.1724	170.2906	138.4295
381	381	2179	SLV_ENV	Max	0.	31.3744	166.6033	163.5639
381	381	2161	SLV_ENV	Max	0.	57.6309	63.6519	169.8247
381	381	2160	SLV_ENV	Max	0.	60.0217	66.2184	143.634
381	381	2178	SLV_ENV	Min	0.	-26.9859	-167.4488	-148.6969
381	381	2179	SLV_ENV	Min	0.	-33.234	-163.828	-172.0298
381	381	2161	SLV_ENV	Min	0.	-58.9848	-63.9255	-178.5319
381	381	2160	SLV_ENV	Min	0.	-62.3552	-65.7302	-154.1428
384	384	2215	SLU_ENV	Max	0.	1.975	5.5151	5.2108
384	384	2205	SLU_ENV	Max	0.	2.7838	10.8908	8.8174
384	384	2187	SLU_ENV	Max	0.	3.8158	7.0733	11.1416
384	384	2197	SLU_ENV	Max	0.	1.9987	1.9605	7.5351
384	384	2215	SLU_ENV	Min	0.	-4.4006	-39.0832	-14.2057
384	384	2205	SLU_ENV	Min	0.	-3.1271	-34.0542	-15.7287
384	384	2187	SLU_ENV	Min	0.	0.0109	-18.2659	-11.9537
384	384	2197	SLU_ENV	Min	0.	-0.6202	-23.491	-10.372
384	384	2215	SLV_ENV	Max	0.	74.4822	374.922	180.8317
384	384	2205	SLV_ENV	Max	0.	84.8095	379.3479	189.1554
384	384	2187	SLV_ENV	Max	0.	43.8624	226.1504	183.143
384	384	2197	SLV_ENV	Max	0.	38.043	233.0463	171.6173
384	384	2215	SLV_ENV	Min	0.	-72.2648	-370.9416	-191.7879
384	384	2205	SLV_ENV	Min	0.	-81.9288	-368.4219	-201.0476
384	384	2187	SLV_ENV	Min	0.	-42.3773	-218.7696	-191.3201
384	384	2197	SLV_ENV	Min	0.	-37.2935	-232.3456	-178.8583
385	385	2197	SLU_ENV	Max	0.	1.4615	5.5503	5.5274
385	385	2187	SLU_ENV	Max	0.	1.3064	-1.4322	13.1676
385	385	2169	SLU_ENV	Max	0.	8.2426	-3.0448	11.2782
385	385	2179	SLU_ENV	Max	0.	8.3319	3.8098	3.6379

Table: Element Forces - Area Shells, Part 3 of 5

Area	AreaElem	Joint	OutputCase	StepType	FVM KN/m	M11 KN-m/m	M22 KN-m/m	M12 KN-m/m
385	385	2197	SLU_ENV	Min	0.	-0.7307	-24.7828	-12.7691
385	385	2187	SLU_ENV	Min	0.	-0.8063	-31.1115	-9.5443
385	385	2169	SLU_ENV	Min	0.	0.1123	-19.4583	-13.1453
385	385	2179	SLU_ENV	Min	0.	0.414	-12.488	-16.3681
385	385	2197	SLV_ENV	Max	0.	34.1796	247.0397	164.1422
385	385	2187	SLV_ENV	Max	0.	47.3987	223.8862	190.9599
385	385	2169	SLV_ENV	Max	0.	41.8328	122.9537	199.891
385	385	2179	SLV_ENV	Max	0.	32.0052	146.2092	172.3212
385	385	2197	SLV_ENV	Min	0.	-33.5612	-241.8572	-173.6193
385	385	2187	SLV_ENV	Min	0.	-47.6183	-230.1663	-196.8794
385	385	2169	SLV_ENV	Min	0.	-40.2851	-130.9883	-210.4335
385	385	2179	SLV_ENV	Min	0.	-29.6482	-142.1259	-186.4214
386	386	2179	SLU_ENV	Max	0.	6.7922	2.6332	6.6718
386	386	2169	SLU_ENV	Max	0.	7.632	-2.3626	8.2098
386	386	2151	SLU_ENV	Max	0.	10.1576	-3.7939	6.2092
386	386	2161	SLU_ENV	Max	0.	10.1299	0.5966	4.6711
386	386	2179	SLU_ENV	Min	0.	-0.0024	-17.4201	-9.8993
386	386	2169	SLU_ENV	Min	0.	0.5198	-25.2442	-19.6581
386	386	2151	SLU_ENV	Min	0.	-4.9026	-12.7863	-23.0056
386	386	2161	SLU_ENV	Min	0.	-5.9726	-4.8215	-13.2424
386	386	2179	SLV_ENV	Max	0.	28.9493	160.7848	170.0262
386	386	2169	SLV_ENV	Max	0.	41.1613	160.892	201.2544
386	386	2151	SLV_ENV	Max	0.	53.7268	55.7011	195.7816
386	386	2161	SLV_ENV	Max	0.	65.8836	64.6049	163.6517
386	386	2179	SLV_ENV	Min	0.	-27.5163	-158.8512	-176.7421
386	386	2169	SLV_ENV	Min	0.	-38.9523	-168.0914	-219.2337
386	386	2151	SLV_ENV	Min	0.	-58.2623	-64.3656	-217.4476
386	386	2161	SLV_ENV	Min	0.	-71.2018	-64.1711	-174.0542
389	389	2205	SLU_ENV	Max	0.	-0.4723	3.835	12.2156
389	389	2218	SLU_ENV	Max	0.	-9.9976	-20.4833	23.699
389	389	2200	SLU_ENV	Max	0.	-2.522	-12.8396	16.8046
389	389	2187	SLU_ENV	Max	0.	11.8979	15.2892	7.7662
389	389	2205	SLU_ENV	Min	0.	-5.4137	-36.0764	-4.4488
389	389	2218	SLU_ENV	Min	0.	-21.1243	-62.1624	7.4977
389	389	2200	SLU_ENV	Min	0.	-5.8186	-36.8047	-8.6011
389	389	2187	SLU_ENV	Min	0.	5.648	-16.8295	-23.1191
389	389	2205	SLV_ENV	Max	0.	66.8348	335.7173	161.2313
389	389	2218	SLV_ENV	Max	0.	47.5445	184.6435	146.5268
389	389	2200	SLV_ENV	Max	0.	50.3229	126.6317	196.2815
389	389	2187	SLV_ENV	Max	0.	68.2585	271.3416	209.9412
389	389	2205	SLV_ENV	Min	0.	-68.5936	-334.1527	-160.3103
389	389	2218	SLV_ENV	Min	0.	-69.2874	-230.7207	-129.883
389	389	2200	SLV_ENV	Min	0.	-57.2234	-155.2472	-201.4515
389	389	2187	SLV_ENV	Min	0.	-55.199	-253.2125	-230.8341
390	390	2187	SLU_ENV	Max	0.	1.8269	-5.2927	13.1569
390	390	2200	SLU_ENV	Max	0.	1.7869	-16.1306	11.3898
390	390	2182	SLU_ENV	Max	0.	-2.2012	-10.4721	9.5834
390	390	2169	SLU_ENV	Max	0.	3.7558	-0.2093	11.3505
390	390	2187	SLU_ENV	Min	0.	-1.1674	-35.6204	-7.8584
390	390	2200	SLU_ENV	Min	0.	-5.2243	-50.2537	-23.8223
390	390	2182	SLU_ENV	Min	0.	-5.5142	-29.0863	-30.6884
390	390	2169	SLU_ENV	Min	0.	-7.1616	-16.3624	-14.7272
390	390	2187	SLV_ENV	Max	0.	31.9472	195.6929	190.9964
390	390	2200	SLV_ENV	Max	0.	73.0367	150.684	214.1552

Table: Element Forces - Area Shells, Part 3 of 5

Area	AreaElem	Joint	OutputCase	StepType	FVM	M11	M22	M12
					KN/m	KN-m/m	KN-m/m	KN-m/m
390	390	2182	SLV_ENV	Max	0.	57.9778	90.7346	223.5124
390	390	2169	SLV_ENV	Max	0.	37.683	142.5238	200.167
390	390	2187	SLV_ENV	Min	0.	-33.0904	-209.7456	-195.2247
390	390	2200	SLV_ENV	Min	0.	-73.7442	-187.1666	-236.0056
390	390	2182	SLV_ENV	Min	0.	-65.3189	-114.1865	-253.2503
390	390	2169	SLV_ENV	Min	0.	-45.5603	-144.8555	-212.2829
391	391	2169	SLU_ENV	Max	0.	1.1702	-5.4915	6.1371
391	391	2182	SLU_ENV	Max	0.	2.6807	0.056	14.8648
391	391	2164	SLU_ENV	Max	0.	8.7959	4.175	16.9699
391	391	2151	SLU_ENV	Max	0.	8.8949	-2.9882	8.2421
391	391	2169	SLU_ENV	Min	0.	-12.1408	-29.6448	-22.8892
391	391	2182	SLU_ENV	Min	0.	-1.8441	-20.1447	-22.407
391	391	2164	SLU_ENV	Min	0.	0.2586	-3.3049	-19.3772
391	391	2151	SLU_ENV	Min	0.	-11.1707	-11.4722	-19.8399
391	391	2169	SLV_ENV	Max	0.	35.4672	141.0395	193.0009
391	391	2182	SLV_ENV	Max	0.	69.5466	137.9862	231.1539
391	391	2164	SLV_ENV	Max	0.	65.1492	50.4634	242.2133
391	391	2151	SLV_ENV	Max	0.	65.6281	62.2661	203.6724
391	391	2169	SLV_ENV	Min	0.	-48.9995	-154.6368	-214.2037
391	391	2182	SLV_ENV	Min	0.	-69.3781	-140.9	-251.6656
391	391	2164	SLV_ENV	Min	0.	-63.3709	-47.6947	-260.0429
391	391	2151	SLV_ENV	Min	0.	-77.5808	-69.1642	-222.193
401	401	2160	SLU_ENV	Max	0.	6.859	3.4141	0.496
401	401	2161	SLU_ENV	Max	0.	10.7524	0.0891	4.0018
401	401	1866	SLU_ENV	Max	0.	15.0752	0.2064	2.3575
401	401	1860	SLU_ENV	Max	0.	11.1776	3.5727	-1.1451
401	401	2160	SLU_ENV	Min	0.	-3.5438	-8.0121	-9.9162
401	401	2161	SLU_ENV	Min	0.	-2.5287	-11.6468	-14.1872
401	401	1866	SLU_ENV	Min	0.	-5.7147	-3.9912	-15.9328
401	401	1860	SLU_ENV	Min	0.	-6.6976	0.2327	-11.6602
401	401	2160	SLV_ENV	Max	0.	54.6787	93.1951	143.8237
401	401	2161	SLV_ENV	Max	0.	50.0797	97.7569	168.8423
401	401	1866	SLV_ENV	Max	0.	89.2368	17.1164	161.0601
401	401	1860	SLV_ENV	Max	0.	94.3172	25.3443	136.0034
401	401	2160	SLV_ENV	Min	0.	-56.7885	-89.4408	-151.1742
401	401	2161	SLV_ENV	Min	0.	-51.2023	-99.0241	-180.7326
401	401	1866	SLV_ENV	Min	0.	-93.5426	-21.5256	-175.1003
401	401	1860	SLV_ENV	Min	0.	-99.6247	-24.3595	-145.5038
402	402	2161	SLU_ENV	Max	0.	8.4916	-0.7065	2.6078
402	402	2151	SLU_ENV	Max	0.	10.1852	3.7889	8.303
402	402	1779	SLU_ENV	Max	0.	16.1129	4.4359	9.4363
402	402	1866	SLU_ENV	Max	0.	14.508	0.9293	3.7408
402	402	2161	SLU_ENV	Min	0.	-6.2742	-13.5585	-15.8937
402	402	2151	SLU_ENV	Min	0.	-2.8978	-9.6946	-20.3168
402	402	1779	SLU_ENV	Min	0.	-5.7315	0.3782	-18.6777
402	402	1866	SLU_ENV	Min	0.	-9.3149	-4.0575	-14.25
402	402	2161	SLV_ENV	Max	0.	58.9743	91.5424	160.5653
402	402	2151	SLV_ENV	Max	0.	49.5424	94.895	199.0389
402	402	1779	SLV_ENV	Max	0.	85.2481	28.4039	207.3389
402	402	1866	SLV_ENV	Max	0.	105.4955	18.8781	169.2417
402	402	2161	SLV_ENV	Min	0.	-64.8369	-94.4972	-174.6719
402	402	2151	SLV_ENV	Min	0.	-51.7097	-91.053	-216.9431
402	402	1779	SLV_ENV	Min	0.	-89.9606	-26.8721	-222.9877
402	402	1866	SLV_ENV	Min	0.	-113.9324	-23.3738	-181.0929

Table: Element Forces - Area Shells, Part 3 of 5

Area	AreaElem	Joint	OutputCase	StepType	FVM KN/m	M11 KN-m/m	M22 KN-m/m	M12 KN-m/m
403	403	2151	SLU_ENV	Max	0.	7.1294	1.5875	9.2724
403	403	2164	SLU_ENV	Max	0.	8.1018	-0.6263	15.9133
403	403	1884	SLU_ENV	Max	0.	14.4749	2.6607	15.125
403	403	1779	SLU_ENV	Max	0.	13.8792	4.8242	8.4841
403	403	2151	SLU_ENV	Min	0.	-11.3593	-11.379	-18.5515
403	403	2164	SLU_ENV	Min	0.	0.744	-14.7727	-21.1516
403	403	1884	SLU_ENV	Min	0.	-1.2652	-3.7327	-23.1957
403	403	1779	SLU_ENV	Min	0.	-14.1059	-0.4238	-20.4414
403	403	2151	SLV_ENV	Max	0.	62.4979	85.8729	204.5202
403	403	2164	SLV_ENV	Max	0.	65.9409	97.9843	241.2327
403	403	1884	SLV_ENV	Max	0.	73.5884	28.1613	239.6067
403	403	1779	SLV_ENV	Max	0.	107.0632	31.1501	202.0318
403	403	2151	SLV_ENV	Min	0.	-75.0312	-85.1223	-220.02
403	403	2164	SLV_ENV	Min	0.	-63.1855	-100.8828	-262.1188
403	403	1884	SLV_ENV	Min	0.	-73.7729	-32.1137	-263.0357
403	403	1779	SLV_ENV	Min	0.	-122.5332	-30.7516	-220.0744
413	413	2218	SLU_ENV	Max	0.	-10.787	-41.8756	39.3476
413	413	2219	SLU_ENV	Max	0.	-10.0105	-101.9011	32.4956
413	413	2201	SLU_ENV	Max	0.	2.6963	-51.4344	-2.0632
413	413	2200	SLU_ENV	Max	0.	-1.2795	15.0724	8.1028
413	413	2218	SLU_ENV	Min	0.	-22.6343	-90.8479	18.0696
413	413	2219	SLU_ENV	Min	0.	-18.7671	-199.7339	15.6689
413	413	2201	SLU_ENV	Min	0.	-10.5346	-100.8928	-26.3231
413	413	2200	SLU_ENV	Min	0.	-10.5568	-16.5428	-27.4999
413	413	2218	SLV_ENV	Max	0.	18.0269	74.5559	144.6696
413	413	2219	SLV_ENV	Max	0.	42.8096	101.1535	61.4012
413	413	2201	SLV_ENV	Max	0.	90.3111	62.9327	131.5441
413	413	2200	SLV_ENV	Max	0.	95.0989	256.351	205.6821
413	413	2218	SLV_ENV	Min	0.	-43.1458	-166.42	-106.6811
413	413	2219	SLV_ENV	Min	0.	-64.848	-325.5511	-27.7347
413	413	2201	SLV_ENV	Min	0.	-93.3082	-174.8022	-162.1977
413	413	2200	SLV_ENV	Min	0.	-101.246	-239.7041	-232.0138
414	414	2200	SLU_ENV	Max	0.	-11.7788	-21.0706	5.1473
414	414	2201	SLU_ENV	Max	0.	35.7402	7.879	1.0015
414	414	2183	SLU_ENV	Max	0.	47.0587	28.4262	11.58
414	414	2182	SLU_ENV	Max	0.	-9.6202	-9.8701	15.7258
414	414	2200	SLU_ENV	Min	0.	-25.9797	-48.5114	-33.4993
414	414	2201	SLU_ENV	Min	0.	1.0614	0.7818	-20.2393
414	414	2183	SLU_ENV	Min	0.	-1.1209	1.2821	-8.0914
414	414	2182	SLU_ENV	Min	0.	-18.5339	-37.3856	-21.2
414	414	2200	SLV_ENV	Max	0.	39.1186	59.3299	202.983
414	414	2201	SLV_ENV	Max	0.	162.8739	41.0662	142.0234
414	414	2183	SLV_ENV	Max	0.	246.572	156.837	171.8598
414	414	2182	SLV_ENV	Max	0.	85.1429	175.7304	234.1134
414	414	2200	SLV_ENV	Min	0.	-71.7087	-106.0286	-236.5245
414	414	2201	SLV_ENV	Min	0.	-127.4918	-29.9091	-165.1918
414	414	2183	SLV_ENV	Min	0.	-201.2981	-122.8188	-179.7153
414	414	2182	SLV_ENV	Min	0.	-107.7974	-198.4055	-252.342
415	415	2182	SLU_ENV	Max	0.	-1.5339	-4.9754	17.1351
415	415	2183	SLU_ENV	Max	0.	41.4334	-5.6715	10.0985
415	415	2165	SLU_ENV	Max	0.	49.02	4.7569	7.702
415	415	2164	SLU_ENV	Max	0.	-3.9062	7.8773	14.7386
415	415	2182	SLU_ENV	Min	0.	-17.2808	-15.0358	-18.2765
415	415	2183	SLU_ENV	Min	0.	-13.1288	-26.1534	-10.7413

Table: Element Forces - Area Shells, Part 3 of 5

Area	AreaElem	Joint	OutputCase	StepType	FVM	M11	M22	M12
					KN/m	KN-m/m	KN-m/m	KN-m/m
415	415	2165	SLU_ENV	Min	0.	-17.5789	-23.6396	-15.8547
415	415	2164	SLU_ENV	Min	0.	-11.4586	-15.058	-23.4221
415	415	2182	SLV_ENV	Max	0.	87.7357	54.1101	243.0861
415	415	2183	SLV_ENV	Max	0.	302.2234	97.7764	158.465
415	415	2165	SLV_ENV	Max	0.	387.346	229.4688	141.4979
415	415	2164	SLV_ENV	Max	0.	107.9426	144.4768	230.5165
415	415	2182	SLV_ENV	Min	0.	-110.3332	-66.0148	-259.7851
415	415	2183	SLV_ENV	Min	0.	-264.4636	-111.8141	-167.9753
415	415	2165	SLV_ENV	Min	0.	-342.7568	-227.2051	-155.8533
415	415	2164	SLV_ENV	Min	0.	-123.7477	-140.787	-252.0607
416	416	2164	SLU_ENV	Max	0.	2.4231	-5.9883	15.1474
416	416	2165	SLU_ENV	Max	0.	52.9254	1.1356	7.3436
416	416	1885	SLU_ENV	Max	0.	58.1165	15.8019	8.059
416	416	1884	SLU_ENV	Max	0.	-0.0951	2.1092	15.8627
416	416	2164	SLU_ENV	Min	0.	-18.0076	-16.7531	-21.9757
416	416	2165	SLU_ENV	Min	0.	-23.4344	-14.3322	-17.6413
416	416	1885	SLU_ENV	Min	0.	-26.092	-7.0088	-17.6511
416	416	1884	SLU_ENV	Min	0.	-12.4466	-4.1825	-22.3684
416	416	2164	SLV_ENV	Max	0.	119.0581	24.9197	237.6323
416	416	2165	SLV_ENV	Max	0.	433.6534	96.225	134.3623
416	416	1885	SLV_ENV	Max	0.	507.1081	125.6731	137.6348
416	416	1884	SLV_ENV	Max	0.	130.9321	45.3397	242.8001
416	416	2164	SLV_ENV	Min	0.	-141.3826	-38.8452	-259.7009
416	416	2165	SLV_ENV	Min	0.	-386.5715	-96.4782	-148.1025
416	416	1885	SLV_ENV	Min	0.	-453.2906	-113.7609	-151.5676
416	416	1884	SLV_ENV	Min	0.	-146.585	-46.3746	-265.0614
417	417	2281	SLU_ENV	Max	0.	66.8477	186.0906	-31.2446
417	417	2573	SLU_ENV	Max	0.	-24.5037	-47.2598	61.1849
417	417	2291	SLU_ENV	Max	0.	-39.4753	-53.3973	54.4366
417	417	2301	SLU_ENV	Max	0.	53.1666	178.6463	-34.5683
417	417	2281	SLU_ENV	Min	0.	27.2376	61.1263	-57.4318
417	417	2573	SLU_ENV	Min	0.	-64.6206	-133.0012	2.0929
417	417	2291	SLU_ENV	Min	0.	-70.7813	-129.2284	0.5856
417	417	2301	SLU_ENV	Min	0.	23.3302	68.3724	-60.6158
417	417	2281	SLV_ENV	Max	0.	503.6172	595.6529	152.6623
417	417	2573	SLV_ENV	Max	0.	379.4016	514.8465	666.2195
417	417	2291	SLV_ENV	Max	0.	286.505	373.8865	633.6341
417	417	2301	SLV_ENV	Max	0.	361.2884	431.0662	130.0077
417	417	2281	SLV_ENV	Min	0.	-438.3777	-392.0752	-219.0013
417	417	2573	SLV_ENV	Min	0.	-454.8689	-645.8565	-603.057
417	417	2291	SLV_ENV	Min	0.	-376.7679	-510.2814	-578.1601
417	417	2301	SLV_ENV	Min	0.	-307.0595	-231.1303	-202.5349
418	418	2573	SLU_ENV	Max	0.	-5.4222	-85.7398	106.2647
418	418	2912	SLU_ENV	Max	0.	31.3305	-2.9186	16.0653
418	418	2572	SLU_ENV	Max	0.	63.5093	63.6055	-22.8352
418	418	2291	SLU_ENV	Max	0.	-36.1607	-98.5762	65.375
418	418	2573	SLU_ENV	Min	0.	-91.158	-161.1608	-0.2463
418	418	2912	SLU_ENV	Min	0.	4.1557	-90.759	-45.3658
418	418	2572	SLU_ENV	Min	0.	-33.1611	-35.8238	-55.2801
418	418	2291	SLU_ENV	Min	0.	-97.2615	-181.31	-18.5662
418	418	2573	SLV_ENV	Max	0.	731.5585	436.8793	1114.8823
418	418	2912	SLV_ENV	Max	0.	295.4334	781.0117	572.4593
418	418	2572	SLV_ENV	Max	0.	1070.2416	698.7243	228.3618
418	418	2291	SLV_ENV	Max	0.	304.3351	240.8357	798.6372

Table: Element Forces - Area Shells, Part 3 of 5

Area	AreaElem	Joint	OutputCase	StepType	FVM	M11	M22	M12
					KN/m	KN-m/m	KN-m/m	KN-m/m
418	418	2573	SLV_ENV	Min	0.	-826.9867	-651.675	-1003.469
418	418	2912	SLV_ENV	Min	0.	-260.8102	-845.678	-573.2096
418	418	2572	SLV_ENV	Min	0.	-1024.3232	-663.4157	-280.3627
418	418	2291	SLV_ENV	Min	0.	-424.0687	-488.3305	-740.2796
419	419	2291	SLU_ENV	Max	0.	-32.6278	-24.7634	28.0221
419	419	2205	SLU_ENV	Max	0.	202.2172	82.1108	134.2418
419	419	2215	SLU_ENV	Max	0.	275.8949	250.5971	65.8959
419	419	2301	SLU_ENV	Max	0.	23.4925	129.7364	-26.3986
419	419	2291	SLU_ENV	Min	0.	-67.1896	-95.8044	-6.5439
419	419	2205	SLU_ENV	Min	0.	101.0135	-5.9503	50.7112
419	419	2215	SLU_ENV	Min	0.	152.7944	110.8129	16.653
419	419	2301	SLU_ENV	Min	0.	3.4921	36.7698	-52.3758
419	419	2291	SLV_ENV	Max	0.	200.7949	363.4068	416.5516
419	419	2205	SLV_ENV	Max	0.	367.1815	400.8894	466.1697
419	419	2215	SLV_ENV	Max	0.	296.6603	664.3946	341.3473
419	419	2301	SLV_ENV	Max	0.	457.9482	474.3593	287.8135
419	419	2291	SLV_ENV	Min	0.	-284.5428	-449.7655	-387.9249
419	419	2205	SLV_ENV	Min	0.	-135.3366	-336.8831	-307.9709
419	419	2215	SLV_ENV	Min	0.	38.7625	-378.4808	-268.1142
419	419	2301	SLV_ENV	Min	0.	-436.4428	-336.8572	-344.3584
421	421	2205	SLU_ENV	Max	0.	201.413	90.0153	130.1696
421	421	2311	SLU_ENV	Max	0.	-17.6197	-19.2884	29.7967
421	421	2321	SLU_ENV	Max	0.	43.9086	111.2897	-24.2394
421	421	2215	SLU_ENV	Max	0.	270.8184	230.9567	59.7373
421	421	2205	SLU_ENV	Min	0.	103.5404	12.5351	65.7877
421	421	2311	SLU_ENV	Min	0.	-32.8123	-69.1601	12.1355
421	421	2321	SLU_ENV	Min	0.	14.843	41.4106	-49.8038
421	421	2215	SLU_ENV	Min	0.	141.8016	110.9402	18.0131
421	421	2205	SLV_ENV	Max	0.	340.2474	330.1189	313.4394
421	421	2311	SLV_ENV	Max	0.	184.2427	330.7085	238.8267
421	421	2321	SLV_ENV	Max	0.	231.7881	412.481	178.8155
421	421	2215	SLV_ENV	Max	0.	537.3289	400.7461	260.0789
421	421	2205	SLV_ENV	Min	0.	-114.9843	-257.0658	-161.3339
421	421	2311	SLV_ENV	Min	0.	-229.2393	-395.3614	-201.7511
421	421	2321	SLV_ENV	Min	0.	-195.8322	-288.0679	-229.3728
421	421	2215	SLV_ENV	Min	0.	-232.3832	-140.3084	-195.3011
422	422	2311	SLU_ENV	Max	0.	-7.1752	-58.323	35.3542
422	422	2331	SLU_ENV	Max	0.	4.8071	-53.6473	29.5253
422	422	2341	SLU_ENV	Max	0.	49.1562	166.9866	-32.1857
422	422	2321	SLU_ENV	Max	0.	34.1619	160.8772	-29.1912
422	422	2311	SLU_ENV	Min	0.	-33.6855	-117.4491	16.1378
422	422	2331	SLU_ENV	Min	0.	-19.5365	-109.5689	11.1007
422	422	2341	SLU_ENV	Min	0.	25.5038	83.8306	-63.3904
422	422	2321	SLU_ENV	Min	0.	15.4038	78.1779	-55.2209
422	422	2311	SLV_ENV	Max	0.	183.5328	374.9023	168.5685
422	422	2331	SLV_ENV	Max	0.	217.5216	360.8411	152.6015
422	422	2341	SLV_ENV	Max	0.	241.5346	382.1392	164.2947
422	422	2321	SLV_ENV	Max	0.	238.5881	356.6412	156.7387
422	422	2311	SLV_ENV	Min	0.	-228.2972	-501.2315	-122.2647
422	422	2331	SLV_ENV	Min	0.	-242.8671	-478.3721	-112.9831
422	422	2341	SLV_ENV	Min	0.	-188.8626	-189.2958	-232.0032
422	422	2321	SLV_ENV	Min	0.	-204.9205	-172.1143	-217.8127
423	423	2281	SLU_ENV	Max	0.	59.3992	175.0889	-30.2643
423	423	2301	SLU_ENV	Max	0.	55.9431	170.8148	-31.2451

Table: Element Forces - Area Shells, Part 3 of 5

Area	AreaElem	Joint	OutputCase	StepType	FVM KN/m	M11 KN-m/m	M22 KN-m/m	M12 KN-m/m
423	423	2300	SLU_ENV	Max	0.	-31.4732	-52.8843	43.5742
423	423	2280	SLU_ENV	Max	0.	-28.533	-49.3653	43.8701
423	423	2281	SLU_ENV	Min	0.	25.7132	63.3073	-54.7637
423	423	2301	SLU_ENV	Min	0.	18.8871	61.5355	-59.4321
423	423	2300	SLU_ENV	Min	0.	-65.9042	-89.8845	11.5534
423	423	2280	SLU_ENV	Min	0.	-55.9672	-85.9437	17.5948
423	423	2281	SLV_ENV	Max	0.	376.2279	527.3761	102.9112
423	423	2301	SLV_ENV	Max	0.	445.871	551.4128	136.7787
423	423	2300	SLV_ENV	Max	0.	151.3589	468.5475	261.7366
423	423	2280	SLV_ENV	Max	0.	131.7676	422.0718	210.6008
423	423	2281	SLV_ENV	Min	0.	-314.2653	-329.8374	-167.7237
423	423	2301	SLV_ENV	Min	0.	-395.1186	-360.8664	-204.8366
423	423	2300	SLV_ENV	Min	0.	-235.1326	-592.1054	-210.9924
423	423	2280	SLV_ENV	Min	0.	-202.6722	-537.6719	-156.1028
424	424	2301	SLU_ENV	Max	0.	24.0788	135.7192	-20.9362
424	424	2215	SLU_ENV	Max	0.	261.329	233.1008	63.1339
424	424	2214	SLU_ENV	Max	0.	184.8541	56.3593	120.4408
424	424	2300	SLU_ENV	Max	0.	-17.3414	-29.3004	25.9036
424	424	2301	SLU_ENV	Min	0.	10.8962	36.0383	-48.0248
424	424	2215	SLU_ENV	Min	0.	149.3878	99.7771	18.4527
424	424	2214	SLU_ENV	Min	0.	109.7204	14.0023	56.131
424	424	2300	SLU_ENV	Min	0.	-61.6273	-62.4146	-0.5514
424	424	2301	SLV_ENV	Max	0.	309.7745	645.9118	246.7211
424	424	2215	SLV_ENV	Max	0.	356.7059	548.583	355.3422
424	424	2214	SLV_ENV	Max	0.	371.2585	238.855	267.934
424	424	2300	SLV_ENV	Max	0.	337.9808	344.9198	192.4094
424	424	2301	SLV_ENV	Min	0.	-285.8604	-507.276	-296.5129
424	424	2215	SLV_ENV	Min	0.	-30.8653	-280.1335	-282.5
424	424	2214	SLV_ENV	Min	0.	-136.8396	-184.131	-117.4037
424	424	2300	SLV_ENV	Min	0.	-407.3938	-421.793	-164.6035
425	425	2215	SLU_ENV	Max	0.	276.6665	230.7377	56.98
425	425	2321	SLU_ENV	Max	0.	40.0815	121.257	-25.1847
425	425	2320	SLU_ENV	Max	0.	-19.6248	-25.8783	30.5669
425	425	2214	SLU_ENV	Max	0.	194.0155	59.4917	127.3289
425	425	2215	SLU_ENV	Min	0.	149.5281	106.2303	21.2045
425	425	2321	SLU_ENV	Min	0.	10.9053	51.2867	-55.1519
425	425	2320	SLU_ENV	Min	0.	-59.5795	-58.2503	5.2992
425	425	2214	SLU_ENV	Min	0.	105.5162	22.2955	68.3723
425	425	2215	SLV_ENV	Max	0.	518.0439	419.2934	236.4867
425	425	2321	SLV_ENV	Max	0.	276.7616	326.2076	235.8603
425	425	2320	SLV_ENV	Max	0.	160.9007	292.4512	241.7401
425	425	2214	SLV_ENV	Max	0.	426.6211	309.2415	243.5794
425	425	2215	SLV_ENV	Min	0.	-196.7009	-157.7461	-171.6895
425	425	2321	SLV_ENV	Min	0.	-253.4461	-193.7214	-289.8098
425	425	2320	SLV_ENV	Min	0.	-232.3198	-367.3215	-206.2372
425	425	2214	SLV_ENV	Min	0.	-198.7997	-253.1665	-89.8275
433	433	689	SLU_ENV	Max	0.	-63.065	-20.6078	55.6218
433	433	145	SLU_ENV	Max	0.	829.7841	322.0041	401.8455
433	433	144	SLU_ENV	Max	0.	818.8181	387.033	304.6159
433	433	688	SLU_ENV	Max	0.	-71.2892	28.1719	-22.7607
433	433	689	SLU_ENV	Min	0.	-138.6552	-59.997	20.7334
433	433	145	SLU_ENV	Min	0.	396.9541	138.4357	185.326
433	433	144	SLU_ENV	Min	0.	385.8218	175.7803	140.0587
433	433	688	SLU_ENV	Min	0.	-155.1904	-2.0723	-49.1207

Table: Element Forces - Area Shells, Part 3 of 5

Area	AreaElem	Joint	OutputCase	StepType	FVM	M11	M22	M12
					KN/m	KN-m/m	KN-m/m	KN-m/m
433	433	689	SLV_ENV	Max	0.	284.6445	777.6747	184.9919
433	433	145	SLV_ENV	Max	0.	1456.0209	847.5875	866.8101
433	433	144	SLV_ENV	Max	0.	1593.6392	1065.4295	662.8577
433	433	688	SLV_ENV	Max	0.	152.6638	258.5937	73.4005
433	433	689	SLV_ENV	Min	0.	-446.5762	-856.7535	-130.6622
433	433	145	SLV_ENV	Min	0.	-480.5111	-483.0189	-396.2936
433	433	144	SLV_ENV	Min	0.	-623.0248	-601.3766	-302.6463
433	433	688	SLV_ENV	Min	0.	-315.2246	-236.1268	-127.7412
434	434	669	SLU_ENV	Max	0.	-50.8105	-46.233	68.2196
434	434	689	SLU_ENV	Max	0.	-61.9913	-49.3432	71.4099
434	434	688	SLU_ENV	Max	0.	8.0599	131.4357	-5.2318
434	434	668	SLU_ENV	Max	0.	28.042	132.0867	-6.1905
434	434	669	SLU_ENV	Min	0.	-121.3706	-87.8729	33.9409
434	434	689	SLU_ENV	Min	0.	-144.6905	-89.7761	34.322
434	434	688	SLU_ENV	Min	0.	2.5671	47.0821	-11.26
434	434	668	SLU_ENV	Min	0.	13.6704	49.9731	-14.8513
434	434	669	SLV_ENV	Max	0.	218.3948	474.505	386.2124
434	434	689	SLV_ENV	Max	0.	235.4496	551.3173	342.9825
434	434	688	SLV_ENV	Max	0.	118.7246	419.432	155.105
434	434	668	SLV_ENV	Max	0.	115.4647	418.7234	103.4664
434	434	669	SLV_ENV	Min	0.	-351.4097	-588.0762	-302.6693
434	434	689	SLV_ENV	Min	0.	-395.1857	-669.8835	-258.1999
434	434	688	SLV_ENV	Min	0.	-110.4096	-278.4243	-170.2341
434	434	668	SLV_ENV	Min	0.	-83.188	-273.9738	-120.9432
435	435	145	SLU_ENV	Max	0.	892.3108	316.7836	396.1027
435	435	709	SLU_ENV	Max	0.	-0.2386	-84.9124	-6.6774
435	435	708	SLU_ENV	Max	0.	-32.7036	-20.1287	-47.8797
435	435	144	SLU_ENV	Max	0.	851.9307	422.5415	323.0672
435	435	145	SLU_ENV	Min	0.	457.2732	160.7048	212.4745
435	435	709	SLU_ENV	Min	0.	-45.0663	-154.677	-26.0547
435	435	708	SLU_ENV	Min	0.	-86.4171	-51.0894	-92.7926
435	435	144	SLU_ENV	Min	0.	441.3774	222.1803	171.0977
435	435	145	SLV_ENV	Max	0.	1662.0747	642.9701	683.5405
435	435	709	SLV_ENV	Max	0.	503.2943	485.4083	311.7857
435	435	708	SLV_ENV	Max	0.	113.7652	176.8611	123.1022
435	435	144	SLV_ENV	Max	0.	1703.7587	750.2717	496.4589
435	435	145	SLV_ENV	Min	0.	-656.7723	-288.9035	-217.8209
435	435	709	SLV_ENV	Min	0.	-554.3129	-670.031	-328.5857
435	435	708	SLV_ENV	Min	0.	-197.1735	-226.4872	-227.9641
435	435	144	SLV_ENV	Min	0.	-735.1853	-263.2971	-120.4697
436	436	709	SLU_ENV	Max	0.	-25.0192	-103.484	11.2816
436	436	729	SLU_ENV	Max	0.	-19.5191	-93.6753	17.6597
436	436	728	SLU_ENV	Max	0.	92.3287	79.8743	-25.9728
436	436	708	SLU_ENV	Max	0.	89.6432	62.3133	-29.8809
436	436	709	SLU_ENV	Min	0.	-42.7206	-196.4094	-3.456
436	436	729	SLU_ENV	Min	0.	-37.081	-177.3989	3.8974
436	436	728	SLU_ENV	Min	0.	41.5266	40.0913	-59.306
436	436	708	SLU_ENV	Min	0.	36.9115	30.9297	-67.7644
436	436	709	SLV_ENV	Max	0.	142.2091	452.4319	360.8811
436	436	729	SLV_ENV	Max	0.	63.6289	481.5902	332.8423
436	436	728	SLV_ENV	Max	0.	256.0068	225.2043	131.9186
436	436	708	SLV_ENV	Max	0.	283.1127	236.9839	145.1743
436	436	709	SLV_ENV	Min	0.	-195.5598	-678.5126	-348.0443
436	436	729	SLV_ENV	Min	0.	-106.1837	-686.4856	-310.2309

Table: Element Forces - Area Shells, Part 3 of 5

Area	AreaElem	Joint	OutputCase	StepType	FVM	M11	M22	M12
					KN/m	KN-m/m	KN-m/m	KN-m/m
436	436	728	SLV_ENV	Min	0.	-162.3143	-137.2443	-190.6071
436	436	708	SLV_ENV	Min	0.	-197.4743	-168.9622	-212.5378
437	437	668	SLU_ENV	Max	0.	-13.1598	14.9075	45.9768
437	437	688	SLU_ENV	Max	0.	-16.515	15.3608	24.6608
437	437	675	SLU_ENV	Max	0.	-75.7353	12.4638	58.4351
437	437	655	SLU_ENV	Max	0.	-72.229	11.6796	78.4346
437	437	668	SLU_ENV	Min	0.	-36.1052	-5.238	21.095
437	437	688	SLU_ENV	Min	0.	-38.6315	-4.4303	8.608
437	437	675	SLU_ENV	Min	0.	-138.8345	-11.6541	31.1527
437	437	655	SLU_ENV	Min	0.	-137.6353	-12.1335	43.6345
437	437	668	SLV_ENV	Max	0.	215.2174	500.9275	180.9192
437	437	688	SLV_ENV	Max	0.	215.3895	434.0624	156.7432
437	437	675	SLV_ENV	Max	0.	161.8834	417.7469	174.1795
437	437	655	SLV_ENV	Max	0.	176.5836	346.3571	203.7662
437	437	668	SLV_ENV	Min	0.	-257.5969	-503.8375	-125.53
437	437	688	SLV_ENV	Min	0.	-263.3711	-434.6244	-129.1756
437	437	675	SLV_ENV	Min	0.	-338.1056	-417.9212	-100.2654
437	437	655	SLV_ENV	Min	0.	-347.1275	-348.6212	-102.1656
438	438	688	SLU_ENV	Max	0.	-20.5213	49.2809	25.0874
438	438	144	SLU_ENV	Max	0.	707.4881	327.6674	254.4947
438	438	131	SLU_ENV	Max	0.	543.8187	229.6675	263.0242
438	438	675	SLU_ENV	Max	0.	-114.0453	-31.9565	33.4562
438	438	688	SLU_ENV	Min	0.	-59.5577	4.4308	0.325
438	438	144	SLU_ENV	Min	0.	338.4587	152.9456	120.2474
438	438	131	SLU_ENV	Min	0.	257.1789	101.5119	132.481
438	438	675	SLU_ENV	Min	0.	-213.4762	-71.0849	13.4329
438	438	688	SLV_ENV	Max	0.	180.306	367.6435	231.1063
438	438	144	SLV_ENV	Max	0.	1269.9617	691.1733	665.3432
438	438	131	SLV_ENV	Max	0.	1109.1515	673.6102	508.3741
438	438	675	SLV_ENV	Max	0.	191.3512	241.7593	170.8118
438	438	688	SLV_ENV	Min	0.	-249.8207	-335.2794	-208.3959
438	438	144	SLV_ENV	Min	0.	-423.6871	-307.5596	-354.4741
438	438	131	SLV_ENV	Min	0.	-454.1032	-404.3438	-183.7877
438	438	675	SLV_ENV	Min	0.	-452.3308	-323.3984	-134.8159
439	439	144	SLU_ENV	Max	0.	715.1925	360.3087	286.1767
439	439	708	SLU_ENV	Max	0.	56.639	-17.247	-16.7083
439	439	695	SLU_ENV	Max	0.	-43.7762	-108.0512	-31.2794
439	439	131	SLU_ENV	Max	0.	592.2205	215.3488	258.738
439	439	144	SLU_ENV	Min	0.	376.297	191.5583	153.9818
439	439	708	SLU_ENV	Min	0.	3.0942	-43.7761	-35.0592
439	439	695	SLU_ENV	Min	0.	-87.1323	-186.2152	-60.8577
439	439	131	SLU_ENV	Min	0.	316.8732	109.3345	139.8846
439	439	144	SLV_ENV	Max	0.	1341.0866	620.7808	530.3738
439	439	708	SLV_ENV	Max	0.	278.3222	394.2915	122.7009
439	439	695	SLV_ENV	Max	0.	95.1574	229.9596	151.8154
439	439	131	SLV_ENV	Max	0.	1181.2992	546.534	368.2139
439	439	144	SLV_ENV	Min	0.	-515.1798	-200.0627	-192.9565
439	439	708	SLV_ENV	Min	0.	-252.6875	-449.132	-159.4994
439	439	695	SLV_ENV	Min	0.	-199.5323	-463.2614	-219.7767
439	439	131	SLV_ENV	Min	0.	-485.3344	-304.6344	-61.6445
440	440	708	SLU_ENV	Max	0.	23.5416	-25.7249	-3.891
440	440	728	SLU_ENV	Max	0.	42.5877	-36.5034	3.1867
440	440	715	SLU_ENV	Max	0.	40.408	-95.6889	-16.9357
440	440	695	SLU_ENV	Max	0.	21.6996	-85.8857	-23.6665

Table: Element Forces - Area Shells, Part 3 of 5

Area	AreaElem	Joint	OutputCase	StepType	FVM	M11	M22	M12
					KN/m	KN-m/m	KN-m/m	KN-m/m
440	440	708	SLU_ENV	Min	0.	2.0875	-49.0678	-16.715
440	440	728	SLU_ENV	Min	0.	14.4784	-67.1929	-8.2931
440	440	715	SLU_ENV	Min	0.	16.3174	-161.3014	-41.9025
440	440	695	SLU_ENV	Min	0.	3.6897	-143.2366	-50.6238
440	440	708	SLV_ENV	Max	0.	276.1832	363.0658	159.2638
440	440	728	SLV_ENV	Max	0.	346.0865	367.5223	190.7689
440	440	715	SLV_ENV	Max	0.	280.9738	209.7003	141.334
440	440	695	SLV_ENV	Max	0.	316.1066	212.9369	155.4544
440	440	708	SLV_ENV	Min	0.	-265.6617	-420.425	-170.5261
440	440	728	SLV_ENV	Min	0.	-309.8667	-446.8819	-188.5656
440	440	715	SLV_ENV	Min	0.	-243.4744	-416.0619	-180.805
440	440	695	SLV_ENV	Min	0.	-304.5628	-397.6252	-208.3387
441	441	675	SLU_ENV	Max	0.	-37.2042	14.0648	115.0757
441	441	131	SLU_ENV	Max	0.	367.596	92.6299	211.4264
441	441	141	SLU_ENV	Max	0.	358.0456	266.7348	56.7513
441	441	685	SLU_ENV	Max	0.	-35.5265	188.0935	-23.3401
441	441	675	SLU_ENV	Min	0.	-67.5263	-12.7745	55.4093
441	441	131	SLU_ENV	Min	0.	169.7706	35.2442	103.12
441	441	141	SLU_ENV	Min	0.	171.251	139.6286	23.6779
441	441	685	SLU_ENV	Min	0.	-66.8282	96.8824	-41.1483
441	441	675	SLV_ENV	Max	0.	159.4847	373.8447	331.0212
441	441	131	SLV_ENV	Max	0.	633.4161	353.2758	513.5634
441	441	141	SLV_ENV	Max	0.	620.2234	618.931	246.359
441	441	685	SLV_ENV	Max	0.	178.878	403.2189	78.6654
441	441	675	SLV_ENV	Min	0.	-245.7066	-385.5999	-191.7103
441	441	131	SLV_ENV	Min	0.	-197.3408	-253.9619	-253.1163
441	441	141	SLV_ENV	Min	0.	-183.9631	-276.566	-177.6858
441	441	685	SLV_ENV	Min	0.	-259.8594	-168.6445	-129.8111
442	442	655	SLU_ENV	Max	0.	-91.1266	-61.8258	112.5564
442	442	675	SLU_ENV	Max	0.	-109.2458	-67.9128	118.0361
442	442	685	SLU_ENV	Max	0.	57.6122	295.9138	-32.0985
442	442	665	SLU_ENV	Max	0.	82.863	303.6152	-34.2375
442	442	655	SLU_ENV	Min	0.	-175.598	-104.5514	60.3253
442	442	675	SLU_ENV	Min	0.	-208.8503	-114.8349	60.6848
442	442	685	SLU_ENV	Min	0.	25.4342	155.6765	-57.1655
442	442	665	SLU_ENV	Min	0.	39.5744	159.8753	-65.3662
442	442	655	SLV_ENV	Max	0.	252.5662	287.266	383.1663
442	442	675	SLV_ENV	Max	0.	239.954	307.1434	385.0557
442	442	685	SLV_ENV	Max	0.	178.1028	566.828	29.2912
442	442	665	SLV_ENV	Max	0.	242.4602	589.5754	25.1793
442	442	655	SLV_ENV	Min	0.	-474.5864	-434.2431	-236.1309
442	442	675	SLV_ENV	Min	0.	-504.0016	-468.654	-233.7557
442	442	685	SLV_ENV	Min	0.	-109.0509	-195.4002	-103.7655
442	442	665	SLV_ENV	Min	0.	-140.848	-207.2548	-108.2031
443	443	131	SLU_ENV	Max	0.	390.2285	98.2414	217.2516
443	443	695	SLU_ENV	Max	0.	99.4358	-87.602	16.4065
443	443	705	SLU_ENV	Max	0.	77.6082	56.6046	-75.8347
443	443	141	SLU_ENV	Max	0.	364.0116	291.3228	67.9711
443	443	131	SLU_ENV	Min	0.	202.8138	41.0209	118.4151
443	443	695	SLU_ENV	Min	0.	39.5815	-145.0271	2.0166
443	443	705	SLU_ENV	Min	0.	39.2567	30.6588	-132.3886
443	443	141	SLU_ENV	Min	0.	197.2245	160.4249	32.3071
443	443	131	SLV_ENV	Max	0.	780.4311	243.0556	410.9572
443	443	695	SLV_ENV	Max	0.	278.8024	328.5858	191.731

Table: Element Forces - Area Shells, Part 3 of 5

Area	AreaElem	Joint	OutputCase	StepType	FVM	M11	M22	M12
					KN/m	KN-m/m	KN-m/m	KN-m/m
443	443	705	SLV_ENV	Max	0.	246.1902	229.857	113.4028
443	443	141	SLV_ENV	Max	0.	802.7188	390.3768	107.6614
443	443	131	SLV_ENV	Min	0.	-331.6762	-147.4863	-151.1001
443	443	695	SLV_ENV	Min	0.	-183.8374	-517.0096	-171.0125
443	443	705	SLV_ENV	Min	0.	-159.6974	-159.1697	-277.1846
443	443	141	SLV_ENV	Min	0.	-367.6789	-38.9871	-33.7517
444	444	695	SLU_ENV	Max	0.	-21.5936	-172.2201	9.2575
444	444	715	SLU_ENV	Max	0.	-12.2107	-154.8657	17.0202
444	444	725	SLU_ENV	Max	0.	177.4902	223.1046	-73.5036
444	444	705	SLU_ENV	Max	0.	172.0874	193.5335	-77.1318
444	444	695	SLU_ENV	Min	0.	-40.5443	-296.5028	-2.6336
444	444	715	SLU_ENV	Min	0.	-27.004	-263.9488	3.6555
444	444	725	SLU_ENV	Min	0.	99.5569	125.9997	-127.688
444	444	705	SLU_ENV	Min	0.	94.4085	110.2638	-132.4919
444	444	695	SLV_ENV	Max	0.	109.7104	371.9504	198.7825
444	444	715	SLV_ENV	Max	0.	117.0635	407.3229	177.3834
444	444	725	SLV_ENV	Max	0.	382.6838	383.2646	108.8698
444	444	705	SLV_ENV	Max	0.	385.7289	306.6082	93.4951
444	444	695	SLV_ENV	Min	0.	-165.7233	-743.4038	-188.1787
444	444	715	SLV_ENV	Min	0.	-153.743	-741.4509	-155.1683
444	444	725	SLV_ENV	Min	0.	-167.11	-110.18	-267.8248
444	444	705	SLV_ENV	Min	0.	-180.2097	-67.2735	-259.8671
445	445	665	SLU_ENV	Max	0.	42.1839	274.3634	-36.914
445	445	685	SLU_ENV	Max	0.	66.2701	253.2495	-16.6033
445	445	684	SLU_ENV	Max	0.	160.7665	128.7067	-43.8175
445	445	664	SLU_ENV	Max	0.	136.6547	147.8147	-63.9554
445	445	665	SLU_ENV	Min	0.	19.1363	148.489	-64.5435
445	445	685	SLU_ENV	Min	0.	31.6592	138.9736	-30.0895
445	445	684	SLU_ENV	Min	0.	83.1199	73.6728	-85.5676
445	445	664	SLU_ENV	Min	0.	70.028	83.0178	-121.5418
445	445	665	SLV_ENV	Max	0.	185.1344	491.1399	29.3558
445	445	685	SLV_ENV	Max	0.	238.3019	452.3468	68.2897
445	445	684	SLV_ENV	Max	0.	241.9832	349.34	18.5026
445	445	664	SLV_ENV	Max	0.	236.3169	360.6912	10.4067
445	445	665	SLV_ENV	Min	0.	-133.7153	-145.0109	-114.3912
445	445	685	SLV_ENV	Min	0.	-157.3109	-130.7934	-106.8916
445	445	684	SLV_ENV	Min	0.	-35.6499	-182.9505	-127.3465
445	445	664	SLV_ENV	Min	0.	-60.0618	-169.9689	-165.8778
446	446	685	SLU_ENV	Max	0.	124.135	245.5024	-11.4841
446	446	141	SLU_ENV	Max	0.	179.3745	225.6979	32.9448
446	446	140	SLU_ENV	Max	0.	236.2938	150.8991	-3.3259
446	446	684	SLU_ENV	Max	0.	180.8771	170.4567	-31.3575
446	446	685	SLU_ENV	Min	0.	61.9215	131.4776	-24.1914
446	446	141	SLU_ENV	Min	0.	80.6787	121.3279	9.0395
446	446	140	SLU_ENV	Min	0.	110.8711	88.1298	-9.2756
446	446	684	SLU_ENV	Min	0.	90.4602	98.2968	-60.4469
446	446	685	SLV_ENV	Max	0.	178.9886	506.7678	126.712
446	446	141	SLV_ENV	Max	0.	265.3481	421.4553	230.4614
446	446	140	SLV_ENV	Max	0.	404.4545	258.3695	116.8644
446	446	684	SLV_ENV	Max	0.	307.0636	345.1164	19.3057
446	446	685	SLV_ENV	Min	0.	-26.8779	-196.0547	-155.7449
446	446	141	SLV_ENV	Min	0.	-54.3949	-137.8824	-190.7811
446	446	140	SLV_ENV	Min	0.	-111.9071	-63.2298	-126.9315
446	446	684	SLV_ENV	Min	0.	-73.6411	-123.0047	-98.1705

Table: Element Forces - Area Shells, Part 3 of 5

Area	AreaElem	Joint	OutputCase	StepType	FVM	M11	M22	M12
					KN/m	KN-m/m	KN-m/m	KN-m/m
447	447	141	SLU_ENV	Max	0.	248.2994	161.6398	-0.1816
447	447	705	SLU_ENV	Max	0.	193.5452	185.959	-37.7742
447	447	704	SLU_ENV	Max	0.	114.9769	248.0935	-4.1932
447	447	140	SLU_ENV	Max	0.	170.3695	223.1039	50.8675
447	447	141	SLU_ENV	Min	0.	132.9652	91.587	-13.3808
447	447	705	SLU_ENV	Min	0.	107.1601	108.2122	-65.0211
447	447	704	SLU_ENV	Min	0.	68.4175	141.9828	-21.2742
447	447	140	SLU_ENV	Min	0.	94.3273	126.6323	18.3998
447	447	141	SLV_ENV	Max	0.	549.1039	211.4311	59.2127
447	447	705	SLV_ENV	Max	0.	459.1708	267.4848	82.1947
447	447	704	SLV_ENV	Max	0.	269.0836	363.8367	113.8025
447	447	140	SLV_ENV	Max	0.	381.2335	289.5483	136.6084
447	447	141	SLV_ENV	Min	0.	-253.0168	-8.7444	-73.7526
447	447	705	SLV_ENV	Min	0.	-226.652	-32.9232	-163.7397
447	447	704	SLV_ENV	Min	0.	-120.5025	-53.9177	-134.6849
447	447	140	SLV_ENV	Min	0.	-168.9441	-11.325	-90.5147
448	448	705	SLU_ENV	Max	0.	169.5404	155.7374	-57.3344
448	448	725	SLU_ENV	Max	0.	142.7686	180.0424	-77.2578
448	448	724	SLU_ENV	Max	0.	31.7637	263.9361	-28.5199
448	448	704	SLU_ENV	Max	0.	57.91	239.546	-5.8856
448	448	705	SLU_ENV	Min	0.	95.9199	91.2692	-96.2413
448	448	725	SLU_ENV	Min	0.	79.9399	105.5997	-131.7819
448	448	724	SLU_ENV	Min	0.	16.5012	153.0764	-51.9571
448	448	704	SLU_ENV	Min	0.	33.3089	138.9197	-19.7009
448	448	705	SLV_ENV	Max	0.	355.3624	323.1411	78.4242
448	448	725	SLV_ENV	Max	0.	325.1316	307.0888	82.9833
448	448	724	SLV_ENV	Max	0.	211.5845	352.8506	96.2165
448	448	704	SLV_ENV	Max	0.	277.0723	314.6915	96.6465
448	448	705	SLV_ENV	Min	0.	-147.0986	-125.095	-201.9636
448	448	725	SLV_ENV	Min	0.	-152.0115	-78.7713	-249.8375
448	448	724	SLV_ENV	Min	0.	-173.7895	-21.8223	-158.5945
448	448	704	SLV_ENV	Min	0.	-204.0456	-13.847	-115.7098
449	449	664	SLU_ENV	Max	0.	161.7094	169.2419	-51.4663
449	449	684	SLU_ENV	Max	0.	155.0837	156.1221	-71.7082
449	449	683	SLU_ENV	Max	0.	-117.1351	-191.0576	81.0187
449	449	663	SLU_ENV	Max	0.	-106.615	-180.775	116.483
449	449	664	SLU_ENV	Min	0.	88.7051	100.5356	-95.2546
449	449	684	SLU_ENV	Min	0.	81.952	92.0996	-129.1561
449	449	683	SLU_ENV	Min	0.	-194.7527	-336.5764	47.9675
449	449	663	SLU_ENV	Min	0.	-179.6719	-319.728	70.1566
449	449	664	SLV_ENV	Max	0.	231.8236	428.1934	0.4715
449	449	684	SLV_ENV	Max	0.	236.647	388.3289	-1.1522
449	449	683	SLV_ENV	Max	0.	184.3897	175.3328	272.2532
449	449	663	SLV_ENV	Max	0.	189.6043	227.1568	313.3389
449	449	664	SLV_ENV	Min	0.	-18.7196	-205.1878	-124.0439
449	449	684	SLV_ENV	Min	0.	-34.5822	-184.023	-168.2245
449	449	683	SLV_ENV	Min	0.	-446.2544	-622.1597	-166.3422
449	449	663	SLV_ENV	Min	0.	-429.3971	-650.8521	-156.7704
450	450	684	SLU_ENV	Max	0.	16.6139	35.5099	-68.0962
450	450	140	SLU_ENV	Max	0.	392.8714	273.86	59.6629
450	450	139	SLU_ENV	Max	0.	288.4042	17.6275	231.059
450	450	683	SLU_ENV	Max	0.	-62.9292	-134.0392	52.7962
450	450	684	SLU_ENV	Min	0.	-6.703	16.2564	-118.4287
450	450	140	SLU_ENV	Min	0.	201.8001	156.1896	32.3013

Table: Element Forces - Area Shells, Part 3 of 5

Area	AreaElem	Joint	OutputCase	StepType	FVM KN/m	M11 KN-m/m	M22 KN-m/m	M12 KN-m/m
450	450	139	SLU_ENV	Min	0.	144.2584	0.7024	132.2255
450	450	683	SLU_ENV	Min	0.	-110.3424	-232.6013	30.0237
450	450	684	SLV_ENV	Max	0.	118.0288	188.2908	-1.7107
450	450	140	SLV_ENV	Max	0.	704.8455	482.5454	161.4115
450	450	139	SLV_ENV	Max	0.	486.6545	250.2796	426.1695
450	450	683	SLV_ENV	Max	0.	236.3134	211.4168	221.7216
450	450	684	SLV_ENV	Min	0.	-108.6965	-150.9002	-156.415
450	450	140	SLV_ENV	Min	0.	-197.4093	-122.3768	-84.1385
450	450	139	SLV_ENV	Min	0.	-117.7999	-234.199	-121.1074
450	450	683	SLV_ENV	Min	0.	-372.0054	-521.934	-154.0025
451	451	140	SLU_ENV	Max	0.	371.3588	321.235	88.4718
451	451	704	SLU_ENV	Max	0.	-55.2831	140.2948	-27.2541
451	451	703	SLU_ENV	Max	0.	-92.6822	-116.5005	89.5605
451	451	139	SLU_ENV	Max	0.	319.1302	-0.1589	223.0275
451	451	140	SLU_ENV	Min	0.	216.6378	181.9709	45.6018
451	451	704	SLU_ENV	Min	0.	-92.4034	76.6719	-56.3923
451	451	703	SLU_ENV	Min	0.	-151.7474	-189.5868	50.9548
451	451	139	SLU_ENV	Min	0.	184.7156	-21.2897	129.6217
451	451	140	SLV_ENV	Max	0.	694.3785	520.1169	200.5394
451	451	704	SLV_ENV	Max	0.	79.9067	195.7582	83.4934
451	451	703	SLV_ENV	Max	0.	105.5935	348.4448	220.9354
451	451	139	SLV_ENV	Max	0.	533.0189	291.7998	382.8937
451	451	140	SLV_ENV	Min	0.	-219.3151	-122.8217	-98.6071
451	451	704	SLV_ENV	Min	0.	-203.2898	-25.4595	-152.0878
451	451	703	SLV_ENV	Min	0.	-304.419	-598.0973	-110.914
451	451	139	SLV_ENV	Min	0.	-127.1047	-310.6082	-100.5327
452	452	704	SLU_ENV	Max	0.	36.3948	283.8002	-26.5308
452	452	724	SLU_ENV	Max	0.	77.0567	260.7351	-20.3565
452	452	723	SLU_ENV	Max	0.	-105.3405	-203.8286	114.6922
452	452	703	SLU_ENV	Max	0.	-138.1723	-193.1418	101.9504
452	452	704	SLU_ENV	Min	0.	16.0396	169.1854	-51.2942
452	452	724	SLU_ENV	Min	0.	46.2146	156.3766	-41.677
452	452	723	SLU_ENV	Min	0.	-180.181	-333.4259	68.3355
452	452	703	SLU_ENV	Min	0.	-232.7013	-313.9706	60.0181
452	452	704	SLV_ENV	Max	0.	234.3647	371.5211	103.4465
452	452	724	SLV_ENV	Max	0.	288.0388	348.0845	110.3851
452	452	723	SLV_ENV	Max	0.	123.937	350.7429	248.9149
452	452	703	SLV_ENV	Max	0.	87.4206	334.0186	210.6171
452	452	704	SLV_ENV	Min	0.	-192.2885	-5.9762	-164.3883
452	452	724	SLV_ENV	Min	0.	-187.8035	-10.4807	-158.7877
452	452	723	SLV_ENV	Min	0.	-350.9372	-788.2635	-101.8515
452	452	703	SLV_ENV	Min	0.	-383.9702	-748.1577	-81.1155
550	550	2311	SLU_ENV	Max	0.	18.064	-40.2491	18.7019
550	550	2324	SLU_ENV	Max	0.	81.6248	137.4497	-56.2725
550	550	2344	SLU_ENV	Max	0.	79.0752	154.5977	-53.0953
550	550	2331	SLU_ENV	Max	0.	15.1602	-28.0516	22.686
550	550	2311	SLU_ENV	Min	0.	-13.0355	-71.7032	-5.3855
550	550	2324	SLU_ENV	Min	0.	42.9635	64.3106	-107.0396
550	550	2344	SLU_ENV	Min	0.	43.6049	72.5876	-100.2576
550	550	2331	SLU_ENV	Min	0.	-13.0539	-58.2737	0.2622
550	550	2311	SLV_ENV	Max	0.	316.8971	208.0378	218.4707
550	550	2324	SLV_ENV	Max	0.	203.5124	212.4249	94.0919
550	550	2344	SLV_ENV	Max	0.	228.0362	248.695	66.8147
550	550	2331	SLV_ENV	Max	0.	275.5587	227.9925	194.4561

Table: Element Forces - Area Shells, Part 3 of 5

Area	AreaElem	Joint	OutputCase	StepType	FVM	M11	M22	M12
					KN/m	KN-m/m	KN-m/m	KN-m/m
550	550	2311	SLV_ENV	Min	0.	-334.2836	-299.9501	-194.8847
550	550	2324	SLV_ENV	Min	0.	-112.1148	-60.0065	-213.1833
550	550	2344	SLV_ENV	Min	0.	-135.9177	-75.9355	-179.5838
550	550	2331	SLV_ENV	Min	0.	-291.5885	-299.0005	-164.4956
551	551	2324	SLU_ENV	Max	0.	93.4673	187.9282	-64.6018
551	551	2821	SLU_ENV	Max	0.	53.1891	-29.5925	-30.4325
551	551	2574	SLU_ENV	Max	0.	80.4788	-11.6549	-33.7711
551	551	2344	SLU_ENV	Max	0.	115.3797	212.5929	-66.7594
551	551	2324	SLU_ENV	Min	0.	48.9001	85.693	-119.6215
551	551	2821	SLU_ENV	Min	0.	21.2742	-82.1069	-66.9064
551	551	2574	SLU_ENV	Min	0.	36.0925	-61.3006	-71.6912
551	551	2344	SLU_ENV	Min	0.	62.7131	98.6746	-126.8796
551	551	2324	SLV_ENV	Max	0.	226.652	351.7725	33.9697
551	551	2821	SLV_ENV	Max	0.	123.264	410.4113	113.8318
551	551	2574	SLV_ENV	Max	0.	208.0856	407.2344	47.4807
551	551	2344	SLV_ENV	Max	0.	179.3842	369.2727	54.1958
551	551	2324	SLV_ENV	Min	0.	-122.2988	-143.9185	-171.0424
551	551	2821	SLV_ENV	Min	0.	-75.7525	-481.6014	-183.3833
551	551	2574	SLV_ENV	Min	0.	-130.3054	-449.337	-121.6828
551	551	2344	SLV_ENV	Min	0.	-46.4064	-133.2298	-196.4636
553	553	2821	SLU_ENV	Max	0.	154.6528	129.7085	-71.4967
553	553	2911	SLU_ENV	Max	0.	78.638	163.6091	-56.9199
553	553	2345	SLU_ENV	Max	0.	43.7769	140.3985	-45.5645
553	553	2574	SLU_ENV	Max	0.	124.8436	106.8064	-64.6581
553	553	2821	SLU_ENV	Min	0.	70.1633	59.1795	-146.2626
553	553	2911	SLU_ENV	Min	0.	34.8625	73.8247	-105.671
553	553	2345	SLU_ENV	Min	0.	5.8786	55.7512	-93.087
553	553	2574	SLU_ENV	Min	0.	56.919	48.977	-130.5991
553	553	2821	SLV_ENV	Max	0.	404.2772	193.6506	118.2836
553	553	2911	SLV_ENV	Max	0.	226.9942	268.6528	49.2401
553	553	2345	SLV_ENV	Max	0.	371.3902	369.0167	85.4545
553	553	2574	SLV_ENV	Max	0.	317.7965	228.8569	79.5464
553	553	2821	SLV_ENV	Min	0.	-253.1708	-63.3046	-271.5399
553	553	2911	SLV_ENV	Min	0.	-141.4772	-87.3066	-170.225
553	553	2345	SLV_ENV	Min	0.	-323.788	-210.9848	-191.8239
553	553	2574	SLV_ENV	Min	0.	-195.4292	-121.1201	-218.6558
554	554	2588	SLU_ENV	Max	0.	-34.4227	-4.7564	27.8647
554	554	2566	SLU_ENV	Max	0.	-4.7639	7.1578	19.6603
554	554	2564	SLU_ENV	Max	0.	37.3364	12.2835	-1.8795
554	554	2804	SLU_ENV	Max	0.	-6.4824	-0.3676	4.4809
554	554	2588	SLU_ENV	Min	0.	-60.3245	-14.1844	15.2257
554	554	2566	SLU_ENV	Min	0.	-9.8626	0.1299	8.9563
554	554	2564	SLU_ENV	Min	0.	19.7048	4.5938	-8.4693
554	554	2804	SLU_ENV	Min	0.	-14.2662	-9.1324	-0.2473
554	554	2588	SLV_ENV	Max	0.	54.1894	79.1436	98.5869
554	554	2566	SLV_ENV	Max	0.	23.9915	97.9575	92.0758
554	554	2564	SLV_ENV	Max	0.	110.6437	160.5879	53.1526
554	554	2804	SLV_ENV	Max	0.	32.6148	148.885	108.8818
554	554	2588	SLV_ENV	Min	0.	-127.2654	-98.5874	-66.5483
554	554	2566	SLV_ENV	Min	0.	-37.2331	-96.814	-72.5919
554	554	2564	SLV_ENV	Min	0.	-68.616	-149.9519	-63.4032
554	554	2804	SLV_ENV	Min	0.	-50.1238	-158.8288	-106.5661
555	555	2811	SLU_ENV	Max	0.	336.2765	-12.9568	2.9724
555	555	2806	SLU_ENV	Max	0.	254.4475	20.4043	-6.9444

Table: Element Forces - Area Shells, Part 3 of 5

Area	AreaElem	Joint	OutputCase	StepType	FVM KN/m	M11 KN-m/m	M22 KN-m/m	M12 KN-m/m
555	555	2566	SLU_ENV	Max	0.	-118.2674	-25.7403	-21.555
555	555	2588	SLU_ENV	Max	0.	-75.5546	-52.9176	-15.0278
555	555	2811	SLU_ENV	Min	0.	175.6365	-27.4158	-8.1957
555	555	2806	SLU_ENV	Min	0.	132.6712	12.3865	-21.13
555	555	2566	SLU_ENV	Min	0.	-217.1443	-45.3219	-43.2697
555	555	2588	SLU_ENV	Min	0.	-141.1074	-90.9154	-27.8657
555	555	2811	SLV_ENV	Max	0.	554.3624	82.7665	145.9823
555	555	2806	SLV_ENV	Max	0.	441.177	118.5007	58.6306
555	555	2566	SLV_ENV	Max	0.	307.7798	192.5433	136.5015
555	555	2588	SLV_ENV	Max	0.	415.8953	200.199	192.7849
555	555	2811	SLV_ENV	Min	0.	-177.1048	-110.9622	-154.8026
555	555	2806	SLV_ENV	Min	0.	-156.0193	-90.7079	-81.049
555	555	2566	SLV_ENV	Min	0.	-556.9364	-246.719	-182.1155
555	555	2588	SLV_ENV	Min	0.	-573.581	-310.6584	-224.7135
556	556	2205	SLU_ENV	Max	0.	203.5106	73.9722	141.7471
556	556	2218	SLU_ENV	Max	0.	350.7001	185.9602	48.9721
556	556	2324	SLU_ENV	Max	0.	138.5931	107.596	-45.4278
556	556	2311	SLU_ENV	Max	0.	-2.3465	-3.1829	15.1046
556	556	2205	SLU_ENV	Min	0.	100.9841	20.1796	65.852
556	556	2218	SLU_ENV	Min	0.	183.1245	71.4678	8.7111
556	556	2324	SLU_ENV	Min	0.	68.5113	32.3433	-92.4969
556	556	2311	SLU_ENV	Min	0.	-21.5248	-22.5366	-6.6102
556	556	2205	SLV_ENV	Max	0.	359.4363	278.881	292.4577
556	556	2218	SLV_ENV	Max	0.	447.9847	380.4186	225.033
556	556	2324	SLV_ENV	Max	0.	304.9709	313.9254	175.2991
556	556	2311	SLV_ENV	Max	0.	170.8871	335.8858	232.0525
556	556	2205	SLV_ENV	Min	0.	-139.6657	-218.01	-131.0299
556	556	2218	SLV_ENV	Min	0.	-51.5583	-183.4359	-175.9328
556	556	2324	SLV_ENV	Min	0.	-156.4202	-204.6699	-270.7212
556	556	2311	SLV_ENV	Min	0.	-199.2042	-364.3297	-214.1273
557	557	2218	SLU_ENV	Max	0.	544.9419	196.0064	12.4742
557	557	2219	SLU_ENV	Max	0.	317.709	275.5921	74.3554
557	557	2821	SLU_ENV	Max	0.	227.6538	43.9732	-58.4315
557	557	2324	SLU_ENV	Max	0.	10.1233	151.3163	-32.2555
557	557	2218	SLU_ENV	Min	0.	283.4977	82.3368	-9.7465
557	557	2219	SLU_ENV	Min	0.	160.7305	142.9359	31.3367
557	557	2821	SLU_ENV	Min	0.	93.7357	-2.8181	-111.0355
557	557	2324	SLU_ENV	Min	0.	1.0394	36.1484	-64.8705
557	557	2218	SLV_ENV	Max	0.	611.2062	342.4032	184.2389
557	557	2219	SLV_ENV	Max	0.	439.3959	329.2399	173.8191
557	557	2821	SLV_ENV	Max	0.	586.3447	299.3146	96.1953
557	557	2324	SLV_ENV	Max	0.	256.2621	534.3544	121.3141
557	557	2218	SLV_ENV	Min	0.	1.6282	-132.2102	-175.6548
557	557	2219	SLV_ENV	Min	0.	-90.7273	-21.4269	-93.6904
557	557	2821	SLV_ENV	Min	0.	-347.2497	-261.1662	-221.3538
557	557	2324	SLV_ENV	Min	0.	-251.1676	-381.6646	-189.4136
558	558	2219	SLU_ENV	Max	0.	809.9506	507.7245	46.3559
558	558	2911	SLU_ENV	Max	0.	5.139	231.2615	-62.7467
558	558	2821	SLU_ENV	Max	0.	102.5438	-74.518	-66.7876
558	558	2219	SLU_ENV	Min	0.	413.4075	266.0047	23.2617
558	558	2911	SLU_ENV	Min	0.	-4.1177	105.2799	-114.8358
558	558	2821	SLU_ENV	Min	0.	40.8663	-115.9337	-138.4249
558	558	2219	SLV_ENV	Max	0.	747.0779	506.0212	89.7291
558	558	2911	SLV_ENV	Max	0.	265.0881	381.2436	66.8236

Table: Element Forces - Area Shells, Part 3 of 5

Area	AreaElem	Joint	OutputCase	StepType	FVM	M11	M22	M12
					KN/m	KN-m/m	KN-m/m	KN-m/m
558	558	2821	SLV_ENV	Max	0.	351.5894	131.7562	222.8231
558	558	2219	SLV_ENV	Min	0.	147.1592	66.0845	-32.3114
558	558	2911	SLV_ENV	Min	0.	-258.5369	-121.0735	-199.3627
558	558	2821	SLV_ENV	Min	0.	-257.9811	-285.6456	-364.7797
559	559	2219	SLU_ENV	Max	0.	526.4265	352.4325	-38.3159
559	559	2811	SLU_ENV	Max	0.	325.4541	87.0301	-2.4891
559	559	2588	SLU_ENV	Max	0.	-56.0921	-60.336	-12.1398
559	559	2911	SLU_ENV	Max	0.	101.5628	153.4375	-50.4545
559	559	2219	SLU_ENV	Min	0.	269.1854	180.6705	-81.7079
559	559	2811	SLU_ENV	Min	0.	166.1134	37.9698	-7.3011
559	559	2588	SLU_ENV	Min	0.	-116.0727	-128.8413	-26.4482
559	559	2911	SLU_ENV	Min	0.	40.5228	69.726	-95.4633
559	559	2219	SLV_ENV	Max	0.	538.4474	344.9208	122.0617
559	559	2811	SLV_ENV	Max	0.	445.1593	236.4693	177.5919
559	559	2588	SLV_ENV	Max	0.	495.1392	279.0461	135.6461
559	559	2911	SLV_ENV	Max	0.	340.7593	330.5185	37.7404
559	559	2219	SLV_ENV	Min	0.	43.1902	43.6952	-204.5335
559	559	2811	SLV_ENV	Min	0.	-86.1529	-143.4378	-184.8363
559	559	2588	SLV_ENV	Min	0.	-613.8135	-408.3365	-169.0431
559	559	2911	SLV_ENV	Min	0.	-238.28	-162.4482	-145.1962
560	560	2291	SLU_ENV	Max	0.	-12.0272	-90.2171	-20.918
560	560	2572	SLU_ENV	Max	0.	-6.1202	61.5666	51.6168
560	560	2218	SLU_ENV	Max	0.	347.6708	87.1836	-14.6397
560	560	2205	SLU_ENV	Max	0.	236.9887	232.315	201.8406
560	560	2291	SLU_ENV	Min	0.	-53.375	-138.8881	-57.9503
560	560	2572	SLU_ENV	Min	0.	-17.6649	3.8155	2.2098
560	560	2218	SLU_ENV	Min	0.	162.491	2.6468	-32.7169
560	560	2205	SLU_ENV	Min	0.	126.3588	91.5822	73.923
560	560	2291	SLV_ENV	Max	0.	270.7409	133.6011	330.8801
560	560	2572	SLV_ENV	Max	0.	115.7712	300.0878	290.3892
560	560	2218	SLV_ENV	Max	0.	633.8007	452.8802	103.8128
560	560	2205	SLV_ENV	Max	0.	427.6938	516.2022	674.0571
560	560	2291	SLV_ENV	Min	0.	-330.6379	-322.5745	-375.4597
560	560	2572	SLV_ENV	Min	0.	-139.5853	-261.4669	-242.5981
560	560	2218	SLV_ENV	Min	0.	-242.1494	-373.3009	-136.6693
560	560	2205	SLV_ENV	Min	0.	-154.0648	-269.666	-442.8688
561	561	2572	SLU_ENV	Max	0.	28.0239	130.047	-56.92
561	561	2817	SLU_ENV	Max	0.	-43.3367	-98.4684	-24.7738
561	561	2218	SLU_ENV	Max	0.	474.2808	206.3833	189.114
561	561	2572	SLU_ENV	Min	0.	14.4299	45.2096	-100.5528
561	561	2817	SLU_ENV	Min	0.	-80.2014	-165.6816	-49.7575
561	561	2218	SLU_ENV	Min	0.	230.4152	78.0886	77.7085
561	561	2572	SLV_ENV	Max	0.	112.9865	364.6325	98.1522
561	561	2817	SLV_ENV	Max	0.	129.4052	398.0959	210.8588
561	561	2218	SLV_ENV	Max	0.	767.5915	423.1298	448.8359
561	561	2572	SLV_ENV	Min	0.	-81.3355	-225.3033	-216.1356
561	561	2817	SLV_ENV	Min	0.	-227.8083	-605.9799	-261.7065
561	561	2218	SLV_ENV	Min	0.	-235.321	-207.5213	-239.2306
562	562	2816	SLU_ENV	Max	0.	58.8567	-30.8816	-6.1411
562	562	2857	SLU_ENV	Max	0.	107.0603	175.6648	-15.6328
562	562	2856	SLU_ENV	Max	0.	65.7407	159.5192	-33.3108
562	562	2817	SLU_ENV	Max	0.	16.6476	-39.7885	-22.8129
562	562	2816	SLU_ENV	Min	0.	26.5279	-51.1941	-18.452
562	562	2857	SLU_ENV	Min	0.	69.2619	106.4035	-38.2382

Table: Element Forces - Area Shells, Part 3 of 5

Area	AreaElem	Joint	OutputCase	StepType	FVM	M11	M22	M12
					KN/m	KN-m/m	KN-m/m	KN-m/m
562	562	2856	SLU_ENV	Min	0.	32.1197	95.9246	-65.9524
562	562	2817	SLU_ENV	Min	0.	-18.4462	-67.7739	-48.8414
562	562	2816	SLV_ENV	Max	0.	287.5011	34.9606	121.5851
562	562	2857	SLV_ENV	Max	0.	137.4772	581.4336	151.654
562	562	2856	SLV_ENV	Max	0.	166.3578	421.3989	242.0689
562	562	2817	SLV_ENV	Max	0.	329.6452	121.2936	239.1811
562	562	2816	SLV_ENV	Min	0.	-212.4098	-106.0036	-135.6907
562	562	2857	SLV_ENV	Min	0.	5.1367	-358.7281	-186.537
562	562	2856	SLV_ENV	Min	0.	-94.9488	-221.3443	-311.7993
562	562	2817	SLV_ENV	Min	0.	-329.9853	-216.4056	-289.3296
563	563	2817	SLU_ENV	Max	0.	39.2257	-33.09	-48.8256
563	563	2856	SLU_ENV	Max	0.	88.893	197.922	-9.7877
563	563	2219	SLU_ENV	Max	0.	496.0456	216.9436	-40.9996
563	563	2218	SLU_ENV	Max	0.	298.8296	227.1491	125.7385
563	563	2817	SLU_ENV	Min	0.	20.8639	-73.0674	-95.691
563	563	2856	SLU_ENV	Min	0.	47.7748	111.7364	-16.4461
563	563	2219	SLU_ENV	Min	0.	250.0502	105.8201	-73.7662
563	563	2218	SLU_ENV	Min	0.	144.6523	85.6367	32.8305
563	563	2817	SLV_ENV	Max	0.	281.6019	194.6538	159.0387
563	563	2856	SLV_ENV	Max	0.	189.5938	245.5285	102.8108
563	563	2219	SLV_ENV	Max	0.	594.8228	322.396	28.7234
563	563	2218	SLV_ENV	Max	0.	461.2948	404.5175	431.4074
563	563	2817	SLV_ENV	Min	0.	-236.2583	-283.62	-262.3272
563	563	2856	SLV_ENV	Min	0.	-87.2608	-9.8345	-123.029
563	563	2219	SLV_ENV	Min	0.	-51.3076	-73.9877	-115.6584
563	563	2218	SLV_ENV	Min	0.	-137.5744	-178.6489	-301.9599
564	564	2856	SLU_ENV	Max	0.	118.429	333.9194	-41.2889
564	564	2587	SLU_ENV	Max	0.	93.5722	-90.4209	-54.4836
564	564	2811	SLU_ENV	Max	0.	470.3303	-2.8735	-15.7494
564	564	2219	SLU_ENV	Max	0.	494.1911	499.1246	-2.392
564	564	2856	SLU_ENV	Min	0.	60.1548	177.1216	-74.4551
564	564	2587	SLU_ENV	Min	0.	44.5916	-175.2052	-105.9318
564	564	2811	SLU_ENV	Min	0.	237.871	-22.7736	-38.2498
564	564	2219	SLU_ENV	Min	0.	252.1523	257.9422	-11.7679
564	564	2856	SLV_ENV	Max	0.	183.7601	512.5672	2.8855
564	564	2587	SLV_ENV	Max	0.	245.0233	353.1859	40.3544
564	564	2811	SLV_ENV	Max	0.	409.0623	266.9303	122.9538
564	564	2219	SLV_ENV	Max	0.	459.4557	454.2263	144.8065
564	564	2856	SLV_ENV	Min	0.	-53.2891	-135.022	-90.4205
564	564	2587	SLV_ENV	Min	0.	-147.4795	-549.4456	-157.8774
564	564	2811	SLV_ENV	Min	0.	105.0511	-285.1372	-157.1845
564	564	2219	SLV_ENV	Min	0.	85.0018	99.8347	-152.3503
566	566	2587	SLU_ENV	Max	0.	287.8738	4.3902	-56.6976
566	566	2563	SLU_ENV	Max	0.	244.7715	-9.2637	-49.0132
566	566	2806	SLU_ENV	Max	0.	269.0012	-6.5044	0.2061
566	566	2811	SLU_ENV	Max	0.	312.567	7.3396	-13.0198
566	566	2587	SLU_ENV	Min	0.	142.2528	-6.3399	-115.4186
566	566	2563	SLU_ENV	Min	0.	122.5372	-28.932	-95.3313
566	566	2806	SLU_ENV	Min	0.	132.8677	-21.3781	-8.9262
566	566	2811	SLU_ENV	Min	0.	159.7544	-2.1469	-24.3397
566	566	2587	SLV_ENV	Max	0.	425.6208	163.2921	112.8744
566	566	2563	SLV_ENV	Max	0.	276.052	143.1573	67.6056
566	566	2806	SLV_ENV	Max	0.	456.6052	145.5305	116.3881
566	566	2811	SLV_ENV	Max	0.	333.6531	163.5635	30.9983

Table: Element Forces - Area Shells, Part 3 of 5

Area	AreaElem	Joint	OutputCase	StepType	FVM	M11	M22	M12
					KN/m	KN-m/m	KN-m/m	KN-m/m
566	566	2587	SLV_ENV	Min	0.	-116.1237	-172.5095	-235.6996
566	566	2563	SLV_ENV	Min	0.	-10.2783	-175.9751	-172.9397
566	566	2806	SLV_ENV	Min	0.	-156.4976	-161.041	-127.1222
566	566	2811	SLV_ENV	Min	0.	11.0652	-156.895	-58.7781
567	567	2857	SLU_ENV	Max	0.	72.0954	170.8362	-15.3753
567	567	2812	SLU_ENV	Max	0.	131.3509	-0.0636	-33.1075
567	567	2587	SLU_ENV	Max	0.	169.7469	6.8869	-51.2421
567	567	2856	SLU_ENV	Max	0.	109.5017	186.4425	-33.5489
567	567	2857	SLU_ENV	Min	0.	45.5705	94.3682	-37.9766
567	567	2812	SLU_ENV	Min	0.	66.7721	-10.2122	-65.1068
567	567	2587	SLU_ENV	Min	0.	65.5174	-10.5308	-95.2296
567	567	2856	SLU_ENV	Min	0.	47.8865	93.3648	-66.111
567	567	2857	SLV_ENV	Max	0.	226.9206	272.4386	250.0551
567	567	2812	SLV_ENV	Max	0.	331.3255	156.3158	162.5616
567	567	2587	SLV_ENV	Max	0.	563.1568	265.4934	106.5289
567	567	2856	SLV_ENV	Max	0.	196.2202	375.9935	137.7967
567	567	2857	SLV_ENV	Min	0.	-132.6007	-72.4585	-283.7951
567	567	2812	SLV_ENV	Min	0.	-179.3929	-159.8724	-234.1535
567	567	2587	SLV_ENV	Min	0.	-390.1823	-263.7667	-215.6169
567	567	2856	SLV_ENV	Min	0.	-79.7333	-168.1281	-208.5551
568	568	2812	SLU_ENV	Max	0.	164.5271	4.2602	-3.8604
568	568	2810	SLU_ENV	Max	0.	306.6969	105.298	-0.1446
568	568	2563	SLU_ENV	Max	0.	259.6609	2.3654	-69.5475
568	568	2587	SLU_ENV	Max	0.	117.956	-65.2838	-76.8095
568	568	2812	SLU_ENV	Min	0.	81.6091	-3.2189	-18.5445
568	568	2810	SLU_ENV	Min	0.	162.6541	61.2145	-5.2094
568	568	2563	SLU_ENV	Min	0.	118.1466	-2.1702	-137.0645
568	568	2587	SLU_ENV	Min	0.	39.3934	-103.0059	-144.4405
568	568	2812	SLV_ENV	Max	0.	470.8218	130.4001	121.467
568	568	2810	SLV_ENV	Max	0.	393.8753	193.0769	178.5247
568	568	2563	SLV_ENV	Max	0.	340.174	176.8736	270.0548
568	568	2587	SLV_ENV	Max	0.	413.446	135.038	169.3448
568	568	2812	SLV_ENV	Min	0.	-279.2009	-134.5607	-138.8867
568	568	2810	SLV_ENV	Min	0.	-46.0627	-65.2067	-180.6457
568	568	2563	SLV_ENV	Min	0.	-78.2108	-178.6501	-418.5248
568	568	2587	SLV_ENV	Min	0.	-307.4477	-269.9962	-332.5464
569	569	2912	SLU_ENV	Max	0.	37.9258	23.7306	9.2496
569	569	2816	SLU_ENV	Max	0.	51.9623	5.0307	-5.8804
569	569	2817	SLU_ENV	Max	0.	41.3097	2.0431	-22.4321
569	569	2572	SLU_ENV	Max	0.	27.9846	29.3262	-8.2654
569	569	2912	SLU_ENV	Min	0.	0.9348	-6.1624	-34.0482
569	569	2816	SLU_ENV	Min	0.	20.0447	-18.3468	-22.9473
569	569	2817	SLU_ENV	Min	0.	-1.5371	-37.5923	-44.782
569	569	2572	SLU_ENV	Min	0.	-20.6251	-37.4161	-55.7409
569	569	2912	SLV_ENV	Max	0.	591.215	190.0283	398.3845
569	569	2816	SLV_ENV	Max	0.	234.0313	504.9968	233.5806
569	569	2817	SLV_ENV	Max	0.	403.7189	318.356	210.1363
569	569	2572	SLV_ENV	Max	0.	561.181	428.6137	462.0094
569	569	2912	SLV_ENV	Min	0.	-549.9202	-179.5855	-401.1461
569	569	2816	SLV_ENV	Min	0.	-169.4227	-517.6337	-250.5636
569	569	2817	SLV_ENV	Min	0.	-367.7897	-341.865	-257.0282
569	569	2572	SLV_ENV	Min	0.	-547.0539	-428.7238	-494.6931
570	570	2571	SLU_ENV	Max	0.	-59.1277	-23.4085	14.0195
570	570	2584	SLU_ENV	Max	0.	-62.4937	-34.8762	4.4965

Table: Element Forces - Area Shells, Part 3 of 5

Area	AreaElem	Joint	OutputCase	StepType	FVM	M11	M22	M12
					KN/m	KN-m/m	KN-m/m	KN-m/m
570	570	2816	SLU_ENV	Max	0.	61.6208	8.882	-4.4189
570	570	2912	SLU_ENV	Max	0.	47.1767	16.729	1.6279
570	570	2571	SLU_ENV	Min	0.	-108.1901	-43.2197	-19.0526
570	570	2584	SLU_ENV	Min	0.	-103.5489	-76.4373	-31.5744
570	570	2816	SLU_ENV	Min	0.	16.5404	-12.3691	-39.8368
570	570	2912	SLU_ENV	Min	0.	-15.5221	-6.0479	-35.2221
570	570	2571	SLV_ENV	Max	0.	503.0977	42.334	492.1019
570	570	2584	SLV_ENV	Max	0.	337.5447	181.6654	421.6014
570	570	2816	SLV_ENV	Max	0.	261.4713	507.0935	350.1867
570	570	2912	SLV_ENV	Max	0.	490.297	380.1709	390.6653
570	570	2571	SLV_ENV	Min	0.	-624.7223	-96.8035	-504.2617
570	570	2584	SLV_ENV	Min	0.	-466.96	-273.4775	-448.7008
570	570	2816	SLV_ENV	Min	0.	-192.8782	-515.7392	-371.1285
570	570	2912	SLV_ENV	Min	0.	-449.3562	-375.5047	-406.5182
571	571	2584	SLU_ENV	Max	0.	-45.0682	-12.3518	-15.9492
571	571	2855	SLU_ENV	Max	0.	-1.0641	172.4665	29.2638
571	571	2857	SLU_ENV	Max	0.	119.1305	142.219	-36.4114
571	571	2816	SLU_ENV	Max	0.	52.6006	12.7776	-0.744
571	571	2584	SLU_ENV	Min	0.	-77.6216	-37.0857	-32.2424
571	571	2855	SLU_ENV	Min	0.	-26.6226	107.4289	15.9685
571	571	2857	SLU_ENV	Min	0.	55.5216	86.1833	-66.8985
571	571	2816	SLU_ENV	Min	0.	6.9532	0.0785	-17.2605
571	571	2584	SLV_ENV	Max	0.	346.731	77.3271	307.5637
571	571	2855	SLV_ENV	Max	0.	262.1537	476.6659	354.11
571	571	2857	SLV_ENV	Max	0.	362.2693	511.1356	136.7297
571	571	2816	SLV_ENV	Max	0.	288.7052	187.1687	191.5848
571	571	2584	SLV_ENV	Min	0.	-441.1431	-125.7894	-346.1936
571	571	2855	SLV_ENV	Min	0.	-283.654	-258.8104	-316.5956
571	571	2857	SLV_ENV	Min	0.	-219.809	-330.9073	-212.2344
571	571	2816	SLV_ENV	Min	0.	-233.9701	-180.8145	-197.5689
573	573	2567	SLU_ENV	Max	0.	3.79	36.5171	-10.1405
573	573	2580	SLU_ENV	Max	0.	5.8213	20.3969	11.5992
573	573	2582	SLU_ENV	Max	0.	-96.2121	-44.9396	5.216
573	573	2569	SLU_ENV	Max	0.	-93.2242	-32.6495	-11.0028
573	573	2567	SLU_ENV	Min	0.	1.4613	21.8655	-19.9321
573	573	2580	SLU_ENV	Min	0.	-1.8684	10.7453	0.3629
573	573	2582	SLU_ENV	Min	0.	-138.1102	-65.8876	0.8149
573	573	2569	SLU_ENV	Min	0.	-139.8523	-48.85	-25.1025
573	573	2567	SLV_ENV	Max	0.	162.6184	112.9239	85.3621
573	573	2580	SLV_ENV	Max	0.	125.8887	96.1054	123.6275
573	573	2582	SLV_ENV	Max	0.	32.9568	121.0847	88.8125
573	573	2569	SLV_ENV	Max	0.	103.9428	139.4667	171.2558
573	573	2567	SLV_ENV	Min	0.	-158.256	-60.9246	-109.6278
573	573	2580	SLV_ENV	Min	0.	-119.923	-67.1583	-110.9992
573	573	2582	SLV_ENV	Min	0.	-236.2602	-216.4377	-85.606
573	573	2569	SLV_ENV	Min	0.	-308.3126	-209.7377	-204.9433
576	576	2580	SLU_ENV	Max	0.	-20.4622	-17.6166	19.2391
576	576	2853	SLU_ENV	Max	0.	31.7181	153.0139	13.1618
576	576	2854	SLU_ENV	Max	0.	-31.5057	150.4493	-9.2818
576	576	2582	SLU_ENV	Max	0.	-72.98	-21.057	-3.2928
576	576	2580	SLU_ENV	Min	0.	-30.4143	-28.3202	13.1461
576	576	2853	SLU_ENV	Min	0.	20.2684	98.8251	6.3607
576	576	2854	SLU_ENV	Min	0.	-47.3774	95.3188	-17.9299
576	576	2582	SLU_ENV	Min	0.	-109.9721	-32.8618	-11.0363

Table: Element Forces - Area Shells, Part 3 of 5

Area	AreaElem	Joint	OutputCase	StepType	FVM	M11	M22	M12
					KN/m	KN-m/m	KN-m/m	KN-m/m
576	576	2580	SLV_ENV	Max	0.	33.8302	12.4803	42.3096
576	576	2853	SLV_ENV	Max	0.	83.3776	222.9511	110.2756
576	576	2854	SLV_ENV	Max	0.	11.6198	361.3391	165.408
576	576	2582	SLV_ENV	Max	0.	73.6002	151.9033	95.6364
576	576	2580	SLV_ENV	Min	0.	-77.38	-52.8151	-15.7783
576	576	2853	SLV_ENV	Min	0.	-38.9952	2.0323	-94.2709
576	576	2854	SLV_ENV	Min	0.	-81.0327	-141.8277	-186.6985
576	576	2582	SLV_ENV	Min	0.	-231.8357	-200.2115	-106.4004
577	577	2911	SLU_ENV	Max	0.	57.0337	166.7491	-63.4675
577	577	2588	SLU_ENV	Max	0.	-43.1551	-73.348	-0.3997
577	577	2804	SLU_ENV	Max	0.	-32.9082	-97.4396	37.7026
577	577	2345	SLU_ENV	Max	0.	73.6715	127.4724	-39.5422
577	577	2911	SLU_ENV	Min	0.	20.7117	89.824	-118.0477
577	577	2588	SLU_ENV	Min	0.	-78.0936	-149.7318	-9.2312
577	577	2804	SLU_ENV	Min	0.	-60.104	-193.3024	21.281
577	577	2345	SLU_ENV	Min	0.	35.9922	67.3245	-74.6137
577	577	2911	SLV_ENV	Max	0.	289.1089	404.1395	42.5399
577	577	2588	SLV_ENV	Max	0.	58.5388	374.085	126.9752
577	577	2804	SLV_ENV	Max	0.	101.2383	276.7874	85.0751
577	577	2345	SLV_ENV	Max	0.	187.8952	264.9061	75.4993
577	577	2911	SLV_ENV	Min	0.	-229.1315	-212.7684	-177.8235
577	577	2588	SLV_ENV	Min	0.	-149.2633	-529.9621	-135.3991
577	577	2804	SLV_ENV	Min	0.	-170.9709	-484.021	-40.4031
577	577	2345	SLV_ENV	Min	0.	-105.1811	-118.4818	-160.0003
578	578	2853	SLU_ENV	Max	0.	33.002	155.3335	-10.3498
578	578	2578	SLU_ENV	Max	0.	-20.1397	-16.0634	-12.8472
578	578	2583	SLU_ENV	Max	0.	-74.1071	-26.3122	13.5553
578	578	2854	SLU_ENV	Max	0.	-32.8966	144.0122	14.0516
578	578	2853	SLU_ENV	Min	0.	20.6898	101.1707	-17.9192
578	578	2578	SLU_ENV	Min	0.	-30.5452	-25.1219	-18.1891
578	578	2583	SLU_ENV	Min	0.	-113.3729	-39.5442	3.9886
578	578	2854	SLU_ENV	Min	0.	-49.2903	90.3359	6.1532
578	578	2853	SLV_ENV	Max	0.	100.3894	293.7131	140.3149
578	578	2578	SLV_ENV	Max	0.	16.4707	35.7413	4.6632
578	578	2583	SLV_ENV	Max	0.	101.6795	233.7428	109.7805
578	578	2854	SLV_ENV	Max	0.	52.4783	301.1204	139.2078
578	578	2853	SLV_ENV	Min	0.	-53.9665	-64.3227	-162.9652
578	578	2578	SLV_ENV	Min	0.	-60.6002	-72.0096	-30.9689
578	578	2583	SLV_ENV	Min	0.	-264.9984	-289.5086	-96.1476
578	578	2854	SLV_ENV	Min	0.	-124.425	-88.4819	-121.9196
580	580	2855	SLU_ENV	Max	0.	-25.5953	114.9624	15.9936
580	580	2585	SLU_ENV	Max	0.	-37.7482	-39.4477	-19.293
580	580	2812	SLU_ENV	Max	0.	160.3147	38.4922	-8.454
580	580	2857	SLU_ENV	Max	0.	136.3516	147.4845	-31.391
580	580	2855	SLU_ENV	Min	0.	-58.946	75.131	5.8058
580	580	2585	SLU_ENV	Min	0.	-86.0415	-67.6561	-40.5806
580	580	2812	SLU_ENV	Min	0.	74.2581	8.4612	-31.8734
580	580	2857	SLU_ENV	Min	0.	60.2164	82.2486	-64.1938
580	580	2855	SLV_ENV	Max	0.	246.1519	233.2858	187.7014
580	580	2585	SLV_ENV	Max	0.	306.3321	164.1407	158.7599
580	580	2812	SLV_ENV	Max	0.	396.5078	247.0249	258.3639
580	580	2857	SLV_ENV	Max	0.	381.64	267.9143	245.7467
580	580	2855	SLV_ENV	Min	0.	-313.7619	-79.6569	-172.4868
580	580	2585	SLV_ENV	Min	0.	-410.3346	-247.5596	-205.9423

Table: Element Forces - Area Shells, Part 3 of 5

Area	AreaElem	Joint	OutputCase	StepType	FVM	M11	M22	M12
					KN/m	KN-m/m	KN-m/m	KN-m/m
580	580	2812	SLV_ENV	Min	0.	-207.8812	-212.0056	-278.945
580	580	2857	SLV_ENV	Min	0.	-218.992	-86.763	-312.2776
581	581	2578	SLU_ENV	Max	0.	18.0958	26.2265	-3.1012
581	581	2565	SLU_ENV	Max	0.	11.9396	32.574	5.9887
581	581	2568	SLU_ENV	Max	0.	-104.094	-26.5974	17.926
581	581	2583	SLU_ENV	Max	0.	-101.7898	-32.5018	4.2288
581	581	2578	SLU_ENV	Min	0.	6.0404	15.0407	-14.021
581	581	2565	SLU_ENV	Min	0.	4.7272	19.949	-1.1673
581	581	2568	SLU_ENV	Min	0.	-154.4541	-40.5187	8.0027
581	581	2583	SLU_ENV	Min	0.	-147.8967	-48.467	-0.2597
581	581	2578	SLV_ENV	Max	0.	129.6029	133.6985	202.0351
581	581	2565	SLV_ENV	Max	0.	165.6756	143.1957	140.161
581	581	2568	SLV_ENV	Max	0.	-33.8388	95.4838	232.3477
581	581	2583	SLV_ENV	Max	0.	-2.1774	99.4578	138.4342
581	581	2578	SLV_ENV	Min	0.	-106.4355	-95.0259	-220.8728
581	581	2565	SLV_ENV	Min	0.	-152.6676	-95.2781	-138.7319
581	581	2568	SLV_ENV	Min	0.	-194.5988	-155.3556	-205.9344
581	581	2583	SLV_ENV	Min	0.	-216.6267	-171.1067	-132.2877
583	583	2585	SLU_ENV	Max	0.	-26.9743	-8.3209	-7.7831
583	583	2570	SLU_ENV	Max	0.	-24.4958	-10.752	-9.1916
583	583	2810	SLU_ENV	Max	0.	181.9328	25.6485	-24.2512
583	583	2812	SLU_ENV	Max	0.	158.8565	34.2974	-22.9885
583	583	2585	SLU_ENV	Min	0.	-73.2737	-20.62	-18.0879
583	583	2570	SLU_ENV	Min	0.	-67.6827	-24.6575	-19.1123
583	583	2810	SLU_ENV	Min	0.	82.1522	8.2126	-52.067
583	583	2812	SLU_ENV	Min	0.	72.5759	13.9752	-50.7598
583	583	2585	SLV_ENV	Max	0.	374.8744	127.1222	248.7473
583	583	2570	SLV_ENV	Max	0.	350.8203	107.5876	224.6119
583	583	2810	SLV_ENV	Max	0.	521.7179	188.9782	58.2343
583	583	2812	SLV_ENV	Max	0.	429.4425	195.4581	86.2981
583	583	2585	SLV_ENV	Min	0.	-463.5482	-156.1809	-267.195
583	583	2570	SLV_ENV	Min	0.	-434.1322	-139.7172	-245.2627
583	583	2810	SLV_ENV	Min	0.	-306.9953	-158.9765	-112.0025
583	583	2812	SLV_ENV	Min	0.	-240.5806	-155.4797	-137.6048
592	592	2569	SLU_ENV	Max	0.	-73.2101	-25.8616	1.2446
592	592	2582	SLU_ENV	Max	0.	-76.7248	-43.1866	-7.2793
592	592	2808	SLU_ENV	Max	0.	116.1693	28.7033	-4.6931
592	592	2809	SLU_ENV	Max	0.	123.1669	48.7576	4.89
592	592	2569	SLU_ENV	Min	0.	-134.4685	-45.4424	-5.4786
592	592	2582	SLU_ENV	Min	0.	-143.0684	-69.5892	-19.0395
592	592	2808	SLU_ENV	Min	0.	84.0006	18.7625	-12.2181
592	592	2809	SLU_ENV	Min	0.	88.1459	33.5427	0.4944
592	592	2569	SLV_ENV	Max	0.	277.3366	130.744	103.9504
592	592	2582	SLV_ENV	Max	0.	318.6223	130.113	157.4141
592	592	2808	SLV_ENV	Max	0.	189.3153	88.1084	248.2352
592	592	2809	SLV_ENV	Max	0.	244.222	99.4411	193.8266
592	592	2569	SLV_ENV	Min	0.	-470.9066	-194.1897	-110.1729
592	592	2582	SLV_ENV	Min	0.	-523.5087	-230.4479	-182.0937
592	592	2808	SLV_ENV	Min	0.	-17.3307	-49.2992	-263.6292
592	592	2809	SLV_ENV	Min	0.	-61.8813	-29.3559	-190.7634
593	593	2809	SLU_ENV	Max	0.	125.2449	45.2317	-5.2059
593	593	2808	SLU_ENV	Max	0.	121.3348	32.8299	5.9458
593	593	2584	SLU_ENV	Max	0.	-58.396	-37.5084	17.4449
593	593	2571	SLU_ENV	Max	0.	-56.1254	-27.258	9.1272

Table: Element Forces - Area Shells, Part 3 of 5

Area	AreaElem	Joint	OutputCase	StepType	FVM	M11	M22	M12
					KN/m	KN-m/m	KN-m/m	KN-m/m
593	593	2809	SLU_ENV	Min	0.	87.1312	30.7408	-12.7713
593	593	2808	SLU_ENV	Min	0.	86.4445	22.7359	0.6947
593	593	2584	SLU_ENV	Min	0.	-101.9289	-63.2723	-9.5779
593	593	2571	SLU_ENV	Min	0.	-97.8349	-47.9457	-25.3372
593	593	2809	SLV_ENV	Max	0.	295.8503	94.839	244.1917
593	593	2808	SLV_ENV	Max	0.	195.4967	75.7625	198.346
593	593	2584	SLV_ENV	Max	0.	228.2123	127.3791	442.6364
593	593	2571	SLV_ENV	Max	0.	234.9107	135.4516	497.2069
593	593	2809	SLV_ENV	Min	0.	-117.7095	-32.1436	-260.0265
593	593	2808	SLV_ENV	Min	0.	-18.8612	-29.4731	-194.4584
593	593	2584	SLV_ENV	Min	0.	-349.316	-207.8682	-442.8681
593	593	2571	SLV_ENV	Min	0.	-353.7424	-195.4946	-517.1609
594	594	2582	SLU_ENV	Max	0.	-52.7624	-9.1412	-10.4304
594	594	2854	SLU_ENV	Max	0.	-43.0026	131.2334	-1.9664
594	594	2858	SLU_ENV	Max	0.	108.9489	138.2152	8.483
594	594	2808	SLU_ENV	Max	0.	85.5997	-1.2699	0.3802
594	594	2582	SLU_ENV	Min	0.	-108.6243	-19.7211	-20.0438
594	594	2854	SLU_ENV	Min	0.	-80.8728	84.7979	-8.4951
594	594	2858	SLU_ENV	Min	0.	73.4577	90.1969	-1.1615
594	594	2808	SLU_ENV	Min	0.	60.9597	-10.2819	-12.8638
594	594	2582	SLV_ENV	Max	0.	319.6497	214.414	158.8469
594	594	2854	SLV_ENV	Max	0.	231.3683	329.7664	96.8431
594	594	2858	SLV_ENV	Max	0.	187.7587	258.5215	175.9157
594	594	2808	SLV_ENV	Max	0.	165.9937	43.1113	256.4784
594	594	2582	SLV_ENV	Min	0.	-472.3696	-242.558	-184.0932
594	594	2854	SLV_ENV	Min	0.	-346.5427	-138.4684	-102.9802
594	594	2858	SLV_ENV	Min	0.	-28.2196	-58.1609	-171.5567
594	594	2808	SLV_ENV	Min	0.	-42.4599	-57.9144	-271.2286
595	595	2808	SLU_ENV	Max	0.	92.9621	5.2111	8.5622
595	595	2858	SLU_ENV	Max	0.	112.9324	132.1678	0.2097
595	595	2855	SLU_ENV	Max	0.	-24.3939	115.8696	5.1534
595	595	2584	SLU_ENV	Max	0.	-37.992	-3.1901	11.2883
595	595	2808	SLU_ENV	Min	0.	65.2227	-0.8472	-6.3081
595	595	2858	SLU_ENV	Min	0.	81.7457	87.2755	-7.7775
595	595	2855	SLU_ENV	Min	0.	-45.5395	72.1886	-1.8753
595	595	2584	SLU_ENV	Min	0.	-69.561	-26.8931	-0.1895
595	595	2808	SLV_ENV	Max	0.	159.9636	59.7488	250.7566
595	595	2858	SLV_ENV	Max	0.	119.7074	191.8306	182.8297
595	595	2855	SLV_ENV	Max	0.	161.9829	302.3348	328.3778
595	595	2584	SLV_ENV	Max	0.	241.5826	131.3191	373.1478
595	595	2808	SLV_ENV	Min	0.	-22.7124	-52.3152	-254.7111
595	595	2858	SLV_ENV	Min	0.	44.8954	-9.9504	-189.4347
595	595	2855	SLV_ENV	Min	0.	-213.0899	-155.6246	-323.4875
595	595	2584	SLV_ENV	Min	0.	-321.2979	-162.9321	-365.6071
596	596	2854	SLU_ENV	Max	0.	-44.8728	124.0765	8.8525
596	596	2583	SLU_ENV	Max	0.	-55.158	-13.1321	18.3116
596	596	2814	SLU_ENV	Max	0.	88.3952	-1.5383	4.7526
596	596	2858	SLU_ENV	Max	0.	109.6207	137.1061	-3.1035
596	596	2854	SLU_ENV	Min	0.	-83.3474	78.9449	2.088
596	596	2583	SLU_ENV	Min	0.	-105.9792	-25.2723	7.7019
596	596	2814	SLU_ENV	Min	0.	64.5866	-7.8125	-2.9923
596	596	2858	SLU_ENV	Min	0.	74.3683	89.8728	-10.5626
596	596	2854	SLV_ENV	Max	0.	214.2655	237.1616	84.6468
596	596	2583	SLV_ENV	Max	0.	365.5632	189.8003	121.5561

Table: Element Forces - Area Shells, Part 3 of 5

Area	AreaElem	Joint	OutputCase	StepType	FVM	M11	M22	M12
					KN/m	KN-m/m	KN-m/m	KN-m/m
596	596	2814	SLV_ENV	Max	0.	185.2348	37.057	304.2238
596	596	2858	SLV_ENV	Max	0.	187.9633	275.2349	227.4862
596	596	2854	SLV_ENV	Min	0.	-332.6488	-53.8205	-77.424
596	596	2583	SLV_ENV	Min	0.	-517.303	-223.2404	-98.5704
596	596	2814	SLV_ENV	Min	0.	-55.7361	-48.3942	-297.5505
596	596	2858	SLV_ENV	Min	0.	-26.6872	-74.2763	-236.5759
597	597	2858	SLU_ENV	Max	0.	107.4236	121.7002	1.2677
597	597	2814	SLU_ENV	Max	0.	86.6783	13.8545	0.2968
597	597	2585	SLU_ENV	Max	0.	-38.3923	-8.4125	1.728
597	597	2855	SLU_ENV	Max	0.	-23.6827	95.5266	4.0574
597	597	2858	SLU_ENV	Min	0.	76.0563	77.4319	-5.7545
597	597	2814	SLU_ENV	Min	0.	57.9403	4.5271	-7.6029
597	597	2585	SLU_ENV	Min	0.	-71.7646	-19.0308	-3.9862
597	597	2855	SLU_ENV	Min	0.	-46.2105	60.0135	-3.8189
597	597	2858	SLV_ENV	Max	0.	148.9608	198.2346	296.2285
597	597	2814	SLV_ENV	Max	0.	168.1719	53.3529	238.2482
597	597	2585	SLV_ENV	Max	0.	261.7235	213.4265	141.6323
597	597	2855	SLV_ENV	Max	0.	183.9829	256.5693	223.3718
597	597	2858	SLV_ENV	Min	0.	7.9431	-30.1345	-296.9224
597	597	2814	SLV_ENV	Min	0.	-40.2277	-33.0169	-239.9053
597	597	2585	SLV_ENV	Min	0.	-341.4467	-233.2512	-143.4665
597	597	2855	SLV_ENV	Min	0.	-233.4839	-126.543	-224.2426
598	598	2583	SLU_ENV	Max	0.	-81.9258	-30.6379	13.3771
598	598	2568	SLU_ENV	Max	0.	-79.6549	-19.6544	9.051
598	598	2815	SLU_ENV	Max	0.	132.3446	37.2099	5.7078
598	598	2814	SLU_ENV	Max	0.	127.7207	25.5199	8.8671
598	598	2583	SLU_ENV	Min	0.	-144.0994	-50.5628	5.1895
598	598	2568	SLU_ENV	Min	0.	-138.216	-33.9365	2.7172
598	598	2815	SLU_ENV	Min	0.	93.7607	24.7666	-3.6049
598	598	2814	SLU_ENV	Min	0.	91.6155	16.5863	-0.068
598	598	2583	SLV_ENV	Max	0.	383.1092	165.0262	212.7774
598	598	2568	SLV_ENV	Max	0.	352.2983	161.5244	159.7576
598	598	2815	SLV_ENV	Max	0.	234.6437	97.6835	131.7105
598	598	2814	SLV_ENV	Max	0.	233.3263	98.1859	179.8978
598	598	2583	SLV_ENV	Min	0.	-592.8487	-239.6656	-193.0922
598	598	2568	SLV_ENV	Min	0.	-554.0577	-211.2572	-146.4825
598	598	2815	SLV_ENV	Min	0.	-38.9445	-42.6785	-128.1024
598	598	2814	SLV_ENV	Min	0.	-44.3527	-60.9473	-169.8796
599	599	2814	SLU_ENV	Max	0.	114.3766	25.622	6.025
599	599	2815	SLU_ENV	Max	0.	116.6404	31.3976	8.3093
599	599	2570	SLU_ENV	Max	0.	-55.6801	-16.4946	1.8423
599	599	2585	SLU_ENV	Max	0.	-59.	-23.3736	-1.3776
599	599	2814	SLU_ENV	Min	0.	78.4478	15.895	-3.7851
599	599	2815	SLU_ENV	Min	0.	83.6627	20.7941	-0.1017
599	599	2570	SLU_ENV	Min	0.	-95.5436	-25.7709	-8.3205
599	599	2585	SLU_ENV	Min	0.	-100.9129	-36.3084	-11.1127
599	599	2814	SLV_ENV	Max	0.	197.4547	118.6435	137.8318
599	599	2815	SLV_ENV	Max	0.	167.273	118.657	173.055
599	599	2570	SLV_ENV	Max	0.	159.2187	44.9014	296.3631
599	599	2585	SLV_ENV	Max	0.	220.8856	38.538	254.9037
599	599	2814	SLV_ENV	Min	0.	-30.169	-80.8618	-134.0509
599	599	2815	SLV_ENV	Min	0.	5.1895	-73.1799	-163.6165
599	599	2570	SLV_ENV	Min	0.	-274.235	-79.4789	-298.1039
599	599	2585	SLV_ENV	Min	0.	-342.1075	-86.5947	-262.3019

Table: Element Forces - Area Shells, Part 3 of 5

Area	AreaElem	Joint	OutputCase	StepType	FVM KN/m	M11 KN-m/m	M22 KN-m/m	M12 KN-m/m
612	612	2219	SLU_ENV	Max	0.	2.3064	-61.9003	-5.3847
612	612	2856	SLU_ENV	Max	0.	-2.8073	-34.8655	-17.2913
612	612	2862	SLU_ENV	Max	0.	-10.3205	6.8959	6.4825
612	612	2201	SLU_ENV	Max	0.	2.9564	-26.4525	30.091
612	612	2219	SLU_ENV	Min	0.	-6.6721	-136.6599	-15.3772
612	612	2856	SLU_ENV	Min	0.	-22.134	-87.1804	-35.1538
612	612	2862	SLU_ENV	Min	0.	-20.5604	-5.2646	0.5034
612	612	2201	SLU_ENV	Min	0.	-16.3753	-53.3333	9.3095
612	612	2219	SLV_ENV	Max	0.	79.2697	212.9365	27.145
612	612	2856	SLV_ENV	Max	0.	38.6607	44.0582	78.4687
612	612	2862	SLV_ENV	Max	0.	79.1938	148.4475	154.0404
612	612	2201	SLV_ENV	Max	0.	140.8046	98.6466	175.9789
612	612	2219	SLV_ENV	Min	0.	-77.6108	-347.9454	-45.2942
612	612	2856	SLV_ENV	Min	0.	-58.8337	-125.7982	-114.8198
612	612	2862	SLV_ENV	Min	0.	-101.6053	-153.9871	-151.7274
612	612	2201	SLV_ENV	Min	0.	-141.9024	-155.6586	-155.464
613	613	2856	SLU_ENV	Max	0.	-11.897	-22.248	-16.8362
613	613	2857	SLU_ENV	Max	0.	-7.2102	-3.3006	-11.4035
613	613	2863	SLU_ENV	Max	0.	7.656	10.3835	13.4941
613	613	2862	SLU_ENV	Max	0.	3.5168	-8.512	4.7075
613	613	2856	SLU_ENV	Min	0.	-27.6253	-63.5909	-33.7252
613	613	2857	SLU_ENV	Min	0.	-21.1308	-40.2766	-26.2913
613	613	2863	SLU_ENV	Min	0.	4.3652	-0.9676	5.741
613	613	2862	SLU_ENV	Min	0.	-6.375	-22.7116	0.4869
613	613	2856	SLV_ENV	Max	0.	59.4139	43.0058	101.4393
613	613	2857	SLV_ENV	Max	0.	14.1569	87.4097	119.7203
613	613	2863	SLV_ENV	Max	0.	55.8719	111.2635	117.3631
613	613	2862	SLV_ENV	Max	0.	87.709	71.1316	98.6132
613	613	2856	SLV_ENV	Min	0.	-85.2288	-102.0278	-137.1317
613	613	2857	SLV_ENV	Min	0.	-35.4346	-120.2021	-144.3331
613	613	2863	SLV_ENV	Min	0.	-45.6769	-109.3411	-104.5872
613	613	2862	SLV_ENV	Min	0.	-83.4584	-95.1851	-96.9168
614	614	2857	SLU_ENV	Max	0.	-2.4491	2.3687	-3.2264
614	614	2855	SLU_ENV	Max	0.	4.4165	12.375	-1.6827
614	614	2861	SLU_ENV	Max	0.	6.4871	14.7353	1.3107
614	614	2863	SLU_ENV	Max	0.	-0.5531	3.8506	0.6581
614	614	2857	SLU_ENV	Min	0.	-7.4833	-27.1007	-10.1843
614	614	2855	SLU_ENV	Min	0.	-0.4001	-6.9761	-7.8075
614	614	2861	SLU_ENV	Min	0.	1.8308	3.2447	-3.2042
614	614	2863	SLU_ENV	Min	0.	-4.8134	-12.2908	-6.1298
614	614	2857	SLV_ENV	Max	0.	37.2726	118.6793	106.5621
614	614	2855	SLV_ENV	Max	0.	42.7718	194.9719	120.7809
614	614	2861	SLV_ENV	Max	0.	45.1793	142.1339	136.2463
614	614	2863	SLV_ENV	Max	0.	38.4307	78.2015	119.6428
614	614	2857	SLV_ENV	Min	0.	-42.9289	-139.6158	-114.9948
614	614	2855	SLV_ENV	Min	0.	-42.2544	-197.6934	-125.6534
614	614	2861	SLV_ENV	Min	0.	-40.9426	-134.4503	-136.0287
614	614	2863	SLV_ENV	Min	0.	-40.1907	-87.4017	-122.9855
615	615	2855	SLU_ENV	Max	0.	2.4339	13.2388	-0.0289
615	615	2858	SLU_ENV	Max	0.	0.1783	5.9444	2.7709
615	615	2864	SLU_ENV	Max	0.	2.4868	3.9676	0.8768
615	615	2861	SLU_ENV	Max	0.	5.0484	11.347	-0.4633
615	615	2855	SLU_ENV	Min	0.	-0.3268	-0.4904	-4.0049
615	615	2858	SLU_ENV	Min	0.	-0.6191	-0.7724	-1.2495

Table: Element Forces - Area Shells, Part 3 of 5

Area	AreaElem	Joint	OutputCase	StepType	FVM KN/m	M11 KN-m/m	M22 KN-m/m	M12 KN-m/m
615	615	2864	SLU_ENV	Min	0.	0.2195	-1.1989	-1.8824
615	615	2861	SLU_ENV	Min	0.	0.4567	-1.3528	-6.4934
615	615	2855	SLV_ENV	Max	0.	51.6195	207.4802	151.2132
615	615	2858	SLV_ENV	Max	0.	13.6991	63.6173	139.5785
615	615	2864	SLV_ENV	Max	0.	36.9605	55.5279	85.4816
615	615	2861	SLV_ENV	Max	0.	35.9774	132.2487	110.6486
615	615	2855	SLV_ENV	Min	0.	-51.2644	-204.674	-153.1611
615	615	2858	SLV_ENV	Min	0.	-14.191	-62.6111	-138.6253
615	615	2864	SLV_ENV	Min	0.	-35.8083	-55.4816	-85.2153
615	615	2861	SLV_ENV	Min	0.	-33.9692	-130.5708	-113.2833
616	616	2858	SLU_ENV	Max	0.	2.6647	5.1922	1.5771
616	616	2854	SLU_ENV	Max	0.	0.8558	2.7495	-0.3944
616	616	2860	SLU_ENV	Max	0.	0.1054	2.5018	-0.5731
616	616	2864	SLU_ENV	Max	0.	1.6964	5.0904	1.1835
616	616	2858	SLU_ENV	Min	0.	0.5449	-0.929	-1.0554
616	616	2854	SLU_ENV	Min	0.	0.2815	-0.7949	-2.2223
616	616	2860	SLU_ENV	Min	0.	-0.88	-0.846	-2.6349
616	616	2864	SLU_ENV	Min	0.	-0.5632	-0.9703	-1.1302
616	616	2858	SLV_ENV	Max	0.	22.9944	66.0629	99.8992
616	616	2854	SLV_ENV	Max	0.	48.2756	111.6866	30.5395
616	616	2860	SLV_ENV	Max	0.	18.5955	18.5684	53.4862
616	616	2864	SLV_ENV	Max	0.	50.7771	67.82	121.6069
616	616	2858	SLV_ENV	Min	0.	-21.5044	-65.3925	-99.2747
616	616	2854	SLV_ENV	Min	0.	-47.5093	-111.2314	-32.2125
616	616	2860	SLV_ENV	Min	0.	-19.3272	-18.3156	-55.2081
616	616	2864	SLV_ENV	Min	0.	-50.7958	-67.2755	-121.0313
617	617	2854	SLU_ENV	Max	0.	-0.1123	2.1371	-0.8687
617	617	2853	SLU_ENV	Max	0.	-0.3619	3.3563	0.1579
617	617	2859	SLU_ENV	Max	0.	0.7189	3.943	0.7766
617	617	2860	SLU_ENV	Max	0.	1.2981	3.1628	-0.2292
617	617	2854	SLU_ENV	Min	0.	-0.9336	-0.8752	-2.5458
617	617	2853	SLU_ENV	Min	0.	-1.2352	0.1904	-1.2684
617	617	2859	SLU_ENV	Min	0.	0.3084	0.2401	-0.4126
617	617	2860	SLU_ENV	Min	0.	0.1008	-0.8338	-1.9122
617	617	2854	SLV_ENV	Max	0.	11.153	126.2124	53.6587
617	617	2853	SLV_ENV	Max	0.	18.3716	96.9155	93.3694
617	617	2859	SLV_ENV	Max	0.	19.1785	66.2476	66.9292
617	617	2860	SLV_ENV	Max	0.	12.259	35.1114	32.3814
617	617	2854	SLV_ENV	Min	0.	-12.0977	-126.0734	-55.9914
617	617	2853	SLV_ENV	Min	0.	-19.2315	-94.8411	-94.1095
617	617	2859	SLV_ENV	Min	0.	-18.4359	-63.8161	-66.3933
617	617	2860	SLV_ENV	Min	0.	-11.6038	-34.6073	-33.4381
618	618	2201	SLU_ENV	Max	0.	27.7719	41.7361	13.1469
618	618	2862	SLU_ENV	Max	0.	-13.6544	-5.183	25.9935
618	618	2868	SLU_ENV	Max	0.	-3.6295	0.7147	3.3648
618	618	2183	SLU_ENV	Max	0.	49.9442	55.5492	0.1253
618	618	2201	SLU_ENV	Min	0.	-0.867	20.368	-3.7978
618	618	2862	SLU_ENV	Min	0.	-31.7224	-19.0235	11.5206
618	618	2868	SLU_ENV	Min	0.	-19.4017	-9.1436	-0.6456
618	618	2183	SLU_ENV	Min	0.	0.7719	22.7281	-25.6399
618	618	2201	SLV_ENV	Max	0.	139.0156	56.5107	174.3906
618	618	2862	SLV_ENV	Max	0.	60.6914	61.6411	153.2782
618	618	2868	SLV_ENV	Max	0.	143.7808	46.1321	114.6108
618	618	2183	SLV_ENV	Max	0.	231.9696	136.1288	139.5189

Table: Element Forces - Area Shells, Part 3 of 5

Area	AreaElem	Joint	OutputCase	StepType	FVM	M11	M22	M12
					KN/m	KN-m/m	KN-m/m	KN-m/m
618	618	2201	SLV_ENV	Min	0.	-115.25	-12.1622	-177.2165
618	618	2862	SLV_ENV	Min	0.	-90.3114	-80.2663	-127.8647
618	618	2868	SLV_ENV	Min	0.	-152.4427	-58.3418	-114.4156
618	618	2183	SLV_ENV	Min	0.	-187.1803	-86.4803	-167.5632
619	619	2862	SLU_ENV	Max	0.	8.4703	-5.3062	15.8952
619	619	2863	SLU_ENV	Max	0.	0.553	-7.8494	2.7675
619	619	2869	SLU_ENV	Max	0.	-7.0786	0.8404	1.0231
619	619	2868	SLU_ENV	Max	0.	-2.8969	4.9114	12.758
619	619	2862	SLU_ENV	Min	0.	-0.6353	-18.2074	6.16
619	619	2863	SLU_ENV	Min	0.	-5.3901	-22.5753	-0.9523
619	619	2869	SLU_ENV	Min	0.	-24.0758	-5.6519	-4.2703
619	619	2868	SLU_ENV	Min	0.	-17.4817	-2.3404	5.1198
619	619	2862	SLV_ENV	Max	0.	76.5834	37.4185	111.4643
619	619	2863	SLV_ENV	Max	0.	52.5313	34.5014	107.387
619	619	2869	SLV_ENV	Max	0.	86.1826	63.9403	150.4946
619	619	2868	SLV_ENV	Max	0.	113.3566	43.3801	155.9145
619	619	2862	SLV_ENV	Min	0.	-66.4659	-57.004	-97.7568
619	619	2863	SLV_ENV	Min	0.	-52.3163	-57.6129	-106.5985
619	619	2869	SLV_ENV	Min	0.	-101.9846	-70.9726	-151.7607
619	619	2868	SLV_ENV	Min	0.	-120.3658	-46.3514	-144.2616
620	620	2863	SLU_ENV	Max	0.	-0.1074	-4.5619	1.272
620	620	2861	SLU_ENV	Max	0.	2.9912	3.8913	0.5801
620	620	2867	SLU_ENV	Max	0.	2.6644	5.8868	2.0007
620	620	2869	SLU_ENV	Max	0.	0.7898	-0.8304	2.4686
620	620	2863	SLU_ENV	Min	0.	-3.745	-15.7215	-3.5493
620	620	2861	SLU_ENV	Min	0.	-3.0142	-6.8513	-5.7793
620	620	2867	SLU_ENV	Min	0.	-1.6244	0.7706	-3.6012
620	620	2869	SLU_ENV	Min	0.	-3.302	-8.1124	-1.4388
620	620	2863	SLV_ENV	Max	0.	53.1752	61.8813	132.1029
620	620	2861	SLV_ENV	Max	0.	22.9873	47.4438	123.1482
620	620	2867	SLV_ENV	Max	0.	21.4139	39.4981	116.9784
620	620	2869	SLV_ENV	Max	0.	53.6663	47.9896	125.9696
620	620	2863	SLV_ENV	Min	0.	-53.8872	-79.195	-133.7226
620	620	2861	SLV_ENV	Min	0.	-23.7687	-51.4969	-124.6867
620	620	2867	SLV_ENV	Min	0.	-20.8059	-36.7417	-115.6496
620	620	2869	SLV_ENV	Min	0.	-52.8344	-57.6783	-124.722
621	621	2861	SLU_ENV	Max	0.	3.49	5.3598	1.0205
621	621	2864	SLU_ENV	Max	0.	3.17	5.3283	-0.5306
621	621	2870	SLU_ENV	Max	0.	3.3609	3.8048	-0.2326
621	621	2867	SLU_ENV	Max	0.	3.7978	4.2779	1.4586
621	621	2861	SLU_ENV	Min	0.	0.2299	-1.7938	-4.7073
621	621	2864	SLU_ENV	Min	0.	0.5711	0.0544	-3.8043
621	621	2870	SLU_ENV	Min	0.	-0.2918	-0.5386	-3.4837
621	621	2867	SLU_ENV	Min	0.	-0.799	-2.6544	-4.5694
621	621	2861	SLV_ENV	Max	0.	23.1538	56.4595	116.8545
621	621	2864	SLV_ENV	Max	0.	24.4644	65.3343	77.7293
621	621	2870	SLV_ENV	Max	0.	48.4346	39.1655	83.6859
621	621	2867	SLV_ENV	Max	0.	27.8538	44.4659	123.0391
621	621	2861	SLV_ENV	Min	0.	-21.7059	-56.4864	-117.1731
621	621	2864	SLV_ENV	Min	0.	-22.8052	-63.8498	-79.753
621	621	2870	SLV_ENV	Min	0.	-47.7433	-38.7114	-85.2762
621	621	2867	SLV_ENV	Min	0.	-27.3669	-45.3141	-122.9243
622	622	2864	SLU_ENV	Max	0.	1.3256	4.3249	-0.3486
622	622	2860	SLU_ENV	Max	0.	0.1378	2.431	0.9303

Table: Element Forces - Area Shells, Part 3 of 5

Area	AreaElem	Joint	OutputCase	StepType	FVM KN/m	M11 KN-m/m	M22 KN-m/m	M12 KN-m/m
622	622	2866	SLU_ENV	Max	0.	1.3355	2.44	0.8096
622	622	2870	SLU_ENV	Max	0.	2.6759	4.2904	-0.4162
622	622	2864	SLU_ENV	Min	0.	-0.4818	-0.2813	-3.3605
622	622	2860	SLU_ENV	Min	0.	-0.6309	-0.5255	-0.5022
622	622	2866	SLU_ENV	Min	0.	-0.0344	-0.4696	-0.8311
622	622	2870	SLU_ENV	Min	0.	0.0866	-0.3202	-3.8329
622	622	2864	SLV_ENV	Max	0.	23.3637	64.1197	88.6596
622	622	2860	SLV_ENV	Max	0.	25.8177	20.7168	85.8591
622	622	2866	SLV_ENV	Max	0.	38.6716	64.5298	67.3081
622	622	2870	SLV_ENV	Max	0.	37.7522	40.6568	73.5227
622	622	2864	SLV_ENV	Min	0.	-23.4503	-63.2684	-90.4272
622	622	2860	SLV_ENV	Min	0.	-26.3658	-20.1924	-85.25
622	622	2866	SLV_ENV	Min	0.	-38.1313	-63.9656	-66.759
622	622	2870	SLV_ENV	Min	0.	-36.7562	-39.8577	-75.3504
623	623	2860	SLU_ENV	Max	0.	0.8792	2.2074	0.8377
623	623	2859	SLU_ENV	Max	0.	0.4986	2.277	-0.2837
623	623	2865	SLU_ENV	Max	0.	-0.1285	2.6383	-0.2843
623	623	2866	SLU_ENV	Max	0.	0.227	2.5998	0.8952
623	623	2860	SLU_ENV	Min	0.	0.1996	-0.4669	-0.614
623	623	2859	SLU_ENV	Min	0.	0.1697	-0.3767	-1.6896
623	623	2865	SLU_ENV	Min	0.	-0.5395	-0.3793	-1.5714
623	623	2866	SLU_ENV	Min	0.	-0.5419	-0.4481	-0.5664
623	623	2860	SLV_ENV	Max	0.	19.8918	16.6665	72.8632
623	623	2859	SLV_ENV	Max	0.	25.5279	29.3052	26.935
623	623	2865	SLV_ENV	Max	0.	23.8867	55.6893	31.509
623	623	2866	SLV_ENV	Max	0.	30.2726	69.0714	79.5985
623	623	2860	SLV_ENV	Min	0.	-19.3063	-16.1792	-72.3313
623	623	2859	SLV_ENV	Min	0.	-25.0734	-28.6463	-27.9854
623	623	2865	SLV_ENV	Min	0.	-24.4906	-54.9244	-32.4728
623	623	2866	SLV_ENV	Min	0.	-30.7504	-68.4469	-78.9801
624	624	2183	SLU_ENV	Max	0.	40.8849	11.9317	7.1199
624	624	2868	SLU_ENV	Max	0.	0.1196	10.4527	-4.5334
624	624	2874	SLU_ENV	Max	0.	4.7434	18.6618	-0.0869
624	624	2165	SLU_ENV	Max	0.	47.2486	21.4073	10.4826
624	624	2183	SLU_ENV	Min	0.	-5.6223	-3.3059	-15.4345
624	624	2868	SLU_ENV	Min	0.	-17.5375	2.9045	-8.9943
624	624	2874	SLU_ENV	Min	0.	-23.9363	3.7223	-5.7264
624	624	2165	SLU_ENV	Min	0.	-14.0172	-3.3457	-11.5774
624	624	2183	SLV_ENV	Max	0.	231.8994	19.0694	149.0163
624	624	2868	SLV_ENV	Max	0.	157.403	24.6273	114.9537
624	624	2874	SLV_ENV	Max	0.	245.8582	89.9539	123.8272
624	624	2165	SLV_ENV	Max	0.	331.0344	104.2353	149.6996
624	624	2183	SLV_ENV	Min	0.	-200.9755	-23.4569	-165.6935
624	624	2868	SLV_ENV	Min	0.	-158.8152	-15.8789	-125.9549
624	624	2874	SLV_ENV	Min	0.	-243.1397	-81.2243	-125.4622
624	624	2165	SLV_ENV	Min	0.	-296.1397	-107.9363	-157.0105
625	625	2868	SLU_ENV	Max	0.	-2.3031	9.8263	2.3915
625	625	2869	SLU_ENV	Max	0.	-7.0504	-3.4368	11.1499
625	625	2875	SLU_ENV	Max	0.	1.7464	3.3025	-0.4838
625	625	2874	SLU_ENV	Max	0.	11.1205	20.0818	-5.4068
625	625	2868	SLU_ENV	Min	0.	-16.3927	2.3088	-1.3151
625	625	2869	SLU_ENV	Min	0.	-25.207	-7.6512	2.8354
625	625	2875	SLU_ENV	Min	0.	-12.3689	-0.2998	-6.8377
625	625	2874	SLU_ENV	Min	0.	-7.665	6.0076	-14.502

Table: Element Forces - Area Shells, Part 3 of 5

Area	AreaElem	Joint	OutputCase	StepType	FVM KN/m	M11 KN-m/m	M22 KN-m/m	M12 KN-m/m
625	625	2868	SLV_ENV	Max	0.	113.1326	46.039	146.148
625	625	2869	SLV_ENV	Max	0.	91.9779	23.414	158.0742
625	625	2875	SLV_ENV	Max	0.	119.3737	21.9135	109.3755
625	625	2874	SLV_ENV	Max	0.	147.4086	72.358	94.8004
625	625	2868	SLV_ENV	Min	0.	-118.9566	-40.9574	-146.1671
625	625	2869	SLV_ENV	Min	0.	-107.7049	-32.1983	-147.8895
625	625	2875	SLV_ENV	Min	0.	-118.0658	-22.1448	-111.6379
625	625	2874	SLV_ENV	Min	0.	-135.5806	-59.0219	-107.2667
626	626	2869	SLU_ENV	Max	0.	2.5814	0.5397	3.9668
626	626	2867	SLU_ENV	Max	0.	1.0661	0.3549	0.8559
626	626	2873	SLU_ENV	Max	0.	0.037	1.1141	0.6464
626	626	2875	SLU_ENV	Max	0.	2.465	3.9459	3.9672
626	626	2869	SLU_ENV	Min	0.	-2.081	-3.8918	-0.5826
626	626	2867	SLU_ENV	Min	0.	-4.6262	-5.3731	-4.7974
626	626	2873	SLU_ENV	Min	0.	-4.7	-0.7079	-4.8783
626	626	2875	SLU_ENV	Min	0.	-2.9734	-0.3299	-0.7068
626	626	2869	SLV_ENV	Max	0.	59.0172	19.6949	131.3858
626	626	2867	SLV_ENV	Max	0.	20.5078	20.702	111.8041
626	626	2873	SLV_ENV	Max	0.	28.6111	16.1816	114.0616
626	626	2875	SLV_ENV	Max	0.	59.2253	22.1857	133.8086
626	626	2869	SLV_ENV	Min	0.	-55.9323	-24.4137	-127.6381
626	626	2867	SLV_ENV	Min	0.	-22.5038	-24.6703	-112.9655
626	626	2873	SLV_ENV	Min	0.	-31.4404	-16.512	-114.9119
626	626	2875	SLV_ENV	Min	0.	-56.851	-22.5067	-129.7499
627	627	2867	SLU_ENV	Max	0.	3.0522	1.5881	0.5565
627	627	2870	SLU_ENV	Max	0.	3.3866	2.7528	0.6193
627	627	2876	SLU_ENV	Max	0.	4.2827	2.0811	0.8796
627	627	2873	SLU_ENV	Max	0.	3.9402	1.0596	0.8531
627	627	2867	SLU_ENV	Min	0.	-0.8464	-2.0195	-5.0832
627	627	2870	SLU_ENV	Min	0.	-0.1717	-0.5004	-2.9824
627	627	2876	SLU_ENV	Min	0.	-0.2186	-0.6723	-2.4563
627	627	2873	SLU_ENV	Min	0.	-0.9602	-2.4141	-4.5582
627	627	2867	SLV_ENV	Max	0.	22.6887	30.5652	115.0269
627	627	2870	SLV_ENV	Max	0.	45.1768	23.2974	91.4515
627	627	2876	SLV_ENV	Max	0.	62.0958	35.5714	87.0324
627	627	2873	SLV_ENV	Max	0.	35.4952	23.1541	110.9188
627	627	2867	SLV_ENV	Min	0.	-22.4538	-31.9804	-116.2713
627	627	2870	SLV_ENV	Min	0.	-44.3903	-23.06	-91.7017
627	627	2876	SLV_ENV	Min	0.	-60.9079	-35.5661	-86.7777
627	627	2873	SLV_ENV	Min	0.	-34.8647	-24.8995	-111.6583
628	628	2870	SLU_ENV	Max	0.	2.1867	2.1268	0.665
628	628	2866	SLU_ENV	Max	0.	1.3516	2.1523	-0.2779
628	628	2872	SLU_ENV	Max	0.	1.7169	1.9935	-0.1466
628	628	2876	SLU_ENV	Max	0.	2.573	2.1058	0.8255
628	628	2870	SLU_ENV	Min	0.	0.0424	-0.5436	-2.7407
628	628	2866	SLU_ENV	Min	0.	0.06	0.0091	-1.9356
628	628	2872	SLU_ENV	Min	0.	-0.3849	-0.0528	-1.822
628	628	2876	SLU_ENV	Min	0.	-0.4184	-0.5948	-2.6984
628	628	2870	SLV_ENV	Max	0.	29.4215	17.9435	89.9459
628	628	2866	SLV_ENV	Max	0.	33.2009	15.5667	49.7418
628	628	2872	SLV_ENV	Max	0.	57.7314	41.7543	47.9133
628	628	2876	SLV_ENV	Max	0.	54.1536	37.8849	88.3488
628	628	2870	SLV_ENV	Min	0.	-28.6043	-17.879	-90.066
628	628	2866	SLV_ENV	Min	0.	-32.5798	-14.7576	-50.8893

Table: Element Forces - Area Shells, Part 3 of 5

Area	AreaElem	Joint	OutputCase	StepType	FVM KN/m	M11 KN-m/m	M22 KN-m/m	M12 KN-m/m
628	628	2872	SLV_ENV	Min	0.	-57.6019	-41.0916	-48.8269
628	628	2876	SLV_ENV	Min	0.	-53.824	-37.8722	-88.235
629	629	2866	SLU_ENV	Max	0.	0.009	1.7652	-0.119
629	629	2865	SLU_ENV	Max	0.	-0.2038	1.4843	0.6695
629	629	2871	SLU_ENV	Max	0.	0.7505	1.7203	0.4621
629	629	2872	SLU_ENV	Max	0.	1.0799	1.9751	-0.3063
629	629	2866	SLU_ENV	Min	0.	-0.5046	-0.0399	-1.8015
629	629	2865	SLU_ENV	Min	0.	-0.5835	-0.4566	-0.2531
629	629	2871	SLU_ENV	Min	0.	0.0404	-0.4201	-0.3443
629	629	2872	SLU_ENV	Min	0.	0.0797	-0.0131	-1.9238
629	629	2866	SLV_ENV	Max	0.	16.7714	12.161	55.8461
629	629	2865	SLV_ENV	Max	0.	18.5556	30.1193	53.2903
629	629	2871	SLV_ENV	Max	0.	29.5371	71.8054	38.6132
629	629	2872	SLV_ENV	Max	0.	27.763	41.9729	41.7547
629	629	2866	SLV_ENV	Min	0.	-17.2991	-11.5483	-56.7775
629	629	2865	SLV_ENV	Min	0.	-19.2305	-29.9467	-52.709
629	629	2871	SLV_ENV	Min	0.	-29.1547	-71.5167	-38.2229
629	629	2872	SLV_ENV	Min	0.	-27.2305	-41.2629	-42.8771
630	630	2165	SLU_ENV	Max	0.	41.5718	28.296	9.7521
630	630	2874	SLU_ENV	Max	0.	7.9464	2.9925	2.0112
630	630	2906	SLU_ENV	Max	0.	15.72	-4.318	-0.9457
630	630	1885	SLU_ENV	Max	0.	46.0459	17.2719	5.5622
630	630	2165	SLU_ENV	Min	0.	-14.7204	4.0527	-13.0688
630	630	2874	SLU_ENV	Min	0.	-24.5127	-6.9283	-5.1381
630	630	2906	SLU_ENV	Min	0.	-32.2365	-10.3534	-14.4942
630	630	1885	SLU_ENV	Min	0.	-22.5114	2.6321	-22.2811
630	630	2165	SLV_ENV	Max	0.	334.2333	55.7685	153.5598
630	630	2874	SLV_ENV	Max	0.	263.6397	57.0008	128.5656
630	630	2906	SLV_ENV	Max	0.	366.9758	25.8972	108.4797
630	630	1885	SLV_ENV	Max	0.	445.3351	98.3736	117.905
630	630	2165	SLV_ENV	Min	0.	-302.7163	-45.2816	-164.7399
630	630	2874	SLV_ENV	Min	0.	-257.5527	-62.5054	-126.4149
630	630	2906	SLV_ENV	Min	0.	-352.3623	-35.4048	-111.5633
630	630	1885	SLV_ENV	Min	0.	-405.2984	-92.2393	-134.3192
631	631	2874	SLU_ENV	Max	0.	8.6542	-2.2573	-3.1057
631	631	2875	SLU_ENV	Max	0.	0.8457	1.9071	-2.8151
631	631	2907	SLU_ENV	Max	0.	8.349	7.3086	6.3907
631	631	2906	SLU_ENV	Max	0.	19.6302	1.7854	5.1994
631	631	2874	SLU_ENV	Min	0.	-8.7439	-7.0261	-13.5891
631	631	2875	SLU_ENV	Min	0.	-14.5238	0.5836	-7.6634
631	631	2907	SLU_ENV	Min	0.	-10.1883	1.9889	-1.3225
631	631	2906	SLU_ENV	Min	0.	-7.8596	-4.2748	-7.0202
631	631	2874	SLV_ENV	Max	0.	142.872	12.2131	98.09
631	631	2875	SLV_ENV	Max	0.	121.1476	11.3553	106.4114
631	631	2907	SLV_ENV	Max	0.	121.3496	20.1223	145.2143
631	631	2906	SLV_ENV	Max	0.	148.8177	10.895	137.1523
631	631	2874	SLV_ENV	Min	0.	-133.7878	-21.3736	-105.713
631	631	2875	SLV_ENV	Min	0.	-121.0416	-8.8183	-113.3766
631	631	2907	SLV_ENV	Min	0.	-119.4426	-14.6862	-137.9423
631	631	2906	SLV_ENV	Min	0.	-138.3205	-16.9706	-130.538
632	632	2875	SLU_ENV	Max	0.	3.368	4.5245	1.5218
632	632	2873	SLU_ENV	Max	0.	-0.7036	-1.4631	2.9264
632	632	2905	SLU_ENV	Max	0.	-0.5299	-1.0752	1.7551
632	632	2907	SLU_ENV	Max	0.	4.4478	6.0099	0.7224

Table: Element Forces - Area Shells, Part 3 of 5

Area	AreaElem	Joint	OutputCase	StepType	FVM KN/m	M11 KN-m/m	M22 KN-m/m	M12 KN-m/m
632	632	2875	SLU_ENV	Min	0.	-2.4266	1.8293	-3.0476
632	632	2873	SLU_ENV	Min	0.	-6.0883	-3.7362	-2.4007
632	632	2905	SLU_ENV	Min	0.	-4.9751	-2.0399	-3.4742
632	632	2907	SLU_ENV	Min	0.	-2.2382	2.4003	-4.6372
632	632	2875	SLV_ENV	Max	0.	63.1488	23.9998	127.0776
632	632	2873	SLV_ENV	Max	0.	32.1276	10.7033	119.7847
632	632	2905	SLV_ENV	Max	0.	37.4721	9.981	117.5534
632	632	2907	SLV_ENV	Max	0.	62.8055	19.2295	124.5958
632	632	2875	SLV_ENV	Min	0.	-59.4127	-20.0208	-126.2139
632	632	2873	SLV_ENV	Min	0.	-36.1455	-14.4681	-117.467
632	632	2905	SLV_ENV	Min	0.	-40.7572	-12.3694	-116.6011
632	632	2907	SLV_ENV	Min	0.	-58.3453	-13.9989	-125.0975
633	633	2873	SLU_ENV	Max	0.	3.5579	-0.4913	1.9659
633	633	2876	SLU_ENV	Max	0.	4.2433	1.5721	-0.1629
633	633	2908	SLU_ENV	Max	0.	3.9583	1.2215	0.3822
633	633	2905	SLU_ENV	Max	0.	3.4979	-0.5689	2.6999
633	633	2873	SLU_ENV	Min	0.	-0.8816	-2.049	-3.2061
633	633	2876	SLU_ENV	Min	0.	-0.0398	0.2935	-3.8618
633	633	2908	SLU_ENV	Min	0.	-1.0548	0.1761	-3.1436
633	633	2905	SLU_ENV	Min	0.	-2.1028	-2.1302	-2.6692
633	633	2873	SLV_ENV	Max	0.	31.7377	5.5128	116.7829
633	633	2876	SLV_ENV	Max	0.	56.5689	10.8956	81.0522
633	633	2908	SLV_ENV	Max	0.	73.1264	11.6525	84.621
633	633	2905	SLV_ENV	Max	0.	47.5264	16.2889	120.398
633	633	2873	SLV_ENV	Min	0.	-31.1842	-7.8513	-115.6402
633	633	2876	SLV_ENV	Min	0.	-55.2378	-9.9667	-82.6677
633	633	2908	SLV_ENV	Min	0.	-73.0804	-10.8828	-85.2658
633	633	2905	SLV_ENV	Min	0.	-48.2517	-18.6773	-118.2846
634	634	2876	SLU_ENV	Max	0.	2.2874	1.1022	0.2108
634	634	2872	SLU_ENV	Max	0.	1.5077	0.5184	0.4615
634	634	2878	SLU_ENV	Max	0.	2.5637	0.4606	0.2587
634	634	2908	SLU_ENV	Max	0.	3.3461	1.1391	0.0102
634	634	2876	SLU_ENV	Min	0.	-0.2936	0.3167	-3.4212
634	634	2872	SLU_ENV	Min	0.	-0.3876	-0.3255	-1.1097
634	634	2878	SLU_ENV	Min	0.	-0.2738	-0.3114	-1.2573
634	634	2908	SLU_ENV	Min	0.	-0.1857	0.2977	-3.5729
634	634	2876	SLV_ENV	Max	0.	44.6381	7.3669	84.5543
634	634	2872	SLV_ENV	Max	0.	53.674	12.3859	51.8024
634	634	2878	SLV_ENV	Max	0.	71.4511	21.4962	48.0898
634	634	2908	SLV_ENV	Max	0.	62.539	11.7802	81.001
634	634	2876	SLV_ENV	Min	0.	-44.2396	-6.5209	-85.5207
634	634	2872	SLV_ENV	Min	0.	-53.6267	-12.6232	-51.6417
634	634	2878	SLV_ENV	Min	0.	-70.8892	-21.7374	-48.2502
634	634	2908	SLV_ENV	Min	0.	-61.6264	-10.9409	-82.2886
635	635	2872	SLU_ENV	Max	0.	0.7578	0.2407	0.2882
635	635	2871	SLU_ENV	Max	0.	0.5545	0.8511	-0.1434
635	635	2877	SLU_ENV	Max	0.	0.8674	0.897	-0.0045
635	635	2878	SLU_ENV	Max	0.	1.0734	0.2985	0.43
635	635	2872	SLU_ENV	Min	0.	0.0766	-0.2726	-1.3349
635	635	2871	SLU_ENV	Min	0.	0.0811	0.0305	-0.9004
635	635	2877	SLU_ENV	Min	0.	-0.2151	0.0311	-0.5817
635	635	2878	SLU_ENV	Min	0.	-0.2216	-0.2649	-1.0274
635	635	2872	SLV_ENV	Max	0.	18.355	3.3028	52.6744
635	635	2871	SLV_ENV	Max	0.	20.0497	16.0168	27.3338

Table: Element Forces - Area Shells, Part 3 of 5

Area	AreaElem	Joint	OutputCase	StepType	FVM KN/m	M11 KN-m/m	M22 KN-m/m	M12 KN-m/m
635	635	2877	SLV_ENV	Max	0.	40.0109	29.9289	21.6511
635	635	2878	SLV_ENV	Max	0.	38.308	17.2242	47.0185
635	635	2872	SLV_ENV	Min	0.	-17.9536	-3.562	-52.8341
635	635	2871	SLV_ENV	Min	0.	-19.707	-15.613	-27.9034
635	635	2877	SLV_ENV	Min	0.	-39.945	-29.5123	-21.902
635	635	2878	SLV_ENV	Min	0.	-38.1848	-17.4605	-46.8594

Table: Element Forces - Area Shells, Part 4 of 5

Table: Element Forces - Area Shells, Part 4 of 5

Area	AreaElem	Joint	OutputCase	StepType	MMax KN-m/m	MMin KN-m/m	MAngle Degrees	V13 KN/m
107	107	139	SLU_ENV	Max	0.	0.	0.	0.74
107	107	140	SLU_ENV	Max	0.	0.	0.	0.74
107	107	122	SLU_ENV	Max	0.	0.	0.	0.74
107	107	121	SLU_ENV	Max	0.	0.	0.	0.74
107	107	139	SLU_ENV	Min	0.	0.	0.	-1.43
107	107	140	SLU_ENV	Min	0.	0.	0.	-1.43
107	107	122	SLU_ENV	Min	0.	0.	0.	-1.43
107	107	121	SLU_ENV	Min	0.	0.	0.	-1.43
107	107	139	SLV_ENV	Max	0.	0.	0.	16.33
107	107	140	SLV_ENV	Max	0.	0.	0.	16.33
107	107	122	SLV_ENV	Max	0.	0.	0.	16.33
107	107	121	SLV_ENV	Max	0.	0.	0.	16.33
107	107	139	SLV_ENV	Min	0.	0.	0.	-16.32
107	107	140	SLV_ENV	Min	0.	0.	0.	-16.32
107	107	122	SLV_ENV	Min	0.	0.	0.	-16.32
107	107	121	SLV_ENV	Min	0.	0.	0.	-16.32
108	108	121	SLU_ENV	Max	0.	0.	0.	0.55
108	108	122	SLU_ENV	Max	0.	0.	0.	0.55
108	108	104	SLU_ENV	Max	0.	0.	0.	0.55
108	108	103	SLU_ENV	Max	0.	0.	0.	0.55
108	108	121	SLU_ENV	Min	0.	0.	0.	-1.
108	108	122	SLU_ENV	Min	0.	0.	0.	-1.
108	108	104	SLU_ENV	Min	0.	0.	0.	-1.
108	108	103	SLU_ENV	Min	0.	0.	0.	-1.
108	108	121	SLV_ENV	Max	0.	0.	0.	5.94
108	108	122	SLV_ENV	Max	0.	0.	0.	5.94
108	108	104	SLV_ENV	Max	0.	0.	0.	5.94
108	108	103	SLV_ENV	Max	0.	0.	0.	5.94
108	108	121	SLV_ENV	Min	0.	0.	0.	-5.94
108	108	122	SLV_ENV	Min	0.	0.	0.	-5.94
108	108	104	SLV_ENV	Min	0.	0.	0.	-5.94
108	108	103	SLV_ENV	Min	0.	0.	0.	-5.94
109	109	103	SLU_ENV	Max	0.	0.	0.	0.42
109	109	104	SLU_ENV	Max	0.	0.	0.	0.42
109	109	86	SLU_ENV	Max	0.	0.	0.	0.42
109	109	85	SLU_ENV	Max	0.	0.	0.	0.42
109	109	103	SLU_ENV	Min	0.	0.	0.	-1.12
109	109	104	SLU_ENV	Min	0.	0.	0.	-1.12
109	109	86	SLU_ENV	Min	0.	0.	0.	-1.12
109	109	85	SLU_ENV	Min	0.	0.	0.	-1.12
109	109	103	SLV_ENV	Max	0.	0.	0.	7.57

Table: Element Forces - Area Shells, Part 4 of 5

Area	AreaElem	Joint	OutputCase	StepType	MMax KN-m/m	MMin KN-m/m	MAngle Degrees	V13 KN/m
109	109	104	SLV_ENV	Max	0.	0.	0.	7.57
109	109	86	SLV_ENV	Max	0.	0.	0.	7.57
109	109	85	SLV_ENV	Max	0.	0.	0.	7.57
109	109	103	SLV_ENV	Min	0.	0.	0.	-7.6
109	109	104	SLV_ENV	Min	0.	0.	0.	-7.6
109	109	86	SLV_ENV	Min	0.	0.	0.	-7.6
109	109	85	SLV_ENV	Min	0.	0.	0.	-7.6
110	110	85	SLU_ENV	Max	0.	0.	0.	0.28
110	110	86	SLU_ENV	Max	0.	0.	0.	0.28
110	110	68	SLU_ENV	Max	0.	0.	0.	0.28
110	110	67	SLU_ENV	Max	0.	0.	0.	0.28
110	110	85	SLU_ENV	Min	0.	0.	0.	-1.33
110	110	86	SLU_ENV	Min	0.	0.	0.	-1.33
110	110	68	SLU_ENV	Min	0.	0.	0.	-1.33
110	110	67	SLU_ENV	Min	0.	0.	0.	-1.33
110	110	85	SLV_ENV	Max	0.	0.	0.	9.08
110	110	86	SLV_ENV	Max	0.	0.	0.	9.08
110	110	68	SLV_ENV	Max	0.	0.	0.	9.08
110	110	67	SLV_ENV	Max	0.	0.	0.	9.08
110	110	85	SLV_ENV	Min	0.	0.	0.	-9.17
110	110	86	SLV_ENV	Min	0.	0.	0.	-9.17
110	110	68	SLV_ENV	Min	0.	0.	0.	-9.17
110	110	67	SLV_ENV	Min	0.	0.	0.	-9.17
111	111	67	SLU_ENV	Max	0.	0.	0.	0.49
111	111	68	SLU_ENV	Max	0.	0.	0.	0.49
111	111	50	SLU_ENV	Max	0.	0.	0.	0.49
111	111	49	SLU_ENV	Max	0.	0.	0.	0.49
111	111	67	SLU_ENV	Min	0.	0.	0.	-1.87
111	111	68	SLU_ENV	Min	0.	0.	0.	-1.87
111	111	50	SLU_ENV	Min	0.	0.	0.	-1.87
111	111	49	SLU_ENV	Min	0.	0.	0.	-1.87
111	111	67	SLV_ENV	Max	0.	0.	0.	9.25
111	111	68	SLV_ENV	Max	0.	0.	0.	9.25
111	111	50	SLV_ENV	Max	0.	0.	0.	9.25
111	111	49	SLV_ENV	Max	0.	0.	0.	9.25
111	111	67	SLV_ENV	Min	0.	0.	0.	-9.4
111	111	68	SLV_ENV	Min	0.	0.	0.	-9.4
111	111	50	SLV_ENV	Min	0.	0.	0.	-9.4
111	111	49	SLV_ENV	Min	0.	0.	0.	-9.4
114	114	140	SLU_ENV	Max	0.	0.	0.	1.26
114	114	141	SLU_ENV	Max	0.	0.	0.	1.26
114	114	123	SLU_ENV	Max	0.	0.	0.	1.26
114	114	122	SLU_ENV	Max	0.	0.	0.	1.26
114	114	140	SLU_ENV	Min	0.	0.	0.	-1.49
114	114	141	SLU_ENV	Min	0.	0.	0.	-1.49
114	114	123	SLU_ENV	Min	0.	0.	0.	-1.49
114	114	122	SLU_ENV	Min	0.	0.	0.	-1.49
114	114	140	SLV_ENV	Max	0.	0.	0.	15.97
114	114	141	SLV_ENV	Max	0.	0.	0.	15.97
114	114	123	SLV_ENV	Max	0.	0.	0.	15.97
114	114	122	SLV_ENV	Max	0.	0.	0.	15.97
114	114	140	SLV_ENV	Min	0.	0.	0.	-16.17
114	114	141	SLV_ENV	Min	0.	0.	0.	-16.17
114	114	123	SLV_ENV	Min	0.	0.	0.	-16.17

Table: Element Forces - Area Shells, Part 4 of 5

Area	AreaElem	Joint	OutputCase	StepType	MMax KN-m/m	MMin KN-m/m	MAngle Degrees	V13 KN/m
114	114	122	SLV_ENV	Min	0.	0.	0.	-16.17
115	115	122	SLU_ENV	Max	0.	0.	0.	0.8
115	115	123	SLU_ENV	Max	0.	0.	0.	0.8
115	115	105	SLU_ENV	Max	0.	0.	0.	0.8
115	115	104	SLU_ENV	Max	0.	0.	0.	0.8
115	115	122	SLU_ENV	Min	0.	0.	0.	-0.91
115	115	123	SLU_ENV	Min	0.	0.	0.	-0.91
115	115	105	SLU_ENV	Min	0.	0.	0.	-0.91
115	115	104	SLU_ENV	Min	0.	0.	0.	-0.91
115	115	122	SLV_ENV	Max	0.	0.	0.	16.87
115	115	123	SLV_ENV	Max	0.	0.	0.	16.87
115	115	105	SLV_ENV	Max	0.	0.	0.	16.87
115	115	104	SLV_ENV	Max	0.	0.	0.	16.87
115	115	122	SLV_ENV	Min	0.	0.	0.	-16.95
115	115	123	SLV_ENV	Min	0.	0.	0.	-16.95
115	115	105	SLV_ENV	Min	0.	0.	0.	-16.95
115	115	104	SLV_ENV	Min	0.	0.	0.	-16.95
116	116	104	SLU_ENV	Max	0.	0.	0.	0.54
116	116	105	SLU_ENV	Max	0.	0.	0.	0.54
116	116	87	SLU_ENV	Max	0.	0.	0.	0.54
116	116	86	SLU_ENV	Max	0.	0.	0.	0.54
116	116	104	SLU_ENV	Min	0.	0.	0.	-0.62
116	116	105	SLU_ENV	Min	0.	0.	0.	-0.62
116	116	87	SLU_ENV	Min	0.	0.	0.	-0.62
116	116	86	SLU_ENV	Min	0.	0.	0.	-0.62
116	116	104	SLV_ENV	Max	0.	0.	0.	18.77
116	116	105	SLV_ENV	Max	0.	0.	0.	18.77
116	116	87	SLV_ENV	Max	0.	0.	0.	18.77
116	116	86	SLV_ENV	Max	0.	0.	0.	18.77
116	116	104	SLV_ENV	Min	0.	0.	0.	-18.82
116	116	105	SLV_ENV	Min	0.	0.	0.	-18.82
116	116	87	SLV_ENV	Min	0.	0.	0.	-18.82
116	116	86	SLV_ENV	Min	0.	0.	0.	-18.82
117	117	86	SLU_ENV	Max	0.	0.	0.	0.31
117	117	87	SLU_ENV	Max	0.	0.	0.	0.31
117	117	69	SLU_ENV	Max	0.	0.	0.	0.31
117	117	68	SLU_ENV	Max	0.	0.	0.	0.31
117	117	86	SLU_ENV	Min	0.	0.	0.	-0.72
117	117	87	SLU_ENV	Min	0.	0.	0.	-0.72
117	117	69	SLU_ENV	Min	0.	0.	0.	-0.72
117	117	68	SLU_ENV	Min	0.	0.	0.	-0.72
117	117	86	SLV_ENV	Max	0.	0.	0.	18.19
117	117	87	SLV_ENV	Max	0.	0.	0.	18.19
117	117	69	SLV_ENV	Max	0.	0.	0.	18.19
117	117	68	SLV_ENV	Max	0.	0.	0.	18.19
117	117	86	SLV_ENV	Min	0.	0.	0.	-18.3
117	117	87	SLV_ENV	Min	0.	0.	0.	-18.3
117	117	69	SLV_ENV	Min	0.	0.	0.	-18.3
117	117	68	SLV_ENV	Min	0.	0.	0.	-18.3
118	118	68	SLU_ENV	Max	0.	0.	0.	0.19
118	118	69	SLU_ENV	Max	0.	0.	0.	0.19
118	118	51	SLU_ENV	Max	0.	0.	0.	0.19
118	118	50	SLU_ENV	Max	0.	0.	0.	0.19
118	118	68	SLU_ENV	Min	0.	0.	0.	-1.1

Table: Element Forces - Area Shells, Part 4 of 5

Area	AreaElem	Joint	OutputCase	StepType	MMax KN-m/m	MMin KN-m/m	MAngle Degrees	V13 KN/m
118	118	69	SLU_ENV	Min	0.	0.	0.	-1.1
118	118	51	SLU_ENV	Min	0.	0.	0.	-1.1
118	118	50	SLU_ENV	Min	0.	0.	0.	-1.1
118	118	68	SLV_ENV	Max	0.	0.	0.	17.64
118	118	69	SLV_ENV	Max	0.	0.	0.	17.64
118	118	51	SLV_ENV	Max	0.	0.	0.	17.64
118	118	50	SLV_ENV	Max	0.	0.	0.	17.64
118	118	68	SLV_ENV	Min	0.	0.	0.	-17.82
118	118	69	SLV_ENV	Min	0.	0.	0.	-17.82
118	118	51	SLV_ENV	Min	0.	0.	0.	-17.82
118	118	50	SLV_ENV	Min	0.	0.	0.	-17.82
121	121	141	SLU_ENV	Max	0.	0.	0.	3.49
121	121	131	SLU_ENV	Max	0.	0.	0.	3.49
121	121	113	SLU_ENV	Max	0.	0.	0.	3.49
121	121	123	SLU_ENV	Max	0.	0.	0.	3.49
121	121	141	SLU_ENV	Min	0.	0.	0.	-1.29
121	121	131	SLU_ENV	Min	0.	0.	0.	-1.29
121	121	113	SLU_ENV	Min	0.	0.	0.	-1.29
121	121	123	SLU_ENV	Min	0.	0.	0.	-1.29
121	121	141	SLV_ENV	Max	0.	0.	0.	54.1
121	121	131	SLV_ENV	Max	0.	0.	0.	54.1
121	121	113	SLV_ENV	Max	0.	0.	0.	54.1
121	121	123	SLV_ENV	Max	0.	0.	0.	54.1
121	121	141	SLV_ENV	Min	0.	0.	0.	-54.07
121	121	131	SLV_ENV	Min	0.	0.	0.	-54.07
121	121	113	SLV_ENV	Min	0.	0.	0.	-54.07
121	121	123	SLV_ENV	Min	0.	0.	0.	-54.07
122	122	123	SLU_ENV	Max	0.	0.	0.	2.3
122	122	113	SLU_ENV	Max	0.	0.	0.	2.3
122	122	95	SLU_ENV	Max	0.	0.	0.	2.3
122	122	105	SLU_ENV	Max	0.	0.	0.	2.3
122	122	123	SLU_ENV	Min	0.	0.	0.	-0.83
122	122	113	SLU_ENV	Min	0.	0.	0.	-0.83
122	122	95	SLU_ENV	Min	0.	0.	0.	-0.83
122	122	105	SLU_ENV	Min	0.	0.	0.	-0.83
122	122	123	SLV_ENV	Max	0.	0.	0.	40.07
122	122	113	SLV_ENV	Max	0.	0.	0.	40.07
122	122	95	SLV_ENV	Max	0.	0.	0.	40.07
122	122	105	SLV_ENV	Max	0.	0.	0.	40.07
122	122	123	SLV_ENV	Min	0.	0.	0.	-39.99
122	122	113	SLV_ENV	Min	0.	0.	0.	-39.99
122	122	95	SLV_ENV	Min	0.	0.	0.	-39.99
122	122	105	SLV_ENV	Min	0.	0.	0.	-39.99
123	123	105	SLU_ENV	Max	0.	0.	0.	1.57
123	123	95	SLU_ENV	Max	0.	0.	0.	1.57
123	123	77	SLU_ENV	Max	0.	0.	0.	1.57
123	123	87	SLU_ENV	Max	0.	0.	0.	1.57
123	123	105	SLU_ENV	Min	0.	0.	0.	-0.63
123	123	95	SLU_ENV	Min	0.	0.	0.	-0.63
123	123	77	SLU_ENV	Min	0.	0.	0.	-0.63
123	123	87	SLU_ENV	Min	0.	0.	0.	-0.63
123	123	105	SLV_ENV	Max	0.	0.	0.	32.3
123	123	95	SLV_ENV	Max	0.	0.	0.	32.3
123	123	77	SLV_ENV	Max	0.	0.	0.	32.3

Table: Element Forces - Area Shells, Part 4 of 5

Area	AreaElem	Joint	OutputCase	StepType	MMax KN-m/m	MMin KN-m/m	MAngle Degrees	V13 KN/m
123	123	87	SLV_ENV	Max	0.	0.	0.	32.3
123	123	105	SLV_ENV	Min	0.	0.	0.	-32.19
123	123	95	SLV_ENV	Min	0.	0.	0.	-32.19
123	123	77	SLV_ENV	Min	0.	0.	0.	-32.19
123	123	87	SLV_ENV	Min	0.	0.	0.	-32.19
124	124	87	SLU_ENV	Max	0.	0.	0.	0.99
124	124	77	SLU_ENV	Max	0.	0.	0.	0.99
124	124	59	SLU_ENV	Max	0.	0.	0.	0.99
124	124	69	SLU_ENV	Max	0.	0.	0.	0.99
124	124	87	SLU_ENV	Min	0.	0.	0.	-0.32
124	124	77	SLU_ENV	Min	0.	0.	0.	-0.32
124	124	59	SLU_ENV	Min	0.	0.	0.	-0.32
124	124	69	SLU_ENV	Min	0.	0.	0.	-0.32
124	124	87	SLV_ENV	Max	0.	0.	0.	29.32
124	124	77	SLV_ENV	Max	0.	0.	0.	29.32
124	124	59	SLV_ENV	Max	0.	0.	0.	29.32
124	124	69	SLV_ENV	Max	0.	0.	0.	29.32
124	124	87	SLV_ENV	Min	0.	0.	0.	-29.17
124	124	77	SLV_ENV	Min	0.	0.	0.	-29.17
124	124	59	SLV_ENV	Min	0.	0.	0.	-29.17
124	124	69	SLV_ENV	Min	0.	0.	0.	-29.17
125	125	69	SLU_ENV	Max	0.	0.	0.	0.67
125	125	59	SLU_ENV	Max	0.	0.	0.	0.67
125	125	41	SLU_ENV	Max	0.	0.	0.	0.67
125	125	51	SLU_ENV	Max	0.	0.	0.	0.67
125	125	69	SLU_ENV	Min	0.	0.	0.	-0.29
125	125	59	SLU_ENV	Min	0.	0.	0.	-0.29
125	125	41	SLU_ENV	Min	0.	0.	0.	-0.29
125	125	51	SLU_ENV	Min	0.	0.	0.	-0.29
125	125	69	SLV_ENV	Max	0.	0.	0.	28.64
125	125	59	SLV_ENV	Max	0.	0.	0.	28.64
125	125	41	SLV_ENV	Max	0.	0.	0.	28.64
125	125	51	SLV_ENV	Max	0.	0.	0.	28.64
125	125	69	SLV_ENV	Min	0.	0.	0.	-28.6
125	125	59	SLV_ENV	Min	0.	0.	0.	-28.6
125	125	41	SLV_ENV	Min	0.	0.	0.	-28.6
125	125	51	SLV_ENV	Min	0.	0.	0.	-28.6
128	128	131	SLU_ENV	Max	0.	0.	0.	5.98
128	128	144	SLU_ENV	Max	0.	0.	0.	5.98
128	128	126	SLU_ENV	Max	0.	0.	0.	5.98
128	128	113	SLU_ENV	Max	0.	0.	0.	5.98
128	128	131	SLU_ENV	Min	0.	0.	0.	-1.72
128	128	144	SLU_ENV	Min	0.	0.	0.	-1.72
128	128	126	SLU_ENV	Min	0.	0.	0.	-1.72
128	128	113	SLU_ENV	Min	0.	0.	0.	-1.72
128	128	131	SLV_ENV	Max	0.	0.	0.	43.82
128	128	144	SLV_ENV	Max	0.	0.	0.	43.82
128	128	126	SLV_ENV	Max	0.	0.	0.	43.82
128	128	113	SLV_ENV	Max	0.	0.	0.	43.82
128	128	131	SLV_ENV	Min	0.	0.	0.	-42.94
128	128	144	SLV_ENV	Min	0.	0.	0.	-42.94
128	128	126	SLV_ENV	Min	0.	0.	0.	-42.94
128	128	113	SLV_ENV	Min	0.	0.	0.	-42.94
129	129	113	SLU_ENV	Max	0.	0.	0.	2.4

Table: Element Forces - Area Shells, Part 4 of 5

Area	AreaElem	Joint	OutputCase	StepType	MMax KN-m/m	MMin KN-m/m	MAngle Degrees	V13 KN/m
129	129	126	SLU_ENV	Max	0.	0.	0.	2.4
129	129	108	SLU_ENV	Max	0.	0.	0.	2.4
129	129	95	SLU_ENV	Max	0.	0.	0.	2.4
129	129	113	SLU_ENV	Min	0.	0.	0.	-0.66
129	129	126	SLU_ENV	Min	0.	0.	0.	-0.66
129	129	108	SLU_ENV	Min	0.	0.	0.	-0.66
129	129	95	SLU_ENV	Min	0.	0.	0.	-0.66
129	129	113	SLV_ENV	Max	0.	0.	0.	23.87
129	129	126	SLV_ENV	Max	0.	0.	0.	23.87
129	129	108	SLV_ENV	Max	0.	0.	0.	23.87
129	129	95	SLV_ENV	Max	0.	0.	0.	23.87
129	129	113	SLV_ENV	Min	0.	0.	0.	-23.47
129	129	126	SLV_ENV	Min	0.	0.	0.	-23.47
129	129	108	SLV_ENV	Min	0.	0.	0.	-23.47
129	129	95	SLV_ENV	Min	0.	0.	0.	-23.47
130	130	95	SLU_ENV	Max	0.	0.	0.	0.97
130	130	108	SLU_ENV	Max	0.	0.	0.	0.97
130	130	90	SLU_ENV	Max	0.	0.	0.	0.97
130	130	77	SLU_ENV	Max	0.	0.	0.	0.97
130	130	95	SLU_ENV	Min	0.	0.	0.	-0.46
130	130	108	SLU_ENV	Min	0.	0.	0.	-0.46
130	130	90	SLU_ENV	Min	0.	0.	0.	-0.46
130	130	77	SLU_ENV	Min	0.	0.	0.	-0.46
130	130	95	SLV_ENV	Max	0.	0.	0.	16.85
130	130	108	SLV_ENV	Max	0.	0.	0.	16.85
130	130	90	SLV_ENV	Max	0.	0.	0.	16.85
130	130	77	SLV_ENV	Max	0.	0.	0.	16.85
130	130	95	SLV_ENV	Min	0.	0.	0.	-16.66
130	130	108	SLV_ENV	Min	0.	0.	0.	-16.66
130	130	90	SLV_ENV	Min	0.	0.	0.	-16.66
130	130	77	SLV_ENV	Min	0.	0.	0.	-16.66
131	131	77	SLU_ENV	Max	0.	0.	0.	0.63
131	131	90	SLU_ENV	Max	0.	0.	0.	0.63
131	131	72	SLU_ENV	Max	0.	0.	0.	0.63
131	131	59	SLU_ENV	Max	0.	0.	0.	0.63
131	131	77	SLU_ENV	Min	0.	0.	0.	-0.57
131	131	90	SLU_ENV	Min	0.	0.	0.	-0.57
131	131	72	SLU_ENV	Min	0.	0.	0.	-0.57
131	131	59	SLU_ENV	Min	0.	0.	0.	-0.57
131	131	77	SLV_ENV	Max	0.	0.	0.	14.76
131	131	90	SLV_ENV	Max	0.	0.	0.	14.76
131	131	72	SLV_ENV	Max	0.	0.	0.	14.76
131	131	59	SLV_ENV	Max	0.	0.	0.	14.76
131	131	77	SLV_ENV	Min	0.	0.	0.	-14.64
131	131	90	SLV_ENV	Min	0.	0.	0.	-14.64
131	131	72	SLV_ENV	Min	0.	0.	0.	-14.64
131	131	59	SLV_ENV	Min	0.	0.	0.	-14.64
132	132	59	SLU_ENV	Max	0.	0.	0.	1.45
132	132	72	SLU_ENV	Max	0.	0.	0.	1.45
132	132	54	SLU_ENV	Max	0.	0.	0.	1.45
132	132	41	SLU_ENV	Max	0.	0.	0.	1.45
132	132	59	SLU_ENV	Min	0.	0.	0.	-1.14
132	132	72	SLU_ENV	Min	0.	0.	0.	-1.14
132	132	54	SLU_ENV	Min	0.	0.	0.	-1.14

Table: Element Forces - Area Shells, Part 4 of 5

Area	AreaElem	Joint	OutputCase	StepType	MMax KN-m/m	MMin KN-m/m	MAngle Degrees	V13 KN/m
132	132	41	SLU_ENV	Min	0.	0.	0.	-1.14
132	132	59	SLV_ENV	Max	0.	0.	0.	18.5
132	132	72	SLV_ENV	Max	0.	0.	0.	18.5
132	132	54	SLV_ENV	Max	0.	0.	0.	18.5
132	132	41	SLV_ENV	Max	0.	0.	0.	18.5
132	132	59	SLV_ENV	Min	0.	0.	0.	-18.02
132	132	72	SLV_ENV	Min	0.	0.	0.	-18.02
132	132	54	SLV_ENV	Min	0.	0.	0.	-18.02
132	132	41	SLV_ENV	Min	0.	0.	0.	-18.02
135	135	144	SLU_ENV	Max	0.	0.	0.	4.51
135	135	145	SLU_ENV	Max	0.	0.	0.	4.51
135	135	127	SLU_ENV	Max	0.	0.	0.	4.51
135	135	126	SLU_ENV	Max	0.	0.	0.	4.51
135	135	144	SLU_ENV	Min	0.	0.	0.	-7.04
135	135	145	SLU_ENV	Min	0.	0.	0.	-7.04
135	135	127	SLU_ENV	Min	0.	0.	0.	-7.04
135	135	126	SLU_ENV	Min	0.	0.	0.	-7.04
135	135	144	SLV_ENV	Max	0.	0.	0.	103.86
135	135	145	SLV_ENV	Max	0.	0.	0.	103.86
135	135	127	SLV_ENV	Max	0.	0.	0.	103.86
135	135	126	SLV_ENV	Max	0.	0.	0.	103.86
135	135	144	SLV_ENV	Min	0.	0.	0.	-103.79
135	135	145	SLV_ENV	Min	0.	0.	0.	-103.79
135	135	127	SLV_ENV	Min	0.	0.	0.	-103.79
135	135	126	SLV_ENV	Min	0.	0.	0.	-103.79
136	136	126	SLU_ENV	Max	0.	0.	0.	1.55
136	136	127	SLU_ENV	Max	0.	0.	0.	1.55
136	136	109	SLU_ENV	Max	0.	0.	0.	1.55
136	136	108	SLU_ENV	Max	0.	0.	0.	1.55
136	136	126	SLU_ENV	Min	0.	0.	0.	-2.79
136	136	127	SLU_ENV	Min	0.	0.	0.	-2.79
136	136	109	SLU_ENV	Min	0.	0.	0.	-2.79
136	136	108	SLU_ENV	Min	0.	0.	0.	-2.79
136	136	126	SLV_ENV	Max	0.	0.	0.	40.81
136	136	127	SLV_ENV	Max	0.	0.	0.	40.81
136	136	109	SLV_ENV	Max	0.	0.	0.	40.81
136	136	108	SLV_ENV	Max	0.	0.	0.	40.81
136	136	126	SLV_ENV	Min	0.	0.	0.	-40.8
136	136	127	SLV_ENV	Min	0.	0.	0.	-40.8
136	136	109	SLV_ENV	Min	0.	0.	0.	-40.8
136	136	108	SLV_ENV	Min	0.	0.	0.	-40.8
137	137	108	SLU_ENV	Max	0.	0.	0.	0.51
137	137	109	SLU_ENV	Max	0.	0.	0.	0.51
137	137	91	SLU_ENV	Max	0.	0.	0.	0.51
137	137	90	SLU_ENV	Max	0.	0.	0.	0.51
137	137	108	SLU_ENV	Min	0.	0.	0.	-1.78
137	137	109	SLU_ENV	Min	0.	0.	0.	-1.78
137	137	91	SLU_ENV	Min	0.	0.	0.	-1.78
137	137	90	SLU_ENV	Min	0.	0.	0.	-1.78
137	137	108	SLV_ENV	Max	0.	0.	0.	19.38
137	137	109	SLV_ENV	Max	0.	0.	0.	19.38
137	137	91	SLV_ENV	Max	0.	0.	0.	19.38
137	137	90	SLV_ENV	Max	0.	0.	0.	19.38
137	137	108	SLV_ENV	Min	0.	0.	0.	-19.52

Table: Element Forces - Area Shells, Part 4 of 5

Area	AreaElem	Joint	OutputCase	StepType	MMax KN-m/m	MMin KN-m/m	MAngle Degrees	V13 KN/m
137	137	109	SLV_ENV	Min	0.	0.	0.	-19.52
137	137	91	SLV_ENV	Min	0.	0.	0.	-19.52
137	137	90	SLV_ENV	Min	0.	0.	0.	-19.52
138	138	90	SLU_ENV	Max	0.	0.	0.	0.62
138	138	91	SLU_ENV	Max	0.	0.	0.	0.62
138	138	73	SLU_ENV	Max	0.	0.	0.	0.62
138	138	72	SLU_ENV	Max	0.	0.	0.	0.62
138	138	90	SLU_ENV	Min	0.	0.	0.	-2.39
138	138	91	SLU_ENV	Min	0.	0.	0.	-2.39
138	138	73	SLU_ENV	Min	0.	0.	0.	-2.39
138	138	72	SLU_ENV	Min	0.	0.	0.	-2.39
138	138	90	SLV_ENV	Max	0.	0.	0.	13.38
138	138	91	SLV_ENV	Max	0.	0.	0.	13.38
138	138	73	SLV_ENV	Max	0.	0.	0.	13.38
138	138	72	SLV_ENV	Max	0.	0.	0.	13.38
138	138	90	SLV_ENV	Min	0.	0.	0.	-13.69
138	138	91	SLV_ENV	Min	0.	0.	0.	-13.69
138	138	73	SLV_ENV	Min	0.	0.	0.	-13.69
138	138	72	SLV_ENV	Min	0.	0.	0.	-13.69
139	139	72	SLU_ENV	Max	0.	0.	0.	0.68
139	139	73	SLU_ENV	Max	0.	0.	0.	0.68
139	139	55	SLU_ENV	Max	0.	0.	0.	0.68
139	139	54	SLU_ENV	Max	0.	0.	0.	0.68
139	139	72	SLU_ENV	Min	0.	0.	0.	-4.23
139	139	73	SLU_ENV	Min	0.	0.	0.	-4.23
139	139	55	SLU_ENV	Min	0.	0.	0.	-4.23
139	139	54	SLU_ENV	Min	0.	0.	0.	-4.23
139	139	72	SLV_ENV	Max	0.	0.	0.	22.38
139	139	73	SLV_ENV	Max	0.	0.	0.	22.38
139	139	55	SLV_ENV	Max	0.	0.	0.	22.38
139	139	54	SLV_ENV	Max	0.	0.	0.	22.38
139	139	72	SLV_ENV	Min	0.	0.	0.	-22.83
139	139	73	SLV_ENV	Min	0.	0.	0.	-22.83
139	139	55	SLV_ENV	Min	0.	0.	0.	-22.83
139	139	54	SLV_ENV	Min	0.	0.	0.	-22.83
146	146	49	SLU_ENV	Max	0.	0.	0.	0.43
146	146	50	SLU_ENV	Max	0.	0.	0.	0.43
146	146	32	SLU_ENV	Max	0.	0.	0.	0.43
146	146	31	SLU_ENV	Max	0.	0.	0.	0.43
146	146	49	SLU_ENV	Min	0.	0.	0.	-6.51
146	146	50	SLU_ENV	Min	0.	0.	0.	-6.51
146	146	32	SLU_ENV	Min	0.	0.	0.	-6.51
146	146	31	SLU_ENV	Min	0.	0.	0.	-6.51
146	146	49	SLV_ENV	Max	0.	0.	0.	27.86
146	146	50	SLV_ENV	Max	0.	0.	0.	27.86
146	146	32	SLV_ENV	Max	0.	0.	0.	27.86
146	146	31	SLV_ENV	Max	0.	0.	0.	27.86
146	146	49	SLV_ENV	Min	0.	0.	0.	-28.61
146	146	50	SLV_ENV	Min	0.	0.	0.	-28.61
146	146	32	SLV_ENV	Min	0.	0.	0.	-28.61
146	146	31	SLV_ENV	Min	0.	0.	0.	-28.61
147	147	50	SLU_ENV	Max	0.	0.	0.	1.59
147	147	51	SLU_ENV	Max	0.	0.	0.	1.59
147	147	33	SLU_ENV	Max	0.	0.	0.	1.59

Table: Element Forces - Area Shells, Part 4 of 5

Area	AreaElem	Joint	OutputCase	StepType	MMax KN-m/m	MMin KN-m/m	MAngle Degrees	V13 KN/m
147	147	32	SLU_ENV	Max	0.	0.	0.	1.59
147	147	50	SLU_ENV	Min	0.	0.	0.	-5.08
147	147	51	SLU_ENV	Min	0.	0.	0.	-5.08
147	147	33	SLU_ENV	Min	0.	0.	0.	-5.08
147	147	32	SLU_ENV	Min	0.	0.	0.	-5.08
147	147	50	SLV_ENV	Max	0.	0.	0.	52.09
147	147	51	SLV_ENV	Max	0.	0.	0.	52.09
147	147	33	SLV_ENV	Max	0.	0.	0.	52.09
147	147	32	SLV_ENV	Max	0.	0.	0.	52.09
147	147	50	SLV_ENV	Min	0.	0.	0.	-52.69
147	147	51	SLV_ENV	Min	0.	0.	0.	-52.69
147	147	33	SLV_ENV	Min	0.	0.	0.	-52.69
147	147	32	SLV_ENV	Min	0.	0.	0.	-52.69
148	148	51	SLU_ENV	Max	0.	0.	0.	1.28
148	148	41	SLU_ENV	Max	0.	0.	0.	1.28
148	148	23	SLU_ENV	Max	0.	0.	0.	1.28
148	148	33	SLU_ENV	Max	0.	0.	0.	1.28
148	148	51	SLU_ENV	Min	0.	0.	0.	-1.81
148	148	41	SLU_ENV	Min	0.	0.	0.	-1.81
148	148	23	SLU_ENV	Min	0.	0.	0.	-1.81
148	148	33	SLU_ENV	Min	0.	0.	0.	-1.81
148	148	51	SLV_ENV	Max	0.	0.	0.	87.14
148	148	41	SLV_ENV	Max	0.	0.	0.	87.14
148	148	23	SLV_ENV	Max	0.	0.	0.	87.14
148	148	33	SLV_ENV	Max	0.	0.	0.	87.14
148	148	51	SLV_ENV	Min	0.	0.	0.	-87.67
148	148	41	SLV_ENV	Min	0.	0.	0.	-87.67
148	148	23	SLV_ENV	Min	0.	0.	0.	-87.67
148	148	33	SLV_ENV	Min	0.	0.	0.	-87.67
149	149	41	SLU_ENV	Max	0.	0.	0.	0.71
149	149	54	SLU_ENV	Max	0.	0.	0.	0.71
149	149	36	SLU_ENV	Max	0.	0.	0.	0.71
149	149	23	SLU_ENV	Max	0.	0.	0.	0.71
149	149	41	SLU_ENV	Min	0.	0.	0.	-1.88
149	149	54	SLU_ENV	Min	0.	0.	0.	-1.88
149	149	36	SLU_ENV	Min	0.	0.	0.	-1.88
149	149	23	SLU_ENV	Min	0.	0.	0.	-1.88
149	149	41	SLV_ENV	Max	0.	0.	0.	39.47
149	149	54	SLV_ENV	Max	0.	0.	0.	39.47
149	149	36	SLV_ENV	Max	0.	0.	0.	39.47
149	149	23	SLV_ENV	Max	0.	0.	0.	39.47
149	149	41	SLV_ENV	Min	0.	0.	0.	-39.74
149	149	54	SLV_ENV	Min	0.	0.	0.	-39.74
149	149	36	SLV_ENV	Min	0.	0.	0.	-39.74
149	149	23	SLV_ENV	Min	0.	0.	0.	-39.74
150	150	54	SLU_ENV	Max	0.	0.	0.	1.91
150	150	55	SLU_ENV	Max	0.	0.	0.	1.91
150	150	37	SLU_ENV	Max	0.	0.	0.	1.91
150	150	36	SLU_ENV	Max	0.	0.	0.	1.91
150	150	54	SLU_ENV	Min	0.	0.	0.	-11.87
150	150	55	SLU_ENV	Min	0.	0.	0.	-11.87
150	150	37	SLU_ENV	Min	0.	0.	0.	-11.87
150	150	36	SLU_ENV	Min	0.	0.	0.	-11.87
150	150	54	SLV_ENV	Max	0.	0.	0.	82.18

Table: Element Forces - Area Shells, Part 4 of 5

Area	AreaElem	Joint	OutputCase	StepType	MMax KN-m/m	MMin KN-m/m	MAngle Degrees	V13 KN/m
150	150	55	SLV_ENV	Max	0.	0.	0.	82.18
150	150	37	SLV_ENV	Max	0.	0.	0.	82.18
150	150	36	SLV_ENV	Max	0.	0.	0.	82.18
150	150	54	SLV_ENV	Min	0.	0.	0.	-81.67
150	150	55	SLV_ENV	Min	0.	0.	0.	-81.67
150	150	37	SLV_ENV	Min	0.	0.	0.	-81.67
150	150	36	SLV_ENV	Min	0.	0.	0.	-81.67
271	271	2214	SLU_ENV	Max	0.	0.	0.	0.26
271	271	2215	SLU_ENV	Max	0.	0.	0.	0.26
271	271	2197	SLU_ENV	Max	0.	0.	0.	0.26
271	271	2196	SLU_ENV	Max	0.	0.	0.	0.26
271	271	2214	SLU_ENV	Min	0.	0.	0.	-0.13
271	271	2215	SLU_ENV	Min	0.	0.	0.	-0.13
271	271	2197	SLU_ENV	Min	0.	0.	0.	-0.13
271	271	2196	SLU_ENV	Min	0.	0.	0.	-0.13
271	271	2214	SLV_ENV	Max	0.	0.	0.	8.33
271	271	2215	SLV_ENV	Max	0.	0.	0.	8.33
271	271	2197	SLV_ENV	Max	0.	0.	0.	8.33
271	271	2196	SLV_ENV	Max	0.	0.	0.	8.33
271	271	2214	SLV_ENV	Min	0.	0.	0.	-8.05
271	271	2215	SLV_ENV	Min	0.	0.	0.	-8.05
271	271	2197	SLV_ENV	Min	0.	0.	0.	-8.05
271	271	2196	SLV_ENV	Min	0.	0.	0.	-8.05
380	380	2196	SLU_ENV	Max	0.	0.	0.	-8.045E-02
380	380	2197	SLU_ENV	Max	0.	0.	0.	-8.045E-02
380	380	2179	SLU_ENV	Max	0.	0.	0.	-8.045E-02
380	380	2178	SLU_ENV	Max	0.	0.	0.	-8.045E-02
380	380	2196	SLU_ENV	Min	0.	0.	0.	-1.17
380	380	2197	SLU_ENV	Min	0.	0.	0.	-1.17
380	380	2179	SLU_ENV	Min	0.	0.	0.	-1.17
380	380	2178	SLU_ENV	Min	0.	0.	0.	-1.17
380	380	2196	SLV_ENV	Max	0.	0.	0.	10.47
380	380	2197	SLV_ENV	Max	0.	0.	0.	10.47
380	380	2179	SLV_ENV	Max	0.	0.	0.	10.47
380	380	2178	SLV_ENV	Max	0.	0.	0.	10.47
380	380	2196	SLV_ENV	Min	0.	0.	0.	-10.84
380	380	2197	SLV_ENV	Min	0.	0.	0.	-10.84
380	380	2179	SLV_ENV	Min	0.	0.	0.	-10.84
380	380	2178	SLV_ENV	Min	0.	0.	0.	-10.84
381	381	2178	SLU_ENV	Max	0.	0.	0.	-9.778E-02
381	381	2179	SLU_ENV	Max	0.	0.	0.	-9.778E-02
381	381	2161	SLU_ENV	Max	0.	0.	0.	-9.778E-02
381	381	2160	SLU_ENV	Max	0.	0.	0.	-9.778E-02
381	381	2178	SLU_ENV	Min	0.	0.	0.	-1.77
381	381	2179	SLU_ENV	Min	0.	0.	0.	-1.77
381	381	2161	SLU_ENV	Min	0.	0.	0.	-1.77
381	381	2160	SLU_ENV	Min	0.	0.	0.	-1.77
381	381	2178	SLV_ENV	Max	0.	0.	0.	10.22
381	381	2179	SLV_ENV	Max	0.	0.	0.	10.22
381	381	2161	SLV_ENV	Max	0.	0.	0.	10.22
381	381	2160	SLV_ENV	Max	0.	0.	0.	10.22
381	381	2178	SLV_ENV	Min	0.	0.	0.	-10.68
381	381	2179	SLV_ENV	Min	0.	0.	0.	-10.68
381	381	2161	SLV_ENV	Min	0.	0.	0.	-10.68

Table: Element Forces - Area Shells, Part 4 of 5

Area	AreaElem	Joint	OutputCase	StepType	MMax KN-m/m	MMin KN-m/m	MAngle Degrees	V13 KN/m
381	381	2160	SLV_ENV	Min	0.	0.	0.	-10.68
384	384	2215	SLU_ENV	Max	0.	0.	0.	-8.418E-02
384	384	2205	SLU_ENV	Max	0.	0.	0.	-8.418E-02
384	384	2187	SLU_ENV	Max	0.	0.	0.	-8.418E-02
384	384	2197	SLU_ENV	Max	0.	0.	0.	-8.418E-02
384	384	2215	SLU_ENV	Min	0.	0.	0.	-1.04
384	384	2205	SLU_ENV	Min	0.	0.	0.	-1.04
384	384	2187	SLU_ENV	Min	0.	0.	0.	-1.04
384	384	2197	SLU_ENV	Min	0.	0.	0.	-1.04
384	384	2215	SLV_ENV	Max	0.	0.	0.	7.88
384	384	2205	SLV_ENV	Max	0.	0.	0.	7.88
384	384	2187	SLV_ENV	Max	0.	0.	0.	7.88
384	384	2197	SLV_ENV	Max	0.	0.	0.	7.88
384	384	2215	SLV_ENV	Min	0.	0.	0.	-8.22
384	384	2205	SLV_ENV	Min	0.	0.	0.	-8.22
384	384	2187	SLV_ENV	Min	0.	0.	0.	-8.22
384	384	2197	SLV_ENV	Min	0.	0.	0.	-8.22
385	385	2197	SLU_ENV	Max	0.	0.	0.	0.31
385	385	2187	SLU_ENV	Max	0.	0.	0.	0.31
385	385	2169	SLU_ENV	Max	0.	0.	0.	0.31
385	385	2179	SLU_ENV	Max	0.	0.	0.	0.31
385	385	2197	SLU_ENV	Min	0.	0.	0.	-0.17
385	385	2187	SLU_ENV	Min	0.	0.	0.	-0.17
385	385	2169	SLU_ENV	Min	0.	0.	0.	-0.17
385	385	2179	SLU_ENV	Min	0.	0.	0.	-0.17
385	385	2197	SLV_ENV	Max	0.	0.	0.	10.5
385	385	2187	SLV_ENV	Max	0.	0.	0.	10.5
385	385	2169	SLV_ENV	Max	0.	0.	0.	10.5
385	385	2179	SLV_ENV	Max	0.	0.	0.	10.5
385	385	2197	SLV_ENV	Min	0.	0.	0.	-10.1
385	385	2187	SLV_ENV	Min	0.	0.	0.	-10.1
385	385	2169	SLV_ENV	Min	0.	0.	0.	-10.1
385	385	2179	SLV_ENV	Min	0.	0.	0.	-10.1
386	386	2179	SLU_ENV	Max	0.	0.	0.	-8.442E-03
386	386	2169	SLU_ENV	Max	0.	0.	0.	-8.442E-03
386	386	2151	SLU_ENV	Max	0.	0.	0.	-8.442E-03
386	386	2161	SLU_ENV	Max	0.	0.	0.	-8.442E-03
386	386	2179	SLU_ENV	Min	0.	0.	0.	-0.83
386	386	2169	SLU_ENV	Min	0.	0.	0.	-0.83
386	386	2151	SLU_ENV	Min	0.	0.	0.	-0.83
386	386	2161	SLU_ENV	Min	0.	0.	0.	-0.83
386	386	2179	SLV_ENV	Max	0.	0.	0.	13.79
386	386	2169	SLV_ENV	Max	0.	0.	0.	13.79
386	386	2151	SLV_ENV	Max	0.	0.	0.	13.79
386	386	2161	SLV_ENV	Max	0.	0.	0.	13.79
386	386	2179	SLV_ENV	Min	0.	0.	0.	-14.17
386	386	2169	SLV_ENV	Min	0.	0.	0.	-14.17
386	386	2151	SLV_ENV	Min	0.	0.	0.	-14.17
386	386	2161	SLV_ENV	Min	0.	0.	0.	-14.17
389	389	2205	SLU_ENV	Max	0.	0.	0.	6.92
389	389	2218	SLU_ENV	Max	0.	0.	0.	6.92
389	389	2200	SLU_ENV	Max	0.	0.	0.	6.92
389	389	2187	SLU_ENV	Max	0.	0.	0.	6.92
389	389	2205	SLU_ENV	Min	0.	0.	0.	4.03

Table: Element Forces - Area Shells, Part 4 of 5

Area	AreaElem	Joint	OutputCase	StepType	MMax KN-m/m	MMin KN-m/m	MAngle Degrees	V13 KN/m
389	389	2218	SLU_ENV	Min	0.	0.	0.	4.03
389	389	2200	SLU_ENV	Min	0.	0.	0.	4.03
389	389	2187	SLU_ENV	Min	0.	0.	0.	4.03
389	389	2205	SLV_ENV	Max	0.	0.	0.	23.68
389	389	2218	SLV_ENV	Max	0.	0.	0.	23.68
389	389	2200	SLV_ENV	Max	0.	0.	0.	23.68
389	389	2187	SLV_ENV	Max	0.	0.	0.	23.68
389	389	2205	SLV_ENV	Min	0.	0.	0.	-15.04
389	389	2218	SLV_ENV	Min	0.	0.	0.	-15.04
389	389	2200	SLV_ENV	Min	0.	0.	0.	-15.04
389	389	2187	SLV_ENV	Min	0.	0.	0.	-15.04
390	390	2187	SLU_ENV	Max	0.	0.	0.	2.92
390	390	2200	SLU_ENV	Max	0.	0.	0.	2.92
390	390	2182	SLU_ENV	Max	0.	0.	0.	2.92
390	390	2169	SLU_ENV	Max	0.	0.	0.	2.92
390	390	2187	SLU_ENV	Min	0.	0.	0.	-1.16
390	390	2200	SLU_ENV	Min	0.	0.	0.	-1.16
390	390	2182	SLU_ENV	Min	0.	0.	0.	-1.16
390	390	2169	SLU_ENV	Min	0.	0.	0.	-1.16
390	390	2187	SLV_ENV	Max	0.	0.	0.	22.72
390	390	2200	SLV_ENV	Max	0.	0.	0.	22.72
390	390	2182	SLV_ENV	Max	0.	0.	0.	22.72
390	390	2169	SLV_ENV	Max	0.	0.	0.	22.72
390	390	2187	SLV_ENV	Min	0.	0.	0.	-22.93
390	390	2200	SLV_ENV	Min	0.	0.	0.	-22.93
390	390	2182	SLV_ENV	Min	0.	0.	0.	-22.93
390	390	2169	SLV_ENV	Min	0.	0.	0.	-22.93
391	391	2169	SLU_ENV	Max	0.	0.	0.	1.29
391	391	2182	SLU_ENV	Max	0.	0.	0.	1.29
391	391	2164	SLU_ENV	Max	0.	0.	0.	1.29
391	391	2151	SLU_ENV	Max	0.	0.	0.	1.29
391	391	2169	SLU_ENV	Min	0.	0.	0.	-6.36
391	391	2182	SLU_ENV	Min	0.	0.	0.	-6.36
391	391	2164	SLU_ENV	Min	0.	0.	0.	-6.36
391	391	2151	SLU_ENV	Min	0.	0.	0.	-6.36
391	391	2169	SLV_ENV	Max	0.	0.	0.	31.87
391	391	2182	SLV_ENV	Max	0.	0.	0.	31.87
391	391	2164	SLV_ENV	Max	0.	0.	0.	31.87
391	391	2151	SLV_ENV	Max	0.	0.	0.	31.87
391	391	2169	SLV_ENV	Min	0.	0.	0.	-37.81
391	391	2182	SLV_ENV	Min	0.	0.	0.	-37.81
391	391	2164	SLV_ENV	Min	0.	0.	0.	-37.81
391	391	2151	SLV_ENV	Min	0.	0.	0.	-37.81
401	401	2160	SLU_ENV	Max	0.	0.	0.	-1.388E-02
401	401	2161	SLU_ENV	Max	0.	0.	0.	-1.388E-02
401	401	1866	SLU_ENV	Max	0.	0.	0.	-1.388E-02
401	401	1860	SLU_ENV	Max	0.	0.	0.	-1.388E-02
401	401	2160	SLU_ENV	Min	0.	0.	0.	-2.3
401	401	2161	SLU_ENV	Min	0.	0.	0.	-2.3
401	401	1866	SLU_ENV	Min	0.	0.	0.	-2.3
401	401	1860	SLU_ENV	Min	0.	0.	0.	-2.3
401	401	2160	SLV_ENV	Max	0.	0.	0.	12.15
401	401	2161	SLV_ENV	Max	0.	0.	0.	12.15
401	401	1866	SLV_ENV	Max	0.	0.	0.	12.15

Table: Element Forces - Area Shells, Part 4 of 5

Area	AreaElem	Joint	OutputCase	StepType	MMax KN-m/m	MMin KN-m/m	MAngle Degrees	V13 KN/m
401	401	1860	SLV_ENV	Max	0.	0.	0.	12.15
401	401	2160	SLV_ENV	Min	0.	0.	0.	-12.62
401	401	2161	SLV_ENV	Min	0.	0.	0.	-12.62
401	401	1866	SLV_ENV	Min	0.	0.	0.	-12.62
401	401	1860	SLV_ENV	Min	0.	0.	0.	-12.62
402	402	2161	SLU_ENV	Max	0.	0.	0.	-0.65
402	402	2151	SLU_ENV	Max	0.	0.	0.	-0.65
402	402	1779	SLU_ENV	Max	0.	0.	0.	-0.65
402	402	1866	SLU_ENV	Max	0.	0.	0.	-0.65
402	402	2161	SLU_ENV	Min	0.	0.	0.	-2.11
402	402	2151	SLU_ENV	Min	0.	0.	0.	-2.11
402	402	1779	SLU_ENV	Min	0.	0.	0.	-2.11
402	402	1866	SLU_ENV	Min	0.	0.	0.	-2.11
402	402	2161	SLV_ENV	Max	0.	0.	0.	14.73
402	402	2151	SLV_ENV	Max	0.	0.	0.	14.73
402	402	1779	SLV_ENV	Max	0.	0.	0.	14.73
402	402	1866	SLV_ENV	Max	0.	0.	0.	14.73
402	402	2161	SLV_ENV	Min	0.	0.	0.	-16.5
402	402	2151	SLV_ENV	Min	0.	0.	0.	-16.5
402	402	1779	SLV_ENV	Min	0.	0.	0.	-16.5
402	402	1866	SLV_ENV	Min	0.	0.	0.	-16.5
403	403	2151	SLU_ENV	Max	0.	0.	0.	0.94
403	403	2164	SLU_ENV	Max	0.	0.	0.	0.94
403	403	1884	SLU_ENV	Max	0.	0.	0.	0.94
403	403	1779	SLU_ENV	Max	0.	0.	0.	0.94
403	403	2151	SLU_ENV	Min	0.	0.	0.	-6.81
403	403	2164	SLU_ENV	Min	0.	0.	0.	-6.81
403	403	1884	SLU_ENV	Min	0.	0.	0.	-6.81
403	403	1779	SLU_ENV	Min	0.	0.	0.	-6.81
403	403	2151	SLV_ENV	Max	0.	0.	0.	36.03
403	403	2164	SLV_ENV	Max	0.	0.	0.	36.03
403	403	1884	SLV_ENV	Max	0.	0.	0.	36.03
403	403	1779	SLV_ENV	Max	0.	0.	0.	36.03
403	403	2151	SLV_ENV	Min	0.	0.	0.	-42.65
403	403	2164	SLV_ENV	Min	0.	0.	0.	-42.65
403	403	1884	SLV_ENV	Min	0.	0.	0.	-42.65
403	403	1779	SLV_ENV	Min	0.	0.	0.	-42.65
413	413	2218	SLU_ENV	Max	0.	0.	0.	0.34
413	413	2219	SLU_ENV	Max	0.	0.	0.	0.34
413	413	2201	SLU_ENV	Max	0.	0.	0.	0.34
413	413	2200	SLU_ENV	Max	0.	0.	0.	0.34
413	413	2218	SLU_ENV	Min	0.	0.	0.	-1.95
413	413	2219	SLU_ENV	Min	0.	0.	0.	-1.95
413	413	2201	SLU_ENV	Min	0.	0.	0.	-1.95
413	413	2200	SLU_ENV	Min	0.	0.	0.	-1.95
413	413	2218	SLV_ENV	Max	0.	0.	0.	28.9
413	413	2219	SLV_ENV	Max	0.	0.	0.	28.9
413	413	2201	SLV_ENV	Max	0.	0.	0.	28.9
413	413	2200	SLV_ENV	Max	0.	0.	0.	28.9
413	413	2218	SLV_ENV	Min	0.	0.	0.	-30.21
413	413	2219	SLV_ENV	Min	0.	0.	0.	-30.21
413	413	2201	SLV_ENV	Min	0.	0.	0.	-30.21
413	413	2200	SLV_ENV	Min	0.	0.	0.	-30.21
414	414	2200	SLU_ENV	Max	0.	0.	0.	-5.42

Table: Element Forces - Area Shells, Part 4 of 5

Area	AreaElem	Joint	OutputCase	StepType	MMax KN-m/m	MMin KN-m/m	MAngle Degrees	V13 KN/m
414	414	2201	SLU_ENV	Max	0.	0.	0.	-5.42
414	414	2183	SLU_ENV	Max	0.	0.	0.	-5.42
414	414	2182	SLU_ENV	Max	0.	0.	0.	-5.42
414	414	2200	SLU_ENV	Min	0.	0.	0.	-25.77
414	414	2201	SLU_ENV	Min	0.	0.	0.	-25.77
414	414	2183	SLU_ENV	Min	0.	0.	0.	-25.77
414	414	2182	SLU_ENV	Min	0.	0.	0.	-25.77
414	414	2200	SLV_ENV	Max	0.	0.	0.	53.03
414	414	2201	SLV_ENV	Max	0.	0.	0.	53.03
414	414	2183	SLV_ENV	Max	0.	0.	0.	53.03
414	414	2182	SLV_ENV	Max	0.	0.	0.	53.03
414	414	2200	SLV_ENV	Min	0.	0.	0.	-81.6
414	414	2201	SLV_ENV	Min	0.	0.	0.	-81.6
414	414	2183	SLV_ENV	Min	0.	0.	0.	-81.6
414	414	2182	SLV_ENV	Min	0.	0.	0.	-81.6
415	415	2182	SLU_ENV	Max	0.	0.	0.	4.71
415	415	2183	SLU_ENV	Max	0.	0.	0.	4.71
415	415	2165	SLU_ENV	Max	0.	0.	0.	4.71
415	415	2164	SLU_ENV	Max	0.	0.	0.	4.71
415	415	2182	SLU_ENV	Min	0.	0.	0.	-23.95
415	415	2183	SLU_ENV	Min	0.	0.	0.	-23.95
415	415	2165	SLU_ENV	Min	0.	0.	0.	-23.95
415	415	2164	SLU_ENV	Min	0.	0.	0.	-23.95
415	415	2182	SLV_ENV	Max	0.	0.	0.	124.08
415	415	2183	SLV_ENV	Max	0.	0.	0.	124.08
415	415	2165	SLV_ENV	Max	0.	0.	0.	124.08
415	415	2164	SLV_ENV	Max	0.	0.	0.	124.08
415	415	2182	SLV_ENV	Min	0.	0.	0.	-149.46
415	415	2183	SLV_ENV	Min	0.	0.	0.	-149.46
415	415	2165	SLV_ENV	Min	0.	0.	0.	-149.46
415	415	2164	SLV_ENV	Min	0.	0.	0.	-149.46
416	416	2164	SLU_ENV	Max	0.	0.	0.	10.88
416	416	2165	SLU_ENV	Max	0.	0.	0.	10.88
416	416	1885	SLU_ENV	Max	0.	0.	0.	10.88
416	416	1884	SLU_ENV	Max	0.	0.	0.	10.88
416	416	2164	SLU_ENV	Min	0.	0.	0.	-29.4
416	416	2165	SLU_ENV	Min	0.	0.	0.	-29.4
416	416	1885	SLU_ENV	Min	0.	0.	0.	-29.4
416	416	1884	SLU_ENV	Min	0.	0.	0.	-29.4
416	416	2164	SLV_ENV	Max	0.	0.	0.	183.04
416	416	2165	SLV_ENV	Max	0.	0.	0.	183.04
416	416	1885	SLV_ENV	Max	0.	0.	0.	183.04
416	416	1884	SLV_ENV	Max	0.	0.	0.	183.04
416	416	2164	SLV_ENV	Min	0.	0.	0.	-212.23
416	416	2165	SLV_ENV	Min	0.	0.	0.	-212.23
416	416	1885	SLV_ENV	Min	0.	0.	0.	-212.23
416	416	1884	SLV_ENV	Min	0.	0.	0.	-212.23
417	417	2281	SLU_ENV	Max	0.	0.	0.	84.02
417	417	2573	SLU_ENV	Max	0.	0.	0.	84.02
417	417	2291	SLU_ENV	Max	0.	0.	0.	84.02
417	417	2301	SLU_ENV	Max	0.	0.	0.	84.02
417	417	2281	SLU_ENV	Min	0.	0.	0.	53.25
417	417	2573	SLU_ENV	Min	0.	0.	0.	53.25
417	417	2291	SLU_ENV	Min	0.	0.	0.	53.25

Table: Element Forces - Area Shells, Part 4 of 5

Area	AreaElem	Joint	OutputCase	StepType	MMax	MMin	MAngle	V13
					KN-m/m	KN-m/m	Degrees	KN/m
417	417	2301	SLU_ENV	Min	0.	0.	0.	53.25
417	417	2281	SLV_ENV	Max	0.	0.	0.	125.86
417	417	2573	SLV_ENV	Max	0.	0.	0.	125.86
417	417	2291	SLV_ENV	Max	0.	0.	0.	125.86
417	417	2301	SLV_ENV	Max	0.	0.	0.	125.86
417	417	2281	SLV_ENV	Min	0.	0.	0.	-15.22
417	417	2573	SLV_ENV	Min	0.	0.	0.	-15.22
417	417	2291	SLV_ENV	Min	0.	0.	0.	-15.22
417	417	2301	SLV_ENV	Min	0.	0.	0.	-15.22
418	418	2573	SLU_ENV	Max	0.	0.	0.	-8.89
418	418	2912	SLU_ENV	Max	0.	0.	0.	-8.89
418	418	2572	SLU_ENV	Max	0.	0.	0.	-8.89
418	418	2291	SLU_ENV	Max	0.	0.	0.	-8.89
418	418	2573	SLU_ENV	Min	0.	0.	0.	-20.19
418	418	2912	SLU_ENV	Min	0.	0.	0.	-20.19
418	418	2572	SLU_ENV	Min	0.	0.	0.	-20.19
418	418	2291	SLU_ENV	Min	0.	0.	0.	-20.19
418	418	2573	SLV_ENV	Max	0.	0.	0.	28.35
418	418	2912	SLV_ENV	Max	0.	0.	0.	28.35
418	418	2572	SLV_ENV	Max	0.	0.	0.	28.35
418	418	2291	SLV_ENV	Max	0.	0.	0.	28.35
418	418	2573	SLV_ENV	Min	0.	0.	0.	-48.61
418	418	2912	SLV_ENV	Min	0.	0.	0.	-48.61
418	418	2572	SLV_ENV	Min	0.	0.	0.	-48.61
418	418	2291	SLV_ENV	Min	0.	0.	0.	-48.61
419	419	2291	SLU_ENV	Max	0.	0.	0.	-69.04
419	419	2205	SLU_ENV	Max	0.	0.	0.	-69.04
419	419	2215	SLU_ENV	Max	0.	0.	0.	-69.04
419	419	2301	SLU_ENV	Max	0.	0.	0.	-69.04
419	419	2291	SLU_ENV	Min	0.	0.	0.	-144.74
419	419	2205	SLU_ENV	Min	0.	0.	0.	-144.74
419	419	2215	SLU_ENV	Min	0.	0.	0.	-144.74
419	419	2301	SLU_ENV	Min	0.	0.	0.	-144.74
419	419	2291	SLV_ENV	Max	0.	0.	0.	73.33
419	419	2205	SLV_ENV	Max	0.	0.	0.	73.33
419	419	2215	SLV_ENV	Max	0.	0.	0.	73.33
419	419	2301	SLV_ENV	Max	0.	0.	0.	73.33
419	419	2291	SLV_ENV	Min	0.	0.	0.	-240.2
419	419	2205	SLV_ENV	Min	0.	0.	0.	-240.2
419	419	2215	SLV_ENV	Min	0.	0.	0.	-240.2
419	419	2301	SLV_ENV	Min	0.	0.	0.	-240.2
421	421	2205	SLU_ENV	Max	0.	0.	0.	210.05
421	421	2311	SLU_ENV	Max	0.	0.	0.	210.05
421	421	2321	SLU_ENV	Max	0.	0.	0.	210.05
421	421	2215	SLU_ENV	Max	0.	0.	0.	210.05
421	421	2205	SLU_ENV	Min	0.	0.	0.	116.24
421	421	2311	SLU_ENV	Min	0.	0.	0.	116.24
421	421	2321	SLU_ENV	Min	0.	0.	0.	116.24
421	421	2215	SLU_ENV	Min	0.	0.	0.	116.24
421	421	2205	SLV_ENV	Max	0.	0.	0.	279.6
421	421	2311	SLV_ENV	Max	0.	0.	0.	279.6
421	421	2321	SLV_ENV	Max	0.	0.	0.	279.6
421	421	2215	SLV_ENV	Max	0.	0.	0.	279.6
421	421	2205	SLV_ENV	Min	0.	0.	0.	-29.15

Table: Element Forces - Area Shells, Part 4 of 5

Area	AreaElem	Joint	OutputCase	StepType	MMax	MMin	MAngle	V13
					KN-m/m	KN-m/m	Degrees	KN/m
421	421	2311	SLV_ENV	Min	0.	0.	0.	-29.15
421	421	2321	SLV_ENV	Min	0.	0.	0.	-29.15
421	421	2215	SLV_ENV	Min	0.	0.	0.	-29.15
422	422	2311	SLU_ENV	Max	0.	0.	0.	53.73
422	422	2331	SLU_ENV	Max	0.	0.	0.	53.73
422	422	2341	SLU_ENV	Max	0.	0.	0.	53.73
422	422	2321	SLU_ENV	Max	0.	0.	0.	53.73
422	422	2311	SLU_ENV	Min	0.	0.	0.	29.67
422	422	2331	SLU_ENV	Min	0.	0.	0.	29.67
422	422	2341	SLU_ENV	Min	0.	0.	0.	29.67
422	422	2321	SLU_ENV	Min	0.	0.	0.	29.67
422	422	2311	SLV_ENV	Max	0.	0.	0.	94.43
422	422	2331	SLV_ENV	Max	0.	0.	0.	94.43
422	422	2341	SLV_ENV	Max	0.	0.	0.	94.43
422	422	2321	SLV_ENV	Max	0.	0.	0.	94.43
422	422	2311	SLV_ENV	Min	0.	0.	0.	-30.54
422	422	2331	SLV_ENV	Min	0.	0.	0.	-30.54
422	422	2341	SLV_ENV	Min	0.	0.	0.	-30.54
422	422	2321	SLV_ENV	Min	0.	0.	0.	-30.54
423	423	2281	SLU_ENV	Max	0.	0.	0.	-28.38
423	423	2301	SLU_ENV	Max	0.	0.	0.	-28.38
423	423	2300	SLU_ENV	Max	0.	0.	0.	-28.38
423	423	2280	SLU_ENV	Max	0.	0.	0.	-28.38
423	423	2281	SLU_ENV	Min	0.	0.	0.	-54.14
423	423	2301	SLU_ENV	Min	0.	0.	0.	-54.14
423	423	2300	SLU_ENV	Min	0.	0.	0.	-54.14
423	423	2280	SLU_ENV	Min	0.	0.	0.	-54.14
423	423	2281	SLV_ENV	Max	0.	0.	0.	13.19
423	423	2301	SLV_ENV	Max	0.	0.	0.	13.19
423	423	2300	SLV_ENV	Max	0.	0.	0.	13.19
423	423	2280	SLV_ENV	Max	0.	0.	0.	13.19
423	423	2281	SLV_ENV	Min	0.	0.	0.	-79.22
423	423	2301	SLV_ENV	Min	0.	0.	0.	-79.22
423	423	2300	SLV_ENV	Min	0.	0.	0.	-79.22
423	423	2280	SLV_ENV	Min	0.	0.	0.	-79.22
424	424	2301	SLU_ENV	Max	0.	0.	0.	-119.49
424	424	2215	SLU_ENV	Max	0.	0.	0.	-119.49
424	424	2214	SLU_ENV	Max	0.	0.	0.	-119.49
424	424	2300	SLU_ENV	Max	0.	0.	0.	-119.49
424	424	2301	SLU_ENV	Min	0.	0.	0.	-217.44
424	424	2215	SLU_ENV	Min	0.	0.	0.	-217.44
424	424	2214	SLU_ENV	Min	0.	0.	0.	-217.44
424	424	2300	SLU_ENV	Min	0.	0.	0.	-217.44
424	424	2301	SLV_ENV	Max	0.	0.	0.	-29.89
424	424	2215	SLV_ENV	Max	0.	0.	0.	-29.89
424	424	2214	SLV_ENV	Max	0.	0.	0.	-29.89
424	424	2300	SLV_ENV	Max	0.	0.	0.	-29.89
424	424	2301	SLV_ENV	Min	0.	0.	0.	-242.03
424	424	2215	SLV_ENV	Min	0.	0.	0.	-242.03
424	424	2214	SLV_ENV	Min	0.	0.	0.	-242.03
424	424	2300	SLV_ENV	Min	0.	0.	0.	-242.03
425	425	2215	SLU_ENV	Max	0.	0.	0.	127.55
425	425	2321	SLU_ENV	Max	0.	0.	0.	127.55
425	425	2320	SLU_ENV	Max	0.	0.	0.	127.55

Table: Element Forces - Area Shells, Part 4 of 5

Area	AreaElem	Joint	OutputCase	StepType	MMax KN-m/m	MMin KN-m/m	MAngle Degrees	V13 KN/m
425	425	2214	SLU_ENV	Max	0.	0.	0.	127.55
425	425	2215	SLU_ENV	Min	0.	0.	0.	70.76
425	425	2321	SLU_ENV	Min	0.	0.	0.	70.76
425	425	2320	SLU_ENV	Min	0.	0.	0.	70.76
425	425	2214	SLU_ENV	Min	0.	0.	0.	70.76
425	425	2215	SLV_ENV	Max	0.	0.	0.	177.96
425	425	2321	SLV_ENV	Max	0.	0.	0.	177.96
425	425	2320	SLV_ENV	Max	0.	0.	0.	177.96
425	425	2214	SLV_ENV	Max	0.	0.	0.	177.96
425	425	2215	SLV_ENV	Min	0.	0.	0.	-23.81
425	425	2321	SLV_ENV	Min	0.	0.	0.	-23.81
425	425	2320	SLV_ENV	Min	0.	0.	0.	-23.81
425	425	2214	SLV_ENV	Min	0.	0.	0.	-23.81
433	433	689	SLU_ENV	Max	0.	0.	0.	-300.05
433	433	145	SLU_ENV	Max	0.	0.	0.	-300.05
433	433	144	SLU_ENV	Max	0.	0.	0.	-300.05
433	433	688	SLU_ENV	Max	0.	0.	0.	-300.05
433	433	689	SLU_ENV	Min	0.	0.	0.	-624.51
433	433	145	SLU_ENV	Min	0.	0.	0.	-624.51
433	433	144	SLU_ENV	Min	0.	0.	0.	-624.51
433	433	688	SLU_ENV	Min	0.	0.	0.	-624.51
433	433	689	SLV_ENV	Max	0.	0.	0.	456.56
433	433	145	SLV_ENV	Max	0.	0.	0.	456.56
433	433	144	SLV_ENV	Max	0.	0.	0.	456.56
433	433	688	SLV_ENV	Max	0.	0.	0.	456.56
433	433	689	SLV_ENV	Min	0.	0.	0.	-1202.8
433	433	145	SLV_ENV	Min	0.	0.	0.	-1202.8
433	433	144	SLV_ENV	Min	0.	0.	0.	-1202.8
433	433	688	SLV_ENV	Min	0.	0.	0.	-1202.8
434	434	669	SLU_ENV	Max	0.	0.	0.	71.64
434	434	689	SLU_ENV	Max	0.	0.	0.	71.64
434	434	688	SLU_ENV	Max	0.	0.	0.	71.64
434	434	668	SLU_ENV	Max	0.	0.	0.	71.64
434	434	669	SLU_ENV	Min	0.	0.	0.	35.15
434	434	689	SLU_ENV	Min	0.	0.	0.	35.15
434	434	688	SLU_ENV	Min	0.	0.	0.	35.15
434	434	668	SLU_ENV	Min	0.	0.	0.	35.15
434	434	669	SLV_ENV	Max	0.	0.	0.	304.63
434	434	689	SLV_ENV	Max	0.	0.	0.	304.63
434	434	688	SLV_ENV	Max	0.	0.	0.	304.63
434	434	668	SLV_ENV	Max	0.	0.	0.	304.63
434	434	669	SLV_ENV	Min	0.	0.	0.	-217.04
434	434	689	SLV_ENV	Min	0.	0.	0.	-217.04
434	434	688	SLV_ENV	Min	0.	0.	0.	-217.04
434	434	668	SLV_ENV	Min	0.	0.	0.	-217.04
435	435	145	SLU_ENV	Max	0.	0.	0.	704.28
435	435	709	SLU_ENV	Max	0.	0.	0.	704.28
435	435	708	SLU_ENV	Max	0.	0.	0.	704.28
435	435	144	SLU_ENV	Max	0.	0.	0.	704.28
435	435	145	SLU_ENV	Min	0.	0.	0.	374.61
435	435	709	SLU_ENV	Min	0.	0.	0.	374.61
435	435	708	SLU_ENV	Min	0.	0.	0.	374.61
435	435	144	SLU_ENV	Min	0.	0.	0.	374.61
435	435	145	SLV_ENV	Max	0.	0.	0.	1296.8

Table: Element Forces - Area Shells, Part 4 of 5

Area	AreaElem	Joint	OutputCase	StepType	MMax KN-m/m	MMin KN-m/m	MAngle Degrees	V13 KN/m
435	435	709	SLV_ENV	Max	0.	0.	0.	1296.8
435	435	708	SLV_ENV	Max	0.	0.	0.	1296.8
435	435	144	SLV_ENV	Max	0.	0.	0.	1296.8
435	435	145	SLV_ENV	Min	0.	0.	0.	-476.23
435	435	709	SLV_ENV	Min	0.	0.	0.	-476.23
435	435	708	SLV_ENV	Min	0.	0.	0.	-476.23
435	435	144	SLV_ENV	Min	0.	0.	0.	-476.23
436	436	709	SLU_ENV	Max	0.	0.	0.	38.08
436	436	729	SLU_ENV	Max	0.	0.	0.	38.08
436	436	728	SLU_ENV	Max	0.	0.	0.	38.08
436	436	708	SLU_ENV	Max	0.	0.	0.	38.08
436	436	709	SLU_ENV	Min	0.	0.	0.	17.55
436	436	729	SLU_ENV	Min	0.	0.	0.	17.55
436	436	728	SLU_ENV	Min	0.	0.	0.	17.55
436	436	708	SLU_ENV	Min	0.	0.	0.	17.55
436	436	709	SLV_ENV	Max	0.	0.	0.	144.39
436	436	729	SLV_ENV	Max	0.	0.	0.	144.39
436	436	728	SLV_ENV	Max	0.	0.	0.	144.39
436	436	708	SLV_ENV	Max	0.	0.	0.	144.39
436	436	709	SLV_ENV	Min	0.	0.	0.	-104.44
436	436	729	SLV_ENV	Min	0.	0.	0.	-104.44
436	436	728	SLV_ENV	Min	0.	0.	0.	-104.44
436	436	708	SLV_ENV	Min	0.	0.	0.	-104.44
437	437	668	SLU_ENV	Max	0.	0.	0.	14.92
437	437	688	SLU_ENV	Max	0.	0.	0.	14.92
437	437	675	SLU_ENV	Max	0.	0.	0.	14.92
437	437	655	SLU_ENV	Max	0.	0.	0.	14.92
437	437	668	SLU_ENV	Min	0.	0.	0.	6.3
437	437	688	SLU_ENV	Min	0.	0.	0.	6.3
437	437	675	SLU_ENV	Min	0.	0.	0.	6.3
437	437	655	SLU_ENV	Min	0.	0.	0.	6.3
437	437	668	SLV_ENV	Max	0.	0.	0.	153.99
437	437	688	SLV_ENV	Max	0.	0.	0.	153.99
437	437	675	SLV_ENV	Max	0.	0.	0.	153.99
437	437	655	SLV_ENV	Max	0.	0.	0.	153.99
437	437	668	SLV_ENV	Min	0.	0.	0.	-133.63
437	437	688	SLV_ENV	Min	0.	0.	0.	-133.63
437	437	675	SLV_ENV	Min	0.	0.	0.	-133.63
437	437	655	SLV_ENV	Min	0.	0.	0.	-133.63
438	438	688	SLU_ENV	Max	0.	0.	0.	-259.97
438	438	144	SLU_ENV	Max	0.	0.	0.	-259.97
438	438	131	SLU_ENV	Max	0.	0.	0.	-259.97
438	438	675	SLU_ENV	Max	0.	0.	0.	-259.97
438	438	688	SLU_ENV	Min	0.	0.	0.	-512.23
438	438	144	SLU_ENV	Min	0.	0.	0.	-512.23
438	438	131	SLU_ENV	Min	0.	0.	0.	-512.23
438	438	675	SLU_ENV	Min	0.	0.	0.	-512.23
438	438	688	SLV_ENV	Max	0.	0.	0.	292.82
438	438	144	SLV_ENV	Max	0.	0.	0.	292.82
438	438	131	SLV_ENV	Max	0.	0.	0.	292.82
438	438	675	SLV_ENV	Max	0.	0.	0.	292.82
438	438	688	SLV_ENV	Min	0.	0.	0.	-927.13
438	438	144	SLV_ENV	Min	0.	0.	0.	-927.13
438	438	131	SLV_ENV	Min	0.	0.	0.	-927.13

Table: Element Forces - Area Shells, Part 4 of 5

Area	AreaElem	Joint	OutputCase	StepType	MMax	MMin	MAngle	V13
					KN-m/m	KN-m/m	Degrees	KN/m
438	438	675	SLV_ENV	Min	0.	0.	0.	-927.13
439	439	144	SLU_ENV	Max	0.	0.	0.	483.35
439	439	708	SLU_ENV	Max	0.	0.	0.	483.35
439	439	695	SLU_ENV	Max	0.	0.	0.	483.35
439	439	131	SLU_ENV	Max	0.	0.	0.	483.35
439	439	144	SLU_ENV	Min	0.	0.	0.	265.83
439	439	708	SLU_ENV	Min	0.	0.	0.	265.83
439	439	695	SLU_ENV	Min	0.	0.	0.	265.83
439	439	131	SLU_ENV	Min	0.	0.	0.	265.83
439	439	144	SLV_ENV	Max	0.	0.	0.	917.32
439	439	708	SLV_ENV	Max	0.	0.	0.	917.32
439	439	695	SLV_ENV	Max	0.	0.	0.	917.32
439	439	131	SLV_ENV	Max	0.	0.	0.	917.32
439	439	144	SLV_ENV	Min	0.	0.	0.	-335.78
439	439	708	SLV_ENV	Min	0.	0.	0.	-335.78
439	439	695	SLV_ENV	Min	0.	0.	0.	-335.78
439	439	131	SLV_ENV	Min	0.	0.	0.	-335.78
440	440	708	SLU_ENV	Max	0.	0.	0.	-21.45
440	440	728	SLU_ENV	Max	0.	0.	0.	-21.45
440	440	715	SLU_ENV	Max	0.	0.	0.	-21.45
440	440	695	SLU_ENV	Max	0.	0.	0.	-21.45
440	440	708	SLU_ENV	Min	0.	0.	0.	-33.17
440	440	728	SLU_ENV	Min	0.	0.	0.	-33.17
440	440	715	SLU_ENV	Min	0.	0.	0.	-33.17
440	440	695	SLU_ENV	Min	0.	0.	0.	-33.17
440	440	708	SLV_ENV	Max	0.	0.	0.	166.72
440	440	728	SLV_ENV	Max	0.	0.	0.	166.72
440	440	715	SLV_ENV	Max	0.	0.	0.	166.72
440	440	695	SLV_ENV	Max	0.	0.	0.	166.72
440	440	708	SLV_ENV	Min	0.	0.	0.	-213.04
440	440	728	SLV_ENV	Min	0.	0.	0.	-213.04
440	440	715	SLV_ENV	Min	0.	0.	0.	-213.04
440	440	695	SLV_ENV	Min	0.	0.	0.	-213.04
441	441	675	SLU_ENV	Max	0.	0.	0.	-91.12
441	441	131	SLU_ENV	Max	0.	0.	0.	-91.12
441	441	141	SLU_ENV	Max	0.	0.	0.	-91.12
441	441	685	SLU_ENV	Max	0.	0.	0.	-91.12
441	441	675	SLU_ENV	Min	0.	0.	0.	-191.4
441	441	131	SLU_ENV	Min	0.	0.	0.	-191.4
441	441	141	SLU_ENV	Min	0.	0.	0.	-191.4
441	441	685	SLU_ENV	Min	0.	0.	0.	-191.4
441	441	675	SLV_ENV	Max	0.	0.	0.	153.81
441	441	131	SLV_ENV	Max	0.	0.	0.	153.81
441	441	141	SLV_ENV	Max	0.	0.	0.	153.81
441	441	685	SLV_ENV	Max	0.	0.	0.	153.81
441	441	675	SLV_ENV	Min	0.	0.	0.	-386.48
441	441	131	SLV_ENV	Min	0.	0.	0.	-386.48
441	441	141	SLV_ENV	Min	0.	0.	0.	-386.48
441	441	685	SLV_ENV	Min	0.	0.	0.	-386.48
442	442	655	SLU_ENV	Max	0.	0.	0.	140.18
442	442	675	SLU_ENV	Max	0.	0.	0.	140.18
442	442	685	SLU_ENV	Max	0.	0.	0.	140.18
442	442	665	SLU_ENV	Max	0.	0.	0.	140.18
442	442	655	SLU_ENV	Min	0.	0.	0.	79.22

Table: Element Forces - Area Shells, Part 4 of 5

Area	AreaElem	Joint	OutputCase	StepType	MMax KN-m/m	MMin KN-m/m	MAngle Degrees	V13 KN/m
442	442	675	SLU_ENV	Min	0.	0.	0.	79.22
442	442	685	SLU_ENV	Min	0.	0.	0.	79.22
442	442	665	SLU_ENV	Min	0.	0.	0.	79.22
442	442	655	SLV_ENV	Max	0.	0.	0.	252.9
442	442	675	SLV_ENV	Max	0.	0.	0.	252.9
442	442	685	SLV_ENV	Max	0.	0.	0.	252.9
442	442	665	SLV_ENV	Max	0.	0.	0.	252.9
442	442	655	SLV_ENV	Min	0.	0.	0.	-68.33
442	442	675	SLV_ENV	Min	0.	0.	0.	-68.33
442	442	685	SLV_ENV	Min	0.	0.	0.	-68.33
442	442	665	SLV_ENV	Min	0.	0.	0.	-68.33
443	443	131	SLU_ENV	Max	0.	0.	0.	321.36
443	443	695	SLU_ENV	Max	0.	0.	0.	321.36
443	443	705	SLU_ENV	Max	0.	0.	0.	321.36
443	443	141	SLU_ENV	Max	0.	0.	0.	321.36
443	443	131	SLU_ENV	Min	0.	0.	0.	178.86
443	443	695	SLU_ENV	Min	0.	0.	0.	178.86
443	443	705	SLU_ENV	Min	0.	0.	0.	178.86
443	443	141	SLU_ENV	Min	0.	0.	0.	178.86
443	443	131	SLV_ENV	Max	0.	0.	0.	602.54
443	443	695	SLV_ENV	Max	0.	0.	0.	602.54
443	443	705	SLV_ENV	Max	0.	0.	0.	602.54
443	443	141	SLV_ENV	Max	0.	0.	0.	602.54
443	443	131	SLV_ENV	Min	0.	0.	0.	-210.12
443	443	695	SLV_ENV	Min	0.	0.	0.	-210.12
443	443	705	SLV_ENV	Min	0.	0.	0.	-210.12
443	443	141	SLV_ENV	Min	0.	0.	0.	-210.12
444	444	695	SLU_ENV	Max	0.	0.	0.	95.88
444	444	715	SLU_ENV	Max	0.	0.	0.	95.88
444	444	725	SLU_ENV	Max	0.	0.	0.	95.88
444	444	705	SLU_ENV	Max	0.	0.	0.	95.88
444	444	695	SLU_ENV	Min	0.	0.	0.	54.09
444	444	715	SLU_ENV	Min	0.	0.	0.	54.09
444	444	725	SLU_ENV	Min	0.	0.	0.	54.09
444	444	705	SLU_ENV	Min	0.	0.	0.	54.09
444	444	695	SLV_ENV	Max	0.	0.	0.	204.87
444	444	715	SLV_ENV	Max	0.	0.	0.	204.87
444	444	725	SLV_ENV	Max	0.	0.	0.	204.87
444	444	705	SLV_ENV	Max	0.	0.	0.	204.87
444	444	695	SLV_ENV	Min	0.	0.	0.	-86.57
444	444	715	SLV_ENV	Min	0.	0.	0.	-86.57
444	444	725	SLV_ENV	Min	0.	0.	0.	-86.57
444	444	705	SLV_ENV	Min	0.	0.	0.	-86.57
445	445	665	SLU_ENV	Max	0.	0.	0.	-33.07
445	445	685	SLU_ENV	Max	0.	0.	0.	-33.07
445	445	684	SLU_ENV	Max	0.	0.	0.	-33.07
445	445	664	SLU_ENV	Max	0.	0.	0.	-33.07
445	445	665	SLU_ENV	Min	0.	0.	0.	-61.99
445	445	685	SLU_ENV	Min	0.	0.	0.	-61.99
445	445	684	SLU_ENV	Min	0.	0.	0.	-61.99
445	445	664	SLU_ENV	Min	0.	0.	0.	-61.99
445	445	665	SLV_ENV	Max	0.	0.	0.	31.84
445	445	685	SLV_ENV	Max	0.	0.	0.	31.84
445	445	684	SLV_ENV	Max	0.	0.	0.	31.84

Table: Element Forces - Area Shells, Part 4 of 5

Area	AreaElem	Joint	OutputCase	StepType	MMax	MMin	MAngle	V13
					KN-m/m	KN-m/m	Degrees	KN/m
445	445	664	SLV_ENV	Max	0.	0.	0.	31.84
445	445	665	SLV_ENV	Min	0.	0.	0.	-110.75
445	445	685	SLV_ENV	Min	0.	0.	0.	-110.75
445	445	684	SLV_ENV	Min	0.	0.	0.	-110.75
445	445	664	SLV_ENV	Min	0.	0.	0.	-110.75
446	446	685	SLU_ENV	Max	0.	0.	0.	-20.46
446	446	141	SLU_ENV	Max	0.	0.	0.	-20.46
446	446	140	SLU_ENV	Max	0.	0.	0.	-20.46
446	446	684	SLU_ENV	Max	0.	0.	0.	-20.46
446	446	685	SLU_ENV	Min	0.	0.	0.	-52.61
446	446	141	SLU_ENV	Min	0.	0.	0.	-52.61
446	446	140	SLU_ENV	Min	0.	0.	0.	-52.61
446	446	684	SLU_ENV	Min	0.	0.	0.	-52.61
446	446	685	SLV_ENV	Max	0.	0.	0.	51.86
446	446	141	SLV_ENV	Max	0.	0.	0.	51.86
446	446	140	SLV_ENV	Max	0.	0.	0.	51.86
446	446	684	SLV_ENV	Max	0.	0.	0.	51.86
446	446	685	SLV_ENV	Min	0.	0.	0.	-111.07
446	446	141	SLV_ENV	Min	0.	0.	0.	-111.07
446	446	140	SLV_ENV	Min	0.	0.	0.	-111.07
446	446	684	SLV_ENV	Min	0.	0.	0.	-111.07
447	447	141	SLU_ENV	Max	0.	0.	0.	48.78
447	447	705	SLU_ENV	Max	0.	0.	0.	48.78
447	447	704	SLU_ENV	Max	0.	0.	0.	48.78
447	447	140	SLU_ENV	Max	0.	0.	0.	48.78
447	447	141	SLU_ENV	Min	0.	0.	0.	22.97
447	447	705	SLU_ENV	Min	0.	0.	0.	22.97
447	447	704	SLU_ENV	Min	0.	0.	0.	22.97
447	447	140	SLU_ENV	Min	0.	0.	0.	22.97
447	447	141	SLV_ENV	Max	0.	0.	0.	113.15
447	447	705	SLV_ENV	Max	0.	0.	0.	113.15
447	447	704	SLV_ENV	Max	0.	0.	0.	113.15
447	447	140	SLV_ENV	Max	0.	0.	0.	113.15
447	447	141	SLV_ENV	Min	0.	0.	0.	-57.7
447	447	705	SLV_ENV	Min	0.	0.	0.	-57.7
447	447	704	SLV_ENV	Min	0.	0.	0.	-57.7
447	447	140	SLV_ENV	Min	0.	0.	0.	-57.7
448	448	705	SLU_ENV	Max	0.	0.	0.	50.32
448	448	725	SLU_ENV	Max	0.	0.	0.	50.32
448	448	724	SLU_ENV	Max	0.	0.	0.	50.32
448	448	704	SLU_ENV	Max	0.	0.	0.	50.32
448	448	705	SLU_ENV	Min	0.	0.	0.	28.65
448	448	725	SLU_ENV	Min	0.	0.	0.	28.65
448	448	724	SLU_ENV	Min	0.	0.	0.	28.65
448	448	704	SLU_ENV	Min	0.	0.	0.	28.65
448	448	705	SLV_ENV	Max	0.	0.	0.	102.22
448	448	725	SLV_ENV	Max	0.	0.	0.	102.22
448	448	724	SLV_ENV	Max	0.	0.	0.	102.22
448	448	704	SLV_ENV	Max	0.	0.	0.	102.22
448	448	705	SLV_ENV	Min	0.	0.	0.	-39.02
448	448	725	SLV_ENV	Min	0.	0.	0.	-39.02
448	448	724	SLV_ENV	Min	0.	0.	0.	-39.02
448	448	704	SLV_ENV	Min	0.	0.	0.	-39.02
449	449	664	SLU_ENV	Max	0.	0.	0.	-48.92

Table: Element Forces - Area Shells, Part 4 of 5

Area	AreaElem	Joint	OutputCase	StepType	MMax KN-m/m	MMin KN-m/m	MAngle Degrees	V13 KN/m
449	449	684	SLU_ENV	Max	0.	0.	0.	-48.92
449	449	683	SLU_ENV	Max	0.	0.	0.	-48.92
449	449	663	SLU_ENV	Max	0.	0.	0.	-48.92
449	449	664	SLU_ENV	Min	0.	0.	0.	-88.28
449	449	684	SLU_ENV	Min	0.	0.	0.	-88.28
449	449	683	SLU_ENV	Min	0.	0.	0.	-88.28
449	449	663	SLU_ENV	Min	0.	0.	0.	-88.28
449	449	664	SLV_ENV	Max	0.	0.	0.	50.17
449	449	684	SLV_ENV	Max	0.	0.	0.	50.17
449	449	683	SLV_ENV	Max	0.	0.	0.	50.17
449	449	663	SLV_ENV	Max	0.	0.	0.	50.17
449	449	664	SLV_ENV	Min	0.	0.	0.	-165.49
449	449	684	SLV_ENV	Min	0.	0.	0.	-165.49
449	449	683	SLV_ENV	Min	0.	0.	0.	-165.49
449	449	663	SLV_ENV	Min	0.	0.	0.	-165.49
450	450	684	SLU_ENV	Max	0.	0.	0.	-210.1
450	450	140	SLU_ENV	Max	0.	0.	0.	-210.1
450	450	139	SLU_ENV	Max	0.	0.	0.	-210.1
450	450	683	SLU_ENV	Max	0.	0.	0.	-210.1
450	450	684	SLU_ENV	Min	0.	0.	0.	-374.83
450	450	140	SLU_ENV	Min	0.	0.	0.	-374.83
450	450	139	SLU_ENV	Min	0.	0.	0.	-374.83
450	450	683	SLU_ENV	Min	0.	0.	0.	-374.83
450	450	684	SLV_ENV	Max	0.	0.	0.	150.02
450	450	140	SLV_ENV	Max	0.	0.	0.	150.02
450	450	139	SLV_ENV	Max	0.	0.	0.	150.02
450	450	683	SLV_ENV	Max	0.	0.	0.	150.02
450	450	684	SLV_ENV	Min	0.	0.	0.	-646.46
450	450	140	SLV_ENV	Min	0.	0.	0.	-646.46
450	450	139	SLV_ENV	Min	0.	0.	0.	-646.46
450	450	683	SLV_ENV	Min	0.	0.	0.	-646.46
451	451	140	SLU_ENV	Max	0.	0.	0.	217.31
451	451	704	SLU_ENV	Max	0.	0.	0.	217.31
451	451	703	SLU_ENV	Max	0.	0.	0.	217.31
451	451	139	SLU_ENV	Max	0.	0.	0.	217.31
451	451	140	SLU_ENV	Min	0.	0.	0.	126.99
451	451	704	SLU_ENV	Min	0.	0.	0.	126.99
451	451	703	SLU_ENV	Min	0.	0.	0.	126.99
451	451	139	SLU_ENV	Min	0.	0.	0.	126.99
451	451	140	SLV_ENV	Max	0.	0.	0.	391.03
451	451	704	SLV_ENV	Max	0.	0.	0.	391.03
451	451	703	SLV_ENV	Max	0.	0.	0.	391.03
451	451	139	SLV_ENV	Max	0.	0.	0.	391.03
451	451	140	SLV_ENV	Min	0.	0.	0.	-112.12
451	451	704	SLV_ENV	Min	0.	0.	0.	-112.12
451	451	703	SLV_ENV	Min	0.	0.	0.	-112.12
451	451	139	SLV_ENV	Min	0.	0.	0.	-112.12
452	452	704	SLU_ENV	Max	0.	0.	0.	-121.17
452	452	724	SLU_ENV	Max	0.	0.	0.	-121.17
452	452	723	SLU_ENV	Max	0.	0.	0.	-121.17
452	452	703	SLU_ENV	Max	0.	0.	0.	-121.17
452	452	704	SLU_ENV	Min	0.	0.	0.	-196.06
452	452	724	SLU_ENV	Min	0.	0.	0.	-196.06
452	452	723	SLU_ENV	Min	0.	0.	0.	-196.06

Table: Element Forces - Area Shells, Part 4 of 5

Area	AreaElem	Joint	OutputCase	StepType	MMax KN-m/m	MMin KN-m/m	MAngle Degrees	V13 KN/m
452	452	703	SLU_ENV	Min	0.	0.	0.	-196.06
452	452	704	SLV_ENV	Max	0.	0.	0.	52.58
452	452	724	SLV_ENV	Max	0.	0.	0.	52.58
452	452	723	SLV_ENV	Max	0.	0.	0.	52.58
452	452	703	SLV_ENV	Max	0.	0.	0.	52.58
452	452	704	SLV_ENV	Min	0.	0.	0.	-311.76
452	452	724	SLV_ENV	Min	0.	0.	0.	-311.76
452	452	723	SLV_ENV	Min	0.	0.	0.	-311.76
452	452	703	SLV_ENV	Min	0.	0.	0.	-311.76
550	550	2311	SLU_ENV	Max	0.	0.	0.	-37.02
550	550	2324	SLU_ENV	Max	0.	0.	0.	-37.02
550	550	2344	SLU_ENV	Max	0.	0.	0.	-37.02
550	550	2331	SLU_ENV	Max	0.	0.	0.	-37.02
550	550	2311	SLU_ENV	Min	0.	0.	0.	-62.41
550	550	2324	SLU_ENV	Min	0.	0.	0.	-62.41
550	550	2344	SLU_ENV	Min	0.	0.	0.	-62.41
550	550	2331	SLU_ENV	Min	0.	0.	0.	-62.41
550	550	2311	SLV_ENV	Max	0.	0.	0.	23.02
550	550	2324	SLV_ENV	Max	0.	0.	0.	23.02
550	550	2344	SLV_ENV	Max	0.	0.	0.	23.02
550	550	2331	SLV_ENV	Max	0.	0.	0.	23.02
550	550	2311	SLV_ENV	Min	0.	0.	0.	-103.84
550	550	2324	SLV_ENV	Min	0.	0.	0.	-103.84
550	550	2344	SLV_ENV	Min	0.	0.	0.	-103.84
550	550	2331	SLV_ENV	Min	0.	0.	0.	-103.84
551	551	2324	SLU_ENV	Max	0.	0.	0.	47.14
551	551	2821	SLU_ENV	Max	0.	0.	0.	47.14
551	551	2574	SLU_ENV	Max	0.	0.	0.	47.14
551	551	2344	SLU_ENV	Max	0.	0.	0.	47.14
551	551	2324	SLU_ENV	Min	0.	0.	0.	23.4
551	551	2821	SLU_ENV	Min	0.	0.	0.	23.4
551	551	2574	SLU_ENV	Min	0.	0.	0.	23.4
551	551	2344	SLU_ENV	Min	0.	0.	0.	23.4
551	551	2324	SLV_ENV	Max	0.	0.	0.	101.5
551	551	2821	SLV_ENV	Max	0.	0.	0.	101.5
551	551	2574	SLV_ENV	Max	0.	0.	0.	101.5
551	551	2344	SLV_ENV	Max	0.	0.	0.	101.5
551	551	2324	SLV_ENV	Min	0.	0.	0.	-50.68
551	551	2821	SLV_ENV	Min	0.	0.	0.	-50.68
551	551	2574	SLV_ENV	Min	0.	0.	0.	-50.68
551	551	2344	SLV_ENV	Min	0.	0.	0.	-50.68
553	553	2821	SLU_ENV	Max	0.	0.	0.	-2.76
553	553	2911	SLU_ENV	Max	0.	0.	0.	-2.76
553	553	2345	SLU_ENV	Max	0.	0.	0.	-2.76
553	553	2574	SLU_ENV	Max	0.	0.	0.	-2.76
553	553	2821	SLU_ENV	Min	0.	0.	0.	-15.17
553	553	2911	SLU_ENV	Min	0.	0.	0.	-15.17
553	553	2345	SLU_ENV	Min	0.	0.	0.	-15.17
553	553	2574	SLU_ENV	Min	0.	0.	0.	-15.17
553	553	2821	SLV_ENV	Max	0.	0.	0.	60.7
553	553	2911	SLV_ENV	Max	0.	0.	0.	60.7
553	553	2345	SLV_ENV	Max	0.	0.	0.	60.7
553	553	2574	SLV_ENV	Max	0.	0.	0.	60.7
553	553	2821	SLV_ENV	Min	0.	0.	0.	-82.33

Table: Element Forces - Area Shells, Part 4 of 5

Area	AreaElem	Joint	OutputCase	StepType	MMax KN-m/m	MMin KN-m/m	MAngle Degrees	V13 KN/m
553	553	2911	SLV_ENV	Min	0.	0.	0.	-82.33
553	553	2345	SLV_ENV	Min	0.	0.	0.	-82.33
553	553	2574	SLV_ENV	Min	0.	0.	0.	-82.33
554	554	2588	SLU_ENV	Max	0.	0.	0.	-23.52
554	554	2566	SLU_ENV	Max	0.	0.	0.	-23.52
554	554	2564	SLU_ENV	Max	0.	0.	0.	-23.52
554	554	2804	SLU_ENV	Max	0.	0.	0.	-23.52
554	554	2588	SLU_ENV	Min	0.	0.	0.	-37.54
554	554	2566	SLU_ENV	Min	0.	0.	0.	-37.54
554	554	2564	SLU_ENV	Min	0.	0.	0.	-37.54
554	554	2804	SLU_ENV	Min	0.	0.	0.	-37.54
554	554	2588	SLV_ENV	Max	0.	0.	0.	6.53
554	554	2566	SLV_ENV	Max	0.	0.	0.	6.53
554	554	2564	SLV_ENV	Max	0.	0.	0.	6.53
554	554	2804	SLV_ENV	Max	0.	0.	0.	6.53
554	554	2588	SLV_ENV	Min	0.	0.	0.	-54.93
554	554	2566	SLV_ENV	Min	0.	0.	0.	-54.93
554	554	2564	SLV_ENV	Min	0.	0.	0.	-54.93
554	554	2804	SLV_ENV	Min	0.	0.	0.	-54.93
555	555	2811	SLU_ENV	Max	0.	0.	0.	266.62
555	555	2806	SLU_ENV	Max	0.	0.	0.	266.62
555	555	2566	SLU_ENV	Max	0.	0.	0.	266.62
555	555	2588	SLU_ENV	Max	0.	0.	0.	266.62
555	555	2811	SLU_ENV	Min	0.	0.	0.	142.52
555	555	2806	SLU_ENV	Min	0.	0.	0.	142.52
555	555	2566	SLU_ENV	Min	0.	0.	0.	142.52
555	555	2588	SLU_ENV	Min	0.	0.	0.	142.52
555	555	2811	SLV_ENV	Max	0.	0.	0.	424.7
555	555	2806	SLV_ENV	Max	0.	0.	0.	424.7
555	555	2566	SLV_ENV	Max	0.	0.	0.	424.7
555	555	2588	SLV_ENV	Max	0.	0.	0.	424.7
555	555	2811	SLV_ENV	Min	0.	0.	0.	-121.26
555	555	2806	SLV_ENV	Min	0.	0.	0.	-121.26
555	555	2566	SLV_ENV	Min	0.	0.	0.	-121.26
555	555	2588	SLV_ENV	Min	0.	0.	0.	-121.26
556	556	2205	SLU_ENV	Max	0.	0.	0.	131.36
556	556	2218	SLU_ENV	Max	0.	0.	0.	131.36
556	556	2324	SLU_ENV	Max	0.	0.	0.	131.36
556	556	2311	SLU_ENV	Max	0.	0.	0.	131.36
556	556	2205	SLU_ENV	Min	0.	0.	0.	67.08
556	556	2218	SLU_ENV	Min	0.	0.	0.	67.08
556	556	2324	SLU_ENV	Min	0.	0.	0.	67.08
556	556	2311	SLU_ENV	Min	0.	0.	0.	67.08
556	556	2205	SLV_ENV	Max	0.	0.	0.	202.44
556	556	2218	SLV_ENV	Max	0.	0.	0.	202.44
556	556	2324	SLV_ENV	Max	0.	0.	0.	202.44
556	556	2311	SLV_ENV	Max	0.	0.	0.	202.44
556	556	2205	SLV_ENV	Min	0.	0.	0.	-55.85
556	556	2218	SLV_ENV	Min	0.	0.	0.	-55.85
556	556	2324	SLV_ENV	Min	0.	0.	0.	-55.85
556	556	2311	SLV_ENV	Min	0.	0.	0.	-55.85
557	557	2218	SLU_ENV	Max	0.	0.	0.	263.93
557	557	2219	SLU_ENV	Max	0.	0.	0.	263.93
557	557	2821	SLU_ENV	Max	0.	0.	0.	263.93

Table: Element Forces - Area Shells, Part 4 of 5

Area	AreaElem	Joint	OutputCase	StepType	MMax KN-m/m	MMin KN-m/m	MAngle Degrees	V13 KN/m
557	557	2324	SLU_ENV	Max	0.	0.	0.	263.93
557	557	2218	SLU_ENV	Min	0.	0.	0.	139.04
557	557	2219	SLU_ENV	Min	0.	0.	0.	139.04
557	557	2821	SLU_ENV	Min	0.	0.	0.	139.04
557	557	2324	SLU_ENV	Min	0.	0.	0.	139.04
557	557	2218	SLV_ENV	Max	0.	0.	0.	389.09
557	557	2219	SLV_ENV	Max	0.	0.	0.	389.09
557	557	2821	SLV_ENV	Max	0.	0.	0.	389.09
557	557	2324	SLV_ENV	Max	0.	0.	0.	389.09
557	557	2218	SLV_ENV	Min	0.	0.	0.	-90.57
557	557	2219	SLV_ENV	Min	0.	0.	0.	-90.57
557	557	2821	SLV_ENV	Min	0.	0.	0.	-90.57
557	557	2324	SLV_ENV	Min	0.	0.	0.	-90.57
558	558	2219	SLU_ENV	Max	0.	0.	0.	293.95
558	558	2911	SLU_ENV	Max	0.	0.	0.	293.95
558	558	2821	SLU_ENV	Max	0.	0.	0.	293.95
558	558	2219	SLU_ENV	Min	0.	0.	0.	150.95
558	558	2911	SLU_ENV	Min	0.	0.	0.	150.95
558	558	2821	SLU_ENV	Min	0.	0.	0.	150.95
558	558	2219	SLV_ENV	Max	0.	0.	0.	359.58
558	558	2911	SLV_ENV	Max	0.	0.	0.	359.58
558	558	2821	SLV_ENV	Max	0.	0.	0.	359.58
558	558	2219	SLV_ENV	Min	0.	0.	0.	-33.65
558	558	2911	SLV_ENV	Min	0.	0.	0.	-33.65
558	558	2821	SLV_ENV	Min	0.	0.	0.	-33.65
559	559	2219	SLU_ENV	Max	0.	0.	0.	399.46
559	559	2811	SLU_ENV	Max	0.	0.	0.	399.46
559	559	2588	SLU_ENV	Max	0.	0.	0.	399.46
559	559	2911	SLU_ENV	Max	0.	0.	0.	399.46
559	559	2219	SLU_ENV	Min	0.	0.	0.	210.12
559	559	2811	SLU_ENV	Min	0.	0.	0.	210.12
559	559	2588	SLU_ENV	Min	0.	0.	0.	210.12
559	559	2911	SLU_ENV	Min	0.	0.	0.	210.12
559	559	2219	SLV_ENV	Max	0.	0.	0.	458.7
559	559	2811	SLV_ENV	Max	0.	0.	0.	458.7
559	559	2588	SLV_ENV	Max	0.	0.	0.	458.7
559	559	2911	SLV_ENV	Max	0.	0.	0.	458.7
559	559	2219	SLV_ENV	Min	0.	0.	0.	-8.01
559	559	2811	SLV_ENV	Min	0.	0.	0.	-8.01
559	559	2588	SLV_ENV	Min	0.	0.	0.	-8.01
559	559	2911	SLV_ENV	Min	0.	0.	0.	-8.01
560	560	2291	SLU_ENV	Max	0.	0.	0.	-138.15
560	560	2572	SLU_ENV	Max	0.	0.	0.	-138.15
560	560	2218	SLU_ENV	Max	0.	0.	0.	-138.15
560	560	2205	SLU_ENV	Max	0.	0.	0.	-138.15
560	560	2291	SLU_ENV	Min	0.	0.	0.	-264.75
560	560	2572	SLU_ENV	Min	0.	0.	0.	-264.75
560	560	2218	SLU_ENV	Min	0.	0.	0.	-264.75
560	560	2205	SLU_ENV	Min	0.	0.	0.	-264.75
560	560	2291	SLV_ENV	Max	0.	0.	0.	26.97
560	560	2572	SLV_ENV	Max	0.	0.	0.	26.97
560	560	2218	SLV_ENV	Max	0.	0.	0.	26.97
560	560	2205	SLV_ENV	Max	0.	0.	0.	26.97
560	560	2291	SLV_ENV	Min	0.	0.	0.	-339.19

Table: Element Forces - Area Shells, Part 4 of 5

Area	AreaElem	Joint	OutputCase	StepType	MMax KN-m/m	MMin KN-m/m	MAngle Degrees	V13 KN/m
560	560	2572	SLV_ENV	Min	0.	0.	0.	-339.19
560	560	2218	SLV_ENV	Min	0.	0.	0.	-339.19
560	560	2205	SLV_ENV	Min	0.	0.	0.	-339.19
561	561	2572	SLU_ENV	Max	0.	0.	0.	-95.54
561	561	2817	SLU_ENV	Max	0.	0.	0.	-95.54
561	561	2218	SLU_ENV	Max	0.	0.	0.	-95.54
561	561	2572	SLU_ENV	Min	0.	0.	0.	-199.87
561	561	2817	SLU_ENV	Min	0.	0.	0.	-199.87
561	561	2218	SLU_ENV	Min	0.	0.	0.	-199.87
561	561	2572	SLV_ENV	Max	0.	0.	0.	77.64
561	561	2817	SLV_ENV	Max	0.	0.	0.	77.64
561	561	2218	SLV_ENV	Max	0.	0.	0.	77.64
561	561	2572	SLV_ENV	Min	0.	0.	0.	-299.79
561	561	2817	SLV_ENV	Min	0.	0.	0.	-299.79
561	561	2218	SLV_ENV	Min	0.	0.	0.	-299.79
562	562	2816	SLU_ENV	Max	0.	0.	0.	35.12
562	562	2857	SLU_ENV	Max	0.	0.	0.	35.12
562	562	2856	SLU_ENV	Max	0.	0.	0.	35.12
562	562	2817	SLU_ENV	Max	0.	0.	0.	35.12
562	562	2816	SLU_ENV	Min	0.	0.	0.	-2.29
562	562	2857	SLU_ENV	Min	0.	0.	0.	-2.29
562	562	2856	SLU_ENV	Min	0.	0.	0.	-2.29
562	562	2817	SLU_ENV	Min	0.	0.	0.	-2.29
562	562	2816	SLV_ENV	Max	0.	0.	0.	264.28
562	562	2857	SLV_ENV	Max	0.	0.	0.	264.28
562	562	2856	SLV_ENV	Max	0.	0.	0.	264.28
562	562	2817	SLV_ENV	Max	0.	0.	0.	264.28
562	562	2816	SLV_ENV	Min	0.	0.	0.	-230.43
562	562	2857	SLV_ENV	Min	0.	0.	0.	-230.43
562	562	2856	SLV_ENV	Min	0.	0.	0.	-230.43
562	562	2817	SLV_ENV	Min	0.	0.	0.	-230.43
563	563	2817	SLU_ENV	Max	0.	0.	0.	-143.46
563	563	2856	SLU_ENV	Max	0.	0.	0.	-143.46
563	563	2219	SLU_ENV	Max	0.	0.	0.	-143.46
563	563	2218	SLU_ENV	Max	0.	0.	0.	-143.46
563	563	2817	SLU_ENV	Min	0.	0.	0.	-284.32
563	563	2856	SLU_ENV	Min	0.	0.	0.	-284.32
563	563	2219	SLU_ENV	Min	0.	0.	0.	-284.32
563	563	2218	SLU_ENV	Min	0.	0.	0.	-284.32
563	563	2817	SLV_ENV	Max	0.	0.	0.	35.08
563	563	2856	SLV_ENV	Max	0.	0.	0.	35.08
563	563	2219	SLV_ENV	Max	0.	0.	0.	35.08
563	563	2218	SLV_ENV	Max	0.	0.	0.	35.08
563	563	2817	SLV_ENV	Min	0.	0.	0.	-353.02
563	563	2856	SLV_ENV	Min	0.	0.	0.	-353.02
563	563	2219	SLV_ENV	Min	0.	0.	0.	-353.02
563	563	2218	SLV_ENV	Min	0.	0.	0.	-353.02
564	564	2856	SLU_ENV	Max	0.	0.	0.	-36.54
564	564	2587	SLU_ENV	Max	0.	0.	0.	-36.54
564	564	2811	SLU_ENV	Max	0.	0.	0.	-36.54
564	564	2219	SLU_ENV	Max	0.	0.	0.	-36.54
564	564	2856	SLU_ENV	Min	0.	0.	0.	-95.87
564	564	2587	SLU_ENV	Min	0.	0.	0.	-95.87
564	564	2811	SLU_ENV	Min	0.	0.	0.	-95.87

Table: Element Forces - Area Shells, Part 4 of 5

Area	AreaElem	Joint	OutputCase	StepType	MMax KN-m/m	MMin KN-m/m	MAngle Degrees	V13 KN/m
564	564	2219	SLU_ENV	Min	0.	0.	0.	-95.87
564	564	2856	SLV_ENV	Max	0.	0.	0.	190.22
564	564	2587	SLV_ENV	Max	0.	0.	0.	190.22
564	564	2811	SLV_ENV	Max	0.	0.	0.	190.22
564	564	2219	SLV_ENV	Max	0.	0.	0.	190.22
564	564	2856	SLV_ENV	Min	0.	0.	0.	-290.92
564	564	2587	SLV_ENV	Min	0.	0.	0.	-290.92
564	564	2811	SLV_ENV	Min	0.	0.	0.	-290.92
564	564	2219	SLV_ENV	Min	0.	0.	0.	-290.92
566	566	2587	SLU_ENV	Max	0.	0.	0.	-22.84
566	566	2563	SLU_ENV	Max	0.	0.	0.	-22.84
566	566	2806	SLU_ENV	Max	0.	0.	0.	-22.84
566	566	2811	SLU_ENV	Max	0.	0.	0.	-22.84
566	566	2587	SLU_ENV	Min	0.	0.	0.	-52.28
566	566	2563	SLU_ENV	Min	0.	0.	0.	-52.28
566	566	2806	SLU_ENV	Min	0.	0.	0.	-52.28
566	566	2811	SLU_ENV	Min	0.	0.	0.	-52.28
566	566	2587	SLV_ENV	Max	0.	0.	0.	115.63
566	566	2563	SLV_ENV	Max	0.	0.	0.	115.63
566	566	2806	SLV_ENV	Max	0.	0.	0.	115.63
566	566	2811	SLV_ENV	Max	0.	0.	0.	115.63
566	566	2587	SLV_ENV	Min	0.	0.	0.	-180.07
566	566	2563	SLV_ENV	Min	0.	0.	0.	-180.07
566	566	2806	SLV_ENV	Min	0.	0.	0.	-180.07
566	566	2811	SLV_ENV	Min	0.	0.	0.	-180.07
567	567	2857	SLU_ENV	Max	0.	0.	0.	82.45
567	567	2812	SLU_ENV	Max	0.	0.	0.	82.45
567	567	2587	SLU_ENV	Max	0.	0.	0.	82.45
567	567	2856	SLU_ENV	Max	0.	0.	0.	82.45
567	567	2857	SLU_ENV	Min	0.	0.	0.	40.37
567	567	2812	SLU_ENV	Min	0.	0.	0.	40.37
567	567	2587	SLU_ENV	Min	0.	0.	0.	40.37
567	567	2856	SLU_ENV	Min	0.	0.	0.	40.37
567	567	2857	SLV_ENV	Max	0.	0.	0.	303.88
567	567	2812	SLV_ENV	Max	0.	0.	0.	303.88
567	567	2587	SLV_ENV	Max	0.	0.	0.	303.88
567	567	2856	SLV_ENV	Max	0.	0.	0.	303.88
567	567	2857	SLV_ENV	Min	0.	0.	0.	-203.97
567	567	2812	SLV_ENV	Min	0.	0.	0.	-203.97
567	567	2587	SLV_ENV	Min	0.	0.	0.	-203.97
567	567	2856	SLV_ENV	Min	0.	0.	0.	-203.97
568	568	2812	SLU_ENV	Max	0.	0.	0.	202.34
568	568	2810	SLU_ENV	Max	0.	0.	0.	202.34
568	568	2563	SLU_ENV	Max	0.	0.	0.	202.34
568	568	2587	SLU_ENV	Max	0.	0.	0.	202.34
568	568	2812	SLU_ENV	Min	0.	0.	0.	125.95
568	568	2810	SLU_ENV	Min	0.	0.	0.	125.95
568	568	2563	SLU_ENV	Min	0.	0.	0.	125.95
568	568	2587	SLU_ENV	Min	0.	0.	0.	125.95
568	568	2812	SLV_ENV	Max	0.	0.	0.	393.34
568	568	2810	SLV_ENV	Max	0.	0.	0.	393.34
568	568	2563	SLV_ENV	Max	0.	0.	0.	393.34
568	568	2587	SLV_ENV	Max	0.	0.	0.	393.34
568	568	2812	SLV_ENV	Min	0.	0.	0.	-136.05

Table: Element Forces - Area Shells, Part 4 of 5

Area	AreaElem	Joint	OutputCase	StepType	MMax KN-m/m	MMin KN-m/m	MAngle Degrees	V13 KN/m
568	568	2810	SLV_ENV	Min	0.	0.	0.	-136.05
568	568	2563	SLV_ENV	Min	0.	0.	0.	-136.05
568	568	2587	SLV_ENV	Min	0.	0.	0.	-136.05
569	569	2912	SLU_ENV	Max	0.	0.	0.	75.22
569	569	2816	SLU_ENV	Max	0.	0.	0.	75.22
569	569	2817	SLU_ENV	Max	0.	0.	0.	75.22
569	569	2572	SLU_ENV	Max	0.	0.	0.	75.22
569	569	2912	SLU_ENV	Min	0.	0.	0.	41.3
569	569	2816	SLU_ENV	Min	0.	0.	0.	41.3
569	569	2817	SLU_ENV	Min	0.	0.	0.	41.3
569	569	2572	SLU_ENV	Min	0.	0.	0.	41.3
569	569	2912	SLV_ENV	Max	0.	0.	0.	270.51
569	569	2816	SLV_ENV	Max	0.	0.	0.	270.51
569	569	2817	SLV_ENV	Max	0.	0.	0.	270.51
569	569	2572	SLV_ENV	Max	0.	0.	0.	270.51
569	569	2912	SLV_ENV	Min	0.	0.	0.	-178.2
569	569	2816	SLV_ENV	Min	0.	0.	0.	-178.2
569	569	2817	SLV_ENV	Min	0.	0.	0.	-178.2
569	569	2572	SLV_ENV	Min	0.	0.	0.	-178.2
570	570	2571	SLU_ENV	Max	0.	0.	0.	-17.66
570	570	2584	SLU_ENV	Max	0.	0.	0.	-17.66
570	570	2816	SLU_ENV	Max	0.	0.	0.	-17.66
570	570	2912	SLU_ENV	Max	0.	0.	0.	-17.66
570	570	2571	SLU_ENV	Min	0.	0.	0.	-77.3
570	570	2584	SLU_ENV	Min	0.	0.	0.	-77.3
570	570	2816	SLU_ENV	Min	0.	0.	0.	-77.3
570	570	2912	SLU_ENV	Min	0.	0.	0.	-77.3
570	570	2571	SLV_ENV	Max	0.	0.	0.	340.4
570	570	2584	SLV_ENV	Max	0.	0.	0.	340.4
570	570	2816	SLV_ENV	Max	0.	0.	0.	340.4
570	570	2912	SLV_ENV	Max	0.	0.	0.	340.4
570	570	2571	SLV_ENV	Min	0.	0.	0.	-423.59
570	570	2584	SLV_ENV	Min	0.	0.	0.	-423.59
570	570	2816	SLV_ENV	Min	0.	0.	0.	-423.59
570	570	2912	SLV_ENV	Min	0.	0.	0.	-423.59
571	571	2584	SLU_ENV	Max	0.	0.	0.	-26.9
571	571	2855	SLU_ENV	Max	0.	0.	0.	-26.9
571	571	2857	SLU_ENV	Max	0.	0.	0.	-26.9
571	571	2816	SLU_ENV	Max	0.	0.	0.	-26.9
571	571	2584	SLU_ENV	Min	0.	0.	0.	-71.05
571	571	2855	SLU_ENV	Min	0.	0.	0.	-71.05
571	571	2857	SLU_ENV	Min	0.	0.	0.	-71.05
571	571	2816	SLU_ENV	Min	0.	0.	0.	-71.05
571	571	2584	SLV_ENV	Max	0.	0.	0.	178.09
571	571	2855	SLV_ENV	Max	0.	0.	0.	178.09
571	571	2857	SLV_ENV	Max	0.	0.	0.	178.09
571	571	2816	SLV_ENV	Max	0.	0.	0.	178.09
571	571	2584	SLV_ENV	Min	0.	0.	0.	-262.19
571	571	2855	SLV_ENV	Min	0.	0.	0.	-262.19
571	571	2857	SLV_ENV	Min	0.	0.	0.	-262.19
571	571	2816	SLV_ENV	Min	0.	0.	0.	-262.19
573	573	2567	SLU_ENV	Max	0.	0.	0.	81.09
573	573	2580	SLU_ENV	Max	0.	0.	0.	81.09
573	573	2582	SLU_ENV	Max	0.	0.	0.	81.09

Table: Element Forces - Area Shells, Part 4 of 5

Area	AreaElem	Joint	OutputCase	StepType	MMax KN-m/m	MMin KN-m/m	MAngle Degrees	V13 KN/m
573	573	2569	SLU_ENV	Max	0.	0.	0.	81.09
573	573	2567	SLU_ENV	Min	0.	0.	0.	55.27
573	573	2580	SLU_ENV	Min	0.	0.	0.	55.27
573	573	2582	SLU_ENV	Min	0.	0.	0.	55.27
573	573	2569	SLU_ENV	Min	0.	0.	0.	55.27
573	573	2567	SLV_ENV	Max	0.	0.	0.	97.63
573	573	2580	SLV_ENV	Max	0.	0.	0.	97.63
573	573	2582	SLV_ENV	Max	0.	0.	0.	97.63
573	573	2569	SLV_ENV	Max	0.	0.	0.	97.63
573	573	2567	SLV_ENV	Min	0.	0.	0.	21.77
573	573	2580	SLV_ENV	Min	0.	0.	0.	21.77
573	573	2582	SLV_ENV	Min	0.	0.	0.	21.77
573	573	2569	SLV_ENV	Min	0.	0.	0.	21.77
576	576	2580	SLU_ENV	Max	0.	0.	0.	45.31
576	576	2853	SLU_ENV	Max	0.	0.	0.	45.31
576	576	2854	SLU_ENV	Max	0.	0.	0.	45.31
576	576	2582	SLU_ENV	Max	0.	0.	0.	45.31
576	576	2580	SLU_ENV	Min	0.	0.	0.	29.82
576	576	2853	SLU_ENV	Min	0.	0.	0.	29.82
576	576	2854	SLU_ENV	Min	0.	0.	0.	29.82
576	576	2582	SLU_ENV	Min	0.	0.	0.	29.82
576	576	2580	SLV_ENV	Max	0.	0.	0.	93.84
576	576	2853	SLV_ENV	Max	0.	0.	0.	93.84
576	576	2854	SLV_ENV	Max	0.	0.	0.	93.84
576	576	2582	SLV_ENV	Max	0.	0.	0.	93.84
576	576	2580	SLV_ENV	Min	0.	0.	0.	-28.6
576	576	2853	SLV_ENV	Min	0.	0.	0.	-28.6
576	576	2854	SLV_ENV	Min	0.	0.	0.	-28.6
576	576	2582	SLV_ENV	Min	0.	0.	0.	-28.6
577	577	2911	SLU_ENV	Max	0.	0.	0.	54.62
577	577	2588	SLU_ENV	Max	0.	0.	0.	54.62
577	577	2804	SLU_ENV	Max	0.	0.	0.	54.62
577	577	2345	SLU_ENV	Max	0.	0.	0.	54.62
577	577	2911	SLU_ENV	Min	0.	0.	0.	25.93
577	577	2588	SLU_ENV	Min	0.	0.	0.	25.93
577	577	2804	SLU_ENV	Min	0.	0.	0.	25.93
577	577	2345	SLU_ENV	Min	0.	0.	0.	25.93
577	577	2911	SLV_ENV	Max	0.	0.	0.	93.9
577	577	2588	SLV_ENV	Max	0.	0.	0.	93.9
577	577	2804	SLV_ENV	Max	0.	0.	0.	93.9
577	577	2345	SLV_ENV	Max	0.	0.	0.	93.9
577	577	2911	SLV_ENV	Min	0.	0.	0.	-37.26
577	577	2588	SLV_ENV	Min	0.	0.	0.	-37.26
577	577	2804	SLV_ENV	Min	0.	0.	0.	-37.26
577	577	2345	SLV_ENV	Min	0.	0.	0.	-37.26
578	578	2853	SLU_ENV	Max	0.	0.	0.	47.15
578	578	2578	SLU_ENV	Max	0.	0.	0.	47.15
578	578	2583	SLU_ENV	Max	0.	0.	0.	47.15
578	578	2854	SLU_ENV	Max	0.	0.	0.	47.15
578	578	2853	SLU_ENV	Min	0.	0.	0.	30.71
578	578	2578	SLU_ENV	Min	0.	0.	0.	30.71
578	578	2583	SLU_ENV	Min	0.	0.	0.	30.71
578	578	2854	SLU_ENV	Min	0.	0.	0.	30.71
578	578	2853	SLV_ENV	Max	0.	0.	0.	127.89

Table: Element Forces - Area Shells, Part 4 of 5

Area	AreaElem	Joint	OutputCase	StepType	MMax KN-m/m	MMin KN-m/m	MAngle Degrees	V13 KN/m
578	578	2578	SLV_ENV	Max	0.	0.	0.	127.89
578	578	2583	SLV_ENV	Max	0.	0.	0.	127.89
578	578	2854	SLV_ENV	Max	0.	0.	0.	127.89
578	578	2853	SLV_ENV	Min	0.	0.	0.	-60.05
578	578	2578	SLV_ENV	Min	0.	0.	0.	-60.05
578	578	2583	SLV_ENV	Min	0.	0.	0.	-60.05
578	578	2854	SLV_ENV	Min	0.	0.	0.	-60.05
580	580	2855	SLU_ENV	Max	0.	0.	0.	0.64
580	580	2585	SLU_ENV	Max	0.	0.	0.	0.64
580	580	2812	SLU_ENV	Max	0.	0.	0.	0.64
580	580	2857	SLU_ENV	Max	0.	0.	0.	0.64
580	580	2855	SLU_ENV	Min	0.	0.	0.	-21.15
580	580	2585	SLU_ENV	Min	0.	0.	0.	-21.15
580	580	2812	SLU_ENV	Min	0.	0.	0.	-21.15
580	580	2857	SLU_ENV	Min	0.	0.	0.	-21.15
580	580	2855	SLV_ENV	Max	0.	0.	0.	145.14
580	580	2585	SLV_ENV	Max	0.	0.	0.	145.14
580	580	2812	SLV_ENV	Max	0.	0.	0.	145.14
580	580	2857	SLV_ENV	Max	0.	0.	0.	145.14
580	580	2855	SLV_ENV	Min	0.	0.	0.	-165.57
580	580	2585	SLV_ENV	Min	0.	0.	0.	-165.57
580	580	2812	SLV_ENV	Min	0.	0.	0.	-165.57
580	580	2857	SLV_ENV	Min	0.	0.	0.	-165.57
581	581	2578	SLU_ENV	Max	0.	0.	0.	93.42
581	581	2565	SLU_ENV	Max	0.	0.	0.	93.42
581	581	2568	SLU_ENV	Max	0.	0.	0.	93.42
581	581	2583	SLU_ENV	Max	0.	0.	0.	93.42
581	581	2578	SLU_ENV	Min	0.	0.	0.	63.7
581	581	2565	SLU_ENV	Min	0.	0.	0.	63.7
581	581	2568	SLU_ENV	Min	0.	0.	0.	63.7
581	581	2583	SLU_ENV	Min	0.	0.	0.	63.7
581	581	2578	SLV_ENV	Max	0.	0.	0.	142.41
581	581	2565	SLV_ENV	Max	0.	0.	0.	142.41
581	581	2568	SLV_ENV	Max	0.	0.	0.	142.41
581	581	2583	SLV_ENV	Max	0.	0.	0.	142.41
581	581	2578	SLV_ENV	Min	0.	0.	0.	-4.31
581	581	2565	SLV_ENV	Min	0.	0.	0.	-4.31
581	581	2568	SLV_ENV	Min	0.	0.	0.	-4.31
581	581	2583	SLV_ENV	Min	0.	0.	0.	-4.31
583	583	2585	SLU_ENV	Max	0.	0.	0.	-17.4
583	583	2570	SLU_ENV	Max	0.	0.	0.	-17.4
583	583	2810	SLU_ENV	Max	0.	0.	0.	-17.4
583	583	2812	SLU_ENV	Max	0.	0.	0.	-17.4
583	583	2585	SLU_ENV	Min	0.	0.	0.	-42.83
583	583	2570	SLU_ENV	Min	0.	0.	0.	-42.83
583	583	2810	SLU_ENV	Min	0.	0.	0.	-42.83
583	583	2812	SLU_ENV	Min	0.	0.	0.	-42.83
583	583	2585	SLV_ENV	Max	0.	0.	0.	95.16
583	583	2570	SLV_ENV	Max	0.	0.	0.	95.16
583	583	2810	SLV_ENV	Max	0.	0.	0.	95.16
583	583	2812	SLV_ENV	Max	0.	0.	0.	95.16
583	583	2585	SLV_ENV	Min	0.	0.	0.	-146.57
583	583	2570	SLV_ENV	Min	0.	0.	0.	-146.57
583	583	2810	SLV_ENV	Min	0.	0.	0.	-146.57

Table: Element Forces - Area Shells, Part 4 of 5

Area	AreaElem	Joint	OutputCase	StepType	MMax KN-m/m	MMin KN-m/m	MAngle Degrees	V13 KN/m
583	583	2812	SLV_ENV	Min	0.	0.	0.	-146.57
592	592	2569	SLU_ENV	Max	0.	0.	0.	-61.9
592	592	2582	SLU_ENV	Max	0.	0.	0.	-61.9
592	592	2808	SLU_ENV	Max	0.	0.	0.	-61.9
592	592	2809	SLU_ENV	Max	0.	0.	0.	-61.9
592	592	2569	SLU_ENV	Min	0.	0.	0.	-97.9
592	592	2582	SLU_ENV	Min	0.	0.	0.	-97.9
592	592	2808	SLU_ENV	Min	0.	0.	0.	-97.9
592	592	2809	SLU_ENV	Min	0.	0.	0.	-97.9
592	592	2569	SLV_ENV	Max	0.	0.	0.	96.66
592	592	2582	SLV_ENV	Max	0.	0.	0.	96.66
592	592	2808	SLV_ENV	Max	0.	0.	0.	96.66
592	592	2809	SLV_ENV	Max	0.	0.	0.	96.66
592	592	2569	SLV_ENV	Min	0.	0.	0.	-240.03
592	592	2582	SLV_ENV	Min	0.	0.	0.	-240.03
592	592	2808	SLV_ENV	Min	0.	0.	0.	-240.03
592	592	2809	SLV_ENV	Min	0.	0.	0.	-240.03
593	593	2809	SLU_ENV	Max	0.	0.	0.	84.09
593	593	2808	SLU_ENV	Max	0.	0.	0.	84.09
593	593	2584	SLU_ENV	Max	0.	0.	0.	84.09
593	593	2571	SLU_ENV	Max	0.	0.	0.	84.09
593	593	2809	SLU_ENV	Min	0.	0.	0.	55.74
593	593	2808	SLU_ENV	Min	0.	0.	0.	55.74
593	593	2584	SLU_ENV	Min	0.	0.	0.	55.74
593	593	2571	SLU_ENV	Min	0.	0.	0.	55.74
593	593	2809	SLV_ENV	Max	0.	0.	0.	143.76
593	593	2808	SLV_ENV	Max	0.	0.	0.	143.76
593	593	2584	SLV_ENV	Max	0.	0.	0.	143.76
593	593	2571	SLV_ENV	Max	0.	0.	0.	143.76
593	593	2809	SLV_ENV	Min	0.	0.	0.	-30.49
593	593	2808	SLV_ENV	Min	0.	0.	0.	-30.49
593	593	2584	SLV_ENV	Min	0.	0.	0.	-30.49
593	593	2571	SLV_ENV	Min	0.	0.	0.	-30.49
594	594	2582	SLU_ENV	Max	0.	0.	0.	-44.49
594	594	2854	SLU_ENV	Max	0.	0.	0.	-44.49
594	594	2858	SLU_ENV	Max	0.	0.	0.	-44.49
594	594	2808	SLU_ENV	Max	0.	0.	0.	-44.49
594	594	2582	SLU_ENV	Min	0.	0.	0.	-72.47
594	594	2854	SLU_ENV	Min	0.	0.	0.	-72.47
594	594	2858	SLU_ENV	Min	0.	0.	0.	-72.47
594	594	2808	SLU_ENV	Min	0.	0.	0.	-72.47
594	594	2582	SLV_ENV	Max	0.	0.	0.	98.62
594	594	2854	SLV_ENV	Max	0.	0.	0.	98.62
594	594	2858	SLV_ENV	Max	0.	0.	0.	98.62
594	594	2808	SLV_ENV	Max	0.	0.	0.	98.62
594	594	2582	SLV_ENV	Min	0.	0.	0.	-203.54
594	594	2854	SLV_ENV	Min	0.	0.	0.	-203.54
594	594	2858	SLV_ENV	Min	0.	0.	0.	-203.54
594	594	2808	SLV_ENV	Min	0.	0.	0.	-203.54
595	595	2808	SLU_ENV	Max	0.	0.	0.	60.32
595	595	2858	SLU_ENV	Max	0.	0.	0.	60.32
595	595	2855	SLU_ENV	Max	0.	0.	0.	60.32
595	595	2584	SLU_ENV	Max	0.	0.	0.	60.32
595	595	2808	SLU_ENV	Min	0.	0.	0.	40.6

Table: Element Forces - Area Shells, Part 4 of 5

Area	AreaElem	Joint	OutputCase	StepType	MMax KN-m/m	MMin KN-m/m	MAngle Degrees	V13 KN/m
595	595	2858	SLU_ENV	Min	0.	0.	0.	40.6
595	595	2855	SLU_ENV	Min	0.	0.	0.	40.6
595	595	2584	SLU_ENV	Min	0.	0.	0.	40.6
595	595	2808	SLV_ENV	Max	0.	0.	0.	119.6
595	595	2858	SLV_ENV	Max	0.	0.	0.	119.6
595	595	2855	SLV_ENV	Max	0.	0.	0.	119.6
595	595	2584	SLV_ENV	Max	0.	0.	0.	119.6
595	595	2808	SLV_ENV	Min	0.	0.	0.	-37.21
595	595	2858	SLV_ENV	Min	0.	0.	0.	-37.21
595	595	2855	SLV_ENV	Min	0.	0.	0.	-37.21
595	595	2584	SLV_ENV	Min	0.	0.	0.	-37.21
596	596	2854	SLU_ENV	Max	0.	0.	0.	-45.68
596	596	2583	SLU_ENV	Max	0.	0.	0.	-45.68
596	596	2814	SLU_ENV	Max	0.	0.	0.	-45.68
596	596	2858	SLU_ENV	Max	0.	0.	0.	-45.68
596	596	2854	SLU_ENV	Min	0.	0.	0.	-73.58
596	596	2583	SLU_ENV	Min	0.	0.	0.	-73.58
596	596	2814	SLU_ENV	Min	0.	0.	0.	-73.58
596	596	2858	SLU_ENV	Min	0.	0.	0.	-73.58
596	596	2854	SLV_ENV	Max	0.	0.	0.	91.67
596	596	2583	SLV_ENV	Max	0.	0.	0.	91.67
596	596	2814	SLV_ENV	Max	0.	0.	0.	91.67
596	596	2858	SLV_ENV	Max	0.	0.	0.	91.67
596	596	2854	SLV_ENV	Min	0.	0.	0.	-198.48
596	596	2583	SLV_ENV	Min	0.	0.	0.	-198.48
596	596	2814	SLV_ENV	Min	0.	0.	0.	-198.48
596	596	2858	SLV_ENV	Min	0.	0.	0.	-198.48
597	597	2858	SLU_ENV	Max	0.	0.	0.	57.75
597	597	2814	SLU_ENV	Max	0.	0.	0.	57.75
597	597	2585	SLU_ENV	Max	0.	0.	0.	57.75
597	597	2855	SLU_ENV	Max	0.	0.	0.	57.75
597	597	2858	SLU_ENV	Min	0.	0.	0.	38.98
597	597	2814	SLU_ENV	Min	0.	0.	0.	38.98
597	597	2585	SLU_ENV	Min	0.	0.	0.	38.98
597	597	2855	SLU_ENV	Min	0.	0.	0.	38.98
597	597	2858	SLV_ENV	Max	0.	0.	0.	134.03
597	597	2814	SLV_ENV	Max	0.	0.	0.	134.03
597	597	2585	SLV_ENV	Max	0.	0.	0.	134.03
597	597	2855	SLV_ENV	Max	0.	0.	0.	134.03
597	597	2858	SLV_ENV	Min	0.	0.	0.	-55.17
597	597	2814	SLV_ENV	Min	0.	0.	0.	-55.17
597	597	2585	SLV_ENV	Min	0.	0.	0.	-55.17
597	597	2855	SLV_ENV	Min	0.	0.	0.	-55.17
598	598	2583	SLU_ENV	Max	0.	0.	0.	-66.23
598	598	2568	SLU_ENV	Max	0.	0.	0.	-66.23
598	598	2815	SLU_ENV	Max	0.	0.	0.	-66.23
598	598	2814	SLU_ENV	Max	0.	0.	0.	-66.23
598	598	2583	SLU_ENV	Min	0.	0.	0.	-103.11
598	598	2568	SLU_ENV	Min	0.	0.	0.	-103.11
598	598	2815	SLU_ENV	Min	0.	0.	0.	-103.11
598	598	2814	SLU_ENV	Min	0.	0.	0.	-103.11
598	598	2583	SLV_ENV	Max	0.	0.	0.	98.82
598	598	2568	SLV_ENV	Max	0.	0.	0.	98.82
598	598	2815	SLV_ENV	Max	0.	0.	0.	98.82

Table: Element Forces - Area Shells, Part 4 of 5

Area	AreaElem	Joint	OutputCase	StepType	MMax KN-m/m	MMin KN-m/m	MAngle Degrees	V13 KN/m
598	598	2814	SLV_ENV	Max	0.	0.	0.	98.82
598	598	2583	SLV_ENV	Min	0.	0.	0.	-250.46
598	598	2568	SLV_ENV	Min	0.	0.	0.	-250.46
598	598	2815	SLV_ENV	Min	0.	0.	0.	-250.46
598	598	2814	SLV_ENV	Min	0.	0.	0.	-250.46
599	599	2814	SLU_ENV	Max	0.	0.	0.	79.88
599	599	2815	SLU_ENV	Max	0.	0.	0.	79.88
599	599	2570	SLU_ENV	Max	0.	0.	0.	79.88
599	599	2585	SLU_ENV	Max	0.	0.	0.	79.88
599	599	2814	SLU_ENV	Min	0.	0.	0.	54.23
599	599	2815	SLU_ENV	Min	0.	0.	0.	54.23
599	599	2570	SLU_ENV	Min	0.	0.	0.	54.23
599	599	2585	SLU_ENV	Min	0.	0.	0.	54.23
599	599	2814	SLV_ENV	Max	0.	0.	0.	139.44
599	599	2815	SLV_ENV	Max	0.	0.	0.	139.44
599	599	2570	SLV_ENV	Max	0.	0.	0.	139.44
599	599	2585	SLV_ENV	Max	0.	0.	0.	139.44
599	599	2814	SLV_ENV	Min	0.	0.	0.	-29.74
599	599	2815	SLV_ENV	Min	0.	0.	0.	-29.74
599	599	2570	SLV_ENV	Min	0.	0.	0.	-29.74
599	599	2585	SLV_ENV	Min	0.	0.	0.	-29.74
612	612	2219	SLU_ENV	Max	0.	0.	0.	12.91
612	612	2856	SLU_ENV	Max	0.	0.	0.	12.91
612	612	2862	SLU_ENV	Max	0.	0.	0.	12.91
612	612	2201	SLU_ENV	Max	0.	0.	0.	12.91
612	612	2219	SLU_ENV	Min	0.	0.	0.	-1.68
612	612	2856	SLU_ENV	Min	0.	0.	0.	-1.68
612	612	2862	SLU_ENV	Min	0.	0.	0.	-1.68
612	612	2201	SLU_ENV	Min	0.	0.	0.	-1.68
612	612	2219	SLV_ENV	Max	0.	0.	0.	72.1
612	612	2856	SLV_ENV	Max	0.	0.	0.	72.1
612	612	2862	SLV_ENV	Max	0.	0.	0.	72.1
612	612	2201	SLV_ENV	Max	0.	0.	0.	72.1
612	612	2219	SLV_ENV	Min	0.	0.	0.	-59.49
612	612	2856	SLV_ENV	Min	0.	0.	0.	-59.49
612	612	2862	SLV_ENV	Min	0.	0.	0.	-59.49
612	612	2201	SLV_ENV	Min	0.	0.	0.	-59.49
613	613	2856	SLU_ENV	Max	0.	0.	0.	-2.9
613	613	2857	SLU_ENV	Max	0.	0.	0.	-2.9
613	613	2863	SLU_ENV	Max	0.	0.	0.	-2.9
613	613	2862	SLU_ENV	Max	0.	0.	0.	-2.9
613	613	2856	SLU_ENV	Min	0.	0.	0.	-15.27
613	613	2857	SLU_ENV	Min	0.	0.	0.	-15.27
613	613	2863	SLU_ENV	Min	0.	0.	0.	-15.27
613	613	2862	SLU_ENV	Min	0.	0.	0.	-15.27
613	613	2856	SLV_ENV	Max	0.	0.	0.	81.65
613	613	2857	SLV_ENV	Max	0.	0.	0.	81.65
613	613	2863	SLV_ENV	Max	0.	0.	0.	81.65
613	613	2862	SLV_ENV	Max	0.	0.	0.	81.65
613	613	2856	SLV_ENV	Min	0.	0.	0.	-88.33
613	613	2857	SLV_ENV	Min	0.	0.	0.	-88.33
613	613	2863	SLV_ENV	Min	0.	0.	0.	-88.33
613	613	2862	SLV_ENV	Min	0.	0.	0.	-88.33
614	614	2857	SLU_ENV	Max	0.	0.	0.	-0.71

Table: Element Forces - Area Shells, Part 4 of 5

Area	AreaElem	Joint	OutputCase	StepType	MMax KN-m/m	MMin KN-m/m	MAngle Degrees	V13 KN/m
614	614	2855	SLU_ENV	Max	0.	0.	0.	-0.71
614	614	2861	SLU_ENV	Max	0.	0.	0.	-0.71
614	614	2863	SLU_ENV	Max	0.	0.	0.	-0.71
614	614	2857	SLU_ENV	Min	0.	0.	0.	-3.
614	614	2855	SLU_ENV	Min	0.	0.	0.	-3.
614	614	2861	SLU_ENV	Min	0.	0.	0.	-3.
614	614	2863	SLU_ENV	Min	0.	0.	0.	-3.
614	614	2857	SLV_ENV	Max	0.	0.	0.	14.56
614	614	2855	SLV_ENV	Max	0.	0.	0.	14.56
614	614	2861	SLV_ENV	Max	0.	0.	0.	14.56
614	614	2863	SLV_ENV	Max	0.	0.	0.	14.56
614	614	2857	SLV_ENV	Min	0.	0.	0.	-16.19
614	614	2855	SLV_ENV	Min	0.	0.	0.	-16.19
614	614	2861	SLV_ENV	Min	0.	0.	0.	-16.19
614	614	2863	SLV_ENV	Min	0.	0.	0.	-16.19
615	615	2855	SLU_ENV	Max	0.	0.	0.	1.13
615	615	2858	SLU_ENV	Max	0.	0.	0.	1.13
615	615	2864	SLU_ENV	Max	0.	0.	0.	1.13
615	615	2861	SLU_ENV	Max	0.	0.	0.	1.13
615	615	2855	SLU_ENV	Min	0.	0.	0.	-0.13
615	615	2858	SLU_ENV	Min	0.	0.	0.	-0.13
615	615	2864	SLU_ENV	Min	0.	0.	0.	-0.13
615	615	2861	SLU_ENV	Min	0.	0.	0.	-0.13
615	615	2855	SLV_ENV	Max	0.	0.	0.	21.75
615	615	2858	SLV_ENV	Max	0.	0.	0.	21.75
615	615	2864	SLV_ENV	Max	0.	0.	0.	21.75
615	615	2861	SLV_ENV	Max	0.	0.	0.	21.75
615	615	2855	SLV_ENV	Min	0.	0.	0.	-21.43
615	615	2858	SLV_ENV	Min	0.	0.	0.	-21.43
615	615	2864	SLV_ENV	Min	0.	0.	0.	-21.43
615	615	2861	SLV_ENV	Min	0.	0.	0.	-21.43
616	616	2858	SLU_ENV	Max	0.	0.	0.	0.74
616	616	2854	SLU_ENV	Max	0.	0.	0.	0.74
616	616	2860	SLU_ENV	Max	0.	0.	0.	0.74
616	616	2864	SLU_ENV	Max	0.	0.	0.	0.74
616	616	2858	SLU_ENV	Min	0.	0.	0.	5.954E-02
616	616	2854	SLU_ENV	Min	0.	0.	0.	5.954E-02
616	616	2860	SLU_ENV	Min	0.	0.	0.	5.954E-02
616	616	2864	SLU_ENV	Min	0.	0.	0.	5.954E-02
616	616	2858	SLV_ENV	Max	0.	0.	0.	12.92
616	616	2854	SLV_ENV	Max	0.	0.	0.	12.92
616	616	2860	SLV_ENV	Max	0.	0.	0.	12.92
616	616	2864	SLV_ENV	Max	0.	0.	0.	12.92
616	616	2858	SLV_ENV	Min	0.	0.	0.	-12.64
616	616	2854	SLV_ENV	Min	0.	0.	0.	-12.64
616	616	2860	SLV_ENV	Min	0.	0.	0.	-12.64
616	616	2864	SLV_ENV	Min	0.	0.	0.	-12.64
617	617	2854	SLU_ENV	Max	0.	0.	0.	0.43
617	617	2853	SLU_ENV	Max	0.	0.	0.	0.43
617	617	2859	SLU_ENV	Max	0.	0.	0.	0.43
617	617	2860	SLU_ENV	Max	0.	0.	0.	0.43
617	617	2854	SLU_ENV	Min	0.	0.	0.	-0.21
617	617	2853	SLU_ENV	Min	0.	0.	0.	-0.21
617	617	2859	SLU_ENV	Min	0.	0.	0.	-0.21

Table: Element Forces - Area Shells, Part 4 of 5

Area	AreaElem	Joint	OutputCase	StepType	MMax KN-m/m	MMin KN-m/m	MAngle Degrees	V13 KN/m
617	617	2860	SLU_ENV	Min	0.	0.	0.	-0.21
617	617	2854	SLV_ENV	Max	0.	0.	0.	9.93
617	617	2853	SLV_ENV	Max	0.	0.	0.	9.93
617	617	2859	SLV_ENV	Max	0.	0.	0.	9.93
617	617	2860	SLV_ENV	Max	0.	0.	0.	9.93
617	617	2854	SLV_ENV	Min	0.	0.	0.	-9.98
617	617	2853	SLV_ENV	Min	0.	0.	0.	-9.98
617	617	2859	SLV_ENV	Min	0.	0.	0.	-9.98
617	617	2860	SLV_ENV	Min	0.	0.	0.	-9.98
618	618	2201	SLU_ENV	Max	0.	0.	0.	33.25
618	618	2862	SLU_ENV	Max	0.	0.	0.	33.25
618	618	2868	SLU_ENV	Max	0.	0.	0.	33.25
618	618	2183	SLU_ENV	Max	0.	0.	0.	33.25
618	618	2201	SLU_ENV	Min	0.	0.	0.	10.67
618	618	2862	SLU_ENV	Min	0.	0.	0.	10.67
618	618	2868	SLU_ENV	Min	0.	0.	0.	10.67
618	618	2183	SLU_ENV	Min	0.	0.	0.	10.67
618	618	2201	SLV_ENV	Max	0.	0.	0.	73.12
618	618	2862	SLV_ENV	Max	0.	0.	0.	73.12
618	618	2868	SLV_ENV	Max	0.	0.	0.	73.12
618	618	2183	SLV_ENV	Max	0.	0.	0.	73.12
618	618	2201	SLV_ENV	Min	0.	0.	0.	-41.89
618	618	2862	SLV_ENV	Min	0.	0.	0.	-41.89
618	618	2868	SLV_ENV	Min	0.	0.	0.	-41.89
618	618	2183	SLV_ENV	Min	0.	0.	0.	-41.89
619	619	2862	SLU_ENV	Max	0.	0.	0.	14.08
619	619	2863	SLU_ENV	Max	0.	0.	0.	14.08
619	619	2869	SLU_ENV	Max	0.	0.	0.	14.08
619	619	2868	SLU_ENV	Max	0.	0.	0.	14.08
619	619	2862	SLU_ENV	Min	0.	0.	0.	2.08
619	619	2863	SLU_ENV	Min	0.	0.	0.	2.08
619	619	2869	SLU_ENV	Min	0.	0.	0.	2.08
619	619	2868	SLU_ENV	Min	0.	0.	0.	2.08
619	619	2862	SLV_ENV	Max	0.	0.	0.	40.04
619	619	2863	SLV_ENV	Max	0.	0.	0.	40.04
619	619	2869	SLV_ENV	Max	0.	0.	0.	40.04
619	619	2868	SLV_ENV	Max	0.	0.	0.	40.04
619	619	2862	SLV_ENV	Min	0.	0.	0.	-28.1
619	619	2863	SLV_ENV	Min	0.	0.	0.	-28.1
619	619	2869	SLV_ENV	Min	0.	0.	0.	-28.1
619	619	2868	SLV_ENV	Min	0.	0.	0.	-28.1
620	620	2863	SLU_ENV	Max	0.	0.	0.	0.4
620	620	2861	SLU_ENV	Max	0.	0.	0.	0.4
620	620	2867	SLU_ENV	Max	0.	0.	0.	0.4
620	620	2869	SLU_ENV	Max	0.	0.	0.	0.4
620	620	2863	SLU_ENV	Min	0.	0.	0.	-1.5
620	620	2861	SLU_ENV	Min	0.	0.	0.	-1.5
620	620	2867	SLU_ENV	Min	0.	0.	0.	-1.5
620	620	2869	SLU_ENV	Min	0.	0.	0.	-1.5
620	620	2863	SLV_ENV	Max	0.	0.	0.	17.2
620	620	2861	SLV_ENV	Max	0.	0.	0.	17.2
620	620	2867	SLV_ENV	Max	0.	0.	0.	17.2
620	620	2869	SLV_ENV	Max	0.	0.	0.	17.2
620	620	2863	SLV_ENV	Min	0.	0.	0.	-17.16

Table: Element Forces - Area Shells, Part 4 of 5

Area	AreaElem	Joint	OutputCase	StepType	MMax KN-m/m	MMin KN-m/m	MAngle Degrees	V13 KN/m
620	620	2861	SLV_ENV	Min	0.	0.	0.	-17.16
620	620	2867	SLV_ENV	Min	0.	0.	0.	-17.16
620	620	2869	SLV_ENV	Min	0.	0.	0.	-17.16
621	621	2861	SLU_ENV	Max	0.	0.	0.	0.25
621	621	2864	SLU_ENV	Max	0.	0.	0.	0.25
621	621	2870	SLU_ENV	Max	0.	0.	0.	0.25
621	621	2867	SLU_ENV	Max	0.	0.	0.	0.25
621	621	2861	SLU_ENV	Min	0.	0.	0.	-0.36
621	621	2864	SLU_ENV	Min	0.	0.	0.	-0.36
621	621	2870	SLU_ENV	Min	0.	0.	0.	-0.36
621	621	2867	SLU_ENV	Min	0.	0.	0.	-0.36
621	621	2861	SLV_ENV	Max	0.	0.	0.	11.22
621	621	2864	SLV_ENV	Max	0.	0.	0.	11.22
621	621	2870	SLV_ENV	Max	0.	0.	0.	11.22
621	621	2867	SLV_ENV	Max	0.	0.	0.	11.22
621	621	2861	SLV_ENV	Min	0.	0.	0.	-11.3
621	621	2864	SLV_ENV	Min	0.	0.	0.	-11.3
621	621	2870	SLV_ENV	Min	0.	0.	0.	-11.3
621	621	2867	SLV_ENV	Min	0.	0.	0.	-11.3
622	622	2864	SLU_ENV	Max	0.	0.	0.	0.55
622	622	2860	SLU_ENV	Max	0.	0.	0.	0.55
622	622	2866	SLU_ENV	Max	0.	0.	0.	0.55
622	622	2870	SLU_ENV	Max	0.	0.	0.	0.55
622	622	2864	SLU_ENV	Min	0.	0.	0.	1.395E-02
622	622	2860	SLU_ENV	Min	0.	0.	0.	1.395E-02
622	622	2866	SLU_ENV	Min	0.	0.	0.	1.395E-02
622	622	2870	SLU_ENV	Min	0.	0.	0.	1.395E-02
622	622	2864	SLV_ENV	Max	0.	0.	0.	4.14
622	622	2860	SLV_ENV	Max	0.	0.	0.	4.14
622	622	2866	SLV_ENV	Max	0.	0.	0.	4.14
622	622	2870	SLV_ENV	Max	0.	0.	0.	4.14
622	622	2864	SLV_ENV	Min	0.	0.	0.	-3.97
622	622	2860	SLV_ENV	Min	0.	0.	0.	-3.97
622	622	2866	SLV_ENV	Min	0.	0.	0.	-3.97
622	622	2870	SLV_ENV	Min	0.	0.	0.	-3.97
623	623	2860	SLU_ENV	Max	0.	0.	0.	0.25
623	623	2859	SLU_ENV	Max	0.	0.	0.	0.25
623	623	2865	SLU_ENV	Max	0.	0.	0.	0.25
623	623	2866	SLU_ENV	Max	0.	0.	0.	0.25
623	623	2860	SLU_ENV	Min	0.	0.	0.	-1.787E-02
623	623	2859	SLU_ENV	Min	0.	0.	0.	-1.787E-02
623	623	2865	SLU_ENV	Min	0.	0.	0.	-1.787E-02
623	623	2866	SLU_ENV	Min	0.	0.	0.	-1.787E-02
623	623	2860	SLV_ENV	Max	0.	0.	0.	3.76
623	623	2859	SLV_ENV	Max	0.	0.	0.	3.76
623	623	2865	SLV_ENV	Max	0.	0.	0.	3.76
623	623	2866	SLV_ENV	Max	0.	0.	0.	3.76
623	623	2860	SLV_ENV	Min	0.	0.	0.	-3.69
623	623	2859	SLV_ENV	Min	0.	0.	0.	-3.69
623	623	2865	SLV_ENV	Min	0.	0.	0.	-3.69
623	623	2866	SLV_ENV	Min	0.	0.	0.	-3.69
624	624	2183	SLU_ENV	Max	0.	0.	0.	26.11
624	624	2868	SLU_ENV	Max	0.	0.	0.	26.11
624	624	2874	SLU_ENV	Max	0.	0.	0.	26.11

Table: Element Forces - Area Shells, Part 4 of 5

Area	AreaElem	Joint	OutputCase	StepType	MMax KN-m/m	MMin KN-m/m	MAngle Degrees	V13 KN/m
624	624	2165	SLU_ENV	Max	0.	0.	0.	26.11
624	624	2183	SLU_ENV	Min	0.	0.	0.	5.7
624	624	2868	SLU_ENV	Min	0.	0.	0.	5.7
624	624	2874	SLU_ENV	Min	0.	0.	0.	5.7
624	624	2165	SLU_ENV	Min	0.	0.	0.	5.7
624	624	2183	SLV_ENV	Max	0.	0.	0.	96.38
624	624	2868	SLV_ENV	Max	0.	0.	0.	96.38
624	624	2874	SLV_ENV	Max	0.	0.	0.	96.38
624	624	2165	SLV_ENV	Max	0.	0.	0.	96.38
624	624	2183	SLV_ENV	Min	0.	0.	0.	-77.52
624	624	2868	SLV_ENV	Min	0.	0.	0.	-77.52
624	624	2874	SLV_ENV	Min	0.	0.	0.	-77.52
624	624	2165	SLV_ENV	Min	0.	0.	0.	-77.52
625	625	2868	SLU_ENV	Max	0.	0.	0.	15.33
625	625	2869	SLU_ENV	Max	0.	0.	0.	15.33
625	625	2875	SLU_ENV	Max	0.	0.	0.	15.33
625	625	2874	SLU_ENV	Max	0.	0.	0.	15.33
625	625	2868	SLU_ENV	Min	0.	0.	0.	3.57
625	625	2869	SLU_ENV	Min	0.	0.	0.	3.57
625	625	2875	SLU_ENV	Min	0.	0.	0.	3.57
625	625	2874	SLU_ENV	Min	0.	0.	0.	3.57
625	625	2868	SLV_ENV	Max	0.	0.	0.	59.72
625	625	2869	SLV_ENV	Max	0.	0.	0.	59.72
625	625	2875	SLV_ENV	Max	0.	0.	0.	59.72
625	625	2874	SLV_ENV	Max	0.	0.	0.	59.72
625	625	2868	SLV_ENV	Min	0.	0.	0.	-46.68
625	625	2869	SLV_ENV	Min	0.	0.	0.	-46.68
625	625	2875	SLV_ENV	Min	0.	0.	0.	-46.68
625	625	2874	SLV_ENV	Min	0.	0.	0.	-46.68
626	626	2869	SLU_ENV	Max	0.	0.	0.	1.84
626	626	2867	SLU_ENV	Max	0.	0.	0.	1.84
626	626	2873	SLU_ENV	Max	0.	0.	0.	1.84
626	626	2875	SLU_ENV	Max	0.	0.	0.	1.84
626	626	2869	SLU_ENV	Min	0.	0.	0.	-0.8
626	626	2867	SLU_ENV	Min	0.	0.	0.	-0.8
626	626	2873	SLU_ENV	Min	0.	0.	0.	-0.8
626	626	2875	SLU_ENV	Min	0.	0.	0.	-0.8
626	626	2869	SLV_ENV	Max	0.	0.	0.	19.11
626	626	2867	SLV_ENV	Max	0.	0.	0.	19.11
626	626	2873	SLV_ENV	Max	0.	0.	0.	19.11
626	626	2875	SLV_ENV	Max	0.	0.	0.	19.11
626	626	2869	SLV_ENV	Min	0.	0.	0.	-17.74
626	626	2867	SLV_ENV	Min	0.	0.	0.	-17.74
626	626	2873	SLV_ENV	Min	0.	0.	0.	-17.74
626	626	2875	SLV_ENV	Min	0.	0.	0.	-17.74
627	627	2867	SLU_ENV	Max	0.	0.	0.	-2.616E-02
627	627	2870	SLU_ENV	Max	0.	0.	0.	-2.616E-02
627	627	2876	SLU_ENV	Max	0.	0.	0.	-2.616E-02
627	627	2873	SLU_ENV	Max	0.	0.	0.	-2.616E-02
627	627	2867	SLU_ENV	Min	0.	0.	0.	-0.44
627	627	2870	SLU_ENV	Min	0.	0.	0.	-0.44
627	627	2876	SLU_ENV	Min	0.	0.	0.	-0.44
627	627	2873	SLU_ENV	Min	0.	0.	0.	-0.44
627	627	2867	SLV_ENV	Max	0.	0.	0.	12.25

Table: Element Forces - Area Shells, Part 4 of 5

Area	AreaElem	Joint	OutputCase	StepType	MMax KN-m/m	MMin KN-m/m	MAngle Degrees	V13 KN/m
627	627	2870	SLV_ENV	Max	0.	0.	0.	12.25
627	627	2876	SLV_ENV	Max	0.	0.	0.	12.25
627	627	2873	SLV_ENV	Max	0.	0.	0.	12.25
627	627	2867	SLV_ENV	Min	0.	0.	0.	-12.46
627	627	2870	SLV_ENV	Min	0.	0.	0.	-12.46
627	627	2876	SLV_ENV	Min	0.	0.	0.	-12.46
627	627	2873	SLV_ENV	Min	0.	0.	0.	-12.46
628	628	2870	SLU_ENV	Max	0.	0.	0.	0.34
628	628	2866	SLU_ENV	Max	0.	0.	0.	0.34
628	628	2872	SLU_ENV	Max	0.	0.	0.	0.34
628	628	2876	SLU_ENV	Max	0.	0.	0.	0.34
628	628	2870	SLU_ENV	Min	0.	0.	0.	-3.897E-02
628	628	2866	SLU_ENV	Min	0.	0.	0.	-3.897E-02
628	628	2872	SLU_ENV	Min	0.	0.	0.	-3.897E-02
628	628	2876	SLU_ENV	Min	0.	0.	0.	-3.897E-02
628	628	2870	SLV_ENV	Max	0.	0.	0.	4.7
628	628	2866	SLV_ENV	Max	0.	0.	0.	4.7
628	628	2872	SLV_ENV	Max	0.	0.	0.	4.7
628	628	2876	SLV_ENV	Max	0.	0.	0.	4.7
628	628	2870	SLV_ENV	Min	0.	0.	0.	-4.63
628	628	2866	SLV_ENV	Min	0.	0.	0.	-4.63
628	628	2872	SLV_ENV	Min	0.	0.	0.	-4.63
628	628	2876	SLV_ENV	Min	0.	0.	0.	-4.63
629	629	2866	SLU_ENV	Max	0.	0.	0.	0.19
629	629	2865	SLU_ENV	Max	0.	0.	0.	0.19
629	629	2871	SLU_ENV	Max	0.	0.	0.	0.19
629	629	2872	SLU_ENV	Max	0.	0.	0.	0.19
629	629	2866	SLU_ENV	Min	0.	0.	0.	2.081E-02
629	629	2865	SLU_ENV	Min	0.	0.	0.	2.081E-02
629	629	2871	SLU_ENV	Min	0.	0.	0.	2.081E-02
629	629	2872	SLU_ENV	Min	0.	0.	0.	2.081E-02
629	629	2866	SLV_ENV	Max	0.	0.	0.	2.35
629	629	2865	SLV_ENV	Max	0.	0.	0.	2.35
629	629	2871	SLV_ENV	Max	0.	0.	0.	2.35
629	629	2872	SLV_ENV	Max	0.	0.	0.	2.35
629	629	2866	SLV_ENV	Min	0.	0.	0.	-2.26
629	629	2865	SLV_ENV	Min	0.	0.	0.	-2.26
629	629	2871	SLV_ENV	Min	0.	0.	0.	-2.26
629	629	2872	SLV_ENV	Min	0.	0.	0.	-2.26
630	630	2165	SLU_ENV	Max	0.	0.	0.	20.46
630	630	2874	SLU_ENV	Max	0.	0.	0.	20.46
630	630	2906	SLU_ENV	Max	0.	0.	0.	20.46
630	630	1885	SLU_ENV	Max	0.	0.	0.	20.46
630	630	2165	SLU_ENV	Min	0.	0.	0.	5.36
630	630	2874	SLU_ENV	Min	0.	0.	0.	5.36
630	630	2906	SLU_ENV	Min	0.	0.	0.	5.36
630	630	1885	SLU_ENV	Min	0.	0.	0.	5.36
630	630	2165	SLV_ENV	Max	0.	0.	0.	132.22
630	630	2874	SLV_ENV	Max	0.	0.	0.	132.22
630	630	2906	SLV_ENV	Max	0.	0.	0.	132.22
630	630	1885	SLV_ENV	Max	0.	0.	0.	132.22
630	630	2165	SLV_ENV	Min	0.	0.	0.	-117.36
630	630	2874	SLV_ENV	Min	0.	0.	0.	-117.36
630	630	2906	SLV_ENV	Min	0.	0.	0.	-117.36

Table: Element Forces - Area Shells, Part 4 of 5

Area	AreaElem	Joint	OutputCase	StepType	MMax KN-m/m	MMin KN-m/m	MAngle Degrees	V13 KN/m
630	630	1885	SLV_ENV	Min	0.	0.	0.	-117.36
631	631	2874	SLU_ENV	Max	0.	0.	0.	14.87
631	631	2875	SLU_ENV	Max	0.	0.	0.	14.87
631	631	2907	SLU_ENV	Max	0.	0.	0.	14.87
631	631	2906	SLU_ENV	Max	0.	0.	0.	14.87
631	631	2874	SLU_ENV	Min	0.	0.	0.	3.08
631	631	2875	SLU_ENV	Min	0.	0.	0.	3.08
631	631	2907	SLU_ENV	Min	0.	0.	0.	3.08
631	631	2906	SLU_ENV	Min	0.	0.	0.	3.08
631	631	2874	SLV_ENV	Max	0.	0.	0.	65.55
631	631	2875	SLV_ENV	Max	0.	0.	0.	65.55
631	631	2907	SLV_ENV	Max	0.	0.	0.	65.55
631	631	2906	SLV_ENV	Max	0.	0.	0.	65.55
631	631	2874	SLV_ENV	Min	0.	0.	0.	-54.33
631	631	2875	SLV_ENV	Min	0.	0.	0.	-54.33
631	631	2907	SLV_ENV	Min	0.	0.	0.	-54.33
631	631	2906	SLV_ENV	Min	0.	0.	0.	-54.33
632	632	2875	SLU_ENV	Max	0.	0.	0.	2.47
632	632	2873	SLU_ENV	Max	0.	0.	0.	2.47
632	632	2905	SLU_ENV	Max	0.	0.	0.	2.47
632	632	2907	SLU_ENV	Max	0.	0.	0.	2.47
632	632	2875	SLU_ENV	Min	0.	0.	0.	-0.43
632	632	2873	SLU_ENV	Min	0.	0.	0.	-0.43
632	632	2905	SLU_ENV	Min	0.	0.	0.	-0.43
632	632	2907	SLU_ENV	Min	0.	0.	0.	-0.43
632	632	2875	SLV_ENV	Max	0.	0.	0.	21.34
632	632	2873	SLV_ENV	Max	0.	0.	0.	21.34
632	632	2905	SLV_ENV	Max	0.	0.	0.	21.34
632	632	2907	SLV_ENV	Max	0.	0.	0.	21.34
632	632	2875	SLV_ENV	Min	0.	0.	0.	-19.27
632	632	2873	SLV_ENV	Min	0.	0.	0.	-19.27
632	632	2905	SLV_ENV	Min	0.	0.	0.	-19.27
632	632	2907	SLV_ENV	Min	0.	0.	0.	-19.27
633	633	2873	SLU_ENV	Max	0.	0.	0.	-0.11
633	633	2876	SLU_ENV	Max	0.	0.	0.	-0.11
633	633	2908	SLU_ENV	Max	0.	0.	0.	-0.11
633	633	2905	SLU_ENV	Max	0.	0.	0.	-0.11
633	633	2873	SLU_ENV	Min	0.	0.	0.	-0.48
633	633	2876	SLU_ENV	Min	0.	0.	0.	-0.48
633	633	2908	SLU_ENV	Min	0.	0.	0.	-0.48
633	633	2905	SLU_ENV	Min	0.	0.	0.	-0.48
633	633	2873	SLV_ENV	Max	0.	0.	0.	11.19
633	633	2876	SLV_ENV	Max	0.	0.	0.	11.19
633	633	2908	SLV_ENV	Max	0.	0.	0.	11.19
633	633	2905	SLV_ENV	Max	0.	0.	0.	11.19
633	633	2873	SLV_ENV	Min	0.	0.	0.	-11.49
633	633	2876	SLV_ENV	Min	0.	0.	0.	-11.49
633	633	2908	SLV_ENV	Min	0.	0.	0.	-11.49
633	633	2905	SLV_ENV	Min	0.	0.	0.	-11.49
634	634	2876	SLU_ENV	Max	0.	0.	0.	0.31
634	634	2872	SLU_ENV	Max	0.	0.	0.	0.31
634	634	2878	SLU_ENV	Max	0.	0.	0.	0.31
634	634	2908	SLU_ENV	Max	0.	0.	0.	0.31
634	634	2876	SLU_ENV	Min	0.	0.	0.	1.376E-02

Table: Element Forces - Area Shells, Part 4 of 5

Area	AreaElem	Joint	OutputCase	StepType	MMax KN-m/m	MMin KN-m/m	MAngle Degrees	V13 KN/m
634	634	2872	SLU_ENV	Min	0.	0.	0.	1.376E-02
634	634	2878	SLU_ENV	Min	0.	0.	0.	1.376E-02
634	634	2908	SLU_ENV	Min	0.	0.	0.	1.376E-02
634	634	2876	SLV_ENV	Max	0.	0.	0.	5.77
634	634	2872	SLV_ENV	Max	0.	0.	0.	5.77
634	634	2878	SLV_ENV	Max	0.	0.	0.	5.77
634	634	2908	SLV_ENV	Max	0.	0.	0.	5.77
634	634	2876	SLV_ENV	Min	0.	0.	0.	-5.63
634	634	2872	SLV_ENV	Min	0.	0.	0.	-5.63
634	634	2878	SLV_ENV	Min	0.	0.	0.	-5.63
634	634	2908	SLV_ENV	Min	0.	0.	0.	-5.63
635	635	2872	SLU_ENV	Max	0.	0.	0.	0.12
635	635	2871	SLU_ENV	Max	0.	0.	0.	0.12
635	635	2877	SLU_ENV	Max	0.	0.	0.	0.12
635	635	2878	SLU_ENV	Max	0.	0.	0.	0.12
635	635	2872	SLU_ENV	Min	0.	0.	0.	-4.686E-03
635	635	2871	SLU_ENV	Min	0.	0.	0.	-4.686E-03
635	635	2877	SLU_ENV	Min	0.	0.	0.	-4.686E-03
635	635	2878	SLU_ENV	Min	0.	0.	0.	-4.686E-03
635	635	2872	SLV_ENV	Max	0.	0.	0.	2.46
635	635	2871	SLV_ENV	Max	0.	0.	0.	2.46
635	635	2877	SLV_ENV	Max	0.	0.	0.	2.46
635	635	2878	SLV_ENV	Max	0.	0.	0.	2.46
635	635	2872	SLV_ENV	Min	0.	0.	0.	-2.42
635	635	2871	SLV_ENV	Min	0.	0.	0.	-2.42
635	635	2877	SLV_ENV	Min	0.	0.	0.	-2.42
635	635	2878	SLV_ENV	Min	0.	0.	0.	-2.42

Table: Element Forces - Area Shells, Part 5 of 5

Table: Element Forces - Area Shells, Part 5 of 5

Area	AreaElem	Joint	OutputCase	StepType	V23 KN/m	VMax KN/m	VAngle Degrees
107	107	139	SLU_ENV	Max	1.19	0.	0.
107	107	140	SLU_ENV	Max	1.19	0.	0.
107	107	122	SLU_ENV	Max	1.19	0.	0.
107	107	121	SLU_ENV	Max	1.19	0.	0.
107	107	139	SLU_ENV	Min	-11.27	0.	0.
107	107	140	SLU_ENV	Min	-11.27	0.	0.
107	107	122	SLU_ENV	Min	-11.27	0.	0.
107	107	121	SLU_ENV	Min	-11.27	0.	0.
107	107	139	SLV_ENV	Max	168.79	0.	0.
107	107	140	SLV_ENV	Max	168.79	0.	0.
107	107	122	SLV_ENV	Max	168.79	0.	0.
107	107	121	SLV_ENV	Max	168.79	0.	0.
107	107	139	SLV_ENV	Min	-169.44	0.	0.
107	107	140	SLV_ENV	Min	-169.44	0.	0.
107	107	122	SLV_ENV	Min	-169.44	0.	0.
107	107	121	SLV_ENV	Min	-169.44	0.	0.
108	108	121	SLU_ENV	Max	1.13	0.	0.
108	108	122	SLU_ENV	Max	1.13	0.	0.
108	108	104	SLU_ENV	Max	1.13	0.	0.
108	108	103	SLU_ENV	Max	1.13	0.	0.

Table: Element Forces - Area Shells, Part 5 of 5

Area	AreaElem	Joint	OutputCase	StepType	V23	VMax	VAngle
					KN/m	KN/m	Degrees
108	108	121	SLU_ENV	Min	-11.05	0.	0.
108	108	122	SLU_ENV	Min	-11.05	0.	0.
108	108	104	SLU_ENV	Min	-11.05	0.	0.
108	108	103	SLU_ENV	Min	-11.05	0.	0.
108	108	121	SLV_ENV	Max	161.1	0.	0.
108	108	122	SLV_ENV	Max	161.1	0.	0.
108	108	104	SLV_ENV	Max	161.1	0.	0.
108	108	103	SLV_ENV	Max	161.1	0.	0.
108	108	121	SLV_ENV	Min	-161.7	0.	0.
108	108	122	SLV_ENV	Min	-161.7	0.	0.
108	108	104	SLV_ENV	Min	-161.7	0.	0.
108	108	103	SLV_ENV	Min	-161.7	0.	0.
109	109	103	SLU_ENV	Max	1.17	0.	0.
109	109	104	SLU_ENV	Max	1.17	0.	0.
109	109	86	SLU_ENV	Max	1.17	0.	0.
109	109	85	SLU_ENV	Max	1.17	0.	0.
109	109	103	SLU_ENV	Min	-11.05	0.	0.
109	109	104	SLU_ENV	Min	-11.05	0.	0.
109	109	86	SLU_ENV	Min	-11.05	0.	0.
109	109	85	SLU_ENV	Min	-11.05	0.	0.
109	109	103	SLV_ENV	Max	155.72	0.	0.
109	109	104	SLV_ENV	Max	155.72	0.	0.
109	109	86	SLV_ENV	Max	155.72	0.	0.
109	109	85	SLV_ENV	Max	155.72	0.	0.
109	109	103	SLV_ENV	Min	-156.29	0.	0.
109	109	104	SLV_ENV	Min	-156.29	0.	0.
109	109	86	SLV_ENV	Min	-156.29	0.	0.
109	109	85	SLV_ENV	Min	-156.29	0.	0.
110	110	85	SLU_ENV	Max	1.25	0.	0.
110	110	86	SLU_ENV	Max	1.25	0.	0.
110	110	68	SLU_ENV	Max	1.25	0.	0.
110	110	67	SLU_ENV	Max	1.25	0.	0.
110	110	85	SLU_ENV	Min	-11.16	0.	0.
110	110	86	SLU_ENV	Min	-11.16	0.	0.
110	110	68	SLU_ENV	Min	-11.16	0.	0.
110	110	67	SLU_ENV	Min	-11.16	0.	0.
110	110	85	SLV_ENV	Max	150.21	0.	0.
110	110	86	SLV_ENV	Max	150.21	0.	0.
110	110	68	SLV_ENV	Max	150.21	0.	0.
110	110	67	SLV_ENV	Max	150.21	0.	0.
110	110	85	SLV_ENV	Min	-150.74	0.	0.
110	110	86	SLV_ENV	Min	-150.74	0.	0.
110	110	68	SLV_ENV	Min	-150.74	0.	0.
110	110	67	SLV_ENV	Min	-150.74	0.	0.
111	111	67	SLU_ENV	Max	1.34	0.	0.
111	111	68	SLU_ENV	Max	1.34	0.	0.
111	111	50	SLU_ENV	Max	1.34	0.	0.
111	111	49	SLU_ENV	Max	1.34	0.	0.
111	111	67	SLU_ENV	Min	-11.3	0.	0.
111	111	68	SLU_ENV	Min	-11.3	0.	0.
111	111	50	SLU_ENV	Min	-11.3	0.	0.
111	111	49	SLU_ENV	Min	-11.3	0.	0.
111	111	67	SLV_ENV	Max	144.42	0.	0.
111	111	68	SLV_ENV	Max	144.42	0.	0.

Table: Element Forces - Area Shells, Part 5 of 5

Area	AreaElem	Joint	OutputCase	StepType	V23	VMax	VAngle
					KN/m	KN/m	Degrees
111	111	50	SLV_ENV	Max	144.42	0.	0.
111	111	49	SLV_ENV	Max	144.42	0.	0.
111	111	67	SLV_ENV	Min	-144.88	0.	0.
111	111	68	SLV_ENV	Min	-144.88	0.	0.
111	111	50	SLV_ENV	Min	-144.88	0.	0.
111	111	49	SLV_ENV	Min	-144.88	0.	0.
114	114	140	SLU_ENV	Max	1.82	0.	0.
114	114	141	SLU_ENV	Max	1.82	0.	0.
114	114	123	SLU_ENV	Max	1.82	0.	0.
114	114	122	SLU_ENV	Max	1.82	0.	0.
114	114	140	SLU_ENV	Min	-10.79	0.	0.
114	114	141	SLU_ENV	Min	-10.79	0.	0.
114	114	123	SLU_ENV	Min	-10.79	0.	0.
114	114	122	SLU_ENV	Min	-10.79	0.	0.
114	114	140	SLV_ENV	Max	145.42	0.	0.
114	114	141	SLV_ENV	Max	145.42	0.	0.
114	114	123	SLV_ENV	Max	145.42	0.	0.
114	114	122	SLV_ENV	Max	145.42	0.	0.
114	114	140	SLV_ENV	Min	-145.87	0.	0.
114	114	141	SLV_ENV	Min	-145.87	0.	0.
114	114	123	SLV_ENV	Min	-145.87	0.	0.
114	114	122	SLV_ENV	Min	-145.87	0.	0.
115	115	122	SLU_ENV	Max	1.67	0.	0.
115	115	123	SLU_ENV	Max	1.67	0.	0.
115	115	105	SLU_ENV	Max	1.67	0.	0.
115	115	104	SLU_ENV	Max	1.67	0.	0.
115	115	122	SLU_ENV	Min	-11.34	0.	0.
115	115	123	SLU_ENV	Min	-11.34	0.	0.
115	115	105	SLU_ENV	Min	-11.34	0.	0.
115	115	104	SLU_ENV	Min	-11.34	0.	0.
115	115	122	SLV_ENV	Max	152.21	0.	0.
115	115	123	SLV_ENV	Max	152.21	0.	0.
115	115	105	SLV_ENV	Max	152.21	0.	0.
115	115	104	SLV_ENV	Max	152.21	0.	0.
115	115	122	SLV_ENV	Min	-152.65	0.	0.
115	115	123	SLV_ENV	Min	-152.65	0.	0.
115	115	105	SLV_ENV	Min	-152.65	0.	0.
115	115	104	SLV_ENV	Min	-152.65	0.	0.
116	116	104	SLU_ENV	Max	1.59	0.	0.
116	116	105	SLU_ENV	Max	1.59	0.	0.
116	116	87	SLU_ENV	Max	1.59	0.	0.
116	116	86	SLU_ENV	Max	1.59	0.	0.
116	116	104	SLU_ENV	Min	-11.83	0.	0.
116	116	105	SLU_ENV	Min	-11.83	0.	0.
116	116	87	SLU_ENV	Min	-11.83	0.	0.
116	116	86	SLU_ENV	Min	-11.83	0.	0.
116	116	104	SLV_ENV	Max	153.65	0.	0.
116	116	105	SLV_ENV	Max	153.65	0.	0.
116	116	87	SLV_ENV	Max	153.65	0.	0.
116	116	86	SLV_ENV	Max	153.65	0.	0.
116	116	104	SLV_ENV	Min	-154.12	0.	0.
116	116	105	SLV_ENV	Min	-154.12	0.	0.
116	116	87	SLV_ENV	Min	-154.12	0.	0.
116	116	86	SLV_ENV	Min	-154.12	0.	0.

Table: Element Forces - Area Shells, Part 5 of 5

Area	AreaElem	Joint	OutputCase	StepType	V23	VMax	VAngle
					KN/m	KN/m	Degrees
117	117	86	SLU_ENV	Max	1.57	0.	0.
117	117	87	SLU_ENV	Max	1.57	0.	0.
117	117	69	SLU_ENV	Max	1.57	0.	0.
117	117	68	SLU_ENV	Max	1.57	0.	0.
117	117	86	SLU_ENV	Min	-12.32	0.	0.
117	117	87	SLU_ENV	Min	-12.32	0.	0.
117	117	69	SLU_ENV	Min	-12.32	0.	0.
117	117	68	SLU_ENV	Min	-12.32	0.	0.
117	117	86	SLV_ENV	Max	151.99	0.	0.
117	117	87	SLV_ENV	Max	151.99	0.	0.
117	117	69	SLV_ENV	Max	151.99	0.	0.
117	117	68	SLV_ENV	Max	151.99	0.	0.
117	117	86	SLV_ENV	Min	-152.51	0.	0.
117	117	87	SLV_ENV	Min	-152.51	0.	0.
117	117	69	SLV_ENV	Min	-152.51	0.	0.
117	117	68	SLV_ENV	Min	-152.51	0.	0.
118	118	68	SLU_ENV	Max	1.59	0.	0.
118	118	69	SLU_ENV	Max	1.59	0.	0.
118	118	51	SLU_ENV	Max	1.59	0.	0.
118	118	50	SLU_ENV	Max	1.59	0.	0.
118	118	68	SLU_ENV	Min	-12.9	0.	0.
118	118	69	SLU_ENV	Min	-12.9	0.	0.
118	118	51	SLU_ENV	Min	-12.9	0.	0.
118	118	50	SLU_ENV	Min	-12.9	0.	0.
118	118	68	SLV_ENV	Max	148.48	0.	0.
118	118	69	SLV_ENV	Max	148.48	0.	0.
118	118	51	SLV_ENV	Max	148.48	0.	0.
118	118	50	SLV_ENV	Max	148.48	0.	0.
118	118	68	SLV_ENV	Min	-149.07	0.	0.
118	118	69	SLV_ENV	Min	-149.07	0.	0.
118	118	51	SLV_ENV	Min	-149.07	0.	0.
118	118	50	SLV_ENV	Min	-149.07	0.	0.
121	121	141	SLU_ENV	Max	2.6	0.	0.
121	121	131	SLU_ENV	Max	2.6	0.	0.
121	121	113	SLU_ENV	Max	2.6	0.	0.
121	121	123	SLU_ENV	Max	2.6	0.	0.
121	121	141	SLU_ENV	Min	-11.99	0.	0.
121	121	131	SLU_ENV	Min	-11.99	0.	0.
121	121	113	SLU_ENV	Min	-11.99	0.	0.
121	121	123	SLU_ENV	Min	-11.99	0.	0.
121	121	141	SLV_ENV	Max	167.44	0.	0.
121	121	131	SLV_ENV	Max	167.44	0.	0.
121	121	113	SLV_ENV	Max	167.44	0.	0.
121	121	123	SLV_ENV	Max	167.44	0.	0.
121	121	141	SLV_ENV	Min	-167.47	0.	0.
121	121	131	SLV_ENV	Min	-167.47	0.	0.
121	121	113	SLV_ENV	Min	-167.47	0.	0.
121	121	123	SLV_ENV	Min	-167.47	0.	0.
122	122	123	SLU_ENV	Max	1.9	0.	0.
122	122	113	SLU_ENV	Max	1.9	0.	0.
122	122	95	SLU_ENV	Max	1.9	0.	0.
122	122	105	SLU_ENV	Max	1.9	0.	0.
122	122	123	SLU_ENV	Min	-12.72	0.	0.
122	122	113	SLU_ENV	Min	-12.72	0.	0.

Table: Element Forces - Area Shells, Part 5 of 5

Area	AreaElem	Joint	OutputCase	StepType	V23	VMax	VAngle
					KN/m	KN/m	Degrees
122	122	95	SLU_ENV	Min	-12.72	0.	0.
122	122	105	SLU_ENV	Min	-12.72	0.	0.
122	122	123	SLV_ENV	Max	172.07	0.	0.
122	122	113	SLV_ENV	Max	172.07	0.	0.
122	122	95	SLV_ENV	Max	172.07	0.	0.
122	122	105	SLV_ENV	Max	172.07	0.	0.
122	122	123	SLV_ENV	Min	-172.31	0.	0.
122	122	113	SLV_ENV	Min	-172.31	0.	0.
122	122	95	SLV_ENV	Min	-172.31	0.	0.
122	122	105	SLV_ENV	Min	-172.31	0.	0.
123	123	105	SLU_ENV	Max	1.65	0.	0.
123	123	95	SLU_ENV	Max	1.65	0.	0.
123	123	77	SLU_ENV	Max	1.65	0.	0.
123	123	87	SLU_ENV	Max	1.65	0.	0.
123	123	105	SLU_ENV	Min	-13.06	0.	0.
123	123	95	SLU_ENV	Min	-13.06	0.	0.
123	123	77	SLU_ENV	Min	-13.06	0.	0.
123	123	87	SLU_ENV	Min	-13.06	0.	0.
123	123	105	SLV_ENV	Max	167.85	0.	0.
123	123	95	SLV_ENV	Max	167.85	0.	0.
123	123	77	SLV_ENV	Max	167.85	0.	0.
123	123	87	SLV_ENV	Max	167.85	0.	0.
123	123	105	SLV_ENV	Min	-168.21	0.	0.
123	123	95	SLV_ENV	Min	-168.21	0.	0.
123	123	77	SLV_ENV	Min	-168.21	0.	0.
123	123	87	SLV_ENV	Min	-168.21	0.	0.
124	124	87	SLU_ENV	Max	1.6	0.	0.
124	124	77	SLU_ENV	Max	1.6	0.	0.
124	124	59	SLU_ENV	Max	1.6	0.	0.
124	124	69	SLU_ENV	Max	1.6	0.	0.
124	124	87	SLU_ENV	Min	-13.34	0.	0.
124	124	77	SLU_ENV	Min	-13.34	0.	0.
124	124	59	SLU_ENV	Min	-13.34	0.	0.
124	124	69	SLU_ENV	Min	-13.34	0.	0.
124	124	87	SLV_ENV	Max	160.81	0.	0.
124	124	77	SLV_ENV	Max	160.81	0.	0.
124	124	59	SLV_ENV	Max	160.81	0.	0.
124	124	69	SLV_ENV	Max	160.81	0.	0.
124	124	87	SLV_ENV	Min	-161.25	0.	0.
124	124	77	SLV_ENV	Min	-161.25	0.	0.
124	124	59	SLV_ENV	Min	-161.25	0.	0.
124	124	69	SLV_ENV	Min	-161.25	0.	0.
125	125	69	SLU_ENV	Max	1.71	0.	0.
125	125	59	SLU_ENV	Max	1.71	0.	0.
125	125	41	SLU_ENV	Max	1.71	0.	0.
125	125	51	SLU_ENV	Max	1.71	0.	0.
125	125	69	SLU_ENV	Min	-13.76	0.	0.
125	125	59	SLU_ENV	Min	-13.76	0.	0.
125	125	41	SLU_ENV	Min	-13.76	0.	0.
125	125	51	SLU_ENV	Min	-13.76	0.	0.
125	125	69	SLV_ENV	Max	153.4	0.	0.
125	125	59	SLV_ENV	Max	153.4	0.	0.
125	125	41	SLV_ENV	Max	153.4	0.	0.
125	125	51	SLV_ENV	Max	153.4	0.	0.

Table: Element Forces - Area Shells, Part 5 of 5

Area	AreaElem	Joint	OutputCase	StepType	V23	VMax	VAngle
					KN/m	KN/m	Degrees
125	125	69	SLV_ENV	Min	-153.97	0.	0.
125	125	59	SLV_ENV	Min	-153.97	0.	0.
125	125	41	SLV_ENV	Min	-153.97	0.	0.
125	125	51	SLV_ENV	Min	-153.97	0.	0.
128	128	131	SLU_ENV	Max	2.16	0.	0.
128	128	144	SLU_ENV	Max	2.16	0.	0.
128	128	126	SLU_ENV	Max	2.16	0.	0.
128	128	113	SLU_ENV	Max	2.16	0.	0.
128	128	131	SLU_ENV	Min	-26.52	0.	0.
128	128	144	SLU_ENV	Min	-26.52	0.	0.
128	128	126	SLU_ENV	Min	-26.52	0.	0.
128	128	113	SLU_ENV	Min	-26.52	0.	0.
128	128	131	SLV_ENV	Max	372.3	0.	0.
128	128	144	SLV_ENV	Max	372.3	0.	0.
128	128	126	SLV_ENV	Max	372.3	0.	0.
128	128	113	SLV_ENV	Max	372.3	0.	0.
128	128	131	SLV_ENV	Min	-373.16	0.	0.
128	128	144	SLV_ENV	Min	-373.16	0.	0.
128	128	126	SLV_ENV	Min	-373.16	0.	0.
128	128	113	SLV_ENV	Min	-373.16	0.	0.
129	129	113	SLU_ENV	Max	2.12	0.	0.
129	129	126	SLU_ENV	Max	2.12	0.	0.
129	129	108	SLU_ENV	Max	2.12	0.	0.
129	129	95	SLU_ENV	Max	2.12	0.	0.
129	129	113	SLU_ENV	Min	-24.74	0.	0.
129	129	126	SLU_ENV	Min	-24.74	0.	0.
129	129	108	SLU_ENV	Min	-24.74	0.	0.
129	129	95	SLU_ENV	Min	-24.74	0.	0.
129	129	113	SLV_ENV	Max	322.98	0.	0.
129	129	126	SLV_ENV	Max	322.98	0.	0.
129	129	108	SLV_ENV	Max	322.98	0.	0.
129	129	95	SLV_ENV	Max	322.98	0.	0.
129	129	113	SLV_ENV	Min	-323.86	0.	0.
129	129	126	SLV_ENV	Min	-323.86	0.	0.
129	129	108	SLV_ENV	Min	-323.86	0.	0.
129	129	95	SLV_ENV	Min	-323.86	0.	0.
130	130	95	SLU_ENV	Max	2.23	0.	0.
130	130	108	SLU_ENV	Max	2.23	0.	0.
130	130	90	SLU_ENV	Max	2.23	0.	0.
130	130	77	SLU_ENV	Max	2.23	0.	0.
130	130	95	SLU_ENV	Min	-23.85	0.	0.
130	130	108	SLU_ENV	Min	-23.85	0.	0.
130	130	90	SLU_ENV	Min	-23.85	0.	0.
130	130	77	SLU_ENV	Min	-23.85	0.	0.
130	130	95	SLV_ENV	Max	291.71	0.	0.
130	130	108	SLV_ENV	Max	291.71	0.	0.
130	130	90	SLV_ENV	Max	291.71	0.	0.
130	130	77	SLV_ENV	Max	291.71	0.	0.
130	130	95	SLV_ENV	Min	-292.54	0.	0.
130	130	108	SLV_ENV	Min	-292.54	0.	0.
130	130	90	SLV_ENV	Min	-292.54	0.	0.
130	130	77	SLV_ENV	Min	-292.54	0.	0.
131	131	77	SLU_ENV	Max	2.32	0.	0.
131	131	90	SLU_ENV	Max	2.32	0.	0.

Table: Element Forces - Area Shells, Part 5 of 5

Area	AreaElem	Joint	OutputCase	StepType	V23	VMax	VAngle
					KN/m	KN/m	Degrees
131	131	72	SLU_ENV	Max	2.32	0.	0.
131	131	59	SLU_ENV	Max	2.32	0.	0.
131	131	77	SLU_ENV	Min	-23.01	0.	0.
131	131	90	SLU_ENV	Min	-23.01	0.	0.
131	131	72	SLU_ENV	Min	-23.01	0.	0.
131	131	59	SLU_ENV	Min	-23.01	0.	0.
131	131	77	SLV_ENV	Max	264.81	0.	0.
131	131	90	SLV_ENV	Max	264.81	0.	0.
131	131	72	SLV_ENV	Max	264.81	0.	0.
131	131	59	SLV_ENV	Max	264.81	0.	0.
131	131	77	SLV_ENV	Min	-265.52	0.	0.
131	131	90	SLV_ENV	Min	-265.52	0.	0.
131	131	72	SLV_ENV	Min	-265.52	0.	0.
131	131	59	SLV_ENV	Min	-265.52	0.	0.
132	132	59	SLU_ENV	Max	2.31	0.	0.
132	132	72	SLU_ENV	Max	2.31	0.	0.
132	132	54	SLU_ENV	Max	2.31	0.	0.
132	132	41	SLU_ENV	Max	2.31	0.	0.
132	132	59	SLU_ENV	Min	-21.81	0.	0.
132	132	72	SLU_ENV	Min	-21.81	0.	0.
132	132	54	SLU_ENV	Min	-21.81	0.	0.
132	132	41	SLU_ENV	Min	-21.81	0.	0.
132	132	59	SLV_ENV	Max	236.59	0.	0.
132	132	72	SLV_ENV	Max	236.59	0.	0.
132	132	54	SLV_ENV	Max	236.59	0.	0.
132	132	41	SLV_ENV	Max	236.59	0.	0.
132	132	59	SLV_ENV	Min	-237.16	0.	0.
132	132	72	SLV_ENV	Min	-237.16	0.	0.
132	132	54	SLV_ENV	Min	-237.16	0.	0.
132	132	41	SLV_ENV	Min	-237.16	0.	0.
135	135	144	SLU_ENV	Max	3.48	0.	0.
135	135	145	SLU_ENV	Max	3.48	0.	0.
135	135	127	SLU_ENV	Max	3.48	0.	0.
135	135	126	SLU_ENV	Max	3.48	0.	0.
135	135	144	SLU_ENV	Min	-26.78	0.	0.
135	135	145	SLU_ENV	Min	-26.78	0.	0.
135	135	127	SLU_ENV	Min	-26.78	0.	0.
135	135	126	SLU_ENV	Min	-26.78	0.	0.
135	135	144	SLV_ENV	Max	279.73	0.	0.
135	135	145	SLV_ENV	Max	279.73	0.	0.
135	135	127	SLV_ENV	Max	279.73	0.	0.
135	135	126	SLV_ENV	Max	279.73	0.	0.
135	135	144	SLV_ENV	Min	-281.63	0.	0.
135	135	145	SLV_ENV	Min	-281.63	0.	0.
135	135	127	SLV_ENV	Min	-281.63	0.	0.
135	135	126	SLV_ENV	Min	-281.63	0.	0.
136	136	126	SLU_ENV	Max	2.9	0.	0.
136	136	127	SLU_ENV	Max	2.9	0.	0.
136	136	109	SLU_ENV	Max	2.9	0.	0.
136	136	108	SLU_ENV	Max	2.9	0.	0.
136	136	126	SLU_ENV	Min	-26.45	0.	0.
136	136	127	SLU_ENV	Min	-26.45	0.	0.
136	136	109	SLU_ENV	Min	-26.45	0.	0.
136	136	108	SLU_ENV	Min	-26.45	0.	0.

Table: Element Forces - Area Shells, Part 5 of 5

Area	AreaElem	Joint	OutputCase	StepType	V23	VMax	VAngle
					KN/m	KN/m	Degrees
136	136	126	SLV_ENV	Max	280.03	0.	0.
136	136	127	SLV_ENV	Max	280.03	0.	0.
136	136	109	SLV_ENV	Max	280.03	0.	0.
136	136	108	SLV_ENV	Max	280.03	0.	0.
136	136	126	SLV_ENV	Min	-281.76	0.	0.
136	136	127	SLV_ENV	Min	-281.76	0.	0.
136	136	109	SLV_ENV	Min	-281.76	0.	0.
136	136	108	SLV_ENV	Min	-281.76	0.	0.
137	137	108	SLU_ENV	Max	2.6	0.	0.
137	137	109	SLU_ENV	Max	2.6	0.	0.
137	137	91	SLU_ENV	Max	2.6	0.	0.
137	137	90	SLU_ENV	Max	2.6	0.	0.
137	137	108	SLU_ENV	Min	-26.46	0.	0.
137	137	109	SLU_ENV	Min	-26.46	0.	0.
137	137	91	SLU_ENV	Min	-26.46	0.	0.
137	137	90	SLU_ENV	Min	-26.46	0.	0.
137	137	108	SLV_ENV	Max	273.38	0.	0.
137	137	109	SLV_ENV	Max	273.38	0.	0.
137	137	91	SLV_ENV	Max	273.38	0.	0.
137	137	90	SLV_ENV	Max	273.38	0.	0.
137	137	108	SLV_ENV	Min	-275.07	0.	0.
137	137	109	SLV_ENV	Min	-275.07	0.	0.
137	137	91	SLV_ENV	Min	-275.07	0.	0.
137	137	90	SLV_ENV	Min	-275.07	0.	0.
138	138	90	SLU_ENV	Max	2.42	0.	0.
138	138	91	SLU_ENV	Max	2.42	0.	0.
138	138	73	SLU_ENV	Max	2.42	0.	0.
138	138	72	SLU_ENV	Max	2.42	0.	0.
138	138	90	SLU_ENV	Min	-26.82	0.	0.
138	138	91	SLU_ENV	Min	-26.82	0.	0.
138	138	73	SLU_ENV	Min	-26.82	0.	0.
138	138	72	SLU_ENV	Min	-26.82	0.	0.
138	138	90	SLV_ENV	Max	263.44	0.	0.
138	138	91	SLV_ENV	Max	263.44	0.	0.
138	138	73	SLV_ENV	Max	263.44	0.	0.
138	138	72	SLV_ENV	Max	263.44	0.	0.
138	138	90	SLV_ENV	Min	-265.15	0.	0.
138	138	91	SLV_ENV	Min	-265.15	0.	0.
138	138	73	SLV_ENV	Min	-265.15	0.	0.
138	138	72	SLV_ENV	Min	-265.15	0.	0.
139	139	72	SLU_ENV	Max	2.36	0.	0.
139	139	73	SLU_ENV	Max	2.36	0.	0.
139	139	55	SLU_ENV	Max	2.36	0.	0.
139	139	54	SLU_ENV	Max	2.36	0.	0.
139	139	72	SLU_ENV	Min	-27.61	0.	0.
139	139	73	SLU_ENV	Min	-27.61	0.	0.
139	139	55	SLU_ENV	Min	-27.61	0.	0.
139	139	54	SLU_ENV	Min	-27.61	0.	0.
139	139	72	SLV_ENV	Max	252.98	0.	0.
139	139	73	SLV_ENV	Max	252.98	0.	0.
139	139	55	SLV_ENV	Max	252.98	0.	0.
139	139	54	SLV_ENV	Max	252.98	0.	0.
139	139	72	SLV_ENV	Min	-254.73	0.	0.
139	139	73	SLV_ENV	Min	-254.73	0.	0.

Table: Element Forces - Area Shells, Part 5 of 5

Area	AreaElem	Joint	OutputCase	StepType	V23	VMax	VAngle
					KN/m	KN/m	Degrees
139	139	55	SLV_ENV	Min	-254.73	0.	0.
139	139	54	SLV_ENV	Min	-254.73	0.	0.
146	146	49	SLU_ENV	Max	1.57	0.	0.
146	146	50	SLU_ENV	Max	1.57	0.	0.
146	146	32	SLU_ENV	Max	1.57	0.	0.
146	146	31	SLU_ENV	Max	1.57	0.	0.
146	146	49	SLU_ENV	Min	-11.81	0.	0.
146	146	50	SLU_ENV	Min	-11.81	0.	0.
146	146	32	SLU_ENV	Min	-11.81	0.	0.
146	146	31	SLU_ENV	Min	-11.81	0.	0.
146	146	49	SLV_ENV	Max	138.7	0.	0.
146	146	50	SLV_ENV	Max	138.7	0.	0.
146	146	32	SLV_ENV	Max	138.7	0.	0.
146	146	31	SLV_ENV	Max	138.7	0.	0.
146	146	49	SLV_ENV	Min	-139.14	0.	0.
146	146	50	SLV_ENV	Min	-139.14	0.	0.
146	146	32	SLV_ENV	Min	-139.14	0.	0.
146	146	31	SLV_ENV	Min	-139.14	0.	0.
147	147	50	SLU_ENV	Max	1.54	0.	0.
147	147	51	SLU_ENV	Max	1.54	0.	0.
147	147	33	SLU_ENV	Max	1.54	0.	0.
147	147	32	SLU_ENV	Max	1.54	0.	0.
147	147	50	SLU_ENV	Min	-13.68	0.	0.
147	147	51	SLU_ENV	Min	-13.68	0.	0.
147	147	33	SLU_ENV	Min	-13.68	0.	0.
147	147	32	SLU_ENV	Min	-13.68	0.	0.
147	147	50	SLV_ENV	Max	143.13	0.	0.
147	147	51	SLV_ENV	Max	143.13	0.	0.
147	147	33	SLV_ENV	Max	143.13	0.	0.
147	147	32	SLV_ENV	Max	143.13	0.	0.
147	147	50	SLV_ENV	Min	-143.78	0.	0.
147	147	51	SLV_ENV	Min	-143.78	0.	0.
147	147	33	SLV_ENV	Min	-143.78	0.	0.
147	147	32	SLV_ENV	Min	-143.78	0.	0.
148	148	51	SLU_ENV	Max	1.99	0.	0.
148	148	41	SLU_ENV	Max	1.99	0.	0.
148	148	23	SLU_ENV	Max	1.99	0.	0.
148	148	33	SLU_ENV	Max	1.99	0.	0.
148	148	51	SLU_ENV	Min	-16.58	0.	0.
148	148	41	SLU_ENV	Min	-16.58	0.	0.
148	148	23	SLU_ENV	Min	-16.58	0.	0.
148	148	33	SLU_ENV	Min	-16.58	0.	0.
148	148	51	SLV_ENV	Max	161.83	0.	0.
148	148	41	SLV_ENV	Max	161.83	0.	0.
148	148	23	SLV_ENV	Max	161.83	0.	0.
148	148	33	SLV_ENV	Max	161.83	0.	0.
148	148	51	SLV_ENV	Min	-162.63	0.	0.
148	148	41	SLV_ENV	Min	-162.63	0.	0.
148	148	23	SLV_ENV	Min	-162.63	0.	0.
148	148	33	SLV_ENV	Min	-162.63	0.	0.
149	149	41	SLU_ENV	Max	1.86	0.	0.
149	149	54	SLU_ENV	Max	1.86	0.	0.
149	149	36	SLU_ENV	Max	1.86	0.	0.
149	149	23	SLU_ENV	Max	1.86	0.	0.

Table: Element Forces - Area Shells, Part 5 of 5

Area	AreaElem	Joint	OutputCase	StepType	V23	VMax	VAngle
					KN/m	KN/m	Degrees
149	149	41	SLU_ENV	Min	-17.26	0.	0.
149	149	54	SLU_ENV	Min	-17.26	0.	0.
149	149	36	SLU_ENV	Min	-17.26	0.	0.
149	149	23	SLU_ENV	Min	-17.26	0.	0.
149	149	41	SLV_ENV	Max	166.61	0.	0.
149	149	54	SLV_ENV	Max	166.61	0.	0.
149	149	36	SLV_ENV	Max	166.61	0.	0.
149	149	23	SLV_ENV	Max	166.61	0.	0.
149	149	41	SLV_ENV	Min	-167.14	0.	0.
149	149	54	SLV_ENV	Min	-167.14	0.	0.
149	149	36	SLV_ENV	Min	-167.14	0.	0.
149	149	23	SLV_ENV	Min	-167.14	0.	0.
150	150	54	SLU_ENV	Max	2.53	0.	0.
150	150	55	SLU_ENV	Max	2.53	0.	0.
150	150	37	SLU_ENV	Max	2.53	0.	0.
150	150	36	SLU_ENV	Max	2.53	0.	0.
150	150	54	SLU_ENV	Min	-30.23	0.	0.
150	150	55	SLU_ENV	Min	-30.23	0.	0.
150	150	37	SLU_ENV	Min	-30.23	0.	0.
150	150	36	SLU_ENV	Min	-30.23	0.	0.
150	150	54	SLV_ENV	Max	251.55	0.	0.
150	150	55	SLV_ENV	Max	251.55	0.	0.
150	150	37	SLV_ENV	Max	251.55	0.	0.
150	150	36	SLV_ENV	Max	251.55	0.	0.
150	150	54	SLV_ENV	Min	-253.28	0.	0.
150	150	55	SLV_ENV	Min	-253.28	0.	0.
150	150	37	SLV_ENV	Min	-253.28	0.	0.
150	150	36	SLV_ENV	Min	-253.28	0.	0.
271	271	2214	SLU_ENV	Max	2.88	0.	0.
271	271	2215	SLU_ENV	Max	2.88	0.	0.
271	271	2197	SLU_ENV	Max	2.88	0.	0.
271	271	2196	SLU_ENV	Max	2.88	0.	0.
271	271	2214	SLU_ENV	Min	-10.85	0.	0.
271	271	2215	SLU_ENV	Min	-10.85	0.	0.
271	271	2197	SLU_ENV	Min	-10.85	0.	0.
271	271	2196	SLU_ENV	Min	-10.85	0.	0.
271	271	2214	SLV_ENV	Max	115.38	0.	0.
271	271	2215	SLV_ENV	Max	115.38	0.	0.
271	271	2197	SLV_ENV	Max	115.38	0.	0.
271	271	2196	SLV_ENV	Max	115.38	0.	0.
271	271	2214	SLV_ENV	Min	-112.66	0.	0.
271	271	2215	SLV_ENV	Min	-112.66	0.	0.
271	271	2197	SLV_ENV	Min	-112.66	0.	0.
271	271	2196	SLV_ENV	Min	-112.66	0.	0.
380	380	2196	SLU_ENV	Max	3.08	0.	0.
380	380	2197	SLU_ENV	Max	3.08	0.	0.
380	380	2179	SLU_ENV	Max	3.08	0.	0.
380	380	2178	SLU_ENV	Max	3.08	0.	0.
380	380	2196	SLU_ENV	Min	-10.84	0.	0.
380	380	2197	SLU_ENV	Min	-10.84	0.	0.
380	380	2179	SLU_ENV	Min	-10.84	0.	0.
380	380	2178	SLU_ENV	Min	-10.84	0.	0.
380	380	2196	SLV_ENV	Max	109.91	0.	0.
380	380	2197	SLV_ENV	Max	109.91	0.	0.

Table: Element Forces - Area Shells, Part 5 of 5

Area	AreaElem	Joint	OutputCase	StepType	V23	VMax	VAngle
					KN/m	KN/m	Degrees
380	380	2179	SLV_ENV	Max	109.91	0.	0.
380	380	2178	SLV_ENV	Max	109.91	0.	0.
380	380	2196	SLV_ENV	Min	-106.98	0.	0.
380	380	2197	SLV_ENV	Min	-106.98	0.	0.
380	380	2179	SLV_ENV	Min	-106.98	0.	0.
380	380	2178	SLV_ENV	Min	-106.98	0.	0.
381	381	2178	SLU_ENV	Max	2.96	0.	0.
381	381	2179	SLU_ENV	Max	2.96	0.	0.
381	381	2161	SLU_ENV	Max	2.96	0.	0.
381	381	2160	SLU_ENV	Max	2.96	0.	0.
381	381	2178	SLU_ENV	Min	-11.22	0.	0.
381	381	2179	SLU_ENV	Min	-11.22	0.	0.
381	381	2161	SLU_ENV	Min	-11.22	0.	0.
381	381	2160	SLU_ENV	Min	-11.22	0.	0.
381	381	2178	SLV_ENV	Max	108.75	0.	0.
381	381	2179	SLV_ENV	Max	108.75	0.	0.
381	381	2161	SLV_ENV	Max	108.75	0.	0.
381	381	2160	SLV_ENV	Max	108.75	0.	0.
381	381	2178	SLV_ENV	Min	-106.06	0.	0.
381	381	2179	SLV_ENV	Min	-106.06	0.	0.
381	381	2161	SLV_ENV	Min	-106.06	0.	0.
381	381	2160	SLV_ENV	Min	-106.06	0.	0.
384	384	2215	SLU_ENV	Max	2.72	0.	0.
384	384	2205	SLU_ENV	Max	2.72	0.	0.
384	384	2187	SLU_ENV	Max	2.72	0.	0.
384	384	2197	SLU_ENV	Max	2.72	0.	0.
384	384	2215	SLU_ENV	Min	-11.19	0.	0.
384	384	2205	SLU_ENV	Min	-11.19	0.	0.
384	384	2187	SLU_ENV	Min	-11.19	0.	0.
384	384	2197	SLU_ENV	Min	-11.19	0.	0.
384	384	2215	SLV_ENV	Max	113.36	0.	0.
384	384	2205	SLV_ENV	Max	113.36	0.	0.
384	384	2187	SLV_ENV	Max	113.36	0.	0.
384	384	2197	SLV_ENV	Max	113.36	0.	0.
384	384	2215	SLV_ENV	Min	-110.92	0.	0.
384	384	2205	SLV_ENV	Min	-110.92	0.	0.
384	384	2187	SLV_ENV	Min	-110.92	0.	0.
384	384	2197	SLV_ENV	Min	-110.92	0.	0.
385	385	2197	SLU_ENV	Max	2.06	0.	0.
385	385	2187	SLU_ENV	Max	2.06	0.	0.
385	385	2169	SLU_ENV	Max	2.06	0.	0.
385	385	2179	SLU_ENV	Max	2.06	0.	0.
385	385	2197	SLU_ENV	Min	-12.26	0.	0.
385	385	2187	SLU_ENV	Min	-12.26	0.	0.
385	385	2169	SLU_ENV	Min	-12.26	0.	0.
385	385	2179	SLU_ENV	Min	-12.26	0.	0.
385	385	2197	SLV_ENV	Max	107.09	0.	0.
385	385	2187	SLV_ENV	Max	107.09	0.	0.
385	385	2169	SLV_ENV	Max	107.09	0.	0.
385	385	2179	SLV_ENV	Max	107.09	0.	0.
385	385	2197	SLV_ENV	Min	-105.67	0.	0.
385	385	2187	SLV_ENV	Min	-105.67	0.	0.
385	385	2169	SLV_ENV	Min	-105.67	0.	0.
385	385	2179	SLV_ENV	Min	-105.67	0.	0.

Table: Element Forces - Area Shells, Part 5 of 5

Area	AreaElem	Joint	OutputCase	StepType	V23	VMax	VAngle
					KN/m	KN/m	Degrees
386	386	2179	SLU_ENV	Max	2.21	0.	0.
386	386	2169	SLU_ENV	Max	2.21	0.	0.
386	386	2151	SLU_ENV	Max	2.21	0.	0.
386	386	2161	SLU_ENV	Max	2.21	0.	0.
386	386	2179	SLU_ENV	Min	-12.96	0.	0.
386	386	2169	SLU_ENV	Min	-12.96	0.	0.
386	386	2151	SLU_ENV	Min	-12.96	0.	0.
386	386	2161	SLU_ENV	Min	-12.96	0.	0.
386	386	2179	SLV_ENV	Max	107.12	0.	0.
386	386	2169	SLV_ENV	Max	107.12	0.	0.
386	386	2151	SLV_ENV	Max	107.12	0.	0.
386	386	2161	SLV_ENV	Max	107.12	0.	0.
386	386	2179	SLV_ENV	Min	-105.64	0.	0.
386	386	2169	SLV_ENV	Min	-105.64	0.	0.
386	386	2151	SLV_ENV	Min	-105.64	0.	0.
386	386	2161	SLV_ENV	Min	-105.64	0.	0.
389	389	2205	SLU_ENV	Max	-5.24	0.	0.
389	389	2218	SLU_ENV	Max	-5.24	0.	0.
389	389	2200	SLU_ENV	Max	-5.24	0.	0.
389	389	2187	SLU_ENV	Max	-5.24	0.	0.
389	389	2205	SLU_ENV	Min	-17.76	0.	0.
389	389	2218	SLU_ENV	Min	-17.76	0.	0.
389	389	2200	SLU_ENV	Min	-17.76	0.	0.
389	389	2187	SLU_ENV	Min	-17.76	0.	0.
389	389	2205	SLV_ENV	Max	53.7	0.	0.
389	389	2218	SLV_ENV	Max	53.7	0.	0.
389	389	2200	SLV_ENV	Max	53.7	0.	0.
389	389	2187	SLV_ENV	Max	53.7	0.	0.
389	389	2205	SLV_ENV	Min	-65.82	0.	0.
389	389	2218	SLV_ENV	Min	-65.82	0.	0.
389	389	2200	SLV_ENV	Min	-65.82	0.	0.
389	389	2187	SLV_ENV	Min	-65.82	0.	0.
390	390	2187	SLU_ENV	Max	-5.24	0.	0.
390	390	2200	SLU_ENV	Max	-5.24	0.	0.
390	390	2182	SLU_ENV	Max	-5.24	0.	0.
390	390	2169	SLU_ENV	Max	-5.24	0.	0.
390	390	2187	SLU_ENV	Min	-20.25	0.	0.
390	390	2200	SLU_ENV	Min	-20.25	0.	0.
390	390	2182	SLU_ENV	Min	-20.25	0.	0.
390	390	2169	SLU_ENV	Min	-20.25	0.	0.
390	390	2187	SLV_ENV	Max	62.65	0.	0.
390	390	2200	SLV_ENV	Max	62.65	0.	0.
390	390	2182	SLV_ENV	Max	62.65	0.	0.
390	390	2169	SLV_ENV	Max	62.65	0.	0.
390	390	2187	SLV_ENV	Min	-74.97	0.	0.
390	390	2200	SLV_ENV	Min	-74.97	0.	0.
390	390	2182	SLV_ENV	Min	-74.97	0.	0.
390	390	2169	SLV_ENV	Min	-74.97	0.	0.
391	391	2169	SLU_ENV	Max	-2.21	0.	0.
391	391	2182	SLU_ENV	Max	-2.21	0.	0.
391	391	2164	SLU_ENV	Max	-2.21	0.	0.
391	391	2151	SLU_ENV	Max	-2.21	0.	0.
391	391	2169	SLU_ENV	Min	-18.02	0.	0.
391	391	2182	SLU_ENV	Min	-18.02	0.	0.

Table: Element Forces - Area Shells, Part 5 of 5

Area	AreaElem	Joint	OutputCase	StepType	V23	VMax	VAngle
					KN/m	KN/m	Degrees
391	391	2164	SLU_ENV	Min	-18.02	0.	0.
391	391	2151	SLU_ENV	Min	-18.02	0.	0.
391	391	2169	SLV_ENV	Max	87.38	0.	0.
391	391	2182	SLV_ENV	Max	87.38	0.	0.
391	391	2164	SLV_ENV	Max	87.38	0.	0.
391	391	2151	SLV_ENV	Max	87.38	0.	0.
391	391	2169	SLV_ENV	Min	-93.54	0.	0.
391	391	2182	SLV_ENV	Min	-93.54	0.	0.
391	391	2164	SLV_ENV	Min	-93.54	0.	0.
391	391	2151	SLV_ENV	Min	-93.54	0.	0.
401	401	2160	SLU_ENV	Max	3.23	0.	0.
401	401	2161	SLU_ENV	Max	3.23	0.	0.
401	401	1866	SLU_ENV	Max	3.23	0.	0.
401	401	1860	SLU_ENV	Max	3.23	0.	0.
401	401	2160	SLU_ENV	Min	-11.53	0.	0.
401	401	2161	SLU_ENV	Min	-11.53	0.	0.
401	401	1866	SLU_ENV	Min	-11.53	0.	0.
401	401	1860	SLU_ENV	Min	-11.53	0.	0.
401	401	2160	SLV_ENV	Max	111.68	0.	0.
401	401	2161	SLV_ENV	Max	111.68	0.	0.
401	401	1866	SLV_ENV	Max	111.68	0.	0.
401	401	1860	SLV_ENV	Max	111.68	0.	0.
401	401	2160	SLV_ENV	Min	-108.73	0.	0.
401	401	2161	SLV_ENV	Min	-108.73	0.	0.
401	401	1866	SLV_ENV	Min	-108.73	0.	0.
401	401	1860	SLV_ENV	Min	-108.73	0.	0.
402	402	2161	SLU_ENV	Max	2.67	0.	0.
402	402	2151	SLU_ENV	Max	2.67	0.	0.
402	402	1779	SLU_ENV	Max	2.67	0.	0.
402	402	1866	SLU_ENV	Max	2.67	0.	0.
402	402	2161	SLU_ENV	Min	-13.74	0.	0.
402	402	2151	SLU_ENV	Min	-13.74	0.	0.
402	402	1779	SLU_ENV	Min	-13.74	0.	0.
402	402	1866	SLU_ENV	Min	-13.74	0.	0.
402	402	2161	SLV_ENV	Max	112.23	0.	0.
402	402	2151	SLV_ENV	Max	112.23	0.	0.
402	402	1779	SLV_ENV	Max	112.23	0.	0.
402	402	1866	SLV_ENV	Max	112.23	0.	0.
402	402	2161	SLV_ENV	Min	-110.31	0.	0.
402	402	2151	SLV_ENV	Min	-110.31	0.	0.
402	402	1779	SLV_ENV	Min	-110.31	0.	0.
402	402	1866	SLV_ENV	Min	-110.31	0.	0.
403	403	2151	SLU_ENV	Max	2.25	0.	0.
403	403	2164	SLU_ENV	Max	2.25	0.	0.
403	403	1884	SLU_ENV	Max	2.25	0.	0.
403	403	1779	SLU_ENV	Max	2.25	0.	0.
403	403	2151	SLU_ENV	Min	-16.52	0.	0.
403	403	2164	SLU_ENV	Min	-16.52	0.	0.
403	403	1884	SLU_ENV	Min	-16.52	0.	0.
403	403	1779	SLU_ENV	Min	-16.52	0.	0.
403	403	2151	SLV_ENV	Max	115.2	0.	0.
403	403	2164	SLV_ENV	Max	115.2	0.	0.
403	403	1884	SLV_ENV	Max	115.2	0.	0.
403	403	1779	SLV_ENV	Max	115.2	0.	0.

Table: Element Forces - Area Shells, Part 5 of 5

Area	AreaElem	Joint	OutputCase	StepType	V23	VMax	VAngle
					KN/m	KN/m	Degrees
403	403	2151	SLV_ENV	Min	-114.5	0.	0.
403	403	2164	SLV_ENV	Min	-114.5	0.	0.
403	403	1884	SLV_ENV	Min	-114.5	0.	0.
403	403	1779	SLV_ENV	Min	-114.5	0.	0.
413	413	2218	SLU_ENV	Max	-29.38	0.	0.
413	413	2219	SLU_ENV	Max	-29.38	0.	0.
413	413	2201	SLU_ENV	Max	-29.38	0.	0.
413	413	2200	SLU_ENV	Max	-29.38	0.	0.
413	413	2218	SLU_ENV	Min	-70.58	0.	0.
413	413	2219	SLU_ENV	Min	-70.58	0.	0.
413	413	2201	SLU_ENV	Min	-70.58	0.	0.
413	413	2200	SLU_ENV	Min	-70.58	0.	0.
413	413	2218	SLV_ENV	Max	79.88	0.	0.
413	413	2219	SLV_ENV	Max	79.88	0.	0.
413	413	2201	SLV_ENV	Max	79.88	0.	0.
413	413	2200	SLV_ENV	Max	79.88	0.	0.
413	413	2218	SLV_ENV	Min	-158.63	0.	0.
413	413	2219	SLV_ENV	Min	-158.63	0.	0.
413	413	2201	SLV_ENV	Min	-158.63	0.	0.
413	413	2200	SLV_ENV	Min	-158.63	0.	0.
414	414	2200	SLU_ENV	Max	0.14	0.	0.
414	414	2201	SLU_ENV	Max	0.14	0.	0.
414	414	2183	SLU_ENV	Max	0.14	0.	0.
414	414	2182	SLU_ENV	Max	0.14	0.	0.
414	414	2200	SLU_ENV	Min	-22.43	0.	0.
414	414	2201	SLU_ENV	Min	-22.43	0.	0.
414	414	2183	SLU_ENV	Min	-22.43	0.	0.
414	414	2182	SLU_ENV	Min	-22.43	0.	0.
414	414	2200	SLV_ENV	Max	117.21	0.	0.
414	414	2201	SLV_ENV	Max	117.21	0.	0.
414	414	2183	SLV_ENV	Max	117.21	0.	0.
414	414	2182	SLV_ENV	Max	117.21	0.	0.
414	414	2200	SLV_ENV	Min	-140.54	0.	0.
414	414	2201	SLV_ENV	Min	-140.54	0.	0.
414	414	2183	SLV_ENV	Min	-140.54	0.	0.
414	414	2182	SLV_ENV	Min	-140.54	0.	0.
415	415	2182	SLU_ENV	Max	4.18	0.	0.
415	415	2183	SLU_ENV	Max	4.18	0.	0.
415	415	2165	SLU_ENV	Max	4.18	0.	0.
415	415	2164	SLU_ENV	Max	4.18	0.	0.
415	415	2182	SLU_ENV	Min	-18.45	0.	0.
415	415	2183	SLU_ENV	Min	-18.45	0.	0.
415	415	2165	SLU_ENV	Min	-18.45	0.	0.
415	415	2164	SLU_ENV	Min	-18.45	0.	0.
415	415	2182	SLV_ENV	Max	121.18	0.	0.
415	415	2183	SLV_ENV	Max	121.18	0.	0.
415	415	2165	SLV_ENV	Max	121.18	0.	0.
415	415	2164	SLV_ENV	Max	121.18	0.	0.
415	415	2182	SLV_ENV	Min	-137.05	0.	0.
415	415	2183	SLV_ENV	Min	-137.05	0.	0.
415	415	2165	SLV_ENV	Min	-137.05	0.	0.
415	415	2164	SLV_ENV	Min	-137.05	0.	0.
416	416	2164	SLU_ENV	Max	-5.01	0.	0.
416	416	2165	SLU_ENV	Max	-5.01	0.	0.

Table: Element Forces - Area Shells, Part 5 of 5

Area	AreaElem	Joint	OutputCase	StepType	V23	VMax	VAngle
					KN/m	KN/m	Degrees
416	416	1885	SLU_ENV	Max	-5.01	0.	0.
416	416	1884	SLU_ENV	Max	-5.01	0.	0.
416	416	2164	SLU_ENV	Min	-15.54	0.	0.
416	416	2165	SLU_ENV	Min	-15.54	0.	0.
416	416	1885	SLU_ENV	Min	-15.54	0.	0.
416	416	1884	SLU_ENV	Min	-15.54	0.	0.
416	416	2164	SLV_ENV	Max	41.67	0.	0.
416	416	2165	SLV_ENV	Max	41.67	0.	0.
416	416	1885	SLV_ENV	Max	41.67	0.	0.
416	416	1884	SLV_ENV	Max	41.67	0.	0.
416	416	2164	SLV_ENV	Min	-54.14	0.	0.
416	416	2165	SLV_ENV	Min	-54.14	0.	0.
416	416	1885	SLV_ENV	Min	-54.14	0.	0.
416	416	1884	SLV_ENV	Min	-54.14	0.	0.
417	417	2281	SLU_ENV	Max	-71.98	0.	0.
417	417	2573	SLU_ENV	Max	-71.98	0.	0.
417	417	2291	SLU_ENV	Max	-71.98	0.	0.
417	417	2301	SLU_ENV	Max	-71.98	0.	0.
417	417	2281	SLU_ENV	Min	-126.25	0.	0.
417	417	2573	SLU_ENV	Min	-126.25	0.	0.
417	417	2291	SLU_ENV	Min	-126.25	0.	0.
417	417	2301	SLU_ENV	Min	-126.25	0.	0.
417	417	2281	SLV_ENV	Max	142.55	0.	0.
417	417	2573	SLV_ENV	Max	142.55	0.	0.
417	417	2291	SLV_ENV	Max	142.55	0.	0.
417	417	2301	SLV_ENV	Max	142.55	0.	0.
417	417	2281	SLV_ENV	Min	-299.87	0.	0.
417	417	2573	SLV_ENV	Min	-299.87	0.	0.
417	417	2291	SLV_ENV	Min	-299.87	0.	0.
417	417	2301	SLV_ENV	Min	-299.87	0.	0.
418	418	2573	SLU_ENV	Max	137.32	0.	0.
418	418	2912	SLU_ENV	Max	137.32	0.	0.
418	418	2572	SLU_ENV	Max	137.32	0.	0.
418	418	2291	SLU_ENV	Max	137.32	0.	0.
418	418	2573	SLU_ENV	Min	72.48	0.	0.
418	418	2912	SLU_ENV	Min	72.48	0.	0.
418	418	2572	SLU_ENV	Min	72.48	0.	0.
418	418	2291	SLU_ENV	Min	72.48	0.	0.
418	418	2573	SLV_ENV	Max	853.32	0.	0.
418	418	2912	SLV_ENV	Max	853.32	0.	0.
418	418	2572	SLV_ENV	Max	853.32	0.	0.
418	418	2291	SLV_ENV	Max	853.32	0.	0.
418	418	2573	SLV_ENV	Min	-690.46	0.	0.
418	418	2912	SLV_ENV	Min	-690.46	0.	0.
418	418	2572	SLV_ENV	Min	-690.46	0.	0.
418	418	2291	SLV_ENV	Min	-690.46	0.	0.
419	419	2291	SLU_ENV	Max	-107.51	0.	0.
419	419	2205	SLU_ENV	Max	-107.51	0.	0.
419	419	2215	SLU_ENV	Max	-107.51	0.	0.
419	419	2301	SLU_ENV	Max	-107.51	0.	0.
419	419	2291	SLU_ENV	Min	-188.01	0.	0.
419	419	2205	SLU_ENV	Min	-188.01	0.	0.
419	419	2215	SLU_ENV	Min	-188.01	0.	0.
419	419	2301	SLU_ENV	Min	-188.01	0.	0.

Table: Element Forces - Area Shells, Part 5 of 5

Area	AreaElem	Joint	OutputCase	StepType	V23	VMax	VAngle
					KN/m	KN/m	Degrees
419	419	2291	SLV_ENV	Max	116.89	0.	0.
419	419	2205	SLV_ENV	Max	116.89	0.	0.
419	419	2215	SLV_ENV	Max	116.89	0.	0.
419	419	2301	SLV_ENV	Max	116.89	0.	0.
419	419	2291	SLV_ENV	Min	-350.04	0.	0.
419	419	2205	SLV_ENV	Min	-350.04	0.	0.
419	419	2215	SLV_ENV	Min	-350.04	0.	0.
419	419	2301	SLV_ENV	Min	-350.04	0.	0.
421	421	2205	SLU_ENV	Max	14.49	0.	0.
421	421	2311	SLU_ENV	Max	14.49	0.	0.
421	421	2321	SLU_ENV	Max	14.49	0.	0.
421	421	2215	SLU_ENV	Max	14.49	0.	0.
421	421	2205	SLU_ENV	Min	-2.09	0.	0.
421	421	2311	SLU_ENV	Min	-2.09	0.	0.
421	421	2321	SLU_ENV	Min	-2.09	0.	0.
421	421	2215	SLU_ENV	Min	-2.09	0.	0.
421	421	2205	SLV_ENV	Max	80.05	0.	0.
421	421	2311	SLV_ENV	Max	80.05	0.	0.
421	421	2321	SLV_ENV	Max	80.05	0.	0.
421	421	2215	SLV_ENV	Max	80.05	0.	0.
421	421	2205	SLV_ENV	Min	-74.91	0.	0.
421	421	2311	SLV_ENV	Min	-74.91	0.	0.
421	421	2321	SLV_ENV	Min	-74.91	0.	0.
421	421	2215	SLV_ENV	Min	-74.91	0.	0.
422	422	2311	SLU_ENV	Max	-73.24	0.	0.
422	422	2331	SLU_ENV	Max	-73.24	0.	0.
422	422	2341	SLU_ENV	Max	-73.24	0.	0.
422	422	2321	SLU_ENV	Max	-73.24	0.	0.
422	422	2311	SLU_ENV	Min	-124.73	0.	0.
422	422	2331	SLU_ENV	Min	-124.73	0.	0.
422	422	2341	SLU_ENV	Min	-124.73	0.	0.
422	422	2321	SLU_ENV	Min	-124.73	0.	0.
422	422	2311	SLV_ENV	Max	46.01	0.	0.
422	422	2331	SLV_ENV	Max	46.01	0.	0.
422	422	2341	SLV_ENV	Max	46.01	0.	0.
422	422	2321	SLV_ENV	Max	46.01	0.	0.
422	422	2311	SLV_ENV	Min	-200.41	0.	0.
422	422	2331	SLV_ENV	Min	-200.41	0.	0.
422	422	2341	SLV_ENV	Min	-200.41	0.	0.
422	422	2321	SLV_ENV	Min	-200.41	0.	0.
423	423	2281	SLU_ENV	Max	127.77	0.	0.
423	423	2301	SLU_ENV	Max	127.77	0.	0.
423	423	2300	SLU_ENV	Max	127.77	0.	0.
423	423	2280	SLU_ENV	Max	127.77	0.	0.
423	423	2281	SLU_ENV	Min	73.38	0.	0.
423	423	2301	SLU_ENV	Min	73.38	0.	0.
423	423	2300	SLU_ENV	Min	73.38	0.	0.
423	423	2280	SLU_ENV	Min	73.38	0.	0.
423	423	2281	SLV_ENV	Max	193.76	0.	0.
423	423	2301	SLV_ENV	Max	193.76	0.	0.
423	423	2300	SLV_ENV	Max	193.76	0.	0.
423	423	2280	SLV_ENV	Max	193.76	0.	0.
423	423	2281	SLV_ENV	Min	-27.49	0.	0.
423	423	2301	SLV_ENV	Min	-27.49	0.	0.

Table: Element Forces - Area Shells, Part 5 of 5

Area	AreaElem	Joint	OutputCase	StepType	V23 KN/m	VMax KN/m	VAngle Degrees
423	423	2300	SLV_ENV	Min	-27.49	0.	0.
423	423	2280	SLV_ENV	Min	-27.49	0.	0.
424	424	2301	SLU_ENV	Max	2.727E-02	0.	0.
424	424	2215	SLU_ENV	Max	2.727E-02	0.	0.
424	424	2214	SLU_ENV	Max	2.727E-02	0.	0.
424	424	2300	SLU_ENV	Max	2.727E-02	0.	0.
424	424	2301	SLU_ENV	Min	-11.12	0.	0.
424	424	2215	SLU_ENV	Min	-11.12	0.	0.
424	424	2214	SLU_ENV	Min	-11.12	0.	0.
424	424	2300	SLU_ENV	Min	-11.12	0.	0.
424	424	2301	SLV_ENV	Max	73.99	0.	0.
424	424	2215	SLV_ENV	Max	73.99	0.	0.
424	424	2214	SLV_ENV	Max	73.99	0.	0.
424	424	2300	SLV_ENV	Max	73.99	0.	0.
424	424	2301	SLV_ENV	Min	-82.39	0.	0.
424	424	2215	SLV_ENV	Min	-82.39	0.	0.
424	424	2214	SLV_ENV	Min	-82.39	0.	0.
424	424	2300	SLV_ENV	Min	-82.39	0.	0.
425	425	2215	SLU_ENV	Max	181.06	0.	0.
425	425	2321	SLU_ENV	Max	181.06	0.	0.
425	425	2320	SLU_ENV	Max	181.06	0.	0.
425	425	2214	SLU_ENV	Max	181.06	0.	0.
425	425	2215	SLU_ENV	Min	102.84	0.	0.
425	425	2321	SLU_ENV	Min	102.84	0.	0.
425	425	2320	SLU_ENV	Min	102.84	0.	0.
425	425	2214	SLU_ENV	Min	102.84	0.	0.
425	425	2215	SLV_ENV	Max	225.16	0.	0.
425	425	2321	SLV_ENV	Max	225.16	0.	0.
425	425	2320	SLV_ENV	Max	225.16	0.	0.
425	425	2214	SLV_ENV	Max	225.16	0.	0.
425	425	2215	SLV_ENV	Min	-5.08	0.	0.
425	425	2321	SLV_ENV	Min	-5.08	0.	0.
425	425	2320	SLV_ENV	Min	-5.08	0.	0.
425	425	2214	SLV_ENV	Min	-5.08	0.	0.
433	433	689	SLU_ENV	Max	-190.14	0.	0.
433	433	145	SLU_ENV	Max	-190.14	0.	0.
433	433	144	SLU_ENV	Max	-190.14	0.	0.
433	433	688	SLU_ENV	Max	-190.14	0.	0.
433	433	689	SLU_ENV	Min	-393.67	0.	0.
433	433	145	SLU_ENV	Min	-393.67	0.	0.
433	433	144	SLU_ENV	Min	-393.67	0.	0.
433	433	688	SLU_ENV	Min	-393.67	0.	0.
433	433	689	SLV_ENV	Max	469.51	0.	0.
433	433	145	SLV_ENV	Max	469.51	0.	0.
433	433	144	SLV_ENV	Max	469.51	0.	0.
433	433	688	SLV_ENV	Max	469.51	0.	0.
433	433	689	SLV_ENV	Min	-946.51	0.	0.
433	433	145	SLV_ENV	Min	-946.51	0.	0.
433	433	144	SLV_ENV	Min	-946.51	0.	0.
433	433	688	SLV_ENV	Min	-946.51	0.	0.
434	434	669	SLU_ENV	Max	-40.12	0.	0.
434	434	689	SLU_ENV	Max	-40.12	0.	0.
434	434	688	SLU_ENV	Max	-40.12	0.	0.
434	434	668	SLU_ENV	Max	-40.12	0.	0.

Table: Element Forces - Area Shells, Part 5 of 5

Area	AreaElem	Joint	OutputCase	StepType	V23	VMax	VAngle
					KN/m	KN/m	Degrees
434	434	669	SLU_ENV	Min	-91.88	0.	0.
434	434	689	SLU_ENV	Min	-91.88	0.	0.
434	434	688	SLU_ENV	Min	-91.88	0.	0.
434	434	668	SLU_ENV	Min	-91.88	0.	0.
434	434	669	SLV_ENV	Max	283.88	0.	0.
434	434	689	SLV_ENV	Max	283.88	0.	0.
434	434	688	SLV_ENV	Max	283.88	0.	0.
434	434	668	SLV_ENV	Max	283.88	0.	0.
434	434	669	SLV_ENV	Min	-390.63	0.	0.
434	434	689	SLV_ENV	Min	-390.63	0.	0.
434	434	688	SLV_ENV	Min	-390.63	0.	0.
434	434	668	SLV_ENV	Min	-390.63	0.	0.
435	435	145	SLU_ENV	Max	309.57	0.	0.
435	435	709	SLU_ENV	Max	309.57	0.	0.
435	435	708	SLU_ENV	Max	309.57	0.	0.
435	435	144	SLU_ENV	Max	309.57	0.	0.
435	435	145	SLU_ENV	Min	161.68	0.	0.
435	435	709	SLU_ENV	Min	161.68	0.	0.
435	435	708	SLU_ENV	Min	161.68	0.	0.
435	435	144	SLU_ENV	Min	161.68	0.	0.
435	435	145	SLV_ENV	Max	607.95	0.	0.
435	435	709	SLV_ENV	Max	607.95	0.	0.
435	435	708	SLV_ENV	Max	607.95	0.	0.
435	435	144	SLV_ENV	Max	607.95	0.	0.
435	435	145	SLV_ENV	Min	-252.81	0.	0.
435	435	709	SLV_ENV	Min	-252.81	0.	0.
435	435	708	SLV_ENV	Min	-252.81	0.	0.
435	435	144	SLV_ENV	Min	-252.81	0.	0.
436	436	709	SLU_ENV	Max	-61.71	0.	0.
436	436	729	SLU_ENV	Max	-61.71	0.	0.
436	436	728	SLU_ENV	Max	-61.71	0.	0.
436	436	708	SLU_ENV	Max	-61.71	0.	0.
436	436	709	SLU_ENV	Min	-116.25	0.	0.
436	436	729	SLU_ENV	Min	-116.25	0.	0.
436	436	728	SLU_ENV	Min	-116.25	0.	0.
436	436	708	SLU_ENV	Min	-116.25	0.	0.
436	436	709	SLV_ENV	Max	314.01	0.	0.
436	436	729	SLV_ENV	Max	314.01	0.	0.
436	436	728	SLV_ENV	Max	314.01	0.	0.
436	436	708	SLV_ENV	Max	314.01	0.	0.
436	436	709	SLV_ENV	Min	-447.99	0.	0.
436	436	729	SLV_ENV	Min	-447.99	0.	0.
436	436	728	SLV_ENV	Min	-447.99	0.	0.
436	436	708	SLV_ENV	Min	-447.99	0.	0.
437	437	668	SLU_ENV	Max	34.92	0.	0.
437	437	688	SLU_ENV	Max	34.92	0.	0.
437	437	675	SLU_ENV	Max	34.92	0.	0.
437	437	655	SLU_ENV	Max	34.92	0.	0.
437	437	668	SLU_ENV	Min	19.78	0.	0.
437	437	688	SLU_ENV	Min	19.78	0.	0.
437	437	675	SLU_ENV	Min	19.78	0.	0.
437	437	655	SLU_ENV	Min	19.78	0.	0.
437	437	668	SLV_ENV	Max	349.89	0.	0.
437	437	688	SLV_ENV	Max	349.89	0.	0.

Table: Element Forces - Area Shells, Part 5 of 5

Area	AreaElem	Joint	OutputCase	StepType	V23	VMax	VAngle
					KN/m	KN/m	Degrees
437	437	675	SLV_ENV	Max	349.89	0.	0.
437	437	655	SLV_ENV	Max	349.89	0.	0.
437	437	668	SLV_ENV	Min	-307.02	0.	0.
437	437	688	SLV_ENV	Min	-307.02	0.	0.
437	437	675	SLV_ENV	Min	-307.02	0.	0.
437	437	655	SLV_ENV	Min	-307.02	0.	0.
438	438	688	SLU_ENV	Max	-104.91	0.	0.
438	438	144	SLU_ENV	Max	-104.91	0.	0.
438	438	131	SLU_ENV	Max	-104.91	0.	0.
438	438	675	SLU_ENV	Max	-104.91	0.	0.
438	438	688	SLU_ENV	Min	-213.89	0.	0.
438	438	144	SLU_ENV	Min	-213.89	0.	0.
438	438	131	SLU_ENV	Min	-213.89	0.	0.
438	438	675	SLU_ENV	Min	-213.89	0.	0.
438	438	688	SLV_ENV	Max	365.85	0.	0.
438	438	144	SLV_ENV	Max	365.85	0.	0.
438	438	131	SLV_ENV	Max	365.85	0.	0.
438	438	675	SLV_ENV	Max	365.85	0.	0.
438	438	688	SLV_ENV	Min	-633.36	0.	0.
438	438	144	SLV_ENV	Min	-633.36	0.	0.
438	438	131	SLV_ENV	Min	-633.36	0.	0.
438	438	675	SLV_ENV	Min	-633.36	0.	0.
439	439	144	SLU_ENV	Max	314.43	0.	0.
439	439	708	SLU_ENV	Max	314.43	0.	0.
439	439	695	SLU_ENV	Max	314.43	0.	0.
439	439	131	SLU_ENV	Max	314.43	0.	0.
439	439	144	SLU_ENV	Min	173.39	0.	0.
439	439	708	SLU_ENV	Min	173.39	0.	0.
439	439	695	SLU_ENV	Min	173.39	0.	0.
439	439	131	SLU_ENV	Min	173.39	0.	0.
439	439	144	SLV_ENV	Max	541.27	0.	0.
439	439	708	SLV_ENV	Max	541.27	0.	0.
439	439	695	SLV_ENV	Max	541.27	0.	0.
439	439	131	SLV_ENV	Max	541.27	0.	0.
439	439	144	SLV_ENV	Min	-162.37	0.	0.
439	439	708	SLV_ENV	Min	-162.37	0.	0.
439	439	695	SLV_ENV	Min	-162.37	0.	0.
439	439	131	SLV_ENV	Min	-162.37	0.	0.
440	440	708	SLU_ENV	Max	9.23	0.	0.
440	440	728	SLU_ENV	Max	9.23	0.	0.
440	440	715	SLU_ENV	Max	9.23	0.	0.
440	440	695	SLU_ENV	Max	9.23	0.	0.
440	440	708	SLU_ENV	Min	0.57	0.	0.
440	440	728	SLU_ENV	Min	0.57	0.	0.
440	440	715	SLU_ENV	Min	0.57	0.	0.
440	440	695	SLU_ENV	Min	0.57	0.	0.
440	440	708	SLV_ENV	Max	300.52	0.	0.
440	440	728	SLV_ENV	Max	300.52	0.	0.
440	440	715	SLV_ENV	Max	300.52	0.	0.
440	440	695	SLV_ENV	Max	300.52	0.	0.
440	440	708	SLV_ENV	Min	-293.2	0.	0.
440	440	728	SLV_ENV	Min	-293.2	0.	0.
440	440	715	SLV_ENV	Min	-293.2	0.	0.
440	440	695	SLV_ENV	Min	-293.2	0.	0.

Table: Element Forces - Area Shells, Part 5 of 5

Area	AreaElem	Joint	OutputCase	StepType	V23	VMax	VAngle
					KN/m	KN/m	Degrees
441	441	675	SLU_ENV	Max	-128.16	0.	0.
441	441	131	SLU_ENV	Max	-128.16	0.	0.
441	441	141	SLU_ENV	Max	-128.16	0.	0.
441	441	685	SLU_ENV	Max	-128.16	0.	0.
441	441	675	SLU_ENV	Min	-244.	0.	0.
441	441	131	SLU_ENV	Min	-244.	0.	0.
441	441	141	SLU_ENV	Min	-244.	0.	0.
441	441	685	SLU_ENV	Min	-244.	0.	0.
441	441	675	SLV_ENV	Max	210.08	0.	0.
441	441	131	SLV_ENV	Max	210.08	0.	0.
441	441	141	SLV_ENV	Max	210.08	0.	0.
441	441	685	SLV_ENV	Max	210.08	0.	0.
441	441	675	SLV_ENV	Min	-522.79	0.	0.
441	441	131	SLV_ENV	Min	-522.79	0.	0.
441	441	141	SLV_ENV	Min	-522.79	0.	0.
441	441	685	SLV_ENV	Min	-522.79	0.	0.
442	442	655	SLU_ENV	Max	-110.81	0.	0.
442	442	675	SLU_ENV	Max	-110.81	0.	0.
442	442	685	SLU_ENV	Max	-110.81	0.	0.
442	442	665	SLU_ENV	Max	-110.81	0.	0.
442	442	655	SLU_ENV	Min	-206.48	0.	0.
442	442	675	SLU_ENV	Min	-206.48	0.	0.
442	442	685	SLU_ENV	Min	-206.48	0.	0.
442	442	665	SLU_ENV	Min	-206.48	0.	0.
442	442	655	SLV_ENV	Max	169.5	0.	0.
442	442	675	SLV_ENV	Max	169.5	0.	0.
442	442	685	SLV_ENV	Max	169.5	0.	0.
442	442	665	SLV_ENV	Max	169.5	0.	0.
442	442	655	SLV_ENV	Min	-436.38	0.	0.
442	442	675	SLV_ENV	Min	-436.38	0.	0.
442	442	685	SLV_ENV	Min	-436.38	0.	0.
442	442	665	SLV_ENV	Min	-436.38	0.	0.
443	443	131	SLU_ENV	Max	25.22	0.	0.
443	443	695	SLU_ENV	Max	25.22	0.	0.
443	443	705	SLU_ENV	Max	25.22	0.	0.
443	443	141	SLU_ENV	Max	25.22	0.	0.
443	443	131	SLU_ENV	Min	6.28	0.	0.
443	443	695	SLU_ENV	Min	6.28	0.	0.
443	443	705	SLU_ENV	Min	6.28	0.	0.
443	443	141	SLU_ENV	Min	6.28	0.	0.
443	443	131	SLV_ENV	Max	103.58	0.	0.
443	443	695	SLV_ENV	Max	103.58	0.	0.
443	443	705	SLV_ENV	Max	103.58	0.	0.
443	443	141	SLV_ENV	Max	103.58	0.	0.
443	443	131	SLV_ENV	Min	-85.02	0.	0.
443	443	695	SLV_ENV	Min	-85.02	0.	0.
443	443	705	SLV_ENV	Min	-85.02	0.	0.
443	443	141	SLV_ENV	Min	-85.02	0.	0.
444	444	695	SLU_ENV	Max	-141.41	0.	0.
444	444	715	SLU_ENV	Max	-141.41	0.	0.
444	444	725	SLU_ENV	Max	-141.41	0.	0.
444	444	705	SLU_ENV	Max	-141.41	0.	0.
444	444	695	SLU_ENV	Min	-239.31	0.	0.
444	444	715	SLU_ENV	Min	-239.31	0.	0.

Table: Element Forces - Area Shells, Part 5 of 5

Area	AreaElem	Joint	OutputCase	StepType	V23	VMax	VAngle
					KN/m	KN/m	Degrees
444	444	725	SLU_ENV	Min	-239.31	0.	0.
444	444	705	SLU_ENV	Min	-239.31	0.	0.
444	444	695	SLV_ENV	Max	120.89	0.	0.
444	444	715	SLV_ENV	Max	120.89	0.	0.
444	444	725	SLV_ENV	Max	120.89	0.	0.
444	444	705	SLV_ENV	Max	120.89	0.	0.
444	444	695	SLV_ENV	Min	-425.46	0.	0.
444	444	715	SLV_ENV	Min	-425.46	0.	0.
444	444	725	SLV_ENV	Min	-425.46	0.	0.
444	444	705	SLV_ENV	Min	-425.46	0.	0.
445	445	665	SLU_ENV	Max	-6.79	0.	0.
445	445	685	SLU_ENV	Max	-6.79	0.	0.
445	445	684	SLU_ENV	Max	-6.79	0.	0.
445	445	664	SLU_ENV	Max	-6.79	0.	0.
445	445	665	SLU_ENV	Min	-16.94	0.	0.
445	445	685	SLU_ENV	Min	-16.94	0.	0.
445	445	684	SLU_ENV	Min	-16.94	0.	0.
445	445	664	SLU_ENV	Min	-16.94	0.	0.
445	445	665	SLV_ENV	Max	89.16	0.	0.
445	445	685	SLV_ENV	Max	89.16	0.	0.
445	445	684	SLV_ENV	Max	89.16	0.	0.
445	445	664	SLV_ENV	Max	89.16	0.	0.
445	445	665	SLV_ENV	Min	-111.21	0.	0.
445	445	685	SLV_ENV	Min	-111.21	0.	0.
445	445	684	SLV_ENV	Min	-111.21	0.	0.
445	445	664	SLV_ENV	Min	-111.21	0.	0.
446	446	685	SLU_ENV	Max	-6.87	0.	0.
446	446	141	SLU_ENV	Max	-6.87	0.	0.
446	446	140	SLU_ENV	Max	-6.87	0.	0.
446	446	684	SLU_ENV	Max	-6.87	0.	0.
446	446	685	SLU_ENV	Min	-21.4	0.	0.
446	446	141	SLU_ENV	Min	-21.4	0.	0.
446	446	140	SLU_ENV	Min	-21.4	0.	0.
446	446	684	SLU_ENV	Min	-21.4	0.	0.
446	446	685	SLV_ENV	Max	46.45	0.	0.
446	446	141	SLV_ENV	Max	46.45	0.	0.
446	446	140	SLV_ENV	Max	46.45	0.	0.
446	446	684	SLV_ENV	Max	46.45	0.	0.
446	446	685	SLV_ENV	Min	-72.65	0.	0.
446	446	141	SLV_ENV	Min	-72.65	0.	0.
446	446	140	SLV_ENV	Min	-72.65	0.	0.
446	446	684	SLV_ENV	Min	-72.65	0.	0.
447	447	141	SLU_ENV	Max	32.77	0.	0.
447	447	705	SLU_ENV	Max	32.77	0.	0.
447	447	704	SLU_ENV	Max	32.77	0.	0.
447	447	140	SLU_ENV	Max	32.77	0.	0.
447	447	141	SLU_ENV	Min	14.67	0.	0.
447	447	705	SLU_ENV	Min	14.67	0.	0.
447	447	704	SLU_ENV	Min	14.67	0.	0.
447	447	140	SLU_ENV	Min	14.67	0.	0.
447	447	141	SLV_ENV	Max	71.93	0.	0.
447	447	705	SLV_ENV	Max	71.93	0.	0.
447	447	704	SLV_ENV	Max	71.93	0.	0.
447	447	140	SLV_ENV	Max	71.93	0.	0.

Table: Element Forces - Area Shells, Part 5 of 5

Area	AreaElem	Joint	OutputCase	StepType	V23	VMax	VAngle
					KN/m	KN/m	Degrees
447	447	141	SLV_ENV	Min	-37.07	0.	0.
447	447	705	SLV_ENV	Min	-37.07	0.	0.
447	447	704	SLV_ENV	Min	-37.07	0.	0.
447	447	140	SLV_ENV	Min	-37.07	0.	0.
448	448	705	SLU_ENV	Max	42.17	0.	0.
448	448	725	SLU_ENV	Max	42.17	0.	0.
448	448	724	SLU_ENV	Max	42.17	0.	0.
448	448	704	SLU_ENV	Max	42.17	0.	0.
448	448	705	SLU_ENV	Min	23.96	0.	0.
448	448	725	SLU_ENV	Min	23.96	0.	0.
448	448	724	SLU_ENV	Min	23.96	0.	0.
448	448	704	SLU_ENV	Min	23.96	0.	0.
448	448	705	SLV_ENV	Max	127.44	0.	0.
448	448	725	SLV_ENV	Max	127.44	0.	0.
448	448	724	SLV_ENV	Max	127.44	0.	0.
448	448	704	SLV_ENV	Max	127.44	0.	0.
448	448	705	SLV_ENV	Min	-75.1	0.	0.
448	448	725	SLV_ENV	Min	-75.1	0.	0.
448	448	724	SLV_ENV	Min	-75.1	0.	0.
448	448	704	SLV_ENV	Min	-75.1	0.	0.
449	449	664	SLU_ENV	Max	291.97	0.	0.
449	449	684	SLU_ENV	Max	291.97	0.	0.
449	449	683	SLU_ENV	Max	291.97	0.	0.
449	449	663	SLU_ENV	Max	291.97	0.	0.
449	449	664	SLU_ENV	Min	170.68	0.	0.
449	449	684	SLU_ENV	Min	170.68	0.	0.
449	449	683	SLU_ENV	Min	170.68	0.	0.
449	449	663	SLU_ENV	Min	170.68	0.	0.
449	449	664	SLV_ENV	Max	467.53	0.	0.
449	449	684	SLV_ENV	Max	467.53	0.	0.
449	449	683	SLV_ENV	Max	467.53	0.	0.
449	449	663	SLV_ENV	Max	467.53	0.	0.
449	449	664	SLV_ENV	Min	-76.97	0.	0.
449	449	684	SLV_ENV	Min	-76.97	0.	0.
449	449	683	SLV_ENV	Min	-76.97	0.	0.
449	449	663	SLV_ENV	Min	-76.97	0.	0.
450	450	684	SLU_ENV	Max	7.09	0.	0.
450	450	140	SLU_ENV	Max	7.09	0.	0.
450	450	139	SLU_ENV	Max	7.09	0.	0.
450	450	683	SLU_ENV	Max	7.09	0.	0.
450	450	684	SLU_ENV	Min	-1.56	0.	0.
450	450	140	SLU_ENV	Min	-1.56	0.	0.
450	450	139	SLU_ENV	Min	-1.56	0.	0.
450	450	683	SLU_ENV	Min	-1.56	0.	0.
450	450	684	SLV_ENV	Max	113.18	0.	0.
450	450	140	SLV_ENV	Max	113.18	0.	0.
450	450	139	SLV_ENV	Max	113.18	0.	0.
450	450	683	SLV_ENV	Max	113.18	0.	0.
450	450	684	SLV_ENV	Min	-112.91	0.	0.
450	450	140	SLV_ENV	Min	-112.91	0.	0.
450	450	139	SLV_ENV	Min	-112.91	0.	0.
450	450	683	SLV_ENV	Min	-112.91	0.	0.
451	451	140	SLU_ENV	Max	319.16	0.	0.
451	451	704	SLU_ENV	Max	319.16	0.	0.

Table: Element Forces - Area Shells, Part 5 of 5

Area	AreaElem	Joint	OutputCase	StepType	V23	VMax	VAngle
					KN/m	KN/m	Degrees
451	451	703	SLU_ENV	Max	319.16	0.	0.
451	451	139	SLU_ENV	Max	319.16	0.	0.
451	451	140	SLU_ENV	Min	190.74	0.	0.
451	451	704	SLU_ENV	Min	190.74	0.	0.
451	451	703	SLU_ENV	Min	190.74	0.	0.
451	451	139	SLU_ENV	Min	190.74	0.	0.
451	451	140	SLV_ENV	Max	564.39	0.	0.
451	451	704	SLV_ENV	Max	564.39	0.	0.
451	451	703	SLV_ENV	Max	564.39	0.	0.
451	451	139	SLV_ENV	Max	564.39	0.	0.
451	451	140	SLV_ENV	Min	-150.98	0.	0.
451	451	704	SLV_ENV	Min	-150.98	0.	0.
451	451	703	SLV_ENV	Min	-150.98	0.	0.
451	451	139	SLV_ENV	Min	-150.98	0.	0.
452	452	704	SLU_ENV	Max	243.1	0.	0.
452	452	724	SLU_ENV	Max	243.1	0.	0.
452	452	723	SLU_ENV	Max	243.1	0.	0.
452	452	703	SLU_ENV	Max	243.1	0.	0.
452	452	704	SLU_ENV	Min	146.76	0.	0.
452	452	724	SLU_ENV	Min	146.76	0.	0.
452	452	723	SLU_ENV	Min	146.76	0.	0.
452	452	703	SLU_ENV	Min	146.76	0.	0.
452	452	704	SLV_ENV	Max	418.91	0.	0.
452	452	724	SLV_ENV	Max	418.91	0.	0.
452	452	723	SLV_ENV	Max	418.91	0.	0.
452	452	703	SLV_ENV	Max	418.91	0.	0.
452	452	704	SLV_ENV	Min	-102.42	0.	0.
452	452	724	SLV_ENV	Min	-102.42	0.	0.
452	452	723	SLV_ENV	Min	-102.42	0.	0.
452	452	703	SLV_ENV	Min	-102.42	0.	0.
550	550	2311	SLU_ENV	Max	99.98	0.	0.
550	550	2324	SLU_ENV	Max	99.98	0.	0.
550	550	2344	SLU_ENV	Max	99.98	0.	0.
550	550	2331	SLU_ENV	Max	99.98	0.	0.
550	550	2311	SLU_ENV	Min	54.35	0.	0.
550	550	2324	SLU_ENV	Min	54.35	0.	0.
550	550	2344	SLU_ENV	Min	54.35	0.	0.
550	550	2331	SLU_ENV	Min	54.35	0.	0.
550	550	2311	SLV_ENV	Max	164.57	0.	0.
550	550	2324	SLV_ENV	Max	164.57	0.	0.
550	550	2344	SLV_ENV	Max	164.57	0.	0.
550	550	2331	SLV_ENV	Max	164.57	0.	0.
550	550	2311	SLV_ENV	Min	-44.59	0.	0.
550	550	2324	SLV_ENV	Min	-44.59	0.	0.
550	550	2344	SLV_ENV	Min	-44.59	0.	0.
550	550	2331	SLV_ENV	Min	-44.59	0.	0.
551	551	2324	SLU_ENV	Max	-82.11	0.	0.
551	551	2821	SLU_ENV	Max	-82.11	0.	0.
551	551	2574	SLU_ENV	Max	-82.11	0.	0.
551	551	2344	SLU_ENV	Max	-82.11	0.	0.
551	551	2324	SLU_ENV	Min	-147.02	0.	0.
551	551	2821	SLU_ENV	Min	-147.02	0.	0.
551	551	2574	SLU_ENV	Min	-147.02	0.	0.
551	551	2344	SLU_ENV	Min	-147.02	0.	0.

Table: Element Forces - Area Shells, Part 5 of 5

Area	AreaElem	Joint	OutputCase	StepType	V23	VMax	VAngle
					KN/m	KN/m	Degrees
551	551	2324	SLV_ENV	Max	78.42	0.	0.
551	551	2821	SLV_ENV	Max	78.42	0.	0.
551	551	2574	SLV_ENV	Max	78.42	0.	0.
551	551	2344	SLV_ENV	Max	78.42	0.	0.
551	551	2324	SLV_ENV	Min	-251.83	0.	0.
551	551	2821	SLV_ENV	Min	-251.83	0.	0.
551	551	2574	SLV_ENV	Min	-251.83	0.	0.
551	551	2344	SLV_ENV	Min	-251.83	0.	0.
553	553	2821	SLU_ENV	Max	81.91	0.	0.
553	553	2911	SLU_ENV	Max	81.91	0.	0.
553	553	2345	SLU_ENV	Max	81.91	0.	0.
553	553	2574	SLU_ENV	Max	81.91	0.	0.
553	553	2821	SLU_ENV	Min	44.6	0.	0.
553	553	2911	SLU_ENV	Min	44.6	0.	0.
553	553	2345	SLU_ENV	Min	44.6	0.	0.
553	553	2574	SLU_ENV	Min	44.6	0.	0.
553	553	2821	SLV_ENV	Max	150.91	0.	0.
553	553	2911	SLV_ENV	Max	150.91	0.	0.
553	553	2345	SLV_ENV	Max	150.91	0.	0.
553	553	2574	SLV_ENV	Max	150.91	0.	0.
553	553	2821	SLV_ENV	Min	-49.12	0.	0.
553	553	2911	SLV_ENV	Min	-49.12	0.	0.
553	553	2345	SLV_ENV	Min	-49.12	0.	0.
553	553	2574	SLV_ENV	Min	-49.12	0.	0.
554	554	2588	SLU_ENV	Max	22.96	0.	0.
554	554	2566	SLU_ENV	Max	22.96	0.	0.
554	554	2564	SLU_ENV	Max	22.96	0.	0.
554	554	2804	SLU_ENV	Max	22.96	0.	0.
554	554	2588	SLU_ENV	Min	14.21	0.	0.
554	554	2566	SLU_ENV	Min	14.21	0.	0.
554	554	2564	SLU_ENV	Min	14.21	0.	0.
554	554	2804	SLU_ENV	Min	14.21	0.	0.
554	554	2588	SLV_ENV	Max	28.95	0.	0.
554	554	2566	SLV_ENV	Max	28.95	0.	0.
554	554	2564	SLV_ENV	Max	28.95	0.	0.
554	554	2804	SLV_ENV	Max	28.95	0.	0.
554	554	2588	SLV_ENV	Min	0.44	0.	0.
554	554	2566	SLV_ENV	Min	0.44	0.	0.
554	554	2564	SLV_ENV	Min	0.44	0.	0.
554	554	2804	SLV_ENV	Min	0.44	0.	0.
555	555	2811	SLU_ENV	Max	64.91	0.	0.
555	555	2806	SLU_ENV	Max	64.91	0.	0.
555	555	2566	SLU_ENV	Max	64.91	0.	0.
555	555	2588	SLU_ENV	Max	64.91	0.	0.
555	555	2811	SLU_ENV	Min	38.21	0.	0.
555	555	2806	SLU_ENV	Min	38.21	0.	0.
555	555	2566	SLU_ENV	Min	38.21	0.	0.
555	555	2588	SLU_ENV	Min	38.21	0.	0.
555	555	2811	SLV_ENV	Max	103.24	0.	0.
555	555	2806	SLV_ENV	Max	103.24	0.	0.
555	555	2566	SLV_ENV	Max	103.24	0.	0.
555	555	2588	SLV_ENV	Max	103.24	0.	0.
555	555	2811	SLV_ENV	Min	-23.58	0.	0.
555	555	2806	SLV_ENV	Min	-23.58	0.	0.

Table: Element Forces - Area Shells, Part 5 of 5

Area	AreaElem	Joint	OutputCase	StepType	V23	VMax	VAngle
					KN/m	KN/m	Degrees
555	555	2566	SLV_ENV	Min	-23.58	0.	0.
555	555	2588	SLV_ENV	Min	-23.58	0.	0.
556	556	2205	SLU_ENV	Max	166.69	0.	0.
556	556	2218	SLU_ENV	Max	166.69	0.	0.
556	556	2324	SLU_ENV	Max	166.69	0.	0.
556	556	2311	SLU_ENV	Max	166.69	0.	0.
556	556	2205	SLU_ENV	Min	91.11	0.	0.
556	556	2218	SLU_ENV	Min	91.11	0.	0.
556	556	2324	SLU_ENV	Min	91.11	0.	0.
556	556	2311	SLU_ENV	Min	91.11	0.	0.
556	556	2205	SLV_ENV	Max	203.51	0.	0.
556	556	2218	SLV_ENV	Max	203.51	0.	0.
556	556	2324	SLV_ENV	Max	203.51	0.	0.
556	556	2311	SLV_ENV	Max	203.51	0.	0.
556	556	2205	SLV_ENV	Min	-8.34	0.	0.
556	556	2218	SLV_ENV	Min	-8.34	0.	0.
556	556	2324	SLV_ENV	Min	-8.34	0.	0.
556	556	2311	SLV_ENV	Min	-8.34	0.	0.
557	557	2218	SLU_ENV	Max	85.48	0.	0.
557	557	2219	SLU_ENV	Max	85.48	0.	0.
557	557	2821	SLU_ENV	Max	85.48	0.	0.
557	557	2324	SLU_ENV	Max	85.48	0.	0.
557	557	2218	SLU_ENV	Min	37.79	0.	0.
557	557	2219	SLU_ENV	Min	37.79	0.	0.
557	557	2821	SLU_ENV	Min	37.79	0.	0.
557	557	2324	SLU_ENV	Min	37.79	0.	0.
557	557	2218	SLV_ENV	Max	221.07	0.	0.
557	557	2219	SLV_ENV	Max	221.07	0.	0.
557	557	2821	SLV_ENV	Max	221.07	0.	0.
557	557	2324	SLV_ENV	Max	221.07	0.	0.
557	557	2218	SLV_ENV	Min	-130.12	0.	0.
557	557	2219	SLV_ENV	Min	-130.12	0.	0.
557	557	2821	SLV_ENV	Min	-130.12	0.	0.
557	557	2324	SLV_ENV	Min	-130.12	0.	0.
558	558	2219	SLU_ENV	Max	232.93	0.	0.
558	558	2911	SLU_ENV	Max	232.93	0.	0.
558	558	2821	SLU_ENV	Max	232.93	0.	0.
558	558	2219	SLU_ENV	Min	130.03	0.	0.
558	558	2911	SLU_ENV	Min	130.03	0.	0.
558	558	2821	SLU_ENV	Min	130.03	0.	0.
558	558	2219	SLV_ENV	Max	269.08	0.	0.
558	558	2911	SLV_ENV	Max	269.08	0.	0.
558	558	2821	SLV_ENV	Max	269.08	0.	0.
558	558	2219	SLV_ENV	Min	7.3	0.	0.
558	558	2911	SLV_ENV	Min	7.3	0.	0.
558	558	2821	SLV_ENV	Min	7.3	0.	0.
559	559	2219	SLU_ENV	Max	-100.24	0.	0.
559	559	2811	SLU_ENV	Max	-100.24	0.	0.
559	559	2588	SLU_ENV	Max	-100.24	0.	0.
559	559	2911	SLU_ENV	Max	-100.24	0.	0.
559	559	2219	SLU_ENV	Min	-193.61	0.	0.
559	559	2811	SLU_ENV	Min	-193.61	0.	0.
559	559	2588	SLU_ENV	Min	-193.61	0.	0.
559	559	2911	SLU_ENV	Min	-193.61	0.	0.

Table: Element Forces - Area Shells, Part 5 of 5

Area	AreaElem	Joint	OutputCase	StepType	V23	VMax	VAngle
					KN/m	KN/m	Degrees
559	559	2219	SLV_ENV	Max	15.06	0.	0.
559	559	2811	SLV_ENV	Max	15.06	0.	0.
559	559	2588	SLV_ENV	Max	15.06	0.	0.
559	559	2911	SLV_ENV	Max	15.06	0.	0.
559	559	2219	SLV_ENV	Min	-230.57	0.	0.
559	559	2811	SLV_ENV	Min	-230.57	0.	0.
559	559	2588	SLV_ENV	Min	-230.57	0.	0.
559	559	2911	SLV_ENV	Min	-230.57	0.	0.
560	560	2291	SLU_ENV	Max	13.02	0.	0.
560	560	2572	SLU_ENV	Max	13.02	0.	0.
560	560	2218	SLU_ENV	Max	13.02	0.	0.
560	560	2205	SLU_ENV	Max	13.02	0.	0.
560	560	2291	SLU_ENV	Min	-12.94	0.	0.
560	560	2572	SLU_ENV	Min	-12.94	0.	0.
560	560	2218	SLU_ENV	Min	-12.94	0.	0.
560	560	2205	SLU_ENV	Min	-12.94	0.	0.
560	560	2291	SLV_ENV	Max	407.33	0.	0.
560	560	2572	SLV_ENV	Max	407.33	0.	0.
560	560	2218	SLV_ENV	Max	407.33	0.	0.
560	560	2205	SLV_ENV	Max	407.33	0.	0.
560	560	2291	SLV_ENV	Min	-408.12	0.	0.
560	560	2572	SLV_ENV	Min	-408.12	0.	0.
560	560	2218	SLV_ENV	Min	-408.12	0.	0.
560	560	2205	SLV_ENV	Min	-408.12	0.	0.
561	561	2572	SLU_ENV	Max	-125.7	0.	0.
561	561	2817	SLU_ENV	Max	-125.7	0.	0.
561	561	2218	SLU_ENV	Max	-125.7	0.	0.
561	561	2572	SLU_ENV	Min	-237.4	0.	0.
561	561	2817	SLU_ENV	Min	-237.4	0.	0.
561	561	2218	SLU_ENV	Min	-237.4	0.	0.
561	561	2572	SLV_ENV	Max	230.5	0.	0.
561	561	2817	SLV_ENV	Max	230.5	0.	0.
561	561	2218	SLV_ENV	Max	230.5	0.	0.
561	561	2572	SLV_ENV	Min	-511.11	0.	0.
561	561	2817	SLV_ENV	Min	-511.11	0.	0.
561	561	2218	SLV_ENV	Min	-511.11	0.	0.
562	562	2816	SLU_ENV	Max	160.	0.	0.
562	562	2857	SLU_ENV	Max	160.	0.	0.
562	562	2856	SLU_ENV	Max	160.	0.	0.
562	562	2817	SLU_ENV	Max	160.	0.	0.
562	562	2816	SLU_ENV	Min	104.61	0.	0.
562	562	2857	SLU_ENV	Min	104.61	0.	0.
562	562	2856	SLU_ENV	Min	104.61	0.	0.
562	562	2817	SLU_ENV	Min	104.61	0.	0.
562	562	2816	SLV_ENV	Max	423.87	0.	0.
562	562	2857	SLV_ENV	Max	423.87	0.	0.
562	562	2856	SLV_ENV	Max	423.87	0.	0.
562	562	2817	SLV_ENV	Max	423.87	0.	0.
562	562	2816	SLV_ENV	Min	-210.31	0.	0.
562	562	2857	SLV_ENV	Min	-210.31	0.	0.
562	562	2856	SLV_ENV	Min	-210.31	0.	0.
562	562	2817	SLV_ENV	Min	-210.31	0.	0.
563	563	2817	SLU_ENV	Max	50.47	0.	0.
563	563	2856	SLU_ENV	Max	50.47	0.	0.

Table: Element Forces - Area Shells, Part 5 of 5

Area	AreaElem	Joint	OutputCase	StepType	V23	VMax	VAngle
					KN/m	KN/m	Degrees
563	563	2219	SLU_ENV	Max	50.47	0.	0.
563	563	2218	SLU_ENV	Max	50.47	0.	0.
563	563	2817	SLU_ENV	Min	17.86	0.	0.
563	563	2856	SLU_ENV	Min	17.86	0.	0.
563	563	2219	SLU_ENV	Min	17.86	0.	0.
563	563	2218	SLU_ENV	Min	17.86	0.	0.
563	563	2817	SLV_ENV	Max	396.97	0.	0.
563	563	2856	SLV_ENV	Max	396.97	0.	0.
563	563	2219	SLV_ENV	Max	396.97	0.	0.
563	563	2218	SLV_ENV	Max	396.97	0.	0.
563	563	2817	SLV_ENV	Min	-344.11	0.	0.
563	563	2856	SLV_ENV	Min	-344.11	0.	0.
563	563	2219	SLV_ENV	Min	-344.11	0.	0.
563	563	2218	SLV_ENV	Min	-344.11	0.	0.
564	564	2856	SLU_ENV	Max	-194.06	0.	0.
564	564	2587	SLU_ENV	Max	-194.06	0.	0.
564	564	2811	SLU_ENV	Max	-194.06	0.	0.
564	564	2219	SLU_ENV	Max	-194.06	0.	0.
564	564	2856	SLU_ENV	Min	-368.78	0.	0.
564	564	2587	SLU_ENV	Min	-368.78	0.	0.
564	564	2811	SLU_ENV	Min	-368.78	0.	0.
564	564	2219	SLU_ENV	Min	-368.78	0.	0.
564	564	2856	SLV_ENV	Max	-18.91	0.	0.
564	564	2587	SLV_ENV	Max	-18.91	0.	0.
564	564	2811	SLV_ENV	Max	-18.91	0.	0.
564	564	2219	SLV_ENV	Max	-18.91	0.	0.
564	564	2856	SLV_ENV	Min	-397.22	0.	0.
564	564	2587	SLV_ENV	Min	-397.22	0.	0.
564	564	2811	SLV_ENV	Min	-397.22	0.	0.
564	564	2219	SLV_ENV	Min	-397.22	0.	0.
566	566	2587	SLU_ENV	Max	-14.22	0.	0.
566	566	2563	SLU_ENV	Max	-14.22	0.	0.
566	566	2806	SLU_ENV	Max	-14.22	0.	0.
566	566	2811	SLU_ENV	Max	-14.22	0.	0.
566	566	2587	SLU_ENV	Min	-34.68	0.	0.
566	566	2563	SLU_ENV	Min	-34.68	0.	0.
566	566	2806	SLU_ENV	Min	-34.68	0.	0.
566	566	2811	SLU_ENV	Min	-34.68	0.	0.
566	566	2587	SLV_ENV	Max	9.51	0.	0.
566	566	2563	SLV_ENV	Max	9.51	0.	0.
566	566	2806	SLV_ENV	Max	9.51	0.	0.
566	566	2811	SLV_ENV	Max	9.51	0.	0.
566	566	2587	SLV_ENV	Min	-42.01	0.	0.
566	566	2563	SLV_ENV	Min	-42.01	0.	0.
566	566	2806	SLV_ENV	Min	-42.01	0.	0.
566	566	2811	SLV_ENV	Min	-42.01	0.	0.
567	567	2857	SLU_ENV	Max	-69.34	0.	0.
567	567	2812	SLU_ENV	Max	-69.34	0.	0.
567	567	2587	SLU_ENV	Max	-69.34	0.	0.
567	567	2856	SLU_ENV	Max	-69.34	0.	0.
567	567	2857	SLU_ENV	Min	-130.61	0.	0.
567	567	2812	SLU_ENV	Min	-130.61	0.	0.
567	567	2587	SLU_ENV	Min	-130.61	0.	0.
567	567	2856	SLU_ENV	Min	-130.61	0.	0.

Table: Element Forces - Area Shells, Part 5 of 5

Area	AreaElem	Joint	OutputCase	StepType	V23	VMax	VAngle
					KN/m	KN/m	Degrees
567	567	2857	SLV_ENV	Max	2.68	0.	0.
567	567	2812	SLV_ENV	Max	2.68	0.	0.
567	567	2587	SLV_ENV	Max	2.68	0.	0.
567	567	2856	SLV_ENV	Max	2.68	0.	0.
567	567	2857	SLV_ENV	Min	-151.07	0.	0.
567	567	2812	SLV_ENV	Min	-151.07	0.	0.
567	567	2587	SLV_ENV	Min	-151.07	0.	0.
567	567	2856	SLV_ENV	Min	-151.07	0.	0.
568	568	2812	SLU_ENV	Max	145.29	0.	0.
568	568	2810	SLU_ENV	Max	145.29	0.	0.
568	568	2563	SLU_ENV	Max	145.29	0.	0.
568	568	2587	SLU_ENV	Max	145.29	0.	0.
568	568	2812	SLU_ENV	Min	91.94	0.	0.
568	568	2810	SLU_ENV	Min	91.94	0.	0.
568	568	2563	SLU_ENV	Min	91.94	0.	0.
568	568	2587	SLU_ENV	Min	91.94	0.	0.
568	568	2812	SLV_ENV	Max	161.09	0.	0.
568	568	2810	SLV_ENV	Max	161.09	0.	0.
568	568	2563	SLV_ENV	Max	161.09	0.	0.
568	568	2587	SLV_ENV	Max	161.09	0.	0.
568	568	2812	SLV_ENV	Min	27.99	0.	0.
568	568	2810	SLV_ENV	Min	27.99	0.	0.
568	568	2563	SLV_ENV	Min	27.99	0.	0.
568	568	2587	SLV_ENV	Min	27.99	0.	0.
569	569	2912	SLU_ENV	Max	6.58	0.	0.
569	569	2816	SLU_ENV	Max	6.58	0.	0.
569	569	2817	SLU_ENV	Max	6.58	0.	0.
569	569	2572	SLU_ENV	Max	6.58	0.	0.
569	569	2912	SLU_ENV	Min	-36.29	0.	0.
569	569	2816	SLU_ENV	Min	-36.29	0.	0.
569	569	2817	SLU_ENV	Min	-36.29	0.	0.
569	569	2572	SLU_ENV	Min	-36.29	0.	0.
569	569	2912	SLV_ENV	Max	440.76	0.	0.
569	569	2816	SLV_ENV	Max	440.76	0.	0.
569	569	2817	SLV_ENV	Max	440.76	0.	0.
569	569	2572	SLV_ENV	Max	440.76	0.	0.
569	569	2912	SLV_ENV	Min	-464.85	0.	0.
569	569	2816	SLV_ENV	Min	-464.85	0.	0.
569	569	2817	SLV_ENV	Min	-464.85	0.	0.
569	569	2572	SLV_ENV	Min	-464.85	0.	0.
570	570	2571	SLU_ENV	Max	-5.19	0.	0.
570	570	2584	SLU_ENV	Max	-5.19	0.	0.
570	570	2816	SLU_ENV	Max	-5.19	0.	0.
570	570	2912	SLU_ENV	Max	-5.19	0.	0.
570	570	2571	SLU_ENV	Min	-25.92	0.	0.
570	570	2584	SLU_ENV	Min	-25.92	0.	0.
570	570	2816	SLU_ENV	Min	-25.92	0.	0.
570	570	2912	SLU_ENV	Min	-25.92	0.	0.
570	570	2571	SLV_ENV	Max	190.99	0.	0.
570	570	2584	SLV_ENV	Max	190.99	0.	0.
570	570	2816	SLV_ENV	Max	190.99	0.	0.
570	570	2912	SLV_ENV	Max	190.99	0.	0.
570	570	2571	SLV_ENV	Min	-218.82	0.	0.
570	570	2584	SLV_ENV	Min	-218.82	0.	0.

Table: Element Forces - Area Shells, Part 5 of 5

Area	AreaElem	Joint	OutputCase	StepType	V23	VMax	VAngle
					KN/m	KN/m	Degrees
570	570	2816	SLV_ENV	Min	-218.82	0.	0.
570	570	2912	SLV_ENV	Min	-218.82	0.	0.
571	571	2584	SLU_ENV	Max	119.47	0.	0.
571	571	2855	SLU_ENV	Max	119.47	0.	0.
571	571	2857	SLU_ENV	Max	119.47	0.	0.
571	571	2816	SLU_ENV	Max	119.47	0.	0.
571	571	2584	SLU_ENV	Min	79.24	0.	0.
571	571	2855	SLU_ENV	Min	79.24	0.	0.
571	571	2857	SLU_ENV	Min	79.24	0.	0.
571	571	2816	SLU_ENV	Min	79.24	0.	0.
571	571	2584	SLV_ENV	Max	290.62	0.	0.
571	571	2855	SLV_ENV	Max	290.62	0.	0.
571	571	2857	SLV_ENV	Max	290.62	0.	0.
571	571	2816	SLV_ENV	Max	290.62	0.	0.
571	571	2584	SLV_ENV	Min	-129.53	0.	0.
571	571	2855	SLV_ENV	Min	-129.53	0.	0.
571	571	2857	SLV_ENV	Min	-129.53	0.	0.
571	571	2816	SLV_ENV	Min	-129.53	0.	0.
573	573	2567	SLU_ENV	Max	-12.08	0.	0.
573	573	2580	SLU_ENV	Max	-12.08	0.	0.
573	573	2582	SLU_ENV	Max	-12.08	0.	0.
573	573	2569	SLU_ENV	Max	-12.08	0.	0.
573	573	2567	SLU_ENV	Min	-17.69	0.	0.
573	573	2580	SLU_ENV	Min	-17.69	0.	0.
573	573	2582	SLU_ENV	Min	-17.69	0.	0.
573	573	2569	SLU_ENV	Min	-17.69	0.	0.
573	573	2567	SLV_ENV	Max	7.27	0.	0.
573	573	2580	SLV_ENV	Max	7.27	0.	0.
573	573	2582	SLV_ENV	Max	7.27	0.	0.
573	573	2569	SLV_ENV	Max	7.27	0.	0.
573	573	2567	SLV_ENV	Min	-32.53	0.	0.
573	573	2580	SLV_ENV	Min	-32.53	0.	0.
573	573	2582	SLV_ENV	Min	-32.53	0.	0.
573	573	2569	SLV_ENV	Min	-32.53	0.	0.
576	576	2580	SLU_ENV	Max	131.88	0.	0.
576	576	2853	SLU_ENV	Max	131.88	0.	0.
576	576	2854	SLU_ENV	Max	131.88	0.	0.
576	576	2582	SLU_ENV	Max	131.88	0.	0.
576	576	2580	SLU_ENV	Min	85.15	0.	0.
576	576	2853	SLU_ENV	Min	85.15	0.	0.
576	576	2854	SLU_ENV	Min	85.15	0.	0.
576	576	2582	SLU_ENV	Min	85.15	0.	0.
576	576	2580	SLV_ENV	Max	191.88	0.	0.
576	576	2853	SLV_ENV	Max	191.88	0.	0.
576	576	2854	SLV_ENV	Max	191.88	0.	0.
576	576	2582	SLV_ENV	Max	191.88	0.	0.
576	576	2580	SLV_ENV	Min	1.73	0.	0.
576	576	2853	SLV_ENV	Min	1.73	0.	0.
576	576	2854	SLV_ENV	Min	1.73	0.	0.
576	576	2582	SLV_ENV	Min	1.73	0.	0.
577	577	2911	SLU_ENV	Max	-119.76	0.	0.
577	577	2588	SLU_ENV	Max	-119.76	0.	0.
577	577	2804	SLU_ENV	Max	-119.76	0.	0.
577	577	2345	SLU_ENV	Max	-119.76	0.	0.

Table: Element Forces - Area Shells, Part 5 of 5

Area	AreaElem	Joint	OutputCase	StepType	V23	VMax	VAngle
					KN/m	KN/m	Degrees
577	577	2911	SLU_ENV	Min	-224.32	0.	0.
577	577	2588	SLU_ENV	Min	-224.32	0.	0.
577	577	2804	SLU_ENV	Min	-224.32	0.	0.
577	577	2345	SLU_ENV	Min	-224.32	0.	0.
577	577	2911	SLV_ENV	Max	77.35	0.	0.
577	577	2588	SLV_ENV	Max	77.35	0.	0.
577	577	2804	SLV_ENV	Max	77.35	0.	0.
577	577	2345	SLV_ENV	Max	77.35	0.	0.
577	577	2911	SLV_ENV	Min	-331.58	0.	0.
577	577	2588	SLV_ENV	Min	-331.58	0.	0.
577	577	2804	SLV_ENV	Min	-331.58	0.	0.
577	577	2345	SLV_ENV	Min	-331.58	0.	0.
578	578	2853	SLU_ENV	Max	-85.89	0.	0.
578	578	2578	SLU_ENV	Max	-85.89	0.	0.
578	578	2583	SLU_ENV	Max	-85.89	0.	0.
578	578	2854	SLU_ENV	Max	-85.89	0.	0.
578	578	2853	SLU_ENV	Min	-131.36	0.	0.
578	578	2578	SLU_ENV	Min	-131.36	0.	0.
578	578	2583	SLU_ENV	Min	-131.36	0.	0.
578	578	2854	SLU_ENV	Min	-131.36	0.	0.
578	578	2853	SLV_ENV	Max	58.82	0.	0.
578	578	2578	SLV_ENV	Max	58.82	0.	0.
578	578	2583	SLV_ENV	Max	58.82	0.	0.
578	578	2854	SLV_ENV	Max	58.82	0.	0.
578	578	2853	SLV_ENV	Min	-252.76	0.	0.
578	578	2578	SLV_ENV	Min	-252.76	0.	0.
578	578	2583	SLV_ENV	Min	-252.76	0.	0.
578	578	2854	SLV_ENV	Min	-252.76	0.	0.
580	580	2855	SLU_ENV	Max	-68.55	0.	0.
580	580	2585	SLU_ENV	Max	-68.55	0.	0.
580	580	2812	SLU_ENV	Max	-68.55	0.	0.
580	580	2857	SLU_ENV	Max	-68.55	0.	0.
580	580	2855	SLU_ENV	Min	-105.58	0.	0.
580	580	2585	SLU_ENV	Min	-105.58	0.	0.
580	580	2812	SLU_ENV	Min	-105.58	0.	0.
580	580	2857	SLU_ENV	Min	-105.58	0.	0.
580	580	2855	SLV_ENV	Max	-8.4	0.	0.
580	580	2585	SLV_ENV	Max	-8.4	0.	0.
580	580	2812	SLV_ENV	Max	-8.4	0.	0.
580	580	2857	SLV_ENV	Max	-8.4	0.	0.
580	580	2855	SLV_ENV	Min	-131.83	0.	0.
580	580	2585	SLV_ENV	Min	-131.83	0.	0.
580	580	2812	SLV_ENV	Min	-131.83	0.	0.
580	580	2857	SLV_ENV	Min	-131.83	0.	0.
581	581	2578	SLU_ENV	Max	10.86	0.	0.
581	581	2565	SLU_ENV	Max	10.86	0.	0.
581	581	2568	SLU_ENV	Max	10.86	0.	0.
581	581	2583	SLU_ENV	Max	10.86	0.	0.
581	581	2578	SLU_ENV	Min	7.09	0.	0.
581	581	2565	SLU_ENV	Min	7.09	0.	0.
581	581	2568	SLU_ENV	Min	7.09	0.	0.
581	581	2583	SLU_ENV	Min	7.09	0.	0.
581	581	2578	SLV_ENV	Max	21.22	0.	0.
581	581	2565	SLV_ENV	Max	21.22	0.	0.

Table: Element Forces - Area Shells, Part 5 of 5

Area	AreaElem	Joint	OutputCase	StepType	V23	VMax	VAngle
					KN/m	KN/m	Degrees
581	581	2568	SLV_ENV	Max	21.22	0.	0.
581	581	2583	SLV_ENV	Max	21.22	0.	0.
581	581	2578	SLV_ENV	Min	-6.28	0.	0.
581	581	2565	SLV_ENV	Min	-6.28	0.	0.
581	581	2568	SLV_ENV	Min	-6.28	0.	0.
581	581	2583	SLV_ENV	Min	-6.28	0.	0.
583	583	2585	SLU_ENV	Max	-4.16	0.	0.
583	583	2570	SLU_ENV	Max	-4.16	0.	0.
583	583	2810	SLU_ENV	Max	-4.16	0.	0.
583	583	2812	SLU_ENV	Max	-4.16	0.	0.
583	583	2585	SLU_ENV	Min	-9.9	0.	0.
583	583	2570	SLU_ENV	Min	-9.9	0.	0.
583	583	2810	SLU_ENV	Min	-9.9	0.	0.
583	583	2812	SLU_ENV	Min	-9.9	0.	0.
583	583	2585	SLV_ENV	Max	17.49	0.	0.
583	583	2570	SLV_ENV	Max	17.49	0.	0.
583	583	2810	SLV_ENV	Max	17.49	0.	0.
583	583	2812	SLV_ENV	Max	17.49	0.	0.
583	583	2585	SLV_ENV	Min	-26.73	0.	0.
583	583	2570	SLV_ENV	Min	-26.73	0.	0.
583	583	2810	SLV_ENV	Min	-26.73	0.	0.
583	583	2812	SLV_ENV	Min	-26.73	0.	0.
592	592	2569	SLU_ENV	Max	-16.02	0.	0.
592	592	2582	SLU_ENV	Max	-16.02	0.	0.
592	592	2808	SLU_ENV	Max	-16.02	0.	0.
592	592	2809	SLU_ENV	Max	-16.02	0.	0.
592	592	2569	SLU_ENV	Min	-24.12	0.	0.
592	592	2582	SLU_ENV	Min	-24.12	0.	0.
592	592	2808	SLU_ENV	Min	-24.12	0.	0.
592	592	2809	SLU_ENV	Min	-24.12	0.	0.
592	592	2569	SLV_ENV	Max	2.87	0.	0.
592	592	2582	SLV_ENV	Max	2.87	0.	0.
592	592	2808	SLV_ENV	Max	2.87	0.	0.
592	592	2809	SLV_ENV	Max	2.87	0.	0.
592	592	2569	SLV_ENV	Min	-38.52	0.	0.
592	592	2582	SLV_ENV	Min	-38.52	0.	0.
592	592	2808	SLV_ENV	Min	-38.52	0.	0.
592	592	2809	SLV_ENV	Min	-38.52	0.	0.
593	593	2809	SLU_ENV	Max	-9.37	0.	0.
593	593	2808	SLU_ENV	Max	-9.37	0.	0.
593	593	2584	SLU_ENV	Max	-9.37	0.	0.
593	593	2571	SLU_ENV	Max	-9.37	0.	0.
593	593	2809	SLU_ENV	Min	-14.5	0.	0.
593	593	2808	SLU_ENV	Min	-14.5	0.	0.
593	593	2584	SLU_ENV	Min	-14.5	0.	0.
593	593	2571	SLU_ENV	Min	-14.5	0.	0.
593	593	2809	SLV_ENV	Max	0.35	0.	0.
593	593	2808	SLV_ENV	Max	0.35	0.	0.
593	593	2584	SLV_ENV	Max	0.35	0.	0.
593	593	2571	SLV_ENV	Max	0.35	0.	0.
593	593	2809	SLV_ENV	Min	-19.63	0.	0.
593	593	2808	SLV_ENV	Min	-19.63	0.	0.
593	593	2584	SLV_ENV	Min	-19.63	0.	0.
593	593	2571	SLV_ENV	Min	-19.63	0.	0.

Table: Element Forces - Area Shells, Part 5 of 5

Area	AreaElem	Joint	OutputCase	StepType	V23	VMax	VAngle
					KN/m	KN/m	Degrees
594	594	2582	SLU_ENV	Max	108.05	0.	0.
594	594	2854	SLU_ENV	Max	108.05	0.	0.
594	594	2858	SLU_ENV	Max	108.05	0.	0.
594	594	2808	SLU_ENV	Max	108.05	0.	0.
594	594	2582	SLU_ENV	Min	67.7	0.	0.
594	594	2854	SLU_ENV	Min	67.7	0.	0.
594	594	2858	SLU_ENV	Min	67.7	0.	0.
594	594	2808	SLU_ENV	Min	67.7	0.	0.
594	594	2582	SLV_ENV	Max	215.28	0.	0.
594	594	2854	SLV_ENV	Max	215.28	0.	0.
594	594	2858	SLV_ENV	Max	215.28	0.	0.
594	594	2808	SLV_ENV	Max	215.28	0.	0.
594	594	2582	SLV_ENV	Min	-57.72	0.	0.
594	594	2854	SLV_ENV	Min	-57.72	0.	0.
594	594	2858	SLV_ENV	Min	-57.72	0.	0.
594	594	2808	SLV_ENV	Min	-57.72	0.	0.
595	595	2808	SLU_ENV	Max	95.65	0.	0.
595	595	2858	SLU_ENV	Max	95.65	0.	0.
595	595	2855	SLU_ENV	Max	95.65	0.	0.
595	595	2584	SLU_ENV	Max	95.65	0.	0.
595	595	2808	SLU_ENV	Min	62.23	0.	0.
595	595	2858	SLU_ENV	Min	62.23	0.	0.
595	595	2855	SLU_ENV	Min	62.23	0.	0.
595	595	2584	SLU_ENV	Min	62.23	0.	0.
595	595	2808	SLV_ENV	Max	133.85	0.	0.
595	595	2858	SLV_ENV	Max	133.85	0.	0.
595	595	2855	SLV_ENV	Max	133.85	0.	0.
595	595	2584	SLV_ENV	Max	133.85	0.	0.
595	595	2808	SLV_ENV	Min	-5.96	0.	0.
595	595	2858	SLV_ENV	Min	-5.96	0.	0.
595	595	2855	SLV_ENV	Min	-5.96	0.	0.
595	595	2584	SLV_ENV	Min	-5.96	0.	0.
596	596	2854	SLU_ENV	Max	-67.69	0.	0.
596	596	2583	SLU_ENV	Max	-67.69	0.	0.
596	596	2814	SLU_ENV	Max	-67.69	0.	0.
596	596	2858	SLU_ENV	Max	-67.69	0.	0.
596	596	2854	SLU_ENV	Min	-105.54	0.	0.
596	596	2583	SLU_ENV	Min	-105.54	0.	0.
596	596	2814	SLU_ENV	Min	-105.54	0.	0.
596	596	2858	SLU_ENV	Min	-105.54	0.	0.
596	596	2854	SLV_ENV	Max	79.49	0.	0.
596	596	2583	SLV_ENV	Max	79.49	0.	0.
596	596	2814	SLV_ENV	Max	79.49	0.	0.
596	596	2858	SLV_ENV	Max	79.49	0.	0.
596	596	2854	SLV_ENV	Min	-235.05	0.	0.
596	596	2583	SLV_ENV	Min	-235.05	0.	0.
596	596	2814	SLV_ENV	Min	-235.05	0.	0.
596	596	2858	SLV_ENV	Min	-235.05	0.	0.
597	597	2858	SLU_ENV	Max	-51.32	0.	0.
597	597	2814	SLU_ENV	Max	-51.32	0.	0.
597	597	2585	SLU_ENV	Max	-51.32	0.	0.
597	597	2855	SLU_ENV	Max	-51.32	0.	0.
597	597	2858	SLU_ENV	Min	-81.4	0.	0.
597	597	2814	SLU_ENV	Min	-81.4	0.	0.

Table: Element Forces - Area Shells, Part 5 of 5

Area	AreaElem	Joint	OutputCase	StepType	V23	VMax	VAngle
					KN/m	KN/m	Degrees
597	597	2585	SLU_ENV	Min	-81.4	0.	0.
597	597	2855	SLU_ENV	Min	-81.4	0.	0.
597	597	2858	SLV_ENV	Max	7.69	0.	0.
597	597	2814	SLV_ENV	Max	7.69	0.	0.
597	597	2585	SLV_ENV	Max	7.69	0.	0.
597	597	2855	SLV_ENV	Max	7.69	0.	0.
597	597	2858	SLV_ENV	Min	-115.58	0.	0.
597	597	2814	SLV_ENV	Min	-115.58	0.	0.
597	597	2585	SLV_ENV	Min	-115.58	0.	0.
597	597	2855	SLV_ENV	Min	-115.58	0.	0.
598	598	2583	SLU_ENV	Max	20.39	0.	0.
598	598	2568	SLU_ENV	Max	20.39	0.	0.
598	598	2815	SLU_ENV	Max	20.39	0.	0.
598	598	2814	SLU_ENV	Max	20.39	0.	0.
598	598	2583	SLU_ENV	Min	13.35	0.	0.
598	598	2568	SLU_ENV	Min	13.35	0.	0.
598	598	2815	SLU_ENV	Min	13.35	0.	0.
598	598	2814	SLU_ENV	Min	13.35	0.	0.
598	598	2583	SLV_ENV	Max	31.99	0.	0.
598	598	2568	SLV_ENV	Max	31.99	0.	0.
598	598	2815	SLV_ENV	Max	31.99	0.	0.
598	598	2814	SLV_ENV	Max	31.99	0.	0.
598	598	2583	SLV_ENV	Min	-1.86	0.	0.
598	598	2568	SLV_ENV	Min	-1.86	0.	0.
598	598	2815	SLV_ENV	Min	-1.86	0.	0.
598	598	2814	SLV_ENV	Min	-1.86	0.	0.
599	599	2814	SLU_ENV	Max	12.54	0.	0.
599	599	2815	SLU_ENV	Max	12.54	0.	0.
599	599	2570	SLU_ENV	Max	12.54	0.	0.
599	599	2585	SLU_ENV	Max	12.54	0.	0.
599	599	2814	SLU_ENV	Min	7.15	0.	0.
599	599	2815	SLU_ENV	Min	7.15	0.	0.
599	599	2570	SLU_ENV	Min	7.15	0.	0.
599	599	2585	SLU_ENV	Min	7.15	0.	0.
599	599	2814	SLV_ENV	Max	25.69	0.	0.
599	599	2815	SLV_ENV	Max	25.69	0.	0.
599	599	2570	SLV_ENV	Max	25.69	0.	0.
599	599	2585	SLV_ENV	Max	25.69	0.	0.
599	599	2814	SLV_ENV	Min	-10.74	0.	0.
599	599	2815	SLV_ENV	Min	-10.74	0.	0.
599	599	2570	SLV_ENV	Min	-10.74	0.	0.
599	599	2585	SLV_ENV	Min	-10.74	0.	0.
612	612	2219	SLU_ENV	Max	-24.96	0.	0.
612	612	2856	SLU_ENV	Max	-24.96	0.	0.
612	612	2862	SLU_ENV	Max	-24.96	0.	0.
612	612	2201	SLU_ENV	Max	-24.96	0.	0.
612	612	2219	SLU_ENV	Min	-60.96	0.	0.
612	612	2856	SLU_ENV	Min	-60.96	0.	0.
612	612	2862	SLU_ENV	Min	-60.96	0.	0.
612	612	2201	SLU_ENV	Min	-60.96	0.	0.
612	612	2219	SLV_ENV	Max	91.75	0.	0.
612	612	2856	SLV_ENV	Max	91.75	0.	0.
612	612	2862	SLV_ENV	Max	91.75	0.	0.
612	612	2201	SLV_ENV	Max	91.75	0.	0.

Table: Element Forces - Area Shells, Part 5 of 5

Area	AreaElem	Joint	OutputCase	StepType	V23	VMax	VAngle
					KN/m	KN/m	Degrees
612	612	2219	SLV_ENV	Min	-146.75	0.	0.
612	612	2856	SLV_ENV	Min	-146.75	0.	0.
612	612	2862	SLV_ENV	Min	-146.75	0.	0.
612	612	2201	SLV_ENV	Min	-146.75	0.	0.
613	613	2856	SLU_ENV	Max	-9.62	0.	0.
613	613	2857	SLU_ENV	Max	-9.62	0.	0.
613	613	2863	SLU_ENV	Max	-9.62	0.	0.
613	613	2862	SLU_ENV	Max	-9.62	0.	0.
613	613	2856	SLU_ENV	Min	-29.12	0.	0.
613	613	2857	SLU_ENV	Min	-29.12	0.	0.
613	613	2863	SLU_ENV	Min	-29.12	0.	0.
613	613	2862	SLU_ENV	Min	-29.12	0.	0.
613	613	2856	SLV_ENV	Max	9.04	0.	0.
613	613	2857	SLV_ENV	Max	9.04	0.	0.
613	613	2863	SLV_ENV	Max	9.04	0.	0.
613	613	2862	SLV_ENV	Max	9.04	0.	0.
613	613	2856	SLV_ENV	Min	-33.92	0.	0.
613	613	2857	SLV_ENV	Min	-33.92	0.	0.
613	613	2863	SLV_ENV	Min	-33.92	0.	0.
613	613	2862	SLV_ENV	Min	-33.92	0.	0.
614	614	2857	SLU_ENV	Max	-0.68	0.	0.
614	614	2855	SLU_ENV	Max	-0.68	0.	0.
614	614	2861	SLU_ENV	Max	-0.68	0.	0.
614	614	2863	SLU_ENV	Max	-0.68	0.	0.
614	614	2857	SLU_ENV	Min	-10.	0.	0.
614	614	2855	SLU_ENV	Min	-10.	0.	0.
614	614	2861	SLU_ENV	Min	-10.	0.	0.
614	614	2863	SLU_ENV	Min	-10.	0.	0.
614	614	2857	SLV_ENV	Max	41.07	0.	0.
614	614	2855	SLV_ENV	Max	41.07	0.	0.
614	614	2861	SLV_ENV	Max	41.07	0.	0.
614	614	2863	SLV_ENV	Max	41.07	0.	0.
614	614	2857	SLV_ENV	Min	-48.93	0.	0.
614	614	2855	SLV_ENV	Min	-48.93	0.	0.
614	614	2861	SLV_ENV	Min	-48.93	0.	0.
614	614	2863	SLV_ENV	Min	-48.93	0.	0.
615	615	2855	SLU_ENV	Max	1.57	0.	0.
615	615	2858	SLU_ENV	Max	1.57	0.	0.
615	615	2864	SLU_ENV	Max	1.57	0.	0.
615	615	2861	SLU_ENV	Max	1.57	0.	0.
615	615	2855	SLU_ENV	Min	0.31	0.	0.
615	615	2858	SLU_ENV	Min	0.31	0.	0.
615	615	2864	SLU_ENV	Min	0.31	0.	0.
615	615	2861	SLU_ENV	Min	0.31	0.	0.
615	615	2855	SLV_ENV	Max	67.41	0.	0.
615	615	2858	SLV_ENV	Max	67.41	0.	0.
615	615	2864	SLV_ENV	Max	67.41	0.	0.
615	615	2861	SLV_ENV	Max	67.41	0.	0.
615	615	2855	SLV_ENV	Min	-66.66	0.	0.
615	615	2858	SLV_ENV	Min	-66.66	0.	0.
615	615	2864	SLV_ENV	Min	-66.66	0.	0.
615	615	2861	SLV_ENV	Min	-66.66	0.	0.
616	616	2858	SLU_ENV	Max	0.37	0.	0.
616	616	2854	SLU_ENV	Max	0.37	0.	0.

Table: Element Forces - Area Shells, Part 5 of 5

Area	AreaElem	Joint	OutputCase	StepType	V23 KN/m	VMax KN/m	VAngle Degrees
616	616	2860	SLU_ENV	Max	0.37	0.	0.
616	616	2864	SLU_ENV	Max	0.37	0.	0.
616	616	2858	SLU_ENV	Min	-0.12	0.	0.
616	616	2854	SLU_ENV	Min	-0.12	0.	0.
616	616	2860	SLU_ENV	Min	-0.12	0.	0.
616	616	2864	SLU_ENV	Min	-0.12	0.	0.
616	616	2858	SLV_ENV	Max	77.59	0.	0.
616	616	2854	SLV_ENV	Max	77.59	0.	0.
616	616	2860	SLV_ENV	Max	77.59	0.	0.
616	616	2864	SLV_ENV	Max	77.59	0.	0.
616	616	2858	SLV_ENV	Min	-77.48	0.	0.
616	616	2854	SLV_ENV	Min	-77.48	0.	0.
616	616	2860	SLV_ENV	Min	-77.48	0.	0.
616	616	2864	SLV_ENV	Min	-77.48	0.	0.
617	617	2854	SLU_ENV	Max	-1.940E-02	0.	0.
617	617	2853	SLU_ENV	Max	-1.940E-02	0.	0.
617	617	2859	SLU_ENV	Max	-1.940E-02	0.	0.
617	617	2860	SLU_ENV	Max	-1.940E-02	0.	0.
617	617	2854	SLU_ENV	Min	-0.75	0.	0.
617	617	2853	SLU_ENV	Min	-0.75	0.	0.
617	617	2859	SLU_ENV	Min	-0.75	0.	0.
617	617	2860	SLU_ENV	Min	-0.75	0.	0.
617	617	2854	SLV_ENV	Max	104.86	0.	0.
617	617	2853	SLV_ENV	Max	104.86	0.	0.
617	617	2859	SLV_ENV	Max	104.86	0.	0.
617	617	2860	SLV_ENV	Max	104.86	0.	0.
617	617	2854	SLV_ENV	Min	-105.11	0.	0.
617	617	2853	SLV_ENV	Min	-105.11	0.	0.
617	617	2859	SLV_ENV	Min	-105.11	0.	0.
617	617	2860	SLV_ENV	Min	-105.11	0.	0.
618	618	2201	SLU_ENV	Max	-2.1	0.	0.
618	618	2862	SLU_ENV	Max	-2.1	0.	0.
618	618	2868	SLU_ENV	Max	-2.1	0.	0.
618	618	2183	SLU_ENV	Max	-2.1	0.	0.
618	618	2201	SLU_ENV	Min	-14.48	0.	0.
618	618	2862	SLU_ENV	Min	-14.48	0.	0.
618	618	2868	SLU_ENV	Min	-14.48	0.	0.
618	618	2183	SLU_ENV	Min	-14.48	0.	0.
618	618	2201	SLV_ENV	Max	84.04	0.	0.
618	618	2862	SLV_ENV	Max	84.04	0.	0.
618	618	2868	SLV_ENV	Max	84.04	0.	0.
618	618	2183	SLV_ENV	Max	84.04	0.	0.
618	618	2201	SLV_ENV	Min	-89.88	0.	0.
618	618	2862	SLV_ENV	Min	-89.88	0.	0.
618	618	2868	SLV_ENV	Min	-89.88	0.	0.
618	618	2183	SLV_ENV	Min	-89.88	0.	0.
619	619	2862	SLU_ENV	Max	-6.81	0.	0.
619	619	2863	SLU_ENV	Max	-6.81	0.	0.
619	619	2869	SLU_ENV	Max	-6.81	0.	0.
619	619	2868	SLU_ENV	Max	-6.81	0.	0.
619	619	2862	SLU_ENV	Min	-20.19	0.	0.
619	619	2863	SLU_ENV	Min	-20.19	0.	0.
619	619	2869	SLU_ENV	Min	-20.19	0.	0.
619	619	2868	SLU_ENV	Min	-20.19	0.	0.

Table: Element Forces - Area Shells, Part 5 of 5

Area	AreaElem	Joint	OutputCase	StepType	V23	VMax	VAngle
					KN/m	KN/m	Degrees
619	619	2862	SLV_ENV	Max	25.12	0.	0.
619	619	2863	SLV_ENV	Max	25.12	0.	0.
619	619	2869	SLV_ENV	Max	25.12	0.	0.
619	619	2868	SLV_ENV	Max	25.12	0.	0.
619	619	2862	SLV_ENV	Min	-41.46	0.	0.
619	619	2863	SLV_ENV	Min	-41.46	0.	0.
619	619	2869	SLV_ENV	Min	-41.46	0.	0.
619	619	2868	SLV_ENV	Min	-41.46	0.	0.
620	620	2863	SLU_ENV	Max	-2.08	0.	0.
620	620	2861	SLU_ENV	Max	-2.08	0.	0.
620	620	2867	SLU_ENV	Max	-2.08	0.	0.
620	620	2869	SLU_ENV	Max	-2.08	0.	0.
620	620	2863	SLU_ENV	Min	-8.81	0.	0.
620	620	2861	SLU_ENV	Min	-8.81	0.	0.
620	620	2867	SLU_ENV	Min	-8.81	0.	0.
620	620	2869	SLU_ENV	Min	-8.81	0.	0.
620	620	2863	SLV_ENV	Max	16.63	0.	0.
620	620	2861	SLV_ENV	Max	16.63	0.	0.
620	620	2867	SLV_ENV	Max	16.63	0.	0.
620	620	2869	SLV_ENV	Max	16.63	0.	0.
620	620	2863	SLV_ENV	Min	-23.76	0.	0.
620	620	2861	SLV_ENV	Min	-23.76	0.	0.
620	620	2867	SLV_ENV	Min	-23.76	0.	0.
620	620	2869	SLV_ENV	Min	-23.76	0.	0.
621	621	2861	SLU_ENV	Max	1.59	0.	0.
621	621	2864	SLU_ENV	Max	1.59	0.	0.
621	621	2870	SLU_ENV	Max	1.59	0.	0.
621	621	2867	SLU_ENV	Max	1.59	0.	0.
621	621	2861	SLU_ENV	Min	0.41	0.	0.
621	621	2864	SLU_ENV	Min	0.41	0.	0.
621	621	2870	SLU_ENV	Min	0.41	0.	0.
621	621	2867	SLU_ENV	Min	0.41	0.	0.
621	621	2861	SLV_ENV	Max	50.76	0.	0.
621	621	2864	SLV_ENV	Max	50.76	0.	0.
621	621	2870	SLV_ENV	Max	50.76	0.	0.
621	621	2867	SLV_ENV	Max	50.76	0.	0.
621	621	2861	SLV_ENV	Min	-49.84	0.	0.
621	621	2864	SLV_ENV	Min	-49.84	0.	0.
621	621	2870	SLV_ENV	Min	-49.84	0.	0.
621	621	2867	SLV_ENV	Min	-49.84	0.	0.
622	622	2864	SLU_ENV	Max	0.13	0.	0.
622	622	2860	SLU_ENV	Max	0.13	0.	0.
622	622	2866	SLU_ENV	Max	0.13	0.	0.
622	622	2870	SLU_ENV	Max	0.13	0.	0.
622	622	2864	SLU_ENV	Min	-8.168E-02	0.	0.
622	622	2860	SLU_ENV	Min	-8.168E-02	0.	0.
622	622	2866	SLU_ENV	Min	-8.168E-02	0.	0.
622	622	2870	SLU_ENV	Min	-8.168E-02	0.	0.
622	622	2864	SLV_ENV	Max	54.51	0.	0.
622	622	2860	SLV_ENV	Max	54.51	0.	0.
622	622	2866	SLV_ENV	Max	54.51	0.	0.
622	622	2870	SLV_ENV	Max	54.51	0.	0.
622	622	2864	SLV_ENV	Min	-54.5	0.	0.
622	622	2860	SLV_ENV	Min	-54.5	0.	0.

Table: Element Forces - Area Shells, Part 5 of 5

Area	AreaElem	Joint	OutputCase	StepType	V23 KN/m	VMax KN/m	VAngle Degrees
622	622	2866	SLV_ENV	Min	-54.5	0.	0.
622	622	2870	SLV_ENV	Min	-54.5	0.	0.
623	623	2860	SLU_ENV	Max	1.355E-03	0.	0.
623	623	2859	SLU_ENV	Max	1.355E-03	0.	0.
623	623	2865	SLU_ENV	Max	1.355E-03	0.	0.
623	623	2866	SLU_ENV	Max	1.355E-03	0.	0.
623	623	2860	SLU_ENV	Min	-0.39	0.	0.
623	623	2859	SLU_ENV	Min	-0.39	0.	0.
623	623	2865	SLU_ENV	Min	-0.39	0.	0.
623	623	2866	SLU_ENV	Min	-0.39	0.	0.
623	623	2860	SLV_ENV	Max	71.03	0.	0.
623	623	2859	SLV_ENV	Max	71.03	0.	0.
623	623	2865	SLV_ENV	Max	71.03	0.	0.
623	623	2866	SLV_ENV	Max	71.03	0.	0.
623	623	2860	SLV_ENV	Min	-71.15	0.	0.
623	623	2859	SLV_ENV	Min	-71.15	0.	0.
623	623	2865	SLV_ENV	Min	-71.15	0.	0.
623	623	2866	SLV_ENV	Min	-71.15	0.	0.
624	624	2183	SLU_ENV	Max	0.31	0.	0.
624	624	2868	SLU_ENV	Max	0.31	0.	0.
624	624	2874	SLU_ENV	Max	0.31	0.	0.
624	624	2165	SLU_ENV	Max	0.31	0.	0.
624	624	2183	SLU_ENV	Min	-9.09	0.	0.
624	624	2868	SLU_ENV	Min	-9.09	0.	0.
624	624	2874	SLU_ENV	Min	-9.09	0.	0.
624	624	2165	SLU_ENV	Min	-9.09	0.	0.
624	624	2183	SLV_ENV	Max	88.97	0.	0.
624	624	2868	SLV_ENV	Max	88.97	0.	0.
624	624	2874	SLV_ENV	Max	88.97	0.	0.
624	624	2165	SLV_ENV	Max	88.97	0.	0.
624	624	2183	SLV_ENV	Min	-89.3	0.	0.
624	624	2868	SLV_ENV	Min	-89.3	0.	0.
624	624	2874	SLV_ENV	Min	-89.3	0.	0.
624	624	2165	SLV_ENV	Min	-89.3	0.	0.
625	625	2868	SLU_ENV	Max	-3.59	0.	0.
625	625	2869	SLU_ENV	Max	-3.59	0.	0.
625	625	2875	SLU_ENV	Max	-3.59	0.	0.
625	625	2874	SLU_ENV	Max	-3.59	0.	0.
625	625	2868	SLU_ENV	Min	-10.36	0.	0.
625	625	2869	SLU_ENV	Min	-10.36	0.	0.
625	625	2875	SLU_ENV	Min	-10.36	0.	0.
625	625	2874	SLU_ENV	Min	-10.36	0.	0.
625	625	2868	SLV_ENV	Max	20.6	0.	0.
625	625	2869	SLV_ENV	Max	20.6	0.	0.
625	625	2875	SLV_ENV	Max	20.6	0.	0.
625	625	2874	SLV_ENV	Max	20.6	0.	0.
625	625	2868	SLV_ENV	Min	-29.	0.	0.
625	625	2869	SLV_ENV	Min	-29.	0.	0.
625	625	2875	SLV_ENV	Min	-29.	0.	0.
625	625	2874	SLV_ENV	Min	-29.	0.	0.
626	626	2869	SLU_ENV	Max	-1.21	0.	0.
626	626	2867	SLU_ENV	Max	-1.21	0.	0.
626	626	2873	SLU_ENV	Max	-1.21	0.	0.
626	626	2875	SLU_ENV	Max	-1.21	0.	0.

Table: Element Forces - Area Shells, Part 5 of 5

Area	AreaElem	Joint	OutputCase	StepType	V23 KN/m	VMax KN/m	VAngle Degrees
626	626	2869	SLU_ENV	Min	-5.11	0.	0.
626	626	2867	SLU_ENV	Min	-5.11	0.	0.
626	626	2873	SLU_ENV	Min	-5.11	0.	0.
626	626	2875	SLU_ENV	Min	-5.11	0.	0.
626	626	2869	SLV_ENV	Max	8.58	0.	0.
626	626	2867	SLV_ENV	Max	8.58	0.	0.
626	626	2873	SLV_ENV	Max	8.58	0.	0.
626	626	2875	SLV_ENV	Max	8.58	0.	0.
626	626	2869	SLV_ENV	Min	-12.55	0.	0.
626	626	2867	SLV_ENV	Min	-12.55	0.	0.
626	626	2873	SLV_ENV	Min	-12.55	0.	0.
626	626	2875	SLV_ENV	Min	-12.55	0.	0.
627	627	2867	SLU_ENV	Max	0.74	0.	0.
627	627	2870	SLU_ENV	Max	0.74	0.	0.
627	627	2876	SLU_ENV	Max	0.74	0.	0.
627	627	2873	SLU_ENV	Max	0.74	0.	0.
627	627	2867	SLU_ENV	Min	0.12	0.	0.
627	627	2870	SLU_ENV	Min	0.12	0.	0.
627	627	2876	SLU_ENV	Min	0.12	0.	0.
627	627	2873	SLU_ENV	Min	0.12	0.	0.
627	627	2867	SLV_ENV	Max	31.15	0.	0.
627	627	2870	SLV_ENV	Max	31.15	0.	0.
627	627	2876	SLV_ENV	Max	31.15	0.	0.
627	627	2873	SLV_ENV	Max	31.15	0.	0.
627	627	2867	SLV_ENV	Min	-30.87	0.	0.
627	627	2870	SLV_ENV	Min	-30.87	0.	0.
627	627	2876	SLV_ENV	Min	-30.87	0.	0.
627	627	2873	SLV_ENV	Min	-30.87	0.	0.
628	628	2870	SLU_ENV	Max	0.15	0.	0.
628	628	2866	SLU_ENV	Max	0.15	0.	0.
628	628	2872	SLU_ENV	Max	0.15	0.	0.
628	628	2876	SLU_ENV	Max	0.15	0.	0.
628	628	2870	SLU_ENV	Min	1.639E-02	0.	0.
628	628	2866	SLU_ENV	Min	1.639E-02	0.	0.
628	628	2872	SLU_ENV	Min	1.639E-02	0.	0.
628	628	2876	SLU_ENV	Min	1.639E-02	0.	0.
628	628	2870	SLV_ENV	Max	34.65	0.	0.
628	628	2866	SLV_ENV	Max	34.65	0.	0.
628	628	2872	SLV_ENV	Max	34.65	0.	0.
628	628	2876	SLV_ENV	Max	34.65	0.	0.
628	628	2870	SLV_ENV	Min	-34.55	0.	0.
628	628	2866	SLV_ENV	Min	-34.55	0.	0.
628	628	2872	SLV_ENV	Min	-34.55	0.	0.
628	628	2876	SLV_ENV	Min	-34.55	0.	0.
629	629	2866	SLU_ENV	Max	-2.739E-02	0.	0.
629	629	2865	SLU_ENV	Max	-2.739E-02	0.	0.
629	629	2871	SLU_ENV	Max	-2.739E-02	0.	0.
629	629	2872	SLU_ENV	Max	-2.739E-02	0.	0.
629	629	2866	SLU_ENV	Min	-0.23	0.	0.
629	629	2865	SLU_ENV	Min	-0.23	0.	0.
629	629	2871	SLU_ENV	Min	-0.23	0.	0.
629	629	2872	SLU_ENV	Min	-0.23	0.	0.
629	629	2866	SLV_ENV	Max	42.47	0.	0.
629	629	2865	SLV_ENV	Max	42.47	0.	0.

Table: Element Forces - Area Shells, Part 5 of 5

Area	AreaElem	Joint	OutputCase	StepType	V23	VMax	VAngle
					KN/m	KN/m	Degrees
629	629	2871	SLV_ENV	Max	42.47	0.	0.
629	629	2872	SLV_ENV	Max	42.47	0.	0.
629	629	2866	SLV_ENV	Min	-42.57	0.	0.
629	629	2865	SLV_ENV	Min	-42.57	0.	0.
629	629	2871	SLV_ENV	Min	-42.57	0.	0.
629	629	2872	SLV_ENV	Min	-42.57	0.	0.
630	630	2165	SLU_ENV	Max	11.28	0.	0.
630	630	2874	SLU_ENV	Max	11.28	0.	0.
630	630	2906	SLU_ENV	Max	11.28	0.	0.
630	630	1885	SLU_ENV	Max	11.28	0.	0.
630	630	2165	SLU_ENV	Min	0.16	0.	0.
630	630	2874	SLU_ENV	Min	0.16	0.	0.
630	630	2906	SLU_ENV	Min	0.16	0.	0.
630	630	1885	SLU_ENV	Min	0.16	0.	0.
630	630	2165	SLV_ENV	Max	53.8	0.	0.
630	630	2874	SLV_ENV	Max	53.8	0.	0.
630	630	2906	SLV_ENV	Max	53.8	0.	0.
630	630	1885	SLV_ENV	Max	53.8	0.	0.
630	630	2165	SLV_ENV	Min	-49.63	0.	0.
630	630	2874	SLV_ENV	Min	-49.63	0.	0.
630	630	2906	SLV_ENV	Min	-49.63	0.	0.
630	630	1885	SLV_ENV	Min	-49.63	0.	0.
631	631	2874	SLU_ENV	Max	-1.28	0.	0.
631	631	2875	SLU_ENV	Max	-1.28	0.	0.
631	631	2907	SLU_ENV	Max	-1.28	0.	0.
631	631	2906	SLU_ENV	Max	-1.28	0.	0.
631	631	2874	SLU_ENV	Min	-5.68	0.	0.
631	631	2875	SLU_ENV	Min	-5.68	0.	0.
631	631	2907	SLU_ENV	Min	-5.68	0.	0.
631	631	2906	SLU_ENV	Min	-5.68	0.	0.
631	631	2874	SLV_ENV	Max	6.85	0.	0.
631	631	2875	SLV_ENV	Max	6.85	0.	0.
631	631	2907	SLV_ENV	Max	6.85	0.	0.
631	631	2906	SLV_ENV	Max	6.85	0.	0.
631	631	2874	SLV_ENV	Min	-9.84	0.	0.
631	631	2875	SLV_ENV	Min	-9.84	0.	0.
631	631	2907	SLV_ENV	Min	-9.84	0.	0.
631	631	2906	SLV_ENV	Min	-9.84	0.	0.
632	632	2875	SLU_ENV	Max	-0.41	0.	0.
632	632	2873	SLU_ENV	Max	-0.41	0.	0.
632	632	2905	SLU_ENV	Max	-0.41	0.	0.
632	632	2907	SLU_ENV	Max	-0.41	0.	0.
632	632	2875	SLU_ENV	Min	-1.7	0.	0.
632	632	2873	SLU_ENV	Min	-1.7	0.	0.
632	632	2905	SLU_ENV	Min	-1.7	0.	0.
632	632	2907	SLU_ENV	Min	-1.7	0.	0.
632	632	2875	SLV_ENV	Max	2.91	0.	0.
632	632	2873	SLV_ENV	Max	2.91	0.	0.
632	632	2905	SLV_ENV	Max	2.91	0.	0.
632	632	2907	SLV_ENV	Max	2.91	0.	0.
632	632	2875	SLV_ENV	Min	-4.21	0.	0.
632	632	2873	SLV_ENV	Min	-4.21	0.	0.
632	632	2905	SLV_ENV	Min	-4.21	0.	0.
632	632	2907	SLV_ENV	Min	-4.21	0.	0.

Table: Element Forces - Area Shells, Part 5 of 5

Area	AreaElem	Joint	OutputCase	StepType	V23 KN/m	VMax KN/m	VAngle Degrees
633	633	2873	SLU_ENV	Max	0.26	0.	0.
633	633	2876	SLU_ENV	Max	0.26	0.	0.
633	633	2908	SLU_ENV	Max	0.26	0.	0.
633	633	2905	SLU_ENV	Max	0.26	0.	0.
633	633	2873	SLU_ENV	Min	4.403E-02	0.	0.
633	633	2876	SLU_ENV	Min	4.403E-02	0.	0.
633	633	2908	SLU_ENV	Min	4.403E-02	0.	0.
633	633	2905	SLU_ENV	Min	4.403E-02	0.	0.
633	633	2873	SLV_ENV	Max	10.83	0.	0.
633	633	2876	SLV_ENV	Max	10.83	0.	0.
633	633	2908	SLV_ENV	Max	10.83	0.	0.
633	633	2905	SLV_ENV	Max	10.83	0.	0.
633	633	2873	SLV_ENV	Min	-10.72	0.	0.
633	633	2876	SLV_ENV	Min	-10.72	0.	0.
633	633	2908	SLV_ENV	Min	-10.72	0.	0.
633	633	2905	SLV_ENV	Min	-10.72	0.	0.
634	634	2876	SLU_ENV	Max	2.710E-02	0.	0.
634	634	2872	SLU_ENV	Max	2.710E-02	0.	0.
634	634	2878	SLU_ENV	Max	2.710E-02	0.	0.
634	634	2908	SLU_ENV	Max	2.710E-02	0.	0.
634	634	2876	SLU_ENV	Min	-5.857E-03	0.	0.
634	634	2872	SLU_ENV	Min	-5.857E-03	0.	0.
634	634	2878	SLU_ENV	Min	-5.857E-03	0.	0.
634	634	2908	SLU_ENV	Min	-5.857E-03	0.	0.
634	634	2876	SLV_ENV	Max	11.87	0.	0.
634	634	2872	SLV_ENV	Max	11.87	0.	0.
634	634	2878	SLV_ENV	Max	11.87	0.	0.
634	634	2908	SLV_ENV	Max	11.87	0.	0.
634	634	2876	SLV_ENV	Min	-11.86	0.	0.
634	634	2872	SLV_ENV	Min	-11.86	0.	0.
634	634	2878	SLV_ENV	Min	-11.86	0.	0.
634	634	2908	SLV_ENV	Min	-11.86	0.	0.
635	635	2872	SLU_ENV	Max	-4.264E-04	0.	0.
635	635	2871	SLU_ENV	Max	-4.264E-04	0.	0.
635	635	2877	SLU_ENV	Max	-4.264E-04	0.	0.
635	635	2878	SLU_ENV	Max	-4.264E-04	0.	0.
635	635	2872	SLU_ENV	Min	-5.521E-02	0.	0.
635	635	2871	SLU_ENV	Min	-5.521E-02	0.	0.
635	635	2877	SLU_ENV	Min	-5.521E-02	0.	0.
635	635	2878	SLU_ENV	Min	-5.521E-02	0.	0.
635	635	2872	SLV_ENV	Max	14.56	0.	0.
635	635	2871	SLV_ENV	Max	14.56	0.	0.
635	635	2877	SLV_ENV	Max	14.56	0.	0.
635	635	2878	SLV_ENV	Max	14.56	0.	0.
635	635	2872	SLV_ENV	Min	-14.58	0.	0.
635	635	2871	SLV_ENV	Min	-14.58	0.	0.
635	635	2877	SLV_ENV	Min	-14.58	0.	0.
635	635	2878	SLV_ENV	Min	-14.58	0.	0.

Table: Element Forces - Frames, Part 1 of 2

Table: Element Forces - Frames, Part 1 of 2

Frame	Station m	OutputCase	CaseType	StepType	P KN	V2 KN	V3 KN	T KN-m
226	0.	SLU_ENV	Combination	Max	-50.315	0.121	0.195	0.
226	0.5	SLU_ENV	Combination	Max	-40.497	0.121	0.195	0.
226	1.	SLU_ENV	Combination	Max	-30.68	0.121	0.195	0.
226	0.	SLU_ENV	Combination	Min	-83.305	-0.059	0.061	0.
226	0.5	SLU_ENV	Combination	Min	-70.052	-0.059	0.061	0.
226	1.	SLU_ENV	Combination	Min	-56.798	-0.059	0.061	0.
226	0.	SLV_ENV	Combination	Max	8.165	2.205	1.814	0.
226	0.5	SLV_ENV	Combination	Max	17.983	2.205	1.814	0.
226	1.	SLV_ENV	Combination	Max	27.8	2.205	1.814	0.
226	0.	SLV_ENV	Combination	Min	-120.23	-2.264	-1.638	0.
226	0.5	SLV_ENV	Combination	Min	-110.413	-2.264	-1.638	0.
226	1.	SLV_ENV	Combination	Min	-100.595	-2.264	-1.638	0.
233	0.	SLU_ENV	Combination	Max	-81.011	0.214	0.372	0.
233	0.5	SLU_ENV	Combination	Max	-71.193	0.214	0.372	0.
233	1.	SLU_ENV	Combination	Max	-61.376	0.214	0.372	0.
233	0.	SLU_ENV	Combination	Min	-140.132	-0.111	0.124	0.
233	0.5	SLU_ENV	Combination	Min	-126.878	-0.111	0.124	0.
233	1.	SLU_ENV	Combination	Min	-113.625	-0.111	0.124	0.
233	0.	SLV_ENV	Combination	Max	33.683	3.762	2.918	0.
233	0.5	SLV_ENV	Combination	Max	43.501	3.762	2.918	0.
233	1.	SLV_ENV	Combination	Max	53.318	3.762	2.918	0.
233	0.	SLV_ENV	Combination	Min	-218.581	-3.869	-2.567	0.
233	0.5	SLV_ENV	Combination	Min	-208.763	-3.869	-2.567	0.
233	1.	SLV_ENV	Combination	Min	-198.946	-3.869	-2.567	0.
234	0.	SLU_ENV	Combination	Max	-111.736	0.28	0.529	0.
234	0.5	SLU_ENV	Combination	Max	-101.918	0.28	0.529	0.
234	1.	SLU_ENV	Combination	Max	-92.101	0.28	0.529	0.
234	0.	SLU_ENV	Combination	Min	-197.01	-0.154	0.189	0.
234	0.5	SLU_ENV	Combination	Min	-183.756	-0.154	0.189	0.
234	1.	SLU_ENV	Combination	Min	-170.503	-0.154	0.189	0.
234	0.	SLV_ENV	Combination	Max	59.223	4.719	3.401	0.
234	0.5	SLV_ENV	Combination	Max	69.041	4.719	3.401	0.
234	1.	SLV_ENV	Combination	Max	78.858	4.719	3.401	0.
234	0.	SLV_ENV	Combination	Min	-317.02	-4.863	-2.876	0.
234	0.5	SLV_ENV	Combination	Min	-307.203	-4.863	-2.876	0.
234	1.	SLV_ENV	Combination	Min	-297.385	-4.863	-2.876	0.
235	0.	SLU_ENV	Combination	Max	-142.502	0.315	0.663	0.
235	0.5	SLU_ENV	Combination	Max	-132.685	0.315	0.663	0.
235	1.	SLU_ENV	Combination	Max	-122.867	0.315	0.663	0.
235	0.	SLU_ENV	Combination	Min	-253.962	-0.188	0.253	0.
235	0.5	SLU_ENV	Combination	Min	-240.709	-0.188	0.253	0.
235	1.	SLU_ENV	Combination	Min	-227.455	-0.188	0.253	0.
235	0.	SLV_ENV	Combination	Max	84.789	5.081	3.411	0.
235	0.5	SLV_ENV	Combination	Max	94.607	5.081	3.411	0.
235	1.	SLV_ENV	Combination	Max	104.424	5.081	3.411	0.
235	0.	SLV_ENV	Combination	Min	-415.582	-5.25	-2.717	0.
235	0.5	SLV_ENV	Combination	Min	-405.764	-5.25	-2.717	0.
235	1.	SLV_ENV	Combination	Min	-395.947	-5.25	-2.717	0.
239	0.	SLU_ENV	Combination	Max	-173.322	0.316	0.766	0.
239	0.5	SLU_ENV	Combination	Max	-163.505	0.316	0.766	0.
239	1.	SLU_ENV	Combination	Max	-153.687	0.316	0.766	0.
239	0.	SLU_ENV	Combination	Min	-311.012	-0.212	0.316	0.
239	0.5	SLU_ENV	Combination	Min	-297.759	-0.212	0.316	0.

Table: Element Forces - Frames, Part 1 of 2

Frame	Station m	OutputCase	CaseType	StepType	P KN	V2 KN	V3 KN	T KN-m
239	1.	SLU_ENV	Combination	Min	-284.505	-0.212	0.316	0.
239	0.	SLV_ENV	Combination	Max	110.389	4.882	3.551	0.
239	0.5	SLV_ENV	Combination	Max	120.206	4.882	3.551	0.
239	1.	SLV_ENV	Combination	Max	130.024	4.882	3.551	0.
239	0.	SLV_ENV	Combination	Min	-514.303	-5.062	-2.7	0.
239	0.5	SLV_ENV	Combination	Min	-504.486	-5.062	-2.7	0.
239	1.	SLV_ENV	Combination	Min	-494.668	-5.062	-2.7	0.
240	0.	SLU_ENV	Combination	Max	-204.208	0.277	0.827	0.
240	0.5	SLU_ENV	Combination	Max	-194.391	0.277	0.827	0.
240	1.	SLU_ENV	Combination	Max	-184.573	0.277	0.827	0.
240	0.	SLU_ENV	Combination	Min	-368.183	-0.22	0.372	0.
240	0.5	SLU_ENV	Combination	Min	-354.929	-0.22	0.372	0.
240	1.	SLU_ENV	Combination	Min	-341.675	-0.22	0.372	0.
240	0.	SLV_ENV	Combination	Max	136.031	4.299	5.687	0.
240	0.5	SLV_ENV	Combination	Max	145.848	4.299	5.687	0.
240	1.	SLV_ENV	Combination	Max	155.666	4.299	5.687	0.
240	0.	SLV_ENV	Combination	Min	-613.222	-4.472	-4.701	0.
240	0.5	SLV_ENV	Combination	Min	-603.405	-4.472	-4.701	0.
240	1.	SLV_ENV	Combination	Min	-593.587	-4.472	-4.701	0.
243	0.	SLU_ENV	Combination	Max	-235.173	0.189	0.83	0.
243	0.5	SLU_ENV	Combination	Max	-225.356	0.189	0.83	0.
243	1.	SLU_ENV	Combination	Max	-215.538	0.189	0.83	0.
243	0.	SLU_ENV	Combination	Min	-425.497	-0.21	0.416	0.
243	0.5	SLU_ENV	Combination	Min	-412.243	-0.21	0.416	0.
243	1.	SLU_ENV	Combination	Min	-398.989	-0.21	0.416	0.
243	0.	SLV_ENV	Combination	Max	161.723	4.651	9.313	0.
243	0.5	SLV_ENV	Combination	Max	171.541	4.651	9.313	0.
243	1.	SLV_ENV	Combination	Max	181.358	4.651	9.313	0.
243	0.	SLV_ENV	Combination	Min	-712.378	-4.796	-8.232	0.
243	0.5	SLV_ENV	Combination	Min	-702.56	-4.796	-8.232	0.
243	1.	SLV_ENV	Combination	Min	-692.743	-4.796	-8.232	0.
245	0.	SLU_ENV	Combination	Max	-266.229	0.18	0.833	0.
245	0.5	SLU_ENV	Combination	Max	-256.412	0.18	0.833	0.
245	1.	SLU_ENV	Combination	Max	-246.594	0.18	0.833	0.
245	0.	SLU_ENV	Combination	Min	-482.978	-0.226	0.401	0.
245	0.5	SLU_ENV	Combination	Min	-469.724	-0.226	0.401	0.
245	1.	SLU_ENV	Combination	Min	-456.47	-0.226	0.401	0.
245	0.	SLV_ENV	Combination	Max	187.476	6.943	14.054	0.
245	0.5	SLV_ENV	Combination	Max	197.293	6.943	14.054	0.
245	1.	SLV_ENV	Combination	Max	207.111	6.943	14.054	0.
245	0.	SLV_ENV	Combination	Min	-811.808	-7.034	-12.94	0.
245	0.5	SLV_ENV	Combination	Min	-801.991	-7.034	-12.94	0.
245	1.	SLV_ENV	Combination	Min	-792.173	-7.034	-12.94	0.
247	0.	SLU_ENV	Combination	Max	-297.389	0.224	0.79	0.
247	0.5	SLU_ENV	Combination	Max	-287.572	0.224	0.79	0.
247	1.	SLU_ENV	Combination	Max	-277.754	0.224	0.79	0.
247	0.	SLU_ENV	Combination	Min	-540.649	-0.426	0.241	0.
247	0.5	SLU_ENV	Combination	Min	-527.395	-0.426	0.241	0.
247	1.	SLU_ENV	Combination	Min	-514.142	-0.426	0.241	0.
247	0.	SLV_ENV	Combination	Max	213.298	10.706	19.757	0.
247	0.5	SLV_ENV	Combination	Max	223.115	10.706	19.757	0.
247	1.	SLV_ENV	Combination	Max	232.933	10.706	19.757	0.
247	0.	SLV_ENV	Combination	Min	-911.552	-10.71	-18.704	0.
247	0.5	SLV_ENV	Combination	Min	-901.735	-10.71	-18.704	0.

Table: Element Forces - Frames, Part 1 of 2

Frame	Station	OutputCase	CaseType	StepType	P	V2	V3	T
	m				KN	KN	KN	KN-m
247	1.	SLV_ENV	Combination	Min	-891.917	-10.71	-18.704	0.
251	0.	SLU_ENV	Combination	Max	-328.666	0.288	0.654	0.
251	0.5	SLU_ENV	Combination	Max	-318.848	0.288	0.654	0.
251	1.	SLU_ENV	Combination	Max	-309.031	0.288	0.654	0.
251	0.	SLU_ENV	Combination	Min	-598.534	-0.697	-0.019	0.
251	0.5	SLU_ENV	Combination	Min	-585.28	-0.697	-0.019	0.
251	1.	SLU_ENV	Combination	Min	-572.026	-0.697	-0.019	0.
251	0.	SLV_ENV	Combination	Max	239.197	15.953	26.259	0.
251	0.5	SLV_ENV	Combination	Max	249.015	15.953	26.259	0.
251	1.	SLV_ENV	Combination	Max	258.832	15.953	26.259	0.
251	0.	SLV_ENV	Combination	Min	-1011.649	-15.828	-25.398	0.
251	0.5	SLV_ENV	Combination	Min	-1001.832	-15.828	-25.398	0.
251	1.	SLV_ENV	Combination	Min	-992.014	-15.828	-25.398	0.
256	0.	SLU_ENV	Combination	Max	-360.071	0.377	0.399	0.
256	0.5	SLU_ENV	Combination	Max	-350.254	0.377	0.399	0.
256	1.	SLU_ENV	Combination	Max	-340.436	0.377	0.399	0.
256	0.	SLU_ENV	Combination	Min	-656.655	-1.033	-0.402	0.
256	0.5	SLU_ENV	Combination	Min	-643.402	-1.033	-0.402	0.
256	1.	SLU_ENV	Combination	Min	-630.148	-1.033	-0.402	0.
256	0.	SLV_ENV	Combination	Max	265.184	23.41	33.308	0.
256	0.5	SLV_ENV	Combination	Max	275.002	23.41	33.308	0.
256	1.	SLV_ENV	Combination	Max	284.819	23.41	33.308	0.
256	0.	SLV_ENV	Combination	Min	-1112.138	-23.111	-32.813	0.
256	0.5	SLV_ENV	Combination	Min	-1102.321	-23.111	-32.813	0.
256	1.	SLV_ENV	Combination	Min	-1092.503	-23.111	-32.813	0.
259	0.	SLU_ENV	Combination	Max	-391.619	0.505	0.067	0.
259	0.5	SLU_ENV	Combination	Max	-381.801	0.505	0.067	0.
259	1.	SLU_ENV	Combination	Max	-371.984	0.505	0.067	0.
259	0.	SLU_ENV	Combination	Min	-715.037	-1.444	-0.983	0.
259	0.5	SLU_ENV	Combination	Min	-701.784	-1.444	-0.983	0.
259	1.	SLU_ENV	Combination	Min	-688.53	-1.444	-0.983	0.
259	0.	SLV_ENV	Combination	Max	291.267	32.315	40.508	0.
259	0.5	SLV_ENV	Combination	Max	301.085	32.315	40.508	0.
259	1.	SLV_ENV	Combination	Max	310.902	32.315	40.508	0.
259	0.	SLV_ENV	Combination	Min	-1213.058	-31.788	-40.604	0.
259	0.5	SLV_ENV	Combination	Min	-1203.241	-31.788	-40.604	0.
259	1.	SLV_ENV	Combination	Min	-1193.423	-31.788	-40.604	0.
260	0.	SLU_ENV	Combination	Max	-423.32	0.687	-0.246	0.
260	0.5	SLU_ENV	Combination	Max	-413.503	0.687	-0.246	0.
260	1.	SLU_ENV	Combination	Max	-403.685	0.687	-0.246	0.
260	0.	SLU_ENV	Combination	Min	-773.704	-1.936	-1.924	0.
260	0.5	SLU_ENV	Combination	Min	-760.45	-1.936	-1.924	0.
260	1.	SLU_ENV	Combination	Min	-747.197	-1.936	-1.924	0.
260	0.	SLV_ENV	Combination	Max	317.456	42.495	47.283	0.
260	0.5	SLV_ENV	Combination	Max	327.274	42.495	47.283	0.
260	1.	SLV_ENV	Combination	Max	337.091	42.495	47.283	0.
260	0.	SLV_ENV	Combination	Min	-1314.449	-41.683	-48.247	0.
260	0.5	SLV_ENV	Combination	Min	-1304.632	-41.683	-48.247	0.
260	1.	SLV_ENV	Combination	Min	-1294.814	-41.683	-48.247	0.
262	0.	SLU_ENV	Combination	Max	-455.19	1.037	-0.674	0.
262	0.5	SLU_ENV	Combination	Max	-445.372	1.037	-0.674	0.
262	1.	SLU_ENV	Combination	Max	-435.555	1.037	-0.674	0.
262	0.	SLU_ENV	Combination	Min	-832.678	-2.6	-3.157	0.
262	0.5	SLU_ENV	Combination	Min	-819.424	-2.6	-3.157	0.

Table: Element Forces - Frames, Part 1 of 2

Frame	Station m	OutputCase	CaseType	StepType	P	V2	V3	T
					KN	KN	KN	KN-m
262	1.	SLU_ENV	Combination	Min	-806.171	-2.6	-3.157	0.
262	0.	SLV_ENV	Combination	Max	343.759	53.615	52.844	0.
262	0.5	SLV_ENV	Combination	Max	353.577	53.615	52.844	0.
262	1.	SLV_ENV	Combination	Max	363.394	53.615	52.844	0.
262	0.	SLV_ENV	Combination	Min	-1416.351	-52.46	-55.006	0.
262	0.5	SLV_ENV	Combination	Min	-1406.533	-52.46	-55.006	0.
262	1.	SLV_ENV	Combination	Min	-1396.716	-52.46	-55.006	0.
265	0.	SLU_ENV	Combination	Max	-487.239	1.474	-1.246	0.
265	0.5	SLU_ENV	Combination	Max	-477.422	1.474	-1.246	0.
265	1.	SLU_ENV	Combination	Max	-467.604	1.474	-1.246	0.
265	0.	SLU_ENV	Combination	Min	-891.984	-3.35	-4.684	0.
265	0.5	SLU_ENV	Combination	Min	-878.73	-3.35	-4.684	0.
265	1.	SLU_ENV	Combination	Min	-865.477	-3.35	-4.684	0.
265	0.	SLV_ENV	Combination	Max	370.187	65.139	56.194	0.
265	0.5	SLV_ENV	Combination	Max	380.004	65.139	56.194	0.
265	1.	SLV_ENV	Combination	Max	389.822	65.139	56.194	0.
265	0.	SLV_ENV	Combination	Min	-1518.802	-63.586	-59.93	0.
265	0.5	SLV_ENV	Combination	Min	-1508.985	-63.586	-59.93	0.
265	1.	SLV_ENV	Combination	Min	-1499.167	-63.586	-59.93	0.
269	0.	SLU_ENV	Combination	Max	-519.482	1.981	-1.978	0.
269	0.5	SLU_ENV	Combination	Max	-509.665	1.981	-1.978	0.
269	1.	SLU_ENV	Combination	Max	-499.847	1.981	-1.978	0.
269	0.	SLU_ENV	Combination	Min	-951.646	-4.138	-6.501	0.
269	0.5	SLU_ENV	Combination	Min	-938.392	-4.138	-6.501	0.
269	1.	SLU_ENV	Combination	Min	-925.139	-4.138	-6.501	0.
269	0.	SLV_ENV	Combination	Max	396.747	76.375	56.839	0.
269	0.5	SLV_ENV	Combination	Max	406.565	76.375	56.839	0.
269	1.	SLV_ENV	Combination	Max	416.382	76.375	56.839	0.
269	0.	SLV_ENV	Combination	Min	-1621.844	-74.383	-62.558	0.
269	0.5	SLV_ENV	Combination	Min	-1612.027	-74.383	-62.558	0.
269	1.	SLV_ENV	Combination	Min	-1602.209	-74.383	-62.558	0.
270	0.	SLU_ENV	Combination	Max	-551.932	2.543	-2.877	0.
270	0.5	SLU_ENV	Combination	Max	-542.114	2.543	-2.877	0.
270	1.	SLU_ENV	Combination	Max	-532.297	2.543	-2.877	0.
270	0.	SLU_ENV	Combination	Min	-1011.687	-4.905	-8.575	0.
270	0.5	SLU_ENV	Combination	Min	-998.434	-4.905	-8.575	0.
270	1.	SLU_ENV	Combination	Min	-985.18	-4.905	-8.575	0.
270	0.	SLV_ENV	Combination	Max	423.451	86.414	56.636	8.743E-14
270	0.5	SLV_ENV	Combination	Max	433.268	86.414	56.636	8.743E-14
270	1.	SLV_ENV	Combination	Max	443.086	86.414	56.636	8.743E-14
270	0.	SLV_ENV	Combination	Min	-1725.517	-83.964	-64.753	-8.743E-14
270	0.5	SLV_ENV	Combination	Min	-1715.699	-83.964	-64.753	-8.743E-14
270	1.	SLV_ENV	Combination	Min	-1705.882	-83.964	-64.753	-8.743E-14
290	0.	SLU_ENV	Combination	Max	-584.6	3.132	-3.937	-2.220E-16
290	0.5	SLU_ENV	Combination	Max	-574.783	3.132	-3.937	-2.220E-16
290	1.	SLU_ENV	Combination	Max	-564.965	3.132	-3.937	-2.220E-16
290	0.	SLU_ENV	Combination	Min	-1072.133	-5.567	-10.832	-2.998E-16
290	0.5	SLU_ENV	Combination	Min	-1058.88	-5.567	-10.832	-2.998E-16
290	1.	SLU_ENV	Combination	Min	-1045.626	-5.567	-10.832	-2.998E-16
290	0.	SLV_ENV	Combination	Max	450.306	93.714	52.496	9.752E-14
290	0.5	SLV_ENV	Combination	Max	460.123	93.714	52.496	9.752E-14
290	1.	SLV_ENV	Combination	Max	469.941	93.714	52.496	9.752E-14
290	0.	SLV_ENV	Combination	Min	-1829.861	-90.821	-63.398	-9.796E-14
290	0.5	SLV_ENV	Combination	Min	-1820.043	-90.821	-63.398	-9.796E-14

Table: Element Forces - Frames, Part 1 of 2

Frame	Station	OutputCase	CaseType	StepType	P	V2	V3	T
	m				KN	KN	KN	KN-m
290	1.	SLV_ENV	Combination	Min	-1810.226	-90.821	-63.398	-9.796E-14
296	0.	SLU_ENV	Combination	Max	-617.502	3.704	-5.134	0.
296	0.5	SLU_ENV	Combination	Max	-607.684	3.704	-5.134	0.
296	1.	SLU_ENV	Combination	Max	-597.867	3.704	-5.134	0.
296	0.	SLU_ENV	Combination	Min	-1133.008	-6.006	-13.138	0.
296	0.5	SLU_ENV	Combination	Min	-1119.754	-6.006	-13.138	0.
296	1.	SLU_ENV	Combination	Min	-1106.501	-6.006	-13.138	0.
296	0.	SLV_ENV	Combination	Max	477.323	96.549	45.444	9.774E-14
296	0.5	SLV_ENV	Combination	Max	487.14	96.549	45.444	9.774E-14
296	1.	SLV_ENV	Combination	Max	496.958	96.549	45.444	9.774E-14
296	0.	SLV_ENV	Combination	Min	-1934.917	-93.279	-59.437	-9.774E-14
296	0.5	SLV_ENV	Combination	Min	-1925.1	-93.279	-59.437	-9.774E-14
296	1.	SLV_ENV	Combination	Min	-1915.282	-93.279	-59.437	-9.774E-14
325	0.	SLU_ENV	Combination	Max	-650.649	4.193	-6.419	1.199E-15
325	0.5	SLU_ENV	Combination	Max	-640.832	4.193	-6.419	1.199E-15
325	1.	SLU_ENV	Combination	Max	-631.014	4.193	-6.419	1.199E-15
325	0.	SLU_ENV	Combination	Min	-1194.336	-6.071	-15.292	-2.998E-16
325	0.5	SLU_ENV	Combination	Min	-1181.083	-6.071	-15.292	-2.998E-16
325	1.	SLU_ENV	Combination	Min	-1167.829	-6.071	-15.292	-2.998E-16
325	0.	SLV_ENV	Combination	Max	504.511	93.591	45.061	1.548E-13
325	0.5	SLV_ENV	Combination	Max	514.328	93.591	45.061	1.548E-13
325	1.	SLV_ENV	Combination	Max	524.146	93.591	45.061	1.548E-13
325	0.	SLV_ENV	Combination	Min	-2040.727	-90.08	-62.297	-1.553E-13
325	0.5	SLV_ENV	Combination	Min	-2030.909	-90.08	-62.297	-1.553E-13
325	1.	SLV_ENV	Combination	Min	-2021.092	-90.08	-62.297	-1.553E-13
328	0.	SLU_ENV	Combination	Max	-684.056	4.512	-7.708	1.199E-15
328	0.5	SLU_ENV	Combination	Max	-674.239	4.512	-7.708	1.199E-15
328	1.	SLU_ENV	Combination	Max	-664.421	4.512	-7.708	1.199E-15
328	0.	SLU_ENV	Combination	Min	-1256.142	-5.57	-17.007	-1.499E-16
328	0.5	SLU_ENV	Combination	Min	-1242.889	-5.57	-17.007	-1.499E-16
328	1.	SLU_ENV	Combination	Min	-1229.635	-5.57	-17.007	-1.499E-16
328	0.	SLV_ENV	Combination	Max	531.879	85.413	81.218	2.570E-14
328	0.5	SLV_ENV	Combination	Max	541.697	85.413	81.218	2.570E-14
328	1.	SLV_ENV	Combination	Max	551.514	85.413	81.218	2.570E-14
328	0.	SLV_ENV	Combination	Min	-2147.331	-81.886	-101.609	-2.593E-14
328	0.5	SLV_ENV	Combination	Min	-2137.513	-81.886	-101.609	-2.593E-14
328	1.	SLV_ENV	Combination	Min	-2127.696	-81.886	-101.609	-2.593E-14
331	0.	SLU_ENV	Combination	Max	-717.736	4.545	-8.877	-2.220E-16
331	0.5	SLU_ENV	Combination	Max	-707.919	4.545	-8.877	-2.220E-16
331	1.	SLU_ENV	Combination	Max	-698.101	4.545	-8.877	-2.220E-16
331	0.	SLU_ENV	Combination	Min	-1318.452	-4.271	-17.899	-2.998E-16
331	0.5	SLU_ENV	Combination	Min	-1305.198	-4.271	-17.899	-2.998E-16
331	1.	SLU_ENV	Combination	Min	-1291.945	-4.271	-17.899	-2.998E-16
331	0.	SLV_ENV	Combination	Max	559.438	87.614	144.982	1.039E-13
331	0.5	SLV_ENV	Combination	Max	569.255	87.614	144.982	1.039E-13
331	1.	SLV_ENV	Combination	Max	579.073	87.614	144.982	1.039E-13
331	0.	SLV_ENV	Combination	Min	-2254.771	-84.412	-168.081	-1.044E-13
331	0.5	SLV_ENV	Combination	Min	-2244.954	-84.412	-168.081	-1.044E-13
331	1.	SLV_ENV	Combination	Min	-2235.136	-84.412	-168.081	-1.044E-13
333	0.	SLU_ENV	Combination	Max	-751.703	4.17	-9.552	0.
333	0.5	SLU_ENV	Combination	Max	-741.885	4.17	-9.552	0.
333	1.	SLU_ENV	Combination	Max	-732.068	4.17	-9.552	0.
333	0.	SLU_ENV	Combination	Min	-1381.29	-3.807	-18.591	-1.499E-16
333	0.5	SLU_ENV	Combination	Min	-1368.036	-3.807	-18.591	-1.499E-16

Table: Element Forces - Frames, Part 1 of 2

Frame	Station m	OutputCase	CaseType	StepType	P	V2	V3	T
					KN	KN	KN	KN-m
333	1.	SLU_ENV	Combination	Min	-1354.783	-3.807	-18.591	-1.499E-16
333	0.	SLV_ENV	Combination	Max	587.197	124.061	232.379	1.351E-13
333	0.5	SLV_ENV	Combination	Max	597.014	124.061	232.379	1.351E-13
333	1.	SLV_ENV	Combination	Max	606.832	124.061	232.379	1.351E-13
333	0.	SLV_ENV	Combination	Min	-2363.09	-121.66	-257.257	-1.353E-13
333	0.5	SLV_ENV	Combination	Min	-2353.273	-121.66	-257.257	-1.353E-13
333	1.	SLV_ENV	Combination	Min	-2343.455	-121.66	-257.257	-1.353E-13
334	0.	SLU_ENV	Combination	Max	-785.97	7.805	-7.228	1.199E-15
334	0.5	SLU_ENV	Combination	Max	-776.152	7.805	-7.228	1.199E-15
334	1.	SLU_ENV	Combination	Max	-766.335	7.805	-7.228	1.199E-15
334	0.	SLU_ENV	Combination	Min	-1444.682	-4.694	-18.809	-1.499E-16
334	0.5	SLU_ENV	Combination	Min	-1431.428	-4.694	-18.809	-1.499E-16
334	1.	SLU_ENV	Combination	Min	-1418.174	-4.694	-18.809	-1.499E-16
334	0.	SLV_ENV	Combination	Max	615.165	189.607	343.599	8.497E-14
334	0.5	SLV_ENV	Combination	Max	624.983	189.607	343.599	8.497E-14
334	1.	SLV_ENV	Combination	Max	634.8	189.607	343.599	8.497E-14
334	0.	SLV_ENV	Combination	Min	-2472.33	-188.64	-368.687	-8.519E-14
334	0.5	SLV_ENV	Combination	Min	-2462.512	-188.64	-368.687	-8.519E-14
334	1.	SLV_ENV	Combination	Min	-2452.695	-188.64	-368.687	-8.519E-14
336	0.	SLU_ENV	Combination	Max	-820.551	12.961	-2.963	-2.220E-16
336	0.5	SLU_ENV	Combination	Max	-810.734	12.961	-2.963	-2.220E-16
336	1.	SLU_ENV	Combination	Max	-800.916	12.961	-2.963	-2.220E-16
336	0.	SLU_ENV	Combination	Min	-1508.653	-5.971	-17.299	-2.998E-16
336	0.5	SLU_ENV	Combination	Min	-1495.399	-5.971	-17.299	-2.998E-16
336	1.	SLU_ENV	Combination	Min	-1482.146	-5.971	-17.299	-2.998E-16
336	0.	SLV_ENV	Combination	Max	643.354	281.458	478.546	8.269E-14
336	0.5	SLV_ENV	Combination	Max	653.171	281.458	478.546	8.269E-14
336	1.	SLV_ENV	Combination	Max	662.989	281.458	478.546	8.269E-14
336	0.	SLV_ENV	Combination	Min	-2582.533	-282.73	-501.479	-8.313E-14
336	0.5	SLV_ENV	Combination	Min	-2572.716	-282.73	-501.479	-8.313E-14
336	1.	SLV_ENV	Combination	Min	-2562.898	-282.73	-501.479	-8.313E-14
338	0.	SLU_ENV	Combination	Max	-855.461	19.597	3.725	-2.220E-16
338	0.5	SLU_ENV	Combination	Max	-845.643	19.597	3.725	-2.220E-16
338	1.	SLU_ENV	Combination	Max	-835.826	19.597	3.725	-2.220E-16
338	0.	SLU_ENV	Combination	Min	-1573.23	-7.578	-13.401	-5.995E-16
338	0.5	SLU_ENV	Combination	Min	-1559.976	-7.578	-13.401	-5.995E-16
338	1.	SLU_ENV	Combination	Min	-1546.723	-7.578	-13.401	-5.995E-16
338	0.	SLV_ENV	Combination	Max	671.771	418.617	635.508	1.347E-13
338	0.5	SLV_ENV	Combination	Max	681.589	418.617	635.508	1.347E-13
338	1.	SLV_ENV	Combination	Max	691.406	418.617	635.508	1.347E-13
338	0.	SLV_ENV	Combination	Min	-2693.744	-423.114	-652.962	-1.356E-13
338	0.5	SLV_ENV	Combination	Min	-2683.926	-423.114	-652.962	-1.356E-13
338	1.	SLV_ENV	Combination	Min	-2674.109	-423.114	-652.962	-1.356E-13
340	0.	SLU_ENV	Combination	Max	-53.538	0.099	0.183	0.
340	0.5	SLU_ENV	Combination	Max	-43.721	0.099	0.183	0.
340	1.	SLU_ENV	Combination	Max	-33.903	0.099	0.183	0.
340	0.	SLU_ENV	Combination	Min	-85.178	-0.088	0.05	0.
340	0.5	SLU_ENV	Combination	Min	-71.925	-0.088	0.05	0.
340	1.	SLU_ENV	Combination	Min	-58.671	-0.088	0.05	0.
340	0.	SLV_ENV	Combination	Max	4.281	2.218	1.762	0.
340	0.5	SLV_ENV	Combination	Max	14.098	2.218	1.762	0.
340	1.	SLV_ENV	Combination	Max	23.916	2.218	1.762	0.
340	0.	SLV_ENV	Combination	Min	-116.827	-2.314	-1.606	0.
340	0.5	SLV_ENV	Combination	Min	-107.009	-2.314	-1.606	0.

Table: Element Forces - Frames, Part 1 of 2

Frame	Station m	OutputCase	CaseType	StepType	P KN	V2 KN	V3 KN	T KN-m
340	1.	SLV_ENV	Combination	Min	-97.192	-2.314	-1.606	0.
342	0.	SLU_ENV	Combination	Max	-87.459	0.161	0.34	0.
342	0.5	SLU_ENV	Combination	Max	-77.642	0.161	0.34	0.
342	1.	SLU_ENV	Combination	Max	-67.824	0.161	0.34	0.
342	0.	SLU_ENV	Combination	Min	-143.878	-0.185	0.096	0.
342	0.5	SLU_ENV	Combination	Min	-130.625	-0.185	0.096	0.
342	1.	SLU_ENV	Combination	Min	-117.371	-0.185	0.096	0.
342	0.	SLV_ENV	Combination	Max	25.885	3.746	2.859	0.
342	0.5	SLV_ENV	Combination	Max	35.702	3.746	2.859	0.
342	1.	SLV_ENV	Combination	Max	45.519	3.746	2.859	0.
342	0.	SLV_ENV	Combination	Min	-211.743	-3.946	-2.559	0.
342	0.5	SLV_ENV	Combination	Min	-201.926	-3.946	-2.559	0.
342	1.	SLV_ENV	Combination	Min	-192.108	-3.946	-2.559	0.
344	0.	SLU_ENV	Combination	Max	-121.411	0.184	0.468	0.
344	0.5	SLU_ENV	Combination	Max	-111.594	0.184	0.468	0.
344	1.	SLU_ENV	Combination	Max	-101.776	0.184	0.468	0.
344	0.	SLU_ENV	Combination	Min	-202.631	-0.289	0.137	0.
344	0.5	SLU_ENV	Combination	Min	-189.378	-0.289	0.137	0.
344	1.	SLU_ENV	Combination	Min	-176.124	-0.289	0.137	0.
344	0.	SLV_ENV	Combination	Max	47.508	4.629	3.386	0.
344	0.5	SLV_ENV	Combination	Max	57.325	4.629	3.386	0.
344	1.	SLV_ENV	Combination	Max	67.143	4.629	3.386	0.
344	0.	SLV_ENV	Combination	Min	-306.747	-4.943	-2.954	0.
344	0.5	SLV_ENV	Combination	Min	-296.93	-4.943	-2.954	0.
344	1.	SLV_ENV	Combination	Min	-287.112	-4.943	-2.954	0.
347	0.	SLU_ENV	Combination	Max	-155.409	0.167	0.565	0.
347	0.5	SLU_ENV	Combination	Max	-145.591	0.167	0.565	0.
347	1.	SLU_ENV	Combination	Max	-135.774	0.167	0.565	0.
347	0.	SLU_ENV	Combination	Min	-261.461	-0.399	0.172	0.
347	0.5	SLU_ENV	Combination	Min	-248.207	-0.399	0.172	0.
347	1.	SLU_ENV	Combination	Min	-234.954	-0.399	0.172	0.
347	0.	SLV_ENV	Combination	Max	69.152	4.878	3.498	0.
347	0.5	SLV_ENV	Combination	Max	78.97	4.878	3.498	0.
347	1.	SLV_ENV	Combination	Max	88.787	4.878	3.498	0.
347	0.	SLV_ENV	Combination	Min	-401.87	-5.313	-2.948	0.
347	0.5	SLV_ENV	Combination	Min	-392.052	-5.313	-2.948	0.
347	1.	SLV_ENV	Combination	Min	-382.235	-5.313	-2.948	0.
350	0.	SLU_ENV	Combination	Max	-189.465	0.106	0.624	0.
350	0.5	SLU_ENV	Combination	Max	-179.648	0.106	0.624	0.
350	1.	SLU_ENV	Combination	Max	-169.83	0.106	0.624	0.
350	0.	SLU_ENV	Combination	Min	-320.391	-0.511	0.2	0.
350	0.5	SLU_ENV	Combination	Min	-307.137	-0.511	0.2	0.
350	1.	SLU_ENV	Combination	Min	-293.884	-0.511	0.2	0.
350	0.	SLV_ENV	Combination	Max	90.824	4.545	3.735	0.
350	0.5	SLV_ENV	Combination	Max	100.642	4.545	3.735	0.
350	1.	SLV_ENV	Combination	Max	110.459	4.545	3.735	0.
350	0.	SLV_ENV	Combination	Min	-497.146	-5.104	-3.09	0.
350	0.5	SLV_ENV	Combination	Min	-487.328	-5.104	-3.09	0.
350	1.	SLV_ENV	Combination	Min	-477.511	-5.104	-3.09	0.
352	0.	SLU_ENV	Combination	Max	-223.594	-9.645E-04	0.635	0.
352	0.5	SLU_ENV	Combination	Max	-213.777	-9.645E-04	0.635	0.
352	1.	SLU_ENV	Combination	Max	-203.959	-9.645E-04	0.635	0.
352	0.	SLU_ENV	Combination	Min	-379.445	-0.62	0.218	0.
352	0.5	SLU_ENV	Combination	Min	-366.192	-0.62	0.218	0.

Table: Element Forces - Frames, Part 1 of 2

Frame	Station m	OutputCase	CaseType	StepType	P KN	V2 KN	V3 KN	T KN-m
352	1.	SLU_ENV	Combination	Min	-352.938	-0.62	0.218	0.
352	0.	SLV_ENV	Combination	Max	112.531	3.869	5.567	0.
352	0.5	SLV_ENV	Combination	Max	122.348	3.869	5.567	0.
352	1.	SLV_ENV	Combination	Max	132.165	3.869	5.567	0.
352	0.	SLV_ENV	Combination	Min	-592.613	-4.548	-4.857	0.
352	0.5	SLV_ENV	Combination	Min	-582.795	-4.548	-4.857	0.
352	1.	SLV_ENV	Combination	Min	-572.978	-4.548	-4.857	0.
354	0.	SLU_ENV	Combination	Max	-257.81	-0.16	0.585	0.
354	0.5	SLU_ENV	Combination	Max	-247.993	-0.16	0.585	0.
354	1.	SLU_ENV	Combination	Max	-238.175	-0.16	0.585	0.
354	0.	SLU_ENV	Combination	Min	-438.648	-0.715	0.221	0.
354	0.5	SLU_ENV	Combination	Min	-425.394	-0.715	0.221	0.
354	1.	SLU_ENV	Combination	Min	-412.141	-0.715	0.221	0.
354	0.	SLV_ENV	Combination	Max	134.278	4.566	9.009	0.
354	0.5	SLV_ENV	Combination	Max	144.096	4.566	9.009	0.
354	1.	SLV_ENV	Combination	Max	153.913	4.566	9.009	0.
354	0.	SLV_ENV	Combination	Min	-688.308	-5.35	-8.278	0.
354	0.5	SLV_ENV	Combination	Min	-678.491	-5.35	-8.278	0.
354	1.	SLV_ENV	Combination	Min	-668.673	-5.35	-8.278	0.
357	0.	SLU_ENV	Combination	Max	-292.126	-0.261	0.532	0.
357	0.5	SLU_ENV	Combination	Max	-282.309	-0.261	0.532	0.
357	1.	SLU_ENV	Combination	Max	-272.491	-0.261	0.532	0.
357	0.	SLU_ENV	Combination	Min	-498.023	-0.812	0.173	0.
357	0.5	SLU_ENV	Combination	Min	-484.769	-0.812	0.173	0.
357	1.	SLU_ENV	Combination	Min	-471.516	-0.812	0.173	0.
357	0.	SLV_ENV	Combination	Max	156.075	7.12	13.553	0.
357	0.5	SLV_ENV	Combination	Max	165.892	7.12	13.553	0.
357	1.	SLV_ENV	Combination	Max	175.71	7.12	13.553	0.
357	0.	SLV_ENV	Combination	Min	-784.268	-7.98	-12.864	0.
357	0.5	SLV_ENV	Combination	Min	-774.451	-7.98	-12.864	0.
357	1.	SLV_ENV	Combination	Min	-764.633	-7.98	-12.864	0.
359	0.	SLU_ENV	Combination	Max	-326.557	-0.285	0.445	0.
359	0.5	SLU_ENV	Combination	Max	-316.739	-0.285	0.445	0.
359	1.	SLU_ENV	Combination	Max	-306.922	-0.285	0.445	0.
359	0.	SLU_ENV	Combination	Min	-557.594	-1.086	-0.022	0.
359	0.5	SLU_ENV	Combination	Min	-544.341	-1.086	-0.022	0.
359	1.	SLU_ENV	Combination	Min	-531.087	-1.086	-0.022	0.
359	0.	SLV_ENV	Combination	Max	177.928	11.092	19.06	0.
359	0.5	SLV_ENV	Combination	Max	187.745	11.092	19.06	0.
359	1.	SLV_ENV	Combination	Max	197.562	11.092	19.06	0.
359	0.	SLV_ENV	Combination	Min	-880.531	-11.98	-18.496	0.
359	0.5	SLV_ENV	Combination	Min	-870.714	-11.98	-18.496	0.
359	1.	SLV_ENV	Combination	Min	-860.896	-11.98	-18.496	0.
361	0.	SLU_ENV	Combination	Max	-361.115	-0.279	0.276	0.
361	0.5	SLU_ENV	Combination	Max	-351.298	-0.279	0.276	0.
361	1.	SLU_ENV	Combination	Max	-341.48	-0.279	0.276	0.
361	0.	SLU_ENV	Combination	Min	-617.386	-1.38	-0.303	0.
361	0.5	SLU_ENV	Combination	Min	-604.132	-1.38	-0.303	0.
361	1.	SLU_ENV	Combination	Min	-590.879	-1.38	-0.303	0.
361	0.	SLV_ENV	Combination	Max	199.844	16.813	25.373	0.
361	0.5	SLV_ENV	Combination	Max	209.662	16.813	25.373	0.
361	1.	SLV_ENV	Combination	Max	219.479	16.813	25.373	0.
361	0.	SLV_ENV	Combination	Min	-977.134	-17.654	-25.048	0.
361	0.5	SLV_ENV	Combination	Min	-967.317	-17.654	-25.048	0.

Table: Element Forces - Frames, Part 1 of 2

Frame	Station m	OutputCase	CaseType	StepType	P KN	V2 KN	V3 KN	T KN-m
361	1.	SLV_ENV	Combination	Min	-957.499	-17.654	-25.048	0.
364	0.	SLU_ENV	Combination	Max	-395.816	-0.216	0.017	0.
364	0.5	SLU_ENV	Combination	Max	-385.999	-0.216	0.017	0.
364	1.	SLU_ENV	Combination	Max	-376.181	-0.216	0.017	0.
364	0.	SLU_ENV	Combination	Min	-677.422	-1.68	-0.705	0.
364	0.5	SLU_ENV	Combination	Min	-664.168	-1.68	-0.705	0.
364	1.	SLU_ENV	Combination	Min	-650.915	-1.68	-0.705	0.
364	0.	SLV_ENV	Combination	Max	221.832	24.544	32.254	0.
364	0.5	SLV_ENV	Combination	Max	231.649	24.544	32.254	0.
364	1.	SLV_ENV	Combination	Max	241.467	24.544	32.254	0.
364	0.	SLV_ENV	Combination	Min	-1074.116	-25.233	-32.31	0.
364	0.5	SLV_ENV	Combination	Min	-1064.298	-25.233	-32.31	0.
364	1.	SLV_ENV	Combination	Min	-1054.481	-25.233	-32.31	0.
367	0.	SLU_ENV	Combination	Max	-430.673	-0.079	-0.221	0.
367	0.5	SLU_ENV	Combination	Max	-420.856	-0.079	-0.221	0.
367	1.	SLU_ENV	Combination	Max	-411.038	-0.079	-0.221	0.
367	0.	SLU_ENV	Combination	Min	-737.727	-1.973	-1.363	0.
367	0.5	SLU_ENV	Combination	Min	-724.474	-1.973	-1.363	0.
367	1.	SLU_ENV	Combination	Min	-711.22	-1.973	-1.363	0.
367	0.	SLV_ENV	Combination	Max	243.898	33.717	39.334	0.
367	0.5	SLV_ENV	Combination	Max	253.716	33.717	39.334	0.
367	1.	SLV_ENV	Combination	Max	263.533	33.717	39.334	0.
367	0.	SLV_ENV	Combination	Min	-1171.513	-34.111	-39.947	0.
367	0.5	SLV_ENV	Combination	Min	-1161.695	-34.111	-39.947	0.
367	1.	SLV_ENV	Combination	Min	-1151.878	-34.111	-39.947	0.
369	0.	SLU_ENV	Combination	Max	-465.701	0.165	-0.47	0.
369	0.5	SLU_ENV	Combination	Max	-455.884	0.165	-0.47	0.
369	1.	SLU_ENV	Combination	Max	-446.066	0.165	-0.47	0.
369	0.	SLU_ENV	Combination	Min	-798.326	-2.297	-2.252	0.
369	0.5	SLU_ENV	Combination	Min	-785.072	-2.297	-2.252	0.
369	1.	SLU_ENV	Combination	Min	-771.818	-2.297	-2.252	0.
369	0.	SLV_ENV	Combination	Max	266.051	44.141	46.069	0.
369	0.5	SLV_ENV	Combination	Max	275.869	44.141	46.069	0.
369	1.	SLV_ENV	Combination	Max	285.686	44.141	46.069	0.
369	0.	SLV_ENV	Combination	Min	-1269.364	-44.056	-47.449	0.
369	0.5	SLV_ENV	Combination	Min	-1259.546	-44.056	-47.449	0.
369	1.	SLV_ENV	Combination	Min	-1249.729	-44.056	-47.449	0.
371	0.	SLU_ENV	Combination	Max	-500.913	0.74	-0.79	0.
371	0.5	SLU_ENV	Combination	Max	-491.096	0.74	-0.79	0.
371	1.	SLU_ENV	Combination	Max	-481.278	0.74	-0.79	0.
371	0.	SLU_ENV	Combination	Min	-859.242	-2.771	-3.357	0.
371	0.5	SLU_ENV	Combination	Min	-845.988	-2.771	-3.357	0.
371	1.	SLU_ENV	Combination	Min	-832.735	-2.771	-3.357	0.
371	0.	SLV_ENV	Combination	Max	288.298	55.448	51.718	0.
371	0.5	SLV_ENV	Combination	Max	298.115	55.448	51.718	0.
371	1.	SLV_ENV	Combination	Max	307.933	55.448	51.718	0.
371	0.	SLV_ENV	Combination	Min	-1367.707	-54.658	-54.102	0.
371	0.5	SLV_ENV	Combination	Min	-1357.889	-54.658	-54.102	0.
371	1.	SLV_ENV	Combination	Min	-1348.072	-54.658	-54.102	0.
373	0.	SLU_ENV	Combination	Max	-536.324	1.635	-1.187	0.
373	0.5	SLU_ENV	Combination	Max	-526.507	1.635	-1.187	0.
373	1.	SLU_ENV	Combination	Max	-516.689	1.635	-1.187	0.
373	0.	SLU_ENV	Combination	Min	-920.501	-3.199	-4.673	0.
373	0.5	SLU_ENV	Combination	Min	-907.247	-3.199	-4.673	0.

Table: Element Forces - Frames, Part 1 of 2

Frame	Station m	OutputCase	CaseType	StepType	P	V2	V3	T
					KN	KN	KN	KN-m
373	1.	SLU_ENV	Combination	Min	-893.994	-3.199	-4.673	0.
373	0.	SLV_ENV	Combination	Max	310.646	67.059	55.35	0.
373	0.5	SLV_ENV	Combination	Max	320.464	67.059	55.35	0.
373	1.	SLV_ENV	Combination	Max	330.281	67.059	55.35	0.
373	0.	SLV_ENV	Combination	Min	-1466.58	-65.293	-58.996	0.
373	0.5	SLV_ENV	Combination	Min	-1456.763	-65.293	-58.996	0.
373	1.	SLV_ENV	Combination	Min	-1446.945	-65.293	-58.996	0.
375	0.	SLU_ENV	Combination	Max	-571.948	2.809	-1.662	0.
375	0.5	SLU_ENV	Combination	Max	-562.131	2.809	-1.662	0.
375	1.	SLU_ENV	Combination	Max	-552.313	2.809	-1.662	0.
375	0.	SLU_ENV	Combination	Min	-982.127	-3.519	-6.174	0.
375	0.5	SLU_ENV	Combination	Min	-968.873	-3.519	-6.174	0.
375	1.	SLU_ENV	Combination	Min	-955.62	-3.519	-6.174	0.
375	0.	SLV_ENV	Combination	Max	333.103	78.281	56.092	0.
375	0.5	SLV_ENV	Combination	Max	342.921	78.281	56.092	0.
375	1.	SLV_ENV	Combination	Max	352.738	78.281	56.092	0.
375	0.	SLV_ENV	Combination	Min	-1566.023	-75.231	-61.261	0.
375	0.5	SLV_ENV	Combination	Min	-1556.206	-75.231	-61.261	0.
375	1.	SLV_ENV	Combination	Min	-1546.388	-75.231	-61.261	0.
377	0.	SLU_ENV	Combination	Max	-607.8	4.289	-2.208	0.
377	0.5	SLU_ENV	Combination	Max	-597.983	4.289	-2.208	0.
377	1.	SLU_ENV	Combination	Max	-588.165	4.289	-2.208	0.
377	0.	SLU_ENV	Combination	Min	-1044.145	-3.647	-7.807	0.
377	0.5	SLU_ENV	Combination	Min	-1030.892	-3.647	-7.807	0.
377	1.	SLU_ENV	Combination	Min	-1017.638	-3.647	-7.807	0.
377	0.	SLV_ENV	Combination	Max	355.678	88.257	56.432	7.544E-14
377	0.5	SLV_ENV	Combination	Max	365.495	88.257	56.432	7.544E-14
377	1.	SLV_ENV	Combination	Max	375.313	88.257	56.432	7.544E-14
377	0.	SLV_ENV	Combination	Min	-1666.074	-83.588	-63.367	-7.544E-14
377	0.5	SLV_ENV	Combination	Min	-1656.257	-83.588	-63.367	-7.544E-14
377	1.	SLV_ENV	Combination	Min	-1646.439	-83.588	-63.367	-7.544E-14
378	0.	SLU_ENV	Combination	Max	-643.894	6.078	-2.806	0.
378	0.5	SLU_ENV	Combination	Max	-634.077	6.078	-2.806	0.
378	1.	SLU_ENV	Combination	Max	-624.259	6.078	-2.806	0.
378	0.	SLU_ENV	Combination	Min	-1106.581	-3.477	-9.48	0.
378	0.5	SLU_ENV	Combination	Min	-1093.328	-3.477	-9.48	0.
378	1.	SLU_ENV	Combination	Min	-1080.074	-3.477	-9.48	0.
378	0.	SLV_ENV	Combination	Max	378.377	95.304	54.551	0.
378	0.5	SLV_ENV	Combination	Max	388.194	95.304	54.551	0.
378	1.	SLV_ENV	Combination	Max	398.011	95.304	54.551	0.
378	0.	SLV_ENV	Combination	Min	-1766.773	-88.675	-63.442	0.
378	0.5	SLV_ENV	Combination	Min	-1756.955	-88.675	-63.442	0.
378	1.	SLV_ENV	Combination	Min	-1747.138	-88.675	-63.442	0.
380	0.	SLU_ENV	Combination	Max	-680.245	8.155	-3.423	0.
380	0.5	SLU_ENV	Combination	Max	-670.427	8.155	-3.423	0.
380	1.	SLU_ENV	Combination	Max	-660.61	8.155	-3.423	0.
380	0.	SLU_ENV	Combination	Min	-1169.46	-2.879	-11.052	0.
380	0.5	SLU_ENV	Combination	Min	-1156.206	-2.879	-11.052	0.
380	1.	SLU_ENV	Combination	Min	-1142.953	-2.879	-11.052	0.
380	0.	SLV_ENV	Combination	Max	401.208	97.734	50.943	2.146E-20
380	0.5	SLV_ENV	Combination	Max	411.025	97.734	50.943	2.146E-20
380	1.	SLV_ENV	Combination	Max	420.843	97.734	50.943	2.146E-20
380	0.	SLV_ENV	Combination	Min	-1868.158	-88.826	-61.882	-2.146E-20
380	0.5	SLV_ENV	Combination	Min	-1858.34	-88.826	-61.882	-2.146E-20

Table: Element Forces - Frames, Part 1 of 2

Frame	Station	OutputCase	CaseType	StepType	P	V2	V3	T
	m				KN	KN	KN	KN-m
380	1.	SLV_ENV	Combination	Min	-1848.523	-88.826	-61.882	-2.146E-20
383	0.	SLU_ENV	Combination	Max	-716.867	10.458	-4.008	2.398E-15
383	0.5	SLU_ENV	Combination	Max	-707.049	10.458	-4.008	2.398E-15
383	1.	SLU_ENV	Combination	Max	-697.232	10.458	-4.008	2.398E-15
383	0.	SLU_ENV	Combination	Min	-1232.806	-1.699	-12.314	1.776E-15
383	0.5	SLU_ENV	Combination	Min	-1219.553	-1.699	-12.314	1.776E-15
383	1.	SLU_ENV	Combination	Min	-1206.299	-1.699	-12.314	1.776E-15
383	0.	SLV_ENV	Combination	Max	424.179	94.494	53.882	1.386E-13
383	0.5	SLV_ENV	Combination	Max	433.997	94.494	53.882	1.386E-13
383	1.	SLV_ENV	Combination	Max	443.814	94.494	53.882	1.386E-13
383	0.	SLV_ENV	Combination	Min	-1970.269	-83.056	-66.805	-1.351E-13
383	0.5	SLV_ENV	Combination	Min	-1960.451	-83.056	-66.805	-1.351E-13
383	1.	SLV_ENV	Combination	Min	-1950.634	-83.056	-66.805	-1.351E-13
386	0.	SLU_ENV	Combination	Max	-753.775	12.873	-4.488	0.
386	0.5	SLU_ENV	Combination	Max	-743.957	12.873	-4.488	0.
386	1.	SLU_ENV	Combination	Max	-734.14	12.873	-4.488	0.
386	0.	SLU_ENV	Combination	Min	-1296.647	0.234	-12.989	0.
386	0.5	SLU_ENV	Combination	Min	-1283.393	0.234	-12.989	0.
386	1.	SLU_ENV	Combination	Min	-1270.14	0.234	-12.989	0.
386	0.	SLV_ENV	Combination	Max	447.299	87.091	85.686	1.059E-13
386	0.5	SLV_ENV	Combination	Max	457.116	87.091	85.686	1.059E-13
386	1.	SLV_ENV	Combination	Max	466.934	87.091	85.686	1.059E-13
386	0.	SLV_ENV	Combination	Min	-2073.146	-72.994	-100.304	-1.059E-13
386	0.5	SLV_ENV	Combination	Min	-2063.329	-72.994	-100.304	-1.059E-13
386	1.	SLV_ENV	Combination	Min	-2053.511	-72.994	-100.304	-1.059E-13
389	0.	SLU_ENV	Combination	Max	-790.985	15.217	-4.765	1.199E-15
389	0.5	SLU_ENV	Combination	Max	-781.167	15.217	-4.765	1.199E-15
389	1.	SLU_ENV	Combination	Max	-771.35	15.217	-4.765	1.199E-15
389	0.	SLU_ENV	Combination	Min	-1361.007	3.102	-12.718	-1.499E-16
389	0.5	SLU_ENV	Combination	Min	-1347.753	3.102	-12.718	-1.499E-16
389	1.	SLU_ENV	Combination	Min	-1334.5	3.102	-12.718	-1.499E-16
389	0.	SLV_ENV	Combination	Max	470.575	98.954	147.513	9.668E-14
389	0.5	SLV_ENV	Combination	Max	480.392	98.954	147.513	9.668E-14
389	1.	SLV_ENV	Combination	Max	490.21	98.954	147.513	9.668E-14
389	0.	SLV_ENV	Combination	Min	-2176.83	-82.27	-163.228	-9.690E-14
389	0.5	SLV_ENV	Combination	Min	-2167.012	-82.27	-163.228	-9.690E-14
389	1.	SLV_ENV	Combination	Min	-2157.195	-82.27	-163.228	-9.690E-14
391	0.	SLU_ENV	Combination	Max	-828.51	17.225	-4.676	2.323E-15
391	0.5	SLU_ENV	Combination	Max	-818.693	17.225	-4.676	2.323E-15
391	1.	SLU_ENV	Combination	Max	-808.875	17.225	-4.676	2.323E-15
391	0.	SLU_ENV	Combination	Min	-1425.913	5.658	-12.153	8.882E-16
391	0.5	SLU_ENV	Combination	Min	-1412.659	5.658	-12.153	8.882E-16
391	1.	SLU_ENV	Combination	Min	-1399.405	5.658	-12.153	8.882E-16
391	0.	SLV_ENV	Combination	Max	494.014	143.789	232.612	1.194E-13
391	0.5	SLV_ENV	Combination	Max	503.832	143.789	232.612	1.194E-13
391	1.	SLV_ENV	Combination	Max	513.649	143.789	232.612	1.194E-13
391	0.	SLV_ENV	Combination	Min	-2281.36	-124.877	-248.419	-1.177E-13
391	0.5	SLV_ENV	Combination	Min	-2271.543	-124.877	-248.419	-1.177E-13
391	1.	SLV_ENV	Combination	Min	-2261.725	-124.877	-248.419	-1.177E-13
393	0.	SLU_ENV	Combination	Max	-866.368	22.49	-1.461	0.
393	0.5	SLU_ENV	Combination	Max	-856.55	22.49	-1.461	0.
393	1.	SLU_ENV	Combination	Max	-846.733	22.49	-1.461	0.
393	0.	SLU_ENV	Combination	Min	-1491.39	6.393	-11.219	0.
393	0.5	SLU_ENV	Combination	Min	-1478.137	6.393	-11.219	0.

Table: Element Forces - Frames, Part 1 of 2

Frame	Station	OutputCase	CaseType	StepType	P	V2	V3	T
	m				KN	KN	KN	KN-m
393	1.	SLU_ENV	Combination	Min	-1464.883	6.393	-11.219	0.
393	0.	SLV_ENV	Combination	Max	517.626	216.934	341.255	2.002E-13
393	0.5	SLV_ENV	Combination	Max	527.444	216.934	341.255	2.002E-13
393	1.	SLV_ENV	Combination	Max	537.261	216.934	341.255	2.002E-13
393	0.	SLV_ENV	Combination	Min	-2386.779	-196.553	-355.644	-2.002E-13
393	0.5	SLV_ENV	Combination	Min	-2376.961	-196.553	-355.644	-2.002E-13
393	1.	SLV_ENV	Combination	Min	-2367.144	-196.553	-355.644	-2.002E-13
396	0.	SLU_ENV	Combination	Max	-904.572	28.876	3.499	0.
396	0.5	SLU_ENV	Combination	Max	-894.754	28.876	3.499	0.
396	1.	SLU_ENV	Combination	Max	-884.937	28.876	3.499	0.
396	0.	SLU_ENV	Combination	Min	-1557.467	6.742	-8.756	0.
396	0.5	SLU_ENV	Combination	Min	-1544.213	6.742	-8.756	0.
396	1.	SLU_ENV	Combination	Min	-1530.959	6.742	-8.756	0.
396	0.	SLV_ENV	Combination	Max	541.418	316.007	473.25	2.705E-14
396	0.5	SLV_ENV	Combination	Max	551.236	316.007	473.25	2.705E-14
396	1.	SLV_ENV	Combination	Max	561.053	316.007	473.25	2.705E-14
396	0.	SLV_ENV	Combination	Min	-2493.126	-295.434	-484.102	-2.705E-14
396	0.5	SLV_ENV	Combination	Min	-2483.309	-295.434	-484.102	-2.705E-14
396	1.	SLV_ENV	Combination	Min	-2473.491	-295.434	-484.102	-2.705E-14
398	0.	SLU_ENV	Combination	Max	-943.138	35.644	10.629	2.323E-15
398	0.5	SLU_ENV	Combination	Max	-933.321	35.644	10.629	2.323E-15
398	1.	SLU_ENV	Combination	Max	-923.503	35.644	10.629	2.323E-15
398	0.	SLU_ENV	Combination	Min	-1624.168	6.209	-4.249	8.882E-16
398	0.5	SLU_ENV	Combination	Min	-1610.914	6.209	-4.249	8.882E-16
398	1.	SLU_ENV	Combination	Min	-1597.661	6.209	-4.249	8.882E-16
398	0.	SLV_ENV	Combination	Max	565.399	465.341	626.852	1.191E-13
398	0.5	SLV_ENV	Combination	Max	575.216	465.341	626.852	1.191E-13
398	1.	SLV_ENV	Combination	Max	585.034	465.341	626.852	1.191E-13
398	0.	SLV_ENV	Combination	Min	-2600.444	-446.505	-631.346	-1.174E-13
398	0.5	SLV_ENV	Combination	Min	-2590.627	-446.505	-631.346	-1.174E-13
398	1.	SLV_ENV	Combination	Min	-2580.809	-446.505	-631.346	-1.174E-13
402	0.	SLU_ENV	Combination	Max	-45.76	0.127	0.194	0.
402	0.5	SLU_ENV	Combination	Max	-35.942	0.127	0.194	0.
402	1.	SLU_ENV	Combination	Max	-26.125	0.127	0.194	0.
402	0.	SLU_ENV	Combination	Min	-77.049	-0.05	0.061	0.
402	0.5	SLU_ENV	Combination	Min	-63.796	-0.05	0.061	0.
402	1.	SLU_ENV	Combination	Min	-50.542	-0.05	0.061	0.
402	0.	SLV_ENV	Combination	Max	15.073	2.119	1.774	0.
402	0.5	SLV_ENV	Combination	Max	24.891	2.119	1.774	0.
402	1.	SLV_ENV	Combination	Max	34.708	2.119	1.774	0.
402	0.	SLV_ENV	Combination	Min	-117.431	-2.167	-1.6	0.
402	0.5	SLV_ENV	Combination	Min	-107.614	-2.167	-1.6	0.
402	1.	SLV_ENV	Combination	Min	-97.796	-2.167	-1.6	0.
406	0.	SLU_ENV	Combination	Max	-71.899	0.228	0.369	0.
406	0.5	SLU_ENV	Combination	Max	-62.081	0.228	0.369	0.
406	1.	SLU_ENV	Combination	Max	-52.264	0.228	0.369	0.
406	0.	SLU_ENV	Combination	Min	-127.617	-0.089	0.125	0.
406	0.5	SLU_ENV	Combination	Min	-114.363	-0.089	0.125	0.
406	1.	SLU_ENV	Combination	Min	-101.11	-0.089	0.125	0.
406	0.	SLV_ENV	Combination	Max	47.277	3.628	2.851	0.
406	0.5	SLV_ENV	Combination	Max	57.095	3.628	2.851	0.
406	1.	SLV_ENV	Combination	Max	66.912	3.628	2.851	0.
406	0.	SLV_ENV	Combination	Min	-212.756	-3.708	-2.504	0.
406	0.5	SLV_ENV	Combination	Min	-202.939	-3.708	-2.504	0.

Table: Element Forces - Frames, Part 1 of 2

Frame	Station	OutputCase	CaseType	StepType	P	V2	V3	T
	m				KN	KN	KN	KN-m
406	1.	SLV_ENV	Combination	Min	-193.121	-3.708	-2.504	0.
409	0.	SLU_ENV	Combination	Max	-98.063	0.303	0.524	0.
409	0.5	SLU_ENV	Combination	Max	-88.246	0.303	0.524	0.
409	1.	SLU_ENV	Combination	Max	-78.428	0.303	0.524	0.
409	0.	SLU_ENV	Combination	Min	-178.231	-0.115	0.191	0.
409	0.5	SLU_ENV	Combination	Min	-164.977	-0.115	0.191	0.
409	1.	SLU_ENV	Combination	Min	-151.724	-0.115	0.191	0.
409	0.	SLV_ENV	Combination	Max	79.509	4.577	3.319	0.
409	0.5	SLV_ENV	Combination	Max	89.327	4.577	3.319	0.
409	1.	SLV_ENV	Combination	Max	99.144	4.577	3.319	0.
409	0.	SLV_ENV	Combination	Min	-308.169	-4.673	-2.799	0.
409	0.5	SLV_ENV	Combination	Min	-298.352	-4.673	-2.799	0.
409	1.	SLV_ENV	Combination	Min	-288.534	-4.673	-2.799	0.
411	0.	SLU_ENV	Combination	Max	-124.263	0.35	0.655	0.
411	0.5	SLU_ENV	Combination	Max	-114.446	0.35	0.655	0.
411	1.	SLU_ENV	Combination	Max	-104.628	0.35	0.655	0.
411	0.	SLU_ENV	Combination	Min	-228.912	-0.128	0.258	0.
411	0.5	SLU_ENV	Combination	Min	-215.658	-0.128	0.258	0.
411	1.	SLU_ENV	Combination	Min	-202.405	-0.128	0.258	0.
411	0.	SLV_ENV	Combination	Max	111.776	4.976	3.324	0.
411	0.5	SLV_ENV	Combination	Max	121.593	4.976	3.324	0.
411	1.	SLV_ENV	Combination	Max	131.411	4.976	3.324	0.
411	0.	SLV_ENV	Combination	Min	-403.7	-5.07	-2.637	0.
411	0.5	SLV_ENV	Combination	Min	-393.883	-5.07	-2.637	0.
411	1.	SLV_ENV	Combination	Min	-384.065	-5.07	-2.637	0.
414	0.	SLU_ENV	Combination	Max	-150.51	0.363	0.755	0.
414	0.5	SLU_ENV	Combination	Max	-140.692	0.363	0.755	0.
414	1.	SLU_ENV	Combination	Max	-130.875	0.363	0.755	0.
414	0.	SLU_ENV	Combination	Min	-279.68	-0.126	0.323	0.
414	0.5	SLU_ENV	Combination	Min	-266.426	-0.126	0.323	0.
414	1.	SLU_ENV	Combination	Min	-253.173	-0.126	0.323	0.
414	0.	SLV_ENV	Combination	Max	144.086	4.865	3.473	0.
414	0.5	SLV_ENV	Combination	Max	153.904	4.865	3.473	0.
414	1.	SLV_ENV	Combination	Max	163.721	4.865	3.473	0.
414	0.	SLV_ENV	Combination	Min	-499.386	-4.939	-2.63	0.
414	0.5	SLV_ENV	Combination	Min	-489.569	-4.939	-2.63	0.
414	1.	SLV_ENV	Combination	Min	-479.751	-4.939	-2.63	0.
415	0.	SLU_ENV	Combination	Max	-176.813	0.337	0.813	0.
415	0.5	SLU_ENV	Combination	Max	-166.996	0.337	0.813	0.
415	1.	SLU_ENV	Combination	Max	-157.178	0.337	0.813	0.
415	0.	SLU_ENV	Combination	Min	-330.556	-0.107	0.383	0.
415	0.5	SLU_ENV	Combination	Min	-317.302	-0.107	0.383	0.
415	1.	SLU_ENV	Combination	Min	-304.049	-0.107	0.383	0.
415	0.	SLV_ENV	Combination	Max	176.452	4.42	5.604	0.
415	0.5	SLV_ENV	Combination	Max	186.27	4.42	5.604	0.
415	1.	SLV_ENV	Combination	Max	196.087	4.42	5.604	0.
415	0.	SLV_ENV	Combination	Min	-595.264	-4.455	-4.627	0.
415	0.5	SLV_ENV	Combination	Min	-585.446	-4.455	-4.627	0.
415	1.	SLV_ENV	Combination	Min	-575.629	-4.455	-4.627	0.
417	0.	SLU_ENV	Combination	Max	-203.184	0.275	0.812	0.
417	0.5	SLU_ENV	Combination	Max	-193.367	0.275	0.812	0.
417	1.	SLU_ENV	Combination	Max	-183.549	0.275	0.812	0.
417	0.	SLU_ENV	Combination	Min	-381.561	-0.081	0.431	0.
417	0.5	SLU_ENV	Combination	Min	-368.307	-0.081	0.431	0.

Table: Element Forces - Frames, Part 1 of 2

Frame	Station m	OutputCase	CaseType	StepType	P KN	V2 KN	V3 KN	T KN-m
417	1.	SLU_ENV	Combination	Min	-355.053	-0.081	0.431	0.
417	0.	SLV_ENV	Combination	Max	208.886	4.807	9.213	0.
417	0.5	SLV_ENV	Combination	Max	218.703	4.807	9.213	0.
417	1.	SLV_ENV	Combination	Max	228.52	4.807	9.213	0.
417	0.	SLV_ENV	Combination	Min	-691.369	-4.779	-8.142	0.
417	0.5	SLV_ENV	Combination	Min	-681.552	-4.779	-8.142	0.
417	1.	SLV_ENV	Combination	Min	-671.734	-4.779	-8.142	0.
421	0.	SLU_ENV	Combination	Max	-229.634	0.323	0.825	0.
421	0.5	SLU_ENV	Combination	Max	-219.816	0.323	0.825	0.
421	1.	SLU_ENV	Combination	Max	-209.999	0.323	0.825	0.
421	0.	SLU_ENV	Combination	Min	-432.714	-0.121	0.396	0.
421	0.5	SLU_ENV	Combination	Min	-419.461	-0.121	0.396	0.
421	1.	SLU_ENV	Combination	Min	-406.207	-0.121	0.396	0.
421	0.	SLV_ENV	Combination	Max	241.397	7.011	13.924	0.
421	0.5	SLV_ENV	Combination	Max	251.215	7.011	13.924	0.
421	1.	SLV_ENV	Combination	Max	261.032	7.011	13.924	0.
421	0.	SLV_ENV	Combination	Min	-787.741	-6.894	-12.821	0.
421	0.5	SLV_ENV	Combination	Min	-777.924	-6.894	-12.821	0.
421	1.	SLV_ENV	Combination	Min	-768.106	-6.894	-12.821	0.
423	0.	SLU_ENV	Combination	Max	-256.172	0.401	0.786	0.
423	0.5	SLU_ENV	Combination	Max	-246.354	0.401	0.786	0.
423	1.	SLU_ENV	Combination	Max	-236.537	0.401	0.786	0.
423	0.	SLU_ENV	Combination	Min	-484.038	-0.326	0.234	0.
423	0.5	SLU_ENV	Combination	Min	-470.784	-0.326	0.234	0.
423	1.	SLU_ENV	Combination	Min	-457.53	-0.326	0.234	0.
423	0.	SLV_ENV	Combination	Max	273.999	10.603	19.588	0.
423	0.5	SLV_ENV	Combination	Max	283.816	10.603	19.588	0.
423	1.	SLV_ENV	Combination	Max	293.634	10.603	19.588	0.
423	0.	SLV_ENV	Combination	Min	-884.416	-10.369	-18.545	0.
423	0.5	SLV_ENV	Combination	Min	-874.599	-10.369	-18.545	0.
423	1.	SLV_ENV	Combination	Min	-864.781	-10.369	-18.545	0.
425	0.	SLU_ENV	Combination	Max	-282.81	0.479	0.658	0.
425	0.5	SLU_ENV	Combination	Max	-272.993	0.479	0.658	0.
425	1.	SLU_ENV	Combination	Max	-263.175	0.479	0.658	0.
425	0.	SLU_ENV	Combination	Min	-535.552	-0.595	-0.027	0.
425	0.5	SLU_ENV	Combination	Min	-522.298	-0.595	-0.027	0.
425	1.	SLU_ENV	Combination	Min	-509.045	-0.595	-0.027	0.
425	0.	SLV_ENV	Combination	Max	306.703	15.353	26.046	0.
425	0.5	SLV_ENV	Combination	Max	316.52	15.353	26.046	0.
425	1.	SLV_ENV	Combination	Max	326.338	15.353	26.046	0.
425	0.	SLV_ENV	Combination	Min	-981.433	-14.972	-25.192	0.
425	0.5	SLV_ENV	Combination	Min	-971.615	-14.972	-25.192	0.
425	1.	SLV_ENV	Combination	Min	-961.798	-14.972	-25.192	0.
428	0.	SLU_ENV	Combination	Max	-309.559	0.574	0.417	0.
428	0.5	SLU_ENV	Combination	Max	-299.741	0.574	0.417	0.
428	1.	SLU_ENV	Combination	Max	-289.924	0.574	0.417	0.
428	0.	SLU_ENV	Combination	Min	-587.277	-0.937	-0.431	0.
428	0.5	SLU_ENV	Combination	Min	-574.024	-0.937	-0.431	0.
428	1.	SLU_ENV	Combination	Min	-560.77	-0.937	-0.431	0.
428	0.	SLV_ENV	Combination	Max	339.52	22.415	33.044	0.
428	0.5	SLV_ENV	Combination	Max	349.337	22.415	33.044	0.
428	1.	SLV_ENV	Combination	Max	359.155	22.415	33.044	0.
428	0.	SLV_ENV	Combination	Min	-1078.828	-21.857	-32.553	0.
428	0.5	SLV_ENV	Combination	Min	-1069.011	-21.857	-32.553	0.

Table: Element Forces - Frames, Part 1 of 2

Frame	Station m	OutputCase	CaseType	StepType	P	V2	V3	T
					KN	KN	KN	KN-m
428	1.	SLV_ENV	Combination	Min	-1059.193	-21.857	-32.553	0.
431	0.	SLU_ENV	Combination	Max	-336.429	0.688	0.102	0.
431	0.5	SLU_ENV	Combination	Max	-326.611	0.688	0.102	0.
431	1.	SLU_ENV	Combination	Max	-316.794	0.688	0.102	0.
431	0.	SLU_ENV	Combination	Min	-639.235	-1.375	-1.009	0.
431	0.5	SLU_ENV	Combination	Min	-625.982	-1.375	-1.009	0.
431	1.	SLU_ENV	Combination	Min	-612.728	-1.375	-1.009	0.
431	0.	SLV_ENV	Combination	Max	372.463	30.873	40.192	0.
431	0.5	SLV_ENV	Combination	Max	382.28	30.873	40.192	0.
431	1.	SLV_ENV	Combination	Max	392.098	30.873	40.192	0.
431	0.	SLV_ENV	Combination	Min	-1176.64	-30.109	-40.286	0.
431	0.5	SLV_ENV	Combination	Min	-1166.823	-30.109	-40.286	0.
431	1.	SLV_ENV	Combination	Min	-1157.005	-30.109	-40.286	0.
432	0.	SLU_ENV	Combination	Max	-363.431	0.841	-0.211	0.
432	0.5	SLU_ENV	Combination	Max	-353.613	0.841	-0.211	0.
432	1.	SLU_ENV	Combination	Max	-343.796	0.841	-0.211	0.
432	0.	SLU_ENV	Combination	Min	-691.447	-1.891	-1.944	0.
432	0.5	SLU_ENV	Combination	Min	-678.193	-1.891	-1.944	0.
432	1.	SLU_ENV	Combination	Min	-664.939	-1.891	-1.944	0.
432	0.	SLV_ENV	Combination	Max	405.543	40.56	46.915	0.
432	0.5	SLV_ENV	Combination	Max	415.361	40.56	46.915	0.
432	1.	SLV_ENV	Combination	Max	425.178	40.56	46.915	0.
432	0.	SLV_ENV	Combination	Min	-1274.908	-39.568	-47.869	0.
432	0.5	SLV_ENV	Combination	Min	-1265.09	-39.568	-47.869	0.
432	1.	SLV_ENV	Combination	Min	-1255.273	-39.568	-47.869	0.
433	0.	SLU_ENV	Combination	Max	-390.576	1.11	-0.644	0.
433	0.5	SLU_ENV	Combination	Max	-380.759	1.11	-0.644	0.
433	1.	SLU_ENV	Combination	Max	-370.941	1.11	-0.644	0.
433	0.	SLU_ENV	Combination	Min	-743.933	-2.605	-3.167	0.
433	0.5	SLU_ENV	Combination	Min	-730.679	-2.605	-3.167	0.
433	1.	SLU_ENV	Combination	Min	-717.425	-2.605	-3.167	0.
433	0.	SLV_ENV	Combination	Max	438.773	51.167	52.425	0.
433	0.5	SLV_ENV	Combination	Max	448.591	51.167	52.425	0.
433	1.	SLV_ENV	Combination	Max	458.408	51.167	52.425	0.
433	0.	SLV_ENV	Combination	Min	-1373.668	-49.934	-54.567	0.
433	0.5	SLV_ENV	Combination	Min	-1363.851	-49.934	-54.567	0.
433	1.	SLV_ENV	Combination	Min	-1354.033	-49.934	-54.567	0.
435	0.	SLU_ENV	Combination	Max	-417.876	1.417	-1.226	0.
435	0.5	SLU_ENV	Combination	Max	-408.058	1.417	-1.226	0.
435	1.	SLU_ENV	Combination	Max	-398.241	1.417	-1.226	0.
435	0.	SLU_ENV	Combination	Min	-796.714	-3.433	-4.677	0.
435	0.5	SLU_ENV	Combination	Min	-783.461	-3.433	-4.677	0.
435	1.	SLU_ENV	Combination	Min	-770.207	-3.433	-4.677	0.
435	0.	SLV_ENV	Combination	Max	472.164	62.198	55.725	0.
435	0.5	SLV_ENV	Combination	Max	481.982	62.198	55.725	0.
435	1.	SLV_ENV	Combination	Max	491.799	62.198	55.725	0.
435	0.	SLV_ENV	Combination	Min	-1472.961	-60.731	-59.426	0.
435	0.5	SLV_ENV	Combination	Min	-1463.144	-60.731	-59.426	0.
435	1.	SLV_ENV	Combination	Min	-1453.326	-60.731	-59.426	0.
441	0.	SLU_ENV	Combination	Max	-445.34	1.734	-1.974	0.
441	0.5	SLU_ENV	Combination	Max	-435.523	1.734	-1.974	0.
441	1.	SLU_ENV	Combination	Max	-425.705	1.734	-1.974	0.
441	0.	SLU_ENV	Combination	Min	-849.814	-4.327	-6.469	0.
441	0.5	SLU_ENV	Combination	Min	-836.56	-4.327	-6.469	0.

Table: Element Forces - Frames, Part 1 of 2

Frame	Station	OutputCase	CaseType	StepType	P	V2	V3	T
	m				KN	KN	KN	KN-m
441	1.	SLU_ENV	Combination	Min	-823.306	-4.327	-6.469	0.
441	0.	SLV_ENV	Combination	Max	505.729	73.017	55.84	0.
441	0.5	SLV_ENV	Combination	Max	515.546	73.017	55.84	0.
441	1.	SLV_ENV	Combination	Max	525.364	73.017	55.84	0.
441	0.	SLV_ENV	Combination	Min	-1572.825	-71.346	-61.505	0.
441	0.5	SLV_ENV	Combination	Min	-1563.007	-71.346	-61.505	0.
441	1.	SLV_ENV	Combination	Min	-1553.19	-71.346	-61.505	0.
442	0.	SLU_ENV	Combination	Max	-472.981	2.035	-2.898	0.
442	0.5	SLU_ENV	Combination	Max	-463.164	2.035	-2.898	0.
442	1.	SLU_ENV	Combination	Max	-453.346	2.035	-2.898	0.
442	0.	SLU_ENV	Combination	Min	-903.251	-5.236	-8.507	-5.995E-16
442	0.5	SLU_ENV	Combination	Min	-889.998	-5.236	-8.507	-5.995E-16
442	1.	SLU_ENV	Combination	Min	-876.744	-5.236	-8.507	-5.995E-16
442	0.	SLV_ENV	Combination	Max	539.479	82.764	55.293	9.242E-14
442	0.5	SLV_ENV	Combination	Max	549.297	82.764	55.293	9.242E-14
442	1.	SLV_ENV	Combination	Max	559.114	82.764	55.293	9.242E-14
442	0.	SLV_ENV	Combination	Min	-1673.298	-80.954	-63.334	-9.242E-14
442	0.5	SLV_ENV	Combination	Min	-1663.48	-80.954	-63.334	-9.242E-14
442	1.	SLV_ENV	Combination	Min	-1653.663	-80.954	-63.334	-9.242E-14
446	0.	SLU_ENV	Combination	Max	-500.81	2.285	-3.993	0.
446	0.5	SLU_ENV	Combination	Max	-490.993	2.285	-3.993	0.
446	1.	SLU_ENV	Combination	Max	-481.175	2.285	-3.993	0.
446	0.	SLU_ENV	Combination	Min	-957.049	-6.076	-10.72	0.
446	0.5	SLU_ENV	Combination	Min	-943.796	-6.076	-10.72	0.
446	1.	SLU_ENV	Combination	Min	-930.542	-6.076	-10.72	0.
446	0.	SLV_ENV	Combination	Max	573.427	90.024	51.132	0.
446	0.5	SLV_ENV	Combination	Max	583.245	90.024	51.132	0.
446	1.	SLV_ENV	Combination	Max	593.062	90.024	51.132	0.
446	0.	SLV_ENV	Combination	Min	-1774.42	-88.186	-61.934	0.
446	0.5	SLV_ENV	Combination	Min	-1764.602	-88.186	-61.934	0.
446	1.	SLV_ENV	Combination	Min	-1754.785	-88.186	-61.934	0.
449	0.	SLU_ENV	Combination	Max	-528.837	2.433	-5.237	0.
449	0.5	SLU_ENV	Combination	Max	-519.02	2.433	-5.237	0.
449	1.	SLU_ENV	Combination	Max	-509.202	2.433	-5.237	0.
449	0.	SLU_ENV	Combination	Min	-1011.23	-6.732	-12.973	0.
449	0.5	SLU_ENV	Combination	Min	-997.976	-6.732	-12.973	0.
449	1.	SLU_ENV	Combination	Min	-984.722	-6.732	-12.973	0.
449	0.	SLV_ENV	Combination	Max	607.585	93.216	44.173	0.
449	0.5	SLV_ENV	Combination	Max	617.402	93.216	44.173	0.
449	1.	SLV_ENV	Combination	Max	627.22	93.216	44.173	0.
449	0.	SLV_ENV	Combination	Min	-1876.23	-91.516	-58.037	0.
449	0.5	SLV_ENV	Combination	Min	-1866.412	-91.516	-58.037	0.
449	1.	SLV_ENV	Combination	Min	-1856.595	-91.516	-58.037	0.
451	0.	SLU_ENV	Combination	Max	-557.075	2.414	-6.582	0.
451	0.5	SLU_ENV	Combination	Max	-547.257	2.414	-6.582	0.
451	1.	SLU_ENV	Combination	Max	-537.44	2.414	-6.582	0.
451	0.	SLU_ENV	Combination	Min	-1065.814	-7.049	-15.064	-1.110E-16
451	0.5	SLU_ENV	Combination	Min	-1052.56	-7.049	-15.064	-1.110E-16
451	1.	SLU_ENV	Combination	Min	-1039.307	-7.049	-15.064	-1.110E-16
451	0.	SLV_ENV	Combination	Max	641.965	91.165	44.132	8.020E-14
451	0.5	SLV_ENV	Combination	Max	651.783	91.165	44.132	8.020E-14
451	1.	SLV_ENV	Combination	Max	661.6	91.165	44.132	8.020E-14
451	0.	SLV_ENV	Combination	Min	-1978.768	-89.842	-61.211	-8.020E-14
451	0.5	SLV_ENV	Combination	Min	-1968.951	-89.842	-61.211	-8.020E-14

Table: Element Forces - Frames, Part 1 of 2

Frame	Station m	OutputCase	CaseType	StepType	P KN	V2 KN	V3 KN	T KN-m
451	1.	SLV_ENV	Combination	Min	-1959.133	-89.842	-61.211	-8.020E-14
452	0.	SLU_ENV	Combination	Max	-585.534	2.147	-7.946	0.
452	0.5	SLU_ENV	Combination	Max	-575.717	2.147	-7.946	0.
452	1.	SLU_ENV	Combination	Max	-565.899	2.147	-7.946	0.
452	0.	SLU_ENV	Combination	Min	-1120.824	-6.83	-16.707	0.
452	0.5	SLU_ENV	Combination	Min	-1107.571	-6.83	-16.707	0.
452	1.	SLU_ENV	Combination	Min	-1094.317	-6.83	-16.707	0.
452	0.	SLV_ENV	Combination	Max	676.58	84.471	80.305	8.239E-16
452	0.5	SLV_ENV	Combination	Max	686.398	84.471	80.305	8.239E-16
452	1.	SLV_ENV	Combination	Max	696.215	84.471	80.305	8.239E-16
452	0.	SLV_ENV	Combination	Min	-2082.074	-83.841	-100.51	-8.239E-16
452	0.5	SLV_ENV	Combination	Min	-2072.257	-83.841	-100.51	-8.239E-16
452	1.	SLV_ENV	Combination	Min	-2062.44	-83.841	-100.51	-8.239E-16
455	0.	SLU_ENV	Combination	Max	-614.226	1.79	-9.193	0.
455	0.5	SLU_ENV	Combination	Max	-604.409	1.79	-9.193	0.
455	1.	SLU_ENV	Combination	Max	-594.591	1.79	-9.193	0.
455	0.	SLU_ENV	Combination	Min	-1176.283	-6.058	-17.52	0.
455	0.5	SLU_ENV	Combination	Min	-1163.03	-6.058	-17.52	0.
455	1.	SLU_ENV	Combination	Min	-1149.776	-6.058	-17.52	0.
455	0.	SLV_ENV	Combination	Max	711.443	86.143	143.783	0.
455	0.5	SLV_ENV	Combination	Max	721.26	86.143	143.783	0.
455	1.	SLV_ENV	Combination	Max	731.078	86.143	143.783	0.
455	0.	SLV_ENV	Combination	Min	-2186.189	-86.611	-166.673	0.
455	0.5	SLV_ENV	Combination	Min	-2176.372	-86.611	-166.673	0.
455	1.	SLV_ENV	Combination	Min	-2166.554	-86.611	-166.673	0.
456	0.	SLU_ENV	Combination	Max	-643.163	1.788	-9.465	1.110E-16
456	0.5	SLU_ENV	Combination	Max	-633.346	1.788	-9.465	1.110E-16
456	1.	SLU_ENV	Combination	Max	-623.528	1.788	-9.465	1.110E-16
456	0.	SLU_ENV	Combination	Min	-1232.213	-6.79	-18.427	0.
456	0.5	SLU_ENV	Combination	Min	-1218.959	-6.79	-18.427	0.
456	1.	SLU_ENV	Combination	Min	-1205.706	-6.79	-18.427	0.
456	0.	SLV_ENV	Combination	Max	746.565	120.389	230.619	8.020E-14
456	0.5	SLV_ENV	Combination	Max	756.382	120.389	230.619	8.020E-14
456	1.	SLV_ENV	Combination	Max	766.2	120.389	230.619	8.020E-14
456	0.	SLV_ENV	Combination	Min	-2291.153	-122.454	-255.272	-8.020E-14
456	0.5	SLV_ENV	Combination	Min	-2281.336	-122.454	-255.272	-8.020E-14
456	1.	SLV_ENV	Combination	Min	-2271.518	-122.454	-255.272	-8.020E-14
461	0.	SLU_ENV	Combination	Max	-672.357	5.509	-7.08	0.
461	0.5	SLU_ENV	Combination	Max	-662.539	5.509	-7.08	0.
461	1.	SLU_ENV	Combination	Max	-652.722	5.509	-7.08	0.
461	0.	SLU_ENV	Combination	Min	-1288.636	-8.536	-18.649	0.
461	0.5	SLU_ENV	Combination	Min	-1275.383	-8.536	-18.649	0.
461	1.	SLU_ENV	Combination	Min	-1262.129	-8.536	-18.649	0.
461	0.	SLV_ENV	Combination	Max	781.96	181.967	341.054	0.
461	0.5	SLV_ENV	Combination	Max	791.777	181.967	341.054	0.
461	1.	SLV_ENV	Combination	Max	801.595	181.967	341.054	0.
461	0.	SLV_ENV	Combination	Min	-2397.007	-186.219	-365.917	0.
461	0.5	SLV_ENV	Combination	Min	-2387.189	-186.219	-365.917	0.
461	1.	SLV_ENV	Combination	Min	-2377.372	-186.219	-365.917	0.
465	0.	SLU_ENV	Combination	Max	-701.818	10.572	-2.79	0.
465	0.5	SLU_ENV	Combination	Max	-692.001	10.572	-2.79	0.
465	1.	SLU_ENV	Combination	Max	-682.183	10.572	-2.79	0.
465	0.	SLU_ENV	Combination	Min	-1345.576	-10.308	-17.291	0.
465	0.5	SLU_ENV	Combination	Min	-1332.322	-10.308	-17.291	0.

Table: Element Forces - Frames, Part 1 of 2

Frame	Station	OutputCase	CaseType	StepType	P	V2	V3	T
	m				KN	KN	KN	KN-m
465	1.	SLU_ENV	Combination	Min	-1319.069	-10.308	-17.291	0.
465	0.	SLV_ENV	Combination	Max	817.64	269.108	474.997	0.
465	0.5	SLV_ENV	Combination	Max	827.458	269.108	474.997	0.
465	1.	SLV_ENV	Combination	Max	837.275	269.108	474.997	0.
465	0.	SLV_ENV	Combination	Min	-2503.792	-276.209	-497.727	0.
465	0.5	SLV_ENV	Combination	Min	-2493.975	-276.209	-497.727	0.
465	1.	SLV_ENV	Combination	Min	-2484.157	-276.209	-497.727	0.
467	0.	SLU_ENV	Combination	Max	-731.56	17.21	4.018	5.995E-16
467	0.5	SLU_ENV	Combination	Max	-721.742	17.21	4.018	5.995E-16
467	1.	SLU_ENV	Combination	Max	-711.925	17.21	4.018	5.995E-16
467	0.	SLU_ENV	Combination	Min	-1403.055	-12.226	-13.601	0.
467	0.5	SLU_ENV	Combination	Min	-1389.802	-12.226	-13.601	0.
467	1.	SLU_ENV	Combination	Min	-1376.548	-12.226	-13.601	0.
467	0.	SLV_ENV	Combination	Max	853.619	393.397	630.74	9.242E-14
467	0.5	SLV_ENV	Combination	Max	863.436	393.397	630.74	9.242E-14
467	1.	SLV_ENV	Combination	Max	873.254	393.397	630.74	9.242E-14
467	0.	SLV_ENV	Combination	Min	-2611.55	-404.061	-648.042	-9.242E-14
467	0.5	SLV_ENV	Combination	Min	-2601.733	-404.061	-648.042	-9.242E-14
467	1.	SLV_ENV	Combination	Min	-2591.915	-404.061	-648.042	-9.242E-14
471	0.	SLU_ENV	Combination	Max	-48.971	0.097	0.177	0.
471	0.5	SLU_ENV	Combination	Max	-39.154	0.097	0.177	0.
471	1.	SLU_ENV	Combination	Max	-29.336	0.097	0.177	0.
471	0.	SLU_ENV	Combination	Min	-78.93	-0.092	0.045	0.
471	0.5	SLU_ENV	Combination	Min	-65.676	-0.092	0.045	0.
471	1.	SLU_ENV	Combination	Min	-52.422	-0.092	0.045	0.
471	0.	SLV_ENV	Combination	Max	8.536	2.119	1.725	0.
471	0.5	SLV_ENV	Combination	Max	18.353	2.119	1.725	0.
471	1.	SLV_ENV	Combination	Max	28.171	2.119	1.725	0.
471	0.	SLV_ENV	Combination	Min	-111.396	-2.219	-1.579	0.
471	0.5	SLV_ENV	Combination	Min	-101.578	-2.219	-1.579	0.
471	1.	SLV_ENV	Combination	Min	-91.761	-2.219	-1.579	0.
472	0.	SLU_ENV	Combination	Max	-78.323	0.152	0.323	0.
472	0.5	SLU_ENV	Combination	Max	-68.505	0.152	0.323	0.
472	1.	SLU_ENV	Combination	Max	-58.688	0.152	0.323	0.
472	0.	SLU_ENV	Combination	Min	-131.379	-0.194	0.084	0.
472	0.5	SLU_ENV	Combination	Min	-118.125	-0.194	0.084	0.
472	1.	SLU_ENV	Combination	Min	-104.871	-0.194	0.084	0.
472	0.	SLV_ENV	Combination	Max	34.181	3.585	2.787	0.
472	0.5	SLV_ENV	Combination	Max	43.999	3.585	2.787	0.
472	1.	SLV_ENV	Combination	Max	53.816	3.585	2.787	0.
472	0.	SLV_ENV	Combination	Min	-200.665	-3.797	-2.51	0.
472	0.5	SLV_ENV	Combination	Min	-190.847	-3.797	-2.51	0.
472	1.	SLV_ENV	Combination	Min	-181.03	-3.797	-2.51	0.
473	0.	SLU_ENV	Combination	Max	-107.703	0.166	0.437	0.
473	0.5	SLU_ENV	Combination	Max	-97.885	0.166	0.437	0.
473	1.	SLU_ENV	Combination	Max	-88.068	0.166	0.437	0.
473	0.	SLU_ENV	Combination	Min	-183.876	-0.307	0.116	0.
473	0.5	SLU_ENV	Combination	Min	-170.622	-0.307	0.116	0.
473	1.	SLU_ENV	Combination	Min	-157.368	-0.307	0.116	0.
473	0.	SLV_ENV	Combination	Max	59.851	4.445	3.29	0.
473	0.5	SLV_ENV	Combination	Max	69.668	4.445	3.29	0.
473	1.	SLV_ENV	Combination	Max	79.486	4.445	3.29	0.
473	0.	SLV_ENV	Combination	Min	-290.018	-4.782	-2.898	0.
473	0.5	SLV_ENV	Combination	Min	-280.2	-4.782	-2.898	0.

Table: Element Forces - Frames, Part 1 of 2

Frame	Station m	OutputCase	CaseType	StepType	P KN	V2 KN	V3 KN	T KN-m
473	1.	SLV_ENV	Combination	Min	-270.383	-4.782	-2.898	0.
477	0.	SLU_ENV	Combination	Max	-137.122	0.136	0.517	0.
477	0.5	SLU_ENV	Combination	Max	-127.304	0.136	0.517	0.
477	1.	SLU_ENV	Combination	Max	-117.487	0.136	0.517	0.
477	0.	SLU_ENV	Combination	Min	-236.441	-0.428	0.141	0.
477	0.5	SLU_ENV	Combination	Min	-223.188	-0.428	0.141	0.
477	1.	SLU_ENV	Combination	Min	-209.934	-0.428	0.141	0.
477	0.	SLV_ENV	Combination	Max	85.547	4.711	3.386	0.
477	0.5	SLV_ENV	Combination	Max	95.364	4.711	3.386	0.
477	1.	SLV_ENV	Combination	Max	105.182	4.711	3.386	0.
477	0.	SLV_ENV	Combination	Min	-379.482	-5.182	-2.9	0.
477	0.5	SLV_ENV	Combination	Min	-369.665	-5.182	-2.9	0.
477	1.	SLV_ENV	Combination	Min	-359.847	-5.182	-2.9	0.
478	0.	SLU_ENV	Combination	Max	-166.593	0.059	0.556	0.
478	0.5	SLU_ENV	Combination	Max	-156.775	0.059	0.556	0.
478	1.	SLU_ENV	Combination	Max	-146.958	0.059	0.556	0.
478	0.	SLU_ENV	Combination	Min	-289.098	-0.554	0.156	0.
478	0.5	SLU_ENV	Combination	Min	-275.844	-0.554	0.156	0.
478	1.	SLU_ENV	Combination	Min	-262.591	-0.554	0.156	0.
478	0.	SLV_ENV	Combination	Max	111.277	4.439	3.627	0.
478	0.5	SLV_ENV	Combination	Max	121.094	4.439	3.627	0.
478	1.	SLV_ENV	Combination	Max	130.912	4.439	3.627	0.
478	0.	SLV_ENV	Combination	Min	-469.092	-5.05	-3.072	0.
478	0.5	SLV_ENV	Combination	Min	-459.274	-5.05	-3.072	0.
478	1.	SLV_ENV	Combination	Min	-449.457	-5.05	-3.072	0.
480	0.	SLU_ENV	Combination	Max	-196.127	-0.067	0.546	0.
480	0.5	SLU_ENV	Combination	Max	-186.31	-0.067	0.546	0.
480	1.	SLU_ENV	Combination	Max	-176.492	-0.067	0.546	0.
480	0.	SLU_ENV	Combination	Min	-341.866	-0.678	0.16	0.
480	0.5	SLU_ENV	Combination	Min	-328.612	-0.678	0.16	0.
480	1.	SLU_ENV	Combination	Min	-315.359	-0.678	0.16	0.
480	0.	SLV_ENV	Combination	Max	137.049	3.852	5.442	0.
480	0.5	SLV_ENV	Combination	Max	146.866	3.852	5.442	0.
480	1.	SLV_ENV	Combination	Max	156.684	3.852	5.442	0.
480	0.	SLV_ENV	Combination	Min	-558.88	-4.602	-4.85	0.
480	0.5	SLV_ENV	Combination	Min	-549.063	-4.602	-4.85	0.
480	1.	SLV_ENV	Combination	Min	-539.245	-4.602	-4.85	0.
485	0.	SLU_ENV	Combination	Max	-225.737	-0.246	0.472	0.
485	0.5	SLU_ENV	Combination	Max	-215.919	-0.246	0.472	0.
485	1.	SLU_ENV	Combination	Max	-206.102	-0.246	0.472	0.
485	0.	SLU_ENV	Combination	Min	-394.767	-0.79	0.149	0.
485	0.5	SLU_ENV	Combination	Min	-381.513	-0.79	0.149	0.
485	1.	SLU_ENV	Combination	Min	-368.26	-0.79	0.149	0.
485	0.	SLV_ENV	Combination	Max	162.872	4.52	8.862	0.
485	0.5	SLV_ENV	Combination	Max	172.69	4.52	8.862	0.
485	1.	SLV_ENV	Combination	Max	182.507	4.52	8.862	0.
485	0.	SLV_ENV	Combination	Min	-648.882	-5.397	-8.28	0.
485	0.5	SLV_ENV	Combination	Min	-639.065	-5.397	-8.28	0.
485	1.	SLV_ENV	Combination	Min	-629.247	-5.397	-8.28	0.
488	0.	SLU_ENV	Combination	Max	-255.434	-0.355	0.405	0.
488	0.5	SLU_ENV	Combination	Max	-245.616	-0.355	0.405	0.
488	1.	SLU_ENV	Combination	Max	-235.799	-0.355	0.405	0.
488	0.	SLU_ENV	Combination	Min	-447.822	-0.924	0.077	0.
488	0.5	SLU_ENV	Combination	Min	-434.569	-0.924	0.077	0.

Table: Element Forces - Frames, Part 1 of 2

Frame	Station	OutputCase	CaseType	StepType	P	V2	V3	T
	m				KN	KN	KN	KN-m
488	1.	SLU_ENV	Combination	Min	-421.315	-0.924	0.077	0.
488	0.	SLV_ENV	Combination	Max	188.755	6.924	13.372	0.
488	0.5	SLV_ENV	Combination	Max	198.573	6.924	13.372	0.
488	1.	SLV_ENV	Combination	Max	208.39	6.924	13.372	0.
488	0.	SLV_ENV	Combination	Min	-739.134	-7.899	-12.859	0.
488	0.5	SLV_ENV	Combination	Min	-729.316	-7.899	-12.859	0.
488	1.	SLV_ENV	Combination	Min	-719.499	-7.899	-12.859	0.
491	0.	SLU_ENV	Combination	Max	-285.231	-0.389	0.3	0.
491	0.5	SLU_ENV	Combination	Max	-275.413	-0.389	0.3	0.
491	1.	SLU_ENV	Combination	Max	-265.596	-0.389	0.3	0.
491	0.	SLU_ENV	Combination	Min	-501.054	-1.219	-0.132	0.
491	0.5	SLU_ENV	Combination	Min	-487.8	-1.219	-0.132	0.
491	1.	SLU_ENV	Combination	Min	-474.547	-1.219	-0.132	0.
491	0.	SLV_ENV	Combination	Max	214.707	10.696	18.836	0.
491	0.5	SLV_ENV	Combination	Max	224.525	10.696	18.836	0.
491	1.	SLV_ENV	Combination	Max	234.342	10.696	18.836	0.
491	0.	SLV_ENV	Combination	Min	-829.669	-11.717	-18.474	0.
491	0.5	SLV_ENV	Combination	Min	-819.851	-11.717	-18.474	0.
491	1.	SLV_ENV	Combination	Min	-810.034	-11.717	-18.474	0.
498	0.	SLU_ENV	Combination	Max	-315.139	-0.377	0.12	0.
498	0.5	SLU_ENV	Combination	Max	-305.321	-0.377	0.12	0.
498	1.	SLU_ENV	Combination	Max	-295.504	-0.377	0.12	0.
498	0.	SLU_ENV	Combination	Min	-554.483	-1.529	-0.423	0.
498	0.5	SLU_ENV	Combination	Min	-541.229	-1.529	-0.423	0.
498	1.	SLU_ENV	Combination	Min	-527.975	-1.529	-0.423	0.
498	0.	SLV_ENV	Combination	Max	240.737	15.827	25.104	0.
498	0.5	SLV_ENV	Combination	Max	250.555	15.827	25.104	0.
498	1.	SLV_ENV	Combination	Max	260.372	15.827	25.104	0.
498	0.	SLV_ENV	Combination	Min	-920.523	-16.818	-24.997	0.
498	0.5	SLV_ENV	Combination	Min	-910.705	-16.818	-24.997	0.
498	1.	SLV_ENV	Combination	Min	-900.888	-16.818	-24.997	0.
499	0.	SLU_ENV	Combination	Max	-345.17	-0.305	-0.088	0.
499	0.5	SLU_ENV	Combination	Max	-335.353	-0.305	-0.088	0.
499	1.	SLU_ENV	Combination	Max	-325.535	-0.305	-0.088	0.
499	0.	SLU_ENV	Combination	Min	-608.131	-1.838	-0.877	0.
499	0.5	SLU_ENV	Combination	Min	-594.877	-1.838	-0.877	0.
499	1.	SLU_ENV	Combination	Min	-581.624	-1.838	-0.877	0.
499	0.	SLV_ENV	Combination	Max	266.855	23.17	31.942	0.
499	0.5	SLV_ENV	Combination	Max	276.672	23.17	31.942	0.
499	1.	SLV_ENV	Combination	Max	286.49	23.17	31.942	0.
499	0.	SLV_ENV	Combination	Min	-1011.731	-24.016	-32.218	0.
499	0.5	SLV_ENV	Combination	Min	-1001.914	-24.016	-32.218	0.
499	1.	SLV_ENV	Combination	Min	-992.096	-24.016	-32.218	0.
503	0.	SLU_ENV	Combination	Max	-375.338	-0.155	-0.317	0.
503	0.5	SLU_ENV	Combination	Max	-365.52	-0.155	-0.317	0.
503	1.	SLU_ENV	Combination	Max	-355.703	-0.155	-0.317	0.
503	0.	SLU_ENV	Combination	Min	-662.02	-2.131	-1.529	0.
503	0.5	SLU_ENV	Combination	Min	-648.766	-2.131	-1.529	0.
503	1.	SLU_ENV	Combination	Min	-635.513	-2.131	-1.529	0.
503	0.	SLV_ENV	Combination	Max	293.068	31.927	38.985	0.
503	0.5	SLV_ENV	Combination	Max	302.886	31.927	38.985	0.
503	1.	SLV_ENV	Combination	Max	312.703	31.927	38.985	0.
503	0.	SLV_ENV	Combination	Min	-1103.33	-32.474	-39.8	0.
503	0.5	SLV_ENV	Combination	Min	-1093.512	-32.474	-39.8	0.

Table: Element Forces - Frames, Part 1 of 2

Frame	Station	OutputCase	CaseType	StepType	P	V2	V3	T
	m				KN	KN	KN	KN-m
503	1.	SLV_ENV	Combination	Min	-1083.695	-32.474	-39.8	0.
507	0.	SLU_ENV	Combination	Max	-405.653	0.099	-0.54	0.
507	0.5	SLU_ENV	Combination	Max	-395.836	0.099	-0.54	0.
507	1.	SLU_ENV	Combination	Max	-386.018	0.099	-0.54	0.
507	0.	SLU_ENV	Combination	Min	-716.171	-2.458	-2.378	0.
507	0.5	SLU_ENV	Combination	Min	-702.918	-2.458	-2.378	0.
507	1.	SLU_ENV	Combination	Min	-689.664	-2.458	-2.378	0.
507	0.	SLV_ENV	Combination	Max	319.387	41.924	45.698	0.
507	0.5	SLV_ENV	Combination	Max	329.205	41.924	45.698	0.
507	1.	SLV_ENV	Combination	Max	339.022	41.924	45.698	0.
507	0.	SLV_ENV	Combination	Min	-1195.354	-41.972	-47.231	0.
507	0.5	SLV_ENV	Combination	Min	-1185.536	-41.972	-47.231	0.
507	1.	SLV_ENV	Combination	Min	-1175.719	-41.972	-47.231	0.
510	0.	SLU_ENV	Combination	Max	-436.129	0.684	-0.815	0.
510	0.5	SLU_ENV	Combination	Max	-426.312	0.684	-0.815	0.
510	1.	SLU_ENV	Combination	Max	-416.494	0.684	-0.815	0.
510	0.	SLU_ENV	Combination	Min	-770.608	-2.879	-3.419	0.
510	0.5	SLU_ENV	Combination	Min	-757.354	-2.879	-3.419	0.
510	1.	SLU_ENV	Combination	Min	-744.1	-2.879	-3.419	0.
510	0.	SLV_ENV	Combination	Max	345.821	52.832	51.346	0.
510	0.5	SLV_ENV	Combination	Max	355.638	52.832	51.346	0.
510	1.	SLV_ENV	Combination	Max	365.456	52.832	51.346	0.
510	0.	SLV_ENV	Combination	Min	-1287.839	-52.129	-53.795	0.
510	0.5	SLV_ENV	Combination	Min	-1278.022	-52.129	-53.795	0.
510	1.	SLV_ENV	Combination	Min	-1268.204	-52.129	-53.795	0.
513	0.	SLU_ENV	Combination	Max	-466.778	1.638	-1.143	0.
513	0.5	SLU_ENV	Combination	Max	-456.96	1.638	-1.143	0.
513	1.	SLU_ENV	Combination	Max	-447.143	1.638	-1.143	0.
513	0.	SLU_ENV	Combination	Min	-825.35	-3.241	-4.631	0.
513	0.5	SLU_ENV	Combination	Min	-812.097	-3.241	-4.631	0.
513	1.	SLU_ENV	Combination	Min	-798.843	-3.241	-4.631	0.
513	0.	SLV_ENV	Combination	Max	372.378	64.11	55.006	0.
513	0.5	SLV_ENV	Combination	Max	382.196	64.11	55.006	0.
513	1.	SLV_ENV	Combination	Max	392.013	64.11	55.006	0.
513	0.	SLV_ENV	Combination	Min	-1380.822	-62.355	-58.578	0.
513	0.5	SLV_ENV	Combination	Min	-1371.004	-62.355	-58.578	0.
513	1.	SLV_ENV	Combination	Min	-1361.187	-62.355	-58.578	0.
518	0.	SLU_ENV	Combination	Max	-497.611	2.908	-1.519	0.
518	0.5	SLU_ENV	Combination	Max	-487.793	2.908	-1.519	0.
518	1.	SLU_ENV	Combination	Max	-477.976	2.908	-1.519	0.
518	0.	SLU_ENV	Combination	Min	-880.422	-3.459	-5.982	0.
518	0.5	SLU_ENV	Combination	Min	-867.168	-3.459	-5.982	0.
518	1.	SLU_ENV	Combination	Min	-853.915	-3.459	-5.982	0.
518	0.	SLV_ENV	Combination	Max	399.069	75.087	55.788	0.
518	0.5	SLV_ENV	Combination	Max	408.886	75.087	55.788	0.
518	1.	SLV_ENV	Combination	Max	418.704	75.087	55.788	0.
518	0.	SLV_ENV	Combination	Min	-1474.338	-71.934	-60.684	0.
518	0.5	SLV_ENV	Combination	Min	-1464.521	-71.934	-60.684	0.
518	1.	SLV_ENV	Combination	Min	-1454.703	-71.934	-60.684	0.
520	0.	SLU_ENV	Combination	Max	-528.642	4.52	-1.931	0.
520	0.5	SLU_ENV	Combination	Max	-518.824	4.52	-1.931	0.
520	1.	SLU_ENV	Combination	Max	-509.007	4.52	-1.931	0.
520	0.	SLU_ENV	Combination	Min	-935.845	-3.439	-7.408	0.
520	0.5	SLU_ENV	Combination	Min	-922.591	-3.439	-7.408	0.

Table: Element Forces - Frames, Part 1 of 2

Frame	Station m	OutputCase	CaseType	StepType	P	V2	V3	T
					KN	KN	KN	KN-m
520	1.	SLU_ENV	Combination	Min	-909.338	-3.439	-7.408	0.
520	0.	SLV_ENV	Combination	Max	425.902	85.034	55.376	1.195E-13
520	0.5	SLV_ENV	Combination	Max	435.72	85.034	55.376	1.195E-13
520	1.	SLV_ENV	Combination	Max	445.537	85.034	55.376	1.195E-13
520	0.	SLV_ENV	Combination	Min	-1568.424	-80.1	-61.766	-1.195E-13
520	0.5	SLV_ENV	Combination	Min	-1558.607	-80.1	-61.766	-1.195E-13
520	1.	SLV_ENV	Combination	Min	-1548.789	-80.1	-61.766	-1.195E-13
521	0.	SLU_ENV	Combination	Max	-559.883	6.485	-2.356	0.
521	0.5	SLU_ENV	Combination	Max	-550.065	6.485	-2.356	0.
521	1.	SLU_ENV	Combination	Max	-540.248	6.485	-2.356	0.
521	0.	SLU_ENV	Combination	Min	-991.641	-3.069	-8.808	0.
521	0.5	SLU_ENV	Combination	Min	-978.388	-3.069	-8.808	0.
521	1.	SLU_ENV	Combination	Min	-965.134	-3.069	-8.808	0.
521	0.	SLV_ENV	Combination	Max	452.887	92.425	53.568	5.757E-20
521	0.5	SLV_ENV	Combination	Max	462.705	92.425	53.568	5.757E-20
521	1.	SLV_ENV	Combination	Max	472.522	92.425	53.568	5.757E-20
521	0.	SLV_ENV	Combination	Min	-1663.117	-85.314	-61.56	-5.757E-20
521	0.5	SLV_ENV	Combination	Min	-1653.3	-85.314	-61.56	-5.757E-20
521	1.	SLV_ENV	Combination	Min	-1643.482	-85.314	-61.56	-5.757E-20
525	0.	SLU_ENV	Combination	Max	-591.346	8.785	-2.757	0.
525	0.5	SLU_ENV	Combination	Max	-581.529	8.785	-2.757	0.
525	1.	SLU_ENV	Combination	Max	-571.712	8.785	-2.757	0.
525	0.	SLU_ENV	Combination	Min	-1047.834	-2.21	-10.045	0.
525	0.5	SLU_ENV	Combination	Min	-1034.58	-2.21	-10.045	0.
525	1.	SLU_ENV	Combination	Min	-1021.326	-2.21	-10.045	0.
525	0.	SLV_ENV	Combination	Max	480.034	95.674	50.2	5.306E-16
525	0.5	SLV_ENV	Combination	Max	489.852	95.674	50.2	5.306E-16
525	1.	SLV_ENV	Combination	Max	499.669	95.674	50.2	5.306E-16
525	0.	SLV_ENV	Combination	Min	-1758.454	-86.009	-59.799	-5.306E-16
525	0.5	SLV_ENV	Combination	Min	-1748.636	-86.009	-59.799	-5.306E-16
525	1.	SLV_ENV	Combination	Min	-1738.819	-86.009	-59.799	-5.306E-16
526	0.	SLU_ENV	Combination	Max	-623.046	11.359	-3.086	1.199E-15
526	0.5	SLU_ENV	Combination	Max	-613.228	11.359	-3.086	1.199E-15
526	1.	SLU_ENV	Combination	Max	-603.411	11.359	-3.086	1.199E-15
526	0.	SLU_ENV	Combination	Min	-1104.445	-0.707	-10.903	8.882E-16
526	0.5	SLU_ENV	Combination	Min	-1091.191	-0.707	-10.903	8.882E-16
526	1.	SLU_ENV	Combination	Min	-1077.938	-0.707	-10.903	8.882E-16
526	0.	SLV_ENV	Combination	Max	507.352	93.826	53.739	2.765E-14
526	0.5	SLV_ENV	Combination	Max	517.169	93.826	53.739	2.765E-14
526	1.	SLV_ENV	Combination	Max	526.987	93.826	53.739	2.765E-14
526	0.	SLV_ENV	Combination	Min	-1854.47	-81.292	-64.796	-2.588E-14
526	0.5	SLV_ENV	Combination	Min	-1844.653	-81.292	-64.796	-2.588E-14
526	1.	SLV_ENV	Combination	Min	-1834.835	-81.292	-64.796	-2.588E-14
527	0.	SLU_ENV	Combination	Max	-654.993	14.09	-3.273	5.995E-16
527	0.5	SLU_ENV	Combination	Max	-645.176	14.09	-3.273	5.995E-16
527	1.	SLU_ENV	Combination	Max	-635.358	14.09	-3.273	5.995E-16
527	0.	SLU_ENV	Combination	Min	-1161.498	1.61	-11.112	4.441E-16
527	0.5	SLU_ENV	Combination	Min	-1148.244	1.61	-11.112	4.441E-16
527	1.	SLU_ENV	Combination	Min	-1134.991	1.61	-11.112	4.441E-16
527	0.	SLV_ENV	Combination	Max	534.85	88.182	85.793	9.968E-14
527	0.5	SLV_ENV	Combination	Max	544.667	88.182	85.793	9.968E-14
527	1.	SLV_ENV	Combination	Max	554.485	88.182	85.793	9.968E-14
527	0.	SLV_ENV	Combination	Min	-1951.205	-72.592	-97.942	-9.879E-14
527	0.5	SLV_ENV	Combination	Min	-1941.388	-72.592	-97.942	-9.879E-14

Table: Element Forces - Frames, Part 1 of 2

Frame	Station	OutputCase	CaseType	StepType	P	V2	V3	T
	m				KN	KN	KN	KN-m
527	1.	SLV_ENV	Combination	Min	-1931.57	-72.592	-97.942	-9.879E-14
530	0.	SLU_ENV	Combination	Max	-687.202	16.788	-3.23	5.995E-16
530	0.5	SLU_ENV	Combination	Max	-677.384	16.788	-3.23	5.995E-16
530	1.	SLU_ENV	Combination	Max	-667.567	16.788	-3.23	5.995E-16
530	0.	SLU_ENV	Combination	Min	-1219.016	4.919	-10.331	-1.499E-16
530	0.5	SLU_ENV	Combination	Min	-1205.762	4.919	-10.331	-1.499E-16
530	1.	SLU_ENV	Combination	Min	-1192.509	4.919	-10.331	-1.499E-16
530	0.	SLV_ENV	Combination	Max	562.538	99.659	147.829	1.607E-13
530	0.5	SLV_ENV	Combination	Max	572.356	99.659	147.829	1.607E-13
530	1.	SLV_ENV	Combination	Max	582.173	99.659	147.829	1.607E-13
530	0.	SLV_ENV	Combination	Min	-2048.696	-81.034	-160.414	-1.609E-13
530	0.5	SLV_ENV	Combination	Min	-2038.878	-81.034	-160.414	-1.609E-13
530	1.	SLV_ENV	Combination	Min	-2029.061	-81.034	-160.414	-1.609E-13
532	0.	SLV_ENV	Combination	Max	-719.685	19.17	-2.614	5.995E-16
532	0.5	SLU_ENV	Combination	Max	-709.867	19.17	-2.614	5.995E-16
532	1.	SLU_ENV	Combination	Max	-700.05	19.17	-2.614	5.995E-16
532	0.	SLU_ENV	Combination	Min	-1277.022	7.651	-9.417	0.
532	0.5	SLU_ENV	Combination	Min	-1263.769	7.651	-9.417	0.
532	1.	SLU_ENV	Combination	Min	-1250.515	7.651	-9.417	0.
532	0.	SLV_ENV	Combination	Max	590.426	142.152	232.884	1.922E-13
532	0.5	SLV_ENV	Combination	Max	600.244	142.152	232.884	1.922E-13
532	1.	SLV_ENV	Combination	Max	610.061	142.152	232.884	1.922E-13
532	0.	SLV_ENV	Combination	Min	-2146.98	-120.82	-244.883	-1.922E-13
532	0.5	SLV_ENV	Combination	Min	-2137.163	-120.82	-244.883	-1.922E-13
532	1.	SLV_ENV	Combination	Min	-2127.345	-120.82	-244.883	-1.922E-13
534	0.	SLU_ENV	Combination	Max	-752.455	25.367	0.959	5.995E-16
534	0.5	SLU_ENV	Combination	Max	-742.637	25.367	0.959	5.995E-16
534	1.	SLU_ENV	Combination	Max	-732.82	25.367	0.959	5.995E-16
534	0.	SLU_ENV	Combination	Min	-1335.54	8.759	-8.038	4.441E-16
534	0.5	SLU_ENV	Combination	Min	-1322.286	8.759	-8.038	4.441E-16
534	1.	SLU_ENV	Combination	Min	-1309.033	8.759	-8.038	4.441E-16
534	0.	SLV_ENV	Combination	Max	618.524	211.745	341.256	5.641E-14
534	0.5	SLV_ENV	Combination	Max	628.342	211.745	341.256	5.641E-14
534	1.	SLV_ENV	Combination	Max	638.159	211.745	341.256	5.641E-14
534	0.	SLV_ENV	Combination	Min	-2246.097	-188.465	-351.197	-5.552E-14
534	0.5	SLV_ENV	Combination	Min	-2236.279	-188.465	-351.197	-5.552E-14
534	1.	SLV_ENV	Combination	Min	-2226.462	-188.465	-351.197	-5.552E-14
538	0.	SLU_ENV	Combination	Max	-785.526	32.204	6.219	1.049E-15
538	0.5	SLU_ENV	Combination	Max	-775.708	32.204	6.219	1.049E-15
538	1.	SLU_ENV	Combination	Max	-765.891	32.204	6.219	1.049E-15
538	0.	SLU_ENV	Combination	Min	-1394.593	9.154	-5.212	4.441E-16
538	0.5	SLU_ENV	Combination	Min	-1381.34	9.154	-5.212	4.441E-16
538	1.	SLU_ENV	Combination	Min	-1368.086	9.154	-5.212	4.441E-16
538	0.	SLV_ENV	Combination	Max	646.842	305.857	472.74	1.014E-13
538	0.5	SLV_ENV	Combination	Max	656.659	305.857	472.74	1.014E-13
538	1.	SLV_ENV	Combination	Max	666.477	305.857	472.74	1.014E-13
538	0.	SLV_ENV	Combination	Min	-2346.083	-281.955	-478.624	-1.007E-13
538	0.5	SLV_ENV	Combination	Min	-2336.266	-281.955	-478.624	-1.007E-13
538	1.	SLV_ENV	Combination	Min	-2326.448	-281.955	-478.624	-1.007E-13
543	0.	SLU_ENV	Combination	Max	-818.911	39.309	13.658	1.199E-15
543	0.5	SLU_ENV	Combination	Max	-809.093	39.309	13.658	1.199E-15
543	1.	SLU_ENV	Combination	Max	-799.276	39.309	13.658	1.199E-15
543	0.	SLU_ENV	Combination	Min	-1454.206	8.445	-0.667	-1.499E-16
543	0.5	SLU_ENV	Combination	Min	-1440.952	8.445	-0.667	-1.499E-16

Table: Element Forces - Frames, Part 1 of 2

Frame	Station m	OutputCase	CaseType	StepType	P	V2	V3	T
					KN	KN	KN	KN-m
543	1.	SLU_ENV	Combination	Min	-1427.699	8.445	-0.667	-1.499E-16
543	0.	SLV_ENV	Combination	Max	675.389	441.556	625.551	1.566E-13
543	0.5	SLV_ENV	Combination	Max	685.206	441.556	625.551	1.566E-13
543	1.	SLV_ENV	Combination	Max	695.024	441.556	625.551	1.566E-13
543	0.	SLV_ENV	Combination	Min	-2446.98	-419.077	-624.789	-1.568E-13
543	0.5	SLV_ENV	Combination	Min	-2437.162	-419.077	-624.789	-1.568E-13
543	1.	SLV_ENV	Combination	Min	-2427.345	-419.077	-624.789	-1.568E-13
544	0.	SLU_ENV	Combination	Max	-41.029	0.132	0.194	0.
544	0.5	SLU_ENV	Combination	Max	-31.211	0.132	0.194	0.
544	1.	SLU_ENV	Combination	Max	-21.394	0.132	0.194	0.
544	0.	SLU_ENV	Combination	Min	-70.353	-0.044	0.062	0.
544	0.5	SLU_ENV	Combination	Min	-57.1	-0.044	0.062	0.
544	1.	SLU_ENV	Combination	Min	-43.846	-0.044	0.062	0.
544	0.	SLV_ENV	Combination	Max	24.201	2.04	1.744	0.
544	0.5	SLV_ENV	Combination	Max	34.018	2.04	1.744	0.
544	1.	SLV_ENV	Combination	Max	43.836	2.04	1.744	0.
544	0.	SLV_ENV	Combination	Min	-116.369	-2.08	-1.57	0.
544	0.5	SLV_ENV	Combination	Min	-106.551	-2.08	-1.57	0.
544	1.	SLV_ENV	Combination	Min	-96.734	-2.08	-1.57	0.
547	0.	SLU_ENV	Combination	Max	-62.435	0.239	0.369	0.
547	0.5	SLU_ENV	Combination	Max	-52.618	0.239	0.369	0.
547	1.	SLU_ENV	Combination	Max	-42.8	0.239	0.369	0.
547	0.	SLU_ENV	Combination	Min	-114.223	-0.072	0.128	0.
547	0.5	SLU_ENV	Combination	Min	-100.969	-0.072	0.128	0.
547	1.	SLU_ENV	Combination	Min	-87.716	-0.072	0.128	0.
547	0.	SLV_ENV	Combination	Max	65.173	3.507	2.809	0.
547	0.5	SLV_ENV	Combination	Max	74.99	3.507	2.809	0.
547	1.	SLV_ENV	Combination	Max	84.808	3.507	2.809	0.
547	0.	SLV_ENV	Combination	Min	-210.268	-3.568	-2.461	0.
547	0.5	SLV_ENV	Combination	Min	-200.451	-3.568	-2.461	0.
547	1.	SLV_ENV	Combination	Min	-190.633	-3.568	-2.461	0.
548	0.	SLU_ENV	Combination	Max	-83.863	0.322	0.523	0.
548	0.5	SLU_ENV	Combination	Max	-74.045	0.322	0.523	0.
548	1.	SLU_ENV	Combination	Max	-64.228	0.322	0.523	0.
548	0.	SLU_ENV	Combination	Min	-158.133	-0.085	0.197	0.
548	0.5	SLU_ENV	Combination	Min	-144.879	-0.085	0.197	0.
548	1.	SLU_ENV	Combination	Min	-131.626	-0.085	0.197	0.
548	0.	SLV_ENV	Combination	Max	106.179	4.459	3.272	0.
548	0.5	SLV_ENV	Combination	Max	115.997	4.459	3.272	0.
548	1.	SLV_ENV	Combination	Max	125.814	4.459	3.272	0.
548	0.	SLV_ENV	Combination	Min	-304.252	-4.521	-2.751	0.
548	0.5	SLV_ENV	Combination	Min	-294.435	-4.521	-2.751	0.
548	1.	SLV_ENV	Combination	Min	-284.617	-4.521	-2.751	0.
550	0.	SLU_ENV	Combination	Max	-105.321	0.377	0.653	0.
550	0.5	SLU_ENV	Combination	Max	-95.503	0.377	0.653	0.
550	1.	SLU_ENV	Combination	Max	-85.686	0.377	0.653	0.
550	0.	SLU_ENV	Combination	Min	-202.102	-0.08	0.267	0.
550	0.5	SLU_ENV	Combination	Min	-188.848	-0.08	0.267	0.
550	1.	SLU_ENV	Combination	Min	-175.595	-0.08	0.267	0.
550	0.	SLV_ENV	Combination	Max	147.229	4.912	3.253	0.
550	0.5	SLV_ENV	Combination	Max	157.047	4.912	3.253	0.
550	1.	SLV_ENV	Combination	Max	166.864	4.912	3.253	0.
550	0.	SLV_ENV	Combination	Min	-398.353	-4.953	-2.563	0.
550	0.5	SLV_ENV	Combination	Min	-388.536	-4.953	-2.563	0.

Table: Element Forces - Frames, Part 1 of 2

Frame	Station m	OutputCase	CaseType	StepType	P KN	V2 KN	V3 KN	T KN-m
550	1.	SLV_ENV	Combination	Min	-378.718	-4.953	-2.563	0.
553	0.	SLU_ENV	Combination	Max	-126.817	0.405	0.751	0.
553	0.5	SLU_ENV	Combination	Max	-116.999	0.405	0.751	0.
553	1.	SLU_ENV	Combination	Max	-107.182	0.405	0.751	0.
553	0.	SLU_ENV	Combination	Min	-246.147	-0.062	0.337	0.
553	0.5	SLU_ENV	Combination	Min	-232.894	-0.062	0.337	0.
553	1.	SLU_ENV	Combination	Min	-219.64	-0.062	0.337	0.
553	0.	SLV_ENV	Combination	Max	188.337	4.916	3.304	0.
553	0.5	SLV_ENV	Combination	Max	198.155	4.916	3.304	0.
553	1.	SLV_ENV	Combination	Max	207.972	4.916	3.304	0.
553	0.	SLV_ENV	Combination	Min	-492.605	-4.916	-2.456	0.
553	0.5	SLV_ENV	Combination	Min	-482.788	-4.916	-2.456	0.
553	1.	SLV_ENV	Combination	Min	-472.97	-4.916	-2.456	0.
557	0.	SLU_ENV	Combination	Max	-148.361	0.404	0.808	0.
557	0.5	SLU_ENV	Combination	Max	-138.543	0.404	0.808	0.
557	1.	SLU_ENV	Combination	Max	-128.726	0.404	0.808	0.
557	0.	SLU_ENV	Combination	Min	-290.287	-0.036	0.402	0.
557	0.5	SLU_ENV	Combination	Min	-277.033	-0.036	0.402	0.
557	1.	SLU_ENV	Combination	Min	-263.78	-0.036	0.402	0.
557	0.	SLV_ENV	Combination	Max	229.518	4.653	5.197	0.
557	0.5	SLV_ENV	Combination	Max	239.336	4.653	5.197	0.
557	1.	SLV_ENV	Combination	Max	249.153	4.653	5.197	0.
557	0.	SLV_ENV	Combination	Min	-587.045	-4.588	-4.214	0.
557	0.5	SLV_ENV	Combination	Min	-577.228	-4.588	-4.214	0.
557	1.	SLV_ENV	Combination	Min	-567.41	-4.588	-4.214	0.
558	0.	SLU_ENV	Combination	Max	-169.961	0.36	0.81	0.
558	0.5	SLU_ENV	Combination	Max	-160.143	0.36	0.81	0.
558	1.	SLU_ENV	Combination	Max	-150.326	0.36	0.81	0.
558	0.	SLU_ENV	Combination	Min	-334.539	1.782E-04	0.451	0.
558	0.5	SLU_ENV	Combination	Min	-321.285	1.782E-04	0.451	0.
558	1.	SLU_ENV	Combination	Min	-308.031	1.782E-04	0.451	0.
558	0.	SLV_ENV	Combination	Max	270.786	5.053	8.696	0.
558	0.5	SLV_ENV	Combination	Max	280.603	5.053	8.696	0.
558	1.	SLV_ENV	Combination	Max	290.421	5.053	8.696	0.
558	0.	SLV_ENV	Combination	Min	-681.709	-4.899	-7.617	0.
558	0.5	SLV_ENV	Combination	Min	-671.892	-4.899	-7.617	0.
558	1.	SLV_ENV	Combination	Min	-662.074	-4.899	-7.617	0.
564	0.	SLU_ENV	Combination	Max	-191.625	0.445	0.843	0.
564	0.5	SLU_ENV	Combination	Max	-181.808	0.445	0.843	0.
564	1.	SLU_ENV	Combination	Max	-171.99	0.445	0.843	0.
564	0.	SLU_ENV	Combination	Min	-378.921	-0.05	0.401	0.
564	0.5	SLU_ENV	Combination	Min	-365.667	-0.05	0.401	0.
564	1.	SLU_ENV	Combination	Min	-352.413	-0.05	0.401	0.
564	0.	SLV_ENV	Combination	Max	312.156	7.17	13.304	0.
564	0.5	SLV_ENV	Combination	Max	321.974	7.17	13.304	0.
564	1.	SLV_ENV	Combination	Max	331.791	7.17	13.304	0.
564	0.	SLV_ENV	Combination	Min	-776.634	-6.901	-12.191	0.
564	0.5	SLV_ENV	Combination	Min	-766.816	-6.901	-12.191	0.
564	1.	SLV_ENV	Combination	Min	-756.999	-6.901	-12.191	0.
566	0.	SLU_ENV	Combination	Max	-213.364	0.541	0.812	0.
566	0.5	SLU_ENV	Combination	Max	-203.546	0.541	0.812	0.
566	1.	SLU_ENV	Combination	Max	-193.729	0.541	0.812	0.
566	0.	SLU_ENV	Combination	Min	-423.45	-0.249	0.238	0.
566	0.5	SLU_ENV	Combination	Min	-410.197	-0.249	0.238	0.

Table: Element Forces - Frames, Part 1 of 2

Frame	Station	OutputCase	CaseType	StepType	P	V2	V3	T
	m				KN	KN	KN	KN-m
566	1.	SLU_ENV	Combination	Min	-396.943	-0.249	0.238	0.
566	0.	SLV_ENV	Combination	Max	353.644	10.569	18.873	0.
566	0.5	SLV_ENV	Combination	Max	363.461	10.569	18.873	0.
566	1.	SLV_ENV	Combination	Max	373.279	10.569	18.873	0.
566	0.	SLV_ENV	Combination	Min	-871.856	-10.161	-17.819	0.
566	0.5	SLV_ENV	Combination	Min	-862.039	-10.161	-17.819	0.
566	1.	SLV_ENV	Combination	Min	-852.221	-10.161	-17.819	0.
567	0.	SLU_ENV	Combination	Max	-235.184	0.633	0.687	0.
567	0.5	SLU_ENV	Combination	Max	-225.367	0.633	0.687	0.
567	1.	SLU_ENV	Combination	Max	-215.549	0.633	0.687	0.
567	0.	SLU_ENV	Combination	Min	-468.146	-0.517	-0.035	0.
567	0.5	SLU_ENV	Combination	Min	-454.893	-0.517	-0.035	0.
567	1.	SLU_ENV	Combination	Min	-441.639	-0.517	-0.035	0.
567	0.	SLV_ENV	Combination	Max	395.264	15.082	25.254	0.
567	0.5	SLV_ENV	Combination	Max	405.081	15.082	25.254	0.
567	1.	SLV_ENV	Combination	Max	414.899	15.082	25.254	0.
567	0.	SLV_ENV	Combination	Min	-967.413	-14.512	-24.388	0.
567	0.5	SLV_ENV	Combination	Min	-957.595	-14.512	-24.388	0.
567	1.	SLV_ENV	Combination	Min	-947.778	-14.512	-24.388	0.
568	0.	SLU_ENV	Combination	Max	-257.096	0.734	0.458	0.
568	0.5	SLU_ENV	Combination	Max	-247.279	0.734	0.458	0.
568	1.	SLU_ENV	Combination	Max	-237.461	0.734	0.458	0.
568	0.	SLU_ENV	Combination	Min	-513.027	-0.872	-0.45	0.
568	0.5	SLU_ENV	Combination	Min	-499.773	-0.872	-0.45	0.
568	1.	SLU_ENV	Combination	Min	-486.519	-0.872	-0.45	0.
568	0.	SLV_ENV	Combination	Max	437.032	21.456	32.209	0.
568	0.5	SLV_ENV	Combination	Max	446.85	21.456	32.209	0.
568	1.	SLV_ENV	Combination	Max	456.667	21.456	32.209	0.
568	0.	SLV_ENV	Combination	Min	-1063.341	-20.704	-31.705	0.
568	0.5	SLV_ENV	Combination	Min	-1053.524	-20.704	-31.705	0.
568	1.	SLV_ENV	Combination	Min	-1043.706	-20.704	-31.705	0.
571	0.	SLU_ENV	Combination	Max	-279.108	0.837	0.141	0.
571	0.5	SLU_ENV	Combination	Max	-269.291	0.837	0.141	0.
571	1.	SLU_ENV	Combination	Max	-259.473	0.837	0.141	0.
571	0.	SLU_ENV	Combination	Min	-558.109	-1.323	-1.027	0.
571	0.5	SLU_ENV	Combination	Min	-544.856	-1.323	-1.027	0.
571	1.	SLU_ENV	Combination	Min	-531.602	-1.323	-1.027	0.
571	0.	SLV_ENV	Combination	Max	478.963	29.445	39.366	0.
571	0.5	SLV_ENV	Combination	Max	488.781	29.445	39.366	0.
571	1.	SLV_ENV	Combination	Max	498.598	29.445	39.366	0.
571	0.	SLV_ENV	Combination	Min	-1159.678	-28.501	-39.447	0.
571	0.5	SLV_ENV	Combination	Min	-1149.861	-28.501	-39.447	0.
571	1.	SLV_ENV	Combination	Min	-1140.043	-28.501	-39.447	0.
574	0.	SLU_ENV	Combination	Max	-301.229	0.975	-0.177	1.649E-14
574	0.5	SLU_ENV	Combination	Max	-291.412	0.975	-0.177	1.649E-14
574	1.	SLU_ENV	Combination	Max	-281.594	0.975	-0.177	1.649E-14
574	0.	SLU_ENV	Combination	Min	-603.412	-1.86	-1.962	4.574E-15
574	0.5	SLU_ENV	Combination	Min	-590.159	-1.86	-1.962	4.574E-15
574	1.	SLU_ENV	Combination	Min	-576.905	-1.86	-1.962	4.574E-15
574	0.	SLV_ENV	Combination	Max	521.073	38.637	46.172	2.327E-13
574	0.5	SLV_ENV	Combination	Max	530.891	38.637	46.172	2.327E-13
574	1.	SLV_ENV	Combination	Max	540.708	38.637	46.172	2.327E-13
574	0.	SLV_ENV	Combination	Min	-1256.462	-37.504	-47.113	-2.082E-13
574	0.5	SLV_ENV	Combination	Min	-1246.644	-37.504	-47.113	-2.082E-13

Table: Element Forces - Frames, Part 1 of 2

Frame	Station m	OutputCase	CaseType	StepType	P	V2	V3	T
					KN	KN	KN	KN-m
574	1.	SLV_ENV	Combination	Min	-1236.827	-37.504	-47.113	-2.082E-13
576	0.	SLU_ENV	Combination	Max	-323.468	1.187	-0.623	1.649E-14
576	0.5	SLU_ENV	Combination	Max	-313.651	1.187	-0.623	1.649E-14
576	1.	SLU_ENV	Combination	Max	-303.833	1.187	-0.623	1.649E-14
576	0.	SLU_ENV	Combination	Min	-648.954	-2.604	-3.181	4.796E-15
576	0.5	SLU_ENV	Combination	Min	-635.701	-2.604	-3.181	4.796E-15
576	1.	SLU_ENV	Combination	Min	-622.447	-2.604	-3.181	4.796E-15
576	0.	SLV_ENV	Combination	Max	563.377	48.753	51.86	4.003E-13
576	0.5	SLV_ENV	Combination	Max	573.194	48.753	51.86	4.003E-13
576	1.	SLV_ENV	Combination	Max	583.012	48.753	51.86	4.003E-13
576	0.	SLV_ENV	Combination	Min	-1353.729	-47.451	-53.991	-3.759E-13
576	0.5	SLV_ENV	Combination	Min	-1343.911	-47.451	-53.991	-3.759E-13
576	1.	SLV_ENV	Combination	Min	-1334.094	-47.451	-53.991	-3.759E-13
578	0.	SLU_ENV	Combination	Max	-345.834	1.389	-1.226	1.679E-14
578	0.5	SLU_ENV	Combination	Max	-336.017	1.389	-1.226	1.679E-14
578	1.	SLU_ENV	Combination	Max	-326.2	1.389	-1.226	1.679E-14
578	0.	SLU_ENV	Combination	Min	-694.754	-3.491	-4.686	4.796E-15
578	0.5	SLU_ENV	Combination	Min	-681.5	-3.491	-4.686	4.796E-15
578	1.	SLU_ENV	Combination	Min	-668.247	-3.491	-4.686	4.796E-15
578	0.	SLV_ENV	Combination	Max	605.89	59.354	55.441	3.906E-13
578	0.5	SLV_ENV	Combination	Max	615.707	59.354	55.441	3.906E-13
578	1.	SLV_ENV	Combination	Max	625.525	59.354	55.441	3.906E-13
578	0.	SLV_ENV	Combination	Min	-1451.517	-57.933	-59.138	-3.657E-13
578	0.5	SLV_ENV	Combination	Min	-1441.7	-57.933	-59.138	-3.657E-13
578	1.	SLV_ENV	Combination	Min	-1431.882	-57.933	-59.138	-3.657E-13
582	0.	SLU_ENV	Combination	Max	-368.337	1.552	-2.004	1.649E-14
582	0.5	SLU_ENV	Combination	Max	-358.519	1.552	-2.004	1.649E-14
582	1.	SLU_ENV	Combination	Max	-348.702	1.552	-2.004	1.649E-14
582	0.	SLU_ENV	Combination	Min	-740.829	-4.468	-6.471	4.796E-15
582	0.5	SLU_ENV	Combination	Min	-727.576	-4.468	-6.471	4.796E-15
582	1.	SLU_ENV	Combination	Min	-714.322	-4.468	-6.471	4.796E-15
582	0.	SLV_ENV	Combination	Max	648.628	69.89	55.862	3.205E-13
582	0.5	SLV_ENV	Combination	Max	658.446	69.89	55.862	3.205E-13
582	1.	SLV_ENV	Combination	Max	668.263	69.89	55.862	3.205E-13
582	0.	SLV_ENV	Combination	Min	-1549.865	-68.433	-61.531	-2.961E-13
582	0.5	SLV_ENV	Combination	Min	-1540.048	-68.433	-61.531	-2.961E-13
582	1.	SLV_ENV	Combination	Min	-1530.23	-68.433	-61.531	-2.961E-13
584	0.	SLU_ENV	Combination	Max	-390.984	1.642	-2.971	1.679E-14
584	0.5	SLU_ENV	Combination	Max	-381.166	1.642	-2.971	1.679E-14
584	1.	SLU_ENV	Combination	Max	-371.349	1.642	-2.971	1.679E-14
584	0.	SLU_ENV	Combination	Min	-787.199	-5.486	-8.497	3.597E-15
584	0.5	SLU_ENV	Combination	Min	-773.946	-5.486	-8.497	3.597E-15
584	1.	SLU_ENV	Combination	Min	-760.692	-5.486	-8.497	3.597E-15
584	0.	SLV_ENV	Combination	Max	691.607	79.571	54.518	3.988E-13
584	0.5	SLV_ENV	Combination	Max	701.425	79.571	54.518	3.988E-13
584	1.	SLV_ENV	Combination	Max	711.242	79.571	54.518	3.988E-13
584	0.	SLV_ENV	Combination	Min	-1648.811	-78.205	-62.577	-3.740E-13
584	0.5	SLV_ENV	Combination	Min	-1638.994	-78.205	-62.577	-3.740E-13
584	1.	SLV_ENV	Combination	Min	-1629.176	-78.205	-62.577	-3.740E-13
585	0.	SLU_ENV	Combination	Max	-413.786	1.613	-4.123	1.649E-14
585	0.5	SLU_ENV	Combination	Max	-403.968	1.613	-4.123	1.649E-14
585	1.	SLU_ENV	Combination	Max	-394.151	1.613	-4.123	1.649E-14
585	0.	SLU_ENV	Combination	Min	-833.883	-6.466	-10.692	4.796E-15
585	0.5	SLU_ENV	Combination	Min	-820.629	-6.466	-10.692	4.796E-15

Table: Element Forces - Frames, Part 1 of 2

Frame	Station	OutputCase	CaseType	StepType	P	V2	V3	T
	m				KN	KN	KN	KN-m
585	1.	SLU_ENV	Combination	Min	-807.375	-6.466	-10.692	4.796E-15
585	0.	SLV_ENV	Combination	Max	734.843	87.112	50.501	4.615E-13
585	0.5	SLV_ENV	Combination	Max	744.66	87.112	50.501	4.615E-13
585	1.	SLV_ENV	Combination	Max	754.477	87.112	50.501	4.615E-13
585	0.	SLV_ENV	Combination	Min	-1748.393	-86.017	-61.338	-4.371E-13
585	0.5	SLV_ENV	Combination	Min	-1738.575	-86.017	-61.338	-4.371E-13
585	1.	SLV_ENV	Combination	Min	-1728.758	-86.017	-61.338	-4.371E-13
588	0.	SLU_ENV	Combination	Max	-436.751	1.41	-5.44	1.679E-14
588	0.5	SLU_ENV	Combination	Max	-426.933	1.41	-5.44	1.679E-14
588	1.	SLU_ENV	Combination	Max	-417.116	1.41	-5.44	1.679E-14
588	0.	SLU_ENV	Combination	Min	-880.898	-7.294	-12.924	5.995E-15
588	0.5	SLU_ENV	Combination	Min	-867.645	-7.294	-12.924	5.995E-15
588	1.	SLU_ENV	Combination	Min	-854.391	-7.294	-12.924	5.995E-15
588	0.	SLV_ENV	Combination	Max	778.35	91.117	43.173	4.058E-13
588	0.5	SLV_ENV	Combination	Max	788.168	91.117	43.173	4.058E-13
588	1.	SLV_ENV	Combination	Max	797.985	91.117	43.173	4.058E-13
588	0.	SLV_ENV	Combination	Min	-1848.649	-90.537	-57.095	-3.809E-13
588	0.5	SLV_ENV	Combination	Min	-1838.832	-90.537	-57.095	-3.809E-13
588	1.	SLV_ENV	Combination	Min	-1829.014	-90.537	-57.095	-3.809E-13
590	0.	SLU_ENV	Combination	Max	-459.889	1.115	-6.874	1.679E-14
590	0.5	SLU_ENV	Combination	Max	-450.071	1.115	-6.874	1.679E-14
590	1.	SLU_ENV	Combination	Max	-440.254	1.115	-6.874	1.679E-14
590	0.	SLU_ENV	Combination	Min	-928.265	-7.959	-14.988	4.796E-15
590	0.5	SLU_ENV	Combination	Min	-915.012	-7.959	-14.988	4.796E-15
590	1.	SLU_ENV	Combination	Min	-901.758	-7.959	-14.988	4.796E-15
590	0.	SLV_ENV	Combination	Max	822.146	90.618	41.271	3.132E-13
590	0.5	SLV_ENV	Combination	Max	831.964	90.618	41.271	3.132E-13
590	1.	SLV_ENV	Combination	Max	841.781	90.618	41.271	3.132E-13
590	0.	SLV_ENV	Combination	Min	-1949.619	-90.865	-58.436	-2.883E-13
590	0.5	SLV_ENV	Combination	Min	-1939.802	-90.865	-58.436	-2.883E-13
590	1.	SLV_ENV	Combination	Min	-1929.984	-90.865	-58.436	-2.883E-13
593	0.	SLU_ENV	Combination	Max	-483.209	0.682	-8.327	3.118E-14
593	0.5	SLU_ENV	Combination	Max	-473.391	0.682	-8.327	3.118E-14
593	1.	SLU_ENV	Combination	Max	-463.574	0.682	-8.327	3.118E-14
593	0.	SLU_ENV	Combination	Min	-976.003	-8.248	-16.615	6.217E-15
593	0.5	SLU_ENV	Combination	Min	-962.749	-8.248	-16.615	6.217E-15
593	1.	SLU_ENV	Combination	Min	-949.495	-8.248	-16.615	6.217E-15
593	0.	SLV_ENV	Combination	Max	866.247	86.29	72.869	6.390E-13
593	0.5	SLV_ENV	Combination	Max	876.064	86.29	72.869	6.390E-13
593	1.	SLV_ENV	Combination	Max	885.881	86.29	72.869	6.390E-13
593	0.	SLV_ENV	Combination	Min	-2051.342	-87.751	-93.192	-6.265E-13
593	0.5	SLV_ENV	Combination	Min	-2041.525	-87.751	-93.192	-6.265E-13
593	1.	SLV_ENV	Combination	Min	-2031.707	-87.751	-93.192	-6.265E-13
597	0.	SLU_ENV	Combination	Max	-506.721	0.073	-9.624	2.998E-14
597	0.5	SLU_ENV	Combination	Max	-496.903	0.073	-9.624	2.998E-14
597	1.	SLU_ENV	Combination	Max	-487.086	0.073	-9.624	2.998E-14
597	0.	SLU_ENV	Combination	Min	-1024.13	-7.867	-17.459	6.217E-15
597	0.5	SLU_ENV	Combination	Min	-1010.876	-7.867	-17.459	6.217E-15
597	1.	SLU_ENV	Combination	Min	-997.622	-7.867	-17.459	6.217E-15
597	0.	SLV_ENV	Combination	Max	910.667	87.142	133.952	6.419E-13
597	0.5	SLV_ENV	Combination	Max	920.485	87.142	133.952	6.419E-13
597	1.	SLV_ENV	Combination	Max	930.302	87.142	133.952	6.419E-13
597	0.	SLV_ENV	Combination	Min	-2153.858	-90.275	-157.	-6.294E-13
597	0.5	SLV_ENV	Combination	Min	-2144.04	-90.275	-157.	-6.294E-13

Table: Element Forces - Frames, Part 1 of 2

Frame	Station m	OutputCase	CaseType	StepType	P	V2	V3	T
					KN	KN	KN	KN-m
597	1.	SLV_ENV	Combination	Min	-2134.223	-90.275	-157.	-6.294E-13
601	0.	SLU_ENV	Combination	Max	-530.434	0.243	-9.571	2.998E-14
601	0.5	SLU_ENV	Combination	Max	-520.617	0.243	-9.571	2.998E-14
601	1.	SLU_ENV	Combination	Max	-510.799	0.243	-9.571	2.998E-14
601	0.	SLU_ENV	Combination	Min	-1072.666	-9.42	-18.778	5.995E-15
601	0.5	SLU_ENV	Combination	Min	-1059.413	-9.42	-18.778	5.995E-15
601	1.	SLU_ENV	Combination	Min	-1046.159	-9.42	-18.778	5.995E-15
601	0.	SLV_ENV	Combination	Max	955.425	119.433	218.361	6.599E-13
601	0.5	SLV_ENV	Combination	Max	965.243	119.433	218.361	6.599E-13
601	1.	SLV_ENV	Combination	Max	975.06	119.433	218.361	6.599E-13
601	0.	SLV_ENV	Combination	Min	-2257.206	-124.758	-243.214	-6.475E-13
601	0.5	SLV_ENV	Combination	Min	-2247.388	-124.758	-243.214	-6.475E-13
601	1.	SLV_ENV	Combination	Min	-2237.571	-124.758	-243.214	-6.475E-13
603	0.	SLU_ENV	Combination	Max	-554.358	3.77	-7.187	3.118E-14
603	0.5	SLU_ENV	Combination	Max	-544.54	3.77	-7.187	3.118E-14
603	1.	SLU_ENV	Combination	Max	-534.723	3.77	-7.187	3.118E-14
603	0.	SLU_ENV	Combination	Min	-1121.632	-11.614	-19.195	6.217E-15
603	0.5	SLU_ENV	Combination	Min	-1108.378	-11.614	-19.195	6.217E-15
603	1.	SLU_ENV	Combination	Min	-1095.124	-11.614	-19.195	6.217E-15
603	0.	SLV_ENV	Combination	Max	1000.536	176.731	326.334	6.517E-13
603	0.5	SLV_ENV	Combination	Max	1010.354	176.731	326.334	6.517E-13
603	1.	SLV_ENV	Combination	Max	1020.171	176.731	326.334	6.517E-13
603	0.	SLV_ENV	Combination	Min	-2361.426	-184.809	-351.441	-6.393E-13
603	0.5	SLV_ENV	Combination	Min	-2351.608	-184.809	-351.441	-6.393E-13
603	1.	SLV_ENV	Combination	Min	-2341.791	-184.809	-351.441	-6.393E-13
606	0.	SLU_ENV	Combination	Max	-578.502	8.737	-2.883	9.472E-14
606	0.5	SLU_ENV	Combination	Max	-568.685	8.737	-2.883	9.472E-14
606	1.	SLU_ENV	Combination	Max	-558.867	8.737	-2.883	9.472E-14
606	0.	SLU_ENV	Combination	Min	-1171.046	-13.755	-17.93	4.929E-14
606	0.5	SLU_ENV	Combination	Min	-1157.792	-13.755	-17.93	4.929E-14
606	1.	SLU_ENV	Combination	Min	-1144.538	-13.755	-17.93	4.929E-14
606	0.	SLV_ENV	Combination	Max	1046.017	258.826	457.941	2.144E-12
606	0.5	SLV_ENV	Combination	Max	1055.834	258.826	457.941	2.144E-12
606	1.	SLV_ENV	Combination	Max	1065.652	258.826	457.941	2.144E-12
606	0.	SLV_ENV	Combination	Min	-2466.559	-270.227	-480.956	-2.037E-12
606	0.5	SLV_ENV	Combination	Min	-2456.741	-270.227	-480.956	-2.037E-12
606	1.	SLV_ENV	Combination	Min	-2446.924	-270.227	-480.956	-2.037E-12
608	0.	SLU_ENV	Combination	Max	-602.877	15.379	4.442	9.652E-14
608	0.5	SLU_ENV	Combination	Max	-593.059	15.379	4.442	9.652E-14
608	1.	SLU_ENV	Combination	Max	-583.242	15.379	4.442	9.652E-14
608	0.	SLU_ENV	Combination	Min	-1220.929	-15.981	-14.342	4.974E-14
608	0.5	SLU_ENV	Combination	Min	-1207.675	-15.981	-14.342	4.974E-14
608	1.	SLU_ENV	Combination	Min	-1194.421	-15.981	-14.342	4.974E-14
608	0.	SLV_ENV	Combination	Max	1091.884	369.822	611.732	2.136E-12
608	0.5	SLV_ENV	Combination	Max	1101.702	369.822	611.732	2.136E-12
608	1.	SLV_ENV	Combination	Max	1111.519	369.822	611.732	2.136E-12
608	0.	SLV_ENV	Combination	Min	-2572.645	-385.071	-629.352	-2.028E-12
608	0.5	SLV_ENV	Combination	Min	-2562.828	-385.071	-629.352	-2.028E-12
608	1.	SLV_ENV	Combination	Min	-2553.01	-385.071	-629.352	-2.028E-12
610	0.	SLU_ENV	Combination	Max	-44.169	0.094	0.173	0.
610	0.5	SLU_ENV	Combination	Max	-34.352	0.094	0.173	0.
610	1.	SLU_ENV	Combination	Max	-24.534	0.094	0.173	0.
610	0.	SLU_ENV	Combination	Min	-72.192	-0.095	0.042	0.
610	0.5	SLU_ENV	Combination	Min	-58.938	-0.095	0.042	0.

Table: Element Forces - Frames, Part 1 of 2

Frame	Station m	OutputCase	CaseType	StepType	P KN	V2 KN	V3 KN	T KN-m
610	1.	SLU_ENV	Combination	Min	-45.684	-0.095	0.042	0.
610	0.	SLV_ENV	Combination	Max	15.283	2.02	1.726	0.
610	0.5	SLV_ENV	Combination	Max	25.101	2.02	1.726	0.
610	1.	SLV_ENV	Combination	Max	34.918	2.02	1.726	0.
610	0.	SLV_ENV	Combination	Min	-107.955	-2.123	-1.585	0.
610	0.5	SLV_ENV	Combination	Min	-98.138	-2.123	-1.585	0.
610	1.	SLV_ENV	Combination	Min	-88.32	-2.123	-1.585	0.
613	0.	SLU_ENV	Combination	Max	-68.718	0.143	0.313	0.
613	0.5	SLU_ENV	Combination	Max	-58.9	0.143	0.313	0.
613	1.	SLU_ENV	Combination	Max	-49.083	0.143	0.313	0.
613	0.	SLU_ENV	Combination	Min	-117.9	-0.204	0.076	0.
613	0.5	SLU_ENV	Combination	Min	-104.646	-0.204	0.076	0.
613	1.	SLU_ENV	Combination	Min	-91.393	-0.204	0.076	0.
613	0.	SLV_ENV	Combination	Max	47.321	3.427	2.75	0.
613	0.5	SLV_ENV	Combination	Max	57.139	3.427	2.75	0.
613	1.	SLV_ENV	Combination	Max	66.956	3.427	2.75	0.
613	0.	SLV_ENV	Combination	Min	-193.425	-3.649	-2.487	0.
613	0.5	SLV_ENV	Combination	Min	-183.607	-3.649	-2.487	0.
613	1.	SLV_ENV	Combination	Min	-173.79	-3.649	-2.487	0.
616	0.	SLU_ENV	Combination	Max	-93.29	0.147	0.418	0.
616	0.5	SLU_ENV	Combination	Max	-83.472	0.147	0.418	0.
616	1.	SLU_ENV	Combination	Max	-73.655	0.147	0.418	0.
616	0.	SLU_ENV	Combination	Min	-163.651	-0.325	0.101	0.
616	0.5	SLU_ENV	Combination	Min	-150.397	-0.325	0.101	0.
616	1.	SLU_ENV	Combination	Min	-137.143	-0.325	0.101	0.
616	0.	SLV_ENV	Combination	Max	79.387	4.264	3.249	0.
616	0.5	SLV_ENV	Combination	Max	89.205	4.264	3.249	0.
616	1.	SLV_ENV	Combination	Max	99.022	4.264	3.249	0.
616	0.	SLV_ENV	Combination	Min	-278.974	-4.62	-2.884	0.
616	0.5	SLV_ENV	Combination	Min	-269.156	-4.62	-2.884	0.
616	1.	SLV_ENV	Combination	Min	-259.339	-4.62	-2.884	0.
619	0.	SLU_ENV	Combination	Max	-117.896	0.104	0.486	0.
619	0.5	SLU_ENV	Combination	Max	-108.078	0.104	0.486	0.
619	1.	SLU_ENV	Combination	Max	-98.261	0.104	0.486	0.
619	0.	SLU_ENV	Combination	Min	-209.462	-0.457	0.118	0.
619	0.5	SLU_ENV	Combination	Min	-196.209	-0.457	0.118	0.
619	1.	SLU_ENV	Combination	Min	-182.955	-0.457	0.118	0.
619	0.	SLV_ENV	Combination	Max	111.487	4.545	3.338	0.
619	0.5	SLV_ENV	Combination	Max	121.305	4.545	3.338	0.
619	1.	SLV_ENV	Combination	Max	131.122	4.545	3.338	0.
619	0.	SLV_ENV	Combination	Min	-364.629	-5.047	-2.893	0.
619	0.5	SLV_ENV	Combination	Min	-354.812	-5.047	-2.893	0.
619	1.	SLV_ENV	Combination	Min	-344.994	-5.047	-2.893	0.
621	0.	SLU_ENV	Combination	Max	-142.545	0.012	0.512	0.
621	0.5	SLU_ENV	Combination	Max	-132.728	0.012	0.512	0.
621	1.	SLU_ENV	Combination	Max	-122.91	0.012	0.512	0.
621	0.	SLU_ENV	Combination	Min	-255.353	-0.595	0.123	0.
621	0.5	SLU_ENV	Combination	Min	-242.1	-0.595	0.123	0.
621	1.	SLU_ENV	Combination	Min	-228.846	-0.595	0.123	0.
621	0.	SLV_ENV	Combination	Max	143.63	4.319	3.54	0.
621	0.5	SLV_ENV	Combination	Max	153.448	4.319	3.54	0.
621	1.	SLV_ENV	Combination	Max	163.265	4.319	3.54	0.
621	0.	SLV_ENV	Combination	Min	-450.422	-4.977	-3.044	0.
621	0.5	SLV_ENV	Combination	Min	-440.605	-4.977	-3.044	0.

Table: Element Forces - Frames, Part 1 of 2

Frame	Station m	OutputCase	CaseType	StepType	P KN	V2 KN	V3 KN	T KN-m
621	1.	SLV_ENV	Combination	Min	-430.787	-4.977	-3.044	0.
622	0.	SLU_ENV	Combination	Max	-167.249	-0.132	0.486	0.
622	0.5	SLU_ENV	Combination	Max	-157.431	-0.132	0.486	0.
622	1.	SLU_ENV	Combination	Max	-147.614	-0.132	0.486	0.
622	0.	SLU_ENV	Combination	Min	-301.342	-0.733	0.116	0.
622	0.5	SLU_ENV	Combination	Min	-288.089	-0.733	0.116	0.
622	1.	SLU_ENV	Combination	Min	-274.835	-0.733	0.116	0.
622	0.	SLV_ENV	Combination	Max	175.827	3.792	5.18	0.
622	0.5	SLV_ENV	Combination	Max	185.645	3.792	5.18	0.
622	1.	SLV_ENV	Combination	Max	195.462	3.792	5.18	0.
622	0.	SLV_ENV	Combination	Min	-536.386	-4.605	-4.668	0.
622	0.5	SLV_ENV	Combination	Min	-526.569	-4.605	-4.668	0.
622	1.	SLV_ENV	Combination	Min	-516.751	-4.605	-4.668	0.
624	0.	SLU_ENV	Combination	Max	-192.016	-0.332	0.395	0.
624	0.5	SLU_ENV	Combination	Max	-182.198	-0.332	0.395	0.
624	1.	SLU_ENV	Combination	Max	-172.381	-0.332	0.395	0.
624	0.	SLU_ENV	Combination	Min	-347.448	-0.86	0.092	0.
624	0.5	SLU_ENV	Combination	Min	-334.194	-0.86	0.092	0.
624	1.	SLU_ENV	Combination	Min	-320.941	-0.86	0.092	0.
624	0.	SLV_ENV	Combination	Max	208.091	4.238	8.512	0.
624	0.5	SLV_ENV	Combination	Max	217.908	4.238	8.512	0.
624	1.	SLV_ENV	Combination	Max	227.726	4.238	8.512	0.
624	0.	SLV_ENV	Combination	Min	-622.554	-5.196	-8.03	0.
624	0.5	SLV_ENV	Combination	Min	-612.736	-5.196	-8.03	0.
624	1.	SLV_ENV	Combination	Min	-602.919	-5.196	-8.03	0.
626	0.	SLU_ENV	Combination	Max	-216.857	-0.448	0.315	0.
626	0.5	SLU_ENV	Combination	Max	-207.039	-0.448	0.315	0.
626	1.	SLU_ENV	Combination	Max	-197.222	-0.448	0.315	0.
626	0.	SLU_ENV	Combination	Min	-393.689	-1.028	6.669E-03	0.
626	0.5	SLU_ENV	Combination	Min	-380.435	-1.028	6.669E-03	0.
626	1.	SLU_ENV	Combination	Min	-367.182	-1.028	6.669E-03	0.
626	0.	SLV_ENV	Combination	Max	240.431	6.441	12.933	0.
626	0.5	SLV_ENV	Combination	Max	250.248	6.441	12.933	0.
626	1.	SLV_ENV	Combination	Max	260.066	6.441	12.933	0.
626	0.	SLV_ENV	Combination	Min	-708.959	-7.516	-12.542	0.
626	0.5	SLV_ENV	Combination	Min	-699.141	-7.516	-12.542	0.
626	1.	SLV_ENV	Combination	Min	-689.324	-7.516	-12.542	0.
628	0.	SLU_ENV	Combination	Max	-241.782	-0.479	0.197	0.
628	0.5	SLU_ENV	Combination	Max	-231.964	-0.479	0.197	0.
628	1.	SLU_ENV	Combination	Max	-222.147	-0.479	0.197	0.
628	0.	SLU_ENV	Combination	Min	-440.084	-1.342	-0.214	0.
628	0.5	SLU_ENV	Combination	Min	-426.83	-1.342	-0.214	0.
628	1.	SLU_ENV	Combination	Min	-413.577	-1.342	-0.214	0.
628	0.	SLV_ENV	Combination	Max	272.86	9.986	18.315	0.
628	0.5	SLV_ENV	Combination	Max	282.677	9.986	18.315	0.
628	1.	SLV_ENV	Combination	Max	292.495	9.986	18.315	0.
628	0.	SLV_ENV	Combination	Min	-795.633	-11.126	-18.094	0.
628	0.5	SLV_ENV	Combination	Min	-785.816	-11.126	-18.094	0.
628	1.	SLV_ENV	Combination	Min	-775.999	-11.126	-18.094	0.
630	0.	SLU_ENV	Combination	Max	-266.8	-0.462	0.018	0.
630	0.5	SLU_ENV	Combination	Max	-256.983	-0.462	0.018	0.
630	1.	SLU_ENV	Combination	Max	-247.165	-0.462	0.018	0.
630	0.	SLU_ENV	Combination	Min	-486.652	-1.667	-0.523	0.
630	0.5	SLU_ENV	Combination	Min	-473.398	-1.667	-0.523	0.

Table: Element Forces - Frames, Part 1 of 2

Frame	Station m	OutputCase	CaseType	StepType	P KN	V2 KN	V3 KN	T KN-m
630	1.	SLU_ENV	Combination	Min	-460.145	-1.667	-0.523	0.
630	0.	SLV_ENV	Combination	Max	305.389	14.686	24.513	0.
630	0.5	SLV_ENV	Combination	Max	315.206	14.686	24.513	0.
630	1.	SLV_ENV	Combination	Max	325.024	14.686	24.513	0.
630	0.	SLV_ENV	Combination	Min	-882.612	-15.808	-24.56	0.
630	0.5	SLV_ENV	Combination	Min	-872.795	-15.808	-24.56	0.
630	1.	SLV_ENV	Combination	Min	-862.977	-15.808	-24.56	0.
632	0.	SLU_ENV	Combination	Max	-291.923	-0.383	-0.161	0.
632	0.5	SLU_ENV	Combination	Max	-282.106	-0.383	-0.161	0.
632	1.	SLU_ENV	Combination	Max	-272.288	-0.383	-0.161	0.
632	0.	SLU_ENV	Combination	Min	-533.411	-1.982	-1.002	0.
632	0.5	SLU_ENV	Combination	Min	-520.158	-1.982	-1.002	0.
632	1.	SLU_ENV	Combination	Min	-506.904	-1.982	-1.002	0.
632	0.	SLV_ENV	Combination	Max	338.029	21.645	31.305	0.
632	0.5	SLV_ENV	Combination	Max	347.847	21.645	31.305	0.
632	1.	SLV_ENV	Combination	Max	357.664	21.645	31.305	0.
632	0.	SLV_ENV	Combination	Min	-969.928	-22.63	-31.741	0.
632	0.5	SLV_ENV	Combination	Min	-960.111	-22.63	-31.741	0.
632	1.	SLV_ENV	Combination	Min	-950.293	-22.63	-31.741	0.
635	0.	SLU_ENV	Combination	Max	-317.16	-0.222	-0.389	0.
635	0.5	SLU_ENV	Combination	Max	-307.342	-0.222	-0.389	0.
635	1.	SLU_ENV	Combination	Max	-297.525	-0.222	-0.389	0.
635	0.	SLU_ENV	Combination	Min	-580.381	-2.289	-1.656	0.
635	0.5	SLU_ENV	Combination	Min	-567.128	-2.289	-1.656	0.
635	1.	SLU_ENV	Combination	Min	-553.874	-2.289	-1.656	0.
635	0.	SLV_ENV	Combination	Max	370.793	30.008	38.343	0.
635	0.5	SLV_ENV	Combination	Max	380.611	30.008	38.343	0.
635	1.	SLV_ENV	Combination	Max	390.428	30.008	38.343	0.
635	0.	SLV_ENV	Combination	Min	-1057.616	-30.691	-39.308	0.
635	0.5	SLV_ENV	Combination	Min	-1047.798	-30.691	-39.308	0.
635	1.	SLV_ENV	Combination	Min	-1037.981	-30.691	-39.308	0.
638	0.	SLU_ENV	Combination	Max	-342.521	0.056	-0.606	0.
638	0.5	SLU_ENV	Combination	Max	-332.704	0.056	-0.606	0.
638	1.	SLU_ENV	Combination	Max	-322.886	0.056	-0.606	0.
638	0.	SLU_ENV	Combination	Min	-627.581	-2.618	-2.479	0.
638	0.5	SLU_ENV	Combination	Min	-614.328	-2.618	-2.479	0.
638	1.	SLU_ENV	Combination	Min	-601.074	-2.618	-2.479	0.
638	0.	SLV_ENV	Combination	Max	403.692	39.626	45.11	0.
638	0.5	SLV_ENV	Combination	Max	413.509	39.626	45.11	0.
638	1.	SLV_ENV	Combination	Max	423.327	39.626	45.11	0.
638	0.	SLV_ENV	Combination	Min	-1145.708	-39.79	-46.764	0.
638	0.5	SLV_ENV	Combination	Min	-1135.891	-39.79	-46.764	0.
638	1.	SLV_ENV	Combination	Min	-1126.073	-39.79	-46.764	0.
640	0.	SLU_ENV	Combination	Max	-368.017	0.648	-0.85	0.
640	0.5	SLU_ENV	Combination	Max	-358.2	0.648	-0.85	0.
640	1.	SLU_ENV	Combination	Max	-348.382	0.648	-0.85	0.
640	0.	SLU_ENV	Combination	Min	-675.03	-2.979	-3.479	0.
640	0.5	SLU_ENV	Combination	Min	-661.776	-2.979	-3.479	0.
640	1.	SLU_ENV	Combination	Min	-648.522	-2.979	-3.479	0.
640	0.	SLV_ENV	Combination	Max	436.737	50.205	50.892	0.
640	0.5	SLV_ENV	Combination	Max	446.555	50.205	50.892	0.
640	1.	SLV_ENV	Combination	Max	456.372	50.205	50.892	0.
640	0.	SLV_ENV	Combination	Min	-1234.24	-49.579	-53.407	0.
640	0.5	SLV_ENV	Combination	Min	-1224.422	-49.579	-53.407	0.

Table: Element Forces - Frames, Part 1 of 2

Frame	Station	OutputCase	CaseType	StepType	P	V2	V3	T
	m				KN	KN	KN	KN-m
640	1.	SLV_ENV	Combination	Min	-1214.605	-49.579	-53.407	0.
642	0.	SLU_ENV	Combination	Max	-393.659	1.645	-1.128	0.
642	0.5	SLU_ENV	Combination	Max	-383.841	1.645	-1.128	0.
642	1.	SLU_ENV	Combination	Max	-374.024	1.645	-1.128	0.
642	0.	SLU_ENV	Combination	Min	-722.746	-3.275	-4.626	0.
642	0.5	SLU_ENV	Combination	Min	-709.492	-3.275	-4.626	0.
642	1.	SLU_ENV	Combination	Min	-696.239	-3.275	-4.626	0.
642	0.	SLV_ENV	Combination	Max	469.941	61.249	54.786	0.
642	0.5	SLV_ENV	Combination	Max	479.759	61.249	54.786	0.
642	1.	SLV_ENV	Combination	Max	489.576	61.249	54.786	0.
642	0.	SLV_ENV	Combination	Min	-1323.245	-59.504	-58.335	0.
642	0.5	SLV_ENV	Combination	Min	-1313.427	-59.504	-58.335	0.
642	1.	SLV_ENV	Combination	Min	-1303.61	-59.504	-58.335	0.
645	0.	SLU_ENV	Combination	Max	-419.455	3.005	-1.431	0.
645	0.5	SLU_ENV	Combination	Max	-409.638	3.005	-1.431	0.
645	1.	SLU_ENV	Combination	Max	-399.82	3.005	-1.431	0.
645	0.	SLU_ENV	Combination	Min	-770.75	-3.389	-5.879	0.
645	0.5	SLU_ENV	Combination	Min	-757.496	-3.389	-5.879	0.
645	1.	SLU_ENV	Combination	Min	-744.243	-3.389	-5.879	0.
645	0.	SLV_ENV	Combination	Max	503.315	72.07	55.894	0.
645	0.5	SLV_ENV	Combination	Max	513.133	72.07	55.894	0.
645	1.	SLV_ENV	Combination	Max	522.95	72.07	55.894	0.
645	0.	SLV_ENV	Combination	Min	-1412.757	-68.823	-60.634	0.
645	0.5	SLV_ENV	Combination	Min	-1402.94	-68.823	-60.634	0.
645	1.	SLV_ENV	Combination	Min	-1393.122	-68.823	-60.634	0.
647	0.	SLU_ENV	Combination	Max	-445.417	4.743	-1.742	2.398E-15
647	0.5	SLU_ENV	Combination	Max	-435.6	4.743	-1.742	2.398E-15
647	1.	SLU_ENV	Combination	Max	-425.783	4.743	-1.742	2.398E-15
647	0.	SLU_ENV	Combination	Min	-819.06	-3.221	-7.168	0.
647	0.5	SLU_ENV	Combination	Min	-805.806	-3.221	-7.168	0.
647	1.	SLU_ENV	Combination	Min	-792.553	-3.221	-7.168	0.
647	0.	SLV_ENV	Combination	Max	536.872	81.975	54.924	1.623E-13
647	0.5	SLV_ENV	Combination	Max	546.689	81.975	54.924	1.623E-13
647	1.	SLV_ENV	Combination	Max	556.507	81.975	54.924	1.623E-13
647	0.	SLV_ENV	Combination	Min	-1502.812	-76.802	-60.977	-1.623E-13
647	0.5	SLV_ENV	Combination	Min	-1492.995	-76.802	-60.977	-1.623E-13
647	1.	SLV_ENV	Combination	Min	-1483.178	-76.802	-60.977	-1.623E-13
649	0.	SLU_ENV	Combination	Max	-471.556	6.875	-2.033	0.
649	0.5	SLU_ENV	Combination	Max	-461.739	6.875	-2.033	0.
649	1.	SLU_ENV	Combination	Max	-451.921	6.875	-2.033	0.
649	0.	SLU_ENV	Combination	Min	-867.697	-2.651	-8.387	0.
649	0.5	SLU_ENV	Combination	Min	-854.443	-2.651	-8.387	0.
649	1.	SLU_ENV	Combination	Min	-841.189	-2.651	-8.387	0.
649	0.	SLV_ENV	Combination	Max	570.622	89.71	53.453	3.410E-14
649	0.5	SLV_ENV	Combination	Max	580.44	89.71	53.453	3.410E-14
649	1.	SLV_ENV	Combination	Max	590.257	89.71	53.453	3.410E-14
649	0.	SLV_ENV	Combination	Min	-1593.445	-82.169	-60.87	-3.410E-14
649	0.5	SLV_ENV	Combination	Min	-1583.627	-82.169	-60.87	-3.410E-14
649	1.	SLV_ENV	Combination	Min	-1573.81	-82.169	-60.87	-3.410E-14
652	0.	SLU_ENV	Combination	Max	-497.882	9.385	-2.268	0.
652	0.5	SLU_ENV	Combination	Max	-488.064	9.385	-2.268	0.
652	1.	SLU_ENV	Combination	Max	-478.247	9.385	-2.268	0.
652	0.	SLU_ENV	Combination	Min	-916.679	-1.535	-9.392	0.
652	0.5	SLU_ENV	Combination	Min	-903.426	-1.535	-9.392	0.

Table: Element Forces - Frames, Part 1 of 2

Frame	Station m	OutputCase	CaseType	StepType	P KN	V2 KN	V3 KN	T KN-m
652	1.	SLU_ENV	Combination	Min	-890.172	-1.535	-9.392	0.
652	0.	SLV_ENV	Combination	Max	604.579	93.689	50.292	1.707E-14
652	0.5	SLV_ENV	Combination	Max	614.396	93.689	50.292	1.707E-14
652	1.	SLV_ENV	Combination	Max	624.214	93.689	50.292	1.707E-14
652	0.	SLV_ENV	Combination	Min	-1684.69	-83.348	-59.017	-1.707E-14
652	0.5	SLV_ENV	Combination	Min	-1674.872	-83.348	-59.017	-1.707E-14
652	1.	SLV_ENV	Combination	Min	-1665.055	-83.348	-59.017	-1.707E-14
655	0.	SLU_ENV	Combination	Max	-524.405	12.214	-2.394	1.199E-15
655	0.5	SLU_ENV	Combination	Max	-514.588	12.214	-2.394	1.199E-15
655	1.	SLU_ENV	Combination	Max	-504.77	12.214	-2.394	1.199E-15
655	0.	SLU_ENV	Combination	Min	-966.028	0.287	-9.974	8.882E-16
655	0.5	SLU_ENV	Combination	Min	-952.774	0.287	-9.974	8.882E-16
655	1.	SLU_ENV	Combination	Min	-939.52	0.287	-9.974	8.882E-16
655	0.	SLV_ENV	Combination	Max	638.754	92.894	53.405	2.334E-14
655	0.5	SLV_ENV	Combination	Max	648.571	92.894	53.405	2.334E-14
655	1.	SLV_ENV	Combination	Max	658.389	92.894	53.405	2.334E-14
655	0.	SLV_ENV	Combination	Min	-1776.582	-79.384	-63.226	-2.156E-14
655	0.5	SLV_ENV	Combination	Min	-1766.765	-79.384	-63.226	-2.156E-14
655	1.	SLV_ENV	Combination	Min	-1756.947	-79.384	-63.226	-2.156E-14
657	0.	SLU_ENV	Combination	Max	-551.137	15.243	-2.347	2.398E-15
657	0.5	SLU_ENV	Combination	Max	-541.319	15.243	-2.347	2.398E-15
657	1.	SLU_ENV	Combination	Max	-531.502	15.243	-2.347	2.398E-15
657	0.	SLU_ENV	Combination	Min	-1015.762	2.984	-9.861	1.776E-15
657	0.5	SLU_ENV	Combination	Min	-1002.508	2.984	-9.861	1.776E-15
657	1.	SLU_ENV	Combination	Min	-989.255	2.984	-9.861	1.776E-15
657	0.	SLV_ENV	Combination	Max	673.159	88.284	82.435	1.007E-13
657	0.5	SLV_ENV	Combination	Max	682.977	88.284	82.435	1.007E-13
657	1.	SLV_ENV	Combination	Max	692.794	88.284	82.435	1.007E-13
657	0.	SLV_ENV	Combination	Min	-1869.158	-71.365	-92.928	-9.717E-14
657	0.5	SLV_ENV	Combination	Min	-1859.34	-71.365	-92.928	-9.717E-14
657	1.	SLV_ENV	Combination	Min	-1849.523	-71.365	-92.928	-9.717E-14
659	0.	SLU_ENV	Combination	Max	-578.088	18.273	-2.045	0.
659	0.5	SLU_ENV	Combination	Max	-568.27	18.273	-2.045	0.
659	1.	SLU_ENV	Combination	Max	-558.453	18.273	-2.045	0.
659	0.	SLU_ENV	Combination	Min	-1065.902	6.724	-8.721	-3.747E-17
659	0.5	SLU_ENV	Combination	Min	-1052.648	6.724	-8.721	-3.747E-17
659	1.	SLU_ENV	Combination	Min	-1039.395	6.724	-8.721	-3.747E-17
659	0.	SLV_ENV	Combination	Max	707.807	95.24	143.068	1.200E-13
659	0.5	SLV_ENV	Combination	Max	717.625	95.24	143.068	1.200E-13
659	1.	SLV_ENV	Combination	Max	727.442	95.24	143.068	1.200E-13
659	0.	SLV_ENV	Combination	Min	-1962.452	-74.889	-153.532	-1.200E-13
659	0.5	SLV_ENV	Combination	Min	-1952.635	-74.889	-153.532	-1.200E-13
659	1.	SLV_ENV	Combination	Min	-1942.817	-74.889	-153.532	-1.200E-13
661	0.	SLU_ENV	Combination	Max	-605.269	21.345	-1.118	0.
661	0.5	SLU_ENV	Combination	Max	-595.451	21.345	-1.118	0.
661	1.	SLU_ENV	Combination	Max	-585.634	21.345	-1.118	0.
661	0.	SLU_ENV	Combination	Min	-1116.468	9.701	-7.487	-3.747E-17
661	0.5	SLU_ENV	Combination	Min	-1103.214	9.701	-7.487	-3.747E-17
661	1.	SLU_ENV	Combination	Min	-1089.961	9.701	-7.487	-3.747E-17
661	0.	SLV_ENV	Combination	Max	742.71	133.815	226.646	8.117E-14
661	0.5	SLV_ENV	Combination	Max	752.528	133.815	226.646	8.117E-14
661	1.	SLV_ENV	Combination	Max	762.345	133.815	226.646	8.117E-14
661	0.	SLV_ENV	Combination	Min	-2056.502	-110.333	-236.037	-8.122E-14
661	0.5	SLV_ENV	Combination	Min	-2046.685	-110.333	-236.037	-8.122E-14

Table: Element Forces - Frames, Part 1 of 2

Frame	Station m	OutputCase	CaseType	StepType	P	V2	V3	T
					KN	KN	KN	KN-m
661	1.	SLV_ENV	Combination	Min	-2036.867	-110.333	-236.037	-8.122E-14
663	0.	SLU_ENV	Combination	Max	-632.691	28.033	2.74	2.398E-15
663	0.5	SLU_ENV	Combination	Max	-622.873	28.033	2.74	2.398E-15
663	1.	SLU_ENV	Combination	Max	-613.056	28.033	2.74	2.398E-15
663	0.	SLU_ENV	Combination	Min	-1167.481	10.885	-5.775	8.882E-16
663	0.5	SLU_ENV	Combination	Min	-1154.227	10.885	-5.775	8.882E-16
663	1.	SLU_ENV	Combination	Min	-1140.974	10.885	-5.775	8.882E-16
663	0.	SLV_ENV	Combination	Max	777.881	198.761	333.485	1.046E-13
663	0.5	SLV_ENV	Combination	Max	787.699	198.761	333.485	1.046E-13
663	1.	SLV_ENV	Combination	Max	797.516	198.761	333.485	1.046E-13
663	0.	SLV_ENV	Combination	Min	-2151.343	-172.908	-340.347	-1.028E-13
663	0.5	SLV_ENV	Combination	Min	-2141.526	-172.908	-340.347	-1.028E-13
663	1.	SLV_ENV	Combination	Min	-2131.708	-172.908	-340.347	-1.028E-13
665	0.	SLU_ENV	Combination	Max	-660.365	35.277	8.252	2.398E-15
665	0.5	SLU_ENV	Combination	Max	-650.547	35.277	8.252	2.398E-15
665	1.	SLU_ENV	Combination	Max	-640.73	35.277	8.252	2.398E-15
665	0.	SLU_ENV	Combination	Min	-1218.961	11.204	-2.659	8.882E-16
665	0.5	SLU_ENV	Combination	Min	-1205.707	11.204	-2.659	8.882E-16
665	1.	SLU_ENV	Combination	Min	-1192.454	11.204	-2.659	8.882E-16
665	0.	SLV_ENV	Combination	Max	813.332	287.91	463.461	9.233E-14
665	0.5	SLV_ENV	Combination	Max	823.15	287.91	463.461	9.233E-14
665	1.	SLV_ENV	Combination	Max	832.967	287.91	463.461	9.233E-14
665	0.	SLV_ENV	Combination	Min	-2247.013	-261.056	-465.866	-9.055E-14
665	0.5	SLV_ENV	Combination	Min	-2237.196	-261.056	-465.866	-9.055E-14
665	1.	SLV_ENV	Combination	Min	-2227.378	-261.056	-465.866	-9.055E-14
666	0.	SLU_ENV	Combination	Max	-688.302	42.668	16.581	0.
666	0.5	SLU_ENV	Combination	Max	-678.485	42.668	16.581	0.
666	1.	SLU_ENV	Combination	Max	-668.667	42.668	16.581	0.
666	0.	SLU_ENV	Combination	Min	-1270.929	10.393	1.198	-3.747E-17
666	0.5	SLU_ENV	Combination	Min	-1257.676	10.393	1.198	-3.747E-17
666	1.	SLU_ENV	Combination	Min	-1244.422	10.393	1.198	-3.747E-17
666	0.	SLV_ENV	Combination	Max	849.076	412.629	614.92	2.522E-13
666	0.5	SLV_ENV	Combination	Max	858.893	412.629	614.92	2.522E-13
666	1.	SLV_ENV	Combination	Max	868.711	412.629	614.92	2.522E-13
666	0.	SLV_ENV	Combination	Min	-2343.548	-386.921	-610.422	-2.522E-13
666	0.5	SLV_ENV	Combination	Min	-2333.731	-386.921	-610.422	-2.522E-13
666	1.	SLV_ENV	Combination	Min	-2323.913	-386.921	-610.422	-2.522E-13
1833	0.	SLU_ENV	Combination	Max	-42.129	0.062	0.042	0.
1833	0.5	SLU_ENV	Combination	Max	-32.312	0.062	0.042	0.
1833	1.	SLU_ENV	Combination	Max	-22.494	0.062	0.042	0.
1833	0.	SLU_ENV	Combination	Min	-63.109	-0.012	2.669E-03	0.
1833	0.5	SLU_ENV	Combination	Min	-49.855	-0.012	2.669E-03	0.
1833	1.	SLU_ENV	Combination	Min	-36.601	-0.012	2.669E-03	0.
1833	0.	SLV_ENV	Combination	Max	-28.138	0.827	0.621	0.
1833	0.5	SLV_ENV	Combination	Max	-18.321	0.827	0.621	0.
1833	1.	SLV_ENV	Combination	Max	-8.503	0.827	0.621	0.
1833	0.	SLV_ENV	Combination	Min	-58.138	-0.841	-0.572	0.
1833	0.5	SLV_ENV	Combination	Min	-48.321	-0.841	-0.572	0.
1833	1.	SLV_ENV	Combination	Min	-38.503	-0.841	-0.572	0.
1834	0.	SLU_ENV	Combination	Max	-64.637	0.106	0.083	0.
1834	0.5	SLU_ENV	Combination	Max	-54.819	0.106	0.083	0.
1834	1.	SLU_ENV	Combination	Max	-45.002	0.106	0.083	0.
1834	0.	SLU_ENV	Combination	Min	-99.73	-0.017	0.014	0.
1834	0.5	SLU_ENV	Combination	Min	-86.476	-0.017	0.014	0.

Table: Element Forces - Frames, Part 1 of 2

Frame	Station	OutputCase	CaseType	StepType	P	V2	V3	T
	m				KN	KN	KN	KN-m
1834	1.	SLU_ENV	Combination	Min	-73.223	-0.017	0.014	0.
1834	0.	SLV_ENV	Combination	Max	-40.576	1.144	0.8	0.
1834	0.5	SLV_ENV	Combination	Max	-30.758	1.144	0.8	0.
1834	1.	SLV_ENV	Combination	Max	-20.941	1.144	0.8	0.
1834	0.	SLV_ENV	Combination	Min	-92.734	-1.161	-0.705	0.
1834	0.5	SLV_ENV	Combination	Min	-82.917	-1.161	-0.705	0.
1834	1.	SLV_ENV	Combination	Min	-73.099	-1.161	-0.705	0.
1835	0.	SLU_ENV	Combination	Max	-87.166	0.132	0.122	0.
1835	0.5	SLU_ENV	Combination	Max	-77.349	0.132	0.122	0.
1835	1.	SLU_ENV	Combination	Max	-67.531	0.132	0.122	0.
1835	0.	SLU_ENV	Combination	Min	-136.387	-0.015	0.033	0.
1835	0.5	SLU_ENV	Combination	Min	-123.133	-0.015	0.033	0.
1835	1.	SLU_ENV	Combination	Min	-109.879	-0.015	0.033	0.
1835	0.	SLV_ENV	Combination	Max	-53.025	1.022	0.668	0.
1835	0.5	SLV_ENV	Combination	Max	-43.207	1.022	0.668	0.
1835	1.	SLV_ENV	Combination	Max	-33.39	1.022	0.668	0.
1835	0.	SLV_ENV	Combination	Min	-127.365	-1.03	-0.529	0.
1835	0.5	SLV_ENV	Combination	Min	-117.547	-1.03	-0.529	0.
1835	1.	SLV_ENV	Combination	Min	-107.73	-1.03	-0.529	0.
1836	0.	SLU_ENV	Combination	Max	-109.727	0.14	0.16	0.
1836	0.5	SLU_ENV	Combination	Max	-99.91	0.14	0.16	0.
1836	1.	SLU_ENV	Combination	Max	-90.092	0.14	0.16	0.
1836	0.	SLU_ENV	Combination	Min	-173.093	-7.441E-03	0.06	0.
1836	0.5	SLU_ENV	Combination	Min	-159.839	-7.441E-03	0.06	0.
1836	1.	SLU_ENV	Combination	Min	-146.586	-7.441E-03	0.06	0.
1836	0.	SLV_ENV	Combination	Max	-65.496	0.646	0.867	0.
1836	0.5	SLV_ENV	Combination	Max	-55.679	0.646	0.867	0.
1836	1.	SLV_ENV	Combination	Max	-45.861	0.646	0.867	0.
1836	0.	SLV_ENV	Combination	Min	-162.038	-0.632	-0.688	0.
1836	0.5	SLV_ENV	Combination	Min	-152.221	-0.632	-0.688	0.
1836	1.	SLV_ENV	Combination	Min	-142.403	-0.632	-0.688	0.
1837	0.	SLU_ENV	Combination	Max	-132.328	0.133	0.198	0.
1837	0.5	SLU_ENV	Combination	Max	-122.511	0.133	0.198	0.
1837	1.	SLU_ENV	Combination	Max	-112.694	0.133	0.198	0.
1837	0.	SLU_ENV	Combination	Min	-209.864	7.182E-03	0.076	0.
1837	0.5	SLU_ENV	Combination	Min	-196.61	7.182E-03	0.076	0.
1837	1.	SLU_ENV	Combination	Min	-183.357	7.182E-03	0.076	0.
1837	0.	SLV_ENV	Combination	Max	-77.997	1.275	1.89	0.
1837	0.5	SLV_ENV	Combination	Max	-68.179	1.275	1.89	0.
1837	1.	SLV_ENV	Combination	Max	-58.362	1.275	1.89	0.
1837	0.	SLV_ENV	Combination	Min	-196.766	-1.227	-1.675	0.
1837	0.5	SLV_ENV	Combination	Min	-186.949	-1.227	-1.675	0.
1837	1.	SLV_ENV	Combination	Min	-177.131	-1.227	-1.675	0.
1838	0.	SLU_ENV	Combination	Max	-154.979	0.178	0.256	0.
1838	0.5	SLU_ENV	Combination	Max	-145.162	0.178	0.256	0.
1838	1.	SLU_ENV	Combination	Max	-135.344	0.178	0.256	0.
1838	0.	SLU_ENV	Combination	Min	-246.715	-0.031	0.085	0.
1838	0.5	SLU_ENV	Combination	Min	-233.461	-0.031	0.085	0.
1838	1.	SLU_ENV	Combination	Min	-220.207	-0.031	0.085	0.
1838	0.	SLV_ENV	Combination	Max	-90.534	2.929	3.5	0.
1838	0.5	SLV_ENV	Combination	Max	-80.717	2.929	3.5	0.
1838	1.	SLV_ENV	Combination	Max	-70.899	2.929	3.5	0.
1838	0.	SLV_ENV	Combination	Min	-231.561	-2.835	-3.259	0.
1838	0.5	SLV_ENV	Combination	Min	-221.743	-2.835	-3.259	0.

Table: Element Forces - Frames, Part 1 of 2

Frame	Station m	OutputCase	CaseType	StepType	P KN	V2 KN	V3 KN	T KN-m
1838	1.	SLV_ENV	Combination	Min	-211.926	-2.835	-3.259	0.
1839	0.	SLU_ENV	Combination	Max	-177.689	0.226	0.316	0.
1839	0.5	SLU_ENV	Combination	Max	-167.872	0.226	0.316	0.
1839	1.	SLU_ENV	Combination	Max	-158.054	0.226	0.316	0.
1839	0.	SLU_ENV	Combination	Min	-283.66	-0.117	0.089	0.
1839	0.5	SLU_ENV	Combination	Min	-270.406	-0.117	0.089	0.
1839	1.	SLU_ENV	Combination	Min	-257.153	-0.117	0.089	0.
1839	0.	SLV_ENV	Combination	Max	-103.116	5.189	5.539	0.
1839	0.5	SLV_ENV	Combination	Max	-93.299	5.189	5.539	0.
1839	1.	SLV_ENV	Combination	Max	-83.481	5.189	5.539	0.
1839	0.	SLV_ENV	Combination	Min	-266.434	-5.036	-5.284	0.
1839	0.5	SLV_ENV	Combination	Min	-256.616	-5.036	-5.284	0.
1839	1.	SLV_ENV	Combination	Min	-246.799	-5.036	-5.284	0.
1840	0.	SLU_ENV	Combination	Max	-200.467	0.275	0.372	0.
1840	0.5	SLU_ENV	Combination	Max	-190.649	0.275	0.372	0.
1840	1.	SLU_ENV	Combination	Max	-180.832	0.275	0.372	0.
1840	0.	SLU_ENV	Combination	Min	-320.715	-0.232	0.085	0.
1840	0.5	SLU_ENV	Combination	Min	-307.461	-0.232	0.085	0.
1840	1.	SLU_ENV	Combination	Min	-294.207	-0.232	0.085	0.
1840	0.	SLV_ENV	Combination	Max	-115.749	8.002	7.976	0.
1840	0.5	SLV_ENV	Combination	Max	-105.931	8.002	7.976	0.
1840	1.	SLV_ENV	Combination	Max	-96.114	8.002	7.976	0.
1840	0.	SLV_ENV	Combination	Min	-301.397	-7.779	-7.726	0.
1840	0.5	SLV_ENV	Combination	Min	-291.58	-7.779	-7.726	0.
1840	1.	SLV_ENV	Combination	Min	-281.762	-7.779	-7.726	0.
1841	0.	SLU_ENV	Combination	Max	-223.322	0.32	0.417	0.
1841	0.5	SLU_ENV	Combination	Max	-213.504	0.32	0.417	0.
1841	1.	SLU_ENV	Combination	Max	-203.687	0.32	0.417	0.
1841	0.	SLU_ENV	Combination	Min	-357.894	-0.377	0.072	0.
1841	0.5	SLU_ENV	Combination	Min	-344.64	-0.377	0.072	0.
1841	1.	SLU_ENV	Combination	Min	-331.387	-0.377	0.072	0.
1841	0.	SLV_ENV	Combination	Max	-128.439	11.327	10.754	0.
1841	0.5	SLV_ENV	Combination	Max	-118.621	11.327	10.754	0.
1841	1.	SLV_ENV	Combination	Max	-108.804	11.327	10.754	0.
1841	0.	SLV_ENV	Combination	Min	-336.464	-11.023	-10.534	0.
1841	0.5	SLV_ENV	Combination	Min	-326.647	-11.023	-10.534	0.
1841	1.	SLV_ENV	Combination	Min	-316.829	-11.023	-10.534	0.
1842	0.	SLU_ENV	Combination	Max	-246.263	0.361	0.442	0.
1842	0.5	SLU_ENV	Combination	Max	-236.446	0.361	0.442	0.
1842	1.	SLU_ENV	Combination	Max	-226.628	0.361	0.442	0.
1842	0.	SLU_ENV	Combination	Min	-395.213	-0.55	0.045	0.
1842	0.5	SLU_ENV	Combination	Min	-381.959	-0.55	0.045	0.
1842	1.	SLU_ENV	Combination	Min	-368.705	-0.55	0.045	0.
1842	0.	SLV_ENV	Combination	Max	-141.194	15.085	13.773	0.
1842	0.5	SLV_ENV	Combination	Max	-131.377	15.085	13.773	0.
1842	1.	SLV_ENV	Combination	Max	-121.559	15.085	13.773	0.
1842	0.	SLV_ENV	Combination	Min	-371.647	-14.693	-13.619	0.
1842	0.5	SLV_ENV	Combination	Min	-361.829	-14.693	-13.619	0.
1842	1.	SLV_ENV	Combination	Min	-352.012	-14.693	-13.619	0.
1843	0.	SLU_ENV	Combination	Max	-269.3	0.4	0.434	0.
1843	0.5	SLU_ENV	Combination	Max	-259.483	0.4	0.434	0.
1843	1.	SLU_ENV	Combination	Max	-249.665	0.4	0.434	0.
1843	0.	SLU_ENV	Combination	Min	-432.686	-0.748	-2.296E-04	0.
1843	0.5	SLU_ENV	Combination	Min	-419.432	-0.748	-2.296E-04	0.

Table: Element Forces - Frames, Part 1 of 2

Frame	Station m	OutputCase	CaseType	StepType	P KN	V2 KN	V3 KN	T KN-m
1843	1.	SLU_ENV	Combination	Min	-406.179	-0.748	-2.296E-04	0.
1843	0.	SLV_ENV	Combination	Max	-154.021	19.135	16.873	0.
1843	0.5	SLV_ENV	Combination	Max	-144.203	19.135	16.873	0.
1843	1.	SLV_ENV	Combination	Max	-134.386	19.135	16.873	0.
1843	0.	SLV_ENV	Combination	Min	-406.957	-18.654	-16.831	0.
1843	0.5	SLV_ENV	Combination	Min	-397.139	-18.654	-16.831	0.
1843	1.	SLV_ENV	Combination	Min	-387.322	-18.654	-16.831	0.
1844	0.	SLU_ENV	Combination	Max	-292.442	0.44	0.404	0.
1844	0.5	SLU_ENV	Combination	Max	-282.625	0.44	0.404	0.
1844	1.	SLU_ENV	Combination	Max	-272.807	0.44	0.404	0.
1844	0.	SLU_ENV	Combination	Min	-470.329	-0.966	-0.098	0.
1844	0.5	SLU_ENV	Combination	Min	-457.075	-0.966	-0.098	0.
1844	1.	SLU_ENV	Combination	Min	-443.822	-0.966	-0.098	0.
1844	0.	SLV_ENV	Combination	Max	-166.927	23.253	19.821	0.
1844	0.5	SLV_ENV	Combination	Max	-157.109	23.253	19.821	0.
1844	1.	SLV_ENV	Combination	Max	-147.292	23.253	19.821	0.
1844	0.	SLV_ENV	Combination	Min	-442.407	-22.689	-19.949	0.
1844	0.5	SLV_ENV	Combination	Min	-432.59	-22.689	-19.949	0.
1844	1.	SLV_ENV	Combination	Min	-422.773	-22.689	-19.949	0.
1845	0.	SLU_ENV	Combination	Max	-315.699	0.487	0.374	0.
1845	0.5	SLU_ENV	Combination	Max	-305.881	0.487	0.374	0.
1845	1.	SLU_ENV	Combination	Max	-296.064	0.487	0.374	0.
1845	0.	SLU_ENV	Combination	Min	-508.157	-1.253	-0.272	0.
1845	0.5	SLU_ENV	Combination	Min	-494.904	-1.253	-0.272	0.
1845	1.	SLU_ENV	Combination	Min	-481.65	-1.253	-0.272	0.
1845	0.	SLV_ENV	Combination	Max	-179.918	27.112	22.29	0.
1845	0.5	SLV_ENV	Combination	Max	-170.101	27.112	22.29	0.
1845	1.	SLV_ENV	Combination	Max	-160.283	27.112	22.29	0.
1845	0.	SLV_ENV	Combination	Min	-478.011	-26.482	-22.657	0.
1845	0.5	SLV_ENV	Combination	Min	-468.193	-26.482	-22.657	0.
1845	1.	SLV_ENV	Combination	Min	-458.376	-26.482	-22.657	0.
1846	0.	SLU_ENV	Combination	Max	-339.079	0.519	0.307	0.
1846	0.5	SLU_ENV	Combination	Max	-329.262	0.519	0.307	0.
1846	1.	SLU_ENV	Combination	Max	-319.444	0.519	0.307	0.
1846	0.	SLU_ENV	Combination	Min	-546.186	-1.567	-0.549	0.
1846	0.5	SLU_ENV	Combination	Min	-532.932	-1.567	-0.549	0.
1846	1.	SLU_ENV	Combination	Min	-519.679	-1.567	-0.549	0.
1846	0.	SLV_ENV	Combination	Max	-193.003	30.257	23.859	0.
1846	0.5	SLV_ENV	Combination	Max	-183.186	30.257	23.859	0.
1846	1.	SLV_ENV	Combination	Max	-173.368	30.257	23.859	0.
1846	0.	SLV_ENV	Combination	Min	-513.78	-29.592	-24.547	0.
1846	0.5	SLV_ENV	Combination	Min	-503.962	-29.592	-24.547	0.
1846	1.	SLV_ENV	Combination	Min	-494.145	-29.592	-24.547	0.
1847	0.	SLU_ENV	Combination	Max	-362.593	0.514	0.181	0.
1847	0.5	SLU_ENV	Combination	Max	-352.775	0.514	0.181	0.
1847	1.	SLU_ENV	Combination	Max	-342.958	0.514	0.181	0.
1847	0.	SLU_ENV	Combination	Min	-584.43	-1.88	-0.914	0.
1847	0.5	SLU_ENV	Combination	Min	-571.177	-1.88	-0.914	0.
1847	1.	SLU_ENV	Combination	Min	-557.923	-1.88	-0.914	0.
1847	0.	SLV_ENV	Combination	Max	-206.188	32.096	24.088	0.
1847	0.5	SLV_ENV	Combination	Max	-196.37	32.096	24.088	0.
1847	1.	SLV_ENV	Combination	Max	-186.553	32.096	24.088	0.
1847	0.	SLV_ENV	Combination	Min	-549.727	-31.445	-25.185	0.
1847	0.5	SLV_ENV	Combination	Min	-539.909	-31.445	-25.185	0.

Table: Element Forces - Frames, Part 1 of 2

Frame	Station m	OutputCase	CaseType	StepType	P KN	V2 KN	V3 KN	T KN-m
1847	1.	SLV_ENV	Combination	Min	-530.092	-31.445	-25.185	0.
1848	0.	SLU_ENV	Combination	Max	-386.249	0.457	-0.025	5.995E-16
1848	0.5	SLU_ENV	Combination	Max	-376.432	0.457	-0.025	5.995E-16
1848	1.	SLU_ENV	Combination	Max	-366.615	0.457	-0.025	5.995E-16
1848	0.	SLU_ENV	Combination	Min	-622.906	-2.162	-1.368	0.
1848	0.5	SLU_ENV	Combination	Min	-609.652	-2.162	-1.368	0.
1848	1.	SLU_ENV	Combination	Min	-596.399	-2.162	-1.368	0.
1848	0.	SLV_ENV	Combination	Max	-219.48	31.882	22.42	1.444E-13
1848	0.5	SLV_ENV	Combination	Max	-209.662	31.882	22.42	1.444E-13
1848	1.	SLV_ENV	Combination	Max	-199.845	31.882	22.42	1.444E-13
1848	0.	SLV_ENV	Combination	Min	-585.865	-31.319	-24.02	-1.435E-13
1848	0.5	SLV_ENV	Combination	Min	-576.047	-31.319	-24.02	-1.435E-13
1848	1.	SLV_ENV	Combination	Min	-566.23	-31.319	-24.02	-1.435E-13
1849	0.	SLU_ENV	Combination	Max	-410.058	0.377	-0.332	0.
1849	0.5	SLU_ENV	Combination	Max	-400.241	0.377	-0.332	0.
1849	1.	SLU_ENV	Combination	Max	-390.423	0.377	-0.332	0.
1849	0.	SLU_ENV	Combination	Min	-661.629	-2.414	-1.912	0.
1849	0.5	SLU_ENV	Combination	Min	-648.375	-2.414	-1.912	0.
1849	1.	SLU_ENV	Combination	Min	-635.121	-2.414	-1.912	0.
1849	0.	SLV_ENV	Combination	Max	-232.886	28.704	17.973	1.413E-13
1849	0.5	SLV_ENV	Combination	Max	-223.069	28.704	17.973	1.413E-13
1849	1.	SLV_ENV	Combination	Max	-213.251	28.704	17.973	1.413E-13
1849	0.	SLV_ENV	Combination	Min	-622.206	-28.328	-20.167	-1.413E-13
1849	0.5	SLV_ENV	Combination	Min	-612.389	-28.328	-20.167	-1.413E-13
1849	1.	SLV_ENV	Combination	Min	-602.571	-28.328	-20.167	-1.413E-13
1850	0.	SLU_ENV	Combination	Max	-434.029	0.263	-0.757	0.
1850	0.5	SLU_ENV	Combination	Max	-424.212	0.263	-0.757	0.
1850	1.	SLU_ENV	Combination	Max	-414.394	0.263	-0.757	0.
1850	0.	SLU_ENV	Combination	Min	-700.614	-2.591	-2.537	0.
1850	0.5	SLU_ENV	Combination	Min	-687.36	-2.591	-2.537	0.
1850	1.	SLU_ENV	Combination	Min	-674.106	-2.591	-2.537	0.
1850	0.	SLV_ENV	Combination	Max	-246.414	21.598	9.92	3.702E-14
1850	0.5	SLV_ENV	Combination	Max	-236.597	21.598	9.92	3.702E-14
1850	1.	SLV_ENV	Combination	Max	-226.779	21.598	9.92	3.702E-14
1850	0.	SLV_ENV	Combination	Min	-658.764	-21.539	-12.785	-3.702E-14
1850	0.5	SLV_ENV	Combination	Min	-648.947	-21.539	-12.785	-3.702E-14
1850	1.	SLV_ENV	Combination	Min	-639.13	-21.539	-12.785	-3.702E-14
1851	0.	SLU_ENV	Combination	Max	-458.172	0.07	-1.264	0.
1851	0.5	SLU_ENV	Combination	Max	-448.355	0.07	-1.264	0.
1851	1.	SLU_ENV	Combination	Max	-438.537	0.07	-1.264	0.
1851	0.	SLU_ENV	Combination	Min	-739.877	-2.601	-3.221	-2.398E-15
1851	0.5	SLU_ENV	Combination	Min	-726.623	-2.601	-3.221	-2.398E-15
1851	1.	SLU_ENV	Combination	Min	-713.37	-2.601	-3.221	-2.398E-15
1851	0.	SLV_ENV	Combination	Max	-260.072	10.76	6.288	2.164E-13
1851	0.5	SLV_ENV	Combination	Max	-250.254	10.76	6.288	2.164E-13
1851	1.	SLV_ENV	Combination	Max	-240.437	10.76	6.288	2.164E-13
1851	0.	SLV_ENV	Combination	Min	-695.552	-11.183	-9.875	-2.164E-13
1851	0.5	SLV_ENV	Combination	Min	-685.734	-11.183	-9.875	-2.164E-13
1851	1.	SLV_ENV	Combination	Min	-675.917	-11.183	-9.875	-2.164E-13
1852	0.	SLU_ENV	Combination	Max	-482.496	-0.221	-1.52	0.
1852	0.5	SLU_ENV	Combination	Max	-472.679	-0.221	-1.52	0.
1852	1.	SLU_ENV	Combination	Max	-462.862	-0.221	-1.52	0.
1852	0.	SLU_ENV	Combination	Min	-779.434	-2.78	-4.109	-2.398E-15
1852	0.5	SLU_ENV	Combination	Min	-766.181	-2.78	-4.109	-2.398E-15

Table: Element Forces - Frames, Part 1 of 2

Frame	Station m	OutputCase	CaseType	StepType	P KN	V2 KN	V3 KN	T KN-m
1852	1.	SLU_ENV	Combination	Min	-752.927	-2.78	-4.109	-2.398E-15
1852	0.	SLV_ENV	Combination	Max	-273.865	15.646	23.525	3.065E-13
1852	0.5	SLV_ENV	Combination	Max	-264.048	15.646	23.525	3.065E-13
1852	1.	SLV_ENV	Combination	Max	-254.23	15.646	23.525	3.065E-13
1852	0.	SLV_ENV	Combination	Min	-732.582	-16.748	-27.837	-3.065E-13
1852	0.5	SLV_ENV	Combination	Min	-722.764	-16.748	-27.837	-3.065E-13
1852	1.	SLV_ENV	Combination	Min	-712.947	-16.748	-27.837	-3.065E-13
1853	0.	SLU_ENV	Combination	Max	-507.012	0.741	-1.744	2.698E-15
1853	0.5	SLU_ENV	Combination	Max	-497.195	0.741	-1.744	2.698E-15
1853	1.	SLU_ENV	Combination	Max	-487.377	0.741	-1.744	2.698E-15
1853	0.	SLU_ENV	Combination	Min	-819.302	-3.72	-5.349	1.776E-15
1853	0.5	SLU_ENV	Combination	Min	-806.049	-3.72	-5.349	1.776E-15
1853	1.	SLU_ENV	Combination	Min	-792.795	-3.72	-5.349	1.776E-15
1853	0.	SLV_ENV	Combination	Max	-287.803	42.159	50.354	2.788E-14
1853	0.5	SLV_ENV	Combination	Max	-277.986	42.159	50.354	2.788E-14
1853	1.	SLV_ENV	Combination	Max	-268.168	42.159	50.354	2.788E-14
1853	0.	SLV_ENV	Combination	Min	-769.868	-44.168	-55.327	-2.388E-14
1853	0.5	SLV_ENV	Combination	Min	-760.05	-44.168	-55.327	-2.388E-14
1853	1.	SLV_ENV	Combination	Min	-750.233	-44.168	-55.327	-2.388E-14
1854	0.	SLU_ENV	Combination	Max	-531.729	2.336	-1.901	1.499E-15
1854	0.5	SLU_ENV	Combination	Max	-521.912	2.336	-1.901	1.499E-15
1854	1.	SLU_ENV	Combination	Max	-512.094	2.336	-1.901	1.499E-15
1854	0.	SLU_ENV	Combination	Min	-859.496	-4.771	-6.68	-1.510E-15
1854	0.5	SLU_ENV	Combination	Min	-846.243	-4.771	-6.68	-1.510E-15
1854	1.	SLU_ENV	Combination	Min	-832.989	-4.771	-6.68	-1.510E-15
1854	0.	SLV_ENV	Combination	Max	-301.892	79.471	85.541	1.461E-13
1854	0.5	SLV_ENV	Combination	Max	-292.075	79.471	85.541	1.461E-13
1854	1.	SLV_ENV	Combination	Max	-282.257	79.471	85.541	1.461E-13
1854	0.	SLV_ENV	Combination	Min	-807.422	-82.638	-91.011	-1.439E-13
1854	0.5	SLV_ENV	Combination	Min	-797.604	-82.638	-91.011	-1.439E-13
1854	1.	SLV_ENV	Combination	Min	-787.787	-82.638	-91.011	-1.439E-13
1855	0.	SLU_ENV	Combination	Max	-556.657	4.503	-1.942	1.199E-15
1855	0.5	SLU_ENV	Combination	Max	-546.84	4.503	-1.942	1.199E-15
1855	1.	SLU_ENV	Combination	Max	-537.022	4.503	-1.942	1.199E-15
1855	0.	SLU_ENV	Combination	Min	-900.033	-5.879	-8.022	-3.908E-15
1855	0.5	SLU_ENV	Combination	Min	-886.779	-5.879	-8.022	-3.908E-15
1855	1.	SLU_ENV	Combination	Min	-873.526	-5.879	-8.022	-3.908E-15
1855	0.	SLV_ENV	Combination	Max	-316.14	127.824	129.765	2.158E-13
1855	0.5	SLV_ENV	Combination	Max	-306.323	127.824	129.765	2.158E-13
1855	1.	SLV_ENV	Combination	Max	-296.505	127.824	129.765	2.158E-13
1855	0.	SLV_ENV	Combination	Min	-845.258	-132.411	-135.442	-2.140E-13
1855	0.5	SLV_ENV	Combination	Min	-835.441	-132.411	-135.442	-2.140E-13
1855	1.	SLV_ENV	Combination	Min	-825.624	-132.411	-135.442	-2.140E-13
1856	0.	SLU_ENV	Combination	Max	-581.807	7.302	-1.801	1.499E-15
1856	0.5	SLU_ENV	Combination	Max	-571.99	7.302	-1.801	1.499E-15
1856	1.	SLU_ENV	Combination	Max	-562.172	7.302	-1.801	1.499E-15
1856	0.	SLU_ENV	Combination	Min	-940.929	-6.98	-9.241	-3.908E-15
1856	0.5	SLU_ENV	Combination	Min	-927.675	-6.98	-9.241	-3.908E-15
1856	1.	SLU_ENV	Combination	Min	-914.421	-6.98	-9.241	-3.908E-15
1856	0.	SLV_ENV	Combination	Max	-330.555	187.8	183.277	3.278E-13
1856	0.5	SLV_ENV	Combination	Max	-320.738	187.8	183.277	3.278E-13
1856	1.	SLV_ENV	Combination	Max	-310.92	187.8	183.277	3.278E-13
1856	0.	SLV_ENV	Combination	Min	-883.391	-194.06	-188.703	-3.256E-13
1856	0.5	SLV_ENV	Combination	Min	-873.573	-194.06	-188.703	-3.256E-13

Table: Element Forces - Frames, Part 1 of 2

Frame	Station	OutputCase	CaseType	StepType	P	V2	V3	T
	m				KN	KN	KN	KN-m
1856	1.	SLV_ENV	Combination	Min	-863.756	-194.06	-188.703	-3.256E-13
1857	0.	SLU_ENV	Combination	Max	-607.188	10.768	-1.413	5.695E-15
1857	0.5	SLU_ENV	Combination	Max	-597.371	10.768	-1.413	5.695E-15
1857	1.	SLU_ENV	Combination	Max	-587.553	10.768	-1.413	5.695E-15
1857	0.	SLU_ENV	Combination	Min	-982.2	-8.001	-10.156	-3.642E-15
1857	0.5	SLU_ENV	Combination	Min	-968.946	-8.001	-10.156	-3.642E-15
1857	1.	SLU_ENV	Combination	Min	-955.693	-8.001	-10.156	-3.642E-15
1857	0.	SLV_ENV	Combination	Max	-345.145	259.368	245.613	5.128E-13
1857	0.5	SLV_ENV	Combination	Max	-335.327	259.368	245.613	5.128E-13
1857	1.	SLV_ENV	Combination	Max	-325.51	259.368	245.613	5.128E-13
1857	0.	SLV_ENV	Combination	Min	-921.832	-267.515	-250.131	-5.044E-13
1857	0.5	SLV_ENV	Combination	Min	-912.014	-267.515	-250.131	-5.044E-13
1857	1.	SLV_ENV	Combination	Min	-902.197	-267.515	-250.131	-5.044E-13
1858	0.	SLU_ENV	Combination	Max	-632.811	14.877	-0.693	0.0012
1858	0.5	SLU_ENV	Combination	Max	-622.994	14.877	-0.693	0.0012
1858	1.	SLU_ENV	Combination	Max	-613.176	14.877	-0.693	0.0012
1858	0.	SLU_ENV	Combination	Min	-1023.863	-8.97	-10.524	3.629E-04
1858	0.5	SLU_ENV	Combination	Min	-1010.61	-8.97	-10.524	3.629E-04
1858	1.	SLU_ENV	Combination	Min	-997.356	-8.969	-10.524	3.629E-04
1858	0.	SLV_ENV	Combination	Max	-359.915	341.456	315.293	0.0142
1858	0.5	SLV_ENV	Combination	Max	-350.098	341.456	315.293	0.0142
1858	1.	SLV_ENV	Combination	Max	-340.28	341.457	315.293	0.0142
1858	0.	SLV_ENV	Combination	Min	-960.597	-351.655	-318.006	-0.0132
1858	0.5	SLV_ENV	Combination	Min	-950.779	-351.655	-318.006	-0.0132
1858	1.	SLV_ENV	Combination	Min	-940.962	-351.655	-318.006	-0.0132
1859	0.	SLU_ENV	Combination	Max	-42.141	0.053	0.034	0.
1859	0.5	SLU_ENV	Combination	Max	-32.324	0.053	0.034	0.
1859	1.	SLU_ENV	Combination	Max	-22.506	0.053	0.034	0.
1859	0.	SLU_ENV	Combination	Min	-64.91	-0.024	-2.325E-03	0.
1859	0.5	SLU_ENV	Combination	Min	-51.657	-0.024	-2.325E-03	0.
1859	1.	SLU_ENV	Combination	Min	-38.403	-0.024	-2.325E-03	0.
1859	0.	SLV_ENV	Combination	Max	-21.37	0.824	0.638	0.
1859	0.5	SLV_ENV	Combination	Max	-11.552	0.824	0.638	0.
1859	1.	SLV_ENV	Combination	Max	-1.735	0.824	0.638	0.
1859	0.	SLV_ENV	Combination	Min	-65.524	-0.856	-0.598	0.
1859	0.5	SLV_ENV	Combination	Min	-55.707	-0.856	-0.598	0.
1859	1.	SLV_ENV	Combination	Min	-45.889	-0.856	-0.598	0.
1860	0.	SLU_ENV	Combination	Max	-64.66	0.08	0.062	0.
1860	0.5	SLU_ENV	Combination	Max	-54.843	0.08	0.062	0.
1860	1.	SLU_ENV	Combination	Max	-45.025	0.08	0.062	0.
1860	0.	SLU_ENV	Combination	Min	-103.334	-0.044	3.136E-03	0.
1860	0.5	SLU_ENV	Combination	Min	-90.08	-0.044	3.136E-03	0.
1860	1.	SLU_ENV	Combination	Min	-76.827	-0.044	3.136E-03	0.
1860	0.	SLV_ENV	Combination	Max	-26.166	1.14	0.849	0.
1860	0.5	SLV_ENV	Combination	Max	-16.348	1.14	0.849	0.
1860	1.	SLV_ENV	Combination	Max	-6.531	1.14	0.849	0.
1860	0.	SLV_ENV	Combination	Min	-108.38	-1.2	-0.779	0.
1860	0.5	SLV_ENV	Combination	Min	-98.562	-1.2	-0.779	0.
1860	1.	SLV_ENV	Combination	Min	-88.745	-1.2	-0.779	0.
1861	0.	SLU_ENV	Combination	Max	-87.202	0.082	0.081	0.
1861	0.5	SLU_ENV	Combination	Max	-77.384	0.082	0.081	0.
1861	1.	SLU_ENV	Combination	Max	-67.567	0.082	0.081	0.
1861	0.	SLU_ENV	Combination	Min	-141.794	-0.06	0.016	0.
1861	0.5	SLU_ENV	Combination	Min	-128.541	-0.06	0.016	0.

Table: Element Forces - Frames, Part 1 of 2

Frame	Station	OutputCase	CaseType	StepType	P	V2	V3	T
	m				KN	KN	KN	KN-m
1861	1.	SLU_ENV	Combination	Min	-115.287	-0.06	0.016	0.
1861	0.	SLV_ENV	Combination	Max	-30.472	1.014	0.764	0.
1861	0.5	SLV_ENV	Combination	Max	-20.655	1.014	0.764	0.
1861	1.	SLV_ENV	Combination	Max	-10.837	1.014	0.764	0.
1861	0.	SLV_ENV	Combination	Min	-151.772	-1.097	-0.676	0.
1861	0.5	SLV_ENV	Combination	Min	-141.954	-1.097	-0.676	0.
1861	1.	SLV_ENV	Combination	Min	-132.137	-1.097	-0.676	0.
1862	0.	SLU_ENV	Combination	Max	-109.775	0.057	0.102	0.
1862	0.5	SLU_ENV	Combination	Max	-99.957	0.057	0.102	0.
1862	1.	SLU_ENV	Combination	Max	-90.14	0.057	0.102	0.
1862	0.	SLU_ENV	Combination	Min	-180.307	-0.072	0.014	0.
1862	0.5	SLU_ENV	Combination	Min	-167.053	-0.072	0.014	0.
1862	1.	SLU_ENV	Combination	Min	-153.799	-0.072	0.014	0.
1862	0.	SLV_ENV	Combination	Max	-34.789	0.602	0.94	0.
1862	0.5	SLV_ENV	Combination	Max	-24.971	0.602	0.94	0.
1862	1.	SLV_ENV	Combination	Max	-15.154	0.602	0.94	0.
1862	0.	SLV_ENV	Combination	Min	-195.219	-0.703	-0.843	0.
1862	0.5	SLV_ENV	Combination	Min	-185.401	-0.703	-0.843	0.
1862	1.	SLV_ENV	Combination	Min	-175.584	-0.703	-0.843	0.
1863	0.	SLU_ENV	Combination	Max	-132.388	8.679E-03	0.141	0.
1863	0.5	SLU_ENV	Combination	Max	-122.57	8.679E-03	0.141	0.
1863	1.	SLU_ENV	Combination	Max	-112.753	8.679E-03	0.141	0.
1863	0.	SLU_ENV	Combination	Min	-218.887	-0.079	1.952E-03	0.
1863	0.5	SLU_ENV	Combination	Min	-205.633	-0.079	1.952E-03	0.
1863	1.	SLU_ENV	Combination	Min	-192.379	-0.079	1.952E-03	0.
1863	0.	SLV_ENV	Combination	Max	-39.12	1.138	1.903	0.
1863	0.5	SLV_ENV	Combination	Max	-29.303	1.138	1.903	0.
1863	1.	SLV_ENV	Combination	Max	-19.485	1.138	1.903	0.
1863	0.	SLV_ENV	Combination	Min	-238.736	-1.251	-1.81	0.
1863	0.5	SLV_ENV	Combination	Min	-228.919	-1.251	-1.81	0.
1863	1.	SLV_ENV	Combination	Min	-219.101	-1.251	-1.81	0.
1864	0.	SLU_ENV	Combination	Max	-155.051	0.011	0.184	0.
1864	0.5	SLU_ENV	Combination	Max	-145.233	0.011	0.184	0.
1864	1.	SLU_ENV	Combination	Max	-135.416	0.011	0.184	0.
1864	0.	SLU_ENV	Combination	Min	-257.55	-0.152	-0.017	0.
1864	0.5	SLU_ENV	Combination	Min	-244.296	-0.152	-0.017	0.
1864	1.	SLU_ENV	Combination	Min	-231.043	-0.152	-0.017	0.
1864	0.	SLV_ENV	Combination	Max	-43.469	2.738	3.421	0.
1864	0.5	SLV_ENV	Combination	Max	-33.651	2.738	3.421	0.
1864	1.	SLV_ENV	Combination	Max	-23.834	2.738	3.421	0.
1864	0.	SLV_ENV	Combination	Min	-282.341	-2.856	-3.346	0.
1864	0.5	SLV_ENV	Combination	Min	-272.524	-2.856	-3.346	0.
1864	1.	SLV_ENV	Combination	Min	-262.706	-2.856	-3.346	0.
1865	0.	SLU_ENV	Combination	Max	-177.772	0.015	0.227	0.
1865	0.5	SLU_ENV	Combination	Max	-167.955	0.015	0.227	0.
1865	1.	SLU_ENV	Combination	Max	-158.138	0.015	0.227	0.
1865	0.	SLU_ENV	Combination	Min	-296.312	-0.269	-0.043	0.
1865	0.5	SLU_ENV	Combination	Min	-283.058	-0.269	-0.043	0.
1865	1.	SLU_ENV	Combination	Min	-269.805	-0.269	-0.043	0.
1865	0.	SLV_ENV	Combination	Max	-47.838	4.944	5.391	0.
1865	0.5	SLV_ENV	Combination	Max	-38.021	4.944	5.391	0.
1865	1.	SLV_ENV	Combination	Max	-28.203	4.944	5.391	0.
1865	0.	SLV_ENV	Combination	Min	-326.049	-5.056	-5.351	0.
1865	0.5	SLV_ENV	Combination	Min	-316.232	-5.056	-5.351	0.

Table: Element Forces - Frames, Part 1 of 2

Frame	Station m	OutputCase	CaseType	StepType	P KN	V2 KN	V3 KN	T KN-m
1865	1.	SLV_ENV	Combination	Min	-306.415	-5.056	-5.351	0.
1866	0.	SLU_ENV	Combination	Max	-200.562	0.022	0.268	0.
1866	0.5	SLU_ENV	Combination	Max	-190.745	0.022	0.268	0.
1866	1.	SLU_ENV	Combination	Max	-180.927	0.022	0.268	0.
1866	0.	SLU_ENV	Combination	Min	-335.189	-0.413	-0.076	0.
1866	0.5	SLU_ENV	Combination	Min	-321.935	-0.413	-0.076	0.
1866	1.	SLU_ENV	Combination	Min	-308.682	-0.413	-0.076	0.
1866	0.	SLV_ENV	Combination	Max	-52.231	7.703	7.768	0.
1866	0.5	SLV_ENV	Combination	Max	-42.413	7.703	7.768	0.
1866	1.	SLV_ENV	Combination	Max	-32.596	7.703	7.768	0.
1866	0.	SLV_ENV	Combination	Min	-369.878	-7.795	-7.783	0.
1866	0.5	SLV_ENV	Combination	Min	-360.06	-7.795	-7.783	0.
1866	1.	SLV_ENV	Combination	Min	-350.243	-7.795	-7.783	0.
1867	0.	SLU_ENV	Combination	Max	-223.429	0.033	0.318	0.
1867	0.5	SLU_ENV	Combination	Max	-213.612	0.033	0.318	0.
1867	1.	SLU_ENV	Combination	Max	-203.794	0.033	0.318	0.
1867	0.	SLU_ENV	Combination	Min	-374.196	-0.581	-0.134	0.
1867	0.5	SLU_ENV	Combination	Min	-360.942	-0.581	-0.134	0.
1867	1.	SLU_ENV	Combination	Min	-347.689	-0.581	-0.134	0.
1867	0.	SLV_ENV	Combination	Max	-56.65	10.978	10.496	0.
1867	0.5	SLV_ENV	Combination	Max	-46.833	10.978	10.496	0.
1867	1.	SLV_ENV	Combination	Max	-37.015	10.978	10.496	0.
1867	0.	SLV_ENV	Combination	Min	-413.842	-11.032	-10.589	0.
1867	0.5	SLV_ENV	Combination	Min	-404.025	-11.032	-10.589	0.
1867	1.	SLV_ENV	Combination	Min	-394.207	-11.032	-10.589	0.
1868	0.	SLU_ENV	Combination	Max	-246.383	0.062	0.361	0.
1868	0.5	SLU_ENV	Combination	Max	-236.565	0.062	0.361	0.
1868	1.	SLU_ENV	Combination	Max	-226.748	0.062	0.361	0.
1868	0.	SLU_ENV	Combination	Min	-413.349	-0.778	-0.207	0.
1868	0.5	SLU_ENV	Combination	Min	-400.095	-0.778	-0.207	0.
1868	1.	SLU_ENV	Combination	Min	-386.842	-0.778	-0.207	0.
1868	0.	SLV_ENV	Combination	Max	-61.099	14.695	13.48	0.
1868	0.5	SLV_ENV	Combination	Max	-51.281	14.695	13.48	0.
1868	1.	SLV_ENV	Combination	Max	-41.464	14.695	13.48	0.
1868	0.	SLV_ENV	Combination	Min	-457.96	-14.69	-13.678	0.
1868	0.5	SLV_ENV	Combination	Min	-448.143	-14.69	-13.678	0.
1868	1.	SLV_ENV	Combination	Min	-438.325	-14.69	-13.678	0.
1869	0.	SLU_ENV	Combination	Max	-269.432	0.113	0.39	0.
1869	0.5	SLU_ENV	Combination	Max	-259.614	0.113	0.39	0.
1869	1.	SLU_ENV	Combination	Max	-249.797	0.113	0.39	0.
1869	0.	SLU_ENV	Combination	Min	-452.664	-0.991	-0.294	0.
1869	0.5	SLU_ENV	Combination	Min	-439.411	-0.991	-0.294	0.
1869	1.	SLU_ENV	Combination	Min	-426.157	-0.991	-0.294	0.
1869	0.	SLV_ENV	Combination	Max	-65.58	18.722	16.573	0.
1869	0.5	SLV_ENV	Combination	Max	-55.762	18.722	16.573	0.
1869	1.	SLV_ENV	Combination	Max	-45.945	18.722	16.573	0.
1869	0.	SLV_ENV	Combination	Min	-502.248	-18.63	-16.904	0.
1869	0.5	SLV_ENV	Combination	Min	-492.43	-18.63	-16.904	0.
1869	1.	SLV_ENV	Combination	Min	-482.613	-18.63	-16.904	0.
1870	0.	SLU_ENV	Combination	Max	-292.586	0.193	0.407	0.
1870	0.5	SLU_ENV	Combination	Max	-282.769	0.193	0.407	0.
1870	1.	SLU_ENV	Combination	Max	-272.951	0.193	0.407	0.
1870	0.	SLU_ENV	Combination	Min	-492.157	-1.223	-0.406	0.
1870	0.5	SLU_ENV	Combination	Min	-478.904	-1.223	-0.406	0.

Table: Element Forces - Frames, Part 1 of 2

Frame	Station m	OutputCase	CaseType	StepType	P KN	V2 KN	V3 KN	T KN-m
1870	1.	SLU_ENV	Combination	Min	-465.65	-1.223	-0.406	0.
1870	0.	SLV_ENV	Combination	Max	-70.096	22.846	19.555	0.
1870	0.5	SLV_ENV	Combination	Max	-60.279	22.846	19.555	0.
1870	1.	SLV_ENV	Combination	Max	-50.462	22.846	19.555	0.
1870	0.	SLV_ENV	Combination	Min	-546.722	-22.635	-20.049	0.
1870	0.5	SLV_ENV	Combination	Min	-536.904	-22.635	-20.049	0.
1870	1.	SLV_ENV	Combination	Min	-527.087	-22.635	-20.049	0.
1871	0.	SLU_ENV	Combination	Max	-315.855	0.308	0.397	0.
1871	0.5	SLU_ENV	Combination	Max	-306.037	0.308	0.397	0.
1871	1.	SLU_ENV	Combination	Max	-296.22	0.308	0.397	0.
1871	0.	SLU_ENV	Combination	Min	-531.844	-1.472	-0.549	0.
1871	0.5	SLU_ENV	Combination	Min	-518.591	-1.472	-0.549	0.
1871	1.	SLU_ENV	Combination	Min	-505.337	-1.472	-0.549	0.
1871	0.	SLV_ENV	Combination	Max	-74.651	26.75	22.12	0.
1871	0.5	SLV_ENV	Combination	Max	-64.834	26.75	22.12	0.
1871	1.	SLV_ENV	Combination	Max	-55.016	26.75	22.12	0.
1871	0.	SLV_ENV	Combination	Min	-591.399	-26.383	-22.806	0.
1871	0.5	SLV_ENV	Combination	Min	-581.582	-26.383	-22.806	0.
1871	1.	SLV_ENV	Combination	Min	-571.764	-26.383	-22.806	0.
1872	0.	SLU_ENV	Combination	Max	-339.248	0.449	0.357	0.
1872	0.5	SLU_ENV	Combination	Max	-329.43	0.449	0.357	0.
1872	1.	SLU_ENV	Combination	Max	-319.613	0.449	0.357	0.
1872	0.	SLU_ENV	Combination	Min	-571.741	-1.694	-0.715	0.
1872	0.5	SLU_ENV	Combination	Min	-558.488	-1.694	-0.715	0.
1872	1.	SLU_ENV	Combination	Min	-545.234	-1.694	-0.715	0.
1872	0.	SLV_ENV	Combination	Max	-79.248	29.997	23.873	0.
1872	0.5	SLV_ENV	Combination	Max	-69.43	29.997	23.873	0.
1872	1.	SLV_ENV	Combination	Max	-59.613	29.997	23.873	0.
1872	0.	SLV_ENV	Combination	Min	-636.297	-29.435	-24.776	0.
1872	0.5	SLV_ENV	Combination	Min	-626.479	-29.435	-24.776	0.
1872	1.	SLV_ENV	Combination	Min	-616.662	-29.435	-24.776	0.
1873	0.	SLU_ENV	Combination	Max	-362.774	0.615	0.277	0.
1873	0.5	SLU_ENV	Combination	Max	-352.956	0.615	0.277	0.
1873	1.	SLU_ENV	Combination	Max	-343.139	0.615	0.277	0.
1873	0.	SLU_ENV	Combination	Min	-611.865	-1.856	-0.936	0.
1873	0.5	SLU_ENV	Combination	Min	-598.611	-1.856	-0.936	0.
1873	1.	SLU_ENV	Combination	Min	-585.357	-1.856	-0.936	0.
1873	0.	SLV_ENV	Combination	Max	-83.888	32.022	24.371	0.
1873	0.5	SLV_ENV	Combination	Max	-74.071	32.022	24.371	0.
1873	1.	SLV_ENV	Combination	Max	-64.253	32.022	24.371	0.
1873	0.	SLV_ENV	Combination	Min	-681.432	-31.225	-25.508	0.
1873	0.5	SLV_ENV	Combination	Min	-671.615	-31.225	-25.508	0.
1873	1.	SLV_ENV	Combination	Min	-661.797	-31.225	-25.508	0.
1874	0.	SLU_ENV	Combination	Max	-386.443	0.801	0.134	0.
1874	0.5	SLU_ENV	Combination	Max	-376.625	0.801	0.134	0.
1874	1.	SLU_ENV	Combination	Max	-366.808	0.801	0.134	0.
1874	0.	SLU_ENV	Combination	Min	-652.23	-1.912	-1.173	0.
1874	0.5	SLU_ENV	Combination	Min	-638.977	-1.912	-1.173	0.
1874	1.	SLU_ENV	Combination	Min	-625.723	-1.912	-1.173	0.
1874	0.	SLV_ENV	Combination	Max	-88.577	32.094	23.133	0.
1874	0.5	SLV_ENV	Combination	Max	-78.759	32.094	23.133	0.
1874	1.	SLV_ENV	Combination	Max	-68.942	32.094	23.133	0.
1874	0.	SLV_ENV	Combination	Min	-726.822	-31.025	-24.506	0.
1874	0.5	SLV_ENV	Combination	Min	-717.004	-31.025	-24.506	0.

Table: Element Forces - Frames, Part 1 of 2

Frame	Station	OutputCase	CaseType	StepType	P	V2	V3	T
	m				KN	KN	KN	KN-m
1874	1.	SLV_ENV	Combination	Min	-707.187	-31.025	-24.506	0.
1875	0.	SLU_ENV	Combination	Max	-410.264	1.003	-0.088	-8.882E-16
1875	0.5	SLU_ENV	Combination	Max	-400.447	1.003	-0.088	-8.882E-16
1875	1.	SLU_ENV	Combination	Max	-390.629	1.003	-0.088	-8.882E-16
1875	0.	SLU_ENV	Combination	Min	-692.854	-1.807	-1.412	-1.199E-15
1875	0.5	SLU_ENV	Combination	Min	-679.601	-1.807	-1.412	-1.199E-15
1875	1.	SLU_ENV	Combination	Min	-666.347	-1.807	-1.412	-1.199E-15
1875	0.	SLV_ENV	Combination	Max	-93.315	29.299	19.487	2.002E-13
1875	0.5	SLV_ENV	Combination	Max	-83.498	29.299	19.487	2.002E-13
1875	1.	SLV_ENV	Combination	Max	-73.68	29.299	19.487	2.002E-13
1875	0.	SLV_ENV	Combination	Min	-772.483	-27.928	-21.076	-2.020E-13
1875	0.5	SLV_ENV	Combination	Min	-762.665	-27.928	-21.076	-2.020E-13
1875	1.	SLV_ENV	Combination	Min	-752.848	-27.928	-21.076	-2.020E-13
1876	0.	SLU_ENV	Combination	Max	-434.248	1.21	-0.346	0.
1876	0.5	SLU_ENV	Combination	Max	-424.43	1.21	-0.346	0.
1876	1.	SLU_ENV	Combination	Max	-414.613	1.21	-0.346	0.
1876	0.	SLU_ENV	Combination	Min	-733.754	-1.472	-1.629	0.
1876	0.5	SLU_ENV	Combination	Min	-720.5	-1.472	-1.629	0.
1876	1.	SLU_ENV	Combination	Min	-707.247	-1.472	-1.629	0.
1876	0.	SLV_ENV	Combination	Max	-98.108	22.652	13.216	3.259E-15
1876	0.5	SLV_ENV	Combination	Max	-88.29	22.652	13.216	3.259E-15
1876	1.	SLV_ENV	Combination	Max	-78.473	22.652	13.216	3.259E-15
1876	0.	SLV_ENV	Combination	Min	-818.433	-20.967	-14.971	-3.259E-15
1876	0.5	SLV_ENV	Combination	Min	-808.616	-20.967	-14.971	-3.259E-15
1876	1.	SLV_ENV	Combination	Min	-798.798	-20.967	-14.971	-3.259E-15
1877	0.	SLU_ENV	Combination	Max	-458.403	1.399	-0.204	0.
1877	0.5	SLU_ENV	Combination	Max	-448.586	1.399	-0.204	0.
1877	1.	SLU_ENV	Combination	Max	-438.768	1.399	-0.204	0.
1877	0.	SLU_ENV	Combination	Min	-774.945	-0.824	-2.142	0.
1877	0.5	SLU_ENV	Combination	Min	-761.691	-0.824	-2.142	0.
1877	1.	SLU_ENV	Combination	Min	-748.438	-0.824	-2.142	0.
1877	0.	SLV_ENV	Combination	Max	-102.957	12.119	10.802	1.830E-15
1877	0.5	SLV_ENV	Combination	Max	-93.14	12.119	10.802	1.830E-15
1877	1.	SLV_ENV	Combination	Max	-83.322	12.119	10.802	1.830E-15
1877	0.	SLV_ENV	Combination	Min	-864.69	-10.129	-12.633	-1.830E-15
1877	0.5	SLV_ENV	Combination	Min	-854.872	-10.129	-12.633	-1.830E-15
1877	1.	SLV_ENV	Combination	Min	-845.055	-10.129	-12.633	-1.830E-15
1878	0.	SLU_ENV	Combination	Max	-482.74	1.595	0.03	0.
1878	0.5	SLU_ENV	Combination	Max	-472.923	1.595	0.03	0.
1878	1.	SLU_ENV	Combination	Max	-463.105	1.595	0.03	0.
1878	0.	SLU_ENV	Combination	Min	-816.444	-0.178	-2.938	-2.398E-15
1878	0.5	SLU_ENV	Combination	Min	-803.191	-0.178	-2.938	-2.398E-15
1878	1.	SLU_ENV	Combination	Min	-789.937	-0.178	-2.938	-2.398E-15
1878	0.	SLV_ENV	Combination	Max	-107.866	16.567	25.877	1.456E-14
1878	0.5	SLV_ENV	Combination	Max	-98.049	16.567	25.877	1.456E-14
1878	1.	SLV_ENV	Combination	Max	-88.231	16.567	25.877	1.456E-14
1878	0.	SLV_ENV	Combination	Min	-911.27	-14.319	-27.639	-1.456E-14
1878	0.5	SLV_ENV	Combination	Min	-901.453	-14.319	-27.639	-1.456E-14
1878	1.	SLV_ENV	Combination	Min	-891.635	-14.319	-27.639	-1.456E-14
1879	0.	SLU_ENV	Combination	Max	-507.269	3.281	0.377	0.
1879	0.5	SLU_ENV	Combination	Max	-497.451	3.281	0.377	0.
1879	1.	SLU_ENV	Combination	Max	-487.634	3.281	0.377	0.
1879	0.	SLU_ENV	Combination	Min	-858.269	-0.238	-3.839	-4.796E-15
1879	0.5	SLU_ENV	Combination	Min	-845.015	-0.238	-3.839	-4.796E-15

Table: Element Forces - Frames, Part 1 of 2

Frame	Station m	OutputCase	CaseType	StepType	P KN	V2 KN	V3 KN	T KN-m
1879	1.	SLU_ENV	Combination	Min	-831.762	-0.238	-3.839	-4.796E-15
1879	0.	SLV_ENV	Combination	Max	-112.838	43.407	51.525	4.476E-14
1879	0.5	SLV_ENV	Combination	Max	-103.021	43.407	51.525	4.476E-14
1879	1.	SLV_ENV	Combination	Max	-93.203	43.407	51.525	4.476E-14
1879	0.	SLV_ENV	Combination	Min	-958.192	-40.992	-53.011	-4.476E-14
1879	0.5	SLV_ENV	Combination	Min	-948.375	-40.992	-53.011	-4.476E-14
1879	1.	SLV_ENV	Combination	Min	-938.557	-40.992	-53.011	-4.476E-14
1880	0.	SLU_ENV	Combination	Max	-531.999	5.544	0.862	1.499E-15
1880	0.5	SLU_ENV	Combination	Max	-522.181	5.544	0.862	1.499E-15
1880	1.	SLU_ENV	Combination	Max	-512.364	5.544	0.862	1.499E-15
1880	0.	SLU_ENV	Combination	Min	-900.436	-0.318	-4.81	8.882E-16
1880	0.5	SLU_ENV	Combination	Min	-887.182	-0.318	-4.81	8.882E-16
1880	1.	SLU_ENV	Combination	Min	-873.929	-0.318	-4.81	8.882E-16
1880	0.	SLV_ENV	Combination	Max	-117.877	81.032	86.122	3.841E-13
1880	0.5	SLV_ENV	Combination	Max	-108.06	81.032	86.122	3.841E-13
1880	1.	SLV_ENV	Combination	Max	-98.242	81.032	86.122	3.841E-13
1880	0.	SLV_ENV	Combination	Min	-1005.473	-78.608	-87.05	-3.819E-13
1880	0.5	SLV_ENV	Combination	Min	-995.656	-78.608	-87.05	-3.819E-13
1880	1.	SLV_ENV	Combination	Min	-985.838	-78.608	-87.05	-3.819E-13
1881	0.	SLU_ENV	Combination	Max	-556.94	8.384	1.502	8.993E-16
1881	0.5	SLU_ENV	Combination	Max	-547.123	8.384	1.502	8.993E-16
1881	1.	SLU_ENV	Combination	Max	-537.305	8.384	1.502	8.993E-16
1881	0.	SLU_ENV	Combination	Min	-942.962	-0.45	-5.787	8.882E-16
1881	0.5	SLU_ENV	Combination	Min	-929.708	-0.45	-5.787	8.882E-16
1881	1.	SLU_ENV	Combination	Min	-916.455	-0.45	-5.787	8.882E-16
1881	0.	SLV_ENV	Combination	Max	-122.985	129.67	129.944	1.923E-13
1881	0.5	SLV_ENV	Combination	Max	-113.168	129.67	129.944	1.923E-13
1881	1.	SLV_ENV	Combination	Max	-103.35	129.67	129.944	1.923E-13
1881	0.	SLV_ENV	Combination	Min	-1053.132	-127.468	-129.945	-1.910E-13
1881	0.5	SLV_ENV	Combination	Min	-1043.314	-127.468	-129.945	-1.910E-13
1881	1.	SLV_ENV	Combination	Min	-1033.497	-127.468	-129.945	-1.910E-13
1882	0.	SLU_ENV	Combination	Max	-582.103	11.806	2.51	0.
1882	0.5	SLU_ENV	Combination	Max	-572.286	11.806	2.51	0.
1882	1.	SLU_ENV	Combination	Max	-562.468	11.806	2.51	0.
1882	0.	SLU_ENV	Combination	Min	-985.864	-0.636	-6.875	-2.398E-15
1882	0.5	SLU_ENV	Combination	Min	-972.611	-0.636	-6.875	-2.398E-15
1882	1.	SLU_ENV	Combination	Min	-959.357	-0.636	-6.875	-2.398E-15
1882	0.	SLV_ENV	Combination	Max	-128.166	189.866	183.155	2.149E-13
1882	0.5	SLV_ENV	Combination	Max	-118.349	189.866	183.155	2.149E-13
1882	1.	SLV_ENV	Combination	Max	-108.531	189.866	183.155	2.149E-13
1882	0.	SLV_ENV	Combination	Min	-1101.186	-188.214	-181.769	-2.149E-13
1882	0.5	SLV_ENV	Combination	Min	-1091.368	-188.214	-181.769	-2.149E-13
1882	1.	SLV_ENV	Combination	Min	-1081.551	-188.214	-181.769	-2.149E-13
1883	0.	SLU_ENV	Combination	Max	-607.498	15.875	3.949	2.998E-16
1883	0.5	SLU_ENV	Combination	Max	-597.68	15.875	3.949	2.998E-16
1883	1.	SLU_ENV	Combination	Max	-587.863	15.875	3.949	2.998E-16
1883	0.	SLU_ENV	Combination	Min	-1029.16	-1.059	-8.003	0.
1883	0.5	SLU_ENV	Combination	Min	-1015.907	-1.059	-8.003	0.
1883	1.	SLU_ENV	Combination	Min	-1002.653	-1.059	-8.003	0.
1883	0.	SLV_ENV	Combination	Max	-133.424	261.535	245.293	1.417E-13
1883	0.5	SLV_ENV	Combination	Max	-123.606	261.535	245.293	1.417E-13
1883	1.	SLV_ENV	Combination	Max	-113.789	261.535	245.293	1.417E-13
1883	0.	SLV_ENV	Combination	Min	-1149.653	-260.869	-241.97	-1.413E-13
1883	0.5	SLV_ENV	Combination	Min	-1139.836	-260.869	-241.97	-1.413E-13

Table: Element Forces - Frames, Part 1 of 2

Frame	Station m	OutputCase	CaseType	StepType	P	V2	V3	T
					KN	KN	KN	KN-m
1883	1.	SLV_ENV	Combination	Min	-1130.019	-260.869	-241.97	-1.413E-13
1884	0.	SLU_ENV	Combination	Max	-633.134	20.447	5.715	8.633E-04
1884	0.5	SLU_ENV	Combination	Max	-623.317	20.447	5.715	8.633E-04
1884	1.	SLU_ENV	Combination	Max	-613.499	20.447	5.715	8.633E-04
1884	0.	SLU_ENV	Combination	Min	-1072.868	-1.922	-8.901	-1.252E-04
1884	0.5	SLU_ENV	Combination	Min	-1059.614	-1.922	-8.901	-1.252E-04
1884	1.	SLU_ENV	Combination	Min	-1046.361	-1.922	-8.901	-1.252E-04
1884	0.	SLV_ENV	Combination	Max	-138.752	343.51	314.925	0.0135
1884	0.5	SLV_ENV	Combination	Max	-128.935	343.511	314.925	0.0135
1884	1.	SLV_ENV	Combination	Max	-119.117	343.511	314.925	0.0135
1884	0.	SLV_ENV	Combination	Min	-1198.561	-344.417	-309.032	-0.0133
1884	0.5	SLV_ENV	Combination	Min	-1188.744	-344.417	-309.032	-0.0133
1884	1.	SLV_ENV	Combination	Min	-1178.926	-344.417	-309.032	-0.0133
1921	0.	SLU_ENV	Combination	Max	-38.376	0.055	0.039	0.
1921	0.5	SLU_ENV	Combination	Max	-28.559	0.055	0.039	0.
1921	1.	SLU_ENV	Combination	Max	-18.741	0.055	0.039	0.
1921	0.	SLU_ENV	Combination	Min	-54.43	-0.01	0.013	0.
1921	0.5	SLU_ENV	Combination	Min	-41.177	-0.01	0.013	0.
1921	1.	SLU_ENV	Combination	Min	-27.923	-0.01	0.013	0.
1921	0.	SLV_ENV	Combination	Max	-9.168	0.836	1.057	0.
1921	0.5	SLV_ENV	Combination	Max	0.649	0.836	1.057	0.
1921	1.	SLV_ENV	Combination	Max	10.467	0.836	1.057	0.
1921	0.	SLV_ENV	Combination	Min	-71.334	-0.848	-1.011	0.
1921	0.5	SLV_ENV	Combination	Min	-61.516	-0.848	-1.011	0.
1921	1.	SLV_ENV	Combination	Min	-51.699	-0.848	-1.011	0.
1922	0.	SLU_ENV	Combination	Max	-57.129	0.093	0.078	0.
1922	0.5	SLU_ENV	Combination	Max	-47.312	0.093	0.078	0.
1922	1.	SLU_ENV	Combination	Max	-37.494	0.093	0.078	0.
1922	0.	SLU_ENV	Combination	Min	-82.37	-0.015	0.029	0.
1922	0.5	SLU_ENV	Combination	Min	-69.116	-0.015	0.029	0.
1922	1.	SLU_ENV	Combination	Min	-55.863	-0.015	0.029	0.
1922	0.	SLV_ENV	Combination	Max	-1.022	1.056	1.434	0.
1922	0.5	SLV_ENV	Combination	Max	8.796	1.056	1.434	0.
1922	1.	SLV_ENV	Combination	Max	18.613	1.056	1.434	0.
1922	0.	SLV_ENV	Combination	Min	-120.737	-1.068	-1.34	0.
1922	0.5	SLV_ENV	Combination	Min	-110.919	-1.068	-1.34	0.
1922	1.	SLV_ENV	Combination	Min	-101.102	-1.068	-1.34	0.
1923	0.	SLU_ENV	Combination	Max	-75.901	0.115	0.119	0.
1923	0.5	SLU_ENV	Combination	Max	-66.083	0.115	0.119	0.
1923	1.	SLU_ENV	Combination	Max	-56.266	0.115	0.119	0.
1923	0.	SLU_ENV	Combination	Min	-110.337	-0.013	0.048	0.
1923	0.5	SLU_ENV	Combination	Min	-97.084	-0.013	0.048	0.
1923	1.	SLU_ENV	Combination	Min	-83.83	-0.013	0.048	0.
1923	0.	SLV_ENV	Combination	Max	7.131	0.753	1.212	0.
1923	0.5	SLV_ENV	Combination	Max	16.948	0.753	1.212	0.
1923	1.	SLV_ENV	Combination	Max	26.766	0.753	1.212	0.
1923	0.	SLV_ENV	Combination	Min	-170.187	-0.756	-1.068	0.
1923	0.5	SLV_ENV	Combination	Min	-160.369	-0.756	-1.068	0.
1923	1.	SLV_ENV	Combination	Min	-150.552	-0.756	-1.068	0.
1924	0.	SLU_ENV	Combination	Max	-94.7	0.118	0.16	0.
1924	0.5	SLU_ENV	Combination	Max	-84.882	0.118	0.16	0.
1924	1.	SLU_ENV	Combination	Max	-75.065	0.118	0.16	0.
1924	0.	SLU_ENV	Combination	Min	-138.344	-6.287E-03	0.071	0.
1924	0.5	SLU_ENV	Combination	Min	-125.091	-6.287E-03	0.071	0.

Table: Element Forces - Frames, Part 1 of 2

Frame	Station m	OutputCase	CaseType	StepType	P KN	V2 KN	V3 KN	T KN-m
1924	1.	SLU_ENV	Combination	Min	-111.837	-6.287E-03	0.071	0.
1924	0.	SLV_ENV	Combination	Max	15.286	0.643	0.667	0.
1924	0.5	SLV_ENV	Combination	Max	25.104	0.643	0.667	0.
1924	1.	SLV_ENV	Combination	Max	34.921	0.643	0.667	0.
1924	0.	SLV_ENV	Combination	Min	-219.699	-0.627	-0.471	0.
1924	0.5	SLV_ENV	Combination	Min	-209.881	-0.627	-0.471	0.
1924	1.	SLV_ENV	Combination	Min	-200.064	-0.627	-0.471	0.
1925	0.	SLU_ENV	Combination	Max	-113.533	0.134	0.2	0.
1925	0.5	SLU_ENV	Combination	Max	-103.715	0.134	0.2	0.
1925	1.	SLU_ENV	Combination	Max	-93.898	0.134	0.2	0.
1925	0.	SLU_ENV	Combination	Min	-166.402	-6.298E-05	0.095	0.
1925	0.5	SLU_ENV	Combination	Min	-153.148	-6.298E-05	0.095	0.
1925	1.	SLU_ENV	Combination	Min	-139.895	-6.298E-05	0.095	0.
1925	0.	SLV_ENV	Combination	Max	23.447	2.096	1.783	0.
1925	0.5	SLV_ENV	Combination	Max	33.265	2.096	1.783	0.
1925	1.	SLV_ENV	Combination	Max	43.082	2.096	1.783	0.
1925	0.	SLV_ENV	Combination	Min	-269.29	-2.05	-1.537	0.
1925	0.5	SLV_ENV	Combination	Min	-259.472	-2.05	-1.537	0.
1925	1.	SLV_ENV	Combination	Min	-249.655	-2.05	-1.537	0.
1926	0.	SLU_ENV	Combination	Max	-132.408	0.174	0.239	0.
1926	0.5	SLU_ENV	Combination	Max	-122.59	0.174	0.239	0.
1926	1.	SLU_ENV	Combination	Max	-112.773	0.174	0.239	0.
1926	0.	SLU_ENV	Combination	Min	-194.521	-0.058	0.119	0.
1926	0.5	SLU_ENV	Combination	Min	-181.268	-0.058	0.119	0.
1926	1.	SLU_ENV	Combination	Min	-168.014	-0.058	0.119	0.
1926	0.	SLV_ENV	Combination	Max	31.614	4.286	4.04	0.
1926	0.5	SLV_ENV	Combination	Max	41.432	4.286	4.04	0.
1926	1.	SLV_ENV	Combination	Max	51.249	4.286	4.04	0.
1926	0.	SLV_ENV	Combination	Min	-318.979	-4.2	-3.746	0.
1926	0.5	SLV_ENV	Combination	Min	-309.162	-4.2	-3.746	0.
1926	1.	SLV_ENV	Combination	Min	-299.344	-4.2	-3.746	0.
1927	0.	SLU_ENV	Combination	Max	-151.332	0.215	0.274	0.
1927	0.5	SLU_ENV	Combination	Max	-141.515	0.215	0.274	0.
1927	1.	SLU_ENV	Combination	Max	-131.698	0.215	0.274	0.
1927	0.	SLU_ENV	Combination	Min	-222.714	-0.141	0.14	0.
1927	0.5	SLU_ENV	Combination	Min	-209.461	-0.141	0.14	0.
1927	1.	SLU_ENV	Combination	Min	-196.207	-0.141	0.14	0.
1927	0.	SLV_ENV	Combination	Max	39.79	7.111	6.989	0.
1927	0.5	SLV_ENV	Combination	Max	49.607	7.111	6.989	0.
1927	1.	SLV_ENV	Combination	Max	59.425	7.111	6.989	0.
1927	0.	SLV_ENV	Combination	Min	-368.786	-6.974	-6.656	0.
1927	0.5	SLV_ENV	Combination	Min	-358.968	-6.974	-6.656	0.
1927	1.	SLV_ENV	Combination	Min	-349.151	-6.974	-6.656	0.
1928	0.	SLU_ENV	Combination	Max	-170.314	0.255	0.298	0.
1928	0.5	SLU_ENV	Combination	Max	-160.497	0.255	0.298	0.
1928	1.	SLU_ENV	Combination	Max	-150.68	0.255	0.298	0.
1928	0.	SLU_ENV	Combination	Min	-250.992	-0.248	0.149	0.
1928	0.5	SLU_ENV	Combination	Min	-237.739	-0.248	0.149	0.
1928	1.	SLU_ENV	Combination	Min	-224.485	-0.248	0.149	0.
1928	0.	SLV_ENV	Combination	Max	47.975	10.537	10.596	0.
1928	0.5	SLV_ENV	Combination	Max	57.793	10.537	10.596	0.
1928	1.	SLV_ENV	Combination	Max	67.61	10.537	10.596	0.
1928	0.	SLV_ENV	Combination	Min	-418.727	-10.339	-10.239	0.
1928	0.5	SLV_ENV	Combination	Min	-408.91	-10.339	-10.239	0.

Table: Element Forces - Frames, Part 1 of 2

Frame	Station m	OutputCase	CaseType	StepType	P KN	V2 KN	V3 KN	T KN-m
1928	1.	SLV_ENV	Combination	Min	-399.092	-10.339	-10.239	0.
1929	0.	SLU_ENV	Combination	Max	-189.361	0.292	0.304	0.
1929	0.5	SLU_ENV	Combination	Max	-179.544	0.292	0.304	0.
1929	1.	SLU_ENV	Combination	Max	-169.727	0.292	0.304	0.
1929	0.	SLU_ENV	Combination	Min	-279.366	-0.379	0.145	0.
1929	0.5	SLU_ENV	Combination	Min	-266.113	-0.379	0.145	0.
1929	1.	SLU_ENV	Combination	Min	-252.859	-0.379	0.145	0.
1929	0.	SLV_ENV	Combination	Max	56.173	14.499	14.806	0.
1929	0.5	SLV_ENV	Combination	Max	65.99	14.499	14.806	0.
1929	1.	SLV_ENV	Combination	Max	75.808	14.499	14.806	0.
1929	0.	SLV_ENV	Combination	Min	-468.823	-14.233	-14.45	0.
1929	0.5	SLV_ENV	Combination	Min	-459.005	-14.233	-14.45	0.
1929	1.	SLV_ENV	Combination	Min	-449.188	-14.233	-14.45	0.
1930	0.	SLU_ENV	Combination	Max	-208.481	0.327	0.297	0.
1930	0.5	SLU_ENV	Combination	Max	-198.664	0.327	0.297	0.
1930	1.	SLU_ENV	Combination	Max	-188.846	0.327	0.297	0.
1930	0.	SLU_ENV	Combination	Min	-307.848	-0.532	0.124	0.
1930	0.5	SLU_ENV	Combination	Min	-294.594	-0.532	0.124	0.
1930	1.	SLU_ENV	Combination	Min	-281.341	-0.532	0.124	0.
1930	0.	SLV_ENV	Combination	Max	64.384	18.877	19.507	0.
1930	0.5	SLV_ENV	Combination	Max	74.202	18.877	19.507	0.
1930	1.	SLV_ENV	Combination	Max	84.019	18.877	19.507	0.
1930	0.	SLV_ENV	Combination	Min	-519.091	-18.538	-19.186	0.
1930	0.5	SLV_ENV	Combination	Min	-509.274	-18.538	-19.186	0.
1930	1.	SLV_ENV	Combination	Min	-499.456	-18.538	-19.186	0.
1931	0.	SLU_ENV	Combination	Max	-227.681	0.359	0.264	0.
1931	0.5	SLU_ENV	Combination	Max	-217.864	0.359	0.264	0.
1931	1.	SLU_ENV	Combination	Max	-208.046	0.359	0.264	0.
1931	0.	SLU_ENV	Combination	Min	-336.449	-0.703	0.081	0.
1931	0.5	SLU_ENV	Combination	Min	-323.195	-0.703	0.081	0.
1931	1.	SLU_ENV	Combination	Min	-309.942	-0.703	0.081	0.
1931	0.	SLV_ENV	Combination	Max	72.611	23.47	24.503	0.
1931	0.5	SLV_ENV	Combination	Max	82.429	23.47	24.503	0.
1931	1.	SLV_ENV	Combination	Max	92.246	23.47	24.503	0.
1931	0.	SLV_ENV	Combination	Min	-569.552	-23.058	-24.265	0.
1931	0.5	SLV_ENV	Combination	Min	-559.734	-23.058	-24.265	0.
1931	1.	SLV_ENV	Combination	Min	-549.917	-23.058	-24.265	0.
1932	0.	SLU_ENV	Combination	Max	-246.97	0.387	0.193	0.
1932	0.5	SLU_ENV	Combination	Max	-237.152	0.387	0.193	0.
1932	1.	SLU_ENV	Combination	Max	-227.335	0.387	0.193	0.
1932	0.	SLU_ENV	Combination	Min	-365.181	-0.902	-9.237E-04	0.
1932	0.5	SLU_ENV	Combination	Min	-351.927	-0.902	-9.237E-04	0.
1932	1.	SLU_ENV	Combination	Min	-338.674	-0.902	-9.237E-04	0.
1932	0.	SLV_ENV	Combination	Max	80.856	27.975	29.491	0.
1932	0.5	SLV_ENV	Combination	Max	90.673	27.975	29.491	0.
1932	1.	SLV_ENV	Combination	Max	100.491	27.975	29.491	0.
1932	0.	SLV_ENV	Combination	Min	-620.223	-27.496	-29.4	0.
1932	0.5	SLV_ENV	Combination	Min	-610.406	-27.496	-29.4	0.
1932	1.	SLV_ENV	Combination	Min	-600.588	-27.496	-29.4	0.
1933	0.	SLU_ENV	Combination	Max	-266.354	0.42	0.106	0.
1933	0.5	SLU_ENV	Combination	Max	-256.536	0.42	0.106	0.
1933	1.	SLU_ENV	Combination	Max	-246.719	0.42	0.106	0.
1933	0.	SLU_ENV	Combination	Min	-394.055	-1.159	-0.16	0.
1933	0.5	SLU_ENV	Combination	Min	-380.802	-1.159	-0.16	0.

Table: Element Forces - Frames, Part 1 of 2

Frame	Station	OutputCase	CaseType	StepType	P	V2	V3	T
	m				KN	KN	KN	KN-m
1933	1.	SLU_ENV	Combination	Min	-367.548	-1.159	-0.16	0.
1933	0.	SLV_ENV	Combination	Max	89.12	31.958	34.032	0.
1933	0.5	SLV_ENV	Combination	Max	98.938	31.958	34.032	0.
1933	1.	SLV_ENV	Combination	Max	108.755	31.958	34.032	0.
1933	0.	SLV_ENV	Combination	Min	-671.125	-31.428	-34.168	0.
1933	0.5	SLV_ENV	Combination	Min	-661.307	-31.428	-34.168	0.
1933	1.	SLV_ENV	Combination	Min	-651.49	-31.428	-34.168	0.
1934	0.	SLU_ENV	Combination	Max	-285.842	0.441	-2.716E-03	0.
1934	0.5	SLU_ENV	Combination	Max	-276.025	0.441	-2.716E-03	0.
1934	1.	SLU_ENV	Combination	Max	-266.207	0.441	-2.716E-03	0.
1934	0.	SLU_ENV	Combination	Min	-423.084	-1.425	-0.43	0.
1934	0.5	SLU_ENV	Combination	Min	-409.83	-1.425	-0.43	0.
1934	1.	SLU_ENV	Combination	Min	-396.577	-1.425	-0.43	0.
1934	0.	SLV_ENV	Combination	Max	97.406	34.835	37.53	0.
1934	0.5	SLV_ENV	Combination	Max	107.224	34.835	37.53	0.
1934	1.	SLV_ENV	Combination	Max	117.041	34.835	37.53	0.
1934	0.	SLV_ENV	Combination	Min	-722.275	-34.284	-37.991	0.
1934	0.5	SLV_ENV	Combination	Min	-712.458	-34.284	-37.991	0.
1934	1.	SLV_ENV	Combination	Min	-702.64	-34.284	-37.991	0.
1935	0.	SLU_ENV	Combination	Max	-305.442	0.427	-0.163	0.
1935	0.5	SLU_ENV	Combination	Max	-295.625	0.427	-0.163	0.
1935	1.	SLU_ENV	Combination	Max	-285.807	0.427	-0.163	0.
1935	0.	SLU_ENV	Combination	Min	-452.278	-1.683	-0.79	0.
1935	0.5	SLU_ENV	Combination	Min	-439.025	-1.683	-0.79	0.
1935	1.	SLU_ENV	Combination	Min	-425.771	-1.683	-0.79	0.
1935	0.	SLV_ENV	Combination	Max	105.715	35.854	39.25	1.837E-14
1935	0.5	SLV_ENV	Combination	Max	115.533	35.854	39.25	1.837E-14
1935	1.	SLV_ENV	Combination	Max	125.35	35.854	39.25	1.837E-14
1935	0.	SLV_ENV	Combination	Min	-773.694	-35.326	-40.152	-1.837E-14
1935	0.5	SLV_ENV	Combination	Min	-763.877	-35.326	-40.152	-1.837E-14
1935	1.	SLV_ENV	Combination	Min	-754.059	-35.326	-40.152	-1.837E-14
1936	0.	SLU_ENV	Combination	Max	-325.162	0.378	-0.385	0.
1936	0.5	SLU_ENV	Combination	Max	-315.344	0.378	-0.385	0.
1936	1.	SLU_ENV	Combination	Max	-305.527	0.378	-0.385	0.
1936	0.	SLU_ENV	Combination	Min	-481.651	-1.915	-1.25	0.
1936	0.5	SLU_ENV	Combination	Min	-468.397	-1.915	-1.25	0.
1936	1.	SLU_ENV	Combination	Min	-455.144	-1.915	-1.25	0.
1936	0.	SLV_ENV	Combination	Max	114.05	34.086	38.321	6.109E-15
1936	0.5	SLV_ENV	Combination	Max	123.867	34.086	38.321	6.109E-15
1936	1.	SLV_ENV	Combination	Max	133.685	34.086	38.321	6.109E-15
1936	0.	SLV_ENV	Combination	Min	-825.401	-33.647	-39.793	-6.109E-15
1936	0.5	SLV_ENV	Combination	Min	-815.584	-33.647	-39.793	-6.109E-15
1936	1.	SLV_ENV	Combination	Min	-805.766	-33.647	-39.793	-6.109E-15
1937	0.	SLU_ENV	Combination	Max	-345.009	0.327	-0.674	0.
1937	0.5	SLU_ENV	Combination	Max	-335.192	0.327	-0.674	0.
1937	1.	SLU_ENV	Combination	Max	-325.374	0.327	-0.674	0.
1937	0.	SLU_ENV	Combination	Min	-511.213	-2.125	-1.814	0.
1937	0.5	SLU_ENV	Combination	Min	-497.959	-2.125	-1.814	0.
1937	1.	SLU_ENV	Combination	Min	-484.705	-2.125	-1.814	0.
1937	0.	SLV_ENV	Combination	Max	122.411	28.432	33.504	8.757E-15
1937	0.5	SLV_ENV	Combination	Max	132.229	28.432	33.504	8.757E-15
1937	1.	SLV_ENV	Combination	Max	142.046	28.432	33.504	8.757E-15
1937	0.	SLV_ENV	Combination	Min	-877.415	-28.17	-35.682	-8.757E-15
1937	0.5	SLV_ENV	Combination	Min	-867.598	-28.17	-35.682	-8.757E-15

Table: Element Forces - Frames, Part 1 of 2

Frame	Station m	OutputCase	CaseType	StepType	P KN	V2 KN	V3 KN	T KN-m
1937	1.	SLV_ENV	Combination	Min	-857.78	-28.17	-35.682	-8.757E-15
1938	0.	SLU_ENV	Combination	Max	-364.992	0.225	-1.035	1.199E-15
1938	0.5	SLU_ENV	Combination	Max	-355.175	0.225	-1.035	1.199E-15
1938	1.	SLU_ENV	Combination	Max	-345.357	0.225	-1.035	1.199E-15
1938	0.	SLU_ENV	Combination	Min	-540.976	-2.229	-2.481	-1.510E-15
1938	0.5	SLU_ENV	Combination	Min	-527.723	-2.229	-2.481	-1.510E-15
1938	1.	SLU_ENV	Combination	Min	-514.469	-2.229	-2.481	-1.510E-15
1938	0.	SLV_ENV	Combination	Max	130.802	17.78	23.382	3.048E-13
1938	0.5	SLV_ENV	Combination	Max	140.62	17.78	23.382	3.048E-13
1938	1.	SLV_ENV	Combination	Max	150.437	17.78	23.382	3.048E-13
1938	0.	SLV_ENV	Combination	Min	-929.756	-17.807	-26.401	-3.031E-13
1938	0.5	SLV_ENV	Combination	Min	-919.939	-17.807	-26.401	-3.031E-13
1938	1.	SLV_ENV	Combination	Min	-910.121	-17.807	-26.401	-3.031E-13
1939	0.	SLU_ENV	Combination	Max	-385.119	0.056	-1.468	1.499E-15
1939	0.5	SLU_ENV	Combination	Max	-375.302	0.056	-1.468	1.499E-15
1939	1.	SLU_ENV	Combination	Max	-365.484	0.056	-1.468	1.499E-15
1939	0.	SLU_ENV	Combination	Min	-570.953	-2.163	-3.244	-1.510E-15
1939	0.5	SLU_ENV	Combination	Min	-557.7	-2.163	-3.244	-1.510E-15
1939	1.	SLU_ENV	Combination	Min	-544.446	-2.163	-3.244	-1.510E-15
1939	0.	SLV_ENV	Combination	Max	139.224	6.832	7.834	1.544E-13
1939	0.5	SLV_ENV	Combination	Max	149.041	6.832	7.834	1.544E-13
1939	1.	SLV_ENV	Combination	Max	158.859	6.832	7.834	1.544E-13
1939	0.	SLV_ENV	Combination	Min	-982.444	-7.291	-11.813	-1.522E-13
1939	0.5	SLV_ENV	Combination	Min	-972.626	-7.291	-11.813	-1.522E-13
1939	1.	SLV_ENV	Combination	Min	-962.809	-7.291	-11.813	-1.522E-13
1940	0.	SLU_ENV	Combination	Max	-405.398	0.212	-1.958	0.
1940	0.5	SLU_ENV	Combination	Max	-395.58	0.212	-1.958	0.
1940	1.	SLU_ENV	Combination	Max	-385.763	0.212	-1.958	0.
1940	0.	SLU_ENV	Combination	Min	-601.156	-2.788	-4.073	0.
1940	0.5	SLU_ENV	Combination	Min	-587.903	-2.788	-4.073	0.
1940	1.	SLU_ENV	Combination	Min	-574.649	-2.788	-4.073	0.
1940	0.	SLV_ENV	Combination	Max	147.679	28.719	19.465	1.557E-13
1940	0.5	SLV_ENV	Combination	Max	157.496	28.719	19.465	1.557E-13
1940	1.	SLV_ENV	Combination	Max	167.314	28.719	19.465	1.557E-13
1940	0.	SLV_ENV	Combination	Min	-1035.498	-29.778	-24.488	-1.557E-13
1940	0.5	SLV_ENV	Combination	Min	-1025.68	-29.778	-24.488	-1.557E-13
1940	1.	SLV_ENV	Combination	Min	-1015.863	-29.778	-24.488	-1.557E-13
1941	0.	SLU_ENV	Combination	Max	-425.837	1.312	-2.486	1.499E-15
1941	0.5	SLU_ENV	Combination	Max	-416.019	1.312	-2.486	1.499E-15
1941	1.	SLU_ENV	Combination	Max	-406.202	1.312	-2.486	1.499E-15
1941	0.	SLU_ENV	Combination	Min	-631.597	-3.637	-4.968	-3.908E-15
1941	0.5	SLU_ENV	Combination	Min	-618.344	-3.637	-4.968	-3.908E-15
1941	1.	SLU_ENV	Combination	Min	-605.09	-3.637	-4.968	-3.908E-15
1941	0.	SLV_ENV	Combination	Max	156.169	64.467	55.334	2.098E-13
1941	0.5	SLV_ENV	Combination	Max	165.986	64.467	55.334	2.098E-13
1941	1.	SLV_ENV	Combination	Max	175.804	64.467	55.334	2.098E-13
1941	0.	SLV_ENV	Combination	Min	-1088.938	-66.32	-61.423	-2.076E-13
1941	0.5	SLV_ENV	Combination	Min	-1079.121	-66.32	-61.423	-2.076E-13
1941	1.	SLV_ENV	Combination	Min	-1069.303	-66.32	-61.423	-2.076E-13
1942	0.	SLU_ENV	Combination	Max	-446.444	2.869	-2.979	0.
1942	0.5	SLU_ENV	Combination	Max	-436.627	2.869	-2.979	0.
1942	1.	SLU_ENV	Combination	Max	-426.809	2.869	-2.979	0.
1942	0.	SLU_ENV	Combination	Min	-662.289	-4.554	-5.834	-2.398E-15
1942	0.5	SLU_ENV	Combination	Min	-649.035	-4.554	-5.834	-2.398E-15

Table: Element Forces - Frames, Part 1 of 2

Frame	Station m	OutputCase	CaseType	StepType	P	V2	V3	T
					KN	KN	KN	KN-m
1942	1.	SLU_ENV	Combination	Min	-635.782	-4.554	-5.834	-2.398E-15
1942	0.	SLV_ENV	Combination	Max	164.695	111.82	104.234	1.473E-13
1942	0.5	SLV_ENV	Combination	Max	174.513	111.82	104.234	1.473E-13
1942	1.	SLV_ENV	Combination	Max	184.33	111.82	104.234	1.473E-13
1942	0.	SLV_ENV	Combination	Min	-1142.785	-114.677	-111.319	-1.473E-13
1942	0.5	SLV_ENV	Combination	Min	-1132.968	-114.677	-111.319	-1.473E-13
1942	1.	SLV_ENV	Combination	Min	-1123.15	-114.677	-111.319	-1.473E-13
1943	0.	SLU_ENV	Combination	Max	-467.228	4.917	-3.314	2.698E-15
1943	0.5	SLU_ENV	Combination	Max	-457.411	4.917	-3.314	2.698E-15
1943	1.	SLU_ENV	Combination	Max	-447.593	4.917	-3.314	2.698E-15
1943	0.	SLU_ENV	Combination	Min	-693.243	-5.485	-6.555	-6.217E-16
1943	0.5	SLU_ENV	Combination	Min	-679.989	-5.485	-6.555	-6.217E-16
1943	1.	SLU_ENV	Combination	Min	-666.736	-5.485	-6.555	-6.217E-16
1943	0.	SLV_ENV	Combination	Max	173.261	171.672	166.991	5.033E-13
1943	0.5	SLV_ENV	Combination	Max	183.078	171.672	166.991	5.033E-13
1943	1.	SLV_ENV	Combination	Max	192.896	171.672	166.991	5.033E-13
1943	0.	SLV_ENV	Combination	Min	-1197.059	-175.75	-174.868	-4.993E-13
1943	0.5	SLV_ENV	Combination	Min	-1187.241	-175.75	-174.868	-4.993E-13
1943	1.	SLV_ENV	Combination	Min	-1177.424	-175.75	-174.868	-4.993E-13
1944	0.	SLU_ENV	Combination	Max	-488.198	7.496	-3.407	1.799E-15
1944	0.5	SLU_ENV	Combination	Max	-478.38	7.496	-3.407	1.799E-15
1944	1.	SLU_ENV	Combination	Max	-468.563	7.496	-3.407	1.799E-15
1944	0.	SLU_ENV	Combination	Min	-724.472	-6.387	-6.995	-8.704E-15
1944	0.5	SLU_ENV	Combination	Min	-711.219	-6.387	-6.995	-8.704E-15
1944	1.	SLU_ENV	Combination	Min	-697.965	-6.387	-6.995	-8.704E-15
1944	0.	SLV_ENV	Combination	Max	181.867	244.443	244.434	2.408E-13
1944	0.5	SLV_ENV	Combination	Max	191.684	244.443	244.434	2.408E-13
1944	1.	SLV_ENV	Combination	Max	201.502	244.443	244.434	2.408E-13
1944	0.	SLV_ENV	Combination	Min	-1251.78	-249.946	-252.72	-2.381E-13
1944	0.5	SLV_ENV	Combination	Min	-1241.963	-249.946	-252.72	-2.381E-13
1944	1.	SLV_ENV	Combination	Min	-1232.145	-249.946	-252.72	-2.381E-13
1945	0.	SLU_ENV	Combination	Max	-509.361	10.616	-3.21	2.698E-15
1945	0.5	SLU_ENV	Combination	Max	-499.543	10.616	-3.21	2.698E-15
1945	1.	SLU_ENV	Combination	Max	-489.726	10.616	-3.21	2.698E-15
1945	0.	SLU_ENV	Combination	Min	-755.99	-7.275	-7.113	-5.418E-15
1945	0.5	SLU_ENV	Combination	Min	-742.736	-7.275	-7.113	-5.418E-15
1945	1.	SLU_ENV	Combination	Min	-729.483	-7.275	-7.113	-5.418E-15
1945	0.	SLV_ENV	Combination	Max	190.516	329.626	336.479	5.769E-13
1945	0.5	SLV_ENV	Combination	Max	200.333	329.626	336.479	5.769E-13
1945	1.	SLV_ENV	Combination	Max	210.151	329.626	336.479	5.769E-13
1945	0.	SLV_ENV	Combination	Min	-1306.969	-336.719	-344.561	-5.729E-13
1945	0.5	SLV_ENV	Combination	Min	-1297.152	-336.719	-344.561	-5.729E-13
1945	1.	SLV_ENV	Combination	Min	-1287.334	-336.719	-344.561	-5.729E-13
1946	0.	SLU_ENV	Combination	Max	-530.726	14.236	-2.6	-8.171E-14
1946	0.5	SLU_ENV	Combination	Max	-520.909	14.236	-2.6	-8.171E-14
1946	1.	SLU_ENV	Combination	Max	-511.091	14.236	-2.6	-8.171E-14
1946	0.	SLU_ENV	Combination	Min	-787.808	-8.089	-6.818	-1.268E-13
1946	0.5	SLU_ENV	Combination	Min	-774.554	-8.089	-6.818	-1.268E-13
1946	1.	SLU_ENV	Combination	Min	-761.301	-8.089	-6.818	-1.268E-13
1946	0.	SLV_ENV	Combination	Max	199.21	425.367	441.687	1.590E-12
1946	0.5	SLV_ENV	Combination	Max	209.027	425.367	441.687	1.590E-12
1946	1.	SLV_ENV	Combination	Max	218.845	425.367	441.687	1.590E-12
1946	0.	SLV_ENV	Combination	Min	-1362.647	-434.139	-448.668	-1.771E-12
1946	0.5	SLV_ENV	Combination	Min	-1352.83	-434.139	-448.668	-1.771E-12

Table: Element Forces - Frames, Part 1 of 2

Frame	Station m	OutputCase	CaseType	StepType	P KN	V2 KN	V3 KN	T KN-m
1946	1.	SLV_ENV	Combination	Min	-1343.012	-434.139	-448.668	-1.771E-12
1947	0.	SLU_ENV	Combination	Max	-39.509	0.058	0.031	0.
1947	0.5	SLU_ENV	Combination	Max	-29.692	0.058	0.031	0.
1947	1.	SLU_ENV	Combination	Max	-19.874	0.058	0.031	0.
1947	0.	SLU_ENV	Combination	Min	-56.367	-0.011	7.344E-03	0.
1947	0.5	SLU_ENV	Combination	Min	-43.113	-0.011	7.344E-03	0.
1947	1.	SLU_ENV	Combination	Min	-29.86	-0.011	7.344E-03	0.
1947	0.	SLV_ENV	Combination	Max	-12.214	0.794	1.05	0.
1947	0.5	SLV_ENV	Combination	Max	-2.396	0.794	1.05	0.
1947	1.	SLV_ENV	Combination	Max	7.421	0.794	1.05	0.
1947	0.	SLV_ENV	Combination	Min	-70.955	-0.806	-1.017	0.
1947	0.5	SLV_ENV	Combination	Min	-61.137	-0.806	-1.017	0.
1947	1.	SLV_ENV	Combination	Min	-51.32	-0.806	-1.017	0.
1948	0.	SLU_ENV	Combination	Max	-59.396	0.097	0.058	0.
1948	0.5	SLU_ENV	Combination	Max	-49.578	0.097	0.058	0.
1948	1.	SLU_ENV	Combination	Max	-39.761	0.097	0.058	0.
1948	0.	SLU_ENV	Combination	Min	-86.244	-0.016	0.015	0.
1948	0.5	SLU_ENV	Combination	Min	-72.991	-0.016	0.015	0.
1948	1.	SLU_ENV	Combination	Min	-59.737	-0.016	0.015	0.
1948	0.	SLV_ENV	Combination	Max	-7.347	1.032	1.421	0.
1948	0.5	SLV_ENV	Combination	Max	2.47	1.032	1.421	0.
1948	1.	SLV_ENV	Combination	Max	12.288	1.032	1.421	0.
1948	0.	SLV_ENV	Combination	Min	-119.746	-1.046	-1.357	0.
1948	0.5	SLV_ENV	Combination	Min	-109.928	-1.046	-1.357	0.
1948	1.	SLV_ENV	Combination	Min	-100.111	-1.046	-1.357	0.
1949	0.	SLU_ENV	Combination	Max	-79.302	0.118	0.081	0.
1949	0.5	SLU_ENV	Combination	Max	-69.484	0.118	0.081	0.
1949	1.	SLU_ENV	Combination	Max	-59.667	0.118	0.081	0.
1949	0.	SLU_ENV	Combination	Min	-116.151	-0.014	0.024	0.
1949	0.5	SLU_ENV	Combination	Min	-102.897	-0.014	0.024	0.
1949	1.	SLU_ENV	Combination	Min	-89.644	-0.014	0.024	0.
1949	0.	SLV_ENV	Combination	Max	-2.478	0.78	1.191	0.
1949	0.5	SLV_ENV	Combination	Max	7.339	0.78	1.191	0.
1949	1.	SLV_ENV	Combination	Max	17.157	0.78	1.191	0.
1949	0.	SLV_ENV	Combination	Min	-168.583	-0.785	-1.103	0.
1949	0.5	SLV_ENV	Combination	Min	-158.765	-0.785	-1.103	0.
1949	1.	SLV_ENV	Combination	Min	-148.948	-0.785	-1.103	0.
1950	0.	SLU_ENV	Combination	Max	-99.236	0.119	0.101	0.
1950	0.5	SLU_ENV	Combination	Max	-89.419	0.119	0.101	0.
1950	1.	SLU_ENV	Combination	Max	-79.601	0.119	0.101	0.
1950	0.	SLU_ENV	Combination	Min	-146.099	-6.621E-03	0.032	0.
1950	0.5	SLU_ENV	Combination	Min	-132.846	-6.621E-03	0.032	0.
1950	1.	SLU_ENV	Combination	Min	-119.592	-6.621E-03	0.032	0.
1950	0.	SLV_ENV	Combination	Max	2.39	0.406	0.616	0.
1950	0.5	SLV_ENV	Combination	Max	12.208	0.406	0.616	0.
1950	1.	SLV_ENV	Combination	Max	22.025	0.406	0.616	0.
1950	0.	SLV_ENV	Combination	Min	-217.481	-0.389	-0.508	0.
1950	0.5	SLV_ENV	Combination	Min	-207.663	-0.389	-0.508	0.
1950	1.	SLV_ENV	Combination	Min	-197.846	-0.389	-0.508	0.
1951	0.	SLU_ENV	Combination	Max	-119.207	0.139	0.117	0.
1951	0.5	SLU_ENV	Combination	Max	-109.39	0.139	0.117	0.
1951	1.	SLU_ENV	Combination	Max	-99.572	0.139	0.117	0.
1951	0.	SLU_ENV	Combination	Min	-176.101	-5.907E-03	0.04	0.
1951	0.5	SLU_ENV	Combination	Min	-162.848	-5.907E-03	0.04	0.

Table: Element Forces - Frames, Part 1 of 2

Frame	Station m	OutputCase	CaseType	StepType	P KN	V2 KN	V3 KN	T KN-m
1951	1.	SLU_ENV	Combination	Min	-149.594	-5.907E-03	0.04	0.
1951	0.	SLV_ENV	Combination	Max	7.258	1.624	1.7	0.
1951	0.5	SLV_ENV	Combination	Max	17.076	1.624	1.7	0.
1951	1.	SLV_ENV	Combination	Max	26.893	1.624	1.7	0.
1951	0.	SLV_ENV	Combination	Min	-266.457	-1.575	-1.578	0.
1951	0.5	SLV_ENV	Combination	Min	-256.639	-1.575	-1.578	0.
1951	1.	SLV_ENV	Combination	Min	-246.822	-1.575	-1.578	0.
1952	0.	SLU_ENV	Combination	Max	-139.222	0.183	0.13	0.
1952	0.5	SLU_ENV	Combination	Max	-129.405	0.183	0.13	0.
1952	1.	SLU_ENV	Combination	Max	-119.587	0.183	0.13	0.
1952	0.	SLU_ENV	Combination	Min	-206.17	-0.073	0.045	0.
1952	0.5	SLU_ENV	Combination	Min	-192.916	-0.073	0.045	0.
1952	1.	SLU_ENV	Combination	Min	-179.662	-0.073	0.045	0.
1952	0.	SLV_ENV	Combination	Max	12.125	3.557	3.932	0.
1952	0.5	SLV_ENV	Combination	Max	21.942	3.557	3.932	0.
1952	1.	SLV_ENV	Combination	Max	31.76	3.557	3.932	0.
1952	0.	SLV_ENV	Combination	Min	-315.529	-3.463	-3.805	0.
1952	0.5	SLV_ENV	Combination	Min	-305.711	-3.463	-3.805	0.
1952	1.	SLV_ENV	Combination	Min	-295.894	-3.463	-3.805	0.
1953	0.	SLU_ENV	Combination	Max	-159.29	0.229	0.135	0.
1953	0.5	SLU_ENV	Combination	Max	-149.472	0.229	0.135	0.
1953	1.	SLU_ENV	Combination	Max	-139.655	0.229	0.135	0.
1953	0.	SLU_ENV	Combination	Min	-236.316	-0.167	0.037	0.
1953	0.5	SLU_ENV	Combination	Min	-223.062	-0.167	0.037	0.
1953	1.	SLU_ENV	Combination	Min	-209.809	-0.167	0.037	0.
1953	0.	SLV_ENV	Combination	Max	16.992	6.067	6.85	0.
1953	0.5	SLV_ENV	Combination	Max	26.809	6.067	6.85	0.
1953	1.	SLV_ENV	Combination	Max	36.626	6.067	6.85	0.
1953	0.	SLV_ENV	Combination	Min	-364.716	-5.917	-6.728	0.
1953	0.5	SLV_ENV	Combination	Min	-354.898	-5.917	-6.728	0.
1953	1.	SLV_ENV	Combination	Min	-345.081	-5.917	-6.728	0.
1954	0.	SLU_ENV	Combination	Max	-179.417	0.274	0.132	0.
1954	0.5	SLU_ENV	Combination	Max	-169.6	0.274	0.132	0.
1954	1.	SLU_ENV	Combination	Max	-159.783	0.274	0.132	0.
1954	0.	SLU_ENV	Combination	Min	-266.552	-0.287	0.022	0.
1954	0.5	SLU_ENV	Combination	Min	-253.299	-0.287	0.022	0.
1954	1.	SLU_ENV	Combination	Min	-240.045	-0.287	0.022	0.
1954	0.	SLV_ENV	Combination	Max	21.858	9.131	10.427	0.
1954	0.5	SLV_ENV	Combination	Max	31.676	9.131	10.427	0.
1954	1.	SLV_ENV	Combination	Max	41.493	9.131	10.427	0.
1954	0.	SLV_ENV	Combination	Min	-414.035	-8.914	-10.326	0.
1954	0.5	SLV_ENV	Combination	Min	-404.218	-8.914	-10.326	0.
1954	1.	SLV_ENV	Combination	Min	-394.4	-8.914	-10.326	0.
1955	0.	SLU_ENV	Combination	Max	-199.614	0.316	0.124	0.
1955	0.5	SLU_ENV	Combination	Max	-189.797	0.316	0.124	0.
1955	1.	SLU_ENV	Combination	Max	-179.979	0.316	0.124	0.
1955	0.	SLU_ENV	Combination	Min	-296.891	-0.433	-1.628E-03	0.
1955	0.5	SLU_ENV	Combination	Min	-283.638	-0.433	-1.628E-03	0.
1955	1.	SLU_ENV	Combination	Min	-270.384	-0.433	-1.628E-03	0.
1955	0.	SLV_ENV	Combination	Max	26.725	12.698	14.613	0.
1955	0.5	SLV_ENV	Combination	Max	36.543	12.698	14.613	0.
1955	1.	SLV_ENV	Combination	Max	46.36	12.698	14.613	0.
1955	0.	SLV_ENV	Combination	Min	-463.506	-12.405	-14.55	0.
1955	0.5	SLV_ENV	Combination	Min	-453.689	-12.405	-14.55	0.

Table: Element Forces - Frames, Part 1 of 2

Frame	Station m	OutputCase	CaseType	StepType	P KN	V2 KN	V3 KN	T KN-m
1955	1.	SLV_ENV	Combination	Min	-443.871	-12.405	-14.55	0.
1956	0.	SLU_ENV	Combination	Max	-219.887	0.356	0.102	0.
1956	0.5	SLU_ENV	Combination	Max	-210.07	0.356	0.102	0.
1956	1.	SLU_ENV	Combination	Max	-200.253	0.356	0.102	0.
1956	0.	SLU_ENV	Combination	Min	-327.345	-0.603	-0.036	0.
1956	0.5	SLU_ENV	Combination	Min	-314.092	-0.603	-0.036	0.
1956	1.	SLU_ENV	Combination	Min	-300.838	-0.603	-0.036	0.
1956	0.	SLV_ENV	Combination	Max	31.593	16.668	19.297	0.
1956	0.5	SLV_ENV	Combination	Max	41.41	16.668	19.297	0.
1956	1.	SLV_ENV	Combination	Max	51.228	16.668	19.297	0.
1956	0.	SLV_ENV	Combination	Min	-513.147	-16.294	-19.297	0.
1956	0.5	SLV_ENV	Combination	Min	-503.33	-16.294	-19.297	0.
1956	1.	SLV_ENV	Combination	Min	-493.512	-16.294	-19.297	0.
1957	0.	SLU_ENV	Combination	Max	-240.246	0.392	0.068	0.
1957	0.5	SLU_ENV	Combination	Max	-230.428	0.392	0.068	0.
1957	1.	SLU_ENV	Combination	Max	-220.611	0.392	0.068	0.
1957	0.	SLU_ENV	Combination	Min	-357.926	-0.791	-0.087	0.
1957	0.5	SLU_ENV	Combination	Min	-344.673	-0.791	-0.087	0.
1957	1.	SLU_ENV	Combination	Min	-331.419	-0.791	-0.087	0.
1957	0.	SLV_ENV	Combination	Max	36.462	20.869	24.289	0.
1957	0.5	SLV_ENV	Combination	Max	46.28	20.869	24.289	0.
1957	1.	SLV_ENV	Combination	Max	56.097	20.869	24.289	0.
1957	0.	SLV_ENV	Combination	Min	-562.976	-20.413	-24.38	0.
1957	0.5	SLV_ENV	Combination	Min	-553.159	-20.413	-24.38	0.
1957	1.	SLV_ENV	Combination	Min	-543.341	-20.413	-24.38	0.
1958	0.	SLU_ENV	Combination	Max	-260.698	0.424	0.04	0.
1958	0.5	SLU_ENV	Combination	Max	-250.88	0.424	0.04	0.
1958	1.	SLU_ENV	Combination	Max	-241.063	0.424	0.04	0.
1958	0.	SLU_ENV	Combination	Min	-388.647	-0.991	-0.189	0.
1958	0.5	SLU_ENV	Combination	Min	-375.394	-0.991	-0.189	0.
1958	1.	SLU_ENV	Combination	Min	-362.14	-0.991	-0.189	0.
1958	0.	SLV_ENV	Combination	Max	41.333	25.039	29.293	0.
1958	0.5	SLV_ENV	Combination	Max	51.15	25.039	29.293	0.
1958	1.	SLV_ENV	Combination	Max	60.968	25.039	29.293	0.
1958	0.	SLV_ENV	Combination	Min	-613.012	-24.508	-29.51	0.
1958	0.5	SLV_ENV	Combination	Min	-603.194	-24.508	-29.51	0.
1958	1.	SLV_ENV	Combination	Min	-593.377	-24.508	-29.51	0.
1959	0.	SLU_ENV	Combination	Max	-281.251	0.461	-9.621E-04	0.
1959	0.5	SLU_ENV	Combination	Max	-271.434	0.461	-9.621E-04	0.
1959	1.	SLU_ENV	Combination	Max	-261.616	0.461	-9.621E-04	0.
1959	0.	SLU_ENV	Combination	Min	-419.52	-1.262	-0.325	0.
1959	0.5	SLU_ENV	Combination	Min	-406.266	-1.262	-0.325	0.
1959	1.	SLU_ENV	Combination	Min	-393.013	-1.262	-0.325	0.
1959	0.	SLV_ENV	Combination	Max	46.206	28.797	33.879	0.
1959	0.5	SLV_ENV	Combination	Max	56.023	28.797	33.879	0.
1959	1.	SLV_ENV	Combination	Max	65.841	28.797	33.879	0.
1959	0.	SLV_ENV	Combination	Min	-663.273	-28.209	-34.26	0.
1959	0.5	SLV_ENV	Combination	Min	-653.456	-28.209	-34.26	0.
1959	1.	SLV_ENV	Combination	Min	-643.638	-28.209	-34.26	0.
1960	0.	SLU_ENV	Combination	Max	-301.914	0.485	-0.058	0.
1960	0.5	SLU_ENV	Combination	Max	-292.097	0.485	-0.058	0.
1960	1.	SLU_ENV	Combination	Max	-282.279	0.485	-0.058	0.
1960	0.	SLU_ENV	Combination	Min	-450.557	-1.537	-0.516	0.
1960	0.5	SLU_ENV	Combination	Min	-437.303	-1.537	-0.516	0.

Table: Element Forces - Frames, Part 1 of 2

Frame	Station m	OutputCase	CaseType	StepType	P KN	V2 KN	V3 KN	T KN-m
1960	1.	SLU_ENV	Combination	Min	-424.05	-1.537	-0.516	0.
1960	0.	SLV_ENV	Combination	Max	51.081	31.627	37.457	0.
1960	0.5	SLV_ENV	Combination	Max	60.899	31.627	37.457	0.
1960	1.	SLV_ENV	Combination	Max	70.716	31.627	37.457	0.
1960	0.	SLV_ENV	Combination	Min	-713.779	-31.012	-38.046	0.
1960	0.5	SLV_ENV	Combination	Min	-703.962	-31.012	-38.046	0.
1960	1.	SLV_ENV	Combination	Min	-694.144	-31.012	-38.046	0.
1961	0.	SLU_ENV	Combination	Max	-322.696	0.471	-0.136	0.
1961	0.5	SLU_ENV	Combination	Max	-312.878	0.471	-0.136	0.
1961	1.	SLU_ENV	Combination	Max	-303.061	0.471	-0.136	0.
1961	0.	SLU_ENV	Combination	Min	-481.771	-1.799	-0.748	0.
1961	0.5	SLU_ENV	Combination	Min	-468.518	-1.799	-0.748	0.
1961	1.	SLU_ENV	Combination	Min	-455.264	-1.799	-0.748	0.
1961	0.	SLV_ENV	Combination	Max	55.96	32.859	39.29	0.
1961	0.5	SLV_ENV	Combination	Max	65.777	32.859	39.29	0.
1961	1.	SLV_ENV	Combination	Max	75.594	32.859	39.29	0.
1961	0.	SLV_ENV	Combination	Min	-764.549	-32.267	-40.13	0.
1961	0.5	SLV_ENV	Combination	Min	-754.731	-32.267	-40.13	0.
1961	1.	SLV_ENV	Combination	Min	-744.914	-32.267	-40.13	0.
1962	0.	SLU_ENV	Combination	Max	-343.604	0.404	-0.234	0.
1962	0.5	SLU_ENV	Combination	Max	-333.787	0.404	-0.234	0.
1962	1.	SLU_ENV	Combination	Max	-323.969	0.404	-0.234	0.
1962	0.	SLU_ENV	Combination	Min	-513.175	-2.011	-1.021	0.
1962	0.5	SLU_ENV	Combination	Min	-499.921	-2.011	-1.021	0.
1962	1.	SLU_ENV	Combination	Min	-486.668	-2.011	-1.021	0.
1962	0.	SLV_ENV	Combination	Max	60.841	31.653	38.518	2.736E-13
1962	0.5	SLV_ENV	Combination	Max	70.659	31.653	38.518	2.736E-13
1962	1.	SLV_ENV	Combination	Max	80.476	31.653	38.518	2.736E-13
1962	0.	SLV_ENV	Combination	Min	-815.6	-31.154	-39.649	-2.736E-13
1962	0.5	SLV_ENV	Combination	Min	-805.783	-31.154	-39.649	-2.736E-13
1962	1.	SLV_ENV	Combination	Min	-795.965	-31.154	-39.649	-2.736E-13
1963	0.	SLU_ENV	Combination	Max	-364.647	0.35	-0.355	0.
1963	0.5	SLU_ENV	Combination	Max	-354.83	0.35	-0.355	0.
1963	1.	SLU_ENV	Combination	Max	-345.012	0.35	-0.355	0.
1963	0.	SLU_ENV	Combination	Min	-544.781	-2.207	-1.328	0.
1963	0.5	SLU_ENV	Combination	Min	-531.528	-2.207	-1.328	0.
1963	1.	SLU_ENV	Combination	Min	-518.274	-2.207	-1.328	0.
1963	0.	SLV_ENV	Combination	Max	65.727	26.978	33.934	0.
1963	0.5	SLV_ENV	Combination	Max	75.544	26.978	33.934	0.
1963	1.	SLV_ENV	Combination	Max	85.362	26.978	33.934	0.
1963	0.	SLV_ENV	Combination	Min	-866.953	-26.67	-35.388	0.
1963	0.5	SLV_ENV	Combination	Min	-857.135	-26.67	-35.388	0.
1963	1.	SLV_ENV	Combination	Min	-847.318	-26.67	-35.388	0.
1964	0.	SLU_ENV	Combination	Max	-385.834	0.24	-0.495	0.
1964	0.5	SLU_ENV	Combination	Max	-376.017	0.24	-0.495	0.
1964	1.	SLU_ENV	Combination	Max	-366.199	0.24	-0.495	0.
1964	0.	SLU_ENV	Combination	Min	-576.603	-2.282	-1.658	0.
1964	0.5	SLU_ENV	Combination	Min	-563.349	-2.282	-1.658	0.
1964	1.	SLU_ENV	Combination	Min	-550.096	-2.282	-1.658	0.
1964	0.	SLV_ENV	Combination	Max	70.616	17.656	24.133	6.109E-15
1964	0.5	SLV_ENV	Combination	Max	80.434	17.656	24.133	6.109E-15
1964	1.	SLV_ENV	Combination	Max	90.251	17.656	24.133	6.109E-15
1964	0.	SLV_ENV	Combination	Min	-918.626	-17.662	-25.926	-6.109E-15
1964	0.5	SLV_ENV	Combination	Min	-908.809	-17.662	-25.926	-6.109E-15

Table: Element Forces - Frames, Part 1 of 2

Frame	Station m	OutputCase	CaseType	StepType	P KN	V2 KN	V3 KN	T KN-m
1964	1.	SLV_ENV	Combination	Min	-898.991	-17.662	-25.926	-6.109E-15
1965	0.	SLU_ENV	Combination	Max	-407.174	0.057	-0.649	5.995E-16
1965	0.5	SLU_ENV	Combination	Max	-397.356	0.057	-0.649	5.995E-16
1965	1.	SLU_ENV	Combination	Max	-387.539	0.057	-0.649	5.995E-16
1965	0.	SLU_ENV	Combination	Min	-608.652	-2.169	-1.997	-1.954E-15
1965	0.5	SLU_ENV	Combination	Min	-595.399	-2.169	-1.997	-1.954E-15
1965	1.	SLU_ENV	Combination	Min	-582.145	-2.169	-1.997	-1.954E-15
1965	0.	SLV_ENV	Combination	Max	75.51	3.696	9.219	1.525E-13
1965	0.5	SLV_ENV	Combination	Max	85.328	3.696	9.219	1.525E-13
1965	1.	SLV_ENV	Combination	Max	95.145	3.696	9.219	1.525E-13
1965	0.	SLV_ENV	Combination	Min	-970.64	-4.174	-11.343	-1.516E-13
1965	0.5	SLV_ENV	Combination	Min	-960.822	-4.174	-11.343	-1.516E-13
1965	1.	SLV_ENV	Combination	Min	-951.005	-4.174	-11.343	-1.516E-13
1966	0.	SLU_ENV	Combination	Max	-428.674	0.356	-0.806	0.
1966	0.5	SLU_ENV	Combination	Max	-418.856	0.356	-0.806	0.
1966	1.	SLU_ENV	Combination	Max	-409.039	0.356	-0.806	0.
1966	0.	SLU_ENV	Combination	Min	-640.943	-2.893	-2.346	-2.398E-15
1966	0.5	SLU_ENV	Combination	Min	-627.689	-2.893	-2.346	-2.398E-15
1966	1.	SLU_ENV	Combination	Min	-614.436	-2.893	-2.346	-2.398E-15
1966	0.	SLV_ENV	Combination	Max	80.409	21.712	20.325	2.819E-13
1966	0.5	SLV_ENV	Combination	Max	90.227	21.712	20.325	2.819E-13
1966	1.	SLV_ENV	Combination	Max	100.044	21.712	20.325	2.819E-13
1966	0.	SLV_ENV	Combination	Min	-1023.012	-22.848	-22.735	-2.819E-13
1966	0.5	SLV_ENV	Combination	Min	-1013.195	-22.848	-22.735	-2.819E-13
1966	1.	SLV_ENV	Combination	Min	-1003.378	-22.848	-22.735	-2.819E-13
1967	0.	SLU_ENV	Combination	Max	-450.344	1.626	-0.91	2.998E-16
1967	0.5	SLU_ENV	Combination	Max	-440.526	1.626	-0.91	2.998E-16
1967	1.	SLU_ENV	Combination	Max	-430.709	1.626	-0.91	2.998E-16
1967	0.	SLU_ENV	Combination	Min	-673.488	-3.822	-2.676	0.
1967	0.5	SLU_ENV	Combination	Min	-660.234	-3.822	-2.676	0.
1967	1.	SLU_ENV	Combination	Min	-646.981	-3.822	-2.676	0.
1967	0.	SLV_ENV	Combination	Max	85.314	53.334	56.499	1.440E-13
1967	0.5	SLV_ENV	Combination	Max	95.131	53.334	56.499	1.440E-13
1967	1.	SLV_ENV	Combination	Max	104.949	53.334	56.499	1.440E-13
1967	0.	SLV_ENV	Combination	Min	-1075.764	-55.341	-59.098	-1.435E-13
1967	0.5	SLV_ENV	Combination	Min	-1065.947	-55.341	-59.098	-1.435E-13
1967	1.	SLV_ENV	Combination	Min	-1056.129	-55.341	-59.098	-1.435E-13
1968	0.	SLU_ENV	Combination	Max	-472.192	3.392	-0.815	8.993E-16
1968	0.5	SLU_ENV	Combination	Max	-462.374	3.392	-0.815	8.993E-16
1968	1.	SLU_ENV	Combination	Max	-452.557	3.392	-0.815	8.993E-16
1968	0.	SLU_ENV	Combination	Min	-706.3	-4.839	-2.906	-1.954E-15
1968	0.5	SLU_ENV	Combination	Min	-693.046	-4.839	-2.906	-1.954E-15
1968	1.	SLU_ENV	Combination	Min	-679.793	-4.839	-2.906	-1.954E-15
1968	0.	SLV_ENV	Combination	Max	90.224	95.315	105.7	5.528E-14
1968	0.5	SLV_ENV	Combination	Max	100.041	95.315	105.7	5.528E-14
1968	1.	SLV_ENV	Combination	Max	109.859	95.315	105.7	5.528E-14
1968	0.	SLV_ENV	Combination	Min	-1128.915	-98.429	-108.326	-5.394E-14
1968	0.5	SLV_ENV	Combination	Min	-1119.097	-98.429	-108.326	-5.394E-14
1968	1.	SLV_ENV	Combination	Min	-1109.28	-98.429	-108.326	-5.394E-14
1969	0.	SLU_ENV	Combination	Max	-494.227	5.699	-0.593	5.995E-16
1969	0.5	SLU_ENV	Combination	Max	-484.409	5.699	-0.593	5.995E-16
1969	1.	SLU_ENV	Combination	Max	-474.592	5.699	-0.593	5.995E-16
1969	0.	SLU_ENV	Combination	Min	-739.393	-5.89	-2.963	-4.352E-15
1969	0.5	SLU_ENV	Combination	Min	-726.139	-5.89	-2.963	-4.352E-15

Table: Element Forces - Frames, Part 1 of 2

Frame	Station m	OutputCase	CaseType	StepType	P	V2	V3	T
					KN	KN	KN	KN-m
1969	1.	SLU_ENV	Combination	Min	-712.886	-5.89	-2.963	-4.352E-15
1969	0.	SLV_ENV	Combination	Max	95.14	148.634	168.782	2.180E-13
1969	0.5	SLV_ENV	Combination	Max	104.957	148.634	168.782	2.180E-13
1969	1.	SLV_ENV	Combination	Max	114.775	148.634	168.782	2.180E-13
1969	0.	SLV_ENV	Combination	Min	-1182.484	-153.098	-171.189	-2.171E-13
1969	0.5	SLV_ENV	Combination	Min	-1172.666	-153.098	-171.189	-2.171E-13
1969	1.	SLV_ENV	Combination	Min	-1162.849	-153.098	-171.189	-2.171E-13
1970	0.	SLU_ENV	Combination	Max	-516.458	8.589	-0.202	8.993E-16
1970	0.5	SLU_ENV	Combination	Max	-506.641	8.589	-0.202	8.993E-16
1970	1.	SLU_ENV	Combination	Max	-496.823	8.589	-0.202	8.993E-16
1970	0.	SLU_ENV	Combination	Min	-772.779	-6.922	-2.965	-1.954E-15
1970	0.5	SLU_ENV	Combination	Min	-759.526	-6.922	-2.965	-1.954E-15
1970	1.	SLU_ENV	Combination	Min	-746.272	-6.922	-2.965	-1.954E-15
1970	0.	SLV_ENV	Combination	Max	100.062	213.793	246.541	3.798E-13
1970	0.5	SLV_ENV	Combination	Max	109.879	213.793	246.541	3.798E-13
1970	1.	SLV_ENV	Combination	Max	119.697	213.793	246.541	3.798E-13
1970	0.	SLV_ENV	Combination	Min	-1236.491	-219.834	-248.386	-3.785E-13
1970	0.5	SLV_ENV	Combination	Min	-1226.674	-219.834	-248.386	-3.785E-13
1970	1.	SLV_ENV	Combination	Min	-1216.857	-219.834	-248.386	-3.785E-13
1971	0.	SLU_ENV	Combination	Max	-538.895	12.065	0.402	2.098E-15
1971	0.5	SLU_ENV	Combination	Max	-529.077	12.065	0.402	2.098E-15
1971	1.	SLU_ENV	Combination	Max	-519.26	12.065	0.402	2.098E-15
1971	0.	SLU_ENV	Combination	Min	-806.474	-7.894	-2.709	-3.464E-15
1971	0.5	SLU_ENV	Combination	Min	-793.22	-7.894	-2.709	-3.464E-15
1971	1.	SLU_ENV	Combination	Min	-779.967	-7.894	-2.709	-3.464E-15
1971	0.	SLV_ENV	Combination	Max	104.991	290.466	338.857	2.111E-13
1971	0.5	SLV_ENV	Combination	Max	114.808	290.466	338.857	2.111E-13
1971	1.	SLV_ENV	Combination	Max	124.626	290.466	338.857	2.111E-13
1971	0.	SLV_ENV	Combination	Min	-1290.958	-298.272	-339.677	-2.080E-13
1971	0.5	SLV_ENV	Combination	Min	-1281.141	-298.272	-339.677	-2.080E-13
1971	1.	SLV_ENV	Combination	Min	-1271.323	-298.272	-339.677	-2.080E-13
1972	0.	SLU_ENV	Combination	Max	-561.546	16.077	1.267	-2.665E-14
1972	0.5	SLU_ENV	Combination	Max	-551.728	16.077	1.267	-2.665E-14
1972	1.	SLU_ENV	Combination	Max	-541.911	16.077	1.267	-2.665E-14
1972	0.	SLU_ENV	Combination	Min	-840.489	-8.806	-2.102	-5.306E-14
1972	0.5	SLU_ENV	Combination	Min	-827.236	-8.806	-2.102	-5.306E-14
1972	1.	SLU_ENV	Combination	Min	-813.982	-8.806	-2.102	-5.306E-14
1972	0.	SLV_ENV	Combination	Max	109.927	377.124	444.236	2.006E-12
1972	0.5	SLV_ENV	Combination	Max	119.745	377.124	444.236	2.006E-12
1972	1.	SLV_ENV	Combination	Max	129.562	377.124	444.236	2.006E-12
1972	0.	SLV_ENV	Combination	Min	-1345.904	-386.802	-443.444	-2.078E-12
1972	0.5	SLV_ENV	Combination	Min	-1336.087	-386.802	-443.444	-2.078E-12
1972	1.	SLV_ENV	Combination	Min	-1326.269	-386.802	-443.444	-2.078E-12
1973	0.	SLU_ENV	Combination	Max	-39.995	0.054	0.04	0.
1973	0.5	SLU_ENV	Combination	Max	-30.177	0.054	0.04	0.
1973	1.	SLU_ENV	Combination	Max	-20.36	0.054	0.04	0.
1973	0.	SLU_ENV	Combination	Min	-57.097	-0.011	6.299E-03	0.
1973	0.5	SLU_ENV	Combination	Min	-43.843	-0.011	6.299E-03	0.
1973	1.	SLU_ENV	Combination	Min	-30.59	-0.011	6.299E-03	0.
1973	0.	SLV_ENV	Combination	Max	-21.683	0.82	0.763	0.
1973	0.5	SLV_ENV	Combination	Max	-11.866	0.82	0.763	0.
1973	1.	SLV_ENV	Combination	Max	-2.048	0.82	0.763	0.
1973	0.	SLV_ENV	Combination	Min	-59.54	-0.833	-0.716	0.
1973	0.5	SLV_ENV	Combination	Min	-49.722	-0.833	-0.716	0.

Table: Element Forces - Frames, Part 1 of 2

Frame	Station m	OutputCase	CaseType	StepType	P KN	V2 KN	V3 KN	T KN-m
1973	1.	SLV_ENV	Combination	Min	-39.905	-0.833	-0.716	0.
1974	0.	SLU_ENV	Combination	Max	-60.367	0.091	0.08	0.
1974	0.5	SLU_ENV	Combination	Max	-50.549	0.091	0.08	0.
1974	1.	SLU_ENV	Combination	Max	-40.732	0.091	0.08	0.
1974	0.	SLU_ENV	Combination	Min	-87.704	-0.017	0.019	0.
1974	0.5	SLU_ENV	Combination	Min	-74.451	-0.017	0.019	0.
1974	1.	SLU_ENV	Combination	Min	-61.197	-0.017	0.019	0.
1974	0.	SLV_ENV	Combination	Max	-25.552	1.023	1.053	0.
1974	0.5	SLV_ENV	Combination	Max	-15.734	1.023	1.053	0.
1974	1.	SLV_ENV	Combination	Max	-5.917	1.023	1.053	0.
1974	0.	SLV_ENV	Combination	Min	-97.649	-1.039	-0.959	0.
1974	0.5	SLV_ENV	Combination	Min	-87.832	-1.039	-0.959	0.
1974	1.	SLV_ENV	Combination	Min	-78.014	-1.039	-0.959	0.
1975	0.	SLU_ENV	Combination	Max	-80.759	0.11	0.119	0.
1975	0.5	SLU_ENV	Combination	Max	-70.941	0.11	0.119	0.
1975	1.	SLU_ENV	Combination	Max	-61.124	0.11	0.119	0.
1975	0.	SLU_ENV	Combination	Min	-118.342	-0.018	0.039	0.
1975	0.5	SLU_ENV	Combination	Min	-105.088	-0.018	0.039	0.
1975	1.	SLU_ENV	Combination	Min	-91.835	-0.018	0.039	0.
1975	0.	SLV_ENV	Combination	Max	-29.425	0.712	0.926	0.
1975	0.5	SLV_ENV	Combination	Max	-19.607	0.712	0.926	0.
1975	1.	SLV_ENV	Combination	Max	-9.79	0.712	0.926	0.
1975	0.	SLV_ENV	Combination	Min	-135.796	-0.724	-0.787	0.
1975	0.5	SLV_ENV	Combination	Min	-125.978	-0.724	-0.787	0.
1975	1.	SLV_ENV	Combination	Min	-116.161	-0.724	-0.787	0.
1976	0.	SLU_ENV	Combination	Max	-101.18	0.11	0.157	0.
1976	0.5	SLU_ENV	Combination	Max	-91.363	0.11	0.157	0.
1976	1.	SLU_ENV	Combination	Max	-81.545	0.11	0.157	0.
1976	0.	SLU_ENV	Combination	Min	-149.022	-0.014	0.065	0.
1976	0.5	SLU_ENV	Combination	Min	-135.768	-0.014	0.065	0.
1976	1.	SLU_ENV	Combination	Min	-122.515	-0.014	0.065	0.
1976	0.	SLV_ENV	Combination	Max	-33.308	0.719	0.644	0.
1976	0.5	SLV_ENV	Combination	Max	-23.491	0.719	0.644	0.
1976	1.	SLV_ENV	Combination	Max	-13.673	0.719	0.644	0.
1976	0.	SLV_ENV	Combination	Min	-173.991	-0.717	-0.461	0.
1976	0.5	SLV_ENV	Combination	Min	-164.173	-0.717	-0.461	0.
1976	1.	SLV_ENV	Combination	Min	-154.356	-0.717	-0.461	0.
1977	0.	SLU_ENV	Combination	Max	-121.638	0.126	0.193	0.
1977	0.5	SLU_ENV	Combination	Max	-111.821	0.126	0.193	0.
1977	1.	SLU_ENV	Combination	Max	-102.003	0.126	0.193	0.
1977	0.	SLU_ENV	Combination	Min	-179.757	-0.013	0.093	0.
1977	0.5	SLU_ENV	Combination	Min	-166.503	-0.013	0.093	0.
1977	1.	SLU_ENV	Combination	Min	-153.25	-0.013	0.093	0.
1977	0.	SLV_ENV	Combination	Max	-37.205	2.21	1.28	0.
1977	0.5	SLV_ENV	Combination	Max	-27.387	2.21	1.28	0.
1977	1.	SLV_ENV	Combination	Max	-17.57	2.21	1.28	0.
1977	0.	SLV_ENV	Combination	Min	-212.249	-2.185	-1.057	0.
1977	0.5	SLV_ENV	Combination	Min	-202.431	-2.185	-1.057	0.
1977	1.	SLV_ENV	Combination	Min	-192.614	-2.185	-1.057	0.
1978	0.	SLU_ENV	Combination	Max	-142.141	0.163	0.237	0.
1978	0.5	SLU_ENV	Combination	Max	-132.324	0.163	0.237	0.
1978	1.	SLU_ENV	Combination	Max	-122.507	0.163	0.237	0.
1978	0.	SLU_ENV	Combination	Min	-210.56	-0.076	0.108	0.
1978	0.5	SLU_ENV	Combination	Min	-197.306	-0.076	0.108	0.

Table: Element Forces - Frames, Part 1 of 2

Frame	Station m	OutputCase	CaseType	StepType	P KN	V2 KN	V3 KN	T KN-m
1978	1.	SLU_ENV	Combination	Min	-184.052	-0.076	0.108	0.
1978	0.	SLV_ENV	Combination	Max	-41.118	4.425	2.858	0.
1978	0.5	SLV_ENV	Combination	Max	-31.301	4.425	2.858	0.
1978	1.	SLV_ENV	Combination	Max	-21.483	4.425	2.858	0.
1978	0.	SLV_ENV	Combination	Min	-250.583	-4.366	-2.601	0.
1978	0.5	SLV_ENV	Combination	Min	-240.766	-4.366	-2.601	0.
1978	1.	SLV_ENV	Combination	Min	-230.948	-4.366	-2.601	0.
1979	0.	SLU_ENV	Combination	Max	-162.698	0.2	0.289	0.
1979	0.5	SLU_ENV	Combination	Max	-152.881	0.2	0.289	0.
1979	1.	SLU_ENV	Combination	Max	-143.063	0.2	0.289	0.
1979	0.	SLU_ENV	Combination	Min	-241.442	-0.163	0.118	0.
1979	0.5	SLU_ENV	Combination	Min	-228.188	-0.163	0.118	0.
1979	1.	SLU_ENV	Combination	Min	-214.935	-0.163	0.118	0.
1979	0.	SLV_ENV	Combination	Max	-45.05	7.273	4.91	0.
1979	0.5	SLV_ENV	Combination	Max	-35.233	7.273	4.91	0.
1979	1.	SLV_ENV	Combination	Max	-25.415	7.273	4.91	0.
1979	0.	SLV_ENV	Combination	Min	-289.009	-7.172	-4.631	0.
1979	0.5	SLV_ENV	Combination	Min	-279.191	-7.172	-4.631	0.
1979	1.	SLV_ENV	Combination	Min	-269.374	-7.172	-4.631	0.
1980	0.	SLU_ENV	Combination	Max	-183.317	0.236	0.335	0.
1980	0.5	SLU_ENV	Combination	Max	-173.5	0.236	0.335	0.
1980	1.	SLU_ENV	Combination	Max	-163.682	0.236	0.335	0.
1980	0.	SLU_ENV	Combination	Min	-272.417	-0.275	0.118	0.
1980	0.5	SLU_ENV	Combination	Min	-259.163	-0.275	0.118	0.
1980	1.	SLU_ENV	Combination	Min	-245.91	-0.275	0.118	0.
1980	0.	SLV_ENV	Combination	Max	-49.004	10.718	7.419	0.
1980	0.5	SLV_ENV	Combination	Max	-39.187	10.718	7.419	0.
1980	1.	SLV_ENV	Combination	Max	-29.369	10.718	7.419	0.
1980	0.	SLV_ENV	Combination	Min	-327.54	-10.565	-7.134	0.
1980	0.5	SLV_ENV	Combination	Min	-317.723	-10.565	-7.134	0.
1980	1.	SLV_ENV	Combination	Min	-307.905	-10.565	-7.134	0.
1981	0.	SLU_ENV	Combination	Max	-204.006	0.268	0.37	0.
1981	0.5	SLU_ENV	Combination	Max	-194.189	0.268	0.37	0.
1981	1.	SLU_ENV	Combination	Max	-184.371	0.268	0.37	0.
1981	0.	SLU_ENV	Combination	Min	-303.496	-0.411	0.107	0.
1981	0.5	SLU_ENV	Combination	Min	-290.243	-0.411	0.107	0.
1981	1.	SLU_ENV	Combination	Min	-276.989	-0.411	0.107	0.
1981	0.	SLV_ENV	Combination	Max	-52.983	14.693	10.344	0.
1981	0.5	SLV_ENV	Combination	Max	-43.165	14.693	10.344	0.
1981	1.	SLV_ENV	Combination	Max	-33.348	14.693	10.344	0.
1981	0.	SLV_ENV	Combination	Min	-366.191	-14.48	-10.08	0.
1981	0.5	SLV_ENV	Combination	Min	-356.374	-14.48	-10.08	0.
1981	1.	SLV_ENV	Combination	Min	-346.556	-14.48	-10.08	0.
1982	0.	SLU_ENV	Combination	Max	-224.774	0.299	0.385	0.
1982	0.5	SLU_ENV	Combination	Max	-214.957	0.299	0.385	0.
1982	1.	SLU_ENV	Combination	Max	-205.139	0.299	0.385	0.
1982	0.	SLU_ENV	Combination	Min	-334.694	-0.567	0.081	0.
1982	0.5	SLU_ENV	Combination	Min	-321.44	-0.567	0.081	0.
1982	1.	SLU_ENV	Combination	Min	-308.186	-0.567	0.081	0.
1982	0.	SLV_ENV	Combination	Max	-56.988	19.073	13.607	0.
1982	0.5	SLV_ENV	Combination	Max	-47.171	19.073	13.607	0.
1982	1.	SLV_ENV	Combination	Max	-37.353	19.073	13.607	0.
1982	0.	SLV_ENV	Combination	Min	-404.977	-18.793	-13.397	0.
1982	0.5	SLV_ENV	Combination	Min	-395.16	-18.793	-13.397	0.

Table: Element Forces - Frames, Part 1 of 2

Frame	Station m	OutputCase	CaseType	StepType	P KN	V2 KN	V3 KN	T KN-m
1982	1.	SLV_ENV	Combination	Min	-385.342	-18.793	-13.397	0.
1983	0.	SLU_ENV	Combination	Max	-245.629	0.326	0.371	0.
1983	0.5	SLU_ENV	Combination	Max	-235.811	0.326	0.371	0.
1983	1.	SLU_ENV	Combination	Max	-225.994	0.326	0.371	0.
1983	0.	SLU_ENV	Combination	Min	-366.021	-0.74	0.033	0.
1983	0.5	SLU_ENV	Combination	Min	-352.767	-0.74	0.033	0.
1983	1.	SLU_ENV	Combination	Min	-339.514	-0.74	0.033	0.
1983	0.	SLV_ENV	Combination	Max	-61.023	23.652	17.069	0.
1983	0.5	SLV_ENV	Combination	Max	-51.206	23.652	17.069	0.
1983	1.	SLV_ENV	Combination	Max	-41.388	23.652	17.069	0.
1983	0.	SLV_ENV	Combination	Min	-443.913	-23.302	-16.961	0.
1983	0.5	SLV_ENV	Combination	Min	-434.095	-23.302	-16.961	0.
1983	1.	SLV_ENV	Combination	Min	-424.278	-23.302	-16.961	0.
1984	0.	SLU_ENV	Combination	Max	-266.579	0.351	0.33	0.
1984	0.5	SLU_ENV	Combination	Max	-256.762	0.351	0.33	0.
1984	1.	SLU_ENV	Combination	Max	-246.944	0.351	0.33	0.
1984	0.	SLU_ENV	Combination	Min	-397.491	-0.927	-0.054	0.
1984	0.5	SLU_ENV	Combination	Min	-384.238	-0.927	-0.054	0.
1984	1.	SLU_ENV	Combination	Min	-370.984	-0.927	-0.054	0.
1984	0.	SLV_ENV	Combination	Max	-65.091	28.12	20.519	0.
1984	0.5	SLV_ENV	Combination	Max	-55.273	28.12	20.519	0.
1984	1.	SLV_ENV	Combination	Max	-45.456	28.12	20.519	0.
1984	0.	SLV_ENV	Combination	Min	-483.012	-27.703	-20.571	0.
1984	0.5	SLV_ENV	Combination	Min	-473.195	-27.703	-20.571	0.
1984	1.	SLV_ENV	Combination	Min	-463.377	-27.703	-20.571	0.
1985	0.	SLU_ENV	Combination	Max	-287.633	0.384	0.286	0.
1985	0.5	SLU_ENV	Combination	Max	-277.816	0.384	0.286	0.
1985	1.	SLU_ENV	Combination	Max	-267.998	0.384	0.286	0.
1985	0.	SLU_ENV	Combination	Min	-429.117	-1.18	-0.231	0.
1985	0.5	SLU_ENV	Combination	Min	-415.863	-1.18	-0.231	0.
1985	1.	SLU_ENV	Combination	Min	-402.61	-1.18	-0.231	0.
1985	0.	SLV_ENV	Combination	Max	-69.194	32.039	23.648	0.
1985	0.5	SLV_ENV	Combination	Max	-59.376	32.039	23.648	0.
1985	1.	SLV_ENV	Combination	Max	-49.559	32.039	23.648	0.
1985	0.	SLV_ENV	Combination	Min	-522.29	-31.564	-23.934	0.
1985	0.5	SLV_ENV	Combination	Min	-512.473	-31.564	-23.934	0.
1985	1.	SLV_ENV	Combination	Min	-502.655	-31.564	-23.934	0.
1986	0.	SLU_ENV	Combination	Max	-308.8	0.416	0.2	0.
1986	0.5	SLU_ENV	Combination	Max	-298.982	0.416	0.2	0.
1986	1.	SLU_ENV	Combination	Max	-289.165	0.416	0.2	0.
1986	0.	SLU_ENV	Combination	Min	-460.911	-1.439	-0.501	0.
1986	0.5	SLU_ENV	Combination	Min	-447.657	-1.439	-0.501	0.
1986	1.	SLU_ENV	Combination	Min	-434.404	-1.439	-0.501	0.
1986	0.	SLV_ENV	Combination	Max	-73.334	34.818	26.044	0.
1986	0.5	SLV_ENV	Combination	Max	-63.517	34.818	26.044	0.
1986	1.	SLV_ENV	Combination	Max	-53.7	34.818	26.044	0.
1986	0.	SLV_ENV	Combination	Min	-561.762	-34.303	-26.649	0.
1986	0.5	SLV_ENV	Combination	Min	-551.944	-34.303	-26.649	0.
1986	1.	SLV_ENV	Combination	Min	-542.127	-34.303	-26.649	0.
1987	0.	SLU_ENV	Combination	Max	-330.088	0.422	0.059	0.
1987	0.5	SLU_ENV	Combination	Max	-320.27	0.422	0.059	0.
1987	1.	SLU_ENV	Combination	Max	-310.453	0.422	0.059	0.
1987	0.	SLU_ENV	Combination	Min	-492.886	-1.685	-0.856	0.
1987	0.5	SLU_ENV	Combination	Min	-479.633	-1.685	-0.856	0.

Table: Element Forces - Frames, Part 1 of 2

Frame	Station m	OutputCase	CaseType	StepType	P KN	V2 KN	V3 KN	T KN-m
1987	1.	SLU_ENV	Combination	Min	-466.379	-1.685	-0.856	0.
1987	0.	SLV_ENV	Combination	Max	-77.516	35.699	27.222	0.
1987	0.5	SLV_ENV	Combination	Max	-67.698	35.699	27.222	0.
1987	1.	SLV_ENV	Combination	Max	-57.881	35.699	27.222	0.
1987	0.	SLV_ENV	Combination	Min	-601.442	-35.179	-28.244	0.
1987	0.5	SLV_ENV	Combination	Min	-591.625	-35.179	-28.244	0.
1987	1.	SLV_ENV	Combination	Min	-581.807	-35.179	-28.244	0.
1988	0.	SLU_ENV	Combination	Max	-351.505	0.398	-0.156	0.
1988	0.5	SLU_ENV	Combination	Max	-341.687	0.398	-0.156	0.
1988	1.	SLU_ENV	Combination	Max	-331.87	0.398	-0.156	0.
1988	0.	SLU_ENV	Combination	Min	-525.056	-1.893	-1.302	0.
1988	0.5	SLU_ENV	Combination	Min	-511.802	-1.893	-1.302	0.
1988	1.	SLU_ENV	Combination	Min	-498.549	-1.893	-1.302	0.
1988	0.	SLV_ENV	Combination	Max	-81.741	33.751	26.636	2.381E-13
1988	0.5	SLV_ENV	Combination	Max	-71.923	33.751	26.636	2.381E-13
1988	1.	SLV_ENV	Combination	Max	-62.106	33.751	26.636	2.381E-13
1988	0.	SLV_ENV	Combination	Min	-641.346	-33.275	-28.179	-2.381E-13
1988	0.5	SLV_ENV	Combination	Min	-631.528	-33.275	-28.179	-2.381E-13
1988	1.	SLV_ENV	Combination	Min	-621.711	-33.275	-28.179	-2.381E-13
1989	0.	SLU_ENV	Combination	Max	-373.061	0.381	-0.46	0.
1989	0.5	SLU_ENV	Combination	Max	-363.243	0.381	-0.46	0.
1989	1.	SLU_ENV	Combination	Max	-353.426	0.381	-0.46	0.
1989	0.	SLU_ENV	Combination	Min	-557.433	-2.068	-1.841	0.
1989	0.5	SLU_ENV	Combination	Min	-544.179	-2.068	-1.841	0.
1989	1.	SLU_ENV	Combination	Min	-530.926	-2.068	-1.841	0.
1989	0.	SLV_ENV	Combination	Max	-86.012	27.883	23.381	1.241E-15
1989	0.5	SLV_ENV	Combination	Max	-76.194	27.883	23.381	1.241E-15
1989	1.	SLV_ENV	Combination	Max	-66.377	27.883	23.381	1.241E-15
1989	0.	SLV_ENV	Combination	Min	-681.488	-27.519	-25.551	-1.241E-15
1989	0.5	SLV_ENV	Combination	Min	-671.671	-27.519	-25.551	-1.241E-15
1989	1.	SLV_ENV	Combination	Min	-661.853	-27.519	-25.551	-1.241E-15
1990	0.	SLU_ENV	Combination	Max	-394.763	0.326	-0.868	0.
1990	0.5	SLU_ENV	Combination	Max	-384.946	0.326	-0.868	0.
1990	1.	SLU_ENV	Combination	Max	-375.128	0.326	-0.868	0.
1990	0.	SLU_ENV	Combination	Min	-590.03	-2.124	-2.465	0.
1990	0.5	SLU_ENV	Combination	Min	-576.776	-2.124	-2.465	0.
1990	1.	SLU_ENV	Combination	Min	-563.523	-2.124	-2.465	0.
1990	0.	SLV_ENV	Combination	Max	-90.332	17.059	16.441	3.363E-16
1990	0.5	SLV_ENV	Combination	Max	-80.515	17.059	16.441	3.363E-16
1990	1.	SLV_ENV	Combination	Max	-70.697	17.059	16.441	3.363E-16
1990	0.	SLV_ENV	Combination	Min	-721.884	-16.899	-19.334	-3.363E-16
1990	0.5	SLV_ENV	Combination	Min	-712.067	-16.899	-19.334	-3.363E-16
1990	1.	SLV_ENV	Combination	Min	-702.249	-16.899	-19.334	-3.363E-16
1991	0.	SLU_ENV	Combination	Max	-416.622	0.216	-1.39	2.998E-16
1991	0.5	SLU_ENV	Combination	Max	-406.805	0.216	-1.39	2.998E-16
1991	1.	SLU_ENV	Combination	Max	-396.987	0.216	-1.39	2.998E-16
1991	0.	SLU_ENV	Combination	Min	-622.861	-1.999	-3.16	0.
1991	0.5	SLU_ENV	Combination	Min	-609.607	-1.999	-3.16	0.
1991	1.	SLU_ENV	Combination	Min	-596.353	-1.999	-3.16	0.
1991	0.	SLV_ENV	Combination	Max	-94.704	7.946	5.166	1.378E-13
1991	0.5	SLV_ENV	Combination	Max	-84.887	7.946	5.166	1.378E-13
1991	1.	SLV_ENV	Combination	Max	-75.069	7.946	5.166	1.378E-13
1991	0.	SLV_ENV	Combination	Min	-762.549	-8.108	-8.856	-1.373E-13
1991	0.5	SLV_ENV	Combination	Min	-752.732	-8.108	-8.856	-1.373E-13

Table: Element Forces - Frames, Part 1 of 2

Frame	Station m	OutputCase	CaseType	StepType	P	V2	V3	T
					KN	KN	KN	KN-m
1991	1.	SLV_ENV	Combination	Min	-742.915	-8.108	-8.856	-1.373E-13
1992	0.	SLU_ENV	Combination	Max	-438.645	0.479	-1.881	0.
1992	0.5	SLU_ENV	Combination	Max	-428.828	0.479	-1.881	0.
1992	1.	SLU_ENV	Combination	Max	-419.01	0.479	-1.881	0.
1992	0.	SLU_ENV	Combination	Min	-655.938	-2.613	-3.93	-4.796E-15
1992	0.5	SLU_ENV	Combination	Min	-642.685	-2.613	-3.93	-4.796E-15
1992	1.	SLU_ENV	Combination	Min	-629.431	-2.613	-3.93	-4.796E-15
1992	0.	SLV_ENV	Combination	Max	-99.131	31.12	12.726	2.233E-14
1992	0.5	SLV_ENV	Combination	Max	-89.313	31.12	12.726	2.233E-14
1992	1.	SLV_ENV	Combination	Max	-79.496	31.12	12.726	2.233E-14
1992	0.	SLV_ENV	Combination	Min	-803.499	-31.748	-17.243	-2.233E-14
1992	0.5	SLV_ENV	Combination	Min	-793.681	-31.748	-17.243	-2.233E-14
1992	1.	SLV_ENV	Combination	Min	-783.864	-31.748	-17.243	-2.233E-14
1993	0.	SLU_ENV	Combination	Max	-460.842	1.672	-2.238	1.499E-15
1993	0.5	SLU_ENV	Combination	Max	-451.025	1.672	-2.238	1.499E-15
1993	1.	SLU_ENV	Combination	Max	-441.207	1.672	-2.238	1.499E-15
1993	0.	SLU_ENV	Combination	Min	-689.276	-3.396	-4.944	8.882E-16
1993	0.5	SLU_ENV	Combination	Min	-676.022	-3.396	-4.944	8.882E-16
1993	1.	SLU_ENV	Combination	Min	-662.769	-3.396	-4.944	8.882E-16
1993	0.	SLV_ENV	Combination	Max	-103.615	67.503	38.268	1.621E-13
1993	0.5	SLV_ENV	Combination	Max	-93.798	67.503	38.268	1.621E-13
1993	1.	SLV_ENV	Combination	Max	-83.98	67.503	38.268	1.621E-13
1993	0.	SLV_ENV	Combination	Min	-844.748	-68.766	-43.578	-1.599E-13
1993	0.5	SLV_ENV	Combination	Min	-834.931	-68.766	-43.578	-1.599E-13
1993	1.	SLV_ENV	Combination	Min	-825.113	-68.766	-43.578	-1.599E-13
1994	0.	SLU_ENV	Combination	Max	-483.222	3.333	-2.516	2.998E-16
1994	0.5	SLU_ENV	Combination	Max	-473.405	3.333	-2.516	2.998E-16
1994	1.	SLU_ENV	Combination	Max	-463.587	3.333	-2.516	2.998E-16
1994	0.	SLU_ENV	Combination	Min	-722.887	-4.238	-6.113	-4.796E-15
1994	0.5	SLU_ENV	Combination	Min	-709.634	-4.238	-6.113	-4.796E-15
1994	1.	SLU_ENV	Combination	Min	-696.38	-4.238	-6.113	-4.796E-15
1994	0.	SLV_ENV	Combination	Max	-108.161	115.555	72.591	3.790E-13
1994	0.5	SLV_ENV	Combination	Max	-98.343	115.555	72.591	3.790E-13
1994	1.	SLV_ENV	Combination	Max	-88.526	115.555	72.591	3.790E-13
1994	0.	SLV_ENV	Combination	Min	-886.313	-117.642	-78.563	-3.786E-13
1994	0.5	SLV_ENV	Combination	Min	-876.496	-117.642	-78.563	-3.786E-13
1994	1.	SLV_ENV	Combination	Min	-866.678	-117.642	-78.563	-3.786E-13
1995	0.	SLU_ENV	Combination	Max	-505.793	5.493	-2.653	1.199E-15
1995	0.5	SLU_ENV	Combination	Max	-495.976	5.493	-2.653	1.199E-15
1995	1.	SLU_ENV	Combination	Max	-486.158	5.493	-2.653	1.199E-15
1995	0.	SLU_ENV	Combination	Min	-756.786	-5.085	-7.26	-3.908E-15
1995	0.5	SLU_ENV	Combination	Min	-743.532	-5.085	-7.26	-3.908E-15
1995	1.	SLU_ENV	Combination	Min	-730.279	-5.085	-7.26	-3.908E-15
1995	0.	SLV_ENV	Combination	Max	-112.769	176.121	116.673	3.531E-13
1995	0.5	SLV_ENV	Combination	Max	-102.952	176.121	116.673	3.531E-13
1995	1.	SLV_ENV	Combination	Max	-93.134	176.121	116.673	3.531E-13
1995	0.	SLV_ENV	Combination	Min	-928.209	-179.237	-123.049	-3.514E-13
1995	0.5	SLV_ENV	Combination	Min	-918.391	-179.237	-123.049	-3.514E-13
1995	1.	SLV_ENV	Combination	Min	-908.574	-179.237	-123.049	-3.514E-13
1996	0.	SLU_ENV	Combination	Max	-528.565	8.184	-2.598	1.799E-15
1996	0.5	SLU_ENV	Combination	Max	-518.748	8.184	-2.598	1.799E-15
1996	1.	SLU_ENV	Combination	Max	-508.93	8.184	-2.598	1.799E-15
1996	0.	SLU_ENV	Combination	Min	-790.986	-5.892	-8.261	8.882E-16
1996	0.5	SLU_ENV	Combination	Min	-777.732	-5.892	-8.261	8.882E-16

Table: Element Forces - Frames, Part 1 of 2

Frame	Station m	OutputCase	CaseType	StepType	P KN	V2 KN	V3 KN	T KN-m
1996	1.	SLU_ENV	Combination	Min	-764.478	-5.892	-8.261	8.882E-16
1996	0.	SLV_ENV	Combination	Max	-117.444	249.557	171.128	3.485E-13
1996	0.5	SLV_ENV	Combination	Max	-107.627	249.557	171.128	3.485E-13
1996	1.	SLV_ENV	Combination	Max	-97.809	249.557	171.128	3.485E-13
1996	0.	SLV_ENV	Combination	Min	-970.452	-253.904	-177.48	-3.459E-13
1996	0.5	SLV_ENV	Combination	Min	-960.634	-253.904	-177.48	-3.459E-13
1996	1.	SLV_ENV	Combination	Min	-950.817	-253.904	-177.48	-3.459E-13
1997	0.	SLU_ENV	Combination	Max	-551.547	11.401	-2.26	2.998E-15
1997	0.5	SLU_ENV	Combination	Max	-541.73	11.401	-2.26	2.998E-15
1997	1.	SLU_ENV	Combination	Max	-531.913	11.401	-2.26	2.998E-15
1997	0.	SLU_ENV	Combination	Min	-825.5	-6.666	-8.944	-7.816E-15
1997	0.5	SLU_ENV	Combination	Min	-812.247	-6.666	-8.944	-7.816E-15
1997	1.	SLU_ENV	Combination	Min	-798.993	-6.666	-8.944	-7.816E-15
1997	0.	SLV_ENV	Combination	Max	-122.189	335.269	235.924	5.077E-13
1997	0.5	SLV_ENV	Combination	Max	-112.371	335.269	235.924	5.077E-13
1997	1.	SLV_ENV	Combination	Max	-102.554	335.269	235.924	5.077E-13
1997	0.	SLV_ENV	Combination	Min	-1013.058	-341.03	-241.614	-5.032E-13
1997	0.5	SLV_ENV	Combination	Min	-1003.24	-341.03	-241.614	-5.032E-13
1997	1.	SLV_ENV	Combination	Min	-993.423	-341.03	-241.614	-5.032E-13
1998	0.	SLU_ENV	Combination	Max	-574.749	15.092	-1.523	-6.750E-14
1998	0.5	SLU_ENV	Combination	Max	-564.931	15.092	-1.523	-6.750E-14
1998	1.	SLU_ENV	Combination	Max	-555.114	15.092	-1.523	-6.750E-14
1998	0.	SLU_ENV	Combination	Min	-860.344	-7.364	-9.106	-1.340E-13
1998	0.5	SLU_ENV	Combination	Min	-847.09	-7.364	-9.106	-1.340E-13
1998	1.	SLU_ENV	Combination	Min	-833.837	-7.364	-9.106	-1.340E-13
1998	0.	SLV_ENV	Combination	Max	-127.006	431.29	310.073	1.434E-12
1998	0.5	SLV_ENV	Combination	Max	-117.189	431.29	310.073	1.434E-12
1998	1.	SLV_ENV	Combination	Max	-107.371	431.29	310.073	1.434E-12
1998	0.	SLV_ENV	Combination	Min	-1056.043	-438.598	-314.214	-1.590E-12
1998	0.5	SLV_ENV	Combination	Min	-1046.225	-438.598	-314.214	-1.590E-12
1998	1.	SLV_ENV	Combination	Min	-1036.408	-438.598	-314.214	-1.590E-12
1999	0.	SLU_ENV	Combination	Max	-40.9	0.056	0.035	0.
1999	0.5	SLU_ENV	Combination	Max	-31.082	0.056	0.035	0.
1999	1.	SLU_ENV	Combination	Max	-21.265	0.056	0.035	0.
1999	0.	SLU_ENV	Combination	Min	-59.407	-0.012	1.426E-03	0.
1999	0.5	SLU_ENV	Combination	Min	-46.153	-0.012	1.426E-03	0.
1999	1.	SLU_ENV	Combination	Min	-32.9	-0.012	1.426E-03	0.
1999	0.	SLV_ENV	Combination	Max	-25.97	0.789	0.734	0.
1999	0.5	SLV_ENV	Combination	Max	-16.152	0.789	0.734	0.
1999	1.	SLV_ENV	Combination	Max	-6.335	0.789	0.734	0.
1999	0.	SLV_ENV	Combination	Min	-57.908	-0.804	-0.695	0.
1999	0.5	SLV_ENV	Combination	Min	-48.09	-0.804	-0.695	0.
1999	1.	SLV_ENV	Combination	Min	-38.273	-0.804	-0.695	0.
2000	0.	SLU_ENV	Combination	Max	-62.177	0.094	0.066	0.
2000	0.5	SLU_ENV	Combination	Max	-52.36	0.094	0.066	0.
2000	1.	SLU_ENV	Combination	Max	-42.542	0.094	0.066	0.
2000	0.	SLU_ENV	Combination	Min	-92.325	-0.019	6.904E-03	0.
2000	0.5	SLU_ENV	Combination	Min	-79.072	-0.019	6.904E-03	0.
2000	1.	SLU_ENV	Combination	Min	-65.818	-0.019	6.904E-03	0.
2000	0.	SLV_ENV	Combination	Max	-35.835	1.019	0.988	0.
2000	0.5	SLV_ENV	Combination	Max	-26.018	1.019	0.988	0.
2000	1.	SLV_ENV	Combination	Max	-16.201	1.019	0.988	0.
2000	0.	SLV_ENV	Combination	Min	-92.675	-1.039	-0.915	0.
2000	0.5	SLV_ENV	Combination	Min	-82.857	-1.039	-0.915	0.

Table: Element Forces - Frames, Part 1 of 2

Frame	Station m	OutputCase	CaseType	StepType	P KN	V2 KN	V3 KN	T KN-m
2000	1.	SLV_ENV	Combination	Min	-73.04	-1.039	-0.915	0.
2001	0.	SLU_ENV	Combination	Max	-83.476	0.111	0.094	0.
2001	0.5	SLU_ENV	Combination	Max	-73.659	0.111	0.094	0.
2001	1.	SLU_ENV	Combination	Max	-63.841	0.111	0.094	0.
2001	0.	SLU_ENV	Combination	Min	-125.276	-0.02	0.016	0.
2001	0.5	SLU_ENV	Combination	Min	-112.022	-0.02	0.016	0.
2001	1.	SLU_ENV	Combination	Min	-98.769	-0.02	0.016	0.
2001	0.	SLV_ENV	Combination	Max	-45.713	0.755	0.82	0.
2001	0.5	SLV_ENV	Combination	Max	-35.895	0.755	0.82	0.
2001	1.	SLV_ENV	Combination	Max	-26.078	0.755	0.82	0.
2001	0.	SLV_ENV	Combination	Min	-127.475	-0.769	-0.718	0.
2001	0.5	SLV_ENV	Combination	Min	-117.657	-0.769	-0.718	0.
2001	1.	SLV_ENV	Combination	Min	-107.84	-0.769	-0.718	0.
2002	0.	SLU_ENV	Combination	Max	-104.805	0.109	0.119	0.
2002	0.5	SLU_ENV	Combination	Max	-94.987	0.109	0.119	0.
2002	1.	SLU_ENV	Combination	Max	-85.17	0.109	0.119	0.
2002	0.	SLU_ENV	Combination	Min	-158.272	-0.016	0.03	0.
2002	0.5	SLU_ENV	Combination	Min	-145.018	-0.016	0.03	0.
2002	1.	SLU_ENV	Combination	Min	-131.765	-0.016	0.03	0.
2002	0.	SLV_ENV	Combination	Max	-55.61	0.393	0.612	0.
2002	0.5	SLV_ENV	Combination	Max	-45.792	0.393	0.612	0.
2002	1.	SLV_ENV	Combination	Max	-35.975	0.393	0.612	0.
2002	0.	SLV_ENV	Combination	Min	-162.318	-0.393	-0.486	0.
2002	0.5	SLV_ENV	Combination	Min	-152.5	-0.393	-0.486	0.
2002	1.	SLV_ENV	Combination	Min	-142.683	-0.393	-0.486	0.
2003	0.	SLU_ENV	Combination	Max	-126.171	0.13	0.138	0.
2003	0.5	SLU_ENV	Combination	Max	-116.354	0.13	0.138	0.
2003	1.	SLU_ENV	Combination	Max	-106.537	0.13	0.138	0.
2003	0.	SLU_ENV	Combination	Min	-191.326	-0.024	0.046	0.
2003	0.5	SLU_ENV	Combination	Min	-178.073	-0.024	0.046	0.
2003	1.	SLU_ENV	Combination	Min	-164.819	-0.024	0.046	0.
2003	0.	SLV_ENV	Combination	Max	-65.532	1.636	1.426	0.
2003	0.5	SLV_ENV	Combination	Max	-55.714	1.636	1.426	0.
2003	1.	SLV_ENV	Combination	Max	-45.897	1.636	1.426	0.
2003	0.	SLV_ENV	Combination	Min	-197.215	-1.611	-1.285	0.
2003	0.5	SLV_ENV	Combination	Min	-187.398	-1.611	-1.285	0.
2003	1.	SLV_ENV	Combination	Min	-177.58	-1.611	-1.285	0.
2004	0.	SLU_ENV	Combination	Max	-147.586	0.171	0.152	0.
2004	0.5	SLU_ENV	Combination	Max	-137.768	0.171	0.152	0.
2004	1.	SLU_ENV	Combination	Max	-127.951	0.171	0.152	0.
2004	0.	SLU_ENV	Combination	Min	-224.453	-0.097	0.05	0.
2004	0.5	SLU_ENV	Combination	Min	-211.199	-0.097	0.05	0.
2004	1.	SLU_ENV	Combination	Min	-197.946	-0.097	0.05	0.
2004	0.	SLV_ENV	Combination	Max	-75.485	3.58	3.043	0.
2004	0.5	SLV_ENV	Combination	Max	-65.668	3.58	3.043	0.
2004	1.	SLV_ENV	Combination	Max	-55.85	3.58	3.043	0.
2004	0.	SLV_ENV	Combination	Min	-232.18	-3.519	-2.896	0.
2004	0.5	SLV_ENV	Combination	Min	-222.363	-3.519	-2.896	0.
2004	1.	SLV_ENV	Combination	Min	-212.545	-3.519	-2.896	0.
2005	0.	SLU_ENV	Combination	Max	-169.055	0.214	0.18	0.
2005	0.5	SLU_ENV	Combination	Max	-159.238	0.214	0.18	0.
2005	1.	SLU_ENV	Combination	Max	-149.42	0.214	0.18	0.
2005	0.	SLU_ENV	Combination	Min	-257.665	-0.198	0.046	0.
2005	0.5	SLU_ENV	Combination	Min	-244.412	-0.198	0.046	0.

Table: Element Forces - Frames, Part 1 of 2

Frame	Station	OutputCase	CaseType	StepType	P	V2	V3	T
	m				KN	KN	KN	KN-m
2005	1.	SLU_ENV	Combination	Min	-231.158	-0.198	0.046	0.
2005	0.	SLV_ENV	Combination	Max	-85.476	6.101	5.133	0.
2005	0.5	SLV_ENV	Combination	Max	-75.658	6.101	5.133	0.
2005	1.	SLV_ENV	Combination	Max	-65.841	6.101	5.133	0.
2005	0.	SLV_ENV	Combination	Min	-267.225	-5.993	-4.992	0.
2005	0.5	SLV_ENV	Combination	Min	-257.407	-5.993	-4.992	0.
2005	1.	SLV_ENV	Combination	Min	-247.59	-5.993	-4.992	0.
2006	0.	SLU_ENV	Combination	Max	-190.59	0.255	0.205	0.
2006	0.5	SLU_ENV	Combination	Max	-180.772	0.255	0.205	0.
2006	1.	SLU_ENV	Combination	Max	-170.955	0.255	0.205	0.
2006	0.	SLU_ENV	Combination	Min	-290.976	-0.325	0.032	0.
2006	0.5	SLU_ENV	Combination	Min	-277.723	-0.325	0.032	0.
2006	1.	SLU_ENV	Combination	Min	-264.469	-0.325	0.032	0.
2006	0.	SLV_ENV	Combination	Max	-95.509	9.176	7.676	0.
2006	0.5	SLV_ENV	Combination	Max	-85.691	9.176	7.676	0.
2006	1.	SLV_ENV	Combination	Max	-75.874	9.176	7.676	0.
2006	0.	SLV_ENV	Combination	Min	-302.361	-9.01	-7.558	0.
2006	0.5	SLV_ENV	Combination	Min	-292.544	-9.01	-7.558	0.
2006	1.	SLV_ENV	Combination	Min	-282.726	-9.01	-7.558	0.
2007	0.	SLU_ENV	Combination	Max	-212.197	0.292	0.22	0.
2007	0.5	SLU_ENV	Combination	Max	-202.38	0.292	0.22	0.
2007	1.	SLU_ENV	Combination	Max	-192.562	0.292	0.22	0.
2007	0.	SLU_ENV	Combination	Min	-324.4	-0.477	8.142E-03	0.
2007	0.5	SLU_ENV	Combination	Min	-311.146	-0.477	8.142E-03	0.
2007	1.	SLU_ENV	Combination	Min	-297.893	-0.477	8.142E-03	0.
2007	0.	SLV_ENV	Combination	Max	-105.59	12.753	10.627	0.
2007	0.5	SLV_ENV	Combination	Max	-95.773	12.753	10.627	0.
2007	1.	SLV_ENV	Combination	Max	-85.955	12.753	10.627	0.
2007	0.	SLV_ENV	Combination	Min	-337.602	-12.52	-10.554	0.
2007	0.5	SLV_ENV	Combination	Min	-327.785	-12.52	-10.554	0.
2007	1.	SLV_ENV	Combination	Min	-317.967	-12.52	-10.554	0.
2008	0.	SLU_ENV	Combination	Max	-233.887	0.326	0.221	0.
2008	0.5	SLU_ENV	Combination	Max	-224.069	0.326	0.221	0.
2008	1.	SLU_ENV	Combination	Max	-214.252	0.326	0.221	0.
2008	0.	SLU_ENV	Combination	Min	-357.949	-0.651	-0.027	0.
2008	0.5	SLU_ENV	Combination	Min	-344.696	-0.651	-0.027	0.
2008	1.	SLU_ENV	Combination	Min	-331.442	-0.651	-0.027	0.
2008	0.	SLV_ENV	Combination	Max	-115.726	16.732	13.901	0.
2008	0.5	SLV_ENV	Combination	Max	-105.909	16.732	13.901	0.
2008	1.	SLV_ENV	Combination	Max	-96.091	16.732	13.901	0.
2008	0.	SLV_ENV	Combination	Min	-372.961	-16.424	-13.901	0.
2008	0.5	SLV_ENV	Combination	Min	-363.143	-16.424	-13.901	0.
2008	1.	SLV_ENV	Combination	Min	-353.326	-16.424	-13.901	0.
2009	0.	SLU_ENV	Combination	Max	-255.667	0.357	0.211	0.
2009	0.5	SLU_ENV	Combination	Max	-245.849	0.357	0.211	0.
2009	1.	SLU_ENV	Combination	Max	-236.032	0.357	0.211	0.
2009	0.	SLU_ENV	Combination	Min	-391.638	-0.841	-0.084	0.
2009	0.5	SLU_ENV	Combination	Min	-378.385	-0.841	-0.084	0.
2009	1.	SLU_ENV	Combination	Min	-365.131	-0.841	-0.084	0.
2009	0.	SLV_ENV	Combination	Max	-125.922	20.94	17.355	0.
2009	0.5	SLV_ENV	Combination	Max	-116.104	20.94	17.355	0.
2009	1.	SLV_ENV	Combination	Max	-106.287	20.94	17.355	0.
2009	0.	SLV_ENV	Combination	Min	-408.449	-20.554	-17.461	0.
2009	0.5	SLV_ENV	Combination	Min	-398.632	-20.554	-17.461	0.

Table: Element Forces - Frames, Part 1 of 2

Frame	Station m	OutputCase	CaseType	StepType	P KN	V2 KN	V3 KN	T KN-m
2009	1.	SLV_ENV	Combination	Min	-388.814	-20.554	-17.461	0.
2010	0.	SLU_ENV	Combination	Max	-277.547	0.386	0.205	1.499E-15
2010	0.5	SLU_ENV	Combination	Max	-267.729	0.386	0.205	1.499E-15
2010	1.	SLU_ENV	Combination	Max	-257.912	0.386	0.205	1.499E-15
2010	0.	SLU_ENV	Combination	Min	-425.481	-1.038	-0.187	8.882E-16
2010	0.5	SLU_ENV	Combination	Min	-412.227	-1.038	-0.187	8.882E-16
2010	1.	SLU_ENV	Combination	Min	-398.974	-1.038	-0.187	8.882E-16
2010	0.	SLV_ENV	Combination	Max	-136.183	25.111	20.765	1.593E-13
2010	0.5	SLV_ENV	Combination	Max	-126.366	25.111	20.765	1.593E-13
2010	1.	SLV_ENV	Combination	Max	-116.549	25.111	20.765	1.593E-13
2010	0.	SLV_ENV	Combination	Min	-444.08	-24.647	-21.018	-1.571E-13
2010	0.5	SLV_ENV	Combination	Min	-434.263	-24.647	-21.018	-1.571E-13
2010	1.	SLV_ENV	Combination	Min	-424.445	-24.647	-21.018	-1.571E-13
2011	0.	SLU_ENV	Combination	Max	-299.535	0.424	0.187	0.
2011	0.5	SLU_ENV	Combination	Max	-289.717	0.424	0.187	0.
2011	1.	SLU_ENV	Combination	Max	-279.9	0.424	0.187	0.
2011	0.	SLU_ENV	Combination	Min	-459.49	-1.289	-0.336	-2.398E-15
2011	0.5	SLU_ENV	Combination	Min	-446.236	-1.289	-0.336	-2.398E-15
2011	1.	SLU_ENV	Combination	Min	-432.983	-1.289	-0.336	-2.398E-15
2011	0.	SLV_ENV	Combination	Max	-146.517	28.863	23.816	2.015E-13
2011	0.5	SLV_ENV	Combination	Max	-136.699	28.863	23.816	2.015E-13
2011	1.	SLV_ENV	Combination	Max	-126.882	28.863	23.816	2.015E-13
2011	0.	SLV_ENV	Combination	Min	-479.867	-28.33	-24.26	-2.015E-13
2011	0.5	SLV_ENV	Combination	Min	-470.049	-28.33	-24.26	-2.015E-13
2011	1.	SLV_ENV	Combination	Min	-460.232	-28.33	-24.26	-2.015E-13
2012	0.	SLU_ENV	Combination	Max	-321.64	0.462	0.15	0.
2012	0.5	SLU_ENV	Combination	Max	-311.823	0.462	0.15	0.
2012	1.	SLU_ENV	Combination	Max	-302.005	0.462	0.15	0.
2012	0.	SLU_ENV	Combination	Min	-493.68	-1.552	-0.553	-2.398E-15
2012	0.5	SLU_ENV	Combination	Min	-480.426	-1.552	-0.553	-2.398E-15
2012	1.	SLU_ENV	Combination	Min	-467.173	-1.552	-0.553	-2.398E-15
2012	0.	SLV_ENV	Combination	Max	-156.928	31.674	26.08	2.023E-13
2012	0.5	SLV_ENV	Combination	Max	-147.11	31.674	26.08	2.023E-13
2012	1.	SLV_ENV	Combination	Max	-137.293	31.674	26.08	2.023E-13
2012	0.	SLV_ENV	Combination	Min	-515.821	-31.094	-26.765	-2.023E-13
2012	0.5	SLV_ENV	Combination	Min	-506.004	-31.094	-26.765	-2.023E-13
2012	1.	SLV_ENV	Combination	Min	-496.186	-31.094	-26.765	-2.023E-13
2013	0.	SLU_ENV	Combination	Max	-343.872	0.472	0.086	2.998E-16
2013	0.5	SLU_ENV	Combination	Max	-334.054	0.472	0.086	2.998E-16
2013	1.	SLU_ENV	Combination	Max	-324.237	0.472	0.086	2.998E-16
2013	0.	SLU_ENV	Combination	Min	-528.064	-1.795	-0.826	0.
2013	0.5	SLU_ENV	Combination	Min	-514.811	-1.795	-0.826	0.
2013	1.	SLU_ENV	Combination	Min	-501.557	-1.795	-0.826	0.
2013	0.	SLV_ENV	Combination	Max	-167.422	32.871	27.066	4.341E-14
2013	0.5	SLV_ENV	Combination	Max	-157.604	32.871	27.066	4.341E-14
2013	1.	SLV_ENV	Combination	Max	-147.787	32.871	27.066	4.341E-14
2013	0.	SLV_ENV	Combination	Min	-551.957	-32.278	-28.042	-4.297E-14
2013	0.5	SLV_ENV	Combination	Min	-542.139	-32.278	-28.042	-4.297E-14
2013	1.	SLV_ENV	Combination	Min	-532.322	-32.278	-28.042	-4.297E-14
2014	0.	SLU_ENV	Combination	Max	-366.239	0.44	-0.016	1.199E-15
2014	0.5	SLU_ENV	Combination	Max	-356.421	0.44	-0.016	1.199E-15
2014	1.	SLU_ENV	Combination	Max	-346.604	0.44	-0.016	1.199E-15
2014	0.	SLU_ENV	Combination	Min	-562.657	-1.981	-1.152	8.882E-16
2014	0.5	SLU_ENV	Combination	Min	-549.404	-1.981	-1.152	8.882E-16

Table: Element Forces - Frames, Part 1 of 2

Frame	Station m	OutputCase	CaseType	StepType	P KN	V2 KN	V3 KN	T KN-m
2014	1.	SLU_ENV	Combination	Min	-536.15	-1.981	-1.152	8.882E-16
2014	0.	SLV_ENV	Combination	Max	-178.005	31.608	26.218	4.510E-14
2014	0.5	SLV_ENV	Combination	Max	-168.188	31.608	26.218	4.510E-14
2014	1.	SLV_ENV	Combination	Max	-158.37	31.608	26.218	4.510E-14
2014	0.	SLV_ENV	Combination	Min	-588.286	-31.055	-27.532	-4.333E-14
2014	0.5	SLV_ENV	Combination	Min	-578.469	-31.055	-27.532	-4.333E-14
2014	1.	SLV_ENV	Combination	Min	-568.651	-31.055	-27.532	-4.333E-14
2015	0.	SLU_ENV	Combination	Max	-388.75	0.423	-0.168	0.
2015	0.5	SLU_ENV	Combination	Max	-378.932	0.423	-0.168	0.
2015	1.	SLU_ENV	Combination	Max	-369.115	0.423	-0.168	0.
2015	0.	SLU_ENV	Combination	Min	-597.472	-2.128	-1.525	-4.796E-15
2015	0.5	SLU_ENV	Combination	Min	-584.219	-2.128	-1.525	-4.796E-15
2015	1.	SLU_ENV	Combination	Min	-570.965	-2.128	-1.525	-4.796E-15
2015	0.	SLV_ENV	Combination	Max	-188.684	26.857	22.622	2.163E-13
2015	0.5	SLV_ENV	Combination	Max	-178.867	26.857	22.622	2.163E-13
2015	1.	SLV_ENV	Combination	Max	-169.049	26.857	22.622	2.163E-13
2015	0.	SLV_ENV	Combination	Min	-624.823	-26.42	-24.311	-2.163E-13
2015	0.5	SLV_ENV	Combination	Min	-615.005	-26.42	-24.311	-2.163E-13
2015	1.	SLV_ENV	Combination	Min	-605.188	-26.42	-24.311	-2.163E-13
2016	0.	SLU_ENV	Combination	Max	-411.415	0.37	-0.375	0.
2016	0.5	SLU_ENV	Combination	Max	-401.597	0.37	-0.375	0.
2016	1.	SLU_ENV	Combination	Max	-391.78	0.37	-0.375	0.
2016	0.	SLU_ENV	Combination	Min	-632.524	-2.144	-1.932	0.
2016	0.5	SLU_ENV	Combination	Min	-619.271	-2.144	-1.932	0.
2016	1.	SLU_ENV	Combination	Min	-606.017	-2.144	-1.932	0.
2016	0.	SLV_ENV	Combination	Max	-199.464	17.448	15.275	4.306E-16
2016	0.5	SLV_ENV	Combination	Max	-189.647	17.448	15.275	4.306E-16
2016	1.	SLV_ENV	Combination	Max	-179.829	17.448	15.275	4.306E-16
2016	0.	SLV_ENV	Combination	Min	-661.579	-17.226	-17.359	-4.306E-16
2016	0.5	SLV_ENV	Combination	Min	-651.762	-17.226	-17.359	-4.306E-16
2016	1.	SLV_ENV	Combination	Min	-641.944	-17.226	-17.359	-4.306E-16
2017	0.	SLU_ENV	Combination	Max	-434.242	0.26	-0.646	0.
2017	0.5	SLU_ENV	Combination	Max	-424.424	0.26	-0.646	0.
2017	1.	SLU_ENV	Combination	Max	-414.607	0.26	-0.646	0.
2017	0.	SLU_ENV	Combination	Min	-667.827	-1.959	-2.353	0.
2017	0.5	SLU_ENV	Combination	Min	-654.573	-1.959	-2.353	0.
2017	1.	SLU_ENV	Combination	Min	-641.32	-1.959	-2.353	0.
2017	0.	SLV_ENV	Combination	Max	-210.352	4.042	4.976	0.
2017	0.5	SLV_ENV	Combination	Max	-200.535	4.042	4.976	0.
2017	1.	SLV_ENV	Combination	Max	-190.717	4.042	4.976	0.
2017	0.	SLV_ENV	Combination	Min	-698.569	-4.166	-7.444	0.
2017	0.5	SLV_ENV	Combination	Min	-688.752	-4.166	-7.444	0.
2017	1.	SLV_ENV	Combination	Min	-678.934	-4.166	-7.444	0.
2018	0.	SLU_ENV	Combination	Max	-457.241	0.73	-0.965	0.
2018	0.5	SLU_ENV	Combination	Max	-447.423	0.73	-0.965	0.
2018	1.	SLU_ENV	Combination	Max	-437.606	0.73	-0.965	0.
2018	0.	SLU_ENV	Combination	Min	-703.394	-2.713	-2.755	-2.398E-15
2018	0.5	SLU_ENV	Combination	Min	-690.141	-2.713	-2.755	-2.398E-15
2018	1.	SLU_ENV	Combination	Min	-676.887	-2.713	-2.755	-2.398E-15
2018	0.	SLV_ENV	Combination	Max	-221.353	22.732	17.116	1.544E-13
2018	0.5	SLV_ENV	Combination	Max	-211.536	22.732	17.116	1.544E-13
2018	1.	SLV_ENV	Combination	Max	-201.718	22.732	17.116	1.544E-13
2018	0.	SLV_ENV	Combination	Min	-735.805	-23.36	-19.914	-1.544E-13
2018	0.5	SLV_ENV	Combination	Min	-725.988	-23.36	-19.914	-1.544E-13

Table: Element Forces - Frames, Part 1 of 2

Frame	Station m	OutputCase	CaseType	StepType	P KN	V2 KN	V3 KN	T KN-m
2018	1.	SLV_ENV	Combination	Min	-716.17	-23.36	-19.914	-1.544E-13
2019	0.	SLU_ENV	Combination	Max	-480.421	2.136	-1.021	2.998E-16
2019	0.5	SLU_ENV	Combination	Max	-470.604	2.136	-1.021	2.998E-16
2019	1.	SLU_ENV	Combination	Max	-460.786	2.136	-1.021	2.998E-16
2019	0.	SLU_ENV	Combination	Min	-739.241	-3.575	-3.152	0.
2019	0.5	SLU_ENV	Combination	Min	-725.988	-3.575	-3.152	0.
2019	1.	SLU_ENV	Combination	Min	-712.734	-3.575	-3.152	0.
2019	0.	SLV_ENV	Combination	Max	-232.474	54.704	43.915	1.420E-13
2019	0.5	SLV_ENV	Combination	Max	-222.657	54.704	43.915	1.420E-13
2019	1.	SLV_ENV	Combination	Max	-212.839	54.704	43.915	1.420E-13
2019	0.	SLV_ENV	Combination	Min	-773.301	-56.026	-46.933	-1.415E-13
2019	0.5	SLV_ENV	Combination	Min	-763.484	-56.026	-46.933	-1.415E-13
2019	1.	SLV_ENV	Combination	Min	-753.667	-56.026	-46.933	-1.415E-13
2020	0.	SLU_ENV	Combination	Max	-503.792	4.049	-1.	1.499E-15
2020	0.5	SLU_ENV	Combination	Max	-493.975	4.049	-1.	1.499E-15
2020	1.	SLU_ENV	Combination	Max	-484.157	4.049	-1.	1.499E-15
2020	0.	SLU_ENV	Combination	Min	-775.382	-4.516	-3.826	-1.510E-15
2020	0.5	SLU_ENV	Combination	Min	-762.129	-4.516	-3.826	-1.510E-15
2020	1.	SLU_ENV	Combination	Min	-748.875	-4.516	-3.826	-1.510E-15
2020	0.	SLV_ENV	Combination	Max	-243.721	97.091	79.679	1.492E-13
2020	0.5	SLV_ENV	Combination	Max	-233.904	97.091	79.679	1.492E-13
2020	1.	SLV_ENV	Combination	Max	-224.086	97.091	79.679	1.492E-13
2020	0.	SLV_ENV	Combination	Min	-811.071	-99.319	-82.728	-1.469E-13
2020	0.5	SLV_ENV	Combination	Min	-801.253	-99.319	-82.728	-1.469E-13
2020	1.	SLV_ENV	Combination	Min	-791.436	-99.319	-82.728	-1.469E-13
2021	0.	SLU_ENV	Combination	Max	-527.363	6.51	-0.81	3.147E-14
2021	0.5	SLU_ENV	Combination	Max	-517.545	6.51	-0.81	3.147E-14
2021	1.	SLU_ENV	Combination	Max	-507.728	6.51	-0.81	3.147E-14
2021	0.	SLU_ENV	Combination	Min	-811.832	-5.484	-4.458	-5.365E-14
2021	0.5	SLU_ENV	Combination	Min	-798.578	-5.484	-4.458	-5.365E-14
2021	1.	SLU_ENV	Combination	Min	-785.325	-5.484	-4.458	-5.365E-14
2021	0.	SLV_ENV	Combination	Max	-255.101	150.849	125.259	8.647E-13
2021	0.5	SLV_ENV	Combination	Max	-245.283	150.849	125.259	8.647E-13
2021	1.	SLV_ENV	Combination	Max	-235.466	150.849	125.259	8.647E-13
2021	0.	SLV_ENV	Combination	Min	-849.127	-154.213	-128.054	-8.181E-13
2021	0.5	SLV_ENV	Combination	Min	-839.31	-154.213	-128.054	-8.181E-13
2021	1.	SLV_ENV	Combination	Min	-829.492	-154.213	-128.054	-8.181E-13
2022	0.	SLU_ENV	Combination	Max	-551.143	9.55	-0.43	3.177E-14
2022	0.5	SLU_ENV	Combination	Max	-541.326	9.55	-0.43	3.177E-14
2022	1.	SLU_ENV	Combination	Max	-531.508	9.55	-0.43	3.177E-14
2022	0.	SLU_ENV	Combination	Min	-848.605	-6.411	-4.964	-5.365E-14
2022	0.5	SLU_ENV	Combination	Min	-835.351	-6.411	-4.964	-5.365E-14
2022	1.	SLU_ENV	Combination	Min	-822.098	-6.411	-4.964	-5.365E-14
2022	0.	SLV_ENV	Combination	Max	-266.618	216.449	181.147	8.419E-13
2022	0.5	SLV_ENV	Combination	Max	-256.801	216.449	181.147	8.419E-13
2022	1.	SLV_ENV	Combination	Max	-246.984	216.449	181.147	8.419E-13
2022	0.	SLV_ENV	Combination	Min	-887.484	-221.18	-183.286	-7.948E-13
2022	0.5	SLV_ENV	Combination	Min	-877.666	-221.18	-183.286	-7.948E-13
2022	1.	SLV_ENV	Combination	Min	-867.849	-221.18	-183.286	-7.948E-13
2023	0.	SLU_ENV	Combination	Max	-575.143	13.157	0.181	3.147E-14
2023	0.5	SLU_ENV	Combination	Max	-565.325	13.157	0.181	3.147E-14
2023	1.	SLU_ENV	Combination	Max	-555.508	13.157	0.181	3.147E-14
2023	0.	SLU_ENV	Combination	Min	-885.716	-7.256	-5.233	-5.365E-14
2023	0.5	SLU_ENV	Combination	Min	-872.462	-7.256	-5.233	-5.365E-14

Table: Element Forces - Frames, Part 1 of 2

Frame	Station m	OutputCase	CaseType	StepType	P KN	V2 KN	V3 KN	T KN-m
2023	1.	SLU_ENV	Combination	Min	-859.209	-7.256	-5.233	-5.365E-14
2023	0.	SLV_ENV	Combination	Max	-278.281	293.52	247.141	9.939E-13
2023	0.5	SLV_ENV	Combination	Max	-268.464	293.52	247.141	9.939E-13
2023	1.	SLV_ENV	Combination	Max	-258.646	293.52	247.141	9.939E-13
2023	0.	SLV_ENV	Combination	Min	-926.155	-299.831	-248.09	-9.473E-13
2023	0.5	SLV_ENV	Combination	Min	-916.337	-299.831	-248.09	-9.473E-13
2023	1.	SLV_ENV	Combination	Min	-906.52	-299.831	-248.09	-9.473E-13
2024	0.	SLU_ENV	Combination	Max	-599.371	17.256	1.077	-7.105E-15
2024	0.5	SLU_ENV	Combination	Max	-589.554	17.256	1.077	-7.105E-15
2024	1.	SLU_ENV	Combination	Max	-579.736	17.256	1.077	-7.105E-15
2024	0.	SLU_ENV	Combination	Min	-923.18	-8.039	-5.131	-1.127E-13
2024	0.5	SLU_ENV	Combination	Min	-909.926	-8.039	-5.131	-1.127E-13
2024	1.	SLU_ENV	Combination	Min	-896.673	-8.039	-5.131	-1.127E-13
2024	0.	SLV_ENV	Combination	Max	-290.096	380.475	322.028	1.992E-12
2024	0.5	SLV_ENV	Combination	Max	-280.278	380.475	322.028	1.992E-12
2024	1.	SLV_ENV	Combination	Max	-270.461	380.475	322.028	1.992E-12
2024	0.	SLV_ENV	Combination	Min	-965.154	-388.527	-321.103	-2.028E-12
2024	0.5	SLV_ENV	Combination	Min	-955.336	-388.527	-321.103	-2.028E-12
2024	1.	SLV_ENV	Combination	Min	-945.519	-388.527	-321.103	-2.028E-12
2025	0.	SLU_ENV	Combination	Max	-39.591	0.045	0.048	0.
2025	0.5	SLU_ENV	Combination	Max	-29.773	0.045	0.048	0.
2025	1.	SLU_ENV	Combination	Max	-19.956	0.045	0.048	0.
2025	0.	SLU_ENV	Combination	Min	-59.702	-0.019	6.278E-03	0.
2025	0.5	SLU_ENV	Combination	Min	-46.449	-0.019	6.278E-03	0.
2025	1.	SLU_ENV	Combination	Min	-33.195	-0.019	6.278E-03	0.
2025	0.	SLV_ENV	Combination	Max	-23.627	0.813	0.674	0.
2025	0.5	SLV_ENV	Combination	Max	-13.809	0.813	0.674	0.
2025	1.	SLV_ENV	Combination	Max	-3.992	0.813	0.674	0.
2025	0.	SLV_ENV	Combination	Min	-57.158	-0.839	-0.615	0.
2025	0.5	SLV_ENV	Combination	Min	-47.34	-0.839	-0.615	0.
2025	1.	SLV_ENV	Combination	Min	-37.523	-0.839	-0.615	0.
2026	0.	SLU_ENV	Combination	Max	-59.558	0.067	0.099	0.
2026	0.5	SLU_ENV	Combination	Max	-49.741	0.067	0.099	0.
2026	1.	SLU_ENV	Combination	Max	-39.923	0.067	0.099	0.
2026	0.	SLU_ENV	Combination	Min	-92.917	-0.038	0.026	0.
2026	0.5	SLU_ENV	Combination	Min	-79.663	-0.038	0.026	0.
2026	1.	SLU_ENV	Combination	Min	-66.409	-0.038	0.026	0.
2026	0.	SLV_ENV	Combination	Max	-29.201	1.009	0.919	0.
2026	0.5	SLV_ENV	Combination	Max	-19.384	1.009	0.919	0.
2026	1.	SLV_ENV	Combination	Max	-9.566	1.009	0.919	0.
2026	0.	SLV_ENV	Combination	Min	-93.122	-1.061	-0.8	0.
2026	0.5	SLV_ENV	Combination	Min	-83.304	-1.061	-0.8	0.
2026	1.	SLV_ENV	Combination	Min	-73.487	-1.061	-0.8	0.
2027	0.	SLU_ENV	Combination	Max	-79.546	0.064	0.154	0.
2027	0.5	SLU_ENV	Combination	Max	-69.729	0.064	0.154	0.
2027	1.	SLU_ENV	Combination	Max	-59.911	0.064	0.154	0.
2027	0.	SLU_ENV	Combination	Min	-126.163	-0.055	0.058	0.
2027	0.5	SLU_ENV	Combination	Min	-112.909	-0.055	0.058	0.
2027	1.	SLU_ENV	Combination	Min	-99.656	-0.055	0.058	0.
2027	0.	SLV_ENV	Combination	Max	-34.78	0.701	0.811	0.
2027	0.5	SLV_ENV	Combination	Max	-24.963	0.701	0.811	0.
2027	1.	SLV_ENV	Combination	Max	-15.146	0.701	0.811	0.
2027	0.	SLV_ENV	Combination	Min	-129.123	-0.779	-0.631	0.
2027	0.5	SLV_ENV	Combination	Min	-119.306	-0.779	-0.631	0.

Table: Element Forces - Frames, Part 1 of 2

Frame	Station m	OutputCase	CaseType	StepType	P KN	V2 KN	V3 KN	T KN-m
2027	1.	SLV_ENV	Combination	Min	-109.488	-0.779	-0.631	0.
2028	0.	SLU_ENV	Combination	Max	-99.562	0.036	0.21	0.
2028	0.5	SLU_ENV	Combination	Max	-89.745	0.036	0.21	0.
2028	1.	SLU_ENV	Combination	Max	-79.927	0.036	0.21	0.
2028	0.	SLU_ENV	Combination	Min	-159.455	-0.071	0.103	0.
2028	0.5	SLU_ENV	Combination	Min	-146.201	-0.071	0.103	0.
2028	1.	SLU_ENV	Combination	Min	-132.948	-0.071	0.103	0.
2028	0.	SLV_ENV	Combination	Max	-40.372	0.694	0.787	0.
2028	0.5	SLV_ENV	Combination	Max	-30.554	0.694	0.787	0.
2028	1.	SLV_ENV	Combination	Max	-20.737	0.694	0.787	0.
2028	0.	SLV_ENV	Combination	Min	-165.171	-0.796	-0.546	0.
2028	0.5	SLV_ENV	Combination	Min	-155.353	-0.796	-0.546	0.
2028	1.	SLV_ENV	Combination	Min	-145.536	-0.796	-0.546	0.
2029	0.	SLU_ENV	Combination	Max	-119.615	5.149E-03	0.28	0.
2029	0.5	SLU_ENV	Combination	Max	-109.797	5.149E-03	0.28	0.
2029	1.	SLU_ENV	Combination	Max	-99.98	5.149E-03	0.28	0.
2029	0.	SLU_ENV	Combination	Min	-192.806	-0.09	0.131	0.
2029	0.5	SLU_ENV	Combination	Min	-179.553	-0.09	0.131	0.
2029	1.	SLU_ENV	Combination	Min	-166.299	-0.09	0.131	0.
2029	0.	SLV_ENV	Combination	Max	-45.979	2.127	1.586	0.
2029	0.5	SLV_ENV	Combination	Max	-36.161	2.127	1.586	0.
2029	1.	SLV_ENV	Combination	Max	-26.344	2.127	1.586	0.
2029	0.	SLV_ENV	Combination	Min	-201.278	-2.252	-1.286	0.
2029	0.5	SLV_ENV	Combination	Min	-191.461	-2.252	-1.286	0.
2029	1.	SLV_ENV	Combination	Min	-181.643	-2.252	-1.286	0.
2030	0.	SLU_ENV	Combination	Max	-139.711	-1.613E-03	0.372	0.
2030	0.5	SLU_ENV	Combination	Max	-129.894	-1.613E-03	0.372	0.
2030	1.	SLU_ENV	Combination	Max	-120.077	-1.613E-03	0.372	0.
2030	0.	SLU_ENV	Combination	Min	-226.23	-0.177	0.154	0.
2030	0.5	SLU_ENV	Combination	Min	-212.976	-0.177	0.154	0.
2030	1.	SLU_ENV	Combination	Min	-199.723	-0.177	0.154	0.
2030	0.	SLV_ENV	Combination	Max	-51.604	4.294	3.079	0.
2030	0.5	SLV_ENV	Combination	Max	-41.787	4.294	3.079	0.
2030	1.	SLV_ENV	Combination	Max	-31.969	4.294	3.079	0.
2030	0.	SLV_ENV	Combination	Min	-237.459	-4.438	-2.727	0.
2030	0.5	SLV_ENV	Combination	Min	-227.641	-4.438	-2.727	0.
2030	1.	SLV_ENV	Combination	Min	-217.824	-4.438	-2.727	0.
2031	0.	SLU_ENV	Combination	Max	-159.861	-0.011	0.468	0.
2031	0.5	SLU_ENV	Combination	Max	-150.043	-0.011	0.468	0.
2031	1.	SLU_ENV	Combination	Max	-140.226	-0.011	0.468	0.
2031	0.	SLU_ENV	Combination	Min	-259.74	-0.291	0.172	0.
2031	0.5	SLU_ENV	Combination	Min	-246.487	-0.291	0.172	0.
2031	1.	SLU_ENV	Combination	Min	-233.233	-0.291	0.172	0.
2031	0.	SLV_ENV	Combination	Max	-57.252	7.093	5.017	0.
2031	0.5	SLV_ENV	Combination	Max	-47.435	7.093	5.017	0.
2031	1.	SLV_ENV	Combination	Max	-37.617	7.093	5.017	0.
2031	0.	SLV_ENV	Combination	Min	-273.726	-7.25	-4.624	0.
2031	0.5	SLV_ENV	Combination	Min	-263.909	-7.25	-4.624	0.
2031	1.	SLV_ENV	Combination	Min	-254.091	-7.25	-4.624	0.
2032	0.	SLU_ENV	Combination	Max	-180.071	-0.02	0.562	0.
2032	0.5	SLU_ENV	Combination	Max	-170.254	-0.02	0.562	0.
2032	1.	SLU_ENV	Combination	Max	-160.436	-0.02	0.562	0.
2032	0.	SLU_ENV	Combination	Min	-293.35	-0.429	0.181	0.
2032	0.5	SLU_ENV	Combination	Min	-280.097	-0.429	0.181	0.

Table: Element Forces - Frames, Part 1 of 2

Frame	Station m	OutputCase	CaseType	StepType	P KN	V2 KN	V3 KN	T KN-m
2032	1.	SLU_ENV	Combination	Min	-266.843	-0.429	0.181	0.
2032	0.	SLV_ENV	Combination	Max	-62.926	10.488	7.364	0.
2032	0.5	SLV_ENV	Combination	Max	-53.108	10.488	7.364	0.
2032	1.	SLV_ENV	Combination	Max	-43.291	10.488	7.364	0.
2032	0.	SLV_ENV	Combination	Min	-310.094	-10.65	-6.951	0.
2032	0.5	SLV_ENV	Combination	Min	-300.277	-10.65	-6.951	0.
2032	1.	SLV_ENV	Combination	Min	-290.459	-10.65	-6.951	0.
2033	0.	SLU_ENV	Combination	Max	-200.35	-0.022	0.644	0.
2033	0.5	SLU_ENV	Combination	Max	-190.533	-0.022	0.644	0.
2033	1.	SLU_ENV	Combination	Max	-180.715	-0.022	0.644	0.
2033	0.	SLU_ENV	Combination	Min	-327.074	-0.586	0.177	0.
2033	0.5	SLU_ENV	Combination	Min	-313.82	-0.586	0.177	0.
2033	1.	SLU_ENV	Combination	Min	-300.566	-0.586	0.177	0.
2033	0.	SLV_ENV	Combination	Max	-68.628	14.414	10.072	0.
2033	0.5	SLV_ENV	Combination	Max	-58.81	14.414	10.072	0.
2033	1.	SLV_ENV	Combination	Max	-48.993	14.414	10.072	0.
2033	0.	SLV_ENV	Combination	Min	-346.577	-14.566	-9.669	0.
2033	0.5	SLV_ENV	Combination	Min	-336.759	-14.566	-9.669	0.
2033	1.	SLV_ENV	Combination	Min	-326.942	-14.566	-9.669	0.
2034	0.	SLU_ENV	Combination	Max	-220.707	-0.013	0.701	0.
2034	0.5	SLU_ENV	Combination	Max	-210.889	-0.013	0.701	0.
2034	1.	SLU_ENV	Combination	Max	-201.072	-0.013	0.701	0.
2034	0.	SLU_ENV	Combination	Min	-360.924	-0.756	0.153	0.
2034	0.5	SLU_ENV	Combination	Min	-347.67	-0.756	0.153	0.
2034	1.	SLU_ENV	Combination	Min	-334.417	-0.756	0.153	0.
2034	0.	SLV_ENV	Combination	Max	-74.362	18.752	13.056	0.
2034	0.5	SLV_ENV	Combination	Max	-64.544	18.752	13.056	0.
2034	1.	SLV_ENV	Combination	Max	-54.727	18.752	13.056	0.
2034	0.	SLV_ENV	Combination	Min	-383.188	-18.876	-12.708	0.
2034	0.5	SLV_ENV	Combination	Min	-373.37	-18.876	-12.708	0.
2034	1.	SLV_ENV	Combination	Min	-363.553	-18.876	-12.708	0.
2035	0.	SLU_ENV	Combination	Max	-241.148	0.013	0.713	0.
2035	0.5	SLU_ENV	Combination	Max	-231.331	0.013	0.713	0.
2035	1.	SLU_ENV	Combination	Max	-221.513	0.013	0.713	0.
2035	0.	SLU_ENV	Combination	Min	-394.915	-0.943	0.102	0.
2035	0.5	SLU_ENV	Combination	Min	-381.662	-0.943	0.102	0.
2035	1.	SLU_ENV	Combination	Min	-368.408	-0.943	0.102	0.
2035	0.	SLV_ENV	Combination	Max	-80.131	23.304	16.176	5.876E-15
2035	0.5	SLV_ENV	Combination	Max	-70.313	23.304	16.176	5.876E-15
2035	1.	SLV_ENV	Combination	Max	-60.496	23.304	16.176	5.876E-15
2035	0.	SLV_ENV	Combination	Min	-419.94	-23.373	-15.941	-5.876E-15
2035	0.5	SLV_ENV	Combination	Min	-410.123	-23.373	-15.941	-5.876E-15
2035	1.	SLV_ENV	Combination	Min	-400.305	-23.373	-15.941	-5.876E-15
2036	0.	SLU_ENV	Combination	Max	-261.684	0.067	0.665	0.
2036	0.5	SLU_ENV	Combination	Max	-251.866	0.067	0.665	0.
2036	1.	SLU_ENV	Combination	Max	-242.049	0.067	0.665	0.
2036	0.	SLU_ENV	Combination	Min	-429.061	-1.158	0.016	0.
2036	0.5	SLU_ENV	Combination	Min	-415.807	-1.158	0.016	0.
2036	1.	SLU_ENV	Combination	Min	-402.554	-1.158	0.016	0.
2036	0.	SLV_ENV	Combination	Max	-85.938	27.768	19.219	0.
2036	0.5	SLV_ENV	Combination	Max	-76.121	27.768	19.219	0.
2036	1.	SLV_ENV	Combination	Max	-66.303	27.768	19.219	0.
2036	0.	SLV_ENV	Combination	Min	-456.85	-27.749	-19.177	0.
2036	0.5	SLV_ENV	Combination	Min	-447.032	-27.749	-19.177	0.

Table: Element Forces - Frames, Part 1 of 2

Frame	Station m	OutputCase	CaseType	StepType	P KN	V2 KN	V3 KN	T KN-m
2036	1.	SLV_ENV	Combination	Min	-437.215	-27.749	-19.177	0.
2037	0.	SLU_ENV	Combination	Max	-282.321	0.159	0.606	0.
2037	0.5	SLU_ENV	Combination	Max	-272.503	0.159	0.606	0.
2037	1.	SLU_ENV	Combination	Max	-262.686	0.159	0.606	0.
2037	0.	SLU_ENV	Combination	Min	-463.375	-1.366	-0.195	0.
2037	0.5	SLU_ENV	Combination	Min	-450.121	-1.366	-0.195	0.
2037	1.	SLU_ENV	Combination	Min	-436.868	-1.366	-0.195	0.
2037	0.	SLV_ENV	Combination	Max	-91.787	31.718	21.89	0.
2037	0.5	SLV_ENV	Combination	Max	-81.97	31.718	21.89	0.
2037	1.	SLV_ENV	Combination	Max	-72.152	31.718	21.89	0.
2037	0.	SLV_ENV	Combination	Min	-493.929	-31.571	-22.138	0.
2037	0.5	SLV_ENV	Combination	Min	-484.111	-31.571	-22.138	0.
2037	1.	SLV_ENV	Combination	Min	-474.294	-31.571	-22.138	0.
2038	0.	SLU_ENV	Combination	Max	-303.069	0.285	0.478	0.
2038	0.5	SLU_ENV	Combination	Max	-293.251	0.285	0.478	0.
2038	1.	SLU_ENV	Combination	Max	-283.434	0.285	0.478	0.
2038	0.	SLU_ENV	Combination	Min	-497.871	-1.545	-0.523	0.
2038	0.5	SLU_ENV	Combination	Min	-484.618	-1.545	-0.523	0.
2038	1.	SLU_ENV	Combination	Min	-471.364	-1.545	-0.523	0.
2038	0.	SLV_ENV	Combination	Max	-97.681	34.576	23.795	0.
2038	0.5	SLV_ENV	Combination	Max	-87.864	34.576	23.795	0.
2038	1.	SLV_ENV	Combination	Max	-78.046	34.576	23.795	0.
2038	0.	SLV_ENV	Combination	Min	-531.192	-34.252	-24.451	0.
2038	0.5	SLV_ENV	Combination	Min	-521.375	-34.252	-24.451	0.
2038	1.	SLV_ENV	Combination	Min	-511.557	-34.252	-24.451	0.
2039	0.	SLU_ENV	Combination	Max	-323.935	0.445	0.252	0.
2039	0.5	SLU_ENV	Combination	Max	-314.117	0.445	0.252	0.
2039	1.	SLU_ENV	Combination	Max	-304.3	0.445	0.252	0.
2039	0.	SLU_ENV	Combination	Min	-532.564	-1.658	-0.978	0.
2039	0.5	SLU_ENV	Combination	Min	-519.31	-1.658	-0.978	0.
2039	1.	SLU_ENV	Combination	Min	-506.057	-1.658	-0.978	0.
2039	0.	SLV_ENV	Combination	Max	-103.623	35.602	24.476	0.
2039	0.5	SLV_ENV	Combination	Max	-93.806	35.602	24.476	0.
2039	1.	SLV_ENV	Combination	Max	-83.988	35.602	24.476	0.
2039	0.	SLV_ENV	Combination	Min	-568.655	-35.047	-25.677	0.
2039	0.5	SLV_ENV	Combination	Min	-558.837	-35.047	-25.677	0.
2039	1.	SLV_ENV	Combination	Min	-549.02	-35.047	-25.677	0.
2040	0.	SLU_ENV	Combination	Max	-344.928	0.639	-0.106	0.
2040	0.5	SLU_ENV	Combination	Max	-335.111	0.639	-0.106	0.
2040	1.	SLU_ENV	Combination	Max	-325.293	0.639	-0.106	0.
2040	0.	SLU_ENV	Combination	Min	-567.467	-1.66	-1.56	0.
2040	0.5	SLU_ENV	Combination	Min	-554.213	-1.66	-1.56	0.
2040	1.	SLU_ENV	Combination	Min	-540.959	-1.66	-1.56	0.
2040	0.	SLV_ENV	Combination	Max	-109.617	33.885	23.421	0.
2040	0.5	SLV_ENV	Combination	Max	-99.799	33.885	23.421	0.
2040	1.	SLV_ENV	Combination	Max	-89.982	33.885	23.421	0.
2040	0.	SLV_ENV	Combination	Min	-606.33	-33.038	-25.317	0.
2040	0.5	SLV_ENV	Combination	Min	-596.512	-33.038	-25.317	0.
2040	1.	SLV_ENV	Combination	Min	-586.695	-33.038	-25.317	0.
2041	0.	SLU_ENV	Combination	Max	-366.058	0.87	-0.625	0.
2041	0.5	SLU_ENV	Combination	Max	-356.24	0.87	-0.625	0.
2041	1.	SLU_ENV	Combination	Max	-346.423	0.87	-0.625	0.
2041	0.	SLU_ENV	Combination	Min	-602.594	-1.497	-2.306	0.
2041	0.5	SLU_ENV	Combination	Min	-589.34	-1.497	-2.306	0.

Table: Element Forces - Frames, Part 1 of 2

Frame	Station m	OutputCase	CaseType	StepType	P KN	V2 KN	V3 KN	T KN-m
2041	1.	SLU_ENV	Combination	Min	-576.087	-1.497	-2.306	0.
2041	0.	SLV_ENV	Combination	Max	-115.665	28.368	19.864	0.
2041	0.5	SLV_ENV	Combination	Max	-105.848	28.368	19.864	0.
2041	1.	SLV_ENV	Combination	Max	-96.03	28.368	19.864	0.
2041	0.	SLV_ENV	Combination	Min	-644.232	-27.17	-22.612	0.
2041	0.5	SLV_ENV	Combination	Min	-634.414	-27.17	-22.612	0.
2041	1.	SLV_ENV	Combination	Min	-624.597	-27.17	-22.612	0.
2042	0.	SLU_ENV	Combination	Max	-387.331	1.136	-1.335	0.
2042	0.5	SLU_ENV	Combination	Max	-377.514	1.136	-1.335	0.
2042	1.	SLU_ENV	Combination	Max	-367.696	1.136	-1.335	0.
2042	0.	SLU_ENV	Combination	Min	-637.96	-1.105	-3.225	0.
2042	0.5	SLU_ENV	Combination	Min	-624.706	-1.105	-3.225	0.
2042	1.	SLU_ENV	Combination	Min	-611.452	-1.105	-3.225	0.
2042	0.	SLV_ENV	Combination	Max	-121.771	18.122	13.016	1.462E-16
2042	0.5	SLV_ENV	Combination	Max	-111.954	18.122	13.016	1.462E-16
2042	1.	SLV_ENV	Combination	Max	-102.136	18.122	13.016	1.462E-16
2042	0.	SLV_ENV	Combination	Min	-682.375	-16.517	-16.765	-1.462E-16
2042	0.5	SLV_ENV	Combination	Min	-672.558	-16.517	-16.765	-1.462E-16
2042	1.	SLV_ENV	Combination	Min	-662.74	-16.517	-16.765	-1.462E-16
2043	0.	SLU_ENV	Combination	Max	-408.757	1.429	-2.106	0.
2043	0.5	SLU_ENV	Combination	Max	-398.94	1.429	-2.106	0.
2043	1.	SLU_ENV	Combination	Max	-389.122	1.429	-2.106	0.
2043	0.	SLU_ENV	Combination	Min	-673.578	-0.409	-4.28	0.
2043	0.5	SLU_ENV	Combination	Min	-660.325	-0.409	-4.28	0.
2043	1.	SLU_ENV	Combination	Min	-647.071	-0.409	-4.28	0.
2043	0.	SLV_ENV	Combination	Max	-127.939	9.737	5.071	1.816E-17
2043	0.5	SLV_ENV	Combination	Max	-118.122	9.737	5.071	1.816E-17
2043	1.	SLV_ENV	Combination	Max	-108.304	9.737	5.071	1.816E-17
2043	0.	SLV_ENV	Combination	Min	-720.775	-7.681	-9.95	-1.816E-17
2043	0.5	SLV_ENV	Combination	Min	-710.958	-7.681	-9.95	-1.816E-17
2043	1.	SLV_ENV	Combination	Min	-701.14	-7.681	-9.95	-1.816E-17
2044	0.	SLU_ENV	Combination	Max	-430.345	2.082	-2.663	0.
2044	0.5	SLU_ENV	Combination	Max	-420.528	2.082	-2.663	0.
2044	1.	SLU_ENV	Combination	Max	-410.71	2.082	-2.663	0.
2044	0.	SLU_ENV	Combination	Min	-709.464	-0.076	-5.846	0.
2044	0.5	SLU_ENV	Combination	Min	-696.211	-0.076	-5.846	0.
2044	1.	SLU_ENV	Combination	Min	-682.957	-0.076	-5.846	0.
2044	0.	SLV_ENV	Combination	Max	-134.172	32.521	16.115	0.
2044	0.5	SLV_ENV	Combination	Max	-124.355	32.521	16.115	0.
2044	1.	SLV_ENV	Combination	Max	-114.537	32.521	16.115	0.
2044	0.	SLV_ENV	Combination	Min	-759.446	-29.994	-22.202	0.
2044	0.5	SLV_ENV	Combination	Min	-749.628	-29.994	-22.202	0.
2044	1.	SLV_ENV	Combination	Min	-739.811	-29.994	-22.202	0.
2045	0.	SLU_ENV	Combination	Max	-452.103	3.8	-3.195	0.
2045	0.5	SLU_ENV	Combination	Max	-442.286	3.8	-3.195	0.
2045	1.	SLU_ENV	Combination	Max	-432.468	3.8	-3.195	0.
2045	0.	SLU_ENV	Combination	Min	-745.632	0.046	-7.771	0.
2045	0.5	SLU_ENV	Combination	Min	-732.379	0.046	-7.771	0.
2045	1.	SLU_ENV	Combination	Min	-719.125	0.046	-7.771	0.
2045	0.	SLV_ENV	Combination	Max	-140.474	69.009	39.951	0.
2045	0.5	SLV_ENV	Combination	Max	-130.656	69.009	39.951	0.
2045	1.	SLV_ENV	Combination	Max	-120.839	69.009	39.951	0.
2045	0.	SLV_ENV	Combination	Min	-798.402	-66.025	-47.244	0.
2045	0.5	SLV_ENV	Combination	Min	-788.584	-66.025	-47.244	0.

Table: Element Forces - Frames, Part 1 of 2

Frame	Station	OutputCase	CaseType	StepType	P	V2	V3	T
	m				KN	KN	KN	KN-m
2045	1.	SLV_ENV	Combination	Min	-778.767	-66.025	-47.244	0.
2046	0.	SLU_ENV	Combination	Max	-474.041	6.035	-3.672	0.
2046	0.5	SLU_ENV	Combination	Max	-464.223	6.035	-3.672	0.
2046	1.	SLU_ENV	Combination	Max	-454.406	6.035	-3.672	0.
2046	0.	SLU_ENV	Combination	Min	-782.097	0.217	-9.885	0.
2046	0.5	SLU_ENV	Combination	Min	-768.843	0.217	-9.885	0.
2046	1.	SLU_ENV	Combination	Min	-755.59	0.217	-9.885	0.
2046	0.	SLV_ENV	Combination	Max	-146.847	117.246	72.198	1.539E-13
2046	0.5	SLV_ENV	Combination	Max	-137.029	117.246	72.198	1.539E-13
2046	1.	SLV_ENV	Combination	Max	-127.212	117.246	72.198	1.539E-13
2046	0.	SLV_ENV	Combination	Min	-837.658	-113.873	-80.579	-1.539E-13
2046	0.5	SLV_ENV	Combination	Min	-827.84	-113.873	-80.579	-1.539E-13
2046	1.	SLV_ENV	Combination	Min	-818.023	-113.873	-80.579	-1.539E-13
2047	0.	SLU_ENV	Combination	Max	-496.166	8.784	-4.024	4.796E-15
2047	0.5	SLU_ENV	Combination	Max	-486.348	8.784	-4.024	4.796E-15
2047	1.	SLU_ENV	Combination	Max	-476.531	8.784	-4.024	4.796E-15
2047	0.	SLU_ENV	Combination	Min	-818.873	0.406	-12.073	0.
2047	0.5	SLU_ENV	Combination	Min	-805.619	0.406	-12.073	0.
2047	1.	SLU_ENV	Combination	Min	-792.365	0.406	-12.073	0.
2047	0.	SLV_ENV	Combination	Max	-153.296	177.991	113.452	4.263E-14
2047	0.5	SLV_ENV	Combination	Max	-143.478	177.991	113.452	4.263E-14
2047	1.	SLV_ENV	Combination	Max	-133.661	177.991	113.452	4.263E-14
2047	0.	SLV_ENV	Combination	Min	-877.229	-174.368	-122.635	-4.263E-14
2047	0.5	SLV_ENV	Combination	Min	-867.412	-174.368	-122.635	-4.263E-14
2047	1.	SLV_ENV	Combination	Min	-857.594	-174.368	-122.635	-4.263E-14
2048	0.	SLU_ENV	Combination	Max	-518.488	12.03	-4.154	0.
2048	0.5	SLU_ENV	Combination	Max	-508.67	12.03	-4.154	0.
2048	1.	SLU_ENV	Combination	Max	-498.853	12.03	-4.154	0.
2048	0.	SLU_ENV	Combination	Min	-855.975	0.515	-14.158	0.
2048	0.5	SLU_ENV	Combination	Min	-842.721	0.515	-14.158	0.
2048	1.	SLU_ENV	Combination	Min	-829.467	0.515	-14.158	0.
2048	0.	SLV_ENV	Combination	Max	-159.823	251.549	164.152	1.498E-13
2048	0.5	SLV_ENV	Combination	Max	-150.006	251.549	164.152	1.498E-13
2048	1.	SLV_ENV	Combination	Max	-140.188	251.549	164.152	1.498E-13
2048	0.	SLV_ENV	Combination	Min	-917.131	-247.909	-173.629	-1.498E-13
2048	0.5	SLV_ENV	Combination	Min	-907.314	-247.909	-173.629	-1.498E-13
2048	1.	SLV_ENV	Combination	Min	-897.496	-247.909	-173.629	-1.498E-13
2049	0.	SLU_ENV	Combination	Max	-541.016	15.701	-3.938	5.995E-16
2049	0.5	SLU_ENV	Combination	Max	-531.198	15.701	-3.938	5.995E-16
2049	1.	SLU_ENV	Combination	Max	-521.381	15.701	-3.938	5.995E-16
2049	0.	SLU_ENV	Combination	Min	-893.418	0.456	-15.883	-4.796E-15
2049	0.5	SLU_ENV	Combination	Min	-880.164	0.456	-15.883	-4.796E-15
2049	1.	SLU_ENV	Combination	Min	-866.911	0.456	-15.883	-4.796E-15
2049	0.	SLV_ENV	Combination	Max	-166.433	337.279	224.147	2.041E-13
2049	0.5	SLV_ENV	Combination	Max	-156.616	337.279	224.147	2.041E-13
2049	1.	SLV_ENV	Combination	Max	-146.798	337.279	224.147	2.041E-13
2049	0.	SLV_ENV	Combination	Min	-957.379	-333.971	-233.133	-2.032E-13
2049	0.5	SLV_ENV	Combination	Min	-947.561	-333.971	-233.133	-2.032E-13
2049	1.	SLV_ENV	Combination	Min	-937.744	-333.971	-233.133	-2.032E-13
2050	0.	SLU_ENV	Combination	Max	-563.759	19.645	-3.223	-4.796E-14
2050	0.5	SLU_ENV	Combination	Max	-553.941	19.645	-3.223	-4.796E-14
2050	1.	SLU_ENV	Combination	Max	-544.124	19.645	-3.223	-4.796E-14
2050	0.	SLU_ENV	Combination	Min	-931.217	0.116	-16.898	-1.022E-13
2050	0.5	SLU_ENV	Combination	Min	-917.964	0.116	-16.898	-1.022E-13

Table: Element Forces - Frames, Part 1 of 2

Frame	Station m	OutputCase	CaseType	StepType	P KN	V2 KN	V3 KN	T KN-m
2050	1.	SLU_ENV	Combination	Min	-904.71	0.116	-16.898	-1.022E-13
2050	0.	SLV_ENV	Combination	Max	-173.13	433.15	292.395	7.556E-13
2050	0.5	SLV_ENV	Combination	Max	-163.312	433.15	292.395	7.556E-13
2050	1.	SLV_ENV	Combination	Max	-153.495	433.15	292.395	7.556E-13
2050	0.	SLV_ENV	Combination	Min	-997.987	-430.665	-299.76	-8.644E-13
2050	0.5	SLV_ENV	Combination	Min	-988.169	-430.665	-299.76	-8.644E-13
2050	1.	SLV_ENV	Combination	Min	-978.352	-430.665	-299.76	-8.644E-13
2051	0.	SLU_ENV	Combination	Max	-36.605	0.025	0.058	0.
2051	0.5	SLU_ENV	Combination	Max	-26.788	0.025	0.058	0.
2051	1.	SLU_ENV	Combination	Max	-16.971	0.025	0.058	0.
2051	0.	SLU_ENV	Combination	Min	-56.776	-0.041	7.609E-03	0.
2051	0.5	SLU_ENV	Combination	Min	-43.522	-0.041	7.609E-03	0.
2051	1.	SLU_ENV	Combination	Min	-30.269	-0.041	7.609E-03	0.
2051	0.	SLV_ENV	Combination	Max	-11.75	0.836	0.732	0.
2051	0.5	SLV_ENV	Combination	Max	-1.932	0.836	0.732	0.
2051	1.	SLV_ENV	Combination	Max	7.885	0.836	0.732	0.
2051	0.	SLV_ENV	Combination	Min	-63.285	-0.893	-0.663	0.
2051	0.5	SLV_ENV	Combination	Min	-53.467	-0.893	-0.663	0.
2051	1.	SLV_ENV	Combination	Min	-43.65	-0.893	-0.663	0.
2052	0.	SLU_ENV	Combination	Max	-53.587	0.013	0.121	0.
2052	0.5	SLU_ENV	Combination	Max	-43.769	0.013	0.121	0.
2052	1.	SLU_ENV	Combination	Max	-33.952	0.013	0.121	0.
2052	0.	SLU_ENV	Combination	Min	-87.062	-0.093	0.033	0.
2052	0.5	SLU_ENV	Combination	Min	-73.808	-0.093	0.033	0.
2052	1.	SLU_ENV	Combination	Min	-60.555	-0.093	0.033	0.
2052	0.	SLV_ENV	Combination	Max	-6.056	1.048	0.982	0.
2052	0.5	SLV_ENV	Combination	Max	3.762	1.048	0.982	0.
2052	1.	SLV_ENV	Combination	Max	13.579	1.048	0.982	0.
2052	0.	SLV_ENV	Combination	Min	-104.766	-1.181	-0.839	0.
2052	0.5	SLV_ENV	Combination	Min	-94.949	-1.181	-0.839	0.
2052	1.	SLV_ENV	Combination	Min	-85.131	-1.181	-0.839	0.
2053	0.	SLU_ENV	Combination	Max	-70.586	-0.034	0.189	0.
2053	0.5	SLU_ENV	Combination	Max	-60.768	-0.034	0.189	0.
2053	1.	SLU_ENV	Combination	Max	-50.951	-0.034	0.189	0.
2053	0.	SLU_ENV	Combination	Min	-117.378	-0.156	0.075	0.
2053	0.5	SLU_ENV	Combination	Min	-104.124	-0.156	0.075	0.
2053	1.	SLU_ENV	Combination	Min	-90.871	-0.156	0.075	0.
2053	0.	SLV_ENV	Combination	Max	-0.358	0.728	0.854	0.
2053	0.5	SLV_ENV	Combination	Max	9.459	0.728	0.854	0.
2053	1.	SLV_ENV	Combination	Max	19.276	0.728	0.854	0.
2053	0.	SLV_ENV	Combination	Min	-146.288	-0.954	-0.633	0.
2053	0.5	SLV_ENV	Combination	Min	-136.47	-0.954	-0.633	0.
2053	1.	SLV_ENV	Combination	Min	-126.653	-0.954	-0.633	0.
2054	0.	SLU_ENV	Combination	Max	-87.61	-0.118	0.262	0.
2054	0.5	SLU_ENV	Combination	Max	-77.792	-0.118	0.262	0.
2054	1.	SLU_ENV	Combination	Max	-67.975	-0.118	0.262	0.
2054	0.	SLU_ENV	Combination	Min	-147.736	-0.229	0.132	0.
2054	0.5	SLU_ENV	Combination	Min	-134.483	-0.229	0.132	0.
2054	1.	SLU_ENV	Combination	Min	-121.229	-0.229	0.132	0.
2054	0.	SLV_ENV	Combination	Max	5.339	0.418	0.928	0.
2054	0.5	SLV_ENV	Combination	Max	15.157	0.418	0.928	0.
2054	1.	SLV_ENV	Combination	Max	24.974	0.418	0.928	0.
2054	0.	SLV_ENV	Combination	Min	-187.861	-0.753	-0.628	0.
2054	0.5	SLV_ENV	Combination	Min	-178.044	-0.753	-0.628	0.

Table: Element Forces - Frames, Part 1 of 2

Frame	Station m	OutputCase	CaseType	StepType	P KN	V2 KN	V3 KN	T KN-m
2054	1.	SLV_ENV	Combination	Min	-168.226	-0.753	-0.628	0.
2055	0.	SLU_ENV	Combination	Max	-104.665	-0.228	0.358	0.
2055	0.5	SLU_ENV	Combination	Max	-94.847	-0.228	0.358	0.
2055	1.	SLU_ENV	Combination	Max	-85.03	-0.228	0.358	0.
2055	0.	SLU_ENV	Combination	Min	-178.149	-0.32	0.169	0.
2055	0.5	SLU_ENV	Combination	Min	-164.895	-0.32	0.169	0.
2055	1.	SLU_ENV	Combination	Min	-151.642	-0.32	0.169	0.
2055	0.	SLV_ENV	Combination	Max	11.038	1.665	2.028	0.
2055	0.5	SLV_ENV	Combination	Max	20.856	1.665	2.028	0.
2055	1.	SLV_ENV	Combination	Max	30.673	1.665	2.028	0.
2055	0.	SLV_ENV	Combination	Min	-229.501	-2.123	-1.648	0.
2055	0.5	SLV_ENV	Combination	Min	-219.684	-2.123	-1.648	0.
2055	1.	SLV_ENV	Combination	Min	-209.866	-2.123	-1.648	0.
2056	0.	SLU_ENV	Combination	Max	-121.758	-0.289	0.479	0.
2056	0.5	SLU_ENV	Combination	Max	-111.941	-0.289	0.479	0.
2056	1.	SLU_ENV	Combination	Max	-102.123	-0.289	0.479	0.
2056	0.	SLU_ENV	Combination	Min	-208.628	-0.501	0.203	0.
2056	0.5	SLU_ENV	Combination	Min	-195.375	-0.501	0.203	0.
2056	1.	SLU_ENV	Combination	Min	-182.121	-0.501	0.203	0.
2056	0.	SLV_ENV	Combination	Max	16.739	3.694	3.751	0.
2056	0.5	SLV_ENV	Combination	Max	26.556	3.694	3.751	0.
2056	1.	SLV_ENV	Combination	Max	36.374	3.694	3.751	0.
2056	0.	SLV_ENV	Combination	Min	-271.224	-4.284	-3.297	0.
2056	0.5	SLV_ENV	Combination	Min	-261.407	-4.284	-3.297	0.
2056	1.	SLV_ENV	Combination	Min	-251.589	-4.284	-3.297	0.
2057	0.	SLU_ENV	Combination	Max	-138.897	-0.347	0.609	0.
2057	0.5	SLU_ENV	Combination	Max	-129.08	-0.347	0.609	0.
2057	1.	SLU_ENV	Combination	Max	-119.262	-0.347	0.609	0.
2057	0.	SLU_ENV	Combination	Min	-239.187	-0.717	0.231	0.
2057	0.5	SLU_ENV	Combination	Min	-225.933	-0.717	0.231	0.
2057	1.	SLU_ENV	Combination	Min	-212.68	-0.717	0.231	0.
2057	0.	SLV_ENV	Combination	Max	22.442	6.353	5.985	0.
2057	0.5	SLV_ENV	Combination	Max	32.26	6.353	5.985	0.
2057	1.	SLV_ENV	Combination	Max	42.077	6.353	5.985	0.
2057	0.	SLV_ENV	Combination	Min	-313.044	-7.076	-5.468	0.
2057	0.5	SLV_ENV	Combination	Min	-303.227	-7.076	-5.468	0.
2057	1.	SLV_ENV	Combination	Min	-293.41	-7.076	-5.468	0.
2058	0.	SLU_ENV	Combination	Max	-156.089	-0.398	0.737	0.
2058	0.5	SLU_ENV	Combination	Max	-146.271	-0.398	0.737	0.
2058	1.	SLU_ENV	Combination	Max	-136.454	-0.398	0.737	0.
2058	0.	SLU_ENV	Combination	Min	-269.837	-0.961	0.25	0.
2058	0.5	SLU_ENV	Combination	Min	-256.583	-0.961	0.25	0.
2058	1.	SLU_ENV	Combination	Min	-243.33	-0.961	0.25	0.
2058	0.	SLV_ENV	Combination	Max	28.149	9.616	8.68	0.
2058	0.5	SLV_ENV	Combination	Max	37.966	9.616	8.68	0.
2058	1.	SLV_ENV	Combination	Max	47.784	9.616	8.68	0.
2058	0.	SLV_ENV	Combination	Min	-354.978	-10.461	-8.124	0.
2058	0.5	SLV_ENV	Combination	Min	-345.161	-10.461	-8.124	0.
2058	1.	SLV_ENV	Combination	Min	-335.343	-10.461	-8.124	0.
2059	0.	SLU_ENV	Combination	Max	-173.339	-0.434	0.852	0.
2059	0.5	SLU_ENV	Combination	Max	-163.521	-0.434	0.852	0.
2059	1.	SLU_ENV	Combination	Max	-153.704	-0.434	0.852	0.
2059	0.	SLU_ENV	Combination	Min	-300.591	-1.221	0.252	0.
2059	0.5	SLU_ENV	Combination	Min	-287.337	-1.221	0.252	0.

Table: Element Forces - Frames, Part 1 of 2

Frame	Station m	OutputCase	CaseType	StepType	P KN	V2 KN	V3 KN	T KN-m
2059	1.	SLU_ENV	Combination	Min	-274.084	-1.221	0.252	0.
2059	0.	SLV_ENV	Combination	Max	33.86	13.432	11.775	0.
2059	0.5	SLV_ENV	Combination	Max	43.678	13.432	11.775	0.
2059	1.	SLV_ENV	Combination	Max	53.495	13.432	11.775	0.
2059	0.	SLV_ENV	Combination	Min	-397.041	-14.371	-11.214	0.
2059	0.5	SLV_ENV	Combination	Min	-387.223	-14.371	-11.214	0.
2059	1.	SLV_ENV	Combination	Min	-377.406	-14.371	-11.214	0.
2060	0.	SLU_ENV	Combination	Max	-190.656	-0.443	0.936	0.
2060	0.5	SLU_ENV	Combination	Max	-180.838	-0.443	0.936	0.
2060	1.	SLU_ENV	Combination	Max	-171.021	-0.443	0.936	0.
2060	0.	SLU_ENV	Combination	Min	-331.461	-1.479	0.231	0.
2060	0.5	SLU_ENV	Combination	Min	-318.207	-1.479	0.231	0.
2060	1.	SLU_ENV	Combination	Min	-304.954	-1.479	0.231	0.
2060	0.	SLV_ENV	Combination	Max	39.577	17.701	15.163	0.
2060	0.5	SLV_ENV	Combination	Max	49.395	17.701	15.163	0.
2060	1.	SLV_ENV	Combination	Max	59.212	17.701	15.163	0.
2060	0.	SLV_ENV	Combination	Min	-439.248	-18.686	-14.653	0.
2060	0.5	SLV_ENV	Combination	Min	-429.431	-18.686	-14.653	0.
2060	1.	SLV_ENV	Combination	Min	-419.613	-18.686	-14.653	0.
2061	0.	SLU_ENV	Combination	Max	-208.045	-0.412	0.965	0.
2061	0.5	SLU_ENV	Combination	Max	-198.228	-0.412	0.965	0.
2061	1.	SLU_ENV	Combination	Max	-188.41	-0.412	0.965	0.
2061	0.	SLU_ENV	Combination	Min	-362.46	-1.709	0.177	0.
2061	0.5	SLU_ENV	Combination	Min	-349.207	-1.709	0.177	0.
2061	1.	SLU_ENV	Combination	Min	-335.953	-1.709	0.177	0.
2061	0.	SLV_ENV	Combination	Max	45.301	22.251	18.679	0.
2061	0.5	SLV_ENV	Combination	Max	55.118	22.251	18.679	0.
2061	1.	SLV_ENV	Combination	Max	64.936	22.251	18.679	0.
2061	0.	SLV_ENV	Combination	Min	-481.616	-23.205	-18.291	0.
2061	0.5	SLV_ENV	Combination	Min	-471.798	-23.205	-18.291	0.
2061	1.	SLV_ENV	Combination	Min	-461.981	-23.205	-18.291	0.
2062	0.	SLU_ENV	Combination	Max	-225.515	-0.324	0.918	0.
2062	0.5	SLU_ENV	Combination	Max	-215.698	-0.324	0.918	0.
2062	1.	SLU_ENV	Combination	Max	-205.881	-0.324	0.918	0.
2062	0.	SLU_ENV	Combination	Min	-393.601	-1.877	0.079	0.
2062	0.5	SLU_ENV	Combination	Min	-380.347	-1.877	0.079	0.
2062	1.	SLU_ENV	Combination	Min	-367.093	-1.877	0.079	0.
2062	0.	SLV_ENV	Combination	Max	51.032	26.813	22.072	0.
2062	0.5	SLV_ENV	Combination	Max	60.849	26.813	22.072	0.
2062	1.	SLV_ENV	Combination	Max	70.667	26.813	22.072	0.
2062	0.	SLV_ENV	Combination	Min	-524.16	-27.626	-21.906	0.
2062	0.5	SLV_ENV	Combination	Min	-514.342	-27.626	-21.906	0.
2062	1.	SLV_ENV	Combination	Min	-504.525	-27.626	-21.906	0.
2063	0.	SLU_ENV	Combination	Max	-243.073	-0.162	0.825	0.
2063	0.5	SLU_ENV	Combination	Max	-233.255	-0.162	0.825	0.
2063	1.	SLU_ENV	Combination	Max	-223.438	-0.162	0.825	0.
2063	0.	SLU_ENV	Combination	Min	-424.895	-1.937	-0.15	0.
2063	0.5	SLU_ENV	Combination	Min	-411.642	-1.937	-0.15	0.
2063	1.	SLU_ENV	Combination	Min	-398.388	-1.937	-0.15	0.
2063	0.	SLV_ENV	Combination	Max	56.771	30.999	24.997	0.
2063	0.5	SLV_ENV	Combination	Max	66.589	30.999	24.997	0.
2063	1.	SLV_ENV	Combination	Max	76.406	30.999	24.997	0.
2063	0.	SLV_ENV	Combination	Min	-566.895	-31.518	-25.176	0.
2063	0.5	SLV_ENV	Combination	Min	-557.078	-31.518	-25.176	0.

Table: Element Forces - Frames, Part 1 of 2

Frame	Station	OutputCase	CaseType	StepType	P	V2	V3	T
	m				KN	KN	KN	KN-m
2063	1.	SLV_ENV	Combination	Min	-547.26	-31.518	-25.176	0.
2064	0.	SLU_ENV	Combination	Max	-260.725	0.098	0.655	0.
2064	0.5	SLU_ENV	Combination	Max	-250.907	0.098	0.655	0.
2064	1.	SLU_ENV	Combination	Max	-241.09	0.098	0.655	0.
2064	0.	SLU_ENV	Combination	Min	-456.356	-1.829	-0.537	0.
2064	0.5	SLU_ENV	Combination	Min	-443.103	-1.829	-0.537	0.
2064	1.	SLU_ENV	Combination	Min	-429.849	-1.829	-0.537	0.
2064	0.	SLV_ENV	Combination	Max	62.52	34.274	26.995	0.
2064	0.5	SLV_ENV	Combination	Max	72.337	34.274	26.995	0.
2064	1.	SLV_ENV	Combination	Max	82.155	34.274	26.995	0.
2064	0.	SLV_ENV	Combination	Min	-609.839	-34.302	-27.671	0.
2064	0.5	SLV_ENV	Combination	Min	-600.022	-34.302	-27.671	0.
2064	1.	SLV_ENV	Combination	Min	-590.204	-34.302	-27.671	0.
2065	0.	SLU_ENV	Combination	Max	-278.478	0.549	0.358	0.
2065	0.5	SLU_ENV	Combination	Max	-268.661	0.549	0.358	0.
2065	1.	SLU_ENV	Combination	Max	-258.843	0.549	0.358	0.
2065	0.	SLU_ENV	Combination	Min	-487.997	-1.556	-1.085	0.
2065	0.5	SLU_ENV	Combination	Min	-474.743	-1.556	-1.085	0.
2065	1.	SLU_ENV	Combination	Min	-461.49	-1.556	-1.085	0.
2065	0.	SLV_ENV	Combination	Max	68.279	35.941	27.516	0.
2065	0.5	SLV_ENV	Combination	Max	78.096	35.941	27.516	0.
2065	1.	SLV_ENV	Combination	Max	87.914	35.941	27.516	0.
2065	0.	SLV_ENV	Combination	Min	-653.007	-35.232	-28.868	0.
2065	0.5	SLV_ENV	Combination	Min	-643.189	-35.232	-28.868	0.
2065	1.	SLV_ENV	Combination	Min	-633.372	-35.232	-28.868	0.
2066	0.	SLU_ENV	Combination	Max	-296.34	1.249	-0.115	0.
2066	0.5	SLU_ENV	Combination	Max	-286.523	1.249	-0.115	0.
2066	1.	SLU_ENV	Combination	Max	-276.705	1.249	-0.115	0.
2066	0.	SLU_ENV	Combination	Min	-519.83	-1.069	-1.832	0.
2066	0.5	SLU_ENV	Combination	Min	-506.576	-1.069	-1.832	0.
2066	1.	SLU_ENV	Combination	Min	-493.322	-1.069	-1.832	0.
2066	0.	SLV_ENV	Combination	Max	74.049	35.125	25.944	0.
2066	0.5	SLV_ENV	Combination	Max	83.866	35.125	25.944	0.
2066	1.	SLV_ENV	Combination	Max	93.684	35.125	25.944	0.
2066	0.	SLV_ENV	Combination	Min	-696.415	-33.383	-28.172	0.
2066	0.5	SLV_ENV	Combination	Min	-686.597	-33.383	-28.172	0.
2066	1.	SLV_ENV	Combination	Min	-676.78	-33.383	-28.172	0.
2067	0.	SLU_ENV	Combination	Max	-314.319	2.172	-0.798	2.398E-15
2067	0.5	SLU_ENV	Combination	Max	-304.501	2.172	-0.798	2.398E-15
2067	1.	SLU_ENV	Combination	Max	-294.684	2.172	-0.798	2.398E-15
2067	0.	SLU_ENV	Combination	Min	-551.867	-0.233	-2.809	1.776E-15
2067	0.5	SLU_ENV	Combination	Min	-538.614	-0.233	-2.809	1.776E-15
2067	1.	SLU_ENV	Combination	Min	-525.36	-0.233	-2.809	1.776E-15
2067	0.	SLV_ENV	Combination	Max	79.831	30.785	21.491	3.347E-14
2067	0.5	SLV_ENV	Combination	Max	89.649	30.785	21.491	3.347E-14
2067	1.	SLV_ENV	Combination	Max	99.466	30.785	21.491	3.347E-14
2067	0.	SLV_ENV	Combination	Min	-740.079	-27.67	-24.81	-2.992E-14
2067	0.5	SLV_ENV	Combination	Min	-730.261	-27.67	-24.81	-2.992E-14
2067	1.	SLV_ENV	Combination	Min	-720.444	-27.67	-24.81	-2.992E-14
2068	0.	SLU_ENV	Combination	Max	-332.42	3.338	-1.727	0.
2068	0.5	SLU_ENV	Combination	Max	-322.603	3.338	-1.727	0.
2068	1.	SLU_ENV	Combination	Max	-312.785	3.338	-1.727	0.
2068	0.	SLU_ENV	Combination	Min	-584.123	1.041	-3.992	0.
2068	0.5	SLU_ENV	Combination	Min	-570.87	1.041	-3.992	0.

Table: Element Forces - Frames, Part 1 of 2

Frame	Station m	OutputCase	CaseType	StepType	P KN	V2 KN	V3 KN	T KN-m
2068	1.	SLU_ENV	Combination	Min	-557.616	1.041	-3.992	0.
2068	0.	SLV_ENV	Combination	Max	85.627	21.864	13.453	0.
2068	0.5	SLV_ENV	Combination	Max	95.445	21.864	13.453	0.
2068	1.	SLV_ENV	Combination	Max	105.262	21.864	13.453	0.
2068	0.	SLV_ENV	Combination	Min	-784.015	-17.002	-18.075	0.
2068	0.5	SLV_ENV	Combination	Min	-774.198	-17.002	-18.075	0.
2068	1.	SLV_ENV	Combination	Min	-764.38	-17.002	-18.075	0.
2069	0.	SLU_ENV	Combination	Max	-350.652	4.754	-2.703	0.
2069	0.5	SLU_ENV	Combination	Max	-340.835	4.754	-2.703	0.
2069	1.	SLU_ENV	Combination	Max	-331.017	4.754	-2.703	0.
2069	0.	SLU_ENV	Combination	Min	-616.61	2.846	-5.368	0.
2069	0.5	SLU_ENV	Combination	Min	-603.357	2.846	-5.368	0.
2069	1.	SLU_ENV	Combination	Min	-590.103	2.846	-5.368	0.
2069	0.	SLV_ENV	Combination	Max	91.437	11.006	6.213	2.146E-20
2069	0.5	SLV_ENV	Combination	Max	101.254	11.006	6.213	2.146E-20
2069	1.	SLV_ENV	Combination	Max	111.072	11.006	6.213	2.146E-20
2069	0.	SLV_ENV	Combination	Min	-828.241	-4.009	-12.329	-2.146E-20
2069	0.5	SLV_ENV	Combination	Min	-818.423	-4.009	-12.329	-2.146E-20
2069	1.	SLV_ENV	Combination	Min	-808.606	-4.009	-12.329	-2.146E-20
2070	0.	SLU_ENV	Combination	Max	-369.022	6.952	-3.453	0.
2070	0.5	SLU_ENV	Combination	Max	-359.205	6.952	-3.453	0.
2070	1.	SLU_ENV	Combination	Max	-349.388	6.952	-3.453	0.
2070	0.	SLU_ENV	Combination	Min	-649.342	4.718	-7.481	0.
2070	0.5	SLU_ENV	Combination	Min	-636.088	4.718	-7.481	0.
2070	1.	SLU_ENV	Combination	Min	-622.835	4.718	-7.481	0.
2070	0.	SLV_ENV	Combination	Max	97.262	30.878	21.57	2.819E-13
2070	0.5	SLV_ENV	Combination	Max	107.079	30.878	21.57	2.819E-13
2070	1.	SLV_ENV	Combination	Max	116.897	30.878	21.57	2.819E-13
2070	0.	SLV_ENV	Combination	Min	-872.772	-21.379	-29.317	-2.819E-13
2070	0.5	SLV_ENV	Combination	Min	-862.954	-21.379	-29.317	-2.819E-13
2070	1.	SLV_ENV	Combination	Min	-853.137	-21.379	-29.317	-2.819E-13
2071	0.	SLU_ENV	Combination	Max	-387.538	10.591	-4.211	2.998E-16
2071	0.5	SLU_ENV	Combination	Max	-377.721	10.591	-4.211	2.998E-16
2071	1.	SLU_ENV	Combination	Max	-367.903	10.591	-4.211	2.998E-16
2071	0.	SLU_ENV	Combination	Min	-682.331	6.015	-10.026	0.
2071	0.5	SLU_ENV	Combination	Min	-669.077	6.015	-10.026	0.
2071	1.	SLU_ENV	Combination	Min	-655.823	6.015	-10.026	0.
2071	0.	SLV_ENV	Combination	Max	103.103	66.924	48.745	2.078E-13
2071	0.5	SLV_ENV	Combination	Max	112.92	66.924	48.745	2.078E-13
2071	1.	SLV_ENV	Combination	Max	122.738	66.924	48.745	2.078E-13
2071	0.	SLV_ENV	Combination	Min	-917.625	-54.617	-58.169	-2.073E-13
2071	0.5	SLV_ENV	Combination	Min	-907.807	-54.617	-58.169	-2.073E-13
2071	1.	SLV_ENV	Combination	Min	-897.99	-54.617	-58.169	-2.073E-13
2072	0.	SLU_ENV	Combination	Max	-406.207	14.993	-4.926	1.199E-15
2072	0.5	SLU_ENV	Combination	Max	-396.389	14.993	-4.926	1.199E-15
2072	1.	SLU_ENV	Combination	Max	-386.572	14.993	-4.926	1.199E-15
2072	0.	SLU_ENV	Combination	Min	-715.59	7.362	-12.846	-3.908E-15
2072	0.5	SLU_ENV	Combination	Min	-702.337	7.362	-12.846	-3.908E-15
2072	1.	SLU_ENV	Combination	Min	-689.083	7.362	-12.846	-3.908E-15
2072	0.	SLV_ENV	Combination	Max	108.961	114.735	85.607	6.431E-14
2072	0.5	SLV_ENV	Combination	Max	118.778	114.735	85.607	6.431E-14
2072	1.	SLV_ENV	Combination	Max	128.596	114.735	85.607	6.431E-14
2072	0.	SLV_ENV	Combination	Min	-962.817	-99.439	-96.61	-6.253E-14
2072	0.5	SLV_ENV	Combination	Min	-952.999	-99.439	-96.61	-6.253E-14

Table: Element Forces - Frames, Part 1 of 2

Frame	Station	OutputCase	CaseType	StepType	P	V2	V3	T
	m				KN	KN	KN	KN-m
2072	1.	SLV_ENV	Combination	Min	-943.182	-99.439	-96.61	-6.253E-14
2073	0.	SLU_ENV	Combination	Max	-425.036	20.101	-5.51	1.199E-15
2073	0.5	SLU_ENV	Combination	Max	-415.218	20.101	-5.51	1.199E-15
2073	1.	SLU_ENV	Combination	Max	-405.401	20.101	-5.51	1.199E-15
2073	0.	SLU_ENV	Combination	Min	-749.135	8.652	-15.799	-3.908E-15
2073	0.5	SLU_ENV	Combination	Min	-735.881	8.652	-15.799	-3.908E-15
2073	1.	SLU_ENV	Combination	Min	-722.627	8.652	-15.799	-3.908E-15
2073	0.	SLV_ENV	Combination	Max	114.837	175.047	132.686	6.780E-14
2073	0.5	SLV_ENV	Combination	Max	124.654	175.047	132.686	6.780E-14
2073	1.	SLV_ENV	Combination	Max	134.472	175.047	132.686	6.780E-14
2073	0.	SLV_ENV	Combination	Min	-1008.365	-156.789	-144.968	-6.602E-14
2073	0.5	SLV_ENV	Combination	Min	-998.547	-156.789	-144.968	-6.602E-14
2073	1.	SLV_ENV	Combination	Min	-988.73	-156.789	-144.968	-6.602E-14
2074	0.	SLU_ENV	Combination	Max	-444.033	25.761	-5.84	2.998E-16
2074	0.5	SLU_ENV	Combination	Max	-434.215	25.761	-5.84	2.998E-16
2074	1.	SLU_ENV	Combination	Max	-424.398	25.761	-5.84	2.998E-16
2074	0.	SLU_ENV	Combination	Min	-782.977	9.731	-18.66	0.
2074	0.5	SLU_ENV	Combination	Min	-769.723	9.731	-18.66	0.
2074	1.	SLU_ENV	Combination	Min	-756.469	9.731	-18.66	0.
2074	0.	SLV_ENV	Combination	Max	120.732	248.193	190.37	3.726E-13
2074	0.5	SLV_ENV	Combination	Max	130.549	248.193	190.37	3.726E-13
2074	1.	SLV_ENV	Combination	Max	140.367	248.193	190.37	3.726E-13
2074	0.	SLV_ENV	Combination	Min	-1054.285	-227.301	-203.357	-3.721E-13
2074	0.5	SLV_ENV	Combination	Min	-1044.468	-227.301	-203.357	-3.721E-13
2074	1.	SLV_ENV	Combination	Min	-1034.65	-227.301	-203.357	-3.721E-13
2075	0.	SLU_ENV	Combination	Max	-463.206	31.69	-5.757	2.998E-16
2075	0.5	SLU_ENV	Combination	Max	-453.388	31.69	-5.757	2.998E-16
2075	1.	SLU_ENV	Combination	Max	-443.571	31.69	-5.757	2.998E-16
2075	0.	SLU_ENV	Combination	Min	-817.13	10.385	-21.102	0.
2075	0.5	SLU_ENV	Combination	Min	-803.877	10.385	-21.102	0.
2075	1.	SLU_ENV	Combination	Min	-790.623	10.385	-21.102	0.
2075	0.	SLV_ENV	Combination	Max	126.646	333.566	258.398	3.151E-13
2075	0.5	SLV_ENV	Combination	Max	136.464	333.566	258.398	3.151E-13
2075	1.	SLV_ENV	Combination	Max	146.281	333.566	258.398	3.151E-13
2075	0.	SLV_ENV	Combination	Min	-1100.595	-310.791	-271.16	-3.147E-13
2075	0.5	SLV_ENV	Combination	Min	-1090.778	-310.791	-271.16	-3.147E-13
2075	1.	SLV_ENV	Combination	Min	-1080.961	-310.791	-271.16	-3.147E-13
2076	0.	SLU_ENV	Combination	Max	-482.562	37.439	-5.067	1.199E-15
2076	0.5	SLU_ENV	Combination	Max	-472.745	37.439	-5.067	1.199E-15
2076	1.	SLU_ENV	Combination	Max	-462.927	37.439	-5.067	1.199E-15
2076	0.	SLU_ENV	Combination	Min	-851.61	10.342	-22.677	-3.908E-15
2076	0.5	SLU_ENV	Combination	Min	-838.356	10.342	-22.677	-3.908E-15
2076	1.	SLU_ENV	Combination	Min	-825.102	10.342	-22.677	-3.908E-15
2076	0.	SLV_ENV	Combination	Max	132.582	429.183	335.489	4.138E-14
2076	0.5	SLV_ENV	Combination	Max	142.399	429.183	335.489	4.138E-14
2076	1.	SLV_ENV	Combination	Max	152.217	429.183	335.489	4.138E-14
2076	0.	SLV_ENV	Combination	Min	-1147.313	-405.833	-346.659	-3.960E-14
2076	0.5	SLV_ENV	Combination	Min	-1137.495	-405.833	-346.659	-3.960E-14
2076	1.	SLV_ENV	Combination	Min	-1127.678	-405.833	-346.659	-3.960E-14
2115	0.	SLU_ENV	Combination	Max	0.	-0.094	8.840E-11	0.
2115	0.00481	SLU_ENV	Combination	Max	0.	-3.066E-09	8.840E-11	0.
2115	0.	SLU_ENV	Combination	Min	0.	-0.127	5.821E-11	0.
2115	0.00481	SLU_ENV	Combination	Min	0.	-4.140E-09	5.821E-11	0.
2115	0.	SLV_ENV	Combination	Max	0.035	-0.076	0.028	0.

Table: Element Forces - Frames, Part 1 of 2

Frame	Station m	OutputCase	CaseType	StepType	P KN	V2 KN	V3 KN	T KN-m
2115	0.00481	SLV_ENV	Combination	Max	0.035	0.019	0.028	0.
2115	0.	SLV_ENV	Combination	Min	-0.035	-0.113	-0.028	0.
2115	0.00481	SLV_ENV	Combination	Min	-0.035	-0.019	-0.028	0.
2120	0.	SLU_ENV	Combination	Max	0.	-0.139	3.929E-11	0.
2120	0.00708	SLU_ENV	Combination	Max	0.	7.497E-10	3.929E-11	0.
2120	0.	SLU_ENV	Combination	Min	0.	-0.188	0.	0.
2120	0.00708	SLU_ENV	Combination	Min	0.	4.971E-10	0.	0.
2120	0.	SLV_ENV	Combination	Max	0.051	-0.11	0.047	0.
2120	0.00708	SLV_ENV	Combination	Max	0.051	0.029	0.047	0.
2120	0.	SLV_ENV	Combination	Min	-0.051	-0.168	-0.047	0.
2120	0.00708	SLV_ENV	Combination	Min	-0.051	-0.029	-0.047	0.
2130	0.	SLU_ENV	Combination	Max	-41.295	0.058	0.039	0.
2130	0.5	SLU_ENV	Combination	Max	-31.478	0.058	0.039	0.
2130	1.	SLU_ENV	Combination	Max	-21.66	0.058	0.039	0.
2130	0.	SLU_ENV	Combination	Min	-62.095	-0.011	7.662E-05	0.
2130	0.5	SLU_ENV	Combination	Min	-48.841	-0.011	7.662E-05	0.
2130	1.	SLU_ENV	Combination	Min	-35.588	-0.011	7.662E-05	0.
2130	0.	SLV_ENV	Combination	Max	-27.146	0.802	0.637	0.
2130	0.5	SLV_ENV	Combination	Max	-17.329	0.802	0.637	0.
2130	1.	SLV_ENV	Combination	Max	-7.511	0.802	0.637	0.
2130	0.	SLV_ENV	Combination	Min	-57.302	-0.816	-0.592	0.
2130	0.5	SLV_ENV	Combination	Min	-47.484	-0.816	-0.592	0.
2130	1.	SLV_ENV	Combination	Min	-37.667	-0.816	-0.592	0.
2131	0.	SLV_ENV	Combination	Max	-62.968	0.099	0.076	0.
2131	0.5	SLU_ENV	Combination	Max	-53.151	0.099	0.076	0.
2131	1.	SLU_ENV	Combination	Max	-43.333	0.099	0.076	0.
2131	0.	SLU_ENV	Combination	Min	-97.702	-0.017	8.303E-03	0.
2131	0.5	SLU_ENV	Combination	Min	-84.449	-0.017	8.303E-03	0.
2131	1.	SLU_ENV	Combination	Min	-71.195	-0.017	8.303E-03	0.
2131	0.	SLV_ENV	Combination	Max	-38.152	1.056	0.84	0.
2131	0.5	SLV_ENV	Combination	Max	-28.334	1.056	0.84	0.
2131	1.	SLV_ENV	Combination	Max	-18.517	1.056	0.84	0.
2131	0.	SLV_ENV	Combination	Min	-91.501	-1.073	-0.755	0.
2131	0.5	SLV_ENV	Combination	Min	-81.683	-1.073	-0.755	0.
2131	1.	SLV_ENV	Combination	Min	-71.866	-1.073	-0.755	0.
2132	0.	SLU_ENV	Combination	Max	-84.662	0.12	0.11	0.
2132	0.5	SLU_ENV	Combination	Max	-74.845	0.12	0.11	0.
2132	1.	SLU_ENV	Combination	Max	-65.027	0.12	0.11	0.
2132	0.	SLU_ENV	Combination	Min	-133.344	-0.017	0.025	0.
2132	0.5	SLU_ENV	Combination	Min	-120.09	-0.017	0.025	0.
2132	1.	SLU_ENV	Combination	Min	-106.837	-0.017	0.025	0.
2132	0.	SLV_ENV	Combination	Max	-49.169	0.836	0.684	0.
2132	0.5	SLV_ENV	Combination	Max	-39.352	0.836	0.684	0.
2132	1.	SLV_ENV	Combination	Max	-29.534	0.836	0.684	0.
2132	0.	SLV_ENV	Combination	Min	-125.733	-0.846	-0.563	0.
2132	0.5	SLV_ENV	Combination	Min	-115.915	-0.846	-0.563	0.
2132	1.	SLV_ENV	Combination	Min	-106.098	-0.846	-0.563	0.
2133	0.	SLU_ENV	Combination	Max	-106.387	0.122	0.14	0.
2133	0.5	SLU_ENV	Combination	Max	-96.57	0.122	0.14	0.
2133	1.	SLU_ENV	Combination	Max	-86.752	0.122	0.14	0.
2133	0.	SLU_ENV	Combination	Min	-169.034	-0.012	0.049	0.
2133	0.5	SLU_ENV	Combination	Min	-155.781	-0.012	0.049	0.
2133	1.	SLU_ENV	Combination	Min	-142.527	-0.012	0.049	0.
2133	0.	SLV_ENV	Combination	Max	-60.207	0.519	0.754	0.

Table: Element Forces - Frames, Part 1 of 2

Frame	Station m	OutputCase	CaseType	StepType	P KN	V2 KN	V3 KN	T KN-m
2133	0.5	SLV_ENV	Combination	Max	-50.39	0.519	0.754	0.
2133	1.	SLV_ENV	Combination	Max	-40.572	0.519	0.754	0.
2133	0.	SLV_ENV	Combination	Min	-160.007	-0.513	-0.603	0.
2133	0.5	SLV_ENV	Combination	Min	-150.189	-0.513	-0.603	0.
2133	1.	SLV_ENV	Combination	Min	-140.372	-0.513	-0.603	0.
2134	0.	SLU_ENV	Combination	Max	-128.151	0.13	0.171	0.
2134	0.5	SLU_ENV	Combination	Max	-118.333	0.13	0.171	0.
2134	1.	SLU_ENV	Combination	Max	-108.516	0.13	0.171	0.
2134	0.	SLU_ENV	Combination	Min	-204.788	-1.386E-03	0.06	0.
2134	0.5	SLU_ENV	Combination	Min	-191.534	-1.386E-03	0.06	0.
2134	1.	SLU_ENV	Combination	Min	-178.28	-1.386E-03	0.06	0.
2134	0.	SLV_ENV	Combination	Max	-71.272	1.621	1.658	0.
2134	0.5	SLV_ENV	Combination	Max	-61.454	1.621	1.658	0.
2134	1.	SLV_ENV	Combination	Max	-51.637	1.621	1.658	0.
2134	0.	SLV_ENV	Combination	Min	-194.335	-1.588	-1.485	0.
2134	0.5	SLV_ENV	Combination	Min	-184.517	-1.588	-1.485	0.
2134	1.	SLV_ENV	Combination	Min	-174.7	-1.588	-1.485	0.
2135	0.	SLU_ENV	Combination	Max	-149.963	0.17	0.223	0.
2135	0.5	SLU_ENV	Combination	Max	-140.145	0.17	0.223	0.
2135	1.	SLU_ENV	Combination	Max	-130.328	0.17	0.223	0.
2135	0.	SLU_ENV	Combination	Min	-240.618	-0.066	0.064	0.
2135	0.5	SLU_ENV	Combination	Min	-227.365	-0.066	0.064	0.
2135	1.	SLU_ENV	Combination	Min	-214.111	-0.066	0.064	0.
2135	0.	SLV_ENV	Combination	Max	-82.37	3.513	3.185	0.
2135	0.5	SLV_ENV	Combination	Max	-72.553	3.513	3.185	0.
2135	1.	SLV_ENV	Combination	Max	-62.735	3.513	3.185	0.
2135	0.	SLV_ENV	Combination	Min	-228.729	-3.443	-3.	0.
2135	0.5	SLV_ENV	Combination	Min	-218.912	-3.443	-3.	0.
2135	1.	SLV_ENV	Combination	Min	-209.094	-3.443	-3.	0.
2136	0.	SLU_ENV	Combination	Max	-171.831	0.212	0.276	0.
2136	0.5	SLU_ENV	Combination	Max	-162.014	0.212	0.276	0.
2136	1.	SLU_ENV	Combination	Max	-152.196	0.212	0.276	0.
2136	0.	SLU_ENV	Combination	Min	-276.541	-0.158	0.063	0.
2136	0.5	SLU_ENV	Combination	Min	-263.288	-0.158	0.063	0.
2136	1.	SLU_ENV	Combination	Min	-250.034	-0.158	0.063	0.
2136	0.	SLV_ENV	Combination	Max	-93.508	5.993	5.14	0.
2136	0.5	SLV_ENV	Combination	Max	-83.691	5.993	5.14	0.
2136	1.	SLV_ENV	Combination	Max	-73.873	5.993	5.14	0.
2136	0.	SLV_ENV	Combination	Min	-263.202	-5.875	-4.956	0.
2136	0.5	SLV_ENV	Combination	Min	-253.384	-5.875	-4.956	0.
2136	1.	SLV_ENV	Combination	Min	-243.567	-5.875	-4.956	0.
2137	0.	SLU_ENV	Combination	Max	-193.765	0.253	0.326	0.
2137	0.5	SLU_ENV	Combination	Max	-183.948	0.253	0.326	0.
2137	1.	SLU_ENV	Combination	Max	-174.13	0.253	0.326	0.
2137	0.	SLU_ENV	Combination	Min	-312.571	-0.277	0.054	0.
2137	0.5	SLU_ENV	Combination	Min	-299.317	-0.277	0.054	0.
2137	1.	SLU_ENV	Combination	Min	-286.064	-0.277	0.054	0.
2137	0.	SLV_ENV	Combination	Max	-104.692	9.03	7.494	0.
2137	0.5	SLV_ENV	Combination	Max	-94.875	9.03	7.494	0.
2137	1.	SLV_ENV	Combination	Max	-85.057	9.03	7.494	0.
2137	0.	SLV_ENV	Combination	Min	-297.765	-8.853	-7.331	0.
2137	0.5	SLV_ENV	Combination	Min	-287.948	-8.853	-7.331	0.
2137	1.	SLV_ENV	Combination	Min	-278.13	-8.853	-7.331	0.
2138	0.	SLU_ENV	Combination	Max	-215.774	0.29	0.367	0.

Table: Element Forces - Frames, Part 1 of 2

Frame	Station m	OutputCase	CaseType	StepType	P KN	V2 KN	V3 KN	T KN-m
2138	0.5	SLU_ENV	Combination	Max	-205.956	0.29	0.367	0.
2138	1.	SLU_ENV	Combination	Max	-196.139	0.29	0.367	0.
2138	0.	SLU_ENV	Combination	Min	-348.722	-0.422	0.036	0.
2138	0.5	SLU_ENV	Combination	Min	-335.468	-0.422	0.036	0.
2138	1.	SLU_ENV	Combination	Min	-322.215	-0.422	0.036	0.
2138	0.	SLV_ENV	Combination	Max	-115.928	12.574	10.197	0.
2138	0.5	SLV_ENV	Combination	Max	-106.11	12.574	10.197	0.
2138	1.	SLV_ENV	Combination	Max	-96.293	12.574	10.197	0.
2138	0.	SLV_ENV	Combination	Min	-332.432	-12.33	-10.08	0.
2138	0.5	SLV_ENV	Combination	Min	-322.614	-12.33	-10.08	0.
2138	1.	SLV_ENV	Combination	Min	-312.797	-12.33	-10.08	0.
2139	0.	SLU_ENV	Combination	Max	-237.866	0.323	0.392	0.
2139	0.5	SLU_ENV	Combination	Max	-228.048	0.323	0.392	0.
2139	1.	SLU_ENV	Combination	Max	-218.231	0.323	0.392	0.
2139	0.	SLU_ENV	Combination	Min	-385.008	-0.592	-7.971E-04	0.
2139	0.5	SLU_ENV	Combination	Min	-371.755	-0.592	-7.971E-04	0.
2139	1.	SLU_ENV	Combination	Min	-358.501	-0.592	-7.971E-04	0.
2139	0.	SLV_ENV	Combination	Max	-127.222	16.526	13.161	0.
2139	0.5	SLV_ENV	Combination	Max	-117.404	16.526	13.161	0.
2139	1.	SLV_ENV	Combination	Max	-107.587	16.526	13.161	0.
2139	0.	SLV_ENV	Combination	Min	-367.214	-16.208	-13.121	0.
2139	0.5	SLV_ENV	Combination	Min	-357.396	-16.208	-13.121	0.
2139	1.	SLV_ENV	Combination	Min	-347.579	-16.208	-13.121	0.
2140	0.	SLU_ENV	Combination	Max	-260.05	0.353	0.397	0.
2140	0.5	SLU_ENV	Combination	Max	-250.232	0.353	0.397	0.
2140	1.	SLU_ENV	Combination	Max	-240.415	0.353	0.397	0.
2140	0.	SLU_ENV	Combination	Min	-421.445	-0.782	-0.06	0.
2140	0.5	SLU_ENV	Combination	Min	-408.192	-0.782	-0.06	0.
2140	1.	SLU_ENV	Combination	Min	-394.938	-0.782	-0.06	0.
2140	0.	SLV_ENV	Combination	Max	-138.58	20.72	16.239	0.
2140	0.5	SLV_ENV	Combination	Max	-128.763	20.72	16.239	0.
2140	1.	SLV_ENV	Combination	Max	-118.945	20.72	16.239	0.
2140	0.	SLV_ENV	Combination	Min	-402.124	-20.325	-16.317	0.
2140	0.5	SLV_ENV	Combination	Min	-392.306	-20.325	-16.317	0.
2140	1.	SLV_ENV	Combination	Min	-382.489	-20.325	-16.317	0.
2141	0.	SLU_ENV	Combination	Max	-282.336	0.382	0.401	2.998E-16
2141	0.5	SLU_ENV	Combination	Max	-272.518	0.382	0.401	2.998E-16
2141	1.	SLU_ENV	Combination	Max	-262.701	0.382	0.401	2.998E-16
2141	0.	SLU_ENV	Combination	Min	-458.048	-0.984	-0.173	0.
2141	0.5	SLU_ENV	Combination	Min	-444.794	-0.984	-0.173	0.
2141	1.	SLU_ENV	Combination	Min	-431.54	-0.984	-0.173	0.
2141	0.	SLV_ENV	Combination	Max	-150.009	24.898	19.215	6.344E-14
2141	0.5	SLV_ENV	Combination	Max	-140.192	24.898	19.215	6.344E-14
2141	1.	SLV_ENV	Combination	Max	-130.374	24.898	19.215	6.344E-14
2141	0.	SLV_ENV	Combination	Min	-437.173	-24.429	-19.458	-6.299E-14
2141	0.5	SLV_ENV	Combination	Min	-427.356	-24.429	-19.458	-6.299E-14
2141	1.	SLV_ENV	Combination	Min	-417.539	-24.429	-19.458	-6.299E-14
2142	0.	SLU_ENV	Combination	Max	-304.731	0.42	0.385	0.
2142	0.5	SLU_ENV	Combination	Max	-294.914	0.42	0.385	0.
2142	1.	SLU_ENV	Combination	Max	-285.097	0.42	0.385	0.
2142	0.	SLU_ENV	Combination	Min	-494.83	-1.255	-0.34	0.
2142	0.5	SLU_ENV	Combination	Min	-481.577	-1.255	-0.34	0.
2142	1.	SLU_ENV	Combination	Min	-468.323	-1.255	-0.34	0.
2142	0.	SLV_ENV	Combination	Max	-161.515	28.687	21.784	0.

Table: Element Forces - Frames, Part 1 of 2

Frame	Station	OutputCase	CaseType	StepType	P	V2	V3	T
	m				KN	KN	KN	KN-m
2142	0.5	SLV_ENV	Combination	Max	-151.698	28.687	21.784	0.
2142	1.	SLV_ENV	Combination	Max	-141.88	28.687	21.784	0.
2142	0.	SLV_ENV	Combination	Min	-472.376	-28.157	-22.249	0.
2142	0.5	SLV_ENV	Combination	Min	-462.559	-28.157	-22.249	0.
2142	1.	SLV_ENV	Combination	Min	-452.741	-28.157	-22.249	0.
2143	0.	SLU_ENV	Combination	Max	-327.247	0.453	0.334	0.
2143	0.5	SLU_ENV	Combination	Max	-317.429	0.453	0.334	0.
2143	1.	SLU_ENV	Combination	Max	-307.612	0.453	0.334	0.
2143	0.	SLU_ENV	Combination	Min	-531.808	-1.539	-0.587	0.
2143	0.5	SLU_ENV	Combination	Min	-518.554	-1.539	-0.587	0.
2143	1.	SLU_ENV	Combination	Min	-505.3	-1.539	-0.587	0.
2143	0.	SLV_ENV	Combination	Max	-173.104	31.58	23.547	0.
2143	0.5	SLV_ENV	Combination	Max	-163.287	31.58	23.547	0.
2143	1.	SLV_ENV	Combination	Max	-153.469	31.58	23.547	0.
2143	0.	SLV_ENV	Combination	Min	-507.745	-31.011	-24.295	0.
2143	0.5	SLV_ENV	Combination	Min	-497.927	-31.011	-24.295	0.
2143	1.	SLV_ENV	Combination	Min	-488.11	-31.011	-24.295	0.
2144	0.	SLU_ENV	Combination	Max	-349.891	0.456	0.232	0.
2144	0.5	SLU_ENV	Combination	Max	-340.073	0.456	0.232	0.
2144	1.	SLU_ENV	Combination	Max	-330.256	0.456	0.232	0.
2144	0.	SLU_ENV	Combination	Min	-568.995	-1.813	-0.908	0.
2144	0.5	SLU_ENV	Combination	Min	-555.741	-1.813	-0.908	0.
2144	1.	SLU_ENV	Combination	Min	-542.488	-1.813	-0.908	0.
2144	0.	SLV_ENV	Combination	Max	-184.783	32.921	24.057	1.512E-15
2144	0.5	SLV_ENV	Combination	Max	-174.966	32.921	24.057	1.512E-15
2144	1.	SLV_ENV	Combination	Max	-165.148	32.921	24.057	1.512E-15
2144	0.	SLV_ENV	Combination	Min	-543.291	-32.352	-25.154	-1.512E-15
2144	0.5	SLV_ENV	Combination	Min	-533.474	-32.352	-25.154	-1.512E-15
2144	1.	SLV_ENV	Combination	Min	-523.656	-32.352	-25.154	-1.512E-15
2145	0.	SLU_ENV	Combination	Max	-372.672	0.416	0.058	0.
2145	0.5	SLU_ENV	Combination	Max	-362.855	0.416	0.058	0.
2145	1.	SLU_ENV	Combination	Max	-353.037	0.416	0.058	0.
2145	0.	SLU_ENV	Combination	Min	-606.407	-2.041	-1.298	0.
2145	0.5	SLU_ENV	Combination	Min	-593.154	-2.041	-1.298	0.
2145	1.	SLU_ENV	Combination	Min	-579.9	-2.041	-1.298	0.
2145	0.	SLV_ENV	Combination	Max	-196.558	31.889	22.801	3.917E-15
2145	0.5	SLV_ENV	Combination	Max	-186.74	31.889	22.801	3.917E-15
2145	1.	SLV_ENV	Combination	Max	-176.923	31.889	22.801	3.917E-15
2145	0.	SLV_ENV	Combination	Min	-579.028	-31.378	-24.309	-3.917E-15
2145	0.5	SLV_ENV	Combination	Min	-569.211	-31.378	-24.309	-3.917E-15
2145	1.	SLV_ENV	Combination	Min	-559.393	-31.378	-24.309	-3.917E-15
2146	0.	SLU_ENV	Combination	Max	-395.601	0.386	-0.209	0.
2146	0.5	SLU_ENV	Combination	Max	-385.783	0.386	-0.209	0.
2146	1.	SLU_ENV	Combination	Max	-375.966	0.386	-0.209	0.
2146	0.	SLU_ENV	Combination	Min	-644.06	-2.244	-1.752	0.
2146	0.5	SLU_ENV	Combination	Min	-630.806	-2.244	-1.752	0.
2146	1.	SLU_ENV	Combination	Min	-617.553	-2.244	-1.752	0.
2146	0.	SLV_ENV	Combination	Max	-208.435	27.49	18.952	0.
2146	0.5	SLV_ENV	Combination	Max	-198.618	27.49	18.952	0.
2146	1.	SLV_ENV	Combination	Max	-188.8	27.49	18.952	0.
2146	0.	SLV_ENV	Combination	Min	-614.969	-27.115	-20.927	0.
2146	0.5	SLV_ENV	Combination	Min	-605.152	-27.115	-20.927	0.
2146	1.	SLV_ENV	Combination	Min	-595.334	-27.115	-20.927	0.
2147	0.	SLU_ENV	Combination	Max	-418.685	0.312	-0.585	0.

Table: Element Forces - Frames, Part 1 of 2

Frame	Station	OutputCase	CaseType	StepType	P	V2	V3	T
	m				KN	KN	KN	KN-m
2147	0.5	SLU_ENV	Combination	Max	-408.868	0.312	-0.585	0.
2147	1.	SLU_ENV	Combination	Max	-399.05	0.312	-0.585	0.
2147	0.	SLU_ENV	Combination	Min	-681.968	-2.332	-2.258	0.
2147	0.5	SLU_ENV	Combination	Min	-668.714	-2.332	-2.258	0.
2147	1.	SLU_ENV	Combination	Min	-655.461	-2.332	-2.258	0.
2147	0.	SLV_ENV	Combination	Max	-220.421	18.661	11.657	0.
2147	0.5	SLV_ENV	Combination	Max	-210.604	18.661	11.657	0.
2147	1.	SLV_ENV	Combination	Max	-200.786	18.661	11.657	0.
2147	0.	SLV_ENV	Combination	Min	-651.126	-18.528	-14.134	0.
2147	0.5	SLV_ENV	Combination	Min	-641.309	-18.528	-14.134	0.
2147	1.	SLV_ENV	Combination	Min	-631.491	-18.528	-14.134	0.
2148	0.	SLU_ENV	Combination	Max	-441.935	0.179	-1.043	1.199E-15
2148	0.5	SLU_ENV	Combination	Max	-432.118	0.179	-1.043	1.199E-15
2148	1.	SLU_ENV	Combination	Max	-422.3	0.179	-1.043	1.199E-15
2148	0.	SLU_ENV	Combination	Min	-720.146	-2.233	-2.792	-1.510E-15
2148	0.5	SLU_ENV	Combination	Min	-706.893	-2.233	-2.792	-1.510E-15
2148	1.	SLU_ENV	Combination	Min	-693.639	-2.233	-2.792	-1.510E-15
2148	0.	SLV_ENV	Combination	Max	-232.523	6.556	5.28	3.774E-14
2148	0.5	SLV_ENV	Combination	Max	-222.706	6.556	5.28	3.774E-14
2148	1.	SLV_ENV	Combination	Max	-212.888	6.556	5.28	3.774E-14
2148	0.	SLV_ENV	Combination	Min	-687.513	-6.798	-8.264	-3.596E-14
2148	0.5	SLV_ENV	Combination	Min	-677.696	-6.798	-8.264	-3.596E-14
2148	1.	SLV_ENV	Combination	Min	-667.878	-6.798	-8.264	-3.596E-14
2149	0.	SLU_ENV	Combination	Max	-465.361	0.252	-1.204	0.
2149	0.5	SLU_ENV	Combination	Max	-455.543	0.252	-1.204	0.
2149	1.	SLU_ENV	Combination	Max	-445.726	0.252	-1.204	0.
2149	0.	SLU_ENV	Combination	Min	-758.611	-2.708	-3.561	-2.398E-15
2149	0.5	SLU_ENV	Combination	Min	-745.358	-2.708	-3.561	-2.398E-15
2149	1.	SLU_ENV	Combination	Min	-732.104	-2.708	-3.561	-2.398E-15
2149	0.	SLV_ENV	Combination	Max	-244.747	21.575	19.946	4.682E-14
2149	0.5	SLV_ENV	Combination	Max	-234.929	21.575	19.946	4.682E-14
2149	1.	SLV_ENV	Combination	Max	-225.112	21.575	19.946	4.682E-14
2149	0.	SLV_ENV	Combination	Min	-724.142	-22.355	-23.394	-4.682E-14
2149	0.5	SLV_ENV	Combination	Min	-714.325	-22.355	-23.394	-4.682E-14
2149	1.	SLV_ENV	Combination	Min	-704.507	-22.355	-23.394	-4.682E-14
2150	0.	SLU_ENV	Combination	Max	-488.97	1.47	-1.321	0.
2150	0.5	SLU_ENV	Combination	Max	-479.153	1.47	-1.321	0.
2150	1.	SLU_ENV	Combination	Max	-469.335	1.47	-1.321	0.
2150	0.	SLU_ENV	Combination	Min	-797.378	-3.558	-4.654	0.
2150	0.5	SLU_ENV	Combination	Min	-784.124	-3.558	-4.654	0.
2150	1.	SLU_ENV	Combination	Min	-770.871	-3.558	-4.654	0.
2150	0.	SLV_ENV	Combination	Max	-257.099	52.516	45.45	1.398E-13
2150	0.5	SLV_ENV	Combination	Max	-247.282	52.516	45.45	1.398E-13
2150	1.	SLV_ENV	Combination	Max	-237.464	52.516	45.45	1.398E-13
2150	0.	SLV_ENV	Combination	Min	-761.027	-54.023	-49.251	-1.398E-13
2150	0.5	SLV_ENV	Combination	Min	-751.21	-54.023	-49.251	-1.398E-13
2150	1.	SLV_ENV	Combination	Min	-741.392	-54.023	-49.251	-1.398E-13
2151	0.	SLU_ENV	Combination	Max	-512.774	3.205	-1.361	-8.882E-16
2151	0.5	SLU_ENV	Combination	Max	-502.956	3.205	-1.361	-8.882E-16
2151	1.	SLU_ENV	Combination	Max	-493.139	3.205	-1.361	-8.882E-16
2151	0.	SLU_ENV	Combination	Min	-836.462	-4.487	-5.834	-1.499E-15
2151	0.5	SLU_ENV	Combination	Min	-823.209	-4.487	-5.834	-1.499E-15
2151	1.	SLU_ENV	Combination	Min	-809.955	-4.487	-5.834	-1.499E-15
2151	0.	SLV_ENV	Combination	Max	-269.587	94.032	79.169	1.465E-13

Table: Element Forces - Frames, Part 1 of 2

Frame	Station m	OutputCase	CaseType	StepType	P	V2	V3	T
					KN	KN	KN	KN-m
2151	0.5	SLV_ENV	Combination	Max	-259.77	94.032	79.169	1.465E-13
2151	1.	SLV_ENV	Combination	Max	-249.952	94.032	79.169	1.465E-13
2151	0.	SLV_ENV	Combination	Min	-798.181	-96.48	-83.125	-1.488E-13
2151	0.5	SLV_ENV	Combination	Min	-788.364	-96.48	-83.125	-1.488E-13
2151	1.	SLV_ENV	Combination	Min	-778.546	-96.48	-83.125	-1.488E-13
2152	0.	SLU_ENV	Combination	Max	-536.781	5.484	-1.281	2.398E-15
2152	0.5	SLU_ENV	Combination	Max	-526.963	5.484	-1.281	2.398E-15
2152	1.	SLU_ENV	Combination	Max	-517.146	5.484	-1.281	2.398E-15
2152	0.	SLU_ENV	Combination	Min	-875.88	-5.44	-7.027	0.
2152	0.5	SLU_ENV	Combination	Min	-862.626	-5.44	-7.027	0.
2152	1.	SLU_ENV	Combination	Min	-849.372	-5.44	-7.027	0.
2152	0.	SLV_ENV	Combination	Max	-282.217	146.933	121.816	7.623E-14
2152	0.5	SLV_ENV	Combination	Max	-272.4	146.933	121.816	7.623E-14
2152	1.	SLV_ENV	Combination	Max	-262.582	146.933	121.816	7.623E-14
2152	0.	SLV_ENV	Combination	Min	-835.617	-150.545	-125.615	-7.623E-14
2152	0.5	SLV_ENV	Combination	Min	-825.799	-150.545	-125.615	-7.623E-14
2152	1.	SLV_ENV	Combination	Min	-815.982	-150.545	-125.615	-7.623E-14
2153	0.	SLU_ENV	Combination	Max	-561.002	8.353	-1.031	4.796E-15
2153	0.5	SLU_ENV	Combination	Max	-551.184	8.353	-1.031	4.796E-15
2153	1.	SLU_ENV	Combination	Max	-541.367	8.353	-1.031	4.796E-15
2153	0.	SLU_ENV	Combination	Min	-915.646	-6.366	-8.125	0.
2153	0.5	SLU_ENV	Combination	Min	-902.393	-6.366	-8.125	0.
2153	1.	SLU_ENV	Combination	Min	-889.139	-6.366	-8.125	0.
2153	0.	SLV_ENV	Combination	Max	-294.997	211.716	173.725	1.579E-13
2153	0.5	SLV_ENV	Combination	Max	-285.179	211.716	173.725	1.579E-13
2153	1.	SLV_ENV	Combination	Max	-275.362	211.716	173.725	1.579E-13
2153	0.	SLV_ENV	Combination	Min	-873.348	-216.715	-176.915	-1.579E-13
2153	0.5	SLV_ENV	Combination	Min	-863.531	-216.715	-176.915	-1.579E-13
2153	1.	SLV_ENV	Combination	Min	-853.713	-216.715	-176.915	-1.579E-13
2154	0.	SLU_ENV	Combination	Max	-585.445	11.821	-0.459	1.510E-15
2154	0.5	SLU_ENV	Combination	Max	-575.628	11.821	-0.459	1.510E-15
2154	1.	SLU_ENV	Combination	Max	-565.81	11.821	-0.459	1.510E-15
2154	0.	SLU_ENV	Combination	Min	-955.778	-7.197	-8.967	-1.799E-15
2154	0.5	SLU_ENV	Combination	Min	-942.525	-7.197	-8.967	-1.799E-15
2154	1.	SLU_ENV	Combination	Min	-929.271	-7.197	-8.967	-1.799E-15
2154	0.	SLV_ENV	Combination	Max	-307.932	288.095	234.568	5.018E-14
2154	0.5	SLV_ENV	Combination	Max	-298.114	288.095	234.568	5.018E-14
2154	1.	SLV_ENV	Combination	Max	-288.297	288.095	234.568	5.018E-14
2154	0.	SLV_ENV	Combination	Min	-911.389	-294.675	-236.532	-5.284E-14
2154	0.5	SLV_ENV	Combination	Min	-901.572	-294.675	-236.532	-5.284E-14
2154	1.	SLV_ENV	Combination	Min	-891.754	-294.675	-236.532	-5.284E-14
2155	0.	SLU_ENV	Combination	Max	-610.122	15.859	0.481	-2.535E-04
2155	0.5	SLU_ENV	Combination	Max	-600.305	15.859	0.481	-2.535E-04
2155	1.	SLU_ENV	Combination	Max	-590.487	15.859	0.481	-2.535E-04
2155	0.	SLU_ENV	Combination	Min	-996.292	-7.935	-9.375	-9.958E-04
2155	0.5	SLU_ENV	Combination	Min	-983.039	-7.935	-9.375	-9.958E-04
2155	1.	SLU_ENV	Combination	Min	-969.785	-7.935	-9.375	-9.958E-04
2155	0.	SLV_ENV	Combination	Max	-321.033	374.621	303.05	0.0114
2155	0.5	SLV_ENV	Combination	Max	-311.215	374.621	303.05	0.0114
2155	1.	SLV_ENV	Combination	Max	-301.398	374.621	303.05	0.0114
2155	0.	SLV_ENV	Combination	Min	-949.75	-382.888	-302.988	-0.0122
2155	0.5	SLV_ENV	Combination	Min	-939.932	-382.889	-302.988	-0.0122
2155	1.	SLV_ENV	Combination	Min	-930.115	-382.889	-302.988	-0.0122
2176	0.	SLU_ENV	Combination	Max	-40.078	0.038	0.044	0.

Table: Element Forces - Frames, Part 1 of 2

Frame	Station m	OutputCase	CaseType	StepType	P KN	V2 KN	V3 KN	T KN-m
2176	0.5	SLU_ENV	Combination	Max	-30.26	0.038	0.044	0.
2176	1.	SLU_ENV	Combination	Max	-20.443	0.038	0.044	0.
2176	0.	SLU_ENV	Combination	Min	-62.23	-0.031	8.409E-04	0.
2176	0.5	SLU_ENV	Combination	Min	-48.977	-0.031	8.409E-04	0.
2176	1.	SLU_ENV	Combination	Min	-35.723	-0.031	8.409E-04	0.
2176	0.	SLV_ENV	Combination	Max	-18.467	0.801	0.664	0.
2176	0.5	SLV_ENV	Combination	Max	-8.65	0.801	0.664	0.
2176	1.	SLV_ENV	Combination	Max	1.168	0.801	0.664	0.
2176	0.	SLV_ENV	Combination	Min	-64.014	-0.844	-0.612	0.
2176	0.5	SLV_ENV	Combination	Min	-54.197	-0.844	-0.612	0.
2176	1.	SLV_ENV	Combination	Min	-44.379	-0.844	-0.612	0.
2177	0.	SLU_ENV	Combination	Max	-60.533	0.046	0.085	0.
2177	0.5	SLU_ENV	Combination	Max	-50.716	0.046	0.085	0.
2177	1.	SLU_ENV	Combination	Max	-40.898	0.046	0.085	0.
2177	0.	SLU_ENV	Combination	Min	-97.973	-0.066	0.014	0.
2177	0.5	SLU_ENV	Combination	Min	-84.719	-0.066	0.014	0.
2177	1.	SLU_ENV	Combination	Min	-71.466	-0.066	0.014	0.
2177	0.	SLV_ENV	Combination	Max	-19.373	1.045	0.874	0.
2177	0.5	SLV_ENV	Combination	Max	-9.555	1.045	0.874	0.
2177	1.	SLV_ENV	Combination	Max	0.262	1.045	0.874	0.
2177	0.	SLV_ENV	Combination	Min	-106.345	-1.139	-0.774	0.
2177	0.5	SLV_ENV	Combination	Min	-96.528	-1.139	-0.774	0.
2177	1.	SLV_ENV	Combination	Min	-86.71	-1.139	-0.774	0.
2178	0.	SLU_ENV	Combination	Max	-81.009	0.022	0.124	0.
2178	0.5	SLU_ENV	Combination	Max	-71.191	0.022	0.124	0.
2178	1.	SLU_ENV	Combination	Max	-61.374	0.022	0.124	0.
2178	0.	SLU_ENV	Combination	Min	-133.75	-0.105	0.04	0.
2178	0.5	SLU_ENV	Combination	Min	-120.497	-0.105	0.04	0.
2178	1.	SLU_ENV	Combination	Min	-107.243	-0.105	0.04	0.
2178	0.	SLV_ENV	Combination	Max	-20.281	0.81	0.747	0.
2178	0.5	SLV_ENV	Combination	Max	-10.463	0.81	0.747	0.
2178	1.	SLV_ENV	Combination	Max	-0.646	0.81	0.747	0.
2178	0.	SLV_ENV	Combination	Min	-148.717	-0.961	-0.604	0.
2178	0.5	SLV_ENV	Combination	Min	-138.9	-0.961	-0.604	0.
2178	1.	SLV_ENV	Combination	Min	-129.082	-0.961	-0.604	0.
2179	0.	SLU_ENV	Combination	Max	-101.513	-0.034	0.159	0.
2179	0.5	SLU_ENV	Combination	Max	-91.696	-0.034	0.159	0.
2179	1.	SLU_ENV	Combination	Max	-81.878	-0.034	0.159	0.
2179	0.	SLU_ENV	Combination	Min	-169.576	-0.147	0.069	0.
2179	0.5	SLU_ENV	Combination	Min	-156.323	-0.147	0.069	0.
2179	1.	SLU_ENV	Combination	Min	-143.069	-0.147	0.069	0.
2179	0.	SLV_ENV	Combination	Max	-21.195	0.422	0.925	0.
2179	0.5	SLV_ENV	Combination	Max	-11.378	0.422	0.925	0.
2179	1.	SLV_ENV	Combination	Max	-1.56	0.422	0.925	0.
2179	0.	SLV_ENV	Combination	Min	-191.143	-0.636	-0.743	0.
2179	0.5	SLV_ENV	Combination	Min	-181.326	-0.636	-0.743	0.
2179	1.	SLV_ENV	Combination	Min	-171.508	-0.636	-0.743	0.
2180	0.	SLU_ENV	Combination	Max	-122.055	-0.11	0.221	0.
2180	0.5	SLU_ENV	Combination	Max	-112.237	-0.11	0.221	0.
2180	1.	SLU_ENV	Combination	Max	-102.42	-0.11	0.221	0.
2180	0.	SLU_ENV	Combination	Min	-205.465	-0.195	0.082	0.
2180	0.5	SLU_ENV	Combination	Min	-192.212	-0.195	0.082	0.
2180	1.	SLU_ENV	Combination	Min	-178.958	-0.195	0.082	0.
2180	0.	SLV_ENV	Combination	Max	-22.119	1.403	1.989	0.

Table: Element Forces - Frames, Part 1 of 2

Frame	Station m	OutputCase	CaseType	StepType	P KN	V2 KN	V3 KN	T KN-m
2180	0.5	SLV_ENV	Combination	Max	-12.302	1.403	1.989	0.
2180	1.	SLV_ENV	Combination	Max	-2.484	1.403	1.989	0.
2180	0.	SLV_ENV	Combination	Min	-233.638	-1.685	-1.777	0.
2180	0.5	SLV_ENV	Combination	Min	-223.82	-1.685	-1.777	0.
2180	1.	SLV_ENV	Combination	Min	-214.003	-1.685	-1.777	0.
2181	0.	SLU_ENV	Combination	Max	-142.642	-0.151	0.295	0.
2181	0.5	SLU_ENV	Combination	Max	-132.824	-0.151	0.295	0.
2181	1.	SLU_ENV	Combination	Max	-123.007	-0.151	0.295	0.
2181	0.	SLU_ENV	Combination	Min	-241.432	-0.324	0.091	0.
2181	0.5	SLU_ENV	Combination	Min	-228.179	-0.324	0.091	0.
2181	1.	SLU_ENV	Combination	Min	-214.925	-0.324	0.091	0.
2181	0.	SLV_ENV	Combination	Max	-23.054	3.213	3.627	0.
2181	0.5	SLV_ENV	Combination	Max	-13.237	3.213	3.627	0.
2181	1.	SLV_ENV	Combination	Max	-3.419	3.213	3.627	0.
2181	0.	SLV_ENV	Combination	Min	-276.217	-3.564	-3.395	0.
2181	0.5	SLV_ENV	Combination	Min	-266.399	-3.564	-3.395	0.
2181	1.	SLV_ENV	Combination	Min	-256.582	-3.564	-3.395	0.
2182	0.	SLU_ENV	Combination	Max	-163.283	-0.189	0.372	0.
2182	0.5	SLU_ENV	Combination	Max	-153.465	-0.189	0.372	0.
2182	1.	SLU_ENV	Combination	Max	-143.648	-0.189	0.372	0.
2182	0.	SLU_ENV	Combination	Min	-277.492	-0.483	0.094	0.
2182	0.5	SLU_ENV	Combination	Min	-264.238	-0.483	0.094	0.
2182	1.	SLU_ENV	Combination	Min	-250.985	-0.483	0.094	0.
2182	0.	SLV_ENV	Combination	Max	-24.002	5.613	5.736	0.
2182	0.5	SLV_ENV	Combination	Max	-14.184	5.613	5.736	0.
2182	1.	SLV_ENV	Combination	Max	-4.367	5.613	5.736	0.
2182	0.	SLV_ENV	Combination	Min	-318.896	-6.027	-5.499	0.
2182	0.5	SLV_ENV	Combination	Min	-309.079	-6.027	-5.499	0.
2182	1.	SLV_ENV	Combination	Min	-299.261	-6.027	-5.499	0.
2183	0.	SLU_ENV	Combination	Max	-183.986	-0.215	0.449	0.
2183	0.5	SLU_ENV	Combination	Max	-174.168	-0.215	0.449	0.
2183	1.	SLU_ENV	Combination	Max	-164.351	-0.215	0.449	0.
2183	0.	SLU_ENV	Combination	Min	-313.658	-0.669	0.09	0.
2183	0.5	SLU_ENV	Combination	Min	-300.405	-0.669	0.09	0.
2183	1.	SLU_ENV	Combination	Min	-287.151	-0.669	0.09	0.
2183	0.	SLV_ENV	Combination	Max	-24.963	8.572	8.272	0.
2183	0.5	SLV_ENV	Combination	Max	-15.146	8.572	8.272	0.
2183	1.	SLV_ENV	Combination	Max	-5.329	8.572	8.272	0.
2183	0.	SLV_ENV	Combination	Min	-361.693	-9.039	-8.051	0.
2183	0.5	SLV_ENV	Combination	Min	-351.875	-9.039	-8.051	0.
2183	1.	SLV_ENV	Combination	Min	-342.058	-9.039	-8.051	0.
2184	0.	SLU_ENV	Combination	Max	-204.759	-0.224	0.516	0.
2184	0.5	SLU_ENV	Combination	Max	-194.942	-0.224	0.516	0.
2184	1.	SLU_ENV	Combination	Max	-185.124	-0.224	0.516	0.
2184	0.	SLU_ENV	Combination	Min	-349.946	-0.885	0.072	0.
2184	0.5	SLU_ENV	Combination	Min	-336.693	-0.885	0.072	0.
2184	1.	SLU_ENV	Combination	Min	-323.439	-0.885	0.072	0.
2184	0.	SLV_ENV	Combination	Max	-25.941	12.048	11.174	0.
2184	0.5	SLV_ENV	Combination	Max	-16.124	12.048	11.174	0.
2184	1.	SLV_ENV	Combination	Max	-6.306	12.048	11.174	0.
2184	0.	SLV_ENV	Combination	Min	-404.621	-12.546	-10.998	0.
2184	0.5	SLV_ENV	Combination	Min	-394.804	-12.546	-10.998	0.
2184	1.	SLV_ENV	Combination	Min	-384.987	-12.546	-10.998	0.
2185	0.	SLU_ENV	Combination	Max	-225.612	-0.211	0.563	0.

Table: Element Forces - Frames, Part 1 of 2

Frame	Station	OutputCase	CaseType	StepType	P	V2	V3	T
	m				KN	KN	KN	KN-m
2185	0.5	SLU_ENV	Combination	Max	-215.794	-0.211	0.563	0.
2185	1.	SLU_ENV	Combination	Max	-205.977	-0.211	0.563	0.
2185	0.	SLU_ENV	Combination	Min	-386.371	-1.118	0.035	0.
2185	0.5	SLU_ENV	Combination	Min	-373.117	-1.118	0.035	0.
2185	1.	SLU_ENV	Combination	Min	-359.863	-1.118	0.035	0.
2185	0.	SLV_ENV	Combination	Max	-26.937	15.954	14.342	0.
2185	0.5	SLV_ENV	Combination	Max	-17.119	15.954	14.342	0.
2185	1.	SLV_ENV	Combination	Max	-7.302	15.954	14.342	0.
2185	0.	SLV_ENV	Combination	Min	-447.699	-16.448	-14.248	0.
2185	0.5	SLV_ENV	Combination	Min	-437.882	-16.448	-14.248	0.
2185	1.	SLV_ENV	Combination	Min	-428.064	-16.448	-14.248	0.
2186	0.	SLU_ENV	Combination	Max	-246.552	-0.169	0.585	0.
2186	0.5	SLU_ENV	Combination	Max	-236.734	-0.169	0.585	0.
2186	1.	SLU_ENV	Combination	Max	-226.917	-0.169	0.585	0.
2186	0.	SLU_ENV	Combination	Min	-422.946	-1.347	-0.03	0.
2186	0.5	SLU_ENV	Combination	Min	-409.693	-1.347	-0.03	0.
2186	1.	SLU_ENV	Combination	Min	-396.439	-1.347	-0.03	0.
2186	0.	SLV_ENV	Combination	Max	-27.951	20.137	17.615	0.
2186	0.5	SLV_ENV	Combination	Max	-18.134	20.137	17.615	0.
2186	1.	SLV_ENV	Combination	Max	-8.316	20.137	17.615	0.
2186	0.	SLV_ENV	Combination	Min	-490.942	-20.576	-17.651	0.
2186	0.5	SLV_ENV	Combination	Min	-481.125	-20.576	-17.651	0.
2186	1.	SLV_ENV	Combination	Min	-471.307	-20.576	-17.651	0.
2187	0.	SLU_ENV	Combination	Max	-267.587	-0.09	0.601	0.
2187	0.5	SLU_ENV	Combination	Max	-257.77	-0.09	0.601	0.
2187	1.	SLU_ENV	Combination	Max	-247.952	-0.09	0.601	0.
2187	0.	SLU_ENV	Combination	Min	-459.687	-1.55	-0.158	0.
2187	0.5	SLU_ENV	Combination	Min	-446.434	-1.55	-0.158	0.
2187	1.	SLU_ENV	Combination	Min	-433.18	-1.55	-0.158	0.
2187	0.	SLV_ENV	Combination	Max	-28.986	24.358	20.757	0.
2187	0.5	SLV_ENV	Combination	Max	-19.169	24.358	20.757	0.
2187	1.	SLV_ENV	Combination	Max	-9.351	24.358	20.757	0.
2187	0.	SLV_ENV	Combination	Min	-534.366	-24.671	-20.98	0.
2187	0.5	SLV_ENV	Combination	Min	-524.549	-24.671	-20.98	0.
2187	1.	SLV_ENV	Combination	Min	-514.731	-24.671	-20.98	0.
2188	0.	SLU_ENV	Combination	Max	-288.727	0.037	0.58	0.
2188	0.5	SLU_ENV	Combination	Max	-278.91	0.037	0.58	0.
2188	1.	SLU_ENV	Combination	Max	-269.092	0.037	0.58	0.
2188	0.	SLU_ENV	Combination	Min	-496.609	-1.694	-0.351	0.
2188	0.5	SLU_ENV	Combination	Min	-483.356	-1.694	-0.351	0.
2188	1.	SLU_ENV	Combination	Min	-470.102	-1.694	-0.351	0.
2188	0.	SLV_ENV	Combination	Max	-30.044	28.266	23.437	0.
2188	0.5	SLV_ENV	Combination	Max	-20.227	28.266	23.437	0.
2188	1.	SLV_ENV	Combination	Max	-10.409	28.266	23.437	0.
2188	0.	SLV_ENV	Combination	Min	-577.988	-28.361	-23.916	0.
2188	0.5	SLV_ENV	Combination	Min	-568.17	-28.361	-23.916	0.
2188	1.	SLV_ENV	Combination	Min	-558.353	-28.361	-23.916	0.
2189	0.	SLU_ENV	Combination	Max	-309.98	0.23	0.502	0.
2189	0.5	SLU_ENV	Combination	Max	-300.163	0.23	0.502	0.
2189	1.	SLU_ENV	Combination	Max	-290.345	0.23	0.502	0.
2189	0.	SLU_ENV	Combination	Min	-533.727	-1.746	-0.636	0.
2189	0.5	SLU_ENV	Combination	Min	-520.474	-1.746	-0.636	0.
2189	1.	SLU_ENV	Combination	Min	-507.22	-1.746	-0.636	0.
2189	0.	SLV_ENV	Combination	Max	-31.126	31.383	25.226	2.019E-13

Table: Element Forces - Frames, Part 1 of 2

Frame	Station m	OutputCase	CaseType	StepType	P KN	V2 KN	V3 KN	T KN-m
2189	0.5	SLV_ENV	Combination	Max	-21.309	31.383	25.226	2.019E-13
2189	1.	SLV_ENV	Combination	Max	-11.491	31.383	25.226	2.019E-13
2189	0.	SLV_ENV	Combination	Min	-621.824	-31.142	-26.039	-2.019E-13
2189	0.5	SLV_ENV	Combination	Min	-612.006	-31.142	-26.039	-2.019E-13
2189	1.	SLV_ENV	Combination	Min	-602.189	-31.142	-26.039	-2.019E-13
2190	0.	SLU_ENV	Combination	Max	-331.355	0.558	0.34	0.
2190	0.5	SLU_ENV	Combination	Max	-321.537	0.558	0.34	0.
2190	1.	SLU_ENV	Combination	Max	-311.72	0.558	0.34	0.
2190	0.	SLU_ENV	Combination	Min	-571.056	-1.709	-0.999	0.
2190	0.5	SLU_ENV	Combination	Min	-557.802	-1.709	-0.999	0.
2190	1.	SLU_ENV	Combination	Min	-544.549	-1.709	-0.999	0.
2190	0.	SLV_ENV	Combination	Max	-32.234	33.082	25.623	0.
2190	0.5	SLV_ENV	Combination	Max	-22.416	33.082	25.623	0.
2190	1.	SLV_ENV	Combination	Max	-12.599	33.082	25.623	0.
2190	0.	SLV_ENV	Combination	Min	-665.89	-32.363	-26.853	0.
2190	0.5	SLV_ENV	Combination	Min	-656.073	-32.363	-26.853	0.
2190	1.	SLV_ENV	Combination	Min	-646.255	-32.363	-26.853	0.
2191	0.	SLU_ENV	Combination	Max	-352.859	0.994	0.065	0.
2191	0.5	SLU_ENV	Combination	Max	-343.042	0.994	0.065	0.
2191	1.	SLU_ENV	Combination	Max	-333.224	0.994	0.065	0.
2191	0.	SLU_ENV	Combination	Min	-608.61	-1.482	-1.442	0.
2191	0.5	SLU_ENV	Combination	Min	-595.356	-1.482	-1.442	0.
2191	1.	SLU_ENV	Combination	Min	-582.103	-1.482	-1.442	0.
2191	0.	SLV_ENV	Combination	Max	-33.369	32.572	24.072	2.640E-20
2191	0.5	SLV_ENV	Combination	Max	-23.552	32.572	24.072	2.640E-20
2191	1.	SLV_ENV	Combination	Max	-13.734	32.572	24.072	2.640E-20
2191	0.	SLV_ENV	Combination	Min	-710.204	-31.209	-25.804	-2.640E-20
2191	0.5	SLV_ENV	Combination	Min	-700.386	-31.209	-25.804	-2.640E-20
2191	1.	SLV_ENV	Combination	Min	-690.569	-31.209	-25.804	-2.640E-20
2192	0.	SLU_ENV	Combination	Max	-374.503	1.547	-0.353	0.
2192	0.5	SLU_ENV	Combination	Max	-364.685	1.547	-0.353	0.
2192	1.	SLU_ENV	Combination	Max	-354.868	1.547	-0.353	0.
2192	0.	SLU_ENV	Combination	Min	-646.405	-0.995	-1.961	0.
2192	0.5	SLU_ENV	Combination	Min	-633.152	-0.995	-1.961	0.
2192	1.	SLU_ENV	Combination	Min	-619.898	-0.995	-1.961	0.
2192	0.	SLV_ENV	Combination	Max	-34.533	28.886	19.816	2.792E-13
2192	0.5	SLV_ENV	Combination	Max	-24.716	28.886	19.816	2.792E-13
2192	1.	SLV_ENV	Combination	Max	-14.899	28.886	19.816	2.792E-13
2192	0.	SLV_ENV	Combination	Min	-754.781	-26.696	-22.125	-2.792E-13
2192	0.5	SLV_ENV	Combination	Min	-744.964	-26.696	-22.125	-2.792E-13
2192	1.	SLV_ENV	Combination	Min	-735.146	-26.696	-22.125	-2.792E-13
2193	0.	SLU_ENV	Combination	Max	-396.294	2.225	-0.943	0.
2193	0.5	SLU_ENV	Combination	Max	-386.477	2.225	-0.943	0.
2193	1.	SLU_ENV	Combination	Max	-376.659	2.225	-0.943	0.
2193	0.	SLU_ENV	Combination	Min	-684.457	-0.165	-2.546	0.
2193	0.5	SLU_ENV	Combination	Min	-671.204	-0.165	-2.546	0.
2193	1.	SLU_ENV	Combination	Min	-657.95	-0.165	-2.546	0.
2193	0.	SLV_ENV	Combination	Max	-35.729	21.004	12.297	4.170E-20
2193	0.5	SLV_ENV	Combination	Max	-25.911	21.004	12.297	4.170E-20
2193	1.	SLV_ENV	Combination	Max	-16.094	21.004	12.297	4.170E-20
2193	0.	SLV_ENV	Combination	Min	-799.64	-17.792	-15.243	-4.170E-20
2193	0.5	SLV_ENV	Combination	Min	-789.822	-17.792	-15.243	-4.170E-20
2193	1.	SLV_ENV	Combination	Min	-780.005	-17.792	-15.243	-4.170E-20
2194	0.	SLU_ENV	Combination	Max	-418.242	3.023	-1.384	0.

Table: Element Forces - Frames, Part 1 of 2

Frame	Station m	OutputCase	CaseType	StepType	P KN	V2 KN	V3 KN	T KN-m
2194	0.5	SLU_ENV	Combination	Max	-408.424	3.023	-1.384	0.
2194	1.	SLU_ENV	Combination	Max	-398.607	3.023	-1.384	0.
2194	0.	SLU_ENV	Combination	Min	-722.781	1.091	-3.287	0.
2194	0.5	SLU_ENV	Combination	Min	-709.527	1.091	-3.287	0.
2194	1.	SLU_ENV	Combination	Min	-696.274	1.091	-3.287	0.
2194	0.	SLV_ENV	Combination	Max	-36.957	9.882	7.987	0.
2194	0.5	SLV_ENV	Combination	Max	-27.139	9.882	7.987	0.
2194	1.	SLV_ENV	Combination	Max	-17.322	9.882	7.987	0.
2194	0.	SLV_ENV	Combination	Min	-844.796	-5.458	-11.593	0.
2194	0.5	SLV_ENV	Combination	Min	-834.978	-5.458	-11.593	0.
2194	1.	SLV_ENV	Combination	Min	-825.161	-5.458	-11.593	0.
2195	0.	SLU_ENV	Combination	Max	-440.355	4.302	-1.644	0.
2195	0.5	SLU_ENV	Combination	Max	-430.537	4.302	-1.644	0.
2195	1.	SLU_ENV	Combination	Max	-420.72	4.302	-1.644	0.
2195	0.	SLU_ENV	Combination	Min	-761.392	2.318	-4.62	0.
2195	0.5	SLU_ENV	Combination	Min	-748.138	2.318	-4.62	0.
2195	1.	SLU_ENV	Combination	Min	-734.884	2.318	-4.62	0.
2195	0.	SLV_ENV	Combination	Max	-38.219	23.856	24.422	0.
2195	0.5	SLV_ENV	Combination	Max	-28.402	23.856	24.422	0.
2195	1.	SLV_ENV	Combination	Max	-18.584	23.856	24.422	0.
2195	0.	SLV_ENV	Combination	Min	-890.266	-18.055	-28.661	0.
2195	0.5	SLV_ENV	Combination	Min	-880.449	-18.055	-28.661	0.
2195	1.	SLV_ENV	Combination	Min	-870.631	-18.055	-28.661	0.
2196	0.	SLU_ENV	Combination	Max	-462.642	6.874	-1.871	0.
2196	0.5	SLU_ENV	Combination	Max	-452.825	6.874	-1.871	0.
2196	1.	SLU_ENV	Combination	Max	-443.007	6.874	-1.871	0.
2196	0.	SLU_ENV	Combination	Min	-800.305	3.162	-6.161	0.
2196	0.5	SLU_ENV	Combination	Min	-787.052	3.162	-6.161	0.
2196	1.	SLU_ENV	Combination	Min	-773.798	3.162	-6.161	0.
2196	0.	SLV_ENV	Combination	Max	-39.518	55.309	51.39	3.039E-13
2196	0.5	SLV_ENV	Combination	Max	-29.7	55.309	51.39	3.039E-13
2196	1.	SLV_ENV	Combination	Max	-19.883	55.309	51.39	3.039E-13
2196	0.	SLV_ENV	Combination	Min	-936.068	-48.02	-56.158	-3.039E-13
2196	0.5	SLV_ENV	Combination	Min	-926.251	-48.02	-56.158	-3.039E-13
2196	1.	SLV_ENV	Combination	Min	-916.433	-48.02	-56.158	-3.039E-13
2197	0.	SLU_ENV	Combination	Max	-485.113	10.058	-2.022	2.698E-15
2197	0.5	SLU_ENV	Combination	Max	-475.296	10.058	-2.022	2.698E-15
2197	1.	SLU_ENV	Combination	Max	-465.478	10.058	-2.022	2.698E-15
2197	0.	SLU_ENV	Combination	Min	-839.538	4.004	-7.86	-6.217E-16
2197	0.5	SLU_ENV	Combination	Min	-826.284	4.004	-7.86	-6.217E-16
2197	1.	SLU_ENV	Combination	Min	-813.03	4.004	-7.86	-6.217E-16
2197	0.	SLV_ENV	Combination	Max	-40.855	97.523	87.524	2.939E-13
2197	0.5	SLV_ENV	Combination	Max	-31.037	97.523	87.524	2.939E-13
2197	1.	SLV_ENV	Combination	Max	-21.22	97.523	87.524	2.939E-13
2197	0.	SLV_ENV	Combination	Min	-982.22	-88.726	-92.614	-2.899E-13
2197	0.5	SLV_ENV	Combination	Min	-972.402	-88.726	-92.614	-2.899E-13
2197	1.	SLV_ENV	Combination	Min	-962.585	-88.726	-92.614	-2.899E-13
2198	0.	SLU_ENV	Combination	Max	-507.776	13.88	-2.049	0.
2198	0.5	SLU_ENV	Combination	Max	-497.959	13.88	-2.049	0.
2198	1.	SLU_ENV	Combination	Max	-488.141	13.88	-2.049	0.
2198	0.	SLU_ENV	Combination	Min	-879.104	4.696	-9.627	-2.398E-15
2198	0.5	SLU_ENV	Combination	Min	-865.851	4.696	-9.627	-2.398E-15
2198	1.	SLU_ENV	Combination	Min	-852.597	4.696	-9.627	-2.398E-15
2198	0.	SLV_ENV	Combination	Max	-42.231	151.175	133.279	1.705E-13

Table: Element Forces - Frames, Part 1 of 2

Frame	Station m	OutputCase	CaseType	StepType	P KN	V2 KN	V3 KN	T KN-m
2198	0.5	SLV_ENV	Combination	Max	-32.413	151.175	133.279	1.705E-13
2198	1.	SLV_ENV	Combination	Max	-22.596	151.175	133.279	1.705E-13
2198	0.	SLV_ENV	Combination	Min	-1028.738	-140.988	-138.348	-1.705E-13
2198	0.5	SLV_ENV	Combination	Min	-1018.92	-140.988	-138.348	-1.705E-13
2198	1.	SLV_ENV	Combination	Min	-1009.103	-140.988	-138.348	-1.705E-13
2199	0.	SLU_ENV	Combination	Max	-530.641	18.362	-1.877	2.698E-15
2199	0.5	SLU_ENV	Combination	Max	-520.823	18.362	-1.877	2.698E-15
2199	1.	SLU_ENV	Combination	Max	-511.006	18.362	-1.877	2.698E-15
2199	0.	SLU_ENV	Combination	Min	-919.022	5.138	-11.322	-5.418E-15
2199	0.5	SLU_ENV	Combination	Min	-905.768	5.138	-11.322	-5.418E-15
2199	1.	SLU_ENV	Combination	Min	-892.515	5.138	-11.322	-5.418E-15
2199	0.	SLV_ENV	Combination	Max	-43.649	216.685	188.911	3.241E-13
2199	0.5	SLV_ENV	Combination	Max	-33.832	216.685	188.911	3.241E-13
2199	1.	SLV_ENV	Combination	Max	-24.014	216.685	188.911	3.241E-13
2199	0.	SLV_ENV	Combination	Min	-1075.639	-205.423	-193.451	-3.201E-13
2199	0.5	SLV_ENV	Combination	Min	-1065.822	-205.423	-193.451	-3.201E-13
2199	1.	SLV_ENV	Combination	Min	-1056.004	-205.423	-193.451	-3.201E-13
2200	0.	SLU_ENV	Combination	Max	-553.717	23.462	-1.319	8.393E-15
2200	0.5	SLU_ENV	Combination	Max	-543.899	23.462	-1.319	8.393E-15
2200	1.	SLU_ENV	Combination	Max	-534.082	23.462	-1.319	8.393E-15
2200	0.	SLU_ENV	Combination	Min	-959.306	5.186	-12.742	-1.865E-15
2200	0.5	SLU_ENV	Combination	Min	-946.053	5.186	-12.742	-1.865E-15
2200	1.	SLU_ENV	Combination	Min	-932.799	5.186	-12.742	-1.865E-15
2200	0.	SLV_ENV	Combination	Max	-45.111	293.669	254.008	6.397E-13
2200	0.5	SLV_ENV	Combination	Max	-35.293	293.669	254.008	6.397E-13
2200	1.	SLV_ENV	Combination	Max	-25.476	293.669	254.008	6.397E-13
2200	0.	SLV_ENV	Combination	Min	-1122.943	-281.908	-257.31	-6.272E-13
2200	0.5	SLV_ENV	Combination	Min	-1113.125	-281.908	-257.31	-6.272E-13
2200	1.	SLV_ENV	Combination	Min	-1103.308	-281.908	-257.31	-6.272E-13
2201	0.	SLU_ENV	Combination	Max	-577.012	28.786	-0.356	-9.147E-05
2201	0.5	SLU_ENV	Combination	Max	-567.195	28.786	-0.356	-9.147E-05
2201	1.	SLU_ENV	Combination	Max	-557.377	28.786	-0.356	-9.147E-05
2201	0.	SLU_ENV	Combination	Min	-999.973	4.689	-13.612	-3.307E-04
2201	0.5	SLU_ENV	Combination	Min	-986.72	4.689	-13.612	-3.307E-04
2201	1.	SLU_ENV	Combination	Min	-973.466	4.689	-13.612	-3.307E-04
2201	0.	SLV_ENV	Combination	Max	-46.62	380.543	327.139	0.0032
2201	0.5	SLV_ENV	Combination	Max	-36.802	380.543	327.139	0.0032
2201	1.	SLV_ENV	Combination	Max	-26.985	380.543	327.139	0.0032
2201	0.	SLV_ENV	Combination	Min	-1170.664	-369.185	-328.264	-0.0034
2201	0.5	SLV_ENV	Combination	Min	-1160.846	-369.185	-328.264	-0.0034
2201	1.	SLV_ENV	Combination	Min	-1151.029	-369.185	-328.264	-0.0034

Table: Element Forces - Frames, Part 2 of 2

Table: Element Forces - Frames, Part 2 of 2

Frame	Station m	OutputCase	StepType	M2 KN-m	M3 KN-m	FrameElem	ElemStation m
226	0.	SLU_ENV	Max	-1.155E-15	-8.882E-16	226-1	0.
226	0.5	SLU_ENV	Max	-0.0306	0.0295	226-1	0.5
226	1.	SLU_ENV	Max	-0.0611	0.0591	226-1	1.
226	0.	SLU_ENV	Min	-4.496E-15	-1.087E-14	226-1	0.
226	0.5	SLU_ENV	Min	-0.0976	-0.0604	226-1	0.5
226	1.	SLU_ENV	Min	-0.1952	-0.1208	226-1	1.

Table: Element Forces - Frames, Part 2 of 2

Frame	Station	OutputCase	StepType	M		FrameElem	ElemStation
				M2	M3		
	m			KN-m	KN-m		m
226	0.	SLV_ENV	Max	1.213E-13	1.083E-13	226-1	0.
226	0.5	SLV_ENV	Max	0.8192	1.1318	226-1	0.5
226	1.	SLV_ENV	Max	1.6385	2.2635	226-1	1.
226	0.	SLV_ENV	Min	-1.279E-13	-1.102E-13	226-1	0.
226	0.5	SLV_ENV	Min	-0.9069	-1.1024	226-1	0.5
226	1.	SLV_ENV	Min	-1.8139	-2.2048	226-1	1.
233	0.	SLU_ENV	Max	-0.0611	0.0591	233-1	0.
233	0.5	SLU_ENV	Max	-0.1232	0.1143	233-1	0.5
233	1.	SLU_ENV	Max	-0.1852	0.1696	233-1	1.
233	0.	SLU_ENV	Min	-0.1952	-0.1208	233-1	0.
233	0.5	SLU_ENV	Min	-0.3812	-0.2279	233-1	0.5
233	1.	SLU_ENV	Min	-0.5672	-0.3351	233-1	1.
233	0.	SLV_ENV	Max	1.6385	2.2635	233-1	0.
233	0.5	SLV_ENV	Max	2.9187	4.1964	233-1	0.5
233	1.	SLV_ENV	Max	4.201	6.1302	233-1	1.
233	0.	SLV_ENV	Min	-1.8139	-2.2048	233-1	0.
233	0.5	SLV_ENV	Min	-3.2694	-4.0843	233-1	0.5
233	1.	SLV_ENV	Min	-4.727	-5.9648	233-1	1.
234	0.	SLU_ENV	Max	-0.1852	0.1696	234-1	0.
234	0.5	SLU_ENV	Max	-0.2795	0.2466	234-1	0.5
234	1.	SLU_ENV	Max	-0.3737	0.3236	234-1	1.
234	0.	SLU_ENV	Min	-0.5672	-0.3351	234-1	0.
234	0.5	SLU_ENV	Min	-0.8318	-0.4749	234-1	0.5
234	1.	SLU_ENV	Min	-1.0963	-0.6148	234-1	1.
234	0.	SLV_ENV	Max	4.201	6.1302	234-1	0.
234	0.5	SLV_ENV	Max	5.6188	8.5545	234-1	0.5
234	1.	SLV_ENV	Max	7.0447	10.9819	234-1	1.
234	0.	SLV_ENV	Min	-4.727	-5.9648	234-1	0.
234	0.5	SLV_ENV	Min	-6.4071	-8.3171	234-1	0.5
234	1.	SLV_ENV	Min	-8.0953	-10.6727	234-1	1.
235	0.	SLU_ENV	Max	-0.3737	0.3236	235-1	0.
235	0.5	SLU_ENV	Max	-0.5004	0.4178	235-1	0.5
235	1.	SLU_ENV	Max	-0.627	0.5119	235-1	1.
235	0.	SLU_ENV	Min	-1.0963	-0.6148	235-1	0.
235	0.5	SLU_ENV	Min	-1.4277	-0.7723	235-1	0.5
235	1.	SLU_ENV	Min	-1.7591	-0.9298	235-1	1.
235	0.	SLV_ENV	Max	7.0447	10.9819	235-1	0.
235	0.5	SLV_ENV	Max	8.2989	13.5806	235-1	0.5
235	1.	SLV_ENV	Max	9.5798	16.1877	235-1	1.
235	0.	SLV_ENV	Min	-8.0953	-10.6727	235-1	0.
235	0.5	SLV_ENV	Min	-9.6962	-13.1869	235-1	0.5
235	1.	SLV_ENV	Min	-11.3239	-15.7096	235-1	1.
239	0.	SLU_ENV	Max	-0.627	0.5119	239-1	0.
239	0.5	SLU_ENV	Max	-0.7849	0.6177	239-1	0.5
239	1.	SLU_ENV	Max	-0.9428	0.7235	239-1	1.
239	0.	SLU_ENV	Min	-1.7591	-0.9298	239-1	0.
239	0.5	SLU_ENV	Min	-2.1421	-1.0877	239-1	0.5
239	1.	SLU_ENV	Min	-2.5251	-1.2457	239-1	1.
239	0.	SLV_ENV	Max	9.5798	16.1877	239-1	0.
239	0.5	SLV_ENV	Max	10.4362	18.6309	239-1	0.5
239	1.	SLV_ENV	Max	11.3828	21.0944	239-1	1.
239	0.	SLV_ENV	Min	-11.3239	-15.7096	239-1	0.
239	0.5	SLV_ENV	Min	-12.6059	-18.063	239-1	0.5
239	1.	SLV_ENV	Min	-13.9781	-20.4367	239-1	1.

Table: Element Forces - Frames, Part 2 of 2

Frame	Station m	OutputCase	StepType	M		FrameElem	ElemStation m
				M2 KN-m	M3 KN-m		
240	0.	SLU_ENV	Max	-0.9428	0.7235	240-1	0.
240	0.5	SLU_ENV	Max	-1.1289	0.8336	240-1	0.5
240	1.	SLU_ENV	Max	-1.3149	0.9437	240-1	1.
240	0.	SLU_ENV	Min	-2.5251	-1.2457	240-1	0.
240	0.5	SLU_ENV	Min	-2.9387	-1.3841	240-1	0.5
240	1.	SLU_ENV	Min	-3.3524	-1.5224	240-1	1.
240	0.	SLV_ENV	Max	11.3828	21.0944	240-1	0.
240	0.5	SLV_ENV	Max	11.8491	23.0442	240-1	0.5
240	1.	SLV_ENV	Max	12.6213	25.0426	240-1	1.
240	0.	SLV_ENV	Min	-13.9781	-20.4367	240-1	0.
240	0.5	SLV_ENV	Min	-14.9373	-22.2998	240-1	0.5
240	1.	SLV_ENV	Min	-16.2024	-24.2115	240-1	1.
243	0.	SLU_ENV	Max	-1.3149	0.9437	243-1	0.
243	0.5	SLU_ENV	Max	-1.523	1.0486	243-1	0.5
243	1.	SLU_ENV	Max	-1.7311	1.1535	243-1	1.
243	0.	SLU_ENV	Min	-3.3524	-1.5224	243-1	0.
243	0.5	SLU_ENV	Min	-3.7676	-1.617	243-1	0.5
243	1.	SLU_ENV	Min	-4.1828	-1.7116	243-1	1.
243	0.	SLV_ENV	Max	12.6213	25.0426	243-1	0.
243	0.5	SLV_ENV	Max	13.3778	26.1875	243-1	0.5
243	1.	SLV_ENV	Max	14.8097	27.4513	243-1	1.
243	0.	SLV_ENV	Min	-16.2024	-24.2115	243-1	0.
243	0.5	SLV_ENV	Min	-17.4994	-25.2836	243-1	0.5
243	1.	SLV_ENV	Min	-19.4717	-26.4745	243-1	1.
245	0.	SLU_ENV	Max	-1.7311	1.1535	245-1	0.
245	0.5	SLU_ENV	Max	-1.9508	1.2404	245-1	0.5
245	1.	SLU_ENV	Max	-2.1704	1.3274	245-1	1.
245	0.	SLU_ENV	Min	-4.1828	-1.7116	245-1	0.
245	0.5	SLU_ENV	Min	-4.5595	-1.7334	245-1	0.5
245	1.	SLU_ENV	Min	-4.9363	-1.7552	245-1	1.
245	0.	SLV_ENV	Max	14.8097	27.4513	245-1	0.
245	0.5	SLV_ENV	Max	18.9901	27.6171	245-1	0.5
245	1.	SLV_ENV	Max	24.405	28.0783	245-1	1.
245	0.	SLV_ENV	Min	-19.4717	-26.4745	245-1	0.
245	0.5	SLV_ENV	Min	-24.2087	-26.5948	245-1	0.5
245	1.	SLV_ENV	Min	-30.1802	-27.0104	245-1	1.
247	0.	SLU_ENV	Max	-2.1704	1.3274	247-1	0.
247	0.5	SLU_ENV	Max	-2.3856	1.3801	247-1	0.5
247	1.	SLU_ENV	Max	-2.6009	1.4327	247-1	1.
247	0.	SLU_ENV	Min	-4.9363	-1.7552	247-1	0.
247	0.5	SLU_ENV	Min	-5.221	-1.6694	247-1	0.5
247	1.	SLU_ENV	Min	-5.5058	-1.5837	247-1	1.
247	0.	SLV_ENV	Max	24.405	28.0783	247-1	0.
247	0.5	SLV_ENV	Max	32.5424	27.5253	247-1	0.5
247	1.	SLV_ENV	Max	41.1873	27.9713	247-1	1.
247	0.	SLV_ENV	Min	-30.1802	-27.0104	247-1	0.
247	0.5	SLV_ENV	Min	-38.8437	-26.4556	247-1	0.5
247	1.	SLV_ENV	Min	-48.0147	-26.9	247-1	1.
251	0.	SLU_ENV	Max	-2.6009	1.4327	251-1	0.
251	0.5	SLU_ENV	Max	-2.7886	1.4304	251-1	0.5
251	1.	SLU_ENV	Max	-2.9763	1.4281	251-1	1.
251	0.	SLU_ENV	Min	-5.5058	-1.5837	251-1	0.
251	0.5	SLU_ENV	Min	-5.6291	-1.3502	251-1	0.5
251	1.	SLU_ENV	Min	-5.7524	-1.1167	251-1	1.

Table: Element Forces - Frames, Part 2 of 2

Frame	Station m	OutputCase	StepType	M		FrameElem	ElemStation m
				M2 KN-m	M3 KN-m		
251	0.	SLV_ENV	Max	41.1873	27.9713	251-1	0.
251	0.5	SLV_ENV	Max	53.0829	31.6192	251-1	0.5
251	1.	SLV_ENV	Max	65.2896	36.5553	251-1	1.
251	0.	SLV_ENV	Min	-48.0147	-26.9	251-1	0.
251	0.5	SLV_ENV	Min	-60.3407	-30.6101	251-1	0.5
251	1.	SLV_ENV	Min	-72.9778	-35.6083	251-1	1.
256	0.	SLU_ENV	Max	-2.9763	1.4281	256-1	0.
256	0.5	SLU_ENV	Max	-3.0979	1.3544	256-1	0.5
256	1.	SLU_ENV	Max	-2.9107	1.7171	256-1	1.
256	0.	SLU_ENV	Min	-5.7524	-1.1167	256-1	0.
256	0.5	SLU_ENV	Min	-5.929	-1.1957	256-1	0.5
256	1.	SLU_ENV	Min	-6.1211	-1.3356	256-1	1.
256	0.	SLV_ENV	Max	65.2896	36.5553	256-1	0.
256	0.5	SLV_ENV	Max	81.1063	44.0462	256-1	0.5
256	1.	SLV_ENV	Max	97.1249	52.8462	256-1	1.
256	0.	SLV_ENV	Min	-72.9778	-35.6083	256-1	0.
256	0.5	SLV_ENV	Min	-89.0418	-43.2488	256-1	0.5
256	1.	SLV_ENV	Min	-105.3078	-52.1983	256-1	1.
259	0.	SLU_ENV	Max	-2.9107	1.7171	259-1	0.
259	0.5	SLU_ENV	Max	-2.4596	2.3553	259-1	0.5
259	1.	SLU_ENV	Max	-2.0084	3.0156	259-1	1.
259	0.	SLU_ENV	Min	-6.1211	-1.3356	259-1	0.
259	0.5	SLU_ENV	Min	-6.0961	-1.4805	259-1	0.5
259	1.	SLU_ENV	Min	-6.0711	-1.6475	259-1	1.
259	0.	SLV_ENV	Max	97.1249	52.8462	259-1	0.
259	0.5	SLV_ENV	Max	116.9296	64.8936	259-1	0.5
259	1.	SLV_ENV	Max	136.8833	77.7168	259-1	1.
259	0.	SLV_ENV	Min	-105.3078	-52.1983	259-1	0.
259	0.5	SLV_ENV	Min	-125.0646	-64.5093	259-1	0.5
259	1.	SLV_ENV	Min	-144.9703	-77.5959	259-1	1.
260	0.	SLU_ENV	Max	-2.0084	3.0156	260-1	0.
260	0.5	SLU_ENV	Max	-1.2134	3.9274	260-1	0.5
260	1.	SLU_ENV	Max	-0.4184	4.8392	260-1	1.
260	0.	SLU_ENV	Min	-6.0711	-1.6475	260-1	0.
260	0.5	SLU_ENV	Min	-5.7305	-1.8719	260-1	0.5
260	1.	SLU_ENV	Min	-5.3899	-2.0964	260-1	1.
260	0.	SLV_ENV	Max	136.8833	77.7168	260-1	0.
260	0.5	SLV_ENV	Max	160.5282	94.047	260-1	0.5
260	1.	SLV_ENV	Max	184.2984	110.8703	260-1	1.
260	0.	SLV_ENV	Min	-144.9703	-77.5959	260-1	0.
260	0.5	SLV_ENV	Min	-168.1333	-94.3323	260-1	0.5
260	1.	SLV_ENV	Min	-191.4215	-111.5617	260-1	1.
262	0.	SLU_ENV	Max	-0.4184	4.8392	262-1	0.
262	0.5	SLU_ENV	Max	0.803	5.9944	262-1	0.5
262	1.	SLU_ENV	Max	2.0243	7.1497	262-1	1.
262	0.	SLU_ENV	Min	-5.3899	-2.0964	262-1	0.
262	0.5	SLU_ENV	Min	-4.6285	-2.3889	262-1	0.5
262	1.	SLU_ENV	Min	-3.8672	-2.6814	262-1	1.
262	0.	SLV_ENV	Max	184.2984	110.8703	262-1	0.
262	0.5	SLV_ENV	Max	211.2761	135.765	262-1	0.5
262	1.	SLV_ENV	Max	238.372	161.1399	262-1	1.
262	0.	SLV_ENV	Min	-191.4215	-111.5617	262-1	0.
262	0.5	SLV_ENV	Min	-217.3182	-137.0342	262-1	0.5
262	1.	SLV_ENV	Min	-243.3332	-162.987	262-1	1.

Table: Element Forces - Frames, Part 2 of 2

Frame	Station	OutputCase	StepType	M2		M3		FrameElem	ElemStation
					KN-m		KN-m		
	m								m
265	0.	SLU_ENV	Max		2.0243		7.1497	265-1	0.
265	0.5	SLU_ENV	Max		3.8879		8.5709	265-1	0.5
265	1.	SLU_ENV	Max		5.7515		9.9922	265-1	1.
265	0.	SLU_ENV	Min		-3.8672		-2.6814	265-1	0.
265	0.5	SLU_ENV	Min		-2.6883		-3.1074	265-1	0.5
265	1.	SLU_ENV	Min		-1.5094		-3.5335	265-1	1.
265	0.	SLV_ENV	Max		238.372		161.1399	265-1	0.
265	0.5	SLV_ENV	Max		267.663		191.7936	265-1	0.5
265	1.	SLV_ENV	Max		297.0787		222.7526	265-1	1.
265	0.	SLV_ENV	Min		-243.3332		-162.987	265-1	0.
265	0.5	SLV_ENV	Min		-270.7561		-194.4171	265-1	0.5
265	1.	SLV_ENV	Min		-298.3038		-226.1524	265-1	1.
269	0.	SLU_ENV	Max		5.7515		9.9922	269-1	0.
269	0.5	SLU_ENV	Max		8.6318		11.7518	269-1	0.5
269	1.	SLU_ENV	Max		11.8006		13.5114	269-1	1.
269	0.	SLU_ENV	Min		-1.5094		-3.5335	269-1	0.
269	0.5	SLU_ENV	Min		-0.2002		-4.1259	269-1	0.5
269	1.	SLU_ENV	Min		0.8204		-4.7183	269-1	1.
269	0.	SLV_ENV	Max		297.0787		222.7526	269-1	0.
269	0.5	SLV_ENV	Max		326.9924		258.6414	269-1	0.5
269	1.	SLV_ENV	Max		357.0532		294.8029	269-1	1.
269	0.	SLV_ENV	Min		-298.3038		-226.1524	269-1	0.
269	0.5	SLV_ENV	Min		-325.3583		-263.0369	269-1	0.5
269	1.	SLV_ENV	Min		-352.5599		-300.1941	269-1	1.
270	0.	SLU_ENV	Max		11.8006		13.5114	270-1	0.
270	0.5	SLU_ENV	Max		16.0634		15.7513	270-1	0.5
270	1.	SLU_ENV	Max		20.3262		17.9912	270-1	1.
270	0.	SLU_ENV	Min		0.8204		-4.7183	270-1	0.
270	0.5	SLU_ENV	Min		2.2736		-5.7756	270-1	0.5
270	1.	SLU_ENV	Min		3.7267		-6.8329	270-1	1.
270	0.	SLV_ENV	Max		357.0532		294.8029	270-1	0.
270	0.5	SLV_ENV	Max		385.0696		334.917	270-1	0.5
270	1.	SLV_ENV	Max		413.2833		375.3129	270-1	1.
270	0.	SLV_ENV	Min		-352.5599		-300.1941	270-1	0.
270	0.5	SLV_ENV	Min		-376.5179		-341.5331	270-1	0.5
270	1.	SLV_ENV	Min		-400.6733		-383.1539	270-1	1.
290	0.	SLU_ENV	Max		20.3262		17.9912	290-1	0.
290	0.5	SLU_ENV	Max		25.7371		20.7747	290-1	0.5
290	1.	SLU_ENV	Max		31.148		23.5582	290-1	1.
290	0.	SLU_ENV	Min		3.7267		-6.8329	290-1	0.
290	0.5	SLU_ENV	Min		5.6952		-8.399	290-1	0.5
290	1.	SLU_ENV	Min		7.6638		-9.965	290-1	1.
290	0.	SLV_ENV	Max		413.2833		375.3129	290-1	0.
290	0.5	SLV_ENV	Max		435.9267		417.8544	290-1	0.5
290	1.	SLV_ENV	Max		458.8876		460.7402	290-1	1.
290	0.	SLV_ENV	Min		-400.6733		-383.1539	290-1	0.
290	0.5	SLV_ENV	Min		-417.8656		-427.1418	290-1	0.5
290	1.	SLV_ENV	Min		-435.3755		-471.474	290-1	1.
296	0.	SLU_ENV	Max		31.148		23.5582	296-1	0.
296	0.5	SLU_ENV	Max		37.7103		26.5615	296-1	0.5
296	1.	SLU_ENV	Max		44.2726		29.5647	296-1	1.
296	0.	SLU_ENV	Min		7.6638		-9.965	296-1	0.
296	0.5	SLU_ENV	Min		10.2311		-11.8168	296-1	0.5
296	1.	SLU_ENV	Min		12.7985		-13.6686	296-1	1.

Table: Element Forces - Frames, Part 2 of 2

Frame	Station m	OutputCase	StepType	M		FrameElem	ElemStation m
				M2 KN-m	M3 KN-m		
296	0.	SLV_ENV	Max	458.8876	460.7402	296-1	0.
296	0.5	SLV_ENV	Max	471.7568	502.9697	296-1	0.5
296	1.	SLV_ENV	Max	485.3747	545.7701	296-1	1.
296	0.	SLV_ENV	Min	-435.3755	-471.474	296-1	0.
296	0.5	SLV_ENV	Min	-441.2481	-515.3384	296-1	0.5
296	1.	SLV_ENV	Min	-447.8696	-559.7738	296-1	1.
325	0.	SLU_ENV	Max	44.2726	29.5647	325-1	0.
325	0.5	SLU_ENV	Max	51.9093	32.6003	325-1	0.5
325	1.	SLU_ENV	Max	59.546	35.6359	325-1	1.
325	0.	SLU_ENV	Min	12.7985	-13.6686	325-1	0.
325	0.5	SLU_ENV	Min	16.0085	-15.7652	325-1	0.5
325	1.	SLU_ENV	Min	19.2186	-17.8618	325-1	1.
325	0.	SLV_ENV	Max	485.3747	545.7701	325-1	0.
325	0.5	SLV_ENV	Max	488.5926	584.2938	325-1	0.5
325	1.	SLV_ENV	Max	501.8788	624.2123	325-1	1.
325	0.	SLV_ENV	Min	-447.8696	-559.7738	325-1	0.
325	0.5	SLV_ENV	Min	-442.4691	-600.0532	325-1	0.5
325	1.	SLV_ENV	Min	-447.137	-641.7272	325-1	1.
328	0.	SLU_ENV	Max	59.546	35.6359	328-1	0.
328	0.5	SLU_ENV	Max	68.0497	38.4208	328-1	0.5
328	1.	SLU_ENV	Max	76.5534	41.2057	328-1	1.
328	0.	SLU_ENV	Min	19.2186	-17.8618	328-1	0.
328	0.5	SLU_ENV	Min	23.0728	-20.118	328-1	0.5
328	1.	SLU_ENV	Min	26.927	-22.3742	328-1	1.
328	0.	SLV_ENV	Max	501.8788	624.2123	328-1	0.
328	0.5	SLV_ENV	Max	501.1158	655.3503	328-1	0.5
328	1.	SLV_ENV	Max	503.174	687.9063	328-1	1.
328	0.	SLV_ENV	Min	-447.137	-641.7272	328-1	0.
328	0.5	SLV_ENV	Min	-436.1787	-674.6284	328-1	0.5
328	1.	SLV_ENV	Min	-428.0417	-708.9477	328-1	1.
331	0.	SLU_ENV	Max	76.5534	41.2057	331-1	0.
331	0.5	SLU_ENV	Max	85.5027	43.3413	331-1	0.5
331	1.	SLU_ENV	Max	94.4519	45.4769	331-1	1.
331	0.	SLU_ENV	Min	26.927	-22.3742	331-1	0.
331	0.5	SLU_ENV	Min	31.3657	-24.6469	331-1	0.5
331	1.	SLU_ENV	Min	35.8044	-26.9197	331-1	1.
331	0.	SLV_ENV	Max	503.174	687.9063	331-1	0.
331	0.5	SLV_ENV	Max	486.3837	704.7527	331-1	0.5
331	1.	SLV_ENV	Max	475.9802	723.3711	331-1	1.
331	0.	SLV_ENV	Min	-428.0417	-708.9477	331-1	0.
331	0.5	SLV_ENV	Min	-399.7014	-727.395	331-1	0.5
331	1.	SLV_ENV	Min	-377.7481	-747.6142	331-1	1.
333	0.	SLU_ENV	Max	94.4519	45.4769	333-1	0.
333	0.5	SLU_ENV	Max	103.1865	46.4312	333-1	0.5
333	1.	SLU_ENV	Max	111.9211	47.3855	333-1	1.
333	0.	SLU_ENV	Min	35.8044	-26.9197	333-1	0.
333	0.5	SLU_ENV	Min	40.6806	-28.9936	333-1	0.5
333	1.	SLU_ENV	Min	45.5568	-31.0676	333-1	1.
333	0.	SLV_ENV	Max	475.9802	723.3711	333-1	0.
333	0.5	SLV_ENV	Max	453.1579	718.9109	333-1	0.5
333	1.	SLV_ENV	Max	455.6077	718.0373	333-1	1.
333	0.	SLV_ENV	Min	-377.7481	-747.6142	333-1	0.
333	0.5	SLV_ENV	Min	-342.4868	-744.3544	333-1	0.5
333	1.	SLV_ENV	Min	-332.4977	-744.6814	333-1	1.

Table: Element Forces - Frames, Part 2 of 2

Frame	Station m	OutputCase	StepType	M		FrameElem	ElemStation m
				M2 KN-m	M3 KN-m		
334	0.	SLU_ENV	Max	111.9211	47.3855	334-1	0.
334	0.5	SLU_ENV	Max	119.4749	46.4792	334-1	0.5
334	1.	SLU_ENV	Max	127.0287	45.573	334-1	1.
334	0.	SLU_ENV	Min	45.5568	-31.0676	334-1	0.
334	0.5	SLU_ENV	Min	50.6074	-32.6393	334-1	0.5
334	1.	SLU_ENV	Min	55.658	-34.211	334-1	1.
334	0.	SLV_ENV	Max	455.6077	718.0373	334-1	0.
334	0.5	SLV_ENV	Max	482.6035	688.5358	334-1	0.5
334	1.	SLV_ENV	Max	608.106	667.7294	334-1	1.
334	0.	SLV_ENV	Min	-332.4977	-744.6814	334-1	0.
334	0.5	SLV_ENV	Min	-346.9494	-715.6634	334-1	0.5
334	1.	SLV_ENV	Min	-459.9079	-695.3405	334-1	1.
336	0.	SLU_ENV	Max	127.0287	45.573	336-1	0.
336	0.5	SLU_ENV	Max	132.0731	41.9732	336-1	0.5
336	1.	SLU_ENV	Max	137.1175	38.3735	336-1	1.
336	0.	SLU_ENV	Min	55.658	-34.211	336-1	0.
336	0.5	SLU_ENV	Min	60.4723	-34.8779	336-1	0.5
336	1.	SLU_ENV	Min	65.2866	-35.5447	336-1	1.
336	0.	SLV_ENV	Max	608.106	667.7294	336-1	0.
336	0.5	SLV_ENV	Max	816.4344	621.3199	336-1	0.5
336	1.	SLV_ENV	Max	1044.6972	597.8709	336-1	1.
336	0.	SLV_ENV	Min	-459.9079	-695.3405	336-1	0.
336	0.5	SLV_ENV	Min	-656.7696	-648.2948	336-1	0.5
336	1.	SLV_ENV	Min	-873.5658	-624.2095	336-1	1.
338	0.	SLU_ENV	Max	137.1175	38.3735	338-1	0.
338	0.5	SLU_ENV	Max	137.9124	31.0999	338-1	0.5
338	1.	SLU_ENV	Max	140.7784	26.7149	338-1	1.
338	0.	SLU_ENV	Min	65.2866	-35.5447	338-1	0.
338	0.5	SLU_ENV	Min	69.2736	-34.7993	338-1	0.5
338	1.	SLU_ENV	Min	73.2606	-34.0538	338-1	1.
338	0.	SLV_ENV	Max	1044.6972	597.8709	338-1	0.
338	0.5	SLV_ENV	Max	1350.1956	664.6982	338-1	0.5
338	1.	SLV_ENV	Max	1664.5766	783.8236	338-1	1.
338	0.	SLV_ENV	Min	-873.5658	-624.2095	338-1	0.
338	0.5	SLV_ENV	Min	-1170.3375	-688.7883	338-1	0.5
338	1.	SLV_ENV	Min	-1475.9918	-805.6653	338-1	1.
340	0.	SLU_ENV	Max	0.	2.098E-15	340-1	0.
340	0.5	SLU_ENV	Max	-0.025	0.044	340-1	0.5
340	1.	SLU_ENV	Max	-0.05	0.0881	340-1	1.
340	0.	SLU_ENV	Min	-2.398E-15	1.776E-15	340-1	0.
340	0.5	SLU_ENV	Min	-0.0917	-0.0497	340-1	0.5
340	1.	SLU_ENV	Min	-0.1833	-0.0994	340-1	1.
340	0.	SLV_ENV	Max	1.254E-13	2.700E-13	340-1	0.
340	0.5	SLV_ENV	Max	0.8032	1.1571	340-1	0.5
340	1.	SLV_ENV	Max	1.6064	2.3141	340-1	1.
340	0.	SLV_ENV	Min	-1.254E-13	-2.669E-13	340-1	0.
340	0.5	SLV_ENV	Min	-0.8812	-1.1092	340-1	0.5
340	1.	SLV_ENV	Min	-1.7625	-2.2184	340-1	1.
342	0.	SLU_ENV	Max	-0.05	0.0881	342-1	0.
342	0.5	SLU_ENV	Max	-0.0979	0.1804	342-1	0.5
342	1.	SLU_ENV	Max	-0.1458	0.2726	342-1	1.
342	0.	SLU_ENV	Min	-0.1833	-0.0994	342-1	0.
342	0.5	SLU_ENV	Min	-0.3531	-0.1798	342-1	0.5
342	1.	SLU_ENV	Min	-0.5229	-0.2602	342-1	1.

Table: Element Forces - Frames, Part 2 of 2

Frame	Station m	OutputCase	StepType	M		FrameElem	ElemStation m
				M2 KN-m	M3 KN-m		
342	0.	SLV_ENV	Max	1.6064	2.3141	342-1	0.
342	0.5	SLV_ENV	Max	2.8818	4.2857	342-1	0.5
342	1.	SLV_ENV	Max	4.1596	6.2583	342-1	1.
342	0.	SLV_ENV	Min	-1.7625	-2.2184	342-1	0.
342	0.5	SLV_ENV	Min	-3.1881	-4.0895	342-1	0.5
342	1.	SLV_ENV	Min	-4.6162	-5.9617	342-1	1.
344	0.	SLU_ENV	Max	-0.1458	0.2726	344-1	0.
344	0.5	SLU_ENV	Max	-0.2142	0.417	344-1	0.5
344	1.	SLU_ENV	Max	-0.2827	0.5613	344-1	1.
344	0.	SLU_ENV	Min	-0.5229	-0.2602	344-1	0.
344	0.5	SLU_ENV	Min	-0.7567	-0.3522	344-1	0.5
344	1.	SLU_ENV	Min	-0.9905	-0.4441	344-1	1.
344	0.	SLV_ENV	Max	4.1596	6.2583	344-1	0.
344	0.5	SLV_ENV	Max	5.6141	8.7221	344-1	0.5
344	1.	SLV_ENV	Max	7.0777	11.1893	344-1	1.
344	0.	SLV_ENV	Min	-4.6162	-5.9617	344-1	0.
344	0.5	SLV_ENV	Min	-6.287	-8.2681	344-1	0.5
344	1.	SLV_ENV	Min	-7.967	-10.578	344-1	1.
347	0.	SLU_ENV	Max	-0.2827	0.5613	347-1	0.
347	0.5	SLU_ENV	Max	-0.3689	0.7608	347-1	0.5
347	1.	SLU_ENV	Max	-0.4551	0.9602	347-1	1.
347	0.	SLU_ENV	Min	-0.9905	-0.4441	347-1	0.
347	0.5	SLU_ENV	Min	-1.2727	-0.5274	347-1	0.5
347	1.	SLU_ENV	Min	-1.5549	-0.6108	347-1	1.
347	0.	SLV_ENV	Max	7.0777	11.1893	347-1	0.
347	0.5	SLV_ENV	Max	8.4442	13.8165	347-1	0.5
347	1.	SLV_ENV	Max	9.8396	16.4528	347-1	1.
347	0.	SLV_ENV	Min	-7.967	-10.578	347-1	0.
347	0.5	SLV_ENV	Min	-9.6081	-12.9874	347-1	0.5
347	1.	SLV_ENV	Min	-11.2783	-15.406	347-1	1.
350	0.	SLU_ENV	Max	-0.4551	0.9602	350-1	0.
350	0.5	SLU_ENV	Max	-0.5553	1.2159	350-1	0.5
350	1.	SLU_ENV	Max	-0.6556	1.4716	350-1	1.
350	0.	SLU_ENV	Min	-1.5549	-0.6108	350-1	0.
350	0.5	SLU_ENV	Min	-1.8669	-0.6639	350-1	0.5
350	1.	SLU_ENV	Min	-2.1789	-0.7171	350-1	1.
350	0.	SLV_ENV	Max	9.8396	16.4528	350-1	0.
350	0.5	SLV_ENV	Max	10.9211	18.9036	350-1	0.5
350	1.	SLV_ENV	Max	12.0937	21.3771	350-1	1.
350	0.	SLV_ENV	Min	-11.2783	-15.406	350-1	0.
350	0.5	SLV_ENV	Min	-12.6822	-17.5771	350-1	0.5
350	1.	SLV_ENV	Min	-14.1772	-19.7711	350-1	1.
352	0.	SLU_ENV	Max	-0.6556	1.4716	352-1	0.
352	0.5	SLU_ENV	Max	-0.7647	1.7817	352-1	0.5
352	1.	SLU_ENV	Max	-0.8737	2.0917	352-1	1.
352	0.	SLU_ENV	Min	-2.1789	-0.7171	352-1	0.
352	0.5	SLU_ENV	Min	-2.4965	-0.7166	352-1	0.5
352	1.	SLU_ENV	Min	-2.8141	-0.7162	352-1	1.
352	0.	SLV_ENV	Max	12.0937	21.3771	352-1	0.
352	0.5	SLV_ENV	Max	12.9187	23.3095	352-1	0.5
352	1.	SLV_ENV	Max	14.0277	25.2983	352-1	1.
352	0.	SLV_ENV	Min	-14.1772	-19.7711	352-1	0.
352	0.5	SLV_ENV	Min	-15.3572	-21.364	352-1	0.5
352	1.	SLV_ENV	Min	-16.8211	-23.0133	352-1	1.

Table: Element Forces - Frames, Part 2 of 2

Frame	Station	OutputCase	StepType	M		FrameElem	ElemStation
				M2	M3		
	m			KN-m	KN-m		m
354	0.	SLU_ENV	Max	-0.8737	2.0917	354-1	0.
354	0.5	SLU_ENV	Max	-0.9844	2.4494	354-1	0.5
354	1.	SLU_ENV	Max	-1.095	2.8071	354-1	1.
354	0.	SLU_ENV	Min	-2.8141	-0.7162	354-1	0.
354	0.5	SLU_ENV	Min	-3.1065	-0.6362	354-1	0.5
354	1.	SLU_ENV	Min	-3.3988	-0.5562	354-1	1.
354	0.	SLV_ENV	Max	14.0277	25.2983	354-1	0.
354	0.5	SLV_ENV	Max	15.1988	26.4148	354-1	0.5
354	1.	SLV_ENV	Max	16.9559	27.6729	354-1	1.
354	0.	SLV_ENV	Min	-16.8211	-23.0133	354-1	0.
354	0.5	SLV_ENV	Min	-18.3576	-23.7376	354-1	0.5
354	1.	SLV_ENV	Min	-20.4802	-24.6035	354-1	1.
357	0.	SLU_ENV	Max	-1.095	2.8071	357-1	0.
357	0.5	SLU_ENV	Max	-1.1971	3.199	357-1	0.5
357	1.	SLU_ENV	Max	-1.2991	3.5908	357-1	1.
357	0.	SLU_ENV	Min	-3.3988	-0.5562	357-1	0.
357	0.5	SLU_ENV	Min	-3.6258	-0.3685	357-1	0.5
357	1.	SLU_ENV	Min	-3.8527	-0.1809	357-1	1.
357	0.	SLV_ENV	Max	16.9559	27.6729	357-1	0.
357	0.5	SLV_ENV	Max	20.109	27.8607	357-1	0.5
357	1.	SLV_ENV	Max	25.4748	28.4086	357-1	1.
357	0.	SLV_ENV	Min	-20.4802	-24.6035	357-1	0.
357	0.5	SLV_ENV	Min	-23.9783	-24.3609	357-1	0.5
357	1.	SLV_ENV	Min	-29.689	-24.4783	357-1	1.
359	0.	SLU_ENV	Max	-1.2991	3.5908	359-1	0.
359	0.5	SLU_ENV	Max	-1.3789	3.9943	359-1	0.5
359	1.	SLU_ENV	Max	-1.4587	4.3977	359-1	1.
359	0.	SLU_ENV	Min	-3.8527	-0.1809	359-1	0.
359	0.5	SLU_ENV	Min	-3.9632	0.1444	359-1	0.5
359	1.	SLU_ENV	Min	-4.0736	0.4696	359-1	1.
359	0.	SLV_ENV	Max	25.4748	28.4086	359-1	0.
359	0.5	SLV_ENV	Max	33.4274	28.1253	359-1	0.5
359	1.	SLV_ENV	Max	41.8863	30.4588	359-1	1.
359	0.	SLV_ENV	Min	-29.689	-24.4783	359-1	0.
359	0.5	SLV_ENV	Min	-37.9235	-23.751	359-1	0.5
359	1.	SLV_ENV	Min	-46.6643	-25.6404	359-1	1.
361	0.	SLU_ENV	Max	-1.4587	4.3977	361-1	0.
361	0.5	SLU_ENV	Max	-1.4983	4.7786	361-1	0.5
361	1.	SLU_ENV	Max	-1.5379	5.1594	361-1	1.
361	0.	SLU_ENV	Min	-4.0736	0.4696	361-1	0.
361	0.5	SLU_ENV	Min	-4.004	0.9631	361-1	0.5
361	1.	SLU_ENV	Min	-3.9343	1.4565	361-1	1.
361	0.	SLV_ENV	Max	41.8863	30.4588	361-1	0.
361	0.5	SLV_ENV	Max	53.4696	35.1108	361-1	0.5
361	1.	SLV_ENV	Max	65.4014	41.1168	361-1	1.
361	0.	SLV_ENV	Min	-46.6643	-25.6404	361-1	0.
361	0.5	SLV_ENV	Min	-58.4105	-29.8717	361-1	0.5
361	1.	SLV_ENV	Min	-70.505	-35.4571	361-1	1.
364	0.	SLU_ENV	Max	-1.5379	5.1594	364-1	0.
364	0.5	SLU_ENV	Max	-1.5137	5.4693	364-1	0.5
364	1.	SLU_ENV	Max	-1.2206	6.0532	364-1	1.
364	0.	SLU_ENV	Min	-3.9343	1.4565	364-1	0.
364	0.5	SLU_ENV	Min	-3.8991	1.7891	364-1	0.5
364	1.	SLU_ENV	Min	-3.8963	1.9302	364-1	1.

Table: Element Forces - Frames, Part 2 of 2

Frame	Station m	OutputCase	StepType	M		FrameElem	ElemStation m
				M2 KN-m	M3 KN-m		
364	0.	SLV_ENV	Max	65.4014	41.1168	364-1	0.
364	0.5	SLV_ENV	Max	80.8327	49.9446	364-1	0.5
364	1.	SLV_ENV	Max	96.5079	59.9089	364-1	1.
364	0.	SLV_ENV	Min	-70.505	-35.4571	364-1	0.
364	0.5	SLV_ENV	Min	-85.9085	-43.9407	364-1	0.5
364	1.	SLV_ENV	Min	-101.5558	-53.5606	364-1	1.
367	0.	SLU_ENV	Max	-1.2206	6.0532	367-1	0.
367	0.5	SLU_ENV	Max	-0.6322	7.0194	367-1	0.5
367	1.	SLU_ENV	Max	-0.0438	7.9857	367-1	1.
367	0.	SLU_ENV	Min	-3.8963	1.9302	367-1	0.
367	0.5	SLU_ENV	Min	-3.69	2.0386	367-1	0.5
367	1.	SLU_ENV	Min	-3.4837	2.1469	367-1	1.
367	0.	SLV_ENV	Max	96.5079	59.9089	367-1	0.
367	0.5	SLV_ENV	Max	115.8626	73.1653	367-1	0.5
367	1.	SLV_ENV	Max	135.4028	87.0746	367-1	1.
367	0.	SLV_ENV	Min	-101.5558	-53.5606	367-1	0.
367	0.5	SLV_ENV	Min	-120.6038	-66.6203	367-1	0.5
367	1.	SLV_ENV	Min	-139.8373	-80.3329	367-1	1.
369	0.	SLU_ENV	Max	-0.0438	7.9857	369-1	0.
369	0.5	SLU_ENV	Max	0.8538	9.0487	369-1	0.5
369	1.	SLU_ENV	Max	1.7514	10.1117	369-1	1.
369	0.	SLU_ENV	Min	-3.4837	2.1469	369-1	0.
369	0.5	SLU_ENV	Min	-2.9987	2.1749	369-1	0.5
369	1.	SLU_ENV	Min	-2.5137	2.203	369-1	1.
369	0.	SLV_ENV	Max	135.4028	87.0746	369-1	0.
369	0.5	SLV_ENV	Max	158.5317	104.4766	369-1	0.5
369	1.	SLV_ENV	Max	181.818	124.269	369-1	1.
369	0.	SLV_ENV	Min	-139.8373	-80.3329	369-1	0.
369	0.5	SLV_ENV	Min	-162.2763	-97.7772	369-1	0.5
369	1.	SLV_ENV	Min	-184.8726	-117.6121	369-1	1.
371	0.	SLU_ENV	Max	1.7514	10.1117	371-1	0.
371	0.5	SLU_ENV	Max	3.0366	11.2286	371-1	0.5
371	1.	SLU_ENV	Max	4.3217	12.3454	371-1	1.
371	0.	SLU_ENV	Min	-2.5137	2.203	371-1	0.
371	0.5	SLU_ENV	Min	-1.6704	2.0538	371-1	0.5
371	1.	SLU_ENV	Min	-0.8272	1.9047	371-1	1.
371	0.	SLV_ENV	Max	181.818	124.269	371-1	0.
371	0.5	SLV_ENV	Max	208.2205	150.4644	371-1	0.5
371	1.	SLV_ENV	Max	234.7717	177.0117	371-1	1.
371	0.	SLV_ENV	Min	-184.8726	-117.6121	371-1	0.
371	0.5	SLV_ENV	Min	-210.0831	-144.2028	371-1	0.5
371	1.	SLV_ENV	Min	-235.4422	-171.1453	371-1	1.
373	0.	SLU_ENV	Max	4.3217	12.3454	373-1	0.
373	0.5	SLU_ENV	Max	6.361	13.4665	373-1	0.5
373	1.	SLU_ENV	Max	8.5476	14.5876	373-1	1.
373	0.	SLU_ENV	Min	-0.8272	1.9047	373-1	0.
373	0.5	SLU_ENV	Min	0.1555	1.5026	373-1	0.5
373	1.	SLU_ENV	Min	0.9909	1.1005	373-1	1.
373	0.	SLV_ENV	Max	234.7717	177.0117	373-1	0.
373	0.5	SLV_ENV	Max	263.4509	208.5983	373-1	0.5
373	1.	SLV_ENV	Max	292.2865	240.4634	373-1	1.
373	0.	SLV_ENV	Min	-235.4422	-171.1453	373-1	0.
373	0.5	SLV_ENV	Min	-262.2985	-203.615	373-1	0.5
373	1.	SLV_ENV	Min	-289.3111	-236.3632	373-1	1.

Table: Element Forces - Frames, Part 2 of 2

Frame	Station m	OutputCase	StepType	M		FrameElem	ElemStation m
				M2 KN-m	M3 KN-m		
375	0.	SLU_ENV	Max	8.5476	14.5876	375-1	0.
375	0.5	SLU_ENV	Max	11.5621	15.6709	375-1	0.5
375	1.	SLU_ENV	Max	14.5767	16.7542	375-1	1.
375	0.	SLU_ENV	Min	0.9909	1.1005	375-1	0.
375	0.5	SLU_ENV	Min	1.9113	0.3661	375-1	0.5
375	1.	SLU_ENV	Min	2.8317	-0.3684	375-1	1.
375	0.	SLV_ENV	Max	292.2865	240.4634	375-1	0.
375	0.5	SLV_ENV	Max	321.5962	276.8134	375-1	0.5
375	1.	SLV_ENV	Max	351.0893	313.4198	375-1	1.
375	0.	SLV_ENV	Min	-289.3111	-236.3632	375-1	0.
375	0.5	SLV_ENV	Min	-316.0361	-274.2383	375-1	0.5
375	1.	SLV_ENV	Min	-342.9447	-312.3698	375-1	1.
377	0.	SLU_ENV	Max	14.5767	16.7542	377-1	0.
377	0.5	SLU_ENV	Max	18.4775	18.2844	377-1	0.5
377	1.	SLU_ENV	Max	22.3782	20.0957	377-1	1.
377	0.	SLU_ENV	Min	2.8317	-0.3684	377-1	0.
377	0.5	SLU_ENV	Min	3.9384	-1.8188	377-1	0.5
377	1.	SLU_ENV	Min	5.0451	-3.5504	377-1	1.
377	0.	SLV_ENV	Max	351.0893	313.4198	377-1	0.
377	0.5	SLV_ENV	Max	378.5845	353.2699	377-1	0.5
377	1.	SLV_ENV	Max	406.3233	393.3906	377-1	1.
377	0.	SLV_ENV	Min	-342.9447	-312.3698	377-1	0.
377	0.5	SLV_ENV	Min	-366.9721	-354.5545	377-1	0.5
377	1.	SLV_ENV	Min	-391.2433	-397.0097	377-1	1.
378	0.	SLU_ENV	Max	22.3782	20.0957	378-1	0.
378	0.5	SLU_ENV	Max	27.116	21.8344	378-1	0.5
378	1.	SLU_ENV	Max	31.8538	23.573	378-1	1.
378	0.	SLU_ENV	Min	5.0451	-3.5504	378-1	0.
378	0.5	SLU_ENV	Min	6.4509	-6.5341	378-1	0.5
378	1.	SLU_ENV	Min	7.8566	-9.5179	378-1	1.
378	0.	SLV_ENV	Max	406.3233	393.3906	378-1	0.
378	0.5	SLV_ENV	Max	428.6476	434.6227	378-1	0.5
378	1.	SLV_ENV	Max	451.3545	476.1885	378-1	1.
378	0.	SLV_ENV	Min	-391.2433	-397.0097	378-1	0.
378	0.5	SLV_ENV	Min	-409.122	-441.5566	378-1	0.5
378	1.	SLV_ENV	Min	-427.3835	-486.4372	378-1	1.
380	0.	SLU_ENV	Max	31.8538	23.573	380-1	0.
380	0.5	SLU_ENV	Max	37.3719	25.0123	380-1	0.5
380	1.	SLU_ENV	Max	42.8901	26.4516	380-1	1.
380	0.	SLU_ENV	Min	7.8566	-9.5179	380-1	0.
380	0.5	SLU_ENV	Min	9.5688	-13.5955	380-1	0.5
380	1.	SLU_ENV	Min	11.2809	-17.6732	380-1	1.
380	0.	SLV_ENV	Max	451.3545	476.1885	380-1	0.
380	0.5	SLV_ENV	Max	464.2916	515.6766	380-1	0.5
380	1.	SLV_ENV	Max	478.0671	555.734	380-1	1.
380	0.	SLV_ENV	Min	-427.3835	-486.4372	380-1	0.
380	0.5	SLV_ENV	Min	-434.8511	-530.3793	380-1	0.5
380	1.	SLV_ENV	Min	-443.1571	-574.8908	380-1	1.
383	0.	SLU_ENV	Max	42.8901	26.4516	383-1	0.
383	0.5	SLU_ENV	Max	49.0313	27.3009	383-1	0.5
383	1.	SLU_ENV	Max	55.1725	28.1502	383-1	1.
383	0.	SLU_ENV	Min	11.2809	-17.6732	383-1	0.
383	0.5	SLU_ENV	Min	13.2863	-22.9024	383-1	0.5
383	1.	SLU_ENV	Min	15.2917	-28.1316	383-1	1.

Table: Element Forces - Frames, Part 2 of 2

Frame	Station	OutputCase	StepType	M		FrameElem	ElemStation
				M2	M3		
	m			KN-m	KN-m		m
383	0.	SLV_ENV	Max	478.0671	555.734	383-1	0.
383	0.5	SLV_ENV	Max	477.6557	589.8286	383-1	0.5
383	1.	SLV_ENV	Max	488.1264	625.7285	383-1	1.
383	0.	SLV_ENV	Min	-443.1571	-574.8908	383-1	0.
383	0.5	SLV_ENV	Min	-436.284	-614.7047	383-1	0.5
383	1.	SLV_ENV	Min	-440.2929	-656.3238	383-1	1.
386	0.	SLU_ENV	Max	55.1725	28.1502	386-1	0.
386	0.5	SLU_ENV	Max	61.643	28.0332	386-1	0.5
386	1.	SLU_ENV	Max	68.1136	27.9162	386-1	1.
386	0.	SLU_ENV	Min	15.2917	-28.1316	386-1	0.
386	0.5	SLU_ENV	Min	17.5381	-34.5682	386-1	0.5
386	1.	SLU_ENV	Min	19.7845	-41.0048	386-1	1.
386	0.	SLV_ENV	Max	488.1264	625.7285	386-1	0.
386	0.5	SLV_ENV	Max	491.2141	651.0133	386-1	0.5
386	1.	SLV_ENV	Max	497.6229	677.7021	386-1	1.
386	0.	SLV_ENV	Min	-440.2929	-656.3238	386-1	0.
386	0.5	SLV_ENV	Min	-436.0713	-688.6569	386-1	0.5
386	1.	SLV_ENV	Min	-435.1706	-722.3938	386-1	1.
389	0.	SLU_ENV	Max	68.1136	27.9162	389-1	0.
389	0.5	SLU_ENV	Max	74.4727	26.3653	389-1	0.5
389	1.	SLU_ENV	Max	80.8317	24.8145	389-1	1.
389	0.	SLU_ENV	Min	19.7845	-41.0048	389-1	0.
389	0.5	SLU_ENV	Min	22.1676	-48.6135	389-1	0.5
389	1.	SLU_ENV	Min	24.5507	-56.2221	389-1	1.
389	0.	SLV_ENV	Max	497.6229	677.7021	389-1	0.
389	0.5	SLV_ENV	Max	488.3102	686.3488	389-1	0.5
389	1.	SLV_ENV	Max	485.9661	696.9659	389-1	1.
389	0.	SLV_ENV	Min	-435.1706	-722.3938	389-1	0.
389	0.5	SLV_ENV	Min	-418.0006	-739.3826	389-1	0.5
389	1.	SLV_ENV	Min	-407.7991	-758.3417	389-1	1.
391	0.	SLU_ENV	Max	80.8317	24.8145	391-1	0.
391	0.5	SLU_ENV	Max	86.3624	21.2719	391-1	0.5
391	1.	SLU_ENV	Max	91.893	17.7294	391-1	1.
391	0.	SLU_ENV	Min	24.5507	-56.2221	391-1	0.
391	0.5	SLU_ENV	Min	26.905	-64.8347	391-1	0.5
391	1.	SLU_ENV	Min	29.2592	-73.4472	391-1	1.
391	0.	SLV_ENV	Max	485.9661	696.9659	391-1	0.
391	0.5	SLV_ENV	Max	474.6684	682.3331	391-1	0.5
391	1.	SLV_ENV	Max	486.3938	672.0015	391-1	1.
391	0.	SLV_ENV	Min	-407.7991	-758.3417	391-1	0.
391	0.5	SLV_ENV	Min	-388.598	-753.1647	391-1	0.5
391	1.	SLV_ENV	Min	-392.4198	-752.2888	391-1	1.
393	0.	SLU_ENV	Max	91.893	17.7294	393-1	0.
393	0.5	SLU_ENV	Max	95.6405	11.5567	393-1	0.5
393	1.	SLU_ENV	Max	99.388	5.3841	393-1	1.
393	0.	SLU_ENV	Min	29.2592	-73.4472	393-1	0.
393	0.5	SLU_ENV	Min	31.34	-82.7135	393-1	0.5
393	1.	SLU_ENV	Min	33.4207	-91.9798	393-1	1.
393	0.	SLV_ENV	Max	486.3938	672.0015	393-1	0.
393	0.5	SLV_ENV	Max	519.0872	632.1543	393-1	0.5
393	1.	SLV_ENV	Max	608.988	603.0973	393-1	1.
393	0.	SLV_ENV	Min	-392.4198	-752.2888	393-1	0.
393	0.5	SLV_ENV	Min	-417.9188	-722.6322	393-1	0.5
393	1.	SLV_ENV	Min	-500.6252	-703.7659	393-1	1.

Table: Element Forces - Frames, Part 2 of 2

Frame	Station m	OutputCase	StepType	M		FrameElem	ElemStation m
				M2 KN-m	M3 KN-m		
396	0.	SLU_ENV	Max	99.388	5.3841	396-1	0.
396	0.5	SLU_ENV	Max	100.0998	-4.1143	396-1	0.5
396	1.	SLU_ENV	Max	100.8117	-13.6127	396-1	1.
396	0.	SLU_ENV	Min	33.4207	-91.9798	396-1	0.
396	0.5	SLU_ENV	Min	34.8875	-101.3113	396-1	0.5
396	1.	SLU_ENV	Min	36.3542	-110.6429	396-1	1.
396	0.	SLV_ENV	Max	608.988	603.0973	396-1	0.
396	0.5	SLV_ENV	Max	804.9981	551.9952	396-1	0.5
396	1.	SLV_ENV	Max	1020.8147	558.4566	396-1	1.
396	0.	SLV_ENV	Min	-500.6252	-703.7659	396-1	0.
396	0.5	SLV_ENV	Min	-691.2092	-662.9504	396-1	0.5
396	1.	SLV_ENV	Min	-901.5998	-679.6985	396-1	1.
398	0.	SLU_ENV	Max	100.8117	-13.6127	398-1	0.
398	0.5	SLU_ENV	Max	96.9131	-27.15	398-1	0.5
398	1.	SLU_ENV	Max	94.7215	-40.6872	398-1	1.
398	0.	SLU_ENV	Min	36.3542	-110.6429	398-1	0.
398	0.5	SLU_ENV	Min	36.7585	-119.1539	398-1	0.5
398	1.	SLU_ENV	Min	37.1627	-127.665	398-1	1.
398	0.	SLV_ENV	Max	1020.8147	558.4566	398-1	0.
398	0.5	SLV_ENV	Max	1310.2819	652.4707	398-1	0.5
398	1.	SLV_ENV	Max	1610.2472	790.4406	398-1	1.
398	0.	SLV_ENV	Min	-901.5998	-679.6985	398-1	0.
398	0.5	SLV_ENV	Min	-1188.82	-783.1303	398-1	0.5
398	1.	SLV_ENV	Min	-1486.5383	-930.5179	398-1	1.
402	0.	SLU_ENV	Max	-1.155E-15	4.796E-15	402-1	0.
402	0.5	SLU_ENV	Max	-0.0306	0.0252	402-1	0.5
402	1.	SLU_ENV	Max	-0.0612	0.0505	402-1	1.
402	0.	SLU_ENV	Min	-4.796E-15	0.	402-1	0.
402	0.5	SLU_ENV	Min	-0.0971	-0.0635	402-1	0.5
402	1.	SLU_ENV	Min	-0.1941	-0.127	402-1	1.
402	0.	SLV_ENV	Max	2.597E-13	2.028E-13	402-1	0.
402	0.5	SLV_ENV	Max	0.8	1.0835	402-1	0.5
402	1.	SLV_ENV	Max	1.6	2.1669	402-1	1.
402	0.	SLV_ENV	Min	-2.668E-13	-2.028E-13	402-1	0.
402	0.5	SLV_ENV	Min	-0.8869	-1.0596	402-1	0.5
402	1.	SLV_ENV	Min	-1.7738	-2.1192	402-1	1.
406	0.	SLU_ENV	Max	-0.0612	0.0505	406-1	0.
406	0.5	SLU_ENV	Max	-0.1236	0.095	406-1	0.5
406	1.	SLU_ENV	Max	-0.1861	0.1394	406-1	1.
406	0.	SLU_ENV	Min	-0.1941	-0.127	406-1	0.
406	0.5	SLU_ENV	Min	-0.3787	-0.2412	406-1	0.5
406	1.	SLU_ENV	Min	-0.5633	-0.3554	406-1	1.
406	0.	SLV_ENV	Max	1.6	2.1669	406-1	0.
406	0.5	SLV_ENV	Max	2.8485	4.0192	406-1	0.5
406	1.	SLV_ENV	Max	4.099	5.8725	406-1	1.
406	0.	SLV_ENV	Min	-1.7738	-2.1192	406-1	0.
406	0.5	SLV_ENV	Min	-3.196	-3.9317	406-1	0.5
406	1.	SLV_ENV	Min	-4.6202	-5.7452	406-1	1.
409	0.	SLU_ENV	Max	-0.1861	0.1394	409-1	0.
409	0.5	SLU_ENV	Max	-0.2816	0.197	409-1	0.5
409	1.	SLU_ENV	Max	-0.377	0.2546	409-1	1.
409	0.	SLU_ENV	Min	-0.5633	-0.3554	409-1	0.
409	0.5	SLU_ENV	Min	-0.8252	-0.5071	409-1	0.5
409	1.	SLU_ENV	Min	-1.0871	-0.6588	409-1	1.

Table: Element Forces - Frames, Part 2 of 2

Frame	Station	OutputCase	StepType	M		FrameElem	ElemStation
				M2	M3		
	m			KN-m	KN-m		m
409	0.	SLV_ENV	Max	4.099	5.8725	409-1	0.
409	0.5	SLV_ENV	Max	5.4785	8.2008	409-1	0.5
409	1.	SLV_ENV	Max	6.8661	10.5327	409-1	1.
409	0.	SLV_ENV	Min	-4.6202	-5.7452	409-1	0.
409	0.5	SLV_ENV	Min	-6.2595	-8.0258	409-1	0.5
409	1.	SLV_ENV	Min	-7.9069	-10.3101	409-1	1.
411	0.	SLU_ENV	Max	-0.377	0.2546	411-1	0.
411	0.5	SLU_ENV	Max	-0.506	0.3187	411-1	0.5
411	1.	SLU_ENV	Max	-0.6349	0.3827	411-1	1.
411	0.	SLU_ENV	Min	-1.0871	-0.6588	411-1	0.
411	0.5	SLU_ENV	Min	-1.4146	-0.8337	411-1	0.5
411	1.	SLU_ENV	Min	-1.7421	-1.0086	411-1	1.
411	0.	SLV_ENV	Max	6.8661	10.5327	411-1	0.
411	0.5	SLV_ENV	Max	8.0811	13.0393	411-1	0.5
411	1.	SLV_ENV	Max	9.3225	15.555	411-1	1.
411	0.	SLV_ENV	Min	-7.9069	-10.3101	411-1	0.
411	0.5	SLV_ENV	Min	-9.4655	-12.7695	411-1	0.5
411	1.	SLV_ENV	Min	-11.0505	-15.2381	411-1	1.
414	0.	SLU_ENV	Max	-0.6349	0.3827	414-1	0.
414	0.5	SLU_ENV	Max	-0.7966	0.4459	414-1	0.5
414	1.	SLU_ENV	Max	-0.9584	0.509	414-1	1.
414	0.	SLU_ENV	Min	-1.7421	-1.0086	414-1	0.
414	0.5	SLU_ENV	Min	-2.1196	-1.1902	414-1	0.5
414	1.	SLU_ENV	Min	-2.4971	-1.3718	414-1	1.
414	0.	SLV_ENV	Max	9.3225	15.555	414-1	0.
414	0.5	SLV_ENV	Max	10.1439	17.9319	414-1	0.5
414	1.	SLV_ENV	Max	11.0546	20.3306	414-1	1.
414	0.	SLV_ENV	Min	-11.0505	-15.2381	414-1	0.
414	0.5	SLV_ENV	Min	-12.2936	-17.5777	414-1	0.5
414	1.	SLV_ENV	Min	-13.626	-19.939	414-1	1.
415	0.	SLU_ENV	Max	-0.9584	0.509	415-1	0.
415	0.5	SLU_ENV	Max	-1.1501	0.5626	415-1	0.5
415	1.	SLU_ENV	Max	-1.3418	0.6161	415-1	1.
415	0.	SLU_ENV	Min	-2.4971	-1.3718	415-1	0.
415	0.5	SLU_ENV	Min	-2.9036	-1.5404	415-1	0.5
415	1.	SLU_ENV	Min	-3.31	-1.709	415-1	1.
415	0.	SLV_ENV	Max	11.0546	20.3306	415-1	0.
415	0.5	SLV_ENV	Max	11.4947	22.2664	415-1	0.5
415	1.	SLV_ENV	Max	12.2417	24.2534	415-1	1.
415	0.	SLV_ENV	Min	-13.626	-19.939	415-1	0.
415	0.5	SLV_ENV	Min	-14.5546	-21.8574	415-1	0.5
415	1.	SLV_ENV	Min	-15.7901	-23.827	415-1	1.
417	0.	SLU_ENV	Max	-1.3418	0.6161	417-1	0.
417	0.5	SLU_ENV	Max	-1.5577	0.6497	417-1	0.5
417	1.	SLU_ENV	Max	-1.7735	0.6834	417-1	1.
417	0.	SLU_ENV	Min	-3.31	-1.709	417-1	0.
417	0.5	SLU_ENV	Min	-3.7163	-1.8404	417-1	0.5
417	1.	SLU_ENV	Min	-4.1225	-1.9718	417-1	1.
417	0.	SLV_ENV	Max	12.2417	24.2534	417-1	0.
417	0.5	SLV_ENV	Max	12.9979	25.4679	417-1	0.5
417	1.	SLV_ENV	Max	14.4309	26.8043	417-1	1.
417	0.	SLV_ENV	Min	-15.7901	-23.827	417-1	0.
417	0.5	SLV_ENV	Min	-17.0817	-25.0556	417-1	0.5
417	1.	SLV_ENV	Min	-19.0504	-26.4061	417-1	1.

Table: Element Forces - Frames, Part 2 of 2

Frame	Station m	OutputCase	StepType	M		FrameElem	ElemStation m
				M2 KN-m	M3 KN-m		
421	0.	SLU_ENV	Max	-1.7735	0.6834	421-1	0.
421	0.5	SLU_ENV	Max	-2.0032	0.6847	421-1	0.5
421	1.	SLU_ENV	Max	-2.233	0.6861	421-1	1.
421	0.	SLU_ENV	Min	-4.1225	-1.9718	421-1	0.
421	0.5	SLU_ENV	Min	-4.4886	-2.0362	421-1	0.5
421	1.	SLU_ENV	Min	-4.8546	-2.1007	421-1	1.
421	0.	SLV_ENV	Max	14.4309	26.8043	421-1	0.
421	0.5	SLV_ENV	Max	18.5677	27.154	421-1	0.5
421	1.	SLV_ENV	Max	23.959	27.7946	421-1	1.
421	0.	SLV_ENV	Min	-19.0504	-26.4061	421-1	0.
421	0.5	SLV_ENV	Min	-23.7386	-26.8141	421-1	0.5
421	1.	SLV_ENV	Min	-29.6814	-27.513	421-1	1.
423	0.	SLU_ENV	Max	-2.233	0.6861	423-1	0.
423	0.5	SLU_ENV	Max	-2.4606	0.6409	423-1	0.5
423	1.	SLU_ENV	Max	-2.6883	0.623	423-1	1.
423	0.	SLU_ENV	Min	-4.8546	-2.1007	423-1	0.
423	0.5	SLU_ENV	Min	-5.1273	-2.0621	423-1	0.5
423	1.	SLU_ENV	Min	-5.4	-2.0508	423-1	1.
423	0.	SLV_ENV	Max	23.959	27.7946	423-1	0.
423	0.5	SLV_ENV	Max	32.0631	27.5347	423-1	0.5
423	1.	SLV_ENV	Max	40.656	27.9918	423-1	1.
423	0.	SLV_ENV	Min	-29.6814	-27.513	423-1	0.
423	0.5	SLV_ENV	Min	-38.3069	-27.37	423-1	0.5
423	1.	SLV_ENV	Min	-47.4213	-27.9439	423-1	1.
425	0.	SLU_ENV	Max	-2.6883	0.623	425-1	0.
425	0.5	SLU_ENV	Max	-2.8843	0.5677	425-1	0.5
425	1.	SLU_ENV	Max	-3.0803	0.5123	425-1	1.
425	0.	SLU_ENV	Min	-5.4	-2.0508	425-1	0.
425	0.5	SLU_ENV	Min	-5.5103	-1.91	425-1	0.5
425	1.	SLU_ENV	Min	-5.6854	-1.8601	425-1	1.
425	0.	SLV_ENV	Max	40.656	27.9918	425-1	0.
425	0.5	SLV_ENV	Max	52.4794	31.5283	425-1	0.5
425	1.	SLV_ENV	Max	64.6018	36.3276	425-1	1.
425	0.	SLV_ENV	Min	-47.4213	-27.9439	425-1	0.
425	0.5	SLV_ENV	Min	-59.6713	-31.6707	425-1	0.5
425	1.	SLV_ENV	Min	-72.2203	-36.6604	425-1	1.
428	0.	SLU_ENV	Max	-3.0803	0.5123	428-1	0.
428	0.5	SLU_ENV	Max	-3.0724	0.4919	428-1	0.5
428	1.	SLU_ENV	Max	-2.8729	0.9492	428-1	1.
428	0.	SLU_ENV	Min	-5.6854	-1.8601	428-1	0.
428	0.5	SLU_ENV	Min	-5.8765	-2.1291	428-1	0.5
428	1.	SLU_ENV	Min	-6.0677	-2.398	428-1	1.
428	0.	SLV_ENV	Max	64.6018	36.3276	428-1	0.
428	0.5	SLV_ENV	Max	80.3107	43.4385	428-1	0.5
428	1.	SLV_ENV	Max	96.2139	51.7781	428-1	1.
428	0.	SLV_ENV	Min	-72.2203	-36.6604	428-1	0.
428	0.5	SLV_ENV	Min	-88.1745	-44.0504	428-1	0.5
428	1.	SLV_ENV	Min	-104.3231	-52.6691	428-1	1.
431	0.	SLU_ENV	Max	-2.8729	0.9492	431-1	0.
431	0.5	SLU_ENV	Max	-2.4151	1.6065	431-1	0.5
431	1.	SLU_ENV	Max	-1.9572	2.2638	431-1	1.
431	0.	SLU_ENV	Min	-6.0677	-2.398	431-1	0.
431	0.5	SLU_ENV	Min	-6.0482	-2.6857	431-1	0.5
431	1.	SLU_ENV	Min	-6.0287	-2.9733	431-1	1.

Table: Element Forces - Frames, Part 2 of 2

Frame	Station	OutputCase	StepType	M		FrameElem	ElemStation
				M2	M3		
	m			KN-m	KN-m		m
431	0.	SLV_ENV	Max	96.2139	51.7781	431-1	0.
431	0.5	SLV_ENV	Max	115.8782	63.1715	431-1	0.5
431	1.	SLV_ENV	Max	135.6861	75.3623	431-1	1.
431	0.	SLV_ENV	Min	-104.3231	-52.6691	431-1	0.
431	0.5	SLV_ENV	Min	-123.9401	-64.4445	431-1	0.5
431	1.	SLV_ENV	Min	-143.7007	-77.0172	431-1	1.
432	0.	SLU_ENV	Max	-1.9572	2.2638	432-1	0.
432	0.5	SLU_ENV	Max	-1.1583	3.1574	432-1	0.5
432	1.	SLU_ENV	Max	-0.3594	4.0509	432-1	1.
432	0.	SLU_ENV	Min	-6.0287	-2.9733	432-1	0.
432	0.5	SLU_ENV	Min	-5.7174	-3.2622	432-1	0.5
432	1.	SLU_ENV	Min	-5.4061	-3.5511	432-1	1.
432	0.	SLV_ENV	Max	135.6861	75.3623	432-1	0.
432	0.5	SLV_ENV	Max	159.1601	90.8912	432-1	0.5
432	1.	SLV_ENV	Max	182.7549	106.9378	432-1	1.
432	0.	SLV_ENV	Min	-143.7007	-77.0172	432-1	0.
432	0.5	SLV_ENV	Min	-166.6975	-93.0422	432-1	0.5
432	1.	SLV_ENV	Min	-189.8149	-109.585	432-1	1.
433	0.	SLU_ENV	Max	-0.3594	4.0509	433-1	0.
433	0.5	SLU_ENV	Max	0.9166	5.2134	433-1	0.5
433	1.	SLU_ENV	Max	2.1926	6.3759	433-1	1.
433	0.	SLU_ENV	Min	-5.4061	-3.5511	433-1	0.
433	0.5	SLU_ENV	Min	-4.6797	-3.8866	433-1	0.5
433	1.	SLU_ENV	Min	-3.9532	-4.222	433-1	1.
433	0.	SLV_ENV	Max	182.7549	106.9378	433-1	0.
433	0.5	SLV_ENV	Max	209.534	128.4791	433-1	0.5
433	1.	SLV_ENV	Max	236.4272	152.4785	433-1	1.
433	0.	SLV_ENV	Min	-189.8149	-109.585	433-1	0.
433	0.5	SLV_ENV	Min	-215.5234	-131.7424	433-1	0.5
433	1.	SLV_ENV	Min	-241.3458	-156.3579	433-1	1.
435	0.	SLU_ENV	Max	2.1926	6.3759	435-1	0.
435	0.5	SLU_ENV	Max	4.0848	7.882	435-1	0.5
435	1.	SLU_ENV	Max	5.9769	9.3881	435-1	1.
435	0.	SLU_ENV	Min	-3.9532	-4.222	435-1	0.
435	0.5	SLU_ENV	Min	-2.8748	-4.6253	435-1	0.5
435	1.	SLU_ENV	Min	-1.7963	-5.0285	435-1	1.
435	0.	SLV_ENV	Max	236.4272	152.4785	435-1	0.
435	0.5	SLV_ENV	Max	265.4976	181.5613	435-1	0.5
435	1.	SLV_ENV	Max	294.6881	210.9893	435-1	1.
435	0.	SLV_ENV	Min	-241.3458	-156.3579	435-1	0.
435	0.5	SLV_ENV	Min	-268.5656	-186.1742	435-1	0.5
435	1.	SLV_ENV	Min	-295.9055	-216.3357	435-1	1.
441	0.	SLU_ENV	Max	5.9769	9.3881	441-1	0.
441	0.5	SLU_ENV	Max	8.8349	11.2366	441-1	0.5
441	1.	SLU_ENV	Max	11.9974	13.0852	441-1	1.
441	0.	SLU_ENV	Min	-1.7963	-5.0285	441-1	0.
441	0.5	SLU_ENV	Min	-0.4755	-5.5158	441-1	0.5
441	1.	SLU_ENV	Min	0.5407	-6.003	441-1	1.
441	0.	SLV_ENV	Max	294.6881	210.9893	441-1	0.
441	0.5	SLV_ENV	Max	324.3679	245.2188	441-1	0.5
441	1.	SLV_ENV	Max	354.1893	279.7546	441-1	1.
441	0.	SLV_ENV	Min	-295.9055	-216.3357	441-1	0.
441	0.5	SLV_ENV	Min	-322.7527	-251.4008	441-1	0.5
441	1.	SLV_ENV	Min	-349.7415	-286.7721	441-1	1.

Table: Element Forces - Frames, Part 2 of 2

Frame	Station	OutputCase	StepType	M		FrameElem	ElemStation
				M2	M3		
	m			KN-m	KN-m		m
442	0.	SLU_ENV	Max	11.9974	13.0852	442-1	0.
442	0.5	SLU_ENV	Max	16.2181	15.4642	442-1	0.5
442	1.	SLU_ENV	Max	20.4388	17.8431	442-1	1.
442	0.	SLU_ENV	Min	0.5407	-6.003	442-1	0.
442	0.5	SLU_ENV	Min	2.0096	-6.8594	442-1	0.5
442	1.	SLU_ENV	Min	3.4784	-7.7159	442-1	1.
442	0.	SLV_ENV	Max	354.1893	279.7546	442-1	0.
442	0.5	SLV_ENV	Max	381.9708	318.2269	442-1	0.5
442	1.	SLV_ENV	Max	409.9416	357.0135	442-1	1.
442	0.	SLV_ENV	Min	-349.7415	-286.7721	442-1	0.
442	0.5	SLV_ENV	Min	-373.5021	-326.1496	442-1	0.5
442	1.	SLV_ENV	Min	-397.452	-365.8413	442-1	1.
446	0.	SLU_ENV	Max	20.4388	17.8431	446-1	0.
446	0.5	SLU_ENV	Max	25.7963	20.8809	446-1	0.5
446	1.	SLU_ENV	Max	31.1538	23.9187	446-1	1.
446	0.	SLU_ENV	Min	3.4784	-7.7159	446-1	0.
446	0.5	SLU_ENV	Min	5.4748	-8.8584	446-1	0.5
446	1.	SLU_ENV	Min	7.4713	-10.0008	446-1	1.
446	0.	SLV_ENV	Max	409.9416	357.0135	446-1	0.
446	0.5	SLV_ENV	Max	432.3626	398.1005	446-1	0.5
446	1.	SLV_ENV	Max	455.0848	439.5693	446-1	1.
446	0.	SLV_ENV	Min	-397.452	-365.8413	446-1	0.
446	0.5	SLV_ENV	Min	-414.4721	-407.8477	446-1	0.5
446	1.	SLV_ENV	Min	-431.7933	-450.2359	446-1	1.
449	0.	SLU_ENV	Max	31.1538	23.9187	449-1	0.
449	0.5	SLU_ENV	Max	37.6336	27.2846	449-1	0.5
449	1.	SLU_ENV	Max	44.1134	30.6505	449-1	1.
449	0.	SLU_ENV	Min	7.4713	-10.0008	449-1	0.
449	0.5	SLU_ENV	Min	10.09	-11.2172	449-1	0.5
449	1.	SLU_ENV	Min	12.7086	-12.4335	449-1	1.
449	0.	SLV_ENV	Max	455.0848	439.5693	449-1	0.
449	0.5	SLV_ENV	Max	467.7378	480.7844	449-1	0.5
449	1.	SLV_ENV	Max	481.0724	522.6225	449-1	1.
449	0.	SLV_ENV	Min	-431.7933	-450.2359	449-1	0.
449	0.5	SLV_ENV	Min	-437.5141	-492.3007	449-1	0.5
449	1.	SLV_ENV	Min	-443.9163	-534.9886	449-1	1.
451	0.	SLU_ENV	Max	44.1134	30.6505	451-1	0.
451	0.5	SLU_ENV	Max	51.633	34.1752	451-1	0.5
451	1.	SLU_ENV	Max	59.1527	37.6999	451-1	1.
451	0.	SLU_ENV	Min	12.7086	-12.4335	451-1	0.
451	0.5	SLU_ENV	Min	15.9998	-13.6403	451-1	0.5
451	1.	SLU_ENV	Min	19.291	-14.8471	451-1	1.
451	0.	SLV_ENV	Max	481.0724	522.6225	451-1	0.
451	0.5	SLV_ENV	Max	479.6048	560.9012	451-1	0.5
451	1.	SLV_ENV	Max	491.3303	600.5544	451-1	1.
451	0.	SLV_ENV	Min	-443.9163	-534.9886	451-1	0.
451	0.5	SLV_ENV	Min	-433.9091	-573.9289	451-1	0.5
451	1.	SLV_ENV	Min	-437.0951	-614.2438	451-1	1.
452	0.	SLU_ENV	Max	59.1527	37.6999	452-1	0.
452	0.5	SLU_ENV	Max	67.4968	41.1147	452-1	0.5
452	1.	SLU_ENV	Max	75.841	44.5295	452-1	1.
452	0.	SLU_ENV	Min	19.291	-14.8471	452-1	0.
452	0.5	SLU_ENV	Min	23.264	-15.9207	452-1	0.5
452	1.	SLU_ENV	Min	27.2369	-16.9942	452-1	1.

Table: Element Forces - Frames, Part 2 of 2

Frame	Station	OutputCase	StepType	M		FrameElem	ElemStation
				M2	M3		
	m			KN-m	KN-m		m
452	0.	SLV_ENV	Max	491.3303	600.5544	452-1	0.
452	0.5	SLV_ENV	Max	490.161	632.4376	452-1	0.5
452	1.	SLV_ENV	Max	491.8945	665.7861	452-1	1.
452	0.	SLV_ENV	Min	-437.0951	-614.2438	452-1	0.
452	0.5	SLV_ENV	Min	-425.8233	-646.442	452-1	0.5
452	1.	SLV_ENV	Min	-417.4545	-680.1056	452-1	1.
455	0.	SLU_ENV	Max	75.841	44.5295	455-1	0.
455	0.5	SLU_ENV	Max	84.6009	47.4436	455-1	0.5
455	1.	SLU_ENV	Max	93.3608	50.3578	455-1	1.
455	0.	SLU_ENV	Min	27.2369	-16.9942	455-1	0.
455	0.5	SLU_ENV	Min	31.8384	-17.7628	455-1	0.5
455	1.	SLU_ENV	Min	36.4398	-18.5314	455-1	1.
455	0.	SLV_ENV	Max	491.8945	665.7861	455-1	0.
455	0.5	SLV_ENV	Max	475.1871	685.0055	455-1	0.5
455	1.	SLV_ENV	Max	464.8509	706.0849	455-1	1.
455	0.	SLV_ENV	Min	-417.4545	-680.1056	455-1	0.
455	0.5	SLV_ENV	Min	-389.3021	-699.0907	455-1	0.5
455	1.	SLV_ENV	Min	-367.5208	-719.9358	455-1	1.
456	0.	SLU_ENV	Max	93.3608	50.3578	456-1	0.
456	0.5	SLU_ENV	Max	101.8658	52.2364	456-1	0.5
456	1.	SLU_ENV	Max	110.3709	54.115	456-1	1.
456	0.	SLU_ENV	Min	36.4398	-18.5314	456-1	0.
456	0.5	SLU_ENV	Min	41.5282	-18.7683	456-1	0.5
456	1.	SLU_ENV	Min	46.6166	-19.0051	456-1	1.
456	0.	SLV_ENV	Max	464.8509	706.0849	456-1	0.
456	0.5	SLV_ENV	Max	442.6841	706.2557	456-1	0.5
456	1.	SLV_ENV	Max	445.9916	710.089	456-1	1.
456	0.	SLV_ENV	Min	-367.5208	-719.9358	456-1	0.
456	0.5	SLV_ENV	Min	-333.0275	-719.0736	456-1	0.5
456	1.	SLV_ENV	Min	-324.0084	-721.874	456-1	1.
461	0.	SLU_ENV	Max	110.3709	54.115	461-1	0.
461	0.5	SLU_ENV	Max	117.6577	54.2599	461-1	0.5
461	1.	SLU_ENV	Max	124.9446	54.4048	461-1	1.
461	0.	SLU_ENV	Min	46.6166	-19.0051	461-1	0.
461	0.5	SLU_ENV	Min	51.9324	-18.4233	461-1	0.5
461	1.	SLU_ENV	Min	57.2483	-17.8415	461-1	1.
461	0.	SLV_ENV	Max	445.9916	710.089	461-1	0.
461	0.5	SLV_ENV	Max	474.8549	688.0159	461-1	0.5
461	1.	SLV_ENV	Max	600.1384	674.4841	461-1	1.
461	0.	SLV_ENV	Min	-324.0084	-721.874	461-1	0.
461	0.5	SLV_ENV	Min	-340.4404	-697.6753	461-1	0.5
461	1.	SLV_ENV	Min	-453.2924	-682.0178	461-1	1.
465	0.	SLU_ENV	Max	124.9446	54.4048	465-1	0.
465	0.5	SLU_ENV	Max	129.6922	51.9592	465-1	0.5
465	1.	SLU_ENV	Max	134.4399	50.3321	465-1	1.
465	0.	SLU_ENV	Min	57.2483	-17.8415	465-1	0.
465	0.5	SLU_ENV	Min	62.381	-16.1172	465-1	0.5
465	1.	SLU_ENV	Min	67.5138	-15.2115	465-1	1.
465	0.	SLV_ENV	Max	600.1384	674.4841	465-1	0.
465	0.5	SLV_ENV	Max	808.2226	637.8446	465-1	0.5
465	1.	SLV_ENV	Max	1035.4495	622.4764	465-1	1.
465	0.	SLV_ENV	Min	-453.2924	-682.0178	465-1	0.
465	0.5	SLV_ENV	Min	-650.0119	-641.8277	465-1	0.5
465	1.	SLV_ENV	Min	-865.874	-622.909	465-1	1.

Table: Element Forces - Frames, Part 2 of 2

Frame	Station	OutputCase	StepType	M		FrameElem	ElemStation
				M2	M3		
	m			KN-m	KN-m		m
467	0.	SLU_ENV	Max	134.4399	50.3321	467-1	0.
467	0.5	SLU_ENV	Max	134.9229	45.4204	467-1	0.5
467	1.	SLU_ENV	Max	139.5218	47.2383	467-1	1.
467	0.	SLU_ENV	Min	67.5138	-15.2115	467-1	0.
467	0.5	SLU_ENV	Min	71.6519	-13.4135	467-1	0.5
467	1.	SLU_ENV	Min	75.79	-11.6155	467-1	1.
467	0.	SLV_ENV	Max	1035.4495	622.4764	467-1	0.
467	0.5	SLV_ENV	Max	1339.2033	680.6064	467-1	0.5
467	1.	SLV_ENV	Max	1651.5072	796.5395	467-1	1.
467	0.	SLV_ENV	Min	-865.874	-622.909	467-1	0.
467	0.5	SLV_ENV	Min	-1160.977	-675.7068	467-1	0.5
467	1.	SLV_ENV	Min	-1464.6301	-786.3077	467-1	1.
471	0.	SLU_ENV	Max	2.398E-15	0.	471-1	0.
471	0.5	SLU_ENV	Max	-0.0226	0.0459	471-1	0.5
471	1.	SLU_ENV	Max	-0.0452	0.0917	471-1	1.
471	0.	SLU_ENV	Min	0.	0.	471-1	0.
471	0.5	SLU_ENV	Min	-0.0883	-0.0484	471-1	0.5
471	1.	SLU_ENV	Min	-0.1766	-0.0967	471-1	1.
471	0.	SLV_ENV	Max	1.910E-13	1.852E-13	471-1	0.
471	0.5	SLV_ENV	Max	0.7894	1.1095	471-1	0.5
471	1.	SLV_ENV	Max	1.5788	2.2189	471-1	1.
471	0.	SLV_ENV	Min	-1.910E-13	-1.852E-13	471-1	0.
471	0.5	SLV_ENV	Min	-0.8627	-1.0596	471-1	0.5
471	1.	SLV_ENV	Min	-1.7255	-2.1193	471-1	1.
472	0.	SLU_ENV	Max	-0.0452	0.0917	472-1	0.
472	0.5	SLU_ENV	Max	-0.0872	0.1889	472-1	0.5
472	1.	SLU_ENV	Max	-0.1291	0.286	472-1	1.
472	0.	SLU_ENV	Min	-0.1766	-0.0967	472-1	0.
472	0.5	SLU_ENV	Min	-0.3379	-0.1728	472-1	0.5
472	1.	SLU_ENV	Min	-0.4993	-0.2489	472-1	1.
472	0.	SLV_ENV	Max	1.5788	2.2189	472-1	0.
472	0.5	SLV_ENV	Max	2.8269	4.1159	472-1	0.5
472	1.	SLV_ENV	Max	4.0802	6.014	472-1	1.
472	0.	SLV_ENV	Min	-1.7255	-2.1193	472-1	0.
472	0.5	SLV_ENV	Min	-3.1122	-3.9102	472-1	0.5
472	1.	SLV_ENV	Min	-4.5042	-5.7023	472-1	1.
473	0.	SLU_ENV	Max	-0.1291	0.286	473-1	0.
473	0.5	SLU_ENV	Max	-0.1872	0.4396	473-1	0.5
473	1.	SLU_ENV	Max	-0.2452	0.5932	473-1	1.
473	0.	SLU_ENV	Min	-0.4993	-0.2489	473-1	0.
473	0.5	SLU_ENV	Min	-0.7178	-0.3318	473-1	0.5
473	1.	SLU_ENV	Min	-0.9363	-0.4146	473-1	1.
473	0.	SLV_ENV	Max	4.0802	6.014	473-1	0.
473	0.5	SLV_ENV	Max	5.5067	8.3965	473-1	0.5
473	1.	SLV_ENV	Max	6.9425	10.7826	473-1	1.
473	0.	SLV_ENV	Min	-4.5042	-5.7023	473-1	0.
473	0.5	SLV_ENV	Min	-6.1263	-7.9166	473-1	0.5
473	1.	SLV_ENV	Min	-7.7578	-10.1345	473-1	1.
477	0.	SLU_ENV	Max	-0.2452	0.5932	477-1	0.
477	0.5	SLU_ENV	Max	-0.3156	0.8074	477-1	0.5
477	1.	SLU_ENV	Max	-0.386	1.0217	477-1	1.
477	0.	SLU_ENV	Min	-0.9363	-0.4146	477-1	0.
477	0.5	SLU_ENV	Min	-1.1945	-0.4825	477-1	0.5
477	1.	SLU_ENV	Min	-1.4528	-0.5503	477-1	1.

Table: Element Forces - Frames, Part 2 of 2

Frame	Station	OutputCase	StepType	M		FrameElem	ElemStation
				M2	M3		
	m			KN-m	KN-m		m
477	0.	SLV_ENV	Max	6.9425	10.7826	477-1	0.
477	0.5	SLV_ENV	Max	8.2842	13.3433	477-1	0.5
477	1.	SLV_ENV	Max	9.6552	15.9135	477-1	1.
477	0.	SLV_ENV	Min	-7.7578	-10.1345	477-1	0.
477	0.5	SLV_ENV	Min	-9.3425	-12.4597	477-1	0.5
477	1.	SLV_ENV	Min	-10.9563	-14.7945	477-1	1.
478	0.	SLU_ENV	Max	-0.386	1.0217	478-1	0.
478	0.5	SLU_ENV	Max	-0.4641	1.2989	478-1	0.5
478	1.	SLU_ENV	Max	-0.5422	1.5761	478-1	1.
478	0.	SLU_ENV	Min	-1.4528	-0.5503	478-1	0.
478	0.5	SLU_ENV	Min	-1.7308	-0.5801	478-1	0.5
478	1.	SLU_ENV	Min	-2.0088	-0.6098	478-1	1.
478	0.	SLV_ENV	Max	9.6552	15.9135	478-1	0.
478	0.5	SLV_ENV	Max	10.7226	18.3362	478-1	0.5
478	1.	SLV_ENV	Max	11.8817	20.7823	478-1	1.
478	0.	SLV_ENV	Min	-10.9563	-14.7945	478-1	0.
478	0.5	SLV_ENV	Min	-12.3015	-16.9115	478-1	0.5
478	1.	SLV_ENV	Min	-13.7382	-19.052	478-1	1.
480	0.	SLU_ENV	Max	-0.5422	1.5761	480-1	0.
480	0.5	SLU_ENV	Max	-0.6222	1.9152	480-1	0.5
480	1.	SLU_ENV	Max	-0.7022	2.2543	480-1	1.
480	0.	SLU_ENV	Min	-2.0088	-0.6098	480-1	0.
480	0.5	SLU_ENV	Min	-2.2816	-0.5765	480-1	0.5
480	1.	SLU_ENV	Min	-2.5543	-0.5432	480-1	1.
480	0.	SLV_ENV	Max	11.8817	20.7823	480-1	0.
480	0.5	SLV_ENV	Max	12.7129	22.7509	480-1	0.5
480	1.	SLV_ENV	Max	13.8314	24.7764	480-1	1.
480	0.	SLV_ENV	Min	-13.7382	-19.052	480-1	0.
480	0.5	SLV_ENV	Min	-14.8653	-20.6454	480-1	0.5
480	1.	SLV_ENV	Min	-16.2797	-22.2958	480-1	1.
485	0.	SLU_ENV	Max	-0.7022	2.2543	485-1	0.
485	0.5	SLU_ENV	Max	-0.7765	2.6493	485-1	0.5
485	1.	SLU_ENV	Max	-0.8508	3.0442	485-1	1.
485	0.	SLU_ENV	Min	-2.5543	-0.5432	485-1	0.
485	0.5	SLU_ENV	Min	-2.7901	-0.42	485-1	0.5
485	1.	SLU_ENV	Min	-3.0259	-0.2969	485-1	1.
485	0.	SLV_ENV	Max	13.8314	24.7764	485-1	0.
485	0.5	SLV_ENV	Max	15.0531	26.019	485-1	0.5
485	1.	SLV_ENV	Max	16.8697	27.4006	485-1	1.
485	0.	SLV_ENV	Min	-16.2797	-22.2958	485-1	0.
485	0.5	SLV_ENV	Min	-17.7927	-23.1001	485-1	0.5
485	1.	SLV_ENV	Min	-19.9007	-24.0434	485-1	1.
488	0.	SLU_ENV	Max	-0.8508	3.0442	488-1	0.
488	0.5	SLU_ENV	Max	-0.9097	3.4815	488-1	0.5
488	1.	SLU_ENV	Max	-0.9685	3.9189	488-1	1.
488	0.	SLU_ENV	Min	-3.0259	-0.2969	488-1	0.
488	0.5	SLU_ENV	Min	-3.185	-0.0552	488-1	0.5
488	1.	SLU_ENV	Min	-3.344	0.1865	488-1	1.
488	0.	SLV_ENV	Max	16.8697	27.4006	488-1	0.
488	0.5	SLV_ENV	Max	20.0096	27.8156	488-1	0.5
488	1.	SLV_ENV	Max	25.4065	28.5687	488-1	1.
488	0.	SLV_ENV	Min	-19.9007	-24.0434	488-1	0.
488	0.5	SLV_ENV	Min	-23.297	-23.9713	488-1	0.5
488	1.	SLV_ENV	Min	-28.9501	-24.2373	488-1	1.

Table: Element Forces - Frames, Part 2 of 2

Frame	Station m	OutputCase	StepType	M		FrameElem	ElemStation m
				M2 KN-m	M3 KN-m		
491	0.	SLU_ENV	Max	-0.9685	3.9189	491-1	0.
491	0.5	SLU_ENV	Max	-0.9992	4.3753	491-1	0.5
491	1.	SLU_ENV	Max	-1.03	4.8318	491-1	1.
491	0.	SLU_ENV	Min	-3.344	0.1865	491-1	0.
491	0.5	SLU_ENV	Min	-3.3767	0.5762	491-1	0.5
491	1.	SLU_ENV	Min	-3.4094	0.966	491-1	1.
491	0.	SLV_ENV	Max	25.4065	28.5687	491-1	0.
491	0.5	SLV_ENV	Max	33.3987	28.549	491-1	0.5
491	1.	SLV_ENV	Max	41.8799	30.8557	491-1	1.
491	0.	SLV_ENV	Min	-28.9501	-24.2373	491-1	0.
491	0.5	SLV_ENV	Min	-37.1232	-23.7069	491-1	0.5
491	1.	SLV_ENV	Min	-45.7853	-25.5027	491-1	1.
498	0.	SLU_ENV	Max	-1.03	4.8318	498-1	0.
498	0.5	SLU_ENV	Max	-1.0169	5.2713	498-1	0.5
498	1.	SLU_ENV	Max	-1.0038	5.7109	498-1	1.
498	0.	SLU_ENV	Min	-3.4094	0.966	498-1	0.
498	0.5	SLU_ENV	Min	-3.2551	1.5329	498-1	0.5
498	1.	SLU_ENV	Min	-3.1171	2.0997	498-1	1.
498	0.	SLV_ENV	Max	41.8799	30.8557	498-1	0.
498	0.5	SLV_ENV	Max	53.4768	35.4584	498-1	0.5
498	1.	SLV_ENV	Max	65.4067	41.2805	498-1	1.
498	0.	SLV_ENV	Min	-45.7853	-25.5027	498-1	0.
498	0.5	SLV_ENV	Min	-57.4358	-29.6103	498-1	0.5
498	1.	SLV_ENV	Min	-69.4192	-34.9373	498-1	1.
499	0.	SLU_ENV	Max	-1.0038	5.7109	499-1	0.
499	0.5	SLU_ENV	Max	-0.9115	6.082	499-1	0.5
499	1.	SLU_ENV	Max	-0.5092	6.8842	499-1	1.
499	0.	SLU_ENV	Min	-3.1171	2.0997	499-1	0.
499	0.5	SLU_ENV	Min	-3.0357	2.4167	499-1	0.5
499	1.	SLU_ENV	Min	-2.9543	2.6238	499-1	1.
499	0.	SLV_ENV	Max	65.4067	41.2805	499-1	0.
499	0.5	SLV_ENV	Max	80.8184	49.7049	499-1	0.5
499	1.	SLV_ENV	Max	96.4639	59.2492	499-1	1.
499	0.	SLV_ENV	Min	-69.4192	-34.9373	499-1	0.
499	0.5	SLV_ENV	Min	-84.6928	-42.9388	499-1	0.5
499	1.	SLV_ENV	Min	-100.2	-52.0601	499-1	1.
503	0.	SLU_ENV	Max	-0.5092	6.8842	503-1	0.
503	0.5	SLU_ENV	Max	0.1359	7.9296	503-1	0.5
503	1.	SLU_ENV	Max	0.781	8.975	503-1	1.
503	0.	SLU_ENV	Min	-2.9543	2.6238	503-1	0.
503	0.5	SLU_ENV	Min	-2.6782	2.7815	503-1	0.5
503	1.	SLU_ENV	Min	-2.4021	2.9393	503-1	1.
503	0.	SLV_ENV	Max	96.4639	59.2492	503-1	0.
503	0.5	SLV_ENV	Max	115.7643	71.9177	503-1	0.5
503	1.	SLV_ENV	Max	135.2435	85.2611	503-1	1.
503	0.	SLV_ENV	Min	-100.2	-52.0601	503-1	0.
503	0.5	SLV_ENV	Min	-119.0927	-64.455	503-1	0.5
503	1.	SLV_ENV	Min	-138.1644	-77.5248	503-1	1.
507	0.	SLU_ENV	Max	0.781	8.975	507-1	0.
507	0.5	SLU_ENV	Max	1.7234	10.108	507-1	0.5
507	1.	SLU_ENV	Max	2.6658	11.2409	507-1	1.
507	0.	SLU_ENV	Min	-2.4021	2.9393	507-1	0.
507	0.5	SLU_ENV	Min	-1.8639	2.9574	507-1	0.5
507	1.	SLU_ENV	Min	-1.3256	2.9756	507-1	1.

Table: Element Forces - Frames, Part 2 of 2

Frame	Station m	OutputCase	StepType	M		FrameElem	ElemStation m
				M2 KN-m	M3 KN-m		
507	0.	SLV_ENV	Max	135.2435	85.2611	507-1	0.
507	0.5	SLV_ENV	Max	158.2794	101.9209	507-1	0.5
507	1.	SLV_ENV	Max	181.4678	119.0313	507-1	1.
507	0.	SLV_ENV	Min	-138.1644	-77.5248	507-1	0.
507	0.5	SLV_ENV	Min	-160.4338	-94.1607	507-1	0.5
507	1.	SLV_ENV	Min	-182.8556	-111.2472	507-1	1.
510	0.	SLU_ENV	Max	2.6658	11.2409	510-1	0.
510	0.5	SLU_ENV	Max	3.9748	12.4049	510-1	0.5
510	1.	SLU_ENV	Max	5.4873	13.5689	510-1	1.
510	0.	SLU_ENV	Min	-1.3256	2.9756	510-1	0.
510	0.5	SLU_ENV	Min	-0.4734	2.7983	510-1	0.5
510	1.	SLU_ENV	Min	0.1753	2.621	510-1	1.
510	0.	SLV_ENV	Max	181.4678	119.0313	510-1	0.
510	0.5	SLV_ENV	Max	207.7324	143.3022	510-1	0.5
510	1.	SLV_ENV	Max	234.1417	168.5269	510-1	1.
510	0.	SLV_ENV	Min	-182.8556	-111.2472	510-1	0.
510	0.5	SLV_ENV	Min	-207.8956	-135.8694	510-1	0.5
510	1.	SLV_ENV	Min	-233.0803	-161.4454	510-1	1.
513	0.	SLU_ENV	Max	5.4873	13.5689	513-1	0.
513	0.5	SLU_ENV	Max	7.6762	14.6908	513-1	0.5
513	1.	SLU_ENV	Max	9.8651	15.8126	513-1	1.
513	0.	SLU_ENV	Min	0.1753	2.621	513-1	0.
513	0.5	SLU_ENV	Min	0.9623	2.1781	513-1	0.5
513	1.	SLU_ENV	Min	1.7492	1.7352	513-1	1.
513	0.	SLV_ENV	Max	234.1417	168.5269	513-1	0.
513	0.5	SLV_ENV	Max	262.631	198.5797	513-1	0.5
513	1.	SLV_ENV	Max	291.2728	228.933	513-1	1.
513	0.	SLV_ENV	Min	-233.0803	-161.4454	513-1	0.
513	0.5	SLV_ENV	Min	-259.7834	-192.3754	513-1	0.5
513	1.	SLV_ENV	Min	-286.6389	-223.6059	513-1	1.
518	0.	SLU_ENV	Max	9.8651	15.8126	518-1	0.
518	0.5	SLU_ENV	Max	12.7896	16.9776	518-1	0.5
518	1.	SLU_ENV	Max	15.7141	18.1426	518-1	1.
518	0.	SLU_ENV	Min	1.7492	1.7352	518-1	0.
518	0.5	SLU_ENV	Min	2.6097	0.9426	518-1	0.5
518	1.	SLU_ENV	Min	3.4701	0.1501	518-1	1.
518	0.	SLV_ENV	Max	291.2728	228.933	518-1	0.
518	0.5	SLV_ENV	Max	320.3333	263.611	518-1	0.5
518	1.	SLV_ENV	Max	349.5729	298.5629	518-1	1.
518	0.	SLV_ENV	Min	-286.6389	-223.6059	518-1	0.
518	0.5	SLV_ENV	Min	-313.2515	-259.8606	518-1	0.5
518	1.	SLV_ENV	Min	-340.0432	-296.3893	518-1	1.
520	0.	SLU_ENV	Max	15.7141	18.1426	520-1	0.
520	0.5	SLU_ENV	Max	19.4089	19.3635	520-1	0.5
520	1.	SLU_ENV	Max	23.1038	21.0831	520-1	1.
520	0.	SLU_ENV	Min	3.4701	0.1501	520-1	0.
520	0.5	SLU_ENV	Min	4.4378	-1.2147	520-1	0.5
520	1.	SLU_ENV	Min	5.4054	-3.0781	520-1	1.
520	0.	SLV_ENV	Max	349.5729	298.5629	520-1	0.
520	0.5	SLV_ENV	Max	376.7529	336.6894	520-1	0.5
520	1.	SLV_ENV	Max	404.1709	375.1016	520-1	1.
520	0.	SLV_ENV	Min	-340.0432	-296.3893	520-1	0.
520	0.5	SLV_ENV	Min	-364.0283	-336.9828	520-1	0.5
520	1.	SLV_ENV	Min	-388.2515	-377.8622	520-1	1.

Table: Element Forces - Frames, Part 2 of 2

Frame	Station m	OutputCase	StepType	M		FrameElem	ElemStation m
				M2 KN-m	M3 KN-m		
521	0.	SLU_ENV	Max	23.1038	21.0831	521-1	0.
521	0.5	SLU_ENV	Max	27.5076	22.6174	521-1	0.5
521	1.	SLU_ENV	Max	31.9113	24.1517	521-1	1.
521	0.	SLU_ENV	Min	5.4054	-3.0781	521-1	0.
521	0.5	SLU_ENV	Min	6.5869	-6.1938	521-1	0.5
521	1.	SLU_ENV	Min	7.7684	-9.3094	521-1	1.
521	0.	SLV_ENV	Max	404.1709	375.1016	521-1	0.
521	0.5	SLV_ENV	Max	426.1077	414.6967	521-1	0.5
521	1.	SLV_ENV	Max	448.4182	454.6369	521-1	1.
521	0.	SLV_ENV	Min	-388.2515	-377.8622	521-1	0.
521	0.5	SLV_ENV	Min	-406.1924	-421.0127	521-1	0.5
521	1.	SLV_ENV	Min	-424.5069	-464.5082	521-1	1.
525	0.	SLU_ENV	Max	31.9113	24.1517	525-1	0.
525	0.5	SLU_ENV	Max	36.9269	25.2568	525-1	0.5
525	1.	SLU_ENV	Max	41.9424	26.3618	525-1	1.
525	0.	SLU_ENV	Min	7.7684	-9.3094	525-1	0.
525	0.5	SLU_ENV	Min	9.1483	-13.702	525-1	0.5
525	1.	SLU_ENV	Min	10.5283	-18.0945	525-1	1.
525	0.	SLV_ENV	Max	448.4182	454.6369	525-1	0.
525	0.5	SLV_ENV	Max	460.8836	492.7603	525-1	0.5
525	1.	SLV_ENV	Max	474.1568	531.4274	525-1	1.
525	0.	SLV_ENV	Min	-424.5069	-464.5082	525-1	0.
525	0.5	SLV_ENV	Min	-432.1726	-507.4643	525-1	0.5
525	1.	SLV_ENV	Min	-440.6459	-550.964	525-1	1.
526	0.	SLU_ENV	Max	41.9424	26.3618	526-1	0.
526	0.5	SLU_ENV	Max	47.3785	26.7155	526-1	0.5
526	1.	SLU_ENV	Max	52.8145	27.0692	526-1	1.
526	0.	SLU_ENV	Min	10.5283	-18.0945	526-1	0.
526	0.5	SLU_ENV	Min	12.0727	-23.7741	526-1	0.5
526	1.	SLU_ENV	Min	13.6171	-29.4537	526-1	1.
526	0.	SLV_ENV	Max	474.1568	531.4274	526-1	0.
526	0.5	SLV_ENV	Max	473.0738	564.487	526-1	0.5
526	1.	SLV_ENV	Max	476.8392	599.2041	526-1	1.
526	0.	SLV_ENV	Min	-440.6459	-550.964	526-1	0.
526	0.5	SLV_ENV	Min	-434.0341	-590.2906	526-1	0.5
526	1.	SLV_ENV	Min	-432.2706	-631.2746	526-1	1.
527	0.	SLU_ENV	Max	52.8145	27.0692	527-1	0.
527	0.5	SLU_ENV	Max	58.3438	26.264	527-1	0.5
527	1.	SLU_ENV	Max	63.873	25.4588	527-1	1.
527	0.	SLU_ENV	Min	13.6171	-29.4537	527-1	0.
527	0.5	SLU_ENV	Min	15.2565	-36.4989	527-1	0.5
527	1.	SLU_ENV	Min	16.8958	-43.5442	527-1	1.
527	0.	SLV_ENV	Max	476.8392	599.2041	527-1	0.
527	0.5	SLV_ENV	Max	478.6954	624.2553	527-1	0.5
527	1.	SLV_ENV	Max	483.9498	650.8639	527-1	1.
527	0.	SLV_ENV	Min	-432.2706	-631.2746	527-1	0.
527	0.5	SLV_ENV	Min	-428.0522	-664.1208	527-1	0.5
527	1.	SLV_ENV	Min	-427.232	-698.5242	527-1	1.
530	0.	SLU_ENV	Max	63.873	25.4588	530-1	0.
530	0.5	SLU_ENV	Max	69.0266	22.9996	530-1	0.5
530	1.	SLU_ENV	Max	74.1802	20.5403	530-1	1.
530	0.	SLU_ENV	Min	16.8958	-43.5442	530-1	0.
530	0.5	SLU_ENV	Min	18.5132	-51.9382	530-1	0.5
530	1.	SLU_ENV	Min	20.1306	-60.3322	530-1	1.

Table: Element Forces - Frames, Part 2 of 2

Frame	Station	OutputCase	StepType	M		FrameElem	ElemStation
				M2	M3		
	m			KN-m	KN-m		m
530	0.	SLV_ENV	Max	483.9498	650.8639	530-1	0.
530	0.5	SLV_ENV	Max	473.6607	660.7944	530-1	0.5
530	1.	SLV_ENV	Max	470.3858	672.7366	530-1	1.
530	0.	SLV_ENV	Min	-427.232	-698.5242	530-1	0.
530	0.5	SLV_ENV	Min	-410.6501	-717.7675	530-1	0.5
530	1.	SLV_ENV	Min	-401.0825	-739.0224	530-1	1.
532	0.	SLU_ENV	Max	74.1802	20.5403	532-1	0.
532	0.5	SLU_ENV	Max	78.2534	15.8493	532-1	0.5
532	1.	SLU_ENV	Max	82.3265	11.1583	532-1	1.
532	0.	SLU_ENV	Min	20.1306	-60.3322	532-1	0.
532	0.5	SLU_ENV	Min	21.555	-69.9172	532-1	0.5
532	1.	SLU_ENV	Min	22.9795	-79.5021	532-1	1.
532	0.	SLV_ENV	Max	470.3858	672.7366	532-1	0.
532	0.5	SLV_ENV	Max	458.5516	661.2815	532-1	0.5
532	1.	SLV_ENV	Max	470.0477	654.0798	532-1	1.
532	0.	SLV_ENV	Min	-401.0825	-739.0224	532-1	0.
532	0.5	SLV_ENV	Min	-383.2488	-738.2334	532-1	0.5
532	1.	SLV_ENV	Min	-388.7453	-741.6977	532-1	1.
534	0.	SLU_ENV	Max	82.3265	11.1583	534-1	0.
534	0.5	SLU_ENV	Max	84.3648	3.5913	534-1	0.5
534	1.	SLU_ENV	Max	86.4031	-3.9756	534-1	1.
534	0.	SLU_ENV	Min	22.9795	-79.5021	534-1	0.
534	0.5	SLU_ENV	Min	23.9786	-89.9247	534-1	0.5
534	1.	SLU_ENV	Min	24.9776	-100.3473	534-1	1.
534	0.	SLV_ENV	Max	470.0477	654.0798	534-1	0.
534	0.5	SLV_ENV	Max	503.7975	619.5098	534-1	0.5
534	1.	SLV_ENV	Max	591.547	595.1401	534-1	1.
534	0.	SLV_ENV	Min	-388.7453	-741.6977	534-1	0.
534	0.5	SLV_ENV	Min	-417.5248	-718.7678	534-1	0.5
534	1.	SLV_ENV	Min	-500.3039	-706.0382	534-1	1.
538	0.	SLU_ENV	Max	86.4031	-3.9756	538-1	0.
538	0.5	SLU_ENV	Max	85.1976	-15.0989	538-1	0.5
538	1.	SLU_ENV	Max	83.9922	-26.2221	538-1	1.
538	0.	SLU_ENV	Min	24.9776	-100.3473	538-1	0.
538	0.5	SLU_ENV	Min	25.2422	-110.9968	538-1	0.5
538	1.	SLU_ENV	Min	25.5067	-121.6463	538-1	1.
538	0.	SLV_ENV	Max	591.547	595.1401	538-1	0.
538	0.5	SLV_ENV	Max	786.6269	549.5968	538-1	0.5
538	1.	SLV_ENV	Max	1000.8485	551.7948	538-1	1.
538	0.	SLV_ENV	Min	-500.3039	-706.0382	538-1	0.
538	0.5	SLV_ENV	Min	-692.4417	-672.4461	538-1	0.5
538	1.	SLV_ENV	Min	-903.7213	-686.5952	538-1	1.
543	0.	SLU_ENV	Max	83.9922	-26.2221	543-1	0.
543	0.5	SLU_ENV	Max	78.0538	-41.569	543-1	0.5
543	1.	SLU_ENV	Max	75.0604	-55.2468	543-1	1.
543	0.	SLU_ENV	Min	25.5067	-121.6463	543-1	0.
543	0.5	SLU_ENV	Min	24.6467	-131.5868	543-1	0.5
543	1.	SLU_ENV	Min	23.7866	-141.5273	543-1	1.
543	0.	SLV_ENV	Max	1000.8485	551.7948	543-1	0.
543	0.5	SLV_ENV	Max	1288.1457	640.8358	543-1	0.5
543	1.	SLV_ENV	Max	1585.4565	769.7748	543-1	1.
543	0.	SLV_ENV	Min	-903.7213	-686.5952	543-1	0.
543	0.5	SLV_ENV	Min	-1191.3994	-786.8761	543-1	0.5
543	1.	SLV_ENV	Min	-1489.0912	-927.055	543-1	1.

Table: Element Forces - Frames, Part 2 of 2

Frame	Station m	OutputCase	StepType	M		FrameElem	ElemStation m
				M2 KN-m	M3 KN-m		
544	0.	SLU_ENV	Max	0.	-1.332E-15	544-1	0.
544	0.5	SLU_ENV	Max	-0.0311	0.022	544-1	0.5
544	1.	SLU_ENV	Max	-0.0623	0.044	544-1	1.
544	0.	SLU_ENV	Min	0.	-6.582E-15	544-1	0.
544	0.5	SLU_ENV	Min	-0.0971	-0.0658	544-1	0.5
544	1.	SLU_ENV	Min	-0.1941	-0.1316	544-1	1.
544	0.	SLV_ENV	Max	1.470E-13	9.205E-14	544-1	0.
544	0.5	SLV_ENV	Max	0.7852	1.0399	544-1	0.5
544	1.	SLV_ENV	Max	1.5704	2.0798	544-1	1.
544	0.	SLV_ENV	Min	-1.470E-13	-9.470E-14	544-1	0.
544	0.5	SLV_ENV	Min	-0.8722	-1.0198	544-1	0.5
544	1.	SLV_ENV	Min	-1.7444	-2.0396	544-1	1.
547	0.	SLU_ENV	Max	-0.0623	0.044	547-1	0.
547	0.5	SLU_ENV	Max	-0.1263	0.0802	547-1	0.5
547	1.	SLU_ENV	Max	-0.1903	0.1164	547-1	1.
547	0.	SLU_ENV	Min	-0.1941	-0.1316	547-1	0.
547	0.5	SLU_ENV	Min	-0.3785	-0.2512	547-1	0.5
547	1.	SLU_ENV	Min	-0.5629	-0.3707	547-1	1.
547	0.	SLV_ENV	Max	1.5704	2.0798	547-1	0.
547	0.5	SLV_ENV	Max	2.7978	3.862	547-1	0.5
547	1.	SLV_ENV	Max	4.0272	5.6453	547-1	1.
547	0.	SLV_ENV	Min	-1.7444	-2.0396	547-1	0.
547	0.5	SLV_ENV	Min	-3.1459	-3.7913	547-1	0.5
547	1.	SLV_ENV	Min	-4.5493	-5.5443	547-1	1.
548	0.	SLU_ENV	Max	-0.1903	0.1164	548-1	0.
548	0.5	SLU_ENV	Max	-0.2887	0.1586	548-1	0.5
548	1.	SLU_ENV	Max	-0.3871	0.2009	548-1	1.
548	0.	SLU_ENV	Min	-0.5629	-0.3707	548-1	0.
548	0.5	SLU_ENV	Min	-0.8242	-0.5315	548-1	0.5
548	1.	SLU_ENV	Min	-1.0855	-0.6923	548-1	1.
548	0.	SLV_ENV	Max	4.0272	5.6453	548-1	0.
548	0.5	SLV_ENV	Max	5.3852	7.8964	548-1	0.5
548	1.	SLV_ENV	Max	6.7502	10.1517	548-1	1.
548	0.	SLV_ENV	Min	-4.5493	-5.5443	548-1	0.
548	0.5	SLV_ENV	Min	-6.1678	-7.7648	548-1	0.5
548	1.	SLV_ENV	Min	-7.7935	-9.9894	548-1	1.
550	0.	SLU_ENV	Max	-0.3871	0.2009	550-1	0.
550	0.5	SLU_ENV	Max	-0.5208	0.2408	550-1	0.5
550	1.	SLU_ENV	Max	-0.6545	0.2808	550-1	1.
550	0.	SLU_ENV	Min	-1.0855	-0.6923	550-1	0.
550	0.5	SLU_ENV	Min	-1.4117	-0.8807	550-1	0.5
550	1.	SLU_ENV	Min	-1.7379	-1.0691	550-1	1.
550	0.	SLV_ENV	Max	6.7502	10.1517	550-1	0.
550	0.5	SLV_ENV	Max	7.9442	12.5959	550-1	0.5
550	1.	SLV_ENV	Max	9.1607	15.0505	550-1	1.
550	0.	SLV_ENV	Min	-7.7935	-9.9894	550-1	0.
550	0.5	SLV_ENV	Min	-9.3324	-12.4129	550-1	0.5
550	1.	SLV_ENV	Min	-10.8939	-14.847	550-1	1.
553	0.	SLU_ENV	Max	-0.6545	0.2808	553-1	0.
553	0.5	SLU_ENV	Max	-0.8232	0.3093	553-1	0.5
553	1.	SLU_ENV	Max	-0.9919	0.3379	553-1	1.
553	0.	SLU_ENV	Min	-1.7379	-1.0691	553-1	0.
553	0.5	SLU_ENV	Min	-2.1136	-1.2691	553-1	0.5
553	1.	SLU_ENV	Min	-2.4894	-1.4691	553-1	1.

Table: Element Forces - Frames, Part 2 of 2

Frame	Station	OutputCase	StepType	M		FrameElem	ElemStation
				M2	M3		
	m			KN-m	KN-m		m
553	0.	SLV_ENV	Max	9.1607	15.0505	553-1	0.
553	0.5	SLV_ENV	Max	9.9487	17.4063	553-1	0.5
553	1.	SLV_ENV	Max	10.8115	19.7867	553-1	1.
553	0.	SLV_ENV	Min	-10.8939	-14.847	553-1	0.
553	0.5	SLV_ENV	Min	-12.1056	-17.203	553-1	0.5
553	1.	SLV_ENV	Min	-13.3921	-19.5837	553-1	1.
557	0.	SLU_ENV	Max	-0.9919	0.3379	557-1	0.
557	0.5	SLU_ENV	Max	-1.193	0.3451	557-1	0.5
557	1.	SLU_ENV	Max	-1.3942	0.3524	557-1	1.
557	0.	SLU_ENV	Min	-2.4894	-1.4691	557-1	0.
557	0.5	SLU_ENV	Min	-2.8933	-1.6613	557-1	0.5
557	1.	SLU_ENV	Min	-3.2972	-1.8536	557-1	1.
557	0.	SLV_ENV	Max	10.8115	19.7867	557-1	0.
557	0.5	SLV_ENV	Max	11.1499	21.7749	557-1	0.5
557	1.	SLV_ENV	Max	11.7574	23.8195	557-1	1.
557	0.	SLV_ENV	Min	-13.3921	-19.5837	557-1	0.
557	0.5	SLV_ENV	Min	-14.2217	-21.6045	557-1	0.5
557	1.	SLV_ENV	Min	-15.3205	-23.6817	557-1	1.
558	0.	SLU_ENV	Max	-1.3942	0.3524	558-1	0.
558	0.5	SLU_ENV	Max	-1.6221	0.3361	558-1	0.5
558	1.	SLU_ENV	Max	-1.8501	0.3308	558-1	1.
558	0.	SLU_ENV	Min	-3.2972	-1.8536	558-1	0.
558	0.5	SLU_ENV	Min	-3.7	-2.0228	558-1	0.5
558	1.	SLU_ENV	Min	-4.1027	-2.203	558-1	1.
558	0.	SLV_ENV	Max	11.7574	23.8195	558-1	0.
558	0.5	SLV_ENV	Max	12.2653	25.1997	558-1	0.5
558	1.	SLV_ENV	Max	13.4509	26.7087	558-1	1.
558	0.	SLV_ENV	Min	-15.3205	-23.6817	558-1	0.
558	0.5	SLV_ENV	Min	-16.3677	-25.1391	558-1	0.5
558	1.	SLV_ENV	Min	-18.0926	-26.7253	558-1	1.
564	0.	SLU_ENV	Max	-1.8501	0.3308	564-1	0.
564	0.5	SLU_ENV	Max	-2.0947	0.2948	564-1	0.5
564	1.	SLU_ENV	Max	-2.3393	0.2587	564-1	1.
564	0.	SLU_ENV	Min	-4.1027	-2.203	564-1	0.
564	0.5	SLU_ENV	Min	-4.4644	-2.3338	564-1	0.5
564	1.	SLU_ENV	Min	-4.8261	-2.4646	564-1	1.
564	0.	SLV_ENV	Max	13.4509	26.7087	564-1	0.
564	0.5	SLV_ENV	Max	16.6192	27.3773	564-1	0.5
564	1.	SLV_ENV	Max	21.6371	28.3373	564-1	1.
564	0.	SLV_ENV	Min	-18.0926	-26.7253	564-1	0.
564	0.5	SLV_ENV	Min	-21.8171	-27.5282	564-1	0.5
564	1.	SLV_ENV	Min	-27.3912	-28.6224	564-1	1.
566	0.	SLU_ENV	Max	-2.3393	0.2587	566-1	0.
566	0.5	SLU_ENV	Max	-2.5768	0.1945	566-1	0.5
566	1.	SLU_ENV	Max	-2.8144	0.1304	566-1	1.
566	0.	SLU_ENV	Min	-4.8261	-2.4646	566-1	0.
566	0.5	SLU_ENV	Min	-5.1006	-2.5112	566-1	0.5
566	1.	SLU_ENV	Min	-5.3751	-2.5579	566-1	1.
566	0.	SLV_ENV	Max	21.6371	28.3373	566-1	0.
566	0.5	SLV_ENV	Max	29.3367	28.5525	566-1	0.5
566	1.	SLV_ENV	Max	37.5531	29.4309	566-1	1.
566	0.	SLV_ENV	Min	-27.3912	-28.6224	566-1	0.
566	0.5	SLV_ENV	Min	-35.6179	-29.0416	566-1	0.5
566	1.	SLV_ENV	Min	-44.3613	-30.124	566-1	1.

Table: Element Forces - Frames, Part 2 of 2

Frame	Station m	OutputCase	StepType	M		FrameElem	ElemStation m
				M2 KN-m	M3 KN-m		
567	0.	SLU_ENV	Max	-2.8144	0.1304	567-1	0.
567	0.5	SLU_ENV	Max	-3.022	0.0265	567-1	0.5
567	1.	SLU_ENV	Max	-3.2296	-0.0773	567-1	1.
567	0.	SLU_ENV	Min	-5.3751	-2.5579	567-1	0.
567	0.5	SLU_ENV	Min	-5.4909	-2.4778	567-1	0.5
567	1.	SLU_ENV	Min	-5.7666	-2.613	567-1	1.
567	0.	SLV_ENV	Max	37.5531	29.4309	567-1	0.
567	0.5	SLV_ENV	Max	48.9743	32.3553	567-1	0.5
567	1.	SLV_ENV	Max	60.7009	37.1083	567-1	1.
567	0.	SLV_ENV	Min	-44.3613	-30.124	567-1	0.
567	0.5	SLV_ENV	Min	-56.2156	-33.3337	567-1	0.5
567	1.	SLV_ENV	Min	-68.3753	-38.372	567-1	1.
568	0.	SLU_ENV	Max	-3.2296	-0.0773	568-1	0.
568	0.5	SLU_ENV	Max	-3.1064	0.0013	568-1	0.5
568	1.	SLU_ENV	Max	-2.9078	0.4228	568-1	1.
568	0.	SLU_ENV	Min	-5.7666	-2.613	568-1	0.
568	0.5	SLU_ENV	Min	-5.9842	-2.9589	568-1	0.5
568	1.	SLU_ENV	Min	-6.2017	-3.3048	568-1	1.
568	0.	SLV_ENV	Max	60.7009	37.1083	568-1	0.
568	0.5	SLV_ENV	Max	76.0024	43.8997	568-1	0.5
568	1.	SLV_ENV	Max	91.4963	51.8069	568-1	1.
568	0.	SLV_ENV	Min	-68.3753	-38.372	568-1	0.
568	0.5	SLV_ENV	Min	-83.9291	-45.5394	568-1	0.5
568	1.	SLV_ENV	Min	-99.6753	-53.8226	568-1	1.
571	0.	SLU_ENV	Max	-2.9078	0.4228	571-1	0.
571	0.5	SLU_ENV	Max	-2.4495	1.0522	571-1	0.5
571	1.	SLU_ENV	Max	-1.9913	1.6816	571-1	1.
571	0.	SLU_ENV	Min	-6.2017	-3.3048	571-1	0.
571	0.5	SLU_ENV	Min	-6.2115	-3.6631	571-1	0.5
571	1.	SLU_ENV	Min	-6.2214	-4.0214	571-1	1.
571	0.	SLV_ENV	Max	91.4963	51.8069	571-1	0.
571	0.5	SLV_ENV	Max	110.7656	62.518	571-1	0.5
571	1.	SLV_ENV	Max	130.1737	74.059	571-1	1.
571	0.	SLV_ENV	Min	-99.6753	-53.8226	571-1	0.
571	0.5	SLV_ENV	Min	-118.9045	-65.0056	571-1	0.5
571	1.	SLV_ENV	Min	-138.2725	-77.0186	571-1	1.
574	0.	SLU_ENV	Max	-1.9913	1.6816	574-1	0.
574	0.5	SLU_ENV	Max	-1.169	2.5628	574-1	0.5
574	1.	SLU_ENV	Max	-0.3466	3.444	574-1	1.
574	0.	SLU_ENV	Min	-6.2214	-4.0214	574-1	0.
574	0.5	SLU_ENV	Min	-5.9215	-4.3678	574-1	0.5
574	1.	SLU_ENV	Min	-5.6216	-4.7142	574-1	1.
574	0.	SLV_ENV	Max	130.1737	74.059	574-1	0.
574	0.5	SLV_ENV	Max	153.3019	88.7395	574-1	0.5
574	1.	SLV_ENV	Max	176.5444	103.9885	574-1	1.
574	0.	SLV_ENV	Min	-138.2725	-77.0186	574-1	0.
574	0.5	SLV_ENV	Min	-160.9299	-92.2658	574-1	0.5
574	1.	SLV_ENV	Min	-183.7017	-108.0814	574-1	1.
576	0.	SLU_ENV	Max	-0.3466	3.444	576-1	0.
576	0.5	SLU_ENV	Max	0.9949	4.6224	576-1	0.5
576	1.	SLU_ENV	Max	2.3364	5.8008	576-1	1.
576	0.	SLU_ENV	Min	-5.6216	-4.7142	576-1	0.
576	0.5	SLU_ENV	Min	-4.9224	-5.0894	576-1	0.5
576	1.	SLU_ENV	Min	-4.2231	-5.4646	576-1	1.

Table: Element Forces - Frames, Part 2 of 2

Frame	Station	OutputCase	StepType	M		FrameElem	ElemStation
				M2	M3		
	m			KN-m	KN-m		m
576	0.	SLV_ENV	Max	176.5444	103.9885	576-1	0.
576	0.5	SLV_ENV	Max	203.0797	122.513	576-1	0.5
576	1.	SLV_ENV	Max	229.7214	144.7516	576-1	1.
576	0.	SLV_ENV	Min	-183.7017	-108.0814	576-1	0.
576	0.5	SLV_ENV	Min	-209.1713	-127.2565	576-1	0.5
576	1.	SLV_ENV	Min	-234.7471	-150.1457	576-1	1.
578	0.	SLU_ENV	Max	2.3364	5.8008	578-1	0.
578	0.5	SLU_ENV	Max	4.2353	7.3708	578-1	0.5
578	1.	SLU_ENV	Max	6.1341	8.9408	578-1	1.
578	0.	SLU_ENV	Min	-4.2231	-5.4646	578-1	0.
578	0.5	SLU_ENV	Min	-3.1828	-5.8552	578-1	0.5
578	1.	SLU_ENV	Min	-2.1425	-6.2459	578-1	1.
578	0.	SLV_ENV	Max	229.7214	144.7516	578-1	0.
578	0.5	SLV_ENV	Max	258.7184	172.1394	578-1	0.5
578	1.	SLV_ENV	Max	287.8259	199.9554	578-1	1.
578	0.	SLV_ENV	Min	-234.7471	-150.1457	578-1	0.
578	0.5	SLV_ENV	Min	-261.8958	-178.2439	578-1	0.5
578	1.	SLV_ENV	Min	-289.1549	-206.7703	578-1	1.
582	0.	SLU_ENV	Max	6.1341	8.9408	582-1	0.
582	0.5	SLU_ENV	Max	8.9633	10.8526	582-1	0.5
582	1.	SLU_ENV	Max	12.1353	12.7644	582-1	1.
582	0.	SLU_ENV	Min	-2.1425	-6.2459	582-1	0.
582	0.5	SLU_ENV	Min	-0.7704	-6.6724	582-1	0.5
582	1.	SLU_ENV	Min	0.2588	-7.0989	582-1	1.
582	0.	SLV_ENV	Max	287.8259	199.9554	582-1	0.
582	0.5	SLV_ENV	Max	317.6866	232.4259	582-1	0.5
582	1.	SLV_ENV	Max	347.6758	265.2728	582-1	1.
582	0.	SLV_ENV	Min	-289.1549	-206.7703	582-1	0.
582	0.5	SLV_ENV	Min	-316.1809	-239.9695	582-1	0.5
582	1.	SLV_ENV	Min	-343.3352	-273.5451	582-1	1.
584	0.	SLU_ENV	Max	12.1353	12.7644	584-1	0.
584	0.5	SLU_ENV	Max	16.3473	15.2259	584-1	0.5
584	1.	SLU_ENV	Max	20.5593	17.6873	584-1	1.
584	0.	SLU_ENV	Min	0.2588	-7.0989	584-1	0.
584	0.5	SLU_ENV	Min	1.7621	-7.8302	584-1	0.5
584	1.	SLU_ENV	Min	3.2653	-8.5615	584-1	1.
584	0.	SLV_ENV	Max	347.6758	265.2728	584-1	0.
584	0.5	SLV_ENV	Max	375.988	302.0359	584-1	0.5
584	1.	SLV_ENV	Max	404.4689	339.181	584-1	1.
584	0.	SLV_ENV	Min	-343.3352	-273.5451	584-1	0.
584	0.5	SLV_ENV	Min	-367.618	-310.9915	584-1	0.5
584	1.	SLV_ENV	Min	-392.0694	-348.8198	584-1	1.
585	0.	SLU_ENV	Max	20.5593	17.6873	585-1	0.
585	0.5	SLU_ENV	Max	25.9034	20.9196	585-1	0.5
585	1.	SLU_ENV	Max	31.2476	24.1519	585-1	1.
585	0.	SLU_ENV	Min	3.2653	-8.5615	585-1	0.
585	0.5	SLU_ENV	Min	5.3283	-9.3681	585-1	0.5
585	1.	SLU_ENV	Min	7.3913	-10.1746	585-1	1.
585	0.	SLV_ENV	Max	404.4689	339.181	585-1	0.
585	0.5	SLV_ENV	Max	427.8664	378.7994	585-1	0.5
585	1.	SLV_ENV	Max	451.524	418.8777	585-1	1.
585	0.	SLV_ENV	Min	-392.0694	-348.8198	585-1	0.
585	0.5	SLV_ENV	Min	-410.0488	-388.9858	585-1	0.5
585	1.	SLV_ENV	Min	-428.2882	-429.6116	585-1	1.

Table: Element Forces - Frames, Part 2 of 2

Frame	Station m	OutputCase	StepType	M		FrameElem	ElemStation m
				M2 KN-m	M3 KN-m		
588	0.	SLU_ENV	Max	31.2476	24.1519	588-1	0.
588	0.5	SLU_ENV	Max	37.7027	27.7987	588-1	0.5
588	1.	SLU_ENV	Max	44.1579	31.4455	588-1	1.
588	0.	SLU_ENV	Min	7.3913	-10.1746	588-1	0.
588	0.5	SLU_ENV	Min	10.1114	-10.8798	588-1	0.5
588	1.	SLU_ENV	Min	12.8314	-11.585	588-1	1.
588	0.	SLV_ENV	Max	451.524	418.8777	588-1	0.
588	0.5	SLV_ENV	Max	465.6483	459.1663	588-1	0.5
588	1.	SLV_ENV	Max	480.3147	500.1981	588-1	1.
588	0.	SLV_ENV	Min	-428.2882	-429.6116	588-1	0.
588	0.5	SLV_ENV	Min	-435.4517	-470.1902	588-1	0.5
588	1.	SLV_ENV	Min	-443.1573	-511.512	588-1	1.
590	0.	SLU_ENV	Max	44.1579	31.4455	590-1	0.
590	0.5	SLU_ENV	Max	51.6385	35.3512	590-1	0.5
590	1.	SLU_ENV	Max	59.1191	39.2569	590-1	1.
590	0.	SLU_ENV	Min	12.8314	-11.585	590-1	0.
590	0.5	SLU_ENV	Min	16.2682	-12.0689	590-1	0.5
590	1.	SLU_ENV	Min	19.7051	-12.5528	590-1	1.
590	0.	SLV_ENV	Max	480.3147	500.1981	590-1	0.
590	0.5	SLV_ENV	Max	480.4364	538.5626	590-1	0.5
590	1.	SLV_ENV	Max	485.3246	578.3988	590-1	1.
590	0.	SLV_ENV	Min	-443.1573	-511.512	590-1	0.
590	0.5	SLV_ENV	Min	-434.6967	-549.7527	590-1	0.5
590	1.	SLV_ENV	Min	-431.0028	-589.465	590-1	1.
593	0.	SLU_ENV	Max	59.1191	39.2569	593-1	0.
593	0.5	SLU_ENV	Max	67.3968	43.165	593-1	0.5
593	1.	SLU_ENV	Max	75.6745	47.073	593-1	1.
593	0.	SLU_ENV	Min	19.7051	-12.5528	593-1	0.
593	0.5	SLU_ENV	Min	23.8755	-12.658	593-1	0.5
593	1.	SLU_ENV	Min	28.046	-12.7632	593-1	1.
593	0.	SLV_ENV	Max	485.3246	578.3988	593-1	0.
593	0.5	SLV_ENV	Max	484.7375	611.6976	593-1	0.5
593	1.	SLV_ENV	Max	487.0687	646.5345	593-1	1.
593	0.	SLV_ENV	Min	-431.0028	-589.465	593-1	0.
593	0.5	SLV_ENV	Min	-420.2538	-622.0332	593-1	0.5
593	1.	SLV_ENV	Min	-412.4231	-656.1393	593-1	1.
597	0.	SLU_ENV	Max	75.6745	47.073	597-1	0.
597	0.5	SLU_ENV	Max	84.362	50.5999	597-1	0.5
597	1.	SLU_ENV	Max	93.0494	54.1267	597-1	1.
597	0.	SLU_ENV	Min	28.046	-12.7632	597-1	0.
597	0.5	SLU_ENV	Min	32.903	-12.2915	597-1	0.5
597	1.	SLU_ENV	Min	37.76	-11.8199	597-1	1.
597	0.	SLV_ENV	Max	487.0687	646.5345	597-1	0.
597	0.5	SLV_ENV	Max	471.0151	669.0892	597-1	0.5
597	1.	SLV_ENV	Max	460.3628	693.6703	597-1	1.
597	0.	SLV_ENV	Min	-412.4231	-656.1393	597-1	0.
597	0.5	SLV_ENV	Min	-384.8456	-677.1274	597-1	0.5
597	1.	SLV_ENV	Min	-362.6694	-700.1419	597-1	1.
601	0.	SLU_ENV	Max	93.0494	54.1267	601-1	0.
601	0.5	SLU_ENV	Max	101.4615	56.7362	601-1	0.5
601	1.	SLU_ENV	Max	109.8735	59.7568	601-1	1.
601	0.	SLU_ENV	Min	37.76	-11.8199	601-1	0.
601	0.5	SLU_ENV	Min	43.1657	-10.5317	601-1	0.5
601	1.	SLU_ENV	Min	48.5714	-9.6547	601-1	1.

Table: Element Forces - Frames, Part 2 of 2

Frame	Station m	OutputCase	StepType	M		FrameElem	ElemStation m
				M2 KN-m	M3 KN-m		
601	0.	SLV_ENV	Max	460.3628	693.6703	601-1	0.
601	0.5	SLV_ENV	Max	435.2912	699.9221	601-1	0.5
601	1.	SLV_ENV	Max	432.5923	710.0459	601-1	1.
601	0.	SLV_ENV	Min	-362.6694	-700.1419	601-1	0.
601	0.5	SLV_ENV	Min	-325.1712	-703.7313	601-1	0.5
601	1.	SLV_ENV	Min	-310.0457	-711.1927	601-1	1.
603	0.	SLU_ENV	Max	109.8735	59.7568	603-1	0.
603	0.5	SLU_ENV	Max	117.0456	61.6933	603-1	0.5
603	1.	SLU_ENV	Max	124.2178	63.6298	603-1	1.
603	0.	SLU_ENV	Min	48.5714	-9.6547	603-1	0.
603	0.5	SLU_ENV	Min	54.2654	-8.2507	603-1	0.5
603	1.	SLU_ENV	Min	59.9594	-6.8468	603-1	1.
603	0.	SLV_ENV	Max	432.5923	710.0459	603-1	0.
603	0.5	SLV_ENV	Max	452.3432	697.5706	603-1	0.5
603	1.	SLV_ENV	Max	552.3006	693.6545	603-1	1.
603	0.	SLV_ENV	Min	-310.0457	-711.1927	603-1	0.
603	0.5	SLV_ENV	Min	-317.2433	-694.6781	603-1	0.5
603	1.	SLV_ENV	Min	-404.6473	-686.7229	603-1	1.
606	0.	SLU_ENV	Max	124.2178	63.6298	606-1	0.
606	0.5	SLU_ENV	Max	129.031	63.3933	606-1	0.5
606	1.	SLU_ENV	Max	133.8442	63.1568	606-1	1.
606	0.	SLU_ENV	Min	59.9594	-6.8468	606-1	0.
606	0.5	SLU_ENV	Min	65.3145	-4.8292	606-1	0.5
606	1.	SLU_ENV	Min	70.6695	-2.8115	606-1	1.
606	0.	SLV_ENV	Max	552.3006	693.6545	606-1	0.
606	0.5	SLV_ENV	Max	750.0849	669.8909	606-1	0.5
606	1.	SLV_ENV	Max	968.3011	665.8719	606-1	1.
606	0.	SLV_ENV	Min	-404.6473	-686.7229	606-1	0.
606	0.5	SLV_ENV	Min	-590.9242	-657.2585	606-1	0.5
606	1.	SLV_ENV	Min	-797.633	-647.5388	606-1	1.
608	0.	SLU_ENV	Max	133.8442	63.1568	608-1	0.
608	0.5	SLU_ENV	Max	134.5607	59.6939	608-1	0.5
608	1.	SLU_ENV	Max	141.6968	66.1127	608-1	1.
608	0.	SLU_ENV	Min	70.6695	-2.8115	608-1	0.
608	0.5	SLU_ENV	Min	75.0972	0.1321	608-1	0.5
608	1.	SLU_ENV	Min	78.7184	3.0758	608-1	1.
608	0.	SLV_ENV	Max	968.3011	665.8719	608-1	0.
608	0.5	SLV_ENV	Max	1262.5547	707.769	608-1	0.5
608	1.	SLV_ENV	Max	1565.6076	821.1439	608-1	1.
608	0.	SLV_ENV	Min	-797.633	-647.5388	608-1	0.
608	0.5	SLV_ENV	Min	-1083.0762	-681.8113	608-1	0.5
608	1.	SLV_ENV	Min	-1377.3187	-787.5617	608-1	1.
610	0.	SLU_ENV	Max	1.243E-15	-3.553E-15	610-1	0.
610	0.5	SLU_ENV	Max	-0.021	0.0476	610-1	0.5
610	1.	SLU_ENV	Max	-0.0421	0.0952	610-1	1.
610	0.	SLU_ENV	Min	-4.796E-15	-4.796E-15	610-1	0.
610	0.5	SLU_ENV	Min	-0.0864	-0.0469	610-1	0.5
610	1.	SLU_ENV	Min	-0.1728	-0.0938	610-1	1.
610	0.	SLV_ENV	Max	1.415E-13	5.193E-13	610-1	0.
610	0.5	SLV_ENV	Max	0.7926	1.0617	610-1	0.5
610	1.	SLV_ENV	Max	1.5853	2.1234	610-1	1.
610	0.	SLV_ENV	Min	-1.486E-13	-5.264E-13	610-1	0.
610	0.5	SLV_ENV	Min	-0.8632	-1.0101	610-1	0.5
610	1.	SLV_ENV	Min	-1.7264	-2.0202	610-1	1.

Table: Element Forces - Frames, Part 2 of 2

Frame	Station m	OutputCase	StepType	M		FrameElem	ElemStation m
				M2 KN-m	M3 KN-m		
613	0.	SLU_ENV	Max	-0.0421	0.0952	613-1	0.
613	0.5	SLU_ENV	Max	-0.08	0.1971	613-1	0.5
613	1.	SLU_ENV	Max	-0.118	0.299	613-1	1.
613	0.	SLU_ENV	Min	-0.1728	-0.0938	613-1	0.
613	0.5	SLU_ENV	Min	-0.3291	-0.1654	613-1	0.5
613	1.	SLU_ENV	Min	-0.4854	-0.2369	613-1	1.
613	0.	SLV_ENV	Max	1.5853	2.1234	613-1	0.
613	0.5	SLV_ENV	Max	2.7975	3.946	613-1	0.5
613	1.	SLV_ENV	Max	4.0395	5.7698	613-1	1.
613	0.	SLV_ENV	Min	-1.7264	-2.0202	613-1	0.
613	0.5	SLV_ENV	Min	-3.0702	-3.7318	613-1	0.5
613	1.	SLV_ENV	Min	-4.4438	-5.4445	613-1	1.
616	0.	SLU_ENV	Max	-0.118	0.299	616-1	0.
616	0.5	SLU_ENV	Max	-0.1687	0.4614	616-1	0.5
616	1.	SLU_ENV	Max	-0.2194	0.6238	616-1	1.
616	0.	SLU_ENV	Min	-0.4854	-0.2369	616-1	0.
616	0.5	SLU_ENV	Min	-0.6944	-0.3104	616-1	0.5
616	1.	SLU_ENV	Min	-0.9034	-0.384	616-1	1.
616	0.	SLV_ENV	Max	4.0395	5.7698	616-1	0.
616	0.5	SLV_ENV	Max	5.4596	8.0715	616-1	0.5
616	1.	SLV_ENV	Max	6.8887	10.3769	616-1	1.
616	0.	SLV_ENV	Min	-4.4438	-5.4445	616-1	0.
616	0.5	SLV_ENV	Min	-6.0464	-7.5683	616-1	0.5
616	1.	SLV_ENV	Min	-7.658	-9.6958	616-1	1.
619	0.	SLU_ENV	Max	-0.2194	0.6238	619-1	0.
619	0.5	SLU_ENV	Max	-0.2782	0.8522	619-1	0.5
619	1.	SLU_ENV	Max	-0.337	1.0805	619-1	1.
619	0.	SLU_ENV	Min	-0.9034	-0.384	619-1	0.
619	0.5	SLU_ENV	Min	-1.1464	-0.4361	619-1	0.5
619	1.	SLU_ENV	Min	-1.3893	-0.4883	619-1	1.
619	0.	SLV_ENV	Max	6.8887	10.3769	619-1	0.
619	0.5	SLV_ENV	Max	8.2338	12.871	619-1	0.5
619	1.	SLV_ENV	Max	9.6067	15.3745	619-1	1.
619	0.	SLV_ENV	Min	-7.658	-9.6958	619-1	0.
619	0.5	SLV_ENV	Min	-9.2255	-11.9386	619-1	0.5
619	1.	SLV_ENV	Min	-10.8206	-14.1908	619-1	1.
621	0.	SLU_ENV	Max	-0.337	1.0805	621-1	0.
621	0.5	SLU_ENV	Max	-0.3986	1.3781	621-1	0.5
621	1.	SLU_ENV	Max	-0.4602	1.6757	621-1	1.
621	0.	SLU_ENV	Min	-1.3893	-0.4883	621-1	0.
621	0.5	SLU_ENV	Min	-1.6448	-0.4945	621-1	0.5
621	1.	SLU_ENV	Min	-1.9002	-0.5006	621-1	1.
621	0.	SLV_ENV	Max	9.6067	15.3745	621-1	0.
621	0.5	SLV_ENV	Max	10.6865	17.7655	621-1	0.5
621	1.	SLV_ENV	Max	11.8511	20.1791	621-1	1.
621	0.	SLV_ENV	Min	-10.8206	-14.1908	621-1	0.
621	0.5	SLV_ENV	Min	-12.1484	-16.253	621-1	0.5
621	1.	SLV_ENV	Min	-13.5613	-18.3377	621-1	1.
622	0.	SLU_ENV	Max	-0.4602	1.6757	622-1	0.
622	0.5	SLU_ENV	Max	-0.5181	2.0424	622-1	0.5
622	1.	SLU_ENV	Max	-0.5759	2.409	622-1	1.
622	0.	SLU_ENV	Min	-1.9002	-0.5006	622-1	0.
622	0.5	SLU_ENV	Min	-2.1431	-0.4346	622-1	0.5
622	1.	SLU_ENV	Min	-2.3859	-0.3686	622-1	1.

Table: Element Forces - Frames, Part 2 of 2

Frame	Station	OutputCase	StepType	M		FrameElem	ElemStation
				M2	M3		
	m			KN-m	KN-m		m
622	0.	SLV_ENV	Max	11.8511	20.1791	622-1	0.
622	0.5	SLV_ENV	Max	12.6806	22.1704	622-1	0.5
622	1.	SLV_ENV	Max	13.7785	24.2158	622-1	1.
622	0.	SLV_ENV	Min	-13.5613	-18.3377	622-1	0.
622	0.5	SLV_ENV	Min	-14.647	-19.9222	622-1	0.5
622	1.	SLV_ENV	Min	-16.0011	-21.5607	622-1	1.
624	0.	SLU_ENV	Max	-0.5759	2.409	624-1	0.
624	0.5	SLU_ENV	Max	-0.6222	2.8392	624-1	0.5
624	1.	SLU_ENV	Max	-0.6684	3.2694	624-1	1.
624	0.	SLU_ENV	Min	-2.3859	-0.3686	624-1	0.
624	0.5	SLU_ENV	Min	-2.5836	-0.2025	624-1	0.5
624	1.	SLU_ENV	Min	-2.7812	-0.0365	624-1	1.
624	0.	SLV_ENV	Max	13.7785	24.2158	624-1	0.
624	0.5	SLV_ENV	Max	14.9472	25.5496	624-1	0.5
624	1.	SLV_ENV	Max	16.711	27.0137	624-1	1.
624	0.	SLV_ENV	Min	-16.0011	-21.5607	624-1	0.
624	0.5	SLV_ENV	Min	-17.411	-22.4152	624-1	0.5
624	1.	SLV_ENV	Min	-19.4159	-23.4001	624-1	1.
626	0.	SLU_ENV	Max	-0.6684	3.2694	626-1	0.
626	0.5	SLU_ENV	Max	-0.6933	3.7496	626-1	0.5
626	1.	SLU_ENV	Max	-0.7181	4.2298	626-1	1.
626	0.	SLU_ENV	Min	-2.7812	-0.0365	626-1	0.
626	0.5	SLU_ENV	Min	-2.8938	0.2586	626-1	0.5
626	1.	SLU_ENV	Min	-3.0063	0.5537	626-1	1.
626	0.	SLV_ENV	Max	16.711	27.0137	626-1	0.
626	0.5	SLV_ENV	Max	19.3269	27.5855	626-1	0.5
626	1.	SLV_ENV	Max	24.4053	28.4701	626-1	1.
626	0.	SLV_ENV	Min	-19.4159	-23.4001	626-1	0.
626	0.5	SLV_ENV	Min	-22.2272	-23.4344	626-1	0.5
626	1.	SLV_ENV	Min	-27.5011	-23.7815	626-1	1.
628	0.	SLU_ENV	Max	-0.7181	4.2298	628-1	0.
628	0.5	SLU_ENV	Max	-0.7096	4.7362	628-1	0.5
628	1.	SLU_ENV	Max	-0.7011	5.2425	628-1	1.
628	0.	SLU_ENV	Min	-3.0063	0.5537	628-1	0.
628	0.5	SLU_ENV	Min	-2.985	1.007	628-1	0.5
628	1.	SLU_ENV	Min	-2.9636	1.4603	628-1	1.
628	0.	SLV_ENV	Max	24.4053	28.4701	628-1	0.
628	0.5	SLV_ENV	Max	32.1772	28.6105	628-1	0.5
628	1.	SLV_ENV	Max	40.4544	29.8728	628-1	1.
628	0.	SLV_ENV	Min	-27.5011	-23.7815	628-1	0.
628	0.5	SLV_ENV	Min	-35.3836	-23.352	628-1	0.5
628	1.	SLV_ENV	Min	-43.7713	-24.0444	628-1	1.
630	0.	SLU_ENV	Max	-0.7011	5.2425	630-1	0.
630	0.5	SLU_ENV	Max	-0.645	5.7373	630-1	0.5
630	1.	SLU_ENV	Max	-0.5888	6.232	630-1	1.
630	0.	SLU_ENV	Min	-2.9636	1.4603	630-1	0.
630	0.5	SLU_ENV	Min	-2.7498	2.0991	630-1	0.5
630	1.	SLU_ENV	Min	-2.567	2.7379	630-1	1.
630	0.	SLV_ENV	Max	40.4544	29.8728	630-1	0.
630	0.5	SLV_ENV	Max	51.8199	34.1602	630-1	0.5
630	1.	SLV_ENV	Max	63.5244	39.58	630-1	1.
630	0.	SLV_ENV	Min	-43.7713	-24.0444	630-1	0.
630	0.5	SLV_ENV	Min	-55.1134	-27.7707	630-1	0.5
630	1.	SLV_ENV	Min	-66.7943	-32.6292	630-1	1.

Table: Element Forces - Frames, Part 2 of 2

Frame	Station	OutputCase	StepType	M		FrameElem	ElemStation
				M2	M3		
	m			KN-m	KN-m		m
632	0.	SLU_ENV	Max	-0.5888	6.232	632-1	0.
632	0.5	SLU_ENV	Max	-0.4399	6.6672	632-1	0.5
632	1.	SLU_ENV	Max	0.0096	7.6556	632-1	1.
632	0.	SLU_ENV	Min	-2.567	2.7379	632-1	0.
632	0.5	SLU_ENV	Min	-2.4273	3.0518	632-1	0.5
632	1.	SLU_ENV	Min	-2.2876	3.3126	632-1	1.
632	0.	SLV_ENV	Max	63.5244	39.58	632-1	0.
632	0.5	SLV_ENV	Max	78.6909	47.3957	632-1	0.5
632	1.	SLV_ENV	Max	94.0944	56.3358	632-1	1.
632	0.	SLV_ENV	Min	-66.7943	-32.6292	632-1	0.
632	0.5	SLV_ENV	Min	-81.7432	-39.9524	632-1	0.5
632	1.	SLV_ENV	Min	-96.929	-48.3999	632-1	1.
635	0.	SLU_ENV	Max	0.0096	7.6556	635-1	0.
635	0.5	SLU_ENV	Max	0.7004	8.7731	635-1	0.5
635	1.	SLU_ENV	Max	1.3913	9.8906	635-1	1.
635	0.	SLU_ENV	Min	-2.2876	3.3126	635-1	0.
635	0.5	SLU_ENV	Min	-1.9586	3.4692	635-1	0.5
635	1.	SLU_ENV	Min	-1.6297	3.6259	635-1	1.
635	0.	SLV_ENV	Max	94.0944	56.3358	635-1	0.
635	0.5	SLV_ENV	Max	113.1467	68.2746	635-1	0.5
635	1.	SLV_ENV	Max	132.3795	80.9264	635-1	1.
635	0.	SLV_ENV	Min	-96.929	-48.3999	635-1	0.
635	0.5	SLV_ENV	Min	-115.4988	-59.9972	635-1	0.5
635	1.	SLV_ENV	Min	-134.2492	-72.3076	635-1	1.
638	0.	SLU_ENV	Max	1.3913	9.8906	638-1	0.
638	0.5	SLU_ENV	Max	2.372	11.0865	638-1	0.5
638	1.	SLU_ENV	Max	3.3527	12.2824	638-1	1.
638	0.	SLU_ENV	Min	-1.6297	3.6259	638-1	0.
638	0.5	SLU_ENV	Min	-1.0489	3.6331	638-1	0.5
638	1.	SLU_ENV	Min	-0.4682	3.6402	638-1	1.
638	0.	SLV_ENV	Max	132.3795	80.9264	638-1	0.
638	0.5	SLV_ENV	Max	155.1834	96.7883	638-1	0.5
638	1.	SLV_ENV	Max	178.1405	113.1196	638-1	1.
638	0.	SLV_ENV	Min	-134.2492	-72.3076	638-1	0.
638	0.5	SLV_ENV	Min	-156.2262	-88.0872	638-1	0.5
638	1.	SLV_ENV	Min	-178.3562	-104.3363	638-1	1.
640	0.	SLU_ENV	Max	3.3527	12.2824	640-1	0.
640	0.5	SLU_ENV	Max	4.881	13.4848	640-1	0.5
640	1.	SLU_ENV	Max	6.4568	14.6871	640-1	1.
640	0.	SLU_ENV	Min	-0.4682	3.6402	640-1	0.
640	0.5	SLU_ENV	Min	0.1721	3.444	640-1	0.5
640	1.	SLU_ENV	Min	0.7649	3.2478	640-1	1.
640	0.	SLV_ENV	Max	178.1405	113.1196	640-1	0.
640	0.5	SLV_ENV	Max	204.2168	134.7771	640-1	0.5
640	1.	SLV_ENV	Max	230.4376	158.6691	640-1	1.
640	0.	SLV_ENV	Min	-178.3562	-104.3363	640-1	0.
640	0.5	SLV_ENV	Min	-203.1753	-126.3069	640-1	0.5
640	1.	SLV_ENV	Min	-228.1387	-150.5119	640-1	1.
642	0.	SLU_ENV	Max	6.4568	14.6871	642-1	0.
642	0.5	SLU_ENV	Max	8.6627	15.8328	642-1	0.5
642	1.	SLU_ENV	Max	10.8685	16.9784	642-1	1.
642	0.	SLU_ENV	Min	0.7649	3.2478	642-1	0.
642	0.5	SLU_ENV	Min	1.5446	2.7727	642-1	0.5
642	1.	SLU_ENV	Min	2.3244	2.2975	642-1	1.

Table: Element Forces - Frames, Part 2 of 2

Frame	Station m	OutputCase	StepType	M		FrameElem	ElemStation m
				M2 KN-m	M3 KN-m		
642	0.	SLV_ENV	Max	230.4376	158.6691	642-1	0.
642	0.5	SLV_ENV	Max	258.8195	187.2447	642-1	0.5
642	1.	SLV_ENV	Max	287.3527	216.1437	642-1	1.
642	0.	SLV_ENV	Min	-228.1387	-150.5119	642-1	0.
642	0.5	SLV_ENV	Min	-254.7463	-179.9604	642-1	0.5
642	1.	SLV_ENV	Min	-281.5053	-209.7323	642-1	1.
645	0.	SLU_ENV	Max	10.8685	16.9784	645-1	0.
645	0.5	SLU_ENV	Max	13.7367	18.2295	645-1	0.5
645	1.	SLU_ENV	Max	16.6049	19.4806	645-1	1.
645	0.	SLU_ENV	Min	2.3244	2.2975	645-1	0.
645	0.5	SLU_ENV	Min	3.1883	1.451	645-1	0.5
645	1.	SLU_ENV	Min	4.0521	0.6045	645-1	1.
645	0.	SLV_ENV	Max	287.3527	216.1437	645-1	0.
645	0.5	SLV_ENV	Max	316.4337	249.2966	645-1	0.5
645	1.	SLV_ENV	Max	345.6913	282.7377	645-1	1.
645	0.	SLV_ENV	Min	-281.5053	-209.7323	645-1	0.
645	0.5	SLV_ENV	Min	-308.216	-244.5089	645-1	0.5
645	1.	SLV_ENV	Min	-335.1033	-279.5736	645-1	1.
647	0.	SLU_ENV	Max	16.6049	19.4806	647-1	0.
647	0.5	SLU_ENV	Max	20.1663	20.5537	647-1	0.5
647	1.	SLU_ENV	Max	23.7277	22.0131	647-1	1.
647	0.	SLU_ENV	Min	4.0521	0.6045	647-1	0.
647	0.5	SLU_ENV	Min	4.9246	-0.8479	647-1	0.5
647	1.	SLU_ENV	Min	5.7971	-2.6866	647-1	1.
647	0.	SLV_ENV	Max	345.6913	282.7377	647-1	0.
647	0.5	SLV_ENV	Max	373.076	319.3975	647-1	0.5
647	1.	SLV_ENV	Max	400.6937	356.3506	647-1	1.
647	0.	SLV_ENV	Min	-335.1033	-279.5736	647-1	0.
647	0.5	SLV_ENV	Min	-359.4616	-318.8196	647-1	0.5
647	1.	SLV_ENV	Min	-384.0528	-358.3589	647-1	1.
649	0.	SLU_ENV	Max	23.7277	22.0131	649-1	0.
649	0.5	SLU_ENV	Max	27.9214	23.3386	649-1	0.5
649	1.	SLU_ENV	Max	32.1151	24.6641	649-1	1.
649	0.	SLU_ENV	Min	5.7971	-2.6866	649-1	0.
649	0.5	SLU_ENV	Min	6.8169	-5.9103	649-1	0.5
649	1.	SLU_ENV	Min	7.8368	-9.134	649-1	1.
649	0.	SLV_ENV	Max	400.6937	356.3506	649-1	0.
649	0.5	SLV_ENV	Max	423.0819	394.693	649-1	0.5
649	1.	SLV_ENV	Max	445.8322	433.3765	649-1	1.
649	0.	SLV_ENV	Min	-384.0528	-358.3589	649-1	0.
649	0.5	SLV_ENV	Min	-402.7326	-400.4719	649-1	0.5
649	1.	SLV_ENV	Min	-421.7744	-442.926	649-1	1.
652	0.	SLU_ENV	Max	32.1151	24.6641	652-1	0.
652	0.5	SLU_ENV	Max	36.8064	25.4315	652-1	0.5
652	1.	SLU_ENV	Max	41.4977	26.1989	652-1	1.
652	0.	SLU_ENV	Min	7.8368	-9.134	652-1	0.
652	0.5	SLU_ENV	Min	8.9742	-13.8263	652-1	0.5
652	1.	SLU_ENV	Min	10.1117	-18.5186	652-1	1.
652	0.	SLV_ENV	Max	445.8322	433.3765	652-1	0.
652	0.5	SLV_ENV	Max	459.0483	470.6493	652-1	0.5
652	1.	SLV_ENV	Max	473.0287	508.403	652-1	1.
652	0.	SLV_ENV	Min	-421.7744	-442.926	652-1	0.
652	0.5	SLV_ENV	Min	-430.6281	-485.3693	652-1	0.5
652	1.	SLV_ENV	Min	-440.2461	-528.2935	652-1	1.

Table: Element Forces - Frames, Part 2 of 2

Frame	Station m	OutputCase	StepType	M		FrameElem	ElemStation m
				M2 KN-m	M3 KN-m		
655	0.	SLU_ENV	Max	41.4977	26.1989	655-1	0.
655	0.5	SLU_ENV	Max	46.4705	26.0554	655-1	0.5
655	1.	SLU_ENV	Max	51.4433	25.912	655-1	1.
655	0.	SLU_ENV	Min	10.1117	-18.5186	655-1	0.
655	0.5	SLU_ENV	Min	11.3104	-24.6257	655-1	0.5
655	1.	SLU_ENV	Min	12.5092	-30.7328	655-1	1.
655	0.	SLV_ENV	Max	473.0287	508.403	655-1	0.
655	0.5	SLV_ENV	Max	472.909	540.9697	655-1	0.5
655	1.	SLV_ENV	Max	475.2566	574.6696	655-1	1.
655	0.	SLV_ENV	Min	-440.2461	-528.2935	655-1	0.
655	0.5	SLV_ENV	Min	-435.2159	-567.6152	655-1	0.5
655	1.	SLV_ENV	Min	-432.653	-608.0701	655-1	1.
657	0.	SLU_ENV	Max	51.4433	25.912	657-1	0.
657	0.5	SLU_ENV	Max	56.3472	24.4201	657-1	0.5
657	1.	SLU_ENV	Max	61.2511	22.9282	657-1	1.
657	0.	SLU_ENV	Min	12.5092	-30.7328	657-1	0.
657	0.5	SLU_ENV	Min	13.686	-38.3545	657-1	0.5
657	1.	SLU_ENV	Min	14.8628	-45.9763	657-1	1.
657	0.	SLV_ENV	Max	475.2566	574.6696	657-1	0.
657	0.5	SLV_ENV	Max	472.8404	599.3536	657-1	0.5
657	1.	SLV_ENV	Max	478.3842	625.9183	657-1	1.
657	0.	SLV_ENV	Min	-432.653	-608.0701	657-1	0.
657	0.5	SLV_ENV	Min	-424.9905	-641.2134	657-1	0.5
657	1.	SLV_ENV	Min	-425.288	-676.2377	657-1	1.
659	0.	SLU_ENV	Max	61.2511	22.9282	659-1	0.
659	0.5	SLU_ENV	Max	65.5821	19.5663	659-1	0.5
659	1.	SLU_ENV	Max	69.9131	16.2044	659-1	1.
659	0.	SLU_ENV	Min	14.8628	-45.9763	659-1	0.
659	0.5	SLU_ENV	Min	15.8896	-55.1129	659-1	0.5
659	1.	SLU_ENV	Min	16.9165	-64.2496	659-1	1.
659	0.	SLV_ENV	Max	478.3842	625.9183	659-1	0.
659	0.5	SLV_ENV	Max	468.6035	637.1418	659-1	0.5
659	1.	SLV_ENV	Max	465.3743	650.2999	659-1	1.
659	0.	SLV_ENV	Min	-425.288	-676.2377	659-1	0.
659	0.5	SLV_ENV	Min	-410.2752	-697.637	659-1	0.5
659	1.	SLV_ENV	Min	-401.814	-720.9711	659-1	1.
661	0.	SLU_ENV	Max	69.9131	16.2044	661-1	0.
661	0.5	SLU_ENV	Max	72.9915	10.3766	661-1	0.5
661	1.	SLU_ENV	Max	76.07	4.5489	661-1	1.
661	0.	SLU_ENV	Min	16.9165	-64.2496	661-1	0.
661	0.5	SLU_ENV	Min	17.6127	-74.7526	661-1	0.5
661	1.	SLU_ENV	Min	18.3088	-85.2555	661-1	1.
661	0.	SLV_ENV	Max	465.3743	650.2999	661-1	0.
661	0.5	SLV_ENV	Max	452.5095	641.4989	661-1	0.5
661	1.	SLV_ENV	Max	461.3838	636.5636	661-1	1.
661	0.	SLV_ENV	Min	-401.814	-720.9711	661-1	0.
661	0.5	SLV_ENV	Min	-384.2536	-723.9113	661-1	0.5
661	1.	SLV_ENV	Min	-388.4322	-730.7173	661-1	1.
663	0.	SLU_ENV	Max	76.07	4.5489	663-1	0.
663	0.5	SLU_ENV	Max	76.9287	-4.3929	663-1	0.5
663	1.	SLU_ENV	Max	77.7873	-13.3348	663-1	1.
663	0.	SLU_ENV	Min	18.3088	-85.2555	663-1	0.
663	0.5	SLU_ENV	Min	18.4484	-96.768	663-1	0.5
663	1.	SLU_ENV	Min	18.588	-108.2805	663-1	1.

Table: Element Forces - Frames, Part 2 of 2

Frame	Station	OutputCase	StepType	M		FrameElem	ElemStation
				M2	M3		
	m			KN-m	KN-m		m
663	0.	SLV_ENV	Max	461.3838	636.5636	663-1	0.
663	0.5	SLV_ENV	Max	491.1498	605.4317	663-1	0.5
663	1.	SLV_ENV	Max	559.207	583.4684	663-1	1.
663	0.	SLV_ENV	Min	-388.4322	-730.7173	663-1	0.
663	0.5	SLV_ENV	Min	-414.767	-712.512	663-1	0.5
663	1.	SLV_ENV	Min	-479.393	-703.4754	663-1	1.
665	0.	SLU_ENV	Max	77.7873	-13.3348	665-1	0.
665	0.5	SLU_ENV	Max	75.2412	-26.0537	665-1	0.5
665	1.	SLU_ENV	Max	72.6951	-38.7727	665-1	1.
665	0.	SLU_ENV	Min	18.588	-108.2805	665-1	0.
665	0.5	SLU_ENV	Min	17.8816	-120.1696	665-1	0.5
665	1.	SLU_ENV	Min	17.1751	-132.0588	665-1	1.
665	0.	SLV_ENV	Max	559.207	583.4684	665-1	0.
665	0.5	SLV_ENV	Max	746.5142	539.9021	665-1	0.5
665	1.	SLV_ENV	Max	953.761	519.2952	665-1	1.
665	0.	SLV_ENV	Min	-479.393	-703.4754	665-1	0.
665	0.5	SLV_ENV	Min	-665.4978	-673.3361	665-1	0.5
665	1.	SLV_ENV	Min	-871.5421	-666.1562	665-1	1.
666	0.	SLU_ENV	Max	72.6951	-38.7727	666-1	0.
666	0.5	SLU_ENV	Max	65.3076	-55.8887	666-1	0.5
666	1.	SLU_ENV	Max	61.2527	-69.8828	666-1	1.
666	0.	SLU_ENV	Min	17.1751	-132.0588	666-1	0.
666	0.5	SLU_ENV	Min	15.2729	-143.3409	666-1	0.5
666	1.	SLU_ENV	Min	13.3706	-154.6231	666-1	1.
666	0.	SLV_ENV	Max	953.761	519.2952	666-1	0.
666	0.5	SLV_ENV	Max	1233.3635	589.2705	666-1	0.5
666	1.	SLV_ENV	Max	1523.2105	703.0424	666-1	1.
666	0.	SLV_ENV	Min	-871.5421	-666.1562	666-1	0.
666	0.5	SLV_ENV	Min	-1153.3936	-748.9854	666-1	0.5
666	1.	SLV_ENV	Min	-1445.4897	-875.6111	666-1	1.
1833	0.	SLU_ENV	Max	0.	-2.220E-16	1833-1	0.
1833	0.5	SLU_ENV	Max	-0.0013	0.006	1833-1	0.5
1833	1.	SLU_ENV	Max	-0.0027	0.012	1833-1	1.
1833	0.	SLU_ENV	Min	0.	-1.499E-15	1833-1	0.
1833	0.5	SLU_ENV	Min	-0.0209	-0.0309	1833-1	0.5
1833	1.	SLU_ENV	Min	-0.0418	-0.0618	1833-1	1.
1833	0.	SLV_ENV	Max	3.935E-14	8.369E-14	1833-1	0.
1833	0.5	SLV_ENV	Max	0.2861	0.4206	1833-1	0.5
1833	1.	SLV_ENV	Max	0.5723	0.8413	1833-1	1.
1833	0.	SLV_ENV	Min	-3.935E-14	-8.414E-14	1833-1	0.
1833	0.5	SLV_ENV	Min	-0.3104	-0.4133	1833-1	0.5
1833	1.	SLV_ENV	Min	-0.6209	-0.8267	1833-1	1.
1834	0.	SLU_ENV	Max	-0.0027	0.012	1834-1	0.
1834	0.5	SLU_ENV	Max	-0.0095	0.0201	1834-1	0.5
1834	1.	SLU_ENV	Max	-0.0163	0.0286	1834-1	1.
1834	0.	SLU_ENV	Min	-0.0418	-0.0618	1834-1	0.
1834	0.5	SLU_ENV	Min	-0.0831	-0.1145	1834-1	0.5
1834	1.	SLU_ENV	Min	-0.1245	-0.1674	1834-1	1.
1834	0.	SLV_ENV	Max	0.5723	0.8413	1834-1	0.
1834	0.5	SLV_ENV	Max	0.9238	1.4206	1834-1	0.5
1834	1.	SLV_ENV	Max	1.2759	2.0007	1834-1	1.
1834	0.	SLV_ENV	Min	-0.6209	-0.8267	1834-1	0.
1834	0.5	SLV_ENV	Min	-1.0198	-1.3974	1834-1	0.5
1834	1.	SLV_ENV	Min	-1.4195	-1.9688	1834-1	1.

Table: Element Forces - Frames, Part 2 of 2

Frame	Station m	OutputCase	StepType	M		FrameElem	ElemStation m
				M2 KN-m	M3 KN-m		
1835	0.	SLU_ENV	Max	-0.0163	0.0286	1835-1	0.
1835	0.5	SLU_ENV	Max	-0.0327	0.0363	1835-1	0.5
1835	1.	SLU_ENV	Max	-0.0491	0.0441	1835-1	1.
1835	0.	SLU_ENV	Min	-0.1245	-0.1674	1835-1	0.
1835	0.5	SLU_ENV	Min	-0.1857	-0.2335	1835-1	0.5
1835	1.	SLU_ENV	Min	-0.2469	-0.2996	1835-1	1.
1835	0.	SLV_ENV	Max	1.2759	2.0007	1835-1	0.
1835	0.5	SLV_ENV	Max	1.5002	2.5058	1835-1	0.5
1835	1.	SLV_ENV	Max	1.7289	3.0143	1835-1	1.
1835	0.	SLV_ENV	Min	-1.4195	-1.9688	1835-1	0.
1835	0.5	SLV_ENV	Min	-1.7132	-2.4699	1835-1	0.5
1835	1.	SLV_ENV	Min	-2.0113	-2.9744	1835-1	1.
1836	0.	SLU_ENV	Max	-0.0491	0.0441	1836-1	0.
1836	0.5	SLU_ENV	Max	-0.0792	0.0477	1836-1	0.5
1836	1.	SLU_ENV	Max	-0.1092	0.0514	1836-1	1.
1836	0.	SLU_ENV	Min	-0.2469	-0.2996	1836-1	0.
1836	0.5	SLU_ENV	Min	-0.3269	-0.3696	1836-1	0.5
1836	1.	SLU_ENV	Min	-0.407	-0.4395	1836-1	1.
1836	0.	SLV_ENV	Max	1.7289	3.0143	1836-1	0.
1836	0.5	SLV_ENV	Max	1.6585	3.223	1836-1	0.5
1836	1.	SLV_ENV	Max	1.7942	3.4475	1836-1	1.
1836	0.	SLV_ENV	Min	-2.0113	-2.9744	1836-1	0.
1836	0.5	SLV_ENV	Min	-2.0304	-3.1898	1836-1	0.5
1836	1.	SLV_ENV	Min	-2.2558	-3.4211	1836-1	1.
1837	0.	SLU_ENV	Max	-0.1092	0.0514	1837-1	0.
1837	0.5	SLU_ENV	Max	-0.1568	0.0475	1837-1	0.5
1837	1.	SLU_ENV	Max	-0.2043	0.0436	1837-1	1.
1837	0.	SLU_ENV	Min	-0.407	-0.4395	1837-1	0.
1837	0.5	SLU_ENV	Min	-0.5042	-0.5029	1837-1	0.5
1837	1.	SLU_ENV	Min	-0.6014	-0.5662	1837-1	1.
1837	0.	SLV_ENV	Max	1.7942	3.4475	1837-1	0.
1837	0.5	SLV_ENV	Max	1.9627	3.2024	1837-1	0.5
1837	1.	SLV_ENV	Max	2.3457	3.0578	1837-1	1.
1837	0.	SLV_ENV	Min	-2.2558	-3.4211	1837-1	0.
1837	0.5	SLV_ENV	Min	-2.5314	-3.1995	1837-1	0.5
1837	1.	SLV_ENV	Min	-3.0215	-3.0786	1837-1	1.
1838	0.	SLU_ENV	Max	-0.2043	0.0436	1838-1	0.
1838	0.5	SLU_ENV	Max	-0.2729	0.029	1838-1	0.5
1838	1.	SLU_ENV	Max	-0.3232	0.0144	1838-1	1.
1838	0.	SLU_ENV	Min	-0.6014	-0.5662	1838-1	0.
1838	0.5	SLU_ENV	Min	-0.7126	-0.6112	1838-1	0.5
1838	1.	SLU_ENV	Min	-0.8239	-0.6562	1838-1	1.
1838	0.	SLV_ENV	Max	2.3457	3.0578	1838-1	0.
1838	0.5	SLV_ENV	Max	3.1965	2.7149	1838-1	0.5
1838	1.	SLV_ENV	Max	4.2861	3.0991	1838-1	1.
1838	0.	SLV_ENV	Min	-3.0215	-3.0786	1838-1	0.
1838	0.5	SLV_ENV	Min	-3.9928	-2.7827	1838-1	0.5
1838	1.	SLV_ENV	Min	-5.2029	-3.2138	1838-1	1.
1839	0.	SLU_ENV	Max	-0.3232	0.0144	1839-1	0.
1839	0.5	SLU_ENV	Max	-0.3681	-0.0146	1839-1	0.5
1839	1.	SLU_ENV	Max	-0.4131	-0.0437	1839-1	1.
1839	0.	SLU_ENV	Min	-0.8239	-0.6562	1839-1	0.
1839	0.5	SLU_ENV	Min	-0.9451	-0.6691	1839-1	0.5
1839	1.	SLU_ENV	Min	-1.0904	-0.7333	1839-1	1.

Table: Element Forces - Frames, Part 2 of 2

Frame	Station	OutputCase	StepType	M		FrameElem	ElemStation
				M2	M3		
	m			KN-m	KN-m		m
1839	0.	SLV_ENV	Max	4.2861	3.0991	1839-1	0.
1839	0.5	SLV_ENV	Max	6.8253	4.7194	1839-1	0.5
1839	1.	SLV_ENV	Max	9.4228	6.9157	1839-1	1.
1839	0.	SLV_ENV	Min	-5.2029	-3.2138	1839-1	0.
1839	0.5	SLV_ENV	Min	-7.8696	-4.9105	1839-1	0.5
1839	1.	SLV_ENV	Min	-10.5947	-7.1832	1839-1	1.
1840	0.	SLU_ENV	Max	-0.4131	-0.0437	1840-1	0.
1840	0.5	SLU_ENV	Max	-0.4565	-0.0252	1840-1	0.5
1840	1.	SLU_ENV	Max	-0.5	0.0847	1840-1	1.
1840	0.	SLU_ENV	Min	-1.0904	-0.7333	1840-1	0.
1840	0.5	SLU_ENV	Min	-1.2758	-0.8695	1840-1	0.5
1840	1.	SLU_ENV	Min	-1.4613	-1.0058	1840-1	1.
1840	0.	SLV_ENV	Max	9.4228	6.9157	1840-1	0.
1840	0.5	SLV_ENV	Max	13.2383	10.5344	1840-1	0.5
1840	1.	SLV_ENV	Max	17.0754	14.2977	1840-1	1.
1840	0.	SLV_ENV	Min	-10.5947	-7.1832	1840-1	0.
1840	0.5	SLV_ENV	Min	-14.5356	-10.9137	1840-1	0.5
1840	1.	SLV_ENV	Min	-18.4979	-14.7888	1840-1	1.
1841	0.	SLU_ENV	Max	-0.5	0.0847	1841-1	0.
1841	0.5	SLU_ENV	Max	-0.537	0.2689	1841-1	0.5
1841	1.	SLU_ENV	Max	-0.574	0.453	1841-1	1.
1841	0.	SLU_ENV	Min	-1.4613	-1.0058	1841-1	0.
1841	0.5	SLU_ENV	Min	-1.6688	-1.164	1841-1	0.5
1841	1.	SLU_ENV	Min	-1.8763	-1.3222	1841-1	1.
1841	0.	SLV_ENV	Max	17.0754	14.2977	1841-1	0.
1841	0.5	SLV_ENV	Max	22.3115	19.679	1841-1	0.5
1841	1.	SLV_ENV	Max	27.5593	25.117	1841-1	1.
1841	0.	SLV_ENV	Min	-18.4979	-14.7888	1841-1	0.
1841	0.5	SLV_ENV	Min	-23.844	-20.3222	1841-1	0.5
1841	1.	SLV_ENV	Min	-29.2018	-25.9124	1841-1	1.
1842	0.	SLU_ENV	Max	-0.574	0.453	1842-1	0.
1842	0.5	SLU_ENV	Max	-0.5975	0.7278	1842-1	0.5
1842	1.	SLU_ENV	Max	-0.621	1.0025	1842-1	1.
1842	0.	SLU_ENV	Min	-1.8763	-1.3222	1842-1	0.
1842	0.5	SLU_ENV	Min	-2.0965	-1.4969	1842-1	0.5
1842	1.	SLU_ENV	Min	-2.3166	-1.6716	1842-1	1.
1842	0.	SLV_ENV	Max	27.5593	25.117	1842-1	0.
1842	0.5	SLV_ENV	Max	34.3439	32.3775	1842-1	0.5
1842	1.	SLV_ENV	Max	41.1365	39.6696	1842-1	1.
1842	0.	SLV_ENV	Min	-29.2018	-25.9124	1842-1	0.
1842	0.5	SLV_ENV	Min	-36.0633	-33.3688	1842-1	0.5
1842	1.	SLV_ENV	Min	-42.9328	-40.8568	1842-1	1.
1843	0.	SLU_ENV	Max	-0.621	1.0025	1843-1	0.
1843	0.5	SLU_ENV	Max	-0.6222	1.3765	1843-1	0.5
1843	1.	SLU_ENV	Max	-0.6235	1.7505	1843-1	1.
1843	0.	SLU_ENV	Min	-2.3166	-1.6716	1843-1	0.
1843	0.5	SLU_ENV	Min	-2.5338	-1.8531	1843-1	0.5
1843	1.	SLU_ENV	Min	-2.7509	-2.0346	1843-1	1.
1843	0.	SLV_ENV	Max	41.1365	39.6696	1843-1	0.
1843	0.5	SLV_ENV	Max	49.5291	48.9272	1843-1	0.5
1843	1.	SLV_ENV	Max	57.928	58.2065	1843-1	1.
1843	0.	SLV_ENV	Min	-42.9328	-40.8568	1843-1	0.
1843	0.5	SLV_ENV	Min	-51.3463	-50.3549	1843-1	0.5
1843	1.	SLV_ENV	Min	-59.766	-59.8748	1843-1	1.

Table: Element Forces - Frames, Part 2 of 2

Frame	Station m	OutputCase	StepType	M		FrameElem	ElemStation m
				M2 KN-m	M3 KN-m		
1844	0.	SLU_ENV	Max	-0.6235	1.7505	1844-1	0.
1844	0.5	SLU_ENV	Max	-0.5917	2.2333	1844-1	0.5
1844	1.	SLU_ENV	Max	-0.5599	2.716	1844-1	1.
1844	0.	SLU_ENV	Min	-2.7509	-2.0346	1844-1	0.
1844	0.5	SLU_ENV	Min	-2.9405	-2.2133	1844-1	0.5
1844	1.	SLU_ENV	Min	-3.1301	-2.3921	1844-1	1.
1844	0.	SLV_ENV	Max	57.928	58.2065	1844-1	0.
1844	0.5	SLV_ENV	Max	67.878	69.4863	1844-1	0.5
1844	1.	SLV_ENV	Max	77.8335	80.7836	1844-1	1.
1844	0.	SLV_ENV	Min	-59.766	-59.8748	1844-1	0.
1844	0.5	SLV_ENV	Min	-69.6519	-71.4367	1844-1	0.5
1844	1.	SLV_ENV	Min	-79.5434	-83.0162	1844-1	1.
1845	0.	SLU_ENV	Max	-0.5599	2.716	1845-1	0.
1845	0.5	SLU_ENV	Max	-0.4834	3.3114	1845-1	0.5
1845	1.	SLU_ENV	Max	-0.4068	3.9068	1845-1	1.
1845	0.	SLU_ENV	Min	-3.1301	-2.3921	1845-1	0.
1845	0.5	SLU_ENV	Min	-3.2595	-2.5544	1845-1	0.5
1845	1.	SLU_ENV	Min	-3.3889	-2.7167	1845-1	1.
1845	0.	SLV_ENV	Max	77.8335	80.7836	1845-1	0.
1845	0.5	SLV_ENV	Max	89.1316	93.9554	1845-1	0.5
1845	1.	SLV_ENV	Max	100.4352	107.1431	1845-1	1.
1845	0.	SLV_ENV	Min	-79.5434	-83.0162	1845-1	0.
1845	0.5	SLV_ENV	Min	-90.6577	-96.5034	1845-1	0.5
1845	1.	SLV_ENV	Min	-101.7775	-110.0064	1845-1	1.
1846	0.	SLU_ENV	Max	-0.4068	3.9068	1846-1	0.
1846	0.5	SLU_ENV	Max	-0.2711	4.61	1846-1	0.5
1846	1.	SLU_ENV	Max	-0.1355	5.3131	1846-1	1.
1846	0.	SLU_ENV	Min	-3.3889	-2.7167	1846-1	0.
1846	0.5	SLU_ENV	Min	-3.4154	-2.8699	1846-1	0.5
1846	1.	SLU_ENV	Min	-3.4419	-3.0232	1846-1	1.
1846	0.	SLV_ENV	Max	100.4352	107.1431	1846-1	0.
1846	0.5	SLV_ENV	Max	112.6578	121.8548	1846-1	0.5
1846	1.	SLV_ENV	Max	124.8863	136.5824	1846-1	1.
1846	0.	SLV_ENV	Min	-101.7775	-110.0064	1846-1	0.
1846	0.5	SLV_ENV	Min	-113.6563	-125.0509	1846-1	0.5
1846	1.	SLV_ENV	Min	-125.5409	-140.1114	1846-1	1.
1847	0.	SLU_ENV	Max	-0.1355	5.3131	1847-1	0.
1847	0.5	SLU_ENV	Max	0.1052	6.1064	1847-1	0.5
1847	1.	SLU_ENV	Max	0.3797	6.8997	1847-1	1.
1847	0.	SLU_ENV	Min	-3.4419	-3.0232	1847-1	0.
1847	0.5	SLU_ENV	Min	-3.3117	-3.1731	1847-1	0.5
1847	1.	SLU_ENV	Min	-3.2153	-3.323	1847-1	1.
1847	0.	SLV_ENV	Max	124.8863	136.5824	1847-1	0.
1847	0.5	SLV_ENV	Max	137.3318	152.1846	1847-1	0.5
1847	1.	SLV_ENV	Max	149.7844	167.8044	1847-1	1.
1847	0.	SLV_ENV	Min	-125.5409	-140.1114	1847-1	0.
1847	0.5	SLV_ENV	Min	-137.4378	-156.039	1847-1	0.5
1847	1.	SLV_ENV	Min	-149.3419	-171.9843	1847-1	1.
1848	0.	SLU_ENV	Max	0.3797	6.8997	1848-1	0.
1848	0.5	SLU_ENV	Max	0.932	7.8697	1848-1	0.5
1848	1.	SLU_ENV	Max	1.4843	8.8397	1848-1	1.
1848	0.	SLU_ENV	Min	-3.2153	-3.323	1848-1	0.
1848	0.5	SLU_ENV	Min	-3.1294	-3.4864	1848-1	0.5
1848	1.	SLU_ENV	Min	-3.0436	-3.6499	1848-1	1.

Table: Element Forces - Frames, Part 2 of 2

Frame	Station m	OutputCase	StepType	M		FrameElem	ElemStation m
				M2 KN-m	M3 KN-m		
1848	0.	SLV_ENV	Max	149.7844	167.8044	1848-1	0.
1848	0.5	SLV_ENV	Max	161.4054	183.2681	1848-1	0.5
1848	1.	SLV_ENV	Max	173.037	198.7539	1848-1	1.
1848	0.	SLV_ENV	Min	-149.3419	-171.9843	1848-1	0.
1848	0.5	SLV_ENV	Min	-160.1628	-187.7298	1848-1	0.5
1848	1.	SLV_ENV	Min	-170.9942	-203.4973	1848-1	1.
1849	0.	SLU_ENV	Max	1.4843	8.8397	1849-1	0.
1849	0.5	SLU_ENV	Max	2.388	10.0151	1849-1	0.5
1849	1.	SLU_ENV	Max	3.2918	11.1906	1849-1	1.
1849	0.	SLU_ENV	Min	-3.0436	-3.6499	1849-1	0.
1849	0.5	SLU_ENV	Min	-2.8549	-3.8102	1849-1	0.5
1849	1.	SLU_ENV	Min	-2.6661	-3.9705	1849-1	1.
1849	0.	SLV_ENV	Max	173.037	198.7539	1849-1	0.
1849	0.5	SLV_ENV	Max	182.3751	212.5863	1849-1	0.5
1849	1.	SLV_ENV	Max	191.7359	226.4509	1849-1	1.
1849	0.	SLV_ENV	Min	-170.9942	-203.4973	1849-1	0.
1849	0.5	SLV_ENV	Min	-179.2353	-217.5178	1849-1	0.5
1849	1.	SLV_ENV	Min	-187.499	-231.5706	1849-1	1.
1850	0.	SLU_ENV	Max	3.2918	11.1906	1850-1	0.
1850	0.5	SLU_ENV	Max	4.5601	12.4076	1850-1	0.5
1850	1.	SLU_ENV	Max	5.8284	13.6246	1850-1	1.
1850	0.	SLU_ENV	Min	-2.6661	-3.9705	1850-1	0.
1850	0.5	SLU_ENV	Min	-2.2823	-4.0175	1850-1	0.5
1850	1.	SLU_ENV	Min	-1.8985	-4.0645	1850-1	1.
1850	0.	SLV_ENV	Max	191.7359	226.4509	1850-1	0.
1850	0.5	SLV_ENV	Max	196.8865	236.6195	1850-1	0.5
1850	1.	SLV_ENV	Max	202.1325	246.8466	1850-1	1.
1850	0.	SLV_ENV	Min	-187.499	-231.5706	1850-1	0.
1850	0.5	SLV_ENV	Min	-191.2169	-241.7685	1850-1	0.5
1850	1.	SLV_ENV	Min	-195.0302	-252.0248	1850-1	1.
1851	0.	SLU_ENV	Max	5.8284	13.6246	1851-1	0.
1851	0.5	SLU_ENV	Max	7.4387	14.7782	1851-1	0.5
1851	1.	SLU_ENV	Max	9.049	15.9317	1851-1	1.
1851	0.	SLU_ENV	Min	-1.8985	-4.0645	1851-1	0.
1851	0.5	SLU_ENV	Min	-1.2366	-3.9345	1851-1	0.5
1851	1.	SLU_ENV	Min	-0.5747	-3.8045	1851-1	1.
1851	0.	SLV_ENV	Max	202.1325	246.8466	1851-1	0.
1851	0.5	SLV_ENV	Max	200.9886	250.7399	1851-1	0.5
1851	1.	SLV_ENV	Max	200.4099	254.7537	1851-1	1.
1851	0.	SLV_ENV	Min	-195.0302	-252.0248	1851-1	0.
1851	0.5	SLV_ENV	Min	-192.0929	-255.7067	1851-1	0.5
1851	1.	SLV_ENV	Min	-189.7208	-259.509	1851-1	1.
1852	0.	SLU_ENV	Max	9.049	15.9317	1852-1	0.
1852	0.5	SLU_ENV	Max	11.012	16.8721	1852-1	0.5
1852	1.	SLU_ENV	Max	12.975	17.907	1852-1	1.
1852	0.	SLU_ENV	Min	-0.5747	-3.8045	1852-1	0.
1852	0.5	SLU_ENV	Min	0.4438	-3.4327	1852-1	0.5
1852	1.	SLU_ENV	Min	1.4623	-3.1555	1852-1	1.
1852	0.	SLV_ENV	Max	200.4099	254.7537	1852-1	0.
1852	0.5	SLV_ENV	Max	190.9769	249.1733	1852-1	0.5
1852	1.	SLV_ENV	Max	181.7966	243.7811	1852-1	1.
1852	0.	SLV_ENV	Min	-189.7208	-259.509	1852-1	0.
1852	0.5	SLV_ENV	Min	-178.1317	-253.3778	1852-1	0.5
1852	1.	SLV_ENV	Min	-166.7952	-247.4348	1852-1	1.

Table: Element Forces - Frames, Part 2 of 2

Frame	Station m	OutputCase	StepType	M		FrameElem	ElemStation m
				M2 KN-m	M3 KN-m		
1853	0.	SLU_ENV	Max	12.975	17.907	1853-1	0.
1853	0.5	SLU_ENV	Max	15.2722	18.7879	1853-1	0.5
1853	1.	SLU_ENV	Max	17.5694	19.6688	1853-1	1.
1853	0.	SLU_ENV	Min	1.4623	-3.1555	1853-1	0.
1853	0.5	SLU_ENV	Min	2.9077	-2.8231	1853-1	0.5
1853	1.	SLU_ENV	Min	4.3531	-2.4908	1853-1	1.
1853	0.	SLV_ENV	Max	181.7966	243.7811	1853-1	0.
1853	0.5	SLV_ENV	Max	160.0624	224.8716	1853-1	0.5
1853	1.	SLV_ENV	Max	138.5048	206.2915	1853-1	1.
1853	0.	SLV_ENV	Min	-166.7952	-247.4348	1853-1	0.
1853	0.5	SLV_ENV	Min	-142.5747	-227.5213	1853-1	0.5
1853	1.	SLV_ENV	Min	-118.5309	-207.937	1853-1	1.
1854	0.	SLU_ENV	Max	17.5694	19.6688	1854-1	0.
1854	0.5	SLU_ENV	Max	20.1407	20.0173	1854-1	0.5
1854	1.	SLU_ENV	Max	22.712	20.3658	1854-1	1.
1854	0.	SLU_ENV	Min	4.3531	-2.4908	1854-1	0.
1854	0.5	SLU_ENV	Min	6.2973	-1.8731	1854-1	0.5
1854	1.	SLU_ENV	Min	8.2415	-1.2554	1854-1	1.
1854	0.	SLV_ENV	Max	138.5048	206.2915	1854-1	0.
1854	0.5	SLV_ENV	Max	100.7857	170.0495	1854-1	0.5
1854	1.	SLV_ENV	Max	65.5972	135.2607	1854-1	1.
1854	0.	SLV_ENV	Min	-118.5309	-207.937	1854-1	0.
1854	0.5	SLV_ENV	Min	-78.0766	-170.1117	1854-1	0.5
1854	1.	SLV_ENV	Min	-40.1529	-133.7396	1854-1	1.
1855	0.	SLU_ENV	Max	22.712	20.3658	1855-1	0.
1855	0.5	SLU_ENV	Max	25.4594	19.8838	1855-1	0.5
1855	1.	SLU_ENV	Max	28.2068	19.4017	1855-1	1.
1855	0.	SLU_ENV	Min	8.2415	-1.2554	1855-1	0.
1855	0.5	SLU_ENV	Min	9.9673	-0.3033	1855-1	0.5
1855	1.	SLU_ENV	Min	10.9702	0.6489	1855-1	1.
1855	0.	SLV_ENV	Max	65.5972	135.2607	1855-1	0.
1855	0.5	SLV_ENV	Max	73.7138	84.3	1855-1	0.5
1855	1.	SLV_ENV	Max	124.5415	65.4731	1855-1	1.
1855	0.	SLV_ENV	Min	-40.1529	-133.7396	1855-1	0.
1855	0.5	SLV_ENV	Min	-45.4311	-80.4852	1855-1	0.5
1855	1.	SLV_ENV	Min	-93.4206	-59.3647	1855-1	1.
1856	0.	SLU_ENV	Max	28.2068	19.4017	1856-1	0.
1856	0.5	SLU_ENV	Max	32.7345	22.2235	1856-1	0.5
1856	1.	SLU_ENV	Max	37.3375	25.6677	1856-1	1.
1856	0.	SLU_ENV	Min	10.9702	0.6489	1856-1	0.
1856	0.5	SLU_ENV	Min	11.9091	1.633	1856-1	0.5
1856	1.	SLU_ENV	Min	12.848	-1.8019	1856-1	1.
1856	0.	SLV_ENV	Max	124.5415	65.4731	1856-1	0.
1856	0.5	SLV_ENV	Max	217.6139	127.6413	1856-1	0.5
1856	1.	SLV_ENV	Max	311.5169	217.8465	1856-1	1.
1856	0.	SLV_ENV	Min	-93.4206	-59.3647	1856-1	0.
1856	0.5	SLV_ENV	Min	-183.7799	-118.4027	1856-1	0.5
1856	1.	SLV_ENV	Min	-274.9698	-205.4776	1856-1	1.
1857	0.	SLU_ENV	Max	37.3375	25.6677	1857-1	0.
1857	0.5	SLU_ENV	Max	42.3843	29.5851	1857-1	0.5
1857	1.	SLU_ENV	Max	47.4311	33.5024	1857-1	1.
1857	0.	SLU_ENV	Min	12.848	-1.8019	1857-1	0.
1857	0.5	SLU_ENV	Min	13.5933	-7.0669	1857-1	0.5
1857	1.	SLU_ENV	Min	14.3386	-12.3319	1857-1	1.

Table: Element Forces - Frames, Part 2 of 2

Frame	Station m	OutputCase	StepType	M		FrameElem	ElemStation m
				M2 KN-m	M3 KN-m		
1857	0.	SLV_ENV	Max	311.5169	217.8465	1857-1	0.
1857	0.5	SLV_ENV	Max	436.2151	347.7837	1857-1	0.5
1857	1.	SLV_ENV	Max	561.0794	479.845	1857-1	1.
1857	0.	SLV_ENV	Min	-274.9698	-205.4776	1857-1	0.
1857	0.5	SLV_ENV	Min	-397.4094	-331.3414	1857-1	0.5
1857	1.	SLV_ENV	Min	-520.015	-459.3294	1857-1	1.
1858	0.	SLU_ENV	Max	47.4311	33.5024	1858-1	0.
1858	0.5	SLU_ENV	Max	52.6774	37.756	1858-1	0.5
1858	1.	SLU_ENV	Max	57.9237	42.0094	1858-1	1.
1858	0.	SLU_ENV	Min	14.3386	-12.3319	1858-1	0.
1858	0.5	SLU_ENV	Min	14.7171	-19.7703	1858-1	0.5
1858	1.	SLU_ENV	Min	15.0956	-27.2088	1858-1	1.
1858	0.	SLV_ENV	Max	561.0794	479.845	1858-1	0.
1858	0.5	SLV_ENV	Max	719.8651	654.13	1858-1	0.5
1858	1.	SLV_ENV	Max	878.728	829.0649	1858-1	1.
1858	0.	SLV_ENV	Min	-520.015	-459.3294	1858-1	0.
1858	0.5	SLV_ENV	Min	-677.4438	-628.515	1858-1	0.5
1858	1.	SLV_ENV	Min	-834.9497	-798.3507	1858-1	1.
1859	0.	SLU_ENV	Max	4.496E-16	3.109E-16	1859-1	0.
1859	0.5	SLU_ENV	Max	0.0012	0.0118	1859-1	0.5
1859	1.	SLU_ENV	Max	0.0023	0.0237	1859-1	1.
1859	0.	SLU_ENV	Min	1.443E-16	-1.049E-15	1859-1	0.
1859	0.5	SLU_ENV	Min	-0.0172	-0.0264	1859-1	0.5
1859	1.	SLU_ENV	Min	-0.0344	-0.0529	1859-1	1.
1859	0.	SLV_ENV	Max	1.129E-13	9.057E-14	1859-1	0.
1859	0.5	SLV_ENV	Max	0.2989	0.4281	1859-1	0.5
1859	1.	SLV_ENV	Max	0.5978	0.8563	1859-1	1.
1859	0.	SLV_ENV	Min	-1.122E-13	-9.213E-14	1859-1	0.
1859	0.5	SLV_ENV	Min	-0.3188	-0.4122	1859-1	0.5
1859	1.	SLV_ENV	Min	-0.6376	-0.8244	1859-1	1.
1860	0.	SLU_ENV	Max	0.0023	0.0237	1860-1	0.
1860	0.5	SLU_ENV	Max	7.449E-04	0.0455	1860-1	0.5
1860	1.	SLU_ENV	Max	-8.353E-04	0.0673	1860-1	1.
1860	0.	SLU_ENV	Min	-0.0344	-0.0529	1860-1	0.
1860	0.5	SLU_ENV	Min	-0.0652	-0.093	1860-1	0.5
1860	1.	SLU_ENV	Min	-0.096	-0.1332	1860-1	1.
1860	0.	SLV_ENV	Max	0.5978	0.8563	1860-1	0.
1860	0.5	SLV_ENV	Max	0.9844	1.4551	1860-1	0.5
1860	1.	SLV_ENV	Max	1.3728	2.0546	1860-1	1.
1860	0.	SLV_ENV	Min	-0.6376	-0.8244	1860-1	0.
1860	0.5	SLV_ENV	Min	-1.059	-1.3935	1860-1	0.5
1860	1.	SLV_ENV	Min	-1.4821	-1.9632	1860-1	1.
1861	0.	SLU_ENV	Max	-8.353E-04	0.0673	1861-1	0.
1861	0.5	SLU_ENV	Max	-0.009	0.0972	1861-1	0.5
1861	1.	SLU_ENV	Max	-0.0171	0.1271	1861-1	1.
1861	0.	SLU_ENV	Min	-0.096	-0.1332	1861-1	0.
1861	0.5	SLU_ENV	Min	-0.1367	-0.1742	1861-1	0.5
1861	1.	SLU_ENV	Min	-0.1775	-0.2151	1861-1	1.
1861	0.	SLV_ENV	Max	1.3728	2.0546	1861-1	0.
1861	0.5	SLV_ENV	Max	1.675	2.5944	1861-1	0.5
1861	1.	SLV_ENV	Max	1.9878	3.1372	1861-1	1.
1861	0.	SLV_ENV	Min	-1.4821	-1.9632	1861-1	0.
1861	0.5	SLV_ENV	Min	-1.8287	-2.4616	1861-1	0.5
1861	1.	SLV_ENV	Min	-2.186	-2.9629	1861-1	1.

Table: Element Forces - Frames, Part 2 of 2

Frame	Station m	OutputCase	StepType	M		FrameElem	ElemStation m
				M2 KN-m	M3 KN-m		
1862	0.	SLU_ENV	Max	-0.0171	0.1271	1862-1	0.
1862	0.5	SLU_ENV	Max	-0.0354	0.163	1862-1	0.5
1862	1.	SLU_ENV	Max	-0.0538	0.1988	1862-1	1.
1862	0.	SLU_ENV	Min	-0.1775	-0.2151	1862-1	0.
1862	0.5	SLU_ENV	Min	-0.2242	-0.2436	1862-1	0.5
1862	1.	SLU_ENV	Min	-0.2709	-0.2721	1862-1	1.
1862	0.	SLV_ENV	Max	1.9878	3.1372	1862-1	0.
1862	0.5	SLV_ENV	Max	2.0937	3.397	1862-1	0.5
1862	1.	SLV_ENV	Max	2.2656	3.6705	1862-1	1.
1862	0.	SLV_ENV	Min	-2.186	-2.9629	1862-1	0.
1862	0.5	SLV_ENV	Min	-2.3404	-3.1721	1862-1	0.5
1862	1.	SLV_ENV	Min	-2.5609	-3.395	1862-1	1.
1863	0.	SLU_ENV	Max	-0.0538	0.1988	1863-1	0.
1863	0.5	SLU_ENV	Max	-0.0645	0.2381	1863-1	0.5
1863	1.	SLU_ENV	Max	-0.0655	0.2773	1863-1	1.
1863	0.	SLU_ENV	Min	-0.2709	-0.2721	1863-1	0.
1863	0.5	SLU_ENV	Min	-0.319	-0.2741	1863-1	0.5
1863	1.	SLU_ENV	Min	-0.3686	-0.276	1863-1	1.
1863	0.	SLV_ENV	Max	2.2656	3.6705	1863-1	0.
1863	0.5	SLV_ENV	Max	2.4082	3.4827	1863-1	0.5
1863	1.	SLV_ENV	Max	2.8443	3.3803	1863-1	1.
1863	0.	SLV_ENV	Min	-2.5609	-3.395	1863-1	0.
1863	0.5	SLV_ENV	Min	-2.75	-3.1505	1863-1	0.5
1863	1.	SLV_ENV	Min	-3.2326	-2.9913	1863-1	1.
1864	0.	SLU_ENV	Max	-0.0655	0.2773	1864-1	0.
1864	0.5	SLU_ENV	Max	-0.0573	0.3168	1864-1	0.5
1864	1.	SLU_ENV	Max	-0.049	0.3562	1864-1	1.
1864	0.	SLU_ENV	Min	-0.3686	-0.276	1864-1	0.
1864	0.5	SLU_ENV	Min	-0.4601	-0.2366	1864-1	0.5
1864	1.	SLU_ENV	Min	-0.5515	-0.1971	1864-1	1.
1864	0.	SLV_ENV	Max	2.8443	3.3803	1864-1	0.
1864	0.5	SLV_ENV	Max	3.884	3.0151	1864-1	0.5
1864	1.	SLV_ENV	Max	5.269	3.3295	1864-1	1.
1864	0.	SLV_ENV	Min	-3.2326	-2.9913	1864-1	0.
1864	0.5	SLV_ENV	Min	-4.3097	-2.5672	1864-1	0.5
1864	1.	SLV_ENV	Min	-5.7319	-2.8227	1864-1	1.
1865	0.	SLU_ENV	Max	-0.049	0.3562	1865-1	0.
1865	0.5	SLU_ENV	Max	-0.0278	0.3946	1865-1	0.5
1865	1.	SLU_ENV	Max	-0.0067	0.433	1865-1	1.
1865	0.	SLU_ENV	Min	-0.5515	-0.1971	1865-1	0.
1865	0.5	SLU_ENV	Min	-0.6652	-0.1005	1865-1	0.5
1865	1.	SLU_ENV	Min	-0.7789	-0.0476	1865-1	1.
1865	0.	SLV_ENV	Max	5.269	3.3295	1865-1	0.
1865	0.5	SLV_ENV	Max	7.6239	4.8672	1865-1	0.5
1865	1.	SLV_ENV	Max	10.1413	7.0479	1865-1	1.
1865	0.	SLV_ENV	Min	-5.7319	-2.8227	1865-1	0.
1865	0.5	SLV_ENV	Min	-8.1066	-4.3044	1865-1	0.5
1865	1.	SLV_ENV	Min	-10.6437	-6.4292	1865-1	1.
1866	0.	SLU_ENV	Max	-0.0067	0.433	1866-1	0.
1866	0.5	SLU_ENV	Max	0.0311	0.5726	1866-1	0.5
1866	1.	SLU_ENV	Max	0.0688	0.773	1866-1	1.
1866	0.	SLU_ENV	Min	-0.7789	-0.0476	1866-1	0.
1866	0.5	SLU_ENV	Min	-0.9131	-0.0559	1866-1	0.5
1866	1.	SLU_ENV	Min	-1.0473	-0.0642	1866-1	1.

Table: Element Forces - Frames, Part 2 of 2

Frame	Station m	OutputCase	StepType	M		FrameElem	ElemStation m
				M2 KN-m	M3 KN-m		
1866	0.	SLV_ENV	Max	10.1413	7.0479	1866-1	0.
1866	0.5	SLV_ENV	Max	13.8579	10.6625	1866-1	0.5
1866	1.	SLV_ENV	Max	17.6533	14.4312	1866-1	1.
1866	0.	SLV_ENV	Min	-10.6437	-6.4292	1866-1	0.
1866	0.5	SLV_ENV	Min	-14.3526	-9.9978	1866-1	0.5
1866	1.	SLV_ENV	Min	-18.1402	-13.7204	1866-1	1.
1867	0.	SLU_ENV	Max	0.0688	0.773	1867-1	0.
1867	0.5	SLU_ENV	Max	0.1275	1.0618	1867-1	0.5
1867	1.	SLU_ENV	Max	0.1861	1.3506	1867-1	1.
1867	0.	SLU_ENV	Min	-1.0473	-0.0642	1867-1	0.
1867	0.5	SLU_ENV	Min	-1.1982	-0.0745	1867-1	0.5
1867	1.	SLU_ENV	Min	-1.349	-0.0848	1867-1	1.
1867	0.	SLV_ENV	Max	17.6533	14.4312	1867-1	0.
1867	0.5	SLV_ENV	Max	22.834	19.8165	1867-1	0.5
1867	1.	SLV_ENV	Max	28.0587	25.2596	1867-1	1.
1867	0.	SLV_ENV	Min	-18.1402	-13.7204	1867-1	0.
1867	0.5	SLV_ENV	Min	-23.2741	-19.0783	1867-1	0.5
1867	1.	SLV_ENV	Min	-28.4521	-24.4941	1867-1	1.
1868	0.	SLU_ENV	Max	0.1861	1.3506	1868-1	0.
1868	0.5	SLU_ENV	Max	0.269	1.7346	1868-1	0.5
1868	1.	SLU_ENV	Max	0.3519	2.1186	1868-1	1.
1868	0.	SLU_ENV	Min	-1.349	-0.0848	1868-1	0.
1868	0.5	SLU_ENV	Min	-1.5093	-0.1008	1868-1	0.5
1868	1.	SLU_ENV	Min	-1.6696	-0.1168	1868-1	1.
1868	0.	SLV_ENV	Max	28.0587	25.2596	1868-1	0.
1868	0.5	SLV_ENV	Max	34.8093	32.5201	1868-1	0.5
1868	1.	SLV_ENV	Max	41.5894	39.8119	1868-1	1.
1868	0.	SLV_ENV	Min	-28.4521	-24.4941	1868-1	0.
1868	0.5	SLV_ENV	Min	-35.1039	-31.757	1868-1	0.5
1868	1.	SLV_ENV	Min	-41.7851	-39.0513	1868-1	1.
1869	0.	SLU_ENV	Max	0.3519	2.1186	1869-1	0.
1869	0.5	SLU_ENV	Max	0.4619	2.6016	1869-1	0.5
1869	1.	SLU_ENV	Max	0.572	3.0846	1869-1	1.
1869	0.	SLU_ENV	Min	-1.6696	-0.1168	1869-1	0.
1869	0.5	SLU_ENV	Min	-1.8277	-0.1407	1869-1	0.5
1869	1.	SLU_ENV	Min	-1.9859	-0.1645	1869-1	1.
1869	0.	SLV_ENV	Max	41.5894	39.8119	1869-1	0.
1869	0.5	SLV_ENV	Max	49.9623	49.0599	1869-1	0.5
1869	1.	SLV_ENV	Max	58.3581	58.3292	1869-1	1.
1869	0.	SLV_ENV	Min	-41.7851	-39.0513	1869-1	0.
1869	0.5	SLV_ENV	Min	-49.9927	-48.3453	1869-1	0.5
1869	1.	SLV_ENV	Min	-58.2231	-57.6605	1869-1	1.
1870	0.	SLU_ENV	Max	0.572	3.0846	1870-1	0.
1870	0.5	SLU_ENV	Max	0.7596	3.6649	1870-1	0.5
1870	1.	SLU_ENV	Max	0.9556	4.2453	1870-1	1.
1870	0.	SLU_ENV	Min	-1.9859	-0.1645	1870-1	0.
1870	0.5	SLU_ENV	Min	-2.1729	-0.198	1870-1	0.5
1870	1.	SLU_ENV	Min	-2.3683	-0.2314	1870-1	1.
1870	0.	SLV_ENV	Max	58.3581	58.3292	1870-1	0.
1870	0.5	SLV_ENV	Max	68.3023	69.5846	1870-1	0.5
1870	1.	SLV_ENV	Max	78.2666	80.8569	1870-1	1.
1870	0.	SLV_ENV	Min	-58.2231	-57.6605	1870-1	0.
1870	0.5	SLV_ENV	Min	-67.9205	-69.0214	1870-1	0.5
1870	1.	SLV_ENV	Min	-77.6379	-80.3992	1870-1	1.

Table: Element Forces - Frames, Part 2 of 2

Frame	Station	OutputCase	StepType	M		FrameElem	ElemStation
				M2	M3		
	m			KN-m	KN-m		m
1871	0.	SLU_ENV	Max	0.9556	4.2453	1871-1	0.
1871	0.5	SLU_ENV	Max	1.2047	4.9396	1871-1	0.5
1871	1.	SLU_ENV	Max	1.4539	5.6344	1871-1	1.
1871	0.	SLU_ENV	Min	-2.3683	-0.2314	1871-1	0.
1871	0.5	SLU_ENV	Min	-2.5449	-0.3219	1871-1	0.5
1871	1.	SLU_ENV	Min	-2.7216	-0.413	1871-1	1.
1871	0.	SLV_ENV	Max	78.2666	80.8569	1871-1	0.
1871	0.5	SLV_ENV	Max	89.5774	93.9824	1871-1	0.5
1871	1.	SLV_ENV	Max	100.9078	107.123	1871-1	1.
1871	0.	SLV_ENV	Min	-77.6379	-80.3992	1871-1	0.
1871	0.5	SLV_ENV	Min	-88.606	-93.708	1871-1	0.5
1871	1.	SLV_ENV	Min	-99.5934	-107.0319	1871-1	1.
1872	0.	SLU_ENV	Max	1.4539	5.6344	1872-1	0.
1872	0.5	SLU_ENV	Max	1.7579	6.4038	1872-1	0.5
1872	1.	SLU_ENV	Max	2.0619	7.1731	1872-1	1.
1872	0.	SLU_ENV	Min	-2.7216	-0.413	1872-1	0.
1872	0.5	SLU_ENV	Min	-2.8525	-0.5725	1872-1	0.5
1872	1.	SLU_ENV	Min	-2.9835	-0.732	1872-1	1.
1872	0.	SLV_ENV	Max	100.9078	107.123	1872-1	0.
1872	0.5	SLV_ENV	Max	113.1708	121.7573	1872-1	0.5
1872	1.	SLV_ENV	Max	125.4547	136.4066	1872-1	1.
1872	0.	SLV_ENV	Min	-99.5934	-107.0319	1872-1	0.
1872	0.5	SLV_ENV	Min	-111.405	-121.9471	1872-1	0.5
1872	1.	SLV_ENV	Min	-123.2375	-136.8773	1872-1	1.
1873	0.	SLU_ENV	Max	2.0619	7.1731	1873-1	0.
1873	0.5	SLU_ENV	Max	2.4391	8.0048	1873-1	0.5
1873	1.	SLU_ENV	Max	2.8163	8.8364	1873-1	1.
1873	0.	SLU_ENV	Min	-2.9835	-0.732	1873-1	0.
1873	0.5	SLU_ENV	Min	-3.0626	-0.9878	1873-1	0.5
1873	1.	SLU_ENV	Min	-3.1416	-1.2437	1873-1	1.
1873	0.	SLV_ENV	Max	125.4547	136.4066	1873-1	0.
1873	0.5	SLV_ENV	Max	137.9834	151.8888	1873-1	0.5
1873	1.	SLV_ENV	Max	150.537	167.3876	1873-1	1.
1873	0.	SLV_ENV	Min	-123.2375	-136.8773	1873-1	0.
1873	0.5	SLV_ENV	Min	-135.1978	-152.7579	1873-1	0.5
1873	1.	SLV_ENV	Min	-147.1831	-168.6552	1873-1	1.
1874	0.	SLU_ENV	Max	2.8163	8.8364	1874-1	0.
1874	0.5	SLU_ENV	Max	3.3181	9.7837	1874-1	0.5
1874	1.	SLU_ENV	Max	3.8198	10.7311	1874-1	1.
1874	0.	SLU_ENV	Min	-3.1416	-1.2437	1874-1	0.
1874	0.5	SLU_ENV	Min	-3.1567	-1.633	1874-1	0.5
1874	1.	SLU_ENV	Min	-3.1718	-2.0224	1874-1	1.
1874	0.	SLV_ENV	Max	150.537	167.3876	1874-1	0.
1874	0.5	SLV_ENV	Max	162.3076	182.6749	1874-1	0.5
1874	1.	SLV_ENV	Max	174.1122	197.9834	1874-1	1.
1874	0.	SLV_ENV	Min	-147.1831	-168.6552	1874-1	0.
1874	0.5	SLV_ENV	Min	-158.2675	-184.4771	1874-1	0.5
1874	1.	SLV_ENV	Min	-169.3858	-200.3201	1874-1	1.
1875	0.	SLU_ENV	Max	3.8198	10.7311	1875-1	0.
1875	0.5	SLU_ENV	Max	4.4022	11.6335	1875-1	0.5
1875	1.	SLU_ENV	Max	4.9846	12.536	1875-1	1.
1875	0.	SLU_ENV	Min	-3.1718	-2.0224	1875-1	0.
1875	0.5	SLU_ENV	Min	-3.057	-2.5219	1875-1	0.5
1875	1.	SLU_ENV	Min	-2.9423	-3.0214	1875-1	1.

Table: Element Forces - Frames, Part 2 of 2

Frame	Station m	OutputCase	StepType	M		FrameElem	ElemStation m
				M2 KN-m	M3 KN-m		
1875	0.	SLV_ENV	Max	174.1122	197.9834	1875-1	0.
1875	0.5	SLV_ENV	Max	183.7038	211.5677	1875-1	0.5
1875	1.	SLV_ENV	Max	193.3514	225.1854	1875-1	1.
1875	0.	SLV_ENV	Min	-169.3858	-200.3201	1875-1	0.
1875	0.5	SLV_ENV	Min	-178.183	-214.5895	1875-1	0.5
1875	1.	SLV_ENV	Min	-187.0361	-228.8922	1875-1	1.
1876	0.	SLU_ENV	Max	4.9846	12.536	1876-1	0.
1876	0.5	SLU_ENV	Max	5.7629	13.2687	1876-1	0.5
1876	1.	SLU_ENV	Max	6.5411	14.0014	1876-1	1.
1876	0.	SLU_ENV	Min	-2.9423	-3.0214	1876-1	0.
1876	0.5	SLU_ENV	Min	-2.7081	-3.62	1876-1	0.5
1876	1.	SLU_ENV	Min	-2.4738	-4.2185	1876-1	1.
1876	0.	SLV_ENV	Max	193.3514	225.1854	1876-1	0.
1876	0.5	SLV_ENV	Max	198.9163	235.0261	1876-1	0.5
1876	1.	SLV_ENV	Max	204.614	244.9391	1876-1	1.
1876	0.	SLV_ENV	Min	-187.0361	-228.8922	1876-1	0.
1876	0.5	SLV_ENV	Min	-191.7235	-239.5753	1876-1	0.5
1876	1.	SLV_ENV	Min	-196.5436	-250.3308	1876-1	1.
1877	0.	SLU_ENV	Max	6.5411	14.0014	1877-1	0.
1877	0.5	SLU_ENV	Max	7.4357	14.4075	1877-1	0.5
1877	1.	SLU_ENV	Max	8.3303	14.8135	1877-1	1.
1877	0.	SLU_ENV	Min	-2.4738	-4.2185	1877-1	0.
1877	0.5	SLU_ENV	Min	-2.0283	-4.906	1877-1	0.5
1877	1.	SLU_ENV	Min	-1.5828	-5.5936	1877-1	1.
1877	0.	SLV_ENV	Max	204.614	244.9391	1877-1	0.
1877	0.5	SLV_ENV	Max	204.0281	248.4585	1877-1	0.5
1877	1.	SLV_ENV	Max	203.9281	252.1394	1877-1	1.
1877	0.	SLV_ENV	Min	-196.5436	-250.3308	1877-1	0.
1877	0.5	SLV_ENV	Min	-195.0426	-254.8447	1877-1	0.5
1877	1.	SLV_ENV	Min	-194.0274	-259.5202	1877-1	1.
1878	0.	SLU_ENV	Max	8.3303	14.8135	1878-1	0.
1878	0.5	SLU_ENV	Max	9.2604	14.695	1878-1	0.5
1878	1.	SLU_ENV	Max	10.1906	14.5765	1878-1	1.
1878	0.	SLU_ENV	Min	-1.5828	-5.5936	1878-1	0.
1878	0.5	SLU_ENV	Min	-0.8583	-6.3515	1878-1	0.5
1878	1.	SLU_ENV	Min	-0.1338	-7.1095	1878-1	1.
1878	0.	SLV_ENV	Max	203.9281	252.1394	1878-1	0.
1878	0.5	SLV_ENV	Max	195.2699	246.1684	1878-1	0.5
1878	1.	SLV_ENV	Max	187.2352	240.3729	1878-1	1.
1878	0.	SLV_ENV	Min	-194.0274	-259.5202	1878-1	0.
1878	0.5	SLV_ENV	Min	-184.4882	-254.6734	1878-1	0.5
1878	1.	SLV_ENV	Min	-175.5725	-250.002	1878-1	1.
1879	0.	SLU_ENV	Max	10.1906	14.5765	1879-1	0.
1879	0.5	SLU_ENV	Max	11.081	13.6886	1879-1	0.5
1879	1.	SLU_ENV	Max	11.9713	12.8008	1879-1	1.
1879	0.	SLU_ENV	Min	-0.1338	-7.1095	1879-1	0.
1879	0.5	SLU_ENV	Min	0.9316	-7.9147	1879-1	0.5
1879	1.	SLU_ENV	Min	1.9971	-8.72	1879-1	1.
1879	0.	SLV_ENV	Max	187.2352	240.3729	1879-1	0.
1879	0.5	SLV_ENV	Max	167.6162	220.9327	1879-1	0.5
1879	1.	SLV_ENV	Max	149.1167	201.7673	1879-1	1.
1879	0.	SLV_ENV	Min	-175.5725	-250.002	1879-1	0.
1879	0.5	SLV_ENV	Min	-155.2103	-231.7689	1879-1	0.5
1879	1.	SLV_ENV	Min	-135.9677	-213.8106	1879-1	1.

Table: Element Forces - Frames, Part 2 of 2

Frame	Station m	OutputCase	StepType	M		FrameElem	ElemStation m
				M2 KN-m	M3 KN-m		
1880	0.	SLU_ENV	Max	11.9713	12.8008	1880-1	0.
1880	0.5	SLU_ENV	Max	12.7134	10.8415	1880-1	0.5
1880	1.	SLU_ENV	Max	14.3105	8.8823	1880-1	1.
1880	0.	SLU_ENV	Min	1.9971	-8.72	1880-1	0.
1880	0.5	SLU_ENV	Min	2.5485	-9.495	1880-1	0.5
1880	1.	SLU_ENV	Min	2.1275	-10.27	1880-1	1.
1880	0.	SLV_ENV	Max	149.1167	201.7673	1880-1	0.
1880	0.5	SLV_ENV	Max	118.2057	164.7027	1880-1	0.5
1880	1.	SLV_ENV	Max	98.574	128.8565	1880-1	1.
1880	0.	SLV_ENV	Min	-135.9677	-213.8106	1880-1	0.
1880	0.5	SLV_ENV	Min	-104.5929	-177.9583	1880-1	0.5
1880	1.	SLV_ENV	Min	-84.4972	-143.3245	1880-1	1.
1881	0.	SLU_ENV	Max	14.3105	8.8823	1881-1	0.
1881	0.5	SLU_ENV	Max	17.1933	5.5137	1881-1	0.5
1881	1.	SLU_ENV	Max	20.076	2.1451	1881-1	1.
1881	0.	SLU_ENV	Min	2.1275	-10.27	1881-1	0.
1881	0.5	SLU_ENV	Min	1.3829	-10.9697	1881-1	0.5
1881	1.	SLU_ENV	Min	0.6382	-11.6695	1881-1	1.
1881	0.	SLV_ENV	Max	98.574	128.8565	1881-1	0.
1881	0.5	SLV_ENV	Max	95.6487	75.4825	1881-1	0.5
1881	1.	SLV_ENV	Max	137.172	51.0332	1881-1	1.
1881	0.	SLV_ENV	Min	-84.4972	-143.3245	1881-1	0.
1881	0.5	SLV_ENV	Min	-81.5716	-91.0514	1881-1	0.5
1881	1.	SLV_ENV	Min	-123.0946	-67.7029	1881-1	1.
1882	0.	SLU_ENV	Max	20.076	2.1451	1882-1	0.
1882	0.5	SLU_ENV	Max	23.416	1.4445	1882-1	0.5
1882	1.	SLU_ENV	Max	26.756	1.6388	1882-1	1.
1882	0.	SLU_ENV	Min	0.6382	-11.6695	1882-1	0.
1882	0.5	SLU_ENV	Min	-0.5076	-13.6725	1882-1	0.5
1882	1.	SLU_ENV	Min	-1.6533	-19.3745	1882-1	1.
1882	0.	SLV_ENV	Max	137.172	51.0332	1882-1	0.
1882	0.5	SLV_ENV	Max	214.6531	109.1919	1882-1	0.5
1882	1.	SLV_ENV	Max	299.9593	196.8527	1882-1	1.
1882	0.	SLV_ENV	Min	-123.0946	-67.7029	1882-1	0.
1882	0.5	SLV_ENV	Min	-201.2685	-126.6875	1882-1	0.5
1882	1.	SLV_ENV	Min	-287.2675	-215.1741	1882-1	1.
1883	0.	SLU_ENV	Max	26.756	1.6388	1883-1	0.
1883	0.5	SLU_ENV	Max	30.4345	1.8997	1883-1	0.5
1883	1.	SLU_ENV	Max	34.113	2.1605	1883-1	1.
1883	0.	SLU_ENV	Min	-1.6533	-19.3745	1883-1	0.
1883	0.5	SLU_ENV	Min	-3.3002	-27.207	1883-1	0.5
1883	1.	SLU_ENV	Min	-4.9472	-35.0395	1883-1	1.
1883	0.	SLV_ENV	Max	299.9593	196.8527	1883-1	0.
1883	0.5	SLV_ENV	Max	416.5035	323.7959	1883-1	0.5
1883	1.	SLV_ENV	Max	535.12	452.7044	1883-1	1.
1883	0.	SLV_ENV	Min	-287.2675	-215.1741	1883-1	0.
1883	0.5	SLV_ENV	Min	-405.473	-342.4504	1883-1	0.5
1883	1.	SLV_ENV	Min	-525.7508	-471.692	1883-1	1.
1884	0.	SLU_ENV	Max	34.113	2.1605	1884-1	0.
1884	0.5	SLU_ENV	Max	37.9358	2.5936	1884-1	0.5
1884	1.	SLU_ENV	Max	41.7585	3.0265	1884-1	1.
1884	0.	SLU_ENV	Min	-4.9472	-35.0395	1884-1	0.
1884	0.5	SLU_ENV	Min	-7.1696	-45.0898	1884-1	0.5
1884	1.	SLU_ENV	Min	-9.3919	-55.1403	1884-1	1.

Table: Element Forces - Frames, Part 2 of 2

Frame	Station	OutputCase	StepType	M2		M3		FrameElem	ElemStation
					KN-m		KN-m		
	m								m
1884	0.	SLV_ENV	Max		535.12		452.7044	1884-1	0.
1884	0.5	SLV_ENV	Max		687.2597		623.5373	1884-1	0.5
1884	1.	SLV_ENV	Max		840.3023		794.9542	1884-1	1.
1884	0.	SLV_ENV	Min		-525.7508		-471.692	1884-1	0.
1884	0.5	SLV_ENV	Min		-680.8367		-642.0716	1884-1	0.5
1884	1.	SLV_ENV	Min		-836.8254		-813.0354	1884-1	1.
1921	0.	SLU_ENV	Max		1.349E-15		2.220E-16	1921-1	0.
1921	0.5	SLU_ENV	Max		-0.0063		0.0051	1921-1	0.5
1921	1.	SLU_ENV	Max		-0.0126		0.0102	1921-1	1.
1921	0.	SLU_ENV	Min		7.383E-16		1.499E-16	1921-1	0.
1921	0.5	SLU_ENV	Min		-0.0193		-0.0275	1921-1	0.5
1921	1.	SLU_ENV	Min		-0.0386		-0.055	1921-1	1.
1921	0.	SLV_ENV	Max		2.212E-13		1.810E-13	1921-1	0.
1921	0.5	SLV_ENV	Max		0.5056		0.4238	1921-1	0.5
1921	1.	SLV_ENV	Max		1.0111		0.8476	1921-1	1.
1921	0.	SLV_ENV	Min		-2.192E-13		-1.808E-13	1921-1	0.
1921	0.5	SLV_ENV	Min		-0.5284		-0.4182	1921-1	0.5
1921	1.	SLV_ENV	Min		-1.0568		-0.8365	1921-1	1.
1922	0.	SLU_ENV	Max		-0.0126		0.0102	1922-1	0.
1922	0.5	SLU_ENV	Max		-0.027		0.0175	1922-1	0.5
1922	1.	SLU_ENV	Max		-0.0414		0.0248	1922-1	1.
1922	0.	SLU_ENV	Min		-0.0386		-0.055	1922-1	0.
1922	0.5	SLU_ENV	Min		-0.0777		-0.1016	1922-1	0.5
1922	1.	SLU_ENV	Min		-0.1168		-0.1482	1922-1	1.
1922	0.	SLV_ENV	Max		1.0111		0.8476	1922-1	0.
1922	0.5	SLV_ENV	Max		1.681		1.3805	1922-1	0.5
1922	1.	SLV_ENV	Max		2.3511		1.9141	1922-1	1.
1922	0.	SLV_ENV	Min		-1.0568		-0.8365	1922-1	0.
1922	0.5	SLV_ENV	Min		-1.7737		-1.3632	1922-1	0.5
1922	1.	SLV_ENV	Min		-2.4907		-1.8906	1922-1	1.
1923	0.	SLU_ENV	Max		-0.0414		0.0248	1923-1	0.
1923	0.5	SLU_ENV	Max		-0.0656		0.0314	1923-1	0.5
1923	1.	SLU_ENV	Max		-0.0898		0.038	1923-1	1.
1923	0.	SLU_ENV	Min		-0.1168		-0.1482	1923-1	0.
1923	0.5	SLU_ENV	Min		-0.1762		-0.2055	1923-1	0.5
1923	1.	SLU_ENV	Min		-0.2355		-0.2628	1923-1	1.
1923	0.	SLV_ENV	Max		2.3511		1.9141	1923-1	0.
1923	0.5	SLV_ENV	Max		2.8822		2.2759	1923-1	0.5
1923	1.	SLV_ENV	Max		3.4143		2.6421	1923-1	1.
1923	0.	SLV_ENV	Min		-2.4907		-1.8906	1923-1	0.
1923	0.5	SLV_ENV	Min		-3.0939		-2.2509	1923-1	0.5
1923	1.	SLV_ENV	Min		-3.698		-2.6156	1923-1	1.
1924	0.	SLU_ENV	Max		-0.0898		0.038	1924-1	0.
1924	0.5	SLU_ENV	Max		-0.1252		0.041	1924-1	0.5
1924	1.	SLU_ENV	Max		-0.1607		0.044	1924-1	1.
1924	0.	SLU_ENV	Min		-0.2355		-0.2628	1924-1	0.
1924	0.5	SLU_ENV	Min		-0.3153		-0.3216	1924-1	0.5
1924	1.	SLU_ENV	Min		-0.395		-0.3805	1924-1	1.
1924	0.	SLV_ENV	Max		3.4143		2.6421	1924-1	0.
1924	0.5	SLV_ENV	Max		3.5021		2.5749	1924-1	0.5
1924	1.	SLV_ENV	Max		3.595		2.5404	1924-1	1.
1924	0.	SLV_ENV	Min		-3.698		-2.6156	1924-1	0.
1924	0.5	SLV_ENV	Min		-3.8836		-2.5566	1924-1	0.5
1924	1.	SLV_ENV	Min		-4.0744		-2.5302	1924-1	1.

Table: Element Forces - Frames, Part 2 of 2

Frame	Station m	OutputCase	StepType	M		FrameElem	ElemStation m
				M2 KN-m	M3 KN-m		
1925	0.	SLU_ENV	Max	-0.1607	0.044	1925-1	0.
1925	0.5	SLU_ENV	Max	-0.2084	0.0406	1925-1	0.5
1925	1.	SLU_ENV	Max	-0.2561	0.0373	1925-1	1.
1925	0.	SLU_ENV	Min	-0.395	-0.3805	1925-1	0.
1925	0.5	SLU_ENV	Min	-0.4949	-0.4312	1925-1	0.5
1925	1.	SLU_ENV	Min	-0.5948	-0.4819	1925-1	1.
1925	0.	SLV_ENV	Max	3.595	2.5404	1925-1	0.
1925	0.5	SLV_ENV	Max	2.9543	2.0058	1925-1	0.5
1925	1.	SLV_ENV	Max	2.4939	1.9253	1925-1	1.
1925	0.	SLV_ENV	Min	-4.0744	-2.5302	1925-1	0.
1925	0.5	SLV_ENV	Min	-3.557	-2.0187	1925-1	0.5
1925	1.	SLV_ENV	Min	-3.2199	-1.9613	1925-1	1.
1926	0.	SLU_ENV	Max	-0.2561	0.0373	1926-1	0.
1926	0.5	SLU_ENV	Max	-0.3168	0.0243	1926-1	0.5
1926	1.	SLU_ENV	Max	-0.3774	0.0113	1926-1	1.
1926	0.	SLU_ENV	Min	-0.5948	-0.4819	1926-1	0.
1926	0.5	SLU_ENV	Min	-0.7129	-0.5132	1926-1	0.5
1926	1.	SLU_ENV	Min	-0.8309	-0.5446	1926-1	1.
1926	0.	SLV_ENV	Max	2.4939	1.9253	1926-1	0.
1926	0.5	SLV_ENV	Max	2.1059	2.9849	1926-1	0.5
1926	1.	SLV_ENV	Max	2.8275	4.8179	1926-1	1.
1926	0.	SLV_ENV	Min	-3.2199	-1.9613	1926-1	0.
1926	0.5	SLV_ENV	Min	-2.9787	-3.0643	1926-1	0.5
1926	1.	SLV_ENV	Min	-3.8473	-4.9408	1926-1	1.
1927	0.	SLU_ENV	Max	-0.3774	0.0113	1927-1	0.
1927	0.5	SLU_ENV	Max	-0.4497	-0.0139	1927-1	0.5
1927	1.	SLU_ENV	Max	-0.522	0.0125	1927-1	1.
1927	0.	SLU_ENV	Min	-0.8309	-0.5446	1927-1	0.
1927	0.5	SLU_ENV	Min	-0.9638	-0.632	1927-1	0.5
1927	1.	SLU_ENV	Min	-1.0966	-0.7394	1927-1	1.
1927	0.	SLV_ENV	Max	2.8275	4.8179	1927-1	0.
1927	0.5	SLV_ENV	Max	5.6227	8.1119	1927-1	0.5
1927	1.	SLV_ENV	Max	8.715	11.5214	1927-1	1.
1927	0.	SLV_ENV	Min	-3.8473	-4.9408	1927-1	0.
1927	0.5	SLV_ENV	Min	-6.8087	-8.3035	1927-1	0.5
1927	1.	SLV_ENV	Min	-10.0672	-11.7819	1927-1	1.
1928	0.	SLU_ENV	Max	-0.522	0.0125	1928-1	0.
1928	0.5	SLU_ENV	Max	-0.6039	0.1328	1928-1	0.5
1928	1.	SLU_ENV	Max	-0.6857	0.253	1928-1	1.
1928	0.	SLU_ENV	Min	-1.0966	-0.7394	1928-1	0.
1928	0.5	SLU_ENV	Min	-1.2429	-0.8661	1928-1	0.5
1928	1.	SLU_ENV	Min	-1.3892	-0.9927	1928-1	1.
1928	0.	SLV_ENV	Max	8.715	11.5214	1928-1	0.
1928	0.5	SLV_ENV	Max	13.7489	16.613	1928-1	0.5
1928	1.	SLV_ENV	Max	18.844	21.7413	1928-1	1.
1928	0.	SLV_ENV	Min	-10.0672	-11.7819	1928-1	0.
1928	0.5	SLV_ENV	Min	-15.2793	-16.9726	1928-1	0.5
1928	1.	SLV_ENV	Min	-20.5526	-22.1999	1928-1	1.
1929	0.	SLU_ENV	Max	-0.6857	0.253	1929-1	0.
1929	0.5	SLU_ENV	Max	-0.771	0.4413	1929-1	0.5
1929	1.	SLU_ENV	Max	-0.8562	0.6297	1929-1	1.
1929	0.	SLU_ENV	Min	-1.3892	-0.9927	1929-1	0.
1929	0.5	SLU_ENV	Min	-1.5406	-1.1351	1929-1	0.5
1929	1.	SLU_ENV	Min	-1.6919	-1.2775	1929-1	1.

Table: Element Forces - Frames, Part 2 of 2

Frame	Station m	OutputCase	StepType	M		FrameElem	ElemStation m
				M2 KN-m	M3 KN-m		
1929	0.	SLV_ENV	Max	18.844	21.7413	1929-1	0.
1929	0.5	SLV_ENV	Max	26.0432	28.8094	1929-1	0.5
1929	1.	SLV_ENV	Max	33.2533	35.8961	1929-1	1.
1929	0.	SLV_ENV	Min	-20.5526	-22.1999	1929-1	0.
1929	0.5	SLV_ENV	Min	-27.9299	-29.4011	1929-1	0.5
1929	1.	SLV_ENV	Min	-35.3182	-36.621	1929-1	1.
1930	0.	SLU_ENV	Max	-0.8562	0.6297	1930-1	0.
1930	0.5	SLU_ENV	Max	-0.9352	0.8957	1930-1	0.5
1930	1.	SLU_ENV	Max	-1.0143	1.1618	1930-1	1.
1930	0.	SLU_ENV	Min	-1.6919	-1.2775	1930-1	0.
1930	0.5	SLU_ENV	Min	-1.8322	-1.4293	1930-1	0.5
1930	1.	SLU_ENV	Min	-1.9725	-1.581	1930-1	1.
1930	0.	SLV_ENV	Max	33.2533	35.8961	1930-1	0.
1930	0.5	SLV_ENV	Max	42.8283	45.1268	1930-1	0.5
1930	1.	SLV_ENV	Max	52.4096	54.3698	1930-1	1.
1930	0.	SLV_ENV	Min	-35.3182	-36.621	1930-1	0.
1930	0.5	SLV_ENV	Min	-45.0539	-46.0214	1930-1	0.5
1930	1.	SLV_ENV	Min	-54.7958	-55.4342	1930-1	1.
1931	0.	SLU_ENV	Max	-1.0143	1.1618	1931-1	0.
1931	0.5	SLU_ENV	Max	-1.0557	1.5133	1931-1	0.5
1931	1.	SLU_ENV	Max	-1.0964	1.8649	1931-1	1.
1931	0.	SLU_ENV	Min	-1.9725	-1.581	1931-1	0.
1931	0.5	SLU_ENV	Min	-2.0827	-1.7333	1931-1	0.5
1931	1.	SLU_ENV	Min	-2.1929	-1.8856	1931-1	1.
1931	0.	SLV_ENV	Max	52.4096	54.3698	1931-1	0.
1931	0.5	SLV_ENV	Max	64.5268	65.8633	1931-1	0.5
1931	1.	SLV_ENV	Max	76.6484	77.3665	1931-1	1.
1931	0.	SLV_ENV	Min	-54.7958	-55.4342	1931-1	0.
1931	0.5	SLV_ENV	Min	-67.0321	-67.134	1931-1	0.5
1931	1.	SLV_ENV	Min	-79.2729	-78.8436	1931-1	1.
1932	0.	SLU_ENV	Max	-1.0964	1.8649	1932-1	0.
1932	0.5	SLU_ENV	Max	-1.1015	2.3072	1932-1	0.5
1932	1.	SLU_ENV	Max	-1.1066	2.7495	1932-1	1.
1932	0.	SLU_ENV	Min	-2.1929	-1.8856	1932-1	0.
1932	0.5	SLU_ENV	Min	-2.2503	-2.0338	1932-1	0.5
1932	1.	SLU_ENV	Min	-2.3077	-2.1821	1932-1	1.
1932	0.	SLV_ENV	Max	76.6484	77.3665	1932-1	0.
1932	0.5	SLV_ENV	Max	91.3326	91.0769	1932-1	0.5
1932	1.	SLV_ENV	Max	106.0206	104.7961	1932-1	1.
1932	0.	SLV_ENV	Min	-79.2729	-78.8436	1932-1	0.
1932	0.5	SLV_ENV	Min	-94.0029	-92.7937	1932-1	0.5
1932	1.	SLV_ENV	Min	-108.7366	-106.7526	1932-1	1.
1933	0.	SLU_ENV	Max	-1.1066	2.7495	1933-1	0.
1933	0.5	SLU_ENV	Max	-1.0584	3.2818	1933-1	0.5
1933	1.	SLU_ENV	Max	-1.0101	3.8141	1933-1	1.
1933	0.	SLU_ENV	Min	-2.3077	-2.1821	1933-1	0.
1933	0.5	SLU_ENV	Min	-2.3066	-2.3251	1933-1	0.5
1933	1.	SLU_ENV	Min	-2.3252	-2.468	1933-1	1.
1933	0.	SLV_ENV	Max	106.0206	104.7961	1933-1	0.
1933	0.5	SLV_ENV	Max	123.0855	120.4658	1933-1	0.5
1933	1.	SLV_ENV	Max	140.1539	136.1443	1933-1	1.
1933	0.	SLV_ENV	Min	-108.7366	-106.7526	1933-1	0.
1933	0.5	SLV_ENV	Min	-125.7335	-122.6872	1933-1	0.5
1933	1.	SLV_ENV	Min	-142.7339	-138.6305	1933-1	1.

Table: Element Forces - Frames, Part 2 of 2

Frame	Station m	OutputCase	StepType	M		FrameElem	ElemStation m
				M2 KN-m	M3 KN-m		
1934	0.	SLU_ENV	Max	-1.0101	3.8141	1934-1	0.
1934	0.5	SLU_ENV	Max	-0.8872	4.4268	1934-1	0.5
1934	1.	SLU_ENV	Max	-0.7642	5.0394	1934-1	1.
1934	0.	SLU_ENV	Min	-2.3252	-2.468	1934-1	0.
1934	0.5	SLU_ENV	Min	-2.2476	-2.5964	1934-1	0.5
1934	1.	SLU_ENV	Min	-2.1701	-2.7247	1934-1	1.
1934	0.	SLV_ENV	Max	140.1539	136.1443	1934-1	0.
1934	0.5	SLV_ENV	Max	159.1192	153.2267	1934-1	0.5
1934	1.	SLV_ENV	Max	178.0883	170.3188	1934-1	1.
1934	0.	SLV_ENV	Min	-142.7339	-138.6305	1934-1	0.
1934	0.5	SLV_ENV	Min	-161.4683	-155.9886	1934-1	0.5
1934	1.	SLV_ENV	Min	-180.2065	-173.3562	1934-1	1.
1935	0.	SLU_ENV	Max	-0.7642	5.0394	1935-1	0.
1935	0.5	SLU_ENV	Max	-0.5171	5.7104	1935-1	0.5
1935	1.	SLU_ENV	Max	-0.2701	6.3813	1935-1	1.
1935	0.	SLU_ENV	Min	-2.1701	-2.7247	1935-1	0.
1935	0.5	SLU_ENV	Min	-1.9647	-2.8357	1935-1	0.5
1935	1.	SLU_ENV	Min	-1.7593	-2.9467	1935-1	1.
1935	0.	SLV_ENV	Max	178.0883	170.3188	1935-1	0.
1935	0.5	SLV_ENV	Max	198.084	187.8916	1935-1	0.5
1935	1.	SLV_ENV	Max	218.0844	205.476	1935-1	1.
1935	0.	SLV_ENV	Min	-180.2065	-173.3562	1935-1	0.
1935	0.5	SLV_ENV	Min	-199.751	-191.1928	1935-1	0.5
1935	1.	SLV_ENV	Min	-219.3002	-209.041	1935-1	1.
1936	0.	SLU_ENV	Max	-0.2701	6.3813	1936-1	0.
1936	0.5	SLU_ENV	Max	0.1327	7.3061	1936-1	0.5
1936	1.	SLU_ENV	Max	0.6035	8.2308	1936-1	1.
1936	0.	SLU_ENV	Min	-1.7593	-2.9467	1936-1	0.
1936	0.5	SLU_ENV	Min	-1.3836	-3.0584	1936-1	0.5
1936	1.	SLU_ENV	Min	-1.076	-3.17	1936-1	1.
1936	0.	SLV_ENV	Max	218.0844	205.476	1936-1	0.
1936	0.5	SLV_ENV	Max	237.7453	222.1468	1936-1	0.5
1936	1.	SLV_ENV	Max	257.4134	238.8336	1936-1	1.
1936	0.	SLV_ENV	Min	-219.3002	-209.041	1936-1	0.
1936	0.5	SLV_ENV	Min	-238.2252	-225.9313	1936-1	0.5
1936	1.	SLV_ENV	Min	-257.1572	-242.8376	1936-1	1.
1937	0.	SLU_ENV	Max	0.6035	8.2308	1937-1	0.
1937	0.5	SLU_ENV	Max	1.4979	9.2401	1937-1	0.5
1937	1.	SLU_ENV	Max	2.3922	10.2493	1937-1	1.
1937	0.	SLU_ENV	Min	-1.076	-3.17	1937-1	0.
1937	0.5	SLU_ENV	Min	-0.727	-3.2848	1937-1	0.5
1937	1.	SLU_ENV	Min	-0.378	-3.3996	1937-1	1.
1937	0.	SLV_ENV	Max	257.4134	238.8336	1937-1	0.
1937	0.5	SLV_ENV	Max	274.77	252.6459	1937-1	0.5
1937	1.	SLV_ENV	Max	292.1411	266.4835	1937-1	1.
1937	0.	SLV_ENV	Min	-257.1572	-242.8376	1937-1	0.
1937	0.5	SLV_ENV	Min	-273.4248	-256.7814	1937-1	0.5
1937	1.	SLV_ENV	Min	-289.7069	-270.7504	1937-1	1.
1938	0.	SLU_ENV	Max	2.3922	10.2493	1938-1	0.
1938	0.5	SLU_ENV	Max	3.6311	11.2637	1938-1	0.5
1938	1.	SLU_ENV	Max	4.8699	12.2782	1938-1	1.
1938	0.	SLU_ENV	Min	-0.378	-3.3996	1938-1	0.
1938	0.5	SLU_ENV	Min	0.1529	-3.4058	1938-1	0.5
1938	1.	SLU_ENV	Min	0.6839	-3.4119	1938-1	1.

Table: Element Forces - Frames, Part 2 of 2

Frame	Station m	OutputCase	StepType	M		FrameElem	ElemStation m
				M2 KN-m	M3 KN-m		
1938	0.	SLV_ENV	Max	292.1411	266.4835	1938-1	0.
1938	0.5	SLV_ENV	Max	304.5247	274.8346	1938-1	0.5
1938	1.	SLV_ENV	Max	316.9576	283.2323	1938-1	1.
1938	0.	SLV_ENV	Min	-289.7069	-270.7504	1938-1	0.
1938	0.5	SLV_ENV	Min	-300.581	-279.0879	1938-1	0.5
1938	1.	SLV_ENV	Min	-311.5044	-287.472	1938-1	1.
1939	0.	SLU_ENV	Max	4.8699	12.2782	1939-1	0.
1939	0.5	SLU_ENV	Max	6.4834	13.1993	1939-1	0.5
1939	1.	SLU_ENV	Max	8.0968	14.1205	1939-1	1.
1939	0.	SLU_ENV	Min	0.6839	-3.4119	1939-1	0.
1939	0.5	SLU_ENV	Min	1.4396	-3.2529	1939-1	0.5
1939	1.	SLU_ENV	Min	2.1953	-3.094	1939-1	1.
1939	0.	SLV_ENV	Max	316.9576	283.2323	1939-1	0.
1939	0.5	SLV_ENV	Max	321.0223	282.8237	1939-1	0.5
1939	1.	SLV_ENV	Max	325.3782	282.5102	1939-1	1.
1939	0.	SLV_ENV	Min	-311.5044	-287.472	1939-1	0.
1939	0.5	SLV_ENV	Min	-313.5796	-286.8342	1939-1	0.5
1939	1.	SLV_ENV	Min	-315.9459	-286.2914	1939-1	1.
1940	0.	SLU_ENV	Max	8.0968	14.1205	1940-1	0.
1940	0.5	SLU_ENV	Max	10.1115	14.9705	1940-1	0.5
1940	1.	SLU_ENV	Max	12.1262	15.8964	1940-1	1.
1940	0.	SLU_ENV	Min	2.1953	-3.094	1940-1	0.
1940	0.5	SLU_ENV	Min	3.2024	-2.8802	1940-1	0.5
1940	1.	SLU_ENV	Min	4.2096	-2.7421	1940-1	1.
1940	0.	SLV_ENV	Max	325.3782	282.5102	1940-1	0.
1940	0.5	SLV_ENV	Max	317.4939	269.3525	1940-1	0.5
1940	1.	SLV_ENV	Max	309.9256	256.3697	1940-1	1.
1940	0.	SLV_ENV	Min	-315.9459	-286.2914	1940-1	0.
1940	0.5	SLV_ENV	Min	-305.5501	-272.6043	1940-1	0.5
1940	1.	SLV_ENV	Min	-295.4702	-259.0921	1940-1	1.
1941	0.	SLU_ENV	Max	12.1262	15.8964	1941-1	0.
1941	0.5	SLU_ENV	Max	14.5426	16.4979	1941-1	0.5
1941	1.	SLU_ENV	Max	16.959	17.0995	1941-1	1.
1941	0.	SLU_ENV	Min	4.2096	-2.7421	1941-1	0.
1941	0.5	SLU_ENV	Min	5.492	-2.4386	1941-1	0.5
1941	1.	SLU_ENV	Min	6.7744	-2.1351	1941-1	1.
1941	0.	SLV_ENV	Max	309.9256	256.3697	1941-1	0.
1941	0.5	SLV_ENV	Max	284.8007	225.828	1941-1	0.5
1941	1.	SLV_ENV	Max	259.8158	195.6522	1941-1	1.
1941	0.	SLV_ENV	Min	-295.4702	-259.0921	1941-1	0.
1941	0.5	SLV_ENV	Min	-267.3003	-227.6242	1941-1	0.5
1941	1.	SLV_ENV	Min	-239.2705	-196.5222	1941-1	1.
1942	0.	SLU_ENV	Max	16.959	17.0995	1942-1	0.
1942	0.5	SLU_ENV	Max	19.7793	17.1568	1942-1	0.5
1942	1.	SLU_ENV	Max	22.5996	17.214	1942-1	1.
1942	0.	SLU_ENV	Min	6.7744	-2.1351	1942-1	0.
1942	0.5	SLU_ENV	Min	8.337	-1.6018	1942-1	0.5
1942	1.	SLU_ENV	Min	9.8995	-1.0684	1942-1	1.
1942	0.	SLV_ENV	Max	259.8158	195.6522	1942-1	0.
1942	0.5	SLV_ENV	Max	211.3246	143.194	1942-1	0.5
1942	1.	SLV_ENV	Max	163.3417	93.5503	1942-1	1.
1942	0.	SLV_ENV	Min	-239.2705	-196.5222	1942-1	0.
1942	0.5	SLV_ENV	Min	-187.2364	-142.6354	1942-1	0.5
1942	1.	SLV_ENV	Min	-135.7107	-91.5632	1942-1	1.

Table: Element Forces - Frames, Part 2 of 2

Frame	Station m	OutputCase	StepType	M		FrameElem	ElemStation m
				M2 KN-m	M3 KN-m		
1943	0.	SLU_ENV	Max	22.5996	17.214	1943-1	0.
1943	0.5	SLU_ENV	Max	25.7188	16.4516	1943-1	0.5
1943	1.	SLU_ENV	Max	28.838	19.0689	1943-1	1.
1943	0.	SLU_ENV	Min	9.8995	-1.0684	1943-1	0.
1943	0.5	SLU_ENV	Min	11.7233	-0.2324	1943-1	0.5
1943	1.	SLU_ENV	Min	13.5472	0.6036	1943-1	1.
1943	0.	SLV_ENV	Max	163.3417	93.5503	1943-1	0.
1943	0.5	SLV_ENV	Max	94.2247	53.0392	1943-1	0.5
1943	1.	SLV_ENV	Max	86.238	111.7686	1943-1	1.
1943	0.	SLV_ENV	Min	-135.7107	-91.5632	1943-1	0.
1943	0.5	SLV_ENV	Min	-62.6549	-49.0129	1943-1	0.5
1943	1.	SLV_ENV	Min	-50.7295	-105.7031	1943-1	1.
1944	0.	SLU_ENV	Max	28.838	19.0689	1944-1	0.
1944	0.5	SLU_ENV	Max	32.2169	22.2147	1944-1	0.5
1944	1.	SLU_ENV	Max	35.5959	25.3605	1944-1	1.
1944	0.	SLU_ENV	Min	13.5472	0.6036	1944-1	0.
1944	0.5	SLU_ENV	Min	15.544	-2.5368	1944-1	0.5
1944	1.	SLU_ENV	Min	17.5409	-6.1411	1944-1	1.
1944	0.	SLV_ENV	Max	86.238	111.7686	1944-1	0.
1944	0.5	SLV_ENV	Max	189.8534	231.0136	1944-1	0.5
1944	1.	SLV_ENV	Max	311.4605	354.2515	1944-1	1.
1944	0.	SLV_ENV	Min	-50.7295	-105.7031	1944-1	0.
1944	0.5	SLV_ENV	Min	-150.2017	-222.1964	1944-1	0.5
1944	1.	SLV_ENV	Min	-267.6657	-342.6825	1944-1	1.
1945	0.	SLU_ENV	Max	35.5959	25.3605	1945-1	0.
1945	0.5	SLU_ENV	Max	39.0693	28.8325	1945-1	0.5
1945	1.	SLU_ENV	Max	42.5426	32.3045	1945-1	1.
1945	0.	SLU_ENV	Min	17.5409	-6.1411	1945-1	0.
1945	0.5	SLU_ENV	Min	19.5506	-11.4116	1945-1	0.5
1945	1.	SLU_ENV	Min	21.5604	-16.682	1945-1	1.
1945	0.	SLV_ENV	Max	311.4605	354.2515	1945-1	0.
1945	0.5	SLV_ENV	Max	482.9015	521.3285	1945-1	0.5
1945	1.	SLV_ENV	Max	654.791	689.0181	1945-1	1.
1945	0.	SLV_ENV	Min	-267.6657	-342.6825	1945-1	0.
1945	0.5	SLV_ENV	Min	-435.0656	-506.2131	1945-1	0.5
1945	1.	SLV_ENV	Min	-602.914	-670.3562	1945-1	1.
1946	0.	SLU_ENV	Max	42.5426	32.3045	1946-1	0.
1946	0.5	SLU_ENV	Max	45.6436	35.9247	1946-1	0.5
1946	1.	SLU_ENV	Max	48.7446	39.5449	1946-1	1.
1946	0.	SLU_ENV	Min	21.5604	-16.682	1946-1	0.
1946	0.5	SLU_ENV	Min	23.3545	-23.8002	1946-1	0.5
1946	1.	SLU_ENV	Min	24.9604	-30.9183	1946-1	1.
1946	0.	SLV_ENV	Max	654.791	689.0181	1946-1	0.
1946	0.5	SLV_ENV	Max	878.7643	905.403	1946-1	0.5
1946	1.	SLV_ENV	Max	1102.8824	1122.0426	1946-1	1.
1946	0.	SLV_ENV	Min	-602.914	-670.3562	1946-1	0.
1946	0.5	SLV_ENV	Min	-823.3968	-882.3551	1946-1	0.5
1946	1.	SLV_ENV	Min	-1044.0243	-1094.6087	1946-1	1.
1947	0.	SLU_ENV	Max	1.499E-16	2.998E-16	1947-1	0.
1947	0.5	SLU_ENV	Max	-0.0037	0.0055	1947-1	0.5
1947	1.	SLU_ENV	Max	-0.0073	0.0109	1947-1	1.
1947	0.	SLU_ENV	Min	0.	-9.770E-16	1947-1	0.
1947	0.5	SLU_ENV	Min	-0.0153	-0.0288	1947-1	0.5
1947	1.	SLU_ENV	Min	-0.0306	-0.0575	1947-1	1.

Table: Element Forces - Frames, Part 2 of 2

Frame	Station	OutputCase	StepType	M		FrameElem	ElemStation
				M2	M3		
	m			KN-m	KN-m		m
1947	0.	SLV_ENV	Max	9.200E-14	7.072E-14	1947-1	0.
1947	0.5	SLV_ENV	Max	0.5084	0.4032	1947-1	0.5
1947	1.	SLV_ENV	Max	1.0167	0.8064	1947-1	1.
1947	0.	SLV_ENV	Min	-9.177E-14	-7.028E-14	1947-1	0.
1947	0.5	SLV_ENV	Min	-0.5252	-0.3968	1947-1	0.5
1947	1.	SLV_ENV	Min	-1.0504	-0.7937	1947-1	1.
1948	0.	SLU_ENV	Max	-0.0073	0.0109	1948-1	0.
1948	0.5	SLU_ENV	Max	-0.015	0.0188	1948-1	0.5
1948	1.	SLU_ENV	Max	-0.0226	0.0266	1948-1	1.
1948	0.	SLU_ENV	Min	-0.0306	-0.0575	1948-1	0.
1948	0.5	SLU_ENV	Min	-0.0594	-0.106	1948-1	0.5
1948	1.	SLU_ENV	Min	-0.0882	-0.1545	1948-1	1.
1948	0.	SLV_ENV	Max	1.0167	0.8064	1948-1	0.
1948	0.5	SLV_ENV	Max	1.695	1.329	1948-1	0.5
1948	1.	SLV_ENV	Max	2.3735	1.8519	1948-1	1.
1948	0.	SLV_ENV	Min	-1.0504	-0.7937	1948-1	0.
1948	0.5	SLV_ENV	Min	-1.7603	-1.3091	1948-1	0.5
1948	1.	SLV_ENV	Min	-2.4704	-1.8248	1948-1	1.
1949	0.	SLU_ENV	Max	-0.0226	0.0266	1949-1	0.
1949	0.5	SLU_ENV	Max	-0.0345	0.0337	1949-1	0.5
1949	1.	SLU_ENV	Max	-0.0464	0.0407	1949-1	1.
1949	0.	SLU_ENV	Min	-0.0882	-0.1545	1949-1	0.
1949	0.5	SLU_ENV	Min	-0.1288	-0.2133	1949-1	0.5
1949	1.	SLU_ENV	Min	-0.1694	-0.2722	1949-1	1.
1949	0.	SLV_ENV	Max	2.3735	1.8519	1949-1	0.
1949	0.5	SLV_ENV	Max	2.9214	2.2376	1949-1	0.5
1949	1.	SLV_ENV	Max	3.4705	2.6253	1949-1	1.
1949	0.	SLV_ENV	Min	-2.4704	-1.8248	1949-1	0.
1949	0.5	SLV_ENV	Min	-3.0624	-2.2082	1949-1	0.5
1949	1.	SLV_ENV	Min	-3.6555	-2.5936	1949-1	1.
1950	0.	SLU_ENV	Max	-0.0464	0.0407	1950-1	0.
1950	0.5	SLU_ENV	Max	-0.0624	0.0438	1950-1	0.5
1950	1.	SLU_ENV	Max	-0.0785	0.0469	1950-1	1.
1950	0.	SLU_ENV	Min	-0.1694	-0.2722	1950-1	0.
1950	0.5	SLU_ENV	Min	-0.2196	-0.3317	1950-1	0.5
1950	1.	SLU_ENV	Min	-0.2698	-0.3912	1950-1	1.
1950	0.	SLV_ENV	Max	3.4705	2.6253	1950-1	0.
1950	0.5	SLV_ENV	Max	3.5873	2.6234	1950-1	0.5
1950	1.	SLV_ENV	Max	3.7106	2.6337	1950-1	1.
1950	0.	SLV_ENV	Min	-3.6555	-2.5936	1950-1	0.
1950	0.5	SLV_ENV	Min	-3.8264	-2.6001	1950-1	0.5
1950	1.	SLV_ENV	Min	-4.0037	-2.6187	1950-1	1.
1951	0.	SLU_ENV	Max	-0.0785	0.0469	1951-1	0.
1951	0.5	SLU_ENV	Max	-0.0987	0.0432	1951-1	0.5
1951	1.	SLU_ENV	Max	-0.1189	0.0396	1951-1	1.
1951	0.	SLU_ENV	Min	-0.2698	-0.3912	1951-1	0.
1951	0.5	SLU_ENV	Min	-0.3276	-0.4407	1951-1	0.5
1951	1.	SLU_ENV	Min	-0.3855	-0.4902	1951-1	1.
1951	0.	SLV_ENV	Max	3.7106	2.6337	1951-1	0.
1951	0.5	SLV_ENV	Max	3.1374	2.0632	1951-1	0.5
1951	1.	SLV_ENV	Max	2.7495	1.6664	1951-1	1.
1951	0.	SLV_ENV	Min	-4.0037	-2.6187	1951-1	0.
1951	0.5	SLV_ENV	Min	-3.4912	-2.0729	1951-1	0.5
1951	1.	SLV_ENV	Min	-3.1641	-1.7007	1951-1	1.

Table: Element Forces - Frames, Part 2 of 2

Frame	Station m	OutputCase	StepType	M		FrameElem	ElemStation m
				M2 KN-m	M3 KN-m		
1952	0.	SLU_ENV	Max	-0.1189	0.0396	1952-1	0.
1952	0.5	SLU_ENV	Max	-0.1426	0.0255	1952-1	0.5
1952	1.	SLU_ENV	Max	-0.1662	0.0114	1952-1	1.
1952	0.	SLU_ENV	Min	-0.3855	-0.4902	1952-1	0.
1952	0.5	SLU_ENV	Min	-0.4474	-0.5177	1952-1	0.5
1952	1.	SLU_ENV	Min	-0.5093	-0.5453	1952-1	1.
1952	0.	SLV_ENV	Max	2.7495	1.6664	1952-1	0.
1952	0.5	SLV_ENV	Max	2.2658	1.8379	1952-1	0.5
1952	1.	SLV_ENV	Max	3.091	3.2182	1952-1	1.
1952	0.	SLV_ENV	Min	-3.1641	-1.7007	1952-1	0.
1952	0.5	SLV_ENV	Min	-2.7437	-1.9192	1952-1	0.5
1952	1.	SLV_ENV	Min	-3.6324	-3.3466	1952-1	1.
1953	0.	SLU_ENV	Max	-0.1662	0.0114	1953-1	0.
1953	0.5	SLU_ENV	Max	-0.1922	-0.0154	1953-1	0.5
1953	1.	SLU_ENV	Max	-0.2182	0.046	1953-1	1.
1953	0.	SLU_ENV	Min	-0.5093	-0.5453	1953-1	0.
1953	0.5	SLU_ENV	Min	-0.5741	-0.6512	1953-1	0.5
1953	1.	SLU_ENV	Min	-0.6389	-0.7655	1953-1	1.
1953	0.	SLV_ENV	Max	3.091	3.2182	1953-1	0.
1953	0.5	SLV_ENV	Max	5.8365	5.9894	1953-1	0.5
1953	1.	SLV_ENV	Max	8.955	8.8845	1953-1	1.
1953	0.	SLV_ENV	Min	-3.6324	-3.3466	1953-1	0.
1953	0.5	SLV_ENV	Min	-6.4385	-6.1929	1953-1	0.5
1953	1.	SLV_ENV	Min	-9.6176	-9.163	1953-1	1.
1954	0.	SLU_ENV	Max	-0.2182	0.046	1954-1	0.
1954	0.5	SLU_ENV	Max	-0.2436	0.1857	1954-1	0.5
1954	1.	SLU_ENV	Max	-0.2689	0.3254	1954-1	1.
1954	0.	SLU_ENV	Min	-0.6389	-0.7655	1954-1	0.
1954	0.5	SLU_ENV	Min	-0.7039	-0.9019	1954-1	0.5
1954	1.	SLU_ENV	Min	-0.7689	-1.0383	1954-1	1.
1954	0.	SLV_ENV	Max	8.955	8.8845	1954-1	0.
1954	0.5	SLV_ENV	Max	14.0489	13.2837	1954-1	0.5
1954	1.	SLV_ENV	Max	19.1799	17.7117	1954-1	1.
1954	0.	SLV_ENV	Min	-9.6176	-9.163	1954-1	0.
1954	0.5	SLV_ENV	Min	-14.762	-13.6707	1954-1	0.5
1954	1.	SLV_ENV	Min	-19.9437	-18.2072	1954-1	1.
1955	0.	SLU_ENV	Max	-0.2689	0.3254	1955-1	0.
1955	0.5	SLU_ENV	Max	-0.2727	0.5417	1955-1	0.5
1955	1.	SLU_ENV	Max	-0.275	0.7581	1955-1	1.
1955	0.	SLU_ENV	Min	-0.7689	-1.0383	1955-1	0.
1955	0.5	SLU_ENV	Min	-0.8238	-1.194	1955-1	0.5
1955	1.	SLU_ENV	Min	-0.8786	-1.3497	1955-1	1.
1955	0.	SLV_ENV	Max	19.1799	17.7117	1955-1	0.
1955	0.5	SLV_ENV	Max	26.4216	23.8819	1955-1	0.5
1955	1.	SLV_ENV	Max	33.6776	30.0651	1955-1	1.
1955	0.	SLV_ENV	Min	-19.9437	-18.2072	1955-1	0.
1955	0.5	SLV_ENV	Min	-27.2166	-24.5237	1955-1	0.5
1955	1.	SLV_ENV	Min	-34.5039	-30.8532	1955-1	1.
1956	0.	SLU_ENV	Max	-0.275	0.7581	1956-1	0.
1956	0.5	SLU_ENV	Max	-0.2571	1.0594	1956-1	0.5
1956	1.	SLU_ENV	Max	-0.2391	1.3606	1956-1	1.
1956	0.	SLU_ENV	Min	-0.8786	-1.3497	1956-1	0.
1956	0.5	SLU_ENV	Min	-0.9134	-1.5184	1956-1	0.5
1956	1.	SLU_ENV	Min	-0.9482	-1.6871	1956-1	1.

Table: Element Forces - Frames, Part 2 of 2

Frame	Station m	OutputCase	StepType	M		FrameElem	ElemStation m
				M2 KN-m	M3 KN-m		
1956	0.	SLV_ENV	Max	33.6776	30.0651	1956-1	0.
1956	0.5	SLV_ENV	Max	43.3031	38.1875	1956-1	0.5
1956	1.	SLV_ENV	Max	52.9367	46.3181	1956-1	1.
1956	0.	SLV_ENV	Min	-34.5039	-30.8532	1956-1	0.
1956	0.5	SLV_ENV	Min	-44.1294	-39.1627	1956-1	0.5
1956	1.	SLV_ENV	Min	-53.763	-47.4804	1956-1	1.
1957	0.	SLU_ENV	Max	-0.2391	1.3606	1957-1	0.
1957	0.5	SLU_ENV	Max	-0.1978	1.7562	1957-1	0.5
1957	1.	SLU_ENV	Max	-0.1565	2.1518	1957-1	1.
1957	0.	SLU_ENV	Min	-0.9482	-1.6871	1957-1	0.
1957	0.5	SLU_ENV	Min	-0.9501	-1.8594	1957-1	0.5
1957	1.	SLU_ENV	Min	-0.9717	-2.0318	1957-1	1.
1957	0.	SLV_ENV	Max	52.9367	46.3181	1957-1	0.
1957	0.5	SLV_ENV	Max	65.1078	56.5027	1957-1	0.5
1957	1.	SLV_ENV	Max	77.2845	66.6935	1957-1	1.
1957	0.	SLV_ENV	Min	-53.763	-47.4804	1957-1	0.
1957	0.5	SLV_ENV	Min	-65.8884	-57.893	1957-1	0.5
1957	1.	SLV_ENV	Min	-78.0195	-68.3119	1957-1	1.
1958	0.	SLU_ENV	Max	-0.1565	2.1518	1958-1	0.
1958	0.5	SLU_ENV	Max	-0.0848	2.6467	1958-1	0.5
1958	1.	SLU_ENV	Max	-0.0132	3.1416	1958-1	1.
1958	0.	SLU_ENV	Min	-0.9717	-2.0318	1958-1	0.
1958	0.5	SLU_ENV	Min	-0.9633	-2.1979	1958-1	0.5
1958	1.	SLU_ENV	Min	-0.9549	-2.3639	1958-1	1.
1958	0.	SLV_ENV	Max	77.2845	66.6935	1958-1	0.
1958	0.5	SLV_ENV	Max	92.0209	78.9244	1958-1	0.5
1958	1.	SLV_ENV	Max	106.7619	91.1606	1958-1	1.
1958	0.	SLV_ENV	Min	-78.0195	-68.3119	1958-1	0.
1958	0.5	SLV_ENV	Min	-92.6473	-80.8083	1958-1	0.5
1958	1.	SLV_ENV	Min	-107.2798	-93.3101	1958-1	1.
1959	0.	SLU_ENV	Max	-0.0132	3.1416	1959-1	0.
1959	0.5	SLU_ENV	Max	0.0962	3.7339	1959-1	0.5
1959	1.	SLU_ENV	Max	0.2056	4.3263	1959-1	1.
1959	0.	SLU_ENV	Min	-0.9549	-2.3639	1959-1	0.
1959	0.5	SLU_ENV	Min	-0.899	-2.522	1959-1	0.5
1959	1.	SLU_ENV	Min	-0.8431	-2.68	1959-1	1.
1959	0.	SLV_ENV	Max	106.7619	91.1606	1959-1	0.
1959	0.5	SLV_ENV	Max	123.8703	105.2368	1959-1	0.5
1959	1.	SLV_ENV	Max	140.983	119.3183	1959-1	1.
1959	0.	SLV_ENV	Min	-107.2798	-93.3101	1959-1	0.
1959	0.5	SLV_ENV	Min	-124.1972	-107.6807	1959-1	0.5
1959	1.	SLV_ENV	Min	-141.119	-122.0565	1959-1	1.
1960	0.	SLU_ENV	Max	0.2056	4.3263	1960-1	0.
1960	0.5	SLU_ENV	Max	0.3603	5.0039	1960-1	0.5
1960	1.	SLU_ENV	Max	0.515	5.6815	1960-1	1.
1960	0.	SLU_ENV	Min	-0.8431	-2.68	1960-1	0.
1960	0.5	SLU_ENV	Min	-0.7261	-2.8247	1960-1	0.5
1960	1.	SLU_ENV	Min	-0.6091	-2.9693	1960-1	1.
1960	0.	SLV_ENV	Max	140.983	119.3183	1960-1	0.
1960	0.5	SLV_ENV	Max	159.9739	134.7845	1960-1	0.5
1960	1.	SLV_ENV	Max	178.9693	150.2564	1960-1	1.
1960	0.	SLV_ENV	Min	-141.119	-122.0565	1960-1	0.
1960	0.5	SLV_ENV	Min	-159.8152	-137.8303	1960-1	0.5
1960	1.	SLV_ENV	Min	-178.516	-153.6097	1960-1	1.

Table: Element Forces - Frames, Part 2 of 2

Frame	Station m	OutputCase	StepType	M		FrameElem	ElemStation m
				M2 KN-m	M3 KN-m		
1961	0.	SLU_ENV	Max	0.515	5.6815	1961-1	0.
1961	0.5	SLU_ENV	Max	0.8223	6.4184	1961-1	0.5
1961	1.	SLU_ENV	Max	1.1526	7.1552	1961-1	1.
1961	0.	SLU_ENV	Min	-0.6091	-2.9693	1961-1	0.
1961	0.5	SLU_ENV	Min	-0.4961	-3.0977	1961-1	0.5
1961	1.	SLU_ENV	Min	-0.406	-3.226	1961-1	1.
1961	0.	SLV_ENV	Max	178.9693	150.2564	1961-1	0.
1961	0.5	SLV_ENV	Max	198.961	166.3238	1961-1	0.5
1961	1.	SLV_ENV	Max	218.9581	182.3981	1961-1	1.
1961	0.	SLV_ENV	Min	-178.516	-153.6097	1961-1	0.
1961	0.5	SLV_ENV	Min	-198.0877	-169.9732	1961-1	0.5
1961	1.	SLV_ENV	Min	-217.6649	-186.3436	1961-1	1.
1962	0.	SLU_ENV	Max	1.1526	7.1552	1962-1	0.
1962	0.5	SLU_ENV	Max	1.6074	8.0745	1962-1	0.5
1962	1.	SLU_ENV	Max	2.0622	8.9938	1962-1	1.
1962	0.	SLU_ENV	Min	-0.406	-3.226	1962-1	0.
1962	0.5	SLU_ENV	Min	-0.2706	-3.3522	1962-1	0.5
1962	1.	SLU_ENV	Min	-0.1351	-3.4785	1962-1	1.
1962	0.	SLV_ENV	Max	218.9581	182.3981	1962-1	0.
1962	0.5	SLV_ENV	Max	238.5708	197.8578	1962-1	0.5
1962	1.	SLV_ENV	Max	258.1911	213.3274	1962-1	1.
1962	0.	SLV_ENV	Min	-217.6649	-186.3436	1962-1	0.
1962	0.5	SLV_ENV	Min	-236.712	-202.0526	1962-1	0.5
1962	1.	SLV_ENV	Min	-255.7668	-217.7715	1962-1	1.
1963	0.	SLU_ENV	Max	2.0622	8.9938	1963-1	0.
1963	0.5	SLU_ENV	Max	2.7118	10.0467	1963-1	0.5
1963	1.	SLU_ENV	Max	3.3613	11.0995	1963-1	1.
1963	0.	SLU_ENV	Min	-0.1351	-3.4785	1963-1	0.
1963	0.5	SLU_ENV	Min	0.0565	-3.6067	1963-1	0.5
1963	1.	SLU_ENV	Min	0.2481	-3.7348	1963-1	1.
1963	0.	SLV_ENV	Max	258.1911	213.3274	1963-1	0.
1963	0.5	SLV_ENV	Max	275.4371	226.4634	1963-1	0.5
1963	1.	SLV_ENV	Max	292.6971	239.6167	1963-1	1.
1963	0.	SLV_ENV	Min	-255.7668	-217.7715	1963-1	0.
1963	0.5	SLV_ENV	Min	-272.2857	-231.0617	1963-1	0.5
1963	1.	SLV_ENV	Min	-288.8186	-244.3692	1963-1	1.
1964	0.	SLU_ENV	Max	3.3613	11.0995	1964-1	0.
1964	0.5	SLU_ENV	Max	4.1893	12.1375	1964-1	0.5
1964	1.	SLU_ENV	Max	5.0174	13.1756	1964-1	1.
1964	0.	SLU_ENV	Min	0.2481	-3.7348	1964-1	0.
1964	0.5	SLU_ENV	Min	0.5121	-3.7476	1964-1	0.5
1964	1.	SLU_ENV	Min	0.776	-3.7604	1964-1	1.
1964	0.	SLV_ENV	Max	292.6971	239.6167	1964-1	0.
1964	0.5	SLV_ENV	Max	304.8832	248.1285	1964-1	0.5
1964	1.	SLV_ENV	Max	317.1107	256.6769	1964-1	1.
1964	0.	SLV_ENV	Min	-288.8186	-244.3692	1964-1	0.
1964	0.5	SLV_ENV	Min	-300.1078	-252.8777	1964-1	0.5
1964	1.	SLV_ENV	Min	-311.4384	-261.4228	1964-1	1.
1965	0.	SLU_ENV	Max	5.0174	13.1756	1965-1	0.
1965	0.5	SLU_ENV	Max	6.0088	14.0918	1965-1	0.5
1965	1.	SLU_ENV	Max	7.0003	15.008	1965-1	1.
1965	0.	SLU_ENV	Min	0.776	-3.7604	1965-1	0.
1965	0.5	SLU_ENV	Min	1.126	-3.5941	1965-1	0.5
1965	1.	SLU_ENV	Min	1.476	-3.4279	1965-1	1.

Table: Element Forces - Frames, Part 2 of 2

Frame	Station m	OutputCase	StepType	M		FrameElem	ElemStation m
				M2 KN-m	M3 KN-m		
1965	0.	SLV_ENV	Max	317.1107	256.6769	1965-1	0.
1965	0.5	SLV_ENV	Max	320.8292	257.6334	1965-1	0.5
1965	1.	SLV_ENV	Max	324.7803	258.6667	1965-1	1.
1965	0.	SLV_ENV	Min	-311.4384	-261.4228	1965-1	0.
1965	0.5	SLV_ENV	Min	-314.0947	-262.1403	1965-1	0.5
1965	1.	SLV_ENV	Min	-316.9836	-262.9347	1965-1	1.
1966	0.	SLU_ENV	Max	7.0003	15.008	1966-1	0.
1966	0.5	SLU_ENV	Max	8.1386	15.6943	1966-1	0.5
1966	1.	SLU_ENV	Max	9.2768	16.5872	1966-1	1.
1966	0.	SLU_ENV	Min	1.476	-3.4279	1966-1	0.
1966	0.5	SLU_ENV	Min	1.9076	-3.0817	1966-1	0.5
1966	1.	SLU_ENV	Min	2.3391	-2.9421	1966-1	1.
1966	0.	SLV_ENV	Max	324.7803	258.6667	1966-1	0.
1966	0.5	SLV_ENV	Max	316.2997	248.4734	1966-1	0.5
1966	1.	SLV_ENV	Max	308.1796	238.3801	1966-1	1.
1966	0.	SLV_ENV	Min	-316.9836	-262.9347	1966-1	0.
1966	0.5	SLV_ENV	Min	-307.2983	-252.1736	1966-1	0.5
1966	1.	SLV_ENV	Min	-297.9734	-241.5124	1966-1	1.
1967	0.	SLU_ENV	Max	9.2768	16.5872	1967-1	0.
1967	0.5	SLU_ENV	Max	10.5224	17.1055	1967-1	0.5
1967	1.	SLU_ENV	Max	11.768	17.6237	1967-1	1.
1967	0.	SLU_ENV	Min	2.3391	-2.9421	1967-1	0.
1967	0.5	SLU_ENV	Min	2.851	-2.6129	1967-1	0.5
1967	1.	SLU_ENV	Min	3.3629	-2.2837	1967-1	1.
1967	0.	SLV_ENV	Max	308.1796	238.3801	1967-1	0.
1967	0.5	SLV_ENV	Max	282.3527	212.6804	1967-1	0.5
1967	1.	SLV_ENV	Max	256.6838	187.0815	1967-1	1.
1967	0.	SLV_ENV	Min	-297.9734	-241.5124	1967-1	0.
1967	0.5	SLV_ENV	Min	-270.8471	-214.8087	1967-1	0.5
1967	1.	SLV_ENV	Min	-243.8788	-188.2059	1967-1	1.
1968	0.	SLU_ENV	Max	11.768	17.6237	1968-1	0.
1968	0.5	SLU_ENV	Max	13.0827	17.5304	1968-1	0.5
1968	1.	SLU_ENV	Max	14.3973	17.4372	1968-1	1.
1968	0.	SLU_ENV	Min	3.3629	-2.2837	1968-1	0.
1968	0.5	SLU_ENV	Min	3.9409	-1.7065	1968-1	0.5
1968	1.	SLU_ENV	Min	4.5189	-1.1293	1968-1	1.
1968	0.	SLV_ENV	Max	256.6838	187.0815	1968-1	0.
1968	0.5	SLV_ENV	Max	207.3371	140.8885	1968-1	0.5
1968	1.	SLV_ENV	Max	158.5216	95.0682	1968-1	1.
1968	0.	SLV_ENV	Min	-243.8788	-188.2059	1968-1	0.
1968	0.5	SLV_ENV	Min	-193.2193	-140.4555	1968-1	0.5
1968	1.	SLV_ENV	Min	-143.091	-93.0779	1968-1	1.
1969	0.	SLU_ENV	Max	14.3973	17.4372	1969-1	0.
1969	0.5	SLU_ENV	Max	15.7176	16.7474	1969-1	0.5
1969	1.	SLU_ENV	Max	17.038	19.6768	1969-1	1.
1969	0.	SLU_ENV	Min	4.5189	-1.1293	1969-1	0.
1969	0.5	SLU_ENV	Min	5.1362	-0.2327	1969-1	0.5
1969	1.	SLU_ENV	Min	5.7535	0.356	1969-1	1.
1969	0.	SLV_ENV	Max	158.5216	95.0682	1969-1	0.
1969	0.5	SLV_ENV	Max	90.0187	28.4279	1969-1	0.5
1969	1.	SLV_ENV	Max	77.1434	70.2299	1969-1	1.
1969	0.	SLV_ENV	Min	-143.091	-93.0779	1969-1	0.
1969	0.5	SLV_ENV	Min	-73.3843	-24.2059	1969-1	0.5
1969	1.	SLV_ENV	Min	-59.3053	-63.7761	1969-1	1.

Table: Element Forces - Frames, Part 2 of 2

Frame	Station m	OutputCase	StepType	M		FrameElem	ElemStation m
				M2 KN-m	M3 KN-m		
1970	0.	SLU_ENV	Max	17.038	19.6768	1970-1	0.
1970	0.5	SLU_ENV	Max	18.401	23.0939	1970-1	0.5
1970	1.	SLU_ENV	Max	19.7641	26.511	1970-1	1.
1970	0.	SLU_ENV	Min	5.7535	0.356	1970-1	0.
1970	0.5	SLU_ENV	Min	6.3285	-3.7975	1970-1	0.5
1970	1.	SLU_ENV	Min	6.9036	-7.9509	1970-1	1.
1970	0.	SLV_ENV	Max	77.1434	70.2299	1970-1	0.
1970	0.5	SLV_ENV	Max	175.562	178.4567	1970-1	0.5
1970	1.	SLV_ENV	Max	295.25	287.9676	1970-1	1.
1970	0.	SLV_ENV	Min	-59.3053	-63.7761	1970-1	0.
1970	0.5	SLV_ENV	Min	-156.8017	-168.9822	1970-1	0.5
1970	1.	SLV_ENV	Min	-275.5676	-275.4725	1970-1	1.
1971	0.	SLU_ENV	Max	19.7641	26.511	1971-1	0.
1971	0.5	SLU_ENV	Max	20.853	30.3363	1971-1	0.5
1971	1.	SLU_ENV	Max	21.9419	34.1616	1971-1	1.
1971	0.	SLU_ENV	Min	6.9036	-7.9509	1971-1	0.
1971	0.5	SLU_ENV	Min	6.8647	-13.98	1971-1	0.5
1971	1.	SLU_ENV	Min	6.7541	-20.0091	1971-1	1.
1971	0.	SLV_ENV	Max	295.25	287.9676	1971-1	0.
1971	0.5	SLV_ENV	Max	464.148	436.7974	1971-1	0.5
1971	1.	SLV_ENV	Max	633.5519	585.7711	1971-1	1.
1971	0.	SLV_ENV	Min	-275.5676	-275.4725	1971-1	0.
1971	0.5	SLV_ENV	Min	-444.0553	-420.3992	1971-1	0.5
1971	1.	SLV_ENV	Min	-613.0489	-565.4698	1971-1	1.
1972	0.	SLU_ENV	Max	21.9419	34.1616	1972-1	0.
1972	0.5	SLU_ENV	Max	22.4904	38.221	1972-1	0.5
1972	1.	SLU_ENV	Max	23.039	42.2805	1972-1	1.
1972	0.	SLU_ENV	Min	6.7541	-20.0091	1972-1	0.
1972	0.5	SLU_ENV	Min	6.1207	-28.0476	1972-1	0.5
1972	1.	SLU_ENV	Min	5.4872	-36.0861	1972-1	1.
1972	0.	SLV_ENV	Max	633.5519	585.7711	1972-1	0.
1972	0.5	SLV_ENV	Max	854.8725	778.9919	1972-1	0.5
1972	1.	SLV_ENV	Max	1076.3557	972.2755	1972-1	1.
1972	0.	SLV_ENV	Min	-613.0489	-565.4698	1972-1	0.
1972	0.5	SLV_ENV	Min	-834.7653	-753.8518	1972-1	0.5
1972	1.	SLV_ENV	Min	-1056.6444	-942.2966	1972-1	1.
1973	0.	SLU_ENV	Max	-8.882E-16	1.199E-15	1973-1	0.
1973	0.5	SLU_ENV	Max	-0.0031	0.0055	1973-1	0.5
1973	1.	SLU_ENV	Max	-0.0063	0.011	1973-1	1.
1973	0.	SLU_ENV	Min	-1.199E-15	0.	1973-1	0.
1973	0.5	SLU_ENV	Min	-0.02	-0.0271	1973-1	0.5
1973	1.	SLU_ENV	Min	-0.0399	-0.0541	1973-1	1.
1973	0.	SLV_ENV	Max	1.038E-13	1.739E-13	1973-1	0.
1973	0.5	SLV_ENV	Max	0.358	0.4163	1973-1	0.5
1973	1.	SLV_ENV	Max	0.716	0.8327	1973-1	1.
1973	0.	SLV_ENV	Min	-1.056E-13	-1.739E-13	1973-1	0.
1973	0.5	SLV_ENV	Min	-0.3816	-0.41	1973-1	0.5
1973	1.	SLV_ENV	Min	-0.7632	-0.82	1973-1	1.
1974	0.	SLU_ENV	Max	-0.0063	0.011	1974-1	0.
1974	0.5	SLU_ENV	Max	-0.0159	0.0194	1974-1	0.5
1974	1.	SLU_ENV	Max	-0.0256	0.0279	1974-1	1.
1974	0.	SLU_ENV	Min	-0.0399	-0.0541	1974-1	0.
1974	0.5	SLU_ENV	Min	-0.0797	-0.0996	1974-1	0.5
1974	1.	SLU_ENV	Min	-0.1195	-0.145	1974-1	1.

Table: Element Forces - Frames, Part 2 of 2

Frame	Station	OutputCase	StepType	M		FrameElem	ElemStation
				M2	M3		
	m			KN-m	KN-m		m
1974	0.	SLV_ENV	Max	0.716	0.8327	1974-1	0.
1974	0.5	SLV_ENV	Max	1.1952	1.3506	1974-1	0.5
1974	1.	SLV_ENV	Max	1.6746	1.8694	1974-1	1.
1974	0.	SLV_ENV	Min	-0.7632	-0.82	1974-1	0.
1974	0.5	SLV_ENV	Min	-1.2893	-1.3297	1974-1	0.5
1974	1.	SLV_ENV	Min	-1.8155	-1.8403	1974-1	1.
1975	0.	SLU_ENV	Max	-0.0256	0.0279	1975-1	0.
1975	0.5	SLU_ENV	Max	-0.0451	0.0368	1975-1	0.5
1975	1.	SLU_ENV	Max	-0.0646	0.0456	1975-1	1.
1975	0.	SLU_ENV	Min	-0.1195	-0.145	1975-1	0.
1975	0.5	SLU_ENV	Min	-0.1788	-0.1999	1975-1	0.5
1975	1.	SLU_ENV	Min	-0.2381	-0.2548	1975-1	1.
1975	0.	SLV_ENV	Max	1.6746	1.8694	1975-1	0.
1975	0.5	SLV_ENV	Max	2.0657	2.2101	1975-1	0.5
1975	1.	SLV_ENV	Max	2.4575	2.5566	1975-1	1.
1975	0.	SLV_ENV	Min	-1.8155	-1.8403	1975-1	0.
1975	0.5	SLV_ENV	Min	-2.2764	-2.1752	1975-1	0.5
1975	1.	SLV_ENV	Min	-2.7379	-2.5159	1975-1	1.
1976	0.	SLU_ENV	Max	-0.0646	0.0456	1976-1	0.
1976	0.5	SLU_ENV	Max	-0.097	0.0524	1976-1	0.5
1976	1.	SLU_ENV	Max	-0.1294	0.0591	1976-1	1.
1976	0.	SLU_ENV	Min	-0.2381	-0.2548	1976-1	0.
1976	0.5	SLU_ENV	Min	-0.3164	-0.3099	1976-1	0.5
1976	1.	SLU_ENV	Min	-0.3946	-0.3649	1976-1	1.
1976	0.	SLV_ENV	Max	2.4575	2.5566	1976-1	0.
1976	0.5	SLV_ENV	Max	2.5502	2.472	1976-1	0.5
1976	1.	SLV_ENV	Max	2.6464	2.4313	1976-1	1.
1976	0.	SLV_ENV	Min	-2.7379	-2.5159	1976-1	0.
1976	0.5	SLV_ENV	Min	-2.9222	-2.4326	1976-1	0.5
1976	1.	SLV_ENV	Min	-3.1101	-2.3931	1976-1	1.
1977	0.	SLU_ENV	Max	-0.1294	0.0591	1977-1	0.
1977	0.5	SLU_ENV	Max	-0.1777	0.0613	1977-1	0.5
1977	1.	SLU_ENV	Max	-0.226	0.0635	1977-1	1.
1977	0.	SLU_ENV	Min	-0.3946	-0.3649	1977-1	0.
1977	0.5	SLU_ENV	Min	-0.4904	-0.4099	1977-1	0.5
1977	1.	SLU_ENV	Min	-0.5861	-0.4549	1977-1	1.
1977	0.	SLV_ENV	Max	2.6464	2.4313	1977-1	0.
1977	0.5	SLV_ENV	Max	2.2426	1.9756	1977-1	0.5
1977	1.	SLV_ENV	Max	2.1314	2.0811	1977-1	1.
1977	0.	SLV_ENV	Min	-3.1101	-2.3931	1977-1	0.
1977	0.5	SLV_ENV	Min	-2.818	-1.9503	1977-1	0.5
1977	1.	SLV_ENV	Min	-2.8185	-2.0686	1977-1	1.
1978	0.	SLU_ENV	Max	-0.226	0.0635	1978-1	0.
1978	0.5	SLU_ENV	Max	-0.2927	0.0581	1978-1	0.5
1978	1.	SLU_ENV	Max	-0.3594	0.0527	1978-1	1.
1978	0.	SLU_ENV	Min	-0.5861	-0.4549	1978-1	0.
1978	0.5	SLU_ENV	Min	-0.6975	-0.4785	1978-1	0.5
1978	1.	SLU_ENV	Min	-0.809	-0.502	1978-1	1.
1978	0.	SLV_ENV	Max	2.1314	2.0811	1978-1	0.
1978	0.5	SLV_ENV	Max	2.0521	3.409	1978-1	0.5
1978	1.	SLV_ENV	Max	2.5637	5.3571	1978-1	1.
1978	0.	SLV_ENV	Min	-2.8185	-2.0686	1978-1	0.
1978	0.5	SLV_ENV	Min	-2.8676	-3.4259	1978-1	0.5
1978	1.	SLV_ENV	Min	-3.5077	-5.4033	1978-1	1.

Table: Element Forces - Frames, Part 2 of 2

Frame	Station m	OutputCase	StepType	M		FrameElem	ElemStation m
				M2 KN-m	M3 KN-m		
1979	0.	SLU_ENV	Max	-0.3594	0.0527	1979-1	0.
1979	0.5	SLU_ENV	Max	-0.4459	0.0374	1979-1	0.5
1979	1.	SLU_ENV	Max	-0.5075	0.0827	1979-1	1.
1979	0.	SLU_ENV	Min	-0.809	-0.502	1979-1	0.
1979	0.5	SLU_ENV	Min	-0.9347	-0.5937	1979-1	0.5
1979	1.	SLU_ENV	Min	-1.0605	-0.6936	1979-1	1.
1979	0.	SLV_ENV	Max	2.5637	5.3571	1979-1	0.
1979	0.5	SLV_ENV	Max	3.8402	8.7587	1979-1	0.5
1979	1.	SLV_ENV	Max	6.0162	12.2672	1979-1	1.
1979	0.	SLV_ENV	Min	-3.5077	-5.4033	1979-1	0.
1979	0.5	SLV_ENV	Min	-4.9238	-8.8554	1979-1	0.5
1979	1.	SLV_ENV	Min	-7.2393	-12.4145	1979-1	1.
1980	0.	SLU_ENV	Max	-0.5075	0.0827	1980-1	0.
1980	0.5	SLU_ENV	Max	-0.5702	0.2165	1980-1	0.5
1980	1.	SLU_ENV	Max	-0.6329	0.3503	1980-1	1.
1980	0.	SLU_ENV	Min	-1.0605	-0.6936	1980-1	0.
1980	0.5	SLU_ENV	Min	-1.1939	-0.8109	1980-1	0.5
1980	1.	SLU_ENV	Min	-1.3556	-0.9281	1980-1	1.
1980	0.	SLV_ENV	Max	6.0162	12.2672	1980-1	0.
1980	0.5	SLV_ENV	Max	9.5393	17.4695	1980-1	0.5
1980	1.	SLV_ENV	Max	13.0865	22.7089	1980-1	1.
1980	0.	SLV_ENV	Min	-7.2393	-12.4145	1980-1	0.
1980	0.5	SLV_ENV	Min	-10.9047	-17.6933	1980-1	0.5
1980	1.	SLV_ENV	Min	-14.5941	-23.0091	1980-1	1.
1981	0.	SLU_ENV	Max	-0.6329	0.3503	1981-1	0.
1981	0.5	SLU_ENV	Max	-0.6916	0.554	1981-1	0.5
1981	1.	SLU_ENV	Max	-0.7503	0.7577	1981-1	1.
1981	0.	SLU_ENV	Min	-1.3556	-0.9281	1981-1	0.
1981	0.5	SLU_ENV	Min	-1.5408	-1.0595	1981-1	0.5
1981	1.	SLU_ENV	Min	-1.7261	-1.1909	1981-1	1.
1981	0.	SLV_ENV	Max	13.0865	22.7089	1981-1	0.
1981	0.5	SLV_ENV	Max	18.1058	29.8973	1981-1	0.5
1981	1.	SLV_ENV	Max	23.1338	37.1054	1981-1	1.
1981	0.	SLV_ENV	Min	-14.5941	-23.0091	1981-1	0.
1981	0.5	SLV_ENV	Min	-19.7455	-30.304	1981-1	0.5
1981	1.	SLV_ENV	Min	-24.9058	-37.6186	1981-1	1.
1982	0.	SLU_ENV	Max	-0.7503	0.7577	1982-1	0.
1982	0.5	SLU_ENV	Max	-0.7906	1.0413	1982-1	0.5
1982	1.	SLU_ENV	Max	-0.831	1.3249	1982-1	1.
1982	0.	SLU_ENV	Min	-1.7261	-1.1909	1982-1	0.
1982	0.5	SLU_ENV	Min	-1.9187	-1.33	1982-1	0.5
1982	1.	SLU_ENV	Min	-2.1112	-1.4692	1982-1	1.
1982	0.	SLV_ENV	Max	23.1338	37.1054	1982-1	0.
1982	0.5	SLV_ENV	Max	29.8183	46.4606	1982-1	0.5
1982	1.	SLV_ENV	Max	36.5077	55.829	1982-1	1.
1982	0.	SLV_ENV	Min	-24.9058	-37.6186	1982-1	0.
1982	0.5	SLV_ENV	Min	-31.695	-47.1136	1982-1	0.5
1982	1.	SLV_ENV	Min	-38.4892	-56.622	1982-1	1.
1983	0.	SLU_ENV	Max	-0.831	1.3249	1983-1	0.
1983	0.5	SLU_ENV	Max	-0.8481	1.6948	1983-1	0.5
1983	1.	SLU_ENV	Max	-0.8652	2.0648	1983-1	1.
1983	0.	SLU_ENV	Min	-2.1112	-1.4692	1983-1	0.
1983	0.5	SLU_ENV	Min	-2.2955	-1.6075	1983-1	0.5
1983	1.	SLU_ENV	Min	-2.4797	-1.7458	1983-1	1.

Table: Element Forces - Frames, Part 2 of 2

Frame	Station m	OutputCase	StepType	M		FrameElem	ElemStation m
				M2 KN-m	M3 KN-m		
1983	0.	SLV_ENV	Max	36.5077	55.829	1983-1	0.
1983	0.5	SLV_ENV	Max	44.9761	67.4416	1983-1	0.5
1983	1.	SLV_ENV	Max	53.448	79.0647	1983-1	1.
1983	0.	SLV_ENV	Min	-38.4892	-56.622	1983-1	0.
1983	0.5	SLV_ENV	Min	-47.0116	-68.4092	1983-1	0.5
1983	1.	SLV_ENV	Min	-55.5376	-80.2071	1983-1	1.
1984	0.	SLU_ENV	Max	-0.8652	2.0648	1984-1	0.
1984	0.5	SLU_ENV	Max	-0.8462	2.5249	1984-1	0.5
1984	1.	SLU_ENV	Max	-0.8273	2.985	1984-1	1.
1984	0.	SLU_ENV	Min	-2.4797	-1.7458	1984-1	0.
1984	0.5	SLU_ENV	Min	-2.6329	-1.8766	1984-1	0.5
1984	1.	SLU_ENV	Min	-2.7861	-2.0075	1984-1	1.
1984	0.	SLV_ENV	Max	53.448	79.0647	1984-1	0.
1984	0.5	SLV_ENV	Max	63.7213	92.8754	1984-1	0.5
1984	1.	SLV_ENV	Max	73.9974	106.6956	1984-1	1.
1984	0.	SLV_ENV	Min	-55.5376	-80.2071	1984-1	0.
1984	0.5	SLV_ENV	Min	-65.7846	-94.2262	1984-1	0.5
1984	1.	SLV_ENV	Min	-76.0345	-108.255	1984-1	1.
1985	0.	SLU_ENV	Max	-0.8273	2.985	1985-1	0.
1985	0.5	SLU_ENV	Max	-0.7566	3.5324	1985-1	0.5
1985	1.	SLU_ENV	Max	-0.686	4.0798	1985-1	1.
1985	0.	SLU_ENV	Min	-2.7861	-2.0075	1985-1	0.
1985	0.5	SLU_ENV	Min	-2.8778	-2.1316	1985-1	0.5
1985	1.	SLU_ENV	Min	-2.9694	-2.2556	1985-1	1.
1985	0.	SLV_ENV	Max	73.9974	106.6956	1985-1	0.
1985	0.5	SLV_ENV	Max	85.9493	122.4285	1985-1	0.5
1985	1.	SLV_ENV	Max	97.9038	138.1711	1985-1	1.
1985	0.	SLV_ENV	Min	-76.0345	-108.255	1985-1	0.
1985	0.5	SLV_ENV	Min	-87.8436	-124.2256	1985-1	0.5
1985	1.	SLV_ENV	Min	-99.6552	-140.2058	1985-1	1.
1986	0.	SLU_ENV	Max	-0.686	4.0798	1986-1	0.
1986	0.5	SLU_ENV	Max	-0.5434	4.7019	1986-1	0.5
1986	1.	SLU_ENV	Max	-0.4008	5.3241	1986-1	1.
1986	0.	SLU_ENV	Min	-2.9694	-2.2556	1986-1	0.
1986	0.5	SLU_ENV	Min	-2.9663	-2.3667	1986-1	0.5
1986	1.	SLU_ENV	Min	-2.9632	-2.4778	1986-1	1.
1986	0.	SLV_ENV	Max	97.9038	138.1711	1986-1	0.
1986	0.5	SLV_ENV	Max	111.2027	155.2568	1986-1	0.5
1986	1.	SLV_ENV	Max	124.5044	172.3531	1986-1	1.
1986	0.	SLV_ENV	Min	-99.6552	-140.2058	1986-1	0.
1986	0.5	SLV_ENV	Min	-112.6516	-157.5485	1986-1	0.5
1986	1.	SLV_ENV	Min	-125.6508	-174.9019	1986-1	1.
1987	0.	SLU_ENV	Max	-0.4008	5.3241	1987-1	0.
1987	0.5	SLU_ENV	Max	-0.1664	5.9953	1987-1	0.5
1987	1.	SLU_ENV	Max	0.068	6.6665	1987-1	1.
1987	0.	SLU_ENV	Min	-2.9632	-2.4778	1987-1	0.
1987	0.5	SLU_ENV	Min	-2.829	-2.5735	1987-1	0.5
1987	1.	SLU_ENV	Min	-2.6949	-2.6691	1987-1	1.
1987	0.	SLV_ENV	Max	124.5044	172.3531	1987-1	0.
1987	0.5	SLV_ENV	Max	138.546	189.841	1987-1	0.5
1987	1.	SLV_ENV	Max	152.5909	207.3418	1987-1	1.
1987	0.	SLV_ENV	Min	-125.6508	-174.9019	1987-1	0.
1987	0.5	SLV_ENV	Min	-139.1816	-192.6497	1987-1	0.5
1987	1.	SLV_ENV	Min	-152.7157	-210.4106	1987-1	1.

Table: Element Forces - Frames, Part 2 of 2

Frame	Station m	OutputCase	StepType	M		FrameElem	ElemStation m
				M2 KN-m	M3 KN-m		
1988	0.	SLU_ENV	Max	0.068	6.6665	1988-1	0.
1988	0.5	SLU_ENV	Max	0.6016	7.5389	1988-1	0.5
1988	1.	SLU_ENV	Max	1.1876	8.4113	1988-1	1.
1988	0.	SLU_ENV	Min	-2.6949	-2.6691	1988-1	0.
1988	0.5	SLU_ENV	Min	-2.5239	-2.772	1988-1	0.5
1988	1.	SLU_ENV	Min	-2.4053	-2.875	1988-1	1.
1988	0.	SLV_ENV	Max	152.5909	207.3418	1988-1	0.
1988	0.5	SLV_ENV	Max	166.4233	223.8065	1988-1	0.5
1988	1.	SLV_ENV	Max	180.2609	240.2892	1988-1	1.
1988	0.	SLV_ENV	Min	-152.7157	-210.4106	1988-1	0.
1988	0.5	SLV_ENV	Min	-165.7766	-227.1137	1988-1	0.5
1988	1.	SLV_ENV	Min	-178.8427	-243.8348	1988-1	1.
1989	0.	SLU_ENV	Max	1.1876	8.4113	1989-1	0.
1989	0.5	SLU_ENV	Max	2.0648	9.3988	1989-1	0.5
1989	1.	SLU_ENV	Max	2.942	10.3862	1989-1	1.
1989	0.	SLU_ENV	Min	-2.4053	-2.875	1989-1	0.
1989	0.5	SLU_ENV	Min	-2.1473	-3.0167	1989-1	0.5
1989	1.	SLU_ENV	Min	-1.8892	-3.1584	1989-1	1.
1989	0.	SLV_ENV	Max	180.2609	240.2892	1989-1	0.
1989	0.5	SLV_ENV	Max	192.5081	253.7378	1989-1	0.5
1989	1.	SLV_ENV	Max	204.7667	267.215	1989-1	1.
1989	0.	SLV_ENV	Min	-178.8427	-243.8348	1989-1	0.
1989	0.5	SLV_ENV	Min	-190.005	-257.4655	1989-1	0.5
1989	1.	SLV_ENV	Min	-201.1787	-271.125	1989-1	1.
1990	0.	SLU_ENV	Max	2.942	10.3862	1990-1	0.
1990	0.5	SLU_ENV	Max	4.1744	11.3618	1990-1	0.5
1990	1.	SLU_ENV	Max	5.4069	12.3374	1990-1	1.
1990	0.	SLU_ENV	Min	-1.8892	-3.1584	1990-1	0.
1990	0.5	SLU_ENV	Min	-1.4409	-3.2267	1990-1	0.5
1990	1.	SLU_ENV	Min	-0.9925	-3.295	1990-1	1.
1990	0.	SLV_ENV	Max	204.7667	267.215	1990-1	0.
1990	0.5	SLV_ENV	Max	213.5653	275.0075	1990-1	0.5
1990	1.	SLV_ENV	Max	222.4102	282.8539	1990-1	1.
1990	0.	SLV_ENV	Min	-201.1787	-271.125	1990-1	0.
1990	0.5	SLV_ENV	Min	-208.5307	-278.9975	1990-1	0.5
1990	1.	SLV_ENV	Min	-215.9291	-286.9239	1990-1	1.
1991	0.	SLU_ENV	Max	5.4069	12.3374	1991-1	0.
1991	0.5	SLU_ENV	Max	6.9842	13.1968	1991-1	0.5
1991	1.	SLU_ENV	Max	8.5615	14.0563	1991-1	1.
1991	0.	SLU_ENV	Min	-0.9925	-3.295	1991-1	0.
1991	0.5	SLU_ENV	Min	-0.2878	-3.2348	1991-1	0.5
1991	1.	SLU_ENV	Min	0.417	-3.1745	1991-1	1.
1991	0.	SLV_ENV	Max	222.4102	282.8539	1991-1	0.
1991	0.5	SLV_ENV	Max	225.4823	281.6619	1991-1	0.5
1991	1.	SLV_ENV	Max	228.9201	280.5798	1991-1	1.
1991	0.	SLV_ENV	Min	-215.9291	-286.9239	1991-1	0.
1991	0.5	SLV_ENV	Min	-217.1564	-285.651	1991-1	0.5
1991	1.	SLV_ENV	Min	-218.7495	-284.488	1991-1	1.
1992	0.	SLU_ENV	Max	8.5615	14.0563	1992-1	0.
1992	0.5	SLU_ENV	Max	10.4992	14.7737	1992-1	0.5
1992	1.	SLU_ENV	Max	12.437	15.5801	1992-1	1.
1992	0.	SLU_ENV	Min	0.417	-3.1745	1992-1	0.
1992	0.5	SLU_ENV	Min	1.4455	-3.0645	1992-1	0.5
1992	1.	SLU_ENV	Min	2.474	-3.0436	1992-1	1.

Table: Element Forces - Frames, Part 2 of 2

Frame	Station m	OutputCase	StepType	M		FrameElem	ElemStation m
				M2 KN-m	M3 KN-m		
1992	0.	SLV_ENV	Max	228.9201	280.5798	1992-1	0.
1992	0.5	SLV_ENV	Max	224.136	266.3996	1992-1	0.5
1992	1.	SLV_ENV	Max	219.6421	252.4207	1992-1	1.
1992	0.	SLV_ENV	Min	-218.7495	-284.488	1992-1	0.
1992	0.5	SLV_ENV	Min	-211.707	-269.9941	1992-1	0.5
1992	1.	SLV_ENV	Min	-204.9546	-255.7015	1992-1	1.
1993	0.	SLU_ENV	Max	12.437	15.5801	1993-1	0.
1993	0.5	SLU_ENV	Max	14.7229	16.0186	1993-1	0.5
1993	1.	SLU_ENV	Max	17.0088	16.4571	1993-1	1.
1993	0.	SLU_ENV	Min	2.474	-3.0436	1993-1	0.
1993	0.5	SLU_ENV	Min	3.8844	-2.8983	1993-1	0.5
1993	1.	SLU_ENV	Min	5.2948	-2.7531	1993-1	1.
1993	0.	SLV_ENV	Max	219.6421	252.4207	1993-1	0.
1993	0.5	SLV_ENV	Max	203.0598	220.6429	1993-1	0.5
1993	1.	SLV_ENV	Max	186.5408	189.3281	1993-1	1.
1993	0.	SLV_ENV	Min	-204.9546	-255.7015	1993-1	0.
1993	0.5	SLV_ENV	Min	-185.7174	-223.2927	1993-1	0.5
1993	1.	SLV_ENV	Min	-166.5435	-191.3468	1993-1	1.
1994	0.	SLU_ENV	Max	17.0088	16.4571	1994-1	0.
1994	0.5	SLU_ENV	Max	19.5905	16.3021	1994-1	0.5
1994	1.	SLU_ENV	Max	22.1721	16.147	1994-1	1.
1994	0.	SLU_ENV	Min	5.2948	-2.7531	1994-1	0.
1994	0.5	SLU_ENV	Min	7.1271	-2.429	1994-1	0.5
1994	1.	SLU_ENV	Min	8.9594	-2.1049	1994-1	1.
1994	0.	SLV_ENV	Max	186.5408	189.3281	1994-1	0.
1994	0.5	SLV_ENV	Max	153.6431	135.8388	1994-1	0.5
1994	1.	SLV_ENV	Max	120.8346	86.5279	1994-1	1.
1994	0.	SLV_ENV	Min	-166.5435	-191.3468	1994-1	0.
1994	0.5	SLV_ENV	Min	-130.6596	-136.8139	1994-1	0.5
1994	1.	SLV_ENV	Min	-94.8648	-86.4595	1994-1	1.
1995	0.	SLU_ENV	Max	22.1721	16.147	1995-1	0.
1995	0.5	SLU_ENV	Max	25.0477	15.377	1995-1	0.5
1995	1.	SLU_ENV	Max	27.9234	17.9054	1995-1	1.
1995	0.	SLU_ENV	Min	8.9594	-2.1049	1995-1	0.
1995	0.5	SLU_ENV	Min	11.2481	-1.5287	1995-1	0.5
1995	1.	SLU_ENV	Min	13.3589	-0.9525	1995-1	1.
1995	0.	SLV_ENV	Max	120.8346	86.5279	1995-1	0.
1995	0.5	SLV_ENV	Max	68.0634	59.2317	1995-1	0.5
1995	1.	SLV_ENV	Max	65.7616	125.4808	1995-1	1.
1995	0.	SLV_ENV	Min	-94.8648	-86.4595	1995-1	0.
1995	0.5	SLV_ENV	Min	-38.9056	-57.6055	1995-1	0.5
1995	1.	SLV_ENV	Min	-33.4158	-122.2968	1995-1	1.
1996	0.	SLU_ENV	Max	27.9234	17.9054	1996-1	0.
1996	0.5	SLU_ENV	Max	30.9813	20.8108	1996-1	0.5
1996	1.	SLU_ENV	Max	34.6531	23.7163	1996-1	1.
1996	0.	SLU_ENV	Min	13.3589	-0.9525	1996-1	0.
1996	0.5	SLU_ENV	Min	14.7988	-4.6722	1996-1	0.5
1996	1.	SLU_ENV	Min	16.2387	-8.6229	1996-1	1.
1996	0.	SLV_ENV	Max	65.7616	125.4808	1996-1	0.
1996	0.5	SLV_ENV	Max	134.1471	246.575	1996-1	0.5
1996	1.	SLV_ENV	Max	222.6326	371.6095	1996-1	1.
1996	0.	SLV_ENV	Min	-33.4158	-122.2968	1996-1	0.
1996	0.5	SLV_ENV	Min	-98.6256	-241.2176	1996-1	0.5
1996	1.	SLV_ENV	Min	-183.9352	-364.0786	1996-1	1.

Table: Element Forces - Frames, Part 2 of 2

Frame	Station m	OutputCase	StepType	M		FrameElem	ElemStation m
				M2 KN-m	M3 KN-m		
1997	0.	SLU_ENV	Max	34.6531	23.7163	1997-1	0.
1997	0.5	SLU_ENV	Max	39.1252	26.9104	1997-1	0.5
1997	1.	SLU_ENV	Max	43.5973	30.1046	1997-1	1.
1997	0.	SLU_ENV	Min	16.2387	-8.6229	1997-1	0.
1997	0.5	SLU_ENV	Min	17.5085	-14.2761	1997-1	0.5
1997	1.	SLU_ENV	Min	18.7784	-19.9293	1997-1	1.
1997	0.	SLV_ENV	Max	222.6326	371.6095	1997-1	0.
1997	0.5	SLV_ENV	Max	343.2873	540.6664	1997-1	0.5
1997	1.	SLV_ENV	Max	464.0201	710.4087	1997-1	1.
1997	0.	SLV_ENV	Min	-183.9352	-364.0786	1997-1	0.
1997	0.5	SLV_ENV	Min	-301.7449	-530.2551	1997-1	0.5
1997	1.	SLV_ENV	Min	-419.6325	-697.117	1997-1	1.
1998	0.	SLU_ENV	Max	43.5973	30.1046	1998-1	0.
1998	0.5	SLU_ENV	Max	48.1403	33.4149	1998-1	0.5
1998	1.	SLU_ENV	Max	52.6832	36.7253	1998-1	1.
1998	0.	SLU_ENV	Min	18.7784	-19.9293	1998-1	0.
1998	0.5	SLU_ENV	Min	19.5439	-27.4753	1998-1	0.5
1998	1.	SLU_ENV	Min	20.3094	-35.0212	1998-1	1.
1998	0.	SLV_ENV	Max	464.0201	710.4087	1998-1	0.
1998	0.5	SLV_ENV	Max	621.0508	928.9127	1998-1	0.5
1998	1.	SLV_ENV	Max	778.109	1147.7104	1998-1	1.
1998	0.	SLV_ENV	Min	-419.6325	-697.117	1998-1	0.
1998	0.5	SLV_ENV	Min	-574.5929	-911.967	1998-1	0.5
1998	1.	SLV_ENV	Min	-729.5807	-1127.1107	1998-1	1.
1999	0.	SLU_ENV	Max	2.998E-16	-2.220E-16	1999-1	0.
1999	0.5	SLU_ENV	Max	-7.129E-04	0.006	1999-1	0.5
1999	1.	SLU_ENV	Max	-0.0014	0.0121	1999-1	1.
1999	0.	SLU_ENV	Min	0.	-2.998E-16	1999-1	0.
1999	0.5	SLU_ENV	Min	-0.0173	-0.0281	1999-1	0.5
1999	1.	SLU_ENV	Min	-0.0346	-0.0563	1999-1	1.
1999	0.	SLV_ENV	Max	1.511E-13	8.677E-14	1999-1	0.
1999	0.5	SLV_ENV	Max	0.3474	0.4018	1999-1	0.5
1999	1.	SLV_ENV	Max	0.6948	0.8035	1999-1	1.
1999	0.	SLV_ENV	Min	-1.511E-13	-8.721E-14	1999-1	0.
1999	0.5	SLV_ENV	Min	-0.367	-0.3944	1999-1	0.5
1999	1.	SLV_ENV	Min	-0.734	-0.7888	1999-1	1.
2000	0.	SLU_ENV	Max	-0.0014	0.0121	2000-1	0.
2000	0.5	SLU_ENV	Max	-0.0049	0.0214	2000-1	0.5
2000	1.	SLU_ENV	Max	-0.0083	0.0308	2000-1	1.
2000	0.	SLU_ENV	Min	-0.0346	-0.0563	2000-1	0.
2000	0.5	SLU_ENV	Min	-0.0677	-0.1031	2000-1	0.5
2000	1.	SLU_ENV	Min	-0.1008	-0.1499	2000-1	1.
2000	0.	SLV_ENV	Max	0.6948	0.8035	2000-1	0.
2000	0.5	SLV_ENV	Max	1.1517	1.3223	2000-1	0.5
2000	1.	SLV_ENV	Max	1.6088	1.8414	2000-1	1.
2000	0.	SLV_ENV	Min	-0.734	-0.7888	2000-1	0.
2000	0.5	SLV_ENV	Min	-1.2276	-1.2977	2000-1	0.5
2000	1.	SLV_ENV	Min	-1.7214	-1.8069	2000-1	1.
2001	0.	SLU_ENV	Max	-0.0083	0.0308	2001-1	0.
2001	0.5	SLU_ENV	Max	-0.0165	0.0408	2001-1	0.5
2001	1.	SLU_ENV	Max	-0.0247	0.0508	2001-1	1.
2001	0.	SLU_ENV	Min	-0.1008	-0.1499	2001-1	0.
2001	0.5	SLU_ENV	Min	-0.1479	-0.2056	2001-1	0.5
2001	1.	SLU_ENV	Min	-0.1951	-0.2613	2001-1	1.

Table: Element Forces - Frames, Part 2 of 2

Frame	Station m	OutputCase	StepType	M		FrameElem	ElemStation m
				M2 KN-m	M3 KN-m		
2001	0.	SLV_ENV	Max	1.6088	1.8414	2001-1	0.
2001	0.5	SLV_ENV	Max	1.9645	2.22	2001-1	0.5
2001	1.	SLV_ENV	Max	2.3212	2.6003	2001-1	1.
2001	0.	SLV_ENV	Min	-1.7214	-1.8069	2001-1	0.
2001	0.5	SLV_ENV	Min	-2.1283	-2.178	2001-1	0.5
2001	1.	SLV_ENV	Min	-2.5362	-2.5509	2001-1	1.
2002	0.	SLU_ENV	Max	-0.0247	0.0508	2002-1	0.
2002	0.5	SLU_ENV	Max	-0.0395	0.0587	2002-1	0.5
2002	1.	SLU_ENV	Max	-0.0543	0.0667	2002-1	1.
2002	0.	SLU_ENV	Min	-0.1951	-0.2613	2002-1	0.
2002	0.5	SLU_ENV	Min	-0.2543	-0.3159	2002-1	0.5
2002	1.	SLU_ENV	Min	-0.3136	-0.3704	2002-1	1.
2002	0.	SLV_ENV	Max	2.3212	2.6003	2002-1	0.
2002	0.5	SLV_ENV	Max	2.3658	2.5862	2002-1	0.5
2002	1.	SLV_ENV	Max	2.4162	2.5835	2002-1	1.
2002	0.	SLV_ENV	Min	-2.5362	-2.5509	2002-1	0.
2002	0.5	SLV_ENV	Min	-2.6436	-2.5367	2002-1	0.5
2002	1.	SLV_ENV	Min	-2.7567	-2.534	2002-1	1.
2003	0.	SLU_ENV	Max	-0.0543	0.0667	2003-1	0.
2003	0.5	SLU_ENV	Max	-0.0775	0.0699	2003-1	0.5
2003	1.	SLU_ENV	Max	-0.1008	0.0731	2003-1	1.
2003	0.	SLU_ENV	Min	-0.3136	-0.3704	2003-1	0.
2003	0.5	SLU_ENV	Min	-0.3823	-0.4127	2003-1	0.5
2003	1.	SLU_ENV	Min	-0.451	-0.455	2003-1	1.
2003	0.	SLV_ENV	Max	2.4162	2.5835	2003-1	0.
2003	0.5	SLV_ENV	Max	2.0063	1.9929	2003-1	0.5
2003	1.	SLV_ENV	Max	2.0561	1.5836	2003-1	1.
2003	0.	SLV_ENV	Min	-2.7567	-2.534	2003-1	0.
2003	0.5	SLV_ENV	Min	-2.4174	-1.956	2003-1	0.5
2003	1.	SLV_ENV	Min	-2.5377	-1.5594	2003-1	1.
2004	0.	SLU_ENV	Max	-0.1008	0.0731	2004-1	0.
2004	0.5	SLU_ENV	Max	-0.1341	0.0685	2004-1	0.5
2004	1.	SLU_ENV	Max	-0.1675	0.064	2004-1	1.
2004	0.	SLU_ENV	Min	-0.451	-0.455	2004-1	0.
2004	0.5	SLU_ENV	Min	-0.5257	-0.4728	2004-1	0.5
2004	1.	SLU_ENV	Min	-0.6004	-0.5046	2004-1	1.
2004	0.	SLV_ENV	Max	2.0561	1.5836	2004-1	0.
2004	0.5	SLV_ENV	Max	2.2396	1.8784	2004-1	0.5
2004	1.	SLV_ENV	Max	3.0417	3.3028	2004-1	1.
2004	0.	SLV_ENV	Min	-2.5377	-1.5594	2004-1	0.
2004	0.5	SLV_ENV	Min	-2.7949	-1.8848	2004-1	0.5
2004	1.	SLV_ENV	Min	-3.6705	-3.3398	2004-1	1.
2005	0.	SLU_ENV	Max	-0.1675	0.064	2005-1	0.
2005	0.5	SLU_ENV	Max	-0.2116	0.0496	2005-1	0.5
2005	1.	SLU_ENV	Max	-0.2558	0.1446	2005-1	1.
2005	0.	SLU_ENV	Min	-0.6004	-0.5046	2005-1	0.
2005	0.5	SLU_ENV	Min	-0.6765	-0.6114	2005-1	0.5
2005	1.	SLU_ENV	Min	-0.7525	-0.7181	2005-1	1.
2005	0.	SLV_ENV	Max	3.0417	3.3028	2005-1	0.
2005	0.5	SLV_ENV	Max	4.8281	6.1429	2005-1	0.5
2005	1.	SLV_ENV	Max	7.2787	9.086	2005-1	1.
2005	0.	SLV_ENV	Min	-3.6705	-3.3398	2005-1	0.
2005	0.5	SLV_ENV	Min	-5.5274	-6.2339	2005-1	0.5
2005	1.	SLV_ENV	Min	-8.0483	-9.231	2005-1	1.

Table: Element Forces - Frames, Part 2 of 2

Frame	Station m	OutputCase	StepType	M		FrameElem	ElemStation m
				M2 KN-m	M3 KN-m		
2006	0.	SLU_ENV	Max	-0.2558	0.1446	2006-1	0.
2006	0.5	SLU_ENV	Max	-0.2842	0.3039	2006-1	0.5
2006	1.	SLU_ENV	Max	-0.3026	0.4632	2006-1	1.
2006	0.	SLU_ENV	Min	-0.7525	-0.7181	2006-1	0.
2006	0.5	SLU_ENV	Min	-0.8229	-0.8452	2006-1	0.5
2006	1.	SLU_ENV	Min	-0.8934	-0.9722	2006-1	1.
2006	0.	SLV_ENV	Max	7.2787	9.086	2006-1	0.
2006	0.5	SLV_ENV	Max	11.0189	13.5419	2006-1	0.5
2006	1.	SLV_ENV	Max	14.7792	18.0222	2006-1	1.
2006	0.	SLV_ENV	Min	-8.0483	-9.231	2006-1	0.
2006	0.5	SLV_ENV	Min	-11.8472	-13.7697	2006-1	0.5
2006	1.	SLV_ENV	Min	-15.6662	-18.3328	2006-1	1.
2007	0.	SLU_ENV	Max	-0.3026	0.4632	2007-1	0.
2007	0.5	SLU_ENV	Max	-0.3114	0.7016	2007-1	0.5
2007	1.	SLU_ENV	Max	-0.3202	0.94	2007-1	1.
2007	0.	SLU_ENV	Min	-0.8934	-0.9722	2007-1	0.
2007	0.5	SLU_ENV	Min	-0.982	-1.1167	2007-1	0.5
2007	1.	SLU_ENV	Min	-1.0907	-1.2611	2007-1	1.
2007	0.	SLV_ENV	Max	14.7792	18.0222	2007-1	0.
2007	0.5	SLV_ENV	Max	20.036	24.2544	2007-1	0.5
2007	1.	SLV_ENV	Max	25.3012	30.4978	2007-1	1.
2007	0.	SLV_ENV	Min	-15.6662	-18.3328	2007-1	0.
2007	0.5	SLV_ENV	Min	-20.9592	-24.6812	2007-1	0.5
2007	1.	SLV_ENV	Min	-26.2606	-31.0409	2007-1	1.
2008	0.	SLU_ENV	Max	-0.3202	0.94	2008-1	0.
2008	0.5	SLU_ENV	Max	-0.3125	1.2655	2008-1	0.5
2008	1.	SLU_ENV	Max	-0.3048	1.591	2008-1	1.
2008	0.	SLU_ENV	Min	-1.0907	-1.2611	2008-1	0.
2008	0.5	SLU_ENV	Min	-1.2012	-1.4171	2008-1	0.5
2008	1.	SLU_ENV	Min	-1.3117	-1.5732	2008-1	1.
2008	0.	SLV_ENV	Max	25.3012	30.4978	2008-1	0.
2008	0.5	SLV_ENV	Max	32.2373	38.6887	2008-1	0.5
2008	1.	SLV_ENV	Max	39.1783	46.8867	2008-1	1.
2008	0.	SLV_ENV	Min	-26.2606	-31.0409	2008-1	0.
2008	0.5	SLV_ENV	Min	-33.1966	-39.3855	2008-1	0.5
2008	1.	SLV_ENV	Min	-40.1376	-47.7372	2008-1	1.
2009	0.	SLU_ENV	Max	-0.3048	1.591	2009-1	0.
2009	0.5	SLU_ENV	Max	-0.2667	2.0117	2009-1	0.5
2009	1.	SLU_ENV	Max	-0.2286	2.4325	2009-1	1.
2009	0.	SLU_ENV	Min	-1.3117	-1.5732	2009-1	0.
2009	0.5	SLU_ENV	Min	-1.4119	-1.7306	2009-1	0.5
2009	1.	SLU_ENV	Min	-1.5121	-1.8881	2009-1	1.
2009	0.	SLV_ENV	Max	39.1783	46.8867	2009-1	0.
2009	0.5	SLV_ENV	Max	47.896	57.1439	2009-1	0.5
2009	1.	SLV_ENV	Max	56.6172	67.4065	2009-1	1.
2009	0.	SLV_ENV	Min	-40.1376	-47.7372	2009-1	0.
2009	0.5	SLV_ENV	Min	-48.8021	-58.1876	2009-1	0.5
2009	1.	SLV_ENV	Min	-57.4702	-68.6434	2009-1	1.
2010	0.	SLU_ENV	Max	-0.2286	2.4325	2010-1	0.
2010	0.5	SLU_ENV	Max	-0.1582	2.9514	2010-1	0.5
2010	1.	SLU_ENV	Max	-0.0877	3.4703	2010-1	1.
2010	0.	SLU_ENV	Min	-1.5121	-1.8881	2010-1	0.
2010	0.5	SLU_ENV	Min	-1.5869	-2.0367	2010-1	0.5
2010	1.	SLU_ENV	Min	-1.6617	-2.1854	2010-1	1.

Table: Element Forces - Frames, Part 2 of 2

Frame	Station m	OutputCase	StepType	M		FrameElem	ElemStation m
				M2 KN-m	M3 KN-m		
2010	0.	SLV_ENV	Max	56.6172	67.4065	2010-1	0.
2010	0.5	SLV_ENV	Max	67.1129	79.7093	2010-1	0.5
2010	1.	SLV_ENV	Max	77.6115	92.0168	2010-1	1.
2010	0.	SLV_ENV	Min	-57.4702	-68.6434	2010-1	0.
2010	0.5	SLV_ENV	Min	-67.8396	-81.1781	2010-1	0.5
2010	1.	SLV_ENV	Min	-78.2121	-93.7176	2010-1	1.
2011	0.	SLU_ENV	Max	-0.0877	3.4703	2011-1	0.
2011	0.5	SLU_ENV	Max	0.0237	4.0824	2011-1	0.5
2011	1.	SLU_ENV	Max	0.1351	4.6946	2011-1	1.
2011	0.	SLU_ENV	Min	-1.6617	-2.1854	2011-1	0.
2011	0.5	SLU_ENV	Min	-1.6912	-2.3213	2011-1	0.5
2011	1.	SLU_ENV	Min	-1.7206	-2.4572	2011-1	1.
2011	0.	SLV_ENV	Max	77.6115	92.0168	2011-1	0.
2011	0.5	SLV_ENV	Max	89.7251	106.1568	2011-1	0.5
2011	1.	SLV_ENV	Max	101.8415	120.3014	2011-1	1.
2011	0.	SLV_ENV	Min	-78.2121	-93.7176	2011-1	0.
2011	0.5	SLV_ENV	Min	-90.1036	-108.1236	2011-1	0.5
2011	1.	SLV_ENV	Min	-101.9981	-122.5343	2011-1	1.
2012	0.	SLU_ENV	Max	0.1351	4.6946	2012-1	0.
2012	0.5	SLU_ENV	Max	0.2963	5.3837	2012-1	0.5
2012	1.	SLU_ENV	Max	0.4575	6.0728	2012-1	1.
2012	0.	SLU_ENV	Min	-1.7206	-2.4572	2012-1	0.
2012	0.5	SLU_ENV	Min	-1.684	-2.5822	2012-1	0.5
2012	1.	SLU_ENV	Min	-1.6474	-2.7072	2012-1	1.
2012	0.	SLV_ENV	Max	101.8415	120.3014	2012-1	0.
2012	0.5	SLV_ENV	Max	115.1971	135.8129	2012-1	0.5
2012	1.	SLV_ENV	Max	128.5558	151.3294	2012-1	1.
2012	0.	SLV_ENV	Min	-101.9981	-122.5343	2012-1	0.
2012	0.5	SLV_ENV	Min	-115.0113	-138.3357	2012-1	0.5
2012	1.	SLV_ENV	Min	-128.0275	-154.1421	2012-1	1.
2013	0.	SLU_ENV	Max	0.4575	6.0728	2013-1	0.
2013	0.5	SLU_ENV	Max	0.7847	6.8076	2013-1	0.5
2013	1.	SLU_ENV	Max	1.122	7.5424	2013-1	1.
2013	0.	SLU_ENV	Min	-1.6474	-2.7072	2013-1	0.
2013	0.5	SLU_ENV	Min	-1.6344	-2.8191	2013-1	0.5
2013	1.	SLU_ENV	Min	-1.6314	-2.9309	2013-1	1.
2013	0.	SLV_ENV	Max	128.5558	151.3294	2013-1	0.
2013	0.5	SLV_ENV	Max	142.4934	167.4095	2013-1	0.5
2013	1.	SLV_ENV	Max	156.4348	183.4959	2013-1	1.
2013	0.	SLV_ENV	Min	-128.0275	-154.1421	2013-1	0.
2013	0.5	SLV_ENV	Min	-141.4771	-170.5187	2013-1	0.5
2013	1.	SLV_ENV	Min	-154.9305	-186.9015	2013-1	1.
2014	0.	SLU_ENV	Max	1.122	7.5424	2014-1	0.
2014	0.5	SLU_ENV	Max	1.6209	8.3879	2014-1	0.5
2014	1.	SLU_ENV	Max	2.1198	9.2334	2014-1	1.
2014	0.	SLU_ENV	Min	-1.6314	-2.9309	2014-1	0.
2014	0.5	SLU_ENV	Min	-1.5812	-3.0548	2014-1	0.5
2014	1.	SLU_ENV	Min	-1.5309	-3.1786	2014-1	1.
2014	0.	SLV_ENV	Max	156.4348	183.4959	2014-1	0.
2014	0.5	SLV_ENV	Max	169.9354	198.9184	2014-1	0.5
2014	1.	SLV_ENV	Max	183.4417	214.3499	2014-1	1.
2014	0.	SLV_ENV	Min	-154.9305	-186.9015	2014-1	0.
2014	0.5	SLV_ENV	Min	-167.774	-202.6003	2014-1	0.5
2014	1.	SLV_ENV	Min	-180.6232	-218.3082	2014-1	1.

Table: Element Forces - Frames, Part 2 of 2

Frame	Station m	OutputCase	StepType	M		FrameElem	ElemStation m
				M2 KN-m	M3 KN-m		
2015	0.	SLU_ENV	Max	2.1198	9.2334	2015-1	0.
2015	0.5	SLU_ENV	Max	2.832	10.2495	2015-1	0.5
2015	1.	SLU_ENV	Max	3.5442	11.2657	2015-1	1.
2015	0.	SLU_ENV	Min	-1.5309	-3.1786	2015-1	0.
2015	0.5	SLU_ENV	Min	-1.4217	-3.3396	2015-1	0.5
2015	1.	SLU_ENV	Min	-1.3126	-3.5006	2015-1	1.
2015	0.	SLV_ENV	Max	183.4417	214.3499	2015-1	0.
2015	0.5	SLV_ENV	Max	195.051	227.3769	2015-1	0.5
2015	1.	SLV_ENV	Max	206.6725	240.4195	2015-1	1.
2015	0.	SLV_ENV	Min	-180.6232	-218.3082	2015-1	0.
2015	0.5	SLV_ENV	Min	-191.3878	-231.5539	2015-1	0.5
2015	1.	SLV_ENV	Min	-202.1644	-244.8152	2015-1	1.
2016	0.	SLU_ENV	Max	3.5442	11.2657	2016-1	0.
2016	0.5	SLU_ENV	Max	4.5103	12.2402	2016-1	0.5
2016	1.	SLU_ENV	Max	5.4765	13.2147	2016-1	1.
2016	0.	SLU_ENV	Min	-1.3126	-3.5006	2016-1	0.
2016	0.5	SLU_ENV	Min	-1.1137	-3.588	2016-1	0.5
2016	1.	SLU_ENV	Min	-0.9148	-3.6755	2016-1	1.
2016	0.	SLV_ENV	Max	206.6725	240.4195	2016-1	0.
2016	0.5	SLV_ENV	Max	214.4399	248.7235	2016-1	0.5
2016	1.	SLV_ENV	Max	222.2547	257.0602	2016-1	1.
2016	0.	SLV_ENV	Min	-202.1644	-244.8152	2016-1	0.
2016	0.5	SLV_ENV	Min	-208.89	-253.2299	2016-1	0.5
2016	1.	SLV_ENV	Min	-215.663	-261.6773	2016-1	1.
2017	0.	SLU_ENV	Max	5.4765	13.2147	2017-1	0.
2017	0.5	SLU_ENV	Max	6.652	14.0422	2017-1	0.5
2017	1.	SLU_ENV	Max	7.8276	14.8698	2017-1	1.
2017	0.	SLU_ENV	Min	-0.9148	-3.6755	2017-1	0.
2017	0.5	SLU_ENV	Min	-0.5852	-3.6252	2017-1	0.5
2017	1.	SLU_ENV	Min	-0.2555	-3.5749	2017-1	1.
2017	0.	SLV_ENV	Max	222.2547	257.0602	2017-1	0.
2017	0.5	SLV_ENV	Max	223.8136	257.6756	2017-1	0.5
2017	1.	SLV_ENV	Max	225.756	258.3613	2017-1	1.
2017	0.	SLV_ENV	Min	-215.663	-261.6773	2017-1	0.
2017	0.5	SLV_ENV	Min	-215.988	-262.2307	2017-1	0.5
2017	1.	SLV_ENV	Min	-216.6966	-262.8545	2017-1	1.
2018	0.	SLU_ENV	Max	7.8276	14.8698	2018-1	0.
2018	0.5	SLU_ENV	Max	9.2004	15.3877	2018-1	0.5
2018	1.	SLU_ENV	Max	10.5732	16.1301	2018-1	1.
2018	0.	SLU_ENV	Min	-0.2555	-3.5749	2018-1	0.
2018	0.5	SLU_ENV	Min	0.2487	-3.3548	2018-1	0.5
2018	1.	SLU_ENV	Min	0.753	-3.3591	2018-1	1.
2018	0.	SLV_ENV	Max	225.756	258.3613	2018-1	0.
2018	0.5	SLV_ENV	Max	218.9305	247.6637	2018-1	0.5
2018	1.	SLV_ENV	Max	212.4011	237.0714	2018-1	1.
2018	0.	SLV_ENV	Min	-216.6966	-262.8545	2018-1	0.
2018	0.5	SLV_ENV	Min	-208.4717	-251.8427	2018-1	0.5
2018	1.	SLV_ENV	Min	-200.543	-240.9361	2018-1	1.
2019	0.	SLU_ENV	Max	10.5732	16.1301	2019-1	0.
2019	0.5	SLU_ENV	Max	12.1059	16.4456	2019-1	0.5
2019	1.	SLU_ENV	Max	13.6385	16.7611	2019-1	1.
2019	0.	SLU_ENV	Min	0.753	-3.3591	2019-1	0.
2019	0.5	SLU_ENV	Min	1.4613	-3.2246	2019-1	0.5
2019	1.	SLU_ENV	Min	2.1697	-3.09	2019-1	1.

Table: Element Forces - Frames, Part 2 of 2

Frame	Station m	OutputCase	StepType	M		FrameElem	ElemStation m
				M2 KN-m	M3 KN-m		
2019	0.	SLV_ENV	Max	212.4011	237.0714	2019-1	0.
2019	0.5	SLV_ENV	Max	193.1578	210.7159	2019-1	0.5
2019	1.	SLV_ENV	Max	174.0111	184.4944	2019-1	1.
2019	0.	SLV_ENV	Min	-200.543	-240.9361	2019-1	0.
2019	0.5	SLV_ENV	Min	-179.7908	-213.9201	2019-1	0.5
2019	1.	SLV_ENV	Min	-159.1352	-187.038	2019-1	1.
2020	0.	SLU_ENV	Max	13.6385	16.7611	2020-1	0.
2020	0.5	SLU_ENV	Max	15.2611	16.4071	2020-1	0.5
2020	1.	SLU_ENV	Max	16.8837	16.053	2020-1	1.
2020	0.	SLU_ENV	Min	2.1697	-3.09	2020-1	0.
2020	0.5	SLU_ENV	Min	3.1147	-2.7697	2020-1	0.5
2020	1.	SLU_ENV	Min	4.0598	-2.4495	2020-1	1.
2020	0.	SLV_ENV	Max	174.0111	184.4944	2020-1	0.
2020	0.5	SLV_ENV	Max	137.9139	137.6135	2020-1	0.5
2020	1.	SLV_ENV	Max	102.2013	91.4193	2020-1	1.
2020	0.	SLV_ENV	Min	-159.1352	-187.038	2020-1	0.
2020	0.5	SLV_ENV	Min	-121.5137	-139.0434	2020-1	0.5
2020	1.	SLV_ENV	Min	-84.2768	-91.7356	2020-1	1.
2021	0.	SLU_ENV	Max	16.8837	16.053	2021-1	0.
2021	0.5	SLU_ENV	Max	18.4931	15.7348	2021-1	0.5
2021	1.	SLU_ENV	Max	20.1024	18.4683	2021-1	1.
2021	0.	SLU_ENV	Min	4.0598	-2.4495	2021-1	0.
2021	0.5	SLU_ENV	Min	5.2562	-1.8787	2021-1	0.5
2021	1.	SLU_ENV	Min	6.4527	-2.1593	2021-1	1.
2021	0.	SLV_ENV	Max	102.2013	91.4193	2021-1	0.
2021	0.5	SLV_ENV	Max	56.7978	30.51	2021-1	0.5
2021	1.	SLV_ENV	Max	72.1954	75.138	2021-1	1.
2021	0.	SLV_ENV	Min	-84.2768	-91.7356	2021-1	0.
2021	0.5	SLV_ENV	Min	-37.476	-29.1448	2021-1	0.5
2021	1.	SLV_ENV	Min	-51.4763	-72.0912	2021-1	1.
2022	0.	SLU_ENV	Max	20.1024	18.4683	2022-1	0.
2022	0.5	SLU_ENV	Max	21.5425	21.6479	2022-1	0.5
2022	1.	SLU_ENV	Max	22.9826	24.8274	2022-1	1.
2022	0.	SLU_ENV	Min	6.4527	-2.1593	2022-1	0.
2022	0.5	SLU_ENV	Min	7.4868	-6.8098	2022-1	0.5
2022	1.	SLU_ENV	Min	7.8036	-11.4604	2022-1	1.
2022	0.	SLV_ENV	Max	72.1954	75.138	2022-1	0.
2022	0.5	SLV_ENV	Max	155.8745	183.1956	2022-1	0.5
2022	1.	SLV_ENV	Max	246.3687	293.1403	2022-1	1.
2022	0.	SLV_ENV	Min	-51.4763	-72.0912	2022-1	0.
2022	0.5	SLV_ENV	Min	-134.0857	-177.7834	2022-1	0.5
2022	1.	SLV_ENV	Min	-223.5101	-285.3627	2022-1	1.
2023	0.	SLU_ENV	Max	22.9826	24.8274	2023-1	0.
2023	0.5	SLU_ENV	Max	24.9303	28.3705	2023-1	0.5
2023	1.	SLU_ENV	Max	27.5042	31.9136	2023-1	1.
2023	0.	SLU_ENV	Min	7.8036	-11.4604	2023-1	0.
2023	0.5	SLU_ENV	Min	7.8642	-18.0389	2023-1	0.5
2023	1.	SLU_ENV	Min	7.9247	-24.6174	2023-1	1.
2023	0.	SLV_ENV	Max	246.3687	293.1403	2023-1	0.
2023	0.5	SLV_ENV	Max	369.966	442.5966	2023-1	0.5
2023	1.	SLV_ENV	Max	493.8222	592.2727	2023-1	1.
2023	0.	SLV_ENV	Min	-223.5101	-285.3627	2023-1	0.
2023	0.5	SLV_ENV	Min	-346.6329	-431.6637	2023-1	0.5
2023	1.	SLV_ENV	Min	-470.0145	-578.1845	2023-1	1.

Table: Element Forces - Frames, Part 2 of 2

Frame	Station m	OutputCase	StepType	M		FrameElem	ElemStation m
				M2 KN-m	M3 KN-m		
2024	0.	SLU_ENV	Max	27.5042	31.9136	2024-1	0.
2024	0.5	SLU_ENV	Max	30.0635	35.6609	2024-1	0.5
2024	1.	SLU_ENV	Max	32.6228	39.4082	2024-1	1.
2024	0.	SLU_ENV	Min	7.9247	-24.6174	2024-1	0.
2024	0.5	SLU_ENV	Min	7.5165	-33.2454	2024-1	0.5
2024	1.	SLU_ENV	Min	7.1082	-41.8735	2024-1	1.
2024	0.	SLV_ENV	Max	493.8222	592.2727	2024-1	0.
2024	0.5	SLV_ENV	Max	654.1911	786.2884	2024-1	0.5
2024	1.	SLV_ENV	Max	814.6303	980.3934	2024-1	1.
2024	0.	SLV_ENV	Min	-470.0145	-578.1845	2024-1	0.
2024	0.5	SLV_ENV	Min	-630.8456	-768.1741	2024-1	0.5
2024	1.	SLV_ENV	Min	-791.747	-958.2531	2024-1	1.
2025	0.	SLU_ENV	Max	0.	1.199E-15	2025-1	0.
2025	0.5	SLU_ENV	Max	-0.0031	0.0097	2025-1	0.5
2025	1.	SLU_ENV	Max	-0.0063	0.0194	2025-1	1.
2025	0.	SLU_ENV	Min	-2.998E-16	0.	2025-1	0.
2025	0.5	SLU_ENV	Min	-0.0241	-0.0227	2025-1	0.5
2025	1.	SLU_ENV	Min	-0.0483	-0.0454	2025-1	1.
2025	0.	SLV_ENV	Max	9.138E-14	8.440E-14	2025-1	0.
2025	0.5	SLV_ENV	Max	0.3076	0.4193	2025-1	0.5
2025	1.	SLV_ENV	Max	0.6153	0.8386	2025-1	1.
2025	0.	SLV_ENV	Min	-9.138E-14	-8.440E-14	2025-1	0.
2025	0.5	SLV_ENV	Min	-0.3369	-0.4063	2025-1	0.5
2025	1.	SLV_ENV	Min	-0.6738	-0.8127	2025-1	1.
2026	0.	SLU_ENV	Max	-0.0063	0.0194	2026-1	0.
2026	0.5	SLU_ENV	Max	-0.0192	0.0381	2026-1	0.5
2026	1.	SLU_ENV	Max	-0.0321	0.0569	2026-1	1.
2026	0.	SLU_ENV	Min	-0.0483	-0.0454	2026-1	0.
2026	0.5	SLU_ENV	Min	-0.0978	-0.0788	2026-1	0.5
2026	1.	SLU_ENV	Min	-0.1474	-0.1122	2026-1	1.
2026	0.	SLV_ENV	Max	0.6153	0.8386	2026-1	0.
2026	0.5	SLV_ENV	Max	1.0143	1.3672	2026-1	0.5
2026	1.	SLV_ENV	Max	1.414	1.8969	2026-1	1.
2026	0.	SLV_ENV	Min	-0.6738	-0.8127	2026-1	0.
2026	0.5	SLV_ENV	Min	-1.1321	-1.3154	2026-1	0.5
2026	1.	SLV_ENV	Min	-1.591	-1.8192	2026-1	1.
2027	0.	SLU_ENV	Max	-0.0321	0.0569	2027-1	0.
2027	0.5	SLU_ENV	Max	-0.0614	0.0844	2027-1	0.5
2027	1.	SLU_ENV	Max	-0.0907	0.1119	2027-1	1.
2027	0.	SLU_ENV	Min	-0.1474	-0.1122	2027-1	0.
2027	0.5	SLU_ENV	Min	-0.2242	-0.1441	2027-1	0.5
2027	1.	SLU_ENV	Min	-0.301	-0.1759	2027-1	1.
2027	0.	SLV_ENV	Max	1.414	1.8969	2027-1	0.
2027	0.5	SLV_ENV	Max	1.7176	2.2621	2027-1	0.5
2027	1.	SLV_ENV	Max	2.0247	2.634	2027-1	1.
2027	0.	SLV_ENV	Min	-1.591	-1.8192	2027-1	0.
2027	0.5	SLV_ENV	Min	-1.9844	-2.1458	2027-1	0.5
2027	1.	SLV_ENV	Min	-2.3814	-2.479	2027-1	1.
2028	0.	SLU_ENV	Max	-0.0907	0.1119	2028-1	0.
2028	0.5	SLU_ENV	Max	-0.1427	0.1474	2028-1	0.5
2028	1.	SLU_ENV	Max	-0.1947	0.183	2028-1	1.
2028	0.	SLU_ENV	Min	-0.301	-0.1759	2028-1	0.
2028	0.5	SLU_ENV	Min	-0.406	-0.1937	2028-1	0.5
2028	1.	SLU_ENV	Min	-0.511	-0.2115	2028-1	1.

Table: Element Forces - Frames, Part 2 of 2

Frame	Station	OutputCase	StepType	M		FrameElem	ElemStation
				M2	M3		
	m			KN-m	KN-m		m
2028	0.	SLV_ENV	Max	2.0247	2.634	2028-1	0.
2028	0.5	SLV_ENV	Max	2.0623	2.5991	2028-1	0.5
2028	1.	SLV_ENV	Max	2.1215	2.6132	2028-1	1.
2028	0.	SLV_ENV	Min	-2.3814	-2.479	2028-1	0.
2028	0.5	SLV_ENV	Min	-2.5394	-2.3932	2028-1	0.5
2028	1.	SLV_ENV	Min	-2.7191	-2.3563	2028-1	1.
2029	0.	SLU_ENV	Max	-0.1947	0.183	2029-1	0.
2029	0.5	SLU_ENV	Max	-0.2753	0.2256	2029-1	0.5
2029	1.	SLU_ENV	Max	-0.3559	0.2683	2029-1	1.
2029	0.	SLU_ENV	Min	-0.511	-0.2115	2029-1	0.
2029	0.5	SLU_ENV	Min	-0.6442	-0.202	2029-1	0.5
2029	1.	SLU_ENV	Min	-0.7775	-0.1925	2029-1	1.
2029	0.	SLV_ENV	Max	2.1215	2.6132	2029-1	0.
2029	0.5	SLV_ENV	Max	1.9449	2.2592	2029-1	0.5
2029	1.	SLV_ENV	Max	2.1412	2.4371	2029-1	1.
2029	0.	SLV_ENV	Min	-2.7191	-2.3563	2029-1	0.
2029	0.5	SLV_ENV	Min	-2.6923	-1.9399	2029-1	0.5
2029	1.	SLV_ENV	Min	-3.0384	-2.0553	2029-1	1.
2030	0.	SLU_ENV	Max	-0.3559	0.2683	2030-1	0.
2030	0.5	SLU_ENV	Max	-0.4614	0.3167	2030-1	0.5
2030	1.	SLU_ENV	Max	-0.5397	0.3652	2030-1	1.
2030	0.	SLU_ENV	Min	-0.7775	-0.1925	2030-1	0.
2030	0.5	SLU_ENV	Min	-0.9373	-0.142	2030-1	0.5
2030	1.	SLU_ENV	Min	-1.0972	-0.0915	2030-1	1.
2030	0.	SLV_ENV	Max	2.1412	2.4371	2030-1	0.
2030	0.5	SLV_ENV	Max	2.4912	3.7505	2030-1	0.5
2030	1.	SLV_ENV	Max	3.0812	5.6968	2030-1	1.
2030	0.	SLV_ENV	Min	-3.0384	-2.0553	2030-1	0.
2030	0.5	SLV_ENV	Min	-3.5644	-3.2966	2030-1	0.5
2030	1.	SLV_ENV	Min	-4.3306	-5.1707	2030-1	1.
2031	0.	SLU_ENV	Max	-0.5397	0.3652	2031-1	0.
2031	0.5	SLU_ENV	Max	-0.6282	0.4172	2031-1	0.5
2031	1.	SLU_ENV	Max	-0.7166	0.5067	2031-1	1.
2031	0.	SLU_ENV	Min	-1.0972	-0.0915	2031-1	0.
2031	0.5	SLU_ENV	Min	-1.3101	-0.0324	2031-1	0.5
2031	1.	SLU_ENV	Min	-1.5442	-0.0266	2031-1	1.
2031	0.	SLV_ENV	Max	3.0812	5.6968	2031-1	0.
2031	0.5	SLV_ENV	Max	5.0639	9.1012	2031-1	0.5
2031	1.	SLV_ENV	Max	7.2547	12.6328	2031-1	1.
2031	0.	SLV_ENV	Min	-4.3306	-5.1707	2031-1	0.
2031	0.5	SLV_ENV	Min	-6.5096	-8.4963	2031-1	0.5
2031	1.	SLV_ENV	Min	-8.8969	-11.9489	2031-1	1.
2032	0.	SLU_ENV	Max	-0.7166	0.5067	2032-1	0.
2032	0.5	SLU_ENV	Max	-0.8086	0.717	2032-1	0.5
2032	1.	SLU_ENV	Max	-0.9005	0.9272	2032-1	1.
2032	0.	SLU_ENV	Min	-1.5442	-0.0266	2032-1	0.
2032	0.5	SLU_ENV	Min	-1.8254	-0.0141	2032-1	0.5
2032	1.	SLU_ENV	Min	-2.1066	-0.0017	2032-1	1.
2032	0.	SLV_ENV	Max	7.2547	12.6328	2032-1	0.
2032	0.5	SLV_ENV	Max	10.6187	17.8601	2032-1	0.5
2032	1.	SLV_ENV	Max	14.0383	23.1323	2032-1	1.
2032	0.	SLV_ENV	Min	-8.8969	-11.9489	2032-1	0.
2032	0.5	SLV_ENV	Min	-12.4675	-17.0952	2032-1	0.5
2032	1.	SLV_ENV	Min	-16.0938	-22.2864	2032-1	1.

Table: Element Forces - Frames, Part 2 of 2

Frame	Station m	OutputCase	StepType	M		FrameElem	ElemStation m
				M2 KN-m	M3 KN-m		
2033	0.	SLU_ENV	Max	-0.9005	0.9272	2033-1	0.
2033	0.5	SLU_ENV	Max	-0.9888	1.2191	2033-1	0.5
2033	1.	SLU_ENV	Max	-1.0771	1.5111	2033-1	1.
2033	0.	SLU_ENV	Min	-2.1066	-0.0017	2033-1	0.
2033	0.5	SLU_ENV	Min	-2.4288	0.0184	2033-1	0.5
2033	1.	SLU_ENV	Min	-2.751	0.0385	2033-1	1.
2033	0.	SLV_ENV	Max	14.0383	23.1323	2033-1	0.
2033	0.5	SLV_ENV	Max	18.8115	30.353	2033-1	0.5
2033	1.	SLV_ENV	Max	23.6097	37.5976	2033-1	1.
2033	0.	SLV_ENV	Min	-16.0938	-22.2864	2033-1	0.
2033	0.5	SLV_ENV	Min	-21.0685	-29.431	2033-1	0.5
2033	1.	SLV_ENV	Min	-26.0682	-36.5995	2033-1	1.
2034	0.	SLU_ENV	Max	-1.0771	1.5111	2034-1	0.
2034	0.5	SLU_ENV	Max	-1.1536	1.8892	2034-1	0.5
2034	1.	SLU_ENV	Max	-1.2301	2.2674	2034-1	1.
2034	0.	SLU_ENV	Min	-2.751	0.0385	2034-1	0.
2034	0.5	SLU_ENV	Min	-3.1013	0.0661	2034-1	0.5
2034	1.	SLU_ENV	Min	-3.4516	0.0937	2034-1	1.
2034	0.	SLV_ENV	Max	23.6097	37.5976	2034-1	0.
2034	0.5	SLV_ENV	Max	29.9187	46.9857	2034-1	0.5
2034	1.	SLV_ENV	Max	36.243	56.39	2034-1	1.
2034	0.	SLV_ENV	Min	-26.0682	-36.5995	2034-1	0.
2034	0.5	SLV_ENV	Min	-32.5515	-45.9258	2034-1	0.5
2034	1.	SLV_ENV	Min	-39.0502	-55.2683	2034-1	1.
2035	0.	SLU_ENV	Max	-1.2301	2.2674	2035-1	0.
2035	0.5	SLU_ENV	Max	-1.2815	2.7331	2035-1	0.5
2035	1.	SLU_ENV	Max	-1.3329	3.1987	2035-1	1.
2035	0.	SLU_ENV	Min	-3.4516	0.0937	2035-1	0.
2035	0.5	SLU_ENV	Min	-3.8081	0.1212	2035-1	0.5
2035	1.	SLU_ENV	Min	-4.1646	0.1488	2035-1	1.
2035	0.	SLV_ENV	Max	36.243	56.39	2035-1	0.
2035	0.5	SLV_ENV	Max	44.1747	68.0302	2035-1	0.5
2035	1.	SLV_ENV	Max	52.1176	79.6832	2035-1	1.
2035	0.	SLV_ENV	Min	-39.0502	-55.2683	2035-1	0.
2035	0.5	SLV_ENV	Min	-47.0991	-66.8741	2035-1	0.5
2035	1.	SLV_ENV	Min	-55.1593	-78.4927	2035-1	1.
2036	0.	SLU_ENV	Max	-1.3329	3.1987	2036-1	0.
2036	0.5	SLU_ENV	Max	-1.3422	3.7465	2036-1	0.5
2036	1.	SLU_ENV	Max	-1.3516	4.2942	2036-1	1.
2036	0.	SLU_ENV	Min	-4.1646	0.1488	2036-1	0.
2036	0.5	SLU_ENV	Min	-4.4943	0.159	2036-1	0.5
2036	1.	SLU_ENV	Min	-4.8241	0.1692	2036-1	1.
2036	0.	SLV_ENV	Max	52.1176	79.6832	2036-1	0.
2036	0.5	SLV_ENV	Max	61.6672	93.5096	2036-1	0.5
2036	1.	SLV_ENV	Max	71.2264	107.3475	2036-1	1.
2036	0.	SLV_ENV	Min	-55.1593	-78.4927	2036-1	0.
2036	0.5	SLV_ENV	Min	-64.7298	-92.3284	2036-1	0.5
2036	1.	SLV_ENV	Min	-74.3099	-106.1757	2036-1	1.
2037	0.	SLU_ENV	Max	-1.3516	4.2942	2037-1	0.
2037	0.5	SLU_ENV	Max	-1.2969	4.9085	2037-1	0.5
2037	1.	SLU_ENV	Max	-1.2422	5.5228	2037-1	1.
2037	0.	SLU_ENV	Min	-4.8241	0.1692	2037-1	0.
2037	0.5	SLU_ENV	Min	-5.0805	0.1482	2037-1	0.5
2037	1.	SLU_ENV	Min	-5.3369	0.1273	2037-1	1.

Table: Element Forces - Frames, Part 2 of 2

Frame	Station m	OutputCase	StepType	M		FrameElem	ElemStation m
				M2 KN-m	M3 KN-m		
2037	0.	SLV_ENV	Max	71.2264	107.3475	2037-1	0.
2037	0.5	SLV_ENV	Max	82.2499	123.0761	2037-1	0.5
2037	1.	SLV_ENV	Max	93.2825	138.8163	2037-1	1.
2037	0.	SLV_ENV	Min	-74.3099	-106.1757	2037-1	0.
2037	0.5	SLV_ENV	Min	-85.2093	-121.9779	2037-1	0.5
2037	1.	SLV_ENV	Min	-96.1176	-137.7916	2037-1	1.
2038	0.	SLU_ENV	Max	-1.2422	5.5228	2038-1	0.
2038	0.5	SLU_ENV	Max	-1.0973	6.1759	2038-1	0.5
2038	1.	SLU_ENV	Max	-0.9524	6.8291	2038-1	1.
2038	0.	SLU_ENV	Min	-5.3369	0.1273	2038-1	0.
2038	0.5	SLU_ENV	Min	-5.458	0.0551	2038-1	0.5
2038	1.	SLU_ENV	Min	-5.579	-0.0172	2038-1	1.
2038	0.	SLV_ENV	Max	93.2825	138.8163	2038-1	0.
2038	0.5	SLV_ENV	Max	105.4427	155.868	2038-1	0.5
2038	1.	SLV_ENV	Max	117.6124	172.9323	2038-1	1.
2038	0.	SLV_ENV	Min	-96.1176	-137.7916	2038-1	0.
2038	0.5	SLV_ENV	Min	-107.9495	-155.0051	2038-1	0.5
2038	1.	SLV_ENV	Min	-119.7909	-172.2312	2038-1	1.
2039	0.	SLU_ENV	Max	-0.9524	6.8291	2039-1	0.
2039	0.5	SLU_ENV	Max	-0.6855	7.6299	2039-1	0.5
2039	1.	SLU_ENV	Max	-0.4186	8.4306	2039-1	1.
2039	0.	SLU_ENV	Min	-5.579	-0.0172	2039-1	0.
2039	0.5	SLU_ENV	Min	-5.4884	-0.1748	2039-1	0.5
2039	1.	SLU_ENV	Min	-5.3978	-0.3325	2039-1	1.
2039	0.	SLV_ENV	Max	117.6124	172.9323	2039-1	0.
2039	0.5	SLV_ENV	Max	130.3172	190.3451	2039-1	0.5
2039	1.	SLV_ENV	Max	143.0332	207.7733	2039-1	1.
2039	0.	SLV_ENV	Min	-119.7909	-172.2312	2039-1	0.
2039	0.5	SLV_ENV	Min	-131.8952	-189.9216	2039-1	0.5
2039	1.	SLV_ENV	Min	-144.0107	-207.6273	2039-1	1.
2040	0.	SLU_ENV	Max	-0.4186	8.4306	2040-1	0.
2040	0.5	SLU_ENV	Max	0.0777	9.2225	2040-1	0.5
2040	1.	SLU_ENV	Max	0.7643	10.0331	2040-1	1.
2040	0.	SLU_ENV	Min	-5.3978	-0.3325	2040-1	0.
2040	0.5	SLU_ENV	Min	-5.0904	-0.6137	2040-1	0.5
2040	1.	SLU_ENV	Min	-4.9732	-0.9137	2040-1	1.
2040	0.	SLV_ENV	Max	143.0332	207.7733	2040-1	0.
2040	0.5	SLV_ENV	Max	155.3688	224.1094	2040-1	0.5
2040	1.	SLV_ENV	Max	167.72	240.4662	2040-1	1.
2040	0.	SLV_ENV	Min	-144.0107	-207.6273	2040-1	0.
2040	0.5	SLV_ENV	Min	-155.3983	-224.3865	2040-1	0.5
2040	1.	SLV_ENV	Min	-166.8016	-241.1663	2040-1	1.
2041	0.	SLU_ENV	Max	0.7643	10.0331	2041-1	0.
2041	0.5	SLU_ENV	Max	1.8172	10.7764	2041-1	0.5
2041	1.	SLU_ENV	Max	2.8701	11.5197	2041-1	1.
2041	0.	SLU_ENV	Min	-4.9732	-0.9137	2041-1	0.
2041	0.5	SLU_ENV	Min	-4.6019	-1.3472	2041-1	0.5
2041	1.	SLU_ENV	Min	-4.2306	-1.7806	2041-1	1.
2041	0.	SLV_ENV	Max	167.72	240.4662	2041-1	0.
2041	0.5	SLV_ENV	Max	178.3852	253.7195	2041-1	0.5
2041	1.	SLV_ENV	Max	189.0786	267.0045	2041-1	1.
2041	0.	SLV_ENV	Min	-166.8016	-241.1663	2041-1	0.
2041	0.5	SLV_ENV	Min	-176.0932	-255.0184	2041-1	0.5
2041	1.	SLV_ENV	Min	-185.4131	-268.9022	2041-1	1.

Table: Element Forces - Frames, Part 2 of 2

Frame	Station m	OutputCase	StepType	M		FrameElem	ElemStation m
				M2 KN-m	M3 KN-m		
2042	0.	SLU_ENV	Max	2.8701	11.5197	2042-1	0.
2042	0.5	SLU_ENV	Max	4.4321	12.0722	2042-1	0.5
2042	1.	SLU_ENV	Max	5.9941	12.6246	2042-1	1.
2042	0.	SLU_ENV	Min	-4.2306	-1.7806	2042-1	0.
2042	0.5	SLU_ENV	Min	-3.5249	-2.3415	2042-1	0.5
2042	1.	SLU_ENV	Min	-2.8192	-2.9023	2042-1	1.
2042	0.	SLV_ENV	Max	189.0786	267.0045	2042-1	0.
2042	0.5	SLV_ENV	Max	196.3397	274.5216	2042-1	0.5
2042	1.	SLV_ENV	Max	203.6803	282.0952	2042-1	1.
2042	0.	SLV_ENV	Min	-185.4131	-268.9022	2042-1	0.
2042	0.5	SLV_ENV	Min	-190.7995	-277.2217	2042-1	0.5
2042	1.	SLV_ENV	Min	-196.2654	-285.5977	2042-1	1.
2043	0.	SLU_ENV	Max	5.9941	12.6246	2043-1	0.
2043	0.5	SLU_ENV	Max	8.0356	12.8288	2043-1	0.5
2043	1.	SLU_ENV	Max	10.0771	13.0331	2043-1	1.
2043	0.	SLU_ENV	Min	-2.8192	-2.9023	2043-1	0.
2043	0.5	SLU_ENV	Min	-1.6634	-3.5983	2043-1	0.5
2043	1.	SLU_ENV	Min	-0.5076	-4.2943	2043-1	1.
2043	0.	SLV_ENV	Max	203.6803	282.0952	2043-1	0.
2043	0.5	SLV_ENV	Max	205.4591	280.5332	2043-1	0.5
2043	1.	SLV_ENV	Max	207.5816	279.0837	2043-1	1.
2043	0.	SLV_ENV	Min	-196.2654	-285.5977	2043-1	0.
2043	0.5	SLV_ENV	Min	-195.605	-285.0635	2043-1	0.5
2043	1.	SLV_ENV	Min	-195.2883	-284.6419	2043-1	1.
2044	0.	SLU_ENV	Max	10.0771	13.0331	2044-1	0.
2044	0.5	SLU_ENV	Max	12.6697	12.6962	2044-1	0.5
2044	1.	SLU_ENV	Max	15.2623	12.3593	2044-1	1.
2044	0.	SLU_ENV	Min	-0.5076	-4.2943	2044-1	0.
2044	0.5	SLU_ENV	Min	1.2305	-5.1239	2044-1	0.5
2044	1.	SLU_ENV	Min	2.9687	-5.9535	2044-1	1.
2044	0.	SLV_ENV	Max	207.5816	279.0837	2044-1	0.
2044	0.5	SLV_ENV	Max	201.8466	264.4347	2044-1	0.5
2044	1.	SLV_ENV	Max	196.535	250.0099	2044-1	1.
2044	0.	SLV_ENV	Min	-195.2883	-284.6419	2044-1	0.
2044	0.5	SLV_ENV	Min	-186.5101	-271.2567	2044-1	0.5
2044	1.	SLV_ENV	Min	-178.1552	-258.0956	2044-1	1.
2045	0.	SLU_ENV	Max	15.2623	12.3593	2045-1	0.
2045	0.5	SLU_ENV	Max	18.5662	11.246	2045-1	0.5
2045	1.	SLU_ENV	Max	21.87	10.1327	2045-1	1.
2045	0.	SLU_ENV	Min	2.9687	-5.9535	2045-1	0.
2045	0.5	SLU_ENV	Min	5.3992	-6.9356	2045-1	0.5
2045	1.	SLU_ENV	Min	7.8298	-7.9177	2045-1	1.
2045	0.	SLV_ENV	Max	196.535	250.0099	2045-1	0.
2045	0.5	SLV_ENV	Max	180.061	217.7456	2045-1	0.5
2045	1.	SLV_ENV	Max	163.9097	186.0619	2045-1	1.
2045	0.	SLV_ENV	Min	-178.1552	-258.0956	2045-1	0.
2045	0.5	SLV_ENV	Min	-158.0343	-227.3234	2045-1	0.5
2045	1.	SLV_ENV	Min	-138.2361	-197.1318	2045-1	1.
2046	0.	SLU_ENV	Max	21.87	10.1327	2046-1	0.
2046	0.5	SLU_ENV	Max	25.7526	7.9678	2046-1	0.5
2046	1.	SLU_ENV	Max	29.6353	5.8029	2046-1	1.
2046	0.	SLU_ENV	Min	7.8298	-7.9177	2046-1	0.
2046	0.5	SLU_ENV	Min	11.0508	-9.0146	2046-1	0.5
2046	1.	SLU_ENV	Min	14.2719	-10.1115	2046-1	1.

Table: Element Forces - Frames, Part 2 of 2

Frame	Station m	OutputCase	StepType	M		FrameElem	ElemStation m
				M2 KN-m	M3 KN-m		
2046	0.	SLV_ENV	Max	163.9097	186.0619	2046-1	0.
2046	0.5	SLV_ENV	Max	133.2636	132.5306	2046-1	0.5
2046	1.	SLV_ENV	Max	104.3254	84.0837	2046-1	1.
2046	0.	SLV_ENV	Min	-138.2361	-197.1318	2046-1	0.
2046	0.5	SLV_ENV	Min	-103.3994	-145.2872	2046-1	0.5
2046	1.	SLV_ENV	Min	-70.2706	-98.527	2046-1	1.
2047	0.	SLU_ENV	Max	29.6353	5.8029	2047-1	0.
2047	0.5	SLU_ENV	Max	33.9836	2.2783	2047-1	0.5
2047	1.	SLU_ENV	Max	39.6166	0.8899	2047-1	1.
2047	0.	SLU_ENV	Min	14.2719	-10.1115	2047-1	0.
2047	0.5	SLU_ENV	Min	16.7026	-11.2723	2047-1	0.5
2047	1.	SLU_ENV	Min	18.8111	-12.433	2047-1	1.
2047	0.	SLV_ENV	Max	104.3254	84.0837	2047-1	0.
2047	0.5	SLV_ENV	Max	75.2932	54.9579	2047-1	0.5
2047	1.	SLV_ENV	Max	95.2753	116.0978	2047-1	1.
2047	0.	SLV_ENV	Min	-70.2706	-98.527	2047-1	0.
2047	0.5	SLV_ENV	Min	-36.647	-71.2128	2047-1	0.5
2047	1.	SLV_ENV	Min	-52.0377	-134.1645	2047-1	1.
2048	0.	SLU_ENV	Max	39.6166	0.8899	2048-1	0.
2048	0.5	SLU_ENV	Max	46.6957	0.4896	2048-1	0.5
2048	1.	SLU_ENV	Max	53.7747	0.0893	2048-1	1.
2048	0.	SLU_ENV	Min	18.8111	-12.433	2048-1	0.
2048	0.5	SLU_ENV	Min	20.9525	-17.4793	2048-1	0.5
2048	1.	SLU_ENV	Min	23.094	-23.3467	2048-1	1.
2048	0.	SLV_ENV	Max	95.2753	116.0978	2048-1	0.
2048	0.5	SLV_ENV	Max	172.0989	232.2062	2048-1	0.5
2048	1.	SLV_ENV	Max	256.3576	353.5758	2048-1	1.
2048	0.	SLV_ENV	Min	-52.0377	-134.1645	2048-1	0.
2048	0.5	SLV_ENV	Min	-124.1225	-252.0931	2048-1	0.5
2048	1.	SLV_ENV	Min	-203.6425	-375.2831	2048-1	1.
2049	0.	SLU_ENV	Max	53.7747	0.0893	2049-1	0.
2049	0.5	SLU_ENV	Max	61.716	-0.4909	2049-1	0.5
2049	1.	SLU_ENV	Max	69.6572	-1.071	2049-1	1.
2049	0.	SLU_ENV	Min	23.094	-23.3467	2049-1	0.
2049	0.5	SLU_ENV	Min	25.0636	-31.1725	2049-1	0.5
2049	1.	SLU_ENV	Min	27.0331	-38.9984	2049-1	1.
2049	0.	SLV_ENV	Max	256.3576	353.5758	2049-1	0.
2049	0.5	SLV_ENV	Max	371.2655	518.6071	2049-1	0.5
2049	1.	SLV_ENV	Max	487.0251	684.5623	2049-1	1.
2049	0.	SLV_ENV	Min	-203.6425	-375.2831	2049-1	0.
2049	0.5	SLV_ENV	Min	-314.0576	-541.9684	2049-1	0.5
2049	1.	SLV_ENV	Min	-425.3245	-709.5776	2049-1	1.
2050	0.	SLU_ENV	Max	69.6572	-1.071	2050-1	0.
2050	0.5	SLU_ENV	Max	78.1063	-1.8001	2050-1	0.5
2050	1.	SLU_ENV	Max	86.5554	-2.5291	2050-1	1.
2050	0.	SLU_ENV	Min	27.0331	-38.9984	2050-1	0.
2050	0.5	SLU_ENV	Min	28.6484	-48.8211	2050-1	0.5
2050	1.	SLU_ENV	Min	30.2636	-58.6438	2050-1	1.
2050	0.	SLV_ENV	Max	487.0251	684.5623	2050-1	0.
2050	0.5	SLV_ENV	Max	636.1343	898.8441	2050-1	0.5
2050	1.	SLV_ENV	Max	785.5477	1113.5181	2050-1	1.
2050	0.	SLV_ENV	Min	-425.3245	-709.5776	2050-1	0.
2050	0.5	SLV_ENV	Min	-570.7511	-925.1019	2050-1	0.5
2050	1.	SLV_ENV	Min	-716.4818	-1141.0184	2050-1	1.

Table: Element Forces - Frames, Part 2 of 2

Frame	Station m	OutputCase	StepType	M		FrameElem	ElemStation m
				M2 KN-m	M3 KN-m		
2051	0.	SLU_ENV	Max	1.199E-15	3.747E-17	2051-1	0.
2051	0.5	SLU_ENV	Max	-0.0038	0.0204	2051-1	0.5
2051	1.	SLU_ENV	Max	-0.0076	0.0408	2051-1	1.
2051	0.	SLU_ENV	Min	0.	-2.398E-15	2051-1	0.
2051	0.5	SLU_ENV	Min	-0.0288	-0.0123	2051-1	0.5
2051	1.	SLU_ENV	Min	-0.0575	-0.0246	2051-1	1.
2051	0.	SLV_ENV	Max	7.920E-14	6.447E-14	2051-1	0.
2051	0.5	SLV_ENV	Max	0.3314	0.4465	2051-1	0.5
2051	1.	SLV_ENV	Max	0.6629	0.8931	2051-1	1.
2051	0.	SLV_ENV	Min	-7.876E-14	-6.441E-14	2051-1	0.
2051	0.5	SLV_ENV	Min	-0.3661	-0.4178	2051-1	0.5
2051	1.	SLV_ENV	Min	-0.7323	-0.8356	2051-1	1.
2052	0.	SLU_ENV	Max	-0.0076	0.0408	2052-1	0.
2052	0.5	SLU_ENV	Max	-0.0241	0.0873	2052-1	0.5
2052	1.	SLU_ENV	Max	-0.0406	0.1337	2052-1	1.
2052	0.	SLU_ENV	Min	-0.0575	-0.0246	2052-1	0.
2052	0.5	SLU_ENV	Min	-0.1179	-0.0312	2052-1	0.5
2052	1.	SLU_ENV	Min	-0.1784	-0.0379	2052-1	1.
2052	0.	SLV_ENV	Max	0.6629	0.8931	2052-1	0.
2052	0.5	SLV_ENV	Max	1.0807	1.4821	2052-1	0.5
2052	1.	SLV_ENV	Max	1.4995	2.0718	2052-1	1.
2052	0.	SLV_ENV	Min	-0.7323	-0.8356	2052-1	0.
2052	0.5	SLV_ENV	Min	-1.2215	-1.3581	2052-1	0.5
2052	1.	SLV_ENV	Min	-1.7118	-1.8813	2052-1	1.
2053	0.	SLU_ENV	Max	-0.0406	0.1337	2053-1	0.
2053	0.5	SLU_ENV	Max	-0.0784	0.2115	2053-1	0.5
2053	1.	SLU_ENV	Max	-0.1162	0.2894	2053-1	1.
2053	0.	SLU_ENV	Min	-0.1784	-0.0379	2053-1	0.
2053	0.5	SLU_ENV	Min	-0.2731	-0.0207	2053-1	0.5
2053	1.	SLU_ENV	Min	-0.3678	-0.0036	2053-1	1.
2053	0.	SLV_ENV	Max	1.4995	2.0718	2053-1	0.
2053	0.5	SLV_ENV	Max	1.7941	2.5346	2053-1	0.5
2053	1.	SLV_ENV	Max	2.0951	3.0014	2053-1	1.
2053	0.	SLV_ENV	Min	-1.7118	-1.8813	2053-1	0.
2053	0.5	SLV_ENV	Min	-2.1167	-2.231	2053-1	0.5
2053	1.	SLV_ENV	Min	-2.528	-2.5849	2053-1	1.
2054	0.	SLU_ENV	Max	-0.1162	0.2894	2054-1	0.
2054	0.5	SLU_ENV	Max	-0.1837	0.4036	2054-1	0.5
2054	1.	SLU_ENV	Max	-0.2512	0.5179	2054-1	1.
2054	0.	SLU_ENV	Min	-0.3678	-0.0036	2054-1	0.
2054	0.5	SLU_ENV	Min	-0.499	0.0556	2054-1	0.5
2054	1.	SLU_ENV	Min	-0.6302	0.1147	2054-1	1.
2054	0.	SLV_ENV	Max	2.0951	3.0014	2054-1	0.
2054	0.5	SLV_ENV	Max	2.0914	3.0872	2054-1	0.5
2054	1.	SLV_ENV	Max	2.1305	3.1997	2054-1	1.
2054	0.	SLV_ENV	Min	-2.528	-2.5849	2054-1	0.
2054	0.5	SLV_ENV	Min	-2.6744	-2.503	2054-1	0.5
2054	1.	SLV_ENV	Min	-2.8637	-2.4478	2054-1	1.
2055	0.	SLU_ENV	Max	-0.2512	0.5179	2055-1	0.
2055	0.5	SLU_ENV	Max	-0.3565	0.6727	2055-1	0.5
2055	1.	SLU_ENV	Max	-0.4617	0.8274	2055-1	1.
2055	0.	SLU_ENV	Min	-0.6302	0.1147	2055-1	0.
2055	0.5	SLU_ENV	Min	-0.7988	0.234	2055-1	0.5
2055	1.	SLU_ENV	Min	-0.9673	0.3533	2055-1	1.

Table: Element Forces - Frames, Part 2 of 2

Frame	Station m	OutputCase	StepType	M		FrameElem	ElemStation m
				M2 KN-m	M3 KN-m		
2055	0.	SLV_ENV	Max	2.1305	3.1997	2055-1	0.
2055	0.5	SLV_ENV	Max	1.9076	2.8164	2055-1	0.5
2055	1.	SLV_ENV	Max	2.1807	2.7451	2055-1	1.
2055	0.	SLV_ENV	Min	-2.8637	-2.4478	2055-1	0.
2055	0.5	SLV_ENV	Min	-2.8309	-1.8353	2055-1	0.5
2055	1.	SLV_ENV	Min	-3.2939	-1.5348	2055-1	1.
2056	0.	SLU_ENV	Max	-0.4617	0.8274	2056-1	0.
2056	0.5	SLU_ENV	Max	-0.5907	1.0251	2056-1	0.5
2056	1.	SLU_ENV	Max	-0.6933	1.2227	2056-1	1.
2056	0.	SLU_ENV	Min	-0.9673	0.3533	2056-1	0.
2056	0.5	SLU_ENV	Min	-1.1721	0.5506	2056-1	0.5
2056	1.	SLU_ENV	Min	-1.3769	0.7479	2056-1	1.
2056	0.	SLV_ENV	Max	2.1807	2.7451	2056-1	0.
2056	0.5	SLV_ENV	Max	2.9297	3.4952	2056-1	0.5
2056	1.	SLV_ENV	Max	4.2718	5.2284	2056-1	1.
2056	0.	SLV_ENV	Min	-3.2939	-1.5348	2056-1	0.
2056	0.5	SLV_ENV	Min	-4.2701	-1.9899	2056-1	0.5
2056	1.	SLV_ENV	Min	-5.8394	-3.428	2056-1	1.
2057	0.	SLU_ENV	Max	-0.6933	1.2227	2057-1	0.
2057	0.5	SLU_ENV	Max	-0.8105	1.4769	2057-1	0.5
2057	1.	SLU_ENV	Max	-0.9278	1.7785	2057-1	1.
2057	0.	SLU_ENV	Min	-1.3769	0.7479	2057-1	0.
2057	0.5	SLU_ENV	Min	-1.6681	1.0294	2057-1	0.5
2057	1.	SLU_ENV	Min	-1.9726	1.2561	2057-1	1.
2057	0.	SLV_ENV	Max	4.2718	5.2284	2057-1	0.
2057	0.5	SLV_ENV	Max	6.6849	8.4854	2057-1	0.5
2057	1.	SLV_ENV	Max	9.2627	11.9164	2057-1	1.
2057	0.	SLV_ENV	Min	-5.8394	-3.428	2057-1	0.
2057	0.5	SLV_ENV	Min	-8.5109	-6.3236	2057-1	0.5
2057	1.	SLV_ENV	Min	-11.347	-9.3933	2057-1	1.
2058	0.	SLU_ENV	Max	-0.9278	1.7785	2058-1	0.
2058	0.5	SLU_ENV	Max	-1.0535	2.2586	2058-1	0.5
2058	1.	SLU_ENV	Max	-1.1792	2.7388	2058-1	1.
2058	0.	SLU_ENV	Min	-1.9726	1.2561	2058-1	0.
2058	0.5	SLU_ENV	Min	-2.3413	1.4559	2058-1	0.5
2058	1.	SLU_ENV	Min	-2.71	1.6558	2058-1	1.
2058	0.	SLV_ENV	Max	9.2627	11.9164	2058-1	0.
2058	0.5	SLV_ENV	Max	13.1589	17.0433	2058-1	0.5
2058	1.	SLV_ENV	Max	17.1335	22.2202	2058-1	1.
2058	0.	SLV_ENV	Min	-11.347	-9.3933	2058-1	0.
2058	0.5	SLV_ENV	Min	-15.5213	-14.0978	2058-1	0.5
2058	1.	SLV_ENV	Min	-19.774	-18.8523	2058-1	1.
2059	0.	SLU_ENV	Max	-1.1792	2.7388	2059-1	0.
2059	0.5	SLU_ENV	Max	-1.3053	3.3491	2059-1	0.5
2059	1.	SLU_ENV	Max	-1.4314	3.9594	2059-1	1.
2059	0.	SLU_ENV	Min	-2.71	1.6558	2059-1	0.
2059	0.5	SLU_ENV	Min	-3.1361	1.8727	2059-1	0.5
2059	1.	SLU_ENV	Min	-3.5622	2.0896	2059-1	1.
2059	0.	SLV_ENV	Max	17.1335	22.2202	2059-1	0.
2059	0.5	SLV_ENV	Max	22.6426	29.3444	2059-1	0.5
2059	1.	SLV_ENV	Max	28.1915	36.4927	2059-1	1.
2059	0.	SLV_ENV	Min	-19.774	-18.8523	2059-1	0.
2059	0.5	SLV_ENV	Min	-25.5631	-25.5067	2059-1	0.5
2059	1.	SLV_ENV	Min	-31.392	-32.1852	2059-1	1.

Table: Element Forces - Frames, Part 2 of 2

Frame	Station m	OutputCase	StepType	M		FrameElem	ElemStation m
				M2 KN-m	M3 KN-m		
2060	0.	SLU_ENV	Max	-1.4314	3.9594	2060-1	0.
2060	0.5	SLU_ENV	Max	-1.547	4.6987	2060-1	0.5
2060	1.	SLU_ENV	Max	-1.6626	5.438	2060-1	1.
2060	0.	SLU_ENV	Min	-3.5622	2.0896	2060-1	0.
2060	0.5	SLU_ENV	Min	-4.0301	2.3109	2060-1	0.5
2060	1.	SLU_ENV	Min	-4.4979	2.5323	2060-1	1.
2060	0.	SLV_ENV	Max	28.1915	36.4927	2060-1	0.
2060	0.5	SLV_ENV	Max	35.4462	45.7883	2060-1	0.5
2060	1.	SLV_ENV	Max	42.7256	55.0995	2060-1	1.
2060	0.	SLV_ENV	Min	-31.392	-32.1852	2060-1	0.
2060	0.5	SLV_ENV	Min	-38.9021	-40.9881	2060-1	0.5
2060	1.	SLV_ENV	Min	-46.4368	-49.8066	2060-1	1.
2061	0.	SLU_ENV	Max	-1.6626	5.438	2061-1	0.
2061	0.5	SLU_ENV	Max	-1.7513	6.2926	2061-1	0.5
2061	1.	SLU_ENV	Max	-1.84	7.1472	2061-1	1.
2061	0.	SLU_ENV	Min	-4.4979	2.5323	2061-1	0.
2061	0.5	SLU_ENV	Min	-4.9803	2.7382	2061-1	0.5
2061	1.	SLU_ENV	Min	-5.4627	2.944	2061-1	1.
2061	0.	SLV_ENV	Max	42.7256	55.0995	2061-1	0.
2061	0.5	SLV_ENV	Max	51.8093	66.6584	2061-1	0.5
2061	1.	SLV_ENV	Max	60.9112	78.2294	2061-1	1.
2061	0.	SLV_ENV	Min	-46.4368	-49.8066	2061-1	0.
2061	0.5	SLV_ENV	Min	-55.7142	-60.8882	2061-1	0.5
2061	1.	SLV_ENV	Min	-65.0098	-71.982	2061-1	1.
2062	0.	SLU_ENV	Max	-1.84	7.1472	2062-1	0.
2062	0.5	SLU_ENV	Max	-1.8798	8.0859	2062-1	0.5
2062	1.	SLU_ENV	Max	-1.9196	9.0246	2062-1	1.
2062	0.	SLU_ENV	Min	-5.4627	2.944	2062-1	0.
2062	0.5	SLU_ENV	Min	-5.9178	3.1063	2062-1	0.5
2062	1.	SLU_ENV	Min	-6.373	3.2685	2062-1	1.
2062	0.	SLV_ENV	Max	60.9112	78.2294	2062-1	0.
2062	0.5	SLV_ENV	Max	71.8022	91.9962	2062-1	0.5
2062	1.	SLV_ENV	Max	82.7086	105.7738	2062-1	1.
2062	0.	SLV_ENV	Min	-65.0098	-71.982	2062-1	0.
2062	0.5	SLV_ENV	Min	-75.9841	-85.3424	2062-1	0.5
2062	1.	SLV_ENV	Min	-86.9738	-98.7137	2062-1	1.
2063	0.	SLU_ENV	Max	-1.9196	9.0246	2063-1	0.
2063	0.5	SLU_ENV	Max	-1.8827	9.9929	2063-1	0.5
2063	1.	SLU_ENV	Max	-1.8458	10.9612	2063-1	1.
2063	0.	SLU_ENV	Min	-6.373	3.2685	2063-1	0.
2063	0.5	SLU_ENV	Min	-6.7414	3.3494	2063-1	0.5
2063	1.	SLU_ENV	Min	-7.1098	3.4303	2063-1	1.
2063	0.	SLV_ENV	Max	82.7086	105.7738	2063-1	0.
2063	0.5	SLV_ENV	Max	95.2252	121.4778	2063-1	0.5
2063	1.	SLV_ENV	Max	107.7565	137.1927	2063-1	1.
2063	0.	SLV_ENV	Min	-86.9738	-98.7137	2063-1	0.
2063	0.5	SLV_ENV	Min	-99.4009	-114.1582	2063-1	0.5
2063	1.	SLV_ENV	Min	-111.8428	-129.6136	2063-1	1.
2064	0.	SLU_ENV	Max	-1.8458	10.9612	2064-1	0.
2064	0.5	SLU_ENV	Max	-1.6984	11.8755	2064-1	0.5
2064	1.	SLU_ENV	Max	-1.551	12.7897	2064-1	1.
2064	0.	SLU_ENV	Min	-7.1098	3.4303	2064-1	0.
2064	0.5	SLU_ENV	Min	-7.3114	3.3815	2064-1	0.5
2064	1.	SLU_ENV	Min	-7.513	3.3327	2064-1	1.

Table: Element Forces - Frames, Part 2 of 2

Frame	Station m	OutputCase	StepType	M		FrameElem	ElemStation m
				M2 KN-m	M3 KN-m		
2064	0.	SLV_ENV	Max	107.7565	137.1927	2064-1	0.
2064	0.5	SLV_ENV	Max	121.4952	154.2711	2064-1	0.5
2064	1.	SLV_ENV	Max	135.2494	171.3616	2064-1	1.
2064	0.	SLV_ENV	Min	-111.8428	-129.6136	2064-1	0.
2064	0.5	SLV_ENV	Min	-125.2432	-146.6778	2064-1	0.5
2064	1.	SLV_ENV	Min	-138.6593	-163.7542	2064-1	1.
2065	0.	SLU_ENV	Max	-1.551	12.7897	2065-1	0.
2065	0.5	SLU_ENV	Max	-1.2531	13.5307	2065-1	0.5
2065	1.	SLU_ENV	Max	-0.9551	14.2718	2065-1	1.
2065	0.	SLU_ENV	Min	-7.513	3.3327	2065-1	0.
2065	0.5	SLU_ENV	Min	-7.4527	3.0949	2065-1	0.5
2065	1.	SLU_ENV	Min	-7.3925	2.8571	2065-1	1.
2065	0.	SLV_ENV	Max	135.2494	171.3616	2065-1	0.
2065	0.5	SLV_ENV	Max	149.5157	188.8717	2065-1	0.5
2065	1.	SLV_ENV	Max	163.8007	206.3966	2065-1	1.
2065	0.	SLV_ENV	Min	-138.6593	-163.7542	2065-1	0.
2065	0.5	SLV_ENV	Min	-152.2495	-181.6188	2065-1	0.5
2065	1.	SLV_ENV	Min	-165.8583	-199.4982	2065-1	1.
2066	0.	SLU_ENV	Max	-0.9551	14.2718	2066-1	0.
2066	0.5	SLU_ENV	Max	-0.4242	14.679	2066-1	0.5
2066	1.	SLU_ENV	Max	0.2746	15.0862	2066-1	1.
2066	0.	SLU_ENV	Min	-7.3925	2.8571	2066-1	0.
2066	0.5	SLU_ENV	Min	-6.9904	2.3601	2066-1	0.5
2066	1.	SLU_ENV	Min	-6.7562	1.863	2066-1	1.
2066	0.	SLV_ENV	Max	163.8007	206.3966	2066-1	0.
2066	0.5	SLV_ENV	Max	177.5355	222.9223	2066-1	0.5
2066	1.	SLV_ENV	Max	191.2961	239.4685	2066-1	1.
2066	0.	SLV_ENV	Min	-165.8583	-199.4982	2066-1	0.
2066	0.5	SLV_ENV	Min	-178.4787	-216.895	2066-1	0.5
2066	1.	SLV_ENV	Min	-191.1248	-234.3121	2066-1	1.
2067	0.	SLU_ENV	Max	0.2746	15.0862	2067-1	0.
2067	0.5	SLU_ENV	Max	1.5072	14.9528	2067-1	0.5
2067	1.	SLU_ENV	Max	2.7397	14.8194	2067-1	1.
2067	0.	SLU_ENV	Min	-6.7562	1.863	2067-1	0.
2067	0.5	SLU_ENV	Min	-6.2691	1.0273	2067-1	0.5
2067	1.	SLU_ENV	Min	-5.7819	0.1916	2067-1	1.
2067	0.	SLV_ENV	Max	191.2961	239.4685	2067-1	0.
2067	0.5	SLV_ENV	Max	203.004	253.0277	2067-1	0.5
2067	1.	SLV_ENV	Max	214.7549	266.6181	2067-1	1.
2067	0.	SLV_ENV	Min	-191.1248	-234.3121	2067-1	0.
2067	0.5	SLV_ENV	Min	-201.1731	-249.429	2067-1	0.5
2067	1.	SLV_ENV	Min	-211.2643	-264.577	2067-1	1.
2068	0.	SLU_ENV	Max	2.7397	14.8194	2068-1	0.
2068	0.5	SLU_ENV	Max	4.6131	13.8896	2068-1	0.5
2068	1.	SLU_ENV	Max	6.4865	13.0689	2068-1	1.
2068	0.	SLU_ENV	Min	-5.7819	0.1916	2068-1	0.
2068	0.5	SLU_ENV	Min	-4.8542	-1.0683	2068-1	0.5
2068	1.	SLU_ENV	Min	-3.9265	-2.4373	2068-1	1.
2068	0.	SLV_ENV	Max	214.7549	266.6181	2068-1	0.
2068	0.5	SLV_ENV	Max	222.4541	274.5805	2068-1	0.5
2068	1.	SLV_ENV	Max	230.2505	282.595	2068-1	1.
2068	0.	SLV_ENV	Min	-211.2643	-264.577	2068-1	0.
2068	0.5	SLV_ENV	Min	-216.6523	-274.9705	2068-1	0.5
2068	1.	SLV_ENV	Min	-222.1374	-285.4163	2068-1	1.

Table: Element Forces - Frames, Part 2 of 2

Frame	Station m	OutputCase	StepType	M		FrameElem	ElemStation m
				M2 KN-m	M3 KN-m		
2069	0.	SLU_ENV	Max	6.4865	13.0689	2069-1	0.
2069	0.5	SLU_ENV	Max	9.0033	11.6459	2069-1	0.5
2069	1.	SLU_ENV	Max	11.5201	10.2229	2069-1	1.
2069	0.	SLU_ENV	Min	-3.9265	-2.4373	2069-1	0.
2069	0.5	SLU_ENV	Min	-2.3931	-4.8142	2069-1	0.5
2069	1.	SLU_ENV	Min	-0.8598	-7.1912	2069-1	1.
2069	0.	SLV_ENV	Max	230.2505	282.595	2069-1	0.
2069	0.5	SLV_ENV	Max	231.5267	281.6271	2069-1	0.5
2069	1.	SLV_ENV	Max	233.1056	280.75	2069-1	1.
2069	0.	SLV_ENV	Min	-222.1374	-285.4163	2069-1	0.
2069	0.5	SLV_ENV	Min	-220.3556	-287.9466	2069-1	0.5
2069	1.	SLV_ENV	Min	-218.8765	-290.5678	2069-1	1.
2070	0.	SLU_ENV	Max	11.5201	10.2229	2070-1	0.
2070	0.5	SLU_ENV	Max	14.9578	7.59	2070-1	0.5
2070	1.	SLU_ENV	Max	18.3955	4.9572	2070-1	1.
2070	0.	SLU_ENV	Min	-0.8598	-7.1912	2070-1	0.
2070	0.5	SLU_ENV	Min	1.4322	-10.3928	2070-1	0.5
2070	1.	SLU_ENV	Min	3.7242	-13.5944	2070-1	1.
2070	0.	SLV_ENV	Max	233.1056	280.75	2070-1	0.
2070	0.5	SLV_ENV	Max	225.4228	266.8025	2070-1	0.5
2070	1.	SLV_ENV	Max	218.2899	253.0138	2070-1	1.
2070	0.	SLV_ENV	Min	-218.8765	-290.5678	2070-1	0.
2070	0.5	SLV_ENV	Min	-207.3201	-281.3699	2070-1	0.5
2070	1.	SLV_ENV	Min	-196.3136	-272.3309	2070-1	1.
2071	0.	SLU_ENV	Max	18.3955	4.9572	2071-1	0.
2071	0.5	SLU_ENV	Max	22.6478	0.7738	2071-1	0.5
2071	1.	SLU_ENV	Max	26.9001	-3.4095	2071-1	1.
2071	0.	SLU_ENV	Min	3.7242	-13.5944	2071-1	0.
2071	0.5	SLU_ENV	Min	6.9046	-17.7141	2071-1	0.5
2071	1.	SLU_ENV	Min	10.085	-21.8338	2071-1	1.
2071	0.	SLV_ENV	Max	218.2899	253.0138	2071-1	0.
2071	0.5	SLV_ENV	Max	198.4859	221.4089	2071-1	0.5
2071	1.	SLV_ENV	Max	179.3783	190.1781	2071-1	1.
2071	0.	SLV_ENV	Min	-196.3136	-272.3309	2071-1	0.
2071	0.5	SLV_ENV	Min	-171.7978	-246.8797	2071-1	0.5
2071	1.	SLV_ENV	Min	-147.9784	-221.8025	2071-1	1.
2072	0.	SLU_ENV	Max	26.9001	-3.4095	2072-1	0.
2072	0.5	SLU_ENV	Max	31.9361	-9.5	2072-1	0.5
2072	1.	SLU_ENV	Max	36.972	-15.5904	2072-1	1.
2072	0.	SLU_ENV	Min	10.085	-21.8338	2072-1	0.
2072	0.5	SLU_ENV	Min	14.3147	-26.9211	2072-1	0.5
2072	1.	SLU_ENV	Min	18.5444	-32.0083	2072-1	1.
2072	0.	SLV_ENV	Max	179.3783	190.1781	2072-1	0.
2072	0.5	SLV_ENV	Max	144.6804	136.4138	2072-1	0.5
2072	1.	SLV_ENV	Max	114.1501	85.1719	2072-1	1.
2072	0.	SLV_ENV	Min	-147.9784	-221.8025	2072-1	0.
2072	0.5	SLV_ENV	Min	-107.7787	-175.6858	2072-1	0.5
2072	1.	SLV_ENV	Min	-71.7468	-132.0915	2072-1	1.
2073	0.	SLU_ENV	Max	36.972	-15.5904	2073-1	0.
2073	0.5	SLU_ENV	Max	42.6843	-23.8364	2073-1	0.5
2073	1.	SLU_ENV	Max	50.4931	-32.0825	2073-1	1.
2073	0.	SLU_ENV	Min	18.5444	-32.0083	2073-1	0.
2073	0.5	SLU_ENV	Min	21.476	-38.1066	2073-1	0.5
2073	1.	SLU_ENV	Min	24.3075	-44.2049	2073-1	1.

Table: Element Forces - Frames, Part 2 of 2

Frame	Station	OutputCase	StepType	M2	M3	FrameElem	ElemStation
				KN-m	KN-m		m
2073	0.	SLV_ENV	Max	114.1501	85.1719	2073-1	0.
2073	0.5	SLV_ENV	Max	93.9806	27.5007	2073-1	0.5
2073	1.	SLV_ENV	Max	137.5792	60.1897	2073-1	1.
2073	0.	SLV_ENV	Min	-71.7468	-132.0915	2073-1	0.
2073	0.5	SLV_ENV	Min	-45.4359	-83.5494	2073-1	0.5
2073	1.	SLV_ENV	Min	-82.893	-125.3675	2073-1	1.
2074	0.	SLU_ENV	Max	50.4931	-32.0825	2074-1	0.
2074	0.5	SLU_ENV	Max	59.823	-37.3877	2074-1	0.5
2074	1.	SLU_ENV	Max	69.1529	-42.3466	2074-1	1.
2074	0.	SLU_ENV	Min	24.3075	-44.2049	2074-1	0.
2074	0.5	SLU_ENV	Min	27.263	-56.6378	2074-1	0.5
2074	1.	SLU_ENV	Min	30.2184	-69.497	2074-1	1.
2074	0.	SLV_ENV	Max	137.5792	60.1897	2074-1	0.
2074	0.5	SLV_ENV	Max	227.4131	163.7524	2074-1	0.5
2074	1.	SLV_ENV	Max	324.5563	274.6713	2074-1	1.
2074	0.	SLV_ENV	Min	-82.893	-125.3675	2074-1	0.
2074	0.5	SLV_ENV	Min	-166.2334	-239.3765	2074-1	0.5
2074	1.	SLV_ENV	Min	-256.8831	-360.7417	2074-1	1.
2075	0.	SLU_ENV	Max	69.1529	-42.3466	2075-1	0.
2075	0.5	SLU_ENV	Max	79.7039	-47.5391	2075-1	0.5
2075	1.	SLU_ENV	Max	90.2549	-52.7316	2075-1	1.
2075	0.	SLU_ENV	Min	30.2184	-69.497	2075-1	0.
2075	0.5	SLU_ENV	Min	33.0986	-85.3421	2075-1	0.5
2075	1.	SLU_ENV	Min	35.9788	-101.1873	2075-1	1.
2075	0.	SLV_ENV	Max	324.5563	274.6713	2075-1	0.
2075	0.5	SLV_ENV	Max	456.6546	428.1631	2075-1	0.5
2075	1.	SLV_ENV	Max	590.4178	582.5929	2075-1	1.
2075	0.	SLV_ENV	Min	-256.8831	-360.7417	2075-1	0.
2075	0.5	SLV_ENV	Min	-382.6002	-525.6213	2075-1	0.5
2075	1.	SLV_ENV	Min	-509.9824	-691.4388	2075-1	1.
2076	0.	SLU_ENV	Max	90.2549	-52.7316	2076-1	0.
2076	0.5	SLU_ENV	Max	101.5936	-57.9025	2076-1	0.5
2076	1.	SLU_ENV	Max	112.9323	-63.0733	2076-1	1.
2076	0.	SLU_ENV	Min	35.9788	-101.1873	2076-1	0.
2076	0.5	SLU_ENV	Min	38.5158	-119.9066	2076-1	0.5
2076	1.	SLU_ENV	Min	41.0527	-138.626	2076-1	1.
2076	0.	SLV_ENV	Max	590.4178	582.5929	2076-1	0.
2076	0.5	SLV_ENV	Max	761.9671	784.5458	2076-1	0.5
2076	1.	SLV_ENV	Max	934.2057	986.8645	2076-1	1.
2076	0.	SLV_ENV	Min	-509.9824	-691.4388	2076-1	0.
2076	0.5	SLV_ENV	Min	-675.9468	-905.0669	2076-1	0.5
2076	1.	SLV_ENV	Min	-842.6007	-1119.0606	2076-1	1.
2115	0.	SLU_ENV	Max	7.674E-14	-2.267E-04	2115-1	0.
2115	0.00481	SLU_ENV	Max	-2.797E-13	1.710E-11	2115-1	0.00481
2115	0.	SLU_ENV	Min	-1.228E-12	-3.061E-04	2115-1	0.
2115	0.00481	SLU_ENV	Min	-1.576E-12	1.267E-11	2115-1	0.00481
2115	0.	SLV_ENV	Max	1.369E-04	-1.370E-04	2115-1	0.
2115	0.00481	SLV_ENV	Max	5.214E-11	4.465E-11	2115-1	0.00481
2115	0.	SLV_ENV	Min	-1.369E-04	-3.164E-04	2115-1	0.
2115	0.00481	SLV_ENV	Min	-5.266E-11	-1.932E-11	2115-1	0.00481
2120	0.	SLU_ENV	Max	7.674E-14	-4.926E-04	2120-1	0.
2120	0.00708	SLU_ENV	Max	7.674E-14	-7.606E-12	2120-1	0.00708
2120	0.	SLU_ENV	Min	-6.139E-13	-6.649E-04	2120-1	0.
2120	0.00708	SLU_ENV	Min	-8.922E-13	-1.056E-11	2120-1	0.00708

Table: Element Forces - Frames, Part 2 of 2

Frame	Station m	OutputCase	StepType	M		FrameElem	ElemStation m
				M2 KN-m	M3 KN-m		
2120	0.	SLV_ENV	Max	3.356E-04	-2.874E-04	2120-1	0.
2120	0.00708	SLV_ENV	Max	1.234E-10	4.584E-11	2120-1	0.00708
2120	0.	SLV_ENV	Min	-3.356E-04	-6.977E-04	2120-1	0.
2120	0.00708	SLV_ENV	Min	-1.233E-10	-6.148E-11	2120-1	0.00708
2130	0.	SLU_ENV	Max	-5.884E-16	2.548E-15	2130-1	0.
2130	0.5	SLU_ENV	Max	-3.831E-05	0.0057	2130-1	0.5
2130	1.	SLU_ENV	Max	-7.662E-05	0.0113	2130-1	1.
2130	0.	SLU_ENV	Min	-1.199E-15	0.	2130-1	0.
2130	0.5	SLU_ENV	Min	-0.0196	-0.0292	2130-1	0.5
2130	1.	SLU_ENV	Min	-0.0392	-0.0584	2130-1	1.
2130	0.	SLV_ENV	Max	9.705E-14	1.132E-13	2130-1	0.
2130	0.5	SLV_ENV	Max	0.2958	0.4079	2130-1	0.5
2130	1.	SLV_ENV	Max	0.5916	0.8159	2130-1	1.
2130	0.	SLV_ENV	Min	-9.883E-14	-1.130E-13	2130-1	0.
2130	0.5	SLV_ENV	Min	-0.3184	-0.4012	2130-1	0.5
2130	1.	SLV_ENV	Min	-0.6369	-0.8024	2130-1	1.
2131	0.	SLU_ENV	Max	-7.662E-05	0.0113	2131-1	0.
2131	0.5	SLU_ENV	Max	-0.0042	0.0199	2131-1	0.5
2131	1.	SLU_ENV	Max	-0.0084	0.0285	2131-1	1.
2131	0.	SLU_ENV	Min	-0.0392	-0.0584	2131-1	0.
2131	0.5	SLU_ENV	Min	-0.0772	-0.1076	2131-1	0.5
2131	1.	SLU_ENV	Min	-0.1151	-0.1569	2131-1	1.
2131	0.	SLV_ENV	Max	0.5916	0.8159	2131-1	0.
2131	0.5	SLV_ENV	Max	0.9679	1.3511	2131-1	0.5
2131	1.	SLV_ENV	Max	1.3448	1.887	2131-1	1.
2131	0.	SLV_ENV	Min	-0.6369	-0.8024	2131-1	0.
2131	0.5	SLV_ENV	Min	-1.056	-1.3291	2131-1	0.5
2131	1.	SLV_ENV	Min	-1.4757	-1.8565	2131-1	1.
2132	0.	SLU_ENV	Max	-0.0084	0.0285	2132-1	0.
2132	0.5	SLU_ENV	Max	-0.0207	0.0372	2132-1	0.5
2132	1.	SLU_ENV	Max	-0.033	0.0459	2132-1	1.
2132	0.	SLU_ENV	Min	-0.1151	-0.1569	2132-1	0.
2132	0.5	SLU_ENV	Min	-0.17	-0.217	2132-1	0.5
2132	1.	SLU_ENV	Min	-0.2249	-0.277	2132-1	1.
2132	0.	SLV_ENV	Max	1.3448	1.887	2132-1	0.
2132	0.5	SLV_ENV	Max	1.614	2.299	2132-1	0.5
2132	1.	SLV_ENV	Max	1.8867	2.7144	2132-1	1.
2132	0.	SLV_ENV	Min	-1.4757	-1.8565	2132-1	0.
2132	0.5	SLV_ENV	Min	-1.8055	-2.2631	2132-1	0.5
2132	1.	SLV_ENV	Min	-2.1388	-2.6731	2132-1	1.
2133	0.	SLU_ENV	Max	-0.033	0.0459	2133-1	0.
2133	0.5	SLU_ENV	Max	-0.0575	0.0518	2133-1	0.5
2133	1.	SLU_ENV	Max	-0.082	0.0578	2133-1	1.
2133	0.	SLU_ENV	Min	-0.2249	-0.277	2133-1	0.
2133	0.5	SLU_ENV	Min	-0.2949	-0.3381	2133-1	0.5
2133	1.	SLU_ENV	Min	-0.3649	-0.3992	2133-1	1.
2133	0.	SLV_ENV	Max	1.8867	2.7144	2133-1	0.
2133	0.5	SLV_ENV	Max	1.8782	2.7659	2133-1	0.5
2133	1.	SLV_ENV	Max	1.8944	2.8374	2133-1	1.
2133	0.	SLV_ENV	Min	-2.1388	-2.6731	2133-1	0.
2133	0.5	SLV_ENV	Min	-2.2058	-2.7275	2133-1	0.5
2133	1.	SLV_ENV	Min	-2.2974	-2.8019	2133-1	1.
2134	0.	SLU_ENV	Max	-0.082	0.0578	2134-1	0.
2134	0.5	SLU_ENV	Max	-0.1225	0.0583	2134-1	0.5

Table: Element Forces - Frames, Part 2 of 2

Frame	Station	OutputCase	StepType	M		FrameElem	ElemStation
				M2	M3		
	m			KN-m	KN-m		m
2134	1.	SLU_ENV	Max	-0.1631	0.0588	2134-1	1.
2134	0.	SLU_ENV	Min	-0.3649	-0.3992	2134-1	0.
2134	0.5	SLU_ENV	Min	-0.4475	-0.4507	2134-1	0.5
2134	1.	SLU_ENV	Min	-0.5302	-0.5021	2134-1	1.
2134	0.	SLV_ENV	Max	1.8944	2.8374	2134-1	0.
2134	0.5	SLV_ENV	Max	1.9747	2.3989	2134-1	0.5
2134	1.	SLV_ENV	Max	2.2157	2.1644	2134-1	1.
2134	0.	SLV_ENV	Min	-2.2974	-2.8019	2134-1	0.
2134	0.5	SLV_ENV	Min	-2.4642	-2.3798	2134-1	0.5
2134	1.	SLV_ENV	Min	-2.7916	-2.1616	2134-1	1.
2135	0.	SLU_ENV	Max	-0.1631	0.0588	2135-1	0.
2135	0.5	SLU_ENV	Max	-0.2233	0.0509	2135-1	0.5
2135	1.	SLU_ENV	Max	-0.266	0.0429	2135-1	1.
2135	0.	SLU_ENV	Min	-0.5302	-0.5021	2135-1	0.
2135	0.5	SLU_ENV	Min	-0.6217	-0.5318	2135-1	0.5
2135	1.	SLU_ENV	Min	-0.7133	-0.5616	2135-1	1.
2135	0.	SLV_ENV	Max	2.2157	2.1644	2135-1	0.
2135	0.5	SLV_ENV	Max	2.7848	2.3393	2135-1	0.5
2135	1.	SLV_ENV	Max	3.6245	3.5393	2135-1	1.
2135	0.	SLV_ENV	Min	-2.7916	-2.1616	2135-1	0.
2135	0.5	SLV_ENV	Min	-3.4533	-2.3715	2135-1	0.5
2135	1.	SLV_ENV	Min	-4.3855	-3.6067	2135-1	1.
2136	0.	SLU_ENV	Max	-0.266	0.0429	2136-1	0.
2136	0.5	SLU_ENV	Max	-0.298	0.0235	2136-1	0.5
2136	1.	SLU_ENV	Max	-0.3299	0.0186	2136-1	1.
2136	0.	SLU_ENV	Min	-0.7133	-0.5616	2136-1	0.
2136	0.5	SLU_ENV	Min	-0.8093	-0.6112	2136-1	0.5
2136	1.	SLU_ENV	Min	-0.9443	-0.7171	2136-1	1.
2136	0.	SLV_ENV	Max	3.6245	3.5393	2136-1	0.
2136	0.5	SLV_ENV	Max	5.947	6.1332	2136-1	0.5
2136	1.	SLV_ENV	Max	8.3632	8.947	2136-1	1.
2136	0.	SLV_ENV	Min	-4.3855	-3.6067	2136-1	0.
2136	0.5	SLV_ENV	Min	-6.7996	-6.2598	2136-1	0.5
2136	1.	SLV_ENV	Min	-9.3076	-9.1328	2136-1	1.
2137	0.	SLU_ENV	Max	-0.3299	0.0186	2137-1	0.
2137	0.5	SLU_ENV	Max	-0.3577	0.1518	2137-1	0.5
2137	1.	SLU_ENV	Max	-0.3855	0.285	2137-1	1.
2137	0.	SLU_ENV	Min	-0.9443	-0.7171	2137-1	0.
2137	0.5	SLU_ENV	Min	-1.1068	-0.8428	2137-1	0.5
2137	1.	SLU_ENV	Min	-1.2692	-0.9685	2137-1	1.
2137	0.	SLV_ENV	Max	8.3632	8.947	2137-1	0.
2137	0.5	SLV_ENV	Max	11.9669	13.2601	2137-1	0.5
2137	1.	SLV_ENV	Max	15.5999	17.63	2137-1	1.
2137	0.	SLV_ENV	Min	-9.3076	-9.1328	2137-1	0.
2137	0.5	SLV_ENV	Min	-12.9926	-13.5343	2137-1	0.5
2137	1.	SLV_ENV	Min	-16.7069	-17.9926	2137-1	1.
2138	0.	SLU_ENV	Max	-0.3855	0.285	2138-1	0.
2138	0.5	SLU_ENV	Max	-0.4047	0.4948	2138-1	0.5
2138	1.	SLU_ENV	Max	-0.4238	0.7046	2138-1	1.
2138	0.	SLU_ENV	Min	-1.2692	-0.9685	2138-1	0.
2138	0.5	SLU_ENV	Min	-1.4526	-1.1113	2138-1	0.5
2138	1.	SLU_ENV	Min	-1.6359	-1.2542	2138-1	1.
2138	0.	SLV_ENV	Max	15.5999	17.63	2138-1	0.
2138	0.5	SLV_ENV	Max	20.6021	23.7318	2138-1	0.5

Table: Element Forces - Frames, Part 2 of 2

Frame	Station m	OutputCase	StepType	M		FrameElem	ElemStation m
				M2 KN-m	M3 KN-m		
2138	1.	SLV_ENV	Max	25.619	29.8594	2138-1	1.
2138	0.	SLV_ENV	Min	-16.7069	-17.9926	2138-1	0.
2138	0.5	SLV_ENV	Min	-21.7678	-24.2165	2138-1	0.5
2138	1.	SLV_ENV	Min	-26.8435	-30.4662	2138-1	1.
2139	0.	SLU_ENV	Max	-0.4238	0.7046	2139-1	0.
2139	0.5	SLU_ENV	Max	-0.4279	1.0008	2139-1	0.5
2139	1.	SLU_ENV	Max	-0.432	1.2969	2139-1	1.
2139	0.	SLU_ENV	Min	-1.6359	-1.2542	2139-1	0.
2139	0.5	SLU_ENV	Min	-1.8309	-1.4081	2139-1	0.5
2139	1.	SLU_ENV	Min	-2.0259	-1.562	2139-1	1.
2139	0.	SLV_ENV	Max	25.619	29.8594	2139-1	0.
2139	0.5	SLV_ENV	Max	32.1504	37.9173	2139-1	0.5
2139	1.	SLV_ENV	Max	38.6913	45.9911	2139-1	1.
2139	0.	SLV_ENV	Min	-26.8435	-30.4662	2139-1	0.
2139	0.5	SLV_ENV	Min	-33.3948	-38.6834	2139-1	0.5
2139	1.	SLV_ENV	Min	-39.9557	-46.9164	2139-1	1.
2140	0.	SLU_ENV	Max	-0.432	1.2969	2140-1	0.
2140	0.5	SLU_ENV	Max	-0.4141	1.6881	2140-1	0.5
2140	1.	SLU_ENV	Max	-0.3962	2.0792	2140-1	1.
2140	0.	SLU_ENV	Min	-2.0259	-1.562	2140-1	0.
2140	0.5	SLU_ENV	Min	-2.2193	-1.7178	2140-1	0.5
2140	1.	SLU_ENV	Min	-2.4127	-1.8737	2140-1	1.
2140	0.	SLV_ENV	Max	38.6913	45.9911	2140-1	0.
2140	0.5	SLV_ENV	Max	46.8233	56.1136	2140-1	0.5
2140	1.	SLV_ENV	Max	54.9627	66.2479	2140-1	1.
2140	0.	SLV_ENV	Min	-39.9557	-46.9164	2140-1	0.
2140	0.5	SLV_ENV	Min	-48.049	-57.2365	2140-1	0.5
2140	1.	SLV_ENV	Min	-56.1496	-67.5684	2140-1	1.
2141	0.	SLU_ENV	Max	-0.3962	2.0792	2141-1	0.
2141	0.5	SLU_ENV	Max	-0.346	2.5711	2141-1	0.5
2141	1.	SLU_ENV	Max	-0.2958	3.063	2141-1	1.
2141	0.	SLU_ENV	Min	-2.4127	-1.8737	2141-1	0.
2141	0.5	SLU_ENV	Min	-2.5841	-2.0222	2141-1	0.5
2141	1.	SLU_ENV	Min	-2.7554	-2.1707	2141-1	1.
2141	0.	SLV_ENV	Max	54.9627	66.2479	2141-1	0.
2141	0.5	SLV_ENV	Max	64.6646	78.4223	2141-1	0.5
2141	1.	SLV_ENV	Max	74.3729	90.6068	2141-1	1.
2141	0.	SLV_ENV	Min	-56.1496	-67.5684	2141-1	0.
2141	0.5	SLV_ENV	Min	-65.73	-79.9773	2141-1	0.5
2141	1.	SLV_ENV	Min	-75.3167	-92.3961	2141-1	1.
2142	0.	SLU_ENV	Max	-0.2958	3.063	2142-1	0.
2142	0.5	SLU_ENV	Max	-0.1843	3.6547	2142-1	0.5
2142	1.	SLU_ENV	Max	-0.0728	4.2464	2142-1	1.
2142	0.	SLU_ENV	Min	-2.7554	-2.1707	2142-1	0.
2142	0.5	SLU_ENV	Min	-2.8761	-2.3029	2142-1	0.5
2142	1.	SLU_ENV	Min	-2.9968	-2.4351	2142-1	1.
2142	0.	SLV_ENV	Max	74.3729	90.6068	2142-1	0.
2142	0.5	SLV_ENV	Max	85.4643	104.6391	2142-1	0.5
2142	1.	SLV_ENV	Max	96.5618	118.681	2142-1	1.
2142	0.	SLV_ENV	Min	-75.3167	-92.3961	2142-1	0.
2142	0.5	SLV_ENV	Min	-86.1759	-106.6938	2142-1	0.5
2142	1.	SLV_ENV	Min	-97.0411	-121.001	2142-1	1.
2143	0.	SLU_ENV	Max	-0.0728	4.2464	2143-1	0.
2143	0.5	SLU_ENV	Max	0.0989	4.9271	2143-1	0.5

Table: Element Forces - Frames, Part 2 of 2

Frame	Station	OutputCase	StepType	M		FrameElem	ElemStation
				M2	M3		
	m			KN-m	KN-m		m
2143	1.	SLU_ENV	Max	0.2706	5.6077	2143-1	1.
2143	0.	SLU_ENV	Min	-2.9968	-2.4351	2143-1	0.
2143	0.5	SLU_ENV	Min	-3.0381	-2.5571	2143-1	0.5
2143	1.	SLU_ENV	Min	-3.0795	-2.679	2143-1	1.
2143	0.	SLV_ENV	Max	96.5618	118.681	2143-1	0.
2143	0.5	SLV_ENV	Max	108.6581	134.1262	2143-1	0.5
2143	1.	SLV_ENV	Max	120.7608	149.5815	2143-1	1.
2143	0.	SLV_ENV	Min	-97.0411	-121.001	2143-1	0.
2143	0.5	SLV_ENV	Min	-108.7635	-136.7307	2143-1	0.5
2143	1.	SLV_ENV	Min	-120.4922	-152.4705	2143-1	1.
2144	0.	SLU_ENV	Max	0.2706	5.6077	2144-1	0.
2144	0.5	SLU_ENV	Max	0.6116	6.3528	2144-1	0.5
2144	1.	SLU_ENV	Max	0.9891	7.0978	2144-1	1.
2144	0.	SLU_ENV	Min	-3.0795	-2.679	2144-1	0.
2144	0.5	SLU_ENV	Min	-3.0934	-2.7901	2144-1	0.5
2144	1.	SLU_ENV	Min	-3.1438	-2.9012	2144-1	1.
2144	0.	SLV_ENV	Max	120.7608	149.5815	2144-1	0.
2144	0.5	SLV_ENV	Max	133.2107	165.6649	2144-1	0.5
2144	1.	SLV_ENV	Max	145.6683	181.7601	2144-1	1.
2144	0.	SLV_ENV	Min	-120.4922	-152.4705	2144-1	0.
2144	0.5	SLV_ENV	Min	-132.394	-168.8384	2144-1	0.5
2144	1.	SLV_ENV	Min	-144.3033	-185.218	2144-1	1.
2145	0.	SLU_ENV	Max	0.9891	7.0978	2145-1	0.
2145	0.5	SLU_ENV	Max	1.5297	8.0094	2145-1	0.5
2145	1.	SLU_ENV	Max	2.0703	8.9211	2145-1	1.
2145	0.	SLU_ENV	Min	-3.1438	-2.9012	2145-1	0.
2145	0.5	SLU_ENV	Min	-3.1156	-3.0249	2145-1	0.5
2145	1.	SLU_ENV	Min	-3.0875	-3.1486	2145-1	1.
2145	0.	SLV_ENV	Max	145.6683	181.7601	2145-1	0.
2145	0.5	SLV_ENV	Max	157.4871	197.2913	2145-1	0.5
2145	1.	SLV_ENV	Max	169.3168	212.8381	2145-1	1.
2145	0.	SLV_ENV	Min	-144.3033	-185.218	2145-1	0.
2145	0.5	SLV_ENV	Min	-155.368	-201.0051	2145-1	0.5
2145	1.	SLV_ENV	Min	-166.4436	-216.8079	2145-1	1.
2146	0.	SLU_ENV	Max	2.0703	8.9211	2146-1	0.
2146	0.5	SLU_ENV	Max	2.8783	10.0004	2146-1	0.5
2146	1.	SLU_ENV	Max	3.6862	11.0798	2146-1	1.
2146	0.	SLU_ENV	Min	-3.0875	-3.1486	2146-1	0.
2146	0.5	SLU_ENV	Min	-2.9512	-3.2997	2146-1	0.5
2146	1.	SLU_ENV	Min	-2.815	-3.4508	2146-1	1.
2146	0.	SLV_ENV	Max	169.3168	212.8381	2146-1	0.
2146	0.5	SLV_ENV	Max	179.1203	226.1243	2146-1	0.5
2146	1.	SLV_ENV	Max	188.9457	239.4352	2146-1	1.
2146	0.	SLV_ENV	Min	-166.4436	-216.8079	2146-1	0.
2146	0.5	SLV_ENV	Min	-175.2598	-230.2816	2146-1	0.5
2146	1.	SLV_ENV	Min	-184.0979	-243.7801	2146-1	1.
2147	0.	SLU_ENV	Max	3.6862	11.0798	2147-1	0.
2147	0.5	SLU_ENV	Max	4.8153	12.1601	2147-1	0.5
2147	1.	SLU_ENV	Max	5.9443	13.2404	2147-1	1.
2147	0.	SLU_ENV	Min	-2.815	-3.4508	2147-1	0.
2147	0.5	SLU_ENV	Min	-2.5111	-3.5151	2147-1	0.5
2147	1.	SLU_ENV	Min	-2.2073	-3.5794	2147-1	1.
2147	0.	SLV_ENV	Max	188.9457	239.4352	2147-1	0.
2147	0.5	SLV_ENV	Max	194.9087	248.2052	2147-1	0.5

Table: Element Forces - Frames, Part 2 of 2

Frame	Station	OutputCase	StepType	M		FrameElem	ElemStation
				M2	M3		
	m			KN-m	KN-m		m
2147	1.	SLV_ENV	Max	200.9493	257.0233	2147-1	1.
2147	0.	SLV_ENV	Min	-184.0979	-243.7801	2147-1	0.
2147	0.5	SLV_ENV	Min	-188.8226	-252.6166	2147-1	0.5
2147	1.	SLV_ENV	Min	-193.6248	-261.5012	2147-1	1.
2148	0.	SLU_ENV	Max	5.9443	13.2404	2148-1	0.
2148	0.5	SLU_ENV	Max	7.3406	14.2115	2148-1	0.5
2148	1.	SLU_ENV	Max	8.7368	15.1826	2148-1	1.
2148	0.	SLU_ENV	Min	-2.2073	-3.5794	2148-1	0.
2148	0.5	SLU_ENV	Min	-1.6583	-3.4991	2148-1	0.5
2148	1.	SLU_ENV	Min	-1.1093	-3.4189	2148-1	1.
2148	0.	SLV_ENV	Max	200.9493	257.0233	2148-1	0.
2148	0.5	SLV_ENV	Max	200.9482	258.3858	2148-1	0.5
2148	1.	SLV_ENV	Max	201.3791	259.8476	2148-1	1.
2148	0.	SLV_ENV	Min	-193.6248	-261.5012	2148-1	0.
2148	0.5	SLV_ENV	Min	-192.1319	-262.7426	2148-1	0.5
2148	1.	SLV_ENV	Min	-191.0711	-264.0832	2148-1	1.
2149	0.	SLU_ENV	Max	8.7368	15.1826	2149-1	0.
2149	0.5	SLU_ENV	Max	10.3949	15.9076	2149-1	0.5
2149	1.	SLU_ENV	Max	12.053	16.8397	2149-1	1.
2149	0.	SLU_ENV	Min	-1.1093	-3.4189	2149-1	0.
2149	0.5	SLU_ENV	Min	-0.2333	-3.1645	2149-1	0.5
2149	1.	SLU_ENV	Min	0.6427	-3.1172	2149-1	1.
2149	0.	SLV_ENV	Max	201.3791	259.8476	2149-1	0.
2149	0.5	SLV_ENV	Max	193.4343	250.2758	2149-1	0.5
2149	1.	SLV_ENV	Max	185.8163	240.8546	2149-1	1.
2149	0.	SLV_ENV	Min	-191.0711	-264.0832	2149-1	0.
2149	0.5	SLV_ENV	Min	-181.4027	-254.1214	2149-1	0.5
2149	1.	SLV_ENV	Min	-172.0611	-244.3101	2149-1	1.
2150	0.	SLU_ENV	Max	12.053	16.8397	2150-1	0.
2150	0.5	SLU_ENV	Max	13.9396	17.4041	2150-1	0.5
2150	1.	SLU_ENV	Max	15.8261	17.9685	2150-1	1.
2150	0.	SLU_ENV	Min	0.6427	-3.1172	2150-1	0.
2150	0.5	SLU_ENV	Min	1.9147	-2.9193	2150-1	0.5
2150	1.	SLU_ENV	Min	3.1867	-2.7215	2150-1	1.
2150	0.	SLV_ENV	Max	185.8163	240.8546	2150-1	0.
2150	0.5	SLV_ENV	Max	166.2515	216.1288	2150-1	0.5
2150	1.	SLV_ENV	Max	146.8496	191.654	2150-1	1.
2150	0.	SLV_ENV	Min	-172.0611	-244.3101	2150-1	0.
2150	0.5	SLV_ENV	Min	-150.5958	-218.8304	2150-1	0.5
2150	1.	SLV_ENV	Min	-129.2934	-193.6017	2150-1	1.
2151	0.	SLU_ENV	Max	15.8261	17.9685	2151-1	0.
2151	0.5	SLU_ENV	Max	17.8686	17.9274	2151-1	0.5
2151	1.	SLU_ENV	Max	19.911	17.8862	2151-1	1.
2151	0.	SLU_ENV	Min	3.1867	-2.7215	2151-1	0.
2151	0.5	SLU_ENV	Min	4.9289	-2.3107	2151-1	0.5
2151	1.	SLU_ENV	Min	6.6711	-1.8999	2151-1	1.
2151	0.	SLV_ENV	Max	146.8496	191.654	2151-1	0.
2151	0.5	SLV_ENV	Max	111.7872	147.3172	2151-1	0.5
2151	1.	SLV_ENV	Max	77.7249	104.4176	2151-1	1.
2151	0.	SLV_ENV	Min	-129.2934	-193.6017	2151-1	0.
2151	0.5	SLV_ENV	Min	-92.2528	-148.041	2151-1	0.5
2151	1.	SLV_ENV	Min	-56.2124	-103.9176	2151-1	1.
2152	0.	SLU_ENV	Max	19.911	17.8862	2152-1	0.
2152	0.5	SLU_ENV	Max	22.0026	16.9435	2152-1	0.5

Table: Element Forces - Frames, Part 2 of 2

Frame	Station m	OutputCase	StepType	M		FrameElem	ElemStation m
				M2 KN-m	M3 KN-m		
2152	1.	SLU_ENV	Max	24.3426	18.456	2152-1	1.
2152	0.	SLU_ENV	Min	6.6711	-1.8999	2152-1	0.
2152	0.5	SLU_ENV	Min	8.1828	-1.2081	2152-1	0.5
2152	1.	SLU_ENV	Min	8.8448	-0.5164	2152-1	1.
2152	0.	SLV_ENV	Max	77.7249	104.4176	2152-1	0.
2152	0.5	SLV_ENV	Max	60.4907	48.6869	2152-1	0.5
2152	1.	SLV_ENV	Max	95.3294	73.3127	2152-1	1.
2152	0.	SLV_ENV	Min	-56.2124	-103.9176	2152-1	0.
2152	0.5	SLV_ENV	Min	-37.0788	-46.3807	2152-1	0.5
2152	1.	SLV_ENV	Min	-70.0181	-69.2002	2152-1	1.
2153	0.	SLU_ENV	Max	24.3426	18.456	2153-1	0.
2153	0.5	SLU_ENV	Max	28.383	21.5954	2153-1	0.5
2153	1.	SLU_ENV	Max	32.4234	24.7349	2153-1	1.
2153	0.	SLU_ENV	Min	8.8448	-0.5164	2153-1	0.
2153	0.5	SLU_ENV	Min	9.3865	-2.9316	2153-1	0.5
2153	1.	SLU_ENV	Min	9.9282	-6.9248	2153-1	1.
2153	0.	SLV_ENV	Max	95.3294	73.3127	2153-1	0.
2153	0.5	SLV_ENV	Max	181.8707	173.1451	2153-1	0.5
2153	1.	SLV_ENV	Max	269.768	279.502	2153-1	1.
2153	0.	SLV_ENV	Min	-70.0181	-69.2002	2153-1	0.
2153	0.5	SLV_ENV	Min	-154.9647	-166.5332	2153-1	0.5
2153	1.	SLV_ENV	Min	-241.2674	-270.3906	2153-1	1.
2154	0.	SLU_ENV	Max	32.4234	24.7349	2154-1	0.
2154	0.5	SLU_ENV	Max	36.8961	28.2337	2154-1	0.5
2154	1.	SLU_ENV	Max	41.3688	31.7326	2154-1	1.
2154	0.	SLU_ENV	Min	9.9282	-6.9248	2154-1	0.
2154	0.5	SLU_ENV	Min	10.2307	-12.7931	2154-1	0.5
2154	1.	SLU_ENV	Min	10.5332	-18.6613	2154-1	1.
2154	0.	SLV_ENV	Max	269.768	279.502	2154-1	0.
2154	0.5	SLV_ENV	Max	387.6101	425.4983	2154-1	0.5
2154	1.	SLV_ENV	Max	505.6529	572.1763	2154-1	1.
2154	0.	SLV_ENV	Min	-241.2674	-270.3906	2154-1	0.
2154	0.5	SLV_ENV	Min	-358.1275	-413.0968	2154-1	0.5
2154	1.	SLV_ENV	Min	-475.1884	-556.4847	2154-1	1.
2155	0.	SLU_ENV	Max	41.3688	31.7326	2155-1	0.
2155	0.5	SLU_ENV	Max	46.0224	35.4149	2155-1	0.5
2155	1.	SLU_ENV	Max	50.6759	39.0973	2155-1	1.
2155	0.	SLU_ENV	Min	10.5332	-18.6613	2155-1	0.
2155	0.5	SLU_ENV	Min	10.4425	-26.5908	2155-1	0.5
2155	1.	SLU_ENV	Min	10.3518	-34.5202	2155-1	1.
2155	0.	SLV_ENV	Max	505.6529	572.1763	2155-1	0.
2155	0.5	SLV_ENV	Max	656.9115	762.966	2155-1	0.5
2155	1.	SLV_ENV	Max	808.2559	954.0107	2155-1	1.
2155	0.	SLV_ENV	Min	-475.1884	-556.4847	2155-1	0.
2155	0.5	SLV_ENV	Min	-626.4779	-743.1407	2155-1	0.5
2155	1.	SLV_ENV	Min	-777.8532	-930.0516	2155-1	1.
2176	0.	SLU_ENV	Max	2.998E-16	2.473E-15	2176-1	0.
2176	0.5	SLU_ENV	Max	-4.205E-04	0.0157	2176-1	0.5
2176	1.	SLU_ENV	Max	-8.409E-04	0.0314	2176-1	1.
2176	0.	SLU_ENV	Min	-1.199E-15	5.773E-16	2176-1	0.
2176	0.5	SLU_ENV	Min	-0.0218	-0.0192	2176-1	0.5
2176	1.	SLU_ENV	Min	-0.0437	-0.0384	2176-1	1.
2176	0.	SLV_ENV	Max	1.032E-13	1.036E-13	2176-1	0.
2176	0.5	SLV_ENV	Max	0.3062	0.4221	2176-1	0.5

Table: Element Forces - Frames, Part 2 of 2

Frame	Station m	OutputCase	StepType	M		FrameElem	ElemStation m
				M2 KN-m	M3 KN-m		
2176	1.	SLV_ENV	Max	0.6123	0.8441	2176-1	1.
2176	0.	SLV_ENV	Min	-1.027E-13	-9.990E-14	2176-1	0.
2176	0.5	SLV_ENV	Min	-0.3322	-0.4004	2176-1	0.5
2176	1.	SLV_ENV	Min	-0.6645	-0.8007	2176-1	1.
2177	0.	SLU_ENV	Max	-8.409E-04	0.0314	2177-1	0.
2177	0.5	SLU_ENV	Max	-0.0079	0.0646	2177-1	0.5
2177	1.	SLU_ENV	Max	-0.015	0.0978	2177-1	1.
2177	0.	SLU_ENV	Min	-0.0437	-0.0384	2177-1	0.
2177	0.5	SLU_ENV	Min	-0.0862	-0.0613	2177-1	0.5
2177	1.	SLU_ENV	Min	-0.1286	-0.0841	2177-1	1.
2177	0.	SLV_ENV	Max	0.6123	0.8441	2177-1	0.
2177	0.5	SLV_ENV	Max	0.997	1.4126	2177-1	0.5
2177	1.	SLV_ENV	Max	1.3829	1.9817	2177-1	1.
2177	0.	SLV_ENV	Min	-0.6645	-0.8007	2177-1	0.
2177	0.5	SLV_ENV	Min	-1.0992	-1.3222	2177-1	0.5
2177	1.	SLV_ENV	Min	-1.5352	-1.8443	2177-1	1.
2178	0.	SLU_ENV	Max	-0.015	0.0978	2178-1	0.
2178	0.5	SLU_ENV	Max	-0.035	0.1505	2178-1	0.5
2178	1.	SLU_ENV	Max	-0.0549	0.2031	2178-1	1.
2178	0.	SLU_ENV	Min	-0.1286	-0.0841	2178-1	0.
2178	0.5	SLU_ENV	Min	-0.1904	-0.0949	2178-1	0.5
2178	1.	SLU_ENV	Min	-0.2521	-0.1057	2178-1	1.
2178	0.	SLV_ENV	Max	1.3829	1.9817	2178-1	0.
2178	0.5	SLV_ENV	Max	1.6545	2.4517	2178-1	0.5
2178	1.	SLV_ENV	Max	1.9345	2.925	2178-1	1.
2178	0.	SLV_ENV	Min	-1.5352	-1.8443	2178-1	0.
2178	0.5	SLV_ENV	Min	-1.8785	-2.2386	2178-1	0.5
2178	1.	SLV_ENV	Min	-2.2303	-2.6362	2178-1	1.
2179	0.	SLU_ENV	Max	-0.0549	0.2031	2179-1	0.
2179	0.5	SLU_ENV	Max	-0.0939	0.2766	2179-1	0.5
2179	1.	SLU_ENV	Max	-0.1329	0.3501	2179-1	1.
2179	0.	SLU_ENV	Min	-0.2521	-0.1057	2179-1	0.
2179	0.5	SLU_ENV	Min	-0.3314	-0.0885	2179-1	0.5
2179	1.	SLU_ENV	Min	-0.4107	-0.0713	2179-1	1.
2179	0.	SLV_ENV	Max	1.9345	2.925	2179-1	0.
2179	0.5	SLV_ENV	Max	1.9503	3.064	2179-1	0.5
2179	1.	SLV_ENV	Max	2.0266	3.222	2179-1	1.
2179	0.	SLV_ENV	Min	-2.2303	-2.6362	2179-1	0.
2179	0.5	SLV_ENV	Min	-2.3368	-2.6679	2179-1	0.5
2179	1.	SLV_ENV	Min	-2.5038	-2.7185	2179-1	1.
2180	0.	SLU_ENV	Max	-0.1329	0.3501	2180-1	0.
2180	0.5	SLU_ENV	Max	-0.1969	0.4457	2180-1	0.5
2180	1.	SLU_ENV	Max	-0.2608	0.5413	2180-1	1.
2180	0.	SLU_ENV	Min	-0.4107	-0.0713	2180-1	0.
2180	0.5	SLU_ENV	Min	-0.5049	-0.0098	2180-1	0.5
2180	1.	SLU_ENV	Min	-0.5992	0.0517	2180-1	1.
2180	0.	SLV_ENV	Max	2.0266	3.222	2180-1	0.
2180	0.5	SLV_ENV	Max	2.1254	2.8938	2180-1	0.5
2180	1.	SLV_ENV	Max	2.5032	2.7401	2180-1	1.
2180	0.	SLV_ENV	Min	-2.5038	-2.7185	2180-1	0.
2180	0.5	SLV_ENV	Min	-2.7085	-2.2492	2180-1	0.5
2180	1.	SLV_ENV	Min	-3.1922	-1.9544	2180-1	1.
2181	0.	SLU_ENV	Max	-0.2608	0.5413	2181-1	0.
2181	0.5	SLU_ENV	Max	-0.308	0.6586	2181-1	0.5

Table: Element Forces - Frames, Part 2 of 2

Frame	Station m	OutputCase	StepType	M		FrameElem	ElemStation m
				M2 KN-m	M3 KN-m		
2181	1.	SLU_ENV	Max	-0.3534	0.7759	2181-1	1.
2181	0.	SLU_ENV	Min	-0.5992	0.0517	2181-1	0.
2181	0.5	SLU_ENV	Min	-0.7045	0.1739	2181-1	0.5
2181	1.	SLU_ENV	Min	-0.8475	0.2962	2181-1	1.
2181	0.	SLV_ENV	Max	2.5032	2.7401	2181-1	0.
2181	0.5	SLV_ENV	Max	3.4599	2.8614	2181-1	0.5
2181	1.	SLV_ENV	Max	4.8931	4.0166	2181-1	1.
2181	0.	SLV_ENV	Min	-3.1922	-1.9544	2181-1	0.
2181	0.5	SLV_ENV	Min	-4.2647	-1.9005	2181-1	0.5
2181	1.	SLV_ENV	Min	-5.8137	-2.8805	2181-1	1.
2182	0.	SLU_ENV	Max	-0.3534	0.7759	2182-1	0.
2182	0.5	SLU_ENV	Max	-0.4007	0.9139	2182-1	0.5
2182	1.	SLU_ENV	Max	-0.4479	1.0889	2182-1	1.
2182	0.	SLU_ENV	Min	-0.8475	0.2962	2182-1	0.
2182	0.5	SLU_ENV	Min	-1.0335	0.4951	2182-1	0.5
2182	1.	SLU_ENV	Min	-1.2195	0.6077	2182-1	1.
2182	0.	SLV_ENV	Max	4.8931	4.0166	2182-1	0.
2182	0.5	SLV_ENV	Max	7.3575	6.613	2182-1	0.5
2182	1.	SLV_ENV	Max	9.9727	9.4795	2182-1	1.
2182	0.	SLV_ENV	Min	-5.8137	-2.8805	2182-1	0.
2182	0.5	SLV_ENV	Min	-8.3964	-5.2696	2182-1	0.5
2182	1.	SLV_ENV	Min	-11.1299	-7.9288	2182-1	1.
2183	0.	SLU_ENV	Max	-0.4479	1.0889	2183-1	0.
2183	0.5	SLU_ENV	Max	-0.4931	1.419	2183-1	0.5
2183	1.	SLU_ENV	Max	-0.5383	1.7491	2183-1	1.
2183	0.	SLU_ENV	Min	-1.2195	0.6077	2183-1	0.
2183	0.5	SLU_ENV	Min	-1.4439	0.7298	2183-1	0.5
2183	1.	SLU_ENV	Min	-1.6683	0.8518	2183-1	1.
2183	0.	SLV_ENV	Max	9.9727	9.4795	2183-1	0.
2183	0.5	SLV_ENV	Max	13.8592	13.8663	2183-1	0.5
2183	1.	SLV_ENV	Max	17.8114	18.3205	2183-1	1.
2183	0.	SLV_ENV	Min	-11.1299	-7.9288	2183-1	0.
2183	0.5	SLV_ENV	Min	-15.1265	-12.0823	2183-1	0.5
2183	1.	SLV_ENV	Min	-19.189	-16.303	2183-1	1.
2184	0.	SLU_ENV	Max	-0.5383	1.7491	2184-1	0.
2184	0.5	SLU_ENV	Max	-0.5756	2.182	2184-1	0.5
2184	1.	SLU_ENV	Max	-0.6129	2.6149	2184-1	1.
2184	0.	SLU_ENV	Min	-1.6683	0.8518	2184-1	0.
2184	0.5	SLU_ENV	Min	-1.9263	0.9874	2184-1	0.5
2184	1.	SLU_ENV	Min	-2.1843	1.123	2184-1	1.
2184	0.	SLV_ENV	Max	17.8114	18.3205	2184-1	0.
2184	0.5	SLV_ENV	Max	23.2265	24.5217	2184-1	0.5
2184	1.	SLV_ENV	Max	28.6748	30.7525	2184-1	1.
2184	0.	SLV_ENV	Min	-19.189	-16.303	2184-1	0.
2184	0.5	SLV_ENV	Min	-24.692	-22.2554	2184-1	0.5
2184	1.	SLV_ENV	Min	-30.2282	-28.2374	2184-1	1.
2185	0.	SLU_ENV	Max	-0.6129	2.6149	2185-1	0.
2185	0.5	SLU_ENV	Max	-0.6356	3.1515	2185-1	0.5
2185	1.	SLU_ENV	Max	-0.6584	3.688	2185-1	1.
2185	0.	SLU_ENV	Min	-2.1843	1.123	2185-1	0.
2185	0.5	SLU_ENV	Min	-2.4659	1.2519	2185-1	0.5
2185	1.	SLU_ENV	Min	-2.7475	1.3808	2185-1	1.
2185	0.	SLV_ENV	Max	28.6748	30.7525	2185-1	0.
2185	0.5	SLV_ENV	Max	35.7353	38.9246	2185-1	0.5

Table: Element Forces - Frames, Part 2 of 2

Frame	Station m	OutputCase	StepType	M		FrameElem	ElemStation m
				M2 KN-m	M3 KN-m		
2185	1.	SLV_ENV	Max	42.8171	47.1147	2185-1	1.
2185	0.	SLV_ENV	Min	-30.2282	-28.2374	2185-1	0.
2185	0.5	SLV_ENV	Min	-37.3356	-36.1628	2185-1	0.5
2185	1.	SLV_ENV	Min	-44.4643	-44.1061	2185-1	1.
2186	0.	SLU_ENV	Max	-0.6584	3.688	2186-1	0.
2186	0.5	SLU_ENV	Max	-0.6575	4.3348	2186-1	0.5
2186	1.	SLU_ENV	Max	-0.6566	4.9815	2186-1	1.
2186	0.	SLU_ENV	Min	-2.7475	1.3808	2186-1	0.
2186	0.5	SLU_ENV	Min	-3.0357	1.484	2186-1	0.5
2186	1.	SLU_ENV	Min	-3.3239	1.5873	2186-1	1.
2186	0.	SLV_ENV	Max	42.8171	47.1147	2186-1	0.
2186	0.5	SLV_ENV	Max	51.586	57.3577	2186-1	0.5
2186	1.	SLV_ENV	Max	60.3711	67.6139	2186-1	1.
2186	0.	SLV_ENV	Min	-44.4643	-44.1061	2186-1	0.
2186	0.5	SLV_ENV	Min	-53.2154	-54.1299	2186-1	0.5
2186	1.	SLV_ENV	Min	-61.9827	-64.1668	2186-1	1.
2187	0.	SLU_ENV	Max	-0.6566	4.9815	2187-1	0.
2187	0.5	SLU_ENV	Max	-0.6132	5.7457	2187-1	0.5
2187	1.	SLU_ENV	Max	-0.5698	6.5099	2187-1	1.
2187	0.	SLU_ENV	Min	-3.3239	1.5873	2187-1	0.
2187	0.5	SLU_ENV	Min	-3.5926	1.6448	2187-1	0.5
2187	1.	SLU_ENV	Min	-3.8613	1.7024	2187-1	1.
2187	0.	SLV_ENV	Max	60.3711	67.6139	2187-1	0.
2187	0.5	SLV_ENV	Max	70.8034	79.9041	2187-1	0.5
2187	1.	SLV_ENV	Max	81.2498	92.2054	2187-1	1.
2187	0.	SLV_ENV	Min	-61.9827	-64.1668	2187-1	0.
2187	0.5	SLV_ENV	Min	-72.3034	-76.3005	2187-1	0.5
2187	1.	SLV_ENV	Min	-82.6382	-88.4453	2187-1	1.
2188	0.	SLU_ENV	Max	-0.5698	6.5099	2188-1	0.
2188	0.5	SLU_ENV	Max	-0.4626	7.3571	2188-1	0.5
2188	1.	SLU_ENV	Max	-0.3554	8.2043	2188-1	1.
2188	0.	SLU_ENV	Min	-3.8613	1.7024	2188-1	0.
2188	0.5	SLU_ENV	Min	-4.0738	1.6876	2188-1	0.5
2188	1.	SLU_ENV	Min	-4.2864	1.6728	2188-1	1.
2188	0.	SLV_ENV	Max	81.2498	92.2054	2188-1	0.
2188	0.5	SLV_ENV	Max	93.1405	106.3334	2188-1	0.5
2188	1.	SLV_ENV	Max	105.0448	120.472	2188-1	1.
2188	0.	SLV_ENV	Min	-82.6382	-88.4453	2188-1	0.
2188	0.5	SLV_ENV	Min	-94.2893	-102.5261	2188-1	0.5
2188	1.	SLV_ENV	Min	-105.9539	-116.6175	2188-1	1.
2189	0.	SLU_ENV	Max	-0.3554	8.2043	2189-1	0.
2189	0.5	SLU_ENV	Max	-0.1761	9.0731	2189-1	0.5
2189	1.	SLU_ENV	Max	0.0031	9.942	2189-1	1.
2189	0.	SLU_ENV	Min	-4.2864	1.6728	2189-1	0.
2189	0.5	SLU_ENV	Min	-4.3935	1.5619	2189-1	0.5
2189	1.	SLU_ENV	Min	-4.5006	1.451	2189-1	1.
2189	0.	SLV_ENV	Max	105.0448	120.472	2189-1	0.
2189	0.5	SLV_ENV	Max	117.9696	135.9726	2189-1	0.5
2189	1.	SLV_ENV	Max	130.9091	151.4844	2189-1	1.
2189	0.	SLV_ENV	Min	-105.9539	-116.6175	2189-1	0.
2189	0.5	SLV_ENV	Min	-118.4722	-132.2385	2189-1	0.5
2189	1.	SLV_ENV	Min	-131.0052	-147.871	2189-1	1.
2190	0.	SLU_ENV	Max	0.0031	9.942	2190-1	0.
2190	0.5	SLU_ENV	Max	0.4009	10.7556	2190-1	0.5

Table: Element Forces - Frames, Part 2 of 2

Frame	Station m	OutputCase	StepType	M		FrameElem	ElemStation m
				M2 KN-m	M3 KN-m		
2190	1.	SLU_ENV	Max	0.8198	11.5691	2190-1	1.
2190	0.	SLU_ENV	Min	-4.5006	1.451	2190-1	0.
2190	0.5	SLU_ENV	Min	-4.5762	1.2129	2190-1	0.5
2190	1.	SLU_ENV	Min	-4.6729	0.9748	2190-1	1.
2190	0.	SLV_ENV	Max	130.9091	151.4844	2190-1	0.
2190	0.5	SLV_ENV	Max	144.1592	167.5568	2190-1	0.5
2190	1.	SLV_ENV	Max	157.4269	183.6428	2190-1	1.
2190	0.	SLV_ENV	Min	-131.0052	-147.871	2190-1	0.
2190	0.5	SLV_ENV	Min	-143.6402	-164.3028	2190-1	0.5
2190	1.	SLV_ENV	Min	-156.2928	-180.7482	2190-1	1.
2191	0.	SLU_ENV	Max	0.8198	11.5691	2191-1	0.
2191	0.5	SLU_ENV	Max	1.4487	12.2181	2191-1	0.5
2191	1.	SLU_ENV	Max	2.0777	12.8671	2191-1	1.
2191	0.	SLU_ENV	Min	-4.6729	0.9748	2191-1	0.
2191	0.5	SLU_ENV	Min	-4.6606	0.57	2191-1	0.5
2191	1.	SLU_ENV	Min	-4.6482	0.1652	2191-1	1.
2191	0.	SLV_ENV	Max	157.4269	183.6428	2191-1	0.
2191	0.5	SLV_ENV	Max	169.9389	199.0655	2191-1	0.5
2191	1.	SLV_ENV	Max	182.4755	214.5068	2191-1	1.
2191	0.	SLV_ENV	Min	-156.2928	-180.7482	2191-1	0.
2191	0.5	SLV_ENV	Min	-167.9392	-196.8521	2191-1	0.5
2191	1.	SLV_ENV	Min	-179.61	-212.9746	2191-1	1.
2192	0.	SLU_ENV	Max	2.0777	12.8671	2192-1	0.
2192	0.5	SLU_ENV	Max	3.0179	13.2049	2192-1	0.5
2192	1.	SLU_ENV	Max	3.9582	13.5427	2192-1	1.
2192	0.	SLU_ENV	Min	-4.6482	0.1652	2192-1	0.
2192	0.5	SLU_ENV	Min	-4.4425	-0.4488	2192-1	0.5
2192	1.	SLU_ENV	Min	-4.2367	-1.0628	2192-1	1.
2192	0.	SLV_ENV	Max	182.4755	214.5068	2192-1	0.
2192	0.5	SLV_ENV	Max	192.7659	227.5521	2192-1	0.5
2192	1.	SLV_ENV	Max	203.0985	240.628	2192-1	1.
2192	0.	SLV_ENV	Min	-179.61	-212.9746	2192-1	0.
2192	0.5	SLV_ENV	Min	-188.7458	-227.1149	2192-1	0.5
2192	1.	SLV_ENV	Min	-197.9237	-241.2859	2192-1	1.
2193	0.	SLU_ENV	Max	3.9582	13.5427	2193-1	0.
2193	0.5	SLU_ENV	Max	5.2304	13.5063	2193-1	0.5
2193	1.	SLU_ENV	Max	6.5025	13.589	2193-1	1.
2193	0.	SLU_ENV	Min	-4.2367	-1.0628	2193-1	0.
2193	0.5	SLU_ENV	Min	-3.7589	-2.0546	2193-1	0.5
2193	1.	SLU_ENV	Min	-3.2811	-3.1655	2193-1	1.
2193	0.	SLV_ENV	Max	203.0985	240.628	2193-1	0.
2193	0.5	SLV_ENV	Max	209.2236	248.9907	2193-1	0.5
2193	1.	SLV_ENV	Max	215.4536	257.4129	2193-1	1.
2193	0.	SLV_ENV	Min	-197.9237	-241.2859	2193-1	0.
2193	0.5	SLV_ENV	Min	-202.5761	-251.2546	2193-1	0.5
2193	1.	SLV_ENV	Min	-207.3334	-261.2828	2193-1	1.
2194	0.	SLU_ENV	Max	6.5025	13.589	2194-1	0.
2194	0.5	SLU_ENV	Max	8.0856	13.0429	2194-1	0.5
2194	1.	SLU_ENV	Max	9.6687	12.4968	2194-1	1.
2194	0.	SLU_ENV	Min	-3.2811	-3.1655	2194-1	0.
2194	0.5	SLU_ENV	Min	-2.4114	-4.6714	2194-1	0.5
2194	1.	SLU_ENV	Min	-1.5418	-6.1774	2194-1	1.
2194	0.	SLV_ENV	Max	215.4536	257.4129	2194-1	0.
2194	0.5	SLV_ENV	Max	215.1114	258.1719	2194-1	0.5

Table: Element Forces - Frames, Part 2 of 2

Frame	Station m	OutputCase	StepType	M		FrameElem	ElemStation m
				M2 KN-m	M3 KN-m		
2194	1.	SLV_ENV	Max	215.1472	259.0412	2194-1	1.
2194	0.	SLV_ENV	Min	-207.3334	-261.2828	2194-1	0.
2194	0.5	SLV_ENV	Min	-205.1881	-264.2539	2194-1	0.5
2194	1.	SLV_ENV	Min	-203.4208	-267.3352	2194-1	1.
2195	0.	SLU_ENV	Max	9.6687	12.4968	2195-1	0.
2195	0.5	SLU_ENV	Max	11.5607	11.0638	2195-1	0.5
2195	1.	SLU_ENV	Max	13.4528	9.6308	2195-1	1.
2195	0.	SLU_ENV	Min	-1.5418	-6.1774	2195-1	0.
2195	0.5	SLU_ENV	Min	-0.1667	-8.1259	2195-1	0.5
2195	1.	SLU_ENV	Min	1.2084	-10.0744	2195-1	1.
2195	0.	SLV_ENV	Max	215.1472	259.0412	2195-1	0.
2195	0.5	SLV_ENV	Max	206.0713	248.6205	2195-1	0.5
2195	1.	SLV_ENV	Max	197.5373	238.3523	2195-1	1.
2195	0.	SLV_ENV	Min	-203.4208	-267.3352	2195-1	0.
2195	0.5	SLV_ENV	Min	-192.2254	-259.815	2195-1	0.5
2195	1.	SLV_ENV	Min	-181.5719	-252.4473	2195-1	1.
2196	0.	SLU_ENV	Max	13.4528	9.6308	2196-1	0.
2196	0.5	SLU_ENV	Max	15.6212	7.0121	2196-1	0.5
2196	1.	SLU_ENV	Max	17.7896	4.3935	2196-1	1.
2196	0.	SLU_ENV	Min	1.2084	-10.0744	2196-1	0.
2196	0.5	SLU_ENV	Min	3.2033	-12.493	2196-1	0.5
2196	1.	SLU_ENV	Min	5.1983	-14.9116	2196-1	1.
2196	0.	SLV_ENV	Max	197.5373	238.3523	2196-1	0.
2196	0.5	SLV_ENV	Max	176.5339	212.4894	2196-1	0.5
2196	1.	SLV_ENV	Max	156.2485	186.906	2196-1	1.
2196	0.	SLV_ENV	Min	-181.5719	-252.4473	2196-1	0.
2196	0.5	SLV_ENV	Min	-158.1846	-230.229	2196-1	0.5
2196	1.	SLV_ENV	Min	-135.5153	-208.2903	2196-1	1.
2197	0.	SLU_ENV	Max	17.7896	4.3935	2197-1	0.
2197	0.5	SLU_ENV	Max	20.1615	0.2593	2197-1	0.5
2197	1.	SLU_ENV	Max	22.5335	-3.8748	2197-1	1.
2197	0.	SLU_ENV	Min	5.1983	-14.9116	2197-1	0.
2197	0.5	SLU_ENV	Min	7.9176	-17.8231	2197-1	0.5
2197	1.	SLU_ENV	Min	9.8629	-20.7347	2197-1	1.
2197	0.	SLV_ENV	Max	156.2485	186.906	2197-1	0.
2197	0.5	SLV_ENV	Max	121.1632	141.2286	2197-1	0.5
2197	1.	SLV_ENV	Max	92.018	97.1351	2197-1	1.
2197	0.	SLV_ENV	Min	-135.5153	-208.2903	2197-1	0.
2197	0.5	SLV_ENV	Min	-97.8853	-167.0114	2197-1	0.5
2197	1.	SLV_ENV	Min	-66.1954	-127.3166	2197-1	1.
2198	0.	SLU_ENV	Max	22.5335	-3.8748	2198-1	0.
2198	0.5	SLU_ENV	Max	26.4777	-9.8576	2198-1	0.5
2198	1.	SLU_ENV	Max	31.2578	-15.4397	2198-1	1.
2198	0.	SLU_ENV	Min	9.8629	-20.7347	2198-1	0.
2198	0.5	SLU_ENV	Min	10.8948	-24.0799	2198-1	0.5
2198	1.	SLU_ENV	Min	11.9266	-27.4252	2198-1	1.
2198	0.	SLV_ENV	Max	92.018	97.1351	2198-1	0.
2198	0.5	SLV_ENV	Max	86.5902	38.9546	2198-1	0.5
2198	1.	SLV_ENV	Max	135.5763	48.759	2198-1	1.
2198	0.	SLV_ENV	Min	-66.1954	-127.3166	2198-1	0.
2198	0.5	SLV_ENV	Min	-58.2331	-74.2294	2198-1	0.5
2198	1.	SLV_ENV	Min	-104.6845	-89.127	2198-1	1.
2199	0.	SLU_ENV	Max	31.2578	-15.4397	2199-1	0.
2199	0.5	SLU_ENV	Max	36.9186	-18.5809	2199-1	0.5

Table: Element Forces - Frames, Part 2 of 2

Frame	Station m	OutputCase	StepType	M2	M3	FrameElem	ElemStation
				KN-m	KN-m		m
2199	1.	SLU_ENV	Max	42.5794	-21.7221	2199-1	1.
2199	0.	SLU_ENV	Min	11.9266	-27.4252	2199-1	0.
2199	0.5	SLU_ENV	Min	12.8826	-35.3594	2199-1	0.5
2199	1.	SLU_ENV	Min	13.8385	-44.2896	2199-1	1.
2199	0.	SLV_ENV	Max	135.5763	48.759	2199-1	0.
2199	0.5	SLV_ENV	Max	222.4294	138.8221	2199-1	0.5
2199	1.	SLV_ENV	Max	315.3409	238.6976	2199-1	1.
2199	0.	SLV_ENV	Min	-104.6845	-89.127	2199-1	0.
2199	0.5	SLV_ENV	Min	-189.2676	-184.8211	2199-1	0.5
2199	1.	SLV_ENV	Min	-279.9091	-290.3275	2199-1	1.
2200	0.	SLU_ENV	Max	42.5794	-21.7221	2200-1	0.
2200	0.5	SLU_ENV	Max	48.9506	-25.0726	2200-1	0.5
2200	1.	SLU_ENV	Max	55.3217	-28.4231	2200-1	1.
2200	0.	SLU_ENV	Min	13.8385	-44.2896	2200-1	0.
2200	0.5	SLU_ENV	Min	14.5692	-55.654	2200-1	0.5
2200	1.	SLU_ENV	Min	15.2998	-67.0185	2200-1	1.
2200	0.	SLV_ENV	Max	315.3409	238.6976	2200-1	0.
2200	0.5	SLV_ENV	Max	441.1035	377.8224	2200-1	0.5
2200	1.	SLV_ENV	Max	568.2553	517.8924	2200-1	1.
2200	0.	SLV_ENV	Min	-279.9091	-290.3275	2200-1	0.
2200	0.5	SLV_ENV	Min	-404.0207	-435.3331	2200-1	0.5
2200	1.	SLV_ENV	Min	-529.5216	-581.2839	2200-1	1.
2201	0.	SLU_ENV	Max	55.3217	-28.4231	2201-1	0.
2201	0.5	SLU_ENV	Max	62.1279	-31.3999	2201-1	0.5
2201	1.	SLU_ENV	Max	68.934	-34.3767	2201-1	1.
2201	0.	SLU_ENV	Min	15.2998	-67.0185	2201-1	0.
2201	0.5	SLU_ENV	Min	15.6396	-80.7787	2201-1	0.5
2201	1.	SLU_ENV	Min	15.9793	-94.539	2201-1	1.
2201	0.	SLV_ENV	Max	568.2553	517.8924	2201-1	0.
2201	0.5	SLV_ENV	Max	730.9025	701.6273	2201-1	0.5
2201	1.	SLV_ENV	Max	894.1202	885.7007	2201-1	1.
2201	0.	SLV_ENV	Min	-529.5216	-581.2839	2201-1	0.
2201	0.5	SLV_ENV	Min	-691.6063	-770.6978	2201-1	0.5
2201	1.	SLV_ENV	Min	-854.2614	-960.4502	2201-1	1.